ΥΠΟΥΡΓΕΙΟ ΠΟΛΙΤΙΣΜΟΥ
ΔΗΜΟΣΙΕΥΜΑΤΑ ΤΟΥ ΑΡΧΑΙΟΛΟΓΙΚΟΥ ΔΕΛΤΙΟΥ ΑΡ. 45

ΧΑΪΔΩ ΚΟΥΚΟΥΛΗ-ΧΡΥΣΑΝΘΑΚΗ

ΠΡΩΤΟΪΣΤΟΡΙΚΗ ΛΣΟΣ

ΤΑ ΝΕΚΡΟΤΑΦΕΙΑ ΤΟΥ ΟΙΚΙΣΜΟΥ ΚΑΣΤΡΙ

ΕΚΔΟΣΗ ΤΟΥ ΤΑΜΕΙΟΥ ΑΡΧΑΙΟΛΟΓΙΚΩΝ ΠΟΡΩΝ ΚΑΙ ΑΠΑΛΛΟΤΡΙΩΣΕΩΝ

ΠΡΩΤΟΪΣΤΟΡΙΚΗ ΘΑΣΟΣ

ΤΑ ΝΕΚΡΟΤΑΦΕΙΑ ΤΟΥ ΟΙΚΙΣΜΟΥ ΚΑΣΤΡΙ

© ΤΑΜΕΙΟ ΑΡΧΑΙΟΛΟΓΙΚΩΝ ΠΟΡΩΝ ΚΑΙ ΑΠΑΛΛΟΤΡΙΩΣΕΩΝ
ΔΙΕΥΘΥΝΣΗ ΔΗΜΟΣΙΕΥΜΑΤΩΝ
ΟΔΟΣ ΠΑΝΕΠΙΣΤΗΜΙΟΥ 57, ΑΘΗΝΑ 105 64

ΓΕΝΙΚΗ ΕΠΙΜΕΛΕΙΑ: Ευαγγελία Κυπραίου
ΥΠΕΥΘΥΝΗ ΕΚΔΟΣΗΣ: Ντιάνα Ζαφειροπούλου
ΔΙΟΡΘΩΣΕΙΣ: Γιάννα Τσεκούρα
ΚΑΛΛΙΤΕΧΝΙΚΗ ΕΠΙΜΕΛΕΙΑ: Βάνα Μάρη

ISBN 960-214-107-7
Τόμος Α: 960-214-108-5

ΥΠΟΥΡΓΕΙΟ ΠΟΛΙΤΙΣΜΟΥ
ΔΗΜΟΣΙΕΥΜΑΤΑ ΤΟΥ ΑΡΧΑΙΟΛΟΓΙΚΟΥ ΔΕΛΤΙΟΥ ΑΡ. 45

ΧΑΪΔΩ ΚΟΥΚΟΥΛΗ-ΧΡΥΣΑΝΘΑΚΗ

ΠΡΩΤΟΪΣΤΟΡΙΚΗ ΘΑΣΟΣ

ΤΑ ΝΕΚΡΟΤΑΦΕΙΑ ΤΟΥ ΟΙΚΙΣΜΟΥ ΚΑΣΤΡΙ

ΜΕΡΟΣ Α

ΕΚΔΟΣΗ ΤΟΥ ΤΑΜΕΙΟΥ ΑΡΧΑΙΟΛΟΓΙΚΩΝ ΠΟΡΩΝ ΚΑΙ ΑΠΑΛΛΟΤΡΙΩΣΕΩΝ

Στη μητέρα μου

ΠΕΡΙΕΧΟΜΕΝΑ

Σελ.

ΠΡΟΛΟΓΟΣ 1

ΒΙΒΛΙΟΓΡΑΦΙΑ 3

ΕΙΣΑΓΩΓΗ: ΠΡΟΪΣΤΟΡΙΚΗ ΘΑΣΟΣ 15

ΜΕΡΟΣ Α: ΤΑ ΑΝΑΣΚΑΦΙΚΑ ΔΕΔΟΜΕΝΑ

ΕΙΣΑΓΩΓΙΚΑ: ΠΡΩΤΟΪΣΤΟΡΙΚΗ ΘΑΣΟΣ 27
ΧΡΟΝΙΚΟ ΤΩΝ ΑΝΑΣΚΑΦΩΝ ΣΤΑ ΝΕΚΡΟΤΑΦΕΙΑ 28

ΚΕΦΑΛΑΙΟ Α΄: ΠΡΟΪΣΤΟΡΙΚΟΣ ΟΙΚΙΣΜΟΣ ΚΑΙ ΝΕΚΡΟΤΑΦΕΙΑ ΣΤΗ ΘΕΣΗ ΚΑΣΤΡΙ 31

ΤΟ ΝΕΚΡΟΤΑΦΕΙΟ ΣΤΗ ΘΕΣΗ ΚΕΝΤΡΙΑ 36
Ταφική συστάδα Κ1 36
Ταφική συστάδα Κ2 50
Ταφική συστάδα Κ3 69
Ταφική συστάδα Κ4 76
Τάφος Κ5 83
Ταφική συστάδα Κ6 91
Τάφος Κ7 97

ΤΟ ΝΕΚΡΟΤΑΦΕΙΟ ΣΤΗ ΘΕΣΗ ΒΡΥΣΟΥΔΕΣ 100
Ταφική συστάδα Β1 100
Τάφος Β2 115
Τάφος Β3 119

ΤΟ ΝΕΚΡΟΤΑΦΕΙΟ ΣΤΗ ΘΕΣΗ ΤΣΙΓΑΝΑΔΙΚΑ 122
Τάφος Τ1 122
Ταφική συστάδα Τ2 131
Ταφική συστάδα Τ3 135
Τάφος Τ4 139
Ταφική συστάδα Τ5 141
Ταφική συστάδα Τ6 150
Ταφική συστάδα Τ7 152
Τάφος Τ8 158
Τάφος Τ9 161
Τάφος Τ10 163
Τάφος Τ11 163
Τάφος Τ12 163
Τάφος Τ13 167
Ταφική συστάδα Τ14 171
Τάφος Τ15 177

Τάφος Τ16 180
Ταφική συστάδα Τ17 183
Τάφος Τ18 191
Ταφική συστάδα Τ19 227
Ταφική συστάδα Τ20 231
Τάφος Τ21 255
Τάφος Τ22 257
Ταφική συστάδα Τ23 262
Τάφος Τ24 267
Τάφος Τ25 272
Τάφος Τ26 274
Ταφική συστάδα Τ27 276
Τάφος Τ28 290
Τάφος Τ29 291
Ταφική συστάδα Τ30 298
Τάφος Τ31 304
Τάφος Τ32 307
Τάφος Τ33 310
Ταφική συστάδα Τ34 310
Ταφική συστάδα Τ35 317

ΚΕΦΑΛΑΙΟ Β΄: ΤΟ ΝΕΚΡΟΤΑΦΕΙΟ ΣΤΗ ΘΕΣΗ ΛΑΡΝΑΚΙ 328

Τάφος ΛΑ 329
Τάφος ΛΒ 332
Ταφική συστάδα Λ1 334
Ταφική συστάδα Λ2 339
Ταφική συστάδα Λ3 345
Ταφική συστάδα Λ4 355
Ταφική συστάδα Λ5 358
Τάφος Λ6 367

ΠΡΟΛΟΓΟΣ

Η έρευνα της ύστερης εποχής του χαλκού και της πρώιμης εποχής του σιδήρου στην ανατολική Μακεδονία και Θράκη ξεκίνησε μόλις στις αρχές της δεκαετίας του '70, όταν οι Εφορείες Αρχαιοτήτων Καβάλας και Κομοτηνής άρχισαν συγχρόνως, αλλά ανεξάρτητα η μία από την άλλη, τις πρώτες ανασκαφές σε θέσεις αυτής της εποχής.

Στη μελέτη αυτή δημοσιεύεται ένα μέρος από το αρχαιολογικό υλικό που έφεραν στο φως οι ανασκαφές της Εφορείας Προϊστορικών και Κλασικών Αρχαιοτήτων Καβάλας στην περιοχή του οικισμού Καστρί Θεολόγου Θάσου. Η ανασκαφή άρχισε με μικρές σωστικές ανασκαφικές έρευνες στις θέσεις Καστρί και Λαρνάκι στα 1969 και 1970 και εξελίχθηκε σε αρχαιολογικό ανασκαφικό πρόγραμμα έρευνας της προϊστορικής και πρωτοϊστορικής Θάσου, χρηματοδοτημένο από το Υπουργείο Πολιτισμού.

Ως δημοσίευση αρχαιολογικού υλικού η μελέτη στο Α' Μέρος της επικεντρώνεται στην κατά το δυνατό ακριβέστερη τεκμηρίωση του αρχαιολογικού υλικού των νεκροταφείων του οικισμού Καστρί και της θέσης Λαρνάκι, που χρονολογούνται στην ύστερη εποχή του χαλκού και στην πρώιμη εποχή του σιδήρου. Με βάση το αρχαιολογικό αυτό υλικό, επιχειρείται στο Β' Μέρος της μελέτης μια πρώτη προσέγγιση της έρευνας της πολιτιστικής φυσιογνωμίας της Θάσου την εποχή αυτή. Η προσέγγιση αυτή, όπως και η προσπάθεια να αναγνωρισθούν οι πολιτιστικές σχέσεις της Θάσου με τον ευρύτερο πολιτιστικό χώρο του Αιγαίου και των νοτιοανατολικών Βαλκανίων, δεν είναι βέβαια δυνατό να θεωρείται οριστική, αφού η αρχαιολογική έρευνα της εποχής αυτής στο βορειοανατολικό Αιγαίο βρίσκεται στο ξεκίνημά της. Πολλές από τις ερμηνείες που προτείνονται εδώ πιθανότατα θα χρειασθεί να αναθεωρηθούν, είτε γιατί έχουν στηριχθεί σε αρχαιολογικά δεδομένα που δεν ήταν πλήρη είτε γιατί έχουν εξαρτηθεί από το συγκεκριμένο μοντέλο έρευνας του μελετητή και της εποχής του. Η προοπτική αυτή κάθε άλλο παρά αποθαρρυντική είναι, αφού θα τη χαρακτήριζε κανείς ιδιαίτερα αισιόδοξη και για τα μελλοντικά αρχαιολογικά ευρήματα, που τα περιμένουμε πλούσια, και για τη βελτίωση των μεθόδων της έρευνας, που στην προσπάθειά της να προχωρήσει μπροστά χρειάζεται να καταναλώσει ως κινητήρια δύναμη τον ίδιο τον εαυτό της. Η αισιοδοξία βασίζεται επίσης στη βελτίωση των μεθόδων έρευνας στον τομέα της αρχαιολογίας και των θετικών επιστημών, που στη μελέτη αυτή αντιπροσωπεύονται από τα ειδικά παραρτήματα ξένων κυρίως ερευνητών.

Ούτε η επιλογή ούτε η πραγματοποίηση αυτής της μελέτης θα ήταν δυνατή αν οι καθηγητές μας της κλασικής αρχαιολογίας στο Πανεπιστήμιο Θεσσαλονίκης Γεώργιος Μπακαλάκης και Μανόλης Ανδρόνικος δεν είχαν διευρύνει το γνωστικό μας πεδίο και δεν είχαν οξύνει το ενδιαφέρον μας για τα προβλήματα της αρχαιολογίας των οικισμών, χώρο έρευνας ιδιαίτερα προσιτό στους αρχαιολόγους που δουλεύουν στις Εφορείες Αρχαιοτήτων. Η προσωπική μου πορεία στο χώρο αυτό ξεκινά από την πρώτη ανασκαφική γνωριμία με την πρώιμη εποχή του σιδήρου στο νεκροταφείο των τύμβων της Βεργίνας και διαμορφώνεται στην Εφορεία Αρχαιοτήτων Ανατολικής Μακεδονίας, όπου οι ανασκαφικές έρευνες στους προϊστορικούς οικισμούς Ντικιλί Τας και Σιταγρών και η επικοινωνία με τους ανασκαφείς Δημήτρη Θεοχάρη, Jean Deshayes και Colin Renfrew προσφέρθηκαν ως καθοριστικές ευκαιρίες ενημέρωσης και προβληματισμού στο χώρο της προϊστορίας.

Η μελέτη, ωστόσο, αυτή οφείλει πολλά στην ουσιαστική βοήθεια και ενθάρρυνση του καθηγητή V. Milojčić, ευκαιρία που τη χρωστώ στην υποτροφία του Γερμανικού Αρχαιολογικού Ινστιτούτου Βερολίνου.

Το Ινστιτούτο Προϊστορίας και Πρωτοϊστορίας της Χαϊδελβέργης υπήρξε για μένα ένας ιδανικός χώρος μελέτης, που μου έδωσε τη δυνατότητα να ενημερωθώ σε θέματα έρευνας της πρώιμης εποχής του σιδήρου του κεντροευρωπαϊκού χώρου. Θέλω εδώ να ευχαριστήσω ιδιαίτερα τον Klaus Kilian και την Imma Kilian-Dirlmeier για τη φιλία και την επιστημονική βοήθεια που μου πρόσφεραν στο διάστημα παραμονής μου στη Χαϊδελβέργη. Θερμές ευχαριστίες θέλω επίσης να εκφράσω στον Bernard Hänsel, που δίνοντάς μου την αδημοσίευτη τότε μελέτη του «Beiträge zur regionalen und chronologischen Gliederung der älteren Hallstattzeit an der unteren Donau» διευκόλυνε την πρόσβασή μου στο αρχαιολογικό υλικό και στα προβλήματα της πρώιμης εποχής του σιδήρου στα νοτιοανατολικά Βαλκάνια. Η ανασκαφή του προϊστορικού οικισμού του Καστανά στην κεντρική Μακεδονία, που ακολούθησε, κράτησε μόνιμη αυτή την επικοινωνία και αλληλοενημέρωση με τον B. Hänsel και τους συνεργάτες του στην ανασκαφή του Καστανά, Alex Hochstetter και Christian Podzuweit. Εξίσου σημαντική στάθηκε η πρόσβαση στο αρχαιολογικό υλικό της ανασκαφής του προϊστορικού οικισμού της Ασσήρου, που μου εξασφάλισαν οι ανασκαφείς Ken Wardle και Diana Wardle. Τους παραπάνω ανασκαφείς του Καστανά και της Ασσήρου θέλω εδώ να ευχαριστήσω για όλες τις διευκολύνσεις που πρόσφεραν στη μελέτη του υλικού και για όλες τις συζητήσεις που είχαμε.

Ιδιαίτερα επίσης θέλω να ευχαριστήσω και τους Έλληνες συναδέλφους Διαμαντή Τριαντάφυλλο και Βαγγέλη Πεντάζο που μου έδωσαν τη δυνατότητα να μελετήσω δημοσιευμένο και αδημοσίευτο αρχαιολογικό υλικό των Μουσείων της Θράκης και της Σαμοθράκης. Ευχαριστώ ακόμη τους συναδέλφους του Μουσείου Θεσσαλονίκης Κατερίνα Ρωμιοπούλου, Ιουλία Βοκοτοπούλου και Δημήτρη Γραμμένο, που με διευκόλυναν στη μελέτη του αρχαιολογικού υλικού της κεντρικής Μακεδονίας, καθώς και τους συναδέλφους Μαίρη Σιγανίδου για τη διάθεση του αρχαιολογικού υλικού δυτικής Μακεδονίας και Ηλία Τσιριβάκο για τη διευκόλυνση της μελέτης μου στα Μουσεία Λέσβου και Λήμνου.

Η συμμετοχή μου στις Semaines Philippopolitaines μου έδωσε την ευκαιρία να γνωρίσω το αρχαιολογικό υλικό της ύστερης εποχής του χαλκού και της πρώιμης εποχής του σιδήρου των Μουσείων της Βουλγαρίας και ευχαριστώ εδώ τους Βούλγαρους συναδέλφους R. Katinčarov, G. Tončeva, H. Todorova για τη βοήθεια που μου πρόσφεραν. Ευχαριστώ επίσης τον Τούρκο συνάδελφο M. Özdogan που είχε την καλοσύνη να μου στείλει, πριν ακόμη δημοσιευθεί, το άρθρο του για τις επιφανειακές έρευνες στην ανατολική Θράκη.

Ευχαριστώ επίσης θερμότατα το Γιώργο Χουρμουζιάδη, που ανέλαβε τη διατριβή αυτή και βοήθησε με τις παρατηρήσεις του στη βελτίωσή της, καθώς και τα μέλη της Σχολής που την έχουν εγκρίνει.

Τέλος, θερμές ευχαριστίες εκφράζονται στο Διοικητικό Συμβούλιο του ΤΑΠ που ενέκρινε τη χρηματοδότηση της έκδοσης και στην προϊσταμένη της Διεύθυνσης Δημοσιευμάτων Ευαγγελία Κυπραίου. Ιδιαίτερα ευχαριστώ την Ντιάνα Ζαφειροπούλου που με ξεχωριστή φροντίδα επιμελήθηκε την έκδοση, τη γραφίστα Βάνα Μάρη για την καλλιτεχνική επιμέλεια και τη Γιάννα Τσεκούρα για τις τυπογραφικές διορθώσεις.

ΣΗΜΕΙΩΣΗ ΤΗΣ ΣΥΝΤΑΞΗΣ

— Τα εντός κειμένου σχέδια των τόμων Α και Β παραπέμπονται ως Σχέδια (Σ χ έ δ.) με αραβικούς αριθμούς.
— Οι Πίνακες (σχέδια ευρημάτων και φωτογραφίες) του τόμου Γ παραπέμπονται ως Πίνακες (Π ί ν.). Στους Πίνακες 1-209 οι κλίμακες είναι 1:4, εκτός αν αυτές σημειώνονται γραφικά.
— Τα αναδιπλούμενα σχέδια στο τέλος των τόμων παραπέμπονται ως Σχέδια (Σ χ έ δ.) με λατινικούς αριθμούς.

ΒΙΒΛΙΟΓΡΑΦΙΑ*

Alexander 1962 — J. Alexander, Greek, Italians and the Earliest Balkan Iron Age, Antiquity XXXV (1962), 123-130.

Alexandrescu 1966 — A.D. Alexandrescu, Die Bronzeschwerter aus Rumänien, Dacia NS 10 (1966), 117-189.

Alexandrescu 1973 — A.D. Alexandrescu, La nécropole du bronze récent de Zimnicea, Dacia NS 17 (1973), 77-97.

Alexandrescu 1974 — A.D. Alexandrescu, Autour des fouilles de Zimnicea, Thracia III (1974), 47 κ.ε.

Ανδρόνικος 1961/62 — M. Ανδρόνικος, Ελληνικά επιτάφια μνημεία, ΑΔ 17 (1961/62): Μελέτες, 152 κ.ε.

Ανδρόνικος 1962 — M. Ανδρόνικος, Ομηρικά και μυκηναϊκά έθιμα ταφής, Ελληνικά 10 (1962), 40 κ.ε.

Andronikos 1968 — M. Andronikos, Totenkult, Archaeologia Homerica, III, W, 1968.

Ανδρόνικος 1969 — M. Ανδρόνικος, Βεργίνα I, Το νεκροταφείο των τύμβων, 1969.

Avila 1983 — R. Avila, Bronzene Lanzen und Pfeilspitzen der griechischen Spätbronzezeit, PBF, V, 1, 1983.

Bakalakis - Sakellariou 1981 — G. Bakalakis - A. Sakellariou, Paradimi, 1981.

Bass 1967 — F. Bass, Cape Gelidoniya, A Bronze Age Shipwreck, Transactions of the American Philosophical Society 57 (1967), μέρος 8.

Benton 1938/39 — S. Benton, Excavations in Ithaca III, BSA 39 (1938/39), 1 κ.ε.

Benton - Waterhouse 1973 — S. Benton - H. Waterhouse, Excavations at Stavros Ithaka in 1937, BSA 68 (1973), 1 κ.ε.

Berciu 1961 — D. Berciu, Die Verbicioara Kultur, Dacia NS 5 (1961), 123-161.

Bernabò-Brea 1964 — L. Bernabò-Brea, Poliochni, Città preistorica nell'isola di Lemnos, 1964.

Bernard 1964 — P. Bernard, Céramique de la première moitié du VIIe siècle à Thasos, BCH LXXXVIII (1964), 77-146.

Biancofiore 1963 — F. Biancofiore, La civiltà micenea nell'Italia meridionale, La ceramica, 1963.

Bintliff 1977 — J.L. Bintliff, Natural Environment and Human Settlement in Prehistoric Greece, BAR 28 (1977).

Bittel 1942 — K. Bittel, Kleinasiatische Studien, 1942.

Blackburn 1970 — E. Blackburn, Middle Helladic Graves, 1970.

Blegen 1921 — C.W. Blegen, Korakou, A Prehistoric Settlement near Corinth, 1921.

Blegen 1928 — C.W. Blegen, Zygouries, 1928.

Blegen 1937 — C.W. Blegen, Prosymna, The Helladic Settlement Preceding the Argive Heraeum, 1937.

Blegen - Caskey 1950 — C. Blegen - J. Caskey - M. Rawson - J. Sperling, Troy, The First and Second Settlement, τ. I, 1950.

Blegen - Caskey 1951 — C. Blegen - J. Caskey - M. Rawson, Troy, The Third, Fourth and Fifth Settlement, τ. II, 1951.

Blegen - Caskey 1953 — C. Blegen - J. Caskey - M. Rawson, Troy, The Sixth Settlement, τ. III, 1953.

Blegen - Caskey 1958 — C. Blegen - C. Boulter - J. Caskey - M. Rawson, Troy, Settlements VIIa, VIIb and VIII, τ. IV, 1958.

Blegen 1973 — C. Blegen - M. Rawson - M. Taylour - W. Donovan, The Palace of Nestor at Pylos in Western Messenia, τ. III, 1973.

Blinkenberg 1926 — C. Blinkenberg, Lindiaka V, Fibules grecques et orientales, 1926.

Boardman 1961 — J. Boardman, The Cretan Collection in Oxford. The Dictaean Cave and Iron Age Crete, 1961.

Boardman 1967 — J. Boardman, Chios: Greek Emporio, 1967.

Bökönyi 1973 — S. Bökönyi, Stock Breeding, στο Νεολιθική Ελλάς, 1973, 165-178.

Bouzek 1966 — J. Bouzek, The Aegean and Central Europe, Památky Archeologické LVII (1966), 242 κ.ε.

Bouzek 1967 — J. Bouzek, Die griechisch-geometrischen Bronzevögeln, Eirene VI (1967), 115-139

Bouzek 1969 — J. Bouzek, The Beginning of Protogeometric Pottery and the Dorian Invasion, OpAth 9 (1969), 41-57.

Bouzek 1970 — J. Bouzek, Homerisches Griechenland, 1970.

Bouzek 1973 — J. Bouzek, Graeco-Macedonian Bronzes, 1973.

Bouzek 1974 — J. Bouzek, Bronze Age Greece and the Balkans, στο Bronze Age Migrations in the Aegean, 1974, 169-187.

* Η βιβλιογραφική ενημέρωση φθάνει ως το 1985.

Bouzek 1974α — J. Bouzek, Macedonian Bronzes, Památky Archeologické LXV (1974), 278-313.

Bouzek 1977 — J. Bouzek, Die Anfänge des griechisch-geometrischen Symbolguts, Eirene 8 (1977), 97-122.

Bouzek 1983 — J. Bouzek, Der Vardar und Morava Bereich in seinem Verhältnis zu Griechenland zwischen 1200 und 900 v.u.Z., στο Griechenland, die Ägäis und die Levante während der «Dark Ages» vom 12. bis zum 9. Jh. v. Chr., Akt. Symp. Zwetti (NÖ), 11-14 Okt. 1980, 1983, 271-284.

Branigan 1970 — K. Branigan, The Tombs of Messara, 1970.

Branigan 1974 — K. Branigan, Aegean Metalwork of the Early and Middle Bronze Age, 1974.

Brock 1957 — J.K. Brock, Fortetsa, BSA Suppl. 2, 1957.

Broneer 1939 — O. Broneer, A Mycenaean Fountain on the Athenian Acropolis, Hesperia 7 (1939), 317-433.

Brückner - Jovanović - Tasić 1974 — B. Brückner - B. Jovanović - N. Tasić, Praistorija Vojvodina, 1974.

Buchholz 1972 — H.-G. Buchholz, Das Blei in der mykenischen Kultur und in der bronzezeitlichen Metallurgie Zyperns, JdI 87 (1972), 1-59.

Buchholz 1974 — H.-G. Buchholz, Gray Trojan Ware in Cyprus and Northern Syria, στο Bronze Age Migrations in the Aegean, 1974, 179-184.

Buchholz 1975 — H.-G. Buchholz, Methymna, Archäologische Beiträge zur Topographie und Geschichte von Nordlesbos, 1975.

Buchholz 1980 — H.-G. Buchholz, Lanz und Speer, Archaeologia Homerica, I, E, 1980.

Caskey 1960 — J. Caskey, The Early Helladic Period in Argolis, Hesperia 29 (1960), 285-303.

Casson 1919/21 — S. Casson, Excavations in Macedonia, BSA 24 (1919/21), 1-33.

Casson 1923/24 — S. Casson, The Bronze Age in Macedonia, Archaeologia 74 (1923/24), 73-88.

Casson 1923/25 — S. Casson, Excavations in Macedonia II, BSA 26 (1923/25), 1-29.

Casson 1926 — S. Casson, Macedonia, Thrace, Illyria, 1926.

Casson 1926α — S. Casson, Excavations in Macedonia, AntJ 6 (1926), 59-72.

Catling 1964 — H.W. Catling, Cypriot Bronzework in the Mycenaean World, 1964.

Černych 1978 — E.N. Černych, Aibunar, A Balkan Copper Mine of the 4th Millenium B.C., PPS 44 (1978), 203-217.

Černych 1978α — E.N. Černych, Gornoe delo i metallurgia v dreunejšej Balgarii, 1978.

Childe 1929 — G. Childe, The Danube in Prehistory, 1929.

Čičicova 1971 — M. Čičicova, Sur la chronologie du Hallstatt en Thrace, Studia Balcanica 5 (1971), 79-91.

Čičicova 1972 — M. Čičicova, Nouvelles données sur la culture thrace de l'époque du Hallstatt en Bulgarie du Sud, Thracia I (1972).

Čičicova 1974 — M. Čičicova, Frühthrakische Siedlungen in Bulgarien, Symposium zu Problemen der jüngeren Hallstattzeit in Mitteleuropa (1970), 1974.

Čičicova 1976 — M. Čičicova, Habitats et forteresses thraces du Ière millénaire av.n.è., Pulpudeva I (1976), 15-33.

Clark 1974 — J.G. Clark, Prehistoric Europe, 1974.

Coleman 1977 — J. Coleman, Keos I, Kephala, 1977.

Coldstream 1968 — J.N. Coldstream, Greek Geometric Pottery, 1968.

Končev 1959 — D. Končev, Arheologičeskite razkopki v čašata na jasovir «Batak», ArcheologijaSof 1, 3-4 (1959), 83-86.

Končev 1970 — D. Končev - A. Milčev, Razkopki v čašata na jasovir «Batak», Bull.Inst. Bulg. 32 (1970), 149-205.

Cuttle 1926/27 — W.L. Cuttle, Excavations at Vardaroftsa II, BSA 28 (1926/27), 201-242.

Δάκαρης 1956 — Σ. Δάκαρης, Προϊστορικοί τάφοι παρά το Καλμπάκι Ιωαννίνων, AE 1956, 114-153.

Danov 1960 — Ch. Danov, Social and Economic Evolution of the Ancient Thracians in Homeric, Archaic and Classical Times, Recueil des Etudes Historiques XI, Congrès international, Sofia-Stockholm 1960, 3-29.

Danov 1968 — Ch. Danov, Altthrakien, 1968.

Davies 1932 — O. Davies, Ancient Mines in Southern Macedonia, The Journal of the Royal Anthropological Institute of Great Britain and Ireland LXII (1932), 145 κ.ε.

Deger-Jalkotzy 1977 — S. Deger-Jalkotzy, Fremde Zuwanderer im spätmykenischen Griechenland, 1977.

Δεϊλάκη 1980 — Ε. Δεϊλάκη, Οι τύμβοι του Άργους, 1980.

Delev 1979 — P. Delev, Les monuments mégalithiques en Bulgarie, Actes du 2ème Symposium international de Thracologie, Rome 1979, 76-82.

Delev 1982 — P. Delev, Problems of the Thracian Megalithic Culture, Pulpudeva 3 (1982), 189-192.

Desborough 1952 — V. Desborough, Protogeometric Pottery, 1952.

Desborough 1965 — V. Desborough, The Greek Mainland, 1150-1000 b.C., PPS 31 (1965), 213-228.

Desborough 1966 — V. Desborough, The Last Mycenaeans and their Successors, 1966[2] (1964).

Desborough 1972 — V. Desborough, The Greek Dark Age, 1972.

Deshayes 1960 — J. Deshayes, Les outils de bronze de l'Indus au Danube, 1960.

Deshayes 1962 — J. Deshayes, Chronique des fouilles, BCH LXXXVI (1962), 912-933 (Dikili Tash).

Deshayes 1966 — J. Deshayes, Argos, Les fouilles de la Deiras, Etudes Péloponnesiennes IV, 1966.

Deshayes 1970 — J. Deshayes, Les fouilles de Dikili Tash et l'archéologie jugoslave, ZborMuz-Beograd 6 (1970), 21-41.

Deshayes 1972 — J. Deshayes, Dikili Tash and the Origins of the Troadic Culture, Archaeology 25 (1972), 198-205.

Deshayes 1973 — J. Deshayes, La séquence des cultures à Dikili Tash, Actes du VIIIe Congrès international des sciences préhistoriques et protohistoriques, 1973, τ. II, 492-496.

Detev 1964 — P. Detev, Kolektivna nahodka ot glineni sădove v Plovdiv, ArcheologijaSof, 6, 4 (1964), 66-70.

Detev 1968 — P. Detev, Traces de la civilisation de Razcopanič̆a, Appulum 7, 1 (1968), 61 κ.ε.

Detev 1971 — P. Detev, Données archéologiques de la continuité de la culture du tell Razcopanič̆a, Studia Balcanica V (1971) (L'ethnogenèse des peuples balkaniques), 93.

Detev 1972 — P. Detev, La céramique à mamelon en Thrace, Thracia 1 (1972), 29-41.

Detev 1981 — P. Detev, Le tell Razcopanič̆a, Bull.Inst.Bulg. 35 (1981), 141-188.

Dietz 1975 — S. Dietz, A Bronze Age Tumulus Cemetery in Asine, Southern Greece, Archaeology 28 (1975), 157-163.

Dimitrov 1971 — D.P. Dimitrov, Troja VIIb2 und die thrakischen und mösischen Stämme aus dem Balkan, Studia Balcanica V (1971) (L'ethnogenèse des peuples balkaniques), 63 κ.ε.

Dörpfeld 1902 — W. Dörpfeld, Troja und Ilion, 1902.

Dörpfeld 1927 — W. Dörpfeld, Alt Ithaka, 1927.

Doumas 1977 — Ch. Doumas, Early Bronze Age Burial Habits in the Cyclades, SIMA, XLVIII, 1977.

Dumitrescu 1961 — V. Dumitrescu, Necropole de incineratie din epoca bronzului de la Cirna, 1961.

Džambazov - Katinčarov 1961 — N. Džambazov - R. Katinčarov, Arheologičeski nahodki ot peščerata Magura, ArcheologijaSof 3, 3 (1961), 56-64.

Eduards 1979 — R. Eduards, Kadmos, the Phoenician. A Study in Greek Legends and the Mycenaean Age, 1979.

Eilmann 1933 — R. Eilmann, Frühe Keramik im samischen Heraeum, AM 58 (1933), 47 κ.ε.

Evans 1921 — A. Evans, The Palace of Minos at Knossos, IV, 1921.

Evans - Renfrew 1968 — J. Evans - C. Renfrew, Excavations at Saliagos near Antiparos, 1968.

Fol - Venedikov 1976 — A. Fol - I. Venedikov, Megalitite v Thrakija 1, 1976.

Fol 1982 — A. Fol, Megalitite v Thrakija 2, Thrakija Pontica, Trakijski pametnici 3, 1982.

Foltiny 1955 — S. Foltiny, Zur Chronologie der Bronzezeit des Karpathenbeckens, 1955.

Foltiny 1964 — S. Foltiny, Früheisenzeitliche Bronzefunde von Amphipolis, MAGW 93/94 (1964), 90-103.

Foltiny 1968 — S. Foltiny, Zum Problem der sogenannten «Pseudo-Protovillanovaurnen», Origini 2 (1968), 333-356.

French 1966 — D.H. French, Some Problems in Macedonian Pottery, BalkSt 7 (1966), 101-108.

French 1967 — D.H. French, Index of Prehistoric Sites in Central Macedonia, 1967.

French 1974 — D.H. French, Migrations and «Minyan» Pottery in Western Anatolia and the Aegean, στο Bronze Age Migrations in the Aegean, 1974.

E. French 1975 — E. French, A Reassessement of the Mycenaean Pottery at Tarsus, AnatSt 25 (1975), 53-75.

E. French 1977 — E. French, Ceramic Relations between Troy and Mycenae in the LBA, VI Colloquium, Sheffield, 1977.

E. French - Rutter 1977 — E. French - J. Rutter, The Handmade Burnished Ware of Late Helladic IIIC Period. Its Modern Historical Context, AJA 81 (1977), 111 κ.ε.

E. French 1989 — E. French, Possible Northern Intrusions at Mycenae. Thracians and Mycenaeans, 1989, 39-51.

Furumark 1941 — A. Furumark, The Chronology of Mycenaean Pottery, 1941.

Furumark 1972 — A. Furumark, Mycenaean Pottery, Analysis and Classification, 1972[2].

Gale 1980 — N. Gale, Some Aspects of Lead and Silver Mining in the Aegean, Thera and the Aegean World, II, 1980, 161-195.

Gale - Stos-Gale 1982 — N. Gale - Z.A. Stos-Gale, Bronze Age Copper Sources in the Mediterranean, Science 216 (1982), 11-19.

Garašanin 1958	M. Garašanin, Neolithikum und Bronzezeit in Serbien und Makedonien, BRGK 39 (1958), 1 κ.ε.
Garašanin 1969	M. Garašanin, Die prähistorische Siedlung Brzi-Brod bei Nis und das Problem der spätbronzezeitlichen Mediana Gruppe, Arch.Jug. X (1969), 85-90.
Garašanin - Sanev - Simoska - Kitanoski 1971	M. Garašanin - V. Sanev - D. Simoska - B. Kitanoski, Les civilisations préhistoriques de la Macédoine, Katalog Stip, 1971.
Garašanin 1973	M. Garašanin, Praistorija na tlu SR Srbije, 1973.
Garašanin 1974	M. Garašanin, Ethnographic Problems of the Bronze Age in the Central Balkan Regions, στο Bronze Age Migrations in the Aegean, 1974, 115-128.
Garašanin 1982	M. Garašanin, The Bronze Age in Central Balkan, CAH III, 1, 1982², 166-181. The Early Iron Age in Central Balkan, CAH III, 1, 1982², 582-616.
Gardner 1978	A. Gardner, The Pottery Technology of Neolithic Period in Southern Europe, 1978.
Gentner - Gropengiesser - Wagner - Gale 1979	W. Gentner - H. Gropengiesser - G. Wagner - N. Gale, Early Bronze Age Lead-Silver Mining in the Aegean: The Ancient Working on Siphnos, Proceedings of the 19th International Symposium on Archaeometry, 1979.
Gentner - Pernicka - Wagner - Gale - Vavelidis 1981	W. Gentner - E. Pernicka - G.A. Wagner - N.H. Gale - M. Vavelidis, Beiträge zur Archäometallurgie von Thasos, RArcheom, Suppl. 1981, 227-237.
Georgiev - Merpert - Katinčarov - Dimitrov 1979	G. Georgiev - N.J. Merpert - R. Katinčarov - D.G. Dimitrov, Ezero, 1979.
Georgiev 1982	G. Georgiev, Die Erforschung der Bronzezeit in Nordwestbulgarien, Prähistorische Archäologie in Südosteuropa 1 (1982), 187-202.
Gimbutas 1965	M. Gimbutas, Bronze Age Cultures in Central and Eastern Europe, 1965.
Goldman 1931	H. Goldman, Excavations at Eutresis in Boeotia, 1931.
Graham 1978	A.J. Graham, The Foundation of Thasos, BSA 73 (1978), 61-98.
Γραμμένος 1975	Δ. Γραμμένος, Από τους προϊστορικούς οικισμούς της ανατολικής Μακεδονίας, ΑΔ 30 (1975), Μελέτες, 193 κ.ε.
Γραμμένος 1979	Δ. Γραμμένος, Τύμβοι της ύστερης εποχής του χαλκού και άλλες αρχαιότητες στην περιοχή Νευροκοπίου Δράμας, ΑΕ 1979, 26-71.
Γραμμένος 1980	Δ. Γραμμένος, Συμπεράσματα από τη μελέτη των προϊστορικών οικισμών της Ανατολικής Μακεδονίας, «Η Καβάλα και η Περιοχή της», Τοπικό Συμπόσιο Καβάλας 1977, Θεσσαλονίκη 1980, 235-247.
Γραμμένος - Φωτιάδης 1980	Δ. Γραμμένος - Μ. Φωτιάδης, Από τους προϊστορικούς οικισμούς της ανατολικής Μακεδονίας, Ανθρωπολογικά 1 (1980), 15-53.
Γραμμένος 1981	Δ. Γραμμένος, Ανασκαφή σε οικισμό εποχής του χαλκού (πρώιμης) στην Πεντάπολη του Νομού Σερρών, ΑΕ 1981, 91-153.
Greig - Turner 1974	J.R.A. Greig - J. Turner, Some Pollen Diagrams from Greece and their Archaeological Significance, Journal of Archaeological Science 1974, 177-194.
Hägg 1974	R. Hägg, Die Gräber der Argolis, 1974.
Hall 1914	E.H. Hall, Excavations in Eastern Crete, Vrokastro, 1914.
Halstead 1977	P. Halstead, Bronze Age Demography of Crete and Greece, BSA 72 (1977), 107 κ.ε.
Halstead 1980	P. Halstead - G. Jones, Early Neolithic Economy in Thessaly, Some Evidence from Excavations at Prodromos, Ανθρωπολογικά 1 (1980), 93-117.
Halstead 1981	P. Halstead, Counting Sheeps in Neolithic and Bronze Age Greece, Studies in Honour of D. Clark, 1981.
Hammond 1967	N. Hammond, Tumulus Burials in Albania, the Grave Circles of Mycenae and the Indo-Europeans, BSA 62 (1967), 77-106.
Hammond 1971	N. Hammond, The Dating of Some Burials in Tumuli in South Albania, BSA 66 (1971), 229-241.
Hammond 1972	N. Hammond, A History of Macedonia, 1972.
Hammond 1974	N. Hammond, The Tumulus Burials of Leukas and their Connections in the Balkans and Northern Greece, BSA 69 (1974), 129-144.
Hammond 1976	N. Hammond, Migrations and Invasions in Greece and Adjacent Areas, 1976.
Hammond 1982	N. Hammond, Illyris, Epirus and Macedonia and the Early Iron Age, CAH III, 1982, 619-653.
Hankey - Warren 1974	V. Hankey - P. Warren, The Absolute Chronology of the Aegean Late Bronze Age, BICS 21 (1974), 142-154.
Hanschmann - Milojčić 1976	E. Hanschmann - V. Milojčić, Die Deutschen Ausgrabungen auf der Argissa Magula in Thessalien, 3. Die frühe und beginnende mittlere Bronzezeit, 1976.
Hänsel 1969	B. Hänsel, Plastik der jüngeren Bronzezeit und der älteren Eisenzeit aus Bulgarien, Germania 47 (1969), 62 κ.ε.
Hänsel 1970	B. Hänsel, Bronzene Griffzungenschwerter aus Bulgarien, PZ 45 (1970), 26-41.

Hänsel 1971 — B. Hänsel, Höhlen- und Felsmalereien an der unteren Donau und ihre Bedeutung für die Hallstatt Kunst Mitteleuropas, Actes du VIIIe Congrès international des sciences préhistoriques et protohistoriques, Beograd 1971 (1973), 112-119.

Hänsel 1974 — B. Hänsel, Eine datierte Rasierklinge mykenischen Typs von der unteren Donau, PZ 49 (1974), 192-217.

Hänsel 1976 — B. Hänsel, Beiträge zur regionalen und chronologischen Gliederung der älteren Hallstattzeit an der unteren Donau, 1976.

Hänsel 1977 — B. Hänsel, BCH CI (1977), Chronique 1976, 602 κ.ε.

Hänsel 1978 — B. Hänsel, BCH CII (1978), Chronique 1977, 714.

Hänsel 1979 — B. Hänsel, BCH CIII (1979), Chronique 1978, 586 κ.ε.

Hänsel 1979α — B. Hänsel, Ergebnisse der Grabung bei Kastanas in Zentralmakedonien, JbZMusMainz 26 (1979), 177-202.

Hänsel 1980 — B. Hänsel, BCH CIV (1980), Chronique 1979, 646 κ.ε.

Hänsel 1981 — B. Hänsel, Lausitzer Invasion in Nordgriechenland, Beiträge zur Ur- und Frühgeschicthe I, Festschrift W. Coblenz, 1981, 207-223.

Hänsel 1982 — B. Hänsel, Siedlungskontinuität im spätbronzezeitlichen und früheisenzeitlichen Nordgriechenland, Thracia Praehistorica, Suppl., Pulpudeva 3 (1978), 1982, 270-287.

Hänsel 1982α — B. Hänsel, Südosteuropa zwischen 1600 und 1000 v. Chr., Prähistorische Archäologie in Südosteuropa 1 (1982), 1-38.

Harding 1973 — A.F. Harding, Prehistoric Bronzes in the Department of Prehistoric and Roman British Antiquities, British Museum Quarterly 37 (1973), 140-144.

Harding 1974 — A.F. Harding - H. Hughes-Brock, Amber in the Mycenaean World, BSA 69 (1974), 145-171.

Harding 1975 — A. Harding, Mycenaean Greece and Europe, The Evidence of Bronze Tools and Implements, PPS 4 (1975), 183-202.

Harding 1976 — A.F. Harding, Illyrians, Italians and Mycenaeans, Transpontic Contacts during the Late Bronze Age, Premier Colloque des études illyriennes, Tirana 1972, Iliria 4 (1976), 157-162.

Henken 1968 — H. Henken, Tarquinia, Villanovans and Early Etruscans, 1968.

Heurtley - Hutchinson 1925/26 — W.A. Heurtley - R.W. Hutchinson, Report on Excavations at the Toumba and Tables of Vardaroftsa, I, BSA 27 (1925/26), 1-66.

Heurtley 1925/26 — W.A. Heurtley, Report on an Excavation at the Toumba of Vardino, Macedonia, Annals of Archaeology and Anthropology 12-13 (1925/26), 15-36.

Heurtley 1926/27 — W.A. Heurtley, A Prehistoric Site in Western Macedonia and the Dorian Invasion, BSA 28 (1926/27), 158-194.

Heurtley 1927 — W.A. Heurtley, Early Iron Age from Macedonia, AntJ VII (1927), 42-58.

Heurtley - Radford 1927/28 — W.A. Heurtley - C.A. Ralegh Radford, Two Prehistoric Sites in Chalcidice, BSA 29 (1927/28), 117-175.

Heurtley - Radford 1928/30 — W.A. Heurtley - C.A. Ralegh Radford, Report on Excavations at the Toumba of Saratsi in Macedonia, BSA 30 (1928/30), 113-150.

Heurtley - Skeat 1930/31 — W.A. Heurtley - T.C. Skeat, The Tholos Tombs of Marmariane, BSA 31 (1930/31), 1-55.

Heurtley 1932/33 — W.A. Heurtley, Excavations at Ithaca, BSA 33 (1932/33), 22-65.

Heurtley 1939 — W.A. Heurtley, Prehistoric Macedonia, 1939.

Higgs - Vita-Finzi 1972 — E.S. Higgs - C. Vita-Finzi, Prehistoric Economies, A Territorial Approach, Papers in Economic Prehistory, 1972.

Hochstetter 1981 — A. Hochstetter, Eine Nadel der Noua Kultur aus Nordgriechenland, Germania 59 (1981), 239-259.

Hochstetter 1982 — A. Hochstetter, Spätbronzezeitliches und früheisenzeitliches Formengut in Makedonien und im Balkanraum, Prähistorische Archäologie in Südosteuropa 1 (1982), 99-118.

Hochstetter 1982α — A. Hochstetter, Die mattbemalte spätbonzezeitliche Keramik Zentralmakedoniens, XI Internationales Symposium über Spätneolithikum und die Bronzezeit, Xanthi, October 1982, Symposia Thracica (τυπ.).

Hochstetter 1984 — A. Hochstetter, Kastanas, Die handgemachte Keramik, Prähistorische Archäologie in Südosteuropa 3, 1984.

Höckmann 1969/70 — O. Höckmann, Eine Felszeichnung in Philippi (Ostmakedonien), IstMitt 19-20 (1969/70), 145-163.

Höckmann 1980 — O. Höckmann, Lanze und Speer im spätminoischen und mykenischen Griechenland, JbZMusMainz 27 (1980), 13-165.

Hodder - Orton 1976 — I. Hodder - C. Orton, Spatial Analysis in Archaeology, 1976.

Hoddinot 1981 — R.F. Hoddinot, The Thracians, 1981.

Hogarth 1908 — D. Hogarth, British Museum Excavations at Ephesos, The Archaic Artemision, 1908.

Holste 1951 — F. Holste, Hortfunde Südosteuropas, 1951.

Hood 1960 — S. Hood, Tholos Tombs of the Aegean, Antiquity 34 (1960), 166-179.

Hood 1967 — S. Hood, Buckelkeramik at Mycenae? Festschrift für Ernst Grumach, 1967, 120-131.

Hood 1981/1982 — S. Hood, Prehistoric Emporio and Ayio Gala, I, 1981, II, 1982.

Hope Simpson 1965 — R. Hope Simpson, A Gazetteer and Atlas of Mycenaean Sites, BICS, Bulletin Supplement 16 (1965).

Horedt 1967 — K. Horedt, Probleme der jungenbronzezeitlichen Keramik in Transylvanien, ActaACarp 9 (1967), 5-28.

Χωρέμης 1973 — Α. Χωρέμης, Μυκηναϊκοί και πρωτογεωμετρικοί τάφοι εις Καρποφόραν Μεσσηνίας, ΑΕ 1973, 25-74.

Χουρμουζιάδης 1977 — Γ. Χουρμουζιάδης, Ένα ειδικευμένο εργαστήριο κεραμεικής στο νεολιθικό Διμήνι, ΑΑΑ Χ, 2 (1977), 207-226.

Χουρμουζιάδης 1979 — Γ. Χουρμουζιάδης, Το νεολιθικό Διμήνι, 1979.

Howell 1974 — R.J. Howell, The Origins of the Middle Helladic Culture, στο Bronze Age Migrations in the Aegean, 1974, 73-106.

Ιακωβίδης 1970 — Σ. Ιακωβίδης, Περατή, Το Νεκροταφείο, 1970.

Iakovidis 1977 — S. Iakovidis, On the Use of Mycenaean «Buttons», BSA 72 (1977), 113-118.

Jacobi 1930/31 — G. Jacobi, Nuovi scavi nella necropola micenea di Jalisso, ASAtene XIII-XIV (1930/31), 253-345.

Johansen 1957 — Ch. Johansen, Exochi, ein frührodisches Gräberfeld, ActaArch 28 (1957), 1 κ.ε.

Jovanović - Ottaway 1976 — B. Jovanović - B. Ottaway, Copper Mining and Metallurgy in the Vinča Group, Antiquity 50 (1976), 104-113.

Jovanović 1980 — B. Jovanović, Rudna Glava, Der älteste Kupferbergbau im Zentral Balkan, 1980.

Kalicz 1963 — N. Kalicz, Die Peceler (Baden) Kultur, 1963.

Καλλιγάς 1977 — Π. Καλλιγάς, Κεφαλληνιακά Γ'. Από την προϊστορική Κεφαλλονιά, ΑΑΑ Χ, 1 (1977), 116-125.

Kančev 1974 — M. Kančev, Matériaux du site préhistoriques de l'âge du bronze récent et du Hallstatt ancien près d'Asenoveć, Thracia III (1974), 65 κ.ε.

Kanšu 1963 — S. Kanšu, Note préliminaire sur les Dolmen de Lalapasa-Bjülü à Edirne, Belleten 27 (1963), 493-497.

Kanšu 1969 — S. Kanšu, Edirne' de bulunan dolmenler ve dikiltaşlar hakkinda yeni gözemler, Belleten 32 (1969), 577-579.

Karageorghis 1971 — V. Karageorghis, Altägäis und Altkypros, 1971.

Karali 1979 — L. Karali, L'utilisation des mollusques dans la protohistoire de l'Egée, Thèse du III cycle (ανέκδ.).

Karo 1930 — G. Karo, Die Schachtgräber von Mykenai, 1930.

Katinčarov 1974 — R. Katinčarov, Periodizaćija i harakteristika na kulturata prez bronzovata epoha v Južna Bălgarija, ArcheologijaSof 16, 1 (1974), 1-22.

Katinčarov 1975 — R. Katinčarov, Recherches sur l'âge du bronze en Bulgarie 1944-1974, ArcheologijaSof 17 (1975), 1-16.

Katinčarov 1978 — R. Katinčarov, Les tribus à l'âge du bronze en Bulgarie, Pulpudeva 2 (1978), 270-289.

Katinčarov 1980 — R. Katinčarov, Les rites funéraires pendant l'âge du bronze en Bulgarie, Thracia V (1980), 167-172.

Kemmenzei 1982 — T. Kemmenzei, Nordostungarn in der Spätbronzezeit, Prähistorische Archäologie in Südosteuropa 1 (1982), 305-320.

Kilian-Dirlmeier 1979 — I. Kilian-Dirlmeier, Anhänger in Griechenland von der mykenischen bis zur spätgeometrischen Zeit, PBF XI, 1979.

Kilian 1971 — K. Kilian, Bemerkungen zur Chronologie der frühen Eisenzeit und zum Beginn der Hallstattzeit in Italien und N.W. Jugoslavien, Actes du VIIe Congrès international des sciences préhistoriques et protohistoriques I, 1971.

Kilian 1972 — K. Kilian, Zur mattbemalten Keramik der ausgehenden Bronzezeit und der Früheisenzeit aus Albanien, AKorrBl 2 (1972), 115-123.

Kilian 1973 — K. Kilian, Μ. Ανδρόνικου, Βεργίνα I, Το νεκροταφείο των τύμβων (Βιβλιοκρισία), Gnomon 45 (1973), 580-581.

Kilian 1975 — K. Kilian, Trachtzubehör der Eisenzeit zwischen Ägäis und Adria, PZ 50 (1975), 9-140.

Kilian 1975α — K. Kilian, Thessalien Fibeln, 1975.

Kilian 1977 — K. Kilian, Nordgrenze des Ägäischen Kulturbereichs in mykenischer und nachmykenischer Zeit, Jahr. Inst. Vorgesch., Frankfurt 1976 (1977), 112-129.

Kilian 1978 — K. Kilian, Nordwestgriechische Keramik aus der Argolis und ihre Entsprechungen in der Südappenin, Atti della XX Riunione scientifica dell'Istituto italiano di preistoria e protoistoria in Basilacata (1976), Firenze 1978, 311-320. 311-320.

Kilian 1978α — K. Kilian, Ausgrabungen in Tiryns 1976, AA 1978, 449-470.

Kilian 1979 — K. Kilian - Ch. Podzuweit, Ausgrabungen in Tiryns 1977, AA 1979, 377 κ.ε.

Kilian 1980 — K. Kilian, Zum Ende der mykenischen Epoche in der Argolis, JbZMusMainz 27 (1980), 166-195.

Kilian - Podzuweit - Weisshaar 1981 — K. Kilian - Ch. Podzuweit - J. Weisshaar, Ausgrabungen in Tiryns 1978/1979, AA 1981, 149 κ.ε.

Kimmig 1964 — W. Kimmig, Seevölkerbewegungen und die Urnenfelderkultur, Studien aus Alteuropa, 1964, 220-283.

Kinch 1914 — K.F. Kinch, Fouilles de Vroulia, 1914.

Kitanovski - Simoska - Todorović 1977 — B. Kitanovski - D. Simoska - J. Todorović, The Prehistoric Dwelling Mound at the Village Karaman, Vitola, MacActaA 3 (1977), 1-25.

Kondoleon 1969 — N. Kondoleon, Die frühgriechische Reliefkunst, AE 1969, 215-246.

Korkuti 1969 — M. Korkuti, La céramique peinte du bronze récent et du fer ancien et le caractère illyrien de ses porteurs. Les Illyriens et la genèse des Albanais, Travaux de la session 1969, 55-76.

Korkuti 1970 — M. Korkuti, Les rapports de civilisations illyroégéens à l'âge du bronze et la survivance de certains objets de type mycénien à l'âge du fer, IIe Congrès international des études du sud-est européen, 1970, Athènes 1972, 109-120.

Köszegi 1960 — F. Köszegi, Beiträge zur Geschichte der ungarischen Urnenfelderzeit, Act-ArchHung XII (1960), 137-186.

Kossak 1954 — G. Kossak, Studien zum Symbolgut der Urnenfelder- und Hallstattzeit Mitteleuropas, Römisch-germanische Forschungen 20, V (1954).

Κουκούλη-Χρυσανθάκη 1970 — Χ. Κουκούλη-Χρυσανθάκη, Δύο προϊστορικοί συνοικισμοί εις Θάσον, ΑΑΑ III (1970), 215-222.

Κουκούλη-Χρυσανθάκη 1980 — Χ. Κουκούλη-Χρυσανθάκη, Οικισμός της ύστερης εποχής του χαλκού στο Σταθμό Αγγίστας Σερρών, Ανθρωπολογικά 1 (1980), 54-85.

Koukouli-Chrysanthaki 1982 — Ch. Koukouli-Chrysanthaki, Late Bronze Age in Eastern Macedonia, Thracia Praehistorica, Suppl., Pulpudeva 3 (1978), 1982, 231-258.

Koukouli-Chrysanthaki 1982α — Ch. Koukouli-Chrysanthaki, Die frühe Eisenzeit auf Thasos, Prähistorische Archäologie in Südosteuropa 1 (1982), 119-143.

Κουκούλη-Χρυσανθάκη 1983 — Χ. Κουκούλη-Χρυσανθάκη, Ανασκαφικές έρευνες στην αρχαία Τράγιλο, Αρχαία Μακεδονία III (1983), 123 κ.ε.

Kroll 1983 — H. Kroll, Kastanas. Die Pflanzenfunde, Prähistorische Archäologie in Südosteuropa 2, 1983.

Kübler - Kraiker 1939 — K. Kübler - W. Kraiker, Kerameikos, I, Die Nekropolen des 12. bis 10. Jahrhunderts, 1939.

Kübler 1943 — K. Kübler, Kerameikos IV. Neufunde aus der Nekropole des 11. und 10. Jahrhunderts, 1943.

Kübler 1954 — K. Kübler, Kerameikos V. Die Nekropole des 10. bis 8. Jahrhunderts, 1954.

Kurtz - Boardman 1971 — D. Kurtz - J. Boardman, Greek Burial Customs, 1971.

Κωτσάκης 1983 — Κ. Κωτσάκης, Κεραμεική τεχνολογία και κεραμεική διαφοροποίηση, 1983.

Lahtov 1965 — V. Lahtov, Thebenište Kulture, 1965.

Lamb 1936 — W. Lamb, Excavations at Thermi in Lesbos, 1936.

Λαζαρίδης 1964 — Δ. Λαζαρίδης, Ανασκαφαί και έρευναι εις Αμφίπολιν, ΠΑΕ 1964, 35-40.

Λαζαρίδης 1976 — Δ. Λαζαρίδης, Ανασκαφές και έρευνες Αμφιπόλεως, ΠΑΕ 1976, 88-98.

Λαζαρίδης 1977 — Δ. Λαζαρίδης, Ανασκαφές και έρευνες Αμφιπόλεως, ΠΑΕ 1977, 38-45.

Lazarov 1974 — M. Lazarov, Localités grecques sur le littoral de la mer noire au sud du Balkan, Thracia 3 (1974), 107-113.

Lázló 1973 — A. Lázló, Consideraţii asupra ceramicii de tip Gâva din Hallstattul timpuriu, SCIV 24 (1973), 576-609.

Leahlu 1968 — V. Leahlu, Cultura Tei, 1968.

Lloyd - Mellaart 1962 — S. Lloyd - J. Mellaart, Beycesultan I, 1962.

Lorimer 1950 — H.L. Lorimer, Homer and the Monuments, 1950.

Maffre - Salviat 1980 — J. Maffre - F. Salviat, Chronique des fouilles de l'Ecole française, Thasos, BCH CIV (1980), 726-730.

Majuri 1923/24 — A. Majuri, Jalissos, la necropoli micenea, ASAtene VI-VII (1923/24), 86-247.

Μαρινάτος 1932 — Σ. Μαρινάτος, Αι ανασκαφαί Goekoop εν Κεφαλληνία, AE 1932, 1-47.

Μαρινάτος 1933 Σ. Μαρινάτος, Αι εν Κεφαλληνία ανασκαφαί Goekoop, 2, AE 1933, 68-100.
Marinatos 1967 S. Marinatos, Kleidung, Archaeologia Homerica, A, I 1967.
Marinatos 1970 S. Marinatos, Further News from Marathon, AAA III, 2 (1970), 153-166.
Marinatos 1970α S. Marinatos, Further Discoveries at Marathon, AAA III, 3 (1970), 349-366.
Matthäus 1980 H. Matthäus, Italien und Griechenland in der ausgehenden Bronzezeit, Studien zu einigen Formen der Metallindustrie beider Gebiete, JdI 95 (1980), 109 κ.ε.
McClellan 1975 J.A. McClellan, The Iron Objects from Gordion, 1975.
McGeehan-Lyritzis 1982 V. McGeehan-Lyritzis, The Relationship between Metalwork, Copper Sources and the Evidence for Settlement in the Greek Late Neolithic and Early Bronze Age, OxfJA 2 (1982), 148-180.
Mellaart 1968 J. Mellaart, Anatolian Trade with Europe and the Anatolian Geography and Culture Provinces in the Late Bronze Age, AnatSt 18 (1968), 187-202.
Merhart 1956 G.V. Merhart, Über blecherne Zierbuckeln (Faleren), JbZMusMainz 3 (1956), 28-218.
Mikov - Džambazov 1960 V. Mikov - N. Džambazov, Devetaškata pestera, 1960.
Mikov 1955 V. Mikov, Proizhodăt na kupolnite grobnici v Trakija, Bull.Inst.Bulg. 19 (1955), 15 κ.ε.
Mikulčić 1966 I. Mikulčić, Pelagonija u svetlosti arheoloških nalaza, 1966.
Milojčić 1948 V. Milojčić, Die dorische Wanderung im Lichte der vorgeschichtlichen Funde, AA 1948, 12 κ.ε.
Milojčić 1955 V. Milojčić, Einige «Mitteleuropäische» Fremdlinge auf Kreta, JbZMusMainz 2 (1955), 153 κ.ε.
Mirčev 1962 M. Mirčev, Rannotrakijskijat mogilen nekropol pri s. Ravna, Bull.Inst.Bulg. 25 (1962), 97 κ.ε.
Mirčev 1965 M. Mirčev, Trakijskijat mogilen nekropol pri s. Dobrina, Bull. Inst. Varna I (1965), 33 κ.ε.
Morintz 1964 S. Morintz, Quelques problèmes concernant la période ancienne du Hallstatt au Bas Danube à la lumière des fouilles de Babadag, Dacia NS 8 (1964), 101-118.
Morintz 1969 S. Morintz, Un nou grup hallstattian timpuriu în sud-vestul României, SCIV 20 (1969), 343-423.
Morintz - Angelescu 1970 S. Morintz - N. Angelescu, O noua cultura a epocii bronzului in România-Cultura di tip Coslogeni, SCIV 21, 3 (1970), 373 κ.ε.
Morintz 1974 S. Morintz, Einige Probleme der Bronzezeit im Donau Balkangebiet, Thracia III (1974), 145-150.
Morintz 1978 S. Morintz, Contributii Archeologice la Istoria Tracilor timpurii, 1978.
Morricone 1965/66 L. Morricone, Eleone e Langada: sepolchreti della tarda età del bronzo a Coo, ASAtene XLII-XLIV (1965/66), 5-311.
Mozsolics 1957 A. Mozsolics, Archäologische Beiträge zur Geschichte der grossen Wanderungen, ActArchHung 8 (1957), 119-156.
Mozsolics 1973 A. Mozsolics, Bronzefunde und Goldfunde des Karpathenbeckens, 1973.
Muhly 1970 J.D. Muhly, Homer and the Phoenicians, Berytus 19 (1970), 19-64.
Muhly 1973 J.D. Muhly, Copper and Tin, 1973.
Muhly 1980 J.D. Muhly, The Bronze Age Setting, στο The Coming of the Age of Iron, 1980, 25-67.
Muller 1979 A. Muller, Le mine d'acropole de Thasos, Thasiaka, BCH Suppl. V (1979), 315-344.
Müller-Karpe 1959 H. Müller-Karpe, Beiträge zur Chronologie der Urnenfelderzeit nördlich und südlich der Alpen, 1959.
Müller-Karpe 1962 H. Müller-Karpe, Die Metallgegenstände der Kerameikos-Gräber, JdI 77 (1962), 59 κ.ε.
Müller-Karpe 1963 H. Müller-Karpe, Vogelkopfmesser, Germania 41 (1963), 9 κ.ε.
Müller-Karpe 1974 H. Müller-Karpe, Handbuch der Vorgeschichte III (1974).
Mustilli 1932/33 F. Mustilli, La necropoli tirrenica di Efestia, ASAtene XV-XVI (1932/33).
Μουνδρέα-Αγραφιώτη 1980 Α. Μουνδρέα-Αγραφιώτη, Εισαγωγή στη μεθοδολογία ανάλυσης των προϊστορικών εργαλείων, Ανθρωπολογικά 1 (1980), 86-92.
Mylonas 1929 G. Mylonas, Olynthus I, The Neolithic Settlement, 1929.
Mylonas 1959 G. Mylonas, Aghios Kosmas, 1959.
Μυλωνάς 1961/62 Γ. Μυλωνάς, Τα μυκηναϊκά έθιμα ταφής, ΕΕΦΣΠΑ 1961/62, 291-356.
Μυλωνάς 1973 Γ. Μυλωνάς, Ο ταφικός περίβολος Β' των Μυκηνών, 1973.
Μυλωνάς 1975 Γ. Μυλωνάς, Το δυτικόν νεκροταφείον της Ελευσίνος, 1975.
Nikolov 1964 B. Nikolov, Selišča i nekropoli ot bronzovata epoha văv Vračansko, ArcheologijaSof 6, 2 (1964), 69 κ.ε.
Nikolov 1965 B. Nikolov, Trakiski pametnici văv Vračansko, Bull.Inst.Bulg. 28 (1965), 161-202.

Nikolov 1966 — B. Nikolov, Kolektiva nahodka ot kraja na bronzovata epoha ot s. Lesura, Vračanski Okrăg, ArcheologijaSof 8, 3 (1966) 48.

Nikolov 1976 — B. Nikolov, Mogilni pogrebenija ot rannobronzovata epoha pri Tărnava i Kneža Vračanski Okrăg, ArcheologijaSof 18, 3 (1976), 38-61.

Nilsson 1950 — P. Nilsson, The Minoan-Mycenaean Religion and its Survival in Greek Religion, 1950².

Oeconomus 1921 — G. Oeconomus, De profusionum receptaculis sepulcralibus inde ab antiquissimis temporibus usque ad nostram fere aetatem usitatis, 1921.

Overbeck 1975 — G.F. Overbeck, Graves and Burials at Ayia Irini, Kea, 1975.

Panayotov 1975 — I. Panayotov, Problemy datirovki pozdnego bronzovogo veka na bolgarskih zemljah, Studia Thracica 1 (1975), 20-27.

Panayotov 1976 — I. Panayotov, K voprosu o datirovke načala bronzovoj epohi na territorii Bolgarii, Pulpudeva 1 (1976), 225-231.

Panayotov 1978 — I. Panayotov, Typological Distinctions of the Eneolithic and Early Bronze Age Metal Tools, Studia Praehistorica, Sofia 1-2 (1978), 218-223.

Panayotov 1980 — I. Panayotov, Late Bronze Metallurgy in Bulgarian Lands, Actes du IIe Congrès de Thracologie, Bucuresti 1980, 106 κ.ε.

Panayotov 1980α — I. Panayotov, Bronze Rapiers, Swords and Double Axes from Bulgaria, Thracia V (1980), 173-198.

Πάντος 1974 — Π.Α. Πάντος, Η τούμπα και το σπήλαιον παρά το ακρωτήριον Σέρρειον, ΑΑΑ VII (1974), 76-86.

Πάντος 1975/76 — Π.Α. Πάντος, Ιστορική τοπογραφία του Νομού Ξάνθης, Θρακικά Χρονικά 32 (1975/76), 3 κ.ε.

Παπαδόπουλος 1976 — Θ. Παπαδόπουλος, Η εποχή του χαλκού στην Ήπειρο, Δωδώνη, Επιστημονική Επετηρίς Φιλοσοφικής Σχολής Πανεπιστημίου Ιωαννίνων 1976, 271-336.

Papadopoulos 1979 — Th. Papadopoulos, Mycenaean Achaea, SIMA LV, 1979.

Παρλαμά 1976 — Λ. Παρλαμά, Αψιδωτοί μυκηναϊκοί τάφοι στη Μεσσηνία, ΑΑΑ IX (1976), 252-256.

Patek 1968 — E. Patek, Die Urnenfelderkultur in Transdunabien, 1968.

Pavukova 1981 — V. Pavukova, Die Badenér Kultur und die Ägäis, XI International Symposium über das Spätneolithikum und die Bronzezeit, Xanthi 1981, Symposia Thracica, (τυπ.).

Pelon 1976 — O. Pelon, Tholoi, tumuli et circles funéraires (Crète et Mycènes), 1976.

Πεντάζος 1971 — Ε. Τσιμπίδης-Πεντάζος, Αρχαιολογικαί έρευναι εν Θράκη, ΠΑΕ 1971, 86-118.

Πεντάζος 1972 — Ε. Τσιμπίδης-Πεντάζος, Προϊστορικαί ακροπόλεις εν Θράκη, ΠΑΕ 1972, 86-90.

Pendlebury 1937/38 — H.W. and J.D.S. Pendlebury - M.B. Money-Coutts, Excavations in the Plain of Lasithi, II, III Karphi, BSA 38 (1937/38), 1-145.

Pernicka - Wagner - Todt 1983 — E. Pernicka - G.A. Wagner - W. Todt, Chemische und isotopische früheisenzeitlicher Bleiartefakte aus Thasos, MPIH, 1983.

Pernicka - Seeliger - Wagner - Begemann κ.ά. 1984 — E. Pernicka - Th. Seeliger - G. Wagner - F. Begemann - S. Schmidt-Strecker - C. Eibner - O. Öztunali - I. Baranyi, Archäometallurgische Untersuchungen, JbZMusMainz 31 (1984), 533-599.

Peroni 1976 — P. Peroni, Die Messer in Italien, PBF VII, 2, 1976.

Persson 1931 — A.W. Persson, The Royal Tombs at Dendra near Midea, 1931.

Persson 1942 — A.W. Persson, New Tombs at Dendra near Midea, 1942.

Petrescu-Dîmboviţa 1978 — M. Petrescu-Dîmboviţa, Die Sicheln in Rumänien, PBF XVIII, 1978.

Πέτσας 1953 — Φ. Πέτσας, Μυκηναϊκά όστρακα εκ Κοζάνης και Παιανίας, ΑΕ 1953, 113-120.

Πέτσας 1961/62 — Φ. Πέτσας, Ανασκαφή αρχαίου νεκροταφείου Βεργίνας, ΑΔ 17 (1961/62): Μελέτες, 218-288.

Πέτσας 1963 — Φ. Πέτσας, Ανασκαφή αρχαίου νεκροταφείου Βεργίνας, ΑΔ 18 (1963): Χρονικά, 217-232.

Πιερίδου 1973 — Α. Πιερίδου, Ο πρωτογεωμετρικός ρυθμός εν Κύπρω, 1973.

Pini 1968 — I. Pini, Beiträge zur minoischen Gräberkunde, 1968.

Πλάτων 1945/47 — Ν. Πλάτων, Γεωμετρικός τάφος Αγίων Παρασκιών Ηρακλείου, ΑΕ 1945/47, 47-97.

Podzuweit 1978 — Ch. Podzuweit, The Development of Late Mycenaean Pottery at Tiryns, BICS 25 (1978), 175-177.

Podzuweit 1978α — Ch. Podzuweit, Ausgrabungen in Tiryns 1976, AA 1978, 471-478.

Podzuweit 1979 — Ch. Podzuweit, Trojanische Gefässformen der Frühbronzezeit in Anatolien der Aegaeis und angrenzenden Gebieten, 1979.

Podzuweit 1979α — Ch. Podzuweit, Bericht zur spätmykenischen Keramik, Ausgrabungen in Tiryns 1977, AA 1979, 412-440.

Podzuweit 1979β	Ch. Podzuweit, Spätmykenische Keramik von Kastanas, JbZMusMainz 26 (1979), 203-223.
Podzuweit 1981	Ch. Podzuweit, Bericht zur spätmykenischen Keramik, Ausgrabungen in Tiryns 1978/79, AA 1981, 194-220.
Podzuweit 1981α	Ch. Podzuweit, Die spätmykenische Welt und Süditalien. Tagung des West-Süd-Deutschen Verbandes für Altertumsforschung, 1981.
Podzuweit 1982	Ch. Podzuweit, Die mykenische Welt und Troja in Südosteuropa zwischen 1600 und 1000 v. Chr., Prähistorische Archäologie in Südosteuropa 1 (1982), 65-88.
Popham - Sackett 1968	M.R. Popham - L.H. Sackett, Excavations at Lefkandi, Euboea, 1964/66, A Preliminary Report, 1968.
Popham - Sackett - Themelis 1979/1980	M.R. Popham - L.H. Sackett - P.G. Themelis, Lefkandi I, The Iron Age Settlement, The Cemeteries, 1979/1980.
Pouilloux 1954	J. Pouilloux, Recherches sur l'histoire et les cultes de Thasos, Etudes Thasiennes III, τ. I (1954).
Pouilloux 1964	J. Pouilloux, Archiloque et Thasos, Histoire et poésie, Fondation Hardt X, 1964, 3-36.
Pouilloux 1982	J. Pouilloux, La fondation de Thasos, Rayonnement grec, Hommages à Charles Delvoye, 1982, 91-101.
Prendi 1966	F. Prendi, La civilisation préhistorique de Maliq, Studia Albanica I (1966), 255-272.
Prendi 1977/78	F. Prendi, L'âge du bronze en Albanie, Iliria 7-8 (1977/78), 27-58.
Prendi 1982	F. Prendi, Die Bronzezeit und der Beginn der Eisenzeit in Albanien, Südosteuropa zwischen 1600 und 1000 v. Chr., Prähistorische Archäologie in Südosteuropa 1 (1982), 203-233.
Renfrew 1967	C. Renfrew, Cycladic Metallurgy and the Aegean Early Bronze Age, AJA 71 (1967), 1-20.
Renfrew 1969	C. Renfrew, The Autonomy of the South-East European Copper Age, PPS 35 (1969), 12-47.
Renfrew 1970	C. Renfrew, The Tree Ring Calibration of Radiocarbon: An Archaeological Evaluation, PPS 36 (1970), 280-311, The Evidence of Sitagroi, 295-304.
Renfrew 1970α	C. Renfrew, The Burnt House at Sitagroi, Antiquity 42 (1970), 131-133.
Renfrew 1972	C. Renfrew, The Emergence of Civilization, 1972.
Renfrew 1973	C. Renfrew, Sitagroi and the Independant Invention of Metallurgy in Europe, Actes du VIIIe Congrès international des sciences préhistoriques et protohistoriques, 1973, 473-481.
Renfrew 1973α	C. Renfrew, Εμπόριο και τεχνική εξειδίκευση, στο Νεολιθική Ελλάς, 1973, 179-200.
Rey 1917/19	L. Rey, Observations sur les prémières habitats de la Macédoine, BCH XLI-XLIII (1917/19).
Ridley - Wardle 1979	C. Ridley - K.A.Wardle, Recent Excavations at Servia 1971: A Preliminary Report, BSA 74 (1979), 185-230.
Rodden 1962	R. Rodden, Excavation at the Early Neolithic Site at Nea Nikomedeia, PPS 28 (1962), 267-288.
Rodden 1964	R. Rodden, Recent Discoveries from Prehistoric Macedonia, BalkSt V (1964), 109-124.
Ρωμιοπούλου 1969	Κ. Ρωμιοπούλου, Τυχαία ευρήματα εκ της ΙΔ' αρχαιολογικής περιφερείας, AE 1969, 12-15.
Romiopoulou 1971	K. Romiopoulou, Some Pottery of the Early Iron Age from Western Macedonia, BSA 66 (1971), 353 κ.ε.
Rutter 1975	J. Rutter, Ceramic Evidence from Northern Intruders in Southern Greece at the Beginning of the Late Helladic IIIC Period, AJA 79 (1975), 17-32.
Rutter 1976	J. Rutter, «Non Mycenaean Pottery», A Reply to Gisela Walberg, AJA 80 (1976), 188-189.
Rutter 1977	J. Rutter, Late Helladic IIIC Pottery and Some Historical Implications, Symposium on the Dark Ages in Greece, 1977.
Rutter 1978	J. Rutter, A Plea for the Abandonment of the Term «Submycenaean», Temple University Aegean Symposium 3, 1978, 58 κ.ε.
Rye 1981	O.S. Rye, Pottery Technology. Principles and Reconstruction, Washington DC, Taraxacum, 1981.
Sakellariou 1977	M. Sakellariou, Peuples préhelléniques d'origine indoeuropéenne, 1977.
Sakellariou 1980	M. Sakellariou, Les Proto-Grecs, 1980.
Salviat - Servais 1964	F. Salviat - J. Servais, Stèle indicatrice thasienne trouvée au sanctuaire d'Aliki, BCH LXXXVIII (1964), 267-287.
Sandars 1955	N. Sandars, The Antiquity of the One-edged Knife in the Aegean, PPS 21

(1955), 174-197.
Sandars 1963 — N. Sandars, Late Bronze Swords, AJA 67 (1963), 117-153.
Sandars 1964 — N. Sandars, The Last Mycenaeans and the European Late Bronze Age, Antiquity XXXVIII (1964), 258-261.
Sandars 1971 — N. Sandars, From Bronze Age to Iron Age: A Sequel to Sequel, European Community in Later Prehistory, Studies in Honour of C.F.C. Hawkes, 1971, 1-29.
Sandars 1974 — N. Sandars, Thracians, Phrygians, and Iron, Thracia III (1974), 195-202.
Sandars 1978 — N. Sandars, The Sea Peoples, 1978.
Sapouna-Sakellaraki 1978 — E. Sapouna-Sakellaraki, Die Fibeln der griechischen Inseln, PBF XIV, 4, 1978.
Schachermeyer 1980 — F. Schachermeyer, Die Ägäische Frühzeit IV, Griechenland im Zeitalter der Wanderungen vom Ende der mykenischen Ära bis auf die Dorier, 1980.
Schachermeyer 1982 — F. Schachermeyer, Die Ägäische Frühzeit V, Die Levante im Zeitalter der Wanderungen, 1982.
Schmidt 1902 — H. Schmidt, Heinrich Schliemann Sammlung trojanischer Altertümer, 1902.
Schranil 1928 — J. Schranil, Die Vorgeschichte Böhmens und Mährens, 1928.
Seager 1912 — R. Seager, Explorations in the Island of Mochlos, 1912.
Seferiades 1983 — M Seferiades, Dikili Tash, Introduction à la préhistoire de la Macédoine orientale, BCH CVII (1983), 633-687.
Shepard 1976 — A. Shepard, Ceramics for the Archaeologist, 1976[9] (1956[1]).
Snodgrass 1962 — A.M. Snodgrass, Iron Age Greece and Central Europe, AJA 66 (1962), 408-410.
Snodgrass 1964 — A.M. Snodgrass, Early Greek Armour and Weapons, 1964.
Snodgrass 1965 — A.M. Snodgrass, Barbarian Europe and Early Iron Age Greece, PPS 31 (1965), 229-240.
Snodgrass 1971 — A.M. Snodgrass, The Dark Age of Greece, 1971.
Snodgrass 1980 — A.M. Snodgrass, Iron and Early Metallurgy in the Mediterranean, στο The Coming of the Age of Iron, 1980, 335-374.
Sourvinou-Inwood 1975 — Ch. Sourvinou-Inwood, An Iron Age Bronze Vessel in the Bomford Collection and the Iron Age Pyxis Shape, OpAth XI (1975), 16 κ.ε.
Speidel 1929 — J. Speidel, Beiträge zur Kenntnis der Geologie und Lagerstätten der Insel Thasos, 1929.
Sperling 1976 — J. Sperling, Kum Tepe in the Troad, Hesperia 45 (1976), 305-364.
Sprockoff 1931 — E. Sprockoff, Die germanische Griffzungenschwerter, Römische-germanische Forschungen V, 1931.
Σπυρόπουλος 1972 — Θ. Σπυρόπουλος, Υστερομυκηναϊκοί ελλαδικοί θησαυροί, 1972.
Stefanovich 1973 — M. Stefanovich, Some Balkan Elements in the Aegean Migrations, Actes du VIIe Congrès international des sciences préhistoriques et protohistoriques, 1971 (1973), 148-159.
Stefanovich 1974 — M. Stefanovich, The Possible Origins of the Knobbed Ware in Troy VIIb2, Thracia III (1974), 101-105.
Stojanova-Serafimova 1970 — D. Stojanova-Serafimova, Praistoriceski selisca kraji Blagoevgrad, ArcheologijaSof 12, 2 (1970), 2-69.
Stos - Gale 1982 — Z.A. Stos - N.H. Gale, The Sources of Mycenaean Silver and Lead, JFieldA 9 (1982), 467-485.
Stos - Gale 1984 — Z.A. Gale - N.H. Gale - G.R. Gilmore, Early Bronze Age Troyan Metal Sources and Anatolians in the Cyclades, OxfJA 4 (1984), 23 κ.ε.
Styrenius 1962 — C.G. Styrenius, The Vases from the Submycenaean Cemetery at Salamis, OpAth 4 (1962), 103-122.
Südwall 1943 — J. Südwall, Die älteren italischen Fibeln, 1943.
Θέμελης 1973 — Π. Θέμελης, Η καύσις των νεκρών εις την αρχαίαν Ελλάδα, ΑΑΑ VI (1973), 356-364.
Themelis 1976 — P. Themelis, Frühgriechische Grabbauten, 1976.
Theocharis 1971 — D. Theocharis, Prehistory of Eastern Macedonia and Thrace, Αρχαίες ελληνικές πόλεις, 9, 1971.
Thomas 1965 — H.L. Thomas, The Turban Bowl of the Late Bronze Age, Atti del VI Congresso internazionale di scienze preihistoriche e protostoriche, II, 1965, 458-462.
Todorova 1972 — H. Todorova, Über einige Probleme der südosteuropäischen Früheisenzeit, Thracia I (1972), 67-77.
Todorova 1972α — H. Todorova, Sites de débuts de l'époque de Hallstatt du bassin de la Kamicija, AcheologijaSof 12, 2 (1972), 17-23.
Todorović 1977 — J. Todorović, Praistorijska Karaburma II, 1977.
Tončeva 1977 — G. Tončeva, Fouilles d'une nécropole et d'un site de l'âge du bronze récent au village Yagnillo, Thracia IV (1977), 147-164.
Tončeva 1980 — G. Tončeva, Chronologie du Hallstatt ancien dans la Bulgarie du nord-est,

Studia Thracica V (1980).
Treuil 1983 — R. Treuil, Le Néolithique et le Bronze Ancien égéens, 1983.
Τριαντάφυλλος 1973 — Δ. Τριαντάφυλλος, Μεγαλιθικά μνημεία (dolmen) και βραχογραφίαι εις την Δυτικήν Θράκην, ΑΑΑ VI (1973), 241-255.
Τριαντάφυλλος 1973/74 — Δ. Τριαντάφυλλος, Αρχαιότητες και μνημεία Θράκης, ΑΔ 24 (1973/74): Χρονικά, 791-823.
Triantafyllos 1980 — D. Triantafyllos, Les monuments mégalithiques en Thrace occidentale, Pulpudeva IV (1980), 145-163.
Τριαντάφυλλος 1983 — Δ. Τριαντάφυλλος, Αρχαϊκό νεκροταφείο στη Δυτική Θράκη, ASAtene LXI, NS XV (1983), 179-207.
Trogmayer 1975 — O. Trogmayer, Das bronzezeitliche Gräberfeld von Tapé, 1975.
Τσούντας 1898 — Χ. Τσούντας, Κυκλαδικά I, ΑΕ 1898, 136-211.
Τσούντας 1899 — Χ. Τσούντας, Κυκλαδικά II, ΑΕ 1899, 73-134.
Τσούντας 1908 — Χ. Τσούντας, Αι προϊστορικαί ακροπόλεις Διμηνίου και Σέσκλου, 1908.
Βαβρίτσας 1966 — Α. Βαβρίτσας, Ανασκαφαί Μεσημβρίας Θράκης, ΠΑΕ 1966, 67-70.
Βαβρίτσας 1967 — Α. Βαβρίτσας, Ανασκαφή Μεσημβρίας Θράκης, ΠΑΕ 1967, 89-95.
Βαβρίτσας 1970 — Α. Βαβρίτσας Ανασκαφαί Μεσημβρίας Θράκης, ΠΑΕ 1970, 66-75.
Vajsova 1966 — H. Vajsova, Stand der Jungsteinzeitforschung in Bulgarien, SlovA 14 (1966), I, 5-48.
Valmin 1932 — N. Valmin, Tholos Tombs and Tumuli, Acta Inst. Romani Regii Sueciae, 1932.
Valmin 1938 — N. Valmin, The Swedish Messenia Expedition, 1938.
Van Berchem 1967 — D. Van Berchem, Sanctuaires d'Herakles Melikertes, Contributions à l'étude de l'expansion phénicienne en Mediterranée, Syria 44 (1967), 88 κ.ε.
Vanderpool 1965 — E. Vanderpool, Amphipolis Hill 133, W.K. Pritchett, Studies in Ancient Greek Topography, I (1965), 46-48.
Van Effenterre 1948 — H. Van Effenterre, Mirabello, Nécropoles, Etudes Crétoises VIII (1948).
Vasić 1973 — R. Vasić, The Early Iron Age Cultural Groups in Jugoslavia, 1973.
Vasić 1977 — R. Vasić, The Chronology of the Early Iron Age in Serbia, BAR 31 (1977).
Βερδελής 1958 — Ν. Βερδελής, Ο πρωτογεωμετρικός ρυθμός της Θεσσαλίας, 1958.
Venedikov 1976 — I. Venedikov, L'architecture sépulcrale en Thrace, Pulpudeva 1 (1976), 56-62.
Vierneisel - Walter 1959 — K. Vierneisel - H. Walter, Die Funde der Kampagnen 1958/59 im Heraion von Samos, AM 74 (1959), 10-34.
Vinski-Gasparini 1973 — K. Vinski-Gasparini, Kultura Polja sa Žaramausjeveryoj Hrvatskoj, 1973.
Βοκοτοπούλου 1969 — Ι. Βοκοτοπούλου, Νέοι κιβωτιόσχημοι τάφοι της ΥΕΙΙΙΒ-Γ περιόδου εξ Ηπείρου, ΑΕ 1969, 179-207.
Βορεάδης 1954 — Γ. Βορεάδης, Γεωλογικαί και κοιτασματολογικαί έρευναι εν Θάσω, 1954.
Vulpe 1942 — R. Vulpe, L'âge du fer dans les régions thraces de la peninsule balkanique, 1942.
Vulpe 1967 — A. Vulpe, Necropole Hallstattiana de la Ferigile, 1967.
Vulpe 1982 — A. Vulpe, Beitrag zu ben bronzezeitlichen Kulturbezeichnungen zwischen Rumänien und Griechenland, στο Südosteuropa zwischen 1600 und 1000 v. Chr., Prähistorische Archäologie in Südosteuropa 1 (1982).
Wace 1932 — A.J.B. Wace, Chamber Tombs at Mycenae, 1932.
Wace - Thompson 1912 — A.J.B. Wace - M.S. Thompson, Prehistoric Thessaly, 1912.
Wagner - Pernicka - Gialoglou - Vavelidis 1981 — G.A. Wagner - E. Pernicka - G. Gialoglou - M. Vavelidis, Ancient Gold Mines on Thasos, Naturwissenschaften 68 (1981), 68 κ.ε.
Wagner - Pernicka 1983 — G.A. Wagner - E. Pernicka, Chemische und isótopische Zusammenfassung früheisenzeitlicher Bleiartefakte aus Thasos, MPIH 37 (1983).
Walberg 1976 — G. Walberg, Northern Intruders in Mycenaean IIIC, AJA 80 (1976), 186-187.
Waldbaum 1978 — J. Waldbaum, From Bronze to Iron, SIMA LIV, 1978.
Waldbaum 1980 — J. Waldbaum, The First Archaeological Appearance of Iron and the Transition to the Iron Age, στο The Coming of the Age of Iron, 1980.
Wardle 1975/76 — K. Wardle, Assiros, Archaeology in Greece, ARepLondon 22 (1975/76), 19-21.
Wardle 1977 — K. Wardle, Cultural Groups of the Late Bronze and Early Iron Age in Northwest Greece, Godišnjak Sarajevo 15, Centar zu balkanoška ispitivanja 13 (1977), 153-199.
Wardle 1977α — K. Wardle, Assiros, Archaeology in Greece, ARepLondon 24 (1977), 44-47.
Wardle 1980 — K. Wardle, Excavations at Assiros, 1975/76, BSA 75 (1980), 229-265.
Wardle 1982 — K. Wardle, Assiros, Archaeology in Greece, ARepLondon 29 (1982), 36-37.
Wardle 1983 — K. Wardle, Assiros, A Macedonian Settlement of the Late Bronze Age and Early Iron Age, Ancient Macedonia IV (1983), 291-305.
Welkov 1938 — I. Welkov, Dolmen Graves in Bulgaria, Antiquity 12 (1938), 438-488.
Wide 1910 — S. Wide, Gräberfunde aus Salamis, AM 35 (1910), 17-36.
Xanthoudides 1924 — S. Xanthoudides, The Vaulted Tombs of Messara, 1924.
Zervos 1957 — Ch. Zervos, L'art des Cyclades du début à la fin de l'âge du bronze, 1957.

ΕΙΣΑΓΩΓΗ

ΠΡΟΪΣΤΟΡΙΚΗ ΘΑΣΟΣ

Οι αρχαιολογικές ανασκαφές άρχισαν στη Θάσο στα μέσα του 19ου αιώνα[1], αλλά πήραν συστηματική μορφή μόνο με την επίσημη έναρξη των ανασκαφών από τη Γαλλική Αρχαιολογική Σχολή το 1911[2]. Οι μακροχρόνιες έρευνες της Γαλλικής Αρχαιολογικής Σχολής, που με μικρά διαλείμματα συνεχίσθηκαν ως σήμερα[3], και οι έρευνες της Ελληνικής Αρχαιολογικής Υπηρεσίας έφεραν στο φως λαμπρά μνημειακά ευρήματα και πλούσιο αρχαιολογικό υλικό, που καλύπτει την πολιτιστική ιστορία του νησιού από τα πρώτα χρόνια της αποικίας των Παρίων ως τα πρώιμα βυζαντινά χρόνια[4].

Αν όμως η ελληνική αποικία των ιστορικών χρόνων είναι τόσο καλά γνωστή από τα ανασκαφικά ευρήματα και τις πληροφορίες των αρχαίων πηγών, δε συμβαίνει το ίδιο με την προϊστορική περίοδο του νησιού. Τα προελληνικά φύλα, που σύμφωνα με τις μαρτυρίες των πηγών κατοικούσαν στο νησί πριν από την άφιξη των Παρίων αποίκων, είχαν μείνει ως το 1960 άγνωστα αρχαιολογικά[5].

Μόλις το 1960[6] εντοπίσθηκαν για πρώτη φορά σε ανασκαφική έρευνα της Γαλλικής Αρχαιολογικής Σχολής τα πρώτα αρχαιολογικά ίχνη των κατοίκων του νησιού πριν από την άφιξη των Παρίων αποίκων: Στις βορειοδυτικές πλαγιές της ακρόπολης της αρχαίας Θάσου, στη συνοικία των αρχαϊκών οικιών και στην περιοχή του ιερού της Αρτέμιδας, το 1960 και 1961[7] ανασκαφικές έρευνες της Γαλλικής Αρχαιολογικής Σχολής βεβαίωσαν την ύπαρξη ενός πιθανότατα προαποικιακού στρώματος στη θέση, όπου αναπτύχθηκε αργότερα η παριανή αποικία, Θάσος.

Το ίδιο στρώμα διαπιστώθηκε και σε πρόσφατες ανασκαφές του Ιερού της Αρτέμιδας στη Θάσο[8].

Στα 1969 η Εφορεία Προϊστορικών και Κλασικών Αρχαιοτήτων Καβάλας, ξεκινώντας

1. Οι πρώτες ανασκαφές στο Λιμένα (αρχαία Θάσος) πραγματοποιήθηκαν από τον E. Miller το 1863-1864, E. Miller, Le mont Athos, Vatopedi et l'île de Thasos, 1869, 213, 388 κ.ε. Ακολούθησαν οι ανασκαφές του Th. Bent στο Λιμένα, J.Th. Bent, JHS 8 (1887), 435-437, και στην Αλυκή, J.Th. Bent, The Athenaeum (23 Juillet 1887), 123 και AJA 3 (1887), 450-452, καθώς και του Th. Macridy Bey στο Λιμένα το 1909, Th. Macridy Bey, AA 24 (1909), 8 κ.ε. και AA 25 (1910), 114 κ.ε.

2. Ch. Picard, BCH XXXVI (1912), 934 κ.ε., G. Daux, BCH LXXXVI (1962), 934 κ.ε.

3. Μια συνοπτική βιβλιογραφία για τις συστηματικές αρχαιολογικές έρευνες της Γαλλικής Αρχαιολογικής Σχολής στη Θάσο δίδεται στο Guide de Thasos, 1967, 193-198. Πρβλ. επίσης για νεότερα από το 1967 άρθρα στο BCH XCII (1968) κ.ε., καθώς και στον τόμο Thasiaka I, Suppl. BCH V (1979).

4. Πρβλ. Χρονικά ΑΔ από τον τόμο ΑΔ 17 (1961-62) κ.ε.

5. Τα ελάχιστα ίχνη γεωμετρικής εποχής που θα μπορούσαν να αναχθούν σε μια προγενέστερη από την άφιξη των Παρίων εποχή συγκεντρώνονται στη μονογραφία του J. Pouilloux, Recherches sur l'histoire et les cultes de Thasos, Etudes Thasiennes III, τ. I (1954), 14 και σημ. 7 και 8: «Προϊστορικός» τοίχος στο οικόπεδο Δημητριάδη, BCH LV (1931), Chronique, 503. Ο Pouilloux αναφέρει ορισμένα αντικείμενα αρχαιότερα από την ίδρυση της αποικίας, όπως ειδώλιο λυρωδού που βρέθηκε το 1911 στο Πύθιο, Ch. Picard, Revue de l'art XXXVI (1919), και ειδώλιο πτηνού γεωμετρικής εποχής που βρέθηκε πιθανότατα στην αρχαία Αγορά της Θάσου, F. Chamoux, BCH LXXIII (1949), 539-540, εικ. 20 στο μέσον.

6. BCH LXXXV (1961), Chronique, 935-936.

7. BCH LXXXVI (1962), Chronique, 937-938, Bernard 1964, 77-146.

8. Maffre - Salviat 1980, 726-730.

από τυχαία ευρήματα[9], άρχισε επιφανειακές έρευνες στη Θάσο με στόχο τον εντοπισμό προϊστορικών θέσεων. Οι προανασκαφικές και ανασκαφικές έρευνες δεν έχουν βέβαια ολοκληρωθεί ακόμη. Το αρχαιολογικό υλικό, ωστόσο, που έχει συγκεντρωθεί είναι αρκετό, ώστε να μας επιτρέπει να παρακολουθήσουμε σε γενικές γραμμές την πολιτιστική ιστορία του νησιού από τη νεολιθική εποχή ως την ίδρυση της αποικίας των Παρίων τον 7ο αι. π.Χ. Το πλουσιότερο αρχαιολογικό υλικό της προϊστορικής περιόδου προέρχεται από τη νότια Θάσο, όπου και η επιφανειακή έρευνα είναι πιο εύκολο να πραγματοποιηθεί, γιατί η διαμόρφωση του εδάφους και το είδος της βλάστησης βοηθούν στον ευκολότερο εντοπισμό των αρχαίων θέσεων.

Από την αρχαιολογική έρευνα που έχει πραγματοποιηθεί ως τώρα στη Θάσο έχουν εντοπισθεί οι εξής προϊστορικές θέσεις:

ΠΑΛΑΙΟΛΙΘΙΚΗ ΕΠΟΧΗ

Ορυχείο αιματίτη στη θέση Τσίνες

Χάρτης ΓΥΣ 1:50.000 έκδ. 1970 40° 39′/24° 34′
Χάρτης ΓΥΣ 1:5000 έκδ. 1977 αριθ. φύλλου 3583,4

Ορυχείο ώχρας της νεότερης παλαιολιθικής εποχής ή της ακεραμικής νεολιθικής. Το ορυχείο εντοπίσθηκε στα πλαίσια της έρευνας για τα αρχαία μεταλλεία της Θάσου, που το 1981 πραγματοποιήθηκε με συνεργασία των ΙΓΜΕ, Max Planck Institut Heidelberg, Bergbau Museum του Bochum και της Εφορείας Προϊστορικών και Κλασικών Αρχαιοτήτων Καβάλας. Οι πρώτες ανασκαφικές έρευνες το 1982 και 1983 της Εφορείας Αρχαιοτήτων Καβάλας, με συνεργασία του K. Weissgeber του Bergbau Museum Bochum, έδωσαν μια πλούσια σειρά από λίθινα και οστέινα εργαλεία. Το ορυχείο αποτελείται από δύο συνεχόμενες υπόγειες στοές και αποτελεί μέρος μιας ευρύτερης ορυκτοεξορυκτικής δραστηριότητας στον ίδιο λόφο, όπου έχουν εντοπισθεί και άλλες υπόγειες στοές, αλλά και επιφανειακή εξόρυξη.

Βιβλιογραφία

ΑΔ 36 (1981): Χρονικά, 340· 37 (1982): Χρονικά, 322-324· 38 (1983): Χρονικά, 319.

Α. ΝΕΟΛΙΘΙΚΗ ΕΠΟΧΗ (Σχέδ. 1)

1. Λιμένας Θάσου (αρχαία Θάσος)

Χάρτης ΓΥΣ 1:50.000 έκδ. 1970 40° 46′/240° 42′
Χάρτης ΓΥΣ 1:5000 έκδ. 1977 αριθ. φύλλου 3575,5

Λίθινα εργαλεία (λεπίδες πυριτολίθου, αξίνες) αναφέρονται ότι βρέθηκαν σε διαταραγμένη επίχωση στην αρχαία ακρόπολη σε ανασκαφές της Γαλλικής Αρχαιολογικής Σχολής. Τα εργαλεία αυτά που οι ανασκαφείς τα είχαν χρονολογήσει στη νεολιθική εποχή, σχετίζοντάς τα με ανάλογα από το νεολιθικό οικισμό του Ντικιλί Τας, που την ίδια εποχή είχε αρχίσει να ανασκάπτεται από τη Γαλλική Αρχαιολογική Σχολή, είναι σήμερα χαμένα. Καθώς καμιά καινούργια ένδειξη για την ύπαρξη νεολιθικού οικισμού στην ακρόπολη της Θάσου δεν έχει εν τω μεταξύ προκύψει, η ύπαρξη νεολιθικού οικισμού στη θέση αυτή παραμένει ακόμη υποθετική.

Βιβλιογραφία

BCH 46 (1922), Chronique, 533.
M. Launey, Etudes Thasiennes I (1944), 206.
Pouilloux 1954, 14.

9. Κουκούλη-Χρυσανθάκη 1970, 215-222.

Σχέδ. 1. Νεολιθικοί οικισμοί στη Θάσο.

2. Σπήλαιο στο ακρωτήρι στη Σκάλα Μαριές

Χάρτης ΓΥΣ 1:50.000 έκδ. 1970 40° 30′/24° 31′
Χάρτης ΓΥΣ 1:5000 έκδ. 1977 αριθ. φύλλου 3582,6

Στο σπήλαιο εντοπίσθηκε σε μια επιφανειακή έρευνα του 1970 κεραμική, που πρέπει να χρονολογηθεί σε μια φάση χαλκολιθική. Η αρχική είσοδος του σπηλαίου είναι κλειστή και δεν πρέπει να έχουν συμβεί νεότερες διαταράξεις στη στρωματογραφία του. Συστηματική έρευνα δεν έχει ακόμη πραγματοποιηθεί.

Βιβλιογραφία

Κουκούλη-Χρυσανθάκη 1970, 215-222.
Theocharis 1971, 27.

3. Καστρί περιοχής Θεολόγου

Χάρτης ΓΥΣ 1:50.000 έκδ. 1970 40° 37′/24° 39′
Χάρτης ΓΥΣ 1:5000 έκδ. 1977 αριθ. φύλλου 5584,7

Ο νεολιθικός οικισμός βρίσκεται στην επίπεδη κορυφή ενός οχυρού λόφου, που απέχει 5 χλμ. περίπου από την επιφάνεια της θάλασσας (ύψ. 280 μ.). Είναι ο πιο σημαντικός ως τώρα οικισμός για τη μελέτη της προϊστορίας και πρωτοϊστορίας του νησιού, από τον οποίο έχουμε στρωματογραφημένο αρχαιολογικό υλικό. Οι ανασκαφικές έρευνες, που έχουν αρχίσει από το 1971, συνεχίζονται. Τα νεολιθικά στρώματα του οικισμού, που βρίσκονται κάτω από μια φάση ύστερης εποχής του χαλκού και πρώιμης εποχής του σιδήρου, καλύπτουν μια περίοδο που μεσολαβεί ανάμεσα στο τέλος της μέσης νεολιθικής και στο τέλος της ύστερης νεολιθικής φάσης. Η ύστερη νεολιθική φαίνεται ότι περιλαμβάνει και μια φάση ύστατης νεολιθικής εποχής, από την οποία δεν έχει ακόμη στρωματογραφικά ξεχωρίσει (χαλκολιθική φάση). Πιθανότατα, ύστερα από κάποιο κενό στην κατοίκηση του λόφου μετά το τέλος αυτής της χαλκολιθικής φάσης εμφανίζεται το στρώμα της ύστερης εποχής του χαλκού, το οποίο διαδέχεται χωρίς διακοπή το αρχαιολογικό στρώμα της πρώιμης εποχής του σιδήρου. Στους λόφους γύρω από τον οικισμό Καστρί έχει εντοπισθεί ένα εκτεταμένο νεκροταφείο της ύστερης εποχής του χαλκού και της πρώιμης εποχής του σιδήρου, αλλά κανένα ως τώρα ίχνος νεολιθικών ταφών μέσα ή έξω από τον οικισμό δεν έχει επισημανθεί.

Βιβλιογραφία

Κουκούλη-Χρυσανθάκη 1970, 217.
Χ. Κουκούλη-Χρυσανθάκη, Προϊστορική Θάσος, ΑΕ 1970, Χρονικά, 16-22.
Theocharis 1971, 27.
ΑΔ 27 (1972): Χρονικά, 524-525.
ΑΔ 28 (1973): Χρονικά, 444-446.
ΑΔ 29 (1973-74): Χρονικά, 778-786.
ΑΔ 31 (1976): Χρονικά, 294-297.
ΑΔ 32 (1977): Χρονικά, 249.
ΑΔ 34 (1979): Χρονικά, 335.
ΑΔ 35 (1980): Χρονικά, 422.

Β. ΕΠΟΧΗ ΤΟΥ ΧΑΛΚΟΥ (Σχέδ. 2)

1. Σπήλαιο Δρακότρυπα Παναγιάς Θάσου

Χάρτης ΓΥΣ 1:50.000 έκδ. 1970 40° 44′/24° 44′
Χάρτης ΓΥΣ 1:5000 έκδ. 1977 αριθ. φύλλου 3575,5

Στα ανατολικά του χωριού, στον ορεινό όγκο που κατεβαίνει στην παραλία Αυλάκια, υπάρχει φυσικό σπήλαιο με σταλακτίτες. Το σπήλαιο είναι εύκολα προσιτό και έχει υποστεί μεγάλες διαταράξεις. Μικρή δοκιμαστική ανασκαφική έρευνα, που πραγματοποιήθηκε το 1972, διαπίστωσε τη χρήση της σπηλιάς από την πρώιμη εποχή του χαλκού ως και τα βυζαντινά χρόνια. Σε ελάχιστα σημεία εντοπίσθηκε στρωματογραφία αδιατάρακτη. Η κεραμική της πρώιμης εποχής του χαλκού προέρχεται από το γέμισμα ενός ορύγματος, που ήταν επικαλυμμένο με σταλαγμιτικό υλικό. Από άλλα σημεία της σπηλιάς, και από επίχωση ως επί το πλείστον διαταραγμένη, συγκεντρώθηκε χειροποίητη τοπική κεραμική, που χρονολογείται κυρίως στην πρώιμη εποχή του σιδήρου και στους ιστορικούς χρόνους. Εκτός από τη χειροποίητη κεραμική, βρέθηκε και τροχήλατη αρχαϊκών χρόνων (μηλιακή, κορινθιακή, αττική), ελληνιστικών, ρωμαϊκών και βυζαντινών χρόνων.

Βιβλιογραφία

ΑΔ 28 (1973): Χρονικά, 447-450.

2. Ύψωμα (Τούμπα) Προφήτη Ηλία στη Σκάλα Σωτήρος

Χάρτης ΓΥΣ 1:50.000 έκδ. 1970 40° 44′/24° 32′
Χάρτης ΓΥΣ 1:5000 έκδ. 1977 αριθ. φύλλου 3573,5

Το μικρό ύψωμα, στην πεδινή έκταση μέσα στο χωριό Σκάλα Σωτήρος, κοντά στη βόρεια

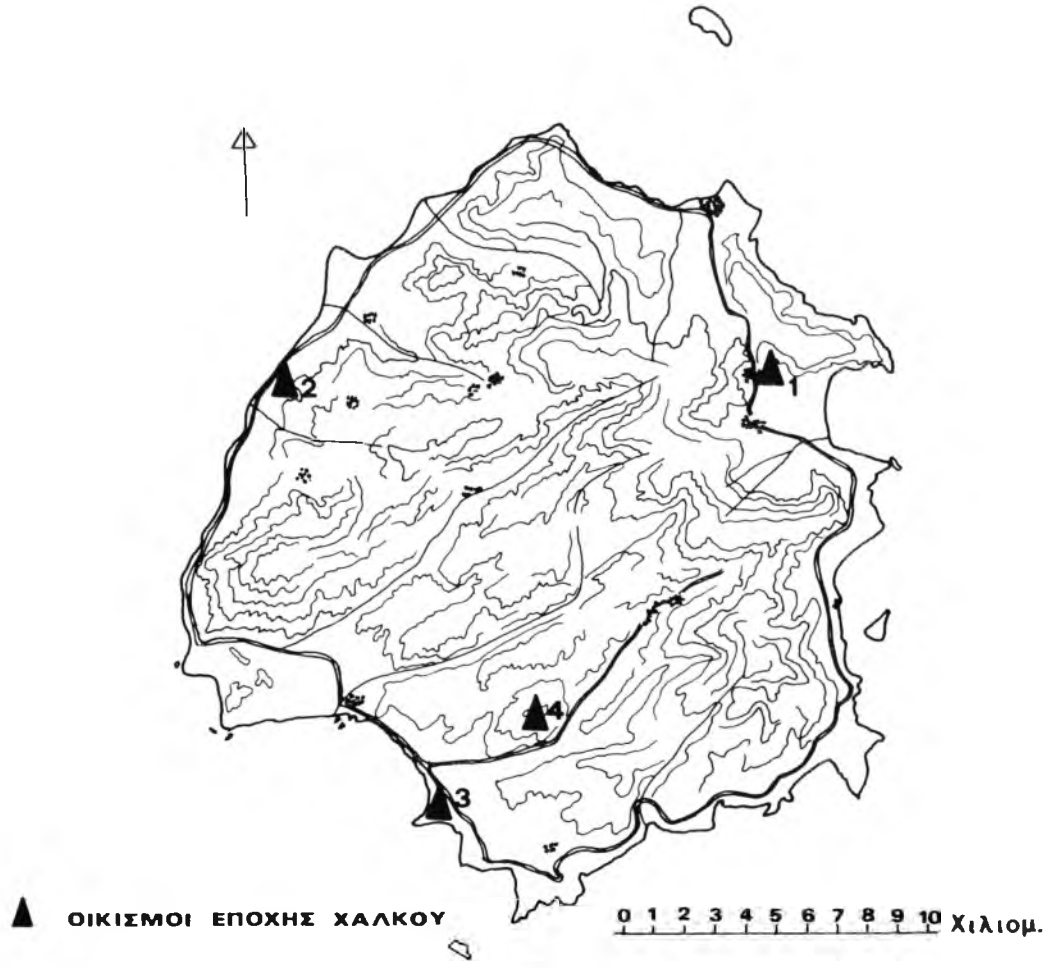

Σχέδ. 2. Οικισμοί εποχής του χαλκού στη Θάσο.

παρειά του περιφερειακού δρόμου Θάσου — στην ισοπεδωμένη κορυφή του υπάρχει το πρόσφατα ανακαινισμένο εκκλησάκι του Προφήτη Ηλία — είναι τεχνική επίχωση προϊστορικού οικισμού πρώιμης εποχής του χαλκού. Διαπιστώθηκε επίσης μια φάση ύστερων αρχαϊκών χρόνων (6ος αι. π.Χ.) και ένα νεκροταφείο ρωμαϊκών χρόνων.

Βιβλιογραφία

ΑΔ 37 (1982): Χρονικά, 342.

3. Ακρωτήρι Άγιος Αντώνιος στον Ποτό

Χάρτης ΓΥΣ 1:50.000 έκδ. 1970 40° 35′/24° 37′
Χάρτης ΓΥΣ 1:5000 έκδ. 1977 αριθ. φύλλου 3593,2

Ο οικισμός βρίσκεται στην κορυφή του λόφου του ακρωτηρίου, όπου έχει κτισθεί από τα παλαιοχριστιανικά χρόνια ένα εκκλησάκι, στη θέση πιθανότατα κάποιου αρχαίου ιερού. Στη σύντομη ανασκαφική έρευνα, που πραγματοποιήθηκε το 1970 με στόχο τον εντοπισμό του αρχαίου ιερού, εμφανίσθηκε επίχωση προϊστορικού οικισμού, χωρίς ωστόσο να πραγμα-

τοποιηθεί έρευνα σε βάθος. Από την επιφανειακή κεραμική και την κεραμική δύο τομών, που δεν προχώρησαν σε βάθος μεγαλύτερο από 0,60 μ., συγκεντρώθηκε κεραμική, μικροαντικείμενα, οστά και όστρεα που βεβαιώνουν την ύπαρξη ενός αρχαιολογικού στρώματος πρώιμης εποχής του χαλκού. Η έρευνα δεν προχώρησε σε βάθος και έτσι δεν έχει διαπιστωθεί αν υπάρχει και νεολιθική φάση στον οικισμό αυτό. Σημειώνουμε την τέλεια έλλειψη γραπτής κεραμικής στην επιφανειακή κεραμική και την κεραμική των δύο τομών του λόφου, διαπίστωση που ωστόσο δεν μπορεί να είναι αποφασιστική. Από την επιφανειακή κεραμική προκύπτει με βεβαιότητα η ύπαρξη μιας φάσης ύστερης εποχής του χαλκού στον ίδιο οικισμό.

Βιβλιογραφία

ΑΔ 26 (1971): Χρονικά, 416.
Δ. Γραμμένος, Από τους προϊστορικούς οικισμούς της Ανατολικής Μακεδονίας, ΑΔ 30 (1975): Μελέται, 199.

4. Καστρί περιοχής Θεολόγου

Για την τοπογραφική περιγραφή πρβλ. Α.3.

Η εποχή του χαλκού πρέπει να αντιπροσωπεύεται από δύο φάσεις στον οικισμό της κορυφής Καστρί.

Πρώιμη εποχή του χαλκού: Η φάση αυτή δεν έχει ακόμη εντοπισθεί στη στρωματογραφία της ακρόπολης Καστρί, η παρουσία της ωστόσο επισημαίνεται από ορισμένα όστρακα που βρέθηκαν στη βορειοανατολική πλαγιά της. Πιθανόν, κτίρια της φάσης αυτής βρίσκονται και κάτω από την κορυφή Καστρί, στο άνδηρο όπου το νεκροταφείο της ύστερης εποχής του χαλκού και της πρώιμης εποχής του σιδήρου (θέση Κεντριά).

Ύστερη εποχή του χαλκού: Πιθανότατα, μετά από τη μεσολάβηση κάποιας εγκατάλειψης του οικισμού με το τέλος της νεολιθικής εποχής και της αρχαιότερης ίσως φάσης της πρώιμης εποχής του χαλκού, η κορυφή του λόφου ξανακατοικείται σε μια προχωρημένη φάση της ύστερης εποχής του χαλκού. Η κατοίκηση συνεχίζεται στην πρώιμη εποχή του σιδήρου χωρίς διακοπή.

Βιβλιογραφία

ΑΔ 27 (1972): Χρονικά, 524-525.
ΑΔ 29 (1973-74): Χρονικά, 778-786.
ΑΔ 31 (1976): Χρονικά, 294-297.
ΑΔ 32 (1977): Χρονικά, 249.
ΑΔ 35 (1980): Χρονικά, 422.

Γ. ΠΡΩΙΜΗ ΕΠΟΧΗ ΤΟΥ ΣΙΔΗΡΟΥ (Σ χ έ δ. 3)

1. Λιμένας (αρχαία Θάσος)

Για την τοπογραφική περιγραφή πρβλ. Α.1.

Ο οικισμός της πρώιμης εποχής του σιδήρου, που πρέπει να ήταν εγκατεστημένος στην κορυφή της οχυρής ακρόπολης, απλωνόταν τουλάχιστον στις τελευταίες φάσεις της πρώιμης εποχής του σιδήρου και ως τους δυτικούς πρόποδες της ακρόπολης, όπου έχουν εντοπισθεί τα ίχνη του από τις ανασκαφές της Γαλλικής Αρχαιολογικής Σχολής σε τρία σημεία:

α. Συνοικία αρχαϊκών οικιών.

β. Περιοχή ανατολικά από το Αρτεμίσιο.

γ. Αρτεμίσιο, περιοχή βωμού.

Το αρχαιολογικό υλικό αποτελούν ελάχιστα κτιριακά λείψανα και κεραμική, που χρονολογήθηκαν στις αρχές του 7ου αι. π.Χ. Αξιοσημείωτα είναι τα ίχνη αρχαίας μεταλλουργίας στο Αρτεμίσιο.

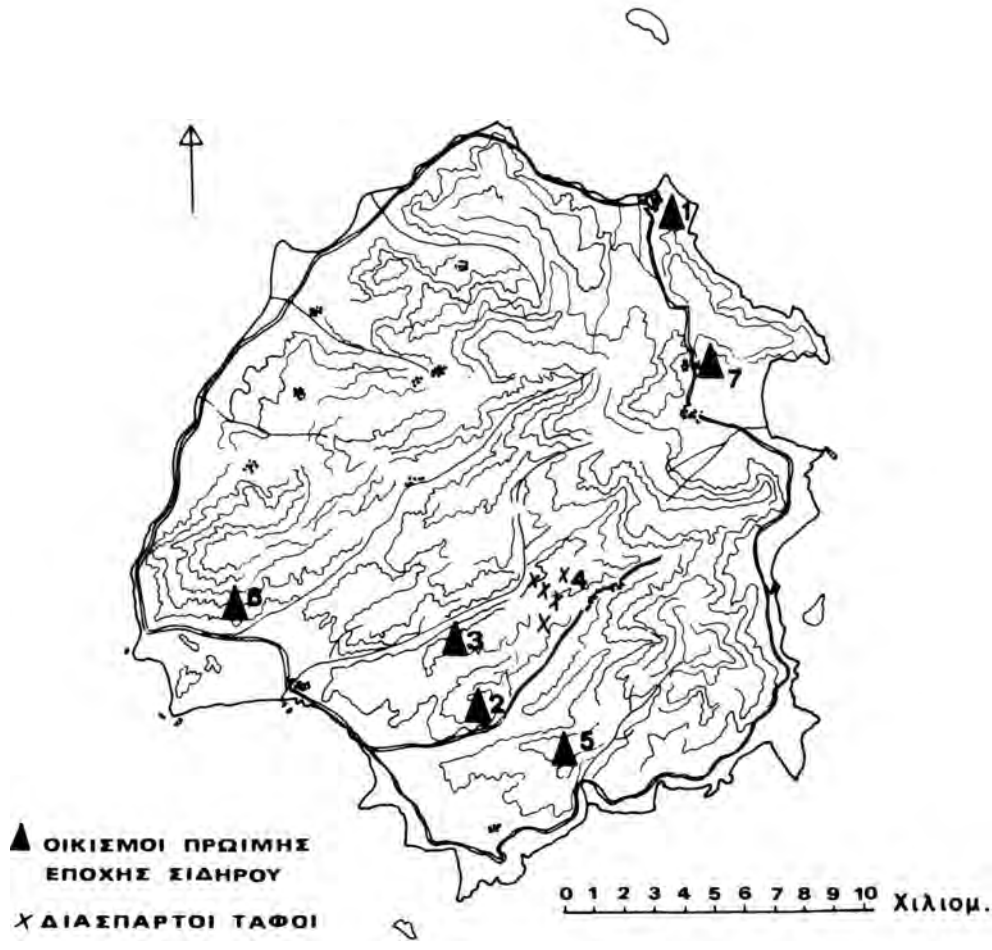

Σχέδ. 3. Οικισμοί πρώιμης εποχής του σιδήρου στη Θάσο.

Βιβλιογραφία

Bernard 1964, 77-146.
Maffre - Salviat 1980, 726-730.

2. Καστρί περιοχής Θεολόγου

Για τοπογραφικές πληροφορίες πρβλ. Α.3.

Το στρώμα της πρώιμης εποχής του σιδήρου ακολουθεί χωρίς διακοπή το προγενέστερο στρώμα της ύστερης εποχής του χαλκού στον οικισμό. Αντίστοιχη πολιτιστική συνέχεια διαπιστώνεται και στα νεκροταφεία του οικισμού. Η ανασκαφική έρευνα έχει εντοπίσει λείψανα κτιρίων πρώιμης εποχής του σιδήρου, τόσο στην κορυφή της ακρόπολης, που πρέπει να ήταν οχυρωμένη, όσο και στη νοτιοανατολική πλαγιά του λόφου, έξω από τον περίβολο. Πιθανότατα, κατοικίες υπήρχαν αντίστοιχα και στη βορειοδυτική πλαγιά του λόφου, που καλύπτεται σήμερα από πυκνούς θάμνους. Η ανασκαφική έρευνα στον οικισμό συνεχίζεται, ενώ η ανασκαφή των νεκροταφείων έχει σχεδόν ολοκληρωθεί.

Βιβλιογραφία

ΑΔ 27 (1972): Χρονικά, 524-525.

ΑΔ 29 (1973-74): Χρονικά, 778 κ.ε.
ΑΔ 31 (1976): Χρονικά, 294-297.
ΑΔ 32 (1977): Χρονικά, 249-251.
ΑΔ 33 (1978): Χρονικά, 290-292.
ΑΔ 34 (1979): Χρονικά, 335.
ΑΔ 35 (1980): Χρονικά, 422.
Koukouli-Chrysanthaki 1982, 119-143.

3. Νεκροταφείο στη θέση Λαρνάκι

Χάρτης ΓΥΣ 1:50.000 έκδ. 1970 40° 38′/29° 39′
Χάρτης ΓΥΣ 1:5000 έκδ. 1977 αριθ. φύλλου 3584,5 12900/1600

Το νεκροταφείο βρίσκεται σε απόσταση 1,50 χλμ. περίπου βορειοδυτικά από την ακρόπολη Καστρί και ίσως ανήκει σε μια διαφοροποιημένη από τον οικισμό Καστρί ομάδα, η οποία πιθανότατα εξαρτιόταν από την ακρόπολη Καστρί, αλλά ήταν διασπαρμένη στην περιοχή αυτή. Θέση οργανωμένου οικισμού δεν εντοπίσθηκε, με την ασφάλεια όμως της περιοχής αυτής πρέπει να σχετίζεται ένας πύργος στη θέση Κάτω Λαρνάκι, που ελέγχει το δρόμο που οδηγεί από τα παράλια στο εσωτερικό του νησιού. Από το εκτεταμένο νεκροταφείο της θέσης Λαρνάκι μόνο ένα μικρό μέρος έχει ερευνηθεί.

Βιβλιογραφία

ΑΔ 26 (1971): Χρονικά, 412-416.
ΑΔ 28 (1973): Χρονικά, 447.
ΑΔ 29 (1973-74): Χρονικά, 784-785.

4. Περιοχή Μανταλούδι Θεολόγου

Στη δασωμένη περιοχή ανάμεσα στη θέση Μανταλούδι και το χωριό Θεολόγος έχουν εντοπισθεί πολλοί, διάσπαρτοι ως επί το πλείστον, τάφοι, οι οποίοι σε ορισμένες περιπτώσεις φαίνεται ότι απαρτίζουν νεκροταφεία. Ορισμένοι απ' αυτούς θυμίζουν τους τάφους γύρω από τον οικισμό Καστρί και του νεκροταφείου στο Λαρνάκι και η χρονολόγησή τους στην πρώιμη εποχή του σιδήρου είναι αρκετά πιθανή. Ορισμένοι κιβωτιόσχημοι τάφοι, ωστόσο, είναι πιθανό να χρονολογούνται και στους ιστορικούς χρόνους, γιατί πρέπει να σημειώσουμε ότι στην περιοχή αυτή διαπιστώνονται διάσπαρτα ίχνη κατοίκησης από τους κλασικούς, τους ελληνιστικούς, τους ρωμαϊκούς και τους βυζαντινούς χρόνους.

Βιβλιογραφία

ΑΔ 25 (1970): Χρονικά, 401.

5. Άι-Λιας - Πόπινας Μάνδρα

Χάρτης ΓΥΣ 1:50.000 έκδ. 1970 40° 36′/24° 41′ (ύψ. 395 μ. από την επιφάνεια της θάλασσας)
Χάρτης ΓΥΣ 1:5000 έκδ. 1977 αριθ. φύλλου 3584,8

Στην οχυρή κορυφή Άι-Λιας, όπου σώζεται ο κυκλικός προϊστορικός πύργος και ίχνη περιβόλου, πραγματοποιήθηκε μια μικρή δοκιμαστική έρευνα της Εφορείας. Η επίχωση ήταν ελάχιστη, γιατί η κορυφή είναι απογυμνωμένη, αλλά στη διαταραγμένη επίχωση βρέθηκε μαζί με κεραμική ιστορικών χρόνων και χειροποίητη, ορισμένα σχήματα της οποίας μπορούν να στηρίξουν μια χρονολόγηση στην ύστερη εποχή του χαλκού-πρώιμη εποχή του σιδήρου. Στην επίπεδη κορυφή του λόφου, βόρεια από την κορυφή Άι-Λιας, γνωστή με το τοπωνύμιο Πόπινας Μάνδρα, εντοπίσθηκε ένα νεκροταφείο με τύμβους-λιθοσωρούς. Η ανασκαφική έρευνα σε ορισμένους από αυτούς δεν έδωσε ευρήματα. Πιθανότατα, οι τύμβοι κάλυπταν ταφές-καύσεις ακτέριστες και από τα ελάχιστα όστρακα που βρέθηκαν δεν προέκυψε κανένα βέβαιο στοιχείο για τη χρονολόγησή τους.

Βιβλιογραφία

ΑΔ 31 (1976): Χρονικά, 299.

6. Παλιόκαστρο περιοχής Μαριών

Χάρτης ΓΥΣ 1:50.000 έκδ. 1970 40° 39′/24° 32′
Χάρτης ΓΥΣ 1:5000 έκδ. 1977 αριθ. φύλλου 3583,3

Λόφος, ύψους 132 μ., σε απόσταση 4,50 χλμ. από την παραλία Λιμεναρίων και 1 χλμ. βορειοδυτικά του δρόμου που οδηγεί στο ηπειρωτικό χωριό Μαριές. Στην κορυφή του λόφου διακρίνονται κτίσματα, καθώς και λείψανα οχυρώσεων, ορατά κυρίως στη βορειοανατολική πλευρά του λόφου, όπου επισημαίνεται ένας πύργος ή κάποιος εσωτερικός περίβολος. Στην περιοχή του πύργου αυτού, όπως και στη νότια πλευρά της κορυφής, εμφανίζεται η χαρακτηριστική κεραμική της πρώιμης εποχής του σιδήρου με την αυλακωτή διακόσμηση. Ο οικισμός της θέσης Παλιόκαστρο βρίσκεται σε μικρή απόσταση από τα αρχαία μεταλλεία της θέσης Κουμαριά και η ανεύρεση σκουριών χαλκού στη νότια περιοχή της ακρόπολης μαζί με κεραμική της πρώιμης εποχής του σιδήρου συνδέει τον οικισμό αυτό με την εκμετάλλευση της μεταλλοφόρου περιοχής της Κουμαριάς, τουλάχιστον από την πρώιμη εποχή του σιδήρου. Στον οικισμό εμφανίζεται και μια φάση ιστορικών χρόνων.

Βιβλιογραφία

ΑΔ 33 (1978): Χρονικά, 292.

7. Δρακότρυπα Παναγιάς

Για τοπογραφικές πληροφορίες πρβλ. Β.1.

Από τις τρεις στρωματογραφικές τομές που πραγματοποιήθηκαν το 1972 στο εσωτερικό της σπηλιάς συγκεντρώθηκε και τοπική χειροποίητη κεραμική της πρώιμης εποχής του σιδήρου, που βρέθηκε σε στρώματα διαταραγμένα μαζί με κεραμική κυκλαδική, κορινθιακή και αττική του 7ου και 6ου αι. π.Χ.

Βιβλιογραφία

ΑΔ 28 (1973): Χρονικά, 447-450.

ΤΑ ΑΝΑΣΚΑΦΙΚΑ ΔΕΔΟΜΕΝΑ

ΕΙΣΑΓΩΓΙΚΑ

ΠΡΩΤΟΪΣΤΟΡΙΚΗ ΘΑΣΟΣ

Με τον όρο «πρωτοϊστορική» ξεχωρίζουμε την περίοδο εκείνη της πολιτιστικής ιστορίας της Θάσου, που μεσολαβεί ανάμεσα στους προϊστορικούς και τους ιστορικούς χρόνους, αποτελώντας τη μεταβατική φάση από τη μία εποχή στην άλλη. Η αφετηρία της πρωτοϊστορικής φάσης εντοπίζεται ήδη από τις πρώτες επαφές της Θάσου με το μυκηναϊκό πολιτισμό, του οποίου η τελευταία φάση μετά την αποκρυπτογράφηση της γραμμικής Β πέρασε στην ιστορική περίοδο του ελλαδικού χώρου. Το τέλος της πρωτοϊστορικής περιόδου της Θάσου ορίζεται με την άφιξη των Παρίων και την ίδρυση της αποικίας τους στο β΄ τέταρτο του 7ου αι. π.Χ. Αν θελήσουμε να χρησιμοποιήσουμε τη χρονολογική ορολογία του κεντροευρωπαϊκού και του βαλκανικού χώρου, θα πρέπει να αποδώσουμε την αρχαιότερη φάση της πρωτοϊστορικής Θάσου στην ύστερη εποχή του χαλκού (Reinecke D) και τη νεότερη στην πρώιμη εποχή του σιδήρου (HaA-HaB). Η ίδια εποχή στο νοτιοελλαδικό χώρο αντιστοιχεί στην πρώτη φάση της με την ΥΕ ΙΙΙΒ-ΥΕ ΙΙΙΓ και στη δεύτερη φάση της με την πρωτογεωμετρική και γεωμετρική περίοδο. Στο χρονικό αυτό διάστημα των έξι περίπου αιώνων (1300-700 π.Χ.) δεν υπάρχουν βέβαια γραπτά μνημεία στη Θάσο και το νησί διατηρεί τον τοπικό πολιτιστικό του χαρακτήρα, που έχει τις ρίζες του στην προϊστορία, αλλά η εμφάνιση των Μυκηναίων στην αρχαιότερη φάση της πρωτοϊστορικής Θάσου και η ανάπτυξη της επικοινωνίας με το βορειοανατολικό Αιγαίο στα τέλη της νεότερης φάσης διαφοροποιούν την τελευταία περίοδο της προϊστορίας του νησιού και μπορούν να λειτουργήσουν ως χρονολογική αφετηρία μιας πολιτιστικής φάσης, η οποία αρχίζει να διαφοροποιείται από την προϊστορία, χωρίς να είναι ακόμη ιστορία. Στην περίοδο αυτή θα μπορούσαν να ενταχθούν ορισμένες μυθικές παραδόσεις που σώζονται σε πηγές ιστορικών χρόνων, αλλά αναφέρονται σε μια εποχή που προηγείται της ίδρυσης της παριανής αποικίας. Είναι οι μύθοι που συνδέουν τη Θάσο με τον Ηρακλή, με το Θάσο, αδελφό του Κάδμου, και με τους Φοίνικες. Πέρα, ωστόσο, από τις μετέωρες ιστορικά πληροφορίες των παραπάνω μύθων και τις ελάχιστες πληροφορίες των ιστορικών πηγών, ανάμεσα στις οποίες το μεγαλύτερο βάρος συγκεντρώνουν τα αποσπάσματα του Αρχίλοχου, η μελέτη της πρωτοϊστορικής Θάσου στηρίζεται κυρίως στο αρχαιολογικό υλικό, που συγκεντρώθηκε από τις ανασκαφικές και προανασκαφικές έρευνες των τελευταίων είκοσι χρόνων. Το πλουσιότερο αρχαιολογικό υλικό της πρωτοϊστορικής περιόδου της Θάσου προέρχεται από τον οικισμό Καστρί, που σύμφωνα με τα ως τώρα γνωστά αρχαιολογικά δεδομένα πρέπει να είναι ο σημαντικότερος οικισμός της πρωτοϊστορικής Θάσου.

Η πρώτη προσέγγιση στη συστηματική μελέτη της πρωτοϊστορικής περιόδου του νησιού επιχειρείται με τη δημοσίευση του αρχαιολογικού υλικού των νεκροταφείων του οικισμού Καστρί και του νεκροταφείου της θέσης Λαρνάκι, που στις τελευταίες φάσεις τους προσεγγίζουν την εποχή της εμφάνισης των Παρίων αποίκων στη Θάσο. Το αρχαιολογικό υλικό των νεκροταφείων αυτών ανεβαίνει ως εκείνη τη φάση της ύστερης εποχής του χαλκού, που συμπίπτει χρονολογικά με την εμφάνιση της ΥΕ ΙΙΙΒ μυκηναϊκής κεραμικής στο βορειοελλαδικό χώρο και το βορειοανατολικό Αιγαίο και τελειώνει με το τέλος του 8ου αι. π.Χ., καλύπτοντας όλο το χρονικό διάστημα της φάσης που ονομάσαμε πρωτοϊστορική.

ΧΡΟΝΙΚΟ ΤΩΝ ΑΝΑΣΚΑΦΩΝ ΣΤΑ ΝΕΚΡΟΤΑΦΕΙΑ

Ο εντοπισμός της συγκεκριμένης θέσης, από την οποία προέρχονταν τα θραύσματα προϊστορικών αγγείων που είχαν κατασχεθεί από το Σταθμό Χωροφυλακής των Λιμεναρίων το 1969, πραγματοποιήθηκε με τη βοήθεια του φύλακα αρχαιοτήτων της Θάσου Β. Οικονόμου. Γεννημένος και μεγαλωμένος στα βουνά του Θεολόγου, ο Β. Οικονόμου εξοικειώθηκε γρήγορα στην αναζήτηση των αρχαίων θέσεων της Θάσου και με το οξυμμένο μάτι του ανθρώπου που ζει στη φύση αναδείχθηκε πολύτιμος οδηγός των αρχαιολόγων στα μονοπάτια του νησιού, που συχνά ταυτίζονται με δρόμους αρχαίους.

Η πρώτη ανασκαφική έρευνα πραγματοποιήθηκε το ίδιο το καλοκαίρι στο νεκροταφείο της θέσης Κεντριά, όπου είχαν γίνει οι λαθρανασκαφές. Πρώτος συνεργάτης και από τότε μόνιμος συνεργάτης των ανασκαφών ως το 1977 ο πτυχιούχος του αρχαιολογικού τμήματος Γιώργος Μάντζιος. Οι αποτυπώσεις της ανασκαφής 1969 έγιναν από την αρχιτέκτονα Τζένη Καστρίδου. Ακολούθησε μια μικρή ανασκαφή στο νεκροταφείο Λαρνάκι το 1970, στην οποία πήραν μέρος οι αρχαιολόγοι Γιώργος Μάντζιος και Μυρτώ Οικονομίδου, καθώς και ο συντηρητής του Μουσείου Καβάλας Αριστείδης Γανίτης. Το 1971 εντοπίσθηκαν και άρχισαν να ανασκάπτονται τα νεκροταφεία Τσιγανάδικα και Βρυσούδες, ενώ συνεχίσθηκε παράλληλα η ανασκαφή στο νεκροταφείο Κεντριά. Συνεργάσθηκαν ο αρχαιολόγος Γιώργος Μάντζιος και οι φοιτήτριες τότε του αρχαιολογικού τμήματος Μάτα Βογιατζή και Τέα Στεφανίδου. Στην αποτύπωση των τάφων δούλεψαν οι τότε φοιτητές της αρχιτεκτονικής Μίλτος Πολυβίου και Σταμάτης Χονδρογιάννης, καθώς και ο σχεδιαστής Βελισσάρης Αναγνωστόπουλος. Το 1972 συνεχίσθηκε η ανασκαφή στο νεκροταφείο της θέσης Λαρνάκι, με συνεργάτες τους αρχαιολόγους Γιώργο Μάντζιο και Μαίρη Ζαφειροπούλου και σχεδιάστρια τη Φωτεινή Πρεμέτη. Το 1973 συνεχίσθηκε η ανασκαφή στα νεκροταφεία Τσιγανάδικα, Βρυσούδες και Λαρνάκι, με τη συνεργασία των αρχαιολόγων Γιώργου Μάντζιου, Μάτας Βογιατζή, Μαρίας Καρά και Ελένης Τσιβιλίκα, Αντώνη Κόντου και με συμμετοχή του ανθρωπολόγου Νίκου Ξυροτύρη. Στις αποτυπώσεις των τάφων δούλεψαν οι τελειόφοιτοι της αρχιτεκτονικής Δημήτρης Παναγιωτόπουλος και Στέργιος Στεφάνου και η σχεδιάστρια του Μουσείου Καβάλας Κική Μαγαρισιώτου. Το 1975 επαναλήφθηκαν οι ανασκαφικές έρευνες στο νεκροταφείο Τσιγανάδικα. Στην ανασκαφική έρευνα πήραν μέρος οι αρχαιολόγοι Γιώργος Μάντζιος, Δέσποινα Ευγενίδου, Ηλέκτρα Αναγνωστοπούλου, Αναστασία Τασιά και οι αρχιτέκτονες Στέργιος Στεφάνου και Χαρούλα Στεφάνου. Το 1977 πραγματοποιήθηκε η τελευταία συστηματική ανασκαφή στο νεκροταφείο Τσιγανάδικα, με τη συνεργασία των αρχαιολόγων Γιώργου Μάντζιου, Πόλης Κωνσταντίνου, Σταυρούλας Σαμαρτζίδου και των φοιτητών τότε του αρχαιολογικού τμήματος Δημήτρη Ζαγοριανού, Μόσχου Οτατζή, Κατερίνας Περιστέρη, Χαρούλας Στογιαννίδου και Τζένης Τσατσοπούλου. Τα σχέδια της ανασκαφής έγιναν από τους τότε φοιτητές της αρχιτεκτονικής Γιώργο Αθανασιάδη και Τούλα Μυρωδή. Τα γενικά τοπογραφικά σχέδια των νεκροταφείων συντάχθηκαν από το Χρήστο Αθανασιάδη, καθηγητή της Σχολής Ευκλείδης.

Οι εργάτες των ανασκαφών ήταν κάτοικοι του χωριού Θεολόγος, που τακτικοί κάθε χρόνο στην ανασκαφή είχαν αποκτήσει μια προσωπική σύνδεση με την αρχαιολογική εργασία. Κοντά τους δούλεψε σ' όλες τις ανασκαφικές περιόδους με ξεχωριστό ζήλο ο φύλακας αρχαιοτήτων της περιοχής Β. Οικονόμου.

Όλους τους παραπάνω συνεργάτες, που μοιράσθηκαν τις δυσκολίες της ανασκαφής και υπήρξαν βασικοί βοηθοί μου στην ανασκαφική έρευνα και την τεκμηρίωσή της, ευχαριστώ θερμότατα για τη συνεργασία, την αγάπη και τον ενθουσιασμό τους, με τον οποίο κάλυψαν τις σκληρές συνθήκες εργασίας που απαιτούσε η ανασκαφή.

Φυσικά, για να πάρει η δημοσίευση τη σημερινή της μορφή ακολούθησε μια μακρόχρονη επεξεργασία του υλικού στο Μουσείο Καβάλας: Οι συντηρητές του Μουσείου Γιώργος Ξυλαπετσίδης, Δημήτρης Σιαμπανόπουλος, Βαής Γανίτης και Παναγιώτης Τζενετάκης, χωρίς να ξεχνώ και τον πρόωρα χαμένο συντηρητή και πρώτο φύλακα του Μουσείου Αριστείδη Γανίτη, δούλεψαν στον καθαρισμό, τη συντήρηση και τη συγκόλληση του αρχαιολογικού

υλικού. Η σχεδιάστρια του Μουσείου Καβάλας Κική Μαγαρισιώτου κράτησε το κύριο βάρος της σχεδίασης των αντικειμένων της ανασκαφής. Η ίδια πραγματοποίησε τις αναγκαίες συμπληρώσεις στα αρχιτεκτονικά σχέδια και την προσαρμογή τους σε ενιαίο ύφος και σχεδίασε τους χάρτες του κειμένου. Η αρχιτέκτων Σ. Αγγελούδη επιμελήθηκε τα σχέδια της τυπολογίας των τάφων, ο γλύπτης και ζωγράφος του Μουσείου Δημοσθένης Σωτηρούδης σχεδίασε και εκείνος ένα μεγάλο αριθμό αντικειμένων, ενώ η σχεδιάστρια Ελένη Κοτζαγιώργη σχεδίασε κυρίως συγκριτικό υλικό. Τους παραπάνω συνεργάτες μου στο Μουσείο Καβάλας ευχαριστώ θερμότατα.

Θερμές επίσης ευχαριστίες εκφράζω στους ειδικούς που έχουν συντάξει τα Παραρτήματα της δημοσίευσης, τα οποία στήριξαν πολλά από τα συμπεράσματα αυτής της μελέτης, B. Herrmann και N. Ξηροτύρη για τη μελέτη του ανθρωπολογικού υλικού (Παραρτήματα Ια και Ιβ), P. Halstead και G. Jones για τη μελέτη των οστών ζώων (Παράρτημα ΙΙ), Λ. Καραλή-Γιαννακοπούλου για τη μελέτη των μαλακίων (Παράρτημα ΙΙΙ), L. Courtois για την πετρολογική και μινεραλογική μελέτη κεραμικών (Παράρτημα IV), E. Pernicka, G.A. Wagner, και W. Todt για χημικές και ισοτοπικές αναλύσεις μολύβδινων αντικειμένων (Παράρτημα V), Κ. Ασημενό και Z. Stos-Gale, N. Gale για χημικές αναλύσεις χάλκινων αντικειμένων (Παραρτήματα VIα και VIβ), Z. Stos-Gale και N. Gale για αναλύσεις ισοτόπων μολύβδου χάλκινων αντικειμένων (Παράρτημα VII), Κ. Ασημενό και Ε. Φώτου για χημικές αναλύσεις σιδερένιων αντικειμένων και σκουριών χαλκού και σιδήρου (Παραρτήματα VIIIα και VIIIβ), Ν. Επιτρόπου για ορυκτολογικό και πετρογραφικό προσδιορισμό λίθινων αντικειμένων (Παράρτημα IX), Α. Αγελαράκη και R. Solecki για τη μελέτη της λινής κλωστής (Παράρτημα Χ), J. Henderson για αναλύσεις γυάλινων ψήφων (Παράρτημα XI), Μ. Βαβελίδη για μελέτη χρυσών αντικειμένων (Παράρτημα XII) και D. Berdau για ραδιοχρονολόγηση οστών (Παράρτημα XIII).

ΣΥΝΤΟΜΟΓΡΑΦΙΕΣ

Κατηγορίες κεραμικής

Α: Επιφάνειες τεφρόχρωμες ως καστανόμαυρες
Α1: Επιφάνεια στιλβωμένη
Α2: Επιφάνεια λειασμένη
Α3: Επιφάνεια αδρή

Β: Επιφάνειες καστανόχρωμες ως καστανέρυθρες («καπνισμένες»)
Β1: Επιφάνεια λειασμένη
Β2: Επιφάνεια αδρή

Γ: Επιφάνειες ερυθρόχρωμες
Γ1: Επιφάνεια λειασμένη
Γ2: Επιφάνεια αδρή

Διαστάσεις

ύψ. = ύψος
πλ. = πλάτος
μκ. = μήκος
πχ. = πάχος
δμ. = διάμετρος
δμχ. = διάμετρος χείλους
δμκ. = διάμετρος κοιλιάς
δμβ. = διάμετρος βάσης
δμλ. = διάμετρος λαιμού
λβ. = λαβή
λ. = λαιμός
μγ. = μέγιστο
συμπλ. = συμπληρωμένο
σζ. = σωζόμενο

Περιγραφή

Ε = Ερυθρός
Κ = Καστανός
Μ = Μαύρος
Τ = Τεφρός
σ = στίλβωση
γ = γραφίτης
λ = λείανση
φθ = φθαρμένος
ε = επίχρισμα
Τπ. = Τύπος
Κτ. = Κατηγορία
επ. = επιφάνεια
εσ. = εσωτερική
εξ. = εξωτερική
πρ. = πυρήνας

ΚΕΦΑΛΑΙΟ Α΄

ΠΡΟΪΣΤΟΡΙΚΟΣ ΟΙΚΙΣΜΟΣ ΚΑΙ ΝΕΚΡΟΤΑΦΕΙΑ ΣΤΗ ΘΕΣΗ ΚΑΣΤΡΙ

Ο οικισμός βρίσκεται στην ημιορεινή περιοχή των νοτίων παραλίων της Θάσου, στην κορυφή οχυρού λόφου, ύψους 280 μ., που απέχει 5 χλμ. περίπου από τα παράλια (Π ί ν. 210α).

ΓΕΩΛΟΓΙΚΗ ΠΕΡΙΓΡΑΦΗ

Όπως διαπιστώνεται από το γεωλογικό χάρτη της Θάσου[1], ο προϊστορικός οικισμός έχει αναπτυχθεί πάνω σ' έναν ορεινό όγκο με σχιστογνευσιακό πέτρωμα, που περιβάλλεται από μια ζώνη μαρμαροφόρων πετρωμάτων. Τα μαρμαροφόρα κοιτάσματα από μάρμαρο τύπου mr Κάστρου[2] καλύπτουν την περιοχή των νεκροταφείων Κεντριά και Τσιγανάδικα. Το νεκροταφείο Βρυσούδες του ίδιου οικισμού βρίσκεται στην περιοχή με τους ενδιάμεσους σχιστογνεύσιους στα βορειοανατολικά του οικισμού, όπου υπάρχουν δυνατότητες για περισσότερη βλάστηση (Σ χ έ δ. 4). Στο ζωτικό χώρο του οικισμού πρέπει επίσης να συμπεριληφθούν και οι αλλουβιακές εκτάσεις, που αρχίζουν από τους πρόποδες του λόφου και φθάνουν ως τη θάλασσα.

ΓΕΩΜΟΡΦΟΛΟΓΙΚΗ ΠΕΡΙΓΡΑΦΗ

Γεωμορφολογική έρευνα δεν έχει πραγματοποιηθεί ακόμη στην περιοχή του οικισμού Καστρί και των νεκροταφείων του, αλλά από την ως τώρα αρχαιολογική έρευνα προκύπτει το συμπέρασμα, ότι η διάβρωση και η απογύμνωση της περιοχής πρέπει να είχε συντελεστεί ήδη στη νεολιθική εποχή, γιατί το στρώμα της μέσης νεολιθικής πατά πάνω σ' ένα λεπτό στρώμα φυσικής επίχωσης από ερυθρό χώμα, που καλύπτει το φυσικό βράχο[3] (Π ί ν. 210β). Από τα κτίσματα επίσης της ανατολικής πλαγιάς του λόφου (Τομέας ΙΙ, οικία 1), όπου τα θεμέλια και το δάπεδο της οικίας πατούν πάνω στο φυσικό βράχο, διαπιστώνεται ότι οι ανατολικές πλαγιές του λόφου Καστρί ήταν απογυμνωμένες στην πρώιμη εποχή του σιδήρου[4] (Σ χ έ δ. 4· Π ί ν. 210α). Στην περιοχή των νεκροταφείων, επίσης, δε διαπιστώνεται μεγάλη διάβρωση, ώστε να έχει αλλάξει ριζικά η σχέση των τάφων με την επιφάνεια του εδάφους. Ένα τόσο μεγάλο ποσοστό διάβρωσης του εδάφους, που να μπορεί να μετατρέψει τους υπόγειους τάφους σε υπέργειους, πρότεινε για τους θολωτούς τάφους της Μεσσαράς ο S. Hood[5], αλλά μετά τις γεωμορφολογικές μελέτες που έχουν πραγματοποιηθεί σε ορισμένες περιοχές του ελληνικού χώρου, έχει αρχίσει να επικρατεί η άποψη, ότι η απογύμνωση και η διάβρωση σε πολλές περιοχές των νησιών ήταν ήδη συντελεσμένες από πολύ πρώιμες φάσεις της αρχαιότητας[6].

1. Γεωλογικός Χάρτης Θάσου 1:50.000 (έκδοση ΙΓΜΕ, 1982).
2. Βορεάδης 1954, 229-234.
3. ΑΔ 33 (1978): Χρονικά, 291.
4. Ό.π.
5. Hood 1970, 166.
6. Bintliff 1977, 49.

Από τα ανασκαφικά στοιχεία φαίνεται ότι και στην περίπτωση της περιοχής Καστρί, τόσο στις μαρμαροφόρες περιοχές Τσιγανάδικα, Κεντριά και Λαρνάκι, όσο και στα σχιστογνευσιακά πετρώματα της περιοχής του νεκροταφείου Βρυσούδες, δεν πρέπει να έχει προχωρήσει πολύ από την αρχαιότητα ως σήμερα η διάβρωση του εδάφους. Η περιοχή βέβαια του νεκροταφείου Τσιγανάδικα, εξαιτίας των κλίσεων, πιθανόν να έχει υποστεί σήμερα ένα μεγαλύτερο ποσοστό απογύμνωσης, αλλά και όταν ήταν δασωμένη δεν πρέπει να είχε παρά μια λεπτή επίχωση εδάφους πάνω από το φυσικό βράχο, όπως αυτή που διαπιστώνεται κυρίως στη δασωμένη και επίπεδη περιοχή του νεκροταφείου Λαρνάκι, που οπωσδήποτε έχει υποστεί τη μικρότερη διάβρωση (Σ χ έ δ. 4). Το μικρό πάχος της επίχωσης στην αρχαιότητα διαπιστώνεται στο νεκροταφείο Τσιγανάδικα, αλλά και σ' όλα τα νεκροταφεία, όπου τα θεμέλια και ο πυθμένας των τάφων πατούν είτε σ' ένα λεπτό στρώμα φυσικής επίχωσης από ερυθρό χώμα, που μεσολαβεί ανάμεσα στην αρχή των τοίχων και στο μάρμαρο του φυσικού βράχου (Π ί ν. 321α, 322β, 323α-β), είτε απευθείας πάνω στο φυσικό βράχο, χρησιμοποιώντας σε ορισμένες περιπτώσεις και τα φυσικά κοιλώματά του (Π ί ν. 274α, 326β). Η παρουσία επίσης τύμβων-λιθοσωρών πάνω από ορισμένους τάφους (Π ί ν. 248α, 252β), καθώς και οι κτιστές εξέδρες με τις ταφές-καύσεις (ταφικά κτίσματα τύπου ΙΙ) (Π ί ν. 246) στην περιοχή Τσιγανάδικα, αποδεικνύουν ότι η αρχική σχέση εδάφους και τάφων δεν έχει αλλάξει, ενώ η ύπαρξη αρχαίων λατομείων στην ίδια περιοχή αποδεικνύει ότι η διάβρωση και η απογύμνωση του εδάφους στην περιοχή των νεκροταφείων ήταν από την αρχαιότητα ήδη συντελεσμένη.

ΤΟΠΟΓΡΑΦΙΚΗ ΠΕΡΙΓΡΑΦΗ

Στην κορυφή του οικισμού Καστρί (Σ χ έ δ. 5· Π ί ν. 210α), που υψώνεται στον ορεινό όγκο στα βορειοδυτικά του σύγχρονου δρόμου Ποτού-Θεολόγου, φθάνει κανείς σήμερα από το μονοπάτι, που ανεβαίνει από την ανατολική πλαγιά του ορεινού συγκροτήματος, ακολουθώντας τις κατάλληλες κλίσεις που δημιουργούνται στην απότομη πλαγιά ως το πρώτο επίπεδο άνδηρο, στα νότια και στα δυτικά της οχυρής κορυφής. Το μονοπάτι αυτό δεν πρέπει να απέχει πολύ από το προϊστορικό μονοπάτι, γιατί οι φυσικές κλίσεις σχεδόν αποκλείουν την προσέγγιση από άλλη πλευρά.

Για το δρόμο, με τον οποίο επικοινωνούσαν οι κάτοικοι του οικισμού Καστρί με τα παράλια, δεν πρέπει να υπάρχουν αμφιβολίες: πρόκειται για τον ίδιο δρόμο που συνδέει και σήμερα τα παράλια του Ποτού με το ηπειρωτικό χωριό Θεολόγος. Η φυσική διαμόρφωση της στενής κοιλάδας που σχηματίζεται ανάμεσα σε δύο ορεινούς όγκους δε δίνει περιθώρια για άλλη διάβαση. Η στενή πεδινή έκταση με τις αλλουβιακές αποθέσεις, που απλώνεται ανάμεσα στο ορεινό συγκρότημα και στα παράλια, δεν πρέπει να είχε μείνει ανεκμετάλλευτη από τους κατοίκους του οικισμού Καστρί, στους οποίους η εγκατάσταση στην οχυρή και δυσπρόσιτη κορυφή του λόφου παρείχε ασφάλεια, βοσκότοπους και πιθανότατα, όπως θα δούμε, έλεγχο μεταλλοφόρων περιοχών, αλλά όχι επαρκείς καλλιεργήσιμες εκτάσεις.

Το σύγχρονο μονοπάτι που ανηφορίζει για την κορυφή Καστρί, πριν φθάσει στο άνδηρο κάτω από την κορυφή, συναντά το πρώτο ταφικό συγκρότημα και περνά από μπροστά του (ταφική συστάδα Κ6). Στο άνδηρο που απλώνεται προς ΝΔ. της κορυφής έχει εντοπισθεί μια σειρά από τάφους (νεκροταφείο Κεντριά). Το μονοπάτι που ανέβαινε στον οικισμό πρέπει να διέσχιζε εν μέρει το νεκροταφείο αυτό, που πιθανότατα ήταν πολύ μεγαλύτερο από αυτό που ερευνήθηκε, και προχωρώντας παράλληλα προς τους δυτικούς πρόποδες του οχυρού λόφου, ανηφόριζε προς τη βόρεια πλευρά της κορυφής, όπου ήταν και η μοναδική φυσική πρόσβαση στον οικισμό. Στη βόρεια πλευρά της επίπεδης κορυφής, ακριβώς για να καλυφθεί και να εξασφαλισθεί η πρόσβαση στον οικισμό, είχε κτισθεί περίβολος, η αρχαιότερη φάση του οποίου πρέπει να χρονολογείται στη χαλκολιθική περίοδο. Περνώντας λοιπόν από την πύλη, που θα υπήρχε στη θέση αυτή, έμπαινε κανείς στον οικισμό, ο οποίος πιθανότατα δεν ήταν τειχισμένος σ' όλες τις πλευρές του, αφού η φυσική διαμόρφωση του εδάφους σε πολλά σημεία μπορούσε να λειτουργήσει ως ικανοποιητική οχύρωση.

Βασικό στοιχείο για την επιβίωση των κατοίκων του οικισμού πρέπει να ήταν η πηγή

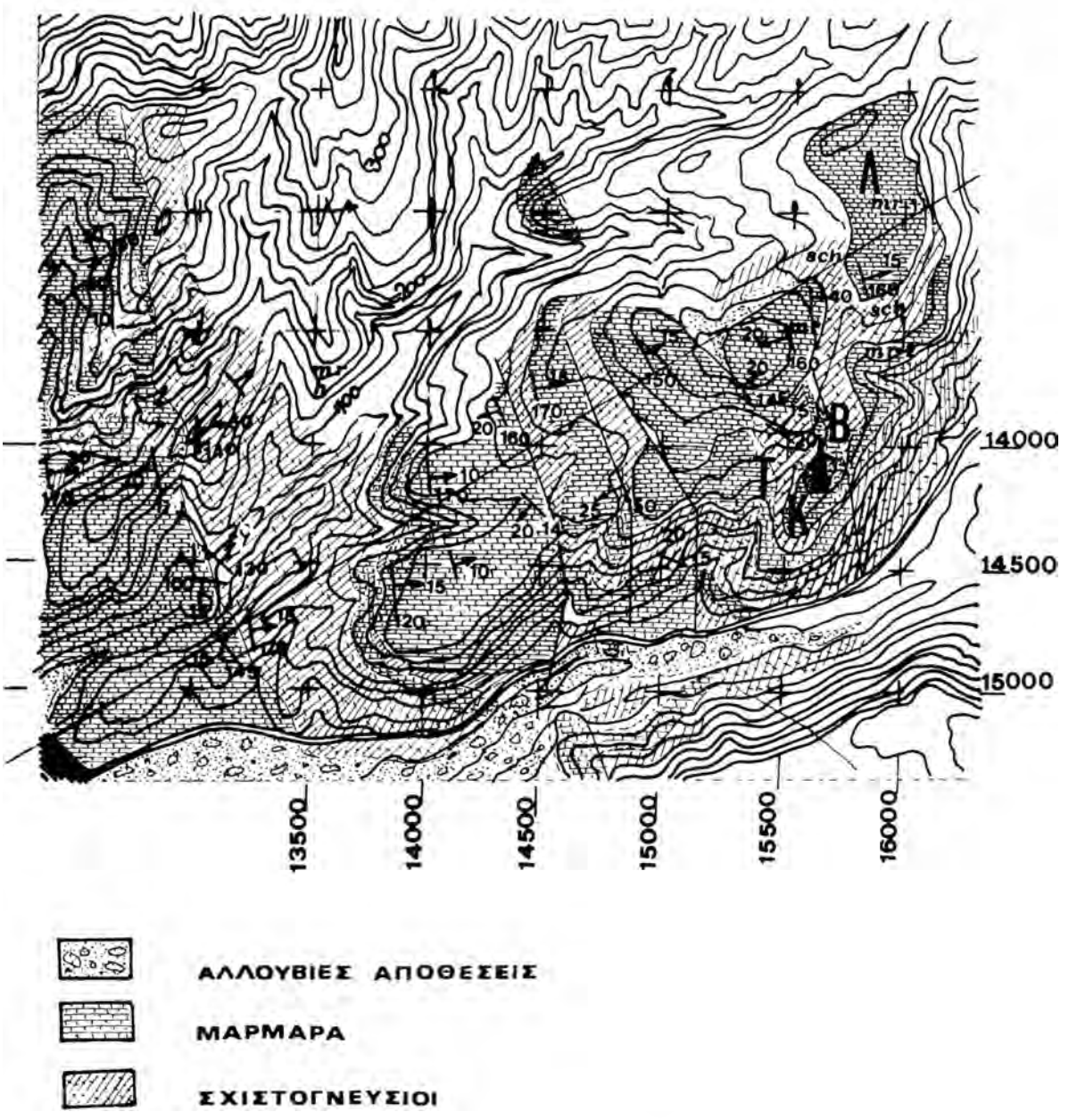

Σχέδ. 4. Απόσπασμα γεωλογικού χάρτη Θάσου. Περιοχή οικισμού Καστρί (υπό Ι. Ρωμαΐδη, ΙΓΜΕ).

νερού, που βρίσκεται στην κορυφή του ορεινού συγκροτήματος, 300 μ. περίπου δυτικά του οικισμού. Ένα μονοπάτι που περνά ανάμεσα στους βράχους οδηγεί σήμερα από τη βόρεια πλευρά της κορυφής Καστρί στην πηγή του νερού (Σ χ έ δ. Ι). Το νεκροταφείο του οικισμού δεν περιοριζόταν, ωστόσο, μόνο στο άνδηρο που περιγράψαμε.

Η νεκρόπολη της ύστερης εποχής του χαλκού και της πρώιμης εποχής του σιδήρου καλύπτει μια πολύ μεγάλη έκταση βόρεια, ανατολικά και δυτικά από την ακρόπολη Καστρί, αλλά είναι ωστόσο φανερό ότι στην τεράστια αυτή έκταση, είχαν διαμορφωθεί τρία τουλάχιστον επιμέρους νεκροταφεία (Σ χ έ δ. 5 και Ι).

Τα τρία αυτά νεκροταφεία ονομάσθηκαν από τα σύγχρονα τοπωνύμια της περιοχής:

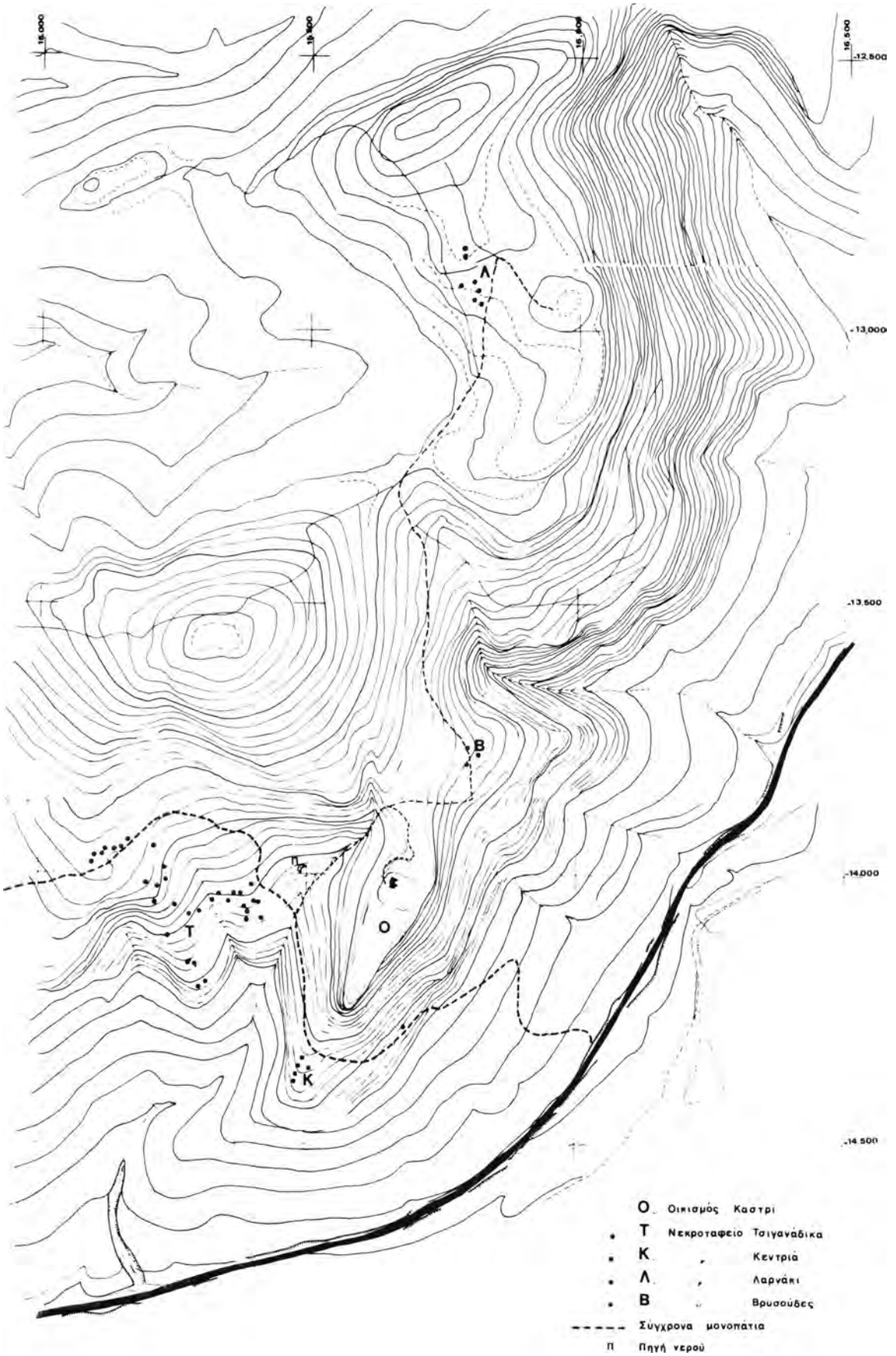

Σχέδ. 5. Απόσπασμα χάρτη Θάσου. Περιοχές Καστρί και Λαρνάκι.

Νεκροταφείο στη θέση Κεντριά (Κ)

Στο άνδηρο που σχηματίζεται βόρεια και δυτικά από το λόφο της ακρόπολης. Το νεκροταφείο συνεχίζεται και πέρα από την επίπεδη κορυφή του πλατώματος, στις νοτιοανατολικές κατωφέρειες του λόφου.

Νεκροταφείο στη θέση Τσιγανάδικα (Τ)

Είναι το μεγαλύτερο και πιο εκτεταμένο από τα τρία νεκροταφεία. Απλώνεται στη νοτιοανατολική πλαγιά του λόφου Τσιγανάδικα, που υψώνεται στα βορειοδυτικά της ακρόπολης Καστρί, και ανεβαίνει και ως την επίπεδη κορυφή του.

Νεκροταφείο στη θέση Βρυσούδες (Β)

Είναι το μικρότερο από τα τρία νεκροταφεία. Αποτελείται από διάσπαρτους τάφους στο δασωμένο οροπέδιο ανατολικά από τον οικισμό, που οπωσδήποτε δε φθάνει ως τη βρύση, απ' όπου πήρε το όνομα η περιοχή Βρυσούδες.

Η περιοχή, την οποία καταλαμβάνουν τα νεκροταφεία, ανήκει στο άμεσο περιβάλλον του οικισμού και αποτελεί την πρώτη γύρω από τον οικισμό ζώνη, όπου αναπτύσσεται η δραστηριότητα των κατοίκων του οικισμού. Το μονοπάτι, που και σήμερα ακόμη οδηγεί στη βόρεια πλευρά της ακρόπολης, τη μόνη βατή πλευρά του οχυρού λόφου, πρέπει να ήταν και ο μοναδικός δρόμος προσέγγισης των νεκροταφείων από τους κατοίκους του οικισμού. Το μονοπάτι αυτό, ξεκινώντας από την ανατολική πλευρά του λόφου, πρέπει να διακλαδιζόταν, όπως και σήμερα, προς Α. με κατεύθυνση την περιοχή Λαρνάκι, όπου πιθανότατα υπήρχε κάποιος εξαρτημένος από την ακρόπολη Καστρί οικισμός (Σ χ έ δ. Ι), προς Β. με κατεύθυνση την πηγή του νερού και συγχρόνως το νεκροταφείο της θέσης Τσιγανάδικα και προς ΝΔ., όπου διασχίζοντας το νεκροταφείο Κεντριά στους πρόποδες του λόφου της ακρόπολης θα κατηφόριζε την πλαγιά προς την κοιλάδα, όπου ο σημερινός αμαξιτός δρόμος Θεολόγου-Ποτού.

Από τη γεωλογική περιγραφή της περιοχής των νεκροταφείων προκύπτει ότι η περιοχή γύρω από τον οικισμό Καστρί, μέσα στην οποία είχαν εγκατασταθεί οι τάφοι, δεν έδινε μεγάλες δυνατότητες για καλλιέργειες. Οι περιοχές γύρω από τον οικισμό με το απογυμνωμένο βραχώδες έδαφος και την αραιή βλάστηση (νεκροταφείο Τσιγανάδικα, νεκροταφείο Κεντριά) ή τα σχιστογνευσιακά εδάφη με την κάπως πυκνότερη βλάστηση (νεκροταφείο Βρυσούδες) προσφέρονταν, όπως και σήμερα, για την ανάπτυξη της κτηνοτροφίας και έδιναν ευκαιρίες για κυνήγι. Η περιοχή των νεκροταφείων, καθώς εμφανίζεται εκτεταμένη με τάφους διάσπαρτους, είναι αμφίβολο αν θα ήταν περιφραγμένη και άβατη για τα κοπάδια των αιγοπροβάτων που πρέπει να τριγυρνούσαν γύρω στον οικισμό. Θα μπορούσαμε επίσης να δεχθούμε ότι οι άνθρωποι του οικισμού εκμεταλλεύονταν και τυχόν δένδρα με εδώδιμο καρπό που φύονταν ανάμεσα στους τάφους (ελιές, πουρνάρια). Το ότι η περιοχή των νεκροταφείων δεν είχε αποκοπεί από την καθημερινή χρήση των κατοίκων του οικισμού προκύπτει και από την ύπαρξη λατομείων στην περιοχή αυτή (Σ χ έ δ. Ι). Το μεγαλύτερο ποσοστό της παραγωγής των λατομείων αυτών προοριζόταν βέβαια για την κατασκευή των τάφων, αλλά δε θα μπορούσε, ωστόσο, να αποκλεισθεί και η χρήση τους για καθημερινές στεγαστικές ανάγκες, αφού τα σύγχρονα με τα νεκροταφεία σπίτια του οικισμού Καστρί είχαν λίθινη κρηπίδα και λατομεία σε άλλη περιοχή του οικισμού δεν εντοπίσθηκαν.

ΤΟ ΝΕΚΡΟΤΑΦΕΙΟ ΣΤΗ ΘΕΣΗ ΚΕΝΤΡΙΑ

Στο άνδηρο με την επίπεδη κορυφή, που σχηματίζεται στους νοτιοδυτικούς και βορειοδυτικούς πρόποδες της οχυρής κορυφής Καστρί, εντοπίσθηκε και ανασκάφθηκε μια σειρά από ταφικές συστάδες (Σ χ έ δ. Ι). Οι τάφοι συγκεντρώνονται στη νοτιοδυτική πλευρά του άνδηρου και ακολουθώντας προφανώς τον αρχαίο δρόμο, που κατεβαίνοντας από την ανατολική πλευρά της ακρόπολης έστριβε προς Δ. και διέσχιζε το νεκροταφείο Κεντριά, για να κατεβεί στην κοιλάδα από τη νοτιοανατολική κατωφέρεια του λόφου, προχωρούσαν και ανατολικότερα από την επίπεδη κορυφή, προς την κατωφέρεια της πλαγιάς (ταφική συστάδα Κ6). Δεν έχει επισημανθεί καμιά ιδιαίτερη οργάνωση στην κατανομή των ταφικών συστάδων ή τήρηση κάποιου συγκεκριμένου και μόνιμου προσανατολισμού. Πιο πυκνά διευθετημένες εμφανίζονται οι ταφικές συστάδες Κ2, Κ3, Κ4, δίπλα στις οποίες επισημάνθηκαν και δύο ακόμη κατεστραμμένες συστάδες (Κ8, Κ9).

Εκτός από τους τάφους που έχουν εντοπίσει οι ανασκαφές, πρέπει να σημειώσουμε δύο ακόμη ενδεχόμενα, με τα οποία είναι δυνατό να αυξηθεί ο αριθμός των τάφων, που έχουμε ως τώρα επισημάνει στο νεκροταφείο αυτό:

α. Το ενδεχόμενο να υπάρχουν και άλλοι τάφοι, που δεν έχουν ακόμη εντοπισθεί, καλυμμένοι από τη βλάστηση (περιοχή προς Α. του τάφου Κ2, προς τους πρόποδες του λόφου, όπου πυκνή βλάστηση).

β. Το ενδεχόμενο να έχει καταστραφεί και εξαφανισθεί ένας μεγάλος αριθμός τάφων, γιατί η περιοχή αυτή σώζει ελάχιστο χώμα που θα μπορούσε ως επίχωση να προστατέψει τους τάφους από λαθρανασκαφές, από επιφανειακές καταστροφές και από τη διάβρωση.

Σχετικά με το νεκροταφείο αυτό, πρέπει να σημειώσουμε ότι έχει δώσει τα αρχαιότερα ως τώρα ευρήματα από όλα τα νεκροταφεία και είναι πολύ πιθανό, εξαιτίας της προνομιακής θέσης του στους πρόποδες του λόφου και δίπλα στο μονοπάτι, με το οποίο συνδεόταν ο οικισμός με τα πεδινά και τα παράλια, να υπήρξε και το αρχαιότερο νεκροταφείο του οικισμού στη φάση της ύστερης εποχής του χαλκού.

Στο νεκροταφείο είχαν σημειωθεί ορισμένες λαθρανασκαφές το 1979, που διατάραξαν ορισμένες συστάδες (Κ1, Κ2) και κατέστρεψαν τελείως άλλους τάφους (ΚΑ, ΚΒ). Η ανασκαφή άρχισε από τους τάφους, που είχαν θιγεί από τις λαθρανασκαφές, και προχώρησε και στους υπόλοιπους τάφους. Πραγματοποιήθηκε σε δύο κυρίως περιόδους: 1969 και 1971. Ορισμένες συμπληρωματικές εργασίες που πραγματοποιήθηκαν το 1980 δε συμπεριλαμβάνονται στη δημοσίευση (Κ8, Κ9). Στην περιοχή αυτή κάτω από τους τάφους εντοπίσθηκαν ορισμένα πολύ αποσπασματικά λείψανα τοίχων που προέρχονται πιθανότατα από κτίσματα χαλκολιθικής φάσης (Κ2Ε, Κ3Β).

Ταφική συστάδα Κ1

Μετά την ανασκαφική έρευνα της διαταραγμένης από τη λαθρανασκαφή επίχωσης (Π ί ν. 211α), η ταφική συστάδα παρουσίασε την εικόνα που αποδίδει ο Πίνακας 211β. Δύο ορθογώνιοι χώροι με κτιστούς χαμηλούς τοίχους και κοινή τη μία πλευρά τους. Προσανατολισμός τάφων Β.-Ν., περίπου. Αρχαιότερος πρέπει να είναι ο χώρος Α, στη βόρεια πλευρά του οποίου προσαρτήθηκε αργότερα ο χώρος Β. Σε μια τρίτη φάση, μια μεγάλη σχιστόπλακα χώρισε ένα μέρος του τάφου Β στα ανατολικά, σχηματίζοντας έναν τρίτο χώρο που καλύπτει το 1/3 περίπου του χώρου Β. Στο χώρο αυτό εναποτέθηκε μία ταφή (τάφος Γ) (Σ χ έ δ. 6).

Στοιχεία για την ύπαρξη τύμβου πάνω από το ταφικό συγκρότημα δεν ήταν δυνατό να προκύψουν, ύστερα από τη διαταραχή της εκτεταμένης λαθρανασκαφής που είχε προηγηθεί. Στο εσωτερικό, ωστόσο, των τάφων βρέθηκε αρκετό χώμα και διάσπαρτες πέτρες, έτσι ώστε να είναι δυνατό να συμπεράνει κανείς ότι οι τάφοι της συστάδας καλύπτονταν με ένα στρώμα από χώμα και αραιούς λίθους (Π ί ν. 211β).

Σημαντικό στοιχείο για τη μορφή των τάφων αποτελεί η παρουσία μιας όρθιας στενής

πλάκας ενσωματωμένης στο βόρειο τοίχο του τάφου Β (Σ χ έ δ. 6· Π ί ν. 211α). Αν δεχθούμε την πιθανή υπόθεση, ότι το αρχικό ύψος των κτιστών πλευρών συμπίπτει με το σωζόμενο ύψος του βόρειου τοίχου των τάφων Α και Β, τότε πρέπει να δεχθούμε ότι το άνω τμήμα της όρθιας αυτής πλάκας εξείχε 0,40 μ. περίπου πάνω από την άνω επιφάνεια των καλυμμένων τάφων, ότι δηλαδή η πλάκα αυτή αποτελούσε το «σήμα» του τάφου Β. Η υπόθεση ότι το σωζόμενο ύψος των πλευρών των τάφων Α και Β είναι το αρχικό, ενισχύεται και από τα ίχνη που έχει αφήσει η επίχωση στη «στήλη», καθώς και από το ύψος της μεγάλης πλάκας με την οποία χωρίσθηκε αργότερα ο τάφος Γ μέσα στον τάφο Β. Το ύψος της πλάκας του τάφου Γ και το ύψος της επίχωσης στη «στήλη» συμπίπτουν με το σωζόμενο ύψος των κτιστών πλευρών των τάφων Α και Β. Παρόμοια «στήλη» φαίνεται ότι υπήρχε και στον τάφο Α. Στον Πίνακα 211β διακρίνεται η μεγάλη πλάκα, όπως βρέθηκε πεσμένη στο νότιο τμήμα του τάφου, με κατεύθυνση Ν.-Β. Στο νότιο τοίχο του τάφου Α, ακριβώς δίπλα στο ένα άκρο της πεσμένης πλάκας, υπήρχε ένα κοίλωμα που αντιστοιχούσε στις διαστάσεις της πλάκας αυτής. Η επανατοποθέτησή της στο αντίστοιχο κοίλωμα μας έδωσε μια εικόνα του τάφου Α ανάλογη με αυτή του τάφου Β (Π ί ν. 211γ).

ΤΑΦΟΣ Κ1Α

Τα ευρήματα του τάφου Α, είτε προέρχονται από τα επιφανειακά χώματα, τα διαταραγμένα από τη λαθρανασκαφή, είτε από το βαθύτερο στρώμα, στο οποίο βρέθηκε ένα μεγάλο θραύσμα του αγγείου Κ1Α1 (Π ί ν. 2: 19) μαζί με δύο χάλκινα μαχαίρια Α2, Α3 και ένα σφονδύλι Α4 (Π ί ν. 6: 69, 70, 96) κατά χώραν, δεν εντάσσονται σε κλειστά ευρήματα. Η ταξινόμηση και η παρουσίασή τους στον κατάλογο που ακολουθεί είναι συμβατική: προηγούνται τα αγγεία κατά σχήματα και ακολουθούν τα μικροαντικείμενα, τα πήλινα σφονδύλια και τα μετάλλινα αντικείμενα. Ανάμεσα στα θραύσματα των οστών συγκεντρώθηκαν και οστά ζώων (αγελάδας, χοίρου, αιγοπροβάτων) (Παράρτημα ΙΙ).

ΕΥΡΗΜΑΤΑ

Ι. Αγγεία φιαλόσχημα

Π ί ν. 1

1. Θραύσματα από το άνω σώμα χειροποίητου φιαλόσχημου αγγείου Τπ. Ι, Ι (2).
Διακόσμηση εγχάρακτη. Σπείρες και διαγραμμισμένα τρίγωνα.
Πηλός Κτ. ΙΑ2
εξ. επ. Τ-λ
εσ. επ. Τ-λ
πρ. ΤΜ
σζ. ύψ. 0,09 μ.

2. Θραύσματα χειροποίητου φιαλόσχημου αγγείου Τπ. Ι, Ι (1).
Διακόσμηση εγχάρακτη. Διακοπτόμενη χαρακτή γραμμή (Furchenstich) κάτω από το χείλος, γύρω από την αρχή της βάσης και στην περιφέρεια του κωνικού ποδιού.
Πηλός Κτ. ΙΑ2
εξ. επ. ΤΜ-λ
εσ. επ. Τ-λ
πρ. ΤΜ
ύψ. 0,20, δμχ. 0,285 μ.

3. Θραύσμα χειροποίητου φιαλόσχημου αγγείου Τπ. Ι, Ι (2).
Διακόσμηση εγχάρακτη. Παράλληλες γραμμές κάτω από το χείλος.
Πηλός Κτ. ΙΑ1
εξ. επ. Τ-λ
εσ. επ. Τ-λ
σζ. ύψ. 0,025 μ.

4. Θραύσμα χειροποίητου φιαλόσχημου αγγείου Τπ. Ι, Ι (2).
Απόφυση οριζόντια στην πάνω επιφάνεια του χείλους.
Πηλός Κτ. ΙΑ2
εξ. επ. Κ-λ
εσ. επ. Κ-λ
πρ. Κ
σζ. ύψ. 0,04 μ.

5. Θραύσμα χειροποίητου φιαλόσχημου αγγείου Τπ. Ι, Ι (1).
Πηλός Κτ. ΙΑ1
εξ. επ. ΚΜ-λ
εσ. επ. ΚΜ-λ
πρ. Κ
σζ. ύψ. 0,05 μ.

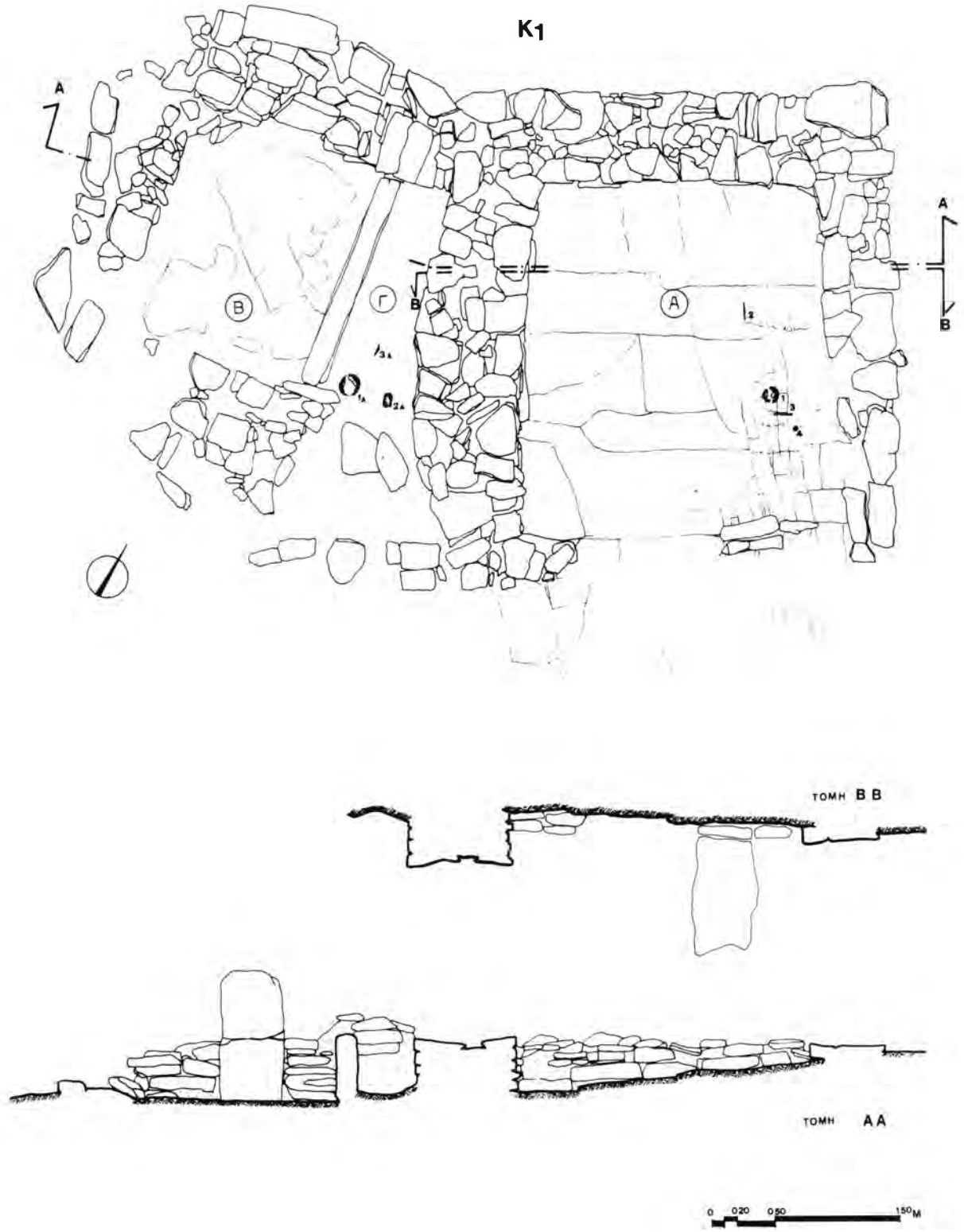

Σχέδ. 6. Κάτοψη και τομές ταφικής συστάδας K1.

6. Θραύσματα χειροποίητου φιαλόσχημου αγγείου Τπ. Ι, Ι (2).
Σώζεται τμήμα από το άνω σώμα με τις λαβές, καθώς και η κωνική βάση.
Διακόσμηση εγχάρακτη. Ομόκεντρα ημικύκλια και παραπληρωματικά τρίγωνα. Επίθετη λευκή ύλη στη χάραξη.
Πηλός Κτ. ΙΑ2
εξ. επ. Τ-λ
εσ. επ. Τ-λ
πρ. ΤΜ
συμπλ. ύψ. 0,027, δμχ. 0,036 μ.

7. Βάση χειροποίητου φιαλόσχημου αγγείου Τπ. Ι, Ι.
Πηλός Κτ. ΙΑ2
εξ. επ. Κ-λ
εσ. επ. Κ-λ
πρ. ΚΤ
σζ. ύψ. 0,065 μ.

8. Θραύσμα χειροποίητου φιαλόσχημου αγγείου Τπ. Ι, Ι.
Σώζεται η κωνική βάση και μέρος του πυθμένα.
Πηλός Κτ. ΙΑ2
εξ. επ. ΚΕ-λ
εσ. επ. ΚΜ-λ
πρ. ΚΜ
σζ. ύψ. 0,08, δμβ. 0,125 μ.

9. Θραύσμα χειροποίητου φιαλόσχημου αγγείου Τπ. Ι, Ι.
Σώζεται τμήμα της κωνικής βάσης.
Πηλός Κτ. ΙΑ2
εξ. επ. Κ-λ
εσ. επ. Κ-λ
πρ. ΚΜ
σζ. ύψ. 0,07, δμβ. 0,11 μ.

ΙΙ. Αγγεία κανθαρόσχημα

Π ί ν. 2

10. Θραύσματα χειροποίητου κανθαρόσχημου αγγείου Τπ. Ι, VA (115).
Σώζεται τμήμα από το χείλος, το λαιμό και τον ώμο. Διακόσμηση εγχάρακτη στον ώμο. Σειρά από παράλληλες εγχάρακτες γραμμές γύρω από τη βάση του λαιμού, συστάδες από παράλληλες κατακόρυφες χαρακτές γραμμές στον ώμο.
Πηλός Κτ. ΙΑ1
εξ. επ. ΤΜ-σ
εσ. επ. ΤΜ-σ
πρ. ΤΜ
σζ. ύψ. 0,08 μ.

11. Θραύσματα χειροποίητου κανθαρόσχημου αγγείου Τπ. Ι, VI (115).
Σώζεται τμήμα κυλινδρικής κατακόρυφης λαβής.
Πηλός Κτ. ΙΑ1
εξ. επ. ΚΜ-σ
εσ. επ. ΚΜ-σ
πρ. ΚΜ
σζ. ύψ. 0,095 μ.

12. Θραύσματα λαβής χειροποίητου κανθαρόσχημου αγγείου Τπ. Ι, VA (115).
Πηλός Κτ. ΙΑ1
εξ. επ. ΚΜ-σ
εσ. επ. ΚΜ-σ
πρ. Τ
σζ. ύψ. 0,08 μ.

13. Λαβή χειροποίητου κανθαρόσχημου αγγείου Τπ. Ι, VA (115).
Πηλός Κτ. ΙΑ1
εξ. επ. ΚΜ-σ
εσ. επ. ΚΜ-σ
πρ. ΚΜ
σζ. ύψ. 0,09 μ.

14. Θραύσματα χειροποίητου κανθαρόσχημου αγγείου Τπ. Ι, VA (115).
Σώζεται τμήμα από το λαιμό και το χείλος.
Πηλός Κτ. ΙΑ1
εξ. επ. ΤΜ-σ
εσ. επ. Τ
πρ. ΤΜ
σζ. ύψ. 0,032 μ.

15. Θραύσμα χειροποίητου κανθαρόσχημου αγγείου Τπ. Ι, VA (115).
Σώζεται τμήμα από το χείλος και το λαιμό.
Διακόσμηση εγχάρακτη.
Πηλός Κτ. ΙΑ1
εξ. επ. ΤΜ-σ γ
εσ. επ. ΚΜ-σ
σζ. ύψ. 0,03 μ.

16. Θραύσματα χειροποίητου κανθαρόσχημου αγγείου Τπ. Ι, VA (115).
Σώζεται τμήμα από το λαιμό με το χείλος και την αρχή λαβής.
Πηλός Κτ. ΙΑ1
εξ. επ. Κ-σ γ
εσ. επ. Κ-σ
πρ. Κ
σζ. ύψ. 0,037 μ.

17. Θραύσμα χειροποίητου κανθαρόσχημου αγγείου Τπ. Ι, VA (115).
Σώζεται τμήμα από το λαιμό και τη λαβή. Ίχνη από στικτή διακόσμηση στη βάση του λαιμού.
Πηλός Κτ. ΙΑ1
εξ. επ. ΤΜ-σ γ
εσ. επ. Τ-σ
πρ. ΤΜ
σζ. ύψ. λβ. 0,05 μ.

18. Θραύσμα λαβής χειροποίητου κανθαρόσχημου αγγείου Τπ. Ι, VA (115).
Πηλός Κτ. ΙΑ1
εξ. επ. ΤΜ-σ γ
εσ. επ. ΚΤ-σ
πρ. ΚΤ
σζ. ύψ. λβ. 0,047 μ.

19. Θραύσμα χειροποίητου κανθαρόσχημου αγγείου Τπ. Ι, VA (115).
Σώζεται το κάτω σώμα του αγγείου με την ελλειψοειδή βάση. Διακόσμηση εγχάρακτη με επίθετο λευκό χρώμα στις χαράξεις. Στις δύο όψεις του αγγείου δύο αντωπές εγχάρακτες σπείρες μέσα σε μετωπικό πλαίσιο. Παραπληρωματικά τρίγωνα και στα διάκενα των σπειρών μέσα στις μετόπες. Οι επιφάνειες ανάμεσα στα εγχάρακτα θέματα καλύπτονται με ένα επίχρισμα γραφίτη.
Πηλός Κτ. ΙΑ1
εξ. επ. ΚΜ-σ γ
εσ. επ. ΚΜ-σ
πρ. ΤΜ
σζ. ύψ. 0,075, δμβ. 0,08-0,10 μ.

20. Θραύσμα χειροποίητου κανθαρόσχημου αγγείου Τπ. Ι, VA (115).
Σώζεται τμήμα από τον ώμο του αγγείου. Διακόσμηση εγχάρακτη με λευκή επίθετη ύλη στις χαράξεις. Στις ταινίες ανάμεσα στις χαράξεις επίχρισμα με γραφίτη.
Πηλός Κτ. ΙΑ1
εξ. επ. ΤΜ-σ γ
εσ. επ. Τ
πρ. Τ
σζ. ύψ. 0,06 μ.

21. Θραύσμα χειροποίητου κανθαρόσχημου αγγείου Τπ. Ι, VA (115).
Σώζεται τμήμα από τον ώμο. Διακόσμηση εγχάρακτη με επίθετη λευκή ύλη στις χαράξεις. Συστάδα από παράλληλες εγχάρακτες γραμμές γύρω από τη βάση του λαιμού, σπείρα σε μετωπικό πλαίσιο στο σώμα του αγγείου. Ελάχιστα ίχνη από το επίχρισμα του γραφίτη, που κάλυπτε τα ακόσμητα μέρη της επιφάνειας του αγγείου.
Πηλός Κτ. ΙΑ1
εξ. επ. ΤΜ-σ γ
εσ. επ. ΤΜ
πρ. ΤΜ
σζ. ύψ. 0,042 μ.

22. Θραύσμα χειροποίητου κλειστού αγγείου Τπ. Ι, VA (115).
Διακόσμηση εγχάρακτη.
Πηλός Κτ. ΙΑ2
εξ. επ. Τ-σ γ
εσ. επ. Τ-σ
πρ. Τ
σζ. ύψ. 0,029 μ.

Αμφορείς - Διάφορα

Πίν. 3

23. Θραύσματα χειροποίητου αμφορέα Τπ. Ι, VIA (121).
Σώζεται τμήμα από τον ώμο και την κοιλιά του αγγείου. Σ' ένα από τα θραύσματα της κοιλιάς διακρίνεται η αρχή μιας κατακόρυφης κυλινδρικής λαβής. Διακόσμηση εγχάρακτη, με επίθετη λευκή ύλη στις χαράξεις. Εναλλασσόμενα συμπλέγματα τριγωνικών θεμάτων. Στις ταινίες ανάμεσα στα εγχάρακτα θέματα επίχρισμα με γραφίτη.
Πηλός Κτ. ΙΑ1
εξ. επ. ΤΜ-σ γ
εσ. επ. Τ
πρ. Τ
σζ. ύψ. 0,12, συμπλ. δμκ. 0,26 μ.

24. Θραύσμα χειροποίητου κλειστού αγγείου Τπ. Ι, VI (121).
Σώζεται τμήμα από τον ώμο. Διακόσμηση εγχάρακτη με λευκή ύλη στις χαράξεις.
Πηλός Κτ. ΙΑ1
εξ. επ. Τ-σ γ
εσ. επ. Τ
πρ. Τ
σζ. ύψ. 0,065 μ.

25. Θραύσμα από τον ώμο κλειστού χειροποίητου αγγείου, κανθαρόσχημου ή αμφορέα Τπ. Ι, VA (115) ή Ι, VIA (121).
Διακόσμηση εγχάρακτη με επίθετη λευκή ύλη στις χαράξεις, παράλληλες χαρακτές γραμμές γύρω από τη βάση του λαιμού. Μετωπικό θέμα με σπείρα στο κέντρο του ώμου του αγγείου. Επίχρισμα με γραφίτη στην ακόσμητη

επιφάνεια.
Πηλός Κτ. ΙΑ1
εξ. επ. ΤΜ-σ γ
εσ. επ. ΤΜ
πρ. ΤΜ
σζ. ύψ. 0,03 μ.

26. Θραύσματα χειροποίητου αγγείου Τπ. Ι, VA (115) ή Ι, VIA (121).
Σώζεται τμήμα από τον ώμο. Διακόσμηση εγχάρακτη με επίθετη λευκή ύλη στις χαράξεις. Παράλληλες εγχάρακτες γραμμές γύρω από τη βάση του λαιμού του αγγείου. Σπείρες στον ώμο. Επίχρισμα με γραφίτη στις ακόσμητες επιφάνειες.
Πηλός Κτ. ΙΑ1
εξ. επ. Τ-σ γ
εσ. επ. Τ
πρ. ΤΜ
σζ. ύψ. 0,027 μ.

27. Θραύσμα χειροποίητου αγγείου.
Ορθογώνιο με πλαστική διακόσμηση. Έντονα ίχνη καύσης σε ορισμένα σημεία.
Πηλός Κτ. ΙΓ2
εξ. επ. Ε
εσ. επ. Ε
πρ. Ε
σζ. ύψ. 0,045 μ.

Π ί ν. 4

28. Θραύσματα κατακόρυφης κυλινδρικής λαβής χειροποίητου αγγείου Τπ. Ι, VA (115).
Πηλός Κτ. ΙΑ2
εξ. επ. ΚΤ-λ
εσ. επ. ΚΤ-λ
πρ. ΚΤ
σζ. ύψ. 0,19 μ.

29. Θραύσμα κατακόρυφης κυλινδρικής λαβής χειροποίητου αγγείου Τπ. Ι, VA (115) ή Ι, VII.
Πηλός Κτ. ΙΑ2
εξ. επ. Τ-λ
εσ. επ. Τ-λ
πρ. Τ
σζ. ύψ. 0,091 μ.

30. Θραύσμα κλειστού χειροποίητου αγγείου Τπ. Ι, VIA (122).
Πηλός Κτ. ΙΑ2
εξ. επ. ΤΜ-λ
εσ. επ. ΤΜ-λ
πρ. Τ
σζ. ύψ. 0,185 μ.

31. Θραύσμα από το χείλος χειροποίητου αγγείου Τπ. Ι, VI.
Πηλός Κτ. ΙΒ1
εξ. επ. Κ-λ φθ
εσ. επ. ΚΕ-λ φθ
πρ. ΚΜ
σζ. ύψ. 0,06 μ.

32. Θραύσμα από το χείλος χειροποίητου αγγείου Τπ. Ι, VI.
Πηλός Κτ. ΙΑ2
εξ. επ. ΚΜ-λ
εσ. επ. ΚΕ
πρ. Τ
σζ. ύψ. 0,07 μ.

33. Δύο θραύσματα από τον ώμο χειροποίητου αγγείου Τπ. Ι, VIA (123).
Πηλός Κτ. ΙΒ1
εξ. επ. ΚΕ-λ
εσ. επ. ΚΕ
πρ. ΚΕ
σζ. ύψ. 0,096 μ.

34. Θραύσμα από τον ώμο χειροποίητου αγγείου Τπ. Ι, XII.
Σώζεται και η αρχή κατακόρυφης κυλινδρικής λαβής.
Πηλός Κτ. ΙΓ2
εξ. επ. ΚΕ
εσ. επ. ΚΤ
πρ. ΚΤ
σζ. ύψ. 0,075 μ.

35. Θραύσμα κατακόρυφης ταινιωτής λαβής χειροποίητου αγγείου Τπ. Ι, VIB.
Πηλός Κτ. ΙΑ2
εξ. επ. ΤΜ
εσ. επ. ΚΤ
πρ. ΚΤ
σζ. ύψ. 0,036 μ.

36. Θραύσμα κατακόρυφης κυλινδρικής λαβής χειροποίητου αγγείου Τπ. Ι, XII.
Πηλός Κτ. ΙΓ2
εξ. επ. Κ-λ φθ
εσ. επ. Κ
πρ. Τ
σζ. ύψ. 0,05 μ.

37. Θραύσμα κατακόρυφης κυλινδρικής λαβής χειροποίητου αγγείου Τπ. Ι, XII.
Πηλός Κτ. ΙΓ2
εξ. επ. Κ
εσ. επ. Κ
πρ. Τ

σζ. ύψ. 0,033 μ.

38. Θραύσμα χειροποίητου αγγείου Τπ. I, VII.
Σώζεται η βάση και μέρος από το κάτω σώμα.
Πηλός Κτ. ΙΒ2
εξ. επ. Κ
πρ. Κ
σζ. ύψ. 0,045, δμβ. 0,105 μ.

39. Θραύσμα χειροποίητου κλειστού αγγείου Τπ. I, VII.
Σώζεται η βάση και το κάτω σώμα.
Πηλός Κτ. ΙΒ2
εξ. επ. Κ-λ φθ
εσ. επ. Κ-λ φθ
πρ. Τ
σζ. ύψ. 0,03, δμβ. 0,07 μ.

40. Θραύσμα χειροποίητου αγγείου Τπ. I, VII.
Σώζεται η βάση και το κάτω σώμα.
Πηλός Κτ. ΙΑ2
εξ. επ. ΤΜ-λ
εσ. επ. ΤΜ-λ φθ
πρ. Τ
σζ. ύψ. 0,025, δμβ. 0,10 μ.

41. Θραύσμα από το χείλος χειροποίητου αγγείου Τπ. I, XII.
Πλαστική ταινία με «δακτυλιές» κάτω από το χείλος.
Πηλός Κτ. ΙΓ3
εξ. επ. Ε
εσ. επ. Ε
πρ. Τ
σζ. ύψ. 0,02 μ.

Π ί ν. 5

42. Θραύσμα από τον ώμο χειροποίητου αγγείου Τπ. I, II(1).
Σώζεται και μια κατακόρυφη κυλινδρική λαβή στον ώμο.
Πηλός Κτ. ΙΒ1
εξ. επ. ΚΕ-λ
εσ. επ. ΚΤ-λ
πρ. ΤΜ
σζ. ύψ. 0,085 μ.

43. Θραύσμα κατακόρυφης κυλινδρικής λαβής χειροποίητου αγγείου Τπ. I, II (4-5).
Πηλός Κτ. ΙΒ1
εξ. επ. ΚΕ-λ
εσ. επ. ΚΜ-λ
πρ. Τ
σζ. ύψ. 0,048 μ.

44. Θραύσμα κατακόρυφης κυλινδρικής λαβής χειροποίητου αγγείου Τπ. I, II (4-5).
Πηλός Κτ. ΙΒ1
εξ. επ. ΚΕ-λ
εσ. επ. ΚΕ
πρ. Κ
σζ. ύψ. 0,04 μ.

45. Θραύσμα κατακόρυφης λαβής χειροποίητου αγγείου Τπ. I, II (4-5).
Πηλός Κτ. ΙΒ1
εξ. επ. ΚΕ
εσ. επ. ΚΕ
πρ. Κ
σζ. ύψ. 0,036 μ.

46. Θραύσμα λαβής χειροποίητου αγγείου Τπ. I, II (4-5).
Πηλός Κτ. ΙΒ1
εξ. επ. ΚΕ-λ
εσ. επ. ΚΕ-λ
πρ. ΚΕ
σζ. ύψ. 0,039 μ.

47. Θραύσμα λαβής χειροποίητου αγγείου Τπ. I, II (4-5).
Πηλός Κτ. ΙΒ1
εξ. επ. ΚΕ
εσ. επ. ΚΕ
πρ. Κ
σζ. ύψ. 0,047 μ.

48. Θραύσμα λαβής χειροποίητου αγγείου Τπ. I, II (4-5).
Πηλός Κτ. ΙΒ1
εξ. επ. ΚΕ
εσ. επ. ΚΕ
πρ. ΚΤ
σζ. ύψ. 0,035 μ.

49. Θραύσμα από το χείλος χειροποίητου αγγείου Τπ. I, II (4-5).
Πηλός Κτ. ΙΑ2
εξ. επ. ΚΜ-λ
εσ. επ. Κ
πρ. ΚΤ
σζ. ύψ. 0,05 μ.

50. Θραύσμα από το χείλος χειροποίητου αγγείου Τπ. I, II (4-5).
Πηλός Κτ. ΙΑ2
εξ. επ. ΚΜ-λ φθ
εσ. επ. ΚΜ-λ φθ

πρ. ΚΤ
σζ. ύψ. 0,04 μ.

51. Θραύσμα από το χείλος χειροποίητου αγγείου Τπ. I, II (4-5).
Πηλός Κτ. ΙΑ2
εξ. επ. ΚΤ-λ
εσ. επ. ΚΤ-λ
πρ. Τ
σζ. ύψ. 0,065 μ.

52. Θραύσμα από το χείλος χειροποίητου αγγείου Τπ. I, II (4-5).
Πηλός Κτ. ΙΑ2
εξ. επ. ΚΜ-λ
εσ. επ. ΚΜ-λ
πρ. ΤΜ
σζ. ύψ. 0,32 μ.

53. Θραύσμα από το άνω τμήμα χειροποίητου αγγείου Τπ. I, II (4-5).
Σώζεται τμήμα από τη λαβή και το χείλος.
Πηλός Κτ. ΙΒ1
εξ. επ. Κ-λ
εσ. επ. Κ-λ
πρ. Τ
σζ. ύψ. 0,08, δμχ. 0,24 μ.

54. Θραύσμα από το χείλος χειροποίητου αγγείου Τπ. I, II (4-5).
Πηλός Κτ. ΙΒ1
εξ. επ. ΚΜ
εσ. επ. ΤΜ
πρ. ΤΜ
σζ. ύψ. 0,07, δμχ. 0,25 μ.

55. Θραύσμα από το χείλος χειροποίητου αγγείου Τπ. I, II (4-5).
Πηλός Κτ. ΙΒ1
εξ. επ. ΚΕ-λ
εσ. επ. ΚΕ-λ
πρ. ΤΜ
σζ. ύψ. 0,063 μ.

56. Θραύσμα από το χείλος χειροποίητου αγγείου Τπ. I, II (4-5).
Πηλός Κτ. ΙΒ1
εξ. επ. ΚΕ-λ
εσ. επ. ΚΕ-λ
πρ. ΤΜ
σζ. ύψ. 0,05 μ.

57. Θραύσμα από το χείλος χειροποίητου αγγείου Τπ. I, II (4-5).
Πηλός Κτ. ΙΒ1
εξ. επ. ΚΜ-λ
εσ. επ. ΚΜ-λ
πρ. Τ
σζ. ύψ. 0,04 μ.

58. Θραύσματα από το χείλος χειροποίητου αγγείου Τπ. I, II (4-5).
Πηλός Κτ. ΙΓ3
εξ. επ. ΚΜ
εσ. επ. ΚΜ
πρ. Τ
σζ. ύψ. 0,05 μ.

59. Θραύσματα από τον ώμο χειροποίητου αγγείου Τπ. I, II (4-5).
Πηλός Κτ. ΙΓ3
εξ. επ. Ε
εσ. επ. Ε
πρ. Ε
σζ. ύψ. 0,09 μ.

60. Θραύσματα από τον ώμο χειροποίητου αγγείου Τπ. I, II (4-5).
Πηλός Κτ. ΙΑ2
εξ. επ. ΚΜ-λ
εσ. επ. ΚΜ-λ
πρ. Τ
σζ. ύψ. 0,045 μ.

Πίν. 6

61. Θραύσμα χειροποίητου αγγείου Τπ. I, I (3).
Σώζεται τμήμα από το άνω σώμα και τη λαβή.
Πηλός Κτ. ΙΒ1
εξ. επ. Κ-λ
εσ. επ. Κ-λ
πρ. Τ
σζ. ύψ. 0,11 μ.

62. Θραύσμα κυλινδρικής λαβής χειροποίητου αγγείου Τπ. I, IV.
Πηλός Κτ. ΙΑ2
εξ. επ. ΚΜ-λ
εσ. επ. ΚΜ-λ
πρ. Κ
σζ. ύψ. 0,05 μ.

63. Μόνωτο κλειστό χειροποίητο αγγείο Τπ. I, VIIB (144).
Λείπει ένα μέρος από το σώμα και η λαβή.
Πηλός Κτ. ΙΓ1
εξ. επ. ΚΕ-λ
εσ. επ. ΚΕ
πρ. ΚΕ
σζ. ύψ. 0,08, δμβ. 0,043 μ.

64. Θραύσματα από το χείλος και τον ώμο χειροποίητου αγγείου Τπ. Ι, IV.
Πηλός Κτ. ΙΑ2
εξ. επ. ΚΜ-λ
εσ. επ. ΚΜ-λ
πρ. Κ
σζ. ύψ. 0,08 μ.

65. Θραύσμα από το σώμα χειροποίητου αγγείου Τπ. Ι, IV (21).
Πηλός Κτ. ΙΑ2
εξ. επ. Μ-λ
εσ. επ. ΚΜ-λ
πρ. Κ
σζ. ύψ. 0,06 μ.

66. Μικρογραφικό άωτο αγγείο Τπ. Ι, ΙΧΑ (189).
Πηλός Κτ. ΙΒ2
εξ. επ. Κ
εσ. επ. Κ
πρ. Κ και Τ
ύψ. 0,057, δμβ. 0,022, δμχ. 0,07 μ.

67. Χειροποίητος αμφορίσκος Τπ. Ι, VIΔ1. Δύο λαβές-αποφύσεις στην κοιλιά του αγγείου. Δύο μαστοειδείς αποφύσεις ανάμεσα στις λαβές.
Πηλός Κτ. ΙΓ1
εξ. επ. Κ-λ
εσ. επ. Κ
πρ. Κ-ΚΤ
ύψ. 0,066, δμχ. 0,06 μ.

68. Δύο θραύσματα από τον ώμο ανοικτού χειροποίητου αγγείου Τπ. Ι, IV (21). Ελαφρή αυλάκωση γύρω από την αρχή του λαιμού.
Πηλός Κτ. ΙΑ2
εξ. επ. ΚΜ-λ
εσ. επ. ΚΜ
πρ. ΤΜ
σζ. ύψ. 0,05 μ.

69. Χάλκινο εγχειρίδιο Τπ. ΕΙ, 1β. Ουρά τριγωνική, που εισέχει από την ακμή και σχηματίζει γωνία με τη ράχη. Δύο οπές για την προσάρτηση της λαβής.
μκ. 0,224 μ.

70. Χάλκινο εγχειρίδιο Τπ. ΕΙ, 1γ. Ουρά στενή που εισέχει κυρίως από την ακμή και ελάχιστα από τη ράχη. Μία οπή για την προσάρτηση της λαβής.
σζ. μκ. 0,118 μ.

71. Χάλκινη ψήφος Τπ. Ψχ1.
δμ. 0,008, ύψ. 0,002 μ.

72. Χάλκινη ψήφος από περιδέραιο Τπ. Ψχ1.
δμ. 0,008, ύψ. 0,001 μ.

73. Χάλκινη ψήφος από περιδέραιο Τπ. Ψχ1.
δμ. 0,008, ύψ. 0,002 μ.

74. Χάλκινη ψήφος από περιδέραιο Τπ. Ψχ1.
δμ. 0,008, ύψ. 0,002 μ.

75. Χάλκινη ψήφος από περιδέραιο Τπ. Ψχ1.
δμ. 0,011, ύψ. 0,002 μ.

76. Δύο χάλκινες ψήφοι από περιδέραιο Τπ. Ψχ1.
Σε θραύσματα.
δμ. 0,01, ύψ. 0,0015 μ.

77. Λίθινη ψήφος.
δμ. 0,01, ύψ. 0,003 μ.

78. Ψήφος δικωνική από φαγεντιανή Τπ. Ψυ.
δμ. 0,01, ύψ. 0,008 μ.

79. Χάλκινο ασπιδόμορφο καρφί (tutulus) Τπ. Τ1.
ύψ. 0,005 μ.

80. Όμοιο με το προηγούμενο.
ύψ. 0,005 μ.

81. Όμοιο με το προηγούμενο.
ύψ. 0,004 μ.

82. Όμοιο με το προηγούμενο.
ύψ. 0,004 μ.

83. Όμοιο με το προηγούμενο.
ύψ. 0,005 μ.

84. Όμοιο με το προηγούμενο. Σώζεται μόνο το καρφί.
ύψ. 0,004 μ.

85. Όμοιο με το προηγούμενο. Σώζεται μόνο μέρος από την ασπίδα και το καρφί.
ύψ. 0,005 μ.

86. Όμοιο με το προηγούμενο.
ύψ. 0,005 μ.

87. Όμοιο με το προηγούμενο, καρφί λυγισμένο στα πλάγια.
ύψ. 0,005, δμ. 0,011 μ.

88. Όμοιο με το προηγούμενο.
ύψ. 0,003, δμ. 0,012 μ.

89. Όμοιο με το προηγούμενο.

ύψ. 0,003, δμ. 0,012 μ.

90. Όμοιο με το προηγούμενο.
ύψ. 0,003, δμ. 0,012 μ.

91. Όμοιο με το προηγούμενο.
ύψ. 0,004 μ.

92. Όμοιο με το προηγούμενο.
ύψ. 0,005 μ.

93. Δύο θραύσματα από χάλκινο αντικείμενο.
μκ. 0,041 μ.

94. Πήλινο δικωνικό σφονδύλι Τπ. ΣΙΙ, 1β.
Πηλός καστανός με λείανση.
ύψ. 0,026, δμ. 0,026 μ.

95. Πήλινο δικωνικό σφονδύλι Τπ. ΣΙΙ, 1γ-β.
Πηλός καστανός με λείανση.
ύψ. 0,02, δμ. 0,026 μ.

96. Πήλινο δικωνικό σφονδύλι Τπ. ΣΙ, 1β.
Πηλός καστανός με λείανση.
ύψ. 0,027, δμ. 0,023 μ.

97. Πήλινο δικωνικό σφονδύλι Τπ. ΣΙΙ, 1γ.
Πηλός καστανός με λείανση.
ύψ. 0,027, δμ. 0,023 μ.

98. Θραύσμα πήλινου δικωνικού σφονδυλιού Τπ. ΣVI.
Πηλός καστανός με λείανση.
ύψ. 0,008, δμ. 0,035 μ.

99. Μολύβδινος σύνδεσμος αγγείου. Κάλυπτε κυκλική οπή.
δμ. 0,02, πχ. 0,01 μ.

100. Μολύβδινος σύνδεσμος αγγείου.
μκ. 0,075 μ.

ΤΑΦΟΣ Κ1Β

Στο εσωτερικό του χώρου Κ1Β είχε πραγματοποιηθεί εκτεταμένη λαθρανασκαφή (Π ί ν. 211α).

Στην ανασκαφική έρευνα δε βρέθηκαν ίχνη οστών και τα ελάχιστα όστρακα που συγκεντρώθηκαν δίνουν την εντύπωση ότι πρόκειται μάλλον για όστρακα επίχωσης τύμβου και όχι για θραύσματα από κτερίσματα. Σαφή ίχνη ταφών δε βεβαιώθηκαν μέσα στον τάφο, αλλά η ύπαρξή τους δεν αποκλείεται. Οι ταφές του ταφικού αυτού χώρου πρέπει να διαταράχθηκαν και να καταστράφηκαν, είτε από την πρόσφατη λαθρανασκαφή είτε στην αρχαιότητα, όταν κατασκευάστηκε μέσα στον τάφο Β ο τάφος Γ (Π ί ν. 211α).

Είναι πολύ πιθανό ένα μέρος από τα ευρήματα της λαθρανασκαφής να προέρχεται από τα κτερίσματα αυτού του τάφου.

ΕΥΡΗΜΑΤΑ

Π ί ν. 7Α

1. Θραύσμα χειροποίητου ανοικτού αγγείου
Τπ. Ι, Ι(1β).
Πηλός Κτ. ΙΑ2
εξ. επ. ΚΜ-λ
εσ. επ. Κ-λ
πρ. ΚΜ
σζ. ύψ. 0,045 μ.

2. Θραύσμα από τον ώμο χειροποίητου ανοικτού αγγείου Τπ. Ι, ΙΙ (4-5).
Πηλός Κτ. ΙΑ2
εξ. επ. Κ-λ
εσ. επ. ΚΜ-λ
πρ. Μ
σζ. ύψ. 0,03 μ.

3. Θραύσμα από το σώμα μεγάλου χειροποίητου αγγείου Τπ. Ι, ΧΙΙ.
Διακρίνεται η αρχή κατακόρυφης λαβής.
Πηλός Κτ. ΙΓ2
εξ. επ. ΚΕ
εσ. επ. Κ
πρ. ΤΜ
σζ. ύψ. 0,051 μ.

ΤΑΦΟΣ Κ1Γ

Ο τάφος Κ1Γ είναι ο νεότερος από τους τρεις τάφους της συστάδας. Σχηματίσθηκε με μια μεγάλη σχιστόπλακα, που τοποθετήθηκε κατά πλάτος του τάφου Κ1Β (Π ί ν. 211α-β) και

παράλληλα με τον ενδιάμεσο τοίχο που χωρίζει τον Κ1Β από τον Κ1Α. Η ανασκαφική έρευνα στον τάφο αυτό αποκάλυψε λίγα ανθρωπολογικά λείψανα — θραύσματα οστών σκελών — που προέρχονταν από μια ταφή, με κατεύθυνση πιθανότατα Β.-Ν. Τα κτερίσματα που βρέθηκαν στην περιοχή των οστών είναι τα Κ1Γ1, Κ1Γ2 και Κ1Γ3 (Π ί ν. 7Β).

Από την περιοχή του τάφου Κ1Γ συγκεντρώθηκε επίσης ένας αριθμός οστράκων χειροποίητων αγγείων από τα οποία τα περισσότερα δε δίδουν σχήματα. Παραθέτουμε ελάχιστα χαρακτηριστικά (Κ1Γ4-Κ1Γ8) (Π ί ν. 7Β). Τα όστρακα αυτά δε σχετίζονται με την ταφή Γ, αλλά προέρχονται από την επίχωση της ταφής, από αρχαιότερες δηλαδή ταφές που πιθανότατα βρίσκονταν μέσα στον τάφο Κ1Β.

ΕΥΡΗΜΑΤΑ

Π ί ν. 7Β

1. Δίωτο χειροποίητο κλειστό αγγείο Τπ. Ι, VA (115).
Λείπει ένα μέρος από το άνω σώμα με τη μία λαβή. Εγχάρακτη διακόσμηση με επίθετο λευκό χρώμα στις χαράξεις. Σπείρα μέσα σε μετωπικό πλαίσιο από συστάδες παράλληλων χαρακτών γραμμών.
Πηλός Κτ. ΙΑ1
εξ. επ. ΤΜ-σ φθ
εσ. επ. ΤΜ
πρ. ΤΜ
ύψ. 0,145, δμβ. 0,10 μ.

2. Χειροποίητη προχοΐσκη Τπ. Ι, VIIΒ (145).
Λείπει ένα μέρος από το σώμα του αγγείου και η λαβή.
Πηλός Κτ. ΙΒ1
εξ. επ. Κ-λ
εσ. επ. Κ
πρ. Κ
ύψ. 0,092, δμβ. 0,054 μ.

3. Χάλκινο εγχειρίδιο Τπ. ΕΙ, 1α.
Ουρά τριγωνική, που εισέχει και από τη ράχη και από την ακμή. Λείπει το άκρο της αιχμής.
σζ. μκ. 0,105 μ.

4. Θραύσμα από το λαιμό χειροποίητου αγγείου Τπ. Ι, VIA (123).
Πηλός Κτ. ΙΒ1
εξ. επ. Κ-λ
εσ. επ. Κ
πρ. Κ
σζ. ύψ. 0,092 μ.

5. Θραύσμα από το λαιμό χειροποίητου αγγείου Τπ. Ι, VIA (123).
Πηλός Κτ. ΙΒ1
εξ. επ. ΚΜ-λ
εσ. επ. ΚΜ
πρ. ΚΜ
σζ. ύψ. 0,092 μ.

6. Θραύσμα από το χείλος χειροποίητης οινοχόης Τπ. Ι, VIIA (190).
Πηλός Κτ. ΙΒ1
εξ. επ. Κ-λ
εσ. επ. Κ
πρ. Κ
σζ. ύψ. 0,042 μ.

7. Θραύσμα από το άνω τμήμα λαβής χειροποίητου κλειστού αγγείου Τπ. Ι, VIA (140).
Πηλός Κτ. ΙΒ1
εξ. επ. Κ-λ
εσ. επ. Κ
πρ. ΚΜ
σζ. μκ. 0,06 μ.

8. Θραύσμα κατακόρυφης λαβής χειροποίητου κλειστού αγγείου Τπ. Ι, VIA (140).
Πηλός Κτ. ΙΒ1
εξ. επ. ΚΜ-λ
σζ. μκ. 0,04 μ.

ΛΑΘΡΑΝΑΣΚΑΦΗ 1969

Τα ευρήματα της ομάδας αυτής προέρχονται από την ταφική συστάδα Κ1, αλλά δεν έχουν επιμέρους ενδείξεις, γιατί άλλα παραδόθηκαν από το Σταθμό Χωροφυλακής Λιμεναρίων, μετά την κατάσχεση, και άλλα βρέθηκαν στο σωρό των χωμάτων, που οι λαθρανασκαφείς είχαν πετάξει έξω από την ταφική συστάδα.

Η μεγαλύτερη ποσότητα του χώματος ήταν συγκεντρωμένη έξω από τη νοτιοανατολική πλευρά του τάφου Κ1Α.

Πίν. 8

1. Δίωτο χειροποίητο κλειστό αγγείο Τπ. Ι, VΑ (115).
Λείπει ένα μέρος από το άνω σώμα και το λαιμό του αγγείου. Στο άνω σώμα του αγγείου εγχάρακτη διακόσμηση με λευκό επίθετο χρώμα στις χαράξεις.
Στις δύο όψεις του αγγείου αντωπά τριγωνικά θέματα μέσα σε μετωπικό πλαίσιο από συστάδες παράλληλων εγχάρακτων γραμμών.
Επίστρωση με γραφίτη στα ακόσμητα μέρη της επιφάνειας του αγγείου.
Πηλός Κτ. ΙΑ1
εξ. επ. ΤΜ-σ γ
εσ. επ. ΤΜ
πρ. ΤΜ
ύψ. 0,139, δμ. 0,085, δμχ. 0,073 μ.

2. Δίωτο χειροποίητο ανοικτό αγγείο Τπ. Ι, VΒ (116).
Ακέραιο.
Πηλός Κτ. ΙΒ1
εξ. επ. Κ-λ
εσ. επ. Κ
πρ. Κ
ύψ. 0,095, δμβ. 0,066, δμχ. 0,063 μ.

3. Θραύσμα δίωτου κανθαρόσχημου χειροποίητου αγγείου Τπ. Ι, VΒ (117).
Σώζεται τμήμα από το άνω σώμα με τη μία λαβή και το χείλος.
Πηλός Κτ. ΙΑ2
εξ. επ. ΤΜ-σ
εσ. επ. ΤΜ-σ φθ
πρ. ΚΜ
σζ. ύψ. 0,06, συμπλ. ύψ. 0,075 μ.

4. Χειροποίητο κλειστό αγγείο Τπ. Ι, VΙΔ2.
Ακέραιο.
Πηλός Κτ. ΙΑ2
εξ. επ. ΚΜ
εσ. επ. ΚΜ
πρ. Τ
ύψ. 0,10, δμβ. 0,05 μ.

5. Χειροποίητο κλειστό αγγείο Τπ. Ι, VΙΙΙ (180).
Ακέραιο.
Πηλός Κτ. ΙΑ2
εξ. επ. ΚΜ-λ σ
εσ. επ. Τ-ΚΤ
πρ. Τ-ΚΤ
ύψ. 0,092, δμβ. 0,036 μ.

6. Χειροποίητο κλειστό αγγείο Τπ. Ι, VΙΙΒ (145).
Λείπει η λαβή.
Πηλός Κτ. ΙΒ1
εξ. επ. Κ-λ
εσ. επ. Κ
πρ. ΚΤ
ύψ. 0,085, δμβ. 0,035 μ.

7. Χειροποίητο κλειστό αγγείο Τπ. Ι, VΙΙΒ (146).
Λείπει η λαβή και μέρος από το χείλος.
Πηλός Κτ. ΙΑ2
εξ. επ. ΤΜ-λ
εσ. επ. Τ
πρ. Τ
ύψ. 0,125, δμβ. 0,05, δμχ. 0,05 μ.

8. Χειροποίητο ανοικτό αγγείο Τπ. Ι, Χ.
Λείπει η βάση και η λαβή.
Πηλός Κτ. ΙΒ2
εξ. επ. ΚΕ
εσ. επ. ΚΕ
πρ. ΚΕ
σζ. ύψ. 0,038 μ.

9. Πήλινο δικωνικό σφονδύλι Τπ. ΣΙ, 2.
Πηλός καστανός με λείανση.
δμ. 0,036, ύψ. 0,028 μ.

10. Πήλινο δικωνικό σφονδύλι. Τπ. ΣΙ, 6β-γ.
Πηλός καστανός με λείανση.
δμ. 0,027, ύψ. 0,022 μ.

11. Χάλκινη ψήφος από περιδέραιο Τπ. Ψχ1.
δμ. 0,011, ύψ. 0,002 μ.

12. Χάλκινη ψήφος από περιδέραιο Τπ. Ψχ1.
δμ. 0,01, ύψ. 0,02 μ.

Πίν. 9

13. Δίωτο ανοικτό χειροποίητο αγγείο Τπ. Ι, ΙΙ (5).
Πηλός Κτ. ΙΒ2
εξ. επ. ΚΤ-λ φθ
εσ. επ. ΚΤ
πρ. Τ
ύψ. 0,12, δμβ. 0,08, δμχ. 0,26 μ.

14. Θραύσμα δίωτου ανοικτού χειροποίητου αγγείο Τπ. Ι, ΙΙ (4).
Σώζεται τμήμα από το άνω σώμα και μία λαβή.

Πηλός Κτ. ΙΑ2
εξ. επ. ΚΜ-λ
εσ. επ. ΚΜ
πρ. Τ
σζ. ύψ. 0,092, δμχ. 0,23 μ.

15. Θραύσμα από το άνω σώμα και το χείλος χειροποίητου δίωτου αγγείου Τπ. Ι, ΙΙ (4-5).
Πηλός Κτ. ΙΒ2
εξ. επ. Κ-λ
εσ. επ. Κ-λ
πρ. ΤΜ
σζ. ύψ. 0,10 μ.

16. Θραύσμα από το άνω σώμα και το χείλος χειροποίητου αγγείου Τπ. Ι, ΙΙ (4-5).
Πηλός Κτ. ΙΒ2
εξ. επ. ΚΜ-λ
εσ. επ. ΚΜ-λ
πρ. ΚΜ
σζ. ύψ. 0,072 μ.

17. Λαβή κατακόρυφη από τον ώμο χειροποίητου αγγείου Τπ. Ι, VIA (123).
Πηλός Κτ. ΙΒ2
εξ. επ. Κ-λ
εσ. επ. Κ-λ
πρ. ΤΜ
σζ. ύψ. 0,08 μ.

18. Θραύσμα από τον ώμο και το χείλος χειροποίητου αγγείου Τπ. Ι, ΙΙ (4-5).
Πηλός Κτ. ΙΒ2
εξ. επ. ΚΕ και ΚΜ-λ
εσ. επ. ΚΜ-λ
πρ. Τ και ΚΕ
σζ. ύψ. 0,10 μ.

19. Θραύσμα ανοικτού χειροποίητου αγγείου Τπ. Ι, ΙΙ (4-5).
Σώζεται τμήμα του ώμου με το χείλος και τη λαβή.
Πηλός Κτ. ΙΒ1
εξ. επ. Κ
εσ. επ. ΚΜ
πρ. Τ
σζ. ύψ. 0,115 μ.

20. Θραύσμα από τον ώμο χειροποίητου αγγείου Τπ. Ι, ΙΙ (4-5).
Πηλός Κτ. ΙΒ1
εξ. επ. ΚΜ-λ
εσ. επ. Κ-λ
πρ. Τ
σζ. ύψ. 0,102 μ.

21. Θραύσμα από το άνω σώμα και το χείλος χειροποίητου αγγείου Τπ. Ι, ΙΙ (4-5).
Πιθανόν από το ίδιο αγγείο με το αριθ. 20.
Πηλός Κτ. ΙΒ1
εξ. επ. ΚΜ-λ
εσ. επ. Κ-λ
πρ. Τ
σζ. ύψ. 0,087 μ.

22. Θραύσμα χειροποίητου αγγείου Τπ. Ι, ΙΙ (4-5).
Σώζεται τμήμα από τον ώμο με μία κατακόρυφη λαβή.
Πηλός Κτ. ΙΒ1
εξ. επ. Κ-λ
εσ. επ. Κ-λ
πρ. ΤΜ
σζ. ύψ. 0,10 μ.

Πίν. 10

23. Θραύσμα από το χείλος χειροποίητου ανοικτού αγγείου Τπ. Ι, ΙΙ (4-5).
Πηλός Κτ. ΙΒ1
εξ. επ. ΚΜ-λ
εσ. επ. Κ-λ
πρ. ΚΤ
σζ. ύψ. 0,05 μ.

24. Θραύσμα από το χείλος χειροποίητου ανοικτού αγγείου Τπ. Ι, ΙΙ (4-5).
Πηλός Κτ. ΙΒ1
εξ. επ. Κ
εσ. επ. Κ-λ
πρ. Τ
σζ. ύψ. 0,07 μ.

25. Θραύσμα από το χείλος χειροποίητου ανοικτού αγγείου Τπ. Ι, ΙΙ (4-5).
Πηλός Κτ. ΙΒ1
εξ. επ. Κ-λ
εσ. επ. ΚΜ-λ
πρ. Τ
σζ. ύψ. 0,06 μ.

26. Θραύσμα χειροποίητου αγγείου Τπ. Ι, ΙΙ (4-5).
Σώζεται τμήμα από τον ώμο με το χείλος.
Πηλός Κτ. ΙΒ1
εξ. επ. ΚΕ-λ
εσ. επ. ΚΜ-λ
πρ. ΚΤ
σζ. ύψ. 0,04 μ.

27. Θραύσμα από το χείλος χειροποίητου ανοικτού αγγείου Τπ. Ι, ΙΙ (4-5).

Πηλός Κτ. ΙΒ1
εξ. επ. Κ
εσ. επ. Κ
πρ. Κ
σζ. ύψ. 0,05 μ.

28. Θραύσμα από τον ώμο και το χείλος χειροποίητου ανοικτού αγγείου Τπ. Ι, ΙΙ (4-5).
Πηλός Κτ. ΙΒ2
εξ. επ. ΤΜ-λ
εσ. επ. Τ-λ
πρ. Τ
σζ. ύψ. 0,08 μ.

29. Θραύσμα χειροποίητου ανοικτού αγγείου Τπ. Ι, ΙΙ (4-5).
Σώζεται τμήμα του ώμου και του χείλους. Διακρίνεται στον ώμο η αρχή μιας λαβής.
Πηλός Κτ. ΙΑ2
εξ. επ. ΚΜ
εσ. επ. ΚΜ
πρ. Τ
σζ. ύψ. 0,074 μ.

30. Θραύσμα από το χείλος χειροποίητου ανοικτού αγγείου Τπ. Ι, ΙΙ (4-5).
Πηλός Κτ. ΙΑ2
εξ. επ. Κ
εσ. επ. ΚΜ
πρ. ΚΤ
σζ. ύψ. 0,036 μ.

31. Θραύσμα από το χείλος χειροποίητου ανοικτού αγγείου Τπ. Ι, ΙΙ (4-5).
Πηλός Κτ. ΙΑ2
εξ. επ. Κ
εσ. επ. ΚΜ
πρ. Τ
σζ. ύψ. 0,032 μ.

32. Θραύσμα από τον ώμο και το λαιμό χειροποίητου ανοικτού αγγείου Τπ. Ι, ΙΙ (4-5).
Πηλός Κτ. ΙΑ2
εξ. επ. ΚΜ
εσ. επ. ΚΜ
πρ. Τ
σζ. ύψ. 0,075 μ.

33. Θραύσμα από το χείλος χειροποίητου ανοικτού αγγείου Τπ. Ι, ΙΙ (4-5).
Πηλός Κτ. ΙΑ2
εξ. επ. Κ-λ
εσ. επ. Κ-λ
πρ. Τ
σζ. ύψ. 0,05 μ.

34. Θραύσμα από το χείλος χειροποίητου ανοικτού αγγείου Τπ. Ι, ΙΙ (4-5).
Πηλός Κτ. ΙΑ2
εξ. επ. ΚΜ
εσ. επ. ΚΜ
πρ. ΚΤ
σζ. ύψ. 0,035 μ.

35. Θραύσμα κατακόρυφης λαβής από την κοιλιά χειροποίητου αγγείου Τπ. Ι, VIA (123).
Πηλός Κτ. ΙΑ2
εξ. επ. ΚΜ
εσ. επ. ΚΜ
πρ. ΚΤ
σζ. ύψ. 0,05 μ.

36. Θραύσμα κατακόρυφης λαβής χειροποίητου αγγείου Τπ. Ι, VA (115).
Πηλός Κτ. ΙΑ2
εξ. επ. ΚΜ-λ
εσ. επ. ΤΜ
πρ. Τ
σζ. ύψ. 0,09 μ.

37. Θραύσμα βάσης χειροποίητου κλειστού αγγείου Τπ. Ι, VI.
Πηλός Κτ. ΙΑ2
εξ. επ. ΚΜ-λ
εσ. επ. ΚΜ
πρ. ΤΜ
σζ. ύψ. 0,026, δμβ. 0,10 μ.

38. Θραύσμα βάσης χειροποίητου κλειστού αγγείου Τπ. Ι, VI ή Ι, VII.
Πηλός Κτ. ΙΓ2
εξ. επ. ΚΕ
εσ. επ. ΚΕ
πρ. ΚΕ
σζ. ύψ. 0,035, δμβ. 0,05 μ.

39. Θραύσμα βάσης χειροποίητου ανοικτού αγγείου Τπ. Ι, XII.
Πηλός Κτ. ΙΓ2
εξ. επ. Ε
εσ. επ. Ε
πρ. Ε
σζ. ύψ. 0,032, δμβ. 0,08 μ.

40. Θραύσμα βάσης χειροποίητου ανοικτού αγγείου Τπ. Ι, XII.
Πηλός Κτ. ΙΓ2
εξ. επ. ΚΜ
εσ. επ. ΚΜ
πρ. ΤΜ
σζ. ύψ. 0,04, δμβ. 0,108 μ.

41. Θραύσμα βάσης χειροποίητου ανοικτού αγγείου Τπ. Ι, VIA ή Ι, VIIA.
Πηλός Κτ. ΙΓ2
εξ. επ. Ε
εσ. επ. Ε
πρ. Ε
σζ. ύψ. 0,04, δμβ. 0,08 μ.

42. Θραύσμα από το σώμα πιθόσχημου αγγείου Τπ. Ι, XII.
Πλαστική ταινία με «δακτυλιές» γύρω από την κοιλιά του αγγείου.
Πηλός Κτ. ΙΓ2
εξ. επ. Ε
εσ. επ. Ε
πρ. Ε
σζ. ύψ. 0,06 μ.

43. Θραύσμα από το άνω σώμα και το χείλος χειροποίητου αγγείου Τπ. Ι, XII (205).
Πλαστική ταινία με «δακτυλιές» κάτω από την περιφέρεια του χείλους.
Πηλός Κτ. ΙΒ2
εξ. επ. Ε
εσ. επ. Ε
πρ. Ε
σζ. ύψ. 0,096 μ.

Ταφική συστάδα Κ2

Σε απόσταση 20 μ. περίπου προς ΒΑ. της ταφικής συστάδας Κ1, οι λαθρανασκαφείς είχαν επίσης ανασκάψει ένα τμήμα μιας μεγάλης τυμβόσχημης συστάδας (Σ χ έ δ. Ι). Η λαθρανασκαφή είχε θίξει μικρό μόνο μέρος του ταφικού συγκροτήματος και οι παρατηρήσεις που ακολουθούν σχετικά με την εξωτερική εικόνα της συστάδας, πριν από την ανασκαφή, μπορούν να θεωρηθούν ασφαλείς:

α) Οι τοίχοι των επιμέρους τάφων του ταφικού συγκρότηματος υψώνονταν πάνω από την επιφάνεια του εδάφους και ξεχώρισαν αμέσως μετά την απομάκρυνση του επιφανειακού στρώματος της βλάστησης, που κάλυπτε τους τάφους.

β) Δε διαπιστώθηκαν στοιχεία για την ύπαρξη κοινού τύμβου από χώμα ή από στρώμα λίθων πάνω από τους επιμέρους τάφους.

γ) Στους τοίχους των τάφων υπήρχαν εντοιχισμένες ορισμένες πλάκες, που υψώνονταν πολύ ψηλότερα από τον υπόλοιπο τοίχο (Π ί ν. 212α-β).

δ) Οι τάφοι καλύπτονταν με μεγάλες πλάκες ή με στρώμα λίθων. Μια μεγάλη σχιστόπλακα ακουμπούσε λοξά στο νότιο τοίχο του τάφου και σε μία από τις όρθιες πλάκες του εσωτερικού του τάφου (Π ί ν. 212α-β).

Μετά την ολοκλήρωση της ανασκαφής όλων των τάφων της συστάδας καταλήξαμε στα εξής συμπεράσματα, σχετικά με τα διάφορα στάδια κατασκευής των επιμέρους τάφων: Στην αρχή πρέπει να κατασκευάσθηκε ο ορθογώνιος χώρος που ονομάσθηκε από τα αντίστοιχα σύνολα τάφων με τα γράμματα Δ-Ε, ΣΤ, Ζ, καθώς και ο συνεχόμενος χώρος Α, που πιθανότατα αποτελούσε τον προθάλαμο του τάφου Δ-Ε, ΣΤ, Ζ. Στο εσωτερικό του μεγάλου ορθογώνιου χώρου Δ-Ε, ΣΤ, Ζ, βρέθηκαν στημένες όρθιες, στην ίδια ευθεία, δύο χονδρές σχιστόπλακες (Σ χ έ δ. 7). Μια πρώτη άποψη για την ερμηνεία τους είναι ότι χρησιμοποιούνταν για στηρίγματα των μεγάλων πλακών, που κάλυπταν την οροφή του τάφου. Στον αρχικό αυτό πυρήνα προστέθηκαν αργότερα διαδοχικά οι τάφοι Β-Γ (πίθος 1) (Π ί ν. 212γ), ο τάφος Ι (πίθος 2), ο τάφος Η και ο τάφος Θ. Στο εσωτερικό, επίσης, του αρχικού τάφου Δ-Ε, ΣΤ, Ζ, πραγματοποιήθηκαν αλλεπάλληλες ταφές, που μπορεί να είναι αρχαιότερες, σύγχρονες ή μεταγενέστερες από τις ταφές των τάφων-προσθηκών. Στο νότιο τμήμα του τάφου παραμερίζονταν τα οστά και τα κτερίσματα των προηγούμενων ταφών, προκειμένου να βρεθεί χώρος για την εναπόθεση νεότερων ταφών, από τις οποίες ορισμένες ξεχώρισαν κατά χώραν στο βόρειο τμήμα (Π ί ν. 214δ). Κρανία μαζί με μακρά οστά βρέθηκαν διάσπαρτα, χωρίς τάξη, μέσα στο χώρο Δ-Ε, ΣΤ, Ζ, μαζί με θραύσματα αγγείων και μικροαντικείμενα, επίσης διάσπαρτα (Π ί ν. 213α-β, 214β-ε). Σε ελάχιστες περιπτώσεις βρέθηκαν ορισμένα μικροαντικείμενα κατά χώραν (Π ί ν. 213γ). Τα σύνολα οστών και κτερισμάτων, που ξεχωρίσαμε στην πορεία της ανασκαφής του τάφου, είναι σχηματικά τα ακόλουθα: Ομάδα Δ′, Ε′, ΣΤ′Ι, ΣΤ′ΙΙ. Τις παλιότερες ταφές σ' αυτή τη φάση πρέπει να τις αντιπροσωπεύουν οι ομάδες Δ′ και Ε′.

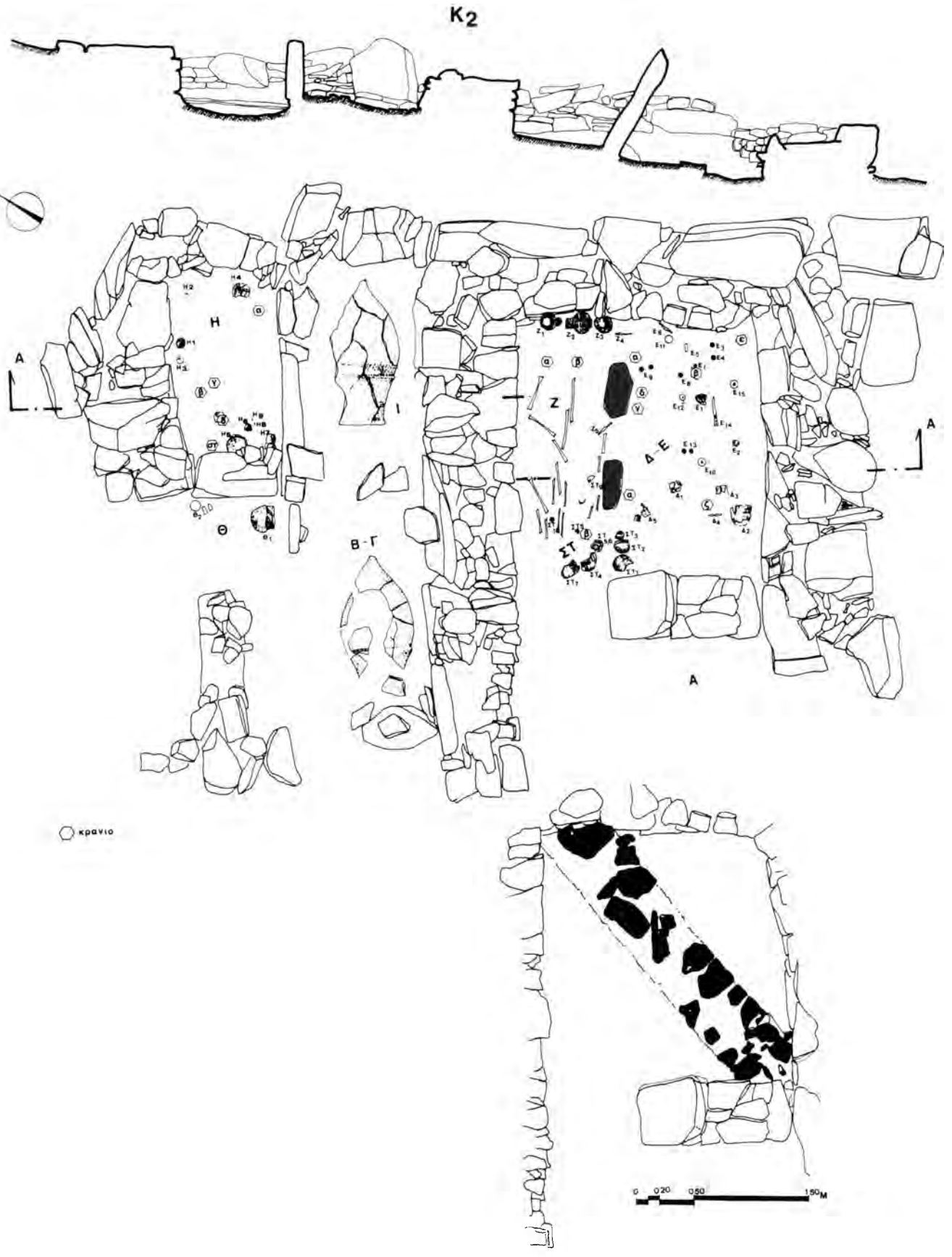

Σχέδ. 7. Κάτοψη και τομή ταφικής συστάδας Κ2.

Η ομάδα ΣΤ΄Ι και η λίγο ψηλότερα από τη ΣΤ΄Ι, ομάδα ΣΤ΄ΙΙ, που έχουν συγκεντρωμένα κτερίσματα, παραμερίσθηκαν στη συνέχεια από τις δύο ταφές Ζ1 και Ζ2, που έχουν εναποτεθεί στο βορειοανατολικό τμήμα του τάφου.

Ο χώρος των δύο ταφών Ζ χωρίσθηκε μ' έναν επιπόλαιο τοίχο προς Δ. και προς Β. του υπόλοιπου τάφου και καλύφθηκε με στρώμα λίθων. Οι δύο ταφές της ομάδας Ζ΄ είναι οι μόνες αδιατάρακτες που βρέθηκαν στον τάφο και οι τελευταίες χρονικά (Σ χ ε δ. 7· Π ί ν. 214γ).

Μετά την ολοκλήρωση της ανασκαφής του χώρου Δ-Ε, ΣΤ, Ζ, και τον καθαρισμό της επίχωσης, βρέθηκε ένας τοίχος που διασχίζει λοξά το δάπεδο του χώρου (Σ χ έ δ. 7).

Ο τοίχος αυτός δεν έχει καμιά σχέση με το ταφικό συγκρότημα, αλλά ανήκει σε μια προηγούμενη από τον τάφο κτιριακή φάση. Ορισμένα όστρακα που βρέθηκαν κατά τον καθαρισμό του τοίχου αυτού, καθώς και άλλα λίγα όστρακα που βρέθηκαν στον καθαρισμό άλλων τάφων της συστάδας (π.χ. τάφων Η και Θ και χώρου Α), είναι τελείως διαφορετικά από τη γνωστή κεραμική του τάφου και πρέπει να σχετίζονται με μια αρχαιότερη κτιριακή φάση, στην οποία ανήκει ο τοίχος (βλ. Κατάλογο), και η οποία πρέπει να χρονολογηθεί στη χαλκολιθική περίοδο (Π ί ν. 16Β) (πρβλ. Τόμος Β΄, σ. 00).

ΤΑΦΟΣ Κ2Α, Δ-Ε, ΣΤ, Ζ

Ο τάφος αποτελείται από έναν ορθογώνιο χώρο (Δ-Ε, ΣΤ, Ζ) και από ένα συνεχόμενο προς Δ. χώρο Α, που πιθανότατα αποτελούσε τον προθάλαμο του κυρίως τάφου Δ-Ε, ΣΤ, Ζ.

Π ρ ο θ ά λ α μ ο ς Κ2Α

Ο χώρος είχε θιγεί στο μεγαλύτερο μέρος του από τη λαθρανασκαφή και έτσι η ανασκαφική έρευνα δεν ήταν δυνατό να καταλήξει σε ασφαλή συμπεράσματα. Πιθανότατα, ο χώρος δεν έκλεινε στη δυτική πλευρά και λειτουργούσε ως προθάλαμος του κυρίως τάφου Δ-Ε, ΣΤ, Ζ (Σ χ έ δ. 7).

Λείψανα οστών δε βρέθηκαν στην ανασκαφή, αλλά ούτε και στο σωρό των χωμάτων της λαθρανασκαφής του χώρου. Στον καθαρισμό του χώρου βρέθηκαν ορισμένα όστρακα αγγείων, τα περισσότερα από τα οποία προέρχονταν από μεγάλα πιθόσχημα αγγεία.

Στο κατώτατο στρώμα της επίχωσης του χώρου βρέθηκε ένα θραύσμα πυριτολίθου (Π ί ν. 11: 10) και ένα δισκόμορφο σφονδύλι (Π ί ν. 11: 12), που πιθανότατα σχετίζονται με την αρχαιότερη χρονολογική φάση, στην οποία ανήκει και ο λοξός τοίχος που διασχίζει τον ταφικό θάλαμο (Σ χ έ δ. 7). Στην ίδια φάση ανήκουν, επίσης, το όστρακο και το κωνικό σφονδύλι του Πίνακα 11: 11, 13.

ΕΥΡΗΜΑΤΑ

Π ί ν. 11

1. Θραύσμα από το χείλος χειροποίητου αγγείου Τπ. Ι, ΧΙΙ (205).
Πλαστική ταινία με «δακτυλιές» περιβάλλει το λαιμό του αγγείου, λίγο κάτω από το χείλος.
Πηλός Κτ. ΙΓ2
εξ. επ. ΚΕ
εσ. επ. ΚΕ
πρ. ΚΤ
σζ. ύψ. 0,068, δμχ. 0,18 μ.

2. Θραύσμα από το χείλος χειροποίητου αγγείου Τπ. Ι, ΧΙΙ (204).
«Δακτυλιές» γύρω στην περιφέρεια του χείλους.
Πηλός Κτ. ΙΓ2
εξ. επ. ΚΕ
εσ. επ. Κ
πρ. Κ
σζ. ύψ. 0,06, δμχ. 0,15 μ.

3. Θραύσμα από το σώμα χειροποίητου αγγείου Τπ. Ι, ΧΙΙ.
Πλαστική ταινία με «δακτυλιές» γύρω από την κοιλιά.
Πηλός Κτ. ΙΓ2
εξ. επ. Ε

εσ. επ. Κ
πρ. ΚΤ
σζ. ύψ. 0,056 μ.

4. Θραύσμα από την κοιλιά χειροποίητου αγγείου Τπ. Ι, XII (205).
Πλαστική ταινία με «δακτυλιές» γύρω από την κοιλιά.
Πηλός Κτ. ΙΓ2
εξ. επ. ΚΕ
εσ. επ. ΚΕ
πρ. Τ
σζ. ύψ. 0,10 μ.

5. Θραύσμα χειροποίητου αγγείου Τπ. Ι, XII.
Σώζεται μέρος από το σώμα με μία κατακόρυφη λαβή κοιλιάς.
Πηλός Κτ. ΙΓ2
εξ. επ. ΚΕ
εσ. επ. Κ
πρ. ΤΜ
σζ. ύψ. 0,08 μ.

6. Θραύσμα από το χείλος χειροποίητου ανοικτού αγγείου Τπ. Ι, IV.
Πηλός Κτ. ΙΒ2
εξ. επ. Κ
εσ. επ. Κ
πρ. Κ
σζ. ύψ. 0,035 μ.

7. Θραύσμα από το λαιμό και το χείλος χειροποίητου αγγείου Τπ. Ι, XII (206).
Πηλός Κτ. ΙΒ2
εξ. επ. ΚΕ
εσ. επ. ΚΕ
πρ. Τ
σζ. ύψ. 0,068 μ.

8. Θραύσμα από το λαιμό και το χείλος χειροποίητου ανοικτού αγγείου Τπ. Ι, IV.
Μια αυλάκωση κάτω από το χείλος, παράλληλη με την περιφέρεια του χείλους.
Πηλός Κτ. ΙΒ2
εξ. επ. ΚΕ
εσ. επ. ΚΕ
πρ. ΚΕ
σζ. ύψ. 0,03 μ.

9. Θραύσμα χειροποίητου αγγείου Τπ. Ι, IV.
Σώζεται τμήμα λαβής και τμήμα από το χείλος.
Πηλός Κτ. ΙΑ2
εξ. επ. ΚΜ-λ
εσ. επ. ΚΜ-λ
πρ. ΚΤ
σζ. ύψ. 0,03 μ.

10. Λεπίδα πυριτολίθου.
μγ. μκ. 0,07, μγ. πλ. 0,02 μ.

11. Πήλινο κωνικό σφονδύλι Τπ. ΣV.
Πηλός καστανός με λείανση.
δμ. 0,031, ύψ. 0,015 μ.

12. Πήλινο δισκόμορφο σφονδύλι Τπ. ΣVI.
Πηλός καστανός με λείανση.
δμ. 0,027, ύψ. 0,011 μ.

13. Θραύσμα από το χείλος χειροποίητου ανοικτού αγγείου.
εξ. επ. ΚΕ-λ
εσ. επ. Κ-λ
πρ. Κ
σζ. ύψ. 0,037 μ.

ΤΑΦΟΣ Κ2Β-Γ

Πρόκειται για ταφή σε πίθο. Ο πίθος είχε τοποθετηθεί οριζόντια με το στόμιο προς Δ., μέσα σ' έναν κτιστό κιβωτιόσχημο ορθογώνιο χώρο, που είχε προσκολληθεί στη βορειοδυτική πλευρά του αρχικού τάφου Δ-Ε, ΣΤ, Ζ (Σ χ έ δ. 7· Π ί ν. 212γ) και ήταν σκεπασμένος με ένα στρώμα αργών λίθων. Η άνω επιφάνειά του είχε σπάσει και το εσωτερικό του ήταν γεμάτο σκληρό χώμα. Στο ανατολικό άκρο του πίθου βρέθηκαν ελάχιστα θραύσματα οστών και δόντια. Πιθανόν, ο νεκρός είχε εναποτεθεί μέσα στον πίθο με το κεφάλι προς Α. Ελάχιστα λείψανα κρανίου βρέθηκαν μετατοπισμένα στο κέντρο περίπου του πίθου. Τέσσερα κελύφη σαλιγκαριών, που βρέθηκαν στο εσωτερικό του, είχαν πιθανότατα εναποτεθεί ως συμβολική τροφή (Παράρτημα ΙΙΙ).

Στο εσωτερικό του πίθου, εκτός από τα θραύσματα του ίδιου του πίθου, βρέθηκαν και λίγα όστρακα αγγείων, τα οποία προέρχονται από την επίχωση που τον κάλυπτε. Ένα στρώμα από πολλά θραύσματα αγγείων βρέθηκε έξω από το στόμιο του πίθου, κάτω από το στρώμα των αργών λίθων της επίχωσης. Θραύσματα, επίσης, αγγείων βρέθηκαν και έξω από το βορειοδυτικό τοίχο του κιβωτιόσχημου χώρου.

Πίν. 12

1. Δύο θραύσματα χειροποίητου ανοικτού αγγείου Τπ. Ι, IV (87).
Σώζεται τμήμα από τον ώμο με το λαιμό και το χείλος. Στο λαιμό αυλακωτή διακόσμηση σε μετόπη.
Πηλός Κτ. ΙΒ1
εξ. επ. Κ-λ
εσ. επ. ΚΕ-λ
πρ. ΚΤ
σζ. ύψ. 0,082 μ.

2. Θραύσμα χειροποίητου ανοικτού αγγείου Τπ. Ι, IV (87).
Σώζεται τμήμα από τον ώμο με τμήμα λαιμού και χείλους. Αυλακωτή γραμμή γύρω από τη βάση του λαιμού. Αυλακωτή γραμμή, επίσης, κάτω από το χείλος.
Πηλός Κτ. ΙΒ1
εξ. επ. Κ-λ
εσ. επ. Κ-λ
πρ. Κ
σζ. ύψ. 0,08 μ.

3. Δύο θραύσματα από το χείλος χειροποίητου ανοικτού αγγείου Τπ. Ι, IV.
Πηλός Κτ. ΙΑ2
εξ. επ. Κ-λ
εσ. επ. Κ-λ
πρ. ΚΤ
σζ. ύψ. 0,04 μ.

4. Θραύσματα από τον ώμο χειροποίητου ανοικτού αγγείου Τπ. Ι, IV.
Δύο παράλληλες αυλακώσεις γύρω από τη βάση του λαιμού.
Πηλός Κτ. ΙΒ1
εξ. επ. ΚΕ-λ φθ
εσ. επ. ΚΕ-λ φθ
πρ. ΚΕ
σζ. ύψ. 0,06 μ.

5. Θραύσμα από το λαιμό και τη λαβή χειροποίητου ανοικτού αγγείου Τπ. Ι, IV.
Πηλός Κτ. ΙΒ1
εξ. επ. ΚΤ-λ φθ
εσ. επ. Κ-λ φθ
πρ. Τ
σζ. ύψ. 0,06 μ.

6. Θραύσμα βάσης χειροποίητου ανοικτού αγγείου Τπ. Ι, IV.
Πηλός Κτ. ΙΑ2
εξ. επ. ΚΜ-λ φθ
εσ. επ. ΚΜ-λ φθ
πρ. ΚΤ
σζ. ύψ. 0,032, δμβ. 0,102 μ.

7. Μόνωτο χειροποίητο κυπελλόσχημο αγγείο Τπ. Ι, IV (102).
Λείπει ένα μέρος από το σώμα. Δύο παράλληλες αυλακώσεις γύρω από την αρχή του λαιμού, δύο παράλληλες αυλακώσεις κάτω από το χείλος. Ζιγκ-ζαγκ διακόσμηση από δύο παράλληλες αυλακώσεις στο σώμα του αγγείου.
Πηλός Κτ. ΙΒ1
εξ. επ. Κ-λ
εσ. επ. Κ-λ
πρ. Κ
ύψ. 0,085, δμβ. 0,065, δμχ. 0,08 μ.

8. Θραύσμα χειροποίητου ανοικτού αγγείου Τπ. Ι, IV (32).
Σώζεται τμήμα ώμου με τμήμα λαιμού και χείλους.
Πηλός Κτ. ΙΑ2
εξ. επ. ΚΜ-λ
εσ. επ. ΚΜ-λ
πρ. Κ
σζ. ύψ. 0,08 μ.

9. Θραύσμα από τον ώμο χειροποίητου αγγείου Τπ. Ι, IV.
Σώζεται και η αρχή λαβής. Δύο παράλληλες αυλακώσεις γύρω από τη βάση του λαιμού.
Πηλός Κτ. ΙΑ2
εξ. επ. ΚΜ-λ
εσ. επ. ΚΜ-λ
πρ. Κ
σζ. ύψ. 0,04 μ.

10. Θραύσμα από το κυλινδρικό στέλεχος κατακόρυφης λαβής χειροποίητου αγγείου Τπ. Ι, IV.
Πηλός Κτ. ΙΑ2
εξ. επ. ΚΜ-λ φθ
εσ. επ. ΚΜ-λ
πρ. ΚΤ
σζ. ύψ. 0,035 μ.

11. Θραύσμα γωνιόσχημης λαβής χειροποίητου αγγείου Τπ. Ι, IV.
Αυλακωτή διακόσμηση στο άνω τμήμα της λαβής.
Πηλός Κτ. ΙΑ2

εξ. επ. ΚΜ-λ
εσ. επ. ΚΜ
πρ. ΚΤ
σζ. ύψ. 0,036 μ.

12. Θραύσμα κατακόρυφης λαβής χειροποίητου αγγείου Τπ. I, VIIΓ (149).
Λοξές παράλληλες αυλακώσεις κατά πλάτος της λαβής.
Πηλός Κτ. ΙΑ2
εξ. επ. ΚΜ-λ
εσ. επ. ΚΕ
πρ. ΚΕ
σζ. ύψ. 0,07 μ.

13. Θραύσμα από το κυλινδρικό στέλεχος κατακόρυφης λαβής χειροποίητου αγγείου Τπ. I, IV.
Μία αυλάκωση γύρω από την αρχή της λαβής.
Πηλός Κτ. ΙΑ2
εξ. επ. Κ-λ φθ
εσ. επ. Κ-λ φθ
πρ. ΚΤ
σζ. ύψ. 0,069 μ.

14. Θραύσματα από τον ώμο χειροποίητου ανοικτού αγγείου Τπ. I, IV.
Δύο παράλληλες αυλακώσεις γύρω από τη βάση του λαιμού.
Πηλός Κτ. ΙΑ2
εξ. επ. Κ-λ
εσ. επ. Κ-λ
πρ. ΚΤ
σζ. ύψ. 0,07 μ.

15. Δύο θραύσματα από τον ώμο χειροποίητου κλειστού αγγείου Τπ. I, VIB (136).
Μία αυλακωτή γραμμή γύρω από την αρχή του λαιμού.
Πηλός Κτ. ΙΑ2
εξ. επ. ΚΜ-λ
εσ. επ. ΚΜ-λ
πρ. ΚΤ
σζ. ύψ. 0,05 μ.

16. Θραύσμα από τον ώμο και το λαιμό χειροποίητου ανοικτού αγγείου Τπ. I, IV.
Μία αυλάκωση γύρω από την αρχή του λαιμού.
Πηλός Κτ. ΙΑ2
εξ. επ. ΚΜ-λ
εσ. επ. ΚΜ-λ
πρ. ΚΤ
σζ. ύψ. 0,05 μ.

17. Θραύσμα από τον ώμο χειροποίητου ανοικτού αγγείου Τπ. I, IV.
Τρεις αυλακώσεις γύρω από την αρχή του λαιμού.
Πηλός Κτ. ΙΑ2
εξ. επ. Κ-λ
εσ. επ. Κ-λ
πρ. Τ
σζ. ύψ. 0,057 μ.

18. Θραύσμα από τον ώμο χειροποίητου ανοικτού αγγείου Τπ. I, IV.
Μία αυλάκωση γύρω από τη βάση του λαιμού.
Πηλός Κτ. ΙΑ2
εξ. επ. Κ-λ
εσ. επ. Κ-λ
πρ. Τ
σζ. ύψ. 0,051 μ.

19. Χειροποίητο κυπελλόσχημο αγγείο Τπ. I, IV (70).
Λείπει ένα μεγάλο μέρος από το σώμα του αγγείου και η λαβή. Δύο παράλληλες αυλακώσεις γύρω από τη βάση του λαιμού.
Πηλός Κτ. ΙΑ2
εξ. επ. ΚΤ-λ φθ
εσ. επ. ΚΤ-λ φθ
πρ. ΚΤ
σζ. ύψ. 0,082, δμβ. 0,045 μ.

20. Θραύσμα βάσης χειροποίητου αγγείου Τπ. I, VII.
Πηλός Κτ. ΙΑ2
εξ. επ. ΚΜ-λ
εσ. επ. ΚΜ
πρ. Τ
σζ. ύψ. 0,027, δμβ. 0,045 μ.

21. Θραύσμα βάσης χειροποίητου αγγείου Τπ. I, IV.
Πηλός Κτ. ΙΑ2
εξ. επ. ΚΜ-λ
εσ. επ. ΚΜ
πρ. ΚΤ
σζ. ύψ. 0,021, δμβ. 0,09 μ.

Π ί ν. 13

22. Θραύσμα από το λαιμό και το χείλος χειροποίητου αμφορέα Τπ. I, VIB (136).
Δύο παράλληλες αυλακώσεις κάτω από το χείλος.
Πηλός Κτ. ΙΑ2
εξ. επ. Κ-λ φθ
εσ. επ. Κ

πρ. ΚΤ
σζ. ύψ. 0,055 μ.

23. Θραύσματα χειροποίητου αμφορέα Τπ. Ι, VIB (136).
Σώζεται τμήμα από τον ώμο και το λαιμό, μία λαβή και τμήμα ώμου με μαστοειδή απόφυση. Δύο παράλληλες αυλακώσεις γύρω από την αρχή του λαιμού.
Πηλός Κτ. ΙΑ2
εξ. επ. ΚΜ-λ
εσ. επ. ΚΕ
πρ. ΚΤ
σζ. ύψ. 0,04 μ.

24. Θραύσμα από τον ώμο, με την αρχή του λαιμού, χειροποίητου αμφορέα Τπ. Ι, VIB (136).
Ζιγκ-ζαγκ διακόσμηση από παράλληλες αυλακώσεις στον ώμο.
Πηλός Κτ. ΙΑ2
εξ. επ. ΚΕ
εσ. επ. ΚΕ
πρ. Κ
σζ. ύψ. 0,06 μ.

25. Θραύσμα από τον ώμο χειροποίητου αμφορέα Τπ. Ι, VIB (136).
Τρεις παράλληλες αυλακώσεις γύρω από τη βάση του λαιμού.
Πηλός Κτ. ΙΑ2
εξ. επ. ΚΜ-λ
εσ. επ. ΚΜ
πρ. ΚΜ
σζ. ύψ. 0,046 μ.

26. Θραύσμα από το κάτω σώμα και τη βάση χειροποίητου αμφορέα Τπ. Ι, VIB (136).
Πηλός Κτ. ΙΑ2
εξ. επ. ΚΤ-λ
εσ. επ. Κ
πρ. ΚΤ
σζ. ύψ. 0,105 μ.

Π ί ν. 14

27. Θραύσμα από το λαιμό και το χείλος μεγάλου χειροποίητου αγγείου Τπ. Ι, XII (199).
«Νυχιές» γύρω στην περιφέρεια του χείλους.
Πηλός Κτ. ΙΓ2
εξ. επ. Ε
εσ. επ. Ε
πρ. ΚΕ
σζ. ύψ. 0,085 μ.

28. Θραύσμα από το λαιμό και το χείλος αγγείου Τπ. Ι, XII (204).
«Νυχιές» γύρω στην περιφέρεια του χείλους.
Πηλός Κτ. ΙΓ2
εξ. επ. Ε
εσ. επ. Ε
πρ. ΚΕ
σζ. ύψ. 0,055 μ.

29. Θραύσμα από το λαιμό και το χείλος μεγάλου χειροποίητου αγγείου Τπ. Ι, XII (202).
«Νυχιές» γύρω στο χείλος.
Πηλός Κτ. ΙΓ2
εξ. επ. Κ
εσ. επ. Κ
πρ. Τ
σζ. ύψ. 0,06 μ.

30. Θραύσμα από το λαιμό και το χείλος μεγάλου χειροποίητου αγγείου Τπ. Ι, XII (205).
Πλαστική ταινία με «δακτυλιές» κάτω από την περιφέρεια του χείλους.
Πηλός Κτ. ΙΓ2
εξ. επ. Ε
εσ. επ. ΚΕ
πρ. ΚΕ
σζ. ύψ. 0,097 μ.

31. Θραύσμα από το χείλος μεγάλου χειροποίητου αγγείου Τπ. Ι, XII (205).
Πλαστική ταινία με «δακτυλιές» κάτω από την περιφέρεια του χείλους.
Πηλός Κτ. ΙΓ2
εξ. επ. ΚΕ
εσ. επ. ΚΕ
πρ. Τ και ΚΕ
σζ. ύψ. 0,04 μ.

32. Θραύσμα από το σώμα μεγάλου χειροποίητου αγγείου Τπ. Ι, XII (205-213).
Πλαστική ταινία με «δακτυλιές» γύρω από το σώμα.
Πηλός Κτ. ΙΓ2
εξ. επ. ΚΕ
εσ. επ. Κ
πρ. Τ
σζ. ύψ. 0,04 μ.

33. Θραύσμα από το σώμα μεγάλου χειροποίητου αγγείου Τπ. Ι, XII (205-213).
Πλαστική ταινία με «δακτυλιές» γύρω από το σώμα.
Πηλός Κτ. ΙΓ2
εξ. επ. ΚΕ
εσ. επ. ΚΕ
πρ. Τ
σζ. ύψ. 0,092 μ.

34. Θραύσμα από το σώμα μεγάλου χειροποίητου αγγείου Τπ. Ι, ΧΙΙ (205-213).
Πλαστική ταινία με «δακτυλιές» γύρω από το σώμα.
Πηλός Κτ. ΙΓ2
εξ. επ. ΚΕ
εσ. επ. ΚΕ
πρ. Τ
σζ. ύψ. 0,092 μ.

35. Θραύσμα από το σώμα μεγάλου χειροποίητου αγγείου Τπ. Ι, ΧΙΙ (214).
Πλαστική ταινία με «δακτυλιές» γύρω από το σώμα. Σώζεται και μία διχαλωτή απόφυση.
Πηλός Κτ. ΙΓ2
εξ. επ. Ε
εσ. επ. Ε
πρ. Ε
σζ. ύψ. 0,06 μ.

36. Θραύσμα κατακόρυφης κυλινδρικής λαβής από την κοιλιά χειροποίητου αγγείου Τπ. Ι, ΧΙΙ (205-213).
Πηλός Κτ. ΙΓ2
εξ. επ. Ε
εσ. επ. Ε
πρ. Τ
σζ. ύψ. 0,055 μ.

37. Κατακόρυφη κυλινδρική λαβή από την κοιλιά χειροποίητου αγγείου Τπ. Ι, ΧΙΙ (205-213).
Πηλός Κτ. ΙΓ2
εξ. επ. Ε
εσ. επ. Ε
πρ. Τ
σζ. ύψ. 0,09 μ.

38. Θραύσμα κατακόρυφης κυλινδρικής λαβής από την κοιλιά χειροποίητου αγγείου Τπ. Ι, ΧΙΙ (205-213).
Πηλός Κτ. ΙΓ2
εξ. επ. Ε
εσ. επ. Ε
πρ. Τ
σζ. ύψ. 0,05 μ.

39. Θραύσμα χειροποίητου αγγείου Τπ. Ι, VIΓ.
Σώζεται τμήμα από το σώμα και μία οριζόντια κυλινδρική λαβή.
Πηλός Κτ. ΙΓ2
εξ. επ. Ε
εσ. επ. Ε
πρ. Τ
σζ. ύψ. 0,065 μ.

40. Θραύσμα από το σώμα μεγάλου χειροποίητου αγγείου Τπ. Ι, VIΓ.
Σώζεται μία οριζόντια λαβή.
Πηλός Κτ. ΙΓ2
εξ. επ. Ε-λ
εσ. επ. Ε
πρ. Ε
σζ. ύψ. 0,035 μ.

Π ί ν. 15Α

41. Θραύσμα από το λαιμό και το χείλος χειροποίητου αγγείου Τπ. Ι, IV.
Πηλός Κτ. ΙΓ1
εξ. επ. Ε-λ
εσ. επ. Ε-λ
πρ. Ε
σζ. ύψ. 0,057 μ.

42. Θραύσμα από το λαιμό χειροποίητης οινοχόης Τπ. Ι, VIIΔ (171).
Πηλός Κτ. ΙΑ2
εξ. επ. ΚΜ-λ
εσ. επ. ΚΜ-λ
πρ. Τ
σζ. ύψ. 0,051 μ.

43. Θραύσμα από το λαιμό χειροποίητης οινοχόης Τπ. Ι, VIIΔ (170).
Αυλακωτή διακόσμηση γύρω από το χείλος.
Πηλός Κτ. ΙΑ2
εξ. επ. ΚΜ
εσ. επ. ΚΜ
πρ. Τ
σζ. ύψ. 0,03 μ.

44. Θραύσμα από το χείλος χειροποίητου ανοικτού αγγείου (ύστερης νεολιθικής εποχής).
εξ. επ. ΚΕ
εσ. επ. ΚΕ
πρ. ΚΕ
σζ. ύψ. 0,036 μ.

45. Πήλινο δισκόμορφο σφονδύλι Τπ. ΣIV.
Πηλός ερυθρός.
σζ. ύψ. 0,02, δμ. 0,03 μ.

46. Χειροποίητος οξυπύθμενος πίθος Τπ. Ι, XIV (5) ταφής χώρου Β-Γ.
Σώζεται αποσπασματικά.
Πλαστική ταινία με «δακτυλιές» γύρω από τη βάση του λαιμού.
Πηλός Κτ. ΙΓ2
συμπλ. ύψ. 1,28, δμ. 0,50, δμχ. 0,41 μ.

ΤΑΦΟΣ Κ2 Δ-Ε, ΣΤ, Ζ (Σ χ έ δ. 7)

Κάτω από τη μεγάλη σχιστόπλακα, που κάλυπτε το μεγαλύτερο τμήμα του νότιου μισού του τάφου, διαπιστώθηκε ένα στρώμα λίθων και χώματος, που κάλυπτε το επίπεδο των ταφών. Όπως έχουμε ήδη σημειώσει παραπάνω, στο μεγάλο τάφο Δ-Ε, ΣΤ, Ζ, έχουν πραγματοποιηθεί αλλεπάλληλες ταφές, που άλλαξαν την αρχική εικόνα του τάφου και διατάραξαν τις προγενέστερες ταφές. Τη χρονολογική σειρά των ταφών μόνο κατά ομάδες είναι δυνατό να παρακολουθήσουμε.

Ο μ ά δ α Δ'

Στο βορειοδυτικό τμήμα του τάφου, κάτω από ένα στρώμα λίθων, εντοπίσθηκε μια ομάδα μετατοπισμένων οστών, από τα οποία δεν ήταν δυνατό να προσδιορισθεί συγκεκριμένη ταφή. Επειδή στην περιοχή αυτή του τάφου, εκτός από τα διάσπαρτα μακρά οστά, βρέθηκαν λείψανα ενός μόνο κρανίου (α), και επειδή βρέθηκαν ορισμένα κτερίσματα κάπως συγκεντρωμένα, ονομάσαμε συμβατικά την ομάδα αυτών των ευρημάτων ταφή Δ (Π ί ν. 213α).

ΕΥΡΗΜΑΤΑ

Π ί ν. 16Α

1(Δ2). Θραύσματα μόνωτου χειροποίητου ευρύστομου αγγείου Τπ. Ι, IV (14).
Σώζεται τμήμα του ώμου με το λαιμό, το χείλος και τμήμα λαβής.
Πηλός Κτ. ΙΒ2
εξ. επ. ΚΕ-λ
εσ. επ. ΚΕ-λ
πρ. Κ
σζ. ύψ. 0,13, δμβ. 0,195 μ.

2(Δ3). Θραύσμα από το λαιμό χειροποίητου αγγείου (ύστερης νεολιθικής εποχής).
Διάτρητη ωτόσχημη απόφυση στο λαιμό.
Πηλός Κτ. ΙΒ2
εξ. επ. ΚΕ-λ
εσ. επ. ΚΕ-λ
πρ. Κ
σζ. ύψ. 0,095, δμχ. 0,07 μ.

3(Δ5). Χειροποίητο κύπελλο Τπ. Ι, IV (30).
Πηλός Κτ. ΙΒ2
εξ. επ. ΚΕ
εσ. επ. ΚΕ
πρ. Κ
ύψ. 0,104, δμβ. 0,045, δμχ. 0,075 μ.

4(Δ1). Θραύσμα μόνωτου χειροποίητου ευρύστομου αγγείου Τπ. Ι, IV (43).
Σώζεται τμήμα του ώμου με τη λαβή λαιμού και χείλος.
Πηλός Κτ. ΙΑ2
εξ. επ. ΚΜ-λ
εσ. επ. ΚΕ-λ
πρ. Κ
σζ. ύψ. 0,10, δμχ. 0,19 μ.

5(Δ4). Χάλκινο εγχειρίδιο Τπ. ΕV, 3β.
Λείπει ένα ελάχιστο τμήμα της ουράς στην οπή για το καρφί. Δύο χαράξεις κατά μήκος της ράχης.
μκ. 0,125 μ.

Ο μ ά δ α Ε'

Η ομάδα που ονομάσθηκε Ε' καλύπτει τα ¾ σχεδόν του νότιου μισού του τάφου. Στην περιοχή αυτή βρέθηκαν λείψανα πέντε κρανίων (α-ε), ανάμεσα σε διάφορα οστά (κυρίως άνω και κάτω άκρων), σε πολύ συγκεχυμένη θέση, ώστε να προκύπτει αμέσως το βέβαιο συμπέρασμα ότι τα οστά έχουν μετατοπισθεί στη θέση αυτή (Π ί ν. 213β). Εκτός από τα οστά, στην περιοχή Ε υπήρχε πλήθος διάσπαρτων οστράκων, καθώς και λίγα σπασμένα αγγεία και ορισμένα χάλκινα και πήλινα κτερίσματα. Η μετατόπιση αυτή πρέπει να είναι η πρώτη που έγινε στον τάφο και τα κτερίσματα των τάφων της ομάδας Ε' πρέπει να είναι τα αρχαιότερα του τάφου Δ-Ε, ΣΤ, Ζ, και της συστάδας Κ2. Τα κτερίσματα ήταν όλα μετατοπισμένα, εκτός από το χάλκινο κόσμημα Κ2Ε7, που βρέθηκε πάνω στο κρανίο β (Π ί ν. 213γ), και πιθανόν το χάλκινο εγχειρίδιο Ε14, που βρέθηκε δίπλα σ' ένα μηριαίο οστό (Π ί ν. 18: 26). Το χάλκινο εγχειρίδιο Κ2Ε14, μαζί με μια ομάδα άλλων μικροαντικειμένων, πρέπει να προέρ-

χεται από μια ταφή που έμεινε εν μέρει αδιατάρακτη στην περιοχή Ε. Η ταφή αυτή, από την οποία σώθηκαν δύο μηριαία κατά χώραν, με προσανατολισμό Δ.-Α., βρέθηκε κάτω από το διαταραγμένο στρώμα των οστών και των κτερισμάτων της περιοχής Ε. Με την ταφή αυτή πρέπει να σχετίζονται, επίσης, το μεγάλο εγχειρίδιο Κ2Ε14 και τα μικροαντικείμενα Κ2Ε8-Κ2Ε15, που βρέθηκαν στην περιοχή και στο στρώμα των δύο μηριαίων οστών. Κρανίο δε βρέθηκε. Στο στρώμα αυτό πιθανότατα ανήκει κάποιο από τα κρανία της ομάδας Ε, που έχει μετατοπισθεί. Η ανθρωπολογική εξέταση των λειψάνων των οστών βεβαίωσε την ύπαρξη τεσσάρων, τουλάχιστον, ταφών ενηλίκων και ενός παιδιού (πρβλ. Παράρτημα Ια). Από τα ενήλικα άτομα, το ένα τουλάχιστον είναι γυναίκα.

ΕΥΡΗΜΑΤΑ

Π ί ν. 17

1. Θραύσματα μόνωτου χειροποίητου αγγείου Τπ. Ι, IV (60α).
Σώζεται τμήμα από τον ώμο και το χείλος. Πιθανόν συνανήκει και τμήμα λαβής. Μία αυλάκωση κατά μήκος του χείλους, μία γύρω από την αρχή του λαιμού.
Πηλός Κτ. ΙΑ2
εξ. επ. ΚΜ-λ φθ
εσ. επ. Μ-λ
πρ. Τ
σζ. ύψ. 0,09 μ.

2. Θραύσματα μόνωτου χειροποίητου ευρύστομου αγγείου Τπ. Ι, IV (20α).
Σώζεται τμήμα του ώμου, του χείλους και της λαβής. Μία αυλάκωση γύρω από τη βάση του λαιμού. Αυλακωτή διακόσμηση και στο ταινιωτό τμήμα της γωνιόσχημης λαβής.
Πηλός Κτ. ΙΑ2
εξ. επ. ΚΜ-λ
εσ. επ. ΚΜ-λ
πρ. ΚΤ
σζ. ύψ. 0,13, δμχ. 0,34 μ.

3. Θραύσματα από το άνω σώμα μόνωτου χειροποίητου ευρύστομου αγγείου Τπ. Ι, IV (43).
Σώζεται τμήμα ώμου με χείλος. Δύο παράλληλες αυλακώσεις γύρω από τη βάση του λαιμού του αγγείου.
Πηλός Κτ. ΙΑ2
εξ. επ. ΚΜ-λ
εσ. επ. ΚΜ-λ
πρ. Κ
σζ. ύψ. 0,141 μ.

4. Μόνωτο χειροποίητο ευρύστομο αγγείο Τπ. Ι, IV (18).
Λείπει ένα μέρος από το σώμα του αγγείου.
Πηλός Κτ. ΙΒ2
εξ. επ. ΚΕ
εσ. επ. ΚΕ
πρ. ΚΕ
σζ. ύψ. 0,124, δμχ. 0,11 μ.

5(Ε1). Θραύσμα από το χείλος μόνωτου χειροποίητου ευρύστομου αγγείου Τπ. Ι, IV (18).
Δύο παράλληλες αυλακώσεις κάτω από το χείλος.
Πηλός Κτ. ΙΑ2
εξ. επ. ΚΜ-λ
εσ. επ. ΚΜ-λ
πρ. ΚΤ
σζ. ύψ. 0,035 μ.

6. Θραύσμα από το χείλος μόνωτου χειροποίητου ευρύστομου αγγείου Τπ. Ι, IV (66).
Πηλός Κτ. ΙΑ2
εξ. επ. ΚΜ-λ
εσ. επ. ΚΜ-λ φθ
πρ. ΚΤ
σζ. ύψ. 0,037 μ.

7. Θραύσμα μόνωτου χειροποίητου ευρύστομου αγγείου Τπ. Ι, IV (42).
Σώζεται τμήμα του ώμου και του λαιμού. Δύο παράλληλες αυλακώσεις γύρω από την αρχή του λαιμού. Ζιγκ-ζαγκ αυλακωτή διακόσμηση στον ώμο.
Πηλός Κτ. ΙΑ2
εξ. επ. ΚΤ-λ
εσ. επ. ΚΤ-λ φθ
πρ. ΚΤ
σζ. ύψ. 0,055, δμλ. 0,107 μ.

8. Θραύσμα από τον ώμο μόνωτου χειροποίητου ευρύστομου αγγείου Τπ. Ι, IV (92).
Σώζεται τμήμα του ώμου και του λαιμού. Δύο παράλληλες αυλακώσεις γύρω από την αρχή του λαιμού. Ζιγκ-ζαγκ αυλακωτή διακόσμηση στον ώμο.
Πηλός Κτ. ΙΑ2
εξ. επ. ΚΤ-λ
εσ. επ. ΚΤ-λ φθ

πρ. ΚΤ
σζ. ύψ. 0,055, δμλ. 0,107 μ.

9. Θραύσμα από τον ώμο μόνωτου χειροποίητου ευρύστομου αγγείου Τπ. I, IV (92). Ζιγκ-ζαγκ αυλακωτή διακόσμηση στον ώμο.
Πηλός Κτ. ΙΑ2
εξ. επ. ΚΜ-λ
εσ. επ. ΚΜ-λ
πρ. Τ
σζ. ύψ. 0,051 μ.

Π ί ν. 18

Κατακόρυφη κυλινδρική λαβή με καμπυλόγραμμη τροχιά Τπ. I, IV.
Πηλός Κτ. ΙΑ2
εξ. επ. ΚΜ-λ φθ
εσ. επ. Μ-λ
πρ. Τ
σζ. ύψ. 0,09 μ.
(Χωρίς αρίθμηση· δεν απεικονίζεται στον Πίνακα).

10. Θραύσμα από το χείλος χειροποίητου ευρύστομου αγγείου (ύστερης νεολιθικής εποχής).
Πηλός Κτ. ΙΒ2
εξ. επ. Κ
εσ. επ. Κ
πρ. Μ
σζ. ύψ. 0,05 μ.

11. Θραύσμα από το λαιμό και το χείλος χειροποίητου αγγείου Τπ. I, VI Α3 (123).
Πηλός Κτ. ΙΒ2
εξ. επ. Κ-λ
εσ. επ. ΚΕ
πρ. Κ
σζ. ύψ. 0,05 μ.

12. Θραύσμα από το λαιμό και το χείλος χειροποίητου αγγείου Τπ. I, VI, Α3 (123).
Πηλός Κτ. ΙΒ2
εξ. επ. Κ-λ
εσ. επ. ΚΕ
πρ. Κ
σζ. ύψ. 0,048 μ.

13. Θραύσμα από το χείλος τροχήλατου κλειστού αγγείου (αμφορέα) Τπ. II, ΣΤ (243). Ελάχιστα ίχνη καστανού επιχρίσματος.
Πηλός Κτ. ΙΙΓ
σζ. ύψ. 0,03, δμχ. 0,14 μ.

14. Θραύσμα από τον ώμο χειροποίητου αγγείου Τπ. I, IV.
Διακρίνεται μικρή απόφυση.
Πηλός Κτ. ΙΒ1
εξ. επ. Ε-λ
εσ. επ. Ε
πρ. ΚΕ
σζ. ύψ. 0,03 μ.

15. Θραύσμα από το σώμα χειροποίητου ευρύστομου αγγείου Τπ. I, IV.
Πηλός Κτ. ΙΒ1
εξ. επ. Ε-λ φθ
εσ. επ. Ε-λ φθ
πρ. ΚΕ
σζ. ύψ. 0,025 μ.

16. Θραύσμα κατακόρυφης κυλινδρικής λαβής από χειροποίητο αγγείο Τπ. I, IV.
Πηλός Κτ. ΙΒ2
εξ. επ. ΚΕ
εσ. επ. ΚΕ
πρ. ΚΤ
σζ. ύψ. 0,075 μ.

17. Θραύσμα κατακόρυφης κυλινδρικής λαβής από χειροποίητο αγγείο Τπ. I, IV.
Πηλός Κτ. ΙΑ2
εξ. επ. ΚΜ-λ
εσ. επ. ΚΜ-λ
πρ. ΚΜ
σζ. μκ. 0,045 μ.

18. Θραύσμα κατακόρυφης κυλινδρικής λαβής από χειροποίητο αγγείο Τπ. I, IV.
Πηλός Κτ. ΙΒ1
εξ. επ. Κ-λ
εσ. επ. Κ-λ
πρ. Κ
σζ. ύψ. 0,04 μ.

19. Θραύσμα κατακόρυφης ταινιωτής λαβής από την κοιλιά χειροποίητου αγγείου Τπ. I, VIB.
Πηλός Κτ. ΙΒ2
εσ. επ. Ε
εξ. επ. Ε
πρ. Ε
σζ. ύψ. 0,037 μ.

20. Θραύσμα κατακόρυφης ταινιωτής λαβής από την κοιλιά χειροποίητου αγγείου Τπ. I, VIB.
Πηλός Κτ. ΙΒ2
εξ. επ. ΚΕ
εσ. επ. ΚΕ
πρ. ΚΤ
σζ. ύψ. 0,03 μ.

21. Θραύσμα από το κάτω σώμα χειροποίητου αγγείου Τπ. Ι, VIIΓ ή Δ.
Πηλός Κτ. ΙΒ2
εξ. επ. Κ
εσ. επ. ΚΕ
πρ. ΚΤ
σζ. ύψ. 0,036, δμβ. 0,07 μ.

22. Θραύσμα από το κάτω σώμα μόνωτου χειροποίητου κλειστού αγγείου (οινοχόης) Τπ. Ι, VII.
Πηλός Κτ. ΙΒ2
εξ. επ. ΚΕ
εσ. επ. ΚΕ
πρ. Ε
σζ. ύψ. 0,07, δμβ. 0,05 μ.

23. Θραύσμα από το κάτω σώμα χειροποίητου αγγείου Τπ. Ι, VII.
Πηλός Κτ. ΙΒ2
εξ. επ. ΚΕ
εσ. επ. ΚΕ
πρ. Κ
σζ. ύψ. 0,04, δμβ. 0,065 μ.

24. Θραύσμα βάσης χειροποίητου αγγείου Τπ. Ι, VIB.
Πηλός Κτ. ΙΑ2
εξ. επ. Κ-λ
εσ. επ. Κ-λ φθ
πρ. Κ
σζ. ύψ. 0,02 μ.

25(Ε6). Χάλκινο εγχειρίδιο ΕV, 3α.
Ράχη κυρτή, ακμή κοίλη. Ουρά που εισέχει κυρίως από την πλευρά της ακμής. Χωρίς καρφιά· χαρακτές παράλληλες γραμμές κατά μήκος της ράχης.
μκ. 0,152 μ.

26(Ε14). Χάλκινο εγχειρίδιο Τπ. ΕΙΙΙ, 2γ.
Ράχη και ακμή ευθύγραμμες. Δύο εγχάρακτες γραμμές κατά μήκος της ράχης. Ουρά που εισέχει ελάχιστα από τη λεπίδα. Έχει χαμηλό περιχείλωμα και καταλήγει σε χελιδονοουρά. Τέσσερα καρφιά για την προσάρτηση της λαβής.
μκ. 0,277 μ.

27(Ε13). Κυλινδρική ψήφος περιδεραίου από χάλκινο έλασμα, Τπ. Ψχ4.
μκ. 0,015, δμ. 0,007 μ.

28(Ε13). Κυλινδρική ψήφος περιδεραίου από χάλκινο έλασμα, Τπ. Ψχ4.
μκ. 0,014, δμ. 0,006 μ.

29(Ε3). Ψήφος (πρβλ. προηγούμενη) Τπ. Ψχ4.
μκ. 0,013, δμ. 0,006 μ.

30(Ε8). Ψήφος (πρβλ. προηγούμενη) Τπ. Ψχ4.
μκ. 0,014, δμ. 0,007 μ.

31(Ε9). Ψήφος (πρβλ. προηγούμενη) Τπ. Ψχ4.
μκ. 0,015, δμ. 0,008 μ.

32(Ε9). Ψήφος (πρβλ. προηγούμενη) Τπ. Ψχ4.
μκ. 0,015, δμ. 0,007 μ.

33(Ε4). Χάλκινος σφηκωτήρας Τπ. Σφ. 4.
Δύο θραύσματα που πιθανόν συνανήκουν. Από χάλκινο σύρμα.
δμ. 0,02 μ.

34(Ε7). Χάλκινο ελικόσχημο κόσμημα Τπ. Εν.
ύψ. 0,042, δμ. 0,028 μ.

35(Ε12). Χάλκινο ελικόσχημο κόσμημα Τπ. Εν.
Λείπει το άκρο του κοσμήματος.
ύψ. 0,045, δμ. 0,03 μ.

36(Ε10). Πήλινο δικωνικό σφονδύλι Τπ. ΣΙΙ, 1γ.
Λείπει ένα μέρος από την περιφέρεια.
ύψ. 0,027, δμ. 0,033 μ.

37(Ε15). Πήλινο δικωνικό σφονδύλι Τπ. ΣΙ, 2.
ύψ. 0,025, δμ. 0,032 μ.

38 (Ε5). Λίθινος πέλεκυς (ύστερης νεολιθικής εποχής).
μκ. 0,082, μγ. πλ. 0,31 μ.

Ο μ ά δ α ΣΤ′ (Σ χ έ δ. 7)

Στο βόρειο τμήμα του τάφου πραγματοποιήθηκαν αργότερα νεότερες ταφές. Για να εξασφαλισθεί χώρος για τις ταφές αυτές, πρέπει τότε να παραμερίσθηκαν τα οστά και τα κτερίσματα των ομάδων Ε′ και Δ′ προς τη νότια πλευρά του τάφου. Δύο σύνολα αγγείων (ΣΤ′Ι και ΣΤ′ΙΙ), που βρέθηκαν στην περιοχή αυτή, πρέπει μάλλον να συσχετισθούν με τα μετατοπι-

σμένα λείψανα των δύο κρανίων α και β, που εντοπίσθηκαν κάτω από το επίπεδο των ταφών Ζ. Με τις ταφές αυτές, πιθανότατα, πρέπει να συσχετισθούν η χάλκινη πόρπη ΣΤ9 και το σφονδύλι ΣΤ10, χωρίς να αποκλείεται και το χάλκινο εγχειρίδιο Ζ5, που, επειδή βρέθηκε ψηλότερα, έχει συνδεθεί με τις ταφές Ζ.

Η βέβαιη διάκριση των ταφών ΣΤ και των κτερισμάτων δεν ήταν δυνατή, γιατί η περιοχή αυτή διαταράχθηκε από τις νεότερες ταφές Ζ, που τοποθετήθηκαν πάνω από τις ταφές ΣΤ (Π ί ν. 214β-γ). Αξιοσημείωτη είναι η ανεύρεση του χάλκινου σφηκωτήρα ΣΤ8 πάνω στο κρανίο β, το οποίο η ανθρωπολογική μελέτη προσδιόρισε ως γυναικείο.

ΕΥΡΗΜΑΤΑ

Ομάδα ΣΤ'Ι

Π ί ν. 19Α, 214β

1(ΣΤ1). Χειροποίητη οινοχόη με οπισθότμητη προχοή Τπ. Ι, VIIΓ (158).
Δύο αυλακώσεις γύρω από τη βάση του λαιμού.
Πηλός Κτ. ΙΑ2
εξ. επ. ΚΜ-λ
εσ. επ. ΚΜ
πρ. ΚΜ
μγ. ύψ. 0,155, δμβ. 0,05 μ.

2(ΣΤ2). Μόνωτο χειροποίητο ευρύστομο αγγείο Τπ. Ι, IV (96).
Δύο αυλακώσεις γύρω από τη βάση του λαιμού. Δύο αυλακώσεις κάτω από το χείλος. Ζιγκ-ζαγκ αυλακωτή διακόσμηση στον ώμο. Αυλακωτή διακόσμηση και στο ταινιωτό τμήμα της γωνιόσχημης λαβής.
Πηλός Κτ. ΙΑ2
εξ. επ. ΚΜ-λ
εσ. επ. ΚΜ-λ
πρ. ΚΜ
μγ. ύψ. 0,115, δμβ. 0,055, δμχ. 0,135 μ.

3(ΣΤ3). Χειροποίητο κυπελλόσχημο αγγείο Τπ. Ι, IV (104).
Ακέραιο. Δύο αυλακώσεις γύρω από τη βάση του λαιμού. Ζιγκ-ζαγκ αυλακωτή διακόσμηση στον ώμο του αγγείου.
Πηλός Κτ. ΙΑ2
εξ. επ. Κ-ΚΜ-λ
εσ. επ. ΚΜ
πρ. Κ
ύψ. 0,092, δμβ. 0,05, δμχ. 0,065 μ.

Ομάδα ΣΤ'ΙΙ

Π ί ν. 19Β, 214γ

1(ΣΤ4). Μόνωτο χειροποίητο ευρύστομο αγγείο Τπ. Ι, IV (85).
Ακέραιο. Στο λαιμό του αγγείου αυλακωτή διακόσμηση, σε μετόπη, από δύο παράλληλες αυλακωτές γραμμές.
Πηλός Κτ. ΙΑ2
εξ. επ. ΚΜ-λ
εσ. επ. ΚΜ-λ
πρ. ΚΤ
ύψ. 0,162, δμβ. 0,06 μ.

2(ΣΤ7). Χειροποίητη οινοχόη με οπισθότμητη προχοή Τπ. Ι, VIIΔ (167).
Δύο αυλακώσεις παράλληλες γύρω από την αρχή του λαιμού και γύρω από το άνω πέρας του λαιμού.
Πηλός Κτ. ΙΑ2
εξ. επ. ΚΤ-λ
εσ. επ. ΚΤ-λ
πρ. ΚΤ
ύψ. 0,162, δμβ. 0,06 μ.

3(ΣΤ6). Θραύσμα χειροποίητου κυπελλόσχημου αγγείου Τπ. Ι, IV (110).
Σώζεται το κάτω κυρίως σώμα με το κάτω τμήμα της λαβής. Λοξές αυλακώσεις στον ώμο του αγγείου.
Πηλός Κτ. ΙΑ2
εξ. επ. Κ-λ
εσ. επ. ΚΤ-λ
πρ. ΤΜ
σζ. ύψ. 0,07, δμβ. 0,04 μ.

4(ΣΤ5). Μόνωτο χειροποίητο βαθύ αγγείο Τπ. Ι, IV (24).
Λείπει ένα μέρος από το άνω κυρίως σώμα του αγγείου.
Πηλός Κτ. ΙΑ2
εξ. επ. ΚΜ-λ
εσ. επ. ΚΜ-λ
πρ. ΚΤ
ύψ. 0,105, δμβ. 0,075 μ.

5 (ΣΤ10). Πήλινο δικωνικό σφονδύλι Τπ. Σ Ι, 2.
ύψ. 0,025, δμ. 0,031 μ.

6(ΣΤ8). Χάλκινος σφηκωτήρας από ελισσόμενο σύρμα Τπ. Σφ.1.
δμ. 0,03 μ.

7(ΣΤ9). Χάλκινη τοξωτή πόρπη με στριφτό τόξο Τπ. Π1β.
ύψ. 0,05, μκ. 0,08 μ.

ΤΑΦΟΣ Κ2Ζ

Ο τάφος Ζ αντιπροσωπεύει την τελευταία φάση ταφών μέσα στο μεγάλο τάφο Δ-Ε, ΣΤ, Ζ. Μ' έναν τοίχο από όρθιες πλάκες προς Ν. και έναν επιπόλαιο τοίχο προς Δ. ξεχώρισε ένας κιβωτιόσχημος χώρος στο βόρειο τμήμα του τάφου Δ-Ε, ΣΤ, Ζ, μέσα στον οποίο εναποτέθηκαν δύο σύγχρονες ταφές (Σ χ έ δ. 7). Οι ταφές αυτές (ΖΙ, ΖΙΙ) διατάραξαν τις προηγούμενες ταφές της περιοχής αυτής (ταφές ΣΤΙ, ΣΤΙΙ). Οι δύο νεκροί είχαν εναποτεθεί πλαγιασμένοι στο πλευρό, αντωποί. Τα σκέλη ήταν τεντωμένα, ενώ τα χέρια ήταν λυγισμένα στο στήθος. Από τα κρανία, λίγα λείψανα σώζονταν και τα υπόλοιπα οστά διακρίνονταν σε πολύ αποσπασματική κατάσταση (Π ί ν. 214δ). Πρέπει να σημειωθεί ότι οι κνήμες των δύο νεκρών εκτείνονταν κάτω από τον επιπόλαιο δυτικό τοίχο της στενής πλευράς του τάφου, που φαίνεται ότι κατασκευάσθηκε εκ των υστέρων, μετά την εναπόθεση των νεκρών. Οι νεκροί καλύπτονταν με στρώμα λίθων, που περιείχε μεγάλη ποσότητα χώματος.

Τα κτερίσματα είχαν τις εξής θέσεις στις ταφές: Πίσω από τα κρανία των νεκρών είχαν τοποθετηθεί τα τρία αγγεία (Ζ1, Ζ2, Ζ3). Δίπλα στα αγγεία βρέθηκε τοποθετημένο ένα χάλκινο εγχειρίδιο (Ζ4), που πιθανόν ανήκει στο ίδιο ταφικό σύνολο (Π ί ν. 214ε). Στην ταφή ΖΙ ανήκει πιθανόν και το εγχειρίδιο Ζ5, το οποίο είναι επίσης δυνατό να συσχετισθεί και με την ταφή ΣΤ. Εκτός από τα ακέραια αγγεία στο επίπεδο της ταφής, βρέθηκαν και ορισμένα μεγάλα ή μικρά θραύσματα αγγείων (Π ί ν. 20: 1, 3, 8-10), που προέρχονται από την επίχωση του τάφου.

ΕΥΡΗΜΑΤΑ

Π ί ν. 20

1. Θραύσματα μόνωτου χειροποίητου ευρύστομου αγγείου Τπ. Ι, IV (80).
Σώζεται τμήμα από τον ώμο με το λαιμό και το χείλος. Δύο αυλακώσεις γύρω από τη βάση του λαιμού και κάτω από το χείλος.
Πηλός Κτ. ΙΑ2
εξ. επ. Κ-λ
εσ. επ. Κ-λ
πρ. Τ
σζ. ύψ. 0,11 μ.

2(Ζ1). Μόνωτο χειροποίητο βαθύ ευρύστομο αγγείο Τπ. Ι, IV (90).
Ακέραιο. Δύο παράλληλες αυλακώσεις γύρω από τη βάση του λαιμού. Μια αυλάκωση κάτω από το χείλος. Ζιγκ-ζαγκ διακοπτόμενη αυλακωτή διακόσμηση στον ώμο πλαισιώνει τρεις αποφύσεις. Αυλακωτή διακόσμηση και στο ταινιωτό τμήμα της γωνιόσχημης λαβής. Τέσσερις παράλληλες αυλακώσεις στο άνω τμήμα του κατακόρυφου κυλινδρικού στελέχους της λαβής.
Πηλός Κτ. ΙΑ2
εξ. επ. ΚΜ-λ
εσ. επ. ΚΜ-λ
πρ. Κ
ύψ. 0,173, δμβ. 0,065, δμχ. 0,15 μ.

3. Θραύσμα μόνωτου χειροποίητου ευρύστομου αγγείου Τπ. Ι, IV (44).
Σώζεται τμήμα ώμου με λαιμό και χείλος. Δύο παράλληλες αυλακώσεις γύρω από τη βάση του λαιμού.
Πηλός Κτ. ΙΑ2
εξ. επ. ΚΜ-λ
εσ. επ. ΚΜ-λ
πρ. ΚΤ
ύψ. 0,096 μ.

4(Ζ3). Μόνωτο χειροποίητο ευρύστομο αγγείο Τπ. Ι, IV (53).
Ακέραιο. Δύο παράλληλες αυλακώσεις γύρω από τη βάση του λαιμού. Μία αυλάκωση κάτω από το χείλος. Τρεις αποφύσεις στον ώμο.

Πηλός Κτ. ΙΑ2
εξ. επ. Κ-ΚΜ-λ
εσ. επ. ΚΜ
πρ. ΚΤ
ύψ. 0,106, δμβ. 0,06, δμχ. 0,20 μ.

5(Ζ5). Χάλκινο εγχειρίδιο Τπ. ΕΥ, 4.
Ράχη κυρτή, ακμή κοίλη. Ουρά με καμπυλόγραμμο άκρο, που εισέχει περισσότερο από την πλευρά της ακμής. Χωρίς καρφιά.
μκ. 0,16 μ.

6(Ζ4). Χάλκινο εγχειρίδιο Τπ. ΕΥ, 1α.
Ράχη κυρτή, ακμή κοίλη, αιχμή που κάμπτεται προς τα άνω. Ουρά που εισέχει από την πλευρά της ακμής, χωρίς καρφιά για την προσάρτηση της λαβής.
μκ. 0,123

7(Ζ2). Χειροποίητος αμφορέας με δύο οριζόντιες λαβές στην κοιλιά Τπ. Ι, VIΓ (125β).
Δύο παράλληλες αυλακώσεις γύρω από την αρχή του λαιμού.
Πηλός Κτ. ΙΑ2
εξ. επ. ΚΜ-λ
εσ. επ. ΚΜ
πρ. ΚΤ
ύψ. 0,27, δμβ. 0,07, δμχ. 0,12 μ.

8. Θραύσμα από το χείλος χειροποίητου αγγείου Τπ. Ι, XII.
Πλαστική ταινία με «δακτυλιές» γύρω από το χείλος.
Πηλός Κτ. ΙΓ2
εξ. επ. ΚΕ
εσ. επ. Κ
πρ. Τ
σζ. ύψ. 0,023 μ.

9. Θραύσμα από το χείλος μόνωτου ευρύστομου αγγείου Τπ. Ι, IV (78).
Τρεις παράλληλες αυλακώσεις κάτω από το χείλος.
Πηλός Κτ. ΙΑ2
εξ. επ. ΚΕ-λ
εσ. επ. Κ-λ
πρ. Κ
σζ. ύψ. 0,03 μ.

10. Θραύσμα από το λαιμό μόνωτου χειροποίητου ευρύστομου αγγείου Τπ. Ι, IV.
Διακρίνεται τμήμα από το μετωπικό πλαίσιο της αυλακωτής διακόσμησης του λαιμού.
Πηλός Κτ. ΙΑ2
εξ. επ. ΚΜ-λ
εσ. επ. ΚΜ-λ
πρ. Κ
σζ. ύψ. 0,043 μ.

ΤΑΦΟΣ Κ2Η

Ορθογώνιος κτιστός κιβωτιόσχημος τάφος, με προσανατολισμό Α.-Δ. περίπου, που προστέθηκε έξω από τη βόρεια πλευρά του τάφου Ι. Η βόρεια πλευρά του είναι ένας πλατύς τοίχος χτισμένος με σχιστολίθους, ενώ οι στενές πλευρές του κλίνουν με μεγάλες όρθιες σχιστόπλακες. Διαστάσεις (εσωτ.): μκ. 1,60, πλ. 1, βάθ. 0,60 μ. Το επίπεδο των ταφών εντοπίσθηκε κάτω από ένα στρώμα επίχωσης, που περιείχε περισσότερους λίθους παρά χώμα (Π ί ν. 213δ).

Ο τάφος παρουσίαζε μια εικόνα γενικής διατάραξης, που οφείλεται στις πολλαπλές ταφές που εναποτέθηκαν σ' αυτόν. Εντοπίσθηκαν λείψανα έξι κρανίων, από τα οποία κανένα συμπέρασμα για τη θέση των νεκρών δεν είναι δυνατό να προκύψει, εφόσον κανένα άλλο λείψανο οστών δε σώθηκε. Τα θραύσματα των κρανίων δ και ε ήταν τοποθετημένα το ένα μέσα στο άλλο. Την ίδια συγκεχυμένη εικόνα παρουσίαζαν και τα θραύσματα των αγγείων και τα υπόλοιπα κτερίσματα του τάφου, τα οποία ήταν αδύνατο να συσχετισθούν με συγκεκριμένες ταφές. Ξεχώριζαν, ωστόσο, συγκεντρωμένα θραύσματα αγγείων σε τέσσερις ομάδες μέσα στον τάφο. I: Η5, Η6, Η7, Η8, Η9 στη νοτιοδυτική γωνιά του τάφου, που πιθανόν σχετίζονται με την τελευταία χρονικά ταφή. II: Η3, Η1, III: Η2, IV: Η4.

Σημειώνουμε επίσης ότι, εκτός από τα όστρακα, που απεικονίζονται στον Πίνακα 21, έχουν βρεθεί στον τάφο και άλλα όστρακα από χειροποίητα αγγεία, τα όποια δε δίνουν στοιχεία για αναπαράσταση σχημάτων. Ένα μέρος από τα όστρακα αυτά, καθώς και από τα όστρακα του Πίνακα 21, πρέπει να προέρχονται από την επίχωση του τάφου. Η ανθρωπολογική μελέτη των σκελετικών λειψάνων και των δοντιών εντόπισε την ταφή έξι παιδιών στον τάφο (πρβλ. Παράρτημα Ια).

Πίν. 21

1(Η5). Χειροποίητο ευρύστομο αγγείο Τπ. Ι, ΙΙΙ (10).
Λείπει ένα μέρος από το άνω σώμα. Δύο οριζόντιες αποφύσεις-λαβές στον ώμο.
εξ. επ. ΚΜ-λ
εσ. επ. ΚΜ-λ
πρ. Τ
σζ. ύψ. 0,153, δμβ. 0,078 μ.

2(Η7). Θραύσμα από το άνω σώμα μόνωτου χειροποίητου ευρύστομου αγγείου Τπ. Ι, IV (72).
Δύο παράλληλες αυλακώσεις γύρω από τη βάση του λαιμού και κάτω από την περιφέρεια του χείλους.
Πηλός Κτ. ΙΑ2
εξ. επ. Κ-λ
εσ. επ. Κ-λ
πρ. Τ
σζ. ύψ. 0,11 μ.

3. Θραύσμα από το άνω ταινιωτό τμήμα γωνιόσχημης λαβής μόνωτου αγγείου Τπ. Ι, IV.
Αυλακωτή διακόσμηση.
Πηλός Κτ. ΙΑ2
εξ. επ. ΚΜ-λ
εσ. επ. ΚΜ
πρ. Τ
σζ. μκ. 0,03, πλ. 0,032 μ.

4. Θραύσμα κατακόρυφης κυλινδρικής λαβής χειροποίητου αγγείου Τπ. Ι, IV.
Πηλός Κτ. ΙΑ2
εξ. επ. ΚΜ-λ
εσ. επ. ΚΜ-λ
πρ. Τ
σζ. ύψ. 0,05 μ.

5. Θραύσμα κατακόρυφης κυλινδρικής λαβής χειροποίητου αγγείου Τπ. Ι, IV.
Πηλός Κτ. ΙΑ2
εξ. επ. ΚΜ-λ
εσ. επ. ΚΜ-λ
πρ. Τ
σζ. ύψ. 0,081 μ.

6(Η1). Θραύσματα μικρού κυπελλόσχημου χειροποίητου αγγείου Τπ. Ι, IV (40α).
Λείπει το μεγαλύτερο τμήμα του αγγείου.
Πηλός Κτ. ΙΑ2
εξ. επ. ΚΜ-λ
εσ. επ. ΚΜ
πρ. ΚΜ
σζ. ύψ. 0,08 μ.

7(Η6). Θραύσμα μικρής χειροποίητης οινοχόης Τπ. Ι, VIIΔ (172).
Σώζεται τμήμα από τον ώμο, το λαιμό και το χείλος.
Πηλός Κτ. ΙΑ2
εξ. επ. ΚΜ-λ
εσ. επ. ΚΜ
πρ. ΤΜ
σζ. ύψ. 0,08 μ.

8(Η6). Άωτο μικρογραφικό χειροποίητο αγγείο Τπ. Ι, IX (193).
Δύο οπές αντωπές κάτω από το χείλος.
Πηλός Κτ. ΙΓ2
εξ. επ. Ε
εσ. επ. Ε
πρ. ΚΕ
ύψ. 0,056 μ.

9(Η3). Θραύσμα βάσης χειροποίητου αγγείου.
Πηλός Κτ. ΙΑ1
εξ. επ. Κ
εσ. επ. Κ
πρ. Κ
σζ. ύψ. 0,037 μ.

10(Η5-6). Θραύσματα άωτου χειροποίητου αγγείου Τπ. Ι, ΙΧΑ (191).
Σώζεται τμήμα από τη βάση και το χείλος.
Πηλός Κτ. ΙΑ2
εξ. επ. Κ-λ
εσ. επ. ΚΜ
πρ. ΤΜ
σζ. ύψ. 0,09, δμβ. 0,05 μ.

11. Θραύσμα από το χείλος χειροποίητου αγγείου Τπ. Ι, XII (199).
«Νυχιές» γύρω στο χείλος.
Πηλός Κτ. ΙΓ2
εξ. επ. Κ
εσ. επ. Κ
πρ. Κ
σζ. ύψ. 0,087 μ.

12. Θραύσμα από το χείλος χειροποίητου αγγείου Τπ. Ι, XII (199).
«Νυχιές» γύρω στο χείλος.
Πηλός Κτ. ΙΓ2
εξ. επ. Κ
εσ. επ. Κ

πρ. Κ
σζ. ύψ. 0,044 μ.

13. Θραύσμα από το χείλος χειροποίητου αγγείου Τπ. Ι, XII (205).
Πλαστική ταινία με «δακτυλιές» λίγο κάτω από το χείλος.
Πηλός Κτ. ΙΓ2
εξ. επ. ΚΕ
εσ. επ. ΚΕ
πρ. ΚΤ
σζ. ύψ. 0,039 μ.

14. Θραύσμα από το χείλος χειροποίητου ευρύστομου αγγείου Τπ. Ι, ΙΙΙ ή Ι, IV.
Πηλός Κτ. ΙΒ1
εξ. επ. ΚΕ-λ φθ
εσ. επ. ΚΕ-λ
πρ. ΚΕ
σζ. ύψ. 0,037 μ.

15. Θραύσμα από το χείλος χειροποίητου ευρύστομου αγγείου Τπ. Ι, ΙΙΙ (2) ή Ι, IV (2).
Πηλός Κτ. ΙΑ2
εξ. επ. ΚΕ
εσ. επ. ΚΕ
πρ. Κ
σζ. ύψ. 0,033 μ.

16(Η2). Θραύσμα από το χείλος χειροποίητου αγγείου Τπ. Ι, ΙΙΙ (2) ή Ι, IV (2).
Πηλός Κτ. ΙΑ2
εξ. επ. ΚΜ-λ
εσ. επ. ΚΜ-λ
πρ. Τ
σζ. ύψ. 0,032 μ.

17. Θραύσμα από το χείλος χειροποίητου αγγείου Τπ. Ι, ΙΙΙ ή Ι, IV.
Πηλός Κτ. ΙΒ1
εξ. επ. Κ-λ
εσ. επ. Κ-λ
πρ. ΚΜ
σζ. ύψ. 0,3 μ.

18. Θραύσμα από την κοιλιά χειροποίητου αμφορέα Τπ. Ι, VIB (136β).
Απόφυση στον ώμο και στο μέσον της κοιλιάς ή αρχή μιας κατακόρυφης λαβής.
Πηλός Κτ. ΙΑ2
εξ. επ. Μ-λ
εσ. επ. ΚΕ
πρ. Τ
σζ. ύψ. 0,16 μ.

19. Θραύσμα κατακόρυφης ταινιωτής λαβής από την κοιλιά χειροποίητου αγγείου Τπ. Ι, VIB.
Πηλός Κτ. ΙΑ3
εξ. επ. Κ
εσ. επ. Κ
πρ. Κ
σζ. ύψ. 0,025 μ.

20. Θραύσμα λαβής τροχήλατου αγγείου (κύλικας) Τπ. ΙΙ, Ε (242) ή ΙΙ, Α1 (224).
Επίχρισμα καστανέρυθρο αραιό. Πηλός καθαρός ωχρέρυθρος.
σζ. μκ. 0,04 μ.

21. Θραύσμα χειροποίητου κλειστού αγγείου, που σώζει μια οριζόντια λαβή-απόφυση (ύστερης νεολιθικής εποχής).
Πηλός Κτ. ΙΔ
εξ. επ. Κ-λ φθ
εσ. επ. Κ-λ φθ
πρ. Κ
σζ. ύψ. 0,03 μ.

22(Η8). Κυλινδρική ψήφος από περιδέραιο Τπ. Ψχ4.
Χάλκινο έλασμα.
μκ. 0,015, δμ. 0,0015 μ.

ΤΑΦΟΣ Κ2Θ

Έξω από τη δυτική πλευρά του τάφου Η εντοπίσθηκαν τα λείψανα μιας ταφής, που φαίνεται ότι δεν είχε κλεισθεί σε κτιστό κιβωτιόσχημο χώρο. Ένα ενιαίο στρώμα λίθων κάλυπτε την ταφή. Ελάχιστα ίχνη κρανίου σημειώθηκαν στη βορειοδυτική γωνιά, έξω από τον τάφο. Πιθανότατα, ο νεκρός είχε ταφεί με προσανατολισμό Α.-Δ. και το κεφάλι προς Α.

Τα κτερίσματα αποτελούσαν θραύσματα αγγείων, που βρέθηκαν έξω από τη δυτική πλευρά του τάφου Η (Πίν. 213δ).

Από την περιοχή της ταφής Θ συγκεντρώθηκαν, επίσης, διάφορα όστρακα. Ανάμεσα σ' αυτά, τα αριθ. 18 και 19 του Πίνακα 22 δεν πρέπει να σχετίζονται με την ταφή Θ, αλλά με την αρχαιότερη κτιριακή φάση, που προϋπήρξε στη συστάδα Κ2 και στην οποία ανήκει ο λοξός τοίχος του τάφου Δ-Ε, ΣΤ, Ζ.

Πίν. 22

1(Θ1). Μόνωτο χειροποίητο ευρύστομο αγγείο Τπ. I, IV (110).
Λείπει ή λαβή του αγγείου. Λοξές αυλακώσεις στον ώμο.
Πηλός Κτ. ΙΑ2
εξ. επ. ΚΜ-λ
εσ. επ. ΤΜ-λ
πρ. Τ
ύψ. 0,15 μ.

2(Θ2). Θραύσμα μόνωτου χειροποίητου ευρύστομου αγγείου Τπ. I, IV (110).
Σώζεται τμήμα του ώμου με το λαιμό και το χείλος. Λοξές αυλακώσεις στον ώμο.
Πηλός Κτ. ΙΑ2
εξ. επ. ΚΤ-λ φθ
εσ. επ. ΚΤ-λ φθ
πρ. ΚΤ
σζ. ύψ. 0,075 μ.

3. Θραύσμα από το χείλος χειροποίητου αγγείου Τπ. I, IV.
Πηλός Κτ. ΙΒ1
εξ. επ. ΚΕ-λ
εσ. επ. ΚΕ
πρ. ΚΤ
σζ. ύψ. 0,02 μ.

4. Θραύσμα από το λαιμό και το χείλος χειροποίητου κλειστού αγγείου (αμφορέας) Τπ. I, VI (136).
Δύο αυλακώσεις κάτω από το χείλος.
Πηλός Κτ. ΙΑ2
εξ. επ. ΚΜ-λ
εσ. επ. ΚΜ-λ
πρ. ΚΕ
σζ. ύψ. 0,048 μ.

5. Θραύσμα χειροποίητου ευρύστομου αγγείου Τπ. I, VI.
Σώζεται τμήμα ώμου, λαιμού και χείλους. Μια αυλάκωση γύρω από την αρχή του λαιμού.
Πηλός Κτ. ΙΑ2
εξ. επ. ΚΜ-λ
εσ. επ. ΚΜ-λ
πρ. Κ
σζ. ύψ. 0,042 μ.

6. Θραύσμα από το χείλος χειροποίητου αγγείου Τπ. I, XII (199).
«Νυχιές» γύρω στο χείλος.
Πηλός Κτ. ΙΓ2
εξ. επ. Ε
εσ. επ. Ε
πρ. Τ
σζ. ύψ. 0,025 μ.

7. Θραύσμα από το χείλος χειροποίητου αγγείου Τπ. I, XII.
Πηλός Κτ. ΙΓ2
εξ. επ. ΚΕ
εσ. επ. ΚΕ
πρ. ΚΤ
σζ. ύψ. 0,035 μ.

8. Θραύσμα από το χείλος χειροποίητου ευρύστομου αγγείου Τπ. I, XII8 (206).
Πλαστική ταινία με «δακτυλιές» λίγο κάτω από το χείλος.
Πηλός Κτ. ΙΓ2
εξ. επ. ΚΕ
εσ. επ. ΚΕ
πρ. ΚΕ
σζ. ύψ. 0,017 μ.

9. Θραύσμα κατακόρυφης κυλινδρικής λαβής χειροποίητου αγγείου Τπ. I, VI ή I, VII.
Πηλός Κτ. ΙΑ2
εξ. επ. ΚΜ
εσ. επ. ΚΜ
πρ. ΤΜ
σζ. ύψ. 0,055 μ.

10. Θραύσμα κατακόρυφης κυλινδρικής λαβής χειροποίητου αγγείου Τπ. I, VII.
Πηλός Κτ. ΙΑ2
εξ. επ. ΚΜ-λ
εσ. επ. ΚΜ-λ
πρ. ΤΜ
σζ. ύψ. 0,09 μ.

11. Θραύσμα κατακόρυφης κυλινδρικής λαβής από την κοιλιά χειροποίητου αγγείου Τπ. I, VIB.
Πηλός Κτ. ΙΑ3
εξ. επ. ΚΤ-λ
εσ. επ. ΚΤ
πρ. Κ
σζ. ύψ. 0,095 μ.

12. Θραύσμα κατακόρυφης κυλινδρικής λαβής από την κοιλιά χειροποίητου αγγείου Τπ. I, VIB.
Πηλός Κτ. ΙΑ3
εξ. επ. ΚΜ

εσ. επ. ΚΜ
πρ. ΤΜ
σζ. ύψ. 0,095 μ.

13. Κατακόρυφη κυλινδρική λαβή από την κοιλιά χειροποίητου αγγείου Τπ. Ι, VIB.
Πηλός Κτ. ΙΒ2
εξ. επ. ΚΕ
εσ. επ. ΚΕ
πρ. Κ
σζ. ύψ. 0,09 μ.

14. Θραύσμα κατακόρυφης κυλινδρικής λαβής χειροποίητου αγγείου Τπ. Ι, XII.
Πηλός Κτ. ΙΓ2
εξ. επ. Ε
εσ. επ. Ε
πρ. ΚΕ
σζ. ύψ. 0,033 μ.

15. Θραύσμα από την κοιλιά χειροποίητου αγγείου Τπ. Ι, XII.
Διακρίνεται η αρχή κατακόρυφης λαβής.
Πηλός Κτ. ΙΓ2
εξ. επ. Ε
εσ. επ. Ε
πρ. Τ
σζ. ύψ. 0,045 μ.

16. Θραύσμα κατακόρυφης λαβής χειροποίητου αγγείου Τπ. Ι, IV.
Πηλός Κτ. ΙΑ2
εξ. επ. ΚΜ-λ
εσ. επ. ΚΜ-λ
πρ. ΚΤ
σζ. ύψ. 0,05 μ.

17. Θραύσμα από την κοιλιά χειροποίητου αγγείου Τπ. Ι, VIB.
Σώζεται μία κατακόρυφη κυλινδρική λαβή.
Πηλός Κτ. ΙΒ2
εξ. επ. ΚΜ-λ
εσ. επ. ΚΕ
πρ. ΚΤ
σζ. ύψ. 0,11 μ.

18. Θραύσμα από τον ώμο κλειστού αγγείου (αμφορέα) (ύστερης νεολιθικής εποχής).
Λαβή-απόφυση με οριζόντια διάτρηση στον ώμο.
Πηλός Κτ. ΙΔ
εξ. επ. ΚΕ-λ
εσ. επ. ΚΕ
πρ. ΚΕ
σζ. ύψ. 0,04 μ.

19. Θραύσμα από το χείλος φιαλόσχημου ευρύστομου αγγείου (ύστερης νεολιθικής εποχής).
Πηλός Κτ. ΙΔ
εξ. επ. Ε
εσ. επ. Ε
πρ. Ε
σζ. ύψ. 0,03 μ.

ΤΑΦΟΣ Κ2Ι

Στα ανατολικά του τάφου Β-Γ, στο ανατολικό τμήμα της βόρειας πλευράς του μεγάλου τάφου Δ-Ε, ΣΤ, Ζ, προστέθηκε μια ταφή σε πίθο, αντίστοιχη με την ταφή Β-Γ, μέσα σ' ένα κτιστό κιβωτιόσχημο χώρο. Η βόρεια πλευρά του χώρου σχηματίζεται από μια μεγάλη όρθια σχιστόπλακα. Ο πίθος βρέθηκε τοποθετημένος οριζόντια, με το στόμιο προς Δ., κάτω από ένα αραιό στρώμα λίθων (Π ί ν. 214α). Λείψανα σκελετού δε βρέθηκαν, εκτός από ένα μικρό θραύσμα δακτύλου χεριού, στο κέντρο περίπου του πίθου. Στην ίδια θέση βρέθηκε και ένα μικρογραφικό χάλκινο εγχειρίδιο.

Η ταφή ήταν παιδική.

ΕΥΡΗΜΑΤΑ

Π ί ν. 15Β

1. Χειροποίητος οξυπύθμενος πίθος Τπ. Ι, XIV (4).
Λείπει ελάχιστο τμήμα από το κάτω σώμα· δύο παράλληλες απλές πλαστικές ταινίες γύρω από τη βάση του λαιμού.
Πηλός καστανός Κτ. Β3
ύψ. 1,30, δμ. 0,64, δμλ. 0,42 μ.

2. Χάλκινο εγχειρίδιο Τπ. ΕΙΙΙ, 1.
Λείπει η αιχμή. Ράχη ελαφρά κυρτή, ακμή ευθύγραμμη. Ουρά με καμπύλο άκρο, που εισέχει ελάχιστα και από τις δύο πλευρές της λεπίδας.
σζ. μκ. 0,08 μ.

Ταφική συστάδα Κ3

Η ταφική συστάδα Κ3 αποτελείται από δύο κτιστούς κιβωτιόσχημους ορθογώνιους τάφους, που έχουν κοινή τη μία ενδιάμεση μακρά πλευρά. Προσανατολισμός τάφων Β.-Ν., περίπου (Σ χ έ δ. Ι).

Οι δύο τάφοι της συστάδας δεν κατασκευάσθηκαν συγχρόνως. Πρώτα κατασκευάσθηκε ο τάφος Β και σ' αυτόν προστέθηκε αργότερα ο τάφος Α, που είναι κάπως μικρότερος (Σ χ έ δ. 8).

Πριν από την έναρξη της ανασκαφής, οι τάφοι ξεχώριζαν καθαρά ο ένας από τον άλλο, γιατί τα τοιχώματά τους εξείχαν γύρω στα 0,50 μ. από την επιφάνεια του εδάφους. Η δυτική πλευρά του τάφου Α, που λειτουργούσε και σαν ανάλημμα, γιατί το έδαφος είναι κατηφορικό, υψώνεται 1,50 μ. περίπου πάνω από την επιφάνεια του εδάφους.

Οι δύο στενές πλευρές του τάφου Α και η βόρεια στενή πλευρά του τάφου Β έκλειναν με όρθιες σχιστόπλακες, που εξείχαν αρκετά πάνω από το σωζόμενο ύψος των τοίχων. Στοιχεία για την ύπαρξη κοινού τύμβου πάνω στους τάφους δε διαπιστώθηκαν.

ΤΑΦΟΣ Κ3Α

Προσανατολισμός τάφου Β.-Ν. Διαστάσεις τάφου (εσωτ.): μγ. μκ. 2, μγ. πλ. 1, ύψ. τοιχωμάτων 0,53 μ.

Δύο στρώματα ταφών εντοπίσθηκαν στον τάφο Α.

Στρώμα Ι (Πίν. 215α)

Το επίπεδο των ταφών του στρώματος Ι εντοπίσθηκε σε βάθος 0,30 μ. κάτω από ένα στρώμα με χώμα και αραιούς λίθους, που κάλυπταν το εσωτερικό του τάφου.

Ελάχιστα λείψανα οστών σώζονταν. Ορισμένα ίχνη κρανίου διαπιστώθηκαν στο κέντρο περίπου του τάφου. Τα οστά των κάτω άκρων που σώζονται εμφανίζονται σε δύο ομάδες, έτσι ώστε να είναι δυνατό να συμπεράνει κανείς πως πρόκειται για δύο παιδικές ταφές με προσανατολισμό Α.-Δ.

Ταφή Κ3Α, Ι, Α. Ίχνη από το κρανίο εντοπίσθηκαν στο κέντρο περίπου του τάφου. Θραύσματα οστών κάτω άκρων εντοπίσθηκαν προς τη δυτική πλευρά του τάφου. Από τα κτερίσματα, το αγγείο Κ3Α, Ι, 2 βρέθηκε πάνω από το κεφάλι του νεκρού (πιθανότατα, το κρανίο που βρέθηκε στο κέντρο του τάφου έχει κατρακυλίσει από ψηλότερα). Η χάλκινη πόρπη Α3, καθώς και η χάλκινη ψήφος Α4, πιθανόν βρίσκονται κατά χώραν, ενώ το θραύσμα σιδερένιου εγχειριδίου Α7 βρέθηκε μετατοπισμένο στην επίχωση.

Ταφή Κ3Α, Ι, Β. Ελάχιστα λείψανα οστών που θα μπορούσαν να συσχετισθούν με μια δεύτερη ταφή στο ίδιο στρώμα, εντοπίσθηκαν προς τη βορειοδυτική πλευρά του τάφου. Στην περιοχή αυτή βρέθηκε η τροχήλατη προχοΐσκη Κ3ΑΙ, 1 και οι δύο χάλκινοι σφηκωτήρες Κ3ΑΙ, 5-6, που μαζί με τα άλλα κτερίσματα του επιφανειακού στρώματος προσδιορίζουν τις νεότερες ταφές του τάφου Κ3Α (Σ χ έ δ. 9).

ΕΥΡΗΜΑΤΑ

Πίν. 23Β

1(ΑΙ, 1). Τροχήλατη προχοΐσκη Τπ. ΙΙ, Δ (231).
Ακέραιη. Γραπτή διακόσμηση με αραιωμένο ερυθρό χρώμα πάνω στο ωχρέρυθρο έδαφος του αγγείου. Κατακόρυφες ζιγκ-ζαγκ γραμμές με ελεύθερη πινελιά, κατά διαστήματα, στο λαιμό και στον ώμο. Περιφερικές γραμμές κάτω από το χείλος, γύρω από τη βάση του λαιμού και γύρω από την αρχή του ώμου. Συστάδα από παράλληλες γραμμές γύρω από το κάτω σώμα του αγγείου. Γραμμική διακόσμηση και στην ταινιωτή λαβή.
Πηλός καθαρός ωχρέρυθρος Κτ. ΙΙΓ
ύψ. 0,13, δμβ. 0,052, δμχ. 0,05 μ.

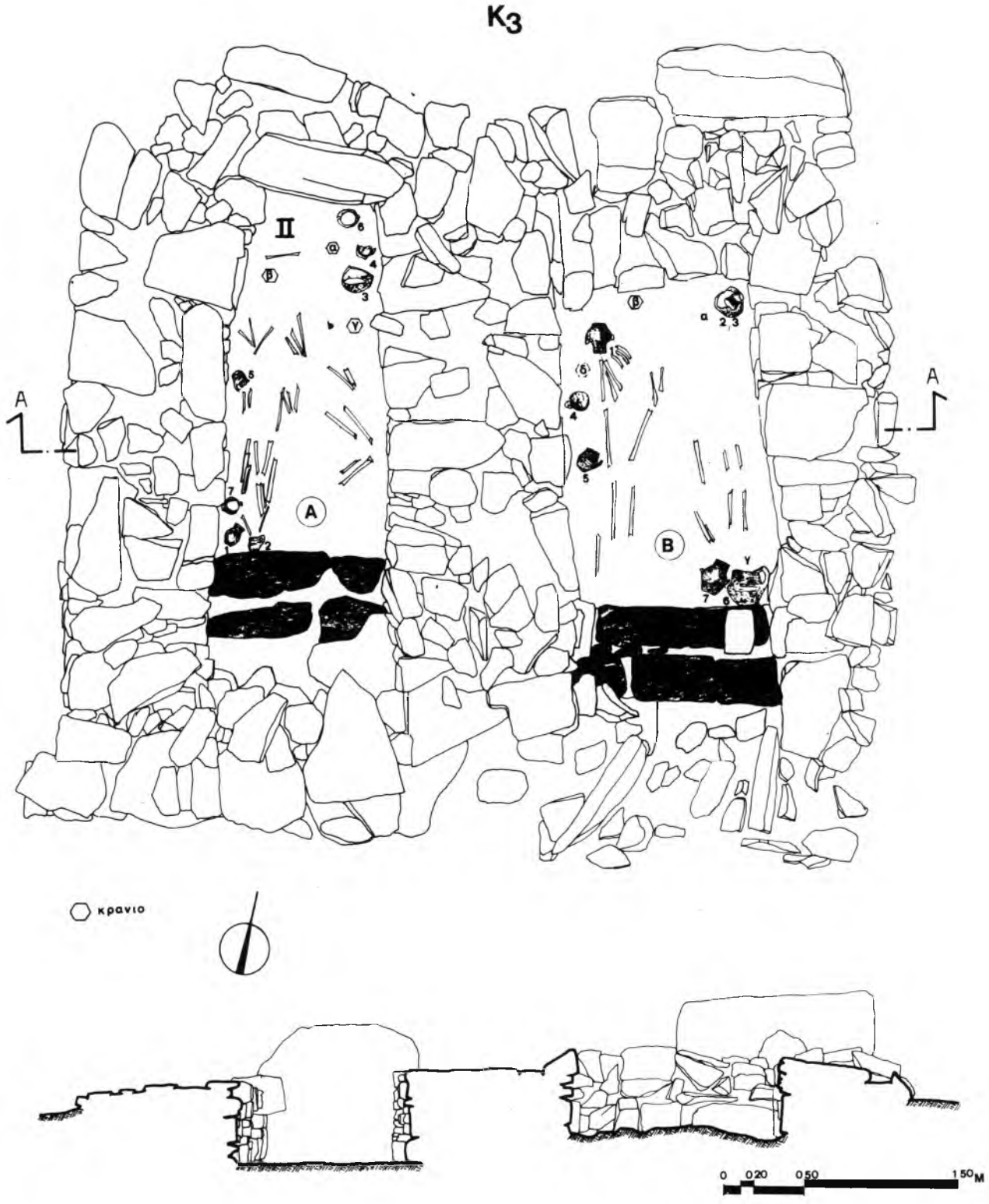

Σχέδ. 8. Κάτοψη και τομή ταφικής συστάδας Κ3.

2(ΑΙ, 2). Θραύσμα από το κάτω σώμα μόνωτου χειροποίητου κυπελλόσχημου αγγείου Τπ. Ι, IV (34α).
Σώζεται μέρος από το σώμα με τη βάση και την αρχή της λαβής.
Πηλός Κτ. ΙΒ1
εξ. επ. ΚΕ-λ
εσ. επ. ΚΕ-λ
πρ. ΚΕ
σζ. ύψ. 0,081, δμβ. 0,036 μ.

3(ΑΙ, 7). Τμήμα από τη σιδερένια λεπίδα εγχειριδίου Τπ. ΕVIII.
Πλατιά λεπίδα με παράλληλες ευθύγραμμες πλευρές.
σζ. μκ. 0,053 μ.

4(ΑΙ, 4). Χάλκινη δικωνική ψήφος από περιδέραιο Τπ. Ψχ5.
ύψ. 0,017, δμ. 0,015 μ.

5(ΑΙ, 6). Χάλκινος σφηκωτήρας από ταινιωτό έλασμα Τπ. Σφ. 6.
ύψ. 0,02, δμ. 0,05 μ.

6(ΑΙ, 5). Χάλκινος σφηκωτήρας, όμοιος με τον προηγούμενο, Τπ. Σφ. 6.
ύψ. 0,015, δμ. 0,022 μ.

7(ΑΙ, 3). Χάλκινη τοξόσχημη πόρπη Τπ. Π5. Έχει σπάσει ένα τμήμα της περόνης. Τόξο κυλινδρικό, υποδοχή βελόνας διαμορφωμένη σε ορθογώνια εξοχή.
ύψ. 0,025, δμ. τόξου 0,04 μ.

Σ τ ρ ώ μ α ΙΙ

Ένα προγενέστερο στρώμα ταφών (ΙΙ) εντοπίσθηκε κάτω από το στρώμα Ι. Οι νεκροί του στρώματος αυτού είχαν εναποτεθεί ο ένας πάνω ή δίπλα στον άλλον (Σ χ έ δ. 9· Π ί ν. 215α-β).

Ξεχώρισαν με βεβαιότητα τρεις ταφές: α, β, γ.

Ταφή α. Η ταφή αυτή είναι η αρχαιότερη από τις τρεις ταφές του στρώματος ΙΙ και πιθανότατα έχει διαδεχθεί κάποια προγενέστερη παραμερισμένη ταφή στον τάφο.

Από την ταφή α εντοπίσθηκε το κρανίο α (Σ χ έ δ. 9), λείψανα οστών χεριών και οστά κάτω άκρων στη δυτική πλευρά του τάφου. Από τα παραπάνω οστά προκύπτει ότι ο νεκρός είχε ταφεί ύπτιος, με το κεφάλι προς τη βόρεια στενή πλευρά του τάφου και τα σκέλη τεντωμένα, σε παράλληλη περίπου θέση. Για τη θέση των χεριών δεν υπάρχουν ασφαλή στοιχεία. Ορισμένα θραύσματα οστών χεριού, που βρέθηκαν στην περιοχή του δεξιού μηρού, πιθανόν βεβαιώνουν ότι το δεξί χέρι του νεκρού ήταν τεντωμένο κατά μήκος του μηρού. Δεν αποκλείεται όμως να ήταν μετατοπισμένα στη θέση αυτή, όπως και τα οστά χεριού, που βρέθηκαν πίσω από το κρανίο.

Η απόδοση των κτερισμάτων στην εν μέρει διαταραγμένη ταφή α είναι επίσης προβληματική. Με την ταφή αυτή συσχετίσθηκαν τα αγγεία ΑΙΙ, 5 και 6, που βρέθηκαν χωριστά από τις σαφείς ομάδες κτερισμάτων των νεότερων ταφών. Πάνω στο φυσικό βράχο βρέθηκε επίσης και ένα θραύσμα σκουριάς (Παράρτημα VIIIβ).

Ταφή γ. Η ταφή γ, που ακολούθησε χρονικά την ταφή α, έχει εναποτεθεί στη νοτιοδυτική πλευρά του τάφου. Ο νεκρός έχει ταφεί με το κεφάλι προς τη βόρεια πλευρά, πιθανώς πλαγιασμένος στο αριστερό πλευρό και με τα σκέλη ελαφρά λυγισμένα. Από τα ελάχιστα λείψανα οστών χεριών προκύπτει ότι το ένα τουλάχιστον χέρι του νεκρού ήταν λυγισμένο στο στήθος.

Από τις διαστάσεις των οστών προκύπτει ότι ο νεκρός είχε το μικρότερο ανάστημα σε σύγκριση με τους νεκρούς του στρώματος ΙΙ.

Με την ταφή γ σχετίζονται τα αγγεία της ομάδας Β ΑΙΙ4 και ΑΙΙ3, που βρέθηκαν στη βορειοανατολική γωνία του τάφου πάνω από το κεφάλι του νεκρού.

Ταφή β. Η ταφή αυτή είναι η τελευταία χρονικά ταφή μέσα στον τάφο. Έχει εναποτεθεί πάνω από την ταφή α και πιθανότατα έχει παραμερίσει και διαταράξει εν μέρει και την ταφή γ. Ο νεκρός έχει ταφεί ύπτιος, με το κεφάλι προς τη βόρεια στενή πλευρά του τάφου και τα σκέλη τεντωμένα, με τις κνήμες ελαφρά διασταυρωμένες. Τα χέρια του νεκρού είναι λυγισμένα στο στήθος. Με την ταφή αυτή σχετίζονται τα αγγεία ΑΙΙ, 1, 2 και 7.

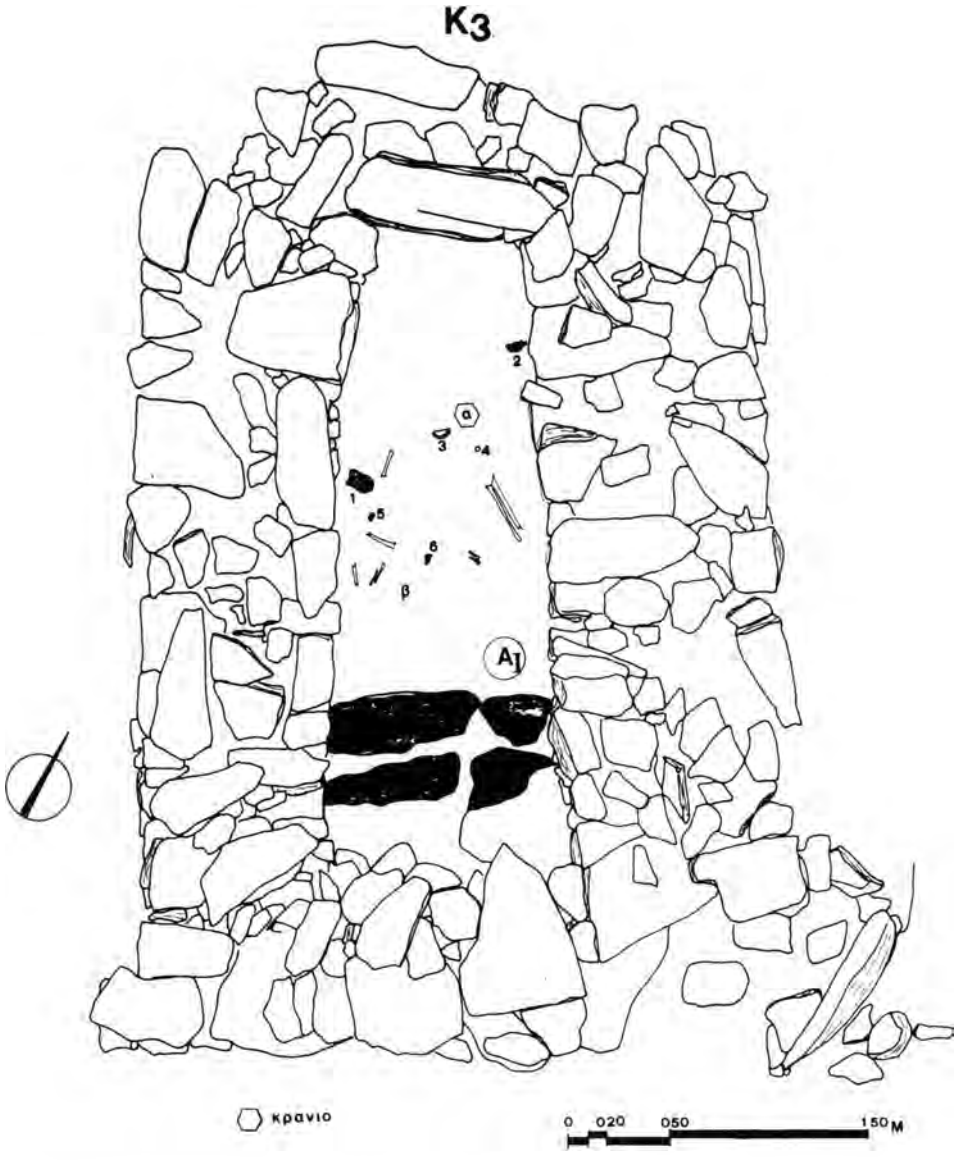

Σχέδ. 9. Στρώμα Ι του τάφου Κ3Α.

ΕΥΡΗΜΑΤΑ

Ταφή α

Πίν. 24Α

1(ΑΙΙ, 5). Βαθύ χειροποίητο κυπελλόσχημο αγγείο Τπ. Ι, VIIΔ (173).
Λείπει ένα μέρος από το κάτω σώμα και το λαιμό. Δύο αυλακώσεις γύρω από τη βάση του λαιμού.
Πηλός Κτ. ΙΑ2
εξ. επ. ΚΤ-λ
εσ. επ. ΚΤ-λ
πρ. ΚΤ
ύψ. 0,12, δμχ. 0,07, δμβ. 0,05 μ.

2(ΑΙΙ, 6). Χειροποίητο κανθαρόσχημο αγγείο Τπ. Ι, VI (117β).

Λείπει το άνω τμήμα λαιμού, το χείλος, καθώς και οι λαβές.
Πηλός Κτ. ΙΑ2
εξ. επ. ΚΤ-λ
εσ. επ. ΚΤ
πρ. ΚΤ
σζ. ύψ. 0,107, δμχ. 0,10, δμβ. 0,055 μ.

3. Θραύσμα από το πίσω μέρος χάλκινης λεπίδας εγχειριδίου Τπ. ΕΙ.
Σώζεται τμήμα λεπίδας και η ουρά.
σζ. μκ. 0,035 μ.

4. Θραύσμα από χάλκινο κουμπί (tutulus) Τ2.
ύψ. 0,006 μ.

5. Χάλκινο καρφί από εγχειρίδιο.
σζ. μκ. 0,009 μ.

Ταφή β

Π ί ν. 24Β

6(ΑΙΙ, 3). Μόνωτο χειροποίητο ευρύστομο αγγείο Τπ. Ι, IV (19).
Λείπει ένα μέρος από το άνω σώμα του αγγείου και η λαβή.
Πηλός Κτ. ΙΑ2
εξ. επ. ΚΜ-λ
εσ. επ. ΚΜ-λ
πρ. ΚΤ
ύψ. 0,175, δμβ. 0,095, δμχ. 0,195 μ.

7(ΑΙΙ, 4). Μόνωτο χειροποίητο ευρύστομο αγγείο Τπ. Ι, IV (54α).
Λείπει μικρό τμήμα από το χείλος και το άνω τμήμα της λαβής. Δύο αυλακώσεις γύρω από τη βάση του λαιμού· μία αυλάκωση κάτω από το χείλος.
Πηλός Κτ. ΙΑ2
εξ. επ. ΚΤ-λ
εσ. επ. Κ-λ
πρ. Κ-ΚΤ
ύψ. 0,10, δμβ. 0,07, δμχ. 0,12 μ.

Ταφή γ

Π ί ν. 24Γ

8(ΑΙΙ, 7). Μόνωτο χειροποίητο ευρύστομο αγγείο Τπ. Ι, IV (86).
Λείπει το άνω τμήμα της λαβής. Δύο παράλληλες αυλακώσεις γύρω από τη βάση του λαιμού. Μία αυλάκωση κάτω από το χείλος. Δύο αποφύσεις στον ώμο.
Πηλός Κτ. ΙΑ2
εξ. επ. ΚΜ-λ
εσ. επ. ΚΜ-λ
πρ. ΚΜ
ύψ. 0,09, δμβ. 0,06, δμχ. 0,11 μ.

9(ΑΙΙ, 2). Χειροποίητο κύπελλο Τπ. Ι, IV (103).
Λείπει μικρό τμήμα από το χείλος. Δύο παράλληλες αυλακώσεις κάτω από το χείλος· δύο παράλληλες αυλακώσεις γύρω από τη βάση του λαιμού. Ζιγκ-ζαγκ αυλακωτή διακόσμηση στο σώμα του αγγείου.
Πηλός Κτ. ΙΑ2
εξ. επ. Κ-ΚΕ-λ
εσ. επ. ΚΕ-Μ-λ
πρ. Κ
ύψ. 0,10, δμβ. 0,052, δμχ. 0,075 μ.

10(ΑΙΙ, 1). Χειροποίητος αμφορέας Τπ. Ι, VIΓ (133).
Ακέραιος. Βάση δακτυλιόσχημη, λαβές οριζόντιες. Από μία απόφυση στον ώμο ανάμεσα στις λαβές. Μία αυλάκωση γύρω από τη βάση του λαιμού· δύο παράλληλες αυλακώσεις κάτω από το χείλος.
Πηλός Κτ. ΙΑ2
εξ. επ. ΚΤ-λ
εσ. επ. Μ
πρ. ΚΤ
ύψ. 0,194, δμχ. 0,107, δμβ. 0,08 μ.

11. Θραύσμα σκουριάς (πρβλ. Παράρτημα VIIIβ).
διαστ. 0,03×0,03×0,03 μ.

ΤΑΦΟΣ Κ3Β

Κτιστός κιβωτιόσχημος τάφος με προσανατολισμό Β.-Ν. Διαστάσεις τάφου (εσωτ.): μκ. 2, πλ. 1,30, ύψ. τοιχωμάτων 0,45 μ.

Το επίπεδο της ταφής εντοπίσθηκε κάτω από ένα στρώμα λίθων και χώματος, που κάλυπτε το εσωτερικό του τάφου. Οι ταφές είχαν εναποτεθεί πάνω σ' ένα λεπτό στρώμα φυσικού χώματος, πάνω στο φυσικό βράχο.

Τα λείψανα των σκελετών ήταν πολύ φθαρμένα, αλλά από αυτά διαπιστώθηκε ότι στον

τάφο είχαμε μία αδιατάρακτη ταφή (ταφή 3β) και δύο-τρεις, τουλάχιστον, μετατοπισμένες και παραμερισμένες ταφές.

Ταφή β. Είναι η νεότερη ταφή του τάφου και γι' αυτό το λόγο αδιατάρακτη. Ελάχιστα, ωστόσο, λείψανα οστών από το σκελετό του νεκρού εντοπίσθηκαν. Λείψανα κρανίου β, θραύσματα πλευρών, θραύσματα οστών και χεριών, καθώς και θραύσματα οστών κάτω άκρων, βεβαιώνουν ότι ο νεκρός είχε ταφεί ύπτιος, με το κεφάλι προς τη βορειοανατολική στενή πλευρά, τα χέρια λυγισμένα στο στήθος και τα σκέλη τεντωμένα.

Με την ταφή αυτή σχετίζεται οπωσδήποτε ο αμφορέας Β1 (Π ί ν. 215δ-ε). Τα αγγεία Β4 και Β5, που βρέθηκαν δίπλα στο νεκρό β, θα μπορούσαν να προέρχονται και από προγενέστερες ταφές, γιατί στην περιοχή του νεκρού β βρέθηκαν και άλλα οστά, που ανήκουν σε προγενέστερες ταφές (κρανίο δ, οστά σκελών) (Π ί ν. 215δ).

Ταφές α, γ, δ. Ελάχιστα λείψανα οστών, κυρίως μηριαίων, που βρέθηκαν στη νοτιοδυτική πλευρά του τάφου, προέρχονται από προγενέστερες παραμερισμένες ταφές (ταφές α και γ).

Δύο ομάδες αγγείων προσδιορίζουν τις ταφές αυτές:

Ομάδα α': Στη βορειοανατολική γωνία με τα αγγεία Β2 και Β3 (Π ί ν. 215γ).

Ομάδα γ': Στη νοτιοανατολική γωνία με τα αγγεία Β7 και Β6 (Π ί ν. 215στ).

Τα αγγεία Β4 και Β5 δεν είναι βέβαιο αν ανήκουν σε παραμερισμένη ταφή του κρανίου δ ή αν αποτελούν κτερίσματα της ταφής β.

ΕΥΡΗΜΑΤΑ

Ταφή α

Π ί ν. 25Α

1(Β2). Μόνωτο χειροποίητο ευρύστομο αγγείο Τπ. Ι, IV (112α).
Λείπει ένα μεγάλο μέρος από το σώμα του αγγείου και η λαβή. Αυλακωτή διακόσμηση στον ώμο και στο λαιμό του αγγείου, με διακοσμητικά θέματα που θυμίζουν τρίγλυφα, εναλλάξ τοποθετημένα σε τρεις επάλληλες ζώνες.
Πηλός Κτ. ΙΑ2
εξ. επ. Κ-λ
εσ. επ. Κ-λ
πρ. Κ
ύψ. 0,25, δμβ. 0,09, δμχ. 0,165 μ.

2(Β3). Χειροποίητο βαθύ κυπελλόσχημο αγγείο Τπ. Ι, IV (105).
Λείπει μικρό τμήμα από το χείλος. Σειρά από στικτές κουκίδες γύρω από τη βάση του λαιμού.
Πηλός Κτ. ΙΑ2
εξ. επ. Κ-ΚΜ-λ
εσ. επ. Κ
πρ. ΚΜ
ύψ. 0,11, δμβ. 0,055, δμχ. 0,07 μ.

Ταφή β

Π ί ν. 25Β

3(Β4). Μόνωτο χειροποίητο ευρύστομο αγγείο Τπ. Ι, IV (110).
Λείπει ένα μέρος από το κάτω σώμα, καθώς και τμήμα του λαιμού με το χείλος. Λοξές παράλληλες αυλακώσεις στο λαιμό του αγγείου.
Πηλός Κτ. ΙΑ2
εξ. επ. Κ-ΚΜ-λ
εσ. επ. ΚΜ-λ
πρ. ΚΜ
ύψ. 0,115, δμβ. 0,075, δμχ. 0,14 μ.

4(Β5). Χειροποίητο βαθύ ευρύστομο αγγείο Τπ. Ι, IV (60β).
Λείπει ένα μέρος από το λαιμό και το χείλος.
Πηλός Κτ. ΙΑ2
εξ. επ. ΚΜ-λ
εσ. επ. ΚΜ-λ
πρ. ΚΜ
ύψ. 0,15, δμβ. 0,075, δμχ. 0,105 μ.

5(Β1). Τροχήλατος αμφορέας, Τπ. ΙΙ, Γ (240)
Λείπει ένα μέρος από το κάτω σώμα, καθώς και τμήμα του χείλους.
Πηλός καθαρός ερυθρός Κτ. ΙΙΒ
ύψ. 0,17, δμχ. 0,113 μ.

Ταφή γ

Π ί ν. 23Α

1(Β7). Χειροποίητος αμφορέας Τπ. Ι, VIΓ (131).

Λείπει ένα μέρος από το κάτω σώμα και το λαιμό. Δύο παράλληλες αυλακώσεις γύρω στο μέσον του λαιμού, μία αυλάκωση κάτω από το χείλος.
Πηλός Κτ. ΙΑ2
εξ. επ. ΚΜ-λ
εσ. επ. Μ
πρ. ΚΜ-ΜΤ
ύψ. 0,218, δμβ. 0,075, δμχ. 0,085 μ.

2(Β6). Μόνωτο χειροποίητο βαθύ ευρύστομο αγγείο Τπ. Ι, ΙΙV (74).
Λείπει ένα μικρό μέρος από το λαιμό και το χείλος. Μία αυλάκωση στην αρχή του λαιμού, δύο παράλληλες αυλακώσεις γύρω στο μέσον του λαιμού και μία κάτω από το χείλος.
Πηλός Κτ. ΙΑ2
εξ. επ. ΤΜ-λ
εσ. επ. ΤΜ-λ
πρ. ΤΜ
ύψ. 0,218, δμβ. 0,075, δμχ. 0,085 μ.

Επίχωση του τάφου Κ3Α (ΕΠ)

Πίν. 26Α

1. Θραύσμα από το λαιμό χειροποίητου αμφορέα Τπ. Ι, VIΓ.
Δύο παράλληλες αυλακώσεις γύρω από τη βάση του λαιμού.
Πηλός Κτ. ΙΑ2
εξ. επ. Κ-λ φθ
εσ. επ. ΚΕ
πρ. ΚΕ
σζ. ύψ. 0,073, δμλ. 0,12 μ.

2. Θραύσμα από το σώμα χειροποίητου αγγείου Τπ. Ι, XII.
Πλαστική ταινία με «δακτυλιές».
Πηλός Κτ. ΙΓ2
εξ. επ. Κ
εσ. επ. ΚΕ
πρ. Κ
σζ. ύψ. 0,032 μ.

3. Θραύσμα από το χείλος χειροποίητου αγγείου Τπ. Ι, IV ή Ι, ΙΙΙ.
Πηλός Κτ. ΙΑ1
εξ. επ. ΚΕ-λ
εσ. επ. ΚΕ
πρ. ΚΕ
σζ. ύψ. 0,03 μ.

4. Θραύσμα κατακόρυφης λαβής από την κοιλιά χειροποίητου αγγείου Τπ. Ι, VIB.
Πηλός Κτ. ΙΑ2
εξ. επ. ΚΜ-λ
εσ. επ. ΚΜ-λ
πρ. ΤΜ
σζ. ύψ. 0,06 μ.

5. Θραύσμα κατακόρυφης λαβής από την κοιλιά χειροποίητου αγγείου Τπ. Ι, XII.
Πηλός Κτ. ΙΓ2
εξ. επ. Κ
εσ. επ. Κ
πρ. Κ
σζ. ύψ. 0,058 μ.

6. Θραύσμα από το χείλος φιαλόσχημου αγγείου (ύστερων νεολιθικών χρόνων).
Πηλός Κτ. ΙΔ
εξ. επ. Ε
εσ. επ. Ε
πρ. Ε
σζ. ύψ. 0,033 μ.

Επίχωση του τάφου Κ3Β (ΕΠ)

Πίν. 26Β

1. Θραύσμα από το χείλος χειροποίητου ευρύστομου αγγείου Τπ. Ι, IV.
Δύο παράλληλες αυλακώσεις κάτω από το χείλος.
Πηλός Κτ. ΙΑ2
εξ. επ. Κ-λ
εσ. επ. Κ-λ
πρ. Κ
σζ. ύψ. 0,045 μ.

2. Θραύσμα χειροποίητου ευρύστομου αγγείου Τπ. Ι, IV (66δ).
Σώζεται τμήμα από τον ώμο, το λαιμό και το χείλος. Τρεις παράλληλες αυλακώσεις γύρω από τη βάση του λαιμού του αγγείου.
Πηλός Κτ. ΙΑ2
εξ. επ. Κ
εσ. επ. Κ
πρ. ΚΕ
σζ. ύψ. 0,08 μ.

3. Θραύσμα πήλινου δικωνικού σφονδυλιού Τπ. ΣΙΙ, 1β.
ύψ. 0,024, δμ. 0,035 μ.

4. Θραύσμα από το χείλος χειροποίητου ευρύστομου αγγείου Τπ. Ι, IV.
Πηλός Κτ. ΙΒ1

εξ. επ. Κ
εσ. επ. Κ
πρ. Κ
σζ. ύψ. 0,03 μ.

5. Θραύσμα από το χείλος χειροποίητου αγγείου Τπ. Ι, IV.
Πηλός Κτ. ΙΒ1
εξ. επ. Κ-λ
εσ. επ. Κ-λ
πρ. Κ
σζ. ύψ. 0,035 μ.

6. Θραύσμα από την κοιλιά χειροποίητου αμφορέα Τπ. Ι, VIB.
Σώζεται η αρχή μιας κατακόρυφης λαβής.
Πηλός Κτ. ΙΑ3
εξ. επ. ΚΤ
εσ. επ. ΚΤ
πρ. ΚΤ
σζ. ύψ. 0,096 μ.

7, 8, 9. Θραύσματα λαβών χειροποίητων αγγείων.

Ταφική συστάδα Κ4

Αποκαλύφθηκε σε απόσταση 9 μ. περίπου προς ΒΑ. της συστάδας Κ3 (Σ χ έ δ. Ι). Αποτελείται από δύο ορθογώνιους τάφους με διαφορετικό προσανατολισμό, που έχουν κατασκευασθεί συγχρόνως. Ο τάφος Α είναι εκείνος που κατασκευάσθηκε πρώτος και ακολούθησε αργότερα ο τάφος Β (Σ χ έ δ. 10). Οι τάφοι καλύπτονταν με μεγάλες σχιστόπλακες. Τα τοιχώματα των τάφων αποτελούν κτιστοί τοίχοι, μέσα στους οποίους συχνά ενσωματώνονται και όρθιες σχιστόπλακες, που εξείχαν πάνω από τις οριζόντιες πλάκες που κάλυπταν τους τάφους (Σ χ έ δ. 10· Π ί ν. 216α). Στην ανατολική πλευρά των τάφων χρησιμοποιήθηκε και ο μεγάλος φυσικός βράχος, που υψωνόταν πάνω από την επιφάνεια του εδάφους. Τους τάφους κάλυπτε ένα στρώμα λίθων, από το οποίο εξείχαν οι όρθιες, ενσωματωμένες στους πλάγιους τοίχους, σχιστόπλακες.

ΤΑΦΟΣ Κ4Α

Κτιστός κιβωτιόσχημος τάφος, με προσανατολισμό Β.-Ν. περίπου (Π ί ν. 216β). Διαστάσεις τάφου (εσωτ.): μκ. 2, πλ. 1,50, μγ. ύψ. 0,57 μ.

Κάτω από το στρώμα λίθων και χώματος διαπιστώθηκαν λείψανα τεσσάρων σκελετών. Τα οστά ήταν πολύ φθαρμένα και οι μόνες ασφαλείς παρατηρήσεις για τη θέση των νεκρών είναι οι εξής:

α) Οι νεκροί είχαν ταφεί κατά ζεύγη σε αντίθετο προσανατολισμό. Δύο με το κεφάλι στη νότια πλευρά και δύο με το κεφάλι στη βόρεια πλευρά του τάφου.

β) Τα σκέλη των νεκρών ήταν τεντωμένα.

γ) Μια τρίτη παρατήρηση είναι πιθανότατη, αλλά όχι απόλυτα βέβαιη. Οι τάφες με το κεφάλι στα βόρεια είναι οι νεότερες ταφές, που έχουν μετατοπίσει τα οστά και τα κτερίσματα των προηγούμενων ταφών προς τις πλάγιες πλευρές του τάφου.

Τα κτερίσματα δεν είναι δυνατό να αποδοθούν με βεβαιότητα στις επιμέρους ταφές, ξεχώρισαν ωστόσο στην ανασκαφή τρεις κύριες ομάδες κτερισμάτων:

Ομάδα Α΄: Βορειοδυτική γωνία Α1, Α2, Α3, Α4, Α5 (Π ί ν. 216ε).

Ομάδα Β΄: Βορειοανατολική γωνία Α8, Α9, Α10, Α11, Α19 (Π ί ν. 216δ, 217α).

Ομάδα Γ΄-Δ΄: Κέντρο του τάφου Α12, Α13, Α14, Α15, Α16, Α17, Α18, Α6, Α7 (Π ί ν. 216γ).

ΕΥΡΗΜΑΤΑ

Ομάδα Α΄

Π ί ν. 27

1(Α2). Θραύσμα χειροποίητου αμφορέα Τπ. Ι, VIΓ (124α).
Σώζεται το κάτω σώμα του αγγείου με μία λαβή.
Πηλός Κτ. ΙΑ2

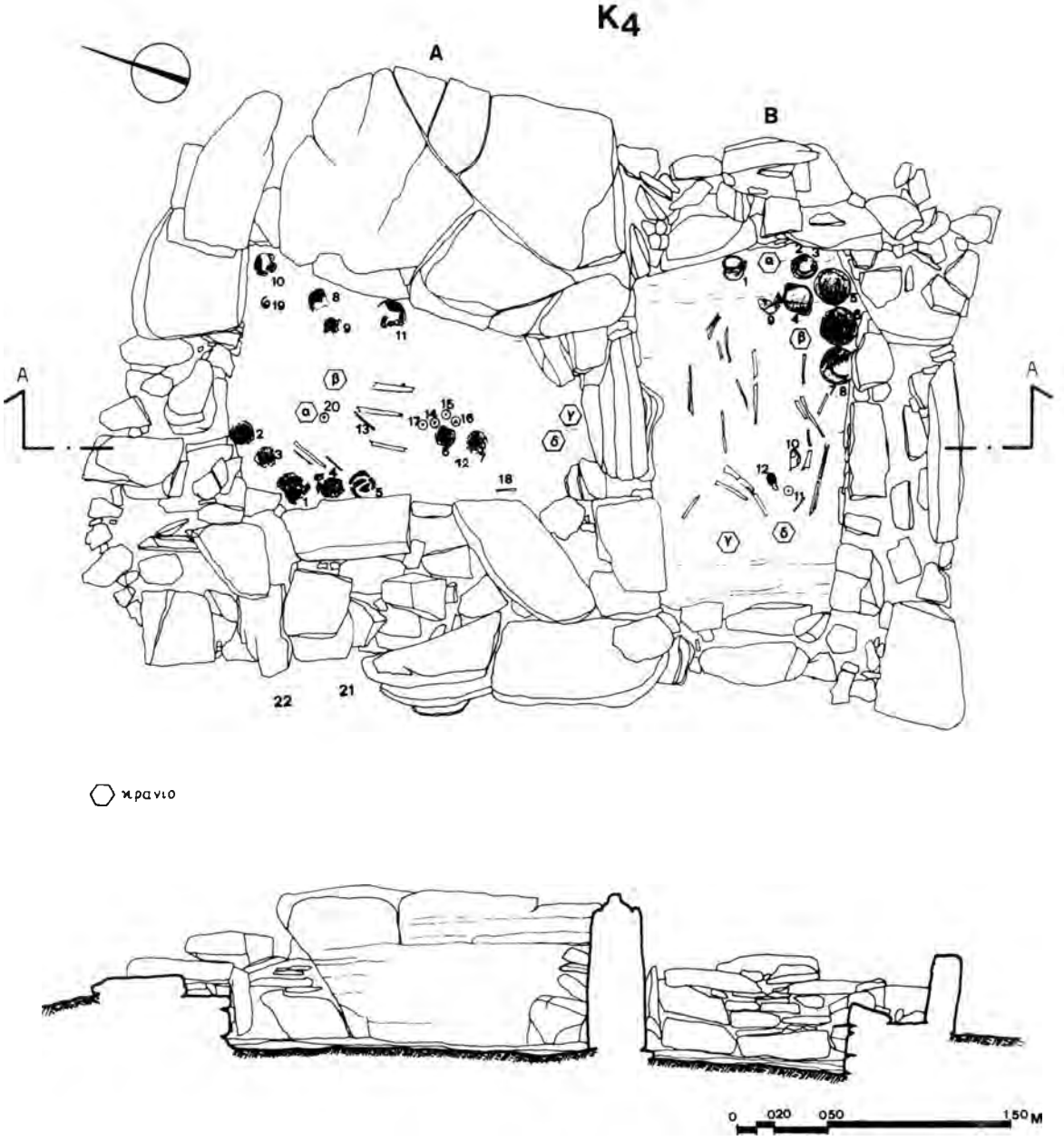

Σχέδ. 10. Κάτοψη και τομή ταφικής συστάδας Κ4.

εξ. επ. ΚΜ-λ
εσ. επ. ΚΜ-λ
πρ. ΚΜ
σζ. ύψ. 0,09, δμβ. 0,095 μ.

2(Α5). Τροχήλατος αμφορέας Τπ. ΙΙ, Α1 (225).
Λείπει ένα μέρος από το άνω σώμα και η μία από τις δύο λαβές. Βάση ελαφρά υπερυψωμένη, σώμα σφαιρικό με λαβές οριζόντιες, τοποθετημένες λοξά στον ώμο. Διακρίνονται ίχνη γραπτής διακόσμησης. Ταινίες με ερυθρό χρώμα πάνω στο υποκίτρινο έδαφος του αγγείου περιβάλλουν κατά διαστήματα το κάτω σώμα του.
Πηλός Κτ. ΙΙΑ1
ύψ. 0,21, δμβ. 0,075, δμχ. 0,097 μ.

3(Α4). Μόνωτο χειροποίητο ευρύστομο αγγείο Τπ. Ι, IV (34).
Λείπει ένα μεγάλο μέρος από το άνω σώμα του αγγείου. Δύο παράλληλες αυλακώσεις στη βάση του λαιμού.
Πηλός Κτ. ΙΑ2
εξ. επ. ΚΤ-λ
εσ. επ. ΚΤ-λ
πρ. ΚΤ
σζ. ύψ. 0,085, δμβ. 0,072 μ.

4(Α3). Θραύσμα μόνωτου χειροποίητου ευρύστομου αγγείου Τπ. Ι, IV.
Σώζεται το κάτω σώμα με τη βάση και την αρχή της λαβής.
Πηλός Κτ. ΙΑ2
εξ. επ. ΚΤ-λ
εσ. επ. ΚΤ-λ
πρ. ΚΤ
σζ. ύψ. 0,095, δμβ. 0,095 μ.

5(Α1). Μόνωτο χειροποίητο βαθύ ευρύστομο αγγείο Τπ. Ι, IV (31).
Λείπει τμήμα από το σώμα και τη βάση. Μια χαμηλή αυλάκωση γύρω από τη βάση του λαιμού.
Πηλός Κτ. ΙΑ2
εξ. επ. ΚΜ-λ
εσ. επ. ΚΜ
πρ. ΚΜ
σζ. ύψ. 0,205, δμβ. 0,075, δμχ. 0,17 μ.

Ομάδα Β΄

Π ί ν. 28

6(Α10). Χειροποίητη οινοχόη με οπισθότμητη προχοή Τπ. Ι, VIIΓ (147).
Λείπει ένα μέρος από το κάτω σώμα με τη βάση.
Πηλός Κτ. ΙΑ2
εξ. επ. ΚΜ-λ
εσ. επ. ΚΜ
πρ. ΚΜ
ύψ. 0,207 μ.

7(Α11). Χειροποίητη οινοχόη με οπισθότμητη προχοή Τπ. Ι, VIIΓ (148).
Λείπει ένα μεγάλο μέρος από το σώμα και το λαιμό του αγγείου. Μία αυλακωτή γραμμή γύρω από τη βάση του λαιμού και μία κάτω από το περίγραμμα του χείλους.
Πηλός Κτ. ΙΑ2
εξ. επ. ΚΜ-λ
εσ. επ. ΚΜ
πρ. ΚΤ
ύψ. 0,215, δμβ. 0,075 μ.

8(Α9). Τροχήλατο αλάβαστρο Τπ. ΙΙΑ, 2 (228).
Ακέραιο.
Πηλός Κτ. ΙΙΑ2
εξ. επ. Κ-λ
εσ. επ. Κ
πρ. Κ
ύψ. 0,10, δμβ. 0,045, δμχ. 0,08 μ.

9(Α8). Μόνωτο χειροποίητο βαθύ ευρύστομο αγγείο Τπ. Ι, IV (109).
Λείπει ο λαιμός και το άνω τμήμα της λαβής. Παράλληλες λοξές αυλακώσεις στον ώμο του αγγείου. Αυλάκωση γύρω από τη βάση του λαιμού. Κοντές παράλληλες αυλακώσεις στο κάτω τμήμα της λαβής.
Πηλός Κτ. ΙΑ2
εξ. επ. ΚΤ-λ
εσ. επ. ΚΤ
πρ. ΚΤ
σζ. ύψ. 0,09, συμπλ. ύψ. 0,12, δμβ. 0,065, δμχ. 0,11 μ.

Ομάδα Γ΄

Π ί ν. 28

10(Α13). Χάλκινο εγχειρίδιο Τπ. ΕΙΙΙ, 2β.
Ακμή και ράχη ευθύγραμμες, αιχμή αποστρογγυλεμένη. Ουρά ορθογώνια, που συνεχίζει τη γραμμή της ράχης και εισέχει από την πλευρά της ακμής. Δύο καρφιά για την προσάρτηση της λαβής.
μκ. 0,195 μ.

11(Α18). Χάλκινο εγχειρίδιο Τπ. ΕΙΙΙ, 1.
Ράχη ελαφρά κυρτή, ακμή κοίλη, αιχμή αποστρογγυλεμένη· ουρά με καμπύλο πέρας, που συνεχίζει τη γραμμή της ακμής και εισέχει από την πλευρά της ράχης. Χωρίς καρφιά.
μκ. 0,11 μ.

12(Α19). Θραύσμα χάλκινου ελικόσχημου κοσμήματος Τπ. Εν.
σζ. ύψ. 0,02 μ.

13(Α17). Πήλινο δικωνικό σφονδύλι με παράλληλες αυλακώσεις Τπ. ΣΙ, 4.
ύψ. 0,025, δμ. 0,03 μ.

14(Α20). Πήλινο δικωνικό σφονδύλι Τπ. ΣΙ, 1α.
ύψ. 0,032, δμ. 0,031 μ.

15(Α16). Πήλινο δικωνικό σφονδύλι Τπ. ΣΙ, 1α.
ύψ. 0,035, δμ. 0,036 μ.

16(Α15). Πήλινο δικωνικό σφονδύλι Τπ. ΣΙΙ, 1α.
ύψ. 0,033, δμ. 0,037 μ.

17(Α14). Πήλινο δικωνικό σφονδύλι Τπ. ΣΙΙ, 1α.
ύψ. 0,04, δμ. 0,032 μ.

Ομάδα Δ΄

Π ί ν. 29Α

18(Α6). Χειροποίητο κύπελλο Τπ. Ι, IV (40). Λείπει ένα μικρό μέρος από το χείλος και το τμήμα της λαβής. Τρεις αποφύσεις σε συμμετρικές θέσεις στον ώμο του αγγείου.
Πηλός Κτ. ΙΑ2
εξ. επ. ΚΤ-λ
εσ. επ. ΚΤ
πρ. ΚΤ
ύψ. 0,07, δμβ. 0,035, δμχ. 0,06 μ.

19(Α7). Μόνωτο χειροποίητο ευρύστομο αγγείο Τπ. Ι, IV (32).
Αυλάκωση γύρω από τη βάση του λαιμού.
Πηλός Κτ. ΙΑ2
εξ. επ. ΤΜ-λ
εσ. επ. ΤΜ-λ
πρ. ΚΤ
ύψ. 0,145, δμβ. 0,07, δμχ. 0,135 μ.

20(Α12). Μόνωτο χειροποίητο κυπελλόσχημο αγγείο Τπ. Ι, IV (50α).
Λείπει ένα μέρος από το κάτω σώμα, καθώς και τμήμα από τη λαβή και το χείλος του αγγείου. Δύο παράλληλες αυλακώσεις γύρω από τη βάση του λαιμού. Δύο παράλληλες ζιγκ-ζαγκ αυλακώσεις στο μέσον του λαιμού, στην περιοχή της προχοής. Αυλακωτή διακόσμηση στο κάτω τμήμα του κυλινδρικού στελέχους της λαβής, καθώς και στο ταινιωτό της τμήμα.
Πηλός Κτ. ΙΑ2
εσ. επ. ΤΜ-λ
εξ. επ. ΤΜ-λ
ύψ. 0,10, δμβ. 0,047, δμχ. 0,085 μ.

21(Α20). Θραύσματα μόνωτου χειροποίητου ευρύστομου αγγείου Τπ. Ι, IV (84β).
Σώζεται τμήμα από το άνω σώμα με το λαιμό και το χείλος, καθώς και τμήμα λαβής. Δύο παράλληλες αυλακώσεις γύρω από τη βάση του λαιμού και κάτω από το περίγραμμα του χείλους. Αυλακωτή διακόσμηση και στο άνω τμήμα της λαβής του αγγείου.
Πηλός Κτ. ΙΑ2
εξ. επ. ΤΜ-λ
εσ. επ. ΤΜ-λ
πρ. Τ
σζ. ύψ. 0,07, δμχ. 0,125 μ.

Ε π ί χ ω σ η τ ο υ τ ά φ ο υ Κ4Α (ΕΠ)

Π ί ν. 29Β

1. Θραύσμα γωνιόσχημης λαβής χειροποίητου αγγείου Τπ. Ι, IV.
Σώζεται το άνω τμήμα της λαβής. Αυλακωτή διακόσμηση.
Πηλός Κτ. ΙΑ2
εξ. επ. ΤΜ-λ
εσ. επ. ΤΜ-λ
πρ. Τ
σζ. μκ. 0,04 μ.

2. Θραύσμα από ταινιωτό τμήμα γωνιόσχημης λαβής χειροποίητου αγγείου Τπ. Ι, IV. Αυλακωτή διακόσμηση.
Πηλός Κτ. ΙΑ2
εξ. επ. ΚΜ-λ
εσ. επ. ΚΜ-λ
πρ. Τ
σζ. μκ. 0,02 μ.

3. Θραύσμα από το άνω τμήμα γωνιόσχημης λαβής χειροποίητου αγγείου Τπ. Ι, IV.
Πηλός Κτ. ΙΑ2
εξ. επ. ΚΜ-λ
εσ. επ. ΚΜ-λ
πρ. Τ
σζ. μκ. 0,03 μ.

4. Θραύσμα από το κατακόρυφο κυλινδρικό στέλεχος λαβής χειροποίητου αγγείου Τπ. Ι, IV.
Πηλός Κτ. ΙΑ2
εξ. επ. ΚΜ-λ
εσ. επ. ΚΜ
πρ. Τ
σζ. ύψ. 0,065 μ.

5. Θραύσμα από το κατακόρυφο κυλινδρικό στέλεχος λαβής χειροποίητου αγγείου Τπ. Ι, IV.
Πηλός Κτ. ΙΑ2
εξ. επ. ΚΜ-λ
εσ. επ. ΚΜ-λ
πρ. Τ

σζ. ύψ. 0,07 μ.

Π ί ν. 30

6. Θραύσμα από το χείλος μεγάλου χειροποίητου αγγείου Τπ. I, XII (201).
«Νυχιές» γύρω στο περίγραμμα του χείλους.
Πηλός Κτ. ΙΓ2
εξ. επ. ΚΕ
εσ. επ. ΚΕ
πρ. Κ
σζ. ύψ. 0,05 μ.

7. Θραύσμα κατακόρυφης κυλινδρικής λαβής χειροποίητου αγγείου Τπ. I, VIB (137).
Πηλός Κτ. ΙΑ3
εξ. επ. ΚΜ
εσ. επ. ΚΜ
πρ. Τ
σζ. ύψ. 0,08 μ.

8. Θραύσμα από το σώμα μεγάλου χειροποίητου αγγείου Τπ. I, XII (205-213).
Πλαστική ταινία με «δακτυλιές» γύρω από το σώμα του αγγείου.
Πηλός Κτ. ΙΓ2
εξ. επ. Ε
εσ. επ. Ε
πρ. Τ
σζ. ύψ. 0,07 μ.

9. Θραύσμα από το χείλος χειροποίητου αγγείου Τπ. I, XII (199).
«Νυχιές» γύρω στο περίγραμμα του χείλους.
Πηλός Κτ. ΙΓ2
εξ. επ. ΚΕ
εσ. επ. Κ
πρ. Τ
σζ. ύψ. 0,033 μ.

10. Θραύσμα από το χείλος χειροποίητου αγγείου Τπ. I, XII (199).
«Νυχιές» γύρω στο περίγραμμα του χείλους.
Πηλός Κτ. ΙΓ2
εξ. επ. ΚΕ
εσ. επ. ΚΕ
πρ. Τ
σζ. ύψ. 0,037 μ.

11. Θραύσμα κατακόρυφης λαβής από την κοιλιά χειροποίητου αγγείου Τπ. I, VIB (136-137).
Πηλός Κτ. ΙΑ3
εξ. επ. ΚΤ
εσ. επ. ΚΤ
πρ. Τ
σζ. ύψ. 0,04 μ.

12. Θραύσμα κατακόρυφης κυλινδρικής λαβής από την κοιλιά χειροποίητου αγγείου Τπ. I, VIB (136-137).
Πηλός Κτ. ΙΑ3
εξ. επ. Κ
εσ. επ. Κ
πρ. ΚΤ
σζ. ύψ. 0,045 μ.

13. Θραύσμα από τον ώμο χειροποίητου αγγείου (ύστερης νεολιθικής εποχής).
Σώζεται κατακόρυφη κυλινδρική λαβή ώμου.
σζ. ύψ. 0,07 μ.

14. Θραύσμα λαβής χειροποίητου αμφορέα (ύστερης νεολιθικής εποχής).
Δύο οπές κατά μήκος της λαβής.
σζ. ύψ. 0,035 μ.

15. Θραύσμα χειροποίητου ευρύστομου αγγείου (ύστερης νεολιθικής εποχής).
Σώζεται άνω τμήμα σώματος με προχοή.
σζ. ύψ. 0,042 μ.

Α π ο θ έ τ η ς

Έξω από τη βορειοδυτική γωνιά του τάφου Κ4Α βρέθηκαν πολλά διάσπαρτα όστρακα και ανάμεσα σ' αυτά δύο χάλκινα εγχειρίδια (Α21, Α22)· την περιοχή αυτή την ονομάζουμε συμβατικά «αποθέτη».

ΕΥΡΗΜΑΤΑ

Π ί ν. 31

1. Θραύσματα χειροποίητης οινοχόης με οπισθότμητη προχοή Τπ. I, VIIΓ (161).
Σώζεται ο λαιμός με τμήμα της λαβής και η βάση.
Πηλός Κτ. ΙΑ2
εξ. επ. Κ-λ
εσ. επ. ΚΤ
πρ. ΚΤ
μγ. ύψ. 0,05 μ.

2. Θραύσματα από χειροποίητο βαθύ κυπελλόσχημο αγγείο Τπ. I, VIII (40).
Σώζεται το κάτω σώμα και η λαβή.
Πηλός Κτ. ΙΒ1
εξ. επ. Ε
εσ. επ. Ε
πρ. ΚΕ
σζ. ύψ. 0,035, δμβ. 0,04 μ.

3. Θραύσμα χειροποίητης οινοχόης με οπισθότμητη προχοή Τπ. I, VIIA (141).
Σώζεται τμήμα του ώμου και του λαιμού, καθώς και τμήμα λαβής. Τρεις παράλληλες αυλακώσεις γύρω από τη βάση του λαιμού, δύο γύρω στο άνω πέρας του λαιμού, λοξές αυλακώσεις στο άνω τμήμα της κυλινδρικής λαβής.
Πηλός Κτ. ΙΑ2
εξ. επ. ΤΜ-λ
εσ. επ. ΤΜ
πρ. ΚΤ
σζ. ύψ. 0,078 μ.

4. Μόνωτο χειροποίητο ευρύστομο αγγείο Τπ. I, IV (34β).
Λείπει ένα μεγάλο μέρος από το αγγείο. Μία αυλάκωση γύρω από τη βάση του λαιμού.
Πηλός Κτ. ΙΒ1
εξ. επ. ΚΕ-λ
εσ. επ. ΚΕ-λ
πρ. ΚΜ
σζ. ύψ. 0,085 μ.

5. Χάλκινο εγχειρίδιο Τπ. ΕΙΙΙ, 2α.
Ράχη ευθύγραμμη, ακμή ευθύγραμμη, ουρά με τριγωνική απόληξη και ένα καρφί για την προσάρτηση λαβής. Σπασμένη η αιχμή.
μκ. 0,12 μ.

6. Χάλκινο εγχειρίδιο Τπ. ΕΙV, 3.
Ράχη κυρτή, ακμή κοίλη, ουρά πλατιά, που εξέχει από την πλευρά της ράχης και από την πλευρά της ακμής και μειώνεται στο άκρο της. Σφυρήλατη ταινία κατά μήκος της λεπίδας.
μκ. 0,14 μ.

7. Θραύσμα από το χείλος χειροποίητου αγγείου Τπ. I, VIB (136).
Δύο αυλακώσεις γύρω από την περιφέρεια του χείλους.
Πηλός Κτ. ΙΑ2
εξ. επ. ΚΜ
εσ. επ. ΚΜ
πρ. Κ
σζ. ύψ. 0,025 μ.

8. Θραύσμα από τον ώμο χειροποίητου αγγείου (ύστερης νεολιθικής εποχής).
Διακρίνεται μία λαβή-απόφυση.
Πηλός Κτ. ΙΔ
εξ. επ. ΚΕ
εσ. επ. ΚΕ
πρ. Κ
σζ. ύψ. 0,04 μ.

9. Θραύσμα από το χείλος χειροποίητου αγγείου Τπ. I, XII (202).
«Νυχιές» γύρω στο περίγραμμα του χείλους.
Πηλός Κτ. ΙΓ2
εξ. επ. Ε
εσ. επ. ΚΕ
πρ. Τ
σζ. ύψ. 0,035 μ.

10. Θραύσμα από το χείλος χειροποίητου αγγείου Τπ. I, XII (111).
«Νυχιές» γύρω στο περίγραμμα του χείλους.
Πηλός Κτ. ΙΓ2
εξ. επ. ΚΕ
εσ. επ. ΚΕ
πρ. Κ
σζ. ύψ. 0,024 μ.

11. Θραύσμα από το σώμα χειροποίητου αγγείου Τπ. I, XII (209).
Απλή πλαστική ταινία γύρω από το σώμα.
Πηλός Κτ. ΙΓ2
εξ. επ. ΚΕ
εσ. επ. ΚΕ
πρ. ΚΕ
σζ. ύψ. 0,047 μ.

ΤΑΦΟΣ Κ4Β

Κτιστός κιβωτιόσχημος τάφος, με προσανατολισμό Α.-Δ. περίπου, προσκολλημένος στη νότια πλευρά του τάφου Κ4Α. Διαστάσεις (εσωτ.): μγ. μκ. 2, μγ. πλ. 1,50, μγ. ύψ. 0,55 μ. (Πίν. 216α, 217β-δ).

Στρώμα από μεγάλους λίθους και χώμα κάλυπτε το επίπεδο των ταφών στο εσωτερικό του τάφου.

Τέσσερις βέβαιες ταφές διαπιστώθηκαν. Τα οστά σώζονται σε πολύ αποσπασματική κατάσταση και η διάκριση των οστών των επιμέρους ταφών είναι αδύνατη. Οπωσδήποτε, φαίνεται βέβαιο ότι τα δύο κρανία της δυτικής πλευράς του τάφου γ,δ ανήκουν στις τελευταίες χρονικά ταφές. Οι νεκροί έχουν τοποθετηθεί με το κεφάλι προς Δ. και τα σκέλη τεντωμένα, πάνω σε δύο προηγούμενους νεκρούς, που είχαν ταφεί στην ίδια στάση, αλλά σε αντίθετη κατεύθυνση.

Οι νεότερες ταφές πρέπει να έχουν διαταράξει τις δύο προηγούμενες, γιατί τα κρανία της ανατολικής πλευράς α, β βρέθηκαν μετακινημένα ανάμεσα στα αγγεία της νοτιοανατολικής γωνίας του τάφου (Π ί ν. 217β).

Δεν είναι δυνατό να αποδειχθεί αν η ομάδα των συγκεντρωμένων στη νοτιοανατολική γωνία του τάφου αγγείων ανήκει στη νεότερη φάση των ταφών ή στην αρχαιότερη ή και στις δύο.

Σε δύο ομάδες ξεχωρίζουν τα κτερίσματα της νοτιοανατολικής γωνίας:

Ομάδα Α′: Β5, Β8, Β7, Β6 (Π ί ν. 217β-γ).

Ομάδα Β′: Β1, Β2, Β3, Β4, Β9 (Π ί ν. 217β-γ).

Με την ομάδα Β′ πρέπει να σχετίζονται και τα κτερίσματα της δυτικής πλευράς του τάφου, που ανήκουν προφανώς στις ταφές γ και δ, που είναι και οι νεότερες του τάφου (Π ί ν. 217δ).

ΕΥΡΗΜΑΤΑ

Ομάδα Α′

Π ί ν. 32

1(Β5). Μόνωτο χειροποίητο ευρύστομο αγγείο Τπ. Ι, IV (78).
Λείπει ένα μεγάλο μέρος από το σώμα και τη λαβή. Τρεις παράλληλες αυλακώσεις γύρω από τη βάση και στο μέσον του λαιμού.
Πηλός Κτ. ΙΒ1
εξ. επ. ΚΕ-λ
εσ. επ. ΚΕ-λ
πρ. ΚΤ
ύψ. 0,19, δμβ. 0,078, δμχ. 0,085 μ.

2(Β8). Μόνωτο χειροποίητο ευρύστομο αγγείο Τπ. Ι, IV (32).
Λείπει το άνω τμήμα του αγγείου και της λαβής, καθώς και η βάση. Μία αυλάκωση γύρω από τη βάση του λαιμού.
Πηλός Κτ. ΙΒ1
εξ. επ. Κ-λ
εσ. επ. Κ-λ
πρ. Κ
σζ. ύψ. 0,12, δμβ. 0,06 μ.

3(Β7). Μόνωτο χειροποίητο ευρύστομο αγγείο Τπ. Ι, IV (80).
Δύο παράλληλες αυλακώσεις γύρω από τη βάση του λαιμού και κάτω από το περίγραμμα του χείλους. Τρεις αποφύσεις σε κανονικά διαστήματα στον ώμο του αγγείου. Από τρεις αυλακώσεις σε τρεις ομάδες στο κατακόρυφο κυλινδρικό στέλεχος της λαβής. Μία οπή στο ταινιωτό τμήμα της λαβής.
Πηλός Κτ. ΙΒ2
εξ. επ. ΚΕ
εσ. επ. Κ
πρ. Κ
ύψ. 0,143, δμβ. 0,065, δμχ. 0,155 μ.

4(Β6). Χειροποίητος αμφορέας Τπ. Ι, VII (124α).
Λείπει ένα μεγάλο μέρος από το σώμα και το λαιμό, καθώς και μία λαβή. Δύο αυλακώσεις διακρίνονται γύρω από τη βάση του λαιμού.
Πηλός Κτ. ΙΑ2
εξ. επ. Κ-λ
εσ. επ. ΚΜ
πρ. Κ
σζ. ύψ. 0,23, δμβ. 0,07, δμχ. 0,103 μ.

Ομάδα Β′

Π ί ν. 33

5(Β1). Μόνωτο χειροποίητο βαθύ ευρύστομο αγγείο Τπ. Ι, IV (22).
Λείπει το άνω τμήμα του λαιμού και της λαβής.
Πηλός Κτ. ΙΑ2
εξ. επ. ΚΜ-λ
εσ. επ. ΚΜ-λ
πρ. Κ

ύψ. 0,16, δμβ. 0,065, δμχ. 0,13 μ.

6(Β3). Χειροποίητο κύπελλο Τπ. Ι, IV (104). Λείπει ένα μέρος από το κάτω σώμα και το χείλος του αγγείου. Δύο παράλληλες αυλακώσεις γύρω από τη βάση του λαιμού, μία αυλάκωση κάτω από το περίγραμμα του χείλους. Ζιγκ-ζαγκ αυλακωτή διακόσμηση στον ώμο.
Πηλός Κτ. ΙΒ1
εξ. επ. ΚΕ-λ
εσ. επ. ΚΕ
πρ. Κ
ύψ. 0,076, δμβ. 0,03, δμχ. 0,045 μ.

7(Β9). Μόνωτο χειροποίητο ευρύστομο αγγείο Τπ. Ι, IV (84β).
Λείπει η λαβή και ένα μεγάλο μέρος από το άνω κυρίως τμήμα του αγγείου. Δύο παράλληλες αυλακώσεις γύρω από τη βάση του λαιμού και κάτω από το χείλος.
Πηλός Κτ. ΙΒ1
εξ. επ. ΚΕ-λ
εσ. επ. ΚΕ-λ
πρ. Κ
ύψ. 0,115, δμβ. 0,055, δμχ. 0,135 μ.

8(Β4). Χειροποίητος αμφορέας με τρεις οριζόντιες λαβές στην κοιλιά Τπ. Ι, VIΓ (124α). Λείπει ένα μεγάλο μέρος από το αγγείο.
Πηλός Κτ. ΙΑ2
εξ. επ. ΚΜ-λ
εσ. επ. ΚΜ
πρ. Κ
ύψ. 0,189, δμχ. 0,09, δμβ. 0,075 μ.

9(Β2). Χειροποίητο ευρύστομο αγγείο Τπ. Ι, III (9).
Δύο λοξές λαβές-αποφύσεις στον ώμο. Δύο παράλληλες αυλακώσεις γύρω από τη βάση του λαιμού.
Πηλός Κτ. ΙΑ2
εξ. επ. Κ-ΚΜ-λ
εσ. επ. ΚΜ-λ
πρ. Κ
ύψ. 0,112, δμβ. 0,05, δμχ. 0,124 μ.

10(Β10). Χάλκινη τοξόσχημη πόρπη Τπ. Π2. Ακέραιη. Τόξο με ένα μεγάλο εξόγκωμα στο κέντρο και δύο μικρότερα στις δύο πλευρές του κεντρικού. Το τόξο καμπυλώνεται στη μία άκρη, για να σχηματίσει ένα μικρό ορθογώνιο έλασμα για την υποδοχή της βελόνας.
ύψ. τόξου 0,048, μκ. 0,08 μ.

11(Β12). Χάλκινο ελικόσχημο κόσμημα από περιελισσόμενο σύρμα Τπ. Εν.
Λείπει ένα μικρό τμήμα από το σύρμα στο τόξο της προσάρτησης.
μγ. δμ. σπείρας 0,025 μ.

12(Β11). Μολύβδινο δισκόμορφο σφονδύλι Τπ. ΜΣ.
ύψ. 0,015, δμ. 0,025 μ.

Τάφος Κ5

Βρίσκεται βόρεια της συστάδας Κ1 και νοτιοδυτικά της συστάδας Κ3 (Σ χ έ δ. Ι).

Κτιστός ορθογώνιος, με προσανατολισμό Α.-Δ. περίπου, που χωρίζεται σε κυρίως τάφο (Κ5Β) και προθάλαμο (Κ5Α). Διαστάσεις (εξωτ.): 10×8,25 μ. Τις πλάγιες πλευρές του τάφου αποτελούν κτιστοί τοίχοι από μεγάλες και μικρές σχιστόπλακες. Το ύψος των τοίχων κυμαίνεται στα 0,20-0,30 μ. Ο τοίχος που χωρίζει τον κυρίως τάφο από τον προθάλαμο είναι στενότερος από τους τοίχους του κυρίως τάφου (Σ χ έ δ. 11).

Ο βόρειος και ο νότιος τοίχος του προθαλάμου αποτελούν συνέχεια των τοίχων του κυρίως τάφου.

Τάφος και προθάλαμος καλύπτονταν μ' ένα στρώμα λίθων και χώματος. Το στρώμα αυτό κάλυπτε κυρίως το εσωτερικό των δύο χώρων και ελάχιστο τμήμα των πλάγιων τοίχων, που διαγράφονταν κάτω από το λιθόστρωμα πριν από την έναρξη της ανασκαφής (Π ί ν. 218α).

Π ρ ο θ ά λ α μ ο ς

Διαστάσεις (εσωτ.): 4×2,30 μ.

Κάτω από το στρώμα των λίθων βρέθηκαν διάσπαρτα τα εξής θραύσματα αγγείων:

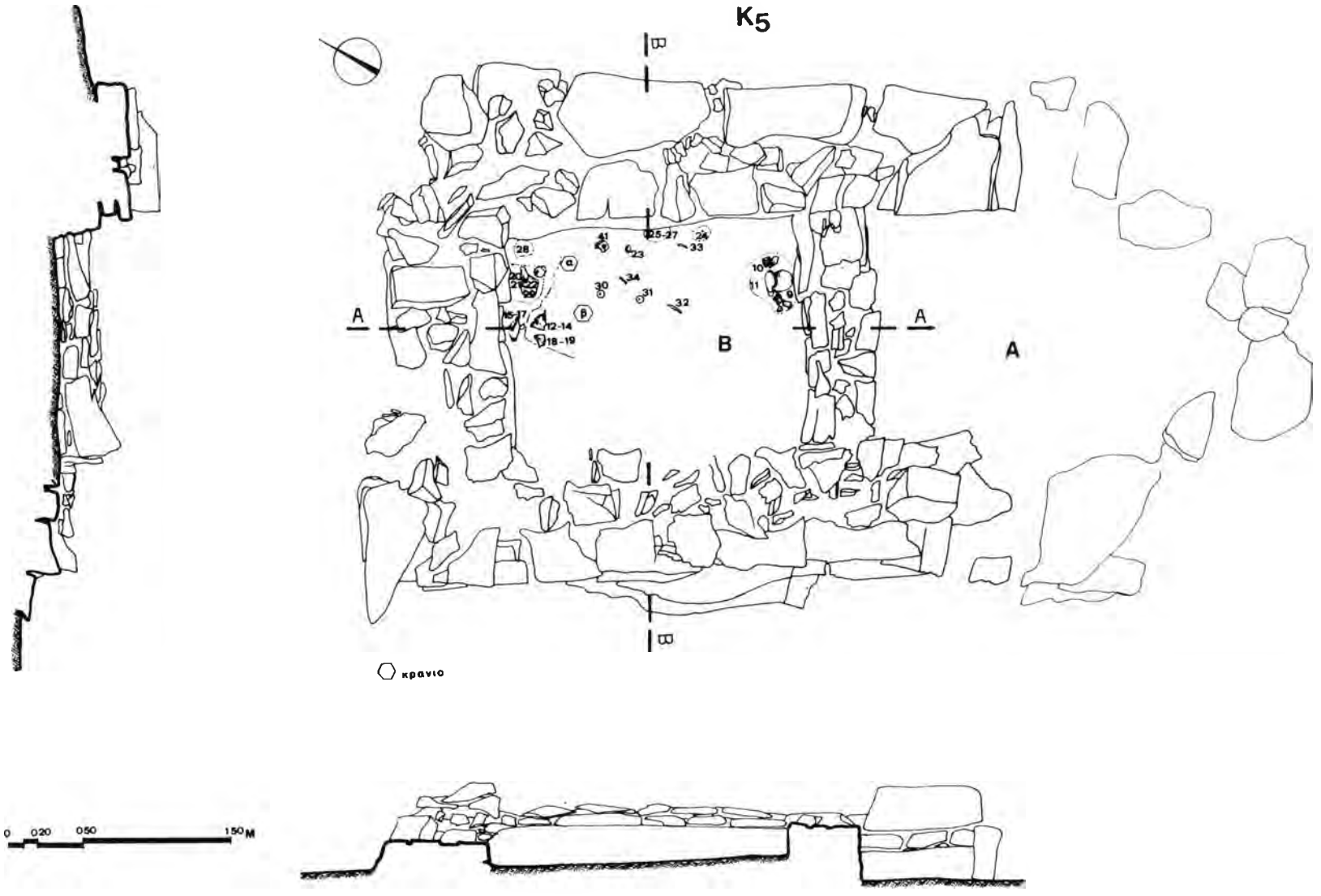

Σχέδ. 11. Κάτοψη και τομές τάφου Κ5.

Πίν. 34

1. Χειροποίητο ευρύστομο κυπελλόσχημο αγγείο Τπ. Ι, IV (28).
Λείπει το κάτω μέρος του αγγείου.
Πηλός Κτ. ΙΒ1
εξ. επ. Ε-λ
εσ. επ. Ε
πρ. ΚΕ
ύψ. 0,075, δμχ. 0,066 μ.

2. Θραύσμα από το άνω σώμα χειροποίητου αγγείου Τπ. Ι, IX (190).
Πηλός Κτ. ΙΒ1
εξ. επ. ΚΕ-λ
εσ. επ. ΚΕ-λ
πρ. ΚΕ
ύψ. 0,05 μ.

3. Θραύσμα από το χείλος χειροποίητης οινοχόης με οπισθότμητη προχοή Τπ. Ι, VIIΔ (166).
Δύο παράλληλες αυλακώσεις κάτω από την επιφάνεια του χείλους.
Πηλός Κτ. ΙΑ2
εξ. επ. ΚΤ-λ φθ
εσ. επ. ΚΤ-λ φθ
πρ. Κ
σζ. ύψ. 0,037 μ.

4. Θραύσμα από το λαιμό χειροποίητης οινοχόης Τπ. Ι, VIIΓ ή Ι, VIIΔ.
Πηλός Κτ. ΙΑ2
εξ. επ. ΚΜ-λ
εσ. επ. ΚΜ
πρ. Κ
σζ. ύψ. 0,51 μ.

5. Θραύσμα κατακόρυφης λαβής τροχήλατου αγγείου.
Πηλός ωχρέρυθρος καθαρός Κτ. ΙΙΓ
σζ. μκ. 0,053 μ.

6. Θραύσμα από το χείλος χειροποίητου ευρύστομου αγγείου Τπ. Ι, IV (78).
Τρεις παράλληλες αυλακώσεις κάτω από την περιφέρεια του χείλους.
Πηλός Κτ. ΙΒ1
εξ. επ. Ε-λ φθ
εσ. επ. Ε-λ φθ
πρ. Ε
σζ. ύψ. 0,03 μ.

7. Θραύσμα από το λαιμό και το χείλος χειροποίητου ευρύστομου αγγείου Τπ. Ι, IV (45).
Δύο παράλληλες αυλακώσεις γύρω από τη βάση του λαιμού.
Πηλός Κτ. ΙΑ2
εξ. επ. ΚΜ
εσ. επ. ΚΜ
πρ. Ε
σζ. ύψ. 0,04 μ.

8. Θραύσμα από το χείλος χειροποίητου ευρύστομου αγγείου Τπ. Ι, IV (45).
Δύο παράλληλες αυλακώσεις στη βάση του λαιμού.
Πηλός Κτ. ΙΒ1
εξ. επ. ΚΕ-λ φθ
εσ. επ. ΚΕ-λ
πρ. ΚΕ
σζ. ύψ. 0,04 μ.

9. Θραύσμα από το χείλος χειροποίητου ευρύστομου αγγείου Τπ. Ι, IV.
Πηλός Κτ. ΙΑ2
εξ. επ. ΤΜ-λ
εσ. επ. ΤΜ
πρ. Τ
σζ. ύψ. 0,022 μ.

10. Θραύσμα χειροποίητου ευρύστομου αγγείου Τπ. Ι, IV (28).
Πηλός Κτ. ΙΒ1
εξ. επ. ΚΕ-λ
εσ. επ. ΚΕ-λ
πρ. ΚΤ
σζ. ύψ. 0,06 μ.

11. Θραύσμα από τον ώμο και τη βάση χειροποίητου αγγείου Τπ. Ι, IV (92).
Αυλακωτή διακόσμηση γύρω από τη βάση του λαιμού και στον ώμο.
Πηλός Κτ. ΙΑ2
εξ. επ. ΚΕ-ΚΜ-λ
εσ. επ. ΚΕ
πρ. ΚΤ
σζ. ύψ. 0,042, δμβ. 0,07 μ.

12. Θραύσμα από το λαιμό και το χείλος χειροποίητου αγγείου Τπ. Ι, IV.
Πηλός Κτ. ΙΑ2
εξ. επ. ΚΕ-λ φθ
εσ. επ. ΚΜ-λ φθ
πρ. Τ
σζ. ύψ. 0,06 μ.

13. Θραύσμα από το λαιμό και το χείλος χειροποίητου αγγείου Τπ. Ι, IV.

Σταγονόσχημες αυλακώσεις κάτω από το περίγραμμα του χείλους και αυλακωτή γραμμή γύρω από τη βάση του χείλους.
Πηλός Κτ. ΙΑ3
εξ. επ. ΚΜ
εσ. επ. ΚΜ
πρ. ΚΜ έξω - ΚΕ μέσα
σζ. ύψ. 0,06 μ.

14. Θραύσμα από το λαιμό και το χείλος χειροποίητου αγγείου Τπ. Ι, IV.
Πιθανόν από το ίδιο αγγείο με το προηγούμενο θραύσμα.
σζ. ύψ. 0,055 μ.

15. Θραύσμα από τον ώμο χειροποίητου αγγείου Τπ. Ι, VIB (137β).
Σώζεται μαστοειδής απόφυση.
Πηλός Κτ. ΙΑ3
εξ. επ. ΚΜ
εσ. επ. ΚΕ
πρ. ΚΕ έξω - ΚΕ μέσα
σζ. ύψ. 0,026 μ.

16. Κατακόρυφη κυλινδρική λαβή από την κοιλιά χειροποίητου αγγείου Τπ. Ι, VIB (136-137).
Πηλός Κτ. ΙΑ3
εξ. επ. ΚΜ
εσ. επ. ΚΜ
πρ. ΤΜ
σζ. ύψ. 0,074 μ.

17α-β. Θραύσματα από τον ώμο χειροποίητου αγγείου Τπ. Ι, IVB (136).
Ζιγκ-ζαγκ αυλακωτή διακόσμηση στον ώμο.
Πηλός Κτ. ΙΑ3
εξ. επ. ΤΜ-λ φθ
εσ. επ. ΚΕ
πρ. ΤΜ έξω - ΚΕ μέσα
σζ. ύψ. 0,07 μ.

18. Θραύσμα από το χείλος χειροποίητου αγγείου (ύστερης νεολιθικής εποχής).
Σώζεται κατακόρυφη διάτρητη εξοχή στο χείλος του αγγείου.
Πηλός ερυθρός καθαρός.
σζ. ύψ. 0,03 μ.

Θ ά λ α μ ο ς

Διαστάσεις θαλάμου (εσωτ.): μγ. μκ. 5, μγ. πλ. 4,50 μ. (Σ χ έ δ. 11). Πολλά θραύσματα αγγείων, που βρέθηκαν διάσπαρτα μέσα στο στρώμα των λίθων της επίχωσης και σε διάφορα σημεία του εσωτερικού του τάφου, ανήκαν σε αγγεία, τα οποία προέρχονταν από αρχαιότερες ταφές, που είχαν διαταραχθεί από τους νεότερους ενταφιασμούς στον τάφο (στρώμα Ι, Π ί ν. 35 και 218β).

Κάτω από το στρώμα Ι, το επίπεδο των ταφών (στρώμα ΙΙ) παρουσίασε, επίσης, εικόνα διαταραχής (Π ί ν. 218β). Στο στρώμα ΙΙ βρέθηκαν οι παρακάτω ομάδες κτερισμάτων:

Ομάδα Α΄: Στη βόρεια πλευρά του τάφου, όπου βρέθηκαν πολλά θραύσματα αγγείων, μετατοπισμένων εκεί για να εξασφαλισθεί χώρος για τις νεότερες ταφές του νότιου τμήματος του τάφου (1-8).

Ομάδα Β΄: Θραύσματα αγγείων στην ανατολική πλευρά του τάφου, που προέρχονται είτε από κτερίσματα παραμερισμένων ταφών είτε από την επίχωση του τάφου (12-29).

Ομάδα Γ΄: Αγγεία και θραύσματα αγγείων προς τη νότια πλευρά του τάφου (9, 10, 11).

Ομάδα Δ΄: Προς το κέντρο, περίπου, του τάφου βρέθηκαν ορισμένα μικροαντικείμενα, όπως σφονδύλια και εγχειρίδια (30-34).

ΕΥΡΗΜΑΤΑ

Σ τ ρ ώ μ α Ι

Π ί ν. 35

1(Β2). Μόνωτο χειροποίητο ευρύστομο αγγείο Τπ. Ι, IV (39).
Λείπει ένα μεγάλο τμήμα του αγγείου. Μία αυλάκωση γύρω από τη βάση του λαιμού. Δύο αποφύσεις στον ώμο του αγγείου.
Πηλός Κτ. ΙΑ2
εξ. επ. ΚΤ-λ
εσ. επ. ΚΤ-λ
πρ. Κ
ύψ. 0,095, δμβ. 0,06, δμχ. 0,122 μ.

2(Β6). Μόνωτο χειροποίητο ευρύστομο αγγείο Τπ. Ι, IV (13).

Λείπει το κάτω σώμα του αγγείου με τη βάση.
Πηλός Κτ. ΙΑ2
εξ. επ. ΤΜ-λ
εσ. επ. ΤΜ-λ
πρ. Κ
ύψ. 0,12, δμχ. 0,263 μ.

3(Β1). Μόνωτο χειροποίητο ευρύστομο αγγείο Τπ. Ι, IV (79).
Λείπει ένα μέρος από το άνω σώμα του αγγείου. Δύο παράλληλες αυλακώσεις γύρω από τη βάση του λαιμού και του χείλους. Αυλακωτή διακόσμηση στο ταινιωτό τμήμα της λαβής, καθώς και στο κυλινδρικό στέλεχος.
Πηλός Κτ. ΙΑ2
εξ. επ. Κ-ΚΜ-λ
εσ. επ. ΚΤ-ΚΕ
πρ. ΚΤ
ύψ. 0,145, δμβ. 0,08, δμχ. 0,215 μ.

4(Β3). Χειροποίητο ευρύστομο βαθύ αγγείο Τπ. Ι, IV (92).
Λείπει ένα μέρος από το αγγείο. Δύο παράλληλες αυλακώσεις γύρω από τη βάση του χείλους και γύρω από τη βάση του λαιμού. Ζιγκ-ζαγκ αυλακωτή διακόσμηση στον ώμο.
Πηλός Κτ. ΙΑ2
εξ. επ. Κ-ΚΜ-λ
εσ. επ. Κ
πρ. Κ-ΚΜ
ύψ. 0,167, δμβ. 0,065, δμχ. 0,14 μ.

5(Β5). Χειροποίητο ευρύστομο βαθύ αγγείο Τπ. Ι, IV (92).
Λείπει ένα μεγάλο μέρος από το αγγείο και το άνω τμήμα της λαβής. Δύο παράλληλες αυλακώσεις γύρω από τη βάση του λαιμού. Ζιγκ-ζαγκ αυλακωτή διακόσμηση στον ώμο.
Πηλός Κτ. ΙΑ2
εξ. επ. Κ-ΚΜ-λ
εσ. επ. Κ-ΚΜ-λ
πρ. ΚΜ
ύψ. 0,17 μ.

6(Β7). Θραύσμα μόνωτου χειροποίητου ευρύστομου αγγείου Τπ. Ι, IV (46).
Σώζεται τμήμα ώμου, λαβής, λαιμού και χείλους. Δύο παράλληλες αυλακώσεις γύρω από τη βάση του λαιμού.
Πηλός Κτ. ΙΑ2
εξ. επ. ΚΤ-λ
εσ. επ. ΚΤ-λ φθ
πρ. Κ
σζ. ύψ. 0,066 μ.

7(Β4). Θραύσματα από το λαιμό χειροποίητου αγγείου Τπ. Ι, IV (79).
Δύο παράλληλες αυλακώσεις γύρω από τη βάση του λαιμού και του χείλους.
Πηλός Κτ. ΙΑ3
εξ. επ. Κ-ΚΜ-λ
εσ. επ. ΚΜ
πρ. Κ
σζ. ύψ. 0,051 μ.

8(Β8). Θραύσμα από το άνω σώμα χειροποίητου αγγείου Τπ. Ι, VI.
Σώζεται τμήμα λαιμού με χείλος.
Πηλός Κτ. ΙΑ3
εξ. επ. ΚΤ
εσ. επ. Κ
πρ. ΚΤ
σζ. ύψ. 0,13 μ.

Στρώμα ΙΙ

Ομάδα Α'

Πίν. 36

9(Β15). Μόνωτο χειροποίητο ευρύστομο αγγείο Τπ. Ι, IV (12).
Λείπει ένα μέρος από το άνω σώμα του αγγείου.
Πηλός Κτ. ΙΑ2
εξ. επ. ΚΤ-λ φθ
εσ. επ. ΚΤ-λ φθ
πρ. Κ
ύψ. 0,135, δμβ. 0,08, δμχ. 0,21 μ.

10(Β19). Θραύσματα μόνωτου χειροποίητου ευρύστομου αγγείου Τπ. Ι, IV (92).
Σώζεται ένα μέρος από τη βάση και το σώμα του αγγείου με το κατακόρυφο κυλινδρικό στέλεχος της λαβής. Δύο παράλληλες αυλακώσεις γύρω από τη βάση του λαιμού. Ζιγκ-ζαγκ αυλακωτή διακόσμηση στον ώμο.
Πηλός Κτ. ΙΑ2
εξ. επ. ΚΜ-λ
εσ. επ. ΚΕ
πρ. Κ
σζ. ύψ. 0,135 μ.

11(Β13). Θραύσματα χειροποίητου ευρύστομου αγγείου Τπ. Ι, IV (92).
Σώζεται ένα μεγάλο μέρος από το άνω σώμα με το λαιμό και το χείλος, καθώς και το κατακόρυφο στέλεχος της λαβής. Δύο παράλληλες αυλακώσεις γύρω από τη βάση του λαιμού και του χείλους. Ζιγκ-ζαγκ αυλακωτή διακόσμηση στον ώμο του αγγείου.

Πηλός Κτ. ΙΑ2
εξ. επ. ΚΤ-λ
εσ. επ. Κ-ΚΤ-λ φθ
πρ. ΚΤ
ύψ. 0,153, δμχ. 0,12 μ.

12(Β15). Μόνωτο χειροποίητο ευρύστομο βαθύ αγγείο Τπ. Ι, IV (92).
Ακέραιο. Δύο παράλληλες αυλακώσεις γύρω από τη βάση του λαιμού και του χείλους. Ζιγκ-ζαγκ αυλακωτή διακόσμηση στον ώμο του αγγείου. Αυλακωτή διακόσμηση στο ταινιωτό τμήμα της λαβής, καθώς και στο κατακόρυφο κυλινδρικό στέλεχος.
Πηλός Κτ. ΙΑ2
εξ. επ. ΚΜ-λ φθ
εσ. επ. ΚΜ-λ φθ
πρ. ΚΜ
ύψ. 0,112, δμβ. 0,065, δμχ. 0,10 μ.

13(Β21). Μόνωτο χειροποίητο ευρύστομο αγγείο Τπ. Ι, IV (80).
Λείπει ένα μέρος από το σώμα και το χείλος του αγγείου. Δύο παράλληλες αυλακώσεις γύρω από τη βάση του χείλους και στην αρχή του λαιμού. Τρεις αποφύσεις σε συμμετρικά διαστήματα στον ώμο του αγγείου.
Πηλός Κτ. ΙΑ2
εξ. επ. ΚΜ-λ
εσ. επ. ΚΜ-λ φθ
πρ. ΚΜ
ύψ. 0,12, δμβ. 0,065, δμχ. 0,10 μ.

14(Β12). Μόνωτο χειροποίητο ευρύστομο βαθύ αγγείο Τπ. Ι, IV (81).
Λείπει ένα μεγάλο τμήμα από το αγγείο. Δύο παράλληλες αυλακώσεις γύρω από τη βάση του χείλους και στην αρχή του λαιμού.
Πηλός Κτ. ΙΑ2
εξ. επ. ΚΜ-λ
εσ. επ. ΚΜ-λ
πρ. ΚΜ
ύψ. 0,17, δμβ. 0,07, δμχ. 0,145 μ.

15(Β22). Μόνωτο χειροποίητο ευρύστομο βαθύ αγγείο Τπ. Ι, IV(81).
Δύο λεπτές παράλληλες αυλακώσεις γύρω από τη βάση του χείλους και του λαιμού.
Πηλός Κτ. ΙΑ2
εξ. επ. Κ-ΚΕ-λ
εσ. επ. ΚΕ-λ φθ
πρ. ΚΕ
ύψ. 0,145, δμβ. 0,065, δμχ. 0,12 μ.

Π ί ν. 37

16(Β13). Θραύσματα μόνωτου χειροποίητου ευρύστομου αγγείου Τπ. Ι, IV (34).
Λείπει ένα μέρος από το αγγείο, με τη βάση, τον ώμο, το λαιμό και το χείλος, καθώς και τη λαβή.
Πηλός Κτ. ΙΒ1
εξ. επ. Κ-ΚΕ-λ
εσ. επ. Κ-λ φθ
πρ. ΚΕ
ύψ. 0,145, δμβ. 0,065, δμχ. 0,12 μ.

17(Β13). Θραύσματα μόνωτου χειροποίητου αγγείου Τπ. Ι, IV (23).
Σώζεται τμήμα από τη βάση και τμήμα ώμου με τη λαβή.
Πηλός Κτ. ΙΒ1
εξ. επ. Κ-ΚΕ-λ
εσ. επ. ΚΕ
πρ. ΚΕ και ΚΜ
συμπλ. ύψ. 0,165, δμβ. 0,065 μ.

18(Β31). Μόνωτο χειροποίητο ευρύστομο αγγείο Τπ. Ι, IV (28).
Σώζεται ένα μέρος από το άνω σώμα και το άνω τμήμα της λαβής.
Πηλός Κτ. ΙΑ2
εξ. επ. ΤΜ-λ
εσ. επ. ΤΜ-λ
πρ. Τ
ύψ. 0,10, δμβ. 0,04 μ.

19(Β18). Χειροποίητο κυπελλόσχημο αγγείο Τπ. Ι, IV (106).
Λείπει ένα τμήμα από το άνω σώμα. Δύο ελαφρές παράλληλες αυλακώσεις γύρω από τη βάση του χείλους. Γύρω από τη βάση του λαιμού σειρά από στικτές κουκίδες, που πλαισιώνονται από δύο παράλληλες αυλακώσεις.
Πηλός Κτ. ΙΑ2
εξ. επ. Κ-ΚΜ-λ φθ
εσ. επ. Κ-ΚΜ-λ φθ
πρ. ΚΜ
ύψ. 0,10, δμβ. 0,06, δμχ. 0,09 μ.

20(Β27). Θραύσμα μόνωτου χειροποίητου αγγείου Τπ. Ι, VIII (182).
Σώζεται η λαβή.
Πηλός Κτ. ΙΒ2
εξ. επ. ΚΕ
εσ. επ. ΚΕ
πρ. Τ
σζ. ύψ. 0,075 μ.

21(Β26). Θραύσματα χειροποίητου κυπελλόσχημου αγγείου Τπ. Ι, IV (41).
Σώζεται η βάση, καθώς και τμήμα ώμου και του λαιμού. Δύο παράλληλες αυλακώσεις γύρω από τη βάση του λαιμού.
Πηλός Κτ. ΙΑ2
εξ. επ. ΚΜ-λ
εσ. επ. ΚΕ-Κ
πρ. Κ-ΚΕ
συμπλ. ύψ. 0,095, δμβ. 0,05 μ.

22(Β29). Θραύσματα χειροποίητης οινοχόης με οπισθότμητη προχοή Τπ. Ι, VIIΓ (150).
Σώζεται τμήμα από το κάτω σώμα με τη βάση, καθώς και αποσπασματικά τμήματα από τον ώμο και το λαιμό.
Πηλός Κτ. ΙΑ2
εξ. επ. ΚΜ-λ
εσ. επ. Κ
πρ. ΚΜ
ύψ. 0,0246, δμβ. 0,076 μ.

23(Β14). Χειροποίητη οινοχόη με οπισθότμητη προχοή Τπ. Ι, VIIIΓ1 (160).
Λείπει ένα τμήμα από το κάτω σώμα, τη βάση και το λαιμό. Δύο αυλακώσεις γύρω από τη βάση του λαιμού. Μία τρίτη οριζόντια στο κέντρο, περίπου, του λαιμού.
Πηλός Κτ. ΙΑ2
εξ. επ. ΤΜ-λ
εσ. επ. ΤΜ
πρ. ΤΜ
ύψ. 0,115, δμβ. 0,04 μ.

Π ί ν. 38

24(Β23). Τροχήλατος αμφορίσκος Τπ. ΙΙ, Γ (239).
Λείπει ένα μεγάλο μέρος από το σώμα και το χείλος του αγγείου, καθώς και η μία λαβή. Επίχρισμα καστανό.
Πηλός Κτ. ΙΙΓ
συμπλ. ύψ. 0,11, δμβ. 0,04 μ.

25(Β27). Θραύσματα χειροποίητου αμφορέα Τπ. Ι, VIΓ (127).
Λείπει ένα μεγάλο μέρος από το σώμα και το λαιμό του αγγείου. Τρεις αυλακώσεις γύρω από τη βάση του λαιμού.
Πηλός Κτ. ΙΑ2
εξ. επ. Κ-ΚΤ-λ
εσ. επ. ΚΤ
πρ. Κ
συμπλ. ύψ. 0,315, δμβ. 0,085, δμχ. 0,175 μ.

26(Β28). Θραύσμα από την κοιλιά χειροποίητου αμφορέα Τπ. Ι, VIΒ (137).
Σώζεται κατακόρυφη λαβή.
Πηλός Κτ. ΙΑ3
εξ. επ. ΚΜ-λ
εσ. επ. ΚΕ
πρ. Κ
σζ. ύψ. 0,12 μ.

27(Β41). Θραύσμα μεγάλου χειροποίητου αμφορέα Τπ. Ι, VIΒ (137).
Σώζεται τμήμα ώμου με μία κατακόρυφη λαβή.
Πηλός Κτ. ΙΑ3
εξ. επ. ΚΜ-λ φθ
εσ. επ. ΚΕ
πρ. ΚΜ έξω - Ε μέσα
σζ. ύψ. 0,09 μ.

Ομάδα Β'

Π ί ν. 39

28(Β9). Μόνωτο χειροποίητο ευρύστομο αγγείο Τπ. Ι, IV (76).
Λείπει ένα μικρό μέρος από το κάτω σώμα και το λαιμό του αγγείου με την αρχή της λαβής. Τρεις αποφύσεις σε συμμετρικά διαστήματα στον ώμο.
Πηλός ΙΒ1
εξ. επ. Κ-ΚΕ-λ φθ
εσ. επ. Κ
πρ. Κ-ΚΜ
ύψ. 0,205, δμβ. 0,08, δμχ. 0,17 μ.

29(Β10). Θραύσμα μόνωτου χειροποίητου ευρύστομου αγγείου Τπ. Ι, IV (110).
Σώζεται τμήμα ώμου και λαιμού. Δύο παράλληλες αυλακώσεις γύρω από τη βάση του λαιμού. Λοξές παράλληλες αυλακώσεις στον ώμο του αγγείου.
Πηλός Κτ. ΙΑ2
εξ. επ. Κ-λ
εσ. επ. Κ-λ
πρ. Κ
σζ. ύψ. 0,06 μ.

30(Β11). Θραύσματα μόνωτου χειροποίητου ευρύστομου αγγείου Τπ. Ι, IV (50β).
Σώζονται τμήματα από τον ώμο και το λαιμό, καθώς και η λαβή. Δύο παράλληλες αυλακώσεις γύρω από τη βάση του λαιμού.
Πηλός Κτ. ΙΑ2
εξ. επ. Κ-ΚΜ-λ
εσ. επ. Κ-λ φθ
πρ. Κ
σζ. ύψ. 0,07, ύψ. λβ. 0,08 μ.

31(Β32). Χάλκινο εγχειρίδιο Τπ. ΕV, 4.
Ράχη κυρτή, ακμή ευθύγραμμη, ουρά που εισέχει από την πλευρά της ράχης, χωρίς καρφιά.
μκ. 0,135 μ.

32(Β33). Χάλκινο εγχειρίδιο Τπ. ΕΙ, 5α.
Ράχη ευθύγραμμη, ακμή κοίλη, ουρά που εισέχει από την πλευρά της ακμής. Σπασμένη η αιχμή. Χωρίς καρφιά.
μκ. 0,095 μ.

33(Β34). Χάλκινη λαβή σιδερένιου εγχειριδίου Τπ. ΕVΙ, 2.
Λαβή συμπαγής, που καταλήγει σε δακτύλιο. Σιδερένια λεπίδα προσαρτιόταν σε εσοχή της λαβής.
μκ. 0,08 μ.

34(Β30). Πήλινο δικωνικό σφονδύλι Τπ. ΣΙΙ, 1α.
ύψ. 0,032, δμ. 0,037 μ.

35(Β31). Πήλινο δικωνικό σφονδύλι Τπ. ΣΙ, 3.
ύψ. 0,03, δμ. 0,036 μ.

Α π ο θ έ τ η ς Κ5

Έξω από τη νοτιοανατολική γωνία του τάφου βρέθηκαν συγκεντρωμένα ορισμένα θραύσματα αγγείων:

ΕΥΡΗΜΑΤΑ

Π ί ν. 40

1. Μόνωτο χειροποίητο ευρύστομο αγγείο Τπ. Ι, IV (13).
Λείπει το κάτω σώμα του αγγείου και τμήμα της λαβής. Χαμηλή αυλάκωση γύρω από τη βάση του λαιμού.
Πηλός Κτ. ΙΒ1
εξ. επ. ΚΕ-λ φθ
εσ. επ. ΚΕ
πρ. Κ
συμπλ. ύψ. 0,065, δμχ. 0,18 μ.

2. Χειροποίητη οινοχόη με οπισθότμημη προχοή Τπ. Ι, VIIΓ (148).
Λείπει το κάτω σώμα του αγγείου και τμήμα της λαβής. Μία λεπτή αυλάκωση γύρω από την περιφέρεια του χείλους.
Πηλός Κτ. ΙΒ1
εξ. επ. ΚΕ-λ
εσ. επ. ΚΕ
πρ. ΚΤ
σζ. ύψ. 0,12 μ.

3. Μόνωτο χειροποίητο ευρύστομο αγγείο Τπ. Ι, IV (92).
Λείπει ένα μικρό μέρος από το σώμα του αγγείου. Δύο παράλληλες αυλακώσεις γύρω από τη βάση του χείλους και του λαιμού. Ζιγκζαγκ αυλακωτή διακόσμηση στον ώμο. Αυλακωτή διακόσμηση και στο ταινιωτό τμήμα της λαβής.
Πηλός Κτ. ΙΑ2
εξ. επ. ΤΜ-λ
εσ. επ. ΤΜ-λ
πρ. ΚΤ
ύψ. 0,12, δμβ. 0,05, δμχ. 0,095 μ.

4. Θραύσμα από το λαιμό μεγάλου χειροποίητου αγγείου (πίθου) Τπ. Π4.
Κυκλικές εμπιέσεις στο λαιμό, σε κανονικά διαστήματα.
Πηλός Κτ. ΙΒ2
εξ. επ. Κ-ΚΕ
εσ. επ. ΚΕ
πρ. Κ
σζ. ύψ. 0,054 μ.

5. Θραύσμα λαβής χειροποίητου αγγείου Τπ. Ι, IV.
Σώζεται τμήμα από τη γωνία της λαβής.
Πηλός Κτ. ΙΒ1
εξ. επ. ΚΕ-λ φθ
εσ. επ. ΚΕ-λ φθ
πρ. ΚΕ
σζ. ύψ. 0,03 μ.

6. Θραύσμα χειροποίητου αγγείου (ύστερης νεολιθικής εποχής).
Σώζεται οριζόντια λαβή ώμου.
Πηλός Κτ. ΙΒ1
εξ. επ. ΚΕ-λ φθ
εσ. επ. ΚΕ-λ φθ
πρ. Τ
σζ. μκ. 0,044 μ.

7. Θραύσμα μόνωτου χειροποίητου ευρύστομου αγγείου Τπ. Ι, IV.

Σώζεται τμήμα ώμου με το λαιμό, το χείλος και τη λαβή. Δύο παράλληλες αυλακώσεις γύρω από τη βάση του λαιμού και του χείλους.
Πηλός Κτ. ΙΑ2
εξ. επ. ΚΜ-λ
εσ. επ. ΚΜ-λ
πρ. ΚΜ
ύψ. λβ. 0,10 μ.

8. Θραύσμα μεγάλου χειροποίητου αμφορέα
Τπ. Ι, VIB (137).
Σώζεται τμήμα ώμου με μία κατακόρυφη κυλινδρική λαβή.
Πηλός Κτ. ΙΑ3
εξ. επ. ΚΜ-λ φθ
εσ. επ. ΚΕ
πρ. ΚΜ έξω - Ε μέσα
σζ. ύψ. λβ. 0,11 μ.

9. Θραύσμα μεγάλου χειροποίητου αμφορέα
Τπ. Ι, VIB (137).
Σώζεται τμήμα ώμου με μία κατακόρυφη κυλινδρική λαβή.
Πηλός Κτ. ΙΑ3
εξ. επ. Κ-ΚΜ-λ φθ
εσ. επ. ΚΕ
πρ. Κ
σζ. ύψ. 0,12 μ.

Ταφική συστάδα Κ6

Πρόκειται για μια απομονωμένη συστάδα στους νοτιοανατολικούς απόκρημνους πρόποδες της κορυφής του οικισμού Καστρί, σε απόσταση 200 μ. περίπου προς ΝΑ. της συστάδας Κ2 (Σ χ έ δ. 5, 12 και Ι· Π ί ν. 218γ).

Η συστάδα Κ6 αποτελείται από πέντε τάφους, από τους οποίους οι τρεις είναι κτιστοί ορθογώνιοι, πάνω από την επιφάνεια του εδάφους, και οι υπόλοιποι δύο είναι υπέργειοι, πάλι κιβωτιόσχημοι χαμηλοί περίβολοι που περιείχαν ταφές σε πίθους. Οι κτιστοί τάφοι έχουν προσανατολισμό Β.-Ν., ενώ οι κιβωτιόσχημοι χώροι των πίθων έχουν προσανατολισμό Α.-Δ. Τα στόμια και των δύο πίθων είναι στραμμένα προς Δ. Ο αρχικός πυρήνας της συστάδας φαίνεται ότι είναι ο τάφος Β. Σ' αυτόν προσκολλήθηκαν αργότερα ο τάφος Α προς Α. και ο τάφος Δ προς Δ. Στον τάφο Δ προστέθηκαν στη συνέχεια οι δύο θήκες με τις ταφές σε πίθους (Σ χ έ δ. 12).

Στοιχεία για την ύπαρξη τύμβου πάνω από τους τάφους δε βεβαιώθηκαν. Οι κτιστοί τάφοι και οι περίβολοι των πίθων καλύπτονταν με ένα στρώμα λίθων, που στους κιβωτιόσχημους τάφους κάλυπτε μόνο το εσωτερικό των τάφων και όχι τους τοίχους των πλευρών τους, που διαγράφονταν καθαρά πριν από την έναρξη της ανασκαφής και αμέσως μετά τον επιφανειακό καθαρισμό του εσωτερικού περιγράμματος της συστάδας από τη βλάστηση.

ΤΑΦΟΣ Κ6Α

Κτιστός κιβωτιόσχημος τάφος με προσανατολισμό περίπου Β.-Ν. Διαστάσεις (εσωτ.): μγ. μκ. 1,50, μγ. πλ. 0,90, μγ. ύψ. 1 μ. (Σ χ έ δ. 12· Π ί ν. 218δ).

Στη νοτιοδυτική γωνία του τάφου βρέθηκε ένα κομμάτι από μεγάλη πλάκα, πεσμένο στο εσωτερικό του τάφου. Πιθανότατα, προέρχεται από την πλάκα που κάλυπτε αρχικά τον τάφο. Ένα στρώμα λίθων και χώματος γέμιζε το εσωτερικό του τάφου ως το επίπεδο των ταφών.

Από τα ελάχιστα λείψανα οστών, που διαπιστώθηκαν στην ανασκαφή, δεν ήταν δυνατό να καταλήξουμε σε κανένα βέβαιο συμπέρασμα για τον αριθμό και τη θέση των νεκρών του τάφου.

Με βάση τις διαστάσεις του τάφου και το γεγονός ότι κατά κανόνα οι νεκροί θάπτονται με τεντωμένα ή σχεδόν τεντωμένα τα σκέλη, πρέπει να καταλήξουμε στο συμπέρασμα ότι στον τάφο είχαν εναποθετεί παιδικές ταφές. Το μέγεθος των αγγείων που βρέθηκαν στον τάφο συνηγορεί για την εξαγωγή αυτού του συμπεράσματος: Ένα μικρογραφικό αγγείο βρέ-

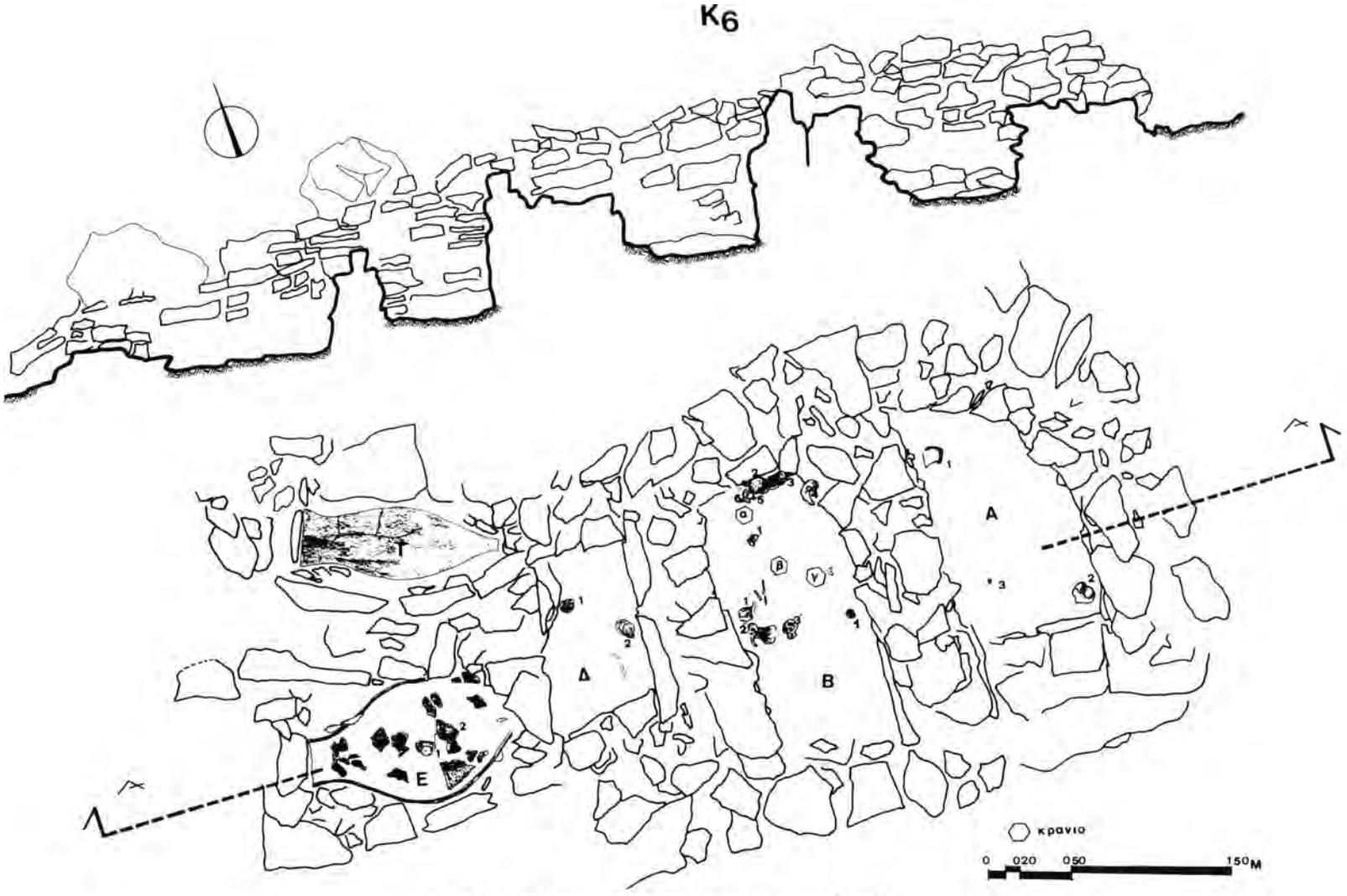

Σχέδ. 12. Κάτοψη και τομή ταφικής συστάδας Κ6.

θηκε στη βορειοδυτική γωνία (Α1) και θραύσμα από μικρογραφικό αγγείο βρέθηκε στη νοτιοανατολική γωνία (Α2). Το σφονδύλι Α3 βρέθηκε κοντά στο αγγείο Α1.

Πιθανόν δύο ταφές είχαν εναποτεθεί στον τάφο, γιατί τα κτερίσματα βρίσκονται σε δύο απομονωμένες ομάδες. Από την ανθρωπολογική μελέτη προσδιορίσθηκε, ωστόσο, και η ταφή ενός ενήλικου ατόμου στον τάφο (Παράρτημα Ια). Στο εσωτερικό του τάφου βρέθηκε και ένα θραύσμα από σιαγόνα αιγοπροβάτου (Παράρτημα ΙΙ).

ΕΥΡΗΜΑΤΑ

Πίν. 41Α

1(Α1). Άωτο μικρογραφικό αγγείο Τπ. Ι, ΙΧΑ (190).
Λείπει ένα ελάχιστο τμήμα από το χείλος.
Πηλός Κτ. ΙΓ1
εξ. επ. Κ-ΚΕ
εσ. επ. Κ-ΚΕ
πρ. ΚΕ
ύψ. 0,062, δμβ. 0,04, δμχ. 0,08 μ.

2(Α2). Μόνωτο χειροποίητο ευρύστομο κυπελλόσχημο αγγείο Τπ. Ι, IV (97).
Λείπει το άνω τμήμα του σώματος και της λαβής. Μία αυλάκωση διακρίνεται γύρω από τη βάση του λαιμού και δύο λοξές στην περιοχή της λαβής. Ζιγκ-ζαγκ αυλακωτή διακόσμηση στον ώμο.
Πηλός Κτ. ΙΑ2
εξ. επ. ΚΜ-λ
εσ. επ. ΚΜ-λ
πρ. ΚΜ
σζ. ύψ. 0,07, δμβ. 0,045 μ.

3(Α3). Πήλινο δικωνικό σφονδύλι Τπ. ΣΙ, 3.
ύψ. 0,029, δμ. 0,036 μ.

ΤΑΦΟΣ Κ6Β

Κτιστός κιβωτιόσχημος τάφος, με προσανατολισμό Β.-Ν. περίπου. Διαστάσεις (εσωτ.): μγ. μκ. 1,80, μγ. πλ. 0,80, ύψ. 0,72 μ.

Κάτω από το στρώμα των λίθων και του αραιού χώματος, με το οποίο ήταν γεμισμένο το εσωτερικό του τάφου, βεβαιώθηκε η ύπαρξη τριών παιδικών ταφών. Από τους σκελετούς σώθηκαν θραύσματα των τριών κρανίων και ελάχιστα θραύσματα μακρών οστών, από τα οποία δεν προκύπτει κανένα βέβαιο συμπέρασμα για τη στάση των νεκρών (Πίν. 219γ). Τα κτερίσματα βρέθηκαν αντίστοιχα συγκεντρωμένα σε τρεις ομάδες. Η ανθρωπολογική μελέτη των οστών προσδιόρισε με βεβαιότητα την ταφή τριών παιδιών στον τάφο και εντόπισε την πιθανή παρουσία δύο ακόμη παιδικών ταφών.

ΕΥΡΗΜΑΤΑ

Ομάδα Α' - Ταφή α

Πίν. 41Β

1(Βα4). Μόνωτο χειροποίητο ευρύστομο αγγείο Τπ. Ι, IV (86).
Ακέραιο. Αυλακωτή διακόσμηση σε μετωπικό πλαίσιο από δύο παράλληλες αυλακώσεις στο λαιμό του αγγείου.
Πηλός Κτ. ΙΑ2
εξ. επ. ΤΜ-λ
εσ. επ. Μ-λ
πρ. ΤΜ
ύψ. 0,115, δμβ. 0,075, δμχ. 0,14 μ.

2(Βα3). Μόνωτο χειροποίητο ευρύστομο αγγείο Τπ. Ι, IV (87).
Ακέραιο. Αυλακωτή διακόσμηση σε μετωπικό πλαίσιο από δύο παράλληλες αυλακώσεις στο λαιμό του αγγείου. Αυλακωτή διακόσμηση και στο ταινιωτό τμήμα της γωνιόσχημης λαβής.
Πηλός Κτ. ΙΑ2
εξ. επ. ΚΤ-λ
εσ. επ. ΚΤ-λ
ύψ. 0,105, δμβ. 0,05, δμχ. 0,05 μ.

3(Βα2). Μόνωτο χειροποίητο ευρύστομο αγγείο Τπ. Ι, IV (49).
Λείπει ένα μικρό τμήμα του χείλους. Δύο πα-

ράλληλες αυλακώσεις γύρω από τη βάση του λαιμού, που κάμπτονται προς τα άνω στην περιοχή της λαβής.
Πηλός Κτ. ΙΑ2
εξ. επ. ΚΤ-λ
εσ. επ. ΚΤ-λ
πρ. Κ
ύψ. 0,083, δμβ. 0,045, δμχ. 0,09 μ.

4(Βα5). Χειροποίητο κυπελλόσχημο αγγείο Τπ. Ι, VIII (183).
Πηλός Κτ. ΙΒ1
εξ. επ. Κ-ΚΕ-λ
εσ. επ. ΚΕ-λ
πρ. ΚΕ
ύψ. 0,07, δμβ. 0,04, δμχ. 0,065 μ.

5(Βα6). Χειροποίητη μικρή οινοχόη Τπ. Ι, VIIΓ (160).
Λείπει το άνω τμήμα του λαιμού και η λαβή.
Πηλός Κτ. ΙΑ1
εξ. επ. ΚΕ-λ
εσ. επ. Κ
πρ. ΚΕ
σζ. ύψ. 0,047, δμβ. 0,025, δμλ. 0,035 μ.

6(Βα1). Άωτο χειροποίητο αγγείο Τπ. Ι, ΙΧΒ (194).
Λείπει ένα μικρό μέρος από το σώμα του αγγείου. Δυο οπές αντωπές κάτω από το χείλος για την προσάρτηση πώματος.
Πηλός Κτ. ΙΑ2
εξ. επ. ΤΜ-λ
εσ. επ. Κ
πρ. Κ
ύψ. 0,095, δμβ. 0,03, δμχ. 0,055 μ.

Ομάδα Β' - Ταφή β

Πίν. 42Α

1(Ββ3). Χειροποίητη οινοχόη με οπισθότμητη προχοή Τπ. Ι, VIIΑ (141).
Ακέραιη. Δύο αυλακώσεις κάτω από το χείλος, που σταματούν στην περιοχή της προχοής. Τρεις παράλληλες αυλακώσεις γύρω από τη βάση του λαιμού· ζιγκ-ζαγκ αυλακωτή διακόσμηση στον ώμο. Δύο κοντές αυλακώσεις στο σημείο που η λαβή ενώνεται με το χείλος.
Πηλός Κτ. ΙΑ2
εξ. επ. ΤΜ-λ
εσ. επ. ΚΜ
πρ. ΚΤ
ύψ. 0,105, δμβ. 0,07, δμλ. 0,075 μ.

2(Ββ2). Χειροποίητη οινοχόη Τπ. Ι, VIIΔ (175).
Λείπει ένα μικρό μέρος από το χείλος.
Πηλός Κτ. ΙΑ2
εξ. επ. ΤΜ-λ
εσ. επ. ΚΜ
πρ. Κ
ύψ. 0,13, δμβ. 0,055, δμλ. 0,075 μ.

3(Ββ1). Θραύσμα χειροποίητου αγγείου Τπ. Ι, IV (28).
Σώζεται τμήμα της βάσης, του ώμου με την αρχή της λαβής, και το χείλος.
Πηλός Κτ. ΙΒ1
εξ. επ. ΚΕ
εσ. επ. ΚΕ
πρ. ΚΕ
μγ. ύψ. 0,09, δμβ. 0,045, δμχ. 0,075 μ.

Ομάδα Γ' - Ταφή γ

Πίν. 42

4 (Βγ1). Άωτο χειροποίητο αγγείο Τπ. Ι, ΙΧΒ (193).
Λείπει ένα μικρό μέρος από το χείλος. Δύο αντίστοιχες οπές κάτω από το χείλος.
Πηλός Κτ. ΙΓ1
εξ. επ. Κ
εσ. επ. Ε
πρ. Ε
ύψ. 0,04, δμβ. 0,03, δμχ. 0,06 μ.

Επίχωση του τάφου Κ6Β (ΕΠ)

Πίν. 42Β

1. Θραύσμα κυλινδρικής λαβής χειροποίητου αγγείου Τπ. Ι, IV.
Πηλός Κτ. ΙΑ2
σζ. ύψ. 0,028 μ.

2. Θραύσμα λαβής χειροποίητου αγγείου Τπ. Ι, IV.
Αυλακωτή διακόσμηση.
Πηλός Κτ. ΙΑ2
σζ. μκ. 0,042 μ.

3. Θραύσμα κατακόρυφης λαβής από την κοιλιά χειροποίητου αγγείου Τπ. Ι, XII.
Πηλός Κτ. ΙΓ2
σζ. ύψ. 0,05 μ.

4. Θραύσμα κατακόρυφης λαβής από την

κοιλιά χειροποίητου αγγείου Τπ. Ι, VIB.
Πηλός Κτ. ΙΑ2
σζ. υψ. 0,06 μ.

5. Θραύσμα λαβής τροχήλατου αγγείου.
Πηλός Κτ. ΙΙ
σζ. μκ. 0,04 μ.

6. Θραύσμα από την κοιλιά χειροποίητου αγγείου Τπ. Ι, XII.
Πλαστική ταινία με «δακτυλιές» γύρω από την κοιλιά του αγγείου.
Πηλός Κτ. ΙΓ2
σζ. ύψ. 0,063 μ.

ΤΑΦΟΣ Κ6Γ

Παιδικές ταφές σε πίθο. Ο πίθος, που σώθηκε ακέραιος, ήταν τοποθετημένος μέσα σ' έναν κιβωτιόσχημο ορθογώνιο χώρο, με πολύ χαμηλές κτιστές πλευρές, και καλυπτόταν με ένα στρώμα λίθων και αραιού χώματος. Διαστάσεις (εσωτ.): μγ. μκ. 1,80, μγ. πλ. 0,60 μ.

Ο πίθος είχε τοποθετηθεί σε οριζόντια θέση, με το στόμιο στραμμένο προς Δ. και καλυμμένο με μια σχιστόπλακα περίπου κυκλική (Σ χ έ δ. 12· Π ί ν. 219α).

Στο εσωτερικό του πίθου βρέθηκαν θραύσματα παιδικών οστών, από τα οποία η ανθρωπολογική μελέτη εντόπισε δύο παιδικές ταφές, ενός παιδιού 2-3 ετών και ενός νεογέννητου βρέφους (Παράρτημα Ια), καθώς και τα εξής κτερίσματα:

ΕΥΡΗΜΑΤΑ

Π ί ν. 43Γ

1(Γ1). Άωτο χειροποίητο αγγείο Τπ. Ι, VB (196).
Λείπει μικρό μέρος από το χείλος. Δύο κατακόρυφες αποφύσεις κάτω από το χείλος.
Πηλός Κτ. ΙΒ2
εξ. επ. ΚΕ
εσ. επ. ΚΕ
πρ. ΚΕ
ύψ. 0,66 , δμβ. 0,03, δμχ. 0,06 μ.

2(Γ3). Χάλκινο εγχειρίδιο Τπ. ΕΙΙΙ, 1.
Ράχη ευθύγραμμη, ακμή ελαφρά κοίλη, ουρά αιχμηρή χωρίς καρφιά.
μκ. 0,095 μ.

3(Γ2). Χάλκινο εγχειρίδιο Τπ. ΕΙΙΙ, 1.
Ράχη ελαφρά κυρτή, ακμή ελαφρά κοίλη, ουρά πλατιά, που εισέχει ελάχιστα.
μκ. 0,117 μ.

4. Πίθος οξυπύθμενος Τπ. Ι, XIV (5).
Ακέραιος. Μία πλαστική ταινία γύρω από τη βάση του λαιμού. Δύο σειρές από κυκλικές εμπιέσεις κάτω από το χείλος.
Πηλός Κτ. ΙΓ2
εξ. επ. Κ
εσ. επ. Κ
πρ. Κ
ύψ. 0,75, δμχ. 0,24 μ.

ΤΑΦΟΣ Κ6Δ

Ορθογώνιος κτιστός κιβωτιόσχημος τάφος, που προστέθηκε στη δυτική πλευρά του τάφου Κ6Β (Σ χ έ δ. 12). Διαστάσεις (εσωτ.): μγ. μκ. 1,10, μγ. πλ. 0,60, ύψ. 0,80 μ.

Το εσωτερικό του τάφου ήταν γεμισμένο με στρώμα λίθων και χώμα. Τα ελάχιστα λείψανα οστών, που βρέθηκαν στο επίπεδο της ταφής, δεν ήταν δυνατό να βεβαιώσουν τον αριθμό και τη θέση των νεκρών. Κατά μήκος της ανατολικής πλευράς του τάφου διακρίνονταν λείψανα από οστά χεριού. Τα δύο αγγεία βρέθηκαν μακριά το ένα από το άλλο (Π ί ν. 219β). Το γεγονός αυτό, σε συνδυασμό με την ανθρωπολογική μελέτη που εντόπισε λείψανα ενός παιδιού και ενός ενήλικα (Παράρτημα Ια), βεβαιώνει την εναπόθεση δύο τουλάχιστον ταφών στον τάφο.

Εκτός από τα δύο αγγεία, βρέθηκαν ορισμένα άλλα θραύσματα αγγείων στο ανατολικό τμήμα του τάφου, καθώς και στην επίχωση.

ΕΥΡΗΜΑΤΑ

Πίν. 43Α

1(Δ2). Μόνωτο χειροποίητο βαθύ αγγείο Τπ. Ι, IV (109).
Ακέραιο. Μία αυλάκωση γύρω από τη βάση του λαιμού. Σειρά από λοξές αυλακώσεις στον ώμο του αγγείου.
Πηλός Κτ. ΙΑ2
εξ. επ. ΤΜ-λ
εσ. επ. ΤΜ
πρ. ΤΜ
ύψ. 0,083, δμ. 0,045, δμχ. 0,065 μ.

2(Δ1). Μόνωτο χειροποίητο αγγείο Τπ. Ι, VΙΔ (4).
Λείπει ο λαιμός με το χείλος και η οριζόντια λαβή του αγγείου.
Πηλός Κτ. ΙΑ2
εξ. επ. ΚΤ-λ
εσ. επ. ΚΕ
πρ. ΚΕ
σζ. ύψ. 0,075, δμβ. 0,03, δμλ. 0,07 μ.

3. Θραύσμα ταινιωτής λαβής χειροποίητου αγγείου Τπ. Ι, IV.
Αυλακωτή διακόσμηση στην άνω επιφάνεια της λαβής.
Πηλός Κτ. ΙΑ2
εξ. επ. ΚΜ-λ
εσ. επ. ΚΜ-λ
πρ. ΚΕ
σζ. μκ. 0,03 μ.

4. Θραύσμα από τον ώμο χειροποίητου αγγείου Τπ. Ι, ΙΙΙ.
Σώζεται μία οριζόντια λαβή.
Πηλός Κτ. ΙΑ2
εξ. επ. ΚΜ-λ φθ
εσ. επ. ΚΜ-λ φθ
πρ. Κ
σζ. ύψ. 0,046 μ.

5. Θραύσμα από το χείλος χειροποίητου αγγείου Τπ. Ι, IV.
Πηλός Κτ. ΙΑ2
εξ. επ. Κ
εσ. επ. Κ
πρ. Κ
σζ. ύψ. 0,027 μ.

ΤΑΦΟΣ Κ6Ε

Παιδικές ταφές σε πίθο. Ο πίθος ήταν τοποθετημένος σ' έναν κιβωτιόσχημο ορθογώνιο χώρο, με χαμηλές κτιστές πλευρές, από τις οποίες η μία είναι η νότια πλευρά του κιβωτιόσχημου χώρου του τάφου Γ (Σχέδ. 12· Πίν. 219δ).

Ο τάφος Ε είναι πιθανότατα νεότερος από τον τάφο Γ, αφού φαίνεται ότι χρησιμοποιεί τη νότια πλευρά του. Διαστάσεις (εσωτ.): μγ. μκ. 1,40, μγ. πλ. 0,70 μ.

Ο πίθος είχε εναποτεθεί σε οριζόντια θέση, με το στόμιο στραμμένο προς Δ., και είχε καλυφθεί με στρώμα λίθων και χώμα. Το άνω μέρος του πίθου είχε θρυμματισθεί σε πολλά κομμάτια, που βρέθηκαν πεσμένα στο εσωτερικό του πίθου (Πίν. 219δ-ε).

Το στόμιο ήταν καλυμμένο με μία σχεδόν κυκλική σχιστόπλακα. Στο εσωτερικό του πίθου δε σώθηκε ούτε ίχνος οστών, πιθανότατα γιατί οι ταφές ήταν παιδικές. Βρέθηκαν, ωστόσο, δύο χάλκινα εγχειρίδια (Ε2-Ε3), ένα δίωτο μικρογραφικό κανθαρόσχημο αγγείο και ορισμένα όστρακα, από τα οποία προκύπτει ότι οι ταφές στον πίθο πρέπει να ήταν περισσότερες από μία.

ΕΥΡΗΜΑΤΑ

Πίν. 43Β

1(Ε1). Δίωτο χειροποίητο κανθαρόσχημο αγγείο Τπ. Ι, VΒ (118).
Λείπει μικρό μέρος από το σώμα και η μία λαβή.
Πηλός Κτ. ΙΑ2
εξ. επ. ΤΜ-λ
εσ. επ. ΤΜ-λ
πρ. ΚΤ
ύψ. 0,07, δμβ. 0,036, δμχ. 0,06 μ.

2(Ε2). Χάλκινο εγχειρίδιο Τπ. ΕΙΙΙ, 1.
Ράχη ελαφρά κυρτή, ακμή ελαφρά κοίλη, αιχμή αποστρογγυλεμένη. Ουρά ισόπαχη με τη λεπίδα, χωρίς καρφιά.
μκ. 0,125 μ.

3(Ε3). Χάλκινο μικρό εγχειρίδιο Τπ. ΕΙV, 2α.
Ράχη ελαφρά κυρτή, ακμή ελαφρά κοίλη, ουρά με καμπύλο άκρο, χωρίς καρφιά.
μκ. 0,05 μ.

4. Δύο θραύσματα γωνιόσχημης λαβής χειροποίητου αγγείου Τπ. I, IVB (118).
Πηλός Κτ. ΙΑ2
εξ. επ. ΚΜ-λ
εσ. επ. ΚΜ-λ
πρ. ΤΜ
συμπλ. ύψ. 0,07 μ.

5. Θραύσμα χειροποίητου αγγείου Τπ. I, VIII.
Σώζεται η κατακόρυφη κυλινδρική λαβή.
Πηλός Κτ. ΙΓ2
εξ. επ. Ε
εσ. επ. Ε
πρ. Τ
ύψ. 0,07 μ.

6. Θραύσμα από το σώμα χειροποίητου αγγείου Τπ. I, XII.
Πλαστική ταινία με «δακτυλιές» γύρω από την κοιλιά του αγγείου.
Πηλός Κτ. ΙΓ2
εξ. επ. Ε
εσ. επ. Ε
πρ. Τ
σζ. ύψ. 0,042 μ.

7(Ε2). Θραύσματα από τη βάση και τη λαβή χειροποίητου αγγείου Τπ. I, IV.
Πηλός Κτ. ΙΑ2
εξ. επ. ΚΜ-λ
εσ. επ. ΚΜ
πρ. ΚΜ
σζ. ύψ. 0,027, δμβ. 0,07 μ.

8. Πίθος οξυπύθμενος Τπ. I, XIV (6).
Λείπει ένα μέρος από το σώμα του πίθου. Γύρω από τη βάση του λαιμού πλαστική ταινία με κατακόρυφες χαράξεις. Δύο απλές πλαστικές ταινίες περιβάλλουν την κοιλιά του πίθου. Ανάμεσα στην πλαστική ταινία του λαιμού και την πλαστική ταινία της κοιλιάς, ανάγλυφη επίθετη παράσταση. Δύο τετράκτινοι τροχοί και σχηματοποιημένο άρμα με δύο τροχούς. Το άκρο της άντυγας πλαισιώνουν δύο σχηματοποιημένα κεφάλια πτηνών.
ύψ. 0,78, δμχ. 0,24 μ.

Τάφος Κ7

Τάφος κτιστός κιβωτιόσχημος, στη δυτική πλαγιά του λόφου της ακρόπολης Καστρί. Προσανατολισμός τάφου Β.-Ν., περίπου. Διαστάσεις (εσωτ.): μγ. μκ. 2, μγ. πλ. 1, μγ. ύψ. 0,90 μ.

Η εσωτερική παρειά των μακρών πλευρών του τάφου επενδύεται με μεγάλες σχιστόπλακες, που υψώνονται πάνω από το σωζόμενο ύψος των κτιστών τοιχωμάτων του. Ο τάφος είχε συληθεί από τους λαθρανασκαφείς. Στο σωρό των χωμάτων που βρέθηκαν στο εσωτερικό του τάφου, καθώς και στο σωρό των χωμάτων που είχαν ριχθεί έξω από τον τάφο, βρέθηκαν θραύσματα αγγείων (Σ χ έ δ. 13).

ΕΥΡΗΜΑΤΑ

Πίν. 44Α

1. Μεγάλο χειροποίητο ευρύστομο αγγείο Τπ. I, XII (213).
«Νυχιές» γύρω στο χείλος. Πλαστική ταινία με «δακτυλιές» γύρω από τον ώμο του αγγείου.
Πηλός Κτ. ΙΓ2
εξ. επ. ΚΕ
εσ. επ. ΚΕ
πρ. ΚΕ
σζ. ύψ. 0,27, δμχ. 0,37 μ.

Πίν. 45

2. Μόνωτο χειροποίητο ευρύστομο αγγείο Τπ. I, IV (83).
Λείπει ένα μεγάλο μέρος από το άνω σώμα, η βάση και η λαβή.
Πηλός Κτ. ΙΑ2
εξ. επ. ΚΜ-λ
εσ. επ. ΚΜ-λ
πρ. ΚΤ
σζ. ύψ. 0,192, δμχ. 0,216 μ.

3. Χειροποίητη οινοχόη με οπισθότμητη προχοή Τπ. I, VIIΔ (166).
Λείπει ένα μεγάλο μέρος από το κάτω σώμα του αγγείου, η βάση και το κάτω τμήμα της λαβής. Δύο παράλληλες αυλακώσεις γύρω

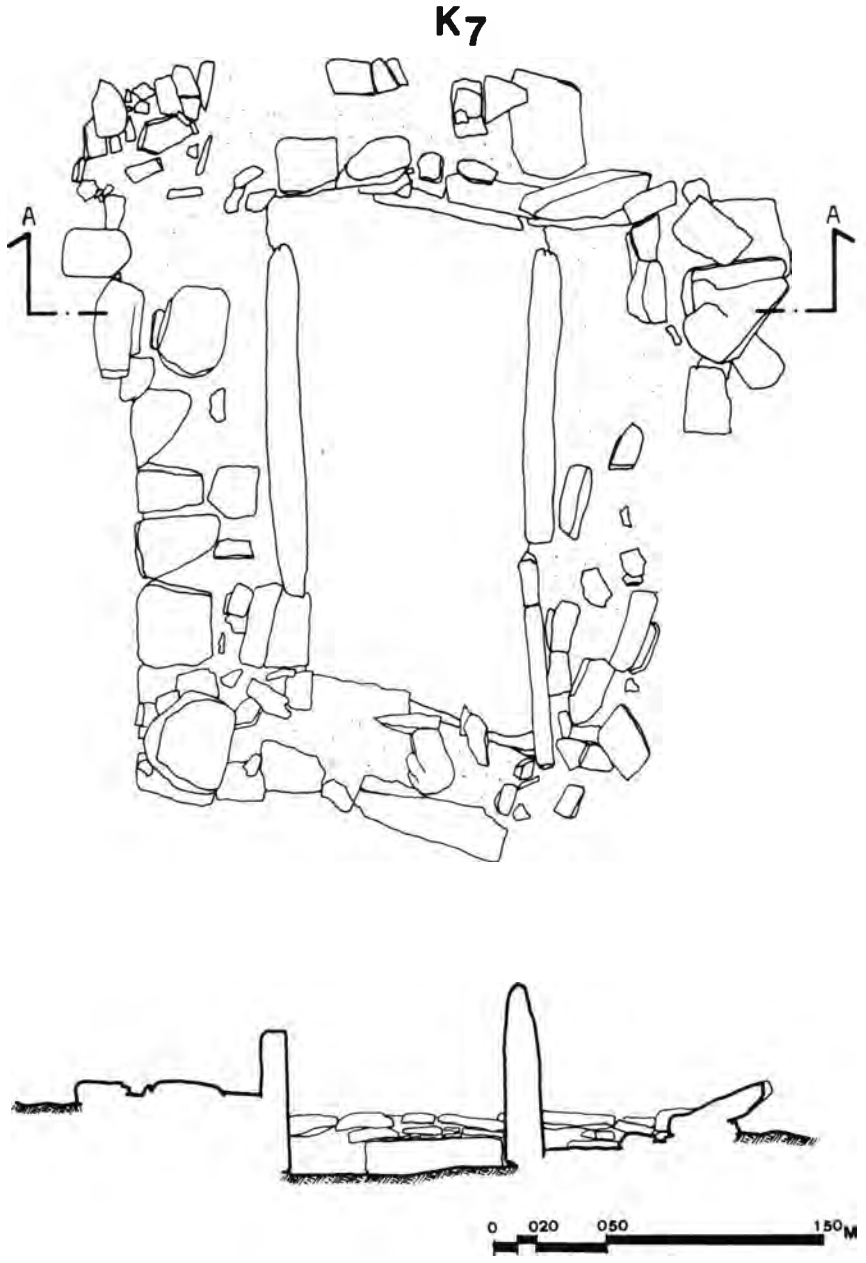

Σχέδ. 13. Κάτοψη και τομή τάφου Κ7.

από τη βάση του λαιμού και κάτω από την περιφέρεια του χείλους.
Πηλός Κτ. ΙΑ2
εξ. επ. ΚΜ-λ
εσ. επ. ΚΜ-ΤΜ
πρ. ΤΜ
συμπλ. ύψ. 0,23, δμχ. 0,096 μ.

4. Θραύσματα από μεγάλο μόνωτο χειροποίητο ευρύστομο βαθύ αγγείο Τπ. Ι, IV (83). Σώζεται τμήμα από το σώμα με τμήμα βάσης και λαιμού. Δύο παράλληλες αυλακώσεις γύρω από τη βάση του λαιμού.
Πηλός Κτ. ΙΑ2
εξ. επ. ΤΜ-λ

εσ. επ. ΤΜ
πρ. ΚΤ
σζ. ύψ. 0,295, δμβ. 0,10 μ.

Ε π ί χ ω σ η (ΕΠ)

Π ί ν. 44Β

1. Θραύσμα από το χείλος χειροποίητου αγγείου Τπ. Ι, XII.
Πηλός Κτ. ΙΓ2
σζ. ύψ. 0,054 μ.

2. Θραύσμα από το χείλος χειροποίητου αγγείου Τπ. Ι, XII.
Πηλός Κτ. ΙΓ2
σζ. ύψ. 0,058 μ.

3. Θραύσμα από το χείλος χειροποίητου αγγείου Τπ. Ι, XII.
Πλαστική ταινία με «δακτυλιές» κάτω από το χείλος του αγγείου.
Πηλός Κτ. ΙΓ2
σζ. ύψ. 0,036 μ.

4. Θραύσμα από τον ώμο χειροποίητου αγγείου (αμφορέα) (ύστερης νεολιθικής εποχής).
Σώζεται κατακόρυφη λαβή.
σζ. ύψ. 0,078 μ.

5. Θραύσμα από το χείλος χειροποίητου φιαλόσχημου αγγείου (ύστερης νεολιθικής εποχής).
σζ. ύψ. 0,036 μ.

ΤΟ ΝΕΚΡΟΤΑΦΕΙΟ ΣΤΗ ΘΕΣΗ ΒΡΥΣΟΥΔΕΣ

Στα ανατολικά της ακρόπολης Καστρί αρχίζει ένα χαμηλότερο από την ακρόπολη οροπέδιο, μια περιοχή πιο ομαλή και με μεγαλύτερη βλάστηση από την περιοχή Τσιγανάδικα. Στην περιοχή Βρυσούδες — το τοπωνύμιο προέρχεται από μια πηγή στη νοτιοανατολική πλαγιά του λόφου — δεν έχουν εντοπισθεί πολλοί τάφοι. Τρία ταφικά συγκροτήματα, που βρίσκονται σε μικρή απόσταση μεταξύ τους, έχουν μέχρι στιγμής ανασκαφεί. Δύο ακόμη μικρές ταφικές συστάδες, που έχουν εντοπισθεί σε αρκετή απόσταση προς Α., δεν έχουν ανασκαφεί.

Πιθανότατα, υπάρχουν και άλλα εγκατεσπαρμένα ταφικά συγκροτήματα που δεν έχουν εντοπισθεί ως τώρα. Από τα μέχρι στιγμής δεδομένα φαίνεται ότι στην περιοχή Βρυσούδες δεν έχουμε εκτεταμένο, όπως στην περιοχή Τσιγανάδικα, νεκροταφείο (Σ χ έ δ. Ι).

Ταφική συστάδα Β1

Πριν από την έναρξη της ανασκαφής, η συστάδα έδινε την εικόνα ενός τυμβόσχημου περίπου λιθοσωρού από μεγάλες και μικρές πέτρες, καθώς και σχιστόπλακες (Π ί ν. 220α). Δύο όρθιες πλάκες στο νοτιοδυτικό άκρο του τύμβου έδιναν την εντύπωση μιας εισόδου. Όταν καθαρίσθηκε η άνω επιφάνεια του τύμβου από τα χώματα και τη λίγη βλάστηση, ξεχώρισε αμέσως το περίγραμμα των περισσότερων τάφων της συστάδας. Οι τάφοι έχουν χαμηλούς, κτιστούς με ξερολιθιά, τοίχους και ήταν σκεπασμένοι με στρώμα μικρών και μεγάλων λίθων. Ανάμεσα στις πέτρες ξεχώριζαν μερικές μεγάλες πλάκες, άλλοτε όρθιες και άλλοτε πεσμένες στο εσωτερικό των τάφων. Οι πλάκες αυτές προέρχονται από την κάλυψη των τάφων. Η συστάδα αποτελείται από τέσσερις τάφους, που πρέπει να έχουν κατασκευασθεί διαδοχικά. Οι τάφοι Β, Γ και Δ έχουν προσανατολισμό Β.-Ν., ενώ ο τάφος Α έχει προσανατολισμό Α.-Δ. Ο αρχαιότερος τάφος πρέπει να είναι ο Γ· ακολούθησε η κατασκευή του τάφου Β1Ε και στη συνέχεια των Α και Δ. Ένας ορθογώνιος χώρος, με προσανατολισμό Α.-Δ., που φαίνεται ότι σχηματίζεται προς Δ. του τάφου Β1Ε, δεν είναι τάφος, αλλά αποθέτης (Σ χ έ δ. 14).

Στην επίχωση του εσωτερικού των τάφων ξεχώρισαν δύο στρώματα: α) ένα μαλακό μαύρο χώμα, που είχε σχηματισθεί από τις ρίζες των θάμνων, β) ένα στρώμα με λίθους και χώμα, που κάλυπτε τις ταφές.

ΤΑΦΟΣ Β1Α

Ορθογώνιος κτιστός κιβωτιόσχημος τάφος, με προσανατολισμό Α.-Δ., καλυμμένος με στρώμα λίθων και χώματος. Διαστάσεις (εσωτ.): μγ. μκ. 1,90, μγ. πλ. 0,92, ύψ. 0,90 μ. Στο εσωτερικό του τάφου διαπιστώθηκαν επάλληλα στρώματα με οστά και κτερίσματα.

Επιφανειακό στρώμα

Περιείχε οστά, αποκλειστικά άνω και κάτω άκρων, ριγμένα χωρίς τάξη, και ελάχιστα όστρακα αγγείων.

Στρώμα Ι (Π ί ν. 46)

Μετά την απομάκρυνση του στρώματος Ι των οστών, ξεχώρισαν στο δυτικό και ανατολικό πέρας του τάφου θραύσματα κρανίων (α, β, δ, ε), θραύσματα αγγείων (Α1, Α2, Α4, Α5), σε δύο κυρίως ομάδες, καθώς και τα διάσπαρτα όστρακα Α8, Α9, Α10. Και σ' αυτό το στρώμα δεν ξεχώριζαν αρχικές ταφές κατά χώραν, αλλά οστά και κτερίσματα που φαίνονταν παραμερισμένα και ριγμένα άτακτα (Σ χ έ δ. 16· Π ί ν. 220γ-δ). Η ανθρωπολογική έρευνα ξεχώρισε οστά 3-4, τουλάχιστον, ενηλίκων.

Στρώμα ΙΙ (Πίν. 47)

Στο τελευταίο στρώμα, το αρχαιότερο, τα οστά έδιναν την εντύπωση ταφών που είχαν εναποτεθεί η μία πάνω στην άλλη και που είχαν εν μέρει διαταραχθεί, ενώ ορισμένα οστά και κτερίσματα είχαν μείνει κατά χώραν. Στο στρώμα αυτό ανήκαν τέσσερα κρανία (γ, στ, η, ζ), αλλά είναι πιθανό να σχετίζονται με τις ταφές του στρώματος αυτού και ορισμένα κρανία που είχαν παραμερισθεί στις γωνίες του τάφου και βρέθηκαν στο στρώμα ΙΙ (Σχέδ. 16· Πίν. 221α-γ, 222α-γ).

Η ανθρωπολογική έρευνα βεβαίωσε την ύπαρξη τριών, τουλάχιστον, ενηλίκων και δύο παιδιών στο στρώμα αυτό. Πιθανόν με τον τρίτο ενήλικο σχετίζονται τα λείψανα κρανίου β, που είχαν βρεθεί στο στρώμα ΙΙ.

Στο στρώμα ΙΙ ανήκουν τα εξής κτερίσματα: Α3, Α6, Α7, Α11, Α12, Α13, Α14, Α15, Α16.

Με κάποια από τις παιδικές ταφές (πιθανόν με την ταφή στ) πρέπει να σχετίζεται το μικρογραφικό αγγείο Α7, ενώ είναι αξιοσημείωτο ότι το ελικόσχημο κόσμημα (ενώτιο) Α14 βρέθηκε κατά χώραν στο κρανίο στ, που η ανθρωπολογική έρευνα το αναγνώρισε ως γυναικείο.

ΕΥΡΗΜΑΤΑ

Στρώμα Ι

Πίν. 46

1(Α4). Μόνωτο χειροποίητο ευρύστομο βαθύ αγγείο Τπ. Ι, IV (77).
Λείπει ένα μεγάλο μέρος από το σώμα του αγγείου, καθώς και τμήμα λαβής. Δύο παράλληλες αυλακώσεις γύρω από τη βάση του λαιμού και κάτω από την περιφέρεια του χείλους. Αυλακωτή διακόσμηση και στο άνω ταινιωτό τμήμα της λαβής.
Πηλός Κτ. ΙΒ1
εξ. επ. Κ-ΚΕ-λ φθ
εσ. επ. Κ-ΚΕ-λ φθ
πρ. Τ
ύψ. 0,233, δμβ. 0,09, δμχ. 0,17 μ.

2(Α2). Μόνωτο χειροποίητο ευρύστομο αγγείο Τπ. Ι, IV (97).
Δύο παράλληλες αυλακώσεις γύρω από τη βάση του λαιμού. Ζιγκ-ζαγκ αυλακωτή διακόσμηση στον ώμο του αγγείου.
Πηλός Κτ. ΙΒ1
εξ. επ. Κ-λ
εσ. επ. Ε-λ
πρ. Ε
συμπλ. ύψ. 0,11, δμβ. 0,12, δμχ. 0,09 μ.

3(Α1). Μόνωτο χειροποίητο ευρύστομο αγγείο Τπ. Ι, IV (50α).
Λείπει μικρό τμήμα λαβής. Δύο παράλληλες αυλακώσεις γύρω από τη βάση του λαιμού.
Πηλός Κτ. ΙΒ1
εξ. επ. Κ-λ
εσ. επ. Κ-λ
πρ. Κ
ύψ. 0,123, δμβ. 0,045, δμχ. 0,09 μ.

4-5(Α5,Α9). Θραύσμα χειροποίητης οινοχόης Τπ. Ι, VIIΓ (149).
Σώζεται το κάτω σώμα. Πιθανόν συνανήκει και τμήμα στριφτής λαβής. Μία αυλακωτή γραμμή γύρω από τη βάση του λαιμού.
Πηλός Κτ. ΙΑ2
εξ. επ. ΚΜ-λ
εσ. επ. Κ
πρ. Κ
συμπλ. ύψ. 0,17, δμβ. 0,07 μ.

6. Θραύσμα κατακόρυφης γωνιόσχημης λαβής από μόνωτο χειροποίητο αγγείο Τπ. IV. Αυλακωτή διακόσμηση στο άνω τμήμα της λαβής.
Πηλός Κτ. ΙΑ2
εξ. επ. ΜΤ-λ
εσ. επ. ΜΤ-λ
πρ. ΤΜ
σζ. ύψ. λβ. 0,112 μ.

7(Α10). Θραύσματα χειροποίητου αγγείου Τπ. Ι, XII (202).
Σώζεται τμήμα λαιμού με χείλος και τμήμα λαβής. Πιθανόν συνανήκει και τμήμα ώμου με πλαστική ταινία. «Νυχιές» γύρω στην περιφέρεια του χείλους. Πλαστική ταινία με εμπίεστες «νυχιές» πάνω στην πλαστική ταινία του ώμου.
Πηλός Κτ. ΙΓ2
εξ. επ. Ε
εσ. επ. Ε

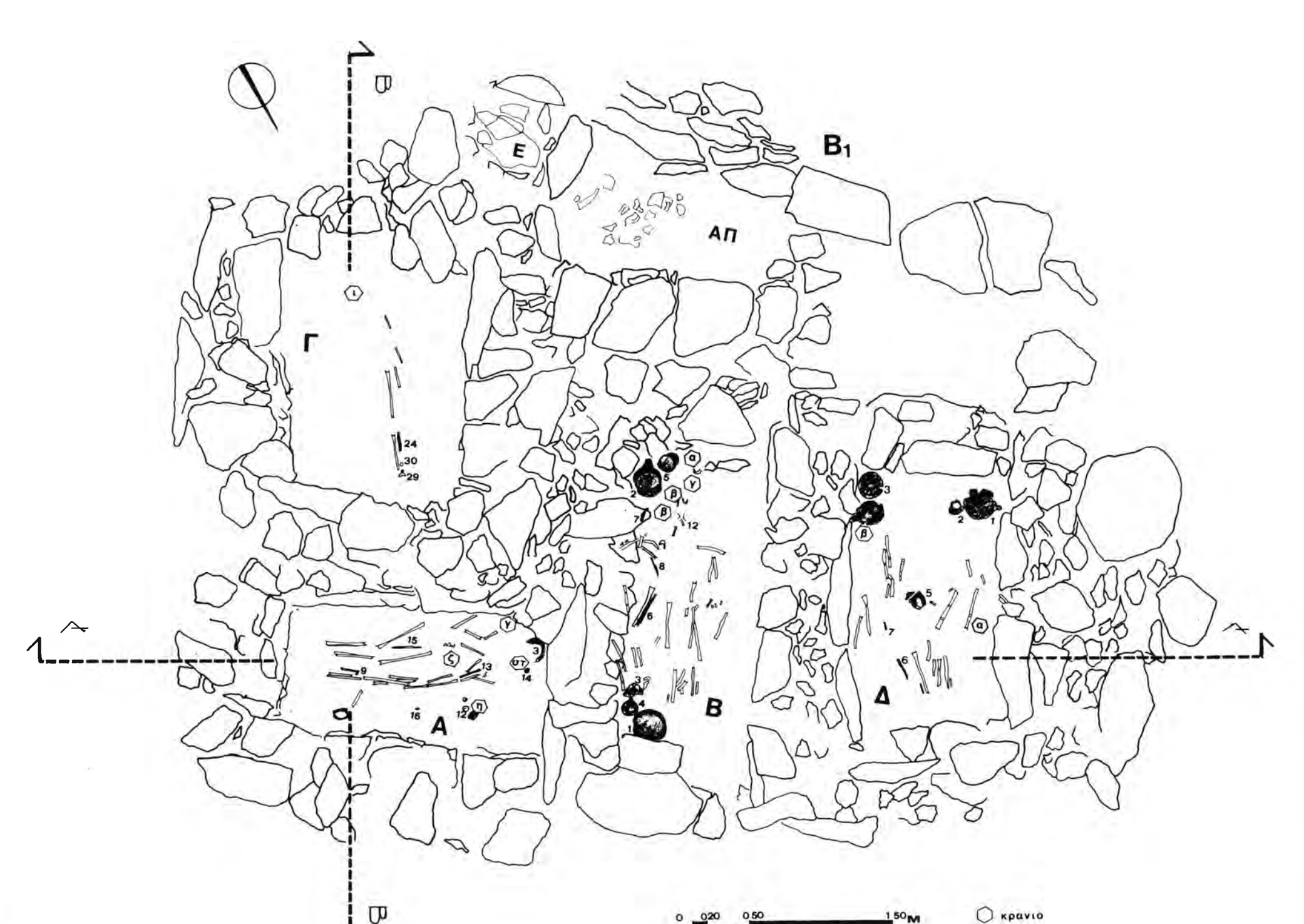
Β
Ε
Β1
ΑΠ
Γ
Α
Β
Δ
Γ
Γ
0 020 0.50 1.50 Μ
κρανιο

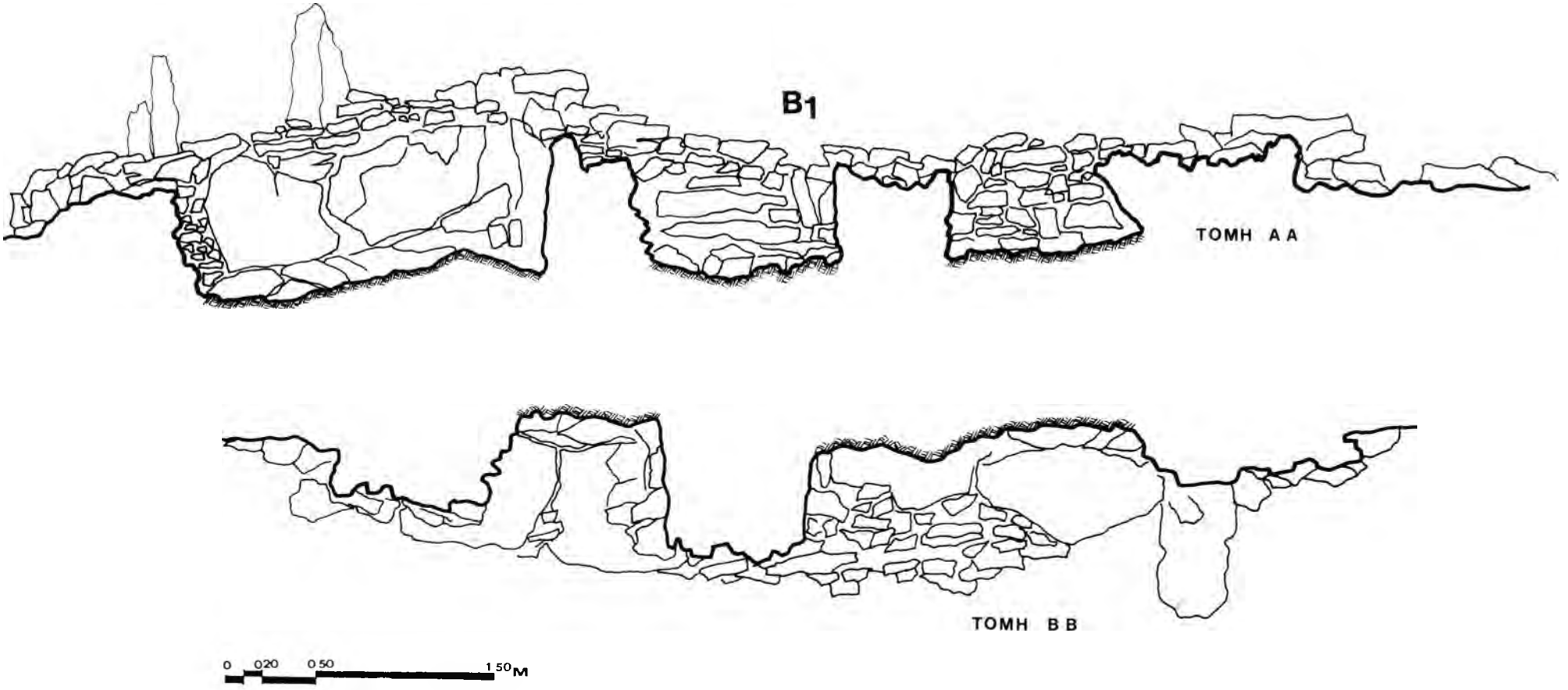

Σχέδ. 14-15. Κάτοψη και τομές ταφικής συστάδας Β1.

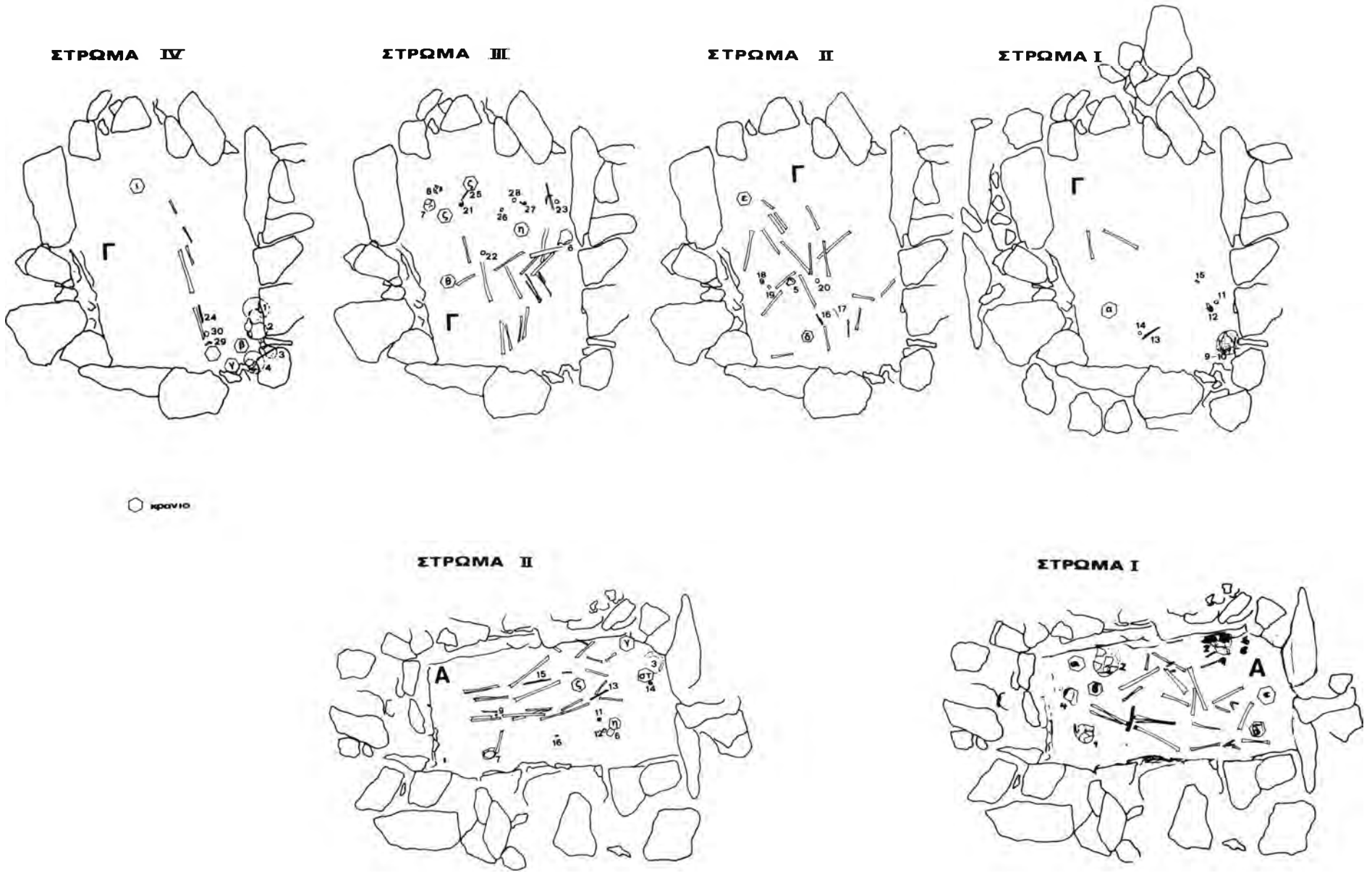

Σχέδ. 16. Στρώματα των τάφων Β1Γ και Β1Α.

πρ. ΚΕ
σζ. ύψ. 0,07 μ.

8. Θραύσμα κατακόρυφης λαβής από την κοιλιά χειροποίητου αγγείου Τπ. Ι, XII.
Πηλός Κτ. ΙΓ2
εξ. επ. ΚΕ
εσ. επ. ΚΕ
πρ. Κ
σζ. ύψ. 0,045 μ.

9. Θραύσμα κατακόρυφης λαβής από την κοιλιά χειροποίητου αγγείου Τπ. Ι, VIB.
Πηλός Κτ. ΙΑ3
εξ. επ. ΚΜ
εσ. επ. Κ
πρ. Κ
σζ. ύψ. 0,05 μ.

10. Θραύσμα από τον ώμο χειροποίητου αμφορέα Τπ. Ι, VIB (137β).
Διακρίνεται μία αυλακωτή γραμμή γύρω από τη βάση του λαιμού και μία μαστοειδής απόφυση στον ώμο.
Πηλός Κτ. ΙΑ3
εξ. επ. ΚΜ-λ
εσ. επ. ΚΤ
πρ. ΚΤ
σζ. ύψ. 0,072 μ.

Στρώμα ΙΙ

Πίν. 47

11(Α7). Μόνωτο χειροποίητο ευρύστομο αγγείο Τπ. Ι, IV (86).
Λείπει μικρό τμήμα από το λαιμό και το χείλος. Μία αυλάκωση γύρω από τη βάση του λαιμού, δύο παράλληλες αυλακώσεις κάτω από την περιφέρεια του χείλους. Αυλακωτή διακόσμηση και στο ταινιωτό τμήμα της λαβής.
Πηλός Κτ. ΙΑ2
εξ. επ. ΚΜ-λ
εσ. επ. ΚΜ-λ
πρ. ΚΜ
ύψ. 0,078, δμβ. 0,05, δμχ. 0,108 μ.

12(Α3). Μόνωτο χειροποίητο ευρύστομο βαθύ αγγείο Τπ. Ι, IV (76).
Λείπει ένα μέρος από το λαιμό και το χείλος. Δύο παράλληλες αυλακώσεις γύρω από τη βάση του λαιμού. Τρεις αποφύσεις σε συμμετρικά διαστήματα στον ώμο του αγγείου. Στο ταινιωτό τμήμα της λαβής αυλακωτή διακόσμηση.
Πηλός Κτ. ΙΑ2
εξ. επ. ΚΤ-λ φθ
εσ. επ. ΚΤ-λ φθ
πρ. ΚΤ
ύψ. 0,165, δμβ. 0,081, δμχ. 0,165 μ.

13(Α6). Άωτο χειροποίητο αγγείο Τπ. Ι, IXB (193).
Ακέραιο. Δύο οπές, σε αντίστοιχη θέση, κάτω από το χείλος για την προσάρτηση πώματος.
Πηλός Κτ. ΙΓ1
εξ. επ. ΚΕ-λ
εσ. επ. ΚΕ
πρ. ΚΕ
ύψ. 0,066, δμβ. 0,03, δμχ. 0,061 μ.

14(Α15). Χάλκινο εγχειρίδιο Τπ. ΕΙV, 2γ.
Ράχη κυρτή, ακμή κοίλη, ουρά που συνεχίζει τη γραμμή της ράχης και εισέχει από την πλευρά της ακμής. Δύο καρφιά στην ουρά. Αιχμή αποστρογγυλεμένη.
μκ. 0,195 μ.

15(Α13). Χάλκινο εγχειρίδιο Τπ. ΕΙV, 1α.
Ράχη ελαφρά κυρτή, ακμή κοίλη, αιχμή που στρέφεται ελαφρά προς τα άνω. Ουρά χωρίς καρφιά, που εισέχει ελάχιστα από τη λεπίδα, κυρίως στην πλευρά της ακμής. Άκρο ουράς αποστρογγυλεμένο.
μκ. 0,156 μ.

16(Α12). Πήλινο δικωνικό σφονδύλι Τπ. ΣΙ, 2.
Λείπει ένα μέρος από την περιφέρεια.
ύψ. 0,027, δμ. 0,033 μ.

17(Α11). Θραύσμα χάλκινου ελικόσχημου κοσμήματος Τπ. Εν.
δμ. 0,0312 μ.

18(Α14). Θραύσμα ελικόσχημου κοσμήματος Τπ. Εν.
Πιθανόν συνανήκει στο προηγούμενο.
σζ. ύψ. 0,033 μ.

19(Α16). Λίθινο ακόνι Τπ. Ακ. 1β.
Σπασμένο στο ένα άκρο. Σχήμα ορθογωνικό, με τις μακρές πλευρές ελαφρά κοίλες από τη χρήση. Οπή για ανάρτηση στο ένα πέρας.
σζ. μκ. 0,033, μγ. πλ. 0,01 μ.

ΤΑΦΟΣ Β1Β

Ορθογώνιος τάφος με κτιστές πλευρές, προσκολλημένος στη δυτική πλευρά του τάφου Γ. Διαστάσεις (εσωτ.): μκ. 2,20, πλ. 0,90, ύψ. 0,80 μ. Προσανατολισμός Β.-Ν., περίπου, με άνοιγμα προς Β.

Καλυμμένος με στρώμα λίθων και λίγο χώμα, κάτω από το οποίο εντοπίσθηκαν δύο βέβαιες ταφές παράλληλες μέσα στον τάφο, εναποτεθειμένες με το κεφάλι προς Ν., και λείψανα από μία ακόμη, τουλάχιστον, παραμερισμένη ταφή (Π ί ν. 222α-γ).

Ταφή α. Ο νεκρός είχε εναποτεθεί στο κέντρο του τάφου σε ύπτια θέση, με το κεφάλι προς Ν. και τα άνω και κάτω άκρα τεντωμένα. Ο σκελετός του νεκρού α πρέπει να είχε διαταραχθεί από τη νεότερη ταφή β (Π ί ν. 222α).

Ταφή β. Το κρανίο του νεκρού βρέθηκε σπασμένο σε δύο θραύσματα στο νότιο άκρο του τάφου. Από τον υπόλοιπο σκελετό διακρίνονται τα κάτω άκρα ελαφρά λυγισμένα. Στην περιοχή του κρανίου β και στο άνω σώμα βρέθηκαν πολλά οστά χεριών. Από τα οστά αυτά, ένα μέρος πρέπει να ανήκει στο νεκρό β, που πιθανόν είχε τα χέρια λυγισμένα στο στήθος, ενώ τα περισσότερα προέρχονται πιθανότατα από παραμερισμένες προγενέστερες ταφές, στις οποίες ανήκουν, οπωσδήποτε, και τα παραμερισμένα στο νότιο άκρο του τάφου θραύσματα του κρανίου α (Σ χ έ δ. 14· Π ί ν. 223α).

Τα κτερίσματα βρέθηκαν συγκεντρωμένα σε δύο ομάδες και πιθανότατα σχετίζονται με τις δύο τελευταίες χρονικά ταφές α και β. Το εγχειρίδιο (Β6) και η οστέινη αιχμή (Β7) πιθανότατα ανήκουν στην ομάδα των αγγείων της νοτιοανατολικής γωνίας του τάφου (Β2 και Β5), ενώ το εγχειρίδιο Β8 πρέπει να σχετίζεται με την ομάδα των αγγείων της βορειοανατολικής γωνίας του τάφου (Β1, Β4) (Π ί ν. 223α) ή με την προγενέστερη ταφή γ. Στις προγενέστερες ταφές ή το πιθανότερο στο χώμα με το οποίο καλύφθηκαν οι ταφές, ανήκει πιθανότατα το θραύσμα Β3 (Π ί ν. 223β).

Η ανθρωπολογική μελέτη προσδιόρισε, τουλάχιστον, τέσσερις ταφές στον τάφο Β, από τις οποίες η μία (κρανίο β) είναι γυναικεία και η μία είναι παιδική. Οι άλλες δύο προσδιορίσθηκαν μόνο ως ταφές ενήλικων ατόμων.

ΕΥΡΗΜΑΤΑ

Ομάδα Α′ - Ταφή α

Π ί ν. 48Α

1(Β5). Χειροποίητη οινοχόη με οπισθότμητη προχοή Τπ. Ι, ΙΝΓ (150).
Λείπει ένα μέρος από το σώμα, το λαιμό και τη λαβή του αγγείου.
Πηλός Κτ. ΙΑ2
εξ. επ. ΚΜ-λ φθ
εσ. επ. ΚΜ
πρ. ΚΜ
ύψ. 0,228, δμβ. 0,07, δμλ. 0,088 μ.

2(Β2). Μόνωτο χειροποίητο ευρύστομο αγγείο Τπ. Ι, ΙΝΓ(32).
Λείπει μικρό τμήμα από το χείλος. Μία αυλάκωση γύρω από τη βάση του λαιμού. Αυλακωτή διακόσμηση και στο ταινιωτό τμήμα της λαβής.
Πηλός Κτ. ΙΑ2
εξ. επ. ΚΜ-λ
εσ. επ. ΚΜ-λ
πρ. ΚΜ
ύψ. 0,175, δμβ. 0,08, δμχ. 0,165 μ.

3(Β6). Χάλκινο εγχειρίδιο Τπ. ΕΙΙ, 1β.
Ράχη κυρτή, ακμή κοίλη, ουρά ισόπαχη με το πίσω τμήμα της λεπίδας, που καταλήγει σε χελιδονοουρές και έχει τρία καρφιά. Αιχμή αποστρογγυλεμένη.
μκ. 0,19 μ.

4(Β7). Οστέινη αιχμή.
μκ. 0,075 μ.

Ομάδα Β′ - Ταφή β

Π ί ν. 48Β

5(Β4). Μόνωτο χειροποίητο ευρύστομο αγγείο Τπ. Ι, IV (111).
Ακέραιο. Μια αυλάκωση γύρω από τη βάση του λαιμού. Ελαφρές λοξές αυλακώσεις στον

ώμο. Αυλακωτή διακόσμηση κατά πλάτος του κυλινδρικού στελέχους της λαβής.
Πηλός Κτ. ΙΑ2
εξ. επ. ΚΜ-λ φθ
εσ. επ. ΚΜ-λ φθ
πρ. ΚΜ
ύψ. 0,112, δμβ. 0,055, δμχ. 0,105 μ.

6(Β1). Μόνωτο χειροποίητο ευρύστομο αγγείο Τπ. Ι, IV (44).
Λείπει ένα μέρος από το σώμα και το λαιμό του αγγείου, καθώς και η λαβή. Δύο παράλληλες αυλακώσεις γύρω από τη βάση του λαιμού.
Πηλός Κτ. ΙΑ2
εξ. επ. ΚΜ-λ φθ
ύψ. 0,145, δμβ. 0,10, δμχ. 0,275 μ.

7(Β8). Χάλκινο εγχειρίδιο Τπ. ΕV, 1α.
Ράχη κυρτή, ακμή κοίλη, αιχμή που καμπυλώνεται ελαφρά προς τα άνω. Ουρά χωρίς καρφιά, με καμπύλο πέρας, που εισέχει από την ακμή και τη ράχη.
μκ. 0,145 μ.

Επίχωση (ΕΠ)

Πίν. 53Β

1. Θραύσμα από το χείλος χειροποίητου φιαλόσχημου αγγείου Τπ. Ι, Ι (1α).
Μία εγχάρακτη οριζόντια γραμμή κάτω από την περιφέρεια του χείλους.
Πηλός Κτ. ΙΒ1
εξ. επ. ΚΕ
εσ. επ. ΚΕ
πρ. Κ
σζ. ύψ. 0,055 μ.

2. Θραύσμα από τον ώμο χειροποίητου αγγείου Τπ. Ι, XII.
Πλαστική ταινία με «δακτυλιές» γύρω από τον ώμο.
Πηλός Κτ. ΙΓ2
εξ. επ. Ε
εσ. επ. Ε
πρ. ΚΕ
σζ. ύψ. 0,271 μ.

3. Θραύσμα κατακόρυφης κυλινδρικής λαβής από την κοιλιά χειροποίητου αγγείου Τπ. Ι, XII.
Πηλός Κτ. ΙΓ2
εξ. επ. Ε
εσ. επ. Ε
πρ. Ε
σζ. ύψ. 0,03 μ.

4. Θραύσματα γωνιόσχημης λαβής χειροποίητου αγγείου Τπ. Ι, IV.
Αυλακωτή διακόσμηση στο ταινιωτό τμήμα της λαβής.
Πηλός Κτ. ΙΑ2
εξ. επ. ΚΜ-λ
εσ. επ. ΚΜ-λ
πρ. Κ
σζ. ύψ. 0,09 μ.

5(Β3). Θραύσμα από τον ώμο χειροποίητου μεγάλου αγγείου Τπ. Ι, IV.
Σώζεται κατακόρυφη κυλινδρική λαβή.
Πηλός Κτ. ΙΓ2
εξ. επ. Ε
εσ. επ. Ε
πρ. ΚΕ
σζ. ύψ. 0,11 μ.

6(Β7). Θραύσματα χειροποίητου αμφορέα Τπ. Ι, VIIΓ.
Σώζεται ένα μεγάλο μέρος από το άνω σώμα και ο λαιμός.
Πηλός Κτ. ΙΒ1
εξ. επ. ΚΕ
εσ. επ. Ε
πρ. ΚΕ
σζ. ύψ. 0,195, δμχ. 0,108 μ.

ΤΑΦΟΣ Β1Γ

Πλατύς ορθογώνιος τάφος με κτιστές πλευρές, προσανατολισμό Β.-Ν. και διαμορφωμένη είσοδο στα νότια, όπου διακρίνονται οι δύο όρθιες πλάκες-παραστάδες στην είσοδο του τάφου. Διαστάσεις (εσωτ.): μγ. μκ. 1,80, μγ. πλ. 1,30, μγ. ύψ. 0,90 μ. Όπως προκύπτει από τα θραύσματα των πλακών που βρέθηκαν πεσμένα στο εσωτερικό, ο τάφος πρέπει να ήταν αρχικά καλυμμένος με μεγάλες πλάκες.

Ο τάφος είναι ο αρχαιότερος της συστάδας και αποτέλεσε τον πυρήνα, στον οποίο προσκολλήθηκαν οι μεταγενέστεροι τάφοι της συστάδας. Στο εσωτερικό, κάτω από τις καλυ-

πτήριες πλάκες, διαπιστώθηκε ένα στρώμα λίθων και χώματος που κάλυπτε το επίπεδο των ταφών. Αρχίζοντας από τα νεότερα στρώματα και προχωρώντας στα αρχαιότερα, έχουμε την εξής εικόνα για τη διαδοχή των επάλληλων ταφών:

Στρώμα Ι (Πίν. 49)

Ίχνη ενός κρανίου (α) εντοπίσθηκαν στη βορειοανατολική περιοχή του τάφου, όπου βρέθηκαν και ορισμένα δόντια. Στο ίδιο επίπεδο βρέθηκαν οστά κάτω άκρων και τα εξής κτερίσματα, που οπωσδήποτε δεν προέρχονται από αδιατάρακτη ταφή (Σχέδ. 16): χάλκινο δακτυλίδι (Γ11) και χάλκινο ελικόσχημο κόσμημα (Γ12). Τα δύο αυτά κοσμήματα βρέθηκαν στη βορειοδυτική γωνία του τάφου, όπου βαθύτερα (Πίν. 224α) εμφανίσθηκαν παραμερισμένα κρανία και αγγεία από αρχαιότερες ταφές. Επειδή, όμως, βρίσκονται σε πολύ ψηλότερο επίπεδο από τα παραμερισμένα κρανία, η τυχόν συσχέτισή τους με τα κρανία της βορειοδυτικής γωνίας είναι αβέβαιη. Στο στρώμα Ι βρέθηκε επίσης ένα χάλκινο εγχειρίδιο (Γ13), μετακινημένο μέσα στην επίχωση, χάλκινος σφηκωτήρας (Γ14), χάλκινες ψήφοι (Γ14, Γ32), καθώς και ένα σιδερένιο εγχειρίδιο (Γ33) και όστρακα αγγείων Γ9, Γ10 στη βορειοδυτική γωνία (Πίν. 224β).

Από την ανθρωπολογική μελέτη στο στρώμα Ι προσδιορίσθηκε η ταφή ενός ατόμου.

Στρώμα ΙΙ (Πίν. 49)

Μετά την απομάκρυνση των οστών και των κτερισμάτων του στρώματος Ι και μετά την αφαίρεση ενός λεπτού στρώματος από χώμα και αραιούς λίθους, εντοπίσθηκαν οστά, που πιθανότατα ανήκαν σε ταφές που είχαν εναποτεθεί σε αντίθετες κατευθύνσεις μέσα στον τάφο: ίχνη ενός παιδικού κρανίου (δ) εντοπίσθηκαν προς τη βορειοανατολική γωνία (Πίν. 225γ) και ίχνη ενός κρανίου (ε) προς τη νοτιοανατολική γωνία του τάφου (Πίν. 224γ). Η ανθρωπολογική έρευνα των οστών του στρώματος αυτού εντόπισε μακρά οστά τριών, τουλάχιστον, ενήλικων νεκρών και ενός παιδιού (Παράρτημα Ια). Τα κτερίσματα του στρώματος αυτού είναι τα εξής: Γ5 τροχήλατο αλάβαστρο, Γ16 χάλκινο εγχειρίδιο, Γ17 χάλκινη βελόνα, Γ18 χάλκινο ελικόσχημο κόσμημα, Γ20 πήλινο δικωνικό σφονδύλι, Γ19 θραύσμα ελικόσχημου κοσμήματος, πιθανόν του Γ18.

Στρώμα ΙΙΙ (Πίν. 50Α)

Στο στρώμα αυτό βρέθηκαν μακρά οστά και δόντια, που ανήκουν σε δύο τουλάχιστον ενήλικα άτομα, όπως βεβαίωσε η ανθρωπολογική έρευνα. Κρανία, ωστόσο, των νεκρών δε βρέθηκαν και πιθανόν συμπεριλαμβάνονται στα παραμερισμένα κρανία της βορειοδυτικής γωνίας του τάφου (β, γ, στ). Τα θραύσματα των κρανίων η, ζ και θ, που βρέθηκαν στο στρώμα ΙΙΙ, ανήκουν σε μικρά παιδιά (Πίν. 224γ, 225β). Οι παιδικές ταφές, ωστόσο, στην περιοχή αυτή, όπως προκύπτει από την ανθρωπολογική έρευνα, ήταν πολύ περισσότερες από τρεις. Από τα σωζόμενα δόντια και ορισμένα οστά της περιοχής των κρανίων η και ζ, προσδιορίσθηκαν πέντε τουλάχιστον ταφές νηπίων και μικρών παιδιών (Παράρτημα Ια).

Τα κτερίσματα χωρίζονται συμβατικά σε δύο ομάδες (Σχέδ. 16).

Ομάδα κρανίου ζ: Γ7 τροχήλατος αμφορέας, Γ8 θραύσματα χειροποίητου κυπελλόσχημου αγγείου, Γ25 χάλκινη βελόνα, Γ22 πήλινο δικωνικό σφονδύλι.

Ομάδα κρανίου η: Γ26 ψήφος περιδεραίου από ήλεκτρο, Γ27 χάλκινο ελικόσχημο κόσμημα, Γ28 ψήφος περιδεραίου από ήλεκτρο, Γ6 χειροποίητη μικρή οινοχόη.

Ορισμένα από τα παραπάνω κτερίσματα, όπως π.χ. τα μικρογραφικά αγγεία Γ6, Γ8, πιθανόν και το Γ7, πρέπει να σχετίζονται με παιδικές ταφές, πιθανότατα με τις ταφές η, ζ και θ, από τις οποίες σώζονται τα αντίστοιχα κρανία. Τα υπόλοιπα, ωστόσο, κτερίσματα από τις δύο παραπάνω ομάδες, καθώς και τα κτερίσματα που βρέθηκαν διάσπαρτα στο ίδιο στρώμα (πήλινο δικωνικό σφονδύλι Γ23, χάλκινο ελικόσχημο κόσμημα Γ21), δεν είναι δυνατό να αποδοθούν σε επιμέρους ταφές. Η έλλειψη εγχειριδίων και η παρουσία σφονδυλιών και κοσμημάτων, σε συνδυασμό με τη λεπτότητα των οστών που έχει επισημάνει η ανθρωπολογική έρευνα στις δύο ταφές των ενηλίκων, προσδιορίζουν την παρουσία γυναικείων ταφών στο στρώμα ΙΙΙ.

Αξιοσημείωτη είναι η ανεύρεση ενός οστού από πόδι χοίρου στο στρώμα III (Παράρτημα II).

Στρώμα IV (Πίν. 51)

Στο στρώμα αυτό ανήκουν, από τα παραμερισμένα κρανία της βορειοδυτικής γωνίας του τάφου, πιθανόν τα κρανία β και γ, τα οποία σχετίζονται με τα μακρά οστά δύο ενήλικων ατόμων, που προσδιόρισε η ανθρωπολογική έρευνα (Πίν. 225δ-ε). Τα μακρά οστά των δύο σκελετών έχουν κατεύθυνση Β.-Ν., το κεφάλι προς Ν., και συμπίπτουν ως προς την ηλικία και τη διάπλαση με τα κρανία β και γ, που πρέπει να έχουν μετατοπισθεί από την αρχική τους θέση. Πιθανόν, με τους νεκρούς αυτού του στρώματος πρέπει να συσχετισθούν και τα ελάχιστα λείψανα κρανίων (ι), που εντοπίσθηκαν στην ανασκαφή (Σχέδ. 16).

Τα κτερίσματα που σχετίζονται με το στρώμα αυτό των ταφών είναι, πιθανότατα, τα παραμερισμένα μαζί με τα κρανία των ταφών στη βορειοδυτική γωνία του τάφου: Γ1 χειροποίητος αμφορέας, Γ2 χειροποίητη οινοχόη, Γ3 τροχήλατος αμφορέας, Γ4 χειροποίητος αμφορέας, Γ24 χάλκινο εγχειρίδιο, Γ30 χάλκινο δακτυλίδι και Γ31 χάλκινες ψήφοι.

Είναι ενδεχόμενο, επίσης, και τα κτερίσματα του στρώματος I — Γ11 και Γ12 — που βρέθηκαν πάνω στα κρανία, να ανήκουν στην ίδια ομάδα. Πρέπει να σημειώσουμε ότι η διάκριση σε στρώματα είναι συμβατική και δεν είναι δυνατό να έχει απόλυτη αξία για την κατάρτιση κλειστών συνόλων, γιατί τη γενική εικόνα του τάφου δίνει ο παραμερισμός των προηγούμενων ταφών και επομένως η διατάραξη των ευρημάτων. Οπωσδήποτε, όμως, κρίναμε σκόπιμο να κρατήσουμε την ανασκαφική στρωματογραφική διάκριση, επειδή είναι βέβαιο πως ορισμένα κτερίσματα σχετίζονται με ταφές ασφαλώς μεταγενέστερες από τα παραμερισμένα οστά και κτερίσματα της βορειοδυτικής γωνίας του τάφου.

ΕΥΡΗΜΑΤΑ

Στρώμα I

Πίν. 49

1(Γ10). Χειροποίητο ευρύστομο κυπελλόσχημο αγγείο Τπ. I, IV (84α).
Λείπει ένα μέρος από το σώμα και το λαιμό. Δύο παράλληλες αυλακώσεις γύρω από τη βάση του λαιμού και κάτω από την περιφέρεια του χείλους.
Πηλός Κτ. ΙΑ2
εξ. επ. Κ
εσ. επ. Κ
πρ. Κ
ύψ. 0,112, δμβ. 0,05, δμχ. 0,095 μ.

2(Γ9). Θραύσμα μόνωτου χειροποίητου αγγείου Τπ. I, IV.
Σώζεται τμήμα γωνιόσχημης λαβής.
Πηλός Κτ. ΙΑ2
εξ. επ. ΚΜ-λ
εσ. επ. ΚΜ-λ
πρ. Κ
σζ. ύψ. 0,067 μ.

3. Θραύσμα από το χείλος χειροποίητου αγγείου Τπ. I, IV.
Πηλός Κτ. ΙΑ2
εξ. επ. ΚΜ-λ
εσ. επ. ΚΜ-λ
πρ. Κ
σζ. ύψ. 0,055 μ.

4. Θραύσμα από το χείλος χειροποίητου αγγείου Τπ. I, XII (199).
«Νυχιές» κάτω από την περιφέρεια του χείλους.
Πηλός Κτ. ΙΓ2
εξ. επ. Ε
εσ. επ. Ε
πρ. ΚΕ
σζ. ύψ. 0,06 μ.

5. Θραύσμα από το χείλος χειροποίητου αγγείου Τπ. I, XII.
Πλαστική ταινία με «δακτυλιές» κάτω από την περιφέρεια του χείλους.
Πηλός Κτ. ΙΓ2
εξ. επ. Ε
εσ. επ. Ε
πρ. ΚΕ
σζ. ύψ. 0,035 μ.

6(Γ33). Σιδερένιο εγχειρίδιο Τπ. ΕΧ, 2.
Ράχη κυρτή, ακμή κοίλη, ουρά με ευθύγραμ-

μο πέρας, που εισέχει και από τις δύο πλευρές της λεπίδας.
μκ. 0,063 μ.

7(Γ12). Χάλκινο ελικόσχημο κόσμημα Τπ. Εν.
ύψ. 0,055, δμ. 0,035 μ.

8(Γ11). Χάλκινος δακτύλιος με ελικόσχημες απολήξεις στα άκρα, που σχηματίζουν οκτώσχημη σφενδόνη, Τπ. Δα.
δμ. 0,018 μ.

9(Γ13). Χάλκινο εγχειρίδιο Τπ. ΕΙΙΙ, 2α.
Ράχη ευθύγραμμη, ακμή ελαφρά κοίλη, αιχμή που κάμπτεται προς τα άνω. Ουρά με ένα καρφί, που εισέχει από την πλευρά της ακμής και καταλήγει σε ευθύγραμμο πέρας.
μκ. 0,126 μ.

10(Γ14). Χάλκινη βελόνα Τπ. Β1.
δμ. 0,015 μ.

11(Γ32). Κυλινδρική ψήφος περιδεραίου από χάλκινο έλασμα Τπ. Ψχ4.
μκ. 0,012, δμ. 0,003 μ.

12(Γ15). Κυλινδρική ψήφος περιδεραίου από χάλκινο έλασμα Τπ. Ψχ4.
μκ. 0,02, δμ. 0,003 μ.

Στρώμα ΙΙ

Πίν. 49

13(Γ5). Τροχήλατο αλάβαστρο Τπ. ΙΙ, Α2 (228).
Λείπει ένα μέρος από το λαιμό και το χείλος.
Πηλός Κτ. ΙΙΑ2
εξ. επ. Κ-ΚΕ-λ
εσ. επ. ΚΕ
πρ. ΚΕ
ύψ. 0,097, δμβ. 0,05, δμχ. 0,073 μ.

14(Γ16). Χάλκινο εγχειρίδιο Τπ. ΕΙΙΙ, 1α.
Ράχη ευθύγραμμη, ακμή ελαφρά κοίλη. Ουρά με ευθύγραμμο πέρας, χωρίς καρφιά, που εισέχει ελάχιστα από το πίσω τμήμα της λεπίδας.
μκ. 0,104 μ.

15(Γ17). Χάλκινη βελόνα Τπ. Β1.
Σπασμένη στο κάτω άκρο.
μκ. 0,103 μ.

16(Γ18). Χαλκινο ελικόσχημο κόσμημα Τπ. Εν.
Λείπει το πέρας του κατακόρυφου στελέχους.
σζ. ύψ. 0,014, δμ. 0,024 μ.

17(Γ18). Θραύσμα χάλκινου ελικόσχημου κοσμήματος Τπ. Εν.
σζ. μκ. 0,027 μ.

18(Γ19). Θραύσμα ελικόσχημου κοσμήματος Τπ. Εν.
σζ. μκ. 0,027 μ.

19(Γ20). Πήλινο δικωνικό σφονδύλι Τπ. ΣΙΙ, 1α.
ύψ. 0,038, δμ. 0,04 μ.

Στρώμα ΙΙΙ

Πίν. 50Α

20(Γ6). Χειροποίητη μικρή οινοχόη με οπισθότμητη προχοή Τπ. Ι, VIIΔ (172).
Ακέραιη.
Πηλός Κτ. ΙΑ2
εξ. επ. ΚΤ-λ φθ
εσ. επ. ΚΤ
πρ. ΚΤ
ύψ. 0,114, δμβ. 0,04 μ.

21(Γ26). Ψήφος από ήλεκτρο Τπ. Ψη5.
Παράλληλες ραβδώσεις κατά πλάτος της ψήφου.
δμ. 0,015, μκ. 0,015 μ.

22(Γ28). Ψήφος από ήλεκτρο Τπ. Ψη4.
ύψ. 0,012, δμ. 0,024 μ.

23(Γ27). Θραύσμα χάλκινου ελικόσχημου κοσμήματος Τπ. Εν.
Λείπει το κατακόρυφο στέλεχος.
δμ. 0,033 μ.

24(Γ22). Πήλινο δικωνικό σφονδύλι Τπ. ΣΙΙ, 1γ.
ύψ. 0,028, δμ. 0,033 μ.

25(Γ7). Τρίωτος τροχήλατος αμφορίσκος Τπ. ΙΙ, Α2 (222).
Ακέραιος.
Πηλός Κτ. ΙΙΑ2
ύψ. 0,038, δμβ. 0,041 μ.

26(Γ8). Θραύσματα μόνωτου χειροποίητου αγγείου Τπ. Ι, IV (34β).
Σώζεται τμήμα του ώμου, του χείλους και της λαβής.
Πηλός Κτ. ΙΑ2
εξ. επ. ΚΜ
εσ. επ. Κ

πρ. Κ
συμπλ. ύψ. 0,13 μ.

27(Γ21). Θραύσμα χάλκινου ελικόσχημου κοσμήματος Τπ. Εν.
Λείπει το κατακόρυφο στέλεχος.
δμ. 0,015 μ.

28(Γ25). Χάλκινη βελόνα Τπ. Β1.
Σπασμένα και λυγισμένα προς τα άνω τα άκρα.
μκ. 0,12 μ.

29. Δακτυλιόσχημη ψήφος Τπ. Ψυ.
δμ. 0,006 μ.

30(Γ23). Πήλινο δικωνικό σφονδύλι Τπ. ΣΙΙΙ, 1α.
ύψ. 0,033, δμ. 0,033 μ.

Στρώμα IV

Πίν. 51

31(Γ1). Χειροποίητος αμφορέας Τπ. Ι, VIΓ (126α).
Λείπει το άνω τμήμα του λαιμού και μία λαβή.
Πηλός Κτ. ΙΒ1
εξ. επ. Ε-λ φθ
εσ. επ. Ε
πρ. Ε
ύψ. 0,17, δμβ. 0,075 μ.

32(Γ2). Χειροποίητη οινοχόη με οπισθότμητη προχοή Τπ. Ι, VIIIΓ (151).
Ακέραιη.
Πηλός Κτ. ΙΒ1
εξ. επ. Κ-λ φθ
εσ. επ. Κ
πρ. ΚΤ
ύψ. 0,12, δμβ. 0,052 μ.

33(Γ3). Χειροποίητος αμφορέας Τπ. Ι, VIΓ (130).
Λείπει τμήμα του λαιμού. Μία αυλάκωση γύρω από τη βάση του λαιμού.
Πηλός Κτ. ΙΑ2
εξ. επ. Κ-ΚΤ-λ φθ
εσ. επ. Κ
πρ. Κ
ύψ. 0,07, δμβ. 0,063, δμχ. 0,077 μ.

34(Γ4). Τροχήλατος αμφορέας Τπ. ΙΙ, Α2 (230).
Ακέραιος. Μία αυλάκωση γύρω από τη βάση του λαιμού.
Πηλός Κτ. ΙΙΑ2
εξ. επ. ΚΜ-λ
εσ. επ. ΤΜ
πρ. ΤΜ
ύψ. 0,23, δμβ. 0,085, δμχ. 0,11 μ.

35(Γ24). Χάλκινο εγχειρίδιο Τπ. ΕΙΙΙ, 2β.
Ράχη ευθύγραμμη, ακμή κοίλη, αιχμή αποστρογγυλεμένη. Ουρά με δύο καρφιά, ισόπαχη με το πίσω τμήμα της λεπίδας, στρογγυλεμένη στο άκρο.
μκ. 0,15 μ.

36(Γ30). Χάλκινος δακτύλιος Τπ. Δα.
Σπειροειδείς απολήξεις στα δύο άκρα του δακτυλίου, που σχηματίζουν οκτώσχημη σφενδόνη. Στικτή διακόσμηση στην ταινία του δακτυλίου.
δμ. 0,010 μ.

37(Γ31). Δύο κυλινδρικές ψήφοι περιδεραίου Τπ. Ψχ4.
Χάλκινο έλασμα που περιελίσσεται.
ύψ. 0,002, δμ. 0,002 μ.

ΤΑΦΟΣ Β1Δ

Ορθογώνιος κτιστός κιβωτιόσχημος, με προσανατολισμό Β.-Ν. περίπου, και άνοιγμα προς Β., προσκολλημένος στη δυτική πλευρά του τάφου Β1Β. Διαστάσεις (εσωτ.): μγ. μκ. 1,80, μγ. πλ. 1,10, μγ. ύψ. 0,70 μ. (Πίν. 226α).

Κάτω από το στρώμα των λίθων και του χώματος, που κάλυπτε το εσωτερικό του τάφου ως το επίπεδο των ταφών, εντοπίσθηκαν δύο άλλες ταφές παράλληλες, με το κεφάλι προς Ν. και τα σκέλη τεντωμένα (Σχέδ. 14-15).

Ταφή α (Πίν. 226α-β). Το κρανίο βρέθηκε μετατοπισμένο δίπλα στα σκέλη του νεκρού, πιθανότατα εξαιτίας της κατωφέρειας, που παρουσίαζε ο πυθμένας του τάφου. Σώζονταν, επίσης, σε πολύ διαλυμένη κατάσταση τα μηριαία και οι κνήμες του νεκρού. Ο νεκρός είχε ταφεί σε ύπτια στάση, με τεντωμένα τα σκέλη.

Δύο αγγεία (Δ1 και Δ2), που βρίσκονταν στη νοτιοδυτική γωνία του τάφου (Πίν. 227α),

ανήκουν στην ταφή α, που η ανθρωπολογική μελέτη προσδιόρισε ως γυναικεία (Παράρτημα Ια). Πιθανότατα, επομένως, στην ίδια ταφή δεν πρέπει να ανήκει το θραύσμα σιδερένιας λεπίδας εγχειριδίου, που βρέθηκε προς το μέσον της ανατολικής πλευράς του τάφου και που πιθανότατα, μαζί με την πυξίδα Δ5 του κέντρου του τάφου, πρέπει να αποδοθούν σε μια τρίτη ταφή (Π ί ν. 226γ).

Ταφή β (Π ί ν. 226α). Ελάχιστα θραύσματα κρανίου εντοπίσθηκαν στη νοτιοανατολική γωνία του τάφου. Σώζονται επίσης σε πολύ αποσπασματική κατάσταση οστά χεριών και σκελών, από τα οποία προκύπτει η ταφή ενός νεκρού με τεντωμένα τα σκέλη.

Στο νεκρό β ανήκουν τα αγγεία, που βρέθηκαν στη νοτιοανατολική γωνία του τάφου (Δ3 και Δ4), και το χάλκινο εγχειρίδιο Δ6 (Π ί ν. 226γ).

ΕΥΡΗΜΑΤΑ

Ομάδα Α' - Ταφή β

Π ί ν. 52

1(Δ3). Χειροποίητη οινοχόη με οπισθότμητη προχοή Τπ. Ι, VIIΓ (152).
Ακέραιη. Στον ώμο εγχάρακτη διακόσμηση. Παράλληλες εγχάρακτες γραμμές, που σχηματίζουν ταινιωτά συμπλεκόμενα ευθύγραμμα και καμπυλόγραμμα διακοσμητικά θέματα. Σειρές από στικτές κουκίδες πλαισιώνουν ή γεμίζουν τα εγχάρακτα διακοσμητικά θέματα.
Πηλός Κτ. ΙΑ2
εξ. επ. ΤΜ-λ
εσ. επ. ΤΜ
πρ. ΚΤ
ύψ. 0,26, δμβ. 0,05 μ.

2(Δ4). Δίωτο χειροποίητο κανθαρόσχημο αγγείο Τπ. Ι, VIIΒ (118).
Λείπει ένα μικρό μέρος από το κάτω σώμα.
Πηλός Κτ. ΙΑ2
εξ. επ. ΚΜ-λ
εσ. επ. ΚΜ-λ
πρ. ΚΜ
ύψ. 0,11, δμβ. 0,06, δμχ. 0,022 μ.

3(Δ6). Χάλκινο εγχειρίδιο Τπ. ΕΙΙΙ, 2α.
Ευθύγραμμη ράχη, ακμή ελαφρά κοίλη. Αιχμή αποστρογγυλεμένη, ουρά με ένα καρφί, που εισέχει και από τις δύο πλευρές της λεπίδας και καταλήγει σε καμπυλόγραμμο πέρας.
μκ. 0,165 μ.

Ομάδα Β' - Ταφή α

Π ί ν. 52

4(Δ5). Χειροποίητη πυξίδα με πώμα Τπ. Ι, IXB (196).
Ακέραιη. Κάτω από το χείλος δύο αντωπές αποφύσεις – διάτρητες κατά τον κατακόρυφο άξονά τους – αντιστοιχούν με διάτρητες αποφύσεις στο πώμα.
Πηλός Κτ. ΙΑ2
εξ. επ. ΚΜ-λ
εσ. επ. ΚΜ-λ
πρ. ΚΜ
ύψ. 0,123, δμβ. 0,05, δμχ. 0,086 μ.

5(Δ2). Μόνωτο χειροποίητο βαθύ αγγείο Τπ. Ι, IV (109).
Ακέραιο. Δύο χαμηλές αυλακώσεις γύρω από το λαιμό, λοξές αυλακώσεις στον ώμο.
Πηλός Κτ. ΙΑ2
εξ. επ. ΚΜ-λ
εσ. επ. ΚΜ
πρ. ΚΜ
ύψ. 0,123, δμβ. 0,05, δμχ. 0,086 μ.

6(Δ1). Μόνωτο χειροποίητο ευρύστομο αγγείο Τπ. Ι, IV (12).
Πηλός Κτ. ΙΑ2
εξ. επ. ΚΜ-λ φθ
εσ. επ. ΚΜ-λ φθ
πρ. ΚΜ
ύψ. 0,102, δμβ. 0,07, δμχ. 0,19 μ.

7(Δ7). Θραύσμα σιδερένιας λεπίδας εγχειριδίου Τπ. Ε VIII.
Σώζεται το τμήμα της αιχμής.
μκ. 0,04 μ.

Π ί ν. 53Α

1. Θραύσμα από το χείλος χειροποίητου αγγείου Τπ. Ι, XII (208). Πλαστική ταινία με «δακτυλιές» γύρω στο χείλος και κατακόρυφα στον ώμο.

Πηλός Κτ. ΙΓ
εξ. επ. Ε
εσ. επ. Ε
πρ. ΚΕ
σζ. ύψ. 0,06 μ.

2. Θραύσμα από το χείλος χειροποίητου αγγείου Τπ. Ι, XII (205). Πλαστική ταινία με «δακτυλιές» γύρω στο χείλος.
Πηλός Κτ. ΙΓ
εξ. επ. ΚΕ
εσ. επ. ΚΕ
πρ. ΚΕ
σζ. ύψ. 0,045 μ.

3. Θραύσμα από τον ώμο και το χείλος χειροποίητου αγγείου Τπ. Ι (211). Διακρίνεται αρχή λαβής στον ώμο. Πλαστική ταινία με «δακτυλιές» γύρω στο χείλος.
Πηλός Κτ. ΙΓ
εξ. επ. ΚΕ
εσ. επ. ΚΕ
πρ. Κ
σζ. ύψ. 0,066 μ.

4. Θραύσμα χειροποίητου αγγείου Τπ. Ι. Σώζεται τμήμα του ώμου, όπου στικτή διακόσμηση και απόφυση.
Πηλός Κτ. ΙΒ
εξ. επ. Κ
εσ. επ. ΚΤ
πρ. Ε
σζ. ύψ. 0,03 μ.

5. Θραύσμα από το χείλος χειροποίητου ευρύστομου αγγείου Τπ. Ι, IV.
Δύο παράλληλες αυλακώσεις γύρω στο χείλος.
Πηλός Κτ. ΙΒ
εξ. επ. ΚΜ
εξ. επ. ΚΜ
πρ. ΤΜ
σζ. ύψ. 0,03 μ.

6. Θραύσματα από τον ώμο, το λαιμό και τη λαβή μόνωτου ευρύστομου αγγείου Τπ. Ι, IV (110).
Ραβδωτή διακόσμηση στον ώμο.
Πηλός Κτ. ΙΑ
εξ. επ. ΤΜ
εσ. επ. ΤΜ
πρ. Τ
σζ. ύψ. 0,045 μ.

7. Θραύσμα από το χείλος χειροποίητου αγγείου Τπ. Ι.
Πηλός Κτ. ΙΒ
εξ. επ. Κ
εσ. επ. Κ
πρ. ΚΜ
σζ. ύψ. 0,03 μ.

8. Θραύσμα από το χείλος χειροποίητου αγγείου Τπ. Ι.
Πηλός Κτ. ΙΓ
εξ. επ. ΚΕ
εσ. επ. ΚΕ
πρ. Κ
σζ. ύψ. 0,045 μ.

Χ ώ ρ ο ς Β1ΑΠ

Σ' ένα χαμηλό περίβολο, στη νοτιοδυτική γωνία του τάφου Γ, βρέθηκε το κάτω τμήμα ενός μεγάλου χειροποίητου αμφορέα (Π ί ν. 227β-γ). Γύρω από τον αμφορέα (Β1Ε) βρέθηκαν ριγμένα πολλά θραύσματα αγγείων. Στον αμφορέα δε διαπιστώθηκαν ίχνη στάχτης ή καμένα οστά, που θα μας οδηγούσαν να τοποθετήσουμε στο χώρο αυτό μια ταφή-καύση. Πιθανότατα, ο αμφορέας και τα θραύσματα των αγγείων αποτελούν τμήμα του γειτονικού αποθέτη.

ΕΥΡΗΜΑΤΑ

Π ί ν. 50Β

1. Χειροποίητος μεγάλος αμφορέας Τπ. Ι, Β (137).
Λείπει το άνω σώμα και ο λαιμός.
Πηλός Κτ. ΙΒ1
εξ. επ. ΚΕ
εσ. επ. ΚΕ
πρ. Κ
σζ. ύψ. 0,195, δμβ. 0,06 μ.

Α π ο θ έ τ η ς (ΑΠ)

Π ί ν. 54

1. Θραύσματα χειροποίητης οινοχόης Τπ. Ι, VIIB (1).
Σώζονται θραύσματα από τη βάση, το άνω

σώμα και το λαιμό.
Πηλός Κτ. ΙΒ2
εξ. επ. ΚΕ-λ φθ
εσ. επ. ΚΕ
πρ. ΚΕ
σζ. ύψ. 0,24, δμβ. 0,075 μ.

2. Θραύσματα χειροποίητης οινοχόης Τπ. Ι, VIIΓ (10).
Σώζονται θραύσματα από το άνω σώμα και το λαιμό, καθώς και η λαβή. Ραβδωτή διακόσμηση στον ώμο.
Πηλός Κτ. ΙΒ2
εξ. επ. ΚΕ
εσ. επ. ΚΕ
πρ. ΚΕ
σζ. ύψ. 0,19, δμβ. 0,09 μ.

3. Θραύσματα από το άνω σώμα χειροποίητης οινοχόης Τπ. Ι, VIIΓ (148).
Πηλός Κτ. ΙΒ2
εξ. επ. ΚΕ
εσ. επ. ΚΕ
πρ. ΚΕ
σζ. ύψ. 0,02 μ.

4. Θραύσματα χειροποίητης προχοΐσκης Τπ. Ι, VIIΔ (163).
Σώζεται το άνω σώμα με το λαιμό και τη λαβή. Δύο παράλληλες αυλακώσεις γύρω από τη βάση του λαιμού, μία γύρω στην περιφέρεια του χείλους.
Πηλός Κτ. ΙΑ2
εξ. επ. Κ
εσ. επ. Κ
πρ. ΚΕ
σζ. ύψ. 0,01 μ.

5. Θραύσμα λαβής χειροποίητου αγγείου Τπ. Ι, IV.
Πηλός Κτ. ΙΒ3
εξ. επ. ΚΕ
εσ. επ. ΚΕ
πρ. ΚΕ
σζ. ύψ. 0,09 μ.

6. Θραύσμα χειροποίητου αγγείου Τπ. Ι, VIIΔ.
Σώζεται τμήμα ώμου και η λαβή.
Πηλός Κτ. Β2
εξ. επ. ΚΕ
εσ. επ. ΚΕ
πρ. ΚΕ
σζ. ύψ. 0,12 μ.

7. Θραύσμα χειροποίητου αγγείου Τπ. Ι, ΙΙΙ.
Πηλός Κτ. ΙΒ3
εξ. επ. ΚΕ
εσ. επ. ΚΕ
πρ. ΚΕ
σζ. ύψ. 0,09 μ.

8. Θραύσμα από τον ώμο χειροποίητου κρατηρόσχημου αγγείου Τπ. Ι, ΙΙΙ (8).
Πηλός Κτ. ΙΒ2
εξ. επ. ΚΕ
εσ. επ. ΚΕ
πρ. Κ
σζ. ύψ. 0,036 μ.

9. Θραύσμα από τον ώμο χειροποίητου κρατηρόσχημου αγγείου Τπ. Ι, ΙΙΙ (8).
Πηλός Κτ. ΙΒ2
εξ. επ. Κ
εσ. επ. ΚΕ
πρ. Κ
σζ. ύψ. 0,075 μ.

10. Θραύσμα λαβής χειροποίητου αγγείου Τπ. Ι, VIB.
Πηλός Κτ. ΙΒ2
εξ. επ. Κ
εσ. επ. ΚΕ
πρ. Κ
σζ. ύψ. 0,075 μ.

11. Θραύσμα λαβής χειροποίητου αγγείου Τπ. Ι, VIB.
Πηλός Κτ. ΙΒ2
εξ. επ. Κ
εσ. επ. ΚΕ
πρ. Κ
ύψ. λβ. 0,09 μ.

Π ί ν. 55

12. Θραύσματα χειροποίητου αγγείου Τπ. Ι, IV (61).
Σώζεται μέρος της βάσης και του λαιμού με το χείλος. Διπλή σειρά αυλακώσεων γύρω στην περιφέρεια του χείλους.
Πηλός Κτ. ΙΒ2
εξ. επ. ΚΜ
εσ. επ. ΚΜ
πρ. Κ
ύψ. 0,10, δμβ. 0,045, δμχ. 0,075 μ.

13. Θραύσματα χειροποίητου αγγείου Τπ. Ι, IV (88).
Λείπει ένα μέρος από το σώμα και η λαβή. Δύο παράλληλες αυλακώσεις γύρω στην περιφέρεια του χείλους, δύο παράλληλες αυλα-

κώσεις γύρω από τη βάση του λαιμού.
Πηλός Κτ. ΙΒ2
εξ. επ. Κ
εσ. επ. Κ
πρ. ΚΕ
ύψ. 0,12, δμβ. 0,06, δμχ. 0,075 μ.

14. Θραύσματα από τον ώμο χειροποίητου αγγείου Τπ. I, IV (110).
Ραβδωτή διακόσμηση στον ώμο.
Πηλός Κτ. ΙΒ2
εξ. επ. Κ
εσ. επ. Κ
πρ. ΚΕ
σζ. ύψ. 0,15 μ.

15. Θραύσματα από τον ώμο χειροποίητου αγγείου Τπ. I, IV (109).
Ραβδωτή διακόσμηση στον ώμο.
Πηλός Κτ. ΙΒ2
εξ. επ. Κ
εσ. επ. Κ
πρ. ΚΕ
σζ. ύψ. 0,06 μ.

16. Θραύσματα από τον ώμο χειροποίητης οινοχόης Τπ. I, VIIΓ (156).
Ραβδωτή διακόσμηση στον ώμο.
Πηλός Κτ. ΙΒ2
εξ. επ. ΚΕ-λ
εσ. επ. ΚΕ
πρ. ΚΕ
σζ. ύψ. 0,09 μ.

17. Θραύσμα λαβής χειροποίητου αγγείου Τπ. I, IV.
Πηλός Κτ. ΙΒ2
εξ. επ. Κ
εσ. επ. Κ
πρ. Κ
σζ. ύψ. 0,06 μ.

18. Θραύσματα από το χείλος χειροποίητου αγγείου Τπ. I, IV (25).
Πηλός Κτ. ΙΒ2
εξ. επ. Κ
εσ. επ. Κ
πρ. ΚΤ
σζ. ύψ. 0,15 μ.

19. Θραύσματα από το χείλος χειροποίητου αγγείου Τπ. I, IV (25).
Πιθανόν από το ίδιο αγγείο με το Β1ΑΠ18.
Πηλός Κτ. ΙΒ2
εξ. επ. Κ
εσ. επ. Κ
πρ. ΚΤ
σζ. ύψ. 0,095 μ.

20. Θραύσματα από το άνω σώμα χειροποίητου αγγείου Τπ. I, IV (108).
Δύο παράλληλες αυλακώσεις κάτω από το χείλος, δύο παράλληλες αυλακώσεις και διπλή σειρά στιγμών κουκίδων στη βάση του λαιμού.
Πηλός Κτ. ΙΑ2
εξ. επ. ΚΤ
εσ. επ. ΚΤ
πρ. Κ
σζ. ύψ. 0,075 μ.

21. Θραύσμα από τον ώμο και τη λαβή χειροποίητου αγγείου Τπ. I, IV.
Πηλός Κτ. ΙΒ2
εξ. επ. ΚΕ
εσ. επ. Κ
πρ. ΚΕ
σζ. ύψ. 0,112 μ.

22. Θραύσμα από το χείλος χειροποίητου αγγείου Τπ. I, VIB (136).
Δύο παράλληλες αυλακώσεις κάτω από την περιφέρεια του χείλους.
Πηλός Κτ. ΙΑ2
εξ. επ. ΚΤ
εσ. επ. Κ
πρ. ΚΤ
σζ. ύψ. 0,045 μ.

Τάφος Β2

Ο τάφος Β2 βρίσκεται 17 μ., περίπου, προς ΝΑ. της ταφικής συστάδας Β1 (Σ χ έ δ. I).

Πριν από την έναρξη της ανασκαφής, ο τάφος ήταν ένας τυμβόσχημος λιθοσωρός. Μετά την απομάκρυνση των θάμνων και των επιφανειακών διάσπαρτων λίθων, διαπιστώθηκε ότι ο τάφος ήταν καλυμμένος στο μεγαλύτερο τμήμα του προς Δ. από μια μεγάλη σχιστόπλακα, που βρέθηκε πεσμένη στο εσωτερικό του. Το υπόλοιπο τμήμα του τάφου ήταν καλυμμένο με λίθους και χώμα.

Ο τάφος είναι ένα ορθογώνιο κιβωτιόσχημο κτίσμα, με κτιστές πλευρές και προσανατολι-

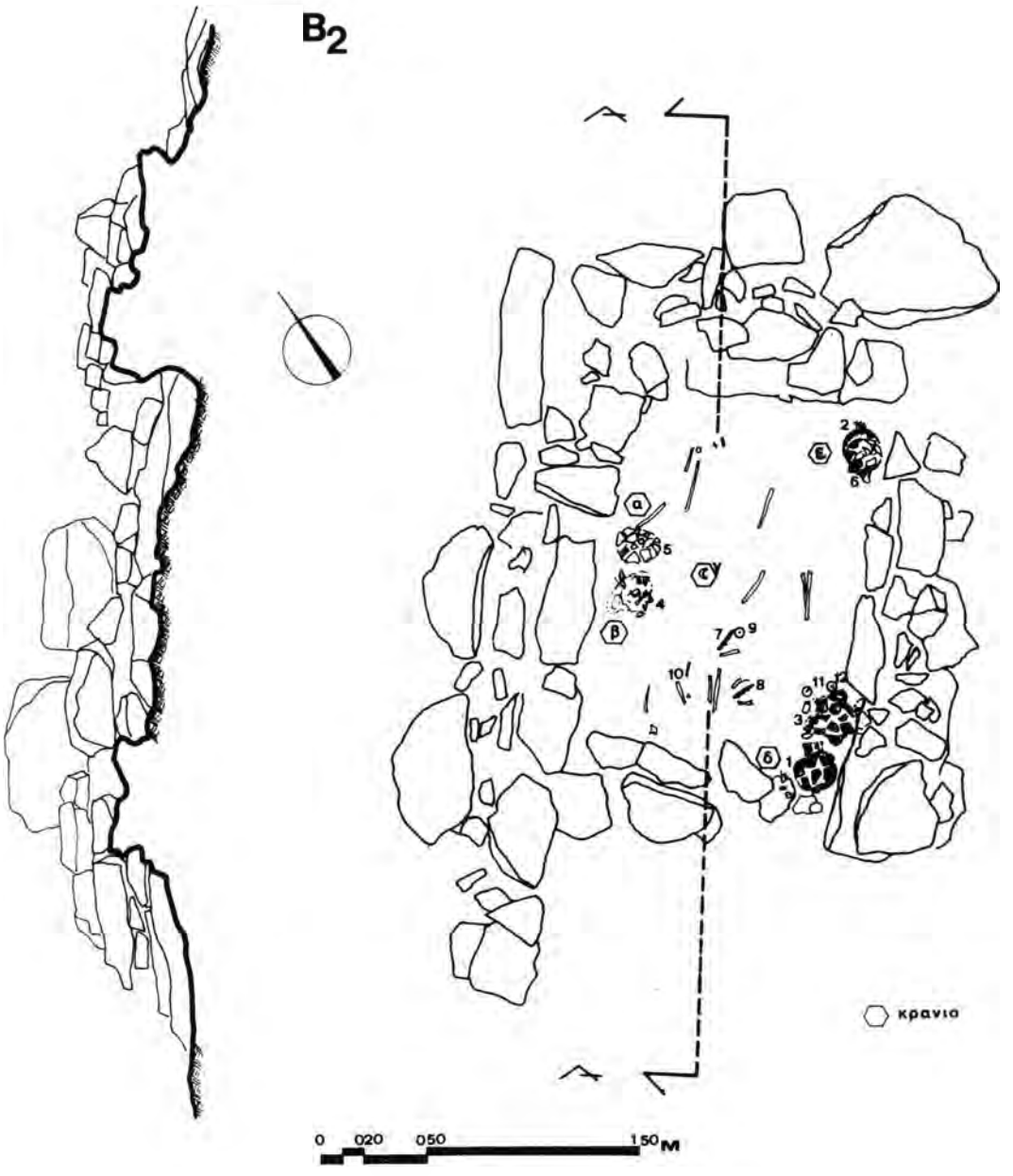

Σχέδ. 17. Κάτοψη και τομή τάφου Β2.

σμό Α.-Δ. περίπου. Διαστάσεις (εσωτ.): μγ. μκ. 1,70, μγ. πλ. 1,20, σζ. ύψ. 0,70 μ. (Σ χ έ δ. 17· Π ί ν. 228α).

Κάτω από ένα επιφανειακό στρώμα χώματος, που περιείχε και αραιούς λίθους, η ανασκαφή επεσήμανε στο επίπεδο ταφών σκελετικά λείψανα πέντε νεκρών. Η ανθρωπολογική μελέτη, εκτός από τις πέντε ταφές ενηλίκων, εντόπισε επίσης και μια ταφή μικρού παιδιού (Παράρτημα Ια). Από τις πέντε ταφές ενηλίκων, από τις οποίες σύμφωνα με την ανθρωπολογική μελέτη οι δύο ήταν ανδρικές και οι τρεις γυναικείες, οι δύο (κρανία α και ε) είχαν παραμερισθεί στις γωνίες του τάφου.

Ταφή α. Λείψανα κρανίου προς τη βορειοανατολική γωνία του τάφου. Γυναικεία ταφή, σύμφωνα με την ανθρωπολογική μελέτη, παραμερισμένη από τις μεταγενέστερες ταφές. Κανένα κτέρισμα από αυτά που βρέθηκαν στον τάφο, δεν μπορεί να αποδοθεί με βεβαιότητα στην ταφή αυτή. Κάποιο, ωστόσο, από τα αγγεία (π.χ. το αριθ. 5) και κάποιο από τα παραμερισμένα σφονδύλια θα μπορούσε να συσχετισθεί με την ταφή αυτή (ομάδα Γ′) (Π ί ν. 228α).

Ταφή β. Λείψανα κρανίου στη βορειοδυτική γωνία του τάφου. Τα οστά των άνω και κάτω άκρων σώζονταν σε αποσπασματική κατάσταση· ο νεκρός είχε ταφεί σε ύπτια στάση με το κεφάλι προς Δ. και τα σκέλη τεντωμένα (Π ί ν. 228β).

Από τα σωζόμενα οστά του αριστερού χεριού διαπιστώθηκε ότι το χέρι ήταν τεντωμένο, με τα δάκτυλα να ακουμπούν στη λεκάνη. Με την ταφή αυτή, που σύμφωνα με την ανθρωπολογική μελέτη ήταν επίσης γυναικεία, σχετίσθηκαν τα αγγεία 4 και 5 και το σφονδύλι 9 (ομάδα Γ′).

Ταφή γ. Τα λείψανα του κρανίου γ βρέθηκαν, πιθανότατα, μετατοπισμένα στο κέντρο περίπου του τάφου. Από τα υπόλοιπα οστά, που σώζονταν σε πολύ αποσπασματική κατάσταση, διαπιστώθηκε ότι ο νεκρός είχε ταφεί σε στάση αντίστοιχη και παράλληλη με τον προηγούμενο. Με την ταφή αυτή ή την ταφή ε πρέπει να συσχετισθεί η ομάδα των αγγείων 2 και 6 της νοτιοανατολικής γωνίας (ομάδα Δ′) (Π ί ν. 57: 10-12, 228α).

Επειδή πρόκειται σύμφωνα με την ανθρωπολογική μελέτη για ανδρική ταφή, θα μπορούσε να αποδοθεί στην ταφή αυτή και το εγχειρίδιο 7. Το πήλινο σφονδύλι, που βρέθηκε δίπλα στο εγχειρίδιο, πιθανότατα είναι μετατοπισμένο και σχετίζεται με κάποια από τις δύο προηγούμενες γυναικείες ταφές.

Ταφή δ. Η ταφή δ, που σύμφωνα με την ανθρωπολογική μελέτη πρέπει να είναι ανδρική, ήταν η τελευταία χρονικά ταφή στον τάφο Β2 και η καλύτερα διατηρημένη. Εκτός από τα λείψανα κρανίου στη νοτιοδυτική γωνία του τάφου και τα θραύσματα των μακρών οστών, σώζονταν και λείψανα πλευρών και πελμάτων. Από τα σωζόμενα οστά διαπιστώθηκε ότι ο νεκρός είχε ταφεί ύπτιος, με το κεφάλι προς Δ. και τα σκέλη τεντωμένα. Με την ταφή αυτή σχετίζονται το χάλκινο εγχειρίδιο 8, που βρέθηκε πάνω στα πλευρά του νεκρού δ, και πιθανότατα ένα τουλάχιστον από τα δύο αγγεία, 1 και 3, της νοτιοδυτικής γωνίας (ομάδα Α′) (Π ί ν. 228β-γ).

Ταφή ε (ομάδα Β′ ή Δ′). Στην περιοχή της ταφής δ και κάτω από τα οστά του νεκρού δ, εντοπίσθηκαν από την ανθρωπολογική έρευνα και θραύσματα οστών γυναικείας ταφής (Παράρτημα Ια), με την οποία πρέπει να συνδεθούν το κρανίο ε της νοτιοανατολικής γωνίας του τάφου και ένα τουλάχιστον από τα δύο πήλινα σφονδύλια 11 και 12, που βρέθηκαν κάτω από το κρανίο του νεκρού δ. Είναι, επίσης, πιθανό ένα από τα δύο αγγεία της νοτιοδυτικής γωνίας, πιθανόν το αγγείο 3 (ομάδα Β′), να σχετίζεται με την ταφή αυτή. Σ' αυτή την περίπτωση, με τη νεότερη ταφή δ πρέπει να συσχετισθεί το σχεδόν ακέραιο αγγείο 1 (Π ί ν. 228β). Θα ήταν επίσης πιθανή και η απόδοση στην ταφή ε και κτερισμάτων της νοτιοανατολικής γωνίας (2, 6) (ομάδα Δ′).

Το εγχειρίδιο 10, που βρέθηκε στον πυθμένα του τάφου, είναι δυνατό να συσχετισθεί ή με την ανδρική ταφή γ, οπότε θα δεχθούμε ότι η ταφή συνοδευόταν από δύο εγχειρίδια, ή με κάποια προγενέστερη ανδρική ταφή, από την οποία δεν έχουν σωθεί σκελετικά λείψανα. Μια τρίτη δυνατότητα είναι να ανήκει στην παιδική ταφή, η οποία έχει διαπιστωθεί μόνο από ελάχιστα δόντια που βρέθηκαν στον τάφο. Η απόδοση, οπωσδήποτε, των μικροαντικειμένων (εγχειριδίων και σφονδυλιών) στις επιμέρους ταφές δεν είναι δυνατό να είναι ασφαλής, γιατί οι διαδοχικές ταφές μετατόπιζαν τα αντικείμενα αυτά ευκολότερα από τα αγγεία.

Πρέπει, ωστόσο, να σημειώσουμε τη σύμπτωση του αριθμού των αγγείων με τον αριθμό των ταφών που έχουν εντοπισθεί στον τάφο, καθώς και τη σύμπτωση του αριθμού των σφονδυλιών με τον αριθμό των γυναικείων ταφών, που έχει προσδιορίσει η ανθρωπολογική έρευνα στον τάφο.

Ομάδα Α′ - Ταφή δ

Πίν. 56

1(1). Χειροποίητος αμφορέας Τπ. Ι, VI (126γ).
Λείπει ένα μικρό μέρος από το κάτω σώμα, το λαιμό, καθώς και μία λαβή.
Πηλός Κτ. ΙΒ1
εξ. επ. ΚΕ
εσ. επ. ΚΕ
πρ. Κ
ύψ. 0,255, δμβ. 0,072, δμχ. 0,115 μ.

2(8). Χάλκινο εγχειρίδιο Τπ. ΕV, 5.
Ράχη κυρτή, ακμή κοίλη, αιχμή αποστρογγυλεμένη, ουρά χωρίς εσοχή, με καμπύλο άκρο.
μκ. 0,117 μ.

Ομάδα Β′ - Ταφή ε

Πίν. 56

3(3). Χειροποίητος αμφορέας Τπ. Ι, VIΓ (134).
Λείπει ένα μεγάλο μέρος από το κάτω σώμα του αγγείου.
Πηλός Κτ. ΙΒ1
εξ. επ. ΚΕ
εσ. επ. Ε
πρ. Κ
ύψ. 0,265, δμβ. 0,085, δμχ. 0,114 μ.

4(12). Πήλινο δικωνικό σφονδύλι Τπ. ΣΙΙ, 1α.
ύψ. 0,033, δμ. 0,033 μ.

5(11). Πήλινο δικωνικό σφονδύλι Τπ. ΣΙΙ, 1α.
ύψ. 0,036, δμβ. 0,03 μ.

Ομάδα Γ′ - Ταφή β, Ταφή α

Πίν. 57

6(4). Χειροποίητο ευρύστομο βαθύ αγγείο Τπ. Ι, IV (50).
Λείπει ένα μέρος από το σώμα, το λαιμό και τη λαβή. Δύο αυλακώσεις γύρω από τη βάση του λαιμού.
Πηλός Κτ. ΙΑ2
εξ. επ. ΚΜ
εσ. επ. ΚΜ
πρ. Κ
ύψ. 0,132, δμβ. 0,054, δμχ. 0,099 μ.

7(5). Μόνωτο χειροποίητο ευρύστομο βαθύ αγγείο Τπ. Ι, IV (43).
Λείπει ενα μέρος από το κάτω σώμα, μέρος από το λαιμό και η λαβή. Δύο παράλληλες αυλακώσεις γύρω από τη βάση του λαιμού.
Πηλός Κτ. ΙΑ2
εξ. επ. ΚΤ-λ
εσ. επ. ΚΤ-λ
πρ. ΚΤ
ύψ. 0,186, δμβ. 0,081 μ.

8(9). Πήλινο δικωνικό σφονδύλι Τπ. ΣΙΙ, 1α.
ύψ. 0,033, δμ. 0,036 μ.

9(10). Χάλκινο εγχειρίδιο Τπ. ΕΙΙΙ, 2α.
μκ. 0,12 μ.

Ομάδα Δ′ - Ταφή γ

Πίν. 57

10(7). Χάλκινο εγχειρίδιο Τπ. ΕV, 1β.
Ράχη κυρτή, ακμή κοίλη, αιχμή γυρισμένη προς τα άνω. Ουρά με ένα καρφί, που εισέχει και από τις δύο πλευρές της λεπίδας και καταλήγει σε καμπύλο πέρας.
μκ. 0,118 μ.

11(2). Μόνωτο χειροποίητο ευρύστομο αγγείο Τπ. Ι, IV (38).
Λείπει ένα μεγάλο μέρος από το λαιμό του αγγείου και ένα τμήμα της λαβής. Μία αυλάκωση γύρω από τη βάση του λαιμού.
Πηλός Κτ. ΙΒ1
εξ. επ. Κ-ΚΕ-λ
εσ. επ. Κ-ΚΕ-λ
πρ. ΚΕ ή ΚΤ
ύψ. 0,115, δμβ. 0,08, δμχ. 0,145 μ.

12(6). Μόνωτο χειροποίητο ευρύστομο αγγείο Τπ. Ι, IV (113).
Λείπει ένα μέρος από το σώμα και το λαιμό του αγγείου. Τρεις παράλληλες αυλακώσεις γύρω από τη βάση του λαιμού, δύο γύρω από το κάτω σώμα του αγγείου. Σειρά από παράλληλες αυλακώσεις κατά πλάτος του κατακόρυφου στελέχους της λαβής.
Πηλός Κτ. ΙΑ2
εξ. επ. ΚΕ-λ
εσ. επ. ΚΜ-λ
πρ. ΚΤ
ύψ. 0,10, δμβ. 0,065, δμχ. 0,11 μ.

Τάφος Β3

Ο τάφος Β3 βρίσκεται 25 μ., περίπου, προς ΝΔ. της ταφικής συστάδας Β1 (Σ χ έ δ. Ι). Πριν από την έναρξη της ανασκαφής, ο τάφος έδινε εξωτερικά την εικόνα ενός τυμβόσχημου λιθοσωρού, μέσα στον οποίο διακρίνονταν θραύσματα από μεγάλες σχιστόπλακες. Στην περιφέρεια του τύμβου, ανάμεσα στο λιθοσωρό, διακρινόταν μια πλάκα όρθια στηριγμένη πάνω σε μια άλλη μεγάλη πλάκα (Π ί ν. 220β). Στην κορυφή του τύμβου, στο επιφανειακό στρώμα, βρέθηκαν θραύσματα αγγείων ιστορικών χρόνων (στρώμα Ι, Π ί ν. 58Β).

Ο τάφος είχε κάτοψη κυκλική με κανονικό κτιστό περίγραμμα (Σ χ έ δ. 18). Το ύψος των τοίχων δεν πρέπει να ήταν μεγαλύτερο από 0,65 μ., ύψος που σώζεται στο μεγαλύτερο μέρος της περιφέρειας του τάφου. Διαστάσεις: εσωτ. δμ. 2,87, σζ. ύψ. 0,80 μ. Δεν είναι βέβαιος ο τρόπος κάλυψης του τάφου. Στο εσωτερικό του τάφου βρέθηκαν πεσμένες μικρές πέτρες, πλάκες και χώμα, αλλά στις πλάγιες πλευρές δε διαπιστώθηκε εκφορά των τοίχων, ώστε να υποθέσουμε μια θολωτή κάλυψη (Π ί ν. 229α-β). Η πλάκα, που βρέθηκε όρθια στην περιφέρεια του τάφου, μοιάζει περισσότερο με «σήμα» και δεν είναι δυνατό να συσχετισθεί με την κάλυψη του τάφου. Η είσοδος του τάφου ήταν στην ανατολική πλευρά, όπου το φυσικό έδαφος εμφανίζει μια ισχυρή κλίση και ο τοίχος έχει καταστραφεί. Στο εσωτερικό του τάφου βεβαιώθηκε η εναπόθεση πολλαπλών ταφών (στρώμα ΙΙ). Τα λείψανα των σκελετών φαίνονται συγκεντρωμένα στο ανατολικό τμήμα του τάφου. Οι ταφές είναι πολλές, αλλά φαίνεται πως κατά κανόνα έχουν εναποτεθεί η μία πάνω στην άλλη, στο χώρο απέναντι από την είσοδο, χωρίς να έχει προηγηθεί τέλειος παραμερισμός των προηγούμενων ταφών. Από τα ελάχιστα σωζόμενα λείψανα των σκελετών, εντοπίσθηκαν πέντε τουλάχιστον ταφές στον τάφο (Π ί ν. 229β, 230α-γ):

Ταφή α. Λείψανα κρανίου και δόντια στο κέντρο, περίπου, του τάφου.

Ταφή β. Ελάχιστα λείψανα κρανίου και δόντια στο ανατολικό τμήμα του τάφου.

Ταφή γ. Θραύσμα κρανίου κοντά στο κρανίο β.

Ταφή δ. Θραύσματα κρανίου και λείψανα σπονδυλικής στήλης, λεκάνης και οστών κάτω άκρων. Η ταφή δ πρέπει να είναι η τελευταία χρονικά ταφή του τάφου. Με την ταφή αυτή πρέπει, πιθανότατα, να συσχετισθούν τα εξής κτερίσματα: θραύσμα χάλκινης «σύριγγας» κοντά στο κρανίο δ (3). Άβαφη μικρή πρόχους (1), χάλκινη πόρπη (2).

Ταφή ε. Τα οστά της ταφής αυτής φαίνονται μετατοπισμένα στη βορειοανατολική πλευρά του τάφου. Εκεί βρέθηκε μια κάτω σιαγόνα με θραύσματα κρανίου και δόντια διάσπαρτα.

Η ανθρωπολογική μελέτη των οστών του τάφου Β3 βεβαίωσε την ταφή πέντε, τουλάχιστον, ενήλικων ατόμων και ενός παιδιού. Ανάμεσα στα ενήλικα άτομα ξεχώρισε μια γυναικεία ταφή (ταφή β) και μια ανδρική (ταφή ε) (πρβλ. Παράρτημα Ιβ).

ΕΥΡΗΜΑΤΑ

Στρώμα ΙΙ

Π ί ν. 58Α

1(1). Τροχήλατη προχοΐσκη Τπ. ΙΙ, Γ (237).
Λείπει η λαβή.
Πηλός Κτ. ΙΙΓ
εξ. επ. Ε
εσ. επ. Ε
πρ. Ε
ύψ. 0,10, δμβ. 0,03, δμχ. 0,045 μ.

2(4). Θραύσμα δίωτου κανθαρόσχημου αγγείου Τπ. Ι, VB (120).
Σώζεται τμήμα ώμου με μία λαβή.
Πηλός Κτ. ΙΑ2
εξ. επ. ΚΜ
εσ. επ. ΚΜ
πρ. Κ
σζ. ύψ. 0,05 μ.

3(15). Θραύσμα χειροποίητου αγγείου Τπ. Ι, VB (120).
Σώζεται τμήμα ώμου με μία κατακόρυφη λαβή.
Πηλός Κτ. ΙΑ2
εξ. επ. ΚΜ

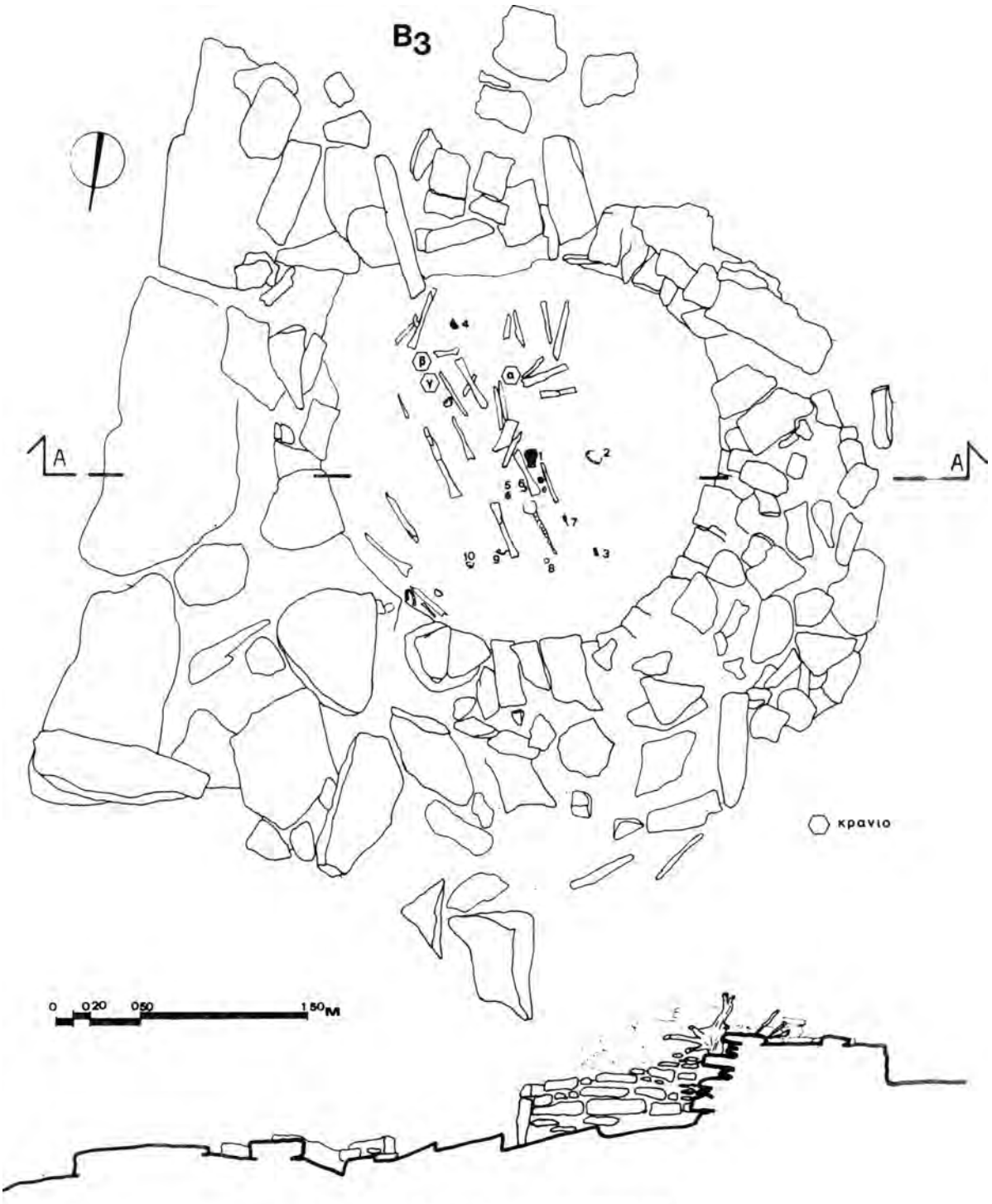

Σχέδ. 18. Κάτοψη και τομή τάφου Β3.

εσ. επ. ΚΜ
πρ. Κ
σζ. ύψ. 0,09 μ.

4(14). Θραύσμα σιδερένιας λεπίδας εγχειριδίου Τπ. ΕVII.
Ράχη και ακμή ευθύγραμμες.
σζ. μκ. 0,09 μ.

5(11). Δύο χάλκινοι κρίκοι Τπ. Σφ. 2.
Δακτύλιοι ή σφηκωτήρες.
δμ. 0,018 μ.

6(5). Χάλκινος σφηκωτήρας Τπ. Σφ. 4.
Από χάλκινο σύρμα.

δμ. 0,02 μ.

7(12). Χάλκινος σφηκωτήρας Τπ. Σφ. 4.
Από χάλκινο σύρμα.
δμ. 0,023 μ.

8(3). Χάλκινη «σύριγγα» Τπ. Σρ. 2.
σζ. μκ. 0,017 μ.

9(8). Δακτυλιόσχημη ψήφος από ήλεκτρο Τπ. Ψη4.
δμ. 0,007 μ.

10(7). Χάλκινο ομφάλιο Τπ. Τ1.
μκ. 0,06 μ.

11(13). Χάλκινη τοξωτή πόρπη Τπ. Π5.
Τόξο κυλινδρικό, μικρή ορθογώνια υποδοχή για τη βελόνα. Η βελόνα της πόρπης έχει σπάσει σε δύο θραύσματα.
ύψ. 0,027, μκ. 0,051 μ.

12(6). Θραύσμα χάλκινης πόρπης.
Σώζεται η βελόνα με τον οφθαλμό. Λυγισμένη η βελόνα από παραμόρφωση.
μκ. 0,067 μ.

13(9). Χάλκινη πόρπη Τπ. Π7.
Διογκωμένο το μέσον του τόξου.
ύψ. 0,032, μκ. 0,035 μ.

14(2). Χάλκινη τοξωτή πόρπη Τπ. Π6.
Πέντε σφαιρίδια στο τόξο. Λείπει η βελόνα της πόρπης και τμήμα από το τόξο.
ύψ. 0,024, μκ. 0,036 μ.

15(10). Χάλκινη τοξωτή πόρπη Τπ. Π5.
Κυλινδρικό τόξο-ορθογώνια υποδοχή για τη βελόνη. Έχει σπάσει η βελόνα της πόρπης.
ύψ. 0,052, μκ. 0,024 μ.

Επίχωση
Στρώμα Ι

Πίν. 58Β

Ιστορικοί χρόνοι (3ος-1ος αι. π.Χ.)

1. Θραύσματα τροχήλατου μελαμβαφούς κανθάρου.
Σώζεται το κάτω σώμα και μία λαβή από το αγγείο. Απολεπισμένη η επιφάνεια του αγγείου.
Πηλός κιτρινέρυθρος Κτ. ΙΙΕ
συμπλ. ύψ. 0,13, δμβ. 0,045 μ.

2. Θραύσμα από το λαιμό ληκύθου.
Επιφάνεια απολεπισμένη.
Πηλός ωχρέρυθρος Κτ. ΙΙΕ
σζ. ύψ. 0,05 μ.

3. Θραύσμα από το χείλος μελαμβαφούς σκύφου-κοτύλης.
Απολεπισμένη η επιφάνεια του οστράκου.
Πηλός κιτρινέρυθρος Κτ. ΙΙΕ
σζ. ύψ. 0,03 μ.

4. Θραύσμα από τον ώμο τροχήλατου κλειστού αγγείου.
Δύο ραβδώσεις στον ώμο.
Πηλός κιτρινέρυθρος Κτ. ΙΙΕ
σζ. ύψ. 0,04 μ.

5. Θραύσμα από τον ώμο τροχήλατου αγγείου.
Δύο ραβδώσεις στην αρχή του ώμου.
Πηλός κιτρινέρυθρος Κτ. ΙΙΕ
σζ. ύψ. 0,035 μ.

6. Θραύσμα βάσης κυαθίου.
Τοπική μίμηση αττικού κυαθίου.
Πηλός τεφρός Κτ. ΙΙΣΤ
σζ. ύψ. 0,02, δμβ. 0,066 μ.

7. Θραύσμα βάσης σκύφου.
Τοπική μίμηση αττικού σκύφου.
Πηλός κιτρινέρυθρος Κτ. ΙΙΕ
σζ. ύψ. 0,015, δμβ. 0,07 μ.

Ρωμαϊκοί χρόνοι

8. Θραύσμα από το κάτω σώμα τροχήλατου άβαφου αγγείου.
Βάση επίπεδη, ελαφρά υπερυψωμένη.
Πηλός ερυθρός Κτ. ΙΙΖ
σζ. ύψ. 0,03, δμβ. 0,027 μ.

9. Θραύσματα τροχήλατης άβαφης προχοΐσκης.
Λείπει ένα μεγάλο μέρος από το σώμα και η λαβή.
Πηλός ερυθρός Κτ. ΙΙΖ
ύψ. 0,088, δμβ. 0,034 μ.

10. Θραύσματα τροχήλατης άβαφης προχοΐσκης.
Σώζεται η βάση, ένα μέρος από το σώμα και το χείλος, καθώς και ένα τμήμα της λαβής.
Πηλός ερυθρός Κτ. ΙΙΖ
ύψ. 0,089, δμβ. 0,025 μ.

11. Θραύσματα τροχήλατης άβαφης προχοΐσκης.
Σώζεται το κάτω σώμα με τη βάση και τμήμα ώμου με τη λαβή.
Πηλός ερυθρός Κτ. ΙΙΖ
ύψ. 0,089, δμβ. 0,027 μ.

ΤΟ ΝΕΚΡΟΤΑΦΕΙΟ ΣΤΗ ΘΕΣΗ ΤΣΙΓΑΝΑΔΙΚΑ

Το νεκροταφείο απλώνεται στην ανατολική πλαγιά του λόφου Τσιγανάδικα, που υψώνεται προς ΒΔ. του λόφου της ακρόπολης Καστρί (Σ χ έ δ. Ι). Είναι το πιο εκτεταμένο από τα νεκροταφεία του οικισμού Καστρί, με τάφους διάσπαρτους ως την κορυφή του λόφου Τσιγανάδικα, που σε ορισμένες ωστόσο περιοχές εμφανίζονται με μεγαλύτερη πυκνότητα. Από τη μελέτη των κτερισμάτων των ταφών δεν έχει προκύψει καμιά συγκεκριμένη οριζόντια στρωματογραφία, εκτός από τη διαπίστωση, ότι οι αρχαιότεροι τάφοι του νεκροταφείου εμφανίζονται στους πρόποδες του λόφου Τσιγανάδικα, χωρίς ωστόσο να αποκλείεται στην ίδια περιοχή η εμφάνιση και των νεότερων τάφων του νεκροταφείου. Οι τάφοι δεν εμφανίζουν σταθερό προσανατολισμό· σε ορισμένες μόνο περιοχές παρατηρείται κάποια πύκνωσή τους, που και πάλι δεν είναι δυνατό να δώσει στοιχεία για τη συσχέτισή τους με κάποιο αρχαίο δρόμο. Σε ορισμένους τάφους βρέθηκαν θραύσματα αγγείων 4ου αι. π.Χ. και ρωμαϊκών χρόνων, που πρέπει να συσχετισθούν με κάποια αραιή κατοίκηση της περιοχής των νεκροταφείων στους ιστορικούς χρόνους. Δύο μονόχωρα κτίσματα-κατοικίες ρωμαϊκών χρόνων, που εντοπίσθηκαν στην ανασκαφή του νεκροταφείου, αντιπροσωπεύουν την αραιή παρουσία ζωής στους ρωμαϊκούς χρόνους[7], η οποία πρέπει να συνεχίσθηκε και στους βυζαντινούς, όπως διαπιστώνεται από τη σποραδική εμφάνιση και βυζαντινών οστράκων. Με τη μεταβυζαντινή περίοδο, πιθανότατα, πρέπει να συσχετισθεί το νεκροταφείο προς ΒΔ. της πηγής, όπου βρίσκεται το νεότερο εκκλησάκι της Αγίας Παρασκευής (Σ χ έ δ. 5).

Τα αραιά καλύβια που εξυπηρετούν τη συγκομιδή της ελιάς αποτελούν σήμερα τη συνέχεια της γεωργικής εκμετάλλευσης της περιοχής, που από τους χρόνους της τουρκοκρατίας ως τα πρώτα μεταπολεμικά χρόνια περιοριζόταν στη συγκομιδή της ελιάς και στην καλλιέργεια ελάχιστων χωραφιών στις περιοχές, που έσωζαν κάποια επίχωση. Η περιοχή που εμφανίζεται σήμερα πολύ απογυμνωμένη είναι αμφίβολο αν και αρχαιότερα έσωζε μεγαλύτερο πάχος επίχωσης. Το επίπεδο ταφών, που σημειώσαμε ήδη, βρίσκεται στις περισσότερες περιπτώσεις πάνω στο φυσικό βράχο και η ύπαρξη λατομείων στην ίδια περιοχή (Σ χ έ δ. Ι) βεβαιώνει ότι ο βράχος ήταν ήδη από την αρχαιότητα απογυμνωμένος σε πολλά σημεία.

Τάφος Τ1

Ο τάφος Τ1 βρίσκεται στους νοτιοδυτικούς πρόποδες της πλαγιάς του λόφου Τσιγανάδικα (Σ χ έ δ. Ι). Νοτιότερα του τάφου Τ1 δεν έχουν επισημανθεί τάφοι, γιατί αρχίζει η χαράδρα, που ξεχωρίζει το λόφο Τσιγανάδικα από το λόφο Κεντριά. Ο τάφος έχει κτιστές πλευρές και κάτοψη κυκλική, περίπου, με διαμορφωμένη είσοδο στη δυτική πλευρά (Π ί ν. 231α-γ).

Διαστάσεις τάφου (εσωτ.): μκ. 2,50, ύψ. 1-1,20, πχ. τοίχων 1,10 μ. Οι πλάγιοι τοίχοι είναι χτισμένοι με αργούς λίθους, που εναλλάσσονται σε ορισμένα σημεία με μεγάλες πλάκες, που έχουν ενσωματωθεί στις κτιστές πλευρές (Σ χ έ δ. 19). Η είσοδος του τάφου έχει δύο όρθιες πλάκες για παραστάδες και έκλεινε με ξερολιθιά (Π ί ν. 231γ). Τα τοιχώματα του τάφου παρουσιάζουν μια μικρή εκφορική κλίση προς το κέντρο, που εχει ως αποτέλεσμα τη μείωση του ανοίγματος της οροφής του τάφου. Ο τάφος καλυπτόταν με μεγάλες πλάκες, ορισμένες από τις οποίες βρέθηκαν στην αρχική τους θέση, πάνω στα τοιχώματα των τάφων. Στο σύνολό της, η οροφή του τάφου έχει καταρρεύσει και οι πλάκες της έχουν σπάσει και πέσει στο εσωτερικό του τάφου (Π ί ν. 231β).

Μετά την απομάκρυνση των πλακών της οροφής, διαπιστώθηκε ότι πάνω στο επίπεδο της ταφής είχε ριχθεί ένα στρώμα με λίθους και χώμα, που κάλυπτε τις ταφές. Η ποσότητα

7. ΑΔ 30 (1975): Χρονικά, 282.

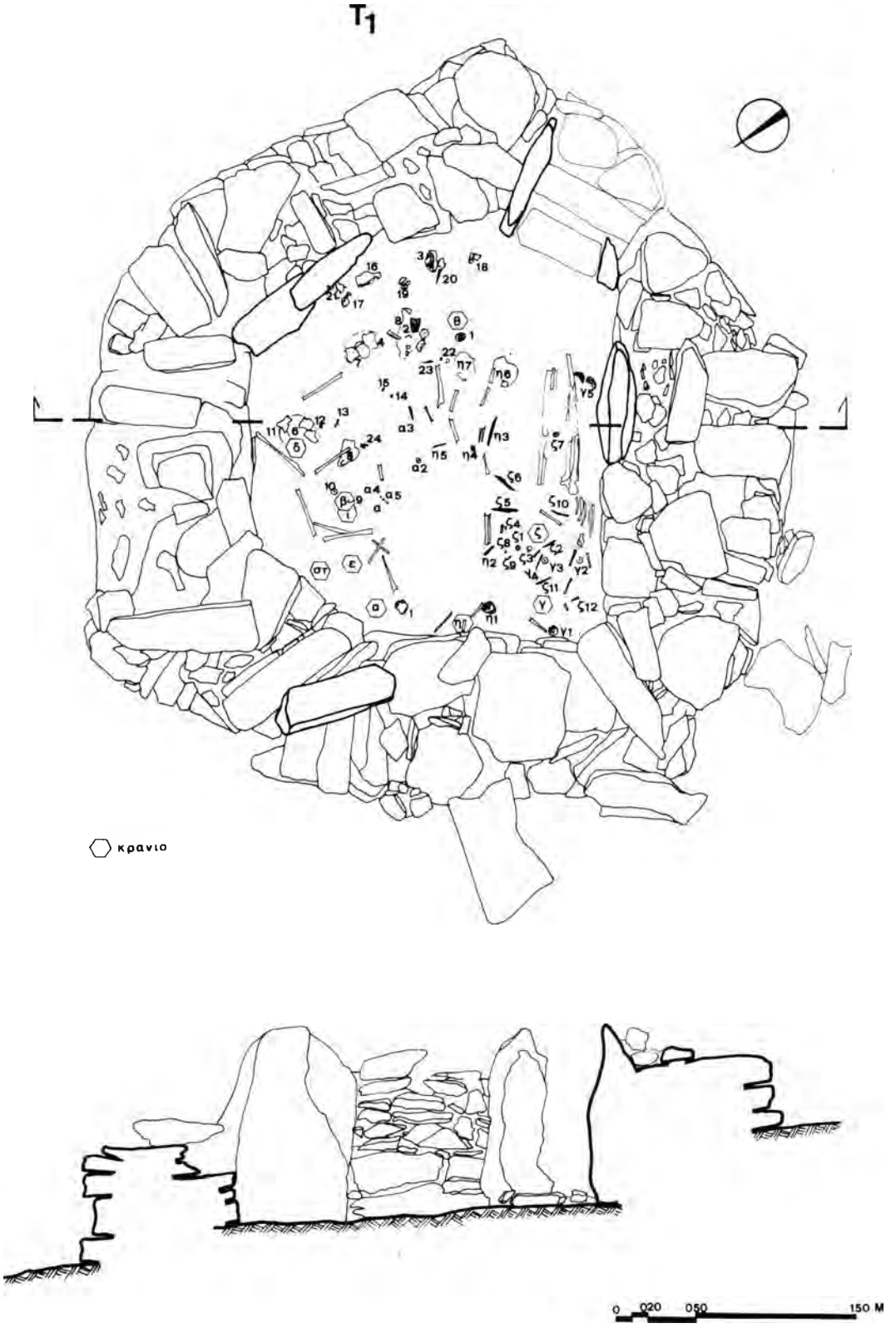

Σχέδ. 19. Κάτοψη και τομή τάφου Τ1.

του χώματος είναι μικρή και η κάλυψη των νεκρών πρέπει να είχε πραγματοποιηθεί με λίθους κυρίως. Στον τάφο είχαν εναποτεθεί αλλεπάλληλες ταφές, που είχαν διαταράξει η μία την άλλη. Στην ανασκαφή εντοπίσθηκαν εννέα λείψανα κρανίων, αλλά πιθανότατα οι ταφές ήταν περισσότερες. Τα οστά σώζονταν σε πολύ αποσαθρωμένη κατάσταση και τα κρανία εντοπίζονταν μόνο από θραύσματα κρανιακής κάψας και από σιαγόνες. Έτσι, είναι πολύ πιθανό να υπήρχαν και άλλα κρανία, τα οποία δεν άφησαν ίχνη. Με τις αλλεπάλληλες ταφές ο τάφος δεν ήταν δυνατό να δώσει σαφή κλειστά σύνολα κτερισμάτων. Ξεχωρίζουν, ωστόσο, από ανασκαφικές ενδείξεις δύο ομάδες ταφών και κτερισμάτων:

Στρώμα Ι

Σ' αυτό ανήκουν τα κτερίσματα των τελευταίων χρονικά ταφών, τα οστά των οποίων ξεχώριζαν αρκετά καθαρά στη δυτική πλευρά του τάφου (κρανία γ, ζ, η και α). Από τις παραπάνω ταφές, η ταφή ζ πρέπει να είναι οπωσδήποτε αρχαιότερη από την ταφή γ, γιατί ο νεκρός του κρανίου γ φαίνεται ότι έχει εναποτεθεί πάνω στο νεκρό του κρανίου ζ (Πίν. 232γ).

Οι ταφές γ, η και α είναι παράλληλες. Τελευταία χρονικά πρέπει να είναι η ταφή γ, ενώ η ταφή α φαίνεται αρκετά παραμερισμένη. Τα κτερίσματα δεν είναι δυνατό να αποδοθούν με βεβαιότητα στις επιμέρους ταφές του στρώματος Ι. Εκτός από ορισμένα αγγεία που βρίσκονται δίπλα στα κρανία των ταφών γ, η και α, τα υπόλοιπα κτερίσματα — μικροαντικείμενα και αγγεία που βρίσκονται δίπλα στους νεκρούς της ομάδας Ι — είναι δυνατό να προέρχονται και από προγενέστερες ταφές, τις οποίες επικάλυψαν ή παραμέρισαν οι νεότερες ταφές της περιοχής αυτής. Η διάκριση μικρών ομάδων κτερισμάτων στην ομάδα Ι (γ, ζ, η και α) δεν καθορίζει κλειστά σύνολα-κτερίσματα ταφών, αλλά μόνο την ανασκαφική τους συσχέτιση.

Στρώμα ΙΙ

Στο στρώμα αυτό δεν ξεχωρίζει καμιά ταφή αδιατάρακτη. Τα οστά και τα κτερίσματα είναι παραμερισμένα στην ανατολική και τη βορειοανατολική περιοχή του τάφου. Πρέπει να σχετίζονται με τις αρχαιότερες ταφές του τάφου. Στο στρώμα αυτό ανήκουν τα θραύσματα των κρανίων β, δ, ε, στ και θ, καθώς και πολλά θραύσματα από μακρά οστά (Πίν. 232α-β).

Ιδιαίτερα στην περιοχή του κρανίου θ πρέπει να βρίσκονται τα αρχαιότερα ευρήματα του τάφου, γιατί στην περιοχή αυτή υπήρχε ένα φυσικό όρυγμα, που πρέπει να γέμισε πριν αρχίσει ο παραμερισμός των κτερισμάτων και των οστών στον τάφο. Ανάμεσα στα κτερίσματα της ομάδας αυτής συμπεριλαμβάνεται ένα όστρεο μαλακίου, η εναπόθεση του οποίου στον τάφο πιθανότατα πρέπει να έχει συμβολικό χαρακτήρα (Παράρτημα ΙΙΙ).

ΕΥΡΗΜΑΤΑ

Στρώμα Ι

Πίν. 59

Ομάδα α'

1(α1). Χειροποίητη κυπελλόσχημη προχοΐσκη Τπ. Ι, VIIB (144).
Λείπει το χείλος και η λαβή.
Πηλός Κτ. ΙΑ2
εξ. επ. ΚΜ-λ
εσ. επ. ΚΜ-λ
πρ. ΚΕ
ύψ. 0,081, δμβ. 0,042 μ.

2(α3). Χάλκινο εγχειρίδιο Τπ. ΕΙΙΙ, 1α.
Ακμή κοίλη, ουρά μακριά χωρίς καρφιά, που εισέχει από τις δύο πλευρές της λεπίδας και καταλήγει σε ευθύγραμμο πέρας.
μκ. 0,06 μ.

3(α2). Πήλινο δικωνικό σφονδύλι Τπ. ΣΙΙ, 1β.
ύψ. 0,027, δμ. 0,03 μ.

4(α4). Θραύσμα από την κεφαλή οστέινης περόνης Τπ. ΟΠ1.
Μία αυλάκωση στην κορυφή της περόνης.
σζ. μκ. 0,015 μ.

5(α5). Θραύσμα από την κεφαλή οστέινης περόνης Τπ. ΟΠ1.

Πιθανόν, από την ίδια περόνη με το προηγούμενο θραύσμα.
σζ. μκ. 0,015 μ.

6(α6). Θραύσμα από την κεφαλή οστέινης περόνης Τπ. ΟΠ1.
Δύο αυλακώσεις.
σζ. μκ. 0,015 μ.

Ομάδες γ′ και ζ′

7(γ1). Τροχήλατος αμφορίσκος Τπ. ΙΙ, Α1 (222).
Λείπει ένα μέρος από το λαιμό και το χείλος.
Πηλός καστανέρυθρος καθαρός Κτ. ΙΙΑ2
εξ. επ. ΚΕ - δε σώζεται επίχρισμα
ύψ. 0,065, δμβ. 0,035, δμχ. 0,045 μ.

8(γ5). Θραύσματα μόνωτου χειροποίητου ευρύστομου αγγείου Τπ. Ι, IV (46).
Σώζεται τμήμα από το άνω σώμα με το λαιμό και το χείλος, καθώς και τμήμα λαβής. Δύο παράλληλες αυλακώσεις γύρω από τη βάση του λαιμού, μία ελαφρά αυλάκωση γύρω από την περιφέρεια του χείλους.
Πηλός Κτ. ΙΑ2
εξ. επ. Κ-λ
εσ. επ. Κ-λ
πρ. ΚΕ
σζ. ύψ. 0,08, δμχ. 0,12 μ.

9(γ4). Χάλκινο εγχειρίδιο Τπ. ΕΙ, 6γ.
Ράχη ευθύγραμμη, ακμή ευθύγραμμη, ουρά τριγωνική με δύο καρφιά.
μκ. 0,12 μ.

10(γ2). Πήλινο δικωνικό σφονδύλι Τπ. ΣΙΙ, 1α.
ύψ. 0,03, δμ. 0,039 μ.

11(γ3). Πήλινο δικωνικό σφονδύλι Τπ. ΣΙ, 6α.
ύψ. 0,03, δμ. 0,03 μ.

12(ζ7). Πήλινο δικωνικό σφονδύλι Τπ. ΣΙΙ, 5α.
Λείπει ένα μέρος της περιφέρειας.
ύψ. 0,03, δμ. 0,04 μ.

13(ζ3). Χάλκινο ενώτιο Τπ. Εν.
Λείπει το άκρο του κατακόρυφου στελέχους.
σζ. ύψ. 0,039, δμ. 0,024 μ.

14(ζ1). Θραύσμα από χάλκινο ενώτιο Τπ. Εν.
Σώζεται τμήμα από την κεντρική σπείρα.
δμ. 0,012 μ.

15(ζ4). Χάλκινος σφηκωτήρας Τπ. Σφ. 2.
μκ. 0,0246 μ.

16(ζ2). Θραύσμα χάλκινης «σύριγγας» Τπ. Σρ. 1.
σζ. μκ. 0,03 μ.

17(ζ8). Δακτυλιόσχημη ψήφος από κυανόχρωμο γυαλί Τπ. Ψυ.
δμ. 0,005 μ.

18(ζ9). Θραύσμα κωνικής ψήφου από ήλεκτρο Τπ. Ψη3.
δμ. 0,008 μ.

19(ζ10). Χάλκινο εγχειρίδιο Τπ. ΕΙ, 3β.
Ράχη ευθύγραμμη, ακμή ευθύγραμμη, ουρά με τρία καρφιά, που εισέχει και από τις δύο πλευρές της λεπίδας.
μκ. 0,17 μ.

20(ζ6). Χάλκινο εγχειρίδιο Τπ. ΕΙ, 6β.
Ράχη ευθύγραμμη, ακμή ευθύγραμμη, ουρά χωρίς καρφιά, τριγωνική.
μκ. 0,12 μ.

21(ζ5). Χάλκινο εγχειρίδιο Τπ. ΕV, 2α.
Ράχη κυρτή, ακμή ευθύγραμμη, ουρά χωρίς καρφιά, που εισέχει από την πλευρά της λεπίδας.
μκ. 0,16 μ.

22(ζ11). Χάλκινο εγχειρίδιο Τπ. ΕV, 2β.
Ράχη κυρτή, ακμή ευθύγραμμη, ουρά που εισέχει από την πλευρά της ακμής.
μκ. 0,135 μ.

23(ζ12). Θραύσμα λεπίδας σιδερένιου εγχειριδίου Τπ. ΕVΙΙ.
Ράχη κυρτή, ακμή κοίλη.
σζ. μκ. 0,039 μ.

Ομάδα η′

Π ί ν. 60

24(η6). Θραύσματα χειροποίητης οινοχόης Τπ. Ι, VIIΓ (150α).
Σώζεται η βάση, μέρος από τον ώμο και το λαιμό, καθώς και η λαβή. Αυλάκωση γύρω από τη βάση του λαιμού.
Πηλός Κτ. ΙΑ2
εξ. επ. ΚΤ-λ
εσ. επ. ΚΤ
πρ. ΚΕ
συμπλ. ύψ. 0,21, δμβ. 0,075 μ.

25(η1). Θραύσματα μόνωτου χειροποίητου ευρύστομου αγγείου Τπ. Ι, IV (84α).
Σώζεται μέρος από το άνω σώμα με τον ώμο, το λαιμό και το χείλος, καθώς και η λαβή. Δύο παράλληλες αυλακώσεις γύρω από τη βάση του λαιμού και στο χείλος του αγγείου.
Πηλός Κτ. ΙΑ2
εξ. επ. Κ-λ
εσ. επ. Κ-λ
πρ. ΚΤ
σζ. ύψ. 0,09, συμπλ. ύψ. 0,0102, δμχ. 0,114 μ.

26(η7). Θραύσμα από το κάτω σώμα κλειστού αγγείου Τπ. Ι, VIIΓ.
Πηλός Κτ. ΙΑ2
εξ. επ. ΚΜ-λ
εσ. επ. ΚΕ
πρ. ΚΤ
σζ. ύψ. 0,051, δμβ. 0,075 μ.

27(η7). Θραύσμα χειροποίητου αμφορέα Τπ. Ι, VIΓ (124α).
Σώζεται τμήμα ώμου με οριζόντια λαβή.
Πηλός Κτ. ΙΑ3
εξ. επ. ΚΜ-λ
εσ. επ. ΚΜ
πρ. Ε
σζ. ύψ. 0,06, δμβ. 0,195 μ.

28(η7). Θραύσμα χειροποίητου αμφορέα Τπ. Ι, VIΓ.
Σώζεται τμήμα λαιμού και χείλους.
Πηλός Κτ. ΙΑ3
εξ. επ. ΚΤ-λ
εσ. επ. ΚΤ
πρ. ΚΕ
σζ. ύψ. 0,06, δμχ. 0,051 μ.

29(η5). Θραύσμα μικρού χάλκινου εγχειριδίου Τπ. ΕΙ, 6α.
Ράχη ευθύγραμμη, ακμή ευθύγραμμη, ουρά χωρίς καρφιά, που εισέχει από την πλευρά της ακμής.
μκ. 0,039 μ.

30(η2). Χάλκινο εγχειρίδιο Τπ. ΕΙ, 5α.
Ράχη ευθύγραμμη, ακμή ευθύγραμμη, ουρά χωρίς καρφιά, ισόπαχη με το πίσω τμήμα της λεπίδας.
μκ. 0,18 μ.

31(η3). Χάλκινο εγχειρίδιο Τπ. ΕΙΙ, 1β.
Ράχη κυρτή, ακμή κοίλη, ουρά μακριά με τέσσερα καρφιά, που καταλήγει σε χελιδονοουρές.
μκ. 0,18 μ.

32(η8). Λίθινο ακόνι Τπ. Ακ. 1β.
Οπή στη μία στενή πλευρά για την ανάρτηση του εργαλείου.
μκ. 0,045 μ.

33(η4). Θραύσμα πήλινου δικωνικού σφονδυλιού Τπ. ΣΙΙ, 2.
ύψ. 0,03 μ.

Στρώμα ΙΙ

Πίν. 61

34(19+17). Δύο θραύσματα μόνωτου χειροποίητου ευρύστομου αγγείου Τπ. Ι, IV (36).
Σώζεται τμήμα ώμου με το λαιμό και το χείλος, καθώς και η λαβή.
Πηλός Κτ. ΙΑ2
εξ. επ. ΚΜ-λ
εσ. επ. ΚΜ-λ
πρ. ΚΕ
σζ. ύψ. 0,099, δμχ. 0,156 μ.

35(17). Θραύσμα χειροποίητου ευρύστομου αγγείου Τπ. Ι, IV.
Σώζεται τμήμα ώμου με το λαιμό και το χείλος.
Πηλός Κτ. ΙΒ1
εξ. επ. ΚΕ-λ
εσ. επ. ΚΕ-λ
πρ. ΤΜ
σζ. ύψ. 0,06 μ.

36(3). Μόνωτος χειροποίητος ευρύστομος κύαθος Τπ. Ι, IV (76).
Λείπει ένα μέρος από το αγγείο. Δύο παράλληλες αυλακώσεις γύρω από τη βάση του λαιμού και κάτω από την περιφέρεια του χείλους. Τρεις αποφύσεις σε κανονικά διαστήματα στον ώμο του αγγείου. Αυλακωτή διακόσμηση και στο ταινιωτό τμήμα της γωνιόσχημης λαβής.
Πηλός Κτ. ΙΒ1
εξ. επ. Κ
εσ. επ. ΚΕ
πρ. ΚΕ
ύψ. 0,156, δμβ. 0,075, δμχ. 0,12 μ.

37(16). Μόνωτο χειροποίητο ευρύστομο αγγείο Τπ. Ι, IV (92).
Λείπει το άνω σώμα του αγγείου, καθώς και το άνω τμήμα της λαβής. Ζιγκ-ζαγκ αυλακωτή διακόσμηση στον ώμο.
Πηλός Κτ. ΙΑ2
εξ. επ. Κ-λ
σζ. ύψ. 0,075, συμπλ. ύψ. 0,12, δμβ. 0,048 μ.

38(6). Θραύσμα μόνωτου χειροποίητου ευρύστομου αγγείου Τπ. I, IV (78).
Σώζεται τμήμα ώμου με το λαιμό και το χείλος. Τρεις παράλληλες αυλακώσεις γύρω από τη βάση του λαιμού και γύρω από την περιφέρεια του χείλους.
Πηλός Κτ. ΙΑ2
εξ. επ. Κ-ΚΤ-λ
εσ. επ. Κ-ΚΤ-λ φθ
πρ. ΚΤ
σζ. ύψ. 0,118 μ.

Π ί ν. 62

39(4). Θραύσματα δίωτου χειροποίητου κρατηρόσχημου αγγείου Τπ. I, III (8).
Σώζεται τμήμα του ώμου, του λαιμού και του χείλους, καθώς και μία λαβή-απόφυση από τον ώμο.
Πηλός Κτ. ΙΑ2
εξ. επ. ΚΜ-λ
εσ. επ. ΚΜ-λ
πρ. ΚΕ
ύψ. 0,121, δμχ. 0,189 μ.

40(5). Δίωτο χειροποίητο κανθαρόσχημο αγγείο Τπ. I, VB (117β).
Λείπει ένα μεγάλο μέρος από το αγγείο και η μία λαβή.
Πηλός Κτ. ΙΑ2
εξ. επ. ΜΤ-λ
εσ. επ. ΜΤ-λ
πρ. ΚΕ
συμπλ. ύψ. 0,111, δμβ. 0,06, δμχ. 0,09 μ.

41(11). Θραύσμα δίωτου χειροποίητου κανθαρόσχημου αγγείου Τπ. I, VB (117α).
Λείπει το μισό, περίπου, αγγείο και η μία λαβή. Απόφυση στο κέντρο του ώμου.
Πηλός Κτ. ΙΑ2
εξ. επ. ΚΜ-λ
εσ. επ. ΚΜ-λ
πρ. ΚΕ
ύψ. 0,081, δμχ. 0,105 μ.

42(2). Άωτο χειροποίητο αγγείο Τπ. I, IX (192).
Παράλληλες χαρακτές γραμμές κατά μήκος του σώματος.
Πηλός Κτ. ΙΑ2
εξ. επ. ΤΜ
εσ. επ. ΤΜ
πρ. ΤΜ
ύψ. 0,09, δμβ. 0,042, δμχ. 0,081 μ.

43(1). Τροχήλατος σκύφος Τπ. II, A1 (224).
Λείπει ένα μεγάλο μέρος από το αγγείο. Σώζεται αποσπασματικά το άνω σώμα, οι λαβές και η κωνική βάση.
Πηλός τεφρός Κτ. II
συμπλ. ύψ. 0,12, δμβ. 0,06, δμχ. 0,114 μ.

44(21). Τρίωτος χειροποίητος σταμνίσκος Τπ. I, A2 (226).
Πηλός Κτ. ΙΓ1
εξ. επ. Ε-λ
εσ. επ. Ε
πρ. Ε
ύψ. 0,096, δμβ. 0,033, δμχ. 0,06 μ.

45(8). Θραύσματα τροχήλατου αλάβαστρου Τπ. II, A1 (221).
Σώζεται τμήμα ώμου με λαιμό και χείλος.
Πηλός Κτ. ΙΙΒ
εξ. επ. Ε - επίχρισμα φθαρμένο
εσ. επ. Ε
πρ. Ε
σζ. ύψ. 0,045, δμχ. 0,057

46(18). Θραύσματα τρίωτου τροχήλατου αμφορίσκου Τπ. II, A1 (220).
Σώζεται τμήμα από τον ώμο με μία οριζόντια λαβή, καθώς και τμήμα λαιμού με το χείλος.
Πηλός Κτ. ΙΙΒ
εξ. επ. Ε
εσ. επ. Ε
πρ. Ε
σζ. ύψ. 0,06, δμχ. 0,048 μ.

47(7). Τροχήλατος αμφορίσκος Τπ. II, A1 (220).
Λείπει ένα μέρος από το σώμα του αγγείου.
Πηλός Κτ. ΙΙΒ2
εξ. επ. Κ
εσ. επ. Κ
πρ. Κ
ύψ. 0,066, δμβ. 0,042, δμχ. 0,042 μ.

48(22). Θραύσμα πήλινου δικωνικού σφονδυλιού Τπ. ΣΙ, 6β-γ.
ύψ. 0,024, δμ. 0,024 μ.

49(10). Θραύσμα πήλινου δικωνικού σφονδυλιού Τπ. ΣΙΙ, 2.
ύψ. 0,03, δμ. 0,036 μ.

50(9). Θραύσμα από το τόξο μικρής χάλκινης τοξωτής πόρπης Τπ. Π1α.
ύψ. 0,012, δμ. 0,051 μ

51(23). Χάλκινος μικρογραφικός διπλός πέ-

λεκυς Τπ. Πε. 1.
Έχει σπάσει το ένα άκρο του.
σζ. μκ. 0,039, συμπλ. μκ. 0,045, μγ. πλ. 0,015 μ.

52(24). Χάλκινη ψήφος περιδεραίου Τπ. Ψχ1
δμ. 0,009 μ.

53(24). Χάλκινη ψήφος περιδεραίου Τπ. Ψχ1.
δμ. 0,065 μ.

54(24). Χάλκινη ψήφος περιδεραίου Τπ. Ψχ1.
δμ. 0,009 μ.

55(24). Χάλκινη ψήφος περιδεραίου Τπ. Ψχ1.
δμ. 0,004 μ.

56(24). Χάλκινος μικρός σφηκωτήρας Τπ. Σφ. 5.
δμ. 0,009 μ.

57(14). Χάλκινη δακτυλιόσχημη ψήφος περιδεραίου Τπ. Ψχ1.
δμ. 0,006 μ.

58(13). Χάλκινη δακτυλιόσχημη ψήφος περιδεραίου Τπ. Ψχ1.
δμ. 0,006 μ.

59(13). Χάλκινη διακτυλιόσχημη ψήφος περιδεραίου Τπ. Ψχ1.
δμ. 0,006 μ.

60(13). Χάλκινη δακτυλιόσχημη ψήφος περιδεραίου Τπ. Ψχ1.
δμ. 0,006 μ.

61(12). Χάλκινος σφηκωτήρας Τπ. Σφ. 5.
δμ. 0,009 μ.

62(20). Χάλκινο εγχειρίδιο Τπ. ΕΙ, 2α.
Ράχη ευθύγραμμη, ακμή ευθύγραμμη, ουρά χωρίς καρφιά. Δύο εγχάρακτες γραμμές κατά μήκος της ράχης.
μκ. 0,105 μ.

63(15). Χάλκινο καρφί εγχειριδίου.
μκ. 0,009 μ.

Στρώμα Ι και ΙΙ

Πίν. 63

64. Θραύσμα χειροποίητου ευρύστομου αγγείου Τπ. Ι, IV (55β).
Σώζεται τμήμα του ώμου με το λαιμό και το χείλος. Δύο παράλληλες αυλακώσεις γύρω από τη βάση του λαιμού, μία κάτω από την περιφέρεια του χείλους.
Πηλός Κτ. ΙΑ2
εξ. επ. ΚΤ-λ
εσ. επ. ΚΤ-λ
πρ. Κ
σζ. ύψ. 0,099 μ.

65. Θραύσμα χειροποίητου ευρύστομου αγγείου Τπ. Ι, IV.
Σώζεται τμήμα ώμου με το λαιμό και το χείλος. Δύο παράλληλες αυλακώσεις γύρω από τη βάση του λαιμού και κάτω από την περιφέρεια του χείλους.
Πηλός Κτ. ΙΑ2
εξ. επ. ΚΜ-λ
εσ. επ. ΚΜ-λ
πρ. Κ
σζ. ύψ. 0,063 μ.

66. Μόνωτο χειροποίητο ευρύστομο αγγείο Τπ. Ι, IV (81).
Λείπει ένα μεγάλο μέρος από το άνω σώμα του αγγείου, ο λαιμός και το άνω τμήμα της λαβής. Δύο παράλληλες αυλακώσεις γύρω από τη βάση του λαιμού.
Πηλός Κτ. ΙΑ2
εξ. επ. ΜΤ-λ
εσ. επ. ΚΤ-λ φθ
πρ. ΚΕ
σζ. ύψ. 0,066, συμπλ. ύψ. 0,12, δμβ. 0,054 μ.

67. Θραύσμα από τον ώμο χειροποίητου αγγείου Τπ. Ι, IV (84).
Δύο παράλληλες αυλακώσεις γύρω από τη βάση του λαιμού.
Πηλός Κτ. ΙΑ2
εξ. επ. Κ-λ
εσ. επ. Κ-λ
πρ. ΚΕ
σζ. ύψ. 0,075 μ.

68. Θραύσμα από τον ώμο χειροποίητου ευρύστομου αγγείου Τπ. Ι, IV (32).
Πηλός Κτ. ΙΑ2
εξ. επ. Κ-λ
εσ. επ. Κ-λ
πρ. ΚΕ
σζ. ύψ. 0,06 μ.

69. Θραύσμα μόνωτου χειροποίητου ευρύστομου αγγείου Τπ. Ι, IV (72).
Σώζεται τμήμα ώμου με λαιμό και χείλος. Τρεις αραιές παράλληλες αυλακώσεις γύρω από το λαιμό.
Πηλός Κτ. ΙΑ2
εξ. επ. ΚΤ-λ
εσ. επ. ΚΤ-λ

πρ. Τ
σζ. ύψ. 0,099 μ.

70. Θραύσμα κατακόρυφης λαβής χειροποίητου αγγείου Τπ. Ι, IV.
Πηλός Κτ. ΙΑ2
εξ. επ. ΚΤ-λ φθ
εσ. επ. ΚΤ-λ φθ
πρ. ΚΕ
σζ. ύψ. 0,078 μ.

71. Θραύσματα μόνωτου χειροποίητου ευρύστομου αγγείου Τπ. Ι, IV (46).
Σώζεται τμήμα ώμου με λαιμό, χείλος και με την αρχή λαβής. Δύο λεπτές αυλακώσεις ως χαράξεις γύρω από τη βάση του λαιμού.
Πηλός Κτ. ΙΑ2
εξ. επ. ΚΤ-λ
εσ. επ. ΚΤ-λ φθ
πρ. ΚΤ
σζ. ύψ. 0,09 μ.

72. Θραύσματα κατακόρυφης κυλινδρικής λαβής χειροποίητου αγγείου Τπ. Ι, IV.
Πηλός Κτ. ΙΒ1
εξ. επ. ΚΕ
εσ. επ. ΚΕ
πρ. Κ
σζ. ύψ. 0,059 μ.

73. Θραύσμα χειροποίητου κυπελλόσχημου αγγείου Τπ. Ι, VIII (181).
Σώζεται τμήμα από τον ώμο με το χείλος και διακρίνεται η αρχή της λαβής.
Πηλός Κτ. ΙΑ2
εξ. επ. Κ-λ
εσ. επ. Κ-λ
πρ. ΚΤ
σζ. ύψ. 0,048 μ.

74. Κατακόρυφη κυλινδρική λαβή χειροποίητου αγγείου Τπ. Ι, IV.
Πηλός Κτ. ΙΑ2
εξ. επ. Κ
εσ. επ. Κ
πρ. ΚΤ
σζ. ύψ. 0,06 μ.

75. Θραύσμα χειροποίητου κανθαρόσχημου (;) αγγείου Τπ. Ι, VB (117).
Σώζεται τμήμα ώμου με λαιμό και χείλος. Αυλάκωση γύρω από τη βάση του λαιμού.
Πηλός Κτ. ΙΑ2
εξ. επ. ΚΜ-λ
εσ. επ. ΚΜ-λ
πρ. Κ
σζ. ύψ. 0,075 μ.

76. Θραύσμα κατακόρυφης λαβής χειροποίητου αγγείου Τπ. Ι, IV.
Πηλός Κτ. ΙΑ2
εξ. επ. ΚΜ-λ
εσ. επ. ΚΜ-λ
πρ. Κ
σζ. ύψ. 0,06 μ.

77. Θραύσμα από το χείλος χειροποίητου αγγείου Τπ. Ι, IV.
Πηλός Κτ. ΙΑ2
εξ. επ. ΚΜ-λ φθ
εσ. επ. ΚΜ-λ φθ
πρ. Κ
σζ. ύψ. 0,03 μ.

78. Θραύσμα χειροποίητου αγγείου Τπ. Ι, IV.
Σώζεται τμήμα ώμου με το κατακόρυφο στέλεχος της λαβής.
Πηλός Κτ. ΙΒ1
εξ. επ. ΚΕ-λ
εσ. επ. Κ-λ
πρ. ΚΤ
σζ. ύψ. 0,075 μ.

79. Θραύσμα από το χείλος μόνωτου χειροποίητου ευρύστομου αγγείου Τπ. Ι, IV.
Δύο παράλληλες αυλακώσεις κάτω από την περιφέρεια του χείλους.
Πηλός Κτ. ΙΑ2
εξ. επ. ΚΕ
εσ. επ. ΚΕ
πρ. ΚΕ
σζ. ύψ. 0,036 μ.

80. Θραύσμα βάσης χειροποίητου αγγείου Τπ. Ι, IV (103).
Τέσσερις παράλληλες αυλακώσεις, πιθανόν από ζιγκ-ζαγκ αυλακωτή διακόσμηση, που έφθανε ως τη βάση του αγγείου.
Πηλός Κτ. ΙΑ2
εξ. επ. ΚΤ-λ φθ
εσ. επ. ΤΜ-λ φθ
πρ. Τ
σζ. ύψ. 0,018, δμβ. 0,108 μ.

Π ί ν. 64

81. Θραύσμα κατακόρυφης κυλινδρικής λαβής χειροποίητου αγγείου Τπ. Ι, IV.
Πηλός Κτ. ΙΑ2
εξ. επ. ΚΤ-λ
εσ. επ. ΚΤ-λ
πρ. Ε

σζ. ύψ. 0,06 μ.

82. Θραύσμα κατακόρυφης κυλινδρικής λαβής χειροποίητου αγγείου Τπ. I, IV.
Πηλός Κτ. ΙΑ2
εξ. επ. ΚΤ-λ
εσ. επ. ΚΤ-λ
πρ. ΚΕ
σζ. ύψ. 0,075 μ.

83. Κατακόρυφη κυλινδρική λαβή από την κοιλιά χειροποίητου αγγείου Τπ. I, XII.
Πηλός Κτ. ΙΒ3
εξ. επ. ΚΤ
εσ. επ. ΚΤ
πρ. Ε
σζ. ύψ. 0,09 μ.

84. Θραύσμα κατακόρυφης λαβής από την κοιλιά μεγάλου χειροποίητου αγγείου Τπ. I, XII.
Πηλός Κτ. ΙΓ2
εξ. επ. Ε
σζ. ύψ. 0,06 μ.

85. Θραύσμα κατακόρυφης ταινιωτής λαβής από την κοιλιά χειροποίητου αγγείου Τπ. I, VIB.
Πηλός Κτ. ΙΑ3
εξ. επ. Κ
εσ. επ. Κ
πρ. Κ
σζ. ύψ. 0,06 μ.

86. Κατακόρυφη κυλινδρική λαβή από την κοιλιά χειροποίητου αγγείου Τπ. I, XII.
Πηλός Κτ. ΙΓ2
εξ. επ. Ε
εσ. επ. Ε
πρ. ΚΕ
ύψ. λβ. 0,06 μ.

87. Θραύσμα από το κάτω σώμα χειροποίητου κλειστού αγγείου Τπ. I, VIIΓ ή I, VIΓ.
Πηλός Κτ. ΙΑ2
εξ. επ. ΤΜ-λ
εσ. επ. ΤΜ
πρ. Τ
σζ. ύψ. 0,075, δμβ. 0,054 μ.

88. Θραύσμα από το κάτω σώμα χειροποίητου αγγείου Τπ. I, VII ή I, VIΓ.
Πηλός Κτ. ΙΑ2
εξ. επ. ΤΜ-λ
εσ. επ. ΤΜ
πρ. Τ
σζ. ύψ. 0,06, δμβ. 0,075 μ.

89. Θραύσμα από το λαιμό χειροποίητου αμφορέα Τπ. I, VIB (137).
Πηλός Κτ. ΙΑ3
εξ. επ. Κ-ΚΤ
εσ. επ. Κ
πρ. Κ
σζ. ύψ. 0,108, δμχ. 0,138 μ.

90. Θραύσμα βάσης τροχήλατου αγγείου Τπ. II, Α2 (226).
Πηλός ερυθρός Κτ. ΙΙΒ
εξ. επ. Ε
εσ. επ. Ε
πρ. Ε
σζ. ύψ. 0,018, δμβ. 0,03 μ.

91. Θραύσμα από τον ώμο χειροποίητου αγγείου Τπ. I, VIIA.
Μικρή απόφυση στον ώμο.
Πηλός Κτ. ΙΔ
εξ. επ. Ε
εσ. επ. Ε
πρ. Ε
σζ. ύψ. 0,038 μ.

92. Θραύσμα από τον ώμο χειροποίητου αγγείου (ύστερης νεολιθικής εποχής).
Διακρίνεται διάτρητη λαβή-απόφυση.
Πηλός Κτ. ΙΔ
εξ. επ. ΚΕ
εσ. επ. ΚΕ
πρ. Κ
σζ. ύψ. 0,045 μ.

93. Θραύσμα βάσης χειροποίητου αγγείου Τπ. I, IV (103).
Διακρίνεται εγχάρακτη διακόσμηση.
Πηλός Κτ. ΙΑ2
εξ. επ. ΚΤ
εσ. επ. Κ
πρ. ΚΤ
σζ. ύψ. 0,066 μ.

94. Θραύσμα λαβής χειροποίητου αγγείου.
Πηλός Κτ. ΙΒ1
εξ. επ. Κ
εσ. επ. Κ
πρ. Κ
σζ. μκ. 0,03 μ.

95. Θραύσμα από τον ώμο χειροποίητου αγγείου Τπ. I, VA (115).
Εγχάρακτη διακόσμηση.
Πηλός Κτ. ΙΑ2

εξ. επ. ΚΤ
εσ. επ. Τ
πρ. ΚΤ
σζ. ύψ. 0,024 μ.

96. Θραύσμα από το χείλος χειροποίητου αγγείου Τπ. Ι, XI (198).
Εγχάρακτη διακόσμηση.

Πηλός Κτ. ΙΒ2
εξ. επ. ΚΕ
εσ. επ. ΚΕ
πρ. ΚΕ
σζ. ύψ. 0,039 μ.

97. Όστρεο. Πρβλ. Παράρτημα ΙΙΙ (Cypraea-cassis rufa L.).

Ταφική συστάδα Τ2

Η ταφική συστάδα Τ2 βρίσκεται 16 μ. προς ΒΑ. του τάφου Τ1 (Σ χ έ δ. Ι· Π ί ν. 231α). Αποτελείται από δύο κτιστούς ορθογώνιους τάφους, τα πλάγια τοιχώματα των οποίων σώζονται σε ύψος που φθάνει το 1,30 μ. πάνω από την επιφάνεια του εδάφους (Π ί ν. 233α-β).

Οι τάφοι ήταν καλυμμένοι με σχιστόπλακες, που είχαν τοποθετηθεί κατά πλάτος του τάφου. Μεγάλα θραύσματα από τις σχιστόπλακες της οροφής έχουν βρεθεί πεσμένα στο εσωτερικό των τάφων, όπου έχουν πέσει και άλλοι λίθοι (Π ί ν. 233α, 234α). Από τους λίθους που βρέθηκαν στο εσωτερικό του τάφου, ένα μέρος προέρχεται από τους πλάγιους τοίχους των τάφων, που είχαν σε ορισμένα σημεία καταρρεύσει, το μεγαλύτερο όμως μέρος προέρχεται από το στρώμα των λίθων, με το οποίο είχε καλυφθεί το επίπεδο της ταφής των νεκρών στο εσωτερικό των τάφων. Οι επιμέρους τάφοι της συστάδας έχουν παράλληλο προσανατολισμό Β.-Ν., περίπου, και δεν έχουν κατασκευασθεί συγχρόνως. Πρώτος κατασκευάσθηκε ο τάφος Α και σ' αυτόν προσκολλήθηκε αργότερα ο τάφος Β (Π ί ν. 233β). Η είσοδος των τάφων βρίσκεται στη νότια στενή πλευρά και έκλεινε με έναν επιπόλαιο τοίχο (Σ χ έ δ. 20).

ΤΑΦΟΣ Τ2Α

Ορθογώνιος κιβωτιόσχημος τάφος, με κτιστές πλευρές και προσανατολισμό Β.-Ν. περίπου. Διαστάσεις (εσωτ.): μγ. μκ. 2,65, μγ. πλ. 1,50, μγ. ύψ. 0,80 μ. Το επίπεδο της ταφής εντοπίσθηκε κάτω από ένα στρώμα λίθων, που περιείχε μικρή ποσότητα χώματος (Π ί ν. 234α). Το εσωτερικό του τάφου έδινε εικόνα διατάραξης. Ένα μέρος της διατάραξης πρέπει να πραγματοποιήθηκε, όταν εναποτέθηκε η τελευταία ταφή. Δεν μπορεί, ωστόσο, να αποκλεισθεί και το ενδεχόμενο γενικότερης διατάραξης του τάφου, γιατί αλλιώς δε δικαιολογείται εύκολα η κάλυψη του επιπέδου των ταφών με παχύ στρώμα λίθων (Π ί ν. 234β-γ).

Με την τελευταία ταφή πρέπει να σχετίζονται τα ελάχιστα θρυμματισμένα οστά, που βρέθηκαν στην ανατολική πλευρά του τάφου, καθώς και μια ομάδα από δόντια που συγκεντρώθηκαν από τη βορειοανατολική γωνία του τάφου. Ο νεκρός, ο οποίος, όπως προκύπτει από την ανθρωπολογική εξέταση των δοντιών, πρέπει να βρισκόταν σε μέση ή ώριμη εφηβεία, είχε ταφεί με το κεφάλι προς Β. και τα σκέλη τεντωμένα (Σ χ έ δ. 20).

Στην ταφή αυτή πρέπει να ανήκουν τα κτερίσματα Α11, Α13 και Α12, που βεβαιώνουν γυναικεία ταφή (Π ί ν. 234γ).

Τα θραύσματα των αγγείων Α2, Α9, Α10 δεν είναι βέβαιο αν ανήκουν στην ταφή ή είναι παραμερισμένα κτερίσματα προηγούμενων ταφών. Περισσότερο πιθανό είναι να σχετίζεται με την ταφή το κυπελλόσχημο αγγείο Α8 (Π ί ν. 234β). Σε παραμερισμένες ταφές ή σε όστρακα, που περιέχονταν στο λίγο χώμα που κάλυψε το επίπεδο των ταφών, πρέπει να ανήκουν τα υπόλοιπα θραύσματα αγγείων, που απεικονίζονται στον Πίνακα 65. Τα μόνα κάπως βέβαια κλειστά εύρηματα αντιπροσωπεύουν τα χαλκά κοσμήματα Α13 και Α12, μαζί με το πήλινο σφονδύλι Α11.

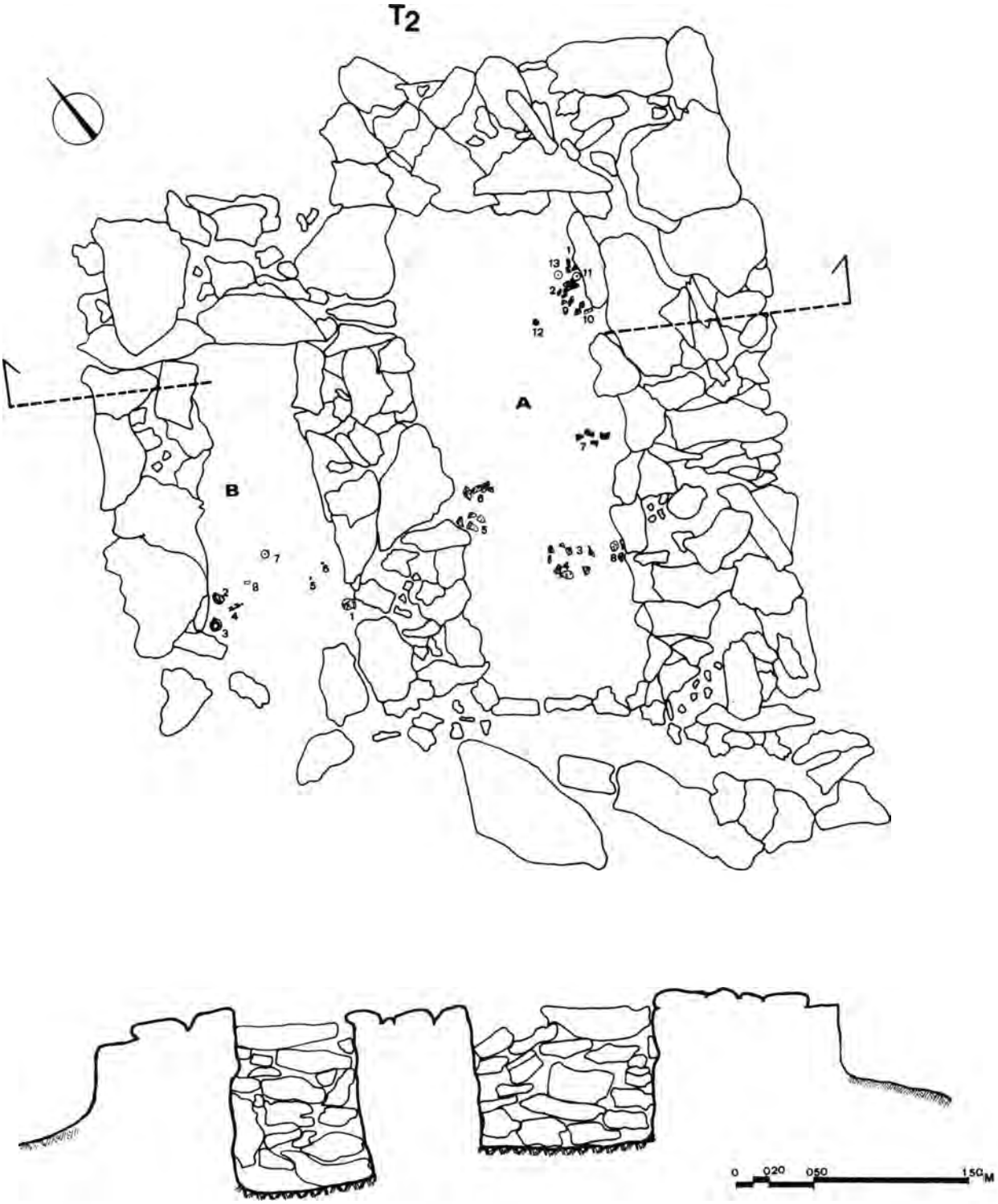

Σχέδ. 20. Κάτοψη και τομή ταφικής συστάδας Τ2.

Πίν. 65

1(Α8). Χειροποίητο ευρύστομο κυπελλόσχημο αγγείο Τπ. Ι, VIII (186).
Λείπει ένα μέρος από το χείλος και τον ώμο.
Πηλός Κτ. ΙΒ1
εξ. επ. Κ-λ
εσ. επ. Κ
πρ. Ε
ύψ. 0,078, δμβ. 0,03, δμχ. 0,066 μ.

2(Α1). Θραύσμα από το χείλος χειροποίητου αγγείου Τπ. Ι, IV (70).
Έξι παράλληλες αυλακώσεις κάτω από την περιφέρεια του χείλους.
Πηλός Κτ. ΙΑ2
εξ. επ. ΚΕ-λ
εσ. επ. ΚΕ-λ
πρ. Κ
ύψ. 0,045 μ.

3(Α4 + Α9). Θραύσματα μόνωτου χειροποίητου ευρύστομου αγγείου Τπ. Ι, IV (48).
Σώζεται τμήμα από τη βάση, το άνω σώμα με το χείλος και τμήμα του ώμου με τη λαβή.
Δύο παράλληλες αυλακώσεις γύρω από τη βάση του λαιμού.
Πηλός Κτ. ΙΑ2
εξ. επ. Κ-λ
εσ. επ. ΚΤ-λ φθ
πρ. Τ
ύψ. 0,108, δμβ. 0,06, δμχ. 0,12 μ.

4(Α11). Πήλινο δικωνικό σφονδύλι Τπ. ΣΙΙ, 1β.
ύψ. 0,021, δμ. 0,03 μ.

5(Α12). Χάλκινο ελικόσχημο κόσμημα Τπ. Εν.
Έχει σπάσει το κατακόρυφο στέλεχος της προσάρτησης.
δμ. 0,033 μ.

6(Α13). Χάλκινο ασπιδόμορφο έλασμα Τπ. Τ3β.
Οπές γύρω από την περιφέρεια.
ύψ. 0,003, δμ. 0,039 μ.

7. Θραύσμα από το χείλος χειροποίητου ευρύστομου αγγείου Τπ. Ι, IV.
Μία αυλάκωση κάτω από την περιφέρεια του χείλους.
Πηλός Κτ. ΙΑ2
εξ. επ. Κ
εσ. επ. Κ
πρ. ΚΕ
σζ. ύψ. 0,054 μ.

8. Θραύσμα από το χείλος χειροποίητου αγγείου Τπ. Ι, IV.
Πηλός Κτ. ΙΒ1
εξ. επ. Κ
εσ. επ. Κ
πρ. Κ
σζ. ύψ. 0,03 μ.

9(Α7). Θραύσμα λαβής χειροποίητου ευρύστομου αγγείου Τπ. Ι, IV.
Πηλός Κτ. ΙΑ2
εξ. επ. Κ
εσ. επ. ΚΤ
πρ. Τ
σζ. ύψ. 0,06 μ.

10(Α2). Θραύσμα από τον ώμο χειροποίητου ευρύστομου αγγείου Τπ. Ι, IV.
Σώζεται ένα μέρος της λαβής.
Πηλός Κτ. ΙΑ2
εξ. επ. ΤΜ-λ φθ
εσ. επ. ΤΜ-λ φθ
πρ. Κ
σζ. ύψ. 0,105 μ.

11(Α5). Θραύσμα χειροποίητου ευρύστομου αγγείου Τπ. Ι, IV (1).
Σώζεται τμήμα του λαιμού και του χείλους.
Δύο παράλληλες αυλακώσεις γύρω από την περιφέρεια του χείλους. Μία αυλάκωση γύρω από τη βάση του λαιμού.
σζ. ύψ. 0,075 μ.

12(Α10). Θραύσμα χειροποίητου κυπελλόσχημου αγγείου Τπ. Ι, IV (103).
Σώζεται τμήμα ώμου με λαιμό και τμήμα λαβής. Αυλακωτή διακόσμηση στον ώμο.
Πηλός Κτ. ΙΑ2
εξ. επ. ΚΜ-λ
εσ. επ. ΚΜ-λ
πρ. ΤΜ
σζ. ύψ. 0,081 μ.

13(Α3). Θραύσματα χειροποίητου αμφορέα Τπ. Ι, VIΓ (138).
Σώζεται τμήμα της βάσης, του ώμου και του λαιμού. Τρεις παράλληλες αυλακώσεις γύρω από το χείλος.
Πηλός Κτ. ΙΑ2
εξ. επ. ΚΤ
εσ. επ. ΚΤ

πρ. Τ
συμπλ. ύψ. 0,255, δμβ. 0,075, δμλ. 0,108 μ.

14(Α6). Θραύσμα από την κοιλιά χειροποίητου αγγείου Τπ. Ι, ΧΙΙ (205).
Πλαστική ταινία με «δακτυλιές» γύρω από την κοιλιά.
Πηλός Κτ. ΙΓ2
εξ. επ. Ε
εσ. επ. Ε
πρ. Ε
σζ. ύψ. 0,09 μ.

15. Δύο θραύσματα χειροποίητου αγγείου Τπ. Ι, ΧΙ (198).
Σώζεται τμήμα χείλους και σώματος με εγχάρακτη διακόσμηση.
Πηλός Κτ. ΙΒ2
εξ. επ. Κ
εσ. επ. Κ
πρ. ΚΕ
σζ. ύψ. 0,018 μ.

ΤΑΦΟΣ Τ2Β

Ορθογώνιος κτιστός κιβωτιόσχημος με προσανατολισμό Β.-Ν., περίπου, προσκολλημένος στη βορειοδυτική πλευρά του τάφου Τ2Α (Π ί ν. 233β, 235α). Διαστάσεις (εσωτ.): μγ. μκ. 1,90, μγ. πλ. 0,75, μγ. ύψ. 0,30 μ.

Το επίπεδο της ταφής εντοπίσθηκε πάνω στο φυσικό βράχο και κάτω από ένα στρώμα λίθων, που περιείχε ελάχιστο χώμα (Π ί ν. 234δ). Τα κτερίσματα βρέθηκαν συγκεντρωμένα στο νότιο άκρο του τάφου. Πιθανότατα, ο νεκρός είχε ταφεί με το κεφάλι προς Ν. (Π ί ν. 235β). Από τα ελάχιστα λείψανα οστών που σώθηκαν, δεν προκύπτει κανένα στοιχείο για την ηλικία και το φύλο του νεκρού. Το μέγεθος του τάφου προϋποθέτει παιδική ή εφηβική ταφή, ενώ το είδος των κτερισμάτων δηλώνει γυναικεία ταφή. Οι δύο ομάδες κτερισμάτων στη νότια πλευρά του τάφου, πιθανότατα, υποδηλώνουν δύο ταφές.

ΕΥΡΗΜΑΤΑ

Π ί ν. 66Α

1(Β1). Θραύσμα μόνωτου χειροποίητου ευρύστομου αγγείου Τπ. Ι, IV (68).
Σώζεται τμήμα σώματος και λαιμού με την αρχή λαβής. Τρεις παράλληλες αυλακώσεις γύρω από τη βάση του λαιμού.
Πηλός Κτ. ΙΑ2
εξ. επ. ΚΜ-λ
εσ. επ. Κ-λ
πρ. ΚΕ
σζ. ύψ. 0,065, δμβ. 0,036, δμχ. 0,06 μ.

2(Β2). Θραύσμα μόνωτου χειροποίητου ευρύστομου αγγείου Τπ. Ι, IV (40).
Σώζεται η βάση και τμήμα σώματος με την αρχή λαβής-απόφυσης στον ώμο.
Πηλός Κτ. ΙΑ2
εξ. επ. Κ-λ
εσ. επ. Κ-λ
πρ. ΚΕ
σζ. ύψ. 0,40, δμβ. 0,045 μ.

3(Β3). Θραύσμα χειροποίητου αγγείου Τπ. Ι, IV.
Σώζεται η βάση και το κάτω σώμα.
Πηλός Κτ. ΙΑ2
εξ. επ. ΚΜ-λ
εσ. επ. Κ-λ
πρ. ΤΜ
σζ. ύψ. 0,045, δμβ. 0,048 μ.

4(Β1). Μόνωτο χειροποίητο ευρύστομο αγγείο Τπ. Ι, IV (88).
Ακέραιο. Αυλακωτή διακόσμηση σε μετόπη στο λαιμό και στο ταινιωτό τμήμα της λαβής.
Πηλός Κτ. ΙΑ2
εξ. επ. ΚΜ-λ
εσ. επ. ΚΜ-λ
πρ. Κ
ύψ. 0,075, δμβ. 0,036, δμχ. 0,054 μ.

5. Θραύσμα από το χείλος χειροποίητου αμφορέα Τπ. Ι, VIB (136).
Πλαστική ταινία γύρω από το χείλος.
Πηλός Κτ. ΙΓ2
εξ. επ. Ε φθ
εσ. επ. Ε φθ
πρ. Ε
σζ. ύψ. 0,066 μ.

6. Θραύσμα βάσης χειροποίητου αγγείου Τπ. Ι, IV.

Πηλός Κτ. ΙΑ2
εξ. επ. Κ-λ
εσ. επ. Κ-λ
πρ. ΚΕ
σζ. ύψ. 0,02, δμβ. 0,045 μ.

7(Β7). Πήλινο δικωνικό σφονδύλι Τπ. ΣΙ, 5.
ύψ. 0,027, δμ. 0,03 μ.

8(Β4). Έξι, διαφόρου μεγέθους, σωληνόμορφες χάλκινες ψήφοι περιδεραίου από έλασμα Τπ. Ψχ4.
μκ. 0,021-0,012 μ.

9(Β8). Χάλκινο ελλειψοειδές ασπιδόμορφο έλασμα Τπ. Τ3α.
Μία οπή στο κέντρο.
ύψ. 0,006, μγ. δμ. 0,027 μ.

10(Β5). Δακτυλιόσχημη ψήφος από κυανόχρωμο γυαλί Τπ. Ψυ.
δμ. 0,006 μ.

11(Β6). Δακτυλιόσχημη ψήφος από κυανόχρωμο γυαλί Τπ. Ψυ.
δμ. 0,006 μ.

Ταφική συστάδα Τ3

Η συστάδα Τ3 βρίσκεται σε απόσταση 40 μ. προς ΒΔ. της ταφικής συστάδας Τ2, δίπλα σε ένα όρυγμα, που πιθανότατα είναι αρχαίο λατομείο (Σ χ έ δ. Ι). Αποτελείται από τέσσερις τάφους (Α, Β, Γ, Δ), που έχουν κτισθεί διαδοχικά μετά τον αρχικό τάφο Γ (Σ χ έ δ. 21). Τα τοιχώματα των τάφων είναι χτισμένα με ξερολιθιά και η κάλυψη των τάφων πραγματοποιείται με μεγάλες σχιστόπλακες, που έχουν σπάσει και πέσει στο εσωτερικό των τάφων, παρασέρνοντας και το άνω τμήμα των τοίχων (Π ί ν. 236α).

ΤΑΦΟΣ Τ3Α

Ορθογώνιος κτιστός κιβωτιόσχημος τάφος, που έχει προσκολληθεί στον τάφο Τ3Β. Διαστάσεις (εσωτ.): μγ. μκ. 1,40, μγ. πλ. 0,80, μγ. ύψ. 1 μ. Προσανατολισμός τάφου Β.-Ν., περίπου.

Μπροστά στο θάλαμο σχηματίζεται είδος προθαλάμου· στη βορειοανατολική γωνία του τάφου υπάρχει μια όρθια πλάκα ενσωματωμένη στον τοίχο της βόρειας στενής πλευράς (Π ί ν. 235γ). Το επίπεδο της ταφής ήταν καλυμμένο με το γνωστό στρώμα λίθων, που περιείχε ελάχιστο χώμα. Ελάχιστα λείψανα οστών εντοπίσθηκαν στη νοτιοδυτική γωνία του τάφου. Από τα ελάχιστα θραύσματα δεν προέκυψε καμιά ανθρωπολογική πληροφορία. Οι διαστάσεις του τάφου βεβαιώνουν παιδική ταφή. Στο εσωτερικό του τάφου βρέθηκαν ελάχιστα θραύσματα αγγείων στη νοτιοδυτική του περιοχή.

ΕΥΡΗΜΑΤΑ

Π ί ν. 66Β

1(Α1). Θραύσμα χειροποίητου κυπελλόσχημου αγγείου Τπ. Ι, IV (40).
Σώζεται τμήμα από το κάτω σώμα με τη βάση.
Πηλός Κτ. ΙΑ2
εξ. επ. ΚΜ-λ
εσ. επ. Κ-λ φθ
πρ. Κ
σζ. ύψ. 0,027, δμβ. 0,03 μ.

ΤΑΦΟΣ Τ3Β

Ορθογώνιος κτιστός κιβωτιόσχημος, πιθανότατα νεότερος από το συνεχόμενο τάφο Τ3Γ. Προσανατολισμός Β.-Ν., περίπου, όπως οι τάφοι Τ3Γ και Τ3Α. Διαστάσεις (εσωτ.): μγ. μκ. 2,30, μγ. πλ. 1, μγ. ύψ. 1,40 μ.

Το επίπεδο της ταφής διαπιστώθηκε πάνω στο φυσικό βράχο, κάτω από ένα στρώμα λίθων, που περιείχε ελάχιστο χώμα. Στο στρώμα αυτό βρέθηκαν οι όρθιες σχιστόπλακες,

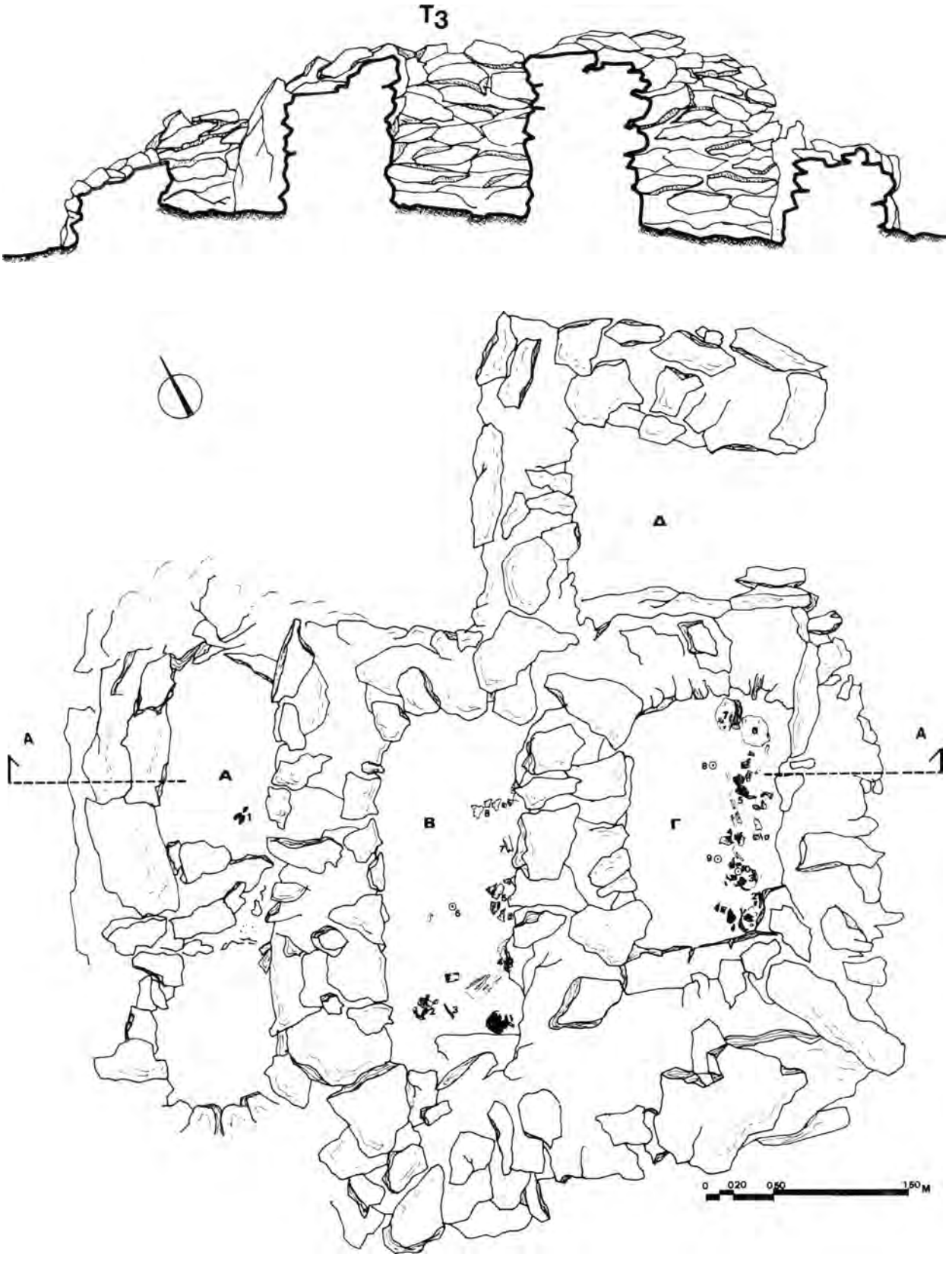

Σχέδ. 21. Κάτοψη και τομή ταφικής συστάδας Τ3.

που πατούσαν πάνω στο επίπεδο ταφής (Π ί ν. 236β). Ελάχιστα λείψανα διαλυμένων οστών (κνημών) εντοπίσθηκαν στη νοτιοδυτική περιοχή του τάφου (Π ί ν. 236γ-δ).

Η ανθρωπολογική μελέτη βεβαίωσε την ταφή δύο, τουλάχιστον, νεκρών στον τάφο. Τα ευρήματα ξεχωρίζουν σε δύο ομάδες:

Ομάδα Α΄: Ανδρική ταφή, Β1, Β2, Β3 (Π ί ν. 236γ).

Ομάδα Β΄: Γυναικεία ταφή, Β4, Β5, Β8, Β6, Β7 (Π ί ν. 236δ).

ΕΥΡΗΜΑΤΑ

Π ί ν. 67

1(Β1). Μεγάλο μόνωτο χειροποίητο ευρύστομο αγγείο Τπ. Ι, IV (81).
Λείπει ένα μέρος από το λαιμό και τη λαβή. Δύο παράλληλες αυλακώσεις γύρω από τη βάση του λαιμού και την περιφέρεια του χείλους.
Πηλός Κτ. ΙΑ2
εξ. επ. ΚΤ-λ
εσ. επ. ΚΤ
πρ. Κ
ύψ. 0,156, δμβ. 0,066, δμχ. 0,135 μ.

2(Β7). Μολύβδινο πελεκόσχημο αντικείμενο. Άκρο διχαλωτό. Το άλλο άκρο κομμένο.
μκ. 0,117, μγ. πλ. 0,06, πχ. 0,009 μ.

3(Β3). Χάλκινο εγχειρίδιο Τπ. ΕΙV, 1β.
Ράχη κυρτή, ακμή κοίλη, ουρά με ένα καρφί, που συνεχίζει τη γραμμή της ράχης και εισέχει από την πλευρά της ακμής. Δύο παράλληλες χαράξεις κατά μήκος της ράχης.
μκ. 0,135 μ.

4(Β6). Πήλινο δικωνικό σφονδύλι Τπ. ΣΙΙ, 1α.
Σπασμένο ένα τμήμα της περιφέρειας.
ύψ. 0,03, δμ. 0,03 μ.

5(Β2). Θραύσμα από τον ώμο μόνωτου χειροποίητου ευρύστομου αγγείου Τπ. Ι, IV (95).
Δύο παράλληλες αυλακώσεις γύρω από τη βάση του λαιμού. Ζιγκ-ζαγκ αυλακωτή διακόσμηση στον ώμο.
Πηλός Κτ. ΙΑ2
εξ. επ. ΚΜ-λ
εσ. επ. ΚΜ-λ
πρ. ΚΕ
σζ. ύψ. 0,048 μ.

6(Β4 + Β5 + Β8). Μόνωτο χειροποίητο ευρύστομο αγγείο Τπ. Ι, IV (77).
Λείπει ένα μέρος από το αγγείο και η λαβή. Δύο παράλληλες αυλακώσεις γύρω από τη βάση του λαιμού και κάτω από την περιφέρεια του χείλους.
Πηλός Κτ. ΙΒ1
εξ. επ. ΚΕ-λ
εσ. επ. ΚΜ-λ
πρ. Κ
ύψ. 0,204, δμβ. 0,081, δμχ. 0,191 μ.

ΤΑΦΟΣ Τ3Γ

Ορθογώνιος κτιστός κιβωτιόσχημος τάφος, με προσανατολισμό Β.-Ν. περίπου. Πιθανότατα, ο αρχαιότερος τάφος της συστάδας (Π ί ν. 237α). Διαστάσεις (εσωτ.): μγ. μκ. 2, μγ. πλ. 1, μγ. ύψ. 1,32 μ.

Το επίπεδο της ταφής διαπιστώθηκε πάνω στο φυσικό βράχο, κάτω από ένα στρώμα λίθων, που περιείχε ελάχιστο χώμα (Π ί ν. 237β). Το δάπεδο του τάφου παρουσίαζε μια έντονη κλίση προς Α., με αποτέλεσμα να συσσωρευθούν τα ελάχιστα λείψανα οστών, που είχαν σωθεί μαζί με τα κτερίσματα, κατά μήκος της ανατολικής πλευράς του τάφου. Σώζονταν ελάχιστα, τελείως αποσαθρωμένα, λείψανα μακρών οστών, από τα οποία κανένα συμπέρασμα δεν ήταν δυνατό να προκύψει, εκτός από τη διαπίστωση ότι οι ταφές ήταν ενταφιασμοί. Είναι πιθανό να έχουμε μια ομάδα κτερισμάτων Α΄ με τα αγγεία Γ1, Γ2, Γ3 και το σφονδύλι Γ10, μια ομάδα κτερισμάτων Β΄ με τα αγγεία Γ5, Γ4 και το σφονδύλι Γ9, και μια τρίτη ομάδα Γ΄ με τα αγγεία Γ7, Γ6 και το σφονδύλι Γ8. Επειδή, όμως, τα αγγεία βρέθηκαν σπασμένα και σκορπισμένα κατά μήκος της νοτιοδυτικής πλευράς του τάφου, δεν ήταν δυνατό να ξεχωρίσουν με βεβαιότητα επιμέρους κλειστά ευρήματα.

Πίν. 68

1(Γ4+Γ3). Μόνωτο χειροποίητο ευρύστομο αγγείο Τπ. Ι, IV (77).
Λείπει ένα μέρος από τη βάση του αγγείου. Δύο παράλληλες αυλακώσεις γύρω από τη βάση του λαιμού και κάτω από την περιφέρεια του χείλους.
Πηλός Κτ. ΙΑ2
εξ. επ. ΚΤ-λ
ύψ. 0,165, δμχ. 0,135 μ.

2(Γ6). Θραύσματα χειροποίητου ευρύστομου αγγείου Τπ. Ι, IV (98).
Σώζεται ένα μεγάλο μέρος από το κάτω σώμα, καθώς και τμήμα ώμου και λαιμού με το κάτω τμήμα κατακόρυφης λαβής. Μία αυλάκωση γύρω από τη βάση του λαιμού. Συστάδες από κοντές παράλληλες γραμμές κατά διαστήματα στον ώμο.
Πηλός Κτ. ΙΑ2
εξ. επ. ΚΤ-λ
σζ. ύψ. 0,15, συμπλ. ύψ. 0,189, δμβ. 0,099, μ.

3. Θραύσματα χειροποίητου ευρύστομου αγγείου Τπ. Ι, IV (92).
Σώζεται τμήμα ώμου, λαιμού και λαβής. Ζιγκ-ζαγκ αυλακωτή διακόσμηση στον ώμο. Τρεις παράλληλες αυλακώσεις κατά πλάτος του κατακόρυφου κυλινδρικού στελέχους της γωνιόσχημης λαβής.
Πηλός Κτ. ΙΒ1
εξ. επ. Κ
εσ. επ. Κ
πρ. ΚΕ
σζ. ύψ. 0,105 μ.

4(Γ7). Μόνωτο χειροποίητο ευρύστομο αγγείο Τπ. Ι, IV (35).
Λείπει ένα μικρό μέρος από το λαιμό, καθώς και το ταινιωτό τμήμα της λαβής.
Πηλός Κτ. ΙΑ2
εξ. επ. ΚΜ
εσ. επ. ΚΜ
πρ. Τ
ύψ. 0,15, δμβ. 0,075, δμχ. 0,225 μ.

5(Γ2). Θραύσματα μόνωτου χειροποίητου ευρύστομου αγγείου Τπ. Ι, IV (92).
Σώζεται τμήμα ώμου και λαιμού, καθώς και τμήμα γωνιόσχημης λαβής. Δύο παράλληλες αυλακώσεις γύρω από τη βάση του λαιμού. Ζιγκ-ζαγκ αυλακωτή διακόσμηση στον ώμο.
Πηλός Κτ. ΙΒ1
εξ. επ. Κ-λ
εσ. επ. Κ-λ
πρ. ΚΕ
σζ. ύψ. 0,069 μ.

6(Γ4). Θραύσματα μόνωτου χειροποίητου ευρύστομου αγγείου Τπ. Ι, IV (35).
Σώζεται τμήμα από τον ώμο, το λαιμό και τη λαβή.
Πηλός Κτ. ΙΑ2
εξ. επ. ΚΜ-λ
εσ. επ. ΚΜ-λ
πρ. ΚΜ
σζ. ύψ. 0,069, συμπλ. δμχ. 0,27 μ.

Πίν. 69

7(Γ2). Θραύσμα χειροποίητου ευρύστομου αγγείου Τπ. Ι, IV.
Σώζεται τμήμα ώμου με λαβή.
Πηλός Κτ. ΙΒ1
εξ. επ. Κ-λ
εσ. επ. Κ-λ
πρ. Ε
σζ. ύψ. 0,045 μ.

8. Θραύσμα μόνωτου χειροποίητου ευρύστομου αγγείου Τπ. Ι, IV.
Σώζεται τμήμα ώμου με λαβή.
Πηλός Κτ. ΙΒ1
εξ. επ. Κ-λ φθ
εσ. επ. Κ-λ φθ
πρ. Ε
σζ. ύψ. 0,078 μ.

9(Γ5). Θραύσματα χειροποίητου αμφορέα Τπ. Ι, VIΓ (124β).
Σώζονται αποσπασματικά τμήματα από τον ώμο και το λαιμό, καθώς και μία οριζόντια λαβή ώμου.
Πηλός Κτ. ΙΒ1
εξ. επ. Κ-λ φθ
εσ. επ. ΚΕ
πρ. Ε
σζ. ύψ. 0,138, δμλ. 0,09 μ.

10(Γ1). Θραύσμα χειροποίητου αμφορέα Τπ. Ι, VIΓ (124β).
Σώζεται τμήμα ώμου με μία οριζόντια λαβή.
Πηλός Κτ. ΙΑ3
εξ. επ. Κ
εσ. επ. Κ
πρ. Τ

σζ. ύψ. 0,105 μ.

11(Γ7). Θραύσμα βάσης μεγάλου χειροποίητου αγγείου.
Πηλός Κτ. ΙΒ3
εξ. επ. ΚΕ
εσ. επ. ΚΕ
πρ. ΚΕ
ύψ. 0,105 μ.

12. Θραύσμα λαβής χειροποίητου αγγείου Τπ. Ι, XII.
Πηλός Κτ. ΙΒ3
εξ. επ. Κ
εσ. επ. Κ
πρ. Κ
σζ. ύψ. 0,045 μ.

13. Θραύσμα οριζόντιας λαβής τροχήλατου αγγείου.
Πηλός Κτ. ΙΙΒ
σζ. μκ. 0,03 μ.

14 (Γ8). Πήλινο δικωνικό σφονδύλι Τπ. ΣΙ, 5.
Λείπει ένα τμήμα από την περιφέρεια.
ύψ. 0,03, δμ. 0,03 μ.

15 (Γ9). Πήλινο δικωνικό σφονδύλι Τπ. ΣΙ, 5.
Λείπει τμήμα από την περιφέρεια.
ύψ. 0,03, δμβ. 0,03 μ.

16 (Γ10). Πήλινο δικωνικό σφονδύλι Τπ. ΣΙ, 5.
Λείπει τμήμα από την περιφέρεια.
ύψ. 0,021, δμβ. 0,03 μ.

ΤΑΦΟΣ Τ3Δ

Ορθογώνιος κτιστός κιβωτιόσχημος, προσκολλημένος στη βορειοανατολική στενή πλευρά του τάφου Τ3Γ, με προσανατολισμό Δ.-Α, περίπου. Διαστάσεις (εσωτ.): μγ. μκ. 1,70, μγ. πλ. 1,20, μγ. ύψ. 0,70 μ. Άνοιγμα διαπιστώθηκε στην ανατολική πλευρά. Κάτω από το στρώμα των λίθων, με το οποίο καλυπτόταν ο τάφος, δεν εντοπίσθηκε στρώμα ταφών. Θραύσματα αγγείων βρέθηκαν διάσπαρτα ανάμεσα στους λίθους.

ΕΥΡΗΜΑΤΑ

Πίν. 66Γ

1. Θραύσμα χειροποίητου αγγείου Τπ. Ι, IV.
Σώζεται τμήμα ώμου με κατακόρυφη κυλινδρική λαβή.
Πηλός Κτ. ΙΑ2
εξ. επ. ΚΤ-λ
εσ. επ. ΚΤ
πρ. Κ
σζ. ύψ. 0,105 μ.

2. Θραύσμα χειροποίητου αγγείου Τπ. Ι, XII (199).
«Νυχιές» γύρω στο χείλος.
Πηλός Κτ. Γ2
εξ. επ. ΚΤ-Κ
εσ. επ. Κ
πρ. ΚΕ
σζ. ύψ. 0,06 μ.

3. Θραύσματα χειροποίητου αμφορέα Τπ. Ι, VIΓ (124β).
Σώζεται τμήμα ώμου και μία λαβή του.
Πηλός Κτ. ΙΒ1
εξ. επ. ΚΕ
εσ. επ. ΚΕ
πρ. Κ
σζ. ύψ. 0,06, δμβ. 0,18 μ.

4. Θραύσμα βάσης μικρού χειροποίητου αγγείου Τπ. Ι, IV.
Πηλός Κτ. ΙΑ2
εξ. επ. ΚΜ-λ
εσ. επ. ΚΜ-λ
πρ. Κ
σζ. ύψ. 0,015, δμβ. 0,024 μ.

5(Δ1). Θραύσματα χειροποίητου ευρύστομου κύαθου Τπ. Ι, IV (35).
Σώζεται τμήμα ώμου και λαβής.
Πηλός Κτ. ΙΑ2
εξ. επ. Κ-λ
εσ. επ. Κ
πρ. ΤΜ
ύψ. 0,036 μ.

Τάφος Τ4

Μικρός κτιστός κιβωτιόσχημος, σε απόσταση 15 μ. περίπου προς ΒΔ. της ταφικής συστά-

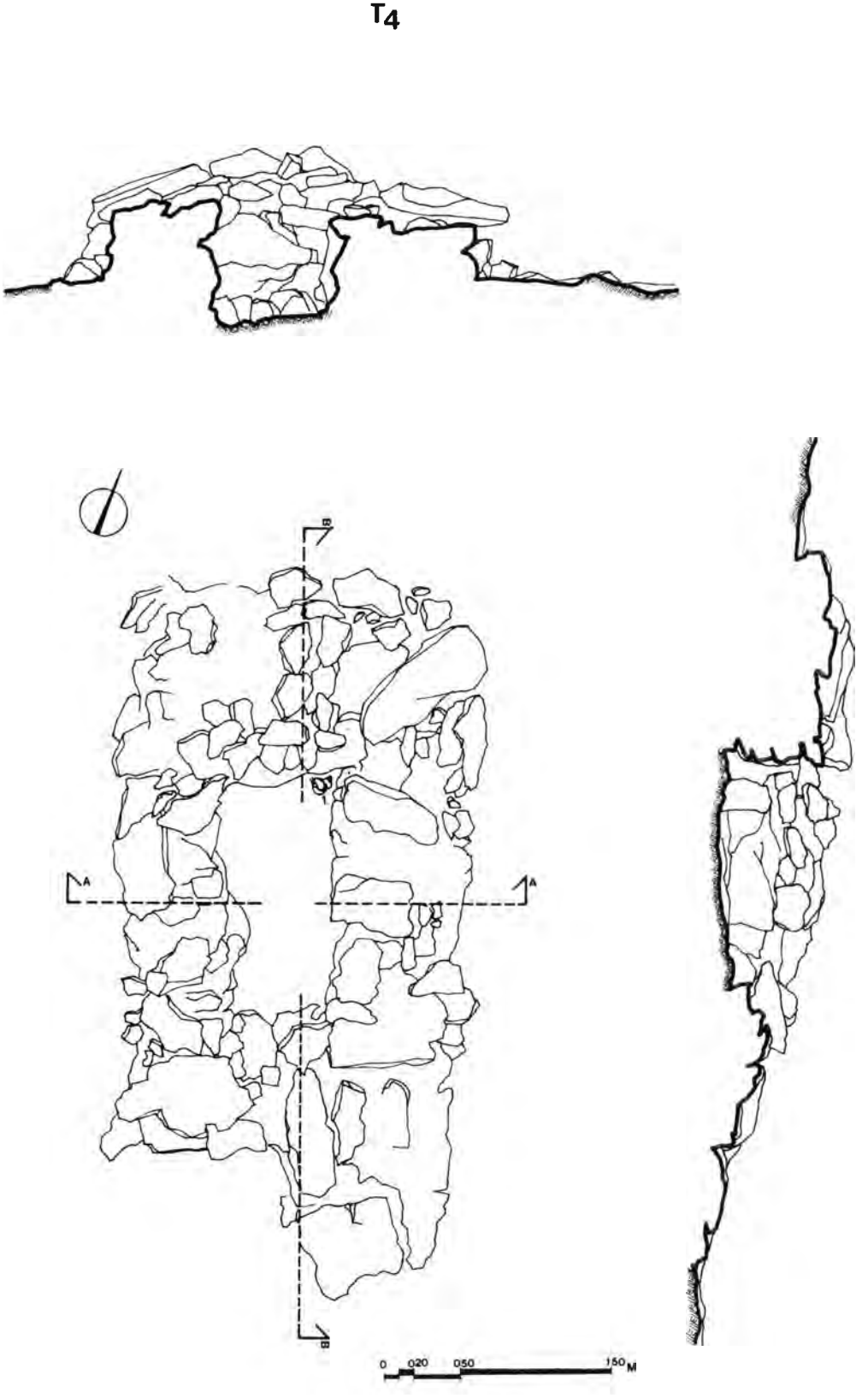

Σχέδ. 22. Κάτοψη και τομές τάφου Τ4.

δας Τ3 (Σ χ έ δ. Ι). Προσανατολισμός τάφου Β.-Ν. Διαστάσεις (εσωτ.): μκ. 1,55, πλ. 0,70, ύψ. 0,70 μ. (Σ χ έ δ. 22· Π ί ν. 237γ).

Ο τάφος καλυπτόταν από στρώμα λίθων, που του προσέδιδε την εικόνα τυμβόσχημου λιθοσωρού με υψωμένο το κέντρο. Πάνω στο στρώμα των λίθων βρέθηκε το μοναδικό κτέρισμα του τάφου, η προχοΐσκη Τ4, 1, στη βορειοδυτική του γωνία. Ίχνη σκελετικών λειψάνων δεν επισημάνθηκαν, αλλά από τις διαστάσεις του ταφικού θαλάμου και τις διαστάσεις του αγγείου φαίνεται ότι ο τάφος ήταν παιδικός και δέχθηκε, πιθανότατα, μία μόνο παιδική ταφή.

ΕΥΡΗΜΑΤΑ

Π ί ν. 70Α

1. Χειροποίητη προχοΐσκη Τπ. Ι, VIIΓ (164). Αυλακωτή διακόσμηση από ζεύγη παράλληλων γραμμών στο λαιμό και ρηχές ζιγκ-ζαγκ αυλακώσεις στον ώμο του αγγείου.
Πηλός Κτ. ΙΑ2
εξ. επ. ΚΤ
εσ. επ. Κ
πρ. ΚΤ
ύψ. 0,135, δμβ. 0,066 μ.

Ταφική συστάδα Τ5

Βρίσκεται 80 μ. προς ΒΑ. του τάφου Τ4 (Σ χ έ δ. Ι). Η ταφική συστάδα Τ5 αποτελείται από ένα μεγάλο κτιστό τάφο (Τ5Α) και δύο μικρούς (Τ5Β και Τ5Γ), που έχουν προσκολληθεί στη δυτική πλευρά του τάφου Τ5Α (Σ χ έ δ. 23· Π ί ν. 238α). Στην ανατολική πλευρά του τάφου έχει προσκολληθεί μια νεότερη θασιακή καλύβα, χτισμένη με την ίδια τοιχοδομία (ξερολιθιά) (Π ί ν. 246).

ΤΑΦΟΣ Τ5Α

Ο μεγάλος τάφος Τ5Α είναι το κύριο κτίσμα του ταφικού συγκροτήματος. Ο προσανατολισμός του είναι Β.-Ν., περίπου· η είσοδος βρίσκεται προς Ν. Διαστάσεις τάφου (εξωτ.): μκ. 8,50, πλ. 4,50, σζ. ύψ. 1,50 μ. Οι εξωτερικοί του τοίχοι έχουν μεγάλο πάχος, ιδιαίτερα ο βόρειος, που διαμορφωνόταν εσωτερικά σε αψίδα. Οι εξωτερικοί τοίχοι έκλιναν εκφορικά προς τα μέσα, καθώς υψώνονταν έτσι, ώστε με τη μείωση του ανοίγματος του τάφου να γίνει τελικά δυνατή η κάλυψή του με μεγάλες σχιστόπλακες. Θραύσματα από τις σχιστόπλακες της οροφής του τάφου βρέθηκαν πεσμένα μέσα στο εσωτερικό του θαλάμου και του προθαλάμου. Κάτω από τις μεγάλες σχιστόπλακες και τους λίθους, που βρίσκονταν στην επιφάνεια, διαπιστώθηκε στην ανασκαφή ένα στρώμα από λίθους και απολεπίσματα σχιστολίθων με ελάχιστο χώμα, ριγμένο στο εσωτερικό του θαλάμου και του προθαλάμου.

Ο τάφος πρέπει να είχε καθαρισθεί ή συληθεί στην αρχαιότητα.

Θ ά λ α μ ο ς

Διαστάσεις (εσωτ.): 2,50×1,50 μ. (Π ί ν. 238α-γ).

Ελάχιστα θραύσματα μετατοπισμένων οστών βρέθηκαν στο επίπεδο της ταφής, κάτω από το στρώμα των λίθων. Μέσα στο στρώμα των λίθων της επίχωσης του θαλάμου βρέθηκαν, επίσης, ορισμένα θραύσματα αγγείων, τα οποία πρέπει να προέρχονται από διαταραγμένες ταφές του θαλάμου.

ΕΥΡΗΜΑΤΑ

Π ί ν. 70Β

1. Θραύσμα από το άνω σώμα μόνωτου χειροποίητου ευρύστομου αγγείου Τπ. Ι, IV (111).

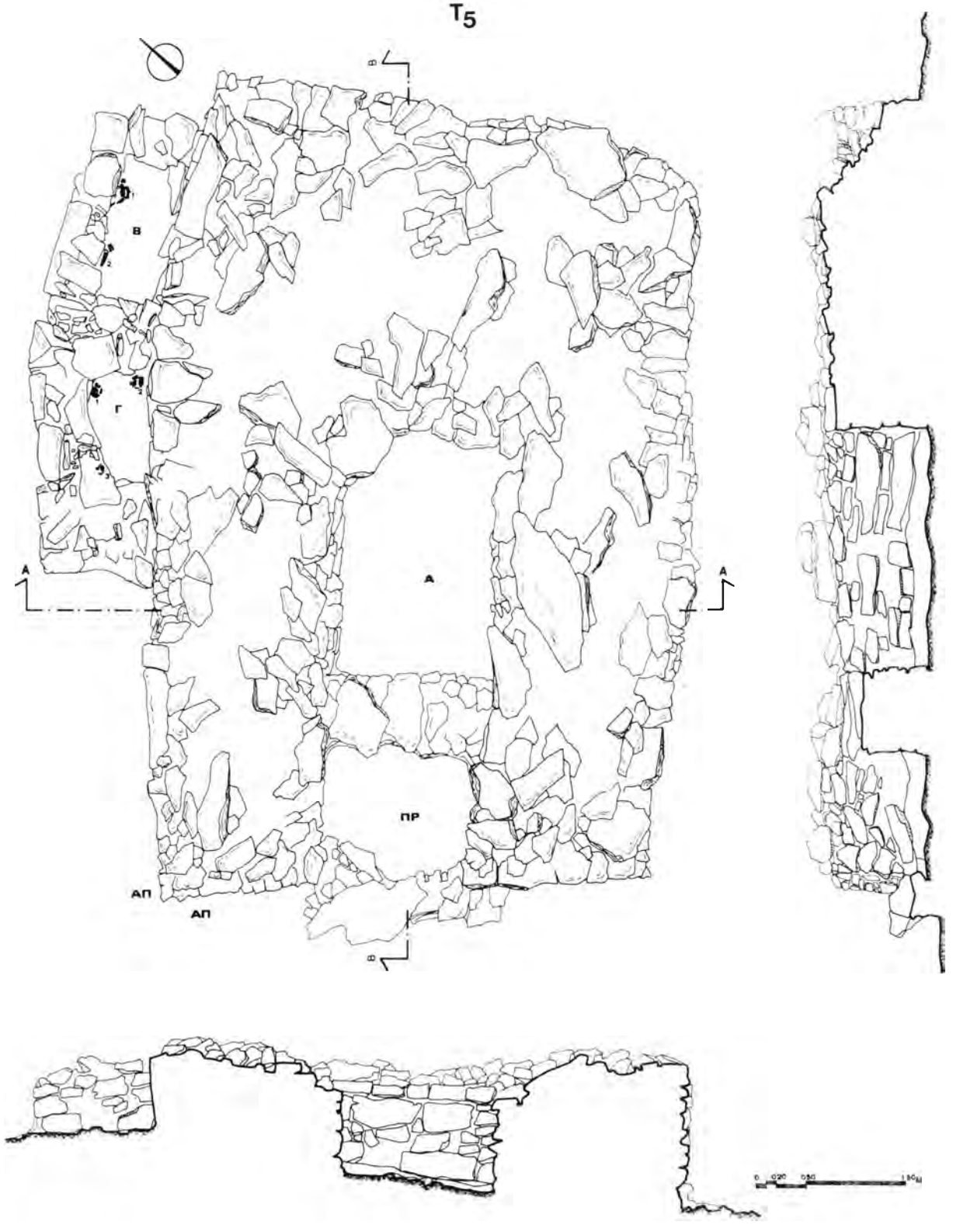

Σχέδ. 23. Κάτοψη και τομές τάφου Τ5.

Λοξές παράλληλες αυλακώσεις στον ώμο του αγγείου. Τρεις παράλληλες αυλακώσεις γύρω από τη βάση του λαιμού, συστάδα από πέντε αυλακώσεις γύρω από τη βάση της λαβής, αυλακωτή διακόσμηση και στο άνω ταινιωτό τμήμα της λαβής.
Πηλός Κτ. ΙΒ1
εξ. επ. Κ-λ
εσ. επ. Κ-λ φθ
πρ. ΚΕ
σζ. ύψ. 0,075 μ.

2. Θραύσμα από το άνω σώμα και το ταινιωτό τμήμα λαβής μόνωτου χειροποίητου ευρύστομου αγγείου Τπ. Ι, IV (79).
Δύο παράλληλες αυλακώσεις γύρω από την αρχή του λαιμού και στην περιφέρεια του χείλους.
Πηλός Κτ. ΙΒ1
εξ. επ. Κ-λ
εσ. επ. Κ-λ
πρ. ΚΕ
σζ. ύψ. 0,09 μ.

3. Θραύσμα από τον ώμο μόνωτου χειροποίητου ευρύστομου αγγείου Τπ. Ι, IV (19).
Πηλός Κτ. ΙΑ2
εξ. επ. ΚΤ-λ
εσ. επ. ΚΤ-λ
πρ. Τ
σζ. ύψ. 0,09 μ.

4. Θραύσμα από το χείλος μόνωτου χειροποίητου ευρύστομου αγγείου Τπ. Ι, IV.
Μία αυλακωτή γραμμή κάτω από το χείλος.
Πηλός Κτ. ΙΒ1
εξ. επ. Κ-λ
εσ. επ. Κ-λ
πρ. ΚΕ
σζ. ύψ. 0,033 μ.

5. Θραύσμα από τον ώμο χειροποίητου κλειστού αγγείου Τπ. Ι, IV (40).
Διακρίνεται μία απόφυση στον ώμο.
Πηλός Κτ. ΙΙΙ
εξ. επ. Ε
εσ. επ. Ε
πρ. Ε
σζ. ύψ. 0,054 μ.

6. Θραύσμα εγχάρακτου χειροποίητου αγγείου Τπ. Ι, XI (198).
Πηλός Κτ. ΙΒ2
εξ. επ. ΚΕ
εσ. επ. Κ
πρ. Κ.
σζ. ύψ. 0,024 μ.

Π ρ ο θ ά λ α μ ο ς

Διαστάσεις (εσωτ.): 1,50 × 1,50 μ. Ελάχιστα θραύσματα αγγείων βρέθηκαν διάσπαρτα μέσα στο στρώμα των λίθων, που κάλυπτε τον προθάλαμο.

ΕΥΡΗΜΑΤΑ

Π ί ν. 71

1. Θραύσμα από το χείλος μόνωτου χειροποίητου ευρύστομου αγγείου Τπ. Ι, IV (76).
Δύο παράλληλες αυλακώσεις κάτω από την περιφέρεια του χείλους.
Πηλός Κτ. ΙΑ1
εξ. επ. ΚΜ-λ
εσ. επ. ΚΜ-λ
πρ. Κ
σζ. ύψ. 0,047 μ.

2. Θραύσμα κυλινδρικής λαβής Τπ. Ι, XII.
Πηλός Κτ. ΙΓ2
εξ. επ. Ε
εσ. επ. Ε
πρ. Ε
σζ. ύψ. 0,036 μ.

3. Θραύσμα από το χείλος μόνωτου χειροποίητου ευρύστομου αγγείου Τπ. Ι, IV.
Δύο παράλληλες αυλακώσεις κάτω από το χείλος.
Πηλός Κτ. ΙΑ2
εξ. επ. Τ
εσ. επ. Τ
πρ. Ε
σζ. ύψ. 0,036 μ.

4. Θραύσματα κυλινδρικής λαβής Τπ. Ι, XII.
Πηλός Κτ. ΙΓ2
εξ. επ. Ε
εσ. επ. Ε
πρ. Ε
σζ. ύψ. 0,03 μ.

5. Θραύσμα από τον ώμο χειροποίητου αμ-

φορέα Τπ. Ι, VIB (136).
Διακρίνεται μία αυλάκωση γύρω από την αρχή του λαιμού. Ζιγκ-ζαγκ αυλακωτή διακόσμηση στον ώμο.
Πηλός καστανότεφρος Κτ. ΙΑ3
εξ. επ. ΚΜ-λ
εσ. επ. Ε
πρ. Κ
σζ. ύψ. 0,09 μ.

6. Θραύσμα από το λαιμό χειροποίητου αγγείου Τπ. Ι, IV (78).
Τρεις παράλληλες αυλακώσεις γύρω από τη βάση του λαιμού.
Πηλός Κτ. ΙΑ2
εξ. επ. ΚΜ-λ
εσ. επ. ΚΜ
πρ. ΚΕ
σζ. ύψ. 0,06 μ.

7. Θραύσμα κυλινδρικής λαβής Τπ. Ι, VIII.
Πηλός Κτ. ΙΓ1
εξ. επ. Ε
εσ. επ. Ε
πρ. Κ
σζ. ύψ. 0,037 μ.

8. Θραύσμα από τον ώμο μόνωτου χειροποίητου ευρύστομου αγγείου Τπ. Ι, IV.
Αυλακωτή γραμμή γύρω από την αρχή του λαιμού.
Πηλός Κτ. ΙΑ2
εξ. επ. ΚΜ-λ
εσ. επ. ΚΜ-λ
πρ. ΚΕ
σζ. ύψ. 0,03 μ.

9. Θραύσμα από τον ώμο μόνωτου χειροποίητου ευρύστομου αγγείου Τπ. Ι, IV (92).
Αυλακωτή γραμμή γύρω από την αρχή του λαιμού. Ζιγκ-ζαγκ αυλακωτή διακόσμηση στον ώμο του αγγείου.
Πηλός Κτ. ΙΒ1
εξ. επ. Ε-λ
εσ. επ. Ε
πρ. ΤΜ
σζ. ύψ. 0,045 μ.

10. Θραύσμα κατακόρυφης κυλινδρικής λαβής από την κοιλιά χειροποίητου αγγείου Τπ. Ι, VIβ.
Πηλός ερυθρός Κτ. ΙΓ2
εξ. επ. ΚΕ
εσ. επ. ΚΕ
πρ. Κ
σζ. ύψ. 0,09 μ.

11. Θραύσμα από το κάτω σώμα χειροποίητου αγγείου Τπ. Ι, VIIΓ ή Ι, VIΓ.
Πηλός Κτ. ΙΓ1
εξ. επ. Ε
εσ. επ. Ε
πρ. Ε
σζ. ύψ. 0,063 μ.

12. Θραύσμα από τον ώμο χειροποίητου αμφορέα Τπ. Ι, VIB.
Σώζεται η αρχή μιας κατακόρυφης κυλινδρικής λαβής.
Πηλός Κτ. ΙΓ2
εξ. επ. Ε
εσ. επ. Ε
πρ. Ε
σζ. ύψ. 0,105 μ.

Π ί ν. 72

13. Θραύσμα από το σώμα μεγάλου χειροποίητου αγγείου Τπ. Ι, XII.
Σώζεται μία κατακόρυφη κυλινδρική λαβή στην κοιλιά. Πλαστική ταινία με «δακτυλιές» περιβάλλει την κοιλιά του αγγείου πάνω από τη λαβή.
Πηλός Κτ. Γ2
εξ. επ. Ε
εσ. επ. ΚΕ
πρ. Τ
σζ. ύψ. 0,204 μ.

14. Θραύσμα από την κοιλιά χειροποίητου αμφορέα Τπ. Ι, XII.
Σώζεται μία κατακόρυφη ταινιωτή λαβή κοιλιάς.
Πηλός Κτ. ΙΓ2
εξ. επ. ΚΕ
εσ. επ. ΚΤ
πρ. Τ
σζ. ύψ. 0,069 μ.

15. Θραύσμα από το σώμα χειροποίητου αγγείου Τπ. Ι, XII.
Σώζεται μία κατακόρυφη λαβή κοιλιάς. Πλαστική ταινία με «δακτυλιές» γύρω από την κοιλιά του αγγείου, κάτω από τη λαβή.
Πηλός Κτ. ΙΓ2
εξ. επ. Ε
εσ. επ. Ε
πρ. Ε
σζ. ύψ. 0,168 μ.

16. Θραύσμα κατακόρυφης ταινιωτής λαβής χειροποίητου αγγείου Τπ. Ι, XII.
Πηλός Κτ. ΙΒ2

εξ. επ. Κ
εσ. επ. Κ
πρ. Τ
σζ. ύψ. 0,06 μ.

17. Θραύσμα κατακόρυφης ταινιωτής λαβής χειροποίητου αγγείου Τπ. Ι, XII.
Πηλός Κτ. ΙΒ2
εξ. επ. Τ
εσ. επ. Τ
πρ. Τ
σζ. ύψ. 0,054 μ.

18. Θραύσμα από το χείλος χειροποίητου αγγείου Τπ. Ι, XII (199).
«Νυχιές» γύρω στην περιφέρεια του χείλους.
Πηλός Κτ. ΙΒ2
εξ. επ. Κ
εσ. επ. Κ
πρ. ΤΜ
σζ. ύψ. 0,03 μ.

19. Θραύσμα κατακόρυφης λαβής χειροποίητου αγγείου Τπ. Ι, XII.
Πηλός Κτ. ΙΓ2
εξ. επ. Ε
εσ. επ. Ε
πρ. ΤΜ
σζ. ύψ. 0,075 μ.

20. Θραύσμα κατακόρυφης λαβής χειροποίητου αγγείου Τπ. Ι, XII.
Πηλός Κτ. ΙΓ2
εξ. επ. Ε
εσ. επ. ΚΕ
πρ. Τ
σζ. ύψ. 0,093 μ.

Α π ο θ έ τ η ς

Έξω από τη νοτιοδυτική γωνία του τάφου Τ5Α βρέθηκε μια μεγάλη ποσότητα θραυσμάτων μεγάλων και μικρών αγγείων (Π ί ν. 239β). Τα περισσότερα προέρχονται από μεγάλα χειροποίητα αποθηκευτικά αγγεία.

ΕΥΡΗΜΑΤΑ

Π ί ν. 73

1. Θραύσμα από το χείλος μόνωτου χειροποίητου ευρύστομου αγγείου Τπ. Ι, IV.
Δύο παράλληλες αυλακώσεις κάτω από το χείλος.
Πηλός Κτ. ΙΑ2
εξ. επ. ΚΤ
εσ. επ. ΚΤ
πρ. ΤΜ
σζ. ύψ. 0,03 μ.

2. Θραύσμα από το χείλος χειροποίητου ευρύστομου αγγείου Τπ. Ι, IV.
Δύο παράλληλες αυλακώσεις κάτω από το χείλος.
Πηλός Κτ. ΙΑ2
εξ. επ. ΚΜ-λ
εσ. επ. ΚΜ-λ
πρ. ΚΕ
σζ. ύψ. 0,04 μ.

3. Θραύσμα από το λαιμό χειροποίητου ευρύστομου αγγείου Τπ. Ι, VI.
Μία ελαφρά αυλάκωση στη βάση του λαιμού.
Πηλός Κτ. ΙΑ2
εξ. επ. Κ
εσ. επ. ΚΜ
πρ. ΤΜ
σζ. ύψ. 0,04 μ.

4. Θραύσμα από τον ώμο χειροποίητου ευρύστομου αγγείου Τπ. Ι, IV.
Δύο αυλακώσεις γύρω από τη βάση του λαιμού.
Πηλός Κτ. ΙΑ2
εξ. επ. ΚΜ
εσ. επ. ΚΜ
πρ. Τ
σζ. ύψ. 0,04 μ.

5. Θραύσμα από τον ώμο χειροποίητου ευρύστομου αγγείου Τπ. Ι, IV.
Πηλός Κτ. ΙΑ2
εξ. επ. Τ
εσ. επ. Τ
πρ. Τ
σζ. ύψ. 0,04 μ.

6. Θραύσμα από τη γωνία γωνιόσχημης λαβής χειροποίητου αγγείου Τπ. Ι, IV.
Ανάλαφρη αυλακωτή διακόσμηση διακρίνεται στο ταινιωτό τμήμα της λαβής.
Πηλός Κτ. ΙΑ2

εξ. επ. Τ
εσ. επ. Τ
πρ. Τ
σζ. ύψ. 0,03 μ.

7. Θραύσμα γωνιόσχημης λαβής χειροποίητου αγγείου Τπ. Ι, IV.
Αυλακωτή διακόσμηση στο ταινιωτό τμήμα της λαβής.
Πηλός Κτ. ΙΑ2
εξ. επ. ΚΜ
εσ. επ. Κ
πρ. Κ
σζ. ύψ. 0,04 μ.

8. Θραύσμα από το άνω ταινιωτό τμήμα γωνιόσχημης λαβής χειροποίητου αγγείου Τπ. IV.
Αυλακωτή διακόσμηση στο ταινιωτό τμήμα.
Πηλός Κτ. ΙΑ2
εξ. επ. ΤΜ-λ
εσ. επ. ΤΜ
πρ. Τ
σζ. ύψ. 0,02 μ.

9. Θραύσμα από το άνω τμήμα λαβής χειροποίητου αγγείου Τπ. Ι, IV.
Πηλός Κτ. ΙΑ2
εξ. επ. ΤΜ
εσ. επ. ΤΜ
πρ. Τ
σζ. ύψ. 0,14 μ.

10. Δύο θραύσματα λαβής χειροποίητου αγγείου Τπ. Ι, IV.
Πηλός Κτ. ΙΒ1
εξ. επ. ΚΕ
εσ. επ. ΚΕ
πρ. Κ
σζ. ύψ. 0,065 μ.

11. Θραύσμα κατακόρυφης κυλινδρικής λαβής χειροποίητου αγγείου Τπ. Ι, VIII.
Πηλός Κτ. ΙΓ2
εξ. επ. Κ
εσ. επ. ΚΕ
πρ. Κ
σζ. ύψ. 0,03 μ.

12. Θραύσμα χειροποίητου αγγείου Τπ. Ι, VIII.
Σώζεται τμήμα ώμου και μία λαβή.
Πηλός Κτ. ΙΓ2
εξ. επ. Κ
εσ. επ. Κ
πρ. Μ
σζ. ύψ. 0,13 μ.

13. Θραύσμα κατακόρυφης κυλινδρικής λαβής χειροποίητου αγγείου Τπ. Ι, VIII.
Πηλός Κτ. ΙΒ2
εξ. επ. ΚΕ
εσ. επ. ΚΕ
πρ. ΚΜ
σζ. ύψ. 0,12 μ.

14. Θραύσμα λαβής χειροποίητου αγγείου Τπ. Ι, XII.
Πηλός Κτ. ΙΓ2
εξ. επ. Ε
εσ. επ. Ε
πρ. ΤΜ
σζ. ύψ. 0,06 μ.

15. Θραύσμα κυλινδρικής λαβής χειροποίητου αγγείου Τπ. Ι, XII.
Πηλός Κτ. ΙΓ2
εξ. επ. Ε
εσ. επ. Ε
πρ. ΤΜ
σζ. ύψ. 0,03 μ.

16. Δύο θραύσματα κυλινδρικής λαβής χειροποίητου αγγείου Τπ. Ι, VIII.
Πηλός Κτ. ΙΓ2
εξ. επ. ΚΕ
εσ. επ. ΚΕ
πρ. Κ
σζ. ύψ. 0,09 μ.

Π ί ν. 74Α

17. Θραύσμα χειροποίητου αγγείου Τπ. Ι, XII.
Σώζεται μία κατακόρυφη κυλινδρική λαβή κοιλιάς. Πλαστική ταινία με «δακτυλιές» γύρω από την κοιλιά.
Πηλός Κτ. ΙΓ2
εξ. επ. Ε
εσ. επ. Ε
πρ. ΤΜ
σζ. ύψ. 0,09 μ.

18. Θραύσματα χειροποίητου αμφορέα Τπ. Ι, VIB (136).
Κατακόρυφες λαβές στην κοιλιά. Σώζεται αποσπασματικά ο λαιμός, ο ώμος και μία λαβή. Ζιγκ-ζαγκ αυλακωτή διακόσμηση στον ώμο και δύο παράλληλες αυλακώσεις γύρω από τη βάση του λαιμού.
Πηλός Κτ. ΙΑ3
εξ. επ. ΚΜ-λ
εσ. επ. Κ-ΚΕ

πρ. ΤΜ
σζ. ύψ. 0,11 μ.

19. Θραύσμα από την κοιλιά μεγάλου χειροποίητου αγγείου Τπ. Ι, VIB.
Σώζεται μία κατακόρυφη κυλινδρική λαβή.
Πηλός Κτ. ΙΓ2
εξ. επ. ΚΕ
εσ. επ. ΚΤ
πρ. Κ
σζ. ύψ. 0,08 μ.

20. Θραύσματα μεγάλου χειροποίητου αγγείου Τπ. Ι, VIB.
Κατακόρυφες κυλινδρικές λαβές στην κοιλιά.
Πηλός Κτ. ΙΓ2
εξ. επ. Ε
εσ. επ. Ε
πρ. Ε
σζ. ύψ. 0,115 μ.

21. Θραύσμα από το λαιμό και την κοιλιά μεγάλου χειροποίητου αμφορέα Τπ. Ι, VIB.
Δύο παράλληλες αυλακώσεις γύρω από τη βάση του λαιμού.
Πηλός Κτ. ΙΑ3
εξ. επ. ΚΜ-λ
εσ. επ. Κ
πρ. Κ
σζ. ύψ. 0,07 μ.

22. Θραύσμα κατακόρυφης κυλινδρικής λαβής μεγάλου χειροποίητου αγγείου Τπ. Ι, VIB.
Πηλός Κτ. ΙΒ2
εξ. επ. ΤΜ
εσ. επ. ΤΜ
πρ. ΤΜ
σζ. ύψ. 0,068 μ.

23. Θραύσμα λαβής Τπ. Ι, VIB.
Πηλός Κτ. ΙΑ2
εξ. επ. ΤΜ-λ
εσ. επ. ΤΜ-λ
πρ. ΤΜ
σζ. μκ. 0,045 μ.

Π ί ν. 75

24. Θραύσμα κατακόρυφης κυλινδρικής λαβής χειροποίητου αγγείου Τπ. Ι, VIB.
Πηλός Κτ. ΙΓ2
εξ. επ. Ε
εσ. επ. Ε
πρ. Ε
σζ. ύψ. 0,039 μ.

25. Θραύσμα κατακόρυφης λαβής από την κοιλιά χειροποίητου αγγείου Τπ. Ι, VIB.
Πηλός Κτ. ΙΓ2
εξ. επ. ΚΕ
εσ. επ. ΚΕ
πρ. ΚΤ
σζ. ύψ. 0,06 μ.

26. Θραύσματα μεγάλου χειροποίητου αγγείου Τπ. Ι, XII.
Σώζεται τμήμα από το σώμα και δύο από τις κατακόρυφες λαβές του ώμου. Πλαστική ταινία με «δακτυλιές» κάτω από το χείλος.
Πηλός Κτ. ΙΓ2
εξ. επ. ΚΕ
εσ. επ. ΚΜ
πρ. ΚΜ
σζ. ύψ. 0,24 μ.

27. Θραύσμα από το χείλος χειροποίητου αγγείου Τπ. Ι, XII (205).
Πλαστική ταινία με «δακτυλιές» κάτω από το χείλος.
Πηλός Κτ. ΙΓ2
εξ. επ. Κ
εσ. επ. Κ
πρ. Κ
σζ. ύψ. 0,05 μ.

28. Θραύσμα από το χείλος χειροποίητου αγγείου Τπ. Ι, XII (205).
Πλαστική ταινία με «δακτυλιές» κάτω από το χείλος.
Πηλός Κτ. ΙΓ2
εξ. επ. Ε
εσ. επ. Ε
πρ. ΚΤ
σζ. ύψ. 0,04 μ.

29. Θραύσμα από το χείλος χειροποίητου αγγείου Τπ. Ι, XII (205).
Πλαστική ταινία με «δακτυλιές» κάτω από το χείλος.
Πηλός Κτ. ΙΓ2
εξ. επ. ΚΕ
εσ. επ. ΚΕ
πρ. ΚΤ
σζ. ύψ. 0,042 μ.

30. Θραύσμα από το χείλος χειροποιήτου αγγείου Τπ. Ι, XII (206).
Πλαστική ταινία με «δακτυλιές» κάτω από το χείλος.
Πηλός Κτ. ΙΓ2

εξ. επ. ΚΕ
εσ. επ. ΚΕ
πρ. Κ
σζ. ύψ. 0,038 μ.

31. Θραύσμα από το χείλος χειροποίητου αγγείου Τπ. Ι, ΧΙΙ (212).
Πλαστική ταινία με «δακτυλιές» κάτω από το χείλος.
Πηλός Κτ. ΙΓ2
εξ. επ. ΚΕ
εσ. επ. Κ
πρ. ΚΤ
σζ. ύψ. 0,07 μ.

32-40. Θραύσματα από το σώμα διάφορων χειροποίητων αγγείων Τπ. Ι, ΧΙΙ.
Πλαστική ταινία με «δακτυλιές» γύρω από την κοιλιά των αγγείων.
Πηλός Κτ. ΙΓ2
εξ. επ. ΚΕ
εσ. επ. Κ
πρ. ΚΤ
σζ. ύψ. 0,066 μ.

41. Θραύσμα από το χείλος χειροποίητου αγγείου Τπ. Ι, ΧΙΙ (202).
Λοξές χαρακιές, «νυχιές» γύρω στο χείλος.
Πηλός Κτ. ΙΓ2
εξ. επ. ΚΕ
εσ. επ. ΚΜ
πρ. ΚΤ
σζ. ύψ. 0,025 μ.

42. Θραύσμα από το χείλος χειροποίητου αγγείου Τπ. Ι, ΧΙΙ (202).
Λοξές «νυχιές» γύρω στο χείλος.
Πηλός Κτ. ΙΓ2
εξ. επ. ΚΕ
εσ. επ. ΚΕ
πρ. ΚΤ
σζ. ύψ. 0,035 μ.

43. Θραύσμα από το χείλος χειροποίητου αγγείου Τπ. Ι, ΧΙΙ (203).
Λοξές «νυχιές» γύρω στο χείλος.
Πηλός Κτ. ΙΒ2
εξ. επ. ΚΜ
εσ. επ. ΚΜ
πρ. ΚΜ
σζ. ύψ. 0,022 μ.

44. Θραύσμα από το χείλος χειροποίητου αγγείου Τπ. Ι, ΧΙΙ (199).
Λοξές «νυχιές» γύρω στο χείλος. Από το ίδιο αγγείο με το αριθ. 42.
Πηλός Κτ. ΙΒ2
εξ. επ. ΚΜ
εσ. επ. ΚΜ
πρ. ΚΜ
σζ. ύψ. 0,05 μ.

45. Θραύσμα από το χείλος χειροποίητου αγγείου Τπ. Ι, ΧΙΙ (202).
«Νυχιές» γύρω στο χείλος. Από το ίδιο αγγείο με το αριθ. 43.
Πηλός Κτ. ΙΒ2
εξ. επ. ΚΜ
εσ. επ. ΚΕ
πρ. Τ
σζ. ύψ. 0,05 μ.

46. Θραύσμα από το χείλος χειροποίητου αγγείου Τπ. Ι, ΧΙΙ (199).
Λοξές «νυχιές» γύρω στο χείλος.
Πηλός Κτ. ΙΒ2
εξ. επ. ΚΤ
εσ. επ. ΚΕ
πρ. Τ
σζ. ύψ. 0,05 μ.

ΤΑΦΟΣ Τ5Β

Κτιστός κιβωτιόσχημος τάφος, που έχει προσκολληθεί στη βορειοδυτική γωνία του μεγάλου τάφου Τ5Α-Β. Προσανατολισμός τάφου Β.-Ν., περίπου (Π ί ν. 240α-β). Διαστάσεις (εσωτ.): μγ. μκ. 1,30, μγ. πλ. 0,60, μγ. ύψ. 0,65 μ.

Ο τάφος Τ5Β πρέπει να είναι ο νεότερος της συστάδας, γιατί χρησιμοποιεί τον ανατολικό τοίχο του μικρού τάφου Τ5Γ. Μια μεγάλη σχιστόπλακα, που βρέθηκε σπασμένη στο εσωτερικό του τάφου, προέρχεται προφανώς από την οροφή του. Κάτω από τη σχιστόπλακα, το επίπεδο της ταφής ήταν καλυμμένο με στρώμα λίθων και ελάχιστο χώμα (Π ί ν. 240α). Το επίπεδο ταφής, που ήταν πάνω στο φυσικό βράχο, βρέθηκε διαταραγμένο. Βρέθηκαν ελάχιστα οστά, δύο μόνο θραύσματα από μηριαία, καθώς και ορισμένα δόντια (Π ί ν. 240β). Η διαταραχή πρέπει να προήλθε πιθανόν από την τελευταία ταφή, με την οποία πρέπει να συσχετισθεί το αγγείο Β1, ή από γενικό καθαρισμό του τάφου, προκειμένου να χρησιμοποιηθεί για παιδικές ταφές. Από τη μελέτη των ελάχιστων ανθρωπολογικών λειψάνων, που βρέθη-

καν στο εσωτερικό του τάφου, διαπιστώθηκε η ταφή δύο παιδιών:

α) Ταφή ενός παιδιού 6 ετών.

β) Ταφή ενός νεογέννητου (Βλ. Παράρτημα Ια).

Τα άλλα θραύσματα αγγείων προέρχονται είτε από προγενέστερες ταφές, από τις οποίες έχει καθαρισθεί ο τάφος για την εναπόθεση του τελευταίου νεκρού, είτε είναι θραύσματα αγγείων, που περιέχονταν στην επίχωση, με την οποία είχε καλυφθεί η τελευταία ταφή.

ΕΥΡΗΜΑΤΑ

Πίν. 76

1(B1). Θραύσματα από μόνωτο χειροποίητο ευρύστομο αγγείο Τπ. Ι, IV (84).
Σώζεται τμήμα του λαιμού με το χείλος, καθώς και τμήμα λαβής.
Πηλός Κτ. ΙΑ2
εξ. επ. ΚΜ-λ
εσ. επ. ΚΜ-λ
πρ. Τ
σζ. ύψ. 0,035 μ.

2(B1). Μόνωτο χειροποίητο ευρύστομο αγγείο Τπ. Ι, IV (65).
Μία αυλάκωση γύρω από τη βάση του λαιμού, δύο περίπου παράλληλες αυλακώσεις γύρω στο μέσον του λαιμού του αγγείου.
Πηλός Κτ. ΙΑ2
εξ. επ. ΚΜ-λ
εσ. επ. ΚΜ-λ
πρ. Κ
ύψ. 0,126, δμχ. 0,115, δμβ. 0,057 μ.

3(B1). Δίωτο χειροποίητο κανθαρόσχημο αγγείο Τπ. Ι, V (119).
Σώζεται αποσπασματικά το άνω, κυρίως, τμήμα του αγγείου με τις δύο λαβές. Αυλακωτή διακόσμηση σε σχήμα μετόπης στο λαιμό. Λοξές αυλακώσεις στον ώμο του αγγείου. Τρεις παράλληλες αυλακώσεις στη βάση των γωνιόσχημων λαβών.
Πηλός Κτ. ΙΑ2
εξ. επ. ΚΜ-λ
εσ. επ. ΚΜ-λ
πρ. ΚΕ
συμπλ. ύψ. 0,005, δμχ. 0,03 μ.

4. Θραύσμα από το χείλος χειροποίητου αγγείου Τπ. Ι, VIII.
Πηλός Κτ. ΙΒ2
εξ. επ. ΚΕ
εσ. επ. ΚΕ
πρ. ΚΤ
σζ. ύψ. 0,035 μ.

5(B1). Θραύσμα χειροποίητου ευρύστομου αγγείου Τπ. Ι, IV (44).
Σώζεται τμήμα ώμου και λαιμού. Δύο παράλληλες αυλακώσεις γύρω από τη βάση του λαιμού.
Πηλός Κτ. ΙΑ2
εξ. επ. ΚΜ-λ
εσ. επ. ΚΕ
πρ. ΚΕ
σζ. ύψ. 0,094 μ.

6. Θραύσματα χειροποίητου αμφορέα Τπ. Ι, VIB (137).
Σώζεται τμήμα λαιμού και ώμου.
Πηλός Κτ. ΙΑ3
εξ. επ. ΚΤ
εσ. επ. ΚΕ
πρ. ΚΕ
σζ. ύψ. 0,22, δμχ. 0,17 μ.

7(B2). Θραύσμα από τον ώμο χειροποίητου αμφορέα Τπ. Ι, VIB (136).
Δύο παράλληλες αυλακώσεις γύρω από την αρχή του λαιμού. Ζιγκ-ζαγκ αυλακωτή διακόσμηση στον ώμο του αγγείου.
Πηλός Κτ. ΙΑ3
εξ. επ. ΚΜ
εσ. επ. ΚΕ
πρ. ΚΕ
σζ. ύψ. 0,06 μ.

8(B2). Κερατόσχημη απόφυση αγγείου ή πόδια από τετραποδική βάση. Εγχάρακτη διακόσμηση «ψαροκόκαλο».
Πηλός Κτ. ΙΑ3
εξ. επ. ΚΤ
εσ. επ. ΚΤ
πρ. ΚΤ
σζ. μκ. 0,14 μ.

9. Πήλινο δικωνικό σφονδύλι Τπ. ΣΙΙ, 1γ.
Πηλός καστανός με λείανση.
ύψ. 0,03, δμ. 0,03 μ.

10. Θραύσμα χάλκινου κουμπιού Τπ. Τ2.
Σώζεται ο κρίκος για την πρόσδεση.
σζ. ύψ. 0,009 μ.

ΤΑΦΟΣ Τ5Γ

Μικρός κτιστός τάφος, προσκολλημένος στη δυτική πλευρά του θαλάμου Τ5Α. Διαστάσεις (εσωτ.): μγ. μκ. 1, μγ. πλ. 0,60, μγ. ύψ. 0,70 μ.

Τα τοιχώματα του τάφου και κυρίως της βόρειας και της δυτικής πλευράς, μειώνονται εκφορικά προς τα άνω για να στενέψει το άνοιγμα του τάφου (Π ί ν. 239α). Το εσωτερικό του τάφου ήταν γεμισμένο με στρώμα λίθων, που περιείχε ελάχιστο χώμα. Το επίπεδο ταφής εντοπίσθηκε κάτω από το στρώμα λίθων, πάνω στο φυσικό βράχο. Κανένα λείψανο οστών δε σημειώθηκε. Ο τάφος πρέπει να ήταν παιδικός, αλλά δεν ξέρουμε αν είχε χρησιμοποιηθεί για μία ή περισσότερες παιδικές ταφές.

ΕΥΡΗΜΑΤΑ

Π ί ν. 74Β

1(Γ3). Χειροποίητο κυπελλόσχημο αγγείο Τπ. Ι, IV (29).
Λείπει η λαβή και μέρος από το άνω σώμα. Στη βάση του λαιμού δύο αυλακώσεις και ανάμεσά τους σειρά από κουκίδες.
Πηλός Κτ. ΙΒ1
εξ. επ. ΚΕ-λ
εσ. επ. Κ
πρ. ΚΤ
ύψ. 0,085, δμβ. 0,04, δμχ. 0,065 μ.

2(Γ2). Θραύσματα τροχήλατου αγγείου Τπ. ΙΙ, Γ2 (238).
Σώζεται η βάση, μέρος από το κάτω σώμα και τη λαβή.
Πηλός Κτ. ΙΙΓ
συμπλ. ύψ. 0,08, δμβ. 0,04 μ.

3(Γ1). Θραύσμα χειροποίητου κυπελλόσχημου αγγείου Τπ. Ι, IV (99).
Σώζεται το κάτω σώμα και μέρος της λαβής. Δύο αυλακώσεις στη βάση του λαιμού· στον ώμο του αγγείου αυλακωτή διακόσμηση που πλαισιώνει τις αποφύσεις.
Πηλός Κτ. ΙΑ2
εξ. επ. ΚΜ-λ
εσ. επ. ΚΜ-λ
πρ. ΚΕ
σζ. ύψ. 0,07, δμβ. 0,055 μ.

Ταφική συστάδα Τ6

Ταφική συστάδα από τέσσερις συνεχόμενους, σε ευθεία γραμμή, κτιστούς κιβωτιόσχημους τάφους, με κοινό προσανατολισμό Δ.-Α. περίπου (Σ χ έ δ. 24· Π ί ν. 237δ). Η ταφική συστάδα Τ6 βρίσκεται σε απόσταση 40 μ. προς ΒΔ. του τάφου Τ4 (Σ χ έ δ. Ι).

Οι τάφοι Α και Γ φαίνεται ότι κατασκευάσθηκαν πρώτοι και αργότερα ακολούθησε η κατασκευή του τάφου Β, ανάμεσα στους τάφους Α και Γ και τον τάφο Δ, στη βορειοδυτική πλευρά του τάφου Α. Οι τάφοι καλύπτονταν από στρώμα λίθων, κάτω από το οποίο δε βρέθηκε κανένα κτέρισμα ούτε σκελετικά λείψανα. Ελάχιστα μόνον όστρακα βρέθηκαν στην επίχωση του τάφου Τ6Β.

ΕΥΡΗΜΑΤΑ

Π ί ν. 82Α

1. Θραύσμα από το λαιμό χειροποίητου αγγείου Τπ. Ι, XII.
Πηλός Κτ. ΙΓ
εξ. επ. Ε
εσ. επ. Ε
πρ. Ε
σζ. ύψ. 0,036 μ.

2. Θραύσμα βάσης χειροποίητου αγγείου.
Πηλός Κτ. ΙΒ3
εξ. επ. Κ
εσ. επ. Κ
πρ. Κ
σζ. ύψ. 0,015, δμβ. 0,045 μ.

3. Θραύσμα λαβής χειροποίητου αγγείου.
Πηλός Κτ. ΙΒ3
εξ. επ. Κ
εσ. επ. Κ
πρ. Κ
σζ. ύψ. 0,03 μ.

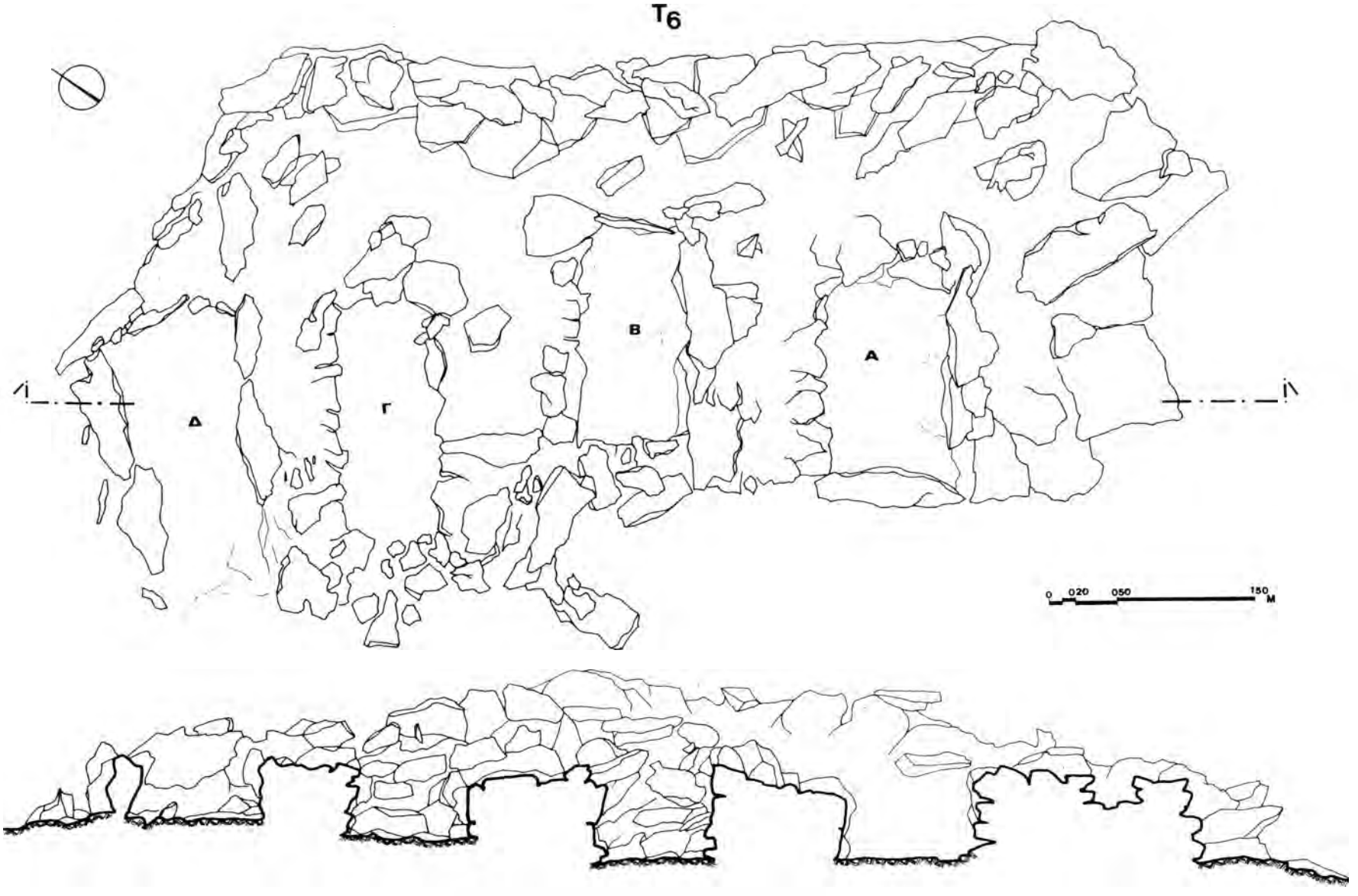

Σχέδ. 24. Κάτοψη και τομή ταφικής συστάδας Τ6.

Ταφική συστάδα Τ7

Βρίσκεται 65 μ. προς ΒΔ. της συστάδας Τ6 (Σ χ έ δ. Ι). Αποτελείται από τέσσερις τάφους, από τους οποίους οι δύο (Α, Β) έχουν κοινό προσανατολισμό Β.-Ν. και δίνουν την εντύπωση ότι κατασκευάσθηκαν συγχρόνως, ενώ οι άλλοι είναι μεταγενέστεροι και με διαφορετικό προσανατολισμό (Γ, Δ). Ο τάφος Γ χρησιμοποίησε τη βόρεια πλευρά του τάφου Α. Έχει προσανατολισμό Α.-Δ. και άνοιγμα στα δυτικά, ενώ ο τάφος Δ προσκολλήθηκε λοξά στη βορειοδυτική γωνία του τάφου Β, χρησιμοποιώντας στη βόρεια στενή πλευρά του το φυσικό όρυγμα (Σ χ έ δ. 25· Π ί ν. 241α).

ΤΑΦΟΣ Τ7Α

Κτιστός κιβωτιόσχημος τάφος με προσανατολισμό Β.-Ν. (Π ί ν. 241γ). Διαστάσεις (εσωτ.): μκ. 3,30, πλ. 1,10, ύψ. 1,20 μ.

Η εσωτερική πλευρά της βόρειας στενής πλευράς του τάφου εμφανίζει αψιδωτή διαμόρφωση. Κάτω από τα μεγάλα θραύσματα των πλακών της οροφής του τάφου διαπιστώθηκε ότι ένα στρώμα λίθων με ελάχιστο χώμα κάλυπτε το επίπεδο της ταφής. Μέσα στο στρώμα αυτό των λίθων σημειώθηκαν και ορισμένα όστρακα αγγείων. Το επίπεδο της ταφής, που βρέθηκε πάνω στο φυσικό βράχο, έδωσε μια εικόνα διατάραξης (Π ί ν. 242β). Στο κέντρο, κυρίως, του τάφου σώζονταν ορισμένα πολύ θρυμματισμένα λείψανα μακρών οστών, από τα οποία δεν ήταν δυνατό να προκύψει κανένα συμπέρασμα για τον αριθμό και τη θέση των νεκρών. Γύρω από την περιοχή των οστών βρέθηκαν διάσπαρτα ορισμένα θραύσματα αγγείων (Σ χ έ δ. 25).

Από τα δόντια που βρέθηκαν στην ίδια περιοχή, η ανθρωπολογική έρευνα ξεχώρισε δύο άτομα, ένα παιδικής και ένα ώριμης ηλικίας (πρβλ. Παράρτημα Ια). Αξιοσημείωτη είναι η ανεύρεση δοντιών ζώου (πρβλ. Παράρτημα ΙΙ).

ΕΥΡΗΜΑΤΑ

Π ί ν. 77

1(Α3). Θραύσματα μόνωτου χειροποίητου ευρύστομου αγγείου Τπ. Ι, IV (81).
Σώζεται τμήμα ώμου, λαιμού με χείλος και τμήμα λαβής. Στον ώμο τα τοιχώματα κόβονται κατακόρυφα, σχηματίζοντας ταινία. Γύρω από την αρχή του λαιμού διακρίνεται μία αυλάκωση· πιθανότατα δε υπήρχε και δεύτερη. Δύο αντίστοιχες παράλληλες αυλακώσεις κάτω από το χείλος.
Πηλός Κτ. ΙΑ2
εξ. επ. Κ
εσ. επ. ΚΜ
πρ. ΚΕ
σζ. ύψ. 0,095, συμπλ. δμχ. 0,12 μ.

2. Θραύσμα μόνωτου χειροποίητου ευρύστομου αγγείου Τπ. Ι, IV (13).
Σώζεται τμήμα ώμου και λαιμού με χείλος.
Πηλός Κτ. ΙΑ2
εξ. επ. ΚΜ
εσ. επ. ΚΜ
πρ. ΚΜ
σζ. ύψ. 0,071 μ.

3(Α5). Θραύσμα μόνωτου χειροποίητου κυπελλόσχημου αγγείου Τπ. Ι, IV (102).
Σώζεται το κάτω κυρίως σώμα με την αρχή λαβής. Αυλακωτή ζιγκ-ζαγκ διακόσμηση στον ώμο.
Πηλός Κτ. ΙΑ2
εξ. επ. ΚΜ-λ φθ
εσ. επ. ΚΜ
πρ. Κ
σζ. ύψ. 0,045, συμπλ. ύψ. 0,085 μ.

4(Α4). Θραύσμα μόνωτου χειροποίητου κυπελλόσχημου αγγείου Τπ. Ι, IV.
Σώζεται τμήμα ώμου με λαιμό και μία λαβή.
Πηλός Κτ. ΙΑ2
εξ. επ. ΚΜ-λ
εσ. επ. ΚΜ
πρ. ΚΕ
σζ. ύψ. 0,06 μ.

5(Α2). Θραύσμα μόνωτου χειροποίητου αγγείου Τπ. Ι, IV (37).

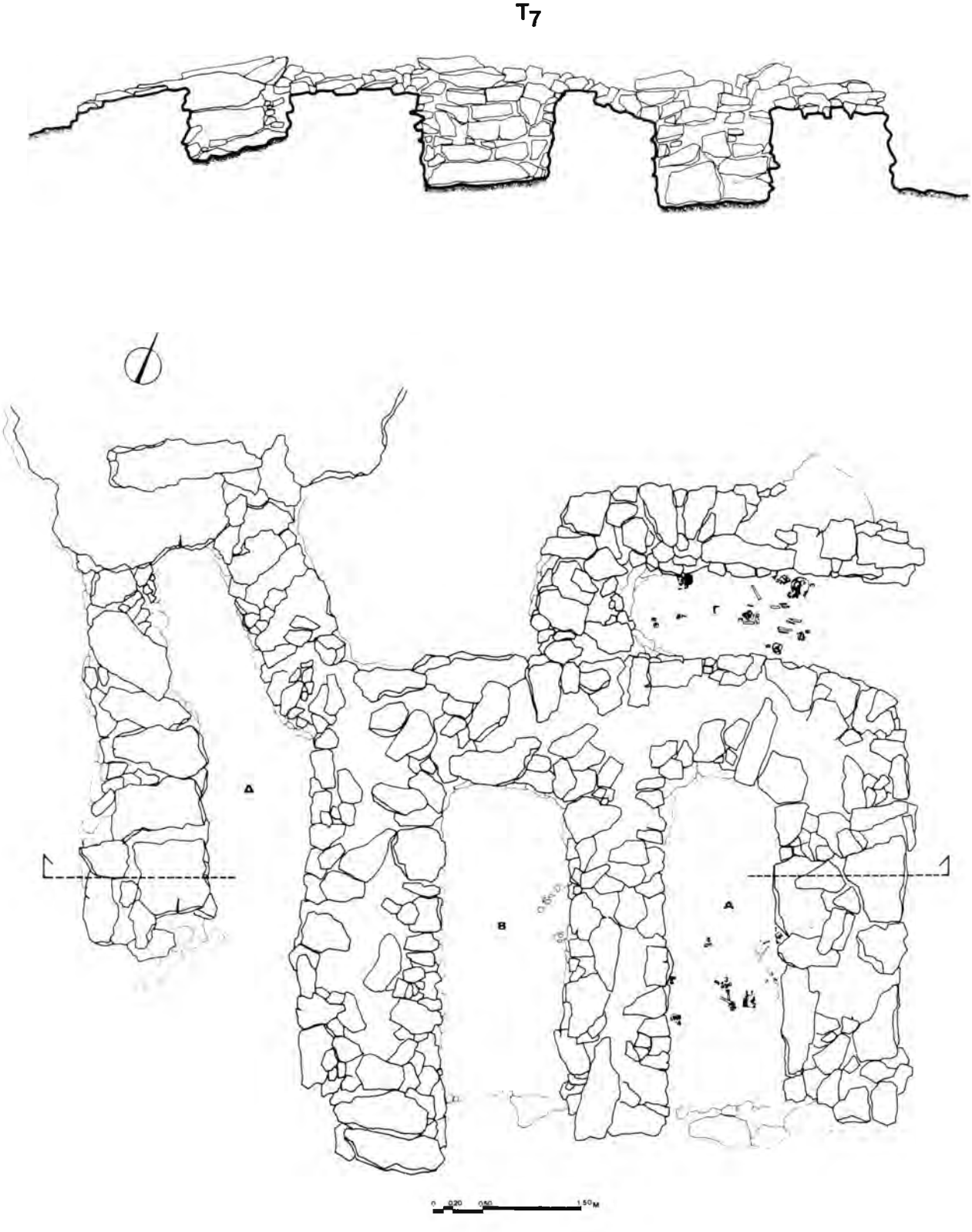

Σχέδ. 25. Κάτοψη και τομή ταφικής συστάδας Τ7.

Σώζεται τμήμα του σώματος και του λαιμού, καθώς και η αρχή της λαβής.
Πηλός Κτ. ΙΑ3
εξ. επ. ΚΕ
εσ. επ. ΚΜ
πρ. ΚΕ
σζ. ύψ. 0,07, δμβ. 0,05 μ.

6(Α1). Θραύσμα μόνωτου χειροποίητου αγγείου Τπ. I, IV (37).
Σώζεται σώμα με τμήμα λαιμού, καθώς και η αρχή λαβής. Ελαφρά αυλάκωση γύρω από την αρχή του λαιμού.
Πηλός Κτ. ΙΑ3
εξ. επ. ΚΜ-λ φθ
εσ. επ. Κ-λ φθ
πρ. Κ
ύψ. 0,085, δμβ. 0,045 μ.

7. Θραύσμα από το χείλος μόνωτου χειροποίητου αγγείου Τπ. I, IV (57).
Αυλάκωση κάτω από το χείλος· χείλος ταινιωτό.
Πηλός Κτ. ΙΑ2
εξ. επ. ΚΜ
εσ. επ. ΚΜ
πρ. Κ
ύψ. 0,024 μ.

8. Θραύσμα από το άνω ταινιωτό τμήμα γωνιόσχημης λαβής μόνωτου χειροποίητου αγγείου Τπ. I, IV.
Πηλός Κτ. ΙΑ2
εξ. επ. ΚΜ
εσ. επ. ΚΜ
πρ. Κ
σζ. μκ. 0,035 μ.

9. Θραύσμα από τον ώμο μόνωτου χειροποίητου αγγείου Τπ. I, IV.
Σώζεται η αρχή λαβής.
Πηλός Κτ. ΙΒ2
εξ. επ. ΚΕ
εσ. επ. ΚΕ
πρ. Κ
σζ. ύψ. 0,06 μ.

10. Θραύσμα κατακόρυφης λαβής χειροποίητου αγγείου Τπ I, IV.
Πηλός Κτ. ΙΑ2
εξ. επ. Κ
εσ. επ. Κ
πρ. Κ
σζ. ύψ. 0,07 μ.

11. Δύο θραύσματα, πιθανόν του ίδιου μόνωτου χειροποίητου αγγείου Τπ. I, IV.
Σώζεται τμήμα από το κατακόρυφο κυλινδρικό στέλεχος της λαβής και τμήμα ώμου με ζιγκ-ζαγκ αυλακωτή διακόσμηση.
Πηλός Κτ. ΙΑ2
εξ. επ. ΚΜ-λ
εσ. επ. ΚΜ-λ
πρ. Κ
σζ. ύψ. λβ. 0,075 μ.

12. Θραύσμα κατακόρυφης κυλινδρικής λαβής χειροποίητου αγγείου Τπ. I, IV.
Πηλός Κτ. ΙΑ2
εξ. επ. ΚΜ
εσ. επ. ΚΜ
πρ. ΚΕ
σζ. ύψ. 0,065 μ.

13. Θραύσμα από το άνω τμήμα γωνιόσχημης λαβής χειροποίητου αγγείου Τπ. I, IV.
Πηλός Κτ. ΙΑ2
εξ. επ. Κ-λ
εσ. επ. Κ-λ
πρ. ΚΕ
σζ. ύψ. 0,05 μ.

14. Θραύσμα κατακόρυφης κυλινδρικής λαβής χειροποίητου αγγείου Τπ. I, IV.
Πηλός Κτ. ΙΑ2
εξ. επ. ΚΜ
εσ. επ. ΚΜ
πρ. ΚΤ
σζ. ύψ. 0,07 μ.

15. Θραύσμα λαβής χειροποίητου αγγείου Τπ. I, VII.
Πηλός Κτ. ΙΒ2
εξ. επ. Ε
εσ. επ. Ε
πρ. Κ
σζ. ύψ. 0,03 μ.

16. Θραύσμα κατακόρυφης λαβής από την κοιλιά μεγάλου χειροποίητου αγγείου Τπ. I, XII.
Πηλός Κτ. ΙΓ2
εξ. επ. Κ
εσ. επ. Κ
πρ. Τ
σζ. ύψ. 0,035 μ.

Π ί ν. 78Α

17. Θραύσματα τροχήλατου αμφορέα.
Βάση δισκόμορφη· χείλος που σχηματίζει ταινία.

Πηλός Κτ. ΙΙ
εξ. επ. ΚΕ
πρ. Ε
συμπλ. ύψ. 0,39, δμβ. 0,105 μ.

18. Μολύβδινος σύνδεσμος.
μγ. μκ. 0,06 μ.

19. Μολύβδινος σύνδεσμος.
μγ. μκ. 0,015 μ.

ΤΑΦΟΣ Τ7Β

Ορθογώνιος κτιστός κιβωτιόσχημος τάφος, με προσανατολισμό Β.-Ν., περίπου· στη δυτική πλευρά του τάφου Τ7Α (Π ί ν. 241β). Διαστάσεις (εσωτ.): μκ. 3, πλ. 1,30, ύψ. 1,30 μ.

Ο τάφος καλυπτόταν με μεγάλες σχιστόπλακες, από τις οποίες σωζόταν μία κατά χώραν (Π ί ν. 241α). Το εσωτερικό του τάφου βρέθηκε γεμισμένο με το γνωστό στρώμα των λίθων· το επίπεδο της ταφής ήταν διαταραγμένο. Ελάχιστα θραύσματα οστών και λίγα δόντια αποτελούν τα μόνα ανθρωπολογικά λείψανα που σημειώθηκαν. Η ανθρωπολογική μελέτη εντόπισε την ταφή ενός παιδιού και ενός ενήλικου ατόμου στον τάφο (Παράρτημα Ια). Τα κτερίσματα βρέθηκαν σε αποσπασματική, επίσης, κατάσταση. Μια ομάδα με θραύσματα αγγείων βρέθηκε στο μέσον περίπου της ανατολικής πλευράς του τάφου, ενώ από τη νοτιοανατολική γωνία του τάφου συγκεντρώθηκαν ορισμένα διάσπαρτα όστρακα.

ΕΥΡΗΜΑΤΑ

Π ί ν. 78Β

1. Θραύσματα μόνωτου χειροποίητου ευρύστομου αγγείου Τπ. Ι, IV (81).
Σώζεται τμήμα από τον ώμο, το λαιμό, το χείλος και τη βάση, καθώς και το μεγαλύτερο τμήμα της λαβής. Δύο αυλακώσεις γύρω από τη βάση του λαιμού, δύο αυλακώσεις κάτω από το χείλος.
Πηλός Κτ. ΙΑ
εξ. επ. Κ
εσ. επ. Κ
πρ. Κ
συμπλ. ύψ. 0,135, δμβ. 0,08 μ.

2. Θραύσμα από το χείλος χειροποίητου αγγείου Τπ. Ι, IV.
Πηλός Κτ. ΙΒ1
εξ. επ. ΚΕ
εσ. επ. ΚΕ
πρ. Κ
σζ. ύψ. 0,032 μ.

3. Θραύσμα βάσης χειροποίητου αγγείου Τπ. Ι, IV.
Πηλός Κτ. ΙΒ2
εξ. επ. Ε
εσ. επ. Ε
πρ. Ε
σζ. ύψ. 0,032 μ.

4. Θραύσμα μόνωτου χειροποίητου ευρύστομου αγγείου Τπ. Ι, IV.
Σώζεται τμήμα ώμου. Αυλακωτή γραμμή στη βάση του λαιμού.
Πηλός Κτ. ΙΒ1
εξ. επ. Ε
εσ. επ. Ε
πρ. Ε
σζ. ύψ. 0,05 μ.

5. Θραύσμα κατακόρυφης κυλινδρικής λαβής χειροποίητου αγγείου Τπ. Ι, IV.
Πηλός Κτ. ΙΑ2
εξ. επ. Κ
εσ. επ. Κ
πρ. Κ
σζ. ύψ. 0,07 μ.

6. Θραύσμα οριζόντιας κυλινδρικής λαβής χειροποίητου αγγείου Τπ. Ι, VIΓ.
Πηλός Κτ. ΙΒ2
εξ. επ. Κ
εσ. επ. Κ
πρ. Κ
σζ. μκ. λβ. 0,05 μ.

7. Θραύσμα κατακόρυφης λαβής από την κοιλιά χειροποίητου αγγείου Τπ. Ι, VIΒ.
Πηλός Κτ. ΙΑΒ2
εξ. επ. ΚΜ
εσ. επ. ΚΜ
πρ. Κ
σζ. ύψ. 0,095 μ.

8. Θραύσμα από τον ώμο χειροποίητου αγγείου Τπ. Ι, VIΒ (136).
Δύο αυλακώσεις γύρω από την αρχή του λαι-

μού, ζιγκ-ζαγκ αυλακωτή διακόσμηση στον ώμο.
Πηλός Κτ. ΙΑ2
εξ. επ. ΚΜ-λ
εσ. επ. Κ
πρ. Κ
σζ. ύψ. 0,042 μ.

9. Θραύσμα χάλκινου ελάσματος με εμπίεστη διακόσμηση (χάλκινη επένδυση λαβής εγχειριδίου;).
σζ. μκ. 0,045 μ.

ΤΑΦΟΣ Τ7Γ

Ορθογώνιος κτιστός κιβωτιόσχημος τάφος, με προσανατολισμό Δ.-Α. περίπου, προσαρτημένος στη βόρεια πλευρά του τάφου Τ7Α (Σ χ έ δ. 25). Διαστάσεις (εσωτ.): μκ. 2,30, πλ. 0,80, σζ. ύψ. 1 μ.

Θραύσματα μεγάλων πλακών από την οροφή του τάφου βρέθηκαν πεσμένα στο εσωτερικό του (Π ί ν. 242γ). Κάτω από τα θραύσματα των πλακών της οροφής του τάφου διαπιστώθηκε το συνηθισμένο στρώμα των λίθων, που κάλυπτε το επίπεδο της ταφής. Οι νεκροί είχαν εναποτεθεί πάνω στο φυσικό βράχο. Ελάχιστα λείψανα από τα οστά τους διακρίνονταν στο ανατολικό άκρο του τάφου. Στο μέσον περίπου της ανατολικής πλευράς του τάφου ξεχώριζαν ελάχιστα θραύσματα κνημών, πιθανότατα κατά χώραν.

Στη βορειοανατολική γωνία του τάφου εντοπίσθηκε μια άλλη ομάδα θραυσμάτων οστών, τα οποία δεν είναι βέβαιο αν πρέπει να συσχετισθούν με τα οστά του προηγούμενου νεκρού ή με τα οστά προγενέστερων παραμερισμένων ταφών. Προς το κέντρο του τάφου βρέθηκαν ορισμένα δόντια παιδιού, 6 περίπου ετών.

Σε σαφείς ομάδες μπορούν να καταταχθούν τα αγγεία: α) Α5, Α6 (Π ί ν. 243γ) (ομάδα Α΄) και β) Γ4, Γ3 (ομάδα Β΄), ενώ τα υπόλοιπα αγγεία (1 και 2) δεν είναι δυνατό να αποδοθούν με βεβαιότητα σε κάποια από τις προηγούμενες ομάδες. Τα χαλκά, επίσης, κοσμήματα δεν είναι βέβαιο με ποια αγγεία συνανήκουν (Π ί ν. 243β).

Η μελέτη των ανθρωπολογικών λειψάνων προσδιόρισε οστά ενός ενήλικου ατόμου, δύο παιδιών 9 και 18 μηνών, ενός παιδιού 6 ετών και ενός εφήβου 10-14 ετών (πρβλ. Παράρτημα Ια).

ΕΥΡΗΜΑΤΑ

Π ί ν. 79

1(Γ1). Θραύσμα μόνωτου χειροποίητου αγγείου Τπ. Ι, IV (37).
Σώζεται το κάτω σώμα, καθώς και μέρος από τον ώμο και το λαιμό με τη λαβή. Αυλακωτή γραμμή γύρω από την αρχή του λαιμού.
Πηλός Κτ. ΙΑ3
εξ. επ. Κ-ΚΜ
εσ. επ. Κ-ΚΜ
πρ. Τ
σζ. ύψ. 0,085, δμβ. 0,065 μ.

2(Γ2). Θραύσμα από το άνω σώμα μόνωτου χειροποίητου αγγείου Τπ. Ι, IV (28).
Πηλός Κτ. ΙΑ2
εξ. επ. ΚΜ-λ
εσ. επ. ΚΜ-λ
πρ. ΚΤ
σζ. ύψ. 0,055 μ.

3(Γ3). Χειροποίητη οινοχόη με οπισθότμητη προχοή Τπ. Ι, IV (155).
Ακέραιη.
Πηλός Κτ. ΙΑ2
εξ. επ. ΚΜ-λ
εσ. επ. ΚΜ
πρ. ΚΜ-Κ
ύψ. 0,172 μ.

4(Γ5). Χειροποίητο κυπελλόσχημο αγγείο Τπ. Ι, IV (28).
Ακέραιο.
Πηλός Κτ. ΙΒ1
εξ. επ. Κ
εσ. επ. Κ
πρ. Κ
ύψ. 0,085, δμβ. 0,045 μ.

5(Γ4). Χειροποίητη ευρύστομη οινοχόη με οπισθότμητη προχοή Τπ. Ι, VIIΔ (166).
Λείπει ένα μέρος από το κάτω σώμα. Αυλάκωση στη βάση του λαιμού, δύο αυλακώσεις

κάτω από το χείλος, τέσσερις κοντές παράλληλες αυλακώσεις στη βάση της λαβής.
Πηλός Κτ. ΙΑ2
εξ. επ. Κ-ΚΜ-λ
εσ. επ. Κ-ΚΜ
πρ. Κ
ύψ. 0,15 μ.

6(Γ6). Χειροποίητη βαθιά κυπελλόσχημη προχοΐσκη Τπ. Ι, VIIΔ (175).
Ακέραιη.
Πηλός Κτ. ΙΑ2
εξ. επ. ΚΜ-λ
εσ. επ. ΚΜ
πρ. Κ
ύψ. 0,102, δμβ. 0,04 μ.

7. Θραύσμα μόνωτου χειροποίητου αγγείου Τπ. Ι, IV (48).
Σώζεται τμήμα από το σώμα του αγγείου με την αρχή λαιμού. Δύο αυλακώσεις γύρω από την αρχή του λαιμού.
Πηλός Κτ. ΙΒ1
εξ. επ. Κ-λ
εσ. επ. ΚΕ-λ
πρ. Κ
σζ. ύψ. 0,075, συμπλ. δμ. ώμου 0,12 μ.

8(Γ5). Θραύσμα από το λαιμό και το χείλος χειροποίητου αγγείου (αμφορέας) Τπ. Ι, VIB ή Ι, VIΓ.
Πηλός Κτ. ΙΑ3
εξ. επ. ΚΜ
εσ. επ. Κ
πρ. Κ
σζ. ύψ. 0,07 μ.

9. Θραύσματα μόνωτου χειροποίητου κυπελλόσχημου αγγείου Τπ. Ι, VIII (183).
Σώζεται ένα τμήμα από τη βάση ως και το χείλος του αγγείου.
Πηλός Κτ. ΙΒ1
εξ. επ. ΚΕ-λ
εσ. επ. ΚΕ
πρ. ΚΕ
ύψ. 0,10 μ.

10(Γ8). Χάλκινο χυτό ασπιδόμορφο κουμπί Τπ. Τ4.
Με ομφάλιο στην εξωτερική επιφάνεια και διάτρητη απόφυση (θηλιά) στην εσωτερική. Στην εξωτερική επιφάνεια εγχάρακτη διακόσμηση, με τρεμουλιαστή χαρακτή γραμμή (tremolo) σε ακτινωτή διάταξη γύρω από το ομφάλιο.
δμ. 0,046 μ.

11(Γ7). Θραύσμα χάλκινου ελικόσχημου κοσμήματος Τπ. Εν.
δμ. 0,023 μ.

ΤΑΦΟΣ Τ7Δ

Ορθογώνιος κτιστός κιβωτιόσχημος τάφος, προσκολλημένος λοξά στη βορειοδυτική γωνία του τάφου Τ7Β (Σ χ έ δ. 25), με προσανατολισμό Β.-Ν., που στη βόρεια στενή πλευρά του χρησιμοποιεί το φυσικό βράχο (Π ί ν. 241β). Διαστάσεις (εσωτ.): μγ. μκ. 2, μγ. πλ. 0,80, ύψ. 0,80 μ.

Τεμάχια από τις καλυπτήριες σχιστόπλακες σώζονταν πάνω στις πλάγιες πλευρές του τάφου. Το εσωτερικό του τάφου ήταν γεμάτο με ένα στρώμα λίθων. Ελάχιστα θραύσματα οστών βρέθηκαν διαταραγμένα μέσα στην επίχωση του τάφου, καθώς και ελάχιστα όστρακα, τα περισσότερα από τα οποία ήταν συγκεντρωμένα στο βόρειο, κυρίως, τμήμα της δυτικής μακράς πλευράς του τάφου.

ΕΥΡΗΜΑΤΑ

Π ί ν. 80

1. Θραύσμα μόνωτου χειροποίητου αγγείου Τπ. Ι, IV (33).
Σώζεται τμήμα ώμου και λαιμού με το κάτω τμήμα της λαβής. Αυλακωτή γραμμή γύρω από τη βάση του λαιμού.
Πηλός Κτ. ΙΑ2
εξ. επ. Κ-λ
εσ. επ. Κ
πρ. Κ
σζ. ύψ. 0,04 μ.

2. Θραύσματα μόνωτου χειροποίητου ευρύστομου αγγείου Τπ. Ι, IV (42).
Σώζεται τμήμα ώμου, καθώς και τμήμα ώμου και λαιμού από την περιοχή της λαβής, μαζί με την κυλινδρική λαβή.

Πηλός Κτ. ΙΑ2
εξ. επ. ΚΜ-λ
εσ. επ. ΚΜ
πρ. Κ
σζ. ύψ. 0,09 μ.

3. Θραύσματα μόνωτου χειροποίητου αγγείου Τπ. Ι, IV (37).
Σώζεται τμήμα ώμου και λαβής.
Πηλός Κτ. ΙΑ2
εξ. επ. Κ-λ
εσ. επ. Κ
πρ. Κ
σζ. ύψ. 0,06 μ.

4. Θραύσμα λαβής χειροποίητου αγγείου Τπ. Ι, IV.
Πηλός Κτ. ΙΓ2
εξ. επ. Κ
εσ. επ. Κ
πρ. Κ
σζ. μκ. 0,025 μ.

5-6. Θραύσματα από την κοιλιά χειροποίητου αγγείου Τπ. Ι, XII.
Πλαστική ταινία με «δακτυλιές» γύρω από την κοιλιά.
Πηλός Κτ. ΙΓ2
εξ. επ. Ε
εσ. επ. Ε
πρ. Ε
σζ. ύψ. 0,06 μ.

7. Θραύσμα βάσης χειροποίητου αγγείου Τπ. Ι, XII.
Πηλός Κτ. ΙΓ2
εξ. επ. ΚΕ
εσ. επ. ΚΕ
πρ. ΚΕ
σζ. ύψ. 0,03 μ.

8. Θραύσμα από τον ώμο χειροποίητου αγγείου Τπ. Ι, XII.
Διακρίνεται η αρχή κατακόρυφης λαβής.
Πηλός Κτ. ΙΓ2
εξ. επ. Ε
εσ. επ. Ε
πρ. Ε
σζ. ύψ. 0,06 μ.

Τάφος Τ8

Βρίσκεται 30 μ. προς ΒΔ. της ταφικής συστάδας Τ7 (Σ χ έ δ. Ι). Προσανατολισμός τάφου Β.-Ν. περίπου, με κάποια απόκλιση προς ΒΔ. Διαστάσεις τάφου (εξωτ.): μγ. μκ. 6,40, μγ. πλ. 3,90, σζ. ύψ. 1,20 μ.

Ορθογώνιος κτιστός υπέργειος τάφος, με παχείς εξωτερικούς τοίχους· ένας χαμηλός τοίχος χωρίζει το χώρο της ταφής (θάλαμος, εσωτ. διαστάσεις θαλάμου: 2,30×1 μ.) από έναν προθάλαμο (εσωτ. διαστάσεις προθαλάμου: 1,30×1 μ.) (Σ χ έ δ. 26).

Η εσωτερική παρειά της βόρειας στενής πλευράς είναι διαμορφωμένη σε αψίδα. Μεγάλα θραύσματα πλακών, που προέρχονταν από την οροφή, βρέθηκαν πεσμένα στο εσωτερικό του τάφου (Π ί ν. 244α).

Κάτω από τις πλάκες διαπιστώθηκε το συνηθισμένο στρώμα λίθων, που κάλυπτε το επίπεδο της ταφής. Ανάμεσα στις πέτρες του στρώματος αυτού, που περιείχε και λίγο χώμα, βρέθηκαν όστρακα αγγείων. Στο επίπεδο της ταφής — πάνω στο φυσικό βράχο — βρέθηκαν θραύσματα διάσπαρτων οστών, που, όπως και τα κτερίσματα, έδιναν την εικόνα διατάραξης. Πολλά θραύσματα αγγείων και ελάχιστα θραύσματα οστών βρέθηκαν συγκεντρωμένα στη νοτιοανατολική, κυρίως, γωνία του τάφου (Π ί ν. 244β).

Τα κτερίσματα του τάφου δίδονται με ενιαία αρίθμηση, μολονότι φαίνεται ότι ξεχωρίζουν σε δύο βασικές ομάδες (νοτιοδυτική γωνία – νοτιοανατολική γωνία). Η ανθρωπολογική έρευνα έχει εντοπίσει μόνο ένα άτομο (βλ. Παράρτημα Ια), αλλά πιθανότατα ο αριθμός των νεκρών ήταν μεγαλύτερος, αν κρίνει κανείς από τον αριθμό των κτερισμάτων.

Στο θάλαμο βρέθηκαν και λίγα δόντια ζώων (Παράρτημα ΙΙ).

ΕΥΡΗΜΑΤΑ

Π ί ν. 80

1(4). Θραύσμα από τον ώμο μεγάλου χειροποίητου κλειστού αγγείου (αμφορέας) Τπ. Ι, VIB.

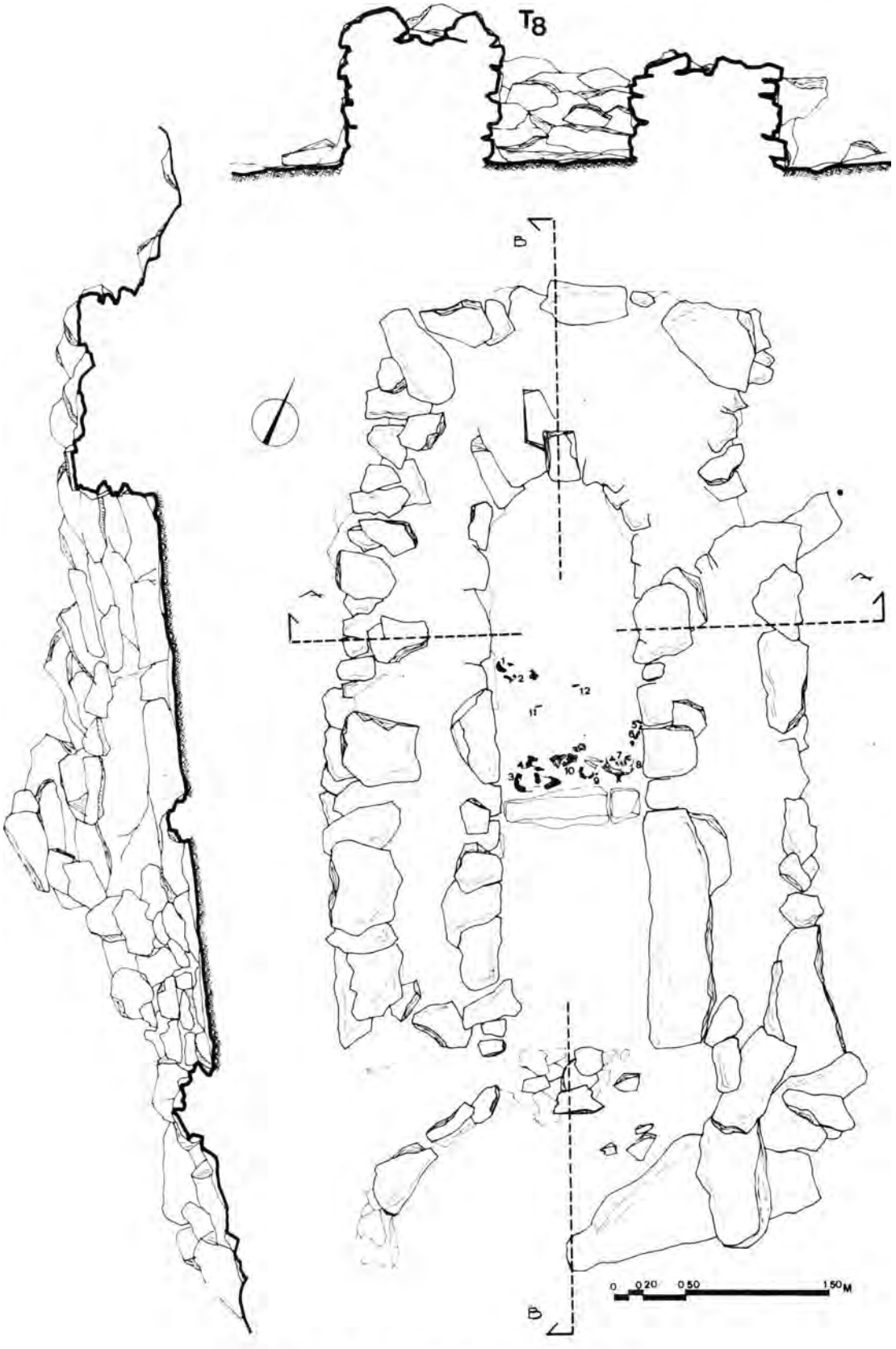

Σχέδ. 26. Κάτοψη και τομές τάφου Τ8.

Πηλός Κτ. ΙΓ2
εξ. επ. ΚΜ
εσ. επ. ΚΕ
πρ. Κ
μγ. ύψ. 0,08 μ.

2(4). Κατακόρυφη κυλινδρική λαβή από τον ώμο μεγάλου χειροποίητου αγγείου Τπ. Ι, ΧΙΙ.
Πηλός Κτ. ΙΓ2
εξ. επ. Ε
εσ. επ. ΚΕ
πρ. ΚΕ
μγ. ύψ. 0,11 μ.

3(2). Θραύσματα από το σώμα χειροποίητου αμφορέα Τπ. Ι, VIΓ (134).
Σώζεται και τμήμα της οριζόντιας κυλινδρικής λαβής.
Πηλός Κτ. ΙΑ2
εξ. επ. ΚΜ-λ
εσ. επ. ΚΜ
πρ. ΚΕ
σζ. ύψ. 0,11 μ.

4(11). Θραύσμα λεπίδας σιδερένιου εγχειριδίου Τπ. ΕΧ.
μγ. μκ. 0,055, μγ. πλ. 0,01 μ.

5(12). Θραύσμα από τη λεπίδα σιδερένιου εγχειριδίου Τπ. ΕΧΙ.
μγ. μκ. 0,05, μγ. πλ. 0,02 μ.

Π ί ν. 81

6(8). Μόνωτο χειροποίητο ευρύστομο αγγείο Τπ. Ι, IV (59).
Λαβή κυλινδρική με καμπυλόγραμμη τροχιά. Μία αυλάκωση γύρω από την αρχή του λαιμού. Μία αυλάκωση κάτω από το χείλος.
Πηλός Κτ. ΙΒ2
εξ. επ. ΚΕ
εσ. επ. ΚΕ
πρ. Κ
ύψ. 0,103, δμβ. 0,075, δμχ. 0,13 μ.

7(5). Χειροποίητο κυπελλόσχημο αγγείο Τπ. Ι, IV (51).
Λείπει ένα μέρος από το άνω σώμα. Δύο αυλακώσεις γύρω από την αρχή του λαιμού και κάτω από το χείλος· αυλακωτή διακόσμηση και στο άνω ταινιωτό τμήμα της λαβής.
Πηλός Κτ. ΙΑ2
εξ. επ. Μ-λ
εσ. επ. Μ-λ
πρ. ΚΕ
ύψ. 0,115, δμβ. 0,055 μ.

8(12). Θραύσματα από το άνω σώμα χειροποίητου αγγείου Τπ. Ι, IV (79).
Δύο παράλληλες αυλακώσεις στη βάση του λαιμού και κάτω από το χείλος.
Πηλός Κτ. ΙΑ2
εξ. επ. ΚΜ-λ
εσ. επ. ΚΜ-λ
πρ. ΚΕ
σζ. ύψ. 0,07 μ.

9(6). Θραύσματα από το άνω σώμα χειροποίητου κυπελλόσχημου αγγείου Τπ. Ι, IV (34α).
Σώζει και κυλινδρική λαβή. Μία αυλάκωση γύρω από την αρχή του λαιμού.
Πηλός Κτ. ΙΑ2
εξ. επ. ΚΜ-λ φθ
εσ. επ. ΚΜ
πρ. ΚΤ
σζ. ύψ. 0,045, ύψ. λβ. 0,075 μ.

10(1). Θραύσματα μικρού χειροποίητου αγγείου Τπ. Ι, IV.
Σώζεται μέρος από το άνω σώμα και η γωνιόσχημη λαβή.
Πηλός Κτ. ΙΑ2
εξ. επ. ΚΜ-λ
εσ. επ. ΚΜ-λ
πρ. ΚΕ
ύψ. 0,075 μ.

11(3). Θραύσματα από το άνω σώμα και τη λαβή μόνωτου χειροποίητου ανοικτού αγγείου Τπ. Ι, IV (81).
Δύο παράλληλες αυλακώσεις γύρω από τη βάση του λαιμού και κάτω από το χείλος.
Πηλός Κτ. ΙΑ2
εξ. επ. Τ-λ
εσ. επ. Τ-λ φθ
πρ. Τ
σζ. ύψ. 0,09 μ.

12(7). Θραύσματα από το κάτω σώμα χειροποίητου αγγείου Τπ. Ι, IV.
Σώζεται και το κάτω κυλινδρικό τμήμα κατακόρυφης λαβής.
Πηλός Κτ. ΙΑ2
εξ. επ. ΚΜ
εσ. επ. ΚΜ
πρ. Κ
σζ. ύψ. 0,05, δμβ. 0,05 μ.

13(10). Θραύσματα από το κάτω σώμα χειροποίητου κλειστού αγγείου (οινοχόης) Τπ. Ι, VIΓ (158).

Βάση επίπεδη, σώμα σφαιρικό, λαβή κατακόρυφη κυλινδρική. Μία αυλάκωση στην αρχή του λαιμού.
Πηλός Κτ. ΙΒ1
εξ. επ. ΚΕ-λ φθ
εσ. επ. ΚΕ
πρ. Ε
σζ. ύψ. 0,132, δμβ. 0,07 μ.

14(9). Θραύσματα από το άνω σώμα και τη λαβή χειροποίητου αγγείου Τπ. Ι, IV (81). Δύο παράλληλες αυλακώσεις γύρω από τη βάση του λαιμού και κάτω από το χείλος.
Πηλός Κτ. ΙΑ2
εξ. επ. Τ-λ φθ
εσ. επ. ΚΤ-λ
πρ. Τ
σζ. ύψ. 0,105, ύψ. λβ. 0,085 μ.

Τάφος Τ9

Βρίσκεται 20 μ. προς ΒΑ. της συστάδας Τ7 (Σ χ έ δ. Ι). Κτιστός κιβωτιόσχημος τάφος, με προσανατολισμό Β.-Ν. περίπου (Σ χ έ δ. 27). Διαστάσεις: μγ. μκ. 2,70, μγ. πλ. 1,20, σζ. ύψ. 1,20 μ.

Τα πλάγια τοιχώματά του είναι χτισμένα με ξερολιθιά· στη δυτική πλευρά, επίσης, χρησιμοποιείται και μια μεγάλη σχιστόπλακα, όρθια τοποθετημένη. Η βόρεια στενή πλευρά του τάφου είναι διαμορφωμένη στην εσωτερική παρειά της σε αψίδα. Ο τάφος καλυπτόταν με μεγάλες σχιστόπλακες (Π ί ν. 244γ). Κάτω από το στρώμα λίθων, που περιείχε πολύ ελάχιστη ποσότητα χώματος, εντοπίσθηκε το επίπεδο της ταφής πάνω στο φυσικό βράχο.

Στο μέσον περίπου του τάφου βρέθηκαν θραύσματα οστών από κάτω άκρα, που ανήκαν σε περισσότερους από έναν νεκρούς. Στη βόρεια πλευρά του τάφου βρέθηκαν μία κάτω σιαγόνα και δόντια. Από την ίδια περιοχή συγκεντρώθηκαν όστρακα αγγείων. Όστρακα αγγείων, καθώς και δόντια, βρέθηκαν και στην περιοχή ανάμεσα στη σιαγόνα και στα οστά των σκελών.

Η μελέτη των ανθρωπολογικών λειψάνων βεβαίωσε την ταφή δύο, τουλάχιστον, ατόμων στον τάφο (μίας γυναίκας και ενός άνδρα).

ΕΥΡΗΜΑΤΑ

Π ί ν. 82Β

1. Θραύσματα μόνωτου χειροποίητου ευρύστομου αγγείου Τπ. Ι, IV.
Σώζεται κυλινδρική λαβή με καμπυλόγραμμη τροχιά. Στο ίδιο αγγείο, πιθανόν, συνανήκει και τμήμα επίπεδης βάσης.
Πηλός Κτ. ΙΑ3
εξ. επ. ΚΤ
εσ. επ. ΚΤ
πρ. ΚΤ
δμβ. 0,095, σζ. ύψ. 0,08 μ.

2. Θραύσματα μόνωτου χειροποίητου ευρύστομου αγγείου Τπ. Ι, IV (38).
Σώζεται τμήμα ώμου και λαβής. Αυλάκωση στη βάση του λαιμού.
Πηλός Κτ. ΙΑ2
εξ. επ. Κ-λ
σζ. ύψ. 0,05, ύψ. λβ. 0,10 μ.

3. Θραύσμα από το λαιμό χειροποίητου ευρύστομου αγγείου Τπ. Ι, IV.
Δύο παράλληλες αυλακώσεις στη βάση του λαιμού.
Πηλός Κτ. ΙΑ2
εξ. επ. ΚΜ-λ
εσ. επ. ΚΜ
πρ. Κ
σζ. ύψ. 0,045 μ.

4. Θραύσματα χειροποίητου κυπελλόσχημου αγγείου Τπ. Ι, IV (41).
Σώζεται τμήμα βάσης, τμήμα του ώμου, όπου διακρίνεται η αρχή της λαβής, και αποσπασματικά τμήματα του λαιμού, όπου ξεχωρίζει αυλακωτή διακόσμηση.
Πηλός Κτ. ΙΑ2
εξ. επ. ΚΜ-λ
εσ. επ. ΚΜ-λ φθ
πρ. Κ-ΚΤ
συμπλ. ύψ. 0,102, δμχ. 0,138 μ.

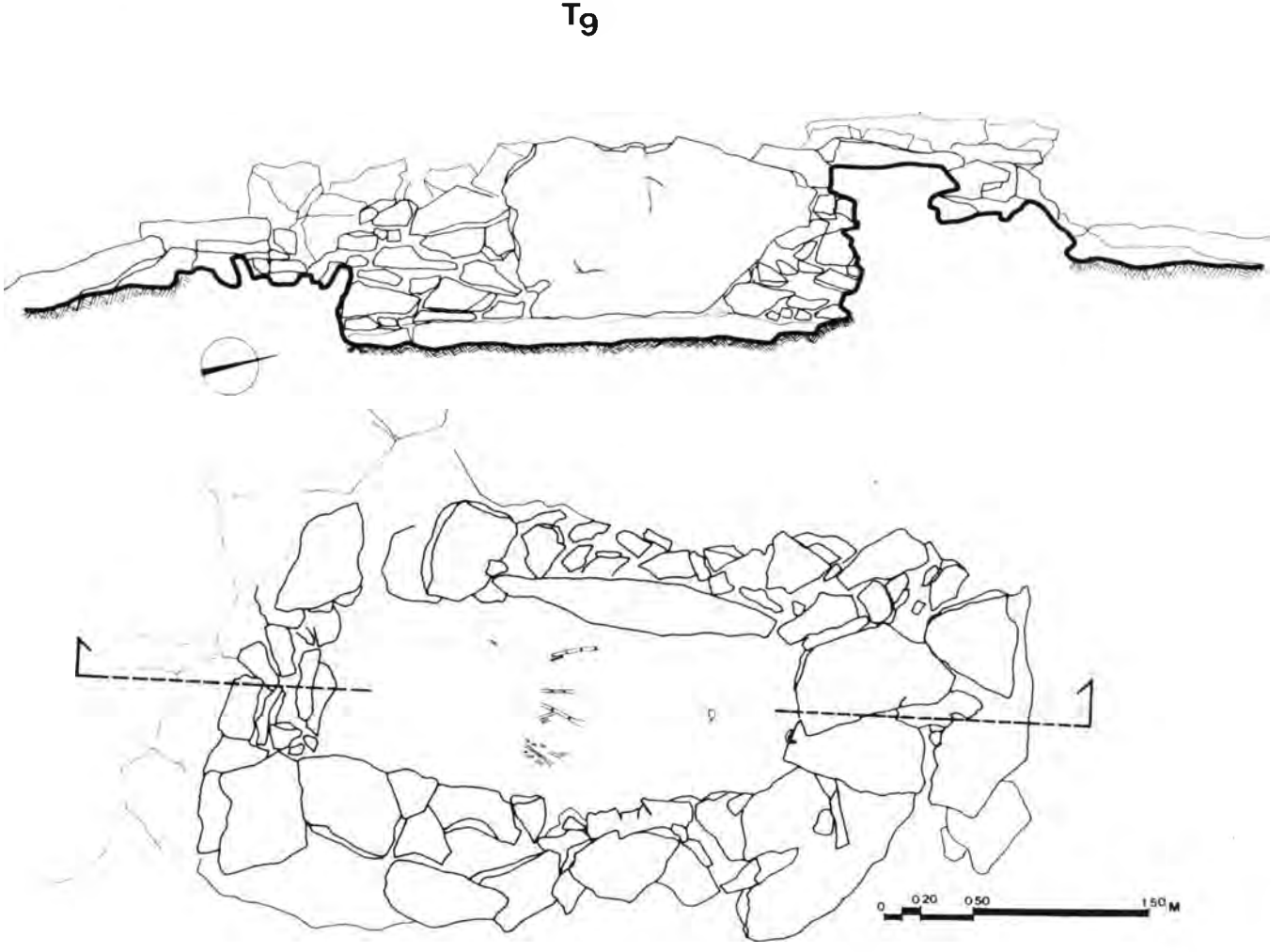

Σχέδ. 27. Κάτοψη και τομή τάφου Τ9.

Τάφος Τ10

Βρίσκεται 10 μ. προς ΒΑ. του τάφου Τ9 (Σ χ έ δ. 5). Ορθογώνιος κιβωτιόσχημος κτιστός τάφος, με προσανατολισμό Β.-Ν. περίπου (Σ χ έ δ. 28). Διαστάσεις: μγ. μκ. 2,50, μγ. πλ. 2,40 μ.

Μία μεγάλη όρθια πλάκα αποτελεί τη βόρεια μακρά πλευρά του τάφου. Ο τάφος ήταν καλυμμένος με μια μεγάλη σχιστόπλακα. Κάτω από την πλάκα, το γνωστό στρώμα των λίθων κάλυπτε το επίπεδο της ταφής, που εντοπίσθηκε πάνω στο φυσικό βράχο. Το δάπεδο του τάφου εμφανίζει μια ισχυρή κλίση προς Ν.

Λείψανα οστών και λίγα όστρακα βρέθηκαν συγκεντρωμένα στη βορειοανατολική πλευρά του τάφου. Ένα χάλκινο εγχειρίδιο βρέθηκε στη βορειοδυτική γωνία του τάφου.

Η ανθρωπολογική μελέτη προσδιόρισε την ύπαρξη μιας ταφής ενήλικου ατόμου.

ΕΥΡΗΜΑΤΑ

Πίν. 82Γ

1(2). Θραύσματα μόνωτου χειροποίητου αγγείου Τπ. Ι, IV (34).
Σώζεται τμήμα του ώμου, της λαβής και του χείλους.
Πηλός Κτ. ΙΒ1
εξ. επ. ΚΕ
εσ. επ. ΚΕ
πρ. ΚΕ
συμπλ. ύψ. 0,118 μ.

2(1). Χάλκινο εγχειρίδιο Τπ. ΕV, 5.
μκ. 0,09 μ.

Τάφος Τ11

Κτιστός κιβωτιόσχημος τάφος, με προσανατολισμό Β.-Ν., σε απόσταση 15 μ. προς ΒΔ. του τάφου Τ10 (Σ χ έ δ. Ι). Διαστάσεις (εσωτ.): μγ. μκ. 0,70, μγ. πλ. 0,80, μγ. ύψ. 0,80 μ.

Χτισμένος ξερολιθιά με μεγάλες πέτρες και όρθιες πλάκες. Κατά μήκος της ανατολικής μακράς πλευράς του, εντοιχισμένη μια όρθια πλάκα (Π ί ν. 244 δ). Στο εσωτερικό του τάφου στρώμα λίθων με ελάχιστο χώμα. Στο επίπεδο της ταφής, πάνω στο φυσικό βράχο, δε σώθηκε κανένα ίχνος ανθρώπινων οστών (Σ χ έ δ. 29). Βρέθηκαν ελάχιστα διάσπαρτα όστρακα, κυρίως στη βορειοανατολική περιοχή του τάφου. Από άλλα ευρήματα αναφέρεται ένα θαλασσινό όστρεο (Παράρτημα ΙΙΙ).

ΕΥΡΗΜΑΤΑ

Πίν. 82Δ

1. Θραύσμα λαβής χειροποίητου αγγείου (κυπέλλου) Τπ. Ι, VIIΔ ή Ι, VIII.
Πηλός Κτ. ΙΑ2
εξ. επ. ΤΜ
εσ. επ. ΤΜ
πρ. Τ
σζ. ύψ. 0,064 μ.

2. Θραύσμα λαβής χειροποίητου κυπελλόσχημου κυλινδρικού αγγείου.
Πηλός Κτ. ΙΑ2
εξ. επ. ΚΤ
εσ. επ. ΚΤ
πρ. Τ.
σζ. ύψ. 0,045 μ.

Τάφος Τ12

Βρίσκεται 86 μ. προς ΒΑ. της ταφικής συστάδας Τ5 (Σ χ έ δ. Ι· Π ί ν. 251α).

Πριν από την έναρξη της ανασκαφής ο τάφος έδινε την εντύπωση ενός χαμηλού τύμβου από χώμα, στη βάση του οποίου ξεχώριζε κανείς ένα ορθογώνιο περίγραμμα. Η άνω επιφάνεια του τύμβου είχε αργούς λίθους σε διάφορα μεγέθη και αρκετή ποσότητα χώματος με βλάστηση. Μετά την αφαίρεση του επιφανειακού στρώματος των λίθων και του χώματος

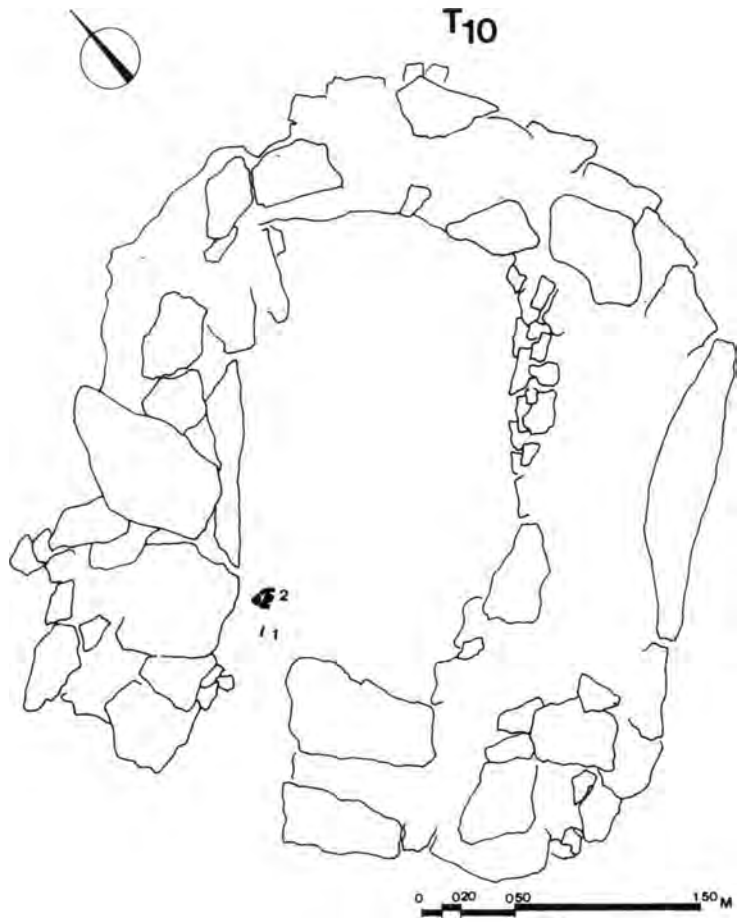

Σχέδ. 28. Κάτοψη τάφου Τ10.

και μετά τον καθορισμό του εξωτερικού περιγράμματος του τάφου, εμφανίσθηκε μια ορθογώνια κτιστή εξέδρα με κτιστές τις εξωτερικές παρειές και λιθορριπή στο εσωτερικό. Η δυτική και η ανατολική πλευρά του κτίσματος δεν έσωζαν τη διαμορφωμένη κτιστή παρειά, αλλά το περίγραμμα στις πλευρές αυτές ήταν ασαφές και συγχεόταν με το φυσικό βράχο και τις τυχαία πεσμένες εκεί πέτρες (Π ί ν. 245α-β). Το όλο κτίσμα εξείχε 0,40 μ. πάνω από την επιφάνεια του εδάφους. Διαστάσεις κτίσματος: μγ. μκ. 6,70, μγ. πλ. 3,70 μ. (Σ χ έ δ. 30).

Στο ανατολικό τμήμα του κτίσματος, κάτω από ένα στρώμα λίθων, βρέθηκε το κάτω τμήμα ενός πίθου σφηνωμένου μέσα στη λιθορριπή (Π ί ν. 245β). Ο πίθος περιείχε θραύσματα καμένων οστών και μια παραμορφωμένη από την καύση χάλκινη αιχμή (Π ί ν. 245γ). Γύρω από το τεφροδόχο πιθάρι, ανάμεσα στις πέτρες, βρέθηκαν ορισμένα όστρακα αγγείων. Στο δυτικό τμήμα του κτίσματος πραγματοποιήθηκε μια αντίστοιχη έρευνα, για να εντοπισθεί άλλη τυχόν ταφή-καύση, δε βρέθηκε όμως τίποτε άλλο, εκτός από λίγα όστρακα ανάμεσα στις πέτρες. Πιθανότατα πάνω στον τάφο Τ12, με την ταφή-καύση, και μετά το στρώμα των λίθων, με το οποίο είχε καλυφθεί η ταφή, ακολούθησε ένας τύμβος που πιθανότατα εδραζόταν πάνω στην κτιστή εξέδρα.

Η ανθρωπολογική μελέτη των καμένων οστών, που βρέθηκαν μέσα στον πίθο, προσδιόρισε την ταφή-καύση ενός ενήλικου ατόμου ανδρικού φύλου και επεσήμανε την ύπαρξη καμένων οστών ζώων (Παραρτήματα Ια΄ και ΙΙ).

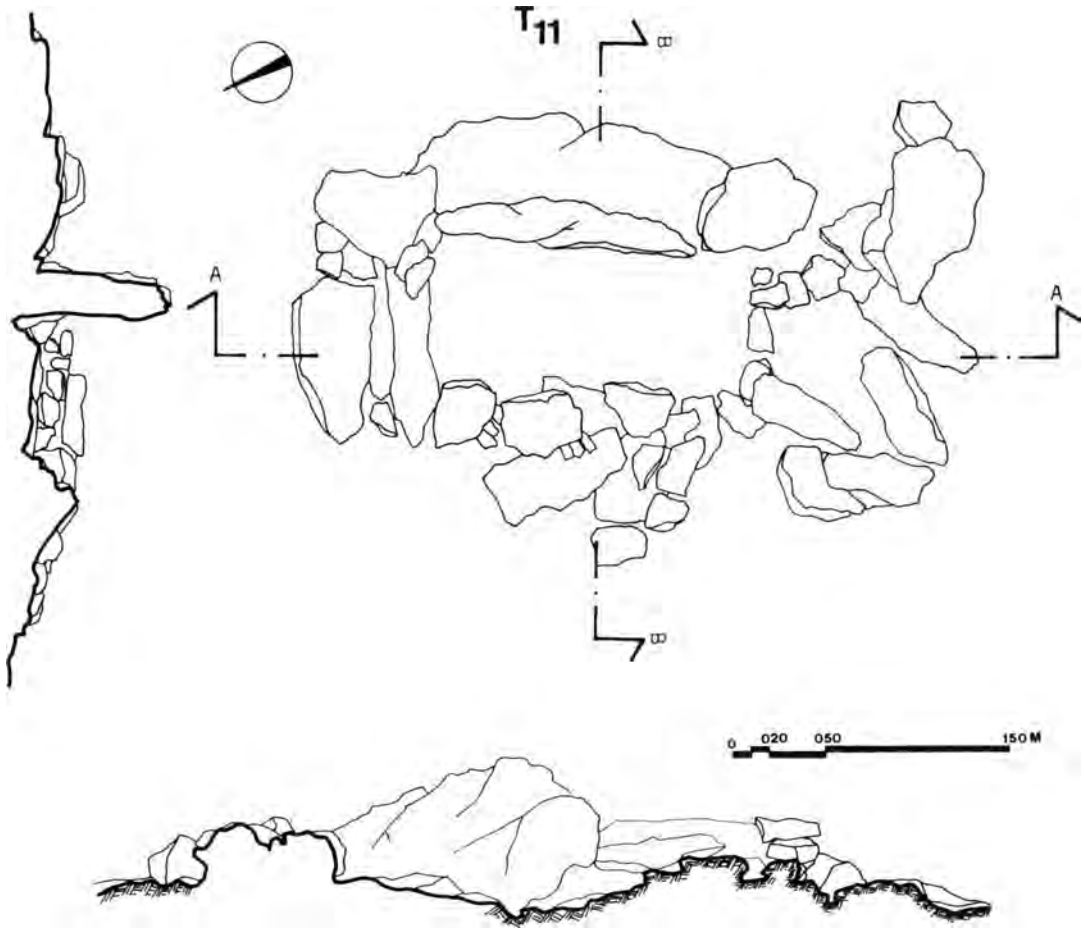

Σχέδ. 29. Κάτοψη και τομές τάφου Τ11.

ΕΥΡΗΜΑΤΑ

Πίν. 83

1. Κάτω τμήμα τροχήλατου πιθόσχημου αγγείου.
Βάση επίπεδη με κυρτά τοιχώματα, που μειώνονται στη βάση.
Πηλός Κτ. ΙΙΓ
εξ. επ. Ε
εσ. επ. Ε
πρ. Ε
σζ. ύψ. 0,355, δμβ. 0,18 μ.

2. Χάλκινη αιχμή λόγχης Τπ. Αι. 1.
Παραμορφωμένο το σχήμα από την καύση.
μκ. 0,195 μ.

3. Όστρακο από το άνω σώμα δίωτου φιαλόσχημου αγγείου Τπ. Ι, ΙΙ (4-5).
Σώζεται τμήμα του ώμου και του χείλους.
Πηλός Κτ. ΙΒ1
εξ. επ. ΚΕ-λ
εσ. επ. ΚΕ-λ
πρ. Τ
σζ. ύψ. 0,07 μ.

4. Θραύσμα λαβής χειροποίητου αγγείου Τπ. Ι, ΧΙΙ.
Πηλός Κτ. ΙΓ2
εξ. επ. Ε
εσ. επ. Ε
πρ. ΚΕ
σζ. μκ. 0,04 μ.

5. Όστρακο από τον ώμο χειροποίητου κλειστού (;) αγγείου.
Πηλός Κτ. ΙΒ1
εξ. επ. ΚΕ

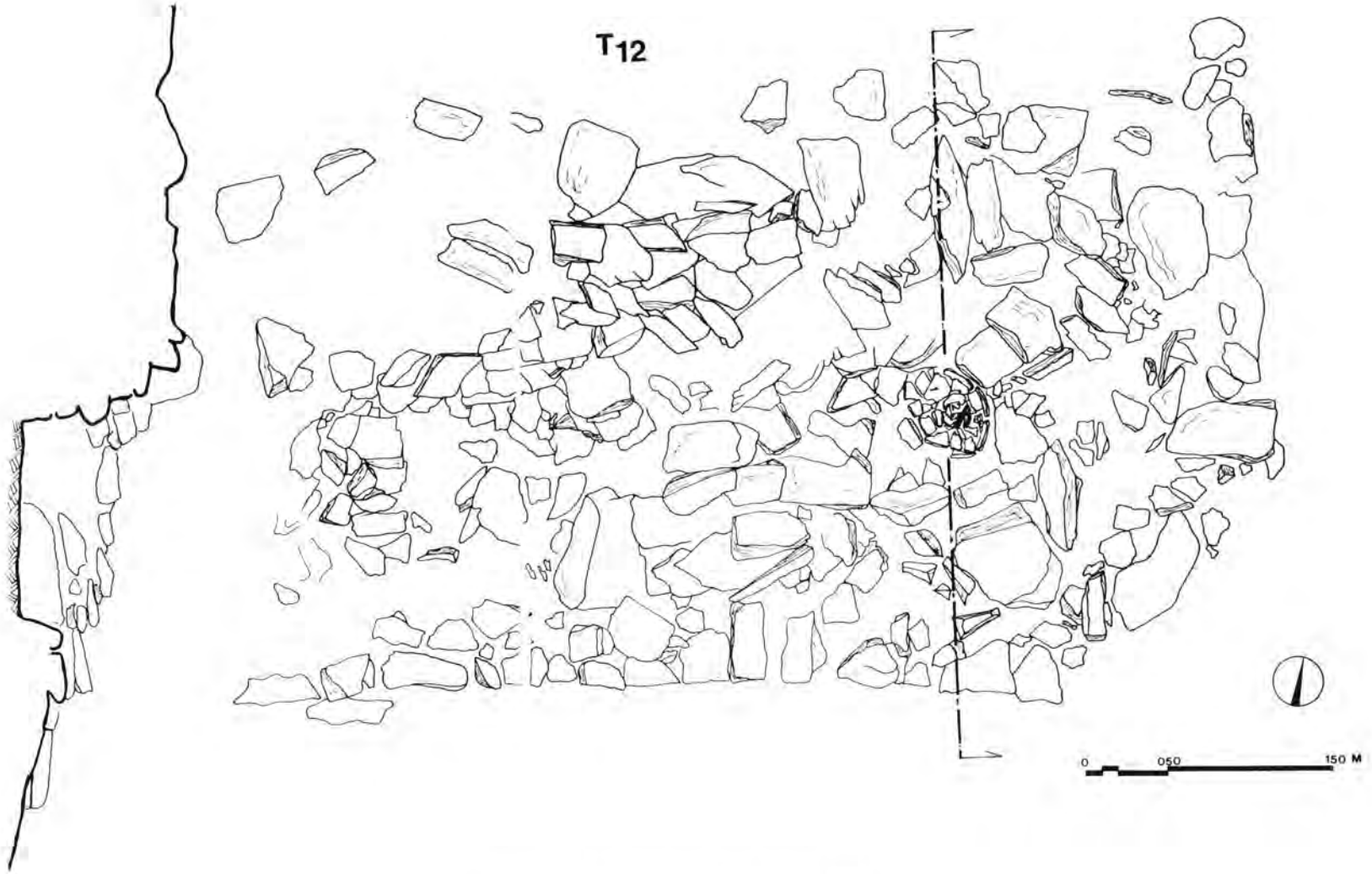

Σχέδ. 30. Κάτοψη και τομή τάφου Τ12.

εσ. επ. ΚΕ
πρ. ΚΜ
σζ. ύψ. 0,04 μ.

6. Θραύσμα λαβής χειροποίητου φιαλόσχημου αγγείου Τπ. Ι, 1β.
Πηλός Κτ. ΙΒ2
εξ. επ. Κ
εσ. επ. Κ
πρ. Κ
σζ. ύψ. 0,065 μ.

7. Θραύσμα βάσης μεγάλου χειροποίητου αγγείου Τπ. Ι, XII.
Πηλός Κτ. ΙΓ2
εξ. επ. Κ
εσ. επ. Κ
πρ. Κ
σζ. ύψ. 0,04, δμβ. 0,13 μ.

Τάφος Τ13

Βρίσκεται 7 μ. προς Α. του τάφου Τ5 (Σ χ έ δ. Ι). Ορθογώνια κτιστή εξέδρα με εξωτερικές πλευρές, προσεκτικά χτισμένες με ξερολιθιά (Π ί ν. 246). Διαστάσεις: μκ. 4,80, πλ. 2,50, ύψ. 0,50 μ.

Το εσωτερικό της εξέδρας αποτελεί μια συμπαγής λιθορριπή. Στο μέσον, περίπου, του κτίσματος και κάτω από ένα στρώμα λίθων βρέθηκε το κάτω τμήμα ενός τεφροδόχου πίθου, σφηνωμένο μέσα στη λιθορριπή του κτίσματος. Έξω από τον πίθο βρέθηκε ένας κάνθαρος (Τ13, 2) και μέσα σ' αυτόν μια οινοχόη (Τ13, 3) (Σ χ έ δ. 31· Π ί ν. 247α-β). Μέσα στον πίθο, εκτός από τα ελάχιστα θραύσματα των καμένων οστών, βρέθηκαν και ορισμένα όστρακα άλλων αγγείων. Επίσης, άλλα όστρακα αγγείων βρέθηκαν διάσπαρτα ανάμεσα στη λιθορριπή.

Άλλη ταφή δεν εντοπίσθηκε πάνω στο κτίσμα. Τα όστρακα πρέπει να προέρχονταν είτε από αρχαιότερες ταφές είτε από το χώμα της επίχωσης, που είχε πιθανότατα καλύψει μόνο την πάνω επιφάνεια του ταφικού κτίσματος.

Η ανθρωπολογική μελέτη των καμένων οστών εξακρίβωσε την ταφή ενός ηλικιωμένου ατόμου, πιθανόν ανδρικού φύλου.

ΕΥΡΗΜΑΤΑ

Π ί ν. 84

1(1). Πιθόσχημο αγγείο, που σώζεται το κάτω από τον ώμο τμήμα του.
Βάση επίπεδη, τοιχώματα περίπου κατακόρυφα, που μειώνονται ελάχιστα προς τη βάση.
Πηλός Κτ. ΙΓ2
εξ. επ. Ε
εσ. επ. Ε
πρ. Ε
σζ. ύψ. 0,36, δμβ. 0,10 μ.

2(2). Κάνθαρος με ευρύ στόμιο Τπ. Ι, VB (116).
Βάση επίπεδη, λαβές κυλινδρικές, που υψώνονται πάνω από το χείλος. Κατά μήκος της λαβής ελαφρές ραβδώσεις. Λαιμός πολύ χαμηλός, με χείλος που τονίζεται πλαστικά, καθώς κάμπτεται ελαφρά προς τα έξω.
Πηλός Κτ. ΙΑ2
εξ. επ. ΚΜ
εσ. επ. Κ
πρ. Κ
σζ. ύψ. 0,093, δμβ. 0,05, δμχ. 0,092 μ.

3(3). Οινοχόη με οπισθότμητη προχοή Τπ. Ι, VIIA (140).
Βάση επίπεδη, σώμα σφαιρικό, λαιμός στενός και ψηλός με ελαφρά λοξότμητο χείλος, λαβή κυλινδρική που κάμπτεται λίγο πιο χαμηλά από το χείλος.
Πηλός Κτ. ΙΑ2
εξ. επ. ΚΜ-στ
εσ. επ. ΚΜ-λτ
πρ. ΚΤ
σζ. ύψ. 0,123, δμβ. 0,04, δμχ. 0,055 μ.

Π ί ν. 85

4. Θραύσματα από το λαιμό και το χείλος χειροποίητης οινοχόης με ελαφρά οπισθότμητη προχοή Τπ. Ι, VIIA (139).
Χείλος ταινιωτό.
Πηλός Κτ. ΙΒ1
εξ. επ. Κ-στ
εσ. επ. Κ-στ
πρ. Κ
σζ. ύψ. 0,06 μ.

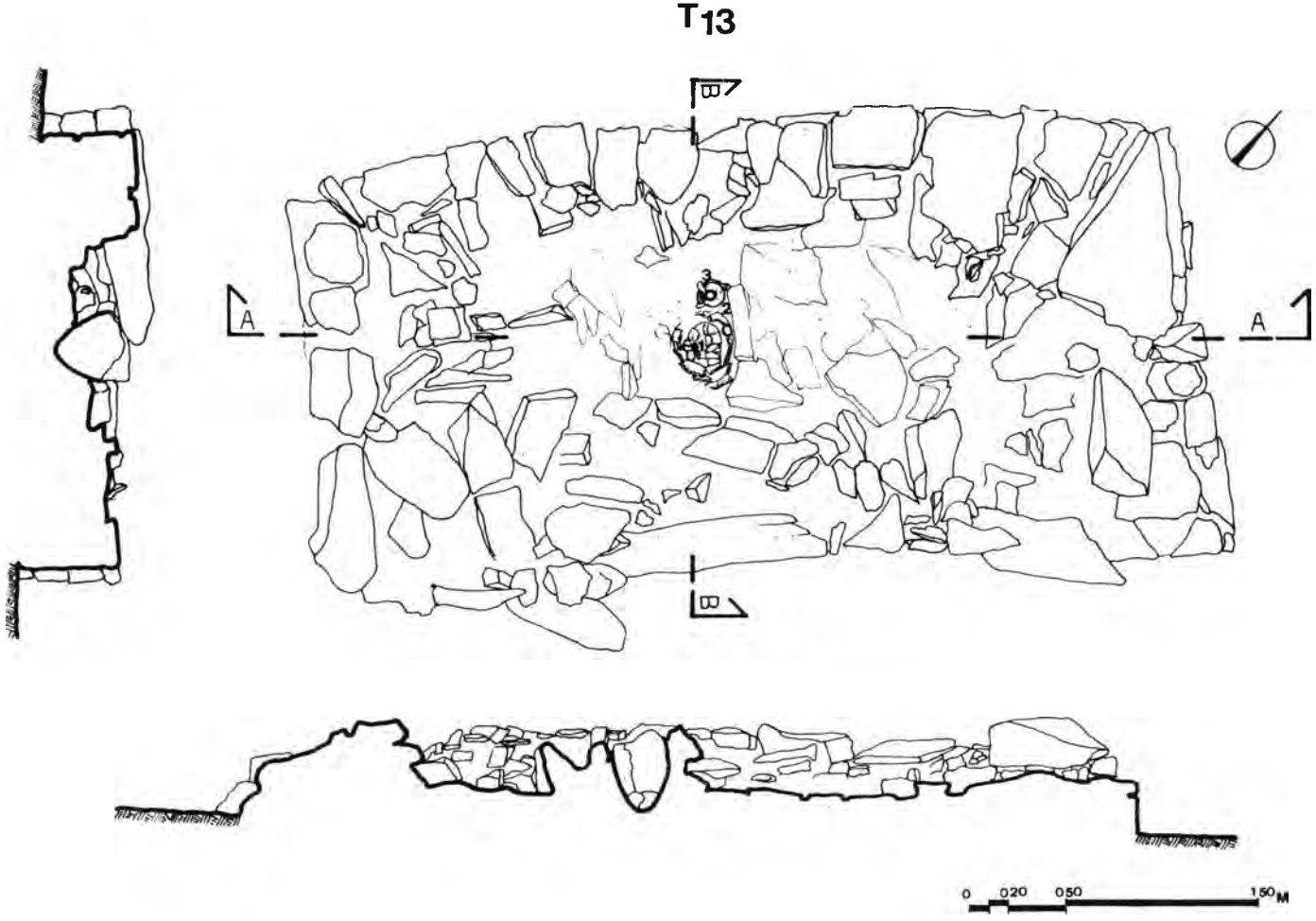

Σχέδ. 31. Κάτοψη και τομές τάφου T13.

5. Λαβή χειροποίητου αγγείου, πιθανόν οινοχόης Τπ. I, VIIA (139).
Πρβλ. το παραπάνω.
Πηλός Κτ. IB1
σζ. ύψ. 0,06 μ.

6-7. Δύο θραύσματα από το σώμα κλειστού αγγείου, πιθανόν κανθάρου Τπ. I, VA (115).
Εγχάρακτη διακόσμηση με χρήση επίθετου λευκού χρώματος. Γραμμικά και στικτά διακοσμητικά θέματα.
Πηλός Κτ. IB1
εξ. επ. Κ-στ
εσ. επ. Κ
πρ. ΚΕ
σζ. ύψ. 0,04, 0,03 μ.

8. Θραύσματα από το χείλος και τον ώμο δίωτου χειροποίητου φιαλόσχημου αγγείου Τπ. I, II (4-5).
Σώζεται και η μία κατακόρυφη κυλινδρική λαβή στον ώμο.
Πηλός Κτ. IB1
εξ. επ. ΚΕ-λ φθ
εσ. επ. ΚΕ-λ φθ
πρ. ΚΕ-Τ
σζ. ύψ. 0,08, ύψ. λβ. 0,055 μ.

9. Θραύσμα από τον ώμο χειροποίητου κλειστού αγγείου, πιθανόν οινοχόης Τπ. I, VIIA (140β).
Οριζόντια απόφυση στον ώμο.
Πηλός Κτ. IB1
εξ. επ. ΚΕ-λ
εσ. επ. ΚΕ
πρ. ΚΕ
σζ. ύψ. 0,045 μ.

10. Θραύσμα χειροποίητου αγγείου Τπ. I, XI.
Εγχάρακτη διακόσμηση με ζιγκ-ζαγκ θέματα.
Πηλός Κτ. IB2
εξ. επ. ΚΕ
εσ. επ. ΚΕ
πρ. ΚΕ
σζ. ύψ. 0,03 μ.

11. Θραύσμα από το χείλος αγγείου Τπ. I, XI.
Εγχάρακτη διακόσμηση.
Πηλός Κτ. IB2
εξ. επ. ΚΜ
εσ. επ. ΚΜ
πρ. Κ
σζ. ύψ. 0,033 μ.

12. Θραύσμα από το χείλος χειροποίητου αγγείου Τπ. I, XI.
Μία εγχάρακτη γραμμή κάτω από το χείλος.
Πηλός Κτ. IB2
εξ. επ. ΚΜ
εσ. επ. ΚΜ
πρ. Κ
σζ. ύψ. 0,08 μ.

13. Θραύσμα από το χείλος χειροποίητου αγγείου Τπ. I, XI.
Εγχάρακτη διακόσμηση.
Πηλός Κτ. IB2
εξ. επ. ΚΜ
εσ. επ. ΚΜ
πρ. Κ
σζ. ύψ. 0,055 μ.

14. Θραύσμα από το σώμα χειροποίητου αγγείου Τπ. I, XI.
Εγχάρακτη διακόσμηση με σπειροειδή θέματα.
Πηλός Κτ. IB2
εξ. επ. ΚΜ
εσ. επ. ΚΜ
πρ. ΚΜ
σζ. ύψ. 0,03 μ.

15. Θραύσμα κωνικής βάσης χειροποίητου αγγείου Τπ. I, I ή I, II (1).
Πηλός Κτ. IA2-3
εξ. επ. φθ
εσ. επ. φθ
πρ. ΤΜ
σζ. ύψ. 0,03 μ.

16. Θραύσμα επίπεδης βάσης χειροποίητου αγγείου Τπ. I ή II.
Πηλός Κτ. IB2
εξ. επ. ΚΕ
εσ. επ. ΚΕ
πρ. Κ
σζ. ύψ. 0,028, δμβ. 0,098 μ.

17. Θραύσματα από το λαιμό, τον ώμο και τη βάση τροχήλατου μυκηναϊκού αλαβάστρου Τπ. II, A1 (221).
Διακρίνεται ταινία γύρω από τη βάση του λαιμού και στο κάτω σώμα του αγγείου. Σε ένα θραύσμα του ώμου διακρίνεται αρχή λαβής.
Πηλός Κτ. II
συμπλ. ύψ. 0,096, δμβ. 0,095, δμχ. 0,08 μ.

Π ί ν. 86

18. Θραύσματα από το λαιμό μεγάλου χειρο-

ποίητου αγγείου Τπ. Ι, ΧΙΙ (199).
«Νυχιές» γύρω από το χείλος.
Πηλός Κτ. ΙΓ2
εξ. επ. ΚΤ
εσ. επ. ΚΤ
πρ. Τ
σζ. ύψ. 0,116 μ.

19. Θραύσμα από το χείλος μεγάλου χειροποίητου αγγείου Τπ. Ι, ΧΙΙ (204).
«Νυχιές» κάτω από το χείλος.
Πηλός Κτ. ΙΓ2
εξ. επ. ΚΕ
εσ. επ. ΚΤ
πρ. ΚΕ-Τ
σζ. ύψ. 0,102 μ.

20. Θραύσματα από το χείλος χειροποίητου αγγείου Τπ. Ι, ΧΙΙ (203).
«Νυχιές» κάτω από το χείλος.
Πηλός Κτ. ΙΓ2
εξ. επ. ΚΜ
εσ. επ. ΚΜ
πρ. Κ
σζ. ύψ. 0,08 μ.

21. Θραύσμα από το χείλος μεγάλου χειροποίητου αγγείου Τπ. Ι, ΧΙΙ (205).
Πλαστική ταινία με «δακτυλιές» κάτω από το χείλος.
Πηλός Κτ. ΙΓ2
εξ. επ. Κ
εσ. επ. Κ
πρ. ΚΕ
σζ. ύψ. 0,06 μ.

22. Θραύσμα από τον ώμο χειροποίητου αγγείου Τπ. Ι, ΧΙΙ (205).
Πλαστική ταινία με «δακτυλιές» γύρω από τον ώμο.
Πηλός Κτ. ΙΓ2
εξ. επ. Ε
εσ. επ. Ε
πρ. ΚΕ
σζ. ύψ. 0,075 μ.

23. Θραύσμα κατακόρυφης ταινιωτής λαβής από την κοιλιά χειροποίητου αγγείου Τπ. Ι, VIB.
Πηλός Κτ. ΙΒ2
εξ. επ. ΚΕ
εσ. επ. ΚΕ
πρ. ΚΜ
σζ. ύψ. 0,07 μ.

24. Θραύσμα κατακόρυφης κυλινδρικής λαβής από την κοιλιά χειροποίητου αγγείου Τπ. Ι, ΧΙΙ.
Πηλός Κτ. ΙΓ2
εξ. επ. Ε
πρ. ΚΤ
σζ. ύψ. 0,08 μ.

25. Θραύσμα από τον ώμο χειροποίητου αγγείου με κατακόρυφη λαβή Τπ. Ι, ΧΙΙ.
Πηλός Κτ. ΙΓ2
εξ. επ. ΚΕ
εσ. επ. ΚΤ
πρ. Τ
σζ. ύψ. 0,045 μ.

26. Δύο θραύσματα από τον ώμο πίθου.
Στο ένα σώζεται απόφυση.
Πηλός Κτ. ΙΓ2
εξ. επ. ΚΕ
εσ. επ. ΚΕ
πρ. ΚΕ
σζ. ύψ. 0,06 μ.

27. Θραύσματα από το χείλος πίθου.
Εγχάρακτη ζιγκ-ζαγκ διακόσμηση στο λαιμό.
Πηλός Κτ. ΙΓ2
εξ. επ. Ε
εσ. επ. Ε
πρ. Κ
σζ. ύψ. 0,07 μ.

28. Θραύσμα επίπεδης βάσης αγγείου Τπ. Ι, VIB.
Πηλός Κτ. ΙΒ2
εξ. επ. ΚΕ
εσ. επ. ΚΜ
πρ. ΚΜΕ
σζ. ύψ. 0,02, δμβ. 0,12 μ.

29. Θραύσμα επίπεδης βάσης αγγείου Τπ. Ι, VIB.
Πηλός Κτ. ΙΒ2
εξ. επ. ΚΕ
εσ. επ. ΚΕ
πρ. Κ
σζ. ύψ. 0,058 μ.

30. Θραύσμα από την κοιλιά πίθου.
Πλαστική ταινία με «δακτυλιές».
Πηλός Κτ. ΙΓ2
εξ. επ. Ε
εσ. επ. Ε
πρ. Κ
σζ. ύψ. 0,12 μ.

Ταφική συστάδα Τ14

Βρίσκεται 80 μ. προς Α. της συστάδας Τ5 και 10 μ. νότια από τον τάφο Τ12 (Σ χ έ δ. Ι· Π ί ν. 251α-β).

Πριν από την έναρξη της ανασκαφής, η συστάδα έδινε την εικόνα ενός τυμβόσχημου λιθοσωρού σκεπασμένου με λίγο χώμα (Π ί ν. 248α). Μετά την απομάκρυνση της χαμηλής βλάστησης και του λίγου χώματος από την επιφάνεια του λιθοσωρού, ξεχώρισαν αμέσως μέσα στο λιθοσωρό τα περιγράμματα των δύο κτιστών κιβωτιόσχημων τάφων, το εσωτερικό των οποίων καλυπτόταν με ένα στρώμα από πέτρες και χώμα (Π ί ν. 248β). Οι δύο τάφοι έχουν παράλληλο προσανατολισμό Β.-Ν., αλλά δεν είναι σύγχρονοι. Αρχαιότερος είναι ο τάφος Β, στη δυτική πλευρά του οποίου προσκολλήθηκε αργότερα ο τάφος Α (Σ χ έ δ. 32).

ΤΑΦΟΣ Τ14Α

Ορθογώνιος κτιστός κιβωτιόσχημος τάφος, με προσανατολισμό Β.-Ν. (Π ί ν. 249α-β). Διαστάσεις (εσωτ.): μγ. μκ. 2, πλ. 0,90, σζ. ύψ. 0,52 μ.

Κάτω από ένα στρώμα με αραιούς λίθους και αρκετό χώμα εντοπίσθηκε το επίπεδο της ταφής πάνω στο φυσικό έδαφος. Ελάχιστα λείψανα μακρών οστών, πολύ φθαρμένων, εντοπίσθηκαν κατά μήκος του τάφου. Ανθρώπινα δόντια βρέθηκαν, επίσης, διάσπαρτα σ' όλο τον τάφο, τα περισσότερα συγκεντρωμένα προς τη βόρεια στενή πλευρά του. Από τη θέση των σωζόμενων οστών φαίνεται πως στην τελευταία χρήση του τάφου έχουμε δύο ταφές:

Μία ταφή διακρινόταν κατά μήκος της ανατολικής πλευράς του τάφου. Από το σκελετό του νεκρού διακρινόταν η σπονδυλική στήλη σε ορισμένα σημεία, τα μηριαία σχεδόν καλά, οι κνήμες ελαφρά μετατοπισμένες. Τα θραύσματα οστών χεριών, αν ήταν στη σωστή θέση, πρέπει να ήταν λυγισμένα στο στήθος. Από το κρανίο δε σώθηκε τίποτε, αλλά στην περιοχή του κεφαλιού βρέθηκαν ορισμένα δόντια.

Στη δυτική πλευρά του τάφου εντοπίσθηκαν λείψανα δύο ακόμη ταφών. Η ανθρωπολογική μελέτη διαπίστωσε λείψανα σκελετού ενός νέου ατόμου και επεσήμανε την ταφή ενός παιδιού, μόνο από τα λίγα δόντια που βρέθηκαν εκεί. Σε δύο θέσεις μέσα στον τάφο βρέθηκαν επίσης δόντια ζώου (Παράρτημα ΙΙ) (Σ χ έ δ. 32, αριθ. 14-16).

Τα κτερίσματα είναι αδύνατο να αποδοθούν με βεβαιότητα στις επιμέρους ταφές.

Ξεχωρίζουμε μόνο τέσσερις ομάδες αγγείων, συμπεριλαμβάνοντας σ' αυτές και τα μικροαντικείμενα που βρέθηκαν κοντά στα αγγεία, αλλά η διάκριση αυτή είναι συμβατική και δε δίνει στις ομάδες των κτερισμάτων τη χρονολογική αξία του κλειστού ευρήματος.

ΕΥΡΗΜΑΤΑ

Π ί ν. 87

Ομάδα Α'

1(Α1). Μόνωτο χειροποίητο ευρύστομο αγγείο Τπ. Ι, IV (62).
Λείπει ένα μέρος από το άνω σώμα και τη λαβή του αγγείου. Μία αυλάκωση στη βάση του λαιμού, δύο παράλληλες αυλακώσεις κάτω από το χείλος.
Πηλός Κτ. ΙΑ2
εξ. επ. Τ-λ
εσ. επ. Τ-λ
πρ. Τ
σζ. ύψ. 0,115, δμβ. 0,075, δμχ. 0,13 μ.

2(Α2). Θραύσματα μικρού κυπελλόσχημου αγγείου Τπ. Ι, IV (48).
Σώζεται μέρος από το άνω σώμα και το άνω τμήμα της λαβής. Δύο αυλακώσεις γύρω από την αρχή του λαιμού.
Πηλός Κτ. ΙΑ2
εξ. επ. ΤΜ-λ
εσ. επ. ΤΜ-λ
πρ. Τ
σζ. ύψ. 0,068 μ.

3(Α6). Χάλκινος σφηκωτήρας Τπ. Σφ. 4.
δμ. 0,015 μ.

4(Α12). Θραύσμα σιδερένιου εγχειριδίου Τπ.

Σχέδ. 32. Κάτοψη και τομή ταφικής συστάδας T14.

ΕVIII.
Σώζεται η αιχμή.
σζ. μκ. 0,04, μγ. πλ. 0,019 μ.

Ομάδα Β΄

5(Α4). Χειροποίητο κυπελλόσχημο αγγείο Τπ. Ι, IV (51).
Δύο παράλληλες αυλακώσεις γύρω από τη βάση του λαιμού.
Πηλός Κτ. ΙΑ2
εξ. επ. ΚΜ-λ
εσ. επ. ΚΜ-λ
πρ. ΚΕ
σζ. ύψ. 0,09, δμβ. 0,05, δμχ. 0,06 μ.

6(Α3). Θραύσματα χειροποίητης προχοΐσκης Τπ. Ι, VIIΔ (170).
Σώζεται τμήμα από τη βάση, το άνω σώμα και τη λαβή. Δύο παράλληλες αυλακώσεις γύρω από την αρχή του λαιμού και στο χείλος.
Πηλός Κτ. ΙΑ2
εξ. επ. ΚΜ-λ
εσ. επ. ΚΜ-λ
πρ. ΚΤ
συμπλ. σζ. ύψ 0,16, δμβ. 0,055 μ.

7(Α9). Πήλινο δικωνικό σφονδύλι Τπ. ΣΙΙΙ, 52.
Λείπει ένα μικρό μέρος από την περιφέρεια.
δμ. 0,035, ύψ. 0,02 μ.

8(Α5). Χάλκινη σωληνόμορφη ψήφος όρμου Τπ. Ψχ4.
Μκ. 0,012, δμ. 0,0035 μ.

Ομάδα Γ΄

9(Α10). Χειροποίητο κυπελλόσχημο αγγείο Τπ. Ι, IV (51).
Λείπει η βάση και ένα μικρό μέρος από το άνω σώμα. Δύο βαθιές αυλακώσεις ως χαράξεις γύρω από τη βάση του λαιμού.
Πηλός Κτ. ΙΑ2
εξ. επ. ΤΜ-λ
εσ. επ. ΤΜ-λ
πρ. Τ
ύψ. 0,102, δμβ. 0,055, δμχ. 0,062 μ.

10(Α13). Θραύσμα σιδερένιου εγχειριδίου Τπ. ΕVIII.
Σώζεται η προς τα άνω γυρισμένη αιχμή.
σζ. μκ. 0,03, μγ. πλ. 0,01 μ.

Ομάδα Δ΄

11(Α7). Θραύσματα μεγάλου χειροποίητου αγγείου Τπ. Ι, IV (80).
Σώζεται η βάση και μέρος από το σώμα με ένα τμήμα του ώμου και του χείλους. Απόφυση στο σωζόμενο τμήμα του ώμου. Δύο παράλληλες αυλακώσεις γύρω από τη βάση του λαιμού και στο χείλος.
Πηλός Κτ. ΙΒ1
εξ. επ. ΚΕ-λ
εσ. επ. ΚΕ-λ
πρ. ΚΤ
συμπλ. σζ. ύψ 0,13, δμβ. 0,075 μ.

Π ί ν. 88

12. Θραύσμα χειροποίητου αγγείου Τπ. Ι, IV (78).
Σώζεται τμήμα χείλους με τρεις παράλληλες αυλακώσεις. Πιθανόν από το ίδιο αγγείο και λαβή.
Πηλός Κτ. ΙΑ2
εξ. επ. ΚΜ-λ
εσ. επ. ΚΜ-λ
πρ. Κ
σζ. ύψ. 0,05 μ.

13. Θραύσμα τροχήλατου αγγείου.
Πηλός Κτ. ΙΙ, Γ ή ΙΙ, Α1.
σζ. ύψ. 0,02 μ.

14. Θραύσμα χειροποίητου αγγείου Τπ. Ι, IV.
Σώζεται τμήμα ώμου με μία αυλάκωση γύρω από την αρχή του λαιμού.
Πηλός Κτ. ΙΒ1
εξ. επ. ΚΕ-λ
εσ. επ. ΚΕ-λ
πρ. Κ
σζ. ύψ. 0,04 μ.

15(Α11). Θραύσματα αμφορέα Τπ. Ι, VIB (136).
Σώζεται μέρος από τη βάση και το άνω σώμα. Μολύβδινος σύνδεσμος. Δύο αυλακώσεις γύρω από τη βάση του λαιμού.
Πηλός Κτ. ΙΑ3
εξ. επ. ΚΜ-λ
εσ. επ. ΚΕ
πρ. ΚΤ
σζ. ύψ. 0,21 μ.

16. Θραύσμα λαβής χειροποίητου αγγείου Τπ. Ι, XII.
Πηλός Κτ. ΙΓ2
εξ. επ. Ε

εσ. επ. Ε
πρ. Ε
σζ. ύψ. 0,062 μ.

17. Θραύσμα από το χείλος χειροποίητου πιθόσχημου αγγείου Τπ. Ι, XII (211).
Πλαστική ταινία με «δακτυλιές» γύρω από το χείλος και κατακόρυφα στο λαιμό του αγγείου.
Πηλός Κτ. ΙΓ2
εξ. επ. ΚΕ
εσ. επ. ΚΕ
πρ. ΚΤ
σζ. ύψ. 0,04 μ.

18. Θραύσμα από την κοιλιά χειροποίητου πιθόσχημου αγγείου Τπ. Ι, XII.
Πηλός Κτ. ΙΓ2
εξ. επ. Ε
εσ. επ. Ε
πρ. Τ
σζ. ύψ. 0,05 μ.

ΤΑΦΟΣ Τ14Β

Ορθογώνιος κτιστός κιβωτιόσχημος τάφος, με προσανατολισμό Β.-Ν. (Σ χ έ δ. 33). Διαστάσεις (εσωτ.): μγ. μκ. 3, μγ. πλ. 1,50, μγ. ύψ. 0,48 μ. (Π ί ν. 250α-β).

Μετά την αφαίρεση του επιφανειακού στρώματος των αραιών λίθων και του χώματος που κάλυπτε τον τάφο, η εικόνα που παρουσίασε ο τάφος ήταν πολύ συγκεχυμένη. Σε όλο το εσωτερικό του τάφου υπήρχαν διάσπαρτα όστρακα αγγείων και ξεχώριζαν ορισμένα οστά (μηριαία και κνήμες ως επί το πλείστον), τελείως άτακτα ριγμένα, έτσι που ήταν αδύνατο να ξεχωρίσει κανείς επιμέρους ταφές (Π ί ν. 250β). Ανθρώπινα δόντια βρέθηκαν, επίσης, διάσπαρτα σε όλο το εσωτερικό του τάφου.

Η έρευνα του τάφου πραγματοποιήθηκε σε δύο φάσεις, με τη διαδοχική απομάκρυνση δύο στρωμάτων από το εσωτερικό του τάφου, χωρίς ωστόσο αυτό να σημαίνει πως υπήρχε καθαρή χρονολογική διάκριση ανάμεσα στα δύο στρώματα.

Στρώμα Ι: Σε όλη την επιφάνεια του τάφου ήταν διασκορπισμένα οστά και όστρακα. Ορισμένα από τα όστρακα έδωσαν μεγάλα θραύσματα αγγείων, κανένα όμως ακέραιο αγγείο. Δεν εντοπίσθηκε κανένας αδιατάρακτος νεκρός.

Στρώμα ΙΙ: Στο νότιο τμήμα του τάφου, όπου ο τάφος εξαιτίας της διαμόρφωσης του εδάφους παρουσίαζε κάποιο μεγαλύτερο πάχος επίχωσης, διαπιστώθηκε ένα στρώμα ΙΙ με οστά και θραύσματα αγγείων, κάτω από το στρώμα Ι. Και εδώ δεν εντοπίσθηκε αδιατάρακτη ταφή· τα οστά βρέθηκαν πεσμένα το ένα πάνω στο άλλο, ανάμεσα σε θραύσματα αγγείων. Από το στρώμα ΙΙ προέρχονται αγγεία, καθώς και θραύσματα δύο σιδερένιων εγχειριδίων.

Η αδικαιολόγητη εικόνα της διατάραξης, που εμφανίζει το στρώμα Ι, χωρίς να παρουσιάζει στοιχεία για την ταφή του τελευταίου νεκρού, πιθανόν οφείλεται στις δύο τελευταίες παιδικές ταφές, που δεν άφησαν ίχνη, παρά μόνο τα δόντια.

Η ανθρωπολογική μελέτη διαπίστωσε την ταφή πέντε ή και έξι ηλικιωμένων ατόμων, ενός παιδιού 6 μηνών και ενός παιδιού όχι μεγαλύτερου από 5 μηνών.

ΕΥΡΗΜΑΤΑ

Π ί ν. 89

1(Β1). Θραύσματα χειροποίητου ευρύστομου αγγείου Τπ. Ι, IV (55).
Σώζεται τμήμα από τη βάση, από το άνω σώμα με το λαιμό, το χείλος, καθώς και τμήμα γωνιόσχημης λαβής. Δύο αυλακώσεις γύρω από τη βάση του λαιμού, μία κάτω από την περιφέρεια του χείλους.
Πηλός Κτ. ΙΑ2
εξ. επ. ΚΤ-λ
πρ. Κ
σζ. ύψ. 0,115, δμβ. 0,07, δμχ. 0,16 μ.

2(Β6). Θραύσμα κατακόρυφης κυλινδρικής λαβής χειροποίητου αγγείου Τπ. Ι, VIII.
Πηλός Κτ. ΙΓ2
εξ. επ. ΚΕ
πρ. Κ
σζ. μκ. 0,065 μ.

3(Β9). Θραύσμα κατακόρυφης κυλινδρικής λαβής χειροποίητου αγγείου Τπ. Ι, VIII.
Πηλός Κτ. ΙΒ1
εξ. επ. Κ-λ
πρ. Κ
σζ. μκ. 0,065 μ.

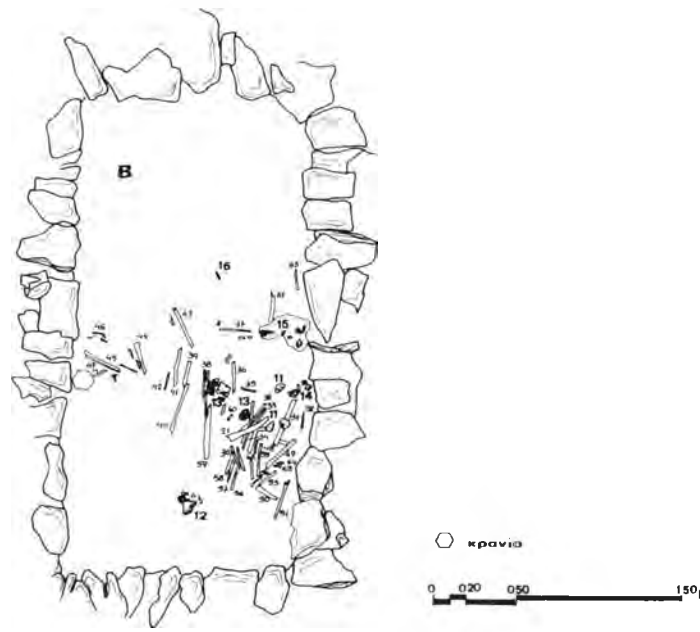

Σχέδ. 33. Στρώμα II του τάφου T14B.

4(B8). Θραύσματα χειροποίητου αγγείου Τπ. I, IV.
Σώζεται, κυρίως, η γωνιόσχημη λαβή· επίσης θραύσματα από το σώμα του αγγείου.
Πηλός Κτ. ΙΑ2
εξ. επ. ΚΜ-λ
πρ. ΚΜ
σζ. μκ. 0,12 μ.

5(B7). Θραύσμα κατακόρυφης λαβής χειροποίητου κυπελλόσχημου αγγείου Τπ. I, IV.
Πηλός Κτ. ΙΑ2
εξ. επ. Κ-λ
εσ. επ. Κ-λ
πρ. Κ
σζ. μκ. 0,05 μ.

6(B2). Θραύσματα χειροποίητου ευρύστομου αγγείου Τπ. I, IV (67).
Σώζεται τμήμα του ώμου και του λαιμού. Τρεις αυλακώσεις γύρω από τη βάση του λαιμού.
Πηλός Κτ. ΙΑ2
εξ. επ. Κ-ΚΜ
εσ. επ. Κ
πρ. Κ
συμπλ. ύψ. 0,105, δμβ. 0,06, δμχ. 0,138 μ.

7. Θραύσματα χειροποίητου ευρύστομου αγγείου Τπ. I, IV (48).
Σώζεται τμήμα από τον ώμο και το μεγαλύτερο μέρος της λαβής. Δύο αυλακώσεις γύρω από τη βάση του λαιμού.
Πηλός Κτ. ΙΑ2
εξ. επ. ΚΜ-λ
εσ. επ. Κ-λ
πρ. Κ
σζ. ύψ. 0,07, δμχ. 0,15 μ.

8(B3). Χειροποίητο ευρύστομο αγγείο Τπ. I, IV (94).
Λείπει ένα μεγάλο μέρος από το λαιμό και τη λαβή του αγγείου, καθώς και αποσπασματικά τμήματα από το κάτω σώμα. Δύο παράλληλες αυλακώσεις γύρω από τη βάση του λαιμού. Τρεις αποφύσεις σε κανονικά διαστήματα στον ώμο. Ζιγκ-ζαγκ αυλακωτή διακόσμηση γύρω στην απόφυση.
Πηλός Κτ. ΙΑ2
εξ. επ. Κ-λ
εσ. επ. Κ-λ
πρ. ΚΜ
σζ. ύψ. 0,12, δμβ. 0,065, δμχ. 0,15 μ.

9(B5). Θραύσματα χειροποίητου ευρύστομου αγγείου Τπ. I, IV (44).
Σώζεται τμήμα από το άνω σώμα και η βάση της λαβής. Δύο αυλακώσεις στη βάση του λαιμού.
Πηλός Κτ. ΙΒ1
εξ. επ. ΚΕ-λ
εσ. επ. ΚΕ-λ
πρ. ΚΤ
σζ. ύψ. 0,10, δμχ. 0,215 μ.

10. Θραύσμα από το χείλος ευρύστομου αγγείου Τπ. I, IV.
Δύο παράλληλες αυλακώσεις κάτω από το χείλος.
Πηλός Κτ. ΙΑ2
εξ. επ. ΚΜ
εσ. επ. ΚΜ
πρ. Τ
σζ. ύψ. 0,042 μ.

11(B4). Θραύσμα χειροποίητου ευρύστομου αγγείου Τπ. I, IV (35).
Σώζεται τμήμα από τον ώμο, το λαιμό και τη λαβή. Αυλακώσεις γύρω από τη βάση του λαιμού.
Πηλός Κτ. ΙΒ1
εξ. επ. ΚΕ-λ
εσ. επ. ΚΕ-λ
πρ. ΚΤ
σζ. ύψ. 0,08, δμχ. 0,28 μ.

12(B10). Άωτο χειροποίητο αγγείο Τπ. I, ΙΧΑ (190).
Ακέραιο.
Πηλός Κτ. ΙΒ2
εξ. επ. Κ
εσ. επ. Κ
πρ. Κ
σζ. ύψ. 0,105, δμβ. 0,045, δμχ. 0,12 μ.

Π ί ν. 90Α

13(B11). Χειροποίητο βαθύ αγγείο Τπ. I, IV (89).
Λείπει μέρος από το κάτω σώμα, καθώς και τμήμα της λαβής. Δύο αυλακώσεις γύρω από τη βάση του λαιμού και στην περιφέρεια του χείλους.
Πηλός Κτ. ΙΑ2
εξ. επ. Τ-λ
εσ. επ. Τ-λ
πρ. Τ
σζ. ύψ. 0,122, δμβ. 0,054 μ.

14(B14). Θραύσματα χειροποίητου μικρογραφικού κυπέλλου Τπ. I, IV (55).
Σώζεται τμήμα από το άνω σώμα. Δύο αυλακώσεις γύρω από την αρχή του λαιμού και κάτω από την περιφέρεια του χείλους.
Πηλός Κτ. ΙΑ1-2
εξ. επ. Κ-λ
εσ. επ. Κ-λ
πρ. Κ
σζ. ύψ. 0,066 μ.

15. Θραύσματα χειροποίητου κυπελλόσχημου αγγείου Τπ. I, IV (49).
Δύο αυλακώσεις γύρω από τη βάση του λαιμού.
Πηλός Κτ. ΙΑ2
εξ. επ. ΚΤ-λ
εσ. επ. ΚΤ-λ φθ
πρ. Τ
σζ. ύψ. 0,045 μ.

16(B13). Θραύσματα από χειροποίητο βαθύ ευρύστομο αγγείο Τπ. I, IV (47).
Λείπει ένα μεγάλο μέρος από το άνω σώμα κυρίως, καθώς και το μεγαλύτερο τμήμα της λαβής. Δύο αυλακώσεις γύρω από τη βάση του λαιμού. Τρεις αποφύσεις σε κανονικά διαστήματα στον ώμο.
Πηλός Κτ. ΙΑ2
εξ. επ. ΚΜ-λ
εσ. επ. ΚΜ-λ
πρ. ΚΕ
ύψ. 0,138, δμχ. 0,12 μ.

17(B12). Χειροποίητο κύπελλο Τπ. I, VIII (186).
Ακέραιο.
Πηλός Κτ. ΙΒ2
εξ. επ. Κ
εσ. επ. Κ
πρ. Κ
ύψ. 0,075, δμβ. 0,045, δμλ. 0,12 μ.

18(B15). Θραύσματα από χειροποίητο βαθύ αγγείο Τπ. I, IV (81).
Σώζεται τμήμα του σώματος και της λαβής. Δύο αυλακώσεις γύρω από τη βάση του λαιμού.
Πηλός Κτ. ΙΑ2
εξ. επ. ΤΜ-λ
εσ. επ. ΤΜ-λ
πρ. ΚΤ
σζ. ύψ. 0,12, δμβ. 0,075 μ.

19(B15). Θραύσματα χειροποίητου ευρύστομου αγγείου Τπ. I, IV.

Σώζεται τμήμα ώμου και λαβής. Αυλακωτή διακόσμηση στο άνω τμήμα της λαβής.
Πηλός Κτ. ΙΒ1
εξ. επ. ΚΕ-λ
εσ. επ. ΚΕ
πρ. Μ
σζ. ύψ. 0,048 μ.

20(Β16). Θραύσμα σιδερένιου εγχειριδίου Τπ. ΕVIII.
μγ. μκ. 0,045 μ.

21. Μολύβδινος σύνδεσμος αγγείου.
μκ. 0,135, πχ. τοιχωμάτων 0,01 μ.

Επίχωση (ΕΠ)

Πίν. 90Β

1-5. Θραύσματα χειροποίητων αγγείων Τπ. Ι (205-212).
Πηλός Κτ. ΙΓ.

6. Όστρακο μόνωτου ευρύστομου χειροποίητου αγγείου Τπ. Ι, IV.
Σώζεται μέρος του ώμου, όπου δύο παράλληλες αυλακώσεις.
Πηλός Κτ. ΙΑ3
εξ. επ. ΤΜ-λ
εσ. επ. ΚΤ
πρ. ΤΜ
σζ. ύψ. 0,08 μ.

7. Θραύσμα από το χείλος χειροποίητου αγγείου Τπ. Ι (199).
Πηλός Κτ. ΙΓ2
εξ. επ. ΚΕ
εσ. επ. ΚΕ
πρ. ΚΕ
σζ. ύψ. 0,02 μ.

8. Θραύσμα από το χείλος χειροποίητου αγγείου Τπ. Ι (205).
Πηλός Κτ. ΙΒ2
εξ. επ. ΚΕ
εσ. επ. ΚΕ
πρ. ΚΕ
σζ. ύψ. 0,03 μ.

9. Θραύσμα από το χείλος χειροποίητου αγγείου Τπ. Ι (199).
Πηλός Κτ. ΙΓ2
εξ. επ. ΚΕ
εσ. επ. ΚΕ
πρ. ΚΕ
σζ. ύψ. 0,02 μ.

10-14. Θραύσματα χειροποίητων αγγείων Τπ. Ι (205-212).
Πηλός Κτ. ΙΓ

Τάφος Τ15

Ο τάφος βρίσκεται 15 μ. προς ΒΔ. της ταφικής συστάδας Τ14 και 6 μ. προς Δ. του τάφου Τ12 (Σχέδ. Ι· Πίν. 251α). Ένας τυμβόσχημος λιθοσωρός κάλυπτε μια κτιστή ορθογώνια εξέδρα, η βόρεια και η δυτική πλευρά της οποίας διαγράφονταν καθαρά ανάμεσα στους ριχτούς λίθους (Πίν. 252α). Το στρώμα των λίθων, που κάλυπτε την άνω επιφάνεια της εξέδρας και προεκτεινόταν και έξω από τις παρειές του κτίσματος, πρέπει να αποτελούσε την υποδομή ενός τύμβου από χώμα, γιατί το χώμα που καλύπτει το λιθόστρωμα δε φαίνεται να προερχόταν από μεταγενέστερες επιχώσεις, αφού περιείχε προϊστορικά όστρακα.

Διαστάσεις τυμβόσχημου λιθοσωρού: μγ. μκ. 6,40, μγ. πλ. 4,20, μγ. ύψ. 0,70 μ. (Σχέδ. 34).

Μετά την απομάκρυνση του στρώματος των λίθων, αποκαλύφθηκε ότι η ορθογώνια κτιστή εξέδρα είχε ένα κυκλικό, περίπου, άνοιγμα στο εσωτερικό της. Διαστάσεις: μγ. μκ. 1,60, μγ. πλ. 1,60, μγ. ύψ. 0,60 μ. (Πίν. 251α, 252α-β).

Στο εγγεγραμμένο μέσα στο ορθογώνιο κτίσμα άνοιγμα οι ταφές πρέπει να πραγματοποιούνταν από πάνω. Το εσωτερικό του τάφου βρέθηκε γεμάτο με ριχτούς λίθους, ανάμεσα στους οποίους υπήρχε και μια μικρή ποσότητα χώματος. Κάτω από το στρώμα των λίθων βρέθηκαν ελάχιστα λείψανα από καμένα οστά, διάσπαρτα στο δάπεδο του τάφου. Τα αγγειακτερίσματα βρέθηκαν συγκεντρωμένα στο κέντρο του τάφου, θρυμματισμένα από το βάρος των λίθων που τα είχαν καλύψει (Πίν. 253α-β).

Από τα ελάχιστα θραύσματα των καμένων οστών, βεβαιώθηκε από την ανθρωπολογική έρευνα η ταφή ενός παιδιού στον τάφο.

Με την παιδική ταφή, που δεν είναι βέβαιο αν είναι και η μόνη στον τάφο, πρέπει οπωσδήποτε να συσχετισθεί το μικρογραφικό αγγείο 1.

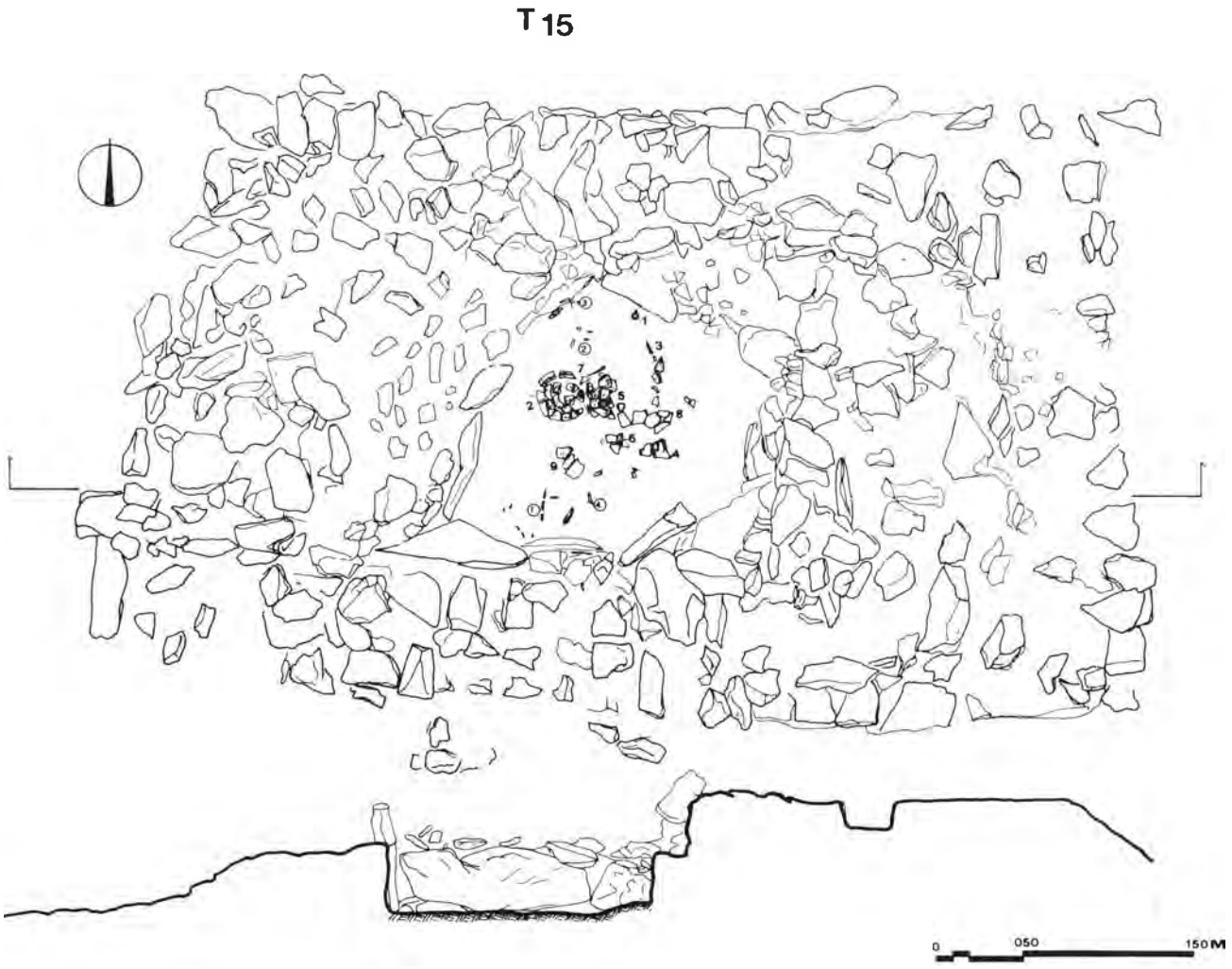

Σχέδ. 34. Κάτοψη και τομή τάφου Τ15.

Πίν. 91

1(Τ4). Θραύσματα από το άνω σώμα και το χείλος δίωτου χειροποίητου φιαλόσχημου αγγείου Τπ. Ι, ΙΙ (5).
Πηλός Κτ. ΙΑ2
εξ. επ. ΚΜ-Μ
εσ. επ. ΚΜ-Μ
πρ. Τ
συμπλ. ύψ. 0,14, δμχ. 0,45 μ.

2(Τ2). Χειροποίητο ευρύστομο αγγείο Τπ. Ι, IV (11).
Λείπει μικρό μέρος από το αγγείο.
Πηλός Κτ. ΙΒ2
εξ. επ. ΚΜ-ΚΕ
εσ. επ. ΚΜ-ΚΕ
πρ. Ε
ύψ. 0,12, δμβ. 0,08, δμχ. 0,22 μ.

3(Τ8). Χειροποίητο ευρύστομο αγγείο Τπ. Ι, IV (17).
Λείπει μικρό μέρος από το άνω κυρίως σώμα του αγγείου.
Πηλός Κτ. ΙΒ2
εξ. επ. ΚΕ
εσ. επ. ΚΕ
πρ. Κ-Μ
ύψ. 0,155, δμβ. 0,065, δμχ. 0,12 μ.

4(Τ1). Μικρογραφικό χειροποίητο κύπελλο Τπ. Ι, VIII (178).
Πηλός Κτ. ΙΓ2
εξ. επ. Ε
εσ. επ. Ε
πρ. Ε
ύψ. 0,045, δμβ. 0,02, δμχ. 0,03 μ.

5(Τ5). Θραύσματα μυκηναϊκού τροχήλατου σταμνίσκου Τπ. ΙΙ, Α1 (217).
Λείπει ένα μεγάλο μέρος από το σώμα και η μία από τις τρεις λαβές του αγγείου. Ίχνη ταινιωτής διακόσμησης διατηρούνται στο κάτω σώμα του αγγείου, γύρω από τη βάση (μαύρο χρώμα).
Πηλός Κτ. ΙΙΑ
ύψ. 0,11, ύψ. βάσης 0,03, δμβ. 0,042, δμχ. 0,057 μ.

6(Τ3). Χάλκινο εγχειρίδιο Τπ. ΕΙ, 5β.
Ευθύγραμμη ράχη, ευθύγραμμη ακμή, στενή αιχμή, ουρά χωρίς καρφιά, που εισέχει από την πλευρά της ακμής. Ένα καρφί για την προσήλωση της λαβής. Παραμορφωμένο το εγχειρίδιο από την πυρά.
μκ. 0,12, μγ. πλ. 0,02 μ.

Πίν. 92

7(Τ7). Θραύσματα αμφορέα Τπ. Ι, VIA (123).
Λείπει μέρος από το κάτω σώμα του αγγείου. Τέσσερις λαβές κατακόρυφες κυλινδρικές· ακανόνιστη αυλάκωση γύρω από την αρχή του λαιμού.
Πηλός Κτ. ΙΒ2
εξ. επ. ΚΕ
εσ. επ. ΚΕ
πρ. Τ
ύψ. 0,31, δμβ. 0,10, δμχ. 0,17 μ.

8(Τ6). Θραύσματα χειροποίητου φιαλόσχημου αγγείου Τπ. Ι, ΙΙ (4-5).
Λείπει το μεγαλύτερο μέρος του αγγείου και γι' αυτό το λόγο δεν προκύπτουν στοιχεία για το σχήμα.
Πηλός Κτ. ΙΒ2
εξ. επ. ΚΕ
εσ. επ. Κ
πρ. Τ
σζ. ύψ. λβ. 0,075 μ.

Επίχωση

Θραύσματα αγγείων βρέθηκαν διασκορπισμένα ανάμεσα στις πέτρες της λιθορριπής, που κάλυπτε τον τάφο. Ένας ορισμένος, επίσης, αριθμός οστράκων βρέθηκε έξω από τον τάφο, στον καθαρισμό του περιγράμματός του. Τα όστρακα αυτά προέρχονται χωρίς αμφιβολία από τα χώματα του τύμβου, που κάλυπτε τον τάφο. Το γεγονός ότι ορισμένα από τα όστρακα αυτά κόλλησαν στα θραύσματα των αγγείων, που βρέθηκαν στο εσωτερικό του τάφου (π.χ. αγγείο αριθ. 7), οδηγεί στην άποψη ότι ο τάφος είχε ανοιχθεί και διαταραχθεί για μεταγενέστερες ταφές.

Π ί ν. 92

9. Θραύσματα χειροποίητου φιαλόσχημου αγγείου Τπ. I, IV ή I, VIA.
Πηλός Κτ. IA2
εξ. επ. ΚΜ
εσ. επ. ΚΜ
πρ. ΚΤ
σζ. ύψ. 0,075 μ.
Βρέθηκε έξω από τον τάφο, στη νοτιοανατολική γωνία κρηπιδώματος.

10. Δύο θραύσματα από το χείλος χειροποίητου ανοικτού αγγείου Τπ. I, XII.
Πηλός Κτ. IB2
εξ. επ. ΚΕ
εσ. επ. ΚΜ
πρ. Κ
σζ. ύψ. 0,045 μ.
Βρέθηκε έξω από τον τάφο, στη νοτιοανατολική γωνία κρηπιδώματος.

11. Θραύσμα από το χείλος χειροποίητου αγγείου Τπ. I, XII (201).
«Νυχιές» πάνω στο χείλος.
Πηλός Κτ. IB2
εξ. επ. Κ
εσ. επ. ΚΜ
πρ. Κ
σζ. ύψ. 0,052 μ.
Βρέθηκε έξω από τον τάφο, στη νοτιοανατολική γωνία κρηπιδώματος.

12. Θραύσμα από το χείλος αγγείου Τπ. I, XII (201) (πρβλ. προηγούμενο).
Βρέθηκε έξω από τον τάφο, στη νοτιοανατολική γωνία.

13-15. Τρία θραύσματα από το σώμα χειροποίητου κλειστού αγγείου Τπ. I, VA (115).
Εγχάρακτη διακόσμηση από διακοπτόμενες γραμμές.
Πηλός Κτ. IA2
εξ. επ. ΚΕ
εσ. επ. ΚΕ
πρ. Κ
σζ. ύψ. 0,035 μ.

16. Θραύσμα από το σώμα χειροποίητου κλειστού αγγείου Τπ. I, VA (115).
Εγχάρακτη διακόσμηση (σπείρες).
Πηλός Κτ. IB2
εξ. επ. ΚΕ
εσ. επ. ΚΕ
πρ. Ε
σζ. ύψ. 0,037 μ.
Βρέθηκε στο στρώμα των λίθων πάνω από τον τάφο.

17. Θραύσμα από το χείλος χειροποίητου αγγείου Τπ. I, XI (198).
Εγχάρακτη και στικτή διακόσμηση.
Πηλός Κτ. IB2
εξ. επ. ΚΜ
εσ. επ. ΚΜ
πρ. Ε
σζ. ύψ. 0,03 μ.
Βρέθηκε στο στρώμα των λίθων πάνω από τον τάφο.

Τάφος Τ16

Ο τάφος βρίσκεται 40 μ. προς ΒΑ. του τάφου Τ13 (Σ χ έ δ. I). Ορθογώνιος υπέργειος, με κτιστές πλευρές και προσανατολισμό Β.-Ν. Άνοιγμα προς Ν. (Σ χ έ δ. 35· Π ί ν. 254α). Διαστάσεις τάφου (εξωτ.): μγ. μκ. 5, μγ. πλ. 4,60 μ.· (εσωτ.): μγ. μκ. 1,90, μγ. πλ. 0,90, μγ. ύψ. 0,90 μ.

Στο βόρειο τμήμα του τάφου σωζόταν κατά χώραν μια μεγάλη σχιστόπλακα από τις καλυπτήριες πλάκες της οροφής του τάφου (Π ί ν. 254β). Κάτω από τη σχιστόπλακα μεσολαβούσε ένα κενό, ύψους 0,40 μ. περίπου, και ακολουθούσε το γνωστό στρώμα των λίθων και του αραιού χώματος, που κάλυπτε το επίπεδο των ταφών.

Ανάμεσα στους λίθους του στρώματος αυτού βρέθηκαν ορισμένα χειροποίητα όστρακα. Τα θραύσματα, επίσης, των αγγείων 1 και 2 (Π ί ν. 94Β: 1) βρέθηκαν σ' αυτό το στρώμα των λίθων, ψηλότερα από το επίπεδο των ταφών.

Στο επίπεδο των ταφών εντοπίσθηκαν δύο, μερικά μόνο διαταραγμένες, ταφές σε περίπου παράλληλη θέση, με το κεφάλι προς Β. και τα σκέλη τεντωμένα. Η ανθρωπολογική μελέτη βεβαίωσε, ωστόσο, την ταφή τριών τουλάχιστον ατόμων και ξεχώρισε ανάμεσα σ' αυτές δύο παιδικές.

Στο εσωτερικό του τάφου βρέθηκε και θραύσμα από σιαγόνα αιγοπροβάτου (Παράρτημα II).

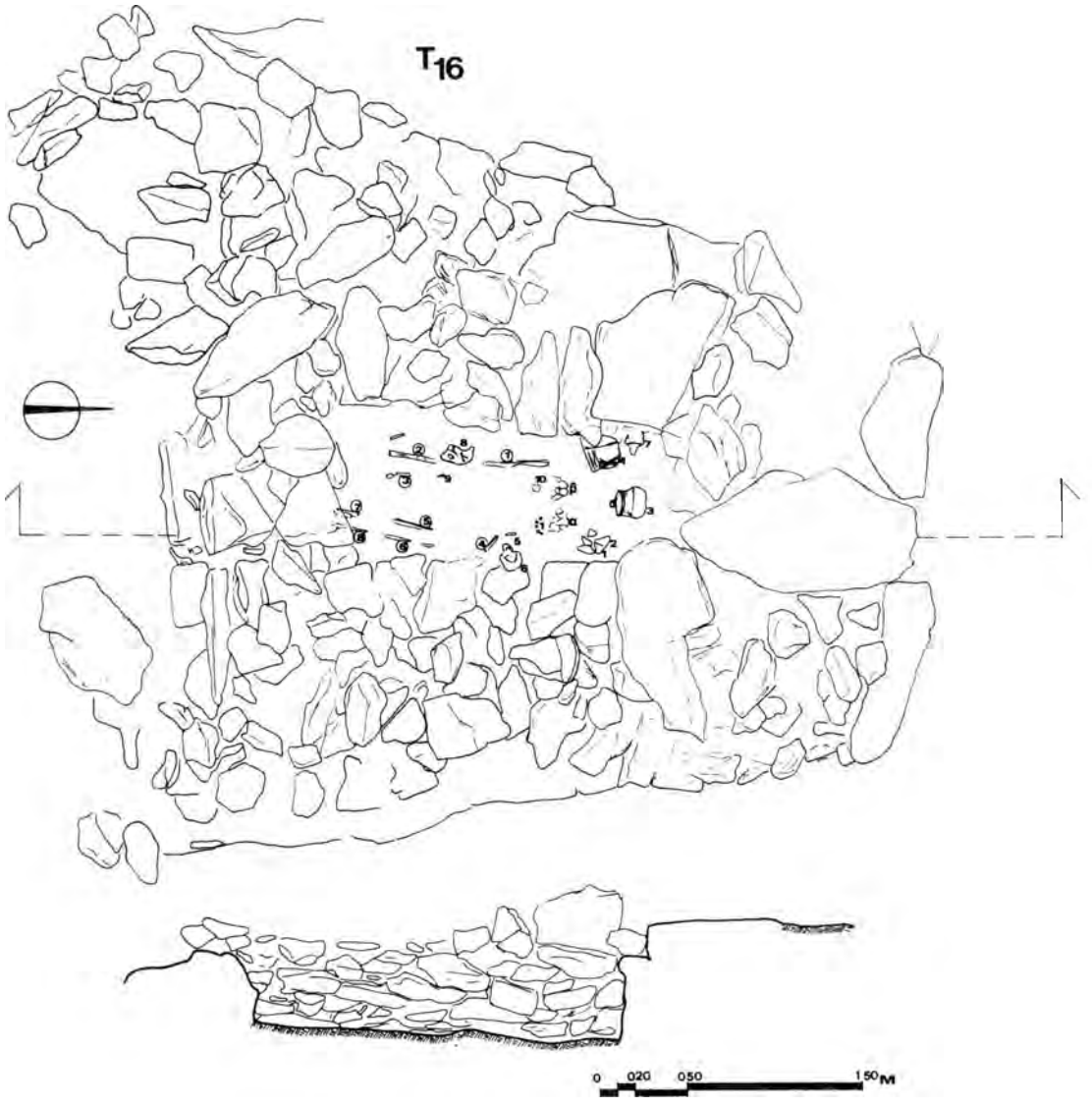

Σχέδ. 35. Κάτοψη και τομή τάφου Τ16.

Ταφή α. Στη δυτική πλευρά του τάφου. Από το νεκρό που είχε ταφεί με το κεφάλι προς Β. και τα σκέλη τεντωμένα, σώζονταν θραύσματα του κρανίου και θραύσματα μακρών οστών. Με την ταφή αυτή σχεδιάσθηκαν τα αγγεία 3, 4 και 7, που βρέθηκαν στη βορειοδυτική γωνία του τάφου, καθώς και το πήλινο σφονδύλι 10 (Π ί ν. 255α).

Ταφή β. Στην ανατολική πλευρά του τάφου. Από το νεκρό που είχε ταφεί σε παράλληλη θέση με το νεκρό α, σώζονταν ελάχιστα θραύσματα του κρανίου και των κάτω κυρίως άκρων. Με το νεκρό αυτό συσχετίσθηκαν τα αγγεία 5 και 6 (Π ί ν. 255β).

Ταφή γ. Λείψανα της ταφής αυτής εντοπίσθηκαν μόνο από την ανθρωπολογική έρευνα. Πιθανόν με την ταφή αυτή πρέπει να συνδεθεί το αγγείο 8 (Π ί ν. 255β). Το θραύσμα ενός σιδερέ-

νιου εγχειριδίου 9 δεν είναι βέβαιο αν ανήκει στην ταφή β ή στην ταφή γ. Ένα άλλο ενδεχόμενο αποτελεί ο συσχετισμός με την ταφή γ των θραυσμάτων του αγγείου 1 και του εγχειριδίου, που βρέθηκαν στο επιφανειακό στρώμα του τάφου (Π ί ν. 94Α). Στην περίπτωση αυτή, το αγγείο 8 και το εγχειρίδιο 9 πρέπει να αποδοθούν στην ταφή β. Πρέπει να σημειώσουμε, επίσης, την ανεύρεση δοντιών ζώου στον τάφο (Παράρτημα ΙΙ).

ΕΥΡΗΜΑΤΑ

Ομάδα Α′ - Ταφή α

Π ί ν. 93

1(Τ6). Χειροποίητο κυπελλόσχημο αγγείο Τπ. Ι, IV (102).
Ακέραιο, εκτός από μικρά απολεπίσματα. Χείλος ελαφρότατα λοξότμημο. Λαβή με καμπυλόγραμμη τροχιά, κυλινδρική στο κατακόρυφο τμήμα, ταινιωτή στο οριζόντιο. Ελαφρά απόφυση στον ώμο. Δύο παράλληλες αυλακώσεις γύρω από τη βάση του λαιμού και κάτω από το χείλος. Ζιγκ-ζαγκ αυλακωτή διακόσμηση στο σώμα του αγγείου.
Πηλός Κτ. ΙΑ2
εξ. επ. ΚΜ
εσ. επ. ΚΜ
πρ. Ε
ύψ. 0,077, δμβ. 0,045, δμχ. 0,065 μ.

2(Τ5). Θραύσματα μόνωτου χειροποίητου ευρύστομου αγγείου Τπ. Ι, IV (62).
Λείπει ένα μεγάλο μέρος από το σώμα και τη λαβή του αγγείου. Μία αυλάκωση γύρω από τη βάση του λαιμού και κάτω από το εξέχον χείλος.
Πηλός Κτ. ΙΑ2
εξ. επ. ΚΜ
εσ. επ. ΚΜ
πρ. Ε
σζ. ύψ. 0,095, συμπλ. ύψ. 0,12, δμχ. 0,17, μ.

Ομάδες Β′-Γ′ - Ταφές β-γ

Π ί ν. 93

3(Τ7). Χειροποίητο κύπελλο Τπ. Ι, IV (102).
Ακέραιο. Αυλακωτή διακόσμηση σε μετόπη στο λαιμό. Σειρά στικτών γραμμών ανάμεσα σε δύο αυλακώσεις γύρω από τη βάση του λαιμού. Ζιγκ-ζαγκ αυλακωτή διακόσμηση στο άνω σώμα του αγγείου.
Πηλός Κτ. ΙΑ2
εξ. επ. ΚΜ
εσ. επ. ΚΜ
πρ. Κ
ύψ. 0,08, δμβ. 0,04, δμχ. 0,07 μ.

4(Τ4). Μόνωτο χειροποίητο ευρύστομο αγγείο Τπ. Ι, IV (85).
Ακέραιο. Λαβή γωνιόσχημη με οριζόντιο ταινιωτό τμήμα, που εξέχει στη γωνία ως απόφυση. Αυλακωτή διακόσμηση σε μετόπη στο λαιμό. Στο κάτω πλαίσιο της μετόπης, γύρω από τη βάση του λαιμού, σειρά από στικτές γραμμές.
Πηλός Κτ. ΙΑ2
εξ. επ. ΚΜ
εσ. επ. ΚΜ
πρ. Κ
ύψ. 0,14, δμβ. 0,075, δμχ. 0,17 μ.

5(Τ3). Μόνωτο χειροποίητο ευρύστομο αγγείο Τπ. Ι, IV (60β).
Ακέραιο. Αυλακωτή γραμμή γύρω από τη βάση του λαιμού, αυλακωτή γραμμή κάτω από το χείλος.
Πηλός Κτ. ΙΑ2
εξ. επ. ΚΜ
εσ. επ. ΚΜ
πρ. ΚΜ
ύψ. 0,14, δμβ. 0,065, δμχ. 0,11 μ.

6(Τ8). Χειροποίητη οινοχόη Τπ. Ι, IV (174).
Χείλος ελαφρά λοξότμητο, λαβή κυλινδρική που υψώνεται λίγο από το χείλος. Τρεις αυλακώσεις γύρω από τη βάση του λαιμού, δύο κάτω από το χείλος.
Πηλός Κτ. ΙΑ2
εξ. επ. ΚΜ
εσ. επ. ΚΜ
πρ. Κ
ύψ. 0,135, δμβ. 0,045, δμχ. 0,065 μ.

7(Τ9). Θραύσμα σιδερένιου εγχειριδίου Τπ. ΕVIII.
μγ. μκ. 0,03 μ.

8(Τ10). Θραύσμα πήλινου σφονδυλιού Τπ. ΣΙ, 6β.
ύψ. 0,03, δμ. 0,03 μ.

Π ί ν. 94Α

9. Θραύσματα χειροποίητης μικρής οινο-

χόης Τπ. Ι, VIIE (177).
Σώζεται μέρος του σώματος στην περιοχή του ώμου. Κατηγορία χειροποίητης κεραμικής Ι, 1δ.
Πηλός Κτ. ΙΓ
εξ. επ. ΚΕ λ
εσ. επ. ΚΕ
πρ. ΚΕ
σζ. ύψ. 0,06 μ.

10. Θραύσμα σιδερένιου εγχειριδίου Τπ. EVII.
σζ. μκ. 0,045 μ.

11. Όστρακο χειροποίητου αγγείου με εγχάρακτη διακόσμηση Τπ. Ι, XI (198).
Πηλός Κτ. II B2
σζ. ύψ. 0,036 μ.

12. Όστρακο από το λαιμό τροχήλατου αγγείου (αμφορέως;). Ιστορικών χρόνων.
σζ. ύψ. 0,066 μ.

13. Όστρακο από τη βάση χειροποίητου αγγείου Κτ. 1.
εξ. επ. ΚΕ
εσ. επ. ΚΕ
πρ. Κ
σζ. ύψ. 0,03, δμβ. 0,126 μ.

Ε π ί χ ω σ η (ΕΠ)

Π ί ν. 94Β

1. Θραύσμα από το χείλος χειροποίητου αγγείου Τπ. Ι, IV.
Πέντε λεπτές παράλληλες αυλακώσεις κάτω από το χείλος.
Πηλός Κτ. ΙΑ2
εξ. επ. ΚΤ
εσ. επ. ΚΤ
πρ. ΚΕ
σζ. ύψ. 0,036 μ.

2. Θραύσματα από τη βάση και το χείλος μεγάλου αγγείου Τπ. XII.
Πιθανόν από το ίδιο αγγείο προέρχεται και τμήμα χείλους.
Πηλός Κτ. ΙΓ
εξ. επ. ΚΕ
εσ. επ. ΚΕ
πρ. Ε
δμβ. 0,195 μ.

3. Θραύσμα από τον ώμο και τη λαβή τροχήλατου αγγείου.
Πηλός Κτ. ΙΙΓ
εξ. επ. Ε
εσ. επ. Ε
πρ. Ε
σζ. ύψ. 0,045 μ.

4. Τέσσερα θραύσματα μεγάλων χειροποίητων αγγείων Τπ. Ι, XII.
Πλαστικές ταινίες με «δακτυλιές» στην αρχή λαιμού και ώμου.
Πηλός Κτ. ΙΓ3
εξ. επ. Κ
εσ. επ. Ε
πρ. Ε
σζ. ύψ. 0,02-0,03 μ.

5. Θραύσμα βάσης μεγάλου χειροποίητου αγγείου.
Πηλός Κτ. ΙΒ3
δμβ. 0,135 μ.

Ταφική συστάδα Τ17

Η ταφική συστάδα Τ17 βρίσκεται 30 μ. προς Δ. του τάφου Τ13 (Σ χ έ δ. Ι). Διαστάσεις ταφικής συστάδας (εξωτ.): μγ. μκ. 4,70, μγ. πλ. 4,30, ύψ. 1,10 μ.

Αποτελείται από ένα μεγάλο ορθογώνιο υπέργειο κτιστό τάφο, στη νότια πλευρά του οποίου έχει προσκολληθεί ένας μικρός ορθογώνιος υπέργειος, με κτιστές επίσης πλευρές και παράλληλο προσανατολισμό Α.-Δ. (Σ χ έ δ. ΙΙ· Π ί ν. 257α)

ΤΑΦΟΣ Τ17Α

Ορθογώνιος υπέργειος τάφος, με κτιστές πλευρές και προσανατολισμό Α.-Δ. (Σ χ έ δ. ΙΙ). Το εσωτερικό του τάφου είναι πλατύ και οι στενότερες πλευρές του εμφανίζουν μεγαλύτερο πάχος από τις μακρές. Από τις καλυπτήριες πλάκες της οροφής του τάφου ορισμένα θραύσματα βρέθηκαν στην αρχική τους θέση, όπως η μεγάλη πλάκα της ανατολικής πλευράς, που πατούσε ακόμη στο νότιο τοίχωμα του τάφου και είχε γείρει προς το εσωτερικό. Η πλά-

κα, επίσης, της βόρειας πλευράς είχε γείρει στο εσωτερικό του τάφου, ενώ μια πλάκα στη δυτική πλευρά πατούσε στη νοτιοδυτική γωνία του και την κάλυπτε λοξά, με κατεύθυνση προς το κέντρο του τάφου. Τέλος, μια μεγάλη σχιστόπλακα είχε πέσει έξω από το δυτικό τοίχο του τάφου (Π ί ν. 256α-β).

Κάτω, ωστόσο, από τα θραύσματα των μεγάλων σχιστολιθικών πλακών, που κάλυπταν χωρίς αμφιβολία την οροφή του τάφου, διαπιστώθηκε ότι ο τάφος ήταν γεμάτος με στρώμα λίθων, που μαζί με μια ποσότητα χώματος κάλυπτε το επίπεδο των ταφών (Π ί ν. 256β). Το πάνω στρώμα από το χώμα, που περιέχονταν στο στρώμα των λίθων, προερχόταν από τα οργανικά κατάλοιπα της βλάστησης που υπήρχαν πάνω στον τάφο. Στο βαθύτερο ωστόσο στρώμα, το χώμα δεν είχε πια το χαρακτηριστικό μαύρο χρώμα του επιφανειακού στρώματος, αλλά ήταν ερυθρωπό και σκληρό, όμοιο με το χώμα του φυσικού εδάφους, όπου είχαν εναποτεθεί οι νεκροί. Οι νεκροί είχαν καλυφθεί από μικρή ποσότητα χώματος και κυρίως από ένα παχύ στρώμα λίθων.

Στο εσωτερικό του τάφου είχαν πραγματοποιηθεί αλλεπάλληλες ταφές (Π ί ν. 257β). Η τελευταία, οπωσδήποτε, ταφή είναι η ταφή του κρανίου β, που έχει εναποτεθεί κατά μήκος της βόρειας πλευράς του τάφου, πάνω σε οστά προηγούμενων διαταραγμένων ταφών (Π ί ν. 258β). Οπωσδήποτε, για να εξασφαλισθεί χώρος για την ταφή β, φαίνεται ότι παραμερίσθηκαν στη νότια πλευρά του τάφου τα οστά και τα κτερίσματα των προηγούμενων ταφών, που τα χαρακτηρίσαμε Φάση ΙΙ (Π ί ν. 258α). Στο κέντρο περίπου του τάφου βρέθηκε μια όρθια πλάκα (Π ί ν. 256β, 257β, 258).

Από τη θέση ορισμένων οστών της νότιας πλευράς του τάφου, που φαίνονται ότι δεν είναι διαταραγμένα, αλλά κυρίως από το σωζόμενο κατά χώραν νεκρό της βόρειας πλευράς, προκύπτει ότι οι νεκροί θάβονταν κατά μήκος του τάφου με τα σκέλη τεντωμένα. Ο νεκρός της τελευταίας ταφής (κρανίου β) είχε εναποτεθεί ύπτιος, με το κεφάλι προς Δ., τα σκέλη τεντωμένα και τα χέρια λυγισμένα στο στήθος. Τα κτερίσματα που βρέθηκαν στον τάφο ξεχωρίζουν στις εξής ομάδες:

Στρώμα Ι:

Ομάδα Α′: Α16, Α21. Πιθανότατα πρέπει να αποδοθεί στην ταφή β.

Στρώμα ΙΙ:

Ομάδα Α′: Α9, Α19, Α17.

Ομάδα Β′: Α1, Α2, Α3, Α4.

Ομάδα Γ′: Α5, Α6, Α8, Α10.

Ομάδα Δ′: Α7, Α11.

Ομάδα Ε′: Α18, Α15.

Ομάδα ΣΤ′: Α12, Α13, Α14, Α20.

Πρέπει να σημειώσουμε ότι οι παραπάνω ομάδες δεν αποτελούν βέβαια κλειστά ευρήματα. Η γειτνίαση των κτερισμάτων είναι δυνατό να οφείλεται και στον παραμερισμό των κτερισμάτων. Ακόμη πιο αβέβαιη είναι η απόδοση των μικροαντικειμένων στις ομάδες των αγγείων.

Η ανθρωπολογική μελέτη των σκελετικών λειψάνων διαπίστωσε την ταφή 8-10 ατόμων στον τάφο: δύο παιδιών, μιας γυναίκας, ενός ανδρός και τεσσάρων έως έξι νεκρών, χωρίς στοιχεία φύλου (Παράρτημα Ια).

Βρέθηκαν, επίσης, θραύσματα οστών από μηριαίο μοσχαριού και από πρόσθιο σκέλος αιγοπροβάτου (Παράρτημα ΙΙ).

ΕΥΡΗΜΑΤΑ

Στρώμα ΙΙ

Ομάδα Α′

Π ί ν. 95

1(Α9). Χειροποίητος αμφορέας Τπ. Ι, VIΓ (129).
Ακέραιος.
Πηλός Κτ. ΙΑ2
εξ. επ. ΚΕ
εσ. επ. ΚΜ-λ

πρ. ΚΜ
ύψ. 0,21, δμβ. 0,08, δμχ. 0,101 μ.

2(Α19). Πήλινο δικωνικό σφονδύλι Τπ. ΣΙ, Ια.
ύψ. 0,03, δμ. 0,036 μ.

3(Α17). Τμήμα από χάλκινο ελικόσχημο κόσμημα Τπ. Εν.
σζ. μκ. 0,033 μ.

Ομάδα Β΄

4(Α2). Χειροποίητη οινοχόη με οπισθότμητη προχοή Τπ. Ι, VIIΓ (153).
Ακέραιη. Σειρά στικτών γραμμών γύρω από τη βάση του λαιμού.
Πηλός Κτ. ΙΑ2
εξ. επ. ΚΜ-λ
εσ. επ. ΚΜ
πρ. Κ
ύψ. 0,245, δμβ. 0,08, δμχ. 0,086 μ.

5(Α1). Χειροποίητος αμφορέας, με τρεις οριζόντιες λαβές στην κοιλιά, Τπ. Ι, VIΓ (125).
Σχεδόν ακέραιος. Πλαστική ταινία γύρω από την αρχή του λαιμού.
Πηλός Κτ. ΙΒ1
εξ. επ. ΚΕ
εσ. επ. ΚΕ
πρ. Κ
ύψ. 0,265, δμβ. 0,075, δμχ. 0,12, δμλ. 0,115 μ.

6(Α4). Άωτο χειροποίητο αγγείο-πυξίδα, με δύο οπές για ανάρτηση ή για πρόσδεση πώματος, Τπ. Ι, ΧΙΒ (115).
Δύο παράλληλες αυλακώσεις γύρω από τη βάση του λαιμού.
Πηλός Κτ. ΙΑ1-2
εξ. επ. ΚΜ-λ
εσ. επ. ΚΜ-λ
πρ. Κ
ύψ. 0,102, δμβ. 0,042, δμχ. 0,065 μ.

7(Α3). Θραύσματα μόνωτου χειροποίητου κύαθου Τπ. Ι, IV (99).
Σώζεται τμήμα από τη βάση και το άνω σώμα του αγγείου. Πιθανόν από το ίδιο αγγείο προέρχεται και θραύσμα γωνιόσχημης λαβής. Στον ώμο χαμηλές αποφύσεις και κοντές λοξές αυλακώσεις δίπλα στις αποφύσεις.
Πηλός Κτ. ΙΑ2-3
εξ. επ. Κ-λ
εσ. επ. Κ-λ
πρ. Τ
σζ. ύψ. 0,085, δμβ. 0,06 μ.

Ομάδα Γ΄

Π ί ν. 96

8(Α5). Μόνωτο χειροποίητο ευρύστομο αγγείο Τπ. Ι, IV (22).
Λείπει ένα μικρό μέρος από το κάτω σώμα.
Πηλός Κτ. ΙΑ2-3
εξ. επ. ΚΜ-λ
εσ. επ. ΚΜ-λ
πρ. ΚΤ
ύψ. 0,105, δμβ. 0,06, δμχ. 0,11 μ.

9(Α8,Α6). Θραύσματα μόνωτου χειροποίητου ευρύστομου αγγείου Τπ. Ι, IV (81).
Σώζεται τμήμα από το άνω σώμα. Δύο παράλληλες αυλακώσεις στη βάση του λαιμού και κάτω από την περιφέρεια του χείλους.
Πηλός Κτ. ΙΑ2
εξ. επ. ΚΜ-λ
εσ. επ. ΚΜ-λ
πρ. ΚΤ
σζ. ύψ. 0,13, δμχ. 0,14 μ.

10(Α10). Μόνωτο χειροποίητο ευρύστομο αγγείο Τπ. Ι, IV (61).
Λείπει ένα μέρος από το σώμα και τη λαβή του αγγείου. Μία αυλάκωση γύρω από την αρχή του λαιμού, δύο παράλληλες αυλακώσεις κάτω από το χείλος. Αυλακωτή διακόσμηση και στην άνω επιφάνεια του ταινιωτού τμήματος της λαβής.
Πηλός Κτ. ΙΑ2-3
εξ. επ. ΚΜ-λ
εσ. επ. ΤΜ
πρ. Τ
ύψ. 0,135, δμβ. 0,07, δμχ. 0,135 μ.

Ομάδα Δ΄

Π ί ν. 96

11(Α7). Χειροποίητος βαθύς κύαθος Τπ. Ι, IV (65).
Λείπει ένα μικρό μέρος από τη λαβή και το άνω σώμα του αγγείου. Μία αυλακωτή γραμμή γύρω από την αρχή του λαιμού, δύο αυλακώσεις κάτω από την περιφέρεια του χείλους.
Πηλός Κτ. ΙΑ2

εξ. επ. Κ
εσ. επ. ΚΤ
πρ. ΚΕ
ύψ. 0,125, δμβ. 0,06, δμχ. 0,125 μ.

12(Α11). Θραύσματα αμφορέα, με δύο οριζόντιες λαβές στην κοιλιά, Τπ. Ι, VΙΓ (126).
Σώζεται το άνω μέρος και ο λαιμός. Δύο οριζόντιες λαβές στον ώμο, ελαφρά λοξά τοποθετημένες. Μία χαμηλή αυλάκωση γύρω από τη βάση του λαιμού.
Πηλός Κτ. ΙΑ2-3
εξ. επ. ΚΜ
εσ. επ. ΚΜ
πρ. Κ
σζ. ύψ. 0,19, συμπλ. ύψ. 0,295, δμχ. 0,105, δμκ. 0,21 μ.

Ομάδα Ε΄

Π ί ν. 97

13(Α18). Θραύσματα μόνωτου χειροποίητου ευρύστομου αγγείου Τπ. Ι, IV (22).
Σώζεται μέρος από το άνω σώμα.
Πηλός Κτ. ΙΑ2
εξ. επ. ΚΜ
εσ. επ. Κ
πρ. Κ
σζ. ύψ. 0,075, συμπλ. δμχ. 0,135 μ.

14(Α15). Χάλκινη βελόνα.
σζ. μκ. 0,06 μ.

Ομάδα ΣΤ΄

Π ί ν. 97

15(Α13). Μόνωτο χειροποίητο ευρύστομο αγγείο Τπ. Ι, IV (80).
Λείπει ένα μέρος από το σώμα και η λαβή. Δύο παράλληλες αυλακώσεις κάτω από την περιφέρεια του χείλους και γύρω από τη βάση του λαιμού. Στον ώμο, έξι αποφύσεις σε κανονικά διαστήματα.
Πηλός Κτ. ΙΑ2
εξ. επ. ΚΜ-λ
εσ. επ. ΚΜ-λ
πρ. Τ
συμπλ. ύψ. 0,185, δμβ. 0,18 μ.

16(Α12). Μόνωτο χειροποίητο ευρύστομο αγγείο Τπ. Ι, IV (73).
Λείπει ένα μεγάλο μέρος από το σώμα του αγγείου. Αυλακωτή διακόσμηση σε μετόπη στο λαιμό.
Πηλός Κτ. ΙΑ2
εξ. επ. ΚΜ-λ φθ
εσ. επ. Τ
πρ. Ε
ύψ. 0,175, δμβ. 0,075, δμχ. 0,14 μ.

17(Α20). Χειροποίητη μικρή οινοχόη με οπισθότμητη προχοή Τπ. Ι, IV (170).
Ακέραιη. Δύο παράλληλες αυλακώσεις γύρω από την περιφέρεια του χείλους και στη βάση του λαιμού.
Πηλός Κτ. ΙΑ2
εξ. επ. ΚΜ-λ
εσ. επ. ΚΜ
πρ. Κ
ύψ. 0,12, δμβ. 0,04 μ.

18(Α14). Μόνωτο χειροποίητο ευρύστομο αγγείο Τπ. Ι, IV (58).
Ακέραιο. Η εξωτερική επιφάνεια του χείλους διαμορφώνεται σε μια πλαστική ταινία με χαμηλή έξαρση. Ανάλογη πλαστική ταινία τονίζει και τον ώμο του αγγείου.
Πηλός Κτ. ΙΑ2
εξ. επ. ΚΤ-λ
εσ. επ. Τ
πρ. Τ
ύψ. 0,19, δμβ. 0,09, δμχ. 0,265 μ.

Σ τ ρ ώ μ α Ι

Ομάδα Α΄

Π ί ν. 98Α

19(Α16). Μόνωτο χειροποίητο ευρύστομο αγγείο Τπ. Ι, IV (12).
Λείπουν ελάχιστα σημεία του σώματος του αγγείου.
Πηλός Κτ. ΙΑ2-3
εξ. επ. ΚΜ
εσ. επ. ΚΜ
πρ. Κ
ύψ. 0,11, δμβ. 0,08, δμχ. 0,02 μ.

20(Α21). Χάλκινο εγχειρίδιο Τπ. ΕV, 1α.
Ράχη ελαφρά κυρτή, ακμή ελαφρά κοίλη, ουρά που εισέχει από τις δύο πλευρές της λεπίδας και καταλήγει σε καμπυλόγραμμο πέρας.
μκ. 0,12 μ.

Α π ο θ έ τ η ς

Έξω από τη δυτική πλευρά του τάφου Τ17Α και κυρίως προς τη βορειοδυτική γωνία της ταφικής συστάδας βρέθηκαν θραύσματα αγγείων, τα οποία έδιναν την εικόνα όχι διάσπαρτων, αλλά συγκεντρωμένων στην περιοχή αυτή θραυσμάτων, που σχημάτιζαν ένα είδος αποθέτη. Τα περισσότερα από τα θραύσματα προέρχονταν από μεγάλα χειροποίητα αποθηκευτικά αγγεία, χωρίς να λείπουν ωστόσο και θραύσματα μικρότερων χειροποίητων αγγείων διατροφής (Π ί ν. 259α).

ΕΥΡΗΜΑΤΑ

Π ί ν. 98Β

1. Θραύσματα από τον ώμο και το λαιμό χειροποίητου αγγείου Τπ. Ι, IV.
Δύο παράλληλες αυλακώσεις γύρω από το μέσον του λαιμού, μία γύρω από τη βάση του λαιμού.
Πηλός Κτ. ΙΑ2
εξ. επ. ΚΜ-λ
εσ. επ. Κ
πρ. Κ
σζ. ύψ. 0,08 μ.

2. Θραύσμα από το λαιμό μεγάλου χειροποίητου αμφορέα Τπ. Ι, VIB (136).
Δύο παράλληλες αυλακώσεις γύρω από τη βάση του λαιμού. Από το ίδιο αγγείο σώζονται και άλλα θραύσματα.
Πηλός Κτ. ΙΒ2
εξ. επ. ΚΕ
εσ. επ. ΚΕ
πρ. ΚΕ
σζ. ύψ. 0,04 μ.

3. Θραύσμα από τον ώμο μόνωτου χειροποίητου ευρύστομου αγγείου Τπ. Ι, IV.
Ζιγκ-ζαγκ αυλακωτή διακόσμηση στον ώμο.
Πηλός Κτ. ΙΑ2
εξ. επ. ΜΤ-λ
εσ. επ. ΜΤ-λ
πρ. ΜΤ
σζ. ύψ. 0,05 μ.

4. Θραύσματα από τον ώμο μόνωτου χειροποίητου ευρύστομου αγγείου Τπ. Ι, IV.
Δύο αυλακώσεις γύρω από τη βάση του λαιμού, ζιγκ-ζαγκ αυλακωτή διακόσμηση στον ώμο.
Πηλός Κτ. ΙΑ2
εξ. επ. ΚΜ-λ φθ
εσ. επ. ΚΜ
πρ. ΚΜ
σζ. ύψ. 0,03 μ.

5. Θραύσμα από το χείλος χειροποίητου αγγείου Τπ. Ι, IV.
Εγχάρακτη διακόσμηση.
Πηλός Κτ. ΙΓ2
εξ. επ. Κ
εσ. επ. Κ
πρ. ΚΜ
σζ. ύψ. 0,02 μ.

6. Θραύσμα από το χείλος χειροποίητου αγγείου Τπ. Ι, VIII.
Πηλός Κτ. ΙΓ1
εξ. επ. ΚΕ-λ
εσ. επ. ΚΕ
πρ. ΚΕ
σζ. ύψ. 0,02 μ.

7. Θραύσμα από το χείλος χειροποίητου αγγείου Τπ. Ι, VIII.
Πηλός Κτ. ΙΑ2
εξ. επ. ΚΜ-λ
εσ. επ. ΚΜ-λ
πρ. Μ
σζ. ύψ. 0,025 μ.

8. Θραύσμα από το χείλος μικρής οινοχόης Τπ. Ι, VIIΔ.
Πηλός Κτ. ΙΒ1
εξ. επ. Κ
εσ. επ. ΚΜ
πρ. Μ
σζ. ύψ. 0,055 μ.

9. Θραύσμα βάσης χειροποίητου αγγείου Τπ. Ι, VIΓ ή Ι, VIIΓ.
Πηλός Κτ. ΙΑ2
εξ. επ. ΚΜ-λ
εσ. επ. ΚΜ
πρ. Κ
σζ. ύψ. 0,025 μ.

10. Θραύσμα λαβής αμφορέα Τπ. Ι, VIB.
Πηλός Κτ. ΙΓ3

εξ. επ. ΚΕ
εσ. επ. ΚΕ
πρ. ΚΕ
σζ. ύψ. 0,035 μ.

11. Θραύσματα από το χείλος χειροποίητου αγγείου Τπ. Ι, ΧΙΙ (199).
«Νυχιές» γύρω στο χείλος.
Πηλός Κτ. ΙΓ2
εξ. επ. ΚΕ
εσ. επ. ΚΕ
πρ. Ε
σζ. ύψ. 0,04 μ.

12. Θραύσμα από το χείλος αγγείου Τπ. ΧΙΙ (199).
«Νυχιές» γύρω στην περιφέρεια του χείλους.
Πηλός Κτ. ΙΓ2
εξ. επ. Κ
εσ. επ. Κ
πρ. Κ
σζ. ύψ. 0,025 μ.

13. Θραύσματα από το χείλος χειροποίητου αγγείου Τπ. Ι, ΧΙΙ (204).
Πλαστική ταινία με «δακτυλιές» κάτω από το χείλος.
Πηλός Κτ. ΙΓ2
εξ. επ. Μ (από καύση)
εσ. επ. Μ (από καύση)
πρ. Μ
σζ. ύψ. 0,075 μ.

14. Θραύσμα από το χείλος αγγείου Τπ. Ι, ΧΙΙ (203).
Πλαστική ταινία με «νυχιές» γύρω στο χείλος.
Πηλός Κτ. ΙΓ2
εξ. επ. Μ (από καύση)
εσ. επ. Μ (από καύση)
πρ. Κ
σζ. ύψ. 0,025 μ.

15. Θραύσματα από το χείλος αγγείου Τπ. Ι, ΧΙΙ (203).
«Νυχιές» γύρω στην περιφέρεια του χείλους.
Πηλός Κτ. ΙΓ2
εξ. επ. ΚΕ
εσ. επ. ΚΜ
πρ. ΚΜ
σζ. ύψ. 0,025 μ.

16. Θραύσμα από τον ώμο χειροποίητου αγγείου Τπ. Ι, ΧΙΙ.
«Νυχιές» γύρω από τη βάση του λαιμού.
Πηλός Κτ. ΙΒ1
εξ. επ. Κ
εσ. επ. ΚΜ
πρ. ΚΜ
σζ. ύψ. 0,055 μ.

17. Θραύσμα από το χείλος χειροποίητου αγγείου Τπ. Ι, ΧΙΙ (205).
Πλαστική ταινία με «δακτυλιές» κάτω από το χείλος.
Πηλός Κτ. ΙΓ2
εξ. επ. ΚΕ
εσ. επ. Ε
πρ. Ε
σζ. ύψ. 0,055 μ.

18. Θραύσματα από το χείλος χειροποίητου αγγείου Τπ. Ι, ΧΙΙ (205).
Πλαστική ταινία με «δακτυλιές» κάτω από το χείλος.
Πηλός Κτ. ΙΓ2
εξ. επ. ΚΕ
εσ. επ. ΚΕ
πρ. Κ
σζ. ύψ. 0,035 μ.

19. Θραύσμα από την κοιλιά χειροποίητου αγγείου Τπ. Ι, ΧΙΙ.
Πλαστική ταινία με «δακτυλιές» γύρω από την κοιλιά.
Πηλός Κτ. ΙΓ2
εξ. επ. ΚΕ
εσ. επ. ΚΕ
πρ. ΚΕ
σζ. ύψ. 0,045 μ.

20. Θραύσμα από την κοιλιά χειροποίητου αγγείου Τπ. Ι, ΧΙΙ.
Πλαστική ταινία με «δακτυλιές» γύρω από την κοιλιά.
Πηλός Κτ. ΙΓ2
εξ. επ. ΚΕ
εσ. επ. ΚΕ
πρ. ΚΕ
σζ. ύψ. 0,04 μ.

21. Θραύσμα από τον ώμο χειροποίητου αγγείου Τπ. Ι, ΧΙΙ.
Πλαστική ταινία με «δακτυλιές» γύρω από τον ώμο.
Πηλός Κτ. ΙΓ2
εξ. επ. ΚΕ
εσ. επ. ΚΕ
πρ. Κ
σζ. ύψ. 0,115 μ.

Εκτός από τα θραύσματα που περιγράψαμε παραπάνω και που απεικονίζονται στον Πίνακα 98Β, στο σωρό των οστράκων της νοτιοδυτικής γωνίας του τάφου Τ17Α υπήρχαν και άλλα θραύσματα αγγείων, τα οποία δεν έδιναν στοιχεία για το σχήμα των αγγείων.

Τα όστρακα αυτά κατατάχθηκαν στις εξής γενικές κατηγορίες:

Κτ. ΙΑ2: Πολύ μικρά θραύσματα από το σώμα αγγείων με λεπτά τοιχώματα. Συνολικό βάρος: 500 γρ.

Κτ. ΙΒ1: Πολύ μικρά θραύσματα από το σώμα ανοικτών αγγείων. Συνολικό βάρος: 100 γρ.

Κτ. ΙΑ2: Μικρά θραύσματα από το σώμα αγγείων. Συνολικό βάρος: 400 γρ.

Κτ. ΙΑ3: Μικρά θραύσματα από τον ίδιο πιθανόν χειροποίητο αμφορέα. Συνολικό βάρος 500 γρ., εξ. επ. Κ, εσ. επ. Ε, πρ. Κ.

Κτ. ΙΑ2: Θραύσματα από μεγάλα χειροποίητα ερυθρόχρωμα αγγεία. Συνολικό βάρος: 1000 γρ.

ΤΑΦΟΣ Τ17Β

Ορθογώνιο μικρό πρόσκτισμα στη νότια πλευρά του τάφου Τ17Α. Προσανατολισμός τάφου Α.-Δ. Διαστάσεις (εξωτ.): μκ. 2, πλ. 1,10, μγ. ύψ. 0,70 μ., (εσωτ.): μγ. μκ. 1,50, μγ. πλ. 0,80, μγ. ύψ. 0,70 μ. (Σ χ έ δ. ΙΙ).

Ο τάφος ήταν καλυμμένος με μια μεγάλη σχιστόπλακα, που πατούσε στη νότια μακρά και στις δύο στενές πλευρές του τάφου (Π ί ν. 259α). Η νότια μακρά πλευρά του τάφου είναι μια παχιά σχιστόπλακα, η δυτική στενή πλευρά του ένας χαμηλός κτιστός με σχιστολίθους τοίχος και η ανατολική στενή πλευρά του ένας όμοιος τοίχος, μέσα στον οποίο όμως έχει εντοιχισθεί μία μεγάλη στενόμακρη σχιστόπλακα, που εξείχε πάνω από την καλυπτήρια πλάκα της οροφής του τάφου (Π ί ν. 259α). Μια όρθια στενόμακρη σχιστόπλακα, που έβγαινε επίσης έξω από την καλυπτήρια πλάκα του τάφου, βρέθηκε στη βορειοδυτική γωνία του. Η σχιστόπλακα αυτή φαίνεται ότι είχε τοποθετηθεί μετά τις ταφές, γιατί πατούσε πάνω στα κτερίσματα των νεκρών (Π ί ν. 259β).

Κάτω από τη μεγάλη καλυπτήρια πλάκα, το εσωτερικό του τάφου βρέθηκε καλυμμένο με στρώμα λίθων, που περιείχε ελάχιστο χώμα. Κάτω από το στρώμα των λίθων εντοπίσθηκε το επίπεδο της ταφής πάνω σ' ένα μαλακό κιτρινέρυθρο χώμα, που βρισκόταν λίγα εκατοστά ψηλότερα από το φυσικό βράχο (0,15-0,20 μ.) (Π ί ν. 259β).

Τα ανθρωπολογικά λείψανα των ταφών ήταν ελάχιστα. Ο τάφος είχε χρησιμοποιηθεί αποκλειστικά για παιδικές ταφές, από τις οποίες σώθηκαν ελάχιστα σκελετικά λείψανα. Η μελέτη των σκελετικών αυτών λειψάνων προσδιόρισε την ταφή τουλάχιστον δύο παιδιών στον τάφο (Παράρτημα Ια), αλλά αν κρίνουμε από τις ομάδες των κτερισμάτων, που είναι τέσσερις, φαίνεται ότι στον τάφο είχαν εναποτεθεί περισσότερες παιδικές ταφές, τα οστά των οποίων έχουν διαλυθεί.

ΕΥΡΗΜΑΤΑ

Π ί ν. 99

Ομάδα Α'

1(Β1). Χειροποίητη μικρή οινοχόη με οπισθότμητη προχοή Τπ. Ι, VIIΔ (169).
Ακέραιη. Δύο αυλακώσεις γύρω από τη βάση του λαιμού και γύρω στην περιφέρεια του χείλους. Ζιγκ-ζαγκ αυλακωτή διακόσμηση στον ώμο.
Πηλός Κτ. ΙΑ2
εξ. επ. ΚΜ
εσ. επ. ΚΜ
πρ. Τ
ύψ. 0,11, δμβ. 0,06 μ.

2(Β2). Μόνωτο χειροποίητο ευρύστομο αγγείο Τπ. Ι, IV (87).

Λείπει μικρό τμήμα του χείλους. Στο λαιμό του αγγείου αυλακωτή διακόσμηση με δύο παράλληλες αυλακώσεις, που σχηματίζουν μετόπη.
Πηλός Κτ. ΙΑ2
εξ. επ. ΚΜ-λ
εσ. επ. ΚΜ-λ
πρ. Κ
συμπλ. ύψ. 0,105, δμβ. 0,54 μ.

3(Β12). Θραύσματα μικρού κυπελλόσχημου αγγείου Τπ. Ι, IV.
Σώζεται αποσπασματικά το σώμα. Αυλάκωση στη βάση του λαιμού.
Πηλός Κτ. ΙΒ2
εξ. επ. Κ
εσ. επ. Κ
πρ. Κ
συμπλ. ύψ. 0,086 μ.

4(Β13). Χειροποίητο ευρύστομο κυπελλόσχημο αγγείο Τπ. Ι, IV (32).
Χείλος ελαφρά λοξότμητο. Λαβή με καμπυλόγραμμη τροχιά. Μία αυλάκωση γύρω από τη βάση του λαιμού.
Πηλός Κτ. ΙΑ2-3
εξ. επ. Κ
εσ. επ. φθ
πρ. Κ
ύψ. 0,11, δμβ. 0,05 μ.

5(Β14). Χειροποίητο ευρύστομο κυπελλόσχημο αγγείο Τπ. Ι, IV (49).
Λείπει ένα μικρό μέρος από το χείλος και το λαιμό. Δύο αυλακώσεις γύρω από τη βάση του λαιμού.
Πηλός Κτ. ΙΑ2
εξ. επ. Κ
εσ. επ. Κ
πρ. ΚΕ
ύψ. 0,095, δμβ. 0,05, δμχ. 0,10 μ.

6(Β15). Χάλκινη ψήφος Τπ. Ψχ4.
σζ. μκ. 0,015, δμ. 0,03 μ.

7(Β16). Χάλκινη ψήφος Τπ. Ψχ4.
σζ. μκ. 0,015, δμ. 0,003 μ.

Ομάδα Β΄

8(Β4). Χειροποίητη προχοΐσκη με λοξότμητο χείλος Τπ. Ι, IV (22).
Ακέραιη.
Πηλός Κτ. ΙΑ2
εξ. επ. ΚΜ
εσ. επ. ΚΜ
πρ. Κ
ύψ. 0,10, δμβ. 0,045, δμλ. 0,07 μ.

9(Β3). Χειροποίητη προχοΐσκη με λοξότμητο χείλος Τπ. Ι, IV (22).
Ακέραιη.
Πηλός Κτ. ΙΑ2
εξ. επ. ΚΜ-λ
ύψ. 0,07, δμβ. 0,03, δμλ. 0,055 μ.

10(Β11). Θραύσμα χάλκινης ψήφου Τπ. Ψχ4.
δμ. 0,003, σζ. μκ. 0,012 μ.

Π ί ν. 100

Ομάδα Γ΄

11(Β5). Μόνωτο χειροποίητο ευρύστομο αγγείο Τπ. Ι, IV (50β).
Δύο παράλληλες αυλακώσεις στη βάση του λαιμού.
Πηλός Κτ. ΙΑ2
εξ. επ. ΚΜ
εσ. επ. ΚΜ
πρ. Κ
ύψ. 0,10, δμβ. 0,055, δμχ. 0,095 μ.

12(Β6). Χειροποίητη προχοΐσκη Τπ. Ι, VIIΔ (173).
Λείπει το άνω τμήμα του λαιμού και η λαβή.
Δύο αυλακώσεις γύρω από τη βάση του λαιμού.
Πηλός Κτ. ΙΑ2
εξ. επ. ΚΜ
εσ. επ. ΚΜ
πρ. Ε
ύψ. 0,075, δμβ. 0,04, δμλ. 0,05 μ.

13(Β9). Θραύσμα χάλκινου tutulus Τπ. Τ3γ.
Αυλακωτή διακόσμηση.
συμπλ. δμ. 0,03 μ.

Ομάδα Δ΄

14(Β17). Μόνωτο χειροποίητο ευρύστομο αγγείο Τπ. Ι, IV (99).
Τρεις αποφύσεις στον ώμο που πλαισιώνονται από αυλακωτή διακόσμηση. Μία αυλάκωση στη βάση του λαιμού και κάτω από την περιφέρεια του χείλους.
Πηλός Κτ. ΙΑ2
εξ. επ. ΚΜ-λ
εσ. επ. ΚΜ-λ
πρ. Κ

ύψ. 0,08, δμβ. 0,05, δμχ. 0,08 μ.

15(Β7). Χειροποίητο βαθύ κυπελλόσχημο αγγείο Τπ. Ι, IV (104).
Δύο παράλληλες αυλακώσεις γύρω από τη βάση του λαιμού. Ζιγκ-ζαγκ αυλακωτή διακόσμηση στον ώμο.
Πηλός Κτ. ΙΑ2
εξ. επ. ΚΜ-λ
εσ. επ. Κ
πρ. Κ
ύψ. 0,105, δμβ. 0,05, δμχ. 0,07 μ.

16(Β8). Χειροποίητη μικρή οινοχόη με λοξότμητο χείλος Τπ. Ι, IV (173).
Δύο παράλληλες αυλακώσεις γύρω από τη βάση του λαιμού.
Πηλός Κτ. ΙΑ2
εξ. επ. ΚΜ-λ
εσ. επ. Κ
ύψ. 0,16, δμβ. 0,012, δμλ. 0,08 μ.

17(Β10). Θραύσμα χάλκινης σύριγγας Τπ. Σρ. 1.
δμ. 0,003, σζ. μκ. 0,018 μ.

18(Β18). Θραύσματα μόνωτου ευρύστομου μεγάλου αγγείου Τπ. Ι, IV (112).
Σώζεται τμήμα του ώμου και του λαιμού. Στον ώμο δύο αντωπές αποφύσεις. Στο λαιμό, κατά διαστήματα, κατακόρυφες συστάδες από δύο παράλληλες αυλακωτές γραμμές.
Πηλός Κτ. ΙΑ2
εξ. επ. ΚΜ
εσ. επ. ΚΜ
πρ. ΚΜ
σζ. ύψ. 0,07, δμ. ώμου 0,21 μ.

19(Β19). Θραύσμα γωνιόσχημης λαβής χειροποίητου αγγείου Τπ. Ι, IV.
Σώζεται το κατακόρυφο κυλινδρικό στέλεχος της λαβής και η αρχή του άνω ταινιωτού τμήματος.
Πηλός Κτ. ΙΒ1
εξ. επ. Κ-ΚΕ
εσ. επ. ΚΕ
πρ. Ε
σζ. ύψ. 0,075 μ.

Τάφος Τ18

Μεγάλος κτιστός θαλαμοειδής τάφος με προσκτίσματα στη βόρεια και στη δυτική πλευρά του. Διαστάσεις τάφου (εξωτ.): μγ. μκ. 4,30, μγ. πλ. 3,70, μγ. ύψ. 0,90 μ. Ο τάφος βρίσκεται σε απόσταση 35 μ. προς ΝΑ. της ταφικής συστάδας Τ14.

Η κάτοψη του τάφου είναι ένα ακανόνιστο ορθογώνιο, που προσεγγίζει τον κύκλο στο εσωτερικό του κυρίως περίγραμμα (Σ χ έ δ. 36-37). Οι πλευρές του είναι κτιστοί με μικρές σχιστόπλακες τοίχοι, στους οποίους ωστόσο ενσωματώνονται κατά διαστήματα μεγάλες σχιστόπλακες, που εξέχουν πάνω από την επιφάνεια του εδάφους (Π ί ν. 260α).

Ο τάφος καλυπτόταν με μεγάλες καλυπτήριες πλάκες, που βρέθηκαν σπασμένες και πεσμένες στο εσωτερικό του. Η είσοδος του τάφου βρίσκεται στη νότια πλευρά (Π ί ν. 260β). Στη δυτική πλευρά του τάφου έχουν προσαρτηθεί δύο ορθογώνιες θήκες με χαμηλούς κτιστούς τοίχους που περιείχαν αντίστοιχα δύο ταφές σε πίθους, Τ18Π3 και Τ18Π2 (Π ί ν. 261β). Ένας τρίτος ταφικός πίθος (Τ18Π1) βρέθηκε στη βορειοδυτική γωνία του τάφου μαζί μ' ένα σύνολο θραυσμάτων αγγείων, γύρω από τον πίθο (Π ί ν. 261α). Στη νότια πλευρά του τάφου και κυρίως στην περιοχή δυτικά από την είσοδο του τάφου βρέθηκε ένας μεγάλος σωρός με θραύσματα αγγείων (ΑΠ). Τα θραύσματα προέρχονται από μεγάλα αποθηκευτικά αγγεία, καθώς και από αγγεία διατροφής. Είναι όμως αξιοσημείωτο ότι ανάμεσα στο σωρό των οστράκων αυτών βρέθηκαν και θραύσματα ειδωλίων (Σ χ έ δ. 37· Π ί ν. 261β, 271β). Όστρακα διάσπαρτα βρέθηκαν επίσης και στις άλλες πλευρές του τάφου, αλλά εκεί δε σχηματίζεται εμφανής σωρός, όπως έξω από τη νοτιοδυτική γωνία του τάφου.

Κάτω από τις καλυπτήριες πλάκες της οροφής, που βρέθηκαν μετακινημένες στο εσωτερικό του τάφου, διαπιστώθηκε ένα στρώμα που περιείχε πολλούς λίθους, μεγάλους και μικρούς, και μια αρκετά μεγάλη ποσότητα χώματος σε σύγκριση με το αντίστοιχο στρώμα λίθων άλλων τάφων (Π ί ν. 260β).

Το επίπεδο της ταφής εντοπίσθηκε σε βάθος 0,20-0,25 μ. κάτω από τις πεσμένες καλυπτήριες πλάκες. Με τη συνέχεια της ανασκαφής διαπιστώθηκε ότι οι αλλεπάλληλες ταφές, που είχαν πραγματοποιηθεί διαδοχικά στον τάφο, είχαν δημιουργήσει ένα παχύ στρώμα επάλλη-

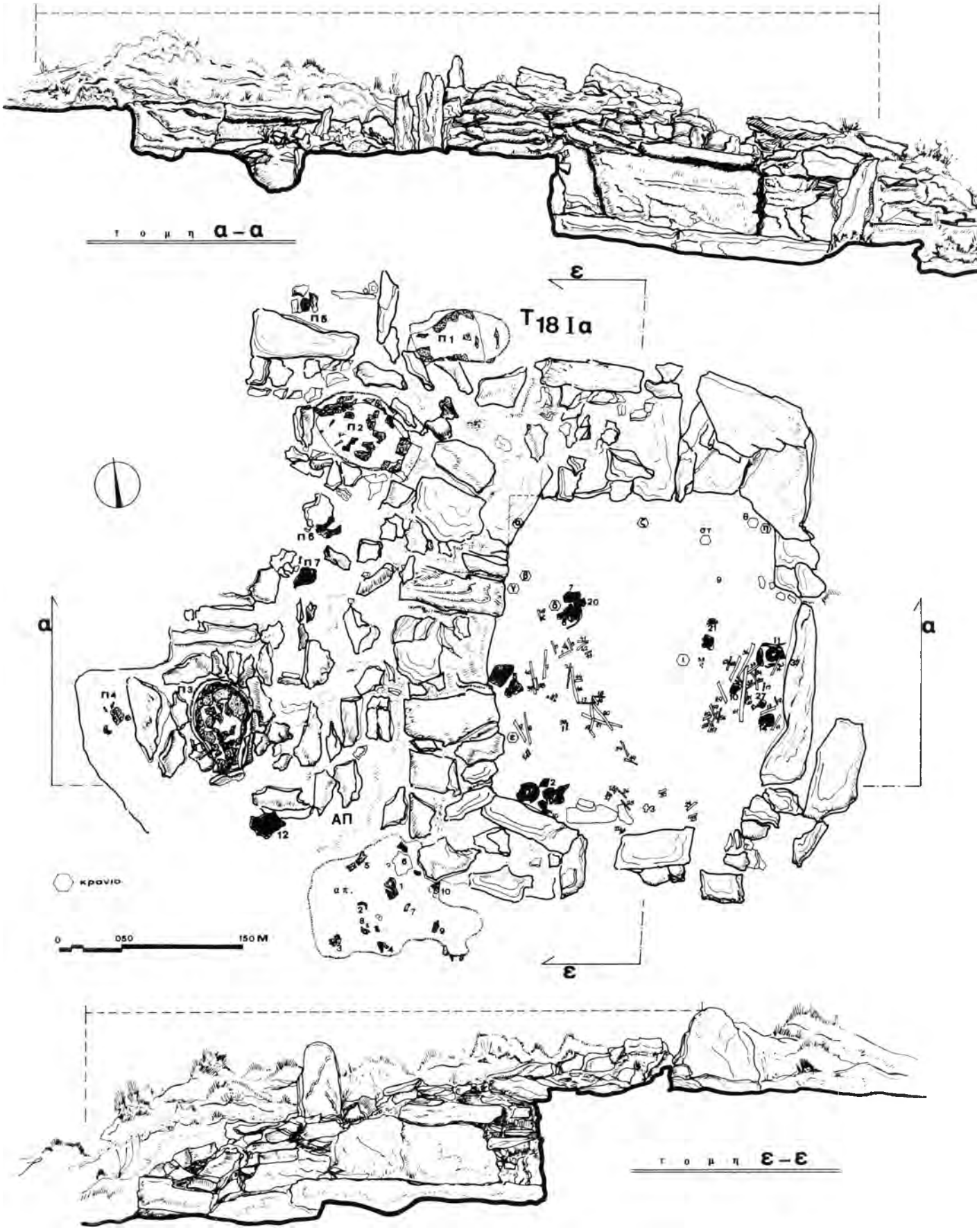

Σχέδ. 36. Κάτοψη και τομές τάφου Τ18.

λων ταφών, που έδινε τη δυνατότητα για τη μελέτη μιας κάθετης στρωματογραφίας στον τάφο.

Στο στρώμα αυτό της εσωτερικής επίχωσης του τάφου, που είχε πάχος 0,80-1 μ., διαπιστώθηκαν και επάλληλες ταφές, αλλά και παραμερισμός των οστών και των κτερισμάτων των προγενέστερων ταφων προς τις γωνίες του τάφου.

Η ανθρωπολογική έρευνα εντόπισε την ταφή 90 τουλάχιστον ατόμων με δυνατότητες να ανέβει ακόμη περισσότερο ο αριθμός αυτός. Πρέπει να σημειώσουμε ότι στο εσωτερικό του τάφου βρέθηκαν πολλές παιδικές ταφές, τα σκελετικά λείψανα των οποίων είναι κατά κανόνα ελάχιστα.

Η εναπόθεση διαδοχικών ταφών και η μακρόχρονη χρήση του τάφου, που προκάλεσε μετακινήσεις των οστών και των κτερισμάτων των προγενέστερων ταφών, κατήργησε τη δυνατότητα για την επισήμανση βέβαιων κλειστών ευρημάτων, που θα μπορούσαν να αποδοθούν σε συγκεκριμένες ταφές.

Η ανασκαφή, ωστόσο, του τάφου επιδίωξε τη διάσωση της συσχέτισης των ευρημάτων, όπως εμφανίζονταν στα επιμέρους στρώματα του τάφου, καθώς και τη διατήρηση των στοιχείων της κάθετης στρωματογραφίας.

Ξεχώρισαν έτσι τα επιμέρους στρώματα ταφών (I-VI) και κρατήθηκαν οι ομάδες των κτερισμάτων, που εμφανίζονταν σε κάθε στρώμα ως πιθανά κτερίσματα μιας ταφής ή ταφών με μικρή μεταξύ τους χρονολογική διαφορά.

Οι ομάδες αυτές των κτερισμάτων αποτελούνται κυρίως από αγγεία, γιατί τα μικροαντικείμενα είναι πολύ ευκολότερο να μετακινηθούν στα διαδοχικά ανοίγματα του τάφου. Τα κτερίσματα που δεν ανήκουν σε ομάδες οπωσδήποτε, προσδιορίζονται μόνο από το στρώμα στο οποίο ανήκουν. Σχετικά με την οριζόντια στρωματογραφία του τάφου, πρέπει να σημειώσουμε ότι οι νεότερες ταφές έχουν πραγματοποιηθεί στο νότιο τμήμα του τάφου, ενώ προς τη βόρεια πλευρά σημειώνονται οι παραμερισμένες ταφές, που είναι και οι αρχαιότερες. Πρέπει, επίσης, να σημειώσουμε ότι στο νεότερο επίπεδο ταφής (στρώμα I) δεν εντοπίσθηκε η τελευταία χρονικά ταφή του τάφου, που έπρεπε να ήταν αδιατάρακτη (Π ί ν. 262α).

Αξιοσημείωτος είναι ο εντοπισμός ιχνών καύσης πάνω σε πολλά οστά (Παράρτημα Ια). Τα ίχνη αυτά πρέπει να συσχετισθούν με πυρές, που ανάβονταν στο εσωτερικό του τάφου και οι οποίες πρέπει να σχετίζονται με κάποια τελετουργία, πιθανότατα καθαρμού, πριν από την εναπόθεση νέας ταφής.

Στα διάφορα στρώματα ταφών βρέθηκαν, επίσης, οστά και δόντια ζώων (πρβλ. Παραρτήματα Ια και ΙΙ, όπου σημειώνεται η παρουσία οστών μοσχαριού, αιγοπροβάτων, χοίρου). Αξιοσημείωτη είναι η ανεύρεση μικρών θραυσμάτων εκκαμινευτικών σκουριών χαλκού, στο εσωτερικό του τάφου (Παράρτημα VIIIβ).

Στρώμα I

Σε βάθος 0,20-0,25 μ., κάτω από τα θραύσματα των μεγάλων καλυπτήριων πλακών της οροφής, που βρέθηκαν πεσμένα στο εσωτερικό του τάφου, και μετά από ένα στρώμα που περιείχε πολλούς λίθους και χώμα, εντοπίσθηκε το νεότερο στρώμα ταφών του τάφου Τ18 (Στρώμα I· Π ί ν. 262α).

Στη βόρεια πλευρά του τάφου ήταν καθαρή η εικόνα των παραμερισμένων κτερισμάτων προγενέστερων ταφών. Ο παραμερισμός είχε πραγματοποιηθεί για να εξασφαλισθεί χώρος για τις νεότερες ταφές της νότιας πλευράς του τάφου.

Σαφή ίχνη της τελευταίας χρονολογικά ταφής του τάφου δεν εντοπίσθηκαν. Ελάχιστα ίχνη οστών, που βρέθηκαν κατά μήκος της δυτικής πλευράς του τάφου, ανήκαν πιθανότατα στην ταφή αυτή, αλλά δεν έδιναν την εικόνα αδιατάρακτης ταφής. Οπωσδήποτε, όμως, με την τελευταία χρονικά ταφή του τάφου πρέπει να συσχετισθεί η ομάδα των τριών αγγείων 1, 2, 19, που βρέθηκαν συγκεντρωμένα στη νοτιοδυτική γωνία, στα δυτικά της εισόδου του τάφου (Π ί ν. 262β).

Με βάση τα ανασκαφικά ευρήματα και την εικόνα που παρουσίαζε το επίπεδο της ταφής του στρώματος I, ξεχώρισαν δύο επιμέρους φάσεις στο στρώμα αυτό:

Φάση Ια: Σ' αυτήν ανήκουν κτερίσματα και ανθρωπολογικά λείψανα ταφών, που είχαν

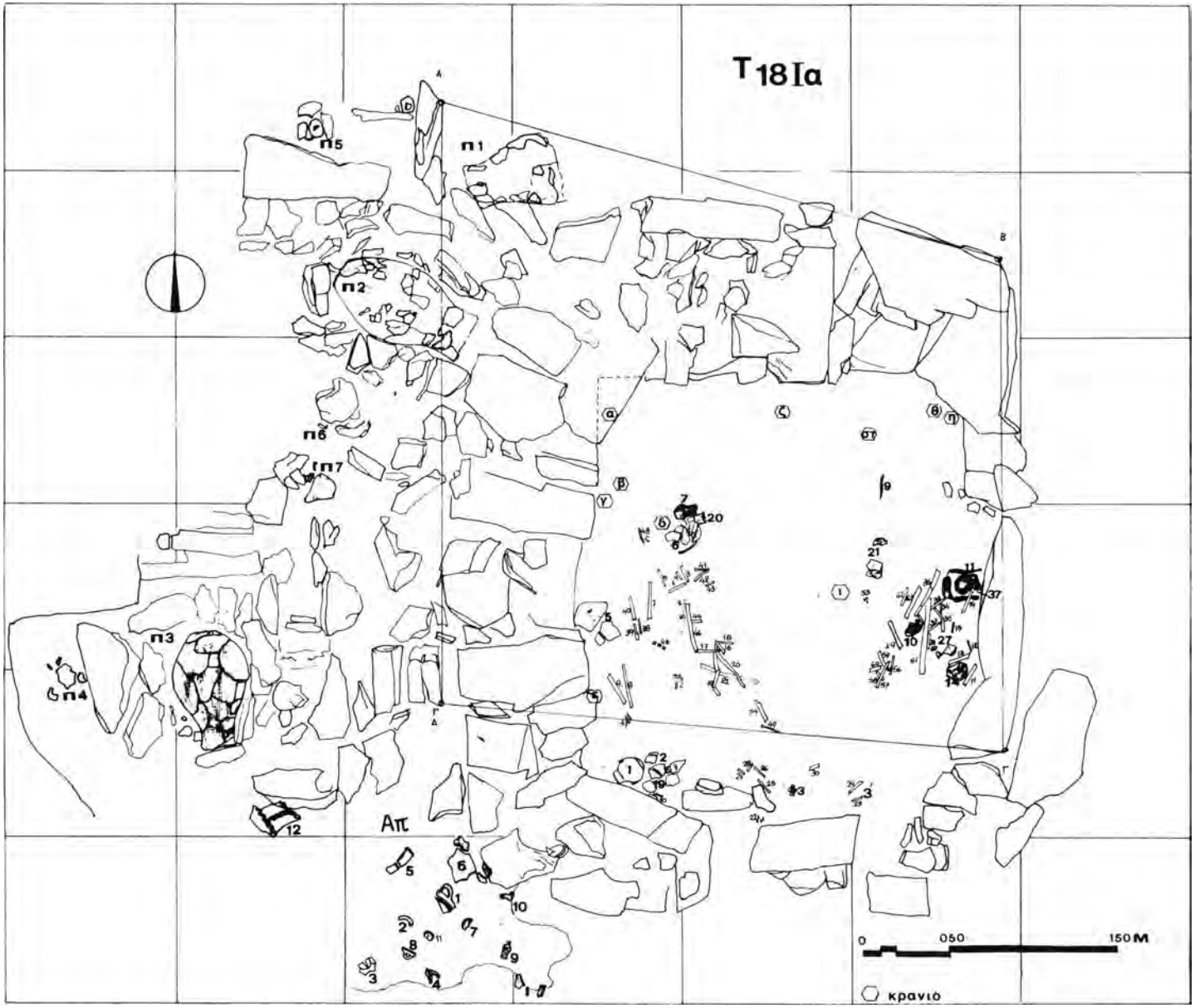

Σχέδ. 37. Στρώμα Ια του τάφου Τ18.

εναποτεθεί στη νότια και στη δυτική πλευρά, καθώς και στη βορειοδυτική περιοχή του τάφου (Σ χ έ δ. 37· Π ί ν. 263α-β, 265α-β).

Φάση Ιβ: Σ' αυτή τη φάση ανήκουν τα κτερίσματα, που βρέθηκαν προς τη βόρεια και την ανατολική πλευρά του τάφου και τα οποία πρέπει να προέρχονταν από παραμερισμένες ταφές (Σ χ έ δ. 38· Π ί ν. 264α-β).

ΕΥΡΗΜΑΤΑ

Στρώμα Ια

Ομάδα Α'

Πίν. 101

1(2). Μόνωτο χειροποίητο ευρύστομο αγγείο Τπ. Ι, IV (80).
Σχεδόν ακέραιο. Λείπουν ελάχιστα σημεία από το σώμα του αγγείου. Δύο παράλληλες αυλακώσεις κάτω από την περιφέρεια του χείλους και γύρω από τη βάση του λαιμού. Αυλακωτή διακόσμηση στο ταινιωτό και στο κυλινδρικό τμήμα της γωνιόσχημης λαβής.
Πηλός Κτ. ΙΑ2
εξ. επ. ΚΤ-λ
εσ. επ. ΚΜ-λ
πρ. ΚΜ
ύψ. 0,185, δμβ. 0,065, δμχ. 0,19 μ.

2(19). Μόνωτο χειροποίητο ευρύστομο αγγείο Τπ. Ι, IV (73).
Λείπει ένα μέρος από το άνω μέρος του αγγείου με το λαιμό και το χείλος. Αυλακωτή διακόσμηση σε μετόπη στο λαιμό, ζιγκ-ζαγκ αυλακωτή διακόσμηση στον ώμο του αγγείου. Αυλακωτή διακόσμηση και στη γωνιόσχημη λαβή του αγγείου, στο κυλινδρικό και στο ταινιωτό τμήμα.
Πηλός Κτ. ΙΑ2
εξ. επ. Κ-λ
εσ. επ. Κ-λ
πρ. Κ
ύψ. 0,12, δμβ. 0,06 μ.

3(1). Χειροποίητος αμφορέας με οριζόντιες λαβές στην κοιλιά Τπ. Ι, VIΓ (124β).
Λείπει ένα μικρό μέρος από την κοιλιά.
Πηλός Κτ. ΙΑ2
εξ. επ. Κ-λ
εσ. επ. ΚΜ
πρ. Τ
ύψ. 0,192, δμβ. 0,054, δμχ. 0,104, δμλ. 0,095 μ.

Ομάδα Β'

Πίν. 102

4(6). Μόνωτο χειροποίητο βαθύ ευρύστομο αγγείο Τπ. Ι, VI (109).
Λείπει ένα μέρος από το άνω σώμα του αγγείου, τμήμα λαιμού και χείλους. Μία αυλακωτή γραμμή γύρω από τη βάση του λαιμού, λοξές ραβδώσεις στον ώμο (rippled).
Πηλός Κτ. ΙΑ2
εξ. επ. ΚΜ-λ
εσ. επ. ΚΜ-λ
πρ. Τ
ύψ. 0,22, δμβ. 0,085, δμχ. 0,18 μ.

5(20). Μόνωτο χειροποίητο ευρύστομο αγγείο Τπ. Ι, IV (212).
Λείπει ένα μέρος από τη λαβή.
Πηλός Κτ. ΙΑ2-Β1
εξ. επ. Κ
εσ. επ. Κ
πρ. Κ-ΚΕ
ύψ. 0,093, δμβ. 0,05, δμχ. 0,08 μ.

6(7). Χειροποίητη οινοχόη με οπισθότμητη προχοή Τπ. Ι, VIIΓ (150β).
Ακέραιη. Λαβή στριφτή.
Πηλός Κτ. ΙΑ2
εξ. επ. ΚΜ-λ
εσ. επ. ΚΜ
πρ. ΚΕ
ύψ. 0,13, δμβ. 0,05, δμλ. 0,065 μ.

7(5). Μεγάλο μόνωτο χειροποίητο ευρύστομο αγγείο Τπ. Ι, IV (20).
Λείπει ένα μεγάλο μέρος από το αγγείο. Στο ακτινωτό τμήμα της γωνιόσχημης λαβής διακρίνεται ένας ανάλαφρος κυματισμός, που δεν έχει διαμορφωθεί στην τυπική αυλακωτή διακόσμηση.
Πηλός Κτ. ΙΒ1
εξ. επ. Κ-λ
εσ. επ. Κ-λ φθ
πρ. ΚΕ
ύψ. 0,25, δμβ. 0,095, δμχ. 0,21 μ.

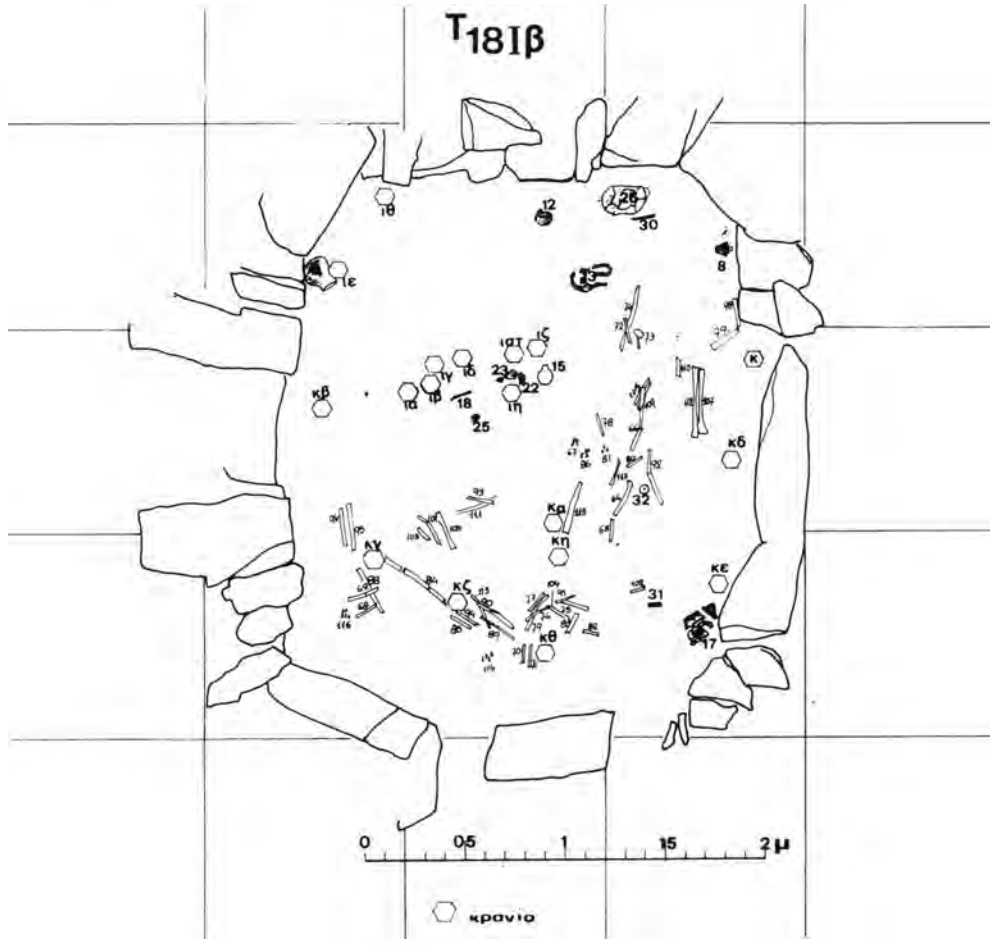

Σχέδ. 38. Στρώμα Ιβ του τάφου Τ18.

Ομάδα Γ'

Π ί ν. 103

8(11). Μεγάλο μόνωτο χειροποίητο βαθύ ευρύστομο αγγείο Τπ. Ι, IV (20).
Λείπουν ορισμένα τμήματα από το σώμα του αγγείου και το κάτω τμήμα της λαβής.
Πηλός Κτ. ΙΑ2
εξ. επ. Κ
εσ. επ. Κ
πρ. ΚΤ
ύψ. 0,24, δμβ. 0,105, δμχ. 0,195 μ.

9(37). Χειροποίητη οινοχόη με οπισθότμητη προχοή Τπ. Ι, VIIΓ (158).
Λείπει ένα μικρό τμήμα από το κάτω σώμα του αγγείου. Δύο παράλληλες αυλακώσεις γύρω από τη βάση του λαιμού, μία αυλάκωση κάτω από την περιφέρεια του χείλους.
Πηλός Κτ. ΙΑ2
εξ. επ. Κ-λ
εσ. επ. Κ
πρ. ΚΜ
ύψ. 0,21, δμβ. 0,06, δμλ. 0,09 μ.

10(10). Μόνωτο χειροποίητο κύπελλο Τπ. Ι, VIII (181).
Σχεδόν ακέραιο. Λείπει ελάχιστο τμήμα από το χείλος.
Πηλός Κτ. ΙΑ3
εξ. επ. ΚΜ
εσ. επ. ΚΜ
πρ. Τ
ύψ. 0,091, δμβ. 0,045, δμχ. 0,09 μ.

Π ί ν. 104

11(27). Θραύσματα τροχήλατου αμφορέα με οριζόντιες λαβές στην κοιλιά, Τπ. II, Α2 (230).
Σώζεται η βάση, τμήμα ώμου με μία οριζόντια λαβή, καθώς και το μεγαλύτερο τμήμα λαιμού και το χείλος.
Πηλός Κτ. ΙΙΔ
εξ. επ. Κ-λ
εσ. επ. Κ
πρ. ΚΕ
συμπλ. ύψ. 0,51, δμβ. 0,105, δμχ. 0,138 μ.

12(9). Χάλκινο εγχειρίδιο Τπ. ΕΙV, 1α.
Ράχη ευθύγραμμη, ακμή ελαφρά κοίλη, αιχμή που καμπυλώνεται προς τα άνω, ουρά που εισέχει από την πλευρά της ακμής μόνο.
μκ. 0,216 μ.

13(14). Χειροποίητη οινοχόη με οπισθότμητη προχοή Τπ. I, VIIΓ (149α).
Ακέραιη. Λαβή στριφτή.
Πηλός Κτ. ΙΑ2
εξ. επ. Μ-λ
εσ. επ. Μ
πρ. ΤΜ
ύψ. 0,222, δμβ. 0,045, δμλ. 0,09 μ.

14(3). Χειροποίητο μικρογραφικό κυπελλόσχημο αγγείο Τπ. I, VIII (179).
Λείπει το κάτω τμήμα του σώματος.
Πηλός Κτ. ΙΒ1-2
εξ. επ. ΚΕ
εσ. επ. Κ
πρ. ΚΕ
σζ. ύψ. 0,06, συμπλ. ύψ. 0,066, δμλ. 0,039 μ.

Σ τ ρ ώ μ α Ια-Ιβ

Π ί ν. 105

15(27). Θραύσματα από το άνω σώμα μόνωτου χειροποίητου ευρύστομου αγγείου Τπ. I, IV (81).
Δύο παράλληλες αυλακώσεις κάτω από την περιφέρεια του χείλους και γύρω από την αρχή του λαιμού.
Πηλός Κτ. ΙΑ2
εξ. επ. ΚΤ-λ
εσ. επ. ΚΤ-λ
πρ. ΚΤ
σζ. ύψ. 0,105, δμχ. 0,15 μ.

16(14 + 11). Θραύσματα μόνωτου χειροποίητου ευρύστομου αγγείου Τπ. I, IV (57).
Σώζεται τμήμα από τον ώμο και τη λαβή, καθώς και τμήμα από το λαιμό.
Μία αυλάκωση γύρω από τη βάση του λαιμού και κάτω από το χείλος.
Πηλός Κτ. ΙΑ2
εξ. επ. ΚΤ-λ
εσ. επ. ΚΤ-λ
πρ. ΚΤ
σζ. ύψ. 0,066, συμπλ. δμχ. 0,12 μ.

17(21). Μόνωτο χειροποίητο ευρύστομο αγγείο Τπ. I, IV (21α).
Λείπει το κάτω σώμα του αγγείου.
Πηλός Κτ. ΙΑ2
εξ. επ. Κ-λ
εσ. επ. ΚΤ-λ
πρ. ΚΤ
συμπλ. ύψ. 0,066, δμχ. 0,09 μ.

18(23). Θραύσμα μεγάλου χειροποίητου αμφορέα Τπ. I, VIB.
Σώζεται τμήμα ώμου με αρχή οριζόντιας κυλινδρικής λαβής.
Πηλός Κτ. ΙΒ1
εξ. επ. ΚΕ
εσ. επ. ΚΕ
πρ. ΚΤ
σζ. ύψ. 0,077 μ.

19(16). Θραύσμα οριζόντιας λαβής χειροποίητου αμφορέα Τπ. I, VIΓ.
Πηλός Κτ. ΙΒ2
εξ. επ. ΚΕ
εσ. επ. ΚΕ
πρ. ΚΤ
σζ. μκ. 0,09 μ.

20(2 + 19). Θραύσμα κατακόρυφης κυλινδρικής λαβής χειροποίητου αγγείου Τπ. I, XII.
Πηλός Κτ. ΙΓ
εξ. επ. Ε
εσ. επ. Ε
πρ. ΚΕ
σζ. μκ. 0,076 μ.

21(16). Θραύσμα κατακόρυφης λαβής χειροποίητου αμφορέα Τπ. I, VIB.
Πηλός Κτ. ΙΒ2
εξ. επ. ΚΕ
εσ. επ. ΚΕ
πρ. ΚΤ
σζ. ύψ. 0,051 μ.

22(14). Θραύσμα κατακόρυφης λαβής χειροποίητου αμφορέα Τπ. I, VIB.
Πηλός Κτ. ΙΒ2

εξ. επ. ΚΕ
εσ. επ. ΚΕ
πρ. ΚΤ
σζ. ύψ. 0,045 μ.

23(10). Θραύσμα από το χείλος χειροποίητου αμφορέα Τπ. Ι, VΙΓ.
Πηλός Κτ. ΙΒ2
εξ. επ. ΚΕ
εσ. επ. ΚΕ
πρ. ΚΤ
σζ. ύψ. 0,024 μ.

24(10). Θραύσμα χειροποίητου αμφορέα Τπ. Ι, VIB (136).
Δύο παράλληλες αυλακώσεις κάτω από την περιφέρεια του χείλους.
Πηλός Κτ. ΙΒ2
εξ. επ. ΚΕ
εσ. επ. ΚΕ
πρ. ΚΤ
σζ. ύψ. 0,06 μ.

25(26). Θραύσμα βάσης χειροποίητου κλειστού αγγείου Τπ. Ι, VI ή Ι, VII.
Πηλός Κτ. ΙΑ2
εξ. επ. ΚΜ
εσ. επ. ΚΜ
πρ. ΚΤ
σζ. ύψ. 0,06, δμβ. 0,06 μ.

Στρώμα Ιβ

Πίν. 106

26(17). Θραύσματα χειροποίητου αμφορέα, με οριζόντιες λαβές στην κοιλιά, Τπ. Ι, VΙΓ (124β).
Σώζεται μέρος από τη βάση και το κάτω κυρίως σώμα, καθώς και μία από τις λαβές του ώμου.
Πηλός Κτ. ΙΑ2
εξ. επ. ΚΜ-λ
εσ. επ. ΚΜ
πρ. Τ
σζ. ύψ. 0,15, δμβ. 0,09 μ.

27(32). Πήλινο δικωνικό σφονδύλι Τπ. ΣΙΙ, 1α.
ύψ. 0,03, δμ. 0,036 μ.

28(31). Λίθινο ακόνι Τπ. Ακ. 1α.
μκ. 0,06, πλ. 0,015 μ.

29(12). Μικρό χειροποίητο κλειστό αγγείο Τπ. Ι, ΙΧΑ (181).
Πηλός Κτ. ΙΑ3
εξ. επ. Κ
εσ. επ. Κ
πρ. Τ
σζ. ύψ. 0,06, δμβ. 0,03 μ.

30(8). Τρίωτος τροχήλατος μυκηναϊκός σταμνίσκος Τπ. ΙΙ, Α1 (218).
Λείπουν οι δύο λαβές. Ταινιωτή διακόσμηση στο σώμα του αγγείου.
ύψ. 0,123, δμχ. 0,075 μ.

31(4). Οινοχόη με λοξότμητο χείλος Τπ. Ι, VIIA (140).
Λείπει μικρό τμήμα του λαιμού.
Πηλός Κτ. ΙΒ1
εξ. επ. Κ-λ
εσ. επ. Κ
πρ. ΚΕ
ύψ. 0,27, δμβ. 0,075, δμχ. 0,078 μ.

32(13). Οινοχόη με λοξότμητο χείλος Τπ. Ι, VIIA (140).
Λείπουν σποραδικά σημεία του σώματος, της λαβής και του λαιμού. Κατακόρυφες αποφύσεις στον ώμο.
Πηλός Κτ. ΙΑ2
εξ. επ. ΚΜ-λ
εσ. επ. ΚΜ
πρ. Κ
ύψ. 0,083, δμβ. 0,06, δμλ. 0,084 μ.

Πίν. 107

Ομάδα Α'

33(30). Χάλκινο εγχειρίδιο Τπ. ΕΙ, 5γ.
Ράχη ευθύγραμμη, ακμή κοίλη, ουρά που εισέχει από την πλευρά της λεπίδας, με ένα καρφί και διχαλωτό άκρο.
μκ. 0,12 μ.

34(26). Θραύσματα χειροποίητου αμφορέα, με οριζόντιες λαβές στην κοιλιά, Τπ. Ι, VΙΓ (124α).
Σώζεται η βάση του αγγείου και αποσπασματικά τμήματα από τον ώμο με τις τρεις λαβές.
Πηλός Κτ. ΙΑ2
εξ. επ. ΚΜ
εσ. επ. ΚΜ
πρ. ΚΤ
δμβ. 0,075 μ.

Ομάδα Β'

35(23). Θραύσμα μόνωτου χειροποίητου ευ-

ρύστομου αγγείου Τπ. Ι, IV (11β).
Λείπει ένα μέρος του λαιμού με το χείλος, καθώς και το άνω τμήμα της λαβής.
Πηλός Κτ. ΙΒ1
εξ. επ. ΚΕ-λ
εσ. επ. Κ
πρ. ΚΕ
ύψ. 0,078, δμβ. 0,045 μ.

36(15). Χειροποίητη προχοΐσκη Τπ. Ι, VIIB (144).
Ακέραιη.
Πηλός Κτ. ΙΒ1
εξ. επ. Κ
εσ. επ. Κ
πρ. Τ
σζ. ύψ. 0,096 μ.

37(22). Μόνωτο χειροποίητο ευρύστομο μικρογραφικό αγγείο Τπ. Ι, VIII (180).
Λείπει ένα μέρος από το άνω σώμα του αγγείου και η λαβή.
Πηλός Κτ. ΙΑ2
εξ. επ. ΚΜ-λ φθ
εσ. επ. ΚΜ
πρ. Τ
ύψ. 0,06, δμβ. 0,021 μ.

38(25). Θραύσμα χάλκινου ελικόσχημου κοσμήματος Τπ. Εν.
δμ. 0,015 μ.

39(18). Χάλκινο εγχειρίδιο Τπ. ΕΙΙΙ, 1.
Ράχη ελαφρά κυρτή, ακμή ελαφρά κοίλη. Ουρά χωρίς καρφιά, που καταλήγει σε καμπυλόγραμμο πέρας. Εισέχει ελάχιστα από την πλευρά της ακμής.
μκ. 0,09 μ.

39α. Οστέινη αιχμή.
Σπασμένη στο άκρο της.
σζ. μκ. 0,075 μ.

Στρώμα ΙΙ

Μετά την απομάκρυνση των οστών και των κτερισμάτων του στρώματος Ια-Ιβ, διαπιστώθηκε ένα δεύτερο στρώμα με διαταραγμένες πάλι ταφές (ΙΙ).

Δύο ομάδες κτερισμάτων ξεχώρισαν με αρκετή σαφήνεια στο στρώμα αυτό, εκτός από τα διάσπαρτα κτερίσματα, αγγεία και μικροαντικείμενα (Σ χ έ δ. 39).

Ομάδα Α΄

Εντοπίσθηκε στη νοτιοδυτική πλευρά του τάφου, στα δυτικά της εισόδου, ακριβώς κάτω από την ομάδα Α΄ του στρώματος Ια.

Με την ομάδα των αγγείων αυτών πρέπει πιθανόν να συσχετισθούν ορισμένα αδιατάρακτα οστά ενός νεκρού, που έχει ταφεί με το κεφάλι προς Δ. και τα σκέλη τεντωμένα. Τα αγγεία 28, 29 και πιθανότατα και το 46, που βρέθηκε λίγο βαθύτερα, ανήκαν στο νεκρό της θέσης αυτής και είχαν εναποτεθεί πίσω από το κεφάλι του (ταφή Ι, Σ χ έ δ. 39· Π ί ν. 266α). Στην περιοχή του νεκρού αυτού, αλλά λίγο ψηλότερα, βρέθηκε η οστέινη αιχμή 39α, αλλά η απόδοσή της σ' αυτό το νεκρό δεν είναι βέβαιη (Π ί ν. 107: 39α).

Ομάδα Β΄

Μια δεύτερη ομάδα συγκεντρωμένων κτερισμάτων εμφανίζεται στη νοτιοανατολική περιοχή του τάφου, στα ανατολικά της εισόδου του.

Τα οστά της περιοχής αυτής εμφανίζουν μεγάλη διατάραξη και είναι αδύνατο να αποκατασταθούν, έστω και αποσπασματικά, οι ταφές. Η ανεύρεση οπωσδήποτε αγγείων, τοποθετημένων το ένα μέσα στο άλλο, προϋποθέτει ότι τα αγγεία προέρχονται από την ίδια ταφή ή από ταφές που δεν απέχουν πολύ χρονικά μεταξύ τους, αλλιώς με τις αλλεπάλληλες μετακινήσεις θα είχαν διαταραχθεί τα αγγεία και δε θα σώζονταν σε κατάσταση που να επιτρέπει το στοίβαγμά τους (Π ί ν. 266β, 267α).

Εκτός από τις παραπάνω ομάδες, άλλα κτερίσματα βρέθηκαν διασκορπισμένα στα διάφορα σημεία του τάφου. Ανάμεσα σ' αυτά ξεχωρίζει το εγχειρίδιο 42 με τη σιδερένια λεπίδα και τη χάλκινη λαβή (Π ί ν. 109: 55, 266β, αριθ. 42).

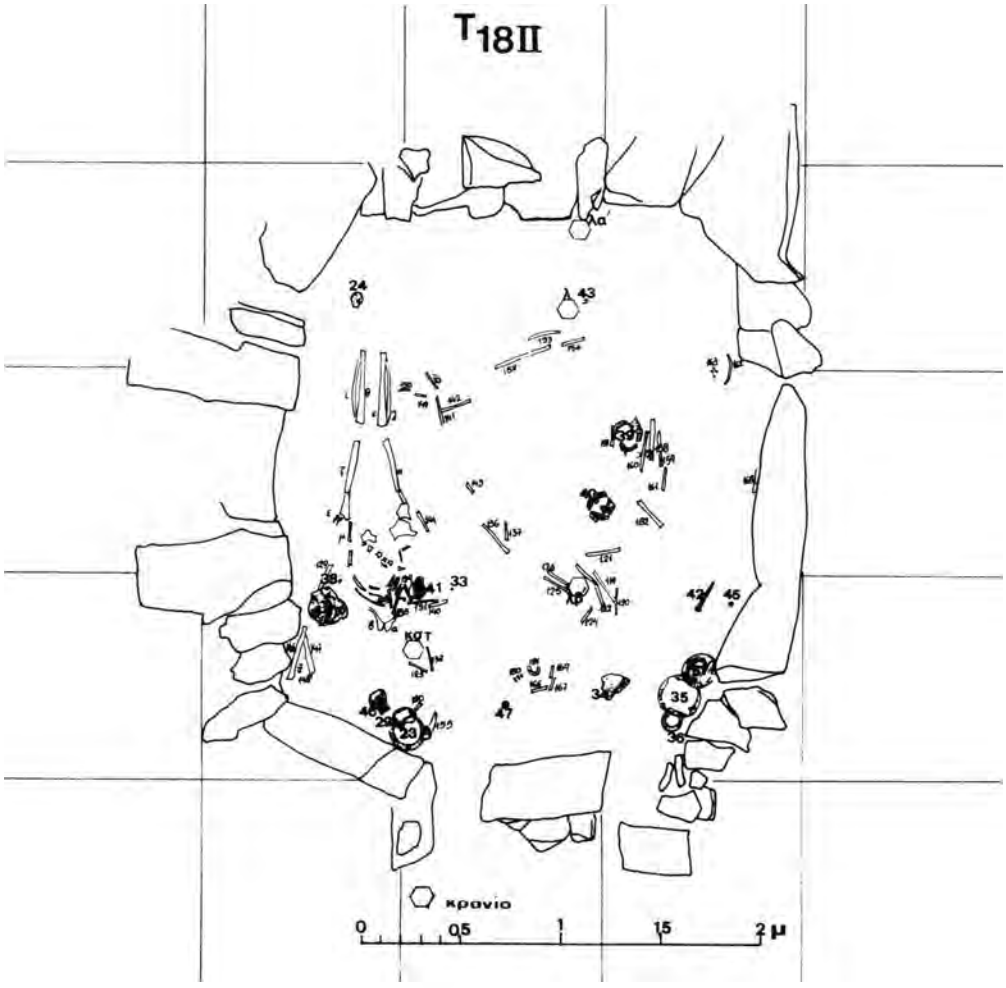

Σχέδ. 39. Στρώμα II του τάφου T18.

ΕΥΡΗΜΑΤΑ

Ομάδα Α'

Πίν. 108

40(28). Χειροποίητη οινοχόη με λοξότμητο χείλος Τπ. I, VIIA (140).
Λείπει ένα τμήμα του λαιμού και του χείλους.
Πηλός Κτ. IA2
εξ. επ. ΚΕ-λ
εσ. επ. ΚΕ
πρ. ΚΕ
σζ. ύψ. 0,183, δμβ. 0,069 μ.

41(29). Μόνωτο χειροποίητο ευρύστομο αγγείο Τπ. I, VI (11).
Ακέραιο.
Πηλός Κτ. IA2-3
εξ. επ. ΚΜ
εσ. επ. ΚΜ
πρ. ΚΤ
ύψ. 0,108, δμβ. 0,075, δμχ. 0,225 μ.

42(46). Χειροποίητη οινοχόη με λοξότμητο χείλος Τπ. I, VIIB (145).
Λείπει η λαβή. Διακοσμητική ζώνη, γύρω από τη βάση του λαιμού, από δύο παράλληλες αυλακώσεις που πλαισιώνουν σειρά από στικτές κουκίδες.
Πηλός Κτ. IA2
εξ. επ. ΚΜ-λ
εσ. επ. ΚΜ

πρ. ΚΤ
ύψ. 0,105, δμβ. 0,051, δμλ. 0,06 μ.

Διάσπαρτα

Πίν. 108

43(24). Τροχήλατη μυκηναϊκή προχοΐσκη Τπ. ΙΙ, Α1 (223).
Ακέραιη.
Πηλός Κτ. ΙΙΑ1
ύψ. 0,069, δμβ. 0,03, δμχ. 0,033 μ.

44(47). Πήλινο δικωνικό σφονδύλι Τπ. ΣΙ, 6β-γ.
Λείπει ένα μικρό τμήμα από την περιφέρεια.
ύψ. 0,024, δμ. 0,03 μ.

45(38α). Ψήφος από γαλάζια υαλόμαζα Τπ. Ψυ.
δμ. 0,006 μ.

45(38β). Θραύσμα ψήφου από γαλάζια υαλόμαζα Τπ. Ψυ.
δμ. 0,006 μ.

45(33). Χάλκινο καρφί από εγχειρίδιο.
ύψ. 0,015 μ.

46(41). Μικρογραφικό χειροποίητο αγγείο Τπ. Ι, ΙΧΑ (189).
Σώζεται το σφαιρικό σώμα του αγγείου.
Πηλός Κτ. ΙΒ1-2
εξ. επ. Κ
εσ. επ. Κ
πρ. ΚΕ
σζ. ύψ. 0,069 μ.

47(44). Μεγάλο μόνωτο χειροποίητο βαθύ ευρύστομο αγγείο Τπ. Ι, IV (17).
Λείπει ένα μέρος από το κάτω σώμα και τμήμα του χείλους.
Πηλός Κτ. ΙΒ2
εξ. επ. ΚΕ
εσ. επ. ΚΕ
πρ. ΚΕ
ύψ. 0,159, δμβ. 0,09, δμχ. 0,15 μ.

Ομάδα Β΄

Πίν. 109

48(36). Χειροποίητη προχοΐσκη με λοξότμητο χείλος Τπ. Ι, VII (142).
Λείπει ένα μέρος από το κάτω σώμα, καθώς και τμήμα από το χείλος.
Πηλός Κτ. ΙΒ1
εξ. επ. Κ-λ
εσ. επ. Κ
πρ. Κ-ΚΕ
ύψ. 0,093, δμβ. 0,03, δμλ. 0,048 μ.

49(35). Χειροποίητο κρατηρόσχημο αγγείο Τπ. Ι, ΙΙΙ (7).
Λείπει ένα μέρος από το αγγείο. Σώζεται απόφυση στον ώμο.
Πηλός Κτ. ΙΒ1
εξ. επ. Κ-λ φθ
εσ. επ. Κ-λ φθ
πρ. ΚΤ
ύψ. 0,099, δμβ. 0,066, δμχ. 0,225 μ.

50(51). Χειροποίητο κρατηρόσχημο αγγείο Τπ. Ι, ΙΙ.
Ακέραιο. Δύο λαβές-αποφύσεις στον ώμο.
Πηλός Κτ. ΙΒ1
εξ. επ. Κ-ΚΜ
εσ. επ. Κ
πρ. Κ-ΚΕ
ύψ. 0,066, δμβ. 0,063, δμχ. 0,168 μ.

51(34). Θραύσμα από τον ώμο χειροποίητου αμφορέα Τπ. Ι, VIA (123).
Σώζεται κατακόρυφη κυλινδρική λαβή.
Πηλός Κτ. ΙΒ1-2
εξ. επ. Κ-λ φθ
εσ. επ. Κ
πρ. Κ
σζ. ύψ. 0,013 μ.

52(40). Θραύσμα από το σώμα τροχήλατου αμφορέα.
Σώζεται μία οριζόντια λαβή ώμου. Ίχνη αργού τροχού.
Πηλός Κτ. ΙΙΔ
εξ. επ. Κ
εσ. επ. Κ
πρ. ΚΕ
σζ. ύψ. 0,099 μ.

53(40). Θραύσμα από το σώμα χειροποίητου αγγείου Τπ. Ι, ΙΙΙ (8).
Διακρίνεται μία απόφυση στον ώμο.
Πηλός Κτ. ΙΒ1
εξ. επ. Κ-λ
εσ. επ. Κ
πρ. ΚΕ
σζ. ύψ. 0,063 μ.

54(43). Θραύσμα χάλκινου ελικόσχημου κοσμήματος Τπ. Εν. 1.
μέγ. μκ. 0,033 μ.

55(42). Εγχειρίδιο με σιδερένια λεπίδα και χάλκινη χυτή λαβή Τπ. ΕVΙ, 3.
Λεπίδα με κυρτή ράχη, κοίλη ακμή και αποστρογγυλεμένη αιχμή. Η χάλκινη λαβή διακοσμείται με διαμπερή τριγωνικά και κυκλικά ανοίγματα και καταλήγει σε διαπλατυσμένο ημικυκλικό πέρας. Δύο παράλληλες αυλακώσεις στην περιοχή, όπου η λεπίδα προσαρτάται στη λαβή.
μκ. 0,156 μ.

56(39). Τροχήλατο φιαλόσχημο αγγείο Τπ. ΙΙ, Α2 (299).
Σώζεται πολύ αποσπασματικά.
Πηλός Κτ. ΙΙΒ1
εξ. επ. ΚΕ
εσ. επ. ΚΕ
πρ. ΚΕ
σζ. ύψ. 0,126, συμπλ. δμβ. 0,09, δμχ. 0,216 μ.

Στρώμα ΙΙΙ

Μετά την απομάκρυνση των οστών και των κτερισμάτων του στρώματος ΙΙ, αποκαλύφθηκε βαθύτερα νέο στρώμα με διάσπαρτα οστά και κτερίσματα (στρώμα ΙΙΙ) (Π ί ν. 267β). Η εικόνα της γενικής διατάραξης του επιπέδου των ταφών συνεχίσθηκε η ίδια. Σε μία μόνο θέση, στη βορειοανατολική περιοχή του τάφου, εντοπίσθηκε το κάτω τμήμα ενός αδιατάρακτου σκελετού. Το άνω, ωστόσο, σώμα του νεκρού αυτού (ταφή ΙΙ) είχε διαταραχθεί και απομακρυνθεί μαζί με το κρανίο (Σ χ έ δ. 40).

Μία μόνο ομάδα συγκεντρωμένων κτερισμάτων ξεχώρισε προς το κέντρο, περίπου, του τάφου: Ομάδα ΙΙΙΑ′ με τα αγγεία 48, 49, 50, 52 (Π ί ν. 267β).

Τα υπόλοιπα κτερίσματα, αγγεία και μικροαντικείμενα, ήταν διάσπαρτα στο εσωτερικό του τάφου, στο ίδιο περίπου βάθος σχετικά με την κάθετη στρωματογραφία του τάφου.

ΕΥΡΗΜΑΤΑ

Ομάδα Α′

Π ί ν. 110

57(50). Τροχήλατος μυκηναϊκός σταμνίσκος Τπ. ΙΙ, Α1 (217).
Λείπει ένα μέρος από το άνω σώμα.
Πηλός Κτ. ΙΙΑ1
εξ. επ. Ε
εσ. επ. Ε
πρ. ΚΕ
ύψ. 0,12, δμβ. 0,063, δμχ. 0,066 μ.

58(52). Θραύσμα χειροποίητου αμφορέα Τπ. Ι, VIA (123).
Σώζεται τμήμα από τον ώμο και το λαιμό. Μία αυλάκωση γύρω από τη βάση του λαιμού.
Πηλός Κτ. ΙΑ2
εξ. επ. ΚΜ-λ
εσ. επ. ΚΜ
πρ. ΚΤ
σζ. ύψ. 0,024, δμχ. 0,141 μ.

59(49). Μόνωτο χειροποίητο βαθύ ευρύστομο αγγείο Τπ. Ι, IV (21).
Λείπει ένα μικρό μέρος από το χείλος και τη λαβή.
Πηλός Κτ. ΙΒ2
εξ. επ. ΚΜ-λ
εσ. επ. ΚΜ-λ
πρ. ΚΕ
ύψ. 0,132, δμβ. 0,045, δμχ. 0,09 μ.

60(48). Μόνωτο χειροποίητο ευρύστομο αγγείο Τπ. Ι, IV (17).
Σώζεται τμήμα από το άνω σώμα με τη λαβή, καθώς και η βάση. Μία ανάλαφρη αυλάκωση γύρω από τη βάση του λαιμού.
Πηλός Κτ. ΙΑ2
εξ. επ. Μ-λ φθ
εσ. επ. Μ-λ φθ
πρ. ΤΜ
ύψ. 0,12, δμβ. 0,06, δμχ. 0,12 μ.

Διάσπαρτα

61(64). Χάλκινο εγχειρίδιο Τπ. ΕΙΙΙ, 2β.
Ράχη ευθύγραμμη, ακμή ελαφρά κοίλη, αιχμή αποστρογγυλεμένη, ουρά που εισέχει ελάχιστα από την πλευρά της ακμής, έχει δύο οπές για τα καρφιά της λαβής και καταλήγει σε ευθύγραμμο πέρας.
μκ. 0,141 μ.

62(57). Χάλκινο εγχειρίδιο Τπ. ΕΙ, 1α.
Ράχη ευθύγραμμη, ακμή ευθύγραμμη, ουρά

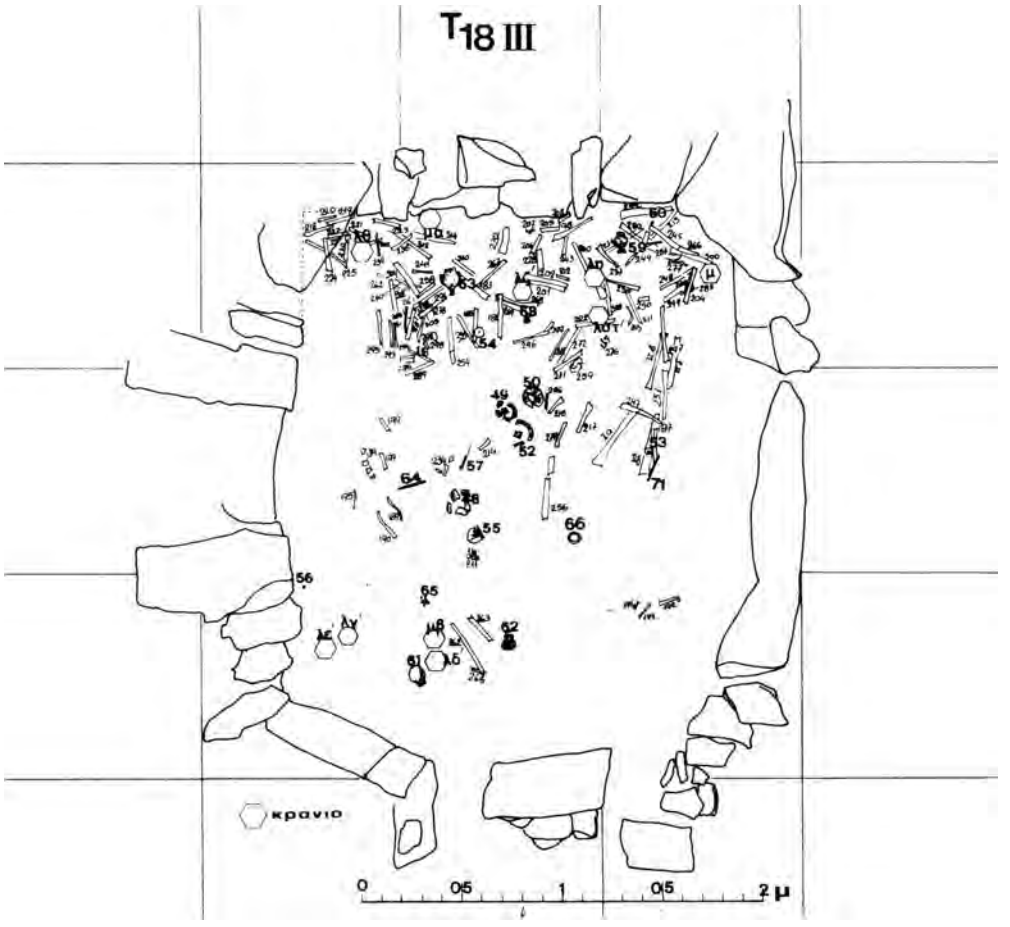

Σχέδ. 40. Στρώμα III του τάφου Τ18.

χωρίς καρφιά, που εισέχει από τις δύο πλευρές της λεπίδας και καταλήγει σε ευθύγραμμο πέρας. Αιχμή τριγωνική.
μκ. 0,105 μ.

63(65). Πέντε δακτυλιόσχημες ψήφοι όρμου από γαλαζοπράσινη υαλόμαζα Τπ. Ψυ.
δμ. 0,006 μ.

64(56). Μία ψήφος όμοια με τις προηγούμενες, Τπ. Ψυ.
δμ. 0,006 μ.

65(55). Άωτο χειροποίητο βαθύ αγγείο Τπ. Ι, ΙΧΑ (189).
Λείπει ένα μέρος από το χείλος και μικρό τμήμα από το σώμα.
Πηλός Κτ. ΙΑ2
εξ. επ. Κ-λ φθ
εσ. επ. ΚΕ
πρ. ΚΕ
ύψ. 0,069, δμβ. 0,039, δμχ. 0,045 μ.

66(61). Χειροποίητος μικρογραφικός αμφορίσκος Τπ. Ι, VΙΔ (3).
Λείπει ένα μέρος από το χείλος και το άνω τμήμα των λαβών.
Πηλός Κτ. ΙΒ1
εξ. επ. ΚΕ-λ φθ
εσ. επ. ΚΕ
πρ. Ε
ύψ. 0,099, δμβ. 0,036, δμχ. 0,066 μ.

67(62). Χειροποίητο κυπελλόσχημο αγγείο Τπ. Ι, VIII (179).
Λείπει ένα τμήμα από το χείλος.
Πηλός Κτ. ΙΒ2
εξ. επ. ΚΕ

εσ. επ. ΚΕ
πρ. ΚΕ
ύψ. 0,06, δμβ. 0,018, δμχ. 0,039 μ.

Π ί ν. 111

68(59). Τροχήλατος μυκηναϊκός σταμνίσκος Τπ. ΙΙ, Α1 (217).
Λείπει η μία από τις τρεις λαβές του ώμου.
Πηλός Κτ. ΙΙΑ1
εξ. επ. Ε
εσ. επ. Ε
πρ. Ε
ύψ. 0,066, δμβ. 0,033, δμχ. 0,09 μ.

69(63). Τροχήλατος μυκηναϊκός σταμνίσκος Τπ. ΙΙ, Α1 (217).
Ακέραιος.
Πηλός Κτ. ΙΙΑ1
εξ. επ. Ε
εσ. επ. Ε
πρ. Ε
ύψ. 0,087, δμβ. 0,063, δμχ. 0,06 μ.

70(60). Θραύσμα χάλκινου ελικόσχημου κοσμήματος Τπ. Εν.
μγ. μκ. 0,021 μ.

71(66). Χάλκινο ψέλιο από ταινιωτό έλασμα Τπ. Ψλ.
δμ. 0,066 μ.

72(68). Θραύσμα από χάλκινο ελικόσχημο κόσμημα Τπ. Εν.
σζ. δμβ. 0,003 μ.

73(71). Χάλκινο εγχειρίδιο Τπ. ΕΙΙ, 2β.
Ράχη κυρτή, ακμή κοίλη, αιχμή τριγωνική, ουρά με ένα καρφί που εισέχει ελάχιστα από την πλευρά της ακμής και καταλήγει σε ελλειψοειδές πέρας.
μκ. 0,105 μ.

74(54). Πήλινο δικωνικό σφονδύλι Τπ. ΣΙΙ, 2.
ύψ. 0,033, δμ. 0,048 μ.

75(53). Πήλινο δικωνικό σφονδύλι Τπ. ΣΙΙ, 3.
ύψ. 0,021, δμ. 0,024 μ.

Σ τ ρ ώ μ α IV (Σ χ έ δ. 41)

Κάτω από το στρώμα ΙΙΙ, μετά την απομάκρυνση των οστών και των κτερισμάτων, εντοπίσθηκαν άλλα διάσπαρτα οστά και κτερίσματα, συγκεντρωμένα κυρίως προς την ανατολική πλευρά και τη βορειοανατολική γωνία του τάφου (Π ί ν. 268α).

Το δάπεδο του τάφου παρουσίαζε μια κλίση του βράχου προς ΝΑ. και αυτό είχε ως αποτέλεσμα να συγκεντρωθεί στην περιοχή αυτή μεγαλύτερο πάχος επίχωσης. Αντίθετα, στη δυτική πλευρά του τάφου η επίχωση είχε το μικρότερο πάχος, όπως και στη βορειοδυτική πλευρά, όπου εξαρχής εμφανίσθηκαν τα αρχαιότερα κτερίσματα του τάφου πάνω στο φυσικό βράχο. Βέβαια, ομάδες συγκεντρωμένων κτερισμάτων δεν εντοπίσθηκαν. Πολύ κοντά βρέθηκαν τα αγγεία 83 και 84 (Σ χ έ δ. 41), καθώς και η βελόνα 85, αλλά τα διαταραγμένα οστά και τα συγκεντρωμένα κρανία δεν επιτρέπουν άμεση συσχέτιση.

ΕΥΡΗΜΑΤΑ

Π ί ν. 111

76(93). Τροχήλατο αγγείο (κύλικα) Τπ. ΙΙ, Α2 (229).
Το αγγείο σώζεται πολύ αποσπασματικά, κυρίως στην περιοχή του ώμου, όπου και οι λαβές.
Πηλός ωχρέρυθρος με πολύ κακή όπτηση.
Ίχνη αργού τροχού.
ύψ. 0,075, δμχ. 0,0165 μ.

77(91). Θραύσμα χάλκινου ελικόσχημου κοσμήματος Τπ. Εν.
σζ. δμ. 0,015 μ.

78(77). Μολύβδινο δισκόμορφο σφονδύλι Τπ. ΜΣ1.
ύψ. 0,012, δμ. 0,051 μ.

79. Θραύσμα χάλκινης δακτυλιόσχημης ψήφου Τπ. Ψχ2.
δμ. 0,006 μ.

80(80). Χάλκινο εγχειρίδιο Τπ. ΕΙ, 6α.
Ράχη ελαφρά κυρτή, ακμή ευθύγραμμη, ουρά τριγωνική, χωρίς καρφιά.
μκ. 0,071 μ.

81(73). Χάλκινο εγχειρίδιο Τπ. ΕΙΙΙ, 1α.

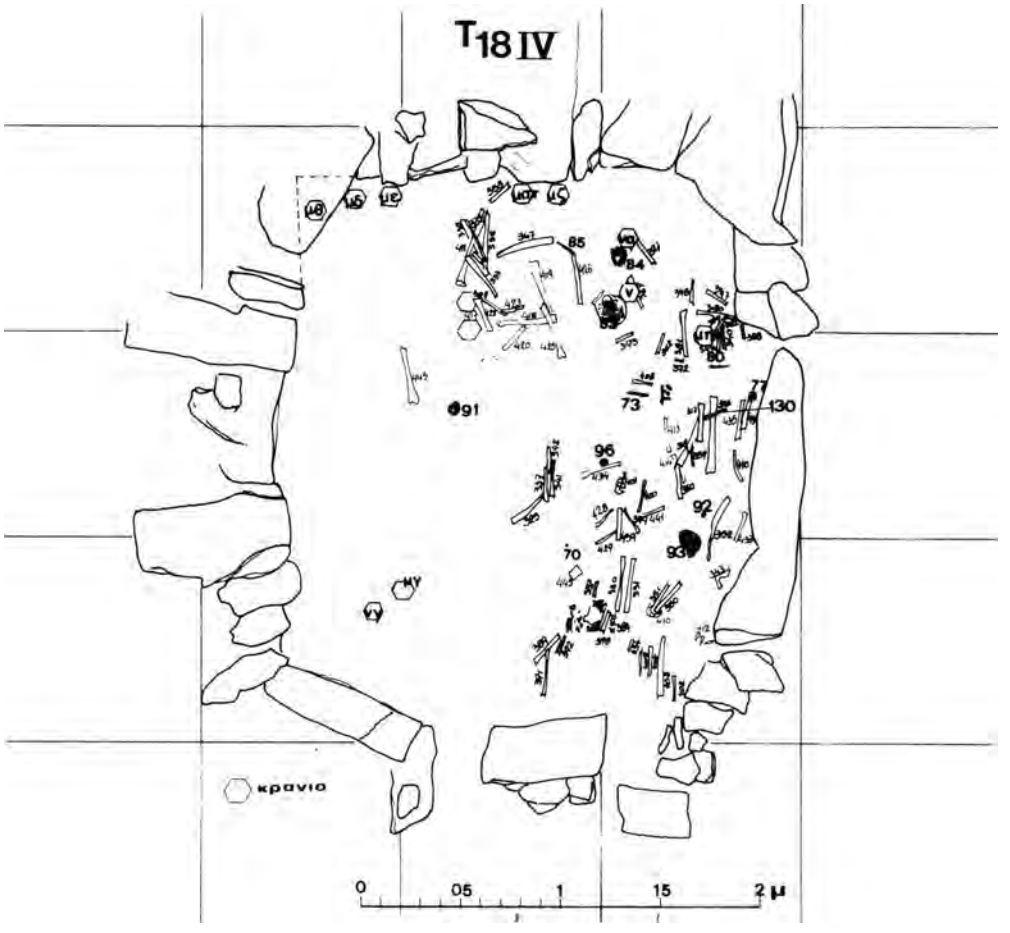

Σχέδ. 41. Στρώμα IV του τάφου Τ18.

Ράχη ελαφρότατα κυρτή, ακμή ελαφρότατα κοίλη, αιχμή αποστρογγυλεμένη, ουρά χωρίς καρφιά, που εισέχει ελάχιστα και καταλήγει σε ευθύγραμμο πέρας.
μκ. 0,12 μ.

82(130). Χάλκινο εγχειρίδιο Τπ. ΕΙ, 6γ.
Έχει σπάσει ένα τμήμα στην περιοχή της ουράς. Ράχη ευθύγραμμη, ακμή ευθύγραμμη, αιχμή τριγωνική.
μκ. 0,135 μ.

83(96). Πήλινο δικωνικό σφονδύλι Τπ. ΣΙ, 6β-γ.
ύψ. 0,051, δμ. 0,03 μ.

84(92). Ατρακτόσχημη ψήφος από ήλεκτρο Τπ. Ψη2.
μκ. 0,018 μ.

85(85). Θραύσμα χάλκινης βελόνας Τπ. Β1.
μκ. 0,069 μ.

86(84). Τρίωτος χειροποίητος σταμνίσκος Τπ. ΙΙΑ2 (226). Μίμηση τροχήλατου.
Λείπουν τα άνω πέρατα των λαβών του ώμου.
Πηλός Κτ. ΙΓ1
εξ. επ. Ε-Μ
εσ. επ. Ε
πρ. Ε
ύψ. 0,105, δμβ. 0,033, δμχ. 0,048 μ.

87(83). Χειροποίητη οινοχόη με λοξότμητο χείλος Τπ. Ι, VIIA (140).
Λείπει ένα μεγάλο μέρος από το κάτω σώμα, καθώς και τμήμα από το λαιμό. Αποφύσεις στον ώμο.
Πηλός Κτ. ΙΑ2-ΙΒ1
εξ. επ. ΚΜ-λ
εσ. επ. ΚΕ
πρ. ΚΕ
ύψ. 0,228, δμλ. 0,09 μ.

Στρώμα V

Στο στρώμα αυτό συνεχιζόταν, επίσης, η ίδια εικόνα διατάραξης. Τα κτερίσματα σε ορισμένες περιπτώσεις βρέθηκαν, ωστόσο, συγκεντρωμένα έτσι, ώστε να είναι δυνατό να ξεχωρίσουν ορισμένες επιμέρους ομάδες (Σ χ έ δ. 42).

Στη δυτική πλευρά του τάφου βρέθηκαν αρκετά κτερίσματα, τα οποία ανήκουν στο αρχαιότερο στρώμα του τάφου, γιατί αμέσως κάτω από αυτά εμφανίζεται ο φυσικός βράχος. Θα μπορούσαν να ξεχωρίσουν δύο επιμέρους ομάδες: Τα κτερίσματα 69, 75 και 81 και ενδεχομένως και η ψήφος 74 (Σ χ έ δ. 42· Π ί ν. 268β) θα μπορούσαν να αποτελέσουν μια ομάδα (V1) παραμερισμένων κτερισμάτων μιας ταφής. Τα κτερίσματα 79, 67, επίσης, θα μπορούσαν να συσχετισθούν, όπως και το χάλκινο εγχειρίδιο 97, με το μυκηναϊκό αγγείο 58 (Π ί ν. 268γ), και δίνουν την εντύπωση ότι βρίσκονται στην αρχική τους θέση και δεν έχουν παραμερισθεί. Επειδή, ωστόσο, οι παραπάνω συσχετίσεις δεν είναι δυνατό να επιβεβαιωθούν, κρίναμε προτιμότερο να εντάξουμε όλα τα κτερίσματα της πλευράς αυτής του τάφου σε μια ομάδα (V1), που ανταποκρίνεται σε μια χρονική σχέση των κτερισμάτων και όχι σε επιμέρους ταφές, που είναι αδύνατο να ανασυσταθούν.

Στη βορειοανατολική περιοχή του τάφου ξεχωρίζουν με μεγαλύτερη ασφάλεια ορισμένα σύνολα κτερισμάτων: Τα αγγεία που βρέθηκαν παραμερισμένα μακριά από τα άλλα κτερίσματα στη βορειοανατολική γωνία του τάφου, 108 και 109, μπορούν με σχετική ασφάλεια να αποτελέσουν ένα σύνολο (ομάδα V2) (Π ί ν. 268δ). Σε μια τρίτη ομάδα κατατάξαμε τα κτερίσματα 103, 89, 109, μαζί με το αγγείο 98 και τα μικροαντικείμενα 90, 114, 121, 122, 113, που βρέθηκαν στην ίδια περιοχή (ομάδα V3).

Τέλος, μια ακόμη ομάδα αποτελούν τα κτερίσματα 87, 127, 126, 117 και πιθανόν το αγγείο 88, μαζί με τα μικροαντικείμενα 100, 99 και 99α, που βρέθηκαν στο ίδιο στρώμα (ομάδα V5) (Π ί ν. 269α).

Τα υπόλοιπα κτερίσματα βρέθηκαν διάσπαρτα στο ίδιο στρώμα και δε σχηματίζουν σύνολα (ομάδα V4, Σ χ έ δ. 42).

ΕΥΡΗΜΑΤΑ

Ομάδα V1

Π ί ν. 112

88(69). Χειροποίητη οινοχόη με οριζόντιο χείλος Τπ. I, VIIB (143).
Λείπει το κάτω σώμα. Τρεις αποφύσεις στον ώμο.
Πηλός Κτ. IB1
εξ. επ. Κ-λ φθ
εσ. επ. ΚΕ
πρ. ΚΕ
σζ. ύψ. 0,12, δμχ. 0,075 μ.

89(75). Χειροποίητη οινοχόη με οριζόντιο χείλος Τπ. I, VIIB (143).
Λείπει ένα μικρό μέρος από το άνω σώμα. Τρεις αποφύσεις σε κανονικά διαστήματα στον ώμο.
Πηλός Κτ. IB1
εξ. επ. Κ-λ φθ
εσ. επ. ΚΕ
πρ. Ε
σζ. ύψ. 0,066 μ.

90(74). Κυλινδρική ψήφος περιδεραίου από ήλεκτρο Τπ. Ψη3.
ύψ. 0,006, δμ. 0,008 μ.

91(81). Πήλινο δικωνικό σφονδύλι Τπ. ΣII, 3.
ύψ. 0,03, δμ. 0,03 μ.

92(79). Χειροποίητο φιαλόσχημο αγγείο Τπ. I, III (7).
Λείπει το άνω μέρος του αγγείου.
Πηλός Κτ. IB1
εξ. επ. Κ-λ φθ
εσ. επ. Κ
πρ. ΚΕ
ύψ. 0,078, δμχ. 0,27 μ.

93(67). Χειροποίητη προχοΐσκη με λοξότμητο χείλος Τπ. I, VIIA (139).
Λείπει η λαβή.
Πηλός Κτ. IA2
εξ. επ. ΚΜ-λ
εσ. επ. ΚΜ
πρ. ΚΤ

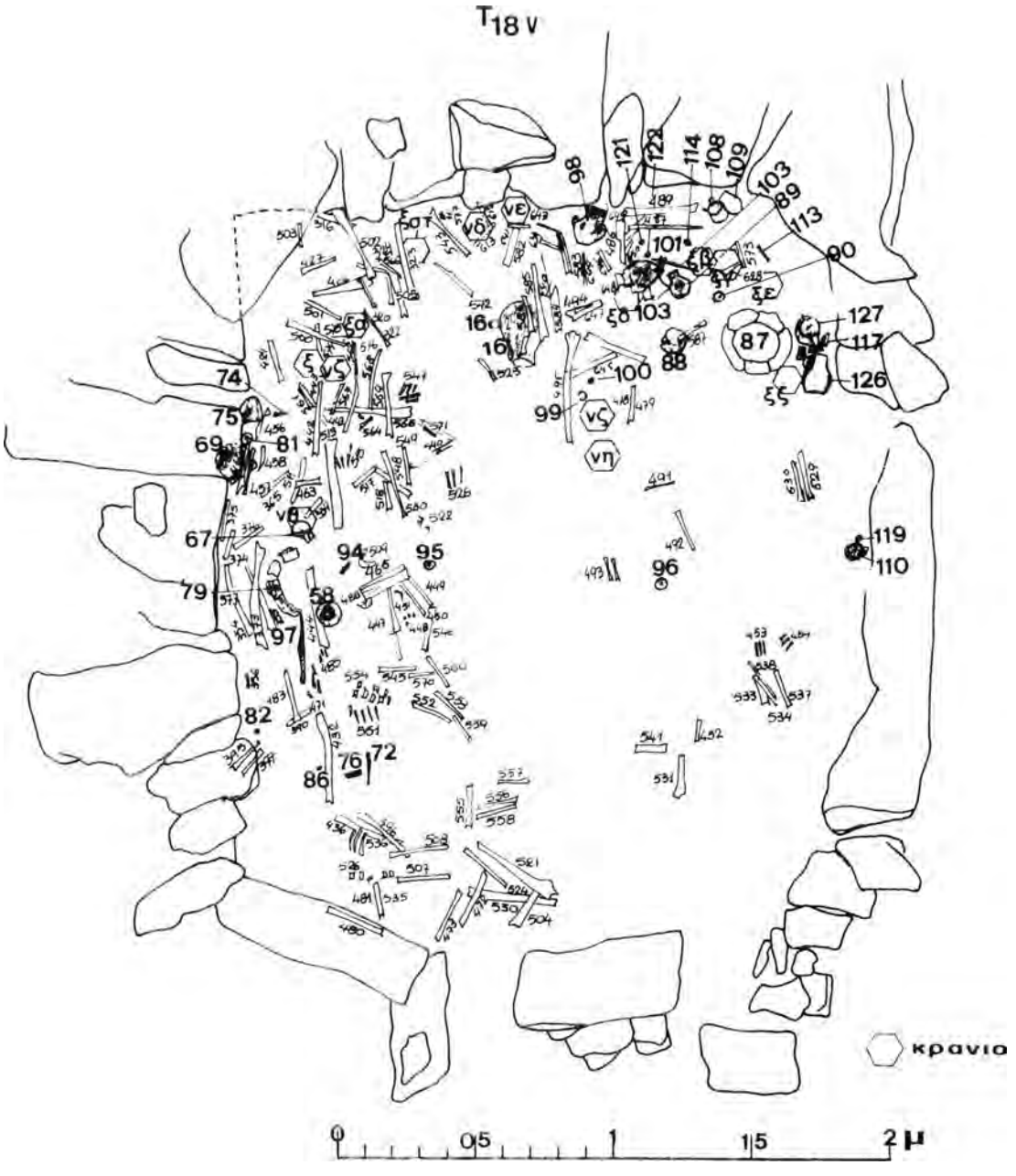

Σχεδ. 42. Στρώμα V του τάφου Τ18.

ύψ. 0,081 μ.

94(72). Χάλκινο εγχειρίδιο Τπ. ΕΙ, 6γ. Έχει σπάσει ένα μικρό τμήμα στην περιοχή της ουράς. Ράχη ευθύγραμμη, ακμή ευθύγραμμη, αιχμή τριγωνική, ουρά με δύο καρφιά.

95(76). Λίθινο ακόνι Τπ. Ακ. 1α. Ακέραιο.

μκ. 0,033, πλ. 0,009 μ.

96(76). Δακτυλιόσχημη χάλκινη ψήφος Τπ. Ψχ3.
δμ. 0,066 μ.

97(82). Δακτυλιόσχημη ψήφος από γαλάζια υαλόμαζα Τπ. Ψυ.
δμ. 0,006 μ.

98. Θραύσμα ψήφου όμοιας με την προηγούμενη, Τπ. Ψυ.
δμ. 0,006 μ.

99(94). Μολύβδινο αντικείμενο.
σζ. μκ. 0,045 μ.

100(95). Πήλινο δικωνικό σφονδύλι Τπ. ΣΙΙ, 3.
Λείπει ένα μέρος από την περιφέρεια.
ύψ. 0,03, δμ. 0,033 μ.

101(58). Τροχήλατο αλάβαστρο Τπ. ΙΙ, Α1 (219).
Λείπει ένα μέρος από το χείλος και η μία από τις τρεις λαβές.
Πηλός ερυθρός Κτ. ΙΙΑ1
εξ. επ. Ε (πολύ φθαρμένη)
εσ. επ. Ε
πρ. Ε
ύψ. 0,06, δμλ. 0,048 μ.

102(97). Χάλκινο εγχειρίδιο με οστέινη λαβή Τπ. ΕΙ, 5δ.
Ακέραιο. Ράχη ευθύγραμμη, ακμή ευθύγραμμη, αιχμή τριγωνική, ουρά μακριά με επτά καρφιά. Η οστέινη λαβή καταλήγει σε καμπυλόγραμμο άκρο.
μκ. 0,06 μ.

Ομάδα V2

Π ί ν. 113

103(109). Χειροποίητη προχοΐσκη με λοξότμητο χείλος Τπ. Ι, IV (21).
Ακέραιη.
Πηλός Κτ. ΙΒ1
εξ. επ. ΚΕ-λ φθ
εσ. επ. ΚΕ
πρ. ΚΕ
ύψ. 0,093, δμβ. 0,03, δμχ. 0,048 μ.

104 (108). Χειροποίητο κυπελλόσχημο αγγείο Τπ. Ι, VIII (178).
Πλαστική ταινία με «δακτυλιές» γύρω από το χείλος, τρεις αποφύσεις στον ώμο.
Πηλός Κτ. ΙΓ1
εξ. επ. Ε-ΚΕ
εσ. επ. Ε
πρ. ΚΕ
ύψ. 0,099, δμβ. 0,03, δμχ. 0,048 μ.

Ομάδα V3

Π ί ν. 113

105(90). Θραύσμα χάλκινης δακτυλιόσχημης ψήφου Τπ. Ψχ3.
δμ. 0,009 μ.

106(114). Χάλκινη δακτυλιόσχημη ψήφος Τπ. Ψχ2.
δμ. 0,006 μ.

107(121). Θραύσμα χάλκινης δακτυλιόσχημης ψήφου Τπ. Ψχ2.
δμ. 0,006 μ.

108(122). Θραύσμα χάλκινου ελικόσχημου κοσμήματος Τπ. Εν.
σζ. μκ. 0,021 μ.

109(113). Θραύσμα χάλκινου ελικόσχημου κοσμήματος Τπ. Εν.
σζ. μκ. 0,015 μ.

110(98). Χειροποίητος αμφορέας με κωνικό πόδι Τπ. Ι, VIA (122).
Λείπει η μία από τις τέσσερις κατακόρυφες λαβές του ώμου.
Πηλός Κτ. ΙΑ2
εξ. επ. ΚΜ-λ φθ
εσ. επ. ΚΜ
πρ. ΚΕ
ύψ. 0,21, δμβ. 0,078, δμχ. 0,096 μ.

111(101). Χάλκινο εγχειρίδιο Τπ. ΕΙ, 6γ.
Ράχη ευθύγραμμη, ακμή ευθύγραμμη, αιχμή τριγωνική, ουρά με δύο καρφιά, που εισέχει ελάχιστα από τη λεπίδα και καταλήγει σε καμπυλόγραμμο πέρας. Δύο παράλληλες εγχάρακτες γραμμές κατά μήκος της ράχης.
μκ. 0,135 μ.

112(89). Τροχήλατο μυκηναϊκό αλάβαστρο Τπ. ΙΙ, Α1 (220).
Ακέραιο. Γραμμική διακόσμηση από παράλληλες ταινιωτές γραμμές με καστανό χρώμα πάνω στο υπέρυθρο έδαφος του αγγείου.
Πηλός Κτ. ΙΙΑ1
εξ. επ. Ε

εσ. επ. Ε
πρ. Ε
ύψ. 0,078, δμβ. 0,06, δμχ. 0,045 μ.

113(103). Χειροποίητη οινοχόη με λοξότμητο χείλος Τπ. Ι, VIIA (139).
Λείπει ένα μικρό μέρος από το σώμα του αγγείου. Τρεις αποφύσεις σε κανονικά διαστήματα στον ώμο.
Πηλός Κτ. ΙΑ2
εξ. επ. ΤΜ-λ
εσ. επ. ΤΜ
πρ. Κ
ύψ. 0,231, δμβ. 0,066, δμχ. 0,075 μ.

Ομάδα V5

Π ί ν. 114

114(126). Θραύσμα χειροποίητης οινοχόης Τπ. Ι, VIIB (142).
Σώζεται τμήμα από το άνω σώμα του αγγείου με τη λαβή.
Πηλός Κτ. ΙΑ2
εξ. επ. ΚΜ-λ φθ
εσ. επ. ΚΜ
πρ. ΚΕ
σζ. ύψ. 0,09, δμλ. 0,075 μ.

115(127). Μόνωτο χειροποίητο ευρύστομο αγγείο Τπ. Ι, IV (26).
Λείπει μικρό μέρος από το κάτω σώμα στη βάση.
Πηλός Κτ. ΙΑ2
εξ. επ. ΚΜ-λ φθ
εσ. επ. ΚΜ-λ
πρ. ΚΕ
ύψ. 0,066, δμβ. 0,039, δμχ. 0,078 μ.

116(100). Θραύσμα χάλκινης δακτυλιόσχημης ψήφου Τπ. Ψχ2.
δμ. 0,06 μ.

117(99). Θραύσμα χάλκινου κοσμήματος Τπ. Σφ. 5.
δμ. 0,018 μ.

118. Μικρογραφικός χάλκινος πέλεκυς Τπ. Πε2.
μκ. 0,018 μ.

119(117). Θραύσμα χειροποίητου ευρύστομου αγγείου Τπ. Ι, VB (117α).
Σώζεται τμήμα από το άνω σώμα με το χείλος.
Πηλός Κτ. ΙΑ2
εξ. επ. ΚΜ
εσ. επ. ΚΜ
πρ. Τ
σζ. ύψ. 0,069 μ.

120(88). Τρίωτο χειροποίητο αγγείο Τπ. ΙΙΑ2 (227). Μίμηση μυκηναϊκού.
Λείπει ένα μέρος από το λαιμό και το χείλος.
Πηλός Κτ. ΙΑ3
εξ. επ. ΚΜ
εσ. επ. ΤΜ
πρ. ΚΤ
ύψ. 0,066, δμβ. 0,045, δμχ. 0,048 μ.

121(87). Χειροποίητο φιαλόσχημο αγγείο Τπ. Ι, ΙΙΙ (8).
Λείπει ένα μέρος από το άνω τμήμα του αγγείου.
Πηλός Κτ. ΙΒ1
εξ. επ. Κ-λ φθ
εσ. επ. Κ
πρ. ΚΕ
ύψ. 0,078, δμβ. 0,09, δμχ. 0,21 μ.

Ομάδα V4

Π ί ν. 114

122(110). Θραύσματα από το άνω σώμα χειροποίητου αμφορίσκου Τπ. Ι, VIA (122).
Σώζεται τμήμα ώμου με μία κατακόρυφη κυλινδρική λαβή και τμήμα λαιμού με το χείλος.
Πηλός Κτ. ΙΑ3
εξ. επ. ΤΜ
εσ. επ. ΤΜ
πρ. Τ
σζ. ύψ. 0,09, δμχ. 0,053 μ.

123(119). Ατρακτόσχημη ψήφος από ήλεκτρο Τπ. Ψη2α.
Λείπει ένα μέρος.
ύψ. 0,018, δμ. 0,018 μ.

124(16α). Θραύσμα πήλινου δικωνικού σφονδυλιού Τπ. Σ Ι, 6γ.
ύψ. 0,03, δμ. 0,033 μ.

125(16). Χειροποίητη οινοχόη με λοξότμητο χείλος Τπ. Ι, VIIA (139).
Λείπει ένα μεγάλος μέρος από το κάτω σώμα του αγγείου.
Πηλός Κτ. ΙΑ2
εξ. επ. ΚΤ-λ
εσ. επ. Τ
πρ. Κ
σζ. ύψ. 0,219, δμβ. 0,06, δμχ. 0,078 μ.

Στρώμα VI

Στο στρώμα αυτό επικρατούσε, επίσης, τέλεια διατάραξη. Εκτός από τα κρανία και τα υπόλοιπα οστά, που βρίσκονταν διάσπαρτα στο δάπεδο του τάφου, τα κτερίσματα ήταν επίσης διασκορπισμένα και σε πολύ σπάνιες περιπτώσεις σχημάτιζαν σύνολα (ομάδα VIA 78, 139, Σχέδ. 43· Πίν. 269β-γ). Τα αντικείμενα βρίσκονταν στο δάπεδο του τάφου, λίγα εκατοστά ψηλότερα από το φυσικό βράχο, και οπωσδήποτε ανήκουν στις αρχαιότερες ταφές του τάφου. Με τις αλλεπάλληλες ωστόσο ταφές, που προϋπέθεταν και κάποια διατάραξη των προηγούμενων ταφών, ορισμένα από τα αντικείμενα του στρώματος αυτού πιθανόν είχαν μετατοπισθεί σε νεότερα στρώματα. Παράδειγμα για μια τέτοια μετακίνηση αποτελεί το χάλκινο ψέλιο 157, που είναι όμοιο με το ψέλιο 146· πιθανόν προέρχονται από την ίδια ταφή (Πίν. 270α-γ).

ΕΥΡΗΜΑΤΑ

Πίν. 115

126(112). Θραύσμα χάλκινης σύριγγας Τπ. Σρ. 1.
μκ. 0,03 μ.

127(104). Πήλινο δικωνικό σφονδύλι Τπ. ΣΙΙ, 3.
ύψ. 0,03, δμ. 0,024 μ.

128(111). Θραύσμα πήλινου δικωνικού σφονδυλιού Τπ. ΣΙΙ, 2.
ύψ. 0,03, συμπλ. δμ. 0,036 μ.

129(125). Θραύσμα από ορεία κρύσταλλο (λεπίδα).
μκ. 0,018 μ.

130(125). Χάλκινο εγχειρίδιο Τπ. ΕΙ, 5α.
Ράχη ευθύγραμμη, ακμή κοίλη, ουρά χωρίς καρφιά, που εισέχει κυρίως από την ακμή.
μκ. 0,018 μ.

131(124). Θραύσμα χάλκινης σύριγγας Τπ. Σρ. 1.
μκ. 0,018 μ.

132(116). Θραύσμα ψήφου από ήλεκτρο Τπ. Ψη1.
ύψ. 0,0045, δμ. 0,021 μ.

133(102). Θραύσμα ατρακτόσχημης ψήφου από ήλεκτρο Τπ. Ψη2α.
ύψ. 0,006, συμπλ. δμ. 0,033 μ.

134(129). Θραύσμα ψήφου από ήλεκτρο Τπ. Ψη1.
δμ. 0,003, σζ. μκ. 0,012 μ.

135(128). Θραύσμα άωτου χειροποίητου αγγείου Τπ. Ι, ΙΧΑ (188).
Σώζεται το μισό, περίπου, από το αγγείο.
Πηλός Κτ. ΙΓ1
εξ. επ. ΚΕ
εσ. επ. ΚΕ
πρ. Ε
ύψ. 0,045, δμβ. 0,033, δμχ. 0,042 μ.

136(107). Θραύσματα χειροποίητης οινοχόης με λοξότμητο χείλος Τπ. Ι, VII (142).
Σώζεται ένα μεγάλο τμήμα του λαιμού και της λαβής, καθώς και τμήμα ώμου.
Πηλός Κτ. ΙΒ1
εξ. επ. ΚΕ
εσ. επ. ΚΕ
πρ. Ε
σζ. ύψ. 0,12, δμχ. 0,063 μ.

137(115). Άωτο χειροποίητο αγγείο Τπ. Ι, ΙΧΑ (189).
Πηλός Κτ. ΙΑ2
εξ. επ. ΚΜ-λ
εσ. επ. ΚΕ
πρ. Κ
ύψ. 0,069, δμβ. 0,051, δμχ. 0,06 μ.

138(120). Δακτυλιόσχημη ψήφος από γαλάζια υαλόμαζα Τπ. Ψυ.
ύψ. 0,003, δμ. 0,006 μ.

139(123). Δακτυλιόσχημη ψήφος από γαλάζια υαλόμαζα Τπ. Ψυ.
ύψ. 0,003, δμ. 0,006 μ.

140(143). Χάλκινο εγχειρίδιο Τπ. ΕΙ, 2α.
Ράχη κυρτή, ακμή ευθύγραμμη, ουρά χωρίς καρφιά.
μκ. 0,057 μ.

141. Θραύσμα χάλκινου ελικόσχημου κοσμήματος Τπ. Εν.
σζ. δμ. 0,018 μ.

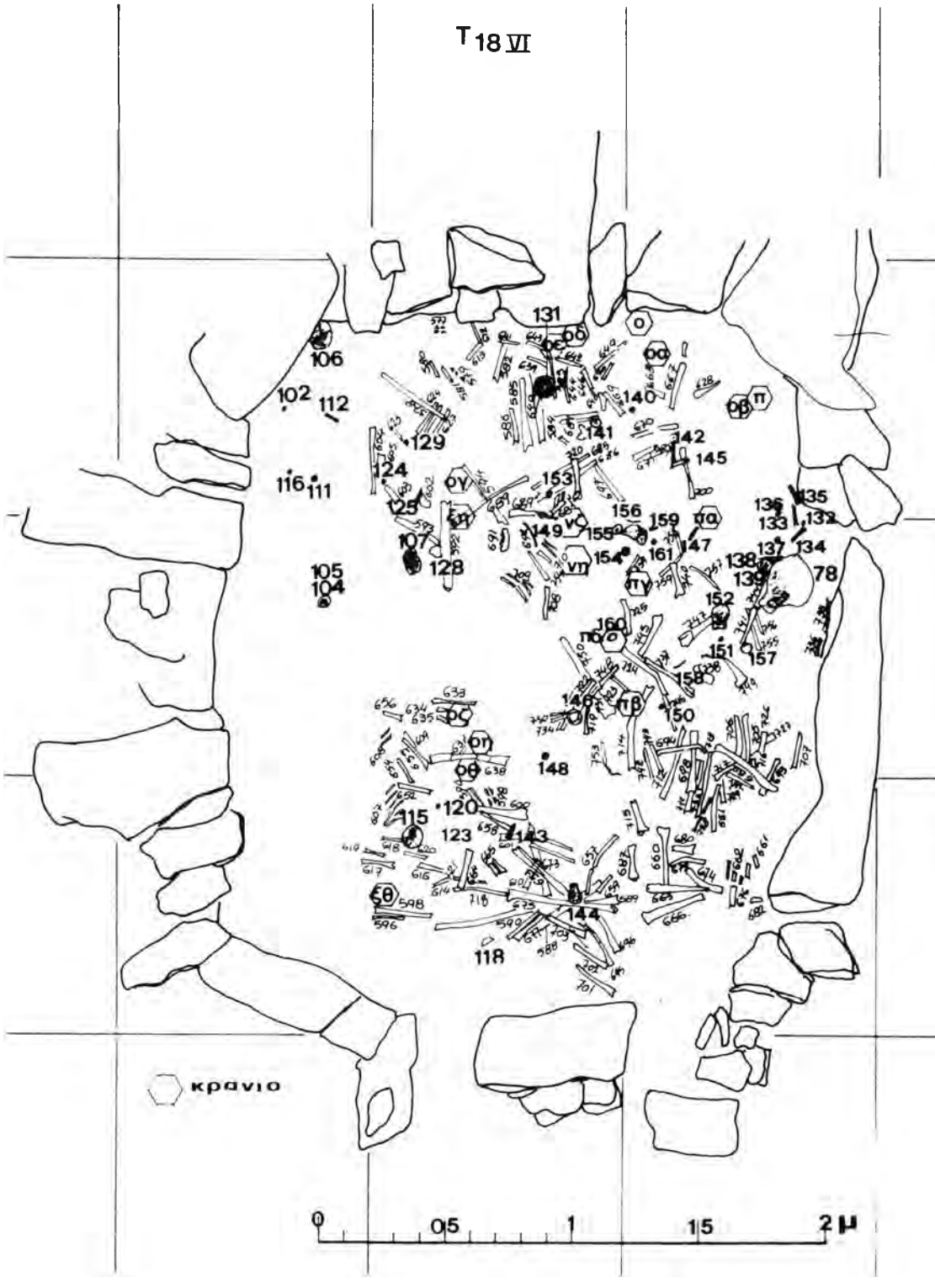

Σχέδ. 43. Στρώμα VI του τάφου T18.

142. Ψήφος όρμου από θαλάσσιο όστρεο.
μκ. 0,009 μ.

143. Θραύσμα χειροποίητου ευρύστομου αγγείου Τπ. I, VB (117α).
Σώζεται τμήμα ώμου και χείλους.
Πηλός Κτ. IB1
εξ. επ. ΚΕ-λ
εσ. επ. ΚΕ
πρ. Ε
σζ. ύψ. 0,045 μ.

Π ί ν. 116Α

144(144). Χειροποίητη οινοχόη με οριζόντιο χείλος Τπ. I, VII (146).
Λείπει η λαβή του αγγείου.
Πηλός Κτ. IB1
εξ. επ. ΚΕ-λ
εσ. επ. ΚΕ
πρ. Ε
ύψ. 0,075, δμβ. 0,03, δμχ. 0,042 μ.

145(131). Άωτο χειροποίητο αγγείο Τπ. I, IX (191).
Λείπει ένα μέρος από το άνω σώμα.
Πηλός Κτ. IΓ2
εξ. επ. Ε
εσ. επ. Ε
πρ. Ε
ύψ. 0,054, δμβ. 0,021, δμχ. 0,042 μ.

146(152). Χειροποίητο κυπελλόσχημο αγγείο Τπ. I, VIII (178).
Λείπει μικρό τμήμα από το χείλος.
Πηλός Κτ. IB3
εξ. επ. Κ
εσ. επ. ΚΕ
πρ. ΚΕ
ύψ. 0,066, δμβ. 0,033, δμχ. 0,051 μ.

147(132). Θραύσμα χάλκινης δακτυλιόσχημης ψήφου Τπ. Ψχ1.
δμ. 0,003 μ.

148(140). Θραύσμα χάλκινης ψήφου Τπ. Ψχ1.
δμ. 0,003 μ.

149(153). Θραύσμα χάλκινης ψήφου Τπ. Ψχ2.
δμ. 0,003 μ.

150(151). Θραύσμα χάλκινης ψήφου Τπ. Ψχ2.
δμ. 0,006 μ.

151(132β). Θραύσμα χάλκινης ψήφου Τπ. Ψχ2.
δμ. 0,006 μ.

152(161). Θραύσμα χάλκινης ψήφου Τπ. Ψχ2.
δμ. 0,006 μ.

153(136). Χάλκινο καρφί εγχειριδίου.
μκ. 0,009 μ.

154(137). Θραύσμα χάλκινης ψήφου από λεπτό έλασμα Τπ. Ψχ4.
δμ. 0,006 μ.

155(148). Θραύσμα ψήφου από ήλεκτρο Τπ. Ψη2β.
ύψ. 0,009, μκ. 0,012 μ.

156(159). Τρεις λεπτές λεπίδες από ορεία κρύσταλλο.
μκ. 0,009 μ.

157(158). Θραύσμα χάλκινης βελόνας Τπ. Β2.
μκ. 0,051 μ.

158(156). Θραύσμα χάλκινης βελόνας Τπ. Β2.
μκ. 0,06 μ.

159(160). Χρυσός σφηκωτήρας από στριφτό σύρμα Τπ. Σφ. 7.
δμ. 0,027 μ.

160(149). Χρυσός σφηκωτήρας από στριφτό σύρμα Τπ. Σφ. 7.
δμ. 0,015 μ.

161(146). Χάλκινο ψέλιο.
δμ. 0,066 μ.

162(157). Χάλκινο ψέλιο.
δμ. 0,06 μ.

163(141). Πήλινο σφονδύλι Τπ. ΣIII.
ύψ. 0,033, δμ. 0,024 μ.

164(155). Πήλινο δικωνικό σφονδύλι Τπ. ΣI, 1β.
ύψ. 0,03, δμ. 0,027 μ.

165(134). Χάλκινο εγχειρίδιο Τπ. EI, 2α.
Ράχη ευθύγραμμη, ακμή ευθύγραμμη, ουρά χωρίς καρφιά, που εισέχει από τις δύο πλευρές της λεπίδας.
μκ. 0,072 μ.

166(147). Χάλκινο εγχειρίδιο Τπ. EI, 2α.
Ράχη ευθύγραμμη, ακμή ευθύγραμμη, ουρά τριγωνική χωρίς καρφιά.
μκ. 0,081 μ.

167(142). Χάλκινο εγχειρίδιο Τπ. ΕΙ, 6α.
Ράχη ευθύγραμμη, ακμή ευθύγραμμη, ουρά τριγωνική χωρίς καρφιά.
μκ. 0,09 μ.

168(135). Λίθινο ακόνι Τπ. Ακ. 2β.
μκ. 0,054, πλ. 0,015 μ.

169(133). Χάλκινο εγχειρίδιο Τπ. ΕΙ, 2β.
Ράχη ευθύγραμμη, ακμή ευθύγραμμη, ουρά με τρία καρφιά. Σπασμένη η αιχμή του εγχειριδίου.
μκ. 0,084 μ.

170(135). Λίθινο ακόνι Τπ. Ακ. 1α.
μκ. 0,033, πλ. 0,012 μ.

171(136). Λίθινο ακόνι Τπ. Ακ. 1α.
μκ. 0,051, πλ. 0,012 μ.

172(131). Θραύσμα ελικόσχημου κοσμήματος Τπ. Εν.
δμ. 0,036 μ.

172β. Χάλκινη ψήφος Τπ. Ψχ1.
δμ. 0,006 μ.

Ομάδα VIA

173(139). Χειροποίητη προχοΐσκη Τπ. Ι, VIII (179).
Ακέραιη.
Πηλός Κτ. ΙΒ1
εξ. επ. ΜΤ-λ φθ
εσ. επ. ΜΤ
πρ. ΜΤ
ύψ. 0,063, δμβ. 0,015, δμχ. 0,03 μ.

174(78). Χειροποίητη οινοχόη με οριζόντιο χείλος Τπ. Ι, VIIA (138).
Λείπει ένα μεγάλο μέρος από το σώμα και το λαιμό του, καθώς και τμήμα λαβής.
Πηλός Κτ. ΙΒ1
εξ. επ. Κ-λ
εσ. επ. ΚΕ
πρ. ΚΤ
ύψ. 0,225, δμβ. 0,06, δμχ. 0,075 μ.

Ταφές σε πίθους

Έξω από τη βόρεια και τη δυτική πλευρά του τάφου Τ18 βρέθηκαν εναποτεθειμένοι μέσα σε χαμηλούς περιβόλους, προσκολλημένους στον τάφο Τ18, πίθοι σε οριζόντια θέση, που είχαν χρησιμοποιηθεί για παιδικές ταφές-ενταφιασμούς. Οι πίθοι καλύπτονταν από στρώμα λίθων (Σ χ έ δ. 37).

Ταφή πίθου Π1 (Π ί ν. 261α, 272α). Έξω από τη βορειοδυτική γωνία του τάφου Τ18 πλαισιωνόταν από ένα χαμηλό περίβολο και είχε το στόμιο στραμμένο προς Δ. Το κάτω τμήμα του ήταν τελείως κατεστραμμένο. Στο εσωτερικό του πίθου βρέθηκε ένα σπασμένο χειροποίητο αγγείο και λίγα θραύσματα κογχυλιών (Π ί ν. 117: 1).

Ο πίθος καλυπτόταν με ένα στρώμα λίθων, που περιείχε και λίγο χώμα.

Πίθος Π1 (Π ί ν. 116Β)
Πίθος χειροποίητος Τπ. Ι, XIV (1).
Λείπει ένα μεγάλο μέρος από το σώμα του πίθου και η βάση. Πλαστική ταινία με «δακτυλιές» γύρω από την αρχή του λαιμού. Σώζεται και μία από τις αποφύσεις του ώμου.
Πηλός Κτ. ΙΓ3
εξ. επ. Ε
εσ. επ. Ε
πρ. Τ
σζ. ύψ. 0,70, δμχ. 0,28, δμκ. 0,55 μ.

Π1, 1 (Π ί ν. 117: 1)
Χειροποίητη προχοΐσκη Τπ. Ι, VIIΔ (175).
Λείπει ένα μεγάλο μέρος από το άνω τμήμα του αγγείου.
Πηλός Κτ. ΙΒ1
εξ. επ. Κ-φθ
εσ. επ. Κ
πρ. ΚΕ
σζ. ύψ. 0,126, δμβ. 0,048 μ.

Ταφή πίθου Π2. Ο πίθος είχε εναποτεθεί μέσα σε χαμηλό κιβωτιόσχημο περίβολο, προσαρτημένο στο βόρειο άκρο της δυτικής πλευράς του τάφου Τ18 (Σ χ έ δ. 37).

Το στόμιο του πίθου ήταν στραμμένο προς Α. και καλυπτόταν με μια ακανόνιστη σχιστό-

πλακα (Π ί ν. 272β). Ο πίθος καλυπτόταν από στρώμα λίθων και βρέθηκε κατεστραμμένος στο μεγαλύτερο τμήμα του άνω σώματός του. Κανένα κτέρισμα δε βρέθηκε στο εσωτερικό του ούτε ίχνη οστών.

Πίθος Π2 (Π ί ν. 116Β)
Χειροποίητος πίθος Τπ. Ι, XIV (3).
Λείπει ένα μεγάλος μέρος από το άνω σώμα του πίθου. Οξυπύθμενη βάση, πλαστική ταινία με «δακτυλιές» γύρω από τον ώμο. Μολύβδινοι σύνδεσμοι στην κοιλιά.
Πηλός Κτ. ΙΓ2
εξ. επ. Ε
εσ. επ. Ε
πρ. Ε
σζ. ύψ. 0,95, δμκ. 0,52, δμχ. 0,21 μ.

Ταφή πίθου Π3. Ο πίθος 3 είχε εναποτεθεί μέσα σ' ένα χαμηλό περίβολο, προσαρτημένο στο νότιο άκρο της δυτικής πλευράς του τάφου Τ18. Το στόμιό του ήταν στραμμένο προς Ν. και φραζόταν με μια σχιστόπλακα (Π ί ν. 271α). Ο πίθος βρέθηκε ακέραιος και έτσι στάθηκε δυνατό να διατηρηθούν στο εσωτερικό του ελάχιστα λείψανα από τα οστά των παιδικών ταφών που περιείχε. Από τα θραύσματα αυτά διαπιστώθηκε ότι στον πίθο είχαν ταφεί τρία νεογνά, πιθανόν τρίδυμα (Παράρτημα Ια). Κανένα άλλο κτέρισμα δε βρέθηκε στο εσωτερικό του πίθου. Προς Δ., ωστόσο, του πιθαριού βρέθηκαν ορισμένα συγκεντρωμένα θραύσματα αγγείων, τα οποία πιθανότατα ανήκουν σε ένα σχετικό με το πιθάρι Π3 αποθέτη.

Το πιο χαρακτηριστικό θραύσμα είναι το χειροποίητο αγγείο Π3, 1 (Π ί ν. 117: 2), όμοια θραύσματα με το οποίο βρέθηκαν ανάμεσα στα όστρακα του αποθέτη.

Πίθος Π3 (Π ί ν. 116Β)
Χειροποίητος πίθος Τπ. Ι, XIV (2).
Ακέραιος περίπου. Οξυπύθμενος, με πλαστική ακόσμητη ταινία γύρω από την αρχή του λαιμού και τρεις αποφύσεις στον ώμο κάτω από την πλαστική ταινία.
Πηλός Κτ. ΙΓ2
εξ. επ. ΚΕ
εσ. επ. ΚΕ
πρ. Ε
ύψ. 0,75, δμκ. 0,45 μ.

Π3, 1 (Π ί ν. 117: 2)
Χειροποίητο ανοικτό αγγείο Τπ. Ι, XIII.
Πηλός Κτ. ΙΓ2
εξ. επ. ΚΕ
εσ. επ. ΚΜ
πρ. ΚΜ
ύψ. 0,03, μγ. δμ. 0,108, μικρ. δμ. 0,075 μ.

Ταφή πίθου Π4. Βόρεια από τον κιβωτιόσχημο περίβολο του ταφικού πίθου Π3 βρέθηκαν ορισμένα θραύσματα πίθου και θραύσματα χειροποίητων αγγείων, που ονομάσθηκαν συμβατικά θραύσματα Π4, παρόλο που δε βεβαίωσαν την παρουσία ταφικού πίθου.

ΕΥΡΗΜΑΤΑ

Π ί ν. 117

3. Θραύσμα από το χείλος χειροποίητου αγγείου Τπ. Ι, XII (201).
Πλαστική ταινία με «δακτυλιές» γύρω από το χείλος του αγγείου.
Πηλός Κτ. ΙΓ2
εξ. επ. Ε
εσ. επ. Ε
πρ. Ε
σζ. ύψ. 0,045 μ.

4. Θραύσμα από την κοιλιά πίθου Τπ. Ι, XII.
Πλαστική ταινία με «δακτυλιές» γύρω από την κοιλιά.
Πηλός Κτ. ΙΓ2
εξ. επ. Ε
εσ. επ. Ε
πρ. Τ
σζ. ύψ. 0,09 μ.

5. Θραύσμα μόνωτου χειροποίητου ευρύστομου αγγείου Τπ. Ι, IV (19).
Λείπει το μισό περίπου από το αγγείο και η λαβή.
Πηλός Κτ. ΙΒ1
εξ. επ. Κ-λ

εσ. επ. Κ-λ
πρ. ΚΕ
σζ. ύψ. 0,012 μ.

6. Θραύσμα χειροποίητου αγγείου Τπ. Ι, XI. Σώζεται τμήμα από το χείλος. Εγχάρακτη και στικτή διακόσμηση.
Πηλός Κτ. ΙΒ2
εξ. επ. ΚΕ
εσ. επ. ΚΕ
πρ. ΚΤ
σζ. ύψ. 0,06 μ.

7. Θραύσμα χειροποίητου αγγείου Τπ. Ι, IX (198).
Σειρά από στικτές κουκίδες γύρω στο χείλος.
Πηλός Κτ. ΙΓ2
εξ. επ. Ε
εσ. επ. Ε
πρ. Ε
σζ. ύψ. 0,036 μ.

8. Θραύσμα χειροποίητου αγγείου - υπόστατου Τπ. Ι, XI (198).
Εγχάρακτη διακόσμηση.
Πηλός Κτ. ΙΒ2
εξ. επ. Κ
εσ. επ. Κ
πρ. Ε
σζ. ύψ. 0,036 μ.

9. Θραύσμα από το χείλος αγγείου Τπ. Ι, IV ή Ι, VIII.
Πηλός Κτ. ΙΒ2
εξ. επ. ΚΕ
εσ. επ. ΚΕ
πρ. ΚΕ
σζ. ύψ. 0,045 μ.

10. Θραύσμα από το χείλος χειροποίητου αγγείου Τπ. Ι, VI.
Πηλός Κτ. ΙΒ2
εξ. επ. ΚΕ
εσ. επ. ΚΕ
πρ. ΚΕ
σζ. ύψ. 0,03 μ.

11. Θραύσμα από το χείλος χειροποίητου αγγείου Τπ. Ι, VI.
Πηλός Κτ. ΙΓ2
εξ. επ. ΚΕ
εσ. επ. Ε
πρ. Ε
σζ. ύψ. 0,054 μ.

12. Θραύσμα λαβής χειροποίητου αγγείου Τπ. Ι, IV.
Πηλός Κτ. ΙΒ2
εξ. επ. Κ
εσ. επ. Κ
πρ. ΚΕ
σζ. ύψ. 0,045 μ.

13. Θραύσμα από τον ώμο χειροποίητου αγγείου Τπ. Ι, III (8).
Διακρίνεται απόφυση στον ώμο.
Πηλός Κτ. ΙΑ2
εξ. επ. ΤΜ
εσ. επ. ΤΜ
πρ. ΚΤ
σζ. ύψ. 0,03 μ.

14-15. Θραύσματα βάσης χειροποίητου αγγείου.
Πηλός Κτ. ΙΒ2
εξ. επ. Κ
εσ. επ. Κ
πρ. Κ
σζ. ύψ. 0,03, δμβ. 0,50 μ.

16. Θραύσμα κυλινδρικής λαβής χειροποίητου αγγείου Τπ. Ι, XII.
Πηλός Κτ. ΙΓ2
εξ. επ. Ε
εσ. επ. Ε
πρ. Ε
σζ. ύψ. 0,054 μ.

17. Κατακόρυφη κυλινδρική λαβή χειροποίητου αγγείου Τπ. Ι, XII.
Πηλός Κτ. ΙΓ2
εξ. επ. Ε
εσ. επ. Ε
πρ. Ε
σζ. ύψ. 0,06 μ.

Περιοχή Π5, Π6, Π7

18. Θραύσμα από την κοιλιά χειροποίητου αγγείου Τπ. Ι, VIB.
Σώζεται κατακόρυφη κυλινδρική λαβή.
Πηλός Κτ. ΙΒ2
εξ. επ. ΚΕ
εσ. επ. ΚΕ
πρ. Κ
ύψ. 0,075 μ.

Στην περιοχή βρέθηκαν, επίσης, και ορισμένα άλλα θραύσματα χειροποίητων αγγείων, από τα οποία δεν προκύπτουν σχήματα.

Στην περιοχή ανάμεσα στο Π2 και Π3 βρέθηκαν μολύβδινοι σύνδεσμοι, που προέρχονται από διαλυμένα πιθάρια. Πιθανόν ορισμένοι από αυτούς σχετίζονται με τον πίθο Π2 (Π ί ν. 116Β: Π6, Π7).

Α π ο θ έ τ η ς (Σ χ έ δ. 37· Π ί ν. 261β, 271β)

Έξω από τη νότια πλευρά του τάφου Τ18 και κυρίως στην περιοχή της νοτιοδυτικής γωνίας, δυτικά από την είσοδο του τάφου, βρέθηκε ένας μεγάλος σωρός από θραύσματα αγγείων. Το σύνολο των θραυσμάτων, ανάμεσα στα οποία περιέχονταν και ορισμένα θραύσματα ειδωλίων, ονομάσθηκε αποθέτης.

Ορισμένα όστρακα αγγείων βρέθηκαν, επίσης, διάσπαρτα και στις άλλες πλευρές του τάφου, αλλά εκεί φαίνεται καθαρά πως πρόκειται για μετακινημένα από τις αλλεπάλληλες ταφές όστρακα, τα οποία άλλαζαν θέση με τη μετακίνηση της επίχωσης του τάφου και πιθανόν περιέχονταν στο χώμα του χαμηλού τύμβου, που κάλυπτε τον τάφο. Στο σωρό του αποθέτη περιέχονταν ένας μεγάλος αριθμός μεγάλων αποθηκευτικών αγγείων, που δε χρησιμοποιούνταν ως κτερίσματα των νεκρών.

Τα αγγεία αυτού του είδους, καθώς και τα θραύσματα των ειδωλίων, οδηγούν στην άποψη ότι ο αποθέτης δεν έχει σχηματισθεί από κτερίσματα που έχουν μετακινηθεί έξω από τον τάφο, σ' έναν καθαρισμό του εσωτερικού του, αλλά συσχετίζεται με ορισμένες ταφικές τελετές που πραγματοποιούνταν έξω από τον τάφο.

ΕΥΡΗΜΑΤΑ

Π ί ν. 118

1. Θραύσμα από χειροποίητο βαθύ ευρύστομο αγγείο Τπ. Ι, IV (16).
«Νυχιές» γύρω από την περιφέρεια του χείλους. Ωτόσχημες πλαστικές αποφύσεις στον ώμο.
Σώζεται τμήμα ώμου με λαιμό και χείλος, καθώς και τη λαβή.
Πηλός Κτ. ΙΑ3
εξ. επ. Κ-ΚΜ
εσ. επ. Κ
πρ. Τ
σζ. ύψ. 0,105 μ.

2. Θραύσματα από μόνωτο χειροποίητο βαθύ αγγείο Τπ. Ι, IV (18).
Σώζεται τμήμα ώμου με τμήμα λαιμού, χείλους και τη λαβή, καθώς και τμήμα από τη βάση του αγγείου.
Πηλός Κτ. ΙΑ2
εξ. επ. ΤΜ-λ
εσ. επ. ΤΜ-λ
πρ. ΤΜ
συμπλ. ύψ. 0,136, δμβ. 0,066, δμχ. 0,12 μ.

3. Θραύσματα από το λαιμό και το χείλος χειροποίητου αγγείου Τπ. Ι, VIB.
Πηλός Κτ. ΙΒ2
εξ. επ. Κ
εσ. επ. Κ
πρ. ΚΤ
σζ. ύψ. 0,045 μ.

4. Θραύσματα χειροποίητου αγγείου Τπ. Ι, II (4-5).
Σώζονται τμήματα ώμου και χείλους.
Πηλός Κτ. ΙΒ2
εξ. επ. ΚΕ
εσ. επ. ΚΕ
πρ. Κ
σζ. ύψ. 0,008 μ.

5. Θραύσμα χειροποίητου ευρύστομου αγγείου Τπ. Ι, II (4-5).
Σώζεται τμήμα ώμου, λαιμού και χείλους.
Πηλός Κτ. ΙΒ1
εξ. επ. Κ
εσ. επ. Κ-ΚΜ
πρ. Κ
σζ. ύψ. 0,063 μ.

6. Θραύσμα από τον ώμο χειροποίητου ευρύστομου αγγείου Τπ. Ι, II (4-5).
Πηλός Κτ. ΙΒ1-2
εξ. επ. ΚΜ
εσ. επ. ΚΜ
πρ. ΚΕ
σζ. ύψ. 0,06 μ.

7. Θραύσμα από τον ώμο χειροποίητου αγ-

γείου Τπ. Ι, ΙΙ (4-5).
Πηλός Κτ. ΙΑ2
εξ. επ. ΤΜ-λ
εσ. επ. ΤΜ
πρ. Τ
σζ. ύψ. 0,108 μ.

8(5). Θραύσματα μόνωτου χειροποίητου ευρύστομου αγγείου Τπ. Ι, IV (19).
Σώζεται τμήμα ώμου, λαιμού και χείλους, καθώς και το κάτω τμήμα της λαβής.
Πηλός Κτ. ΙΑ2
εξ. επ. Κ-ΚΜ-ΚΕ
εσ. επ. ΚΜ
πρ. ΚΤ
συμπλ. ύψ. 0,12, δμχ. 0,15 μ.

9(9). Θραύσμα πήλινου ειδωλίου.
Σώζεται η κεφαλή και μέρος από τους ώμους. Εγχάρακτη διακόσμηση στην πίσω όψη της κεφαλής.
ύψ. 0,039 μ.

10(10). Θραύσμα πήλινου ειδωλίου.
Σώζεται ο άνω κορμός με τα χέρια, που δηλώνονται ως αποφύσεις. Εγχάρακτη διακόσμηση στα νώτα της μορφής.
ύψ. 0,03 μ.

11(11). Θραύσμα πήλινου ειδωλίου.
Σώζεται το μεγαλύτερο μέρος του κορμού με την αρχή του λαιμού. Λείπει και το ένα χέρι. Στικτή διακόσμηση στις δύο όψεις του κορμού.
σζ. ύψ. 0,069 μ.

11α. Θραύσμα πήλινου ειδωλίου πτηνού.
Σώζεται η κεφαλή με το μακρύ λαιμό.
σζ. μκ. 0,06, σζ. ύψ. 0,024 μ.

Π ί ν. 119

12(12). Θραύσμα μόνωτου χειροποίητου ευρύστομου αγγείου Τπ. Ι, IV (43).
Σώζεται τμήμα ώμου, λαιμού και χείλους. Δύο παράλληλες αυλακώσεις γύρω από τη βάση του λαιμού.
Πηλός Κτ. ΙΑ2
εξ. επ. Κ-ΚΜ
εσ. επ. ΚΜ
πρ. ΤΜ
σζ. ύψ. 0,126 μ.

13. Θραύσμα από το χείλος χειροποίητου ευρύστομου αγγείου Τπ. Ι, IV.
Δύο παράλληλες αυλακώσεις κάτω από το χείλος.
Πηλός Κτ. ΙΑ2
εξ. επ. ΚΜ-λ
εσ. επ. ΚΜ
πρ. Κ
σζ. ύψ. 0,03 μ.

14. Θραύσμα από το χείλος χειροποίητου ευρύστομου αγγείου Τπ. Ι, IV.
Δύο παράλληλες αυλακώσεις κάτω από το χείλος.
εξ. επ. ΚΜ-λ
εσ. επ. ΚΜ
πρ. ΚΕ
σζ. ύψ. 0,03 μ.

15. Θραύσμα από το χείλος χειροποίητου αγγείου Τπ. Ι, IV.
Δύο παράλληλες αυλακώσεις κάτω από το χείλος.
Πηλός Κτ. ΙΑ2
εξ. επ. ΤΜ-λ
εσ. επ. ΤΜ-λ
πρ. Τ
σζ. ύψ. 0,03 μ.

16. Θραύσμα από τον ώμο χειροποίητου αγγείου Τπ. Ι, IV.
Δύο παράλληλες αυλακώσεις γύρω από τη βάση του λαιμού.
Πηλός Κτ. ΙΑ2
εξ. επ. ΤΜ-λ
εσ. επ. ΤΜ-λ
πρ. Τ
σζ. ύψ. 0,039 μ.

17. Θραύσματα λαβής χειροποίητου αγγείου Τπ. Ι, IV.
Πιθανόν συνανήκουν.
α) Πηλός Κτ. ΙΑ3
εξ. επ. ΤΜ
εσ. επ. ΤΜ
πρ. ΤΜ
σζ. ύψ. 0,018 μ.
β) Πηλός Κτ. ΙΒ2
εξ. επ. Κ
εσ. επ. Κ
πρ. Κ
σζ. ύψ. 0,03 μ.

18. Θραύσματα από το χείλος χειροποίητου ευρύστομου αγγείου Τπ. Ι, IV.
Δύο παράλληλες αυλακώσεις κάτω από την περιφέρεια του χείλους.
Πηλός Κτ. ΙΑ2
εξ. επ. ΤΜ-λ

εσ. επ. ΤΜ-λ
πρ. Τ
σζ. ύψ. 0,03 μ.

19. Θραύσματα από τον ώμο χειροποίητου ευρύστομου αγγείου Τπ. Ι, IV.
Δύο παράλληλες αυλακώσεις γύρω από τη βάση του λαιμού.
Πηλός Κτ. ΙΑ2
εξ. επ. ΤΜ-λ
εσ. επ. ΤΜ-λ
πρ. Τ
σζ. ύψ. 0,045 μ.

20. Θραύσμα από τον ώμο χειροποίητου αγγείου Τπ. Ι, XII.
Σώζεται κατακόρυφη κυλινδρική λαβή.
Πηλός Κτ. ΙΓ3
εξ. επ. Ε
εσ. επ. Ε
πρ. Ε
σζ. ύψ. 0,07 μ.

20Β. Θραύσμα κατακόρυφης κυλινδρικής λαβής χειροποίητου αγγείου Τπ. Ι, XII.
Πηλός Κτ. ΙΓ2
εξ. επ. Ε
εσ. επ. Ε
πρ. Τ
σζ. ύψ. 0,045 μ.

21. Θραύσμα γωνιόσχημης λαβής χειροποίητου αγγείου Τπ. Ι, IV.
Αυλακωτή διακόσμηση στο ταινιωτό τμήμα της λαβής.
Πηλός Κτ. ΙΒ1
εξ. επ. ΚΕ-λ φθ
εσ. επ. ΚΕ
πρ. Κ
σζ. ύψ. 0,046 μ.

22. Θραύσμα λαβής χειροποίητου αγγείου Τπ. Ι, IV.
Πηλός Κτ. ΙΑ2
εξ. επ. ΤΜ-λ
εσ. επ. ΤΜ-λ
πρ. Τ
σζ. ύψ. 0,035 μ.

23. Θραύσμα λαβής χειροποίητου αγγείου Τπ. Ι, VIII.
Πηλός Κτ. ΙΓ3
εξ. επ. Ε
εσ. επ. Ε
πρ. Ε
σζ. ύψ. 0,035 μ.

24. Θραύσμα βάσης τροχήλατου αγγείου Τπ. II, Β (238-239).
Πηλός Κτ. ΙΙ
εξ. επ. Ε
εσ. επ. Ε
πρ. Ε
σζ. ύψ. 0,015, δμβ. 0,024 μ.

25. Θραύσμα κατακόρυφης κυλινδρικής λαβής χειροποίητου αγγείου Τπ. Ι, VIII.
Πηλός Κτ. ΙΓ1
εξ. επ. Ε
εσ. επ. Ε
πρ. Ε
σζ. ύψ. 0,05 μ.

26. Θραύσμα λαβής χειροποίητου αγγείου Τπ. Ι, IV.
Πηλός Κτ. ΙΑ2
εξ. επ. ΤΜ-λ φθ
εσ. επ. ΤΜ-λ φθ
πρ. ΤΜ
σζ. ύψ. 0,02 μ.

27. Θραύσμα χειροποίητου ευρύστομου αγγείου Τπ. Ι, III (8).
Σώζεται τμήμα ώμου με απόφυση.
Πηλός Κτ. ΙΑ2
εξ. επ. ΚΜ-λ
εσ. επ. ΚΜ-λ
πρ. ΚΕ
σζ. ύψ. 0,048 μ.

28. Θραύσμα από το χείλος χειροποίητου αγγείου Τπ. Ι, III.
Πηλός Κτ. ΙΑ3
εξ. επ. ΚΜ
εσ. επ. ΚΜ
πρ. Κ
σζ. ύψ. 0,024 μ.

29. Θραύσμα από το χείλος χειροποίητου αγγείου Τπ. Ι, III.
Πηλός Κτ. ΙΑ3
εξ. επ. ΚΜ
εσ. επ. ΚΜ
πρ. ΚΜ
σζ. ύψ. 0,045 μ.

30(ΑΠ8). Θραύσματα χειροποίητου ευρύστομου αγγείου Τπ. Ι, III (6).
Σώζεται τμήμα από τον ώμο και το χείλος, καθώς και η μία από τις δύο λαβές του ώμου.
Πηλός Κτ. ΙΓ1
εξ. επ. Ε
εσ. επ. Ε

πρ. Ε
σζ. ύψ. 0,055, δμχ. 0,26 μ.

Π ί ν. 120

31. Θραύσματα μεγάλου χειροποίητου αγγείου Τπ. I, VIB (136).
Διακρίνεται κυρίως τμήμα από τη βάση του λαιμού και τον ώμο, όπου αυλακωτή διακόσμηση και απόφυση.
Πηλός Κτ. ΙΑ2
εξ. επ. ΚΜ-λ
εσ. επ. ΚΜ
πρ. ΚΜ
σζ. ύψ. 0,08 μ.

32. Δύο θραύσματα οριζόντιων λαβών χειροποίητου αμφορέα Τπ. I, VIΓ.
Πηλός Κτ. ΙΓ3
εξ. επ. Ε
εσ. επ. Ε
πρ. Ε
σζ. μκ. 0,06 μ.

33. Θραύσμα λαβής χειροποίητου αγγείου Τπ. I, VIB.
Πηλός Κτ. ΙΒ1
εξ. επ. Κ
εσ. επ. Κ
πρ. ΚΕ
σζ. μκ. 0,053 μ.

34(ΑΠ6). Θραύσματα από το άνω κυρίως τμήμα χειροποίητου αγγείου Τπ. I, VIB (137).
Διακρίνεται η αρχή μιας κατακόρυφης κυλινδρικής λαβής ώμου.
Πηλός Κτ. ΙΒ1
εξ. επ. Κ-ΚΜ-λ
εσ. επ. ΚΕ
πρ. Κ
σζ. ύψ. 0,22 μ.

35(3). Θραύσμα βάσης χειροποίητου αγγείου Τπ. I, XII.

36(3). Πιθανόν στο ίδιο αγγείο ανήκει και η κατακόρυφη κυλινδρική λαβή.
Πηλός Κτ. ΙΓ2-ΙΒ2
εξ. επ. ΚΕ
εσ. επ. ΚΜ
πρ. ΚΕ-ΤΜ
σζ. ύψ. 0,02, δμβ. 0,09 μ.

Π ί ν. 121

37. Θραύσμα από το χείλος χειροποίητου αγγείου Τπ. I, XII (199).
Λοξές εγχάρακτες γραμμές γύρω στο χείλος.
Πηλός Κτ. ΙΓ3
εξ. επ. Ε
εσ. επ. Ε
πρ. Ε
σζ. ύψ. 0,04 μ.

38. Θραύσμα από το χείλος χειροποίητου αγγείου Τπ. I, XII (199).
«Νυχιές» γύρω στο χείλος.
Πηλός Κτ. ΙΒ2
εξ. επ. ΚΕ
εσ. επ. ΚΕ
πρ. Κ
σζ. ύψ. 0,04 μ.

39. Θραύσμα από το χείλος χειροποίητου αγγείου Τπ. I, XII (199).
«Νυχιές» γύρω στο χείλος.
Πηλός Κτ. ΙΓ3
εξ. επ. Ε
εσ. επ. Ε
πρ. Ε-Τ
σζ. ύψ. 0,04 μ.

40. Θραύσμα από το χείλος χειροποίητου αγγείου Τπ. I, XII (199).
Λοξές χαράξεις κάτω από το χείλος.
Πηλός Κτ. ΙΒ2
εξ. επ. Κ
εσ. επ. ΚΕ
πρ. ΚΤ
σζ. ύψ. 0,03 μ.

41. Θραύσμα από το χείλος χειροποίητου αγγείου Τπ. I, XII (199).
«Νυχιές» γύρω στο χείλος.
Πηλός Κτ. ΙΒ2
εξ. επ. ΚΕ
εσ. επ. ΚΕ
πρ. Κ
σζ. ύψ. 0,033 μ.

42. Θραύσμα από το χείλος χειροποίητου αγγείου Τπ. I, XII (199).
«Νυχιές» γύρω στο χείλος.
Πηλός Κτ. ΙΒ2
εξ. επ. Κ
εσ. επ. ΚΜ
πρ. ΤΜ
σζ. ύψ. 0,045 μ.

43. Θραύσμα από το χείλος χειροποίητου αγγείου Τπ. I, XII (199).
«Νυχιές» γύρω στο χείλος. Πιθανόν από το ίδιο αγγείο προέρχονται και τρία άλλα θραύσματα.

Πηλός Κτ. ΙΓ3
εξ. επ. Ε
εσ. επ. Ε
πρ. Ε-Τ
σζ. ύψ. 0,034 μ.

44. Θραύσμα από το χείλος χειροποίητου αγγείου Τπ. Ι, XII (199).
«Νυχιές» γύρω στην περιφέρεια του χείλους.
Πηλός Κτ. ΙΒ2
εξ. επ. Κ
εσ. επ. ΚΕ
πρ. ΚΕ
σζ. ύψ. 0,041 μ.

45. Δύο θραύσματα από το χείλος χειροποίητου αγγείου Τπ. Ι, XII (199).
«Νυχιές» γύρω στο χείλος.
Πηλός Κτ. ΙΒ2
εξ. επ. ΚΕ
εσ. επ. Κ
πρ. Κ
σζ. ύψ. 0,033 μ.

46. Θραύσμα από το χείλος χειροποίητου αγγείου Τπ. Ι, XII (200).
«Νυχιές» γύρω στο χείλος.
Πηλός Κτ. ΙΒ2
εξ. επ. ΚΕ
εσ. επ. Κ
πρ. Κ
σζ. ύψ. 0,04 μ.

47. Θραύσμα από το χείλος χειροποίητου αγγείου Τπ. Ι, XII.
Πηλός Κτ. ΙΒ2
εξ. επ. ΚΕ
εσ. επ. ΚΕ
πρ. Κ
σζ. ύψ. 0,03 μ.

48. Θραύσμα χειροποίητου αγγείου Τπ. Ι, XII (4).
Σώζεται τμήμα από το άνω σώμα με τη λαβή και το χείλος, καθώς και τμήμα λαιμού. «Νυχιές» γύρω στο χείλος.
Πηλός Κτ. ΙΓ3
εξ. επ. ΚΕ
εσ. επ. Ε
πρ. Ε
σζ. ύψ. 0,08 μ.

49. Θραύσμα από το χείλος χειροποίητου αγγείου Τπ. Ι, XII (199).
«Νυχιές» γύρω στο χείλος.
Πηλός Κτ. ΙΓ3
εξ. επ. Ε
εσ. επ. Ε
πρ. Τ
σζ. ύψ. 0,05 μ.

50. Θραύσμα από το χείλος χειροποίητου αγγείου Τπ. Ι, XII (199).
«Νυχιές» γύρω στο χείλος.
Πηλός Κτ. ΙΒ2
εξ. επ. ΚΕ
εσ. επ. ΚΕ
πρ. Κ
σζ. ύψ. 0,03 μ.

51. Θραύσμα από το χείλος χειροποίητου αγγείου Τπ. Ι, XII (200).
Πηλός Κτ. ΙΒ2
εξ. επ. Κ
εσ. επ. ΚΕ
πρ. Κ
σζ. ύψ. 0,022 μ.

52. Θραύσμα από το χείλος χειροποίητου αγγείου Τπ. Ι, XII.
Πλαστική ταινία με «νυχιές» γύρω στο χείλος.
Πηλός Κτ. ΙΒ2
εξ. επ. Κ
εσ. επ. ΚΜ
πρ. ΚΜ
σζ. ύψ. 0,02 μ.

53. Θραύσμα από το χείλος χειροποίητου αγγείου Τπ. Ι, XII (199).
«Νυχιές» γύρω στο χείλος.
Πηλός Κτ. ΙΒ2
εξ. επ. Κ
εσ. επ. ΚΕ
πρ. Κ
σζ. ύψ. 0,036 μ.

54(12). Θραύσμα χειροποίητου αγγείου Τπ. Ι, XII (211).
Σώζεται τμήμα από το άνω σώμα με τμήμα λαιμού και χείλους. Πλαστική ταινία με «δακτυλιές» γύρω στο χείλος και στον ώμο. Ανάλογη πλαστική ταινία ανάμεσα στις δύο προηγούμενες.
Πηλός Κτ. ΙΓ2
εξ. επ. Ε
εσ. επ. Ε
πρ. Τ
σζ. ύψ. 0,23, δμχ. 0,045 μ.

Πίν. 122

55. Θραύσμα κωνικής βάσης χειροποίητου αγγείου Τπ. I, XI (198).
Εγχάρακτη διακόσμηση με ευθύγραμμα τριγωνικά θέματα.
Πηλός Κτ. IB2
εξ. επ. Κ
εσ. επ. Κ
πρ. Κ
σζ. ύψ. 0,035 μ.

56. Τρία θραύσματα από το χείλος χειροποίητου αγγείου Τπ. I, XI (198).
Εγχάρακτη διακόσμηση με κυματιστή και ευθύγραμμη χάραξη κάτω από το χείλος.
Πηλός Κτ. IB2
εξ. επ. Κ
εσ. επ. Κ
πρ. Κ
σζ. ύψ. 0,035 μ.

57. Θραύσμα από το χείλος χειροποίητου αγγείου Τπ. I, XI (198).
Εγχάρακτα ευθύγραμμα θέματα.
Πηλός Κτ. IB2
εξ. επ. ΚΜ
εσ. επ. ΚΕ
πρ. Κ
σζ. ύψ. 0,04 μ.

58. Θραύσμα από το χείλος χειροποίητου αγγείου Τπ. I, XI (198).
Εγχάρακτη κυματιστή γραμμή και ευθύγραμμη χάραξη ορίζουν μια διακοσμητική ζώνη κάτω από το χείλος. Ακολουθούν ελεύθεροι εγχάρακτοι διάστικτοι κύκλοι κάτω από τη ζώνη του χείλους.
Πηλός Κτ. IB2
εξ. επ. Κ
εσ. επ. Κ
πρ. ΚΕ
σζ. ύψ. 0,03 μ.

59. Θραύσμα από το χείλος χειροποίητου αγγείου Τπ. I, XI (198).
Κυματιστή γραμμή και στικτές κουκίδες κάτω από το χείλος.
Πηλός Κτ. IB2
εξ. επ. ΚΕ
εσ. επ. ΚΕ
πρ. ΚΕ
σζ. ύψ. 0,015 μ.

60. Δύο θραύσματα από το χείλος χειροποίητου αγγείου Τπ. I, XI (198).
Ζιγκ-ζαγκ εγχάρακτη διακοπτόμενη γραμμή κάτω από το χείλος· ακολουθούν ευθύγραμμα χαρακτά διάσπαρτα θέματα.
Πηλός Κτ. IB2
εξ. επ. Κ
εσ. επ. ΚΕ
πρ. Κ
σζ. ύψ. 0,018 μ.

61. Δύο θραύσματα από το χείλος χειροποίητου αγγείου Τπ. I, XI (198).
Κάτω από το χείλος, διακοσμητική ζώνη με κυματιστή και ευθεία γραμμή. Στο σώμα του αγγείου, κάτω από το χείλος, διάσπαρτοι ελεύθεροι διάστικτοι κύκλοι.
Πηλός Κτ. IB2
εξ. επ. Κ
εσ. επ. ΚΕ
πρ. Κ
σζ. ύψ. 0,038 μ.

62. Τρία θραύσματα από το χείλος εγχάρακτου αγγείου Τπ. I, XI (198).
Διακοσμητική ζώνη κάτω από το χείλος με κυματιστή και ευθεία γραμμή, σε επάλληλη διάταξη.
Πηλός Κτ. IB2
εξ. επ. ΤΜ
εσ. επ. ΤΜ
πρ. ΚΕ
σζ. ύψ. 0,035 μ.

63. Θραύσμα από το χείλος χειροποίητου αγγείου Τπ. I, XI (198).
Διακοσμητική ζώνη κάτω από το χείλος, όμοια με του προηγούμενου οστράκου.
Πηλός Κτ. IB2
εξ. επ. ΚΜ-Κ
εσ. επ. ΚΜ
πρ. ΚΕ
σζ. ύψ. 0,034 μ.

64. Θραύσματα από το χείλος χειροποίητου αγγείου Τπ. I, XI (198).
Εγχάρακτη διακόσμηση. Στο χείλος κυματιστή και ευθεία χαρακτή γραμμή, σε επάλληλη διάταξη. Στο σώμα ελεύθερα εγχάρακτα θέματα.
Πηλός Κτ. IB2
εξ. επ. Κ
εσ. επ. ΚΕ
πρ. ΚΕ
σζ. ύψ. 0,025 μ.

65-66. Δύο θραύσματα από το σώμα και το χείλος χειροποίητου αγγείου Τπ. I, XI (198).

Εγχάρακτη διακόσμηση. Στη ζώνη του χείλους κυματιστή και ευθύγραμμη χάραξη, σε επάλληλη διάταξη. Στο σώμα ακανόνιστα διάσπαρτα εγχάρακτα κυκλικά θέματα.
Πηλός Κτ. ΙΒ2
εξ. επ. ΚΜ
εσ. επ. Κ
πρ. Κ
σζ. ύψ. 0,05 μ.

67. Θραύσμα χειροποίητου αγγείου Τπ. Ι, ΧΙ (198).
Σώζεται ένα μέρος από το άνω σώμα με το χείλος. Εγχάρακτη διακόσμηση. Στη ζώνη του χείλους κυματιστή και ευθεία χαρακτή γραμμή, σε επάλληλη διάταξη. Στο σώμα κυκλικά και ευθύγραμμα ζιγκ-ζαγκ θέματα.
Πηλός Κτ. ΙΒ2
εξ. επ. Κ
εσ. επ. Κ
πρ. ΚΕ
σζ. ύψ. 0,073 μ.

68. Θραύσμα από το χείλος χειροποίητου αγγείου Τπ. Ι, ΧΙ (198).
Εγχάρακτη διακόσμηση. Κυματιστή και ευθεία χαρακτή γραμμή σε επάλληλη διάταξη γύρω από τη ζώνη του χείλους.
Πηλός Κτ. ΙΒ2
εξ. επ. ΚΜ
εσ. επ. ΚΜ
πρ. Κ
σζ. ύψ. 0,027 μ.

69. Δύο θραύσματα από το χείλος χειροποίητου αγγείου Τπ. Ι, ΧΙ (198).
Εγχάρακτη διακόσμηση. Διακρίνεται μόνο η κυματιστή γραμμή από τη ζώνη του χείλους.
Πηλός Κτ. ΙΒ2
εξ. επ. Κ
εσ. επ. Κ
πρ. ΚΕ
σζ. ύψ. 0,015 μ.

70. Θραύσματα χειροποίητου αγγείου Τπ. Ι, ΧΙ (198).
Σώζονται αποσπασματικά τμήματα από το σώμα και το χείλος. Εγχάρακτη διακόσμηση. Κυματιστή χαρακτή γραμμή στη ζώνη του χείλους.
Πηλός Κτ. ΙΒ2
εξ. επ. ΚΜ
εσ. επ. Κ
πρ. ΚΕ
σζ. ύψ. 0,015 μ.

71. Χειροποίητο κυλινδρικό αγγείο, χωρίς βάση, Τπ. Ι, ΧΙ (198).
Λείπει το ένα τρίτο περίπου του αγγείου. Δύο παράλληλες εγχάρακτες γραμμές γύρω στο χείλος και στη βάση. Το σώμα του αγγείου χωρίζεται με μία οριζόντια χαρακτή γραμμή σε δύο ζώνες, που διακοσμούνται με δύο επάλληλες κυματιστές χαρακτές γραμμές. Όλο το έδαφος του αγγείου διάστικτο.
Πηλός Κτ. ΙΒ2
εξ. επ. Κ-ΚΜ
εσ. επ. ΚΜ
πρ. ΚΕ
ύψ. 0,135, δμβ. 0,145, δμχ. 0,11 μ.

72-73. Πέντε θραύσματα από το άνω σώμα και το χείλος χειροποίητου αγγείου Τπ. Ι, ΧΙ (198).
Κυματιστή και ευθεία χαρακτή γραμμή σε επάλληλη διάταξη στη ζώνη του χείλους. Κατά διαστήματα χαρακτές κουκίδες. Στο σώμα ζιγκ-ζαγκ χαρακτά θέματα σε κατακόρυφη διάταξη, συνδυασμένα με κυκλικά θέματα.
Πηλός Κτ. ΙΒ2
εξ. επ. ΚΕ
εσ. επ. ΚΕ
πρ. Κ
σζ. ύψ. 0,045 μ.

74. Θραύσμα από το σώμα χειροποίητου αγγείου Τπ. Ι, ΧΙ (198).
Κυματιστή και ευθύγραμμη χάραξη σε επάλληλη διάταξη, που σχετίζεται με το αγγείο αριθ. 70.
Πηλός Κτ. ΙΒ2
εξ. επ. ΚΜ
εσ. επ. Κ
πρ. ΚΕ
σζ. ύψ. 0,018 μ.

75. Θραύσμα από το χείλος χειροποίητου αγγείου Τπ. Ι, ΧΙ (198).
Στη ζώνη κάτω από το χείλος διακοπτόμενες κυματιστές εγχάρακτες γραμμές. Στο σώμα κυκλικά εγχάρακτα θέματα, που πλαισιώνονται από ζιγκ-ζαγκ χαρακτά διακοσμητικά θέματα σε κατακόρυφη διάταξη. Πρβλ. θραύσμα αριθ. 67.
Πηλός Κτ. ΙΒ2
εξ. επ. ΚΕ
εσ. επ. ΚΕ
πρ. Κ
σζ. ύψ. 0,047 μ.

76. Θραύσμα από το χείλος χειροποίητου αγγείου Τπ. I, XI (198).
Κυματιστή εγχάρακτη γραμμή γύρω στην περιφέρεια του χείλους.
Πηλός Κτ. IB2
εξ. επ. ΚΕ
εσ. επ. ΚΕ
πρ. ΚΜ
σζ. ύψ. 0,032 μ.

77. Θραύσμα από το χείλος χειροποίητου αγγείου Τπ. I, XI (198).
Μία οριζόντια χαρακτή γραμμή γύρω από τη βάση του χείλους.
Πηλός Κτ. IB2
εξ. επ. ΚΕ
εσ. επ. ΚΕ
πρ. Κ
σζ. ύψ. 0,03 μ.

78. Θραύσμα από το χείλος χειροποίητου αγγείου Τπ. I, XI (198).
Στη ζώνη του χείλους ζιγκ-ζαγκ χαρακτά θέματα. Κάτω από το χείλος κυκλικά χαρακτά θέματα. Πιθανόν από το ίδιο αγγείο με το αριθ. 76.
Πηλός Κτ. IB2
εξ. επ. ΚΕ
εσ. επ. ΚΕ
πρ. Κ-ΚΜ
σζ. ύψ. 0,042 μ.

79. Θραύσμα από το χείλος χειροποίητου αγγείου Τπ. I, XI (198).
Κυματιστή και ευθεία χαρακτή γραμμή σε επάλληλη διάταξη στο χείλος. Στο τμήμα κάτω από το χείλος κυκλικά χαρακτά θέματα. Πιθανόν από το ίδιο αγγείο με το αριθ. 76.
Πηλός Κτ. IB2
εξ. επ. ΚΕ
εσ. επ. ΚΕ
πρ. ΚΜ
σζ. ύψ. 0,042 μ.

80. Θραύσμα χειροποίητου αγγείου Τπ. I, XI (198).
Ζιγκ-ζαγκ και ευθύγραμμη γραμμή στην περιοχή του χείλους. Στο τμήμα του αγγείου κάτω από το χείλος σταυρόσχημα χαρακτά θέματα.
Πηλός Κτ. IB2
εξ. επ. Κ-ΚΜ
εσ. επ. Κ-ΚΜ
πρ. ΤΜ
σζ. ύψ. 0,045 μ.

81. Θραύσμα από το χείλος χειροποίητου αγγείου Τπ. I, XI (198).
Διακρίνεται τμήμα από την κυματιστή και την ευθεία χαρακτή γραμμή του χείλους.
Πηλός Κτ. IB2
εξ. επ. Κ
εσ. επ. ΚΕ
πρ. ΚΕ
σζ. ύψ. 0,023 μ.

82. Τέσσερα θραύσματα από το χείλος και το σώμα χειροποίητου αγγείου Τπ. I, XI (198).
Ζιγκ-ζαγκ και καμπυλόγραμμα χαρακτά θέματα στο τμήμα του αγγείου κάτω από το χείλος. Στη ζώνη του χείλους κυματιστή και ευθύγραμμη γραμμή σε επάλληλη διάταξη.
Πηλός Κτ. IB2
εξ. επ. ΚΕ
εσ. επ. ΚΕ
πρ. ΚΕ
σζ. ύψ. 0,033 μ.

Π ί ν. 123

83. Τρία θραύσματα χειροποίητου αγγείου Τπ. I, XI (198).
Σώζεται τμήμα χείλους. Εγχάρακτη διακόσμηση με κυματιστή και ευθύγραμμη χαρακτή γραμμή στη ζώνη του χείλους. Κάτω από το χείλος διακρίνονται κατακόρυφα ζιγκ-ζαγκ και καμπυλόγραμμα χαρακτά θέματα.
Πηλός Κτ. IB2
εξ. επ. Κ
εσ. επ. ΚΕ
πρ. ΚΕ
σζ. ύψ. 0,028 μ.

84. Θραύσμα από το χείλος χειροποίητου αγγείου Τπ. I, XI (198).
Χαρακτή κυματιστή γραμμή στη ζώνη του χείλους.
Πηλός Κτ. IB2
εξ. επ. Κ
εσ. επ. Κ
πρ. ΚΕ
σζ. ύψ. 0,06 μ.

85-86. Θραύσματα από το σώμα χειροποίητου αγγείου Τπ. I, XI (198).
Κυκλικά και ζιγκ-ζαγκ χαρακτά θέματα.
Πηλός Κτ. IB2
εξ. επ. Κ
εσ. επ. Κ
πρ. ΚΕ

σζ. ύψ. 0,052 μ.

87. Θραύσμα από το χείλος χειροποίητου αγγείου Τπ. Ι, XI (198).
Εγχάρακτη διακόσμηση. Κυματιστή και ευθεία χαρακτή γραμμή στη ζώνη του χείλους.
Πηλός Κτ. ΙΒ2
εξ. επ. ΚΜ
εσ. επ. ΚΜ
πρ. ΚΕ
σζ. ύψ. 0,034 μ.

88. Θραύσμα από το χείλος χειροποίητου αγγείου Τπ. Ι, XI (198).
Δύο χαρακτές γραμμές γύρω στο χείλος. Κάτω από αυτές στικτή διακόσμηση.
Πηλός Κτ. ΙΒ2
εξ. επ. ΚΜ
εσ. επ. ΚΜ
πρ. ΚΕ
σζ. ύψ. 0,025 μ.

89. Θραύσμα χειροποίητου αγγείου Τπ. Ι, XI (198).
Σώζεται τμήμα χείλους και άνω σώματος. Κυματιστή χαρακτή γραμμή γύρω από το χείλος, ακολουθούν δύο παράλληλες οριζόντιες χαράξεις και στη συνέχεια, στο σώμα του αγγείου, κυκλικά και ευθύγραμμα χαρακτά θέματα.
Πηλός Κτ. ΙΒ2
εξ. επ. ΚΜ
εσ. επ. ΚΜ
πρ. ΚΕ
σζ. ύψ. 0,07 μ.

90. Θραύσμα από το χείλος χειροποίητου αγγείου Τπ. Ι, XI (198).
Κάτω από το χείλος ευθεία χάραξη, ακολουθεί κυματιστή χαρακτή γραμμή και στη συνέχεια στικτή διακόσμηση.
Πηλός Κτ. ΙΒ2
εξ. επ. Κ
εσ. επ. ΚΕ
πρ. ΚΕ
σζ. ύψ. 0,035 μ.

91. Θραύσμα από το χείλος χειροποίητου αγγείου Τπ. Ι, XI (198).
Κυματιστή και ευθεία χάραξη σε επάλληλη διάταξη κάτω από το χείλος.
Πηλός Κτ. ΙΒ2
εξ. επ. Κ
εσ. επ. Κ
πρ. ΚΕ
σζ. ύψ. 0,032 μ.

92. Θραύσμα από το χείλος χειροποίητου αγγείου Τπ. Ι, XI (198).
Σειρά οπών κάτω από το χείλος.
Πηλός Κτ. ΙΒ2
εξ. επ. Κ
εσ. επ. Κ
πρ. ΚΕ
σζ. ύψ. 0,022 μ.

93. Θραύσμα χειροποίητου αγγείου Τπ. Ι, XI (198).
Σώζεται τμήμα χείλους και άνω σώματος. Χαρακτή κυματιστή γραμμή και ευθεία χάραξη γύρω στο χείλος. Κυκλικά χαρακτά διάστικτα θέματα στο σώμα του αγγείου.
Πηλός Κτ. ΙΒ2
εξ. επ. Κ
εσ. επ. Κ
πρ. ΚΕ
σζ. ύψ. 0,061 μ.

94. Θραύσμα από το χείλος χειροποίητου αγγείου Τπ. Ι, XI (198).
Εγχάρακτη κυματιστή διπλή γραμμή στο χείλος.
Πηλός Κτ. ΙΒ2
εξ. επ. Κ
εσ. επ. Κ
πρ. ΚΕ
σζ. ύψ. 0,03 μ.

Έξω από την πλευρά Α-Δ

Θραύσματα από χειροποίητα αγγεία Τπ. Ι, XI, που βρέθηκαν σε μεγάλο ποσοστό στον αποθέτη, βρέθηκαν διάσπαρτα και έξω από την πλευρά Δ-Γ του τάφου Τ18 (Σχέδ. 37). Τα πιο χαρακτηριστικά είναι τα εξής:

Πίν. 123

95. Θραύσμα από το χείλος χειροποίητου αγγείου Τπ. Ι, XI (198).
Κυματιστή χαρακτή γραμμή και ευθύγραμμη χάραξη στη ζώνη του χείλους.
Πηλός Κτ. ΙΒ2
εξ. επ. ΚΜ
εσ. επ. ΚΜ

πρ. ΚΕ
σζ. ύψ. 0,03 μ.

96. Θραύσμα από το χείλος χειροποίητου αγγείου Τπ. Ι, XI (198).
Κυματιστή και ευθύγραμμη εγχάρακτη γραμμή σε επάλληλη διάταξη γύρω από τη ζώνη του χείλους.
Πηλός Κτ. ΙΒ2
εξ. επ. Κ
εσ. επ. Κ
πρ. ΚΕ
σζ. ύψ. 0,024 μ.

97. Θραύσμα από το χείλος και το άνω σώμα χειροποίητου αγγείου Τπ. Ι, XI (198).
Κυματιστή και ευθύγραμμη χαρακτή γραμμή σε επάλληλη διάταξη γύρω από τη ζώνη του χείλους.
Πηλός Κτ. ΙΒ2
εξ. επ. Κ-ΚΜ
εσ. επ. Κ-ΚΜ
πρ. Κ
σζ. ύψ. 0,038 μ.

98. Θραύσμα από το χείλος χειροποίητου αγγείου Τπ. Ι, XI (198).
Κυματιστή και ευθύγραμμη εγχάρακτη γραμμή σε επάλληλη διάταξη στη ζώνη γύρω στο χείλος.
Πηλός Κτ. ΙΒ2
εξ. επ. Κ
εσ. επ. Κ
πρ. ΚΕ
σζ. ύψ. 0,022 μ.

99. Θραύσμα από το χείλος χειροποίητου αγγείου Τπ. Ι, XI (198).
Εγχάρακτη κυματιστή και ευθεία γραμμή γύρω από τη ζώνη του χείλους.
Πηλός Κτ. ΙΒ2
εξ. επ. Κ
εσ. επ. Κ
πρ. ΚΕ
σζ. ύψ. 0,022 μ.

100. Θραύσμα από το χείλος χειροποίητου αγγείου Τπ. Ι, XI (198).
Χαρακτή κυματιστή και ευθεία γραμμή σε επάλληλη διάταξη γύρω από τη ζώνη του χείλους.
Πηλός Κτ. ΙΒ2
εξ. επ. Κ
εσ. επ. Κ
πρ. ΚΕ
σζ. ύψ. 0,026 μ.

101. Θραύσμα από το χείλος χειροποίητου αγγείου Τπ. Ι, XI (198).
Ευθύγραμμη χάραξη γύρω από το χείλος και κάτω από αυτήν κυματιστή εγχάρακτη γραμμή.
Πηλός Κτ. ΙΒ2
εξ. επ. Κ
εσ. επ. Κ
πρ. ΚΕ
σζ. ύψ. 0,02 μ.

102. Θραύσμα από το χείλος χειροποίητου αγγείου Τπ. Ι, XI (198).
Κυματιστή εγχάρακτη γραμμή γύρω από τη ζώνη του χείλους.
Πηλός Κτ. ΙΒ2
εξ. επ. Κ
εσ. επ. Κ
πρ. ΚΕ
σζ. ύψ. 0,02 μ.

103. Θραύσμα χειροποίητου αγγείου Τπ. Ι, XI (198).
Σώζεται τμήμα από το σώμα του αγγείου. Εγχάρακτοι διάστικτοι κύκλοι.
Πηλός Κτ. ΙΒ2
εξ. επ. Κ
εσ. επ. Κ
πρ. ΚΕ
σζ. ύψ. 0,02 μ.

Έξω από την πλευρά Β-Γ

Διάσπαρτα όστρακα βρέθηκαν, επίσης, και έξω από την πλευρά Β-Γ. Τα πιο χαρακτηριστικά είναι τα εξής:

Πίν. 123

104. Θραύσμα από το άνω σώμα και το χείλος χειροποίητου ευρύστομου αγγείου Τπ. Ι, XII (208).
Πλαστική ταινία με «δακτυλιές» γύρω στο χείλος του αγγείου. Αντίστοιχη πλαστική ταινία διασχίζει κατακόρυφα και το λαιμό.
Πηλός Κτ. ΙΓ3
εξ. επ. Κ
εσ. επ. ΚΜ

πρ. ΤΜ
σζ. ύψ. 0,108 μ.

105. Θραύσμα κυλινδρικής λαβής χειροποίητου αγγείου Τπ. Ι, XII.
Πηλός Κτ. ΙΒ2
εξ. επ. ΚΕ
εσ. επ. ΚΕ
πρ. Κ
σζ. ύψ. 0,075 μ.

Έξω από την πλευρά Α-Β

Διάσπαρτα όστρακα βρέθηκαν και έξω από την πλευρά Α-Β. Αναφέρονται τα πιο χαρακτηριστικά:

Πίν. 123

106. Θραύσμα από το χείλος χειροποίητου αγγείου Τπ. Ι, XII (204).
«Δακτυλιές» γύρω στο χείλος.
Πηλός Κτ. ΙΒ3
εξ. επ. Κ
εσ. επ. Κ
πρ. ΤΜ
σζ. ύψ. 0,033 μ.

107. Θραύσμα από το σώμα χειροποίητου αγγείου Τπ. Ι, VIIA.
Σώζεται τμήμα ώμου με κατακόρυφη απόφυση.
Πηλός Κτ. ΙΑ2
εξ. επ. ΤΜ
εσ. επ. ΤΜ
πρ. Κ
σζ. ύψ. 0,03 μ.

108. Θραύσμα κατακόρυφης ταινιωτής λαβής χειροποίητου αγγείου Τπ. Ι, XII.
Πηλός Κτ. ΙΓ2
εξ. επ. Κ
εσ. επ. ΚΕ
πρ. ΚΕ
σζ. ύψ. 0,042 μ.

Έξω από την πλευρά Δ-Γ

Πίν. 123

109. Θραύσμα από το χείλος χειροποίητου αγγείου Τπ. Ι, XII (206).
Πλαστική ταινία με «δακτυλιές» γύρω στο χείλος.
Πηλός Κτ. ΙΒ3
εξ. επ. Κ
εσ. επ. Κ
πρ. Τ
σζ. ύψ. 0,07 μ.

110. Θραύσμα από το χείλος χειροποίητου αγγείου Τπ. Ι.
Πηλός Κτ. ΙΑ2
εξ. επ. Κ-ΚΜ-λ
εσ. επ. ΚΜ-λ
πρ. Κ
σζ. ύψ. 0,03 μ

111. Θραύσμα κατακόρυφης κυλινδρικής λαβής χειροποίητου αγγείου Τπ. Ι, IV.
Πηλός Κτ. ΙΒ2
εξ. επ. Κ
εσ. επ. Κ
πρ. Κ
σζ. ύψ. 0,06 μ.

112. Θραύσμα από το χείλος χειροποίητου αγγείου Τπ. Ι, IV.
Πηλός Κτ. ΙΑ2
εξ. επ. ΚΜ-λ
εσ. επ. ΚΜ
πρ. Κ
σζ. ύψ. 0,025 μ.

113. Θραύσμα από το χείλος χειροποίητου αγγείου Τπ. Ι, IV.
Πηλός Κτ. ΙΒ2
εξ. επ. Κ
εσ. επ. Κ
πρ. Κ
σζ. ύψ. 0,023 μ.

114. Θραύσμα από το χείλος χειροποίητου αγγείου Τπ. Ι, IV.
Πηλός Κτ. ΙΑ3
εξ. επ. ΚΜ
εσ. επ. ΚΜ
πρ. ΤΜ
σζ. ύψ. 0,023 μ.

115. Θραύσμα από το χείλος χειροποίητου αγγείου Τπ. Ι, IV.
Πηλός Κτ. ΙΑ3
εξ. επ. ΚΜ
εσ. επ. ΚΜ
πρ. ΤΜ
σζ. ύψ. 0,018 μ.

Ταφική συστάδα Τ19

Η ταφική συστάδα Τ19 βρίσκεται σε απόσταση 30 μ. προς ΒΔ. του τάφου Τ18 (Σ χ έ δ. Ι). Αποτελείται από ένα μεγάλο ορθογώνιο κτιστό τάφο, με προσανατολισμό Β.-Ν. και άνοιγμα προς Ν. (Τ19Α), στη δυτική πλευρά του οποίου έχει προσκολληθεί ένας μικρός κτιστός ορθογώνιος τάφος, με προσανατολισμό επίσης Β.-Ν. και άνοιγμα προς Ν. (Τ19Β). Το βόρειο τμήμα του τάφου Τ19Α έχει καταστραφεί και ενσωματωθεί σ' ένα μεταγενέστερο πεζούλι ελιάς (Σ χ έ δ. 44).

ΤΑΦΟΣ Τ19Α

Διαστάσεις τάφου: μκ. 7,10, πλ. 6, ύψ. 1 μ. (Π ί ν. 273α-β).

Υπέργειο ταφικό κτίσμα που σώζει και ένα μέρος από τις καλυπτήριες πλάκες της οροφής κατά χώραν (Σ χ έ δ. 44). Κάτω από την οροφή υπήρχε ένα χώρος ελεύθερος, που βρέθηκε στρωμένος με επίπεδες πλάκες, πιθανόν από κάποια νεότερη χρήση (Π ί ν. 273β). Στο νότιο τμήμα βρέθηκε πεσμένη η δεύτερη μεγάλη πλάκα της οροφής, ενώ το άνοιγμα του προθαλάμου ήταν γεμάτο με άτακτα ριγμένους λίθους.

Σ τ ρ ώ μ α Ι

Το επίπεδο της ταφής αποκαλύφθηκε κάτω από τις πλάκες και μετά από ένα στρώμα με άτακτα ριγμένους λίθους και χώμα. Η εικόνα που εμφανίσθηκε βεβαίωσε, οπωσδήποτε, κάποια αναταραχή στο εσωτερικό του τάφου (Π ί ν. 274β). Προς το κέντρο του τάφου βρέθηκαν ορισμένα θραύσματα μακρών οστών, ενώ άλλα θραύσματα οστών βρέθηκαν παραμερισμένα στη νοτιοανατολική, κυρίως, γωνία του τάφου.

Διαταραγμένα βρέθηκαν και τα κτερίσματα, κυρίως τα τροχήλατα αγγεία 7, 10, 11, που ήταν διάσπαρτα στο νότιο τμήμα του τάφου (Π ί ν. 274β). Στο βόρειο άκρο του τάφου βρέθηκε το χειροποίητο αγγείο 1 και η χάλκινη πόρπη 3 και νοτιότερα οι χάλκινες πόρπες 2 και 4 και το σιδερένιο εγχειρίδιο 5 (Π ί ν. 274α).

Σ τ ρ ώ μ α ΙΙ

Το ακέραιο χειροποίητο αγγείο 12 βρέθηκε στη νότια πλευρά του τάφου, βαθύτερα από τα τροχήλατα αγγεία. Στην περιοχή αυτή, εξαιτίας της κλίσης του δαπέδου του τάφου, συγκεντρώθηκαν αρκετά θραύσματα αγγείων (Π ί ν. 275α). Θραύσματα χειροποίητων αγγείων βρέθηκαν διάσπαρτα στο νότιο κυρίως τμήμα του τάφου κάτω από το επίπεδο της τελευταίας ταφής.

Ένας χαμηλός εγκάρσιος, επιπόλαια κατασκευασμένος, τοίχος χωρίζει το θάλαμο από τον προθάλαμο. Στη νοτιοδυτική γωνία του θαλάμου υψωνόταν μια όρθια πλάκα, που πατούσε στο εσωτερικό του θαλάμου και δύσκολα θα μπορούσε να της αποδώσει κανείς το ρόλο της παραστάδας της εισόδου του τάφου (Π ί ν. 275α).

Η ανθρωπολογική μελέτη προσδιόρισε την ταφή τουλάχιστον ενός ενηλίκου και ενός παιδιού.

Ορισμένα οστά ζώων (αιγοπροβάτων και αλόγου) βρέθηκαν, επίσης, στο στρώμα των λίθων και στο επίπεδο της ταφής (Παράρτημα ΙΙ).

ΕΥΡΗΜΑΤΑ

Σ τ ρ ώ μ α Ι

Π ί ν. 124

1(Α11). Τροχήλατος σταμνίσκος-πυξίδα Τπ. ΙΙ, Ε1 (241).
Λείπουν ορισμένα μέρη από το σώμα του αγγείου, καθώς και η μία από τις λαβές.
Πηλός Κτ. ΙΙΕ

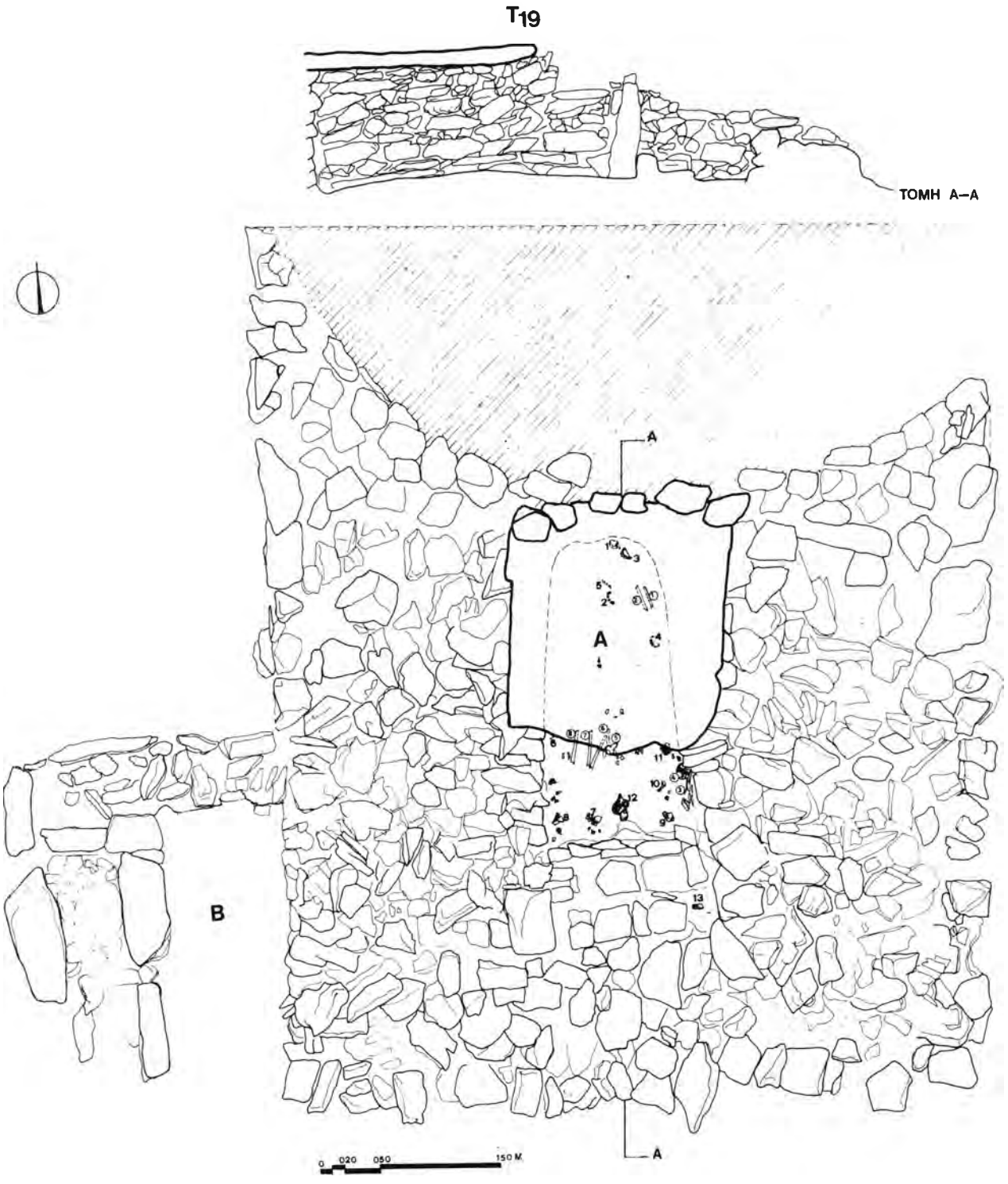

Σχέδ. 44. Κάτοψη και τομή ταφικής συστάδας T19.

εξ. επ. Ε
εσ. επ. Ε
πρ. Ε
ύψ. 0,096, δμβ. 0,054, δμχ. 0,066 μ.

2(Α7). Θραύσματα τροχήλατης κύλικας Τπ. ΙΙ, Ε (242).
Σώζονται τμήμα του χείλους και της βάσης, οι δύο λαβές και μέρος του σώματος.
Πηλός Κτ. ΙΙ
εξ. επ. Ε
εσ. επ. Ε
πρ. Ε
ύψ. 0,072, δμβ. 0,045, δμχ. 0,129 μ.

3. Θραύσματα χειροποίητης μικρής οινοχόης Τπ. Ι, VIIΕ (177).
Σώζεται τμήμα του σώματος με τη λαβή, καθώς και τμήμα του λαιμού με το χείλος (κατηγορία κεραμικής Ι, 1δ).
Πηλός Κτ. ΙΓ
εξ. επ. ΚΕ-λ
εσ. επ. ΚΕ
πρ. ΚΕ
συμπλ. ύψ. 0,139, δμλ. 0,054 μ.

4(Α1). Χειροποίητος κάνθαρος Τπ. Ι, VΒ (120).
Λείπει ένα μεγάλο μέρος από το σώμα με τη μία λαβή.
Πηλός Κτ. ΙΑ2
εξ. επ. ΚΜ-λ
εσ. επ. ΚΜ-λ
πρ. ΚΤ
ύψ. 0,071, δμβ. 0,045, δμλ. 0,066 μ.

5. Θραύσμα τροχήλατου ανοικτού αγγείου.
Σώζεται τμήμα του ώμου, η λαβή και το χείλος.
Πηλός Κτ. ΙΕ1
εξ. επ. Ε
εσ. επ. Ε
πρ. Ε
σζ. ύψ. 0,06, με τις λαβές 0,129 μ.
Το όστρακο βρέθηκε στο στρώμα των λίθων που κάλυπτε το επίπεδο ταφής.

6(Α10). Θραύσματα τροχήλατου φιαλόσχημου αγγείου Τπ. ΙΙ, Β (236).
Σώζονται αποσπασματικά το σώμα, ο λαιμός και η λαβή.
Πηλός Κτ. ΙΙ
εξ. επ. Τ
εσ. επ. Τ
πρ. Τ
ύψ. 0,285, δμκ. 0,228, δμλ. 0,045 μ.

7(Α4). Χάλκινη τοξωτή πόρπη Τπ. Π4.
ύψ. 0,042, δμ. 0,06 μ.

8(Α2). Χάλκινη τοξωτή πόρπη Τπ. Π5.
ύψ. 0,03, δμ. 0,44 μ.

9(Α3). Χάλκινη τοξωτή πόρπη Τπ. Π4.
ύψ. 0,045, δμ. 0,066 μ.

10(Α5). Σιδερένιο εγχειρίδιο Τπ. ΕVΙΙ.
Λείπει η αιχμή και η ουρά.
μκ. 0,105, μγ. πλ. 0,015 μ.

Στρώμα ΙΙ

Πίν. 125

11(Α12). Χειροποίητη οινοχόη Τπ. Ι, VIIΔ (166).
Ακέραιη (μικρή κάκωση σημειώνεται στη λαβή). Ζιγκ-ζαγκ αυλακωτή διακόσμηση στον ώμο. Αυλάκωση γύρω από την αρχή του λαιμού. Διπλή αυλακωτή γραμμή γύρω στην περιφέρεια του χείλους.
Πηλός Κτ. ΙΒ1
εξ. επ. ΤΜ-λ
εσ. επ. ΤΜ
πρ. ΚΕ
ύψ. 0,171, δμβ. 0,06, δμλ. 0,09 μ.

12(Α13). Θραύσμα μόνωτου χειροποίητου αγγείου Τπ. Ι, IV (45).
Σώζεται τμήμα του ώμου με το μεγαλύτερο μέρος της λαβής. Δύο αυλακώσεις γύρω από τη βάση του ώμου. Αυλακωτή διακόσμηση στο σωζόμενο άνω τμήμα της λαβής.
Πηλός Κτ. ΙΑ2
εξ. επ. ΤΜ-λ
εσ. επ. ΤΜ-λ
πρ. Τ
σζ. ύψ. 0,105 μ.

13(Α6). Θραύσματα μόνωτου χειροποίητου ευρύστομου αγγείου Τπ. Ι, IV.
Σώζεται η βάση και τμήμα της λαβής.
Πηλός Κτ. ΙΑ2
εξ. επ. ΚΤ-λ
εσ. επ. ΚΤ-λ
πρ. ΚΕ-ΚΤ
συμπλ. ύψ. 0,165, δμβ. 0,09 μ.

14. Θραύσμα μικρού μόνωτου χειροποίητου αγγείου Τπ. Ι, IV.
Σώζεται τμήμα γωνιόσχημης λαβής.

Πηλός Κτ. ΙΑ2
εξ. επ. ΚΤ
εσ. επ. ΚΤ
πρ. Τ
σζ. ύψ. 0,048 μ.

15. Θραύσμα μόνωτου χειροποίητου αγγείου Τπ. Ι, IV.
Σώζεται τμήμα γωνιόσχημης λαβής. Αυλακωτή διακόσμηση στο άνω τμήμα της λαβής.
Πηλός Κτ. ΙΑ2
εξ. επ. ΚΤ-λ
εσ. επ. ΚΤ-λ
πρ. Τ
σζ. ύψ. λβ. 0,075 μ.

16. Θραύσμα μεγάλου χειροποίητου αγγείου Τπ. Ι, IV.
Σώζεται τμήμα κατακόρυφης λαβής κοιλιάς.
Πηλός Κτ. ΙΒ2
εξ. επ. ΚΕ
εσ. επ. ΚΕ
πρ. ΚΤ
σζ. ύψ. 0,03 μ.

17. Θραύσμα μεγάλου χειροποίητου αγγείου Τπ. Ι, VIB.
Σώζεται τμήμα κατακόρυφης λαβής κοιλιάς.
Πηλός Κτ. ΙΒ2
εξ. επ. ΚΕ
εσ. επ. ΚΕ
πρ. Κ
σζ. μκ. 0,045 μ.

18. Θραύσμα μεγάλου χειροποίητου αγγείου Τπ. Ι, VIB.
Σώζεται τμήμα κατακόρυφης λαβής κοιλιάς.
Πηλός Κτ. ΙΒ2-ΙΓ2
εξ. επ. Ε
εσ. επ. Ε
πρ. Κ
σζ. ύψ. 0,045 μ.

19. Θραύσμα μεγάλου χειροποίητου αγγείου Τπ. Ι, VIB.
Σώζεται τμήμα από την κατακόρυφη λαβή κοιλιάς.
Πηλός Κτ. ΙΒ2
εξ. επ. ΚΕ
εσ. επ. ΚΕ
πρ. Κ
σζ. ύψ. 0,051 μ.

20(Α9). Θραύσματα χειροποίητου αμφορέα Τπ. Ι, VI (136).
Σώζεται τμήμα από το λαιμό με το χείλος.
Πηλός Κτ. ΙΑ2
εξ. επ. ΤΜ
εσ. επ. ΤΜ
πρ. Τ
σζ. ύψ. 0,165, δμχ. 0,165 μ.

21. Θραύσμα από το χείλος χειροποίητου αγγείου Τπ. Ι, VIB.
Πηλός Κτ. ΙΒ2
εξ. επ. ΚΕ
εσ. επ. ΚΕ
πρ. ΚΕ-ΚΤ
σζ. ύψ. 0,036 μ.

22(Α8). Θραύσμα από το χείλος μεγάλου χειροποίητου ευρύστομου αγγείου Τπ. Ι, XII (205).
Πλαστική ταινία με «δακτυλιές» κάτω από το χείλος.
Πηλός Κτ. ΙΒ2
εξ. επ. ΚΕ
εσ. επ. ΚΕ
πρ. ΚΜ
σζ. ύψ. 0,057 μ.

ΤΑΦΟΣ Τ19Β

Κτιστός ορθογώνιος τάφος, προσκολλημένος στο νότιο τμήμα της δυτικής πλευράς του τάφου Τ19Α. Προσανατολισμός τάφου Β.-Ν. Άνοιγμα στα νότια. Διαστάσεις τάφου: μκ. 2,80, πλ. 2,20, ύψ. 0,50 μ.

Ο τάφος ήταν καλυμμένος με στρώμα λίθων (Π ί ν. 275β). Κάτω από το στρώμα των λίθων εντοπίσθηκε το επίπεδο της ταφής, πάνω στο φυσικό έδαφος. Κανένα ίχνος οστών δε διασώθηκε. Θραύσματα αγγείων ήταν διάσπαρτα στο εσωτερικό του τάφου και, περισσότερο, συγκεντρωμένα στην περιοχή της βορειοανατολικής γωνίας του. Όστρακα βρέθηκαν και έξω από τη βόρεια πλευρά του τάφου.

Ένα θαλασσινό όστρεο βρέθηκε έξω από τη νότια πλευρά του τάφου (Παράρτημα ΙΙΙ).

Πίν. 126

1(Β2). Θραύσματα μόνωτου χειροποίητου αγγείου Τπ. Ι, IV (93).
Σώζεται τμήμα από το κάτω σώμα του αγγείου.
Πηλός Κτ. ΙΑ2
εξ. επ. Κ
εσ. επ. Κ
πρ. ΚΤ
σζ. ύψ. 0,09 μ.

2(Β3). Θραύσματα μόνωτου χειροποίητου αγγείου Τπ. Ι, IV (97).
Σώζεται τμήμα του άνω σώματος, του λαιμού και της λαβής. Μία αυλάκωση γύρω από την αρχή του λαιμού. Ζιγκ-ζαγκ αυλακωτή διακόσμηση στον ώμο.
Πηλός Κτ. ΙΑ2
εξ. επ. Κ
εσ. επ. Κ
πρ. ΚΕ
συμπλ. ύψ. 0,09 μ.

3(Β1). Θραύσματα μόνωτου χειροποίητου αγγείου Τπ. Ι, IV (52).
Σώζεται τμήμα από το άνω σώμα και το χείλος· πιθανόν από το ίδιο αγγείο προέρχεται θραύσμα βάσης και λαβής. Δύο παράλληλες αυλακώσεις γύρω από την αρχή του λαιμού. Μία αυλάκωση κάτω από την περιφέρεια του χείλους.
Πηλός Κτ. ΙΑ2
εξ. επ. ΤΜ
εσ. επ. ΤΜ
πρ. Τ
ύψ. 0,165, δμβ. 0,078, δμχ. 0,15 μ.

4(Β8). Θραύσματα που πιθανόν προέρχονται από το ίδιο μόνωτο χειροποίητο αγγείο Τπ. Ι, IV.
Σώζεται τμήμα ώμου και λαβής. Δύο παράλληλες αυλακωτές γραμμές γύρω από τη βάση του λαιμού.
Πηλός Κτ. ΙΑ2
εξ. επ. ΚΤ
εσ. επ. Τ
πρ. ΚΤ
σζ. ύψ. 0,066 μ.

5(Β6) Θραύσμα από τον ώμο χειροποίητου αγγείου Τπ. Ι, IV.
Διακρίνεται ζιγκ-ζαγκ αυλακωτή διακόσμηση.
Πηλός Κτ. ΙΑ2
εξ. επ. ΤΜ-λ
εσ. επ. ΤΜ
πρ. Τ
σζ. ύψ. 0,045 μ.

6(Β5). Θραύσμα κατακόρυφης κυλινδρικής λαβής από την κοιλιά χειροποίητου αμφορέα Τπ. Ι, VIB.
Πηλός Κτ. ΙΒ2
εξ. επ. Κ
εσ. επ. Κ
πρ. Κ
σζ. μκ. 0,054 μ.

7(Β7). Θραύσματα χειροποίητου αμφορέα Τπ. Ι, VI (136).
Σώζεται τμήμα του ώμου και μίας λαβής. Κυματοειδείς αυλακωτές γραμμές στον ώμο του αγγείου.
Πηλός Κτ. ΙΑ2
εξ. επ. Τ
εσ. επ. Τ
πρ. Τ
σζ. ύψ. 0,159 μ.

8(Β4). Θραύσμα κυλινδρικής λαβής χειροποίητου αγγείου Τπ. Ι, VIB.
Πηλός Κτ. ΙΒ2
εξ. επ. Κ
εσ. επ. Κ
πρ. Κ
σζ. ύψ. 0,06 μ.

Ταφική συστάδα Τ20

Η ταφική συστάδα Τ20 βρίσκεται σε απόσταση 20 μ. περίπου προς ΒΑ. του τάφου Τ12. Αποτελείται από τρεις ορθογώνιους τάφους, με παράλληλο προσανατολισμό Α.-Δ. περίπου (Σ χ έ δ. Ι). Ο τάφος Τ20Γ πρέπει να κατασκευάσθηκε πρώτος (Σ χ έ δ. 45-46)· ακολούθησε ο τάφος Τ20Α, που προσκολλήθηκε στη βόρεια πλευρά του τάφου Τ20Γ, και τέλος προστέθηκε και ο τάφος Τ20Β, που προσαρτήθηκε στη βόρεια πλευρά του τάφου Τ20Α. Στη δυτική

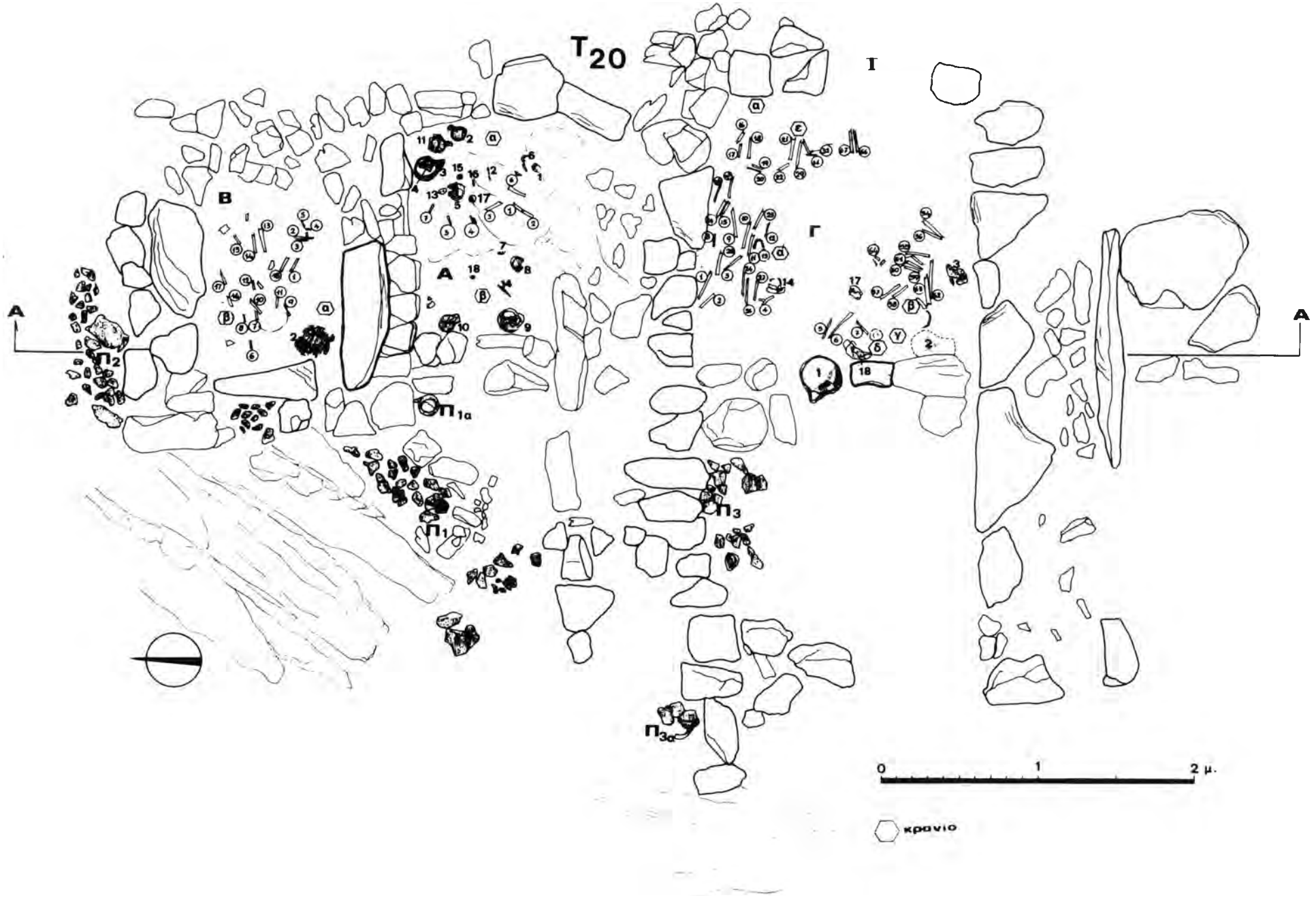

Σχέδ. 45. Κάτοψη ταφικής συστάδας Τ20.

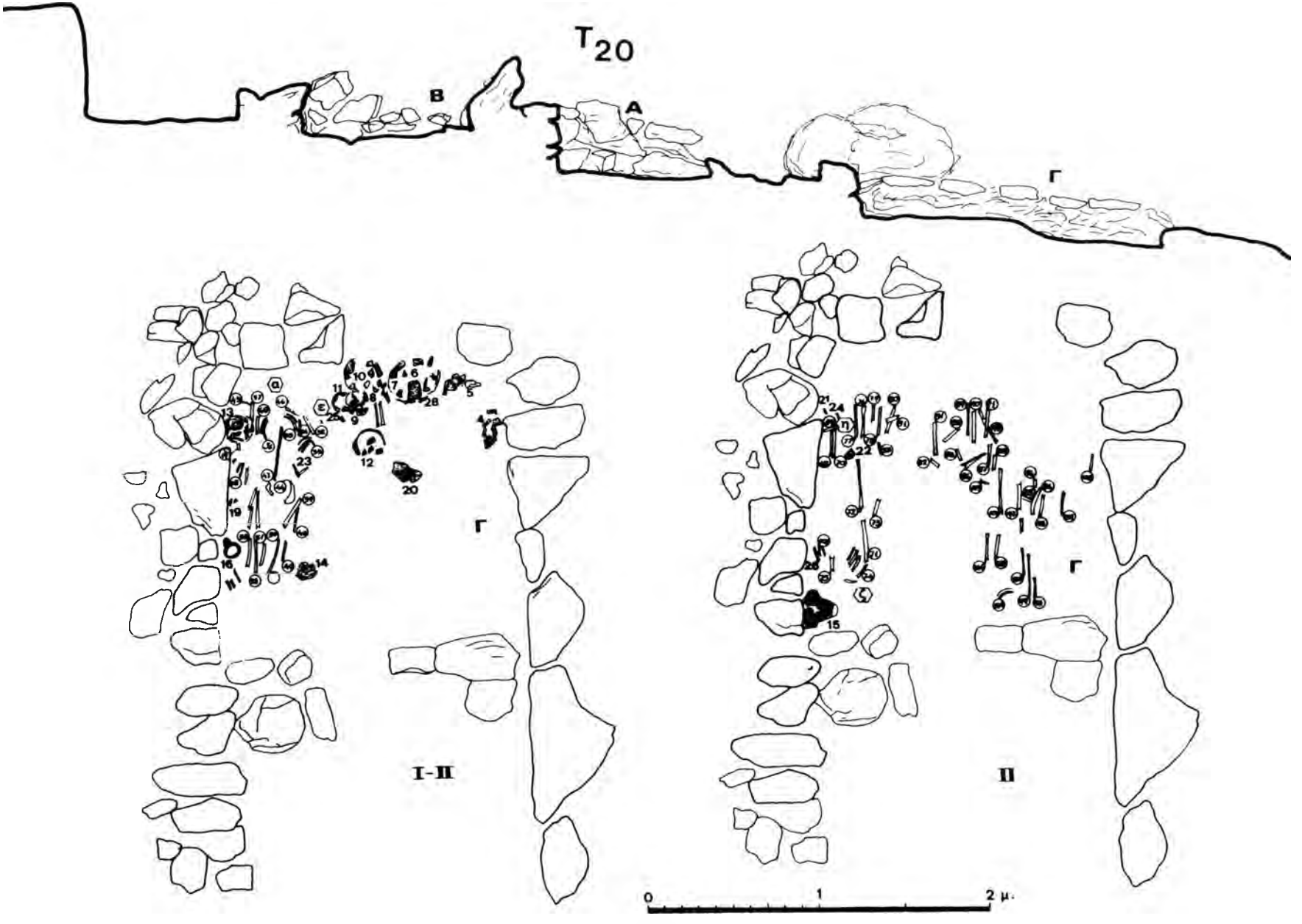

Σχέδ. 46. Τομή ταφικής συστάδας T20 και στρώματα του τάφου T20Γ.

πλευρά των τάφων Τ20Α, Τ20Β και Τ20Γ βρέθηκαν θραύσματα πίθων μαζί με πολλά θραύσματα μικρότερων, κατά κανόνα χειροποίητων, αγγείων. Στην περιοχή αυτή είναι ενδεχόμενο να υπήρχαν ταφές σε πίθους, αντίστοιχες με εκείνες που βρέθηκαν στη βόρεια πλευρά του τάφου Τ18 (Π ί ν. 271α). Είναι, ωστόσο, δυνατό ένα τουλάχιστον μέρος των αγγείων που βρέθηκαν να προέρχεται από μετακινημένα, εξαιτίας των αλλεπάλληλων ταφών, κτερίσματα από το εσωτερικό των τάφων ή να ανήκει σε αποθέτες.

Πριν από την έναρξη της ανασκαφής, το ταφικό σύνολο παρουσίαζε την ασαφή εικόνα ενός χαμηλού τύμβου (Π ί ν. 276α). Στη νότια πλευρά της χαμηλής έξαρσης διακρινόταν η νότια κτιστή πλευρά του τάφου Τ20Γ, ενώ στο βόρειο τμήμα ξεχώριζε μια χαμηλή έξαρση από αμμώδες χώμα, πιθανότατα μεταγενέστερη επίχωση, γιατί πρέπει να σημειωθεί ότι η ταφική συστάδα βρίσκεται σε κατωφέρεια και έχει υποστεί και απογύμνωση από τα νερά της βροχής, ενώ παράλληλα έχει δεχθεί και επιχώσεις σε ορισμένα σημεία.

Στο κέντρο και στο βόρειο τμήμα της ταφικής συστάδας ξεχώρισαν ορισμένες όρθιες σχιστόπλακες. Από αυτές, η πιο χαρακτηριστική είναι μια όρθια σχιστόπλακα με αρκετό πάχος, που υψώνεται δίπλα στην είσοδο του θαλάμου του τάφου Τ20Γ, χωρίς να είναι απόλυτα εντοιχισμένη στον ενδιάμεσο τοίχο θαλάμου-προθαλάμου (πρβλ. αντίστοιχη στον τάφο Τ19Α) (Π ί ν. 279α-β, 280α).

Συνολικές διαστάσεις ταφικής συστάδας Τ20: μγ. μκ. 5,80, μγ. πλ. 5,20, μγ. ύψ. 0,80 μ.

ΤΑΦΟΣ Τ20Α[8]

Ορθογώνιος τάφος με κτιστές πλευρές και προσανατολισμό Β.-Ν., περίπου (Σ χ έ δ. 45). Διαστάσεις τάφου (εσωτ.): μγ. μκ. 1,40, μγ. πλ. 0,80, μγ. ύψ. 0,40 μ.

Ο τάφος έχει κατασκευασθεί μετά τον τάφο Τ20Γ, τη βόρεια πλευρά του οποίου και χρησιμοποιεί. Το επίπεδο της ταφής εντοπίσθηκε κάτω από ένα στρώμα λίθων, που περιείχε και αρκετά μεγάλη ποσότητα χώματος (Π ί ν. 276α).

Από τα ελάχιστα θραύσματα των οστών που εντοπίσθηκαν, προκύπτει ότι στον τάφο είχαν εναποτεθεί δύο τουλάχιστον νεκροί, από τους οποίους ο ένας ήταν παιδί και ο άλλος ενήλικος (Παράρτημα Ια). Οι δύο αντίστοιχες ομάδες κτερισμάτων βεβαιώνουν, επίσης, την ταφή δύο τουλάχιστον νεκρών στον τάφο (Π ί ν. 277α-β), αλλά είναι πιθανό να υπάρχει και μία τρίτη ταφή στην περιοχή της ταφής α, στην οποία πιθανόν αντιστοιχούν τα κτερίσματα της ομάδας Ιβ.

Έξω από τη δυτική πλευρά του τάφου βρέθηκαν θραύσματα πίθου μαζί με άλλα θραύσματα αγγείων (Π ί ν. 276β, Π1).

ΕΥΡΗΜΑΤΑ

Στρώμα Ι

Ταφή Ια

Π ί ν. 127

1(Α3). Μόνωτο χειροποίητο ευρύστομο αγγείο Τπ. Ι, IV (84β).
Λείπει ένα μικρό τμήμα από το λαιμό του αγγείου. Δύο παράλληλες αυλακώσεις γύρω στο χείλος και στην αρχή του λαιμού. Αυλακωτή διακόσμηση και στην άνω επιφάνεια της λαβής.
Πηλός Κτ. ΙΒ1
εξ. επ. Κ-λ
εσ. επ. ΚΜ-λ
πρ. Κ
ύψ. 0,005, δμβ. 0,05, δμχ. 0,12 μ.

2(Α4). Μικρή χειροποίητη οινοχόη με οπισθότμητη προχοή Τπ. Ι, VIIΔ (170).

8. Η σειρά των γραμμάτων στους τάφους ακολουθεί τη σειρά με την οποία ερευνήθηκαν οι τάφοι στην ανασκαφή του νεκροταφείου.

Ακέραιη. Δύο παράλληλες αυλακώσεις γύρω στο χείλος και γύρω από τη βάση του λαιμού.
Πηλός Κτ. ΙΒ1
εξ. επ. Κ-λ
εσ. επ. Κ-λ
πρ. Κ-ΚΕ
ύψ. 0,10, δμβ. 0,04, δμλ. 0,06 μ.

Ταφή Ιβ

3(Α2). Χειροποίητο κύπελλο Τπ. Ι, VIII (186).
Λείπει ένα πολύ μικρό τμήμα από το χείλος και τη λαβή.
Πηλός Κτ. ΙΑ3
εξ. επ. Τ
εσ. επ. Τ
πρ. Τ
ύψ. 0,08, δμβ. 0,05, δμχ. 0,08 μ.

4(Α11). Μόνωτο χειροποίητο ευρύστομο αγγείο Τπ. Ι, IV (97).
Λείπει ένα μέρος από το άνω κυρίως σώμα του αγγείου. Δύο παράλληλες αυλακώσεις γύρω από το λαιμό. Ζιγκ-ζαγκ αυλακωτή διακόσμηση στον ώμο, αυλακωτή διακόσμηση και στο άνω ταινιωτό τμήμα της λαβής.
Πηλός Κτ. ΙΒ1
εξ. επ. Κ-ΚΕ-λ
εσ. επ. Κ-λ
πρ. Κ-ΚΤ
ύψ. 0,09, δμβ. 0,045, δμχ. 0,075 μ.

5(Α5). Τροχήλατος αμφορίσκος Τπ. ΙΙ, Β (235).
Λείπει ένα μεγάλο μέρος από το σώμα του αγγείου. Βάση δακτυλιόσχημη, κακώσεις γύρω στο λαιμό.
Πηλός Κτ. ΙΙ
εξ. επ. Τ - επίχρισμα μαύρο
εσ. επ. Τ
πρ. Τ
ύψ. 0,115, δμβ. 0,05, δμχ. 0,073 μ.

6(Α6). Θραύσματα χειροποίητου αγγείου Τπ. Ι, IV (23).
Σώζεται μέρος από το άνω σώμα με τη λαβή και μέρος του λαιμού και του ώμου.
Πηλός Κτ. ΙΑ2
εξ. επ. ΚΜ-λ
εσ. επ. ΚΜ
πρ. ΚΤ
σζ. ύψ. 0,135 μ.

7(Α7). Θραύσμα χάλκινης «σύριγγας» Τπ. Σρ. 2.
μγ. μκ. 0,015, δμ. 0,005 μ.

8(Α16). Θραύσμα χάλκινης «σύριγγας» Τπ. Σρ. 2.
μγ. μκ. 0,012, δμ. 0,003 μ.

9(Α12). Θραύσμα χάλκινης «σύριγγας» Τπ. Σρ. 2.
Πιθανόν από το αριθ. Α7.
μγ. μκ. 0,001, δμ. 0,004 μ.

10(Α15). Χάλκινο ελικόσχημο κόσμημα Τπ. Εν.
Λείπει ένα τμήμα από το άκρο του κατακόρυφου στελέχους.
δμ. 0,03, σζ. ύψ. 0,042 μ.

11(Α13). Χάλκινο κουμπί Τπ. Τ3α.
Λείπει ένα τμήμα από την περιφέρεια. Σώζονται δύο οπές για προσάρτηση.
σζ. ύψ. 0,02, δμ. 0,015.

12(Α1). Χάλκινος σφηκωτήρας Τπ. Σφ. 1.
δμ. 0,02 μ.

13(Α17). Πήλινο δικωνικό σφονδύλι Τπ. ΣΙΙ, 5.
ύψ. 0,02, δμ. 0,025 μ.

Στρώμα ΙΙ

Ταφή ΙΙ

Πίν. 128Α

1(Α10). Χειροποίητη μικρή οινοχόη Τπ. Ι, VIIΔ (165).
Λείπει ένα μεγάλο μέρος από το άνω σώμα, καθώς και το άνω τμήμα της λαβής.
Πηλός Κτ. ΙΒ1
εξ. επ. Κ-ΚΕ
εσ. επ. ΚΕ
πρ. Κ
ύψ. 0,11, δμβ. 0,04, δμχ. 0,075 μ.

2(Α9). Μόνωτο χειροποίητο ευρύστομο αγγείο Τπ. Ι, IV (91).
Ακέραιο. Δύο παράλληλες αυλακώσεις κάτω από το χείλος, μία αυλάκωση γύρω από τη βάση του λαιμού. Ζιγκ-ζαγκ διπλές αυλακώσεις στον ώμο, όπου και τρεις αποφύσεις σε κανονικά διαστήματα. Αυλακωτή διακόσμηση και στη βάση του κυλινδρικού στελέχους της λαβής, όπως και στο ταινιωτό τμήμα της λαβής.
Πηλός Κτ. ΙΑ2

εξ. επ. ΚΜ-λ
εσ. επ. ΚΜ-λ
πρ. Κ
ύψ. 0,112, δμβ. 0,065, δμχ. 0,095 μ.

3(Α8). Χειροποίητο κυπελλόσχημο αγγείο Τπ. Ι, IV (99).
Λείπει το άνω τμήμα του λαιμού με τη λαβή και το χείλος. Ζιγκ-ζαγκ αυλάκωση στον ώμο και στο ταινιωτό τμήμα της λαβής. Μια αυλάκωση γύρω από τη βάση του λαιμού.
Πηλός Κτ. ΙΑ2-ΙΒ1
εξ. επ. ΚΜ-λ
εσ. επ. ΚΜ-λ φθ
πρ. Κ-ΚΕ
ύψ. 0,08, δμβ. 0,045, δμχ. 0,086 μ.

4(Α14). Χάλκινο εγχειρίδιο Τπ. ΕV, 1α.
Ράχη κυρτή, ακμή κοίλη, αιχμή που κάμπτεται προς τα άνω. Ουρά, που συνεχίζει την καμπύλη της ράχης και εισέχει από την πλευρά της ακμής, χωρίς καρφιά, με καμπυλόγραμμο πέρας.
μκ. 0,10 μ.

5(Α18). Θραύσμα ψήφου περιδεραίου Τπ. Ψυ.
δμ. 0,006, ύψ. 0,001 μ.

Επίχωση (ΕΠ)

Στην επίχωση του εσωτερικού του τάφου βρέθηκαν ορισμένα διάσπαρτα θραύσματα αγγείων, τα οποία δε συσχετίζονταν με τα κτερίσματα των ταφών, που περιέχονταν στον τάφο Τ20Α, αλλά πιθανότατα προέρχονταν από την επίχωση που είχε καλύψει το εσωτερικό του τάφου.

ΕΥΡΗΜΑΤΑ

Πίν. 128Β

1. Θραύσμα χειροποίητου αγγείου Τπ. Ι, XI (198).
Σώζεται τμήμα από το σώμα του αγγείου, όπου εγχάρακτη διακόσμηση.
Πηλός Κτ. ΙΒ2
εξ. επ. Κ
εσ. επ. Κ
πρ. Κ
σζ. ύψ. 0,03 μ.

2. Θραύσμα από το χείλος χειροποίητου αγγείου Τπ. Ι, IV.
Διακρίνεται μία αυλάκωση κάτω από το χείλος.
Πηλός Κτ. ΙΑ2
εξ. επ. ΚΤ-λ φθ
εσ. επ. ΚΤ-λ φθ
πρ. ΚΤ
σζ. ύψ. 0,026 μ.

3. Θραύσμα από τον ώμο χειροποίητου αγγείου Τπ. Ι, IV (110).
Ρυτιδωτή διακόσμηση.
Πηλός Κτ. ΙΑ2
εξ. επ. ΤΜ-λ φθ
εσ. επ. ΤΜ-λ φθ
πρ. ΤΜ
σζ. ύψ. 0,025 μ.

4. Κατακόρυφη κυλινδρική λαβή χειροποίητου αγγείου Τπ. Ι, IV.
Πηλός Κτ. ΙΑ2
εξ. επ. ΚΜ
εσ. επ. ΚΜ
πρ. Κ
σζ. ύψ. 0,075 μ.

5. Θραύσμα κατακόρυφης κυλινδρικής λαβής χειροποίητου αγγείου Τπ. Ι, IV.
Πηλός Κτ. ΙΑ2
εξ. επ. ΚΤ
εσ. επ. ΚΤ
πρ. ΚΤ
σζ. ύψ. 0,05 μ.

6. Θραύσμα κατακόρυφης λαβής χειροποίητου αγγείου Τπ. Ι, IV.
Πηλός Κτ. ΙΑ2
εξ. επ. Κ
εσ. επ. ΚΜ
πρ. ΚΜ
σζ. ύψ. 0,04 μ.

7. Θραύσμα από το χείλος μεγάλου χειροποίητου αγγείου Τπ. Ι, XII (205).
Πλαστική ταινία με «δακτυλιές» κάτω από το χείλος.
Πηλός Κτ. ΙΒ2
εξ. επ. ΚΜ
εσ. επ. Κ
πρ. ΚΕ

σζ. ύψ. 0,065 μ.

8. Θραύσμα από την κοιλιά μεγάλου χειροποίητου αγγείου Τπ. I, XII.
Πλαστική ταινία με «δακτυλιές» γύρω από την κοιλιά του αγγείου.
Πηλός Κτ. IB2
εξ. επ. Κ
εσ. επ. Κ
πρ. ΚΤ
σζ. ύψ. 0,115 μ.

Εκτός από τα παραπάνω όστρακα, βρέθηκαν στο εσωτερικό του τάφου και τα εξής όστρακα, τα οποία δεν απεικονίζονται: Ένα θραύσμα χείλους αγγείου Κτ. IB2, δύο θραύσματα λαβών Κτ. IB1, τρία όστρακα τροχήλατα.

ΤΑΦΟΣ Τ20Β

Ο τάφος κατασκευάσθηκε τελευταίος στο ταφικό συγκρότημα Τ20. Προσαρτήθηκε στον τάφο Τ20Α, χρησιμοποιώντας τη βόρεια πλευρά του (Σ χ έ δ. 45). Διαστάσεις τάφου (εσωτ.): μγ. μκ. 1,30, μγ. πλ. 0,82, μγ. ύψ. 0,40 μ.

Το εσωτερικό του τάφου ήταν καλυμμένο με το γνωστό στρώμα των λίθων, που και εδώ, όπως και στον τάφο Τ20Α, περιείχε μια αρκετά μεγάλη ποσότητα χώματος. Το επίπεδο των ταφών βρισκόταν πάνω στο φυσικό έδαφος. Στη δυτική στενή πλευρά του τάφου εντοπίσθηκαν τρεις θέσεις με λείψανα κρανίων. Από τα θραύσματα αυτά, καθώς και από τα ελάχιστα θραύσματα μακρών οστών που βρέθηκαν κατά μήκος του τάφου, βεβαιώνεται ότι οι νεκροί είχαν ταφεί με το κεφάλι προς Δ. και τα σκέλη τεντωμένα.

Η ανθρωπολογική μελέτη βεβαίωσε δύο, τουλάχιστον, παιδικές ταφές (Παράρτημα Ια).

Τα μοναδικά κτερίσματα του τάφου ήταν δύο θραύσματα αγγείων, που βρέθηκαν στη νοτιοδυτική γωνία του τάφου (Π ί ν. 278α). Εκτός από τα αγγεία, βρέθηκαν ακόμη ορισμένα όστρακα, τα οποία προέρχονται από τα διαταραγμένα χώματα της επίχωσης.

Στην επίχωση του τάφου βρέθηκαν, επίσης, και δόντια ζώου (Παράρτημα ΙΙ).

ΕΥΡΗΜΑΤΑ

Π ί ν. 129

1(B1). Μόνωτο χειροποίητο ευρύστομο αγγείο Τπ. I, IV (58).
Λείπει ένα μέρος από τον ώμο και το λαιμό, καθώς και η λαβή. Μία αυλάκωση κάτω από το χείλος, μία αυλάκωση γύρω από τη βάση του λαιμού.
Πηλός Κτ. IA2
εξ. επ. ΚΤ
εσ. επ. ΚΤ
πρ. ΚΤ
ύψ. 0,12, δμβ. 0,08, δμχ. 0,165 μ.

2(B2). Μόνωτο χειροποίητο ευρύστομο αγγείο Τπ. I, IV (97).
Λείπει το μεγαλύτερο τμήμα του αγγείου. Δύο παράλληλες αυλακώσεις γύρω από τη βάση του λαιμού. Συστάδες από διπλές ζιγκζαγκ αυλακώσεις στον ώμο του αγγείου.
Πηλός Κτ. IA2
εξ. επ. ΚΜ-λ
εσ. επ. ΚΜ
πρ. ΚΤ
σζ. ύψ. 0,12, δμλ. 0,132 μ.

3. Θραύσμα από το χείλος χειροποίητου αγγείου Τπ. I, IV.
Πηλός Κτ. IB1
εξ. επ. Κ
εσ. επ. Κ
πρ. Κ
σζ. ύψ. 0,055 μ.

4. Θραύσμα από το χείλος χειροποίητου αγγείου Τπ. I, IV.
Πηλός Κτ. IA2
εξ. επ. ΚΜ-λ
εσ. επ. ΚΜ
πρ. Κ
σζ. ύψ. 0,02 μ.

5. Θραύσμα από το χείλος χειροποίητου αγγείου Τπ. I, IV.
Πηλός Κτ. IA2
εξ. επ. ΤΜ-λ
εσ. επ. ΤΜ-λ
πρ. Τ

σζ. ύψ. 0,025 μ.

6. Θραύσμα από το χείλος χειροποίητου αγγείου Τπ. Ι, XII (205).
Πλαστική ταινία με «δακτυλιές» γύρω στο χείλος.
Πηλός Κτ. ΙΒ2
εξ. επ. ΚΕ
εσ. επ. ΚΕ
πρ. Κ
σζ. ύψ. 0,035 μ.

7. Θραύσμα από το χείλος χειροποίητου αγγείου Τπ. Ι, XII.
Πηλός Κτ. ΙΑ2
εξ. επ. ΚΕ
εσ. επ. ΚΕ
πρ. Κ
σζ. ύψ. 0,025 μ.

8. Θραύσμα κατακόρυφης κυλινδρικής λαβής από την κοιλιά χειροποίητου αγγείου Τπ. Ι, XII.
Πηλός Κτ. ΙΓ2
εξ. επ. Ε
εσ. επ. Ε
πρ. ΚΜ
σζ. ύψ. 0,055 μ.

ΤΑΦΟΣ Τ20Γ

Ορθογώνιος κτιστός τάφος με προσανατολισμό Α.-Δ., περίπου (Σ χ έ δ. 45). Είναι ο τάφος, που κατασκευάσθηκε πρώτος στο ταφικό συγκρότημα. Μ' ένα χαμηλό τοίχο χωρίζεται σε θάλαμο, όπου έχουν εναποτεθεί με αλλεπάλληλες ταφές οι νεκροί, και σε προθάλαμο, όπου βρέθηκαν πολλά θραύσματα αγγείων και θραύσματα πίθου (αποθέτης Π3, Π ί ν. 279α-β). Διαστάσεις θαλάμου (εσωτ.): μγ. μκ. 1,80, μγ. πλ. 1,72, μγ. ύψ. 0,425 μ. Διαστάσεις προθαλάμου (εσωτ.): μγ. μκ. 0,80, μγ. πλ. 1,72, μγ. ύψ. 0,40 μ. Στον τοίχο που χωρίζει το θάλαμο από τον προθάλαμο υπάρχει ένα άνοιγμα, στη νότια παρειά του οποίου υψώνεται μια μακρόστενη πλάκα ως παραστάδα του ανοίγματος ή το πιθανότερο ως «στήλη», γιατί δεν είναι ενσωματωμένη στον τοίχο (Π ί ν. 279α-β, 280α).

Το επίπεδο των ταφών εντοπίσθηκε πάνω στο φυσικό έδαφος, κάτω από ένα στρώμα λίθων και χώματος. Η εικόνα που παρουσίασε το εσωτερικό του τάφου, με τις αλλεπάλληλες ταφές και τα παραμερισμένα οστά, δεν έδινε στοιχεία για την ταύτιση των επιμέρους ταφών και την απόδοση σ' αυτές συγκεκριμένων κτερισμάτων. Η ανθρωπολογική μελέτη βεβαίωσε την ταφή επτά τουλάχιστον ατόμων, κατά ελάχιστο όριο στον τάφο (Παράρτημα Ια), αλλά, όπως προκύπτει από την επιμέρους ανάλυση των σκελετικών λειψάνων, οι ταφές πρέπει να ήταν περισσότερες, γιατί ένα μεγάλο ποσοστό ανάμεσα στις ταφές κατέχουν οι παιδικές, τα λείψανα των οποίων είναι ελάχιστα, όπως είναι φυσικό.

Παρόλο που οι ταφές έχουν διαταραχθεί εξαιτίας της πολλαπλής χρήσης του τάφου, ξεχωρίζουν ωστόσο, με βάση ορισμένα οστά, ταφές που έχουν εναποτεθεί με το κεφάλι προς Α. (πρβλ. κρανία α και ε, Σ χ έ δ. 46), ενώ άλλοι νεκροί έχουν εναποτεθεί με το κεφάλι προς Δ. (κρανίο ζ, Σ χ έ δ. 46). Μια άλλη ομάδα παραμερισμένων ταφών υπάρχει στη νότια πλευρά του τάφου, όπου τα κρανία β, γ και δ. Ανάμεσα στις ταφές αυτές πρέπει να υπάρχουν οστά παιδικών ταφών, διάφορων ηλικιών. Η ανθρωπολογική μελέτη επεσήμανε, επίσης, την ύπαρξη μιας γυναικείας ταφής στην περιοχή αυτή (Παράρτημα Ια). Πρέπει να σημειώσουμε ότι ένα οστό στη βόρεια πλευρά του τάφου, το αριθ. 15, παρουσίασε ίχνη καύσης.

Αξιοσημείωτη είναι, επίσης, η ανεύρεση μεταξύ των οστών και ενός οστού ζώου (πρβλ. Παράρτημα ΙΙ). Για τα μαλάκια που βρέθηκαν στον τάφο και τα οποία, όπως και το οστό ζώου, αποτελούν συμβολική τροφή βλ. Παράρτημα ΙΙΙ.

Τα κτερίσματα, εξαιτίας της διατάραξης του εσωτερικού του τάφου από τις πολλαπλές ταφές, δεν είναι δυνατό να αποδοθούν σε συγκεκριμένες ταφές. Ξεχωρίζουν, ωστόσο, οι εξής ομάδες κτερισμάτων, που οπωσδήποτε συνδέονται με κάποια στενότερη χρονική σχέση.

Στρώμα Ι

Ομάδα Α'

Στην ομάδα αυτή περιέχονται αγγεία που βρέθηκαν στη νοτιοδυτική γωνία και στη νότια

πλευρά του τάφου και τα οποία σχετίζονται με τις ταφές των κρανίων β, γ, δ, καθώς και παιδικές ταφές, που έχουν εντοπισθεί στο δεύτερο κυρίως στρώμα των οστών της περιοχής αυτής. Το πρώτο στρώμα των οστών περιέχει χωρίς αμφιβολία και μετακινημένα από τη βόρεια πλευρά του τάφου οστά (Σ χ έ δ. 45· Π ί ν. 280α).

Αγγεία Γ1, Γ2, Γ3, Γ17, Γ18.

Ομάδα Β'

Στην ομάδα αυτή περιέχονται αγγεία της νοτιοανατολικής γωνίας του τάφου, που πρέπει να σχετίζονται οπωσδήποτε με περισσότερες από μία ταφές. Πιθανότατα, στις ταφές αυτές ανήκει και ο νεκρός του κρανίου ε, ένα μεγάλο μέρος από το σκελετό του οποίου βρέθηκε αμετακίνητο (Σ χ έ δ. 45). Στο νεκρό αυτό πρέπει να ανήκει και το χάλκινο εγχειρίδιο Γ23, που βρέθηκε πιθανότατα στην αρχική του θέση.

Αγγεία Γ4, Γ5, Γ6, Γ7, Γ8, Γ9, Γ10, Γ11, Γ12, Γ20, Γ25, Γ28 (Π ί ν. 280α-β).

Σ τ ρ ώ μ α ΙΙ

Ομάδα Γ'

Στην ομάδα αυτή ανήκουν τα αγγεία που βρέθηκαν κατά μήκος της βόρειας πλευράς του τάφου και τα οποία πρέπει να προέρχονται από διάφορες ταφές. Μια πιο στενή ομάδα στην περιοχή αυτή αποτελούν το αγγείο Γ15 και το χάλκινο εγχειρίδιο Γ26, που πιθανότατα πρέπει να αποδοθούν στην ταφή ζ, ή σε κάποια από τις άλλες ταφές, που έχουν πραγματοποιηθεί διαδοχικά στην περιοχή αυτή.

Οπωσδήποτε, το σιδερένιο εγχειρίδιο Γ19 βρέθηκε στο ίδιο επίπεδο με το αγγείο Γ14, που εξαιτίας του μεγέθους του θα ήταν δυνατό να συνδεθεί με κάποια παιδική ταφή της περιοχής αυτής (Π ί ν. 280β).

Το αγγείο Γ13, όμως, προέρχεται οπωσδήποτε από άλλη ταφή και πιθανότατα, επειδή ο πυθμένας του ακουμπά στο φυσικό έδαφος του τάφου, πρέπει να ανήκει σε κάποια από τις αρχαιότερες ταφές της θέσης αυτής.

Ομάδα Δ'

Μια ιδιαίτερη ομάδα πρέπει να αποτελούν το σιδερένιο εγχειρίδιο Γ24, το λίθινο ακόνι Γ21 και το μικρογραφικό αγγείο Γ22, που πιθανότατα σχετίζονται με την παιδική ταφή του κρανίου ή της βορειοανατολικής γωνίας του τάφου (Π ί ν. 280β).

Τέλος, τα κτερίσματα των Πινάκων 134Α: 30, 31, 32, 33, τα οποία βρέθηκαν διάσπαρτα στο επιφανειακό στρώμα της επίχωσης του τάφου, πρέπει να αποτελούν κτερίσματα παιδικών τάφων.

ΕΥΡΗΜΑΤΑ

Σ τ ρ ώ μ α Ι

Ομάδα Α'

Π ί ν. 130

1(Γ1). Μόνωτο χειροποίητο ευρύστομο αγγείο Τπ. Ι, IV (20).
Λείπει ένα μέρος από το κάτω σώμα.
Πηλός Κτ. ΙΑ2
εξ. επ. ΤΜ-λ
εσ. επ. ΤΜ-λ
πρ. Κ-Κ-Μ
ύψ. 0,25, δμβ. 0,11, δμχ. 0,22 μ.

2(Γ18). Μόνωτο χειροποίητο ευρύστομο αγγείο Τπ. Ι, IV (109).
Ρυτιδωτή διακόσμηση στον ώμο (rippled). Αυλακωτή διακόσμηση στην άνω επιφάνεια της γωνιόσχημης λαβής. Λείπει ένα μέρος από το αγγείο.
Πηλός Κτ. ΙΑ2-ΙΒ1
εξ. επ. ΚΜ-λ
εσ. επ. ΚΜ-λ
πρ. Κ
ύψ. 0,115, δμχ. 0,12, δμλ. 0,12 μ.

3(Γ2). Χειροποίητος αμφορέας με οριζόντιες

λαβές στον ώμο Τπ. Ι, VIΓ (127).
Λείπει το μισό, περίπου, από το σώμα του αγγείου. Δύο αυλακώσεις γύρω από την αρχή του λαιμού.
Πηλός Κτ. ΙΒ1
εξ. επ. ΚΕ
εσ. επ. ΚΕ
πρ. Κ
ύψ. 0,285, δμχ. 0,127 μ.

4(Γ17). Χειροποίητη οινοχόη με οπισθότμητη προχοή Τπ. Ι, VIIΔ (162).
Λείπει ένα μέρος από το σώμα του αγγείου, το άνω τμήμα της λαβής και τμήμα της προχοής. Δύο αυλακώσεις γύρω από τη βάση του λαιμού και στην περιφέρεια του χείλους. Ζιγκ-ζαγκ αυλακωτή διακόσμηση στον ώμο.
Πηλός Κτ. ΙΑ2
εξ. επ. ΚΜ-λ
εσ. επ. ΚΜ-λ
πρ. ΚΤ
ύψ. 0,185, δμβ. 0,05, δμλ. 0,10 μ.

5(Γ3). Θραύσματα μικρού χειροποίητου κυπέλλου Τπ. Ι, IV (34β).
Σώζεται τμήμα του ώμου με μέρος του λαιμού, καθώς και θραύσμα λαβής. Μια αυλάκωση γύρω από την αρχή του λαιμού.
Πηλός Κτ. ΙΑ2
εξ. επ. ΚΜ-λ
εσ. επ. ΚΜ-λ
πρ. ΚΕ
συμπλ. ύψ. 0,075, δμχ. 0,075 μ.

6(Γ3). Μόνωτο χειροποίητο ευρύστομο αγγείο Τπ. Ι, IV (14).
Λείπει ένα μέρος από το άνω σώμα και η λαβή.
Πηλός Κτ. ΙΑ2
εξ. επ. Τ-λ
εσ. επ. Τ-λ φθ
ύψ. 0,08, δμβ. 0,055, δμχ. 0,12 μ.

Ομάδα Β΄

Π ί ν. 131

7(Γ11). Μόνωτο χειροποίητο ευρύστομο αγγείο Τπ. Ι, IV (13).
Λείπει ένα μέρος από το άνω σώμα.
Πηλός Κτ. ΙΒ1
εξ. επ. Κ-ΚΜ
εσ. επ. Κ-ΚΜ
πρ. ΚΕ
ύψ. 0,03, δμβ. 0,06, δμχ. 0,175 μ.

8(Γ9). Θραύσματα μόνωτου χειροποίητου ευρύστομου αγγείου Τπ. Ι, IV (35).
Σώζεται μέρος από το κάτω σώμα με τμήμα της βάσης και την αρχή της λαβής.
Πηλός Κτ. ΙΑ2-ΙΑ3
εξ. επ. ΤΜ
εσ. επ. ΤΜ
πρ. Τ
ύψ. 0,16, δμβ. 0,075, δμχ. 0,153 μ.

9(Γ10). Μόνωτο χειροποίητο ευρύστομο αγγείο Τπ. Ι, IV (25).
Λείπει ένα μεγάλο μέρος από το κάτω σώμα του αγγείου.
Πηλός Κτ. ΙΑ2-ΙΒ1
εξ. επ. Μ-λ
εσ. επ. ΚΜ-λ
πρ. ΚΕ
ύψ. 0,105, δμβ. 0,06, δμχ. 0,155 μ.

10(Γ7). Θραύσμα μόνωτου χειροποίητου ευρύστομου αγγείου Τπ. Ι, IV (35).
Σώζεται ένα μέρος από το άνω σώμα με την αρχή της λαβής.
Πηλός Κτ. ΙΑ2
εξ. επ. ΤΜ-λ φθ
εσ. επ. ΤΜ-λ φθ
πρ. Τ
συμπλ. ύψ. 0,21, δμχ. 0,40 μ.

11(Γ8). Μόνωτο χειροποίητο ευρύστομο αγγείο Τπ. Ι, IV (45).
Λείπει ένα μέρος από το λαιμό και το χείλος, καθώς και μικρό μέρος της λαβής. Δύο αυλακώσεις γύρω από την αρχή του λαιμού. Αυλακωτή διακόσμηση και στο ταινιωτό τμήμα της λαβής.
Πηλός Κτ. ΙΑ2
εξ. επ. Τ-λ
εσ. επ. Τ-λ
σζ. ύψ. 0,135, δμβ. 0,07 μ.

12(Γ25). Χειροποίητη προχοΐσκη με λοξότμητη προχοή Τπ. Ι, VIIΔ (171).
Ακέραιη. Δύο λεπτές αυλακώσεις γύρω από τη βάση του λαιμού.
Πηλός Κτ. ΙΑ2
εξ. επ. ΚΜ-λ
εσ. επ. ΚΜ-λ
πρ. Κ
ύψ. 0,06, δμβ. 0,05, δμλ. 0,075 μ.

Π ί ν. 132

13(Γ12). Μόνωτο χειροποίητο ευρύστομο αγγείο Τπ. Ι, IV (95).

Ακέραιο. Τρεις αυλακώσεις γύρω από την αρχή του λαιμού. Ζιγκ-ζαγκ αυλακωτή διακόσμηση στον ώμο.
Πηλός Κτ. ΙΒ1
εξ. επ. Κ-ΚΜ
εσ. επ. Κ-ΚΜ
πρ. ΚΕ
ύψ. 0,182, δμβ. 0,08, δμχ. 0,08 μ.

14(Γ20). Μόνωτο χειροποίητο ευρύστομο αγγείο Τπ. Ι, IV (95).
Λείπει το άνω τμήμα του αγγείου, ο λαιμός με το χείλος και η λαβή.
Πηλός Κτ. ΙΒ1
εξ. επ. Κ-ΚΜ
εσ. επ. ΚΕ
πρ. ΚΕ
σζ. ύψ. 0,115, δμβ. 0,088 μ.

15(Γ28). Μόνωτο χειροποίητο ευρύστομο αγγείο Τπ. Ι, IV (23).
Λείπει ένα μέρος του σώματος και το άνω τμήμα λαβής. Αυλάκωση γύρω από την αρχή του λαιμού.
Πηλός Κτ. ΙΒ1
εξ. επ. Κ-ΚΜ-λ φθ
εσ. επ. Κ-λ
πρ. ΚΕ
σζ. ύψ. 0,114, δμβ. 0,06, δμχ. 0,105 μ.

16(Γ5). Θραύσμα μόνωτου χειροποίητου ευρύστομου αγγείου Τπ. Ι, VI (25).
Σώζεται τμήμα του κάτω σώματος με τη βάση και τμήμα του ώμου με την αρχή της λαβής.
Πηλός Κτ. ΙΑ2
εξ. επ. ΤΜ
εσ. επ. ΤΜ-λ
πρ. ΤΜ
σζ. ύψ. 0,08, δμβ. 0,07 μ.

17(Γ6). Μόνωτο χειροποίητο βαθύ ευρύστομο αγγείο Τπ. Ι, IV (32).
Λείπει το μισό, περίπου, του αγγείου και η λαβή.
Πηλός Κτ. ΙΒ1
εξ. επ. Κ-ΚΜ-λ
εσ. επ. Κ-ΚΜ
πρ. ΚΕ
ύψ. 0,115, δμβ. 0,065, δμχ. 0,13 μ.

18(Γ4). Χειροποίητη οινοχόη Τπ. Ι, VIIΓ (149β).
Σώζεται τμήμα από το άνω σώμα με το λαιμό. Λαβή στριφτή.
Πηλός Κτ. ΙΒ1
εξ. επ. Μ-λ
εσ. επ. ΤΜ
πρ. Τ
ύψ. 0,249 μ.

Στρώμα ΙΙ

Ομάδες Γ'-Δ'

Πίν. 133

19(Γ13). Μόνωτο χειροποίητο ευρύστομο αγγείο Τπ. Ι, IV (108).
Λείπει ένα μέρος από το λαιμό και το χείλος. Δύο αυλακώσεις γύρω από την αρχή του λαιμού· σειρά στικτών γραμμών ανάμεσα στις αυλακώσεις. Στο λαιμό, στην περιοχή της λαβής, δύο κατακόρυφες αυλακώσεις. Αυλακωτή διακόσμηση και στο άνω τμήμα της λαβής.
Πηλός Κτ. ΙΒ1
εξ. επ. ΚΜ-Κ
εσ. επ. Κ-ΚΜ
πρ. Κ-ΚΕ
ύψ. 0,135, δμβ. 0,085, δμχ. 0,19 μ.

20(Γ16). Μόνωτο χειροποίητο ευρύστομο αγγείο Τπ. Ι, IV (33).
Ακέραιο. Μια αυλάκωση γύρω από την αρχή του λαιμού. Αυλακωτή διακόσμηση στο άνω τμήμα της λαβής.
Πηλός Κτ. Ι
εξ. επ. ΚΜ-λ
εσ. επ. ΚΜ-λ
πρ. Τ
ύψ. 0,137, δμβ. 0,06, δμχ. 0,12 μ.

21(Γ15). Χειροποίητος αμφορέας με οριζόντιες λαβές στην κοιλιά, Τπ. Ι, VIΓ (32).
Λείπει ελάχιστο τμήμα από το σώμα και το λαιμό. Δύο παράλληλες αυλακώσεις γύρω από τη βάση του λαιμού και στο άνω τμήμα του. Ζιγκ-ζαγκ αυλακωτή διακόσμηση στον ώμο.
Πηλός Κτ. ΙΒ1
εξ. επ. Κ-ΚΕ
εσ. επ. Κ-ΚΕ
πρ. ΚΕ
ύψ. 0,23, δμβ. 0,075, δμλ. 0,123 μ.

22(Γ14). Χειροποίητο κυπελλόσχημο αγγείο Τπ. Ι, IV (41).
Λείπει ένα μέρος από το σώμα και το λαιμό, καθώς και το άνω τμήμα της λαβής. Μία αυ-

λάκωση γύρω από την αρχή του λαιμού.
Πηλός Κτ. ΙΒ1
εξ. επ. Κ-ΚΜ
εσ. επ. Κ
πρ. ΚΕ
σζ. ύψ. 0,095, δμβ. 0,054, δμλ. 0,09 μ.

23(Γ19). Σιδερένιο εγχειρίδιο Τπ. ΕVII.
μκ. 0,078 μ.

Π ί ν. 134Α

24(Γ22). Μικρό χειροποίητο κύπελλο Τπ. Ι, VIII (187).
Ακέραιο. «Νυχιές» πάνω στην περιφέρεια του χείλους.
Πηλός Κτ. ΙΓ2-ΙΒ2
εξ. επ. Κ
εσ. επ. Κ
πρ. Κ
ύψ. 0,05, δμβ. 0,035, δμχ. 0,06 μ.

25(Γ21). Λίθινο ακόνι Τπ. Ακ. 2β.
μγ. μκ. 0,06, μγ. πλ. 0,03 μ.

26(Γ24). Σιδερένιο εγχειρίδιο Τπ. ΕΧ1.
Ράχη κυρτή, ακμή ευθύγραμμη.
μκ. 0,082 μ.

27(Γ23). Χάλκινο εγχειρίδιο Τπ. ΕIV, 2α.
Ράχη κυρτή, ακμή κοίλη.
μκ. 0,126 μ.

28(Γ26). Χάλκινο εγχειρίδιο Τπ. ΕV, 2α.
Ράχη κυρτή, ακμή κοίλη, ουρά που εισέχει από την πλευρά της ακμής.
μκ. 0,156 μ.

29. Χάλκινο κουμπί Τπ. Τ3α.
Σπασμένο στην περιφέρεια.
σζ. δμ. 0,012 μ.

30. Μολύβδινο σφονδύλι Τπ. ΜΣ1.
ύψ. 0,006, δμ. 0,018 μ.

31. Ψήφος από κυανόχρωμη υαλόμαζα Τπ. Ψυ.
δμ. 0,009 μ.

32. Χάλκινος σφηκωτήρας Τπ. Σφ. 2
δμ. 0,015 μ.

Ε π ί χ ω σ η (ΕΠ)

Π ί ν. 134Β

1. Θραύσμα από το χείλος χειροποίητου αγγείου Τπ. Ι, VIB.
Πηλός Κτ. ΙΒ2
εξ. επ. ΚΕ
εσ. επ. ΚΕ
πρ. ΚΕ
σζ. ύψ. 0,037 μ.

2. Θραύσμα από το χείλος χειροποίητου αγγείου Τπ. Ι, XII.
Πηλός Κτ. ΙΒ2
εξ. επ. Κ
εσ. επ. Κ
πρ. ΚΤ
σζ. ύψ. 0,036 μ.

3. Θραύσμα από το χείλος χειροποίητου αγγείου Τπ. Ι, XII (205).
Πλαστική ταινία με «δακτυλιές» κάτω από το χείλος.
Πηλός Κτ. ΙΒ2
εξ. επ. Κ
εσ. επ. Κ
πρ. ΚΜ
σζ. ύψ. 0,03 μ.

4. Θραύσμα από το χείλος χειροποίητου αγγείου Τπ. Ι, XII (199).
«Νυχιές» πάνω στην περιφέρεια του χείλους.
Πηλός Κτ. ΙΓ2
εξ. επ. Ε
εσ. επ. Κ-ΚΕ
πρ. Ε
σζ. ύψ. 0,025 μ.

5. Θραύσμα από το χείλος χειροποίητου αγγείου Τπ. Ι, XII (203).
Λοξές «δακτυλιές» γύρω από την περιφέρεια του χείλους.
Πηλός Κτ. ΙΑ3
εξ. επ. Μ
εσ. επ. Μ
πρ. Μ
σζ. ύψ. 0,035 μ.

6. Θραύσμα χειροποίητου αγγείου Τπ. Ι, XI (198).
Εγχάρακτη διακόσμηση.
Πηλός Κτ. ΙΒ2
εξ. επ. ΚΜ
εσ. επ. Κ
πρ. ΚΕ
σζ. ύψ. 0,025 μ.

7. Θραύσμα χειροποίητου αγγείου Τπ. Ι, VA (115).
Εγχάρακτη διακόσμηση.
Πηλός Κτ. ΙΑ2
εξ. επ. ΤΜ

εσ. επ. ΤΜ
πρ. Τ
σζ. ύψ. 0,017 μ.

8. Θραύσμα χειροποίητου αμφορέα Τπ. Ι, VIB.
Σώζεται τμήμα του ώμου με την κατακόρυφη κυλινδρική λαβή.
Πηλός Κτ. ΙΒ2
εξ. επ. Κ
εσ. επ. ΚΕ
πρ. Κ
σζ. ύψ. 0,07 μ.

9. Θραύσμα χειροποίητου αμφορέα Τπ. Ι, VIB.
Σώζεται κατακόρυφη λαβή κοιλιάς.
Πηλός Κτ. ΙΓ2
εξ. επ. Ε
εσ. επ. Ε
πρ. ΤΜ
σζ. ύψ. 0,09 μ.

Α π ο θ έ τ ε ς

Π1. Έξω από τη δυτική πλευρά του τάφου Τ20Α βρέθηκαν πολλά θραύσματα πίθων και αγγείων, που έδιναν την εντύπωση αποθέτη. Κανένα θραύσμα οστών δε διαπιστώθηκε στην περιοχή αυτή, για να στηρίξει την υπόθεση ταφής σε πίθο. Τα θραύσματα των αγγείων προέρχονται από μεγάλα αποθηκευτικά αγγεία, αμφορείς, πιθόσχημα αγγεία και μικρά αγγεία τροφής (Π ί ν. 276β).

ΕΥΡΗΜΑΤΑ

Π ί ν. 135

1. Θραύσματα μόνωτου χειροποίητου ευρύστομου αγγείου Τπ. Ι, IV (62).
Σωζεται τμήμα από το άνω σώμα. Μία αυλάκωση γύρω από τη βάση του λαιμού και δύο αυλακώσεις γύρω στο μέσον, περίπου, του λαιμού.
Πηλός Κτ. ΙΒ1
εξ. επ. ΚΕ
εσ. επ. ΚΕ
πρ. ΚΕ
σζ. ύψ. 0,11 μ.

2. Θραύσμα μόνωτου χειροποίητου ευρύστομου αγγείου Τπ. Ι, IV.
Σώζεται τμήμα του λαιμού και του χείλους. Δύο παράλληλες αυλακώσεις κάτω από την περιφέρεια του χείλους.
Πηλός Κτ. ΙΒ1
εξ. επ. Κ-ΚΕ
εσ. επ. ΚΕ
πρ. Κ
σζ. ύψ. 0,065 μ.

3. Θραύσμα μόνωτου χειροποίητου αγγείου Τπ. Ι, IV (44).
Σώζεται τμήμα από το άνω σώμα με το λαιμό και το χείλος. Δύο παράλληλες αυλακώσεις γύρω από τη βάση του λαιμού.
Πηλός Κτ. ΙΒ1
εξ. επ. ΚΤ-λ
εσ. επ. ΚΤ-λ
πρ. Κ-ΚΕ
σζ. ύψ. 0,105 μ.

4. Θραύσματα μικρής χειροποίητης οινοχόης Τπ. Ι, VIIΔ (169).
Σώζεται τμήμα του ώμου με την κυλινδρική λαβή. Στον ώμο ζιγκ-ζαγκ αυλακωτή διακόσμηση. Μία αυλάκωση γύρω στην αρχή του λαιμού.
Πηλός Κτ. ΙΒ1
εξ. επ. Κ-ΚΕ
εσ. επ. ΚΜ-ΚΕ
πρ. ΚΤ-Κ
σζ. ύψ. 0,08 μ.

5. Θραύσματα μόνωτου χειροποίητου αγγείου Τπ. Ι, IV (91).
Σώζεται τμήμα της βάσης και μέρος από το άνω σώμα, στην περιοχή του ώμου, με τμήμα του χείλους και της λαβής. Δύο παράλληλες αυλακώσεις γύρω στην αρχή του λαιμού και κάτω από την περιφέρεια του χείλους. Ζιγκ-ζαγκ αυλακωτή διακόσμηση στον ώμο.
Πηλός Κτ. ΙΑ2
εξ. επ. ΤΜ-λ
εσ. επ. ΤΜ-λ
πρ. Τ
συμπλ. ύψ. 0,12, δμβ. 0,06 μ.

6. Μόνωτο χειροποίητο ευρύστομο αγγείο

Τπ. Ι, IV (64).
Λείπει ένα μέρος από το σώμα του αγγείου, καθώς και το άνω τμήμα της λαβής. Αυλάκωση γύρω στην αρχή του λαιμού, δύο παράλληλες αυλακώσεις κάτω από την περιφέρεια του χείλους.
Πηλός Κτ. ΙΒ1
εξ. επ. Κ-ΚΕ-λ
εσ. επ. Κ-λ φθ
πρ. Κ
σζ. ύψ. 0,118, δμβ. 0,055, δμχ. 0,015 μ.

7. Θραύσματα χειροποίητου αγγείου Τπ. Ι, IV (103).
Σώζεται τμήμα από το άνω κυρίως σώμα μαζί με μικρό τμήμα βάσης. Ρυτιδωτή (rippled) διακόσμηση στον ώμο.
Πηλός Κτ. ΙΑ2
εξ. επ. ΤΜ-λ
εσ. επ. ΤΜ-λ
πρ. ΤΜ
σζ. ύψ. 0,14, δμβ. 0,065, δμχ. 0,12 μ.

8. Δύο θραύσματα από τον ώμο μεγάλου χειροποίητου ανοικτού αγγείου Τπ. Ι, IV (109).
Ρυτιδωτή διακόσμηση στον ώμο.
Πηλός Κτ. ΙΒ1
εξ. επ. ΚΜ-ΚΕ-λ
εσ. επ. ΚΜ-λ
πρ. Κ
σζ. ύψ. 0,112 μ.

Π ί ν. 136

9. Θραύσμα δίωτου χειροποίητου φιαλόσχημου αγγείου Τπ. Ι, ΙΙΙ (10β).
Σώζεται τμήμα από το άνω σώμα με το χείλος και μία λαβή. Λαβές οριζόντιες, λοξά τοποθετημένες στον ώμο.
Πηλός Κτ. ΙΒ1
εξ. επ. ΚΜ-λ-ΚΕ-λ
εσ. επ. ΚΜ-λ
πρ. Κ
σζ. ύψ. 0,14, δμχ. 0,26 μ.

10. Θραύσμα από το χείλος χειροποίητου αγγείου Τπ. Ι, ΙΙΙ.
Πηλός Κτ. ΙΒ2
εξ. επ. Κ
εσ. επ. Κ
πρ. Κ
σζ. ύψ. 0,035 μ.

11. Θραύσμα από το χείλος χειροποίητου αγγείου Τπ. Ι, ΙΙΙ.
Πηλός Κτ. ΙΓ2
εξ. επ. Ε
εσ. επ. Ε
πρ. Ε
σζ. ύψ. 0,046 μ.

12. Θραύσμα χειροποίητου κυπελλόσχημου αγγείου Τπ. Ι, VIII (184).
Σώζεται ένα μέρος από το σώμα και η λαβή. Μία αυλάκωση παράλληλη με τη βάση του λαιμού.
Πηλός Κτ. ΙΒ2
εξ. επ. Ε
εσ. επ. Ε
πρ. Μ
σζ. ύψ. 0,08, δμβ. 0,05, δμχ. 0,085 μ.

13. Θραύσματα χειροποίητου κυπέλλου Τπ. Ι, VIII (187).
Σώζεται τμήμα από το σώμα και η λαβή.
Πηλός Κτ. ΙΓ1-2
εξ. επ. Ε-λ φθ
εσ. επ. Ε
πρ. Ε
ύψ. 0,125, δμβ. 0,05, δμχ. 0,08 μ.

14. Χειροποίητο ρηχό ευρύστομο αγγείο Τπ. Ι, IV (14).
Λείπει η λαβή και μικρό μέρος από το χείλος. Τοιχώματα γωνιώδη, χείλος ελαφρά λοξότμητο.
Πηλός Κτ. ΙΒ2
εξ. επ. Κ-ΚΕ
εσ. επ. Κ-ΚΕ
πρ. Κ-ΚΕ
σζ. ύψ. 0,085, δμβ. 0,095, δμχ. 0,125 μ.

15. Θραύσματα μεγάλου χειροποίητου ευρύστομου αγγείου Τπ. Ι, IV (36).
Σώζεται τμήμα από το άνω σώμα με μέρος από το χείλος. Απόφυση στον ώμο.
Πηλός Κτ. ΙΒ1-ΙΓ1
εξ. επ. Κ-ΚΕ-λ
εσ. επ. Ε-λ
συμπλ. ύψ. 0,21, δμχ. 0,305 μ.

16. Θραύσμα κυλινδρικής λαβής χειροποίητου κυπέλλου Τπ. Ι, VIII.
Πηλός Κτ. ΙΒ2
εξ. επ. Ε
εσ. επ. Ε
πρ. ΚΕ
σζ. ύψ. 0,054 μ.

17. Θραύσμα κυλινδρικής λαβής χειροποίητου αγγείου Τπ. Ι, VIII.
Πηλός Κτ. ΙΒ1

εξ. επ. ΚΕ
εσ. επ. Κ-ΚΤ
πρ. Κ-ΚΤ
σζ. ύψ. 0,045 μ.

18. Θραύσμα κατακόρυφης κυλινδρικής λαβής από κοιλιά αγγείου Τπ. I, VIII.
Πηλός Κτ. ΙΒ2
εξ. επ. Κ
εσ. επ. Κ
πρ. Κ
σζ. ύψ. 0,04 μ.

Π ί ν. 137

19. Θραύσμα χειροποίητου αμφορέα Τπ. I, VIB.
Σώζεται κατακόρυφη κυλινδρική λαβή και μέρος από τα τοιχώματα της κοιλιάς.
Πηλός Κτ. ΙΓ2
εξ. επ. Κ-ΚΤ
εσ. επ. Κ
πρ. Ε
σζ. ύψ. 0,07 μ.

20. Πολλά θραύσματα χειροποίητου αμφορέα Τπ. I, VIB.
Σώζεται μία κατακόρυφη κυλινδρική λαβή και μέρος από τα τοιχώματα της κοιλιάς.
Πηλός Κτ. ΙΒ2
εξ. επ. Κ-ΚΕ
εσ. επ. ΚΕ
πρ. Κ
σζ. ύψ. 0,095 μ.

21. Θραύσμα χειροποίητου αμφορέα Τπ. I, VIB.
Σώζεται ένα τμήμα από την κοιλιά του αγγείου και την αρχή μιας κατακόρυφης λαβής.
Πηλός Κτ. ΙΑ3
εξ. επ. Κ-ΚΕ-ΚΤ
εσ. επ. ΚΕ
πρ. Κ-ΚΤ
σζ. ύψ. 0,11 μ.

22. Θραύσμα χειροποίητου αμφορέα Τπ. I, VIB (137).
Σώζεται τμήμα από την κοιλιά του αγγείου με μία κατακόρυφη λαβή.
Πηλός Κτ. ΙΒ1-2
εξ. επ. Κ-ΚΕ
εσ. επ. ΚΕ
πρ. Κ
σζ. ύψ. 0,125 μ.

23. Θραύσματα χειροποίητου αμφορέα Τπ. I, VIB (136).
Σώζεται τμήμα από το κάτω σώμα με τη βάση, τμήμα από την κοιλιά με δύο λαβές, και τμήμα ώμου. Στον ώμο ζιγκ-ζαγκ αυλακωτή διακόσμηση. Μία αυλάκωση γύρω από τη βάση του λαιμού.
Πηλός Κτ. ΙΑ2-ΙΒ1
εξ. επ. ΤΜ-λ
εσ. επ. ΤΜ-ΚΤ
πρ. Τ-Κ
συμπλ. ύψ. 0,56, σζ. ύψ. ώμου 0,16 μ., δμβ. 0,16, δμλ. 0,19 μ.

Π ί ν. 138

24. Θραύσμα από το χείλος χειροποίητου αγγείου Τπ. I, XII (200).
«Νυχιές» γύρω στην περιφέρεια του χείλους.
Πηλός Κτ. ΙΒ2-ΙΓ2
εξ. επ. Ε
εσ. επ. Ε
πρ. Κ
σζ. ύψ. 0,035 μ.

25. Θραύσμα από το χείλος χειροποίητου αγγείου Τπ. I, XII (204).
«Νυχιές» γύρω στην περιφέρεια του χείλους.
Πηλός Κτ. ΙΑ3
εξ. επ. ΤΜ
εσ. επ. ΤΜ
πρ. Τ
σζ. ύψ. 0,046 μ.

26. Θραύσμα από το χείλος χειροποίητου αγγείου Τπ. I, XII (211).
Πλαστική ταινία με «δακτυλιές» γύρω από το χείλος διασχίζει κατακόρυφα το λαιμό του αγγείου.
Πηλός Κτ. ΙΒ2
εξ. επ. ΚΕ
εσ. επ. Κ-ΚΕ
πρ. ΚΤ
σζ. ύψ. 0,031 μ.

27. Θραύσμα από το χείλος χειροποίητου αγγείου Τπ. I, XII (199).
Πλαστική ταινία με «νυχιές» γύρω στην περιφέρεια του χείλους.
Πηλός Κτ. ΙΓ2
εξ. επ. Ε
εσ. επ. Ε
πρ. Ε
σζ. ύψ. 0,04 μ.

28. Θραύσμα από το χείλος χειροποίητου αγ-

γείου Τπ. Ι, XII (201).
Πλαστική ταινία με «νυχιές» γύρω στην περιφέρεια του χείλους.
Πηλός Κτ. ΙΒ2
εξ. επ. Κ
εσ. επ. Κ
πρ. Κ
σζ. ύψ. 0,028 μ.

29. Θραύσμα από το χείλος χειροποίητου αγγείου Τπ. Ι, XI (198).
Εγχάρακτη διακόσμηση.
Πηλός Κτ. ΙΒ2
εξ. επ. Κ-ΚΜ
εσ. επ. Κ-ΚΜ
πρ. Ε
σζ. ύψ. 0,035 μ.

30. Θραύσμα τροχήλατου αμφορέα Τπ. ΙΙ, Α1 (225).
Σώζεται τμήμα της κοιλιάς με τμήμα μιας οριζόντιας κυλινδρικής λαβής. Γύρω από την περιοχή της αρχής της λαβής, γραπτή ταινιωτή διακόσμηση.
Πηλός Κτ. ΙΙ
εξ. επ. Ε
εσ. επ. Ε
πρ. Ε
σζ. ύψ. 0,09 μ.

31. Θραύσμα επίπεδης βάσης μόνωτου χειροποίητου ευρύστομου αγγείου Τπ. Ι, IV.
Πηλός Κτ. ΙΒ1
εξ. επ. ΚΕ
εσ. επ. ΚΕ
πρ. ΚΕ
σζ. ύψ. 0,03, δμβ. 0,08 μ.

32. Θραύσμα από το κάτω σώμα αγγείου Τπ. Ι, VI ή Ι, VII.
Σώζεται η επίπεδη βάση.
Πηλός Κτ. ΙΑ2
εξ. επ. Τ
εσ. επ. Τ
πρ. Τ
σζ. ύψ. 0,072, δμβ. 0,08 μ.

33. Θραύσμα χειροποίητου αγγείου Τπ. Ι, VI ή Ι, VII.
Σώζεται τμήμα από το κάτω σώμα με την επίπεδη βάση.
Πηλός Κτ. ΙΑ2
εξ. επ. ΚΤ-λ φθ
εσ. επ. ΚΤ
πρ. Τ
σζ. ύψ. 0,03, δμβ. 0,085 μ.

34. Θραύσμα χειροποίητου αγγείου Τπ. Ι, VI ή Ι, VII.
Σώζεται τμήμα από το κάτω σώμα με την επίπεδη βάση.
Πηλός Κτ. ΙΑ2
εξ. επ. ΚΤ-λ φθ
εσ. επ. Τ
πρ. Τ
σζ. ύψ. 0,035, δμβ. 0,127 μ.

Π2. Έξω από τη δυτική πλευρά του τάφου Τ20Β βρέθηκαν θραύσματα πίθου, καθώς και ορισμένα διάσπαρτα θραύσματα αγγείου (Π ί ν. 278β).

ΕΥΡΗΜΑΤΑ

Π ί ν. 139

1. Θραύσματα χειροποίητου ευρύστομου αγγείου Τπ. Ι, IV (78).
Σώζεται τμήμα από το άνω σώμα με το χείλος. Δύο αυλακώσεις γύρω από τη βάση του λαιμού και τρεις κάτω από την περιφέρεια του χείλους.
Πηλός Κτ. ΙΒ1
εξ. επ. ΚΜ-λ
εσ. επ. ΚΜ-λ
πρ. ΚΕ-Κ
σζ. ύψ. 0,26, δμχ. 0,21 μ.

2. Θραύσμα από τον ώμο χειροποίητου αγγείου Τπ. Ι, IV (95).
Πηλός Κτ. ΙΑ2
εξ. επ. ΤΜ-λ
εσ. επ. ΤΜ
πρ. ΤΜ
σζ. ύψ. 0,046 μ.

3. Θραύσμα από τον ώμο χειροποίητου αγγείου Τπ. Ι, IV (99).
Διακρίνεται μια απόφυση, που πλαισιώνεται από ζιγκ-ζαγκ αυλακωτή διακόσμηση.
Πηλός Κτ. ΙΑ2
εξ. επ. ΚΜ-λ
εσ. επ. ΚΜ

πρ. Κ
σζ. ύψ. 0,033 μ.

4. Θραύσμα από το χείλος χειροποίητου αγγείου Τπ. I, IV (25).
Πηλός Κτ. ΙΑ3
εξ. επ. ΚΜ
εσ. επ. ΚΜ
πρ. ΚΜ
σζ. ύψ. 0,026 μ.

5. Θραύσμα από το χείλος χειροποίητου αγγείου Τπ. I, IV (25).
Πηλός Κτ. ΙΑ3
εξ. επ. ΚΜ
εσ. επ. ΚΜ
πρ. ΚΜ
σζ. ύψ. 0,41 μ.

6-7. Θραύσματα χειροποίητου αγγείου Τπ. I, VIB.
Σώζεται τμήμα από το κάτω σώμα με τμήμα της επίπεδης βάσης· πιθανόν, από το ίδιο αγγείο προέρχεται και θραύσμα κυλινδρικής λαβής.
6. Πηλός Κτ. ΙΒ2
εξ. επ. Κ-ΚΕ
εσ. επ. ΚΕ
πρ. ΚΤ-Κ
σζ. ύψ. 0,10 μ.
7. Λαβή.
Πηλός Κτ. ΙΒ2
εξ. επ. ΚΜ
εσ. επ. ΚΜ
πρ. Κ-ΚΕ
σζ. ύψ. 0,06 μ.

8-9. Θραύσματα μεγάλου χειροποίητου αγγείου Τπ. I, III.
Σώζεται τμήμα από τον ώμο και μία απόφυση.
Πηλός Κτ. ΙΒ2
εξ. επ. Κ-ΚΕ
εσ. επ. Κ
πρ. Τ
σζ. ύψ. 0,05 μ.

10. Θραύσματα χειροποίητου αμφορέα Τπ. I, VIB (136).
Σώζεται τμήμα του ώμου και μία αυλάκωση γύρω από την αρχή του λαιμού της κατακόρυφης λαβής.
Πηλός Κτ. ΙΒ1-ΙΒ2
εξ. επ. Κ-ΚΕ
εσ. επ. ΚΕ-Ε
πρ. ΚΕ
σζ. ύψ. 0,091 μ.

11. Θραύσμα κατακόρυφης λαβής από την κοιλιά χειροποίητου αμφορέα Τπ. I, VIB.
Πηλός Κτ. ΙΒ2
εξ. επ. ΚΕ-Κ-λ
εσ. επ. ΚΕ-λ
πρ. ΚΜ
σζ. ύψ. 0,06 μ.

12. Θραύσμα ταινιωτής απόφυσης Τπ. I, VII (2-3).
Πηλός Κτ. ΙΑ2
εξ. επ. ΚΜ
εσ. επ. ΚΜ
πρ. ΚΜ
σζ. μκ. 0,029 μ.

13. Θραύσμα κωνικής βάσης αγγείου Τπ. I, I (1-2).
Πηλός Κτ. ΙΑ2
εξ. επ. ΤΜ-λ
εσ. επ. ΤΜ
πρ. ΤΜ
σζ. ύψ. 0,04 μ.

14. Θραύσμα από το χείλος χειροποίητου αγγείου Τπ. I, XI (198).
Εγχάρακτα ακανόνιστα τριγωνικά θέματα.
Πηλός Κτ. ΙΒ2
εξ. επ. ΚΕ
εσ. επ. ΚΕ
πρ. ΚΤ
σζ. ύψ. 0,015 μ.

15. Θραύσμα από το χείλος αγγείου Τπ. I, XI (198).
Εγχάρακτα τριγωνικά θέματα σε ζώνη κάτω από το χείλος.
Πηλός Κτ. ΙΒ2
εξ. επ. ΚΜ
εσ. επ. ΚΜ
πρ. Ε
σζ. ύψ. 0,02 μ.

Π ί ν. 140

16. Θραύσμα από το σώμα χειροποίητου πίθου Τπ. I, XII.
Πλαστική ταινία με «δακτυλιές» γύρω από την κοιλιά του αγγείου.
Πηλός Κτ. ΙΓ2
εξ. επ. Ε
εσ. επ. ΚΕ
πρ. ΚΤ

σζ. ύψ. 0,09 μ.

17. Θραύσματα χειροποίητου αγγείου Τπ. Ι, XII (199).
Σώζεται τμήμα χείλους· «νυχιές» γύρω στην περιφέρεια του χείλους.
Πηλός Κτ. ΙΑ3
εξ. επ. ΤΜ
εσ. επ. ΤΜ
πρ. ΤΜ
σζ. ύψ. 0,035 μ.

18. Θραύσματα μεγάλου χειροποίητου πίθαμφορέα Τπ. Ι, XII.
Σώζεται τμήμα του λαιμού με δύο αυλακώσεις γύρω από τη βάση του· σειρά εμπίεστων κύκλων ανάμεσα στις αυλακώσεις· πιθανόν, από το ίδιο αγγείο και θραύσμα οριζόντιας λαβής και τμήμα βάσης.
Πηλός Κτ. ΙΑ2
εξ. επ. ΚΜ-λ
εσ. επ. ΚΜ
πρ. Κ
σζ. ύψ. λ. 0,192, δμλ. 0,20 μ.

Π3. Στον προθάλαμο του τάφου Τ20Γ (Π ί ν. 279α) βρέθηκαν θραύσματα ενός πίθου (Π3), καθώς και πολλά θραύσματα αγγείων διάσπαρτα (Π ί ν. 279β). Έξω από τη νοτιοδυτική πλευρά του προθαλάμου βρέθηκε, επίσης, ένα σχεδόν ακέραιο χειροποίητο αγγείο (Π3α) (Π ί ν. 142: 22).

ΕΥΡΗΜΑΤΑ

Π ί ν. 141

1. Θραύσματα μόνωτου χειροποίητου ευρύστομου αγγείου Τπ. Ι, IV (111).
Σώζεται τμήμα του ώμου, με το λαιμό και το χείλος, καθώς και το μεγαλύτερο τμήμα της λαβής. Δύο παράλληλες αυλακώσεις κάτω από το χείλος και γύρω από τη βάση του λαιμού. Λοξές παράλληλες αυλακώσεις στον ώμο του αγγείου. Σειρά παράλληλων αυλακώσεων κατά πλάτος της εξωτερικής επιφάνειας της λαβής. Αυλακωτή διακόσμηση και στο ταινιωτό τμήμα της λαβής.
Πηλός Κτ. ΙΑ2
εξ. επ. ΤΜ-λ
εσ. επ. ΤΜ-λ
πρ. Τ
σζ. ύψ. 0,095 μ.

2. Θραύσματα από τον ώμο μόνωτου χειροποίητου ευρύστομου αγγείου Τπ. Ι, V (95).
Σώζεται τμήμα ώμου και λαιμού. Δύο παράλληλες αυλακώσεις γύρω από τη βάση του λαιμού. Ζιγκ-ζαγκ αυλακώσεις πάνω στον ώμο του αγγείου.
Πηλός Κτ. ΙΒ1
εξ. επ. ΚΕ
εσ. επ. Κ
πρ. Κ
σζ. ύψ. 0,06 μ.

3. Θραύσμα λαβής χειροποίητου αγγείου Τπ. Ι, IV (95).
Αυλακωτή διακόσμηση με διπλές παράλληλες αυλακώσεις, κατά διαστήματα, στην εξωτερική επιφάνεια του κατακόρυφου κυλινδρικού στελέχους της λαβής.
Πηλός Κτ. ΙΒ1
εξ. επ. Κ
εσ. επ. Κ
πρ. Κ
σζ. ύψ. 0,105 μ.

4. Θραύσματα από τον ώμο χειροποίητου ευρύστομου αγγείου Τπ. Ι, IV (32).
Μία αυλάκωση γύρω από τη βάση του λαιμού.
Πηλός Κτ. ΙΑ2
εξ. επ. ΚΜ-λ
εσ. επ. ΚΤ-λ
πρ. ΚΤ
σζ. ύψ. 0,036 μ.

5. Θραύσματα μόνωτου χειροποίητου ευρύστομου αγγείου Τπ. Ι, IV (72).
Σώζεται τμήμα ώμου και λαβής. Τρεις παράλληλες αυλακώσεις γύρω στο κάτω τμήμα του λαιμού.
Πηλός Κτ. ΙΑ2
εξ. επ. ΚΜ-Κ
εσ. επ. ΚΜ
πρ. Κ
σζ. ύψ. 0,05 μ.

6. Θραύσμα βάσης χειροποίητου αγγείου Τπ. Ι, IV.

Πηλός Κτ. ΙΑ2
εξ. επ. ΤΜ-λ
εσ. επ. ΤΜ-λ
πρ. Τ
σζ. ύψ. 0,023, δμβ. 0,08 μ.

7. Θραύσμα γωνιόσχημης λαβής χειροποίητου αγγείου Τπ. Ι, IV.
Αυλακωτή διακόσμηση στο ταινιωτό τμήμα της λαβής.
Πηλός Κτ. ΙΑ2
εξ. επ. ΤΜ
εσ. επ. ΤΜ
πρ. Κ-ΚΤ
σζ. ύψ. 0,035 μ.

8. Θραύσματα γωνιόσχημης λαβής μόνωτου χειροποίητου αγγείου Τπ. Ι, IV.
Αυλακωτή διακόσμηση στο άνω τμήμα της λαβής.
Πηλός Κτ. ΙΑ
εξ. επ. ΤΜ-λ
εσ. επ. ΤΜ-λ
πρ. Τ
σζ. ύψ. 0,09 μ.

9. Θραύσμα λαβής μόνωτου χειροποίητου αγγείου Τπ. Ι, IV.
Πηλός Κτ. ΙΑ2
εξ. επ. Κ
εσ. επ. ΚΜ
πρ. Τ
σζ. ύψ. 0,09 μ.

10. Θραύσμα από το χείλος μόνωτου χειροποίητου ευρύστομου αγγείου Τπ. Ι, IV.
Διακρίνεται μία αυλάκωση κάτω από το χείλος.
Πηλός Κτ. ΙΒ1
εξ. επ. ΚΕ
εσ. επ. ΚΜ
πρ. Κ
σζ. ύψ. 0,05 μ.

11. Θραύσμα από το χείλος μόνωτου χειροποίητου ευρύστομου αγγείου Τπ. Ι, IV.
Διακρίνονται δύο παράλληλες αυλακώσεις κάτω από το χείλος.
Πηλός Κτ. ΙΒ1
εξ. επ. Κ
εσ. επ. Κ
πρ. Κ
σζ. ύψ. 0,042 μ.

12. Θραύσμα από το χείλος χειροποίητου αγγείου Τπ. Ι, VI ή Ι, IV.
Πηλός Κτ. ΙΑ2
εξ. επ. ΤΜ-λ
εσ. επ. ΤΜ-λ
πρ. Τ
σζ. ύψ. 0,05 μ.

13. Θραύσμα από το χείλος χειροποίητου αγγείου Τπ. Ι, VI ή Ι, IV.
Πηλός Κτ. ΙΑ2
εξ. επ. ΤΜ-λ
εσ. επ. ΤΜ-λ
πρ. ΤΜ
σζ. ύψ. 0,045 μ.

14. Θραύσμα από το χείλος χειροποίητου αγγείου Τπ. Ι, IV.
Πηλός Κτ. ΙΑ2
εξ. επ. ΤΜ-λ
εσ. επ. ΤΜ-λ
πρ. ΤΜ
σζ. ύψ. 0,03 μ.

15. Θραύσμα από το χείλος χειροποίητου ευρύστομου αγγείου Τπ. Ι, IV.
Δύο παράλληλες αυλακώσεις κάτω από το χείλος.
Πηλός Κτ. ΙΑ2
εξ. επ. ΚΜ-λ
εσ. επ. ΚΜ
πρ. ΚΤ
σζ. ύψ. 0,04 μ.

16. Θραύσμα από το χείλος χειροποίητου ευρύστομου αγγείου Τπ. Ι, IV.
Δύο παράλληλες αυλακώσεις κάτω από το χείλος.
Πηλός Κτ. ΙΑ2
εξ. επ. ΤΜ-λ
εσ. επ. Τ
πρ. Τ
σζ. ύψ. 0,034 μ.

17. Θραύσμα από το χείλος χειροποίητου ευρύστομου αγγείου Τπ. Ι, IV.
Δύο παράλληλες αυλακώσεις κάτω από το χείλος.
Πηλός Κτ. ΙΒ1
εξ. επ. Κ
εσ. επ. Κ
πρ. Κ
σζ. ύψ. 0,022 μ.

18. Θραύσμα από το χείλος χειροποίητου ευρύστομου αγγείου Τπ. Ι, IV.
Μία αυλάκωση διακρίνεται κάτω από το χείλος.

Πηλός Κτ. ΙΒ2
εξ. επ. Κ-λ φθ
εσ. επ. ΚΕ
πρ. Κ-ΚΤ
σζ. ύψ. 0,007 μ.

19. Θραύσμα από το χείλος χειροποίητου αγγείου Τπ. Ι, IV
Δύο παράλληλες αυλακώσεις κάτω από την περιφέρεια του χείλους.
Πηλός Κτ. ΙΑ2
εξ. επ. ΤΜ-λ
εσ. επ. ΤΜ-λ
πρ. ΤΜ
σζ. ύψ. 0,06 μ.

20. Θραύσμα από το χείλος χειροποίητου ευρύστομου αγγείου Τπ. Ι, IV.
Δύο παράλληλες αυλακώσεις κάτω από την περιφέρεια του χείλους.
Πηλός Κτ. ΙΑ2
εξ. επ. ΤΜ-λ
εσ. επ. ΤΜ
πρ. ΤΜ
σζ. ύψ. 0,036 μ.

Π ί ν. 142

21. Θραύσμα μόνωτου χειροποίητου ευρύστομου αγγείου Τπ. Ι, IV (13).
Σώζεται τμήμα ώμου με λαιμό και χείλος.
Πηλός Κτ. ΙΒ1-2
εξ. επ. Κ-ΚΜ
εσ. επ. Κ-ΚΜ
πρ. Κ-ΚΕ
σζ. ύψ. 0,108 μ.

22. Θραύσμα μόνωτου χειροποίητου ευρύστομου αγγείου Τπ. Ι, IV (35).
Σώζεται τμήμα ώμου με λαιμό, χείλος και την αρχή λαβής. Αυλάκωση γύρω από τη βάση του λαιμού.
Πηλός Κτ. ΙΑ2
εξ. επ. ΚΜ-λ
εσ. επ. ΤΜ
πρ. Τ
σζ. ύψ. 0,10 μ.

23. Θραύσμα χειροποίητου κυπελλόσχημου αγγείου Τπ. Ι, IV (28).
Σώζεται τμήμα από το άνω σώμα του αγγείου με τη λαβή και το χείλος.
Πηλός Κτ. ΙΒ1
εξ. επ. Κ-ΚΜ-λ
εσ. επ. ΚΜ-λ
πρ. Κ-ΚΕ
σζ. ύψ. 0,09, δμχ. 0,09 μ.

24. Θραύσμα λαβής χειροποίητου αγγείου Τπ. Ι, VIII.
Πηλός Κτ. ΙΓ2
εξ. επ. Ε
εσ. επ. Ε
πρ. Κ
ύψ. 0,095 μ.

25. Θραύσμα λαβής χειροποίητου αγγείου Τπ. Ι, VIII ή Ι, XII.
Πηλός Κτ. ΙΒ2
εξ. επ. ΚΕ
εσ. επ. ΚΕ
πρ. Τ
σζ. ύψ. 0,06 μ.

26. Θραύσμα λαβής χειροποίητου αγγείου Τπ. Ι, VIII.
Πηλός Κτ. ΙΓ2
εξ. επ. Ε
εσ. επ. ΚΕ
πρ. Ε
σζ. ύψ. 0,08 μ.

27. Θραύσμα λαβής χειροποίητου αγγείου Τπ. Ι, VIII.
Πηλός Κτ. ΙΒ2
εξ. επ. ΚΕ
εσ. επ. ΚΕ
πρ. Κ
σζ. ύψ. 0,07 μ.

28. Θραύσμα λαβής χειροποίητου αγγείου Τπ. Ι, IV.
Πηλός Κτ. ΙΒ1
εξ. επ. ΚΜ-ΚΕ
εσ. επ. ΚΜ-ΚΕ
πρ. ΚΕ-ΚΜ
σζ. ύψ. 0,035 μ.

29. Θραύσμα λαβής χειροποίητου αγγείου Τπ. Ι, IV.
Πηλός Κτ. ΙΑ2
εξ. επ. ΚΜ-λ
εσ. επ. ΚΜ-λ
πρ. Τ
σζ. ύψ. 0,036 μ.

30. Θραύσμα λαβής χειροποίητου αγγείου (ύστερης νεολιθικής εποχής).
Σειρά οπών κατά μήκος της λαβής.
Πηλός Κτ. ΙΑ2
εξ. επ. ΤΜ-λ φθ
εσ. επ. ΤΜ-λ φθ

πρ. ΤΜ
σζ. ύψ. 0,03 μ.

31. Θραύσμα λαβής χειροποίητου αγγείου.
Πηλός Κτ. ΙΑ2
εξ. επ. ΤΜ-λ
εσ. επ. ΤΜ-λ
πρ. Τ
σζ. ύψ. 0,04 μ.

32. Θραύσμα από το χείλος χειροποίητου αγγείου Τπ. Ι, XI (198).
Κυματιστή εγχάρακτη γραμμή και ευθύγραμμη χάραξη κάτω από το χείλος. Εγχάρακτη διακόσμηση και στο σώμα του αγγείου.
Πηλός Κτ. ΙΒ2
εξ. επ. ΚΜ
εσ. επ. ΚΜ
πρ. ΚΕ
σζ. ύψ. 0,031 μ.

Π ί ν. 143

33. Θραύσματα χειροποίητου αμφορέα Τπ. Ι, VIB (136).
Σώζεται τμήμα του χείλους. Δύο παράλληλες αυλακώσεις κάτω από την περιφέρεια του χείλους.
Πηλός Κτ. ΙΓ1
εξ. επ. Ε-λ
εσ. επ. Ε-λ
πρ. Ε
σζ. ύψ. 0,03 μ.

34. Θραύσματα χειροποίητου αμφορέα Τπ. Ι, VIB (136).
Σώζεται αποσπασματικά μέρος από τη βάση, το σώμα, καθώς και μία λαβή και τμήμα του λαιμού του αγγείου. Δύο παράλληλες αυλακώσεις διακρίνονται κάτω από την περιφέρεια του χείλους. Ζιγκ-ζαγκ παράλληλες διπλές αυλακώσεις στον ώμο.
Πηλός Κτ. ΙΓ1
εξ. επ. ΚΜ-λ φθ
εσ. επ. Κ
πρ. ΚΕ
συμπλ. ύψ. 0,42, δμβ. 0,12, δμχ. 0,165 μ.

35. Θραύσμα από την κοιλιά χειροποίητου κλειστού αγγείου Τπ. Ι, VIB.
Σώζεται μία κατακόρυφη κυλινδρική λαβή.
Πηλός Κτ. ΙΓ2
εξ. επ. Ε
εσ. επ. Ε
πρ. Ε
σζ. ύψ. 0,10 μ.

36. Θραύσμα βάσης χειροποίητου αγγείου Τπ. Ι, VIB.
Πηλός Κτ. Ι2
εξ. επ. Ε
εσ. επ. Ε
πρ. Ε
σζ. ύψ. 0,032, δμβ. 0,11 μ.
Πιθανόν από το ίδιο αγγείο με το προηγούμενο θραύσμα αριθ. 35.

37. Θραύσμα από τον ώμο τροχήλατου αγγείου Τπ. ΙΙ, VIB.
Πηλός Κτ. ΙΙ
εξ. επ. Ε - επίχρισμα φθαρμένο
εσ. επ. Ε
πρ. Ε
σζ. ύψ. 0,045 μ.
Πιθανότατα από το ίδιο αγγείο, από το οποίο και το θραύσμα του Π ί ν. 138: 30 (Αποθέτης Π1).

38. Θραύσμα χειροποίητου αμφορέα Τπ. Ι, VIB (136).
Σώζεται τμήμα ώμου με αρχή λαιμού. Τρεις παράλληλες αυλακώσεις γύρω από τη βάση του λαιμού.
Πηλός Κτ. ΙΒ2
εξ. επ. ΚΜ-λ
εσ. επ. ΚΕ
πρ. ΚΕ
σζ. ύψ. 0,07 μ.

39. Θραύσμα βάσης χειροποίητου αμφορέα Τπ. Ι, VIB.
Πηλός Κτ. ΙΒ2
εξ. επ. Κ
εσ. επ. Κ
πρ. Ε
σζ. ύψ. 0,022, δμβ. 0,15 μ.

40. Θραύσμα βάσης χειροποίητου αμφορέα Τπ. Ι, VIB.
Πηλός Κτ. ΙΒ2-ΙΑ3
εξ. επ. ΚΜ-λ
εσ. επ. ΚΕ
πρ. Κ
σζ. ύψ. 0,025, δμβ. 0,115 μ.

41. Θραύσματα από το σώμα χειροποίητου αμφορέα Τπ. Ι, VIB (137).
Πηλός Κτ. ΙΒ1
εξ. επ. ΚΜ
εσ. επ. ΚΕ

πρ. ΚΕ
σζ. ύψ. 0,19 μ.

Πίν. 144

42. Θραύσματα χειροποίητου αμφορέα Τπ. I, VIB (136).
Σώζεται τμήμα από τη βάση, τον ώμο και το λαιμό με τμήμα χείλους, καθώς και μία λαβή ώμου. Δύο παράλληλες αυλακώσεις κάτω από την περιφέρεια του χείλους και γύρω από τη βάση του λαιμού του αγγείου.
Πηλός Κτ. ΙΒ2
εξ. επ. ΤΜ-λ
εσ. επ. ΤΜ
πρ. Τ
σζ. ύψ. 0,18, δμβ. 0,12, δμχ. 0,16 μ.

43. Θραύσμα κατακόρυφης λαβής χειροποίητου αγγείου Τπ. I, VIB.
Πηλός Κτ. ΙΒ2
εξ. επ. ΚΕ
εσ. επ. ΚΕ
πρ. Τ
σζ. ύψ. 0,078 μ.

44. Θραύσμα από την κοιλιά χειροποίητου αμφορέα Τπ. I, VIB.
Πηλός Κτ. ΙΒ2
εξ. επ. ΚΕ
εσ. επ. ΚΕ
πρ. ΚΤ
σζ. ύψ. 0,10 μ.

45. Θραύσμα λαβής από την κοιλιά χειροποίητου αμφορέα Τπ. I, VIB.
Πηλός Κτ. ΙΑ3
εξ. επ. ΤΜ-λ
εσ. επ. ΚΕ
πρ. ΚΤ
σζ. ύψ. 0,07 μ.

46. Θραύσμα κατακόρυφης λαβής από την κοιλιά χειροποίητου αγγείου Τπ. I, VIB.
Πηλός Κτ. ΙΑ3
εξ. επ. ΤΜ-λ
εσ. επ. ΤΜ
πρ. Κ
σζ. ύψ. 0,07 μ.

47. Δύο θραύσματα λαβής από την κοιλιά χειροποίητου αγγείου Τπ. I, VIB.
Πηλός Κτ. ΙΒ2
εξ. επ. ΚΜ
εσ. επ. ΚΜ
πρ. ΚΜ
σζ. ύψ. 0,099 μ.

48. Θραύσμα λαβής από την κοιλιά χειροποίητου αμφορέα Τπ. I, VI.
Πηλός Κτ. ΙΒ2
εξ. επ. ΚΕ
εσ. επ. ΚΕ
πρ. ΚΕ
σζ. ύψ. 0,075 μ.

Πίν. 145

49. Θραύσματα χειροποίητου αμφορέα Τπ. I, VIB (137).
Σώζεται τμήμα ώμου με το λαιμό και το χείλος.
Πηλός Κτ. ΙΒ1
εξ. επ. ΚΜ-λ
εσ. επ. ΚΜ-ΚΕ
πρ. Κ
σζ. ύψ. 0,30 μ.

50. Θραύσματα από το λαιμό χειροποίητου αμφορέα Τπ. I, VIB (137).
Πηλός Κτ. ΙΒ1
εξ. επ. Κ-ΚΕ-λ
εσ. επ. Κ-ΚΕ-λ
πρ. ΚΕ
σζ. ύψ. 0,15, δμχ. 0,18 μ.

51. Θραύσμα από τον ώμο χειροποίητου αμφορέα Τπ. I, VIB (137).
Διακρίνεται μαστοειδής απόφυση.
Πηλός Κτ. ΙΒ2
εξ. επ. Κ-ΚΜ
εσ. επ. Κ-ΚΕ
πρ. Τ
σζ. ύψ. 0,06 μ.

52. Θραύσμα κατακόρυφης λαβής από την κοιλιά χειροποίητου αμφορέα Τπ. I, VIB.
Πηλός Κτ. ΙΒ2
εξ. επ. Κ
εσ. επ. Κ
πρ. ΚΤ
σζ. ύψ. 0,048 μ.

Πίν. 146

53. Θραύσμα χειροποίητου αγγείου Τπ. I, XII (199).
Σώζεται τμήμα ώμου και χείλους. «Νυχιές» γύρω στην περιφέρεια του χείλους.
Πηλός Κτ. ΙΒ2
εξ. επ. ΚΕ
εσ. επ. ΚΜ-ΚΕ

πρ. ΤΜ
σζ. ύψ. 0,165 μ.

54. Θραύσμα από το χείλος χειροποίητου αγγείου Τπ. Ι, XII (199).
«Νυχιές» γύρω από το χείλος.
Πηλός Κτ. ΙΑ3
εξ. επ. Τ
εσ. επ. Τ
πρ. Τ
σζ. ύψ. 0,062 μ.

55. Θραύσμα από το χείλος χειροποίητου αγγείου Τπ. Ι, XII (201).
Πλαστική ταινία με «νυχιές» γύρω στην περιφέρεια του χείλους.
Πηλός Κτ. ΙΓ2
εξ. επ. Ε
εσ. επ. Ε
πρ. Ε
σζ. ύψ. 0,05 μ.

56. Θραύσμα από το χείλος χειροποίητου αγγείου Τπ. Ι, XII (199).
«Νυχιές» γύρω στην περιφέρεια του χείλους.
Πηλός Κτ. ΙΒ2
εξ. επ. Κ
εσ. επ. Κ
πρ. ΚΤ
σζ. ύψ. 0,045 μ.

57. Θραύσμα από το χείλος χειροποίητου αγγείου Τπ. Ι, XII (202).
«Νυχιές» γύρω στην περιφέρεια του χείλους.
Πηλός Κτ. ΙΒ2
εξ. επ. ΚΕ
εσ. επ. Κ
πρ. Τ
σζ. ύψ. 0,049 μ.

58. Θραύσμα από τον ώμο και το χείλος χειροποίητου αγγείου Τπ. Ι, XII (204).
«Δακτυλιές» γύρω στην περιφέρεια του χείλους.
Πηλός Κτ. ΙΓ2
εξ. επ. Ε
εσ. επ. Ε
πρ. Ε
σζ. ύψ. 0,095 μ.

59. Θραύσμα από τον ώμο χειροποίητου αγγείου Τπ. Ι, XII (214).
Διακρίνεται διχαλωτή απόφυση.
Πηλός Κτ. ΙΒ2
εξ. επ. ΚΕ
εσ. επ. ΚΕ
πρ. ΤΜ
σζ. ύψ. 0,085 μ.

60. Θραύσμα από το χείλος χειροποίητου αγγείου Τπ. Ι, XII (199).
«Νυχιές» γύρω στην περιφέρεια του χείλους.
Πηλός Κτ. ΙΑ3
εξ. επ. ΤΜ
εσ. επ. ΤΜ
πρ. ΤΜ
σζ. ύψ. 0,03 μ.

61. Θραύσμα από το χείλος χειροποίητου αγγείου Τπ. Ι, XII (201).
Πλαστική ταινία με «νυχιές» γύρω στην περιφέρεια του χείλους.
Πηλός Κτ. ΙΓ2
εξ. επ. ΚΕ
εσ. επ. ΚΕ
πρ. Ε
σζ. ύψ. 0,182 μ.

62. Θραύσματα από την κοιλιά χειροποίητου πίθου Τπ. Ι, XII.
Πλαστική ταινία με «δακτυλιές» γύρω από την κοιλιά του αγγείου.
Πηλός Κτ. ΙΓ3
εξ. επ. Ε
εσ. επ. Ε
πρ. Ε
σζ. ύψ. 0,182 μ.

63. Θραύσμα από το χείλος χειροποίητου αγγείου Τπ. Ι, III ή Ι, VI.
Πηλός Κτ. ΙΒ2
εξ. επ. ΚΕ-Μ
εσ. επ. ΚΜ
πρ. Κ
σζ. ύψ. 0,031 μ.

64. Θραύσμα από την κοιλιά χειροποίητου αμφορέα Τπ. Ι, VIB.
Σώζεται μία κατακόρυφη κυλινδρική λαβή.
Πηλός Κτ. ΙΓ2
εξ. επ. ΚΕ
εσ. επ. ΚΕ
πρ. Κ
σζ. ύψ. 0,045 μ.

65. Θραύσμα από την κοιλιά χειροποίητου αγγείου Τπ. Ι, ΙΙΙ3 (10β).
Σώζεται μία οριζόντια κυλινδρική λαβή.
Πηλός Κτ. ΙΒ2
εξ. επ. ΚΕ-ΚΜ
εσ. επ. ΚΜ
πρ. Κ

σζ. ύψ. 0,12 μ.

Π ί ν. 147

66. Θραύσματα χειροποίητου αγγείου Τπ. I, XII (211).
Σώζεται μέρος από τον ώμο με τμήμα χείλους, καθώς και με την αρχή λαβής, κατακόρυφης στον ώμο. Πλαστική ταινία με «δακτυλιές» γύρω από το χείλος, όμοια ταινία γύρω από τον ώμο, στο ύψος των λαβών. Αντίστοιχη πλαστική ταινία με «δακτυλιές» διασχίζει κατακόρυφα το λαιμό του αγγείου, στο μέσον των δύο όψεων.
Πηλός Κτ. IB2
εξ. επ. ΚΕ
εσ. επ. ΚΜ
πρ. Κ
σζ. ύψ. 0,025 μ.

67. Θραύσμα χειροποίητου αγγείου Τπ. I, XII (211).
Σώζεται μέρος από τον ώμο με το λαιμό και το χείλος. Πλαστική ταινία με «δακτυλιές» γύρω στην περιφέρεια του χείλους. Αντίστοιχη πλαστική ταινία γύρω από τον ώμο, στη βάση του λαιμού· όμοια πλαστική ταινία διασχίζει κατακόρυφα το λαιμό του αγγείου.
Πηλός Κτ. IB2
εξ. επ. ΚΜ-λ
εσ. επ. ΚΜ
πρ. Κ
σζ. ύψ. 0,18 μ.

68. Θραύσμα χειροποίητου αγγείου Τπ. I, XII (205).
Πλαστική ταινία με «δακτυλιές» λίγο κάτω από την περιφέρεια του χείλους του αγγείου.
Πηλός Κτ. IΓ2
εξ. επ. Κ-ΚΕ
εσ. επ. Κ-ΚΕ
πρ. ΤΜ
σζ. ύψ. 0,122 μ.

69. Θραύσμα από το χείλος χειροποίητου αγγείου Τπ. I, XII (206).
Πλαστική ταινία με «δακτυλιές» γύρω στην περιφέρεια του χείλους.
Πηλός Κτ. IIB2
εξ. επ. ΚΕ
εσ. επ. ΚΕ
πρ. Κ
σζ. ύψ. 0,037 μ.

70. Θραύσμα από το χείλος χειροποίητου αγγείου Τπ. I, XII (206).
Πλαστική ταινία με «δακτυλιές» γύρω στην περιφέρεια του χείλους.
Πηλός Κτ. IΓ2
εξ. επ. Ε
εσ. επ. Ε
πρ. ΚΕ
σζ. ύψ. 0,041 μ.

71. Θραύσμα από το λαιμό και το χείλος χειροποίητου αγγείου Τπ. I, XII (205).
Πλαστική ταινία με «δακτυλιές» κάτω από την περιφέρεια του χείλους.
Πηλός Κτ. IΓ2
εξ. επ. Ε
εσ. επ. Ε
πρ. Ε
σζ. ύψ. 0,09 μ.

72. Θραύσμα από το χείλος χειροποίητου αγγείου Τπ. I, XII (205).
Πλαστική ταινία με «δακτυλιές» κάτω από την περιφέρεια του χείλους.
Πηλός Κτ. IΓ2-IB2
εξ. επ. ΚΕ
εσ. επ. ΚΜ
πρ. Κ
σζ. ύψ. 0,065 μ.

73. Θραύσμα από το χείλος χειροποίητου αγγείου Τπ. I, XII (205).
Πλαστική ταινία με «δακτυλιές» κάτω από την περιφέρεια του χείλους.
Πηλός Κτ. IB2
εξ. επ. ΚΜ
εσ. επ. ΚΜ
πρ. Κ
σζ. ύψ. 0,03 μ.

74. Θραύσμα από το χείλος χειροποίητου αγγείου Τπ. I, XII (205).
Πλαστική ταινία με «δακτυλιές» κάτω από την περιφέρεια του χείλους του αγγείου.
Πηλός Κτ. IB2
εξ. επ. Κ
εσ. επ. ΚΕ
πρ. Κ
σζ. ύψ. 0,042 μ.

75. Θραύσμα από τον ώμο χειροποίητου αγγείου Τπ. I, XII.
Σώζεται τμήμα κατακόρυφης λαβής. Πλαστική ταινία με «δακτυλιές» γύρω από τον ώμο του αγγείου, στο ύψος της λαβής.
Πηλός Κτ. IΓ2
εξ. επ. Ε

εσ. επ. Ε
πρ. Ε
σζ. ύψ. 0,06 μ.

76. Θραύσμα χειροποίητου αγγείου Τπ. Ι, XII (211).
Γύρω στον ώμο πλαστική ταινία με «δακτυλιές». Όμοια ταινία διασχίζει κατά μήκος το λαιμό του αγγείου.
Πηλός Κτ. ΙΓ2
εξ. επ. ΚΕ
εσ. επ. ΚΕ
πρ. Κ
σζ. ύψ. 0,105 μ.

77. Θραύσμα από το χείλος χειροποίητου αγγείου Τπ. Ι, XII (206).
Πλαστική ταινία με «δακτυλιές» γύρω στην περιφέρεια του χείλους.
Πηλός Κτ. ΙΓ2
εξ. επ. ΚΕ
εσ. επ. ΤΜ
πρ. ΤΜ
σζ. ύψ. 0,042 μ.

78. Θραύσματα χειροποίητου αγγείου Τπ. Ι, XII.
Σώζεται τμήμα από τον ώμο με μία κατακόρυφη κυλινδρική λαβή. Πλαστική ταινία με «δακτυλιές» γύρω από τον ώμο του αγγείου, στο ύψος της λαβής.
Πηλός Κτ. ΙΓ2
εξ. επ. Ε
εσ. επ. Ε
πρ. Ε
σζ. ύψ. 0,075 μ.

Τάφος Τ21

Ο τάφος Τ21 βρίσκεται σε απόσταση 20 μ. προς Δ. του τάφου Τ15 (Σ χ έ δ. Ι). Είναι ένας πεταλόσχημος, περίπου, στην κάτοψη ευρύχωρος τάφος με προσανατολισμό Β.-Ν. Οι πλευρές του σώζονται σε ύψος που κυμαίνεται από 0,70-0,20 μ., πάνω από την επιφάνεια του εδάφους (Σ χ έ δ. 47· Π ί ν. 281α). Διαστάσεις τάφου (εσωτ.): μγ. μκ. 3,10, μγ. πλ. 3,60, μγ. ύψ. 0,70 μ. Πριν από την ανασκαφή, ο τάφος παρουσίαζε την εικόνα ενός τυμβόσχημου λιθοσωρού με ακανόνιστο περίγραμμα. Το στρώμα των λίθων, που κάλυπτε κυρίως το εσωτερικό του τάφου, ήταν αραιό και περιείχε, εκτός από χώμα, και θραύσματα από σχιστόπλακες.

Το επίπεδο της ταφής, που εντοπίσθηκε σχεδόν πάνω στο φυσικό βράχο, ήταν διαταραγμένο. Ξεχώριζαν δύο κυρίως ομάδες μετακινημένων οστών και τα κτερίσματα που βρέθηκαν δεν ήταν δυνατό να συνδεθούν με τις επιμέρους ταφές (Π ί ν. 281β).

Η ανθρωπολογική μελέτη ξεχώρισε τέσσερις τουλάχιστον ταφές ατόμων, αναπτυγμένων στην ηλικία, δηλαδή οπωσδήποτε μετά τα 18· ωστόσο, λόγω της κακής διατήρησης των οστών, δεν μπορούν να καταταγούν ούτε στους ενηλίκους ούτε στους ώριμους. Ορισμένα οστά πρέπει, οπωσδήποτε, να ανήκουν σε μια γυναίκα (Παράρτημα Ια).

ΕΥΡΗΜΑΤΑ

Π ί ν. 148

1(1). Χειροποίητο μικρογραφικό κυπελλόσχημο αγγείο Τπ. Ι, VIII (179).
Λείπει ένα τμήμα από το χείλος και τη λαβή.
Πηλός Κτ. ΙΒ2
εξ. επ. ΚΕ
εσ. επ. ΚΕ
πρ. ΚΕ
σζ. ύψ. 0,06, δμβ. 0,03, δμχ. 0,045 μ.

2(1). Θραύσματα χειροποίητου αμφορέα Τπ. Ι, VIA (123).
Λείπει ένα μεγάλο μέρος από το άνω κυρίως σώμα του αγγείου, καθώς και η βάση.
Πηλός Κτ. ΙΓ2
εξ. επ. ΚΕ
εσ. επ. ΚΕ
πρ. ΚΕ
συμπλ. ύψ. 0,09, σζ. ύψ. 0,15 μ.

3(2). Χάλκινο εγχειρίδιο Τπ. ΕΙ, 4α.
Ράχη ευθύγραμμη, ακμή ευθύγραμμη, ουρά χωρίς καρφιά, που εισέχει από την πλευρά της ακμής.
μκ. 0,105 μ.

4(3). Χάλκινο εγχειρίδιο Τπ. ΕΙ, 3α.
Ράχη ευθύγραμμη, ακμή ευθύγραμμη, ουρά

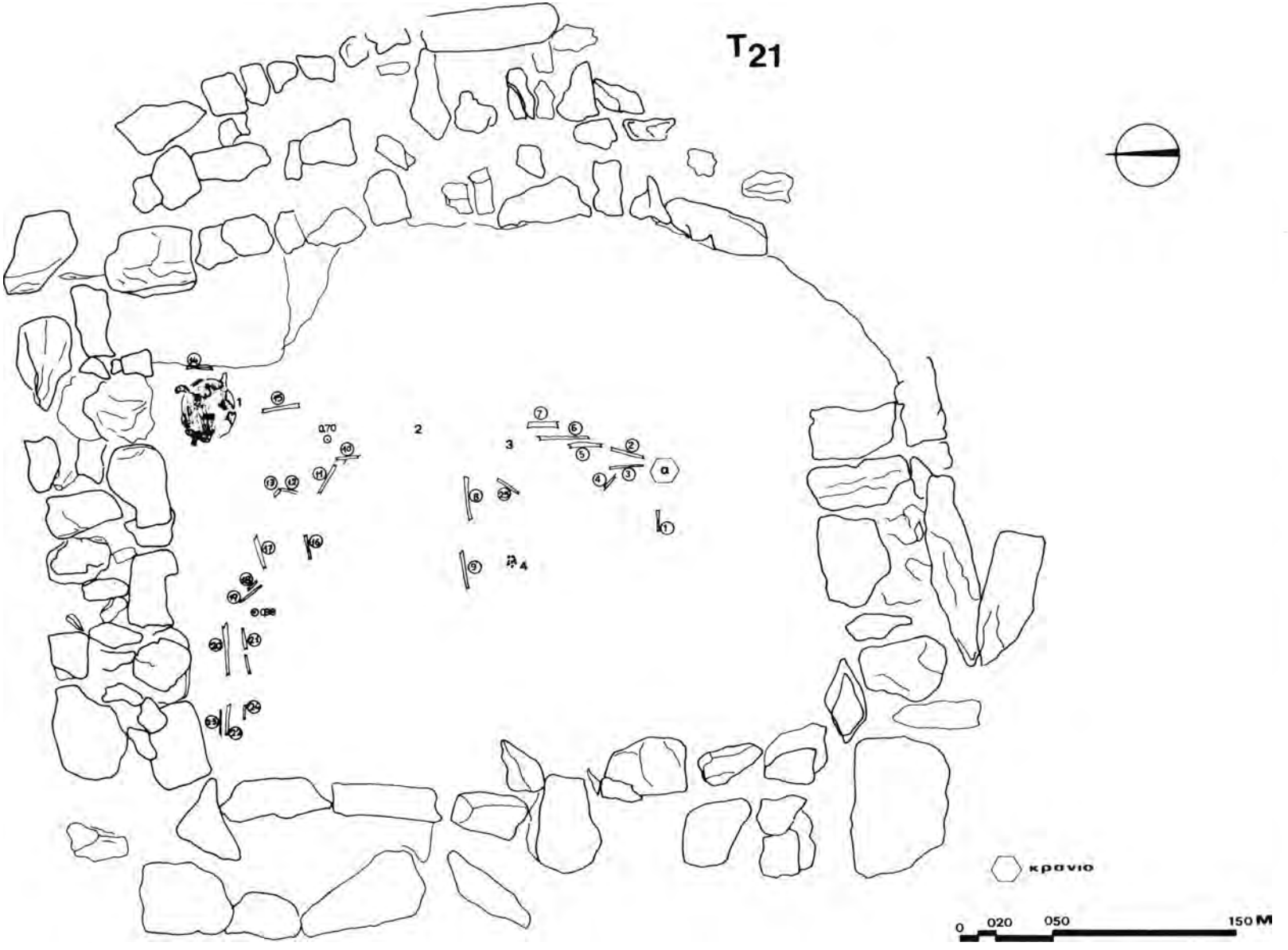

Σχέδ. 47. Κάτοψη τάφου T21.

χωρίς καρφιά, που εισέχει από τις δύο πλευρές της λεπίδας και καταλήγει σε καμπυλόγραμμο άκρο. Μία χαρακτή γραμμή κατά μήκος της ράχης.
μκ. 0,099 μ.

5(4). Δεκατρείς χάλκινες δακτυλιόσχημοι ψήφοι Τπ. Ψχ1-2.
Από περιδέραιο. Σε διάφορα μεγέθη.
μγ. δμ. 0,009-0,003 μ.

Τάφος Τ22

Ο τάφος Τ22 βρίσκεται σε απόσταση 20 μ. προς ΒΔ. του τάφου Τ5 (Σ χ έ δ. Ι). Είναι ένας ορθογώνιος στενός τάφος με κτιστές πλευρές και προσανατολισμό Β.-Ν. (Σ χ έ δ. 48). Οι τοίχοι των μακρών πλευρών του, καθώς και ο τοίχος της βόρειας στενής πλευράς, συγκλίνουν στο άνω τμήμα τους προς το εσωτερικό του τάφου. Ο τάφος καλυπτόταν με δύο μεγάλες σχιστόπλακες, από τις οποίες η μία σώζεται την αρχική της θέση στο βόρειο τμήμα του τάφου, ενώ η δεύτερη, που κάλυπτε το υπόλοιπο ένα τέταρτο του τάφου, βρέθηκε πεσμένη στο εσωτερικό του τάφου (Π ί ν. 282α). Ένας χαμηλός ενδιάμεσος τοίχος χώριζε στα νότια ένα χώρο προθαλάμου από τον κυρίως θάλαμο του τάφου, όπου είχαν εναποτεθεί οι νεκροί.

Ο προθάλαμος έχει καταρρεύσει εν μέρει, πιθανότατα όμως ήταν επίσης στεγασμένος. Στην κάλυψη του προθαλάμου πρέπει να ανήκει η μεγάλη σχιστόπλακα, που βρέθηκε ριγμένη έξω από τη νότια στενή πλευρά του τάφου. Ο τοίχος του προθαλάμου έκλεινε οπωσδήποτε το χώρο των ταφών, χωρίς να δημιουργεί διαμορφωμένο άνοιγμα-είσοδο (Π ί ν. 282β).

Διαστάσεις θαλάμου (εξωτ.): μγ. μκ. 3,50, μγ. πλ. 1,25, μγ. ύψ. 1,10 μ. Διαστάσεις προθαλάμου (εσωτ.): μγ. μκ. 1, μγ. πλ. 1,30, μγ. ύψ. 0,52 μ.

Θ ά λ α μ ο ς

Κάτω από τη σχιστόπλακα της οροφής του τάφου μεσολαβούσε ένα κενό, που έφθανε σε ύψος 0,70 μ. και το οποίο χρησιμοποιούσαν οι βοσκοί της περιοχής για καταφύγιο. Το επίπεδο της ταφής εντοπίσθηκε σχεδόν πάνω στο φυσικό βράχο, σ' ένα λεπτό στρώμα από ερυθρωπό χώμα. Καλυπτόταν από ένα στρώμα λίθων, πολλοί από τους οποίους είχαν τοποθετηθεί σε οριζόντια θέση ως πλακόστρωτο. Ελάχιστη ποσότητα χώματος περιεχόταν στο λιθόστρωμα αυτό. Οι ταφές ήταν διαταραγμένες και τα κτερίσματα βρέθηκαν σπασμένα και διάσπαρτα στο στρώμα των λίθων. Ελάχιστα οστά νεκρών βρέθηκαν στο επίπεδο της ταφής και αυτά διατηρημένα σε πολύ κακή κατάσταση.

Η ανθρωπολογική έρευνα βεβαίωσε δύο τουλάχιστον άτομα, από τα οποία το ένα ήταν άνδρας ώριμης ηλικίας (Παράρτημα Ια).

Στο εσωτερικό του τάφου βρέθηκαν, επίσης, και οστά αιγοπροβάτων (Παράρτημα ΙΙ).

Π ρ ο θ ά λ α μ ο ς

Στο στρώμα των λίθων, που κάλυπτε το δάπεδο του προθαλάμου, βρέθηκαν ορισμένα ασήμαντα θραύσματα από χειροποίητα αγγεία.

ΕΥΡΗΜΑΤΑ

Π ί ν. 149

1(4). Μολύβδινος σύνδεσμος αγγείου.
μγ. μκ. 0,195 μ.

2(3). Μολύβδινος σύνδεσμος αγγείου.
μγ. μκ. 0,06 μ.

3(2). Θραύσμα πήλινου σφονδυλιού Τπ. ΣΙΙ, 3.
ύψ. 0,027, δμ. 0,036 μ.

4(1). Θραύσματα μόνωτου χειροποίητου ευρύστομου αγγείου Τπ. Ι, IV (25).
Σώζεται τμήμα ώμου με το μεγαλύτερο τμήμα της λαβής, καθώς και τμήμα ώμου με λαιμό και χείλος.
Πηλός Κτ. ΙΒ1-ΙΒ2
εξ. επ. Κ
εσ. επ. ΚΕ
πρ. ΚΤ-ΚΕ
ύψ. 0,144, δμχ. 0,18 μ.

5(1). Θραύσματα μόνωτου χειροποίητου ευ-

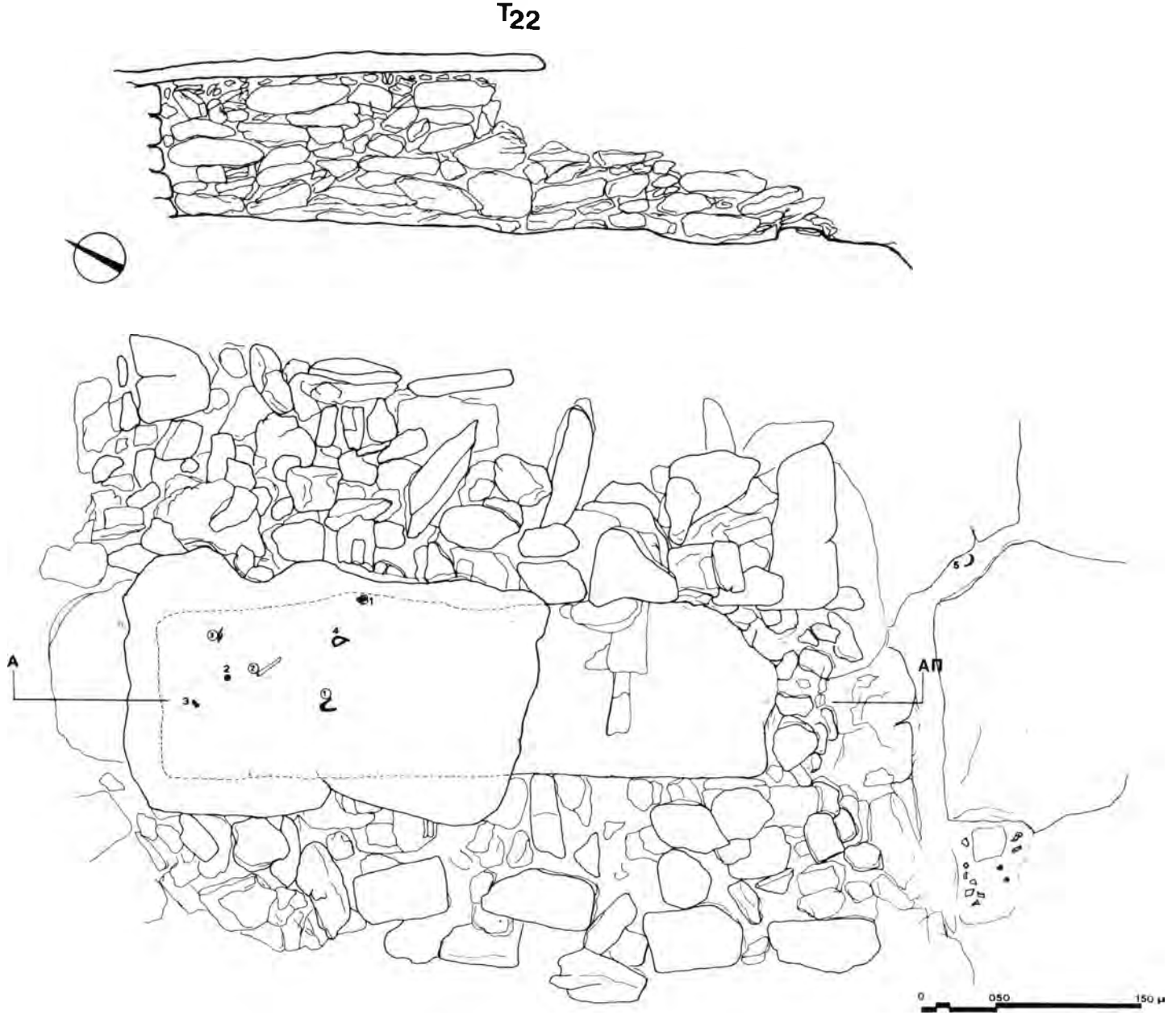

Σχέδ. 48. Κάτοψη και τομή τάφου T22.

ρύστομου αγγείου Τπ. Ι, IV (79).
Σώζεται τμήμα του ώμου και του λαιμού. Πιθανόν από το ίδιο αγγείο και τμήμα λαβής. Δύο παράλληλες αυλακώσεις κάτω από το χείλος και γύρω από τη βάση του λαιμού.
Πηλός Κτ. ΙΒ1
εξ. επ. Κ-ΚΕ
εσ. επ. ΚΕ
πρ. ΚΤ-ΚΕ
σζ. ύψ. 0,096 μ.

6. Θραύσματα μόνωτου χειροποίητου ευρύστομου αγγείου Τπ. Ι, IV (23).
Σώζεται τμήμα ώμου και λαιμού, καθώς και θραύσματα από τη λαβή. Αυλάκωση γύρω από τη βάση του λαιμού.
Πηλός Κτ. ΙΑ2
εξ. επ. ΤΜ-λ φθ
εσ. επ. ΤΜ-λ
πρ. ΤΜ
σζ. ύψ. 0,045 μ.

7. Θραύσμα από το χείλος χειροποίητου αγγείου Τπ. Ι, IV (13).
Σώζεται τμήμα λαιμού και χείλους.
Πηλός Κτ. ΙΒ2
εξ. επ. Κ
εσ. επ. Κ
πρ. Κ
σζ. ύψ. 0,06 μ.

8. Θραύσμα γωνιόσχημης λαβής χειροποίητου αγγείου Τπ. Ι, IV.
Πηλός Κτ. ΙΒ1
εξ. επ. ΚΕ-λ
εσ. επ. ΚΕ-λ
πρ. ΚΕ
σζ. ύψ. 0,072 μ.

9. Θραύσματα μόνωτου χειροποίητου ευρύστομου αγγείου Τπ. Ι, IV (23).
Σώζεται τμήμα του ώμου με την αρχή λαβής και τμήμα λαιμού με χείλος.
Πηλός Κτ. ΙΑ2
εξ. επ. Τ-Κ
εσ. επ. Τ-ΤΜ
πρ. Τ-ΚΕ
συμπλ. ύψ. 0,12, συμπλ. δμχ. 0,108 μ.

10. Θραύσμα μόνωτου χειροποίητου ευρύστομου αγγείου Τπ. Ι, IV (25).
Σώζεται τμήμα ώμου με τη γωνιόσχημη λαβή.
Πηλός Κτ. ΙΒ1-ΙΒ2
εξ. επ. ΚΜ-λ
εσ. επ. ΚΤ-λ
πρ. ΚΕ
σζ. ύψ. 0,09 μ.

11. Θραύσμα λαβής χειροποίητου αγγείου Τπ. Ι, VIB.
Πηλός Κτ. ΙΒ1
εξ. επ. Κ
εσ. επ. Κ
πρ. Κ
σζ. μκ. 0,036 μ.

12. Θραύσμα χειροποίητου αγγείου Τπ. Ι, IV.
Σώζεται ώμος με την αρχή λαβής.
Πηλός Κτ. ΙΒ1
εξ. επ. Κ
εσ. επ. Κ
πρ. Κ
σζ. ύψ. 0,03 μ.

13. Θραύσμα χειροποίητου αγγείου Τπ. Ι, IV.
Σώζεται τμήμα ώμου με την αρχή λαβής.
Πηλός Κτ. ΙΓ3
εξ. επ. Τ
εσ. επ. Τ
πρ. Τ
σζ. ύψ. 0,03 μ.

14. Θραύσμα από τον ώμο χειροποίητου αγγείου Τπ. Ι, IV (22).
Αυλάκωση γύρω από τη βάση του λαιμού.
Πηλός Κτ. ΙΒ1
εξ. επ. ΚΕ
εσ. επ. ΚΕ
πρ. ΚΕ
σζ. ύψ. 0,036 μ.

15. Θραύσμα από τον ώμο χειροποίητου αγγείου Τπ. Ι, IV (97).
Δύο παράλληλες αυλακώσεις γύρω από τη βάση του λαιμού. Ζιγκ-ζαγκ αυλακωτή γραμμή στον ώμο.
Πηλός Κτ. ΙΒ1
εξ. επ. ΚΕ
εσ. επ. ΚΕ
πρ. ΚΤ
σζ. ύψ. 0,045 μ.

16. Θραύσμα χειροποίητου ευρύστομου αγγείου Τπ. Ι, IV (32).
Σώζεται τμήμα ώμου και λαιμού.
Πηλός Κτ. ΙΑ2
εξ. επ. ΤΜ-λ
εσ. επ. ΤΜ-λ
πρ. ΤΜ
σζ. ύψ. 0,06 μ.
Πιθανόν από το αγγείο αριθ. 6.

17. Θραύσμα λαβής χειροποίητου αγγείου
Τπ. I, IV.
Πηλός Κτ. IB1
εξ. επ. ΚΕ
εσ. επ. ΚΕ
πρ. Κ
σζ. ύψ. 0,06 μ.

18. Θραύσματα χειροποίητης οινοχόης Τπ. I, VIIE (177).
Σώζεται μέρος από το κάτω σώμα με τη βάση, καθώς και αποσπασματικά τμήμα από το άνω σώμα και το λαιμό.
Πηλός καθαρός Κτ. IB1
εξ. επ. Κ
εσ. επ. Κ
πρ. Κ
συμπλ. ύψ. 0,15, δμβ. 0,06, δμχ. 0,066 μ.

Α π ο θ έ τ η ς

Έξω από τη νότια πλευρά του τάφου Τ22 βρέθηκε ένας σωρός από θραύσματα αγγείων, πολλά από τα οποία είχαν πέσει σε μια σχισμή του βράχου. Τα περισσότερα από τα θραύσματα προέρχονται από μεγάλα αποθηκευτικά αγγεία. Το πιο αξιόλογο εύρημα είναι μια χάλκινη τοξωτή πόρπη, που βρέθηκε πεσμένη μέσα σε σχισμή του βράχου.

ΕΥΡΗΜΑΤΑ

Π ί ν. 150

1. Δύο θραύσματα από το χείλος χειροποίητου αγγείου Τπ. I, XII (199).
«Νυχιές» γύρω στην περιφέρεια του χείλους.
Πηλός Κτ. IB2
εξ. επ. Κ
εσ. επ. Κ
πρ. Κ
σζ. ύψ. 0,045 μ.

2. Θραύσμα από το χείλος χειροποίητου αγγείου Τπ. I, XII (205).
Πλαστική ταινία με «δακτυλιές» κάτω από την περιφέρεια του χείλους.
Πηλός Κτ. IB2
εξ. επ. ΚΕ
εσ. επ. ΚΕ
πρ. Κ
σζ. ύψ. 0,061 μ.

3. Θραύσμα από το χείλος χειροποίητου αγγείου Τπ. I, XII (205).
Πλαστική ταινία με «δακτυλιές» κάτω από την περιφέρεια του χείλους.
Πηλός Κτ. IΓ2
εξ. επ. ΚΕ-Ε
εσ. επ. ΚΕ-Ε
πρ. ΚΕ
σζ. ύψ. 0,072 μ.

4. Θραύσμα από το χείλος χειροποίητου αγγείου Τπ. I, XII (205).
Πλαστική ταινία με «δακτυλιές» κάτω από την περιφέρεια του χείλους.
Πηλός Κτ. IΓ2
εξ. επ. Ε
εσ. επ. Ε
πρ. Ε
σζ. ύψ. 0,052 μ.

5. Θραύσμα από το χείλος χειροποίητου αγγείου Τπ. I, XII (205).
Πλαστική ταινία με «δακτυλιές» κάτω από την περιφέρεια του χείλους.
Πηλός Κτ. IA3
εξ. επ. ΤΜ
εσ. επ. ΚΤ
πρ. ΚΤ
σζ. ύψ. 0,051 μ.

6. Θραύσμα από το χείλος χειροποίητου αγγείου Τπ. I, XII (205).
Πλαστική ταινία με «δακτυλιές» κάτω από την περιφέρεια του χείλους.
Πηλός Κτ. IB2
εξ. επ. Κ
εσ. επ. Κ
πρ. ΚΤ
σζ. ύψ. 0,035 μ.

7. Θραύσμα από τον ώμο χειροποίητου αγγείου Τπ. I, XII.
Σώζεται μία κατακόρυφη κυλινδρική λαβή ώμου. Πλαστική ταινία με «δακτυλιές» γύρω από τον ώμο, στο ύψος της λαβής.
Πηλός Κτ. IΓ2
εξ. επ. Ε
εσ. επ. Ε

πρ. ΤΜ
σζ. ύψ. 0,10 μ.

8. Θραύσμα από το σώμα χειροποίητου αγγείου Τπ. Ι, XII.
Πλαστική ταινία με «δακτυλιές» γύρω από τον ώμο.
Πηλός Κτ. ΙΓ2
εξ. επ. Ε
εσ. επ. Ε
πρ. ΤΜ
σζ. ύψ. 0,11 μ.
Πιθανόν από το ίδιο αγγείο, από το οποίο και το θραύσμα αριθ. 7.

9. Θραύσμα από το χείλος χειροποίητου αγγείου Τπ. Ι, ΙΙΙ ή Ι, IV.
Πηλός Κτ. ΙΑ3
εξ. επ. ΚΤ
εσ. επ. ΚΤ
πρ. ΤΜ
σζ. ύψ. 0,031 μ.

10. Δύο θραύσματα από το χείλος χειροποίητου αγγείου Τπ. Ι, ΙΙΙ ή Ι, IV.
Πηλός Κτ. ΙΒ2
εξ. επ. Κ
εσ. επ. Κ
πρ. Κ
σζ. ύψ. 0,04 μ.

11. Θραύσμα μόνωτου χειροποίητου ευρύστομου αγγείου Τπ. Ι, ΙΙ.
Σώζεται τμήμα λαιμού με χείλος. Δύο παράλληλες αυλακώσεις διακρίνονται κάτω από την περιφέρεια του χείλους.
Πηλός Κτ. ΙΒ1
εξ. επ. Κ
εσ. επ. Κ
πρ. ΚΤ
σζ. ύψ. 0,041 μ.

12. Θραύσμα μόνωτου χειροποίητου ευρύστομου αγγείου Τπ. Ι, IV (79).
Σώζεται τμήμα ώμου με λαιμό και χείλος. Δύο παράλληλες αυλακώσεις κάτω από την περιφέρεια του χείλους και γύρω από τη βάση.
Πηλός Κτ. ΙΒ1
εξ. επ. ΚΕ-λ
εσ. επ. Κ-ΚΕ
πρ. ΚΤ
σζ. ύψ. 0,082 μ.

13. Θραύσμα χειροποίητου κλειστού αγγείου (αμφορέα) Τπ. Ι, IV (79).
Σώζεται τμήμα του λαιμού του αγγείου. Μία αυλάκωση γύρω από τη βάση του λαιμού, δύο παράλληλες αυλακώσεις κάτω από την περιφέρεια του χείλους.
Πηλός Κτ. ΙΒ1
εξ. επ. Κ-λ
εσ. επ. Κ
πρ. ΚΤ
σζ. ύψ. 0,062 μ.

14. Θραύσμα χειροποίητου αμφορέα Τπ. Ι, VIB.
Σώζεται τμήμα ώμου με κατακόρυφη κυλινδρική λαβή.
Πηλός Κτ. ΙΒ2
εξ. επ. Κ
εσ. επ. Κ
πρ. Κ
σζ. ύψ. 0,115 μ.

15. Θραύσμα χειροποίητου αμφορέα Τπ. Ι, IV (35).
Σώζεται τμήμα ώμου με αρχή λαιμού. Μία αυλάκωση γύρω από τη βάση του λαιμού.
Πηλός Κτ. ΙΓ2
εξ. επ. ΚΕ
εσ. επ. ΚΕ
πρ. ΚΤ
σζ. ύψ. 0,075 μ.

16. Θραύσματα χειροποίητου αμφορέα Τπ. Ι, VIB.
Σώζεται τμήμα ώμου με την αρχή λαιμού. Πιθανόν στο ίδιο αγγείο και ένα θραύσμα με κατακόρυφη κυλινδρική λαβή. Δύο παράλληλες αυλακώσεις γύρω από την αρχή του λαιμού. Τριπλές ζιγκ-ζαγκ αυλακώσεις στον ώμο του αγγείου.
Πηλός Κτ. ΙΒ1
εξ. επ. ΚΜ-ΚΕ-λ
εσ. επ. ΚΜ
πρ. Κ
σζ. ύψ. 0,005, ύψ. λβ. 0,075 μ.

17. Θραύσμα λαβής χειροποίητου αμφορέα Τπ. Ι, VIB.
Πηλός Κτ. ΙΑ3
εξ. επ. ΚΤ
εσ. επ. ΚΤ
πρ. ΚΤ
σζ. ύψ. 0,075 μ.

18. Θραύσμα από τον ώμο χειροποίητου αγγείου Τπ. Ι, XII.

Πλαστική ταινία με «δακτυλιές» γύρω από τον ώμο.
Πηλός Κτ. ΙΒ2
εξ. επ. Κ
εσ. επ. Κ
πρ. Κ
σζ. ύψ. 0,052 μ.

Π ί ν. 151

19. Θραύσματα μεγάλου χειροποίητου αγγείου Τπ. Ι, ΧΙΙ (205).
Πλαστική ταινία με «δακτυλιές» κάτω από την περιφέρεια του χείλους, αντίστοιχη πλαστική ταινία περιτρέχει και τον ώμο του αγγείου, στο ύψος των λαβών.
Πηλός Κτ. ΙΒ2
εξ. επ. ΚΕ
εσ. επ. Κ
πρ. Κ
συμπλ. ύψ. 0,02, δμχ. 0,45 μ.

20. Χάλκινη τοξωτή πόρπη Τπ. Π3.
Εγχάρακτη διακόσμηση με χαρακτούς κύκλους στο έλασμα της υποδοχής της βελόνας.
μκ. 0,069, ύψ. 0,045 μ.

Ταφική συστάδα Τ23

Σε απόσταση 28 μ. προς ΝΑ. της ταφικής συστάδας Τ14 και 38 μ. προς ΒΑ. του τάφου Τ19 (Σ χ έ δ. Ι). Η ταφική συστάδα Τ23 αποτελείται από δύο ορθογώνιους κτιστούς τάφους με παράλληλο προσανατολισμό, περίπου Β.-Ν. Πρώτος κτίσθηκε ο τάφος Τ23Α, στη δυτική πλευρά του οποίου προστέθηκε αργότερα ο τάφος Τ23Β (Σ χ έ δ. 49-50). Πριν από την ανασκαφή, η ταφική συστάδα έδινε την εικόνα ενός χαμηλού τύμβου με ακανόνιστο περίγραμμα, που μόλις διαγραφόταν στην επιφάνεια του εδάφους (Π ί ν. 283α).

Μετά την απομάκρυνση του επιφανειακού σώματος, που ήταν χώμα βλάστησης και όχι φερτό χώμα τύμβου, αποκαλύφθηκε το στρώμα των λίθων που γέμισε το εσωτερικό των τάφων, καλύπτοντας επίσης και τις πλάγιες κτιστές πλευρές των τάφων και σε πολλά σημεία, κυρίως στην περιοχή του τάφου Τ23Α, και το περίγραμμα των τάφων. Οπωσδήποτε, το στρώμα των λίθων, που σε ορισμένα σημεία πάνω από τον τάφο Τ23Α ήταν αρκετά συμπαγές, ώστε να μοιάζει με κτιστό τοίχο (Π ί ν. 283β), σχημάτιζε όχι έναν κυκλικό τύμβο αλλά ένα ορθογώνιο κτίσμα, μέσα στο οποίο διαγράφονταν καθαρά τα περιγράμματα των επιμέρους τάφων. Προς το κέντρο του τάφου Τ23Α ξεχώριζαν ορισμένες μικρές σχιστόπλακες σε κατακόρυφη θέση (Π ί ν. 283γ).

Διαστάσεις ταφικής συστάδας (εξωτ.): μγ. μκ. 4,50, μγ. πλ. 3,50, μγ. ύψ. 0,60 μ.

ΤΑΦΟΣ Τ23Α

Ορθογώνιος τάφος με κτιστές πλευρές και προσανατολισμό Β.-Ν., περίπου. Διαστάσεις (εσωτ.): μγ. μκ. 2, μγ. πλ. 1, μγ. ύψ. 0,60 μ. (Π ί ν. 284α).

Το επίπεδο των ταφών εντοπίσθηκε κάτω από το στρώμα των λίθων, πάνω στο φυσικό έδαφος. Στη νοτιοανατολική γωνία του τάφου βρέθηκαν συγκεντρωμένα οστά από τις παλιότερες ταφές του τάφου, παραμερισμένα στη θέση αυτή. Ένα στρώμα με διάσπαρτα όστρακα κάλυπτε το επίπεδο των ταφών (Π ί ν. 284γ).

Στο υπόλοιπο τμήμα του τάφου ξεχώρισαν λείψανα δύο, τουλάχιστον, ταφών (β και γ), που φαίνεται ότι είχαν εναποτεθεί με προσανατολισμό Β.-Ν. και το κεφάλι στα νότια. Επειδή και στην περιοχή αυτή βρέθηκαν οστά προγενέστερων ταφών, δεν είναι δυνατό, εξαιτίας της φθοράς που παρουσιάζουν όλα τα οστά του τάφου, να ξεχωρίσουν με ασφάλεια τα σκελετικά λείψανα των επιμέρους ταφών.

Η ανθρωπολογική μελέτη βεβαίωσε, οπωσδήποτε, την ταφή τουλάχιστον τεσσάρων ενήλικων ατόμων και ενός παιδιού στον τάφο (Παράρτημα Ια).

Τα κτερίσματα που βρέθηκαν, επίσης, στον τάφο δεν είναι δυνατό να σχετισθούν με συγκεκριμένα σκελετικά λείψανα. Η άριστη διατήρηση των αγγείων 3 και 5 οδηγεί στην υπόθε-

ση ότι τα κτερίσματα αυτά πρέπει να ανήκουν στις τελευταίες ή στην τελευταία χρονικά ταφή στον τάφο (Πί ν. 283β).

Τα υπόλοιπα αγγεία του τάφου βρέθηκαν σε πολύ αποσπασματική κατάσταση, που πρέπει να ερμηνευθεί με τις αλλεπάλληλες διαταράξεις που προκαλούσαν οι πολλαπλές ταφές. Τα κτερίσματα απαρτίζουν δύο ομάδες:

Ομάδα Ι: Αγγεία Α3 και Α5 της νότιας πλευράς του τάφου. Νεότερη φάση.

Ομάδα ΙΙ: Θραύσματα αγγείων στο εσωτερικό του τάφου. Αρχαιότερη φάση.

ΕΥΡΗΜΑΤΑ

Πί ν. 152

Ομάδα Ι

1(Α5). Χειροποίητος αμφορέας Τπ. Ι, VIΓ (128).
Λείπει η μία από τις δύο οριζόντιες λαβές του ώμου. Χαμηλή αυλάκωση γύρω από την αρχή του λαιμού.
Πηλός Κτ. ΙΑ2-ΙΒ1
εξ. επ. ΚΜ-λ
εσ. επ. ΚΜ
πρ. ΚΕ
ύψ. 0,18, δμβ. 0,06, δμχ. 0,09 μ.

2(Α3). Χειροποίητη πυξίδα με πώμα Τπ. Ι, ΙΧΑ (195).
Δύο οπές στην περιφέρεια του πώματος, δύο αντίστοιχες οπές στο λαιμό του αγγείου για την πρόσδεση του πώματος με σκοινί.
Πηλός Κτ. ΙΑ2-ΙΒ1
εξ. επ. Κ-ΚΜ-λ φθ
εσ. επ. ΚΜ-Κ
πρ. ΚΕ
σζ. ύψ. 0,015, δμβ. 0,048, δμχ. 0,057 μ.

Ομάδα ΙΙ

3(Α2). Μόνωτο χειροποίητο ευρύστομο αγγείο Τπ. Ι, IV (54).
Λείπει ένα μεγάλο μέρος από το λαιμό και το χείλος. Δύο λεπτές παράλληλες αυλακώσεις κάτω από την περιφέρεια του χείλους και δύο βαθύτερες γύρω από τη βάση του λαιμού.
Πηλός Κτ. ΙΒ1
εξ. επ. ΚΕ-Κ-λ φθ
εσ. επ. ΚΕ-Κ
πρ. ΚΕ
ύψ. 0,12, δμβ. 0,075, δμχ. 0,18 μ.

4(Α1). Χειροποίητη οινοχόη Τπ. Ι, VIIΔ (173).
Λείπει το άνω τμήμα του σώματος και η λαβή. Δύο παράλληλες αυλακώσεις γύρω από τη βάση του λαιμού.
Πηλός Κτ. ΙΑ2
εξ. επ. ΤΜ-λ
εσ. επ. ΤΜ
πρ. ΚΕ-Κ
σζ. ύψ. 0,09, δμβ. 0,06 μ.

5-6. Θραύσματα μόνωτου χειροποίητου ευρύστομου αγγείου Τπ. Ι, IV (52).
Σώζεται τμήμα ώμου, λαιμού και χείλους, καθώς και το μεγαλύτερο τμήμα της λαβής. Μία αυλάκωση κάτω από την περιφέρεια του χείλους, δύο παράλληλες αυλακώσεις γύρω από τη βάση του λαιμού του αγγείου. Αυλακωτή διακόσμηση και στο ταινιωτό τμήμα της λαβής.
Πηλός Κτ. ΙΒ1-ΙΑ2
εξ. επ. Κ-ΚΜ-λ φθ
εσ. επ. ΤΜ
πρ. Κ
σζ. ύψ. 0,075 μ.

7. Θραύσματα μόνωτου χειροποίητου ευρύστομου αγγείου Τπ. Ι, IV (24).
Σώζεται η βάση και αποσπασματικά το υπόλοιπο σώμα. Λείπει η λαβή του αγγείου.
Πηλός Κτ. ΙΑ2-ΙΒ1
εξ. επ. ΚΜ-λ
εσ. επ. ΚΜ
πρ. ΚΕ
συμπλ. ύψ. 0,14, δμβ. 0,075, δμχ. 0,132 μ.

8. Θραύσματα μόνωτου χειροποίητου ευρύστομου αγγείου Τπ. Ι, IV (25β).
Σώζεται τμήμα ώμου και λαβής.
Πηλός Κτ. ΙΒ1
εξ. επ. Κ-λ
εσ. επ. Κ
πρ. ΚΤ
ύψ. 0,108, σζ. ύψ. ώμου 0,06 μ.

9. Θραύσμα από το χείλος χειροποίητου αγγείου Τπ. Ι, IV.

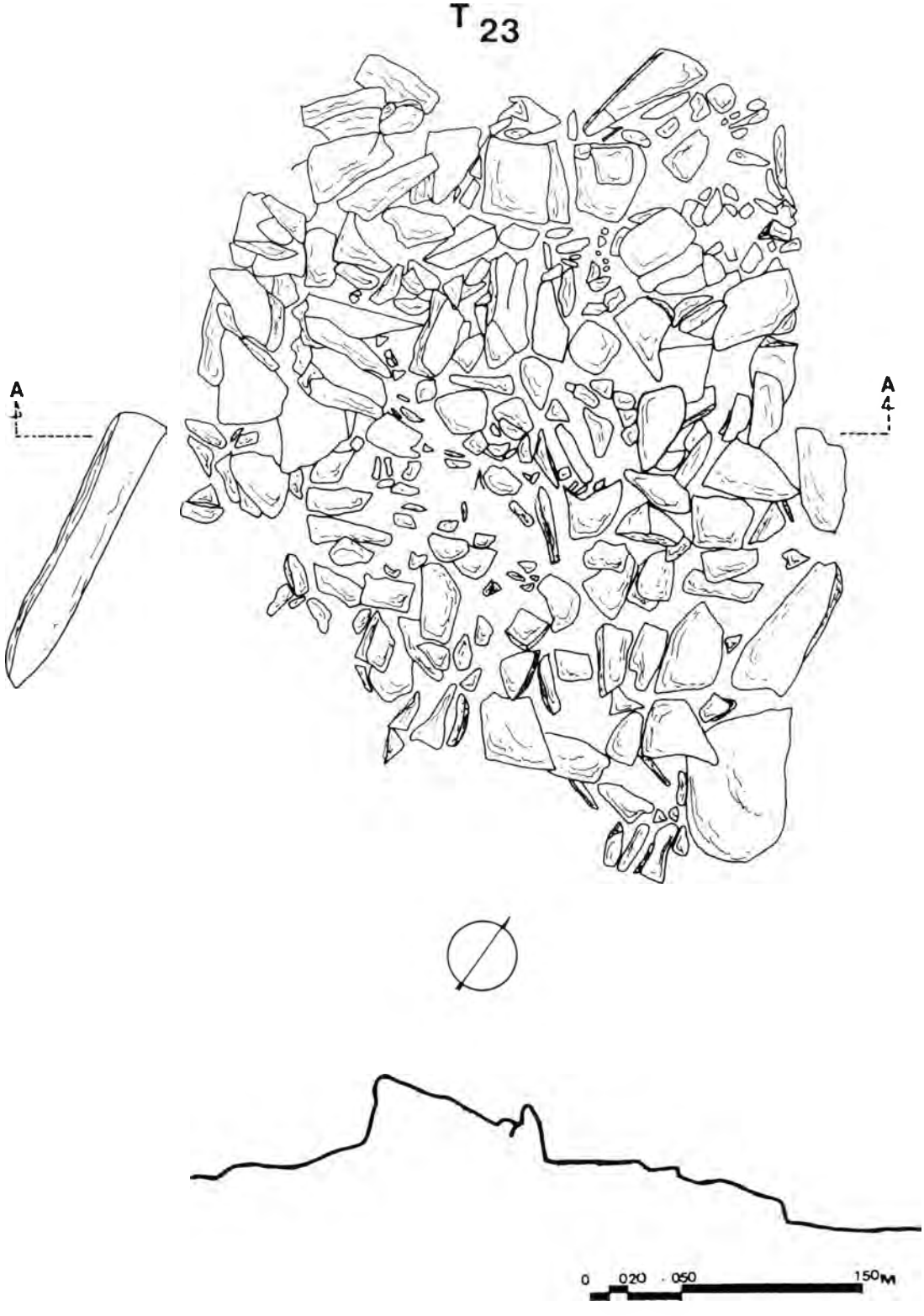

Σχέδ. 49. Κάτοψη και τομή ταφικής συστάδας Τ23. Φάση Ι.

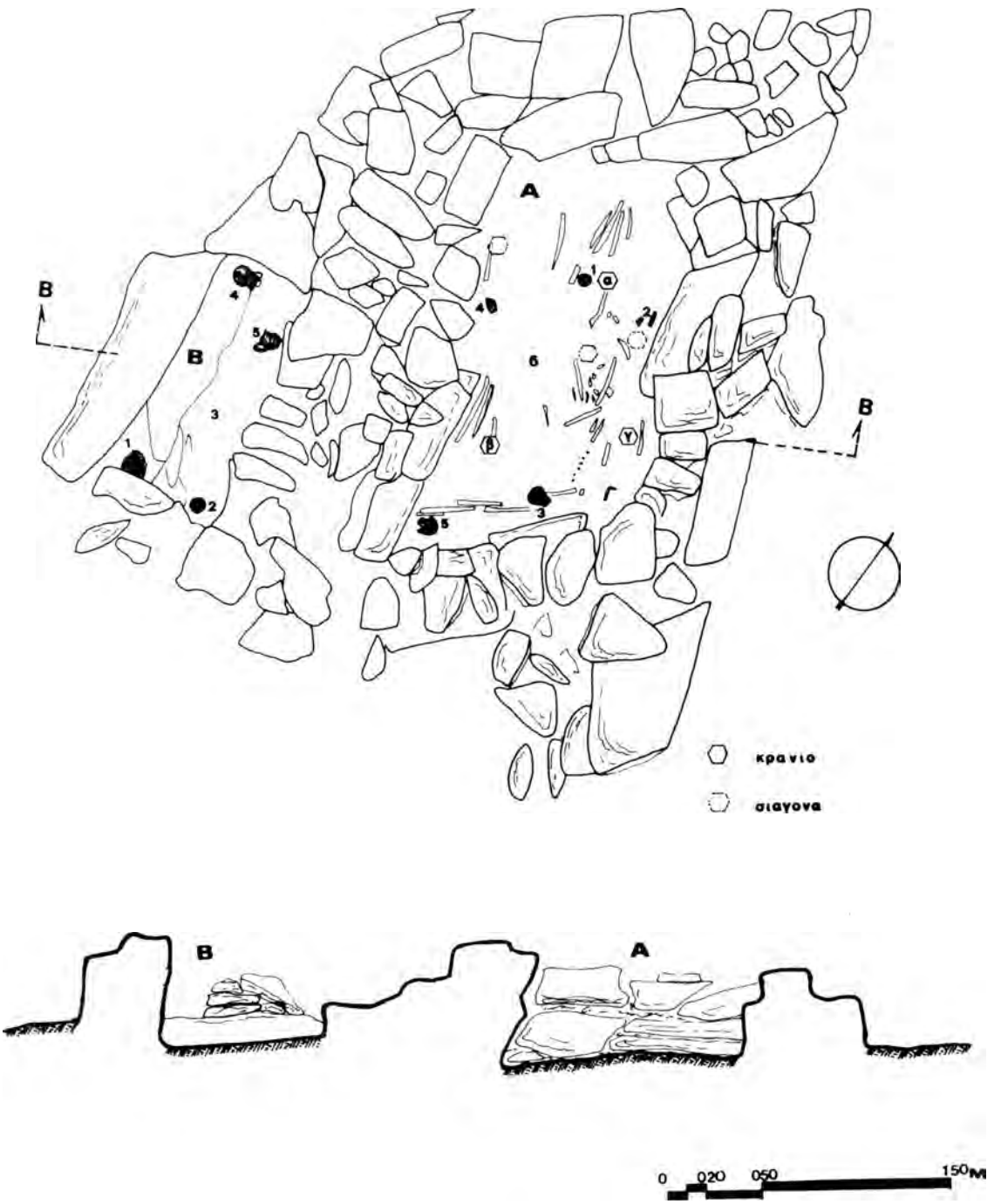

Σχέδ. 50. Κάτοψη και τομή ταφικής συστάδας T23. Φάση II.

Πηλός Κτ. ΙΒ1
εξ. επ. Κ-λ
εσ. επ. Κ-λ
πρ. Κ
σζ. ύψ. 0,027 μ.

10. Θραύσμα από το χείλος χειροποίητου αγγείου Τπ. Ι, IV.
Πηλός Κτ. ΙΒ2
εξ. επ. Κ
εσ. επ. Κ
πρ. Κ
σζ. ύψ. 0,06 μ.

11. Δακτυλιόσχημη ψήφος όρμου από γαλάζια υαλόμαζα Τπ. Ψυ.
ύψ. 0,006 μ.

12. Μολύβδινος σύνδεσμος.
μκ. 0,06 μ.

13. Μικρό θραύσμα σιδερένιου εγχειριδίου Τπ. EVIII ή EVII.
σζ. μκ. 0,018 μ.

Στο εσωτερικό του τάφου διάσπαρτα και στην επίχωση του τάφου Τ23Α βρέθηκαν ορισμένα όστρακα αγγείων, τα οποία πρέπει να προέρχονται από τα αγγεία-κτερίσματα του τάφου ή από την επίχωσή του. Κτ. ΙΒ1-ΙΑ2, βάρος 600 γρ.

ΤΑΦΟΣ Τ23Β

Μικρός κιβωτιόσχημος τάφος, που έχει προσαρτηθεί στη δυτική πλευρά του τάφου Τ23Α. Η βόρεια και η νότια πλευρά του είναι κτιστές, ενώ στη δυτική έχει χρησιμοποιηθεί μια μεγάλη όρθια σχιστόπλακα (Σ χ έ δ. 50). Διαστάσεις τάφου (εσωτ.): μγ. μκ. 1,50, μγ. πλ. 0,60, μγ. ύψ. 0,60 μ.

Το επίπεδο των ταφών εντοπίσθηκε πάνω στο φυσικό βράχο και κάτω από ένα παχύ στρώμα λίθων (Π ί ν. 285α). Από τις διαστάσεις του τάφου και των κτερισμάτων προκύπτει ότι ο τάφος Τ23Β ήταν τάφος αποκλειστικά για παιδιά (Π ί ν. 285β).

Η ανθρωπολογική μελέτη βεβαίωσε την ταφή τεσσάρων, τουλάχιστον, παιδιών στον τάφο (Παράρτημα Ια).

ΕΥΡΗΜΑΤΑ

Π ί ν. 153Α

1(Β4). Μόνωτο χειροποίητο ευρύστομο κυπελλόσχημο αγγείο Τπ. Ι, IV (101).
Ακέραιο. Δύο παράλληλες αυλακώσεις κάτω από την περιφέρεια του χείλους και γύρω από τη βάση του λαιμού. Διπλές ζιγκ-ζαγκ αυλακώσεις στον ώμο και συστάδες από παράλληλες αυλακώσεις κατά πλάτος του κυλινδρικού στελέχους της λαβής. Αυλακωτή διακόσμηση και στο ταινιωτό τμήμα της λαβής.
Πηλός Κτ. ΙΑ2-ΙΒ1
εξ. επ. ΚΜ-Κ-λ
εσ. επ. Κ-ΚΕ-λ
πρ. ΚΤ
ύψ. 0,12, δμβ. 0,04, δμχ. 0,08 μ.

2(Β5). Μόνωτο χειροποίητο ευρύστομο μικρογραφικό αγγείο Τπ. Ι, IV (107).
Ακέραιο σχεδόν. Λείπει ένα μικρό τμήμα από το χείλος. Μετωπικό θέμα με αυλακώσεις στο λαιμό του αγγείου. Γύρω από τη βάση του λαιμού, το μετωπικό πλαίσιο αποτελείται από δύο παράλληλες αυλακώσεις, το ενδιάμεσο των οποίων κοσμείται με σειρά από σταγονόσχημες χαράξεις.
Πηλός Κτ. ΙΒ1
εξ. επ. ΚΕ-ΚΕ-λ
εσ. επ. Κ
πρ. Κ
ύψ. 0,082, δμβ. 0,05, δμχ. 0,065 μ.

3(Β1). Χειροποίητη μικρογραφική οινοχόη Τπ. Ι, VIIΔ (169).
Λείπει ένα μέρος από το κάτω σώμα, από τη λαβή και το λαιμό. Δύο παράλληλες αυλακώσεις κάτω από την περιφέρεια του χείλους και γύρω από τη βάση του λαιμού. Διπλές

ζιγκ-ζαγκ αυλακωτές γραμμές στον ώμο του αγγείου.
Πηλός Κτ. ΙΑ2
εξ. επ. ΜΤ-λ
εσ. επ. ΤΜ
πρ. Τ
συμπλ. ύψ. 0,12, δμβ. 0,054 μ.

4(Β2). Μόνωτο χειροποίητο ευρύστομο αγγείο Τπ. Ι, IV (24).
Λείπει το άνω τμήμα του αγγείου και η λαβή.
Πηλός Κτ. ΙΑ2
εξ. επ. ΤΜ-λ
εσ. επ. ΚΤ
πρ. Τ
σζ. ύψ. 0,075, δμβ. 0,055 μ.

5(Β3). Θραύσμα σιδερένιου εγχειριδίου Τπ. EVIII.
σζ. μκ. 0,02 μ.

Εκτός από τα αγγεία που απεικονίζονται στον Πίνακα 153Α, βρέθηκαν διάσπαρτα στο εσωτερικό του τάφου και στο λιθόστρωμα της επίχωσης και ορισμένα θραύσματα αγγείων, τα οποία δε δίδουν στοιχεία για το αρχικό τους σχήμα. Τα θραύσματα αυτά, που προέρχονται από διάφορα σημεία του τάφου, είναι τα εξής: Κτ. ΙΒ2: όστρακα βάρους 100 γρ. Κτ. ΙΓ2: όστρακα βάρους 150 γρ.

Έξω από τον τάφο, στα χώματα της επίχωσης και του λιθοστρώματος που κάλυπτε τον τάφο, βρέθηκαν επίσης λίγα όστρακα: Κτ. ΙΒ1-ΙΑ2-ΙΓ: βάρος 100 γρ.

Πρέπει, επίσης, να σημειώσουμε ότι η επίχωση του εσωτερικού του τάφου περιείχε και έξι θραύσματα καμένων πηλών, που πρέπει να προέρχονται από επένδυση κλιβάνου.

Τάφος Τ24

Ο τάφος Τ24 βρίσκεται σε απόσταση 5 μ. προς ΒΔ. της ταφικής συστάδας Τ23 και 15 μ. προς ΝΑ. του τάφου Τ12 (Σ χ έ δ. Ι). Πριν ανασκαφεί, διαγραφόταν ως ένας χαμηλός τύμβος με ακανόνιστο περίγραμμα, που υψωνόταν 0,50 μ. περίπου πάνω από την επιφάνεια του εδάφους (Π ί ν. 286α). Μετά την απομάκρυνση του επιφανειακού χώματος, που είχε ελάχιστο πάχος, αποκαλύφθηκε το στρώμα των λίθων που γέμιζε το εσωτερικό του τάφου και κάλυπτε ως αραιή λιθορριπή και τις κτιστές πλευρές του τάφου, που είχαν τις εξωτερικές παρειές κάπως αδιαμόρφωτες (Π ί ν. 286β). Ο τάφος έχει πεταλόσχημη κάτοψη, με προσανατολισμό Β.-Ν. περίπου (Σ χ έ δ. 51-52). Ο πεταλόσχημος χώρος κλείνει στα νότια μ' έναν τοίχο, που δε δένει με τις πλάγιες μακρές πλευρές. Η βόρεια πλευρά του τάφου είναι διαμορφωμένη σε αψίδα και στην εξωτερική και στην εσωτερική παρειά της (Π ί ν. 287β).

Διαστάσεις θαλάμου (εσωτ.): μγ. μκ. 2,10, πλ. 1,50, μγ. ύψ. 0,40 μ.

Το επίπεδο των ταφών εντοπίσθηκε κάτω από το επιφανειακό στρώμα των λίθων, μετά το οποίο ακολουθούσε ένα λεπτό στρώμα από ερυθρωπό χώμα με αραιές ριχτές πέτρες. Ο τάφος ήταν διαταραγμένος. Τα λείψανα των νεκρών και τα κτερίσματα βρέθηκαν σε δύο στρώματα:

Στρώμα Ι: Ελάχιστα λείψανα οστών και ορισμένα θραύσματα αγγείων: 1, 4. Τα οστά ήταν πολύ φθαρμένα και μετακινημένα και έτσι δεν προσδιόριζαν θέσεις νεκρών. Τα αγγεία βρέθηκαν σε αποσπασματική κατάσταση (Π ί ν. 287α).

Στρώμα ΙΙ: Μετά την αφαίρεση του πρώτου στρώματος εμφανίσθηκε ένα δεύτερο στρώμα ταφών, που ήταν εν μέρει καλυμμένο από ένα λεπτό στρώμα ερυθρωπού χώματος. Και στο δεύτερο αυτό στρώμα ταφών εμφανίσθηκε η ίδια εικόνα διατάραξης. Ξεχώρισαν οστά κυρίως κάτω άκρων, που έδιναν την εντύπωση επάλληλων ή μετακινημένων ταφών. Η μετακίνηση των οστών ήταν περισσότερο φανερή στη νότια πλευρά του τάφου (Π ί ν. 287β). Τα θραύσματα των αγγείων και τα μικροαντικείμενα, που βρέθηκαν στο στρώμα αυτό, δεν είναι δυνατό να συσχετισθούν και να αποδοθούν σε συγκεκριμένες ταφές.

Η ανθρωπολογική μελέτη των οστών έχει βεβαιώσει την ταφή πέντε, τουλάχιστον, ενηλίκων και ενός παιδιού (Παράρτημα Ια).

Στο εσωτερικό του τάφου βρέθηκαν, επίσης, οστά ζώων (σιαγόνες και δόντια αιγοπροβάτων και ένα οστό από μηριαίο μοσχαριού) (Παράρτημα ΙΙ).

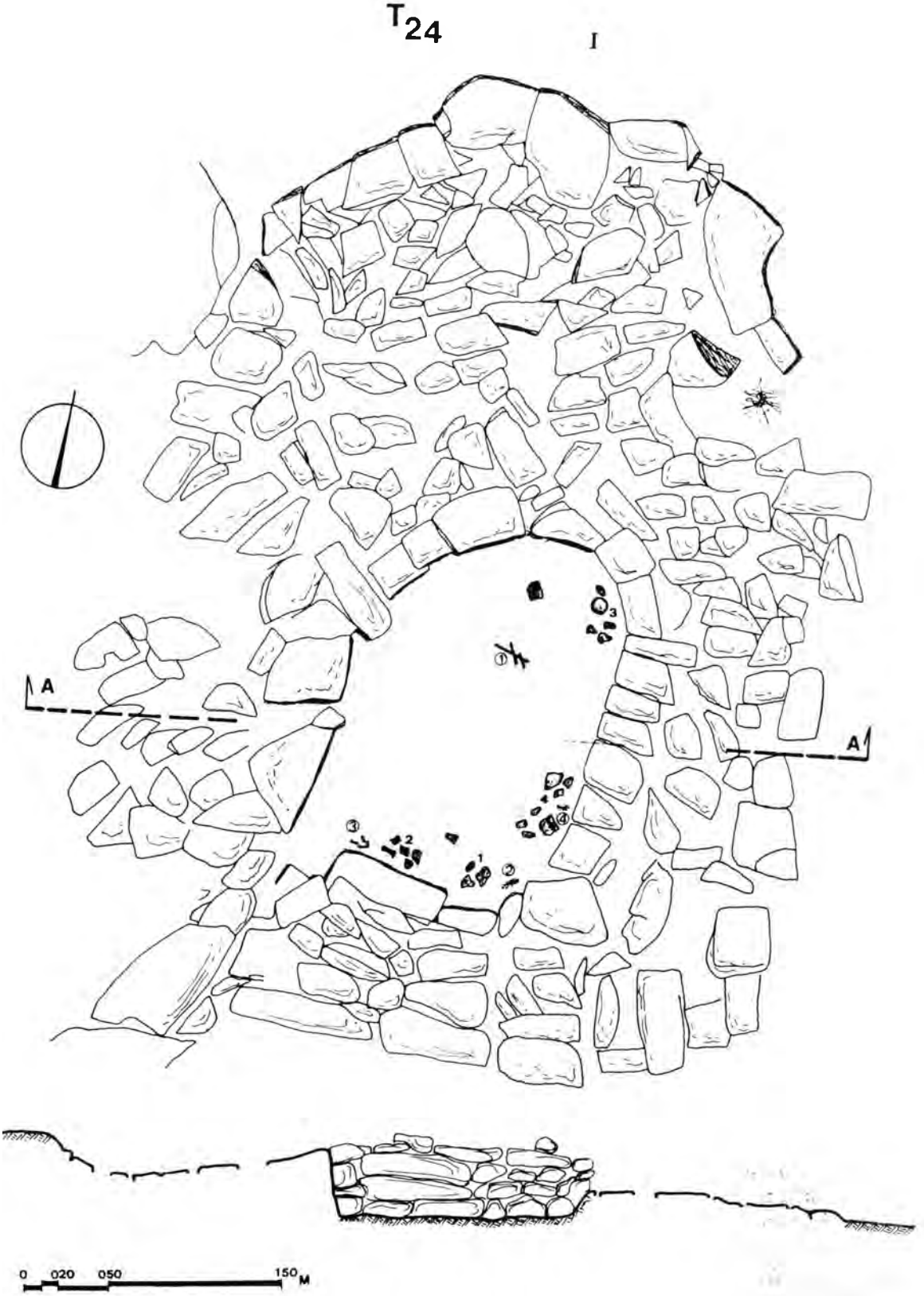

Σχέδ. 51. Κάτοψη και τομή τάφου Τ24. Στρώμα Ι.

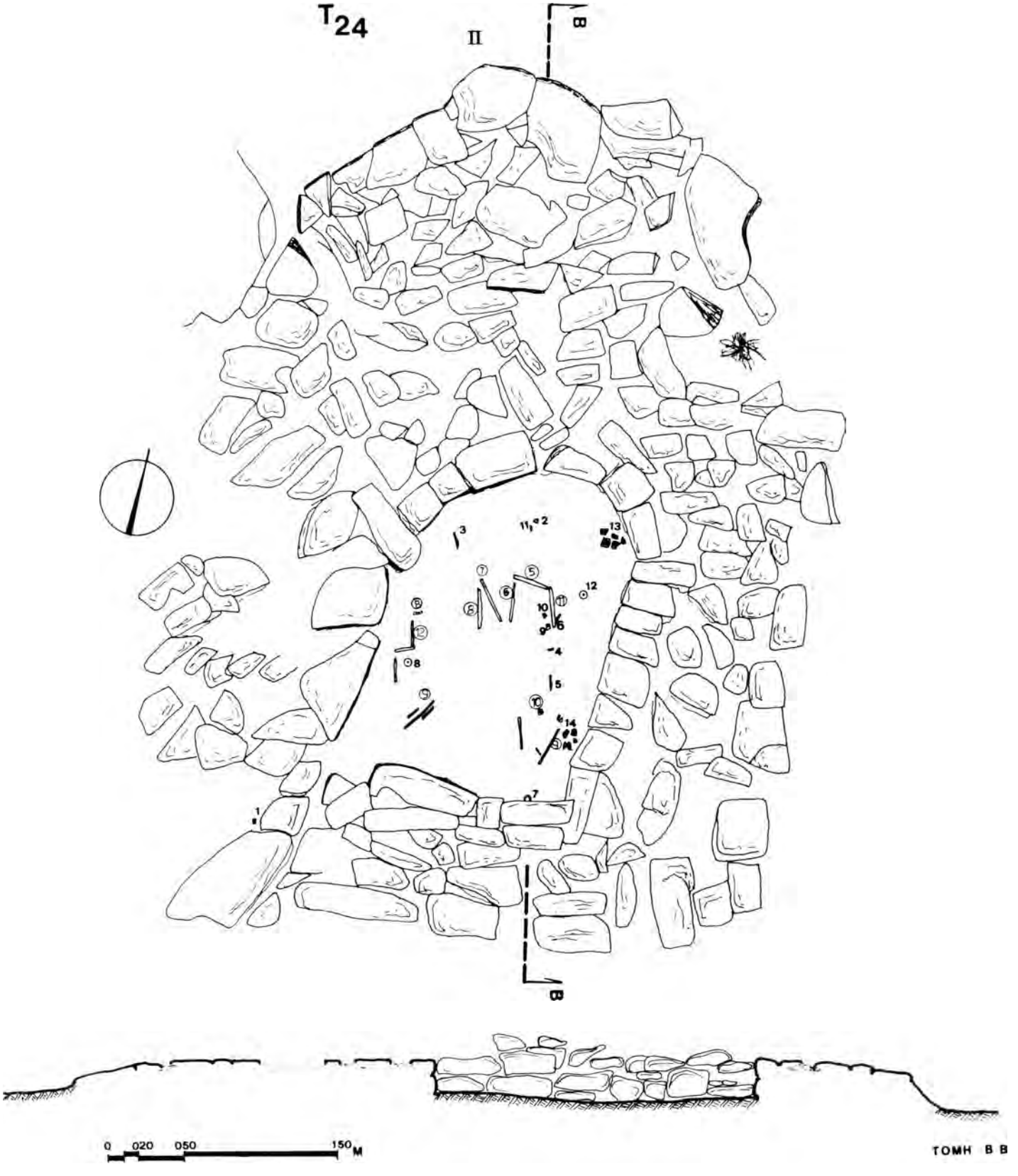

Σχέδ. 52. Κάτοψη και τομή τάφου Τ24. Στρώμα ΙΙ.

Στρώμα Ι

Πίν. 153Β

1. Θραύσματα από βαθύ χειροποίητο αγγείο Τπ. Ι, IV (51).
Σώζεται ένα μέρος από το σώμα και το λαιμό του αγγείου. Δύο παράλληλες αυλακώσεις γύρω από τη βάση του λαιμού.
Πηλός Κτ. ΙΑ2
εξ. επ. Τ-λ φθ
εσ. επ. ΤΜ
πρ. Τ
σζ. ύψ. 0,105, δμβ. 0,045 μ.

2. Θραύσματα μόνωτου χειροποίητου ευρύστομου αγγείου Τπ. Ι, IV (58).
Σώζεται ένα μεγάλο μέρος από τον ώμο, το λαιμό και το χείλος, καθώς και το κάτω τμήμα της λαβής. Μία αυλάκωση κάτω από την περιφέρεια του χείλους και γύρω από τη βάση του λαιμού.
Πηλός Κτ. ΙΑ2
εξ. επ. ΤΜ-λ
εσ. επ. Τ-λ
πρ. Τ
συμπλ. ύψ. 0,114, δμχ. 0,156 μ.

3(2). Γωνιόσχημη λαβή χειροποίητου αγγείου Τπ. Ι, IV.
Από το ίδιο αγγείο και ορισμένα άλλα θραύσματα. Αυλακωτή διακόσμηση στο άνω τμήμα της λαβής.
Πηλός Κτ. ΙΑ2
εξ. επ. ΚΤ
εσ. επ. ΚΤ-ΚΕ
πρ. ΤΜ
σζ. ύψ. 0,105 μ.

4(3). Θραύσματα από βαθύ χειροποίητο ευρύστομο αγγείο Τπ. Ι, IV (93α).
Σώζεται ένα μέρος από το αγγείο και τη λαβή. Στον ώμο ζιγκ-ζαγκ διπλές αυλακώσεις. Δύο παράλληλες αυλακώσεις στη βάση της λαβής.
Πηλός Κτ. ΙΑ2
εξ. επ. ΚΤ-λ
εσ. επ. ΚΤ-λ
πρ. Κ
ύψ. 0,15, δμβ. 0,075, δμχ. 0,135 μ.

5(4). Θραύσματα χειροποίητου ευρύστομου αγγείου Τπ. Ι, IV (48).
Σώζεται τμήμα ώμου και λαιμού, καθώς και τμήμα της λαβής. Δύο παράλληλες αυλακώσεις γύρω από τη βάση του λαιμού.
Πηλός Κτ. ΙΒ2
εξ. επ. ΚΕ
εσ. επ. ΚΕ
πρ. Κ
σζ. ύψ. 0,075, δμ. ώμου 0,126 μ.

6(1). Μόνωτο χειροποίητο ευρύστομο αγγείο Τπ. Ι, IV (25).
Λείπει ο λαιμός και το χείλος του αγγείου στο μεγαλύτερο τμήμα του.
Πηλός Κτ. ΙΓ1
εξ. επ. Ε
εσ. επ. Ε
πρ. ΚΤ-Ε
σζ. ύψ. 0,099, δμβ. 0,078, δμχ. 0,135 μ.

Στρώμα ΙΙ

Πίν. 154

7(13). Θραύσμα από τον ώμο χειροποίητου ευρύστομου αγγείου Τπ. Ι, IV (67).
Τρεις παράλληλες αυλακώσεις γύρω από τη βάση του λαιμού.
Πηλός Κτ. ΙΑ2
εξ. επ. ΚΤ-λ
εσ. επ. Τ-λ φθ
πρ. Τ
σζ. ύψ. 0,066, δμ. ώμου 0,15 μ.

8(13). Θραύσματα από βαθύ χειροποίητο ευρύστομο αγγείο Τπ. Ι, IV (23).
Σώζονται αποσπασματικά η βάση, το σώμα και ο λαιμός με το χείλος του αγγείου.
Πηλός Κτ. ΙΒ1
εξ. επ. ΚΕ-λ
εσ. επ. ΚΕ
πρ. Κ
συμπλ. ύψ. 0,117, δμβ. 0,06, δμχ. 0,12 μ.

9(14). Θραύσματα μόνωτου χειροποίητου ευρύστομου αγγείου Τπ. Ι, IV.
Το μεγαλύτερο θραύσμα σώζει τον ώμο με το κάτω τμήμα της λαβής. Δύο παράλληλες αυλακώσεις γύρω από τη βάση του λαιμού.
Πηλός Κτ. ΙΓ
εξ. επ. Κ-ΚΕ-λ φθ
εσ. επ. Κ-ΚΜ
πρ. ΤΜ
σζ. ύψ. 0,12 μ.

10(13). Θραύσμα χειροποίητου ευρύστομου

αγγείου Τπ. Ι, IV.
Σώζεται η βάση και ένα μέρος από το σώμα του αγγείου. Δύο παράλληλες αυλακώσεις γύρω στην αρχή του λαιμού.
Πηλός Κτ. ΙΑ2
εξ. επ. ΤΜ-λ
εσ. επ. ΤΜ-λ
πρ. Τ
σζ. ύψ. 0,075, δμβ. 0,066 μ.

11(13). Θραύσμα γωνιόσχημης λαβής χειροποίητου αγγείου Τπ. Ι, IV.
Αυλακωτή διακόσμηση στο άνω τμήμα της λαβής.
Πηλός Κτ. ΙΒ1
εξ. επ. Κ-λ φθ
εσ. επ. λ φθ
πρ. Κ
σζ. ύψ. 0,031 μ.

12(14). Θραύσμα οριζόντιας λαβής χειροποίητου αγγείου Τπ. Ι, VIΓ.
Πηλός Κτ. ΙΒ1
εξ. επ. Κ-ΚΕ-λ φθ
εσ. επ. Κ
πρ. ΚΜ
σζ. μκ. 0,06 μ.

13(14). Θραύσμα χειροποίητου αμφορέα Τπ. Ι, VIΒ.
Σώζεται τμήμα ώμου με αρχή κατακόρυφης κυλινδρικής λαβής.
Πηλός Κτ. ΙΓ2
εξ. επ. Ε
εσ. επ. ΚΤ
πρ. Κ
σζ. ύψ. 0,09 μ.

14. Θραύσμα από το σώμα χειροποίητου αγγείου Τπ. Ι, XII.
Πλαστική ταινία με «δακτυλιές» γύρω από τον ώμο.
Πηλός Κτ. ΙΒ2
εξ. επ. Κ
εσ. επ. ΚΤ
πρ. Τ
σζ. ύψ. 0,045 μ.

15. Θραύσμα από το χείλος χειροποίητου αγγείου Τπ. Ι, IV.
Πηλός Κτ. ΙΒ2
εξ. επ. Ε
εσ. επ. ΤΜ
πρ. ΚΤ
σζ. ύψ. 0,036 μ.

16. Θραύσμα χειροποίητου ευρύστομου αγγείου Τπ. Ι, IV.
Σώζεται τμήμα ώμου με αρχή λαιμού. Δύο παράλληλες αυλακώσεις γύρω από τη βάση του λαιμού.
Πηλός Κτ. ΙΑ2
εξ. επ. ΤΜ-λ
εσ. επ. Κ-λ
πρ. ΚΕ
σζ. ύψ. 0,045 μ.

17. Θραύσμα από το χείλος χειροποίητου ευρύστομου αγγείου Τπ. Ι, IV (25).
Πηλός Κτ. ΙΑ3
εξ. επ. ΤΜ
εσ. επ. ΤΜ
πρ. Τ
σζ. ύψ. 0,024 μ.

18. Θραύσμα λαβής χειροποίητου ευρύστομου αγγείου Τπ. Ι, IV.
Σώζεται τμήμα από το κατακόρυφο κυλινδρικό στέλεχος της λαβής. Τέσσερις παράλληλες αυλακώσεις γύρω από τη βάση της λαβής.
Πηλός Κτ. ΙΑ2
εξ. επ. ΤΜ-λ
εσ. επ. Κ
πρ. ΚΕ-ΚΤ
σζ. ύψ. 0,069 μ.

19. Θραύσμα από το χείλος χειροποίητου αγγείου Τπ. Ι, XII (199).
«Νυχιές» γύρω από την περιφέρεια του χείλους.
Πηλός Κτ. ΙΓ2
εξ. επ. Ε
εσ. επ. Ε
πρ. Τ
σζ. ύψ. 0,036 μ.

20(1). Θραύσμα λίθινου ακονιού Τπ. Ακ. 2β.
Έχει σπάσει στα δύο άκρα.
σζ. μκ. 0,03, μγ. πλ. 0,024 μ.

21(9). Λίθινο ακόνι Τπ. Ακ. 2β.
Έχει σπάσει στο κάτω άκρο. Οπή για ανάρτηση στο άνω άκρο.
σζ. μκ. 0,069, μγ. πλ. 0,024 μ.

22(12). Πήλινο δικωνικό σφονδύλι Τπ. ΣΙΙ, 5α.
ύψ. 0,021, δμ. 0,036 μ.

23(8). Πήλινο δικωνικό σφονδύλι Τπ. ΣΙΙ, 5α.

ύψ. 0,018, δμ. 0,036 μ.

24(11 + 6). Σιδερένια λεπίδα εγχειριδίου Τπ. EVIII.
Ράχη ελαφρά κυρτή, ακμή κοίλη, ουρά πλατιά χωρίς καρφιά.
μκ. 0,012 μ.

25(3). Σιδερένια λεπίδα εγχειριδίου Τπ. EVIII.
Σπασμένη στην περιοχή της ουράς. Ράχη κυρτή, ακμή κοίλη.
σζ. μκ. 0,09 μ.

26(5). Σιδερένια λεπίδα εγχειριδίου Τπ. EVIII.
Σπασμένη στην περιοχή της ουράς. Ράχη κυρτή, ακμή κοίλη.
σζ. μκ. 0,09 μ.

27(2). Χάλκινος σφηκωτήρας Τπ. Σφ. 4.
δμ. 0,033 μ.

28(7). Χάλκινος οκτώσχημος σφηκωτήρας Τπ. Σφ. 3.
μγ. μκ. 0,027, μγ. δμ. 0,03 μ.

29(4). Μολύβδινος σύνδεσμος αγγείου.
μγ. μκ. 0,036 μ.

Στο εσωτερικό του τάφου, ανάμεσα στις πέτρες και στα χώματα της επίχωσης, βρέθηκαν ορισμένα θραύσματα από καμένους πηλούς. Επίσης, εκτός από τα θραύσματα των αγγείων που απεικονίζονται στους Πίνακες 153Β και 154, βρέθηκαν και άλλα θραύσματα αγγείων, τα οποία προέρχονται από το σώμα των αγγείων και δε δίδουν στοιχεία για αναγνώριση σχημάτων. Τα θραύσματα αυτά ξεχώρισαν στις εξής ομάδες:

Ομάδες Β1 και Α2: 100 θραύσματα, βάρους 600 γρ.

Ομάδα Γ1: 10 θραύσματα, βάρους 600 γρ. (θραύσματα πίθων).

Από τα παραπάνω θραύσματα, τα θραύσματα της ομάδας Γ1 δεν πρέπει να προέρχονται οπωσδήποτε από κτερίσματα του τάφου, αλλά από χώματα της επίχωσης που κάλυπτε τις ταφές.

Τάφος Τ25

Ο τάφος βρίσκεται στο ανατολικό άκρο της κορυφής του λόφου Τσιγανάδικα, όπου οι τάφοι εμφανίζονται ως μία ομάδα κάπως αποκομμένη από τους άλλους τάφους της πλαγιάς του λόφου, αλλά σε μικρή απόσταση μεταξύ τους (Π ί ν. 288α-β): Τ25, Τ26, Τ27, Τ30, Τ31, Τ32, Τ33 (Σ χ έ δ. 53).

Ο τάφος Τ25 βρίσκεται σε απόσταση 95 μ. βορειοδυτικά από τον πλησιέστερο τάφο Τ8. Είναι μια κτιστή ορθογώνια εξέδρα, με διαμορφωμένες τις εξωτερικές παρειές και λιθορριπή στο εσωτερικό. Η δυτική παρειά της εξέδρας σώζεται καλά, η βόρεια έχει ενσωματωθεί στην πεζούλα μιας ελιάς, ενώ η νότια και η ανατολική έχουν καταρρεύσει και εμφανίζουν ένα συγκεχυμένο περίγραμμα (Π ί ν. 288α-β).

Στο εσωτερικό της εξέδρας, στην περιοχή της νοτιοανατολικής γωνίας, σε βάθος 0,40 μ. από την άνω επιφάνεια της λιθορριπής, βρέθηκαν θραύσματα από ένα μεγάλο χειροποίητο αμφορέα, διάσπαρτα σε μια μικρή ακτίνα γύρω από το θραύσμα της βάσης του αγγείου, που βρέθηκε στην αρχική του θέση, σφηνωμένο σε μια κοιλότητα της λιθορριπής, ειδικά διαμορφωμένη για να δεχθεί ένα όρθιο αγγείο. Στο εσωτερικό της βάσης του αγγείου βρέθηκαν τρία μικρά θραύσματα καμένων οστών.

Διαστάσεις τάφου: μκ. 5, πλ. 4,50-5 μ.

ΕΥΡΗΜΑΤΑ

Π ί ν. 155

1. Θραύσματα μεγάλου χειροποίητου αμφορέα Τπ. Ι, VIΓ (136).
Σώζεται τμήμα από τη βάση, την κοιλιά, τον ώμο, το λαιμό και το χείλος του αγγείου. Τρεις αυλακώσεις παράλληλες κάτω από την περιφέρεια του χείλους. Τρεις αντίστοιχες παράλληλες αυλακώσεις γύρω από τη βάση του λαιμού. Στον ώμο τριπλές ζιγκζαγκ αυλακώσεις.
Πηλός Κτ. ΙΑ2
εξ. επ. ΚΤ-λ
εσ. επ. ΚΕ
πρ. Τ
σζ. ύψ. 0,33, δμχ. 0,225 μ.

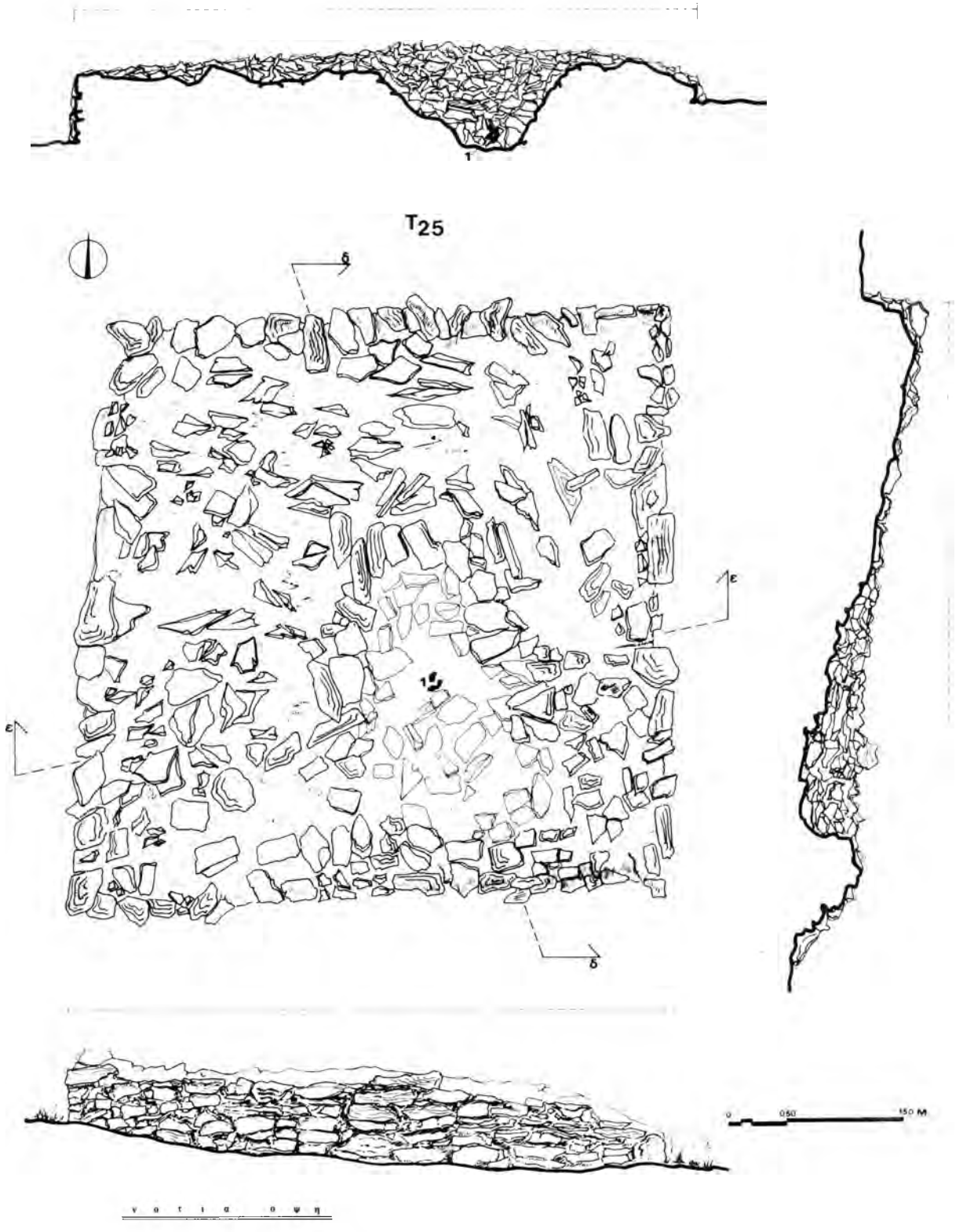

Σχέδ. 53. Κάτοψη, τομές και νότια όψη τάφου T25.

Τάφος Τ26

Ο τάφος Τ26 βρίσκεται σε απόσταση 10 μ. ανατολικά από τον τάφο Τ25 και 85 μ. βόρεια από τον τάφο Τ8 (Σ χ έ δ. Ι). Πριν από την έναρξη της ανασκαφής, ο τάφος έδινε την εικόνα ενός τύμβου-λιθοσωρού με ορθογώνια κάτοψη, στο κέντρο του οποίου είχε διαμορφωθεί ο τάφος (Π ί ν. 288γ).

Ο τάφος είναι ένα μεγάλο ορθογώνιο κτίσμα, με προσανατολισμό Β.-Ν. και είσοδο στα νότια (Σ χ έ δ. ΙΙΙ). Μ' έναν εγκάρσιο τοίχο χωρίζεται σε θάλαμο και προθάλαμο. Στα δύο πέρατα του διαχωριστικού τοίχου θαλάμου-προθαλάμου βρέθηκαν δύο όρθιες στενές σχιστόπλακες, όρθια τοποθετημένες ως παραστάδες της εισόδου. Ο διαχωριστικός τοίχος, που έκλεινε το άνοιγμα ανάμεσα στις δύο παραστάδες, έχει μια πολύ πιο πρόχειρη κατασκευή από τους υπόλοιπους τοίχους του τάφου, γιατί πρέπει να ανοιγόταν και να επανακατασκευαζόταν σε κάθε χρήση του (Π ί ν. 288δ, 289β). Τα τοιχώματα του θαλάμου στο άνω τμήμα τους συγκλίνουν εκφορικά προς το εσωτερικό του τάφου. Η εσωτερική παρειά της βόρειας στενής πλευράς διαμορφώνεται αψιδωτή. Ο θάλαμος καλυπτόταν τελικά από δύο μεγάλες σχιστόπλακες, που βρέθηκαν στην αρχική τους θέση. Ο προθάλαμος πιθανότατα ήταν ακάλυπτος. Βρέθηκε γεμάτος με ένα στρώμα λίθων (Π ί ν. 290α).

Διαστάσεις τάφου (εξωτ.): μκ. 6, πλ. 4,50, σζ. ύψ. 1 μ.

Θ ά λ α μ ο ς

Διαστάσεις θαλάμου (εσωτ.): μκ. 2,50, πλ. 1,50, σζ. ύψ. 1 μ.

Κάτω από τις σχιστόπλακες της οροφής του τάφου μεσολαβούσε ένα κενό, ύψους 0,30 μ. και στη συνέχεια ακολουθούσε ένα στρώμα λίθων, που κάλυπτε το επίπεδο των ταφών (Π ί ν. 289α). Μέσα στο στρώμα αυτό των λίθων, στο οποίο περιέχονταν και μια μικρή ποσότητα χώματος, βρέθηκαν ορισμένα θραύσματα αγγείων ιστορικών χρόνων, ανάμεσα στα οποία ξεχωρίζουν θραύσματα θασιακών αμφορέων και θραύσματα κεραμίδων.

Κάτω από το στρώμα των λίθων, το επίπεδο της ταφής βρέθηκε τελείως διαταραγμένο. Βρέθηκαν ελάχιστα θραύσματα οστών, ανάμεσα στα οποία ξεχωρίσαμε τρία τελείως αποσαθρωμένα θραύσματα κρανίων, καθώς και άλλα πολύ μικρά θραύσματα οστών, από τα οποία δεν είναι δυνατό να προκύψουν ανθρωπολογικές παρατηρήσεις. Από τα λίγα δόντια που βρέθηκαν, διαπιστώθηκε η παρουσία ταφών ενηλίκων στον τάφο (Παράρτημα Ια) (Π ί ν. 289β).

Αξιοσημείωτη είναι η ανεύρεση δοντιών αιγοπροβάτων (Παράρτημα ΙΙ).

Από τα κτερίσματα δε σώθηκαν παρά ελάχιστα θραύσματα αγγείων, τα οποία προέρχονται από τις διαδοχικές χρήσεις του τάφου στους προϊστορικούς και πιθανόν και ιστορικούς χρόνους (Π ί ν. 157Β).

ΕΥΡΗΜΑΤΑ

Π ί ν. 157Β

1. Θραύσματα τροχήλατου αγγείου.
Σώζεται η δακτυλιόσχημη βάση και αποσπασματικά θραύσματα από το σώμα και τη λαβή του αγγείου.
εξ. επ. Ε - επίχρισμα πορτοκαλέρυθρο
εσ. επ. Ε - επίχρισμα
πρ. Ε
δμβ. 0,054 μ.

2. Θραύσμα από τον ώμο χειροποίητου ευρύστομου αγγείου Τπ. Ι, IV.
Δύο παράλληλες αυλακώσεις γύρω από την αρχή του λαιμού.
Πηλός Κτ. ΙΑ2-ΙΑ3
εξ. επ. ΚΜ
εσ. επ. ΚΜ
πρ. ΚΜ
σζ. ύψ. 0,045 μ.

3. Θραύσμα από τον ώμο χειροποίητου αγγείου Τπ. Ι, IV.
Μία αυλάκωση γύρω από τη βάση του λαιμού.
Πηλός Κτ. ΙΑ2
εξ. επ. ΤΜ-λ
εσ. επ. ΤΜ-λ
πρ. ΚΕ

σζ. ύψ. 0,045 μ.

4. Θραύσμα μόνωτου χειροποίητου ευρύστομου αγγείου Τπ. Ι, IV.
Σώζεται τμήμα του ώμου με τη γωνιόσχημη λαβή.
Πηλός Κτ. ΙΑ2-ΙΑ3
εξ. επ. ΚΜ
εσ. επ. ΚΜ
πρ. Μ
ύψ. λβ. 0,09 μ.

5. Θραύσμα λαβής τροχήλατου αγγείου ρωμαϊκών χρόνων.
Ραβδωτή η άνω επιφάνεια της λαβής.
Πηλός Κτ. ΙΙΙ
εξ. επ. Ε
εσ. επ. Ε
πρ. Ε
σζ. ύψ. 0,045 μ.

6. Θραύσματα τροχήλατου αγγείου ρωμαϊκών χρόνων.
Σώζεται πολύ αποσπασματικά.
εξ. επ. Κ
εσ. επ. Κ-ΚΜ
πρ. Κ
συμπλ. ύψ. 0,12, δμβ. 0,06, δμχ. 0,114 μ.

Π ρ ο θ ά λ α μ ο ς

Διαστάσεις: μκ. 2, πλ. 1,50 μ.

Στον προθάλαμο του τάφου, αμέσως μετά την απομάκρυνση του πρώτου στρώματος των λίθων, βρέθηκε το κάτω τμήμα ενός θασιακού οξυπύθμενου αμφορέα. Ο αμφορέας ήταν τοποθετημένος πιθανόν σε όρθια θέση στη βορειοανατολική γωνία του θαλάμου.

Βρέθηκε σπασμένος και δε διαπιστώθηκε κανένα ίχνος καμένου οστού στο εσωτερικό, που θα στήριζε την υπόθεση για τη χρήση του ως τεφροδόχου αγγείου (Π ί ν. 157Α, 290α).

Μετά την απομάκρυνση του αμφορέα 1 βρέθηκε ένα δεύτερο στρώμα λίθων, κάτω από το οποίο βρέθηκαν θραύσματα από τρεις μεγάλους χειροποίητους αμφορείς (Π ί ν. 156, 290β-γ).

ΕΥΡΗΜΑΤΑ

Π ί ν. 157Α

1. Θασιακός τροχήλατος οξυπύθμενος αμφορέας.
Σώζεται το κάτω σώμα με τη βάση.
εξ. επ. Ε
εσ. επ. Ε
πρ. Ε
σζ. ύψ. 0,02 μ.

Π ί ν. 156

1. Θραύσματα μεγάλου χειροποίητου αμφορέα Τπ. Ι, VIB (136).
Σώζεται αποσπασματικά το σώμα με τη βάση και τις λαβές. Τέσσερις κατακόρυφες λαβές στην κοιλιά του αγγείου. Ο ώμος διακοσμείται με ζιγκ-ζαγκ αυλακωτή διακόσμηση.
Πηλός Κτ. ΙΑ2
εξ. επ. ΤΜ-λ φθ
εσ. επ. ΤΜ
πρ. Τ
συμπλ. ύψ. 0,58, δμβ. 0,15 μ.

2. Θραύσματα μεγάλου χειροποίητου αμφορέα Τπ. Ι, VIB (136).
Σώζεται αποσπασματικά το σώμα με τη βάση, το λαιμό και τις λαβές. Τέσσερις κατακόρυφες λαβές στην κοιλιά του αγγείου. Αυλακωτή διακόσμηση από παράλληλες γραμμές στο λαιμό και στο χείλος του αγγείου.
Πηλός Κτ. ΙΑ2
εξ. επ. ΚΜ-λ φθ
εσ. επ. ΚΕ
πρ. ΚΕ
συμπλ. ύψ. 0,51, δμβ. 0,12, δμχ. 0,215 μ.

3. Θραύσματα μεγάλου χειροποίητου αμφορέα Τπ. Ι, VIB (136).
Σώζεται αποσπασματικά η βάση, το σώμα και ο λαιμός του αγγείου. Τέσσερις κατακόρυφες λαβές στην κοιλιά του αγγείου. Αυλακωτή διακόσμηση από συστάδες παράλληλων γραμμών στο λαιμό και στο χείλος του αγγείου.
Πηλός Κτ. ΙΑ2
εξ. επ. ΚΤ-λ φθ
εσ. επ. ΚΕ
πρ. ΚΕ
συμπλ. ύψ. 0,43, δμβ. 0,115, δμχ. 0,215 μ.

Ταφική συστάδα Τ27

Η ταφική συστάδα Τ27 βρίσκεται σε απόσταση 25 μ. προς Α. του τάφου Γ26 (Σ χ έ δ. Ι). Αποτελείται από πέντε συνεχόμενους τάφους, που κατασκευάσθηκαν διαδοχικά στα δυτικά του αρχικού τάφου Τ27Α (Σ χ έ δ. IV).

Διαστάσεις ταφικής συστάδας (εξωτ.): μγ. μκ. 19, μγ. πλ. 0,50, μγ. ύψ. 0,50 μ.

Ο τάφος Τ27Α, που είναι και ο μεγαλύτερος της ταφικής συστάδας, σώζεται αρκετά καλά. Οι υπόλοιποι έχουν καταστραφεί και διαταραχθεί σε τέτοιο βαθμό, ώστε δεν έχουν δώσει σαφή ίχνη σκελετικών λειψάνων και κτερισμάτων. Σ' όλους έχει βρεθεί βέβαια ένας αριθμός οστράκων, αλλά μόνο στον τάφο Τ27Γ εντοπίσθηκαν θραύσματα οστών και αγγείων κατά χώραν. Η μικρή επίχωση και οι ρίζες των πουρναριών κατέστρεψαν και τις κτιστές πλευρές των τάφων και τα κτερίσματά τους.

ΤΑΦΟΣ Τ27Α

Ορθογώνιος τάφος με κτιστές πλευρές και προσανατολισμό Α.-Δ., περίπου, με άνοιγμα στα ανατολικά. Η δυτική στενή πλευρά του τάφου διαμορφώνεται εσωτερικά σε μια υποτυπώδη αψίδα (Π ί ν. 291α). Μ' έναν εγκάρσιο τοίχο ο τάφος χωρίζεται σε θάλαμο και προθάλαμο. Ο τάφος καλυπτόταν με μεγάλες σχιστόπλακες, που βρέθηκαν σπασμένες στο εσωτερικό του τάφου και έξω από αυτόν. Από ορισμένα θραύσματα, που βρέθηκαν και έξω από την ανατολική πλευρά του θαλάμου, προκύπτει ότι πιθανόν αντίστοιχη κάλυψη είχε και ο προθάλαμος του τάφου.

Διαστάσεις τάφου (εξωτ.): μγ. μκ. 6,50, μγ. πλ. 4,50, μγ. ύψ. 0,50 μ.

Θ ά λ α μ ο ς

Διαστάσεις θαλάμου (εσωτ.): μγ. μκ. 2,50, μγ. πλ. 1,20, μγ. ύψ. 0,50 μ.

Μετά την απομάκρυνση των θραυσμάτων των σχιστολιθικών πλακών, που ήταν πεσμένα στο εσωτερικό του τάφου, διαπιστώθηκε ότι το εσωτερικό του τάφου ήταν γεμισμένο με στρώμα λίθων και αραιό χώμα (Π ί ν. 292α).

Δύο στρώματα ταφών εντοπίσθηκαν με την ανασκαφή του θαλάμου Τ27Α.

Στρώμα Ι: Αμέσως κάτω από το επιφανειακό λιθόστρωμα εντοπίσθηκε στη νοτιοδυτική γωνία του τάφου το κάτω τμήμα ενός οξυπύθμενου αμφορέα (Α1) (Π ί ν. 158Α, 292α). Θραύσματα από το ίδιο αγγείο βρέθηκαν διάσπαρτα στη δυτική πλευρά του τάφου.

Στο ίδιο επίπεδο με τον οξυπύθμενο αμφορέα Α1 βρέθηκαν και θραύσματα ενός πίθου (Α6) (Π ί ν. 158Α). Τα θραύσματα πρέπει να μεταφέρθηκαν από το εξωτερικό του τάφου, γιατί μεγάλα θραύσματα από το ίδιο πιθάρι βρέθηκαν διάσπαρτα και έξω από τη νότια πλευρά του τάφου. Μεταφερμένο επίσης με τα χώματα της επίχωσης πρέπει να είναι και το θραύσμα ενός ολόγλυφου πτηνού, που βρέθηκε στη νοτιοδυτική γωνία του θαλάμου Τ27Α, στο επίπεδο του Α1. Το θραύσμα κόλλησε σε θραύσμα από το ίδιο πτηνό, που βρέθηκε έξω από τη νότια πλευρά του τάφου (Σ χ έ δ. IV, Ε1· Π ί ν. 159:15). Θραύσματα από ανάλογα ολόγλυφα πτηνά βρέθηκαν διάσπαρτα και σε άλλες θέσεις έξω από τον τάφο Τ27Α, καθώς και στο διαταραγμένο τάφο Τ27Ε της ίδιας ταφικής συστάδας (Σ χ έ δ. IV, Ε2· Π ί ν. 164Δ).

Στρώμα ΙΙ: Μετά την αφαίρεση του αγγείου Α1 και των διάσπαρτων σ' όλο το εσωτερικό του θαλάμου λίθων εμφανίσθηκε ένα χώμα ερυθρωπό με πολλούς διάσπαρτους λίθους, που κάλυπτε το επίπεδο των ταφών του θαλάμου. Στο επίπεδο των ταφών που βρίσκονταν στο λεπτό στρώμα από φυσικό έδαφος, που μόλις κάλυπτε το φυσικό βράχο, εντοπίσθηκαν λείψανα από διαδοχικές ταφές, που είχαν διαταράξει η μία την άλλη (Π ί ν. 292β). Προς το κέντρο του τάφου βρέθηκαν μακρά κυρίως οστά επάλληλων νεκρών, οι οποίοι είχαν ταφεί με κατεύθυνση Α.-Δ. και τα σκέλη τεντωμένα. Εκτός από τα οστά, που φαινόταν ότι βρίσκονταν στην αρχική τους θέση, υπήρχαν και άλλα που ήταν σίγουρα μετακινημένα. Παραμερισμένα ήταν π.χ. τα οστά που βρέθηκαν συγκεντρωμένα στη βόρεια πλευρά, στη βορειοδυτι-

κή και στη νοτιοανατολική περιοχή του τάφου (Πί ν. 293α-δ). Η κακή διατήρηση των οστών και οι πολλαπλές ταφές στον τάφο δεν έδωσαν στοιχεία για τη διάκριση των οστών και των κτερισμάτων των επιμέρους ταφών.

Η ανθρωπολογική μελέτη ξεχώρισε, με βάση τα σωζόμενα μακρά οστά, τέσσερα τουλάχιστον άτομα και ένα παιδί (Παράρτημα Ια).

Θραύσματα, επίσης, από δόντια ζώων βρέθηκαν στο εσωτερικό του τάφου (Παράρτημα ΙΙ).

ΕΥΡΗΜΑΤΑ

Στρώμα Ι

Πί ν. 158Α

1(Α1). Θραύσμα από το κάτω σώμα τροχήλατου οξυπύθμενου θασιακού αμφορέα.
Λείπει και το άκρο της βάσης.
Πηλός καθαρός ερυθρός
εξ. επ. Ε
εσ. επ. Ε
πρ. Ε
σζ. ύψ. 0,33 μ.

2(Α6). Θραύσματα χειροποίητου οξυπύθμενου πίθου Τπ. Ι, XIV (2).
Σώζεται η βάση, ο λαιμός με το χείλος εν μέρει και αποσπασματικά το υπόλοιπο σώμα.
Πηλός Κτ. ΙΓ2
εξ. επ. Ε
εσ. επ. Ε
πρ. Ε
συμπλ. ύψ. 0,84, δμχ. 0,28 μ.

Στρώμα ΙΙ

Ομάδα ΙΙ, 1

Πί ν. 158Β

1(Α3). Χειροποίητη οινοχόη με οπισθότμητη προχοή Τπ. Ι, VIIΔ (168).
Πηλός Κτ. ΙΒ1
εξ. επ. ΚΜ-λ
εσ. επ. ΚΜ
σζ. ύψ. 0,158, δμβ. 0,05, δμλ. 0,075 μ.

2(Α8). Θραύσματα χειροποίητης οινοχόης Τπ. Ι, VIIΔ (168).
Σώζεται τμήμα ώμου και λαιμού με τη λαβή.
Πηλός Κτ. ΙΒ1-ΙΒ2
εξ. επ. ΚΜ
εσ. επ. ΚΜ
πρ. ΚΕ
σζ. ύψ. 0,105, δμλ. 0,072 μ.

3(Α9). Θραύσματα χειροποίητου αμφορέα Τπ. Ι, VIIΓ (131).
Σώζεται τμήμα από τον ώμο με μία λαβή και τμήμα λαιμού. Δύο παράλληλες αυλακώσεις γύρω από τη βάση του λαιμού, μία αυλάκωση κάτω από την περιφέρεια του χείλους.
Πηλός Κτ. ΙΒ1
εξ. επ. ΚΕ
εσ. επ. ΚΕ
πρ. ΚΕ
σζ. ύψ. 0,14, δμλ. 0,0857 μ.

4(Α12). Θραύσμα σιδερένιας λεπίδας εγχειριδίου Τπ. ΕVΙ, 3.
Ράχη ευθύγραμμη, ακμή ευθύγραμμη. Πιθανόν ανήκει στη χάλκινη λαβή αριθ. 14.
σζ. μκ. 0,045 μ.

Ομάδες ΙΙ, 2-3

Πί ν. 159

5(Α14). Θραύσματα μόνωτου ευρύστομου αγγείου Τπ. Ι, IV (79).
Λείπει ένα μεγάλο μέρος από το άνω κυρίως τμήμα του αγγείου. Δύο παράλληλες αυλακώσεις κάτω από την περιφέρεια του χείλους και γύρω από τη βάση του λαιμού.
Πηλός Κτ. ΙΑ2
εξ. επ. ΚΜ-λ
εσ. επ. ΚΜ-λ
πρ. Κ
σζ. ύψ. 0,15, δμβ. 0,075, δμχ. 0,19 μ.

6(Α15). Χειροποίητο κυπελλόσχημο αγγείο Τπ. Ι, IV (30).
Λείπει ένα μέρος από το σώμα του αγγείου.
Πηλός Κτ. ΙΓ2
εξ. επ. Ε
εσ. επ. Ε
πρ. Κ
ύψ. 0,075, δμβ. 0,045, δμχ. 0,06 μ.

7(Α5 + Α13). Θραύσματα μόνωτου χειροποίητου ευρύστομου αγγείου Τπ. Ι, IV (52).

Σώζεται η βάση και ένα μεγάλο μέρος από τον ώμο και το λαιμό του αγγείου με το χείλος, καθώς και το μεγαλύτερο τμήμα της λαβής. Μία αυλάκωση κάτω από την περιφέρεια του χείλους, δύο παράλληλες αυλακώσεις γύρω από τη βάση του λαιμού. Αυλακωτή διακόσμηση και στο ταινιωτό τμήμα της γωνιόσχημης λαβής.
Πηλός Κτ. ΙΑ2
εξ. επ. ΚΜ-λ
εσ. επ. ΚΜ-λ
πρ. Κ
συμπλ. ύψ. 0,156, δμβ. 0,075, δμχ. 0,018 μ.

8(A2). Μόνωτο χειροποίητο ευρύστομο αγγείο Τπ. Ι, IV (79).
Λείπει ένα μικρό μέρος από το λαιμό και το χείλος του αγγείου. Δύο παράλληλες αυλακώσεις κάτω από το χείλος και κάτω από τη βάση του λαιμού.
Πηλός Κτ. ΙΑ2
εξ. επ. ΚΜ-λ
εσ. επ. ΚΜ-λ
πρ. ΚΤ
ύψ. 0,13, δμβ. 0,075, δμχ. 0,17 μ.

9. Θραύσμα γωνιόσχημης λαβής χειροποίητου αγγείου Τπ. Ι, IV.
Αυλακωτή διακόσμηση στο άνω ταινιωτό τμήμα της λαβής.
Πηλός Κτ. ΙΑ2
εξ. επ. ΤΜ-λ
εσ. επ. ΤΜ-λ
πρ. Τ
σζ. μκ. 0,036 μ.

10(A4). Θραύσμα από το άνω σώμα χειροποίητου μικρογραφικού αγγείου Τπ. Ι, ΙΧΑ (191).
Πηλός Κτ. ΙΓ2
εξ. επ. Ε
εσ. επ. Ε
πρ. Ε
σζ. ύψ. 0,057, δμχ. 0,06 μ.

11(A10). Θραύσματα μόνωτου χειροποίητου ευρύστομου αγγείου Τπ. Ι, IV.
Σώζεται η βάση και μεγάλο μέρος από το κάτω σώμα και τον ώμο ως την αρχή του λαιμού. Δύο παράλληλες αυλακώσεις γύρω από την αρχή του λαιμού.
Πηλός Κτ. ΙΒ1
εξ. επ. ΚΕ-λ
εσ. επ. ΚΕ-λ
πρ. ΚΕ
σζ. ύψ. 0,14, δμβ. 0,07, δμχ. 0,245 μ.

12(A11). Θραύσματα μόνωτου χειροποίητου ευρύστομου αγγείου Τπ. Ι, IV (58).
Λείπει ένα μέρος από το άνω σώμα του αγγείου. Μία αυλάκωση κάτω από το χείλος, μία αυλάκωση γύρω από τη βάση του λαιμού του αγγείου.
Πηλός Κτ. ΙΑ2
εξ. επ. ΚΜ-λ
εσ. επ. ΚΜ-λ
πρ. Κ
ύψ. 0,12, δμβ. 0,07, δμχ. 0,185 μ.

13(A12). Χάλκινο εγχειρίδιο Τπ. ΕV, 2β.
Ράχη ελαφρά κυρτή, ακμή ελαφρά κοίλη, αιχμή ελαφρά λυγισμένη προς τα άνω. Ουρά χωρίς καρφιά, που εισέχει από τις δύο πλευρές της λεπίδας και καταλήγει σε καμπυλόγραμμο πέρας.
μκ. 0,155 μ.

14(A16). Χάλκινη χυτή λαβή εγχειριδίου με σιδερένια λεπίδα Τπ. ΕVΙ, 3.
Η λαβή φέρει στο άνω άκρο σχισμή, στην οποία σφηνωνόταν η σιδερένια λεπίδα. Στο άλλο άκρο καταλήγει σε κρίκο. Ανάμεσα στον κρίκο και στο κάτω άκρο η λαβή διαμορφώνει δύο επιμέρους στελέχη: Το ορθογώνιο στέλεχος της λαβής έχει περιχείλωμα με πέντε καρφιά για την επένδυση της χάλκινης λαβής. Το άνω τμήμα της λαβής διαμορφώνεται σ' ένα δεύτερο στέλεχος με διάτρητη διακόσμηση, όπου διακρίνονται δύο αντωπά κεφάλια σχηματοποιημένων πτηνών (;), που επιστέφονται από τον κρίκο της λαβής.
Πιθανόν, στη λαβή ανήκει το θραύσμα σιδερένιας λεπίδας αριθ. 4.
μκ. λβ. 0,085 μ.

15(E3 + E1). Ολόγλυφο πτηνό από διακόσμηση αγγείου.
Στην κάτω επιφάνεια της κοιλιάς κυλινδρικό στέλεχος για τη στερέωση του πτηνού σε χείλος (;) αγγείου. Το πτηνό παριστάνεται με κλειστά φτερά, που αποδίδονται με ελάχιστη εγχάρακτη διακόσμηση. Τρεις εγχάρακτοι δακτύλιοι γύρω από το λαιμό του πτηνού.
Πηλός Κτ. ΙΓ2
εξ. επ. Ε
εσ. επ. Ε
πρ. Ε
μκ. 0,15, σζ. ύψ. 0,045 μ.

Π ρ ο θ ά λ α μ ο ς

Στον προθάλαμο του τάφου Τ27Α βρέθηκαν ελάχιστα θραύσματα αγγείων, κάτω από το στρώμα λίθων που κάλυπτε το εσωτερικό του. Τα θραύσματα αυτά έχουν μεταφερθεί με τα χώματα της επίχωσης που κάλυψε τον τάφο (Π ί ν. 291α-β).

ΕΥΡΗΜΑΤΑ

Π ί ν. 160Α

1. Θραύσμα από το χείλος χειροποίητου αγγείου Τπ. Ι, ΧΙΙ (206).
Πλαστική ταινία με «δακτυλιές» κάτω από το χείλος.
Πηλός Κτ. ΙΓ2
εξ. επ. Ε
εσ. επ. Ε
πρ. Ε
σζ. ύψ. 0,03 μ.

2. Θραύσμα από το χείλος χειροποίητου αγγείου Τπ. Ι, ΧΙΙ (206).
Πλαστική ταινία με «δακτυλιές» γύρω από το χείλος.
Πηλός Κτ. ΙΓ2
εξ. επ. Ε
εσ. επ. Ε
πρ. Ε
σζ. ύψ. 0,045 μ.

Α π ο θ έ τ η ς

Έξω από τον τάφο Τ27Α και κυρίως έξω από τη δυτική στενή πλευρά και τη νότια μακρά πλευρά του τάφου, βρέθηκαν πολλά, συγκεντρωμένα σε διάφορες θέσεις, θραύσματα, κυρίως αγγείων (Σ χ έ δ. IV), χωρίς να είναι δυνατό να εξακριβωθεί αν όλα αυτά τα θραύσματα προέρχονται από τα χώματα της επίχωσης και από τους κατά καιρούς καθαρισμούς του εσωτερικού του τάφου Τ27Α. Η ανεύρεση μαλακίων σε ορισμένες ομάδες ταυτίζει τα θραύσματα των αγγείων περισσότερο με κάποιες επιτάφιες τελετές (Π ί ν. 295α).

Στους Πίνακες 160Β-164, τα θραύσματα κατατάχθηκαν σε κατηγορίες με τη γενική προέλευση Αποθέτης, κρατώντας την ένδειξη της ιδιαίτερης ομάδας στην οποία ανήκαν (Π ί ν. 291β, 294α-β, 295α-β, 296α).

ΕΥΡΗΜΑΤΑ

Π ί ν. 160Β

1(12). Θραύσμα από το χείλος χειροποίητου αγγείου Τπ. Ι, ΧΙΙ (210).
Πλαστική ταινία με «δακτυλιές» κάτω από το χείλος.
Πηλός Κτ. ΙΓ2
εξ. επ. Κ-ΚΕ
εσ. επ. Κ-ΚΕ
πρ. Ε
σζ. ύψ. 0,03 μ.

2(12). Θραύσμα από το χείλος χειροποίητου αγγείου Τπ. Ι, ΧΙΙ (205).
Πλαστική ταινία με «δακτυλιές» κάτω από το χείλος.
Πηλός Κτ. ΙΓ2
εξ. επ. Κ
εσ. επ. Κ
πρ. Κ
σζ. ύψ. 0,03 μ.

3(12). Θραύσμα από το χείλος χειροποίητου αγγείου Τπ. Ι, ΧΙΙ (205).
Πλαστική ταινία με «δακτυλιές» κάτω από το χείλος.
Πηλός Κτ. ΙΓ2
εξ. επ. Ε
εσ. επ. Ε
πρ. Ε
σζ. ύψ. 0,03 μ.

4(12). Θραύσμα από το χείλος χειροποίητου αγγείου Τπ. Ι, ΧΙΙ (205).
Πλαστική ταινία με «δακτυλιές» κάτω από το χείλος.
Πηλός Κτ. ΙΓ2

εξ. επ. Ε
εσ. επ. Ε-ΚΜ
πρ. Ε
σζ. ύψ. 0,03 μ.

5(12). Θραύσμα από το χείλος χειροποίητου αγγείου Τπ. Ι, ΧΙΙ (210).
Πλαστική ταινία με «δακτυλιές» κάτω από το χείλος. «Νυχιές» γύρω στην περιφέρεια του χείλους.
Πηλός Κτ. ΙΓ2
εξ. επ. ΚΕ
εσ. επ. ΚΕ
πρ. ΚΜ
σζ. ύψ. 0,045 μ.

6(12). Θραύσμα από το χείλος χειροποίητου αγγείου Τπ. Ι, ΧΙΙ (205).
Πλαστική ταινία με «δακτυλιές» κάτω από το χείλος.
Πηλός Κτ. ΙΓ2
εξ. επ. Ε
εσ. επ. Ε
πρ. Ε
σζ. ύψ. 0,033 μ.

7(12). Θραύσμα από το χείλος χειροποίητου αγγείου Τπ. Ι, ΧΙΙ (205).
Πλαστική ταινία με «δακτυλιές» κάτω από το χείλος.
Πηλός Κτ. ΙΓ2
εξ. επ. Ε
εσ. επ. Ε
πρ. Ε
σζ. ύψ. 0,03 μ.

8(10). Θραύσμα από το χείλος χειροποίητου αγγείου Τπ. Ι, ΧΙΙ (205).
Πηλός Κτ. ΙΓ2
εξ. επ. Ε
εσ. επ. Ε
πρ. Ε
σζ. ύψ. 0,045 μ.

9(12). Θραύσμα από το χείλος χειροποίητου αγγείου Τπ. Ι, ΧΙΙ (205).
Πλαστική ταινία με «δακτυλιές» κάτω από το χείλος.
Πηλός Κτ. ΙΒ2
εξ. επ. Κ
εσ. επ. Κ
πρ. Κ
σζ. ύψ. 0,03 μ.

10(12). Θραύσμα από το χείλος χειροποίητου αγγείου Τπ. Ι, ΧΙΙ (205).
Πλαστική ταινία με «δακτυλιές» κάτω από το χείλος.
Πηλός Κτ. ΙΓ2
εξ. επ. Ε
εσ. επ. Ε
πρ. Ε
σζ. ύψ. 0,027 μ.

11(12). Θραύσμα από το χείλος χειροποίητου αγγείου Τπ. Ι, ΧΙΙ (205).
Πλαστική ταινία με «δακτυλιές» κάτω από το χείλος.
Πηλός Κτ. ΙΒ2
εξ. επ. ΚΜ
εσ. επ. Κ
πρ. ΚΜ
σζ. ύψ. 0,03 μ.

12(12). Θραύσμα από το χείλος χειροποίητου αγγείου Τπ. Ι, ΧΙΙ (205).
Πλαστική ταινία με «δακτυλιές» γύρω από το χείλος.
Πηλός Κτ. ΙΓ2
εξ. επ. Ε
εσ. επ. Ε
πρ. Ε
σζ. ύψ. 0,03 μ.

13(12). Θραύσμα από την κοιλιά χειροποίητου αγγείου Τπ. Ι, ΧΙΙ.
Πλαστική ταινία με «δακτυλιές» γύρω από την κοιλιά.
Πηλός Κτ. ΙΓ2
εξ. επ. Ε
εσ. επ. Ε
πρ. ΚΤ
σζ. ύψ. 0,066 μ.

14(1). Θραύσμα από την κοιλιά χειροποίητου αγγείου Τπ. Ι, ΧΙΙ.
Πλαστική ταινία με «δακτυλιές» γύρω από την κοιλιά.
Πηλός Κτ. ΙΓ2
εξ. επ. Ε
εσ. επ. Ε
πρ. Ε
σζ. ύψ. 0,045 μ.

15(12). Θραύσμα από την κοιλιά χειροποίητου αγγείου Τπ. Ι, ΧΙΙ.
Πλαστική ταινία με «δακτυλιές» γύρω από την κοιλιά.
Πηλός Κτ. ΙΓ2
εξ. επ. Ε

εσ. επ. Ε
πρ. Ε
σζ. ύψ. 0,075 μ.

16(12). Θραύσμα από το χείλος χειροποίητου αγγείου Τπ. Ι, ΧΙΙ (205).
Πλαστική ταινία με «δακτυλιές» κάτω από το χείλος.
Πηλός Κτ. ΙΓ2
εξ. επ. Ε
εσ. επ. Ε
πρ. Ε
σζ. ύψ. 0,033 μ.

17(12). Θραύσμα από την κοιλιά χειροποίητου αγγείου Τπ. Ι, ΧΙΙ.
Πλαστική ταινία με «δακτυλιές» γύρω από την κοιλιά.
Πηλός Κτ. ΙΓ2
εξ. επ. Ε
εσ. επ. Ε
πρ. ΚΕ
σζ. ύψ. 0,045 μ.

18(12). Θραύσμα από την κοιλιά χειροποίητου αγγείου Τπ. Ι, ΧΙΙ.
Πλαστική ταινία με «δακτυλιές» γύρω από την κοιλιά.
Πηλός Κτ. ΙΓ2
εξ. επ. Ε
εσ. επ. Ε
πρ. ΚΕ
σζ. ύψ. 0,039 μ.

19(12). Θραύσμα από την κοιλιά χειροποίητου αγγείου Τπ. Ι, ΧΙΙ.
Πλαστική ταινία με «δακτυλιές» γύρω από την κοιλιά.
Πηλός Κτ. ΙΓ2
εξ. επ. Ε
εσ. επ. Ε
πρ. ΚΕ
σζ. ύψ. 0,033 μ.

20(12). Θραύσμα από την κοιλιά χειροποίητου αγγείου Τπ. Ι, ΧΙΙ.
Πλαστική ταινία με «δακτυλιές» γύρω από την κοιλιά.
Πηλός Κτ. ΙΓ2
εξ. επ. Ε
εσ. επ. Ε
πρ. Ε
σζ. ύψ. 0,033 μ.

Π ί ν. 161

21(12). Θραύσμα κυλινδρικής λαβής χειροποίητου αγγείου Τπ. Ι, ΧΙΙ.
Πηλός Κτ. ΙΓ2
εξ. επ. Ε
εσ. επ. Ε
πρ. Ε
σζ. ύψ. 0,045 μ.

22(12). Θραύσμα κατακόρυφης λαβής χειροποίητου αγγείου Τπ. Ι, ΧΙΙ.
Πηλός Κτ. ΙΓ2
εξ. επ. Ε
εσ. επ. Ε
πρ. Ε
σζ. ύψ. 0,065 μ.

23(12). Θραύσμα κατακόρυφης λαβής χειροποίητου αγγείου Τπ. Ι, ΧΙΙ.
Πηλός Κτ. ΙΓ2
εξ. επ. Ε
εσ. επ. Ε
πρ. Ε
σζ. ύψ. 0,06 μ.

24(11). Θραύσμα από τον ώμο χειροποίητου αγγείου Τπ. Ι, ΧΙΙ.
Σώζεται κατακόρυφη κυλινδρική λαβή.
Πηλός Κτ. ΙΓ2
εξ. επ. Ε
εσ. επ. Ε
πρ. Ε
σζ. ύψ. 0,105 μ.

25(12). Θραύσμα από τον ώμο χειροποίητου αγγείου Τπ. Ι, ΧΙΙ.
Σώζεται κατακόρυφη κυλινδρική λαβή.
Πηλός Κτ. ΙΓ2
εξ. επ. Ε
εσ. επ. Ε
πρ. Ε
σζ. ύψ. 0,12 μ.

26(12). Θραύσμα από το χείλος χειροποίητου αγγείου Τπ. Ι, ΧΙΙ.
Πλαστική ταινία με «δακτυλιές» κάτω από το χείλος.
Πηλός Κτ. ΙΒ2
εξ. επ. ΚΕ
εσ. επ. ΚΕ
πρ. ΚΜ
σζ. ύψ. 0,03 μ.

27(12). Θραύσμα από τον ώμο χειροποίητου αγγείου Τπ. Ι, ΧΙΙ.
Σώζεται κατακόρυφη κυλινδρική λαβή ώμου.
Πηλός Κτ. ΙΓ2

εξ. επ. Ε
εσ. επ. Ε
πρ. Ε
σζ. ύψ. 0,09 μ.

28(12). Θραύσμα από τον ώμο χειροποίητου αγγείου Τπ. Ι, ΧΙΙ.
Σώζεται κατακόρυφη κυλινδρική λαβή.
Πηλός Κτ. ΙΓ2
εξ. επ. Ε
εσ. επ. Ε
πρ. Ε
σζ. ύψ. 0,09 μ.

29(12). Θραύσμα από τον ώμο χειροποίητου αγγείου Τπ. Ι, ΧΙΙ.
Σώζεται κατακόρυφη κυλινδρική λαβή. Πλαστική ταινία με «δακτυλιές» γύρω από τον ώμο.
Πηλός Κτ. ΙΓ2
εξ. επ. Ε
εσ. επ. Κ-ΚΕ
πρ. Ε-ΚΕ
σζ. ύψ. 0,138 μ.

30(12). Θραύσμα από τον ώμο χειροποίητου αγγείου Τπ. Ι, ΧΙΙ.
Σώζεται η αρχή λαβής.
Πηλός Κτ. ΙΓ2
εξ. επ. ΚΕ
εσ. επ. Ε
πρ. ΚΕ
σζ. ύψ. 0,063 μ.

31(12). Θραύσμα από τον ώμο χειροποίητου αγγείου Τπ. Ι, ΧΙΙ.
Διακρίνεται η αρχή κατακόρυφης λαβής.
Πηλός Κτ. ΙΒ1
εξ. επ. ΚΕ-λ
εσ. επ. ΚΕ-λ
πρ. ΚΤ
σζ. ύψ. 0,045 μ.

Π ί ν. 162

32(1). Θραύσματα χειροποίητου ευρύστομου φιαλόσχημου αγγείου Τπ. Ι, ΙΙΙ (10α).
Λείπει ένα μεγάλο μέρος από το αγγείο και οι δύο λαβές-αποφύσεις του ώμου.
Πηλός Κτ. ΙΒ1
εξ. επ. ΚΕ-λ
εσ. επ. Κ-ΚΕ-λ
πρ. ΚΤ
ύψ. 0,18, δμχ. 0,33 μ.

33(1). Θραύσμα χειροποίητου ευρύστομου φιαλόσχημου αγγείου Τπ. Ι, ΙΙΙ (10α).
Σώζεται τμήμα ώμου με αρχή λαβής-απόφυσης.
Πηλός Κτ. ΙΒ1
εξ. επ. ΚΕ-λ
εσ. επ. Κ-ΚΕ-λ
πρ. ΚΤ
σζ. ύψ. 0,09 μ.

34(1). Θραύσμα χειροποίητου φιαλόσχημου αγγείου Τπ. Ι, Ι (3β).
Σώζεται τμήμα από το άνω σώμα με το χείλος και αρχή λαβής.
Πηλός Κτ. ΙΒ2
εξ. επ. Κ
εσ. επ. Κ
πρ. Κ
σζ. ύψ. 0,063 μ.

35(8). Θραύσμα χειροποίητης οινοχόης Τπ. Ι, VIIΓ (158).
Σώζεται τμήμα λαιμού με χείλος. Μία αυλάκωση γύρω από την περιφέρεια του χείλους.
Πηλός Κτ. ΙΑ2
εξ. επ. ΚΜ-λ φθ
εσ. επ. ΚΜ
πρ. ΚΜ
σζ. ύψ. 0,105 μ.

36(8). Θραύσμα από το λαιμό χειροποίητου αγγείου Τπ. Ι, VIΓ.
Πηλός Κτ. ΙΒ1-2
εξ. επ. ΚΕ
εσ. επ. ΚΕ
πρ. ΚΜ
σζ. ύψ. 0,09 μ.

37(12). Θραύσμα από τον ώμο χειροποίητου αγγείου Τπ. Ι, VIB.
Σώζεται κατακόρυφη λαβή ώμου.
Πηλός Κτ. ΙΑ2
εξ. επ. ΚΜ
εσ. επ. ΚΜ
πρ. ΚΕ
σζ. ύψ. 0,08 μ.

38(11). Θραύσμα από τον ώμο χειροποίητου αγγείου Τπ. Ι, VIB.
Σώζεται κατακόρυφη λαβή ώμου.
Πηλός Κτ. ΙΒ2
εξ. επ. Κ-ΚΕ
εσ. επ. Κ-ΚΕ
πρ. ΚΜ
σζ. ύψ. 0,078 μ.

39(10). Θραύσμα από τον ώμο χειροποίητου αγγείου Τπ. Ι, VIB.
Πηλός Κτ. ΙΑ2
εξ. επ. Κ-ΚΤ
εσ. επ. Κ-ΚΤ
πρ. Κ
σζ. ύψ. 0,093 μ.

40. Θραύσμα λαβής χειροποίητου αγγείου Τπ. Ι, VIB ή Ι, XII.
Πηλός Κτ. ΙΓ2
εξ. επ. Ε
εσ. επ. Ε
πρ. Ε
σζ. ύψ. 0,03 μ.

41(10). Θραύσμα από τον ώμο χειροποίητου αγγείου Τπ. Ι, VIB.
Σώζεται κατακόρυφη λαβή.
Πηλός Κτ. ΙΑ3
εξ. επ. ΚΜ
εσ. επ. Κ-ΚΕ
πρ. Κ-ΚΕ
σζ. ύψ. 0,06 μ.

42(11). Θραύσμα κατακόρυφης λαβής χειροποίητου αγγείου Τπ. Ι, VIB.
Πηλός Κτ. ΙΑ3-ΙΒ2
εξ. επ. ΚΤ
εσ. επ. Ε
πρ. ΚΤ
σζ. ύψ. 0,045 μ.

43(12). Θραύσμα κατακόρυφης λαβής χειροποίητου αγγείου Τπ. Ι, XII.
Πηλός Κτ. ΙΓ2
εξ. επ. Ε
εσ. επ. Ε
πρ. Ε
σζ. ύψ. 0,06 μ.

44(7). Θραύσμα κατακόρυφης λαβής χειροποίητου αγγείου Τπ. Ι, XII.

45(8). Θραύσμα από το λαιμό χειροποίητου αμφορέα Τπ. Ι, VI (136).
Δύο παράλληλες αυλακώσεις γύρω από την αρχή του λαιμού.
Πηλός Κτ. ΙΑ3-ΙΒ2
εξ. επ. Κ
εσ. επ. ΚΕ
πρ. Κ
σζ. ύψ. 0,06 μ.

46(12). Θραύσματα από το λαιμό χειροποίητου αμφορέα Τπ. Ι, VIB (136).
Τρεις παράλληλες αυλακώσεις γύρω από τη βάση του λαιμού.
Πηλός Κτ. ΙΒ2
εξ. επ. Κ
εσ. επ. ΚΕ
πρ. ΚΤ
σζ. ύψ. 0,15 μ.

Π ί ν. 163

47(3). Θραύσματα χειροποίητου ευρύστομου αγγείου Τπ. Ι, IV (61).
Σώζεται το κάτω τμήμα του αγγείου με τη βάση και το κάτω τμήμα της λαβής, καθώς και θραύσμα από το λαιμό και το χείλος. Δύο παράλληλες αυλακώσεις κάτω από το χείλος. Γύρω από τη βάση του λαιμού σώζεται μία αυλάκωση.
Πηλός Κτ. ΙΑ2
εξ. επ. ΚΤ-λ
εσ. επ. ΚΤ-λ
πρ. ΚΤ
σζ. ύψ. 0,15, δμβ. 0,066, δμχ. 0,12 μ.

48(4). Θραύσματα χειροποίητου ευρύστομου αγγείου Τπ. Ι, IV (108).
Σώζεται τμήμα του ώμου και της λαβής. Γύρω από τη βάση του λαιμού μία σειρά από στικτές γραμμές.
Πηλός Κτ. ΙΓ2
εξ. επ. ΚΕ
εσ. επ. ΚΕ
πρ. ΚΤ
σζ. ύψ. 0,06 μ.

49(12). Θραύσμα χειροποίητου αγγείου Τπ. Ι, IV.
Σώζεται τμήμα ώμου και λαιμού. Ρομβόσχημες εμπιέσεις στον ώμο, «νυχιές» γύρω από την περιφέρεια του χείλους.
Πηλός Κτ. ΙΓ2
εξ. επ. ΚΕ
εσ. επ. ΚΕ
πρ. Τ
σζ. ύψ. 0,096 μ.

50(12). Θραύσμα από το χείλος χειροποίητου αγγείου Τπ. Ι, IV.
Δύο παράλληλες αυλακώσεις κάτω από το χείλος.
Πηλός Κτ. ΙΑ2
εξ. επ. ΚΜ-λ

εσ. επ. ΚΜ-λ
πρ. Κ-ΚΜ
σζ. ύψ. 0,03 μ.

51(12). Θραύσμα από το χείλος χειροποίητου αγγείου Τπ. Ι, IV.
Δύο παράλληλες αυλακώσεις κάτω από το χείλος.
Πηλός Κτ. ΙΑ2
εξ. επ. ΚΜ-λ
εσ. επ. ΚΜ-λ
πρ. ΚΤ
σζ. ύψ. 0,021 μ.

52(10). Θραύσμα από το χείλος χειροποίητου αγγείου Τπ. Ι, IV.
Δύο παράλληλες αυλακώσεις κάτω από το χείλος.
Πηλός Κτ. ΙΑ2
εξ. επ. ΚΜ-λ
εσ. επ. ΚΜ-λ
πρ. ΚΤ
σζ. ύψ. 0,045 μ.

53(13). Θραύσμα λαβής χειροποίητου αγγείου Τπ. Ι, IV.
Σώζεται μέρος από το άνω ταινιωτό τμήμα της λαβής.
Πηλός Κτ. ΙΑ2
εξ. επ. ΚΜ-λ
εσ. επ. ΚΜ
πρ. ΚΜ
σζ. ύψ. 0,045 μ.

54(12). Θραύσμα από το χείλος χειροποίητου αγγείου Τπ. Ι, IV (25).
Πηλός Κτ. ΙΒ1
εξ. επ. ΚΕ
εσ. επ. ΚΕ
πρ. Κ
σζ. ύψ. 0,03 μ.

55(12). Θραύσμα από το χείλος χειροποίητου αγγείου Τπ. Ι, IV (25).
Πηλός Κτ. ΙΓ2
εξ. επ. Ε
εσ. επ. Ε
πρ. Ε
σζ. ύψ. 0,045 μ.

56(13). Θραύσμα γωνιόσχημης λαβής χειροποίητου αγγείου Τπ. Ι, IV.
Πηλός Κτ. ΙΑ1
εξ. επ. ΚΕ-λ
εσ. επ. ΚΕ-λ
πρ. ΚΕ
σζ. ύψ. 0,02 μ.

57(10). Θραύσμα από το λαιμό και το χείλος χειροποίητου αγγείου Τπ. Ι, IV.
Δύο παράλληλες αυλακώσεις γύρω από την περιφέρεια του χείλους.
Πηλός Κτ. ΙΑ2
εξ. επ. ΚΜ-λ
εσ. επ. ΚΜ-λ
πρ. ΚΤ
σζ. ύψ. 0,06 μ.

58(10). Θραύσμα από τον ώμο χειροποίητου αγγείου Τπ. Ι, IV.
Σώζεται και η αρχή του λαιμού, γύρω από την οποία δύο παράλληλες αυλακώσεις.
Πηλός Κτ. ΙΑ2
εξ. επ. ΚΜ-λ
εσ. επ. ΚΜ-λ
πρ. ΚΤ
σζ. ύψ. 0,075 μ.

59(12). Θραύσμα χειροποίητου αγγείου Τπ. Ι, IV.
Σώζεται τμήμα ώμου και λαιμού. Δύο παράλληλες αυλακώσεις γύρω από τη βάση του λαιμού.
Πηλός Κτ. ΙΑ2
εξ. επ. ΚΜ-λ
εσ. επ. ΚΜ-λ
πρ. ΚΤ
σζ. ύψ. 0,066 μ.

60(12). Θραύσμα χειροποίητου αγγείου Τπ. Ι, IV.
Σώζει τμήμα λαιμού και ώμου. Δύο παράλληλες αυλακώσεις γύρω από τη βάση του λαιμού.
Πηλός Κτ. ΙΒ1
εξ. επ. ΚΕ
εσ. επ. ΚΕ
πρ. ΚΤ
σζ. ύψ. 0,03 μ.

61(8). Θραύσματα χειροποίητου αγγείου Τπ. Ι, IV (60).
Δύο αυλακώσεις γύρω από τη βάση του λαιμού.
Πηλός Κτ. ΙΒ1
εξ. επ. ΚΕ-λ φθ
εσ. επ. ΚΕ
πρ. ΚΤ
σζ. ύψ. 0,03 μ.

62(10). Θραύσμα γωνιόσχημης λαβής χειροποίητου αγγείου Τπ. I, IV.
Αυλακωτή διακόσμηση στο άνω ταινιωτό τμήμα της λαβής.
Πηλός Κτ. ΙΑ2
εξ. επ. ΚΤ-λ
εσ. επ. ΚΤ
πρ. ΚΤ
σζ. ύψ. 0,09 μ.

63(12). Θραύσμα χειροποίητου αγγείου Τπ. I, VIII.
Σώζεται τμήμα ώμου με λαιμό, χείλος, καθώς και η λαβή.
Πηλός Κτ. ΙΓ2
εξ. επ. Ε
εσ. επ. ΚΕ
πρ. ΚΤ
σζ. ύψ. 0,12 μ.

64(12). Θραύσμα χειροποίητου αγγείου Τπ. I, IV.
Σώζεται τμήμα από τη βάση του λαιμού, όπου διακρίνεται μία αυλάκωση.
Πηλός Κτ. ΙΒ1
εξ. επ. ΚΕ-λ
εσ. επ. ΚΕ-λ
πρ. ΚΤ
σζ. ύψ. 0,036 μ.

65(12). Θραύσμα χειροποίητου αγγείου Τπ. I, IV.
Δύο παράλληλες αυλακώσεις γύρω από τη βάση του λαιμού.
Πηλός Κτ. ΙΑ2
εξ. επ. ΚΜ-λ
εσ. επ. ΚΜ-λ
πρ. ΚΜ
σζ. ύψ. 0,024 μ.

66(12). Θραύσμα χειροποίητου αγγείου Τπ. I, IV.
Σώζεται τμήμα από τη βάση του λαιμού, όπου δύο παράλληλες αυλακώσεις.
Πηλός Κτ. ΙΒ1
εξ. επ. ΚΕ-λ
εσ. επ. Μ-λ
πρ. ΚΤ
σζ. ύψ. 0,02 μ.

67(12). Θραύσμα κατακόρυφης λαβής χειροποίητου αγγείου Τπ. I, XII.
Πηλός Κτ. ΙΒ2
εξ. επ. Ε
εσ. επ. Ε
πρ. Ε
σζ. ύψ. 0,03 μ.

68(10). Θραύσμα γωνιόσχημης λαβής χειροποίητου αγγείου Τπ. I, IV.
Σώζεται το κατακόρυφο κυλινδρικό στέλεχος και τμήμα του ταινιωτού άνω μέρους, όπου αυλακωτή διακόσμηση.
Πηλός Κτ. ΙΒ1
εξ. επ. Κ-ΚΕ
εσ. επ. Κ
πρ. ΚΤ
σζ. ύψ. 0,12 μ.

69(10). Θραύσμα από το κάτω σώμα χειροποίητου ευρύστομου αγγείου Τπ. I, IV.
Πηλός Κτ. ΙΑ2
εξ. επ. ΚΤ
εσ. επ. ΚΤ
πρ. ΚΤ
σζ. ύψ. 0,075 μ.

70(10). Κατακόρυφη κυλινδρική λαβή χειροποίητου αγγείου Τπ. I, VIII.
Πηλός Κτ. ΙΓ2
εξ. επ. ΚΤ
εσ. επ. ΚΤ
πρ. ΚΤ
σζ. ύψ. 0,06 μ.

71(10). Θραύσμα κατακόρυφης κυλινδρικής λαβής χειροποίητου αγγείου Τπ. I, XII.
Πηλός Κτ. ΙΓ2
εξ. επ. ΚΕ
εσ. επ. ΚΕ
πρ. ΚΕ
σζ. ύψ. 0,06 μ.

72(12). Θραύσμα κατακόρυφης κυλινδρικής λαβής χειροποίητου αγγείου Τπ. I, XII.
Πηλός Κτ. ΙΓ2
εξ. επ. ΚΕ-λ φθ
εσ. επ. ΚΕ
πρ. ΚΤ
σζ. ύψ. 0,108 μ.

73(12). Θραύσμα βάσης χειροποίητου αγγείου Τπ. I, VIB.
Πηλός Κτ. ΙΒ2
εξ. επ. Κ-ΚΜ
εσ. επ. Κ-ΚΜ
πρ. Κ-ΚΜ
σζ. ύψ. 0,015, δμβ. 0,012 μ.

74(10). Θραύσμα βάσης χειροποίητου αγγείου Τπ. I, VIB.
Πηλός Κτ. ΙΑ3
εξ. επ. ΚΜ
εσ. επ. ΚΜ
πρ. ΚΜ
σζ. ύψ. 0,03, δμβ. 0,138 μ.

75(10). Θραύσμα βάσης χειροποίητου αγγείου Τπ. I, VIB.
Πηλός Κτ. ΙΑ3
εξ. επ. ΚΜ
εσ. επ. ΚΜ
πρ. ΚΜ
σζ. ύψ. 0,03, δμβ. 0,108 μ.

76(12). Θραύσμα βάσης χειροποίητου αγγείου Τπ. I, VI.
Πηλός Κτ. ΙΒ2
εξ. επ. Κ
εσ. επ. ΚΜ
πρ. ΚΜ
σζ. ύψ. 0,03, δμβ. 0,105 μ.

Π ί ν. 164Α

77(4). Θραύσμα από ολόγλυφο πτηνό.
Λείπει το κεφάλι. Πιθανότατα από διακόσμηση αγγείου.
Πηλός Κτ. ΙΓ2
εξ. επ. Ε
εσ. επ. Ε
πρ. Ε
σζ. ύψ. 0,03, σζ. μκ. 0,075 μ.

78(5). Θραύσμα από ολόγλυφο πτηνό με κλειστά φτερά.
Λείπει το κεφάλι. Από διακόσμηση αγγείου (;). Εγχάρακτη απόδοση λεπτομερειών στο λαιμό και στη ράχη του πτηνού.
Πηλός Κτ. ΙΓ2
εξ. επ. Ε
εσ. επ. Ε
πρ. Ε
σζ. ύψ. 0,036, σζ. μκ. 0,105 μ.

79(5). Κεφάλι από πτηνό όμοιο με το αριθ. 78.
Λείπει το ράμφος. Εγχάρακτη απόδοση του ματιού, καθώς και του πτερώματος στο λαιμό.
Πηλός Κτ. ΙΓ2
εξ. επ. Ε
εσ. επ. Ε
πρ. Ε
σζ. ύψ. 0,036 μ.

80(3). Θραύσμα χειροποίητου αγγείου Τπ. I, XII (215).
«Δακτυλιές» γύρω από την περιφέρεια του χείλους. Πλαστικές ταινίες με «δακτυλιές» σε ωτόσχημες αποφύσεις στον ώμο, αντίστοιχη πλαστική ταινία και γύρω από τον ώμο του αγγείου.
Πηλός Κτ. ΙΓ2-ΙΒ2
εξ. επ. Κ
εσ. επ. ΚΕ
πρ. ΚΜ
σζ. ύψ. 0,135 μ.

81(2). Θραύσμα χειροποίητου αγγείου Τπ. I, XII (215).
«Δακτυλιές» γύρω από την περιφέρεια του χείλους. Ωτόσχημη απόφυση στον ώμο με «δακτυλιές».
Πηλός Κτ. ΙΓ2
εξ. επ. Ε
εσ. επ. Ε
πρ. ΚΤ
σζ. ύψ. 0,138 μ.

82(5). Θραύσμα χειροποίητου αγγείου Τπ. I, XII (215).
Σώζεται το άνω μέρος του αγγείου. «Δακτυλιές» γύρω από το χείλος. Πλαστική ταινία με «δακτυλιές» γύρω από τον ώμο του αγγείου.
Πηλός Κτ. ΙΓ2-ΙΒ2
εξ. επ. Κ
εσ. επ. ΚΕ
πρ. ΚΤ
σζ. ύψ. 0,105 μ.

83(1). Θραύσμα από τον ώμο χειροποίητου αγγείου Τπ. I, IV (114).
Εγχάρακτη διακόσμηση στον ώμο με ζιγκ-ζαγκ θέματα.
Πηλός Κτ. ΙΑ2
εξ. επ. ΚΜ-λ φθ
εσ. επ. ΚΜ
πρ. ΚΜ
σζ. ύψ. 0,03 μ.

84(1). Θραύσμα από τον ώμο χειροποίητου αγγείου Τπ. I, IV (114).
Απόφυση στον ώμο, πλαισιωμένη με εγχάρακτη ζιγκ-ζαγκ διακόσμηση.
Πηλός Κτ. ΙΑ2
εξ. επ. ΚΜ-λ
εσ. επ. ΚΜ-λ
πρ. ΚΜ
σζ. ύψ. 0,045 μ.

ΤΑΦΟΣ Τ27Β

Στη δυτική πλευρά του τάφου Τ27Α προσαρτήθηκε ένας ορθογώνιος τάφος με κτιστές πλευρές, που βρέθηκε τελείως διαταραγμένος και σχεδόν κατεστραμμένος, χωρίς να διακρίνεται σε ποια πλευρά ήταν το άνοιγμα του τάφου. Στο εσωτερικό του τάφου, κάτω από ένα διαταραγμένο και αραιό στρώμα λίθων, δε βρέθηκαν παρά ελάχιστα θραύσματα αγγείων, διάσπαρτα στην επίχωση του τάφου (Π ί ν. 291α).

Διαστάσεις τάφου (εσωτ.): μκ. 2,70, πλ. 1,30, ύψ. 0,30 μ.

ΕΥΡΗΜΑΤΑ

Π ί ν. 164Β

1. Θραύσμα από το χείλος χειροποίητου αγγείου Τπ. Ι, IV (25).
Πηλός Κτ. ΙΒ1
εξ. επ. Κ-λ
εσ. επ. Κ-λ
πρ. Κ
σζ. ύψ. 0,024 μ.

2. Θραύσμα από το χείλος χειροποίητου αγγείου Τπ. Ι, IV (25).
Πηλός Κτ. ΙΒ1
εξ. επ. ΚΕ-λ
εσ. επ. ΚΕ-λ
πρ. Κ
σζ. ύψ. 0,045 μ.

3. Θραύσμα βάσης χειροποίητου αγγείου Τπ. Ι, VIB.
Πηλός Κτ. ΙΒ2
εξ. επ. Κ
εσ. επ. Κ
πρ. Κ
σζ. ύψ. 0,03, δμβ. 0,12 μ.

4. Θραύσμα από τον ώμο χειροποίητου αγγείου Τπ. Ι, IV (114).
Εγχάρακτη διακόσμηση με διπλές ζιγκ-ζαγκ αυλακώσεις, που πλαισιώνονται από συστάδες παράλληλων χαρακτών γραμμών.
Πηλός Κτ. ΙΒ1
εξ. επ. Κ-ΚΕ-λ
εσ. επ. Κ-λ
πρ. Κ
σζ. ύψ. 0,048 μ.

5. Θραύσμα από τον ώμο χειροποίητου αγγείου Τπ. Ι, IV (114).
Εγχάρακτη διακόσμηση με διπλές ζιγκ-ζαγκ αυλακώσεις, που πλαισιώνονται από δύο παράλληλες χαράξεις. Πιθανόν από το ίδιο αγγείο με το αριθ. 4. Πηλός όμοιος με του αριθ. 4.

ΤΑΦΟΣ Τ27Γ

Ο τάφος Τ27Γ είναι μια ορθογώνια θήκη, που σχηματίζεται ανάμεσα στον τάφο Τ27Β και στον τάφο Τ27Δ. Προσανατολισμός Β.-Ν. περίπου. Διαστάσεις (εσωτ.): μκ. 2,10, πλ. 0,80 μ. (Σ χ έ δ. IV).

Κάτω από το στρώμα των λίθων εντοπίσθηκαν θραύσματα από μεγάλο χειροποίητο αμφορέα, που αν και κατεστραμμένος στο μεγαλύτερο τμήμα του πρέπει να βρισκόταν στην αρχική του θέση. Εκτός από τον αμφορέα, βρέθηκαν και ορισμένα θραύσματα αγγείων, τα οποία πιθανότατα δεν προέρχονται από τη διαταραγμένη επίχωση, αλλά από κτερίσματα διαταραγμένης ταφής ή αποθέτη. Πιθανότατα δεν πρόκειται για τάφο, αλλά για αποθέτη ή προθάλαμο του επόμενου προς τα δυτικά τάφου Τ27Δ.

ΕΥΡΗΜΑΤΑ

Π ί ν. 165

1. Μόνωτο χειροποίητο βαθύ κυπελλόσχημο αγγείο Τπ. Ι, IV (184α).
Λείπει τμήμα του λαιμού και του χείλους, καθώς και το άνω τμήμα της λαβής.
Πηλός Κτ. ΙΑ2
εξ. επ. ΚΜ-λ
εσ. επ. ΚΜ-λ
πρ. ΚΜ

σζ. ύψ. 0,108 μ.

2. Θραύσμα κατακόρυφης κυλινδρικής λαβής χειροποίητου αγγείου Τπ. Ι, IV.
Αυλακωτή διακόσμηση από συστάδες παράλληλων αυλακώσεων στο κυλινδρικό στέλεχος της λαβής.
Πηλός Κτ. ΙΑ2
εξ. επ. ΚΜ-λ
εσ. επ. ΚΜ-λ
πρ. ΚΜ
σζ. ύψ. 0,066 μ.
Πιθανόν προέρχεται από το ίδιο αγγείο, από το οποίο και τα θραύσματα αριθ. 4 και 5.

3. Θραύσμα μόνωτου χειροποίητου ευρύστομου αγγείου Τπ. Ι, IV (112).
Σώζεται το κάτω τμήμα του αγγείου με την αρχή της λαβής. Αυλακωτή διακόσμηση στον ώμο, που πλαισιώνει μία απόφυση. Μία αυλάκωση γύρω από τη βάση του λαιμού.
Πηλός Κτ. ΙΑ2
εξ. επ. ΚΜ-λ
εσ. επ. ΤΜ-λ
πρ. Τ
σζ. ύψ. 0,081, δμβ. 0,051 μ.

4-5. Θραύσματα μόνωτου χειροποίητου ευρύστομου αγγείου Τπ. Ι, IV (94).
Σώζεται αποσπασματικά ο λαιμός με το χείλος, καθώς και ο ώμος του αγγείου. Τρεις παράλληλες αυλακώσεις γύρω από το λαιμό του αγγείου. Τριπλές ζιγκ-ζαγκ αυλακώσεις στον ώμο του αγγείου, όπου σημειώνονται κατά διαστήματα και αποφύσεις.
Πηλός Κτ. ΙΑ2
εξ. επ. ΤΜ-λ
εσ. επ. ΤΜ-λ
πρ. ΤΜ
σζ. ύψ. 0,081 μ.
Πιθανόν από το ίδιο αγγείο και το θραύσμα λαβής αριθ. 2.

6. Θραύσμα χειροποίητου αγγείου Τπ. Ι, IV (109).
Σώζεται τμήμα ώμου και λαιμού με χείλος. Στον ώμο ρυτιδωτή (rippled) διακόσμηση. Μία αυλάκωση γύρω από τη βάση του λαιμού.
Πηλός Κτ. ΙΑ2
εξ. επ. ΤΜ-λ
εσ. επ. ΤΜ-λ
πρ. ΤΜ
σζ. ύψ. 0,051 μ.

7. Θραύσματα γωνιόσχημης λαβής χειροποίητου αγγείου Τπ. Ι, IV.
Πηλός Κτ. ΙΑ2
εξ. επ. ΚΜ-λ
εσ. επ. ΚΜ-λ
πρ. ΚΤ
σζ. ύψ. 0,096 μ.

8. Θραύσμα χειροποίητου ευρύστομου αγγείου Τπ. Ι, IV (17).
Σώζεται τμήμα από το άνω σώμα με τον ώμο, το λαιμό, το χείλος και τη λαβή.
Πηλός Κτ. ΙΓ2
εξ. επ. Ε
εσ. επ. Ε
πρ. ΚΕ
σζ. ύψ. 0,15 μ. (με λαβή)

9. Θραύσμα χειροποίητου αγγείου Τπ. Ι, IV (42).
Σώζεται τμήμα ώμου και λαιμού. Μία αυλάκωση γύρω από τη βάση του λαιμού.
Πηλός Κτ. ΙΑ2
εξ. επ. ΚΕ-λ
εσ. επ. ΚΜ-λ
πρ. Κ
σζ. ύψ. 0,048 μ.

10. Θραύσμα κατακόρυφης λαβής χειροποίητου αγγείου Τπ. Ι, IV.
Πηλός Κτ. ΙΒ1
εξ. επ. Κ-λ
εσ. επ. Κ-λ
πρ. ΚΤ
σζ. ύψ. 0,054 μ.

11. Θραύσματα μεγάλου χειροποίητου αμφορέα Τπ. Ι, VIB (136).
Σώζονται αποσπασματικά τμήματα από το άνω κυρίως σώμα του αγγείου. Δύο παράλληλες αυλακώσεις γύρω από τη βάση του λαιμού.
Πηλός Κτ. ΙΑ2
εξ. επ. ΤΜ-λ
εσ. επ. Κ
πρ. ΚΤ
συμπλ. ύψ. 0,525, δμχ. 0,228 μ.

12. Πήλινο δικωνικό σφονδύλι Τπ. ΣΙΙ, 1γ.
Λείπει ένα τμήμα της περιφέρειας.
ύψ. 0,027, δμ. 0,03 μ.

ΤΑΦΟΣ Τ27Δ

Ορθογώνιος κτιστός τάφος προς Δ. του Τ27Γ, με προσανατολισμό Α.-Δ. περίπου. Κατεστραμμένος στο μεγαλύτερο μέρος του και διαταραγμένος. Διαστάσεις τάφου (εσωτ.): μκ. 0,97, πλ. 0,38 μ. (Σ χ έ δ. IV)

Ελάχιστα όστρακα αγγείων βρέθηκαν μέσα στο στρώμα των λίθων, που κάλυπτε το εσωτερικό του τάφου. Πιθανότατα δεν έχουν σχέση με τα κτερίσματα του τάφου, αλλά προέρχονται από τα διαταραγμένα χώματα της επίχωσης.

ΕΥΡΗΜΑΤΑ

Πίν. 164Γ

1. Θραύσμα χειροποίητου αγγείου Τπ. I, VIB. Σώζεται τμήμα ώμου με μία κατακόρυφη κυλινδρική λαβή.
Πηλός Κτ. ΙΑ3
εξ. επ. Κ-ΚΤ
εσ. επ. Κ-ΚΤ
πρ. ΚΤ
σζ. ύψ. 0,075 μ.

2. Θραύσμα χειροποίητου αγγείου Τπ. I, IV. Σώζεται τμήμα ώμου με αρχή λαβής.
Πηλός Κτ. ΙΑ3
εξ. επ. ΚΤ
εσ. επ. ΚΤ
πρ. ΚΤ
σζ. ύψ. 0,045 μ.

3. Θραύσμα βάσης χειροποίητου αγγείου Τπ. I.
Πηλός Κτ. ΙΑ3
εξ. επ. ΚΤ
εσ. επ. ΚΤ
πρ. ΚΤ
σζ. ύψ. 0,021, δμβ. 0,06 μ.

Στη βορειοδυτική γωνία του τάφου Τ27Δ, πίσω στον τοίχο, βρέθηκαν ορισμένα θραύσματα αγγείων και ένα θραύσμα ολόγλυφου πτηνού. Είναι αμφίβολο αν προέρχονται από τα κτερίσματα του διαταραγμένου τάφου Τ27Δ ή είναι μεταφερμένα μέσα στην επίχωσή του.

ΕΥΡΗΜΑΤΑ

Πίν. 164Δ

1. Θραύσμα από το λαιμό χειροποίητου αγγείου Τπ. I, VIB (136). Δύο παράλληλες αυλακώσεις γύρω από τη βάση του λαιμού.
Πηλός Κτ. ΙΒ2
εξ. επ. Κ
εσ. επ. Κ
πρ. ΤΜ
σζ. ύψ. 0,06 μ.

2. Θραύσμα από το λαιμό χειροποίητου αμφορέα Τπ. I, VIB (136). Δύο παράλληλες αυλακώσεις γύρω από τη βάση του λαιμού.
Πηλός Κτ. ΙΒ2
εξ. επ. ΚΜ-λ
εσ. επ. Κ
πρ. ΤΜ
σζ. ύψ. 0,06 μ.

3. Κατακόρυφη κυλινδρική λαβή χειροποίητου αγγείου Τπ. I, VIII.
Πηλός Κτ. ΙΒ2
εξ. επ. Κ-ΚΕ
εσ. επ. Κ-ΚΕ
πρ. Κ
σζ. ύψ. 0,09 μ.

4. Θραύσμα από το χείλος χειροποίητου αγγείου Τπ. I, VIB.
Πηλός Κτ. ΙΒ1
εξ. επ. ΚΕ-λ
εσ. επ. Κ-λ
πρ. Κ
σζ. ύψ. 0,042 μ.

5. Θραύσμα κωνικής βάσης χειροποίητου αγγείου Τπ. I, 1.
Πηλός Κτ. ΙΑ3
εξ. επ. ΚΜ
εσ. επ. ΚΜ
πρ. Κ
σζ. ύψ. 0,051, δμβ. 0,063 μ.

6. Κεφάλι πτηνού. Από διακόσμηση αγγείου (;).
Πηλός Κτ. ΙΓ2
εξ. επ. Ε
εσ. επ. Ε
πρ. Ε
σζ. ύψ. 0,06 μ.

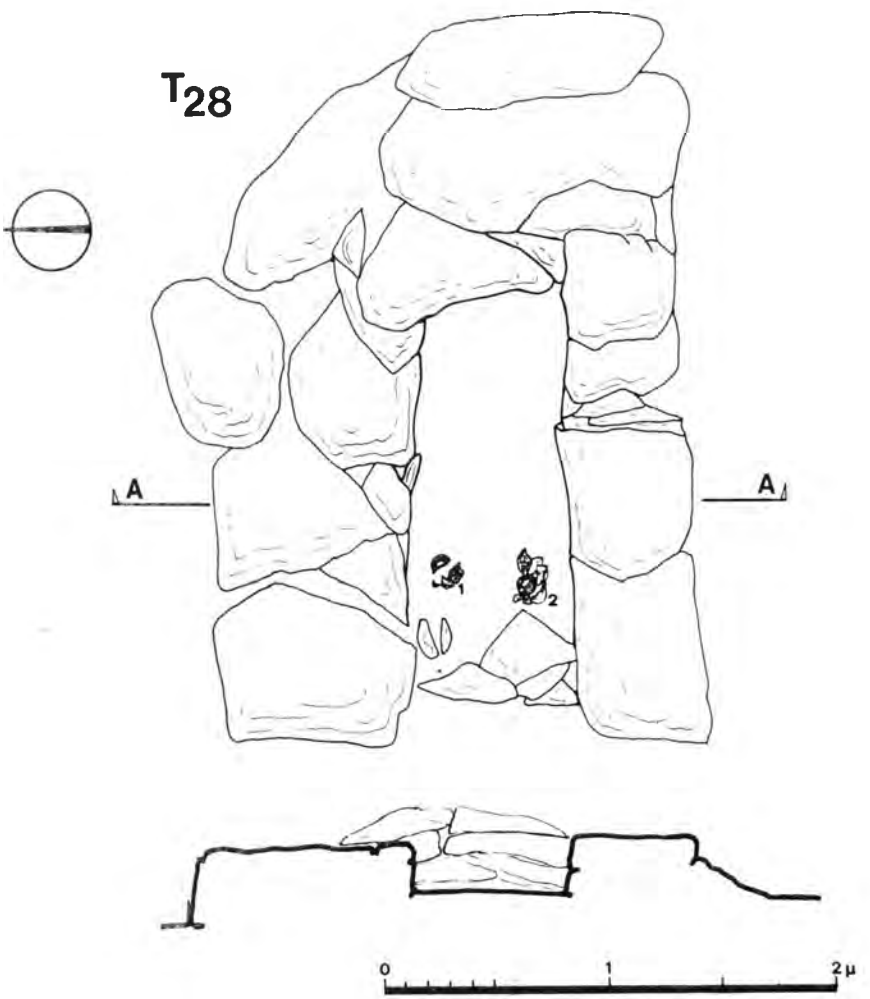

Σχέδ. 54. Κάτοψη και τομή τάφου Τ28.

Τάφος Τ28

Ο τάφος Τ28 βρίσκεται σε απόσταση 35 μ. προς ΒΔ. του τάφου Τ11 και 50 μ. προς ΝΑ. του τάφου Τ27Α (Σ χ έ δ. Ι). Είναι ένας μικρός ορθογώνιος τάφος με χαμηλές κτιστές πλευρές, στις οποίες έχουν χρησιμοποιηθεί και μεγάλες όρθιες πλάκες. Προσανατολισμός τάφου Α.-Δ., με άνοιγμα στα ανατολικά (Σ χ έ δ. 54).

Ο τάφος ήταν καλυμμένος με δύο πλάκες (Π ί ν. 296β)· αραιές πέτρες και λίγο χώμα κάλυπταν το επίπεδο της ταφής, που εντοπίσθηκε σχεδόν πάνω στο φυσικό βράχο (Π ί ν. 296γ). Ελάχιστα και τελείως αδιάγνωστα είναι τα λείψανα οστών που βρέθηκαν. Από τις διαστάσεις, ωστόσο, και το μέγεθος των κτερισμάτων φαίνεται ότι ο τάφος πρέπει να περιείχε παιδικές ταφές.

Διαστάσεις τάφου (εξωτ.): μκ. 3,50, πλ. 2· (εσωτ.): μκ. 1,50, πλ. 0,70, μγ. ύψ. 0,37 μ.

Π ί ν. 170Β

1(1). Χειροποίητη μικρή οινοχόη με οπισθότμητη προχοή Τπ. Ι, VIIΔ (170).
Δύο παράλληλες αυλακώσεις γύρω από το χείλος και γύρω από τη βάση του λαιμού.
Πηλός Κτ. ΙΑ2
εξ. επ. ΤΜ-λ
εσ. επ. ΤΜ
πρ. ΤΜ
ύψ. 0,115, δμβ. 0,04, δμχ. 0,065 μ.

2(2). Θραύσματα χειροποίητης οινοχόης με οπισθότμητη προχοή Τπ. Ι, VIIΔ (172).
Σώζεται τμήμα ώμου με λαιμό και χείλος, καθώς και τμήμα λαβής. Μία αυλάκωση γύρω από τη βάση του λαιμού.
Πηλός Κτ. ΙΑ2
εξ. επ. ΚΜ-λ
εσ. επ. ΚΜ
πρ. ΚΤ
σζ. ύψ. 0,093, δμλ. 0,045 μ.

3. Θραύσματα χειροποίητης οινοχόης με οπισθότμητη προχοή.
Σώζεται τμήμα από το άνω σώμα και το λαιμό. Δύο παράλληλες αυλακώσεις κάτω από το χείλος.
Πηλός Κτ. ΙΒ1
εξ. επ. Κ-λ
εσ. επ. Κ
πρ. ΚΕ
σζ. ύψ. 0,07 μ.

Τάφος Τ29

Ο τάφος βρίσκεται σε απόσταση 7 μ. προς ΝΔ. του τάφου Τ24 και 20 μ. προς ΒΑ. του τάφου Τ19 (Σ χ έ δ. Ι). Είναι ορθογώνιος, με κτιστές πλευρές, προσανατολισμό Α.-Δ. και είσοδο στα ανατολικά (Σ χ έ δ. 55-56). Διαστάσεις τάφου (εσωτ.): μκ. 3,40, πλ. 1,80, ύψ. 0,70 μ. Η δυτική στενή πλευρά του έχει ενσωματωθεί στον τοίχο μιας σύγχρονης μάνδρας, που έχει κτισθεί με τη γνωστή τοιχοδομία της ξερολιθιάς, όπως και οι αρχαίοι τάφοι (Π ί ν. 297α). Δύο όρθιες σχιστόπλακες, που βρέθηκαν ριγμένες στη δυτική πλευρά του τάφου, πρέπει να είναι οι σχιστόπλακες της οροφής του τάφου, που έχουν μετακινηθεί. Το εσωτερικό του τάφου ήταν γεμάτο με ένα στρώμα λίθων ως το επίπεδο της ταφής (Π ί ν. 297α). Ελάχιστοι λίθοι βρέθηκαν διάσπαρτοι έξω από το εξωτερικό περίγραμμα του τάφου. Το άνοιγμα του τάφου στα ανατολικά έκλεινε μ' έναν εγκάρσιο και πολύ στενότερο από τους τοίχους των άλλων πλευρών τοίχο, που πρέπει να επανακατασκευαζόταν σε κάθε νέα χρήση του τάφου.

Στο εσωτερικό του θαλάμου και προς τη δυτική πλευρά βρέθηκε στημένη, σε όρθια θέση, μια πλάκα-στήλη όμοια με την πλάκα του τάφου Τ17Α (Π ί ν. 297β). Κάτω από το στρώμα των λίθων εμφανίσθηκε το επίπεδο της ταφής διαταραγμένο, χωρίς να είναι δυνατό να επισημανθεί η τελευταία ταφή του τάφου, που θα ήταν φυσικό να είχε προκαλέσει την τελευταία διατάραξη. Τα σκελετικά λείψανα και τα κτερίσματα των πολλαπλών ταφών βρέθηκαν συγκεντρωμένα προς το ανατολικό τμήμα του τάφου (Π ί ν. 298α).

Τα κτερίσματα του τάφου δεν είναι δυνατό να συσχετισθούν με τις επιμέρους ταφές. Ξεχωρίσαμε, ωστόσο, στην ανασκαφή τα κτερίσματα σε τρία στρώματα:

Επιφανειακό στρώμα: Σ' αυτό περιέχονται τα θραύσματα των αγγείων, που προέρχονται από το στρώμα της τελευταίας επίχωσης που κάλυψε τη νεότερη ταφή του τάφου ή προκλήθηκε από τις λαθρανασκαφές (Π ί ν. 166).

Στρώμα Ι: Μετά το επιφανειακό στρώμα των λίθων εντοπίσθηκε το επίπεδο της ταφής με λείψανα οστών και κτερίσματα (Π ί ν. 167-168, 297β, 298α). Τα ανθρώπινα οστά ήταν ως επί το πλείστον διάσπαρτα και δεν έδιναν σαφή εικόνα, έστω και μιας αδιατάρακτης ταφής. Στο στρώμα, ωστόσο, αυτό είχαν αρχικά εναποτεθεί ταφές, όπως προκύπτει από τα οστά της σπονδυλικής στήλης ενός νεκρού, που βρέθηκαν αδιατάρακτα στο κέντρο περίπου του τάφου. Στο στρώμα βρέθηκαν και οστά ζώων (μηριαίο αγελάδας).

Στρώμα ΙΙ: Κάτω από το στρώμα Ι, μετά την απομάκρυνση των οστών και των κτερισμάτων βρέθηκε ένα δεύτερο στρώμα οστών και κτερισμάτων (Π ί ν. 169-170Α, 298β), και πάνω στο βράχο τα θραύσματα του Πίνακα 170Α (Στρώμα ΙΙΙ).

Η ανθρωπολογική μελέτη των θραυσμάτων των οστών και των δοντιών, που σώζονταν σε πολύ αποσπασματική κατάσταση, εντόπισε έξι έως εννέα νεκρούς στον τάφο (Παράρτη-

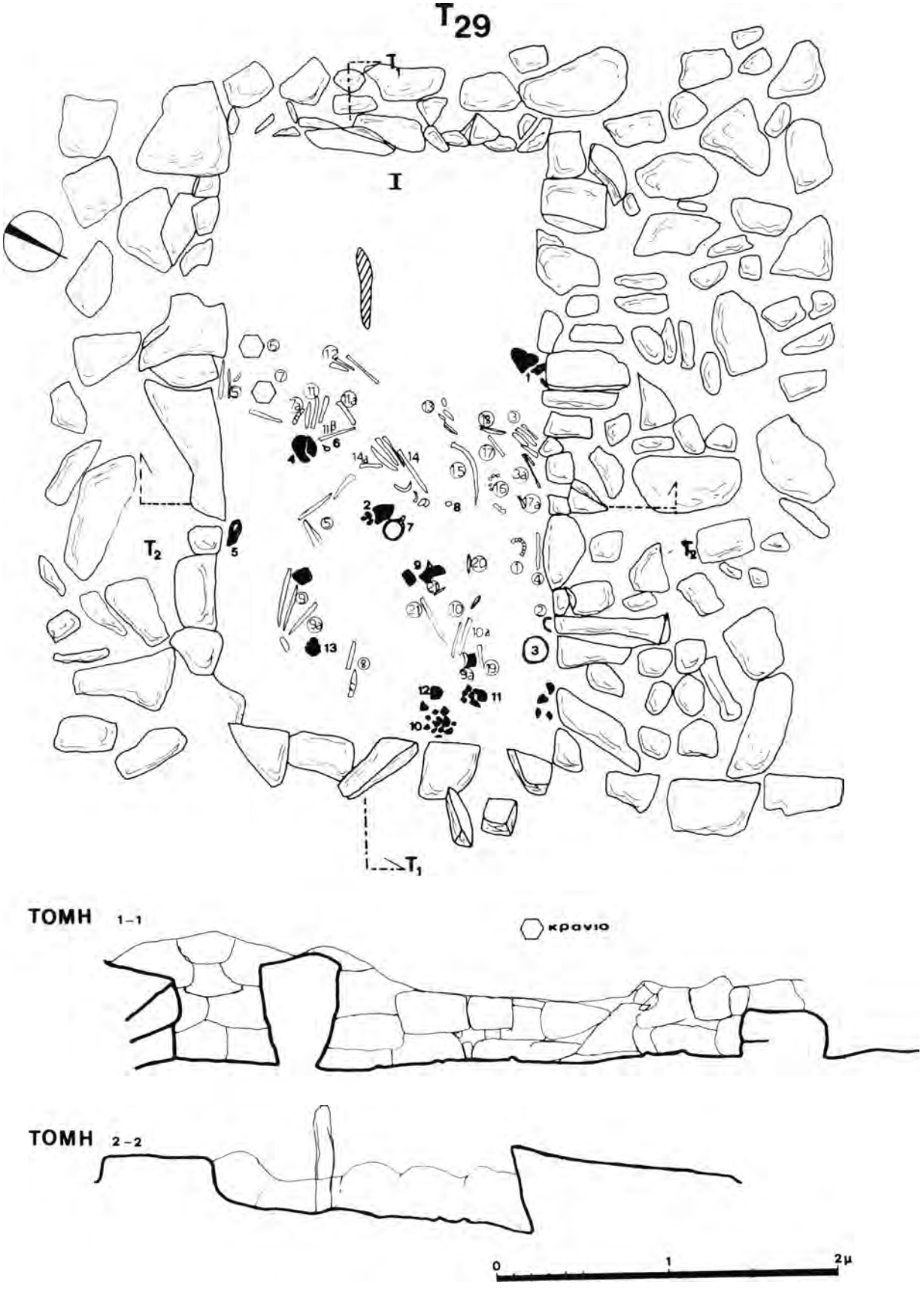

Σχέδ. 55. Κάτοψη και τομές τάφου T29. Στρώμα I.

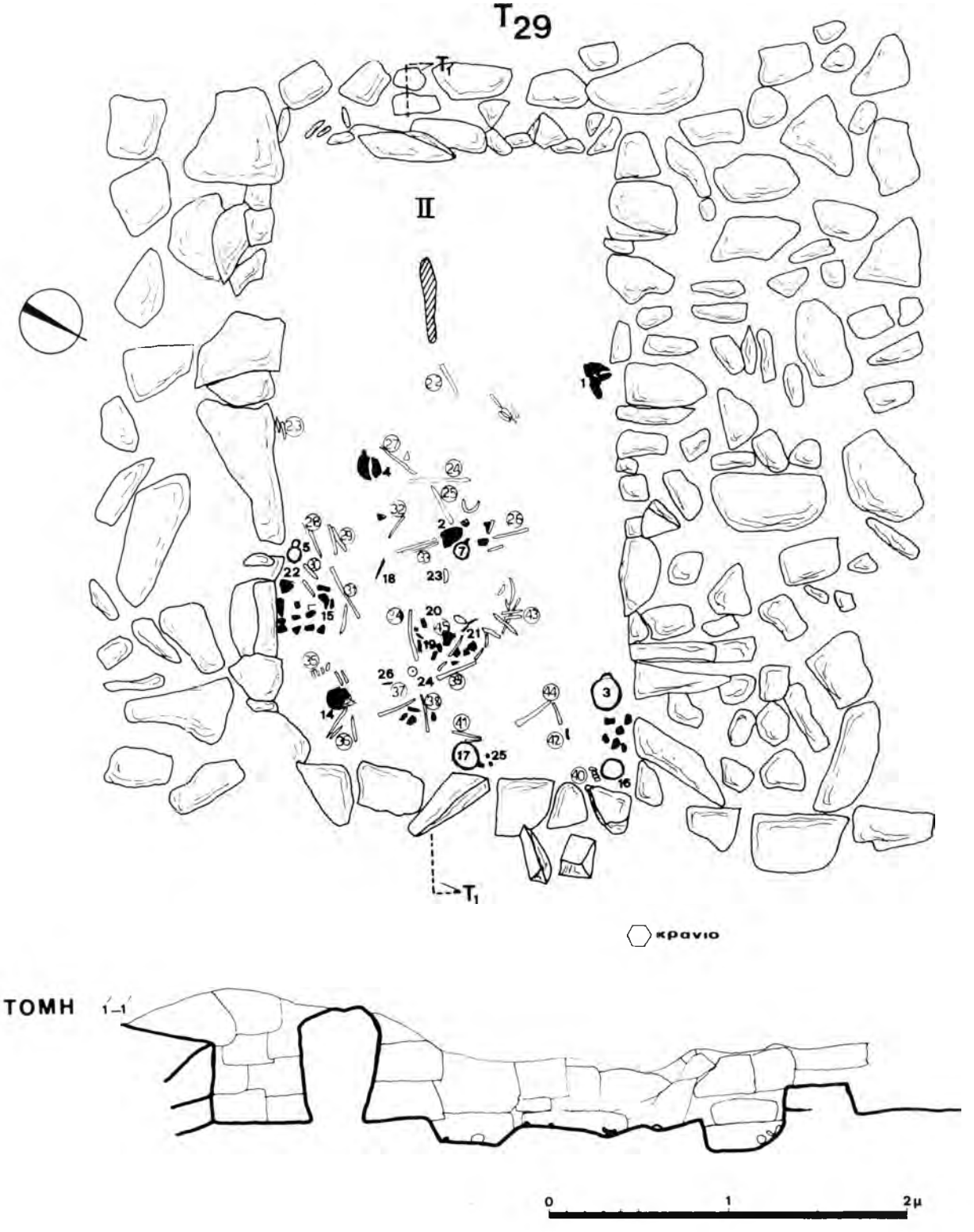

Σχέδ. 56. Κάτοψη και τομή τάφου Τ29. Στρώμα ΙΙ.

μα Ια). Ανάμεσα σ' αυτούς δύο είναι παιδιά, δύο είναι άνδρες και δύο γυναίκες, αλλά ο προσδιορισμός δεν είναι δυνατό να είναι ακριβής, γιατί τα οστά ήταν πάρα πολύ φθαρμένα. Οπωσδήποτε εντοπίσθηκε η ταφή ενός νεογέννητου, καθώς και ενός ακόμη ενήλικου ατόμου.

Στο στρώμα ΙΙ βρέθηκε, επίσης, και ένα θραύσμα μηριαίου αγελάδας (Παράρτημα ΙΙ).

ΕΥΡΗΜΑΤΑ

Επίχωση

Πίν. 166

1. Θραύσμα από τοίχωμα χειροποίητου αγγείου Τπ. Ι, XII.
Σώζεται κατακόρυφη κυλινδρική λαβή.
Πηλός Κτ. ΙΓ2
εξ. επ. ΚΕ
εσ. επ. Ε
πρ. Κ
σζ. ύψ. 0,105 μ.

2. Θραύσμα από τον ώμο χειροποίητου αγγείου Τπ. Ι, XII.
Σώζεται κατακόρυφη κυλινδρική λαβή.
Πηλός Κτ. ΙΓ2
εξ. επ. ΚΕ-Ε
εσ. επ. Ε
πρ. ΚΤ
σζ. ύψ. 0,09 μ.

3. Θραύσμα βάσης οξυπύθμενου πίθου Τπ. Ι, XIV.
Πηλός Κτ. ΙΓ2
εξ. επ. Ε
εσ. επ. Ε
πρ. Ε
σζ. ύψ. 0,138 μ.

4. Θραύσμα από την κοιλιά κλειστού τροχήλατου αγγείου.
Πηλός Κτ. ΙΙΒ
εξ. επ. Τ
εσ. επ. Τ
πρ. Τ
σζ. ύψ. 0,048 μ.

5. Θραύσμα από το χείλος χειροποίητου αγγείου Τπ. Ι, XII (207).
Πλαστική ταινία με «δακτυλιές» γύρω από το χείλος του αγγείου. Σειρά από «δακτυλιές» και κάτω από την πλαστική ταινία του χείλους.
Πηλός Κτ. ΙΓ2
εξ. επ. Ε
σζ. ύψ. 0,039 μ.

6. Θραύσμα κατακόρυφης κυλινδρικής λαβής χειροποίητου αγγείου Τπ. Ι, XII.
Πηλός Κτ. ΙΓ2
εξ. επ. Ε
εσ. επ. Ε
πρ. Ε
σζ. ύψ. 0,042 μ.

7. Θραύσμα από το άνω σώμα χειροποίητου αγγείου Τπ. Ι, XII.
Πλαστική ταινία με «δακτυλιές» γύρω από το σώμα.
Πηλός Κτ. ΙΓ2
εξ. επ. Ε
εσ. επ. Ε
πρ. Ε
σζ. ύψ. 0,06 μ.

8. Θραύσμα από τον ώμο χειροποίητου αγγείου Τπ. Ι, VIB.
Πηλός Κτ. ΙΓ2
εξ. επ. Ε
εσ. επ. Ε
πρ. Ε
σζ. ύψ. 0,048 μ.

9. Θραύσμα γωνιόσχημης λαβής χειροποίητου αγγείου Τπ. Ι, IV.
Πηλός Κτ. ΙΓ1
εξ. επ. ΚΕ-Ε
εσ. επ. Ε
πρ. Ε
σζ. ύψ. 0,066 μ.

Στρώμα Ι

Πίν. 167

10(3). Θραύσματα χειροποίητου αμφορέα Τπ. Ι, VIΓ (124β).
Σώζεται η βάση και το κάτω σώμα με τη μία οριζόντια λαβή.
Πηλός Κτ. ΙΒ1-ΙΒ2
εξ. επ. Κ-ΚΕ
εσ. επ. Ε
πρ. Κ
σζ. ύψ. 0,015, δμβ. 0,105 μ.

11(16). Θραύσματα χειροποίητης οινοχόης

με οπισθότμητη προχοή Τπ. Ι, VIIΔ (167). Λείπει ένα μεγάλο μέρος από το άνω σώμα και το λαιμό του αγγείου. Δύο παράλληλες αυλακώσεις γύρω από το άνω τμήμα λαιμού και στη βάση της προχοής.
Πηλός Κτ. ΙΒ1
εξ. επ. ΚΜ-λ
εσ. επ. ΚΜ
πρ. Κ
συμπλ. ύψ. 0,051, δμβ. 0,06 μ.

12(15). Θραύσματα μόνωτου χειροποίητου ευρύστομου αγγείου Τπ. Ι, IV (44).
Σώζεται το άνω μέρος του αγγείου με τη λαβή. Δύο παράλληλες αυλακώσεις γύρω από τη βάση του λαιμού.
Πηλός Κτ. ΙΑ2
εξ. επ. ΚΜ-λ
εσ. επ. ΚΜ-λ
πρ. ΚΤ
σζ. ύψ. 0,06, δμλ. 0,141 μ.

13(19). Θραύσματα μόνωτου χειροποίητου ευρύστομου αγγείου Τπ. Ι, IV (46).
Σώζεται τμήμα ώμου και λαιμού με χείλος, καθώς και το κάτω τμήμα της λαβής.
Πηλός Κτ. ΙΑ2-ΙΒ1
εξ. επ. ΚΜ-λ
εσ. επ. ΚΜ-λ
πρ. ΚΕ
σζ. ύψ. 0,09, δμχ. 0,135 μ.

14(1). Θραύσματα μόνωτου χειροποίητου ευρύστομου αγγείου Τπ. Ι, IV (108).
Σώζεται αποσπασματικά η βάση, ο ώμος με το λαιμό και το χείλος, καθώς και η λαβή του αγγείου. Γύρω από τη βάση του λαιμού σειρά από χαράξεις, που πλαισιώνονται από δύο περιφερειακές αυλακώσεις.
Πηλός Κτ. ΙΑ1
εξ. επ. ΤΜ-λ
εσ. επ. ΤΜ-λ
πρ. ΚΤ
σζ. ύψ. 0,18, δμχ. 0,18 μ.

15. Θραύσμα χειροποίητου αγγείου Τπ. Ι, IV (14).
Σώζεται τμήμα ώμου και χείλους.
Πηλός Κτ. ΙΑ2
εξ. επ. ΚΤ-ΚΕ-λ
εσ. επ. ΚΤ-λ
πρ. Τ
σζ. ύψ. 0,048 μ.

16. Θραύσμα χειροποίητου αγγείου Τπ. Ι, IV (48).
Σώζει τμήμα ώμου με λαιμό και χείλος. Δύο παράλληλες αυλακώσεις γύρω από τη βάση του λαιμού.
Πηλός Κτ. ΙΑ2
εξ. επ. ΚΜ-λ
εσ. επ. ΚΜ-λ
πρ. Τ
σζ. ύψ. 0,045 μ.

17. Θραύσματα γωνιόσχημης λαβής χειροποίητου αγγείου Τπ. Ι, IV.
Πηλός Κτ. ΙΑ2
εξ. επ. ΚΜ-λ
εσ. επ. ΚΜ-λ
πρ. ΚΤ
σζ. ύψ. 0,075 μ.

18. Θραύσμα γωνιόσχημης λαβής χειροποίητου αγγείου Τπ. Ι, IV (114).
Πηλός Κτ. ΙΑ2
εξ. επ. ΚΜ-λ
εσ. επ. ΚΜ
πρ. ΚΤ
σζ. ύψ. 0,066 μ.

19. Θραύσματα χειροποίητου ευρύστομου αγγείου Τπ. Ι, IV (114).
Σώζεται τμήμα ώμου με τμήμα λαιμού, καθώς και θραύσμα λαβής. Γύρω από τη βάση του λαιμού δύο παράλληλες χαράξεις με κοντές λοξές χαράξεις στο ενδιάμεσο. Στον ώμο σειρά από χαρακτές συνεχόμενες σπείρες. Εγχάρακτη στικτή διακόσμηση και στο κυλινδρικό στέλεχος της λαβής.
Πηλός Κτ. ΙΒ1-ΙΒ2
εξ. επ. ΚΕ
εσ. επ. ΚΕ
πρ. ΚΜ
σζ. ύψ. 0,078, δμ. ώμου 0,105 μ.

Π ί ν. 168

20(2). Θραύσματα χειροποίητης οινοχόης Τπ. Ι, VIIΔ (163).
Σώζεται ένα μεγάλο μέρος από το αγγείο και η λαβή. Δύο παράλληλες αυλακώσεις γύρω από την περιφέρεια του χείλους και γύρω από τη βάση του λαιμού.
Πηλός Κτ. ΙΒ1
εξ. επ. ΚΜ-λ
εσ. επ. ΚΕ
πρ. ΚΕ
σζ. ύψ. 0,126, δμβ. 0,045, δμλ. 0,09 μ.

21(7). Μόνωτο χειροποίητο ευρύστομο αγ-

γείο Τπ. Ι, IV (25).
Λείπει ένα μέρος από το άνω σώμα και τη λαβή.
Πηλός Κτ. ΙΒ1
εξ. επ. Ε-ΚΕ-λ
εσ. επ. Ε-ΚΕ-λ
πρ. ΚΤ
ύψ. 0,09, δμβ. 0,06, δμχ. 0,105 μ.

22(5). Μόνωτο χειροποίητο ευρύστομο αγγείο Τπ. Ι, IV (25).
Λείπει ένα μέρος από το άνω σώμα του αγγείου. Αυλάκωση γύρω από τη βάση του λαιμού. Αυλακωτή διακόσμηση και στο ταινιωτό τμήμα της λαβής.
Πηλός Κτ. ΙΓ1
εξ. επ. ΚΕ
εσ. επ. Ε
πρ. Ε
ύψ. 0,069, δμβ. 0,06, δμχ. 0,09 μ.

23(4). Χειροποίητο κυπελλόσχημο αγγείο Τπ. Ι, IV (102).
Λείπει ένα μέρος από το αγγείο. Δύο παράλληλες αυλακώσεις κάτω από το χείλος και γύρω από τη βάση του λαιμού· διπλές ζιγκ-ζαγκ αυλακώσεις στον ώμο του αγγείου.
Πηλός Κτ. ΙΒ1
εξ. επ. Κ
εσ. επ. Κ
πρ. ΚΕ
σζ. ύψ. 0,102, δμβ. 0,06, δμχ. 0,096 μ.

24(13). Θραύσματα μόνωτου χειροποίητου ευρύστομου αγγείου Τπ. Ι, IV (60α).
Σώζεται αποσπασματικά το σώμα, ο λαιμός και η λαβή του αγγείου. Μία αυλάκωση διακρίνεται γύρω από τη βάση του λαιμού, μία αντίστοιχη αυλάκωση κάτω από την περιφέρεια του χείλους.
Πηλός Κτ. ΙΑ2
εξ. επ. ΚΤ-λ
εσ. επ. ΚΤ-λ
πρ. ΤΜ
συμπλ. ύψ. 0,12, δμχ. 0,09 μ.

25. Θραύσμα χειροποίητου αγγείου Τπ. Ι, IV (62).
Σώζεται τμήμα ώμου με λαιμό και χείλος. Μία αυλάκωση γύρω από τη βάση του λαιμού, δύο παράλληλες αυλακώσεις κάτω από το χείλος.
Πηλός Κτ. ΙΒ2
εξ. επ. Κ-λ
εσ. επ. Κ-λ
πρ. ΚΕ
σζ. ύψ. 0,075 μ.

26(12). Χειροποίητο ευρύστομο κυπελλόσχημο αγγείο Τπ. Ι, IV (42).
Λείπει ένα μέρος από το άνω σώμα του αγγείου.
Πηλός Κτ. ΙΑ2
εξ. επ. ΤΜ-λ
εσ. επ. ΤΜ-λ
πρ. ΤΜ
ύψ. 0,022, δμβ. 0,066, δμχ. 0,084 μ.

27(12). Θραύσματα μόνωτου χειροποίητου ευρύστομου αγγείου Τπ. Ι, IV (57).
Σώζεται αποσπασματικά η βάση και το άνω τμήμα του αγγείου με τη λαβή. Μία αυλάκωση κάτω από το χείλος και γύρω από τη βάση του λαιμού.
Πηλός Κτ. ΙΑ2
εξ. επ. ΤΜ-λ φθ
εσ. επ. ΤΜ-λ φθ
πρ. ΚΤ
ύψ. 0,096, δμβ. 0,045, δμχ. 0,105 μ.

28(11). Μόνωτο χειροποίητο ευρύστομο αγγείο Τπ. Ι, IV (65).
Λείπει ένα μέρος από το άνω τμήμα του αγγείου, καθώς και το άνω τμήμα της λαβής. Δύο παράλληλες αυλακώσεις κάτω από την περιφέρεια του χείλους και γύρω από τη βάση του λαιμού.
Πηλός Κτ. ΙΑ2
εξ. επ. ΤΜ-λ
εσ. επ. ΤΜ-λ
πρ. ΤΜ
ύψ. 0,105, δμβ. 0,075, δμχ. 0,12 μ.

29(10). Θραύσματα μόνωτου χειροποίητου ευρύστομου αγγείου Τπ. Ι, IV (50α).
Λείπει ένα μέρος από το σώμα, το λαιμό και τη λαβή του αγγείου. Δύο παράλληλες αυλακώσεις γύρω από τη βάση του λαιμού.
Πηλός Κτ. ΙΑ2
εξ. επ. Τ-ΚΤ-λ
εσ. επ. Τ-ΚΤ-λ
πρ. Τ
ύψ. 0,11, δμβ. 0,063, δμχ. 0,111 μ.

30(6). Θραύσμα μολύβδινου μικρογραφικού «ταλάντου» (;).
δμ. 0,045, πχ. 0,015 μ.

31(8). Θραύσμα μολύβδινου συνδέσμου αγγείου.
μκ. 0,021 μ.

Στρώμα ΙΙ

Πίν. 169

32(14). Μόνωτο χειροποίητο ευρύστομο αγγείο Τπ. Ι, IV (18).
Ακέραιο.
Πηλός Κτ. ΙΒ1
εξ. επ. ΚΕ-λ φθ
εσ. επ. Κ-ΚΕ
πρ. ΚΕ
ύψ. 0,105, δμβ. 0,06, δμχ. 0,12 μ.

33(17). Θραύσματα μόνωτου χειροποίητου ευρύστομου αγγείου Τπ. Ι, IV (92).
Σώζεται τμήμα του άνω σώματος και του κατακόρυφου στελέχους της λαβής, καθώς και τμήμα βάσης. Γύρω από τη βάση του λαιμού σώζεται μία αυλάκωση. Στον ώμο τριπλές ζιγκ-ζαγκ αυλακώσεις· στο κατακόρυφο κυλινδρικό στέλεχος της λαβής, διπλές αυλακωτές γραμμές κατά διαστήματα.
Πηλός Κτ. ΙΑ2
εξ. επ. Κ-ΚΜ-λ
εσ. επ. Κ-ΚΜ-λ
πρ. Κ
σζ. ύψ. 0,108, δμβ. 0,084, δμ. ώμου 0,15 μ.

34(22). Θραύσμα μόνωτου χειροποίητου ευρύστομου αγγείου Τπ. Ι, IV (88).
Σώζεται τμήμα ώμου με λαιμό και χείλος, καθώς και η λαβή του αγγείου. Δύο παράλληλες αυλακώσεις κάτω από την περιφέρεια του χείλους και γύρω από τη βάση του λαιμού. Αυλακωτή διακόσμηση και στο ταινιωτό τμήμα της λαβής.
Πηλός Κτ. ΙΑ2
εξ. επ. ΤΜ-λ
εσ. επ. ΤΜ-λ
πρ. ΤΜ
συμπλ. ύψ. 0,105, δμχ. 0,09 μ.

35(22). Μόνωτο χειροποίητο ευρύστομο αγγείο Τπ. Ι, IV (88).
Λείπει το κάτω τμήμα του σώματος με τη βάση, καθώς και το άνω τμήμα της λαβής. Δύο παράλληλες αυλακώσεις γύρω από τη βάση του λαιμού και γύρω από την περιφέρεια του χείλους.
Πηλός Κτ. ΙΒ1
εξ. επ. ΚΕ-Κ-λ
εσ. επ. ΚΕ-Κ-λ
πρ. ΚΕ
συμπλ. ύψ. 0,105, δμχ. 0,09 μ.

36. Θραύσματα μόνωτου χειροποίητου ευρύστομου αγγείου Τπ. Ι, IV (78).
Σώζεται τμήμα από τον ώμο, το λαιμό και τη λαβή. Τρεις παράλληλες αυλακώσεις κάτω από την περιφέρεια του χείλους και γύρω από τη βάση του λαιμού.
Πηλός Κτ. ΙΑ2-ΙΒ1
εξ. επ. ΚΕ-ΚΤ-λ
εσ. επ. ΚΕ
πρ. ΚΕ
σζ. ύψ. 0,09, δμχ. 0,189 μ.

37(24). Πήλινο δικωνικό σφονδύλι Τπ. ΣΙΙ, 5.
ύψ. 0,021, δμ. 0,036 μ.

38(21). Θραύσματα σιδερένιας λεπίδας εγχειριδίου Τπ. ΕVIII ή ΕVII.
σζ. μκ. 0,015 μ.

39(25). Θραύσματα ορείας κρυστάλλου.
σζ. μκ. 0,015 μ.

40(26). Χάλκινο εγχειρίδιο Τπ. ΕIV, 2β.
Ράχη ελάχιστα κυρτή, ακμή κοίλη, αιχμή ελαφρά λυγισμένη προς τα άνω, ουρά με ένα καρφί και καμπυλόγραμμο πέρας. Μία εγχάρακτη γραμμή κατά μήκος της ράχης.
μκ. 0,153 μ.

41(23). Θραύσμα μολύβδινου αντικειμένου.
Λείπει το ένα πέρας. Δύο αυλακώσεις γύρω από την αρχή του κυλινδρικού στελέχους.
μκ. 0,03 μ.

Στρώμα ΙΙΙ

Πίν. 170Α

42. Θραύσμα από το χείλος τροχήλατου αγγείου Τπ. ΙΙ, Β.
Πηλός Κτ. ΙΙΒ
εξ. επ. Τ
εσ. επ. Τ
πρ. Τ
σζ. ύψ. 0,03 μ.

43. Θραύσμα λαβής τροχηλατου αγγείου Τπ. ΙΙ, Β.
Πιθανότατα από το ίδιο αγγείο, από το οποίο και το αριθ. 42.
Πηλός Κτ. ΙΙ
εξ. επ. Τ
εσ. επ. Τ
πρ. Τ
σζ. ύψ. 0,06 μ.

44. Θραύσμα χειροποίητου ευρύστομου φιαλόσχημου αγγείου Τπ. Ι, ΙΙΙ (8).

Σώζεται τμήμα ώμου με λαιμό και χείλος. Λαβή-απόφυση στον ώμο.
Πηλός Κτ. ΙΒ1-2
εξ. επ. ΚΕ
εσ. επ. ΚΕ
πρ. ΚΕ
σζ. ύψ. 0,063, συμπλ. ύψ. 0,126, δμχ. 0,216 μ.

45. Θραύσμα λαβής τροχήλατου αγγείου.
Πηλός Κτ. ΙΙΕ
εξ. επ. Ε-ΤΕ
εσ. επ. Ε-ΤΕ
πρ. Ε
σζ. μκ. 0,039 μ.

46. Θραύσμα χειροποίητου ευρύστομου αγγείου Τπ. Ι, IV (114).
Σώζεται τμήμα ώμου και λαιμού με χείλος. Εγχάρακτη διακόσμηση κάτω από την περιφέρεια του χείλους και στον ώμο του αγγείου.
Πηλός Κτ. ΙΒ2
εξ. επ. ΚΕ-λ
εσ. επ. ΚΕ
πρ. ΚΜ
σζ. ύψ. 0,045 μ.

47. Θραύσμα από τον ώμο χειροποίητου αμφορέα Τπ. Ι, VIB (137β).
Σώζεται απόφυση.
Πηλός Κτ. ΙΒ2
εξ. επ. ΚΕ
εσ. επ. ΚΕ
πρ. ΚΕ
σζ. μκ. 0,03 μ.

48. Τρία θραύσματα τροχήλατου αγγείου με εγχάρακτη διακόσμηση στον ώμο του αγγείου. Ρωμαϊκοί χρόνοι.
Πηλός Κτ. ΙΙ
εξ. επ. Ε-ΤΕ
εσ. επ. Ε-ΤΕ
πρ. Ε
σζ. ύψ. 0,021 μ.
Πιθανόν από το ίδιο αγγείο με το θραύσμα αριθ. 45.

49. Θραύσμα χειροποίητου αγγείου Τπ. Ι, XI (198).
Σώζεται τμήμα του κυλινδρικού κορμού. Εγχάρακτη διακόσμηση.
Πηλός Κτ. ΙΒ2
εξ. επ. ΚΕ
εσ. επ. ΚΕ
πρ. Κ
σζ. ύψ. 0,045 μ.

50. Θραύσμα χειροποίητου φιαλόσχημου αγγείου Τπ. Ι, Ι (1β).
Σώζεται τμήμα ώμου με αρχή λαβής.
Πηλός Κτ. ΙΒ2
εξ. επ. Κ
εσ. επ. Κ
πρ. Κ
σζ. ύψ. 0,039 μ.

51. Θραύσμα χειροποίητου ευρύστομου φιαλόσχημου αγγείου Τπ. Ι, Ι (1β).
Σώζεται τμήμα ώμου με λαιμό και χείλος, καθώς και τμήμα της ταινιωτής, πιθανόν διχαλωτής, λαβής. Χάραξη κάτω από το χείλος.
Πηλός Κτ. ΙΒ2
εξ. επ. ΚΕ-λ
εσ. επ. ΚΜ-λ
πρ. Κ
σζ. ύψ. 0,051 μ.

Ταφική συστάδα Τ30

Η ταφική συστάδα Τ30 βρίσκεται σε απόσταση 25 μ. προς Δ. του τάφου Τ25 (Σ χ έ δ. Ι). Αποτελείται από δύο ορθογώνιους κτιστούς τάφους, με προσανατολισμό Β.-Ν. περίπου. Πρώτος κατασκευάσθηκε ο τάφος Τ30Β, στη δυτική πλευρά του οποίου προσκολλήθηκε αργότερα ο τάφος Τ30Α (Σ χ έ δ. 57· Π ί ν. 299α).

Οι δύο τάφοι της συστάδας ήταν καλυμμένοι με στρώμα λίθων, που δεν επεκτεινόταν πέρα από το εξωτερικό περίγραμμα των τάφων, που διαγράφονταν καθαρά πριν από την έναρξη της ανασκαφής.

Διαστάσεις ταφικής συστάδας (εξωτ.): μκ. 6, πλ. 6, σζ. ύψ. 0,90 μ.

ΤΑΦΟΣ Τ30Α

Ορθογώνιος τάφος με κτιστές πλευρές που έχει προσκολληθεί στη δυτική πλευρά του τάφου Τ30Β. Προσανατολισμός τάφου Β.-Ν., περίπου, με άνοιγμα στα νότια. Με εγκάρσιο τοίχο

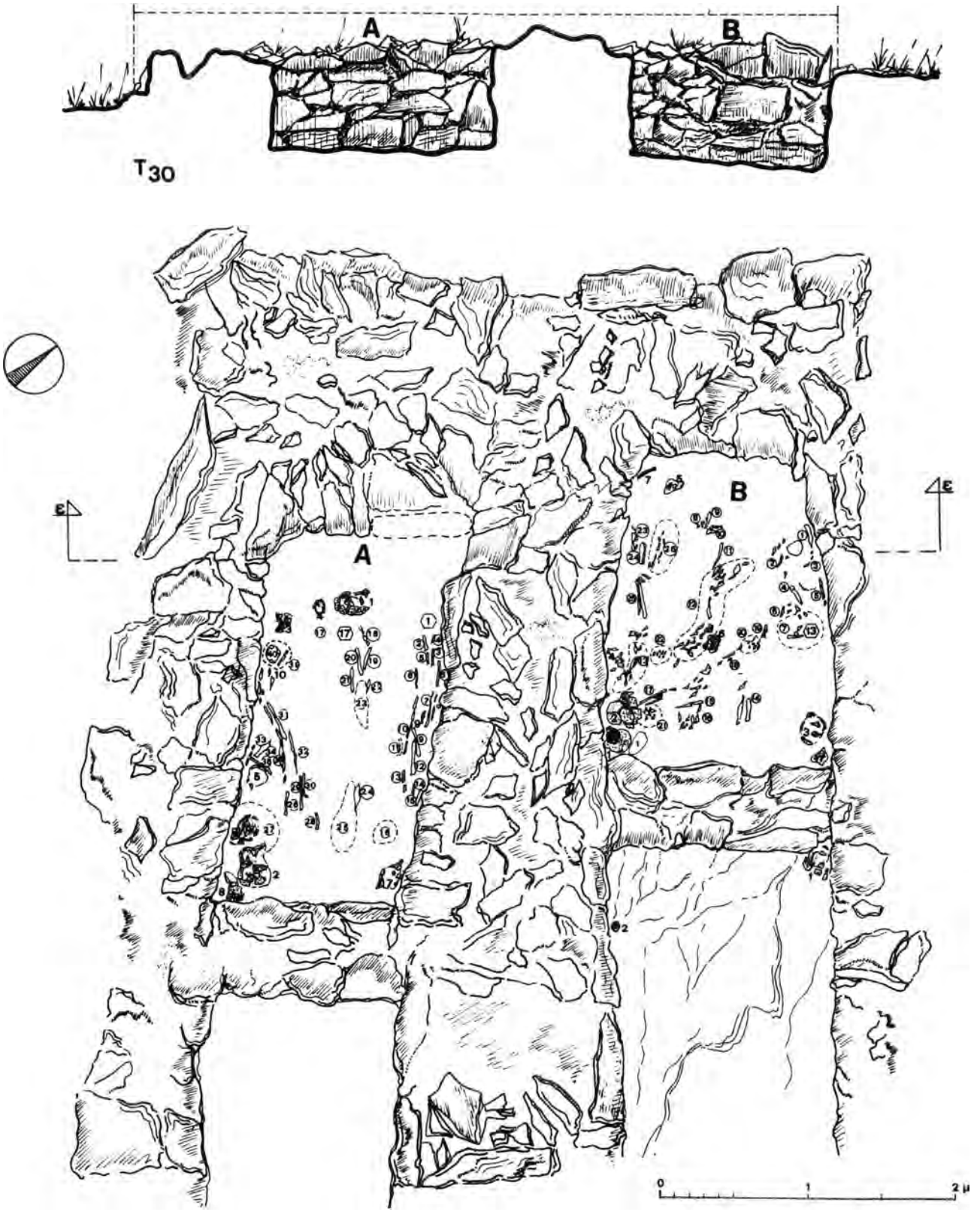

Σχέδ. 57. Κάτοψη και τομή ταφικής συστάδας T30.

χωρίζεται σε θάλαμο και προθάλαμο (Π ί ν. 299α-β). Διαστάσεις θαλάμου (εσωτ.): μκ. 2,90, πλ. 1,30, σζ. ύψ. 0,80 μ.

Το εσωτερικό του θαλάμου καλυπτόταν με στρώμα λίθων. Το επίπεδο των ταφών εντοπίσθηκε πάνω στο φυσικό βράχο, σ' ένα πολύ λεπτό στρώμα από ερυθρωπό χώμα που πρέπει να ήταν το φυσικό έδαφος.

Από τα σωζόμενα λείψανα οστών διακρίνονταν τρεις τουλάχιστον ταφές, οι οποίες ωστόσο ήταν φανερό πως είχαν εναποτεθεί πάνω ή δίπλα σε λείψανα προγενέστερων ταφών. Οι νεκροί είχαν εναποτεθεί με το κεφάλι προς Β.

Τα κτερίσματα απαρτίζουν τέσσερις ομάδες:

Ομάδα Α': Νοτιοδυτική γωνία, αγγεία Α2, Α6, Α8 (Π ί ν. 300α).

Ομάδα Β'-Γ': Δυτική πλευρά, αγγεία Α5, Α3 (Π ί ν. 300β).

Ομάδα Δ': Βόρεια πλευρά, αγγεία Α1 και Α4 (Π ί ν. 299β).

Ομάδα Ε': Ανατολική πλευρά του τάφου. Κτερίσματα ταφής κρανίου 1, χάλκινο εγχειρίδιο Α9, χειροποίητο αγγείο Α7. Η ταφή προσδιορίσθηκε από την ανθρωπολογική έρευνα ως ανδρική.

Στην ομάδα ΣΤ' ανήκουν τα θραύσματα αγγείων, που βρέθηκαν διάσπαρτα στο εσωτερικό του τάφου και στο στρώμα των λίθων που κάλυπτε το επίπεδο της ταφής.

Η ανθρωπολογική μελέτη των οστών, που σώζονταν σε πολύ αποσπασματική κατάσταση, εντόπισε τέσσερα, τουλάχιστον, άτομα και ένα νεογέννητο βρέφος στον τάφο, ενώ η μελέτη των δοντιών ανέβασε τον αριθμό των ταφών σε έξι τουλάχιστον (Παράρτημα Ια).

Εκτός από τα παραπάνω κτερίσματα, πρέπει να σημειώσουμε και την ανεύρεση δοντιών ζώου στο θάλαμο του τάφου Τ30Α (Παράρτημα ΙΙ).

ΕΥΡΗΜΑΤΑ

Π ί ν. 171

Ομάδα Α'

1(Α2). Χειροποίητη οινοχόη με οπισθότμητη προχοή Τπ. Ι, VIIΓ (154).
Ακέραιη. Δύο παράλληλες λεπτές αυλακώσεις γύρω από την περιφέρεια του χείλους.
Πηλός Κτ. ΙΑ2
εξ. επ. ΚΜ-Κ-λ
εσ. επ. ΜΤ
πρ. ΤΜ
ύψ. 0,21, δμβ. 0,063 μ.

2(Α8). Θραύσμα χειροποίητης οινοχόης Τπ. Ι, VIIΓ.
Σώζεται τμήμα λαιμού με χείλος και αρχή λαβής.
Πηλός Κτ. ΙΑ2
εξ. επ. ΚΜ-λ
εσ. επ. ΚΜ
πρ. ΚΕ
σζ. ύψ. 0,075 μ.

3(Α8). Μόνωτο χειροποίητο ευρύστομο αγγείο Τπ. Ι, IV (101).
Λείπει ένα μέρος από το κάτω κυρίως σώμα του αγγείου. Δύο παράλληλες αυλακώσεις κάτω από την περιφέρεια του χείλους και γύρω από τη βάση του λαιμού· διπλές ζιγκ-ζαγκ αυλακώσεις στον ώμο του αγγείου. Αυλακωτή διακόσμηση στο ταινιωτό τμήμα της γωνιόσχημης λαβής.
Πηλός Κτ. ΙΑ2
εξ. επ. ΤΜ-Τ-λ
εσ. επ. ΤΜ-λ
πρ. Κ
ύψ. 0,108 μ.

4(Α6). Μόνωτο χειροποίητο ευρύστομο αγγείο Τπ. Ι, IV (79).
Δύο παράλληλες αυλακώσεις κάτω από την περιφέρεια του χείλους, δύο παράλληλες αυλακώσεις γύρω από τη βάση του λαιμού. Αυλακωτή διακόσμηση και στο ταινιωτό τμήμα της γωνιόσχημης λαβής.
Πηλός Κτ. ΙΑ2
εξ. επ. ΚΜ-λ
εσ. επ. ΚΜ-λ
πρ. Κ
ύψ. 0,123, δμβ. 0,06, δμχ. 0,165 μ.

Ομάδα Β'-Γ'

5(Α5). Μόνωτο χειροποίητο ευρύστομο αγγείο Τπ. Ι, IV (69).

Λείπει το 1/3 περίπου από το αγγείο. Τρεις παράλληλες αυλακώσεις κάτω από το χείλος, μία αυλάκωση γύρω από τη βάση του λαιμού. Αυλακωτή διακόσμηση και στο άνω τμήμα του κατακόρυφου στελέχους της λαβής.
Πηλός Κτ. ΙΑ2
εξ. επ. ΚΤ-λ
εσ. επ. ΚΤ-λ
πρ. ΚΤ
σζ. ύψ. 0,102, δμβ. 0,06 μ.

6(Α3). Θραύσματα μόνωτου χειροποίητου ευρύστομου αγγείου Τπ. Ι, IV (81).
Σώζεται τμήμα ώμου με λαιμό και χείλος, καθώς και τμήμα λαβής. Δύο παράλληλες αυλακώσεις γύρω από το χείλος και γύρω από τη βάση του λαιμού.
Πηλός Κτ. ΙΑ2
εξ. επ. ΚΜ-Τ-λ
εσ. επ. ΚΜ-Τ
πρ. Κ
σζ. ύψ. 0,108 μ.

7(Α3). Θραύσματα μόνωτου χειροποίητου ευρύστομου αγγείου Τπ. Ι, IV (64).
Σώζεται αποσπασματικά η βάση, το άνω σώμα με το λαιμό και το χείλος, καθώς και τμήμα ώμου με την αρχή λαβής. Δύο αραιές παράλληλες αυλακώσεις γύρω από την αρχή του λαιμού.
Πηλός Κτ. ΙΑ2
εξ. επ. ΤΜ-λ
εσ. επ. ΤΜ-λ
πρ. Τ
ύψ. 0,15, δμβ. 0,078 μ.

8(Α3). Μόνωτο χειροποίητο ευρύστομο αγγείο Τπ. Ι, IV (61).
Ακέραιο. Δύο παράλληλες αυλακώσεις κάτω από την περιφέρεια του χείλους. Μία αυλάκωση γύρω από τη βάση του λαιμού.
Πηλός Κτ. ΙΑ2
εξ. επ. ΤΜ-λ
εσ. επ. ΤΜ-λ
πρ. ΚΤ
ύψ. 0,12, δμβ. 0,045, δμχ. 0,09 μ.

Πίν. 172

Ομάδα Δ΄

9(Α7). Μόνωτο χειροποίητο ευρύστομο αγγείο Τπ. Ι, IV (101).
Λείπει μικρό θραύσμα από τη λαβή. Δύο παράλληλες αυλακώσεις γύρω από την περιφέρεια του χείλους, δύο παράλληλες αυλακώσεις γύρω από τη βάση του λαιμού, διπλές ζιγκ-ζαγκ αυλακώσεις στον ώμο του αγγείου. Αυλακωτή διακόσμηση και στο ταινιωτό τμήμα της λαβής.
Πηλός Κτ. ΙΑ2
εξ. επ. ΤΜ-λ
εσ. επ. ΤΜ-λ
πρ. ΤΜ
ύψ. 0,123, δμβ. 0,06, δμχ. 0,115 μ.

10(Α7). Μόνωτο χειροποίητο ευρύστομο αγγείο Τπ. Ι, IV (108).
Λείπει ένα μέρος από το λαιμό και το χείλος του αγγείου. Αυλακωτή διακόσμηση σε μετωπικό θέμα στο λαιμό του αγγείου. Στο κάτω πλαίσιο του μετωπικού θέματος, γύρω από τη βάση του λαιμού, σειρά από στικτές κοντές γραμμές ανάμεσα στις δύο παράλληλες αυλακώσεις. Τρεις παράλληλες αυλακώσεις στη βάση του κατακόρυφου στελέχους της λαβής. Αυλακωτή διακόσμηση και στο άνω ταινιωτό τμήμα της λαβής.
Πηλός Κτ. ΙΒ1
εξ. επ. Κ-ΚΕ-λ
εσ. επ. Κ
πρ. Κ
ύψ. 0,135, δμβ. 0,081, δμχ. 0,165 μ.

11(Α9). Χάλκινο εγχειρίδιο Τπ. ΕV, 6.
Ράχη κυρτή, ακμή κοίλη, ουρά ισόπαχη με τη λεπίδα, χωρίς καρφιά, που καταλήγει σε μικρή αιχμή. Αιχμή στρογγυλεμένη.
μκ. 0,084 μ.

Ομάδα Ε΄

12(Α4). Τροχήλατο αγγείο Τπ. ΙΙ, Β (234).
Λείπει ο λαιμός και οι λαβές του αγγείου.
Πηλός Κτ. ΙΙΒ
εξ. επ. Τ
εσ. επ. Τ
πρ. Τ
σζ. ύψ. 0,066, δμβ. 0,033 μ.

13(Α1). Μόνωτο χειροποίητο ευρύστομο αγγείο Τπ. Ι, IV (79).
Λείπει ένα μικρό μέρος από το σώμα του αγγείου. Δύο παράλληλες αυλακώσεις γύρω από τη βάση του λαιμού και κάτω από την περιφέρεια του χείλους. Αυλακωτή διακόσμηση και στο ταινιωτό τμήμα της γωνιόσχημης λαβής.
Πηλός Κτ. ΙΑ2

εξ. επ. ΤΜ-λ
εσ. επ. ΤΜ-λ
πρ. ΤΜ
ύψ. 0,135, δμβ. 0,084, δμχ. 0,165 μ.

Ομάδα ΣΤ'

14. Θραύσμα από το χείλος χειροποίητου αγγείου Τπ. Ι, XII (199).
Πηλός Κτ. ΙΓ1
εξ. επ. Ε
εσ. επ. Ε
πρ. Ε
σζ. ύψ. 0,045 μ.

15. Θραύσμα από το λαιμό χειροποίητου αγγείου.
Πηλός Κτ. ΙΓ1
εξ. επ. Ε
εσ. επ. Ε
πρ. Ε
σζ. ύψ. 0,045 μ.

16. Θραύσματα μόνωτου χειροποίητου ευρύστομου αγγείου Τπ. Ι, IV (52).
Σώζεται τμήμα ώμου με λαιμό, χείλος και το κάτω τμήμα της λαβής. Δύο παράλληλες αυλακώσεις κάτω από την περιφέρεια του χείλους και γύρω από τη βάση του λαιμού. Συστάδες από παράλληλες αυλακώσεις και στο κατακόρυφο στέλεχος της λαβής του αγγείου.
Πηλός Κτ. ΙΑ2
εξ. επ. ΤΜ-λ
εσ. επ. ΤΜ-λ
πρ. ΤΜ
σζ. ύψ. 0,093, δμχ. 0,075 μ.

17. Θραύσματα μόνωτου χειροποίητου ευρύστομου αγγείου Τπ. Ι, IV (107).
Σώζονται αποσπασματικά ο ώμος, ο λαιμός και η λαβή του αγγείου.
Πηλός Κτ. ΙΒ1
εξ. επ. Κ-ΚΜ
εσ. επ. Κ
πρ. ΚΕ
σζ. ύψ. 0,09 μ.

Π ρ ο θ ά λ α μ ο ς

Διαστάσεις (εσωτ.): μκ. 1,50, πλ. 1,30, σζ. ύψ. 0,50 μ.

Ο προθάλαμος ήταν καλυμμένος με το ίδιο στρώμα λίθων που κάλυπτε και το εσωτερικό του θαλάμου. Εκτός από σποραδικά θραύσματα αγγείων που βρέθηκαν διάσπαρτα στο στρώμα των λίθων, βρέθηκαν και θραύσματα ενός μεγάλου χειροποίητου αμφορέα.

ΕΥΡΗΜΑΤΑ

Π ί ν. 173Α

1. Θραύσματα χειροποίητου αμφορέα Τπ. Ι, VIB (136).
Σώζεται αποσπασματικά η βάση και το άνω κυρίως σώμα του αγγείου με το λαιμό, καθώς και η μία από τις κατακόρυφες λαβές του ώμου. Δύο παράλληλες αυλακώσεις γύρω από τη βάση του λαιμού και γύρω από το λαιμό του αγγείου.
Πηλός Κτ. ΙΒ1
εξ. επ. ΚΜ-λ
εσ. επ. ΚΕ
πρ. ΚΕ
σζ. ύψ. 0,183, συμπλ. ύψ. 0,54, δμλ. 0,21 μ.

ΤΑΦΟΣ Τ30Β

Ορθογώνιος τάφος με κτιστές πλευρές και προσανατολισμό Β.-Ν. περίπου, με άνοιγμα στα νότια. Καλυμμένος με στρώμα λίθων ως το επίπεδο ταφών. Με εγκάρσιο τοίχο χωρίζεται σε θάλαμο και προθάλαμο (Σ χ έ δ. 57).

Θ ά λ α μ ο ς

Διαστάσεις θαλάμου (εσωτ.): μκ. 2, μγ. πλ. 1,50, σζ. ύψ. 0,80 μ.

Το επίπεδο των ταφών εντοπίσθηκε κάτω από ένα στρώμα λίθων (Π ί ν. 301α) και αραιού χώματος, πάνω στο φυσικό έδαφος (ένα λεπτό στρώμα από ερυθρωπό χώμα πάνω από το

φυσικό βράχο). Τα σκελετικά λείψανα των ταφών βρέθηκαν πολύ φθαρμένα και μετακινημένα, ώστε ήταν αδύνατο να προκύψουν παρατηρήσεις για τη θέση των νεκρών στον τάφο. Τα περισσότερα από τα σωζόμενα οστά είναι βέβαιο πως ήταν μετακινημένα (Π ί ν. 301β). Τα κτερίσματα βρέθηκαν συγκεντρωμένα σε μια ομάδα, στη νοτιοδυτική γωνία του τάφου. Σ' αυτή την ομάδα πρέπει να ανήκουν και τα κτερίσματα της τελευταίας χρονικά ταφής στον τάφο Τ30Β. Κτερίσματα βρέθηκαν, επίσης, διάσπαρτα στο εσωτερικό του τάφου, κυρίως προς τις γωνίες του.

Ομάδα Α': Νοτιοδυτική γωνία του τάφου: Β1, Β2, Β4 (Π ί ν. 302α).

Ομάδα Β': Νοτιοανατολική γωνία: Β3 και άλλα διάσπαρτα θραύσματα στον τάφο (Β5, Β6), καθώς και ένα χάλκινο εγχειρίδιο παραμερισμένο στη βορειοδυτική γωνία (Β7). Τα κτερίσματα αυτά ανήκουν, οπωσδήποτε, σε προγενέστερες διαταραγμένες ταφές (Π ί ν. 301β).

Η ανθρωπολογική μελέτη των θραυσμάτων των οστών και των δοντιών εντόπισε την ταφή τεσσάρων τουλάχιστον ατόμων, τριών γυναικών και ενός άνδρα (Παράρτημα Ια). Αξιοσημείωτο είναι ότι ανάμεσα στα οστά της ανατολικής πλευράς του τάφου (αριθ. 5) βρέθηκαν και τέσσερα θραύσματα ενός καμένου βραχιόνιου.

Στο εσωτερικό του τάφου βρέθηκε, επίσης, και θραύσμα από μηριαίο οστό αγελάδας (Παράρτημα ΙΙ).

ΕΥΡΗΜΑΤΑ

Π ί ν. 174

Ομάδα Α'

1(Β1). Χειροποίητος αμφορέας Τπ. Ι, VIΓ (134).
Λείπει το άνω τμήμα του λαιμού με το χείλος.
Πηλός Κτ. ΙΒ1
εξ. επ. Κ-ΚΕ
εσ. επ. ΚΕ
πρ. ΚΕ
ύψ. 0,23, δμβ. 0,072, δμχ. 0,105 μ.

2(Β2). Μόνωτο χειροποίητο ευρύστομο αγγείο Τπ. Ι, IV (81).
Ακέραιο. Δύο παράλληλες αυλακώσεις κάτω από την περιφέρεια του χείλους και γύρω από τη βάση του λαιμού. Αυλακωτή διακόσμηση και στο ταινιωτό τμήμα της λαβής.
Πηλός Κτ. ΙΒ1
εξ. επ. Κ-ΚΕ-λ
εσ. επ. Κ-λ
πρ. Κ
ύψ. 0,18, δμβ. 0,072, δμχ. 0,165 μ.

3(Β3). Θραύσματα μόνωτου χειροποίητου ευρύστομου αγγείου Τπ. Ι, IV (32).
Σώζεται τμήμα από το άνω σώμα του αγγείου, καθώς και τμήμα λαβής. Μία αυλάκωση γύρω από τη βάση του λαιμού.
Πηλός Κτ. ΙΒ1
εξ. επ. Κ-ΚΕ-λ
εσ. επ. Κ-λ
πρ. Κ
συμπλ. ύψ. 0,156 μ.

4(Β4). Χειροποίητη οινοχόη με οπισθότμητη προχοή Τπ. Ι, VIIΓ (153).
Λείπει ένα μεγάλο μέρος από το σώμα του αγγείου. Δύο παράλληλες αυλακώσεις κάτω από την περιφέρεια του χείλους και γύρω από τη βάση του λαιμού, με στικτή διακοπτόμενη γραμμή ανάμεσά τους.
Πηλός Κτ. ΙΒ1-ΙΑ2
εξ. επ. Κ-ΚΜ-λ
εσ. επ. ΚΜ
πρ. Κ
συμπλ. ύψ. 0,225, δμλ. 0,075 μ.

Ομάδα Β'

5(Β3). Μόνωτο χειροποίητο ευρύστομο αγγείο Τπ. Ι, IV (59).
Λείπει ένα μέρος από το άνω τμήμα του λαιμού με το χείλος, καθώς και το άνω τμήμα της λαβής του αγγείου. Μία αυλάκωση κάτω από την περιφέρεια του χείλους.
Πηλός Κτ. ΙΑ2-ΙΒ1
εξ. επ. Κ-ΚΜ-λ
εσ. επ. ΚΜ-λ
πρ. Κ
ύψ. 0,123, δμβ. 0,075, δμχ. 0,165 μ.

6(Β3). Θραύσματα μόνωτου χειροποίητου ευρύστομου αγγείου Τπ. Ι, IV (94).
Σώζεται αποσπασματικά το άνω σώμα του αγγείου, καθώς και τμήμα γωνιόσχημης λα-

βής. Γύρω από τη βάση του λαιμού διακρίνεται μία αυλάκωση. Στον ώμο, κατά διαστήματα, αποφύσεις που πλαισιώνονταν από τριπλές αυλακώσεις.
Πηλός Κτ. ΙΑ2
εξ. επ. ΤΜ-λ
εσ. επ. Κ

7(Β7). Χάλκινο εγχειρίδιο Τπ. ΕΥ, 2γ.
Ράχη κυρτή, ακμή κοίλη, ουρά χωρίς καρφιά, που εισέχει ελάχιστα από τις δύο πλευρές της λεπίδας.
μκ. 0,114 μ.

8. Θραύσμα χειροποίητου αγγείου Τπ. Ι, ΙΥ. Σώζεται τμήμα ώμου με το κάτω τμήμα λαβής.
Πηλός Κτ. ΙΑ2-3
εξ. επ. ΚΤ
εσ. επ. ΚΤ
πρ. Τ
σζ. ύψ. 0,075 μ.

9. Θραύσμα χειροποίητου αμφορέα Τπ. Ι, VIΓ (134).
Σώζεται τμήμα ώμου με οριζόντια λαβή.
Πηλός Κτ. ΙΑ3
εξ. επ. Μ
εσ. επ. Μ
πρ. ΚΜ
σζ. ύψ. 0,09 μ.

Π ρ ο θ ά λ α μ ο ς

Διαστάσεις (εσωτ.): μκ. 2,50, πλ. 1,50 μ.

Ο προθάλαμος ήταν καλυμμένος με το ίδιο στρώμα λίθων, που κάλυπτε και το εσωτερικό του θαλάμου. Κάτω από το στρώμα των λίθων, στο επίπεδο του φυσικού εδάφους που συμπίπτει με το επίπεδο των ταφών στο εσωτερικό του θαλάμου, βρέθηκαν ένα πήλινο σφονδύλι και ένα χειροποίητο αγγείο (Σ χ έ δ. 57· Π ί ν. 301γ).

ΕΥΡΗΜΑΤΑ

Π ί ν. 173Β

1. Πήλινο δικωνικό σφονδύλι Τπ. ΣΙΙ, 1γ.
ύψ. 0,03, δμ. 0,033 μ.

2. Μόνωτο χειροποίητο ευρύστομο αγγείο Τπ. Ι, ΙΥ (22).
Σχεδόν ακέραιο.
Πηλός Κτ. ΙΑ2-3
εξ. επ. ΚΜ-λ φθ
εσ. επ. ΚΜ
πρ. Κ
ύψ. 0,117, δμβ. 0,06, δμχ. 0,09 μ.

Τάφος Τ31

Ο τάφος Τ31 βρίσκεται σε απόσταση 5 μ. από τον τάφο Τ25 και 15 μ. προς Α. της ταφικής συστάδας Τ30 (Σ χ έ δ. Ι· Π ί ν. 302β). Χαμηλός λιθοσωρός: διαστάσεις 3,25 × 3,25, μγ. ύψ. 0,48 μ. Μετά την απομάκρυνση του στρώματος των λίθων, αποκαλύφθηκε ένας ορθογώνιος τάφος με χαμηλές κτιστές πλευρές και προσανατολισμό Β.-Ν.

Στο εσωτερικό του τάφου δεν εντοπίσθηκαν ίχνη ταφών. Πάνω στο φυσικό έδαφος, αλλά και μέσα στο στρώμα των λίθων, βρέθηκαν διάσπαρτα θραύσματα αγγείων. Τα περισσότερα θραύσματα αγγείων βρέθηκαν έξω από τον τάφο.

ΕΥΡΗΜΑΤΑ

Π ί ν. 175

1. Θραύσματα μόνωτου χειροποίητου ευρύστομου αγγείου Τπ. Ι, ΙΥ (35).
Σώζονται από τον ώμο, το λαιμό, το χείλος και τη λαβή αποσπασματικά θραύσματα. Μία αυλάκωση γύρω από τη βάση του λαιμού.
Πηλός Κτ. ΙΑ2
εξ. επ. ΚΤ-λ
εσ. επ. ΚΤ-λ
πρ. ΚΤ
σζ. ύψ. 0,18, δμχ. 0,234 μ.

2. Θραύσμα από το άνω σώμα και το χείλος

χειροποίητου αγγείου Τπ. I, IV (25).
Πηλός Κτ. ΙΓ2
εξ. επ. Ε
εσ. επ. Ε
πρ. Ε
σζ. ύψ. 0,066 μ.

3. Θραύσμα από το χείλος χειροποίητου αγγείου Τπ. I, VI (136).
Μία αυλάκωση κάτω από την περιφέρεια του χείλους.
Πηλός Κτ. ΙΒ1
εξ. επ. Κ
εσ. επ. Κ
πρ. ΚΤ
σζ. ύψ. 0,045 μ.

4. Θραύσματα μόνωτου χειροποίητου ευρύστομου αγγείου Τπ. I, IV (79).
Σώζεται αποσπασματικά ο ώμος με το λαιμό και το χείλος.
Πηλός Κτ. ΙΒ1
εξ. επ. ΚΕ-λ φθ
εσ. επ. ΚΕ-λ φθ
πρ. ΚΤ
σζ. ύψ. 0,105 μ.

5. Θραύσματα από τον ώμο χειροποίητου ευρύστομου αγγείου Τπ. I, IV (95).
Ζιγκ-ζαγκ τριπλές αυλακώσεις στον ώμο.
Πηλός Κτ. ΙΑ2
εξ. επ. ΚΜ-λ
εσ. επ. ΚΜ-λ
πρ. ΚΤ
σζ. ύψ. 0,03 μ.

6. Θραύσμα χειροποίητου ευρύστομου αγγείου Τπ. I, IV.
Σώζεται τμήμα ώμου με αρχή λαιμού. Δύο παράλληλες αυλακώσεις γύρω από την αρχή του λαιμού.
Πηλός Κτ. ΙΓ1-ΙΓ2
εξ. επ. Ε
εσ. επ. Ε
πρ. Ε
σζ. ύψ. 0,072 μ.

7. Θραύσματα από τον ώμο χειροποίητου ευρύστομου αγγείου Τπ. I, IV.
Μία αυλάκωση γύρω από τη βάση του λαιμού.
Πηλός Κτ. ΙΑ2
εξ. επ. ΤΜ-λ
εσ. επ. ΤΜ-λ
πρ. ΚΤ
σζ. ύψ. 0,036 μ.

8. Θραύσματα μόνωτου χειροποίητου ευρύστομου αγγείου Τπ. I, IV.
Σώζεται τμήμα βάσης και λαβής. Αυλακωτή διακόσμηση στο ταινιωτό τμήμα της γωνιόσχημης λαβής.
Πηλός Κτ. ΙΒ1-ΙΒ2
εξ. επ. ΚΕ-Κ
εσ. επ. Κ-ΚΕ
πρ. Τ
σζ. ύψ. 0,037, δμβ. 0,09 μ.

9. Θραύσμα χειροποίητου ευρύστομου αγγείου Τπ. I, VIB ή I, IV.
Σώζεται τμήμα με το κάτω τμήμα λαβής.
Πηλός Κτ. ΙΑ2-ΙΑ3
εξ. επ. ΚΤ
εσ. επ. ΚΤ
πρ. ΚΤ
σζ. ύψ. 0,051 μ.

Π ί ν. 176

10. Θραύσμα από το χείλος χειροποίητου αγγείου Τπ. I, XII (205).
Πλαστική ταινία με «δακτυλιές» κάτω από το χείλος.
Πηλός Κτ. ΙΓ2
εξ. επ. Ε
εσ. επ. Ε
πρ. Ε
σζ. ύψ. 0,045 μ.

11. Θραύσμα από το χείλος χειροποίητου αγγείου Τπ. I, XII (205).
Πλαστική ταινία με «δακτυλιές» κάτω από το χείλος.
Πηλός Κτ. ΙΓ2
εξ. επ. Ε
εσ. επ. Ε
πρ. Ε
σζ. ύψ. 0,06 μ.

12. Θραύσμα από το χείλος χειροποίητου αγγείου Τπ. I, XII (205).
Πλαστική ταινία με «δακτυλιές» κάτω από το χείλος.
Πηλός Κτ. ΙΓ2
εξ. επ. Κ
εσ. επ. Κ
πρ. Κ
σζ. ύψ. 0,035 μ.

13. Θραύσμα από το χείλος χειροποίητου αγγείου Τπ. I, XII (207).

Πλαστική ταινία με «δακτυλιές» λίγο κάτω από το χείλος.
Πηλός Κτ. ΙΒ2
εξ. επ. ΚΕ
εσ. επ. ΚΕ
πρ. Κ
σζ. ύψ. 0,021 μ.

14. Θραύσμα από το χείλος χειροποίητου αγγείου Τπ. Ι, XII (204).
«Δακτυλιές» γύρω από το χείλος.
Πηλός Κτ. ΙΓ2
εξ. επ. Ε
εσ. επ. Ε
πρ. Ε
σζ. ύψ. 0,03 μ.

15. Θραύσμα από το χείλος χειροποίητου αγγείου Τπ. Ι, XII (204).
Πλαστική ταινία με «δακτυλιές» γύρω από το χείλος.
Πηλός Κτ. ΙΑ3
εξ. επ. ΚΜ
εσ. επ. ΚΜ
πρ. Κ
σζ. ύψ. 0,045 μ.

16. Θραύσμα από το χείλος χειροποίητου αγγείου Τπ. Ι, XII (204).
Πλαστική ταινία με «δακτυλιές» γύρω από το χείλος.
Πηλός Κτ. ΙΓ2
εξ. επ. Ε
εσ. επ. Ε
πρ. Ε
σζ. ύψ. 0,042 μ.

17. Θραύσμα από το χείλος χειροποίητου αγγείου Τπ. Ι, XII (199).
«Δακτυλιές» γύρω από το χείλος.
Πηλός Κτ. ΙΑ3-ΙΒ2
εξ. επ. ΤΜ
εσ. επ. ΤΜ
πρ. ΚΤ
σζ. ύψ. 0,033 μ.

18. Θραύσμα από την κοιλιά χειροποίητου αγγείου Τπ. Ι, XII.
Πλαστική ταινία με «δακτυλιές» γύρω από την κοιλιά.
Πηλός Κτ. ΙΓ2
εξ. επ. Ε
εσ. επ. Ε
πρ. Ε
σζ. ύψ. 0,072 μ.

19. Θραύσμα χειροποίητου αγγείου Τπ. Ι, XII.
Σώζεται τμήμα από την κοιλιά του αγγείου, όπου πλαστική ταινία με «δακτυλιές».
Πηλός Κτ. ΙΓ2
εξ. επ. Ε
εσ. επ. Ε
πρ. Ε
σζ. ύψ. 0,045 μ.

20. Θραύσμα χειροποίητου αγγείου Τπ. Ι, XII.
Σώζεται τμήμα από την κοιλιά του αγγείου, όπου πλαστική ταινία με «δακτυλιές».
Πηλός Κτ. ΙΓ2
εξ. επ. ΚΕ
εσ. επ. ΚΕ
πρ. ΤΜ
σζ. ύψ. 0,045 μ.

21. Θραύσματα από το σώμα χειροποίητου αγγείου Τπ. Ι, XII (208).
Σώζονται αποσπασματικά μέρη από το λαιμό και την κοιλιά του αγγείου. Στο λαιμό πλαστική ταινία με «δακτυλιές» σε οριζόντια και κατακόρυφη διάταξη. Στην κοιλιά πλαστική ταινία με «δακτυλιές».
Πηλός Κτ. ΙΓ2
εξ. επ. Ε
εσ. επ. Ε
πρ. Ε
σζ. ύψ. 0,075, σζ. ύψ. ώμου 0,06 μ.

22. Θραύσμα από τη βάση χειροποίητου αγγείου Τπ. Ι, VIB.
Πηλός Κτ. ΙΑ
εξ. επ. ΚΤ
εσ. επ. ΚΤ
πρ. Τ
σζ. ύψ. 0,045, δμβ. 0,135 μ.

23. Θραύσματα χειροποίητου αμφορέα Τπ. Ι, VIB.
Σώζεται τμήμα λαιμού με χείλος, καθώς και τμήμα λαιμού με ώμο. Μία αυλάκωση γύρω από τη βάση του λαιμού.
Πηλός Κτ. ΙΑ3
εξ. επ. ΚΜ-ΚΤ-λ
εσ. επ. ΚΜ
πρ. Κ
σζ. ύψ. 0,081 μ.

24. Θραύσμα από τον ώμο χειροποίητου αμφορέα Τπ. Ι, VIB.
Σώζεται τμήμα ώμου με κατακόρυφη κυλιν-

δρική λαβή.
Πηλός Κτ. ΙΒ2-ΙΓ2
εξ. επ. ΚΕ
εσ. επ. ΚΕ
πρ. ΚΕ
σζ. ύψ. 0,09 μ.

25. Θραύσματα χειροποίητου αγγείου Τπ. Ι, XII.
Σώζεται τμήμα ώμου με αρχή λαβής. Σε ένα θραύσμα, πλαστική ταινία με «δακτυλιές» γύρω από την κοιλιά του αγγείου.
Πηλός Κτ. ΙΓ2
εξ. επ. Ε
εσ. επ. Ε
πρ. Ε
σζ. ύψ. 0,045 μ.

26. Θραύσμα από τον ώμο χειροποίητου αμφορέα Τπ. Ι, XII.
Σώζεται τμήμα ώμου με αρχή λαβής.
Πηλός Κτ. ΙΓ2
εξ. επ. Ε
εσ. επ. Ε
πρ. ΤΜ
σζ. ύψ. 0,045 μ.

27. Θραύσμα από τον ώμο χειροποίητου αγγείου Τπ. Ι, XII.
Σώζεται η αρχή κατακόρυφης λαβής.
Πηλός Κτ. ΙΓ2
εξ. επ. Ε
εσ. επ. Ε
πρ. Ε
σζ. ύψ. 0,099 μ.

Τάφος Τ32

Ο τάφος Τ32 βρίσκεται ανάμεσα στον τάφο Τ30 και την ταφική συστάδα Τ30 (Σ χ έ δ. Ι). Πριν από την έναρξη της ανασκαφής, ήταν ένας τυμβόσχημος λιθοσωρός με περίγραμμα ακανόνιστο και ελαφρά υψωμένο κέντρο (Π ί ν. 303α). Διαστάσεις λιθοσωρού: μγ. μκ. 5,65, μγ. πλ. 3,80, μγ. ύψ. 0,73 μ.

Στο στρώμα των λίθων που κάλυπτε τον τάφο βρέθηκαν ορισμένα θραύσματα χειροποίητων αγγείων, διάσπαρτα ανάμεσα στους λίθους και στο χώμα της επίχωσης, καθώς και το κάτω τμήμα ενός τροχήλατου οξυπύθμενου αμφορέα (Π ί ν. 177, στρώμα Ι). Κάτω από το στρώμα των λίθων εμφανίσθηκε ένας ορθογώνιος τάφος, με χαμηλές κτιστές πλευρές και προσανατολισμό Β.-Ν. (Σ χ έ δ. 58-59). Διαστάσεις τάφου (εσωτ.): μγ. μκ. 2,50, μγ. πλ. 1,50, μγ. ύψ. 0,40 μ. Το επίπεδο ταφής βρέθηκε σχεδόν πάνω στο φυσικό βράχο, σε ένα λεπτό στρώμα από ερυθρωπό χώμα, που είναι το φυσικό έδαφος (Π ί ν. 303β, 304α-β).

Ελάχιστα σκελετικά λείψανα σώθηκαν, από τα οποία προκύπτει η ταφή ενός τουλάχιστον ατόμου στον τάφο (Παράρτημα Ια). Από τα κτερίσματα φαίνεται ότι ο νεκρός ήταν γυναίκα, πιθανόν εφηβικής ηλικίας.

ΕΥΡΗΜΑΤΑ

Π ί ν. 177

Σ τ ρ ώ μ α ΙΙ

1(3). Μόνωτο χειροποίητο ευρύστομο αγγείο Τπ. Ι, IV (101).
Σχεδόν ακέραιο. Δύο παράλληλες αυλακώσεις γύρω από τη βάση του λαιμού. Στον ώμο διπλές ζιγκ-ζαγκ αυλακώσεις. Αυλακωτή διακόσμηση και στο ταινιωτό τμήμα της γωνιόσχημης λαβής.
Πηλός Κτ. ΙΑ2
εξ. επ. ΤΜ-λ
εσ. επ. Τ
πρ. Τ
ύψ. 0,105, δμβ. 0,045, δμχ. 0,09 μ.

2(4). Τροχήλατο διπλό αγγείο με δύο αμφορίσκους Τπ. ΙΙ, Β (233).
Λείπει η κεντρική λαβή, καθώς και τμήματα από το χείλος και τις λαβές των αμφορίσκων.
Πηλός Κτ. ΙΙ
εξ. επ. Τ
εσ. επ. Τ
πρ. Τ
ύψ. 0,084, δμβ. 0,027 μ.

3(5). Πήλινο δικωνικό σφονδύλι Τπ. ΣΙΙ, 1γ.
Λείπει ένα τμήμα από την περιφέρεια.
ύψ. 0,027, δμ. 0,03 μ.

4(6). Περιδέραιο από 75 χάνδρες από μαλά-

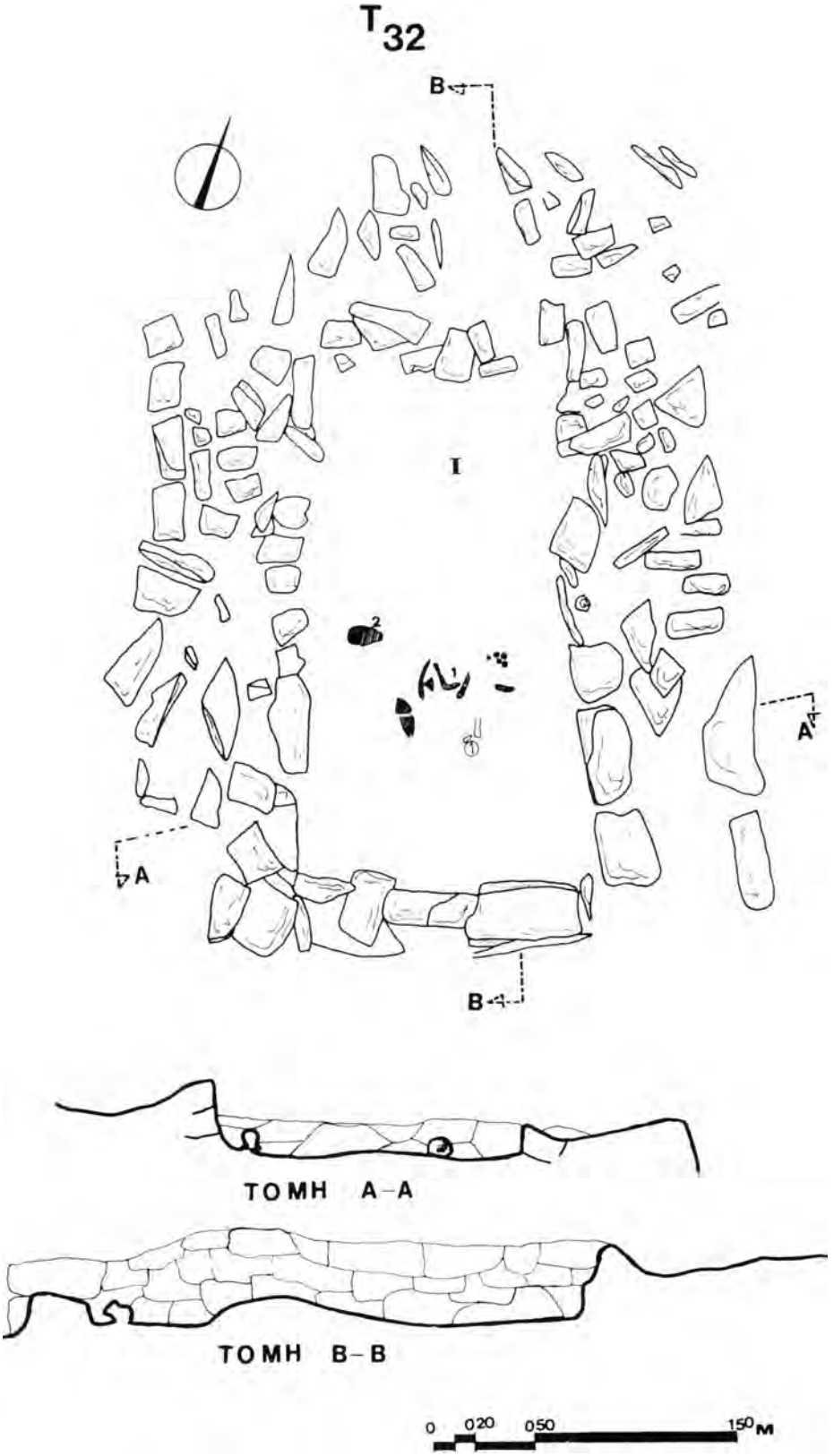

Σχέδ. 58. Κάτοψη και τομές τάφου Τ32. Στρώμα Ι.

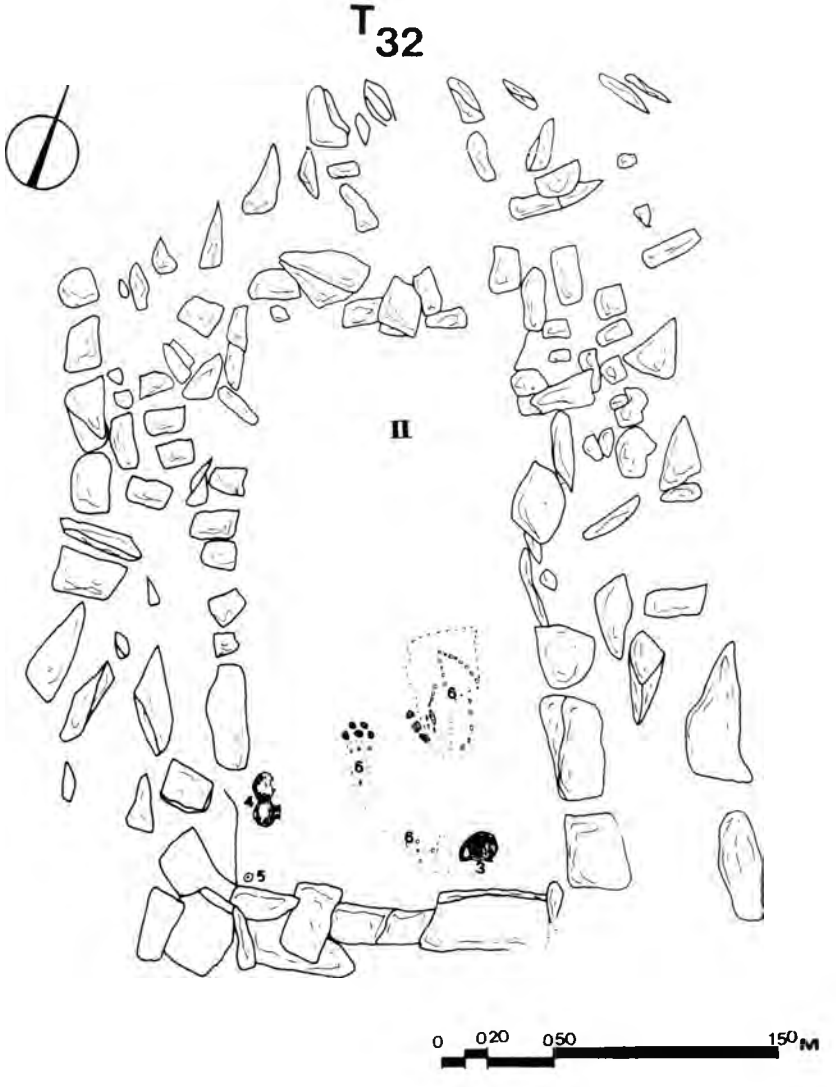

Σχέδ. 59. Κάτοψη τάφου Τ32. Στρώμα ΙΙ.

κιο Dentalium Vulgare Da Costa (Παράρτημα ΙΙ).
Οι ψήφοι βρέθηκαν διάσπαρτες ή σε ομάδες στο εσωτερικό του τάφου.

5. Θραύσματα μικρού χειροποίητου κυπελλόσχημου αγγείου Τπ. Ι, IV (41).
Σώζεται αποσπασματικά το άνω σώμα με τον ώμο, λαιμό και χείλος, καθώς και τμήμα λαβής. Μία αυλάκωση γύρω από τη βάση του λαιμού.
Πηλός Κτ. ΙΑ2
εξ. επ. ΚΜ-λ
εσ. επ. ΚΜ-λ
πρ. ΤΜ
συμπλ. ύψ. 0,084, δμχ. 0,069 μ.

Στρώμα Ι

6. Θραύσμα χειροποίητου ευρύστομου αγγείου Τπ. Ι, IV (19).
Σώζεται τμήμα ώμου με λαιμό και χείλος.
Πηλός Κτ. ΙΑ2
εξ. επ. ΚΜ-λ
εσ. επ. ΚΜ-λ
πρ. ΤΜ
σζ. ύψ. 0,104 μ.

7. Θραύσμα από το χείλος χειροποίητου αγ-

γείου Τπ. Ι, VIB.
Πηλός Κτ. ΙΒ2
εξ. επ. ΚΕ
εσ. επ. ΚΕ
πρ. ΚΤ
σζ. ύψ. 0,045 μ.

8. Θραύσμα από το άνω σώμα αγγείου Τπ. Ι, XI (198).
Σώζεται και τμήμα χείλους. Εγχάρακτη διακόσμηση κάτω από το χείλος και στο κυλινδρικό σώμα του αγγείου.
Πηλός Κτ. ΙΑ3
εξ. επ. ΚΤ
εσ. επ. Κ
πρ. Κ
σζ. ύψ. 0,081 μ.

9(2). Θραύσμα χειροποίητου αμφορέα Τπ. Ι, VIB.
Σώζεται τμήμα ώμου με κατακόρυφη λαβή.
Πηλός Κτ. ΙΒ2
εξ. επ. ΚΕ
εσ. επ. ΚΕ
πρ. ΚΕ
σζ. ύψ. 0,165 μ.

10. Θραύσμα από την κοιλιά χειροποίητου αγγείου Τπ. Ι, XII.
Πλαστική ταινία με «δακτυλιές» γύρω από την κοιλιά.
Πηλός Κτ. ΙΓ2
εξ. επ. Ε
εσ. επ. Ε
πρ. Ε
σζ. ύψ. 0,087 μ.

11(1). Θραύσματα από το κάτω σώμα τροχήλατου οξυπύθμενου αμφορέα.
εξ. επ. ΚΕ
εσ. επ. ΚΕ
πρ. ΚΕ
σζ. ύψ. 0,35 μ.

Τάφος Τ33

Ο τάφος Τ33 βρίσκεται σε απόσταση 5 μ. προς Δ. της συστάδας Τ27 και σε απόσταση 10 μ. προς Α. του τάφου Τ26 (Σ χ έ δ. Ι). Είναι ένας μικρός ορθογώνιος τάφος, με χαμηλές κτιστές πλευρές και προσανατολισμό Β.-Ν., περίπου. Καλυπτόταν με μια μεγάλη σχιστόπλακα και στη συνέχεια με στρώμα λίθων που σχημάτιζε ένα χαμηλό τύμβο με ακανόνιστο περίγραμμα. Κάτω από το στρώμα των λίθων δε διαπιστώθηκε κανένα ίχνος ταφής.

Ένα θραύσμα από τη λαβή χειροποίητου αγγείου, που βρέθηκε στον καθαρισμό του στρώματος των λίθων, δεν είναι βέβαιο αν προέρχεται από κτέρισμα του τάφου ή είναι μεταφερμένο όστρακο στην επίχωση.

Διαστάσεις (εξωτ.): 3,25 × 2,10, ύψ. 0,50 μ.

Ταφική συστάδα Τ34

Η ταφική συστάδα Τ34 βρίσκεται σε απόσταση 150 μ. προς ΝΔ. της ταφικής συστάδας Τ30. Αποτελείται από δύο ορθογώνιους τάφους με κοινό ενδιάμεσο τοίχο και προσανατολισμό Β.-Ν. (Σ χ έ δ. 60-61). Διαστάσεις ταφικής συστάδας (εσωτ.): μκ. 6, πλ. 6, ύψ. 0,90 μ.

Οι τάφοι καλύπτονταν από μεγάλες σχιστόπλακες και ριχτούς λίθους. Έξω από τα εξωτερικά περιγράμματα των τάφων ελάχιστοι λίθοι βρέθηκαν ριγμένοι, ορισμένοι από τους οποίους είναι πιθανό να προέρχονται και από τις πλαγιές των τάφων. Το αραιό στρώμα των λίθων, που έπεσε πάνω στους τάφους της συστάδας μετά την τοποθέτηση των καλυπτήριων πλακών, πρέπει να είχε καλύψει μόνο την άνω επιφάνεια των τάφων και όχι τις εξωτερικές κτιστές πλευρές (Π ί ν. 305α-β).

ΤΑΦΟΣ Τ34Α

Ο τάφος με ένα χαμηλό ενδιάμεσο τοίχο χωρίζεται σε θάλαμο και προθάλαμο. Οι καλυπτήριες πλάκες της οροφής κάλυπταν και τον προθάλαμο του τάφου (Π ί ν. 305γ, 306α).

Θ ά λ α μ ο ς

Διαστάσεις (εσωτ.): μκ. 2,67, πλ. 0,98 μ.

Δύο από τις καλυπτήριες πλάκες της οροφής του τάφου βρέθηκαν στην αρχική τους θέση (Π ί ν. 306α). Οι υπόλοιπες βρέθηκαν σπασμένες και πεσμένες στο εσωτερικό του τάφου. Κάτω από τις πλάκες της οροφής μεσολαβούσε ένα κενό και ακολουθούσε ένα στρώμα από λίθους και ελάχιστο χώμα που κάλυπτε το επίπεδο της ταφής. Το επίπεδο της ταφής βρέθηκε διαταραγμένο και συλημένο. Συγκεντρώθηκαν ορισμένα θραύσματα αγγείων, τα οποία πρέπει να προέρχονται από δύο, διάφορες χρονικά, χρήσεις του τάφου.

Στρώμα Ι: Όστρακα αγγείων ρωμαϊκών χρόνων.

Στρώμα ΙΙ: Όστρακα χειροποίητων αγγείων πρώιμης εποχής του σιδήρου.

ΕΥΡΗΜΑΤΑ

Σ τ ρ ώ μ α Ι

Π ί ν. 178Α

1. Θραύσματα τροχήλατου κλειστού αγγείου ιστορικών χρόνων.
Σώζεται τμήμα λαιμού και ώμου.
Πηλός ερυθρός
εξ. επ. Ε
εσ. επ. Ε
σζ. ύψ. λ. 0,039 μ.

2. Θραύσμα από το χείλος τροχήλατου πινακίου ιστορικών χρόνων.
Χείλος οριζόντιο με ζιγκ-ζαγκ πέρας.
Πηλός Κτ. ΙΙ
εξ. επ. Ε
εσ. επ. Ε
πρ. Ε
σζ. πλ. χείλους 0,018 μ.

3. Θραύσματα τροχήλατου ευρύστομου αγγείου ιστορικών χρόνων.
Σώζονται αποσπασματικά μέρη από το σώμα και το χείλος.
Πηλός Κτ. ΙΙ
εξ. επ. Ε
εσ. επ. Ε
πρ. Ε
συμπλ. δμχ. 0,18 μ.

4. Θραύσμα κατακόρυφης λαβής τροχήλατου αγγείου ιστορικών χρόνων.
Δύο ραβδώσεις κατά μήκος της λαβής. Πιθανόν από το αγγείο αριθ. 1.
Πηλός Κτ. ΙΙ
εξ. επ. Ε
εσ. επ. Ε-Τ
πρ. Ε
σζ. μκ. λβ. 0,09 μ.

5. Θραύσματα τροχήλατου αγγείου ιστορικών χρόνων.
Σώζεται αποσπασματικά το σώμα και μία κατακόρυφη λαβή με δύο ραβδώσεις κατά μήκος.
Πηλός Κτ. ΙΙ
εξ. επ. Ε
εσ. επ. Ε
πρ. Ε
σζ. μκ. λβ. 0,063 μ.

6. Θραύσμα τροχήλατου αγγείου ιστορικών χρόνων.
Σώζεται τμήμα χείλους και λαβής. Δύο ραβδώσεις κατά μήκος της λαβής.
Πηλός Κτ. ΙΙ
εξ. επ. Ε
εσ. επ. Ε
πρ. Ε
σζ. μκ. 0,066 μ.

7. Θραύσμα από το σώμα τροχήλατου μελαμβαφούς αγγείου ιστορικών χρόνων.
Πηλός Κτ. ΙΙ
εξ. επ. μελαμβαφής
εσ. επ. άβαφη
πρ. Ε
σζ. ύψ. 0,04 μ.

8. Θραύσματα τροχήλατου κλειστού αγγείου ιστορικών χρόνων.
Πηλός Κτ. ΙΙ
εξ. επ. Ε
εσ. επ. Ε
πρ. Ε

Σ τ ρ ώ μ α ΙΙ

Π ί ν. 178Β

1. Θραύσμα μόνωτου χειροποίητου ευρύστομου αγγείου Τπ. Ι, ΙV (105).

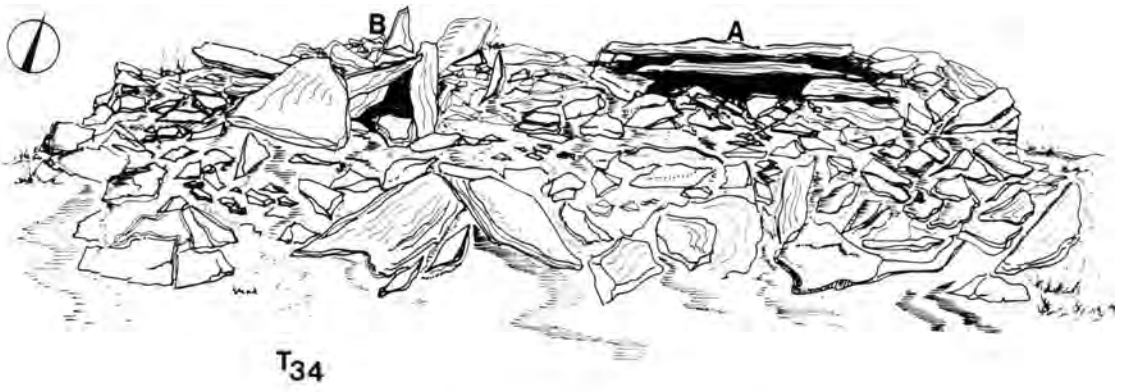

Σχέδ. 60. Η ταφική συστάδα Τ34 πριν από την ανασκαφή.

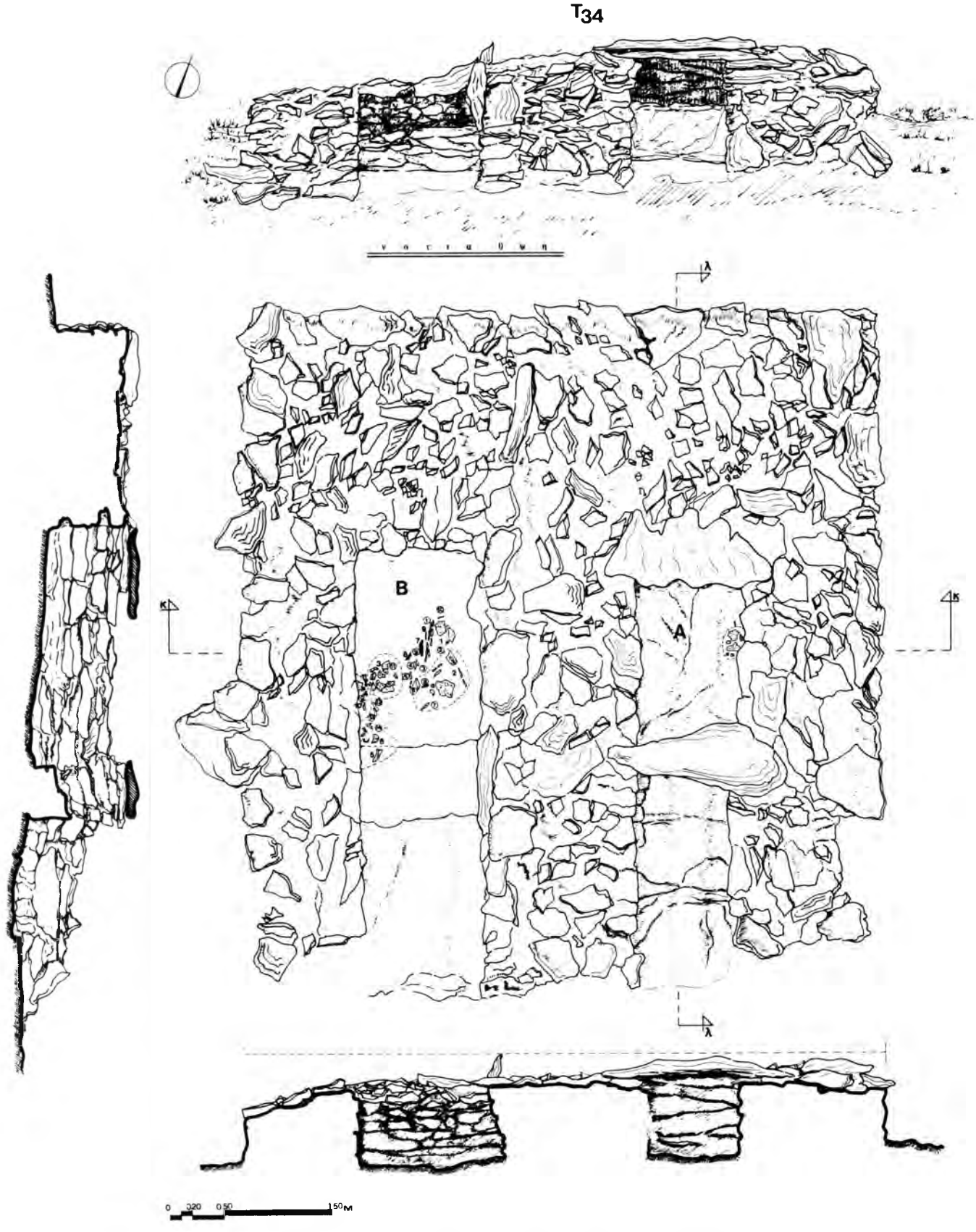

Σχέδ. 61. Όψη, κάτοψη και τομές ταφικής συστάδας T34.

Σώζεται τμήμα ώμου με λαβή και τμήμα λαιμού. Σειρά από στικτές κουκίδες γύρω από τη βάση του λαιμού.
Πηλός Κτ. ΙΑ2
εξ. επ. ΚΤ-λ
εσ. επ. ΚΜ-λ
πρ. ΤΜ
ύψ. λβ. 0,105 μ.

2. Θραύσματα χειροποίητου ευρύστομου αγγείου Τπ. Ι, IV.
Σώζεται τμήμα ώμου με αρχή λαβής και με τμήμα λαιμού και χείλους.
Πηλός Κτ. ΙΑ2
εξ. επ. ΚΜ-λ
εσ. επ. ΚΜ
πρ. Κ
σζ. ύψ. 0,069 μ.

3. Θραύσμα γωνιόσχημης λαβής χειροποίητου αγγείου Τπ. Ι, IV.
Πηλός Κτ. ΙΑ2
εξ. επ. ΚΜ-λ
εσ. επ. ΚΜ-λ
πρ. ΚΤ
ύψ. λβ. 0,081 μ.

4. Θραύσματα κατακόρυφης λαβής χειροποίητου αγγείου Τπ. Ι, IV.
Πηλός Κτ. ΙΒ4
εξ. επ. ΚΕ
εσ. επ. ΚΕ
πρ. ΚΕ
σζ. ύψ. 0,093 μ.

5. Θραύσμα χειροποίητου αγγείου Τπ. Ι, VI.
Σώζεται τμήμα λαιμού και χείλους.
Πηλός Κτ. ΙΑ2
εξ. επ. ΚΕ
εσ. επ. ΚΕ
πρ. ΚΕ
σζ. ύψ. 0,06 μ.

ΤΑΦΟΣ Τ34Β

Ο τάφος Τ34Β χωρίζεται με ένα χαμηλό ενδιάμεσο τοίχο σε θάλαμο και προθάλαμο. Οι καλυπτήριες πλάκες της οροφής κάλυπταν και τον προθάλαμο του τάφου (Π ί ν. 306β).

Θ ά λ α μ ο ς

Διαστάσεις (εσωτ.): μκ. 2, πλ. 1,50, ύψ. 1 μ.

Οι σχιστόπλακες της οροφής του τάφου βρέθηκαν σπασμένες και πεσμένες στο εσωτερικό του τάφου, μαζί με το στρώμα λίθων που κάλυπτε το εσωτερικό του τάφου (Π ί ν. 306β). Στο επίπεδο των ταφών, που βρίσκονταν πάνω στο φυσικό βράχο, βρέθηκαν αγγεία ιστορικών χρόνων, σπασμένα και διασκορπισμένα σε διάφορα σημεία του εσωτερικού του θαλάμου, ενώ από τα χειροποίητα αγγεία της αρχαιότερης φάσης του τάφου βρέθηκαν μόνο θραύσματα.

Στρώμα Ι: Αγγεία και θραύσματα τροχήλατων αγγείων ιστορικών χρόνων.

Στρώμα ΙΙ: Θραύσματα χειροποίητων αγγείων πρώιμης εποχής του σιδήρου.

Η ανθρωπολογική μελέτη εντόπισε λείψανα από τρεις ταφές παιδιών και τριών έως τεσσάρων ενηλίκων (Παράρτημα Ια).

Δόντια αιγοπροβάτου βρέθηκαν, επίσης, στο επίπεδο ταφής (Παράρτημα ΙΙ).

ΕΥΡΗΜΑΤΑ

Π ί ν. 179

Σ τ ρ ώ μ α Ι

Ιστορικοί χρόνοι

1(Β1+2+3+4+6). Τροχήλατη λεκάνη.
Λείπει ένα μικρό μέρος από το σώμα του αγγείου.
Πηλός Κτ. ΙΙ
εξ. επ. Ε
εσ. επ. Ε
πρ. Ε
ύψ. 0,15, δμβ. 0,255, δμχ. 0,36 μ.

2(Β5). Δίωτο τροχήλατο αγγείο.
Ακέραιο.
Πηλός Κτ. ΙΙ
εξ. επ. Τ
εσ. επ. Τ
πρ. Τ

ύψ. 0,048, δμβ. 0,036, δμχ. 0,12 μ.

3(Β1). Θραύσματα τροχήλατου κλειστού αγγείου (προχοΐσκη).
Σώζεται η δακτυλιόσχημη βάση και μέρος από το σώμα του αγγείου.
Πηλός Κτ. ΙΙ
εξ. επ. Ε
εσ. επ. Ε
πρ. Ε
σζ. ύψ. 0,105, δμβ. 0,075 μ.

4(Β1). Θραύσματα τροχήλατου αγγείου.
Σώζεται η βάση και αποσπασματικά το σώμα και το χείλος του αγγείου.
Πηλός Κτ. ΙΙ
εξ. επ. Ε
εσ. επ. Ε
πρ. Ε
δμβ. 0,066 μ.

5(Β3+6). Θραύσματα τροχήλατου αγγείου.
Πηλός Κτ. ΙΙ
εξ. επ. Ε
εσ. επ. Ε
πρ. Ε
σζ. ύψ. 0,015, δμβ. 0,039 μ.

6(Β6). Χειροποίητο αγγείο Τπ. Ι, VIII (187).
Λείπει ένα μέρος από το άνω τμήμα του αγγείου και η λαβή.
Πηλός Κτ. ΙΑ2
εξ. επ. ΚΕ-Κ
εσ. επ. ΚΤ
πρ. Κ
σζ. ύψ. 0,054, δμχ. 0,06 μ.

7(Β2). Θραύσμα χειροποίητου πίθου.
Σώζεται τμήμα λαιμού με χείλος.
Πηλός Κτ. ΙΓ2
εξ. επ. Ε
εσ. επ. Ε
πρ. Ε
σζ. ύψ. 0,042 μ.

Έξω από τη βόρεια πλευρά της συστάδας

Έξω από τη βόρεια πλευρά της ταφικής συστάδας Τ34 βρέθηκαν διάσπαρτα όστρακα ρωμαϊκών αγγείων:

8. Θραύσμα από το χείλος τροχήλατου πινακίου.
Πηλός Κτ. ΙΙ
εξ. επ. Ε - επίχρισμα πορτοκαλέρυθρο
εσ. επ. Ε
πρ. Ε
σζ. ύψ. 0,015, δμχ. 0,12 μ.

9. Θραύσμα από το χείλος τροχήλατου αγγείου.
Πηλός Κτ. ΙΙ
εξ. επ. Ε
εσ. επ. Ε
πρ. Ε
σζ. ύψ. 0,015 μ.

10. Θραύσμα από το χείλος τροχήλατου αγγείου.
Πηλός Κτ. ΙΙ
εξ. επ. Ε
εσ. επ. Ε
πρ. Ε
σζ. ύψ. 0,015 μ.

11. Θραύσμα από το χείλος τροχήλατου αγγείου.
Πηλός Κτ. ΙΙ
εξ. επ. Ε
εσ. επ. Ε
πρ. Ε
σζ. ύψ. 0,015 μ.

12. Θραύσμα βάσης τροχήλατου αγγείου.
Πηλός Κτ. ΙΙ
εξ. επ. Ε
εσ. επ. Ε
πρ. Ε
σζ. ύψ. 0,015, δμβ. 0,075 μ.

13. Θραύσμα βάσης τροχήλατου αγγείου.
Πηλός Κτ. ΙΙ
εξ. επ. Ε
εσ. επ. Ε
πρ. Ε
σζ. ύψ. 0,006, δμβ. 0,06 μ.

14. Θραύσματα από τον ώμο τροχήλατου αγγείου.
Πηλός Κτ. ΙΙ
εξ. επ. Ε
εσ. επ. Ε
πρ. Ε
σζ. ύψ. 0,027 μ.

15. Θραύσμα βάσης τροχήλατου ανοικτού αγγείου.
Πηλός Κτ. ΙΙ
εξ. επ. Ε - επίχρισμα πορτοκαλέρυθρο
εσ. επ. Ε
πρ. Ε
σζ. ύψ. 0,015, δμβ. 0,075 μ.

Στρώμα ΙΙ

Πρώιμη εποχή του σιδήρου

Πίν. 180

1(Β7). Σιδερένια λεπίδα εγχειριδίου Τπ. ΕVIII.
Ράχη κυρτή, ακμή κοίλη.
μγ. μκ. 0,126 μ.

2(Β8). Σιδερένια λεπίδα εγχειριδίου Τπ. ΕΧ, 2.
Ράχη ελαφρά κυρτή, ακμή ελαφρά κυρτή, ουρά ισόπαχη με ένα καρφί.
μκ. 0,06 μ.

3(Β9). Θραύσμα σιδερένιας λεπίδας εγχειριδίου Τπ. ΕΧ, 2.
σζ. μκ. 0,03 μ.

4(Β11). Δύο χάλκινοι σφηκωτήρες Τπ. Σφ. 2.
δμ. 0,015-0,012 μ.

5(Β10). Θραύσματα χειροποίητου αγγείου Τπ. Ι, ΙV (82).
Σώζεται αποσπασματικά η βάση και το άνω κυρίως σώμα του αγγείου με την αρχή λαβής. Δύο παράλληλες αυλακώσεις γύρω από τη βάση του λαιμού, μία αυλάκωση κάτω από την περιφέρεια του χείλους.
Πηλός Κτ. ΙΑ2
εξ. επ. ΚΜ-ΚΕ-λ
εσ. επ. Κ-ΚΕ
πρ. Κ
σζ. ύψ. 0,105 μ.

6(Β3). Θραύσμα μόνωτου χειροποίητου ευρύστομου αγγείου Τπ. Ι, ΙV.
Σώζεται τμήμα ώμου και λαιμού με το κάτω τμήμα της γωνιόσχημης λαβής. Δύο παράλληλες αυλακώσεις γύρω από τη βάση του λαιμού.
Πηλός Κτ. ΙΑ2
εξ. επ. ΚΜ-λ
εσ. επ. Κ-λ
πρ. ΚΜ
σζ. ύψ. 0,09, ύψ. λβ. 0,105 μ.

7(Β10). Θραύσμα λαβής χειροποίητου αγγείου Τπ. Ι, ΙV.
Πηλός Κτ. ΙΑ2
εξ. επ. Κ-ΚΜ
εσ. επ. ΚΜ
πρ. ΚΤ
συμπλ. ύψ. 0,09 μ.

8(Β10). Θραύσματα μόνωτου χειροποίητου ευρύστομου αγγείου Τπ. Ι, ΙV (50).
Σώζεται τμήμα ώμου και λαιμού με τη λαβή του αγγείου. Δύο παράλληλες αυλακώσεις γύρω από τη βάση του λαιμού.
Πηλός Κτ. ΙΑ2
εξ. επ. ΚΜ-λ
εσ. επ. ΤΜ-ΚΕ
πρ. ΚΜ
σζ. ύψ. 0,09 μ.

9(Β2 + 3). Θραύσματα χειροποίητου ευρύστομου αγγείου Τπ. Ι, ΙV.
Σώζεται τμήμα λαιμού και χείλους, καθώς και μία κατακόρυφη λαβή.
Πηλός Κτ. ΙΒ1-ΙΒ2
εξ. επ. ΚΕ
εσ. επ. ΚΕ
πρ. Κ
σζ. ύψ. 0,06 μ.

10(Β3). Θραύσματα χειροποίητου αγγείου Τπ. Ι, ΙV (108).
Σώζεται τμήμα από τη βάση και τον ώμο του αγγείου. Αυλάκωση γύρω από τη βάση του λαιμού και σειρά από κοντές λοξές χαράξεις στον ώμο.
Πηλός Κτ. ΙΒ1-ΙΒ2
εξ. επ. ΚΕ-Κ
εσ. επ. ΚΤ-λ
πρ. ΚΕ-Κ
συμπλ. ύψ. 0,135, δμβ. 0,08 μ.

11(Β2 + 5). Θραύσματα μόνωτου χειροποίητου ευρύστομου αγγείου Τπ. Ι, ΙV (65).
Σώζεται αποσπασματικά το σώμα του αγγείου με το μεγαλύτερο τμήμα της λαβής. Δύο παράλληλες αυλακώσεις κάτω από την περιφέρεια του χείλους· μία αυλάκωση σώζεται γύρω από τη βάση του λαιμού.
Πηλός Κτ. ΙΑ2
εξ. επ. ΚΜ-ΚΕ-λ
εσ. επ. ΚΤ-λ
πρ. ΚΤ
σζ. ύψ. 0,15, δμχ. 0,135 μ.

12. Θραύσμα χειροποίητου αγγείου Τπ. Ι, ΧΙΙ.
Σώζεται τμήμα ώμου με αρχή λαβής. Πλαστική ταινία με «δακτυλιές» γύρω από τον ώμο.
Πηλός Κτ. ΙΓ2
εξ. επ. Ε
εσ. επ. Ε
πρ. Ε

σζ. ύψ. 0,075 μ.

13. Θραύσμα χειροποίητου αγγείου Τπ. Ι, XII.
Σώζεται τμήμα ώμου με αρχή λαβής.
Πηλός Κτ. ΙΑ3
εξ. επ. ΤΜ
εσ. επ. ΚΕ
πρ. ΤΜ

Π ρ ο θ ά λ α μ ο ς

Ο προθάλαμος του τάφου Τ34Α καλυπτόταν με μεγάλες σχιστόπλακες, όπως και ο θάλαμος του τάφου. Μία από τις σχιστόπλακες της οροφής βρέθηκε στην αρχική της θέση. Κάτω από τις σχιστόπλακες ακολουθούσε, μετά τη μεσολάβηση ενός κενού, ένα στρώμα λίθων που γέμιζε τον προθάλαμο ως το δάπεδό του (Π ί ν. 306β, 307α). Μέσα στο στρώμα των λίθων βρέθηκαν ορισμένα θραύσματα αγγείων, από τα οποία τα πιο αξιόλογα ήταν θραύσματα ενός χειροποίητου αμφορέα. Ο προθάλαμος χωριζόταν από το θάλαμο με έναν τοίχο.

ΕΥΡΗΜΑΤΑ

Π ί ν. 178Γ

1. Θραύσματα χειροποίητου αμφορέα Τπ. Ι, VIB (136).
Σώζονται τμήματα από το άνω σώμα του αγγείου, καθώς και τμήμα λαιμού με χείλος. Δύο παράλληλες αυλακώσεις γύρω από τη βάση του λαιμού και κάτω από την περιφέρεια του χείλους.
Πηλός Κτ. ΙΒ1
εξ. επ. ΚΕ-λ
εσ. επ. Κ
πρ. Κ
σζ. ύψ. 0,208, δμχ. 0,18 μ.

Ταφική συστάδα Τ35

Η ταφική συστάδα Τ35 βρίσκεται σε απόσταση 100 μ. προς Δ. της ταφικής συστάδας Τ30 και 50 μ. προς Α. της συστάδας Τ34. Το ταφικό αυτό συγκρότημα, όπως και το Τ34, αποτελούν τους πιο απομακρυσμένους τάφους του νεκροταφείου Τσιγανάδικα, τα δυτικά όρια του οποίου πρέπει να τα ορίζει η ταφική συστάδα Τ34. Η ταφική συστάδα Τ35 αποτελείται από δύο επιμέρους ταφικά συγκροτήματα, που έχουν ενωθεί σ' ένα συγκρότημα (Π ί ν. 308α). Οι έξι τάφοι της συστάδας είναι ορθογώνια υπέργεια κτίσματα με κοινό προσανατολισμό Β.-Ν. (Σ χ έ δ. V). Διαστάσεις ταφικής συστάδας (εξωτ.): μκ. 12, πλ. 6, ύψ. 1 μ.

Οι τάφοι καλύπτονταν από μεγάλες σχιστόπλακες και στρώμα λίθων, το οποίο κάλυπτε την άνω μόνο επιφάνεια των τάφων. Οι αραιοί λίθοι, που βρέθηκαν διάσπαρτοι γύρω από τις εξωτερικές πλευρές των τάφων, είναι πιθανότερο να προέρχονται από τις πλάγιες κτιστές πλευρές των τάφων που έχουν σε ορισμένα σημεία καταρρεύσει, και να μην ανήκουν σε κοινή λιθορριπή-τύμβο πάνω σ' όλους τους τάφους (Π ί ν. 308α).

ΤΑΦΟΣ Τ35Α

Ο τάφος Τ35Α χωρίζεται με ενδιάμεσο τοίχο σε θάλαμο και προθάλαμο.

Οι σχιστόπλακες της οροφής του τάφου, που έχει καταρρεύσει, βρέθηκαν σπασμένες και πεσμένες στο εσωτερικό του τάφου. Κάτω από τις σχιστόπλακες ακολουθούσε στρώμα λίθων, που κάλυπτε το εσωτερικό του θαλάμου και προθαλάμου (Π ί ν. 308β).

Θ ά λ α μ ο ς

Διαστάσεις (εσωτ.): μκ. 2, πλ. 1,30, ύψ. 0,90 μ.

Το επίπεδο των ταφών εντοπίσθηκε πάνω στο φυσικό βράχο, κάτω από το στρώμα των λίθων, με το οποίο καλυπτόταν το εσωτερικό του θαλάμου (Π ί ν. 309α-β).

Οι διαδοχικές ταφές που έχουν πραγματοποιηθεί στο θάλαμο του τάφου έχουν προκαλέσει διατάραξη των οστών και των κτερισμάτων, που δεν επιτρέπει να ξεχωρίσουμε ούτε την

τελευταία χρονικά ταφή του τάφου. Τα κτερίσματα εμφανίζονται συγκεντρωμένα, κυρίως στη νοτιοδυτική και τη νοτιοανατολική γωνία του τάφου, αλλά δεν είναι δυνατό να ξεχωρίσουν με ασφάλεια οι επιμέρους ομάδες (Π ί ν. 309γ-δ). Διακρίνονται ωστόσο δύο γενικές ομάδες: Ομάδα Α1 (δυτική πλευρά τάφου) και Α2 (ανατολική πλευρά τάφου).

Η ανθρωπολογική μελέτη των σκελετικών λειψάνων ξεχώρισε τρεις ταφές ενηλίκων και μία ταφή παιδιού (Παράρτημα Ια).

Στο επιφανειακό στρώμα του εσωτερικού του τάφου βρέθηκαν ορισμένα θραύσματα οστών αιγοπροβάτων (Παράρτημα ΙΙ).

ΕΥΡΗΜΑΤΑ

Ομάδα Α1

Π ί ν. 181

1(Α9). Μόνωτο χειροποίητο ευρύστομο αγγείο Τπ. Ι, IV (91).
Λείπει ένα μικρό τμήμα από το χείλος. Στο λαιμό του αγγείου διπλές παράλληλες αυλακώσεις που σχηματίζουν μετόπη. Διπλές κυματιστές αυλακώσεις και στον ώμο του αγγείου. Αυλακωτή διακόσμηση και στο ταινιωτό τμήμα της γωνιόσχημης λαβής.
Πηλός Κτ. ΙΑ2
εξ. επ. ΚΜ-λ
εσ. επ. ΚΜ-λ
πρ. ΚΤ
ύψ. 0,135, δμβ. 0,048 μ.

2(Α5 + 17). Θραύσματα μόνωτου χειροποίητου ευρύστομου αγγείου Τπ. Ι, IV (96).
Σώζεται η βάση και το άνω σώμα του αγγείου, καθώς και το κάτω τμήμα της λαβής. Δύο παράλληλες αυλακώσεις γύρω από τη βάση του λαιμού. Τριπλές ζιγκ-ζαγκ αυλακώσεις στον ώμο του αγγείου, όπου κατά κανονικά διαστήματα υπάρχουν και αποφύσεις που πλαισιώνονται από τις αυλακώσεις.
Πηλός Κτ. ΙΑ2
εξ. επ. ΚΜ-λ
εσ. επ. ΚΜ-λ
πρ. ΚΤ
σζ. ύψ. 0,111, δμβ. 0,06, δμχ. 0,141 μ.

3(Α8). Χειροποίητος αμφορέας Τπ. Ι, VIΓ (125α).
Λείπει μικρό τμήμα από το χείλος και από τη λαβή του αγγείου. Δύο χαμηλές αυλακώσεις γύρω από τη βάση του λαιμού.
Πηλός Κτ. ΙΒ1
εξ. επ. ΚΜ
εσ. επ. ΚΕ
πρ. Ε
ύψ. 0,027, δμβ. 0,09, δμχ. 0,12 μ.

4(Α15). Θραύσματα μόνωτου χειροποίητου ευρύστομου αγγείου Τπ. Ι, IV (42).
Σώζεται τμήμα ώμου και λαιμού, καθώς και τμήμα λαβής.
Πηλός Κτ. ΙΒ1-ΙΒ2
εξ. επ. ΚΜ
εσ. επ. ΚΕ
πρ. ΚΜ
σζ. ύψ. 0,075 μ.

5(Α11). Θραύσματα χειροποίητου ευρύστομου αγγείου Τπ. Ι, IV (84α).
Σώζεται τμήμα ώμου με τη λαβή. Δύο παράλληλες αυλακώσεις κάτω από το χείλος και γύρω από τη βάση του λαιμού.
Πηλός Κτ. ΙΒ1
εξ. επ. ΚΕ-λ
εσ. επ. ΚΕ
πρ. Κ
σζ. ύψ. 0,075 μ.

6(Α14). Χάλκινο εγχειρίδιο Τπ. ΕΙ, 2α.
Ράχη κυρτή, ακμή κοίλη, ουρά χωρίς καρφιά, που εισέχει από τις δύο πλευρές της λεπίδας.
μκ. 0,126 μ.

7(Α18). Πήλινο δικωνικό σφονδύλι Τπ. ΣΙ, 3.
Λείπει ένα τμήμα από την περιφέρεια.
ύψ. 0,03 μ.

Ομάδα Α2

Π ί ν. 182

8(Α6). Μόνωτο χειροποίητο ευρύστομο αγγείο Τπ. Ι, IV (73).
Λείπει το μεγαλύτερο τμήμα του λαιμού με το χείλος και το άνω τμήμα της λαβής. Στο λαιμό διπλές παράλληλες αυλακώσεις σχηματίζουν μετόπη.
Πηλός Κτ. ΙΑ2
εξ. επ. ΚΤ-λ
εσ. επ. ΚΤ-λ

πρ. ΚΤ
σζ. ύψ. 0,138, δμβ. 0,072, δμχ. 0,035 μ.

9. Θραύσματα μόνωτου χειροποίητου ευρύστομου αγγείου Τπ. Ι, IV (60α).
Μία αυλάκωση κάτω από την περιφέρεια του χείλους και γύρω από τη βάση του λαιμού.
Πηλός Κτ. ΙΒ1
εξ. επ. ΚΕ-λ
εσ. επ. ΚΕ-λ
πρ. ΚΕ
σζ. ύψ. 0,102 μ.

10(Α3). Μόνωτο χειροποίητο ευρύστομο αγγείο Τπ. Ι, IV (25).
Λείπει ένα μέρος από το αγγείο.
Πηλός Κτ. ΙΑ2-ΙΑ3
εξ. επ. ΚΜ
εσ. επ. ΚΜ
πρ. ΚΜ
ύψ. 0,123, δμχ. 0,165 μ.

11(Α7). Δίωτο χειροποίητο κανθαρόσχημο αγγείο Τπ. Ι, VB (119).
Λείπει η μία λαβή του αγγείου. Διπλές παράλληλες αυλακώσεις σχηματίζουν μετόπη στις δύο όψεις του λαιμού του αγγείου. Αυλακωτή διακόσμηση και στο ταινιωτό τμήμα της γωνιόσχημης λαβής.
Πηλός Κτ. ΙΑ2
εξ. επ. ΚΤ-λ
εσ. επ. ΚΤ-λ
πρ. ΚΤ
ύψ. 0,105, δμβ. 0,045, δμχ. 0,066 μ.

12(Α4). Θραύσματα τροχήλατου αμφορέα Τπ. ΙΙ, Γ (232).
Σώζεται η βάση και το κάτω σώμα με μία λαβή.
Πηλός Κτ. ΙΙ
εξ. επ. Τ
εσ. επ. Τ
πρ. Τ
σζ. ύψ. 0,105, δμβ. 0,066 μ.

13. Θραύσματα χειροποίητης οινοχόης Τπ. Ι, VIIE (177).
Σώζεται τμήμα του λαιμού με χείλος και λαβή, καθώς και μικρά θραύσματα από το σώμα.
Πηλός Κτ. ΙΓ1
εξ. επ. ΚΕ
εσ. επ. ΚΕ
πρ. ΚΕ
σζ. ύψ. 0,066, δμλ. 0,06 μ.

14(Α12). Χάλκινο εγχειρίδιο Τπ. ΕV, 6.
Ράχη κυρτή, ακμή κοίλη, ουρά χωρίς καρφιά, που εισέχει και από τις δύο πλευρές της λεπίδας.
μκ. 0,066 μ.

15(Α10). Πήλινο δικωνικό σφονδύλι Τπ. ΣΙΙ, 1δ.
ύψ. 0,03, δμ. 0,033 μ.

16(Α13). Πήλινο δικωνικό σφονδύλι Τπ. ΣΙΙΙ, 1γ.
ύψ. 0,026, δμ. 0,027 μ.

17. Θραύσματα από το λαιμό χειροποίητου αγγείου Τπ. Ι, IV (79).
Δύο παράλληλες αυλακώσεις γύρω από τη βάση του λαιμού και κάτω από την περιφέρεια του χείλους.
Πηλός Κτ. ΙΑ2
εξ. επ. ΚΜ-λ
εσ. επ. ΚΜ-λ
πρ. ΚΤ
σζ. ύψ. 0,06 μ.

18. Θραύσμα από το χείλος χειροποίητου ευρύστομου αγγείου Τπ. Ι, IV.
Δύο παράλληλες αυλακώσεις κάτω από την περιφέρεια του χείλους.
Πηλός Κτ. ΙΒ1
εξ. επ. Κ
εσ. επ. Κ
πρ. Κ
σζ. ύψ. 0,036 μ.

19. Θραύσματα από τον ώμο χειροποίητου ευρύστομου αγγείου Τπ. Ι, IV (79).
Δύο παράλληλες αυλακώσεις γύρω από τη βάση του λαιμού.
Πηλός Κτ. ΙΑ2
εξ. επ. ΤΜ-λ
εσ. επ. ΤΜ-λ
πρ. ΤΜ
σζ. ύψ. 0,045 μ.

20. Θραύσματα λαβής χειροποίητου αγγείου Τπ. Ι, IV.
Αυλακωτή διακόσμηση στο άνω και κάτω άκρο του κυλινδρικού τμήματος της γωνιόσχημης λαβής.
Πηλός Κτ. ΙΒ1
εξ. επ. ΚΕ
εσ. επ. ΚΕ
πρ. ΚΤ
σζ. ύψ. 0,09 μ.

ΤΑΦΟΣ Τ35Β

Ορθογώνιος τάφος με κτιστές πλευρές, στη δυτική πλευρά του τάφου Τ35Α, με τον οποίο έχει κοινό τον ενδιάμεσο τοίχο. Οι δύο τάφοι έχουν κοινό προσανατολισμό Β.-Ν. και πρέπει να έχουν κατασκευασθεί συγχρόνως (Σ χ έ δ. V).

Ο τάφος Τ35Β, όπως και ο Τ35Α, χωρίζεται με ένα χαμηλό τοίχο σε θάλαμο και προθάλαμο. Ο θάλαμος καλυπτόταν από μεγάλες σχιστόπλακες, η μία από τις οποίες σωζόταν ακόμη στην αρχική της θέση. Οι υπόλοιπες είχαν σπάσει και πέσει στο εσωτερικό του θαλάμου. Ο προθάλαμος του τάφου καλυπτόταν από απλό στρώμα λίθων.

Θ ά λ α μ ο ς

Διαστάσεις θαλάμου (εσωτ.): μκ. 2, πλ. 1,30, ύψ. 0,80-0,90 μ.

Μετά την απομάκρυνση των μεγάλων θραυσμάτων από σχιστόπλακες της οροφής του τάφου, που βρέθηκαν πεσμένα στο εσωτερικό του θαλάμου (Π ί ν. 310α-β), διαπιστώθηκε ότι το επίπεδο των ταφών καλυπτόταν με λιθόστρωμα και χώμα (Π ί ν. 311α).

Κάτω από το στρώμα των λίθων και πάνω στο φυσικό βράχο βρέθηκαν ελάχιστα ίχνη από τα οστά των ταφών και θραύσματα από τα κτερίσματά τους.

Ο τάφος πρέπει να είχε διαταραχθεί. Κατά μήκος των μακρών πλευρών του θαλάμου βρέθηκαν οστά παραμερισμένα και θραύσματα κτερισμάτων πάνω σ' αυτά (Π ί ν. 311β).

Η ανθρωπολογική μελέτη ξεχώρισε οστά δύο, τουλάχιστον, ατόμων (Παράρτημα Ια).

Επίσης, βρέθηκε ένα θραύσμα οστού αιγοπροβάτου στο εσωτερικό του θαλάμου (Παράρτημα ΙΙ).

ΕΥΡΗΜΑΤΑ

Π ί ν. 183Α

1(Β1). Θραύσματα μόνωτου χειροποίητου ευρύστομου αγγείου Τπ. Ι, IV (111).
Σώζεται το κάτω τμήμα του αγγείου με μέρος ώμου, καθώς και η γωνιόσχημη λαβή. Λοξές παράλληλες αυλακώσεις στον ώμο του αγγείου (rippled).
Πηλός Κτ. ΙΑ2
εξ. επ. ΤΜ-λ
εσ. επ. ΤΜ-λ
πρ. ΤΜ
συμπλ. ύψ. 0,108, δμβ. 0,06, δμχ. 0,105 μ.

2(Β5). Θραύσματα μόνωτου χειροποίητου ευρύστομου αγγείου Τπ. Ι, IV (94).
Σώζεται τμήμα ώμου και λαιμού, καθώς και το ταινιωτό τμήμα της γωνιόσχημης λαβής. Δύο παράλληλες αυλακώσεις γύρω από τη βάση του λαιμού, διπλές ζιγκ-ζαγκ αυλακώσεις κατά διαστήματα στον ώμο πλαισιώνουν αντίστοιχες αποφύσεις.
Πηλός Κτ. ΙΑ2
εξ. επ. ΤΜ-λ
εσ. επ. ΤΜ-λ
πρ. Τ
σζ. ύψ. 0,066 μ.

3(Β4). Θραύσμα μόνωτου χειροποίητου ευρύστομου αγγείου Τπ. Ι, IV.
Σώζεται τμήμα ώμου με τμήμα λαβής. Δύο παράλληλες αυλακώσεις γύρω από τη βάση του λαιμού.
Πηλός Κτ. ΙΑ2-ΙΑ3
εξ. επ. ΤΜ
εσ. επ. ΤΜ
πρ. ΤΜ
σζ. ύψ. 0,051 μ.

4. Θραύσμα γωνιόσχημης λαβής χειροποίητου αγγείου Τπ. Ι, IV.
Τρεις παράλληλες αυλακώσεις στο άνω άκρο του κυλινδρικού τμήματος της λαβής. Θραύσματα από το σώμα του αγγείου.
Πηλός Κτ. ΙΒ1
εξ. επ. ΚΕ-λ
εσ. επ. ΚΕ-λ
πρ. Κ
σζ. ύψ. 0,048 μ.

5(Β3). Θραύσμα από τον ώμο χειροποίητου αμφορέα Τπ. Ι, VIII.
Σώζεται κατακόρυφη κυλινδρική λαβή.
Πηλός Κτ. ΙΒ2
εξ. επ. ΚΕ-ΚΜ
εσ. επ. ΚΕ
πρ. ΚΤ
σζ. ύψ. 0,075 μ.

6(Β2). Μολύβδινος σύνδεσμος.
μκ. 0,063 μ.

7(Β6). Χάλκινο εγχειρίδιο Τπ. ΕV, 3β.
Ράχη κυρτή, ακμή κοίλη, ουρά με ένα καρφί που συνεχίζει την καμπύλη της ράχης και εισέχει από την πλευρά της ακμής.
μκ. 0,138 μ.

8(Β7). Σιδερένιο εγχειρίδιο Τπ. ΕΧΙ.
Ράχη γωνιόσχημη, ακμή ευθύγραμμη, ουρά ισόπαχη χωρίς καρφιά.
μκ. 0,069 μ.

Π ρ ο θ ά λ α μ ο ς

Διαστάσεις προθαλάμου (εσωτ.): μκ. 1,50, πλ. 1,50, ύψ. 0,40 μ.

Κάτω από το στρώμα των λίθων που κάλυπτε τον προθάλαμο, στο δάπεδο του προθαλάμου πάνω στο φυσικό βράχο, βρέθηκαν ορισμένα θραύσματα αγγείων (Π ί ν. 311β).

ΕΥΡΗΜΑΤΑ

Π ί ν. 183Β

1(Πρ1). Θραύσμα χειροποίητου αγγείου Τπ. I, VIII.
Σώζεται τμήμα του ώμου και της λαβής.
Πηλός Κτ. ΙΓ2
εξ. επ. Ε
εσ. επ. Ε
πρ. Ε
σζ. ύψ. λβ. 0,084 μ.

2(Πρ2). Θραύσμα κατακόρυφης λαβής χειροποίητου αγγείου Τπ. I, VIII.
Πηλός Κτ. ΙΑ2
εξ. επ. ΚΤ-λ
εσ. επ. ΚΤ-λ
πρ. ΚΤ
σζ. ύψ. 0,096 μ.

3. Θραύσμα από το χείλος χειροποίητου αγγείου Τπ. I, VIII.
«Νυχιές» γύρω από το χείλος.
Πηλός Κτ. ΙΒ2
εξ. επ. ΚΕ
εσ. επ. ΚΕ
πρ. Κ
σζ. ύψ. 0,036 μ.

4(Πρ2). Θραύσμα χειροποίητου αγγείου Τπ. I, VIII.
Σώζεται κατακόρυφη κυλινδρική λαβή ώμου.
Πηλός Κτ. ΙΒ2
εξ. επ. Κ
εσ. επ. Κ
πρ. Κ
σζ. ύψ. 0,048 μ.

5(Πρ3). Θραύσμα κατακόρυφης λαβής ώμου χειροποίητου αμφορέα Τπ. I, VIB.
Πηλός Κτ. ΙΑ3
εξ. επ. ΤΜ
εσ. επ. ΤΜ
πρ. ΤΜ
σζ. ύψ. 0,06 μ.

Στον προθάλαμο Τ35Β βρέθηκαν, επίσης, διάσπαρτα και θραύσματα τα οποία προέρχονται από το σώμα αγγείων, χωρίς να δίδουν στοιχεία για να ξεχωρίσουν σχήματα. Ανάμεσα στα όστρακα υπάρχει ένα θραύσμα από ώμο μόνωτου χειροποίητου ευρύστομου αγγείου, που μοιάζει με όστρακα που έχουν βρεθεί στο εσωτερικό του θαλάμου. Αυτά διασώζουν τμήμα ώμου με λαιμό από χειροποίητο αγγείο Τπ. I, IV, με δύο παράλληλες αυλακώσεις γύρω από τη βάση του λαιμού, δύο παράλληλες αυλακώσεις κάτω από την περιφέρεια του χείλους και ζιγκ-ζαγκ διπλές παράλληλες αυλακώσεις στον ώμο. Τα θραύσματα αυτά πιθανόν προέρχονται από το αγγείο του Πίνακα 183Α: 3(Β4).

ΤΑΦΟΣ Τ35Γ

Ο τάφος Τ35Γ μαζί με τον τάφο Τ35Δ αποτελούσαν μια χωριστή ταφική συστάδα από εκείνη των τάφων Τ35Α-Β (Σ χ έ δ. V). Είναι ορθογώνιος τάφος με κτιστές πλευρές και προσανατολισμό Β.-Ν. Στα νότια ένας πλατύς τοίχος χωρίζει το θάλαμο του τάφου από ένα μικρό προθάλαμο. Η απέναντι από την είσοδο στενή πλευρά έχει διαμορφωθεί σε αψίδα (Π ί ν. 312β).

Θ ά λ α μ ο ς

Διαστάσεις (εσωτ.): μκ. 2, πλ. 0,85, ύψ. 1 μ.

Ο θάλαμος καλυπτόταν με μεγάλες σχιστόπλακες, που βρέθηκαν σπασμένες και μετατοπισμένες. Στο εσωτερικό του βρέθηκε γεμάτος με το γνωστό στρώμα των λίθων ως το επίπεδο της ταφής (Π ί ν. 312α-β). Το επίπεδο της ταφής, που εντοπίσθηκε πάνω στο φυσικό βράχο, βρέθηκε διαταραγμένο. Ελάχιστα θραύσματα οστών σώζονταν, καθώς και λίγα θραύσματα από κτερίσματα-αγγεία.

Η ανθρωπολογική μελέτη προσδιόρισε την ταφή ενός ατόμου ώριμης ηλικίας (Παράρτημα Ια).

ΕΥΡΗΜΑΤΑ

Π ί ν. 184

Ι. Ε π ί π ε δ ο τ α φ ώ ν

1(Γ3). Θραύσματα χειροποίητου αγγείου Τπ. I, IV (51).
Σώζεται το 1/3 περίπου από το αγγείο με τη γωνιόσχημη λαβή. Δύο παράλληλες αυλακώσεις γύρω από τη βάση του λαιμού.
Πηλός Κτ. ΙΑ2
εξ. επ. ΚΜ-λ
εσ. επ. ΚΜ-λ
πρ. ΚΤ
ύψ. 0,105, δμβ. 0,048, δμχ. 0,093 μ.

2(Γ2). Θραύσμα γωνιόσχημης λαβής χειροποίητου αγγείου Τπ. I, IV.
Πηλός Κτ. ΙΒ1
εξ. επ. Κ-ΚΕ-λ
εσ. επ. Κ-ΚΕ-λ
πρ. ΚΤ
ύψ. 0,036 μ.

3(Γ2). Θραύσμα χειροποίητου αγγείου Τπ. I, IV (97).
Δύο παράλληλες αυλακώσεις γύρω από τη βάση του λαιμού. Ζιγκ-ζαγκ αυλάκωση στον ώμο του αγγείου.
Πηλός Κτ. ΙΒ1
εξ. επ. ΚΤ-λ
εσ. επ. ΚΤ-λ
πρ. ΚΤ
σζ. ύψ. 0,075 μ.

4(Γ1). Θραύσμα λαβής χειροποίητου ευρύστομου αγγείου Τπ. I, VIII.
Πηλός Κτ. ΙΓ2
εξ. επ. Ε
εσ. επ. Ε
πρ. Ε
σζ. ύψ. 0,048 μ.

5(Γ2). Θραύσματα μόνωτου χειροποίητου ευρύστομου αγγείου Τπ. I, IV (95).
Σώζεται αποσπασματικά τμήμα ώμου και λαιμού. Τρεις παράλληλες αυλακώσεις γύρω από τη βάση του λαιμού, τριπλές κυματιστές παράλληλες αυλακώσεις στον ώμο του αγγείου.
Πηλός Κτ. ΙΒ1
εξ. επ. Κ-ΚΕ-λ
εσ. επ. Τ
πρ. Κ
σζ. ύψ. 0,078 μ.

6(Γ2). Θραύσμα λαβής χειροποίητου αγγείου Τπ. I, VIII.
Πηλός Κτ. ΙΓ2
εξ. επ. Ε
εσ. επ. Ε
πρ. Ε
σζ. ύψ. 0,078 μ.

7(Γ1 + Γ2). Θραύσματα κατακόρυφης λαβής από τον ώμο χειροποίητου αγγείου Τπ. I, VIB.
Πηλός Κτ. ΙΓ2
εξ. επ. Ε
εσ. επ. Ε
πρ. Ε
σζ. ύψ. 0,048 μ.

8(Γ4). Θραύσμα κατακόρυφης λαβής από τον ώμο χειροποίητου αγγείου Τπ. I, XII.
Πηλός Κτ. ΙΓ3
εξ. επ. Ε
εσ. επ. Ε
πρ. Ε
σζ. ύψ. 0,048 μ.

9(Γ3). Θραύσματα χειροποίητου αγγείου Τπ. I, XII (207).
Πλαστική ταινία με διπλές «δακτυλιές» γύρω από την περιφέρεια του χείλους. Πλαστική ταινία με «δακτυλιές» γύρω από τον ώμο του αγγείου.
Πηλός Κτ. ΙΓ2

εξ. επ. Ε
εσ. επ. Ε
πρ. Ε
σζ. ύψ. 0,156 μ.

10(Γ2). Θραύσμα από το χείλος χειροποίητου αγγείου Τπ. Ι, VIB.
Πλαστική ταινία γύρω από την περιφέρεια του χείλους.
Πηλός Κτ. ΙΒ2
εξ. επ. Ε
εσ. επ. ΚΤ
πρ. ΚΤ
σζ. ύψ. 0,051 μ.

11(Γ5). Θραύσμα από το χείλος χειροποίητου αγγείου Τπ. Ι, XII (200).
«Νυχιές» γύρω από την περιφέρεια του χείλους.
Πηλός Κτ. ΙΒ2
εξ. επ. Ε
εσ. επ. ΤΜ
πρ. ΤΜ
σζ. ύψ. 0,054 μ.

12(Γ2). Θραύσματα από το χείλος χειροποίητου αγγείου Τπ. Ι, XII (199).
Αραιές «νυχιές» γύρω από την περιφέρεια του χείλους.
Πηλός Κτ. ΙΒ2
εξ. επ. ΚΕ
εσ. επ. ΚΕ
πρ. Τ
σζ. ύψ. 0,06 μ.

13(Γ3). Θραύσματα από το χείλος χειροποίητου αγγείου Τπ. Ι, XII (200).
Αραιές «νυχιές» γύρω από την περιφέρεια του χείλους.
Πηλός Κτ. ΙΒ2
εξ. επ. ΚΕ
εσ. επ. ΚΕ
πρ. Κ
σζ. ύψ. 0,06 μ.

14(Γ1). Θραύσμα από το χείλος χειροποίητου αγγείου Τπ, Ι, XII (199).
«Νυχιές» γύρω από την περιφέρεια του χείλους.
Πηλός Κτ. ΙΒ2
εξ. επ. ΚΕ
εσ. επ. ΚΕ
πρ. ΚΤ
σζ. ύψ. 0,075 μ.

15(Γ5). Θραύσματα από τη λαβή χειροποίητου αγγείου Τπ. Ι, XII.
Πηλός Κτ. ΙΒ2
εξ. επ. ΚΕ
εσ. επ. Κ-ΚΕ
πρ. ΤΜ
σζ. ύψ. λβ. 0,09 μ.

ΙΙ. Επιφανειακό στρώμα

16. Θραύσμα από το χείλος τροχήλατου αγγείου.
Πηλός Κτ. ΙΙ
εξ. επ. ΚΕ
εσ. επ. ΚΕ
πρ. ΚΕ
σζ. ύψ. 0,048 μ.

17. Θραύσμα από το χείλος τροχήλατου αγγείου ιστορικών χρόνων.
Πηλός Κτ. ΙΙ
εξ. επ. Ε
εσ. επ. Ε
πρ. Ε
σζ. ύψ. 0,051 μ.

18-19. Θραύσματα από το κάτω σώμα και τη λαβή του ίδιου πιθανόν τροχήλατου αγγείου (κύλικας).
Ταινιωτή και γραμμική διακόσμηση στο κάτω τμήμα του σώματος του αγγείου, με μαύρο χρώμα πάνω σε υποκίτρινο επιχρισμένο έδαφος.
Πηλός Κτ. ΙΙ
εξ. επ. Ε
εσ. επ. Ε
πρ. Ε
σζ. ύψ. 0,03 μ.

20. Θραύσμα κατακόρυφης ταινιωτής λαβής χειροποίητου αγγείου Τπ. Ι, VIB.
Πηλός Κτ. ΙΒ2
εξ. επ. Κ
εσ. επ. Κ
πρ. ΚΤ
σζ. ύψ. 0,045 μ.

Τα παραπάνω όστρακα είναι επιφανειακά και δεν είναι δυνατό να συσχετισθούν με τα κτερίσματα του τάφου. Τα αριθ. 17 και 16 πρέπει να χρονολογούνται στους ρωμαϊκούς χρόνους. Τα αριθ. 18 και 19 θα μπορούσαν να χρονολογηθούν στους αρχαϊκούς χρόνους.

Προθάλαμος

Διαστάσεις (εσωτ.): μκ. 0,30, πλ. 0,90, ύψ. 0,30 μ.

Ο προθάλαμος του τάφου Τ35Γ ήταν καλυμμένος με στρώμα λίθων. Δε βρέθηκε κανένα θραύσμα αγγείου ή άλλου κτερίσματος με την απομάκρυνση του στρώματος των λίθων και την αποκάλυψη του δαπέδου του προθαλάμου, που είναι ο φυσικός βράχος.

ΤΑΦΟΣ Τ35Δ

Ορθογώνιος τάφος με κτιστές πλευρές, στη δυτική πλευρά του τάφου Τ35Γ, με τον οποίο έχει κοινή τη μία μακρά πλευρά και τον ίδιο προσανατολισμό Β.-Ν. (Σ χ έ δ. V). Στη νότια πλευρά του, εγκάρσιος τοίχος χωρίζει το θάλαμο του τάφου από τον προθάλαμο.

Θάλαμος

Διαστάσεις θαλάμου (εσωτ.): μκ. 1,85, πλ. 1,10, ύψ. 0,80 μ.

Ο θάλαμος ήταν καλυμμένος με σχιστόπλακες, από τις οποίες μία βρέθηκε κατά χώραν (Π ί ν. 313α). Το επίπεδο ταφής ήταν καλυμμένο με στρώμα λίθων και βρισκόταν πάνω στο φυσικό βράχο (Π ί ν. 313β). Από τα κτερίσματα, ελάχιστα θραύσματα αγγείων σώθηκαν.

Ελάχιστα, επίσης, θραύσματα οστών είχαν σωθεί, από τα οποία η ανθρωπολογική έρευνα εντόπισε την ταφή τριών ατόμων στον τάφο, δύο ενηλίκων και ενός παιδιού (Παράρτημα Ια).

Στο επίπεδο ταφής βρέθηκαν, επίσης, δύο σιαγόνες αιγοπροβάτου, που πιθανόν προέρχονται από το ίδιο ζώο (Παράρτημα ΙΙ).

ΕΥΡΗΜΑΤΑ

Π ί ν. 185Α

1. Θραύσματα μόνωτου χειροποίητου ευρύστομου αγγείου Τπ. Ι, IV (71).
Δύο αραιές παράλληλες αυλακώσεις κάτω από το χείλος, μία αυλάκωση γύρω από τη βάση του λαιμού.
Πηλός Κτ. ΙΑ2-ΙΒ2
εξ. επ. Κ
εσ. επ. Κ
πρ. Κ
ύψ. 0,093, δμβ. 0,096 μ.

2. Θραύσματα δίωτου χειροποίητου αγγείου Τπ. Ι, VB (119).
Σώζεται το κάτω τμήμα του αγγείου, με τμήμα του λαιμού, και αποσπασματικά οι λαβές του.
Πηλός Κτ. ΙΑ2
εξ. επ. ΚΤ-λ
εσ. επ. ΚΤ-λ
πρ. ΤΜ
σζ. ύψ. 0,048, δμβ. 0,06 μ.

3. Θραύσματα χειροποίητου αγγείου Τπ. Ι, IV ή Ι, VB.
Σώζεται τμήμα ώμου στην περιοχή της λαβής.
Πηλός Κτ. ΙΑ2
εξ. επ. ΚΤ
εσ. επ. ΚΤ
πρ. Κ
σζ. ύψ. 0,03 μ.

4. Θραύσμα χειροποίητου αγγείου Τπ. Ι, XII.
Σώζεται κατακόρυφη κυλινδρική λαβή.
Πηλός Κτ. ΙΓ2
εξ. επ. Ε
εσ. επ. Ε
πρ. Ε
σζ. ύψ. 0,096 μ.

5. Χάλκινος κρίκος.
δμ. 0,015 μ.

Προθάλαμος

Διαστάσεις προθαλάμου: μκ. 0,90, πλ. 1,20, ύψ. 0,40 μ.

Ο προθάλαμος του τάφου Τ35Δ καλυπτόταν με στρώμα λίθων. Δε βρέθηκε κανένα θραύσμα αγγείου ή άλλου κτερίσματος μέσα στο στρώμα των λίθων ή στο δάπεδο του προθαλάμου, που ήταν ο φυσικός βράχος.

ΤΑΦΟΣ Τ35Ε

Ορθογώνιος τάφος με κτιστές πλευρές, που έχει κατασκευασθεί μετά τον τάφο Τ35Β, αλλά πριν από τον τάφο Τ35Γ. Στην κατασκευή του τάφου χρησιμοποιήθηκε ο δυτικός τοίχος του προθαλάμου του Τ35Β και στην αντίστοιχη δυτική πλευρά κατασκευάσθηκε παράλληλος τοίχος, στον οποίο προσκολλήθηκε αργότερα ο ανατολικός τοίχος του τάφου Τ35Γ (Σ χ έ δ. V). Διαστάσεις τάφου (εσωτ.): μκ. 1,80, πλ. 0,80, ύψ. 0,80 μ.

Ο τάφος ήταν καλυμμένος με στρώμα λίθων (Π ί ν. 314α), κάτω από το οποίο, στο επίπεδο της ταφής πάνω στο φυσικό βράχο, βρέθηκαν διάσπαρτα θραύσματα οστών και αγγείων (Π ί ν. 314β). Τα κτερίσματα δεν είναι δυνατό να αποδοθούν σε επιμέρους ταφές.

Από τα οστά προκύπτει η ταφή δύο, τουλάχιστον, ατόμων στον τάφο, ενός ενηλίκου και ενός παιδιού (Παράρτημα Ια).

Μαζί με τους νεκρούς είχαν εναποτεθεί και τεμάχια κρέατος, από τα οποία προέρχονται ορισμένα θραύσματα οστών αιγοπροβάτων (Παράρτημα ΙΙ).

ΕΥΡΗΜΑΤΑ

Π ί ν. 186

1. Θραύσμα από το χείλος χειροποίητου αγγείου Τπ. Ι, Ι.
Πηλός Κτ. ΙΑ3
εξ. επ. ΤΜ
εσ. επ. ΤΜ
πρ. Τ
σζ. ύψ. 0,015 μ.

2. Θραύσμα από το χείλος χειροποίητου αγγείου Τπ. Ι, XII (199).
Αραιές «νυχιές» γύρω από την περιφέρεια του χείλους.
Πηλός Κτ. ΙΒ2-ΙΓ2
εξ. επ. Ε
εσ. επ. ΚΜ
πρ. Κ-Ε
σζ. ύψ. 0,03 μ.

3. Θραύσμα από το χείλος χειροποίητου αγγείου Τπ. Ι, XII (199).
«Νυχιές» γύρω από την περιφέρεια του χείλους.
Πηλός Κτ. ΙΒ2
εξ. επ. Ε
εσ. επ. ΤΜ
πρ. ΤΜ
σζ. ύψ. 0,024 μ.

4. Θραύσμα από το χείλος χειροποίητου αγγείου Τπ. Ι, XII (199).
«Νυχιές» γύρω από την περιφέρεια του χείλους.
Πηλός Κτ. ΙΓ2
εξ. επ. Ε
εσ. επ. Ε
πρ. Ε
σζ. ύψ. 0,033 μ.

5. Θραύσμα από το χείλος χειροποίητου αγγείου Τπ. Ι, XII (205).
Πλαστική ταινία με «δακτυλιές» κάτω από την περιφέρεια του χείλους.
Πηλός Κτ. ΙΓ2
εξ. επ. Ε
εσ. επ. Ε
πρ. Ε
σζ. ύψ. 0,03 μ.

6. Θραύσμα χειροποίητου αμφορέα Τπ. Ι, VIB.
Σώζεται τμήμα ώμου με μία κατακόρυφη κυλινδρική λαβή.
Πηλός Κτ. ΙΑ3
εξ. επ. ΤΜ
εσ. επ. Κ-ΚΜ
πρ. ΚΤ
σζ. ύψ. 0,126 μ.

7(Ε6). Θραύσμα πήλινου δικωνικού σφονδυλιού Τπ. ΣΙΙΙ, 1γ.
ύψ. 0,03, δμ. 0,03 μ.

8(Ε2). Πήλινο δικωνικό σφονδύλι Τπ. ΣΙΙ, 4.
Ακέραιο. Εγχάρακτη διακόσμηση.
ύψ. 0,018, δμ. 0,03 μ.

9. Θραύσματα χειροποίητου κυπελλόσχημου αγγείου Τπ. Ι, IV (103).
Σώζεται αποσπασματικά το αγγείο. Μία αυλάκωση κάτω από την περιφέρεια του χείλους, δύο παράλληλες αυλακώσεις γύρω στο μέσον περίπου του λαιμού, αυλάκωση γύρω από τη βάση του λαιμού και συστάδες από δύο κατακόρυφες αυλακώσεις στον ώμο του

αγγείου.
Πηλός Κτ. ΙΒ1
εξ. επ. Κ
εσ. επ. Κ
πρ. ΚΕ
συμπλ. ύψ. 0,096, δμβ. 0,045, δμχ. 0,066 μ.

10(Ε4). Μόνωτο χειροποίητο ευρύστομο αγγείο Τπ. Ι, IV (41α).
Λείπει το άνω τμήμα του λαιμού και της λαβής.
Πηλός Κτ. ΙΒ1
εξ. επ. Κ-λ
εσ. επ. Κ-λ
πρ. ΚΕ
συμπλ. ύψ. 0,084, δμβ. 0,054, δμχ. 0,075 μ.

11. Χειροποίητο αγγείο Τπ. Ι, VIII (191).
Λείπει ένα μέρος από το άνω τμήμα του αγγείου.
Πηλός Κτ. ΙΒ2-ΙΓ2
εξ. επ. Κ
εσ. επ. ΚΕ
πρ. Ε
σζ. ύψ. 0,075, δμβ. 0,054 μ.

12. Θραύσμα λαβής χειροποίητου αγγείου Τπ. Ι, IV.
Πηλός Κτ. ΙΑ2
εξ. επ. Τ-λ
εσ. επ. Τ-λ
πρ. Τ
σζ. ύψ. 0,066 μ.

13. Θραύσμα λαβής χειροποίητου αγγείου Τπ. Ι, IV.
Πηλός Κτ. ΙΓ2
εξ. επ. Ε
εσ. επ. Ε
πρ. ΤΜ
σζ. ύψ. 0,06 μ.

14. Θραύσμα λαβής χειροποίητου αγγείου Τπ. Ι, IV.
Πηλός Κτ. ΙΓ2
εξ. επ. Ε
εσ. επ. Ε
πρ. Ε
σζ. ύψ. 0,039 μ.

15(Ε1). Άωτο χειροποίητο μικρογραφικό αγγείο Τπ. Ι, ΙΧΑ (191).
Λείπει το άνω τμήμα του αγγείου με το χείλος.
Πηλός Κτ. ΙΓ2
εξ. επ. Ε
εσ. επ. Ε
πρ. Ε
σζ. ύψ. 0,051 μ.

16(Ε3). Θραύσματα χειροποίητου αγγείου Τπ. Ι, VI ή Ι, VII.
Σώζεται η βάση και τμήμα από τα τοιχώματα του κάτω σώματος.
Πηλός Κτ. ΙΑ3
εξ. επ. ΤΜ
εσ. επ. ΤΜ
πρ. ΚΤ
σζ. ύψ. 0,045, δμβ. 0,072 μ.

17(Ε4-5). Θραύσματα μόνωτου χειροποίητου ευρύστομου αγγείου Τπ. Ι, IV (34).
Σώζεται μέρος από τη βάση και το άνω τμήμα του αγγείου, στην περιοχή του ώμου και του λαιμού, με τη λαβή.
Πηλός Κτ. ΙΒ1
εξ. επ. Κ-λ
εσ. επ. Κ-λ
πρ. Κ-ΚΕ
σζ. ύψ. 0,09, δμβ. 0,069, δμχ. 0,129 μ.

ΤΑΦΟΣ Τ35ΣΤ

Ορθογώνιος τάφος με κτιστές πλευρές, προς Β. του τάφου Τ35Ε, ανάμεσα στον τάφο Τ35Β και Τ35Γ (Π ί ν. 315α). Διαστάσεις (εσωτ.): μκ. 1,80, πλ. 0,80-0,60, ύψ. 0,70 μ. Ο τάφος καλυπτόταν από στρώμα λίθων. Στο επίπεδο της ταφής, πάνω στο φυσικό βράχο, βρέθηκαν ελάχιστα θραύσματα αγγείων (Π ί ν. 315β).

ΕΥΡΗΜΑΤΑ

Π ί ν. 185Β

1. Θραύσματα χειροποίητου κλειστού αγγείου Τπ. Ι, VIIΔ (165).
Σώζεται η βάση με το κάτω σώμα και ένα μέρος από το κάτω τμήμα της λαβής.
Πηλός Κτ. ΙΑ2

εξ. επ. ΤΜ-λ
εσ. επ. ΤΜ
πρ. ΤΜ
σζ. ύψ. 0,081 μ.

2. Θραύσματα μόνωτου χειροποίητου ευρύστομου αγγείου Τπ. I, IV.
Σώζεται τμήμα βάσης και ώμου με τμήμα λαβής.
Πηλός Κτ. ΙΓ2
εξ. επ. Ε
εσ. επ. Ε
πρ. Ε
σζ. ύψ. 0,09 μ.

3. Θραύσματα χειροποίητου αγγείου Τπ. I, XII (205).
Σωζεται τμήμα λαιμού με χείλος. Πιθανόν από το ίδιο αγγείο και τμήμα ώμου με αρχή λαβής. Πλαστική ταινία με «δακτυλιές» κάτω από την περιφέρεια του χείλους.
Πηλός Κτ. ΙΓ2
εξ. επ. Ε
εσ. επ. Ε
πρ. Ε
σζ. ύψ. 0,135 μ.

ΚΕΦΑΛΑΙΟ Β΄

ΤΟ ΝΕΚΡΟΤΑΦΕΙΟ ΣΤΗ ΘΕΣΗ ΛΑΡΝΑΚΙ

Το νεκροταφείο Λαρνάκι βρίσκεται στο οροπέδιο που απλώνεται προς Β. της κορυφής Καστρί, σε απόσταση 1,50-2 χλμ. από τον οικισμό. Στο νεκροταφείο φθάνει κανείς ακολουθώντας το μονοπάτι, που από τον οικισμό Καστρί, διασχίζοντας το νεκροταφείο Βρυσούδες, προχωρεί προς Β., προς το εσωτερικό του νησιού (Σ χ έ δ. VI). Την ονομασία της οφείλει η περιοχή στα μέχρι σήμερα ορατά υπέργεια ταφικά μνημεία, που σώζονται διάσπαρτα στο ανατολικό κυρίως τμήμα της.

Από το νεκροταφείο ένα μικρό μέρος έχει ανασκαφεί στην περιοχή εκείνη, όπου οι τάφοι εμφανίζουν τη μεγαλύτερη πυκνότητα. Από τους 26 συνολικά εντοπισμένους τάφους ανασκάφθηκαν οι έξι (ποσοστό περίπου 23%). Εκτός, ωστόσο, από τους αποτυπωμένους στο Σχέδιο VI 26 τάφους, υπάρχουν και άλλοι, διάσπαρτοι βορειότερα προς την κατεύθυνση του σημερινού χωριού Θεολόγος, έτσι ώστε να μην είναι δυνατό να καθορίσουμε με βεβαιότητα τα όρια του νεκροταφείου, χαρακτηριστικό που συναντήσαμε επίσης και στα γύρω από τον οικισμό Καστρί νεκροταφεία. Πρέπει, ωστόσο, να σημειώσουμε ότι επειδή στην ορεινή αυτή περιοχή υπάρχουν διάσπαρτα ίχνη κατοίκησης που χρονολογούνται στους ιστορικούς χρόνους, είναι πιθανό ότι ένα μέρος από τους διάσπαρτους αυτούς τάφους, ανάμεσα στους οποίους ξεχωρίζουν και ορισμένοι μικροί κιβωτιόσχημοι, ανήκει στους ιστορικούς χρόνους. Στην περιοχή ωστόσο των συγκεντρωμένων τάφων, όπου πραγματοποιήθηκε η ανασκαφή, δεν εμφανίσθηκαν ενδείξεις ιστορικών χρόνων.

Θέση προϊστορικού οικισμού, με τον οποίο θα μπορούσε να συσχετισθεί το αρκετά απομακρυσμένο από τον οικισμό Καστρί νεκροταφείο Λαρνάκι, δεν έχει ακόμη εντοπισθεί. Αν υπήρχε κάποιος οργανωμένος οικισμός, αυτός πρέπει να αναζητηθεί είτε βορειότερα στην περιοχή Μανταλούδι, όπου εντοπίσθηκαν λείψανα αρχαίων, βυζαντινών και μεταβυζαντινών χρόνων, είτε νοτιοδυτικά της περιοχής του νεκροταφείου, ανάμεσα στο νεκροταφείο και στα ερείπια του πύργου της θέσης Κάτω Λαρνάκι.

Το μοναδικό αυτό προϊστορικό κτίσμα της περιοχής βρίσκεται στο δυτικό άκρο του οροπεδίου, στη θέση Κάτω Λαρνάκι. Από τη θέση αυτή ο πύργος ελέγχει την κοιλάδα, που οδηγεί από την παραλία στο εσωτερικό του νησιού, εξασφαλίζοντας την περιοχή από τα δυτικά, όπως η ακρόπολη Καστρί από τα ανατολικά.

Η κορυφή του λόφου ανατολικά από τον πύργο είναι απογυμνωμένη και δε σώζει κανένα ίχνος κατοίκησης. Στις νοτιοδυτικές, ωστόσο, πλαγιές του λόφου εμφανίζονται με μεγάλη συχνότητα σκουριές σιδήρου, που βεβαιώνουν την άσκηση κάποιας μεταλλουργίας στην κορυφή. Επιφανειακές εμφανίσεις σιδηρομεταλλευμάτων και ίχνη μεταλλουργικών εγκαταστάσεων εντοπίσθηκαν και στο ορεινό συγκρότημα προς ΒΔ. της κορυφής Κάτω Λαρνάκι στις θέσεις Τραγί και Καζάνι, αλλά πιθανότατα χρονολογούνται στους ιστορικούς χρόνους.

Η έλλειψη ιχνών οικισμού, σε συνδυασμό με τη μικρή απόσταση που χωρίζει την περιοχή αυτή από την ακρόπολη Καστρί, καθώς και η έλλειψη φυσικών ορίων ανάμεσα στις θέσεις Λαρνάκι και Καστρί, ενισχύει την υπόθεση ότι το νεκροταφείο της θέσης Λαρνάκι ανήκει σε πληθυσμούς, που πιθανότατα ήταν διάσπαρτοι στην περιοχή αυτή. Κι αν ακόμη οι πληθυσμοί αυτοί ήταν συγκεντρωμένοι, δύσκολα θα μπορούσαμε να τους φαντασθούμε οργανωμένους ανταγωνιστικά με τους κατοίκους τους οικισμού Καστρί. Αν υπήρχε μια τέτοια διαφοροποίηση, θα πρέπει να είχε αναπτυχθεί κάποιο αμυντικό σύστημα στην ομαλή χωρίς φυσικά όρια περιοχή, που μεσολαβεί ανάμεσα στις θέσεις Καστρί και Λαρνάκι. Το αμυντικό, ωστό-

σο, σύστημα των δύο θέσεων είναι προορισμένο να αντιμετωπίσει τους κινδύνους που έρχονται από τα παράλια. Η ακρόπολη Καστρί εξασφαλίζει την άμυνα του οροπεδίου από τα ανατολικά και ο πύργος της θέσης Κάτω Λαρνάκι από τα δυτικά.

Οι συγκεντρωμένοι στη θέση Λαρνάκι τάφοι αναπτύσσονται σε έναν άξονα που έχει κατεύθυνση Β.-Ν., χωρίς ωστόσο να είναι δυνατό να διαπιστωθεί αν πρόκειται για τυχαία ή για σκόπιμη ανέγερση των τάφων σε συνδυασμό με κάποιο δρόμο (Σ χ έ δ. VI).

Η περιοχή είναι σήμερα δασωμένη σ' ένα μεγάλο τμήμα της και σώζει ένα μικρό στρώμα επίχωσης πάνω από το φυσικό βράχο. Τα ταφικά μνημεία είναι σήμερα ορατά, είτε ως υπέργεια ταφικά κτίσματα, σε πολλά από τα οποία διακρίνονται κατά χώραν ή μετακινημένες οι καλυπτήριες πλάκες της οροφής των τάφων (Π ί ν. 316α), είτε ως τύμβοι-λιθοσωροί (Π ί ν. 320α). Αντίστοιχο πρέπει να ήταν και στην αρχαιότητα το πάχος της φυσικής επίχωσης και ανάλογη, οπωσδήποτε, και η εικόνα που παρουσιάζαν τα ταφικά μνημεία.

Τάφος ΛΑ

Ορθογώνιος κτιστός κιβωτιόσχημος τάφος, με προσανατολισμό ΒΑ.-ΝΔ., περίπου, και άνοιγμα προς ΝΔ. (Σ χ έ δ. 62 και VI). Διαστάσεις τάφου (εσωτ.): μγ. μκ. 3, μγ. πλ. 1,30, μγ. σζ. ύψ. 0,50 μ.

Ο τάφος καλυπτόταν με μια μεγάλη σχιστόπλακα (διαστάσεις: 1,86 × 1,12 × 0,10 μ.), που πατούσε πάνω στις τέσσερις πλευρές του τάφου (Π ί ν. 316α). Κάτω από τη σχιστόπλακα, στο εσωτερικό του τάφου, ένα στρώμα από πολλές ριχτές πέτρες και αραιό χώμα κάλυπτε το επίπεδο της ταφής, που βρισκόταν λίγα εκατοστά ψηλότερα από το φυσικό βράχο. Κάτω από το στρώμα των λίθων εντοπίσθηκαν δύο τουλάχιστον ταφές, που δεν πρέπει να ήταν σύγχρονες, γιατί δε βρίσκονταν στο ίδιο επίπεδο (Π ί ν. 316β). Λεπτομερειακές παρατηρήσεις για τη στάση των νεκρών δεν ήταν δυνατό να πραγματοποιηθούν, γιατί οι πέτρες που κάλυψαν τους νεκρούς έχουν θρυμματίσει τα οστά και οι ρίζες των πεύκων, που έχουν διεισδύσει στον τάφο, έχουν διαλύσει τα οστά και τα αγγεία ακόμη.

Ταφή α. Ο νεκρός έχει ταφεί κατά μήκος της ανατολικής πλευράς του τάφου. Λείψανα του κρανίου βρέθηκαν στη βορειοανατολική γωνία και θραύσματα οστών άνω και κάτω άκρων εντοπίσθηκαν στη δυτική πλευρά του τάφου. Από τα σωζόμενα λείψανα οστών προκύπτει ότι ο νεκρός είχε ταφεί ύπτιος με το κεφάλι προς Β. και τα σκέλη τεντωμένα. Με την ταφή α σχετίζονται τα κτερίσματα, που βρέθηκαν στη νότια πλευρά του τάφου, δύο χειροποίητα αγγεία, ένα θραύσμα σιδερένιου εγχειριδίου και ένα ακόνι (Σ χ έ δ. 62: 1, 2, 5, 6· Π ί ν. 187: 1-4).

Ταφή β (Σ χ έ δ. 62). Θραύσμα από το κρανίο του νεκρού βρέθηκε προς το κέντρο του τάφου.

Θραύσματα οστών κάτω άκρων — κυρίως κνημών — εντοπίσθηκαν στη δυτική πλευρά του τάφου. Από τα σωζόμενα λείψανα οστών προκύπτει ότι ο νεκρός είχε ταφεί με το κεφάλι προς Β. και τα σκέλη τεντωμένα. Η ταφή β πρέπει να έχει διαταραχθεί από τη νεότερη ταφή α. Τα κτερίσματα — δύο χειροποίητα αγγεία και ένα πήλινο σφονδύλι — βρέθηκαν στην περιοχή των κνημών (Σ χ έ δ. 62: 3, 4, 8· Π ί ν. 187: 6-9).

ΕΥΡΗΜΑΤΑ

Π ί ν. 187

Ταφή α

1(1). Χειροποίητο κυπελλόσχημο αγγείο Τπ. I, VIII (183).
Λείπει ένα μέρος από το σώμα και η λαβή του αγγείου.
Πηλός Κτ. ΙΓ1
εξ. επ. Ε-λ
εσ. επ. ΚΕ
πρ. ΚΕ
ύψ. 0,10, δμβ. 0,55, δμχ. 0,08 μ.

2(2). Μόνωτο χειροποίητο ευρύστομο αγγείο Τπ. I, IV (62).
Τρεις παράλληλες αυλακώσεις γύρω από το

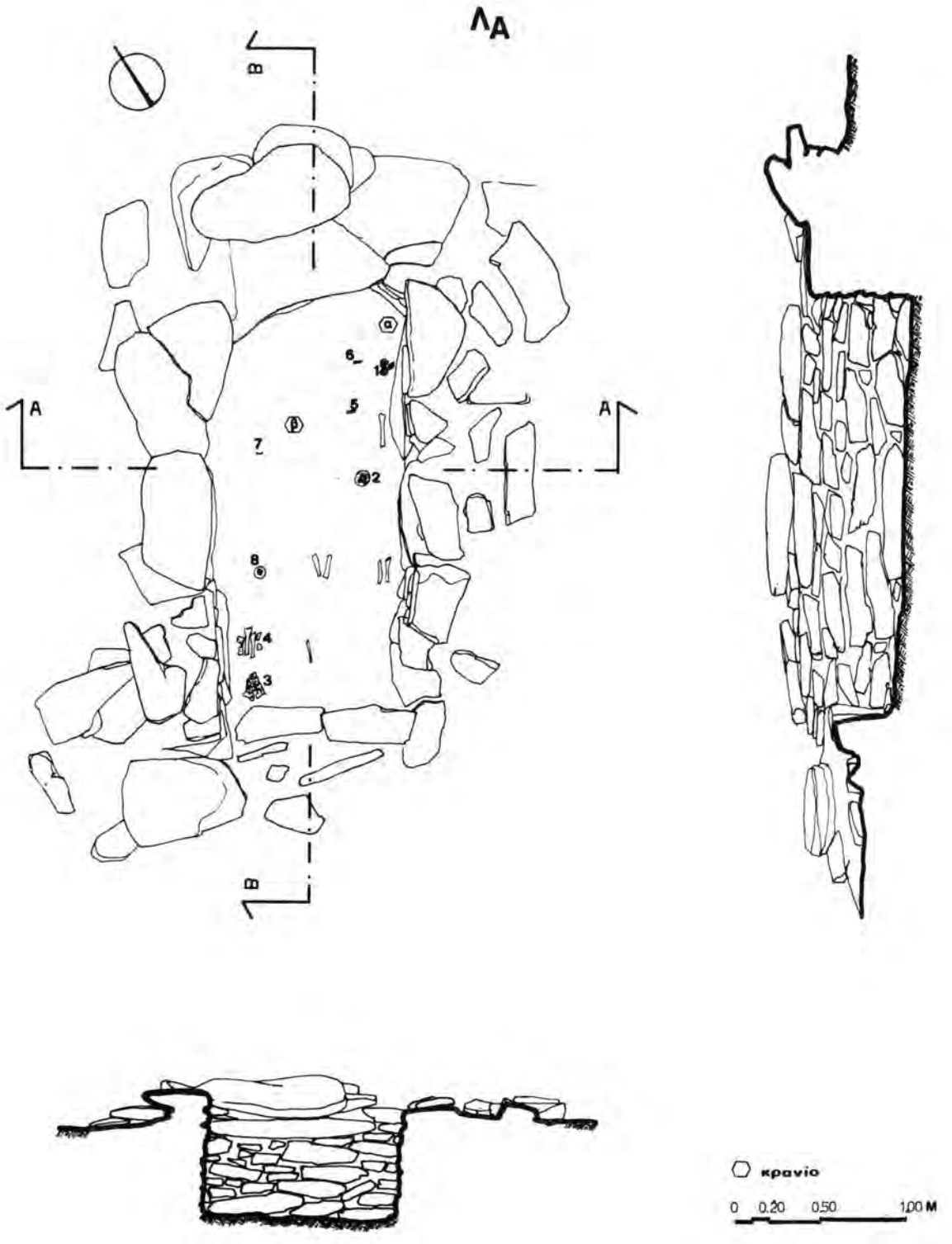

Σχέδ. 62. Κάτοψη και τομές τάφου ΛΑ.

λαιμό του αγγείου.
Πηλός Κτ. ΙΒ1
εξ. επ. Κ
εσ. επ. ΚΕ
πρ. Κ
ύψ. 0,106, δμβ. 0,08, δμχ. 0,13 μ.

3(6). Λίθινο ακόνι Τπ. Ακ. 2β.
Έχει σπάσει το ένα άκρο.
μκ. 0,065, πλ. 0,02 μ.

4(5). Θραύσμα σιδερένιας λεπίδας Τπ. EVII ή EVIII.
Απολέπισμα που δε σώζει σχήμα.
μγ. μκ. 0,05, μγ. πλ. 0,02 μ.

5(7). Μολύβδινος σύνδεσμος.
μγ. μκ. 0,06 μ.

Ταφή β

6(3). Θραύσματα μόνωτου χειροποίητου ευρύστομου αγγείου Τπ. I, IV (37).
Σώζεται τμήμα ώμου με λαιμό και χείλος.
Μία αυλάκωση γύρω από τη βάση του λαιμού.
Πηλός Κτ. ΙΓ1
εξ. επ. ΚΕ-λ
εσ. επ. ΚΕ
πρ. Τ
σζ. ύψ. 0,055 μ.

7(3). Λαβή χειροποίητου ευρύστομου αγγείου Τπ. I, IV.
Πηλός Κτ. ΙΓ1
εξ. επ. ΚΕ
εσ. επ. ΚΕ
πρ. Τ
σζ. ύψ. 0,09 μ.

8(4). Θραύσματα χειροποίητου ευρύστομου αγγείου Τπ. I, IV (34).
Σώζεται μέρος από το άνω σώμα και η λαβή.
Μία αυλακωτή γραμμή γύρω από την αρχή του λαιμού.
Πηλός Κτ. ΙΑ2
εξ. επ. ΚΕ-λ
εσ. επ. ΚΤ-λ φθ
πρ. ΚΕ
σζ. ύψ. 0,09 μ.

9(8). Πήλινο δικωνικό σφονδύλι Τπ. ΣΙΙ, 1γ.
ύψ. 0,025, δμ. 0,034 μ.

Ε π ί χ ω σ η

Π ί ν. 187

10. Θραύσμα από τον ώμο χειροποίητου αγγείου Τπ. I, IV (95).
Διακρίνεται τμήμα από τη ζιγκ-ζαγκ αυλακωτή γραμμή του ώμου.
Πηλός Κτ. ΙΒ1
εξ. επ. Κ-ΚΕ
εσ. επ. ΚΕ
πρ. ΚΕ
σζ. ύψ. 0,05 μ.

11. Θραύσματα από τον ώμο χειροποίητου αγγείου Τπ. I, IV (95).
Διακρίνεται αυλακωτή διακόσμηση στον ώμο από διπλές ζιγκ-ζαγκ αυλακώσεις.
Πηλός Κτ. ΙΒ1
εξ. επ. Κ-ΚΕ
εσ. επ. Κ-ΚΕ
πρ. Κ
σζ. ύψ. 0,01 μ.

12. Θραύσματα από το χείλος χειροποίητου αγγείου Τπ. I, IV.
Δύο παράλληλες αυλακώσεις κάτω από το χείλος.
Πηλός Κτ. ΙΑ2
εξ. επ. ΚΜ
εσ. επ. ΚΜ
πρ. Κ
σζ. ύψ. 0,04 μ.

13. Θραύσμα γωνιόσχημης λαβής χειροποίητου αγγείου Τπ. I, IV.
Αυλακωτή διακόσμηση στο άνω τμήμα της λαβής.
Πηλός Κτ. ΙΑΒ1
εξ. επ. ΚΕ-λ φθ
εσ. επ. ΚΜ-ΚΕ-λ
πρ. Κ
σζ. ύψ. 0,075 μ.

14. Θραύσματα χειροποίητου αγγείου Τπ. I, IV.
Σώζεται τμήμα του ώμου με τη λαβή και τμήμα της βάσης του αγγείου.
Πηλός Κτ. ΙΓ1
εξ. επ. Ε
εσ. επ. Ε
πρ. Τ
σζ. ύψ. 0,08 μ.

15. Θραύσματα χειροποίητου αγγείου Τπ. I, IV.
Πηλός Κτ. ΙΒ1
εξ. επ. ΚΕ
εσ. επ. ΚΕ

πρ. ΚΕ
σζ. ύψ. 0,048 μ.

16. Θραύσματα λαβής χειροποίητου αγγείου Τπ. Ι, IV.
Πηλός Κτ. ΙΓ1
εξ. επ. ΚΕ
εσ. επ. ΚΕ
πρ. Κ
σζ. ύψ. 0,10 μ.

17. Θραύσμα από το χείλος χειροποίητου αγγείου Τπ. Ι, XII (212).
Κυματιστή πλαστική ταινία με «δακτυλιές» κάτω από την περιφέρεια του χείλους.
Πηλός Κτ. ΙΓ2
εξ. επ. ΚΕ
εσ. επ. Κ
πρ. Κ
σζ. ύψ. 0,06 μ.

18. Θραύσμα από τον ώμο χειροποίητου αγγείου Τπ. Ι, XII.
Σώζεται η αρχή κατακόρυφης λαβής κοιλιάς.
Πηλός Κτ. ΙΓ
εξ. επ. Ε
εσ. επ. Ε
πρ. Τ
σζ. ύψ. 0,12 μ.

Τάφος ΛΒ

Ορθογώνιος κτιστός κιβωτιόσχημος τάφος, που βρίσκεται σε απόσταση 40 περίπου μ. προς Ν. του τάφου ΛΑ (Σ χ έ δ. VI). Προσανατολισμός τάφου ΒΑ.-ΝΔ., περίπου, με άνοιγμα προς ΝΔ. Διαστάσεις τάφου (εσωτ.): μγ. μκ. 1,90, μγ. πλ. 0,90, μγ. σζ. ύψ. 0,65 μ. (Σ χ έ δ. 63). Στη βόρεια στενή πλευρά του τάφου βρέθηκε μία όρθια σχιστόπλακα, η οποία πρέπει να είναι μετακινημένη από την οροφή του τάφου. Στο εσωτερικό του τάφου βρέθηκαν πολλές πέτρες και ελάχιστο χώμα. Κάτω από την επίχωση του λιθοστρώματος, στο επίπεδο των ταφών που βρίσκονταν πάνω στο φυσικό έδαφος, λίγα εκατοστά ψηλότερα από το φυσικό βράχο, διαπιστώθηκαν δύο τουλάχιστον ταφές:

Ταφή α. Τα κτερίσματα της ταφής αυτής βρέθηκαν συγκεντρωμένα και παραμερισμένα στη βόρεια στενή πλευρά του τάφου, κάτω από το επίπεδο της ταφής β. Λείψανα σκελετού δεν εντοπίσθηκαν. Τα κτερίσματα είναι τρία χειροποίητα αγγεία και ένα πήλινο σφονδύλι (Σ χ έ δ. 63: 3-6· Π ί ν. 188: 1-4, 316γ).

Ταφή β. Θραύσματα κρανίου της ταφής β εντοπίσθηκαν προς το κέντρο του τάφου. Προς τη νότια πλευρά του τάφου βρέθηκαν λίγα θραύσματα οστών σκελών. Από τα παραπάνω λείψανα οστών προκύπτει ότι ο νεκρός είχε ταφεί με το κεφάλι προς Β. και τα σκέλη τεντωμένα. Τα κτερίσματα της ταφής β, δύο χειροποίητα αγγεία, ένα σιδερένιο εγχειρίδιο, ένα ακόνι και μία χάλκινη ψήφος περιδεραίου, βρέθηκαν συγκεντρωμένα στην ανατολική πλευρά του τάφου (Σ χ έ δ. 63: 1, 2, 7, 8· Π ί ν. 188: 5-8).

Η ταφή β είναι η νεότερη ταφή του τάφου και έχει διαταράξει και παραμερίσει προς Β. την προγενέστερη ταφή α. Από το είδος των κτερισμάτων μπορούμε να συμπεράνουμε ότι η ταφή α είναι γυναικεία, ενώ η ταφή β είναι ανδρική.

ΕΥΡΗΜΑΤΑ

Π ί ν. 188Α

Ταφή α

1(3). Χειροποίητη οινοχόη Τπ. Ι, VIIΔ (163). Σώζεται μέρος από το άνω τμήμα του αγγείου με τμήμα ώμου και λαιμού. Δύο παράλληλες αυλακώσεις γύρω από τη βάση του λαιμού και γύρω από την περιφέρεια του χείλους.
Πηλός Κτ. ΙΒ1
εξ. επ. Κ-ΚΕ
εσ. επ. ΚΕ
πρ. Κ
σζ. ύψ. 0,12 μ.

2(4). Χειροποίητο κυπελλόσχημο αγγείο Τπ.

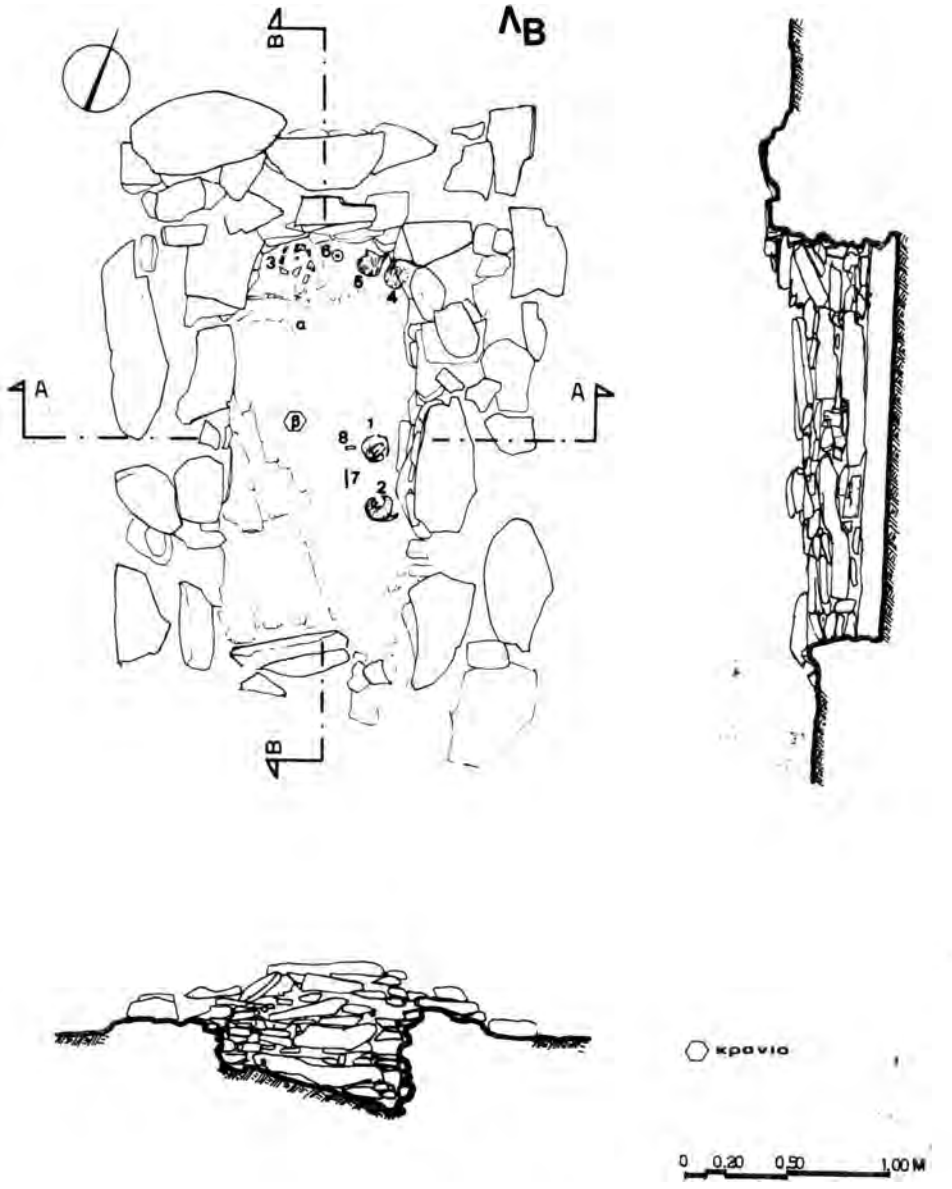

Σχέδ. 63. Κάτοψη και τομές τάφου ΛΒ.

I, VII (183).
Λείπει ένα μεγάλο μέρος από το αγγείο.
Πηλός Κτ. ΙΒ1
εξ. επ. Κ-ΚΜ
εσ. επ. Κ-ΚΕ
πρ. Κ
σζ. ύψ. 0,09, δμβ. 0,06, δμχ. 0,09 μ.

3(5). Χειροποίητο κυπελλόσχημο αγγείο Τπ. I, IV (48).
Λείπει ένα μέρος από το άνω σώμα του αγγείου. Δύο παράλληλες αυλακώσεις γύρω από τη βάση του λαιμού.
Πηλός Κτ. ΙΒ1
εξ. επ. Κ-ΚΜ φθ
εσ. επ. Κ-ΚΕ
πρ. ΚΕ
σζ. ύψ. 0,09, δμβ. 0,054, δμχ. 0,09 μ.

4(6). Πήλινο δικωνικό σφονδύλι Τπ. ΣΙΙ, 1α.

Λείπει ένα τμήμα της περιφέρειας.
σζ. ύψ. 0,029, δμχ. 0,04 μ.

Ταφή β

5(8). Χάλκινη σωληνόμορφη ψήφος περιδεραίου Τπ. Ψχ4.
μκ. 0,018, δμ. 0,003 μ.

6(7). Σιδερένια λεπίδα εγχειριδίου Τπ. ΕVIII. Ράχη κυρτή, ακμή κοίλη. Ουρά χωρίς καρφιά, ισόπαχη με το άκρο της λεπίδας.

7(2). Μόνωτο χειροποίητο ευρύστομο αγγείο Τπ. Ι, IV (84α).
Λείπει ένα μεγάλο μέρος από το λαιμό του αγγείου και το άνω τμήμα της λαβής. Δύο παράλληλες αυλακώσεις γύρω από τη βάση του λαιμού. Στον ώμο, κατά διαστήματα, συστάδες από τρεις λοξές, ελαφρά κυματιστές αυλακώσεις.
Πηλός Κτ. ΙΑ2
εξ. επ. Μ-λ
εσ. επ. ΚΜ-λ
πρ. Κ
σζ. ύψ. 0,145, δμβ. 0,065, δμχ. 0,21 μ.

8(1). Θραύσμα χειροποίητου κυπελλόσχημου αγγείου Τπ. Ι, IV (98).
Σώζεται τμήμα ώμου με λαιμό και η λαβή του αγγείου. Αυλακωτή διακόσμηση με παράλληλες αυλακώσεις, που σχηματίζουν μετόπη στο λαιμό του αγγείου.
Πηλός Κτ. ΙΑ2
εξ. επ. ΚΜ-λ
εσ. επ. ΚΜ-λ
πρ. ΚΤ
σζ. ύψ. 0,075 μ.

Ταφική συστάδα Λ1

Η ταφική συστάδα Λ1 βρίσκεται σε απόσταση 20 μ. προς Δ. του τάφου ΛΒ (Σ χ έ δ. VI). Αποτελείται από δύο ορθογώνιους κτιστούς υπέργειους τάφους, που έχουν κοινό ενδιάμεσο τοίχο και κοινό προσανατολισμό Β.-Ν. (Σ χ έ δ. 64). Οι τάφοι δεν πρέπει να είναι σύγχρονοι. Αρχαιότερος είναι ο τάφος Λ1Β, στον οποίο προσκολλήθηκε αργότερα ο τάφος Λ1Α. Οι τάφοι καλύπτονταν από στρώμα λίθων, το οποίο ωστόσο δεν ήταν ενιαίο πάνω στους δύο τάφους. Πριν από την έναρξη της ανασκαφής, τα περιγράμματα των επιμέρους τάφων της συστάδας διαγράφονταν καθαρά ανάμεσα στο στρώμα των λίθων που τους κάλυπτε (Π ί ν. 317α).

Διαστάσεις εξωτερικού περιγράμματος ταφικής συστάδας Λ1: μγ. μκ. 5,20, μγ. πλ. 6 μ.

ΤΑΦΟΣ Λ1Α

Ορθογώνιος κτιστός τάφος, προσκολλημένος στη δυτική πλευρά του τάφου Λ1Β, με προσανατολισμό Β.-Ν., περίπου (Σ χ έ δ. 64· Π ί ν. 317α). Διαστάσεις τάφου (εσωτ.): μγ. μκ. 2,50, μγ. πλ. 1,20, μγ. ύψ. 0,40 μ. Στη βόρεια στενή πλευρά του τάφου βρέθηκε μια όρθια σχιστόπλακα, γυρμένη λοξά προς το εσωτερικό του τάφου. Πιθανότατα, προέρχεται από την κάλυψη του τάφου. Ελάχιστα λείψανα οστών κάτω άκρων εντοπίσθηκαν στη νότια περιοχή του τάφου. Διάσπαρτα στο εσωτερικό του τάφου βρέθηκαν θραύσματα αγγείων, ορισμένα από τα οποία σχημάτισαν το αγγείο Α1.

ΕΥΡΗΜΑΤΑ

Π ί ν. 188Β

1. Χειροποίητη προχοΐσκη Τπ. Ι, VIIΔ (163).
Λείπει ένα μέρος από το κάτω σώμα.
Πηλός Κτ. ΙΓ1
εξ. επ. ΚΕ-λ
εσ. επ. ΚΕ
πρ. ΚΕ
συμπλ. ύψ. 0,12, δμβ. 0,055, δμχ. 0,08 μ.

2. Θραύσμα από σώμα χειροποίητου αγγείου.
Πηλός Κτ. ΙΒ1
εξ. επ. ΚΕ-λ
εσ. επ. ΚΕ
πρ. Κ
σζ. ύψ. 0,03 μ.

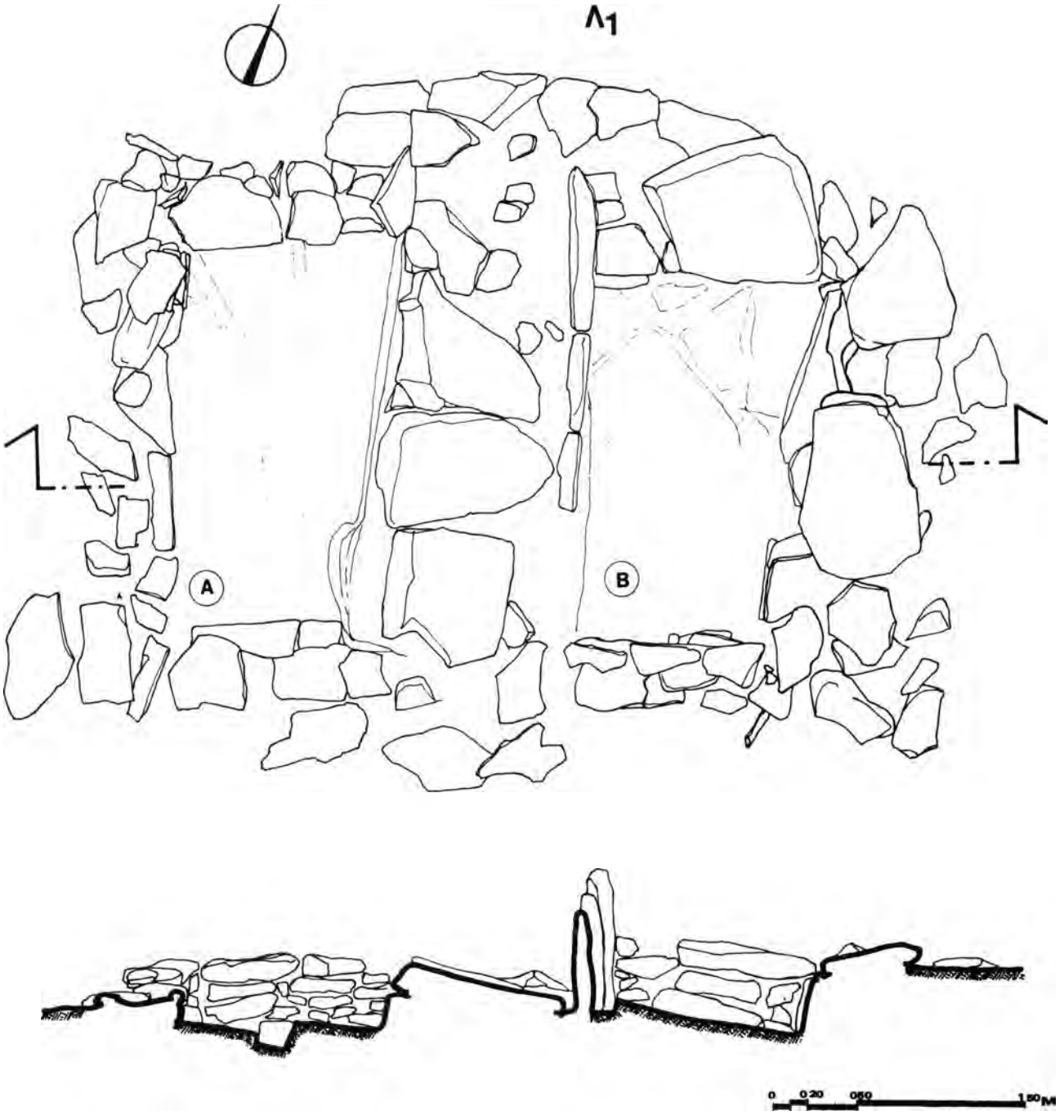

Σχέδ. 64. Κάτοψη και τομή ταφικής συστάδας Λ1.

ΤΑΦΟΣ Λ1Β

Ορθογώνιος πλατύς τάφος με προσανατολισμό Β.-Ν., περίπου (Σ χ έ δ. 64). Διαστάσεις (εσωτ.): μγ. μκ. 3,20, μγ. πλ. 1,30, μγ. ύψ. 0,60 μ. Στις κτιστές πλάγιες πλευρές του τάφου έχουν ενσωματωθεί και όρθιες σχιστόπλακες που σε ορισμένα σημεία, π.χ. στο μέσον της δυτικής πλευράς του τάφου, εξέχουν πάνω από το σωζόμενο ύψος του δυτικού τοίχου του τάφου. Στο εσωτερικό του τάφου, ένα στρώμα λίθων που περιείχε και λίγο χώμα κάλυπτε το επίπεδο των ταφών. Το επίπεδο των ταφών, που βρισκόταν στην επιφάνεια του εδάφους πάνω σε ένα λεπτό στρώμα από ερυθρωπό χώμα, αμέσως μετά το φυσικό βράχο, βρέθηκε διαταραγμένο. Θραύσματα αγγείων και οστών ήταν διάσπαρτα στο εσωτερικό του τάφου. Στην ανασκαφή συγκεντρώσαμε τα θραύσματα των αγγείων σε πέντε ομάδες, με τις ενδείξεις ΝΑ., ΒΑ., ΝΔ., ΒΔ., τμήμα και κέντρο του τάφου, αλλά στη συγκόλληση των αγγείων διαπιστώθηκε ότι τα όστρακα των διαφόρων ομάδων κολλούσαν μεταξύ τους.

Τα ελάχιστα θραύσματα των οστών που περιέχονταν μέσα σ' αυτό το στρώμα της διατάραξης δε συγκεντρώθηκαν και έτσι δεν έχουμε καμιά ανθρωπολογική πληροφορία για τους νεκρούς του τάφου.

Οι διαστάσεις του τάφου και το πλήθος των αγγείων που βρέθηκαν βεβαιώνουν έναν αρκετά μεγάλο αριθμό νεκρών στον τάφο (Π ί ν. 189-191).

ΕΥΡΗΜΑΤΑ

Π ί ν. 189

1. Θραύσματα μόνωτου χειροποίητου ευρύστομου αγγείου Τπ. I, IV (94).
Σώζεται αποσπασματικά στη βάση, στον ώμο, στο λαιμό και στη λαβή. Δύο παράλληλες αυλακώσεις στο λαιμό του αγγείου. Στον ώμο διακρίνεται μία απόφυση.
Πηλός Κτ. ΙΒ1
εξ. επ. ΚΕ-λ
εσ. επ. ΚΕ-λ
πρ. ΚΜ
σζ. ύψ. 0,11, δμβ. 0,05, δμχ. 0,145 μ.

2. Θραύσματα μόνωτου χειροποίητου ευρύστομου αγγείου Τπ. I, IV (84α).
Σώζεται τμήμα του ώμου με το λαιμό και το χείλος, καθώς και η λαβή του αγγείου. Δύο παράλληλες αυλακώσεις γύρω από τη βάση του λαιμού και γύρω από την περιφέρεια του χείλους.
Πηλός Κτ. ΙΑ2
εξ. επ. Κ-ΚΕ
εσ. επ. Κ-ΚΜ
πρ. Κ
συμπλ. ύψ. 0,11, δμχ. 0,125 μ.

3. Θραύσματα μόνωτου χειροποίητου ευρύστομου αγγείου Τπ. I, IV (34).
Σώζεται τμήμα του άνω σώματος με τη λαβή.
Πηλός Κτ. ΙΓ1
εξ. επ. Κ
εσ. επ. Κ
πρ. Κ
ύψ. 0,16, δμχ. 0,12 μ.

4. Μόνωτο χειροποίητο ευρύστομο αγγείο Τπ. I, IV (15).
Σώζεται το μεγαλύτερο μέρος του αγγείου με τη λαβή.
Πηλός Κτ. ΙΓ1
εξ. επ. ΚΕ
εσ. επ. Κ-ΚΕ
πρ. Κ
σζ. ύψ. 0,09, συμπλ. ύψ. 0,115, δμβ. 0,07 μ.

5. Μόνωτο χειροποίητο ευρύστομο αγγείο Τπ. I, IV (88).
Λείπει το μεγαλύτερο τμήμα από το κάτω σώμα. Αυλακωτή διακόσμηση με δύο παράλληλες αυλακώσεις που σχηματίζουν μετόπη στο λαιμό του αγγείου. Αυλακωτή διακόσμηση και στο ταινιωτό τμήμα της γωνιόσχημης λαβής.
Πηλός Κτ. ΙΑ2
εξ. επ. ΚΜ-λ
εσ. επ. ΚΜ-λ
πρ. Κ
σζ. ύψ. 0,073, συμπλ. ύψ. 0,13, δμλ. 0,10 μ.

6. Μόνωτο χειροποίητο ευρύστομο αγγείο Τπ. I, IV (88).
Σχεδόν ακέραιο. Αυλακωτή διακόσμηση από δύο παράλληλες αυλακώσεις, που σχηματίζουν μετόπη στο λαιμό του αγγείου. Αυλακωτή διακόσμηση διακρίνεται και στο σωζόμενο ταινιωτό τμήμα της γωνιόσχημης λαβής.

Πηλός Κτ. ΙΑ2
εξ. επ. ΚΜ-λ
εσ. επ. ΚΜ-λ
πρ. Κ
συμπλ. ύψ. 0,115, δμβ. 0,045, δμχ. 0,09 μ.

7. Μόνωτο χειροποίητο ευρύστομο αγγείο Τπ. Ι, IV (79).
Λείπει ένα μεγάλο μέρος από το άνω κυρίως τμήμα του αγγείου και το μεγαλύτερο τμήμα της λαβής. Δύο παράλληλες αυλακώσεις γύρω από την αρχή του λαιμού και κάτω από το χείλος.
Πηλός Κτ. ΙΒ1
εξ. επ. Κ-λ
εσ. επ. ΚΕ-λ
πρ. Κ
σζ. ύψ. 0,15, συμπλ. ύψ. 0,165, δμβ. 0,07 μ.

Π ί ν. 190

8. Χειροποίητο ευρύστομο αγγείο Τπ. Ι, IV (113).
Σώζεται τμήμα από τον ώμο με το κάτω τμήμα της λαβής και τμήμα του χείλους. Μία αυλακωτή γραμμή κάτω από την περιφέρεια του χείλους. Λοξές παράλληλες αυλακώσεις κατά διαστήματα στον ώμο του αγγείου. Παράλληλες περιφερειακές αυλακώσεις γύρω από το κάτω σώμα του αγγείου.
Πηλός Κτ. ΙΑ2
εξ. επ. ΚΤ-λ
εσ. επ. ΚΜ-λ
πρ. ΚΤ
σζ. ύψ. 0,145, δμβ. 0,055 μ.

9. Θραύσματα μόνωτου χειροποίητου ευρύστομου αγγείου Τπ. Ι, IV (92).
Σώζεται τμήμα του ώμου και του χείλους, καθώς και η λαβή του αγγείου. Τρεις παράλληλες αυλακώσεις κάτω από την περιφέρεια του χείλους και δύο παράλληλες αυλακώσεις γύρω από τη βάση του λαιμού του αγγείου. Αυλακωτή διακόσμηση από παράλληλες ζιγκ-ζαγκ γραμμές στον ώμο του αγγείου. Συστάδες από τρεις παράλληλες αυλακώσεις στη βάση και στην κορυφή του κατακόρυφου στελέχους της γωνιόσχημης λαβής. Αυλακωτή διακόσμηση και στο ταινιωτό τμήμα της λαβής.
Πηλός Κτ. ΙΑ2
εξ. επ. ΤΜ-λ
εσ. επ. ΤΜ
πρ. Κ-ΚΕ
σζ. ύψ. 0,145, δμχ. 0,15 μ.

10. Θραύσμα από το λαιμό και το χείλος χειροποίητου ευρύστομου αγγείου Τπ. Ι, VIB (136).
Δύο παράλληλες αυλακώσεις κάτω από την περιφέρεια του χείλους.
Πηλός Κτ. ΙΒ1
εξ. επ. ΚΕ-λ
εσ. επ. ΚΕ
πρ. ΚΕ
σζ. ύψ. 0,045 μ.

11. Θραύσμα από τον ώμο χειροποίητου αγγείου Τπ. Ι, IV (72).
Διακρίνονται δύο αραιές παράλληλες αυλακώσεις στον ώμο.
Πηλός Κτ. ΙΑ2
εξ. επ. ΚΤ - ίχνη επιχρίσματος
εσ. επ. Κ-λ
πρ. ΚΕ
σζ. ύψ. 0,05 μ.

12. Θραύσμα χειροποίητου ευρύστομου αγγείου Τπ. Ι, IV (22).
Σώζεται τμήμα του ώμου και γωνιόσχημη λαβή, με τονισμένη τη γωνία της λαβής.
Πηλός Κτ. ΙΒ1
εξ. επ. Κ-ΚΤ
εσ. επ. Κ
πρ. Κ
σζ. ύψ. 0,09 μ.

13. Θραύσματα μόνωτου χειροποίητου ευρύστομου αγγείου Τπ. Ι, IV (57).
Σώζεται τμήμα ώμου και χείλους, καθώς και το κατακόρυφο στέλεχος από τη γωνιόσχημη λαβή. Μία αυλακωτή γραμμή κάτω από το χείλος.
Πηλός Κτ. ΙΑ2
εξ. επ. Κ-ΚΜ-λ
εσ. επ. Κ-ΚΜ-λ
πρ. Κ-ΚΤ
σζ. ύψ. 0,09 μ.

14. Μόνωτο χειροποίητο ευρύστομο αγγείο Τπ. Ι, IV (22).
Λείπει ένα μεγάλο μέρος από το άνω κυρίως σώμα του αγγείου.
Πηλός Κτ. ΙΑ2
εξ. επ. ΚΜ-λ
εσ. επ. ΚΜ-λ
πρ. Κ
ύψ. 0,175, δμβ. 0,095, δμχ. 0,14 μ.

Π ί ν. 191

15. Χειροποίητη οινοχόη με οπισθότμητη

προχοή Τπ. Ι, VIIΓ (158).
Λείπει ένα μεγάλο μέρος από το σώμα και το λαιμό του αγγείου, καθώς και η λαβή. Δύο παράλληλες λεπτές αυλακώσεις γύρω από τη βάση του λαιμού.
Πηλός Κτ. ΙΒ1
εξ. επ. ΚΕ
εσ. επ. Κ
πρ. Κ
σζ. ύψ. 0,249, δμβ. 0,105, δμλ. 0,09 μ.

16. Τροχήλατο κλειστό αγγείο Τπ. ΙΙ, ΣΤ (244).
Σώζεται τμήμα από το χείλος και τον ώμο, καθώς και η λαβή και η βάση. Τρεις περιφερειακές ραβδώσεις στον ώμο, γύρω από τη βάση του λαιμού.
Πηλός Κτ. ΙΙ
εξ. επ. ΚΤ-Τ
εσ. επ. ΚΤ-Τ
πρ. ΚΤ
συμπλ. ύψ. 0,276, δμβ. 0,06, δμχ. 0,069 μ.

17. Μικρογραφικό χειροποίητο αγγείο Τπ. Ι, ΙΧΑ (188).
Λείπει το άνω τμήμα του αγγείου.
Πηλός Κτ. ΙΒ1
εξ. επ. Κ-ΚΜ
εσ. επ. Κ
πρ. Κ
ύψ. 0,06, δμβ. 0,04 μ.

18. Χάλκινο εγχειρίδιο Τπ. ΕΙΙ, 2α.
Ράχη κυρτή, ακμή κοίλη, ουρά ορθογώνια χωρίς καρφιά, που εισέχει από την πλευρά της ακμής. Δύο εγχάρακτες γραμμές κατά μήκος της ράχης.
μκ. 0,102 μ.

19. Χάλκινος σφηκωτήρας από περιελισσόμενο σύρμα Τπ. Σφ. 2.
δμ. 0,018 μ.

20. Χάλκινη σωληνόμορφη ψήφος περιδεραίου Τπ. Ψχ4.
δμ. 0,024 μ.

21. Δακτυλιόσχημη ψήφος από γαλάζια υαλόμαζα Τπ. Ψυ.
δμ. 0,006 μ.

22. Πήλινο δικωνικό σφονδύλι Τπ. ΣΙΙ, 1α.
Λείπει ένα τμήμα από την περιφέρεια.
ύψ. 0,03, δμ. 0,036 μ.

23. Θραύσμα μολύβδινου σύνδεσμου αγγείου.
μκ. 0,03 μ.

24. Θραύσμα κατακόρυφης κυλινδρικής λαβής χειροποίητου αγγείου Τπ. Ι, IV.
Πηλός Κτ. ΙΒ1
εξ. επ. Κ
εσ. επ. Κ-λ
πρ. Κ
σζ. ύψ. 0,09 μ.

25. Θραύσμα κατακόρυφης κυλινδρικής λαβής χειροποίητου αγγείου Τπ. Ι, IV.
Πηλός Κτ. ΙΑ2
εξ. επ. ΚΤ-λ φθ
εσ. επ. ΚΤ
πρ. ΚΤ
σζ. ύψ. 0,09 μ.

26. Θραύσμα κατακόρυφης κυλινδρικής λαβής χειροποίητου αγγείου Τπ. Ι, IV.
Πηλός Κτ. ΙΒ1
εξ. επ. Κ
εσ. επ. Κ
πρ. Κ
σζ. μκ. λβ. 0,06 μ.

27. Θραύσμα βάσης χειροποίητου αγγείου Τπ. Ι, IV.
Πηλός Κτ. ΙΒ
εξ. επ. ΚΜ-λ
εσ. επ. Κ
πρ. Κ-ΚΜ
σζ. ύψ. 0,03, δμβ. 0,06 μ.

28. Κατακόρυφη κυλινδρική λαβή από την κοιλιά χειροποίητου αμφορέα Τπ. Ι, VIB.
Πηλός Κτ. ΙΑ3
εξ. επ. Κ-ΚΤ
εσ. επ. ΚΤ
πρ. ΚΕ
ύψ. λβ. 0,078 μ.

29. Θραύσμα από την κοιλιά χειροποίητου αγγείου Τπ. Ι, ΧΙΙ.
Πλαστική ταινία με «δακτυλιές» γύρω από την κοιλιά.
Πηλός Κτ. ΙΓ2
εξ. επ. ΚΕ
εσ. επ. ΚΕ
πρ. ΚΕ
σζ. ύψ. 0,105 μ.

30. Θραύσμα από το χείλος χειροποίητου αγγείου Τπ. Ι, ΧΙΙ.
Πλαστική ταινία με «δακτυλιές» κάτω από το χείλος.

Πηλός Κτ. ΙΓ2
εξ. επ. ΚΕ
εσ. επ. ΚΕ
πρ. Κ
σζ. ύψ. 0,039 μ.

31. Θραύσμα από το χείλος χειροποίητου αγγείου Τπ. Ι, XII.
Πηλός Κτ. ΙΒ2
εξ. επ. ΚΕ
εσ. επ. ΚΕ
πρ. Κ
σζ. ύψ. 0,027 μ.

Ταφική συστάδα Λ2

Η ταφική συστάδα Λ2 βρίσκεται 20 μ. περίπου προς Α. της ταφικής συστάδας Λ1 (Σ χ έ δ. VI). Διαστάσεις (εξωτ.): μγ. μκ. 12, μγ. πλ. 4 μ. Η συστάδα αποτελείται από τέσσερις κτιστούς ορθογώνιους υπέργειους τάφους, με κοινό προσανατολισμό περίπου ΒΑ.-ΝΔ. και άνοιγμα προς ΝΔ. (Π ί ν. 317β). Οι τάφοι, που έχουν κτισθεί διαδοχικά, χωρίζονται σε δύο ομάδες: Οι τάφοι Λ2Α και Λ2Β αποτελούν τη νεότερη ομάδα που προσαρτήθηκε στην ομάδα των τάφων Λ2Γ και Λ2Δ (Σ χ έ δ. VII· Π ί ν. 317β). Αρχαιότερος στη σειρά των τάφων πρέπει να είναι ο τάφος Λ1Δ, στη βορειοδυτική πλευρά του οποίου προσκολλήθηκε ο τάφος Λ2Γ. Η δεύτερη ομάδα των τάφων Λ2Β και Λ2Α έχει μετατοπισθεί κάπως δυτικότερα, ακολουθώντας έναν ελαφρά διαφορετικό προσανατολισμό. Πιθανότατα, ανάμεσα στον τάφο Λ2Β και Λ2Γ μεσολαβούσε ένας ακόμη τάφος της ομάδας Λ2Α και Λ2Β, που σήμερα είναι κατεστραμμένος (Π ί ν. 318α-β). Ύπαρξη κοινού τύμβου δε διαπιστώθηκε.

Χαρακτηριστικό παράδειγμα για την κάλυψη των τάφων αποτελεί ο τάφος Λ2Δ, όπου βλέπουμε τις πλάγιες πλευρές του τάφου να κλίνουν εκφορικά προς τα μέσα, καθώς υψώνονται έτσι ώστε να μικραίνει το άνοιγμα του τάφου, που τελικά καλύπτεται από δύο μεγάλες σχιστόπλακες, που σώζονταν στην αρχική τους θέση (Π ί ν. 318α-β). Στους άλλους τάφους, όπου διαπιστώθηκε επίσης εκφορική μείωση των τριών πλάγιων πλευρών, οι πλάκες των καλυμμάτων δε σώζονταν στη θέση τους. Σε ορισμένους από τους τάφους βρέθηκαν θραύσματα από τις πλάκες της οροφής, που ήταν πεσμένες στο εσωτερικό. Ένα μέρος, επίσης, από τους λίθους που βρέθηκαν στο εσωτερικό, ενδεχομένως προέρχεται από τις πλάγιες κτιστές πλευρές των τάφων (Π ί ν. 319α-β).

ΤΑΦΟΣ Λ2Α

Ορθογώνιος τάφος με κτιστές πλευρές. Διαστάσεις τάφου (εξωτ.): μγ. μκ. 4, μγ. πλ. 1,90, μγ. ύψ. 0,70 μ. Προσανατολισμός Α.-Δ., περίπου, και άνοιγμα προς Δ. Η απέναντι από την είσοδο στενή πλευρά και οι δύο μακρές πλευρές του τάφου έκλιναν εκφορικά προς τα μέσα. Καλυμμένος με στρώμα λίθων, ανάμεσα στους οποίους διακρίνονταν θραύσματα από τις καλυπτήριες πλάκες της οροφής (Π ί ν. 318γ). Στη δυτική στενή πλευρά του τάφου, ένας τοίχος εγκάρσιος χώριζε το θάλαμο των ταφών από έναν υποτυπώδη προθάλαμο. Διαστάσεις θαλάμου: μγ. μκ. 2, μγ. πλ. 0,80, μγ. σζ. ύψ. 0,70 μ. Διαστάσεις προθαλάμου (εσωτ.): μγ. μκ. 0,40, μγ. πλ. 0,80 μ. Στο επίπεδο της ταφής που βρισκόταν στην επιφάνεια του εδάφους, σ' ένα λεπτό στρώμα από ερυθρωπό χώμα αμέσως μετά το φυσικό βράχο, εντοπίσθηκαν δύο τουλάχιστον ταφές:

Ταφή α. Από το νεκρό α εντοπίσθηκαν θραύσματα κρανίου στη βορειοδυτική γωνία και θραύσματα οστών σκελών. Από τα ελάχιστα αυτά λείψανα προκύπτει ότι ο νεκρός είχε ταφεί με το κεφάλι στα βορειοανατολικά και τα σκέλη τεντωμένα.

Ένα χειροποίητο αγγείο (Σ χ έ δ. VII: 1· Π ί ν. 192Α: 2) βρέθηκε πίσω από το κεφάλι του νεκρού. Στα πόδια του νεκρού βρέθηκαν δόντια ζώου (Παράρτημα ΙΙ).

Ταφή β. Από το νεκρό β εντοπίσθηκαν ένα θραύσμα κρανίου στη βορειοανατολική περιοχή του τάφου και λίγα θραύσματα οστών σκελών. Ο νεκρός β έχει εναποτεθεί σε μια στάση αντίστοιχη με το νεκρό α και κατεύθυνση παράλληλη. Τα κτερίσματα έχουν, επίσης, τοποθετηθεί πίσω από το κεφάλι του νεκρού (Σ χ έ δ. VII: 2, 3· Π ί ν. 192Α: 1, 3).

ΕΥΡΗΜΑΤΑ

Π ί ν. 192Α

1(Α3). Μόνωτο χειροποίητο ευρύστομο αγγείο Τπ. Ι, IV (56).
Λείπει ένα μέρος από το σώμα του αγγείου. Δύο παράλληλες αυλακώσεις γύρω από τη βάση του λαιμού, μία αυλάκωση γύρω από την περιφέρεια του χείλους.
Πηλός Κτ. ΙΑ2
εξ. επ. ΤΜ-λ φθ
εσ. επ. ΤΜ
πρ. Τ
ύψ. 0,077, δμβ. 0,075, δμχ. 0,02 μ.

2(Α1). Χειροποίητο βαθύ κυπελλόσχημο αγγείο Τπ. Ι, VIIΔ (176).
Λείπουν αποσπασματικά τμήματα από το σώμα του αγγείου.
Πηλός Κτ. ΙΑ2
εξ. επ. ΤΜ-λ
εσ. επ. ΤΜ-λ
πρ. ΚΕ
ύψ. 0,12, δμβ. 0,052, δμχ. 0,12 μ.

3(Α3). Θραύσματα μόνωτου χειροποίητου ευρύστομου αγγείου Τπ. Ι, IV (65α).
Σώζεται τμήμα ώμου και τμήμα κυλινδρικής λαβής. Μία αυλάκωση γύρω από τη βάση του λαιμού. Δύο αυλακώσεις κάτω από την περιφέρεια του χείλους.
Πηλός Κτ. ΙΑ2
εξ. επ. ΤΜ-λ
εσ. επ. ΤΜ-λ
πρ. Κ
σζ. ύψ. 0,093 μ.

ΤΑΦΟΣ Λ2Β

Ορθογώνιος υπέργειος τάφος με κτιστές πλευρές (Π ί ν. 318γ). Διαστάσεις τάφου (εξωτ.): μγ. μκ. 4,50, μγ. πλ. 2,60 μ. (Σ χ έ δ. VII). Προσανατολισμός ΒΑ.-ΝΔ., περίπου, και άνοιγμα προς Δ. Η απέναντι από την είσοδο στενή πλευρά, καθώς και οι μακρές πλευρές του, κλίνουν εκφορικά προς τα μέσα. Πλάκες, ωστόσο, που θα μπορούσαν να αποδοθούν στην οροφή του τάφου δε βρέθηκαν. Πιθανόν από την οροφή του προέρχεται μία μεγάλη πλάκα, που βρέθηκε μπροστά στην είσοδο του τάφου (Π ί ν. 318β-γ). Ένας εγκάρσιος τοίχος στα δυτικά χωρίζει το θάλαμο ταφής από ένα χώρο που αποτελεί τον προθάλαμο του τάφου (Π ί ν. 318γ).

Διαστάσεις θαλάμου: μγ. μκ. 3, μγ. πλ. 1,50, μγ. ύψ. 1,20 μ. Διαστάσεις προθαλάμου: μγ. μκ. 0,40, μγ. πλ. 1,50 μ. Το εσωτερικό του τάφου βρέθηκε γεμάτο μ' ένα στρώμα λίθων, που περιείχε και μια μικρή ποσότητα χώματος. Το επίπεδο της ταφής εντοπίσθηκε πάνω στην επιφάνεια του εδάφους, σ' ένα λεπτό στρώμα από ερυθρωπό χώμα αμέσως μετά το φυσικό βράχο. Λείψανα δύο τουλάχιστον νεκρών εντοπίσθηκαν.

Ταφή α. Λείψανα κρανίου και ελάχιστα θραύσματα μακρών οστών εντοπίσθηκαν στη νότια περιοχή του τάφου. Ο νεκρός πρέπει να είχε ταφεί με το κεφάλι στα ανατολικά και να είχε διαταραχθεί από τη νεότερη ταφή β.

Ταφή β. Από τα σωζόμενα λείψανα κρανίου και μακρών οστών προκύπτει ότι ο νεκρός είχε ταφεί με το κεφάλι στα ανατολικά και τα σκέλη τεντωμένα. Με την ταφή αυτή πρέπει να συσχετισθεί το χειροποίητο αγγείο Β1 και το χάλκινο εγχειρίδιο Β2 (Σ χ έ δ. VII: 1, 2· Π ί ν. 192Β: 1, 2).

ΕΥΡΗΜΑΤΑ

Π ί ν. 192Β

1(Β1). Θραύσματα μόνωτου χειροποίητου ευρύστομου αγγείου Τπ. Ι, IV (78).
Σώζεται τμήμα ώμου και λαιμού με χείλος. Δύο παράλληλες αυλακώσεις γύρω από τη βάση του λαιμού και κάτω από το χείλος.
Πηλός Κτ. ΙΒ1
εξ. επ. Κ-ΚΕ
εσ. επ. Κ-ΚΕ
πρ. Κ-ΚΕ
σζ. ύψ. 0,105 μ.

2(Β2). Χάλκινο εγχειρίδιο Τπ. ΕV, 5.
Ράχη κυρτή, ακμή κοίλη, ουρά χωρίς παρ-

φιά, που εισέχει ελάχιστα από την πλευρά της ράχης και λίγο περισσότερο από την πλευρά της ακμής.
σζ. μκ. 0,12 μ.

3. Θραύσμα από το λαιμό χειροποίητου αμφορέα Τπ. Ι, VIB (136).
Δύο παράλληλες αυλακώσεις γύρω από τη βάση του λαιμού.
Πηλός Κτ. ΙΑ3
εξ. επ. ΚΜ-λ
εσ. επ. ΚΤ
πρ. ΚΤ
σζ. ύψ. 0,045 μ.

4. Θραύσμα από το χείλος χειροποίητου αγγείου Τπ. Ι, XII (205-215).
Πλαστική ταινία με «δακτυλιές» αμέσως κάτω από το χείλος.
Πηλός Κτ. ΙΓ2
εξ. επ. ΚΕ
εσ. επ. Ε
πρ. ΚΕ
σζ. ύψ. 0,045 μ.

ΤΑΦΟΣ Λ2Γ

Ορθογώνιος υπέργειος τάφος με κτιστές πλευρές. Προσανατολισμός τάφου Α.-Δ. περίπου, με άνοιγμα προς Δ., προσκολλημένος στη βόρεια πλευρά του τάφου Λ2Δ, με τον οποίο έχει μια κοινή μακρά πλευρά. Οι δύο μακρές πλευρές του τάφου και η ανατολική στενή πλευρά έκλιναν εκφορικά προς τα μέσα. Θραύσματα από μεγάλες σχιστόπλακες, που βρέθηκαν στο εσωτερικό του τάφου, πρέπει να ανήκουν στις καλυπτήριες πλάκες του τάφου. Η ανατολική στενή πλευρά του τάφου είχε διαμορφωθεί εξωτερικά και εσωτερικά σε αψίδα (Π ί ν. 317β). Ένας εγκάρσιος τοίχος στα δυτικά χώριζε το θάλαμο ταφής από τον προθάλαμο.

Διαστάσεις θαλάμου (εσωτ.): μγ. μκ. 3, μγ. πλ. 1,30, μγ. ύψ. 1 μ. Διαστάσεις προθαλάμου: μγ. μκ. 0,50, μγ. πλ. 1,30 μ.

Θ ά λ α μ ο ς

Το εσωτερικό του τάφου βρέθηκε γεμάτο με ριχτές πέτρες και θραύσματα πλακών, ανάμεσα στις οποίες μεσολαβούσε και λίγο χώμα. Κάτω από το λιθόστρωμα, το επίπεδο της ταφής βρέθηκε πάνω στην επιφάνεια του εδάφους, σ' ένα λεπτό στρώμα από ερυθρωπό χώμα που κάλυπτε το φυσικό βράχο (Π ί ν. 319α-β).

Δύο ταφές κατά χώραν εντοπίσθηκαν στον τάφο.

Ταφή α. Κατά μήκος της βορειοανατολικής πλευράς του τάφου.

Από τα ελάχιστα σωζόμενα οστά του άνω κυρίως σώματος, θραύσματα κρανίου, δόντια, καθώς και θραύσματα πλευρών και άνω άκρων, όπως και από τα ελάχιστα σωζόμενα οστά των κάτω άκρων, που ως επί το πλείστον βρέθηκαν μετακινημένα από τις ρίζες των πεύκων, φαίνεται ότι ο νεκρός είχε ταφεί ύπτιος με το κεφάλι στα ανατολικά και τα χέρια λυγισμένα στο στήθος. Σύμφωνα με την ανθρωπολογική μελέτη, ήταν άτομο νεαράς ηλικίας (Παράρτημα Ια).

Στην περιοχή του νεκρού α, η ανθρωπολογική μελέτη των οστών εντόπισε επίσης τον ενταφιασμό δύο παιδιών, ταφές που δεν είχαν επισημανθεί στην ανασκαφή του τάφου, λόγω της μεγάλης φθοράς των οστών (Π ί ν. 319α-β).

Πιθανότατα πρόκειται για προγενέστερες παιδικές ταφές, οι οποίες διαταράχθηκαν από την ταφή α, που φαίνεται ότι είναι η τελευταία χρονικά ταφή.

Τα κτερίσματα, οπωσδήποτε, που βρέθηκαν στην περιοχή του νεκρού α (Γ1, Γ4) δεν είναι δυνατό να αποδοθούν με βεβαιότητα στην ταφή α. Στην ίδια άλλωστε περιοχή βρέθηκαν και θραύσματα, τα οποία δεν απαρτίζουν αγγεία και πρέπει να προέρχονται από την επίχωση του τάφου, μέσα στην οποία διασκορπίζονταν και τα κτερίσματα των προγενέστερων ταφών.

Ταφή β. Κατά μήκος της νοτιοδυτικής πλευράς του τάφου (Π ί ν. 319β).

Από το νεκρό β σώθηκαν θραύσματα του κρανίου, των πλευρών και της σπονδυλικής στήλης, καθώς και θραύσματα οστών άνω και κάτω άκρων (Π ί ν. 319α). Από τα σωζόμενα οστά προκύπτει ότι ο νεκρός είχε ταφεί ύπτιος με τεντωμένα τα σκέλη

Στην περιοχή του νεκρού β βρέθηκαν τα αγγεία Β3, Β5 + 6, Β7. Ένα θρυμματισμένο σιδερένιο εγχειρίδιο, που βρέθηκε σε δύο θραύσματα ανάμεσα στις ταφές α και β, πιθανόν σχετίζεται με την ταφή β. Χαρακτηριστικό, ωστόσο, για τη διατάραξη που έχει σημειωθεί στα κτερίσματα της περιοχής του νεκρού β είναι το γεγονός ότι το θραύσμα Γ5, που βρισκόταν πάνω από το κεφάλι του νεκρού α, κόλλησε στα θραύσματα του αγγείου Γ6, που βρέθηκε δίπλα στο νεκρό β.

Σύμφωνα με την ανθρωπολογική μελέτη, ο νεκρός β ήταν άτομο ηλικίας 35-45 ετών. Στην περιοχή του νεκρού β, η ανθρωπολογική μελέτη εντόπισε μια παιδική ταφή (Παράρτημα Ια).

Στο επίπεδο της ταφής βρέθηκαν και ορισμένα θραύσματα οστών και δοντιών ζώων (μοσχαριού, αιγοπροβάτου).

ΕΥΡΗΜΑΤΑ

Π ί ν. 193Α

1(Γ1). Θραύσματα χειροποίητου κυπελλόσχημου αγγείου Τπ. Ι, IV (101β).
Λείπει τμήμα από το σώμα του αγγείου και τμήμα λαβής. Δύο παράλληλες αυλακώσεις γύρω από τη βάση του λαιμού. Στον ώμο διπλές παράλληλες ζιγκ-ζαγκ γραμμές.
Πηλός Κτ. ΙΑ2
εξ. επ. Κ-ΚΜ-λ
εσ. επ. ΚΜ-λ
πρ. ΚΜ
συμπλ. ύψ. 0,12, δμβ. 0,06 μ.

2(Γ5 + 6). Μόνωτο χειροποίητο ευρύστομο αγγείο Τπ. Ι, IV (84β).
Λείπουν αποσπασματικά ορισμένα μέρη από το σώμα και τη λαβή του αγγείου. Δύο παράλληλες αυλακώσεις γύρω από τη βάση του λαιμού και γύρω από την περιφέρεια του χείλους.
Πηλός Κτ. ΙΑ2
εξ. επ. ΚΤ-λ
εσ. επ. ΚΤ-λ
πρ. Κ-ΚΤ
ύψ. 0,12, δμβ. 0,06, δμχ. 0,105 μ.

3(Γ3). Θραύσμα χειροποίητου κυπελλόσχημου αγγείου Τπ. Ι, IV.
Σώζεται το 1/3 περίπου από το αγγείο και η λαβή. Δύο παράλληλες αυλακώσεις γύρω από το λαιμό.
Πηλός Κτ. ΙΒ1
εξ. επ. Κ-ΚΕ
εσ. επ. Κ
πρ. Κ
σζ. ύψ. 0,11, δμβ. 0,075, δμχ. 0,09 μ.

4(Γ4). Θραύσμα μόνωτου χειροποίητου ευρύστομου αγγείου Τπ. Ι, IV (23).
Σώζεται ένα μέρος από τον ώμο, το λαιμό και το χείλος του αγγείου.
Πηλός Κτ. ΙΒ1
εξ. επ. ΚΕ-λ φθ
εσ. επ. ΚΕ-λ φθ
πρ. Ε
σζ. ύψ. 0,105 μ.

5(Γ4). Θραύσμα από το σώμα χειροποίητου ευρύστομου αγγείου Τπ. Ι, IV (23).
Σώζεται τμήμα ώμου και λαιμού.
Πηλός Κτ. ΙΒ1
εξ. επ. ΚΕ-λ φθ
εσ. επ. ΚΕ-λ φθ
πρ. Ε
σζ. ύψ. 0,11 μ.

6(Γ4). Μόνωτο χειροποίητο ευρύστομο αγγείο Τπ. Ι, IV (19).
Λείπει το μεγαλύτερο μέρος από το άνω σώμα και το άνω τμήμα της λαβής.
Πηλός Κτ. ΙΒ
εξ. επ. ΚΜ-λ
εσ. επ. ΚΤ-λ
πρ. Κ
συμπλ. ύψ. 0,165, δμβ. 0,075, δμχ. 0,225 μ.

7(Γ7). Θραύσματα χειροποίητης οινοχόης με οπισθότμητη προχοή Τπ. Ι, VIIΓ (161).
Σώζεται τμήμα από τον ώμο και το λαιμό.
Πηλός Κτ. ΙΒ1
εξ. επ. Κ
εσ. επ. Κ
πρ. ΚΕ
συμπλ. ύψ. 0,171 μ.

8(Γ8). Θραύσμα βάσης τροχήλατου αγγείου Τπ. ΙΙ, ΣΤ (245).
Πηλός Κτ. ΙΙ
σζ. ύψ. 0,03, δμβ. 0,12 μ.

9. Θραύσμα σιδερένιας λεπίδας εγχειριδίου Τπ. ΕVII.
μγ. μκ. 0,075 μ.

Προθάλαμος

Στον προθάλαμο του τάφου Λ2Γ βρέθηκαν ορισμένα θραύσματα αγγείων κάτω από ένα στρώμα λίθων, καθώς και ένα μεγάλο θραύσμα από μόνωτο χειροποίητο ευρύστομο αγγείο (Σχέδ. VII: 2· Πίν. 193Β: 1). Δεν είναι βέβαιο αν το αγγείο βρίσκεται στην αρχική του θέση ή έχει μεταφερθεί εδώ με τη μετακίνηση της επίχωσης του εσωτερικού του θαλάμου.

ΕΥΡΗΜΑΤΑ

Πίν. 193Β

1(Γ2). Χειροποίητο κυπελλόσχημο αγγείο Τπ. Ι, IV (101β).
Λείπει ένα μέρος από το αγγείο. Δύο παράλληλες αυλακώσεις γύρω από τη βάση του λαιμού και κάτω από την περιφέρεια του χείλους. Στον ώμο αυλακωτή διακόσμηση από διπλή ζιγκ-ζαγκ γραμμή, που πλαισιώνει χαμηλή απόφυση.
Πηλός Κτ. ΙΑ2
εξ. επ. ΚΜ
εσ. επ. ΚΜ-ΚΕ
πρ. ΚΜ
σζ. ύψ. 0,135, δμβ. 0,075, δμχ. 0,105 μ.

2. Θραύσματα από το λαιμό και τη λαβή χειροποίητου αγγείου Τπ. Ι, IV.
Πηλός Κτ. ΙΒ1
εξ. επ. Κ
εσ. επ. Κ
πρ. Κ
σζ. ύψ. 0,105 μ.

ΤΑΦΟΣ Λ2Δ

Ορθογώνιος υπέργειος τάφος με κτιστές πλευρές. Προσανατολισμός τάφου ΒΑ.-ΝΔ., περίπου, με άνοιγμα προς ΝΔ. (Σχέδ. VII). Διαστάσεις τάφου: μγ. μκ. 2,40, μγ. πλ. 1,40 μ.

Η ανατολική στενή πλευρά, όπως και οι μακρές πλευρές του τάφου, καθώς υψώνονται προς τα πάνω, κλίνουν εκφορικά προς τα μέσα. Ο τάφος καλυπτόταν με δύο μεγάλες καλυπτήριες σχιστόπλακες, από τις οποίες η μία βρέθηκε στην αρχική της θέση πάνω στην ανατολική στενή πλευρά και τις μακρές πλευρές, ενώ η δεύτερη βρέθηκε πεσμένη στο εσωτερικό του τάφου (Πίν. 318α). Η ανατολική στενή πλευρά του τάφου έχει αψιδωτή διαμόρφωση, εμφανίζοντας μια μαλακή καμπύλη στην εξωτερική επιφάνεια και μια πιο έντονη στην εσωτερική παρειά (Πίν. 318β). Ένας εγκάρσιος χαμηλός τοίχος έκλεινε το δυτικό άνοιγμα του τάφου, χωρίς να σχηματίζει προθάλαμο. Διαστάσεις τάφου: μγ. μκ. 2,40, μγ. πλ. 1,40, μγ. ύψ. 1,20 μ. (Σχέδ. VII)

Κάτω από τις καλυπτήριες πλάκες το επίπεδο των ταφών καλυπτόταν με ένα στρώμα λίθων, ανάμεσα στους οποίους μεσολαβούσε αραιό χώμα.

Όπως και στους λοιπούς τάφους, οι ταφές είχαν εναποτεθεί πάνω στην επιφάνεια του εδάφους, σ' ένα λεπτό στρώμα από φυσικό ερυθρωπό χώμα πάνω από το φυσικό βράχο. Όμοιο μ' αυτό το φυσικό χώμα είναι αυτό που περιέχεται στο στρώμα των λίθων, που καλύπτει τους νεκρούς.

Τα κτερίσματα είχαν εναποτεθεί κατά μήκος των μακρών πλευρών του τάφου και το μοναδικό χάλκινο εγχειρίδιο βρέθηκε στο κέντρο, περίπου, του τάφου (Σχέδ. VII).

Δύο τουλάχιστον ταφές ενηλίκων επισημάνθηκαν από τα λείψανα των οστών, τα οποία βρέθηκαν σε πολύ αποσπασματική κατάσταση και δεν κρατήθηκαν για μελέτη. Μια τρίτη παιδική ταφή εντοπίσθηκε από την ανθρωπολογική μελέτη των δοντιών του τάφου (Παράρτημα Ια).

ΕΥΡΗΜΑΤΑ

Πίν. 192Γ

1. Θραύσμα χειροποίητου αμφορέα Τπ. Ι, VIΓ (127).
Σώζεται τμήμα ώμου με αρχή λαιμού και θραύσμα ώμου με μία οριζόντια λαβή. Δύο παράλληλες αυλακώσεις γύρω από τη βάση του λαιμού.

Πηλός Κτ. ΙΒ1
εξ. επ. ΚΕ
εσ. επ. ΚΕ
πρ. Κ
σζ. ύψ. 0,135 μ.

2. Θραύσμα από τον ώμο χειροποίητου αγγείου, που σώζει οριζόντια λαβή Τπ. Ι, VIΓ.
Πηλός Κτ. ΙΒ2
εξ. επ. ΚΕ
εσ. επ. ΚΜ
πρ. Κ
σζ. ύψ. 0,09 μ.

Π ί ν. 194

3. Χειροποίητο κυπελλόσχημο αγγείο Τπ. Ι, VII (185).
Λείπουν αποσπασματικά μέρη από το σώμα του αγγείου.
Πηλός Κτ. ΙΒ1
εξ. επ. ΚΕ
εσ. επ. ΚΕ
πρ. Κ
ύψ. 0,087, δμβ. 0,045, δμχ. 0,075 μ.

4. Θραύσμα χειροποίητου αγγείου Τπ. Ι, IV.
Σώζεται τμήμα κατακόρυφης κυλινδρικής λαβής.
Πηλός Κτ. ΙΒ1
εξ. επ. ΚΕ
εσ. επ. ΚΕ
πρ. ΚΤ
σζ. ύψ. 0,09 μ.

5. Θραύσμα από το άνω σώμα χειροποίητου ευρύστομου αγγείου Τπ. Ι, IV (57).
Σώζεται τμήμα του ώμου και του λαιμού, καθώς και η λαβή του αγγείου.
Πηλός Κτ. ΙΒ1
εξ. επ. ΚΕ
εσ. επ. Κ
πρ. Τ
σζ. ύψ. 0,075, δμχ. 0,135 μ.

6. Θραύσμα χειροποίητου μικρού κυπελλόσχημου αγγείου Τπ. Ι, IV (34β).
Σώζεται τμήμα βάσης, ώμου και λαιμού, καθώς και το άνω τμήμα της λαβής. Μία αυλάκωση γύρω από τη βάση του λαιμού. Αυλακώσεις στο άνω ταινιωτό τμήμα της λαβής.
Πηλός Κτ. ΙΒ1
εξ. επ. Κ-ΚΕ
εσ. επ. ΚΕ
πρ. Κ
σζ. ύψ. 0,071, δμβ. 0,06, δμχ. 0,09 μ.

7. Θραύσματα γωνιόσχημης λαβής χειροποίητου αγγείου Τπ. Ι, IV.
Αυλακωτή διακόσμηση στο ταινιωτό τμήμα της λαβής.
Πηλός Κτ. ΙΑ2
εξ. επ. ΚΜ-λ
εσ. επ. ΚΜ-λ
πρ. ΚΕ
σζ. ύψ. 0,09 μ.

8. Μόνωτο χειροποίητο ευρύστομο αγγείο Τπ. Ι, IV (95).
Ακέραιο, εκτός από ελάχιστα θραύσματα που λείπουν από το σώμα και τη λαβή. Δύο ζεύγη από παράλληλες αυλακώσεις γύρω από τη βάση του λαιμού. Στον ώμο κατά διαστήματα τρεις αποφύσεις, που πλαισιώνονται από συστάδες λοξών παράλληλων γραμμών. Αυλακωτή διακόσμηση και στο ταινιωτό τμήμα της λαβής.
Πηλός Κτ. ΙΒ1
εξ. επ. ΚΕ-λ
εσ. επ. ΚΕ-λ
πρ. Κ
ύψ. 0,12, δμχ. 0,16 μ.

9. Θραύσματα τροχήλατου ευρύστομου αμφορέα Τπ. ΙΙ, ΣΤ (245).
Πηλός Κτ. ΙΙ
συμπλ. ύψ. 0,36, δμβ. 0,105 μ.

10. Θραύσμα από τη βάση και τον ώμο αγγείου.
Πηλός Κτ. ΙΒ
εξ. επ. Κ-λ
εσ. επ. Κ
πρ. Κ
σζ. ύψ. 0,06 μ.

11. Θραύσμα λαβής χειροποίητου αγγείου Τπ. IV.
Πηλός Κτ. ΙΒ1
εξ. επ. Κ-λ φθ
εσ. επ. ΚΕ
πρ. ΚΕ
σζ. ύψ. 0,09 μ.

12. Χάλκινο εγχειρίδιο Τπ. ΕV, 3.
Ράχη κυρτή, ακμή κοίλη, ουρά χωρίς καρφιά, που εισέχει από την πλευρά της ακμής. Δύο παράλληλες χαράξεις κατά μήκος της ράχης της λεπίδας.
μγ. μκ. 0,138 μ.

13. Θραύσμα μολύβδινου συνδέσμου
μκ. 0,15 μ.

Ταφική συστάδα Λ3

Η ταφική συστάδα Λ3 βρίσκεται σε απόσταση 4 μ. προς ΒΑ. της ταφικής συστάδας Λ2 (Σ χ έ δ. VI). Πριν από την έναρξη της ανασκαφής, η συστάδα έδινε εξωτερικά την εικόνα ενός τυμβόσχημου λιθοσωρού με υπερυψωμένο το κέντρο (Π ί ν. 320α).

Μετά τον καθαρισμό από το ελάχιστο χώμα και κυρίως από τη φυτική βλάστηση που κάλυπτε τον τύμβο, ξεχώρισαν αμέσως τα περιγράμματα των επιμέρους τάφων, που είναι βέβαιο ότι έχουν κατασκευασθεί διαδοχικά γύρω από έναν αρχικό τάφο (Σ χ έ δ. 65). Η αρίθμηση των τάφων ακολουθεί τη σειρά της ανασκαφής τους, αλλά ο τάφος που κατασκευάσθηκε πρώτος πρέπει να είναι ο τάφος Λ3Δ, στον οποίο προσκολλήθηκαν αργότερα οι τάφοι Λ3Γ, Λ3Β και Λ3Α. Όλοι οι τάφοι της συστάδας έχουν τον ίδιο προσανατολισμό ΒΑ.-ΝΔ. Είναι υπέργειοι, ορθογώνιοι με κτιστές πλευρές και καλύπτονται με στρώμα λίθων. Μόνο στον τάφο Λ3Α βρέθηκε μια σχιστόπλακα κατά χώραν, που κάλυπτε ένα μέρος του τάφου (Π ί ν. 320α). Πρέπει να σημειώσουμε ότι στην ταφική συστάδα Λ3 διαπιστώνεται ότι η λιθορριπή που καλύπτει τους τάφους έχει πέσει, όχι μόνο στο εσωτερικό των τάφων, αλλά και έξω από τους τάφους, σχηματίζοντας την κυκλική περίπου κάτοψη ενός τύμβου (Π ί ν. 320α-β).

Γενικές διαστάσεις λιθοσωρού: 10×8 μ.

ΤΑΦΟΣ Λ3Α

Ορθογώνιος πλατύς τάφος με κτιστές πλευρές και προσανατολισμό ΒΑ.-ΝΔ. Στο βορειοανατολικό άκρο του τάφου βρέθηκε μια μεγάλη, περίπου κυκλική, σχιστόπλακα που οριζόντια τοποθετημένη κάλυπτε ένα μέρος του τάφου. Διαστάσεις τάφου (εσωτ.): μγ. μκ. 1,60, μγ. πλ. 1, μγ. ύψ. 0,40 μ. (Π ί ν. 320β).

Στο εσωτερικό του τάφου βρέθηκε το γνωστό στρώμα των λίθων που περιείχε και ελάχιστο χώμα. Μέσα στο στρώμα των λίθων βρέθηκαν ορισμένα διάσπαρτα όστρακα. Το επίπεδο της ταφής εντοπίσθηκε πάνω στο φυσικό βράχο. Φαίνεται ότι πριν πραγματοποιηθεί η ταφή είχε προηγηθεί ένα ελαφρό σκάμμα. Η νότια πλευρά του τάφου έχει κτισθεί πάνω στο φυσικό έδαφος, ενώ η βόρεια πλευρά πατά πάνω στο φυσικό βράχο. Κανένα ίχνος οστού δεν εντοπίσθηκε στον τάφο. Στο μέσον της βόρειας πλευράς βρέθηκαν θραύσματα αγγείου, καθώς και ένα μικρογραφικό αγγείο (Σ χ έ δ. 65: 1· Π ί ν. 195Α: 1, 2).

Από το μέγεθος των αγγείων, το μέγεθος του τάφου και την πλήρη απουσία λειψάνων οστών συμπεραίνουμε ότι στον τάφο είχε εναποτεθεί παιδική ταφή.

ΕΥΡΗΜΑΤΑ

Π ί ν. 195Α

1(Α1). Χειροποίητο κύπελλο Τπ. I, IV (51). Λείπει μικρό μέρος από το χείλος και τη λαβή του αγγείου. Δύο παράλληλες αυλακώσεις γύρω από τη βάση του λαιμού.
Πηλός Κτ. ΙΒ1
εξ. επ. Κ-ΚΕ
εσ. επ. ΚΕ
πρ. Κ
ύψ. 0,075, δμβ. 0,03, δμχ. 0,06 μ.

2(Α1). Χειροποίητη οινοχόη Τπ. I, VIIΓ (161).
Λείπει ένα μέρος από το κάτω σώμα του αγγείου.
Πηλός Κτ. ΙΒ1
εξ. επ. ΚΕ
εσ. επ. ΚΕ
πρ. Κ
ύψ. 0,166, δμβ. 0,06 μ.

3. Χάλκινος κρίκος (ψήφος όρμου).
δμ. 0,003 μ.

4. Θραύσμα από το λαιμό και το χείλος χειροποίητου αγγείου Τπ. I, IV (84β).
Δύο παράλληλες αυλακώσεις στη βάση του χείλους και γύρω από τη βάση του λαιμού.
Πηλός Κτ. ΙΑ2
εξ. επ. ΚΜ-λ

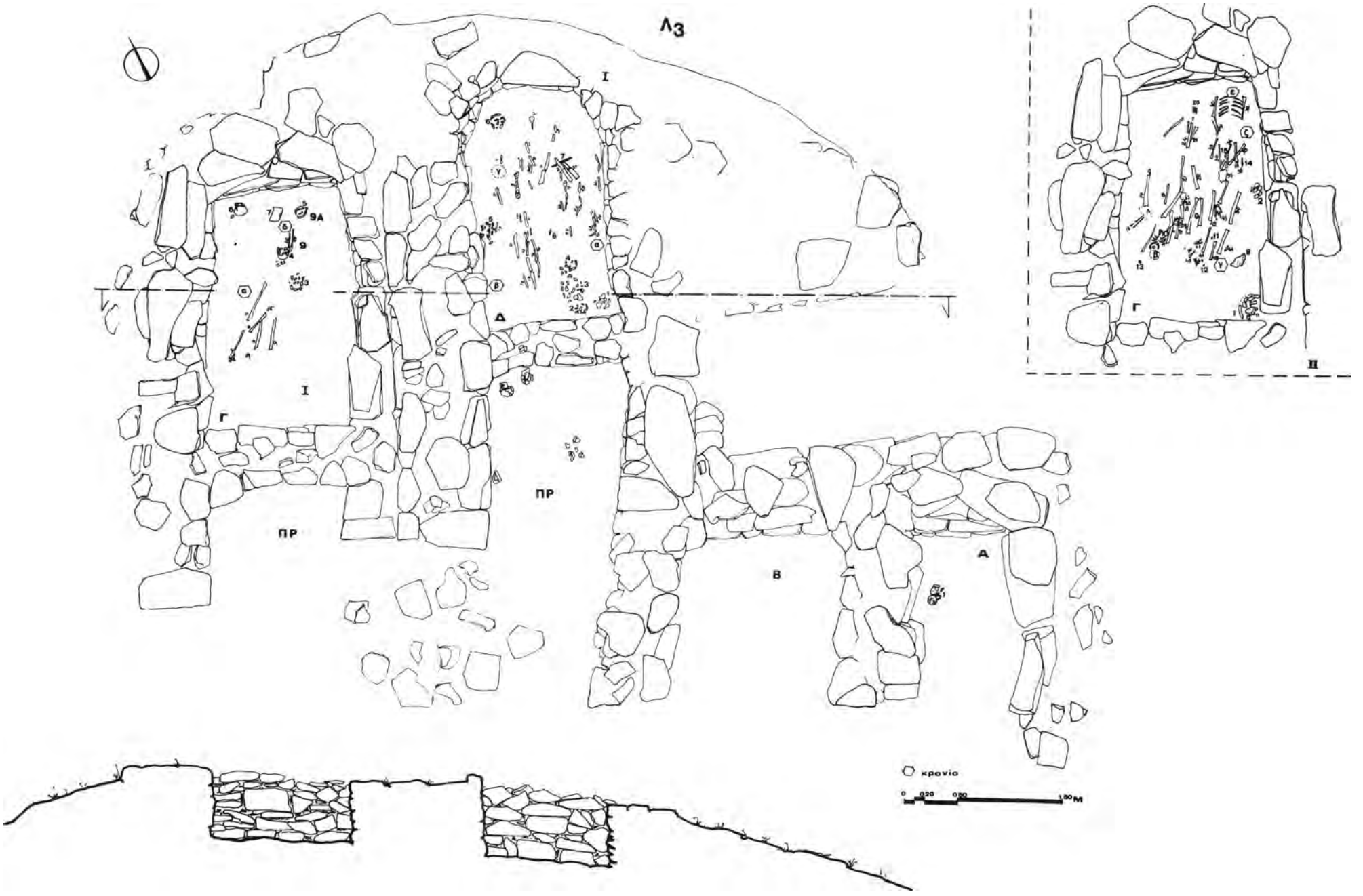

Σχέδ. 65. Κάτοψη και τομή ταφικής συστάδας Λ3. Στρώμα II του τάφου Λ3Γ.

εσ. επ. ΚΜ-λ
πρ. Κ
σζ. ύψ. 0,084 μ.

5. Θραύσμα κατακόρυφης λαβής χειροποίητου αγγείου Τπ. Ι, VIB.
Πηλός Κτ. ΙΓ2
εξ. επ. Ε
εσ. επ. ΚΕ
πρ. ΚΕ
σζ. ύψ. 0,036 μ.

6. Θραύσμα κατακόρυφης κυλινδρικής λαβής χειροποίητου αγγείου Τπ. Ι, VIB.
Πηλός Κτ. ΙΓ2
εξ. επ. Ε
εσ. επ. Ε
πρ. Ε
σζ. ύψ. 0,075 μ.

ΤΑΦΟΣ Λ3Β

Στο χώρο που σχηματίζεται ανάμεσα στον τάφο Λ3Α και στον τάφο Λ3Γ δε σημειώθηκαν λείψανα ταφών. Ο χώρος ονομάσθηκε συμβατικά τάφος Λ3Β. Στο εσωτερικό του βρέθηκαν θραύσματα αγγείων, τα οποία είναι ενδεχόμενο να προέρχονται και από μετακινημένα, λόγω των αλλεπάλληλων ταφών, κτερίσματα των άλλων ταφών της ταφικής συστάδας (Π ί ν. 320β).

ΕΥΡΗΜΑΤΑ

Π ί ν. 195Β

1. Θραύσμα από το χείλος χειροποίητου αμφορέα Τπ. Ι, VIB (136).
Τρεις παράλληλες αυλακώσεις κάτω από την περιφέρεια του χείλους.
Πηλός Κτ. ΙΒ1
εξ. επ. Κ-ΚΕ
εσ. επ. Ε
πρ. ΚΕ
σζ. ύψ. 0,069 μ.

2. Θραύσμα κατακόρυφης λαβής από την κοιλιά χειροποίητου αγγείου Τπ. Ι, IV.
Πηλός Κτ. ΙΒ2
εξ. επ. Κ-ΚΤ
εσ. επ. Κ-ΚΤ
πρ. Κ
σζ. ύψ. 0,105 μ.

3. Θραύσμα κατακόρυφης λαβής χειροποίητου αγγείου Τπ. Ι, IV.
Πηλός Κτ. ΙΓ1-2
εξ. επ. Κ
εσ. επ. Ε
πρ. Ε
σζ. ύψ. 0,075 μ.

4. Θραύσμα κατακόρυφης λαβής από την κοιλιά χειροποίητου αγγείου Τπ. Ι, IV ή Ι, VIII.
Πηλός Κτ. ΙΒ1
εξ. επ. Ε
εσ. επ. ΤΜ
πρ. Κ
σζ. ύψ. 0,052 μ.

5. Θραύσμα από τον ώμο χειροποίητου αγγείου Τπ. Ι, IV.
Δύο παράλληλες αυλακώσεις γύρω από την αρχή του λαιμού. Αυλακωτή διακόσμηση στον ώμο από τρεις παράλληλες ζιγκ-ζαγκ γραμμές.
Πηλός Κτ. ΙΑ2
εξ. επ. ΚΜ-λ φθ
εσ. επ. ΚΜ-λ φθ
πρ. Κ
σζ. ύψ. 0,06 μ.

6. Θραύσμα από τον ώμο χειροποίητου αγγείου Τπ. Ι, IV (95).
Τρεις παράλληλες αυλακωτές γραμμές διακρίνονται από τη ζιγκ-ζαγκ διακόσμηση του ώμου.
Πηλός Κτ. ΙΑ1
εξ. επ. Κ
εσ. επ. Κ
πρ. Κ
σζ. ύψ. 0,051 μ.

7. Θραύσματα από τον ώμο χειροποίητου αγγείου Τπ. Ι, IV.
Δύο παράλληλες αυλακώσεις γύρω από τη βάση του λαιμού.
Πηλός Κτ. ΙΑ2
εξ. επ. ΚΤ
εσ. επ. ΚΤ
πρ. ΚΤ

σζ. ύψ. 0,051 μ.

8. Θραύσμα από τον ώμο χειροποίητου αγγείου Τπ. Ι, IV.
Πηλός Κτ. ΙΒ1

εξ. επ. Κ
εσ. επ. Κ
πρ. ΚΤ
σζ. ύψ. 0,06 μ.

ΤΑΦΟΣ Λ3Γ

Ορθογώνιος υπέργειος τάφος με κτιστές πλευρές, στο βορειοδυτικό άκρο του τύμβου Λ3. Μαζί με τον τάφο Λ3Δ αποτελούν τους κύριους τάφους του συγκροτήματος. Προσανατολισμός ΒΑ.-ΝΔ., περίπου, με άνοιγμα προς Δ. Η βορειοανατολική στενή πλευρά του τάφου εμφανίζει στην εσωτερική της παρειά μια αψιδωτή διαμόρφωση. Στη νοτιοδυτική πλευρά ένας εγκάρσιος τοίχος, που δεν ενσωματώνεται στους πλάγιους τοίχους των μακρών πλευρών, χωρίζει τον κυρίως θάλαμο του τάφου από έναν υποτυπώδη προθάλαμο.

Διαστάσεις τάφου (εξωτ.): μγ. μκ. 4,80, μγ. πλ. 2,40, ύψ. 0,40 μ.

Θ ά λ α μ ο ς

Διαστάσεις θαλάμου (εσωτ.): μγ. μκ. 2,30, μγ. πλ. 1,40, ύψ. 0,40 μ. (Σ χ έ δ. 65).

Θραύσμα μεγάλης σχιστόπλακας, που θα μπορούσε να συσχετισθεί με καλυπτήρια πλάκα του τάφου δε βρέθηκε. Το εσωτερικό του τάφου καλυπτόταν μ' ένα στρώμα λίθων, που περιείχε και μια αρκετά μεγάλη ποσότητα χώματος. Μέσα στο στρώμα αυτό βρέθηκαν διάσπαρτα όστρακα (όστρακα επίχωσης). Κάτω από το λιθόστρωμα, το επίπεδο της ταφής βρέθηκε πάνω στην επιφάνεια του εδάφους σε ένα λεπτό στρώμα ερυθρωπού φυσικού χώματος, πάνω από το φυσικό βράχο. Τα οστά σώζονταν σε πολύ αποσπασματική κατάσταση. Το γεγονός αυτό και η ύπαρξη πολλών ταφών μέσα στον τάφο δεν έδωσε τη δυνατότητα για σαφή συμπεράσματα σχετικά με τη στάση των νεκρών και τον καταμερισμό των κτερισμάτων κατά ταφές (κλειστά σύνολα). Συγκεκριμένες, ωστόσο, και βέβαιες παρατηρήσεις είναι οι εξής:

α) Οι ταφές έχουν εναποτεθεί η μία πάνω στην άλλη, χωρίς να έχει προηγηθεί παραμερισμός των οστών για να εξασφαλισθεί κενός χώρος για τις νεότερες ταφές.

β) Οι νεκροί έχουν ταφεί με τεντωμένα τα σκέλη, ενώ για τη θέση των χεριών δεν υπάρχουν βέβαιες ενδείξεις.

γ) Δύο τουλάχιστον στρώματα ταφών ξεχωρίζουν αρκετά καθαρά:

Στρώμα Ι. Νεκροί α και δ με το κεφάλι προς ΒΑ. (Π ί ν. 321α).

Στρώμα ΙΙα. Νεκροί β, γ με το κεφάλι προς ΝΔ. (Π ί ν. 321β).

Στρώμα ΙΙβ. Νεκροί ε, ζ με το κεφάλι προς ΒΑ. (Π ί ν. 321β)

Αρχαιότερο είναι το στρώμα ΙΙα με τους νεκρούς β και γ, που έχουν ταφεί με το κεφάλι προς ΝΔ. και τα σκέλη τεντωμένα. Από αυτούς τους νεκρούς ο νεκρός β, που σύμφωνα με την ανθρωπολογική μελέτη είναι γυναίκα ώριμης ηλικίας (Παράρτημα Ια), φέρει στο στήθος ένα θραύσμα χάλκινης σύριγγας (Γ10). Στην ίδια νεκρή ανήκει πιθανόν και ο χάλκινος σφηκωτήρας Γ13. Ο νεκρός γ είναι ένας νέος ενήλικος άνδρας. Με την ταφή αυτή ίσως σχετίζεται και η χάλκινη ψήφος Γ12 (Π ί ν. 197: 20).

Ακολουθεί το στρώμα ΙΙβ με τους νεκρούς ε και ζ, που έχουν το κεφάλι προς ΒΑ. και τα σκέλη τεντωμένα. Με τους νεκρούς αυτούς, άνδρα και γυναίκα σύμφωνα με την ανθρωπολογική μελέτη, μπορούν να συσχετισθούν η μολύβδινη αιχμή Γ15 και το χάλκινο εγχειρίδιο Γ14 (Π ί ν. 197: 16-17). Τα υπόλοιπα κτερίσματα του στρώματος (Γ2, Γ8, Γ1) δεν είναι δυνατό να σχετισθούν με επιμέρους ταφές. Τέλος, με τη μεσολάβηση ενός στρώματος από χώμα και αραιούς λίθους πραγματοποιείται πάνω στους νεκρούς του στρώματος ΙΙ η ταφή δύο ακόμη νεκρών: Ταφή α, εφήβου έως πρώιμου ενήλικου άνδρα, η ταφή ενός παιδιού 6-8 χρόνων και πιθανότατα η ταφή ενός ενηλίκου (ταφή δ). Με τις δύο αυτές ταφές συσχετίσθηκε μια σειρά αγγείων, που βρέθηκε στο α' επίπεδο ταφών. Τα αγγεία δεν είναι δυνατό να αποδοθούν σε επιμέρους ταφές, αλλά για την παιδική ταφή θα αναζητήσουμε ένα αγγείο μικρογραφικό, όπως το Γ9 (Π ί ν. 196: 5). Με την παιδική ταφή θα μπορούσαμε να συνδέσουμε ίσως

και το πήλινο σφονδύλι Γ9Α (Π ί ν. 197: 11), το οποίο βρέθηκε στο στρώμα Ι. Επειδή όμως το στρώμα Ι των ταφών διατάραξε το στρώμα ΙΙ και επειδή ο αριθμός των αγγείων στο στρώμα ΙΙ είναι μικρός, σε σύγκριση με τον αριθμό των ταφών, δεν αποκλείεται το ενδεχόμενο ορισμένα θραύσματα αγγείων, που βρίσκονται στο στρώμα Ι, να προέρχονται από το στρώμα ΙΙ. Μ' αυτή την προοπτική, δεν αποκλείεται να προέρχεται και το πήλινο σφονδύλι από κάποια βαθύτερη ταφή, όπως π.χ. την ταφή ε.

ΕΥΡΗΜΑΤΑ

Π ί ν. 196

Σ τ ρ ώ μ α Ι

1(Γ4). Χειροποίητο βαθύ αγγείο Τπ. Ι, VIIΔ (176).
Λείπει ένα μικρό μέρος από το λαιμό και το χείλος.
Πηλός Κτ. ΙΒ2
εξ. επ. Κ-ΚΤ
εσ. επ. Κ-ΚΕ
πρ. Κ
ύψ. 0,12, δμβ. 0,058, δμχ. 0,075 μ.

2(Γ6). Χειροποίητο ευρύστομο αγγείο Τπ. Ι, IV (88).
Λείπουν ορισμένα τμήματα από το σώμα και τη λαβή του αγγείου. Δύο παράλληλες αυλακώσεις γύρω από τη βάση του λαιμού και κάτω από την περιφέρεια του χείλους. Αυλακωτή διακόσμηση στο κάτω τμήμα του κυλινδρικού στελέχους της λαβής.
Πηλός Κτ. ΙΑ2
εξ. επ. ΚΜ-λ
εσ. επ. ΚΜ-λ
πρ. Μ
ύψ. 0,09, δμβ. 0,06, δμχ. 0,075 μ.

3(Γ5). Χειροποίητο ευρύστομο αγγείο Τπ. Ι, IV (34α).
Λείπει ένα μέρος από το άνω σώμα του αγγείου.
Πηλός Κτ. ΙΑ2
εξ. επ. ΚΜ-λ
εσ. επ. Κ-ΚΕ
πρ. Κ
σζ. ύψ. 0,061, δμβ. 0,051, δμχ. 0,105 μ.

4. Θραύσματα χειροποίητου αμφορέα Τπ. Ι, VIΓ (127).
Σώζεται τμήμα από το λαιμό με το χείλος και με τμήμα ώμου. Δύο παράλληλες αυλακώσεις γύρω από τη βάση του λαιμού.
Πηλός Κτ. ΙΒ1-2
εξ. επ. Κ-ΚΕ
εσ. επ. Κ-ΚΕ
πρ. ΚΕ
σζ. ύψ. 0,195, δμλ. 0,12 μ.

5(Γ9). Θραύσμα χειροποίητης προχοΐσκης Τπ. Ι, VIIΔ (165).
Σώζεται τμήμα βάσης και ένα μέρος από το άνω σώμα.
Πηλός Κτ. ΙΒ1
εξ. επ. ΚΕ-λ
εσ. επ. ΚΕ
πρ. Κ
σζ. ύψ. 0,105, δμβ. 0,045 μ.

6. Θραύσματα χειροποίητου ευρύστομου αγγείου Τπ. Ι, IV (72).
Σώζεται τμήμα από τη βάση, το χείλος και τη λαβή. Δύο παράλληλες αυλακώσεις κάτω από το χείλος.
Πηλός Κτ. ΙΒ1
εξ. επ. ΚΕ
εσ. επ. ΚΜ
πρ. Κ
συμπλ. ύψ. 0,138, δμβ. 0,075, δμχ. 0,15 μ.

7(Γ4). Θραύσμα από το άνω σώμα χειροποίητου ευρύστομου αγγείου Τπ. Ι, IV (56).
Δύο παράλληλες αυλακώσεις γύρω από τη βάση του λαιμού. Μία αυλάκωση διακρίνεται και στην περιοχή του χείλους.
Πηλός Κτ. ΙΒ1
εξ. επ. Κ-ΚΤ
εσ. επ. Κ-ΚΕ
πρ. Κ-ΚΤ
σζ. ύψ. 0,075 μ.

8(Γ3). Θραύσμα χειροποίητου ευρύστομου αγγείου Τπ. Ι, IV (72).
Μία αυλάκωση γύρω από τη βάση του λαιμού, δύο αυλακώσεις γύρω από το λαιμό του αγγείου.
Πηλός Κτ. ΙΒ1
εξ. επ. ΚΕ
εσ. επ. ΚΕ

πρ. Κ
σζ. ύψ. 0,09 μ.

Π ί ν. 197

9(Γ7). Θραύσμα από το σώμα μεγάλου πίθου με εμπίεστη διακόσμηση. Πιθανόν ιστορικών χρόνων.
Πηλός Κτ. ΙΓ3
εξ. επ. Κ
εσ. επ. Κ
πρ. Κ
σζ. ύψ. 0,21 μ.

10. Θραύσμα από το σώμα χειροποίητου κλειστού αγγείου Τπ. Ι, VIB (137).
Πηλός Κτ. ΙΒ1
εξ. επ. Κ-ΚΕ
εσ. επ. ΚΕ
πρ. Κ
σζ. ύψ. 0,21 μ.

11(Γ9Α). Πήλινο δικωνικό σφονδύλι Τπ. ΣΙΙ, 1β.
Λείπει ένα μικρό τμήμα από τη μία στενή επιφάνεια.
ύψ. 0,024, δμ. 0,033 μ.

Σ τ ρ ώ μ α ΙΙ

12(Γ2). Θραύσμα μόνωτου χειροποίητου ευρύστομου αγγείου Τπ. Ι, IV (44).
Σώζεται τμήμα του ώμου με το λαιμό και τη λαβή. Δύο παράλληλες αυλακώσεις γύρω από τη βάση του λαιμού του αγγείου.
Πηλός Κτ. ΙΑ2
εξ. επ. ΚΜ-λ
εσ. επ. ΚΜ-λ
πρ. Κ
σζ. ύψ. 0,063 μ.

13(Γ8). Θραύσματα μόνωτου χειροποίητου ευρύστομου αγγείου Τπ. Ι, IV (95).
Σώζεται τμήμα από τον ώμο και το χείλος, καθώς και τμήμα ώμου με λαβή. Δύο παράλληλες αυλακώσεις γύρω από τη βάση του λαιμού. Αυλακωτή διακόσμηση και στον ώμο του αγγείου από τριπλή ζιγκ-ζαγκ αυλακωτή γραμμή.
Πηλός Κτ. ΙΑ2
εξ. επ. ΚΜ-λ
εσ. επ. Κ-λ
πρ. Κ
συμπλ. ύψ. 0,174, δμβ. 0,09, δμχ. 0,195 μ.

14(Γ1). Χειροποίητη οινοχόη με οπισθότμητη προχοή Τπ. Ι, VIIΓ (159).
Λείπουν αποσπασματικά μέρη του σώματος και του λαιμού. Τρεις παράλληλες αυλακώσεις γύρω από τη βάση του λαιμού. Αυλακωτή διακόσμηση στον ώμο από συστάδες παράλληλων ζιγκ-ζαγκ αυλακωτών γραμμών.
Πηλός Κτ. ΙΒ1
εξ. επ. ΚΕ-λ
εσ. επ. Κ
πρ. Κ
συμπλ. ύψ. 0,033, δμβ. 0,09, δμλ. 0,12 μ.

15. Μολύβδινος σύνδεσμος αγγείου.
μκ. 0,039 μ.

16(Γ15). Μολύβδινο αιχμηρό αντικείμενο.
μγ. μκ. 0,03 μ.

17(Γ14). Χάλκινο εγχειρίδιο Τπ. ΕΙV, 1α.
Ράχη κυρτή, ακμή κοίλη, ουρά ορθογώνια, χωρίς καρφιά, που εισέχει από τις δύο πλευρές της λεπίδας. Δύο παράλληλες εγχάρακτες γραμμές κατά μήκος της ράχης.
μκ. 0,165 μ.

18(Γ13). Χάλκινος σφηκωτήρας από περιελισσόμενο σύρμα Τπ. Σφ. 2.
δμ. 0,015 μ.

19(Γ10). Χάλκινη σύριγγα από περιελισσόμενο έλασμα Τπ. Σρ. 2.
μκ. 0,036 μ.

20(Γ12). Χάλκινη σωληνόσχημη ψήφος περιδεραίου Τπ. Ψχ4.
μκ. 0,012 μ.

Π ρ ο θ ά λ α μ ο ς

Διαστάσεις προθαλάμου (εσωτ.): μγ. μκ. 0,85, μγ. πλ. 1,30 μ. (Σ χ έ δ. 65)

Ο προθάλαμος του τάφου Λ3Γ ήταν καλυμμένος με το ίδιο στρώμα λίθων και αραιού χώματος, που κάλυπτε και το επίπεδο ταφής στο θάλαμο του τάφου. Πολλά θραύσματα αγγείων βρέθηκαν διάσπαρτα μέσα στην επίχωση του προθαλάμου. Ορισμένα από αυτά προέρχονταν από αγγεία που βρέθηκαν στο θάλαμο του τάφου. Τα θραύσματα ωστόσο των μεγάλων αμφορέων, που βρέθηκαν στον προθάλαμο, δεν προέρχονταν από το θάλαμο του τάφου.

Πίν. 198

1. Θραύσμα μόνωτου χειροποίητου αγγείου Τπ. I, IV (25α).
Σώζεται τμήμα του λαιμού και του χείλους, καθώς και η λαβή του αγγείου.
Πηλός Κτ. ΙΓ1
εξ. επ. Ε-λ
εσ. επ. ΚΕ
πρ. ΚΤ
ύψ. 0,084 μ.

2. Λαβή χειροποίητου αγγείου Τπ. I, IV (25α).
Πηλός Κτ. ΙΓ
εξ. επ. Κ
εσ. επ. ΚΕ
πρ. ΚΕ
ύψ. 0,105 μ.

3. Χειροποίητο κυπελλόσχημο αγγείο Τπ. I, IV (70).
Λείπει ένα μέρος από το άνω σώμα του αγγείου και η λαβή. Μία αυλάκωση γύρω από τη βάση του λαιμού, τρεις παράλληλες αυλακώσεις γύρω από το άνω τμήμα του λαιμού, κάτω από το χείλος.
Πηλός Κτ. ΙΒ1
εξ. επ. Κ-ΚΕ
εσ. επ. ΚΜ
πρ. Κ
ύψ. 0,099, δμβ. 0,06, δμχ. 0,075 μ.

4. Θραύσμα από τον ώμο μόνωτου χειροποίητου ευρύστομου αγγείου Τπ. I, IV.
Μία αυλάκωση γύρω από τη βάση του λαιμού.
Πηλός Κτ. ΙΑ2
εξ. επ. Κ
εσ. επ. ΚΜ
πρ. Κ
σζ. ύψ. 0,036 μ.

5. Θραύσματα από βαθύ χειροποίητο αγγείο Τπ. I, IV.
Σώζεται η βάση και το τμήμα από το κάτω σώμα με το μεγαλύτερο μέρος της λαβής. Δύο παράλληλες αυλακώσεις γύρω από την αρχή του λαιμού.
Πηλός Κτ. ΙΑ2
εξ. επ. ΤΜ-λ
εσ. επ. ΤΜ
πρ. Τ
σζ. ύψ. 0,075 μ.

6. Θραύσματα μόνωτου χειροποίητου ευρύστομου αγγείου Τπ. I, IV (25β).
Σώζεται αποσπασματικά η βάση, ο λαιμός και ένα τμήμα ώμου με τη λαβή.
Πηλός Κτ. ΙΓ1
εξ. επ. Ε
εσ. επ. Ε
πρ. Τ
συμπλ. ύψ. 0,129 μ.

7. Θραύσματα μόνωτου χειροποίητου ευρύστομου αγγείου Τπ. I, IV (62).
Σώζεται τμήμα ώμου με το λαιμό και το χείλος, καθώς και τμήμα της λαβής. Μία αυλάκωση γύρω από τη βάση του λαιμού, δύο παράλληλες αυλακώσεις κάτω από το χείλος.
Πηλός Κτ. ΙΑ2
εξ. επ. ΚΤ-λ φθ
εσ. επ. ΚΤ-λ φθ
πρ. ΚΕ
συμπλ. ύψ. 0,132 μ.

8. Θραύσμα λαβής χειροποίητου αγγείου Τπ. I, IV.
Πηλός Κτ. ΙΑ2
εξ. επ. ΤΜ
εσ. επ. ΤΜ
πρ. ΤΜ
σζ. μκ. 0,045 μ.

9. Θραύσμα κατακόρυφης λαβής χειροποίητου αγγείου Τπ. I, IV.
Πηλός Κτ. ΙΑ2
εξ. επ. ΚΜ
εσ. επ. ΚΜ
πρ. Κ
σζ. ύψ. 0,075 μ.

10. Θραύσμα λαβής χειροποίητου αγγείου Τπ. I, IV.
Πηλός Κτ. ΙΑ2
εξ. επ. ΚΤ-λ φθ
εσ. επ. ΚΤ
πρ. Τ
σζ. ύψ. 0,09 μ.

11. Θραύσμα λαβής χειροποίητου αγγείου Τπ. I, IV.
Αυλακωτή διακόσμηση στο κατακόρυφο κυλινδρικό στέλεχος της γωνιόσχημης λαβής.
Πηλός Κτ. ΙΒ1
εξ. επ. Κ-ΚΕ
εσ. επ. ΚΕ

πρ. ΚΤ
σζ. ύψ. 0,06 μ.

12. Θραύσμα κατακόρυφης κυλινδρικής λαβής χειροποίητου αγγείου Τπ. I, IV.
Πηλός Κτ. ΙΒ1
εξ. επ. ΚΕ
εσ. επ. ΚΕ
πρ. Κ
σζ. ύψ. 0,066 μ.

13. Θραύσματα χειροποίητης οινοχόης Τπ. I, VIIΔ (165).
Σώζεται τμήμα από το λαιμό και τη λαβή του αγγείου. Μία λεπτή αυλάκωση κάτω από το χείλος.
Πηλός Κτ. ΙΑ2
εξ. επ. ΚΜ-λ
εσ. επ. Κ
πρ. Κ
συμπλ. ύψ. 0,16 μ.

Π ί ν. 199

14. Θραύσμα από το σώμα χειροποίητου αγγείου Τπ. I, XII.
Πλαστική ταινία με «δακτυλιές» γύρω από την κοιλιά του αγγείου.
Πηλός ΙΓ2
εξ. επ. Κ-ΚΕ
εσ. επ. Κ
πρ. ΚΤ
σζ. ύψ. 0,09 μ.

15. Θραύσμα από το χείλος χειροποίητου αγγείου Τπ. I, XII (199).
«Νυχιές» γύρω από το χείλος.
Πηλός Κτ. ΙΓ2
εξ. επ. Κ-ΚΕ
εσ. επ. Ε
πρ. Ε
σζ. ύψ. 0,029 μ.

16. Θραύσμα από το χείλος χειροποίητου αγγείου Τπ. I, XII (204).
Πλαστική ταινία με «δακτυλιές» γύρω από το χείλος.
Πηλός Κτ. ΙΓ2
εξ. επ. ΚΕ
εσ. επ. ΚΕ
πρ. Τ
σζ. ύψ. 0,069 μ.

17. Θραύσμα από το χείλος χειροποίητου αγγείου Τπ. I, XII (199).
«Νυχιές» γύρω από το χείλος.
Πηλός Κτ. ΙΑ3
εξ. επ. ΤΜ
εσ. επ. ΤΜ
πρ. Τ
σζ. ύψ. 0,048 μ.

18. Θραύσμα από το λαιμό και το χείλος χειροποίητου αγγείου Τπ. I, XII.
Πλαστική ταινία με «νυχιές» γύρω από το χείλος, λοξές σταγονόσχημες χαράξεις γύρω από το λαιμό.
Πηλός Κτ. ΙΓ2
εξ. επ. Κ-ΚΕ
εσ. επ. Κ-ΚΕ
πρ. ΚΜ
σζ. ύψ. 0,054 μ.

19. Θραύσμα από τον ώμο χειροποίητου αγγείου.
Σταγονόσχημες χαράξεις γύρω από τον ώμο.
Πηλός Κτ. ΙΓ2
εξ. επ. Κ-ΚΕ
εσ. επ. Κ-ΚΕ
πρ. ΚΤ
σζ. ύψ. 0,03 μ.

20. Θραύσματα χειροποίητου αμφορέα Τπ. I, VIB (136).
Σώζεται τμήμα του ώμου με την αρχή του λαιμού, καθώς και μία λαβή από την κοιλιά του αγγείου. Δύο παράλληλες αυλακώσεις, με λοξές χαράξεις ανάμεσά τους, περιβάλλουν τη βάση του λαιμού του αγγείου.
Πηλός Κτ. ΙΑ3
εξ. επ. Κ-ΚΜ-λ
εσ. επ. ΚΕ
πρ. Τ
συμπλ. δμκ. 0,375 μ.

21. Θραύσματα από τον ώμο χειροποίητου αμφορέα Τπ. I, VIB (136).
Δύο παράλληλες αυλακώσεις, που πλαισιώνουν μία διακοπτόμενη αυλακωτή γραμμή, περιβάλλουν τη βάση του λαιμού. Πιθανόν από το αγγείο αριθ. 20.
Πηλός Κτ. ΙΓ2
εξ. επ. Ε
εσ. επ. Ε
πρ. Ε
σζ. ύψ. 0,045 μ.

22. Θραύσμα κατακόρυφης κυλινδρικής λαβής από την κοιλιά χειροποίητου αγγείου Τπ. I, VIB.
Πηλός Κτ. ΙΑ3
εξ. επ. Κ
εσ. επ. Κ

πρ. ΚΤ
σζ. ύψ. 0,06 μ.

Π ί ν. 200

23. Θραύσματα μεγάλου χειροποίητου αμφορέα Τπ. I, VIB (136).
Σώζεται τμήμα από τον ώμο με τη μία κατακόρυφη λαβή, καθώς και μέρος από το λαιμό και το χείλος. Δύο παράλληλες αυλακώσεις κάτω από το χείλος. Στον ώμο αυλακωτή διακόσμηση από διπλές ζιγκ-ζαγκ γραμμές.
Πηλός Κτ. ΙΒ2
εξ. επ. Κ-ΚΕ
εσ. επ. ΚΕ
πρ. ΚΤ
σζ. ύψ. 0,255 μ.

24. Θραύσματα μεγάλου χειροποίητου αμφορέα Τπ. I, VIB (136).
Σώζεται τμήμα από τον ώμο με τη μία κατακόρυφη κυλινδρική λαβή. Στον ώμο αυλακωτή διακόσμηση από τρεις παράλληλες ζιγκ-ζαγκ γραμμές.
Πηλός Κτ. ΙΑ3
εξ. επ. ΚΜ
εσ. επ. ΚΕ
πρ. Κ
σζ. ύψ. 0,255 μ.

ΤΑΦΟΣ Λ3Δ

Ορθογώνιος πλατύς τάφος με κτιστές πλευρές. Διαστάσεις τάφου (εσωτ.): μγ. μκ. 2,20, μγ. πλ. 1,20, σζ. ύψ. 0,75 μ. Προσανατολισμός ΒΑ.-ΝΔ. και άνοιγμα προς Δ. Η βορειοανατολική στενή πλευρά του τάφου στην εσωτερική της παρειά εμφανίζει μια αψιδωτή διαμόρφωση. Στη νοτιοδυτική πλευρά ένας εγκάρσιος τοίχος, που δεν ενσωματώνεται στις πλάγιες μακρές πλευρές του τάφου, χωρίζει το θάλαμο των ταφών από ένα βαθύ προθάλαμο. Οι δύο μακρές πλευρές του τάφου και η βορειοανατολική στενή πλευρά εμφανίζουν στο άνω τμήμα τους μια εκφορική κλίση προς τα μέσα. Λείψανα, ωστόσο, μεγάλων καλυπτήριων πλακών δεν έχουν βρεθεί στον τάφο. Το εσωτερικό του τάφου ήταν γεμάτο με λίθους, ορισμένοι από τους οποίους είναι ενδεχόμενο να προέρχονται από σπασμένες καλυπτήριες πλάκες της οροφής ή από τις κτιστές πλευρές του τάφου, που έχουν εν μέρει γκρεμισθεί. Το επίπεδο της ταφής καλύπτεται και στον τάφο Λ3Δ με το γνωστό λιθόστρωμα.

Διαστάσεις θαλάμου (εσωτ.): μγ. μκ. 2,30, μγ. πλ. 1,30, μγ. ύψ. 0,40 μ. Διαστάσεις προθαλάμου (εξωτ.): μγ. μκ. 1,70, μγ. πλ. 1,30 μ.

Θ ά λ α μ ο ς

Κάτω από το στρώμα των λίθων και ένα λεπτό στρώμα από ερυθρωπό χώμα εντοπίσθηκε το επίπεδο της ταφής πάνω στην επιφάνεια του εδάφους, σ' ένα λεπτό στρώμα από ερυθρωπό χώμα πάνω από το φυσικό βράχο. Τα οστά των νεκρών βρέθηκαν σε πολύ αποσπασματική κατάσταση, εξαιτίας της διάβρωσης και της διατάραξης, που έχουν προκαλέσει οι ρίζες των πεύκων. Η κατάσταση των οστών και οι πολλαπλές ταφές που έχουν πραγματοποιηθεί στον τάφο δε δίνουν τη δυνατότητα να διαπιστωθεί στις λεπτομέρειές της η στάση των νεκρών (Π ί ν. 322β). Βέβαιο είναι το γεγονός ότι οι νεότερες ταφές έχουν διαταράξει μερικά ή ολικά τις αρχαιότερες.

Τα κτερίσματα δεν είναι δυνατό να αποδοθούν σε επιμέρους ταφές. Μια ομάδα αγγείων στη νοτιοδυτική γωνία (1-4) είναι δυνατό να συσχετισθεί με κάποια από τις ταφές (Σ χ έ δ. 65). Το χάλκινο εγχειρίδιο (7) και το ακόνι πρέπει χωρίς αμφιβολία να αποδοθούν στην ανδρική ταφή. Τα υπόλοιπα κτερίσματα του τάφου, που απαρτίζουν τη συμβατική ομάδα Β, δεν είναι δυνατό να συσχετισθούν με συγκεκριμένες ταφές.

Η ανθρωπολογική μελέτη των σκελετικών λειψάνων έχει διαπιστώσει την ταφή τριών γυναικών, ενός άνδρα και ενός παιδιού στον τάφο Λ3Δ.

ΕΥΡΗΜΑΤΑ

Ομάδα Α'

Π ί ν. 201

1(Δ2). Χειροποίητο κυπελλόσχημο αγγείο
Τπ. I, VIII (182).
Λείπει ένα μεγάλο μέρος από τη βάση και το άνω σώμα του αγγείου.

Πηλός Κτ. ΙΓ1
εξ. επ. ΚΕ
εσ. επ. ΚΕ
πρ. ΚΕ
ύψ. 0,12, δμβ. 0,06, δμχ. 0,105 μ.

2(Δ2). Χειροποίητο κυπελλόσχημο αγγείο Τπ. Ι, VIII (182).
Λείπουν αποσπασματικά τμήματα του σώματος του αγγείου.
Πηλός Κτ. ΙΓ1
εξ. επ. Ε
εσ. επ. Ε
πρ. Ε
ύψ. 0,036 μ.

3(Δ3). Χειροποίητος αμφορέας Τπ. Ι, VIΓ (135).
Λείπει ένα μέρος από το κάτω σώμα και τμήμα από το λαιμό.
Πηλός Κτ. ΙΑ2
εξ. επ. ΤΜ-λ
εσ. επ. ΤΜ
πρ. Τ
ύψ. 0,201, δμβ. 0,075 μ.

4(Δ4). Μόνωτο χειροποίητο ευρύστομο αγγείο Τπ. Ι, IV (77).
Λείπει ένα μέρος από το σώμα και το λαιμό του αγγείου. Δύο παράλληλες αυλακώσεις γύρω από τη βάση του λαιμού και κάτω από το χείλος του αγγείου.
Πηλός Κτ. ΙΒ1
εξ. επ. ΚΕ-λ φθ
εσ. επ. ΚΕ-λ φθ
πρ. ΚΕ
ύψ. 0,15, δμβ. 0,066, δμχ. 0,134 μ.

5(Δ1). Χειροποίητο ευρύστομο αγγείο Τπ. Ι, VIII (185).
Λείπει ένα μέρος από το αγγείο, καθώς και η λαβή.
Πηλός Κτ. ΙΒ1
εξ. επ. Κ
εσ. επ. Κ
πρ. Κ
ύψ. 0,141, δμχ. 0,12 μ.

6(Δ7). Χάλκινο εγχειρίδιο Τπ. ΕΙ, 3β-γ.
Ράχη κυρτή, με αιχμή ελαφρά λυγισμένη προς τα άνω, ακμή κοίλη. Ουρά ορθογώνια με ένα καρφί, που εισέχει και από τις δύο πλευρές της λεπίδας.
μκ. 0,123 μ.

7. Ακόνι Τπ. Ακ. 3.
μκ. 0,066 μ.

Ομάδα Β' - Διάσπαρτα

Π ί ν. 202Α

8(Δ5). Μόνωτο χειροποίητο ευρύστομο αγγείο Τπ. Ι, IV (15).
Λείπουν ελάχιστα τμήματα από το άνω σώμα του αγγείου.
Πηλός Κτ. ΙΒ1
εξ. επ. ΚΕ
εσ. επ. ΚΕ
πρ. Κ-ΚΕ
ύψ. 0,117, δμβ. 0,069, δμχ. 0,18 μ.

9(Δ6). Χειροποίητο βαθύ κυπελλόσχημο αγγείο Τπ. Ι, IV (70).
Λείπει ένα μέρος από το κάτω σώμα. Τέσσερις παράλληλες αυλακώσεις γύρω από το λαιμό του αγγείου.
Πηλός Κτ. ΙΑ2
εξ. επ. ΚΜ-λ
εσ. επ. ΚΕ-λ φθ
πρ. Κ
ύψ. 0,111, δμβ. 0,054, δμχ. 0,09 μ.

10. Θραύσματα μόνωτου χειροποίητου ευρύστομου αγγείου Τπ. Ι, IV (93).
Σώζεται τμήμα του ώμου, καθώς και τμήμα ώμου και λαιμού με τη λαβή. Στον ώμο ζιγκζαγκ αυλακωτή διακόσμηση.
Πηλός Κτ. ΙΑ2
εξ. επ. Κ-ΚΕ
εσ. επ. Κ-ΚΕ
πρ. ΚΕ
ύψ. 0,14, δμβ. 0,081, δμχ. 0,21 μ.

11. Θραύσμα από το χείλος χειροποίητου αγγείου Τπ. Ι, IV.
Δύο παράλληλες αυλακώσεις κάτω από το χείλος.
Πηλός Κτ. ΙΑ2
εξ. επ. Κ
εσ. επ. Κ
πρ. Κ
σζ. ύψ. 0,030 μ.

12. Θραύσμα κατακόρυφης κυλινδρικής λαβής χειροποίητου αγγείου Τπ. Ι, IV.
Πηλός Κτ. ΙΑ2
εξ. επ. Κ
εσ. επ. Κ
πρ. Κ
σζ. ύψ. 0,06 μ.

Προθάλαμος

Πολλά θραύσματα αγγείων και ένα κυπελλόσχημο αγγείο βρέθηκαν στον προθάλαμο του τάφου Λ3Δ, κάτω από ένα στρώμα λίθων που περιείχε και αρκετό χώμα (Πίν. 322α).

ΕΥΡΗΜΑΤΑ

Πίν. 202Β

1. Θραύσμα από το λαιμό και το χείλος χειροποίητου αγγείου Τπ. Ι, IV.
Δύο λεπτές παράλληλες αυλακώσεις κάτω από το χείλος.
Πηλός Κτ. ΙΑ2
εξ. επ. ΚΤ
εσ. επ. Κ
πρ. ΚΤ
σζ. ύψ. 0,039 μ.

2. Θραύσμα από τη βάση χειροποίητου αγγείου Τπ. Ι, IV
Πηλός Κτ. ΙΑ2
εξ. επ. ΚΤ
εσ. επ. Κ
πρ. Κ
σζ. ύψ. 0,015, δμβ. 0,075 μ.

3. Χειροποίητο βαθύ κυπελλόσχημο αγγείο Τπ. Ι, IV (100).
Λείπουν ορισμένα σημεία από το σώμα του αγγείου. Στο λαιμό αυλακωτή διακόσμηση από διπλή αυλακωτή γραμμή που σχηματίζει μετόπη. Ανάμεσα στις δύο παράλληλες γραμμές της βάσης του λαιμού σταγονόσχημες χαράξεις.
Στον ώμο διπλή αυλακωτή ζιγκ-ζαγκ γραμμή. Αυλακωτή διακόσμηση και στο άνω τμήμα του κατακόρυφου κυλινδρικού στελέχους της λαβής, καθώς και στο ταινιωτό τμήμα.
Πηλός Κτ. ΙΒ1
εξ. επ. Κ-λ
εσ. επ. Κ-λ
πρ. ΚΕ
ύψ. 0,117, δμβ. 0,066, δμχ. 0,09 μ.

4. Θραύσμα από τον ώμο μεγάλου χειροποίητου αγγείου Τπ. Ι, XII.
Κατακόρυφη κυλινδρική λαβή στον ώμο. Πλαστική ταινία με «δακτυλιές».
Πηλός Κτ. ΙΓ2
εξ. επ. ΚΕ
εσ. επ. ΚΕ
πρ. Κ-ΚΤ
σζ. ύψ. 0,105 μ.

5. Θραύσμα από τον ώμο μεγάλου χειροποίητου αγγείου Τπ. Ι, XII.
Κατακόρυφη κυλινδρική λαβή στον ώμο και πλαστική ταινία με «δακτυλιές».
Πηλός Κτ. ΙΓ2
εξ. επ. ΚΕ
εσ. επ. ΚΕ
πρ. Κ
σζ. ύψ. 0,12 μ.

6. Κατακόρυφη κυλινδρική λαβή χειροποίητου αγγείου Τπ. Ι, XII.
Πηλός Κτ. ΙΓ2
εξ. επ. ΚΕ
εσ. επ. ΚΕ
πρ. Κ
σζ. ύψ. 0,075 μ.

Ταφική συστάδα Λ4

Η ταφική συστάδα Λ4 βρίσκεται σε απόσταση 6 μ. προς ΝΑ. της συστάδας Λ2 (Σχέδ. VI). Αποτελείται από ένα μεγάλο κτιστό ορθογώνιο τάφο Λ4Α με προσανατολισμό Α.-Δ., περίπου, και ένα μικρότερο τάφο Λ4Β, προσκολλημένο στη βόρεια πλευρά του τάφου Λ4Α (Σχέδ. 66· Πίν. 322γ).

ΤΑΦΟΣ Λ4Α

Ορθογώνιος υπέργειος τάφος με κτιστές πλευρές. Προσανατολισμός τάφου Α.-Δ., περίπου, με άνοιγμα προς Δ. (Σχέδ. 66). Η ανατολική στενή πλευρά του τάφου στην εσωτερική της παρειά εμφανίζει μια αψιδωτή διαμόρφωση (Πίν. 323α). Στο δυτικό άκρο του τάφου

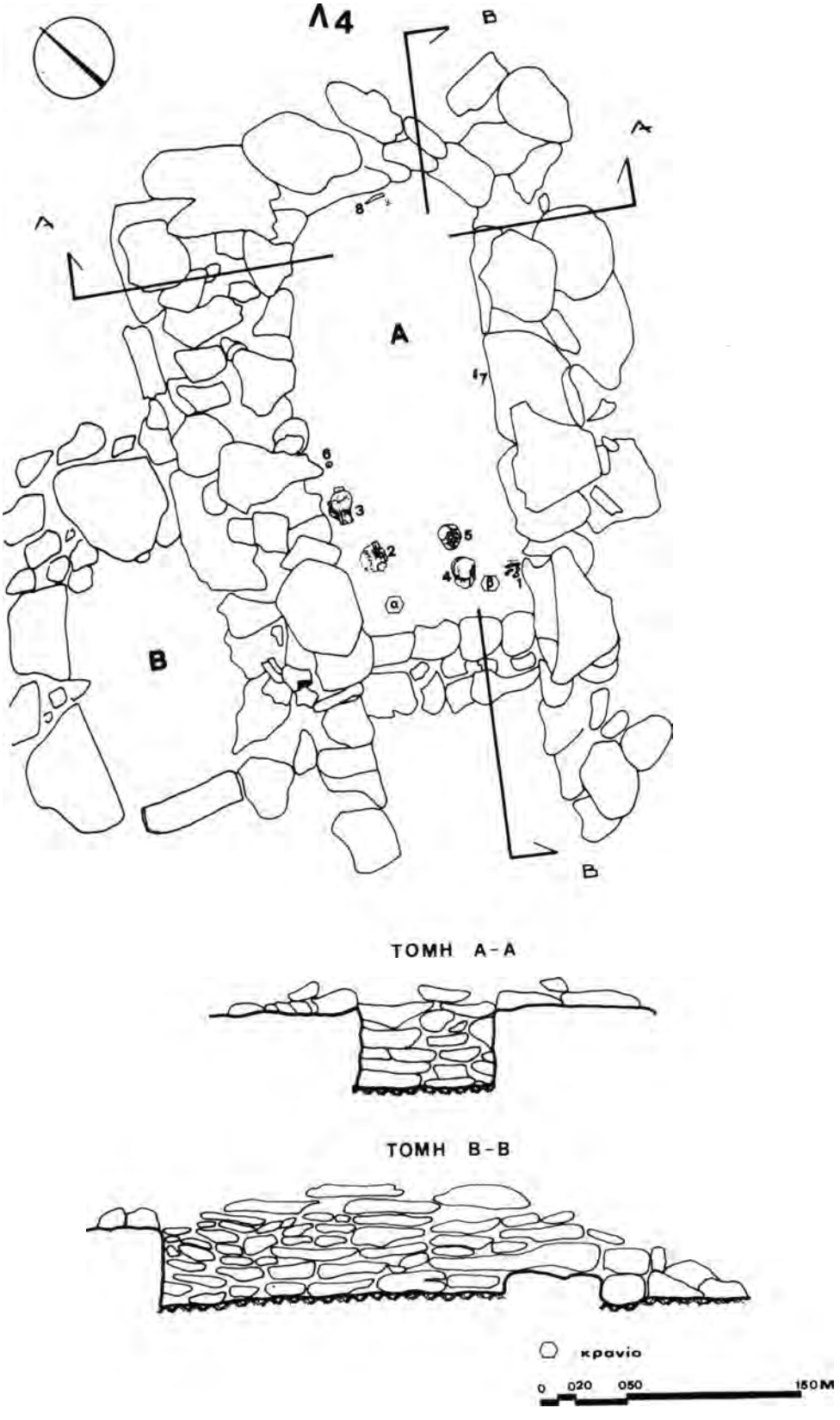

Σχέδ. 66. Κάτοψη και τομές ταφικής συστάδας Λ4.

ένας εγκάρσιος τοίχος, που δεν ενσωματώνεται στις πλάγιες μακρές πλευρές του τάφου, χωρίζει το θάλαμο των ταφών από έναν υποτυπώδη προθάλαμο.

Διαστάσεις τάφου (εξωτ.): μγ. μκ. 4,20, μγ. πλ. 2,80, μγ. ύψ. 0,60 μ. Διαστάσεις θαλάμου (εσωτ.): μγ. μκ. 2,30, μγ. πλ. 1,10, μγ. ύψ. 0,60 μ. Διαστάσεις προθαλάμου: μγ. μκ. 1, μγ. πλ. 1 μ.

Θ ά λ α μ ο ς

Το επίπεδο της ταφής εμφανίσθηκε κάτω από το γνωστό στρώμα των λίθων, που γέμιζε το εσωτερικό του τάφου. Οι νεκροί είχαν εναποτεθεί πάνω σ' ένα ερυθρωπό χώμα, που περιείχε και λίγα χαλίκια και αποτελούσε ένα λεπτό στρώμα πάνω από το φυσικό βράχο. Δύο ταφές εντοπίσθηκαν, μία ανδρική και μία γυναικεία, σύμφωνα με την ανθρωπολογική μελέτη (Παράρτημα Ια) (Π ί ν. 323α). Οι ταφές πρέπει να είναι σύγχρονες, γιατί δεν έχουν διαταράξει η μία την άλλη. Έχουν ταφεί σε παράλληλη θέση, ύπτιοι με το κεφάλι προς Δ. και τα σκέλη τεντωμένα.

Ταφή α. Σώζονταν ελάχιστα λείψανα από το κρανίο στη νοτιοδυτική γωνία του τάφου και ελάχιστα θραύσματα από οστά άνω και κάτω άκρων. Από τα σωζόμενα λείψανα οστών προκύπτει ότι ο νεκρός είχε ταφεί ύπτιος, με τα σκέλη τεντωμένα. Στην περιοχή του στήθους του νεκρού βρέθηκε ένα πήλινο σφονδύλι Α6. Λίγο κάτω από το κεφάλι του νεκρού βρέθηκαν θραύσματα δύο αγγείων (Α2, Α3) (Π ί ν. 203).

Ταφή β. Ελάχιστα λείψανα κρανίου σώθηκαν στη νοτιοανατολική γωνία του τάφου. Από τον ίδιο νεκρό, επίσης, σώθηκαν ελάχιστα θραύσματα οστών άνω και κάτω άκρων.

Στην περιοχή του κρανίου του νεκρού βρέθηκαν τα σπασμένα αγγεία Α1, Α4 και Α5. Κάτω από τα οστά του νεκρού β, στην περιοχή των μηριαίων, βρέθηκε ένα λίθινο ακόνι Α7. Με το νεκρό α πρέπει επίσης να συσχετισθεί το χάλκινο εγχειρίδιο, που βρέθηκε στο μέσον της ανατολικής πλευράς του τάφου (Α8) (Π ί ν. 203).

ΕΥΡΗΜΑΤΑ

Π ί ν. 203

Ομάδα Α' - Ταφή β

1(1). Μόνωτο χειροποίητο ευρύστομο αγγείο Τπ. Ι, ΙΥΒ (50β).
Λείπουν ορισμένα σημεία από το αγγείο. Δύο παράλληλες βαθιές αυλακώσεις γύρω από τη βάση του λαιμού. Αυλακωτή διακόσμηση και στο άνω ταινιωτό τμήμα της λαβής.
Πηλός Κτ. ΙΑ2
εξ. επ. ΤΜ-λ φθ
εσ. επ. ΤΜ
πρ. Τ
ύψ. 0,081, δμβ. 0,036, δμχ. 0,087 μ.

2(4). Χειροποίητο βαθύ κυπελλόσχημο αγγείο Τπ. Ι, ΙΥ (24).
Ακέραιο.
Πηλός Κτ. ΙΓ1
εξ. επ. ΚΕ-λ
εσ. επ. Κ
πρ. Κ
ύψ. 0,135, δμβ. 0,069, δμχ. 0,132 μ.

3(5). Χειροποίητος αμφορέας Τπ. Ι, VIΓ (135).
Λείπει μικρό μέρος από το χείλος.
Πηλός Κτ. ΙΓ1
εξ. επ. Ε-ΚΕ-λ φθ
εσ. επ. ΚΕ
πρ. Κ
ύψ. 0,129, δμβ. 0,033, δμχ. 0,06 μ.

4(7). Λίθινο ακόνι Τπ. Ακ. 2α.
μκ. 0,072 μ.

5(8). Χάλκινο εγχειρίδιο Τπ. ΕV, 2α.
Ράχη κυρτή, ακμή ελαφρά κοίλη, ουρά ορθογώνια χωρίς καρφιά, που εισέχει από την πλευρά της ράχης περισσότερο και ελάχιστα από την ακμή. Δύο παράλληλες χαράξεις κατά μήκος της ράχης.
μκ. 0,123 μ.

Ομάδα Β' - Ταφή α

6(3). Θραύσματα μόνωτου χειροποίητου ευ-

ρύστομου αγγείου Τπ. Ι, IV (33).
Πηλός Κτ. ΙΓ1
εξ. επ. ΚΕ-λ φθ
εσ. επ. ΚΕ-λ φθ
πρ. Κ
συμπλ. ύψ. 0,141, δμχ. 0,111 μ.

7(2). Μόνωτο χειροποίητο ευρύστομο αγγείο Τπ. Ι, IV (93).
Λείπει ένα μεγάλο μέρος από το αγγείο και το μεγαλύτερο μέρος της λαβής. Στον ώμο αυλακωτή διακόσμηση με τριπλές ζιγκ-ζαγκ αυλακώσεις.
Πηλός Κτ. ΙΑ2
εξ. επ. ΚΜ-λ
εσ. επ. Κ
πρ. Κ
ύψ. 0,15, δμβ. 0,075, δμχ. 0,21 μ.

8(6). Πήλινο δικωνικό σφονδύλι Τπ. ΣΙΙ, 1α.
Ακέραιο.
ύψ. 0,03, δμ. 0,039 μ.

Π ρ ο θ ά λ α μ ο ς

Ο προθάλαμος του τάφου Λ4 ήταν γεμάτος με το ίδιο στρώμα από λίθους και χώμα, που κάλυπτε και το εσωτερικό του τάφου. Ελάχιστα θραύσματα αγγείων βρέθηκαν στην επίχωση.

ΕΥΡΗΜΑΤΑ

Π ί ν. 203

9. Θραύσμα από το λαιμό χειροποίητου αμφορέα Τπ. Ι, VIB (136).
Δύο παράλληλες αυλακώσεις κάτω από την περιφέρεια του χείλους.
Πηλός Κτ. ΙΑ3
εξ. επ. Κ
εσ. επ. Κ
πρ. Κ
σζ. ύψ. 0,075 μ.

ΤΑΦΟΣ Λ4Β

Μικρός κτιστός κιβωτιόσχημος τάφος, προσκολλημένος στο δυτικό άκρο της βόρειας πλευράς του τάφου Λ4Α (Σ χ έ δ. 66). Προσανατολισμός τάφου Α.-Δ., περίπου. Όρθιες πλάκες αποτελούσαν την εσωτερική επένδυση των τριών πλευρών του τάφου. Ελάχιστα όστρακα χειροποίητων αγγείων βρέθηκαν στο εσωτερικό του τάφου (Π ί ν. 323β).

Διαστάσεις: μκ. 1,80, πλ. 1, ύψ. 0,40 μ.

Ταφική συστάδα Λ5

Η ταφική συστάδα Λ5, που είναι το πιο μεγάλο ταφικό συγκρότημα του νεκροταφείου της θέσης Λαρνάκι, βρίσκεται σε απόσταση 65 μ. περίπου προς ΒΔ. της ταφικής συστάδας Λ3. Διαστάσεις (εξωτ.): μγ. μκ. 13,20, μγ. πλ. 7,40, μγ. ύψ. 1,50 μ. (Σ χ έ δ. VI).

Αποτελείται από τέσσερις παράλληλους τάφους, με κοινό προσανατολισμό περίπου, Α.-Δ., που έχουν κτισθεί διαδοχικά ο ένας δίπλα στον άλλο. Ερευνήθηκαν μόνο οι τρεις τάφοι. Ο τέταρτος, που πιθανότατα υπάρχει στο νότιο άκρο της συστάδας, πρέπει να είναι τελείως κατεστραμμένος από τις ρίζες ενός μεγάλου πεύκου και δεν έχει ανασκαφεί (Π ί ν. 324α-β).

Οι τάφοι της συστάδας είναι υπέργεια ορθογωνικά κτίσματα με τοίχους, που κλίνουν εκφορικά προς τα μέσα, έτσι ώστε να μικραίνει το άνοιγμα των τάφων και να καλύπτεται με μία ή περισσότερες σχιστόπλακες. Οι καλυπτήριες πλάκες της οροφής των τάφων δε σώζονται στη θέση τους. Βρέθηκαν σπασμένες σε πολλά θραύσματα στο εσωτερικό των τάφων, που ήταν γεμάτο με ριχτούς λίθους. Ενιαίο στρώμα λίθων πάνω από τους τάφους της συστάδας, που να βεβαιώνει την ύπαρξη κοινού τύμβου, δε διαπιστώθηκε (Π ί ν. 324α-β).

Το στρώμα των ριχτών λίθων, που γέμιζε το εσωτερικό των τάφων, δεν εκτεινόταν πέρα από τις εξωτερικές παρειές των τάφων (Σ χ έ δ. VIII). Οι αραιοί λίθοι, που βρέθηκαν πεσμέ-

νοι στην ανατολική και τη βόρεια κυρίως πλευρά της ταφικής συστάδας, πρέπει να είχαν πέσει εκεί από τους τοίχους των τάφων.

ΤΑΦΟΣ Λ5Α

Ορθογώνιο υπέργειο κτίσμα, με προσανατολισμό Α.-Δ., περίπου, και άνοιγμα προς Δ. Διαστάσεις τάφου (εξωτ.): μγ. μκ. 6,50, μγ. πλ. 2,50, μγ. ύψ. 0,80 μ. Μεταγενέστερος από τον τάφο Λ5Β, έχει προσκολληθεί στην ταφική συστάδα, χρησιμοποιώντας για νότια πλευρά τη βόρεια πλευρά του τάφου Β.

Στη δυτική πλευρά, ένας εγκάρσιος τοίχος χωρίζει το θάλαμο από έναν υποτυπώδη προθάλαμο (Σ χ έ δ. VIII).

Θ ά λ α μ ο ς

Διαστάσεις θαλάμου (εσωτ.): μγ. μκ. 2,50, μγ. πλ. 1,20, μγ. ύψ. 0,80 μ.

Η βόρεια μακρά πλευρά του τάφου και η ανατολική στενή πλευρά εμφανίζουν μια μικρή εκφορική μείωση στο άνω τμήμα τους. Από τις καλυπτήριες πλάκες της οροφής του τάφου η μία βρέθηκε πεσμένη λοξά στη βόρεια πλευρά του τάφου, ενώ η δεύτερη, πολύ μεγαλύτερη από την πρώτη, στηριζόταν ακόμη στη βόρεια πλευρά και είχε γείρει προς το εσωτερικό του τάφου (Σ χ έ δ. VIII· Π ί ν. 324α). Μετά την απομάκρυνση των πλακών της οροφής του τάφου, διαπιστώθηκε ένα στρώμα λίθων που γέμιζε το εσωτερικό του τάφου. Κάτω ωστόσο από το στρώμα των λίθων, το επίπεδο των ταφών καλυπτόταν από ένα λεπτό στρώμα ερυθροκίτρινου χώματος, που περιείχε ελάχιστα χαλίκια και αρκετά θραύσματα λίθων. Στο στρώμα αυτό, που αποτελούσε την αρχαία επίχωση του τάφου, βρέθηκαν και ορισμένα θραύσματα αγγείων.

Το επίπεδο των ταφών βρισκόταν σχεδόν πάνω στο φυσικό βράχο, σ' ένα λεπτό στρώμα από φυσικό κιτρινέρυθρο χώμα. Στο ανατολικό τμήμα του τάφου βρέθηκε ένα φυσικό έξαρμα του φυσικού βράχου, πάνω στο οποίο δεν εντοπίσθηκαν ίχνη ταφών. Οι ταφές είχαν εναποτεθεί δυτικότερα, όπου το έδαφος σχηματίζει ένα φυσικό κοίλωμα. Τα οστά βρέθηκαν σε πολύ φθαρμένη κατάσταση. Το γεγονός αυτό και η εναπόθεση πολλαπλών ταφών στον τάφο δεν έδωσαν τη δυνατότητα για τη βέβαιη ταύτιση συγκεκριμένων ταφών και αντίστοιχη διάκριση των κτερισμάτων σε κλειστά ευρήματα (Π ί ν. 325α-β). Οι επιμέρους ταφές, που η ανασκαφική έρευνα και η ανθρωπολογική μελέτη των οστών έχουν εντοπίσει, είναι οι εξής:

Ταφή α. Κατά μήκος της βόρειας πλευράς του τάφου (Π ί ν. 325α-β). Σώζονται κυρίως τα οστά των κάτω άκρων της ταφής αυτής, που σύμφωνα με την ανθρωπολογική μελέτη ανήκει σε γυναίκα (Παράρτημα Ια). Κτερίσματα που να μπορούν να αποδοθούν με βεβαιότητα στην ταφή αυτή δεν είναι δυνατό να ξεχωρίσουν. Οπωσδήποτε, όμως, επειδή πρόκειται για γυναικεία ταφή, πρέπει να συσχετισθεί με αυτήν το πήλινο σφονδύλι Α2 (Π ί ν. 204: 8).

Ταφή β. Κατά μήκος της νότιας πλευράς του τάφου (Π ί ν. 325α). Σώζονταν μόνο θραύσματα από οστά κάτω άκρων και αυτά διαταραγμένα. Εκτός από τις ρίζες του πεύκου, η διατάραξη οφείλεται πιθανότατα και στη μεταγενέστερη ταφή γ, η οποία πρέπει να είναι η τελευταία χρονικά ταφή στον τάφο Λ5Α. Με την ταφή β, πιθανότατα, σχετίζονται το χάλκινο εγχειρίδιο Α1 και το ακόνι Α5, που βρέθηκαν μετακινημένα στην περιοχή του νεκρού α (Π ί ν. 204: 3-4).

Ταφή γ. Η ταφή ενός τρίτου ατόμου στον τάφο έχει εντοπισθεί από σποραδικά λείψανα οστών, που έχουν βρεθεί στη βορειοδυτική γωνία και στην ανατολική πλευρά του τάφου (Π ί ν. 325α-β).

Η ύπαρξη σημαντικής διατάραξης στον τάφο, που πιθανόν οφείλεται στην τελευταία χρονικά ταφή α και ενδεχομένως και σε σύληση του τάφου, προκύπτει από το γεγονός ότι δε βρέθηκαν παρά διάσπαρτα θραύσματα αγγείων, τα οποία, όπως και τα υπόλοιπα κτερίσματα του τάφου, δεν είναι δυνατό να αποδοθούν στις επιμέρους ταφές.

Π ρ ο θ ά λ α μ ο ς

Διαστάσεις προθαλάμου (εσωτ.): μγ. μκ. 1,50, μγ. πλ. 1,20, μγ. ύψ. 0,80 μ.

Ο προθάλαμος καλυπτόταν από το ίδιο στρώμα των λίθων, που κάλυπτε και το εσωτερικό του θαλάμου του τάφου.

ΕΥΡΗΜΑΤΑ

Π ί ν. 204

Ομάδα Α' - Ταφή β

1(Α6). Θραύσμα μικρής χειροποίητης οινοχόης Τπ. Ι, VIIΓ (161).
Σώζεται η λαβή.
Πηλός Κτ. ΙΑ2
εξ. επ. ΚΜ-λ
εσ. επ. ΚΜ
πρ. Κ
σζ. ύψ. 0,105 μ.

2(Α4). Θραύσματα μόνωτου χειροποίητου ευρύστομου αγγείου Τπ. Ι, IV (66).
Σώζεται αποσπασματικά μέρος της βάσης και του λαιμού με το χείλος, καθώς και τμήμα λαβής. Μία αυλάκωση γύρω από τη βάση του λαιμού, τρεις παράλληλες αυλακώσεις κάτω από το χείλος. Αυλακωτή διακόσμηση στο ταινιωτό τμήμα της γωνιόσχημης λαβής, όπου και οπή.
Πηλός Κτ. ΙΒ1
εξ. επ. Κ
εσ. επ. Κ
πρ. ΚΕ
συμπλ. ύψ. 0,168, δμβ. 0,063 μ.

3(Α1). Χάλκινο εγχειρίδιο Τπ. ΕV, 3α.
Ράχη κυρτή, ακμή κοίλη, ουρά ορθογώνια, χωρίς καρφιά, που εισέχει μόνο από την πλευρά της ακμής.
μκ. 0,18 μ.

4(Α5). Λίθινο ακόνι Τπ. Ακ. 2α.
Σπασμένο στο άκρο.
σζ. μκ. 0,036 μ.

Ομάδα Β' - Ταφή α

5. Θραύσματα μόνωτου χειροποίητου ευρύστομου αγγείου Τπ. Ι, IV (65).
Λείπει το μεγαλύτερο τμήμα του αγγείου και η λαβή. Μία αυλάκωση γύρω από τη βάση του λαιμού, δύο παράλληλες αυλακώσεις κάτω από την περιφέρεια του χείλους.
Πηλός Κτ. ΙΑ2
εξ. επ. Κ-ΚΜ
εσ. επ. Κ-ΚΜ
πρ. Ε
σζ. ύψ. 0,12 μ.

6. Θραύσματα μόνωτου χειροποίητου ευρύστομου αγγείου Τπ. Ι, IV (32).
Σώζεται τμήμα της βάσης, του ώμου και της λαβής. Μία αυλάκωση γύρω από τη βάση του λαιμού.
Πηλός Κτ. ΙΒ1
εξ. επ. Κ
εσ. επ. Κ
πρ. ΚΕ
συμπλ. ύψ 0,15, δμβ. 0,06 μ.

7(Α3). Θραύσματα χειροποίητου αμφορέα Τπ. Ι, VIΓ (134).
Σώζεται τμήμα βάσης, τμήμα ώμου με την αρχή οριζόντιας λαβής και τμήμα λαιμού.
Πηλός Κτ. ΙΒ1
εξ. επ. ΚΕ
εσ. επ. ΚΕ
πρ. Ε
συμπλ. ύψ. 0,024, δμβ. 0,069 μ.

8(Α2). Πήλινο δικωνικό σφονδύλι Τπ. ΣΙΙ, 1β.
Λείπει ένα μέρος από την περιφέρεια.
ύψ. 0,021, δμ. 0,027 μ.

ΤΑΦΟΣ Λ5Β

Ορθογώνιος υπέργειος τάφος με κτιστές πλευρές. Διαστάσεις τάφου (εξωτ.): μγ. μκ. 7,60, μγ. πλ. 5,10, μγ. ύψ. 1,40 μ. (Π ί ν. 324α).

Προσανατολισμός τάφου Α.-Δ., περίπου, και άνοιγμα στα δυτικά. Ο τάφος Λ5Β είναι ο μεγαλύτερος και ο αρχαιότερος τάφος της συστάδας Λ5, στον οποίο προσαρτήθηκαν αργότερα οι τάφοι Λ5Α και Λ5Γ (Σ χ έ δ. VIII). Σε αντίθεση με τα τοιχώματα των δύο μακρών

πλευρών και της ανατολικής στενής πλευράς που εμφανίζουν ένα σημαντικό πάχος, ο τοίχος που χωρίζει τον κυρίως θάλαμο των ταφών από τον προθάλαμο είναι τοίχος με πολύ μικρότερο πάχος, που δεν ενσωματώνεται στους πλάγιους τοίχους. Στους παχείς τοίχους των πλάγιων πλευρών έχουν εντοιχισθεί και όρθιες σχιστόπλακες, ορισμένες από τις οποίες εξέχουν πάνω από το σωζόμενο ύψος των πλάγιων τοίχων (Σ χ έ δ. VIII).

Θ ά λ α μ ο ς

Διαστάσεις θαλάμου (εσωτ.): μγ. μκ. 3,60, μγ. πλ. 1,40, μγ. ύψ. 1 μ. Τα τοιχώματα του θαλάμου, εκτός από το στενό τοίχο του προθαλάμου, εμφανίζουν μια μικρή εκφορική κλίση προς τα μέσα στο άνω τμήμα τους. Η κάλυψη του τάφου πραγματοποιούνταν τελικά με μεγάλες σχιστόπλακες, δύο από τις οποίες βρέθηκαν στην αρχική τους θέση. Κάτω από τις σχιστόπλακες της οροφής, μετά από ένα στρώμα με μαύρο χώμα οργανικών υλών (βλάστησης), εμφανίσθηκε το γνωστό και από τους άλλους τάφους στρώμα των λίθων που περιείχε ελάχιστο χώμα. Πάνω από το επίπεδο των ταφών βρέθηκε ένα λεπτό στρώμα από φυσικό ερυθρωπό χώμα. Οι ταφές είχαν εναποτεθεί στο φυσικό έδαφος, που ήταν ένα λεπτό στρώμα ερυθρωπού χώματος πάνω από το φυσικό βράχο. Στο δυτικό τμήμα του τάφου εντοπίσθηκαν τρεις συνολικά ταφές. Στο ανατολικό τμήμα του τάφου δε βρέθηκαν οστά, παρά μόνο διάσπαρτα όστρακα (Π ί ν. 326α-β).

Ταφή α. Κατά μήκος της βόρειας πλευράς του τάφου. Ελάχιστα λείψανα οστών σώθηκαν. Το κεφάλι του νεκρού ήταν στα ανατολικά, όπως διαπιστώθηκε από τα δόντια που βρέθηκαν στην περιοχή αυτή. Από τα υπόλοιπα οστά του νεκρού σώζονταν ελάχιστα θραύσματα οστών άνω και κάτω άκρων. Στο νεκρό αυτό αποδίδονται τα θραύσματα των αγγείων (Β4-Β6) (Π ί ν. 205: 5, 7-8) που βρέθηκαν στην περιοχή αυτή, χωρίς ωστόσο αυτό να είναι απόλυτα βέβαιο (Π ί ν. 326α-β). Περισσότερο βέβαιη, οπωσδήποτε, είναι η απόδοση του πήλινου σφονδυλιού Β2 στο νεκρό α, που σύμφωνα με την ανθρωπολογική μελέτη πρέπει να είναι γυναίκα (Παράρτημα Ια). Η ταφή α πρέπει να έχει διαταραχθεί από τις νεότερες ταφές β και γ.

Ταφή β. Κατά μήκος της νότιας πλευράς του τάφου, σε θέση παράλληλη με τον προηγούμενο νεκρό. Ελάχιστα θραύσματα από κρανίο, καθώς και ορισμένα θραύσματα μακρών οστών, βεβαιώνουν ότι ο νεκρός είχε ταφεί ύπτιος με το κεφάλι προς Α. και τα σκέλη τεντωμένα. Στο νεκρό, που είναι σύμφωνα με την ανθρωπολογική μελέτη άνδρας, αποδίδεται το χάλκινο εγχειρίδιο Β1 και από τα υπόλοιπα κτερίσματα τα θραύσματα των αγγείων Β3, που βρέθηκαν διάσπαρτα στην περιοχή του σώματός του (Π ί ν. 205: 1, 4).

Ταφή γ. Ελάχιστα οστά μιας παιδικής ταφής εντοπίσθηκαν προς ΝΔ. του νεκρού β (Παράρτημα Ια).

ΕΥΡΗΜΑΤΑ

Π ί ν. 205

Ομάδα Β' - Ταφή β

1(Β3). Θραύσμα από το λαιμό μεγάλου χειροποίητου αγγείου (αμφορέα) Τπ. I, VIB (137).
Πηλός Κτ. ΙΓ2
εξ. επ. Ε
εσ. επ. Ε
πρ. Ε
σζ. ύψ. 0,09 μ.

2. Θραύσμα κατακόρυφης κυλινδρικής λαβής χειροποίητου αγγείου Τπ. I, IV.
Πηλός Κτ. ΙΓ1
εξ. επ. Ε
εσ. επ. Ε
πρ. Ε
σζ. ύψ. 0,002 μ.

3. Θραύσματα από το λαιμό και τον ώμο χειροποίητου ευρύστομου αγγείου Τπ. I, IV (44). Δύο παράλληλες αυλακώσεις γύρω από την αρχή του λαιμού.
Πηλός Κτ. ΙΑ2
εξ. επ. ΚΜ-λ
εσ. επ. ΚΜ-λ
πρ. Κ
σζ. ύψ. 0,066 μ.

4(Β1). Χάλκινο εγχειρίδιο Τπ. ΕV, 3α.
Ράχη κυρτή, ακμή ελαφρά κοίλη, ουρά ορθογώνια χωρίς καρφιά, που εισέχει μόνο από την πλευρά της ακμής. Δύο παράλληλες χαράξεις κατά μήκος της ράχης.
μκ. 0,18 μ.

Ομάδα Α΄ - Ταφή α

5(Β6). Θραύσματα μόνωτου χειροποίητου ευρύστομου αγγείου Τπ. Ι, IV (67).
Σώζεται το κάτω σώμα με τη βάση και τμήμα λαιμού και ώμου με ένα μέρος της λαβής. Δύο παράλληλα ζεύγη από παράλληλες αυλακώσεις γύρω από τη βάση του λαιμού του αγγείου.
Πηλός Κτ. ΙΑ2
εξ. επ. ΜΤ-λ
εσ. επ. ΜΤ-λ
πρ. Τ
σζ. ύψ. 0,12, δμβ. 0,09 μ.

6. Θραύσματα μόνωτου χειροποίητου ευρύστομου αγγείου Τπ. Ι, IV (82).
Σώζεται τμήμα από το άνω σώμα και τη λαβή. Δύο παράλληλες αυλακώσεις γύρω από τη βάση του λαιμού και γύρω από την περιφέρεια του χείλους.
Πηλός Κτ. ΙΑ2
εξ. επ. ΜΤ-λ
εσ. επ. ΜΤ-λ
πρ. Τ
σζ. ύψ. 0,06, δμχ. 0,18 μ.

7(Β4). Θραύσματα μόνωτου χειροποίητου ευρύστομου αγγείου Τπ. Ι, IV (57).
Σώζεται τμήμα από τον ώμο και το χείλος. Μία αυλάκωση γύρω από τη βάση του λαιμού, μία αυλάκωση κάτω από την περιφέρεια του χείλους.
Πηλός Κτ. ΙΓ1
εξ. επ. Ε
εσ. επ. Ε
πρ. Ε
συμπλ. ύψ. 0,132, δμχ. 0,152 μ.

8(Β5). Θραύσματα χειροποίητου ευρύστομου αγγείου Τπ. Ι, IV.
Σώζεται τμήμα ώμου με την αρχή της λαβής και τμήμα λαιμού με χείλος. Μία αυλακωτή γραμμή διακρίνεται κάτω από το χείλος. Αυλακωτή διακόσμηση και στο κάτω τμήμα της κυλινδρικής λαβής.
Πηλός Κτ. ΙΒ1
εξ. επ. Κ-ΚΤ
εσ. επ. ΚΕ
πρ. Ε
συμπλ. ύψ. 0,12 μ.

9(Β2). Πήλινο δικωνικό σφονδύλι Τπ. ΣΙ, 3.
Ακέραιο.
ύψ. 0,03, δμ. 0,033 μ.

Δ ι ά σ π α ρ τ α

Π ί ν. 206Α

9α(Β7). Θραύσματα μόνωτου χειροποίητου ευρύστομου αγγείου Τπ. Ι, IV (72).
Σώζεται τμήμα από το λαιμό και το χείλος. Πιθανόν από το ίδιο αγγείο και το θραύσμα λαβής. Δύο παράλληλες αυλακώσεις κάτω από το χείλος, μία αυλάκωση διακρίνεται γύρω στο μέσον του λαιμού του αγγείου.
Πηλός Κτ. ΙΑ2
εξ. επ. ΤΜ-λ φθ
εσ. επ. ΤΜ-λ φθ
πρ. Τ
σζ. ύψ. 0,066 μ.

10(Β7). Θραύσμα από το λαιμό και το χείλος χειροποίητου αγγείου Τπ. Ι, IV (78).
Δύο παράλληλες αυλακώσεις κάτω από το χείλος, μία αυλάκωση διακρίνεται προς τη βάση του λαιμού.
Πηλός Κτ. ΙΑ2
εξ. επ. ΤΜ-λ φθ
εσ. επ. ΤΜ-λ φθ
πρ. Τ
σζ. ύψ. 0,066 μ.

11. Θραύσμα από τον ώμο χειροποίητου ευρύστομου αγγείου Τπ. Ι, IV.
Μία αυλάκωση γύρω από τη βάση του λαιμού.
Πηλός Κτ. ΙΑ2
εξ. επ. ΤΜ-λ
εσ. επ. ΤΜ-λ
πρ. Τ
σζ. ύψ. 0,054 μ.

12. Θραύσμα από τον ώμο χειροποίητου ευρύστομου αγγείου Τπ. Ι, IV.
Μία αυλάκωση διακρίνεται γύρω από την αρχή του λαιμού.
Πηλός Κτ. ΙΑ2
εξ. επ. ΚΤ-λ
εσ. επ. ΚΤ-λ
πρ. Τ
σζ. ύψ. 0,066 μ.

13. Θραύσμα από το λαιμό χειροποίητης οινοχόης Τπ. Ι, VIIΓ.
Πηλός Κτ. ΙΑ2
εξ. επ. ΚΕ
εσ. επ. Κ
πρ. Κ
σζ. ύψ. 0,09 μ.

14. Θραύσμα κατακόρυφης κυλινδρικής λαβής χειροποίητου αγγείου Τπ. Ι, IV ή Ι, VII ή Ι, VIII.
Πηλός Κτ. ΙΒ1
εξ. επ. Κ
εσ. επ. Κ
πρ. ΚΤ
σζ. ύψ. 0,09 μ.

15. Θραύσμα λαβής χειροποίητου αγγείου Τπ. Ι, IV ή Ι, VII ή Ι, VIII.
Πηλός Κτ. ΙΓ1
εξ. επ. ΚΕ
εσ. επ. Ε
πρ. ΚΕ
σζ. ύψ. 0,045 μ.

16. Θραύσμα κατακόρυφης κυλινδρικής λαβής χειροποίητου αγγείου Τπ. Ι, IV.
Πηλός Κτ. ΙΑ2
εξ. επ. Κ
εσ. επ. Κ
πρ. ΤΜ
σζ. ύψ. 0,045 μ.

17. Θραύσμα κατακόρυφης κυλινδρικής λαβής χειροποίητου αγγείου Τπ. Ι, VIB.
Πηλός Κτ. ΙΓ2
εξ. επ. ΚΕ
εσ. επ. ΚΕ
πρ. Κ
σζ. ύψ. 0,045 μ.

18. Θραύσμα βάσης χειροποίητου αγγείου Τπ. Ι, VI ή Ι, VII.
Πηλός Κτ. ΙΑ2
εξ. επ. ΚΤ-λ φθ
εσ. επ. Τ
πρ. Τ
σζ. ύψ. 0,03, δμβ. 0,051 μ.

19. Κατακόρυφη κυλινδρική λαβή από την κοιλιά χειροποίητου αγγείου Τπ. Ι, XII
Πηλός Κτ. ΙΓ2
εξ. επ. ΚΕ
εσ. επ. ΚΕ
πρ. Κ
ύψ. 0,066 μ.

20. Θραύσμα βάσης χειροποίητου αγγείου Τπ. Ι, VI ή Ι, VII.
Πηλός Κτ. ΙΓ2
εξ. επ. Ε
εσ. επ. Ε
πρ. Τ
σζ. ύψ. 0,021, δμβ. 0,069 μ.

21. Θραύσμα κατακόρυφης κυλινδρικής λαβής από την κοιλιά χειροποίητου αγγείου Τπ. Ι, XII.
Πηλός Κτ. ΙΓ2
εξ. επ. Ε
εσ. επ. Ε
πρ. ΚΕ
σζ. μκ. 0,045 μ.

Π ρ ο θ ά λ α μ ο ς

Ο προθάλαμος του τάφου Λ5Β καλυπτόταν από ένα στρώμα λίθων και χώματος. Διάσπαρτα μέσα στην επίχωση του προθαλάμου βρέθηκαν ορισμένα θραύσματα αγγείων.

ΕΥΡΗΜΑΤΑ

Π ί ν. 206Β

1. Θραύσμα από το λαιμό και το χείλος χειροποίητου αμφορέα Τπ. Ι, VIB (136).
Δύο παράλληλες αυλακώσεις διακρίνονται κάτω από το χείλος.
Πηλός Κτ. ΙΑ3
εξ. επ. ΚΤ-λ φθ
εσ. επ. ΚΕ
πρ. Τ
σζ. ύψ. 0,075 μ.

2. Θραύσματα χειροποίητου αμφορέα Τπ. Ι, VIB (136).
Σώζεται τμήμα λαιμού με το χείλος, καθώς και αποσπασματικά τμήματα από το σώμα του αγγείου. Μία αυλάκωση κάτω από την περιφέρεια του χείλους, δύο παράλληλες αυλακώσεις γύρω από το λαιμό του αγγείου και δύο παράλληλες αυλακώσεις γύρω από τη

βάση του λαιμού του αγγείου.
Πηλός Κτ. ΙΒ1
εξ. επ. ΚΕ-λ φθ
εσ. επ. ΚΕ
πρ. Κ
σζ. ύψ. 0,264, δμχ. 0,132 μ.

3. Θραύσμα κατακόρυφης κυλινδρικής λαβής από την κοιλιά χειροποίητου αγγείου Τπ. Ι, ΧΙΙ.
Πηλός Κτ. ΙΓ2
εξ. επ. ΚΕ
εσ. επ. ΚΕ
πρ. Κ
σζ. ύψ. 0,051 μ.

4. Θραύσμα κατακόρυφης κυλινδρικής λαβής από την κοιλιά χειροποίητου αγγείου Τπ. Ι, ΧΙΙ.
Πηλός Κτ. ΙΓ2
εξ. επ. ΚΕ
εσ. επ. ΚΕ
πρ. Κ
σζ. ύψ. 0,045 μ.

ΤΑΦΟΣ Λ5Γ

Ορθογώνιος υπέργειος τάφος με κτιστές πλευρές. Προσανατολισμός τάφου Α.-Δ., περίπου, με άνοιγμα στα δυτικά. Νεότερος από τον τάφο Λ5Β, έχει προσαρτηθεί στα νότια του τάφου Λ5Β, χρησιμοποιώντας τη νότια πλευρά του. Ένας στενός εγκάρσιος τοίχος, που δεν είναι ενσωματωμένος στους πλάγιους παχείς τοίχους των μακρών πλευρών του τάφου, χωρίζει τον κυρίως θάλαμο από ένα χώρο προθαλάμου στα δυτικά (Σ χ έ δ. VIII).

Διαστάσεις τάφου (εξωτ.): μγ. μκ. 6,40, μγ. πλ. 3,40 μ.

Θ ά λ α μ ο ς

Διαστάσεις θαλάμου (εσωτ.): μγ. μκ. 2,60, μγ. πλ. 1,30 μ.

Στην ανατολική στενή πλευρά του θαλάμου διακρίνεται η αρχή μιας πρωτόγονης εκφορικής καμάρας της οροφής του τάφου (Π ί ν. 328α). Ο θάλαμος καλυπτόταν από μεγάλες σχιστόπλακες, που πατούσαν στα τοιχώματα του τάφου. Οι πλάκες βρέθηκαν σπασμένες και πεσμένες στο εσωτερικό του τάφου. Κάτω από τις σχιστόπλακες εντοπίσθηκε, μετά το χώμα των διαλυμένων οργανικών ουσιών βλάστησης, το γνωστό στρώμα των λίθων. Κάτω από το στρώμα των λίθων, το επίπεδο της ταφής εντοπίσθηκε πάνω σ' ένα λεπτό στρώμα από ερυθρωπό χώμα, αμέσως μετά το φυσικό βράχο. Πάνω από το επίπεδο της ταφής βρέθηκε ένα στρώμα με χώμα και πολλά θραύσματα αγγείων.

Τα οστά σώζονταν σε πολύ κακή κατάσταση και το εσωτερικό του τάφου έδινε μια συγκεχυμένη εικόνα διατάραξης, που οφειλόταν στις ρίζες των δένδρων και στις επάλληλες ταφές του τάφου.

Η ανασκαφή και η ανθρωπολογική μελέτη εντόπισε την ταφή τριών, τουλάχιστον, ατόμων (Π ί ν. 327α).

Ταφή β. Κατά μήκος της βόρειας πλευράς του τάφου. Από τα ελάχιστα θραύσματα οστών που σώθηκαν προκύπτει ότι ο νεκρός είχε ταφεί με το κεφάλι στα ανατολικά και τεντωμένα τα σκέλη. Με την ταφή αυτή, που πρέπει να είναι γυναικεία, σχετίζεται το πήλινο σφονδύλι Γ3, που βρέθηκε στην περιοχή του άνω σώματος της νεκρής καθώς και τα κτερίσματα της βόρειας πλευράς του τάφου. Σχετίσθηκαν, επίσης, και τα θραύσματα των αγγείων που βρέθηκαν προς την περιοχή της ταφής γ, στη νοτιοανατολική γωνία του τάφου.

Ταφή γ. Κατά μήκος της νότιας πλευράς του τάφου. Από τα ελάχιστα θραύσματα των άκρων που σώθηκαν, διαπιστώθηκε ότι ο νεκρός γ έχει εναποτεθεί λίγο ανατολικότερα από το νεκρό β, αλλά σε θέση παράλληλη. Με την ταφή β, ανδρική ταφή (Παράρτημα Ια), πρέπει να συσχετισθεί το χάλκινο εγχειρίδιο Γ13. Τα θραύσματα αγγείων που βρέθηκαν στην περιοχή του νεκρού β συμβατικά μπορούν να αποδοθούν στην ταφή β, γιατί υπάρχει πάντα το ενδεχόμενο ανάμεσα σ' αυτά να υπάρχουν και θραύσματα μετατοπισμένα από προγενέστερες ταφές.

Ταφή α. Η αρχαιότερη οπωσδήποτε ταφή στον τάφο είναι η ταφή α, που έχει παραμερισθεί

κατά μήκος της ανατολικής στενής πλευράς του τάφου (Π ί ν. 327α-β). Από την ταφή αυτή σώθηκαν ελάχιστα οστά, κάτω άκρων κυρίως. Κανένα κτέρισμα δεν έχει βρεθεί στην περιοχή αυτή, που βρίσκεται σε ψηλότερο επίπεδο από τις άλλες δύο ταφές. Πιθανότατα, τα κτερίσματα της ταφής αυτής έχουν σπάσει και διασκορπισθεί στον τάφο, όταν πραγματοποιήθηκαν οι μεταγενέστερες ταφές γ και β.

Πρέπει να σημειώσουμε ότι στην περιοχή της παραμερισμένης ταφής α βρέθηκε ανάμεσα στα ανθρώπινα οστά και ένα οστό ζώου (Π ί ν. 328β) (Παράρτημα ΙΙ).

Π ρ ο θ ά λ α μ ο ς

Διαστάσεις προθαλάμου (εσωτ.): μγ. μκ. 1,80, μγ. πλ. 1,50 μ.

ΕΥΡΗΜΑΤΑ

Ομάδα Α΄ - Ταφή γ

Π ί ν. 207

1(Γ1). Μόνωτο χειροποίητο ευρύστομο αγγείο Τπ. Ι, IV (72).
Λείπει ένα μέρος από το κάτω σώμα. Δύο παράλληλες αυλακώσεις γύρω από τη βάση του λαιμού και κάτω από το χείλος. Αυλακωτή διακόσμηση και στο ταινιωτό τμήμα της γωνιόσχημης λαβής.
Πηλός Κτ. ΙΑ2
εξ. επ. ΤΜ-λ
εσ. επ. ΤΜ-λ
πρ. ΚΤ
ύψ. 0,132, δμβ. 0,069, δμχ. 0,12 μ.

2(Γ2). Θραύσματα μόνωτου χειροποίητου ευρύστομου αγγείου Τπ. Ι, IV (95).
Σώζεται τμήμα ώμου με τη λαβή. Στον ώμο αυλακωτή διακόσμηση με ζιγκ-ζαγκ διπλές αυλακώσεις. Αυλακωτή διακόσμηση και στο ταινιωτό τμήμα της λαβής, καθώς και στο άνω και κάτω άκρο του κατακόρυφου κυλινδρικού στελέχους της λαβής.
Πηλός Κτ. ΙΑ2
εξ. επ. ΚΜ-λ
εσ. επ. ΚΜ-λ
πρ. Κ
σζ. ύψ. 0,12 μ.

3(Γ14). Μόνωτο χειροποίητο ευρύστομο αγγείο Τπ. Ι, IV (72).
Λείπει ένα μέρος από το άνω σώμα και τη λαβή. Δύο παράλληλες αυλακώσεις στο λαιμό του αγγείου.
Πηλός Κτ. ΙΒ1
εξ. επ. Κ
εσ. επ. Κ
πρ. ΚΕ
ύψ. 0,108, δμβ. 0,045, δμχ. 0,12 μ.

4(Γ2). Θραύσμα μόνωτου χειροποίητου ευρύστομου αγγείου Τπ. Ι, IV (15).
Σώζεται τμήμα ώμου με λαβή.
Πηλός Κτ. ΙΑ2
εξ. επ. ΤΜ-λ
εσ. επ. ΚΤ
πρ. ΚΤ
σζ. ύψ. 0,09 μ.

5(Γ13). Χάλκινο εγχειρίδιο χωρίς καρφιά Τπ. ΕV, 5.
Ράχη κυρτή, ακμή κοίλη, ουρά κοντή που εισέχει από την πλευρά της ακμής.
μκ. 0,12 μ.

6(Γ2). Θραύσματα χειροποίητης οινοχόης Τπ. Ι, VIIΔ (163).
Σώζεται τμήμα από το άνω σώμα με το λαιμό και τη λαβή. Δύο παράλληλες αυλακώσεις γύρω από την περιφέρεια του χείλους, μία αυλάκωση γύρω από τη βάση του λαιμού.
Πηλός Κτ. ΙΒ1
εξ. επ. Κ
εσ. επ. Κ
πρ. ΚΕ
συμπλ. ύψ. 0,195, δμλ. 0,093 μ.

7(Γ5). Θραύσματα χειροποίητου ευρύστομου αγγείου Τπ. Ι, IV (95).
Σώζεται τμήμα ώμου με τμήμα λαιμού και τη λαβή. Αυλακωτή διακόσμηση που σχηματίζει μετόπη στο λαιμό του αγγείου. Αυλακωτή διακόσμηση με διπλές αυλακωτές ζιγκ-ζαγκ γραμμές στον ώμο αγγείου. Αυλακωτές γραμμές και στο ταινιωτό τμήμα της γωνιόσχημης λαβής.
Πηλός Κτ. ΙΑ2
εξ. επ. ΚΜ-λ φθ
εσ. επ. ΚΜ-λ φθ
πρ. Κ

σζ. ύψ. 0,09 μ.

Ομάδα Β΄ - Ταφή β

Π ί ν. 208

8(Γ11). Μόνωτο χειροποίητο ευρύστομο αγγείο Τπ. Ι, IV (84β).
Λείπει το κάτω τμήμα του αγγείου. Δύο παράλληλες αυλακώσεις γύρω από τη βάση του λαιμού και κάτω από το χείλος. Αυλακωτή δικόσμηση και στο ταινιωτό τμήμα της λαβής, καθώς και στο άνω τμήμα του κατακόρυφου κυλινδρικού στελέχους της λαβής.
Πηλός Κτ. ΙΑ2
εξ. επ. ΤΜ-λ
εσ. επ. ΤΜ-λ
πρ. ΚΤ
σζ. ύψ. 0,075, συμπλ. ύψ. 0,105, δμχ. 0,099 μ.

9(Γ12). Θραύσματα μόνωτου χειροποίητου ευρύστομου αγγείου Τπ. Ι, IV (19).
Πηλός Κτ. ΙΒ1
εξ. επ. Ε
εσ. επ. Ε
πρ. Κ
σζ. ύψ. 0,09, συμπλ. δμχ. 0,228 μ.

10(Γ3). Πήλινο δικωνικό σφονδύλι Τπ. ΣΙΙ, 1γ.
ύψ. 0,024, δμ. 0,033 μ.

11. Πήλινο δικωνικό σφονδύλι Τπ. ΣΙ, 3.
ύψ. 0,03, δμ. 0,033 μ.

12(Γ16). Θραύσμα χειροποίητης κλειστής οινοχόης Τπ. Ι, VIIΓ (157).
Σώζεται τμήμα από το σφαιρικό σώμα. Σειρά από παράλληλες αυλακώσεις στον ώμο του αγγείου. Στην κοιλιά αυλακωτή διακόσμηση. Τριπλές αυλακωτές ζιγκ-ζαγκ γραμμές με σπείρες στην κορυφή των γωνιών και κατακόρυφες αυλακωτές γραμμές πλαισιωμένες από κουκίδες στα διάκενα.
Πηλός Κτ. ΙΒ1
εξ. επ. Κ-λ
εσ. επ. Κ
πρ. ΚΕ
σζ. ύψ. 0,165 μ.

13(Γ10+Γ8). Μόνωτο χειροποίητο ευρύστομο αγγείο Τπ. Ι, IV (95).
Λείπουν ένα μεγάλο μέρος από το σώμα του αγγείου από το άνω τμήμα της λαβής. Δύο παράλληλες αυλακώσεις κάτω από την περιφέρεια του χείλους. Μία αυλάκωση γύρω από τη βάση του λαιμού. Αυλακωτή διακόσμηση από τριπλές ζιγκ-ζαγκ αυλακωτές γραμμές στον ώμο του αγγείου.
Πηλός Κτ. ΙΑ2
εξ. επ. ΚΜ-λ
εσ. επ. ΚΜ-λ
πρ. ΚΜ
σζ. ύψ. 0,165, συμπλ. ύψ. 0,171, δμχ. 0,18 μ.

14(Γ9). Θραύσμα από το λαιμό και το χείλος χειροποίητου αμφορέα Τπ. Ι, VIB (137).
Δύο παράλληλες αυλακώσεις κάτω από το χείλος του αγγείου.
Πηλός Κτ. ΙΒ1
εξ. επ. ΚΕ
εσ. επ. ΚΜ
πρ. Κ
σζ. ύψ. 0,078, δμχ. 0,159 μ.

Π ί ν. 209

15(Γ4). Θραύσματα χειροποίητου ευρύστομου αγγείου Τπ. Ι, IV (44).
Σώζεται τμήμα ώμου με λαιμό και χείλος. Δύο παράλληλες αυλακώσεις γύρω από τη βάση του λαιμού.
Πηλός Κτ. ΙΒ1
εξ. επ. ΚΕ-λ
εσ. επ. ΚΕ
πρ. Κ

16(Γ7). Θραύσμα από το χείλος αγγείου Τπ. Ι, XII (199).
«Νυχιές» γύρω από το χείλος.
Πηλός Κτ. ΙΓ1
εξ. επ. ΚΕ
εσ. επ. ΚΕ
πρ. ΚΕ
σζ. ύψ. 0,048 μ.

17(Γ17-6). Θραύσματα μεγάλου χειροποίητου αμφορέα Τπ. Ι, VIB (136).
Σώζεται τμήμα λαιμού και ώμου, με αρχή κατακόρυφης κυλινδρικής λαβής.
Πηλός Κτ. ΙΑ2
εξ. επ. ΚΤ
εσ. επ. ΚΤ
πρ. Τ
δμλ. 0,195, δμκ. 0,36 μ.

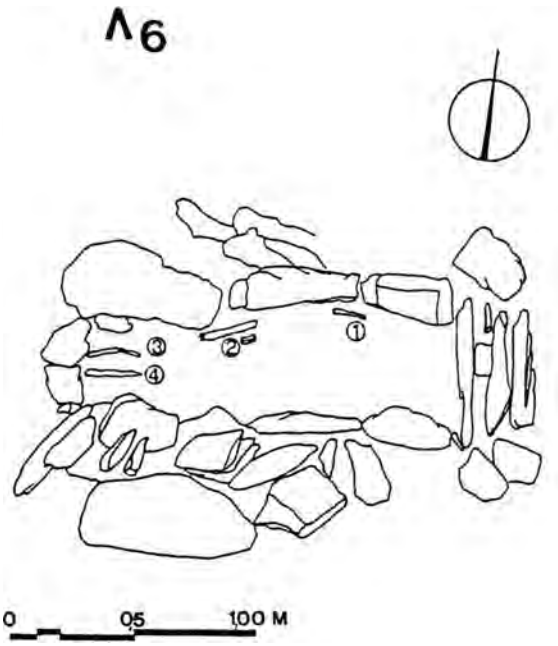

Σχέδ. 67. Κάτοψη τάφου Λ6.

Τάφος Λ6

Κτιστός κιβωτιόσχημος τάφος, προς ΒΑ. της ταφικής συστάδας Λ5. Προσανατολισμός τάφου Α.-Δ. (Σ χ έ δ. 67). Διαστάσεις τάφου (εσωτ.): μγ. μκ. 2,25, μγ. πλ. 0,70, σζ. ύψ. 0,65 μ.

Ο τάφος καλυπτόταν με στρώμα λίθων. Στο επίπεδο της ταφής, που εντοπίσθηκε πάνω στο φυσικό βράχο, βρέθηκαν διαλυμένα οστά, τα οποία προσδιορίζουν την ταφή ενός ενήλικου ατόμου στον τάφο. Κτερίσματα δε βρέθηκαν.

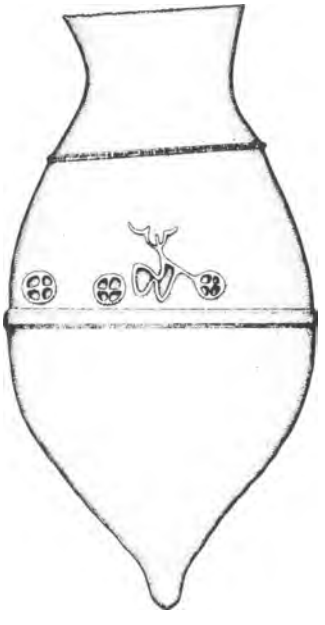

ΥΠΟΥΡΓΕΙΟ ΠΟΛΙΤΙΣΜΟΥ
ΔΗΜΟΣΙΕΥΜΑΤΑ ΤΟΥ ΑΡΧΑΙΟΛΟΓΙΚΟΥ ΔΕΛΤΙΟΥ ΑΡ. 45

ΧΑΪΔΩ ΚΟΥΚΟΥΛΗ-ΧΡΥΣΑΝΘΑΚΗ

ΠΡΩΤΟΪΣΤΟΡΙΚΗ ΘΑΣΟΣ

ΤΑ ΝΕΚΡΟΤΑΦΕΙΑ ΤΟΥ ΟΙΚΙΣΜΟΥ ΚΑΣΤΡΙ

ΕΚΔΟΣΗ ΤΟΥ ΤΑΜΕΙΟΥ ΑΡΧΑΙΟΛΟΓΙΚΩΝ ΠΟΡΩΝ ΚΑΙ ΑΠΑΛΛΟΤΡΙΩΣΕΩΝ

ΠΡΩΤΟΪΣΤΟΡΙΚΗ ΘΑΣΟΣ

ΤΑ ΝΕΚΡΟΤΑΦΕΙΑ ΤΟΥ ΟΙΚΙΣΜΟΥ ΚΑΣΤΡΙ

© ΤΑΜΕΙΟ ΑΡΧΑΙΟΛΟΓΙΚΩΝ ΠΟΡΩΝ ΚΑΙ ΑΠΑΛΛΟΤΡΙΩΣΕΩΝ
ΔΙΕΥΘΥΝΣΗ ΔΗΜΟΣΙΕΥΜΑΤΩΝ
ΟΔΟΣ ΠΑΝΕΠΙΣΤΗΜΙΟΥ 57, ΑΘΗΝΑ 105 64

ΓΕΝΙΚΗ ΕΠΙΜΕΛΕΙΑ: Ευαγγελία Κυπραίου
ΥΠΕΥΘΥΝΗ ΕΚΔΟΣΗΣ: Ντιάνα Ζαφειροπούλου
ΚΑΛΛΙΤΕΧΝΙΚΗ ΕΠΙΜΕΛΕΙΑ: Βάνα Μάρη

ISBN 960-214-107-7
Τόμος Β: 960-214-109-3

ΥΠΟΥΡΓΕΙΟ ΠΟΛΙΤΙΣΜΟΥ
ΔΗΜΟΣΙΕΥΜΑΤΑ ΤΟΥ ΑΡΧΑΙΟΛΟΓΙΚΟΥ ΔΕΛΤΙΟΥ ΑΡ. 45

ΧΑΪΔΩ ΚΟΥΚΟΥΛΗ-ΧΡΥΣΑΝΘΑΚΗ

ΠΡΩΤΟΪΣΤΟΡΙΚΗ ΘΑΣΟΣ

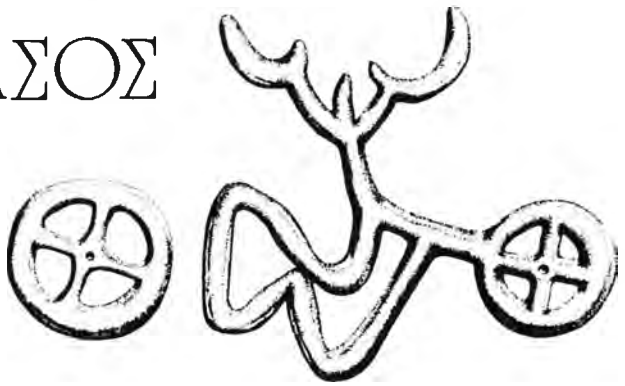

ΤΑ ΝΕΚΡΟΤΑΦΕΙΑ ΤΟΥ ΟΙΚΙΣΜΟΥ ΚΑΣΤΡΙ

ΜΕΡΟΣ Β

ΕΚΔΟΣΗ ΤΟΥ ΤΑΜΕΙΟΥ ΑΡΧΑΙΟΛΟΓΙΚΩΝ ΠΟΡΩΝ ΚΑΙ ΑΠΑΛΛΟΤΡΙΩΣΕΩΝ

ΣΗΜΕΙΩΣΗ ΤΗΣ ΣΥΝΤΑΞΗΣ

— Τα εντός κειμένου σχέδια των τόμων Α και Β παραπέμπονται ως Σχέδια (Σ χ έ δ.) με αραβικούς αριθμούς.
— Οι Πίνακες (σχέδια ευρημάτων και φωτογραφίες) του τόμου Γ παραπέμπονται ως Πίνακες (Π ί ν.). Στους Πίνακες 1-209 οι κλίμακες είναι 1:4, εκτός αν αυτές σημειώνονται γραφικά.
— Τα αναδιπλούμενα σχέδια στο τέλος των τόμων παραπέμπονται ως Σχέδια (Σ χ έ δ.) με λατινικούς αριθμούς.

ΠΕΡΙΕΧΟΜΕΝΑ

ΜΕΡΟΣ Β: ΣΥΝΘΕΣΗ ΤΩΝ ΑΝΑΣΚΑΦΙΚΩΝ ΔΕΔΟΜΕΝΩΝ

Σελ.

ΚΕΦΑΛΑΙΟ Α΄: ΤΥΠΟΛΟΓΙΑ 369

ΤΑ ΤΑΦΙΚΑ ΚΤΙΣΜΑΤΑ 369

Υλικά δομής 369
Κατασκευή 369
Αρχιτεκτονικοί τύποι των τάφων 369
Μορφολογικά στοιχεία των τάφων 372

ΤΑ ΚΤΕΡΙΣΜΑΤΑ 383

Αγγεία 384
Χειροποίητη κεραμική (Ι) 384
Τροχήλατη κεραμική (ΙΙ) 401
Όπλα 404
Εργαλεία 404
Κοσμήματα 409

ΚΕΦΑΛΑΙΟ Β΄: ΕΣΩΤΕΡΙΚΗ ΧΡΟΝΟΛΟΓΗΣΗ – ΟΙ ΦΑΣΕΙΣ 418

ΝΕΚΡΟΤΑΦΕΙΑ ΟΙΚΙΣΜΟΥ ΚΑΣΤΡΙ 418
Οι φάσεις 418
Παρατηρήσεις 428

ΝΕΚΡΟΤΑΦΕΙΟ ΛΑΡΝΑΚΙ 435
Οι φάσεις 435
Παρατηρήσεις 437

ΣΥΓΚΡΙΤΙΚΗ ΧΡΟΝΟΛΟΓΗΣΗ ΝΕΚΡΟΤΑΦΕΙΩΝ 440

ΚΕΦΑΛΑΙΟ Γ΄: ΚΕΡΑΜΙΚΗ 442

Ι. ΧΕΙΡΟΠΟΙΗΤΗ ΚΕΡΑΜΙΚΗ 442

Ι, 1: ΑΚΟΣΜΗΤΗ ΚΕΡΑΜΙΚΗ 442
Ακόσμητη κεραμική με επιφάνεια στιλβωμένη (Ι, 1α) 442
Διάδοση 442
Η ακόσμητη κεραμική Ι, 1α στα νεκροταφεία Καστρί και Λαρνάκι 443
Ακόσμητη κεραμική με επιφάνεια λειασμένη (Ι, 1β) 444
Διάδοση 444
Η ακόσμητη κεραμική Ι, 1β στα νεκροταφεία Καστρί και Λαρνάκι 444
Ακόσμητη κεραμική με επιφάνεια αδρή (Ι, 1γ) 461
Διάδοση 461
Η ακόσμητη κεραμική Ι, 1γ στα νεκροταφεία Καστρί και Λαρνάκι 461

Ακόσμητη κεραμική με λεπτά τοιχώματα (I, 1δ) 462
Διάδοση 462
Η ακόσμητη κεραμική I, 1δ στα νεκροταφεία Καστρί και Λαρνάκι 462
I, 2: ΚΕΡΑΜΙΚΗ ΜΕ ΕΓΧΑΡΑΚΤΗ ΔΙΑΚΟΣΜΗΣΗ 463
Εγχάρακτη κεραμική (I, 2α) 463
Διάδοση 463
Η εγχάρακτη κεραμική I, 2α στα νεκροταφεία Καστρί και Λαρνάκι 488
Εγχάρακτη κεραμική I, 2β 499
Διάδοση 499
Η εγχάρακτη κεραμική I, 2β στα νεκροταφεία Καστρί και Λαρνάκι 499
Εγχάρακτη κεραμική I, 2γ 500
Διάδοση 500
Η εγχάρακτη κεραμική I, 2γ στα νεκροταφεία Καστρί και Λαρνάκι 500
Εγχάρακτη κεραμική I, 2δ 503
Διάδοση 503
Η εγχάρακτη κεραμική I, 1δ στα νεκροταφεία Καστρί και Λαρνάκι 504
I, 3-4: ΚΕΡΑΜΙΚΗ ΜΕ ΑΥΛΑΚΩΤΗ ΚΑΙ ΡΑΒΔΩΤΗ ΔΙΑΚΟΣΜΗΣΗ 507
Διάδοση 507
Η αυλακωτή κεραμική στα νεκροταφεία Καστρί και Λαρνάκι 535
Κεραμική με γραμμική αυλακωτή διακόσμηση (I, 3) 535
Κεραμική με ραβδωτή διακόσμηση (I, 4) 541
I, 5: ΚΕΡΑΜΙΚΗ ΜΕ ΠΛΑΣΤΙΚΗ ΔΙΑΚΟΣΜΗΣΗ 545
Διάδοση 545
Η κεραμική I, 5 στα νεκροταφεία Καστρί και Λαρνάκι 545
II. ΤΡΟΧΗΛΑΤΗ ΚΕΡΑΜΙΚΗ 553
II, 1: ΜΥΚΗΝΑΪΚΗ ΚΕΡΑΜΙΚΗ (ΚΑΤΗΓΟΡΙΑ II, Α) 553
Η μυκηναϊκή κεραμική στη Μακεδονία 553
Η μυκηναϊκή κεραμική στη Θάσο 561
Μυκηναϊκή κεραμική II, Α1 562
Τοπικές μιμήσεις μυκηναϊκής κεραμικής II, Α2 566
Χειροποίητες μιμήσεις μυκηναϊκής κεραμικής II, Α3 568
II, 2: ΜΕΤΑΜΥΚΗΝΑΪΚΗ ΤΕΦΡΟΧΡΩΜΗ ΚΕΡΑΜΙΚΗ (ΚΑΤΗΓΟΡΙΑ II, Β) 568
Διάδοση 568
Μεταμυκηναϊκή τεφρόχρωμη κεραμική στα νεκροταφεία Καστρί και Λαρνάκι 569
II, 3: ΜΕΤΑΜΥΚΗΝΑΪΚΗ ΕΡΥΘΡΟΧΡΩΜΗ ΚΕΡΑΜΙΚΗ (ΚΑΤΗΓΟΡΙΑ II, Γ) 571
Διάδοση 571
Μεταμυκηναϊκή ερυθρόχρωμη κεραμική στα νεκροταφεία Καστρί και Λαρνάκι 571
II, 4: ΚΕΡΑΜΙΚΗ ΤΥΠΟΥ G 2-3 (ΚΑΤΗΓΟΡΙΑ II, Δ) 572
Διάδοση 572
Κεραμική τύπου G 2-3 στα νεκροταφεία Καστρί και Λαρνάκι 574
II, 5: ΚΕΡΑΜΙΚΗ ΜΕ ΠΗΛΟ ΚΙΤΡΙΝΕΡΥΘΡΟ (ΚΑΤΗΓΟΡΙΑ II, Ε) 575
II, 6: ΚΕΡΑΜΙΚΗ ΜΕ ΠΗΛΟ ΩΧΡΟΚΙΤΡΙΝΟ (ΚΑΤΗΓΟΡΙΑ II, ΣΤ) 576
ΚΕΦΑΛΑΙΟ Δ΄: ΟΠΛΑ - ΕΡΓΑΛΕΙΑ - ΚΟΣΜΗΜΑΤΑ - ΔΙΑΦΟΡΑ 578
ΟΠΛΑ 578
ΕΡΓΑΛΕΙΑ 579
ΚΟΣΜΗΜΑΤΑ 599
ΔΙΑΦΟΡΑ 621

ΚΕΦΑΛΑΙΟ Ε΄: ΤΑΦΙΚΗ ΑΡΧΙΤΕΚΤΟΝΙΚΗ - ΤΑΦΙΚΑ ΕΘΙΜΑ 627

ΠΑΡΑΤΗΡΗΣΕΙΣ ΣΕ ΤΑΦΙΚΑ ΚΤΙΣΜΑΤΑ ΒΟΡΕΙΟΕΛΛΑΔΙΚΟΥ, ΝΟΤΙΟΕΛΛΑΔΙΚΟΥ ΚΑΙ ΑΙΓΑΙΑΚΟΥ ΧΩΡΟΥ 627
Βόρεια, κεντρική και δυτική Μακεδονία 627
Ανατολική Μακεδονία 631
Αιγαιακή Θράκη 634
Νοτιοελλαδικός χώρος - Νησιά 637

ΤΑΦΙΚΑ ΕΘΙΜΑ ΚΑΙ ΤΑΦΙΚΑ ΚΤΙΣΜΑΤΑ ΣΤΑ ΝΕΚΡΟΤΑΦΕΙΑ ΚΑΣΤΡΙ ΚΑΙ ΛΑΡΝΑΚΙ 640
Ταφικά έθιμα 640
Ταφικά κτίσματα 647

ΚΕΦΑΛΑΙΟ ΣΤ΄: ΕΞΩΤΕΡΙΚΗ ΧΡΟΝΟΛΟΓΗΣΗ 655

ΣΥΓΚΡΙΤΙΚΕΣ ΧΡΟΝΟΛΟΓΗΣΕΙΣ 655
ΧΡΟΝΟΛΟΓΗΣΕΙΣ ^{14}C 667

ΚΕΦΑΛΑΙΟ Ζ΄: ΟΡΓΑΝΩΣΗ ΤΗΣ ΟΙΚΟΝΟΜΙΑΣ ΚΑΙ ΤΗΣ ΚΟΙΝΩΝΙΑΣ ΣΤΟΝ ΟΙΚΙΣΜΟ ΚΑΣΤΡΙ 671

ΟΡΓΑΝΩΣΗ ΤΗΣ ΟΙΚΟΝΟΜΙΑΣ 671
Εκμετάλλευση φυσικών πόρων 671
Τεχνολογία 685
Εμπόριο 689

ΟΡΓΑΝΩΣΗ ΤΗΣ ΚΟΙΝΩΝΙΑΣ 692
Δημογραφικά 692
Κοινωνική οργάνωση 695
Θρησκεία 697

ΚΕΦΑΛΑΙΟ Η΄: Η ΠΕΡΙΟΧΗ ΤΩΝ ΝΕΚΡΟΤΑΦΕΙΩΝ ΚΑΣΤΡΙ ΚΑΙ ΛΑΡΝΑΚΙ ΠΡΙΝ ΚΑΙ ΜΕΤΑ ΤΗΝ ΥΣΤΕΡΗ ΕΠΟΧΗ ΤΟΥ ΧΑΛΚΟΥ ΚΑΙ ΤΗΝ ΠΡΩΙΜΗ ΕΠΟΧΗ ΤΟΥ ΣΙΔΗΡΟΥ 698

ΧΑΛΚΟΛΙΘΙΚΗ ΠΕΡΙΟΔΟΣ 698
ΙΣΤΟΡΙΚΟΙ ΧΡΟΝΟΙ 699

ΕΠΙΜΕΤΡΟ: ΠΡΩΤΟΪΣΤΟΡΙΚΗ ΘΑΣΟΣ 701

ΕΙΣΑΓΩΓΗ 701

ΚΕΦΑΛΑΙΟ Α΄: ΟΙΚΙΣΜΟΙ ΤΗΣ ΠΡΩΤΟΪΣΤΟΡΙΚΗΣ ΘΑΣΟΥ 703
Ύστερη εποχή του χαλκού 703
Πρώιμη εποχή του σιδήρου 708
Τύποι οικισμών 722
Χρονολόγηση οικισμών 724

ΚΕΦΑΛΑΙΟ Β΄: ΟΙ ΑΡΧΑΙΕΣ ΠΗΓΕΣ ΚΑΙ ΤΑ ΑΡΧΑΙΟΛΟΓΙΚΑ ΕΥΡΗΜΑΤΑ 725
Φοίνικες 725
Θρακικά φύλα 729

ΕΠΙΣΚΟΠΗΣΗ 731

ΠΑΡΑΡΤΗΜΑΤΑ

Ια. Gräberfelder der Siedlung Kastri, Thassos, Identifikation der Skeletreste (B. Herrmann) 739
Ιβ. Ανθρωπολογικό υλικό τάφου Β3 (Ν. Ξυροτύρης) 752

II. Animal Bones and Burial Customs in Early Iron Age Thasos: The Faunal Remains from the Cemeteries of Kastri Settlement (Paul Halstead - Glynis Jones) 753
III. Μελέτη του μαλακολογικού υλικού από τα νεκροταφεία Καστρί και Λαρνάκι (Λ. Καραλή-Γιαννακοπούλου) 756
IV. Observations techniques sur les céramiques de Kastri (Bronze Récent à Age du Fer Ancien) (L.C. Courtois) 760
V. Chemische und isotopische Zusammensetzung früheinsenzeitlicher Bleiartefakte aus Thasos (E. Pernicka - G.A. Wagner - W. Todt) 773
VIα. Χημικές αναλύσεις χάλκινων αντικειμένων (Κ. Ασημενός) 779
VIβ. Semiquantitative X-ray fluorescence analyses of LBA and EIA knives from Thasos (Z. Stos-Gale - N. Gale) 781
VII. Sources of Copper Used on Thasos in Late Bronze and Early Iron Age (Z. Stos-Gale - N. Gale) 782
VIIIα. Χημικές αναλύσεις σιδερένιων αντικειμένων από τα νεκροταφεία Καστρί και Λαρνάκι (Κ. Ασημενός). 794
VIIIβ. Late Bronze Age - Early Iron Age Copper and Iron Slags from Kastri and Paliokastro on Thasos (E. Photos) 795
IX. Ορυκτολογική και πετρογραφική περιγραφή λίθινων αντικειμένων από τα νεκροταφεία Καστρί και Λαρνάκι (Ν. Επιτρόπου) 802
X. Linen Thread Fragment T 18,126 (Anagnostis Agelarakis) 803
XI. The Scientific Analysis of Vitreous Materials from Kentria and Theologos-Tsiganadika Tombs (Julian Henderson) 804
XII. Αναλυση χρυσού σφηκωτήρα Τ 18,160(149) (Μ. Βαβελίδης) 807
XIII. Knochenprobe von Thasos (D. Berdau) 808

ENGLISH SUMMARY 811

ΕΥΡΕΤΗΡΙΟ ΓΕΩΓΡΑΦΙΚΩΝ ΟΝΟΜΑΤΩΝ 825

ΕΥΡΕΤΗΡΙΟ ΑΡΧΑΙΩΝ ΟΝΟΜΑΤΩΝ 835

ΣΥΝΘΕΣΗ
ΤΩΝ ΑΝΑΣΚΑΦΙΚΩΝ ΔΕΔΟΜΕΝΩΝ

ΚΕΦΑΛΑΙΟ Α΄

ΤΥΠΟΛΟΓΙΑ

ΤΑ ΤΑΦΙΚΑ ΚΤΙΣΜΑΤΑ

Υλικά δομής

Το βασικό υλικό δομής, που έχει χρησιμοποιηθεί στους τάφους όλων των νεκροταφείων, είναι το τοπικό μάρμαρο. Το μάρμαρο αυτό που ανήκει, όπως είδαμε, στον ανώτερο στρωματογραφικό ορίζοντα του μεταμορφωσιγενούς της Θάσου εμφανίζεται επιφανειακά στην περιοχή του οικισμού Καστρί και των νεκροταφείων. Η επιφανειακή αποσάθρωσή του είναι τόσο μεγάλη, ώστε πρέπει από την προϊστορική εποχή να προσφερόταν για περισυλλογή επιφανειακών τεμαχισμένων μαρμαρολίθων, κατάλληλων να χρησιμοποιηθούν για δομικό υλικό, χωρίς ιδιαίτερη επεξεργασία. Εκτός ωστόσο από το επιφανειακό υλικό, που περισυλλεγόταν εύκολα, πρέπει σε κάποια φάση του προϊστορικού οικισμού Καστρί να είχαν ανοιχθεί και ειδικά λατομεία για την εξαγωγή μαρμαρολίθων. Στην περιοχή του νεκροταφείου Τσιγανάδικα έχουν εντοπισθεί έξι λατομεία, που πιθανότατα είναι σύγχρονα με τους τάφους της περιοχής αυτής (Σ χ έ δ. Ι· Π ί ν. 361δ).

Κατασκευή

Οι τάφοι είναι χτισμένοι με την τεχνική της ξερολιθιάς, χωρίς τη χρήση συνδετικού υλικού. Χαρακτηριστική είναι η χρησιμοποίηση μεγάλων λίθων, που ενσωματώνονται σε όρθια θέση μέσα στα κτιστά τοιχώματα των τάφων. Με τον τρόπο αυτό, οι προϊστορικοί τεχνίτες συντόμευαν την κατασκευή του τάφου και εξασφάλιζαν μεγαλύτερη συνοχή και αντοχή στα πλάγια τοιχώματα των τάφων, που σήκωναν μεγάλα βάρη, όταν οι τάφοι καλύπτονταν από μεγάλες σχιστόπλακες (πρβλ. π.χ. Τ1, Π ί ν. 232β, Τ34Β, Π ί ν. 307α, Λ3, Π ί ν. 320α, Κ4Α, Π ί ν. 216β).

Τα άκρα των μεγάλων αυτών ακατέργαστων μαρμαρολίθων, που κατά κανόνα έχουν μεγάλο πάχος, εξέχουν συχνά πάνω από το ύψος των τοιχωμάτων του τάφου και δίδουν την αίσθηση ενός μεγαλιθισμού στα ταφικά κτίσματα, όπως π.χ. στους τάφους Τ34 (Π ί ν. 306β-307α), Τ35Α (Π ί ν. 308β), Λ5 (Σ χ έ δ. VIII), Λ4Β (Π ί ν. 322γ).

Μεγάλες, επίσης, πλάκες χρησιμοποιούνται ως μονολιθικά τοιχώματα στους κιβωτιόσχημους τάφους, που προσαρτώνται συνήθως σε ταφικές συστάδες, όπως π.χ. Τ17Β (Π ί ν. 257α, 259β), Τ23Β (Π ί ν. 285β), καθώς επίσης και ως επένδυση των εσωτερικών τοιχωμάτων κτιστών τάφων, όπως στον τάφο Λ4Β (Π ί ν. 322γ, 323β).

Αρχιτεκτονικοί τύποι των τάφων

Οι τάφοι μορφολογικά κατατάσσονται σε δύο κατηγορίες, η διαφοροποίηση των οποίων βασίζεται στο διαφορετικό είδος ταφής που στεγάζουν:

Ταφικά κτίσματα για τις ταφές-ενταφιασμούς (Σ χ έ δ. 68: Ι).

Ταφικά κτίσματα για τις ταφές-καύσεις (Σ χ έ δ. 68: ΙΙ).

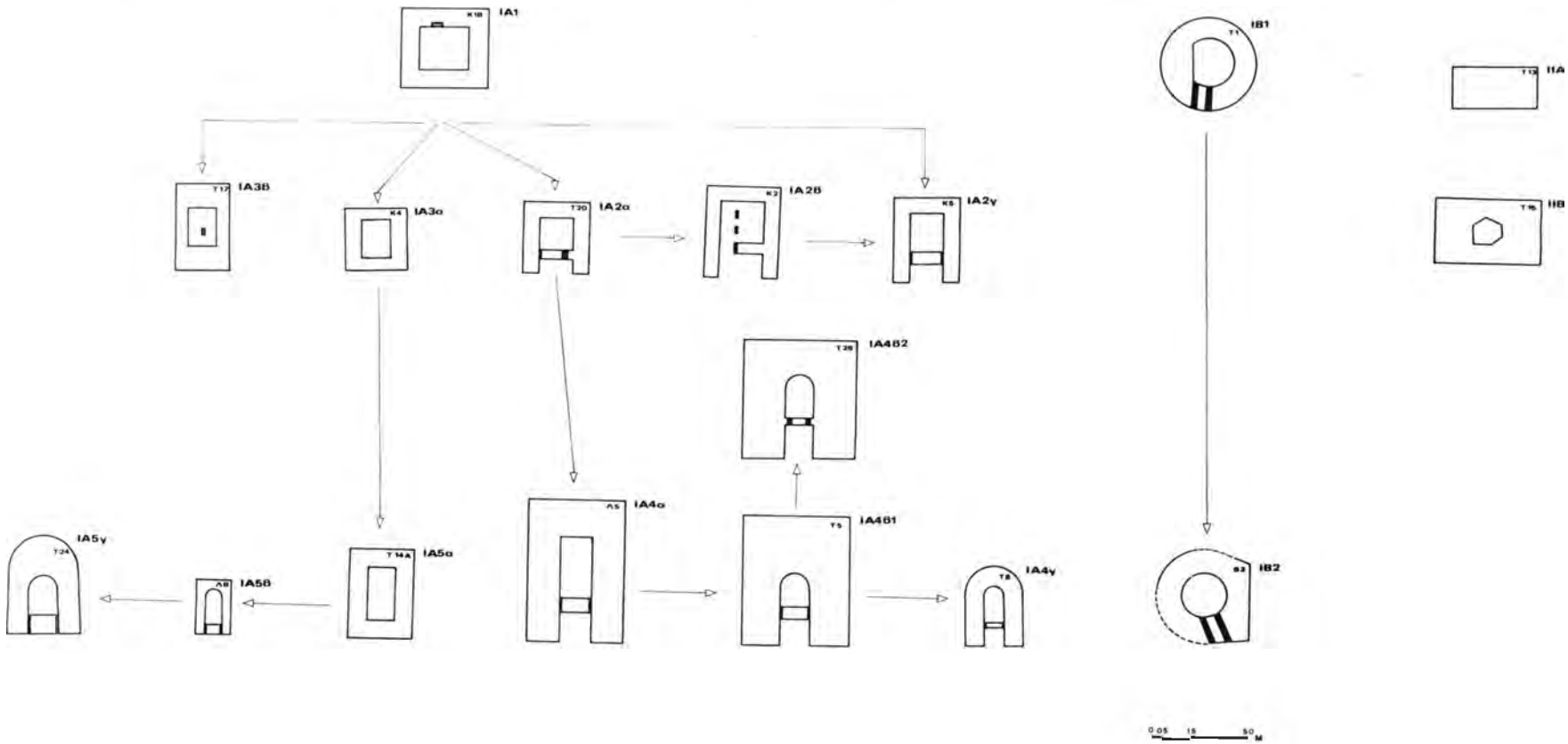

Σχέδ. 68. Τυπολογία ταφικών κτισμάτων.

ΤΑΦΙΚΑ ΚΤΙΣΜΑΤΑ ΜΕ ΤΑΦΕΣ-ΕΝΤΑΦΙΑΣΜΟΥΣ (τύπος Ι)

Βασικό μορφολογικό στοιχείο της αρχιτεκτονικής των τάφων είναι ο κτιστός υπέργειος θάλαμος, που προορίζεται να δεχθεί πολλαπλές ταφές.

Ο ταφικός θάλαμος των ταφικών κτισμάτων τύπου Ι εμφανίζεται με διάφορες παραλλαγές, αποτελεί ωστόσο πάντα τη βασική αρχιτεκτονική μορφή, η οποία επαναλαμβάνεται για να σχηματίσει ταφικά συγκροτήματα από δύο έως έξι τάφους, που κτίζονται διαδοχικά γύρω από τον αρχικό τάφο. Η σύνθεση των επιμέρους τάφων που απαρτίζουν μια ταφική συστάδα είναι περιπτωσιακή και δεν ακολουθεί ορισμένο μορφολογικό τύπο. Σε ελάχιστες μόνο περιπτώσεις διαπιστώθηκε η εξαρχής κατασκευή διπλών τάφων, όπως π.χ. στους τάφους Τ7Α-Β (Σ χ έ δ. 25) ή στους τάφους Τ35Α-Β (Σ χ έ δ. V).

Στα ταφικά κτίσματα τύπου Ι, ο ταφικός θάλαμος εμφανίζεται με τις εξής παραλλαγές στους επιμέρους τύπους ΙΑ και ΙΒ:

Ορθογώνια ταφικά κτίσματα (παραλλαγή ΙΑ)

ΙΑ1: Μονόχωρο ταφικό κτίσμα με ευρύχωρο, περίπου τετράγωνο, κτιστό ταφικό θάλαμο χωρίς είσοδο. Η ταφή των νεκρών πραγματοποιούνταν από πάνω. Ο τάφος καλυπτόταν από στρώμα λίθων, το οποίο δεν επεκτεινόταν πέρα από το εξωτερικό περίγραμμα των τάφων. Δεν είναι εξακριβωμένο αν μεσολαβούσε ανάμεσα στο στρώμα αυτό και στο επίπεδο της ταφής ξύλινη οροφή.

ΙΑ2α: Ο ταφικός θάλαμος αποκτά είσοδο και ένα είδος προθαλάμου, που δίδει στο κτίσμα κάτοψη στενόμακρη. Η είσοδος του τάφου έχει στη μία πλευρά της μία όρθια πλάκα-παραστάδα, που υψώνεται πάνω από τα χαμηλά πλάγια τοιχώματα του θαλάμου. Το άνοιγμα της εισόδου έκλεινε με ξερολιθιά. Η κάλυψη του θαλάμου πραγματοποιούνταν με στρώμα λίθων, χωρίς να είναι εξακριβωμένη και εδώ η ύπαρξη ξύλινης ενδιάμεσης οροφής.

ΙΑ2β: Ο ταφικός θάλαμος έχει την κάτοψη και τη διαμορφωμένη είσοδο με τη μία παραστάδα της προηγούμενης παραλλαγής. Στο εσωτερικό, ωστόσο, του θαλάμου εμφανίζονται δύο όρθιες πλάκες στη γραμμή της παραστάδας της εισόδου, που προορίζονται να στηρίξουν τις βαριές πλάκες της οροφής του τάφου· το άνοιγμα της εισόδου του τάφου έκλεινε με ξερολιθιά.

ΙΑ2γ: Η κάτοψη του τάφου είναι όμοια με των παραλλαγών ΙΑ2α-ΙΑ2β. Το πλάτος, ωστόσο, του τάφου έχει μικρύνει και το άνοιγμα του θαλάμου κλείνει με χαμηλό τοίχο, χωρίς διαμορφωμένη είσοδο. Η κάλυψη του τάφου πραγματοποιείται με στρώμα λίθων, που, όπως και στις προηγούμενες παραλλαγές, δεν πρέπει να επεκτεινόταν πέρα από το εξωτερικό περίγραμμα του τάφου.

ΙΑ3: Μονόχωρο ταφικό κτίσμα, που αποτελεί τυπολογική εξέλιξη της παραλλαγής ΙΑ1. Καλύπτεται με μεγάλες πλάκες.

ΙΑ3α: Μονόχωρο ταφικό κτίσμα με ευρύχωρο ταφικό θάλαμο, η κάτοψη του οποίου πλησιάζει στο τετράγωνο. Καλύπτεται με πλάκες.

ΙΑ3β: Κτίσμα όμοιο με το προηγούμενο, αλλά με εσωτερική στήλη-στήριγμα της οροφής στο εσωτερικό του. Καλύπτεται με μεγάλες πλάκες.

ΙΑ4: Δίχωρο ταφικό κτίσμα με θάλαμο και προθάλαμο, που αποτελεί εξέλιξη της παραλλαγής ΙΑ2.

ΙΑ4α: Δίχωρο ταφικό κτίσμα με στενόμακρη ορθογώνια κάτοψη. Το άνοιγμα θαλάμου-προθαλάμου κλείνεται με πρόχειρο τοίχο. Κάλυψη με πλάκες.

ΙΑ4β: Δίχωρο ταφικό κτίσμα με στενόμακρη κάτοψη. Τα πλάγια τοιχώματα έχουν ιδιαίτερα τονισμένο πάχος και η εσωτερική παρειά της απέναντι από την είσοδο του τάφου στενής πλευράς διαμορφώνεται σε αψίδα. Το άνοιγμα θαλάμου-προθαλάμου άλλοτε τονίζεται με μία ή δύο όρθιες πλάκες-παραστάδες (παραλλαγή ΙΑ4β2), άλλοτε είναι τελείως αδιαμόρφωτο (παραλλαγή ΙΑ4β1). Οπωσδήποτε, και στις δύο περιπτώσεις κλείνει με έναν πρόχειρο τοίχο.

ΙΑ4γ: Δίχωρο ταφικό κτίσμα με θάλαμο και προθάλαμο. Η απέναντι από την είσοδο στενή πλευρά του διαμορφώνεται εσωτερικά και εξωτερικά σε αψίδα.

ΙΑ5: Μονόχωρο ταφικό κτίσμα που αποτελεί εξέλιξη της παραλλαγής ΙΑ3α.
ΙΑ5α: Μονόχωρο ορθογώνιο ταφικό κτίσμα με κάτοψη στενόμακρη, χωρίς είσοδο.
ΙΑ5β: Μονόχωρο ταφικό κτίσμα με διαμορφωμένη σε εγγεγραμμένη αψίδα την απέναντι από την είσοδο στενή πλευρά. Το άνοιγμα της εισόδου έκλεινε με πρόχειρο τοίχο-ξερολιθιά.
ΙΑ5γ: Μονόχωρο ταφικό κτίσμα με διαμορφωμένη σε ελεύθερη αψίδα τη στενή πλευρά απέναντι από την είσοδο. Το άνοιγμα της εισόδου έκλεινε με πρόχειρο τοίχο-ξερολιθιά.
ΙΑ6: Ορθογώνια κτιστή θήκη με χαμηλά τοιχώματα, μέσα στην οποία εναποτίθεται πίθος με ταφή-ενταφιασμό. Εμφανίζεται πάντα ως πρόσκτισμα.

Πεταλόσχημα ή κυκλικά ταφικά κτίσματα (παραλλαγή ΙΒ)

ΙΒ1: Ταφικό κτίσμα με κάτοψη ακανόνιστα κυκλική ή πεταλόσχημη. Στα παραδείγματα, όπου σώζονται τα τοιχώματα του τάφου σε κάποιο ύψος, διακρίνεται το άνοιγμα της εισόδου, που τονίζεται από μια όρθια πλάκα-παραστάδα. Ο τάφος καλυπτόταν με μεγάλες πλάκες.
ΙΒ2: Ταφικό κτίσμα με κάτοψη κυκλική εσωτερικά.

ΤΑΦΙΚΑ ΚΤΙΣΜΑΤΑ ΜΕ ΤΑΦΕΣ-ΚΑΥΣΕΙΣ (τύπος ΙΙ)

Στον τύπο αυτό έχουμε δύο παραλλαγές:
ΙΙΑ: Κτιστή εξέδρα με διαμορφωμένες παρειές και λιθορριπή στο εσωτερικό της. Στον πυρήνα της εξέδρας, ανάμεσα στους λίθους και κάτω από ένα στρώμα λίθων, βρίσκεται εναποτεθειμένο το τεφροδόχο αγγείο με τα οστά της ταφής-καύσης στο εσωτερικό του και τα κτερίσματα γύρω του (Σ χ έ δ. 69).
ΙΙΒ: Κτιστή εξέδρα με ορθογώνια ή τετράγωνη κάτοψη και με εξωτερικές παρειές, όχι πάντα καλά διαμορφωμένες. Στο εσωτερικό της εξέδρας σχηματίζεται μια κόγχη, με δάπεδο το φυσικό έδαφος, όπου εναποτίθενται τα καμένα οστά και τα κτερίσματα των νεκρών ή τα τεφροδόχα αγγεία (Σ χ έ δ. 70).

Μορφολογικά στοιχεία των τάφων

ΘΑΛΑΜΟΣ

Το κοινό αρχιτεκτονικό στοιχείο, που συναντούμε σ' όλους τους τύπους των τάφων, είναι ο θάλαμος με τις κτιστές πλευρές, μέσα στον οποίο πραγματοποιούνται αλλεπάλληλες ταφές ατόμων, που πρέπει να προέρχονται από μια συγκεκριμένη μικρότερη ή μεγαλύτερη κοινωνική ομάδα.

Ο ευρύχωρος κτιστός χώρος του τύπου ΙΑ1 με τις χαμηλές κτιστές πλευρές έχει περισσότερο τα χαρακτηριστικά ενός ταφικού περιβόλου, που περικλείει ένα μεγάλο αριθμό ταφών. Εξαιτίας του μεγάλου πλάτους του, ο τάφος αυτού του τύπου δεν ήταν δυνατό να καλυφθεί με πλάκες. Πρέπει, λοιπόν, να φαντασθούμε ή μια ξύλινη οροφή που πατούσε στους πλάγιους τοίχους του τάφου ή να δεχθούμε ότι οι νεκροί καλύπτονταν απευθείας με λίθους και χώμα, που έπεφταν στο εσωτερικό του τάφου και σχημάτιζαν ένα χαμηλό τύμβο πάνω από τον τάφο (Σ χ έ δ. 71· Π ί ν. 221β).

Το μονόχωρο ταφικό κτίσμα σταδιακά αποκτά περισσότερα αρχιτεκτονικά στοιχεία: Τα τοιχώματα του τάφου υψώνονται και ο μονόχωρος θάλαμος αποκτά είσοδο και οροφή. Η εμφάνιση των νέων αυτών αρχιτεκτονικών στοιχείων προκαλεί και το σχηματισμό ενός προθαλάμου έξω από τον κυρίως ταφικό θάλαμο (Σ χ έ δ. 68, τύπος ΙΑ2).

ΟΡΟΦΗ

Η οροφή, με τη μορφολογική εξέλιξη του τάφου, εμφανίζεται ως αποτέλεσμα της συσχέτισης του τάφου-κατοικίας των νεκρών με το αρχιτεκτονικό πρότυπο της κατοικίας των ζωντα-

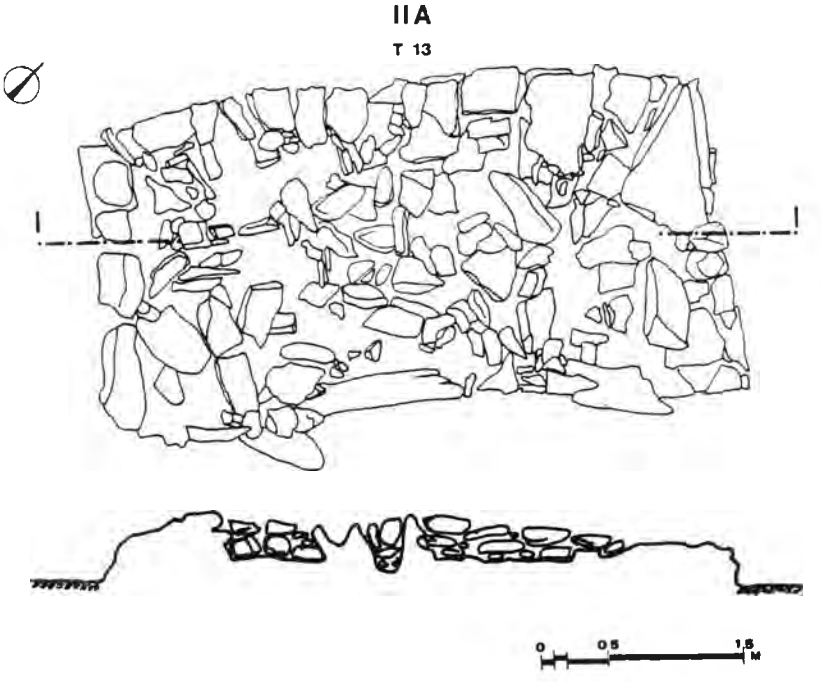

Σχέδ. 69. Τύπος ΙΙΑ ταφικού κτίσματος.

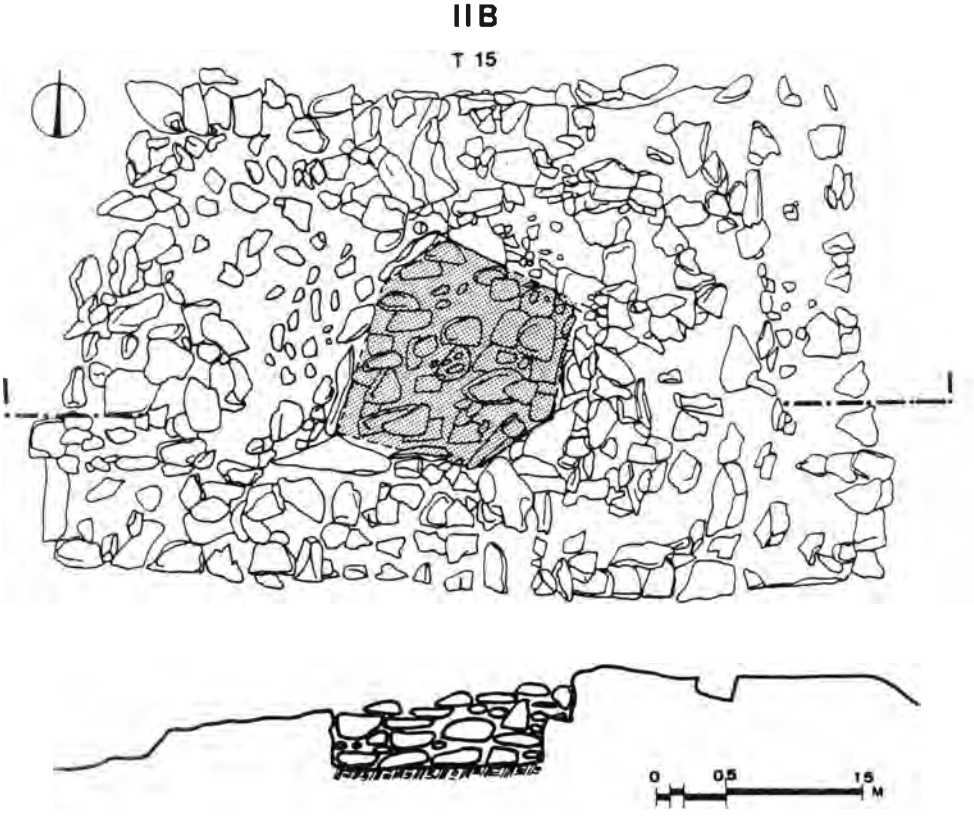

Σχέδ. 70. Τύπος ΙΙΒ ταφικού κτίσματος.

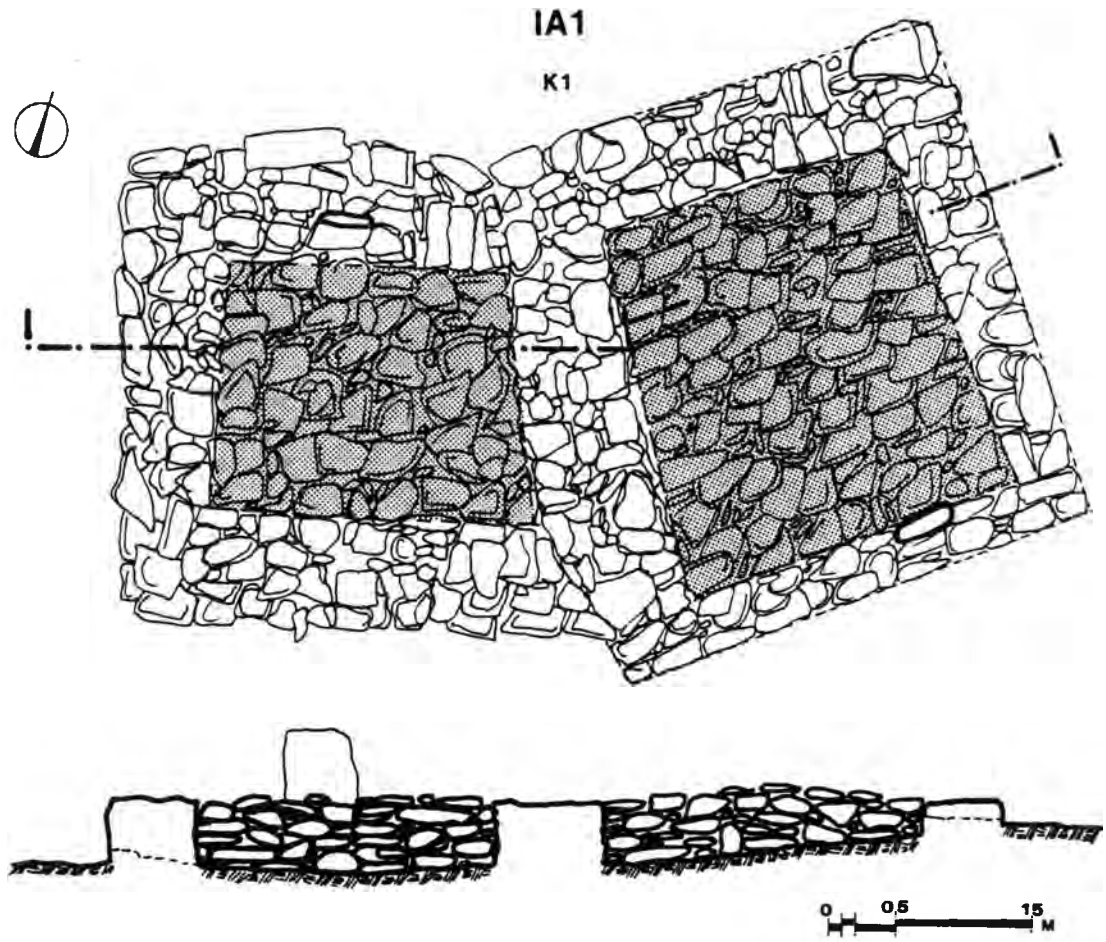

Σχέδ. 71. Τύπος ΙΑ1 ταφικού κτίσματος.

νών[1]. Η πρόθεση να πάρει ο τάφος τη μορφή κατοικίας δημιούργησε την οροφή και ύψωσε τα χαμηλά τοιχώματα των τάφων του τύπου ΙΑ1, ΙΑ2α, ΙΑ2γ, στον τάφο του τύπου ΙΑ2β. Η οροφή των τάφων του τύπου ΙΑ2, όταν είναι λίθινη — μεγάλες δηλαδή πλάκες — χρειάζεται σε ορισμένες περιπτώσεις και εσωτερικά στηρίγματα για να κρατηθεί (Κ2, Σ χ έ δ. 7). Εσωτερικά στηρίγματα εμφανίζονται, ωστόσο, και σε περιπτώσεις που το πλάτος του τάφου δεν τα απαιτεί (Τ17, Σ χ έ δ. ΙΙ, Τ29, Σ χ έ δ. 55-56). Σ' αυτές τις περιπτώσεις μάλλον πρέπει να αναζητηθεί και κάποιος άλλος ρόλος, πιθανόν συμβολικός, για την όρθια στήλη στο εσωτερικό του τάφου (Σ χ έ δ. 72-73). Σε άλλες περιπτώσεις, για να μικρύνει το εσωτερικό άνοιγμα του τάφου (τύπος ΙΒ1), τα τοιχώματα των τάφων εμφανίζουν μια μικρή εκφορά προς τα μέσα, που μειώνει το πλάτος του τάφου, σχηματίζοντας έναν πολύ χαμηλό πρωτόγονο θόλο. Ο τάφος στις περιπτώσεις αυτές καλύπτεται τελικά από οριζόντιες πλάκες, που πατούν στα πλάγια τοιχώματά του (Σ χ έ δ. 74, Τ1, Τ18).

Στους τύπους ΙΑ4 και ΙΑ5, όπου το πλάτος του τάφου έχει ήδη στενέψει, βρίσκουμε συχνά

1. Τσούντας 1899, 83. Πρβλ. παρακάτω, Κεφ. ΣΤ', υποσημ. 90. Πρβλ. για ανάλογες αντιστοιχίες στα ταφικά μνημεία κεντρικής και βόρειας Ευρώπης από την πρώιμη εποχή του χαλκού, Müller-Karpe 1974, 709 κ.ε.

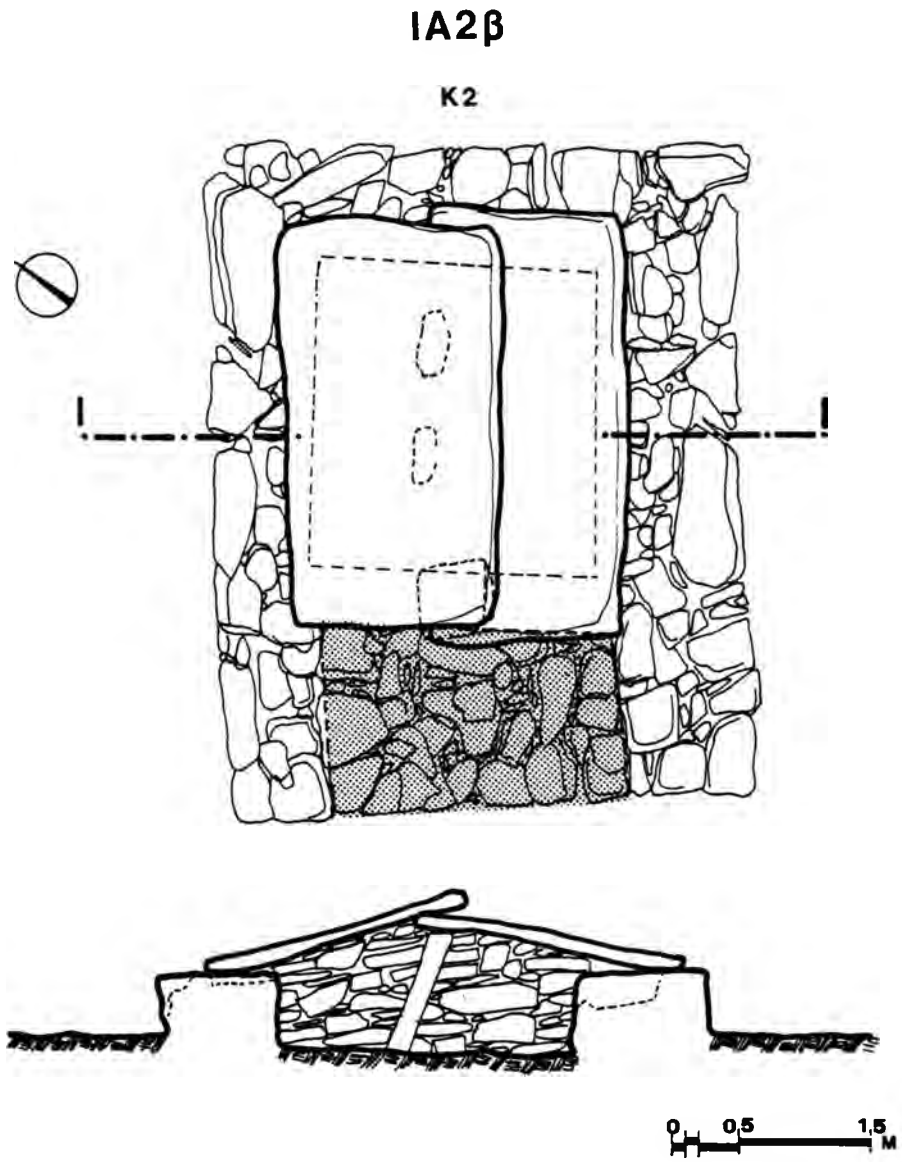

Σχέδ. 72. Τύπος ΙΑ2β ταφικού κτίσματος.

παραδείγματα, στα οποία με την εκφορική κλίση προς τα μέσα των τοιχωμάτων του τάφου σχηματίζεται μια πρωτόγονη καμάρα, που καλύπτεται από μία ή περισσότερες μεγάλες πλάκες (Σ χ έ δ. 75, Τ22, Π ί ν. 282α-β, Τ26, Π ί ν. 288γ, ΛΑ, Π ί ν. 316α). Συχνά στον τύπο αυτό, η εσωτερική παρειά της στενής πλευράς του τάφου, απέναντι από την είσοδο, διαμορφώνεται σε μια πρωτόγονη αψίδα, εγγεγραμμένη (Τ5, Τ7Α, Τ8, Τ19, Τ24, Λ2β) ή ελεύθερη (Λ2Γ, Τ7Γ, Σ χ έ δ. 68: Ι).

ΣΤΟΜΙΟ

Το στόμιο ως αρχιτεκτονικό στοιχείο εμφανίζεται συγχρόνως με την οροφή στους τάφους

ΙΑ3α2

Τ 17

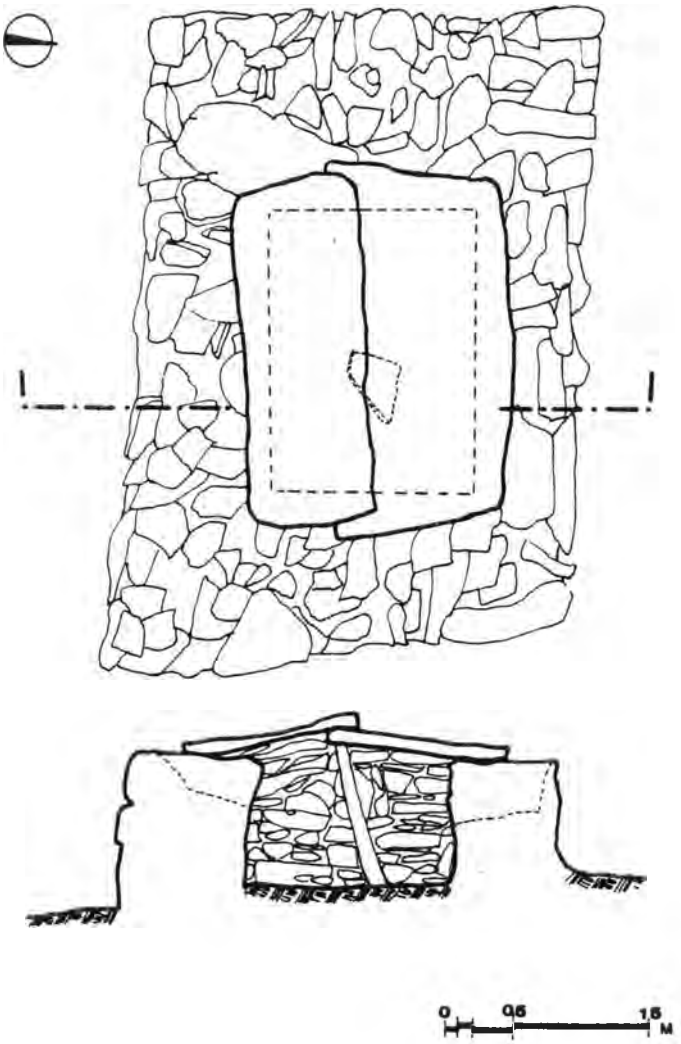

Σχέδ. 73. Τύπος ΙΑ3α2 ταφικού κτίσματος.

και σχετίζεται άμεσα με την κάλυψη του τάφου. Το στόμιο είναι άλλοτε ένα χωρίς διαμόρφωση άνοιγμα, ανάμεσα στις δύο μακρές πλευρές του τάφου, που κλείνεται με έναν επιπόλαιο τοίχο αμέσως μετά τη χρήση του τάφου, και άλλοτε, στους τύπους ΙΑ2α και ΙΑ4β2, ένα κάπως ιδιαίτερα διαμορφωμένο άνοιγμα με μία ή δύο όρθιες πλάκες στα πλάγια ως παραστάδες (Τ26, Π ί ν. 289β, Β1Γ, Π ί ν. 224γ).

Η παρουσία αυτών των όρθιων πλακών στο στόμιο του τάφου δεν έχει πάντα καθαρά αρχιτεκτονικό χαρακτήρα, γιατί σε ορισμένες περιπτώσεις (Τ19Α, Τ20Γ) η όρθια πλάκα εμφανίζεται μόνο στη μία πλευρά του στομίου και δίδει περισσότερο την εντύπωση «στήλης», παρά παραστάδας, καθώς δεν είναι ενσωματωμένη πάντα στο διαχωριστικό τοίχο θαλάμου-προθαλάμου (Π ί ν. 280α, 305α-β). Σε κανένα, οπωσδήποτε, στόμιο δεν εμφανίζεται ανώφλι ή κατώφλι.

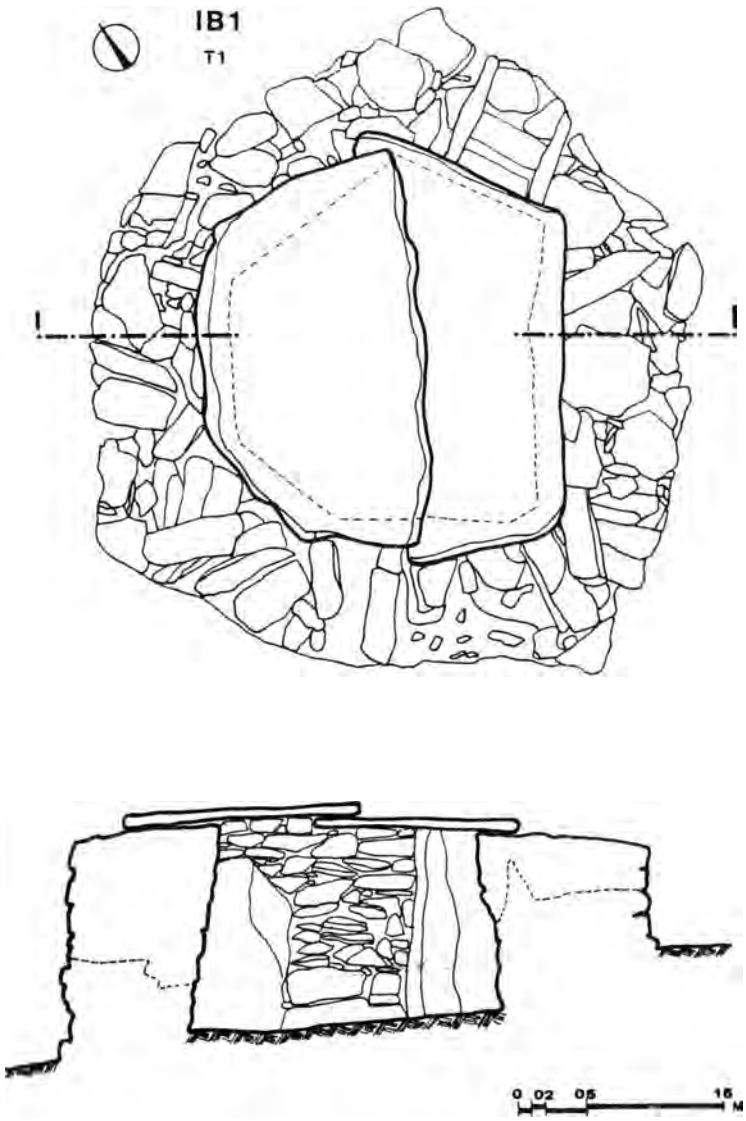

Σχέδ. 74. Τύπος IB1 ταφικού κτίσματος.

Το ύψος του στομίου συμπίπτει κατά κανόνα με το ύψος του τάφου και δεν ξεπερνά σε κανένα παράδειγμα το 1,20 μ. Πρέπει, λοιπόν, να φαντασθούμε πως εκείνοι που εναπέθεταν τους νεκρούς έμπαιναν — όταν έμπαιναν — έρποντας στους τάφους[2].

Μια άλλη δυνατότητα φυσικά είναι να πραγματοποιούνταν η ταφή εκ των άνω, με την

2. L. Banti, ASAtene XIII-XIV (1930/31), 249, Pelon 1976, 49-50.

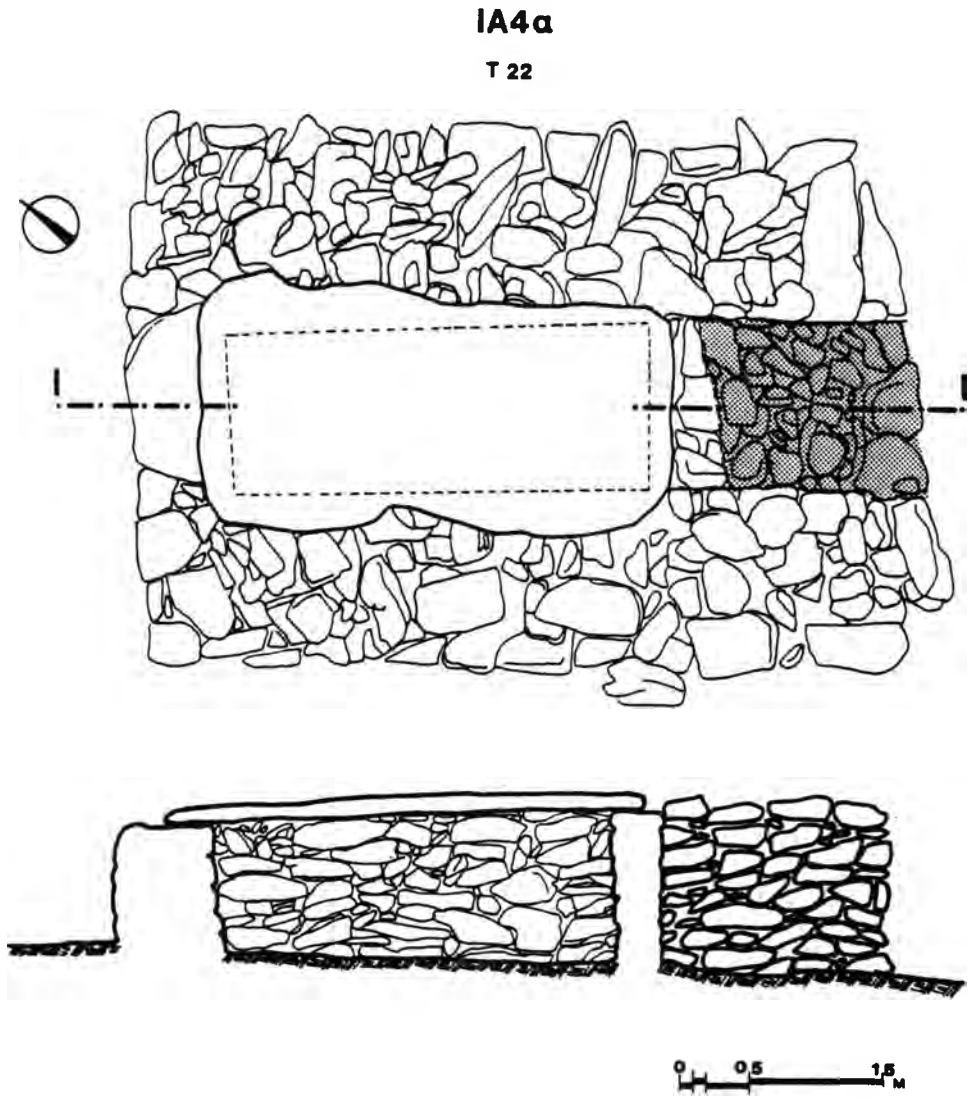

Σχέδ. 75. Τύπος ΙΑ4α ταφικού κτίσματος.

απομάκρυνση μιας καλυπτήριας πλάκας από την οροφή του τάφου[3], αλλά η άποψη αυτή είναι, νομίζω, η λιγότερο πιθανή για δύο λόγους:

α) Το στόμιο κλείνεται με έναν τοίχο επιπόλαιο, που δε δένεται με τους υπόλοιπους τοίχους του τάφου, όπως θα συνέβαινε αν ο λειτουργικός του ρόλος θα ήταν να κλείνει τον τάφο και να φέρει παράλληλα μέρος από το βάρος της βαριάς λίθινης οροφής.

β) Οι πλάκες της οροφής είναι μεγάλες και η μετακίνησή τους δεν ήταν εύκολη. Στις δυσκολίες μετακίνησης θα πρέπει να προστεθεί η συχνά επισφαλής στερεότητα των τοιχωμάτων του τάφου, που θα μπορούσαν να κατολισθήσουν με μια βίαιη μετακίνηση της πλάκας

3. Σ. Μαρινάτος, ΑΔ 12 (1929), 138, Pelon 1976, 49-50.

της οροφής. Το χαμηλό ύψος των στομίων, αλλά και των θαλάμων των τάφων, είναι άλλωστε γνωστό χαρακτηριστικό τάφων σε πολλές περιοχές του αιγαιακού χώρου[4].

ΠΡΟΘΑΛΑΜΟΣ

Ο προθάλαμος συνδέεται λειτουργικά με τον τύπο εκείνο του ταφικού κτίσματος, που προϋποθέτει μια πλάγια πρόσβαση στο χώρο της ταφής, εξομοιώνοντας τον τάφο με τον αρχιτεκτονικό τύπο μιας οικίας. Η αναφορά σε μορφολογικά πρότυπα οικιών υπάρχει και στα παραδείγματα εκείνα των τάφων που έχουν χαμηλά τοιχώματα (τύπος ΙΑ2γ) και πιθανότατα δεν είχαν ιδιαίτερη οροφή, αλλά καλύπτονταν με στρώμα λίθων και χώμα. Στον τύπο αυτό, τα τοιχώματα του προθαλάμου έχουν το ίδιο ύψος με τα τοιχώματα του θαλάμου. Στον τύπο όμως ΙΑ4 και ΙΑ5, όπου τα τοιχώματα του θαλάμου είναι ψηλά, τα τοιχώματα του προθαλάμου έχουν άλλοτε αντίστοιχο ύψος και δέχονται τις καλυπτήριες πλάκες της οροφής, και άλλοτε ύψος χαμηλότερο. Στις τελευταίες περιπτώσεις, ωστόσο, όπου ο προθάλαμος είναι ακάλυπτος, δεν είναι πάντοτε βέβαιο ότι το σωζόμενο ύψος των τοιχωμάτων του είναι και το αρχικό.

Στον προθάλαμο δεν πραγματοποιούνται ταφές. Βρίσκονται όμως συχνά θραύσματα αγγείων, που άλλοτε προέρχονται από μετακινημένα από τις αλλεπάλληλες χρήσεις του τάφου κτερίσματα, και άλλοτε αποτελούν αποκλειστικά ευρήματα των προθαλάμων. Οι μεγάλοι αμφορείς και τα μεγάλα αποθηκευτικά αγγεία με την αδρή κατασκευή και την πλαστική διακόσμηση ποτέ δεν εναποτίθενται ως κτερίσματα στο εσωτερικό των θαλάμων.

ΤΥΜΒΟΙ

Τα υπέργεια ταφικά κτίσματα όλων των τύπων που περιγράψαμε, δεν είναι βέβαιο αν είχαν έναν κοινό τρόπο κάλυψης. Σε πολλές από τις ταφικές συστάδες ή και τους μεμονωμένους τάφους σωζόταν ένας χαμηλός τυμβόσχημος λιθοσωρός, που αποτελούνταν κυρίως από ένα στρώμα ριχτών λίθων και ελάχιστο χώμα (Τ12, Τ14, Τ15, Τ23, Τ32, Β2, Β3, Κ5, Λ3). Στα περισσότερα ωστόσο από τα παραδείγματα αυτά, ο τυμβόσχημος λιθοσωρός δεν κάλυπτε και το εξωτερικό περίγραμμα του τάφου ή της ταφικής συστάδας. Μόνο στην ταφική συστάδα Τ14 (Π ί ν. 248α) και στους τάφους Τ23 (Π ί ν. 283α-γ), Τ24 (Π ί ν. 286β) και Λ3 (Π ί ν. 320α-β), πριν από την ανασκαφή, ο τάφος παρουσίαζε την εικόνα μιας χαμηλής τυμβόσχημης έξαρσης του εδάφους, καλυμμένος από έναν ενιαίο τύμβο (Σ χ έ δ. 76-77) (πρβλ. επίσης τη νοτιοανατολική πλευρά της ταφικής συστάδας Λ5, Π ί ν. 324β).

Κατά κανόνα, τύμβοι διαπιστώθηκαν στις περιπτώσεις εκείνες που τα ταφικά κτίσματα είχαν χαμηλούς τοίχους και η κάλυψή τους με στρώμα λίθων και χώματος ήταν πιο συμπαγής και σταθερή. Οι ταφικές συστάδες, που αποτελούνταν από τάφους με ψηλά τοιχώματα και οροφή, καθώς και οι μεμονωμένοι τάφοι, που ήταν ψηλά υπέργεια κτίσματα, δε διατήρησαν κανένα ίχνος τύμβου. Αν υπήρχε βέβαια τύμβος με χώμα πάνω στους τάφους, αυτός ήταν εύκολο να εξαφανισθεί με το πέρασμα του χρόνου. Πιθανότατα, όμως, ούτε στην αρχαιότητα υπήρχε στην περιοχή αυτή άφθονο χώμα, για να καλυφθούν τελείως τα μεγάλα ταφικά κτίσματα (Λ5, Σ χ έ δ. VIII). Η περιοχή Τσιγανάδικα πρέπει να ήταν ήδη από την αρχαιότητα απογυμνωμένη και η συνολική κάλυψη των τάφων πρέπει να πραγματοποιούνταν κυρίως με ριχτούς λίθους (πρβλ. τάφο Τ26, Σ χ έ δ. ΙΙΙ· Π ί ν. 288γ).

Συνοπτικά, μπορούμε να ξεχωρίσουμε τις εξής κατηγορίες ταφικών κτισμάτων:

α) Τάφοι με χαμηλά τοιχώματα, μεμονωμένοι ή σε συστάδες, που καλύπτονται με στρώμα λίθων και αραιό χώμα. Πριν από την έναρξη της ανασκαφής, οι τάφοι έδιδαν την εικόνα χαμηλών τύμβων (π.χ. τάφοι Τ14, Τ23, Τ24, Λ3) (Σ χ έ δ. 76-77).

β) Ταφικά κτίσματα με ψηλά τοιχώματα, μεμονωμένα ή σε ταφικές συστάδες. Πριν από

4. Pelon 1976, 49-51, όπου και σχετική βιβλιογραφία.

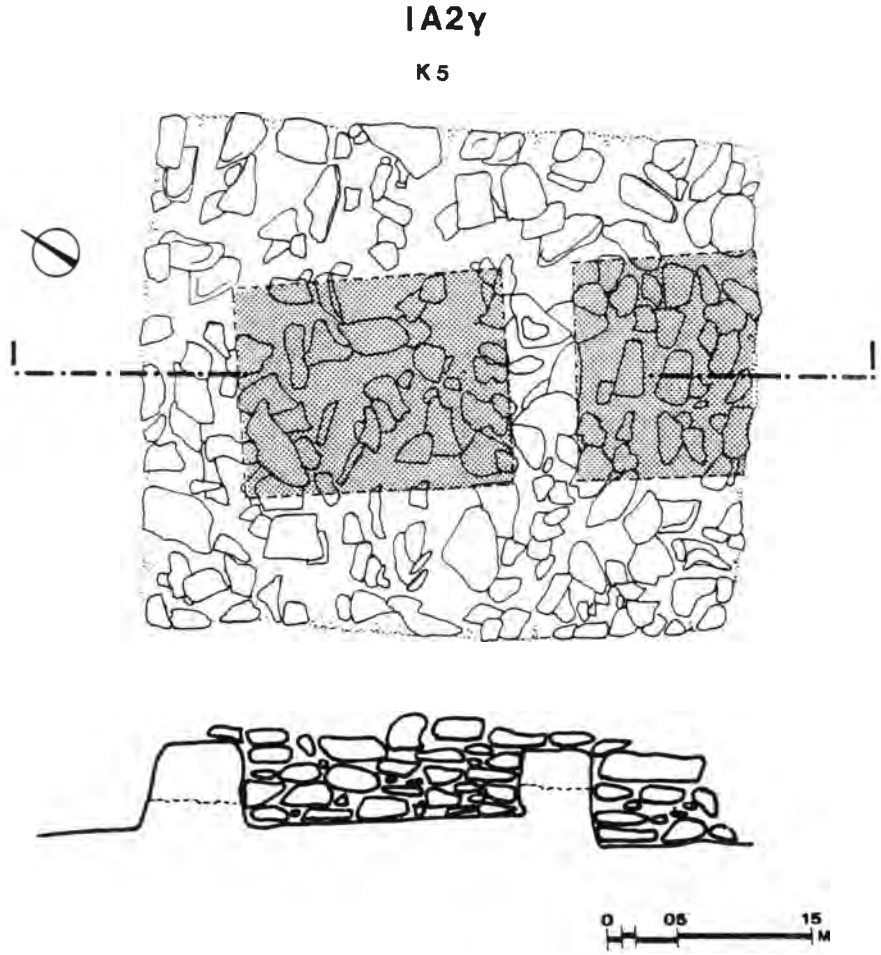

Σχέδ. 76. Τύπος IA2γ ταφικού κτίσματος.

την έναρξη της ανασκαφής, οι τάφοι αυτοί έδιδαν την εικόνα ελεύθερων υπέργειων κτισμάτων, πάνω από τα οποία, μετά την επιμέρους κάλυψη των τάφων με καλυπτήριες πλάκες ή στρώμα λίθων, ακολούθησε ένα ενιαίο στρώμα αραιών ριχτών λίθων, που κάλυψε κυρίως την άνω επιφάνεια του τάφου ή του ταφικού συγκροτήματος, χωρίς να επεκταθεί πέρα από το περίγραμμα των τάφων. Έξω από τις εξωτερικές κτιστές παρειές των τάφων βρέθηκαν ελάχιστες πεσμένες πέτρες, ορισμένες από τις οποίες είναι ενδεχόμενο να προέρχονται και από τα πλάγια τοιχώματα των τάφων, που έχουν πέσει (πρβλ. τάφο Λ5, Σ χ έ δ. VIII). Αν υπήρχε τύμβος σ' αυτές τις περιπτώσεις, δεν πρέπει να είχε πάντα κυκλική μορφή. Οι ταφικές συστάδες, που αναπτύσσονται κατά μήκος (π.χ. Λ2, Λ5, Τ6, Τ35), είναι απίθανο να ήταν καλυμμένες από κυκλικό τύμβο. Σε άλλες πάλι περιπτώσεις, η διάταξη των τάφων στις ταφικές συστάδες δεν αποκλείει κυκλικό τύμβο (π.χ. Τ3, Τ7, Λ3). Οπωσδήποτε, όμως, κανένα ίχνος περιφερειακού δακτυλίου, που θα βεβαίωνε την ύπαρξη τύμβου πάνω από τα υπέργεια αυτά κτίσματα, δεν έχει ως τώρα εντοπισθεί.

γ) Υπάρχουν επίσης ορισμένες περιπτώσεις, στις οποίες το ταφικό μνημείο φαίνεται να διαμορφώνεται στο κέντρο ενός τύμβου-λιθοσωρού (π.χ. τάφος Β3, όπου δύσκολα ξεχωρίζει κανείς το εξωτερικό περίγραμμα του τάφου μέσα στον τύμβο-λιθοσωρό), και άλλες, όπου ταφικό μνημείο και τύμβος φαίνεται να ταυτίζονται (Τ5, Σ χ έ δ. 23, Τ26, Σ χ έ δ. III).

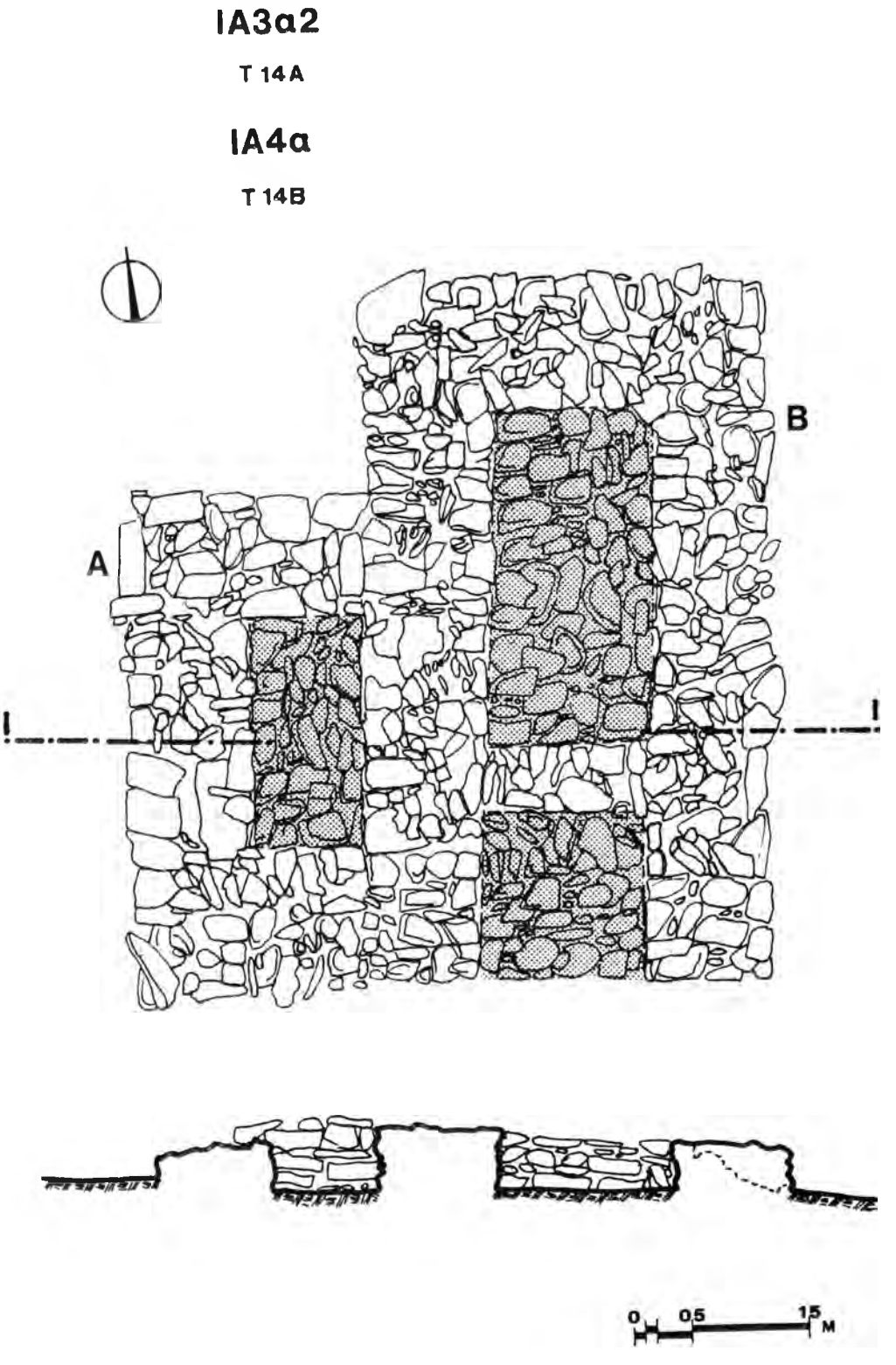

Σχέδ. 77. Τύποι IA3α2 και IA4α ταφικού κτίσματος.

Αντίστοιχη ταύτιση τάφου και τύμβου παρατηρείται στα ταφικά κτίσματα τύπου ΙΙ, με ταφές-καύσεις (Τ12, Σ χ έ δ. 30, Τ13, Σ χ έ δ. 31, Π ί ν. 246, Τ15, Σ χ έ δ. 34, Π ί ν. 251α-β).

ΣΤΗΛΕΣ

Η ύπαρξη των τύμβων, σε ορισμένους τουλάχιστον τύπους τάφων, προϋποθέτει και την ανάγκη να σημανθούν οι θέσεις των επιμέρους τάφων στις ταφικές συστάδες. Βεβαιωμένα, ωστόσο, παραδείγματα στηλών δεν έχουμε.

Ένα πιθανό παράδειγμα «στήλης» θεωρήθηκε η όρθια στενή πλάκα, που είναι εντοιχισμένη στο βόρειο τοίχο του τάφου Κ1Β. Το ύψος της όρθιας αυτής πλάκας είναι μεγαλύτερο κατά 0,40 μ. από το σωζόμενο ύψος των τοιχωμάτων των δύο τάφων της ταφικής συστάδας Κ1, που είναι ενιαίο. Με το ύψος των τοιχωμάτων συμπίπτει και το ύψος μιας όρθιας πλάκας, που τοποθετήθηκε για ενδιάμεσο χώρισμα του τάφου Κ1Α (Π ί ν. 329α). Ο λιθοσωρός, που κάλυπτε το εσωτερικό των τάφων Κ1Α και Κ1Β, καθώς και τον ενδιάμεσο τάφο Κ1Γ και τη μεγάλη πλάκα ανάμεσα στον τάφο Κ1Α και Κ1Β, άφηνε ακάλυπτο το άνω μισό αυτής της όρθιας στενής πλάκας, της ενσωματωμένης στη βόρεια πλευρά του τάφου Κ1Β (Π ί ν. 211α). Αντίστοιχη όρθια πλάκα βρέθηκε ενσωματωμένη, επίσης, στη νότια πλευρά του τάφου Κ1Α της ίδιας συστάδας (Π ί ν. 211γ). Οι «στήλες» αυτές, ενσωματωμένες στα τοιχώματα των τάφων, πρέπει να εξείχαν πάνω από τον τυμβόσχημο λιθοσωρό που κάλυπτε τους τάφους, δηλώνοντας τη θέση των επιμέρους τάφων της συστάδας.

Λιγότερα βέβαια είναι τα παραδείγματα «στηλών» σε άλλες περιπτώσεις. Στο εσωτερικό ορισμένων τάφων (π.χ. Τ3Β, Π ί ν. 236β) βρέθηκαν σε κατακόρυφη θέση όρθιες πλάκες. Οι πλάκες αυτές δεν ήταν όμως σταθερά στερεωμένες στον πυθμένα του τάφου και οπωσδήποτε δεν εξείχαν πάνω από τις πλάκες της οροφής του τάφου. Αν δεν πρόκειται για θραύσματα πλακών από την οροφή των τάφων που πήραν τυχαία αυτή την κατακόρυφη θέση, πιθανόν οι πλάκες αυτές να είχαν και κάποιο ρόλο συμβολικό. Συμβολικό χαρακτήρα[5] θα μπορούσαν να έχουν και οι «στήλες» που βρέθηκαν στημένες όρθιες στο κέντρο των τάφων Τ17Α (Π ί ν. 257β) και Τ29 (Π ί ν. 297β, 298α). Το μικρό πλάτος των δύο τάφων δεν επιβάλλει την άμεση ανάγκη ενδιάμεσου στηρίγματος, αλλά και πάλι στις περιπτώσεις αυτές δεν αποδεικνύεται με βεβαιότητα ο συμβολικός ρόλος τους. Η ανάγκη του ενδιάμεσου στηρίγματος ήταν δυνατό να προκύψει και εδώ περιπτωσιακά, όταν οι καλυπτήριες πλάκες, που διέθεταν για το συγκεκριμένο τάφο οι κατασκευαστές του, δεν κάλυπταν το πλάτος του τάφου (Σ χ έ δ. 72).

Αρχιτεκτονικός, οπωσδήποτε, φαίνεται ο ρόλος που έχουν οι όρθιες πλάκες στο στόμιο του τάφου Τ26 (Π ί ν. 289β) και Β1Γ (Π ί ν. 224γ), όπου είναι φανερό πως λειτουργούν ως παραστάδες του ανοίγματος. Αντίστοιχος είναι ο ρόλος της όρθιας πλάκας στο άνοιγμα του θαλάμου του τάφου Κ2Δ-Ζ (Π ί ν. 329γ), όπου είναι ενσωματωμένη στο διαχωριστικό τοίχο θαλάμου-προθαλάμου και υποβαστάζει, μαζί με τις άλλες δύο όρθιες πλάκες του εσωτερικού του τάφου, τις βαριές καλυπτήριες πλάκες της οροφής (Σ χ έ δ. 72· Π ί ν. 329β).

Οι όρθιες ωστόσο «στήλες», που βρέθηκαν στο στόμιο των τάφων Τ19Α (Σ χ έ δ. 44· Π ί ν. 330α) και Τ20Γ (Σ χ έ δ. 45· Π ί ν. 279α-β), καθώς δεν είναι εντοιχισμένες στο διαχωριστικό τοίχο θαλάμου-προθαλάμου, ευκολότερα θα ερμηνεύονταν μ' ένα ρόλο συμβολικό, παρά αρχιτεκτονικό. Η συμβολική ερμηνεία των όρθιων αυτών «στηλών» θα στηριζόταν, ωστόσο, κυρίως στα χαρακτηριστικά παραδείγματα των όρθιων «στηλών» στο εσωτερικό των τάφων Τ17Α και Τ29, όπου οι πλάκες αυτές, όπως και οι όρθιες «στήλες» στην είσοδο των τάφων, θα μπορούσαν να θεωρηθούν ανάμνηση και επιβίωση των menhir, η παρουσία των οποίων στον ελλαδικό και τον αιγαιακό χώρο δεν είναι άγνωστη[6]. Η επιβίωση των

5. Müller-Karpe 1974, 713-714, «Dolmengottin».

6. Πρβλ. menhir τάφου Μιδέας, Persson 1931, 91, 108-109, και Λάρισας, H. Biesantz, AA 1957, 53, σημ. 10-12, εικ. 7. Πρβλ. επίσης τη «στήλη» που βρέθηκε στο εσωτερικό του τάφου Μαύρου Σπηλαίου Κνωσού, E.J. Forsdyke,

menhir θα μπορούσε να συνδυασθεί και με τη συχνή εμφάνιση των όρθιων μεγάλων πλακών, που συχνά εξέχουν πάνω από το σωζόμενο ύψος των πλάγιων τοιχωμάτων, συχνά και πάνω από την οροφή των τάφων, εκφράζοντας έτσι και μια τάση μεγαλιθισμού, που αποδίδεται επίσης και με το ιδιαίτερα τονισμένο πάχος των τοιχωμάτων ορισμένων τάφων (Π ί ν. 256α, 259α).

Ως γενικό συμπέρασμα θα μπορούσε, επομένως, να διατυπωθεί η άποψη ότι στα νεκροταφεία Καστρί και Λαρνάκι δεν έχουμε βέβαια παραδείγματα «στηλών», αλλά σε ορισμένες περιπτώσεις, όπως στις «στήλες» των τάφων Τ17Α (Π ί ν. 258α-β), Τ17Β (Π ί ν. 330β) Τ20Γ (Π ί ν. 279α-β), Τ29 (Π ί ν. 298α), είναι δύσκολο να αποκλείσουμε ένα χαρακτήρα «στήλης» με περιεχόμενο περισσότερο συμβολικό, παρά «σημαντικό»[7]. Σε υπέργεια ταφικά μνημεία, όπως ήταν οι ταφικές συστάδες των νεκροταφείων Θάσου, δεν υπήρχε καμιά ιδιαίτερη ανάγκη για σήμανση, ενώ η ανεύρεση όρθιων πλακών στο εσωτερικό των τάφων καταργεί οποιονδήποτε «σημαντικό» τους ρόλο. Εδώ πρέπει να σημειώσουμε ότι θα ήταν δυνατό να υπήρχαν και σε άλλους τάφους ανάλογες όρθιες πλάκες οι οποίες, εφόσον δε βρέθηκαν στην αρχική τους θέση, είναι αδύνατο να αναγνωρισθούν μέσα στο σωρό των λίθων, που καλύπτει το επίπεδο των ταφών (πρβλ. π.χ. τη μακρόστενη πλάκα που βρέθηκε πεσμένη στο εσωτερικό του τάφου Τ15, Π ί ν. 253β).

Παρουσία «στηλών» πάνω στους τύμβους των νεκροταφείων Καστρί και Λαρνάκι δεν έχει διαπιστωθεί. Στην κορυφή μόνο του τυμβόσχημου λιθοσωρού, που κάλυπτε τον τάφο Β3, βρέθηκαν δύο θραύσματα πλακών που εξείχαν από τον υπόλοιπο λιθοσωρό (Π ί ν. 220β). Οι πλάκες αυτές, ωστόσο, θα μπορούσαν να προέρχονται και από τις μετακινημένες πλάκες της οροφής του τάφου, ο οποίος, όπως φαίνεται από τα όστρακα των ιστορικών χρόνων που βρέθηκαν στην επίχωση του τάφου, πρέπει να είχε διαταραχθεί στα ιστορικά χρόνια.

ΤΑ ΚΤΕΡΙΣΜΑΤΑ

Τα κτερίσματα των τάφων των νεκροταφείων του οικισμού Καστρί και του νεκροταφείου Λαρνάκι κατατάσσονται στις εξής κατηγορίες:

1. Αγγεία.
2. Όπλα.
3. Εργαλεία.
4. Κοσμήματα.

The Mavro Spelio Cemetery at Knossos, BSA 28 (1926/27), 243, εικ. 7, η οποία ερμηνεύθηκε ως menhir στήλη από τον Evans 1921, 246-247, εικ. 187. Η ερμηνεία αυτής της «στήλης» ως menhir θεωρείται αμφισβητούμενη, Ανδρόνικος 1961/62, 170.

7. Τα αρχαιότερα παραδείγματα στηλών στον αιγαιακό χώρο ανεβαίνουν ως την πρωτοκυκλαδική περίοδο: Φ. Ζαφειροπούλου, ΑΑΑ IV (1971), 214-215, εικ. 5. Ακολουθούν τα μεσοελλαδικά παραδείγματα Λέρνας και Ελευσίνας: στήλες Λέρνας, J. Caskey, Hesperia 23 (1954), 14 κ.ε., πίν. 3, 6, στήλη Ελευσίνας, Μυλωνάς 1975, 36 και 216, πίν. 117. Αντίστοιχος είναι ο ρόλος των μυκηναϊκών στηλών, όπως βεβαιώθηκε από τις στήλες του ταφικού περιβόλου Β' των Μυκηνών, Μυλωνάς 1973, 347 κ.ε., και από τα παραδείγματα της Ιαλυσού, Majuri 1923/24, 150, εικ. 72. Πρβλ. συγκεντρωμένη βιβλιογραφία και διαπραγμάτευση του θέματος από τον Ανδρόνικο 1961/62, 161 κ.ε.

Η παρουσία στήλης-«σήματος» συνεχίζεται στους πρωτογεωμετρικούς και γεωμετρικούς χρόνους ως τους ιστορικούς. Τη συσχέτισή της με menhir και την ερμηνεία της στήλης ως «έδος» της ψυχής του νεκρού, που έχουν υποστηρίξει αρκετοί ερευνητές (C. Watzinger, Die griechische Grabstele und der Orient, Genethliakon Schmidt, 1929, Evan Hall, Over den Oorsprong van de grieksche Grafstele, 1941, Kübler 1943, 34), δε δέχεται ο Ανδρόνικος, παραθέτοντας μια σειρά επιχειρήματα (Ανδρόνικος 1961/62, 204 κ.ε.), αλλά χωρίς να παραλείψει και τη δυσκολία που εμφανίζουν για την ερμηνεία αυτή οι μικρού μεγέθους στήλες του Κεραμεικού δίπλα στα μνημειακά επιτάφια αγγεία, που αποτελούν τα κατεξοχήν «σήματα» του τάφου.

Αγγεία

Τα αγγεία, που αντιπροσωπεύουν το μεγαλύτερο ποσοστό των κτερισμάτων που συνοδεύουν στον τάφο τους νεκρούς των νεκροταφείων του οικισμού Καστρί και του νεκροταφείου της θέσης Λαρνάκι, είναι όλα κατασκευασμένα από πηλό.

Η κεραμική των παραπάνω νεκροταφείων, με βάση τη σύσταση του πηλού και τον τρόπο κατασκευής, διακρίνεται σε δύο μεγάλες κατηγορίες:

I. Χειροποίητη κεραμική.

II. Τροχήλατη κεραμική.

ΧΕΙΡΟΠΟΙΗΤΗ ΚΕΡΑΜΙΚΗ (I)

Τεχνική κατασκευής

Είδη και πηγές πηλού

Η πετρολογική ανάλυση 36 δειγμάτων χειροποίητης κεραμικής έδειξε ότι ο πηλός της χειροποίητης κεραμικής χαρακτηρίζεται από την περιεκτικότητά του σε καθαρή μίκα (φεγγίτη), δισθένιο και κόκκους αδιαφανείς.

Η L. Courtois[8], που πραγματοποίησε την πετρολογική ανάλυση, ξεχώρισε δύο είδη πηλού που πρέπει να προέρχονται από διαφορετικές πηγές:

1. Πηλός που προέρχεται από περιοχές που προήλθαν από διάλυση μικοσχίτη και γρανίτη, με φεγγίτη και βιοτίτη εμπλουτισμένο με μίκα, όπου έχουν προστεθεί πετρώματα δισθενίτη και επιδοτίτη.

2. Πηλός του τύπου terra rossa, που κολλά στα δάκτυλα, καθώς είναι από τη φύση του παχύρρευστος.

Χαρακτηριστικό, οπωσδήποτε, και των δύο κατηγοριών πηλού είναι η παρουσία μιας ζώνης σκούρας στον πυρήνα του πηλού, που δείχνει ότι στον πηλό περιέχονταν και οργανικές ύλες. Η L. Courtois ερμηνεύει αυτή την παρουσία των οργανικών ουσιών στον πηλό με δύο εκδοχές: α) Ο πηλός προέρχεται από επιφανειακά στρώματα που φέρουν ίχνη βλάστησης, β) Ο πηλός προέρχεται από περιοχές ελώδεις. Η πρώτη εκδοχή φαίνεται ότι είναι η πιθανότερη, γιατί στην περιοχή Καστρί πρέπει να αποκλεισθεί η παρουσία ελών.

Ως πρώτο επομένως συμπέρασμα, σχετικά με τις πηγές του πηλού, μπορεί να διατυπωθεί η άποψη ότι η χειροποίητη κεραμική του οικισμού κατασκευαζόταν από επιφανειακά στρώματα, τα οποία θα μπορούσαν να αναζητηθούν και στην περιοχή του οικισμού.

Επεξεργασία του πηλού

Ο πηλός; που συγκεντρωνόταν από τα επιφανειακά στρώματα της περιοχής του οικισμού, δεν πρέπει να δεχόταν μεγάλη επεξεργασία. Εκτός από το κοσκίνισμα, που θα απομάκρυνε τις μεγάλες πέτρες, και το οποίο διαπιστώνεται ότι δεν πραγματοποιούνταν πάντα στον ίδιο βαθμό, ενώ ορισμένες φορές σχετιζόταν και με το είδος των αγγείων, η L. Courtois μιλά για ορισμένες αναμείξεις και εμπλουτισμούς, κυρίως στον πηλό της α΄ κατηγορίας[9].

Κατασκευή του αγγείου

Δύο είναι οι τεχνικές, που εφαρμόζονται στο πλάσιμο των χειροποίητων αγγείων των νεκροταφείων του οικισμού Καστρί και της θέσης Λαρνάκι:

α) Η τεχνική της «κουλούρας»[10].

β) Η τεχνική του «τραβήγματος»[11].

8. L.C. Courtois, Παράρτημα IV. Για τα είδη πηλών προϊστορικής κεραμικής, πρβλ. Gardner 1978, 16-19.
9. Ό.π.
10. Shepard 1976, 57.
11. Ό.π., 55.

Με την τεχνική της «κουλούρας» έχει κατασκευασθεί το μεγαλύτερο ποσοστό των αγγείων, συχνά με μεγάλη επιδεξιότητα, που έδωσε κανονικά σχήματα και λεπτά, ομοιόμορφα σε πάχος, τοιχώματα. Στο εσωτερικό των αγγείων διαπιστώνονται, τις περισσότερες φορές και μόνο από την αφή, οι ενώσεις των ταινιών και οι προσθήκες πηλού (Π ί ν. 331: 2). Το τελείωμα της επιφάνειας με το ξύσιμο, που ακολούθησε, και στη συνέχεια η λείανση έχουν εξαφανίσει τα ίχνη των αλλεπάλληλων ταινιών, από την προσθήκη των οποίων πλάθεται το σχήμα του αγγείου. Τα ίχνη, ωστόσο, των δακτύλων του αγγειοπλάστη είναι συχνά πολύ εύκολα ανιχνεύσιμα στο εσωτερικό των αγγείων, κυρίως στην περιοχή εκείνη των κάτω τοιχωμάτων, που τραβά προς τα πάνω ο αγγειοπλάστης για να σχηματίσει την πρώτη ζώνη γύρω από την επίπεδη βάση, πάνω στην οποία αρχίζει η προσθήκη των ταινιών[12]. Επίσης, τα ίχνη των δακτύλων εντοπίζονται πολύ εύκολα στην αρχή του χείλους των αγγείων, που τραβιέται πάλι προς τα έξω (Π ί ν. 331: 1). Τα ίχνη των δακτύλων εμφανίζονται εξάλλου σε πολλές περιπτώσεις στην περιοχή των αποφύσεων, όπου ο αγγειοπλάστης πιέζει ελαφρά τα τοιχώματα του αγγείου από μέσα προς τα έξω. Οι αποφύσεις, ωστόσο, κατά κανόνα σχηματίζονται και από πρόσθετο κομμάτι πηλού, η ένωση του οποίου με το σώμα δε διακρίνεται. Πολύ πιο ευδιάκριτα φυσικά είναι τα ίχνη των δακτύλων στο εσωτερικό των μεγάλων αγγείων με την αδρή κατασκευή, που δεν έχουν δεχθεί μεγάλη επεξεργασία της επιφάνειάς τους μετά το πλάσιμο και το ξύσιμο (Π ί ν. 331: 4). Τα ίχνη όμως των ταινιών πηλού, οι οποίες προστίθενται αλλεπάλληλα κατά το πλάσιμο του αγγείου, σε ελάχιστες περιπτώσεις είναι δυνατό να εντοπισθούν (Π ί ν. 331: 3).

Χαρακτηριστική είναι η μόνιμη εμφάνιση επίπεδης βάσης στα αγγεία, που συχνά έχει σχήμα ελλειψοειδές και η οποία προϋποθέτει ότι το αγγείο πλάθεται πάνω σε μια επίπεδη επιφάνεια-πέτρα ή επίπεδη μάζα πηλού[13]. Με την τεχνική αυτή κατασκευάζονται τόσο τα μεγάλα αποθηκευτικά αγγεία όσο και τα μικρότερα αγγεία διατροφής με τα λεπτά τοιχώματα.

Με την τεχνική του «τραβήγματος» της μάζας του πηλού προς τα πάνω έχουν κατασκευασθεί μικρά κυρίως αγγεία, με σχήμα ανοικτό. Εκτός ωστόσο από τα μικρά αγγεία, εμφανίζονται και αγγεία μεγαλύτερα, όπως αγγεία του σχήματος III και IV με τοιχώματα βαριά και συμπαγή. Πιθανόν για το πλάσιμο των αγγείων στην τεχνική αυτής της κατηγορίας χρησιμοποιείται και κάποιο καλούπι (κροκάλα;). Το πλάσιμο του αγγείου και σ' αυτή την τεχνική πραγματοποιείται πάνω σε μια επίπεδη επιφάνεια, που δίνει μια επίσης επίπεδη βάση.

Επεξεργασία της επιφάνειας του αγγείου

Η επιφάνεια των αγγείων, όπως σώζεται σήμερα, έχει υποστεί μια σειρά από αλλοιώσεις:

α) Αλλοιώσεις, που οφείλονται σε φυσικοχημικές μεταβολές[14], που έχουν συμβεί στα αγγεία κατά τη χρήση τους ήδη στην αρχαιότητα (π.χ. αλλοιώσεις της επιφάνειας, λόγω των ουσιών που περιείχαν ή λόγω καύσης ή άλλων τυχαίων περιστατικών).

β) Αλλοιώσεις, που οφείλονται στη φυσικοχημική μεταβολή του περιβάλλοντος κατά την παραμονή τους στο έδαφος επί αιώνες (απορρόφηση μικροοργανισμών, εναπόθεση συστατικών του εδάφους, κτλ.).

γ) Αλλοιώσεις, που έχουν υποστεί κατά το χημικό ή μηχανικό καθαρισμό τους στο Μουσείο. Ο καθαρισμός αυτός ήταν αναπόφευκτος, γιατί η επιφάνεια των αγγείων ήταν καλυμμένη από ασβεστολιθικό επίστρωμα.

Πρέπει, λοιπόν, να δεχθούμε ότι η επιφάνεια των αγγείων, όπως εμφανίζεται σήμερα, δεν είναι δυνατό να είναι η αρχική σ' όλα τα αγγεία. Η αρχική επιφάνεια διακρίνεται καλύτερα με το μικροσκόπιο και, όπου σώζεται, είναι πάντα πολύ πιο στιλπνή από τη λοιπή επιφάνεια του αγγείου.

12. Πρβλ. Κωτσάκης 1983, 120 κ.ε.
13. Rye 1981, 63.
14. Shepard 1976, 222 κ.ε., Courtois, ό.π.

Η επεξεργασία της επιφάνειας του αγγείου πραγματοποιούνταν σε δύο φάσεις: α) Πριν από το στέγνωμα, β) Μετά το στέγνωμα.

Πριν από το στέγνωμα

Μετά το πλάσιμο του αγγείου ακολουθούσε το ξύσιμο της επιφάνειας του αγγείου[15], που πραγματοποιούνταν με την κόψη ενός εργαλείου ξύλινου, οστέινου ή και μεταλλικού, τα ίχνη του οποίου είναι ευδιάκριτα στην εσωτερική κυρίως επιφάνεια του αγγείου, όπου η λείανση δεν τα έχει εξαφανίσει (Π ί ν. 331: 3). Η λείανση, που ακολουθούσε το ξύσιμο, πραγματοποιούνταν με νερό και με το χέρι[16].

ΔΙΑΚΟΣΜΗΣΗ

Η διακόσμηση της επιφάνειας των αγγείων πραγματοποιείται αμέσως μετά το πλάσιμο και πριν από το στέγνωμα των αγγείων[17].

Στα αγγεία των νεκροταφείων ξεχωρίζουν τα εξής είδη διακόσμησης:

α) Διακόσμηση με χαράξεις: Η χάραξη γίνεται με ειδικά εργαλεία, από τα οποία ξεχωρίζουν δύο, ένα εργαλείο με πολλά δόντια ως χτένι και ένα εργαλείο με μία μόνο αιχμή. Με το δεύτερο εργαλείο, εκτός από τη χάραξη, πραγματοποιείται και η στικτή διακόσμηση. Οι χαράξεις γεμίζουν με μια ύλη λευκή, ερυθρή ή κιτρινωπή (πρόκειται για είδος ασβεστίου)[18].

β) Διακόσμηση ραβδωτή (rippled): Αυτή πρέπει να πραγματοποιείται ή με το χέρι (δάκτυλα ή πλάγια επιφάνεια παλάμης) ή με κάποιο μαλακό χονδρό ξύλινο εργαλείο ή καλάμι, που πιέζεται πάνω στη μαλακή επιφάνεια του αγγείου.

γ) Αυλακωτή διακόσμηση: Αυτού του είδους η διακόσμηση πραγματοποιείται με ένα αιχμηρό, με πλατιά αιχμή εργαλείο, ξύλινο πιθανότατα, που πιέζει χωρίς να χαράζει τη μαλακή επιφάνεια του αγγείου.

δ) Πλαστικές ταινιές: Πλαστικές ταινιές διακοσμημένες με εμπίεστη διακόσμηση, που πλάθονται με τα δάκτυλα, διακοσμούν τον ώμο και το χείλος μεγάλων, κυρίως, αποθηκευτικών αγγείων.

ε) Χαράξεις γύρω από το χείλος και πολύ σπανιότερα στον ώμο του αγγείου πραγματοποιούνταν με απλά αιχμηρά εργαλεία και δίδουν την εντύπωση «νυχιάς».

στ) Αποφύσεις: Χαμηλές μαστοειδείς αποφύσεις εμφανίζονται ως διακοσμητικά στοιχεία στον ώμο των αγγείων, συνδυασμένες συχνά με αυλακωτή διακόσμηση. Κατασκευάζονται από επίθετο στρώμα πηλού στο σώμα των αγγείων ή σχηματίζονται με πίεση των τοιχωμάτων του αγγείου από μέσα προς τα έξω.

Ακολουθούσε το τελείωμα της επιφάνειας με κάποιο επίχρισμα, που αλειφόταν στην εξωτερική και συχνά και στην εσωτερική επιφάνεια των ανοικτών αγγείων.

Δύο είδη επιχρίσματος ξεχώρισε με το μικροσκόπιο η L. Courtois[19].

α) Επίχρισμα με αραιωμένο πηλό που περιείχε κόκκους γραφίτη.

β) Επίχρισμα επιφανειακό, που αποτελούνταν από αραιωμένο πηλό. Ο πηλός περιείχε μεγάλες ποσότητες μίκας και κόκκων ενός αδιαφανούς πετρώματος, που με το δισθένιο έδιδαν στην επιφάνεια του αγγείου μια γκριζόμαυρη λάμψη, ανάλογη με το γραφίτη.

Το πρώτο επίχρισμα ξεχωρίζει με γυμνό μάτι, όταν σώζεται — εύκολα τρίβεται και εξαφανίζεται — ενώ το δεύτερο δύσκολα ξεχωρίζει με γυμνό μάτι πάνω στην επιφάνεια του αγγείου.

15. Shepard 1976, 66, πρβλ. και Κωτσάκης 1983, 125.

16. Shepard 1976, 67-68, Κωτσάκης 1983.

17. Shepard 1976, 69 κ.ε.

18. Δεν έχει πραγματοποιηθεί ακόμη συγκριτική αναλυτική έρευνα στη λευκή ασβεστολιθική ύλη της εγχάρακτης κεραμικής και στη λευκή ώχρα του ορυχείου Τ1 της θέσης Τσίνες. Η τελευταία πρέπει να εξορυσσόταν σε μια νεότερη, πιθανότατα, εποχή από την ερυθρή ώχρα του ίδιου ορυχείου.

19. Courtois, ό.π. (υποσημ. 8).

Μετά το στέγνωμα

Μετά το στέγνωμα, η επεξεργασία της επιφάνειας των αγγείων ολοκληρώνεται με τους εξής τρόπους:

α) Με κάποιο εργαλείο τρίβεται και λειαίνεται η επιφάνεια του αγγείου και αποκτά λάμψη μεταλλική. Τα ίχνη αυτής της στίλβωσης, που πραγματοποιείται πάνω σε λειασμένη και επιχρισμένη επιφάνεια, είναι ευδιάκριτα.

Το επίχρισμα που καλύπτει την επιφάνεια των αγγείων αυτής της κατηγορίας, συχνά περιέχει κόκκους γραφίτη (επίχρισμα κατηγορίας α).

β) Η λείανση της επιφάνειας πραγματοποιείται με κάποιο μάλλινο ύφασμα. Ίχνη μαλλιού διέκρινε η L. Courtois με το μικροσκόπιο σε ορισμένα από τα δείγματα που εξέτασε[20]. Αυτού του είδους την επεξεργασία στην επιφάνεια του αγγείου ονομάζουμε συμβατικά «λείανση», για να την ξεχωρίσουμε ως τεχνική από την προηγούμενη τεχνική που ονομάσαμε στίλβωση. Η L. Courtois υποθέτει και κάποιο διαποτισμό της επιφάνειας του αγγείου σε ορισμένες περιπτώσεις (π.χ. B2, 6, T18, 69) με μια λιπαρή ουσία, για να διευκολυνθεί η στίλβωση και η λείανση.

γ) Η επιφάνεια του αγγείου δε δέχεται καμιά επεξεργασία και παραμένει αδρή.

Όπτηση

Η εμφάνιση ανισότροπου πηλού στην πετρολογική μικροσκοπική έρευνα της κεραμικής από την L. Courtois αποδεικνύει ότι τα χειροποίητα αγγεία έχουν ψηθεί σε θερμοκρασία όχι υψηλότερη από 750°, γιατί υψηλότερη θερμοκρασία θα κατέστρεφε τη δομή του πηλού[21]. Το σκοτεινό επίσης χρώμα, που εμφανίζει στο μεγαλύτερο ποσοστό της η χειροποίητη κεραμική, οφείλεται εν μέρει και στη χαμηλή θερμοκρασία όπτησης, που σε συνδυασμό με την παρουσία οργανικών ουσιών στον πηλό και την έλλειψη δυνατής προσαγωγής αέρα στο ψήσιμο[22] δεν επέτρεψε οι οργανικές ουσίες του πηλού να καούν με γρήγορη καύση, χωρίς να αφήσουν ίχνη που να επηρεάζουν το χρώμα του πηλού. Το σκοτεινό, ωστόσο, χρώμα του πηλού των αγγείων είναι δυνατό να οφείλεται σε μια σειρά από άλλες αιτίες[23]:

1. Σε χαμηλή θερμοκρασία της όπτησης ή σε μικρή διάρκεια της όπτησης, σε σχέση με τη φυσικοχημική σύνθεση των οργανικών ουσιών που περιείχε ο πηλός, και στις σχέσεις του με τα μέταλλα, καθώς και σε έλλειψη εξαερισμού (οξυγόνου).

2. Οι διαφοροποιημένοι χρωματισμοί στην επιφάνεια των αγγείων οφείλονται επίσης σε επικράτηση των χρωμάτων, που προέρχονται από τα μεταλλικά στοιχεία που περιέχονται στον πηλό, και τα οποία γίνονται ερυθρά, καστανά ή μαύρα, καθώς και σε επικράτηση του καστανού χρώματος πάνω στο μαύρο των οργανικών ουσιών.

Η παρουσία των οργανικών ουσιών καθιστά πάντα πιο προβληματική και πολύπλοκη την ανάλυση και το φυσικοχημικό χαρακτηρισμό της κεραμικής.

20. Ό.π.

21. Ό.π.

22. Εκτός από το μεμονωμένο παράδειγμα του κεραμικού κλιβάνου στη νεολιθική Όλυνθο (Mylonas 1929, 12, 18), δεν έχουμε καμιά άλλη αρχαιολογική ένδειξη για την ύπαρξη κεραμικών κλιβάνων στη νεολιθική εποχή. Για τη νεολιθική εποχή και για την πρώιμη εποχή του χαλκού, κοινή είναι η άποψη ότι η όπτηση των αγγείων πραγματοποιούνταν σε ανοικτές εστίες ή ορύγματα, Gardner 1978, 136-139, Κωτσάκης 1983, 136-141. Η δεύτερη περίπτωση βεβαιώθηκε στο εργαστήρι κεραμικής του νεολιθικού Διμηνιού, Χουρμουζιάδης 1977, 207-226.

Το αρχαιότερο σωζόμενο παράδειγμα κεραμικού κλιβάνου πρέπει να είναι ο κεραμικός κλίβανος της ΜΜ ΙΙΙΑ περιόδου, που ανακαλύφθηκε στο ανάκτορο της Ζάκρου, Ν. Πλάτων, ΠΑΕ 1970, 150 και ΠΑΕ 1975, 80-181, 269-270, πίν. ΙΒ. Για συγκεντρωμένη βιβλιογραφία για τους κεραμικούς κλιβάνους της εποχής του χαλκού, βλ. Κ. Δαβάρας, Μινωική κάμινος εις Στύλον Χανίων, ΑΕ 1973, 75-80, όπου συμπληρώθηκε ο παλιότερος κατάλογος του R.M. Cook, BSA 56 (1961), 64-67, και C. Davaras, A Minoan Pottery Kiln at Palaikastro, BSA 75 (1980), 115-126.

23. Shepard 1976, 103 κ.ε., 203, Gardner 1978, 132-133, Courtois, ό.π.

3. Υπάρχουν επίσης περιπτώσεις, στις οποίες η L. Courtois έχει διαπιστώσει ότι το μαύρο χρώμα της επιφάνειας των αγγείων παράγεται επίτηδες εκ των υστέρων με ειδικό κάπνισμα του αγγείου, ενώ έχει προηγηθεί οξείδωση του πηλού[24].

Με βάση του χρωματισμούς, που παίρνει η επιφάνεια και ο πυρήνας των αγγείων, ξεχωρίσαμε με γυμνό μάτι τις εξής κατηγορίες κεραμικής, ανάλογα με το βαθμό οξείδωσης του πηλού που εμφανίζουν:

ΙΑ: Τέλεια απουσία οξείδωσης - Αναγωγή ατμόσφαιρας(;)[25].

Επιφάνεια εξωτερική: Τεφρόμαυρη, καστανόμαυρη, μαύρη.

Επιφάνεια εσωτερική: Το ίδιο.

Πυρήνας: Το ίδιο.

ΙΒ: Οξείδωση μερική (;).

Επιφάνειες: Καστανόχρωμες έως καστανέρυθρες.

Πυρήνας: Τεφρός-τεφρόμαυρος.

ΙΒα: Οξείδωση - Κάπνισμα.

Επιφάνειες: Καστανόμαυρες-τεφρόμαυρες.

Πυρήνας: Ερυθρός.

Συχνά, στα κλειστά αγγεία η εσωτερική επιφάνεια είναι ερυθρή. Στην ίδια κατηγορία, στην τομή των τοιχωμάτων των αγγείων εμφανίζεται πυρήνας τεφρόμαυρος-καστανόμαυρος και ακολουθεί ερυθρή οξειδωμένη επιφάνεια, που καλύπτεται από λεπτή κρούστα μαυρισμένης-καπνισμένης επιφάνειας.

ΙΓ: Τέλεια οξείδωση.

Επιφάνειες: Ερυθρές.

Πυρήνας: Ερυθρός.

Στην ίδια κατηγορία εμφανίζεται συχνά και πυρήνας τεφρός, αλλά η έλλειψη οξείδωσης στον πυρήνα οφείλεται συχνά είτε στη χαμηλή καύση είτε στο μεγάλο πάχος των τοιχωμάτων του αγγείου, το οποίο δεν επέτρεψε τη γρήγορη καύση των οργανικών ουσιών στον πηλό, ώστε να μην αφήσουν ίχνη στο χρώμα του[26].

Πρέπει να σημειώσουμε ότι, όπως συμβαίνει κατά κανόνα σε κεραμικές κατηγορίες αυτού του είδους, οι διακρίσεις είναι γενικές. Συχνά τα χρώματα παίζουν πάνω στο ίδιο αγγείο, ανάλογα με τις συνθήκες όπτησής του και την περιεκτικότητα του πηλού σε μεταλλικά στοιχεία (βλ. παραπάνω).

Κατηγορίες κεραμικής

Με βάση τον τρόπο διακόσμησης της επιφάνειας των αγγείων, σε συνδυασμό με τον τρόπο κατασκευής και όπτησης, ξεχωρίζουν οι εξής βασικές κατηγορίες χειροποίητης κεραμικής:

I, 1: Ακόσμητη κεραμική (επιμέρους κατηγορίες: I, 1α, I, 1β, I, 1γ, I, 1δ).

I, 2: Κεραμική με εγχάρακτη διακόσμηση (επιμέρους κατηγορίες: I, 2α, I, 2β, I, 2γ, I, 2δ).

I, 3: Κεραμική με αυλακωτή γραμμική διακόσμηση.

I, 4: Κεραμική με ραβδωτή διακόσμηση.

I, 5: Κεραμική με πλαστική διακόσμηση.

Σχήματα αγγείων

Τα βασικά σχήματα αγγείων χειροποίητης κεραμικής είναι τα εξής:

24. Courtois, ό.π., Gardner 1978, 132.

25. Πρβλ. φυσικοχημικές έρευνες σε κεραμική νεολιθικής εποχής και πρώιμης εποχής του χαλκού, που έχουν δείξει ότι δεν πραγματοποιόταν αναγωγή, Gardner 1978, 136.

26. Courtois, ό.π.

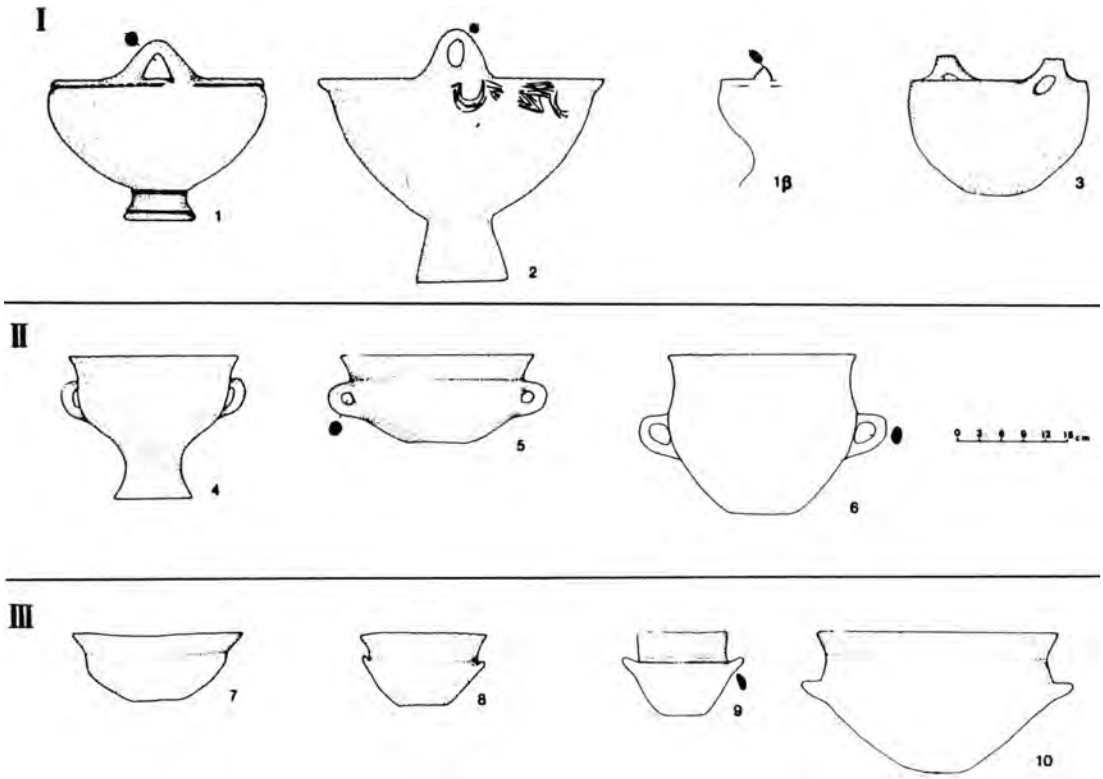

Σχέδ. 78. Τυπολογία αγγείων σχημάτων I, II, III.

Σ χ ή μ α I (φιαλόσχημα αγγεία με διχαλωτές λαβές) (Σ χ έ δ. 78: I)

Τύποι: I 1: Φιαλόσχημο με κωνική βάση, τοιχώματα κυρτά, χείλος που κάμπτεται προς τα μέσα και διχαλωτές λαβές.

I 2: Φιαλόσχημο με κωνική βάση, τοιχώματα κυρτά και χείλος με οριζόντια διαμορφωμένη την άνω επιφάνεια, που προεκτείνεται σε δύο οριζόντιες αποφύσεις ανάμεσα στις λαβές.

I 3: Φιαλόσχημο με επίπεδη βάση, τοιχώματα κυρτά και λαβές ταινιωτές, που αποτελούν προέκταση του χείλους του αγγείου, σχηματίζοντας μια ελλειψοειδή οπή στη βάση τους.

Σ χ ή μ α II (φιαλόσχημα αγγεία με κατακόρυφες κυλινδρικές λαβές στον ώμο) (Σ χ έ δ. 78: II)

Τύποι: II 4: Φιαλόσχημο αγγείο με κωνική βάση, τοιχώματα κυρτά και χείλος που κάμπτεται προς τα έξω. Λαβές κυλινδρικές, κατακόρυφες στον ώμο.

II 5: Φιαλόσχημο αγγείο όμοιο με το II 4, αλλά με επίπεδη βάση.

II 6: Φιαλόσχημο αγγείο όμοιο με το II 5, αλλά με βαθύτερο σώμα και υψηλότερο χείλος.

Σ χ ή μ α III (κρατηρόσχημα αγγεία) (Σ χ έ δ. 78: III)

Τύποι: III 7: Σχήμα όμοιο με το II 2, αλλά άωτο.

III 8: Σχήμα όμοιο με το III 1, αλλά με λοξές αποφύσεις στον ώμο.

III 9: Σχήμα αντίστοιχο με το III 2, αλλά με λαιμό κατακόρυφο.

III 10: Σχήμα όμοιο με ρευστό περίγραμμα.

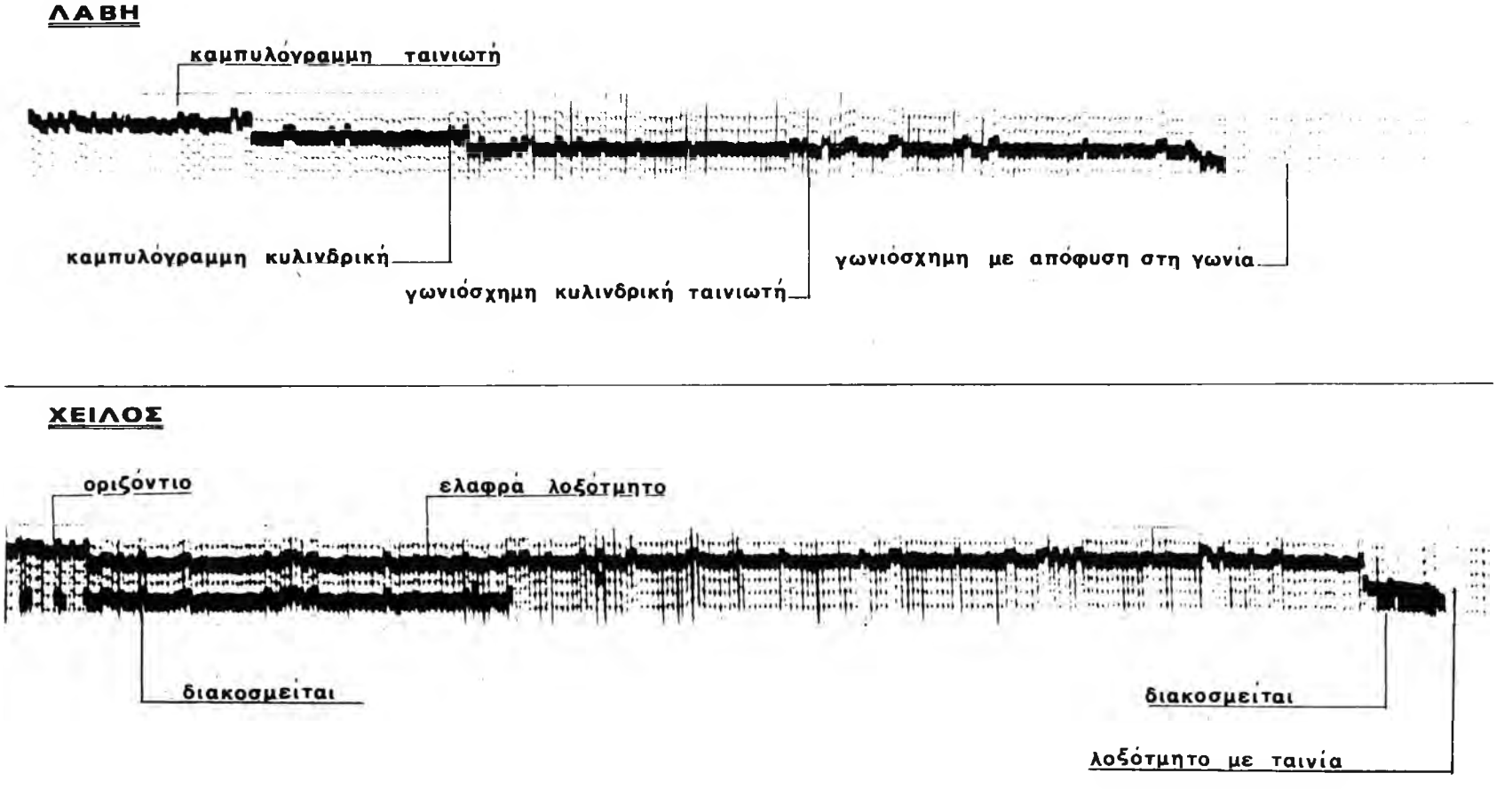

Σχέδ. 79. Γραφική παράσταση για τις σχέσεις ανάμεσα στα είδη λαβών και τις κατηγορίες χειλέων αγγείων σχήματος IV.

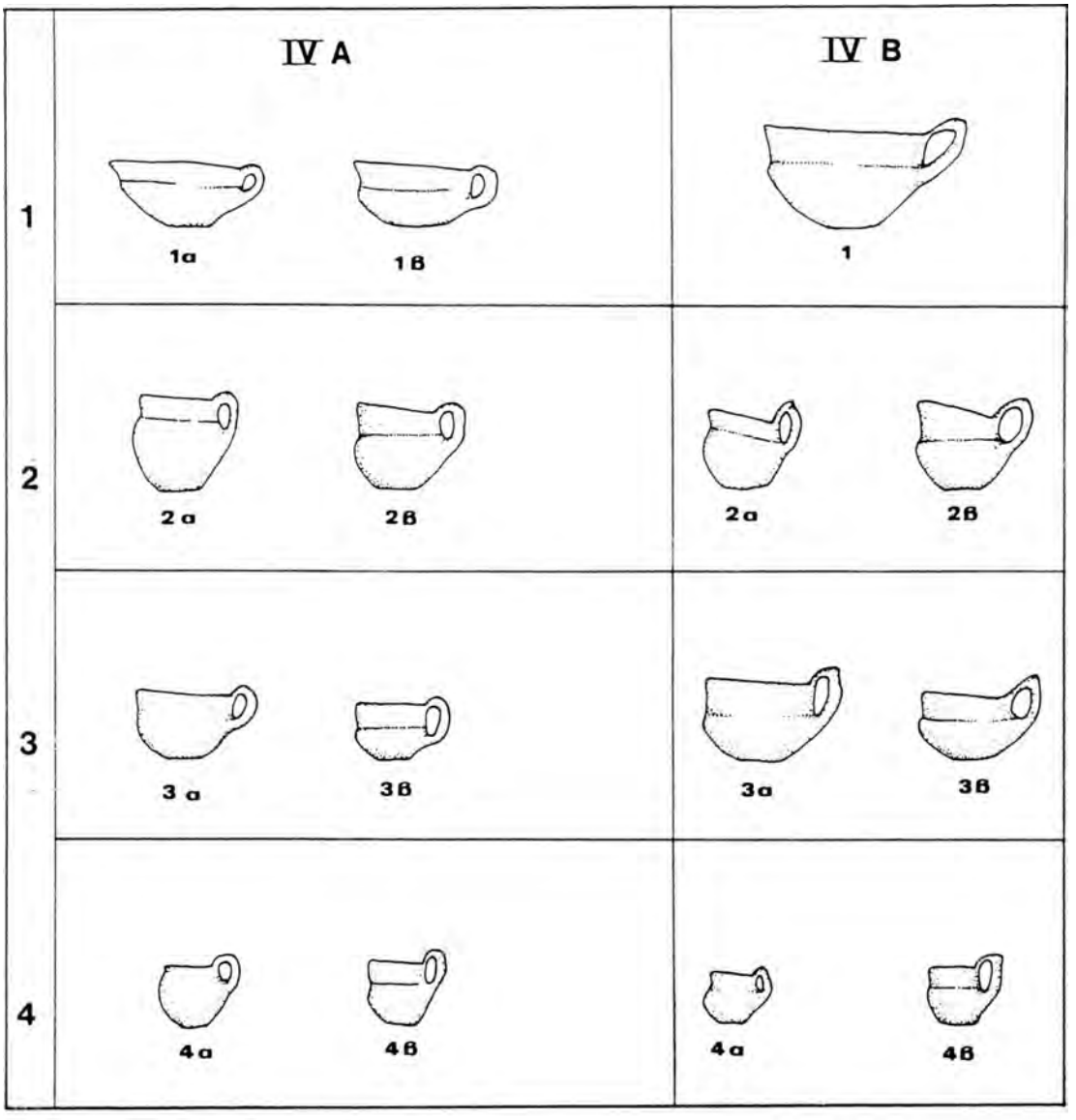

Σχέδ. 80. Τυπολογία αγγείων σχήματος IV.

Σ χ ή μ α IV (μόνωτα ευρύστομα αγγεία) (Σ χ έ δ. 80)

Τα βασικά χαρακτηριστικά του σχήματος είναι η επίπεδη, συχνά ελλειψοειδής βάση, το περισσότερο ή λιγότερο βαθύ σώμα, ο πλατύς λαιμός και η λαβή, που αρχίζει από τον ώμο και καταλήγει στο χείλος, υψωμένη κατά κανόνα πάνω από το χείλος.

Ιδιαίτερα χαρακτηριστικά είναι το ελαφρά λοξότμητο χείλος, που σ' ένα ποσοστό 5% εναλλάσσεται με το οριζόντιο χείλος, και η γωνιόσχημη λαβή που καλύπτει το 95% των αγγείων, σε σχέση με την καμπυλόγραμμη κυλινδρική λαβή (Σ χ έ δ. 79). Επομένως, μπορούμε να θεωρήσουμε ως βασικό τύπο μόνωτου ευρύστομου αγγείου εκείνο το σχήμα, που εμφανίζει γωνιόσχημη λαβή και ελαφρά λοξότμητο χείλος, αφού τα ποσοστά της καμπυλόγραμμης λαβής και του οριζόντιου χείλους είναι τόσο χαμηλά.

Ως προς τη χωρητικότητα του αγγείου αυτού του τύπου, τείνει να ξεχωρίσει μια παραλλα-

γή με βαθύ σώμα και μια παραλλαγή με πιο ρηχό σώμα. Ανάμεσα, ωστόσο, στους δύο ακραίους τύπους μεσολαβούν ενδιάμεσα μεγέθη, τα οποία κάνουν αδύνατη μια συνολική ταξινόμηση σε ρηχά και βαθιά αγγεία, που θα οδηγούσε και στη διάκριση χωριστών χρήσεων των αγγείων αυτών.

Ως προς το μέγεθος ξεχωρίζουν καθαρά τα μεγάλα αγγεία, που παρά την ποικιλία που εμφανίζουν στο μέγεθος και στη χωρητικότητα, πρέπει να εξυπηρετούν την ίδια χρήση. Τα πολύ μικρά ή εξυπηρετούν κάποια ειδική χρήση — κύπελλα — ή είναι μικρογραφικές αποδόσεις και αποτελούν κτερίσματα παιδικών ταφών.

Με βάση τα παραπάνω χαρακτηριστικά του σχήματος, επισημαίνονται οι εξής παραλλαγής του σχήματος IV (Σ χ έ δ. 80, IVA-B):

IVA: Μόνωτα ευρύστομα αγγεία με καμπυλόγραμμη λαβή.

IVB: Μόνωτα ευρύστομα αγγεία με γωνιόσχημη λαβή.

Επιμέρους διαφοροποιήσεις στις λεπτομέρειες του σχήματος εμφανίζονται με αντιστοιχία και στις δύο παραπάνω παραλλαγές.

IVA1 και IVB1 είναι μεγάλα ρηχά μόνωτα αγγεία, όπου το ελαφρά λοξότμητο χείλος άλλοτε είναι κοντό (IVA1α) και άλλοτε είναι ψηλότερο (IVA1α και IVB1). Τα IVA2 και IVB2 είναι μεγάλα βαθιά αγγεία, με ελαφρά λοξότμητο χείλος, άλλοτε κοντό (IVA2α, IVB2α) και άλλοτε ψηλότερο (IVA2β, IVB2β). Τα IVA3 και IVB3 είναι μεσαίου μεγέθους μόνωτα αγγεία, με ελαφρά λοξότμητο ή με σχεδόν οριζόντιο χείλος, όπου ο λαιμός άλλοτε ξεχωρίζει πλαστικά από το υπόλοιπο σώμα (IVA3β, IVB3β) και άλλοτε συνεχίζει τη γραμμή των τοιχωμάτων του σώματος (IVA3α και IVB3α).

Τέλος, υπάρχουν οι παραλλαγές των μικρών κυπελλόσχημων αγγείων, που αντιγράφουν τα σχήματα των μεγάλων αγγείων, όπου η γωνιόσχημη λαβή (IVB) εναλλάσσεται επίσης με την καμπυλόγραμμη (IVA) και το χείλος είναι άλλοτε κοντότερο (IVA4α, IVB4α) και άλλοτε ψηλότερο (IVA4β και IVB4β).

Επειδή, ωστόσο, οι παραλλαγές των επιμέρους λεπτομερειών του σχήματος συνδυάζονταν με μεγάλη ποικιλία, και στην επεξεργασία τους δεν προέκυψαν σταθεροί επιμέρους τύποι του σχήματος IV, κατατάχθηκαν τελικά οι διάφορες παραλλαγές του σχήματος IV σε συνδυασμό μεγέθους, σχήματος και διακόσμησης (Σ χ έ δ. 81-83, IVα-IVιδ).

α. Παραλλαγές IV 11-30: Μόνωτα αγγεία χωρίς διακόσμηση.

β. Παραλλαγές IV 31-42: Με μία αυλάκωση γύρω από τη βάση του λαιμού.

γ. Παραλλαγές IV 43-51: Με δύο παράλληλες αυλακώσεις γύρω από τη βάση του λαιμού.

δ. Παραλλαγές IV 52-56: Με δύο παράλληλες αυλακώσεις γύρω από τη βάση του λαιμού και μία αυλάκωση κάτω από το χείλος.

ε. Παραλλαγές IV 57-60: Με μία αυλάκωση κάτω από το χείλος και μία γύρω από τη βάση του λαιμού.

στ. Παραλλαγές IV 61-65: Με δύο παράλληλες αυλακώσεις κάτω από το χείλος και μία αυλάκωση γύρω από τη βάση του λαιμού.

ζ. Παραλλαγές IV 66-71: Με τρεις ή περισσότερες παράλληλες αυλακώσεις στο λαιμό.

η. Παραλλαγές IV 72-75: Με παράλληλες αυλακώσεις σε διάφορους συνδυασμούς γύρω από το λαιμό.

θ. Παραλλαγές IV 76-89: Με δύο-τρεις παράλληλες αυλακώσεις κάτω από το χείλος και δύο παράλληλες αυλακώσεις γύρω από τη βάση του λαιμού. Σε ορισμένες παραλλαγές, η αυλακωτή διακόσμηση του λαιμού οργανώνεται σε μετωπικό θέμα.

ι. Παραλλαγές IV 90-104: Με αυλακωτή διακόσμηση στο λαιμό και στον ώμο.

ια. Παραλλαγές IV 105-108: Με αυλακωτή και στικτή διακόσμηση στο λαιμό.

ιβ. Παραλλαγές IV 109-113: Με ραβδωτή διακόσμηση στον ώμο.

ιγ. Παραλλαγές IV 112-113: Αυλακωτή και ραβδωτή διακόσμηση.

ιδ. Παραλλαγές IV 114: Με εγχάρακτη διακόσμηση.

Σε καθεμιά από τις παραπάνω παραλλαγές της διακόσμησης αντιπροσωπεύονται και οι επιμέρους παραλλαγές του σχήματος (λαβή, χείλος, κτλ.), αλλά και οι διαφοροποιήσεις ως προς το μέγεθος και τη χωρητικότητα (Σ χ έ δ. 80).

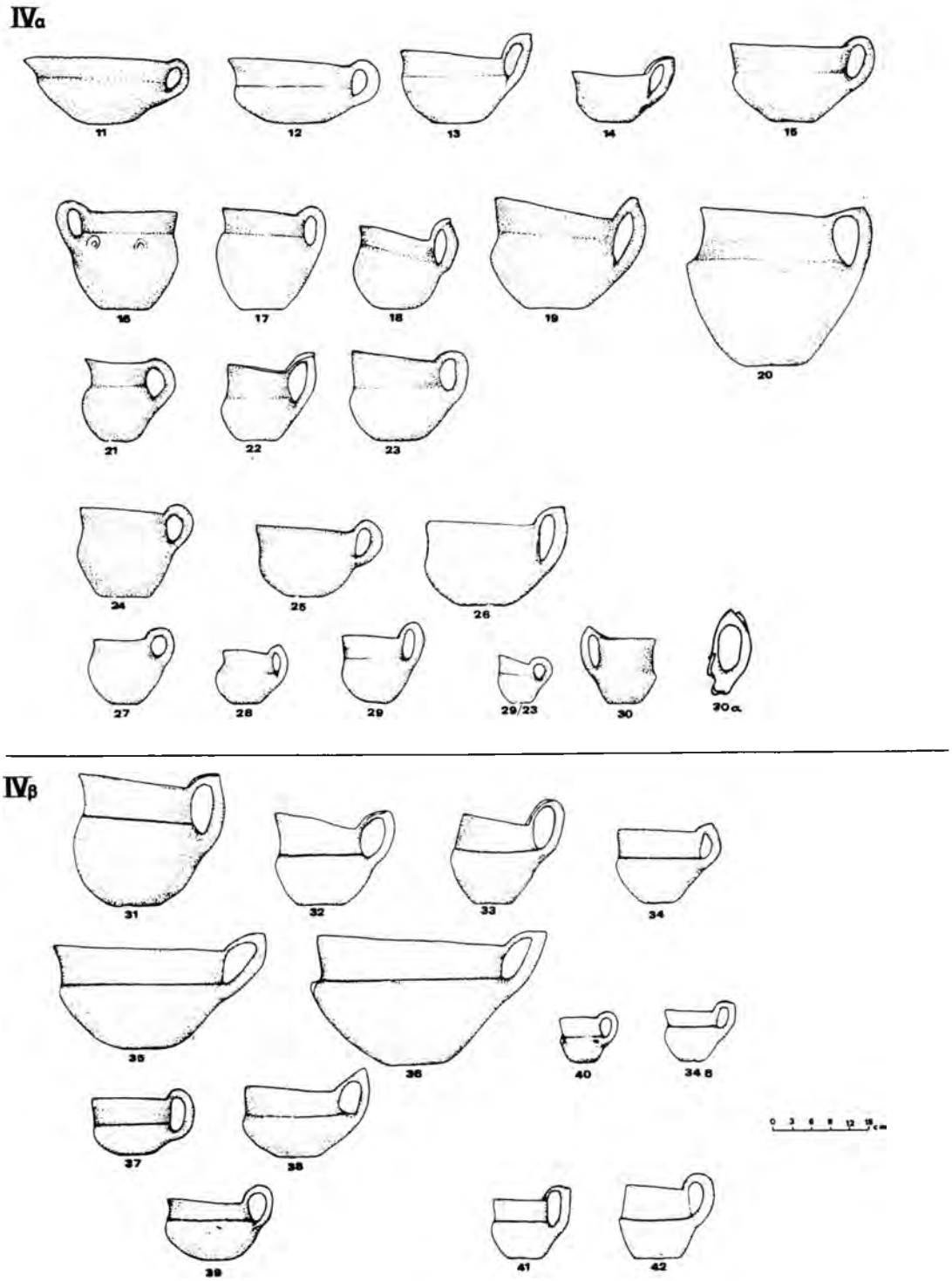

Σχέδ. 81. Τυπολογία αγγείων σχημάτων IVα και IVβ.

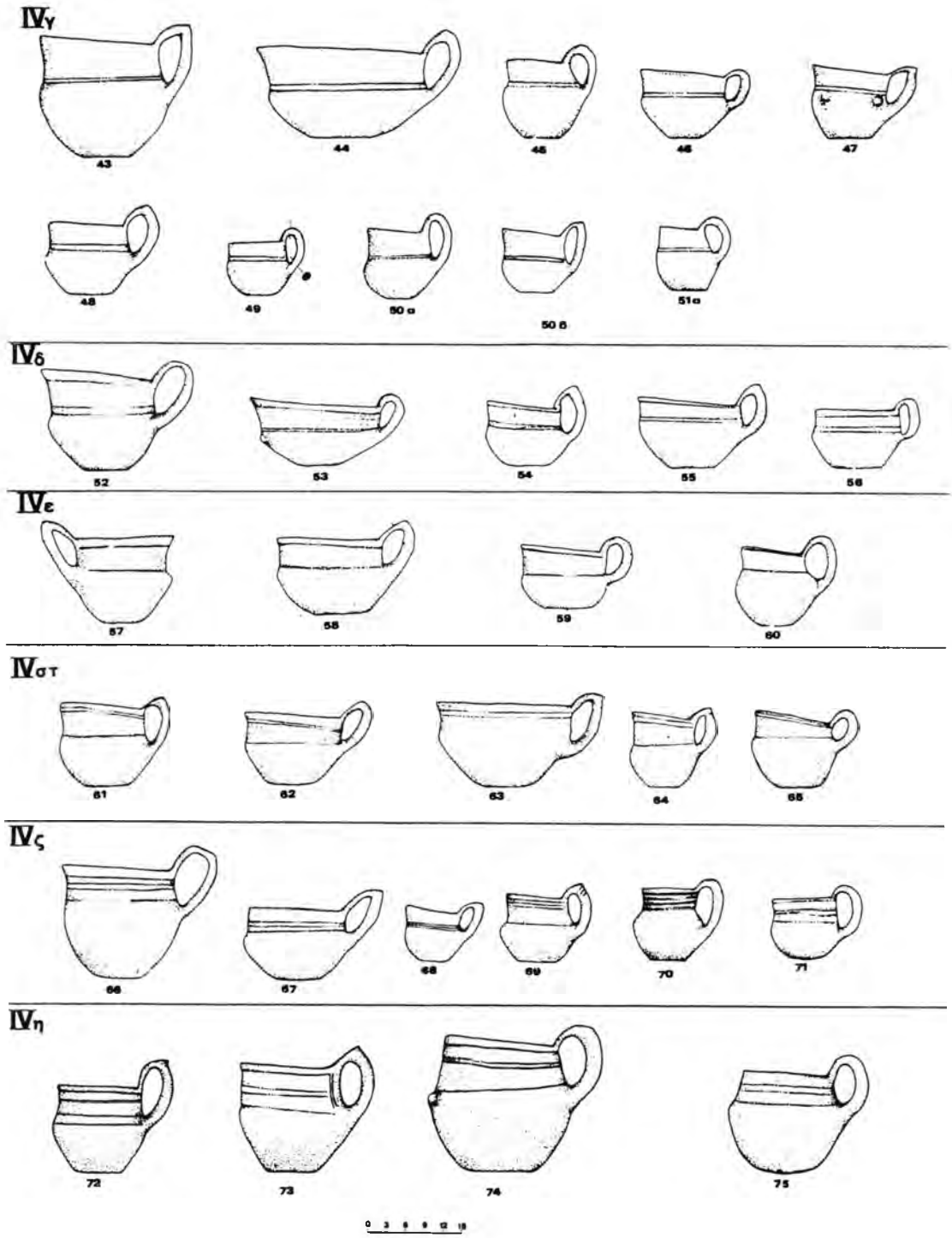

Σχέδ. 82. Τυπολογία αγγείων σχημάτων IVγ-IVη.

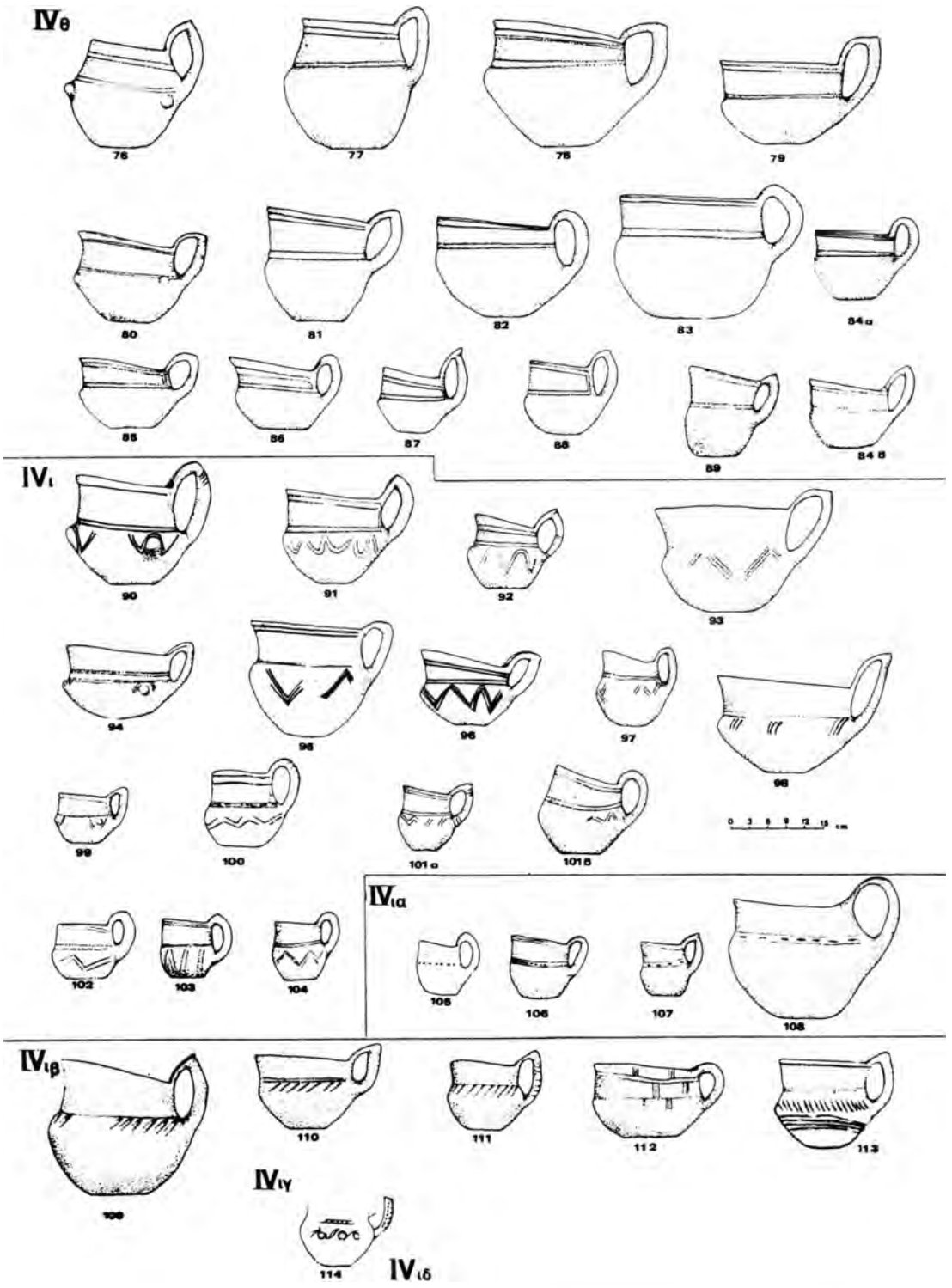

Σχέδ. 83. Τυπολογία αγγείων σχημάτων IVθ-IVιδ.

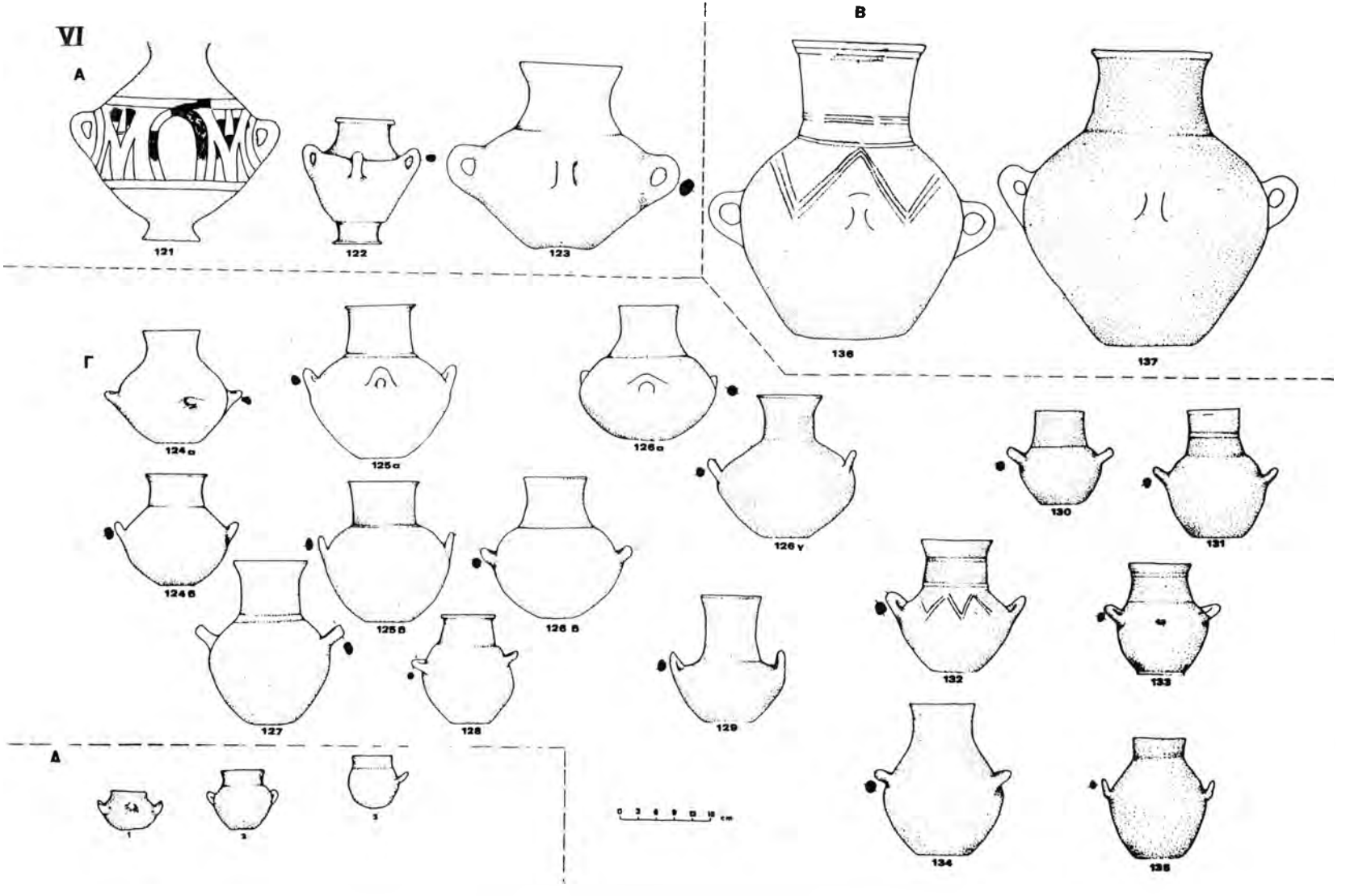

Σχέδ. 84. Τυπολογία αγγείων σχήματος VI.

Σ χ ή μ α V (κανθαρόσχημα αγγεία) (Σ χ έ δ. 86: V)

Το σχήμα V είναι ένα δίωτο κανθαρόσχημο αγγείο, που εμφανίζεται σε δύο τύπους:

VA 115: Σώμα σφαιρικό με επίπεδη βάση, λαιμός στενός και χαμηλός, λαβές που υψώνονται πάνω από το χείλος.

VB 116: Ανοικτό σώμα, λαιμός χαμηλός και ανοικτός, λαβές που υψώνονται πάνω από το χείλος. Ο τύπος VB εμφανίζει τις εξής επιμέρους παραλλαγές:

VB 117α: Ανοικτό σώμα, λαιμός χαμηλός, με χείλος που δηλώνεται πλαστικά. Αποφύσεις στον ώμο.

VB 117β: Σώμα βαθύ, λαιμός με κατακόρυφα τοιχώματα.

VB 118: Σώμα ανοικτό και χαμηλό.

VB 119: Σώμα βαθύ, τονισμένος λαιμός, λαβές γωνιόσχημες. Αυλακωτή διακόσμηση.

VB 120: Σώμα βαθύ, λαιμός χαμηλός και ανοικτός, λαβές γωνιόσχημες με απόφυση στη γωνία.

Σ χ ή μ α VI (αμφορείς) (Σ χ έ δ. 84: VI)

Τέσσερις βασικά τύποι αμφορέων ξεχωρίζουν:

VIA 121-122: Αμφορείς με κωνική βάση και τέσσερις κατακόρυφες λαβές στον ώμο.

VIB 123, 136, 137: Αμφορείς με επίπεδη βάση και δύο ή τέσσερις κατακόρυφες λαβές στον ώμο.

Η παραλλαγή VIB 123 έχει πολλά στοιχεία από τον τύπο VIA, αλλά με την επίπεδη βάση της αποτελεί το μεταβατικό τύπο στον τύπο VIB.

Στις παραλλαγές VIB 136 και VIB 137, που διαφοροποιούνται ως προς τον αριθμό των λαβών, εμφανίζονται συχνά αποφύσεις στον ώμο.

VIΓ 124-135: Αμφορείς με οριζόντιες λαβές στην κοιλιά.

Ξεχωρίζουν και εδώ διάφορες παραλλαγές, όπως οι παραλλαγές με τις τρεις οριζόντιες λαβές στην κοιλιά (124α, 125α, 126α), στις οποίες αντιστοιχούν όμοια σχήματα με δύο οριζόντιες λαβές επίσης στην κοιλιά (124β, 125β, 126β). Τη μεγαλύτερη συχνότητα εμφανίζουν οι παραλλαγές με δύο οριζόντιες λαβές στην κοιλιά, που έχουν διαφορές στις επιμέρους λεπτομέρειες του σχήματος. Ξεχωρίζουν η παραλλαγή VIΓ 129 με τον πολύ τονισμένο λαιμό, η παραλλαγή VIΓ 132 με το εξέχον χείλος, που θυμίζει αμφορέα τύπου VIA, και η παραλλαγή VIΓ 133 με τη δακτυλιόσχημη βάση, που πρέπει να προέρχεται από επίδραση της τροχήλατης κεραμικής.

Πρέπει, επίσης, να σημειωθεί το ρευστό περίγραμμα ορισμένων παραλλαγών (VIΓ 124α, 134, 135), που διαφοροποιείται από το αρθρωτό περίγραμμα άλλων (VIΓ 124α, 125α-β, 128).

Αποφύσεις στον ώμο εμφανίζονται μόνο στην παραλλαγή VIΓ 133.

VIΔ: Μικρογραφικοί αμφορείς σε διάφορες παραλλαγές:

VIΔ1: Με δύο διχαλωτές αποφύσεις στην κοιλιά και δύο ενδιάμεσες αποφύσεις.

VIΔ2: Μικρογραφική απόδοση του τύπου VIΓ 124β.

VIΔ3: Μικρογραφικό αγγείο με μία σριζόντια λαβή.

Σ χ ή μ α VII (οινοχόες) (Σ χ έ δ. 85: VII)

Πέντε βασικοί τύποι οινοχόης ξεχωρίζουν:

VIIA 138-141: Οινοχόες με σώμα σφαιρικό, στενό λαιμό, χείλος ελαφρά λοξότμητο και λαβή, που αρχίζει από τον ώμο και καταλήγει στο λαιμό κάτω από το χείλος. Οι επιμέρους παραλλαγές διαφοροποιούνται στο χείλος, που άλλοτε είναι οριζόντιο (VIIA 138), άλλοτε ελαφρά λοξότμητο (VIIA 139, 140) και άλλοτε τονίζεται με πλαστική ταινία (VIIA 138, 139).

Οπωσδήποτε, βασικό χαρακτηριστικό του τύπου αυτού είναι η λαβή, που σταματά στο λαιμό χαμηλότερα πάντα από το χείλος. Η παραλλαγή VIIA 141 εμφανίζει λαβή περίπου του τύπου VIIA, αλλά η προχοή της ανήκει στον τύπο VIIΓ.

VIIB 142-146: Μικρές οινοχόες με ελαφρά λοξότμητο ή οριζόντιο χείλος και λαβή κυλινδρική, που καταλήγει πάντα πάνω στο χείλος. Στις επιμέρους παραλλαγές ξεχωρίζει η VIIB 143 με αποφύσεις στον ώμο, η παραλλαγή VIIB 146 με οριζόντιο χείλος, καθώς και οι μικρογραφικές παραλλαγές VIIB 144 και VIIB 145.

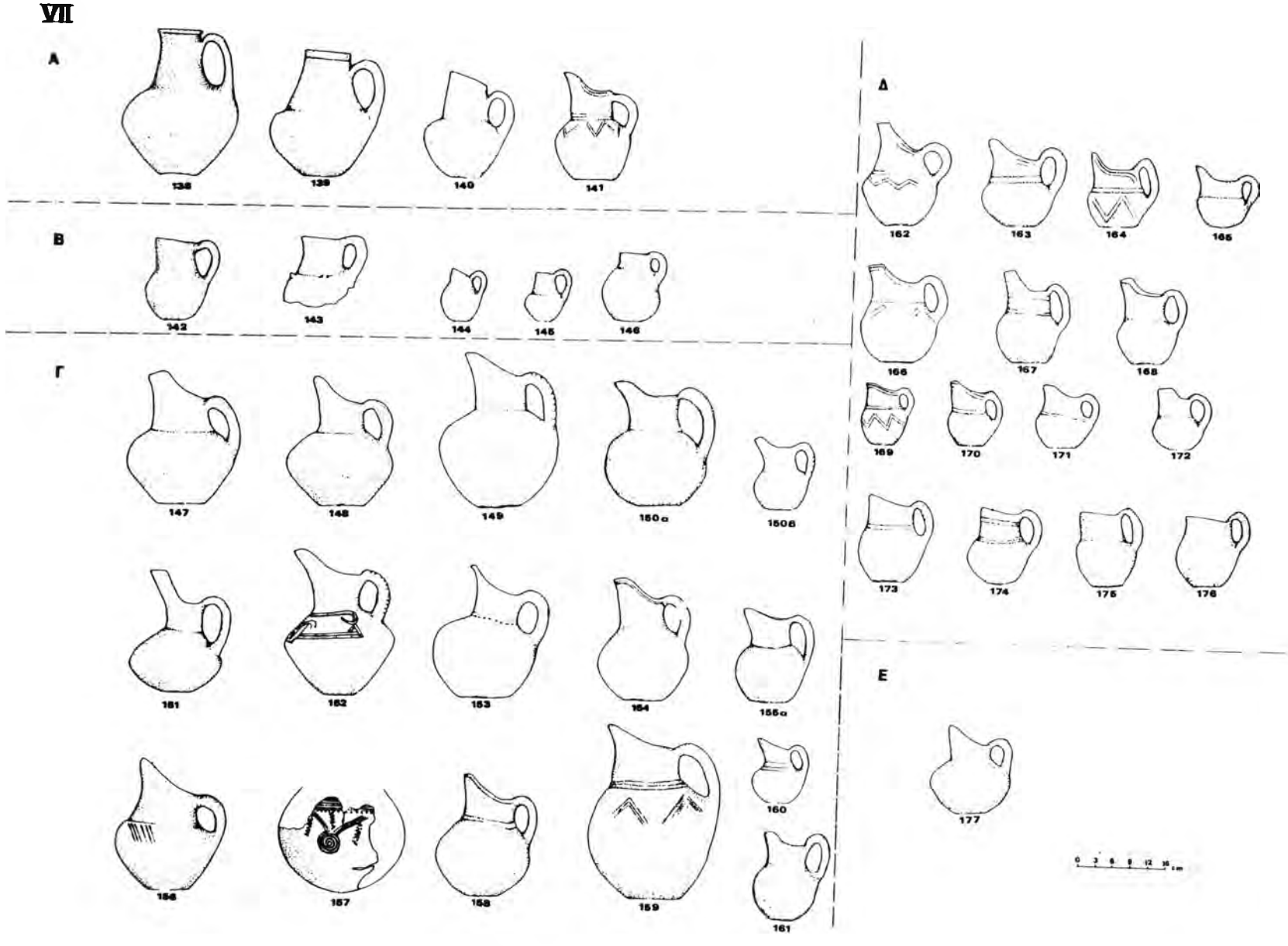

Σχέδ. 85. Τυπολογία αγγείων σχήματος VII.

VIIΓ 147-161: Οινοχόες με σώμα λιγότερο ή περισσότερο σφαιρικό, λαβή που ξεκινά από τον ώμο και καταλήγει πάνω στο χείλος, και λαιμό στενό με οπισθότμητη προχοή.

Η προχοή άλλοτε είναι ιδιαίτερα τονισμένη στο άκρο (VIIΓ 151, 152, 153, 150α), άλλοτε είναι σχεδόν ευθύγραμμα λοξότμητη (VII 149, 156, 159, 160) και άλλοτε εμφανίζει ένα μεγαλύτερο ή μικρότερο κυματισμό στη γραμμή του περιγράμματός της (VIIΓ 147, 148, 150α, 158, κ.ά.). Η λαβή σε ορισμένα παραδείγματα είναι στριφτή. Τα περισσότερα παραδείγματα είναι αγγεία σε μεσαίο μέγεθος, αλλά δε λείπουν και μικρογραφικές αποδόσεις (VIIΓ 150β, 160, 161). Η παραλλαγή VIIΓ 157 εμφανίζει ένα τέλεια σφαιρικό σώμα χωρίς βάση.

VIIΔ 162-176: Μικρές οινοχόες με χαμηλό ανοικτό σώμα και πλατύ λαιμό. Οι παραλλαγές VIIΔ 162, VIIΔ 172 έχουν χείλος με σπαστό περίγραμμα και τονισμένη προχοή, ενώ οι παραλλαγές VIIΔ 173-176 έχουν χείλος λοξότμητο, που πλησιάζει στο σχήμα του αγγείου τύπου IV. Επίδραση από το σχήμα IV αποτελούν και οι γωνιόσχημες λαβές, που εμφανίζονται σε ορισμένες παραλλαγές του τύπου VIIΔ (VIIΔ 170, 175).

VIIE 177: Ο τύπος αυτός αντιστοιχεί σε μια κατηγορία κεραμικής, που έχει κατασκευασθεί με διαφορετική τεχνική από πηλό ερυθρό, καλά επεξεργασμένο, και εμφανίζει τοιχώματα λεπτά, που πλησιάζουν τα τροχήλατα αγγεία. Το σχήμα εντάσσεται στον τύπο VIIΓ 147-161.

Σ χ ή μ α VIII (κυπελλόσχημα αγγεία) (Σ χ έ δ. 86: VIII)

Τα αγγεία αυτού του σχήματος είναι μικρά μόνωτα αγγεία, με βάση επίπεδη και χείλος ελαφρά λοξότμητο ή οριζόντιο. Οι λαβές είναι κατά κανόνα κυλινδρικές, εκτός από την παραλλαγή VIII 183, όπου η λαβή είναι γωνιόσχημη, προφανώς από επίδραση του σχήματος IV, στο οποίο πλησιάζουν ορισμένα παραδείγματα. Το σχήμα VIII, στα βαθιά του παραδείγματα, πλησιάζει τον τύπο VIIB της οινοχόης, ενώ στα ρηχά το σχήμα IV του μόνωτου ευρύστομου αγγείου.

Χαρακτηριστική είναι κάποια ομοιογένεια στην τεχνική κατασκευής, που χαρακτηρίζει τα αγγεία του τύπου, τα οποία έχουν όλα αδρή — καστανή έως καστανέρυθρη — επιφάνεια χωρίς έντονη λείανση. Το περίγραμμά τους δεν εμφανίζει κατά κανόνα αρθρώσεις, αλλά δίδεται μονοκονδυλιά, εκτός από την παραλλαγή VIII 178 που εμφανίζει ένα τονισμένο χείλος και την παραλλαγή VIII 179, όπου ξεχωρίζει ένας κατακόρυφος λαιμός.

Σ χ ή μ α IX (άωτα αγγεία - πυξίδες) (Σ χ έ δ. 86: IX)

Ξεχωρίζουν δύο τύποι του σχήματος αυτού:

IXA: Άωτα αγγεία χωρίς πώμα.

IXB: Άωτα αγγεία με πώμα που προσδένονται με σχοινί, το οποίο περνούσε μέσα από απλές οπές ή ειδικά διαμορφωμένες διάτρητες αποφύσεις.

Από τις παραλλαγές μόνο μία διασώζει το πώμα. Πιθανόν το πώμα να κατασκευαζόταν και από οργανική ύλη, αλλά σε άλλες περιπτώσεις δεν αποκλείεται να μην υπήρχε καθόλου και οι οπές να χρησίμευαν μόνο για την ανάρτηση του αγγείου.

Σ χ ή μ α X (Σ χ έ δ. 86: X)

Με τη συμβατική αυτή ονομασία αναφερόμαστε σ' ένα σχήμα αγγείου με κωνική βάση και λαβή στο χείλος, που αντιπροσωπεύεται με ένα μοναδικό και αποσπασματικά σωζόμενο παράδειγμα στο νεκροταφείο.

Σ χ ή μ α XI (κυλινδρικό αγγείο χωρίς πυθμένα - ρυτό) (Σ χ έ δ. 86: XI)

Είναι ένα άωτο αγγείο-κύλινδρος, χωρίς πυθμένα, που εμφανίζεται σ' ένα μόνο τύπο. Τα σωζόμενα παραδείγματα είναι αποσπασματικά, δίδουν ωστόσο στοιχεία για την αναπαράσταση του σχήματος. Όλα τα παραδείγματα φέρουν εγχάρακτη διακόσμηση.

Σ χ ή μ α XII (αγγεία αδρής κατασκευής) (Σ χ έ δ. 87)

Τα αγγεία αυτού του τύπου είναι μεγάλα κυρίως αποθηκευτικά αγγεία, που ξεχωρίζουν στους εξής τύπους:

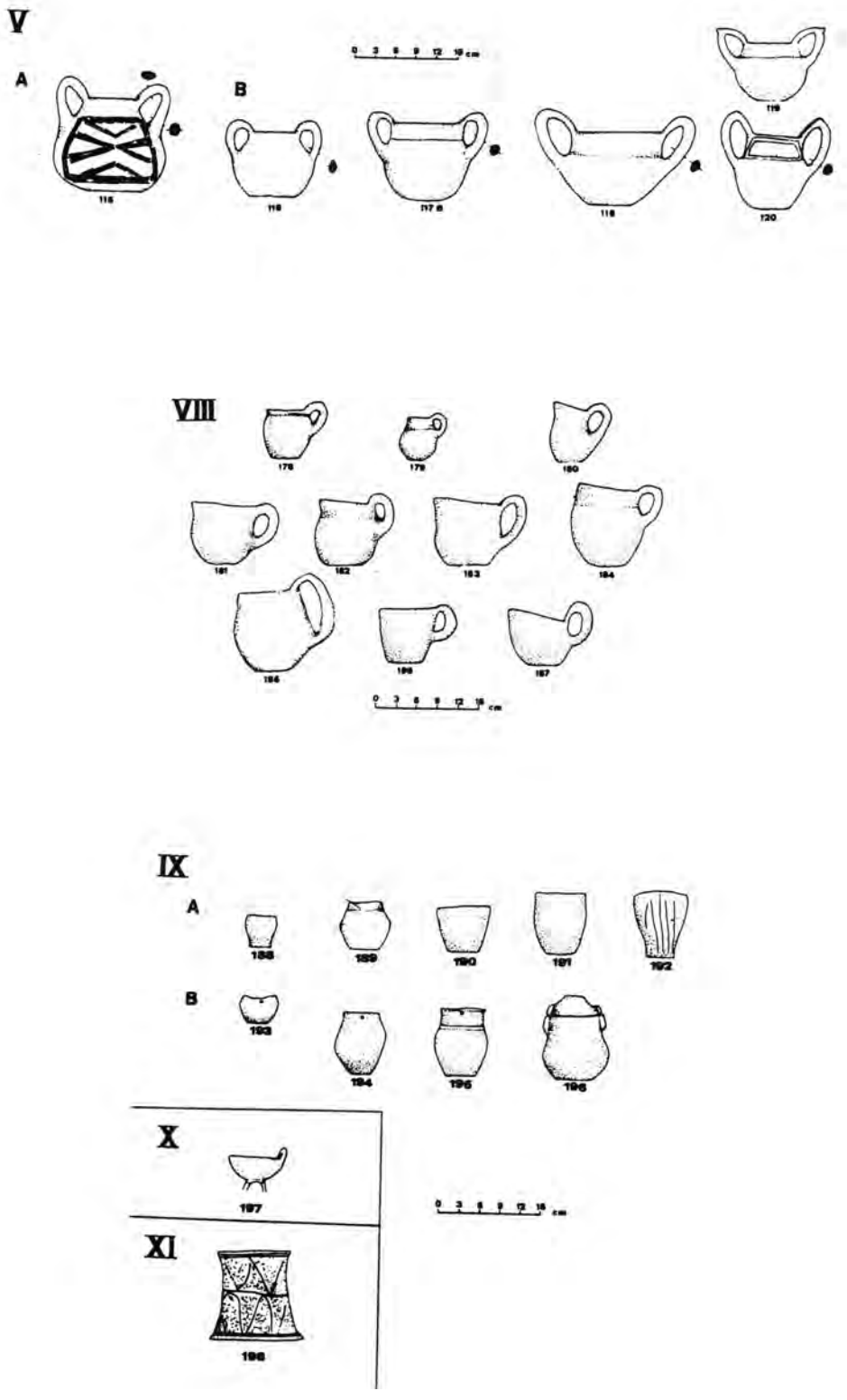

Σχέδ. 86. Τυπολογία αγγείων σχημάτων V, VIII, IX, X, XI.

XII 215: Ευρύστομο αγγείο, με βάση επίπεδη και ωτόσχημες αποφύσεις κάτω από το χείλος. Το χείλος και η λαβή διακοσμούνται με πλαστικές ταινίες και «δακτυλιές».

XII 211: Μεγάλο ευρύστομο αγγείο, με βάση επίπεδη και σώμα βαθύ με δύο κατακόρυφες λαβές στον ώμο. Κατά κανόνα διακοσμείται με πλαστικές ταινίες στο λαιμό και στον ώμο. Στο χείλος εμφανίζονται συχνά και λοξές χαράξεις-«νυχιές».

XII 214: Μεγάλο ευρύστομο αγγείο, αντίστοιχο με το XII 211, αλλά με διχαλωτές αποφύσεις στην κοιλιά, στη θέση των κατακόρυφων λαβών. Πολύ αραιή είναι η εμφάνιση μικρών αγγείων σ' αυτή την κατηγορία:

XII 216: Μικρό μόνωτο ευρύστομο αγγείο, με πλαστική ταινία στον ώμο και «νυχιές» γύρω από το χείλος (Π ί ν. 46: 7).

Σ χ ή μ α XIII (ιδιόμορφα)

XIII, α: Αγγείο ανοικτό (Π ί ν. 117: 2).

XIII, β: Αγγεία (;) με πτηνά (Π ί ν. 159: 15).

Σ χ ή μ α XIV (πιθάρια) (Σ χ έ δ. 150)

Τα πιθάρια είναι όλα οξυπύθμενα και ανήκουν στον ίδιο βασικό τύπο, στον οποίο ξεχωρίζουν δύο παραλλαγές:

XIVA 1-2: Πιθάρια με κοντό λαιμό και αποφύσεις στον ώμο. Ακόσμητα.

XIVA 3-6: Πιθάρια μεγάλα, με ψηλό λαιμό και ρευστό περίγραμμα, που διακοσμούνται με πλαστικές ταινίες ή εμπίεστες «δακτυλιές». Η διακόσμηση τονίζει άλλοτε το χείλος, άλλοτε τη βάση του λαιμού και άλλοτε την κοιλιά.

Μία παραλλαγή (XIV 6) εμφανίζει ανάγλυφη διακόσμηση στην κοιλιά, με παράσταση σχηματοποιημένου άρματος και τροχών.

XIVB: Πιθάρια (;) με εμπίεστη διακόσμηση.

ΤΡΟΧΗΛΑΤΗ ΚΕΡΑΜΙΚΗ (ΙΙ)

Τεχνική κατασκευής

Η πετρολογική και μινεραλογική ανάλυση δέκα δειγμάτων τροχήλατης κεραμικής από το νεκροταφείο, που πραγματοποιήθηκε από την L. Courtois, σε συνδυασμό με δείγματα μυκηναϊκής κεραμικής από τον οικισμό Καστρί και από τον οικισμό Σταθμού Αγγίστας, επεσήμανε τέσσερις ομάδες (A-D) πηλών και μια μεγάλη ποικιλία πηλών σε μια σειρά οστράκων, που ταξινομήθηκαν στην κατηγορία Ε (πρβλ. Παράρτημα IV).

Η τροχήλατη κεραμική, στο σύνολό της, εμφανίζει καλά καθαρισμένους και επεξεργασμένους πηλούς και όπτηση σε υψηλούς βαθμούς. Η κακή διατήρηση της επιφάνειας των αγγείων, από τα οποία ελάχιστα έσωζαν το αρχικό επίχρισμα, δε δίδει μεγάλα περιθώρια για συσχέτιση των πετρολογικών και μινεραλογικών στοιχείων με τα αρχαιολογικά δεδομένα, με βάση τα οποία ξεχώρισαν οι εξής κατηγορίες τροχήλατης κεραμικής (Σ χ έ δ. 88).

Κατηγορίες κεραμικής

ΙΙ, Α1: Τροχήλατη τοπική μυκηναϊκή κεραμική.
ΙΙ, Α2: Χειροποίητη τοπική κεραμική, που μιμείται μυκηναϊκή κεραμική.
ΙΙ, Β: Μεταμυκηναϊκή τροχήλατη κεραμική με πηλό γκρίζο.
ΙΙ, Γ: Μεταμυκηναϊκή τροχήλατη κεραμική με πηλό ερυθρό.
ΙΙ, Δ: Κεραμική τύπου G 2-3.
ΙΙ, Ε: Τροχήλατη κεραμική με πηλό ωχρέρυθρο.
ΙΙ, ΣΤ: Τροχήλατη κεραμική με πηλό κιτρινόχρωμο.

Σχήματα αγγείων

Τα σχήματα των αγγείων στην τροχήλατη κεραμική έχουν ταξινομηθεί (Σ χ έ δ. 88) κατά τις εξής κατηγορίες:

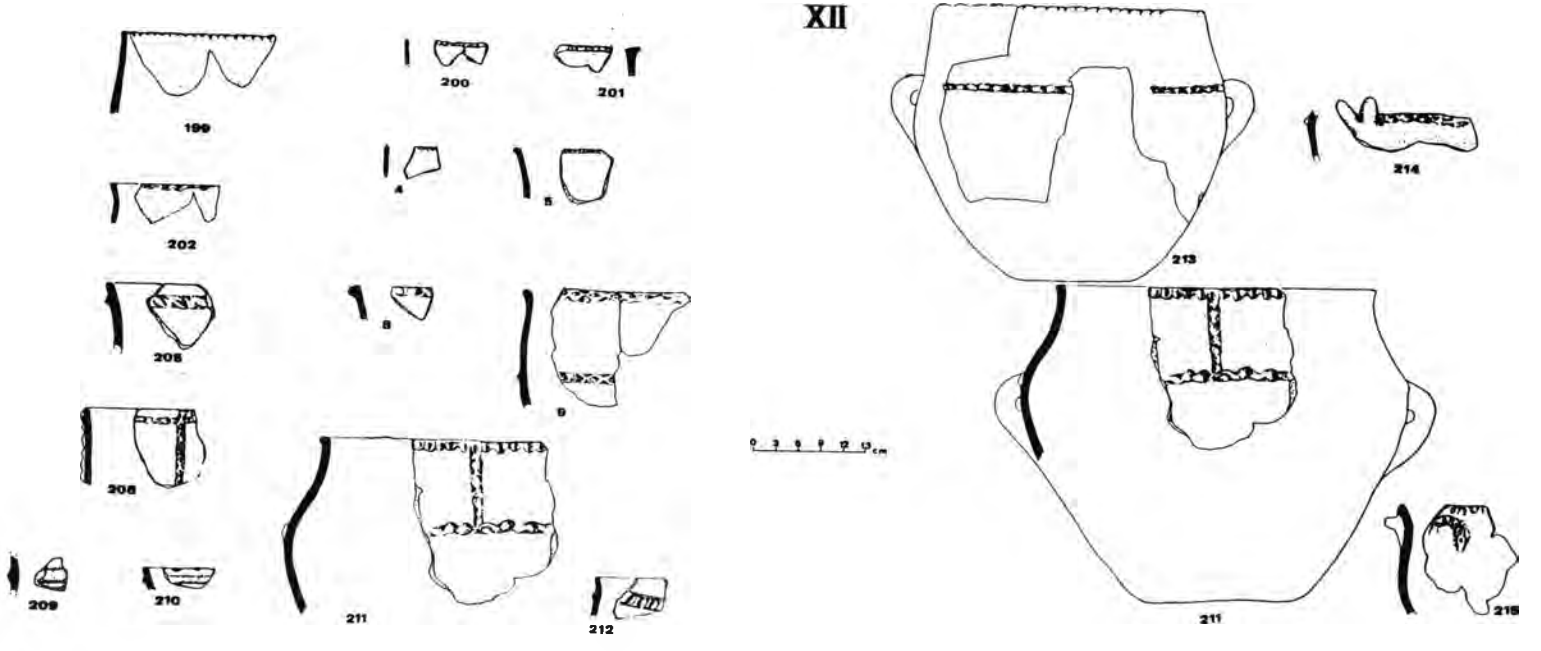

Σχέδ. 87. Τυπολογία αγγείων σχήματος XII.

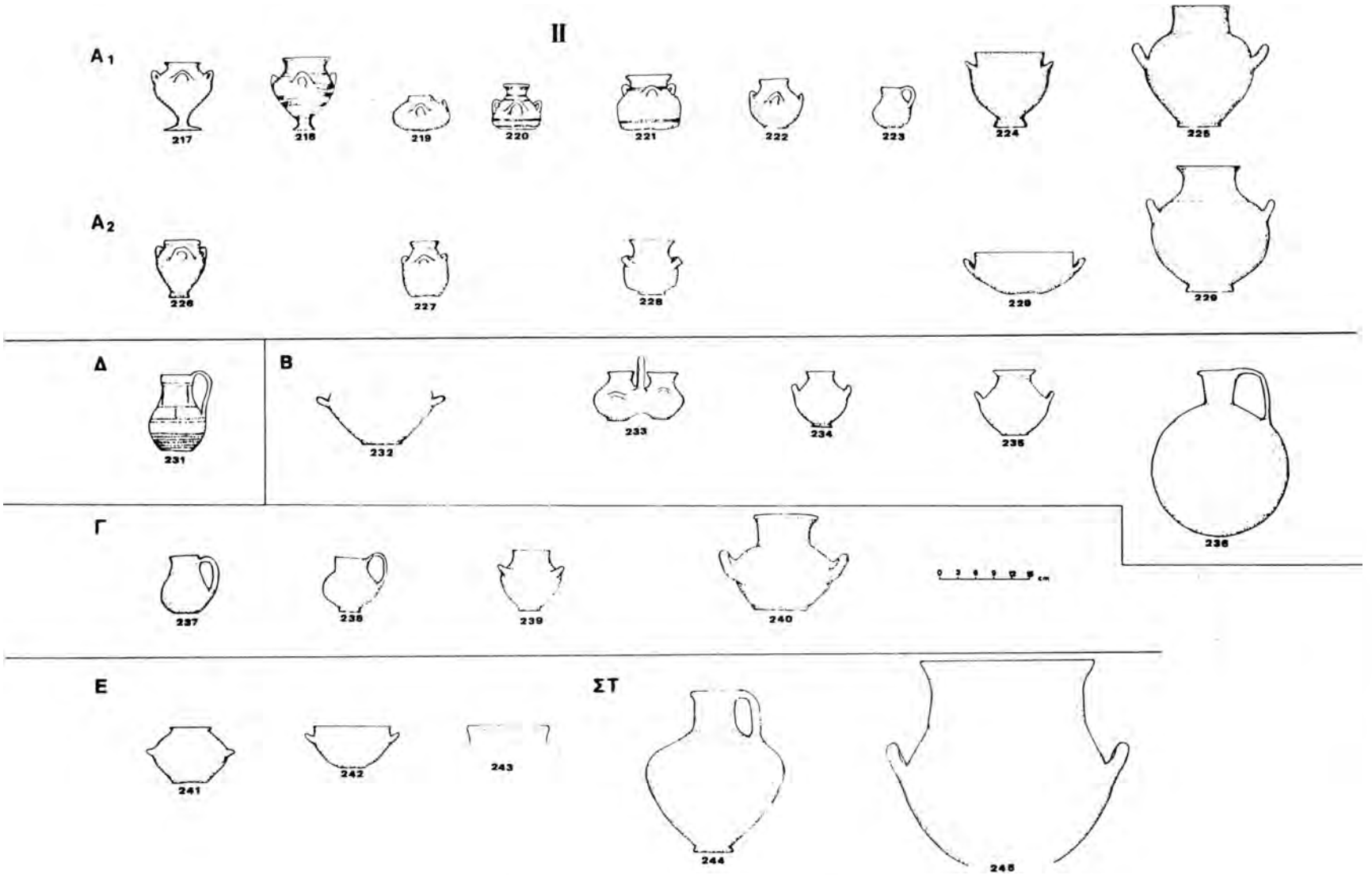

Σχέδ. 88. Τυπολογία αγγείων τροχήλατης κεραμικής.

II, Α1: Οξυπύθμενοι σταμνίσκοι, ακόσμητοι (217) και με ταινιωτή διακόσμηση (218)· αλαβαστροειδή ακόσμητα (219) ή με ταινιωτή διακόσμηση και διαφορετικές λεπτομέρειες σχήματος (220, 221)· σκύφοι-κύλικες (224), προχοΐσκη (223), αμφορείς (225).
II, Α2: Σταμνίσκοι (226), αμφορίσκοι (227), αλάβαστρα-πυξίδες (228), αμφορείς (230).
II, Β: Αμφορείς (232), διπλό αγγείο (233), αμφορίσκος (233), αμφορίσκος με αυλακώσεις στο λαιμό (235), φλασκόσχημο αγγείο (236).
II, Γ: Προχοΐσκη με επίπεδη βάση (237), προχοΐσκη με υπερυψωμένη βάση (238), αμφορίσκος (239) και αμφορέας (240).
II, Δ: Προχοΐσκη (231).
II, Ε: Πυξίδα (241), σκύφος (242), αμφορέας.
II, ΣΤ: Αμφορέας (243), οινοχόη (244).

Όπλα

Το μοναδικό βέβαιο παράδειγμα όπλου, που βρέθηκε στα νεκροταφεία του οικισμού Καστρί και της θέσης Λαρνάκι, είναι η χάλκινη αιχμή λόγχης του τάφου Τ12. Με τον οπλισμό, ωστόσο, των νεκρών θα μπορούσαν να συσχετισθούν και τα μαχαίρια, που αποτελούν συχνότατο κτέρισμα των νεκρών. Τα μαχαίρια έχουν πάντα μία μόνο κόψη, που τα κατατάσσει περισσότερο στην κατηγορία των εργαλείων, αλλά η χρήση τους ως εργαλεία δεν απέκλειε οπωσδήποτε μια παράλληλη χρήση τους ως όπλα.

ΑΙΧΜΕΣ

Αντιπροσωπεύονται μόνο μ' ένα παράδειγμα (Σ χ έ δ. 89).

Σχέδ. 89. Αιχμή από τον τάφο Τ12.

Εργαλεία

Στα εργαλεία έχουν καταταγεί τα εξής είδη αντικειμένων:
α) Εγχειρίδια (Ε).
β) Βελόνες (Β).
γ) Μολύβδινα σφονδύλια (ΜΣ).
δ) Πήλινα σφονδύλια (Σ).
ε) Ακόνια (Ακ.).
στ) Οστέινα εργαλεία (ΟΕ).

ΕΓΧΕΙΡΙΔΙΑ

Τα εγχειρίδια ξεχωρίζουν σε δύο βασικές κατηγορίες, τα χάλκινα και τα σιδερένια.

Η τυπολογική διάκριση των εγχειριδίων, χάλκινων και σιδερένιων, πραγματοποιήθηκε με βάση τα χαρακτηριστικά εκείνα, που διαμορφώνουν το σχήμα της λεπίδας — κυρίως σχέση ακμής και ράχης — και που καθορίζουν τη σχέση λεπίδας και ουράς (Σ χ έ δ. 90). Οι επιμέρους παραλλαγές των τύπων προσδιορίσθηκαν κυρίως με βάση τον τρόπο πρόσδεσης της λεπίδας στη λαβή (παρουσία ή απουσία καρφιών, αριθμός καρφιών). Η λαβή ήταν

κατασκευασμένη πάντα από διαφορετικό υλικό απ' ό,τι η λεπίδα, προφανώς οργανική ύλη, που στα περισσότερα παραδείγματα έχει καταστραφεί (ξύλο).

Σε ένα μόνο εγχειρίδιο (Τ18,102(97) σώζεται ακέραιη η οστέινη λαβή (Π ί ν. 350: 2). Η χρήση του οστού στις λαβές δεν πρέπει να ήταν συχνή, γιατί θα έπρεπε να είχαν σωθεί και άλλα παραδείγματα (Π ί ν. 112: 102).

Σε εγχειρίδια με σιδερένια λεπίδα εμφανίζεται σε αραιά παραδείγματα και χάλκινη λαβή, μέσα στην οποία σφηνώνεται — χωρίς καρφιά — η σιδερένια λεπίδα (τύπος EVI, Σ χ έ δ. 91). Η εγχάρακτη διακόσμηση, που εμφανίζεται συχνά ως μία ή δύο χαρακτές γραμμές κατά μήκος της λεπίδας, δεν απομονώθηκε ως βασικό χαρακτηριστικό ορισμένων τύπων ή ακόμη και παραλλαγών.

Με βάση τα παραπάνω χαρακτηριστικά, ξεχώρισαν πέντε τύποι χάλκινων (EI-EV) (Σ χ έ δ. 90) και έξι τύποι σιδερένιων εγχειριδίων (EVI-EXI) (Σ χ έ δ. 91).

Χάλκινα εγχειρίδια

EI: Ο τύπος EI εμφανίζει έξι βασικές παραλλαγές, που διαφοροποιούνται σε επιμέρους παραλλαγές, με βάση τον τρόπο πρόσδεσης της λεπίδας στη λαβή.

Κοινό χαρακτηριστικό όλων των παραλλαγών του τύπου EI είναι η στενή τριγωνική λεπίδα, όπου η ευθύγραμμη ράχη και η ευθύγραμμη ακμή συναντώνται σε μια λεπτή τριγωνική αιχμή. Η ουρά του εγχειριδίου διαμορφώνεται άλλοτε στενότερη (EI, 1, 2, 3, 4, 6) και άλλοτε πλατύτερη από τη λεπίδα (EI, 5). Η παρουσία ή η απουσία καρφιών για την προσάρτηση της λαβής φαίνεται ότι είναι άσχετη με τη διαμόρφωση της λεπίδας. Η ουρά εμφανίζεται με διάφορα σχήματα στις βασικές παραλλαγές. Η εγχάρακτη διακόσμηση κατά μήκος της ράχης δε φαίνεται, επίσης, να αποτελεί βασικό χαρακτηριστικό των παραλλαγών.

EII: Ο τύπος EII χαρακτηρίζεται, επίσης, από τη στενή και αιχμηρή λεπίδα. Η ακμή, όμως, της λεπίδας στον τύπο αυτό είναι κοίλη και η ράχη κυρτή. Η ουρά διαμορφώνεται πάντοτε στενότερη από τη λεπίδα, αλλά με διάφορο σχήμα στις βασικές παραλλαγές του τύπου (EII, 1 και EII, 2). Οι επιμέρους παραλλαγές διαφοροποιούνται από την παρουσία ή απουσία καρφιών στην ουρά για την προσάρτηση της λεπίδας. Χαρακτηριστική είναι η διχαλωτή απόληξη της ουράς στην παραλλαγή EII, 1β («χελιδονοουρά»).

EIII: Στον τύπο αυτό η λεπίδα είναι πλατιά με ράχη ευθύγραμμη, ακμή ευθύγραμμη και αιχμή αποστρογγυλεμένη. Η ουρά συνεχίζει τη γραμμή της ράχης και της ακμής, έτσι ώστε η λεπίδα να εμφανίζει σχήμα περίπου παραλληλόγραμμο. Οι βασικές παραλλαγές διαφοροποιούνται με την παρουσία ή απουσία των καρφιών, ενώ οι επιμέρους παραλλαγές στην παραλλαγή EIII, 2 από τον αριθμό των καρφιών. Ιδιαίτερη ιδιομορφία εμφανίζεται στην παραλλαγή EIII, 2γ, όπου η ουρά εμφανίζει ένα χαμηλό περιχείλωμα (flanged) και διχαλωτή απόληξη («χελιδονοουρά»).

EIV: Ο τύπος EIV αποτελεί ενδιάμεσο τύπο ανάμεσα στον τύπο EIII και στον τύπο EV. Η λεπίδα έχει ράχη κυρτή και ακμή κοίλη, όπως ο τύπος EV, αλλά η λαβή εμφανίζει μια ποικιλία στη διαμόρφωση της ουράς, που θυμίζει τους τύπους EI-EIII, ενώ η μορφή της λεπίδας πλησιάζει στο παραλληλόγραμο περίγραμμα του τύπου EIII. Η διαμόρφωση, οπωσδήποτε, της ουράς σε ορισμένες παραλλαγές θυμίζει περισσότερο παραλλαγές του τύπου I.

Η παραλλαγή EIV, 3 είναι χαρακτηριστική για τα ίχνη σφυρηλάτησης, που σημειώνονται στη λεπίδα. Η εγχάρακτη διακόσμηση κατά μήκος της ράχης της λεπίδας δεν αποτελεί σταθερό χαρακτηριστικό του τύπου ή των παραλλαγών.

EV: Ο τύπος EV εμφανίζει ράχη κυρτή και ακμή κοίλη. Η λεπίδα είναι πλατιά και η αιχμή της άλλοτε είναι αποστρογγυλεμένη (EV, 2α, EV, 3α) και άλλοτε όχι (EVI α-β). Σε ορισμένες παραλλαγές κάμπτεται προς τα άνω (EV, 1α). Στις περισσότερες παραλλαγές του τύπου EV δεν υπάρχουν καρφιά στην ουρά και όταν εμφανίζονται (EV, 1β, EV, 3β), δεν είναι περισσότερα από ένα. Η εγχάρακτη διακόσμηση εμφανίζεται σποραδικά, χωρίς να αποτελεί κύριο χαρακτηριστικό ορισμένων παραλλαγών.

Μία παραλλαγή χωρίς καρφιά εμφανίζει κάπως εντονότερη καμπύλη στη λεπίδα (EV, 5). Η παραλλαγή EV, 6 είναι πιθανότατα μικρογραφικός τύπος.

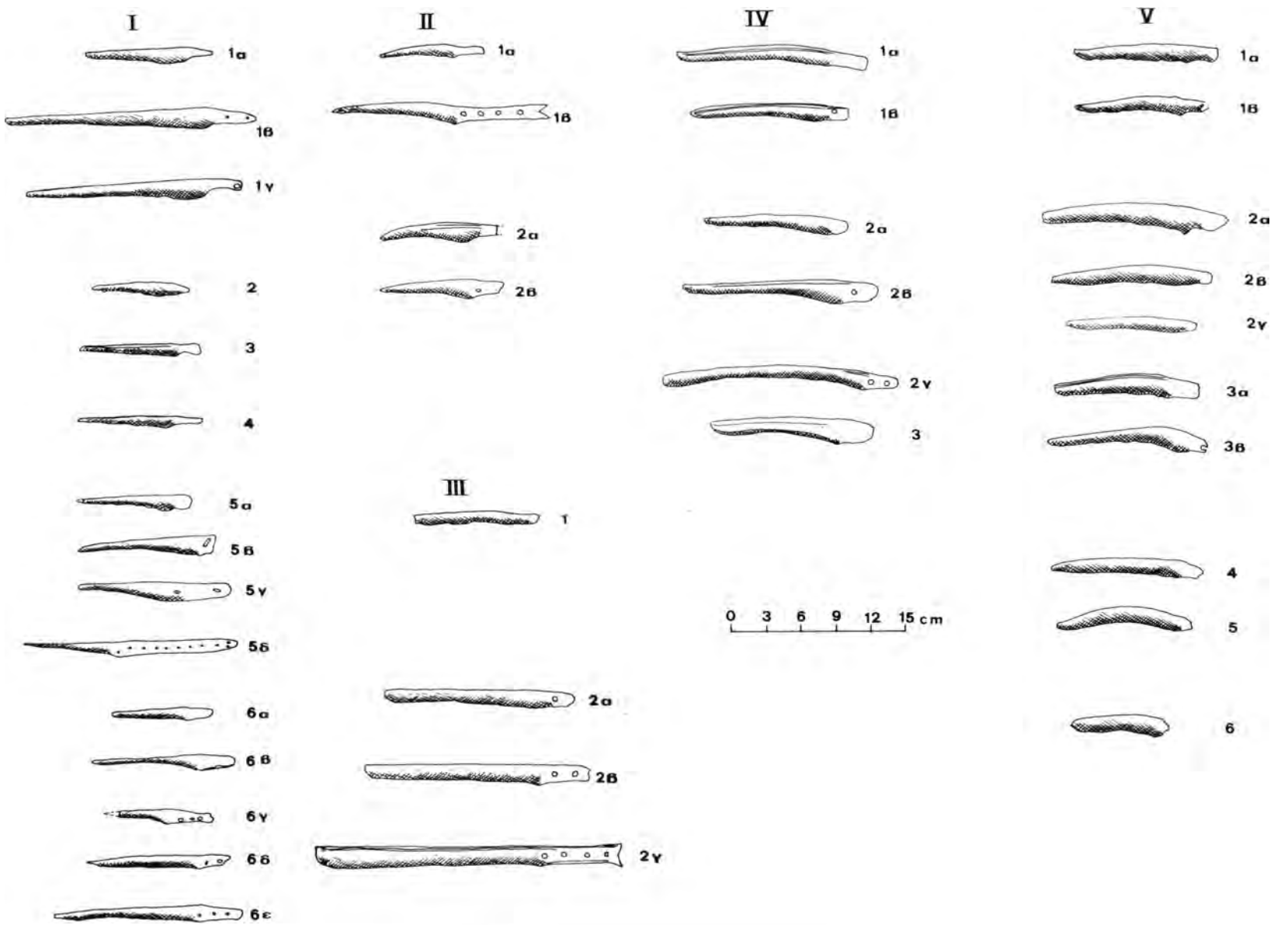

Σχέδ. 90. Τυπολογία χάλκινων εγχειριδίων.

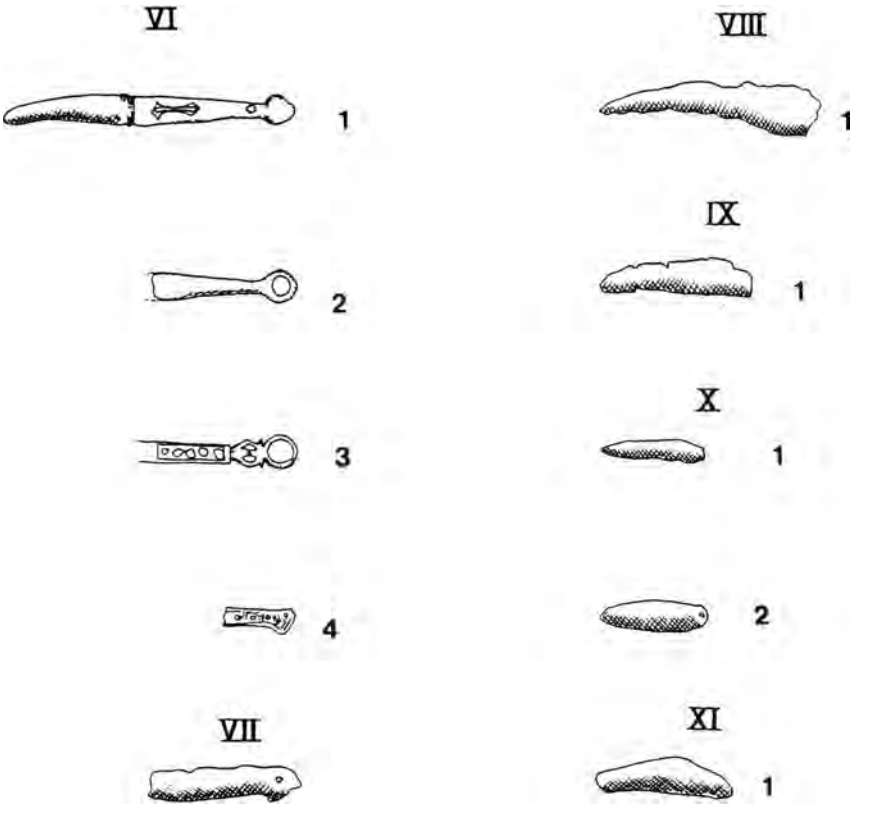

Σχέδ. 91. Τυπολογία σιδερένιων εγχειριδίων.

Σιδερένια εγχειρίδια

Τα σιδερένια εγχειρίδια, που βρέθηκαν στα νεκροταφεία του οικισμού Καστρί και της θέσης Λαρνάκι, αντιπροσωπεύουν ένα πολύ μικρό ποσοστό σε σύγκριση με τα χάλκινα. Ο μικρότερος αυτός αριθμός δεν πρέπει να οφείλεται μόνο στον αρχικά μικρότερο αριθμό των σιδερένιων μαχαιριών, αλλά και στο μεγαλύτερο ποσοστό φθοράς, που έχουν υποστεί τα σιδερένια αντικείμενα. Η κακή διατήρηση των σιδερένιων μαχαιριών δυσκολεύει, επίσης, και την τυπολογική τους κατάταξη, γιατί τα περισσότερα εγχειρίδια έχουν σωθεί αποσπασματικά. Οι τύποι σιδερένιων εγχειριδίων που ξεχωρίζουν, είναι οι εξής:

EVI (Σ χ έ δ. 91: 1-4): Ο τύπος αυτός αποτελεί ενδιάμεσο τύπο ανάμεσα στα χάλκινα και σιδερένια μαχαίρια. Η λαβή είναι χάλκινη χυτή και η λεπίδα σιδερένια. Μόνο ένα παράδειγμα από τα τρία συνολικά σωζόμενα παραδείγματα αυτού του τύπου σώζει ακέραιη τη σιδερένια λεπίδα (Τ18, 55· Σ χ έ δ. 91: 1). Η χάλκινη χυτή λαβή εμφανίζεται σε σχήματα διαφορετικά: Οι παραλλαγές EVI, 1 και EVI, 2 έχουν την ίδια συμπαγή κατασκευή, ενώ η παραλλαγή EVI, 3, που σώζει ένα μεγάλο τμήμα της σιδερένιας λεπίδας, εμφανίζει στη χυτή επίσης λαβή προχωρημένη τεχνική διάτρητης διακόσμησης (Π ί ν. 159: 14). Ένα θραύσμα από χάλκινο έλασμα (Σ χ έ δ. 91: 4) προέρχεται πιθανότατα από τη χάλκινη επένδυση κάποιας οστέινης ή ξύλινης λαβής και συμβατικά θεωρήθηκε παραλλαγή του τύπου EVI (Τ7Β, Π ί ν. 78Β: 9).

EVII: Από τα μαχαίρια αυτού του τύπου σώζεται μόνο η λεπίδα και αυτή αποσπασματικά. Η λεπίδα έχει ευθύγραμμη ράχη και ευθύγραμμη ακμή. Σε ορισμένα παραδείγματα διακρίνονται ίχνη από οξειδωμένα καρφιά στην περιοχή της ουράς. Η ουρά φαίνεται ότι έχει το ίδιο πλάτος με τη λεπίδα, ενώ για τη διαμόρφωση της αιχμής δεν υπάρχουν στοιχεία.

Σχέδ. 92. Τυπολογία χάλκινων βελονών.

Σχέδ. 93. Τυπολογία μολύβδινων «σφονδυλιών».

ΕVIII: Λεπίδα με ράχη κυρτή και ακμή κοίλη. Ουρά χωρίς καρφιά και πλατύτερη από τη λεπίδα, στα παραδείγματα που σώζεται. Αιχμή στραμμένη προς τα κάτω.
ΕIX: Λεπίδα με ράχη κυρτή και ακμή ευθύγραμμη. Ουρά, που εισέχει ελάχιστα από την πλευρά της ράχης. Αιχμή στραμμένη προς τα κάτω. Αποσπασματική διατήρηση.
X: Λεπίδα με ράχη κυρτή και ακμή κυρτή. Η παραλλαγή X, 1 δεν εμφανίζει καρφιά, ενώ η παραλλαγή ΕX, 2 εμφανίζει ένα καρφί στην άκρη της λεπίδας. Ο τύπος, πιθανότατα, είναι μικρογραφικός.
ΕXI: Λεπίδα με γωνιόσχημη ράχη και ευθύγραμμη ακμή. Χωρίς καρφιά. Πιθανότατα μικρογραφικός τύπος.

ΒΕΛΟΝΕΣ

Δύο τύποι χάλκινων βελονών εμφανίζονται:
Β1: Το λεπτό μακρύ στέλεχος έχει κυκλική τομή και στο κάτω άκρο καταλήγει σε αιχμή (Σ χ έ δ. 92)· στο άνω άκρο τυλίγεται, σχηματίζοντας μια λεπτή θηλιά που σφυρηλατείται μαζί με το στέλεχος της βελόνας.
Β2: Ο τύπος θυμίζει περισσότερο άγκιστρο, αλλά καθώς δε σώζεται ακέραιος είναι δύσκολο να αποκατασταθεί. Η χρήση του δεν είναι δυνατό να προσδιορισθεί με ασφάλεια.

ΜΟΛΥΒΔΙΝΑ «ΣΦΟΝΔΥΛΙΑ»

Τα δύο μολύβδινα «σφονδύλια», που βρέθηκαν συνολικά σ' όλα τα νεκροταφεία, ανήκουν στον ίδιο τύπο (Σ χ έ δ. 93). Η χρήση τους είναι αμφισβητούμενη. Εξαιτίας του μικρού τους μεγέθους, είναι δυνατό να θεωρηθούν και ως περίαπτα ή «επιρράμματα».

ΠΗΛΙΝΑ ΣΦΟΝΔΥΛΙΑ (Σ χ έ δ. 94)

Ξεχωρίζουν έξι τύποι σφονδυλιών με πολλές παραλλαγές (ΣΙ-ΣVI). Από τους έξι τύπους, μόνο οι τρεις ΣΙ-ΣΙΙΙ ανήκουν στη χρονική περίοδο των νεκροταφείων. Οι άλλοι τρεις (ΣIV-ΣVI) βρέθηκαν στην επίχωση των τάφων του νεκροταφείου Κεντριά (Κ2Α, Κ2Θ, Κ4ΑΠ), που βρίσκεται κάτω από την ακρόπολη Καστρί, και προέρχονται είτε από την κορυφή Καστρί είτε από τα κτίσματα της χαλκολιθικής εποχής, ίχνη των οποίων έχουν εντοπισθεί στην περιοχή της ταφικής συστάδας Κ2.
ΣΙ: Αμφικωνικό σφονδύλι με ασύμμετρες πλευρές. Ξεχωρίζουν πολλές επιμέρους παραλλαγές (ΣΙ, 1-ΣΙ, 6), που διαφοροποιούνται κυρίως με τη διαφορετική σχέση διαμέτρου με το ύψος. Η παραλλαγή Ι, 4, με τις συγκεντρικές αυλακώσεις, αντιπροσωπεύεται με ένα μόνο παράδειγμα. Η παραλλαγή ΣΙ, 1β είναι χαρακτηριστική για το τονισμένο μήκος του ενός ημιτόμου, ενώ η παραλλαγή ΣΙ, 6 χαρακτηρίζεται από την κοίλη άνω επιφάνεια, που εμφανίζει το ένα ημίτομο του σφονδυλιού.
ΣΙΙ: Αμφικωνικός τύπος σφονδυλιού με συμμετρικά τα δύο ημίτομα. Ξεχωρίζουν πολλές επιμέρους παραλλαγές (ΣΙΙ, 1-ΣΙΙ, 5), που καλύπτουν επιμέρους διαφοροποιήσεις στις λε-

πτομέρειες του σχήματος. Στον τύπο περιλαμβάνεται και μια παραλλαγή (ΣΙΙ, 4) με εγχάρακτη διακόσμηση.
ΣΙΙΙ: Σφονδύλι σε σχήμα κόλουρου κώνου.
ΣΙV: Σφονδύλι σε σχήμα ημιτόμου σφαίρας.
ΣV: Σφονδύλι σε δικωνικό σχήμα.
ΣVΙ: Σφονδύλι δισκόμορφο με αμφίκυρτες επιφάνειες.

ΑΚΟΝΙΑ (Σ χ έ δ. 95)

Τα ακόνια κατασκευάζονται από δύο ειδών πετρώματα, που προέρχονται από το άμεσο περιβάλλον του οικισμού. Ξεχωρίζουν τρεις τύποι:
Ακ. 1: Από αμφιβολιτικό γνευσιοσχιστόλιθο. Στενό ορθογώνιο σχήμα με οπή στο άνω άκρο. Ανάλογα με τη θέση της οπής διαμορφώνονται δύο παραλλαγές: Ακ. 1α και Ακ. 1β.
Ακ. 2: Από μαρμαρυγιακό γνεύσιο ή λεπτοπλακώδες μάρμαρο. Πλατύ ορθογώνιο σχήμα με οπή στο άνω άκρο.
Ακ. 3: Από λεπτοπλακώδες μάρμαρο. Στενό ορθογώνιο σχήμα με ημικυλινδρική κεφαλή, που ορίζεται από μια περιφερειακή αυλάκωση, από την οποία πραγματοποιούνταν η ανάρτηση χωρίς οπή.

ΟΣΤΕΪΝΑ ΕΡΓΑΛΕΙΑ (Σ χ έ δ. 96)

Δύο οστέινες αιχμές είναι τα μοναδικά οστέινα εργαλεία, που βρέθηκαν στους τάφους. Ανήκουν στον ίδιο τύπο και έχουν κατασκευασθεί από αυλοειδή οστά βοδιού και προβάτου (Παράρτημα ΙΙ).

Κοσμήματα

Τα κοσμήματα που βρέθηκαν στους τάφους είναι κοσμήματα κεφαλιού (σφηκωτήρες, «ενώτια»), κοσμήματα λαιμού («σύριγγες», περίαπτα, ψήφοι όρμων), κοσμήματα χεριών (ψέλια, δακτυλίδια) και κοσμήματα ρούχων (πόρπες, περόνες, «επιρράμματα», κουμπιά (tutuli). Το μεγαλύτερο ποσοστό των κοσμημάτων είναι χάλκινα. Τα άλλα υλικά που εμφανίζονται είναι το κόκαλο (οστέινες περόνες), το ήλεκτρο (ψήφοι από ήλεκτρο), η υαλόμαζα (ψήφοι από υαλόμαζα) και τα όστρεα-μαλάκια (ψήφοι από dentalium). Ο χρυσός αντιπροσωπεύεται με δύο παραδείγματα (σφηκωτήρες από χρυσό).

ΣΦΗΚΩΤΗΡΕΣ (Σ χ έ δ. 97)

Οι δακτύλιοι αυτοί, που ήταν κοσμήματα κόμης, κατασκευάζονταν από χαλκό ή χρυσό. Οι χάλκινοι σφηκωτήρες ξεχωρίζουν σε έξι τύπους (Σφ. 1-Σφ. 7). Οι χρυσοί ανήκουν σ' ένα μόνο τύπο (Σφ. 7).
Σφ. 1: Μεγάλος χάλκινος δακτυλιος από λεπτο σύρμα, τυλιγμένο σε πολλούς κύκλους, των οποίων τα άκρα καταλήγουν σε μικρές αντωπές σπείρες.
Σφ. 2: Μικρός χάλκινος σφηκωτήρας με χονδρό, ακανόνιστα τυλιγμένο, σύρμα.
Σφ. 3: Οκτώσχημος, ακανόνιστα τυλιγμένος, χάλκινος σφηκωτήρας από συμπαγές σύρμα.
Σφ. 4: Χάλκινος δακτύλιος-σφηκωτήρας από σφυρήλατο έλασμα με τομή τριγωνική, που τυλίγεται σε τρεις κύκλους.
Σφ. 5: Χάλκινος δακτύλιος-σφηκωτήρας από έλασμα με τομή ορθογώνια. Αποσπασματική διατήρηση.
Σφ. 6: Χάλκινος σφηκωτήρας από πλατύ έλασμα με τριγωνική τομή, τυλιγμένος χαλαρά σε 2 έως 5 κύκλους.
Σφ. 7: Χρυσός σφηκωτήρας από στριφτό έλασμα, τυλιγμένο σε ένα κύκλο.

«ΕΝΩΤΙΑ» (Σ χ έ δ. 98)

Η ονομασία του χάλκινου αυτού κοσμήματος είναι συμβατική, γιατί η χρήση του δεν είναι

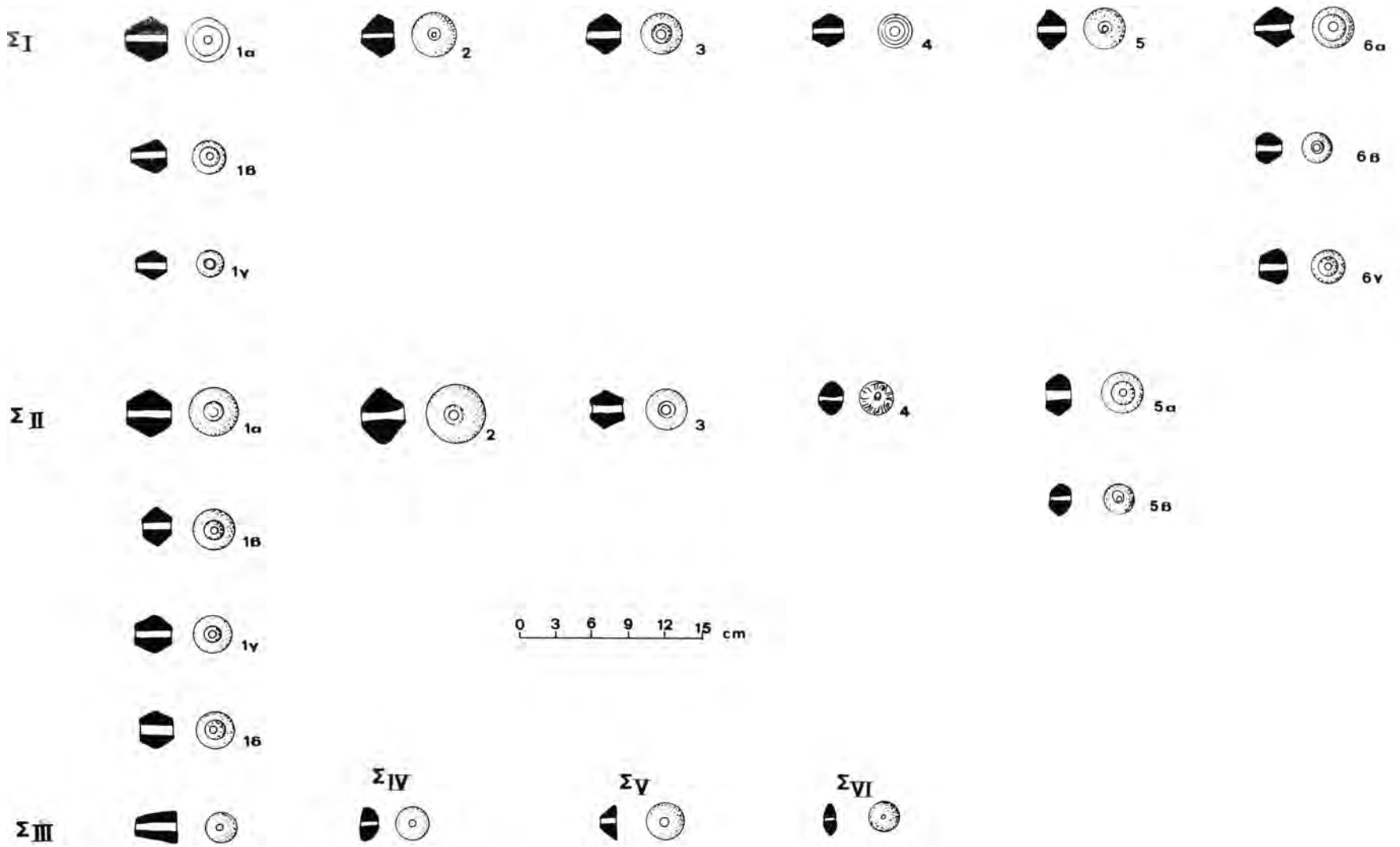

Σχέδ. 94. Τυπολογία πήλινων σφονδυλιών.

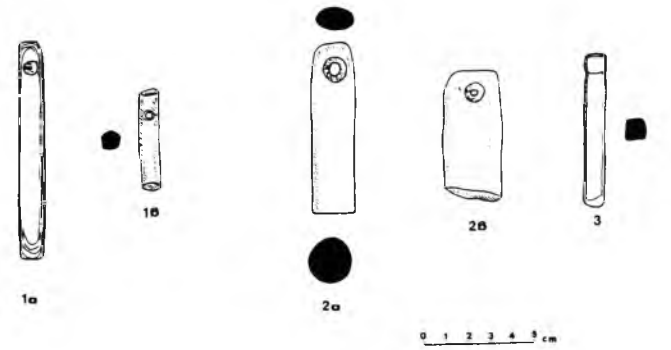

Σχέδ. 95. Τυπολογία ακονιών.

Σχέδ. 96. Τυπολογία οστέινων αιχμών.

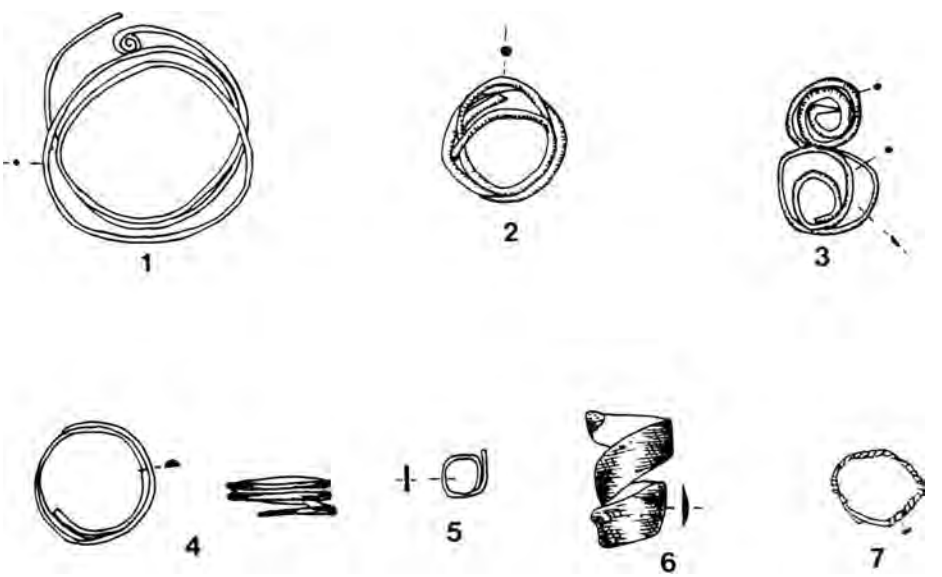

Σχέδ. 97. Τυπολογία σφηκωτήρων.

Σχέδ. 98. Τυπολογία «ενωτίων».

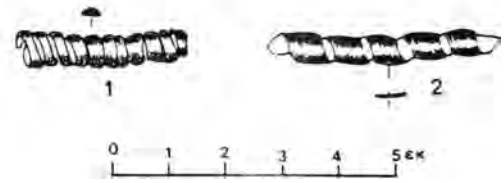

Σχέδ. 99. Τυπολογία «συρίγγων».

εξακριβωμένη. Βέβαιο είναι ότι προέρχεται από την περιοχή του κεφαλιού και ότι συχνά σχετίζεται με γυναικείους σκελετούς. Το κόσμημα αποτελείται από μια σπείρα με τυλιγμένο σύρμα, που καταλήγει σ' ένα καμπυλωτό κατακόρυφο στέλεχος, το άκρο του οποίου ξαναγυρίζει στη φορά του κύκλου της σπείρας. Το κόσμημα θα μπορούσε να αναρτηθεί σε λοβό αυτιού ή να προσαρτηθεί σε κάποιο βόστρυχο.

«ΣΥΡΙΓΓΕΣ» (Σ χ έ δ. 99)

Τα σπειροειδή αυτά ελάσματα, που βρέθηκαν σε πολύ αποσπασματική κατάσταση στους τάφους, θυμίζουν τις «σύριγγες» του νεκροταφείου της Βεργίνας, αλλά δεν πρέπει να προέρχονται από αντίστοιχα κοσμήματα κόμης. Πιθανότατα, αποτελούσαν ψήφους περιδεραίων. Στο εσωτερικό ενός θραύσματος βρέθηκε τετράκλωνη στριφτή λινή κλωστή (Τ18, 126, Π ί ν. 115). Ξεχωρίζουν δύο τύποι:
Σρ. 1: «Σύριγγες» με σφιχτά τυλιγμένο έλασμα.
Σρ. 2: «Σύριγγες» με χαλαρά τυλιγμένο έλασμα.

ΨΗΦΟΙ

Οι ψήφοι (χάνδρες) απαρτίζουν, σε ελάχιστες περιπτώσεις, περιδέραια (Τ18, 65). Τα περισσότερα παραδείγματά τους βρέθηκαν μεμονωμένα και διάσπαρτα στο εσωτερικό των τάφων. Καθώς πρόκειται για αντικείμενα που μετακινούνται εύκολα με τις αλλεπάλληλες ταφές των νεκρών στο εσωτερικό των τάφων, δε στάθηκε δυνατό να αποδοθούν σε σύνολα ούτε να συσχετισθούν με συγκεκριμένες ταφές, ανδρικές ή γυναικείες. Από το μικρό αριθμό τους, οπωσδήποτε, προκύπτει η άποψη ότι οι περισσότερες από αυτές αποτελούσαν μεμονωμένα περίαπτα. Βεβαιώθηκε, επίσης, σε αρκετές περιπτώσεις η συσχέτιση της μικρής ψήφου από υαλόμαζα (Ψυ) με παιδικές ταφές. Βρέθηκαν τα εξής είδη ψήφων:

1. Ψήφοι από χαλκό (Ψχ).
2. Ψήφοι από ήλεκτρο (Ψη).
3. Ψήφοι από στιλπνή γαλαζοπράσινη υαλόμαζα (Ψυ1).
4. Ψήφοι από πορώδη άχρωμη υαλόμαζα (Ψυ2).
5. Ψήφοι από μαλάκια (dentalium) (Ψμ).

Ψήφοι από χαλκό (Σ χ έ δ. 100)

Ξεχωρίζουν έξι τύποι:
Ψχ1: Ψήφοι δικωνικές με τομή τριγωνική. Διακρίνονται δύο παραλλαγές.
Ψχ2: Ψήφοι δακτυλιόσχημες με τομή ημικυκλική.

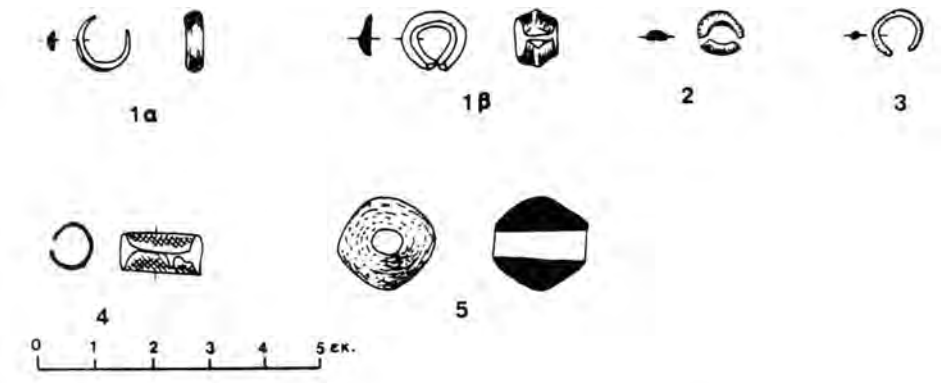

Σχέδ. 100. Τυπολογία χάλκινων ψήφων.

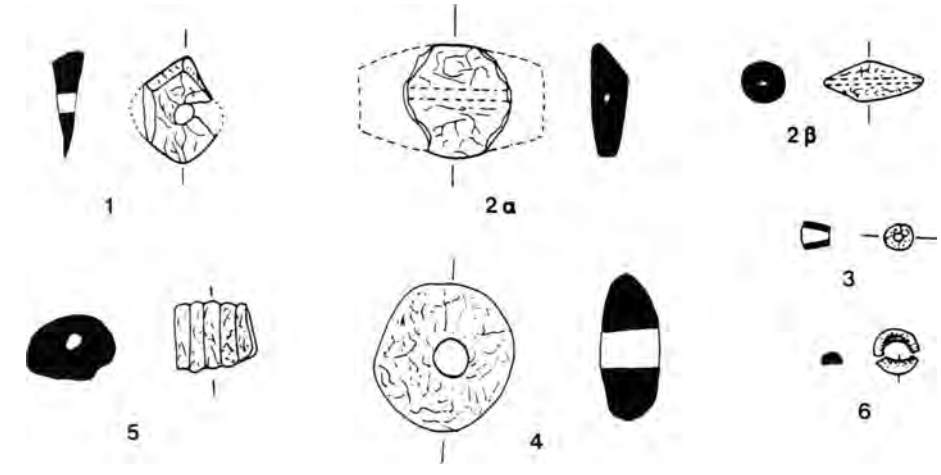

Σχέδ. 101. Τυπολογία ψήφων από ήλεκτρο.

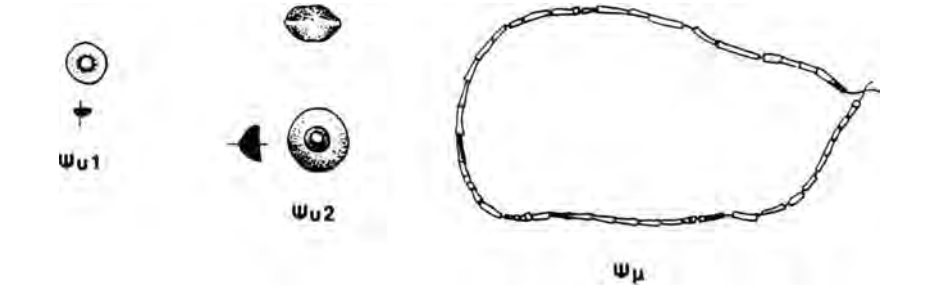

Σχέδ. 102. Τυπολογία γυάλινων ψήφων και ψήφων από μαλάκια.

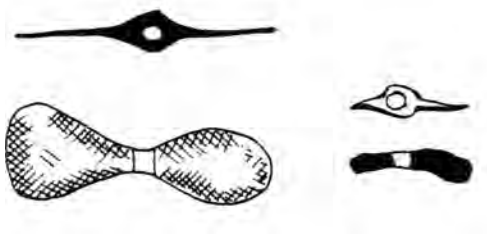

Σχέδ. 103. Τυπολογία μικρογραφικών πελέκεων.

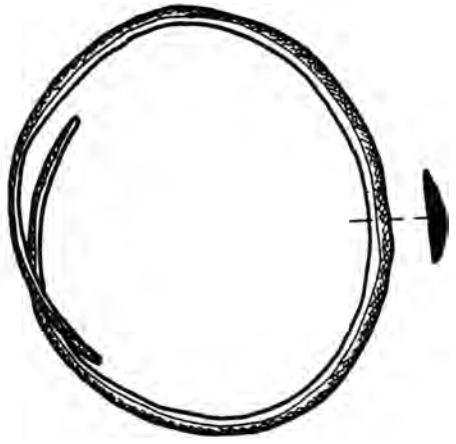

Σχέδ. 104. Τυπολογία ψελίων.

Ψχ3: Ψήφοι από σύρμα· τομή κυκλική.
Ψχ4: Σωληνωτές κυλινδρικές ψήφοι από έλασμα.
Ψχ5: Μεγάλες δικωνικές χυτές ψήφοι.

Ψήφοι από ήλεκτρο (Σ χ έ δ. 101)

Ξεχωρίζουν έξι τύποι ψήφων ηλέκτρου (Ψη1-Ψη6).

Ψήφοι από στιλπνή υαλόμαζα τύπου 1 (Σ χ έ δ. 102)

Μικρές ψήφοι από γαλαζοπράσινη υαλόμαζα, που εμφανίζουν πάντα τον ίδιο δακτυλιόσχημο τύπο με φακοειδή τομή.

Ψήφοι από αδρή υαλόμαζα τύπου 2 (Σ χ έ δ. 102)

Αντιπροσωπεύονται μ' ένα μοναδικό παράδειγμα.

Ψήφοι από μαλάκια (Σ χ έ δ. 102)

Στον τάφο Τ32 βρέθηκε ένα περιδέραιο με ψήφους dentalium (75 ψήφοι). Μεμονωμένα παραδείγματα εντοπίσθηκαν και σε άλλους τάφους (Τ18, 142).

ΠΕΛΕΚΕΙΣ

Ξεχωρίζουν δύο τύποι χάλκινων μικρογραφικών πελέκεων:
Πε. 1: Διπλός μικρογραφικός πέλεκυς (Σ χ έ δ. 103, αριστερά).
Πε. 2: Μικρογραφική αξίνα (Σ χ έ δ. 103, δεξιά).

ΧΑΛΚΙΝΑ ΒΡΑΧΙΟΛΙΑ (Σ χ έ δ. 104)

Τρία χάλκινα βραχιόλια βρέθηκαν συνολικά στα νεκροταφεία. Όλα ανήκουν στον ίδιο τύπο: ταινιωτό σφυρήλατο έλασμα που τυλίγεται σε απλό κύκλο.

ΧΑΛΚΙΝΑ ΔΑΚΤΥΛΙΔΙΑ (Σ χ έ δ. 105)

Τα χάλκινα δακτυλίδια ανήκουν στον ίδιο τύπο. Τα άκρα του ταινιωτού και διάστικτου ελάσματος καταλήγουν σε αντωπές σπείρες, που σχηματίζουν μια οκτώσχημη σφενδόνη.

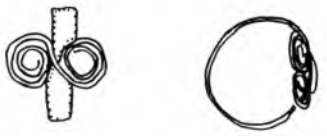

Σχέδ. 105. Τυπολογία δακτυλίων.

ΧΑΛΚΙΝΕΣ ΠΟΡΠΕΣ (Σ χ έ δ. 106)

Οι χάλκινες πόρπες, που βρέθηκαν στο νεκροταφείο, ανήκουν σε επτά τύπους:
Π1: Μεγάλη τοξωτή πόρπη. Το τόξο της αποτελείται από στριφτό σύρμα. Διακρίνονται δύο παραλλαγές: Π1α (μικρό μέγεθος) και Π1β (μεγάλο μέγεθος). Στην παραλλαγή Π1β, το τόξο είναι μικρότερο από ημικύκλιο και κάμπτεται ασύμμετρα προς την υποδοχή της βελόνας. Ο οφθαλμός της σπείρας είναι μεγάλος, αλλά η υποδοχή της βελόνας είναι ένα μικρό έλασμα.
Π2: Μεγάλη τοξωτή χάλκινη πόρπη με δύο χαμηλά εξογκώματα στο τόξο. Το τόξο είναι μικρότερο από ημικύκλιο. Ο οφθαλμός της έλικας στη στροφή της βελόνας είναι μεγάλος, το έλασμα της υποδοχής της βελόνας μικρό.
Π3: Τοξωτή χάλκινη πόρπη με σφαιρικό έξαρμα στο κέντρο του τόξου, που είναι μεγαλύτερο από ημικύκλιο. Το έλασμα της υποδοχής της βελόνας καταλήγει σε δρεπανόσχημο άνω άκρο και φέρει εγχάρακτη διακόσμηση από χαρακτούς κύκλους. Οφθαλμός έλικας μικρός.
Π4: Χάλκινη πόρπη με παχύ χυτό τόξο. Στο μέσον του τόξου κυλινδρικό έξαρμα, που πλαισιώνεται από πλαστικούς δακτυλίους. Το έλασμα της υποδοχής της βελόνας διαμορφώνεται σε τριγωνική επιφάνεια. Οφθαλμός έλικας μικρός.
Π5: Χάλκινη τοξωτή πόρπη με ακόσμητο τόξο. Οφθαλμός πόρπης μικρός, υποδοχή βελόνας διαμορφωμένη σε έλασμα ορθογώνιο.

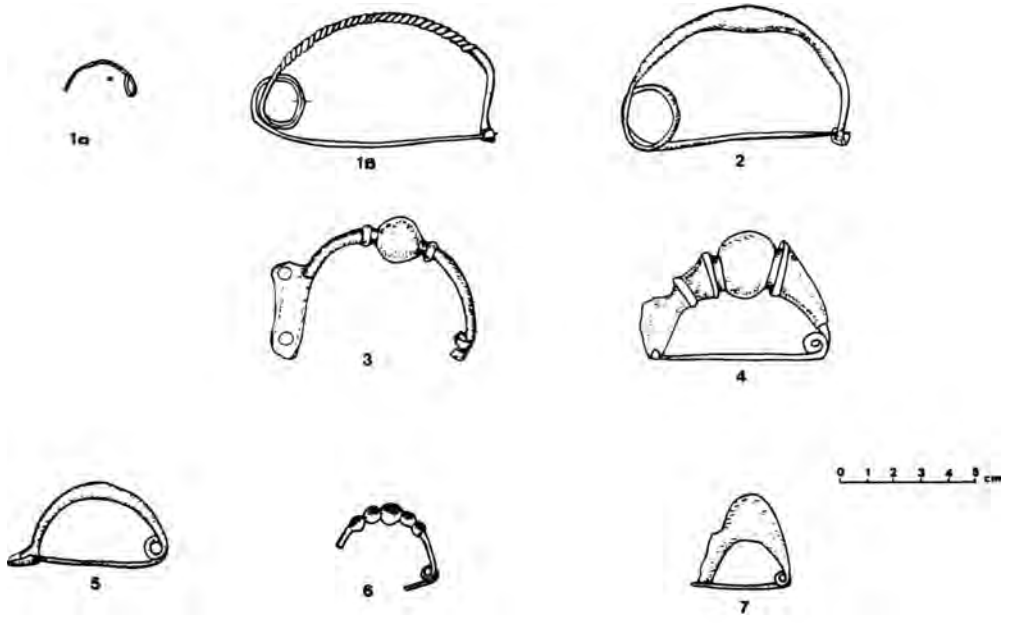

Σχέδ. 106. Τυπολογία πορπών.

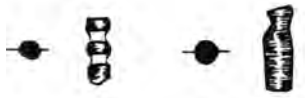

Σχέδ. 107. Τυπολογία περονών.

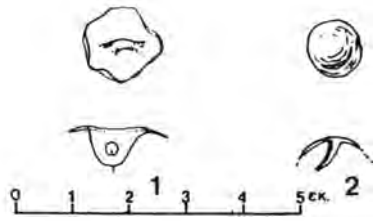

Σχέδ. 108. Τυπολογία «tutuli».

Π6: Μικρή τοξωτή πόρπη με πέντε σφαιρικά εξάρματα στο τόξο. Οφθαλμός πόρπης μικρός.
Π7: Μικρή τοξωτή πόρπη με ισχυρά διογκωμένο το μέσον του τόξου της. Οφθαλμός πόρπης μικρός, έλασμα υποδοχής βελόνας πλατύ, με τριγωνικό το άνω άκρο που εξέχει.

ΟΣΤΕΪΝΕΣ ΠΕΡΟΝΕΣ (Σ χ έ δ. 107)

Τα ελάχιστα θραύσματα οστέινων περονών φαίνεται ότι προέρχονται από περόνες του ίδιου τύπου, με ανάγλυφη διακόσμηση από επάλληλες αυλακώσεις στην κορυφή του στελέχους.

«TUTULI» (Σ χ έ δ. 108)

Ξεχωρίζουν δύο τύποι:
Τ1: Ασπιδόμορφο κουμπί με θηλιά προσάρτησης στην κάτω επιφάνειά του.
Τ2: Ασπιδόμορφο κουμπί-καρφί με στέλεχος για τη στερέωσή του.

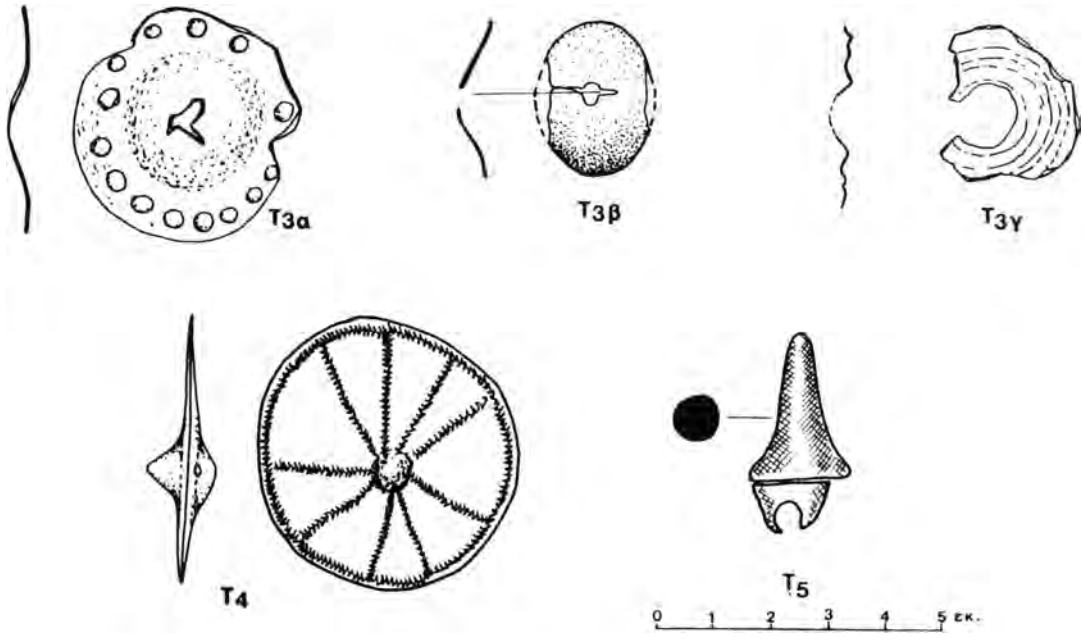

Σχέδ. 109. Τυπολογία επιρραμμάτων - ομφαλίων.

ΕΠΙΡΡΑΜΜΑΤΑ – ΟΜΦΑΛΙΑ (Σ χ έ δ. 109)

Τ3: Μικρά χάλκινα ασπιδόμορφα αντικείμενα, πιθανότατα εξαρτήματα ρούχων. Έχουν ημισφαιρική την άνω επιφάνειά τους, κοίλη την κάτω και φέρουν οπές στην περιφέρεια για την προσάρτησή τους. Ξεχωρίζουν οι εξής επιμέρους παραλλαγές:

Τ3α: Κυκλικός δίσκος με κυρτή επιφάνεια και οπές στην περιφέρεια.

Τ3β: Ελλειψοειδής δίσκος με κυρτή επιφάνεια και οπή στο κέντρο.

Τ3γ: Κυκλικός δίσκος με συγκεντρικές αυλακώσεις γύρω από το υπερυψωμένο κέντρο.

Τ4: Χάλκινο χυτό δισκόμορφο αντικείμενο, με κωνική απόφυση στο κέντρο της εξωτερικής επιφάνειας και με αντίστοιχη διάτρητη απόφυση στο κέντρο της κάτω επιφάνειας για πρόσδεση. Στην εξωτερική επιφάνεια, γύρω από την απόφυση, ακτινωτή εγχάρακτη διακόσμηση στην τεχνική tremolo.

Τ5: Χάλκινο χυτό ομφάλιο, με σταγονόσχημο έμβολο και δακτύλιο προσάρτησης.

ΚΕΦΑΛΑΙΟ Β΄

ΕΣΩΤΕΡΙΚΗ ΧΡΟΝΟΛΟΓΗΣΗ - ΟΙ ΦΑΣΕΙΣ

ΝΕΚΡΟΤΑΦΕΙΑ ΟΙΚΙΣΜΟΥ ΚΑΣΤΡΙ

Στο Σχέδιο IX παρουσιάζεται ταξινομημένο κατά είδη όλο το αρχαιολογικό υλικό των νεκροταφείων του οικισμού Καστρί. Τα βασικά σχήματα των αγγείων αντιπροσωπεύονται σε τύπους με παραλλαγές, όπου συνδυάζεται το σχήμα και το μέγεθος με τη διακόσμηση του αγγείου. Ιδιαίτερα λεπτομερειακή είναι η παρουσίαση των παραλλαγών του σχήματος IV της χειροποίητης κεραμικής, όπου η προσπάθεια να συνδυασθούν τρία διαφορετικά στοιχεία του αγγείου, το μέγεθος, το σχήμα και η διακόσμηση, οδήγησε αναγκαστικά σε πολλαπλή διαφοροποίηση (Σ χ έ δ. 81-83, α-ιδ). Οι πολλαπλές παραλλαγές του σχήματος IV και των άλλων σχημάτων των αγγείων μεγάλωσαν το πλάτος του Σχεδίου, αλλά έχουν μικρύνει την πιθανότητα να συσχετισθούν μεταξύ τους παραλλαγές αγγείων, που ταυτίζονται σε ορισμένα χαρακτηριστικά, αλλά διαφοροποιούνται σε άλλα. Στο Σχέδιο IX διαγράφονται γενικά δύο φάσεις:

Φάση I: Στην άνω αριστερή γωνία του Σχεδίου συγκεντρώνεται μια ομάδα αγγείων, που εξαφανίζεται στην επόμενη φάση. Στην ομάδα αυτή αντιστοιχεί μια ομάδα μικροαντικειμένων, στην αντίστοιχη θέση της άνω δεξιάς γωνίας του Σχεδίου.

Φάση II: Η φάση II καλύπτει τη μεγαλύτερη επιφάνεια του Σχεδίου και πρέπει να αποτελεί την κύρια φάση των νεκροταφείων.

Μολονότι αρκετά διαφοροποιημένες μεταξύ τους, οι δύο φάσεις δεν εμφανίζονται ασύνδετες: Μια ομάδα αγγείων και μια αντίστοιχη ομάδα μικροαντικειμένων μεσολαβούν ως ενδιάμεση φάση IIA, για να συνδέσουν τις δύο φάσεις. Η χρονική διαδοχή των φάσεων I και II καθορίσθηκε στο Σχέδιο με εξωτερικά χρονολογικά κριτήρια, που τα έδωσαν εξαρχής δύο χαρακτηριστικά είδη κεραμικής, όπως η χαρακτηριστική για την ύστερη εποχή του χαλκού της Μακεδονίας κεραμική με την εγχάρακτη διακόσμηση (κατηγορία I, 2α-β) στη φάση I, και η χαρακτηριστική υπογεωμετρική κατηγορία G 2-3 Ware στη φάση II. Η ρευστότητα, που χαρακτηρίζει κυρίως τη φάση II στο Σχέδιο IX, προέρχεται και από τη συνέχεια της χρήσης των τάφων, που έχει ως αποτέλεσμα την εμφάνιση του νέου τύπου δίπλα στον παλιό, αλλά και από το γεγονός ότι στο Σχέδιο περιλαμβάνονται όχι μόνο κλειστά ευρήματα, αλλά όλα τα κτερίσματα των τάφων, για τα οποία δεν υπάρχουν πάντα ασφαλή στρωματογραφικά στοιχεία, εξαιτίας της δεδομένης διατάραξης των τάφων.

Οι φάσεις

Από ορισμένες χαρακτηριστικές κατηγορίες κεραμικής (I, 1α, I, 2α-β), που εμφανίζονται αποκλειστικά στην ταφική συστάδα K1A, είναι δυνατό να προσδιορισθεί μέσα στη φάση I μια αρχαιότερη φάση IA, που διαφοροποιείται από την επόμενη φάση IB (Σ χ έ δ. 110).

ΦΑΣΗ IA

Επειδή η φάση IA εμφανίζεται μόνο στην ταφική συστάδα K1, όπου ελάχιστα κλειστά ευρήματα διαπιστώθηκαν, κυρίως εξαιτίας της λαθρανασκαφής, τα χαρακτηριστικά είδη κεραμικής και τα μικροαντικείμενα που αποδόθηκαν στη φάση IA είναι εκείνα που βρέθηκαν αποκλειστικά στην ταφική συστάδα K1A και δεν επανεμφανίσθηκαν σε καμιά άλλη ταφή.

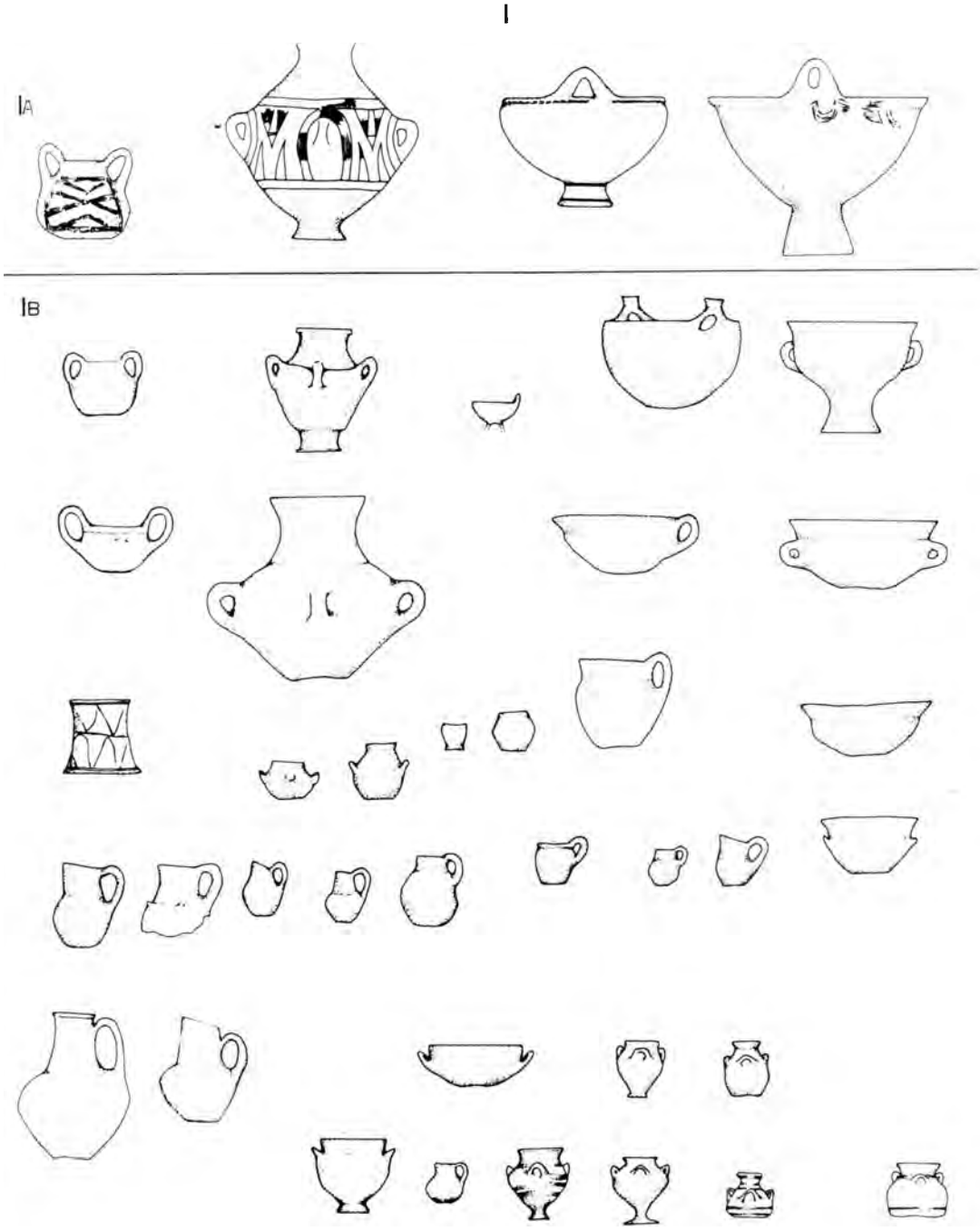

Σχέδ. 110. Νεκροταφεία Καστρί. Τυπολογία αγγείων φάσης Ι.

Κεραμική

Οι τύποι των αγγείων της φάσης ΙΑ κατά κατηγορίες και σχήματα είναι οι εξής:

ΑΚΟΣΜΗΤΗ ΚΕΡΑΜΙΚΗ Ι, 1α: Σχήματα: Ι 3 και VIIIA 140.

Η στιλβωμένη με ειδικό τρόπο επιφάνεια της κεραμικής της κατηγορίας Ι, 1α εμφανίζεται, επίσης, συχνά συνδυασμένη και με εγχάρακτη διακόσμηση στα σχήματα Ι 2 και VA 115.

ΕΓΧΑΡΑΚΤΗ ΚΕΡΑΜΙΚΗ Ι, 1α: Σχήματα: Ι 2, VA 115, VI 121.

ΕΓΧΑΡΑΚΤΗ ΚΕΡΑΜΙΚΗ Ι, 2α: Σχήματα: Ι 1.

ΑΚΟΣΜΗΤΗ ΚΕΡΑΜΙΚΗ Ι, 1β: Σχήματα: Ι 3 και Ι 4, καθώς και ο αμφορίσκος VIΔ1, που ανήκει στην κεραμική Ι, 1γ με την αδρή επιφάνεια.

Στη φάση ΙΑ ανήκουν, επίσης, τα χάλκινα μαχαίρια ΕΙ, 1α, ΕΙΙ, 1β και ΕΙ, 1γ και από τα κοσμήματα οι tutuli τύπου Τ1. Τα υπόλοιπα εργαλεία και κοσμήματα της ταφικής συστάδας Κ1 ανήκουν σε τύπους, που σημειώνονται και σε τάφους της επόμενης φάσης ΙΒ.

Αρχιτεκτονικοί τύποι ταφικών κτισμάτων

Ο αρχιτεκτονικός τύπος του ταφικού κτίσματος είναι ο τύπος ΙΑ1 με το χαρακτηριστικό ευρύχωρο θάλαμο, προορισμένο να δεχθεί πολλαπλές ταφές.

ΦΑΣΗ ΙΒ

Στη φάση ΙΒ έχει πια εξαφανισθεί η εγχάρακτη κεραμική Ι, 2α και Ι, 2β. Τα ελάχιστα όστρακα αγγείων κατηγορίας Ι, 2α, που βρέθηκαν διάσπαρτα στην επίχωση ορισμένων τάφων της φάσης ΙΒ, βεβαιώνουν μόνο μια χρονική προσέγγιση των τάφων της φάσης ΙΒ με τη φάση ΙΑ.

Κεραμική

Οι κατηγορίες της χειροποίητης κεραμικής της φάσης ΙΒ είναι οι εξής:

ΑΚΟΣΜΗΤΗ ΚΕΡΑΜΙΚΗ Ι, 1β: Σχήματα: Φιαλόσχημα τύπου ΙΙ 5, κρατηρόσχημα ΙΙΙ 7-8, μόνωτα ευρύστομα IV 11-21, κάνθαροι VB 116-177, αμφορείς VIA 122, 123 και VIB 137, οινοχόες VIIA 138-140, VIIB 139-146, κυπελλόσχημα VIII 179-180, άωτα-πυξίδες IX 188-189.

ΑΚΟΣΜΗΤΗ ΚΕΡΑΜΙΚΗ Ι, 1γ: Σχήματα: Κυπελλόσχημο VIII 179, 181.

Το ιδιόρρυθμο αγγείο IX 197, πιθανότατα, προέρχεται από αρχαιότερη (χαλκολιθική) φάση, όπως και το θραύσμα Κ1Α27 (Π ί ν. 3).

ΕΓΧΑΡΑΚΤΗ ΚΕΡΑΜΙΚΗ Ι, 1γ: Σχήματα: Άωτο-πυξίδα IX 192 και υπόστατο-ρυτό XI.

Η κατηγορία κεραμικής, που αντιπροσωπεύεται οπωσδήποτε με το μεγαλύτερο ποσοστό, είναι η ακόσμητη κεραμική Ι, 1β με τη λειασμένη επιφάνεια (Σ χ έ δ. 111). Ο πιο χαρακτηριστικός, εξάλλου, τύπος αγγείου στη φάση ΙΒ είναι το φιαλόσχημο ΙΙ 5, που εξαφανίζεται με το τέλος της φάσης ΙΒ (Σ χ έ δ. 112). Από τους άλλους τύπους αγγείων υπάρχουν επίσης ορισμένοι, που εξαφανίζονται με το τέλος της φάσης ΙΒ, όπως οι αμφορείς VIA, οι οινοχόες VIIA και VIIB και το αγγείο τύπου XI, αλλά υπάρχουν και άλλοι τύποι αγγείων που επιβιώνουν στις επόμενες φάσεις, όπως τα κρατηρόσχημα αγγεία τύπου ΙΙΙ, τα μόνωτα ευρύστομα αγγεία τύπου IV, οι κάνθαροι τύπου VB, τα κυπελλόσχημα VIII και τα άωτα IX (Σ χ έ δ. 112).

ΤΟΠΙΚΗ ΜΥΚΗΝΑΪΚΗ ΚΕΡΑΜΙΚΗ: Εκτός από την τοπική χειροποίητη κεραμική, εμφανίζεται στα νεκροταφεία του οικισμού Καστρί και τροχήλατη κεραμική, που πρέπει να είναι επείσακτη. Πρόκειται για αγγεία περιφερειακών μυκηναϊκών εργαστηρίων, που στη φάση ΙΒ εμφανίζουν σχήματα ως επί το πλείστον της ΥΕ ΙΙΙΒ περιόδου: Τρίωτοι υψιπύθμενοι σταμνίσκοι (ΙΙ, 217-218), αλαβαστροειδή (ΙΙ, 219-220), αλάβαστρα-πυξίδες (ΙΙ, 221), προχοΐσκες

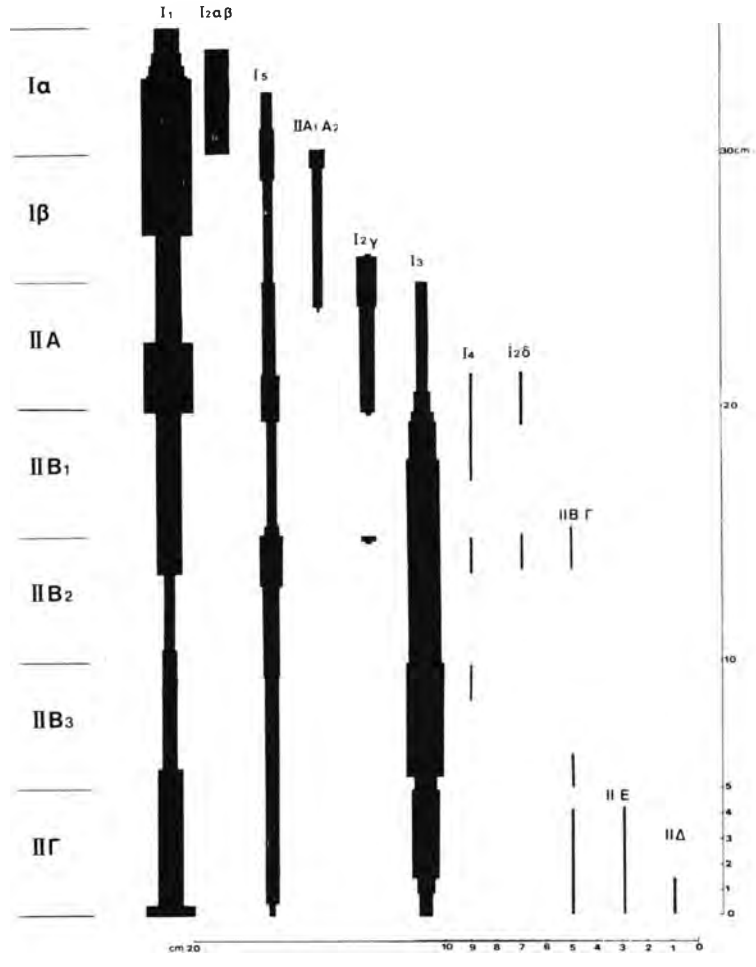

Σχέδ. 111. Νεκροταφεία Καστρί. Στατιστική εικόνα κατηγοριών κεραμικής.

(ΙΙ, 223), σκύφοι (ΙΙ, 224) (Σ χ έ δ. 88). Εκτός από τα τροχήλατα αγγεία, εμφανίζονται επίσης και τοπικές χειροποίητες μιμήσεις τους, όπως οι ΙΙΑ2, 226, 227. Το σχήμα ΙΙΑ2, 227 εμφανίζει ανάμεικτα στοιχεία τοπικής κεραμικής με επίδραση από το σχήμα του μυκηναϊκού αμφορίσκου, αλλά δεν είναι βέβαιο ότι πρόκειται για τοπική απόδοση μυκηναϊκού σχήματος.

Μικροαντικείμενα

Τα χάλκινα μαχαίρια της φάσης ΙΒ ανήκουν στους τύπους ΕΙ, ΕΙΙ, ΕΙΙΙ. Οι παραλλαγές χάλκινων μαχαιριών, που εμφανίζονται αποκλειστικά στη φάση ΙΒ, είναι οι εξής: ΕΙ, 1α, ΕΙ, 2, ΕΙ, 3, ΕΙ, 4, ΕΙ, 5β-δ, ΕΙ, 6α-ε, ΕΙΙ, 1α, ΕΙΙ, 1β και ΕΙΙΙ, 2γ. Στη φάση ΙΒ ανήκει και το μοναδικό παράδειγμα χάλκινης αιχμής που βρέθηκε στα νεκροταφεία. Από τα εργαλεία που εμφανίζονται αποκλειστικά στη φάση ΙΒ, αναφέρουμε τα ακόνια τύπου Ακ. 1α, τα σφονδύλια τύπου ΣΙ, 1β, ΣΙ, 1γ, ΣΙ, 2, ΣΙΙΙ και το χάλκινο άγκιστρο-βελόνα Β2.

Από τα κοσμήματα, στη φάση ΙΒ ανήκουν αποκλειστικά οι σφηκωτήρες Σφ. 7, οι χάλκινες χάνδρες (Ψχ1, Ψχ2-3), τα χάλκινα ψέλια (Ψλ), οι μικρογραφικοί χάλκινοι πελέκεις-εξαρτήματα (Πε.), οι οστέινες περόνες (ΟΠ) και οι χάνδρες από ήλεκτρο (Ψη1-Ψη2).

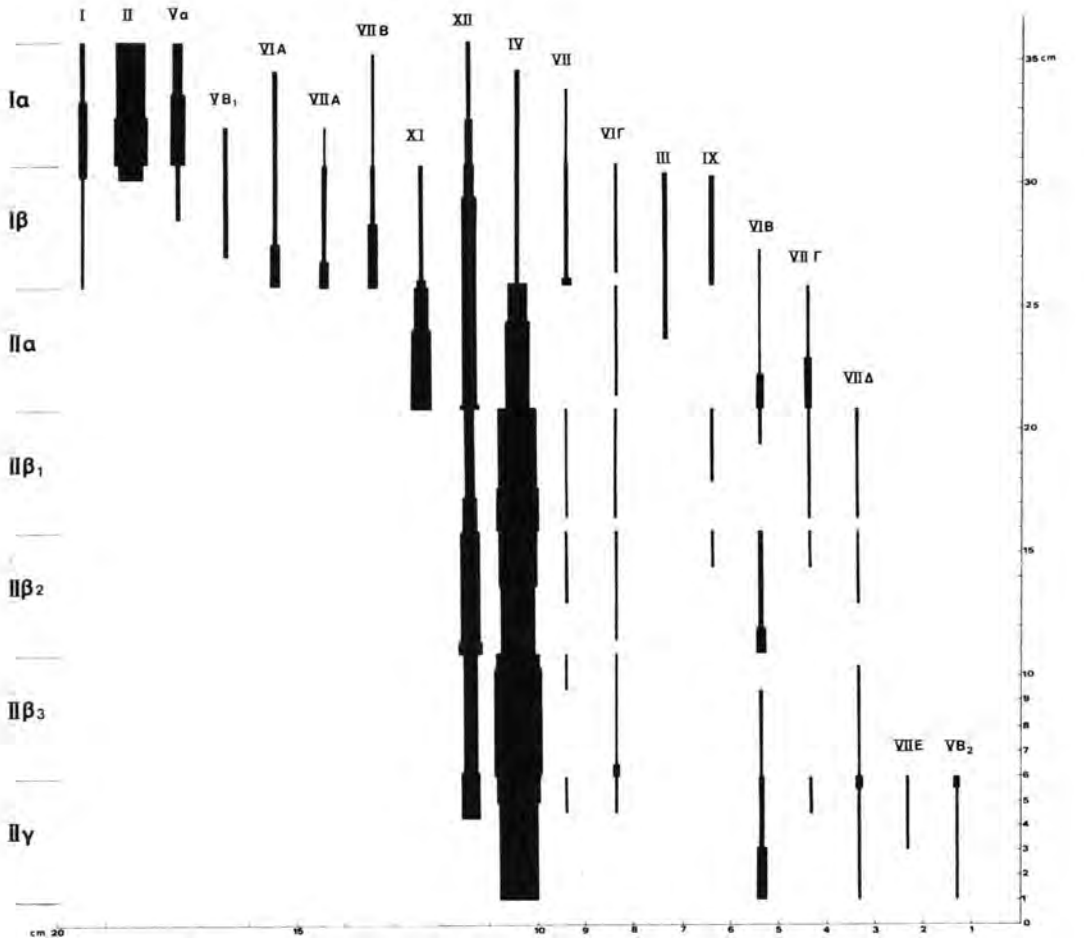

Σχέδ. 112. Νεκροταφεία Καστρί. Στατιστική εικόνα σχημάτων αγγείων χειροποίητης κεραμικής.

Εκτός όμως από τους παραπάνω τύπους όπλων, εργαλείων και κοσμημάτων, που σταματούν με το τέλος της φάσης ΙΒ, εμφανίζονται και οι εξής τύποι στη φάση ΙΒ, που δε σταματούν με το τέλος της φάσης Ι, αλλά περνούν και στην επόμενη φάση ΙΙΒ:

Χάλκινα μαχαίρια: ΕΙ, 5α, ΕΙΙΙ, 1, ΕΙΙΙ, 2β.
Οστέινα εργαλεία: (ΟΕ).
Πήλινα σφονδύλια: ΣΙ, 6α-γ, ΣΙΙ, 1α, ΣΙΙ, 1β, ΣΙΙ, 1γ, ΣΙΙ, 2, ΣΙΙ, 3.
Χάλκινες βελόνες: Β2.
Χάλκινες χάνδρες: Ψχ4
Χάλκινα ελικόσχημα κοσμήματα (Εν.).
Χάλκινοι σφηκωτήρες (Σφ.).
Χάλκινες σύριγγες (Σρ. 1).
Χάνδρες από υαλόμαζα (Ψυ).
Χάνδρες από ήλεκτρο (Ψη3).
Χάλκινες πόρπες (Π1α).

Αξιοσημείωτη είναι οπωσδήποτε η εμφάνιση του τύπου ΕVΙ, του εγχειριδίου με τη σιδερένια λεπίδα και τη χάλκινη χυτή λαβή, που στη φάση ΙΒ εμφανίζεται με ένα μόνο παράδειγμα (Τ18, 55), όχι καλά στρωματογραφημένο, γεγονός που αφήνει μια δυνατότητα για τη χρονολόγηση του εγχειριδίου αυτού του τύπου στη φάση ΙΙΑ.

Αρχιτεκτονικοί τύποι ταφικών κτισμάτων

Οι αρχιτεκτονικοί τύποι των τάφων της φάσης ΙΒ είναι ο ευρύχωρος θάλαμος με τις πολλαπλές ταφές (ΙΑ1 και ΙΒ1), αλλά και οι κτιστές εξέδρες με τις ταφές-καύσεις (ΙΙΑ, ΙΙΒ).

ΦΑΣΗ ΙΙΑ

Η συνέχεια της φάσης ΙΙΑ με την προηγούμενη φάση ΙΒ διαπιστώνεται τόσο στη χειροποίητη κεραμική όσο και στην τροχήλατη κεραμική και στους τύπους των μικροαντικειμένων.

Κεραμική

Οι τύποι της χειροποίητης κεραμικής, που επιβιώνουν από την προηγούμενη φάση, ανήκουν στα εξής αγγεία της χειροποίητης ακόσμητης κεραμικής Ι, 1β:

Φιαλόσχημο Ι 1.
Φιαλόσχημο ΙΙ 5.
Κρατηρόσχημο ΙΙΙ 8.
Μόνωτο ευρύστομο IV 21.
Αμφορείς VIB 137 και VIΓ 124α-β.
Κυπελλόσχημο αγγείο VIII 179.
Εγχάρακτο υπόστατο-ρυτό XI 198.
Μεγάλα αποθηκευτικά αγγεία XII 199-202.

Οι νέες επίσης παραλλαγές αγγείων ακόσμητης κεραμικής, που εμφανίζονται στη φάση ΙΙΑ, είναι οι εξής:

Μόνωτα ευρύστομα IV 16, 18, 19.
Αμφορείς VIΓ 137β και VIΓ 126, 130.
Οινοχόες VIIΓ 147, 148, 150, 151, 161 και VIIΔ 172.

Εκτός από τη χειροποίητη ακόσμητη κεραμική Ι, 1β, εμφανίζονται στη φάση ΙΙΑ για πρώτη φορά και οι εξής κατηγορίες χειροποίητης κεραμικής.

ΚΕΡΑΜΙΚΗ ΜΕ ΑΥΛΑΚΩΤΗ ΔΙΑΚΟΣΜΗΣΗ Ι, 3: Η κεραμική αυτής της κατηγορίας αποτελεί το χαρακτηριστικότερο και το συχνότερο είδος διακοσμημένης χειροποίητης κεραμικής, στη φάση ΙΙ των νεκροταφείων. Το συχνότερο σχήμα της είναι το σχήμα IV, που εμφανίζεται με πολλές παραλλαγές:

IVβ: 31, 34, 36, 40.
IVγ: 43, 44, 45, 46, 50β.
IVδ: 55.
IVε: 57, 60α.
IVθ: 76, 78, 81, 84α-β.
IVι: 92.

Άλλα σχήματα αγγείων της κεραμικής αυτής της κατηγορίας είναι τα εξής:

Κρατηρόσχημο: ΙΙΙ 9, που αντιπροσωπεύεται με ένα μόνο παράδειγμα.
Αμφορέας VIB 136.

Οινοχόη VIIA 141, που αποτελεί επίσης τη μοναδική παραλλαγή οινοχόης τύπου VIIA, που διακοσμείται με αυλακωτή διακόσμηση.

ΚΕΡΑΜΙΚΗ ΜΕ ΡΑΒΔΩΤΗ ΔΙΑΚΟΣΜΗΣΗ Ι, 4: Για πρώτη φορά στη φάση ΙΙΑ εμφανίζεται και η κεραμική με τη ραβδωτή διακόσμηση, που αντιπροσωπεύεται με αραιά παραδείγματα στα νεκροταφεία του οικισμού Καστρί και απουσιάζει τελείως από το νεκροταφείο της θέσης Λαρνάκι.

Τα σχήματα των αγγείων, στα οποία εμφανίζεται η διακόσμηση αυτής της κατηγορίας, είναι τα εξής:

Μόνωτο ευρύστομο αγγείο IVιβ 109, 110.
Οινοχόη VIIΓ 149α, 150β, όπου διακοσμείται μόνο η λαβή.

ΤΟΠΙΚΗ ΜΥΚΗΝΑΪΚΗ ΚΕΡΑΜΙΚΗ II, A1, II, A2: Τα τοπικά μυκηναϊκά αγγεία της φάσης ΙΙΑ είναι όμοια στην κατασκευή με τα αντίστοιχα αγγεία της προηγούμενης φάσης ΙΒ, αλλά έχουν σχήματα διαφορετικά και πιο προχωρημένα χρονολογικά: αμφορίσκος ΙΙ, 222 και πιθαμφορέας ΙΙ, 225. Παράλληλα, εμφανίζεται και μια κατηγορία ΙΙ, Α2 τοπικών μιμήσεων, με σχήματα μυκηναϊκά σε γκρίζο τοπικό πηλό: 228, 230.

Ορισμένα όστρακα τροχήλατων αγγείων (αμφορέων (;) της κατηγορίας ΙΙ, ΣΤ, 243) δεν είναι καλά στρωματογραφημένα ούτε αποδίδουν ακέραια σχήματα, για να αποδοθούν με βεβαιότητα στη φάση ΙΙΑ (Σ χ έ δ. 88).

Μικροαντικείμενα

Τα μαχαίρια της φάσης ΙΙΑ συνεχίζουν τους τύπους της προηγούμενης φάσης, όπως τα ΕΙ, 5α, ΕΙΙΙ, 1, ΕΙΙΙ, 2β, ή είναι νέες παραλλαγές, όπως το ΕΙΙΙ, 2α. Ωστόσο, στη φάση ΙΙΑ εμφανίζονται και νέοι τύποι χάλκινων μαχαιριών, όπως:

Τύπος ΕΙV, παραλλαγές: 1α, 2α και 3.

Τύπος ΕV, παραλλαγές: 2α, 2β, 3α και 4.

Από τους δύο αυτούς τύπους, ενώ ο τύπος ΕΙV εμφανίζει μια σύντομη περίοδο χρήσης, ο τύπος ΕV παρουσιάζεται με πολύ μεγαλύτερη συχνότητα και αποτελεί τον κύριο τύπο χάλκινου μαχαιριού ως το τέλος της φάσης ΙΙΒ3. Στη φάση ΙΙΑ εμφανίζονται, επίσης, μαχαίρια με σιδερένιες λεπίδες. Εκτός από τον τύπο ΕVΙ με τη χάλκινη χυτή λαβή, έχουμε και δύο άλλα θραύσματα σιδερένιων λεπίδων, που θυμίζουν την αιχμή της σιδερένιας λεπίδας του μαχαιριού Τ18, 55 (Π ί ν. 109).

Τα σφονδύλια της φάσης ΙΙΑ αποτελούν συνέχεια των τύπων της φάσης ΙΒ, όπως οι παραλλαγές ΣΙ, 2, ΣΙ, 6γ, ΣΙΙ, 1β, ΣΙΙ, 1γ, αλλά εμφανίζουν και νέες παραλλαγές, τόσο του τύπου ΣΙ (ΣΙ, 1α, ΣΙ, 3, ΣΙ, 4) όσο και του τύπου ΣΙΙ (ΣΙΙ, 5). Ο τύπος ΣΙΙΙ εξαφανίζεται τελείως από τα νεκροταφεία μετά τη φάση ΙΒ, οι τύποι όμως ΣΙ και ΣΙΙ, με διάφορες παραλλαγές, παραμένουν σ' όλες τις φάσεις των νεκροταφείων.

Από τα άλλα εργαλεία, στη φάση ΙΙΑ εμφανίζονται η οστέινη αιχμή (ΟΕ), το μολύβδινο σφονδύλι (ΜΣ) και η βελόνα τύπου Β2, που ήταν γνωστή και από την προηγούμενη φάση.

Στα κοσμήματα βρίσκουμε, επίσης, τύπους γνωστούς από την προηγούμενη φάση, όπως τις χάνδρες από υαλόμαζα (Ψυ), τα χάλκινα ενώτια (Εν.), αλλά και νέους τύπους κοσμημάτων, όπως χάλκινα δακτυλίδια (Δα), χάλκινες πόρπες (Π1α, Π2), καθώς και νέες παραλλαγές ψήφων από ήλεκτρο (Ψη4, Ψη5) και χάλκινων «συρίγγων» (Σρ. 2). Οι χάλκινοι σφηκωτήρες (Σφ. 2 και Σφ. 3), που εμφανίζονται στη φάση ΙΙΑ, συνεχίζονται και στις επόμενες φάσεις.

Αρχιτεκτονικοί τύποι ταφικών κτισμάτων

Η χρήση ορισμένων τάφων της προηγούμενης φάσης του τύπου ΙΒ1 με τον ευρύχωρο θάλαμο (Τ18, Τ1) συνεχίζεται και στη φάση ΙΙΑ, αλλά επικρατούν τώρα νέοι τύποι ταφικών κτισμάτων, όπως οι τύποι ΙΑ2 (παραλλαγές ΙΑ2β και ΙΑ2γ) και ΙΑ3 (παραλλαγές ΙΑ3α και ΙΑ3β). Στη φάση ΙΙΑ πρέπει να εμφανίζονται για πρώτη φορά και οι ενταφιασμοί σε πίθους (τύπος ΙΑ6).

ΦΑΣΗ ΙΙΒ

Η φάση ΙΙΒ στο Σχέδιο ΙΧ εμφανίζεται σχεδόν ως ενιαία φάση, με σταδιακές διαφοροποιήσεις που αρχίζουν να διαγράφονται καθαρά μόνο στη φάση ΙΙΓ, όπου πολλαπλασιάζονται τα νέα είδη επείσακτης κεραμικής και χάλκινων αντικειμένων. Οι ενδιάμεσες φάσεις της ΙΙΒ έχουν όρια ρευστά, εξαιτίας της επιβίωσης πολλών τύπων χειροποίητης κεραμικής και της σταδιακής αντικατάστασης των χάλκινων μαχαιριών από τα σιδερένια. Οπωσδήποτε, η τελευταία φάση της ΙΙΒ, η φάση ΙΙΒ3, χαρακτηρίζεται από την επικράτηση του σιδερένιου μαχαιριού, που έχει αντικαταστήσει τελείως πια το χάλκινο.

Η επιβίωση, ωστόσο, της χειροποίητης κεραμικής και της χαρακτηριστικής κατηγορίας της Ι, 3 πρέπει να χαρακτηρίζει ακόμη και τη φάση ΙΙΓ, παρά τη φανερή αραίωση που σημειώνεται στην κεραμική Ι, 3.

ΦΑΣΗ ΙΙΒ1

Κεραμική

Εκτός από τους τύπους των αγγείων της χειροποίητης κεραμικής, που επιβιώνουν από την προηγούμενη φάση ΙΙΑ, σημειώνονται οι εξής νέοι τύποι αγγείων κατά κατηγορίες χειροποίητης κεραμικής:

ΑΚΟΣΜΗΤΗ ΚΕΡΑΜΙΚΗ Ι, 1β: Τα σχήματα Ι-ΙΙΙ έχουν σχεδόν τελείως εξαφανισθεί, με μοναδική εξαίρεση τον τύπο ΙΙΙ 10, που αντιπροσωπεύεται με ένα μόνο αστρωματογράφητο παράδειγμα (Τ18 ΑΠ 30). Το χαρακτηριστικό σχήμα IV εμφανίζεται με τις εξής νέες παραλλαγές: IV: 12, 13, 14, 20, 22, 24, 25, 26, 27, 23/29, 30.

Το κανθαρόσχημο VB εμφανίζει την παραλλαγή 118, ο αμφορέας VIΓ την παραλλαγή 129 και ο αμφορέας VIΔ την παραλλαγή 3. Από τους νέους τύπους οινοχόης υπάρχουν οι παραλλαγές VIIΓ 149 και 150α και από τον τύπο VIIΔ η παραλλαγή 175. Το κυπελλόσχημο αγγείο VIII εμφανίζει τις παραλλαγές 181, 183, 184, 187 και το άωτο τύπου IX τις παραλλαγές 191, 193, 195, 196.

ΚΕΡΑΜΙΚΗ ΜΕ ΑΥΛΑΚΩΤΗ ΔΙΑΚΟΣΜΗΣΗ Ι, 3: Η αυλακωτή διακόσμηση στη φάση ΙΙΒ1 εμφανίζεται με ποσοστά μεγαλύτερα από της ακόσμητης κεραμικής. Το χαρακτηριστικό σχήμα αγγείου παραμένει πάντα το σχήμα IV, που εμφανίζεται στις εξής παραλλαγές:

IVβ: 32, 33, 35, 39, 41, 41, 42.
IVγ: 49, 50α.
IVδ: 53, 54.
IVε: 58.
IVστ: 61, 62, 63, 64, 65.
IVζ: 68, 71.
IVη: 72, 73.
IVθ: 77, 79, 80, 85, 86, 87, 88.
IVι: 90, 91, 94, 95, 96, 97, 98, 99, 102, 104.
IVια: 106, 108.

Άλλα σχήματα με αυλακωτή διακόσμηση, που εμφανίζονται στη φάση ΙΙΑ: αμφορέας VIΓ 125, 127, 132, οινοχόη VIIΓ 158, 160 και VIIΔ 162, 163, 167, 169, 170, 173.

Συγγενική με την αυλακωτή είναι και η στικτή διακόσμηση, που συχνά συνδυάζεται με την αυλακωτή: μόνωτο ευρύστομο IV 106, 108 και οινοχόη VIIΓ 153.

ΚΕΡΑΜΙΚΗ ΜΕ ΡΑΒΔΩΤΗ ΔΙΑΚΟΣΜΗΣΗ Ι, 4: Η κεραμική με τη ραβδωτή διακόσμηση αντιπροσωπεύεται και στη φάση ΙΙΒ, 1 με μικρό ποσοστό και με περιορισμένο αριθμό σχημάτων αγγείων, που δε διαφέρουν από τα σχήματα της χειροποίητης κεραμικής των κατηγοριών Ι, 1β και Ι, 3 (σχήμα IV 111 και VIIΓ 156).

ΚΕΡΑΜΙΚΗ ΜΕ ΕΓΧΑΡΑΚΤΗ ΔΙΑΚΟΣΜΗΣΗ Ι, 2δ: Ελάχιστα παραδείγματα κεραμικής με εγχάρακτη διακόσμηση της κατηγορίας Ι, 2δ εμφανίζονται στη φάση ΙΙΒ1: Μόνωτο ευρύστομο IV 114 και οινοχόη VIIΓ 152, που εμφανίζει και στριφτή λαβή.

Οι παραπάνω τύποι αγγείων αντιπροσωπεύονται με ένα μόνο παράδειγμα.

ΤΡΟΧΗΛΑΤΗ ΚΕΡΑΜΙΚΗ: Ελάχιστα παραδείγματα θραυσμάτων τοπικής μυκηναϊκής κεραμικής εμφανίζονται σε διαταραγμένες επιχώσεις των τάφων της φάσης ΙΙΒ1: ΙΙΑ, 225.

Το ερυθρόχρωμο άβαφο αγγείο-αμφορίσκος ΙΙ, 239 δεν είναι βέβαιο ότι ανήκει στην ίδια κατηγορία των τοπικών μυκηναϊκών αγγείων ΙΙ, Α1. Κατατάχθηκε σε μια άλλη κατηγορία ερυθρόχρωμων άβαφων αγγείων ΙΙ, Γ, που πιθανότατα όμως προέρχονται από την παράδοση της τοπικής μυκηναϊκής κεραμικής.

Μικροαντικείμενα

Στα χάλκινα μαχαίρια της φάσης ΙΙΒ1, εκτός από τις επιβιώσεις ορισμένων παραλλαγών

των τύπων ΕΙΙΙ, 1, ΕΙΙΙ, 2α, ΕΙV, 1α και ΕV, 2α, και ΕV, 4, εμφανίζονται ορισμένες νέες παραλλαγές του τύπου ΕΙV (1β, 2β, 2γ) και προπαντός του τύπου ΕV, που αποτελεί και τον τελευταίο χρονολογικά τύπο μαχαιριού στα νεκροταφεία (1α, 2γ, 3β, 5). Στα σιδερένια μαχαίρια εμφανίζονται πια κανονικά οι τύποι ΕVII, ΕVIII, καθώς και οι τύποι ΕΙΧ και ΕΧ, 2.

Στα σφονδύλια συνεχίζονται οι τύποι της προηγούμενης φάσης και μόνο μια νέα παραλλαγή σημειώνεται, η ΣΙ, 5. Ανάλογη συνέχεια εμφανίζεται και στα άλλα μικροαντικείμενα, εργαλεία και κοσμήματα (πρβλ. ακόνια (Ακ. 1β), χάλκινες ψήφους (Ψχ4), χάλκινα ενώτια (Εν.), χάνδρες από υαλόμαζα (Ψυ), οστέινα εργαλεία (ΟΕ), μολύβδινα σφονδύλια (ΜΣ), κ.ά.).

Αρχιτεκτονικοί τύποι ταφικών κτισμάτων

Ο τάφος Τ18 του τύπου ΙΒ1 εξακολουθεί να χρησιμοποιείται και στη φάση ΙΙΒ1. Οπωσδήποτε, όμως, οι τύποι των ταφικών κτισμάτων που επικρατούν είναι αυτοί που είχαν εμφανισθεί ήδη στην προηγούμενη φάση, δηλαδή οι ΙΑ2 και ΙΑ3. Οι ταφές σε πίθους (τύπος ΙΑ6) εξακολουθούν και στη φάση ΙΙΒ1.

ΦΑΣΗ ΙΙΒ2

Η φάση ΙΙΒ2, σε ένα μεγάλο τμήμα της, ταυτίζεται με τον κορμό των φάσεων ΙΙΑ και ΙΙΒ1, διαφοροποιείται ωστόσο με ορισμένες νέες παραλλαγές αγγείων χειροποίητης και τροχήλατης κεραμικής, καθώς και με ορισμένους τύπους μικροαντικειμένων που πρωτοεμφανίζονται στη φάση αυτή.

Κεραμική

ΑΚΟΣΜΗΤΗ ΚΕΡΑΜΙΚΗ Ι, 1β: Μόνωτο ευρύστομο αγγείο ΙVα 23, αμφορέας ΙVΓ 134, οινοχόη VΙΙΔ 165, 168, κυπελλόσχημο VΙΙΙ 186, άωτο-πυξίδα ΙΧ 190.

ΑΚΟΣΜΗΤΗ ΚΕΡΑΜΙΚΗ Ι, 1δ: Οινοχόη ΙΙΕ 177. Ο τύπος αυτός είναι ιδιαίτερα συχνός στη φάση ΙΙΒ3 και ΙΙΓ.

ΚΕΡΑΜΙΚΗ ΜΕ ΑΥΛΑΚΩΤΗ ΔΙΑΚΟΣΜΗΣΗ Ι, 3: Μόνωτο ευρύστομο αγγείο ΙVβ 38, 37, ΙVγ 47, 48, 51, ΙVδ 52, ΙVε 59, ΙVζ 67, 69, ΙVθ 89, ΙVι 101, 103, ΙVιγ 112, 113, κάνθαρος VΒ 119, αμφορέας VΙ 131, οινοχόη VΙΙΓ 154 και VΙΙΔ 171.

ΤΡΟΧΗΛΑΤΗ ΚΕΡΑΜΙΚΗ: Τα τροχήλατα αγγεία της φάσης ΙΙΒ2 ανήκουν στην τεφρόχρωμη τροχήλατη κεραμική της κατηγορίας ΙΙ, Β. Σχήματα που εμφανίζονται: ΙΙΒ 232, 233, 234, 235 (Σ χ έ δ. 88).

Μικροαντικείμενα

Τα μαχαίρια και στη φάση ΙΙΒ2 εξακολουθούν να είναι χάλκινα, στο μεγαλύτερο ποσοστό τους. Ανήκουν στις παραλλαγές του τύπου ΕV. Από τις προηγούμενες φάσεις επιβιώνουν παραλλαγές του τύπου ΕV, όπως οι 1α, 2β, 2γ και 3β, αλλά εμφανίζονται και νέες, όπως οι 1β και 6 (Σ χ έ δ. 90). Τα σιδερένια μαχαίρια, ωστόσο, εμφανίζονται στη φάση αυτή με μεγαλύτερη συχνότητα. Στα θραύσματα ξεχωρίζουν, εκτός από τους γνωστούς τύπους ΕVII και ΕVIII, και άλλοι τύποι, όπως οι ΕΧ, 2 και ΕΧΙ (Σ χ έ δ. 91).

Τα σφονδύλια, εκτός από λίγες παραλλαγές που εμφανίζονται για πρώτη φορά στη φάση ΙΙΒ2 (ΣΙΙ, 1δ, ΣΙΙ, 4, ΣΙΙ, 5β), τα υπόλοιπα αποτελούν συνέχεια των τύπων των προηγούμενων φάσεων (ΣΙ, 3, ΣΙΙ, 1α, ΣΙΙ, 1β, ΣΙΙ, 4, ΣΙΙ, 5) (Σ χ έ δ. 94).

Αντίστοιχη συνέχεια διαπιστώνεται και στα κοσμήματα της φάσης ΙΙΒ2: Ενώτια (Εν.), σφηκωτήρες (Σφ. 2, Σφ. 5), «σύριγγες» (Σρ. 1, Σρ. 2), χάνδρες από υαλόμαζα (Ψυ) και επιρράμματα (Τ2, Τ3α), και μόνο το χάλκινο κόσμημα τύπου Τ3β εμφανίζεται για πρώτη φορά στη φάση ΙΙΒ2.

Αρχιτεκτονικοί τύποι ταφικών κτισμάτων

Ο αρχιτεκτονικός τύπος ΙΑ2 επιβιώνει σε πολύ μικρό ποσοστό. Εκτός από τη συνέχεια του τύπου ΙΑ3, που αντιπροσωπεύεται ικανοποιητικά, εμφανίζονται και δύο νέοι τύποι (ΙΑ4 και ΙΑ5).

ΦΑΣΗ ΙΙΒ3

Η φάση αυτή ελάχιστα διαφοροποιείται από την προηγούμενη φάση στους τύπους των αγγείων της χειροποίητης και τροχήλατης κεραμικής. Βασικό χαρακτηριστικό για τη διαφοροποίησή της από τον κορμό της φάσης ΙΙΒ, είναι η εξαφάνιση πια των χάλκινων μαχαιριών και η επικράτηση των σιδερένιων. Παράλληλα σημειώνεται και η εξαφάνιση πολλών παραλλαγών σχημάτων αγγείων χειροποίητης κεραμικής, που χαρακτήριζαν προηγούμενες φάσεις.

Κεραμική

Στη φάση ΙΙΒ3 ελάχιστες είναι οι νέες παραλλαγές χειροποίητων αγγείων, που σημειώνονται:

ΑΚΟΣΜΗΤΗ ΚΕΡΑΜΙΚΗ Ι, 1β: Αμφορέας VIΓ 128.

ΚΕΡΑΜΙΚΗ ΜΕ ΑΥΛΑΚΩΤΗ ΔΙΑΚΟΣΜΗΣΗ Ι, 3: Μόνωτο ευρύστομο αγγείο IVδ 54α, IVστ 60β, IVη 74, IVι 93, IVια 105, 107, αμφορέας VIΓ 133, οινοχόη VIIΔ 164, 174.

ΤΡΟΧΗΛΑΤΗ ΚΕΡΑΜΙΚΗ: Από την τροχήλατη κεραμική της κατηγορίας ΙΙ, Γ εμφανίζονται για πρώτη φορά τα σχήματα 238 και 240.

Μικροαντικείμενα

Τα σιδερένια μαχαίρια της φάσης ΙΙΒ3 ανήκουν στους τύπους EVII και EVIII. Ένα σφονδύλι σώζει έναν τύπο γνωστό μόνο από τη φάση ΙΒ (ΣΙ, 6β-γ), ενώ εμφανίζεται επίσης και ένα παράδειγμα χάλκινης «σύριγγας» τύπου Σρ. 1.

Αρχιτεκτονικοί τύποι ταφικών κτισμάτων

Εκτός από το μοναδικό παράδειγμα ταφής-καύσης, που ήταν εναποτεθειμένη σε ταφικό κτίσμα τύπου ΙΙΑ (η οποία, ωστόσο, δεν είναι βέβαιο πως χρονολογείται στη φάση ΙΙΒ3, γιατί ο τύπος του αμφορέα VIB 136 εμφανίζεται ήδη από τη φάση ΙΙΑ), οι άλλοι τύποι των ταφικών μνημείων είναι οι χαρακτηριστικοί για τις προχωρημένες φάσεις της ΙΙΒ τύποι ταφικών κτισμάτων, ΙΑ4 και ΙΑ5.

ΦΑΣΗ ΙΙΓ

Η φάση ΙΙΓ, με αρκετά σχήματα αγγείων χειροποίητης κεραμικής, σχετίζεται με τη φάση ΙΙΒ. Εμφανίζει, ωστόσο, παράλληλα και ορισμένες νέες παραλλαγές χειροποίητων αγγείων.

ΑΚΟΣΜΗΤΗ ΚΕΡΑΜΙΚΗ Ι, 1β: Μόνωτο ευρύστομο IVα 28, κανθαρόσχημο VB 120, οινοχόη ΙΙΔ 176.

Μοναδικό παράδειγμα λαβής του τύπου ansa lunata εμφανίζει ένα θραύσμα ευρύστομου, πιθανότατα χειροποίητου, αγγείου που διαφοροποιείται από τα άλλα χειροποίητα αγγεία του νεκροταφείου, και στο είδος του πηλού και στην τεχνική κατασκευής (Σ χ έ δ. 81: 30α· Π ί ν. 124: 5, 349: 5).

ΚΕΡΑΜΙΚΗ ΜΕ ΑΥΛΑΚΩΤΗ ΔΙΑΚΟΣΜΗΣΗ Ι, 3: Μόνωτο ευρύστομο IV 83, οινοχόη VIIΓ 155 και VIIΔ 166.

ΤΡΟΧΗΛΑΤΗ ΚΕΡΑΜΙΚΗ: Το ποσοστό της τροχήλατης κεραμικής αυξάνει σημαντικά στη φάση ΙΙΓ. Εμφανίζονται διάφορες κατηγορίες τροχήλατης κεραμικής, όπως η γκρίζα τροχή-

λατη κεραμική της κατηγορίας ΙΙ, Β, που αντιπροσωπεύεται με το φλασκόσχημο αγγείο ΙΙ, 236, η ερυθρόχρωμη ΙΙ, Γ με την προχοΐσκη ΙΙ, 237, καθώς και νέες κατηγορίες, όπως η ΙΙ, Ε με τον πορτοκαλέρυθρο πηλό, και η κεραμική τύπου G 2-3 (κατηγορία ΙΙ, Δ).

Μικροαντικείμενα

Ο τύπος του μαχαιριού, που επικρατεί στη φάση ΙΙΓ, είναι ο τύπος ΕVΙΙ, αλλά δε λείπουν και οι τύποι ΕVΙΙΙ και ΕΧΙ.

Χαρακτηριστική για τη φάση είναι η εμφάνιση χάλκινων πορπών διάφορων τύπων (Π3, Π4, Π5, Π6, Π7). Παράλληλα εμφανίζονται νέοι τύποι χάλκινων σφηκωτήρων (Σφ. 5), καθώς και ο τύπος Ψχ5 της χάλκινης χυτής χάνδρας. Χαρακτηριστικό είναι επίσης και ένα χάλκινο έμβολο ομφάλιου (Ομ), καθώς και ένα χάλκινο χυτό κουμπί τύπου Τ4, με διακόσμηση tremolo. Ενδεικτική είναι, εξάλλου, και η επανεμφάνιση του ηλέκτρου (τύπος χάνδρας Ψη6). Ορισμένα χάλκινα κοσμήματα των προγενέστερων φάσεων πιθανόν επιβιώνουν ως τη φάση ΙΙΓ, όπως το χάλκινο ενώτιο (Εν.), που αντιπροσωπεύεται με ένα θραύσμα, και η χάλκινη «σύριγγα» τύπου Σρ. 2.

Παρά τη διατήρηση της χειροποίητης κεραμικής με την αυλακωτή διακόσμηση, η εμφάνιση της οποίας είναι δυνατό να οφείλεται και στις πολλαπλές χρήσεις των τάφων, είναι χαρακτηριστική η έντονη παρουσία επείσακτων στοιχείων τροχήλατης κεραμικής και χάλκινων πορπών στην τελευταία αυτή φάση του νεκροταφείου, που αποτελεί την αρχή μιας νέας εποχής για τη Θάσο.

Αρχιτεκτονικοί τύποι ταφικών κτισμάτων

Στη φάση ΙΙΓ επικρατούν αποκλειστικά τα ταφικά κτίσματα των τύπων ΙΑ4 και ΙΑ5, όπως και στις προηγούμενες προχωρημένες φάσεις της ΙΙΒ.

Μοναδική εξαίρεση ο ευρύχωρος τάφος Β3, που αποτελεί μια μεταγενέστερη εξελιγμένη επιβίωση του τύπου ΙΒ1.

Παρατηρήσεις

Η στατιστική επεξεργασία των ποσοτήτων των επιμέρους κατηγοριών κεραμικής, χειροποίητης και τροχήλατης, στις διάφορες φάσεις των νεκροταφείων που ξεχώρισαν στο Σχέδιο ΙΧ, έδωσε την εικόνα του Σχεδίου 111.

Αρχική παρατήρηση πάνω στις σχέσεις που διαγράφονται στο Σχέδιο 111, είναι τα μεγάλα ποσοστά της χειροποίητης κεραμικής Ι (97,45%) απέναντι στην τροχήλατη ΙΙ (2,5%). Από τις κατηγορίες της τροχήλατης κεραμικής η κατηγορία ΙΙ, Α1, που είναι η τοπική μυκηναϊκή κεραμική, εμφανίζεται αποκλειστικά στη φάση ΙΒ, με ελάχιστες επιβιώσεις στη φάση ΙΙΑ. Από τις υπόλοιπες κατηγορίες, οι ΙΙ, Β και ΙΙ, Γ εμφανίζονται με κάποιο υπολογίσιμο ποσοστό μόνο μετά τη φάση ΙΙΒ2. Τέλος, οι κατηγορίες ΙΙ, Ε και ΙΙ, Δ εμφανίζονται αποκλειστικά στη φάση ΙΙ, Γ. Αν έλειπε η έστω και αποσπασματική εμφάνιση των κατηγοριών ΙΙ, Β και ΙΙ, Γ, που είναι τόσο ελάχιστη ώστε συχνά δεν απεικονίζεται στατιστικά, θα μπορούσαμε να δεχθούμε και κάποια διακοπή στην παρουσία της τροχήλατης κεραμικής. Αντίθετα, η παρουσία της χειροποίητης κεραμικής είναι συνεχής σ' όλες τις φάσεις των νεκροταφείων. Και εδώ, ωστόσο, απεικονίζονται οι διαφοροποιήσεις που συμβαίνουν με τη διαδοχή των χρονικών περιόδων στα νεκροταφεία.

Η ακόσμητη κεραμική (Ι, 1β) καλύπτει όλες τις φάσεις των νεκροταφείων, αλλά μετά την έντονη παρουσία που σημειώνει στη φάση ΙΒ, ακολουθεί μια πορεία μείωσης με μια εξαίρεση αύξησης στη φάση ΙΙΑ. Η μείωση της ακόσμητης κεραμικής Ι, 1 είναι αντίστοιχη με την ανάλογη αύξηση της κεραμικής με την αυλακωτή διακόσμηση (Ι, 3). Η αύξηση, επίσης, της ακόσμητης κεραμικής στη φάση ΙΒ συμπίπτει με την εξαφάνιση της εγχάρακτης κεραμικής Ι, 2α-β, με την οποία συνυπάρχει στη φάση ΙΑ.

Η εγχάρακτη κεραμική Ι, 2α-β σχετίζεται αποκλειστικά με τη φάση Ι των νεκροταφείων. Η εγχάρακτη κεραμική Ι, 2γ δεν πρέπει να έχει άμεση σχέση με την κεραμική της κατηγορίας

I, 2α-β, γιατί εμφανίζεται μετά από ενδιάμεση διακοπή και από την τεχνική κατασκευής και τον τρόπο διακόσμησης φαίνεται ότι προέρχεται από άλλη κεραμική παράδοση. Το ίδιο πρέπει να ισχύει και για την κατηγορία I, 2δ της εγχάρακτης κεραμικής, που με αραιά παραδείγματα εμφανίζεται ως τη φάση ΙΙΒ2. Τα ποσοστά της όμως είναι τόσο μικρά, ώστε πρέπει να θεωρηθούν ως κατηγορία κεραμικής όχι χαρακτηριστική της κεραμικής παράδοσης του οικισμού.

Χαρακτηριστική κεραμική του οικισμού φαίνεται η κεραμική με την αυλακωτή διακόσμηση, η οποία από την εμφάνισή της στη φάση ΙΙΑ παρουσιάζει μια ποσοστιαία άνοδο, που συμπίπτει με την ανάλογη μείωση των ποσοστών της ακόσμητης κεραμικής.

Η κεραμική με τη ραβδωτή διακόσμηση (I, 4) εμφανίζεται συγχρόνως με την κεραμική της κατηγορίας I, 3 με την αυλακωτή διακόσμηση, αλλά αντιπροσωπεύεται με πολύ χαμηλά ποσοστά μετά τη φάση ΙΒ1.

Η κεραμική της κατηγορίας I, 5 εμφανίζεται με σταθερά ποσοστά σ' όλες τις φάσεις και ανήκει στην τοπική κεραμική παραγωγή του οικισμού, που καλύπτει τα μεγάλα αγγεία αδρής κατασκευής για καθημερινή χρήση, καθώς και τα πιθάρια.

Ως προς την κατανομή των σχημάτων των αγγείων (Σ χ έ δ. 112), το μεγαλύτερο ποσοστό ανάμεσα σ' όλα τα σχήματα των αγγείων που εμφανίζονται στα νεκροταφεία, κρατά το μόνωτο ευρύστομο αγγείο (σχήμα IV) (ποσοστό 40%). Το επόμενο σχήμα αγγείου, που ακολουθεί σε ποσοστά, είναι το σχήμα XII της κεραμικής I, 5 (19,89%). Τα αυξημένα ποσοστά αυτού του σχήματος, όπως και του σχήματος XI (4,71%), είναι δυνατό να προέρχονται και από τη συμβατικότητα της μέτρησης που στα σχήματα αυτά στηρίζεται περισσότερο σε θραύσματα, τα οποία δεν αποκλείεται να ανήκουν και στο ίδιο αγγείο. Τα σχήματα των άλλων αγγείων, με εξαίρεση το σχήμα II (6,99%), δεν ξεπερνούν ένα ποσοστό 4%, ενώ ορισμένα σχήματα κατεβαίνουν και κάτω από το 1% (π.χ. σχήμα VIIE).

Ορισμένα από τα σχήματα σχετίζονται αποκλειστικά με συγκεκριμένες φάσεις των νεκροταφείων (Σ χ έ δ. 112). Τα φιαλόσχημα αγγεία (σχήμα I και II), οι κάνθαροι (σχήμα VA), οι αμφορείς VIA, οι οινοχόες VIIA και VIIB, καθώς και το αγγείο XI, σχετίζονται αποκλειστικά με τη φάση I, με εξαίρεση το αγγείο XI που πιθανόν πρέπει να συνεχίζεται και στη φάση ΙΙΑ. Τα αγγεία σχήματος XII καλύπτουν, όπως και η κατηγορία της κεραμικής στην οποία ανήκουν (I, 5), όλες τις φάσεις των νεκροταφείων. Από τη φάση ΙΒ πρέπει να είναι γνωστό και το μόνωτο ευρύστομο αγγείο (σχήμα IV), που εμφανίζει έντονη παρουσία κυρίως στη φάση II των νεκροταφείων.

Στις φάσεις ΙΑ-ΙΒ εμφανίζεται ένας άλλος τύπος κανθάρου VB, που με διάφορες παραλλαγές επιβιώνει ως τη φάση ΙΙΓ. Οι αμφορείς τύπου VIB και VIΓ αποτελούν τους χαρακτηριστικούς τύπους αμφορέα στη φάση II, όπως και οι οινοχόες τύπου VIIΓ και VIIΔ.

Στο Σχέδιο 113 απεικονίζονται συνδυασμένες οι κατηγορίες κεραμικής και τα σχήματα των αγγείων κάθε κατηγορίας κεραμικής, έτσι ώστε να προκύπτει η ποσοστιαία αντιπροσώπευση κάθε κατηγορίας και κάθε σχήματος αγγείου κατά φάσεις.

Το σχήμα IV αντιπροσωπεύεται στις κατηγορίες κεραμικής I, 1 (ακόσμητης), I, 3 (με αυλακωτή διακόσμηση) και I, 4 (με ραβδωτή διακόσμηση). Οι παραλλαγές με τη διακόσμηση εμφανίζονται από τη φάση ΙΙΑ και εξής. Από αυτές, η κεραμική I, 3 καλύπτει όλες τις φάσεις των νεκροταφείων, από την ΙΙΑ και ΙΙΓ, ενώ η I, 4 εμφανίζεται με πολύ μικρά αποσπασματικά ποσοστά στις φάσεις ΙΙΑ, ΙΙΒ1 και ΙΙΒ2 (Σ χ έ δ. 114).

Η στατιστική επεξεργασία των παραλλαγών του σχήματος IV (Σ χ έ δ. 115) δεν έδωσε και πολλά στοιχεία για τη χρονολόγηση των παραλλαγών και τη χρονολογική εξέλιξη του σχήματος. Εκτός από τη χρονολόγηση των διακοσμημένων παραλλαγών του σχήματος στη φάση II (στη φάση I μόνο ο ακόσμητος τύπος IVα εμφανίζεται), που προκύπτει και από το Σχέδιο 113 και από το Σχέδιο 115, μπορούμε επιπλέον να επισημάνουμε την εμφάνιση ορισμένων παραλλαγών στις προχωρημένες φάσεις της φάσης II. Οι παραλλαγές αυτές είναι τα σχήματα IVη, IVστ, IVζ, IVια, IVιγ, IVιδ.

Η αυξομείωση των ποσοστών των παραλλαγών κατά φάσεις δε φαίνεται να παίζει σημαντικό ρόλο στις παραλλαγές IVβ, IVγ, IVθ, που, όπως και η παραλλαγή IVα, καλύπτουν όλες τις φάσεις των νεκροταφείων. Στις παραλλαγές, όμως, IVι, IVε και IVδ, διακρίνεται

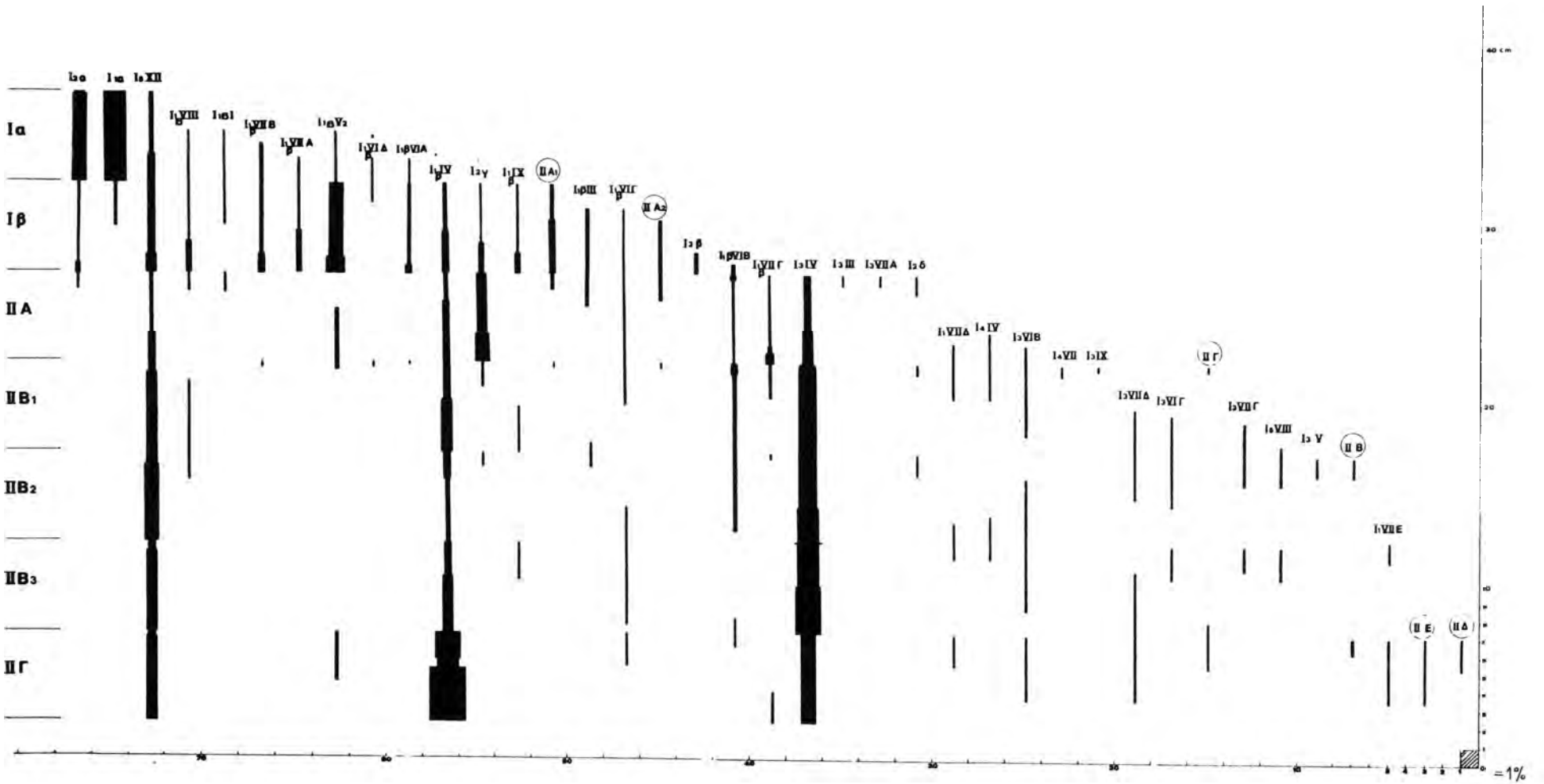

Σχέδ. 113. Νεκροταφεία Καστρί. Στατιστική εικόνα σχημάτων αγγείων κατά κατηγορίες κεραμικής.

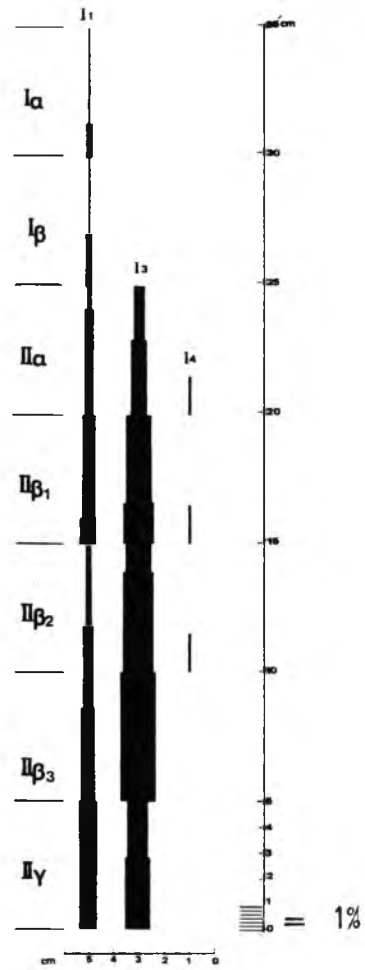

Σχέδ. 114. Νεκροταφεία Καστρί. Στατιστική εικόνα κατηγοριών χειροποίητης κεραμικής.

μια τάση να εξαφανισθούν στις νεότερες φάσεις. Αρκετά καθαρά διαγράφεται επίσης η χρονολογική θέση της παραλλαγής IVιβ, που ανήκει στην κατηγορία I, 4 της διακοσμημένης κεραμικής με ραβδωτή διακόσμηση. Το σχήμα IV της κεραμικής αυτής της κατηγορίας, όπως και όλη η κατηγορία I, 4 (Σ χ έ δ. 113, 115), δεν επιβιώνει πολύ μέσα στη ΙΙΒ2 και οπωσδήποτε σχετίζεται με τις πρώιμες φάσεις της.

Η στατιστική απεικόνιση των τύπων των χάλκινων και σιδερένιων μαχαιριών (Σ χ έ δ. 116) δίνει αρκετά καθαρά χρονολογικά στοιχεία για την εξέλιξη των τύπων των μαχαιριών στα νεκροταφεία του οικισμού Καστρί.

Οι τύποι της φάσης I, ΕΙ, ΕΙΙ, ΕΙΙΙ, συνεχίζονται και στη φάση ΙΙΑ, ο μεν τύπος ΕΙ με ποσοστά που μειώνονται, ενώ ο τύπος ΕΙΙΙ με ποσοστά που αυξάνονται. Όπως και στην κεραμική, έτσι και στα χάλκινα μαχαίρια διαπιστώνεται ότι η φάση ΙΙΑ είναι μια φάση μεταβατική, η οποία εκτός από τους γνωστούς τύπους της φάσης I εμφανίζει και νέους τύπους μαχαιριών, ΕΙV, ΕV, ΕVIII. Η παρουσία του τύπου ΕVIII στη φάση ΙΙΑ είναι κάπως προβληματική, γιατί δε σώθηκε κανένα ακέραιο παράδειγμα. Τα σωζόμενα θραύσματα λεπίδας θα μπορούσαν να προέρχονται από λεπίδες του τύπου ΕVI του μαχαιριού με τη σιδερένια λεπίδα και τη χάλκινη χυτή λαβή, που είναι γνωστός από τη φάση ΙΙΑ και πιθανόν και από

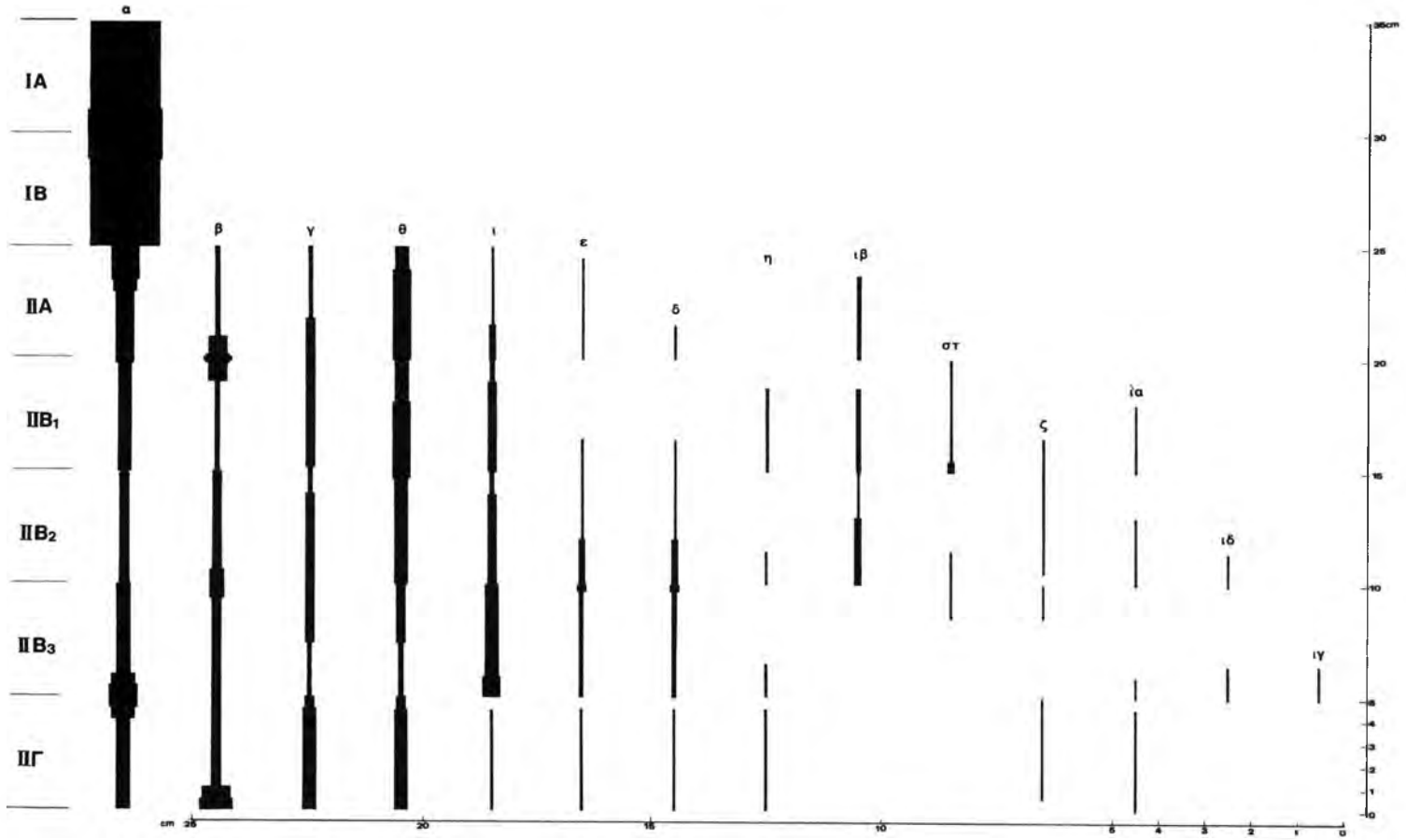

Σχέδ. 115. Νεκροταφεία Καστρί. Στατιστική εικόνα τύπων αγγείων σχήματος IV.

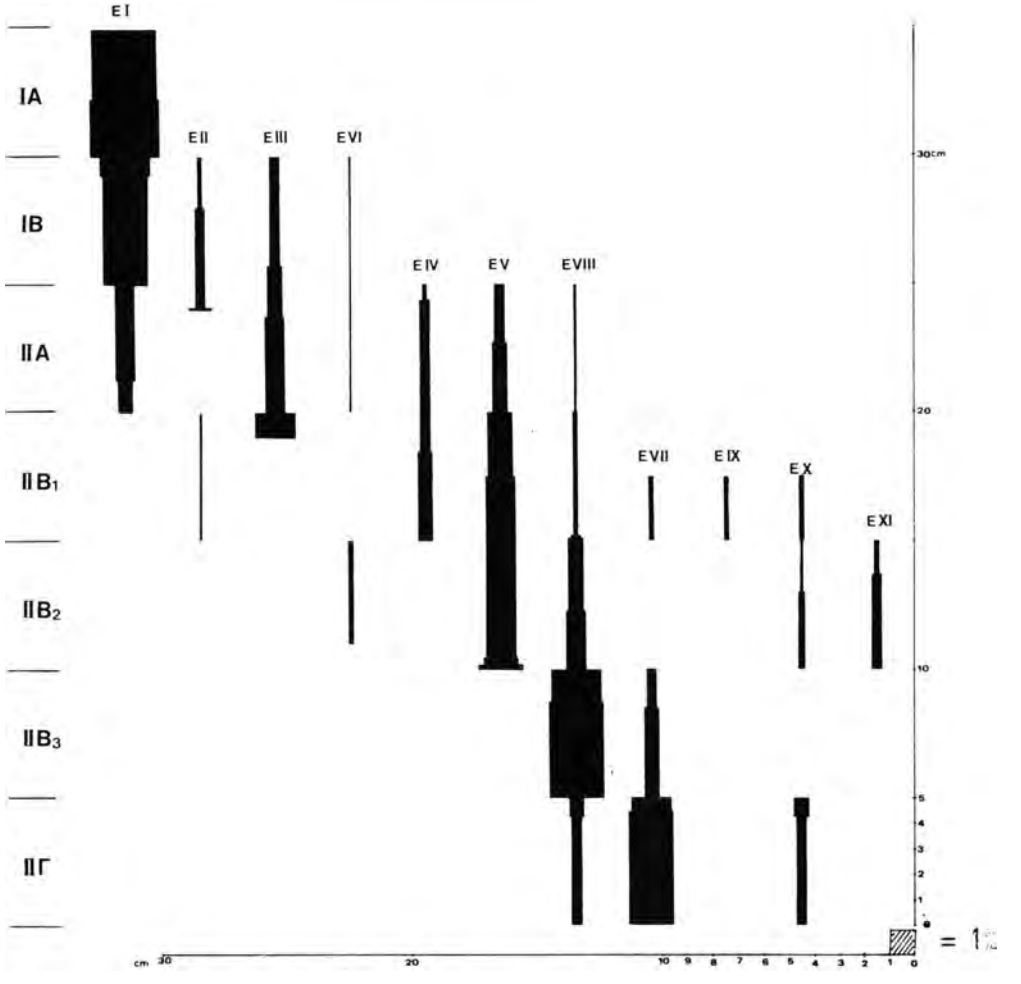

Σχέδ. 116. Νεκροταφεία Καστρί. Στατιστική εικόνα τύπων εγχειριδίων.

τη φάση IB. Τα σιδερένια μαχαίρια επικρατούν στους τάφους μετά τη φάση IIB2, μετά την οποία εξαφανίζονται τα χάλκινα.

Η στατιστική επεξεργασία των δύο βασικών τύπων σφονδυλιών (Σ χ έ δ. 117) έδειξε ότι ο τύπος ΣΙ εμφανίζεται στη φάση IA, ενώ ο τύπος ΣΙΙ στη φάση IB. Από τους δύο τύπους, ο ΣΙΙ εμφανίζει πολύ υψηλά ποσοστά στη φάση IIB, IIB3 και IIΓ, ενώ στις φάσεις αυτές ο τύπος ΣΙ έχει υποχωρήσει. Στη φάση IIB1 σημειώνεται μια αύξηση του τύπου ΣΙ, με αντίστοιχη μείωση του τύπου ΣΙΙ. Η γενική ωστόσο εικόνα που προκύπτει είναι μια σταδιακή μείωση του τύπου ΣΙ και μια αντίστοιχη αύξηση του νεότερου τύπου ΣΙΙ.

Οι τύποι των ταφικών κτισμάτων σε μια στατιστική επεξεργασία δίδουν, επίσης, ορισμένα χρονολογικά στοιχεία για την εμφάνιση, τη διάρκεια και την εξέλιξή τους (Σ χ έ δ. 118).

Στη φάση IA εμφανίζεται αποκλειστικά ο τύπος IA1. Στη φάση IB, οι τύποι των ταφικών κτισμάτων πληθαίνουν. Εκτός από την επιβίωση του τύπου IA1, που συνεχίζεται με τη χρήση του ίδιου του τάφου της προηγούμενης φάσης (ταφική συστάδα K1), εμφανίζονται οι τύποι IB1 με τον ευρύχωρο ταφικό θάλαμο για πολλαπλές ταφές-ενταφιασμούς και τα ταφικά μνημεία για ταφές-καύσεις των τύπων IIA και IIB.

Στη φάση IIA επιβιώνει ο τύπος IIB1. Παράλληλα με τη χρήση των ταφικών κτισμάτων

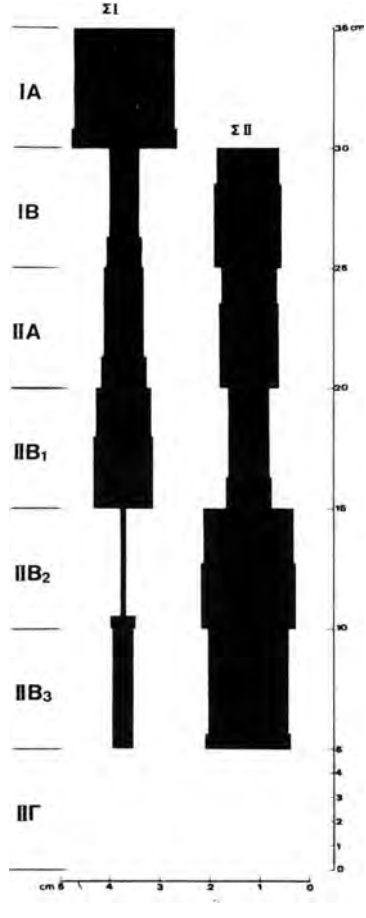

Σχέδ. 117. Νεκροταφεία Καστρί. Στατιστική εικόνα τύπων σφονδυλιών.

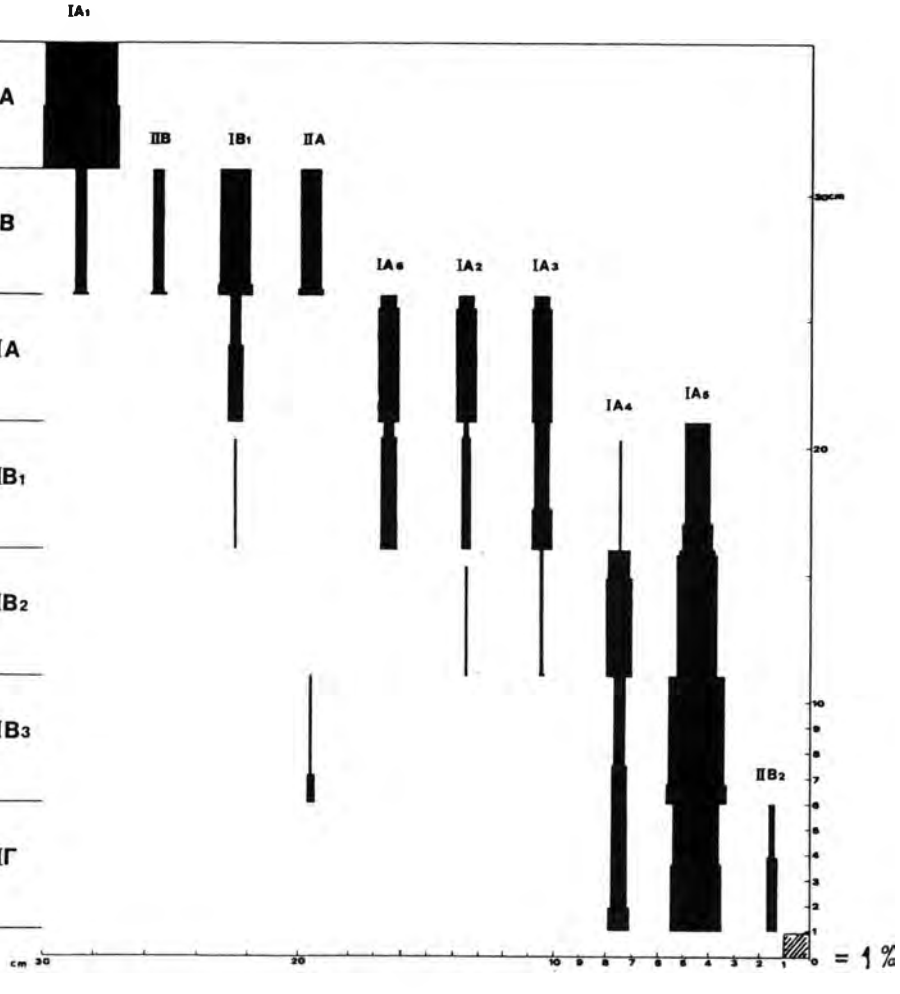

σχέδ. 118. Νεκροταφεία Καστρί. Στατιστική εικόνα τύπων ταφικών κτισμάτων.

της προγενέστερης φάσης (π.χ. Τ18, Τ1), εμφανίζονται και νέοι τύποι ταφικών κτισμάτων ΙΑ2, ΙΑ3, ενώ σημειώνεται για πρώτη φορά και η εμφάνιση ταφικών πίθων (ΙΑ6).

Στη φάση ΙΒ1 συνεχίζονται οι τύποι ΙΑ2 και ΙΑ3, καθώς και οι ταφές σε πίθους, ενώ παράλληλα εμφανίζονται οι τύποι ΙΑ4 και ΙΑ5. Τόσο ο τύπος ΙΑ4 όσο και ο τύπος ΙΑ5, που πρωτοεμφανίζονται στη φάση ΙΒ1, συνεχίζονται με αυξανόμενα ποσοστά ως τις τελευταίες φάσεις των νεκροταφείων Καστρί. Στη φάση ΙΙΓ τα ποσοστά του τύπου ΙΑ5 μειώνονται κάπως, γιατί συνυπάρχει παράλληλη αύξηση του τύπου ΙΑ4. Μια επιβίωση του ταφικού μνημείου-καύσης τύπου ΙΙΑ, που τοποθετείται στη φάση ΙΙΒ3, δεν είναι καλά χρονολογημένη, γιατί ο τύπος του μοναδικού αγγείου της ταφής-καύσης εμφανίζεται από τη φάση ΙΙΑ. Με τη νεότερη φάση των νεκροταφείων ΙΙΓ πρέπει σίγουρα να συσχετισθεί ο εξελιγμένος τύπος ΙΒ2.

ΝΕΚΡΟΤΑΦΕΙΟ ΛΑΡΝΑΚΙ

Οι φάσεις

Από την ταξινόμηση του αρχαιολογικού υλικού του νεκροταφείου Λαρνάκι, που πραγματοποιήθηκε με την ίδια τυπολογία που ακολούθησε και η ταξινόμηση των ευρημάτων των τριών νεκροταφείων του οικισμού Καστρί, έχει προκύψει το Σχέδιο 119.

Όπως και στο αντίστοιχο Σχέδιο ΙΧ, σημειώνεται και εδώ η παρουσία των ευρημάτων κατά τύπους στα ταφικά σύνολα. Τα ταφικά ωστόσο σύνολα, που έχει ξεχωρίσει η ανασκαφή στο νεκροταφείο Λαρνάκι, συχνά συμπίπτουν με τους επιμέρους τάφους των ταφικών συστάδων και σπανιότερα προέρχονται από ομάδες ευρημάτων, που θα ήταν δυνατό να θεωρηθούν «κλειστά σύνολα». Έτσι, διαπιστώνουμε και στο Σχέδιο 119 την ίδια ρευστότητα στη διασπορά των διάφορων τύπων, που χαρακτηρίζει και το αντίστοιχο Σχέδιο των ευρημάτων των νεκροταφείων Καστρί (Σ χ έ δ. ΙΧ). Στο Σχέδιο όμως 119, επειδή το υλικό είναι πολύ λιγότερο και η χρονική περίοδος που καλύπτεται μικρότερη, δε διαγράφονται καθαρά επιμέρους φάσεις, όπως στο Σχέδιο ΙΧ. Από τις στήλες, ωστόσο, των μικροαντικειμένων και κυρίως από την παρουσία χάλκινων εγχειριδίων των τύπων ΕΙ και ΕΙΙ επισημαίνεται η παρουσία μιας αρχαιότερης φάσης στην αρχή του Σχεδίου. Στη φάση αυτή θα μπορούσαν να συμπεριληφθούν τα ταφικά σύνολα Λ3Δ1, Λ3Δ2, Λ1Β και Λ3ΓΙΙ.

Είναι, ωστόσο, δύσκολο να απομονώσουμε την αρχαιότερη αυτή φάση του νεκροταφείου Λαρνάκι (φάση Ι) και στις στήλες των αγγείων, γιατί εκεί βρίσκουμε πολλούς από τους τύπους των αγγείων της φάσης Ι να συνεχίζονται και στα επόμενα ταφικά σύνολα, είτε εξαιτίας της πιο μακρόχρονης διάρκειας χρήσης του τάφου Λ1Β, είτε εξαιτίας της γενικής διατάραξης των κλειστών ευρημάτων από τη συνεχή χρήση των τάφων, είτε εξαιτίας της αργής εξέλιξης της χειροποίητης κεραμικής, που την έχουμε επισημάνει και στα νεκροταφεία του οικισμού Καστρί.

Στη φάση Ι του νεκροταφείου Λαρνάκι θα επισημάνουμε, εκτός από την παρουσία των χάλκινων εγχειριδίων τύπου ΕΙ, ΕΙΙ, τα οποία στα νεκροταφεία του οικισμού Καστρί αποτελούν χαρακτηριστικούς τύπους των χάλκινων μαχαιριών της φάσης Ι, που επιβιώνουν ως τη φάση ΙΙΑ, και ορισμένα σχήματα αγγείων, γνωστών από πρώιμες περιόδους της φάσης ΙΙΒ των νεκροταφείων Καστρί. Τα αγγεία αυτά είναι οι μεγάλες οινοχόες με την οπισθότμητη προχοή (τύπος VIΓ 159), όπου το περίγραμμα του οπισθότμητου χείλους δε σπάζει, και το αγγείο τύπου ΙΧ, που έχει εξαφανισθεί από τις νεότερες φάσεις των νεκροταφείων Καστρί (τύπος ΙΧ 188). Επίσης, στη φάση Ι του νεκροταφείου Λαρνάκι εμφανίζονται ορισμένα χάλκινα κοσμήματα, όπως οι χάλκινοι σφηκωτήρες τύπου Σφ. 2, οι «σύριγγες» τύπου Σρ. 1 και οι χάλκινες χάνδρες τύπου Ψχ4, που, όπως φαίνεται από το Σχέδιο ΙΧ, έχουν επίσης εξαφανισθεί στις νεότερες φάσεις των νεκροταφείων Καστρί.

Στη φάση ΙΙ του νεκροταφείου Λαρνάκι χαρακτηριστικός τύπος εγχειριδίου είναι ο τύπος ΕV, ενώ παράλληλα εμφανίζονται και τα σιδερένια μαχαίρια. Τα αγγεία της χειροποίητης κεραμικής αποτελούν συνέχεια των αγγείων της φάσης Ι, χωρίς βασικές διαφοροποιήσεις.

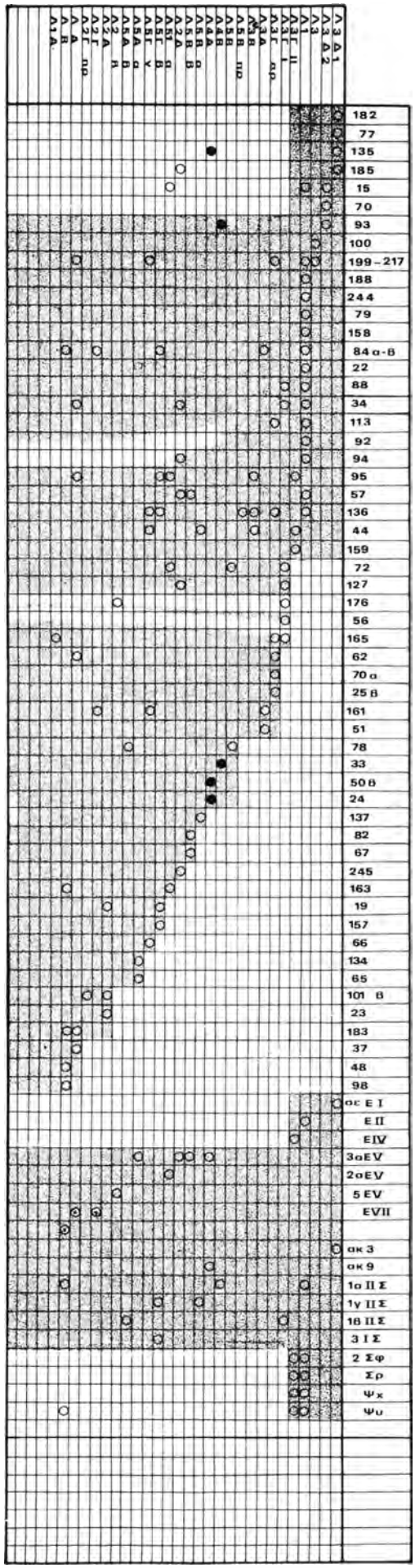

Σχέδ. 119. Νεκροταφείο Λαρνάκι. Συνδυαστική στατιστική κτερισμάτων κατά τύπους.

Χαρακτηριστικός τύπος αγγείου παραμένει και στη φάση ΙΙ ο τύπος IV, γνωστός από τα νεκροταφεία του οικισμού Καστρί.

Ένα ιδιαίτερο χαρακτηριστικό της διακόσμησης του αγγείου αυτού, που εμφανίζεται μόνο στα αγγεία του νεκροταφείου Λαρνάκι, είναι η εμφάνιση πολλών παράλληλων αυλακώσεων στο λαιμό του αγγείου, ενώ στα αντίστοιχα αγγεία των νεκροταφείων Καστρί, όπως και στα περισσότερα άλλωστε του νεκροταφείου Λαρνάκι, οι γραμμικές αυλακώσεις τονίζουν μόνο την αρχή του λαιμού ή την περιφέρεια του χείλους, απλές ή κατά ζεύγη. Το είδος, ωστόσο, αυτό της διακόσμησης εμφανίζεται στην παραλλαγή IV 70 της φάσης Ι, αλλά δε λείπει και από άλλες παραλλαγές του ίδιου σχήματος αγγείου που εμφανίζονται στη φάση ΙΙ, όπως η IV 66. Ιδιορρυθμίες, επίσης, στη διακόσμηση των αγγείων της αυλακωτής κεραμικής αντιπροσωπεύουν το ευρύστομο αγγείο σχήματος IV, όπου η γραμμική αυλακωτή διακόσμηση εμφανίζεται μόνο στη βάση του λαιμού (Π ί ν. 194: 8), και η οπή στη λαβή του ευρύστομου αγγείου Λ5Α2 (Π ί ν. 204: 2).

Στη φάση ΙΙ του νεκροταφείου Λαρνάκι εμφανίζεται και ένας τύπος κλειστού αγγείου, πιθανότατα οινοχόης, που απουσιάζει επίσης τελείως από τα νεκροταφεία του οικισμού Καστρί. Το αποσπασματικά διατηρημένο αγγείο του τύπου VIIΓ 157 έχει σφαιρικό, χωρίς βάση, σώμα και αυλακωτή διακόσμηση με προχωρημένη διακοσμητική αίσθηση, που αποτελεί ως τώρα μοναδικό παράδειγμα για την κεραμική της κατηγορίας Ι, 3 των νεκροταφείων Καστρί και Λαρνάκι.

Κοινή, ωστόσο, και για τις δύο φάσεις του νεκροταφείου Λαρνάκι είναι η παρουσία των πήλινων σφονδυλιών τύπου ΣΙΙ, καθώς και η σποραδική εμφάνιση τροχήλατης κεραμικής, οπωσδήποτε μεταμυκηναϊκής.

Παρατηρήσεις

Μια σύγκριση, οπωσδήποτε, του στατιστικού πίνακα του Σχεδίου 120 με τον αντίστοιχο στατιστικό πίνακα του Σχεδίου 111 των νεκροταφείων Καστρί επισημαίνει ότι η χειροποίητη κεραμική, και στις δύο περιπτώσεις, αντιπροσωπεύεται με τα ίδια ποσοστά (98% χειροποίητη, 2% τροχήλατη).

Στον ίδιο πίνακα (Σ χ έ δ. 120) διαπιστώνεται η τέλεια απουσία της εγχάρακτης χειροποίητης κεραμικής Ι, 2, καθώς και η απουσία της μυκηναϊκής κεραμικής ΙΙ, Α1-2. Η απουσία αυτών των δύο κατηγοριών κεραμικής που εμφανίζονται στις πρώιμες φάσεις των νεκροταφείων του οικισμού Καστρί, σε συνδυασμό με την απουσία επίσης της χαρακτηριστικής κεραμικής τύπου G 2-3, που στα νεκροταφεία του οικισμού Καστρί προσδιορίζει τη νεότερη φάση ΙΙΓ, βοηθούν στην τοποθέτηση των δύο φάσεων Ι και ΙΙ του νεκροταφείου Λαρνάκι ανάμεσα στη φάση ΙΙΑ και ΙΙΓ των νεκροταφείων Καστρί.

Τα υψηλά επίσης ποσοστά της αυλακωτής κεραμικής, που χαρακτηρίζουν και τις δύο φάσεις του νεκροταφείου Λαρνάκι (Σ χ έ δ. 120), συμπίπτουν με την αντίστοιχη εικόνα που εμφανίζει στις φάσεις ΙΙΑ-ΙΙΒ3 η αυλακωτή κεραμική στα νεκροταφεία Καστρί (Σ χ έ δ. 111). Η χρονολογική αυτή συσχέτιση των νεκροταφείων Καστρί και Λαρνάκι ενισχύεται επίσης με την ελάχιστη παρουσία ραβδωτής κεραμικής (κατηγορία Ι, 4) από το νεκροταφείο Λαρνάκι. Η ραβδωτή κεραμική σημειώνει μια πολύ αραιή παρουσία στα νεκροταφεία του οικισμού Καστρί, αλλά μόνο στις πρώιμες φάσεις τους (Σ χ έ δ. 111).

Αξιοσημείωτη είναι η σταθερή αναλογία που εμφανίζεται ανάμεσα στα ποσοστά των διάφορων κατηγοριών κεραμικής στο νεκροταφείο Λαρνάκι (Σ χ έ δ. 120), από την οποία είναι δυνατό να συμπεράνουμε την ένταξη των δύο φάσεων Ι και ΙΙ του νεκροταφείου σε μια περίοδο που τη χαρακτηρίζει η συνέχεια και η απουσία πολιτιστικών αλλαγών.

Αντιστοιχίες ανάμεσα στα νεκροταφεία Καστρί και Λαρνάκι σημειώνονται, επίσης, και στην έντονη παρουσία του χειροποίητου αγγείου σχήματος IV, που, όπως φαίνεται από τα υψηλά ποσοστά με τα οποία αντιπροσωπεύεται στους πίνακες (Σ χ έ δ. 112, 121), αποτελεί το βασικό σχήμα αγγείου ανάμεσα στα κτερίσματα των νεκρών. Στον πίνακα του Σχεδίου 112 φαίνεται ότι η επικράτηση του σχήματος αυτού αρχίζει με τη φάση ΙΙΑ και παραμένει σ' όλες τις φάσεις των νεκροταφείων του οικισμού Καστρί. Στο νεκροταφείο Λαρνάκι δεν

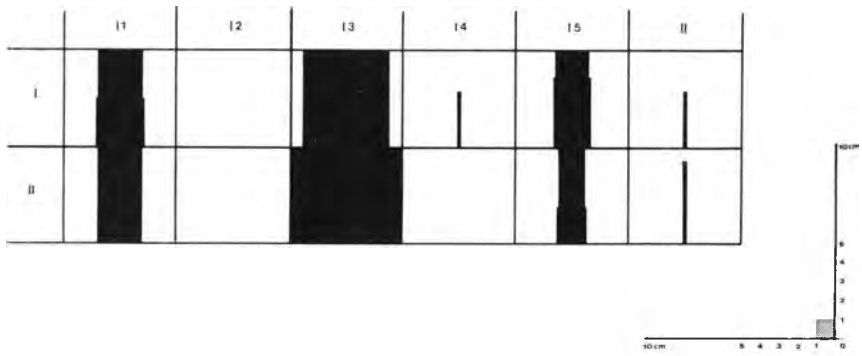

Σχέδ. 120. Νεκροταφείο Λαρνάκι. Στατιστική εικόνα κατηγοριών κεραμικής.

υπάρχει ουσιαστική διαφορά στα ποσοστά παρουσίας του σχήματος αυτού ανάμεσα στη φάση Ι και ΙΙ (Σ χ έ δ. 121). Τα άλλα σχήματα αγγείων, όπως και στα νεκροταφεία Καστρί, αντιπροσωπεύονται με πολύ χαμηλά ποσοστά (πρβλ. Σ χ έ δ. 112, 121).

Όπως και στα νεκροταφεία Καστρί (Σ χ έ δ. 114), έτσι και στο νεκροταφείο Λαρνάκι (Σ χ έ δ. 122) το σχήμα IV εμφανίζεται με μεγαλύτερα ποσοστά στη χειροποίητη κεραμική με την αυλακωτή διακόσμηση (38% στη φάση Ι και 39% στη φάση ΙΙ) απ' ό,τι στην ακόσμητη χειροποίητη κεραμική, όπου τα ποσοστά στη φάση Ι φθάνουν το 11% και στη φάση ΙΙ το 10%.

Η στατιστική, επίσης, επεξεργασία των παραλλαγών του σχήματος IV του Σχεδίου 123 παρουσίασε αυξημένα ποσοστά στις παραλλαγές IVθ και IVι και στις δύο φάσεις του νεκροταφείου Λαρνάκι. Η εικόνα αυτή συμπίπτει γενικά με την αντίστοιχη στατιστική εικόνα που έδωσαν τα νεκροταφεία του οικισμού Καστρί. Στα νεκροταφεία, ωστόσο, Λαρνάκι σημειώνεται μια μείωση των ποσοστών των παραλλαγών IVθ και IVι, που δεν είναι δυνατό να ερμηνευθεί με ασφάλεια. Οπωσδήποτε, η αύξηση του ποσοστού της ακόσμητης παραλλαγής IVα εντάσσεται στη στατιστική εικόνα του Σχεδίου 115.

Από το στατιστικό πίνακα (Σ χ έ δ. 124) των εγχειριδίων του νεκροταφείου Λαρνάκι καταλήγουμε σε μια αντίστοιχη χρονολογική εξάρτηση από τις φάσεις ΙΙΑ-ΙΙΒ3 των νεκροταφείων του οικισμού Καστρί (Σ χ έ δ. 116).

Η φάση Ι του νεκροταφείου Λαρνάκι θα πρέπει να τοποθετηθεί κοντά στη φάση ΙΙΑ των νεκροταφείων Καστρί, στη διάρκεια της οποίας επιβιώνουν τρία χάλκινα εγχειρίδια του τύπου Ι (Σ χ έ δ. 116). Η εμφάνιση του χάλκινου εγχειριδίου τύπου ΕΙV κρατά, επίσης, τη φάση Ι μέσα στα όρια της φάσης ΙΙΒ1 των νεκροταφείων Καστρί. Ο τύπος ΕV, που αποτελεί τον αποκλειστικό τύπο χάλκινου εγχειριδίου της φάσης ΙΙ του νεκροταφείου Λαρνάκι, σταματά στη φάση ΙΙΒ2 στα νεκροταφεία Καστρί, και η παρουσία του τύπου ΕVIII δίδει περιθώρια να κατεβεί η φάση ΙΙ του νεκροταφείου Λαρνάκι και στη φάση ΙΙΒ3, χωρίς ωστόσο αυτό να είναι και απαραίτητο.

Τα ταφικά κτίσματα του νεκροταφείου Λαρνάκι ανήκουν όλα στον τύπο Ι και στις παραλλαγές ΙΑ3, ΙΑ4 και ΙΑ5. Η στατιστική τους απεικόνιση (Σ χ έ δ. 125) συμπίπτει, επίσης, σε γενικές γραμμές με την αντίστοιχη στατιστική εικόνα των ταφικών κτισμάτων από τα νεκροταφεία του οικισμού Καστρί (Σ χ έ δ. 118).

Το μεγαλύτερο ποσοστό το εμφανίζουν τα ταφικά κτίσματα τύπου ΙΑ5, που στα νεκροταφεία του οικισμού Καστρί εμφανίζεται μετά τη φάση ΙΙΑ. Η αύξηση, επίσης, του ποσοστού παρουσίας του ταφικού κτίσματος τύπου ΙΑ4 στη φάση ΙΙ του νεκροταφείου Λαρνάκι (Σ χ έ δ. 125) συμπίπτει με την αύξηση, που σημειώνεται στη φάση ΙΙΒ3 των νεκροταφείων Καστρί (Σ χ έ δ. 118).

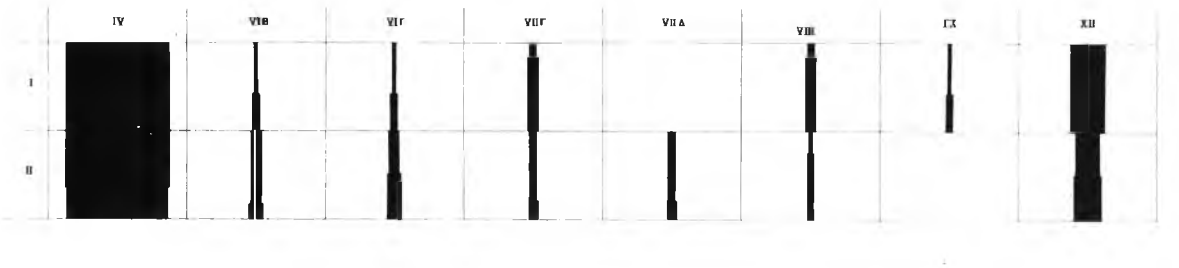

Σχέδ. 121. Νεκροταφείο Λαρνάκι. Στατιστική εικόνα σχημάτων αγγείων χειροποίητης κεραμικής.

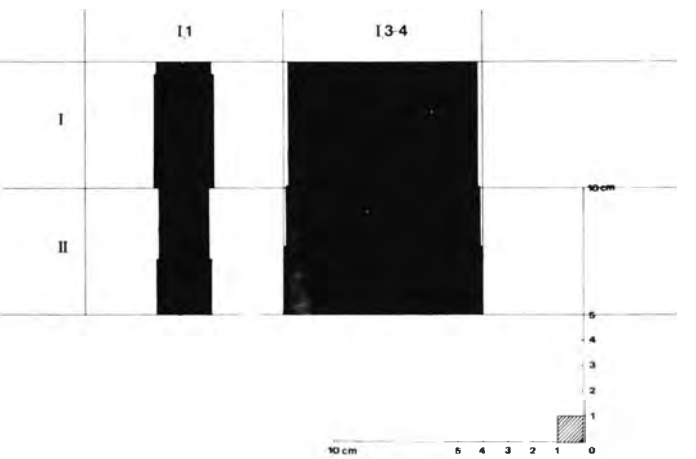

Σχέδ. 122. Νεκροταφείο Λαρνάκι. Στατιστική εικόνα κατηγοριών αγγείων χειροποίητης κεραμικής.

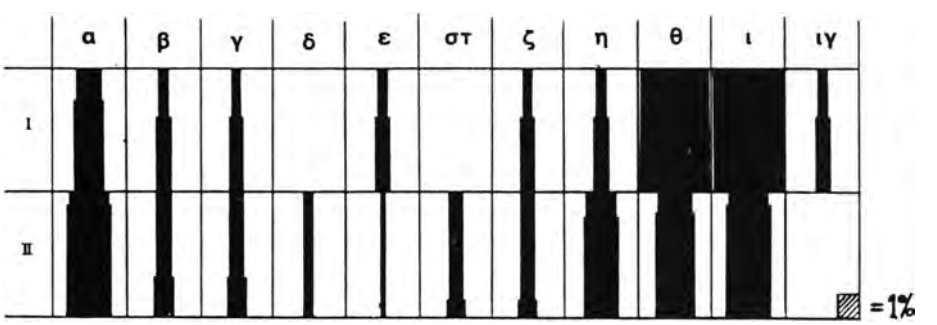

Σχέδ. 123. Νεκροταφείο Λαρνάκι. Στατιστική εικόνα τύπων αγγείων σχήματος IV.

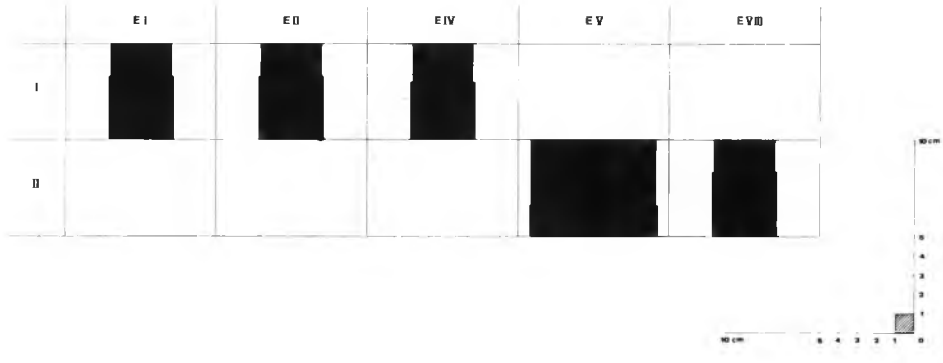

Σχέδ. 124. Νεκροταφείο Λαρνάκι. Στατιστική εικόνα τύπων εγχειριδίων.

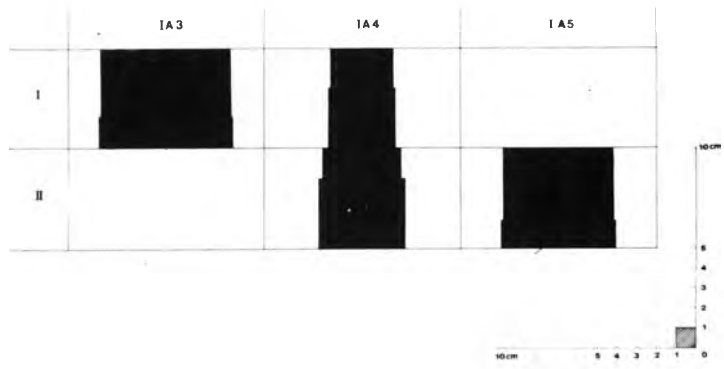

Σχέδ. 125. Νεκροταφείο Λαρνάκι. Στατιστική εικόνα τύπων ταφικών κτισμάτων.

ΣΥΓΚΡΙΤΙΚΗ ΧΡΟΝΟΛΟΓΗΣΗ ΝΕΚΡΟΤΑΦΕΙΩΝ

Συνοψίζοντας τα στοιχεία που έχουν προκύψει από τις τυπολογικές και στατιστικές συγκρίσεις του αρχαιολογικού υλικού του νεκροταφείου Λαρνάκι και των νεκροταφείων του οικισμού Καστρί, θα μπορούσαμε να καταλήξουμε σε μια χρονολογική συσχέτιση των νεκροταφείων, στην οποία το νεκροταφείο Λαρνάκι θα πρέπει να καλύπτει το χρονικό διάστημα ανάμεσα στη φάση ΙΙΑ και ΙΙΒ3 των νεκροταφείων Καστρί.

Παρά την παρουσία των χάλκινων εγχειριδίων τύπου ΕΙ και ΕΙΙ, πιθανότατα η αρχαιότερη φάση του νεκροταφείου Λαρνάκι, φυσικά αυτή που έχουν θίξει οι ως τώρα ανασκαφές, δεν πρέπει να περιλαμβάνεται μέσα στη φάση ΙΙΑ του νεκροταφείου Καστρί, αφού λείπει τόσο η μυκηναϊκή κεραμική όσο και οι χαρακτηριστικοί τύποι κτερισμάτων της φάσης ΙΙΑ. Οι συγκρίσεις, άλλωστε, ανάμεσα στις επιμέρους στατιστικές εικόνες των κτερισμάτων και των τύπων των ταφικών κτισμάτων, οδηγούν κυρίως στις φάσεις ΙΙΒ1-ΙΙΒ3 των νεκροταφείων Καστρί.

Η απουσία χάλκινων πορπών και της χαρακτηριστικής κεραμικής τύπου G 2-3 τοποθετεί

τη φάση ΙΙ του νεκροταφείου Λαρνάκι οπωσδήποτε πριν από τη φάση ΙΙΓ των νεκροταφείων Καστρί.

Εντάσσοντας και το νεκροταφείο Λαρνάκι στις φάσεις της εσωτερικής χρονολόγησης των νεκροταφείων του οικισμού Καστρί, θα είχαμε το εξής τελικά γενικό χρονολογικό σχήμα:

ΦΑΣΕΙΣ	Κεντριά	Τσιγανάδικα	Βρυσούδες	Λαρνάκι
ΙΑ	×			
ΙΒ	×	×		
ΙΙΑ	×	×	×	
ΙΙΒ	×	×	×	×
ΙΙΒ2	×	×	×	×
ΙΙΒ3	×	×	×	×
ΙΙΓ	×	×	×	

ΚΕΦΑΛΑΙΟ Γ'

ΚΕΡΑΜΙΚΗ

Ι. ΧΕΙΡΟΠΟΙΗΤΗ ΚΕΡΑΜΙΚΗ

Ι, 1: Ακόσμητη κεραμική

Ξεχώρισαν οι εξής παραλλαγές της ακόσμητης κεραμικής:
Ι, 1α: Επιφάνεια στιλβωμένη.
Ι, 1β: Επιφάνεια λειασμένη.
Ι, 1γ: Επιφάνεια αδρή.
Ι, 1δ: Επιφάνεια λειασμένη-χρήση αργού τροχού (;).

ΑΚΟΣΜΗΤΗ ΚΕΡΑΜΙΚΗ ΜΕ ΕΠΙΦΑΝΕΙΑ ΣΤΙΛΒΩΜΕΝΗ (Ι, 1α)

Διάδοση

Τα πρωιμότερα παραδείγματα της κεραμικής αυτής της κατηγορίας εμφανίζονται στη νεολιθική εποχή και στην πρώιμη εποχή του χαλκού[1].

Το συγκεκριμένο ωστόσο είδος της στίλβωσης, που εμφανίζεται σε ορισμένα αγγεία των νεκροταφείων του οικισμού Καστρί, αρχίζει με τη λεγόμενη μέση εποχή του χαλκού της Μακεδονίας[2] και σημειώνει μια συνεχή παρουσία σ' όλη τη μέση και ύστερη εποχή του χαλκού της κεντρικής Μακεδονίας[3].

Στην ανατολική Μακεδονία, η κεραμική αυτής της κατηγορίας είναι συχνή, τόσο σε επιφανειακά ευρήματα[4] όσο και σε στρωματογραφημένο κεραμικό υλικό της ύστερης εποχής του χαλκού των οικισμών του Ντικιλί Τας[5] και του Σταθμού Αγγίστας[6]. Στη Θάσο τη βρίσκουμε στο σύγχρονο με τα νεκροταφεία στρώμα της ύστερης εποχής του χαλκού του οικισμού Καστρί[7] και στην επιφανειακή κεραμική του οικισμού Άγιος Αντώνιος στον Ποτό[8].

Συχνότατα, συνδυάζεται με εγχάρακτη διακόσμηση, αλλά, όπως διαπιστώνεται σε κεραμική άλλων οικισμών (πρβλ. π.χ. κεραμική του οικισμού Σταθμού Αγγίστας), εμφανίζεται και ως αυτοτελής κατηγορία ακόσμητης κεραμικής.

Τα σχήματα της, που είναι ως τώρα γνωστά, συμπίπτουν με αντίστοιχα σχήματα της εγχάρακτης κεραμικής των κατηγοριών Ι, 2α και Ι, 2β και είναι τα εξής: κάνθαρος VA 115[9],

1. L. Courtois, Etude matérielle des céramiques de l'Age du Bronze, Dikili Tash, Howell 1974, 92, Gardner 1978, 128.
2. Heurtley - Hutchinson 1925/26, 17-18, πίν. VIIIa2, φάση Β - κεραμική τύπου Β1, που συνεχίζεται και στη φάση C.
3. Heurtley - Radford 1928/30, 129 (Σαρατσέ). Η τεχνική της λείανσης αυτού του είδους ανάγεται στη νεολιθική εποχή.
4. Koukouli-Chrysanthaki 1982, 233-234, πίν. 6.
5. Seferiades 1983, 672, εικ. 72.
6. Κουκούλη-Χρυσανθάκη 1980, 57, εικ. 9.
7. Χ. Κουκούλη-Χρυσανθάκη, ΑΔ 29 (1973/74): Χρονικά, 779, όπου συνδυάζεται με εγχάρακτη διακόσμηση.
8. Χ. Κουκούλη-Χρυσανθάκη, ΑΔ 26 (1971): Χρονικά, 416, πίν. 410.
9. Στο σχήμα αυτό, κατά κανόνα, η στίλβωση συνδυάζεται με εγχάρακτη διακόσμηση. Παραδείγματα ακόσμη-

τετράωτος αμφορέας VIA 121[10], φιαλόσχημα αγγεία[11] I, 2, και οινοχόες VIIA, VIIB και VIIΓ[12].

Προς το τέλος της ύστερης εποχής του χαλκού, η κεραμική αυτής της κατηγορίας τείνει να εξαφανισθεί. Στην ανατολική Μακεδονία απουσιάζει τελείως η στίλβωση αυτού του είδους από την ακόσμητη και εγχάρακτη κεραμική των τύμβων Ποταμών και Εξοχής[13], ενώ στην κεντρική Μακεδονία η στίλβωση συνεχίζεται διαφοροποιημένη στο είδος εκείνο, που ο Heurtley ονόμασε «ξεστή» κεραμική της πρώιμης εποχής του σιδήρου[14]. Κεραμική της κατηγορίας I, 1α εμφανίζεται επίσης στη δυτική Θράκη στην αρχαιότερη φάση της ακρόπολης Εργάνης[15], καθώς και σε άλλες θέσεις, όπως στο σπήλαιο της Μαρώνειας[16]. Η έλλειψη στρωματογραφημένου κεραμικού υλικού από τη δυτική Θράκη δε δίδει περιθώρια να διαπιστωθεί τυχόν διακοπή αυτού του είδους της στίλβωσης μετά το τέλος της ύστερης εποχής του χαλκού, όπως φαίνεται να συμβαίνει στη Μακεδονία.

Η ακόσμητη κεραμική I, 1α στα νεκροταφεία Καστρί και Λαρνάκι

Η κεραμική αυτής της κατηγορίας αντιπροσωπεύεται με ελάχιστα παράδειγμα στα νεκροταφεία του οικισμού Καστρί, όπου πάντα εμφανίζεται σε συνδυασμό με την εγχάρακτη κεραμική I, 2α, και απουσιάζει τελείως από το νεκροταφείο της θέσης Λαρνάκι.

ΤΕΧΝΙΚΗ ΚΑΤΑΣΚΕΥΗΣ

Τα αγγεία της κατηγορίας αυτής κατασκευάζονται από πηλό σχετικά καθαρό, που περιέχει ωστόσο και τη συνηθισμένη ποσότητα μαρμαρυγία, καθώς και μικρά ψήγματα μαρμάρου. Η όπτηση έχει πραγματοποιηθεί με ατελή οξείδωση και έτσι οι χρωματικοί τόνοι της επιφάνειας του αγγείου κυμαίνονται ανάμεσα στο καστανότεφρο και στο τεφρόμαυρο χρώμα. Ο πυρήνας παραμένει πάντα τεφρόμαυρος. Η όπτηση των αγγείων πρέπει να έχει πραγματοποιηθεί σε μια θερμοκρασία, που δεν ξεπερνά τους 750° (πρβλ. Παράρτημα IV). Η τελική επεξεργασία της επιφάνειας του αγγείου πραγματοποιείται μετά το στέγνωμα μ' ένα ειδικό εργαλείο, ξύλινο ή οστέινο, τα ίχνη του οποίου διακρίνονται στην επιφάνεια.

ΣΧΗΜΑΤΑ ΑΓΓΕΙΩΝ

Το μοναδικό σχήμα από τα αγγεία του νεκροταφείου, που σώζει στίλβωση στην επιφάνειά του, είναι ο κάνθαρος VA 115. Πιθανότατα, η στίλβωση υπήρχε και στα σχήματα I 1 και VIA 121, αλλά δε σώζεται στα θραύσματα που έχουμε.

ΕΣΩΤΕΡΙΚΗ ΧΡΟΝΟΛΟΓΗΣΗ

Η κεραμική της κατηγορίας I, 1α εμφανίζεται μόνο στη φάση ΙΑ των νεκροταφείων του οικισμού Καστρί, όπου αντιπροσωπεύεται με χαμηλά ποσοστά (Σ χ έ δ. 113).

του κανθάρου αυτού του τύπου είναι σπάνια: Βαρδαρόφτσα: Heurtley - Hutchinson 1925/26, πίν. XIb της φάσης C. Για παραδείγματα κανθάρου τύπου VA με εγχάρακτη διακόσμηση και στιλβωμένη επιφάνεια, βλ. παρακάτω. Για ακόσμητο κάνθαρο, πρβλ. Καστανάς, στρώμα 14b, Hänsel 1982, 280, εικ. 8, Hochstetter 1984, πίν. 268, 5.

10. Βαρδαρόφτσα: πρβλ. υποσημ. 2, Σταθμός Αγγίστας: πρβλ. υποσημ. 6, Άσσηρος: Wardle 1980, 246, εικ. 10, Καστανάς: Hänsel 1982, 280, εικ. 8, 1.

11. Βαρδαρόφτσα: Heurtley - Hutchinson 1925/26, 18. Σαρατσέ: Heurtley - Radford 1928/30, 128. Σταθμός Αγγίστας: Κουκούλη - Χρυσανθάκη 1980, 57, εικ. 8.

12. Σταθμός Αγγίστας: ό.π.

13. Γραμμένος 1979, 26 κ.ε.

14. Heurtley - Hutchinson 1925/26, 30, κατηγορία D6, Cuttle 1926/27, 211.

15. Πεντάζος 1971, 90 (Ασσάρ Τεπέ). Αδημοσίευτο υλικό του Μουσείου Κομοτηνής.

16. Ό.π., 87. Κεραμικό υλικό στην Αρχαιολογική Συλλογή Μαρώνειας.

ΑΚΟΣΜΗΤΗ ΚΕΡΑΜΙΚΗ ΜΕ ΕΠΙΦΑΝΕΙΑ ΛΕΙΑΣΜΕΝΗ (Ι, 1β)

Διάδοση

Η ακόσμητη κεραμική με τη λειασμένη επιφάνεια είναι γνωστή από τη νεολιθική εποχή. Κεραμική, ωστόσο, της κατηγορίας Ι, 1β με τους σκοτεινούς χρωματικούς τόνους, που δίδουν μια μεταλλική υφή στην επιφάνεια του αγγείου, επικρατεί στην πρώιμη εποχή του χαλκού και εμφανίζει μεγάλη διάδοση στη Μακεδονία[17] και στη Θράκη από την πρώιμη εποχή του χαλκού ως την ύστερη εποχή του χαλκού, την πρώιμη εποχή του σιδήρου και τους ιστορικούς χρόνους.

Η ακόσμητη κεραμική Ι, 1β στα νεκροταφεία Καστρί και Λαρνάκι

Κεραμική αυτής της κατηγορίας εμφανίζεται και στα δύο νεκροταφεία Καστρί και Λαρνάκι και φυσικά δε λείπει και από τον οικισμό Καστρί.

ΤΕΧΝΙΚΗ ΚΑΤΑΣΚΕΥΗΣ

Ο πηλός είναι όμοιος με τον πηλό των αγγείων της προηγούμενης κατηγορίας. Οι χρωματικές διαφορές της επιφάνειας των αγγείων οφείλονται στο μεγαλύτερο ή μικρότερο ποσοστό οξείδωσης, που έχει δεχθεί ο πηλός στη διάρκεια της όπτησης. Έτσι, εμφανίζονται οι εξής επιμέρους παραλλαγές:

Εξωτερική επιφάνεια καστανότεφρη ή καστανόμαυρη. Πυρήνας τεφρόμαυρος-καστανόμαυρος.

Επιφάνειες καστανόχρωμες έως καστανέρυθρες. Πυρήνας καστανέρυθρος.

Επιφάνειες καστανόμαυρες έως τεφρόμαυρες. Πυρήνας καστανέρυθρος.

Η θερμοκρασία της όπτησης δεν έχει ξεπεράσει τους 750°. Η επιφάνεια των αγγείων λειαίνεται μετά την όπτηση με μάλλινο ύφασμα ή τούφα μαλλιού (πρβλ. L. Courtois, Παράρτημα IV, δείγματα αριθ. 4, 16, 17, 20, 21, 23, 25, 26, 28, 35, 42, 45).

ΣΧΗΜΑΤΑ ΑΓΓΕΙΩΝ

Η ακόσμητη κεραμική περιλαμβάνει το μεγαλύτερο αριθμό σχημάτων αγγείων από κάθε άλλη κατηγορία χειροποίητης κεραμικής, δηλαδή:

Φιαλόσχημα αγγεία, Ι, φιαλόσχημα ΙΙ, κρατηρόσχημα ΙΙΙ, μόνωτα ευρύστομα IV, κανθάρους V, αμφορείς VIA, VIB, VIΓ, VIΔ, οινοχόες VIIA, VIIB, VIIΓ και VIIΔ, κυπελλόσχημα VIII, άωτα-«πυξίδες» IXA και IXB, και το σχήμα Χ που αντιπροσωπεύεται με ένα μόνο παράδειγμα.

ΕΣΩΤΕΡΙΚΗ ΧΡΟΝΟΛΟΓΗΣΗ

Η ακόσμητη κεραμική Ι, 1β εμφανίζεται σ' όλες τις φάσεις των νεκροταφείων Καστρί και Λαρνάκι, με ποσοστά που αυξομειώνονται ανάλογα με την εμφάνιση των άλλων κατηγοριών κεραμικής. Η διαφοροποίησή της κατά φάσεις σημειώνεται με την εξέλιξη των σχημάτων των αγγείων και με την αντικατάσταση ορισμένων σχημάτων από άλλα.

Σ χ ή μ α Ι: Φιαλόσχημα αγγεία

Τα φιαλόσχημα αγγεία της ακόσμητης κεραμικής εμφανίζουν ορισμένα κοινά με την εγχάρακτη κεραμική σχήματα (σχήμα Ι 1 και Ι 2), αλλά και σχήματα που απαντώνται αποκλειστικά στην ακόσμητη κεραμική (σχήμα Ι 3). Ο τύπος Ι 1α είναι γνωστός σε ελάχιστα μόνο θραύσματα (K1A3, Π ί ν. 1: 5 και T29, 51, Π ί ν. 170: 51), στα νεκροταφεία Κεντριά και Τσιγανάδικα.

17. Courtois, ό.π. (υποσημ. 1). Πρβλ. και Παράρτημα IV. Gardner 1978, 123.

Το σχήμα ωστόσο είναι γνωστό στην ανατολική[18] και στην κεντρική Μακεδονία[19], τόσο στις πρώιμες όσο και στις προχωρημένες φάσεις της ύστερης εποχής του χαλκού. Αντίστοιχο εισέχον χείλος εμφανίζεται και σ' ένα άωτο φιαλόσχημο αγγείο με κωνική βάση από τον τύμβο Εξοχής ανατολικής Μακεδονίας[20].

Σχετικά, αλλά όχι όμοια, φιαλόσχημα αγγεία με εισέχον χείλος και διχαλωτές λαβές, εμφανίζονται και στην ηπειρωτική Θράκη της ύστερης εποχής του χαλκού[21]. Ο τύπος πρέπει να χρονολογηθεί στη φάση Ι των νεκροταφείων Καστρί με πιθανή επιβίωση ως τη φάση ΙΙΑ. Ο τύπος Ι 2 εμφανίζεται, επίσης, σε ελάχιστα θραύσματα στον τάφο Κ1Α του νεκροταφείου Κεντριά. Πρόκειται για το γνωστό μακεδονικό φιαλόσχημο αγγείο με τις διχαλωτές (wish bone) λαβές και το χείλος που προεκτείνεται οριζόντια, σχηματίζοντας δύο αντωπές αποφύσεις ανάμεσα στις λαβές. Η βάση του αγγείου είναι άλλοτε κωνική και άλλοτε επίπεδη. Παραδείγματα ακόσμητου φιαλόσχημου αγγείου τύπου Ι 2 με κωνική βάση έχουμε από τα στρώματα της μέσης και ύστερης εποχής του χαλκού της Βαρδαρόφτσας[22], καθώς και από άλλους οικισμούς ύστερης εποχής του χαλκού της κεντρικής Μακεδονίας[23]. Τα παραδείγματα, που έχουν δημοσιευθεί από την Άσσηρο[24], έχουν επίπεδη βάση, αλλά στον Καστανά εμφανίζονται και οι δύο τύποι με επίπεδη και κωνική βάση, τόσο στην ύστερη όσο και στην πρώιμη φάση της ύστερης εποχής του χαλκού[25]. Ο τύπος είναι επίσης εξίσου διαδεδομένος και στην ανατολική Μακεδονία, όπου εμφανίζεται στον οικισμό του Σταθμού Αγγίστας[26], καθώς και σε άλλους οικισμούς[27].

Αγγεία αυτού του σχήματος είναι γνωστά στο χώρο της Μακεδονίας και στον ελλαδικό χώρο από την πρώιμη εποχή του χαλκού και εμφανίζουν μια συνέχεια ως την ύστερη εποχή του χαλκού. Όπως ο τετράωτος αμφορέας τύπου VIA (βλ. παρακάτω), έτσι και το φιαλόσχημο αγγείο τύπου Ι 2 αποτελεί χαρακτηριστικό σχήμα της μακεδονικής κεραμικής, που αντλεί τα επιμέρους στοιχεία του από την παράδοση της πρώιμης εποχής του χαλκού[28]. Η καταγωγή του τύπου της διχαλωτής λαβής μπορεί να αναχθεί και σε παλιότερα από την πρώιμη εποχή του χαλκού πρότυπα, όπως διαπιστώνεται από αντίστοιχες λαβές νεολιθικής κεραμικής, που εμφανίζονται στον οικισμό Καστρί Θάσου[29] ή στο Εμπορειό Χίου[30]. Ο τύπος εμφανίζεται μόνο στη φάση ΙΑ των νεκροταφείων Καστρί.

Ο τύπος Ι 3 είναι γνωστός μόνο από ένα θραύσμα του τάφου Κ1Α. Αντίστοιχος τύπος είναι το αγγείο από το στρώμα της ύστερης εποχής του χαλκού του Αγίου Μάμα[31], όπου εμφανίζονται δύο συγγενικές παραλλαγές του ίδιου σχήματος. Αντίστοιχος τύπος εμφανίζεται και σε άλλους οικισμούς της κεντρικής Μακεδονίας σε στρώματα, που αντιπροσωπεύουν φάσεις μεταβατικές από την ύστερη εποχή του χαλκού στην πρώιμη εποχή του σιδήρου[32], και επιβιώνει οπωσδήποτε και στην πρώιμη εποχή του σιδήρου[33]. Στην ανατολική

18. Σταθμός Αγγίστας, αδημοσίευτο υλικό, στρωματογραφημένο με ΥΕ ΙΙΙΒ. Εξοχή: Γραμμένος 1979α, εικ. 48, 1.

19. Καστανάς, στρώμα 19, 17 και 14b: Hänsel 1979α, 182, Hochstetter 1984, πίν. 17, 5.

20. Γραμμένος 1979, 50, εικ. XIII.

21. Hänsel 1976, πίν. 72, 5. Pšeničevo, στρώμα ύστερης εποχής του χαλκού.

22. Βαρδαρόφτσα: Heurtley - Hutchinson 1925/26, 18, πίν. IIIa. Πρβλ. και Heurtley 1939, αριθ. 406, όπου το ίδιο αγγείο αποδίδεται στην ύστερη εποχή του χαλκού.

23. Σέδες: Heurtley 1939, αριθ. 452, με επίπεδη βάση.

24. Wardle 1980, 245, εικ. 9 και 248, εικ. 12.

25. Καστανάς, στρώμα 14 έως στρώμα 17. Με βάση κωνική τα περισσότερα παραδείγματα, Hänsel 1979α, 184, εικ. 12, 1, στρώμα 16.

26. Κουκούλη-Χρυσανθάκη 1980, 64, εικ. 8.

27. Αδημοσίευτο υλικό από επιφανειακές έρευνες, Μουσείο Καβάλας.

28. Heurtley 1939, 97 και 130.

29. Χ. Κουκούλη-Χρυσανθάκη, ΑΔ 28 (1973): Χρονικά, 444, στρώμα χαλκολιθικής φάσης.

30. Hood 1981/1982, 205, εικ. 106 και 208-209, εικ. 107.

31. Heurtley 1939, αριθ. 456-457.

32. Ό.π., 97-98, αριθ. 438. Περιβολάκι (Σαρατσέ), Μπουμπούστι: Heurtley 1926/27, 173, εικ. 21, 12. Βαρδαρόφτσα: Heurtley - Hutchinson 1925/26, πίν. XIXa10. Πάτελι: Heurtley 1926/27, εικ. 30, 9.

33. Βεργίνα: Ανδρόνικος 1969, 208, εικ. 48.

Μακεδονία εμφανίζεται με ορισμένες παραλλαγές στον οικισμό του Σταθμού Αγγίστας[34], στον τύμβο Εξοχής[35], καθώς και σε επιφανειακή κεραμική άλλων οικισμών της ανατολικής Μακεδονίας. Η καταγωγή του σχήματος και του τύπου μπορεί να αναχθεί στην πρώιμη εποχή του χαλκού, όπως διαπιστώνεται από παραδείγματα της Πολιόχνης[36].

Επειδή ο τύπος αντιπροσωπεύεται με ένα μόνο παράδειγμα, που βρέθηκε σε διαταραγμένη επίχωση της ταφικής συστάδας Κ1, δεν είναι δυνατό να αποδοθεί με ασφάλεια στη φάση ΙΑ, όπου πιθανότατα ανήκει, εφόσον δεν εμφανίζεται σε άλλους τάφους της φάσης ΙΒ (Π ί ν. 331: 5).

Το σχήμα Ι, οπωσδήποτε, φαίνεται ότι γενικότερα αποτελεί το χαρακτηριστικό σχήμα αγγείου της φάσης ΙΑ σ' όλες τις παραλλαγές του, που επιβεβαιώνουν τις σχέσεις της Θάσου στη διάρκεια αυτής της φάσης με τη Μακεδονία της ύστερης εποχής του χαλκού.

Σ χ ή μ α ΙΙ: Φιαλόσχημα αγγεία

Τα χαρακτηριστικά γνωρίσματα των αγγείων του σχήματος ΙΙ είναι το χείλος που κάμπτεται προς τα έξω και οι κατακόρυφες μικρές κυλινδρικές λαβές που είναι τοποθετημένες κάτω από το χείλος, στον ώμο του αγγείου. Η διαμόρφωση της βάσης διαφοροποιεί τις δύο παραλλαγές ΙΙ 4 και ΙΙ 5 (Σ χ έ δ. 78· Π ί ν. 331: 6). Το φιαλόσχημο αγγείο με κωνική ή επίπεδη βάση εμφανίζεται με μεγάλη συχνότητα στην ταφική συστάδα Κ1 και σποραδικά και σε άλλους τάφους του νεκροταφείου Τσιγανάδικα (Τ12, Τ15), όπου συνυπάρχει και με τοπικά μυκηναϊκά αγγεία. Από την κεντρική Μακεδονία δεν έχουμε ακόμη κανένα ολοκληρωμένο παράδειγμα. Στον οικισμό του Καστανά εμφανίζονται ωστόσο θραύσματα, που είναι δυνατό να προέρχονται από αγγεία του ίδιου σχήματος[37]. Αγγεία με χείλος αντίστοιχο είναι περισσότερο συχνά στην ανατολική Μακεδονία (Σ χ έ δ. 126). Το πιο διαδεδομένο συγγενικό σχήμα είναι η φιάλη με κωνική βάση και αντίστοιχο χείλος, αλλά με λαβές οριζόντιες, που εμφανίζεται στο στρώμα της ύστερης εποχής του χαλκού του οικισμού του Ντικιλί Τας[38], καθώς και στους τύμβους Ποταμών και Εξοχής[39]. Ανάλογο σχήμα αγγείου εμφανίζεται και στο σπήλαιο της Μαρώνειας[40], διακοσμημένο ωστόσο με τη χαρακτηριστική για την ύστερη εποχή του χαλκού εγχάρακτη διακόσμηση. Η παραλλαγή ΙΙ 5 με την επίπεδη βάση θα μπορούσε, επίσης, να συγκριθεί με ένα δίωτο φιαλόσχημο αγγείο με κατακόρυφες λαβές στον ώμο, που περιλαμβάνεται στην τυπολογία των σχημάτων της ομάδας Zimnicea-Plovdiv[41], καθώς και της ομάδας Coslogeni.

Η καταγωγή του σχήματος αυτού θα μπορούσε να τοποθετηθεί στην πρώιμη εποχή του χαλκού, όπου εμφανίζονται όχι απόλυτα όμοια, αλλά αντίστοιχα παραδείγματα, που επιβιώνουν και στη μέση εποχή του χαλκού[42].

34. Κουκούλη-Χρυσανθάκη 1980, πίν. 10, αριθ. 207.

35. Γραμμένος 1979, 42, εικ. VIII, 1.

36. Πολιόχνη: Bernabò-Brea 1964, πίν. CXVIf, CXXh: periodo verde, πίν. CLIIIe: periodo rosso. Εμποριό: Hood 1981/1982, πίν. 57, αριθ. 927.

37. Καστανάς, στρώμα 13: Hochstetter 1984, πίν. 70, 10. Αντίστοιχο σχήμα θα μπορούσε να θεωρηθεί και το φιαλόσχημο αγγείο με τις κατακόρυφες κυλινδρικές λαβές στον ώμο και τη γραπτή διακόσμηση από την Καλίνδρια, Casson 1926α, πίν. XVI, 1, Heurtley 1939, αριθ. 423.

38. Ντικιλί Τας, π.χ. αριθ. 456229 ή 456240 κ.ά. Πρβλ. Seferiades 1983, 672.

39. Γραμμένος 1979, 29, τύπος Α, εικ. IX, 2 (Εξοχή), 35, εικ. III, 2 (Ποταμοί).

40. Αρχαιολογική Συλλογή Μαρώνειας. Αδημοσίευτο υλικό.

41. Hänsel 1976, πίν. II, 24 και πίν. 9, 7-8, Čerkovna Gruppe. Στο σχήμα σημειώνεται μια στένωση στη βάση, που υπερυψώνεται, όπως και στον κάνθαρο της ίδιας ομάδας και των άλλων σύγχρονων βαλκανικών ομάδων (ομάδες Tei IV, Govora, πρβλ. Hänsel 1976, πίν. 4).

42. Εύτρηση: Goldman 1931, ΠΕ III, εικ. 160 και ΜΕ, εικ. 245, 4 (με μία λαβή). Άργισσα: Hanschmann - Milojčić 1976, πίν. 18, 1· Ορχομενός: E. Kunze, Orchomenos, 1934, πίν. XVI, 2, ΠΕ. Λευκαντί: Popham - Sackett 1968, 9, εικ. 8, ΜΕ. Πρβλ. επίσης για νεότερες επιβιώσεις του σχήματος: Αετός Ιθάκης, Heurtley 1932/33, 55, εικ. 34, αριθ. 104, 105. Ο τύπος είναι κυρίως μεσοελλαδικός. Πρβλ. παραδείγματα Λέρνας, J. Caskey, Hesperia 25 (1956), πίν. 43e και Caskey 1960, 296.

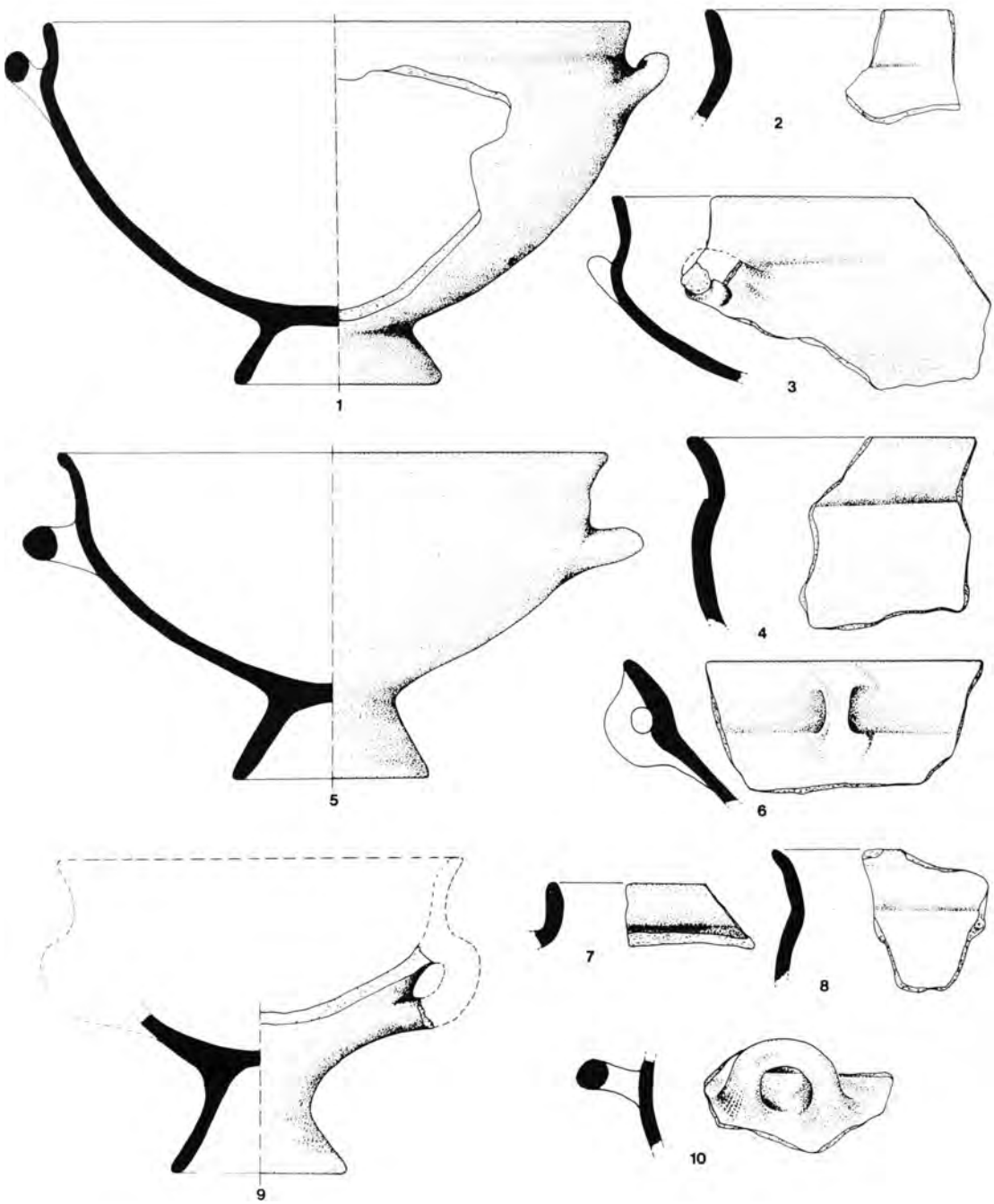

Σχέδ. 126. Χειροποίητη κεραμική Ι, Ιβ ανατολικής Μακεδονίας (φιαλόσχημα αγγεία): 1. Εξοχή, 2. Τούμπα Σαμαρά, 3. Ντικιλί Τας Α216, 4. Παλιόκαστρο Κάρυανης, 5. Ποταμοί, 6. Πλατανιά, 7. Νικηφόρος, 8. Νικήσιανη, 9. Σταθμός Αγγίστας, 10. Νικήσιανη.

Η παραλλαγή ΙΙ 6 με το υψωμένο χείλος και το ρευστό περίγραμμα αποτελεί μια μεταγενέστερη εξέλιξη της παραλλαγής ΙΙ 5.

Το σχήμα ΙΙ εμφανίζεται αποκλειστικά στη φάση ΙΒ, όπου φαίνεται ότι αντικαθιστά το

φιαλόσχημο αγγείο του σχήματος Ι. Τα ποσοστά παρουσίας του, σε σχέση με τα άλλα αγγεία αυτής της φάσης, είναι ιδιαίτερα αυξημένα.

Επειδή δεν έχουμε κλειστά σύνολα από την ταφική συστάδα Κ1, δεν μπορούμε να αποκλείσουμε την παρουσία αυτού του σχήματος και κατά τη φάση ΙΑ (Σ χ έ δ. 112).

Σ χ ή μ α ΙΙΙ: Κρατηρόσχημα αγγεία

Το σχήμα εμφανίζεται σε δύο παραλλαγές: ΙΙΙ 7 άωτο και ΙΙΙ 8 με αποφύσεις στον ώμο (Σ χ έ δ. 78). Η παραλλαγή ΙΙΙ 7 μπορεί να σχετισθεί στη διαμόρφωση του χείλους με το σχήμα ΙΙ. Κρατηρόσχημα αγγεία του σχήματος ΙΙΙ 9 εμφανίζονται από την πρώιμη εποχή του χαλκού[43] και είναι διαδεδομένα στην ύστερη εποχή του χαλκού στη Μακεδονία[44]. Στην ανατολική Μακεδονία ορισμένα κρατηρόσχημα αγγεία, με αποφύσεις στον ώμο, εμφανίζουν επίχρισμα με γραφίτη[45].

Ανάμεσα στα παραδείγματα της πρώιμης και της ύστερης εποχής του χαλκού θα μπορούσαν να τοποθετηθούν τα χρονολογημένα στη μέση εποχή του χαλκού παραδείγματα από την Εύτρηση[46].

Το σχήμα ΙΙΙ εμφανίζεται στη φάση ΙΒ και πιθανότατα επιβιώνει και στη φάση ΙΙΑ των νεκροταφείων Καστρί. Στο νεκροταφείο Λαρνάκι δεν υπάρχει (Σ χ έ δ. 121).

Σ χ ή μ α IV: Μόνωτα ευρύστομα αγγεία

Τα μόνωτα ευρύστομα αγγεία της ακόσμητης κεραμικής Ι, 1β εμφανίζουν ως προς τη διαμόρφωση της λαβής δύο τύπους, IVA και IVB, με πολλές επιμέρους παραλλαγές, στις περισσότερες από τις οποίες επικρατεί το ελαφρά λοξότμητο χείλος (IVA 11-30) (Π ί ν. 332: 2-3).

Το σχήμα του μόνωτου αγγείου με το ελαφρά λοξότμητο χείλος δεν είναι ιδιαίτερα συχνό στη Μακεδονία της ύστερης εποχής του χαλκού. Από τον οικισμό του Σταθμού Αγγίστας[47] έχουμε λίγα παραδείγματα μόνωτων αγγείων, που θυμίζουν ωστόσο περισσότερα κυπελλόσχημα αγγεία, ενώ τα παραδείγματα της κεντρικής Μακεδονίας εμφανίζουν χείλος οριζόντιο[48].

Η καταγωγή του σχήματος ανέρχεται στην πρώιμη εποχή του χαλκού στον αιγαιακό χώρο. Ανάλογο με την παραλλαγή IV 12 σχήμα αγγείου εμφανίζεται στην Τροία ΙΙ[49], όπου τα πρότυπα πρέπει να είναι ανατολικά. Το ίδιο σχήμα αγγείου είναι επίσης διαδεδομένο στην πρώιμη εποχή του χαλκού στο Αιγαίο, όπως διαπιστώνεται από παραδείγματα της Πολιόχνης[50], της Θερμής[51] και του Άγιου Κοσμά[52]. Στο νεκροταφείο μάλιστα του Άγιου Κοσμά, ο τύπος συνεχίζεται και στη μεσοελλαδική περίοδο. Στη Θεσσαλία και τη Μακεδονία, στην πρώιμη εποχή του χαλκού, τα μόνωτα ευρύστομα αγγεία εμφανίζουν χείλος οριζόντιο[53]. Η

43. Karaman, φάση ΙΙΙΑ: Kitanovski - Simoska - Todorović 1977, 9 κ.ε., εικ. 3. Πρβλ. και το κλειστό αγγείο με την κατακόρυφη λαβή-απόφυση στο λαιμό, που θυμίζει το θραύσμα Κ2Δ2 (Π ί ν. 16Α: 2) που πρέπει να προέρχεται από τη χαλκολιθική φάση, που προϋπήρχε κάτω από την ταφική συστάδα Κ2, ό.π., εικ. 7.

44. Μπουμπούστι: Heurtley 1926/27, πίν. XVIII, Heurtley 1939, αριθ. 466, 467.

45. Κουκούλη-Χρυσανθάκη 1980, 73, εικ. 15.

46. Goldman 1931, εικ. 244, αριθ. 2 (με αποφύσεις) και αριθ. 5 (χωρίς αποφύσεις).

47. Κουκούλη-Χρυσανθάκη 1980, 64, εικ. 8, 4.

48. Καλίνδρια: Heurtley 1939, αριθ. 429.

49. Το σχήμα εμφανίζεται στην Τροία Ι, Blegen - Caskey 1950, 64, Α33, εικ. 223a. Ο Blegen, ό.π., 64, σημειώνει την πρώιμη παρουσία του σχήματος στη Μακεδονία και στη χαλκολιθική Ανατολή. Στην Τροία ΙΙ εξαφανίζεται και επανεμφανίζεται στην Τροία ΙΙΙ. Τη μεγαλύτερη διάδοση σημειώνει στην Τροία IV, Blegen - Caskey 1951, 125. Πρβλ. και Podzuweit 1979, 142 κ.ε., πίν. 4, 2 και 5, 1, όπου ξεχωρίζουν πολλές παραλλαγές του σχήματος.

50. Bernabò-Brea 1964, 565, πίν. CXIIk, βαθύς τύπος που πλησιάζει το σχήμα της πρόχου: periodo verde, πίν. CXXII και CXX, βαθύς τύπος, periodo rosso, πίν. CXLIIIi.

51. Lamb 1936, εικ. 29, Podzuweit 1979, παρένθ. πίν. 20.

52. Mylonas 1959, εικ. 140, 161.

53. Άργισσα: Hanschmann - Milojčić 1976, πίν. 43, 1-3, 45, 2 και IX, 1-2. Επίσης, μόνωτο αγγείο από το Σέσκλο, ό.π., πίν. 63, 2. Πρβλ. επίσης μόνωτα αγγεία πρώιμης εποχής του χαλκού στον Καστανά, Hänsel 1982, 274, εικ. 3.

χαρακτηριστική γωνιόσχημη λαβή εμφανίζεται σε παραδείγματα από την Πολιόχνη[54] και την Τροία[55]. Στα ηπειρωτικά Βαλκάνια σημειώθηκε, επίσης, η εμφάνιση αντίστοιχου σχήματος μόνωτου αγγείου, που σχετίσθηκε επίσης με επιδράσεις από την Ανατολή[56]. Το χαρακτηριστικό ωστόσο σχήμα του μόνωτου αγγείου με το βαθύ σώμα και το ελαφρά λοξότμητο χείλος, εμφανίζεται κυρίως σε κεραμικές ομάδες της ύστερης εποχής του χαλκού, όπως στην ομάδα Gîrla Mare[57] και προπαντός στην ομάδα Zimnicea-Plovdiv[58], ενώ μια αντίστοιχη γωνιόσχημη λαβή εμφανίζεται και στην ομάδα Monteoru από την ύστερη εποχή του χαλκού[59]. Το βαθύ μόνωτο αγγείο με το ελαφρά λοξότμητο χείλος επιβιώνει και στην ομάδα Čatalca της πρώιμης εποχής του σιδήρου[60], ενώ στη μεταγενέστερη ομάδα του Pšeničevo επικρατεί το οριζόντιο χείλος στα μόνωτα αγγεία[61].

Στα νεκροταφεία του οικισμού Καστρί, οπωσδήποτε, η εμφάνιση του σχήματος IV συμπίπτει με την εξαφάνιση των φιαλόσχημων I και II. Με το σχήμα II εμφανίζει και ορισμένες ομοιότητες στο χείλος η αρχαιότερη παραλλαγή IV 11 (Π ί ν. 332: 1).

Το σχήμα IV πρωτοεμφανίζεται στη φάση IB των νεκροταφείων του οικισμού Καστρί, με χαμηλό αρχικά ποσοστό, που μεγαλώνει εντυπωσιακά στη επομένη φάση IIA και ακόμη περισσότερο στη φάση IIB, κατά τη διάρκεια της οποίας το μεγαλύτερο ποσοστό κρατά το σχήμα IV της κεραμικής με την αυλακωτή διακόσμηση (Σ χ έ δ. 112, 113· Π ί ν. 332: 1-4).

Στο σχήμα IV της ακόσμητης κεραμικής μπορεί να διαφανεί και κάποια τυπολογική εξέλιξη, σύμφωνα με την οποία τα αγγεία της φάσης IB διακρίνονται για τον κοντό λαιμό και το βαθύ σώμα, ενώ στα αγγεία του σχήματος IV στην επόμενη φάση II αλλάζει η αναλογία σώματος-λαιμού και υψώνεται ο λαιμός. Είναι, επίσης, χαρακτηριστική για τη φάση II η εμφάνιση της τυπικής γωνιόσχημης λαβής, που θα αποτελέσει βασικό γνώρισμα των μόνωτων ευρύστομων αγγείων της φάσης II, τόσο στην ακόσμητη όσο και στη διακοσμημένη χειροποίητη κεραμική, χωρίς να λείπει τελείως και η καμπυλόγραμμη λαβή (Π ί ν. 332: 4). Σημειώνουμε, επίσης, ότι οι αποφύσεις εμφανίζονται στο σχήμα IV της κεραμικής I, 1β μόνο από τη φάση IIA (Π ί ν. 339: 7).

Σ χ ή μ α V: Κανθαρόσχημα αγγεία

Στην ακόσμητη κεραμική I, 1β εμφανίζεται μόνο ο τύπος VB του κανθαρόσχημου αγγείου σε τέσσερις παραλλαγές:

Η παραλλαγή VB 116 προέρχεται απευθείας από πρότυπα πρώιμης εποχής του χαλκού, όπως τα ξέρουμε από τον οικισμό του Αρμενοχωρίου[62] (Π ί ν. 332: 5).

Η παραλλαγή VB 117α έχει χαμηλότερο και ευρύτερο σώμα, που μπορεί επίσης να κατάγεται από πρότυπα πρώιμης εποχής του χαλκού της Μακεδονίας[63] και της Θεσσαλίας[64]. Στην ύστερη εποχή του χαλκού το σχήμα δεν είναι ιδιαίτερα συχνό στη Μακεδονία, αλλά εμφανίζει μεγάλη διάδοση στα ηπειρωτικά Βαλκάνια. Η παραλλαγή με την ελαφρά πλαστική δήλωση του χείλους (Π ί ν. 332: 6) θυμίζει κανθάρους και κυπελλόσχημα αγγεία της ομάδας

54. Bernabò-Brea 1964, πίν. XLVII (periodo azzurro), πίν. CXXD (periodo verde), Podzuweit 1979, παρένθ. πίν. 21.

55. Blegen - Caskey 1950, 64, σχήμα A32, εικ. 129. Τροία Ia, τύπος 2aII, Podzuweit 1979, παρένθ. πίν. 21 (ανοικτό αγγείο), πρβλ. και αντίστοιχη λαβή σε κλειστό αγγείο από την Τροία Ib, Blegen - Caskey 1950, πίν. 130b2, και Podzuweit 1979, παρένθ. πίν. 21.

56. Karanovo VII, Bubanj-Hum II-III, Bernabò-Brea 1964, 565.

57. Dumitrescu 1961, πίν. CIX, αριθ. 298, 441, 365, Hänsel 1976, 62, Morintz 1978, 28-40.

58. Hänsel 1976 (ομάδα Čerkovna), 76 κ.ε., Morintz 1978, 55-61 (Cultura Zimnicea-Plovdiv).

59. Morintz 1978, 101-112, Gimbutas 1965, 224, εικ. 152, Sandars 1971, 19, εικ. 2.

60. Hänsel 1976, πίν. XIII, 8 (ομάδα Čatalca). Το μόνωτο αγγείο με το ελαφρά λοξότμητο χείλος εμφανίζεται και στην ομάδα Babadag, ό.π., πίν. V, 1.

61. Ό.π., πίν. XIV, 5.

62. Heurtley 1939, αριθ. 323, 325. Πρβλ. και Τροία, Schmidt 1902, αριθ. 552. Για το σχήμα, πρβλ. Podzuweit 1979, 158, πίν. 7, 1.

63. Σαρατσέ: Heurtley 1939, αριθ. 258. Βαρδαρόφτσα: ό.π., αριθ. 229. Αρμενοχώρι: ό.π., αριθ. 324.

64. Άργισσα: Hanschmann - Milojčič 1976, πίν. V, 4.

Zimnicea-Plovdiv (Čerkovna)[65], ενώ οι αποφύσεις στον ώμο σχετίζονται με τους κανθάρους της ομάδας Coslogeni[66]. Αντίστοιχα κανθαρόσχημα αγγεία δε λείπουν και από τις ομάδες Gîrla Mare[67] και Tei V[68], χωρίς να λείπουν και από την Τροία VIIb1[69], της οποίας έχουν επισημανθεί οι σχέσεις με τα Βαλκάνια από το τέλος της ύστερης εποχής του χαλκού[70] (Zimnicea-Plovdiv και Coslogeni) (Π ί ν. 332: 7).

Η παραλλαγή VB 117β εμφανίζεται στην ύστερη εποχή του χαλκού της κεντρικής Μακεδονίας[71], η καταγωγή της ωστόσο μπορεί να ανεβεί ως την πρώιμη εποχή του χαλκού[72] (Π ί ν. 62: 40).

Η παραλλαγή VB 118 αποτελεί το πιο προχωρημένο παράδειγμα της παραλλαγής VB 117α (Π ί ν. 332: 8). Θα μπορούσαμε να διαπιστώσουμε στη Θάσο μια τάση αντίστοιχη στην εξέλιξη του σχήματος V με εκείνη που έχει διαπιστωθεί στα ανατολικά Βαλκάνια, στην εξέλιξη του ίδιου σχήματος: Οι κλειστοί κάνθαροι των ομάδων Zimnicea-Plovdiv και Coslogeni[73] εξελίσσονται σε κανθαρόσχημα αγγεία με σώμα ρηχό, όπως οι κάνθαροι των ομάδων Čatalca[74] και Babadag I[75].

Η παραλλαγή VB 120 (Π ί ν. 124, 4) συνδυάζει στοιχεία των παραλλαγών VB 117β και VB 118. Οι γωνιόσχημες λαβές θυμίζουν σχήμα IV και εμφανίζονται σε κανθάρους των ηπειρωτικών Βαλκανίων[76]. Αντίστοιχοι με το θασιακό παράδειγμα κάνθαροι εμφανίζονται στη φάση D της Βαρδαρόφτσας[77] και στο προαποικιακό στρώμα της αρχαίας Θάσου[78].

Οι παραλλαγές VB 118 και VB 120 ανάγονται στο αρκετά διαφοροποιημένο από το αντίστοιχο δίωτο αγγείο νεολιθικής[79] εποχής σχήμα κανθάρου της πρώιμης εποχής του χαλκού, που εμφανίζεται διαδεδομένο από την Εγγύς Ανατολή[80] ως τη Μακεδονία[81] και από το ανατολικό Αιγαίο[82] ως τα νοτιοδυτικά ηπειρωτικά Βαλκάνια[83]. Στο νοτιοελλαδικό χώρο εμφανίζεται στη μέση εποχή του χαλκού[84]. Στη μέση εποχή του χαλκού είναι διαδεδομένο το σχήμα στα ηπειρωτικά Βαλκάνια[85], ενώ στη Μακεδονία το βρίσκουμε να επιβιώνει στην ύστερη εποχή του χαλκού[86] και στην πρώιμη εποχή του σιδήρου[87].

65. Hänsel 1976, πίν. 10, 7, 11, 8 και 34, 3. Πρβλ. και μικρογραφικό κάνθαρο σε λίθινη μήτρα από Pobit Kamăk, ό.π., πίν. 2, 1.

66. Ό.π., πίν. 1, 3.

67. Dumitrescu 1961, πίν. 108, αριθ. 121.

68. Hänsel 1976, πίν. 5, 10 (ομάδα Govora).

69. Schmidt 1902, 176, αριθ. 3617.

70. Hänsel 1976, 231-232.

71. Βαρδαρόφτσα: Heurtley - Hutchinson 1925/26, πίν. XIb, Hänsel 1979, εικ. 14, αριθ. 7, στρώμα 14b με ΥΕΙΙΙΒ κεραμική.

72. Heurtley 1939, αριθ. 270 (Γκόνα).

73. Πρβλ. παραπάνω, υποσημ. 65 και 66.

74. Hänsel 1976, πίν. XIII, 10.

75. Ό.π., πίν. 44, 2 και V, 3. Πρβλ. και κανθάρους πρώιμης εποχής του σιδήρου από τη Βουλγαρία, Tončeva 1980, 39, πίν. XII, 1-5 (1050-900 π.Χ.).

76. Hänsel 1976, πίν. V, 14, πρβλ. και κάνθαρο από το Varaşti Ρουμανίας, πίν. 13, 2

77. Heurtley - Hutchinson 1925/26.

78. Bernard 1964, 113, εικ. 26.

79. Renfrew 1970, 301, εικ. 7 (Σιταγροί III).

80. Τροία IV: Blegen - Caskey 1951, 126 A37, Podzuweit 1979, πίν. 4IVb.

81. Βαρδαρόφτσα: Heurtley 1939, αριθ. 229. Μολυβόπυργος: Heurtley 1939, αριθ. 210. Σαρατσέ: Heurtley 1939, αριθ. 259.

82. Bernabò-Brea 1964, 543, πίν. CXLVIb (periodo rosso), πίν. CCIIIf (periodo giallo).

83. Karanovo VI, Gumelniţa IV, καθώς και Krivodol-Sălcuţa, πρβλ. Vajsova 1966, 19, εικ. 19, 9, ή Bubanj-Hum Ia, Ib, II, πρβλ. Garašanin 1973, 608, και Porodin, πρβλ. Garašanin 1958, πίν. 24, 4.

84. Πρβλ. κανθάρους μινύειας κεραμικής, π.χ. Goldman 1931, εικ. 187, 3.

85. Maliq IIIC: Prendi 1966, πίν. XIII, Hammond 1972, εικ. 9, αα, Prendi 1982, 209 κ.ε., εικ. 4-5.

86. Στην κεντρική Μακεδονία το σχήμα είναι συχνό στη γραπτή αμαυρόχρωμη κεραμική (matt painted). Heurtley 1939, αριθ. 422 (Καλίνδρια), αριθ. 434 (Τσαουζίτσα), αριθ. 455 (Καλαμαριά), αριθ. 462 (Μπουμπούστι).

87. Πρβλ. κανθάρους από το νεκροταφείο Βεργίνας, Ανδρόνικος 1969, 184· πρβλ. και γραπτά από νεκροταφείο

Η παραλλαγή VB 118 εμφανίζεται στη φάση ΙΙΒ1 των νεκροταφείων Καστρί και απουσιάζει τελείως από το νεκροταφείο Λαρνάκι (Σ χ έ δ. 112).

Η παραλλαγή VB 120, που αποτελεί τη μεταγενέστερη εξέλιξη των παραλλαγών VB 117 και VB 118, εμφανίζεται στη φάση ΙΙΓ των νεκροταφείων του οικισμού Καστρί και καθόλου στο νεκροταφείο Λαρνάκι.

Σ χ ή μ α VI: Αμφορείς

Στην ακόσμητη κεραμική Ι, 1β εμφανίζονται και οι τέσσερις βασικοί τύποι του σχήματος αυτού.

Τύπος VIA

Παραλλαγή VIA 122: Τα αρχαιότερα παραδείγματα της παραλλαγής αυτής με την κωνική βάση και τις τέσσερις κατακόρυφες λαβές στον ώμο δεν εμφανίζονται πριν από την ύστερη εποχή του χαλκού στη Μακεδονία[88]. Το σχήμα, ωστόσο, είναι συχνό στην κεραμική της ύστερης εποχής του χαλκού της κεντρικής[89] και ανατολικής Μακεδονίας[90]. Στην ανατολική Μακεδονία η παραλλαγή VIA 122 με την κωνική βάση και τις κατακόρυφες λαβές στην κοιλιά εμφανίζεται και στη διακοσμημένη εγχάρακτη κεραμική, όπως διαπιστώνεται από τα αγγεία των τύμβων Ποταμών και Εξοχής[91]. Στα κεντρικά και βόρεια Βαλκάνια ο τύπος δεν είναι συχνός. Το μοναδικό ως τώρα παράδειγμα είναι ο αμφορέας από τον τύμβο του Batak, που ο Hänsel[92] χρονολόγησε στην ομάδα Čerkovna (Zimnicea-Plovdiv).

Η σύγκριση με τα παραδείγματα της Ασσήρου[93] και του Καστανά[94] και η στρωματογραφική συσχέτιση του αμφορέα της παραλλαγής VIA 122 στον τάφο Τ18 του νεκροταφείου Τσιγανάδικα (Π ί ν. 333α) με αγγεία τοπικά μυκηναϊκά τύπου ΥΕ ΙΙΙΒ-Γ, σε συνδυασμό με την εμφάνιση της παραλλαγής VIA 123 στον τύμβο των Ποταμών[95], τοποθετεί το θασιακό παράδειγμα στην ΥΕ ΙΙΙΓ, με βάση κυρίως τα στρωματογραφικά δεδομένα του Καστανά και του Σταθμού Αγγίστας, που δεν αποκλείουν και μια υψηλότερη χρονολόγηση[96].

Οπωσδήποτε, ενώ η παραλλαγή VA 121 εμφανίζεται αποκλειστικά στη φάση ΙΑ των νεκροταφείων του οικισμού Καστρί, η ακόσμητη παραλλαγή (122) χρονολογείται στη φάση ΙΒ των νεκροταφείων (Σ χ έ δ. 112-113).

Παραλλαγή VIA 123: Ο τύπος αυτός του αμφορέα με την επίπεδη βάση, τις τέσσερις κατακόρυφες λαβές (Π ί ν. 92: 7) στην κοιλιά και το κωνικό χείλος, εμφανίζεται από τη μέση εποχή του χαλκού στην κεντρική Μακεδονία[97]. Η καταγωγή του από αντίστοιχα σχήματα πρώιμης εποχής του χαλκού της Μακεδονίας[98], παρά τις διαφορές που σημειώνονται, δεν πρέπει να αποκλεισθεί. Στη στρωματογραφία της Βαρδαρόφτσας, η παραλλαγή VIA 123 εμφανί-

Βίτσας, Ι. Κουλεϊμάνη, ΑΔ 22 (1967): Χρονικά, πίν. 250β. Πρβλ. κανθάρους από Πάτελι, Heurtley 1939, πίν. XXVII, ή από Μαρμάριανη, Heurtley 1927, εικ. 23.

88. Βαρδαρόφτσα: Heurtley - Hutchinson 1925/26, πίν. VIIa, στρώμα IX, 24e.

89. Άσσηρος: Wardle 1980, 247, εικ. 10, 15. Ο ανασκαφέας αναφέρει ότι το σχήμα είναι συχνό σ' όλες τις φάσεις της ύστερης εποχής του χαλκού. Το σχήμα δεν πρέπει να λείπει από τον Καστανά, όπου είναι συχνές οι κωνικές βάσεις από τα πρώιμα στρώματα της ύστερης εποχής του χαλκού (στρώμα 19) ως τα προχωρημένα (στρώμα 15). Ο αμφορέας εμφανίζεται από το στρώμα 18, Hochstetter 1984, πίν. 70, 1.

90. Σταθμός Αγγίστας: Κουκούλη-Χρυσανθάκη 1980, 64, εικ. 8. Τύμβος Ποταμών: Γραμμένος 1979, 32, εικ. 1, 8.

91. Γραμμένος 1979, 34, εικ. ΙΙ, 1-2 και 47, εικ. XI, 3.

92. Hänsel 1976, 78, αριθ. 9, όπου και προηγούμενη βιβλιογραφία, πίν. ΙΙ, 26. Εμφανίζονται, ωστόσο, και νεότερες επιβιώσεις του σχήματος. Πρβλ. ό.π., 85.

93. Wardle 1980, 245, εικ. 9, 7 και 246, εικ. 10, 15.

94. Hänsel 1979, στρώμα 15, 17, 19.

95. Πρβλ. υποσημ. 90.

96. Ό.π.

97. Βαρδαρόφτσα: Heurtley - Hutchinson 1925/26, πίν. VIIa, στρώμα IX, 24, 2. Μεταβατική φάση από μέση σε ύστερη εποχή του χαλκού.

98. Κριτσανά: Heurtley 1939, 18. Πρβλ. αντίστοιχα σχήματα στην πρώιμη εποχή του χαλκού Θεσσαλίας και νότιας Ελλάδας. Άργισσα ΙΙ, Λιανοκλάδι ΙΙΙ: Wace - Thompson 1912, 181, 5.

ζεται από τη μέση εποχή του χαλκού και συνεχίζεται στην ύστερη εποχή του χαλκού[99]. Στην Άσσηρο αποτελεί σχήμα κοινό σ' όλα τα στρώματα του οικισμού, που κατά τον ανασκαφέα πρέπει να αρχίζουν από τη μέση εποχή του χαλκού και να σταματούν στην πρώιμη εποχή του σιδήρου[100]. Στον Καστανά εμφανίζεται από τις πρώιμες φάσεις της ύστερης εποχής του χαλκού[101]. Στην ανατολική Μακεδονία, στο Σταθμό Αγγίστας[102], τα αρχαιότερα χρονολογημένα παραδείγματα αυτού του τύπου ανεβαίνουν ως την ΥΕ ΙΙΙΒ περίοδο, ενώ στον τύμβο της Εξοχής (Σ χ έ δ. 127) κατεβαίνουν ως την ΥΕ ΙΙΙΓ περίοδο[103]. Στο νεκροταφείο του οικισμού Καστρί ο τύπος του αμφορέα VIA 123 βρίσκεται μαζί με ΥΕ ΙΙΙΒ-Γ τοπικά μυκηναϊκά αγγεία (Π ί ν. 91-92), και επομένως μπορεί να αναχθεί σε μια φάση σύγχρονη με ΥΕ ΙΙΙΒ-Γ περίοδο. Αντίστοιχη είναι και η εμφάνιση της ίδιας παραλλαγής στον οικισμό Καστρί μαζί με τα τοπικά μυκηναϊκά αγγεία ΥΕ ΙΙΙΓ[104]. Στα κεντρικά Βαλκάνια, ο τύπος αυτός του αμφορέα εμφανίζεται στην ομάδα Zimnicea-Plovdiv[105], ενώ απουσιάζει από τα βόρεια Βαλκάνια. Η δημιουργία αυτού του τύπου πρέπει πιθανότατα να αναχθεί στην τοπική μακεδονική κεραμική, όπως έχει ήδη υποστηρίξει ο Heurtley[106].

Η παραλλαγή VIA εμφανίζεται στη φάση ΙΒ των νεκροταφείων του οικισμού Καστρί.

Τύπος VIB

Παραλλαγή VIB 137: Η παραλλαγή αυτή αποτελεί μια πιο προχωρημένη μορφή της παραλλαγής VIA 123. Τα αγγεία στην παραλλαγή αυτή είναι μεγάλα αποθηκευτικά δοχεία με δύο ή τέσσερις λαβές στον ώμο. Το περίγραμμα είναι ρευστό και δεν τονίζονται τα επιμέρους στοιχεία του αγγείου (λαιμός και ώμος) (Π ί ν. 145: 49). Η επιφάνεια του αγγείου είναι πάντα καστανότεφρη ή καστανόμαυρη και με επιμέλεια λειασμένη.

Ο τύπος VIB, που σχετίζεται με την παραλλαγή του VIA 123, εμφανίζεται στη φάση ΙΒ, αλλά παραμένει και στις μεταγενέστερες φάσεις των νεκροταφείων Καστρί και Λαρνάκι. Μετά τη φάση ΙΙΑ τα ποσοστά παρουσίας του χαμηλώνουν, γιατί τον αντικαθιστά το αντίστοιχο μεγάλο αποθηκευτικό αγγείο του ίδιου σχήματος με την αυλακωτή διακόσμηση (VIB 136) (Σ χ έ δ. 112). Η παρουσία χαμηλών αποφύσεων στον ώμο εμφανίζεται στους αμφορείς αυτού του σχήματος αρκετά συχνά.

Τύπος VIΓ

Ο τύπος του αμφορέα με τις οριζόντιες λαβές εμφανίζεται με ένα πλήθος παραλλαγών, που διαφοροποιούνται άλλοτε από τον αριθμό των λαβών, άλλοτε από τη διαφορετική αναλογία ανάμεσα στο λαιμό και στο σώμα. Ως επί το πλείστον επικρατούν τα σχήματα, που τονίζουν την άρθρωση λαιμού-σώματος (Π ί ν. 333: 2), αλλά εμφανίζονται ωστόσο και αμφορείς με λαιμό και σώμα δοσμένο μονοκονδυλιά (Π ί ν. 333: 3).

Αμφορείς με οριζόντιες λαβές στην κοιλιά εμφανίζονται από την πρώιμη εποχή του χαλκού στην Τροία[107], στο ανατολικό Αιγαίο[108], καθώς και στο νοτιοελλαδικό χώρο[109] και στη

99. Heurtley - Hutchinson 1925/26, 20.

100. Wardle 1980, 245, εικ. 9, 3 και 6 και 258, εικ. 17, 46.

101. Καστανάς, στρώμα 18: Hochstetter 1984, πίν. 10, 1, στρώμα 14b, πίν. 50, 1-2, μαζί με μυκηναϊκή επείσακτη ΥΕ ΙΙΙΒ κεραμική.

102. Κουκούλη-Χρυσανθάκη 1980, εικ. 8, 12.

103. Γραμμένος 1979, εικ. XII, 2. Στον τύμβο της Εξοχής η ίδια παραλλαγή εμφανίζεται με εγχάρακτη διακόσμηση.

104. Χ. Κουκούλη-Χρυσανθάκη, ΑΔ 31 (1976): Χρονικά, 298, σχέδ. 3.

105. Hänsel 1976, πίν. II, 30.

106. Heurtley - Hutchinson 1925/26, 54. Αντίστοιχο περίπου σχήμα αγγείου είναι γνωστό από την πρώιμη εποχή του χαλκού την Τροία και την Εγγύς Ανατολή, Blegen - Caskey 1951, 130, C6, εικ. 154, C6 και εικ. 164, αριθ. 361197 (Τροία IV· πρβλ. και Podzuweit 1979, τύπος 6FI, πίν. 15, 1, παρένθ. πίν. 24, ενώ δε λείπει και από την ύστερη νεολιθική εποχή, Evans - Renfrew 1968, εικ. 197 (Σάλιαγκος).

107. Blegen - Caskey 1950, 234, εικ. 370a, C12. Το σχήμα εμφανίζεται στην Τροία II, δεν υπάρχει στην Τροία

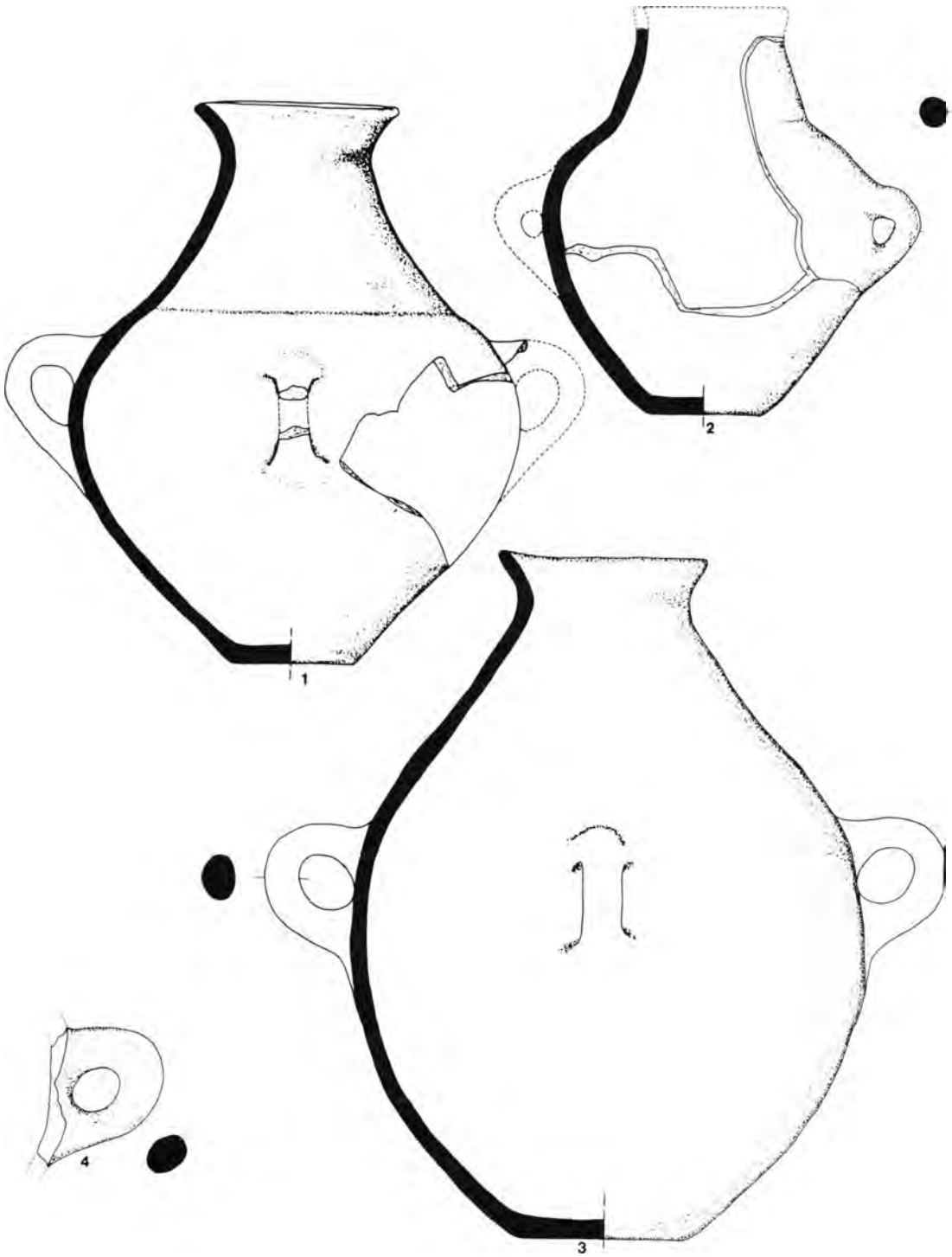

Σχέδ. 127. Χειροποίητη κεραμική Ι, 1β ανατολικής Μακεδονίας (αμφορείς): 1. Εξοχή, 2. Ποταμοί, 3. Σταθμός Αγγίστας, 4. Ντικιλί Τας.

Θεσσαλία[110]. Στη Μακεδονία της πρώιμης εποχής του χαλκού δεν υπάρχουν ακόμη παραδείγματα αυτού του τύπου, αλλά η απουσία αυτή νομίζω ότι πρέπει να θεωρηθεί συμπτωματική και τυχαία.

Στη μέση εποχή του χαλκού, το μοναδικό παράδειγμα αμφορέα αυτού του τύπου εμφανίζει αυλακωτή διακόσμηση[111]. Στην ύστερη εποχή του χαλκού ο τύπος αυτός, και μάλιστα της παραλλαγής της Αϊδηνιώτικης Μαγούλας[112], εμφανίζει μεγάλη διάδοση στην κεντρική[113] και ανατολική Μακεδονία[114]. Υπάρχουν παραδείγματα αμφορέων με εξέχον χείλος και αποφύσεις στην κοιλιά, τόσο στην ακόσμητη όσο και στη γραπτή και εγχάρακτη κεραμική, καθώς και αγγεία ακόσμητα με κυλινδρικές οριζόντιες λαβές στην κοιλιά, βάση επίπεδη ή κωνική, που καλύπτονται και με πώμα[115].

Οι οριζόντιες λαβές στην κοιλιά του αμφορέα αυτού του τύπου θυμίζουν αποφύσεις, που εμφανίζονται σε αντίστοιχες θέσεις σε μικρογραφικά αγγεία πρώιμης εποχής του χαλκού[116]. Από τις αποφύσεις αυτές πραγματοποιούνταν η ανάρτηση του αγγείου, σε συνδυασμό πιθανόν και με την πρόσδεση κάποιου πώματος, όπως μας είναι γνωστό από ύστερα νεολιθικά παραδείγματα στο Καστρί Θάσου[117]. Συχνά, στην ύστερη εποχή του χαλκού εμφανίζονται και αποφύσεις ανάμεσα στις λαβές, τόσο στα παραδείγματα του Καστανά[118] και της Ασσήρου[119] όσο και στον αμφορέα από το στρώμα της ύστερης εποχής του χαλκού, στα τετράγωνα Τ8 στον οικισμό στο Καστρί[120]. Αποφύσεις ανάμεσα στις λαβές σημειώνονται και στα αντίστοιχα παραδείγματα των μυκηναϊκών αμφορέων της ΥΕ ΙΙΙ και της υπομυκηναϊκής περιόδου[121].

Επειδή το σχήμα υπάρχει στην κεραμική της πρώιμης εποχής του χαλκού του ελλαδικού και του ανατολικοαιγαιακού χώρου, θα μπορούσαμε να θεωρήσουμε τα θασιακά παραδείγματα επιβιώσεις της παράδοσης της πρώιμης εποχής του χαλκού. Την άποψη αυτή, πιθανότατα, ενισχύει η εμφάνιση αντίστοιχων αμφορέων με οριζόντιες λαβές και κωνική βάση, καλυμμένων μάλιστα με πώμα στους οικισμούς Καστανά και Ασσήρου, σε στρώματα ύστερης εποχής του χαλκού, που βεβαιώνει μια ανεξάρτητη από μυκηναϊκή επίδραση τυπολογία του σχήματος.

Ο τύπος του αμφορέα VIΓ γνωρίζει μεγάλη διάδοση στην πρώιμη εποχή του σιδήρου, ιδιαίτερα στη Μακεδονία[122]. Στο εσωτερικό των Βαλκανίων δεν είναι τελείως άγνωστος, αλλά οπωσδήποτε η παρουσία του συχνά δεν είναι άσχετη από νότια επίδραση, π.χ. σε ορισμένες περιοχές της Σερβίας[123]. Ιδιαίτερα μεγάλη, και ίσως όχι άσχετη με τη μυκηναϊκή επίδραση που δέχθηκε η Μακεδονία, είναι η διάδοση των αμφορίσκων[124], συχνά διακοσμημένων και με αποφύσεις ανάμεσα στις λαβές, που εμφανίζουν μεγάλη διάδοση στην πρώιμη

ΙΙΙ και επανεμφανίζεται στην Τροία IV. Ανάλογο σχήμα το C15, βλ. και Blegen - Caskey 1950, 235, εικ. 370b, C12, που αναπτύχθηκε στο τέλος της Τροίας ΙΙ.

108. Εμπορειό IV-V: Hood 1981/1982, 404, εικ. 183, αριθ. 1240.

109. Hanschmann - Milojčič 1976, παρένθ. πίν. 27, 52 (Ορχομενός), 46 (Λέρνα), (25, 37) Εύτρηση.

110. Ό.π., πίν. 67, 1.

111. Heurtley 1939, αριθ. 402.

112. Πρβλ. υποσημ. 110.

113. Περιβολάκι (Σαρατσέ): Heurtley 1939, 222, αριθ. 440. Άσσηρος: Wardle 1980, 258, εικ. 17, αριθ. 45, πρώιμη εποχή του σιδήρου, φάση 2. Καστανάς, στρώμα 14b.

114. Οικισμός Καστρί Θάσου: Χ. Κουκούλη-Χρυσανθάκη, ΑΔ 31 (1976): Χρονικά, 294.

115. Άσσηρος: Wardle 1980, 245, 15.

116. Πολιόχνη: Bernabò-Brea 1964, πίν. CLIb. Άργισσα: Hanschmann - Milojčič 1976, πίν. 59, 9 και 11.

117. Χ. Κουκούλη-Χρυσανθάκη, ΑΔ 28 (1973): Χρονικά, 444.

118. Καστανάς, στρώμα 14b: Hochstetter 1984, πίν. 48, 1.

119. Άσσηρος: Wardle 1980, 245, εικ. 9, 15.

120. Χ. Κουκούλη-Χρυσανθάκη, ΑΔ 31 (1976): Χρονικά, 297.

121. Furumark 1972, εικ. 9, 63.

122. Άσσηρος: Wardle 1980, 258, εικ. 17, αριθ. 45, φάση 2, πρώιμη εποχή του σιδήρου.

123. Garašanin 1973, πίν. 55, Lapotince, ύστερη εποχή του χαλκού.

124. Ανδρόνικος 1969, 204-207, εικ. 44.

εποχή του σιδήρου στην κεντρική και δυτική Μακεδονία, καθώς και στη βόρεια Μακεδονία[125]. Στη Θάσο η μυκηναϊκή επίδραση είναι ιδιαίτερα φανερή στους αμφορείς Β2, 1 (Π ί ν. 56: 1, 333: 4) και Β1Γ, 31 (Π ί ν. 51: 31).

Ο τύπος του αμφορέα VIΓ εμφανίζεται στη φάση ΙΙΑ των νεκροταφείων και έκτοτε παραμένει με πολλές παραλλαγές σ' όλες τις φάσεις των νεκροταφείων του οικισμού Καστρί και της θέσης Λαρνάκι (Π ί ν. 333: 4).

Τα ποσοστά παρουσίας του αυξομειώνονται ανάλογα με την παρουσία του αντίστοιχου σχήματος στην κεραμική με την αυλακωτή διακόσμηση (Σ χ έ δ. 121).

Τύπος VIΔ

Στην κατηγορία αυτή ανήκουν μικρογραφικοί αμφορίσκοι διαφορετικών παραλλαγών:

Παραλλαγή VIΔ1: Αμφορίσκος με δύο κερατόσχημες αποφύσεις στον ώμο και αποφύσεις ανάμεσα στις κερατόσχημες εξοχές. Το σχήμα του αγγείου, που κατάγεται από την πρώιμη εποχή του χαλκού, πλησιάζει τους αμφορείς με τις διάτρητες αποφύσεις στον ώμο, που είναι γνωστοί από το στρώμα C της Βαρδαρόφτσας και από άλλους οικισμούς της Μακεδονίας[126]. Οι κερατόσχημες αποφύσεις είναι πολύ διαδεδομένος τύπος συμβατικών λαβών στην αδρή κεραμική, στα μεγάλα αγγεία της ύστερης εποχής του χαλκού στη Μακεδονία, κεντρική[127] και ανατολική[128]. Το είδος αυτό των αποφύσεων εμφανίζει μια μεγάλη διάδοση στην ύστερη εποχή του χαλκού και επιβιώνει και στην πρώιμη εποχή του σιδήρου.

Στο νεκροταφείο της Θάσου συνηθίζεται σε μεγάλα αποθηκευτικά ή πιθόσχημα αγγεία αδρής κατασκευής.

Η παραλλαγή VIΔ1, που αντιπροσωπεύεται από ένα μόνο παράδειγμα (Κ1Α67) (Π ί ν. 6: 67), πρέπει να αποδοθεί στη φάση ΙΒ.

Παραλλαγή VIΔ2: Η παραλλαγή αυτή πρέπει να συσχετισθεί με τον τύπο VIΓ 124, του οποίου αποτελεί μικρογραφική απόδοση. Αντιπροσωπεύεται από ένα μόνο παράδειγμα, που βρέθηκε στο αρχαιότερο στρώμα του τάφου Τ18 (Τ18, 66) και ανήκει στη φάση ΙΒ των νεκροταφείων Καστρί.

Παραλλαγή VIΔ3: Το μικρογραφικό αυτό αγγείο θυμίζει την προηγούμενη παραλλαγή VIΔ2.

Όμοιος τύπος αγγείου, με μία επίσης μόνο λαβή, είναι γνωστός από την πρώιμη εποχή του σιδήρου της Ιταλίας[129].

Στο νεκροταφείο, η παραλλαγή αυτή αντιπροσωπεύεται από ένα μόνο παράδειγμα, που δεν ξεχωρίζει κατασκευαστικά από τα υπόλοιπα αγγεία. Ανήκει στη φάση ΙΙΒ1, σύμφωνα με την εσωτερική χρονολόγηση των νεκροταφείων του οικισμού Καστρί.

Σ χ ή μ α VII: Οινοχόες

Στην ακόσμητη κεραμική Ι, 1β εμφανίζονται όλοι οι τύποι του σχήματος της οινοχόης, που σημειώθηκαν στα νεκροταφεία: VIIA, VIIB, VIIΓ, VIIΔ και VIIE.

Τύπος VIIA

Χαρακτηριστικό γνώρισμα του τύπου αποτελεί, όπως είδαμε, η θέση της λαβής στο λαιμό κάτω από το χείλος. Το χείλος άλλοτε είναι ελαφρά λοξότμητο (Π ί ν. 336: 10), άλλοτε οριζόντιο (Π ί ν. 333: 6).

125. Garašanin 1973, πίν. 103, Suva Reka (νεότερη φάση πρώιμης εποχής του σιδήρου).

126. Heurtley 1939, αριθ. 404.

127. Άσσηρος, Καστανάς, αδημοσίευτη κεραμική ύστερης εποχής του χαλκού.

128. Σταθμός Αγγίστας: Κουκούλη-Χρυσανθάκη 1980, εικ. 4, 2.

129. Müller-Karpe 1959, πίν. 25, 19 και 26, 21 (Allumiere), Ha B1. Πρβλ. και παραδείγματα Urnenfelder, Patek 1968, πίν. VII, 48.

Το σχήμα αυτό της οινοχόης εμφανίζεται στη δυτική Μικρά Ασία[130] και στο Αιγαίο[131] από την πρώιμη εποχή του χαλκού. Απηχήσεις του σχήματος αυτού φθάνουν και στον ελλαδικό χώρο της πρώιμης εποχής του χαλκού[132]. Στη Μακεδονία το σχήμα είναι επίσης γνωστό στην πρώιμη εποχή του χαλκού, όπως διαπιστώνεται από ευρήματα στους οικισμούς Βαρδαρόφτσας[133], Αγίου Μάμα[134] και άλλων θέσεων[135]. Όπως και στην Τροία[136], έτσι και στη Μακεδονία, ο τύπος αυτός φαίνεται ότι παύει να είναι συχνός μετά την πρώιμη εποχή του χαλκού. Παρά το κενό, ωστόσο, που μπορεί να είναι συμπτωματικό, ο τύπος φαίνεται ότι επιβιώνει σε ορισμένες περιοχές και στις νεότερες φάσεις της εποχής του χαλκού, καθώς και στην πρώιμη εποχή του σιδήρου, όπως διαπιστώνεται από τα παραδείγματα της Θάσου, της Μακεδονίας[137] και της αιγαιακής Θράκης[138], καθώς και από αντίστοιχα σχήματα αγγείων, που εμφανίζονται στη νότια Βουλγαρία[139], στη νότια Γιουγκοσλαβία και στην Αλβανία[140].

Ο τύπος VIIA εμφανίζεται αποκλειστικά στη φάση IB. Ένα μόνο παράδειγμα του τύπου σημειώνεται στη φάση II των νεκροταφείων, σε μια αρκετά διαφοροποιημένη παραλλαγή με αυλακωτή διακόσμηση (VIIA 141) (Σ χ έ δ. 112).

Ο τύπος εμφανίζει συχνά και αποφύσεις, άλλοτε μαστοειδείς (Π ί ν. 333: 5) και άλλοτε ορθογώνιες (Π ί ν. 333: 6).

Τύπος VIIB

Παραλλαγή VIIB 142 (Π ί ν. 114: 114): Η παραλλαγή αυτή κατάγεται από αντίστοιχο σχήμα της πρώιμης εποχής του χαλκού, που είναι διαδεδομένο στη Μικρά Ασία[141] και τον αιγαιακό χώρο[142], χωρίς να λείπει και από τη Μακεδονία της πρώιμης εποχής του χαλκού[143]. Από τη μέση εποχή του χαλκού δεν έχουμε στη Μακεδονία παραδείγματα αυτού του σχήματος, η έλλειψη ωστόσο αυτή πρέπει να αποδοθεί περισσότερο στο κενό της έρευνας. Στην ύστερη, ωστόσο, εποχή του χαλκού ο τύπος εμφανίζεται στην κεντρική[144] και την ανατολική Μακεδονία[145], με αδιάσπαστη συνέχεια ως και την πρώιμη εποχή του σιδήρου. Στα κεντρικά

130. Blegen - Caskey 1950, 66 (Τροία I), εικ. 130, B3. Ο τύπος εμφανίζει μια αδιάσπαστη συνέχεια από την Τροία I ως την Τροία IV, αλλά στην Τροία IV είναι πιο σπάνιος, Blegen - Caskey 1951, 243. Σχετικά είναι και τα σχήματα B17 ως B18 με το λοξότμητο χείλος, Blegen - Caskey 1950, 68, εικ. 130, B17 (Τροία I) και εικ. 370a (Τροία II). Το σχήμα B18, Blegen - Caskey 1951, 27, εικ. 59, B18, θυμίζει τη θασιακή παραλλαγή VIIA 140, βλ. Podzuweit 1979, 168, σχήμα 4B IIa-b, πίν. 8, 1.

131. Podzuweit 1979, 168, όπου παραδείγματα από τη Μικρά Ασία και από το βορειοδυτικό Αιγαίο, Θερμή: Lamb 1936, εικ. 37, αριθ. 479, Πολιόχνη: Bernabò-Brea 1964, πίν. CCVIIIb.

132. Podzuweit 1979, 172-173, παραλλαγές 4C, πίν. 8, 2.

133. Heurtley 1939, αριθ. 232

134. Ό.π., αριθ. 174.

135. Ό.π., αριθ. 215.

136. Μετά από μια εξαφάνισή του στις φάσεις Τροία V και VI, επανεμφανίζεται αρκετά διαφοροποιημένος ο τύπος στην Τροία VIIb, πιθανότατα συνδεδεμένος με την Buckelkeramik της φάσης αυτής, Blegen - Caskey 1958, εικ. 263, αριθ. 371004 (B46, B47).

137. Οινοχόες από Πάτελι (Μουσείο Θεσσαλονίκης, αριθ. ευρ. 1576) με αποφύσεις ορθογώνιες, όπως στο θασιακό παράδειγμα (Π ί ν. 333: 6), ενώ η οινοχόη 1568 έχει μαστοειδείς αποφύσεις. Πρβλ. επίσης οινοχόες Βεργίνας, Ανδρόνικος 1969, 218, εικ. 59, N49.

138. Μεσημβρία: Βαβρίτσας 1966, πίν. 69γ.

139. Razcopaniča: Detev 1968, εικ. 29, στρώμα 3, 4, 5. Το τονισμένο με χαμηλή πλαστική έξαρση-ταινία χείλος στην οινοχόη των παραλλαγών VIIIA 138, 139 εμφανίζεται και σε αγγεία της ομάδας Zimnicea-Plovdiv (ομάδα Čerkovna), πρβλ. Hänsel 1976, πίν. 10, 2 (οινοχόη), πίν. 11, 7 (προχοΐσκη), πίν. 11, 2-4 (κάνθαροι).

140. Garašanin 1958, 125 (Prilep), Prendi 1982, 205, εικ. 1, 8.

141. Podzuweit 1979, 165-166, τύπος 4AIa, πίν. 8, 1, όπου και τα αντίστοιχα παραδείγματα πρώιμης εποχής του χαλκού από τη Μικρά Ασία και την Εγγύς Ανατολή.

142. Εμπορειό: Hood 1981/1982, εικ. 151, 2, φάση VII-VI.

143. Heurtley 1939, 198 (Άγιος Μάμας).

144. Άσσηρος: Wardle 1980, 246, εικ. 10, 10.

145. Σταθμός Αγγίστας: Κουκούλη-Χρυσανθάκη 1980, εικ. 8, 2.

και βόρεια Βαλκάνια, επίσης, ο τύπος εμφανίζεται σποραδικά στην ύστερη εποχή του χαλκού και στην πρώιμη εποχή του σιδήρου[146] (Π ί ν. 333: 7).

Παραλλαγή VIIB 143: Τα χαρακτηριστικά γνωρίσματα αυτής της παραλλαγής είναι το πολύ ελαφρά λοξότμητο χείλος και οι αποφύσεις στον ώμο (Π ί ν. 112: 88).

Το σχήμα χωρίς τις αποφύσεις είναι γνωστό από την πρώιμη εποχή του χαλκού, τόσο στη δυτική Μικρά Ασία και την Εγγύς Ανατολή[147] όσο και στον αιγαιακό χώρο[148]. Στη Μακεδονία έχουμε αντίστοιχα παραδείγματα από τους οικισμούς Κριτσανών, Αγίου Μάμα, κ.ά.[149]. Ο τύπος με το οριζόντιο χείλος χωρίς αποφύσεις συνεχίζεται και στη μέση εποχή του χαλκού της Μακεδονίας[150], καθώς και στην ύστερη εποχή του χαλκού, με παραδείγματα από τον οικισμό του Καστανά, που χρονολογούνται στην καμπή της ύστερης εποχής του χαλκού προς την αρχή της πρώιμης εποχής του σιδήρου[151]. Η παραλλαγή, ωστόσο, με τις αποφύσεις είναι ως τώρα γνώστη μόνο από τη Θάσο.

Παραλλαγή VIIB 144 (Π ί ν. 333: 7): Αντίστοιχο σχήμα εμφανίζεται σε μικρογραφική κλίμακα από την πρώιμη εποχή του χαλκού στη δυτική Μικρά Ασία[152] και είναι διαδεδομένο στο ανατολικό Αιγαίο[153]. Αντίστοιχα μικρογραφικά παραδείγματα είναι γνωστά από τη Μακεδονία της πρώιμης εποχής του χαλκού[154], όπου συνεχίζονται και στις επόμενες φάσεις της εποχής του χαλκού[155], καθώς και στην πρώιμη εποχή του σιδήρου[156]. Στρωματογραφημένα παραδείγματα ύστερης εποχής του χαλκού αυτού του τύπου έχουμε από την κεντρική και την ανατολική Μακεδονία[157].

Παραλλαγή VIIB 145: Αντίστοιχο σχήμα αγγείου εμφανίζεται στην πρώιμη εποχή του χαλκού της Μακεδονίας[158] και επιβιώνει ως την ύστερη εποχή του χαλκού[159].

Παραλλαγή VIIB 146 (Π ί ν. 333: 8): Το σχήμα εμφανίζεται από την πρώιμη εποχή του χαλκού στον πολιτιστικό χώρο της Μικράς Ασίας[160] και του Αιγαίου[161], στον οποίο εντάσσεται και η Μακεδονία την εποχή αυτή[162]. Η επιβίωση των σχημάτων της πρώιμης εποχής του χαλκού αποτελεί βασικό χαρακτηριστικό της μακεδονικής κεραμικής στις νεότερες φάσεις της εποχής του χαλκού και στην πρώιμη εποχή του σιδήρου. Στην ύστερη εποχή του χαλκού, η παραλλαγή αυτή δεν είναι ιδιαίτερα συχνή στη Μακεδονία, όπου εμφανίζεται προς το τέλος της ύστερης εποχής του χαλκού και στην καμπή της πρώιμης εποχής του σιδήρου[163].

Ο τύπος VIIB με όλες τις παραλλαγές του εμφανίζεται στη φάση Ι των νεκροταφείων Καστρί. Οι παραλλαγές με τις αποφύσεις είναι χαρακτηριστικές για τη φάση ΙΒ, υπάρχουν

146. Hänsel 1976, πίν. II, 7 (ομάδα Čerkovna), πίν. XVII, 7 (ομάδα Čatalca).

147. Podzuweit 1979, τύπος 3HIIa, πίν. 7, πρβλ. παραδείγματα από Τροία I και Yortan.

148. Πολιόχνη: Bernabò-Brea 1964, 193, Θερμή: Lamb 1936, πίν. 37, αριθ. 477.

149. Heurtley 1939, αριθ. 173 (Κριτσανά) και αριθ. 197 (Άγιος Μάμας).

150. Ό.π., αριθ. 378 (Καλίνδρια).

151. Καστανάς, στρώμα 9 και 12: Hochstetter 1984, πίν. 92, 1 ή πίν. 139, 6.

152. Τροία: Blegen - Caskey 1950, εικ. 130, B13, Podzuweit 1979, τύπος 4AIc, πίν. 8, παρένθ. πίν. 24 (Τροία Ib-IIa/b).

153. Θερμή: Lamb 1936, πίν. 35, αριθ. 22.

154. Heurtley 1939, αριθ. 274 και 293.

155. Άσσηρος: Wardle 1980, 246, εικ. 10, 11 και 248, εικ. 12, 20, ύστερη εποχή του χαλκού.

156. Περιβολάκι (Σαρατσέ): Heurtley 1939, αριθ. 489.

157. Άσσηρος: πρβλ. υποσημ. 155. Σταθμός Αγγίστας: Κουκούλη-Χρυσανθάκη 1980, εικ. 9 άνω.

158. Heurtley 1939, αριθ. 187, 196 (Άγιος Μάμας) και αριθ. 276 (Γκόνα).

159. Σαλαμανλί: Heurtley 1939, αριθ. 436. Άσσηρος: Wardle 1980, 248, εικ. 12, 20. Καστανάς, στρώμα 14b: Hänsel 1979a, 182, Hochstetter 1984, πίν. 49, 6.

160. Τροία II: Blegen - Caskey 1950, 230, εικ. 370a, Podzuweit 1979, τύπος 4FIb, πίν. 9, 2.

161. Θερμή: Lamb 1936, πίν. 35, αριθ. 101, Podzuweit 1979, 176.

162. Άγιος Μάμας: Heurtley 1939, αριθ. 197.

163. Καστανάς, στρώμα 12: Hochstetter 1984, πίν. 97, 1 και 113, 4-5.

ωστόσο άλλες που πρέπει να ανήκουν στη φάση ΙΑ, όπως π.χ. η παραλλαγή VIIB 144, που είναι σχήμα γνωστό από την κεραμική του Σταθμού Αγγίστας.

Τύπος VIIΓ

Ο τύπος βρίσκεται μέσα στην παράδοση της κεραμικής της πρώιμης εποχής του χαλκού, που επιβιώνει στον ανατολικοαιγαιακό χώρο και στις επόμενες φάσεις της προϊστορίας ως τους ιστορικούς χρόνους. Χαρακτηριστική λεπτομέρεια του σχήματος είναι το λοξότμητο χείλος με την οπισθότμητη προχοή, που τονίζεται με διαφορετικό τρόπο στις επιμέρους παραλλαγές:

Παραλλαγές VIIΓ 148, 159 (Π ί ν. 334: 1): Η παραλλαγή με την ευθύγραμμη λοξότμητη προχοή εμφανίζεται από τις πρώτες φάσεις της πρώιμης εποχής του χαλκού στην Τροία[164] και στα παράλια της Μικράς Ασίας[165], καθώς και στο ανατολικό Αιγαίο[166] και τη Μακεδονία[167]. Η επιβίωση του σχήματος αυτού στην ύστερη εποχή του χαλκού είναι βέβαιη από παραδείγματα, που προέρχονται από την κεντρική[168] και την ανατολική Μακεδονία[169].

Παραλλαγές VIIΓ 149, 150β, 152: Η εμφάνιση της στριφτής λαβής συνήθως σχετίζεται με επιδράσεις της κεραμικής των παραδουνάβιων πολιτιστικών ομάδων, που εντάχθηκαν στη Μακεδονία στις αρχές της πρώιμης εποχής του σιδήρου[170] (Π ί ν. 334: 2).

Παραλλαγές VIIΓ 147, 155α, 158, 161: Στις παραλλαγές αυτές, η προχοή της οινοχόης δεν είναι πια ευθύγραμμη, αλλά σπάζει είτε ελαφρά με κάποιο κυματισμό (VIIΓ 148, 155, 158) είτε έντονα με ζιγκ-ζαγκ περίγραμμα (VIIΓ 147, 164, 167) (Π ί ν. 334: 3).

Το είδος αυτό της οπισθότμητης προχοής εμφανίζεται από την πρώιμη εποχή του χαλκού, τόσο στο ανατολικό Αιγαίο[171] όσο και στη Μακεδονία[172]. Στη Μακεδονία έχουμε παραδείγματα και από τη μέση εποχή του χαλκού[173], αλλά οπωσδήποτε η εποχή στην οποία επικρατεί το σχήμα αυτό είναι η πρώιμη εποχή του σιδήρου, στη διάρκεια της οποίας η παραλλαγή είναι ευρύτατα διαδεδομένη στην κεντρική[174] και την ανατολική Μακεδονία[175].

Παραλλαγές VIIΓ 150α, 150β, 151, 152 και 153: Οι παραλλαγές αυτές εμφανίζουν μια προχοή έντονα δηλωμένη, που κατάγεται από την πρώιμη εποχή του χαλκού[176] (Π ί ν. 334: 4).

Αντίστοιχα τονισμένες προχοές εμφανίζονται σε οινοχόες ύστερης εποχής του χαλκού στην κεντρική[177] και την ανατολική Μακεδονία[178]. Η στριφτή λαβή συχνά συνδυάζεται και με έντονη προχοή (149β, 150β, 152).

Ο τύπος VIIΓ εμφανίζεται στα νεκροταφεία με τη φάση ΙΙΑ και παραμένει ως τη φάση

164. Blegen - Caskey 1950, εικ. 130, Β16, εικ. 240, 7, Podzuweit 1979, τύπος 4AIIa, πίν. 8, 1.

165. Πρβλ. Podzuweit 1979, 167, για παράλληλα παραδείγματα από Τύμβο Πρωτεσιλάου, Πολιόχνη κ.α.

166. Εμπορειό: Hood 1981/1982, 325, εικ. 151, 3. Θερμή: Lamb 1936, πίν. 35, αριθ. 18. Πολιόχνη: Bernabò-Brea 1964, πίν. XLVIf και CXXII.

167. Heurtley 1939, αριθ. 273, 248 (κεντρική Μακεδονία), Deshayes 1970, 21, εικ. 25 (ανατολική Μακεδονία).

168. Άσσηρος: Wardle 1980, 246, εικ. 10, 14 και 248, εικ. 12, 24. Βαρδαρόφτσα: Heurtley - Hutchinson 1925/26, πίν. XIa.

169. Σταθμός Αγγίστας: Κουκούλη-Χρυσανθάκη 1980, εικ. 8, 1.

170. Heurtley 1939, 98-99. Η στριφτή λαβή, ωστόσο, εμφανίζεται και στην πρώιμη εποχή του χαλκού στην Εγγύς Ανατολή, όπως π.χ. στο Yortan.

171. Εμπορειό VII-VI: Hood 1981/1982, 325, εικ. 151, 4.

172. Κριτσανά: Heurtley 1939, αριθ. 174-175.

173. Μολυβόπυργος: ό.π., αριθ. 394, 395.

174. Άσσηρος, πρώιμη εποχή του σιδήρου, φάση I: Wardle 1980, 260, εικ. 19, 51. Καστανάς, στρώμα 11-12: Hänsel 1979, εικ. 15, στρώμα 10, 9: ό.π., εικ. 16, 3, και Hänsel 1982, 285, εικ. 12. Βαρδαρόφτσα: Heurtley - Hutchinson 1925/26, 26-27, εικ. 14. Βεργίνα: Ανδρόνικος 1969, 194.

175. Αμφίπολις, νεκροταφείο Καστά (Σ χ έ δ. 142: 6).

176. Κριτσανά: Heurtley 1939, αριθ. 211.

177. Καλίνδρια (matt painted): ό.π., αριθ. 424. Μπουμπούστι (matt painted): ό.π., αριθ. 463.

178. Σταθμός Αγγίστας: Κουκούλη-Χρυσανθάκη 1980, εικ. 8, Γ6.

ΙΙΓ. Η παρουσία του μειώνεται με την εμφάνιση του τύπου VIIΔ και στις νεότερες φάσεις των νεκροταφείων, μετά την ΙΙΒ1, ελάχιστες παραλλαγές επιβιώνουν (Σ χ έ δ. 112).

Τύπος VIIΔ

Ο τύπος της οινοχόης VIIΔ κατάγεται, επίσης, από την πρώιμη εποχή του χαλκού[179] και αποτελεί έναν ενδιάμεσο τύπο ανάμεσα στις μικρογραφικές οινοχόες τύπου VIIΒ και τα μόνωτα κυπελλόσχημα αγγεία σχήματος IV.

Οι παραλλαγές VIIΔ 162-172 με τη σπαστή προχοή σχετίζονται, οπωσδήποτε, με τον αντίστοιχο τύπο οινοχόης VIIΓ (Π ί ν. 334: 5).

Οι παραλλαγές, όμως, VIIΔ 173-176 με το μικρό λαιμό και το ελαφρά λοξότμητο χείλος, πλησιάζουν περισσότερο τα μόνωτα κυπελλόσχημα αγγεία[180] (Π ί ν. 334: 6-7).

Ο τύπος VIIΔ, που οπωσδήποτε δεν εμφανίζει σταθερά χαρακτηριστικά, γιατί άλλοτε πλησιάζει τον τύπο VIIΓ και άλλοτε τον τύπο IV, παρουσιάζεται από τη φάση ΙΙΑ και παραμένει και στις νεότερες φάσεις των νεκροταφείων, στις οποίες ωστόσο φαίνεται ότι παραμερίζεται από το αντίστοιχο σχήμα της αυλακωτής κεραμικής (Σ χ έ δ. 112).

Σ χ ή μ α VIII: Κυπελλόσχημα αγγεία

Στην ακόσμητη κεραμική με τη λειασμένη επιφάνεια (Ι, 1β) εμφανίζονται οι εξής παραλλαγές των κυπελλόσχημων αγγείων του σχήματος VIII:

Παραλλαγή VIII 179: Το σχήμα αποτελεί μικρογραφική απόδοση του σχήματος VIIΒ 145 με πλατύτερο λαιμό· θυμίζει αντίστοιχο αγγείο της ομάδας Čerkovna[181].

Παραλλαγή VIII 180: Η παραλλαγή αυτή σχετίζεται με την παραλλαγή VIIΒ 144, από την οποία την ξεχωρίζει μόνο ο πλατύτερος λαιμός, που δίδει στα αγγεία περισσότερο σχήμα κυπέλλου και λιγότερο σχήμα προχοΐσκης (Π ί ν. 334: 8).

Το σχήμα αυτό, που όπως είδαμε κατάγεται από την πρώιμη εποχή του χαλκού[182], πλησιάζει παραδείγματα από τη Μακεδονία της ύστερης εποχής του χαλκού[183].

Παραλλαγή VIII 181: Η παραλλαγή αυτή κατάγεται από αντίστοιχο σχήμα της πρώιμης εποχής του χαλκού[184], αλλά εμφανίζεται και σε στρώματα ύστερης εποχής του χαλκού στη Μακεδονία[185] (Π ί ν. 334: 9).

Παραλλαγή VIII 182-183: Αποτελεί μια μεταγενέστερη εξέλιξη του σχήματος VIII 181, με σαφείς επιδράσεις από το σχήμα IV (λοξότμητο χείλος και γωνιόσχημη λαβή) (Π ί ν. 334: 12).

Παραλλαγή VIII 184: Το κυπελλόσχημο αγγείο με τα κυρτά τοιχώματα, όπου δε σημειώνεται καθόλου το χείλος, είναι γνωστό από την πρώιμη εποχή του χαλκού[186] στο Αιγαίο, αλλά επιβιώνει και στις μεταγενέστερες φάσεις της εποχής του χαλκού και στην πρώιμη εποχή του σιδήρου στη Μακεδονία και τα ηπειρωτικά Βαλκάνια[187].

Το κυπελλόσχημο αγγείο (σχήμα VIII) επιβιώνει με διάφορες παραλλαγές, από τη φάση ΙΑ ως τις νεότερες φάσεις των νεκροταφείων Καστρί και Λαρνάκι (Σ χ έ δ. 112). Η μόνη

179. Τροία I: Blegen - Caskey 1950, εικ. 223a, Podzuweit 1979, 170, τύπος 4CIa, πίν. 8.

180. Τροία I: Podzuweit 1979, τύπος 1DIII, πίν. 5, 1, όπου όμως το χείλος οριζόντιο.

181. Hansel 1976, πίν. 35, 6.

182. Τροία: Podzuweit 1979, τύπος 4AIc, πίν. 8. Εμπορειό V-IV: Hood 1981/1982, εικ. 179, αριθ. 1190.

183. Σταθμός Αγγίστας: Κουκούλη-Χρυσανθάκη 1980, εικ. 4, Α5. Άσσηρος: Wardle 1980, 245, εικ. 9, 4. Καστανάς, στρώμα 16: Hochstetter 1984, πίν. 37, 13.

184. Πρβλ. ΠΕ παραδείγματα από την Εύτρηση, Goldman 1931, 177, εικ. 245, 12.

185. Καστανάς, στρώμα 10-11 (πρβλ. τύπο VIII 185): Hochstetter 1984, πίν. 129, 7.

186. Τροία: Podzuweit 1979, τύπος 2AIa, πίν. 4, 2.

187. Heurtley 1939, αριθ. 243 (Καλίνδρια), αριθ. 266 (Περιβολάκι). Hansel 1976, πίν. II, 2 (ομάδα Čerkovna), Dumitrescu 1961, πίν. 91, 415.

τυπολογική εξέλιξη, που θα μπορούσαμε να παρατηρήσουμε στο σχήμα του, είναι μια μεταβολή στις αναλογίες λαιμού και σώματος. Όπως και στο σχήμα IV, οι πρωιμότερες παραλλαγές έχουν λαιμό κοντύτερο από τις νεότερες.

Σ χ ή μ α IX: Άωτα αγγεία - πυξίδες

Το σχήμα κατάγεται από την πρώιμη εποχή του χαλκού και ξεχωρίζει σε δύο τύπους: IXA και IXB.

Τύπος IXA: Χωρίς πώμα (Π ί ν. 334: 10-11)

Ο τύπος εμφανίζεται στη δυτική Μικρά Ασία[188] στην πρώιμη εποχή του χαλκού και είναι διαδεδομένος στον αιγαιακό χώρο[189] και στη Μακεδονία[190], όπου επιβιώνει και στις επόμενες φάσεις της εποχής του χαλκού[191] και στην πρώιμη εποχή του σιδήρου. Οι επιμέρους διαφορές του σχήματος, που σημειώνονται στις διάφορες παραλλαγές, αντιστοιχούν σε ανάλογες παραλλαγές του σχήματος των αγγείων της πρώιμης εποχής του χαλκού.

Τύπος IXB: Με πώμα (Π ί ν. 334: 13-15)

Η παραλλαγή IXB 194 αποτελεί μια μεταγενέστερη εξέλιξη της παραλλαγής IXA 189, με την προσθήκη οπών για την προσάρτηση του πώματος[192] (Π ί ν. 334: 10-11).

Η παραλλαγή IXB 196[193] κατάγεται από αντίστοιχο σχήμα της πρώιμης εποχής του χαλκού, που εμφανίζει μια ιδιαίτερη διάδοση στον κυκλαδικό πολιτισμό με τις γνωστές κυκλαδικές πυξίδες[194] (Π ί ν. 334: 13-15).

Οι πυξίδες, που είναι διαδεδομένες στη Μακεδονία της πρώιμης εποχής του σιδήρου[195], σχετίζονται με υπομυκηναϊκά[196] και ύστερα πρωτογεωμετρικά παραδείγματα πήλινων πυξίδων, που βρέθηκαν στο νοτιοελλαδικό χώρο, και των οποίων τα πρότυπα αναζητούνται έξω από αυτόν[197]. Ανεξάρτητα από την απόδοσή τους στη μακεδονική «κοινή»[198] (που υποστηρίχθηκε πρόσφατα, τόσο για τις πλατυπύθμενες πήλινες πυξίδες που εμφανίζονται και στην πρωτογεωμετρική Θεσσαλία όσο και για τις μικρογραφικές χάλκινες οξυπύθμενες πυξίδες-εξαρτήματα) και τις αποδόσεις τους σε πήλινα μικρογραφικά αγγεία, η αναζήτηση του προτύπου οδηγεί στην πρώιμη εποχή του χαλκού, στην κεραμική παράδοση της οποίας εξακολουθεί να στηρίζεται το σχηματολόγιο των αγγείων της Μακεδονίας, και κατά την πρώιμη εποχή του σιδήρου.

Η εξάρτηση από τα σχήματα της πρώιμης εποχής του χαλκού είναι ιδιαίτερα έντονη στα θασιακά άωτα αγγεία - πυξίδες.

188. Τροία: Podzuweit 1979, πίν. 7, 2, τύπος 3LIb, πρβλ. τύπο IX 188 και πίν. 7, τύπος 3LIv, πρβλ. τύπο IX 191. Το σχήμα, ωστόσο, C83 της Τροίας VIIb θεωρείται από τον Blegen ξένο για την κεραμική παράδοση της Τροίας I-VIIa, Blegen - Caskey 1958, 174, C83, εικ. 265.

189. Πολιόχνη: Bernabò-Brea 1964, πίν. CXLVIa. Εμπορειό X-VI: Hood 1981/1982, εικ. 101, σχήμα 31 (σε μεγάλο μέγεθος).

190. Heurtley 1939, αριθ. 351 (Αρμενοχώρι) και αριθ. 298. Πρβλ. και πυξίδα από το στρώμα (Βαρδαρόφτσα: Heurtley - Hutchinson 1925/26, πίν. XVII, C1) που αποδόθηκε στη «δουνάβια» κεραμική.

191. Άσσηρος: Wardle 1980, 248, εικ. 12, αριθ. 22, πρβλ. τύπο IX 189 και εικ. 12, αριθ. 23, πρβλ. τύπο IX 196. Για τον τύπο IX 188, πρβλ. Καστανά, φάση III (στρώμα 19), Hochstetter 1984, πίν. 2, 6.

192. Τροία: Podzuweit 1979, 104, τύπος 3P, πίν. 7, 2. Πολιόχνη: Bernabò-Brea 1964, πίν. 40a. Εμπορειό VII-VI: Hood 1981/1982, εικ. 150, αριθ. 657 και εικ. 101, αριθ. 34 (τύπος IIC).

193. Πρβλ. αντίστοιχο σχήμα από νεκροταφείο Μεσημβρίας, Βαβρίτσας 1966, πίν. 72β.

194. Zervos 1957, πίν. 82, 84, Φ. Ζαφειροπούλου, ΑΑΑ III (1970), 40, εικ. 3 (Κουφονήσια).

195. Πρβλ. Καστανά, στρώμα 10, Hochstetter 1984, πίν. 114, 6. Πρβλ. επίσης μικρογραφικές πυξίδες - εξαρτήματα, Kilian-Dirlmeier 1979, πίν. 82-84.

196. Bouzek 1969, 54, εικ. 7. Πρβλ. κυρίως αριθ. 2 και αριθ. 6.

197. Kübler 1943, πίν. 31, αριθ. 960.

198. Sourvinou-Inwood 1975, 168. Την καταγωγή του τύπου της χάλκινης μικρογραφικής πυξίδας-εξαρτήματος ανάγει η Inwood στα πήλινα παραδείγματα πυξίδων με επίπεδη βάση, τα αρχαιότερα των οποίων εμφανίζονται

Το σχήμα IX εμφανίζεται στις παραλλαγές 188 και 189 του τύπου IX από τη φάση IB των νεκροταφείων του οικισμού Καστρί. Οι αντίστοιχες παραλλαγές του τύπου IXB (193 και 194) εμφανίζονται στη φάση IIB1. Στην ίδια φάση ανήκει και η παραλλαγή XIB 196 (Σ χ έ δ. 112, 113· Π ί ν. 334: 13-15).

ΑΚΟΣΜΗΤΗ ΚΕΡΑΜΙΚΗ ΜΕ ΕΠΙΦΑΝΕΙΑ ΑΔΡΗ (I, 1γ)

Διάδοση

Κεραμική της κατηγορίας αυτής εμφανίζεται από τη νεολιθική εποχή και παραμένει σ' όλες τις φάσεις της προϊστορίας και των ιστορικών χρόνων, ακόμη, της Μακεδονίας.

Η ακόσμητη κεραμική I, 1γ στα νεκροταφεία Καστρί και Λαρνάκι

ΤΕΧΝΙΚΗ ΚΑΤΑΣΚΕΥΗΣ

Ο πηλός στην κατηγορία αυτή είναι πιο αδρός από τον πηλό των άλλων κατηγοριών κεραμικής I, 1α, I, 1β, και έχει υποστεί μικρότερη επεξεργασία. Η όπτηση έχει πραγματοποιηθεί σε θερμοκρασία όχι μεγαλύτερη των 750°, αλλά με ατμόσφαιρα οξειδωμένη, που έχει δώσει στην επιφάνεια των αγγείων χρώματα καστανέρυθρα ως ερυθρά. Η επιφάνεια των αγγείων δεν έχει δεχθεί καμιά άλλη επεξεργασία μετά την όπτηση. Πριν από την όπτηση έχει προηγηθεί βέβαια το «ξύσιμο» και η συνηθισμένη λείανση της επιφάνειας με νερό.

ΣΧΗΜΑΤΑ ΑΓΓΕΙΩΝ

Τα σχήματα των αγγείων που εμφανίζονται ανήκουν σε μικρά ή μικρογραφικά αγγεία, όπως τα κυπελλόσχημα αγγεία VIII, τα άωτα αγγεία IX και τα αγγεία X. Πιθανόν στην ίδια κατηγορία ανήκουν και μεγάλα αποθηκευτικά αγγεία, αλλά καθώς δεν έχουμε κανένα ακέραιο παράδειγμα, εντάξαμε τα αντίστοιχα θραύσματα στην κατηγορία I, 5 των αδρών αγγείων με την πλαστική διακόσμηση.

Σ χ ή μ α VIII: Κυπελλόσχημα αγγεία

Παραλλαγή VIII 178 (Π ί ν. 344: 1): Το σχήμα εμφανίζεται από την πρώιμη εποχή του χαλκού[199], αλλά επιβιώνει στη Μακεδονία[200], καθώς και στα ηπειρωτικά Βαλκάνια, και σε μεταγενέστερες φάσεις[201].

Παραλλαγή VIII 186-187 (Π ί ν. 335: 2): Η καταγωγή του σχήματος ανάγεται στην πρώιμη εποχή του χαλκού[202], αλλά η επιβίωσή του φθάνει στην ύστερη εποχή του χαλκού[203] και στην πρώιμη εποχή του σιδήρου[204].

Το σχήμα VIII εμφανίζεται σ' όλες τις φάσεις των νεκροταφείων Καστρί και Λαρνάκι (Σ χ έ δ. 112).

σε υπομυκηναϊκούς τάφους του Κεραμεικού, Kübler - Kraiker 1939, πίν. 25, τάφος 77. Ανάλογα σχήματα αγγείων εμφανίζονται και αλλού: Θεσσαλία, Βερδελής 1958, πίν. 12, 142, Τσαουζίτσα, Casson 1923/25, 10, εικ. 37, 11.

199. Τροία Ib-IIa: Podzuweit 1979, τύπος O, πίν. 7, παρένθ. πίν. 20. Πρβλ. και ΜΕ παραδείγματα από την Εύτρηση, Goldman 1931, εικ. 246, 2.

200. Άσσηρος: Wardle 1980, 258, εικ. 17, 48, φάση 2, πρώιμη εποχή του σιδήρου. Καστανάς, στρώμα 12: Hochstetter 1984, πίν. 81, 4.

201. Ομάδα Čerkovna: Hänsel 1976, πίν. II, 6. Ομάδα Gîrla Mare: Dumitrescu 1961, πίν. CIX, 445.

202. Τροία IIa: Podzuweit 1979, τύπος 2E, πίν. 27C. Πρβλ. τύπο VIII 187 με τύπο 3O, πίν. 7, πρβλ. επίσης τύπο VIII 186 με τύπο 3AIα, πίν. 4 και Σέδες: Heurtley 1939, αριθ. 279.

203. Καστανάς, στρώμα 13 (πρβλ. τύπο VIII 187): Hochstetter 1984, πίν. 61, 5. Άσσηρος: Wardle 1980, 246, εικ. 10, 16 (πρβλ. τύπο VIII 186).

204. Hänsel 1976, πίν. IX, 6 (ομάδα Stoicani), Kilian 1975, πίν. 59, 13 (Saraj, τάφος 11). Πρβλ. και Καστανά, στρώμα 10, Hochstetter 1984, πίν. 114, 1 (πρβλ. τύπο VIII 187).

Σ χ ή μ α IX: Άωτα αγγεία - πυξίδες

Παραλλαγή IXA 190 (Π ί ν. 335: 4): Αντίστοιχο αγγείο, διαφοροποιημένο μόνο ως προς τη λαβή, εμφανίζεται στην πρώιμη εποχή χαλκού του οικισμού της Βαρδαρόφτσας[205], αλλά δε λείπει και από την ύστερη εποχή του χαλκού[206].

Παραλλαγή IXB 193 (Π ί ν. 335: 3): Η παραλλαγή αυτή σχετίζεται με την παραλλαγή IXB 188.

Σ χ ή μ α X

Από το σχήμα αυτό σώζεται ένα μοναδικό θραύσμα, που βρέθηκε στην ταφική συστάδα K1A (Π ί ν. 8: 8). Η τεχνική κατασκευής του αγγείου και το είδος του πηλού το προσεγγίζουν στο θραύσμα K1A27 (Π ί ν. 3: 27). Τα δύο θραύσματα προέρχονται από μια προγενέστερη, πιθανότατα χαλκολιθική, φάση, που έχει επισημανθεί κάτω από το επίπεδο ταφών, σε ορισμένες ταφικές συστάδες του νεκροταφείου Κεντριά.

Οπωσδήποτε, ανάλογο σχήμα αγγείου είναι γνωστό και από την ύστερη εποχή του χαλκού της κεντρικής Μακεδονίας[207].

Δ ι ά φ ο ρ α

Ιδιορρυθμίες στην τεχνική κατασκευής, αλλά και στις λεπτομέρειες του σχήματος, εμφανίζει ένα θραύσμα αγγείου από τον τάφο T19A (Π ί ν. 124: 5). Το θραύσμα προέρχεται από ανοικτό αγγείο με μία ή δύο λαβές του τύπου ansa lunata (Π ί ν. 349: 5).

Ο πηλός είναι αδρός με χονδρά ψήγματα μαρμάρου, αλλά οι επιφάνειες του αγγείου μέσα και έξω είναι ομοιόμορφα κιτρινέρυθρες και θυμίζουν τροχήλατη κεραμική, και όχι την τυπική καστανότεφρη χειροποίητη κεραμική του νεκροταφείου. Το πάχος των τοιχωμάτων του αγγείου είναι τονισμένο και ο πυρήνας καστανότεφρος (L. Courtois, Παράρτημα IV, δείγμα αριθ. 31).

Ο τύπος της λαβής είναι γνωστός στον αιγαιακό χώρο από την πρώιμη εποχή του χαλκού, αλλά είναι επίσης διαδεδομένος και στα ηπειρωτικά Βαλκάνια στη μέση και ύστερη εποχή του χαλκού. Από τη Μακεδονία έχουμε ένα παράδειγμα από τη φάση VI του Καστανά (στρώμα 12)[208].

ΑΚΟΣΜΗΤΗ ΚΕΡΑΜΙΚΗ ΜΕ ΛΕΠΤΑ ΤΟΙΧΩΜΑΤΑ (I, 1δ)

Διάδοση

Κεραμική χειροποίητη με λεπτά τοιχώματα, που θυμίζουν τροχήλατα αγγεία, είναι γνωστή από την πρώιμη εποχή του σιδήρου της κεντρικής και ανατολικής Μακεδονίας[209]. Στη Θάσο αντίστοιχη κεραμική εμφανίζεται στο προαποικιακό στρώμα της αρχαίας Θάσου[210].

Η ακόσμητη κεραμική I, 1δ στα νεκροταφεία Καστρί και Λαρνάκι

ΤΕΧΝΙΚΗ ΚΑΤΑΣΚΕΥΗΣ

Ο πηλός εμφανίζει ένα πιο προχωρημένο στάδιο επεξεργασίας από τις άλλες κατηγορίες

205. Heurtley 1939, αριθ. 237 (πρώιμη εποχή του χαλκού) και εικ. 69 (μέση εποχή του χαλκού).

206. Καστανάς, στρώμα 14b: Hochstetter 1984, πίν. 48, 6 και κυρίως στρώμα 12, πίν. 92, 4, εικ. 27, τύπος Ia2.

207. Καστανάς, στρώμα 14b: Hänsel 1979, εικ. 12, 1.

208. Τα αρχαιότερα παραδείγματα στην Πολιόχνη, Bernabò-Brea 1964, πίν. XLVI, d, e (periodo azzurro). Πρβλ. επίσης παραδείγματα από ηπειρωτικά Βαλκάνια, από τα οποία τα πλησιέστερα χρονικά βρίσκονται στην ομάδα Mediana, Garašanin 1974, πίν. 19A. Επίσης λαβή από φάση VI Καστανά, Hochstetter 1984, πίν. 78, 6 και Τροία VIIa, Blegen - Caskey 1958, εικ. 283, 13.

209. Βαρδαρόφτσα, φάση D: Heurtley - Hutchinson 1925/26, 26-27, εικ. 14.

210. Bernard 1964, 126, εικ. 38, 39, αλλά και σε άλλες θέσεις των παραλίων της ανατολικής Μακεδονίας, όπου η μετέπειτα θασιακή Περαία, π.χ. Ακρόπολη Ηιόνας (κεραμική αδημοσίευτη).

χειροποίητης κεραμικής. Τα λεπτά τοιχώματα του αγγείου πιθανόν είναι αποτελέσμα χρήσης κάποιου αργού τροχού, ίχνη οπωσδήποτε του οποίου δε διακρίνονται στο εσωτερικό των αγγείων. Η επιφάνεια του αγγείου έχει δεχθεί ένα λεπτό επίχρισμα με αραιωμένο πηλό και στη συνέχεια λείανση πριν από την όπτηση. Η όπτηση έχει πραγματοποιηθεί στους γνωστούς χαμηλούς βαθμούς θερμοκρασίας, αλλά με οξειδωμένη ατμόσφαιρα, που έδωσε ένα καστανέρυθρο χρώμα στην επιφάνεια και στον πυρήνα των αγγείων (L. Courtois, Παράρτημα IV, δείγμα αριθ. 30).

ΣΧΗΜΑΤΑ ΑΓΓΕΙΩΝ

Το μοναδικό σχήμα αγγείου που εμφανίζεται είναι η προχοΐσκη με τη λοξότμητη προχοή. Στην αρχή της λαβής σημειώνεται η ένδειξη κάποιας στροφής, όχι ιδιαίτερα τονισμένης (παραλλαγή VIIE 177, Π ί ν. 124: 3, 342: 10).

Όμοιες οινοχόες εμφανίζονται στο προαποικιακό στρώμα της αρχαίας Θάσου (Σ χ έ δ. 176: 17).

Ι, 2: Κεραμική με εγχάρακτη διακόσμηση

Στην κατηγορία αυτή ξεχωρίζουν οι εξής επιμέρους παραλλαγές:

Ι, 2α: Κεραμική με εγχάρακτη διακόσμηση τύπου α.
Ι, 2β: Κεραμική με εγχάρακτη διακόσμηση τύπου β.
Ι, 2γ: Κεραμική με εγχάρακτη διακόσμηση τύπου γ.
Ι, 2δ: Κεραμική με εγχάρακτη διακόσμηση τύπου δ.

ΕΓΧΑΡΑΚΤΗ ΚΕΡΑΜΙΚΗ Ι, 2α

Διάδοση

Στο χάρτη (Σ χ έ δ. 128) σημειώνεται η μεγάλη διάδοση της εγχάρακτης κεραμικής στην κεντρική και την ανατολική Μακεδονία, καθώς και στην αιγαιακή Θράκη της ύστερης εποχής του χαλκού. Τα βασικά, οπωσδήποτε, γεωγραφικά όρια της ζώνης διάδοσης της εγχάρακτης κεραμικής της κατηγορίας Ι, 2α αποτελούν ο Αξιός στα δυτικά και ο Νέστος στα ανατολικά.

Εγχάρακτη κεραμική αντίστοιχη με την κατηγορία Ι, 2α απλώνεται βέβαια και στη δυτική πλευρά του Αξιού, όπως διαπιστώνεται από την κεραμική των οικισμών Τούμπας Παιονίας[211] ή Λειβαδίτσας[212], αλλά φαίνεται ότι τα όρια διάδοσής της δεν απομακρύνονται στα δυτικά πολύ πέρα από την κοιλάδα του Αξιού. Είναι χαρακτηριστικό ότι στον οικισμό της ύστερης εποχής του χαλκού στο Μπουμπούστι[213] μόνο ένα όστρακο από την εγχάρακτη κεραμική αυτής της κατηγορίας βρέθηκε. Στη δυτική επομένως Μακεδονία, η παρουσία της εγχάρακτης κεραμικής στην ύστερη εποχή του χαλκού είναι, σύμφωνα τουλάχιστον με τα ως τώρα γνωστά αρχαιολογικά στοιχεία (τα οποία πρέπει να σημειωθεί ότι προέρχονται από μια όχι συστηματική έρευνα της περιοχής αυτής), ελάχιστη. Στη δυτική Μακεδονία, που βρίσκεται σε πιο άμεσες πολιτιστικές επαφές με τα νοτιοδυτικά Βαλκάνια, η χαρακτηριστική κεραμική της ύστερης εποχής του χαλκού δεν είναι η εγχάρακτη, αλλά η λεγόμενη αμαυρόχρωμη γραπτή κεραμική (matt painted). Αντίθετα, στην κεντρική και την ανατολική Μακεδονία η χαρακτηριστική κεραμική της ύστερης εποχής του χαλκού είναι η εγχάρακτη[214], η οποία εμφανίζει μια πλατιά διάδοση χωρίς σημαντικές τοπικές διαφοροποιήσεις.

211. French 1967, A10, 35 και 67.
212. Ό.π., A13, 36.
213. Heurtley 1926/27, 174, πίν. XIII.
214. Koukouli-Chrysanthaki 1982, 234-236.

Σχέδ. 128. Διάδοση των κατηγοριών Ι, 1α - Ι, 2α χειροποίητης κεραμικής στη Μακεδονία και τη δυτική Θράκη.

ΥΠΟΜΝΗΜΑ ΣΤΟ ΧΑΡΤΗ (Σ χ έ δ. 128)*

α/α	Όνομα θέσης	Βιβλιογραφία
1.	Ανθόφυτος Α	French 1967, A5.
2.	Ανθόφυτος Β	Ό.π., A17.
3.	Άσπρη Τούμπα	Ό.π., A19.
4.	Ασπρόβρυση	Ό.π., S5.
5.	Άσσηρος, θέση Τούμπα	Ό.π., L6, Wardle 1980, 229 κ.ε.
6.	Άσσηρος, Τούμπα Λάκκου	French 1967, L13.
7.	Άγιος Νικόλαος	Ό.π., S11.
8.	Δρυμός	Ό.π., L4.
9.	Ντουρμουσλή	Ό.π., A7.
10.	Επισκοπή, Τούμπα Ζλάτα	Ό.π., VE4.
11.	Επιβάτες	Ό.π., V7.
12.	Γαλάτιστα	Ό.π., V8.
13.	Καλαμαριά	Ό.π., S1.
14.	Καλίνδρια	Ό.π., A1.
15.	Καστανάς	Ό.π., A6, Hänsel 1978.
16.	Χρυσαυγή	French 1967, L15.
17.	Κριθιά	Ό.π., L12.
18.	Λαχανόκηπος	Ό.π., G11.
19.	Λευκοχώρι	Ό.π., L14.
20.	Λητή ΙΙ	Ό.π., L2.
21.	Λουτρά Θέρμης	Ό.π., V10.
22.	Μελισσοχώρι	Ό.π., L3.
23.	Μεσημεριανή Τούμπα	Ό.π., C10.
24.	Νέα Καλλικράτεια	Ό.π., C12.
25.	Νέα Φώκαια	Ό.π., K1.
26.	Νέα Ραιδεστός	Ό.π., V11.
27.	Νέα Σύλλατα	Ό.π., C13.
28.	Νεοχώρι	Ό.π., P2.
29.	Νεοχωρούδα	Ό.π., G10.
30.	Νικήτη	Ό.π., S13.
31.	Ορμύλια 3	Ό.π., C8.
32.	Πεντάλοφος Α	Ό.π., G9.
33.	Πεντάλοφος Β	Ό.π., G6.
34.	Περιβολάκι (Σαρατσέ)	Ό.π., L5.
35.	Φάκος	Ό.π., Y1.
36.	Φιλαδελφιανά	Ό.π., G5.
37.	Φλογητά	Ό.π., C5.
38.	Πυλαία	Ό.π., S3.
39.	Σοχός	Ό.π., L16.
40.	Στίβος Α	Ό.π., L7.
41.	Άγιος Μάμας	Ό.π., C1.
42.	Τορώνη	Ό.π., S14.
43.	Τούμπα Παιονίας	Ό.π., A10.
44.	Τούμπα Κουφάλια	Ό.π., A14.
45.	Τούμπα Λιβάδι, Λειβαδίτσα	Ό.π., A13.
46.	Τούμπα Ραχώνα	Ό.π., A12.
47.	Βαλτοχώρι	Ό.π., A16.
48.	Βεριά	Ό.π., C6.
49.	Γκόνα	Ό.π., V3.
50.	Βραστά	Ό.π., C16.
51.	Ξυλοκερατιά	Ό.π., G4.
52.	Αξιοχώρι (Βαρδαρόφτσα)	Ό.π., A4.
53.	Λιμνότοπος (Βάρδινο)	Ό.π., A3.
54.	Τσαουζίτσα	Ό.π., A2.

* Σ' ένα μικρό ποσοστό από τις θέσεις που σημειώνονται στο χάρτη (Σ χ έ δ. 128) έχουν πραγματοποιηθεί συστηματικές ανασκαφικές έρευνες. Το ποσοστό αυτό είναι μεγαλύτερο στην κεντρική Μακεδονία, απ' όπου έχουμε και την καλύτερα ως τώρα στρωματογραφημένη εγχάρακτη κεραμική Ι, 2α-β.

α/α	Όνομα θέσης	Βιβλιογραφία
55.	Ζαγκλιβέρι	Αδημοσίευτη επιφανειακή κεραμική. Μουσείο Θεσσαλονίκης.
56.	Χωρύγιο	Αδημοσίευτη επιφανειακή κεραμική. Μουσείο Θεσσαλονίκης.
57.	Θέρμη	Αδημοσίευτη επιφανειακή κεραμική. Μουσείο Θεσσαλονίκης.
58.	Βαφειοχώρι	Αδημοσίευτη επιφανειακή κεραμική. Μουσείο Θεσσαλονίκης.
59.	Περιστερώνας	Αδημοσίευτη επιφανειακή κεραμική. Μουσείο Θεσσαλονίκης.
60.	Θεσσαλονίκη, Λεμπέτ	French 1967, S2.
61.	Μολυβόπυργος	Ό.π., C4.
62.	Γαλλικό	French, G3.
63.	Φιλλερίκ	Αδημοσίευτη επιφανειακή κεραμική. Μουσείο Θεσσαλονίκης.
64.	Τούμπα Θεσσαλονίκης	Αδημοσίευτη επιφανειακή κεραμική. Μουσείο Θεσσαλονίκης.
65.	Σουρωτή	Αδημοσίευτη επιφανειακή κεραμική. Μουσείο Θεσσαλονίκης.
66.	Ωραιόκαστρο	Αδημοσίευτη επιφανειακή κεραμική. Μουσείο Θεσσαλονίκης.
67.	Ξηροχώρι, Κιλκίς	Αδημοσίευτη επιφανειακή κεραμική. Μουσείο Θεσσαλονίκης.
68.	Πικρολίμνη, Κιλκίς	Αδημοσίευτη επιφανειακή κεραμική. Μουσείο Θεσσαλονίκης.
69.	Αρχοντικό, Κιλκίς	Αδημοσίευτη επιφανειακή κεραμική. Μουσείο Θεσσαλονίκης.
70.	Μπουμπούστι Καστοριάς	Heurtley 1926/27, 158-194.
71.	Παράδεισος Καβάλας	P. Hellström - E.J. Holmberg, Excavation at Paradeisos, Opuscula Atheniensia 12 (1978), 141 κ.ε.
72.	Καστρί Θάσου	Κουκούλη-Χρυσανθάκη 1981.
73.	Άγιος Αντώνιος Θάσου	Κουκούλη-Χρυσανθάκη 1971, 416.
74.	Ντικιλί Τας Καβάλας	Seferiades 1983, 668.
75.	Νικηφόρος Δράμας	Γραμμένος 1975, 227.
76.	Πλατανιά Δράμας	Ό.π., 226-227.
77.	Πλατανιά Δράμας	Ό.π., 227.
78.	Γκέρανι Δράμας	Ό.π., 228.
79.	Ποταμοί Δράμας	Γραμμένος 1979, 26.
80.	Μυλοπόταμος Δράμας	Γραμμένος 1975, 230.
81.	Τούμπα Σαμαρά Σερρών	Χ. Κουκούλη-Χρυσανθάκη, ΑΔ 22 (1967), 426.
82.	Άγιος Βλάσιος Πεντάπολης Σερρών	Γραμμένος 1981, 91.
83.	Βαλτούδα Γαζώρου	Γραμμένος - Φωτιάδης 1980, 18, αριθ. 57.
84.	Άγιο Πνεύμα Σερρών	Γραμμένος 1975, 197.
85.	Νέα Ζίχνη Σερρών	Γραμμένος - Φωτιάδης 1980, 23.
86.	«Αλώνια», Μυρίνη Σερρών	Ό.π., 19, αριθ. 65.
87.	Παλαιοκώμη Σερρών	Χ. Κουκούλη-Χρυσανθάκη, ΑΔ 25 (1970), 403.
88.	Λόφος 133 Αμφίπολης Σερρών	Δ. Λαζαρίδης, ΠΑΕ 1965, 50.
89.	Μονόβρυση Σερρών	Γραμμένος - Φωτιάδης 1980, 32.
90.	Νέος Σκοπός Σερρών	Ό.π., 16, αριθ. 51.
91.	Ψυχικό Σερρών	Ό.π., 17, αριθ. 52.
92.	Μεσοκώμη Σερρών	Ό.π., 17, αριθ. 53.
93.	Σταθμός Αγγίστας Σερρών	Κουκούλη-Χρυσανθάκη 1980, 54 κ.ε.
94.	Ελάφι, Σταθμού Αγγίστας Σερρών	Γραμμένος - Φωτιάδης 1980, 18, αριθ. 62.
95.	Καστρί Στρυμονικού Σερρών	Ό.π., 19, αριθ. 66.
96.	Παλαιόκαστρο Ζερβοχωρίου Σερρών	Ό.π., 19, αριθ. 67.
97.	Πετρούσσα Δράμας	Γραμμένος 1975, 200.
98.	Φιδοκορυφή Μαυρόλοφου Σερρών	Γραμμένος - Φωτιάδης 1980, 19, αριθ. 64.
99.	Δαφνούδι Σερρών	Γραμμένος 1975, 200.
100.	Τούμπα Νικήσιανης Καβάλας	Ό.π., 194, σημ. 4.
101.	Βέργη Σερρών	French 1967, N1.
102.	Λακκοβίκια Καβάλας	French 1966, 108, εικ. 5.
103.	Θέση Πιθάρι, παραλία Κάρυανης Καβάλας	Χ. Κουκούλη-Χρυσανθάκη, ΑΔ 37 (1982), 325.
104.	Ροδολείβος «Ανεμόμυλος» Σερρών	Αδημοσίευτα όστρακα Μουσείου Καβάλας.
105.	Παλιόκαστρο Καρυάνης Καβάλας	Χ. Κουκούλη-Χρυσανθάκη, ΑΔ 27 (1972), 527.
106.	Εξοχή Δράμας	Γραμμένος 1979, 26 κ.ε.
107.	Προφήτης Ηλίας Οφρυνίου Καβάλας	Χ. Κουκούλη-Χρυσανθάκη, ΑΔ 35 (1980), 423-424.
108.	Ελευθερούπολη	Χ. Κουκούλη-Χρυσανθάκη, ΑΔ 34 (1979), 332.

Στο χάρτη (Σ χ έ δ. 128), όπου σημειώνονται οι οικισμοί της ύστερης εποχής του χαλκού στην ανατολική και την κεντρική Μακεδονία, ξεχωρίζουν οι οικισμοί με την εγχάρακτη κεραμική.

Η διάκριση όμως αυτή είναι συμπτωματική, όταν στηρίζεται μόνο σε επιφανειακή κεραμική. Χαρακτηριστικά αναφέρουμε ότι ο D. French[215] δεν είδε εγχάρακτη κεραμική ύστερης εποχής του χαλκού στον οικισμό του Καστανά, όπου η ανασκαφή έδωσε πλουσιότατα δείγματα της κεραμικής αυτής της κατηγορίας. Πιστεύω, έτσι, ότι και στους οικισμούς της ύστερης εποχής του χαλκού, που σημειώνονται στο χάρτη (Σ χ έ δ. 128) μόνο για την ακόσμητη κεραμική τους, δε λείπει και η σύγχρονη με την ακόσμητη εγχάρακτη κεραμική.

Κάποια διαφοροποίηση φαίνεται ότι εμφανίζεται στη διάδοση της εγχάρακτης κεραμικής στη Χαλκιδική, όπου αντίθετα με τη συχνή παρουσία της εγχάρακτης κεραμικής στους οικισμούς της κεντρικής Μακεδονίας, εδώ η εγχάρακτη κεραμική απουσιάζει σχεδόν τελείως από οικισμούς όπως ο Άγιος Μάμας[216] και ο Μολυβόπυργος. Φαίνεται έτσι πιθανό ότι η εγχάρακτη κεραμική συνδέεται περισσότερο με την πεδινή και την ημιορεινή κεντρική Μακεδονία και δεν έχει επεκταθεί προς τα παράλια της Χαλκιδικής. Η παρουσία της εγχάρακτης, ωστόσο, κεραμικής στην ανατολική Μακεδονία[217], που καλύπτει τόσο τις ηπειρωτικές όσο και τις παράλιες περιοχές της συμπεριλαμβάνοντας και το νησί της Θάσου, δε γενικεύει μια τέτοια υπόθεση.

Τα ανατολικά όρια της διάδοσης της εγχάρακτης κεραμικής της Μακεδονίας ξεπερνούν πιθανότατα το Νέστο ποταμό, όπως δείχνουν ορισμένα όστρακα από τον οικισμό Χρύσας της Ξάνθης[218], τον οικισμό της Μάντρας Ξάνθης[219] και τον οικισμό στο Φανάρι[220] (Σ χ έ δ. 128). Πέρα όμως από το Δέλτα του Νέστου, στις ορεινές περιοχές της Ροδόπης, η εγχάρακτη κεραμική εμφανίζει ένα διαφορετικό χαρακτήρα, που τη διαφοροποιεί από τη γνωστή εγχάρακτη κεραμική της ανατολικής Μακεδονίας[221]. Πιθανότατα, στην περιοχή αυτή διαμορφώνεται μια συγγενική τοπική κεραμική ομάδα, η οποία μόνο μετά τη δημοσίευση των πρόσφατων ανασκαφών στη Θράκη θα προσδιορισθεί καλύτερα.

Τα βόρεια όρια της διάδοσης της εγχάρακτης κεραμικής της κατηγορίας Ι, 2α της Μακεδονίας φθάνουν ως το ορεινό συγκρότημα, που χωρίζει τη σύγχρονη Ελλάδα από τη σύγχρονη Βουλγαρία, όπως δείχνουν τα ευρήματα των τύμβων Ποταμών και Εξοχής στην ανατολική Μακεδονία[222] ή τα ευρήματα της Τσαουζίτσας στην κεντρική Μακεδονία[223].

Όσο για τα νότια όρια διάδοσης, αυτά δε φαίνεται να προχωρούν νοτιότερα από τη Θάσο, ενώ για τη Σαμοθράκη δεν έχουμε ακόμη αρχαιολογικό υλικό της εποχής αυτής και επομένως δεν μπορούμε να διατυπώσουμε οποιαδήποτε γνώμη.

215. French 1967, A6, 60.

216. Heurtley 1939, 1-8, εικ. 8 (Άγιος Μάμας), 10-17, εικ. 13 (Μολυβόπυργος). Στο Μολυβόπυργο, οπωσδήποτε, δεν εντοπίσθηκε στρώμα ύστερης εποχής του χαλκού, εκτός από ελάχιστα όστρακα.

217. Πρβλ. Σ χ έ δ. 128.

218. Μουσείο Κομοτηνής. Πρβλ. κατάλογο θέσεων δυτικής Θράκης, αριθ. 1, Σ χ έ δ. 128.

219. Ό.π.

220. Ό.π.

221. Η εγχάρακτη κεραμική της αιγαιακής Θράκης εμφανίζει μεγαλύτερες ομοιότητες με την εγχάρακτη κεραμική της ομάδας Tei, κυρίως στις φάσεις IV και V. Ορισμένα, ωστόσο, όστρακα από την ακρόπολη Εργάνης (Ασσάρ Τεπέ) θυμίζουν και εγχάρακτη κεραμική Tei φάσης III. Δεν είναι όμως ακόμη δυνατό να προσδιορισθεί αν είναι σύγχρονη η κεραμική αυτή με τις αντίστοιχες φάσεις της ομάδας Tei ή αν σχετίζεται με νεότερες επιβιώσεις της. Τα κάτω χρονολογικά όρια αυτής της παραδουνάβιας κεραμικής ομάδας δεν έχουν ακόμη προσδιορισθεί με ασφάλεια, Hansel 1976, 56.

222. Γραμμένος 1979, 26 κ.ε. Η Hochstetter 1984, 361, αναφέρει αντίστοιχη κεραμική στην περιοχή της βουλγαρικής Ροδόπης από τον τύμβο Trigrad.

223. Casson 1923/24, 73 κ.ε., French 1967, A2. Για το αρχαιολογικό κενό, που εμφανίζεται ανάμεσα στα βόρεια σύνορα της Μακεδονίας και τις παραδουνάβιες περιοχές, πρβλ. Hochstetter 1982, 116.

Στις παλιές ανασκαφές των W. Heurtley[224] και S. Casson[225], οι οποίοι συστηματοποίησαν την έρευνα της προϊστορικής Μακεδονίας που είχε αρχίσει ο L. Rey,[226] προστέθηκαν τα τελευταία χρόνια οι ανασκαφές των B. Hänsel στον Καστανά και του K. Wardle στην Άσσηρο.

1. Αξιοχώρι (Βαρδαρόφτσα) (French 1967, A4· πρβλ. Χάρτη Σ χ έ δ. 128, αριθ. 52)

Βιβλιογραφία

1. Rey 1917/19, 27-53.
2. Heurtley 1925/26, 1-66.
3. Cuttle 1926/27, 201-242.
4. Heurtley 1927, 44-59.
5. Heurtley 1939, 36-39.

Ο εντοπισμένος από τον L. Rey προϊστορικός οικισμός της Βαρδαρόφτσας ανασκάφθηκε δοκιμαστικά από τον Heurtley και τους συνεργάτες του από το 1925 ως το 1927. Η έκταση του οικισμού και το πάχος της επίχωσης (17,50 μ.) περιόρισαν αναγκαστικά την ανασκαφική έρευνα στην επισήμανση κυρίως των αλλαγών της κεραμικής. Από την άποψη ωστόσο της μελέτης της μακεδονικής κεραμικής, ο οικισμός της Βαρδαρόφτσας εξακολουθεί ως σήμερα να εμφανίζει την πληρέστερη στρωματογραφική διαδοχή όλων των φάσεων της τοπικής κεραμικής της Μακεδονίας, από την πρώιμη εποχή του χαλκού ως τον 4ο αι. π.Χ.

Επισημαίνοντας από το πρώτο κιόλας άρθρο του ο Heurtley την ύπαρξη ομοιογένειας στην τοπική ακόσμητη μακεδονική κεραμική, από την πρώιμη εποχή του χαλκού ως τον 4ο αι. π.Χ., εντόπισε τις αλλαγές κυρίως στη διακοσμημένη κεραμική.

Η εγχάρακτη κεραμική, που εμφανίζεται από την πρώιμη εποχή του χαλκού στον οικισμό και συνεχίζεται ως την πρώιμη εποχή του σιδήρου, αποτελεί ένα από τα είδη της διακοσμημένης κεραμικής, στο οποίο στηρίχθηκε ο Heurtley, για να ξεχωρίσει τις τρεις φάσεις της εποχής του χαλκού στον οικισμό της Βαρδαρόφτσας, σχετίζοντάς τις με τρεις τύπους εγχάρακτης διακόσμησης:

Η εγχάρακτη κεραμική τύπου 1 (incised style 1), που χαρακτηρίζει τη φάση Α της Βαρδαρόφτσας, είναι η χαρακτηριστική εγχάρακτη κεραμική της πρώιμης εποχής του χαλκού της Μακεδονίας, που διαφοροποιείται και στα σχήματα των αγγείων και στον τρόπο διακόσμησης από την εγχάρακτη κεραμική των επόμενων φάσεων, και πλησιάζει την εγχάρακτη κεραμική της Τροίας ΙΙ.

Η εγχάρακτη κεραμική τύπου 2 (incised style 2) εμφανίζεται στη φάση Β της Βαρδαρόφτσας, που ακολουθεί το τέλος της πρώιμης εποχής του χαλκού και συνυπάρχει με μινύεια αγγεία, τοπικής ως επί το πλείστον καταγωγής. Ενώ όμως η αρχή της φάσης Β είναι καθαρά προσδιορισμένη από τις αλλαγές που συμβαίνουν στα σχήματα των αγγείων και στον τρόπο χάραξης των διακοσμητικών θεμάτων, το τέλος της φάσης Β δεν προσδιορίζεται εξίσου καθαρά. Το μοναδικό κριτήριο που ίσχυσε για το διαχωρισμό του Heurtley είναι η εξαφάνιση των μινύειων αγγείων, αλλά τα τελευταία σε ελάχιστους οικισμούς της κεντρικής Μακεδονίας εμφανίζονται. Η διαφοροποίηση ανάμεσα στην εγχάρακτη κεραμική τύπου 2 και στην εγχάρακτη κεραμική τύπου 3 είναι τεχνοτροπική και περιορίζεται μόνο στον τρόπο επεξεργασίας και σύνθεσης των διακοσμητικών θεμάτων.

Η εγχάρακτη κεραμική τύπου 3 (incised style 3) εμφανίζεται στη φάση C της Βαρδαρόφτσας, τα νεότερα στρώματα της οποίας χρονολογούνται από μυκηναϊκά επείσακτα αγγεία στην ΥΕ ΙΙΙΒ και ΥΕ ΙΙΙΓ. Στα χρονολογημένα, ωστόσο, με μυκηναϊκή κεραμική ΥΕ ΙΙΙΓ

224. Heurtley 1939.
225. Casson 1926α, 59-72.
226. Rey 1917/19.

στρώματα του οικισμού, η εγχάρακτη κεραμική τύπου 3 αραιώνει σημαντικά και τείνει να εξαφανισθεί.

Τα διακοσμητικά θέματα της εγχάρακτης κεραμικής τύπου 3 προέρχονται από αντίστοιχα θέματα της εγχάρακτης κεραμικής τύπου 2 και σε πολλές περιπτώσεις ταυτίζονται με αυτά. Η χάραξη, ωστόσο, στην κεραμική του τύπου 3 έχει πραγματοποιηθεί με λιγότερη ακρίβεια και χαρακτηρίζεται από μεγαλύτερη χρήση του επίθετου χρώματος, που τώρα δεν τονίζει μόνο τις χαράξεις, αλλά καλύπτει και τις επιφάνειες που πλαισιώνουν τα διακοσμητικά θέματα. Επειδή, ωστόσο, δεν έχει πραγματοποιηθεί η συνολική δημοσίευση της κεραμικής της ανασκαφής ούτε και στατιστική επεξεργασία του υλικού, δεν είναι δυνατό να επιβεβαιωθούν με στρωματογραφικά δεδομένα οι τεχνοτροπικές αυτές παρατηρήσεις του Heurtley.

Από το ως τώρα γνωστό αρχαιολογικό υλικό της Βαρδαρόφτσας μπορούν να προκύψουν οι εξής γενικές παρατηρήσεις, σχετικά με τη χρονολόγηση, καταγωγή και εξέλιξη της εγχάρακτης κεραμικής στον οικισμό της Βαρδαρόφτσας:

1. Η εγχάρακτη κεραμική του τύπου 2 εμφανίζεται με το τέλος της πρώιμης εποχής του χαλκού.

2. Η καταγωγή της μπορεί να αναχθεί στην εγχάρακτη κεραμική τύπου Α, αλλά ορισμένα χαρακτηριστικά της (διαφορετικό εργαλείο χάραξης, νέα διακοσμητικά θέματα) είναι αδύνατο να ερμηνευθούν χωρίς τις επιδράσεις της κεραμικής παραδουνάβιων πολιτιστικών κύκλων.

3. Οι διαφορές, που σημειώνονται ανάμεσα στην εγχάρακτη κεραμική τύπου 2 και την εγχάρακτη κεραμική τύπου 3, προέρχονται από την εσωτερική εξέλιξη της πρώτης, η οποία με την πάροδο του χρόνου μεταμορφώνεται στην εγχάρακτη κεραμική τύπου 3.

4. Η εγχάρακτη κεραμική τύπου 3 υποχωρεί με την εμφάνιση της μυκηναϊκής κεραμικής στον οικισμό.

2. Ἄσσηρος, θέση Τούμπα (French 1967, L6· πρβλ. Χάρτη Σ χ έ δ. 128, αριθ. 5)

Βιβλιογραφία

1. Wardle 1975/76, 19-21· 1977α, 44-47.
2. K. Wardle, News Letters from Greece, AJA LXXXII (1977).
3. Wardle 1980, 229-265.
4. Wardle 1982, 36-37.
5. K. Wardle, Prähistorische Siedlung at Assiros, Palast und Hütte, 1982, 87-91.
6. K. Wardle, Excavations at Assiros Toumba, Central Macedonia 1975-79, Thracia Pontica I, Sofia 1982, 130-150.
7. Wardle 1983.

Η συνολική δημοσίευση του ανασκαφικού υλικού δεν έχει ακόμη πραγματοποιηθεί, αλλά σ' ένα εκτεταμένο άρθρο ο ανασκαφέας (πρβλ. Βιβλιογραφία, αριθ. 2) έχει δώσει συνοπτικά τα πρώτα αποτελέσματα των ερευνών, από τα οποία προκύπτει ότι ο οικισμός εμφανίζει μια συνέχεια ζωής από τη μέση εποχή του χαλκού ως και την πρώιμη εποχή του σιδήρου. Ο ανασκαφέας έχει ξεχωρίσει δύο φάσεις πρώιμης εποχής του σιδήρου (φάση 1 και φάση 2) και μια μακρόχρονη φάση εποχής του χαλκού, που φαίνεται να συμπεριλαμβάνει, εκτός από την ύστερη εποχή του χαλκού, και τη λεγόμενη μέση εποχή του χαλκού του Heurtley. Η χρονολόγηση των επιμέρους φάσεων του οικισμού στηρίζεται:

α) Σε όστρακο τοπικού μινύειου αγγείου, με το οποίο προσδιορίζεται η αρχαιότερη φάση του οικισμού, που πρέπει να τοποθετηθεί μέσα στη φάση εκείνη που ο Heurtley είχε ονομάσει μέση εποχή του χαλκού της Μακεδονίας[227].

Το όστρακο της τοπικής μινύειας κεραμικής βρέθηκε στη μεγάλη τομή, που πραγματοποιήθηκε από την περιφέρεια του οικισμού προς το κέντρο και σε βάθος 2 μ. από την επιφά-

227. Heurtley 1939, 89.

νεια του εδάφους. Υπολογίζοντας για μια επίχωση 2 μ. χρονική διάρκεια 200 περίπου χρόνων, ο ανασκαφέας τοποθετεί την έναρξη ζωής του οικισμού στα 1800 π.Χ., με βάση τη χρονολόγηση του τέλους της τοπικής μινύειας κεραμικής γύρω στα 1600 π.Χ.

Για μια τόσο υψηλή χρονολόγηση δε συνηγορεί η ύπαρξη ενός μυκηναϊκού οστράκου, που βρέθηκε στο ίδιο στρώμα με το τοπικό μινύειο, και το οποίο κατά τον ανασκαφέα πρέπει να έχει διεισδύσει από ψηλότερα στρώματα.

β) Σε όστρακα και αγγεία μυκηναϊκής κεραμικής, επείσακτης και τοπικής, από τα οποία προκύπτει μια βέβαιη χρονολόγηση ορισμένων φάσεων του οικισμού. Στις πρώτες δημοσιεύσεις έχουν χρονολογηθεί το τέλος της φάσης 6 του οικισμού γύρω στα τέλη της ΥΕ ΙΙΙΓ (1150-1100 π.Χ.) και το τέλος της φάσης 7 στην πρώιμη ΥΕ ΙΙΙΓ, γύρω στα 1200 π.Χ.

Η κεραμική με την εγχάρακτη διακόσμηση (κατηγορία Ι, 2α-Ι, 2β Θάσου) αποτελεί χαρακτηριστικό είδος διακοσμημένης κεραμικής του οικισμού, που εμφανίζεται από την αρχαιότερη φάση του (2000-1800 π.Χ. κατά τον ανασκαφέα) και συνεχίζεται χωρίς διακοπή στις πρώιμες φάσεις της ύστερης εποχής του χαλκού, με τάση να εξαφανισθεί πριν από το τέλος της ύστερης εποχής του χαλκού. Σύμφωνα με τον ανασκαφέα, οι τεχνοτροπικές διαφορές που εμφανίζονται στην κεραμική αυτής της κατηγορίας δεν πρέπει να ανταποκρίνονται πάντα σε χρονολογικές διαφορές. Αντιθετα με ό,τι υποστήριξαν οι Heurtley και Casson, που απέδωσαν τα αραιά καλοσχεδιασμένα διακοσμητικά εγχάρακτα θέματα στη μέση εποχή του χαλκού και τα πυκνά κακοσχεδιασμένα και γεμισμένα με άφθονο λευκό, ερυθρό ή κίτρινο επίθετο χρώμα διακοσμητικά θέματα στην ύστερη εποχή του χαλκού, ο Wardle δε διαπίστωσε στη στρωματογραφία της Ασσήρου αυτή την εξέλιξη. Οπωσδήποτε, όμως, για τα τελικά συμπεράσματα θα πρέπει να περιμένει κανείς τη συνολική δημοσίευση της ανασκαφής.

3. Καλίνδρια (Κιλιντίρ) (French 1967, Α1· πρβλ. Χάρτη Σ χ έ δ. 128, αριθ. 14)
Ανασκαφή από τον S. Casson το 1925.

Βιβλιογραφία

1. Casson 1926α, 59-72.
2. Heurtley 1939, 31 κ.ε.

Η στρωματογραφία του οικισμού, όπως έχει δοθεί από τον ανασκαφέα, περιλαμβάνει τις εξής φάσεις:

Φάση Ι: Πρώιμη εποχή του χαλκού, 6,50-5,80 μ.

Φάση ΙΙ: Με τρεις επιμέρους φάσεις: ΙΙΑ: 5,80-4 μ., ΙΙΒ: 4-1,25 μ., ΙΙΓ: 1,25 μ. - επιφανειακό στρώμα.

Συνδυάζοντας ο Heurtley τα ανασκαφικά στοιχεία με τη γενικότερη εικόνα που είχαν δώσει οι πολλαπλές έρευνές του στην προϊστορική Μακεδονία, χώρισε την επίχωση του οικισμού στις εξής φάσεις:

Φαση Ι: Πρώιμη εποχή του χαλκού, 6,50-5,80 μ.

Φάση ΙΙ: Μέση εποχή του χαλκού, 5,80-2,50 ή 1,25 μ.

Φάση ΙΙΙ: Ύστερη εποχή του χαλκού, 1,25 μ. - επιφανειακό στρώμα.

Τα στοιχεία, που μπορούν να προκύψουν από τη στρωματογραφία του οικισμού αυτού, είναι τα εξής: Στα βαθύτερα στρώματα (φάση ΙΙΑ και ΙΙΒ του Casson ή φάση μέσης εποχής του χαλκού - φάση ΙΙ του Heurtley) εμφανίζεται εγχάρακτη κεραμική με λεπτές χαράξεις και ευθύγραμμα διακοσμητικά θέματα. Σύμφωνα με τον Casson, από τη φάση ΙΙΒ αρχίζει το προχωρημένο εγχάρακτο στυλ, που επικρατεί στη φάση ΙΙΓ και χαρακτηρίζεται από καμπυλόγραμμα κυρίως διακοσμητικά θέματα. Τα ευθύγραμμα ωστόσο θέματα δεν εξαφανίζονται τελείως, ενώ εκτός από το επίθετο λευκό εμφανίζεται και υπέρυθρο χρώμα. Ενώ, όμως, ο Casson επιχειρεί μια διάκριση ανάμεσα στο εγχάρακτο στυλ της φάσης ΙΙΑ και στο προχωρημένο εγχάρακτο στυλ, που εμφανίζεται στη φάση ΙΙΒ και επικρατεί στη φάση ΙΙΓ ως διαφορετικό είδος εγχάρακτης κεραμικής, ο Heurtley θεωρεί το προχωρημένο εγχάρακτο στυλ των νεότερων φάσεων ως άμεση εξέλιξη του προηγούμενου. Και οι δύο, ωστόσο, ανασκαφείς φαίνεται ότι συμφωνούν στην επισήμανση των λεπτών χαράξεων και των αραιών διακοσμη-

τικών θεμάτων, που τονίζονται μόνο με λευκό χρώμα, ως χαρακτηριστικών της αρχαιότερης φάσης της εγχάρακτης κεραμικής. Στο προχωρημένο εγχάρακτο στυλ αποδίδουν και οι δύο τα πλατιά διακοσμητικά θέματα με την αμελέστερη χάραξη, που τονίζονται με επίθετο λευκό, ερυθρό ή και κίτρινο χρώμα.

Από την πλευρά αυτή, η στρωματογραφία του οικισμού της Καλίνδριας φαίνεται ότι συμπίπτει με τη στρωματογραφία του οικισμού της Βαρδαρόφτσας.

4. Καστανάς (French 1967, Α6· πρβλ. Χάρτη Σ χ έ δ. 128, αριθ. 15)

Βιβλιογραφία

1. Hänsel 1977, 602-606.
2. Hänsel 1978, 714.
3. Hänsel 1979, 586-587.
4. Hänsel 1979α, 177-202.
5. Hänsel 1980, 646-648.
6. Hänsel 1982, 270-287.
7. Hochstetter 1982, 99-118.
8. Hochstetter 1984.

Η στρωματογραφία του οικισμού περιλαμβάνει μία φάση του τέλους της πρώιμης εποχής του χαλκού, που είναι και η αρχαιότερη του οικισμού (στρώματα 24-21), μία απροσδιόριστη φάση μέσης εποχής του χαλκού (στρώμα 20), κατά τη διάρκεια της οποίας η νησίδα πιθανότατα ήταν ακατοίκητη, και διαδοχικές φάσεις ύστερης εποχής του χαλκού (στρώματα 19-11) και πρώιμης εποχής του σιδήρου (στρώματα 10-4), για να καταλήξει σε στρώματα αρχαϊκής, κλασικής και ελληνιστικής εποχής (στρώματα 3-1). Η πρόσφατη αυτή ανασκαφή που στόχο είχε, όπως και η ανασκαφή της Ασσήρου, να επανεξετάσει τις φάσεις και την πολιτιστική εξέλιξη της προϊστορικής Μακεδονίας, προχωρώντας πέρα από τα συμπεράσματα του Heurtley και συμπληρώνοντας τα κενά της στρωματογραφίας των παλιών ανασκαφών, έδωσε σημαντικό υλικό κυρίως για τη μελέτη της ύστερης εποχής του χαλκού και της πρώιμης εποχής του σιδήρου της κεντρικής Μακεδονίας. Η ανασκαφή του Καστανά, όπως άλλωστε και της Ασσήρου, ερεύνησε και τη μετάβαση από την ύστερη εποχή του χαλκού στην πρώιμη εποχή του σιδήρου και διαπίστωσε την ομοιογένεια και την πολιτιστική συνέχεια ανάμεσα σ' αυτές τις δύο φάσεις, επιβεβαιώνοντας τα συμπεράσματα του Heurtley. Οι παρατηρήσεις του Heurtley σχετικά με την παροδική εμφάνιση βόρειων πολιτιστικών στοιχείων στη Μακεδονία, στα τέλη της ύστερης εποχής του χαλκού, επιβεβαιώθηκαν επίσης από τη στρωματογραφία του Καστανά, χωρίς να ταράξουν το βασικό χρονολογικό σχήμα του Heurtley για τη μετάβαση από την ύστερη εποχή του χαλκού στην πρώιμη εποχή του σιδήρου. Η προβληματική ωστόσο εποχή-φάντασμα για την προϊστορία της Μακεδονίας, που ο Heurtley ακολουθώντας το τριμερές σχήμα της χρονολογίας του νοτιοελλαδικού χώρου ονόμασε μέση εποχή του χαλκού, δε διευκρινίσθηκε από τη στρωματογραφία του Καστανά. Τον οικισμό του τέλους της πρώιμης εποχής του χαλκού, που κατά τον ανασκαφέα αντιστοιχεί με τις τελευταίες φάσεις του οικισμού στα Κριτσανά, ακολουθεί μετά από τη μεσολάβηση ενός απροσδιόριστου στρώματος 20 — εποχή εγκατάλειψης του οικισμού — η φάση της ύστερης εποχής του χαλκού.

Στη φάση III του Καστανά δεν έχει ακόμη διαμορφωθεί η χαρακτηριστική εγχάρακτη κεραμική της φάσης IV, που αντιστοιχεί στη θασιακή εγχάρακτη κεραμική της κατηγορίας I, 2α. Η εγχάρακτη διακόσμηση με τα αραιά διακοσμητικά θέματα βρίσκεται πιο κοντά στην παράδοση της εγχάρακτης κεραμικής της πρώιμης εποχής του χαλκού. Ορισμένα ωστόσο θραύσματα, όπως η εγχάρακτη λαβή του στρώματος 19 (Hochstetter 1984, πίν. 1), θυμίζουν αντίστοιχες λαβές κανθάρων, γνωστών από την προχωρημένη ύστερη εποχή του χαλκού της Μακεδονίας.

Πολύ πιο συχνή είναι στη φάση III του Καστανά η διακόσμηση με τη διακοπτόμενη χαρακτή γραμμή (πρβλ. κατηγορία I, 2β νεκροταφείων Θάσου). Από το επόμενο στρώμα (18), η παρουσία του οδοντωτού εργαλείου στη χάραξη γίνεται πιο συχνή και εμφανίζονται χαρα-

κτηριστικά σχήματα της εγχάρακτης κεραμικής της ύστερης εποχής του χαλκού, όπως είναι ο κάνθαρος.

Η χρονολόγηση της φάσης ΙΙΙ του Καστανά στην ΥΕ Ι στηρίζεται κυρίως στην εμφάνιση ενός χρυσού κοσμήματος, που βρέθηκε στο στρώμα 19, τα τυπολογικά παράλληλα του οποίου εμφανίζονται στον τάφο Β του Β' περίβολου των Μυκηνών. Χαρακτηριστική είναι η εμφάνιση και ενός τοπικού μινύειου αγγείου στο ίδιο στρώμα.

Στην επόμενη φάση IV του Καστανά, που την καλύπτουν τα στρώματα 17-14b, επικρατεί χαρακτηριστική εγχάρακτη κεραμική, αντίστοιχη με την κατηγορία Ι, 2α των νεκροταφείων της Θάσου. Χαρακτηριστικά σχήματα των αγγείων είναι ο κάνθαρος, το φιαλόσχημο αγγείο με τις διχαλωτές (wish bone) λαβές, και ο αμφορέας με τις κατακόρυφες κυλινδρικές λαβές στον ώμο. Κωνικές βάσεις δε βεβαιώνονται σε ακέραια παραδείγματα φιαλόσχημων αγγείων και αμφορέων, αλλά η εμφάνιση μεμονωμένων θραυσμάτων κωνικών βάσεων στον Καστανά δεν αποκλείει και την ύπαρξη εγχάρακτων αμφορέων με κωνική βάση και εγχάρακτων φιαλόσχημων αγγείων, με κωνική βάση, ανάλογων με τα παραδείγματα που έχουμε από το Σταθμό Αγγίστας, τους τύμβους Ποταμών, Εξοχής και τους τάφους της Θάσου. Ένα άλλο επίσης σχήμα αγγείου, που εμφανίζει στον Καστανά εγχάρακτη διακόσμηση, είναι η οινοχόη με τη λοξότμητη προχοή, σχήμα γνωστό και από το Σταθμό Αγγίστας.

Η διάδοση εγχάρακτης κεραμικής, αντίστοιχης με την κατηγορία Ι, 2α της Θάσου, τοποθετείται στη φάση IV του Καστανά, που από την επείσακτη μυκηναϊκή κεραμική χρονολογείται στην ΥΕ ΙΙΙΒ περίοδο. Στη φάση V του Καστανά, που από τη μυκηναϊκή κεραμική χρονολογείται στην ΥΕ ΙΙΙΓ περίοδο, η εγχάρακτη κεραμική αραιώνει σημαντικά και σχεδόν εξαφανίζεται. Από το πολύ μικρό ποσοστό παρουσίας της μπορεί να υποθέσει κανείς ότι στη φάση V παύει και να παράγεται πια η εγχάρακτη κεραμική αυτής της κατηγορίας.

5. Λιμνότοπος (Βάρδινο) (French 1967, A3· πρβλ. Χάρτη Σ χ έ δ. 128, αριθ. 53)

Βιβλιογραφία

1. Heurtley 1925/26, 15-36.
2. Heurtley 1927, 44.
3. Heurtley 1939, 33.

Στη στρωματογραφία του οικισμού διαπιστώθηκε ότι την αρχαιότερη φάση Ι, που χρονολογείται στην ύστερη νεολιθική εποχή, ακολουθεί η φάση ΙΙ που από τα επείσακτα μυκηναϊκά αγγεία χρονολογείται στην ΥΕ ΙΙΙΒ περίοδο και εξής. Η φάση ΙΙ χωρίσθηκε από τον ανασκαφέα σε τρεις επιμέρους φάσεις, ΙΑ-ΙΒ-ΙΓ.

Η εγχάρακτη κεραμική εμφανίζεται στη φάση ΙΙΑ, που χρονολογείται στην ΥΕ ΙΙΙΒ περίοδο από τη μυκηναϊκή επείσακτη κεραμική. Στην επόμενη φάση ΙΙΒ, που από την τοπική μυκηναϊκή κεραμική και την ελάχιστη επείσακτη ΥΕ ΙΙΙΓ, καθώς και από τη χάλκινη βιολόσχημη πόρπη τύπου Peschiera, χρονολογείται στην ΥΕ ΙΙΙΓ2 περίοδο, η εγχάρακτη κεραμική έχει αραιώσει και σχεδόν εξαφανισθεί. Στην τελευταία φάση του οικισμού, την ΥΕ ΙΙΙΓ, που τελειώνει με ένα στρώμα καταστροφής, δεν εμφανίζεται καθόλου εγχάρακτη κεραμική. Στην παραπάνω χρονολογική πορεία της εγχάρακτης κεραμικής, που προκύπτει από την πρώτη ανασκαφική έκθεση του Heurtley, δεν αντιστοιχεί το σχήμα της εικόνας 34 του Heurtley 1939 που εμφανίζει την κεραμική Ι, 2α με μεγαλύτερη συχνότητα προς το τέλος της φάσης.

Αν θελήσουμε να καταλήξουμε σε κάποιο συμπέρασμα από τη στρωματογραφία του οικισμού αυτού, θα μπορούσαμε να τονίσουμε τη διαπίστωση ότι η εγχάρακτη κεραμική τείνει να εξαφανισθεί προς τα τέλη της ύστερης εποχής του χαλκού, συμπέρασμα που διασταυρώνεται με τις αντίστοιχες διαπιστώσεις που προκύπτουν από τη στρωματογραφία άλλων οικισμών, Ασσήρου, Βαρδαρόφτσας και Καστανά.

6. Περιβολάκι (Σαρατσέ) (French 1967, L5· πρβλ. Χάρτη Σ χ έ δ. 128, αριθ. 34)

Βιβλιογραφία

1. Heurtley 1928/30, 113-150.
2. Heurtley 1939, 26.

Στον οικισμό αντιπροσωπεύονται φάσεις που αρχίζουν από την ύστερη νεολιθική εποχή — από την οποία δεν εντόπισαν οι ανασκαφές αδιατάρακτο στρώμα — και τελειώνουν με την πρώιμη εποχή του σιδήρου. Όπως και στον οικισμό της Βαρδαρόφτσας, στο Περιβολάκι αντιπροσωπεύονται επίσης όλες οι φάσεις της εποχής του χαλκού, καθώς και η μεταβατική φάση στην πρώιμη εποχή του σιδήρου.

Στον πίνακα της εικόνας 26 του Heurtley (1939, 30) σημειώνονται τα χαρακτηριστικά είδη κεραμικής της κάθε φάσης. Από τη στρωματογραφία του οικισμού προκύπτει ότι η εγχάρακτη κεραμική εμφανίζεται σ' όλες τις φάσεις της εποχής του χαλκού. Ο Heurtley έχει επισημάνει και εδώ τα τρία εγχάρακτα στυλ, που αντιστοιχούν στις τρεις επιμέρους φάσης της εποχής του χαλκού, Α, Β, C. Το εγχάρακτο στυλ 2 του Heurtley, το οποίο μεσολαβεί ανάμεσα στο εγχάρακτο στυλ 1 της φάσης Α (πρώιμης εποχής του χαλκού) και στο εγχάρακτο στυλ 3 της φάσης C (ύστερης εποχής του χαλκού), εμφανίζει στο Περιβολάκι ορισμένες ιδιομορφίες με την επικράτηση μιας διακεκομμένης χάραξης (Furchenstich).

7. Τσαουζίτσα (French 1967, Α2· πρβλ. Χάρτη Σ χ έ δ. 128, αριθ. 54)

Ανασκαφή από τον S. Casson το 1923.

Βιβλιογραφία

1. Casson 1923/24.
2. Casson 1926.
3. Heurtley 1939, 32-33.
4. Casson 1919/21, 1-33.
5. Casson 1923/25, 1-29.

Η στρωματογραφία του οικισμού (πάχος επίχωσης: 3,50 μ.) αποτελείται από τα εξής στρώματα:

1. Στρώμα ιστορικών χρόνων: 4ος αι. π.Χ. - ρωμαϊκοί χρόνοι, 0-1,50 μ.
2. Λεπτό στρώμα πρώιμης εποχής του σιδήρου, 1,50-2,10 μ.
3. Στρώμα ύστερης εποχής του χαλκού, 2,10-3,50 μ., που εμφανίζει ένα στρώμα καταστροφής, βάθος 2,40 μ.

Τα χαρακτηριστικά είδη κεραμικής του στρώματος 3 είναι τα εξής: Ακόσμητη στιλβωμένη χειροποίητη κεραμική (πρβλ. Ι, 1α αντίστοιχη κατηγορία της Θάσου), εγχάρακτη κεραμική (αντίστοιχη κατηγορία Ι, 2α της Θάσου) και γραπτή κεραμική, που απουσιάζει τελείως από τη Θάσο. Ένα μικρό μυκηναϊκό όστρακο βρέθηκε, επίσης, σε βάθος 2,30 μ. πάνω από το στρώμα της καταστροφής.

Οπωσδήποτε η εγχάρακτη κεραμική, όπως και η κεραμική με τη στιλβωμένη επιφάνεια, προηγούνται στρωματογραφικά από τη μυκηναϊκή επείσακτη κεραμική που αντιπροσωπεύεται με ένα μόνο όστρακο. Το τέλος της εγχάρακτης κεραμικής συμπίπτει με κάποια διακοπή, πιθανότατα στον οικισμό της Τσαουζίτσας, που σημειώνεται ύστερα από μια καταστροφή. Το στρώμα της πρώιμης εποχής του σιδήρου που ακολουθεί, καθώς και οι τάφοι του νεκροταφείου του γειτονικού λόφου, ανήκουν σε μια πιο προχωρημένη φάση της πρώιμης εποχής του σιδήρου.

ΑΝΑΤΟΛΙΚΗ ΜΑΚΕΔΟΝΙΑ

Όταν στα 1970 δημοσιεύθηκε η μελέτη του Δ. Θεοχάρη για την προϊστορία της ανατολικής Μακεδονίας, η ύστερη εποχή του χαλκού στην περιοχή αυτή ήταν τελείως άγνωστη[228]. Οι ανασκαφικές ωστόσο και επιφανειακές έρευνες, που πραγματοποιήθηκαν τα τελευταία χρόνια στην ανατολική Μακεδονία, έδωσαν ένα σημαντικό αρχαιολογικό υλικό ύστερης εποχής

228. Theocharis 1971, 28-29.

του χαλκού, από το οποίο διαπιστώνεται ότι στην ύστερη εποχή του χαλκού η ανατολική Μακεδονία αποτελούσε μία πολιτιστική ενότητα με την κεντρική Μακεδονία[229].

Το επιφανειακό υλικό, που συγκεντρώθηκε από τους οικισμούς δίδει μια καλή εικόνα για τη διάδοση της στιλβωμένης χειροποίητης κεραμικής της κατηγορίας Ι, 1α, καθώς και της εγχάρακτης κεραμικής της κατηγορίας Ι, 2α, και προσδιορίζει τις σχέσεις της ανατολικής Μακεδονίας και με τη Θάσο την ίδια εποχή. Χρονολογικά, ωστόσο, στοιχεία για τις παραπάνω κατηγορίες κεραμικής προκύπτουν από τις παρακάτω θέσεις, στις οποίες πραγματοποιήθηκαν ανασκαφικές έρευνες.

1. Ντικιλί Τας (πρβλ. Χάρτη Σ χ έ δ. 128, αριθ. 74)

Ο οικισμός είναι γνωστός ως οικισμός νεολιθικής εποχής και πρώιμης εποχής του χαλκού. Ανασκαφές πραγματοποιήθηκαν από τη Γαλλική Αρχαιολογική Σχολή και την Αρχαιολογική Εταιρεία.

Βιβλιογραφία

1. B. Welch, BSA 23 (1918/19), 44 κ.ε.
2. M. Renaudin, BCH XLV (1921), 543-544.
3. Δ. Θεοχάρης - Α. Ρωμιοπούλου, ΠΑΕ 1961, 81 κ.ε., Έργον 1961, 82 κ.ε.
4. Deshayes 1962, 912-933.
5. Α. Ρωμιοπούλου, ΑΑΑ Ι (1968), 48-49.
6. J. Deshayes, BCH XCII (1968), Chronique, 1062-1077.
7. J. Deshayes, BCH XCIV (1970), Chronique, 799-808.
8. Deshayes 1970, 23.
9. Deshayes 1972, 198-205.
10. J. Deshayes, BCH XCVII (1973), 464-473.
11. Deshayes 1973, 492-496.
12. J. Deshayes, Mélanges Helléniques offerts à G. Daux, 1975, 67-68.
13. Seferiades 1983, 633 κ.ε.

Το κεραμικό υλικό της ύστερης εποχής του χαλκού, που βρέθηκε στις ανασκαφές του J. Deshayes στην κορυφή του λόφου στα 1961, πέρασε στην αρχή απαρατήρητο γιατί ανήκε στα επιφανειακά και διαταραγμένα στρώματα των τετραγώνων A-D του τομέα Ι. Το πήλινο ειδώλιο, ωστόσο, τύπου πολιτισμού Žuto Brdo προκάλεσε αμέσως την προσοχή του ανασκαφέα και χρησιμοποιήθηκε από τον M. Garašanin, για να ενισχύσει τις απόψεις του για τη διάδοση παραδουνάβιων πολιτιστικών στοιχείων στον ελλαδικό χώρο[230].

Το κεραμικό υλικό της ύστερης εποχής, ένα μέρος από το οποίο δημοσίευσε ο M. Seferiades (βιβλιογραφία, αριθ. 13) περιλαμβάνει στιλβωμένη χειροποίητη κεραμική (Ι, 1α) και κεραμική με εγχάρακτη διακόσμηση (Ι, 2α). Μυκηναϊκή κεραμική, τοπική ή επείσακτη, δεν αναφέρεται. Η χειροποίητη ωστόσο κεραμική, στιλβωμένη, εγχάρακτη και με επίχρισμα γραφίτη, ταυτίζεται με αντίστοιχες κατηγορίες κεραμικής, που στην ανατολική Μακεδονία, με βάση τη στρωματογραφία του οικισμού Σταθμού Αγγίστας, χρονολογούνται στις προχωρημένες φάσεις της ύστερης εποχής του χαλκού και είναι σύγχρονες με την ΥΕ ΙΙΙΒ και ΥΕ ΙΙΙΓ περίοδο.

Πριν από τη συνολική δημοσίευση του υλικού δεν είναι δυνατό να στηριχθούν χρονολογικά συμπεράσματα. Εκείνο που προκύπτει, ωστόσο, από τις πληροφορίες του ανασκαφέα και από το ίδιο το υλικό είναι ότι φαίνεται στη στρωματογραφία του οικισμού να μεσολαβεί ένα χρονολογικό κενό ανάμεσα στο τέλος της πρώιμης εποχής του χαλκού και στο στρώμα της ύστερης εποχής του χαλκού.

229. Γραμμένος 1979, 26, Koukouli-Chrysanthaki 1982, 232 κ.ε.
230. Garašanin 1974, 121.

2. Παράδεισος (πρβλ. Χάρτη Σ χ έ δ. 128, αριθ. 71)

Ανασκαφή στον οικισμό από το Σουηδικό Αρχαιολογικό Ινστιτούτο (P. Hellström - E. Holmberg).

Βιβλιογραφία

1. R. Felsch, ΑΑΑ VI (1973), 138 κ.ε.
2. F. Schachermeyer, Die Ägäische Frühzeit, Wien 1976.
3. Γραμμένος 1975, 195.
4. P. Hellström - E.J. Holmberg, Excavation at Paradeisos, Opuscula Atheniensia 12 (1978), 141 κ.ε.

Η ανασκαφική έρευνα στον οικισμό έθιξε κυρίως στρώματα ύστερης νεολιθικής εποχής και πρώιμης εποχής του χαλκού. Η ύστερη εποχή του χαλκού αντιπροσωπεύεται με ελάχιστα όστρακα, που βρέθηκαν στο επιφανειακό, διαταραγμένο από την άροση, στρώμα του οικισμού.

Στοιχεία, επομένως, για χρονολόγηση δεν έχουμε από την ανασκαφή αυτή, εκτός από το στρωματογραφικό δεδομένο πως τη χαρακτηριστική εγχάρακτη κεραμική της ύστερης εποχής του χαλκού φαίνεται ότι διαδέχεται ένα στρώμα πρώιμης εποχής του χαλκού.

3. Σταθμός Αγγίστας (πρβλ. Χάρτη Σ χ έ δ. 128, αριθ. 93)

Ανασκαφική έρευνα από την Εφορεία Προϊστορικών και Κλασικών Αρχαιοτήτων Καβάλας (Χ. Κουκούλη-Χρυσανθάκη).

Βιβλιογραφία

1. Χ. Κουκούλη-Χρυσανθάκη, ΑΔ 23 (1968): Χρονικά, 359· 28 (1973): Χρονικά, 459· 29 (1974): Χρονικά, 786-787· 30 (1975): Χρονικά, 288-289.
2. Γραμμένος 1975, 198, αριθ. 7.
3. Κουκούλη-Χρυσανθάκη 1980, 54 κ.ε.

Στις δύο δοκιμαστικές τομές που πραγματοποιήθηκαν στην περιφέρεια του οικισμού, εντοπίσθηκαν στρώματα ύστερης εποχής του χαλκού, που από τα επείσακτα μυκηναϊκά αγγεία χρονολογούνται στην ΥΕ ΙΙΙΓ και ΥΕ ΙΙΙΒ φάση.

Από όστρακα που βρέθηκαν διάσπαρτα στην επίχωση του μακεδονικού τάφου, που έχει καταστρέψει ένα σημαντικό μέρος από τον προϊστορικό οικισμό, εντοπίζεται και μια φάση πρώιμης εποχής του χαλκού. Αυτή πρέπει να περιοριζόταν στο κέντρο του λόφου, γιατί στην περιφέρεια, όπου έγιναν οι δύο τομές, τα αρχαιότερα στρώματα αμέσως μετά το φυσικό βράχο είναι χρονολογημένα από επείσακτα μυκηναϊκά όστρακα στην ΥΕ ΙΙΙΒ φάση.

Από την πρώτη μελέτη του αρχαιολογικού υλικού της ανασκαφής του 1975 έχει προκύψει ότι δύο από τις αρχαιολογικές φάσεις, που έχουν εντοπισθεί στο λόφο, ανήκουν στην ύστερη εποχή του χαλκού.

Στη φάση ΑΙΙ εντοπίσθηκαν πολύ σποραδικά κτιριακά λείψανα από λίθινες υποδομές πλινθόκτιστων τοίχων, καθώς και ένα δάπεδο με πίθους κατά χώραν. Στη φάση αυτή εμφανίζεται χειροποίητη κεραμική με στιλβωμένη, λειασμένη ή αδρή επιφάνεια (πρβλ. αντίστοιχα, κατηγορίες χειροποίητης κεραμικής Ι, 1α, Ι, 1β, Ι, 1γ των νεκροταφείων Καστρί Θάσου) και σε μικρό ποσοστό εγχάρακτη κεραμική αντίστοιχη με την κατηγορία Ι, 2α των νεκροταφείων Καστρί. Η τροχήλατη κεραμική που εμφανίζεται στη φάση ΙΙ, με επίσης μικρό ποσοστό, είναι μυκηναϊκή κεραμική ΥΕ ΙΙΙΓ περίοδου, τοπικών κυρίως εργαστηρίων. Με πολύ μεγάλα ποσοστά αντιπροσωπεύεται η αδρή κεραμική με την πλαστική διακόσμηση (πρβλ. κατηγορία Ι, 5 των νεκροταφείων Θάσου). Η φάση ΑΙΙ του Σταθμού Αγγίστας πρέπει να είναι σύγχρονη με τη φάση 6 της Ασσήρου και πιθανόν με τη φάση 13 του Καστανά, παρόλο που δεν εμφανίζει εδώ, όπως στο στρώμα 13 του Καστανά, κανένα δείγμα αυλακωτής κεραμικής.

Η φάση ΑΙΙ τελείωσε μ' ένα στρώμα ισχυρής πυρκαγιάς, πάνω από το οποίο ακολούθησε πιθανότατα μια σύντομη κατοίκηση (φάση ΑΙΙβ2), που ακόμη δεν έχει μελετηθεί και δεν

είναι καλά προσδιορισμένη. Χαρακτηριστικό, οπωσδήποτε, γνώρισμα της φάσης αυτής είναι η έντονη παρουσία αδρής κεραμικής και η τέλεια απουσία κεραμικής με αυλακωτή διακόσμηση.

Η φάση ΑΙΙΙ καλύπτει τα βαθύτερα στρώματα του οικισμού, που στην περιφέρεια του λόφου φθάνουν ως το φυσικό βράχο. Κτιριακά λείψανα και στη φάση αυτή είναι ελάχιστα. Τα σημαντικότερα κτιριακά λείψανα είναι ένας πλινθόκτιστος τοίχος κτιρίου με λίθινη υποδομή, ένας αναλημματικός τοίχος στην περιφέρεια του λόφου και ένας ιπνός. Η χειροποίητη κεραμική στη φάση ΙΙΙ ανήκει στις γνωστές από τη φάση ΙΙ κατηγορίες τοπικής κεραμικής. Χαρακτηριστικό γνώρισμα της χειροποίητης κεραμικής της φάσης ΙΙΙ είναι η έντονη παρουσία εγχάρακτης κεραμικής, αντίστοιχης με την κατηγορία Ι, 2α και Ι, 2β των νεκροταφείων Καστρί. Η τροχήλατη κεραμική της φάσης ΙΙΙ είναι μυκηναϊκή επείσακτη και τοπική ΥΕ ΙΙΙΑ2 (;) και ΥΕ ΙΙΙΒ περιόδου, που εμφανίζεται ωστόσο σε πολύ χαμηλά ποσοστά. Η φάση ΙΙΙ του Σταθμού Αγγίστας πρέπει να είναι σύγχρονη με τη φάση IV του Καστανά (στρώματα 17-14b) και με τις φάσεις 8-14 της Ασσήρου.

Στις δύο φάσεις της ύστερης εποχής του χαλκού δε σημειώνονται σημαντικές αλλαγές στην τοπική χειροποίητη κεραμική του οικισμού στο Σταθμό Αγγίστας. Η μοναδική αλλαγή, που θα μπορούσαμε να επισημάνουμε προς το παρόν, είναι η αραίωση της εγχάρακτης κεραμικής Ι, 2α προς το τέλος της ύστερης εποχής του χαλκού. Πρόκειται για το ίδιο φαινόμενο που σημειώνεται και σε άλλους, όπως είδαμε, οικισμούς της κεντρικής Μακεδονίας και που χαρακτηρίζει επίσης και τη φάση ΙΒ των νεκροταφείων του οικισμού Καστρί.

Στον οικισμό οπωσδήποτε του Σταθμού Αγγίστας, επειδή έχουμε άφθονο και στρωματογραφημένο αρχαιολογικό υλικό της ύστερης εποχής του χαλκού, μπορούμε να προσδιορίσουμε βασικές ομοιότητες με τους οικισμούς της κεντρικής Μακεδονίας του Καστανά και της Ασσήρου στις περισσότερες κατηγορίες της τοπικής χειροποίητης κεραμικής, αλλά και στις κατηγορίες της μυκηναϊκής κεραμικής, τοπικής και επείσακτης.

Εκτός βέβαια από τις ομοιότητες, επισημαίνονται και ορισμένες τοπικές διαφορές στη χειροποίητη κεραμική, όπως είναι η απουσία στον οικισμό του Σταθμού Αγγίστας — και στην ανατολική Μακεδονία γενικότερα — της χαρακτηριστικής αμαυρόχρωμης γραπτής κεραμικής και η αντικατάστασή της με έναν άλλο τύπο γραπτής κεραμικής, καθώς και η συχνή παρουσία του γραφίτη ως επιχρίσματος των αγγείων, που χαρακτηρίζει τα αγγεία της ύστερης εποχής του χαλκού στην ανατολική Μακεδονία.

4. Τύμβοι Εξοχής και Ποταμών

Βιβλιογραφία

Γραμμένος 1979, 26-69.

4α. Τύμβος Εξοχής (πρβλ. Χάρτη Σ χ έ δ. 128, αριθ. 106)

Ένα μεγάλο μέρος του τύμβου είχε καταστραφεί από τη διάνοιξη του σύγχρονου δρόμου. Στο μέρος, επίσης, που ανασκάφθηκε συστηματικά διαπιστώθηκε μεγάλη διατάραξη, που κατά τον ανασκαφέα οφείλεται στις ρίζες των δένδρων, στη διάβρωση, καθώς και στις διαταράξεις που είχαν προκληθεί στην αρχαιότητα με την εναπόθεση νέων ταφών στον τύμβο. Ο ανασκαφέας διαπίστωσε, επίσης, την απουσία κάθετης στρωματογραφίας: οι ταφές βρίσκονται όλες στο ίδιο επίπεδο, στη βάση του τύμβου που συμπίπτει με το φυσικό έδαφος, και καλύπτονται από κοινό στρώμα λίθων και χώματος.

Οι επιμέρους ομάδες, που ξεχώρισαν σε οριζόντια διάταξη πάνω στο φυσικό έδαφος, δεν αντιπροσωπεύουν κλειστά ευρήματα. Θα μπορούσαμε στην περιοχή Α να ανασυνθέσουμε πιθανόν μια ταφή σε τεφροδόχο αμφορέα (Γραμμένος 1979, εικ. VII, 3, 9, 10), αλλά μια τέτοια προσπάθεια δεν ενθαρρύνεται από τις παρατηρήσεις του ανασκαφέα. Επίσης, στην περιοχή Μ φαίνεται ότι έχουμε μια ταφή-καύση κατά χώραν, όπως προκύπτει από τις πληροφορίες του ανασκαφέα που χαρακτηρίζει τεφροδόχο τον αμφορέα (εικ. XII, 3), και από τον πίνακα ΙΣΤ, στ. Η κεραμική ωστόσο που δίδεται συνολικά με την ένδειξη Μ3, πιθανότατα αντιπροσωπεύει περισσότερες από μία ταφές, αν θεωρήσουμε και τους άλλους αμφορείς τεφροδόχα. Κατά το πρότυπο των νεκροταφείων Urnenfelder, θα μπορούσαν να θεωρηθούν οι αμφορείς

τεφροδόχα και οι φιάλες καλύμματά τους, εφόσον είναι φανερό πως τα τυπικά επαναλαμβανόμενα αγγεία των ταφών-καύσεων του τύμβου είναι αμφορείς και φιάλες.

Ανεξάρτητα οπωσδήποτε από την αναγνώριση των κλειστών ευρημάτων, το σύνολο των ταφών του τύμβου πρέπει να χρονολογηθεί στην ύστερη εποχή του χαλκού. Τα ελάχιστα μυκηναϊκά αγγεία, που βρέθηκαν διάσπαρτα σε διάφορες θέσεις του τύμβου, δε βοηθούν ιδιαίτερα τη χρονολόγηση γιατί είναι τοπικά μυκηναϊκά. Η συνηθισμένη χρονολόγησή τους είναι από την ΥΕ ΙΙΙΓ και εξής, αλλά έχει διαπιστωθεί ότι η παραγωγή των τοπικών μυκηναϊκών αγγείων άρχισε στη Μακεδονία ήδη από την ΥΕ ΙΙΙΒ. Το σχήμα του τρίωτου αμφορίσκου (εικ. Χ, 1 και 4) δεν μπορεί να αποκλείσει μια πρωιμότερη από την ΥΕ ΙΙΙΓ χρονολόγηση, στην οποία άλλωστε οδηγεί το μεγάλο ποσοστό της εγχάρακτης κεραμικής, που αντιπροσωπεύεται κυρίως από τους μεγάλους τεφροδόχους αμφορείς.

Με βάση τη στρωματογραφία του Καστανά και της Αγγίστας, θα μπορούσαν να ανεβούν ως την ΥΕ ΙΙΙΒ ορισμένα εγχάρακτα αγγεία, όπως οι φιάλες με την εγχάρακτη διακόσμηση των εικ. ΙΧ, 1 και ΧΙ, 1, που σώζονται άλλωστε και πολύ αποσπασματικά, καθώς και οι αμφορείς με την εγχάρακτη διακόσμηση (εικ. ΧΙ, 3 και ΧΙΙΙ, 3) ή ο ακόσμητος αμφορέας με το αρθρωτό περίγραμμα (εικ. Χ, 2). Τα τοπικά ωστόσο μυκηναϊκά αγγεία, αν πρέπει να χρονολογηθούν στην ΥΕ ΙΙΙΓ, θα μπορούσαν να αποδοθούν σε νεότερες ταφές, με τις οποίες πρέπει να συσχετισθούν ακόσμητα αγγεία με κάπως ρευστό περίγραμμα, όπως π.χ. ο αμφορέας της εικ. ΧΙΙ, 2. Δεν είναι, ωστόσο, δυνατό να αποκλεισθεί το ενδεχόμενο να χρονολογούνται και οι αμφορείς με την εγχάρακτη διακόσμηση στην ΥΕ ΙΙΙΓ, στην οποία συνήθως τοποθετούμε τη μεγαλύτερη παραγωγή τοπικής μυκηναϊκής κεραμικής στη Μακεδονία, γιατί είναι βέβαιο ότι η εγχάρακτη κεραμική πιθανότατα αραιώνει, αλλά δεν εξαφανίζεται τελείως στην ΥΕ ΙΙΙΓ. Ο ανασκαφέας προτείνει και μια νεότερη φάση για τη χρήση του τύμβου της Εξοχής, οδηγημένος από την ανεύρεση μιας χάλκινης πόρπης και από την παρουσία της αδρής κεραμικής με πλαστική διακόσμηση.

Η χάλκινη αυτή πόρπη βέβαια αποτελεί πραγματικά ένα νεότερο και άσχετο με τα λοιπά ευρήματα του τύμβου αντικείμενο, η ανεύρεση του οποίου μπορεί να θεωρηθεί τυχαία. Η παρουσία, όμως, της αδρής κεραμικής με την πλαστική διακόσμηση δεν πρέπει να αποκλεισθεί από την ύστερη εποχή του χαλκού, εφόσον κεραμική αυτού του τύπου από την πρώιμη εποχή του χαλκού είναι ιδιαίτερα διαδεδομένη στη Μακεδονία, όπου παραμένει και στην ύστερη εποχή του χαλκού και στην πρώιμη εποχή του σιδήρου.

Η απουσία επίσης χαρακτηριστικών ειδών κεραμικής της πρώιμης εποχής του σιδήρου, όπως είναι η αυλακωτή και η σταμπωτή κεραμική, αποκλείουν μάλλον μια νεότερη χρήση του τύμβου στο 10ο αι. π.Χ., εποχή που αποτελεί το ανώτατο χρονολογικό όριο για την εμφάνιση των πορπών αυτού του τύπου.

4β. Τύμβος Ποταμών (πρβλ. Χάρτη Σ χ έ δ. 128, αριθ. 79)

Οι διαταράξεις που είχαν προκαλέσει στον τύμβο οι αλλεπάλληλες αναμοχλεύσεις του, είτε στην αρχαιότητα για εναπόθεση άλλων ταφών είτε στους νεότερους χρόνους για τυμβωρυχία, δεν έδωσαν και εδώ τη δυνατότητα να εντοπισθούν οι επιμέρους ταφές και να αναγνωρισθούν κλειστά σύνολα. Μόνο στη νοτιοανατολική πλευρά του τάφου πρέπει να είχαν απομείνει αδιατάρακτες ταφές, και από την περιοχή αυτή του τύμβου προέρχονται ορισμένα ακέραια αγγεία ή μεγάλα θραύσματα αγγείων.

Τα τεφροδόχα αγγεία είναι και εδώ, όπως και στον τύμβο της Εξοχής, οι αμφορείς που πρέπει να συνοδεύονται από φιάλες και κανθάρους. Τα είδη της κεραμικής που εμφανίζονται είναι η ακόσμητη κεραμική με τη στιλβωμένη επιφάνεια (Ι, 1α), η ακόσμητη κεραμική με τη λειασμένη επιφάνεια (Ι, 1β) και η εγχάρακτη κεραμική (Ι, 2α), που χρησιμοποιεί συχνά το επίχρισμα του γραφίτη ανάμεσα στις χαράξεις. Επίχρισμα γραφίτη χρησιμοποιείται και στην ακόσμητη κεραμική Ι, 1β. Εκτός από τη χειροποίητη κεραμική, εμφανίζεται και τοπική μυκηναϊκή κεραμική που αντιπροσωπεύεται με ελάχιστα όστρακα.

Ο τύμβος πρέπει να είναι σύχρονος με τον τύμβο της Εξοχής, όπως προκύπτει από την ομοιότητα των εγχάρακτων αμφορέων. Τα τοπικά μυκηναϊκά αγγεία πιθανόν πρέπει να χρονολογηθούν στην ΥΕ ΙΙΙΓ, αλλά οι εγχάρακτοι κάνθαροι του τύμβου είναι όμοιοι με αντίστοιχα

παραδείγματα κανθάρων του Καστανά και της Αγγίστας, που χρονολογούνται στην ΥΕ ΙΙΙΒ.

Όπως και στην περίπτωση του τύμβου της Εξοχής, δεν πρέπει να αποκλεισθεί μια υψηλότερη χρονολόγηση του τύμβου στην ΥΕ ΙΙΙΒ.

Παρατηρήσεις στην εγχάρακτη κεραμική Ι, 2α στη Μακεδονία

Συνοψίζοντας τα αρχαιολογικά δεδομένα για τη διάδοση και τη στρωματογραφική εμφάνιση της εγχάρακτης κεραμικής της κατηγορίας Ι, 2α, θα μπορούσαμε να καταλήξουμε στο συμπέρασμα ότι η κεραμική αυτή αποτελεί το κοινό χαρακτηριστικό είδος διακοσμημένης κεραμικής στην κεντρική και ανατολική Μακεδονία της ύστερης εποχής του χαλκού. Τα περισσότερα από τα βασικά σχήματα των αγγείων (Σ χ έ δ. 129), όπως το φιαλόσχημο αγγείο με τις διχαλωτές (wish bone) λαβές, ο κάνθαρος, ο αμφορέας με τις κατακόρυφες λαβές στην κοιλιά, ακόμη και οι οινοχόες με την οπισθότμητη προχοή, είναι κοινά και στις δύο περιοχές. Κοινά είναι και τα διακοσμητικά θέματα της χάραξης (Σ χ έ δ. 130, 131), καθώς και η χρήση του επιθέτου χρώματος — λευκού, ερυθρού ή και κίτρινου — στις χαράξεις. Η παρουσία της χαρακτηριστικής αυτής διακοσμημένης κεραμικής στην ανατολική Μακεδονία, και κυρίως στην ανατολικά του Αξιού κεντρική Μακεδονία, θα μπορούσε να συνδυασθεί και με άλλα κοινά είδη κεραμικής και σχήματα αγγείων, καθώς και με τον τύπο των οικισμών και τον πολιτιστικό χαρακτήρα[231] που εμφανίζουν οι οικισμοί της ύστερης εποχής του χαλκού στην παραπάνω γεωγραφική περιοχή. Πριν, ωστόσο, από τη συνολική δημοσίευση των πρόσφατων ανασκαφών στην Άσσηρο και τον Καστανά της κεντρικής Μακεδονίας, και των αντίστοιχων ανασκαφών στην ανατολική Μακεδονία, που θα επεκτείνουν τις γνώσεις μας για τον πολιτιστικό χαρακτήρα και την οργάνωση των οικισμών πέρα από τα δεδομένα της κεραμικής, δεν είναι δυνατό να καταλήξουμε σε έναν ολοκληρωμένο προσδιορισμό των χαρακτηριστικών της πολιτιστικής αυτής ομάδας, στην οποία δε γνωρίζουμε ακόμη αν εντάσσεται και η Χαλκιδική. Μπορούμε, ωστόσο, να τονίσουμε τις επιδράσεις που δέχεται η ομάδα αυτή από τους γειτονικούς πολιτιστικούς κύκλους. Η εμφάνιση της μυκηναϊκής κεραμικής είναι κοινή επίδραση του νοτιοελλαδικού χώρου, που εμφανίζεται συχρόνως στην κεντρική και την ανατολική Μακεδονία. Η αμαυρόχρωμη ωστόσο γραπτή κεραμική (matt painted), τα κέντρα παραγωγής της οποίας τοποθετούνται δυτικά από τον Αξιό[232], δεν επεκτείνεται στην ανατολική Μακεδονία. Η χρήση, εξάλλου, του γραφίτη ως επιχρίσματος στην εγχάρακτη κεραμική αποτελεί οπωσδήποτε τοπικό χαρακτηριστικό στη διακόσμηση της κεραμικής των περιοχών ανατολικά του Στρυμόνα, όπως και η εμφάνιση της γραπτής κεραμικής με απλά ταινιωτά θέματα[233].

Σχετικά με τα χρονολογικά όρια της ύστερης εποχής του χαλκού στη Μακεδονία, φαίνεται ότι τα ως τώρα γνωστά αρχαιολογικά δεδομένα δεν προσδιορίζουν την τομή που έχει ξεχωρίσει ο Heurtley ανάμεσα στη μέση και ύστερη εποχή του χαλκού[234].

Η ύπαρξη μιας κάποιας τομής διαφαίνεται στο τέλος της πρώιμης εποχής του χαλκού.

231. Γραμμένος 1979, 62 κ.ε., Γραμμένος 1980, 323 κ.ε., K. Wardle, Assiros, Ancient Macedonia III (1977), 304-305.

232. Heurtley 1926/27, 158-194, Kilian 1972, 115, Hammond 1976, 136 κ.ε., Wardle 1980, 264, σημ. 69-70. Η Hochstetter 1982, 99 κ.ε., αντίθετα με την άποψη που σχετίζει τη γραπτή κεραμική αυτής της κατηγορίας με τη μεσοελλαδική γραπτή κεραμική, συνδυάζει την εμφάνιση αυτής της γραπτής κεραμικής με την επίδραση της μυκηναϊκής κεραμικής στην τοπική μακεδονική κεραμική της ΥΕ ΙΙΙΒ περιόδου και τοποθετεί τα κέντρα παραγωγής της στην κοιλάδα του Αξιού. Ανεξάρτητη από την επίδραση της μυκηναϊκής κεραμικής και αποτέλεσμα τοπικής εξέλιξης θεωρεί την κεραμική αυτή ο F. Prendi, ο οποίος προτείνει το οροπέδιο της Κορυτσάς ως τόπο αρχικής παραγωγής, Studime Historike 1971, 82 κ.ε., Prendi 1982, 215 κ.ε.

233. Πρβλ. γραπτή κεραμική στον οικισμό Σταθμού Αγγίστας και σε άλλες θέσεις της περιοχής του Παγγαίου, Koukouli-Chrysanthaki 1982, 236.

234. Wardle 1977α, Hänsel 1979α, 180, Wardle 1980, 262.

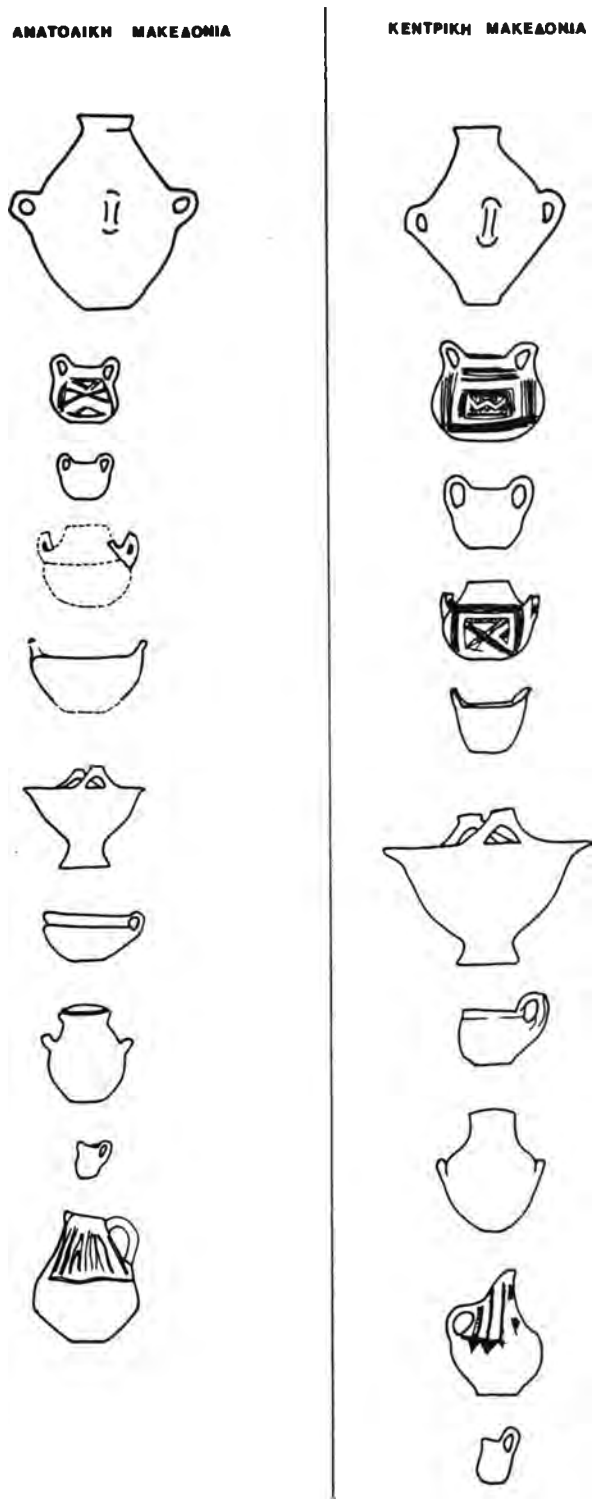

Σχέδ. 129. Τυπολογία αγγείων ύστερης εποχής του χαλκού ανατολικής και κεντρικής Μακεδονίας.

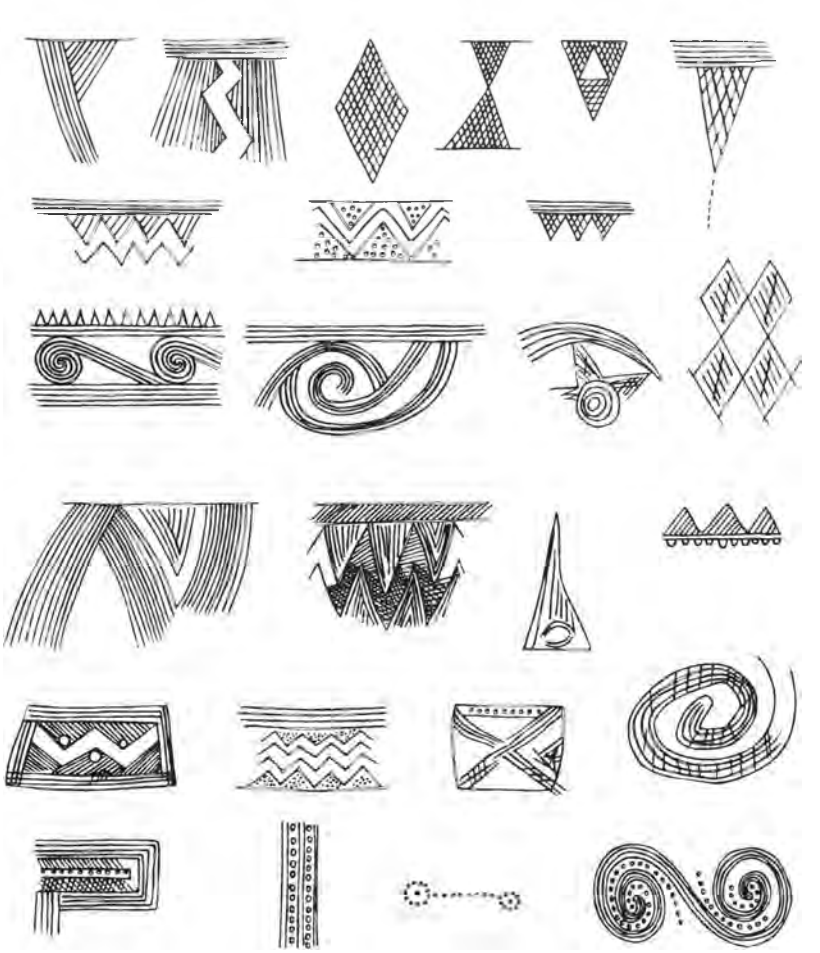

Σχέδ. 130. Διακοσμητικά θέματα εγχάρακτης κεραμικής κεντρικής Μακεδονίας.

Τότε εγκαταλείπονται οικισμοί στην κεντρική και την ανατολική Μακεδονία και σημειώνονται σημαντικές αλλαγές στην κεραμική. Σχήματα, όπως το φιαλόσχημο αγγείο με το σε σχήμα Τ χείλος και το φιαλόσχημο αγγείο με τις σαλπιγγόσχημες λαβές-αποφύσεις, εξαφανίζονται και τη θέση τους παίρνουν το φιαλόσχημο αγγείο με τις διχαλωτές (wish bone) λαβές-αποφύσεις και ο τετράωτος αμφορέας με το κωνικό χείλος. Η αραιή εγχάρακτη διακόσμηση της πρώιμης εποχής του χαλκού αντικαθίσταται από μια πυκνή καλοχαραγμένη με οδοντωτό εργαλείο χαρακτή διακόσμηση. Η εμφάνιση των μινύειων αγγείων στα στρώματα που διαδέχονται την πρώιμη εποχή του χαλκού σε ορισμένους οικισμούς της κεντρικής Μακεδονίας, και η επιβίωσή τους στά τοπικά εργαστήρια αυτών των οικισμών, δεν είναι δυνατό να προσδιορίσουν μια ιδιαίτερη πολιτιστική φάση για τη Μακεδονία, γιατί τα μινύεια είναι τοπικό είδος που εμφανίζεται σε ορισμένους οικισμούς της κεντρικής Μακεδονίας και απουσιάζει τελείως από την ανατολική[235].

Αν θελήσουμε ένα χρονολογικό όριο, που να προσδιορίζει κάποιες αλλαγές στην πολιτιστική ιστορία της Μακεδονίας, θα πρέπει να το συσχετίσουμε με την εμφάνιση της μυκηναϊ-

235. Heurtley 1939, 89, French 1966, εικ. 3.

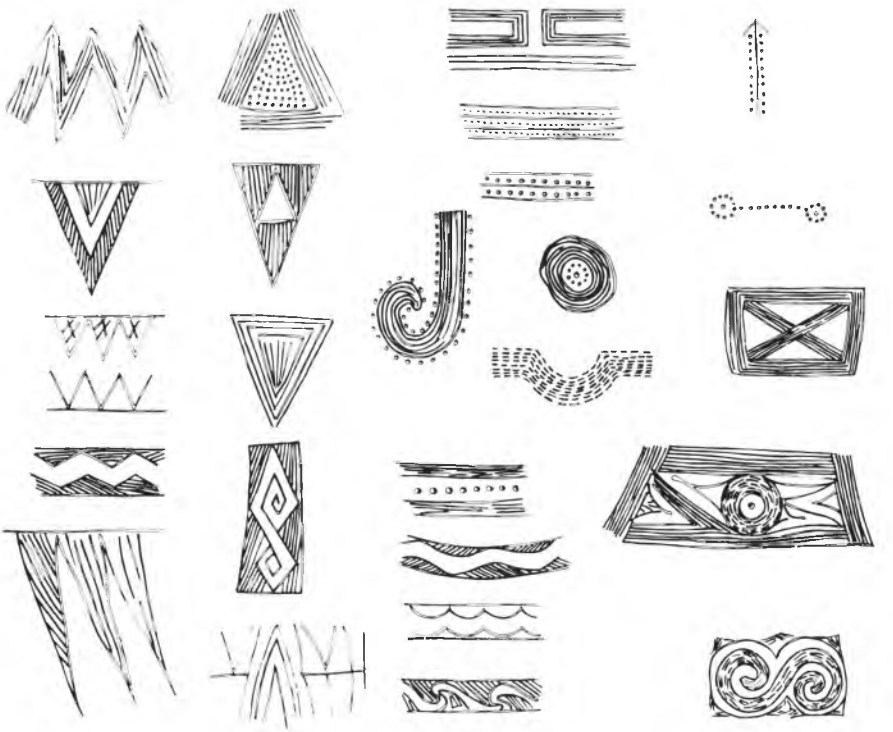

Σχέδ. 131. Διακοσμητικά θέματα εγχάρακτης κεραμικής ανατολικής Μακεδονίας.

κής κεραμικής στα τέλη της ΥΕ ΙΙΙΑ2-αρχές ΥΕ ΙΙΙΒ και με την παραγωγή τοπικής μυκηναϊκής κεραμικής στη Μακεδονία[236].

Με την εμφάνιση της μυκηναϊκής, επείσακτης αρχικά κεραμικής, συμπίπτουν στη Μακεδονία και αρκετά σημαντικές αλλαγές στην αρχιτεκτονική[237] και στην οργάνωση της ζωής ορισμένων οικισμών, με αντιπροσωπευτικό παράδειγμα τον οικισμό της νησίδας του Καστανά.

Θα πρότεινα επομένως, με βάση τα παραπάνω αρχαιολογικά δεδομένα, να θεωρηθεί πολιτιστικά ενιαία η εποχή που διαδέχεται την πρώιμη εποχή του χαλκού της Μακεδονίας και να ονομασθεί ύστερη εποχή του χαλκού, χωρίς τη μεσολάβηση μέσης εποχής του χαλκού. Αυτή η ενιαία πολιτιστική περίοδος θα μπορούσε να χωρισθεί σε δύο επιμέρους φάσεις, ως εξής:

Ύστερη εποχή του χαλκού Ι

Η φάση πρέπει να αρχίζει από το 2000-1800 π.Χ. — τα άνω χρονολογικά της όρια εξαρτώνται από τα κάτω χρονολογικά όρια της πρώιμης εποχής του χαλκού της Μακεδονίας[238] — και να τελειώνει με τη διάδοση της μυκηναϊκής κεραμικής, γύρω στα 1400-1350 π.Χ. Στη φάση

236. Hänsel 1979α, 186, Podzuweit 1979β, 204. Πρβλ. και σπεκτρογραφική ανάλυση, R. Jones, Fitch Laboratory, Αγγλικής Αρχαιολογικής Σχολής Αθηνών.

237. Hänsel 1979α, 182, Hänsel 1982, 277.

238. Renfrew 1970, 277, Γραμμένος 1981, 128, Hanschmann-Milojčić 1976, 223, εικ. 10, 226 και εικ. 11, I. Aslanis, Kastanas, Die Frühe Bronzezeit, Prähistorische Archäologie in Südosteuropa V (1985), 317-320.

αυτή, ο πολιτιστικός χαρακτήρας της Μακεδονίας είναι τοπικός στο σύνολό του. Σχέσεις με τη νότια Ελλάδα διαπιστώνονται με την παρουσία των μινύειων αγγείων στους παράλιους οικισμούς της Χαλκιδικής, η οποία προκαλεί και τοπικές μιμήσεις μινύειων στους ηπειρωτικούς οικισμούς, καθώς και με την εμφάνιση ενός χρυσού κοσμήματος ΥΕ Ι περιόδου στον οικισμό του Καστανά[239]. Η εμφάνιση χρυσών κοσμημάτων ΥΕ Ι περιόδου στην κοιλάδα του Αξιού αποτελεί μια ενδιαφέρουσα ένδειξη για τον προσδιορισμό των οδών επικοινωνίας της κεντρικής Ευρώπης με το μυκηναϊκό πολιτισμό και την ερμηνεία των μυκηναϊκών επιδράσεων, που εμφανίζονται στους πολιτισμούς της κεντρικής Ευρώπης στην ΥΕ Ι περίοδο, πριν από το μυκηναϊκό αποικισμό[240].

Η ύστερη εποχή του χαλκού Ι είναι καλύτερα γνωστή στην κεντρική Μακεδονία, ενώ στην ανατολική Μακεδονία έχουμε ακόμη μόνο επιφανειακή αστρωματογράφητη κεραμική, που θα μπορούσε να συσχετισθεί με την κεραμική της πρώιμης φάσης της ύστερης εποχής του χαλκού της κεντρικής Μακεδονίας.

Ύστερη εποχή του χαλκού ΙΙ

Η φάση αυτή είναι γνωστή τόσο στην κεντρική όσο και στην ανατολική Μακεδονία και καλύπτει τα χρονολογημένα με ΥΕ ΙΙΙΒ και ΥΕ ΙΙΙΓ μυκηναϊκή κεραμική στρώματα των οικισμών. Η κεντρική και η ανατολική Μακεδονία στη φάση αυτή εμφανίζουν μεγάλη ομοιογένεια, τόσο στον τύπο των οικισμών όσο και στην κεραμική, τοπική και επείσακτη.

Το τέλος της ύστερης εποχής του χαλκού ΙΙ και το τέλος της εποχής του χαλκού γενικότερα στη Μακεδονία συμπίπτει — με βάση πάντα τα ως τώρα γνωστά αρχαιολογικά δεδομένα — με την εμφάνιση της πρωτογεωμετρικής κεραμικής και τη διάδοση της αυλακωτής «παραδουνάβιας» κεραμικής στην κεντρική Μακεδονία, που συνοδεύεται από στρώματα καταστροφής σε ορισμένους οικισμούς. Από την ανατολική Μακεδονία δεν έχουμε ακόμη στρωματογραφημένο αρχαιολογικό υλικό των μεταβατικών φάσεων της ύστερης εποχής του χαλκού και της πρώιμης εποχής του σιδήρου, αλλά το στρώμα καταστροφής του οικισμού του Σταθμού Αγγίστας και η εγκατάλειψη του οικισμού με το τέλος της ύστερης εποχής του χαλκού θα μπορούσε να ενταχθεί στο ίδιο πλαίσιο.

ΔΥΤΙΚΗ ΘΡΑΚΗ

Στο χάρτη της διάδοσης της εγχάρακτης κεραμικής Ι, 2α (Σ χ έ δ. 128) σημειώνεται ένας μεγάλος αριθμός θέσεων της δυτικής Θράκης, στις οποίες έχει βρεθεί εγχάρακτη κεραμική ύστερης εποχής του χαλκού. Από ορισμένα όστρακα εγχάρακτης κεραμικής ορισμένων οικισμών δε φαίνεται να αποκλείεται μια διάδοση της εγχάρακτης κεραμικής Ι, 2α και ανατολικά από το Νέστο. Στο σύνολό της, ωστόσο, η εγχάρακτη κεραμική της δυτικής Θράκης φαίνεται ότι, τόσο στα σχήματα των αγγείων όσο και στον τρόπο διακόσμησης, εμφανίζει ορισμένες διαφοροποιήσεις από την αντίστοιχη εγχάρακτη κεραμική ανατολικής και κεντρικής Μακεδονίας, και πιθανόν μια πιο μακρόχρονη περίοδο επιβίωσης.

Οπωσδήποτε, για τον προσδιορισμό της κεραμικής αυτής της κατηγορίας στη δυτική Θράκη και τον προσδιορισμό των σχέσεών της με την ομάδα της Μακεδονίας και τις πολιτιστικές ομάδες των ηπειρωτικών Βαλκανίων, θα πρέπει να περιμένουμε τη δημοσίευση του αρχαιολογικού υλικού των πρόσφατων ανασκαφών της ακρόπολης Εργάνης και του σπηλαίου της Μαρώνειας, όπου αντιπροσωπεύεται με σημαντικά ποσοστά εγχάρακτης κεραμικής η ύστερη εποχή του χαλκού της δυτικής Θράκης[241].

239. Hänsel 1979, 646, εικ. 138.
240. Vulpe 1982, 321, όπου συγκεντρωμένη βιβλιογραφία.
241. Πεντάζος 1971, 90-93 και Πεντάζος 1972, 86 κ.ε.

α/α	Όνομα θέσης	Βιβλιογραφία
1.	Χρύσα Ξάνθης	Πάντος 1975/76, 20· ΑΔ 31 (1976): Χρονικά, 317.
2.	Γοργόνα Ξάνθης	Πάντος 1975/76, 14· Δ. Τριαντάφυλλος, ΑΔ 33 (1978): Χρονικά, 310.
3.	Κιμμέρια Ξάνθης	Τριαντάφυλλος 1973/74, 808-809, Μουσείο Κομοτηνής.
4.	Λευκόπετρα Ξάνθης	Τριαντάφυλλος 1973/74, 807· ΑΔ 33 (1978): Χρονικά, 310.
5.	Ρύμη Ξάνθης	Τριαντάφυλλος 1973/74, 809· ΑΔ 33 (1978): Χρονικά, 310.
6.	Μάντρα Ξάνθης	Πάντος 1975/76, 16.
7.	Αμαξάδες	D. French, PZ 42 (1964), 31· ΑΔ 30 (1975): Χρονικά, 304.
8.	Ίασμος Ροδόπης	Μουσείο Κομοτηνής, αδημοσίευτα.
9.	Υφαντές Ροδόπης	Πεντάζος 1968, 364.
10.	Φανάρι Ροδόπης	D. French, PZ 42 (1964), 31, Μουσείο Κομοτηνής.
11.	Ασσάρ Τεπέ Ροδόπης	Ε. Πεντάζος, ΑΔ 23 (1968), 90· Πεντάζος 1972, 86-90.
12.	Μεσοχώρι Ροδόπης	Τριαντάφυλλος 1973, 467.
13.	Ιν Ντερέ Ροδόπης	Πεντάζος 1971, 88.
14.	Πετρωτά Ροδόπης	Ό.π., 93.
15.	Σπήλαιο Μαρώνειας	Ό.π., 87.

ΗΠΕΙΡΩΤΙΚΑ ΒΑΛΚΑΝΙΑ

Αναζητώντας παράλληλα παραδείγματα σε γειτονικούς πολιτιστικούς κύκλους, θα μπορούσαμε να επισημάνουμε στο χώρο της ηπειρωτικής Θράκης μια κεραμική ομάδα, που θα μπορούσε να συσχετισθεί με την εγχάρακτη κεραμική της Μακεδονίας στην ύστερη εποχή του χαλκού: τη γνωστή ως Zimnicea-Plovdiv κεραμική ομάδα, που πρόσφατα ονόμασε ο Hänsel «Čerkovna Gruppe»[242] (Σ χ έ δ. 132).

Ακόμη βορειότερα οι κεραμικές ομάδες, που θα μπορούσαν να συσχετισθούν με την εγχάρακτη κεραμική της ύστερης εποχής του χαλκού της Μακεδονίας, βρίσκονται στη βόρεια του Δούναβη περιοχή της Ρουμανίας. Είναι κυρίως οι ομάδες Tei IV-V[243], Verbicioara[244] (Govora Gruppe) και Wietenberger[245], η επίδραση των οποίων περνά το Δούναβη και φθάνει ως τη Βουλγαρία, όπως διαπιστώνεται από αντίστοιχη εγχάρακτη κεραμική στο στρώμα της ύστερης εποχής του χαλκού στο σπήλαιο Devetaki[246].

Κοινό σημείο αναφοράς στις επιμέρους κεραμικές ομάδες όλων αυτών των απομακρυσμένων μεταξύ τους περιοχών είναι, εκτός από την εγχάρακτη διακόσμηση (τρόπος χάραξης και διακοσμητικά θέματα), και ένα χαρακτηριστικό σχήμα αγγείου, ο κάνθαρος. Το σχήμα αυτό εμφανίζεται και σε άλλες σύγχρονες κεραμικές ομάδες με εγχάρακτη διακόσμηση, όπως στην ομάδα Gîrla Mare-Dubovac-Žuto Brdo[247], που εκτείνονται στις παραδουνάβιες περιοχές της Ρουμανίας (Gîrla Mare), καθώς και της Γιουγκοσλαβίας (Dubovac-Žuto Brdo), και στη βορειοδυτική Βουλγαρία (Novo Selo), όπως και στις προγενέστερες ομάδες Vatina[248] και Paraćin[249] της Γιουγκοσλαβίας.

242. Alexandrescu 1974, 47 κ.ε., Hänsel 1976, 76-87, Morintz 1978, 55-61 (Cultura Zimnicea-Plovdiv).

243. Για χρονολογικά προβλήματα της ομάδας, πρβλ. Hänsel 1976, 53-56, όπου συγκεντρώνεται η προηγούμενη βιβλιογραφία. Πρβλ. επίσης για την ομάδα Tei στον Morintz 1978, 47-55 (Tei I-III) και 71-86 (Tei IV-V), όπου επισημαίνονται και οι σχέσεις της εγχάρακτης κεραμικής της Μακεδονίας στην ύστερη εποχή του χαλκού με τις φάσεις IV-V της ομάδας Tei.

244. Verbicioara IV-V, πρβλ. Hänsel 1976, 57-65, Morintz 1978, 61-70.

245. Morintz 1978, 115-117, Hochstetter 1982, 105-108.

246. Morintz 1978, 79.

247. Ό.π., 34, εικ. 16, 6 και 17, 3, 4, 9, Hänsel 1976, 62-65, Dumitrescu 1961, πίν. 107, αριθ. 121, 273. Για τη διάδοση της ομάδας στη Γιουγκοσλαβία (ομάδα Dubovac-Žuto Brdo), πρβλ. Garašanin 1973, 356-358, Brückner - Jovanović - Tasić 1974, 185 κ.ε., Todorović 1977, 153, όπου αναλύεται η διδακτορική διατριβή του D. Kristić, Dubovacko Zutobrdska Kultura, που δεν είδα.

248. Garašanin 1973, 354-356, 625-627, χάρτης Χ.

249. Ό.π., 317-318, 623-624, χάρτης ΙΧ.

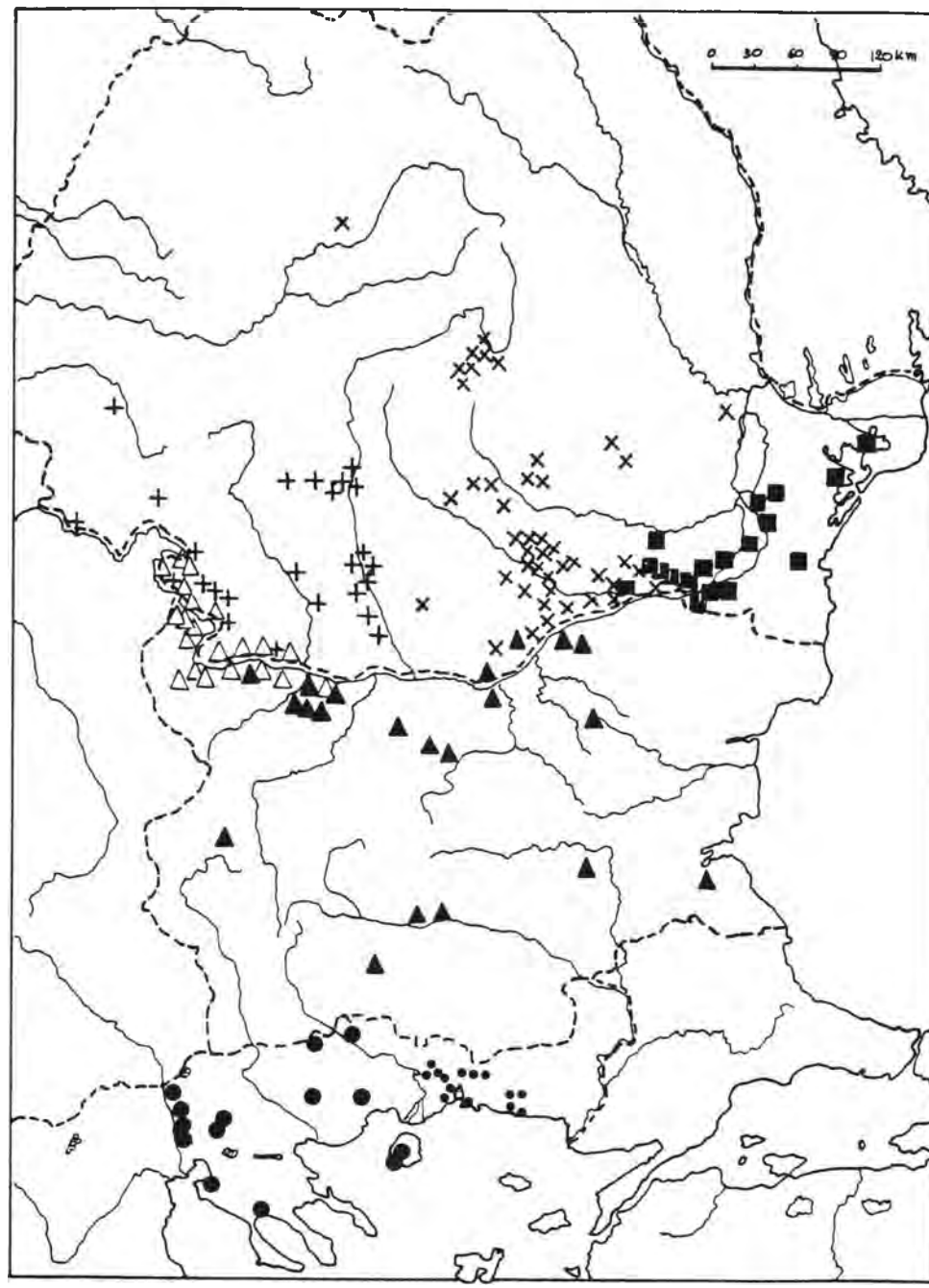

× Ομάδα Tei
\+ Ομάδα Govora
Δ Ομάδα Gîrla Mare
■ Ομάδα Coslogeni
▲ Ομάδα Čerkovna
● Εγχάρακτη κεραμική Μακεδονίας
ανασκαμμένες θέσεις
• Εγχάρακτη κεραμική Θράκης

Σχέδ. 132. Διάδοση ομάδων κεραμικής νοτιοανατολικών Βαλκανίων στην ύστερη εποχή του χαλκού (από Hänsel 1976).

Για τη νοτιοανατολική Γιουγκοσλαβία, όπου το βασικό πέρασμα της κοιλάδας του Μοράβα που οδηγεί στην κοιλάδα του Αξιού, υπάρχει ένα μεγάλο κενό έρευνας, αντίστοιχο με το κενό που εμφανίζει και η νοτιοδυτική Βουλγαρία. Στη νοτιοδυτική Βουλγαρία, ωστόσο, ένα σχετικό, αλλά όχι όμοιο είδος εγχάρακτης κεραμικής, εμφανίζεται στη λεγόμενη ομάδα Čepina[250], που ξεχώρισε ο Hänsel και η οποία νομίζω ότι είναι δυνατό να εμφανίζει και μια φάση πρωιμότερη από την πρώιμη εποχή του σιδήρου.

Η ομάδα Zimnicea-Plovdiv ή Čerkovna επεκτείνεται ελάχιστα πέρα από τη βόρεια όχθη του Δούναβη στη νοτιοανατολική Ρουμανία, αλλά καλύπτει σχεδόν ολόκληρη τη Βουλγαρία, προχωρώντας από τη βορειοδυτική Βουλγαρία ως την πεδιάδα βόρεια από τον Αίμο, και διασχίζοντας τον Αίμο στην περιοχή του Plovdiv και στην ορεινή Ροδόπη. Από μερικά σποραδικά, και οπωσδήποτε όχι και τόσο βέβαια ευρήματα, προτείνει ο Hänsel μια επέκταση της ομάδας αυτής και στην περιοχή της δυτικής Βουλγαρίας[251].

Η κεραμική της ομάδας αυτής εμφανίζει τις μεγαλύτερες συγγένειες με την κεραμική της ύστερης εποχής του χαλκού της Μακεδονίας, τόσο στα σχήματα των αγγείων όσο και στην εγχάρακτη διακόσμηση. Το μεγαλύτερο ποσοστό της κεραμικής είναι ακόσμητο και θυμίζει την κατηγορία Ι, 1β και Ι, 1γ, τα σχήματα όμως των αγγείων εμφανίζουν συχνά ένα χείλος ελαφρά λοξότμητο, που τα πλησιάζει επίσης στην παράδοση της κεραμικής της πρώιμης εποχής του χαλκού του αιγαιακού χώρου, όπως εμφανίζεται και στη Μακεδονία την ύστερη εποχή του χαλκού. Η εγχάρακτη επίσης διακόσμηση, καθώς και ο κάνθαρος σχήματος VA 115, προσεγγίζει την κεραμική αυτή ομάδα στην κεραμική της ύστερης εποχής του χαλκού της Μακεδονίας.

Η συσχέτιση της μακεδονικής κεραμικής με την ομάδα αυτή των κεντρικών Βαλκανίων δε βοηθά και πολύ στη χρονολόγηση, γιατί οι χρονολογήσεις στα ηπειρωτικά Βαλκάνια δεν είναι τόσο ασφαλείς, καθώς βρίσκονται ανάμεσα στις χρονολογήσεις των αιγαιακών πολιτιστικών κύκλων και των κεντροευρωπαϊκών χρονολογικών συστημάτων, χωρίς να εντάσσονται απόλυτα σε καμιά από τις μεγάλες αυτές ομάδες. Τα κάτω χρονολογικά όρια, οπωσδήποτε, της ομάδας Zimnicea-Plovdiv (Čerkovna) έχουν προσδιορισθεί γύρω στα 1100 π.Χ., όταν η ομάδα αυτή διαλύεται με την εμφάνιση και τη διάδοση της αυλακωτής κεραμικής στη Ρουμανία και τη Βουλγαρία, καθώς και με την εμφάνιση της σταμπωτής κεραμικής στη νότια Ρουμανία και τη Βουλγαρία[252].

Η εμφάνιση, επίσης, ενός κανθάρου της ομάδας Čerkovna στην Τροία VIIb1 δίδει ένα χρονολογικό terminus post quem για το τέλος της κεραμικής αυτής, το 1185-1150 π.Χ.[253].

Πρόσφατες ανασκαφές στο Durankulak στη βορειοανατολική Βουλγαρία (Δοβρουτσά), έχουν δώσει ένα στρώμα της ύστερης φάσης της ομάδας Coslogeni (ομάδα Sihleanu), κάτω από ένα στρώμα της ομάδας Babadag, προσδιορίζοντας έτσι τη χρονολογική συνέχεια ανάμεσα στην τελευταία φάση της ομάδας Coslogeni και στην αρχαιότερη φάση της ομάδας Babadag[254].

Το νεκροταφείο, επίσης, Zimnicea[255] εμφανίζει ένα αγγείο με αυλακωτή διακόσμηση στο νότιο τμήμα του, με το οποίο διαπιστώνεται ότι η ομάδα αυτή διαλύεται με την εμφάνιση της αυλακωτής κεραμικής. Το ίδιο νεκροταφείο έδωσε και τα ανώτερα χρονολογικά όρια της ομάδας, που πρέπει να φθάνουν ως τη μέση εποχή του χαλκού[256], αφού στο βόρειο, το αρχαιότερο τμήμα του νεκροταφείου, εμφανίζεται και ένα αγγείο της ομάδας Gîrla Mare.

Η ομάδα Tei[257], που παρουσιάζει μεγάλη διάδοση στη Μουντενία της Ρουμανίας,

250. Hänsel 1976, 220-227, Hoddinot 1981, 59.
251. Πρβλ. παραπάνω υποσημ. 242. Hänsel 1976, 76-87, Hochstetter 1982, 108.
252. Hänsel 1976, 86-87.
253. Ό.π., 251 (χρονολογία Τροίας, Sandars 1971), Schmidt 1902, 176, αριθ. 3617.
254. H. Todorova, Histoire de Dobrudza I, 1984, 64-71. Πρβλ. για τη φάση αυτή και Morintz 1978, 160 κ.ε.
255. Alexandrescu 1973, 86, τάφος 11, πίν. 1, 7 και 11, 3.
256. Ό.π., 88, πίν. 1, 10, 5 και 11, 4 (αγγείο ομάδας Gîrla Mare), Hänsel 1976, 83.
257. Πρβλ. παραπάνω, υποσημ. 243.

στη μέση και ύστερη εποχή του χαλκού, εμφανίζεται και νοτιότερα από το Δούναβη, στη βόρεια από τον Αίμο Βουλγαρία, όπως δείχνουν τα ευρήματα στο σπήλαιο Devetaki, που χρονολογούνται από τον Morintz[258] στη φάση Tei III και από τον Hänsel[259] στη φάση Tei V (Govora Sat Gruppe).

Επειδή ωστόσο εμφανίζονται και στοιχεία της ομάδας Verbicioara IV, που είναι πάλι κεραμική ομάδα της βόρειας όχθης του Δούναβη, ο Hänsel πιστεύει ότι πιθανότατα πρόκειται για τοπική ομάδα, που συνδυάζει στοιχεία και από τις δύο γνωστές από τη Ρουμανία κεραμικές ομάδες Tei και Verbicioara, οι οποίες εμφανίζουν μια όχι ακόμη καλά προσδιορισμένη διάδοση στο χώρο της σημερινής Βουλγαρίας. Οπωσδήποτε, είναι ενδιαφέροντα ορισμένα στοιχεία διάδοσης της ομάδας Tei, που εμφανίζονται στη νοτιοδυτική Βουλγαρία στη χρονολογημένη από τον Hänsel στην πρώιμη εποχή του σιδήρου ομάδα Čepina[260].

Στην κεραμική αυτή ομάδα, που πιθανότατα είναι και πρωιμότερη από τη χρονολογία που προτείνει ο Hänsel, εμφανίζεται και εγχάρακτη κεραμική τύπου I, 2β και I, 2γ, που βεβαιώνει σχέσεις της περιοχής αυτής με την ανατολική Μακεδονία. Από την οδό αυτή, που περνά από την κοιλάδα του Στρυμόνα, θα ήταν δυνατό να διοχετευθούν προς το νότο στοιχεία του πολιτισμού Tei IV-V, ακόμη και της ομάδας Verbicioara, που θα μπορούσαν να επηρεάσουν την κεραμική της Μακεδονίας στην ύστερη εποχή του χαλκού[261] και το αντίστροφο. Πρέπει επίσης να σημειώσουμε τις στενές σχέσεις, που εμφανίζονται ανάμεσα στην κεραμική Tei IV και Tei V και στην εγχάρακτη κεραμική της δυτικής Θράκης στην ύστερη εποχή του χαλκού[262]. Για την εμφάνιση, ωστόσο, της επίδρασης της κεραμικής ομάδας Tei στη δυτική Θράκη θα πρέπει να αναζητήσουμε άλλες οδούς επικοινωνίας, που συνδέονται με τα περάσματα άλλων ποταμών, όπως του Νέστου και του Έβρου. Η επικοινωνία με το Δούναβη για τους ποιμενικούς πληθυσμούς, που μετακινούνταν στα Βαλκάνια ως και τα νεότερα χρόνια της τουρκοκρατίας[263], δεν ήταν δύσκολη, αν θυμηθούμε την πληροφορία του Θουκυδίδη, ότι από τα Άβδηρα χρειάζεται «ἄνὴρ εὔζωνος» έντεκα μέρες για να φθάσει στο Δούναβη και από το Στρυμόνα δεκατρείς μέρες[264].

Τα χρονολογικά ωστόσο στοιχεία, που θα μπορούσαμε να κερδίσουμε από μια συσχέτιση της εγχάρακτης κεραμικής I, 1α και I, 2β της φάσης ΙΑ των νεκροταφείων και της εγχάρακτης κεραμικής της Μακεδονίας γενικότερα στην ύστερη εποχή του χαλκού, είναι ελάχιστα γιατί η κεραμική ομάδα Tei δεν είναι καλά χρονολογημένη, κυρίως στα κάτω χρονολογικά της όρια. Στις τελευταίες φάσεις της, η ομάδα Tei συμβιώνει με την ομάδα Noua, που εμφανίζεται στη δυτική Ρουμανία και βορειοδυτική Βουλγαρία γύρω στο 13ο αι. π.Χ.[265]. Είναι, ωστόσο, βέβαιο ότι η ομάδα Tei επιβιώνει και μετά το 13ο αι. π.Χ. Ο Hänsel, επισημαίνοντας τις σχέσεις της με την ομάδα Čepina, επισημαίνει επίσης και την επίδραση που φαίνεται να ασκεί η κεραμική αυτή ομάδα στα διακοσμητικά θέματα της σταμπωτής κεραμικής της ομάδας Pšeničevo[266].

Η ομάδα Verbicioara, που είναι διαδεδομένη στην Ολτενία της Ρουμανίας και στο ανατολικό Banat, καλύπτοντας και ορισμένες περιοχές της βορειοδυτικής Βουλγαρίας και της βορειοανατολικής Γιουγκοσλαβίας, στις φάσεις της IV-V εμφανίζει πολλές ομοιότητες

258. Morintz 1978, 79.

259. Hänsel 1976, 56 και 186.

260. Πρβλ. παραπάνω, υποσημ. 250.

261. Εμφανίζονται σχέσεις της εγχάρακτης κεραμικής και με πρώιμες φάσεις του πολιτισμού Tei III, πρβλ. Morintz 1978, 53, εικ. 29, αλλά προπαντός με τη φάση IV, ό.π., 76, εικ. 46, όπου η χάραξη με λεπτή τρεμουλιαστή γραμμή. Hochstetter 1982, 108, εικ. 107, για τις σχέσεις της εγχάρακτης κεραμικής των στρωμάτων 17-15 του Καστανά με εγχάρακτη κεραμική των φάσεων Tei IV-V. Πρβλ. επίσης Hochstetter 1984, 370.

262. Πρβλ. εγχάρακτη κεραμική από την ακρόπολη Εργάνης (αδημοσίευτη).

263. Hammond 1976, Deger-Jalkotzy 1977, 83, Γραμμένος 1979, 62.

264. Θουκ. Β, 97.

265. Hänsel 1976, 65-72, Morintz 1978, 152-160. Hochstetter 1981, 239 κ.ε., για την εμφάνιση μιας οστέινης περόνης του πολιτισμού Noua στον Καστανά. Πρβλ. και Hochstetter 1984, 371.

266. Hänsel 1976, 56.

με την ομάδα Tei IV-V. Η φάση IV της Verbicioara, που αντιπροσωπεύεται κυρίως από την ομάδα Govora Sat, σχετίζεται με τη φάση IV της ομάδας Tei και με την εγχάρακτη κεραμική της Μακεδονίας και της Θράκης στην ύστερη εποχή του χαλκού. Η φάση IV της Verbicioara χρονολογείται με βάση τα μεταλλικά αντικείμενα στη φάση II των Hortfunde[267], δηλαδή στο 13ο και 12ο αι. π.Χ., και οπωσδήποτε δεν επιβιώνει μετά τη φάση II των Hortfunde. Η διάλυσή της συμπίπτει με την εμφάνιση αυλακωτής κεραμικής, που σχετίζεται με την ομάδα Gava.

Εγχάρακτη κεραμική εμφανίζεται και στην ομάδα Coslogeni[268], η οποία όμως εμφανίζει πολλές επιδράσεις από τις σύγχρονές της κεραμικές ομάδες με εγχάρακτη διακόσμηση, όπως είναι οι ομάδες Tei και Zimnicea-Plovdiv. Η ομάδα αυτή, που εμφανίζεται στη νοτιοανατολική Ρουμανία (Δοβρουτσά) και στη βορειοανατολική Βουλγαρία, κατάγεται όπως και οι σύγχρονές της ομάδες Noua και Sabatinovka από τις στέπες της νοτιοδυτικής Ρωσίας και χρονολογείται συνήθως στο 14ο-13ο αι. π.Χ. Η αρχή της είναι ακόμη απροσδιόριστη χρονικά, αλλά το τέλος της φαίνεται ότι συμπίπτει με την εμφάνιση της ομάδας Babadag στη Δοβρουτσά. Η εγχάρακτη κεραμική εμφανίζεται με πολύ μικρό ποσοστό στην ομάδα Coslogeni και φαίνεται αρκετά διαφοροποιημένη από την εγχάρακτη κεραμική της κατηγορίας I, 2α. Πολιτιστικές επιδράσεις της ομάδας Coslogeni στα νότια Βαλκάνια επισημαίνονται όχι τόσο με την εγχάρακτη κεραμική, όσο με την αδρή κεραμική με την πλαστική διακόσμηση (βλ. παρακάτω).

Η ομάδα Gîrla Mare[269] είναι μια χαρακτηριστική ομάδα εγχάρακτης κεραμικής, που είναι διαδεδομένη στις δυτικές παραδουνάβιες περιοχές της Ρουμανίας (Gîrla Mare), της Βουλγαρίας (ομάδα Novo Selo) και στη βορειοανατολική Γιουγκοσλαβία (ομάδα Dubovac-Žuto Brdo). Αρχίζει με τη μέση εποχή του χαλκού και συνεχίζεται ως το τέλος της ύστερης εποχής του χαλκού. Οι σχέσεις της, ωστόσο, με τη Μακεδονία και τη Θράκη της ύστερης εποχής του χαλκού είναι ελάχιστες. Εκτός από το ειδώλιο του Ντικιλί Τας[270] και τα αρκετά μεταγενέστερά της ειδώλια του νεκροταφείου του Κεραμεικού[271], δεν έχουν ως τώρα εντοπισθεί άλλα στοιχεία, που να προσδιορίζουν ειδικότερες πολιτιστικές σχέσεις της με τη Μακεδονία. Άλλωστε, και στη Βουλγαρία η ομάδα αυτή δε φαίνεται να απομακρύνεται από τη νότια όχθη του Δούναβη. Είναι, ωστόσο, χαρακτηριστικό το γεγονός ότι και η ομάδα Gîrla Mare εξαφανίζεται με την εμφάνιση της αυλακωτής κεραμικής. Εκτός από τα παραδείγματα κεραμικής με αυλακωτή διακόσμηση, που έδωσαν οι νεότερες ταφές του νεκροταφείου της Cîrna στη Ρουμανία[272], έχουμε από το χώρο της Βουλγαρίας τη στρωματογραφία του οικισμού Balei, Vidin[273], όπου το στρώμα με την εγχάρακτη κεραμική τύπου Gîrla Mare/Novo Selo το διαδέχεται ένα στρώμα, το μεγαλύτερο ποσοστό της κεραμικής του οποίου κατέχει η αυλακωτή κεραμική.

Η εγχάρακτη διακόσμηση είναι επίσης πολύ συχνή στην κεραμική της μέσης και ύστερης εποχής του χαλκού της Γιουγκοσλαβίας. Εμφανίζεται στις κεραμικές ομάδες Vatina και Paračin[274], που αρχίζουν από τη μέση εποχή του χαλκού και συνεχίζονται στην ύστερη, κα-

267. Ό.π., 5-61, Morintz 1978, 61-70, Hochstetter 1982, 114, εικ. 9. Η εγχάρακτη κεραμική τύπου Govora Sat εμφανίζεται στα χρονολογημένα με ΥΕ IIIB επείσακτη μυκηναϊκή κεραμική στρώματα του Καστανά.

268. Hänsel 1976, 62. Morintz 1978, 121-147, για την επέκταση της ομάδας Coslogeni στην περιοχή της ομάδας Zimnicea-Plovdiv. Εγχάρακτη κεραμική τύπου Coslogeni εμφανίζεται στα στρώματα 14b-12 του Καστανά, που χρονολογούνται στα τέλη ΥΕ IIIB και αρχές ΥΕ IIIΓ, Hochstetter 1982, 108.

269. Για την ομάδα Gîrla Mare/Dubovac-Žuto Brdo/Novo Selo, πρβλ. παραπάνω, υποσημ. 247. Για την επέκταση της ομάδας προς το νότο, πρβλ. Milojčić 1948, 12 κ.ε. και Garašanin 1973, 630.

270. Garašanin 1974, 121.

271. S. Foltiny, Athens and East Hallstatt Culture into Relations, AJA 69 (1965), J. Bouzek, The Attic Dark Age Incised Ware, Sbornik Praha 38 (1974), 1-55.

272. Dumitrescu 1961, πίν. XCIX, 493-494, Hänsel 1976, 102.

273. Ανασκαφές αδημοσίευτες, 1969 και 1970 (I. Atanašova - R. Katinčarov). Πρβλ. Hänsel 1976, 64 και 103.

274. Garašanin 1973. Πρβλ. υποσημ. 248 και 249. Η Hochstetter 1984, 353, τονίζει αντιστοιχίες ανάμεσα στην εγχάρακτη κεραμική του οικισμού Sarina Medja και στην κεραμική των στρωμάτων 14a-b του Καστανά.

θώς και στην ομάδα Dubovac-Žuto Brdo[275], που αποτελεί τη δυτική παραλλαγή της ομάδας Gîrla Mare στην ύστερη εποχή του χαλκού. Οι κεραμικές αυτές ομάδες, στις οποίες πρέπει να συμπεριληφθεί και μια δυτική παραλλαγή της ομάδας Vatina[276], εμφανίζουν ελάχιστες σχέσεις με την εγχάρακτη κεραμική της Μακεδονίας της ύστερης εποχής του χαλκού. Θα μπορούσε, επομένως, να αποκλεισθεί από τα ως τώρα γνωστά αρχαιολογικά δεδομένα μια στενή πολιτιστική προσέγγιση της Μακεδονίας της ύστερης εποχής του χαλκού με τα βορειοδυτικά Βαλκάνια, με μοναδική εξαίρεση την εγχάρακτη κεραμική της ομάδας Verbicioara στη Voivodina[277] και στη Σερβία.

Πρέπει, ωστόσο, να σημειώσουμε ότι η νοτιοανατολική Γιουγκοσλαβία είναι ακόμη ανεξερεύνητη αρχαιολογικά. Η περιοχή αυτή, όπου οι μεγάλες οδοί επικοινωνίας των κοιλάδων Μοράβα και Αξιού, θα μπορούσε να αποτελέσει την οδό επικοινωνίας για τη διακίνηση των πολιτιστικών στοιχείων από τα ηπειρωτικά Βαλκάνια στη Μακεδονία και αντίστροφα από τη Μακεδονία προς το βορρά.

Πριν ωστόσο γεφυρωθεί το κενό της έρευνας, που παρουσιάζεται στην περιοχή αυτή, όπως και στην όμορη περιοχή της νοτιοδυτικής Βουλγαρίας, οι οδοί επικοινωνίας της Μακεδονίας με τις παραδουνάβιες περιοχές φαίνεται ότι διαγράφονται με κατεύθυνση τα ανατολικά Βαλκάνια, από το Στρυμόνα και το Νέστο. Ωστόσο, παρά την έλλειψη ευρημάτων, δεν μπορούμε να αποκλείσουμε την κοιλάδα του Μοράβα και εν συνεχεία του Αξιού για την επικοινωνία της Μακεδονίας με τους παραδουνάβιους πολιτισμούς, Tei, Verbicioara, Čerkovna. Ορισμένα μεμονωμένα ευρήματα, όπως τα αγγεία από Lapotince και Velika Humska Čuka[278], μαρτυρούν σχέσεις με την κεντρική Μακεδονία, αλλά αυτά είναι ελάχιστα στοιχεία για να αποδείξουν αυτές τις σχέσεις ως συνεχείς.

Η εγχάρακτη κεραμική Ι, 2α στα νεκροταφεία Καστρί και Λαρνάκι

Η εγχάρακτη κεραμική Ι, 2α εμφανίζεται αποκλειστικά στα νεκροταφεία του οικισμού Καστρί (νεκροταφείο Κεντριά και νεκροταφείο Τσιγανάδικα) και απουσιάζει τελείως από το νεκροταφείο Λαρνάκι.

ΤΕΧΝΙΚΗ ΚΑΤΑΣΚΕΥΗΣ

Τα αγγεία της κατηγορίας αυτής κατασκευάζονται από τοπικό πηλό, σχετικά καθαρό, που περιέχει ωστόσο και ψήγματα μαρμάρου και μαρμαρυγία (πρβλ. Παράρτημα IV). Η όπτησή τους έχει πραγματοποιηθεί, κατά κανόνα, με ελλιπή οξείδωση και έτσι οι χρωματικοί τόνοι της επιφάνειας, μέσα και έξω, κυμαίνονται ανάμεσα στο τεφρό και στο τεφρόμαυρο.

Δε λείπουν, ωστόσο, και ορισμένα αγγεία με καστανότεφρες αποχρώσεις στην επιφάνεια, που προέρχονται από μεγαλύτερο ποσοστό οξείδωσης, το οποίο πρέπει να είναι τυχαίο και να μην οφείλεται σε αρχική πρόθεση, γιατί η επιφάνειά τους εμφανίζεται ετερόχρωμη. Ο πυρήνας των αγγείων της κατηγορίας αυτής παραμένει πάντοτε τεφρός.

Η επεξεργασία της επιφάνειας του αγγείου πραγματοποιείται είτε με ειδικό οστέινο εργαλείο ή με ξύλινο εργαλείο, που αφήνει ίχνη στην επιφάνεια του αγγείου, είτε λειαίνεται με δέρμα, μάλλινο ύφασμα ή τούφα μαλλιού. Συχνά, ακόσμητα μέρη του αγγείου καλύπτονται με αραιωμένο γραφίτη που, επειδή εξαφανίζεται εύκολα με τις πρώτες διαβρώσεις της επιφάνειας του αγγείου, σώζεται σε ελάχιστα παραδείγματα. Η χάραξη πραγματοποιείται με οδοντωτό εργαλείο, με το οποίο χαράσσονται συστάδες από παράλληλες γραμμές, που σχηματίζουν ευθύγραμμα ή καμπυλόγραμμα γραμμικά θέματα. Τα διακοσμητικά θέματα είναι καμπυλόγραμμα (έλικες, σπείρες) και ευθύγραμμα (τρίγωνα, παράλληλες γραμμές σε συστά-

275. Garašanin 1973, 356-358 και 627-630.
276. Ό.π., 393-396 και 630-633.
277. Brückner - Jovanović - Tasić 1974, 114-119 και 457-458, εικ. 144.
278. Garašanin 1973, πίν. 55. Για νεότερες χρονολογήσεις του αγγείου, πρβλ. Hochstetter 1984, 351.

δες), συνδυασμένα μεταξύ τους, που συχνά εντάσσονται μέσα σε μετωπικά πλαίσια και εμπλουτίζονται με στικτή διακόσμηση. Τα εγχάρακτα θέματα τονίζονται με λευκή ή ερυθρόχρωμη ασβεστολιθική ύλη, που γεμίζει τις χαράξεις (Σ χ έ δ. 133· πρβλ. L. Courtois; Παράρτημα IV, δείγματα αριθ. 33, 34, 52).

ΣΧΗΜΑΤΑ ΑΓΓΕΙΩΝ

Τα σχήματα αγγείων εγχάρακτης κεραμικής I, 2α, που εμφανίζονται στα νεκροταφεία Καστρί, είναι τα εξής:

Σχήμα I: Φιαλόσχημα αγγεία τύπου I 1 και I 2.
Σχήμα V: Κανθαρόσχημα αγγεία τύπου V 115.
Σχήμα VI: Αμφορείς τύπου VIA 121.

Σ χ ή μ α I: Φιαλόσχημα αγγεία

Ο τύπος I 2 του φιαλόσχημου αγγείου, με την εγχάρακτη διακόσμηση στο άνω σώμα, εμφανίζεται στην κεντρική Μακεδονία από τη μέση εποχή του χαλκού[279], αλλά γνωρίζει τη μεγαλύτερη διάδοση στην ύστερη εποχή του χαλκού. Η καταγωγή του τύπου από την πρώιμη εποχή του χαλκού της Μακεδονίας[280] έχει ήδη επισημανθεί στα ακόσμητα παραδείγματα.

Ο Heurtley χρονολογεί την εμφάνιση του τύπου στη μέση εποχή του χαλκού της Μακεδονίας[281]. Τα στρωματογραφημένα παραδείγματα αυτού του τύπου, τόσο από την κεντρική[282] όσο και από την ανατολική Μακεδονία[283], βεβαιώνουν τη διάδοσή του στην ύστερη εποχή του χαλκού σε στρώματα χρονολογημένα με μυκηναϊκή επείσακτη κεραμική στην ΥΕ IIIB περίοδο.

Από τη στρωματογραφία του Καστανά προκύπτει ότι το αγγείο αυτού του σχήματος, με εγχάρακτη διακόσμηση εμφανίζεται στη φάση IV. Ελάχιστα θραύσματά του σημειώνονται μετά το στρώμα 14b στη φάση V του οικισμού. Όπως και στην Άσσηρο, δε φαίνεται να επικρατεί ο τύπος με την επίπεδη βάση. Η αποσπασματική, όμως, διατήρηση των αγγείων αυτού του τύπου στον Καστανά και η εμφάνιση κωνικών βάσεων στα ίδια στρώματα δεν αποκλείει την ύπαρξη του τύπου με την κωνική βάση, που είναι γνωστός από παραδείγματα του Σταθμού Αγγίστας. Από το αρχαιολογικό υλικό του Σταθμού Αγγίστας και της Εξοχής-Ποταμών φαίνεται ότι το εγχάρακτο φιαλόσχημο αγγείο τύπου I 2 εξαφανίζεται ή οπωσδήποτε αραιώνει πριν από το τέλος της ύστερης εποχής του χαλκού[284]. Ο τύπος του αγγείου I 2 με την εγχάρακτη διακόσμηση δεν είναι ακόμη γνωστός στην αιγαιακή Θράκη[285], όπου επικρατεί ο τύπος με την επίπεδη βάση, αλλά στην περιοχή αυτή οι γνώσεις μας είναι ακόμη αποσπασματικές και τα οποιαδήποτε συμπεράσματα προσωρινά. Οπωσδήποτε, επειδή ο τύπος I 2 απουσιάζει και από την ηπειρωτική Θράκη (σημερινή Βουλγαρία)[286], μπορούμε να θεωρήσουμε το φιαλόσχημο αγγείο τύπου I 2 ως αποκλειστική δημιουργία της μακεδονικής κεραμικής[287].

279. Heurtley - Hutchinson 1925/26, 18, πίν. IXa, 5-18 (Βαρδαρόφτσα, περίοδος Β). Heurtley 1939, αριθ. 381, άγνωστης προέλευσης. Πρβλ. και αντίστοιχο σχήμα από Καλίνδρια, Heurtley 1939, αριθ. 374.

280. Heurtley - Hutchinson 1925/26, 62, εικ. 41, πίν. IIIa.

281. Ό.π., 18-19.

282. Hochstetter 1984, πίν. 13, 1 (στρώμα 17). Πρβλ. θασιακό παράδειγμα K1A6 (Π ί ν. 1).

283. Σταθμός Αγγίστας: Κουκούλη-Χρυσανθάκη 1980, εικ. 13, αριθ. 203, ΥΕ IIIB, και Γραμμένος 1979, 47, εικ. XI.

284. Όπως και η εγχάρακτη κεραμική της κατηγορίας I, 2α εν γένει. Στον Καστανά τα φιαλόσχημα αγγεία με την εγχάρακτη διακόσμηση εμφανίζονται κυρίως στο στρώμα 17 και φαίνεται ότι λείπουν από τη φάση V.

285. Κεραμική από την ακρόπολη Εργάνης (Ασσάρ Τεπέ) και από το Σπήλαιο Μαρώνειας, Αρχαιολογική Συλλογή Μαρώνειας, Πεντάζος 1971, 90-93, Πεντάζος 1972, 86 κ.ε.

286. Όπου εμφανίζεται όμως ένα είδος διχαλωτής λαβής, αλλά σε φιαλόσχημα αγγεία διαφορετικού τύπου. Πρβλ. στρώμα ύστερης εποχής του χαλκού στο Pšeničevo, Hänsel 1976, πίν. 72, 5, ή Devetaki, Hänsel 1976, πίν. XII, 5. Η λαβή αυτού του τύπου κατάγεται από αντίστοιχη πρώιμης εποχής του χαλκού. Πρβλ. και διχαλωτή λαβή στην κεραμική ομάδα Tei, Hochstetter 1984, 370.

287. Heurtley - Hutchinson 1925/26, 54. Heurtley 1939, 81, για την εμφάνιση της διχαλωτής λαβής στην πρώιμη

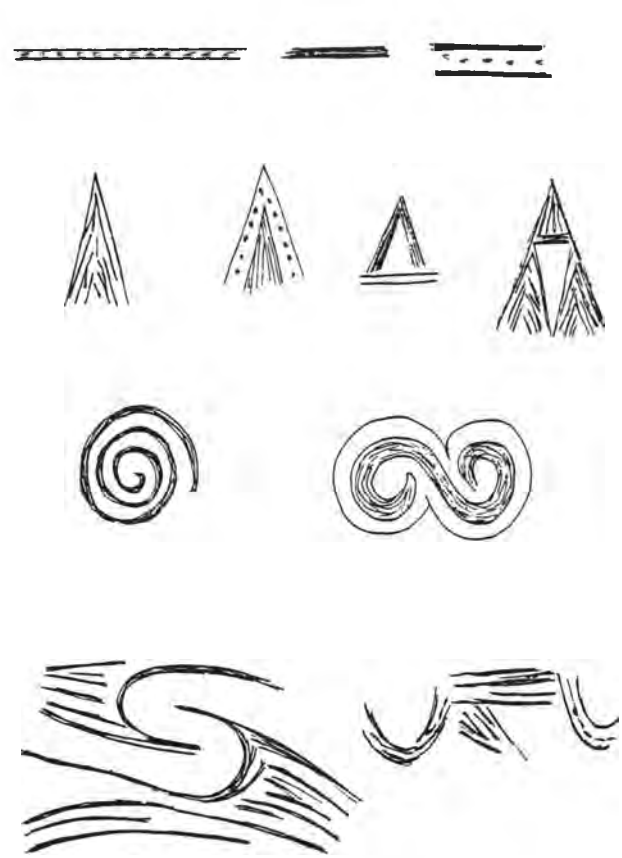

Σχέδ. 133. Διακοσμητικά θέματα εγχάρακτης κεραμικής φάσης Ι νεκροταφείων Καστρί.

Τα παραδείγματα από το νεκροταφείο του οικισμού Καστρί, όπως και τα αντίστοιχα παραδείγματα από το στρώμα της ύστερης εποχής του χαλκού του οικισμού Καστρί[288], είναι όμοια με αντίστοιχα εγχάρακτα αγγεία από την κεντρική και την ανατολική Μακεδονία (Σ χ έ δ. 134).

Το αγγείο Κ1Α6 (Π ί ν. 1: 6) μοιάζει με εγχάρακτο φιαλόσχημο αγγείο από τον οικισμό του Καστανά[289], καθώς και με αντίστοιχα εγχάρακτα αγγεία από τον οικισμό του Σταθμού Αγγίστας[290] (Σ χ έ δ. 134: 7, 17). Το θραύσμα Κ1Α3 (Π ί ν. 1: 3) θυμίζει, επίσης, αντίστοιχα θραύσματα εγχάρακτων αγγείων από τον Καστανά[291], το Σταθμό Αγγίστας[292] και τον τύμβο Εξοχής[293], καθώς και άλλες θέσεις της ανατολικής Μακεδονίας (Σ χ έ δ. 134: 5, 15).

εποχή του χαλκού Μακεδονίας. Λαβές αυτού του σχήματος ή ανάλογου εμφανίζονται εκτός από τη Μακεδονία στη Θεσσαλία, Hanschmann - Milojčić 1976, πίν. 57, 4, δυτική και κεντρική Ελλάδα, Wardle 1977, 171, Wace - Thompson 1912, εικ. 134, περιοχές με τις οποίες έχουν επισημανθεί σχέσεις της Μακεδονίας. Heurtley - Hutchinson 1925/26, 57-58.

288. Χ. Κουκούλη-Χρυσανθάκη, ΑΔ 29 (1974): Χρονικά, 573.

289. Hochstetter 1984, πίν. 13, 1 (στρώμα 17).

290. Κουκούλη-Χρυσανθάκη 1980, εικ. 13, αριθ. 203.

291. Για σχήμα χείλους, πρβλ. Hochstetter 1984, πίν. 14, 5, 8 και εικ. 21. Για διακόσμηση εγχάρακτη, πρβλ. Hochstetter, ό.π., πίν. 47, 4-5 (στρώμα 14b).

292. Κουκούλη-Χρυσανθάκη 1980, εικ. 13, αριθ. 137.

293. Γραμμένος 1979, 47, εικ. XI, 1.

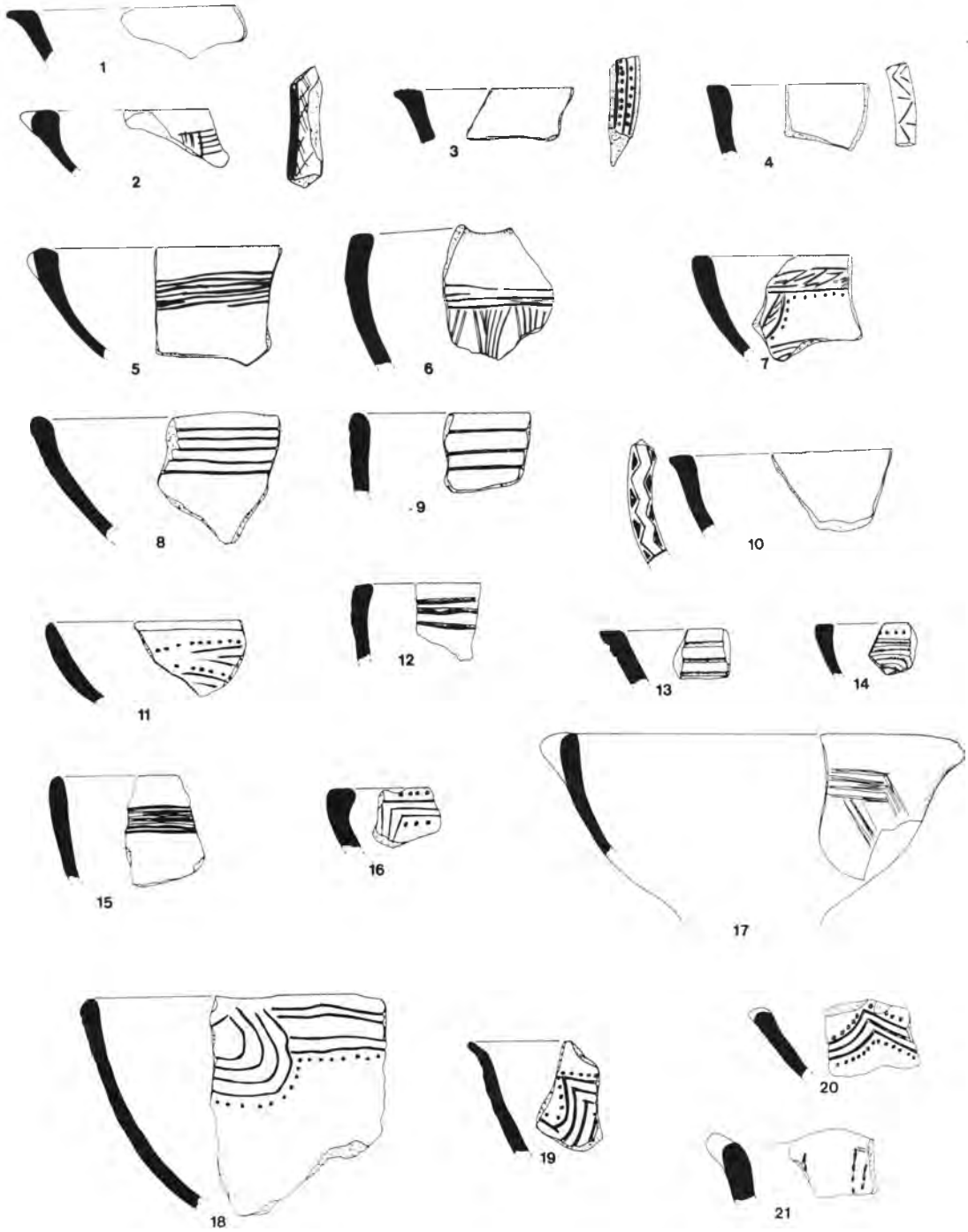

Σχέδ. 134. Εγχάρακτη κεραμική 1, 2α-β ανατολικής Μακεδονίας (φιαλόσχημα αγγεία): 1. Εξοχή, 2, 5, 10. Δήμητρα, 3, 4, 7, 12, 13, 17, 18. Σταθμός Αγγίστας, 6. Τούμπα Σαμαρά, 8, 11, 16, 20. Μυρρίνη, 9. Ροδολείβος, 14. Νέα Ζίχνη, 15, 21. Γάζωρος, 19. Πεντάπολη.

Τα στρωματογραφημένα παραδείγματα από την κεντρική και ανατολική Μακεδονία χρονολογούνται στην ΥΕ ΙΙΙΒ και μια αντίστοιχη χρονολόγηση επιβεβαιώνεται και από την εγχάρακτη κεραμική του στρώματος της ύστερης εποχής του χαλκού του οικισμού Καστρί[294]. Το θραύσμα της Θάσου Κ1Α3 εμφανίζει, επίσης, το χαρακτηριστικό για την ανατολική Μακεδονία επίχρισμα γραφίτη, που λείπει από τη σύγχρονη εγχάρακτη κεραμική της κεντρικής Μακεδονίας. Στα θραύσματα του αγγείου Κ1Α6 δεν παρατηρήθηκαν ίχνη γραφίτη, αλλά η απουσία του επιχρίσματος στην περίπτωση αυτή μπορεί να σχετισθεί με τη φθορά της επιφάνειας του αγγείου. Το επίχρισμα του γραφίτη εμφανίζεται, επίσης, και στα εγχάρακτα φιαλόσχημα αγγεία τύπου Ι 2 του στρώματος της ύστερης εποχής του χαλκού του οικισμού Καστρί (Π ί ν. 335: 5).

Ο τύπος του φιαλόσχημου αγγείου Ι 2-3 εμφανίζεται μόνο στη φάση ΙΑ των νεκροταφείων του οικισμού Καστρί.

Σ χ ή μ α V: Κανθαρόσχημα αγγεία

Ο τύπος VA 115 αποτελεί, όπως έχουμε ήδη σημειώσει, χαρακτηριστικό αγγείο εγχάρακτης κεραμικής ύστερης εποχής του χαλκού και εμφανίζει μια ευρύτατη διάδοση στα ηπειρωτικά Βαλκάνια, τη Μακεδονία και την αιγαιακή Θράκη. Πρόκειται για ένα αγγείο με σώμα σφαιρικό, στενό χαμηλό λαιμό και λαβές, που υψώνονται πάνω από το χείλος. Διακοσμείται στην κοιλιά με ευθύγραμμα ή καμπυλόγραμμα εγχάρακτα διακοσμητικά θέματα, συχνά ενταγμένα μέσα σε μετωπικά πλαίσια (Σ χ έ δ. 135).

Παραλλαγές, όπως είναι φυσικό, εμφανίζονται πολλές, τόσο στο σχήμα όσο και στη διακόσμηση. Στο σχήμα διακρίνεται μια διαφοροποίηση στη βάση, από την οποία ξεχωρίζει ένας τύπος βόρειος (Tei IV-V, Verbicioara)[295] από ένα νότιο (Μακεδονίας)[296]. Ο βόρειος τύπος εμφανίζει μια υπερυψωμένη βάση, ενώ ο νότιος μια βάση επίπεδη, και σε πολλές περιπτώσεις τελείως ανύπαρκτη. Στην ομάδα Čerkovna[297] της Βουλγαρίας εμφανίζονται και οι δύο τύποι. Διαφορές σημειώνονται και στη διαμόρφωση του λαιμού και των λαβών, όπου ο στενός λαιμός και οι γωνιόσχημες λαβές φαίνεται ότι αποτελούν χαρακτηριστικά του μακεδονικού κανθάρου. Ως προς τα διακοσμητικά θέματα, θα μπορούσαμε να σημειώσουμε τη συχνότητα του εγχάρακτου κύκλου-«ήλιου» στις βόρειες ομάδες[298]. Το διακοσμητικό αυτό θέμα είναι ακόμη σπάνιο στη Μακεδονία και περισσότερο συχνό στη Θράκη[299], όπου επιβιώνει και στην πρώιμη εποχή του σιδήρου με μεγάλη συχνότητα στη σταμπωτή κεραμική της ομάδας Pšeničevo[300].

Ο κάνθαρος του τύπου VA 115 στην ύστερη εποχή του χαλκού γνωρίζει μια ευρύτατη διάδοση, τόσο στην κεντρική και ανατολική Μακεδονία όσο και στην αιγαιακή Θράκη (Σ χ έ δ. 136).

Πρότυπα του σχήματος θα μπορούσαν να αναζητηθούν στην πρώιμη εποχή του χαλκού, π.χ. σε ορισμένους κανθάρους από τον οικισμό του Αρμενοχωρίου[301]. Επειδή, ωστόσο, ακόμη είναι ελάχιστα γνωστή στη Μακεδονία η φάση εκείνη, που μεσολαβεί ανάμεσα στην

294. ΑΔ 33 (1978): Χρονικά, 290-291. Όστρακα ΥΕ ΙΙΙΒ στο τετράγωνο Τ6.

295. Hänsel 1976, πίν. 4 (ομάδα Govora).

296. Heurtley 1939, αριθ. 403, 405, 435, 437, 449.

297. Hänsel 1976, πίν. 6 και 7.

298. Ομάδα Govora, Hänsel 1976, πίν. 4, 2 και 5, 1. Ομάδα Verbicioara IV, Morintz 1978, 63, εικ. 35b. Ομάδα Tei V, ό.π., 74, εικ. 45, 1. Ομάδα Čerkovna, Hänsel 1976, πίν. 9, 2b.

299. Το μοτίβο δεν είναι άγνωστο στη Μακεδονία (Καστανάς, στρώμα 16-19, Hänsel 1979, εικ. 12, 6, Σταθμός Αγγίστας (αδημ.), αλλά φαίνεται ότι είναι περισσότερο συχνό στη Θράκη (ακρόπολη της Εργάνης (Ασσάρ Τεπέ), Σπήλαιο Μαρώνειας).

300. Hänsel 1976, πίν. 23, 8· απλοποιημένο το μοτίβο και στην ομάδα Čatalca, ό.π., πίν. XIII, 26, αλλά κυρίως στην ομάδα Pšeničevo, ό.π., πίν. 27, 11 και XV, 40-42.

301. Heurtley 1939, αριθ. 323. Για την καταγωγή κανθάρου τύπου VA, πρβλ. Heurtley - Hutchinson 1925/26, 56. Ακόσμητοι κάνθαροι αυτού του σχήματος εμφανίζονται στα ηπειρωτικά Βαλκάνια, πρβλ. ομάδα Čerkovna, Hänsel 1976, πίν. 34, 1, αλλά δε λείπουν και από τη Μακεδονία, Καστανάς, στρώμα 17, Hänsel 1979, εικ. 14, 7.

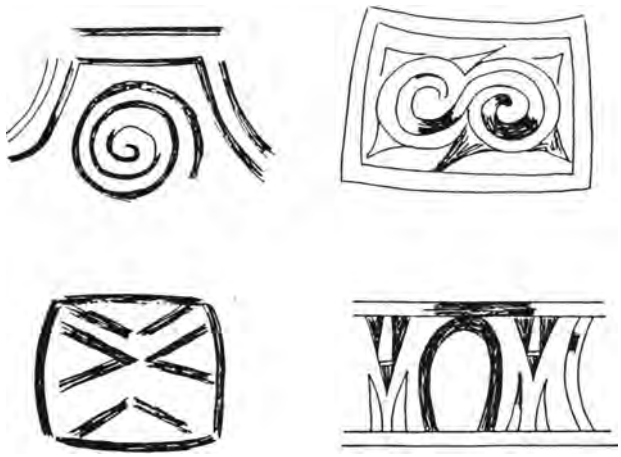

Σχέδ. 135. Διακοσμητικά θέματα κανθάρων εγχάρακτης κεραμικής Ι, 2α Θάσου.

πρώιμη και ύστερη εποχή του χαλκού — αν υπάρχει τελικά κάποια φάση ιδιαίτερη — δεν είναι ακόμη δυνατό να προσδιορισθεί η συνέχεια της εξέλιξης από τους κανθάρους του Αρμενοχωρίου στους κανθάρους με την εγχάρακτη διακόσμηση της ύστερης εποχής του χαλκού.

Για την περίπτωση του κανθάρου VA 115 θα μπορούσε να χρησιμοποιηθεί ως ενδιάμεσος κρίκος το δίωτο αγγείο με την εγχάρακτη διακόσμηση από το Περιβολάκι (Σαρατσέ)[302], που ο Heurtley χρονολογεί στη μέση εποχή του χαλκού, αλλά υπάρχουν αρκετές διαφορές στο σχήμα για να θεωρηθεί ασφαλής η συσχέτιση.

Αναζητώντας ωστόσο τα πρότυπα του σχήματος, θα μπορούσαμε να εντοπίσουμε στα κεντρικά και βόρεια Βαλκάνια συγγενικά σχήματα σε κεραμικές ομάδες μέσης εποχής του χαλκού, όπως στην ομάδα Vatina[303] και στην ομάδα Paračin[304] της Γιουγκοσλαβίας, καθώς και στη φάση III της πολιτιστικής ομάδας Tei[305] της Ρουμανίας. Η διάδοση, ωστόσο, του σχήματος πραγματοποιείται στην ύστερη εποχή του χαλκού στα Βαλκάνια και εμφανίζεται όχι μόνο στις συγγενικές ομάδες Tei IV-V, Verbicioara IV, Zimnicea-Plovdiv, αλλά και στην ομάδα Gîrla Mare-Dubovac-Žuto Brdo[306].

Η μακεδονική κεραμική στην ύστερη εποχή του χαλκού έχει δεχθεί πιθανότατα τις επιδράσεις της εγχάρακτης κεραμικής των ηπειρωτικών Βαλκανίων, με τα οποία πρέπει να διατηρεί ανοικτές επικοινωνίες, και έχει προσαρμόσει τα σχήματα και τη διακόσμηση των αγγείων της στους καθιερωμένους τύπους μιας βαλκανικής «κοινής», που διαμορφώνεται από την ανάμειξη πολιτιστικών στοιχείων του αιγαιακού κόσμου και των παραδουνάβιων πολιτισμών.

Στην κεντρική Μακεδονία, ο αντίστοιχος κάνθαρος εμφανίζεται στη φάση C της Βαρδαρόφτσας[307], στις φάσεις ΙΙΑ και ΙΙΒ Καλίνδριας[308], στις φάσεις ΙΙΑ και ΙΙΒ του Βάρδινου[309],

302. Heurtley 1939, 380.

303. Garašanin 1973, 625, πίν. 67, 1, Brückner - Jovanović - Tasić 1974, 458-459, εικ. 156, Gomolova IV, Morintz 1978, 17-22, εικ. 4, 4.

304. Garašanin 1958, 70, εικ. 10, Garašanin 1973, 623-624.

305. Morintz 1978, 53, εικ. 30, 3.

306. Hänsel 1976, 62-65, Morintz 1978, 28-40, εικ. 16, 5, 7 και εικ. 18, 3-4, 9.

307. Heurtley - Hutchinson 1925/26, 20, πίν. XIIa1, b1, Heurtley 1939, αριθ. 403, 405.

308. Casson 1926α, 64.

309. Heurtley 1925/26, 26-27, πίν. 16, 2.

στη φάση 3 της Τσαουζίτσας[310], καθώς και στα στρώματα 12-19 του Καστανά[311] και στις φάσεις 14-6 της Ασσήρου[312]. Χρονολογικά, τα παραπάνω στρώματα καλύπτουν μια περίοδο, που τελειώνει με το τέλος της ΥΕ ΙΙΙΓ, αλλά είναι άγνωστο ακόμη πότε αρχίζει[313]. Χρονολογικά στοιχεία, που δίδει η παρουσία μυκηναϊκής επείσακτης κεραμικής και επείσακτων μυκηναϊκών αντικειμένων, ανεβάζουν τουλάχιστον ως την ΥΕ Ι την εμφάνιση του κανθάρου (στρώμα 19 του Καστανά)[314]. Στην Άσσηρο επίσης εμφανίζονται και σε στρώματα, όπου δε σημειώνεται επείσακτη μυκηναϊκή κεραμική[315]. Η επείσακτη μυκηναϊκή κεραμική, σύμφωνα με τις ως τώρα ενδείξεις πολλών οικισμών της Μακεδονίας, δεν πρέπει να διαδίδεται στη Μακεδονία πριν από την ΥΕ ΙΙΙΑ2 περίοδο[316].

Τα όστρακα, οπωσδήποτε, που προέρχονται από κανθάρους με εγχάρακτη διακόσμηση στο στρώμα 19 του Καστανά, φαίνεται ότι είναι τα αρχαιότερα βέβαια ως τώρα στρωματογραφημένα παραδείγματα, τα οποία από το επείσακτο μυκηναϊκό χρυσό κόσμημα χρονολογούνται στην ΥΕ Ι περίοδο, προσεγγίζοντας και το τέλος της μέσης εποχής του χαλκού με βάση το τοπικό μινύειο[317].

Η περίοδος, ωστόσο, της μεγάλης διάδοσης του κανθάρου με την εγχάρακτη διακόσμηση φαίνεται ότι είναι τα επόμενα στρώματα της ύστερης εποχής του χαλκού, τα οποία από την επείσακτη μυκηναϊκή κεραμική πρέπει να χρονολογηθούν στην ΥΕ ΙΙΙΒ περίοδο (στρώματα 17-14b της φάσης IV του Καστανά)[318].

Στην ΥΕ ΙΙΙΒ περίοδο χρονολογούνται, επίσης, τα θραύσματα κανθάρων με εγχάρακτη διακόσμηση από το στρώμα της ύστερης εποχής του χαλκού του οικισμού Καστρί, που βρέθηκαν στο πασσαλόπηκτο κτίριο του τετραγώνου 6 μαζί με όστρακα επείσακτων μυκηναϊκών αγγείων ΥΕ ΙΙΙΒ[319].

Οι κάνθαροι με την εγχάρακτη διακόσμηση, που εμφανίζονται στα νεκροταφεία του οικισμού Καστρί, παρουσιάζουν στενές ομοιότητες με αντίστοιχους κανθάρους από την κεντρική και ανατολική Μακεδονία (Σ χ έ δ. 135). Ο κάνθαρος Κ1, 1 (Π ί ν. 8: 1, 336: 1) έχει σχήμα

310. Casson 1923/24, πίν. 27, εικ. 3, Heurtley 1939, αριθ. 435. Πρβλ. και κάνθαρο από την Ασπρόβρυση, ό.π., αριθ. 449 ή από το Περιβολάκι, ό.π., αριθ. 437.

311. Hänsel 1979α, 184, εικ. 12, 5, στρώματα 16-19, Hänsel 1980, 647, εικ. 141, στρώμα 14b, Hänsel 1982α, 15, εικ. 9. Από τις αρχές της ΥΕ ΙΙΙΒ εμφανίζεται ο αρχαιότερος τύπος κανθάρου, Hochstetter 1982, 105, εικ. 3, ΥΕ ΙΙΙΒ (στρώματα 17-14a). Πρβλ. και Hochstetter 1984, εικ. 15.

312. Wardle 1980, 247, εικ. 11 και πίν. 21a-b, e. Οι κάνθαροι με την εγχάρακτη διακόσμηση στην Άσσηρο από τις πρώιμες φάσεις της ύστερης εποχής του χαλκού· δύο παραδείγματα από τη φάση 9.

313. Τα αρχαιότερα στρώματα με εγχάρακτη κεραμική, τόσο στον Καστανά όσο και στην Άσσηρο, χρονολογούνται με την παρουσία τοπικών μινύειων. Τα τοπικά ωστόσο μινύεια δεν μπορούν να χρονολογηθούν με ακρίβεια, ούτε στους παραπάνω οικισμούς ούτε στον οικισμό της Βαρδαρόφτσας. Πιθανότατα, πρόκειται για τις τελευταίες επιβιώσεις αυτής της κεραμικής στη Μακεδονία στις αρχές της ύστερης εποχής του χαλκού, αφού στον Καστανά στο ίδιο στρώμα (στρώμα 19) έχει βρεθεί και το χρυσό κόσμημα ΥΕ Ι, Hänsel 1979, 646.

Η εμφάνιση των επείσακτων μινύειων στο Μολυβόπυργο δε βοηθά επίσης στη χρονολόγηση της εγχάρακτης κεραμικής, γιατί στο Μολυβόπυργο δεν έχει εντοπισθεί στρώμα ύστερης εποχής του χαλκού, παρά μόνο ελάχιστες επιφανειακές ενδείξεις χωρίς εγχάρακτη κεραμική.

314. Hänsel 1979α, 180-181, Hänsel 1980, 646, Hänsel 1982α, 14, εικ. 9. Η Hochstetter 1984, εικ. 15, τοποθετεί το αρχαιότερο παράδειγμα εγχάρακτου κανθάρου στο στρώμα 18 του Καστανά, αλλά οι λαβές με την εγχάρακτη διακόσμηση του στρώματος 19 πρέπει να προέρχονται από κανθάρους, Hochstetter, ό.π., πίν. 1, 11, 13.

315. Wardle 1980, 262.

316. Kilian 1977, 127, εικ. 6, Podzuweit 1979β, 203 (ΥΕ ΙΙΙΒ), Hänsel 1982, 276, 277, Wardle 1980, 250-252. Πρβλ. ωστόσο μυκηναϊκή επείσακτη κεραμική ΥΕ Ι στην Τούμπα Καλαμαριάς, French 1967, S1. Πρβλ. και πρόσφατα ευρήματα στις ανασκαφές Τορώνης, όπου εμφανίζεται ΥΕ Ι μυκηναϊκή κεραμική (προφορική ανακοίνωση Α. Καμπίτογλου).

317. Hänsel 1980, 646, εικ. 138.

318. Η αραίωση της εγχάρακτη κεραμικής στα στρώματα της ύστερης εποχής του χαλκού, που χρονολογούνται με μυκηναϊκή κεραμική ΥΕ ΙΙΙΓ — κυρίως τοπική — παρατηρείται σε πολλούς οικισμούς, τόσο της κεντρικής Μακεδονίας (Άσσηρος: Wardle 1980, 252, Βαρδαρόφτσα: Heurtley 1939, εικ. 38, Καστανάς: Hochstetter 1982, 105) όσο και της ανατολικής (Σταθμός Αγγίστας: Κουκούλη-Χρυσανθάκη 1980, 76).

319. Χ. Κουκούλη-Χρυσανθάκη, ΑΔ 29 (1973/74): Χρονικά, 779, πίν. 573γ.

όμοιο με τον κάνθαρο από την Τσαουζίτσα[320] και διακοσμείται με ευθύγραμμα θέματα, που θυμίζουν τα αντωπά τριγωνικά θέματα ενός αγγείου από την Καλίνδρια[321] (Σ χ έ δ. 135). Η διακόσμηση στο θραύσμα του κανθάρου Κ1Α19 (Π ί ν. 2: 19), με τη διπλή σπείρα και τα παραπληρωματικά τριγωνικά θέματα με τους «οφθαλμούς» (Σ χ έ δ. 135, άνω δεξιά), εμφανίζεται πολύ συχνά στους κανθάρους της κεντρικής και ανατολικής Μακεδονίας. Εξίσου συχνός είναι ο συνδυασμός εγχάρακτης και στικτής διακόσμησης[322] (Π ί ν. 2: 19). Όμοιος με τον κάνθαρο Κ1Α19 είναι ο κάνθαρος από το στρώμα της ύστερης εποχής του χαλκού του οικισμού Δήμητρας[323], ενώ αντίστοιχοι «οφθαλμοί» εμφανίζονται στα παραπληρωματικά τριγωνικά θέματα και στις έλικες κανθάρων κεντρικής Μακεδονίας (Καλίνδριας[324], Τσαουζίτσας[325], Καστανά[326]) και ανατολικής Μακεδονίας (Σταθμού Αγγίστας)[327]. Τα θραύσματα Κ1Α10 (Π ί ν. 2: 10) εμφανίζουν γραμμικά ευθύγραμμα θέματα μέσα σε πλαίσιο, που θυμίζουν αντίστοιχα διακοσμητικά θέματα κανθάρων από το Σταθμό Αγγίστας[328] και άλλους οικισμούς της ανατολικής Μακεδονίας[329] (Σ χ έ δ. 135), καθώς και κάνθαρο από τον τύμβο της Εξοχής[330]. Η ελεύθερη σπείρα στην κοιλιά (Σ χ έ δ. 135, άνω αριστερά) του κανθάρου Κ1Γ1 (Π ί ν. 7Β: 1, 336: 4), με τις ταινίες γύρω από τη βάση του λαιμού, θυμίζει αντίστοιχο θέμα σε θραύσμα από την Τσαουζίτσα[331].

Τα χρονολογικά πλαίσια, μέσα στα οποία τοποθετούνται τα αντίστοιχα με τα θασιακά κανθαρόσχημα αγγεία από την κεντρική και ανατολική Μακεδονία, καλύπτουν ένα χρονικό διάστημα από την ΥΕ Ι τουλάχιστον ως την ΥΕ ΙΙΙΒ περίοδο.

Τα παραδείγματα από τα νεκροταφεία του οικισμού Καστρί πλησιάζουν περισσότερο τα νεότερα παραδείγματα που χρονολογούνται, σύμφωνα με τη στρωματογραφία του Καστανά, της Ασσήρου και του Σταθμού Αγγίστας, κυρίως στην ΥΕ ΙΙΙΒ, αλλά επιβιώνουν σε πολύ μικρό ποσοστό και στην ΥΕ ΙΙΙΓ[332]. Οι κάνθαροι με την εγχάρακτη διακόσμηση τύπου VA 115 εμφανίζονται αποκλειστικά στη φάση ΙΑ των νεκροταφείων Καστρί.

Σ χ ή μ α VI: Αμφορείς

Το κλειστό αυτό αγγείο με την κωνική βάση, τις τέσσερις κατακόρυφες λαβές στην κοιλιά, το κωνικό χείλος και την εγχάρακτη διακόσμηση εμφανίζεται στην ύστερη εποχή του χαλ-

320. Heurtley 1939, αριθ. 435.

321. Ό.π., αριθ. 427. Πρβλ. επίσης και αντίστοιχο διακοσμητικό θέμα σε αγγείο τύμβου Εξοχής, Γραμμένος 1979, 48, εικ. Χ, 7.

322. Πρβλ. π.χ. Καστανά, Hänsel 1980, 646, εικ. 141 με Σταθμό Αγγίστας, Χ. Κουκούλη-Χρυσανθάκη, ΑΔ 29 (1973-74): Χρονικά, πίν. 579δ.

Τα μοτίβα με τις σπείρες κυρίως στα στρώματα 17-15 του Καστανά (ΥΕ ΙΙΙΒ), Hochstetter 1982, 105, Hänsel 1982α, 14, εικ. 9 (στρώμα 15), Hochstetter 1984, πίν. 13, 5. Αντίστοιχη σπείρα μέσα σε πλαίσιο σε κάνθαρο στρώματος 16 του Καστανά, ό.π., πίν. 27, 8.

Για διάστικτες διακοσμητικές ζώνες, πρβλ. κάνθαρο στρώματος 16 του Καστανά, Hochstetter 1984, πίν. 18, 1, όπως και στρώματος 14b, ό.π., πίν. 40, 6, καθώς και στρώματος 13, ό.π., πίν. 60, 5-6. Πρβλ. επίσης διακοσμητική ζώνη κάτω από τις λαβές, αντίστοιχη με το θασιακό παράδειγμα Κ1Α19, στον κάνθαρο του Καστανά, Hochstetter, ό.π., πίν. 47, 3 (στρώμα 14b).

323. Από το στρώμα ύστερης εποχής του χαλκού, που έχει εντοπισθεί στο νεολιθικό οικισμό Δήμητρας (ανασκαφές Δ. Γραμμένου). Μουσείο Καβάλας, αδημοσίευτο.

324. Casson 1926α, 65, εικ. 1 (αμφορέας). Τα παραπληρωματικά τρίγωνα με τον οφθαλμό εμφανίζονται και στην εγχάρακτη κεραμική μέσης εποχής του χαλκού της κεντρικής Ευρώπης (Tumulus Kultur).

325. Heurtley 1939, 435 και εικ. 92g.

326. Καστανάς, στρώμα 17 (φάση IV): Hochstetter 1984, πίν. 12, 13.

327. Αδημοσίευτο υλικό στο Μουσείο Καβάλας (φάση ΙΙΙ).

328. Κουκούλη-Χρυσανθάκη 1980, 69, εικ. 12, Α16. Πρβλ. επίσης κάνθαρο Καστανά, Hochstetter 1984, πίν. 47, 2 (στρώμα 14b).

329. Ντικιλί Τας: Seferiades 1983, 672 κ.ε. Αδημοσίευτη κεραμική.

330. Γραμμένος 1979, 32, εικ. 1, 9.

331. Casson 1923/24, πίν. 26, εικ. 1.

332. Hänsel 1982, 277, Hochstetter 1984, 274, εικ. 15.

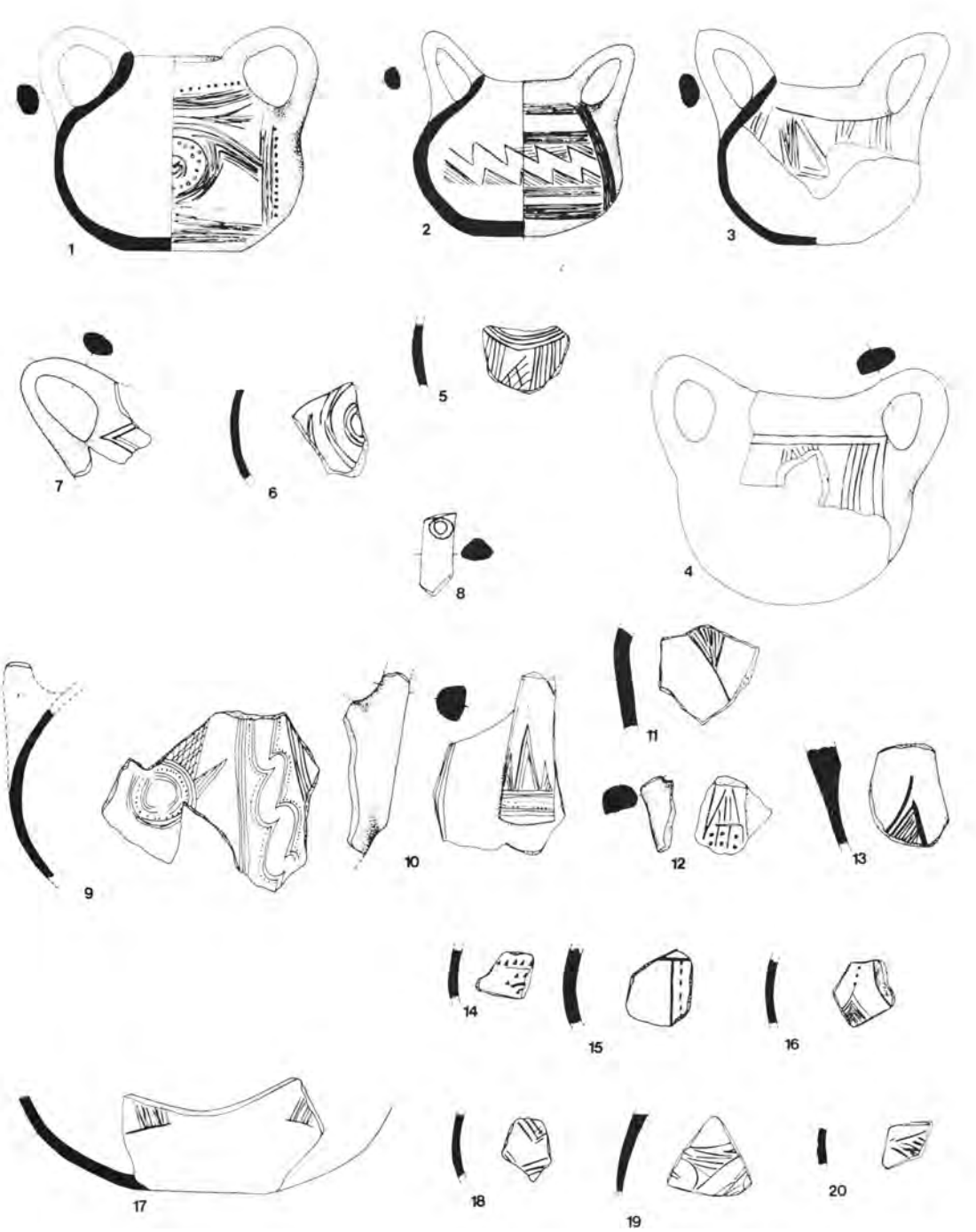

Σχέδ. 136. Εγχάρακτη κεραμική Ι, 2α ανατολικής Μακεδονίας (κάνθαροι): 1, 4, 11. Σταθμός Αγγίστας, 2. Ποταμοί, 3. Εξοχή, 7. Ντικιλί Τας, 8. Μονόβρυση, 9-10. Νικήσιανη, 12. Μυρρίνη, 13. Παλαιοκώμη, 14-15. Ροδολείβος, 16. Τούμπα Σαμαρά, 17. «Ελάφι» Αγγίτη, 18. Γκέρανη, 19. Νικηφόρος, 20. Μεγάλη Τούμπα Πετρούσσας.

κού στη Μακεδονία. Το ίδιο περίπου σχήμα, χωρίς όμως την κωνική βάση και χωρίς εγχάρακτη διακόσμηση, είναι γνωστό από τη φάση Β της Βαρδαρόφτσας[333].

Πρόδρομοι του σχήματος θα μπορούσαν να θεωρηθούν οι αμφορείς με τις κατακόρυφες λαβές στην κοιλιά, που αποτελούν χαρακτηριστικά αγγεία της πρώιμης εποχής του χαλκού στη Μακεδονία[334], τη Θεσσαλία και την κεντρική Ελλάδα. Το χείλος ωστόσο, που κάμπτεται έντονα προς τα έξω, και η κωνική βάση είναι στοιχεία νεότερα και ξένα προς το σχήμα της πρώιμης εποχής του χαλκού. Στην ύστερη εποχή του χαλκού, το σχήμα VIA 121 γνωρίζει μια πλατιά διάδοση στην κεντρική και την ανατολική Μακεδονία. Από τη δυτική Θράκη δεν είναι ακόμη γνωστά παραδείγματα.

Στη στρωματογραφία του Καστανά, ο τύπος VIA 121 με την εγχάρακτη διακόσμηση εμφανίζεται στο στρώμα 17 και συνεχίζεται ως το στρώμα 14b[335]. Στον οικισμό της Ασσήρου ο ακόσμητος τύπος εμφανίζεται σ' όλες τις φάσεις της ύστερης εποχής του χαλκού του οικισμού και συνεχίζεται και στην πρώιμη εποχή του σιδήρου[336]. Ο αμφορέας όμως με την εγχάρακτη διακόσμηση, που εμφανίζει άλλοτε δύο άλλοτε τέσσερις λαβές στον ώμο, ενώ είναι συχνός στις πρώιμες φάσεις της ύστερης εποχής του χαλκού, αραιώνει και εξαφανίζεται στα νεότερα στρώματα της ύστερης εποχής του χαλκού. Αντίστοιχα είναι τα στρωματογραφικά δεδομένα του οικισμού του Σταθμού Αγγίστας, όπου στα χρονολογημένα με ΥΕ ΙΙΙΒ και ΥΕ ΙΙΙΓ μυκηναϊκή κεραμική στρώματα ελάχιστα θραύσματα αμφορέων με εγχάρακτη διακόσμηση εμφανίζονται[337]. Στη Βαρδαρόφτσα[338] ο αμφορέας τύπου VIA 121 με την εγχάρακτη διακόσμηση εμφανίζεται στη φάση Γ· στη φάση Γ του οικισμού Καλίνδριας[339] εμφανίζεται επίσης ο ίδιος τύπος αγγείου.

Ο αμφορέας τύπου VIA με βάση κωνική ή επίπεδη αποτελεί το κοινό τεφροδόχο αγγείο στους τύμβους Ποταμών και Εξοχής[340]. Η χρονολόγηση αυτών των τύμβων στην ΥΕ ΙΙΙΓ περίοδο στηρίχθηκε στα τοπικά μυκηναϊκά αγγεία, που βρέθηκαν στους τύμβους. Επειδή, ωστόσο, τα τοπικά αυτά μυκηναϊκά αγγεία έχουν σχήματα ΥΕ ΙΙΙΑ και ΥΕ ΙΙΙΒ φάσεων, και επειδή στην κεντρική Μακεδονία έχει εν τω μεταξύ στις ανασκαφές της Ασσήρου[341] και του Καστανά[342] εξακριβωθεί η παραγωγή τοπικών μυκηναϊκών αγγείων ήδη από την ΥΕ ΙΙΙΒ φάση, θα μπορούσε να μείνει, τουλάχιστον για ορισμένες ταφές των τύμβων αυτών, ανοικτή η πιθανότητα μιας χρονολόγησής τους σε μια φάση σύγχρονη με την ΥΕ ΙΙΙΒ περίοδο.

Ο αμφορέας με την εγχάρακτη διακόσμηση εμφανίζει στην ανατολική Μακεδονία μια διάδοση ευρύτατη, όπως προκύπτει από τη συχνή εμφάνιση του τύπου στους τύμβους Ποταμών-Εξοχής, άλλα και σε άλλες θέσεις (Σ χ έ δ. 137).

Τα θασιακά παραδείγματα σχετίζονται άμεσα με αντίστοιχα παραδείγματα από την ανατολική Μακεδονία και προπαντός με τους αμφορείς των τύμβων Ποταμών και Εξοχής[343]. Τα εγχάρακτα επάλληλα τριγωνικά θέματα εμφανίζονται πολύ συχνά και στην εγχάρακτη κεραμική ύστερης εποχής του χαλκού της αιγαιακής Θράκης[344], όπου επιβιώνουν και στην πρώιμη εποχή του σιδήρου[345] (Σ χ έ δ. 135· Π ί ν. 3: 23).

333. Σχετικά με τη στρωματογραφική θέση αυτού του αγγείου, πιθανόν είχε κάποιες αμφιβολίες ο Heurtley, γιατί ενώ στην πρώτη δημοσίευση της ανασκαφής (Heurtley - Hutchinson 1925/26, 62, 18) τοποθετείται στη μέση εποχή του χαλκού, στην τελική δημοσίευση (Heurtley 1939, 408) χρονολογείται στην ύστερη εποχή του χαλκού.

334. Πρβλ. υποσημ. 98.

335. Hochstetter 1984, πίν. 13, 9 (στρώμα 17), πίν. 22, 10 (στρώμα 16), πίν. 46, 1 (στρώμα 14b).

336. Wardle 1980, 248.

337. Κουκούλη-Χρυσανθάκη 1980, εικ. 8, Γ1.

338. Heurtley - Hutchinson 1925/26, 20, πίν. XIIb2.

339. Casson 1926α, 65, εικ. 1-2.

340. Γραμμένος 1979, 34, εικ. ΙΙ, 45, Χ, 7, 47, ΧΙ, 48 και ΧΙΙ, 3.

341. Wardle 1980, 250-252.

342. Hänsel 1982, 277.

343. Γραμμένος 1979, 47, εικ. Ι, 1.

344. Πρβλ. κεραμική από την ακρόπολη Εργάνης (αδημοσίευτη).

345. Κεραμική από το Dolmen Ρούσσας. Αδημοσίευτα τεφροδόχα με σταμπωτή ή εγχάρακτη διακόσμηση.

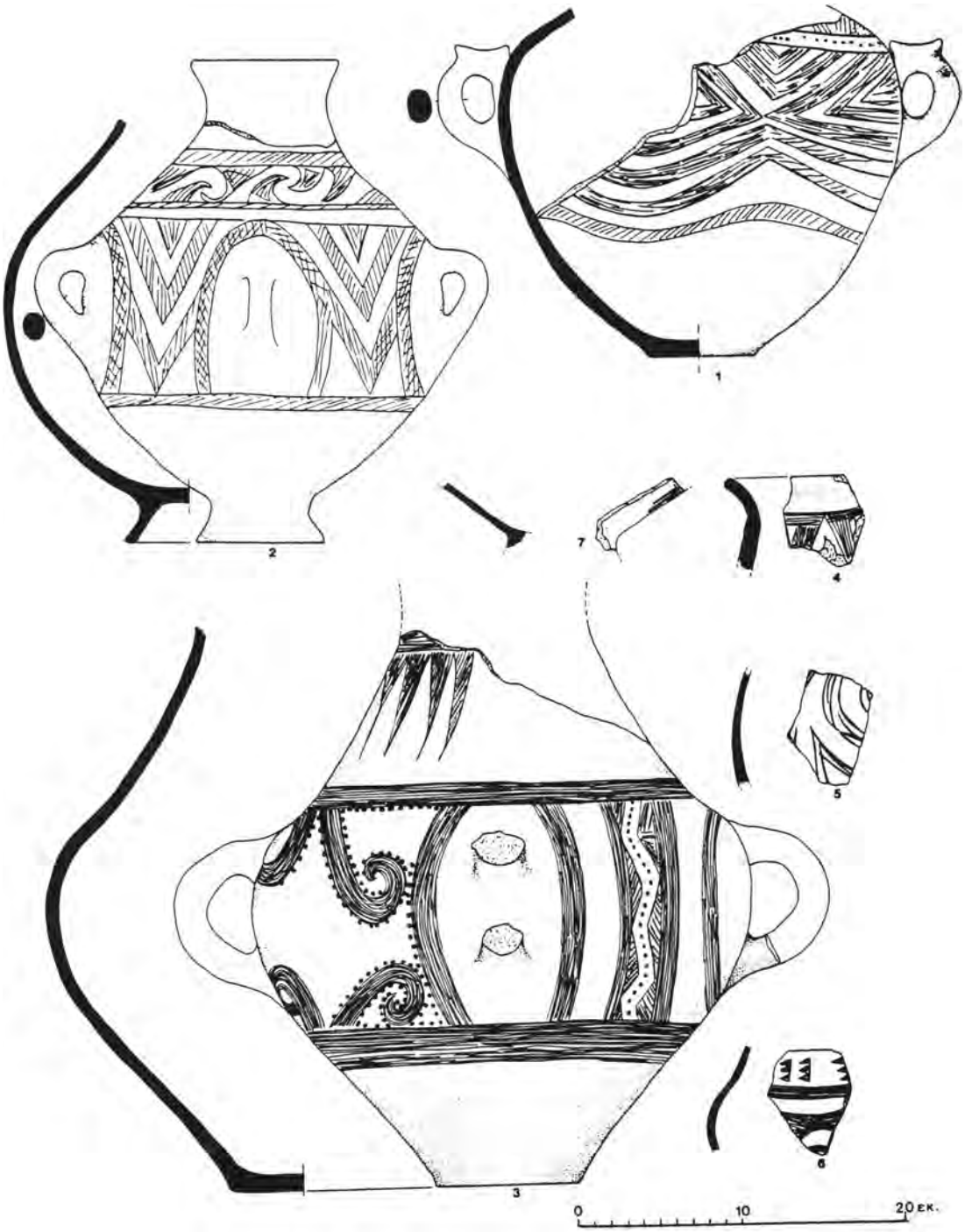

Σχέδ. 137. Εγχάρακτη κεραμική Ι, 2α ανατολικής Μακεδονίας (αμφορείς): 1. Ποταμοί, 2-3. Εξοχή, 4. Σταθμός Αγγίστας, 5. Νικηφόρος, 6. Τούμπα Σαμαρά, 7. Τούμπα Μανδηλίου.

Αντίστοιχα, οπωσδήποτε, διακοσμητικά θέματα εμφανίζονται από τη λεγόμενη μέση εποχή του χαλκού στην κεντρική Μακεδονία[346] και συνεχίζονται βέβαια και στην ύστερη εποχή του χαλκού, όπως διαπιστώνονται στους αμφορείς των Ποταμών και της Εξοχής. Στις κεραμικές ομάδες των ηπειρωτικών Βαλκανίων, αντίστοιχο σχήμα αγγείου χωρίς εγχάρακτη διακόσμηση εμφανίζεται μόνο στην ομάδα Zimnicea-Plovdiv, πιθανότατα από νότια επίδραση[347]. Αντίστοιχοι αμφορείς με εγχάρακτη διακόσμηση δεν εμφανίζονται στα ηπειρωτικά Βαλκάνια.

Οι αμφορείς του τύπου VIA 121 αποτελούν χαρακτηριστικά αγγεία της φάσης ΙΑ των νεκροταφείων Καστρί.

ΕΓΧΑΡΑΚΤΗ ΚΕΡΑΜΙΚΗ Ι, 2β

Διάδοση

Ανάλογη εγχάρακτη διακόσμηση εμφανίζεται στην κεραμική της ύστερης εποχής του χαλκού του οικισμού Καστρί, καθώς και στην κεραμική ύστερης εποχής του χαλκού Μακεδονίας και Θράκης.

Τα αρχαιότερα παραδείγματα κεραμικής αυτού του τύπου εμφανίζονται στο Περιβολάκι (Σαρατσέ) σε στρώμα της λεγόμενης μέσης εποχής του χαλκού[348]. Στην ύστερη εποχή του χαλκού εγχάρακτη κεραμική της κατηγορίας Ι, 2β είναι διαδεδομένη, τόσο στην κεντρική Μακεδονία (Καστανάς)[349] όσο και στην ανατολική (Σταθμός Αγγίστας)[350]. Στα ηπειρωτικά Βαλκάνια εμφανίζεται από τη μέση εποχή του χαλκού στη φάση ΙΙΙ της ομάδας Tei[351] και συνεχίζεται στην ύστερη εποχή του χαλκού στις ομάδες Tei IV[352] και Verbicioara IV-V[353].

Νοτιότερα βρίσκουμε ανάλογη εγχάρακτη διακόσμηση στην ομάδα Čepina της νοτιοδυτικής Βουλγαρίας[354]. Ο Hänsel χρονολόγησε την ομάδα αυτή στην πρώιμη εποχή του σιδήρου, αλλά επειδή δεν υπάρχουν στρωματογραφικά δεδομένα για τη χρονολόγηση αυτή, με βάση ορισμένα σχήματα αγγείων και ορισμένο είδος εγχάρακτης διακόσμησης, δε θα έπρεπε να αποκλεισθεί το ενδεχόμενο να χρονολογηθεί η αρχαιότερη φάση αυτής της ομάδας στην ύστερη εποχή του χαλκού.

Η εγχάρακτη κεραμική Ι, 2β στα νεκροταφεία Καστρί και Λαρνάκι

Εγχάρακτη κεραμική αυτής της κατηγορίας βρέθηκε μόνο στα νεκροταφεία του οικισμού Καστρί (νεκροταφείο Κεντριά και νεκροταφείο Τσιγανάδικα).

ΤΕΧΝΙΚΗ ΚΑΤΑΣΚΕΥΗΣ

Όμοια με της κατηγορίας Ι, 2α. Στα αποσπασματικά, ωστόσο, παραδείγματα που έχουμε από τα νεκροταφεία δε διακρίνονται ίχνη στίλβωσης. Η λείανση της επιφάνειας του αγγείου πρέπει να έχει πραγματοποιηθεί με μάλλινο ύφασμα ή οπωσδήποτε ύλη που δεν άφησε ίχνη.

346. Καλίνδρια: Heurtley 1939, εικ. 70. Πρβλ. και θραύσμα αμφορέα με εγχάρακτη διακόσμηση από στρώμα 17 του Καστανά, Hochstetter 1984, πίν. 13, 9.

347. Hänsel 1976, πίν. ΙΙ, 26.

348. Heurtley 1939, εικ. 73.

349. Στον Καστανά εμφανίζεται στις πρώιμες φάσεις της ύστερης εποχής του χαλκού, Hochstetter 1984, πίν. 1, 10, πίν. 5, 3 και 7 (φάση ΙΙΙ, στρώμα 19).

350. Αδημοσίευτα παραδείγματα από τα βαθύτερα στρώματα οικισμού (φάση ΙΙΙ).

351. Morintz 1978, 50, εικ. 28.

352. Ό.π., 76, εικ. 46, 10, Hänsel 1976, πίν. 6, 1.

353. Morintz 1978, 69, εικ. 41, 3.

354. Hänsel 1976, 220-226, πίν. 28, 2, 15 κ.ά.

Η χάραξη πραγματοποιείται στην κατηγορία αυτή με διαφορετικό εργαλείο με πλατιά αιχμή, που δίδει μια χάραξη διακοπτόμενη (Furchenstich). Τα διακοσμητικά θέματα είναι ευθύγραμμα γραμμικά (Π ί ν. 335: 6, 8).

ΣΧΗΜΑΤΑ ΑΓΓΕΙΩΝ

Το μοναδικό σχήμα αγγείου αυτής της κατηγορίας, που εμφανίζεται στα νεκροταφεία, είναι το φιαλόσχημο αγγείο τύπου Ι 1.

Σ χ ή μ α Ι: Φιαλόσχημα αγγεία

Ο τύπος Ι 1 του φιαλόσχημου αγγείου με την εγχάρακτη διακόσμηση είναι γνωστός από τη φάση της ύστερης εποχής του χαλκού του οικισμού Καστανά, στην κεντρική Μακεδονία, και από αντίστοιχα παραδείγματα του οικισμού Σταθμού Αγγίστας, στην ανατολική Μακεδονία.

Η εγχάρακτη διακόσμηση με τη διακοπτόμενη πλατιά χαρακτή γραμμή, που τονιζόταν όπως και η χάραξη τύπου Ι, 2α με επίθετη λευκή ύλη, εμφανίζεται και σε άλλων τύπων φιαλόσχημα αγγεία στην ανατολική Μακεδονία (Σταθμός Αγγίστας)[355], καθώς και σε αγγεία άλλων σχημάτων, όπως π.χ. στην κεραμική ύστερης εποχής του χαλκού του οικισμού Καστρί[356] (Σ χ έ δ. 134: 2· Π ί ν. 335: 6, 8). Το αντίστοιχο με το θασιακό Κ1Α1 (Π ί ν. 1: 1) παράδειγμα από τον Καστανά προέρχεται από το στρώμα 17[357], που από τα επείσακτα μυκηναϊκά αγγεία χρονολογείται στην ΥΕ ΙΙΙΒ περίοδο. Αντίστοιχη είναι και η χρονολόγηση, που δίδεται από τα επείσακτα μυκηναϊκά αγγεία στο στρώμα ύστερης εποχής του χαλκού του οικισμού Καστρί και του οικισμού του Σταθμού Αγγίστας.

Ο τύπος εμφανίζεται αποκλειστικά στη φάση ΙΑ των νεκροταφείων Καστρί.

ΕΓΧΑΡΑΚΤΗ ΚΕΡΑΜΙΚΗ Ι, 2γ

Διάδοση

Σποραδικά παραδείγματα αντίστοιχης κεραμικής είναι γνωστά και από τον ελλαδικό χώρο και τα νησιά του Ιονίου[358]. Από τα ηπειρωτικά Βαλκάνια θα μπορούσαμε να αναφέρουμε την εγχάρακτη κεραμική της ομάδας Čepina[359], καθώς και την κεραμική ομάδα της περιοχής της Σόφιας[360], που ο Hänsel έχει ξεχωρίσει και χρονολογήσει στην πρώιμη εποχή του σιδήρου[361].

Η εγχάρακτη κεραμική Ι, 2γ στα νεκροταφεία Καστρί και Λαρνάκι

Εγχάρακτη κεραμική της κατηγορίας αυτής εμφανίζεται μόνο στα νεκροταφεία του οικισμού Καστρί (Κεντριά και Τσιγανάδικα) και απουσιάζει τελείως από το νεκροταφείο Λαρνάκι.

ΤΕΧΝΙΚΗ ΚΑΤΑΣΚΕΥΗΣ

Η ποιότητα του πηλού είναι όμοια με τις προηγούμενες κατηγορίες, η όπτηση όμως εμφανίζει μεγαλύτερο ποσοστό οξείδωσης, με αποτέλεσμα να παρουσιάζει ο πυρήνας ερυθρό ή καστα-

355. Πρβλ. Σ χ έ δ. 134: 18· πρβλ. και 134: 21.
356. Πρβλ. Σ χ έ δ. 166: 7.
357. Hänsel 1979, στρώμα 17, εικ. 12, 6, Hochstetter 1984, πίν. 17, 5.
358. Μαρινάτος 1933, 90, εικ. 37.
359. Hänsel 1976, πίν. 28, 5. Πρβλ. για αντίστοιχα θέματα κεραμική ομάδα Coslogeni, Morintz 1978, 146, εικ. 86, 7.
360. Stojanova-Serafimova 1970, 75, εικ. 10, Hänsel 1976, 221, Hoddinot 1981, 59, εικ. 47.
361. Hänsel 1976, 221. Πρβλ. και N. Gisdova, Thracia III (1974), 115-125.

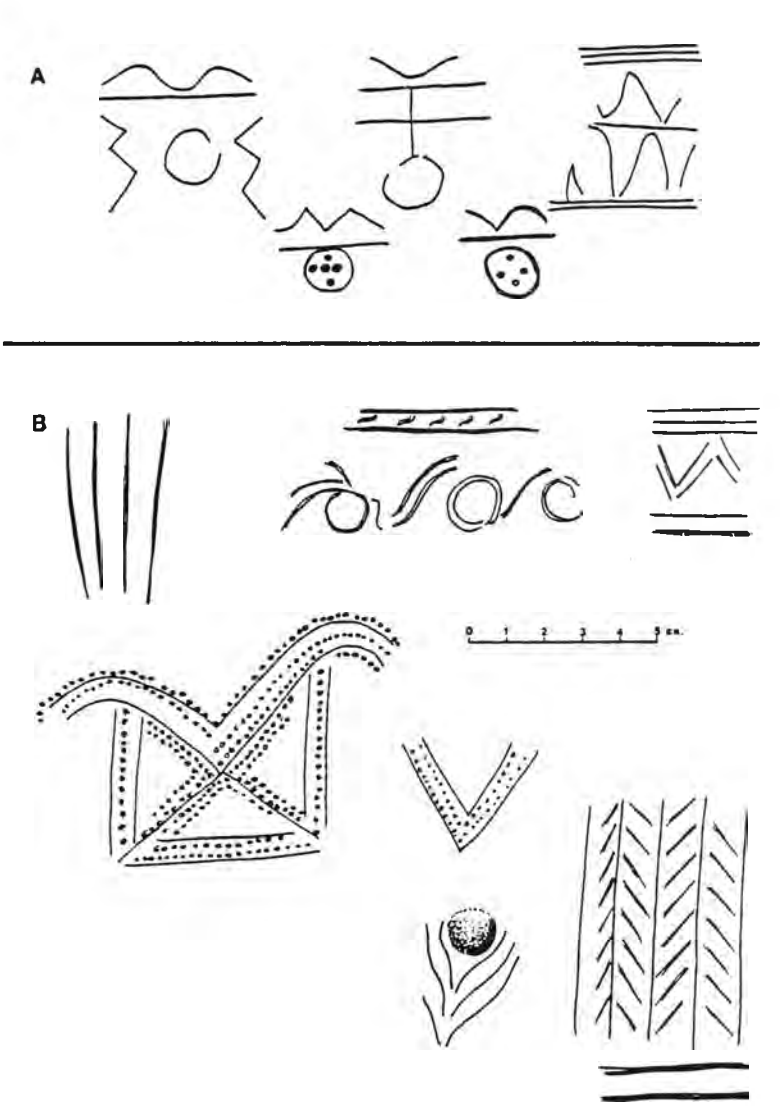

Σχέδ. 138. Διακοσμητικά θέματα εγχάρακτης κεραμικής I, 2γ και I, 2δ νεκροταφείων Καστρί.

νέρυθρο χρώμα. Οι εξωτερικές, ωστόσο, επιφάνειες των τοιχωμάτων των αγγείων έχουν χρώμα καστανέρυθρο ή καστανόμαυρο, που προέρχεται από κάποιο ειδικό κάπνισμα των αγγείων (πρβλ. L. Courtois, Παράρτημα IV). Η επιφάνεια των αγγείων δέχεται μόνο μια μικρή λείανση μετά το πλάσιμο και το ξύσιμο του αγγείου, αλλά καμιά άλλη επεξεργασία μετά το στέγνωμα, και έτσι εμφανίζεται μια αδρή υφή. Το εργαλείο της χάραξης έχει λεπτή αιχμή, που χαράζει βαθιά τα τοιχώματα του αγγείου. Τα διακοσμητικά θέματα είναι ευθύγραμμα και καμπυλόγραμμα, μέσα σε ελεύθερο έδαφος. Συχνή είναι και η στικτή διακόσμηση. Το λευκό επίθετο χρώμα, που γέμιζε και τόνιζε τις χαράξεις, έχει σωθεί σε ελάχιστα σημεία (Σ χ έ δ. 138Α).

ΣΧΗΜΑΤΑ ΑΓΓΕΙΩΝ

Σ χ ή μ α IX 192: Άωτο αγγείο (Π ί ν. 336: 9)

Το πιο ενδιαφέρον, ωστόσο, σχήμα αγγείου αυτής της κατηγορίας κεραμικής είναι το σχήμα XI.

Σ χ ή μ α XI: Κυλινδρικό αγγείο - ρυτό(;)

Αγγεία αυτού του σχήματος βρέθηκαν κυρίως στον αποθέτη του τάφου Τ18 σε αποσπασματική κατάσταση. Ελάχιστα, επίσης, και σποραδικά θραύσματα αγγείων του ίδιου σχήματος βρέθηκαν έξω από ορισμένους άλλους τάφους του νεκροταφείου Τσιγανάδικα, όπως οι Τ12, Τ13, Τ15, και πρέπει να αποδοθούν σε αντίστοιχους αποθέτες αυτών των τάφων, αν δεν πρόκειται για μετακινημένα μέσα στην επίχωση όστρακα (Π ί ν. 336: 5-8).

Το σχήμα του κυλινδρικού χωρίς βάση αγγείου, που θυμίζει και συμφυείς βάσεις γεωμετρικών κρατήρων και λεβήτων, είναι γνωστό στον αιγαιακό χώρο ήδη από τη μεσομινωική εποχή. Τα αρχαιότερα παραδείγματα προέρχονται από την Κρήτη, όπου το αγγείο αυτού του τύπου εμφανίζεται σε μεσομινωικά και υστερομινωικά ιερά[362] και παραμένει ως τα υπομινωικά χρόνια, συχνά και ως κτέρισμα τάφων[363]. Η εμφάνισή του σε μινωικά ιερά και η παρουσία ανάγλυφων φιδιών, γνωστού μινωικού λατρευτικού συμβόλου, σε ορισμένα αγγεία αυτού του σχήματος, οδήγησαν στη συσχέτιση του αγγείου με τη μινωική λατρεία[364]. Η μεταφορά του αγγείου στους τάφους συνδέθηκε επίσης με τις ταφικές χοές, που έκαναν την εμφάνισή τους στη μυκηναϊκή εποχή για να επιβιώσουν ως τα ιστορικά χρόνια[365].

Εκτός από τη μινωική καταγωγή του αγγείου, υποστηρίχθηκε επίσης και η καταγωγή του από την Κύπρο[366]. Έτσι, πρωτογεωμετρικά παραδείγματα του σχήματος αυτού σχετίσθηκαν με επιδράσεις των κυπριακών χάλκινων τριπόδων, που με τη σειρά τους απηχούν βέβαια επιδράσεις της Ανατολής[367]. Με απευθείας επιδράσεις από την Ανατολή, που χρονολογούνται σε πιο προχωρημένη εποχή, συνδέθηκαν εξάλλου ορισμένες παραλλαγές του αγγείου, χρονολογημένες στον 7ο αι. π.Χ.[368]. Ανεξάρτητα από το χρόνο άσκησης των επιδράσεων, φαίνεται ότι το σχήμα του αγγείου εμφανίζεται με μεγάλη συχνότητα στην Εγγύς Ανατολή, όπου τα αρχαιότερα παραδείγματα χρονολογούνται από την πρώιμη εποχή του χαλκού[369]. Η ανεύρεση του σχήματος αυτού στην τοπική κεραμική της Θάσου, στα τέλη της ύστερης εποχής του χαλκού, σε συνδυασμό με την παρουσία αντίστοιχων αγγείων στην Εγγύς Ανατολή ως την πρώιμη εποχή του σιδήρου[370], αποτελούν ενδείξεις για μια γενικότερη διάδοση του αγγείου στο χώρο του Αιγαίου και της Εγγύς Ανατολής.

Την παρουσία του σχήματος αυτού στο νοτιοελλαδικό και αιγαιακό χώρο μπορούμε να παρακολουθήσουμε από την υπομυκηναϊκή ως την πρωτογεωμετρική[371] και από τη γεωμετρική ως την ανατολίζουσα[372], καθώς και από την αρχαϊκή ως τη ρωμαϊκή περίοδο[373], συ-

362. Κύλινδροι από ΜΜ ιερό στην Κουμάσα, Xanthoudides 1924, πίν. XXXIII, αριθ. 503, 504. Ιερό στα Γουρνιά: H. Boyd-Hawes - B.E. Williams - R. Seager, Gournia, Vasilike and Other Prehistoric Sites on the Isthmus of Hierapetra, Crete, 1908, 47-48, πίν. XI. Ιερό στον Πρινιά: AM XXVI (1901), 247, εικ. 1-5, πίν. XII.

363. Τάφος Ολούντος: Van Effenterre 1948, πίν. XXXV, Ο 52. Τάφος στο Καρφί: Pendlebury 1937/38, πίν. XXV, 7. Kinch 1914, εικ. 13a-c (R. Zahn, ό.π., Kulturgerät aus Rhodos, 26-34).

364. Nilsson 1950, 316, 448.

365. Kinch 1914, 26a (R. Zahn, ό.π.), Nilsson 1950, 318.

366. Αντίστοιχα, αν και κάπως διαφοροποιημένα αγγεία ΥΕ ΙΙΙΑ2-ΥΕ ΙΙΙΒ και ΥΕ ΙΙΙΓ, Furumark 1972, 70, εικ. 20, αριθ. 336a-b, είναι τα υπόστατα κρατήρων-λεβήτων· πρβλ. Tiryns IX (1971), 145, αριθ. 451, εικ. 68, 2.

367. Catling 1964, 214, κατηγορία IV. Πρβλ. και παραδείγματα από την Εγγύς Ανατολή, Müller-Karpe 1974, πίν. 114, Ε4 (Tel Aviv).

368. Kinch 1914, 26. Ο Zahn (Kinch, ό.π., 26-34) είχε προτείνει μινωική καταγωγή, ενώ ο Johansen 1957, 13, προτείνει επίσης ανατολική καταγωγή από νεότερες επιδράσεις Ανατολής στην ανατολίζουσα περίοδο.

369. Δυτική Μικρά Ασία: The Anatolian Civilisations I, A163, A181, A182 (XVIIIth European Art Exhibition, Istanbul 1983). Πρβλ. επίσης νεότερο παράδειγμα από την Τροία: Dörpfeld 1902, 401, παρένθ. πίν. 40, III (στρώμα VI), που βρέθηκε όμως μαζί με αγγεία καθημερινής χρήσης.

370. Beth Shan: Evans 1921, 167, εικ. 129. Megiddo: P.L.O. Guy, Megiddo Tombs, 1938, 152, 154, πίν. 35, 20 και 50, 1.

371. Αγγεία από τον Κεραμεικό, Kraiker 1943, 44, πίν. 25, Müller-Karpe 1962, 97, εικ. 15-16. Ελευσίνα: ΑΕ 1898, πίν. 4, 3.

372. Πρβλ. υπογεωμετρικό υπόστατο από τη Μήλο, Coldstream 1968, πίν. 39a-b. Το λατρευτικό αγγείο από τη Ρόδο στο Βερολίνο, αντίθετα με τη συσχέτιση του Kinch 1914, 26 κ.ε., θεωρήθηκε νεότερη επίδραση από την Ανατολή και όχι απευθείας μινωική επιβίωση, Johansen 1957, 13, εικ. 214. Πρβλ. επίσης παραδείγματα από την Κύπρο,

χνά συνδυασμένη με τις τελετουργίες ταφικών σπονδών, αλλά και με χρήσεις καθημερινές (πρβλ. π.χ. υπόστατα χυτρών)[374].

Στο βορειοελλαδικό χώρο τα παραδείγματα του νεκροταφείου Θάσου είναι από όσο γνωρίζω μοναδικά, ενώ φαίνεται ότι το αγγείο αυτού του σχήματος λείπει από τα ηπειρωτικά Βαλκάνια. Το ειδικό αυτό αγγείο εμφανίζει στα παραδείγματα της Θάσου μια ιδιόρρυθμη εγχάρακτη διακόσμηση, που θυμίζει αντίστοιχη εγχάρακτη διακόσμηση σε χειροποίητα αγγεία των μυκηναϊκών τάφων Κεφαλληνίας[375], ενώ η διάταξη των διακοσμητικών θεμάτων θυμίζει και την ανάλογη χαρακτή διακόσμηση των χειροποίητων αγγείων και των ειδωλίων του Κεραμεικού[376].

Τα διακοσμητικά, ωστόσο, θέματα και η σύνθεσή τους βρίσκονται κοντά και στην εγχάρακτη κεραμική από την ηπειρωτική Θράκη, όπως η ομάδα Čepina[377], καθώς και σε εγχάρακτη κεραμική των ορεινών περιοχών της Ροδόπης[378].

Αυτή η συνύπαρξη του ανατολικοαιγαιακού σχήματος με τα διακοσμητικά θέματα της τοπικής κεραμικής παράδοσης εντάσσεται μέσα στο γενικό χαρακτήρα της τοπικής κεραμικής της Θάσου.

ΕΓΧΑΡΑΚΤΗ ΚΕΡΑΜΙΚΗ Ι, 2δ

Διάδοση

Αντίστοιχη εγχάρακτη κεραμική εμφανίζεται στα τέλη της φάσης C της Βαρδαρόφτσας[379], στη φάση 2 της Ασσήρου, καθώς και από το στρώμα 11 κ.ε. στον Καστανά. Η εγχάρακτη διακόσμηση αυτού του τύπου ονομάσθηκε από τον Heurtley τέταρτο εγχάρακτο στυλ και δεν είναι ιδιαίτερα συχνή στην κεντρική Μακεδονία. Όπως επεσήμανε ο Heurtley, πρέπει να προέρχεται από την παράδοση της εγχάρακτης κεραμικής της πρώιμης εποχής του χαλκού, από την οποία, όπως είδαμε, διαφοροποιείται η εγχάρακτη κεραμική της κατηγορίας Ι, 2α και Ι, 2β της ύστερης εποχής του χαλκού. Η εγχάρακτη κεραμική Ι, 1δ εμφανίζεται κυρίως στην πρώιμη εποχή του σιδήρου, αλλά, όπως φαίνεται από τα νεκροταφεία της Βεργί-

M. Ohnefalsch-Richter, Die antiken Kultus Stätten auf Kypros, 1891, 169, πίν. XVII, 3-4, ή από το Ηραίο Σάμου, Eilmann 1933, 127, εικ. 82.

373. Μελανόμορφο αγγείο με κωμαστές και αυλητή, C. Smith, The Forman Collection, 1899, αριθ. 330. Ο A. Furtwängler, Kleine Schrifter II, 1913, 123, αντίστοιχο μελανόμορφο αγγείο με παράσταση Χάροντα το ονομάζει «εσχάρα», στηριγμένος στο αρχαίο σχόλιο, Σχολ. Ευρ. Φοιν. 274: «ἐσχάρα μὲν κυρίως ὁ ἐπὶ τῆς γῆς βόθρος, ἔνθα ἐναγίζουσι τοῖς κάτω ἐρχομένοις». Πρβλ. επίσης και λατρευτικό αγγείο από το Ιερό Πρινιά, που ο Evans 1921, 160, το θεωρεί γεωμετρικών χρόνων, ενώ ο Pernier, Boll. d'Arte II (1908), 455, το χρονολογεί στους αρχαϊκούς χρόνους. Για την επιβίωση των ταφικών χοών στα ρωμαϊκά χρόνια, πρβλ. Oeconomus 1921.

374. Πρβλ. Ch. Scheffer, Acquarossa, Cooking and Cooking Stands in Italy (1400-400 B.C.), Acta Instituti Romani Regni Sueciae XXXVIII:II, 1 (1981).

375. Μαρινάτος 1933, 88, εικ. 37.

376. Kraiker 1943, πίν. 30.

377. Hänsel 1976, πίν. 28, 5.

378. Πρβλ. ό.π., υποσημ. 360. Αντίστοιχη εγχάρακτη διακόσμηση εμφανίζεται, ωστόσο, και στην Εγγύς Ανατολή σε κεραμική πρωιμότερων φάσεων της εποχής του χαλκού, όπως π.χ. στο Beyčesultan, Lloyd - Mellaart 1962, εικ. 71. Ανάλογη χάραξη και διακοσμητική αίσθηση βρίσκουμε και σε αγγεία της ομάδας Coslogeni, Morintz 1978, εικ. 86, 9. Σε ορισμένα θραύσματα της Θάσου εμφανίζονται χαράγματα που θα μπορούσαν να θυμίσουν συμβολικά χαράγματα σε αγγεία, τα οποία έχουν σχετισθεί με σύμβολα γραφής (πρβλ. H. Buchholz, AA 1974, 353, για χαράγματα από αγγεία Lipari και Εγγύς Ανατολής). Παρόμοια χαράγματα που θυμίζουν παρεφθαρμένα σύμβολα γραφής εμφανίζονται και σε σφονδύλια της Τροίας, Schmidt 1902, αριθ. 5220, πίν. I-IX. Πρβλ. και σφονδύλι από Άσσηρο με χαράγματα ανάλογα που θυμίζουν στον ανασκαφέα παρεφθαρμένα γράμματα, K. Wardle, Excavations at Assiros Toumba 1986, BSA 82 (1987), 320, εικ. 3.

379. Heurtley - Hutchinson 1925/26, 23, πίν. XIVb, Heurtley 1939, εικ. 85. Κατά τον Heurtley, το εγχάρακτο στυλ 4 κατάγεται από το στυλ 2. Χαρακτηριστική είναι η απουσία της στίλβωσης και στην αντίστοιχη εγχάρακτη κεραμική από την κεντρική Μακεδονία. Για την εμφάνιση του στυλ 4, πρβλ. ό.π., διάγραμμα εικ. 38.

νας και της Τσαουζίτσας[380], αντιπροσωπεύεται με πολύ χαμηλά ποσοστά, που συμπίπτουν με την αραιή παρουσία της κεραμικής αυτής της κατηγορίας στη Θάσο.

Από την ανατολική Μακεδονία έχουμε ακόμη ελάχιστα και αστρωματογράφητα παραδείγματα. Αντίστοιχη κεραμική εμφανίζεται με μεγάλη συχνότητα σε πολλές θέσεις (Σ χ έ δ. 141: 3-4) της αιγαιακής Θράκης[381], αλλά και βορειότερα από την οροσειρά της Ροδόπης, στην ομάδα Čepina[382] της νοτιοδυτικής Βουλγαρίας και στην ομάδα Čatalca[383], που διαδέχεται στην κεντρική Βουλγαρία την εγχάρακτη κεραμική της ομάδας Zimnicea-Plovdiv. Συγγενική με την εγχάρακτη διακόσμηση της αρχαιότερης φάσης της πρώιμης εποχής του σιδήρου είναι και η εγχάρακτη διακόσμηση στη φάση I της ομάδας Babadag[384], που διαδέχεται στην περιοχή της Δοβρουτσάς τις ομάδες Zimnicea-Plovdiv και Coslogeni.

Η εγχάρακτη κεραμική I, 2δ στα νεκροταφεία Καστρί και Λαρνάκι

Η εγχάρακτη κεραμική αυτής της κατηγορίας εμφανίζεται στα νεκροταφεία του οικισμού Καστρί (Βρυσούδες και Τσιγανάδικα). Ένα παράδειγμα χάραξης στο νεκροταφείο Λαρνάκι αποτελεί μίμηση αυλακωτής διακόσμησης (Λ4Α1).

ΤΕΧΝΙΚΗ ΚΑΤΑΣΚΕΥΗΣ

Πηλός όμοιος με της κατηγορίας I, 2β. Τα αγγεία της κατηγορίας αυτής εμφανίζουν διαφορές στον τρόπο όπτησης, και έτσι άλλοτε η επιφάνειά τους είναι τεφρόχρωμη με πυρήνα τεφρόχρωμο, και άλλοτε καστανόχρωμη με πυρήνα τεφρόμαυρο ή καστανόχρωμο. Η λείανση της επιφάνειας του αγγείου πραγματοποιείται με το γνωστό και από τις άλλες κατηγορίες κεραμικής τρόπο, μετά το στέγνωμα του αγγείου. Πριν από τη λείανση έχει προηγηθεί η επάλειψη της εξωτερικής επιφάνειας του αγγείου με επίχρισμα από καθαρό αραιωμένο πηλό (slip).

Η χάραξη πραγματοποιείται με αιχμηρό εργαλείο, αντίστοιχο με της κατηγορίας I, 2γ. Τα διακοσμητικά θέματα είναι οργανωμένα ευθύγραμμα και καμπυλόγραμμα, που συχνά συνδυάζονται με στικτή διακόσμηση (Σ χ έ δ. 138Β). Από τη λευκή ύλη, που πιθανότατα γέμιζε τις χαράξεις, δε σώθηκε κανένα ίχνος.

ΣΧΗΜΑΤΑ ΑΓΓΕΙΩΝ

Τα σχήματα των αγγείων, που εμφανίζει η κεραμική με την εγχάρακτη διακόσμηση αυτού του τύπου, είναι:

Σχήμα IV: Μόνωτο ευρύστομο αγγείο.

Σχήμα VIIΓ: Οινοχόη.

380. Βεργίνα: Ανδρόνικος 1969, 191-193. Βάρδινο, στρώμα III: Heurtley 1925/26, 27. Τσαουζίτσα: Heurtley 1939, αριθ. 478. Στον Καστανά η A. Hochstetter έχει επισημάνει τις σχέσεις, που εμφανίζει η εγχάρακτη κεραμική αυτής της κατηγορίας με σύγχρονες κεραμικές ομάδες των ηπειρωτικών Βαλκανίων (ομάδες Babadag, Čatalca, Pšeničevo, Čepina), Hochstetter 1982, 110, εικ. 4-8. Οπωσδήποτε ορισμένα από τα διακοσμητικά θέματα εμφανίζουν μια συνεχή παρουσία στην εγχάρακτη κεραμική της ύστερης εποχής του χαλκού και πρώιμης εποχής του σιδήρου του οικισμού, ό.π., εικ. 2.

381. Βαβρίτσας 1966, πίν. 69γ και 1970, πίν. 106β, 107α, και άλλα εγχάρακτα αδημοσίευτα από το ίδιο νεκροταφείο. Πρβλ. επίσης εγχάρακτα από τα Dolmen Ροδόπης, Triantafyllos 1980, εικ. 19.

382. Hänsel 1976, 220 κ.ε., πίν. 28, 5, 9 και πίν. XVII.

383. Ό.π., πίν. 23, 3 και 7. Για νεότερες επιβιώσεις της εγχάρακτης διακόσμησης αυτού του τύπου, πρβλ. Tončeva 1980, 57, πίν. XXII, 4, όπου παραβάλλεται με κεραμικά σύνολα του 9ου αι. π.Χ. από τη Ρουμανία (ομάδες Mediaš και Cozia), καθώς και εγχάρακτη κεραμική από Veliko Tărnovo, που η Tončeva, ό.π., 57, χρονολογεί στη φάση II της πρώιμης εποχής του σιδήρου της Βουλγαρίας (9ος αι. π.Χ.).

384. Hänsel 1976, πίν. 46, 7, 9.

Σ χ ή μ α IV: Μόνωτα ευρύστομα αγγεία

Ελάχιστα θραύσματα από αγγεία αυτού του σχήματος έχουν βρεθεί στα νεκροταφεία (Π ί ν. 336: 6-7). Τα θραύσματα του αγγείου Τ29, 19 (Π ί ν. 167: 19) θυμίζουν αντίστοιχα αγγεία από την Τροία VIIb2[385] και από την ομάδα Babadag[386] (φάση Ι). Αντίστοιχα αγγεία με εγχάρακτη διακόσμηση έδωσε και το νεκροταφείο της Μεσημβρίας της αιγαιακής Θράκης[387]. Στην κεντρική Μακεδονία το σχήμα του μόνωτου ευρύστομου αγγείου δεν είναι γενικά συχνό[388]. Στο νεκροταφείο της Βεργίνας δεν εμφανίζεται εγχάρακτη διακόσμηση σε αγγείο σχήματος IV. Τα εγχάρακτα, ωστόσο, διακοσμητικά ζιγκ-ζαγκ θέματα της προχοΐσκης ΑΑ9[389] θυμίζουν αντίστοιχα θέματα στα θραύσματα Τ27Β4-5 (Π ί ν. 164Β: 4-5). Ελάχιστα είναι επίσης τα παραδείγματα εγχάρακτης διακόσμησης και στα αγγεία του νεκροταφείου της Τσαουζίτσας[390], ενώ η εγχάρακτη διακόσμηση φαίνεται ότι επιβιώνει και στις προχωρημένες φάσεις της πρώιμης εποχής του σιδήρου στα δυτικά Βαλκάνια[391] (ομάδα Štip). Στα ανατολικά Βαλκάνια, στην ομάδα Čatalca[392] της Βουλγαρίας υπάρχουν μόνωτα αγγεία με εγχάρακτη διακόσμηση, αλλά οι ομοιότητες που παρατηρούνται είναι πολύ γενικές για να θεμελιώσουν κάποια ειδικότερη σχέση της ομάδας αυτής με τα θασιακά παραδείγματα. Τα ζιγκ-ζαγκ εγχάρακτα διακοσμητικά θέματα του αγγείου Τ27Β4-5 θυμίζουν επίσης αντίστοιχα εγχάρακτα θέματα σε μόνωτα ευρύστομα αγγεία της ομάδας Coslogeni[393].

Σ χ ή μ α VIIΓ: Οινοχόες

Η εγχάρακτη διακόσμηση εμφανίζεται σε ένα μόνο αγγείο αυτού του σχήματος, στην οινοχόη Β1Δ1 (Π ί ν. 52: 1), που αποτελεί την παραλλαγή VIIΓ 152 στο σχηματολόγιο των χειροποίητων αγγείων (Σ χ έ δ. 85· Π ί ν. 336: 8).

Το σχήμα της παραλλαγής αυτής, που εμφανίζει έντονη προχοή, όπως και η παραλλαγή VIIΓ 151, ανάγεται σε πρότυπα πρώιμης εποχής του χαλκού[394], που είναι διαδεδομένα στην Εγγύς Ανατολή και τον αιγαιακό και ελλαδικό χώρο. Η στριφτή ωστόσο λαβή[395] είναι στοιχείο νεωτερικό, η εμφάνιση του οποίου στη Μακεδονία έχει συνδεθεί με την εμφάνιση παραδουνάβιων πολιτιστικών επιδράσεων, στο τέλος της ύστερης εποχής του χαλκού. Ο τύπος ωστόσο της στριφτής λαβής, μετά την εμφάνισή του στην αρχή της πρώιμης εποχής του σιδήρου, παρέμεινε και σε προχωρημένες φάσεις της πρώιμης εποχής του σιδήρου, επιβιώνο-

385. Blegen - Caskey 1958, εικ. 282, 15.

386. Hänsel 1976, πίν. 14, 12 και πίν. VI, 9 και 20.

387. Βαβρίτσας 1966, 70, πίν. 69γ. Αριθ. ευρ. 1439 Μουσείου Κομοτηνής (αδημοσίευτο)· πρβλ. και άωτο αγγείο από ταφή-καύση του ίδιου νεκροταφείου, Βαβρίτσας 1970, πίν. 106γ, για τις διπλές ζιγκ-ζαγκ χαράξεις στον ώμο του αγγείου.

388. Το σχήμα δε λείπει οπωσδήποτε από τον Καστανά, Hochstetter 1982, 113, εικ. 8· πρβλ. και Hochstetter 1984, πίν. 114, 2 (στρώμα 10).

389. Ανδρόνικος 1969, 192, εικ. 38.

390. Casson 1919/21, 21, εικ. 14a.

391. Προαποικιακό στρώμα αρχαίας Θάσου, Bernard 1964, 112, εικ. 25 και 42. Πρβλ. και ομάδα Štip, Radanje, Garašanin 1958, 1 κ.ε., εικ. 42 και 15-18 HaC. Για την ομάδα Štip, πρβλ. επίσης Vasić 1973, 140, πίν. XVI, 1-3.

392. Hänsel 1976, πίν. 23, 7. Πρβλ. αντίστοιχη διακόσμηση σε εγχάρακτη κεραμική πρώιμης εποχής του σιδήρου στον οικισμό Λόφου 133 Αμφίπολης.

393. Morintz 1978, 142, εικ. 81, 5, για εγχάρακτη διακόσμηση. Πρβλ. επίσης, ό.π., εικ. 77, 1, για στικτή διακόσμηση. Χαρακτηριστική είναι η εμφάνιση στην ομάδα Coslogeni ενός μόνωτου ευρύστομου αγγείου με ελαφρά λοξότμητο χείλος και δύο χαρακτές παράλληλες γραμμές γύρω από τη βάση του λαιμού, που είναι όμοιο με αντίστοιχες παραλλαγές του σχήματος IV των νεκροταφείων (π.χ. παραλλαγές IV 43-51). Τα κάτω χρονολογικά όρια της ομάδας Coslogeni δεν έχουν με ασφάλεια προσδιορισθεί, Hänsel 1976, 176. Για αντίστοιχα παραδείγματα μόνωτων ευρύστομων αγγείων από τη Βουλγαρία, πρβλ. Tončeva 1980, 36, πίν. VI, 8 (φάση Ι πρώιμης εποχής του σιδήρου, 11ος-9ος αι. π.Χ.)· πρβλ. επίσης μόνωτα ευρύστομα αγγεία από τον οικισμό Durankulak της βουλγαρικής Δοβρουτσάς, Histoire de Dobrudza I, 1984 (βουλγαρικά), 67 (H. Todorova).

394. Podzuweit 1979, τύπος 41C, πίν. 8.

395. Heurtley 1939, 98-99 και 104.

ντας ακόμη και στους ιστορικούς χρόνους, έτσι ώστε να μην είναι δυνατό να απομονωθεί ως χρονολογικό στοιχείο.

Η εγχάρακτη διακόσμηση του ώμου της οινοχόης πλησιάζει το αγγείο Β1Δ1 σε αντίστοιχα παραδείγματα από την αιγαιακή Θράκη, όπου και το είδος διακόσμησης, αλλά και τα διακοσμητικά μοτίβα αυτού του τύπου, είναι συχνά. Εκτός από το παράδειγμα της οινοχόης του νεκροταφείου Μεσημβρίας[396], αντίστοιχα διακοσμητικά θέματα εμφανίζονται στην εγχάρακτη κεραμική της ακρόπολης Εργάνης[397], καθώς και σε επιφανειακή κεραμική άλλων θέσεων της αιγαιακής Θράκης. Η εγχάρακτη, επίσης, διακόσμηση των τεφροδόχων αγγείων των Dolmen της αιγαιακής Θράκης[398] μπορεί να σχετισθεί με την εγχάρακτη διακόσμηση της οινοχόης Β1Δ1. Από τις βορειότερες κεραμικές ομάδες των πρώιμων φάσεων της πρώιμης εποχής του σιδήρου, θα μπορούσαμε να σημειώσουμε μεγαλύτερες συγγένειες με την ομάδα Čepina[399], όπου το διάστικτο πλαίσιο με τις παράλληλες γραμμές είναι συχνό διακοσμητικό θέμα.

Το διακοσμητικό θέμα του ώμου της οινοχόης είναι επίσης γνωστό από βορειότερες παραδουνάβιες κεραμικές ομάδες[400], που χρονολογούνται στη μεταβατική εποχή της ύστερης εποχής του χαλκού προς την πρώιμη εποχή του σιδήρου. Η διάστικτη ωστόσο κάλυψη των χαρακτών μοτίβων, που εμφανίζεται συχνά στην πρώιμη εποχή του σιδήρου, αποτελεί επιβίωση των διακοσμητικών θεμάτων της πρώιμης εποχής του χαλκού[401], που πέρασαν στην πρώιμη εποχή του σιδήρου από την εγχάρακτη κεραμική της ύστερης εποχής του χαλκού[402].

Σ χ ή μ α IX: Άωτο αγγείο

Το μοναδικό παράδειγμα αυτού του σχήματος ανήκει στην παραλλαγή IX 192, που αποτελεί μια επανάληψη της παραλλαγής IX 188 με την προσθήκη εγχάρακτης διακόσμησης[403]. Τα απλά διακοσμητικά θέματα και τα χονδρά τοιχώματα του αγγείου το πλησιάζουν και στην κατηγορία I, 2γ (Π ί ν. 336: 9).

Δ ι.ά φ ο ρ α

Το θραύσμα Τ5Β8 (Π ί ν. 76: 8) προέρχεται πιθανότατα από το πόδι τετραποδικού αγγείου, διακοσμημένου με εγχάρακτη διακόσμηση στο μοτίβο του «ψαροκόκαλου». Τόσο το σχήμα του αγγείου όσο και το είδος της διακόσμησης παραπέμπουν στην κεραμική του προαποικιακού στρώματος της αρχαίας Θάσου[404]. Αντίστοιχη εγχάρακτη διακόσμηση εμφανίζεται

396. Βαβρίτσας 1966, πίν. 69γ.

397. Αδημασίευτο υλικό, Μουσείο Κομοτηνής.

398. Triantafyllos 1980, 158, εικ. 19.

399. Πρβλ. οινοχόη από Kutila, D. Končev, ArcheologijaSof 2, 3 (1960), 52 κ.ε., εικ. 2, την οποία ο Hänsel 1976, 221, τοποθετεί στην ομάδα Čepina. Πρβλ. επίσης αντίστοιχη εγχάρακτη κεραμική από το Kurilo, ArcheologijaSof 2, 4 (1960), 47, εικ. 7 και από το Gălăbovki, Bull.Inst.Bulg. 26 (1963), 193, εικ. 14.

400. Πρβλ. Urn από νεκροταφείο Karaburma I, Todorović 1977, 31, τάφος 124, ομάδα Belegiš I. Σχετικά είναι και τα διακοσμητικά θέματα της ομάδας Pšeničevo, Hänsel 1976, πίν. 24, 14.

401. Εμπορειό: Hood 1981/1982, πίν. 89c. Θερμή: Lamb 1936, πίν. XIV, 1. Πρβλ. επίσης αντίστοιχο διακοσμητικό θέμα στην κεραμική Beyčesultan, στρώμα VIII (Τροία V), Lloyd - Mellaart 1962, P62. Αντίστοιχα διακοσμητικά θέματα εμφανίζονται στην εποχή του χαλκού Βουλγαρίας στους οικισμούς Mihalič (Renfrew 1969, 35, εικ. 10), καθώς και Ezero (Georgiev - Merpert - Katinčarov - Dimitrov 1979, 333, μοτίβο 28).

402. Το διακοσμητικό θέμα επιβιώνει και στην εγχάρακτη κεραμική της ύστερης εποχής του χαλκού στη Μακεδονία. Βαρδαρόφτσα: Heurtley - Hutchinson 1925/26, πίν. XIII, 17 και XIV, 8, 10, Σαρατσέ: Heurtley 1939, εικ. 93m, Καστανάς: Hochstetter 1984, πίν. 18, 1 (στρώμα 16), πίν. 60, 5, 6 (στρώμα 13).

403. Τροία IV: Blegen - Caskey 1951, πίν. 173, 9. Ιθάκη (πόλη): Benton 1938/39, πίν. I, 16.

404. Τετραποδικά αγγεία είναι άγνωστα ως τώρα στο σχηματολόγιο της πρώιμης εποχής του σιδήρου και της ύστερης εποχής του χαλκού της Μακεδονίας και της Θράκης, καθώς και της Τροίας VIIb. Τα βρίσκουμε, ωστόσο, στο νεότερο προαποικιακό στρώμα της Θάσου χωρίς εγχάρακτη διακόσμηση, Bernard 1964, 135, εικ. 47, 46. Μια άλλη πιθανότερη περίπτωση είναι να προέρχεται από κερατόσχημη απόφυση αγγείου, αντίστοιχη με τις γνωστές αποφύσεις Τροίας VIIb2, Blegen - Caskey 1958, εικ. 218, a104, ή των αγγείων από τα Dolmen, Triantafyllos 1980, 157, εικ. 17, αλλά και αυτό το σχήμα απουσιάζει τελείως από τα νεκροταφεία.

στα τέλη της ύστερης εποχής του χαλκού στο εγχάρακτο στυλ 4 του Heurtley, αλλά επιβιώνει και στις νεότερες φάσεις της πρώιμης εποχής του σιδήρου[405].

Στην εγχάρακτη διακόσμηση, που πλησιάζει τη σταμπωτή, πρέπει να αποδοθούν οι εμπίεστοι μικροί κύκλοι, που εμφανίζονται γύρω από τη βάση του λαιμού του κυπελλόσχημου αγγείου K3B2 (Π ί ν. 25A: 2), καθώς και του αγγείου T5Γ1 (Π ί ν. 74B: 1). Η διακόσμηση αυτού του τύπου βρίσκεται μέσα στην παράδοση της πρώιμης εποχής του χαλκού[406].

I, 3-4: Κεραμική με αυλακωτή και ραβδωτή διακόσμηση

Διάδοση

Η καταγωγή της αυλακωτής και της ραβδωτής διακόσμησης στη χειροποίητη κεραμική θα μπορούσε να αναζητηθεί στα τέλη της νεολιθικής εποχής και στην πρώιμη εποχή του χαλκού, όπου αντίστοιχα είδη διακόσμησης εμφανίζονται στην κεραμική της Μακεδονίας[407], της Θράκης[408] και των νησιών του βορειοανατολικού Αιγαίου[409], και φθάνουν ως τον πολιτισμό Baden-Pecel της κεντρικής Ευρώπης[410].

Μια κατηγορία αυλακωτής κεραμικής, τελείως διαφοροποιημένη, αφού πρόκειται για τροχήλατη κεραμική, αποτελεί και η μινύεια κεραμική, που εμφανίζεται στη Μακεδονία με το τέλος της πρώιμης εποχής του χαλκού. Για την καταγωγή της κεραμικής αυτής έχουν διατυπωθεί διάφορες απόψεις, χωρίς να παραλειφθεί και η σύνδεσή της με την αυλακωτή κεραμική του πολιτισμού Baden-Pecel[411]. Οπωσδήποτε η μινύεια κεραμική για τη Μακεδο-

405. Heurtley - Hutchinson 1925/26, 4ο εγχάρακτο στυλ, πίν. XIVb13. Πρβλ. επίσης εγχάρακτη κεραμική πρώιμης εποχής του σιδήρου στον οικισμό του Καστανά, Hochstetter 1982, 112, εικ. 7, όπου επισημαίνονται και τα παράλληλα στην ομάδα Pšeničevo. Στον Καστανά το μοτίβο αυτό εμφανίζεται με την αρχή της πρώιμης εποχής του σιδήρου και παραμένει ως τους ιστορικούς χρόνους, Hochstetter, ό.π., εικ. 2. Το διακοσμητικό θέμα «ψαροκόκαλο» εμφανίζεται και στο λεγόμενο τοπικό Bucchero του προαποικιακού στρώματος της αρχαίας Θάσου, Bernard 1964, 113, εικ. 26.

406. Τροία IV: Blegen - Caskey 1951, πίν. 173, 9. Ιθάκη (πόλη): Benton 1938/39, πίν. I, 16.

407. Πρβλ. αυλακωτή (grooved) και ραβδωτή (rippled) κεραμική ύστερης νεολιθικής εποχής από τα Σέρβια, π.χ. Heurtley 1939, 69 και 142, Ridley - Wardle 1979, 216, υποσημ. 18, τον Άγιο Μάμα, Heurtley - Radford 1928/30, εικ. 25, και το Βάρδινο, Heurtley 1925/26, πίν. X, 9. Στην πρώιμη εποχή του χαλκού της κεντρικής Μακεδονίας ελάχιστη είναι ακόμη η παρουσία αυλακωτής ή ραβδωτής κεραμικής· πρβλ. μόνο ένα θραύσμα από το Σαρατσέ, Heurtley 1939, εικ. 56i, που είναι αμφισβητούμενο (πιθανότατα ύστερο νεολιθικό). Στην ανατολική Μακεδονία ωστόσο η αυλακωτή κεραμική, που θυμίζει αντίστοιχη κεραμική του πολιτισμού Baden, είναι χαρακτηριστική για την εποχή που διαδέχεται την ύστερη νεολιθική και εμφανίζεται σε πολλούς οικισμούς: Ντικιλί Τας, Deshayes 1970, 30, εικ. 18 (Bronze Ancienne I), Seferiades 1983, 659-662, εικ. 44-48 (φάση IIIA), Σιταγροί, Renfrew 1973, 475 (φάση IV), Πεντάπολη, Γραμμένος 1981, 127, εικ. 27, αριθ. 525, 523.

408. Παραδημή: Bakalakis - Sakellariou 1981, πίν. Ia-b, XI, 2 και 37, 2, στρώμα 3-4.

409. Πολιόχνη: periodo azzurro, Bernabò-Brea 1964, πίν. XXI και XXXVIIIf. Πρβλ. επίσης αυλακωτή κεραμική Εγγύς Ανατολής στις πρώιμες φάσεις της εποχής του χαλκού, π.χ. Beycesultan, Lloyd - Mellaart 1962, εικ. P25, P31, P38, κ.ά.

410. Kalicz 1963, 19. Η Pavukova 1981, συγκρίνει τη φάση IV των Σιταγρών και τη φάση Bronze Ancienne I του Ντικιλί Τας με τη φάση I Baden-Boleraz, και τη φάση Vb των Σιταγρών με την Τροία I και Baden IV και εξηγεί τις σχέσεις της ανατολικής Μακεδονίας με τον κεντροευρωπαϊκό πολιτισμό Baden, υποθέτοντας την ύπαρξη ενδιάμεσης σχέσης των δύο πολιτισμών στην περιοχή της κοιλάδας του Στρυμόνα της νοτιοδυτικής Βουλγαρίας και στη νοτιοανατολική Γιουγκοσλαβία. Οπωσδήποτε, είναι χαρακτηριστική η μέχρι στιγμής απουσία της αντίστοιχης κεραμικής τύπου Baden στην κεντρική Μακεδονία, όπως προκύπτει από τα δεδομένα του Heurtley και από νεότερες παρατηρήσεις του Γραμμένου 1981, 127. Η εμφάνιση σχέσεων με τον πολιτισμό Baden στο Maliq IIb πρέπει να σχετισθεί με άλλες οδούς επικοινωνίας με το βορρά (Prendi 1966, 260-262 και Iliria I (1976), 70 κ.ε.).

411. Κατά τον Howell 1974, 90, η διείσδυση των στοιχείων πολιτισμού Baden, που πρέπει να πραγματοποιήθηκε από τη βορειοδυτική Ελλάδα (πρβλ. εμφάνισή τους στο Maliq IIb, Prendi 1966, 260 και Iliria I (1976), 71 κ.ε.), έφερε την πρωτομινυακή φάση (YE III) στην Πελοπόννησο, όπου γεννήθηκε η μινύεια κεραμική που επεκτάθηκε εν συνεχεία προς βορρά. Ο French 1974, 51-53, υποστήριξε ωστόσο τη δημιουργία της μινύειας κεραμικής στη νότια Ελλάδα, ανεξάρτητα από την εμφάνιση των ελληνικών φύλων.

νία αποτελεί, όπως έχουμε ήδη σημειώσει, τοπικό επεισόδιο που περιορίζεται στις παραλιακές θέσεις της Χαλκιδικής και αντιπροσωπεύεται στην ηπειρωτική Μακεδονία με τοπικές μιμήσεις των μινύειων στη χειροποίητη κεραμική. Από τις τοπικές αυτές μιμήσεις, που σε ορισμένες περιπτώσεις αναπτύσσουν και διακοσμητικά θέματα, ελάχιστες επιβιώνουν ως την ύστερη εποχή του χαλκού[412]. Τα ελάχιστα αυτά για την ώρα παραδείγματα, που προέρχονται από τη Χαλκιδική, δεν είναι δυνατό να στηρίξουν προς το παρόν την άποψη για μια επιβίωση της παράδοσης της τοπικής μινύειας κεραμικής με την αυλακωτή διακόσμηση ως την πρώιμη εποχή του σιδήρου, εποχή που επανεμφανίζεται στη Μακεδονία η αυλακωτή και η ραβδωτή διακόσμηση.

Η επιβίωση των τοπικών μινύειων, όπως δείχνουν και τα παραδείγματα από την Άσσηρο[413] και τον Καστανά[414], μπορεί να φθάσει ως την περίοδο ΥΕ Ι στην κεντρική Μακεδονία, αλλά με κανένα τρόπο τα μινύεια δε συνεχίζονται στις τελευταίες φάσεις της ύστερης εποχής του χαλκού, ενώ οπωσδήποτε απουσιάζουν τελείως από την ανατολική Μακεδονία. Η απουσία των μινύειων από την ανατολική Μακεδονία, σε συνδυασμό με την έντονη παρουσία της αυλακωτής κεραμικής τύπου Baden στην ανατολική Μακεδονία[415] και Θράκη[416], αποκλείει την άμεση συσχέτισή τους με την κεραμική τύπου Baden και ενισχύει την άποψη της εισαγωγής των μινύειων της κεντρικής Μακεδονίας από το νότο[417].

Σύμφωνα λοιπόν με τα ως τώρα αρχαιολογικά δεδομένα, η κεραμική με την αυλακωτή διακόσμηση μετά από μια περίοδο εξαφάνισής της επανεμφανίζεται ως νέο είδος διακοσμημένης χειροποίητης κεραμικής στην κεντρική και ανατολική Μακεδονία και στη Θάσο της πρώιμης εποχής του σιδήρου. Στην κεντρική Μακεδονία η παρουσία της κεραμικής με τη γραμμική αυλακωτή διακόσμηση (κατηγορία Ι, 3) αντιπροσωπεύεται με τα παραδείγματα από την Άσσηρο[418], ενώ τα ποσοστά της εμφάνισης της ραβδωτής κεραμικής (κατηγορία Ι, 4) είναι πολύ υψηλότερα και καλύπτουν περισσότερους οικισμούς[419].

Στην ανατολική Μακεδονία[420], η εμφάνιση της κεραμικής με την αυλακωτή διακόσμηση είναι ακόμη σποραδική, πιθανότατα εξαιτίας του κενού της έρευνας, στην αιγαιακή Θράκη όμως διαπιστώνεται ότι είναι ιδιαίτερα διαδεδομένη[421]. Αφήνοντας την άγνωστη ακόμη στην αρχαιολογική έρευνα ευρωπαϊκή Τουρκία[422], θα βρούμε στην Τροία VIIb2[423] τα ανατο-

412. Heurtley 1939, εικ. 75 (Άγιος Μάμας)· πρβλ. και διάγραμμα εικ. 8, σ. 8. Αντίστοιχη τοπική μινύεια κεραμική με διακοσμητικά θέματα και στη Βαρδαρόφτσα, Heurtley - Hutchinson 1925/26, 23, πίν. XVIIa, XVIIc και 19, πίν. IXb, 5, 6, 7.

413. Wardle 1980, 250.

414. Hänsel 1980, 646, εικ. 139, στρώμα 19, Hochstetter 1984, 200, πίν. 2, 10.

415. Ό.π. (υποσημ. 407).

416. Ό.π. (υποσημ. 408).

417. Η απουσία της μινύειας κεραμικής στην ανατολική Μακεδονία, όπου είναι έντονη η παρουσία της τύπου Baden αυλακωτής κεραμικής, αποκλείει μια άμεση γενετική σχέση ανάμεσα στην αυλακωτή κεραμική τύπου Baden και στη μινύεια κεραμική. Για τα τοπικά μινύεια της Μακεδονίας νομίζω ότι πρέπει να μελετηθεί πιο λεπτομερειακά ποιες είναι τελικά οι σχέσεις τους με τα επείσακτα μινύεια, από τα οποία φαίνεται ότι διαφέρουν όχι μόνο στον τρόπο κατασκευής, αλλά και στα σχήματα.

418. Wardle 1980, 257, εικ. 16, φάση 1. Ο Heurtley αναφέρει ως εγχάρακτο ένα θραύσμα κανθάρου στο στρώμα ΙΙΙ στο Βάρδινο (Heurtley 1926/27, πίν. XIII, 20), που είναι όμοιο με κάνθαρο από τη φάση 2 της Ασσήρου, Wardle 1980, 257, εικ. 16, 40.

419. Heurtley 1939, 98-99, «Lausitz Ware», Βαρδαρόφτσα, Βάρδινο και ελάχιστα όστρακα στο Σαρατσέ. Πρβλ. επίσης Καστανά, Hänsel 1979α, 192, Hänsel 1981, 207 κ.ε., και Άσσηρο, Wardle 1980, 256.

420. Πρβλ. στο κείμενο (σ. 511) κατάλογο θέσεων ανατολικής Μακεδονίας, όπου και βιβλιογραφία. Κατά κανόνα πρόκειται για αστρωματογράφητη επιφανειακή κεραμική (Μουσείο Καβάλας).

421. Πρβλ. στο κείμενο κατάλογο θέσεων δυτικής Θράκης με σχετική βιβλιογραφία (υπόμνημα στο χάρτη Σ χ έ δ. 139), όπου το μεγαλύτερο ποσοστό είναι επιφανειακή αστρωματογράφητη κεραμική (Μουσείο Κομοτηνής, Αρχαιολογική Συλλογή Μαρώνειας, Αρχαιολογική Συλλογή Ξάνθης).

422. Πρβλ. πρόσφατα ευρήματα σε ταφικό τύμβο Taşlicabayir της περιοχής Kirklareli ευρωπαϊκής Τουρκίας, M. Özdogan, A Surface Survey for Prehistoric and Early Historic Sites in Northwestern Turkey, National Geographic Society, Research Reports 1979, 534, εικ. 7.

423. Blegen - Caskey 1958, 139 κ.ε., Τροία VIIb2.

λικότερα όρια εξάπλωσης της κεραμικής αυτής της κατηγορίας, με χαρακτηριστικά παραδείγματα αυλακωτής γραμμικής και ραβδωτής διακόσμησης που σε πολλές περιπτώσεις, όπως και στη Θάσο, είναι δύσκολο να ξεχωρίσουν.

Στα ηπειρωτικά Βαλκάνια, τόσο στα ανατολικά όσο και στα δυτικά[424], επικρατεί κυρίως η ραβδωτή διακόσμηση ως αυτοτελής ή ως συμπληρωματικός τρόπος διακόσμησης της σταμπωτής και της εγχάρακτης κεραμικής[425].

Τη γραμμική αυλακωτή κεραμική, όπως την ξέρουμε από τη Θάσο και την Τροία VIIb2, πλησιάζει περισσότερο η χαρακτή διακόσμηση των αγγείων της φάσης I της ομάδας Babadag[426]. Οι συγγένειες της ομάδας Babadag I με την Τροία VIIb2, που επεκτείνονται και σε άλλες κατηγορίες κεραμικής, οδήγησαν την Sandars να υποθέσει μια θαλάσσια επικοινωνία των δύο περιοχών[427].

Πριν ωστόσο προσδιορισθούν τα ειδικά χαρακτηριστικά των ενδιάμεσων πολιτιστικών ομάδων της αιγαιακής και ηπειρωτικής Θράκης, δεν είναι δυνατό να αξιολογηθούν και να ερμηνευθούν οι σχέσεις που διαπιστώνονται στην κεραμική της πρώιμης εποχής του σιδήρου της Τροίας και της Δοβρουτσάς.

Στο χάρτη του Σχεδίου 139 απεικονίζεται η διάδοση της κεραμικής με την αυλακωτή διακόσμηση (χωρίς να γίνεται διάκριση ανάμεσα στις κατηγορίες I, 3 και I, 4) στο χώρο της Μακεδονίας και της Θράκης. Η εικόνα είναι ακόμη αποσπασματική και θα συμπληρωθεί με την επέκταση της έρευνας, αλλά ενδεικτική για να προσδιορίσει μια διάδοση της αυλακωτής κεραμικής στο χώρο της δυτικής Θράκης, σε μεγαλύτερο ποσοστό από ό,τι στη Μακεδονία. Αν το ποσοστό αυτό είναι τυχαίο, αυτό μόνο με τη συνέχεια της έρευνας μπορεί να εξακριβωθεί.

ΚΕΝΤΡΙΚΗ ΜΑΚΕΔΟΝΙΑ

Στρωματογραφημένη κεραμική, με αυλακωτή, γραμμική ή ραβδωτή διακόσμηση, έχουμε από τις εξής θέσεις της κεντρικής Μακεδονίας:

1. Άσσηρος, θέση Τούμπα (πρβλ. Χάρτη Σ χ έ δ. 128, αριθ. 5)

Βιβλιογραφία

Πρβλ. παραπάνω, 469.

Από την Άσσηρο έχουμε αυλακωτή κεραμική και των δύο κατηγοριών: I, 3 και I, 4. Η εμφάνισή τους είναι σύγχρονη στη φάση 2 και συμπίπτει με μια νέα αρχιτεκτονική φάση του οικισμού, που διαφοροποιείται από τις κτιριακές φάσεις της ύστερης εποχής του χαλκού. Η πρώιμη εποχή του σιδήρου, σύμφωνα με τις πληροφορίες του ανασκαφέα, αρχίζει ήδη με τη φάση 3, στην οποία ωστόσο δε σημειώνεται κανένα παράδειγμα αυλακωτής κεραμικής. Η αρχή της φάσης 3 ακολουθεί τα τελευταία παραδείγματα τοπικής μυκηναϊκής κεραμικής ΥΕ ΙΙΙΓ, για τα οποία ο ανασκαφέας υπολογίζει ένα χρόνο επιβίωσης το πολύ ως το 1050 π.Χ. Τα αρχαιότερα, επομένως, παραδείγματα αυλακωτής κεραμικής στον οικισμό της Ασσήρου τοποθετούνται κατά τον ανασκαφέα μετά τα μέσα του 11ου αι. π.Χ., και μάλιστα προς τα τέλη του.

Η γραμμική αυλακωτή διακόσμηση εμφανίζεται σε σχήματα αγγείων που προέρχονται από την παράδοση της πρώιμης εποχής του χαλκού, όπως είναι η οινοχόη, ο αμφορέας,

424. Todorova 1972, 67 κ.ε., Čičicova 1971, 79 κ.ε., Tončeva 1980, 24-42.

425. Hänsel 1976, 113-117. Ο Hänsel επισημαίνει μια προτίμηση της ραβδωτής κεραμικής στα ταφικά αγγεία, χωρίς να είναι και εκείνος βέβαιος ότι ισχύει.

426. Morintz 1964, 101, Morintz - Angelescu 1970, 402, Hänsel 1976, 122-134.

427. Sandars 1971, 22. Η ανάπτυξη των θαλάσσιων επικοινωνιών στις περιοχές αυτές επιβεβαιώνεται από ευρήματα των υποβρύχιων ερευνών στη Μεσημβρία του Εύξεινου (άγκυρες, χάλκινα τάλαντα), Lazarov 1974, 107 κ.ε.

Σχέδ. 139. Διάδοση αυλακωτής, εγχάρακτης και σταμπωτής κεραμικής στην ανατολική Μακεδονία και τη δυτική Θράκη στην πρώιμη εποχή του σιδήρου.

ΥΠΟΜΝΗΜΑ ΣΤΟ ΧΑΡΤΗ (Σ χ έ δ. 139)*

α/α Όνομα θέσης	Βιβλιογραφία
I. ΑΝΑΤΟΛΙΚΗ ΜΑΚΕΔΟΝΙΑ	
1. Καστρί	Βλ. τόμος Α, 18.
2. Μαριές	Βλ. τόμος Α, 23.
3. Παναγιά	Βλ. τόμος Α, 18-19.
4. Λιμένας	Βλ. τόμος Α, 21-22.
5. Παραλία Κάρυανης	Χ. Κουκούλη-Χρυσανθάκη, ΑΔ 37 (1982): Χρονικά, 325-326.
6. Ηιόνα	Χ. Κουκούλη-Χρυσανθάκη, ΑΔ 35 (1980): Χρονικά, 423.
7. Αμφίπολη	Λαζαρίδης 1964, 35 κ.ε.
8. Νέα Φυλή	Αδημοσίευτη κεραμική, Μουσείο Καβάλας.
9. Δράμα (Ξηροπόταμος)	Αδημοσίευτη κεραμική, Μουσείο Καβάλας.
10. Φίλιπποι	Χ. Κουκούλη-Χρυσανθάκη, ΑΔ 35 (1980): Χρονικά, 422.
11. Καβάλα	Δ. Λαζαρίδης ΑΔ (1961/62): Χρονικά, 283. Ιερό Παρθένου.
II. ΑΙΓΑΙΑΚΗ ΘΡΑΚΗ	
12. Χρύσα	Πάντος 1975/76, 20· ΑΔ 31 (1976): Χρονικά, 317.
13. Γοργόνα	Πάντος, 1975/76, 14· Δ. Τριαντάφυλλος, ΑΔ 33 (1978): Χρονικά, 310.
14. Πριόνιο	Πάντος 1975/76, 19.
15. Γλαυκή	Πάντος 1975/76, 14.
16. Φύλλια	Τριαντάφυλλος, 1973/74, 807· ΑΔ 31 (1976): Χρονικά, 313.
17. Σούνιο	Πάντος 1975/76, 19.
18. Πολύανθος-Ίασμος	Μουσείο Κομοτηνής.
19. Γκραβεντέν	Δ. Τριαντάφυλλος, ΑΔ 27 (1972): Χρονικά, 537.
20. Σώστης	Τριαντάφυλλος 1973/74, 819.
21. Υφαντές	Ε. Πεντάζος, ΑΔ 23 (1968), 364.
22. Νυμφαία	Δ. Τριαντάφυλλος, ΑΔ 27 (1972): Χρονικά, 538.
23. Μικρό Δουκάτο	Τριαντάφυλλος 1973/74, 82 κ.ε.
24. Εργάνη	Πεντάζος 1971, 90-93, πίν. 117β· ΠΑΕ 1972, πίν. 63β.
25. Σπήλαιο Μαρώνειας	Πεντάζος 1971, 87.
26. Άγιος Γεώργιος Πετρωτών	Γ. Μπακαλάκης, ΑΔ 17 (1961/62): Χρονικά, 260· Πεντάζος 1971, 93.
27. Μεσημβρία	Βαβρίτσας 1970, 72 κ.ε., πίν. 106γ.
28. Μάκρη	Γ. Μπακαλάκης, ΑΔ 17 (1961/62): Χρονικά, 260· Πάντος 1974, 80, εικ. 7.
29. Στρύμη Ιν Ντερέ	Γ. Μπακαλάκης, ΑΔ 17 (1961/62): Χρονικά, 260.
30. Αρίσβη	Μουσείο Κομοτηνής.
31. Σαρακηνή	Τριαντάφυλλος 1973/74, 794.
32. Σμιγάδα	Ό.π., 797-798, πίν. 586α-β.
33. Μυρτίσκη	Ό.π., 797, πίν. 586γ-ε.
34. Νέα Σάντα	Ό.π., 817.
35. Ιάσιον	Ό.π., 817, πίν. 605.
36. Ρούσσα	Δ. Τριαντάφυλλος, ΑΔ 27 (1972): Χρονικά, 546.
37. Αμμοβούνιο	Μουσείο Κομοτηνής.
38. Ρύζια	Μουσείο Κομοτηνής, ανασκαφή Δ. Τριαντάφυλλου.
39. Αισύμη	Δ. Τριαντάφυλλος, ΑΔ 27 (1972): Χρονικά, 543.
40. Τραϊανούπολις	Αδημοσίευτα, Μουσείο Κομοτηνής.
41. Δορίσκος	Γ. Μπακαλάκης, ΑΔ 17 (1961/62): Χρονικά, 260.

* Από τις θέσεις που σημειώνονται στο χάρτη του Σχεδίου 139, λίγες είναι εκείνες που δίδουν στρωματογραφημένο αρχαιολογικό υλικό.

ο κάνθαρος και το μόνωτο ευρύστομο αγγείο με τη γωνιόσχημη λαβή, που αποτελεί χαρακτηριστικό σχήμα της φάσης ΙΙ των νεκροταφείων της Θάσου[428].

Η ραβδωτή διακόσμηση εμφανίζεται σε γνωστά από το στρώμα καταστροφής της Βαρδαρόφτσας και το στρώμα της φάσης VII του Καστανά σχήματα, όπως είναι το φιαλόσχημο αγγείο με το στριφτό χείλος (turban bowl), καθώς και το δίωτο κανθαρόσχημο αγγείο με το ραβδωτό ώμο[429].

Στην κεραμική της φάσης 2 της Ασσήρου εμφανίζονται και μαστοειδείς αποφύσεις, συνδυασμένες με αυλακωτή ή εγχάρακτη διακόσμηση. Η παρουσία, εξάλλου, της στριφτής λαβής στις οινοχόες της φάσης 3 και της φάσης 2, καθώς και η επιβίωση του ίδιου τύπου λαβής και στη φάση 1, αποτελεί ένα χαρακτηριστικό στοιχείο της επίδρασης της αυλακωτής κεραμικής στην τοπική κεραμική του οικισμού της Ασσήρου στην πρώιμη εποχή του σιδήρου[430].

Η αυλακωτή, οπωσδήποτε, διακόσμηση φαίνεται ότι εξαφανίζεται στην Ασσηρο με το τέλος της φάσης 2, το στρώμα καταστροφής της οποίας χρονολογείται στο 10ο αι. π.Χ. Το στρώμα καταστροφής της φάσης 1 χρονολογείται γύρω στο 750 π.Χ.

2. Αξιοχώρι (Βαρδαρόφτσα) (πρβλ. Χάρτη Σ χ έ δ. 128, αριθ. 52)

Βιβλιογραφία

Πρβλ. παραπάνω, 468.
Desborough 1966, 140 κ.ε.

Αυλακωτή κεραμική εμφανίζεται για πρώτη φορά στη φάση Β της Βαρδαρόφτσας και περιλαμβάνει τοπικές παραλλαγές της μινύειας κεραμικής, που διατηρούνται σποραδικά και στη διάρκεια της φάσης C[431].

Τελείως διαφορετική κατηγορία από την αυλακωτή κεραμική με τη γραμμική διακόσμηση αποτελεί η ραβδωτή κεραμική που εμφανίζεται στο «καμένο στρώμα» του οικισμού, που ο Heurtley χρονολογεί μέσα στην ύστερη εποχή του χαλκού. Πρόκειται για μια κατηγορία κεραμικής ξένης προς τη μακεδονική κεραμική, που ο Heurtley ονομάζει «δουνάβια» και τη σχετίζει με εισβολή φύλων πολιτισμού Lausitz. Τα χαρακτηριστικά σχήματα της κεραμικής αυτής είναι ένα μόνωτο ευρύστομο αγγείο με ραβδωτή διακόσμηση στον ώμο, ένα κανθαρόσχημο αγγείο με ραβδωτή επίσης διακόσμηση στον ώμο και ένα φιαλόσχημο με στριφτό χείλος (turban bowl). Ο Heurtley εντάσσει επίσης στην ίδια κατηγορία και έναν τύπο μόνωτου ακόσμητου αγγείου, καθώς και έναν τύπο άωτου αγγείου με αποφύσεις στον ώμο[432].

Η χρονολόγηση της εμφάνισης και της διάρκειας της ραβδωτής κεραμικής στον οικισμό της Βαρδαρόφτσας δεν είναι με ασφάλεια προσδιορισμένη. Ο ανασκαφέας σημειώνει και μια πιο πρώιμη εμφάνιση της ίδιας κεραμικής στα βαθύτερα στρώματα, χρονολογημένα από τη μυκηναϊκή επείσακτη κεραμική στην ΥΕ ΙΙΙΒ και ΥΕ ΙΙΙΓ περίοδο (βάθη 9,50 και 6,50 μ.), αλλά οπωσδήποτε η ουσιαστική εμφάνιση της κεραμικής αυτής της κατηγορίας είναι περιορισμένη μέσα στο «καμένο στρώμα» της Βαρδαρόφτσας, που καλύπτει ένα πάχος επίχωσης από τα 5,50 ως τα 4 μ. βάθος. Μέσα στο στρώμα αυτό, που κατά τον ανασκαφέα περιέχει ενδείξεις βίαιων καταστροφών, διακρίνονται δύο κτιριακές φάσεις, που δεν απέχουν πολύ χρονικά μεταξύ τους. Η εμφάνιση της ραβδωτής κεραμικής συμπίπτει με τη δεύτερη

428. Wardle 1980, πίν. 22f, εικ. 16, 44.

429. Ό.π., 256-259, πίν. 22f· πρβλ. Hochstetter 1984, 292, που συγχρονίζει τη φάση 2 της Ασσήρου με τη φάση VII του Καστανά (900-700 π.Χ.).

430. Wardle 1980, 260, εικ. 19· πρβλ. και Hochstetter 1984, 292, όπου η φάση 1 τοποθετείται επίσης στη φάση VII του Καστανά.

431. Heurtley - Hutchinson 1925/26, 19, πίν. IXb, 8.

432. Ό.π., 23, πίν. XVIIa και XVIIc, Heurtley 1939, 411-412. Η άποψη για τη συσχέτιση της κεραμικής με εμφάνιση φορέων πολιτισμού Lausitz, που δέχεται και ο Bouzek 1969, δεν είναι πια αποδεκτή, Hänsel 1982, 280.

κτιριακή φάση, που καταλήγει πάλι σ' ένα στρώμα καταστροφής. Η χρονολόγηση, που προτείνει ο ανασκαφέας για όλο το «καμένο στρώμα», καλύπτει το χρονικό διάστημα 1150-1050 π.Χ. και στηρίζεται στη χρονολογία της τοπικής μυκηναϊκής κεραμικής, που τη χρονολογεί ο Heurtley στο τέλος της ΥΕ ΙΙΙΓ φάσης και στην υπομυκηναϊκή περίοδο. Υπολογίζοντας την αρχή της υπομυκηναϊκής φάσης γύρω στα 1100 π.Χ. και το τέλος της στα 1000 π.Χ., τοποθετεί το τέλος του «καμένου στρώματος» γύρω στα 1050 π.Χ., αφήνοντας 50 ακόμη χρόνια για τη συνέχιση της υπομυκηναϊκής κεραμικής, που περιέχεται στο αμέσως επόμενο στρώμα (0,25 μ. πάνω από το στρώμα καταστροφής).

Ο Desborough προσδιόρισε καλύτερα τη λεγόμενη «υπομυκηναϊκή» από τον Heurtley περίοδο ως ΥΕ ΙΙΙΓ προχωρημένη, επεσήμανε ωστόσο ότι όμοια κεραμική βρίσκεται και σε προγενέστερες από το «καμένο στρώμα» φάσεις. Η δεδομένη επιβίωση της τοπικής μυκηναϊκής κεραμικής στη Μακεδονία, και μετά το τέλος της ΥΕ ΙΙΙΓ περιόδου, της στερεί τη δυνατότητα να χρησιμοποιηθεί ως ασφαλής χρονολογική ένδειξη, αλλά η διαδοχή των στρωμάτων οδηγεί τελικά τον Desborough να δεχθεί τη χρονολόγηση των τοπικών μυκηναϊκών, που περιέχονται στο στρώμα καταστροφής, στα χρονολογικά πλαίσια που πρότεινε ο Heurtley, δηλαδή γύρω στα 1050 π.Χ. Η χρονολόγηση, επομένως, της β' κτιριακής φάσης του «καμένου στρώματος» πρέπει να τοποθετηθεί ανάμεσα στα 1100 και 1050 π.Χ., πλησιάζοντας περισσότερο στα 1100 π.Χ., άποψη που υποστήριξαν επίσης οι ερευνητές που συσχέτισαν τη ραβδωτή κεραμική της Βαρδαρόφτσας και του Βάρδινου με την αντίστοιχη κεραμική της κεντρικής Ευρώπης[433]. Μια ακόμη νεότερη χρονολόγηση της αυλακωτής κεραμικής του «καμένου στρώματος» της Βαρδαρόφτσας δε φαίνεται, ωστόσο, να ενισχύεται από τα νέα δεδομένα της στρωματογραφίας του Καστανά. Η Hochstetter[434] σχετίζει χρονολογικά το «καμένο στρώμα» της Βαρδαρόφτσας με το στρώμα 12 του Καστανά, στο οποίο για πρώτη φορά σημειώνεται η δυναμική παρουσία της ραβδωτής κεραμικής. Η απουσία, ωστόσο, χαρακτηριστικών σχημάτων αγγείων της πρώιμης εποχής του σιδήρου από το «καμένο στρώμα» της Βαρδαρόφτσας, όπως της πρόχου με τη λοξότμητη βαθμιδωτή προχοή ή του φιαλόσχημου αγγείου με τις οριζόντιες λαβές, αποκλείει τη χρονολογική συσχέτιση του «καμένου στρώματος» με τα στρώματα 10-9 του Καστανά, τα οποία χαρακτηρίζονται κυρίως και από τα υψηλότερα ποσοστά της ραβδωτής κεραμικής, σε σχέση με τις προηγούμενες και τις επόμενες φάσεις. Η συσχέτιση του «καμένου στρώματος» της Βαρδαρόφτσας με τη φάση VI του Καστανά κρατά τη χρονολόγηση της ραβδωτής κεραμικής του στρώματος στα μέσα του 11ου αι. π.Χ. και δε φαίνεται να στηρίζει την άποψη του Wardle για μια ακόμη νεότερη χρονολόγηση της κεραμικής αυτής της κατηγορίας στη Μακεδονία γύρω στα 1000 π.Χ.[435]. Πριν από την τελική δημοσίευση των ανασκαφών της Ασσήρου, δεν είναι βέβαια δυνατό να συνδυασθούν τα στρωματογραφικά δεδομένα των οικισμών Καστανά και Ασσήρου, αλλά οπωσδήποτε μετά την επισήμανση των νεότερων στοιχείων της φάσης ΙΙ Mediana, που προκύπτουν από τη στρωματογραφία του Καστανά[436], η σποραδική εμφάνιση της ραβδωτής κεραμικής στη Μακεδονία ήδη από το τέλος της ύστερης εποχής του χαλκού, όπως επισημαίνει ο Heurtley στη Βαρδαρόφτσα, επιβεβαιώνεται και από τη στρωματογραφία του Καστανά.

Απροσδιόριστα παραμένουν και τα κάτω χρονολογικά όρια της ραβδωτής κεραμικής

433. Ο Milojčić 1948, 24 κ.ε., προτείνει το 1200 π.Χ., ο Snodgrass 1971, 322-323, το β' μισό του 12ου αι. π.Χ.

434. Garašanin 1969, 88-89, Stefanovich 1973, 156. Για νεότερες χρονολογήσεις της ομάδας Mediana, πρβλ. και Tončeva 1980, Panayotov 1975, 26-27, καθώς και Hochstetter 1984, 352.

435. Ήδη ο Müller-Karpe 1959, 123, είχε προβληματισθεί για μια νεότερη χρονολόγηση του στρώματος καταστροφής της Βαρδαρόφτσας. Πρβλ. Ανδρόνικος 1969, 190, Stefanovich 1973, 148 κ.ε., Hänsel 1976, 86. Η Hochstetter 1984, 274, σχετίζει το «καμένο στρώμα» της Βαρδαρόφτσας με την καταστροφή του στρώματος 12 του Καστανά (Καστανάς V), στο οποίο εμφανίζονται τα πρώτα πρωτογεωμετρικά.

436. Wardle 1980, 262. Από τη στρωματογραφία, ωστόσο, του Καστανά προκύπτει ότι τα αγγεία με τη ραβδωτή διακόσμηση του «καμένου στρώματος» της Βαρδαρόφτσας πλησιάζουν περισσότερο στα αντίστοιχα αγγεία του στρώματος 12-11 του Καστανά (Καστανάς V) και όχι στα νεότερα των στρωμάτων 10-9 (Καστανάς VI), Hochstetter 1984, 282.

στη στρωματογραφία της Βαρδαρόφτσας, αφού το επόμενο στρώμα D εμφανίζει μια μεγάλη χρονική διάρκεια, από τα 1050 ως τα 600 π.Χ., χωρίς αντίστοιχες στρωματογραφικές διακρίσεις του υλικού[437]. Σύμφωνα με τον ανασκαφέα, ωστόσο, η ραβδωτή κεραμική φαίνεται ότι δεν υπάρχει στη φάση D, αλλά είναι φανερή η επίδρασή της στη διαμόρφωση ορισμένων χαρακτηριστικών της τοπικής μακεδονικής κεραμικής της πρώιμης εποχής του σιδήρου, όπως είναι η στριφτή λαβή στις οινοχόες με την οπισθότμητη προχοή και το στριφτό χείλος, σε έναν ορισμένο τύπο φιαλόσχημου αγγείου (turban bowl).

3. Λιμνότοπος (Βάρδινο) (πρβλ. Χάρτη Σ χ έ δ. 128, αριθ. 53)

Βιβλιογραφία

Πρβλ. παραπάνω, 472
Desborough 1966, 142.

Στον οικισμό του Βάρδινου, η κεραμική με την αυλακωτή διακόσμηση, που εμφανίζεται στο στρώμα ΙΙΒ μαζί με ΥΕ ΙΙΙΓ μυκηναϊκή κεραμική και την αμαυρόχρωμη κεραμική (matt painted), σχετίζεται περισσότερο με επιβιώσεις της τοπικής μινύειας κεραμικής, που τις βρίσκουμε και σε άλλους οικισμούς της κεντρικής Μακεδονίας. Η παρουσία μιας χάλκινης βιολόσχημης πόρπης του τύπου Peschiera, που παρουσιάζει πολλές ομοιότητες με αντίστοιχη πόρπη από τον τάφο 108 του Κεραμεικού, χρονολογεί το στρώμα αυτό στην ΥΕ ΙΙΙΓ2 περίοδο[438].

Η ραβδωτή, ωστόσο, κεραμική με τα χαρακτηριστικά σχήματα του φιαλόσχημου αγγείου (turban bowl), του κανθαρόσχημου και του μόνωτου με τη ραβδωτή διακόσμηση στον ώμο, εμφανίζεται στο επόμενο στρώμα ΙΙΙΓ, που είναι ένα επίσης «καμένο στρώμα», αντίστοιχο της Βαρδαρόφτσας. Επειδή η χάλκινη πόρπη βρέθηκε, σύμφωνα με τις πληροφορίες του ανασκαφέα, στην άνω επιφάνεια του προηγουμένου στρώματος, η χρονολογία της ραβδωτής κεραμικής του στρώματος ΙΙΓ δεν πρέπει να απέχει πολύ από την ΥΕ ΙΙΙΓ2 φάση και, οπωσδήποτε, παραμένει μέσα στον 11ο αι. π.Χ. και στα χρονολογικά πλαίσια της περιόδου Ha A2.

4. Βεργίνα

Βιβλιογραφία

1. Ανδρόνικος 1969.
2. Πέτσας 1961/62, 218 κ.ε.· 1963, 216 κ.ε.
3. W. Radt, Die früheisenzeitliche Hügelnekropole bei Vergina in Makedonien, Prähistorische Bronzefunde XX, I (1972), 8-166.
4. Kilian 1973, 580.
5. Kilian 1975, 65-74.

Στο νεκροταφείο της Βεργίνας εμφανίζεται μόνο ραβδωτή κεραμική και αυτή σ' ένα πολύ χαμηλό ποσοστό. Πρωτοεμφανίζεται μαζί με τις μεγάλες χάλκινες τοξωτές πόρπες στη φάση ΙΙ, όπου δεν επιβιώνουν πια παραδείγματα τοπικής μυκηναϊκής κεραμικής, και επιβιώνει με αραιά παραδείγματα στη φάση ΙΙΑ[439]. Ο ανασκαφέας τόνισε τη μεμονωμένη παρουσία τους στο νεκροταφείο και προσπάθησε να τα σχετίσει με την ηπειρωτική βαλκανική αυλακω-

437. Heurtley - Hutchinson 1925/26, 25-31, Heurtley 1927, 47, εικ. 3. Κατά την Hochstetter 1984, 282, η τέλεια απουσία της αυλακωτής κεραμικής, που σημειώνεται στη φάση D της Βαρδαρόφτσας, που διαδέχεται το «καμένο στρώμα», δεν πρέπει να ισχύσει ως χρονολογικό κριτήριο για να θεωρηθεί σύγχρονο το «καμένο στρώμα» με τη φάση VI του Καστανά, μετά την οποία αραιώνει αισθητά η αυλακωτή κεραμική, αλλά να αποδοθεί στη μικρή εν γένει ποσότητα κεραμικής, που έχει μελετηθεί και δημοσιευθεί από την ανασκαφή της Βαρδαρόφτσας.

438. Stefanovich 1973, 151, Hochstetter 1984, 285, όπου το στρώμα ΙΙC του Βάρδινου προτείνεται ως σύγχρονο της φάσης VI του Καστανά.

439. Kilian 1973, 580-585, Kilian 1975, 65-74. Τα ραβδωτά, ωστόσο, αγγεία της Βεργίνας εμφανίζουν αντιστοιχίες με τη ραβδωτή κεραμική της φάσης VI του Καστανά, Hochstetter 1984, 188, εικ. 51.

τή κεραμική[440]. Τα χαρακτηριστικά σχήματα είναι τα γνωστά και από άλλους οικισμούς της κεντρικής Μακεδονίας, δηλαδή το φιαλόσχημο αγγείο με το εισέχον χείλος (turban bowl), το μόνωτο με το οριζόντιο χείλος και τη ραβδωτή διακόσμηση στον ώμο, και τα κανθαρόσχημα με το ραβδωτό ώμο. Τα τελευταία αντιπροσωπεύονται και με το μεγαλύτερο αριθμό.

5. Καστανάς (πρβλ. Χάρτη Σ χ έ δ. 128, αριθ. 15)

Βιβλιογραφία

Πρβλ. παραπάνω, 471.
Hänsel 1981, 207-223.

Την αρχαιότερη αυλακωτή κεραμική αντιπροσωπεύει στον οικισμό του Καστανά η τοπική μινύεια κεραμική, που εμφανίζεται στα πρωιμότερα στρώματα της ύστερης εποχής του χαλκού (στρώμα 19).

Με την κεραμική αυτή, οπωσδήποτε, δεν έχει καμιά σχέση η ραβδωτή κεραμική που εμφανίζεται στα προχωρημένα στρώματα της ύστερης εποχής του χαλκού. Από την αρχή της φάσης V (στρώμα 13) εμφανίζεται με σποραδικά θραύσματα η ραβδωτή κεραμική. Τα σχήματα των αγγείων που ξεχωρίζουν σ' αυτή τη φάση είναι ένα δίωτο φιαλόσχημο αγγείο με κατακόρυφες λαβές στον ώμο και χείλος που κάμπτεται προς τα έξω, καθώς και ένα μόνωτο ευρύστομο αγγείο[441].

Η δυναμική, ωστόσο, εμφάνιση της κεραμικής αυτής της κατηγορίας πραγματοποιείται στη φάση VI του Καστανά (στρώματα 10-9), στη διάρκεια της οποίας σημειώνονται και άλλες αλλαγές στην οικιστική και πολιτιστική φυσιογνωμία του οικισμού. Στη θέση των πλινθόκτιστων κτισμάτων των προηγούμενων φάσεων εμφανίζονται πασσαλόπηκτα κτίσματα, ενώ παράλληλες αλλαγές σημειώνονται και στη γεωργία και την κτηνοτροφία του οικισμού.

Η παρέμβλητη αυτή στην πολιτιστική συνέχεια του οικισμού περίοδος, που χρονολογείται μετά την εμφάνιση πρωτογεωμετρικής κεραμικής στον Καστανά, τελειώνει με το στρώμα 9. Στη διάρκεια αυτής της φάσης (VI), η ραβδωτή κεραμική εμφανίζεται με ποσοστά που φθάνουν ως το 15%, και με νέα σχήματα αγγείων. Εκτός από τα γνωστά από τη φάση IV σχήματα, εμφανίζονται νέες παραλλαγές του μόνωτου ευρύστομου αγγείου, το φιαλόσχημο αγγείο με το στριφτό χείλος (turban bowl), ο δίωτος κάνθαρος, καθώς και ένας αμφορέας τύπου Urn, που ανάγεται σε σχήματα γνωστά από την κεντρική Ευρώπη της περιόδου Ha A-B[442]. Ο κάνθαρος, σύμφωνα με τη στρωματογραφία της Hochstetter, εμφανίζεται μόνο στην αρχή της φάσης VII (στρώμα 8), αλλά δεν αποκλείεται και μια πρωιμότερη εμφάνισή του, γιατί η αναπαράσταση των σχημάτων στηρίζεται σε θραύσματα. Χαρακτηριστική είναι η εμφάνιση λοξών πάντα ραβδώσεων στους ώμους των αγγείων του Καστανά, καθώς και ο συνδυασμός των ραβδώσεων με αποφύσεις στον ώμο και αυλακώσεις στο λαιμό των αγγείων. Στην επόμενη φάση VII, τα ποσοστά της ραβδωτής κεραμικής μειώνονται σταδιακά, ώσπου στο τέλος εξαφανίζονται από τον οικισμό, αφήνοντας ίχνη της επίδρασής της μόνο στις στριφτές λαβές των αγγείων της τοπικής κεραμικής.

Η Hochstetter συγχρονίζει το «καμένο στρώμα» της Βαρδαρόφτσας με το στρώμα 12 του Καστανά, αλλά η εμφάνιση της ραβδωτής «δουνάβιας», όπως τη χαρακτήρισε ο Heurtley, κεραμικής πριν από το στρώμα καταστροφής της Βαρδαρόφτσας και πριν από τις πολιτιστικές αλλαγές, που σημειώνονται στη φάση VI του Καστανά, δεν καταργεί τη συσχέτιση της ραβδωτής κεραμικής με τις τελευταίες φάσεις της ύστερης εποχής του χαλκού και δεν οριοθετεί ένα συγκεκριμένο χρονολογικό όριο για την εμφάνισή της στη Μακεδονία. Η συσχέτιση, ωστόσο, του στρώματος καταστροφής της Βαρδαρόφτσας με το στρώμα 12 του Καστα-

440. Ανδρόνικος 1969, 185-190.

441. Hänsel 1979α, 192. Πρβλ. και Hochstetter 1984, 190, πίν. 51.

442. Hänsel 1976, πίν. III, 23-25, Hochstetter 1984, πίν. 119, 9-10 (στρώμα 10). Το ίδιο σχήμα αγγείου επιβιώνει και στο στρώμα 6 του Καστανά, ό.π., πίν. 196, 3.

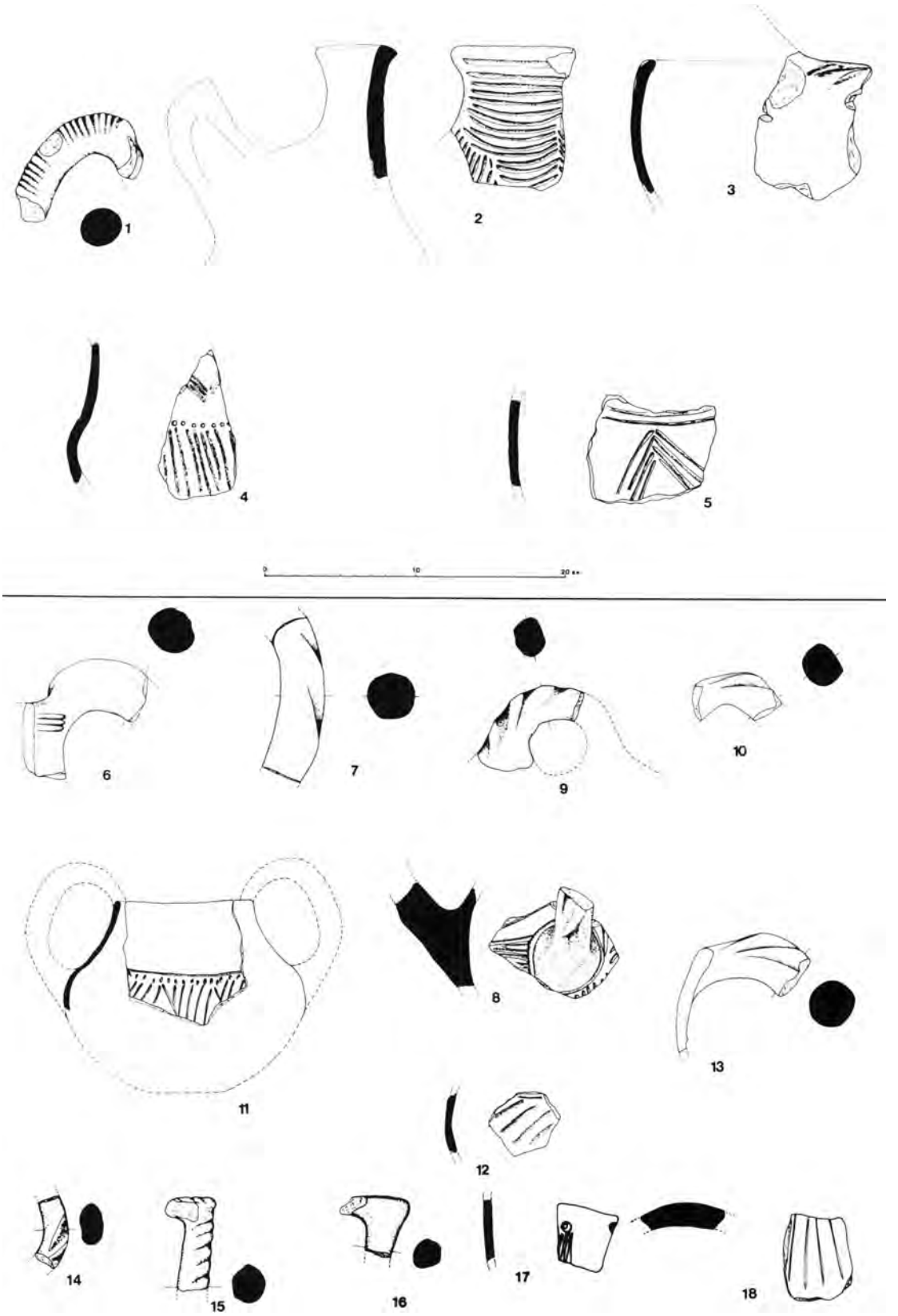

Σχέδ. 140. Αυλακωτή κεραμική ακρόπολης αρχαίας Ηιόνας (1-5) και διαφόρων θέσεων της ανατολικής Μακεδονίας (6-18).

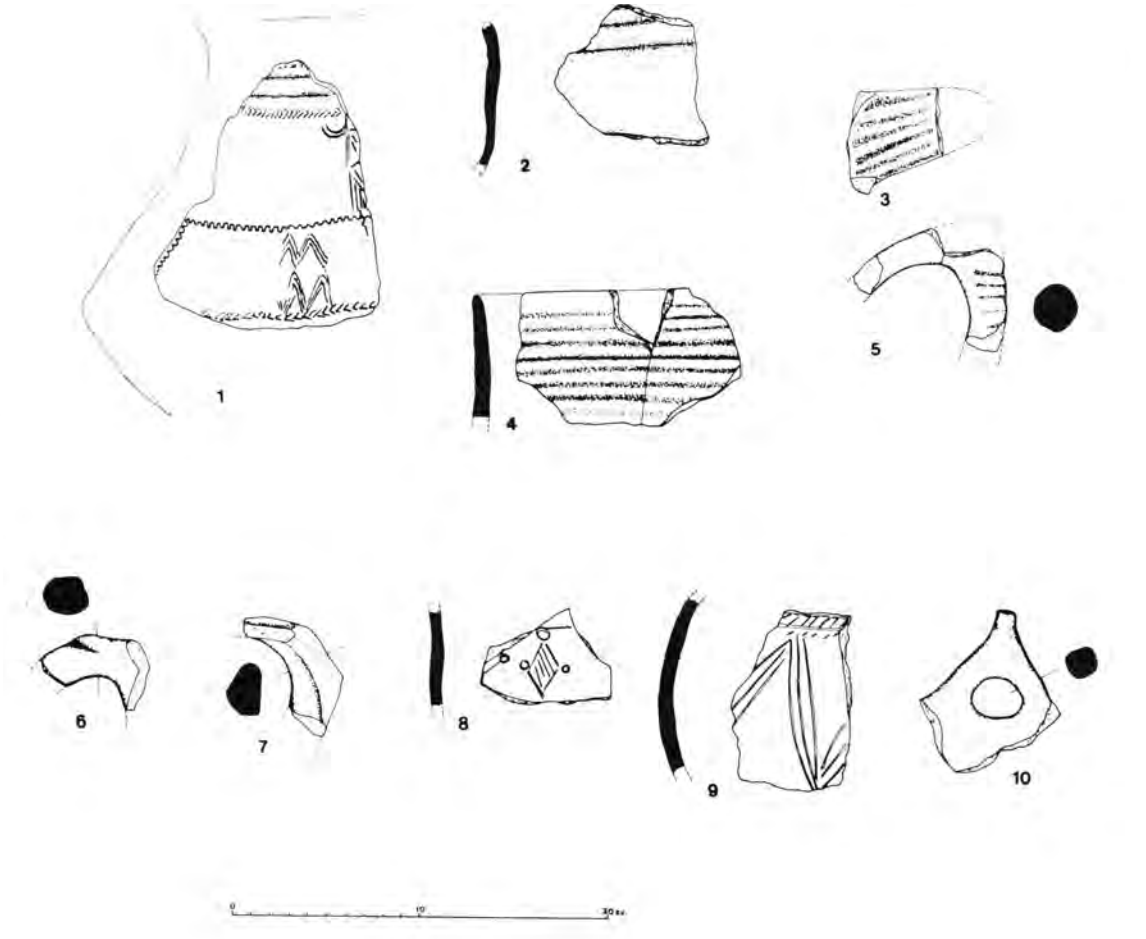

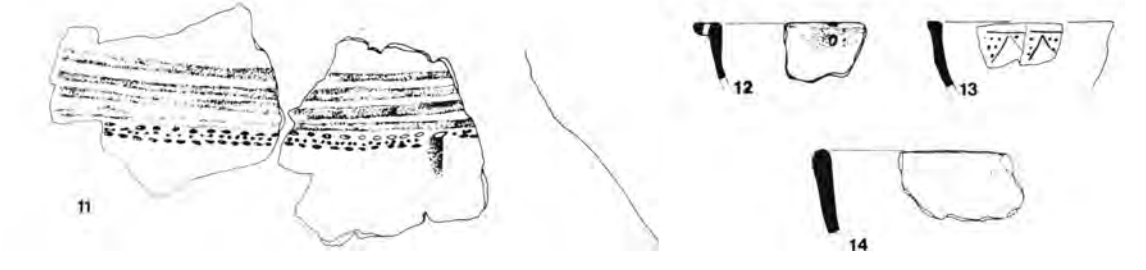

Σχέδ. 141. Αυλακωτή και σταμπωτή κεραμική Λόφου 133 Αμφίπολης (1-10) και αυλακωτή και εγχάρακτη κεραμική περιοχής Δράμας (11-14).

νά, και η δυναμική εμφάνιση της ραβδωτής κεραμικής στα στρώματα 10-9 του Καστανά, τοποθετούν μια σύντομη επικράτηση κεντροευρωπαϊκών πολιτιστικών στοιχείων στον Καστανά, μετά την εισαγωγή των πρωτογεωμετρικών, σε μια χρονολογία που πλησιάζει περισσότερο στα 1000 παρά στα 1100 π.Χ.[443].

Παρατηρήσεις στην αυλακωτή κεραμική κεντρικής Μακεδονίας

Συνοψίζοντας τα στοιχεία που έχουμε για την κεραμική με την αυλακωτή διακόσμηση — γραμμική και ραβδωτή — στην κεντρική Μακεδονία, μπορούμε να επισημάνουμε τα εξής:

1. Ως την αρχή της ύστερης εποχής του χαλκού επιβιώνει ακόμη σε ορισμένους οικισμούς της Χαλκιδικής, αλλά και στο εσωτερικό της Μακεδονίας, η τοπική χειροποίητη «μινύεια» κεραμική, η οποία εμφανίζει και γραμμική αυλακωτή διακόσμηση συνδυασμένη με αποφύσεις. Τα σχήματα της κεραμικής αυτής της κατηγορίας δεν είναι καλά προσδιορισμένα, ξεχωρίζει όμως ένα δίωτο κανθαρόσχημο αγγείο, που εμφανίζεται ως τις πρώιμες φάσεις της ύστερης εποχής του χαλκού (Καστανάς, στρώμα 19, Άγιος Μάμας Χαλκιδικής)[444].

2. Τελείως διαφορετική είναι η ραβδωτή κεραμική, η οποία εμφανίζεται σποραδικά ήδη από τα χρονολογημένα με ΥΕ ΙΙΙΓ κεραμική στρώματα των οικισμών του Καστανά και της Βαρδαρόφτσας, και της οποίας ωστόσο η δυναμική παρουσία συμπίπτει με το τέλος της ύστερης εποχής του χαλκού της Μακεδονίας και την εμφάνιση των πρώτων πρωτογεωμετρικών αγγείων (φάση VI - στρώματα 10 και 9 του Καστανά)[445]. Τα βασικά σχήματά της, έτσι όπως έχουν προσδιορισθεί από τα ευρήματα των ανασκαφών των οικισμών της κοιλάδας του Αξιού (Καστανά, Βαρδαρόφτσας, Βάρδινου), του οικισμού της Ασσήρου και του νεκροταφείου της Βεργίνας, είναι:

Φιαλόσχημο αγγείο με στριφτό χείλος (turban bowl) (Σ χ έ δ. 143Α: 1)

Μόνωτο ευρύστομο αγγείο, με οριζόντιο συχνά χείλος και ραβδωτό ώμο (Σ χ έ δ. 143Α: 2)

Βαθύ ευρύστομο φιαλόσχημο αγγείο, με κατακόρυφες λαβές στον ώμο κάτω από το χείλος και ραβδωτή διακόσμηση στον ώμο από λοξές ραβδώσεις (Σ χ έ δ. 143Α: 3)

Δίωτο κανθαρόσχημο αγγείο με ραβδωτό ώμο (Σ χ έ δ. 143Α: 4γ)· μια παραλλαγή του κανθαρόσχημου αγγείου εμφανίζει στενότερο λαιμό και ραβδωτές λαβές (Σ χ έ δ. 143Α: 4γ).

Οινοχόη με οπισθότμητη προχοή (Σ χ έ δ. 143Α: 7)

Ευρύστομο αγγείο-τύπου αμφορέα (;) με οριζόντια στριφτή λαβή στον ώμο (Σ χ έ δ. 143Α: 5)

Αγγείο με ψηλό κωνικό λαιμό, με ραβδώσεις στο λαιμό και τον ώμο (Σ χ έ δ. 143Α: 6).

Η διάρκεια της ραβδωτής κεραμικής στην πρώιμη εποχή του σιδήρου της Μακεδονίας δεν είναι ακόμη καλά προσδιορισμένη, φαίνεται όμως ότι δεν επιβιώνει στις προχωρημένες φάσεις της πρώιμης εποχής του σιδήρου. Στον Καστανά, μετά από μια αρκετά δυναμική εμφάνιση στη φάση VI (15% του συνολικού ποσοστού της χειροποίητης κεραμικής), αρχίζει με τη φάση VII να αραιώνει και στη φάση VIII έχει πια εξαφανισθεί. Στη φάση D της Βαρδαρόφτσας, στη φάση 1 της Ασσήρου και στις μετά τη φάση II φάσεις του νεκροταφείου της Βεργίνας έχει επίσης εξαφανισθεί, αφήνοντας, όπως και στις προχωρημένες φάσεις του Καστανά, τις επιδράσεις της μόνο στο στριφτό χείλος των φιαλόσχημων αγγείων και στη στριφτή λαβή της οπισθότμητης μακεδονικής οινοχόης.

Η καταγωγή της ραβδωτής κεραμικής της κεντρικής Μακεδονίας αναζητήθηκε αρχικά

443. Wardle 1980, 262-263, Hochstetter 1984, 281-283.

444. Heurtley - Hutchinson 1925/26, 19, πίν. IX, 5-8, αυλακωτή κεραμική με γραμμικά θέματα και αποφύσεις της περιόδου Β του Heurtley σε στρώματα ύστερης εποχής του χαλκού της Βαρδαρόφτσας. Πρβλ. αντίστοιχη κεραμική στον Άγιο Μάμα στο τέλος της μέσης εποχής του χαλκού και στην αρχή της ύστερης, Heurtley 1939, 92, εικ. 95. Η στρωματογραφική θέση της κεραμικής αυτού του τύπου (patterned Minyan) στους παραπάνω οικισμούς δεν είναι βέβαια ασφαλής. Για τα δίωτα κανθαρόσχημα αγγεία, που χαρακτηρίζονται ως τοπικά μινύεια, πρβλ. Heurtley 1939, 92, αριθ. 383-384 (Άγιος Μάμας), Hochstetter 1984, πίν. 2, 10 (Καστανάς III).

445. Heurtley - Hutchinson 1925/26, 23, Heurtley 1939, εικ. 87, Hänsel 1981. Αντίστοιχη είναι η εικόνα της εξάπλωσης της αυλακωτής κεραμικής στη νότια Ιταλία. Στο Porto Perone π.χ. αυλακωτή κεραμική πρωτοεμφανίζεται μαζί με πρώιμη ΥΕ ΙΙΙΓ κεραμική. Πρβλ. F.G. Lo Porto, Notizie degli Scavi VII (1963), 280-380.

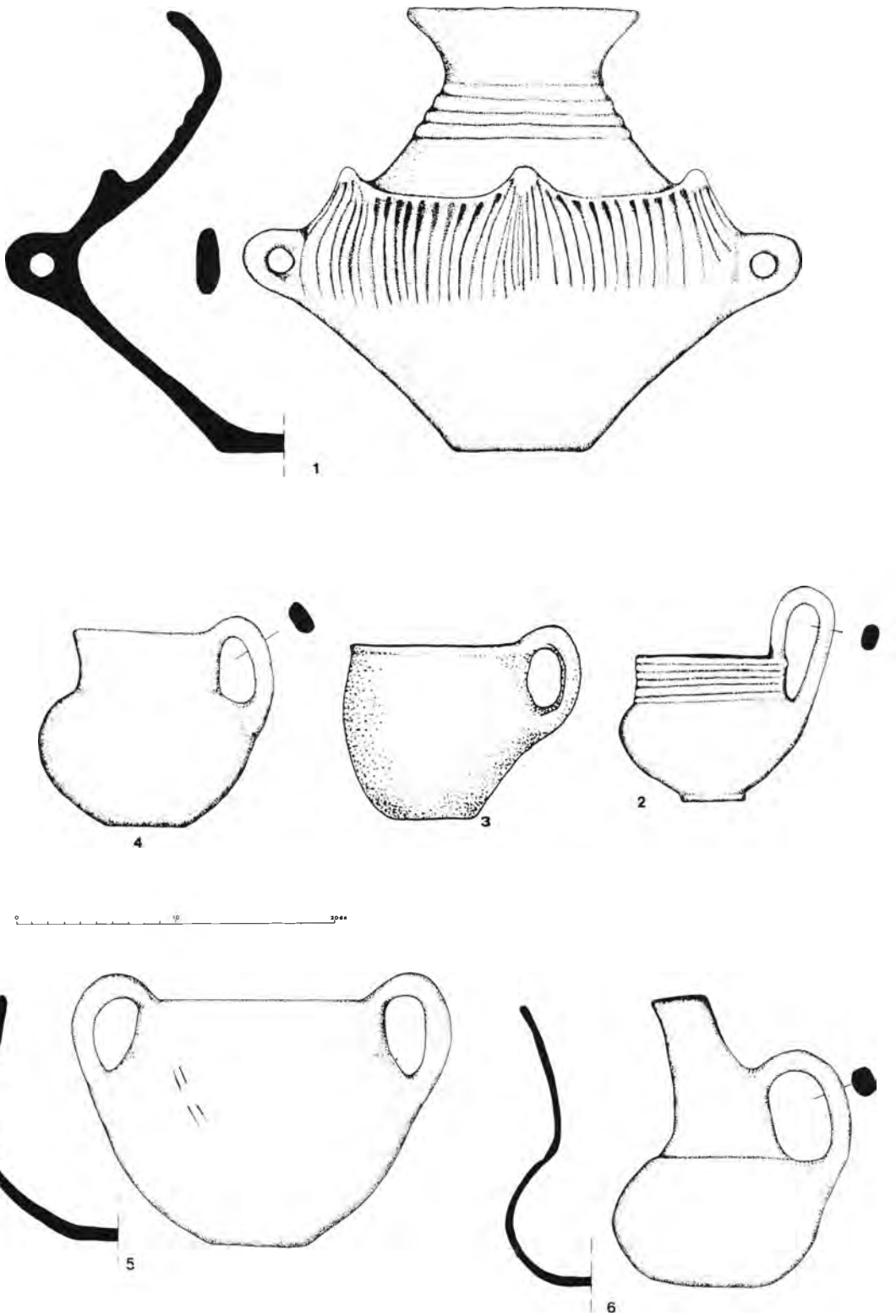

Σχέδ. 142. Αυλακωτή (1) και ακόσμητη κεραμική (2-6) νεκροταφείου Καστά Αμφίπολης.

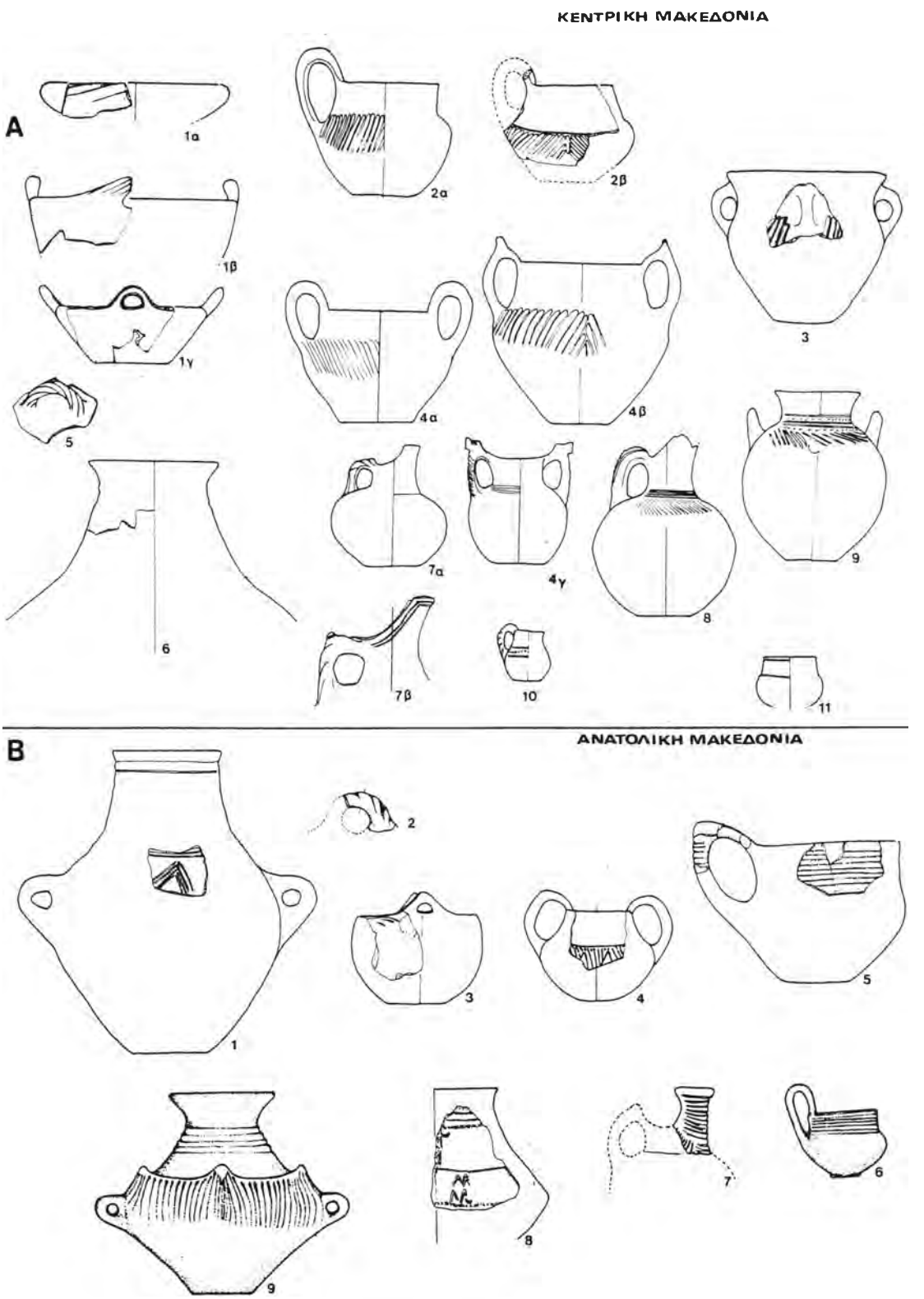

Σχέδ. 143. Τυπολογία σχημάτων αυλακωτής κεραμικής κεντρικής και ανατολικής Μακεδονίας.

στην κεντρική Ευρώπη και τα τελευταία χρόνια, μετά τον εντοπισμό της ομάδας Mediana στη Σερβία, προτάθηκαν τα δυτικά Βαλκάνια ως τόπος καταγωγής της ραβδωτής κεραμικής της κοιλάδας του Αξιού και η κοιλάδα του Μοράβα ως ο φυσικός δρόμος εξάπλωσης της κεραμικής αυτής από το βορρά προς το νότο.

Η ανεύρεση μιας σημαντικής ποσότητας από την κεραμική αυτής της κατηγορίας στον Καστανά έδωσε τη δυνατότητα στον Hänsel[446] να αμφισβητήσει μια άμεση εξάρτηση της ραβδωτής κεραμικής της κεντρικής Μακεδονίας από την ομάδα Mediana, η αυλακωτή κεραμική της οποίας δεν είναι απόλυτα βέβαιο ότι είναι οπωσδήποτε πρωιμότερη από τα πρωιμότερα παραδείγματα της αυλακωτής κεραμικής του Καστανά ή της Βαρδαρόφτσας[447].

Τα ανασκαφικά δεδομένα του Καστανά δεν αποκλείουν τη βόρεια καταγωγή της κεραμικής αυτής, η διάδοση της οποίας στη φάση VI του Καστανά συνοδεύεται και από αλλαγές στην πολιτιστική φυσιογνωμία του οικισμού. Δεν μπορούν όμως να προσδιορίσουν μια συγκεκριμένη περιοχή, από την οποία θα ήταν δυνατό να κατάγεται η κεραμική αυτής της κατηγορίας, που είναι ξένη με την τοπική μακεδονική παράδοση, αλλά γρήγορα απορροφήθηκε από αυτήν.

3. Η παρουσία της τοπικής κεραμικής παράδοσης στη Μακεδονία παρέμεινε, ωστόσο, ισχυρή και στην περίοδο της δυναμικής εμφάνισης της αυλακωτής κεραμικής. Στην Άσσηρο, που πρέπει να βρίσκεται στην περιφερειακή ζώνη επίδρασης της αυλακωτής κεραμικής, η οποία πιθανότατα διαμορφώνει κάποιο κέντρο στην κοιλάδα του Αξιού για ένα σύντομο χρονικό διάστημα, εμφανίζεται με την αρχή της πρώιμης εποχής του σιδήρου (φάση 2) ραβδωτή κεραμική, αντίστοιχη με την κεραμική της φάσης VI του Καστανά (turban bowl, κανθαρόσχημο αγγείο με ραβδωτές λαβές). Παράλληλα, όμως, με τα σχήματα αυτά εμφανίζονται και σχήματα της τοπικής μακεδονικής κεραμικής (οινοχόες, αμφορείς), που διακοσμούνται με γραμμική αυλακωτή διακόσμηση. Τα αγγεία αυτά αποτελούν την τοπική απάντηση της μακεδονικής κεραμικής στις επιδράσεις της αυλακωτής κεραμικής (Σ χ έ δ. 143Α).

Στην Άσσηρο, επίσης, πρέπει να σημειώσουμε την παρουσία του μόνωτου ευρύστομου αγγείου, με τη χαρακτηριστική γωνιόσχημη λαβή και τη γραμμική αυλακωτή διακόσμηση, που είναι γνωστό από τα νεκροταφεία της Θάσου (Σ χ έ δ. 143Α: 10-11). Στο σχήμα αυτό του αγγείου και αυτού του τύπου, η γραμμική αυλακωτή διακόσμηση λείπει τελείως από την αυλακωτή κεραμική της κεντρικής Μακεδονίας και προσεγγίζει την κεραμική της Ασσήρου και στην ανατολική ομάδα της αυλακωτής κεραμικής.

ΑΝΑΤΟΛΙΚΗ ΜΑΚΕΔΟΝΙΑ

Η παρουσία της αυλακωτής κεραμικής στην ανατολική Μακεδονία είναι πολύ σποραδική. Μια πρώτη ερμηνεία για τη σπανιότητα της κεραμικής αυτής της κατηγορίας, που στη γειτονική Θράκη και στη Θάσο εμφανίζει μεγάλη διάδοση, είναι το κενό της έρευνας. Φαίνεται ότι οι οικισμοί της πρώιμης εποχής του σιδήρου στην ανατολική Μακεδονία έχουν μετατοπισθεί σε οχυρές θέσεις, που ή δεν έχουν ακόμη ερευνηθεί ή καλύπτονται, όπως αρχίζει να διαπιστώνεται, από επιχώσεις ιστορικών χρόνων και είναι δύσκολο να εντοπισθούν χωρίς ανασκαφές. Χαρακτηριστικά παραδείγματα για την τελευταία περίπτωση αποτελούν οι οικισμοί της ακρόπολης των Φιλίππων[448] (Σ χ έ δ. 140: 16), της ακρόπολης της αρχαίας

446. Hänsel 1981, 207 κ.ε., όπου και η προηγούμενη βιβλιογραφία για τη συσχέτιση της ραβδωτής κεραμικής της κοιλάδας του Αξιού με τον πολιτισμό Lausitz (Heurtley) και την κεντρική Ευρώπη (Bouzek).

447. Hochstetter 1984, 352.

448. Για ίχνη οικισμού αρχαιότερου από τη θασιακή αποικία Κρηνίδες του 4ου αι. π.Χ., στην ακρόπολη των Φιλίππων, πρβλ. Höckmann 1969/70, 145 κ.ε., ο οποίος χρονολογεί τα χαράγματα γύρω στο 500 π.Χ. Η εμφάνισή τους, μαζί και τα ελάχιστα δείγματα κεραμικής πρώιμης εποχής του σιδήρου, αποτελούν τις πρώτες αρχαιολογικές ενδείξεις για την ύπαρξη μιας προελληνικής ακρόπολης στον οχυρό λόφο. Η ακρόπολη αυτή θα μπορούσε να σχετισθεί με το προελληνικό τοπωνύμιο Δάτον, το οποίο συχνότατα στις αρχαίες πηγές σχετίζεται με τους Φιλίππους,

Ηιόνας[449] (Σ χ έ δ. 140), του οχυρού Λόφου 133 (Σ χ έ δ. 141)[450] κοντά στην Αμφίπολη (Ενέα Οδοί;), του γειτονικού στην ακρόπολη της αρχαίας Γαληψού λόφου[451] (Σ χ έ δ. 140: 6-8), ή του αρχαίου οικισμού κοντά στην Ελευθερούπολη[452] (Σ χ έ δ. 140: 9-10), όπου ανάμεσα στην επιφανειακή κεραμική, μαζί με τροχήλατη κεραμική ιστορικών χρόνων, εμφανίζονται και σποραδικά παραδείγματα αυλακωτής κεραμικής. Τα παραδείγματα επίσης της αυλακωτής κεραμικής, που έχουμε από το Ιερό της Παρθένου[453], είναι λίγα ακόμη και αμφισβητούμενα χρονολογικά, αλλά βέβαιη είναι η παρουσία αυλακωτής κεραμικής σε μικρούς ορεινούς οικισμούς της πρώιμης εποχής του σιδήρου στο Παγγαίο[454] (Σ χ έ δ. 140: 10-13), ακόμη και σε ημιορεινές θέσεις του νομού Δράμας[455] (Σ χ έ δ. 140: 14).

Η μετατόπιση από τους οικισμούς των πεδιάδων (τούμπες) σε ημιορεινές περιοχές πρέπει να είχε αρχίσει από την ύστερη εποχή του χαλκού, όπως έχουμε σημειώσει, γιατί σε πολλές από τις παραπάνω θέσεις, μαζί με την επιφανειακή αυλακωτή κεραμική, εμφανίζεται και κεραμική της ύστερης εποχής του χαλκού[456].

Η εμφάνιση όμως αυλακωτής ή εγχάρακτης κεραμικής σε ορισμένους πεδινούς οικισμούς (πρβλ. ένα θραύσμα αυλακωτής κεραμικής από τον οικισμό του Καλλίφυτου (;) (Σ χ έ δ. 140: 15), καθώς και θραύσμα γωνιόσχημης λαβής (Σ χ έ δ. 140: 18) από τη Μεγάλη Τούμπα Δράμας, ή το θραύσμα εγχάρακτης κεραμικής από τον οικισμό Γκέρανι Δράμας (Σ χ έ δ. 140: 17) βεβαιώνει ότι ορισμένες θέσεις των νεολιθικών οικισμών είχαν κατοικηθεί στην πρώιμη εποχή του σιδήρου. Η σπανιότητα, με την οποία εμφανίζεται ωστόσο η αυλακωτή κεραμική στην ανατολική Μακεδονία, πρέπει να σχετίζεται και με το μικρό γενικά ποσοστό κεραμικής αυτής της κατηγορίας, που θα παρήγαγαν τα τοπικά εργαστήρια της Μακεδονίας στην πρώιμη εποχή του σιδήρου.

Εκτός από τα σποραδικά παραδείγματα επιφανειακής κεραμικής, που πολλαπλασιάζονται με τη συστηματοποίηση της επιφανειακής έρευνας στην ανατολική Μακεδονία, αυλακωτή κεραμική εμφανίσθηκε και σε δύο νεκροταφεία πρώιμης εποχής του σιδήρου, που εντοπίσθηκαν και άρχισαν να ανασκάπτονται τα τελευταία χρόνια:

1. Νεκροταφείο του λόφου Καστά κοντά στην Αμφίπολη (πρβλ. Χάρτη Σ χ έ δ. 139, αριθ. 7)

Βιβλιογραφία

1. Vanderpool 1965, 46-47.
2. Λαζαρίδης 1964, 35 κ.ε.
3. Δ. Λαζαρίδης, Ανασκαφαί και έρευναι εις Αμφίπολιν, ΠΑΕ 1965, 46 κ.ε.
4. Δ. Λαζαρίδης, Ανασκαφές και έρευνες Αμφιπόλεως, ΠΑΕ 1976, 98.
5. Λαζαρίδης 1977, 42.

P. Collart, Philippes, 1937, 42-45 και 134-137. Για κεραμική πρώιμης εποχής του σιδήρου, πρβλ. ΑΔ 35 (1980): Χρονικά, 423-424.

449. Χ. Κουκούλη-Χρυσανθάκη, ΑΔ 36 (1981): Χρονικά, 344. Η αρχαιότερη φάση της αρχαίας Ηιόνας χρονολογείται στην ύστερη εποχή του χαλκού. Ακολουθεί μια φάση πρώιμης εποχής του σιδήρου και τελικά η αρχαϊκή φάση.

450. Λαζαρίδης 1964, 37 κ.ε., Vanderpool 1965, 46-47.

451. Χ. Κουκούλη-Χρυσανθάκη, ΑΔ 37 (1982): Χρονικά, 325-326, θέση Πιθάρι. Από την επιφανειακή κεραμική προκύπτει ότι η οχυρή κορυφή είχε κατοικηθεί από την πρώιμη εποχή του σιδήρου. Με τον οικισμό πρέπει να συνδεθεί μια χάλκινη τοξωτή πόρπη, που βρέθηκε παλιότερα στους πρόποδες του λόφου, Χ. Κουκούλη-Χρυσανθάκη, Οι αποικίες της Θάσου στο βόρειο Αιγαίο, Τοπικό Συμπόσιο «Η Καβάλα και η περιοχή της», 1980, 320, εικ. 23, τα παράλληλα της οποίας στη βόρεια Μακεδονία και στη Βεργίνα χρονολογούνται από τον Kilian 1975, πίν. 40, 5, 6, 9, στο 10ο αι. π.Χ. Με τον ίδιο οικισμό πρέπει να σχετίζονται και οι τάφοι που βρέθηκαν στους πρόποδες του λόφου (ΑΔ 29 (1973-74): Χρονικά, 785-786, πίν. 576α-γ) και οι οποίοι χρονολογούνται στο α΄ μισό του 6ου αι. π.Χ.

452. ΑΔ 34 (1979): Χρονικά, 332.

453. Δ. Λαζαρίδης, ΑΔ 17 (1961-62): Χρονικά, 235-238. Αδημοσίευτη κεραμική, Μουσείο Καβάλας.

454. Πρβλ. κεραμική από τη θέση Μαρίνα στις βόρειες υπώρειες του Παγγαίου (Σ χ έ δ. 140: 10-13).

455. Πρβλ. κεραμική με αυλακωτή διακόσμηση από τον οικισμό Ξηροποτάμου (αδημοσίευτη).

456. Γραμμένος 1980, 241, 244.

6. Δ. Λαζαρίδης, Ανασκαφές και έρευνες Αμφιπόλεως, ΠΑΕ 1981, 18 κ.ε.
7. Δ. Λαζαρίδης, Το Έργον της Αρχαιολογικής Εταιρείας, 1982, 17· ΠΑΕ 1982, 50.

Ο λόφος Καστάς βρίσκεται προς ΝΑ. του Λόφου 133, όπου τοποθετείται ο οικισμός που ο Vanderpool έχει προτείνει να ταυτισθεί με το πόλισμα των ιστορικών χρόνων Εννέα Οδοί (πρβλ. Βιβλιογραφία, αριθ. 1). Στο λόφο Καστά, κάτω από έναν τεράστιο τύμβο που πρέπει να καλύπτει ένα σημαντικό μακεδονικό τάφο, έχει εντοπισθεί ένα νεκροταφείο με κιβωτιόσχημους τάφους αρχαϊκών χρόνων και ένα νεκροταφείο τύμβων πρώιμης εποχής του σιδήρου. Δύο μόνο τύμβοι έχουν ανασκαφεί ως σήμερα. Οι τύμβοι περιέχουν ταφές-ενταφιασμούς στο χώμα ή σε πίθους, καθώς και ταφές-καύσεις, και καλύπτονται από ενιαίο στρώμα λιθορριπής.

Η αυλακωτή κεραμική, που βρέθηκε στην ανασκαφή των τύμβων, είναι κατά κανόνα αποσπασματική και αστρωματογράφητη, καθώς προέρχεται από την επίχωση των τύμβων και όχι από κτερίσματα αδιατάρακτων ταφών. Οι αδιατάρακτες ταφές, που ανήκουν στη νεότερη φάση των δύο τύμβων, περιέχουν χειροποίητη ακόσμητη κεραμική (Σ χ έ δ. 142: 3-5) ή ένα είδος τροχήλατης κεραμικής σε αργό τροχό, που στην αυλακωτή διακόσμηση του λαιμού θυμίζει την αντίστοιχη διακόσμηση των αγγείων της γκρίζας τροχήλατης κεραμικής, γνωστής στη Μακεδονία της πρώιμης εποχής του σιδήρου[457] (Σ χ έ δ. 142: 2). Από τον ορίζοντα των παλιότερων ταφών του ίδιου νεκροταφείου πρέπει να προέρχεται το τεφροδόχο αγγείο (Σ χ έ δ. 142: 1). Ο τεφροδόχος αμφορέας του τύμβου 1 (Σ χ έ δ. 142: 1), που θυμίζει αμφορέα Urn τύπου Α του πολιτισμού Gava, στο σχήμα που συνδυάζει αποφύσεις με σωληνωτές λαβές,πλησιάζει περισσότερο ανάλογους αμφορείς της ομάδας Cručeni-Belegiš[458], που χρονολογούνται στην καμπή της ύστερης εποχής του χαλκού και στην αρχή της πρώιμης εποχής του σιδήρου. Θραύσματα από αμφορείς ανάλογου τύπου με όμοιες ραβδώσεις στο λαιμό έχουν βρεθεί στην αρχή της φάσης VI του Καστανά (στρώμα 10)[459]. Μαζί με τα σποραδικά παραδείγματα ανάλογων αμφορέων, που έχουν βρεθεί στη νότια Βουλγαρία (πρβλ. Urn Manole)[460], τα θραύσματα του Καστανά και ο τεφροδόχος αμφορέας της Αμφίπολης αποτελούν τις νοτιότερες εμφανίσεις των επιδράσεων της κεντροευρωπαϊκής αυλακωτής κεραμικής, η διάδοση της οποίας στα Βαλκάνια συνδέθηκε με την εξάπλωση του πολιτισμού Gava.

Χαρακτηριστική, επίσης, για μια πρώιμη χρονολόγηση του τεφροδόχου αυτού αγγείου στην αρχή της εποχής του σιδήρου είναι η ανεύρεση σε μικρή απόσταση από το αγγείο δύο σιδερένιων ξιφών, το ένα από τα οποία έχει χάλκινα καρφιά[461]. Με βάση τα ευρήματα των αρχαιότερων ταφών του τύμβου 1, μπορούμε να τοποθετήσουμε την αρχή του νεκροταφείου των τύμβων γύρω στα 1000-900 π.Χ. Στις άλλες ταφές των τύμβων εμφανίζονται μόνο ακόσμητα αγγεία με σχήματα γνωστά από την τοπική κεραμική παράδοση, όπως την ξέρουμε από τη Μακεδονία και τη Θάσο (Σ χ έ δ. 142: 2-6). Η εξαφάνιση της αυλακωτής κεραμικής πιθανόν σχετίζεται με μια γενικότερη υποχώρηση της αυλακωτής κεραμικής στις νεότερες φάσεις του νεκροταφείου των τύμβων, πιθανόν όμως η απουσία της να είναι και τυχαία και να οφείλεται στο μικρό ποσοστό παραγωγής της κεραμικής αυτού του τύπου στη Μακεδονία. Η εμφάνιση, οπωσδήποτε, των οριζόντιων αυλακώσεων στο λαιμό του τροχήλατου αγγείου (Σ χ έ δ. 142: 2) δύσκολα θα μπορούσε να θεωρηθεί ανεξάρτητη από αντίστοιχες ρα-

457. Πρβλ. αγγείο Ε16 από το νεκροταφείο Βεργίνας, Ανδρόνικος 1969, 192, εικ. 38, που σχετίζεται με τη γνωστή γκρίζα τροχήλατη κεραμική της πρώιμης εποχής του σιδήρου από τη Μακεδονία. Πρβλ. Βαρδαρόφτσα, Heurtley 1939, 451, πίν. 251, Καστανάς, Hänsel 1979α, εικ. 18, 6, και Hänsel 1982, 287, εικ. 14.

458. Morintz 1978, 44, εικ. 25.

459. Hochstetter 1984, πίν. 119, 9-10.

460. Tončeva 1980, 30, πίν. II.

461. Snodgrass 1964, 93-113, τύπος I, Ανδρόνικος 1969, 261. Πρβλ. και χάλκινο ξίφος νεκροταφείου Βεργίνας, Πέτσας 1961/62, 242, πίν. 146α. Αντίστοιχος τύπος αμφορέα εμφανίζεται στο στρώμα 10 του Καστανά, Hochstetter 1984, 236-237, 190, πίν. 119, 9-10. Snodgrass 1964, 93-113, τύπος I. Πρβλ. και σιδερένια ξίφη Βεργίνας, Ανδρόνικος 1969, 261 κ.ε., καθώς και χάλκινο ξίφος Βεργίνας, Πέτσας 1961/62, 242, πίν. 146α.

βδώσεις, που εμφανίζονται σε μόνωτα χειροποίητα ευρύστομα αγγεία του οικισμού Λόφου 133 (Σ χ έ δ. 141: 4-5).

Τα χρονολογικά όρια του νεκροταφείου των τύμβων δεν είναι δυνατό να καθορισθούν πριν από την ολοκλήρωση της ανασκαφής και τη μελέτη των ευρημάτων, τόσο των τύμβων όσο και του νεκροταφείου των κιβωτιόσχημων τάφων, που διαδέχθηκε τους τύμβους στον ίδιο λόφο. Η εμφάνιση ενός πρωτοκορινθιακού αρυβάλλου σ' έναν κιβωτιόσχημο τάφο, αν δεν πρόκειται για νεότερη χρήση παλιότερου αγγείου[462], προσδιορίζει την αρχή του νεκροταφείου των κιβωτιόσχημων τάφων μέσα στον 7ο αι. π.Χ. και καθορίζει το τέλος του νεκροταφείου των τύμβων, οπωσδήποτε πριν από τα τέλη του 7ου αι. π.Χ.[463]. Οι κιβωτιόσχημοι τάφοι, που διαδέχονται το νεκροταφείο των τύμβων στο λόφο, χρονολογούνται στον 6ο και στις αρχές του 5ου αι. π.Χ. και πρέπει να συνδέονται με το πόλισμα των ιστορικών χρόνων Εννέα Οδοί, αν είναι σωστή η ταύτιση του Vanderpool[464].

Από τα παραδείγματα της ραβδωτής κεραμικής, που έχουμε από την αρχαιότερη φάση του νεκροταφείου των τύμβων στο λόφο Καστά, και την επιφανειακή κεραμική του γειτονικού οικισμού στο Λόφο 133, επισημαίνεται η συσχέτιση της ραβδωτής με τη σταμπωτή διακόσμηση, που παραπέμπει στη συγγενική ομάδα Pšeničevo. Το σχήμα, ωστόσο, του αμφορέα (Σ χ έ δ. 141: 1) και τα θέματα της σταμπωτής διακόσμησης στο λαιμό προσδιορίζουν περισσότερες σχέσεις με τη δυτική ομάδα των παραδουνάβιων πολιτιστικών κύκλων (ομάδα Insula Banului και ομάδα Cručeni-Belegiš)[465].

2. Νεκροταφείο βιομηχανικής ζώνης Δράμας (πρβλ. Χάρτη Σ χ έ δ. 139, αριθ. 9)

Βιβλιογραφία

Χ. Κουκούλη-Χρυσανθάκη, ΑΔ 34 (1979): Χρονικά, 333-334.

Το νεκροταφείο αυτό, που βρίσκεται στην περιοχή της σημερινής βιομηχανικής ζώνης της Δράμας, αποτελείται από χαμηλούς τύμβους με ταφές-ενταφιασμούς και καύσεις, που καλύπτονται από στρώμα λίθων. Στο σύνολό τους οι ταφές πρέπει να χρονολογούνται σε μια προχωρημένη φάση της πρώιμης εποχής του σιδήρου, κατά τη διάρκεια της οποίας η αυλακωτή κεραμική πρέπει να είχε εξαφανισθεί. Η παρουσία τοπικών πρωτογεωμετρικών αγγείων[466], καθώς και τοπικών γραπτών αγγείων, αντίστοιχων με τη γνωστή ως προπερσική γραπτή κεραμική της Ολύνθου, που εμφανίζεται και στα νεότερα στρώματα της πρώιμης εποχής του σιδήρου στον Καστανά, προσδιορίζει μια χρονολόγηση στον 7ο αι. π.Χ. για τις περισσότερες από τις ταφές των τύμβων, σε συνδυασμό και με την παρουσία πορπών του τέλους του 7ου αι. π.Χ.[467].

462. Δ. Λαζαρίδης, Το Έργον της Αρχαιολογικής Εταιρείας, 1982, εικ. 20.

463. Πρβλ. τροχήλατη κεραμική 8ου-7ου αι. π.Χ. από τον οικισμό Λόφου 133 Αμφίπολης, Λαζαρίδης 1964, πίν. 22α, σκύφοι με γραπτά κρεμάμενα ημικύκλια και προαποικιακό στρώμα Θάσου, Bernard 1964, 141, εικ. 52. Για αμφορείς με ομόκεντρους κύκλους, πρβλ. ό.π., 116 κ.ε., εικ. 29. Αντίστοιχη τροχήλατη κεραμική εμφανίζεται και στη φάση της πρώιμης εποχής του σιδήρου της Ηιόνας, πρβλ. υποσημ. 449.

464. Λαζαρίδης 1976, 98 και 1977, 43. Πιθανόν από το νεκροταφείο αυτό προέρχονται και τα μετάλλινα αντικείμενα που δημοσίευσε ο Foltiny 1964, 90-103, και τα οποία χρονολογούνται γύρω στο 750-500 π.Χ.

465. Hänsel 1976, πίν. 18, 5. Πρβλ. για ομάδα Insula Banului, Morintz 1969, 393-423. Οι σωληνωτές λαβές στον ώμο κάτω από τις αποφύσεις, που εμφανίζονται και ως τοπική ιδιορρυθμία στον αμφορέα της Αμφίπολης, πλησιάζουν το αγγείο στους αμφορείς τύπου Urn της Voivodina (ομάδα Belegiš I), Garašanin 1973, εικ. 71, Brückner - Jovanović - Tasić 1974, πίν. 200· επίσης και νεότερη ομάδα Cručeni II, Morintz 1978, 194-195. Η εμφάνιση της σταμπωτής διακόσμησης σε αντίστοιχο σχήμα αμφορέα, που προέρχεται από το επιφανειακό στρώμα του οικισμού Λόφου 133, πλησιάζει τη συνδυασμένη με σταμπωτή ραβδωτή διακόσμηση στην ομάδα Ostrov, αν θέλουμε να αναζητήσουμε κάποιο συγχρονισμό με παραδουνάβιες ομάδες σταμπωτής κεραμικής που διαδέχονται τις ομάδες καθαρής αυλακωτής κεραμικής. Στις περιοχές νότια του Δούναβη αντίστοιχη ομάδα πρέπει να είναι η ομάδα Pšeničevo, Hänsel 1976, πίν. XI και XV.

466. Hänsel 1979α, εικ. 18, 3. Καστανάς, φάση VIII: Hochstetter 1984, 382.

467. Πρβλ. ιλλυρικές πόρπες, Kilian 1975, πίν. 52, 4 και 54, 4 (Vući Dol). 7ος αι. π.Χ.

Τα ελάχιστα ωστόσο θραύσματα της αυλακωτής κεραμικής, που βρέθηκαν στα βαθύτερα στρώματα της επίχωσης του τύμβου Γ, που δεν έδωσε κανένα παράδειγμα πρωτογεωμετρικού αγγείου και είχε ως κεντρική ταφή μία ταφή-καύση με ένα σιδερένιο ξίφος τύπου Naue II, πρέπει να ανήκουν σε μια παλιότερη φάση ταφών, που θα μπορούσαν να χρονολογηθούν στη χρονική περίοδο 10ος-8ος αι. π.Χ. Τα θραύσματα προέρχονται από μεγάλο, πιθανότατα τεφροδόχο, αγγείο που συνδυάζει την αυλακωτή με τη σταμπωτή διακόσμηση και πρέπει να θεωρηθεί σύγχρονο με την ομάδα Pšeničevo και την αντίστοιχη ομάδα των Dolmen της αιγαιακής Θράκης[468] (Σ χ έ δ. 141: 11).

Παρατηρήσεις στην αυλακωτή κεραμική ανατολικής Μακεδονίας

Συνοψίζοντας τις πρώτες παρατηρήσεις για την αυλακωτή κεραμική της ανατολικής Μακεδονίας, θα μπορούσαμε να επισημάνουμε τα εξής:

1. Η αυλακωτή κεραμική της ανατολικής Μακεδονίας περιλαμβάνει τη ραβδωτή διακόσμηση με τις πλατιές ραβδώσεις (Σ χ έ δ. 141: 1, 3), αλλά και τη γραμμική αυλακωτή διακόσμηση που συχνά πλησιάζει τη χάραξη (Σ χ έ δ. 140: 11), αναπτύσσοντας μάλιστα και θέματα παρμένα από την εγχάρακτη κεραμική, όπως είναι τα διαγραμμισμένα τρίγωνα (Σ χ έ δ. 140: 11), τα ακτινωτά θέματα (Σ χ έ δ. 140: 8) και οι κυματιστές αυλακωτές γραμμές, που εμφανίζονται εκτός από τον ώμο (Σ χ έ δ. 140: 5) και στο λαιμό των αγγείων (Σ χ έ δ. 140: 2).

Συχνά, η ραβδωτή διακόσμηση συνδυάζεται με σταμπωτή διακόσμηση (Σ χ έ δ. 141: 1) ή αποφύσεις (Σ χ έ δ. 142: 1).

2. Τα χαρακτηριστικά σχήματα αυλακωτής κεραμικής, που είναι ως τώρα γνωστά από την ανατολική Μακεδονία, είναι τα εξής (Σ χ έ δ. 143Β):

α) Αμφορέας τύπου Urn, που θυμίζει τα αντίστοιχα σχήματα του αμφορέα τύπου Α της ομάδας Gava (Σ χ έ δ. 142: 1, 143Β: 9).

β) Μόνωτο ευρύστομο αγγείο με οριζόντιο χείλος και γωνιόσχημη λαβή. Αυλακωτή διακόσμηση από παράλληλες ραβδώσεις στο λαιμό και στη λαβή του αγγείου (Σ χ έ δ. 141: 3-5, 143Β: 5).

γ) Οινοχόη με οπισθότμητη προχοή (Σ χ έ δ. 140: 2) και στριφτή λαβή (Σ χ έ δ. 140: 1,6,7, 143Β: 7).

δ) Αμφορέας με κατακόρυφες λαβές και ζιγκ-ζαγκ γραμμική αυλακωτή διακόσμηση στον ώμο (Σ χ έ δ. 143Β: 1).

ε) Φιαλόσχημο αγγείο με στριφτό χείλος (turban bowl). Οι στριφτές λαβές, που εμφανίζονται σε ορισμένα θραύσματα (Σ χ έ δ. 140: 9), είναι δυνατό να προέρχονται είτε από φιαλόσχημα αγγεία του παραπάνω τύπου (Σ χ έ δ. 143Α) είτε από βαθύτερα αγγεία που έχουν βρεθεί στον Καστανά (Σ χ έ δ. 143Β: 2-3).

Η αυλακωτή, επομένως, κεραμική της ανατολικής Μακεδονίας σχετίζεται από τη μια μεριά με την αυλακωτή κεραμική της κεντρικής Μακεδονίας, που έχει ως κύριο χαρακτηριστικό της τη ραβδωτή διακόσμηση, και από την άλλη με την αυλακωτή κεραμική της αιγαιακής Θράκης και της Θάσου, όπου είναι συχνή η γραμμική αυλακωτή διακόσμηση. Η παρουσία οριζόντιων ραβδώσεων στο λαιμό αυτού του μόνωτου αγγείου (Σ χ έ δ. 141: 4) θυμίζει αντίστοιχα αγγεία από την αιγαιακή Θράκη, ενώ ο συνδυασμός ραβδωτής και σταμπωτής διακόσμησης (Σ χ έ δ. 141: 1) προσεγγίζει τα παραδείγματα της ανατολικής Μακεδονίας στην ομάδα Pšeničevo, ο χώρος διάδοσης της οποίας καλύπτει και την αιγαιακή Θράκη.

Το χαρακτηριστικό ωστόσο αγγείο από την Αμφίπολη (Σ χ έ δ. 142: 1), που έχει το σχήμα των κεντροευρωπαϊκών τεφροδόχων, θα μπορούσε να αποτελέσει ένδειξη για την εξάπλωση και παραδουνάβιων πολιτιστικών στοιχείων από τα βορειοδυτικά Βαλκάνια στην κοιλάδα του Στρυμόνα (ομάδες Cručeni-Belegiš και Insula Banului).

468. Hänsel 1976, πίν. 27, 11 (ομάδα Pšeničevo), Triantafyllos 1980, εικ. 16· πρβλ. και ομάδα Ostrov, Hänsel 1976, πίν. 18, 5.

ΑΙΓΑΙΑΚΗ ΘΡΑΚΗ

Όπως διαπιστώνεται από το χάρτη (Σ χ έ δ. 139), η κεραμική με την αυλακωτή διακόσμηση, ραβδωτή ή γραμμική, είναι πολύ διαδεδομένη στην αιγαιακή Θράκη. Στρωματογραφημένο αρχαιολογικό υλικό δεν έχει ακόμη δημοσιευθεί, από ορισμένες ωστόσο θέσεις, όπου έχουν πραγματοποιηθεί οι πρώτες ανασκαφές, είναι δυνατό να έχουμε ορισμένα πρώτα χρονολογικά συμπεράσματα.

1. Ακρόπολη Εργάνης (Ασσάρ Τεπέ)

Βιβλιογραφία

1. Πεντάζος 1971, 90-93.
2. Πεντάζος 1972, 86 κ.ε.

Στην ανασκαφική έρευνα, που πραγματοποιήθηκε στο εσωτερικό της οχυρής ακρόπολης, προσδιορίσθηκε σε ορισμένα κυκλικά κτίρια στρωματογραφική διάκριση ανάμεσα στην αυλακωτή κεραμική και την κεραμική με την εγχάρακτη διακόσμηση[469]. Η αυλακωτή κεραμική της ακρόπολης εμφανίζει μεγάλες συγγένειες με τη γραμμική αυλακωτή κεραμική της Θάσου. Το επαναλαμβανόμενο σχήμα αγγείου είναι το μόνωτο ευρύστομο αγγείο τύπου IV, με τη γωνιόσχημη λαβή και τις αποφύσεις στον ώμο, καθώς και ο αμφορέας με τις κατακόρυφες λαβές στην κοιλιά και τη γραμμική αυλακωτή διακόσμηση (τύπος VI 136).

2. Μεσημβρία

Βιβλιογραφία

Βαβρίτσας 1966, 70· 1967, 93· 1970, 72.

Στο νεκροταφείο των κλασικών χρόνων της αρχαίας Μεσημβρίας βρέθηκαν και δύο τύμβοι πρώιμης εποχής του σιδήρου. Αυλακωτή ωστόσο κεραμική δεν έχει βρεθεί ανάμεσα στα ευρήματα του τύμβου 1, που πρέπει να χρονολογούνται στον 8ο-7ο αι. π.Χ. Τα ευρήματα βέβαια είναι πολύ λίγα ακόμη, ώστε να μπορούν να αποτελέσουν ένα χρονολογικό όριο για την υποχώρηση της κεραμικής με την αυλακωτή διακόσμηση στη δυτική Θράκη. Στον τύμβο 2 ωστόσο, που πρέπει να είναι αρχαιότερος, εμφανίζεται κεραμική με αυλακωτή διακόσμηση[470].

3. Μικρό Δουκάτο

Βιβλιογραφία

Τριαντάφυλλος 1973/74, 802-803· 1983, 179-207.

Στην ανασκαφή του αρχαϊκού νεκροταφείου της περιοχής του Μικρού Δουκάτου, κάτω από το επίπεδο των κιβωτιόσχημων τάφων των αρχών του 6ου αι. π.Χ., εντοπίσθηκε στρώμα πρώιμης εποχής του σιδήρου με κεραμική χειροποίητη, που σχετίζεται με τις ομάδες Pšeničevo και Čepina[471]. Η κεραμική της πρώιμης εποχής του σιδήρου σε ορισμένες περιπτώσεις φαίνεται ότι προερχόταν από καύσεις-ταφές, οπωσδήποτε αρχαιότερες από τους κιβωτιόσχημους τάφους του τέλους του 7ου-αρχών 6ου αι. π.Χ.

469. Πεντάζος 1972, 86 κ.ε. Προφορική πληροφορία του ανασκαφέα.

470. Βαβρίτσας 1970, 72. Η εγχάρακτη διακόσμηση των αγγείων και σχήματα, όπως το αγγείο του πίν. 106γ, που θυμίζει αγγείο Bukjovci, χρονολογημένο στην αρχαιότερη φάση της πρώιμης εποχής του σιδήρου της Βουλγαρίας, Toneva 1980, 37, πίν. IV, αφήνουν περιθώρια για μια υψηλότερη χρονολόγηση ορισμένων ταφών πριν από τον 7ο αι. π.Χ., που ο Kilian 1975, 99, πίν. 102, χρονολογεί στον 7ο αι. π.Χ.· πρβλ. και Hochstetter 1984, 316, όπου αναφέρει αντίστοιχο διακοσμητικό θέμα σε αγγείο στρώματος 12 (φάση VI), πίν. 110, 5.

471. Τριαντάφυλλος 1973/74, 802-803, Τριαντάφυλλος 1983, 179-207.

Η αυλακωτή διακόσμηση εμφανίζεται σε θραύσματα αγγείων, που προέρχονται από μόνωτα ευρύστομα αγγεία τύπου IV, με τη χαρακτηριστική γωνιόσχημη λαβή, και συχνά συνδυάζεται με σταμπωτή διακόσμηση, όπως στην ομάδα Pšeničevo.

Μόνωτα ευρύστομα αγγεία με οριζόντιο ραβδωτό λαιμό, που είναι γνωστά και από πολλές θέσεις της αιγαιακής Θράκης και από την ανατολική Μακεδονία (Σ χ έ δ. 140: 4), εμφανίζονται πολύ συχνά στην ηπειρωτική Θράκη (ομάδα Čatalca, ομάδα Pšeničevo, ομάδα ανατολικών παραλίων Βουλγαρίας).

4. Μεγαλιθικά Ροδόπης

Βιβλιογραφία

Τριαντάφυλλος 1973, 241-252· 1980, 145-163.

Οι ανασκαφές, που πραγματοποιήθηκαν από τον Δ. Τριαντάφυλλο τα τελευταία χρόνια στα Dolmen τριών ορεινών περιοχών της Ροδόπης, έδωσαν χαρακτηριστική κεραμική της ομάδας Pšeničevo με αυλακωτή διακόσμηση, που συχνότατα συνδυάζεται με σταμπωτή διακόσμηση. Δε λείπει, επίσης, και η εγχάρακτη διακόσμηση από τα αγγεία των μεγαλιθικών αυτών μνημείων. Τα διάφορα αυτά είδη διακόσμησης εμφανίζονται σε σχήματα μεγάλων τεφροδόχων αγγείων, συχνότατα συνδυασμένα. Ορισμένα ωστόσο μικρού σχήματος αγγεία, όπως τα μόνωτα ευρύστομα του γνωστού από τη Θάσο τύπου IV, με οριζόντιο συνήθως και σπανιότερα ελαφρά λοξότμητο χείλος και γωνιόσχημη λαβή, εμφανίζουν μόνο αυλακωτή διακόσμηση. Βασικό χαρακτηριστικό, που τα διαφοροποιεί από τα αντίστοιχα αγγεία των νεκροταφείων της Θάσου, είναι ο διακοσμημένος με παράλληλες ραβδώσεις λαιμός. Μόνωτα ευρύστομα αγγεία με οριζόντιο ραβδωτό λαιμό, που είναι γνωστά και από άλλες θέσεις της αιγαιακής Θράκης, εμφανίζονται, όπως είδαμε, και στην ανατολική Μακεδονία (Σ χ έ δ. 141: 4), και είναι ιδιαίτερα διαδεδομένα στην αυλακωτή κεραμική των νοτιοανατολικών Βαλκανίων (ομάδα Čatalca, ομάδα Pšeničevo, ομάδα ανατολικών παραλίων Βουλγαρίας).

Οι ανασκαφές δεν ολοκληρώθηκαν και δε δημοσιεύθηκαν ακόμη, επομένως δεν έχουμε ολοκληρωμένα ανασκαφικά στοιχεία για λεπτομερέστερη χρονολόγηση της πρώιμης φάσης των τάφων αυτών, που παρουσιάζουν μια διάρκεια χρήσης.

Παρατηρήσεις στην αυλακωτή κεραμική αιγαιακής Θράκης

Από τα παραδείγματα της αυλακωτής κεραμικής, που είναι ως τώρα γνωστά από την αιγαιακή Θράκη, προκύπτει η εμφάνιση και των δύο τύπων αυλακωτής διακόσμησης, γραμμικής και ραβδωτής, καθώς και η συχνή παρουσία του μόνωτου ευρύστομου αγγείου με τη χαρακτηριστική γωνιόσχημη λαβή. Στα Dolmen της ορεινής αιγαιακής Θράκης επικρατούν τα ευρύστομα αγγεία με το οριζόντιο χείλος και τις παράλληλες ραβδώσεις στο λαιμό, ενώ στις ακροπόλεις των παραλίων είναι ιδιαίτερα συχνά τα μόνωτα ευρύστομα αγγεία με το ελαφρά λοξότμητο χείλος, διακοσμημένα με γραμμική, συνήθως αυλακωτή, διακόσμηση, που συχνά εμφανίζεται και στον ώμο των αγγείων με τα γνωστά από τα νεκροταφεία της Θάσου και την Τροία VIIb2 ζιγκ-ζαγκ αυλακωτά θέματα. Χαρακτηριστική είναι η διακόσμηση σε σχήμα Μ στην ταινιωτή επιφάνεια της λαβής, διακοσμητικό θέμα γνωστό, αλλά όχι συχνό στα νεκροταφεία της Θάσου (Π ί ν. 342: 6).

Άλλα σχήματα που διακρίνονται είναι η οινοχόη, ο κάνθαρος και ο αμφορέας.

Συχνά, η αυλακωτή διακόσμηση συνδυάζεται με τη σταμπωτή διακόσμηση. Η τελευταία μαζί με την εγχάρακτη διακόσμηση, είναι ιδιαίτερα διαδεδομένες στην αιγαιακή Θράκη της πρώιμης εποχής του σιδήρου (Σ χ έ δ. 139) και προσδιορίζουν σχέσεις με τις ομάδες Pšeničevo και Čepina της ηπειρωτικής Θράκης.

ΗΠΕΙΡΩΤΙΚΑ ΒΑΛΚΑΝΙΑ

Η αυλακωτή κεραμική αποτελεί τη χαρακτηριστική κεραμική της Urnenfelder περιόδου, που εμφανίσθηκε στην κεντρική Ευρώπη ως διάδοχος των αυτόχθονων πολιτιστικών ομάδων

της μέσης και ύστερης εποχής του χαλκού. Στην περιοχή ανάμεσα στον Tisza, τα Καρπάθια και τη σημερινή νοτιοανατολική Ρωσία, και καλύπτοντας τις περιοχές του Μέσου Δούναβη της Γιουγκοσλαβίας και Ρουμανίας, πιστεύεται ότι διαμορφώθηκε ο πρώιμος πολιτισμός, που σε μια προχωρημένη φάση του επεκτάθηκε στην Ιταλία και στη δυτική Ευρώπη, όπου διαμορφώθηκαν οι ενταγμένες στην Urnenfelder «κοινή» επιμέρους πολιτιστικές ομάδες της HaA και HaB περιόδου[472]. Για την αυλακωτή κεραμική της πρώιμης Urnenfelder περιόδου μένουν πολλά ακόμη να διευκρινισθούν. Οπωσδήποτε, όμως, η γεωγραφική της διάδοση είναι τόσο εκτεταμένη, ώστε είναι αδύνατο να προσδιορίσουμε έναν τόπο καταγωγής για τη γέννηση της αυλακωτής κεραμικής και είναι ασφαλέστερο να δεχθούμε την παράλληλη ύπαρξη πολλών τοπικών ομάδων, που διαφοροποιούνται ανάλογα με το πολιτιστικό υπόστρωμα που κληρονομούν και τις επιδράσεις που δέχονται από τις γειτονικές τους πολιτιστικές ομάδες[473].

Στις περισσότερες από αυτές τις τοπικές ομάδες αυλακωτής κεραμικής της εποχής HaA, η αυλακωτή διακόσμηση είναι ήδη από τη μέση και ύστερη εποχή του χαλκού γνωστή.

Μια δυναμική ομάδα μέσα στις επιμέρους κεραμικές ομάδες αυλακωτής κεραμικής, που εμφανίζονται με την αρχή της HaA1, φαίνεται ότι είναι η ομάδα Gava, όπου η αυλακωτή διακόσμηση συνδυάζεται με έντονες αποφύσεις στον ώμο του αγγείου. Η ομάδα αυτή, που παρουσιάζει μια μεγάλη διάδοση από την Ουγγαρία ως την Τσεχοσλοβακία[474] και τα ανατολικά Καρπάθια (νοτιοανατολική Ρωσία), με έντονα στοιχεία επίδρασης και προς την πλευρά της σημερινής Γιουγκοσλαβίας[475] και Βουλγαρίας[476], πρέπει να διαμορφώθηκε στην περιοχή του άνω και μέσου Tisza, όπου η αυλακωτή διακόσμηση και οι αποφύσεις εμφανίζονται ως τρόπος διακόσμησης της κεραμικής από τη μέση εποχή του χαλκού.

Ανεξάρτητα από τη δυσκολία να ξεχωρίσουμε μέσα στις τοπικές πολιτιστικές ομάδες της HaA τα επείσακτα τυχόν στοιχεία επίδρασης της συγκεκριμένης πολιτιστικής ομάδας Gava από τα στοιχεία της προϋπάρχουσας παράδοσης της αυλακωτής κεραμικής στις ίδιες τοπικές πολιτιστικές ομάδες, και ανεξάρτητα από τα προβλήματα που θέτει η συσχέτιση της συνδυασμένης με αποφύσεις αυλακωτής κεραμικής (Buckelkeramik) με τη διαμόρφωση «εθνοπολιτιστικών ενοτήτων»[477] ή ακόμη και συγκεκριμένων φύλων, πρέπει να παρατηρήσουμε ότι, όπως φαίνεται από τους διάφορους χάρτες διάδοσης της αυλακωτής κεραμικής και της Buckelkeramik, ο κύριος χώρος διάδοσής τους βρίσκεται βόρεια από το Δούναβη[478].

Εκτός από τη δυναμική παρουσία της ομάδας Gava, στις περιοχές αυτές εμφανίζονται και άλλες ομάδες αυλακωτής κεραμικής, που άλλοτε διακόπτουν την τοπική κεραμική παράδοση της ύστερης εποχής του χαλκού, που χαρακτηρίζεται από την εγχάρακτη κεραμική (Μουντενία), και άλλοτε φαίνεται ότι συνεχίζουν την τοπική κεραμική παράδοση (Ολτενία, Μολδαβία). Στην Ολτενία, η ομάδα Vîrtrop[479] αποτελεί οπωσδήποτε μια βραχύχρονη κεραμική ομάδα, που χαρακτηρίζεται αποκλειστικά από αυλακωτή κεραμική, η οποία διαλύεται με την εμφάνιση της σταμπωτής κεραμικής (ομάδα Ostrov). Ανάλογη είναι και η εικόνα που έχουμε από τη Μολδαβία, όπου μετά από μια φάση καθαρής αυλακωτής κεραμικής, στην αρχή της HaA, ακολουθεί η εμφάνιση και επικράτηση της σταμπωτής κεραμικής (ομάδα Cozia)[480].

Στη Voivodina, η επικράτηση της αυλακωτής κεραμικής, που φαίνεται ότι πραγματο-

472. Kimmig 1964, 268 κ.ε., εικ. 17, Gimbutas 1965, 310 κ.ε.

473. Hänsel 1976, 90 κ.ε.

474. Mozsolics 1957, 121 κ.ε., Trogmayer 1975, 85, Foltiny 1968, 333 κ.ε., Horedt 1967, 17 κ.ε., László 1973, 576 κ.ε., Kemmenzei 1982, 305-320.

475. Garašanin 1973, 420, 637, πίν. 82, Brückner - Jovanović - Tasić 1974, 63-64. Σύγχρονη με την εμφάνιση της ομάδας Gava στη Voivodina η ομάδα Belegiš II.

476. Todorova 1972, 69 κ.ε., πίν. I, Tončeva 1980, 27-32.

477. Todorova 1972, 75.

478. Hänsel 1976, χάρτης 3.

479. Ό.π., 101 κ.ε.

480. Ό.π., 105 κ.ε.

ποιείται κάτω από την επίδραση της διάδοσης των πολιτιστικών στοιχείων του πολιτισμού Urnenfelder, εμφανίζεται σταδιακά, καθώς ενσωματώνεται στην τοπική κεραμική παράδοση, όπως διαπιστώνεται π.χ. στο νεκροταφείο Karaburma (ομάδα Belegiš)[481].

Σποραδική, επίσης, είναι η εμφάνιση της πολιτιστικής ομάδας Gava στη Σερβία[482], όπου άλλωστε η αυλακωτή διακόσμηση είναι κοινός διακοσμητικός τρόπος στην κεραμική της μέσης εποχής του χαλκού στις ομάδες Vatina, Slatina, Paraćin[483], όπου και παραμένει και στην ύστερη εποχή του χαλκού στις ομάδες Paraćin και Mediana. Η τελευταία αυτή ομάδα στη β΄ φάση της (Mediana II)[484] εμφανίζει σχέσεις με την πολιτιστική ομάδα Gava και αποτελεί ως τώρα το νοτιότερο όριο για τη διάδοση της αυλακωτής κεραμικής της HaA περιόδου στο χώρο της Γιουγκοσλαβίας, καθώς και το πλησιέστερο — και γεωγραφικά και χρονικά — παράλληλο για μια συσχέτιση της ραβδωτής κεραμικής του στρώματος καταστροφής Βαρδαρόφτσας, Βάρδινου, Καστανά, κτλ., της κεντρικής Μακεδονίας με τα ηπειρωτικά Βαλκάνια. Στη φάση Mediana II εμφανίζονται τα χαρακτηριστικά σχήματα αγγείων με τη ραβδωτή διακόσμηση, που ξέρουμε από το στρώμα καταστροφής της Βαρδαρόφτσας, το φιαλόσχημο αγγείο με το στριφτό χείλος (turban bowl), το μόνωτο ευρύστομο αγγείο με το ραβδωτό ώμο και ο κάνθαρος με το ραβδωτό, επίσης, ώμο. Αντιστοιχίες εμφανίζονται και στην ομάδα Paraćin[485].

Στα ανατολικά Βαλκάνια, η εμφάνιση της καθαρής αυλακωτής κεραμικής, νότια από το Δούναβη, δεν έχει την ίδια δυναμικότητα. Στη Δοβρουτσά, όπως και στο χώρο της σημερινής Βουλγαρίας, η αυλακωτή κεραμική που εμφανίζεται ως διάδοχος των κεραμικών ομάδων της ύστερης εποχής του χαλκού (ομάδα Zimnicea-Plovdiv και ομάδα Coslogeni) δεν είναι η αποκλειστική κατηγορία διακοσμημένης κεραμικής, όπως συμβαίνει σε ορισμένες κεραμικές ομάδες βόρεια από το Δούναβη (Μολδαβία)[486].

Από τη στρωματογραφία των ανασκαφών στη Δοβρουτσά[487] και στη βόρεια Βουλγαρία[488], προκύπτει ότι η αυλακωτή διακόσμηση συνυπάρχει ή συνδυάζεται με την εγχάρακτη διακόσμηση αρχικά (ομάδα Babadag I, ομάδα Čatalca), και με τη σταμπωτή διακόσμηση αργότερα (ομάδα Babadag II, ομάδα Pšeničevo).

Από τα σχήματα της αυλακωτής κεραμικής της ανατολικής ομάδας (νοτιοανατολικά Βαλκάνια, Ρουμανία, Βουλγαρία)[489], πολλά ανήκουν στα χαρακτηριστικά σχήματα της κεντροευρωπαϊκής αυλακωτής κεραμικής, όπως τα μεγάλα αγγεία του τύπου Urn, που ανάγονται στους αντίστοιχους τύπους Α και Β των αγγείων της ομάδας Gava, ή τα φιαλόσχημα αγγεία με το στριφτό χείλος (turban bowl), χαρακτηριστικό αγγείο σ' όλο το χώρο διάδοσης της αυλακωτής κεραμικής, που επιβιώνει ως τις προχωρημένες φάσεις της πρώιμης εποχής του σιδήρου[490]. Άλλα ωστόσο σχήματα, όπως το μόνωτο ευρύστομο αγγείο με τη χαρακτη-

481. Garašanin 1973, 635-637, Todorović 1977.

482. Garašanin 1973, 420, 637.

483. Ό.π., 622-625.

484. Garašanin 1969, 85 κ.ε., Garašanin 1973, 318, 624. Η κεραμική, ωστόσο, της Mediana παρουσιάζει ορισμένες σχέσεις με την αυλακωτή κεραμική του Καστανά και του στρώματος VII-VIII. Η Hochstetter 1984, 352, προτείνει μια νεότερη χρονολόγηση της Mediana, όπως άλλωστε και η Tončeva 1980, 136: Mediana II, 1050-900, Mediana III, 900-800.

485. Hochstetter 1984, 352-353, όπου συσχετίζεται η αυλακωτή κεραμική της ομάδας Paraćin με την αυλακωτή κεραμική των φάσεων V και VI Καστανά.

486. Hänsel 1976, 13.

487. Morintz 1964, 101 κ.ε., Morintz - Angelescu 1970, 373. Πρβλ. συγκεντρωμένη βιβλιογραφία στον Hänsel 1976, 120 κ.ε.

488. Tončeva 1980, 24-27. Για τη βορειοανατολική ωστόσο Βουλγαρία, η Tončeva (ό.π., 131) επισημαίνει, με βάση τα ανασκαφικά δεδομένα των οικισμών Sava και Sava Conevo, μια φάση με αποκλειστικά αυλακωτή κεραμική στην αρχή της πρώιμης εποχής του σιδήρου. Την εμφάνιση της αυλακωτής κεραμικής τη συνδέει με τις εμφανίσεις νέων φύλων από βορειοδυτικά που διακόπτουν την αυτόχθονη παράδοση της βορειοανατολικής Βουλγαρίας, όπως και οι αντίστοιχες κινήσεις άλλων φύλων από βορειοανατολικά.

489. Ό.π., 7-58, πίν. I-XVII.

490. Thomas 1965, 458-462.

ριστική γωνιόσχημη λαβή[491], ή ο κάνθαρος[492], δεν είναι σχήματα ξένα προς την τοπική κεραμική παράδοση, αλλά δέχονται ορισμένες αλλαγές κάτω από την επίδραση της αυλακωτής κεραμικής[493], τόσο στο σχήμα όσο και στη διακόσμηση, όπου εκτός από τις ραβδώσεις έχουν προστεθεί και οι αποφύσεις[494]. Χαρακτηριστική για την ανάμειξη πολλαπλών επιδράσεων είναι η οινοχόη από το Kosloduj, όπου ένα σχήμα αιγαιακό εμφανίζεται στο εσωτερικό των Βαλκανίων με διακόσμηση σταμπωτή, συνδυασμένη με αποφύσεις[495].

Η αυλακωτή κεραμική των νοτιοανατολικών Βαλκανίων εμφανίζει αρκετές συγγένειες με την αυλακωτή κεραμική της δυτικής Θράκης και της Τροίας VIIb2. Αυλακωτή ραβδωτή διακόσμηση εμφανίζεται σ' ένα σχήμα αγγείου, που αποτελεί παραλλαγή του αμφορέα τύπου Β της ομάδας Gava στην ηπειρωτική και την αιγαιακή Θράκη, καθώς και στην Τροία VIIb2[496]. Στην ηπειρωτική Θράκη συναντάμε, επίσης, τα μόνωτα ευρύστομα αγγεία με το συχνά οριζόντια ραβδωμένο λαιμό και το οριζόντιο χείλος στην ομάδα των ανατολικών παραλίων της Βουλγαρίας[497], καθώς και στις ομάδες Čatalca και Pšeničevo[498]. Δε λείπουν, επίσης, από τη Θράκη[499] και από την Τροία[500] και τα ευρύστομα αγγεία με το ελαφρά λοξότμητο χείλος και τις αποφύσεις στον ώμο, που πλαισιώνονται από ραβδώσεις ή αυλακώσεις, σχήμα επίσης γνωστό και από τη φάση ΙΙΑ και ΙΙΒ1 των νεκροταφείων της Θάσου. Χαρακτηριστική είναι η διάδοση της γωνιόσχημης λαβής στα αγγεία αυτού του σχήματος, που καλύπτει την ανατολική Μακεδονία, τη Θάσο και την αιγαιακή Θράκη, προχωρώντας ως την Τροία VIIb2 στα ανατολικά και ως την ανατολική Βουλγαρία και νοτιοανατολική Ρουμανία στα βόρεια.

Ο κάνθαρος, επίσης, με τις γωνιόσχημες λαβές και το ραβδωτό ώμο είναι σχήμα διαδεδομένο από τη Δοβρουτσά[501] (Babadag I-II) ως την Τροία[502] VIIb2 και τη Θάσο, και δεν πρέπει να λείπει από την αιγαιακή Θράκη. Στην κεντρική Μακεδονία ο κάνθαρος, μαζί με το μόνωτο αγγείο και το turban bowl, αποτελεί ένα από τα κοινά σχήματα της ραβδωτής κεραμικής. Θα μπορούσαμε ωστόσο, συγκρίνοντας το υλικό της Μακεδονίας, της Θράκης, της Θάσου και της Τροίας με την αυλακωτή και ραβδωτή κεραμική των ηπειρωτικών Βαλκανίων, να καταλήξουμε στην άποψη ότι η ραβδωτή κεραμική της κεντρικής Μακεδονίας μοιάζει περισσότερο με την αντίστοιχη κεραμική των δυτικών Βαλκανίων[503], ενώ στη Θάσο, στη δυτική Θράκη και στην Τροία, διαμορφώνεται μια άλλη ομάδα που σχετίζεται περισσότερο με τα ανατολικά Βαλκάνια. Η ανατολική Μακεδονία είναι ακόμη ελάχιστα γνωστή, αλλά φαίνεται ότι δέχεται επιδράσεις και από τις δύο ομάδες, αλλά εντάσσεται στην ανατολική.

491. Ομάδα Gîrla Mare: Dumitrescu 1961, πίν. CIX, 298, 365, 441. Ομάδα Čerkovna: Hänsel 1976, πίν. II, 8, 9, 10.

492. Morintz 1978, 145, εικ. 84, 1.

493. Πρβλ. το εξέχον χείλος στα μόνωτα ευρύστομα αγγεία με τη γωνιόσχημη λαβή από τα ανατολικά παράλια της Βουλγαρίας (Sava, Hänsel 1976, πίν. 29, 4), που σχετίζεται με αντίστοιχο χείλος στα αγγεία τύπου Urn, Tončeva, 1980, πίν. ΙΙ.

494. Για την ανατολικοαιγαιακή καταγωγή των σχημάτων IV και V, πρβλ. υποσημ. 78-87.

495. Nikolov 1964, 73, εικ. 6. Η Čičicova 1971, 85, θεωρεί το σχήμα μυκηναϊκό. Το σχήμα δεν είναι ωστόσο τελείως άγνωστο και στην κεραμική των ηπειρωτικών Βαλκανίων, όπως δείχνει η εμφάνισή του στην ομάδα Coslogeni, Hänsel 1976, πίν. 8, 5. Αντίστοιχο σχήμα στην ομάδα Babadag, Hänsel 1976, πίν. V, 7-8.

496. Gabarevo, Dimitrov 1971, 63 κ.ε., εικ. 5, Čičicova 1974, 65, εικ. 9, 4.

497. Hänsel 1976, πίν. 29, 4, Hoddinot 1981, 75, εικ. 68. Πρβλ. αντίστοιχα μόνωτα ευρύστομα αγγεία με ελαφρά λοξότμητο χείλος και οριζόντια ραβδωμένους λαιμούς, με σταμπωτή όμως διακόσμηση στον ώμο, που βρέθηκαν στην ευρωπαϊκή Τουρκία, M. Özdogan, ό.π. (υποσημ. 422), εικ. 5.

498. Hänsel 1976, ομάδα Čatalca, πίν. 23, 12, ομάδα Pšeničevo, πίν. 73, 7. Αντίστοιχα ραβδωμένοι λαιμοί λείπουν τελείως από τη Θάσο, ενώ εμφανίζονται στην περιοχή του Στρυμόνα (Λόφος 133, πρβλ. Σ χ έ δ. 140: 2).

499. Kosloduj, Nikolov 1964, 72, εικ. 6, Tončeva 1980, πίν. V, 1.

500. Blegen - Caskey 1958, εικ. 218, A106.

501. Morintz 1964, 106 και 115, Hänsel 1976, πίν. 16, 1-4 και IV, 3.

502. Blegen - Caskey 1958, εικ. 261, αριθ. 37889.

503. Stefanovich 1973, 156. Ο Hänsel 1981, 207 κ.ε., ωστόσο, και η Hochstetter 1984, 375, τονίζουν τα ιδιαίτερα τοπικά χαρακτηριστικά που παρουσιάζει η ραβδωτή κεραμική της Μακεδονίας, σε σχέση με την αντίστοιχη βαλκανική κεραμική.

Τόσο στα ανατολικά όσο και στα δυτικά Βαλκάνια, η αυλακωτή διακόσμηση συνεχίζεται και μετά τη φάση HaB στην HaC περίοδο και εμφανίζεται σε μια σειρά κεραμικές ομάδες, όπως η ομάδα Basarabi[504] (Ρουμανία-Βουλγαρία), Bosut[505] (δυτική παραλλαγή της Basarabi στη Γιουγκοσλαβία), Donja Dolina, Dalj Group, κ.ά. (στην περιοχή της σημερινής Γιουγκοσλαβίας), πολλές από τις οποίες επιβιώνουν ως τους ιστορικούς χρόνους. Ελάχιστες επιβιώσεις της αυλακωτής κεραμικής μέχρι τον 6ο και 5ο αι. π.Χ. σημειώνονται και στην περιοχή της σημερινής Βουλγαρίας, π.χ. στα νεκροταφεία Ravna ή Dolno Sahrane[506].

ΤΡΟΙΑ

Αυλακωτή κεραμική εμφανίζεται και στη φάση VIIb2 της Τροίας. Η χαρακτηριστική χειροποίητη κεραμική της φάσης αυτής διαφοροποιείται από την τοπική κεραμική παράδοση των προγενέστερων φάσεων και εμφανίζει σχήματα αγγείων και διακόσμηση, που τη σχετίζουν και με την κεντροευρωπαϊκή Buckelkeramik. Το μεγάλο ευρύστομο αγγείο με τις κερατόσχημες αποφύσεις αποτελεί μια παραλλαγή του αμφορέα τύπου Β της ομάδας Gava, που εμφανίζεται στην περιοχή της σημερινής Βουλγαρίας και στην Τροία VIIb2[507]. Άλλα σχήματα αγγείων, όπως το μόνωτο ευρύστομο με τη γωνιόσχημη λαβή και ο κάνθαρος, σχετίζονται με αντίστοιχα αγγεία από τη Ρουμανία (ομάδα Babadag) και Βουλγαρία (ομάδα Čatalca, ομάδα Pšeničevo) και εμφανίζουν αυλακωτή γραμμική και ραβδωτή διακόσμηση, συχνά συνδυασμένη με αποφύσεις[508]. Ορισμένα ωστόσο σχήματα αγγείων της Τροίας VIIb2, όπως η οινοχόη με το λοξότμητο χείλος ή ο αμφορέας με τις κατακόρυφες κυλινδρικές λαβές[509] στην κοιλιά, πρέπει να αναχθούν, όπως και τα παράλληλά τους στη Θράκη, στην ανατολικοαιγαιακή παράδοση της πρώιμης εποχής του χαλκού. Η συνύπαρξη στοιχείων της βαλκανικής «κοινής» και της τοπικής κεραμικής παράδοσης, που έχει δεχθεί και τη μυκηναϊκή επίδραση, διαφοροποιούν την κεραμική της Τροίας VIIb2 ως μια τοπική ομάδα που διαμορφώνεται στην Τροία κάτω από μια προοδευτική βαλκανική επίδραση, η οποία αρχίζει ήδη από την Τροία VIIb1.

Τα κεντροευρωπαϊκά χαρακτηριστικά της Buckelkeramik και ορισμένων μετάλλινων αντικειμένων της Τροίας VIIb2 οδήγησαν αρχικά στη συσχέτιση της Τροίας VIIb2 με την κεντρική Ευρώπη[510], μολονότι ήδη από το 1905[511] είχε υποδειχθεί η γειτονική Θράκη ως χώρος καταγωγής της αυλακωτής κεραμικής. Η συσχέτιση της Τροίας VIIb2 με τη Θράκη, που επαναλήφθηκε από τον Blegen[512], επιβεβαιώθηκε από τα ευρήματα των τελευταίων δεκαετιών στην ηπειρωτική και στην αιγαιακή Θράκη[513], στα οποία πρέπει να προστεθούν και τα πρόσφατα ευρήματα από την ευρωπαϊκή Τουρκία[514].

Η Sandars[515] προσπάθησε να ερμηνεύσει τις ομοιότητες, αποκαθιστώντας μια θαλάσσια επικοινωνία ανάμεσα στην Τροία και στη Δοβρουτσά, αλλά επειδή, όπως έχει επισημάνει ο Morintz[516], πέρα από τις ομοιότητες έχουμε ένα πλήθος διαφορές, και επειδή ανάμεσα

504. Hänsel 1976, 175, 179, Tončeva 1980, 70.
505. Brückner - Jovanović - Tasić 1974, 465, Vasić 1973, πίν. XII (ομάδα Dalj).
506. Čičicova 1971, 90· πρβλ. και L. Getov, Bull.Inst.Bulg. 28 (1965), 216, εικ. 19.
507. Πρβλ. υποσημ. 496, Tončeva 1980, 28, πίν. 1, 4-6.
508. Πρβλ. υποσημ. 493, 499, 500.
509. Blegen - Caskey 1958, εικ. 218, B48, B47 (οινοχόη), εικ. 265, αριθ. 361097 (αμφορέας).
510. Για συγκεντρωμένη βιβλιογραφία, πρβλ. Bittel 1942, 116 κ.ε., Kimmig 1964, 253, Hänsel 1976, 229 κ.ε.
511. Schmidt 1902, 594.
512. Blegen - Caskey 1958, 145. Για τις σχέσεις της Τροίας VIIb2 με την ανατολική τοπική πολιτιστική παράδοση, πρβλ. Bittel 1942, 116, που τόνισε επίσης τη δυνατότητα να προέρχονται από τη Μακεδονία και τη Θράκη οι φορείς της χειροποίητης κεραμικής της Τροίας VIIb2.
513. Dimitrov 1971, 63 κ.ε.
514. M. Özdogan, ό.π. (υποσημ. 422), εικ. 5 και 7.
515. Sandars 1971, 22. Πρβλ. υποσημ. 427.
516. Morintz 1964, 115.

στις δύο περιοχές μεσολαβούν οι κεραμικές ομάδες της Βουλγαρίας που εμφανίζουν τα δικά τους τοπικά χαρακτηριστικά, είναι προτιμότερο να περιορισθούμε προς το παρόν στην άποψη του Hänsel[517], ο οποίος βλέπει στην Τροία μια συνεχιζόμενη βαλκανική επίδραση, που αρχίζει με την εμφάνιση στοιχείων των ομάδων Coslogeni και Čerkovna στην Τροία VIIb1.

Στην Τροία VIIb2 εμφανίζονται και οι δύο κατηγορίες αυλακωτής διακόσμησης (ραβδωτή και γραμμική), που γνωρίζουμε από τη Θάσο, ενώ τα σχήματα των αγγείων εμφανίζουν αντίστοιχες ομοιότητες με την αυλακωτή κεραμική της Θάσου και της αιγαιακής Θράκης, με χαρακτηριστική κι εδώ, όπως και στη Θάσο, την απουσία του «turban bowl».

Η χρονολόγηση της φάσης VIIb2 απασχολεί από πολύ καιρό την έρευνα, που τείνει να κατεβάσει τις χρονολογίες του Blegen[518], για να γεφυρώσει το κενό των τεσσάρων αιώνων που αφήνει ο Blegen ανάμεσα στην Τροία VIIb2 και την Τροία VIII. Μετά την αναθεώρηση της χρονολόγησης των τοπικών μυκηναϊκών ΥΕ ΙΙΙΓ2 της Τροίας VIIb2 από την Sandars[519], που επιβεβαιώθηκε και από πιο πρόσφατες έρευνες της E. French και του Ch. Podzuweit, η χρονολογία της Τροίας VIIb2 φαίνεται να προσδιορίζεται μέσα στον 11ο αι. π.Χ., με ενδείξεις για τη συνέχειά της στο 10ο αι. π.Χ., και πιθανόν και αργότερα[520].

Τα μόνα ωστόσο βέβαια χρονολογικά κριτήρια, που μπορούν να προκύψουν για τα κάτω χρονολογικά όρια της αυλακωτής κεραμικής της Τροίας, είναι το terminus ante quem της Τροίας VIII, τα ανώτερα χρονολογικά όρια της οποίας δεν πρέπει να ξεπερνούν τα μέσα του 8ου αι. π.Χ. Στην Τροία VIII δεν εμφανίζεται κανένα δείγμα αυλακωτής κεραμικής, με ή χωρίς αποφύσεις[521].

ΝΟΤΙΟΕΛΛΑΔΙΚΟΣ ΧΩΡΟΣ

Ελάχιστα είναι τα δείγματα αυλακωτής κεραμικής που έχουν βρεθεί στο νοτιοελλαδικό χώρο. Αν εξαιρέσουμε τη Θεσσαλία[522], όπου έχουν βρεθεί λίγα ακόμη, αλλά χαρακτηριστικά παραδείγματα αυλακωτής κεραμικής, που πρέπει πιθανότατα να σχετισθούν με τα δυτικά Βαλκάνια, και αν παραλείψουμε τα οπωσδήποτε αμφισβητούμενα παραδείγματα της Buckelkeramik από την Ήπειρο[523], μένουν τα λίγα θραύσματα αυλακωτής κεραμικής που έχουν βρεθεί σε ορισμένες μυκηναϊκές θέσεις της Πελοποννήσου (Μυκήνες[524], Κοράκου[525], Αιγείρα[526]) και στα Ιόνια νησιά (Κεφαλληνία[527], Ιθάκη[528]).

517. Hänsel 1976, 229-236.

518. Blegen - Caskey 1958, 144 κ.ε.

519. Sandars 1971, 22.

520. Stefanovich 1973, 151, E. French 1977, Tončeva 1980, 19, Podzuweit 1982, 65 κ.ε. Η Hochstetter συγχρονίζει την Τροία VIIb2 και με τη φάση VI του Καστανά, δηλαδή την κατεβάζει οπωσδήποτε ως το 900 π.Χ., επισημαίνοντας κάποιες σχέσεις της Τροίας VIIb1 με το στρώμα 13 του Καστανά, Hochstetter 1984, 373 κ.ε.

521. Blegen - Caskey 1958, 248-258.

522. Μουσείο Βόλου, αριθ. ευρ. Κ633, Ιωλκός 27.10.61. Ausgrabungen und Funde 10 (1965), 230-231, πίν. 36a, τεύχος 5, Hochstetter 1984, 336, εικ. 55.

523. N. Hammond, Grave Circles in Albania and Macedonia, στο Bronze Age Migrations in the Aegean, Ist International Colloquium on Aegean Prehistory, Sheffield (εκδ. R.A. Crossland - A. Birchall), 1974, 189-195. Η άποψη ότι πρέπει να συνδεθούν με την τοπική κεραμική της Ηπείρου φαίνεται πιο πιθανή, Σ. Δάκαρης, ΠΑΕ 1952, 369, Παπαδόπουλος 1976, 282, Deger-Jalkotzy 1977, 86.

524. Hood 1967, 120 κ.ε. Ο Hood (ό.π., 125) αναφέρει πληροφορίες του W. Taylour, ότι όμοια θραύσματα βρέθηκαν σε ανασκαφές του 1966 στην ακρόπολη Μυκηνών, αλλά ο Rutter 1975, 28, αμφισβητεί τη συσχέτιση του αποσπασματικού αγγείου Μυκηνών με Buckelkeramik. Για την «burnished» κεραμική των Μυκηνών, πρβλ. E. French 1989.

525. Rutter 1975, 27, Group II.

526. Deger-Jalkotzy 1977, 20, αριθ. 2, 10, εικ. 7 και 34, εικ. 15.

527. Μαρινάτος 1932, 34, πίν. 8, αριθ. 97 (Λακκίθρας), Μαρινάτος 1933, 88, εικ. 36, ραβδωτή ανάγλυφη διακόσμηση (Μεταξάτων).

528. Ιθάκη, Σπήλαιο Πόλης: Benton 1938/39, 1 κ.ε., πίν. 2, αριθ. 13, κάνθαρος με ραβδωτή διακόσμηση στον ώμο. Ο Bouzek 1966, εικ. 2B9, το παραβάλλει με όμοιο από Donja Dolina. Ελάχιστα δείγματα αυλακωτής κεραμικής και στην Ήπειρο: Καστρίτσα, Σ. Δάκαρης, ό.π. (υποσημ. 523), 378, εικ. 12, 2, N. Hammond, Epirus, 1967, 293.

Η προέλευση των αποσπασματικών αυτών δειγμάτων αυλακωτής κεραμικής, όπως και των θραυσμάτων μιας αδρής κεραμικής με πλαστική διακόσμηση που βρέθηκε μαζί με την αυλακωτή κεραμική στις παραπάνω μυκηναϊκές θέσεις[529], αλλά και σε άλλες μυκηναϊκές θέσεις του ελλαδικού χώρου[530], αναζητήθηκε έξω από την περιοχή της πολιτιστικής ακτινοβολίας του μυκηναϊκού πολιτισμού, είτε στα βορειοανατολικά Βαλκάνια (περιοχή πολιτιστικών ομάδων Noua και Coslogeni)[531] είτε στα δυτικά Βαλκάνια, το βορειοδυτικό ελλαδικό χώρο και τα παράλια της Αδριατικής[532].

Αν για την αδρή κεραμική με την πλαστική διακόσμηση δεν είναι δυνατό να αποκλείσουμε και το ενδεχόμενο να αποτελεί επιβίωση της αντίστοιχης κεραμικής της πρώιμης και μέσης εποχής του χαλκού του ελλαδικού χώρου, που επιβιώνει σε περιθωριακούς πληθυσμούς του μυκηναϊκού κόσμου[533], όπως έχει διαπιστωθεί ότι συμβαίνει στη βορειοδυτική Ελλάδα (Ήπειρο και Ιόνια)[534], για την αυλακωτή κεραμική είναι αδύνατο να αποκαταστήσουμε μια εξέλιξη από την τοπική κεραμική παράδοση της πρώιμης και μέσης εποχής του χαλκού του ελλαδικού χώρου. Οδηγούμαστε έτσι εύκολα σε συσχετίσεις με την αντίστοιχη αυλακωτή κεραμική της κεντρικής Ευρώπης, όπου στα τέλη της ύστερης εποχής του χαλκού διαμορφώνεται η «κοινή» του λεγόμενου Urnenfelder πολιτισμού, που θα απλωθεί από τα Βαλκάνια ως την Ιταλία[535].

Με τα ελάχιστα παραδείγματα της αυλακωτής κεραμικής που βρέθηκαν, είναι αδύνατο να προσδιορισθούν ιδιαίτερες πολιτιστικές σχέσεις της αυλακωτής κεραμικής του ελλαδικού χώρου με συγκεκριμένες επιμέρους πολιτιστικές ομάδες της «κοινής» Urnenfelder. Για να προσδιορίσουν ορισμένες γεωγραφικές περιοχές του πολιτιστικού χώρου του Urnenfelder πολιτισμού, οι ερευνητές στηρίζονται κυρίως στην αδρή κεραμική που συνοδεύει σε ορισμένες θέσεις, όπως σημειώσαμε, την εμφάνιση της αυλακωτής κεραμικής.

Παρά τις ομοιότητες, που επισημαίνονται με την αδρή κεραμική της Τροίας VIIIb1 και των βορειότερων ομάδων Noua και Coslogeni[536], οι δυσκολίες που προκύπτουν από τη χρονολογική συνύπαρξη σε στρώματα πρώιμης ΥΕ ΙΙΙΓ κεραμικής τύπου Coslogeni και αυλακωτής κεραμικής τύπου Τροίας VIIb2, είναι προς το παρόν αξεπέραστες[537]. Η αυλακωτή κεραμική στη Ρουμανία[538] και στη Βουλγαρία[539] εμφανίζεται σε στρώματα, που διαδέχονται

529. Κοράκου-Μυκήνες: Rutter 1975, 23 κ.ε., group I, E. French - Rutter 1977, 111. Αιγείρα: Deger-Jalkotzy 1977, 14 κ.ε.

530. Τίρυνθα: Kilian 1978, 311 κ.ε., Kilian - Podzuweit - Weisshaar 1981, 166, εικ. 19-21, K. Kilian, AA 1982, 319, εικ. 7· πρβλ. και Deger-Jalkotzy 1977, 26 κ.ε. Αθηναϊκή Αγορά: S. Immerwahr, The Athenian Agora XIII, 465, P. 15531, πίν. 45c. Μενελάιο Σπάρτης: H.W. Catling - E.A. Catling, BSA 76 (1981), 71-82. Λευκαντί: Popham - Sackett 1968, 18, εικ. 34. Κεφαλληνία: Μαρινάτος 1932, πίν. 8 και 11, Μαρινάτος 1933, 86-87, εικ. 34-37. Ιθάκη: Benton 1938/39, εικ. 1.1-2, πίν. 1.5, 15, 18. Ήπειρος, Δωδώνη: Δ. Ευαγγελίδης, Ηπειρ.Χρον. 10 (1935), 192-260, Σ. Δάκαρης, ΠΑΕ 1967, πίν. 33. Μαζαράκι-Ελαφότοπος: Βοκοτοπούλου 1969, 179-207. Πρβλ. επίσης και αδρή κεραμική από Καστέλλι Χανίων που σχετίσθηκε με αδριατική κεραμική, B. Pålisson, A New Class in Late Bronze Age Crete: Foreign Traders in Khania, Minoan Society, Proceedings of the Cambridge Colloquium, 1981 (εκδ. O. Kryszkowska - L. Nixon (1983), 111-116.

531. Rutter 1975, 29-32, J. Rutter, The Late Helladic IIIB and IIIC Periods at Korakou and Gonia in the Corinthia, University of Pennsylvania, 1974, 557 κ.ε.

532. Ο Kilian 1980, 190, την αδρή κεραμική της Τίρυνθας και των άλλων μυκηναϊκών κέντρων της Πελοποννήσου τη σχετίζει με κινήσεις νομαδικών πληθυσμών από τη βορειοδυτική Ελλάδα στην Πελοπόννησο, χωρίς να αποκλείει για ορισμένου είδους αδρή κεραμική (Rutter 1975, 24, εικ. 1) που βρέθηκε σε ΥΕ ΙΙΙΒ2 στρώμα της Τίρυνθας μια προέλευση από το βορειοανατολικό Αιγαίο. Η Deger-Jalkotzy 1977, 22, 47, προτείνει σχέσεις με περιοχές της Αδριατικής· πρβλ. και B. Pålisson, ό.π. (υποσημ. 530), ενώ ο Schachermeyer 1982, 102-103, σχετίζει την κεραμική αυτή με τους «λαούς της θάλασσας».

533. Walberg 1976, 186-187.

534. Wardle 1977, 173, εικ. 9 (Θέρμο), εικ. 11 (Δωδώνη).

535. Milojčić 1948, 12 κ.ε., Gimbutas 1965, 310 κ.ε., Kimmig 1964, 264 κ.ε., Bouzek 1969, 41-57, Deger-Jalkotzy 1977, 74-75.

536. Rutter 1975, 26, E. French - Rutter 1977, 111-112.

537. Οι δυσκολίες επισημαίνονται από τον ίδιο τον Rutter 1975, 27.

538. Morintz 1964, 101 κ.ε., Babadag I, Hänsel 1976, 120 κ.ε.

539. Čičicova 1971, 79 κ.ε., Todorova 1972, 69 κ.ε., Hänsel 1976, 113 κ.ε., Tončeva 1980, 24 κ.ε.

στην εποχή HaA1 τις χρονολογημένες στην ύστερη εποχή του χαλκού ομάδες Coslogeni και Noua. Αντίστοιχη είναι και η σχέση της αυλακωτής κεραμικής με την ΥΕ ΙΙΙΓ περίοδο στην Τροία VIIb2[540], στη Θάσο[541] και στην κεντρική Μακεδονία[542].

Επομένως, για να δεχθούμε τη συσχέτιση που προτείνει ο Rutter, πρέπει ή να κατεβάσουμε τη χρονολογία της αυλακωτής κεραμικής στις μυκηναϊκές θέσεις, πράγμα αδύνατο[543], ή να αναζητήσουμε σχέσεις με περιοχές, όπου η αυλακωτή κεραμική συνυπάρχει με την πρώιμη ΥΕ ΙΙΙΓ κεραμική.

Από την άποψη αυτή, φαίνεται πιθανότερη στην Jalkotzy η περιοχή των δυτικών Βαλκανίων και τα παράλια της Αδριατικής, όπου υπάρχει αντίστοιχη αδρή κεραμική[544] και η αυλακωτή κεραμική εμφανίζεται νωρίς στην ΥΕ ΙΙΙ περίοδο[545]. Μια συσχέτιση, επίσης, της αυλακωτής κεραμικής της δυτικής Ελλάδας και των Ιόνιων νησιών με τα δυτικά Βαλκάνια (Αλβανία) και τα παράλια της Αδριατικής, ενισχύεται ακόμη και από το γεωγραφικό παράγοντα, που συμβάλλει βασικά στη διαμόρφωση ενός ευρύτερου πολιτιστικού χώρου[546].

Ξεκινώντας επίσης από τη χρονολογική προτεραιότητα της εμφάνισης της αυλακωτής κεραμικής στη νότια Ελλάδα και την αντίστοιχη πρώιμη παρουσία της στα δυτικά Βαλκάνια[547], θα μπορούσαμε να επισημάνουμε και την πρώιμη εμφάνιση με σποραδικά παραδείγματα της αυλακωτής κεραμικής σε ορισμένους οικισμούς της κεντρικής Μακεδονίας πριν από τον 11ο αι. π.Χ. Η σποραδική αυτή εμφάνιση αυλακωτής κεραμικής σε στρώματα ύστερης εποχής του χαλκού, σε συνδυασμό με την έντονη παρουσία της αδρής κεραμικής με πλαστική διακόσμηση, θα μπορούσε να στρέψει και προς την κεντρική Μακεδονία την αναζήτηση του τόπου καταγωγής της χειροποίητης κεραμικής των μυκηναϊκών θέσεων. Τα ελάχιστα ωστόσο παραδείγματα αυλακωτής κεραμικής, που έχουμε από το νοτιοελλαδικό χώρο, δεν τεκμηριώνουν μια άμεση σχέση με την αυλακωτή κεραμική της κεντρικής Μακεδονίας.

Το μοναδικό εξάλλου παράδειγμα, που πλησιάζει κάπως την αυλακωτή κεραμική της ανατολικής ομάδας (πρβλ. κεραμική Θάσου)[548], δεν αντισταθμίζει τις χαρακτηριστικές ομοιότητες που εμφανίζει το μεγαλύτερο ποσοστό της αδρής κεραμικής με την αδρή κεραμική της δυτικής Ελλάδας.

Η εμφάνιση, οπωσδήποτε, αυτής της ξένης προς το μυκηναϊκό κόσμο κεραμικής, που πρέπει να κατασκευάζεται στη νότια Ελλάδα από περιθωριακούς πληθυσμούς του μυκηναϊκού κόσμου, μη «εκμυκηναϊσμένους», που πιθανότατα προέρχονται από τη δυτική Ελλάδα[549], ανανεώνει τις απόψεις για τη συμβολή ξένων προς το μυκηναϊκό κόσμο πληθυσμών στις αλλαγές που οδήγησαν στη διάλυση των μυκηναϊκών κέντρων. Η χρονολόγηση, ωστόσο, της εμφάνισής της πριν από τις καταστροφές, που σημειώνονται στις μυκηναϊκές ακροπόλεις[550], αποσυνδέει την παρουσία της από την καταστροφή του μυκηναϊκού κόσμου

540. Blegen - Caskey 1958, 141, Hänsel 1976, 231, όπου επισημαίνεται η εμφάνιση στοιχείων της ομάδας Coslogeni στην Τροία VIIb1.

541. Koukouli-Chrysanthaki 1982α, 131 κ.ε.

542. Hänsel 1979α, 192, Hänsel 1981, 207 κ.ε., Wardle 1980, 262.

543. Η χρονολόγηση στην πρώιμη ΥΕ ΙΙΙΓ συμπίπτει για όλες τις μυκηναϊκές θέσεις. Φαίνεται, ωστόσο, ότι η διάρκεια παραγωγής της χειροποίητης κεραμικής αυτού του τύπου ξεπερνά τις πρώιμες φάσεις της ΥΕ ΙΙΙΓ, Kilian 1980, 190.

544. Πρβλ. Rutter 1975, Group I, 25, Deger-Jalkotzy 1977, 47, χωρίς αυτό να σημαίνει ότι είναι δυνατό να αποδειχθούν άμεσες σχέσεις με την περιοχή αυτή.

545. Πρβλ. συγκεντρωμένη βιβλιογραφία για τις τελευταίες έρευνες: Kilian 1977, 123, σημ. 10 και 127-128.

546. Hammond 1967, 103, Hammond 1972, 308, Deger-Jalkotzy 1977, 83, σημ. 195-196.

547. Πρβλ. ομάδα Mediana, η αυλακωτή κεραμική της οποίας σχετίσθηκε με την αυλακωτή κεραμική του στρώματος καταστροφής της Βαρδαρόφτσας από τον Garašanin 1969, 85. Για νεότερα χαρακτηριστικά στην κεραμική της φάσης II Mediana, πρβλ. Hochstetter 1984, 352.

548. Rutter 1975, 23, εικ. 8.

549. Wardle 1977, εικ. 11-12, Kilian 1980, 189.

550. E. French 1989. Για τα προβλήματα της κεραμικής αυτής, πρβλ. και S. Sherrat, JHS 99 (1979), 200 (βιβλιοκρισία S. Deger-Jalkotzy).

και τη σχετίζει με τις σταδιακές αλλαγές, που πρέπει να προκλήθηκαν στη σύνθεση της μυκηναϊκής κοινωνίας και από βαθμιαίες διεισδύσεις περιφερειακών πληθυσμών, οι οποίοι αφομοιώθηκαν σταδιακά, κινητοποιώντας συγχρόνως και τις δυνάμεις εκείνες που προκάλεσαν το μετασχηματισμό του μυκηναϊκού πολιτισμού.

Η αυλακωτή κεραμική στα νεκροταφεία Καστρί και Λαρνάκι

Κεραμική με γραμμική αυλακωτή διακόσμηση (I, 3)

Η κεραμική αυτής της κατηγορίας εμφανίζεται στα νεκροταφεία του οικισμού Καστρί και στο νεκροταφείο Λαρνάκι με πολύ μεγάλα ποσοστά και αποτελεί τη σημαντικότερη κατηγορία διακοσμημένης κεραμικής των νεκροταφείων.

ΤΕΧΝΙΚΗ ΚΑΤΑΣΚΕΥΗΣ

Ο πηλός έχει την ίδια σύσταση με τον πηλό της εγχάρακτης κεραμικής κατηγορίας I, 1δ. Η όπτηση έχει πραγματοποιηθεί στους ίδιους πάντα χαμηλούς βαθμούς (όχι πάνω από 750° C), αλλά κατά κανόνα με μικρό ποσοστό οξείδωσης, που σε ορισμένες περιπτώσεις δίδει την εντύπωση της τέλειας αναγωγής. Όταν το ποσοστό της οξείδωσης μεγαλώσει στην όπτηση και εμφανισθούν καστανέρυθρα χρώματα στην επιφάνεια του πηλού, τότε για να δοθεί το επιδιωκόμενο μαύρο χρώμα στην επιφάνεια των αγγείων, τα αγγεία καπνίζονται σε κάποια φάση της όπτησης και μαυρίζουν μόνο στις εξωτερικές επιφάνειες, ενώ ο πυρήνας του πηλού παραμένει ερυθρός (L. Courtois, Παράρτημα IV, δείγματα αριθ. 5, 6, 8, 11, 15).

Η διακόσμηση της επιφάνειας, που ακολουθεί το «ξύσιμο» και την πρώτη λείανσή της, πραγματοποιείται με εργαλείο με πλατιά αιχμή, που πιέζει τη μαλακή επιφάνεια του αγγείου, χωρίς να τη χαράζει. Μετά τη διακόσμηση ακολουθεί το επίχρισμα με αραιωμένο καθαρό πηλό (slip). Κανένα ίχνος από επίχρισμα γραφίτη δεν έχει παρατηρηθεί στα αγγεία αυτής της κατηγορίας ούτε έχει σημειωθεί η χρήση στιλβωτήρα.

Η επιφάνεια των αγγείων λειαίνεται με το γνωστό τρόπο, μετά το στέγνωμα, με μάλλινο πιθανόν ύφασμα ή τούφα μαλλιού.

ΔΙΑΚΟΣΜΗΣΗ

Τα διακοσμητικά θέματα είναι ευθύγραμμα και σε ελάχιστες περιπτώσεις καμπυλόγραμμα γραμμικά, από ζεύγη παράλληλων κυρίως γραμμών, που διακοσμούν τη βάση του λαιμού ή τονίζουν το περίγραμμα του χείλους. Τα παραδείγματα με διακόσμηση στον ώμο δεν είναι πολύ συχνά. Συχνή είναι η παρουσία αποφύσεων στον ώμο, που συνδυάζονται με την αυλακωτή διακόσμηση (Σ χ έ δ. 144).

ΣΧΗΜΑΤΑ ΑΓΓΕΙΩΝ

Η γραμμική αυλακωτή διακόσμηση εμφανίζεται σ' ένα μεγάλο αριθμό σχημάτων:
Σχήμα III: Κρατηρόσχημα αγγεία (Π ί ν. 336: 13).
Σχήμα IV: Μόνωτα ευρύστομα αγγεία (Π ί ν. 337-340).
Σχήμα V: Κανθαρόσχημα αγγεία (Π ί ν. 336: 11).
Σχήμα VI: Αμφορείς τύπου VIB και VIΓ (Π ί ν. 342: 7, 343: 1-4).
Σχήμα VII: Οινοχόες τύπου VIIA, VIIΓ, VIIΔ (Π ί ν. 343: 5-8, 344).
Σχήμα IX: Άωτα αγγεία - πυξίδες (Π ί ν. 336: 12).

Σ χ ή μ α III: Κρατηρόσχημα αγγεία

Η παραλλαγή III 9 αποτελεί το μοναδικό παράδειγμα του σχήματος III, που εμφανίζει αυλακωτή διακόσμηση. Το σχήμα είναι γνωστό από την ακόσμητη κεραμική της κατηγορίας I, 1β των νεκροταφείων και η καταγωγή του πρέπει να αναζητηθεί στην τοπική παράδοση

της μακεδονικής κεραμικής των προγενέστερων φάσεων της εποχής του χαλκού[551]. Εμφανίζεται στη φάση ΙΙΒ1 των νεκροταφείων Καστρί (Π ί ν. 336: 13).

Σ χ ή μ α IV: Μόνωτα ευρύστομα αγγεία

Το σχήμα, που εμφανίζεται με πλήθος παραλλαγές στα νεκροταφεία του οικισμού Καστρί και της θέσης Λαρνάκι, αποτελεί το χαρακτηριστικό αγγείο της αυλακωτής κεραμικής. Η εμφάνιση της αυλακωτής διακόσμησης στο σχήμα αυτό συμπίπτει και με την επικράτηση του σχήματος ως χαρακτηριστικού κτερίσματος στις ταφές, όπου φαίνεται ότι αντικαθιστά τα φιαλόσχημα αγγεία Ι και ΙΙ, καθώς και τα κρατηρόσχημα ΙΙΙ.

Η απλούστερη διακόσμηση αποτελείται από μια απλή αυλάκωση (Π ί ν. 337: 1-4) ή από δύο παράλληλες αυλακώσεις (Π ί ν. 337: 5-7, 338: 1-2) γύρω από τη βάση του λαιμού. Η πιο σύνθετη διακόσμηση περιλαμβάνει δύο παράλληλες αυλακώσεις γύρω από τη βάση του λαιμού, δύο ή τρεις παράλληλες αυλακώσεις γύρω από το χείλος και ζιγκ-ζαγκ ή κυματιστές διπλές ή τριπλές παράλληλες αυλακώσεις στον ώμο του αγγείου (Π ί ν. 340: 3-8).

Η αυλακωτή διακόσμηση της βάσης του λαιμού και της περιφέρειας του χείλους οργανώνεται συχνά σε μετωπικό θέμα (Π ί ν. 339: 4-6).

Ο αριθμός των αυλακώσεων και του καταμερισμού τους στη βάση του λαιμού, στην περιφέρεια του χείλους και στο μέσον του λαιμού εμφανίζεται σε πολλούς συνδυασμούς (Σ χ έ δ. 82δ-η, 83θ· Π ί ν. 338: 3-7, 339, 340: 1-2).

Το μέσον του λαιμού σπάνια διακοσμείται με ζιγκ-ζαγκ αυλακώσεις ή «τρίγλυφα» (Π ί ν. 341: 4). Συχνά, η αυλακωτή διακόσμηση του ώμου τονίζεται με αποφύσεις (Π ί ν. 340: 3-5). Αυλακωτή διακόσμηση εμφανίζεται επίσης και στη γωνιόσχημη λαβή (Π ί ν. 342: 1-6). Στο ταινιωτό τμήμα της λαβής, οι αυλακώσεις ακολουθούν συνήθως το τριγωνικό περίγραμμα, αλλά εμφανίζουν κάποτε και διακοσμητικά θέματα (Π ί ν. 342: 6). Στο ταινιωτό τμήμα της γωνιόσχημης λαβής εμφανίζεται, επίσης, κάποτε και μια κυκλική οπή ως συμπληρωματική διακόσμηση (Π ί ν. 204: 2, 342: 3)[552]. Η αυλακωτή διακόσμηση, τόσο σε μεγάλα όσο και σε μικρά κυπελλόσχημα αγγεία, συνδυάζεται και με στικτή διακόσμηση (Π ί ν. 340: 10-11, 342: 9).

Τα διακοσμητικά θέματα είναι ευθύγραμμα και σε ελάχιστες περιπτώσεις κυματιστές γραμμές αντικαθιστούν τις ζιγκ-ζαγκ αυλακώσεις του ώμου (Π ί ν. 340: 3, 6). Εκτός από ελάχιστες εξαιρέσεις, τα διακοσμητικά θέματα αναπτύσσονται σε οριζόντια διάταξη, πολύ συχνά κατά ζεύγη παράλληλων γραμμών (Σ χ έ δ. 144). Στον ώμο του αγγείου εμφανίζονται επίσης αποφύσεις, άλλοτε χωρίς διακόσμηση (Π ί ν. 340: 2), άλλοτε τονισμένες από διπλές κατά κανόνα παράλληλες αυλακώσεις (Π ί ν. 340: 3-5). Οι παραλλαγές του σχήματος, που περιλαμβάνουν διαφοροποιήσεις της λαβής, του λαιμού και του χείλους, σε συνδυασμό με το μέγεθος του αγγείου, διαμορφώνουν πολλές παραλλαγές του σχήματος IV, που κατατάχθηκαν με βάση τη διακόσμηση (Σ χ έ δ. 80-83· Π ί ν. 337-342: 1-6).

Στην κεντρική Μακεδονία, το σχήμα IV με το ελαφρά λοξότμητο χείλος και τη χαρακτηριστική γωνιόσχημη λαβή δε φαίνεται να είναι διαδεδομένο. Το μοναδικό παράδειγμα που έχουμε ως τώρα προέρχεται από την Άσσηρο[553], όπου η αυλακωτή κεραμική φαίνεται ότι διαφοροποιείται από την αυλακωτή κεραμική της κοιλάδας του Αξιού. Στην κοιλάδα του Αξιού επικρατούν, όπως είδαμε, τα μόνωτα και τα δίωτα κανθαρόσχημα αγγεία με τη ραβδωτή διακόσμηση στον ώμο, αντίστοιχα των οποίων εμφανίζονται και στο νεκροταφείο της Βεργίνας. Τα μόνωτα, ωστόσο, αγγεία στην κεντρική Μακεδονία έχουν οριζόντιο χείλος[554]

551. Ό.π., υποσημ. 47-49.

552. Ανάλογη οπή στο άνω τμήμα λαβής εμφανίζεται σε αγγεία γραπτής αμαυρόχρωμης κεραμικής, π.χ. Καστανά, Hochstetter 1984, πίν. 46, 4, 7 (στρώμα 12). Πρβλ. επίσης παραδείγματα από την Αλβανία, Prendi 1966, 255 κ.ε., πίν. 17, 3.

553. Wardle 1980, πίν. 22f, φάση 2.

554. Βάρδινο: Heurtley 1939, Καστανάς: Hochstetter 1984, 188 κ.ε., εικ. 51 (στρώματα 13-9). Πρβλ. και Βεργίνα, Ανδρόνικος 1969, 188, εικ. 37.

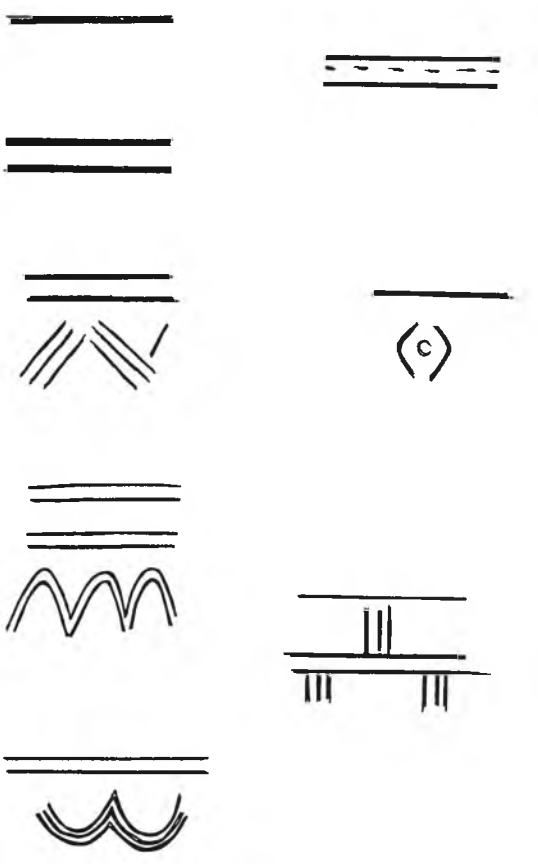

Σχέδ. 144. Διακοσμητικά θέματα αυλακωτής κεραμικής νεκροταφείων Καστρί και Λαρνάκι.

και αυτή η σπανιότητα του ευρύστομου αγγείου, με το ελαφρά λοξότμητο χείλος και τη χαρακτηριστική γωνιόσχημη λαβή, είναι νομίζω χαρακτηριστική, όπως και η απουσία του turban bowl από τη Θάσο, που παρατηρείται και στην Τροία VIIb2.

Το μόνωτο ευρύστομο αγγείο, με το οριζόντιο συνήθως χείλος, είναι γνωστό σχήμα και στους Urnenfelder πολιτισμούς, τόσο στην κεντρική Ευρώπη όσο και στην Ιταλία και τα δυτικά Βαλκάνια, όπου και παραμένει ως το τέλος της πρώιμης εποχής του σιδήρου[555].

Στην ανατολική Μακεδονία φαίνεται αντίθετα ότι ο τύπος είναι αρκετά διαδεδομένος, γιατί η χαρακτηριστική γωνιόσχημη λαβή δε λείπει από την επιφανειακή κεραμική των οικισμών της πρώιμης εποχής του σιδήρου (Σ χ έ δ. 140: 14-15, 141: 5).

Το σχήμα IV, ωστόσο, με τη γραμμική αυλακωτή διακόσμηση εμφανίζει μεγάλη διάδοση στην αιγαιακή Θράκη, όπως διαπιστώνεται στο σπήλαιο της Μαρώνειας, στην ακρόπολη

555. Μόνωτα ευρύστομα αγγεία, με ελαφρά λοξότμητο χείλος και αυλακωτή γραμμική ή ραβδωτή διακόσμηση στον ώμο, εμφανίζονται στην Urnenfelder περίοδο της Ουγγαρίας, Patek 1967, πίν. VII, 49, 51 ή πίν. LXXV, 17, αλλά και στην περίοδο Hallstatt της βορειοδυτικής Σερβίας, ανατολικών Άλπεων και Ιταλίας, Müller-Karpe 1959, πίν. 21, τάφος 25C (Κύμη), πίν. 108, τάφος 4D (Maria Rast). Ανάλογο, ωστόσο, σχήμα αγγείου με γραμμική ζιγκ-ζαγκ αυλακωτή διακόσμηση στον ώμο είναι διαδεδομένο στην Εγγύς Ανατολή από τις πρώιμες φάσεις της εποχής του χαλκού, π.χ. Beyčesultan, Lloyd - Mellaart 1962, εικ. P31 (στρώμα XV) εικ. P38, 19 (στρώμα XI).

της Εργάνης, στο σπήλαιο της Μάκρης, καθώς και σε πολλές άλλες θέσεις της αιγαιακής Θράκης, γνωστές από πρόσφατες ανασκαφικές ή επιφανειακές έρευνες[556].

Βορειότερα, στην περιοχή της σημερινής Βουλγαρίας, το σχήμα IV εμφανίζει κατά κανόνα ραβδωτή διακόσμηση[557], συχνά συνδυασμένη με αποφύσεις. Στις ομάδες Čatalca και Pšeničevo, τα αγγεία αυτού του σχήματος έχουν οριζόντιο χείλος και οριζόντιες παράλληλες ραβδώσεις στο λαιμό. Στα βαθιά μόνωτα αγγεία της ομάδας των παραλίων της ανατολικής Βουλγαρίας, με το ελαφρά λοξότμητο χείλος και τις αποφύσεις στον ώμο, η διακόσμηση είναι κατά κανόνα ραβδωτή[558] και οπωσδήποτε ποτέ δεν τονίζεται με αυλακώσεις η βάση και το χείλος του λαιμού, όπως στα αγγεία της Θάσου. Μεγαλύτερες είναι οι συγγένειες στο σχήμα και στη διακόσμηση, που εμφανίζουν τα μόνωτα ευρύστομα αγγεία της Θάσου με τα αντίστοιχα αγγεία της ομάδας Babadag I[559], καθώς και με της Τροίας VIIb2[560]. Αρχαιότερα, οπωσδήποτε, παραδείγματα του σχήματος εμφανίζονται στην ομάδα Coslogeni, όπου η βάση του λαιμού τονίζεται με δύο παράλληλες χαρακτές γραμμές, που περνούν και στα αντίστοιχα αγγεία της ομάδας Babadag I[561].

Με βάση την παραπάνω διάδοση, θα μπορούσαμε να προσδιορίσουμε το γεωγραφικό χώρο εξάπλωσης του αγγείου αυτού με το ελαφρά λοξότμητο χείλος, τη γωνιόσχημη λαβή και τη γραμμική αυλακωτή διακόσμηση στο λαιμό και στον ώμο, στην ανατολική Μακεδονία, στη Θάσο, στην αιγαιακή Θράκη και στην Τροία VIIb2. Πιθανότατα, θα πρέπει στον ίδιο χώρο να συμπεριληφθεί και η Σαμοθράκη, παρόλο που λείπουν ακόμη τα ευρήματα, και οπωσδήποτε η ανατολική Θράκη ύστερα από τα τελευταία ευρήματα.

Το αγγείο IV, διακοσμημένο με αυλακωτή διακόσμηση, εμφανίζεται από τη φάση ΙΙΑ των νεκροταφείων και παραμένει με μεγάλα ποσοστά ως τη φάση ΙΙΒ3 των νεκροταφείων. Στη φάση ΙΙΓ φαίνεται ότι πάει να αντικατασταθεί από μικρότερα αγγεία, ακόσμητα χειροποίητα ή επείσακτα τροχήλατα.

Σ χ ή μ α V: Κανθαρόσχημα αγγεία

Ο κάνθαρος τύπου VB είναι σχήμα γνωστό από την ακόσμητη κεραμική. Η παραλλαγή V 119 αντιπροσωπεύεται με τρία παραδείγματα στα νεκροταφεία του οικισμού Καστρί (Π ί ν. 76: 3, 182: 11, 185: 2) και απουσιάζει τελείως από το νεκροταφείο Λαρνάκι. Η αυλακωτή διακόσμηση καλύπτει το λαιμό του αγγείου σε μετωπικό θέμα, όπως σε αγγεία του σχήματος IV 86, 87, 88.

Στο σχήμα IV παραπέμπουν και οι γωνιόσχημες λαβές[562].

Αγγείο του ίδιου σχήματος, με αντίστοιχη διακόσμηση, δεν είναι γνωστό από άλλες θέσεις της Μακεδονίας και της Θράκης, η έλλειψη ωστόσο αυτή πιθανότατα σχετίζεται και με το χαμηλό επίπεδο της έρευνας. Οπωσδήποτε, ο τύπος δεν πρέπει να εμφανίζεται στα ηπει-

556. Πεντάζος 1971, πίν. 109α (Σπήλαιο Μαρώνειας), πίν. 117α (Ακρόπολη Εργάνης), Πάντος 1974, 80, εικ. 7 (Σπήλαιο Νέας Μάκρης), Τριαντάφυλλος 1973-74, πίν. 605 (Ιάσιο).

557. Συχνότατη, ωστόσο, είναι στα αγγεία τύπου IV των ομάδων Čatalca και Pšeničevo η διακόσμηση του λαιμού με παράλληλες οριζόντιες χαράξεις (Hänsel 1976, πίν. 23, 12 και 73, 7), που εμφανίζεται και στην αυλακωτή κεραμική των παραλίων του Εύξεινου, Hänsel 1976, πίν. 29, 4. Η διακόσμηση αυτού του τύπου, όπως και το κωνικό εξέχον χείλος που εμφανίζεται στην ομάδα Sava, πρέπει να αποτελούν χαρακτηριστικά τοπικών εργαστηρίων της Θράκης. Η οριζόντια αυλακωτή διακόσμηση στο λαιμό των αγγείων τύπου IV σημειώνεται και στην αιγαιακή Θράκη, καθώς και στην αυλακωτή κεραμική από την ανατολική Μακεδονία, αλλά λείπει τελείως από τη Θάσο, Triantafyllos 1980, 158, εικ. 18.

558. Hänsel 1976, πίν. 14, 8. Η αυλακωτή διακόσμηση στη Θάσο πλησιάζει περισσότερο την εγχάρακτη διακόσμηση των αγγείων της ομάδας Babadag (Morintz 1964, 109, εικ. 6, 2), γιατί όπως και στην αντίστοιχη κεραμική από την Τροία VIIb2 βρίσκεται ανάμεσα στη χάραξη και την αυλάκωση-ράβδωση.

559. Hänsel 1976, πίν. V, 1 (με ελαφρά λοξότμητο χείλος).

560. Blegen - Caskey 1958, εικ. 281, 8-9.

561. Morintz 1978, εικ. 84, 1.

562. Γωνιόσχημες λαβές έχουν και οι κάνθαροι με τη ραβδωτή διακόσμηση, που εμφανίζονται στην κεντρική Μακεδονία, Ανδρόνικος 1969, εικ. 35ΑΓ, καθώς και στα ηπειρωτικά Βαλκάνια, Hänsel 1976, πίν. 13, 2.

ρωτικά Βαλκάνια, γιατί διαφέρει και στο σχήμα και στη διακόσμηση από τους σύγχρονους κανθάρους με ραβδωτή διακόσμηση, που είναι διαδεδομένοι όχι μόνο στα ανατολικά και στα δυτικά Βαλκάνια, αλλά και σ' όλο το χώρο επίδρασης των πολιτισμών Urnenfelder.

Ο κάνθαρος με την αυλακωτή διακόσμηση στο λαιμό εμφανίζεται στη φάση IIB3 των νεκροταφείων.

Σ χ ή μ α VI: Αμφορείς

Αυλακωτή διακόσμηση εμφανίζεται μόνο στους αμφορείς τύπου VIB και VIΓ. Η αυλακωτή διακόσμηση αποτελείται από γραμμικά θέματα, που διακοσμούν τη βάση του λαιμού, το λαιμό και την περιφέρεια του χείλους και ορισμένες φορές επεκτείνονται και στον ώμο του αγγείου (Π ί ν. 155-156, 342: 7).

Αποφύσεις εμφανίζονται συχνά στον ώμο των αμφορέων τύπου VIB 136, όπου περιβάλλονται συνήθως από ζεύγη παράλληλων ζιγκ-ζαγκ αυλακώσεων. Αμφορείς του τύπου VIB είναι γνωστοί από στρώματα πρώιμης εποχής του σιδήρου των οικισμών της κεντρικής Μακεδονίας[563], όπου εμφανίζονται ακόσμητοι. Στην ανατολική Μακεδονία δεν έχουμε ακόμη παραδείγματα, αλλά φαίνεται ότι ο τύπος δε λείπει από την αιγαιακή Θράκη, αφού είναι γνωστός στην Τροία VIIb[564]. Το αγγείο του τύπου VIB 136 εμφανίζει ορισμένες ομοιότητες, αλλά δεν ταυτίζεται με αντίστοιχα μεγάλα αγγεία από τα ηπειρωτικά Βαλκάνια, που σχετίζονται με το γνωστό από την ομάδα Gava αμφορέα τύπου A[565] (Π ί ν. 342: 7).

Ο αμφορέας τύπου VIΓ με την αυλακωτή διακόσμηση κατάγεται από τον αντίστοιχο τύπο ακόσμητου αμφορέα, που εμφανίζεται από την ύστερη εποχή του χαλκού στη Μακεδονία και στη Θάσο[566]. Η αυλακωτή διακόσμηση τονίζει τη βάση του λαιμού (Π ί ν. 192Γ: 1, 343: 4) και συχνά κοσμεί και το λαιμό και το χείλος του αμφορέα (Π ί ν. 343: 2). Πιο σπάνια εμφανίζεται και στον ώμο του αμφορέα ως ζιγκ-ζαγκ διακόσμηση από ζεύγη παράλληλων γραμμών (Π ί ν. 343: 1) (παραλλαγή VIΓ 132).

Αποφύσεις σημειώνονται σε ένα μόνο παράδειγμα (παραλλαγή VIΓ 133)[567] (Π ί ν. 343: 3), του οποίου η υψωμένη βάση προέρχεται πιθανότατα από επίδραση τροχήλατης κεραμικής. Ο τύπος VIΓ δεν είναι ακόμη γνωστός από άλλες θέσεις της Μακεδονίας και της Θράκης, αλλά είναι βέβαιο πως πρέπει να αποτελεί επιβίωση σχήματος αρχαιότερης φάσης, που διακοσμείται με τη διαδεδομένη στην πρώιμη εποχή του σιδήρου αυλακωτή διακόσμηση, η οποία σε ορισμένες περιπτώσεις είναι δυνατό να αναχθεί σε πρότυπα πρώιμης εποχής του χαλκού, όπως τα ξέρουμε από τα νησιά του ανατολικού Αιγαίου[568].

Ο τύπος, οπωσδήποτε, αυτός με όλες τις παραλλαγές του, ορισμένες από τις οποίες μπορούν να αναχθούν και σε πρωτογεωμετρικά πρότυπα (VIΓ 125, 126) (Π ί ν. 343: 4), δεν εμφανίζεται στα ηπειρωτικά Βαλκάνια.

563. Wardle 1980, 258, 46, Άσσηρος, ακόσμητος τύπος, Hänsel 1976, εικ. 16, Καστανάς, ακόσμητος τύπος. Η παρουσία αυτού του αγγείου αποτελεί συνέχεια της κεραμικής παράδοσης της ύστερης εποχής του χαλκού. Κανένα όμως παράδειγμα με γραμμική αυλακωτή διακόσμηση, κατά τον τύπο των αγγείων της Θάσου, δεν είναι ακόμη γνωστό από την κεντρική Μακεδονία. Στον Καστανά, στο στρώμα 10 εμφανίζεται ένας τύπος «αμφορέα» με αυλακωτή-ραβδωτή διακόσμηση στο λαιμό και στον ώμο, αλλά αυτός παραπέμπει στα κεντροευρωπαϊκά και βαλκανικά, τύπου Urn, αγγεία. Hänsel 1981, 207 κ.ε.· πρβλ. και Hochstetter 1984, εικ. 51.

564. Στο νεκροταφείο Μεσημβρίας, αμφορέας αντίστοιχου σχήματος με εγχάρακτη διακόσμηση και αποφύσεις, Βαβρίτσας 1970, πίν. 106β. Πρβλ. επίσης παράδειγμα από την Τροία VIIb2, Blegen - Caskey 1958, εικ. 265, αριθ. 361097.

565. Hänsel 1976, πίν. XIV, 12 (ομάδα Pšeničevo), πίν. XIII, 14 (ομάδα Čatalca), πίν. V, 17 (ομάδα Babadag), πίν. III, 22-24 (ομάδα Vîrtrop). Αμφορείς αντίστοιχου τύπου εμφανίζονται και στην αιγαιακή Θράκη, διακοσμημένοι με συνδυασμό αυλακωτής και σταμπωτής διακόσμησης, Triantafyllos 1980, εικ. 16, καθώς και στην ανατολική Μακεδονία, πρβλ. κεραμική από τον τύμβο Καστά Αμφίπολης (Σ χ έ δ. 142: 1).

566. Πρβλ. υποσημ. 113-114.

567. Οι αποφύσεις που εμφανίζονται και στους αμφορείς πρώιμης εποχής του χαλκού (Εμπορειό, φάση V-VI) δεν μπορούν να θεωρηθούν κατεξοχήν χαρακτηριστικό της πρώιμης εποχής του σιδήρου, παρά τη διάδοσή τους στους αμφορείς του νεκροταφείου Βεργίνας, Ανδρόνικος 1969, 204, εικ. 44.

568. Π.χ. Εμπορειό, Hood 1981/1982, πίν. 74, αριθ. 1241, 1242.

Σ χ ή μ α VII: Οινοχόες

Οι οινοχόες, που εμφανίζουν αυλακωτή διακόσμηση με γραμμικά θέματα, ανήκουν κυρίως στους τύπους VIIΓ και VIIΔ. Ελάχιστα παραδείγματα ανήκουν στον τύπο VIIA[569].

Στον τύπο VIIΓ, η αυλακωτή διακόσμηση εμφανίζεται σε διάφορες παραλλαγές (Π ί ν. 343: 8), που διαφοροποιούνται και ως προς τις λεπτομέρειες του σχήματος, αλλά και ως προς τα διακοσμητικά θέματα. Το απλούστερο είδος αυλακωτής διακόσμησης είναι μια απλή αυλάκωση γύρω από τη βάση του λαιμού (Π ί ν. 343: 5). Στη θέση της μιας αυλακωτής γραμμής συχνότατη είναι η εμφάνιση δύο παράλληλων γραμμών (Π ί ν. 343: 6). Δύο παράλληλες γραμμές τονίζουν στα περισσότερα παραδείγματα και το περίγραμμα του οπισθότμητου χείλους της οινοχόης (πρβλ. παραλλαγές VIIΓ 154, 158) (Π ί ν. 174: 4).

Υπάρχουν παραλλαγές με ζιγκ-ζαγκ διπλές ή τριπλές αυλακώσεις στον ώμο (VIIA 141, VIIΓ 159, Π ί ν. 343: 7-8). Μοναδική, επίσης, είναι μια παραλλαγή με κύκλους[570] και γιρλάντες στον ώμο (παραλλαγή VIIΓ 157), που εμφανίζει και ως σχήμα ιδιορρυθμίες, γιατί δεν έχει βάση, αντίθετα με όλες τις άλλες παραλλαγές όπου υπάρχει μια επίπεδη βάση.

Στην παραλλαγή VIIΓ 153 εμφανίζεται μια σειρά από κουκίδες γύρω από τη βάση του λαιμού, που θα μπορούσαν μαζί με τις εμπίεστες κουκίδες στο μόνωτο αγγείο K3B2 (Π ί ν. 25A: 2) να θεωρηθούν προδρομικά παραδείγματα σταμπωτής κεραμικής (Π ί ν. 95: 4, 342: 8).

Στον τύπο VIIΔ εμφανίζονται παραλλαγές, που αντιστοιχούν στο διαφορετικό τύπο διακόσμησης. Η απλούστερη διακόσμηση είναι ένα ζευγάρι παράλληλες γραμμές γύρω από τη βάση του λαιμού (Π ί ν. 344: 1-2) του αγγείου· η συνθετότερη διακόσμηση επεκτείνεται, εκτός από το λαιμό, και στο χείλος (Π ί ν. 344: 3-4) και σε ζιγκ-ζαγκ διακοσμητικά θέματα από ζεύγη παράλληλων αυλακωτών γραμμών στον ώμο του αγγείου (Π ί ν. 344: 5).

Οι τρεις τύποι οινοχόης με αυλακωτή διακόσμηση ανήκουν στην παράδοση της πρώιμης εποχής του χαλκού, που στη Μακεδονία[571] αλλά και στη Θάσο φαίνεται ότι επιβιώνει στο σχηματολόγιο των αγγείων. Τα διακοσμητικά, επίσης, θέματα πολύ εύκολα θα μπορούσαν να αναχθούν σε πρότυπα πρώιμης εποχής του χαλκού, όπως τα ξέρουμε π.χ. από το Εμπορειό[572], αν είχαμε ενδιάμεσα παραδείγματα που θα κάλυπταν το χρονικό κενό από την πρώιμη εποχή του χαλκού στην πρώιμη εποχή του σιδήρου. Ανεξάρτητα από την ενδεχόμενη αναγωγή τους σε τόσο παλιά πρότυπα, θα μπορούσαμε να βρούμε συγγενικά με τις οινοχόες της Θάσου παραδείγματα στην αρχαιότερη φάση της πρώιμης εποχής του σιδήρου στην Άσσηρο, όπου εμφανίζονται οι οινοχόες τύπου περίπου VIIΓ, με αυλακωτή διακόσμηση γύρω από τη βάση του λαιμού και στον ώμο. Η αυλακωτή διακόσμηση γύρω στην περιφέρεια του χείλους επιβιώνει και στις οινοχόες της φάσης 2 της Ασσήρου[573].

Από την αιγαιακή Θράκη δεν έχουν ακόμη δημοσιευθεί παραδείγματα, που πιθανότατα θα υπάρχουν, γιατί τον τύπο της οινοχόης με την οπισθότμητη προχοή τύπου VIIΓ τον βρίσκουμε και βορειότερα στη Βουλγαρία, σε μια οινοχόη από το Plovdiv[574], η οποία στο σχήμα και στον τρόπο διακόσμησης θυμίζει πολύ την οινοχόη της παραλλαγής VIIΓ 158.

Οπωσδήποτε, ο τύπος αυτός της οινοχόης, όπως και η οινοχόη γενικότερα με την οπισθότμητη προχοή, σχήμα ανατολικό-αιγαιακό, επιβιώνει στην πρώιμη εποχή του σιδήρου στην αιγαιακή Θράκη και τη Μακεδονία[575], ενώ δεν είναι διαδεδομένος στο εσωτερικό των Βαλκανίων[576].

569. K4A, AΠ3, Π ί ν. 31 και K6B1, Π ί ν. 42A.

570. Πρβλ. αντίστοιχο θέμα σε ομάδα Vîrtrop, Hänsel 1976, πίν. 12, 6, αλλά με διαφορετική τεχνική. Το παράδειγμα της Θάσου πλησιάζει περισσότερο στη σταμπωτή διακόσμηση. Μια αντίστοιχη διακοσμητική αίσθηση εμφανίζεται σε αυλακωτή διακόσμηση αγγείων ομάδας Štip, Kilian 1975, πίν. 43, αριθ. 19, 21.

571. Πρβλ. υποσημ. 164-167.

572. Hood 1981/1982, 327, εικ. 153. Πρβλ. και τυπολογικές αντιστοιχίες με αυλακωτή κεραμική πρώιμης εποχής του χαλκού Εγγύς Ανατολής (υποσημ. 555).

573. Wardle 1980, φάση 2, 257, εικ. 16, αριθ. 44.

574. Hänsel 1976, 224, πίν. 28, 20.

575. Blegen - Caskey 1958, εικ. 263, αριθ. 371002, Ανδρόνικος 1969, 194, εικ. 39.

576. Οινοχόη Kosloduj, Hänsel 1976, πίν. 64, 8, Tončeva 1980, 35, πίν. V, 4.

Σ χ ή μ α IX: Άωτα αγγεία - πυξίδες

Μια παραλλαγή μόνο αυτού του σχήματος εμφανίζει αυλακωτή διακόσμηση. Η παραλλαγή ανήκει στον τύπο IXB 195, που πιθανότατα έφερε πώμα. Η αυλακωτή διακόσμηση τονίζει τη βάση του λαιμού και την περιφέρεια του χείλους του αγγείου (Π ί ν. 95: 6, 336: 12).

Η παραλλαγή IXB 194 ανήκει σ' ένα σχήμα, όπως είδαμε, γνωστό στον ανατολικοαιγαιακό αλλά και στον ηπειρωτικό βαλκανικό χώρο[577]. Το γνωστό από την πρώιμη εποχή του χαλκού σχήμα συνεχίζεται στις προχωρημένες φάσεις της εποχής του χαλκού και στην πρώιμη εποχή του σιδήρου στα ηπειρωτικά Βαλκάνια, χωρίς όμως αυλακωτή διακόσμηση. Ένα διακοσμημένο με αυλακώσεις γύρω από τη βάση του λαιμού παράδειγμα έχει δώσει η Τροία VIIb2[578].

Κεραμική με ραβδωτή διακόσμηση (I, 4)

ΤΕΧΝΙΚΗ ΚΑΤΑΣΚΕΥΗΣ

Η τεχνική κατασκευής είναι όμοια με της κεραμικής της κατηγορίας I, 3. Στη ραβδωτή κεραμική επικρατούν ωστόσο οι σκούροι χρωματικοί τόνοι στην επιφάνεια των αγγείων, που κυμαίνονται ανάμεσα στο καστανότεφρο και στο καστανόμαυρο. Η τεχνική του «καπνίσματος» δεν εμφανίζεται σε αγγείο αυτής της κατηγορίας.

Η διακόσμηση πραγματοποιείται με κάποιο κυλινδρικό εργαλείο, που πιέζεται πάνω στη μαλακή επιφάνεια του αγγείου. Το κυλινδρικό αυτό στέλεχος θα μπορούσε να ήταν ξύλινο ή οστέινο και θα μπορούσε, επίσης, να αντικατασταθεί από το δάκτυλο του αγγειοπλάστη ή την πλάγια επιφάνεια της παλάμης του. Μετά τη διακόσμηση ακολουθούσε το επίχρισμα από αραιωμένο πηλό (slip) και μετά το στέγνωμα η λείανση της επιφάνειας με το γνωστό τρόπο, πάντα χωρίς στιλβωτήρα (πρβλ. L. Courtois, Παράρτημα IV, δείγμα αριθ. 27).

ΔΙΑΚΟΣΜΗΤΙΚΑ ΘΕΜΑΤΑ - ΣΧΗΜΑΤΑ ΑΓΓΕΙΩΝ

Τα διακοσμητικά θέματα είναι πλατιές λοξές αυλακώσεις στον ώμο του αγγείου· σε ορισμένες περιπτώσεις συνδυάζονται και με γραμμική αυλακωτή διακόσμηση στη βάση του λαιμού ή στο κάτω σώμα του αγγείου (Σ χ έ δ. 145· Π ί ν. 341: 2, 4-5).

Τα σχήματα των αγγείων που εμφανίζονται είναι:

Σχήμα IV: Μόνωτα ευρύστομα αγγεία.

Σχήμα VII: Οινοχόες τύπου VIIΓ.

Αγγεία με ραβδωτή διακόσμηση εμφανίζονται σε πολύ μικρό ποσοστό στα νεκροταφεία του οικισμού Καστρί και απουσιάζουν τελείως από το νεκροταφείο της θέσης Λαρνάκι.

Σ χ ή μ α IV: Μόνωτα ευρύστομα αγγεία

Με ραβδωτή ή αυλακωτή διακόσμηση που μιμείται τη ραβδωτή (Π ί ν. 341: 3) εμφανίζονται οι παραλλαγές IV 109-111 (Π ί ν. 341: 1-6). Οι παραλλαγές IV 112, 113 (Π ί ν. 341: 4-6) συνδυάζουν τη ραβδωτή με τη γραμμική αυλακωτή διακόσμηση. Αντίστοιχα αγγεία με παρόμοια ραβδωτή διακόσμηση, που πλησιάζει περισσότερο την παραλλαγή IV 109, εμφανίζονται στην αιγαιακή Θράκη, σε θέσεις όπως του Σπήλαιου Μαρώνειας, ακρόπολης Εργάνης, της περιοχής του νεκροταφείου Μικρού Δουκάτου[579]. Στην περιοχή των Dolmen της ορεινής

577. Πρβλ. υποσημ. 188-190.

578. Blegen - Caskey 1958, εικ. 265, αριθ. 3219, σχήμα C83.

579. Πεντάζος 1971, 87 (Σπήλαιο Μαρώνειας, αδημοσίευτο υλικό), 90 κ.ε. (Ακρόπολη Εργάνης). Τριαντάφυλλος 1973/74, 802 (Μικρό Δουκάτο, αδημοσίευτο υλικό). Triantafyllos 1980, 145 κ.ε. (Dolmen Ρούσσας, αδημοσίευτο υλικό). Στα παραδείγματα με ραβδωτή διακόσμηση από την κεντρική Μακεδονία εμφανίζεται ευθύγραμμο χείλος, Hochstetter 1984, 190.

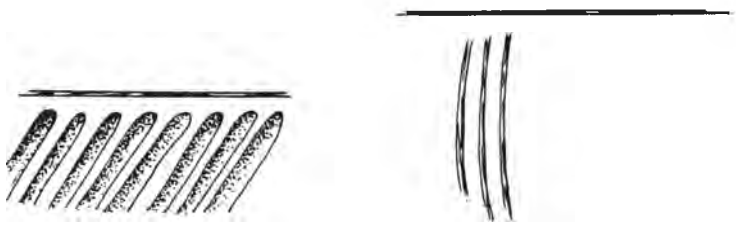

Σχέδ. 145. Διακοσμητικά θέματα ραβδωτής κεραμικής νεκροταφείων Καστρί.

Ροδόπης εμφανίζεται ραβδωτή διακόσμηση στον ώμο αντίστοιχου σχήματος αγγείων, αλλά τα αγγεία στην περιοχή αυτή έχουν επίσης πλατιές παράλληλες αυλακώσεις στο λαιμό[580].

Πιο κοντά στα παραδείγματα της Θάσου είναι τα αντίστοιχα ευρύστομα αγγεία της Τροίας VIIb2[581].

Η πλατιά ραβδωτή διακόσμηση στον ώμο (Π ί ν. 341: 1-2) είναι κοινό χαρακτηριστικό σε πολλά σχήματα αγγείων Urnenfelder πολιτισμού, επιδράσεις του οποίου εμφανίζονται σε κεραμικές ομάδες παραδουνάβιων περιοχών (Babadag I-II, Vîrtrop) και στις πολύ νοτιότερες περιοχές της Μακεδονίας και της Θράκης. Η επίδραση της ραβδωτής κεραμικής, που στην κεντρική Ευρώπη εμφανίζεται από τη μέση εποχή του χαλκού με αδιάσπαστη συνέχεια, απλώνεται από τη μέση και ύστερη εποχή του χαλκού στα δυτικά Βαλκάνια (Γιουγκοσλαβία, Αλβανία), όπου επιβιώνει ως τις προχωρημένες φάσεις της πρώιμης εποχής του σιδήρου[582]. Η ραβδωτή διακόσμηση στα μόνωτα αγγεία της Θάσου συνδυάζεται με τη χαρακτηριστική γωνιόσχημη λαβή, που εμφανίζει μεγάλη διάδοση στην αυλακωτή κεραμική, κυρίως των ανατολικών Βαλκανίων και στην Τροία VIIb2[583].

Σ χ ή μ α VII: Οινοχόες

Ένα μοναδικό παράδειγμα οινοχόης με ραβδωτή διακόσμηση στον ώμο βρέθηκε στα νεκροταφεία (Π ί ν. 54: 2). Το αγγείο ανήκει στον τύπο VIIΓ και η ανοικτόχρωμη επιφάνειά του αποτελεί ιδιορρυθμία για την αυλακωτή κεραμική, που κατά κανόνα εμφανίζει σκοτεινούς χρωματικούς τόνους. Παρόμοια καστανόχρωμη επιφάνεια εμφανίζεται και στα ραβδωτά αγγεία της Βεργίνας, αλλά η χρωματική αυτή ιδιορρυθμία φαίνεται ότι είναι μάλλον τυχαία.

Το αγγείο ανήκει στη φάση ΙΙΑ των νεκροταφείων και αποτελεί χαρακτηριστικό παράδειγμα του συσχετισμού της ηπειρωτικής ραβδωτής διακόσμησης με τα σχήματα της αιγαιακής παράδοσης, χαρακτηριστικό γνώρισμα της αυλακωτής και της ραβδωτής κεραμικής της Θάσου.

ΑΠΟΦΥΣΕΙΣ

Οι αποφύσεις δεν είναι αποκλειστικό γνώρισμα της αυλακωτής κεραμικής. Εμφανίζονται στα νεκροταφεία του οικισμού Καστρί από τη φάση ΙΒ σε αγγεία ακόσμητης κεραμικής, όπως κανθάρους, κυπελλόσχημα αγγεία και οινοχόες. Στις οινοχόες εμφανίζεται μάλιστα

580. Triantafyllos 1980, 158, εικ. 18.

581. Blegen - Caskey 1958, εικ. 281, 1-6.

582. Patek 1968, πίν. VII 49, 51, Hänsel 1976, 88 κ.ε. Garašanin 1973, 635-637, Prendi 1982, 225 κ.ε., εικ. 13, 17.

583. Η χαρακτηριστική αυτή λαβή συνδυάσθηκε με τη διάδοση της λεγόμενης Buckelkeramik στα νοτιοανατολικά Βαλκάνια και στην Τροία VIIb2, αλλά, όπως έχουμε ήδη σημειώσει, ο τύπος είναι γνωστός από την πρώιμη εποχή του χαλκού. Πρβλ. Εμπορειό, Hood 1981/1982, 210, εικ. 106, 4b.

ένα είδος ορθογώνιων κατακόρυφων αποφύσεων στην αρχή του ώμου (Π ί ν. 333: 6), το οποίο θυμίζει αντίστοιχες αποφύσεις χαλκολιθικών χρόνων[584]. Οι αποφύσεις ωστόσο αυτού του είδους, που είναι γνωστές και από αγγεία της ακρόπολης της Εργάνης στη δυτική Θράκη, είναι πολύ σπάνιες στα νεκροταφεία.

Στους κανθάρους και τα κυπελλόσχημα αγγεία της φάσης ΙΒ των νεκροταφείων εμφανίζονται μικρές μαστοειδείς αποφύσεις στον ώμο ανάμεσα στις λαβές (Π ί ν. 62: 41, 113: 108). Στην ίδια φάση ανήκει και ένας μικρογραφικός αμφορίσκος, με χαμηλές αποφύσεις ανάμεσα σε δύο οριζόντιες διχαλωτές αποφύσεις, που βρίσκονται στη θέση των λαβών (Π ί ν. 6: 67).

Από τη φάση ΙΙΑ των νεκροταφείων οι αποφύσεις εμφανίζονται στο μεγάλο ευρύστομο αγγείο (σχήμα IV), που άλλοτε είναι ακόσμητο (Π ί ν. 102: 7, 340: 1) και άλλοτε διακοσμημένο με αυλακωτή γραμμική διακόσμηση (Π ί ν. 61: 36, 340: 2). Στην επόμενη φάση ΙΙΒ1, το ποσοστό των αποφύσεων μεγαλώνει (Σ χ έ δ. 146· Π ί ν. 20: 2, 4). Εκτός από το μόνωτο ευρύστομο αγγείο (Π ί ν. 339: 7-8), συχνά εμφανίζει στον ώμο αποφύσεις και ο αμφορέας του τύπου VIB, που άλλοτε είναι ακόσμητος, άλλοτε διακοσμημένος με γραμμική αυλακωτή διακόσμηση. Οι αποφύσεις στον αμφορέα τύπου VIΓ είναι πολύ σπάνιες (Π ί ν. 24: 10). Το μεγαλύτερο ποσοστό των αποφύσεων συγκεντρώνεται στην αυλακωτή κεραμική, όπου και θα παραμείνει ως το τέλος των νεκροταφείων. Στη φάση ΙΙΒ3 των νεκροταφείων οι αποφύσεις έχουν περιορισθεί μόνο στην αυλακωτή κεραμική, ενώ στη φάση ΙΙΓ πρέπει να έχουν εξαφανισθεί (Σ χ έ δ. 146α).

Βλέποντας τη χειροποίητη κεραμική των νεκροταφείων στο σύνολό της, διαπιστώνουμε ότι σ' όλες τις φάσεις η παρουσία των αποφύσεων είναι σποραδική. Στη φάση ΙΙΑ και ΙΙΒ1 εμφανίζονται με μεγαλύτερη συχνότητα οι αποφύσεις, χωρίς ωστόσο να αποτελούν βασικό χαρακτηριστικό των αγγείων. Σε σύγκριση με τις αποφύσεις της γνωστής Buckelkeramik, είναι πολύ πιο χαμηλές[585] και κατασκευάζονται είτε από πρόσθετο κομμάτι πηλού είτε με ελαφρά πίεση των τοιχωμάτων του αγγείου από μέσα προς τα έξω.

Μεγάλες κερατόσχημες αποφύσεις, αντίστοιχες με εκείνες των αγγείων της Τροίας και της Βουλγαρίας, δεν έχουν βρεθεί στα νεκροταφεία της Θάσου.

Παρακολουθώντας την εμφάνιση των αποφύσεων στις επιμέρους φάσεις των νεκροταφείων, θα μπορούσαμε να διατυπώσουμε την άποψη ότι πρόκειται για ένα είδος διακόσμησης, που άρχισε στη φάση ΙΒ, αλλά διαδόθηκε περισσότερο με την εμφάνιση της αυλακωτής κεραμικής, στην οποία και τελικά περιορίσθηκε. Θα μπορούσαμε, επίσης, να επισημάνουμε μια σταδιακή μείωσή τους από τη φάση ΙΙΒ1 στη φάση ΙΙΒ3 (Σ χ έ δ. 146β), που συμπίπτει και με την αντίστοιχη μείωση του όγκου τους.

Στην ύστερη εποχή του χαλκού της κεντρικής Μακεδονίας, βρίσκουμε αντίστοιχες αποφύσεις σε κανθαρόσχημα αγγεία ήδη από το στρώμα 14b του οικισμού του Καστανά[586]. Η εμφάνιση των αποφύσεων συνδυάζεται με υποχώρηση της εγχάρακτης κεραμικής και αντιπροσωπεύει, τόσο στην κεντρική Μακεδονία όσο και στη Θάσο, μια κεραμική ακόσμητη που διαδέχεται την εγχάρακτη. Οι αποφύσεις στην ακόσμητη αυτή κεραμική, όπως και στα ακόσμητα αγγεία από το Μαζαράκι της Ηπείρου, πρέπει να είναι άσχετες με τις επιδράσεις της κεντροευρωπαϊκής Buckelkeramik, όπως επίσης ανεξάρτητες είναι οι αποφύσεις που εμ-

584. Η εμφάνιση, ωστόσο, των αποφύσεων δε σχετίζεται μόνο με την Buckelkeramik. Αποφύσεις εμφανίζονται στην κεραμική του αιγαιακού χώρου κυρίως από την πρώιμη εποχή του χαλκού. Εμπορειό, Hood 1981/1982, πίν. 67, περίοδος V-IV. Για την πρώιμη εμφάνιση των αποφύσεων στη νεολιθική εποχή, πρβλ. Detev 1972, 29 κ.ε., Stefanovich 1974, 101, σημ. 1.

585. Για κατακόρυφες αποφύσεις στον ώμο αγγείων, πρβλ. κανθάρους Sava Conevo Βουλγαρίας, Tončeva 1980, πίν. XI, 1 (1050-900 π.Χ.). Πρβλ. επίσης κατακόρυφες αποφύσεις σε αγγεία προχωρημένων φάσεων της πρώιμης εποχής του σιδήρου στα ηπειρωτικά Βαλκάνια, Hänsel 1976, πίν. 16, 9 (οινοχόη από ταφή-καύση του τύμβου Cernavoda). Από τα ηπειρωτικά Βαλκάνια έχουμε, ωστόσο, παραδείγματα και από την ύστερη εποχή του χαλκού, π.χ. ομάδα Coslogeni, Morintz 1978, εικ. 73, 4.

586. Hänsel 1979, εικ. 14, 7.

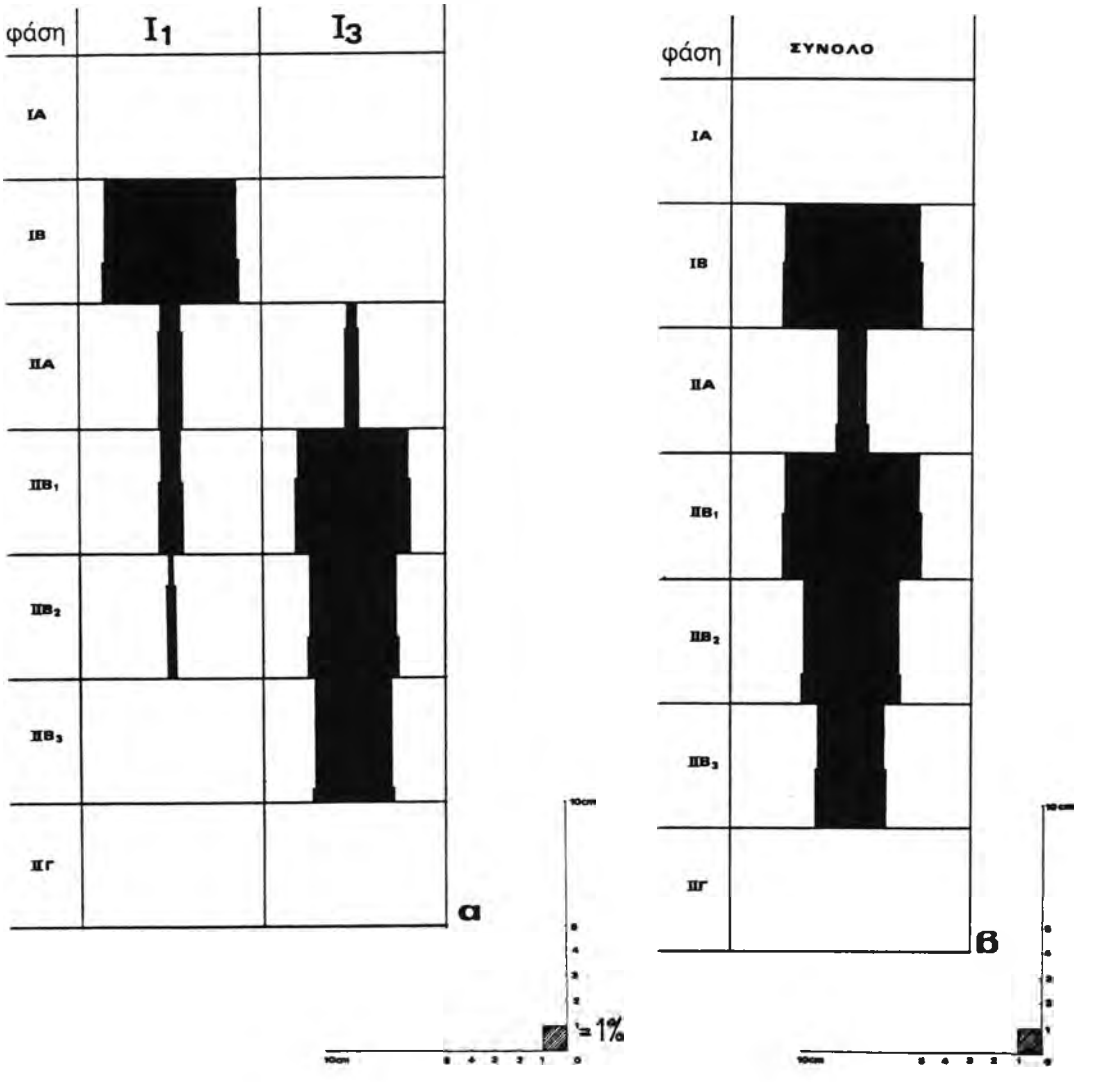

Σχέδ. 146. Αποφύσεις χειροποίητης κεραμικής κατά κατηγορίες (I, 1, I, 3) και συνολική στατιστική εικόνα.

φανίζονται στις τοπικές αποδόσεις της μινύειας κεραμικής, στα τέλη της λεγόμενης μέσης εποχής του χαλκού και στην αρχή της ύστερης εποχής του χαλκού, στη Βαρδαρόφτσα ή στον Άγιο Μάμα[587]. Αποφύσεις, επίσης, εμφανίζονται και στη ραβδωτή κεραμική της πρώιμης εποχής του σιδήρου της Μακεδονίας[588].

587. Heurtley 1939, εικ. 84 (Βαρδαρόφτσα), εικ. 75a (Άγιος Μάμας).
588. Αποφύσεις στη ραβδωτή κεραμική εμφανίζονται στα στρώματα 10-8 του Καστανά, Hochstetter 1984, εικ. 52.

I, 5: Κεραμική με πλαστική διακόσμηση

Διάδοση

Από την ύστερη νεολιθική εποχή χρονολογείται η εμφάνιση της πλαστικής διακόσμησης στην κεραμική του ελλαδικού, αιγαιακού και βαλκανικού χώρου[589]. Η παρουσία της, οπωσδήποτε, εντείνεται με την πρώιμη εποχή του χαλκού στις κατηγορίες εκείνες της αδρής κεραμικής, που περιλαμβάνουν μεγάλα αποθηκευτικά αγγεία και μαγειρικά σκεύη καθημερινής χρήσης.

Στο βαλκανικό χώρο, στη Μακεδονία και στη Θράκη, εξακολουθεί να αντιπροσωπεύεται με υψηλά ποσοστά και στις προχωρημένες φάσεις της εποχής του χαλκού, καθώς και στην πρώιμη εποχή του σιδήρου και τους ιστορικούς χρόνους, καλύπτοντας όχι μόνο μεγάλα αποθηκευτικά αγγεία — πίθους — αλλά και μικρότερα αγγεία καθημερινής χρήσης.

Τα σχήματα των αγγείων είναι τόσο τυπικά και η μορφολογική εξέλιξη της διακόσμησης είναι τόσο αργή, ώστε θα ήταν δύσκολο να επιχειρήσει κανείς μια τυπολογική τους κατάταξη, χρονική ή γεωγραφική, αν και νομίζω όχι τελείως άσκοπο.

Η κεραμική I, 5 στα νεκροταφεία Καστρί και Λαρνάκι

Στα νεκροταφεία του οικισμού Καστρί και της θέσης Λαρνάκι η κεραμική αυτής της κατηγορίας εμφανίζεται με τα ίδια περίπου ποσοστά σε όλες τις επιμέρους φάσεις των νεκροταφείων (Σ χ έ δ. 111), αποτελώντας με τη συνεχή παρουσία της και την ελάχιστη διαφοροποίησή της σε σχήματα και διακόσμηση χαρακτηριστική ένδειξη για τη συνέχεια της παραγωγής των τοπικών εργαστηρίων αγγειοπλαστικής, που κάλυπταν τις ανάγκες του πληθυσμού της περιοχής.

ΤΕΧΝΙΚΗ ΚΑΤΑΣΚΕΥΗΣ

Τα αγγεία της κατηγορίας I, 5 κατασκευάζονται από πηλό τύπου terra rossa. Επειδή η κατηγορία περιλαμβάνει μεγάλα ως επί το πλείστον αγγεία, ο πηλός είναι ενισχυμένος με χονδρά ψήγματα μαρμάρου, που ενισχύουν τη σταθερότητα και την αντοχή του αγγείου. Η επιφάνεια του αγγείου δέχεται μια μικρή επεξεργασία: Μετά το πλάσιμο ακολουθεί το «ξύσιμο» της επιφάνειας του αγγείου, που πραγματοποιείται με την κόψη κάποιου μετάλλινου ή και ξύλινου εργαλείου. Ίχνη της διαδικασίας αυτής είναι ευδιάκριτα, κυρίως στην εσωτερική επιφάνεια των μεγάλων αποθηκευτικών αγγείων (Π ί ν. 331: 2-4). Η επιφάνεια του αγγείου λειαίνεται τελικά με νερό — σε ορισμένες περιπτώσεις δίδεται η εντύπωση ενός επιχρίσματος από αραιωμένο πηλό — αλλά πιθανότατα πρόκειται για λερωμένο νερό από τις συνεχείς επαλείψεις.

Η διακόσμηση με τις πλαστικές επίθετες ταινίες ή τις απευθείας χαράξεις πραγματοποιείται μετά τη λείανση ή και συγχρόνως μ' αυτήν. Ακολουθεί το στέγνωμα και εν συνεχεία η όπτηση των αγγείων. Η όπτηση πραγματοποιείται με μεγάλο ποσοστό οξείδωσης, που δίδει στην επιφάνεια των αγγείων χρώμα καστανέρυθρο ή ερυθρό[590].

ΔΙΑΚΟΣΜΗΤΙΚΑ ΘΕΜΑΤΑ

Η πλαστική διακόσμηση αποτελείται από επίθετες ταινίες, που περιβάλλουν την περιφέρεια του χείλους, τη βάση του λαιμού και τον ώμο των αγγείων (Σ χ έ δ. 87). Συχνά, εκτός από την περιφερειακή διάταξη των ταινιών, σημειώνεται και κατακόρυφη διάταξη των πλαστι-

589. Σάλιαγκος, Evans - Renfrew 1968, 42, εικ. 40, 14-19 και εικ. 42.
590. L.C. Courtois, Παράρτημα IV, δείγματα αριθ. 36 και 40.

κών ταινιών κατά μήκος του λαιμού των μεγάλων αποθηκευτικών αγγείων (Π ί ν. 121: 54). Τα διακοσμητικά θέματα των ταινιών είναι «δακτυλιές» ή λοξές χαράξεις (Σ χ έ δ. 147α-γ· Π ί ν. 345β-ε).

Εκτός από τις πλαστικές ταινίες, εμφανίζονται και ελεύθερα διακοσμητικά θέματα στο λαιμό ή στην κοιλιά των πιθαριών, είτε ως εμπίεστα κυκλικά βαθύσματα (Π ί ν. 40: 4 και 43Γ: 4) είτε ως πλαστικές απεικονίσεις συγκεκριμένων θεμάτων. Η πλαστική διακόσμηση στην κοιλιά του πίθου Κ6Ε, που απεικονίζει σχηματοποιημένο άρμα και τροχούς, αποτελεί το πιο προχωρημένο παράδειγμα πλαστικής διακόσμησης (Σ χ έ δ. 147δ-ε· Π ί ν. 43Β: 8, 347: 1-2).

ΣΧΗΜΑΤΑ ΑΓΓΕΙΩΝ

Τα σχήματα των αγγείων αυτής της κατηγορίας, που εμφανίζονται στα νεκροταφεία του οικισμού Καστρί και της θέσης Λαρνάκι, είναι τα εξής: σχήμα IV, σχήμα XII, σχήμα XIII, σχήμα XIV.

Σ χ ή μ α IV: Μόνωτα ευρύστομα αγγεία

Ελάχιστα είναι τα παραδείγματα του σχήματος IV στην κεραμική της κατηγορίας I, 5. Το πιο χαρακτηριστικό παράδειγμα προέρχεται από τον αποθέτη του τάφου Τ18, που χρονολογείται στη φάση ΙΒ-ΙΙΑ (Π ί ν. 118: 1, 345: 1). Οι πλαστικές ταινίες, που σχηματίζουν ωτόσχημες αποφύσεις στον ώμο του αγγείου, θυμίζουν ανάλογη διακόσμηση των αγγείων της ομάδας Coslogeni[591]. Η ομάδα αυτή εμφανίζεται στην ύστερη εποχή του χαλκού στη νοτιοδυτική Ρουμανία και βορειοδυτική Βουλγαρία, και επιδράσεις της επισημαίνονται πολύ νοτιότερα, ως τη Μακεδονία[592] καί την Τροία IIb1[593], ακόμη και στα μυκηναϊκά κέντρα της Πελοποννήσου[594].

Η χειροποίητη κεραμική, ωστόσο, των μυκηναϊκών κέντρων της Πελοποννήσου φαίνεται ότι είναι προτιμότερο να σχετισθεί με αντίστοιχη κεραμική από τη δυτική Ελλάδα[595], ενώ για την κεραμική με την πλαστική διακόσμηση της Μακεδονίας και της Θράκης, με την οποία οπωσδήποτε εμφανίζει πολλές ομοιότητες η κεραμική της κατηγορίας I, 5 των νεκροταφείων της Θάσου, θα μπορούσε να αναζητήσει κανείς προδρόμους στην παράδοση της πρώιμης εποχής του χαλκού των ίδιων περιοχών[596].

Εκτός από το μόνωτο ευρύστομο αγγείο με τις ωτόσχημες αποφύσεις στον ώμο, πρέπει να εμφανίζονται και άλλοι τύποι μόνωτων αγγείων στη Θάσο, που σώζονται μόνο σε θραύσματα (Π ί ν. 46: 7), από τα οποία δεν είναι δυνατό να συμπληρωθούν σχήματα αγγείων (Π ί ν. 345: 4)[597].

Σ χ ή μ α XII: Πιθόσχημα αγγεία

Κοινά χαρακτηριστικά σ' όλα τα αγγεία αυτού του σχήματος είναι τα κατακόρυφα τοιχώματα του σώματος, η επίπεδη βάση και το ευρύ χείλος. Σε ορισμένα παραδείγματα, οι κατακόρυφες λαβές του ώμου (Π ί ν. 151: 19, 345: 2) έχουν αντικατασταθεί από αποφύσεις (Π ί ν. 345: 3).

591. A. Aricescu, SCIV 16 (1965), 17 κ.ε., Morintz - Angelescu 1970, 373, Hänsel 1976, 73, Morintz 1978, 121.

592. Hänsel 1976, 231.

593. Ό.π., 234, Hochstetter 1982α, 114, εικ. 9.

594. Rutter 1975, 17, E. French - Rutter 1977, 111-112. Πρβλ. επίσης και μόνωτο ευρύστομο αγγείο με πλαστική διακόσμηση από το Λευκαντί, Popham - Sackett 1968, 18, πίν. 34. Πρβλ. υποσημ. 530.

595. Σ. Δάκαρης, ΠΑΕ 1951, 117, ΠΑΕ 1952, 369, ΠΑΕ 1958, 92, 75, Δ. Ευαγγελίδης, Ηπειρ.Χρον. 10 (1935), 194-212, Hammond 1972, 291-292, 299-301, Βοκοτοπούλου 1969, 190-191, Παπαδόπουλος 1976, 281-282, Wardle 1977, 184, εικ. 12, Kilian - Podzuweit - Weisshaar 1981, 169, εικ. 20. Πρβλ. για τη χαρακτηριστική διακόσμηση στο κάτω σώμα των αγγείων, που εμφανίζεται μόνο στη δυτική Ελλάδα και που είναι συχνή και στα αγγεία από την Τίρυνθα.

596. Πρβλ. αντίστοιχη κεραμική από τη Θεσσαλία, Hanschmann - Milojčič 1976, πίν. 10, πίν. 38, 12, πίν. 54a, 17 κ.α.

597. Πρβλ. αγγείο Καστανά, Hochstetter 1984, πίν. 52, 3 (14b), αλλά και πίν. 76, 8 (12).

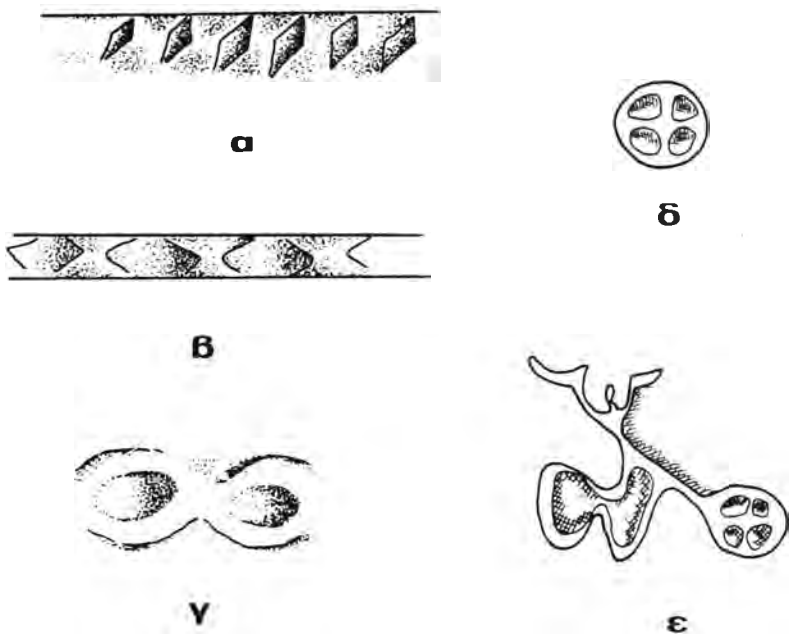

Σχέδ. 147. Διακοσμητικά θέματα χειροποίητης κεραμικής I, 5.

Η παραλλαγή XII 215 εμφανίζει ωτόσχημες αποφύσεις-λαβές κάτω από το χείλος (Π ί ν. 164: 80-81). Η πλαστική διακόσμηση εμφανίζεται σε πολλές παραλλαγές σε οριζόντια (Π ί ν. 151: 19) ή σε κατακόρυφη διάταξη (Π ί ν. 121: 54), συχνά συνδυασμένη με λοξές χαράξεις γύρω στην περιφέρεια του χείλους (Σ χ έ δ. 87· Π ί ν. 44Α: 1). Αγγεία αυτού του σχήματος, και με πλαστική διακόσμηση που συνδυάζει «δακτυλιές» με χαράξεις, είναι γνωστά από την πρώιμη εποχή του χαλκού, τόσο στο νοτιοελλαδικό και αιγαιακό χώρο[598] όσο και στη βόρεια Ελλάδα[599] και τα ηπειρωτικά Βαλκάνια[600].

Τα αγγεία της Θάσου εντάσσονται μέσα σ' αυτή την παράδοση, που ξεκινά από την πρώιμη εποχή του χαλκού και επιβιώνει στην ύστερη εποχή του χαλκού[601] και την πρώιμη εποχή του σιδήρου[602], ακόμη και στους ιστορικούς χρόνους[603].

Οι σχέσεις, που επιμέρους συγκρίσεις μπορούν να εμφανίσουν με την ομάδα Coslogeni, θα πρέπει, νομίζω, να ενταχθούν στα γενικότερα κοινά χαρακτηριστικά που εμφανίζει η κεραμική αυτού του τύπου σε όλα τα Βαλκάνια.

Στο σχήμα XII, πιθανότατα, πρέπει να αναχθούν και ορισμένα θραύσματα από τα χείλη μικρών αγγείων, το σχήμα των οποίων δεν είναι δυνατό να αναπαρασταθεί.

598. Εύτρηση: Goldman 1931, εικ. 116, 147 και 149.

599. Κεντρική Μακεδονία: Heurtley 1939, εικ. 47 (Άγιος Μάμας), εικ. 54 (Βαρδαρόφτσα), αριθ. 260 (Περιβολάκι). Ανατολική Μακεδονία: Deshayes 1970, εικ. 28, 29.

600. Ομάδες Coslogeni, Noua, Hänsel 1976, πίν. 8, 1, Morintz 1978, εικ. 76.

601. Καστανάς: Hänsel 1979, εικ. 15, 4, Hochstetter 1984, εικ. 35 (κυρίως στρώματα 12-9). Σταθμός Αγγίστας: Κουκούλη-Χρυσανθάκη 1980, εικ. 4-6.

602. Wardle 1980, 258, εικ. 17. Πρβλ. αντίστοιχα αγγεία Καστανά, που εμφανίζονται με μεγάλη ποικιλία σχημάτων, κυρίως στα στρώματα I, 2-4.

603. Χ. Κουκούλη-Χρυσανθάκη ΑΑΑ VI (1973), 238, εικ. 9α-β, 6ος αι. π.Χ.

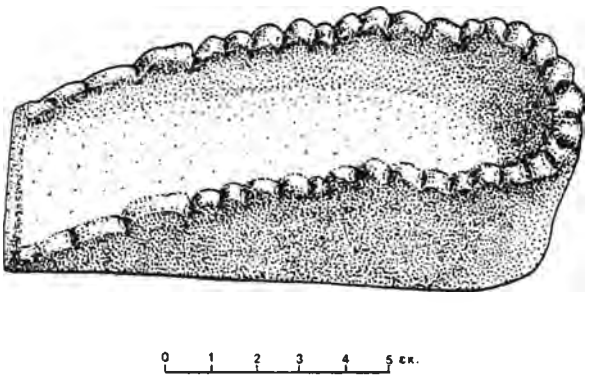

Σχέδ. 148. Αγγείο σχήματος XIIIα.

Σ χ ή μ α XIIIα: Ιδιόρρυθμα

Το σχήμα αυτό αντιπροσωπεύεται με ένα παράδειγμα, που προέρχεται από τον αποθέτη του τάφου Τ18 και ανήκει στη φάση ΙΒ-ΙΙΑ των νεκροταφείων του οικισμού Καστρί. Πρόκειται, πιθανότατα, για μικρογραφικό αγγείο. Το αγγείο έχει επίπεδη βάση και χαμηλά τοιχώματα, το ύψος των οποίων μειώνεται στη μία στενή πλευρά, που είναι ανοικτή (Σ χ έ δ. 148). Το ιδιόρρυθμο αυτό σχήμα πιθανότατα δεν είναι αγγείο, αλλά κάποιο σκεύος με ειδική χρήση[604]. Η εμφάνιση είναι παρόμοιου σχήματος, σε μεγάλο ωστόσο μέγεθος στη φάση IV του Ντικιλί Τας[605], στο εσωτερικό ενός κτιρίου με λατρευτικό πιθανότατα χαρακτήρα, και ο συνδυασμός της παρουσίας του θασιακού αγγείου στον αποθέτη του τάφου Τ18 με το ειδικό επίσης αγγείο τύπου XI και τα ειδώλια, ενισχύει το συσχετισμό του με κάποια ειδική, πιθανότατα τελετουργική, χρήση. Οι μικρές διαστάσεις του αγγείου σχετίζονται μάλλον με τις ταφές νηπίων του πίθου Π3, κοντά στον οποίο βρέθηκε.

Πτηνά

Διάσπαρτα στην επίχωση των τάφων της ταφικής συστάδας Τ27 βρέθηκαν ορισμένα θραύσματα ολόγλυφων πτηνών, τα οποία δεν είναι βέβαιο αν είναι αυτοτελή πλαστικά έργα (ειδώλια) ή αν προέρχονται από την πλαστική διακόσμηση αγγείων. Ο συνολικός αριθμός τους είναι πέντε και όλα βρέθηκαν σε θραύσματα, από τα οποία δύο μόνο κόλλησαν μεταξύ τους: Το σώμα πτηνού Ε3, που βρέθηκε έξω από τη νότια πλευρά του τάφου Τ27Α (Σ χ έ δ. IV· Π ί ν. 295β), με το κεφάλι Ε1, που βρέθηκε στο εσωτερικό του τάφου Τ27Α (Π ί ν. 159: 15).

Τα πτηνά απεικονίζονται με κλειστά φτερά και έχουν στη θέση των ποδιών ένα κατακόρυφο στέλεχος, το οποίο αν δεν είναι μέρος της βάσης τους, αποτελεί το στέλεχος με το οποίο προσαρτώνταν σε κάποιο πήλινο αγγείο. Οι λεπτομέρειες του σώματος αποδίδονται με εγχάρακτη διακόσμηση. Από τον πηλό και τον τρόπο όπτησης, που πλησιάζει πολύ την τεχνική κατασκευής των χειροποίητων αγγείων, φαίνεται πιθανότερη η απόδοση των θραυσμάτων σε κάποιο αγγείο με πλαστική διακόσμηση ή κάποιο άλλο ειδικό αντικείμενο το οποίο θα διακοσμούσαν[606]. Πιθανή θέση, που θα μπορούσαν να έχουν τα πτηνά, είναι στο χείλος κάποιου μεγάλου ανοικτού φιαλόσχημου αγγείου, τα αρχαιότερα παραδείγματα του οποίου

604. Πρβλ. αντίστοιχα αγγεία («πινακωτές») στον Καστανά, που εμφανίζονται από το στρώμα 14b, αλλά παρουσιάζουν μεγάλη συχνότητα στα στρώματα 8-2, Hochstetter 1984, 164 κ.ε., όπου επισημαίνονται και σχέσεις τους με λατρείες.

605. Deshayes 1962, 915, εικ. 16, Seferiades 1983, εικ. 73.

606. Henken 1968, 582, μικρογραφικά άρματα πολιτισμού Villanova.

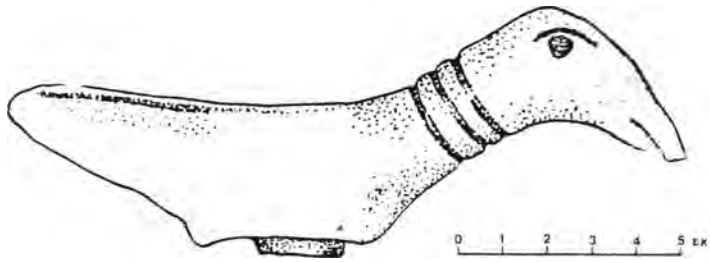

Σχέδ. 149. Πτηνό από διακόσμηση αγγείου (T27A).

χρονολογούνται στην πρώιμη εποχή του χαλκού[607]. Θα μπορούσαν, ωστόσο, τα πτηνά να βρίσκονται στο κέντρο κάποιου πώματος, όπου θα χρησίμευαν ως λαβή[608]. Πιθανότατη θα ήταν και μια τοποθέτησή τους στον ώμο των αγγείων, σε συνδυασμό με κερατόσχημες αποφύσεις, ανάλογες με εκείνες που εμφανίζονται σε αγγεία πρώιμης εποχής του σιδήρου από την αιγαιακή Θράκη[609].

Αντίστοιχα πτηνά σε διακόσμηση χείλους αγγείων είναι γνωστά από την Κύπρο της πρώιμης εποχής του χαλκού, αλλά και από το σύγχρονο ελλαδικό χώρο[610].

Τα κυπριακά παραδείγματα βρίσκονται σε άμεση σχέση με τα αντίστοιχα αγγεία από το Νίρου Χάνι και το Αρκαλοχώρι της Κρήτης[611] και πρέπει να έχουν κοινή ανατολική καταγωγή. Από την Κρήτη έχουμε και μεσομινωικά παραδείγματα από το Παλαιόκαστρο[612], τα οποία ανήκουν σε αναθηματικά αγγεία. Παρόμοια διακόσμηση με ολόγλυφα πτηνά εμφανίζεται και στα χείλη μυκηναϊκών μετάλλινων αγγείων[613], ενώ δε λείπουν και πτηνά που αντικαθιστούν λαβές αγγείων, όπως στο χρυσό ποτήρι από τον ταφικό περίβολο Α΄ των Μυκηνών, που θυμίζουν την ομηρική περιγραφή του αγγείου του Νέστορα[614].

Πτηνά στη θέση των λαβών εμφανίζονται και σε πώματα γεωμετρικών αγγείων[615]. Από τη Μακεδονία της πρώιμης εποχής του σιδήρου[616] έχουμε ανάλογα πτηνά στο χείλος φιαλό-

607. Η καταγωγή των περιστεριών θεωρείται ανατολική, π.χ. Anatolian Civilisations, 1983, A327, Τροία IV-V(;), πρώιμη εποχή του χαλκού.

608. Ολόγλυφα ζώα στις λαβές μυκηναϊκών αγγείων, Lorimer 1950, 332.

609. Hoddinot 1981, εικ. 81, Triantafyllos 1980, 155, εικ. 14. Πρβλ. και προτομές πτηνών σε αγγεία της ομάδας Chotin του Μέσου Δούναβη, Gimbutas 1965, 345 κ.ε., Hoddinot 1981, εικ. 81. Πρβλ. και χάλκινο αγγείο από Ezerovo, Vulpe 1942, 89, εικ. IV, 1 (6ος-5ος αι. π.Χ.).

610. Blegen 1928, 81, πίν. XXI, 2. Πρβλ. και κυπριακά παραδείγματα, Karageorghis 1971, 52, πίν. VII, BCH 99 (1975), Chronique, 829, εικ. 49.

611. Evans 1921, 58, εικ. 17 και 59, εικ. 19.

612. Ό.π., 180, εικ. 130b.

613. Χάλκινο λεβητόσχημο αγγείο από το θησαυρό Τίρυνθας, Karo 1930, παρένθ. πίν. XXIV, 1. Η εμφάνιση των πλαστικών πτηνών στη διακόσμηση μετάλλινων αγγείων ή στις λαβές χάλκινων μαχαιριών πιστεύεται ότι πρέπει να είναι ανατολική επίδραση και όχι επίδραση του πολιτισμού Urnenfelder. Η χρονολογική προτεραιότητα των μυκηναϊκών παραδειγμάτων, σε σχέση με τα αντίστοιχα ιταλικά και κεντροευρωπαϊκά, συνηγορεί για την αντίστροφη πορεία της επίδρασης από το νότο προς το βορρά, Matthäus 1980, 133 κ.ε.

614. Ιλ. Λ 632-635, πρβλ. Karo 1930, τάφος IV, πίν. CV. Πρβλ. επίσης προτομή πτηνού σε λαβή μετάλλινου φιαλόσχημου αγγείου συλλογής Borowski, H. Matthäus, Two Mycenaean Bronzes, BSA 74 (1979), 164, εικ. 2 (ΥΕ IIIA2-ΥΕ IIIB).

615. Πρβλ. πρωτογεωμετρικά παραδείγματα από την Κύπρο, Πιερίδου 1973, πίν. 24, 3-4. Για γεωμετρικά παραδείγματα: Coldstream 1968, πίν. 7d, Kübler 1954, πίν. 134, αριθ. 1354, 1359, πίν. 138, αριθ. 1366.

616. Heurtley - Radford 1928/30, 137, εικ. 24, φάση D.

σχημου αγγείου, ενώ τα παραδείγματα από την Κύπρο[617] και το ανατολικό Αιγαίο πολλαπλασιάζονται στην ανατολίζουσα και στην αρχαϊκή εποχή. Συχνή είναι, εξάλλου, η παρουσία ανάλογων πλαστικών πτηνών και σε αγγεία του τύπου Bucchero[618].

Είναι γνωστή, επίσης, η διάδοση του συμβολικού θέματος του πτηνού στους πολιτισμούς Urnenfelder της κεντρικής Ευρώπης, στον ηπειρωτικό βαλκανικό χώρο και στην Ιταλία. Στο ερώτημα, που έχει θέσει συχνά η έρευνα, αν η εμφάνιση του συμβολικού αρχικά και αργότερα και διακοσμητικού θέματος προέρχεται από επίδραση των πολιτισμών της κεντρικής Ευρώπης στον αιγαιακό χώρο ή αν έχει συμβεί το αντίθετο[619], δεν προσφέρουν νέα στοιχεία τα πτηνά των νεκροταφείων της Θάσου, και εξαιτίας της όψιμης χρονολόγησής τους και εξαιτίας της σπανιότητάς τους στους τάφους.

Παρά τη συχνή ωστόσο εμφάνιση των ολόγλυφων πτηνών στη διακόσμηση των αγγείων, που καλύπτει όπως είδαμε και το χώρο της Μακεδονίας και της αιγαιακής Θράκης στην πρώιμη εποχή του σιδήρου, η απόδοση των πτηνών της ταφικής συστάδας Τ27 σε πλαστική διακόσμηση αγγείου δε στηρίζεται από τα ευρήματα, γιατί κανένα θραύσμα αγγείου δε βρέθηκε, με το οποίο θα ήταν δυνατό να συσχετισθούν τα πτηνά. Οι δυσκολίες μεγαλώνουν επίσης και από τις διαφορετικές διαστάσεις και τον αριθμό των πτηνών, που προϋποθέτουν οπωσδήποτε περισσότερα από ένα αγγείο.

Εξαιτίας αυτών των δυσκολιών, δεν πρέπει να αποκλείσουμε και την περίπτωση να αποτελούν αυτοτελείς συμβολικές μορφές που σχετίζονται με ταφικές τελετές, όπως και τα ειδώλια που βρέθηκαν στον αποθέτη του τάφου Τ18.

Αν οι μορφές αυτές είναι ειδώλια που στηρίζονταν πάνω σε μια κεντρική βάση — παράβαλε το κεντρικό στέλεχος σε χάλκινα εξαρτήματα με τη μορφή πτηνών — τότε ίσως και ο αποκεφαλισμός τους, που συμπίπτει με τον αποκεφαλισμό των ειδωλίων του τάφου Τ18, δεν είναι τυχαίος, αλλά συνδέεται με γνωστό ταφικό έθιμο[620].

Μια ερμηνεία των πτηνών ως ειδωλίων θα δικαιολογούσε και τη σπανιότητά τους, αφού ελάχιστοι από τους αποθέτες των τάφων έχουν διασωθεί, αλλά δεν αποδεικνύεται από τις αρχαιολογικές ενδείξεις των νεκροταφείων.

Σ χ ή μ α XIV: Πιθάρια

Με πλαστική διακόσμηση

Τα πιθάρια του τύπου αυτού ανήκουν στο γνωστό από την πρώιμη εποχή του χαλκού τύπο του οξυπύθμενου, διακοσμημένου με πλαστικές ταινίες, πιθαριού[621], ένα ακέραιο παράδειγμα του οποίου έχουμε και από το στρώμα της πρώιμης εποχής του σιδήρου του οικισμού στον Λιμνότοπο (Βάρδινο) Μακεδονίας[622]. Οι παραλλαγές των πιθαριών των νεκροταφείων διαφοροποιούνται από τη θέση των πλαστικών επίθετων ταινιών. Οι πλαστικές ταινίες, με

617. Χάλκινο λυχνάρι από το Ιδάλιο Κύπρου, SCE II, αριθ. 459, με τρία πλαστικά πτηνά στο χείλος. Αγγείο από την Εξοχή Ρόδου, Johansen 1957, 135. Πρβλ. επίσης τα πτηνά στον ώμο αγγείου από Βρουλιά, Kinch 1914 (R. Zahn) 24-34, εικ. 13a-c.

618. Henken 1968, 514 κ.ε., B. Bandinelli - A. Giuliano, Etrusker und Italiker..., 1974.

619. Για κεντροευρωπαϊκή καταγωγή του μοτίβου: V.G. Childe, PPS XIV (1948), 186 κ.ε., Kossak 1954, 63 κ.ε. Πρβλ. επίσης Bouzek 1967, 115, για βόρειες επιδράσεις στο μυκηναϊκό κόσμο. Για ανατολική καταγωγή του συμβόλου του πτηνού των πολιτισμών Urnenfelder: Müller-Karpe 1963, 13, H. Matthäus, ό.π. (υποσημ. 614), 173, και κυρίως Matthäus 1980, 134, σημ. 106. Για παρουσία πτηνών στην ύστερη Urnenfelder περίοδο, πρβλ. Gimbutas 1965, 341 κ.ε.· χαρακτηριστικό σύμβολο το άρμα ή η βάρκα που τη σέρνουν πτηνά, με αντιπροσωπευτικό παράδειγμα την ανδρική θεότητα από Dupljaja Σερβίας, που συσχετίθηκε με τον υπερβόρειο Απόλλωνα, Garašanin 1958, 86, σημ. 481, εικ. 181, E. Sprockoff, JbZMusMainz 1 (1954), 67, σημ. 7. Πρβλ. και Kossak 1954, σημ. 21, πίν. 1, επίσης Bouzek 1967, 130, Bouzek 1970, 98, Kilian-Dirlmeier 1979, 260-261.

620. Themelis 1976, 102.

621. Πρβλ. ΠΕ και ΜΕ παραδείγματα: Κοράκου, Blegen 1921, 31, Ζυγουριές, Blegen 1928, εικ. 112-113. Πρβλ. και οξυπύθμενους πίθους από την Εύτρηση, Goldman 1931, 34, εικ. 35, 41.

622. Heurtley 1925/26, 28, στρώμα III, Heurtley 1939, πίν. XX. Πρβλ. αντίστοιχα οξυπύθμενα πιθάρια στο Σταθμό Αγγίστας, Κουκούλη-Χρυσανθάκη 1980, εικ. 4, 1.

τις «δακτυλιές» ή χωρίς αυτές, κατά κανόνα περιβάλλουν τον ώμο, αλλά συχνά εμφανίζονται και κάτω από το χείλος ή στη βάση του λαιμού.

Η παραλλαγή XIV 5 (Σ χ έ δ. 150: 5) εμφανίζει σειρά από εμπίεστες «δακτυλιές» κάτω από το χείλος, ενώ η XIV 1 έχει τρεις αποφύσεις σε κανονικά διαστήματα στον ώμο και καθόλου πλαστικές ταινίες (Σ χ έ δ. 150: 2).

Η πιο ενδιαφέρουσα παραλλαγή, οπωσδήποτε, είναι η XIV 6, που εμφανίζει ανάγλυφη επίθετη διακόσμηση από ένα σχηματοποιημένο άρμα και έναν τροχό στον ώμο του πίθου, ανάμεσα σε δύο πλαστικές πλατιές ταινίες, χωρίς «δακτυλιές» (Σ χ έ δ. 150: 6· Π ί ν.347: 1-2). Η εικονογραφική αυτή παράσταση διαφοροποιεί το πιθάρι Κ6Ε από τη σειρά των άλλων πιθαριών και το εντάσσει στη σειρά των ανάγλυφων πίθων με παραστάσεις. Με τη σειρά ωστόσο των κυκλαδικών ανάγλυφων πίθων, που αρχίζει από την πρωτογεωμετρική εποχή[623], είναι δύσκολο να συσχετισθεί το παράδειγμα της Θάσου. Από ένα παρόμοιο θραύσμα πίθου με ανάγλυφο τροχό, που βρέθηκε στον οικισμό Καστρί, διαπιστώνεται ότι το παράδειγμα του νεκροταφείου δεν ήταν το μοναδικό, αλλά σχέσεις με τον κυκλαδικό κόσμο δεν έχουν διαπιστωθεί. Έτσι, πλησιέστερα φαίνονται τα παράλληλα με την παράδοση της πρώιμης εποχής του χαλκού[624], όπου αντίστοιχοι πλαστικοί τροχοί εμφανίζονται στη διακόσμηση αγγείων, ενώ αντίστοιχες πλαστικές εικονογραφικές απεικονίσεις είναι γνωστές στο χώρο της Θράκης από τη μέση νεολιθική εποχή[625].

Θα μπορούσαμε, επομένως, να εντάξουμε το παράδειγμα της Θάσου σε μια παράδοση πλαστικής διακόσμησης αγγείων, που σε άλλες περιοχές παρέμεινε στα συντηρητικά όρια της παράδοσης, ενώ σε άλλες, όπως στον κυκλαδικό χώρο, προχώρησε σε ολοκληρωμένες εικονογραφικές αποδόσεις μορφών και αργότερα μυθολογικών παραστάσεων[626].

Από την άποψη της εικονογραφίας, η ανάγλυφη διακόσμηση του πιθαριού Κ6Ε εντάσσεται μέσα στη θεματογραφία της πρώιμης εποχής του σιδήρου του κεντροευρωπαϊκού χώρου, όπου ο τροχός και το άρμα, που το σέρνουν πτηνά, αποτελούν επαναλαμβανόμενα συμβολικά θέματα[627]. Στο μυκηναϊκό, επίσης, κόσμο και εν συνεχεία στον πρωτογεωμετρικό και γεωμετρικό, ο τροχός και το άρμα απεικονίζονται συχνά ως διακοσμητικά και ως συμβολικά θέματα[628].

623. Kondoleon 1969, 218 κ.ε., που προσπαθεί να εξαρτήσει την ανάγλυφη διακόσμηση των πίθων από την κρητομυκηναϊκή παράδοση και το Pictorial Style. Ένα άρμα και σε ανάγλυφο πίθο από τη Μήλο, BSA 26 (1923/25), πίν. XII.

624. Maliq IIIa, Hammond 1972, 255, εικ. 9k.

625. Bakalakis - Sakellariou 1981, πίν. 42, 1.

626. Kondoleon 1969, 215 κ.ε., όπου και η προηγούμενη βιβλιογραφία.

627. O. Seewold, Der Vogelwagen von Glasinac, Praehistorica 4 (1939), Beiheft, Kossak 1954, σημ. 21, πίν. 1, Henken 1968, 522 κ.ε. Ο συνδυασμός πτηνών και τροχών είναι πολύ διαδεδομένος στην Urnenfelder περίοδο της Ευρώπης, Henken, ό.π., 514. Πρβλ. Gimbutas 1965, 341 κ.ε., πίν. 62. Για το άρμα του πίθου Κ6Ε της Θάσου, πρβλ. μικρογραφικό άρμα, ό.π., πίν. 65.

Η σχηματοποιημένη παράσταση του άρματος στον πίθο της Θάσου, που θα μπορούσε να θεωρηθεί παράσταση απλού άρματος με σχηματοποιημένο ζυγό για δύο ζώα, θυμίζει επίσης αντίστοιχες σχηματοποιημένες παραστάσεις αρμάτων σε βραχογραφίες, π.χ. Dolmen Σαρδηνίας, M. Cuido, Sardinia, 1967, 99-100, εικ. 27. Ο τροχός ως συμβολικό και ως διακοσμητικό μοτίβο είναι κοινό θέμα επίσης των Urnenfelder πολιτισμών, όπου εμφανίζεται και με τη μορφή του περίαπτου, Höckmann 1969/70, 153, σημ. 31-34, όπου συγκεντρώνονται σχετικά παραδείγματα από πηλό και μέταλλο. Πρβλ. επίσης Bouzek 1966, 256 κ.ε., Ανδρόνικος 1969, 255, και προπαντός Kilian-Dirlmeier 1979.

628. Πρβλ. άρματα του Pictorial Style της μυκηναϊκής κεραμικής, π.χ. Majuri 1923/24, 239, εικ. 150, ή Wace 1932, πίν. XVIII. Τροχοί ως μεμονωμένα διακοσμητικά θέματα ή σε συνδυασμό με παραστάσεις πτηνών εμφανίζονται επίσης στην πρωτογεωμετρική κυπριακή κεραμική· πρβλ. ΑΔ 19 (1964): Χρονικά, 70, πίν. 67γ-δ, καθώς και σε γεωμετρικά αγγεία, J.R. Hägg, Excavations in the Barbouna Area at Asine, 1978, 100, εικ. 130. Πρβλ. επίσης BSA 39 (1938/39), 179, όπως και AM 35 (1910), πίν. 5, 5 (υπομυκηναϊκός ψευδόστομος αμφορέας). Πρβλ. επίσης δίτροχα άρματα σε γεωμετρικά αγγεία, B. Schweitzer AM 43 (1918), εικ. 47. Συχνή είναι και η εμφάνιση του άρματος ως κτερίσματος στους τάφους, που άλλοτε πρέπει να θεωρηθεί ως παιδικό παιχνίδι-κτέρισμα και άλλοτε ότι έχει συμβολικό χαρακτήρα. Πρβλ. και τάφους Villanova I, Henken 1968, 582. Πρβλ. μικρογραφικό άρμα από μυκηναϊκό τάφο Θεσσαλίας, Δ. Θεοχάρης, ΑΔ 19 (1964): Χρονικά, πίν. 292ε, ή μικρογραφικά άρματα (τετράτροχα) τάφων Σίνδου (Μουσείο Θεσσαλονίκης, αδημοσίευτα). Συγκεντρωμένη βιβλιογραφία για παραστάσεις άρματος από τη μυκηναϊκή ως τη γεωμετρική εποχή, J. Wiesner, Fahren und Reiter, Archaeologia Homerica, F1, 1968, F40 κ.ε.

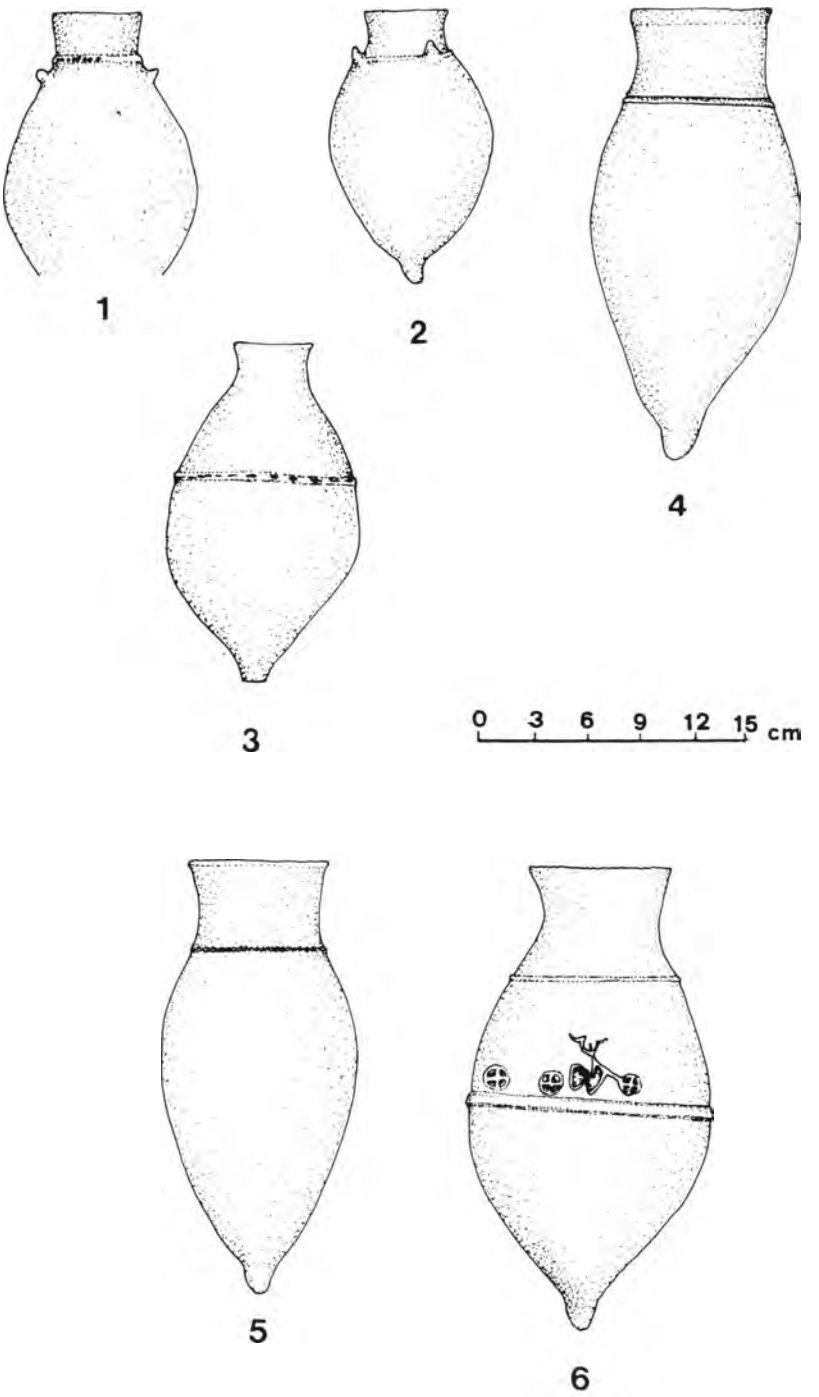

Σχέδ. 150. Τυπολογία πίθων νεκροταφείων Καστρί.

Στην κεραμική των γεωμετρικών χρόνων, η απεικόνιση του άρματος δεν πρέπει να είναι άσχετη με το έθιμο της εκφοράς του νεκρού, που απεικονίζεται συχνά στους ταφικούς γεωμετρικούς αμφορείς και κρατήρες. Στους πολιτισμούς της Urnenfelder «κοινής», εξάλλου, το άρμα με τα πτηνά συνδέεται με μια ανδρική θεότητα, που θυμίζει τον Υπερβόρειο Απόλλωνα[629].

Στο πιθάρι της Θάσου επικρατεί περισσότερο, ωστόσο, ο διακοσμητικός χαρακτήρας και λιγότερο ο συμβολικός. Το άρμα έχει αποδοθεί πολύ συμβατικά και φαίνεται να κρατά τον ίδιο διακοσμητικό ρόλο με τον ελεύθερο τροχό δίπλα του[630]. Οι απολήξεις της άντυγας σε κεφάλια πτηνών (;)[631], το συνδέουν με τις συμβολικές απεικονίσεις των πολιτιστικών κύκλων του πολιτισμού Urnenfelder, ενώ ο τύπος του άρματος αντιστοιχεί στο γνωστό και από τις μυκηναϊκές στήλες τύπο του πολεμικού άρματος (δίφρου), που διαφοροποιείται από το τετράτροχο αμάξι αγροτικής χρήσης[632]. Ανάλογη σχηματοποιημένη απόδοση άρματος εμφανίζεται σε χαράγματα βράχων στη γειτονική ηπειρωτική και αιγαιακή Θράκη[633].

Με εμπίεστη διακόσμηση

Ένα μόνο θραύσμα πίθου αυτής της κατηγορίας έχει βρεθεί. Πρόκειται για ένα θραύσμα από το λαιμό πιθανότατα πίθου, που έχει βρεθεί στην επίχωση του τάφου Λ3Γ9 (Π ί ν. 197: 9, 346: 4), ώστε η χρονολογική του σχέση με τον τάφο Λ3Γ να μην είναι βέβαιη.

Το πλησιέστερο παράδειγμα της πρώιμης εποχής του σιδήρου, με μια διακόσμηση αυτού του τύπου αποτελεί θραύσμα ενός πιθοσχήμου αγγείου της ομάδας Čepina[634], με εμπίεστη διακόσμηση.

II. ΤΡΟΧΗΛΑΤΗ ΚΕΡΑΜΙΚΗ

II, 1: Μυκηναϊκή κεραμική (κατηγορία II Α)

Η ΜΥΚΗΝΑΪΚΗ ΚΕΡΑΜΙΚΗ ΣΤΗ ΜΑΚΕΔΟΝΙΑ

Όπως φαίνεται από το χάρτη του Σχεδίου 151 η μυκηναϊκή κεραμική, επείσακτη και τοπική, είναι διαδεδομένη στη δυτική, κεντρική και ανατολική Μακεδονία, με ελάχιστες ενδείξεις ακόμη της παρουσίας της στη δυτική Θράκη. Τα αρχαιότερα παραδείγματα επείσακτης μυκηναϊκής κεραμικής, αν δε συμπεριλάβουμε τα αναφερόμενα ΥΕ I-II όστρακα από την Καλαμαριά[635], ανάγονται στα τέλη της ΥΕ IIIA2 περιόδου που αντιπροσωπεύεται και πάλι με

629. Ιμερίου, Orationes XIV, 10: «"Οτε 'Απόλλων ἐγένετο, κοσμήσας αὐτὸν ὁ Ζεὺς μίτρᾳ τε χρυσῇ καὶ λύρᾳ δοὺς τ' ἐπὶ τούτοις ἅρμα ἐλαύνειν — κύκνοι δ' ἦσαν τὸ ἅρμα — εἰς Δελφοὺς πέμπει». Πρβλ. και D. Boskovič, Quelques observations sur le char cultuel de Dupljaja, Arch.Jug. III-IV (1961/62), 41-45.

630. Πρβλ. συμβατική απεικόνιση άρματος σε ιδεόγραμμα γραμμικής Α από την Τύλισο, J. Wiesner, ό.π., εικ. 6b.

631. Τα σχηματοποιημένα κεφάλια πτηνών (;) θα μπορούσαν να θεωρηθούν και ως σχηματοποιημένη απόδοση του ζυγού για τα δύο ζώα. Πρβλ. μικρογραφικές απεικονίσεις μυκηναϊκών αρμάτων σε μυκηναϊκά ειδώλια (π.χ. Εθνικό Μουσείο, αριθ. ευρ. Ε2262).

632. Karo 1930, πίν. 5-10, J. Wiesner, ό.π., F58-F68, όπου επισημαίνεται η σχέση του δίτροχου άρματος, που το σέρνουν ίπποι, είτε με τη μάχη και το κυνήγι, είτε με τη λατρεία και τα ταφικά έθιμα (μυκηναϊκοί-γεωμετρικοί χρόνοι).

633. Αιγαιακή Θράκη: Höckmann 1969/70, 149, εικ. 1, Τριαντάφυλλος 1973, 241-255, εικ. 1-20, σχέδ. 1, Χ. Παπουτσάκης, Αρχαία Μακεδονία II (1977), 359 κ.ε. Ηπειρωτική Θράκη: V. Mikov, Bull.Inst.Bulg. 5 (1928/29), 300, εικ. 163, 4, Hänsel 1971, 112 κ.ε. Αντίστοιχα σύμβολα-τροχοί, που στη Θράκη πιστεύεται ότι συνδέονται και με τη λατρεία του ήλιου, εμφανίζονται και σε εγχάρακτες στήλες από τη Βουλγαρία, τις οποίες ο Hänsel 1969, χρονολογεί στον 8ο αι. π.Χ.

634. Hänsel 1976, πίν. 27, 25, N. Gisdova, Thracia III (1974), εικ. 9.

635. French 1967, S1, 13, 59, ΥΕ I-II, ΥΕ III, όπου και προηγούμενη βιβλιογραφία. BCH LXXIX (1955), 274. Πρβλ. επίσης Φ. Πέτσας, Μακεδονικά 7 (1966/67), 303. Πρβλ. και όστρακο από την τούμπα στο Καραμπουρνάκι, ΥΕ IIB (υπόδειξή Μ. Τιβέριου), Συλλογή Πανεπιστημίου Θεσσαλονίκης από τις ανασκαφές Ρωμαίου. Πρβλ. και όστρακα ΥΕ I από την ανασκαφή Τορώνης (προφορική ανακοίνωση Α. Καμπίτογλου).

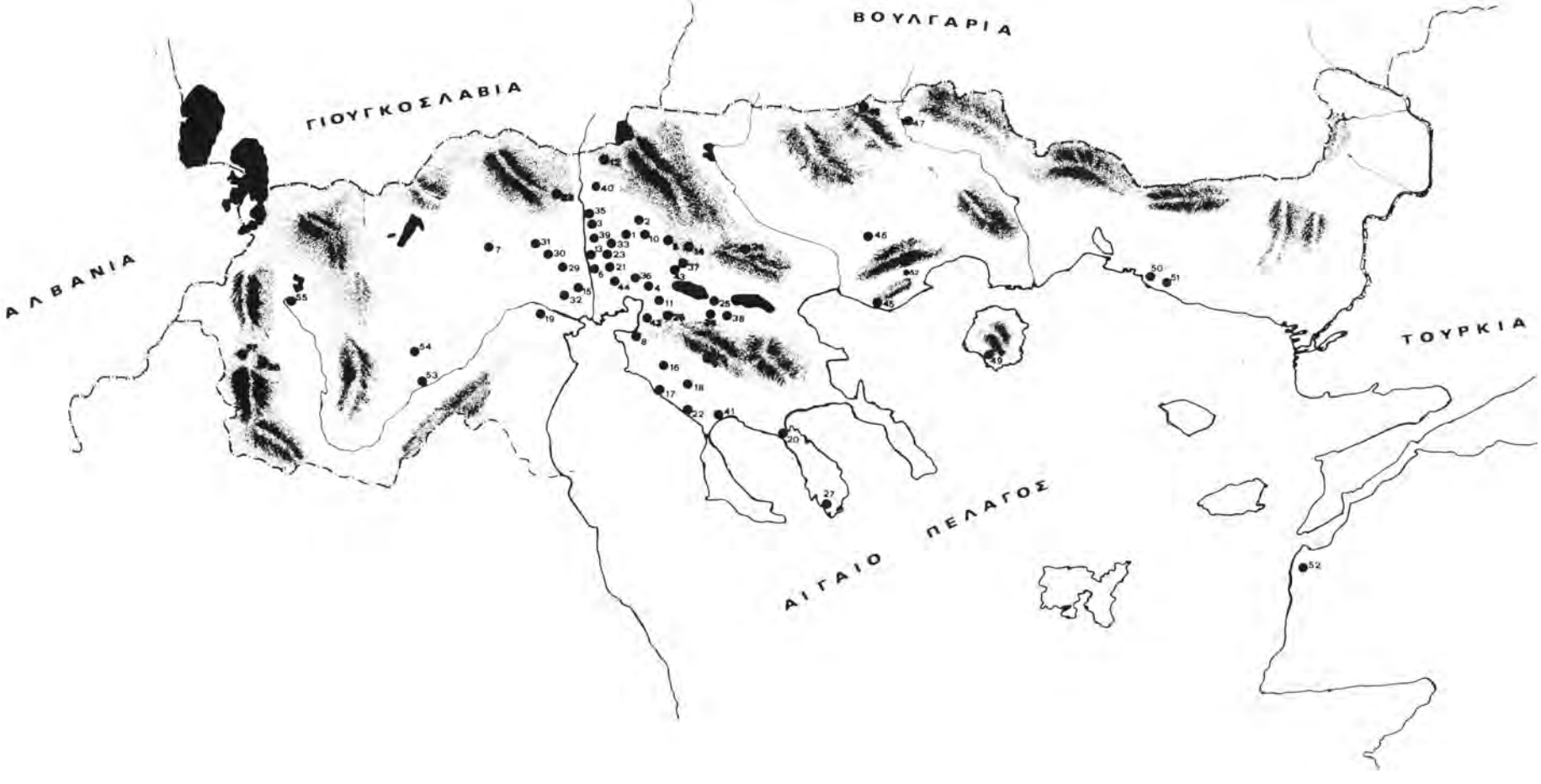

Σχέδ. 151. Διάδοση της μυκηναϊκής κεραμικής στη Μακεδονία και τη δυτική Θράκη.

ΥΠΟΜΝΗΜΑ ΣΤΟ ΧΑΡΤΗ (Σ χ έ δ. 151)

α/α	Όνομα θέσης	Βιβλιογραφία
1.	Ανθόφυτος Α	French 1967, A5.
2.	Ανθόφυτος Β	Ό.π., A17.
3.	Άσπρη Τούμπα	Ό.π., A19.
4.	Ασπρόβρυση	Ό.π., S5.
5.	Άσηρος, θέση Τούμπα	Ό.π., L6.
6.	Ντουρμουσλή	Ό.π., A7.
7.	Δρυμός	Ό.π., L4.
8.	Επιβάτες	Ό.π., V7.
9.	Γαλάτιστα	Ό.π., V8.
10.	Γαλλικό	Ό.π., G3.
11.	Καλαμαριά	Ό.π., S1.
12.	Καλίνδρια	Ό.π., A1.
13.	Καστανάς	Ό.π., A6.
14.	Χρυσαυγή	Ό.π., L15.
15.	Κουφάλια Α	Ό.π., A15.
16.	Μεσημεριανή Τούμπα	Ό.π., C10.
17.	Νέα Καλλικράτεια	Ό.π., C12.
18.	Νέα Σύλλατα	Ό.π., C13.
19.	Νεοχώρι	Ό.π., P2.
20.	Νικήτη	Ό.π., S13.
21.	Πεντάλοφος Β	Ό.π., G6.
22.	Φλογητά	Ό.π., C5.
23.	Φιλαδελφιανά Τούμπα	Ό.π., G5.
24.	Σοχός Τούμπα Ούρδα	Ό.π., L16.
25.	Στίβος Α	Ό.π., L7.
26.	Θέρμη Τούμπα	Ό.π., V4.
27.	Τορώνη	Ό.π., S14.
28.	Τούμπα Παιονίας	Ό.π., A10.
29.	Τούμπα Κουφάλια	Ό.π., A14.
30.	Τούμπα Λιβάδι	Ό.π., A13.
31.	Τούμπα Ραχώνα	Ό.π., A12.
32.	Βαλτοχώρι	Ό.π., A16.
33.	Ξυλοκερατιά	Ό.π., G4.
34.	Σχολάριο	Ό.π., L11.
35.	Λιμνότοπος (Βάρδινο)	Ό.π., A3.
36.	Νεοχωρούδα	Ό.π., G10.
37.	Περιβολάκι (Σαρατσέ)	Ό.π., L5.
38.	Περιστερώνας Ν. Θεσσαλονίκης	Μουσείο Θεσσαλονίκης.
39.	Αξιοχώρι (Βαρδαρόφτσα)	French 1967, A4.
40.	Τσαουζίτσα	Ό.π., A2.
41.	Άγιος Μάμας	Ό.π., C1.
42.	Γκόνα	Ό.π., V3.
43.	Πηγή	Ό.π., L2.
44.	Πεντάλοφος Α	Ό.π., G9.
45.	Λακκοβίκια	French 1966, 108, εικ. 5.
46.	Σταθμός Αγγίστας	Κουκούλη-Χρυσανθάκη 1980, 54.
47.	Ποταμοί Δράμας	Γραμμένος 1979, 30.
48.	Εξοχή Δράμας	Ό.π.
49.	Καστρί Θάσου	Χ. Κουκούλη-Χρυσανθάκη, ΑΔ 27 (1972): Χρονικά, 524.
50.	Σπήλαιο Μαρώνειας	Πεντάζος 1971, 89.
51.	Εργάνη (Ασσάρ Τεπέ)	Ό.π., 87.
52.	Παλιόκαστρο Κάρυανης	Χ. Κουκούλη-Χρυσανθάκη, ΑΔ 27 (1972): Χρονικά, 527-528.
53.	Ακρινή Βεροίας	French 1966, 108, εικ. 5.
54.	Κοζάνη	Πέτσας 1953, 113-120.
55.	Μπουμπούστι Καστοριάς	Heurtley 1926/27, 174, εικ. 29, 3.
56.	Τσοτύλι Κοζάνης	Α. Κεραμόπουλλος, ΠΑΕ 1935, 49, εικ. 4.
57.	Γρεβενά Γρεβενών	S. Casson, Man, 1923, 170-173.
58.	Ομαλή Κοζάνης	Α. Κεραμόπουλλος, ΠΑΕ 1937, 70.
59.	Βεργίνα Βέροιας	Ανδρόνικος 1969.

ελάχιστα σποραδικά παραδείγματα[636]. Η έντονη παρουσία της μυκηναϊκής επείσακτης κεραμικής στη Μακεδονία άρχισε με την αρχή της ΥΕ ΙΙΙΒ περιόδου και ολοκληρώθηκε με μια ιδιαίτερα έντονη διάδοση της τοπικής μυκηναϊκής κεραμικής στην ΥΕ ΙΙΙΓ περίοδο[637].

Για τα εργαστήρια της τοπικής μυκηναϊκής κεραμικής συχνά επαναλαμβάνεται η άποψη ότι πρέπει να τοποθετηθούν στα μυκηναϊκά εμπόρια των παραλίων της Χαλκιδικής, όπου όμως η παρουσία της μυκηναϊκής κεραμικής παραμένει ακόμη αραιή, εξαιτίας του κενού της έρευνας[638].

ΔΥΤΙΚΗ ΜΑΚΕΔΟΝΙΑ

Η μυκηναϊκή κεραμική στη δυτική Μακεδονία αντιπροσωπεύεται από σποραδικά και αστρωματογράφητα όστρακα. Στον οικισμό στο Μπουμπούστι, ο Heurtley[639] αναφέρει ένα μόνο μυκηναϊκό επείσακτο όστρακο. Μοναδικό επίσης είναι το μυκηναϊκό όστρακο που βρέθηκε σε μια μικρή εγκατάσταση ύστερης εποχής του χαλκού στην Ομαλή Κοζάνης[640], το οποίο ο ανασκαφέας χαρακτηρίζει επείσακτο. Από το Τσοτύλι Κοζάνης[641] έχουμε επίσης ελάχιστα μυκηναϊκά όστρακα, που θα μπορούσαν να προσδιορισθούν από τη φωτογραφία ως τοπικά μυκηναϊκά και να χρονολογηθούν στην ΥΕ ΙΙΙΒ-ΥΕ ΙΙΙΓ περίοδο. Τα αρχαιότερα από τα μυκηναϊκά όστρακα που βρέθηκαν στην Κοζάνη χρονολογούνται από τον Φ. Πέτσα στην ΥΕ ΙΙΙΒ και τα νεότερα στην ΥΕ ΙΙΙΓ περίοδο[642].

Το μοναδικό όστρακο από την τούμπα της Παιονίας πρέπει να είναι ακόμη αρχαιότερο και να ανεβαίνει ως την ΥΕ ΙΙΙΑ2 περίοδο[643].

Τα σποραδικά παραδείγματα μυκηναϊκής κεραμικής συμπίπτουν με την αντίστοιχη εμφάνιση άλλων αντικειμένων μυκηναϊκού πολιτισμού, που σημειώνονται στη δυτική Μακεδονία[644].

ΚΕΝΤΡΙΚΗ ΜΑΚΕΔΟΝΙΑ

Στην κεντρική Μακεδονία η διάδοση της μυκηναϊκής κεραμικής, τοπικής και επείσακτης, είναι πολύ πιο πυκνή. Από την κεντρική Μακεδονία έχουμε, ωστόσο, εκτός από την επιφανειακή κεραμική των οικισμών[645], και στρωματογραφημένη μυκηναϊκή κεραμική, που προέρχεται από τις παλιές ανασκαφές του Heurtley και τις πρόσφατες των Hänsel και Wardle.

636. Πρβλ. όστρακο από το Σαρατσέ, Heurtley - Radford 1928/30, 134, εικ. 20d. Πρβλ. και Wardle 1980, 250, για εμφάνιση ΥΕ ΙΙΙΑ2 κεραμικής. Ορισμένα όστρακα από το Σταθμό Αγγίστας, επίσης, θα μπορούσαν να ανεβούν ως την ΥΕ ΙΙΙΑ2, Koukouli-Chrysanthaki 1982, 245, εικ. 18, 5. Βέβαια για την παραπάνω υψηλή χρονολόγηση δεν πρέπει να ξεχνούμε και τις διαπιστώσεις από την Εγγύς Ανατολή, όπου η ΥΕ ΙΙΙΑ εξακολουθεί να εμφανίζεται μαζί με ΥΕ ΙΙΙΒ, Sandars 1971, 6. Στην περίπτωση της ΥΕ ΙΙΙΑ τύπου κύλικας του Σταθμού Αγγίστας θα πρέπει να επισημάνουμε και την ιδιορρυθμία του ολόβαφου εσωτερικού του αγγείου, που πιθανόν πρέπει να αποδοθεί σε τοπικό εργαστήριο και να θεωρηθεί στοιχείο νεότερης χρονολόγησης. Η εμφάνιση, επίσης, της μυκηναϊκής κεραμικής στη δυτική Ελλάδα και στην Ιταλία αρχίζει από την ΥΕ ΙΙΙΑ1. Benton - Waterhouse 1973, 23-24.

637. Desborough 1966, 141. Ο Wardle 1980, 250, αναφέρει όστρακα ΥΕ ΙΙΙΑ2 στην Άσσηρο. Ο Podzuweit 1979β, 222, πιστεύει ότι μόνο στην πρώιμη ΥΕ ΙΙΙΒ περίοδο (σύμφωνα με τις χρονολογίες της Αργολίδας) άρχισε η εισαγωγή μυκηναϊκής κεραμικής στη Μακεδονία. Πρβλ. και Ch. Podzuweit, Der spätmykenische Einfluss in Makedonien, Ancient Macedonia IV (1986), 475 κ.ε.

638. Heurtley 1939, 124, Wardle 1980, 252, Hänsel 1979, 189.

639. Heurtley 1926/27, 174, εικ. 29, 3, ΥΕ ΙΙΙΒ.

640. Α. Κεραμόπουλλος, ΠΑΕ 1937, 70.

641. Α. Κεραμόπουλλος, ΠΑΕ 1935, 44, εικ. 4, πιθανόν ΥΕ ΙΙΙΒ, επείσακτο.

642. Β. Καλλιπολίτης, ΠΑΕ 1950, 291-292, εικ. 7, Πέτσας 1953, 113-120, εικ. 3, Β. Καλλιπολίτης, ΠΑΕ 1958, 101-102.

643. Πέτσας 1953, εικ. 3.

644. Χάλκινο μυκηναϊκό ξίφος, πιθανόν από τα Γρεβενά στο Naturhistorisches Museum Wien, S. Casson, Man, Nov. 1923, 170-173, Heurtley 1939, 102, εικ. 104 κ.ε. Πρβλ. και χάλκινα αντικείμενα τάφου Κατακάλης Γρεβενών, όπου χάλκινο μυκηναϊκό ξίφος τύπου CII, Sandars 1963, 121 κ.ε., όμοιο με το προηγούμενο ξίφος και χάλκινη αιχμή δόρατος, Snodgrass 1964, 116, Ρωμιοπούλου 1969, 14-15, Kilian 1975, 126.

645. French 1966, 108, εικ. 5, French 1967, Kilian 1977, 117, εικ. 5.

1. Άγιος Μάμας (French 1967, C1)

Βιβλιογραφία

1. Heurtley - Radford 1927/28, 117.
2. Desborough 1966, 140 κ.ε.
3. French 1966, 110, εικ. 5, αριθ. 1.
4. Ch. Podzuweit, Mycenaean Ceramics and their Classification into Periods on the Basis of the Excavation at Kastanas, Ancient Macedonia IV (1986), 467-484.

Η μυκηναϊκή κεραμική του οικισμού, που στο μεγαλύτερο ποσοστό της είναι τοπική, χρονολογείται από τον Desborough στην ΥΕ ΙΙΙΒ περίοδο.

2. Άσσηρος (French 1967, L6)

Βιβλιογραφία

Πρβλ. παραπάνω, 469, 509.

Από το αρχαιολογικό υλικό της Ασσήρου, το καλύτερα γνωστό είναι των φάσεων 7 και 6, οι οποίες περιλαμβάνουν αντίστοιχα μυκηναϊκή κεραμική ΥΕ ΙΙΙΒ, επείσακτη και τοπική, και ΥΕ ΙΙΙΓ, επίσης επείσακτη και τοπική.

Χαρακτηριστική είναι η διαπίστωση ελάχιστων δειγμάτων ΥΕ ΙΙΙΑ2 κεραμικής στην Άσσηρο και η εμφάνιση τοπικής μυκηναϊκής κεραμικής από την ΥΕ ΙΙΙΒ περίοδο (φάση 7). Η μεγάλη, ωστόσο, παραγωγή τοπικής μυκηναϊκής κεραμικής σημειώνεται στην ΥΕ ΙΙΙΓ περίοδο, όπου τα επείσακτα μυκηναϊκά αγγεία είναι ελάχιστα και όπου, εκτός από τη γνωστή και διαδεδομένη κατηγορία των τοπικών μυκηναϊκών, υπάρχουν και πιο αδρές μιμήσεις μυκηναϊκών, οι οποίες κατά τον ανασκαφέα πρέπει να έχουν κατασκευασθεί στον οικισμό της Ασσήρου ή στην άμεση περιφέρειά του.

3. Αξιοχώρι (Βαρδαρόφτσα) (French 1967, A4)

Βιβλιογραφία

Πρβλ. παραπάνω, 468, 512.
1. G. Karo, Mykenische Kultur, RE Suppl. VI, 584.
2. Πέτσας 1953, 113.
3. Desborough 1966, 140 κ.ε.
4. French 1966, 108, εικ. 5.
5. Ch. Podzuweit, Mycenaean Ceramics and their Classification into Periods on the Basis of the Excavation at Kastanas, Ancient Macedonia IV (1986), 467-484.

Στη Βαρδαρόφτσα, η μυκηναϊκή κεραμική εμφανίζεται στη φάση C και μάλιστα προς το τέλος της (βάθος 4-10 μ.). Στα βαθύτερα στρώματα (βάθος 9,50-9,80 μ.) εμφανίζονται χαρακτηριστικά σχήματα ΥΕ ΙΙΙΒ μυκηναϊκής κεραμικής, τοπικής ως επί το πλείστον. Η ΥΕ ΙΙΙΓ κεραμική εμφανίζεται από βάθος 7,50 μ. Η μυκηναϊκή κεραμική των τελευταίων στρωμάτων (βάθος 7-4 μ.) χρονολογείται στην τελευταία φάση της ΥΕ ΙΙΙΓ περιόδου, ενώ στη φάση D δε φαίνεται να επιβιώνει η μυκηναϊκή κεραμική.

4. Καστανάς (French 1967, A6)

Βιβλιογραφία

Πρβλ. παραπάνω, 471, 515.
1. Ch. Podzuweit, Spätmykenische Keramik von Kastanas, JbZMusMainz 25 (1978), 203-223.
2. Ch. Podzuweit, Mycenaean Ceramics and their Classification into Periods on the Basis of the Excavation at Kastanas, Ancient Macedonia IV (1986), 467-484.

Στο στρώμα 19 του Καστανά σημειώνεται η πρώτη παρουσία μυκηναϊκού πολιτισμού με ένα χρυσό μυκηναϊκό κόσμημα, τα παράλληλα του οποίου στη νότια Ελλάδα είναι καλά χρονολογημένα στην ΥΕ Ι περίοδο.

Η μυκηναϊκή κεραμική εμφανίζεται για πρώτη φορά στο στρώμα 17, με σποραδικά ό-

στρακα ΥΕ ΙΙΙΒ. Στο στρώμα 16, όπως και στο επόμενο στρώμα 15, τα ποσοστά της αυξάνονται. Ως το στρώμα 14 εξακολουθεί η ΥΕ ΙΙΙΒ κεραμική, η οποία μάλιστα σε ένα κλειστό εύρημα ενός σπιτιού αντιπροσωπεύεται με παραδείγματα επείσακτης και τοπικής ΥΕ ΙΙΙΒ κεραμικής.

Από το στρώμα 13 επικρατεί η τοπική ΥΕ ΙΙΙΓ κεραμική, που στα επόμενα στρώματα 12 και 11 συνυπάρχει με τα πρώτα παραδείγματα πρωτογεωμετρικών αγγείων, καθώς και με τη χειροποίητη ραβδωτή κεραμική. Η τοπική αυτή μυκηναϊκή κεραμική συνεχίζει την εμφάνισή της και στα νεότερα στρώματα του οικισμού και, κατά τον Podzuweit, μπορεί να κατεβεί ως τον 8ο και 7ο αι. π.Χ.

5. Καλίνδρια (Κιλιντίρ) (French 1967, A1)

Βιβλιογραφία

Πρβλ. παραπάνω, 470.
1. G. Karo, Mykenische Kultur, RE Suppl. VI, 584 κ.ε.
2. Πέτσας 1953, 113.
3. Hope Simpson 1965, 176.
4. Desborough 1966, 140.
5. French 1966, 108, εικ. 5.
6. Ch. Podzuweit, Mycenaean Ceramics and their Classification into Periods on the Basis of the Excavation at Kastanas, Ancient Macedonia IV (1986), 467-484.

Στη φάση ΙΙC του οικισμού εμφανίζονται όστρακα επείσακτης μυκηναϊκής κεραμικής.

6. Λιμνότοπος (Βάρδινο) (French 1967, A3)

Βιβλιογραφία

Πρβλ. παραπάνω, 472.
1. Desborough 1966, 192.
2. French 1966, εικ. 5.
3. Ch. Podzuweit, Mycenaean Ceramics and their Classification into Periods on the Basis of the Excavation at Kastanas, Ancient Macedonia IV (1986), 467-484.

Η μυκηναϊκή κεραμική αντιπροσωπεύεται με δύο μόνο όστρακα στο στρώμα I. Το ποσοστό μεγαλώνει από το στρώμα ΙΙΑ, όπου όμως τα τοπικά μυκηναϊκά εμφανίζονται με μεγαλύτερα ποσοστά. Στο επόμενο στρώμα ΙΙΒ, η μυκηναϊκή κεραμική εμφανίζεται με τα ίδια ποσοστά, σε σχέση με την τοπική χειροποίητη κεραμική, όπως και στην προηγούμενη φάση, αλλά στο στρώμα αυτό τα επείσακτα παραδείγματα έχουν τελείως εξαφανισθεί και αντικατασταθεί από τα τοπικά. Το στρώμα ΙΙΒ χρονολογείται αρκετά καλά από τη χάλκινη βιολόσχημη πόρπη τύπου Peschiera, της οποίας ο τύπος δίδει αρχικά μια χρονολόγηση ΥΕ ΙΙΙΒ-ΥΕ ΙΙΙΓ περιόδου, αλλά η ομοιότητά της με την αντίστοιχη πόρπη από τον τάφο 108 του Κεραμεικού την κατεβάζει στην ΥΕ ΙΙΙΓ2.

Τέλος, στο τελευταίο στρώμα ΙΙC του οικισμού εμφανίζονται μόνο οι υπομυκηναϊκοί σκύφοι.

7. Περιβολάκι (Σαρατσέ) (French 1967, L5)

Βιβλιογραφία

Πρβλ. παραπάνω, 472.
1. G. Karo, Mykenische Kultur, RE Suppl. VI, 584 κ.ε.
2. Πέτσας 1953, 114, σημ. 1.
3. Desborough 1966, 140.
4. Hope Simpson 1965, 176.
5. French 1966, 108, εικ. 5.
6. Ch. Podzuweit, Mycenaean Ceramics and their Classification into Periods on the Basis of the Excavation at Kastanas, Ancient Macedonia IV (1986), 467-484.

Η μυκηναϊκή κεραμική του οικισμού είναι επείσακτη και τοπική ΥΕ ΙΙΙΒ κεραμική. Ο Desborough τη χρονολογεί στα τέλη της ΥΕ ΙΙΙΒ-αρχές ΥΕ ΙΙΙΓ, κυρίως με βάση τα σχήματα των αγγείων. Στο μεγαλύτερο ποσοστό της η κεραμική αυτή είναι τοπική.

8. Τσαουζίτσα (French 1967, A2)

Βιβλιογραφία

Πρβλ. παραπάνω, 473.
1. Πέτσας 1953, 114, σημ. 1
2. Desborough 1966, 140.
3. Hope Simpson 1965, 176.
4. French 1966, 108, εικ. 5.

Ένα μόνο όστρακο μυκηναϊκής κεραμικής έχει βρεθεί στον οικισμό, μέσα στο στρώμα που βρίσκεται αμέσως κάτω από το στρώμα καταστροφής του οικισμού της ύστερης εποχής του χαλκού, που σύμφωνα με τον Casson (βλ. Casson 1923/24, πίν. XXVII, 1) φαίνεται ΥΕ ΙΙΙΒ επείσακτο.

9. Καλαμαριά (French 1967, S1)

Ιδιαίτερο ενδιαφέρον εμφανίζει η παρουσία πρώιμης μυκηναϊκής κεραμικής (ΥΕ Ι/ΙΙ). Η πρώιμη εμφάνιση επείσακτης μυκηναϊκής κεραμεικής στη Μακεδονία επιβεβαιώνεται από τα πρόσφατα ανασκαφικά ευρήματα στην Τορώνη Χαλκιδικής.

ΑΝΑΤΟΛΙΚΗ ΜΑΚΕΔΟΝΙΑ

Για τη διάδοση της μυκηναϊκής κεραμικής στην ανατολική Μακεδονία έχουμε ακόμη πολύ αποσπασματική πληροφόρηση. Οπωσδήποτε, από το χάρτη (Σ χ έ δ. 151) προκύπτει ότι η μυκηναϊκή κεραμική προχωρεί και εδώ όπως και στην κεντρική και δυτική Μακεδονία, πέρα από τη ζώνη των παραλίων, όπου οι οικισμοί Παλιόκαστρο Κάρυανης[646] και Λακκοβίκια[647], στο εσωτερικό της ανατολικής Μακεδονίας, όπου ο οικισμός του Σταθμού Αγγίστας και ακόμη βορειότερα, όπου οι τύμβοι Ποταμών και Εξοχής του νομού Δράμας. Στρωματογραφημένη μυκηναϊκή κεραμική από ανασκαφικές έρευνες έδωσαν οι εξής θέσεις:

1. Σταθμός Αγγίστας

Βιβλιογραφία

Πρβλ. παραπάνω, 475.
Ch. Podzuweit, Mycenaean Ceramics and their Classification into Periods on the Basis of the Excavation at Kastanas, Ancient Macedonia IV (1986), 467-484.

Στα αρχαιότερα στρώματα του οικισμού της ύστερης εποχής του χαλκού εμφανίζεται ΥΕ ΙΙΙΒ επείσακτη κεραμική, καθώς και ορισμένα όστρακα που θα μπορούσαν να χρονολογηθούν ως την ΥΕ ΙΙΙΑ2. Τα νεότερα στρώματα του οικισμού, που καταλήγουν σ' ένα στρώμα καταστροφής, μετά από το οποίο ο οικισμός εγκαταλείπεται, περιέχουν ΥΕ ΙΙΙΓ μυκηναϊκή κεραμική, κατά κανόνα τοπικών εργαστηρίων.

Είναι αξιοσημείωτη η ποικιλία των ειδών της επείσακτης κεραμικής, που πιθανόν έχει διάφορους τόπους προέλευσης, όταν συγκριθεί με την ομοιομορφία της τοπικής μυκηναϊκής κεραμικής, που εμφανίζει πολύ μεγάλες ομοιότητες με τα αντίστοιχα είδη τοπικής μυκηναϊκής κεραμικής του Καστανά. Το ποσοστό βέβαια παρουσίας της μυκηναϊκής κεραμικής, σε σύγκριση με τα αντίστοιχα ποσοστά τοπικής χειροποίητης κεραμικής, πρέπει να σημειω-

646. Χ. Κουκούλη-Χρυσανθάκη, ΑΔ 27 (1972): Χρονικά, 528, ΥΕ ΙΙΙΒ, επείσακτο.
647. French 1966, εικ. 5, αριθ. 19.

θεί ότι είναι πολύ χαμηλό και στην περίοδο της πιο έντονης παρουσίας της τοπικής μυκηναϊκής ΥΕ ΙΙΙΓ κεραμικής δεν ξεπερνά το 1%.

2. Ποταμοί - Εξοχή Δράμας

Βιβλιογραφία

Πρβλ. παραπάνω, 476-477.
Ch. Podzuweit, Mycenaean Ceramics and their Classification into Periods on the Basis of the Excavation at Kastanas, Ancient Macedonia IV (1986), 467-484.

Στους τύμβους Ποταμών και Εξοχής βρέθηκαν αποσπασματικά παραδείγματα τοπικής μυκηναϊκής κεραμικής, που πρέπει να χρονολογηθούν, με βάση τα σχήματά τους, στα τέλη της ΥΕ ΙΙΙΒ-πιθανόν αρχές ΥΕ ΙΙΙΓ.

Η προέλευση της τοπικής μυκηναϊκής κεραμικής της ανατολικής Μακεδονίας, καθώς και οι δρόμοι διείσδυσης της ΥΕ ΙΙΙΒ μυκηναϊκής κεραμικής, δεν έχουν ακόμη προσδιορισθεί. Πιθανόν προέρχονται από τα παράλια της Χαλκιδικής, αλλά δεν μπορεί να αποκλείσει κανείς και την ύπαρξη αντίστοιχων μυκηναϊκών εμπορίων στα παράλια της ανατολικής Μακεδονίας και δυτικής Θράκης, καθώς και την περαστική άφιξη Μυκηναίων στα παράλια και τη διενέργεια συναλλαγών, που μπορούν να δικαιολογήσουν την εμφάνιση των επείσακτων μυκηναϊκών αγγείων ΥΕ ΙΙΙΒ και ΥΕ ΙΙΙΓ, χωρίς την εγκατάσταση των Μυκηναίων.

Αν υπήρχαν ωστόσο μυκηναϊκά εμπόρια στα παράλια της Χαλκιδικής, είναι δύσκολο να δεχθούμε ότι οι Μυκηναίοι είχαν αγνοήσει τα παράλια της ανατολικής Μακεδονίας, ιδιαίτερα μάλιστα την κοιλάδα του Στρυμόνα, όπου βρισκόταν η χρυσοφόρα περιοχή του Παγγαίου. Οπωσδήποτε όμως, τόσο στα παράλια της Χαλκιδικής όσο και στα παράλια της ανατολικής Μακεδονίας και της Θράκης, είναι ακόμη αδύνατο με το σημερινό επίπεδο των γνώσεών μας να διαφοροποιήσουμε τα μυκηναϊκά εμπόρια από τους τοπικούς οικισμούς της ύστερης εποχής του χαλκού. Το παράδειγμα του Καστανά, αν είναι σωστές οι ερμηνείες του Hänsel, είναι χαρακτηριστικό για τη σταδιακή διείσδυση του μυκηναϊκού πολιτισμού, στην αρχή με μεμονωμένα αντικείμενα (στρώμα 19) και αργότερα με αλλαγές που επηρεάζουν τον τύπο της κατοικίας και την εκμετάλλευση των φυσικών πόρων του οικισμού. Ο Hänsel[648], μιλώντας για μυκηναϊκό τρόπο ζωής, βλέπει στον Καστανά ένα είδος μυκηναϊκής εγκατάστασης σε κάποια φάση της ιστορίας του, ενώ ο Wardle επισημαίνει απλώς μυκηναϊκά χαρακτηριστικά στον οικισμό της Ασσήρου[649].

Απ' ό,τι ωστόσο είναι ως τώρα γνωστό, φαίνεται ότι, αντίθετα με τη Θεσσαλία, η Μακεδονία παρά την έντονη παρουσία της τοπικής μυκηναϊκής κεραμικής παρέμεινε μια περιφερειακή για το μυκηναϊκό κόσμο περιοχή, τόπος μυκηναϊκών εμπορίων και πολιτιστικής διείσδυσης του μυκηναϊκού πολιτισμού.

Η εμφάνιση, όμως, των προϊόντων της μυκηναϊκής κεραμικής και της μυκηναϊκής μεταλλοτεχνίας στα παράλια της Μακεδονίας και της Θράκης επισημαίνει τις οδούς επέκτασης του μυκηναϊκού εμπορίου προς το εσωτερικό των Βαλκανίων, τόσο προς τα δυτικά Βαλκάνια (Αλβανία, Γιουγκοσλαβία) όσο και προς τα ανατολικά (Βουλγαρία, Ρουμανία), και ακόμη βαθύτερα ως το μέσο Δούναβη. Η επισήμανση της μυκηναϊκής επίδρασης στη μικροτεχνία της κεντρικής Ευρώπης, στη μέση εποχή του χαλκού, και η εμφάνιση προϊόντων μυκηναϊκού πολιτισμού και τοπικών μιμήσεών τους εντάσσει και τις βορειότερα από τη Μακεδονία περιοχές σε μια ζώνη περιφερειακής και έμμεσης επίδρασης του μυκηναϊκού πολιτισμού, από την οποία διοχετεύθηκαν και αντίστροφα κινημένες πολιτιστικές επιδράσεις στον αιγαιακό χώρο[650].

Σχετικά με τη χρονολόγηση της τοπικής μυκηναϊκής κεραμικής στη Μακεδονία, ήδη

648. Hänsel 1982, 277.
649. Wardle 1980, 262, Wardle 1983, 304.
650. Kilian 1975, 112 κ.ε., Hänsel 1982α, 1 κ.ε.

ο Desborough έθεσε το θέμα της καθυστέρησης, προτείνοντας μια χρονολόγηση που κατεβαίνει ως τα 1050 π.Χ. για την ΥΕ ΙΙΙΓ μυκηναϊκή κεραμική των στρωμάτων καταστροφής Βαρδαρόφτσας και Βάρδινου[651].

Από τη στρωματογραφία του Καστανά προκύπτει, ωστόσο, ότι η επιβίωση της μυκηναϊκής κεραμικής ξεπερνά κατά πολύ τα χρονικά όρια της ΥΕ ΙΙΙΓ, αφού στο στρώμα 12-11 μαζί με τα πρωτογεωμετρικά και ραβδωτά αγγεία εμφανίζονται και τοπικά μυκηναϊκά, που χρονολογούνται στην ΥΕ ΙΙΙΓ2[652]. Πόσο χαμηλά κατεβαίνει το κάτω χρονολογικό όριο για την παραγωγή της τοπικής μυκηναϊκής κεραμικής στα περιφερειακά κέντρα του μυκηναϊκού πολιτισμού, δεν είναι ακόμη δυνατό να προσδιορισθεί για τη Μακεδονία.

Από ανάλογα παραδείγματα της Ιταλίας προκύπτει μια επιβίωση της μυκηναϊκής κεραμικής στα περιφερειακά τοπικά εργαστήρια το αργότερο ως το 10ο αι. π.Χ.[653]. Ο Podzuweit πιστεύει ότι στον Καστανά η τοπική μυκηναϊκή κεραμική επιβιώνει και στη γεωμετρική περίοδο (8ος και 7ος αι. π.Χ.), αλλά πριν από τη δημοσίευση της ανασκαφής δεν είναι δυνατό να ξέρουμε τα τελικά συμπεράσματα[654].

Από τη στρωματογραφία του Καστανά και της Ασσήρου προκύπτει ότι η παραγωγή των τοπικών μυκηναϊκών εργαστηρίων άρχισε από τα τέλη της ΥΕ ΙΙΙΒ, για να γενικευθεί στην ΥΕ ΙΙΙΓ, εποχή της μεγάλης παραγωγής των τοπικών μυκηναϊκών αγγείων στη Μακεδονία.

Από τα ως τώρα, επίσης, γνωστά στοιχεία φαίνεται ωστόσο ότι οι μεταγενέστερες επιβιώσεις της μυκηναϊκής κεραμικής στον Καστανά είναι επιβιώσεις κυρίως ΥΕ ΙΙΙΓ2 σχημάτων. Η γενική πορεία της εξέλιξης της μυκηναϊκής κεραμικής όμως στη Μακεδονία, σύμφωνα με τον Podzuweit, δεν εμφανίζει καθυστέρηση, αλλά είναι αντίστοιχη με της νότιας Ελλάδας.

Η ΜΥΚΗΝΑΪΚΗ ΚΕΡΑΜΙΚΗ ΣΤΗ ΘΑΣΟ

Τα αρχαιότερα παραδείγματα μυκηναϊκής κεραμικής, που εμφανίζονται στη Θάσο, προέρχονται από το στρώμα της ύστερης εποχής του χαλκού του οικισμού Καστρί και χρονολογούνται στην ΥΕ ΙΙΙΒ. Η ΥΕ ΙΙΙΒ κεραμική της Θάσου είναι επείσακτη από τη νότια Ελλάδα, όπως και η ΥΕ ΙΙΙΒ κεραμική της κεντρικής και ανατολικής Μακεδονίας, στο μεγαλύτερο ποσοστό της. Επείσακτα, επίσης, πρέπει να είναι και ορισμένα όστρακα ΥΕ ΙΙΙΓ κεραμικής από τον οικισμό Καστρί[655]. Είναι χαρακτηριστική η εμφάνιση ορισμένων κοινών χαρακτηριστικών στη μικροσκοπική ανάλυση της επείσακτης μυκηναϊκής κεραμικής από τον οικισμό Καστρί και από τον οικισμό Σταθμού Αγγίστας, που ξεχώρισαν στις ομάδες C και D της L. Courtois (Παράρτημα IV, Tableau 2). Τα συστατικά του πηλού, τα επιχρίσματα και ο τρόπος όπτησης διαφοροποιούν την κεραμική αυτή από την τοπική μυκηναϊκή κεραμική, των νεκροταφείων του οικισμού Καστρί, η οποία περιλαμβάνει δύο κατηγορίες:

1. Τοπική μυκηναϊκή κεραμική από ερυθρόχρωμους κυρίως πηλούς, που κατασκευάζονται με τεχνική ανάλογη με της επείσακτης κεραμικής (κατηγορία II, A1).

2. Τοπική μυκηναϊκή κεραμική, που κατασκευάζεται από πηλό αδρό σε αργό τροχό. Η

651. Desborough 1966, 140-141.

652. Hänsel 1979α, 189 κ.ε., Podzuweit 1979β, 204 και 210-217, εικ. 21.

653. Kilian 1975, 128, Kilian 1977, 127-128, όπου και σχετική βιβλιογραφία. L.M. Taylour Mycenaean Pottery in Italy and Adjacent Areas, 1958, 183, 186, Biancofiore 1963, 69, όπου η τοπική μυκηναϊκή κεραμική Scoglio del Tonno, Torre Castelluccia συγκρίνεται με τοπική μυκηναϊκή κεραμική Τροίας και Μακεδονίας και χρονολογείται στον 11ο αι. π.Χ. Πρβλ. και L. Vagnetti, Magna Grecia e mondo miceneo, 1982, 24 και νεότερα ευρήματα μυκηναϊκής κεραμικής από την Κάτω Ιταλία, Σικελία και Σαρδηνία, A. Cardarelli, Ricerche sulla protohistoria della Sybaridide, Napoli 1982, 1, 126-127, καθώς και Συμπόσιο Palermo, Traffici micenei nel mediterraneo, Problemi storici e documentazione archaeologica, 1984.

Στοιχεία για νεότερες επιβιώσεις μυκηναϊκής κεραμικής πέρα από τα τέλη του 11ου αι. π.Χ. δε φαίνεται να προκύπτουν και από το νεότερο αρχαιολογικό υλικό. Η επίδραση, ωστόσο, της μυκηναϊκής κεραμικής στην εξέλιξη της τοπικής γραπτής κεραμικής είναι πιο φανερή τώρα με τα νέα ευρήματα απ' ό,τι ήταν στην εποχή του Taylour.

654. Podzuweit 1979β, 222, Ch. Podzuweit, Der spätmykenische Einfluss in Makedonien, Ancient Macedonia IV (1986), 467-484.

655. Koukouli-Chrysanthaki 1982, 243, πίν. 17, αριθ. 340.

χαμηλή θερμοκρασία όπτησης δίδει σκοτεινούς χρωματικούς τόνους στην επιφάνεια των αγγείων, που θυμίζουν την τοπική χειροποίητη κεραμική (κατηγορία II, A2).

Μυκηναϊκή κεραμική II, A1

Η τοπική αυτή μυκηναϊκή κεραμική εμφανίζεται και στα τρία νεκροταφεία του οικισμού Καστρί, ενώ απουσιάζει τελείως από το νεκροταφείο της θέσης Λαρνάκι. Αποτελεί τη χαρακτηριστική κεραμική κυρίως της φάσης IB, αλλά επιβιώνει και στη φάση II A.

ΤΕΧΝΙΚΗ ΚΑΤΑΣΚΕΥΗΣ

Από το συνδυασμό των δεδομένων της αρχαιολογικής ταξινόμησης και της μικροσκοπικής ανάλυσης δειγμάτων της κατηγορίας II, A προκύπτει ότι στην κατηγορία αυτή ανήκουν οι ομάδες A και B της μικροσκοπικής ανάλυσης της L. Courtois, που διαφοροποιούν την κατηγορία II, A των τοπικών αγγείων από τα επείσακτα μυκηναϊκά αγγεία, τα οποία ανήκουν στις ομάδες C και D της μικροσκοπικής ανάλυσης (Παράρτημα IV).

Ο πηλός στην κατηγορία II, A1 έχει χρώμα ανοικτό ερυθρόχρωμο, είναι καθαρός και περιέχει μίκα και οξείδια του σιδήρου. Τα αγγεία συχνά σώζουν και την αρχική τους επιφάνεια με το επίχρισμα και την ταινιωτή διακόσμηση. Επειδή τα διακοσμητικά θέματα δίδονται με ερυθρό χρώμα, για να ξεχωρίσουν από το σχεδόν ομοιόχρωμο έδαφος του αγγείου χρησιμοποιείται ένα επίχρισμα με αραιωμένο πηλό με πολύ λευκή μίκα, που διαφοροποιεί χρωματικά το έδαφος (Παράρτημα IV). Η όπτηση του αγγείου έχει πραγματοποιηθεί σε υψηλή θερμοκρασία, αλλά κράτησε λίγο χρόνο και είχε ως αποτέλεσμα να παραμένει στις περισσότερες περιπτώσεις ο πυρήνας τεφρόχρωμος.

Στην κατηγορία II, A1 εμφανίζεται επίσης και ένα αγγείο (T1II43, Π ί ν. 62), που με τον τεφρόχρωμο πηλό του διαφοροποιείται από τα τροχήλατα ερυθρόχρωμα αγγεία της κατηγορίας II, A1.

Η μικροσκοπική ανάλυσή του (πρβλ. Παράρτημα IV, δείγμα αριθ. 2) το κατατάσσει στην ομάδα E, η οποία περιέχει διάφορων πηλών αγγεία, με κοινό χαρακτηριστικό την παρουσία στοιχείων, που σχετίζουν την προέλευση του πηλού με ηφαιστειογενείς περιοχές.

Το μοναδικό αυτό για τη φάση IB-IIA τεφρόχρωμο αγγείο δεν είναι καλά χρονολογημένο, γιατί δεν προέρχεται από κλειστό εύρημα. Επειδή, όμως, η σποραδική εμφάνιση της τεφρόχρωμης τροχήλατης κεραμικής είναι γνωστή ήδη από τους τελευταίους μυκηναϊκούς χρόνους, όπως προκύπτει από το νεκροταφείο της Ιαλυσού[656] και από αντίστοιχη κεραμική, που βρέθηκε στο στρώμα της ύστερης εποχής του χαλκού στον οικισμό Καστρί (Σ χ έ δ. 167), δεν αποκλείεται η χρονολόγησή του στη φάση IB ή IIA των νεκροταφείων Καστρί και η σύνδεσή του με τοπική μυκηναϊκή κεραμική ύστερων μυκηναϊκών ή και υπομυκηναϊκών χρόνων. Η εμφάνιση, επομένως, του τεφρόχρωμου αυτού αγγείου με το μυκηναϊκό σχήμα στο νεκροταφείο και στον οικισμό Καστρί εντάσσεται μέσα στη διάδοση της τεφρόχρωμης κεραμικής στα παράλια της Μικράς Ασίας και στον ελλαδικό χώρο, από το τέλος της μυκηναϊκής εποχής ως τους γεωμετρικούς και τους αρχαϊκούς χρόνους.

ΔΙΑΚΟΣΜΗΣΗ

Από τα ελάχιστα αγγεία της κατηγορίας II, A1, που σώζουν τη γραπτή διακόσμηση, διαπιστώνεται ότι τα διακοσμητικά θέματα είναι γραμμές και ταινίες άλλοτε ευθύγραμμες άλλοτε κυματιστές, που περιβάλλουν το σώμα και το λαιμό των αγγείων. Οι κυματιστές γραμμές εμφανίζονται συνήθως στον ώμο των αγγείων.

656. Majuri 1923/24, 126, αριθ. 50 και 149, αριθ. 6.

ΣΧΗΜΑΤΑ ΑΓΓΕΙΩΝ

Τα σχήματα των αγγείων της τοπικής μυκηναϊκής κεραμικής ΙΙ, Α1, που εμφανίζονται στα νεκροταφεία του οικισμού Καστρί, είναι τα εξής: οξυπύθμενοι σταμνίσκοι (217, 218), αλαβαστροειδή σε διάφορες παραλλαγές (219-221), προχοΐσκη (223), σκύφος (224), αμφορίσκος (222), πιθαμφορέας (225).

Σ χ ή μ α 217, 218: Οξυπύθμενοι σταμνίσκοι

Το σχήμα του μικρογραφικού οξυπύθμενου σταμνίσκου με τις τρεις λαβές στον ώμο (piriform jar) εμφανίζεται από την ΥΕ ΙΙΙΑ φάση, με ιδιαίτερη διάδοση στην ανατολική Μεσόγειο[657].

Οι σταμνίσκοι της Θάσου εντάσσονται σε μια παραλλαγή του αρχικού σχήματος, που διαμορφώνει ένα ψηλό κωνικό πόδι (Π ί ν. 347: 3, 4). Η εμφάνιση του σχήματος αυτού τοποθετείται στην ΥΕ ΙΙΙΒ φάση και η διάδοσή του εμφανίζεται μεγαλύτερη στο ανατολικό Αιγαίο και γενικότερα στην ανατολική Μεσόγειο[658]. Στην ΥΕ ΙΙΙΓ επιβιώνουν ελάχιστα παραδείγματα αυτού του τύπου, πιθανότατα γιατί το αγγείο αυτού του σχήματος αντικαθίσταται από κάποιο άλλο[659]. Στην κεντρική Μακεδονία[660] εμφανίζονται παραδείγματα του αγγείου σε επείσακτη και τοπική μυκηναϊκή κεραμική, που συνήθως χρονολογούνται στην ΥΕ ΙΙΙΒ φάση. Χαρακτηριστική είναι η συνύπαρξη δύο παραδειγμάτων αυτού του σχήματος, που αντιπροσωπεύουν στο ίδιο στρώμα του οικισμού του Καστανά, και μάλιστα σε κλειστό εύρημα, την επείσακτη και τοπική μυκηναϊκή κεραμική, αντίστοιχα[661]. Στη Μακεδονία υπάρχει η τάση να χρονολογούνται πάντοτε χαμηλότερα τα τοπικά μυκηναϊκά αγγεία[662], αλλά οι πρόσφατες ανασκαφές έχουν δείξει ότι οι τοπικές μιμήσεις των μυκηναϊκών είναι σε πολλές περιπτώσεις σύγχρονες με τα επείσακτα μυκηναϊκά. Για την ΥΕ ΙΙΙΓ φάση είναι βέβαιο από τη στρωματογραφία των ανασκαφών της Ασσήρου και του Καστανά ότι αντιπροσωπεύεται στη Μακεδονία κυρίως με τοπικά μυκηναϊκά αγγεία ΥΕ ΙΙΙΓ. Τελευταία, ο Wardle έχει διαπιστώσει ότι οι τοπικές μιμήσεις των μυκηναϊκών στη Μακεδονία άρχισαν από την ΥΕ ΙΙΙΒ φάση[663].

Η επιβίωση βέβαια της παραγωγής ή της χρήσης τοπικών μυκηναϊκών αγγείων στην κεντρική Μακεδονία έχει βεβαιωθεί ότι συνεχίζεται και μετά το τέλος της ΥΕ ΙΙΙΓ στη νότια Ελλάδα[664], αλλά αυτό δεν αποκλείει την πιθανότητα να υπάρχουν τοπικά μυκηναϊκά αγγεία στη Μακεδονία, σύγχρονα με τα αντίστοιχα της νότιας Ελλάδας[665].

Στην περίπτωση των οξυπύθμενων σταμνίσκων της Θάσου θα μπορούσαμε να κατεβάσουμε τα παραδείγματα ως την ΥΕ ΙΙΙΓ φάση, αφού σ' αυτή τη φάση τοποθετείται η περίοδος της μεγάλης παραγωγής και της διάδοσης των τοπικών μυκηναϊκών αγγείων[666]. Στη χρονολόγηση αυτή θα μπορούσαν να οδηγήσουν, επίσης, η γραμμική διακόσμηση των αγγείων με τις ευθύγραμμες ή κυματιστές ταινίες, χωρίς ωστόσο να αποκλείεται και μια υψηλότερη χρονολόγηση αυτών των τοπικών μυκηναϊκών στην ΥΕ ΙΙΙΒ.

657. Furumark 1972, 591-592, σχήμα 7, αριθ. 44-46, ΥΕ ΙΙΙΑ1-2, αριθ. 48, ΥΕ ΙΙΙΒ.

658. Ό.π., 592, σχήμα 7, αριθ. 47, ΥΕ ΙΙΙΒ-ΥΕ ΙΙΙΓ. Στα παραδείγματα του Furumark πρόσθεσε μια σειρά από νέα παραδείγματα ο Ιακωβίδης (1970, Β', 205, σημ. 1) από τη Ρόδο, Πελοπόννησο και Αττική. Πρβλ. και W. Rudolf, Tiryns VI, 1973, 91, εικ. 13, πίν. 40, τάφος XVI, 14 και 33. Τα νεότερα παραδείγματα χρονολογούνται στην ΥΕ ΙΙΙΒ περίοδο.

659. Ιακωβίδης 1970, Β', 204-205. Ελάχιστα είναι τα παραδείγματα αυτού του τύπου στο νεκροταφείο Περατής, γιατί στις αρχές της ΥΕ ΙΙΙΓ ο τύπος αντικαταστάθηκε, F.H. Stubbings, BSA 42 (1947), 44.

660. Heurtley 1939, αριθ. 448 (Περιβολάκι), αριθ. 458 (Άγιος Μάμας).

661. Hänsel 1978, εικ. 14, 4-5.

662. Desborough 1966, 142.

663. Wardle 1980, 252.

664. Podzuweit 1979β, 222.

665. Ό.π., όπου μιλά για την ταυτόχρονη εξέλιξη της μυκηναϊκής κεραμικής στη Μακεδονία και την Αργολίδα.

666. Πρβλ. οξυπύθμενο σταμνίσκο Σαλαμίνας, όπου όμως το πόδι είναι πιο πλατύ, Styrenius 1962, πίν. VI, αριθ. 3632, αλλά με κυματιστή ταινία στον ώμο. Αντίστοιχη είναι η τοπική μυκηναϊκή κεραμική της Κεφαλληνίας, Μαρινάτος 1933, πίν. I, Β2 (ΥΕ ΙΙΙΒ2), Wardle 1977.

Σ χ ή μ α 219, 220: Αλάβαστρα

Τα αλάβαστρα της Θάσου, ακόσμητα (219) ή γραπτά (220), ανήκουν στο γνωστό από την ΥΕ Ι περίοδο[667] σχήμα αγγείου, που εμφανίζεται στον ελλαδικό χώρο, με αρκετή συχνότητα στην ΥΕ ΙΙ φάση[668], για να διαδοθεί ευρύτατα στην ΥΕ ΙΙΙ περίοδο σ' όλο το μυκηναϊκό κόσμο του ελλαδικού και νησιωτικού χώρου, καθώς και της ανατολικής Μεσογείου[669] (Π ί ν. 347: 5-7). Σχετικά με την καταγωγή του, ο Furumark διατύπωσε την άποψη ότι προήλθε από μια ανάμειξη αιγυπτιακού προτύπου με ελλαδικό σχήμα[670]. Τα αλάβαστρα της Θάσου πλησιάζουν περισσότερο στον τύπο 85 του Furumark[671], που χρονολογείται στην ΥΕ ΙΙΙΑ2-ΥΕ ΙΙΙΒ[672], αλλά εξαιτίας της τοπικής τους προέλευσης και της γραμμικής τους διακόσμησης θα μπορούσαν να κατεβούν ως την πρώιμη ΥΕ ΙΙΙΓ φάση, αφού έχει διαπιστωθεί ότι το σχήμα αυτό του αγγείου στις διάφορες παραλλαγές του έχει μια πιο μακρόχρονη περίοδο επιβίωσης από ό,τι πιστευόταν αρχικά, χωρίς βέβαια να φθάνει και στη λεγόμενη υπομυκηναϊκή περίοδο[673]. Τα αντίστοιχα, άλλωστε, μυκηναϊκά αλάβαστρα από τη Μακεδονία δε φαίνεται να απομακρύνονται από την ΥΕ ΙΙΙΒ περίοδο[674].

Σ χ ή μ α 221: Αλάβαστρα με ευθύγραμμα τοιχώματα

Ο τύπος αυτός του αγγείου εμφανίζεται στην ΥΕ Ι[675] περίοδο, πιθανότατα εμπνευσμένος από κρητικά σχήματα που έχουν καταγωγή αιγυπτιακή[676], και παραμένει σε όλη την ΥΕ ΙΙ και ΥΕ ΙΙΙΑ-Β φάση[677], εμφανίζοντας βέβαια ορισμένες εξελίξεις στις λεπτομέρειες του σχήματος.

Στα νεκροταφεία του οικισμού Καστρί αντιπροσωπεύεται με ένα μόνο παράδειγμα, και αυτό αποσπασματικό. Το πεπλατυσμένο σχήμα του, όπως συμπληρώθηκε, το διαφοροποιεί από τα αντίστοιχα παραδείγματα της ΥΕ ΙΙΙΓ φάσης[678], που εμφανίζουν ύψος μεγαλύτερο από το πλάτος[679].

Τα αντίστοιχα παραδείγματα από τη Μακεδονία εμφανίζονται σε στρώματα, που πρέπει να χρονολογηθούν στην ΥΕ ΙΙΙΒ-αρχές ΥΕ ΙΙΙΓ[680], αλλά η γραμμική διακόσμηση και η πιο μακρόχρονη επιβίωση της τοπικής μυκηναϊκής κεραμικής στη Μακεδονία, δίδουν περιθώρια για μια χαμηλότερη χρονολόγηση του τύπου στην ΥΕ ΙΙΙΓ περίοδο της μεγάλης παραγωγής των τοπικών μυκηναϊκών αγγείων στη Μακεδονία. Από παραδείγματα, άλλωστε, που

667. Furumark 1972, 39-41, εικ. 11, σχήμα 16, τύπος 80, ΥΕ Ι.

668. Ό.π., 597, εικ. 1, σχήμα 16, τύποι 81-82, ΥΕ ΙΙΒ.

669. Ό.π., 597-598, σχήμα 16, τύποι 83-86, ΥΕ ΙΙΙΑ1-ΥΕ ΙΙΙΓ.

670. Ό.π., 42.

671. Ό.π., εικ. 1, τύπος 85, ΥΕ ΙΙΙΑ2-ΥΕ ΙΙΙΒ. Στα παραδείγματα του Furumark ό.π., 598, προσθέτει και άλλα ο Ιακωβίδης 1970, Β', 209, σημ. 2.

672. Ιακωβίδης 1970, 207, εικ. 79Α.

673. Διαφορετικό το σχήμα στο υπογεωμετρικό παράδειγμα του Κεραμεικού, Kübler - Kraiker 1939, πίν. 27, 4. Πρβλ. επίσης επιβιώσεις αυτού του σχήματος στο νεκροταφείο Ηφαιστείας, Mustilli 1932/33, 31, εικ. 33b4.

674. Παραδείγματα από την κεντρική Μακεδονία: Heurtley - Hutchinson 1925/26, 21-22, εικ.10, 3 (Βαρδαρόφτσα, βάθος: 8,50 μ. από τα βαθύτερα στρώματα). Παραδείγματα από την ανατολική Μακεδονία: Γραμμένος 1979, 45, πίν. Χ, 1 και 4. Πρβλ. επίσης αντίστοιχα παραδείγματα από την Τροία VI, Blegen - Caskey 1953, C52, 64, εικ. 294.

675. Furumark 1972, εικ. 12, σχήμα 19, τύπος 90, ΥΕ Ι.

676. Broneer 1939, 383-385, Ιακωβίδης 1970, 209.

677. Furumark 1972, εικ. 12, σχήμα 19, τύποι 91-95, ΥΕ ΙΙΑ-ΥΕ ΙΙΙΒ.

678. Ό.π., εικ. 12, σχήμα 19, τύπος 96, ΥΕ ΙΙΙΒ-ΥΕ ΙΙΙΓ και τύπος 97, ΥΕ ΙΙΙΓ.

679. Πρβλ. ό.π., εικ. 12, σχήμα 19, τύπος 94, ΥΕ ΙΙΙΑ2-ΥΕ ΙΙΙΒ. Ο τύπος φαίνεται ότι αντικατέστησε τα αλάβαστρα σχήματος 16 του Furumark. Πρβλ. Broneer 1939, 383-384, εικ. 65C. Ο Ιακωβίδης 1970, 209, σημ. 3, προσθέτει μια σειρά από παραδείγματα, που καλύπτουν την ανατολική Μεσόγειο και τον ελλαδικό χώρο. Ο τύπος είναι πολύ διαδεδομένος στα Δωδεκάνησα, Jacobi 1930/31, 259, εικ. 4, 273, εικ. 18. Πρβλ. παραδείγματα από την Αχαΐα, Papadopoulos 1979, 94.

680. Πρβλ. φάση C Βαρδαρόφτσας, Heurtley - Hutchinson 1925/26, όπου βρίσκεται στα 6,50 μ. βάθος μαζί με τοπικά ΥΕ ΙΙΙΒ αγγεία. Πρβλ. επιβιώσεις Βεργίνας, Ανδρόνικος 1969, 167-168, εικ. 22, Desborough 1966, 144, Kilian 1975, 66, ΥΕ ΙΙΙΒ-ΥΕ ΙΙΙΓ.

έχουμε από την Περατή[681], τη Νάξο[682], το Λευκαντί[683], διαπιστώνεται ότι ο τύπος αυτός του αγγείου επιβιώνει στην ΥΕ ΙΙΙΓ, ενώ το παράδειγμα από την Τροία VIIb[684] φαίνεται ότι μπορεί να κατεβάσει τον τύπο και ακόμη χαμηλότερα.

Στο νεκροταφείο, ωστόσο, του οικισμού Καστρί ο τύπος του γραπτού αλαβάστρου με τα κατακόρυφα τοιχώματα εμφανίζεται μόνο στη φάση ΙΒ.

Σ χ ή μ α 222: Αμφορίσκοι

Το αγγείο αυτού του σχήματος εμφανίζεται στην ΥΕ ΙΙΙΓ περίοδο στη νότια Ελλάδα. Ο Furumark[685] πιστεύει ότι έχει ηπειρωτική καταγωγή, ενώ ο Desborough, στηριγμένος στα παραδείγματα της Ιαλυσού, υποστηρίζει μια προέλευσή του από τα Δωδεκάνησα. Ο τύπος εμφανίζει μεγάλη διάδοση στην ΥΕ ΙΙΓ[686] φάση και επιβιώνει ως το τέλος της[687], καθώς και στην πρωτογεωμετρική περίοδο[688].

Τα παραδείγματα της Θάσου δε σώζουν διακόσμηση και αυτό δυσκολεύει περισσότερο τη χρονολόγησή τους με τυπολογικά κριτήρια (Π ί ν. 348: 1-2). Με τα στοιχεία της κάθετης στρωματογραφίας των νεκροταφείων προκύπτει, ωστόσο, μια σχετικά πρώιμη χρονολόγησή τους, αφού εμφανίζονται στη φάση ΙΙΑ των νεκροταφείων, που αποτελεί τη μεταβατική φάση από την ύστερη εποχή του χαλκού στην πρώιμη εποχή του σιδήρου. Από την άποψη πάλι του σχήματος, η χρονολόγηση που προκύπτει είναι πιο κοντά στην ΥΕ ΙΙΙΓ περίοδο, παρά στα πρωτογεωμετρικά παραδείγματα του τύπου[689].

Σ χ ή μ α 223: Προχοΐσκη

Το σχήμα αυτό, που αντιπροσωπεύεται με ένα μόνο παράδειγμα στα νεκροταφεία (Τ18, 43, Π ί ν. 108), εμφανίζεται στη μυκηναϊκή κεραμική από τη φάση ΥΕ ΙΙ και παραμένει ως την ΥΕ ΙΙΙΑ2 περίοδο[690] (Π ί ν. 348: 3). Η επιβίωση, ωστόσο, του τύπου σ' όλες τις φάσεις της ΥΕ ΙΙΙΓ είναι γνωστή[691].

Η παραλλαγή με την επίπεδη βάση, στην οποία ανήκει το θασιακό παράδειγμα, εκτός από την εμφάνισή της στην τοπική μυκηναϊκή κεραμική ΥΕ ΙΙΙΒ Μακεδονίας[692], επιβιώνει και στην πρωτογεωμετρική περίοδο[693] και αποτελεί, νομίζω, το πρότυπο στο οποίο ανάγονται προχοΐσκες των υπογεωμετρικών και πρώιμων αρχαϊκών χρόνων[694].

Σ χ ή μ α 224: Σκύφος

Το μοναδικό, επίσης, και αποσπασματικά διατηρημένο παράδειγμα σκύφου ΙΙ, 224 πλησιάζει στο σχήμα αριθ. 285 του Furumark[695], που χρονολογείται στην ΥΕ ΙΙΙΓ περίοδο. Η αποσπασματική διατήρησή του και η φθορά της επιφάνειας δεν επιτρέπει ασφαλή συμπεράσμα-

681. Ιακωβίδης 1970, 207, εικ. 79Β, τύπος β'.

682. Ν. Κοντολέων, ΠΑΕ 1960, πίν. 275γ.

683. Popham - Sackett 1968, 19, εικ. 35.

684. Blegen - Caskey 1958, εικ. 276, a και b (Τροία VIIb). Πρβλ. και Κεφαλληνία, Μαρινάτος 1933, πίν. 1, 84.

685. Furumark 1972, 38, εικ. 9, σχήμα 9, τύποι 59-61, ΥΕ ΙΙΙΓ1. Πρβλ. και Ιακωβίδης 1970, 128, εικ. 77Α.

686. Jacobi 1930/31, 275, εικ. 20, τάφος 66, ΥΕ ΙΙΙΒ-ΥΕ ΙΙΙΓ. Παραδείγματα με υπερυψωμένη βάση από τη Λαγκάδα, Morricone 1965/66, 99, εικ. 80. Πρβλ. Desborough 1966, 8, εικ. 2-3.

687. Πρβλ. κυρίως τύπο 61 του Furumark 1972. Πρβλ. επίσης τύπο Α Περατής, Ιακωβίδης 1970, 128, εικ. 77Α, όπου συγκεντρωμένη και σχετική βιβλιογραφία. Πρβλ. επίσης W. Rudolf, Tiryns VI, 1973, 93-94.

688. Styrenius 1962, πίν. VI, Rutter 1977, εικ. 14, 6, φάση ΙΙΙ της ΥΕ ΙΙΙΓ.

689. Popham - Sackett - Themelis 1979/1980, 307 κ.ε., εικ. ΙΙ, τύποι Α και Β.

690. Furumark 1972, 602-603, σχήμα 25, αριθ. 112, εικ. 5. Πρβλ. τον τύπο με την επίπεδη βάση.

691. Πρβλ. Ιακωβίδης 1970, 234-236. Τα παραδείγματα της Περατής έχουν δακτυλιόσχημη ως επί το πλείστον βάση, εμφανίζονται όμως και αγγεία με δισκοειδή βάση, όπως και ελάχιστα με κωνική.

692. Περιβολάκι (Σαρατσέ): Heurtley - Radford 1928/30, 133, εικ. 23, με ταινιωτή διακόσμηση.

693. Popham - Sackett - Themelis 1979/1980, 322, εικ. 16Ε.

694. Π.χ. Ηραίο Σάμου, Vierneisel - Walter 1959, παρένθ. πίν. 31.

695. Furumark 1972, 49, εικ. 14, 633-634, σχήμα 80, αριθ. 285.

τα. Πιθανότατα πρόκειται για ολόβαφο αγγείο, που πλησιάζει αντίστοιχα παραδείγματα ΥΕ ΙΙΙΓ1, ΥΕ ΙΙΙΓ2[696], κυρίως όμως πρωτογεωμετρικής περιόδου[697] (Π ί ν. 62: 43).

Ο γκρίζος πηλός διαφοροποιεί το θασιακό παράδειγμα (Π ί ν. 62: 43) από τα άλλα τοπικά μυκηναϊκά αγγεία της φάσης ΙΒ του ίδιου νεκροταφείου[698]. Το αγγείο βρέθηκε σε μια διαταραγμένη περιοχή του τάφου Τ1 και μια χρονολόγησή του στη φάση ΙΙΑ δεν αποκλείεται. Οπωσδήποτε, πρόκειται για το αρχαιότερο παράδειγμα γκρίζας κεραμικής στα νεκροταφεία Καστρί.

Σ χ ή μ α 225: Πιθαμφορέας

Το αγγείο αυτού του σχήματος εμφανίζεται στην ΥΕ ΙΙΙΓ[699] περίοδο σε διάφορες περιοχές του μυκηναϊκού κόσμου και παραμένει ως και τους υπομυκηναϊκούς χρόνους[700]. Τα ελάχιστα ίχνη ταινιωτής διακόσμησης, που σώζει το μοναδικό παράδειγμα από το νεκροταφείο Κεντριά, δε βοηθούν την τυπολογική του κατάταξη. Οπωσδήποτε, πρέπει να τοποθετηθεί ανάμεσα στα αγγεία της ΥΕ ΙΙΙΓ και στη λεγόμενη υπομυκηναϊκή περίοδο (ΥΕ ΙΙΙΓ2).

Στα νεκροταφεία εμφανίζεται σε τάφους της φάσης ΙΙΑ (Π ί ν. 27: 2, 348: 4).

Τοπικές μιμήσεις μυκηναϊκής κεραμικής ΙΙ, Α2

Η κατηγορία αυτή εμφανίζεται μόνο στα νεκροταφεία του οικισμού Καστρί, όπου και χρονολογείται στη φάση ΙΙΑ.

ΤΕΧΝΙΚΗ ΚΑΤΑΣΚΕΥΗΣ

Στην κατηγορία ΙΙ, Α2 τα αγγεία είναι τροχήλατα σε αργό τροχό και κατασκευάζονται από πηλό αδρό, όχι τέλεια καθαρισμένο, ο οποίος ωστόσο, όπως φαίνεται από τη μικροσκοπική ανάλυση της L. Courtois σε δύο δείγματα της κεραμικής αυτής της κατηγορίας (Κ4Α9, Π ί ν. 28: 8 και Β1Γ5, Π ί ν. 49: 13), πλησιάζει τον πηλό της κατηγορίας ΙΙ, Α1 (L. Courtois, Παράρτημα IV, δείγματα αριθ. 207 και 208). Οι σκοτεινοί χρωματικοί τόνοι και η εμφάνιση ανισότροπου πηλού είναι χαρακτηριστικές ενδείξεις για μια όπτηση των αγγείων της κατηγορίας αυτής σε χαμηλή θερμοκρασία. Οπωσδήποτε, όμως, η ομάδα Α των πηλών, στην οποία εντάσσει τα δύο δείγματα αριθ. 207 και 208 η L. Courtois, εμφανίζει κοινά χαρακτηριστικά και με τον πηλό της τοπικής χειροποίητης κεραμικής, έτσι ώστε αρχικά να μην αποκλείεται μια κοινή προέλευση του πηλού των αγγείων αυτών και της τοπικής μυκηναϊκής κεραμικής.

Στην κατηγορία ΙΙ, Α2 ανήκει επίσης και το μοναδικό παράδειγμα της αποσπασματικής κύλικας Τ18, 39 (Π ί ν. 109: 56), που εμφανίζει κιτρινόχρωμο πηλό και φανερά χαρακτηριστικά μιας κακής όπτησης.

696. Ιακωβίδης 1970, 219-222, Popham - Sackett 1968, 16, εικ. 27, ΥΕ ΙΙΙΓ3. Πρβλ. Rutter 1977, 133, εικ. 39, 6. Ο σκύφος (deep bowl) εμφανίζεται στον Καστανά από την ΥΕ ΙΙΙΓ σε επείσακτα και τοπικά παραδείγματα και επιβιώνει ως τη γεωμετρική εποχή, κατά την άποψη του Podzuweit 1979, 222.

697. Για πιο εξελιγμένο σχήμα στις νεότερες φάσεις, πρβλ. Furumark 1972, 80, αριθ. 286 και Popham - Sackett - Themelis 1979/1980, 297-302, εικ. 8, για την εξέλιξη του σχήματος από υπομυκηναϊκά ως υποπρωτογεωμετρικά παραδείγματα στο Λευκαντί. Για υπομυκηναϊκά παραδείγματα, πρβλ. αγγεία Κεραμεικού, Kübler - Kraiker 1939, πίν. 22, Styrenius 1962, πίν. VII-VIII.

698. Γκρίζα κεραμική εμφανίζεται σποραδικά και στα μυκηναϊκά χρόνια, π.χ. νεκροταφείο της Ιαλυσού, Majuri 1923/24, 126, αριθ. 50, 149, αριθ. 6. Πρβλ. επίσης γκρίζα μυκηναϊκή κεραμική από τη Λέσβο, Lamb 1936, πίν. 28, 2, Buchholz 1974, 180, πίν. 256, και από τα Ψαρά, Σ. Χαριτωνίδης, ΑΔ 17 (1961/62): Χρονικά, 266, πίν. 321 ς'. Πρβλ. επίσης παραδείγματα από το νεκροταφείο Σαλαμίνας, ΑΜ 35 (1910), 27, πίν. V, αριθ. 1, εικ. 6.

699. Furumark 1972, 594-595, σχήμα 9, τύπος 63. Πρβλ. και Ιακωβίδης 1970, 206, σημ. 1, όπου συγκεντρώνονται νεότερα παραδείγματα.

700. Πρβλ. παράδειγμα από το νεκροταφείο Κεραμεικού, Kübler - Kraiker 1939, πίν. 21. Η E. French και ο J.B. Rutter έχουν προτείνει την κατάργηση του όρου «υπομυκηναϊκός», Rutter 1978, 58, E. French, The First Phase of LHIIIC, AA 1969, 136.

ΔΙΑΚΟΣΜΗΣΗ

Η κατηγορία αυτή περιλαμβάνει ακόσμητα αγγεία, η επιφάνεια των οποίων δεν εμφανίζει επιχρίσματα.

ΣΧΗΜΑΤΑ ΑΓΓΕΙΩΝ

Τα σχήματα που εμφανίζονται στα νεκροταφεία είναι τα εξής: αλάβαστρα - πυξίδες (228α-β), κύλικες (229) και αμφορείς (230).

Σ χ ή μ α 228: Αλάβαστρα - Πυξίδες

Βρέθηκαν δύο παραδείγματα αυτού του σχήματος: Κ4Α8 και Β1Γ13. Έχουν κατασκευασθεί σε αργό τροχό και εμφανίζουν τεφρόχρωμη επιφάνεια και καστανέρυθρο πυρήνα (Π ί ν. 348: 5-6).

Αντίστοιχης κατασκευής μυκηναϊκά αγγεία εμφανίζονται και στην κεντρική Μακεδονία και Θεσσαλία, όπου σημειώνεται η αντιγραφή μυκηναϊκών σχημάτων σε τοπική τροχήλατη κεραμική, που χρησιμοποιεί όμως πηλό όμοιο με της χειροποίητης σύγχρονης κεραμικής[701].

Τα σχήματα των δύο πυξίδων - αλαβάστρων ανήκουν σε δύο τύπους:

Το σχήμα 228α με τη δακτυλιόσχημη βάση και τα ευθύγραμμα τοιχώματα δεν πρέπει να είναι ορθόδοξο μυκηναϊκό, γιατί δε φαίνεται να αντιπροσωπεύεται στην τυπολογία του Furumark[702], και όπως έχει επισημάνει ο Blegen[703] πιθανότατα αποτελεί τοπική απόδοση μυκηναϊκών προτύπων (Π ί ν. 348: 5-6).

Το σχήμα 228β (Π ί ν. 348: 7) αποτελεί μεταφορά του μυκηναϊκού σχήματος 221 σε τοπικό πηλό. Όπως έχουμε ήδη σημειώσει, πρόκειται για μυκηναϊκό σχήμα πολύ διαδεδομένο στα Δωδεκάνησα[704] στην ΥΕ ΙΙΙΒ-Γ περίοδο, που δε λείπει ωστόσο από τα περιφερειακά εργαστήρια του μυκηναϊκού κόσμου στην ΥΕ ΙΙΙΓ φάση[705].

Στα νεκροταφεία της Θάσου, τα αγγεία αυτής της κατηγορίας εμφανίζονται στη φάση ΙΙΑ των νεκροταφείων Καστρί.

Σ χ ή μ α 229: Κύλικα

Το σχήμα αντιπροσωπεύεται με ένα μόνο αποσπασματικό παράδειγμα. Η κακή διατήρηση του αγγείου και η ελλιπής όπτησή του δυσκολεύουν την ταξινόμησή του στην κατηγορία των τοπικών μιμήσεων μυκηναϊκής κεραμικής. Τα γωνιώδη τοιχώματα του σώματος πλησιάζουν το αγγείο σε αντίστοιχα παραδείγματα κυκλικών, προχωρημένων ΥΕ ΙΙΙΓ φάσεων[706] (Π ί ν. 111: 76).

Το αγγείο εμφανίζεται στο στρώμα IV του Τ18 το οποίο ανήκει στη φάση ΙΒ.

701. Πρβλ. παραδείγματα από τη Θεσσαλία, Μουσείο Βόλου, αριθ. ευρ. Κ2474 (τρίωτος τοπικός οξυπύθμενος σταμνίσκος), Κ2513 (τοπικό τεφρόχρωμο αλάβαστρο με κατακόρυφα τοιχώματα). Πρβλ. αντίστοιχες τοπικές μιμήσεις μυκηναϊκών αγγείων στην Εγγύς Ανατολή, P.L.O. Gay, Megiddo Tombs, 1938, 157, τάφος 912, πίν. 35, 21.

702. Furumark 1972, εικ. 12, σχήμα 19, τύποι 93-96.

703. Blegen - Caskey 1958, 38, εικ. 216, C56. Το σχήμα εμφανίζεται κυρίως από την Τροία VIIa και επιβιώνει και στην Τροία VIIb (ό.π., εικ. 287, αριθ. 331913). Στην Τροία VIIa εμφανίζεται στην τοπική μυκηναϊκή κεραμική, αλλά και στα Gray Minyan και Tan Ware, ενώ στην Τροία VIIb έχουμε παραδείγματα του σχήματος μόνο στα Tan Ware και στα Gray Minyan.

704. Πρβλ. υποσημ. 679.

705. Πρβλ. υποσημ. 680, 684. Πρβλ. όμοιο αγγείο με το Β1Γ13 (Π ί ν. 49: 13) στο Μουσείο Βόλου, αριθ. ευρ. Κ2513.

706. Rutter 1977, εικ. 19. Πρβλ. αντίστοιχο περίπου σχήμα αγγείου στον Καστανά, Podzuweit 1979, 217, εικ. 23, 1, που παραβάλλεται με ανάλογα σχήματα από το Λευκαντί, Popham - Sackett 1968, πίν. 3, 5-7, και Κοράκου, Rutter 1977, εικ. 13-15. Για αντίστοιχες τοπικές αποδόσεις αυτού του μυκηναϊκού σχήματος, πρβλ. E. French 1975, 66, 72. Πρβλ. επίσης αγγεία αντίστοιχου σχήματος από Megiddo, P.L.O. Gay, ό.π., αριθ. 8. Για το σχήμα, πρβλ. K. Wardle, BSA 64 (1969), 280 κ.ε.

Σ χ ή μ α 230: Αμφορείς

Τροχήλατοι αμφορείς σε τοπικό γκρίζο πηλό εμφανίζονται συνολικά δύο σ' όλα τα νεκροταφεία. Η σύσταση του πηλού και η τεχνική κατασκευής είναι όμοιες με των αλαβάστρων - πυξίδων 228α-β.

Το σχήμα ανάγεται στο μυκηναϊκό ΥΕ ΙΙΙΓ αμφορέα με τις οριζόντιες λαβές (σχήμα 9, τύπος 58, Furumark)[707] (Π ί ν. 348: 7).

Οι αμφορείς αυτού του τύπου εμφανίζονται σε τάφους, που ανήκουν στις φάσεις ΙΒ και ΙΙΑ.

Τα τροχήλατα αγγεία αυτής της κατηγορίας πρέπει να είναι επίσης επείσακτα στον οικισμό Καστρί, γιατί, αν είχε εισαχθεί ο τροχός, θα είχε επεκταθεί και στην υπόλοιπη κεραμική. Για τις μιμήσεις αυτές της μυκηναϊκής κεραμικής στον τοπικό πηλό από τη μικροσκοπική ανάλυση της L. Courtois, δε θα μπορούσε να αποκλεισθεί το ενδεχόμενο να έχουν κατασκευασθεί στα παράλια της ανατολικής Μακεδονίας, ακόμη και στην ίδια τη Θάσο (Παράρτημα IV).

Χειροποίητες μιμήσεις μυκηναϊκής κεραμικής ΙΙ, Α3

Στην κατηγορία αυτή, η οποία ουσιαστικά ανήκει στην τοπική χειροποίητη κεραμική, περιλαμβάνονται χειροποίητα αγγεία, που αντιγράφουν ή μεταπλάθουν σε τοπικό πηλό σχήματα μυκηναϊκής κεραμικής (Π ί ν. 62: 44, 111: 86).

Τα σχήματα που εμφανίζονται είναι ο τρίωτος οξυπύθμενος σταμνίσκος (226) και ο αμφορίσκος (227).

Σ χ ή μ α 226: Οξυπύθμενος σταμνίσκος

Δύο παραδείγματα αυτού του τύπου έχουν βρεθεί. Προέρχονται από την αρχαιότερη φάση του τάφου Τ1 και του τάφου Τ18 και αποτελούν τοπική απόδοση σε ερυθρόχρωμη ή και τεφρόχρωμη χειροποίητη κεραμική του σχήματος του τρίωτου μυκηναϊκού σταμνίσκου (πρβλ. σχήματα 217-218) (Π ί ν. 348: 8).

Σ χ ή μ α 227: Αμφορίσκος

Ένα μόνο παράδειγμα αυτού του σχήματος έχει βρεθεί. Προέρχεται από την αρχαιότερη φάση του τάφου Τ18 (φάση ΙΒ των νεκροταφείων) και πιθανότατα αποτελεί μια ανάμειξη του τύπου του μυκηναϊκού αμφορίσκου, με τις τρεις λαβές στον ώμο, με τον τοπικό αμφορέα με το εξέχον κωνικό χείλος, του τύπου VIA 121. Το κωνικό αυτό χείλος είναι χαρακτηριστικό γνώρισμα των αμφορέων της ύστερης εποχής του χαλκού στη Μακεδονία.

Το αγγείο είναι χειροποίητο και ως προς τη σύνθεση του πηλού και ως προς την τεχνική κατασκευής, εντάσσεται δε στα χειροποίητα αγγεία της κατηγορίας Ι, 1β.

ΙΙ, 2: Μεταμυκηναϊκή τεφρόχρωμη κεραμική (κατηγορία ΙΙ, Β)

Διάδοση

Γκρίζα τροχήλατη κεραμική πρωτοεμφανίζεται στον αιγαιακό χώρο με τα γκρίζα μινύεια αγγεία, αλλά σύνδεση της μεσοελλαδικής μινύειας κεραμικής με την γκρίζα κεραμική των μυκηναϊκών χρόνων ή την πολύ μεταγενέστερη κεραμική Bucchero δεν έχει ακόμη αποδειχθεί[708].

707. Furumark 1972, εικ. 8, 594.

708. Στη Λέσβο και την Αιολίδα, όπου η παράδοση της γκρίζας τροχήλατης κεραμικής φαίνεται να επιβιώνει από τη μινύεια παράδοση ως τους ιστορικούς χρόνους, πρέπει πιθανόν να αναζητηθεί η πατρίδα του Bucchero, Buchholz 1974, 184, όπου και προηγούμενη βιβλιογραφία.

Από την ύστερη μυκηναϊκή εποχή, όπως είδαμε, εμφανίζεται τόσο στα παράλια της Μικράς Ασίας όσο και στον ελλαδικό χώρο[709] γκρίζα τροχήλατη κεραμική, που άλλοτε κρατά τα σχήματα της μυκηναϊκής κεραμικής και άλλοτε παράγει νέα σχήματα, που πρέπει να αποτελούν τις απαντήσεις των τοπικών εργαστηρίων στις επιδράσεις της μυκηναϊκής, πρωτογεωμετρικής ή και γεωμετρικής επείσακτης κεραμικής. Στην τελευταία περίπτωση ανήκει και η χαρακτηριστική γκρίζα τροχήλατη κεραμική, που εμφανίζεται στη Μακεδονία[710] συγχρόνως με τα πρωτογεωμετρικά αγγεία, όπως διαπιστώνεται στη στρωματογραφία του Καστανά, και με χαρακτηριστικό νέο σχήμα αγγείου τον κάνθαρο με το οριζόντια ραβδωμένο χείλος[711].

Η γκρίζα αυτή κεραμική επιβιώνει ως την υπογεωμετρική περίοδο, όπως δείχνουν τα παραδείγματα του νεκροταφείου της Ηφαιστείας[712], με τα οποία σχετίζονται άμεσα ορισμένα από τα γκρίζα τροχήλατα αγγεία του νεκροταφείου Θάσου.

Στο σύνολό της, η γκρίζα αυτή τροχήλατη κεραμική εμφανίζεται με μεγαλύτερη συχνότητα στην υπογεωμετρική περίοδο, τόσο στη Μακεδονία όσο και στον αιγαιακό χώρο[713]. Η διαφορά της από τη σύγχρονη ερυθρόχρωμη κεραμική οφείλεται στις διαφορετικές συνθήκες όπτησης, πιθανόν και τυχαίες.

Μεταμυκηναϊκή τεφρόχρωμη κεραμική στα νεκροταφεία Καστρί και Λαρνάκι

Η γκρίζα τροχήλατη κεραμική εμφανίζεται με ένα παράδειγμα στη φάση ΙΒ ή ΙΙΑ των νεκροταφείων Καστρί, που πρέπει να είναι το αρχαιότερο της σειράς (Τ1Ι43). Τα επόμενα παραδείγματα ακολουθούν στις φάσεις ΙΙΒ και ΙΙΓ των νεκροταφείων Καστρί. Στο νεκροταφείο Λαρνάκι δεν εμφανίζεται.

ΤΕΧΝΙΚΗ ΚΑΤΑΣΚΕΥΗΣ

Ο πηλός των αγγείων της κατηγορίας αυτής εμφανίζεται μετά την όπτηση τεφρόχρωμος, με επιφάνεια πολύ εύθριπτη. Χαρακτηριστικό γνώρισμα της τεφρόχρωμης κεραμικής, που εμφανίζεται στα δύο δείγματα μικροσκοπικής ανάλυσης της L. Courtois, είναι η εμφάνιση στοιχείων που συνδέουν τον πηλό με ηφαιστειογενείς περιοχές (Παράρτημα IV, δείγμα αριθ. 2 (=Τ1Ι43, Π ί ν. 62) και δείγμα αριθ. 32 (=Τ20Α5, Π ί ν. 127).

ΔΙΑΚΟΣΜΗΣΗ

Η αρχική επιφάνεια σώζεται σε ελάχιστα αγγεία και έτσι υπάρχουν λίγα στοιχεία για το τελείωμα και τη διακόσμηση της επιφάνειας των αγγείων αυτής της κατηγορίας. Γραπτή διακόσμηση δεν πρέπει να υπήρχε και το μόνο είδος της διακόσμησης που διαπιστώθηκε είναι παράλληλες ραβδώσεις στην αρχή του λαιμού, που κατασκευάζονται με τον τροχό.

709. Ο Mustilli 1932/33, 187 κ.ε., συνοψίζει τα γνωστά στην εποχή του αρχαιολογικά δεδομένα για τη διάδοση της γκρίζας τροχήλατης κεραμικής από τους υπομυκηναϊκούς ως τους πρώιμους αρχαϊκούς χρόνους (γκρίζο Bucchero βορειοδυτικού Αιγαίου κ.ά.). Bernard 1964, 114. Πρβλ. επίσης Buchholz 1974. Πρβλ. και γκρίζο τροχήλατο αγγείο από το Λευκαντί, Themelis 1976, πίν. 9Β. Πρβλ. αντίστοιχα γκρίζα τροχήλατη κεραμική νότιας Ιταλίας και Σικελίας, που εμφανίζεται στην ύστερη εποχή του χαλκού, αποτελώντας επιβίωση ανάλογης κεραμικής μέσης εποχής του χαλκού και πιθανές σχέσεις της με τον αιγαιακό χώρο (μινύεια κεραμική), L. Vagnetti, ό.π. (υποσημ. 653), 23, όπου και σχετική βιβλιογραφία.

710. Πρβλ. τη χαρακτηριστική γκρίζα τροχήλατη κεραμική της Μακεδονίας στην πρώιμη εποχή του σιδήρου, Heurtley - Hutchinson 1925/26, 28, Heurtley 1939, 106-107, Hänsel 1979α, 197, και Hänsel 1982, 287.

711. Hänsel 1980, 287. Πρωτοεμφανίζεται στο στρώμα 11 του Καστανά (φάση V), αλλά σημειώνει μεγάλη διάδοση στα στρώματα 8-4. Πρβλ. Hochstetter 1984, 308. Δε φαίνεται, ωστόσο, να σχετίζεται ειδικά με την κεραμική αυτής της κατηγορίας η γκρίζα τροχήλατη κεραμική της Θάσου.

712. Mustilli 1932/33, πίν. XI, όπου τα σχήματα γκρίζας τροχήλατης κεραμικής του νεκροταφείου Ηφαιστείας.

713. Ό.π., 173 κ.ε.

ΣΧΗΜΑΤΑ ΑΓΓΕΙΩΝ

Εκτός από το σκύφο τύπου ΙΙ, 224, που αποτελεί το αρχαιότερο παράδειγμα της τεφρόχρωμης κεραμικής (βλ. παραπάνω, 565 κ.ε.), εμφανίζονται και τα εξής σχήματα αγγείων:

Σ χ ή μ α 232: Αμφορέας

Ο τροχήλατος αυτός αμφορέας, με τις οριζόντιες λαβές στον ώμο και τη δακτυλιόσχημη βάση, θυμίζει αντίστοιχα παραδείγματα τεφρόχρωμης κεραμικής από το νεκροταφείο της Ηφαιστείας[714].

Σ χ ή μ α 233: Διπλό αγγείο (Π ί ν. 349α)

Η καταγωγή του σχήματος αυτού του αγγείου ανάγεται στη μυκηναϊκή κεραμική. Τα αρχαιότερα παραδείγματα σύνθετων αγγείων αυτού του τύπου με αμφορίσκους, που συνδέονται μεταξύ τους με λαβή σε σχήμα ανεστραμμένου U, εμφανίζονται στην ΥΕ ΙΙΙΑ περίοδο και συνεχίζονται στην ΥΕ ΙΙΙΒ και ΥΕ ΙΙΙΓ[715]. Ο Furumark[716] υποστηρίζει ότι τα μυκηναϊκά παραδείγματα, παρά τις ομοιότητες που εμφανίζουν με τα κρητικά διπλά αγγεία[717], δεν πρέπει να προέρχονται από αυτά, γιατί τα μυκηναϊκά σύνθετα αγγεία αποτελούνται από αυτοτελή αγγεία διάφορων σχημάτων και είναι όχι μόνο διπλά, αλλά και τριπλά και τετραπλά. Ανάλογα σύνθετα αγγεία εμφανίζονται και σε άλλους μεσογειακούς πολιτισμούς[718], ενώ στη Μακεδονία και στα ηπειρωτικά Βαλκάνια εμφανίζεται στην ύστερη εποχή του χαλκού ένας τύπος διπλού αγγείου από ανοικτά φιαλόσχημα αγγεία[719], κατά κανόνα μεγάλων διαστάσεων, ο οποίος παραμένει και στην πρώιμη εποχή του σιδήρου[720].

Το παράδειγμα της Θάσου κατάγεται από αντίστοιχο τύπο μυκηναϊκού αγγείου[721], που επιβιώνει και μετά το τέλος του μυκηναϊκού κόσμου[722], όπως διαπιστώνεται από αντίστοιχα παραδείγματα στο νεκροταφείο της Ηφαιστείας, από τα οποία διαφοροποιείται ωστόσο το θασιακό αγγείο τύπου ΙΙ, 233[723] (Π ί ν. 177: 2).

Σ χ ή μ α 234: Αμφορίσκος

Το σχήμα αποτελεί μεταφορά στην γκρίζα κεραμική του μυκηναϊκού αμφορίσκου τύπου 222. Καλά παραδείγματα αυτής της επιβίωσης μυκηναϊκών σχημάτων σε περιφερειακές θέσεις έχουμε από την πρώιμη εποχή του σιδήρου της Μακεδονίας[724].

714. Ό.π., πίν. XI, 63.

715. Furumark 1972, 69.

716. Ο Bouzek 1970, 118-120, υποστηρίζει βόρεια καταγωγή αυτού του τύπου και λατρευτική χρήση.

717. Πρβλ. δίδυμα αγγεία στην Κρήτη: ΑΔ 4 (1918): Χρονικά, 150, εικ. 8, αριθ. 51, 52, 54, Xanthoudides 1924, πίν. 29, αριθ. 4284 (ΠΜ ΙΙΙ-ΜΜ Ι), R.C. Bosanquet - R.M. Dawkins, The Unpublished Objects from the Palaikastro Excavations, 1902-1906, BSA Suppl. Paper 1, εικ. 76, ΥΜ ΙΙΙΑ2. Πρβλ. και κυκλαδικά παραδείγματα: BSA 3 (1896/97), 57, εικ. 3.

718. Πρβλ. συγκεντρωμένη βιβλιογραφία στον Furumark 1972, 69 (παραδείγματα από την Ιταλία).

719. Πρβλ. ομάδα Vatina, Garašanin 1973, 393-396. Δυτική παραλλαγή Vatina, Dobrača, ομάδα Gîrla Mare, Dumitrescu 1961, πίν. V, 340. Πρβλ. αντίστοιχα διπλά αγγεία στη Μακεδονία ύστερης εποχής του χαλκού, Κουκούλη-Χρυσανθάκη 1980, εικ. 8, αριθ. 6 (Σταθμός Αγγίστας). Πρβλ. και Hochstetter 1984, 175 (Καστανάς, στρώμα 19, πίν. 4, 1, στρώμα 8, πίν. 163, 2), καθώς και παραδείγματα από την Άσσηρο.

720. Ομάδα Vîrtrop, Hänsel 1976, πίν. ΙΙΙ, 7. Πρβλ. και Bouzek 1970, 118 κ.ε.

721. Πρβλ. σχήμα 99, τύπος 325, Furumark 1972, 641, εικ. 20. Πρβλ. διπλό αγγείο Ιαλυσού, Majuri 1923/24, 142, εικ. 65. Επίσης ανάλογα παραδείγματα από το νεκροταφείο Περατής, Ιακωβίδης 1970, 212-213.

722. Υπομυκηναϊκό παράδειγμα από το Λευκαντί, Popham - Sackett - Themelis 1979/1980, 312, εικ. 13.

723. Mustilli 1932/33, 169-170, εικ. 146 (τριπλό), εικ. 122 (διπλό αγγείο-αμφορίσκος). Πρβλ. επίσης διπλό χειροποίητο αγγείο και από το Αξιόκαστρο δυτικής Μακεδονίας, Hammond 1972, εικ. 16k. Ο Mustilli σχετίζει το τριπλό αγγείο της Ηφαιστείας με το «χοαὶ τρίσπονδοι» του Αισχύλου, Πέρσαι 606, Σοφ., Αντιγ. 431, Ευρ., Ιφιγ. Ταυρ. 161 (Mustilli, ό.π., 170, πρβλ. και J.H. Jeiffe, JHS 51 (1931), 169-171).

724. Πρβλ. Βαρδαρόφτσα D, στην αρχή μόνο ο κατεξοχήν «μακεδονικός» τύπος του μόνωτου αγγείου με τις παράλληλες χαράξεις στο λαιμό, Heurtley - Hutchinson 1925/26, εικ. 14, 4, όπου και αργότερα και φιαλόσχημα, καθώς και προχοίσκες, ό.π., 28. Αυτή, ωστόσο, η κατηγορία των μόνωτων κανθάρων εμφανίζεται αρκετά διαφοροποιημένη από τα υπόλοιπα αγγεία τεφρόχρωμης τροχήλατης κεραμικής, που είναι γνωστά από άλλους οικισμούς της Μακεδονίας, όπως π.χ. από το Περιβολάκι (Σαρατσέ), και συνεχίζουν τα σχήματα μυκηναϊκής κεραμικής, Heurtley - Radford 1928/30, 135, εικ. 25, φάση D του οικισμού.

Τα θασιακά παραδείγματα θα μπορούσαν να συσχετισθούν με αντίστοιχα παραδείγματα από την Ηφαιστεία της Λήμνου και να επιβεβαιώσουν την επιβίωση της μυκηναϊκής παράδοσης στην περιφέρεια και μετά το τέλος του μυκηναϊκού κόσμου[725] (Π ί ν. 172: 12).

Σ χ ή μ α 235: Αμφορίσκος

Το σχήμα αυτό αποτελεί μετάπλαση του γνωστού τύπου υπομυκηναϊκού αμφορίσκου, όπως και το σχήμα 232. Διαφοροποιείται μόνο με την παρουσία των συγκεντρικών αυλακώσεων γύρω από το λαιμό (Π ί ν. 127: 5, 349: 2). Ο τύπος αυτού του αγγείου είναι γνωστός από το νεκροταφείο της Ηφαιστείας, στο οποίο βρίσκονται τα πλησιέστερα με το θασιακό αγγείο παράλληλα[726].

Σ χ ή μ α 236: Φλασκόσχημο αγγείο

Το αγγείο αυτού του σχήματος ανάγεται σε μυκηναϊκά παραδείγματα που έχουν ανατολική καταγωγή[727] (Π ί ν. 124: 6). Μετά το τέλος της μυκηναϊκής περιόδου, το σχήμα επιβιώνει στην πρωτογεωμετρική και γεωμετρική κεραμική και τελικά περνά και στην κορινθιακή κεραμική, για να φθάσει ως την αρχαϊκή εποχή στα κεραμικά εργαστήρια της Ιωνίας[728].

Το σχήμα δεν είναι άγνωστο και ως περιφερειακή επιβίωση μυκηναϊκής κεραμικής στο νεκροταφείο της Ηφαιστείας[729].

ΙΙ, 3: Μεταμυκηναϊκή ερυθρόχρωμη κεραμική (κατηγορία ΙΙ, Γ)

Διάδοση

Η ερυθρόχρωμη τροχήλατη κεραμική, με σχήματα που προέρχονται από τη μυκηναϊκή παράδοση, εμφανίζεται στον αιγαιακό και ελλαδικό χώρο και μετά το τέλος της μυκηναϊκής εποχής, χωρίς βέβαια να είναι δυνατό να διαπιστωθεί αν πρόκειται για άμεση επιβίωση της μυκηναϊκής κεραμικής ή για ακόσμητη κεραμική και άλλων κατηγοριών κεραμικής, νεότερων από τη μυκηναϊκή περίοδο.

Στη Μακεδονία, οπωσδήποτε, η παρουσία της κεραμικής αυτής στην πρώιμη εποχή του σιδήρου είναι πιο εύκολο να συνδεθεί απευθείας με τη μυκηναϊκή παράδοση, αφού, όπως έχουμε σημειώσει, η επιβίωση της μυκηναϊκής κεραμικής στη Μακεδονία είναι ιδιαίτερα μακρόχρονη. Ερυθρόχρωμη τροχήλατη κεραμική εμφανίζεται στη φάση D της Βαρδαρόφτσας[730] ή στο νεκροταφείο της Τσαουζίτσας[731].

Αντίστοιχες επιβιώσεις μυκηναϊκής κεραμικής εμφανίζονται σε περιφερειακές θέσεις του ελλαδικού ή του αιγαιακού χώρου[732], στις οποίες μπορεί να ενταχθεί και η Θάσος.

Μεταμυκηναϊκή ερυθρόχρωμη κεραμική στα νεκροταφεία Καστρί και Λαρνάκι

ΤΕΧΝΙΚΗ ΚΑΤΑΣΚΕΥΗΣ

Η κεραμική της κατηγορίας αυτής εμφανίζει πολλές ομοιότητες στα συστατικά του πηλού

725. Mustilli 1932/33, Gruppo B, εικ. 14 και 16, πίν. XI, 62-63.

726. Ό.π., εικ. 144 (διπλό αγγείο).

727. Furumark 1972, σχήμα 47, τύπος 186, εικ. 20, Ιακωβίδης 1970, 248-249.

728. Για πρώιμα και ύστερα πρωτογεωμετρικά παραδείγματα, πρβλ. Λευκαντί, Popham - Sackett - Themelis 1979/1980, 331-332, πίν. 92, που, αν δεν προέρχονται από το μυκηναϊκό σχήμα, ίσως πρέπει να αναζητηθεί η καταγωγή τους στην Κύπρο ή την Κρήτη. Πρβλ. ό.π., 332, όπου συγκεντρώνονται και παράλληλα παραδείγματα από άλλες περιοχές (Σκύρο, Ιαλυσό, Μυκήνες, περιοχή Αγρινίου). Για ύστερα πρωτογεωμετρικά παραδείγματα από το Λευκαντί, ό.π., πίν. 126, 145 και 213.

729. Mustilli 1932/33. Πρβλ. ανάλογο πρωτογεωμετρικό Θήρας, H. Dragendorf, Thera II, 1903, εικ. 449.

730. Βαρδαρόφτσα D5 Glazed Ware, Heurtley - Hutchinson 1925/26, 28, Cuttle 1926/27, 211.

731. Casson 1919/21, 22 κ.ε.

732. Πρβλ. π.χ. Ηφαιστεία Λήμνου, Mustilli 1932/33, 173, Καστανάς, Podzuweit 1979β, 203 κ.ε.

και στον τρόπο κατασκευής με την τυπική μυκηναϊκή κεραμική της κατηγορίας II, A1, της οποίας είναι πιθανό ότι αποτελεί επιβίωση.

Η μικροσκοπική ανάλυση ενός δείγματος (L. Courtois, Παράρτημα IV, δείγμα αριθ. 13) απέδωσε το αγγείο Τ5Γ2 (Π ί ν. 74Β) στην ομάδα Α, που εμφανίζεται και στις κατηγορίες II, A1-II, A2 τοπικής μυκηναϊκής κεραμικής.

ΣΧΗΜΑΤΑ ΑΓΓΕΙΩΝ

Τα σχήματα των αγγείων βρίσκονται, επίσης, μέσα στην παράδοση της τοπικής μυκηναϊκής κεραμικής και πιθανότατα αποτελούν μεταγενέστερες επιβιώσεις της.

Σ χ ή μ α 237: Προχοΐσκη

Η προχοΐσκη αυτού του τύπου αντιπροσωπεύεται με ένα μόνο παράδειγμα, το οποίο προέρχεται από το χρονολογημένο στη φάση ΙΙΓ των νεκροταφείων τάφο Β3 (Π ί ν. 58Α: 1). Το σχήμα κατάγεται από αντίστοιχη μυκηναϊκή προχοΐσκη, όπως την ξέρουμε από τον τύπο 223, και επιβιώνει στην πρωτογεωμετρική[733] και ως την υπογεωμετρική εποχή[734] (Π ί ν. 349: 4).

Σ χ ή μ α 238: Προχοΐσκη

Ο πηλός της προχοΐσκης αυτού του σχήματος είναι πιο λεπτός και εύθριπτος. Το σχήμα του αγγείου διαφοροποιείται από το μυκηναϊκό πρότυπο (πρβλ. σχήμα 223) ως προς τη στενή βάση και την περισσότερο τονισμένη ταινιωτή λαβή (Π ί ν. 74Β: 2). Το σχήμα, που αντιπροσωπεύεται με ένα παράδειγμα, εμφανίζεται στη φάση ΙΙΒ.

Σ χ ή μ α 239: Αμφορίσκος

Ο αμφορίσκος αποτελεί συνέχεια του αμφορίσκου 222. Η επιβίωση του ίδιου τύπου μετά το τέλος της μυκηναϊκής περιόδου επιβεβαιώνεται στο νεκροταφείο της Ηφαιστείας[735]. Στη Θάσο εμφανίζεται στη φάση ΙΙΒ1 (Π ί ν. 172: 12).

Σ χ ή μ α 240: Αμφορέας

Το σχήμα του αμφορέα αυτού βρίσκεται, πιθανότατα, σε άμεση σχέση με τη μυκηναϊκή παράδοση. Η επιβίωση, ωστόσο, του σχήματος ως τα αρχαϊκά χρόνια αποκλείει[736] εξάρτηση της χρονολόγησης από το σχήμα. Το θασιακό παράδειγμα τοποθετείται στη φάση ΙΙΒ3 (Π ί ν. 349: 3).

II, 4: Κεραμική τύπου G 2-3 (κατηγορία II, Δ)

Διάδοση

Η κεραμική του λεγόμενου τύπου G 2-3 εμφανίζεται διαδεδομένη αποκλειστικά στο βορειοανατολικό Αιγαίο (Σ χ έ δ. 152). Η κεραμική αυτής της κατηγορίας εμφανίζεται στην Τροία VIII, στη Λέσβο, στη Λήμνο, καθώς και στη Θάσο και στα παράλια της ανατολικής Μακεδονίας. Η χρονολόγησή της δεν έχει ακόμη προσδιορισθεί με ασφάλεια. Από τα γνωστά αρχαιολογικά δεδομένα προκύπτει η παρουσία της στις αρχές του 7ου αι. π.Χ., αλλά ούτε τα άνω ούτε τα κάτω χρονολογικά της όρια έχουν ακόμη καθορισθεί.

733. Λευκαντί: Popham - Sackett - Themelis 1979/1980, 322, εικ. 16Ε, πρβλ. πίν. 114, Ρ 141 και πίν. 129.

734. Vierneisel - Walter 1959, 13, παρένθ. πίν. 17, 4, που χρονολογούνται στην καμπή του 8ου προς τον 7ο αι. π.Χ. Πρβλ. και H. Walter AM 72 (1957), 42, παρένθ. πίν. 58, 1-2. Πρβλ. και προχοΐσκες νεκροταφείου Τσαουζίτσας, BSA 24 (1919/21), 13, εικ. 9.

735. Mustilli 1932/33, 156, Gruppo B, τύπος 26.

736. Πρβλ. τύπο 19 αμφορέα Ηφαιστείας, ό.π., πίν. VII.

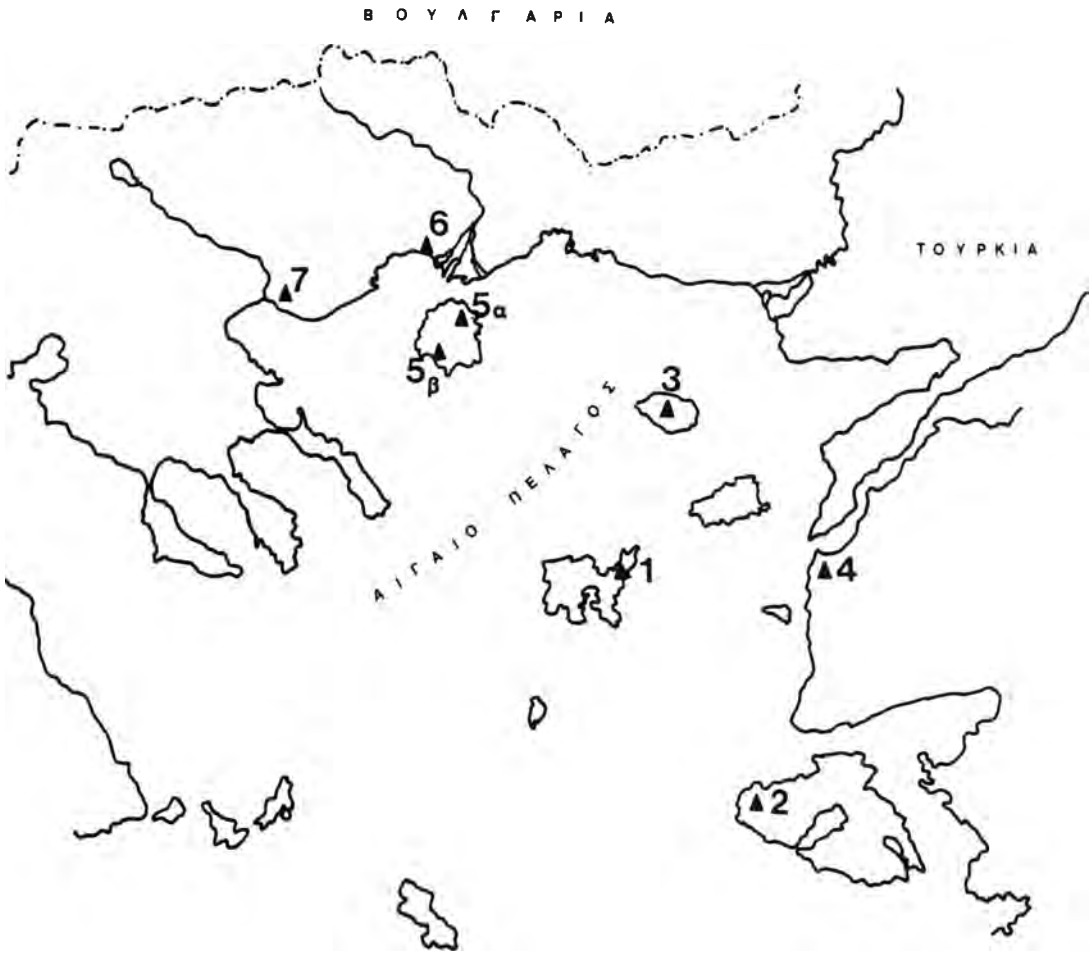

Σχέδ. 152. Διάδοση κεραμικής τύπου G 2-3 στο βορειοανατολικό Αιγαίο.

1. Λήμνος

Κεραμική τύπου G 2-3 είναι γνωστή από το Ιερό της Χλόης[737] και από τη νεκρόπολη της Ηφαιστείας και αποτελεί τοπική παραγωγή της Λήμνου. Στη νεκρόπολη της Ηφαιστείας, η κεραμική αυτής της κατηγορίας εμφανίζεται και στις δύο φάσεις που ξεχώρισε ο Mustilli[738].

2. Λέσβος

Η Lamb[739] πρότεινε μια χρονολόγηση αρκετά υψηλή για την κεραμική αυτής της κατηγορίας, που βρέθηκε στο αψιδωτό κτίριο της Άντισσας. Η χρονολόγηση αυτή, ωστόσο, δεν έγινε αποδεκτή[740] και προτάθηκε μια μακρόχρονη χρήση του αψιδωτού κτιρίου ως τα τέλη του 8ου αι. π.Χ.

737. Ανασκαφές Ιερού Χλόης: ASAtene I-II (NS) (1939/40), 223-229 και XIV-XVI (1952/53), 471-476.

738. Ανασκαφές στην πόλη της Ηφαιστείας: ASAtene VIII-IX (1925/26), 394, X-XII (1927-29), 711-713, XIII-XIV (1930/31), 499-500, I-II (NS) (1939/40), 221-223. Πρβλ. και A. Della Setta, AE 1937, 609-654. Ανασκαφές στη νεκρόπολη της Ηφαιστείας: Mustilli 1932/33, 3-278.

739. W. Lamb, Antissa, BSA 32 (1931/32), 56, πίν. 23.

740. Blegen - Caskey 1958, 254, M. Robertson, JHS 60 (1940), 2, Bernard 1964, 93.

3. Σαμοθράκη

Πολλά θραύσματα κεραμικής τύπου G 2-3 έχουν βρεθεί σ' έναν ομοιογενή αποθέτη, κάτω από το δάπεδο του τεμένους των Μεγάλων Θεών στη Σαμοθράκη[741]. Ο Lehmann τα χρονολόγησε στο α' μισό του 7ου αι. π.Χ., χωρίς να παραθέτει ασφαλή χρονολογικά στοιχεία.

4. Τροία

Κεραμική αυτής της κατηγορίας έχει βρεθεί στα στρώματα της Τροίας VIII, τα οποία οπωσδήποτε δεν μπορούν να χρονολογηθούν υψηλότερα από τις αρχές του 7ου αι. π.Χ. Ο Boulter χρονολογεί την κεραμική τύπου G 2-3 της Τροίας στο α' μισό του 7ου αι. π.Χ.[742].

5. Θάσος

Στο προαποικιακό στρώμα της αρχαίας Θάσου έχουν βρεθεί πολλά παραδείγματα της κεραμικής τύπου G 2-3. Είναι μάλιστα χαρακτηριστική η αντιπροσώπευση, τόσο του «λεσβιακού» όσο και του «λημνιακού» εργαστηρίου[743]. Τα περισσότερα προέρχονται από το στρώμα W της τομής Ι, που είναι και το αρχαιότερο, και ελάχιστα από το αμέσως επόμενο στρώμα Υ. Από τον ανασκαφέα χρονολογούνται στις αρχές του 7ου αι. π.Χ.

6. Αρχαία Νεάπολη (Καβάλα)

Τα παραδείγματα κεραμικής τύπου G 2-3 από τη Νεάπολη προέρχονται από τον αποθέτη του Ιερού της Παρθένου, που ανέσκαψε ο Δ. Λαζαρίδης και είναι αδημοσίευτα. Τα αρχαιότερα χρονολογικά όρια του αποθέτη είναι δυνατό να ανεβαίνουν και πέρα από το τελευταίο τέταρτο του 7ου αι. π.Χ., όπου χρονολογούνται τα μηλιακά αγγεία[744].

7. Ακρόπολη αρχαίας Ηιόνας

Σε δοκιμαστική τομή, που πραγματοποιήθηκε στην ακρόπολη της αρχαίας Ηιόνας μετά την πρόσφατη ταύτισή της[745], η κεραμική τύπου G 2-3 εμφανίζεται μαζί με την κεραμική τύπου Ολύνθου, καθώς και με «πρωτογεωμετρικούς» αμφορείς, σε μια στρωματογραφική σχέση ανάλογη με εκείνη του προαποικιακού στρώματος της Θάσου. Τα δύο τελευταία είδη κεραμικής είναι γνωστά και από τα νεότερα στρώματα του Καστανά, όπου οπωσδήποτε δεν πρέπει να κατεβαίνουν πέρα από τα μέσα του 7ου αι. π.Χ.

Η G 2-3 κεραμική της Ηιόνας φαίνεται ότι προέρχεται από το λεγόμενο λεσβιακό εργαστήριο.

Κεραμική τύπου G 2-3 στα νεκροταφεία Καστρί και Λαρνάκι

ΤΕΧΝΙΚΗ ΚΑΤΑΣΚΕΥΗΣ - ΔΙΑΚΟΣΜΗΣΗ

Ο πηλός είναι καθαρός, υπέρυθρος και περιέχει τα στοιχεία που περιγράφονται στη μικροσκοπική ανάλυση της L. Courtois (Παράρτημα IV, δείγμα αριθ. 41). Χαρακτηριστικός, οπωσδήποτε, είναι ο εντοπισμός στον πηλό στοιχείων που αποτελούν ενδείξεις για μια προέλευσή του από ηφαιστειογενείς περιοχές. Το χαρακτηριστικό αυτό γνώρισμα, που εντάσσει το αγγείο K3A1 (Πίν. 23Β: 1) στην ομάδα Ε της μικροσκοπικής ανάλυσης, σε συνδυασμό με τη διάδοση της κεραμικής αυτής της κατηγορίας στο ανατολικό Αιγαίο, συνηγορεί για την τοποθέτηση των εργαστηρίων στη Λέσβο και στη Λήμνο, όπως έχει προταθεί. Η επιφάνεια του αγγείου καλύπτεται από ένα λεπτό υποκίτρινο επίχρισμα, πάνω στο οποίο έχει δοθεί η διακόσμηση με αραιωμένο καστανέρυθρο χρώμα.

741. K. Lehmann, Hesperia 21 (1952), 34 κ.ε.

742. Blegen - Caskey 1958, 254 κ.ε. Σποραδικά παραδείγματα κεραμικής αυτής της κατηγορίας εμφανίζονται και σε στρώματα Τροίας VIIb2, Podzuweit 1982, 81-82.

743. Bernard 1964, 88 κ.ε.

744. Δ. Λαζαρίδης, ΑΔ 17 (1961/62): Χρονικά, 235 κ.ε. Σποραδικά δείγματα χειροποίητης κεραμικής (αδημοσίευτα).

745. Χ. Κουκούλη-Χρυσανθάκη, ΑΔ 35 (1980): Χρονικά, 423-424.

ΣΧΗΜΑΤΑ ΑΓΓΕΙΩΝ

Το μοναδικό σχήμα αγγείου που εμφανίζεται είναι η προχοΐσκη, με επίπεδη βάση, ταινιωτή λαβή και πλαστική ταινία γύρω από το χείλος (σχήμα ΙΙ 231· Π ί ν. 23Β: 1, 349: 6).

Σ χ ή μ α 231: Προχοΐσκη

Η κεραμική τύπου G 2-3 αντιπροσωπεύεται με ένα μοναδικό παράδειγμα στη Θάσο, που προέρχεται από το νεότερο στρώμα ταφών του τάφου Κ3Α. Το θασιακό παράδειγμα δεν προωθεί και πολύ το πρόβλημα της χρονολόγησης, γιατί εμφανίζεται απομονωμένο, αλλά ήδη αυτή η απομόνωσή του στο νεότερο στρώμα ταφών του τάφου Κ3ΑΙΙ αποτελεί στοιχείο νεότερης ηλικίας, που δεν πρέπει να σχετίζεται με κεραμική αυλακωτή ή ραβδωτή. Το αγγείο και τα άλλα κτερίσματα τοποθετούν τις ταφές αυτού του στρώματος στη φάση ΙΙΓ, στη νεότερη φάση των νεκροταφείων του οικισμού Καστρί ΙΙΓ. Η υπογεωμετρική διακόσμηση του κάτω σώματος της προχοΐσκης οδηγεί σε μια χρονολόγηση γύρω στα τέλη 8ου-αρχές 7ου αι. π.Χ. και μπορεί να συνδέσει τη φάση ΙΙΓ των νεκροταφείων με το προαποικιακό στρώμα της αρχαίας Θάσου. Σχήμα αντίστοιχο με του νεκροταφείου δεν εμφανίζεται στο προαποικιακό στρώμα της Θάσου, τόσο όμως η διακόσμηση της λαβής όσο και η διακόσμηση του λαιμού με τη σβάστικα, προσεγγίζουν την προχοΐσκη του νεκροταφείου στα αγγεία της G 2-3 κεραμικής και μάλιστα πλησιέστερα στα τοπικά λημνιακά με τον υπέρυθρο πηλό[746].

ΙΙ, 5: Κεραμική με πηλό κιτρινέρυθρο (κατηγορία ΙΙ, Ε)

Η ποιότητα του πηλού και τα σχήματα των αγγείων διαφοροποιούν την κεραμική αυτή από την κεραμική ΙΙ, 3. Η κεραμική αυτής της κατηγορίας εμφανίζεται αποκλειστικά στη φάση ΙΙΓ των νεκροταφείων του οικισμού Καστρί και απουσιάζει τελείως από το νεκροταφείο Λαρνάκι.

ΤΕΧΝΙΚΗ ΚΑΤΑΣΚΕΥΗΣ

Ο πηλός εμφανίζει μια εξαιρετικά εύθριπτη σύσταση. Έχει χρώμα κιτρινέρυθρο και είναι καλά επεξεργασμένος και καθαρός. Η μικροσκοπική ανάλυση της L. Courtois (Παράρτημα IV, δείγμα αριθ. 7) τοποθετεί ένα δείγμα της κατηγορίας αυτής (Τ19Α, Π ί ν. 124: 2) στην ομάδα Β.

ΣΧΗΜΑΤΑ ΑΓΓΕΙΩΝ

Τα σχήματα των αγγείων 241 (πυξίδα) και 242 (κύλικα-σκύφος) είναι διαφοροποιημένα πια από τη μυκηναϊκή παράδοση και θα πρέπει να αναχθούν σε μια παράδοση πρωτογεωμετρικής ή γεωμετρικής κεραμικής.

Σ χ ή μ α 241: Πυξίδα

Το σχήμα αντιπροσωπεύεται με ένα μόνο και αποσπασματικά διατηρημένο παράδειγμα. Η επιφάνεια του αγγείου είναι πολύ φθαρμένη, αλλά διακρίνονται ελάχιστα ίχνη μαύρου επιχρίσματος (Τ19Α, Π ί ν. 124: 1).

Το σχήμα του αγγείου ανάγεται στη γνωστή από την πρωτογεωμετρική περίοδο πυξίδα, με κυρτά τοιχώματα και εξέχον χείλος[747], που στα αττικά εργαστήρια εμφανίζεται χωρίς λαβές, ενώ στα πρωτογεωμετρικά κορινθιακά[748] και αργίτικα εργαστήρια[749] έχει και οριζό-

746. Πρβλ. Bernard 1964, 88 κ.ε.

747. Desborough 1952, 106 κ.ε., πίν. 8. Επιβιώνει μόνο στην πρώιμη γεωμετρική κεραμική, Coldstream 1968, πίν. 1g, και αντικαθίσταται από άλλους τύπους στη μέση και ύστερη γεωμετρική περίοδο.

748. Coldstream 1968, 97, 101, πίν. 16d και 19e.

749. Ό.π., 114, πίν. 22h (EG I), 16, πίν. 23g (EG II), 122, πίν. 25b (MG II).

ντιες λαβές, τοποθετημένες στον ώμο. Έτσι, ενώ στο σχήμα του σώματος και στο χείλος, το αγγείο Τ19Α1 της Θάσου βρίσκεται κοντά στα ύστερα πρωτογεωμετρικά και υποπρωτογεωμετρικά παραδείγματα των νεκροταφείων στο Λευκαντί[750], που ανάγονται σε πρωτογεωμετρικά αττικά πρότυπα, η εμφάνιση των λαβών το διαφοροποιεί από την αττική πρωτογεωμετρική παράδοση και το πλησιάζει στην πελοποννησιακή και στα περιφερειακά εργαστήρια, που επηρεάζονται από αυτή.

Πυξίδες με λαβές εμφανίζονται στα νησιά του Αιγαίου[751] και στην Κρήτη[752] ως την ύστερη γεωμετρική εποχή. Η θέση των λαβών στο θασιακό παράδειγμα αποτελεί ένα ιδιαίτερο χαρακτηριστικό, που είναι ανάλογο με τις ιδιορρυθμίες στο σχήμα, που εμφανίζεται σε περιφερειακά γεωμετρικά εργαστήρια, όπως π.χ. στην πυξίδα από τον Αετό της Ιθάκης[753].

Είναι φυσικά αδύνατο να προχωρήσουμε περισσότερο στην εξακρίβωση της προέλευσης αυτού του αγγείου, όπως και της κύλικας Τ19Α2, που οπωσδήποτε κατάγονται από το ίδιο εργαστήρι. Η ανεύρεση, ωστόσο, του φλασκόσχημου αγγείου Τ19Α6 στον ίδιο τάφο συνηγορεί για μια προέλευση από μια περιοχή που εξακολουθεί να παράγει την γκρίζα τροχήλατη κεραμική[754], και αυτή πιθανότατα πρέπει να αναζητηθεί στο ανατολικό Αιγαίο και στα δυτικά παράλια της Μικράς Ασίας, περιοχές των οποίων η υπογεωμετρική φάση είναι ελάχιστα ακόμη γνωστή.

Σ χ ή μ α 242: Κύλικα

Το σχήμα αυτό αντιπροσωπεύεται, επίσης, με ένα παράδειγμα στο νεκροταφείο, και αυτό επίσης αποσπασματικά διατηρημένο. Σε ορισμένα από τα θραύσματα του αγγείου διακρίνονται ίχνη μαύρου επιχρίσματος (Π ί ν. 124: 2). Το σχήμα είναι κοντά σε γεωμετρικές κύλικες και πλησιάζει ανάλογα παραδείγματα από το ανατολικό Αιγαίο[755].

ΙΙ, 6: Κεραμική με πηλό ωχροκίτρινο (κατηγορία ΙΙ, ΣΤ)

Κεραμική της κατηγορίας αυτής εμφανίζεται κυρίως στο νεκροταφείο Λαρνάκι. Από το νεκροταφείο Κεντριά υπάρχουν ελάχιστα όστρακα, που πιθανότατα ανήκουν στην ίδια κατηγορία κεραμικής.

Πρόκειται μάλλον για μια κατηγορία κεραμικής, που πρέπει να σχετισθεί με την ποιότητα του πηλού της τεφρόχρωμης τροχήλατης κεραμικής της κατηγορίας ΙΙ, Β.

ΤΕΧΝΙΚΗ ΚΑΤΑΣΚΕΥΗΣ

Πηλός ωχροκίτρινος, μαλακός και εύθριπτος. Η σύστασή του και η ποιότητά του θυμίζει μακροσκοπικά τον πηλό της κατηγορίας ΙΙ, Β.

Η μικροσκοπική ανάλυση ενός δείγματος της κεραμικής αυτής της κατηγορίας (Λ2Δ9, Π ί ν. 194: 9) από την L. Courtois (Παράρτημα IV, παρακάτω σ. 761, δείγμα αριθ. 46) προσεγγίζει το αγγείο στην τεχνική κατασκευής της τοπικής χειροποίητης κεραμικής. Η εμφάνιση ισότροπου πηλού προϋποθέτει, ωστόσο, υψηλούς βαθμούς όπτησης.

750. Popham - Sackett - Themelis 1979/1980, 327 κ.ε. Πρβλ. για το σχήμα κυρίως τον τύπο εικ. 17Ε για τη διαμόρφωση του χείλους.

751. Coldstream 1968, 169 (Κίμωλος, τάφος 4, MG), 266, πίν. 58f (Κως), EG, 269, MG (Δωδεκάνησος), 282 (Ρόδος), ύστερα γεωμετρικά. Πρβλ. αντίστοιχο σχήμα υστερογεωμετρικού στάμνου, ό.π., 186, πίν. 40a (Θήρα), αντίστοιχου του κρητικού πίθου, ό.π., πίν. 56b. Πρβλ. επίσης αντίστοιχα σχήματα υπογεωμετρικών πυξίδων από τη Θήρα, Η. Dragendorf, ό.π. (υποσημ. 729), εικ. 155. Αντίστοιχο σχήμα εμφανίζεται στο νεκροταφείο της Ηφαιστείας Λήμνου, αλλά χωρίς λαβές, Mustilli 1932/33, εικ. 23.

752. Coldstream 1968, 236, πίν. 51d (PGb), 243, 250.

753. Ό.π., 225.

754. Ό.π. (υποσημ. 708). Πρβλ. και Coldstream 1968, 297.

755. Coldstream 1968, πίν. 34d (MG) Μύκονος, πίν. 9c (LG) Αττική, πίν. 55g (LG) Κρήτη, Η. Dragendorf, ό.π. (υποσημ. 729), 31, εικ. 88, Θήρα.

ΔΙΑΚΟΣΜΗΣΗ

Δε σώζονται ίχνη γραπτής διακόσμησης. Σ' ένα αγγείο Λ1Β16 (Π ί ν. 191: 16) εμφανίζονται γύρω από τη βάση του λαιμού πλαστικοί δακτύλιοι, κατασκευασμένοι στον τροχό.

ΣΧΗΜΑΤΑ ΑΓΓΕΙΩΝ

Δύο σχήματα αγγείων αυτής της κατηγορίας έχουν επισημανθεί:

Σ χ ή μ α 243: Οινοχόη[756]

Η οινοχόη αυτού του σχήματος αντιπροσωπεύεται μ' ένα μόνο παράδειγμα, Λ1Β16 (Π ί ν. 191: 16), αποσπασματικά διατηρημένο. Οι αυλακώσεις του τροχού, που εμφανίζονται γύρω από τη βάση του λαιμού, θυμίζουν αντίστοιχες αυλακώσεις γύρω από το λαιμό του τεφρόχρωμου αμφορίσκου Τ20Α5 (Π ί ν. 127: 5).

Σ χ ή μ α 244: Αμφορέας

Το σχήμα του ευρύστομου αυτού αμφορέα, που διαφοροποιείται από τους γνωστούς τύπους αμφορέα με το στενό λαιμό, αντιπροσωπεύεται μ' ένα μόνο παράδειγμα στο νεκροταφείο Λαρνάκι, Λ2Δ9 (Π ί ν. 194: 9).

756. Το σχήμα μπορεί να αναχθεί σε μυκηναϊκά πρότυπα. Πρβλ. σχήμα 38, τύπο 137. Furumark 1972, 606, εικ. 6. Για τις αυλακώσεις γύρω στη βάση του λαιμού, πρβλ. αντίστοιχες αυλακώσεις στον τεφρόχρωμο αμφορίσκο Τ20Α5 (Π ί ν. 127: 5), σχήμα ΙΙ, 235.

ΚΕΦΑΛΑΙΟ Δ'

ΟΠΛΑ - ΕΡΓΑΛΕΙΑ - ΚΟΣΜΗΜΑΤΑ - ΔΙΑΦΟΡΑ

ΟΠΛΑ

Τα κτερίσματα των τάφων δε δίδουν πολλές πληροφορίες για να τον οπλισμό των κατοίκων του οικισμού. Εκτός από τη χάλκινη αιχμή λόγχης, που αποτελεί και το μοναδικό βέβαιο παράδειγμα όπλου, θα μπορούσαν επίσης να σχετισθούν με τον οπλισμό και τα μαχαίρια που αποτελούν συχνότατο κτέρισμα στις ταφές. Τα μαχαίρια έχουν μία μόνο κόψη, αλλά η χρήση τους ως εργαλεία δεν εμπόδιζε μια παράλληλη χρήση τους και ως όπλα[1].

Χάλκινη αιχμή λόγχης

Η αιχμή έχει κατασκευασθεί από δύο χυτά φύλλα ορείχαλκου που, σφηρηλατημένα μαζί, σχημάτισαν μια πλατιά επίπεδη νεύρωση κατά μήκος της λεπίδας. Σε παρόμοια παραδείγματα, το άκρο της λεπίδας σφυρηλατούνταν χωριστά για να σχηματισθεί ο αυλός, ο ομηρικός «καυλός»[2], μέσα στον οποίο σφηνωνόταν το ξύλινο στέλεχος του όπλου. Η αιχμή έχει υποστεί μεγάλη φθορά, γιατί έχει καεί στην πυρά του νεκρού (Π ί ν. 350: 1). Η λεπίδα παραμορφώθηκε από τη θερμότητα και ολόκληρος ο αυλός έχει εξαφανισθεί. Η εξαφάνιση του αυλού δυσχεραίνει την τυπολογική κατάταξη της αιχμής[3], αλλά δεν την αποκλείει τελείως, γιατί το φυλλόσχημο περίγραμμα της λεπίδας και η πλατιά ράβδωση, που τη διασχίζει κατά μήκος, είναι τυπικά χαρακτηριστικά για να σχετίσουμε την αιχμή με τύπους χάλκινων αιχμών, των οποίων βασικό χαρακτηριστικό είναι το φυλλόσχημο περίγραμμα της λεπίδας και η πλατιά επίπεδη ράβδωση, που δημιουργείται από το σφυρηλάτημα της λεπίδας. Χαρακτηριστικά επίσης του τύπου είναι ο μακρύς καυλός, που ορισμένες φορές συνεχίζει το περίγραμμα της αιχμής, και συχνά και το μεγάλο μέγεθος της αιχμής.

Ο τύπος αυτός της αιχμής είναι διαδεδομένος στο Αιγαίο[4] και στην ηπειρωτική Ελλά-

1. Treuil 1983, 145 κ.ε. Πρβλ. και πληροφορίες ιστορικών χρόνων για τη χρήση μαχαιριών ως όπλων, Ηρόδ. VII, 92: «εἶχον δὲ (οι Λύκιοι στρατιώτες του Ξέρξη) καὶ δρέπανα καὶ ἐγχειρίδια». Επίσης VII, 93: «τὰ μὲν ἄλλα κατάπερ Ἕλληνες ἐσταλμένοι εἶχον δὲ καὶ δρέπανα καὶ ἐγχειρίδια». Πρβλ. και αγαλμάτιο από τον αποθέτη Αρτεμισίου Δήλου, που παριστάνει πολεμιστή με δρεπανόσχημο εγχειρίδιο και ασπίδα, BCH LXXII (1948), 221, πίν. 39, 1-4. Τα μαχαίρια, άλλωστε, στους τάφους συμπεριλαμβάνονται μαζί με άλλα όπλα στον οπλισμό του νεκρού και ορισμένες φορές είναι φανερό ότι τον αντικαθιστούν. Πρβλ. π.χ. νεκροταφείο Βεργίνας, Ανδρόνικος 1969, 266.

2. Όμ., Ιλ. Ν 162, 168, Buchholz 1980, Ε275-Ε319.

3. Θα μπορούσαμε στη θέση του καυλού να συμπληρώσουμε μια μικρή ορθογώνια εξοχή («ουρά»), με την οποία θα καρφωνόταν η αιχμή στο ξύλινο στέλεχος. Ο τύπος αυτός, που είναι γνωστός κυρίως από την πρώιμη εποχή του χαλκού στο Αιγαίο και την Εγγύς Ανατολή (Branigan 1974, 434a, πίν. 27), επιβιώνει με πολύ αραιά παραδείγματα ως τα τέλη της ύστερης εποχής του χαλκού. Πρβλ. παράδειγμα από το Καρφί, BSA 38 (1937/38), 117, πίν. XXXIX, 1, αριθ. 550. Θα μπορούσαμε, ωστόσο, από το σωζόμενο τμήμα της αιχμής να παραβάλουμε την αιχμή με αιχμές των τύπων Η και D του Höckmann και του τύπου VII και VIII του Avila (πρβλ. Höckmann 1980, 35, 64 και Avila 1983, πίν. 15-16, αριθ. 102-108 και πίν. 17, αριθ. 112-113).

4. Κρήτη: Τάφος πολεμιστών Αγίου Ιωάννη Κνωσού, M.S.F. Hood - P. de Yong, BSA 47 (1952), 256, 262, εικ. 8. Τάφος ακρόπολης Κνωσού, Evans 1921, 849, εικ. 832, Sandars 1963, πίν. 23, 13, 14. Πρβλ. και αντίστοιχο ΜΜ παράδειγμα από το Μόχλο, Seager 1912, 75, εικ. 43, πίν. XX, 10. Ρόδος: Ιαλυσός, Majuri 1923/24, εικ. 147, Sandars 1963, πίν. 24, 25, Höckmann 1980, Η22. Κως: Ελαιώνας, Morricone 1965/66, 83, εικ. 61 (τάφος 4), εικ. 51 (τάφος 21), Höckmann 1980, τύπος Η13, Η25. Λαγκάδα, Morricone 1965/66, 214, εικ. 226. Κύπρος: Catling 1964, 122-123, πίν. 14h, i, που δέχεται μινωική καταγωγή του τύπου.

δα[5], εμφανίζεται δε και στη Βουλγαρία[6], καθώς και στην Εγγύς Ανατολή[7]. Η εμφάνιση στην Εγγύς Ανατολή δε φαίνεται να συνδυάζεται με την προέλευσή του[8]. Τα παραδείγματα στην Εγγύς Ανατολή, όπως και τα παραδείγματα στην κεντρική Βουλγαρία, συνδυάζονται με τη διάδοση αντικειμένων μυκηναϊκής μεταλλουργίας, που είναι σύγχρονη με τη διάδοση της μυκηναϊκής κεραμικής. Τα παραδείγματα, μάλιστα, της κεντρικής Βουλγαρίας σχετίζονται με την παράλληλη εμφάνιση μυκηναϊκών ξιφών τύπου C1 της Sandars[9], τα οποία, παρά την πιθανότατη τοπική παραγωγή τους (τύπος C3 κατά τον Hänsel)[10], δεν παύουν να αποτελούν ενδείξεις για τη διάδοση τύπων της μυκηναϊκής πολεμικής τεχνολογίας στο εσωτερικό των Βαλκανίων.

Η χρονολόγηση των χάλκινων αιχμών, που τυπολογικά θα μπορούσαν να σχετισθούν με του τάφου Τ12 της Θάσου, καλύπτει ένα χρονικό διάστημα από την ΥΕ ΙΙΙΑ (Βουλγαρία)[11] στην ΥΕ ΙΙΙΒ (Ιαλυσός)[12] και ΥΕ ΙΙΙ (Περατή)[13].

Το παράδειγμα της Θάσου δεν εμφανίζει ιδιαίτερα τυπολογικά χαρακτηριστικά που θα βοηθούσαν μια ακριβέστερη χρονολόγηση μέσα στην ΥΕ ΙΙΙΑ-ΥΕ ΙΙΙΓ, αλλά οι διαστάσεις του το πλησιάζουν οπωσδήποτε στο μικρότερο τύπο λόγχης, που έχει συσχετισθεί με έναν τύπο κοντού ακοντίου, που θα μπορούσε να είναι, εκτός από πολεμικό επιθετικό, και όπλο κυνηγιού[14].

ΕΡΓΑΛΕΙΑ

Μαχαίρια

ΧΑΛΚΙΝΑ ΜΑΧΑΙΡΙΑ

Οι πέντε βασικοί τύποι των χάλκινων μαχαιριών διαφοροποιούνται, όπως έχουμε σημειώσει, σε πλήθος παραλλαγές (Σ χ έ δ. 90). Η ύπαρξη των παραλλαγών αυτών στη Θάσο συμπίπτει με την πολυμορφία, που οι μελετητές έχουν ήδη επισημάνει για τα χάλκινα μαχαίρια της ύστερης εποχής του χαλκού στον αιγαιακό χώρο. Η Sandars[15], μελετώντας το μονόστομο

5. Περατή: Ιακωβίδης 1970, 357-358, εικ. 157, Höckmann 1980, τύπος D44. Δενδρά: Persson 1931, 37, πίν. 20, IX, Höckmann, ό.π., τύπος H17. Βαφειό: S. Marinatos, BSA 37 (1936/37), 188, εικ. 1-2. Höckmann, ό.π., τύπος D11-D31. Ήπειρος: ΑΔ 23 (1968): Χρονικά, 293, πίν. 237. Höckmann, ό.π., τύπος D.

6. Sandars 1963, 121. Hänsel 1970, 30, ο οποίος τα θεωρεί τοπικές μιμήσεις μυκηναϊκών προτύπων. Πρβλ. επίσης Panayotov 1980α, 173. Αντίστοιχη είναι και η εικόνα από την Ιλλυρία, Korkuti 1970, πίν. VII, 1-2, Prendi 1982, 213, εικ. 6, αριθ. 12.

7. Ταρσός: H. Goldman, Excavations at Göslü Kule, Tarsus II (1956), 292, πίν. 427, 97, Sandars 1963, πίν. 27, αριθ. 59. Rash Shamra: C.F.A. Schäffer, Ungaritica III (1956), εικ. 226, 6, Catling 1964, 119, Sandars, ό.π., 121.

8. Πιθανότερη φαίνεται η αιγαιακή καταγωγή του τύπου, Catling 1964, 119, Sandars 1963, 121. Ο Evans, στηριγμένος στα ΜΜ ΙΙ παραδείγματα του Μόχλου, υποστήριξε μια μινωική καταγωγή, A. Evans, Shaft Graves and Beehive Tombs of Mycenae, 1929, 37, που δέχθηκε και ο G. Karo, AA 1908, 130, και Karo 1930, 206-207. Πρβλ. και Lorimer 1950, 255. Δε λείπουν ωστόσο τα ΜΕ παραδείγματα: Δώριο, Valmin 1938, 367, πίν. XXX, 2, Μυκήνες, Wace 1932, 190-191. Ο Höckmann 1980, 64, θεωρεί τον τύπο Η ανεξάρτητο από ανατολικές επιδράσεις. Συνδέει, οπωσδήποτε, τη διάδοσή του με τη χρήση πολεμικού άρματος.

9. Sandars 1963, 121.

10. Hänsel 1970, 30 κ.ε. Η χρονολόγηση μιας μήτρας χάλκινης αιχμής από Nova Zagora, Katinčarov 1974, 7, εικ. 7, στη μέση εποχή του χαλκού δεν εξασφαλίζει τη χρονική προτεραιότητα του τύπου στα Βαλκάνια, πρβλ. Panayotov 1980, 106, αφού προϋπάρχουν τα μεσομινωικά και μεσοελλαδικά παραδείγματα (βλ. υποσημ. 7). Άλλωστε, ο τύπος αυτός είναι τελείως άγνωστος στα ηπειρωτικά Βαλκάνια και την κεντρική Ευρώπη. Η ύπαρξη, ωστόσο, λίθινης μήτρας προϋποθέτει τοπική χαλκουργία που δέχεται επιδράσεις από τον αιγαιακό χώρο, όπως έχει διαπιστωθεί και στην περίπτωση των χάλκινων ξιφών (βλ. υποσημ. 5).

11. Οι αντίστοιχες χάλκινες αιχμές της Βουλγαρίας χρονολογούνται με βάση τα χάλκινα ξίφη τύπου C1 που βρέθηκαν μαζί στην ΥΕ ΙΙΙΑ2 περίοδο, Sandars 1963, 121, πίν. 28.

12. Ό.π., 149, πίν. 24, 25.

13. Περατή: Ιακωβίδης 1970, τάφος 123, εικ. 57, πίν. 128γ, ΥΕ ΙΙΙΓ1α-1β. Βρόκαστρο: Hall 1914, 105, εικ. 59.

14. S. Marinatos, BSA 37 (1936/37), 188, εικ. 1-2, M.S.F. Hood - P. de Jong, BSA 47 (1952), 256.

15. Sandars 1955, 174 κ.ε.

χάλκινο μαχαίρι του αιγαιακού χώρου, στήριξε την τυπολογία της στη διαμόρφωση κυρίως της λαβής και επεσήμανε την καταγωγή του διαδεδομένου στο Αιγαίο, στην ύστερη εποχή του χαλκού, χάλκινου μαχαιριού σε αιγαιακά πρότυπα της πρώιμης εποχής του χαλκού, εξαρτημένα από την πολιτιστική παράδοση της Ανατολής, που πέρασαν στον αιγαιακό χώρο από τα ανατολικά νησιά του Αιγαίου. Ο Deshayes[16], που μελέτησε τα χάλκινα μαχαίρια στα πλαίσια της γενικότερης μελέτης του για τα εργαλεία ανατολικής και αιγαιακής μεταλλοτεχνίας, στήριξε την τυπολογία του κυρίως στη διαμόρφωση της λεπίδας. Και οι δύο, ωστόσο, ερευνητές επεσήμαναν τις δυσκολίες για ταξινόμηση, που εμφανίζουν οι πολλές παραλλαγές των χάλκινων μαχαιριών στην ύστερη εποχή του χαλκού. Οι παραλλαγές αυτές οφείλονται στην ύπαρξη πολλών τοπικών εργαστηρίων και στον τοπικό γενικά χαρακτήρα, που εμφανίζει η μεταλλουργία στο Αιγαίο ήδη από την πρώιμη εποχή του χαλκού[17]. Ο τοπικός αυτός χαρακτήρας πρέπει να διατηρήθηκε και με την ανάπτυξη των μυκηναϊκών κέντρων, τα οποία φαίνεται ότι αρχικά έδωσαν τη δυνατότητα να αναπτυχθούν ορισμένα εργαστήρια με μεγάλη παραγωγή, που μπόρεσαν να διαδώσουν ορισμένους τύπους (πρβλ. τύπους Ib, 2, 3 και 4 της Sandars)[18], αλλά ωστόσο δεν κατάργησαν τα τοπικά εργαστήρια μεταλλοτεχνίας, που πρέπει μάλιστα να πολλαπλασιάσθηκαν στην περίοδο της διασποράς των μυκηναϊκών κέντρων.

Ανάλογες δυσκολίες πολυμορφίας προκύπτουν και στην ταξινόμηση των χάλκινων μαχαιριών των νεκροταφείων του οικισμού Καστρί και της θέσης Λαρνάκι[19]. Οι πέντε βασικοί τύποι (I-V), που ξεχώρισαν με βάση τη διαμόρφωση της λεπίδας και της ουράς, εμφανίζονται με πολλές παραλλαγές (Σ χ έ δ. 90). Ο τρόπος προσάρτησης της λαβής στη λεπίδα του μαχαιριού δεν έχει συμπεριληφθεί στα χαρακτηριστικά των παραπάνω πέντε τύπων, αλλά πέρασε μόνο ως χαρακτηριστικό των παραλλαγών, γιατί διαπιστώθηκε ότι η παρουσία ή η απουσία καρφιών στη λαβή δε διαφοροποιεί αντίστοιχα τη διαμόρφωση λεπίδας και ουράς και ότι αποτελεί σχεδόν κανόνα να εμφανίζονται παραδείγματα με το ίδιο σχήμα λεπίδας, αλλά με διαφορετικό τρόπο προσάρτησης της λαβής, με καρφιά ή χωρίς καρφιά (πρβλ. τύπο I5α-I5β ή V1α-V1β).

Στα Σχέδια 153-154, όπου στον τύπο V το ποσοστό των μαχαιριών χωρίς καρφιά διαγράφεται υψηλότερο, διαπιστώνεται ότι η απουσία των καρφιών στη λαβή, μόνο στον τύπο V τείνει να συμπεριληφθεί στα βασικά χαρακτηριστικά του τύπου.

Η χωρίς καρφιά προσάρτηση της από διαφορετικό υλικό λαβής εμφανίζεται στα χάλκινα μαχαίρια ήδη από την πρώιμη εποχή του χαλκού[20], παράλληλα με την τεχνική που προσαρμόζει τη λαβή στη λεπίδα, χρησιμοποιώντας καρφιά[21]. Τα παραδείγματα των χάλκινων μαχαιριών με λεπίδα, που σφηνώνεται στη λαβή χωρίς καρφιά, δεν είναι βέβαια πολύ συχνά, καλύπτουν όμως όλες τις φάσεις της εποχής του χαλκού στον αιγαιακό χώρο[22]. Στα ηπειρωτικά επίσης Βαλκάνια[23], στον κεντροευρωπαϊκό χώρο, στην Ιταλία[24], καθώς και στην

16. Deshayes 1960.

17. Branigan 1974, 127.

18. Sandars 1955, 183.

19. Αντίστοιχη πολυμορφία εμφανίζεται και σε άλλα νεκροταφεία, όπως π.χ. στο νεκροταφείο της Περατής, όπου σε σύνολο εννέα μαχαιριών μόνο τα δύο κατατάσσονται στον τύπο Ia της Sandars, ενώ τα υπόλοιπα ανήκουν σε πέντε διαφορετικούς τύπους, Ιακωβίδης 1970, 343.

20. Τροία II-V: Schmidt 1902, αριθ. 6211-6212, Branigan 1974, αριθ. 693-694.

21. Πολιόχνη: Bernabò-Brea 1964, πίν. CLXXV, 12, Branigan 1974, αριθ. 694. Τροία II-V: Dörpfeld 1902, εικ. 262, Branigan, ό.π., αριθ. 693.

22. Για παραδείγματα πρώιμης εποχής του χαλκού, πρβλ. υποσημ. 20. Για ΜΕ παραδείγματα, πρβλ. χάλκινο μαχαίρι από το Δραχμάνι, ΑΕ 1908, 94, εικ. 16, Branigan 1974, πίν. 14, αριθ. 701 και Κιλιντίρ, Casson 1926α, 64, πίν. VIII, 3, Branigan 1974, πίν. 14, 689. Για ΥΕ παραδείγματα, χάλκινο μαχαίρι από τη Φαιστό, Deshayes 1960, αριθ. 2643. Πρβλ. και μια ιδιαίτερη κατηγορία χάλκινων μαχαιριών με οβελόσχημη ουρά, που εμφανίζεται με σποραδικά παραδείγματα στο χώρο του Αιγαίου, Karo 1930, 222, πίν. XCIII, Ιαλυσός, G. Monaco, Clara Rhodos 10 (1941), εικ. 89, αριθ. 2, Περατή, Ιακωβίδης 1970, 343.

23. Ezero: πρβλ. Georgiev - Merpert - Katinčarov - Dimitrov 1979, 174, εικ. 109. Nova Zagora: Katinčarov 1974, 6, εικ. 5. Πρβλ. επίσης χάλκινα μαχαίρια από τη Ρουμανία, ομάδα Coslogeni, Morintz 1978, 146, εικ. 86.

Εγγύς Ανατολή[25], οι δύο τρόποι προσάρτησης της λαβής εναλλάσσονται, τόσο στις πρώιμες όσο και στις ύστερες φάσεις της εποχής του χαλκού.

Ένα άλλο επίσης χαρακτηριστικό, που εντάχθηκε στις παραλλαγές των πέντε βασικών τύπων, είναι η χαρακτή διακόσμηση της λεπίδας των μαχαιριών. Όπως προκύπτει από τα Σχέδια 153-154, η χαρακτή διακόσμηση με μία-δύο παράλληλες, κατά μήκος της ράχης του μαχαιριού, γραμμές εμφανίζεται ανεξάρτητα από το σχήμα της λεπίδας και δε σχετίζεται ιδιαίτερα με τους τύπους των μαχαιριών. Από τα ίδια τα Σχέδια δε φαίνεται να προκύπτει, εξάλλου, καμιά ιδιαίτερη σχέση της χάραξης με τις χρονολογικές φάσεις του νεκροταφείου.

ΤΥΠΟΣ ΕΙ

Η πολυμορφία, που εμφανίζει ο τύπος Ι με τις επιμέρους παραλλαγές του, δυσκολεύει την ένταξή του στους τύπους των αιγαιακών μαχαιριών που έχουν ξεχωρίσει η Sandars[26] και ο Deshayes[27] (Σ χ έ δ. 90· Π ί ν. 350: 3-12).

Τα γενικά χαρακτηριστικά του τύπου Ι σχετίζονται με τον τύπο Ια της Sandars, ενώ οι επιμέρους παραλλαγές του τύπου Ι των θασιακών μαχαιριών δεν καλύπτονται από τον τύπο Ια της Sandars. Όλες, ωστόσο, οι παραλλαγές των θασιακών μαχαιριών του τύπου Ι, παρά τις επιμέρους διαφορές τους, εντάσσονται στην αιγαιακή παράδοση που ξεκινά από την πρώιμη εποχή του χαλκού.

Η παραλλαγή Ι, 1α με τη στενή τριγωνική ουρά θα μπορούσε να σχετισθεί με πρότυπα πρώιμης και μέσης εποχής του χαλκού[28], αλλά η απουσία των καρφιών οδηγεί περισσότερο στον ηπειρωτικό βαλκανικό χώρο, όπως διαπιστώνεται σε ανάλογα χάλκινα μαχαίρια πρώιμης[29] και ύστερης εποχής του χαλκού[30] από τα ηπειρωτικά Βαλκάνια (Π ί ν. 350: 6).

Η παραλλαγή Ι, 1γ ανάγεται στα ίδια πρότυπα, που στην ύστερη εποχή του χαλκού στο Αιγαίο εξελίσσονται σε σχήματα, όπως του χάλκινου μαχαιριού από το νεκροταφείο του Ολούντα[31] (Π ί ν. 350: 7).

Η παραλλαγή Ι, 2 προέρχεται από κοινά με της παραλλαγής Ι, 1α πρότυπα[32] (Π ί ν. 350: 4).

Η παραλλαγή Ι, 3 με την καμπυλόσχημη άτρητη ουρά ανάγεται σε πρότυπα πρώιμης εποχής του χαλκού[33], που τα βρίσκουμε να επιβιώνουν στα ηπειρωτικά Βαλκάνια ως και την ύστερη εποχή του χαλκού[34]. Αντίστοιχες επιβιώσεις στην ύστερη εποχή του χαλκού στο εσωτερικό των Βαλκανίων[35] σημειώνει ο τύπος VIII του Branigan[36], με τον οποίο σχετίζεται η παραλλαγή Ι, 4 του θασιακού τύπου Ι (Π ί ν. 350: 8).

24. Patek 1968, πίν. XXXV, 10, 11, 13, 15, Foltiny 1955, πίν. 64 και 70, 2, 5.

25. Deshayes 1960, 304-305. Πρβλ. για εναλλαγή λαβών με καρφιά ή χωρίς καρφιά στα σιδερένια μαχαίρια Γορδίου, McClellan 1975, 179, εικ. 3.

26. Sandars 1955.

27. Deshayes 1960, 128-137. Στις παραλλαγές του τύπου Ι Θάσου πλησιάζουν μόνο ορισμένες παραλλαγές των τύπων J, K, L, N, O (J1a-J1b, K1a-K1b, K3a, L3b, N1a-b, O1a-b).

28. Τροία IIg, Branigan 1974, αριθ. 663, όπου όμως οπές στην ουρά. Πρβλ. και χάλκινο μαχαίρι από το Κιλιντίρ, ό.π. (υποσημ. 22).

29. Πρβλ. χάλκινο μαχαίρι από τη Nova Zagora Βουλγαρίας, Katinčarov 1974, 6, εικ. 5, Panayotov 1980, 106, Mikov - Džambazov 1960, εικ. 103. Πρβλ. και Černych 1978α, πίν. 63, 9-20.

30. Georgiev - Merpert - Katinčarov - Dimitrov 1979, εικ. 109.

31. Van Effenterre 1948, 41, 59, πίν. XXII, 0128 (υπομυκηναϊκοί χρόνοι).

32. Ό.π. (υποσημ. 28 και 30).

33. Τροία II-V: Schmidt 1902, αριθ. 6212, Branigan 1974, αριθ. 693.

34. Ρουμανία, Radovanu, ομάδα Coslogeni, Morintz 1978, 146, εικ. 86, 4.

35. Ό.π., 146, εικ. 86, 2 και 3, ομάδα Coslogeni.

36. Τροία Vc: Blegen - Caskey 1951, εικ. 234, αριθ. 35532, Branigan 1974, αριθ. 632. Το παράδειγμα της Τροίας έχει όμοιο σχήμα λεπίδας, αλλά εμφανίζει οπή για καρφί στη λαβή. Το χάλκινο επίσης μαχαίρι από το Πορτί Κρήτης (ΠΜ I-ΜΜ II), Branigan 1974, αριθ. 631, εμφανίζει αντίστοιχη συνεχόμενη γραμμή ράχης και ουράς, αλλά έχει πολύ πιο πλατιά λεπίδα. Ο Deshayes 1960, αριθ. 2484, το κατατάσσει στον τύπο K2a. Ο θασιακός τύπος χάλκινου μαχαιριού Ι, 4α θα μπορούσε ενδεχομένως να σχετισθεί και με τον τύπο του χάλκινου μαχαιριού με την οβελόσχημη ουρά (πρβλ. υποσημ. 22).

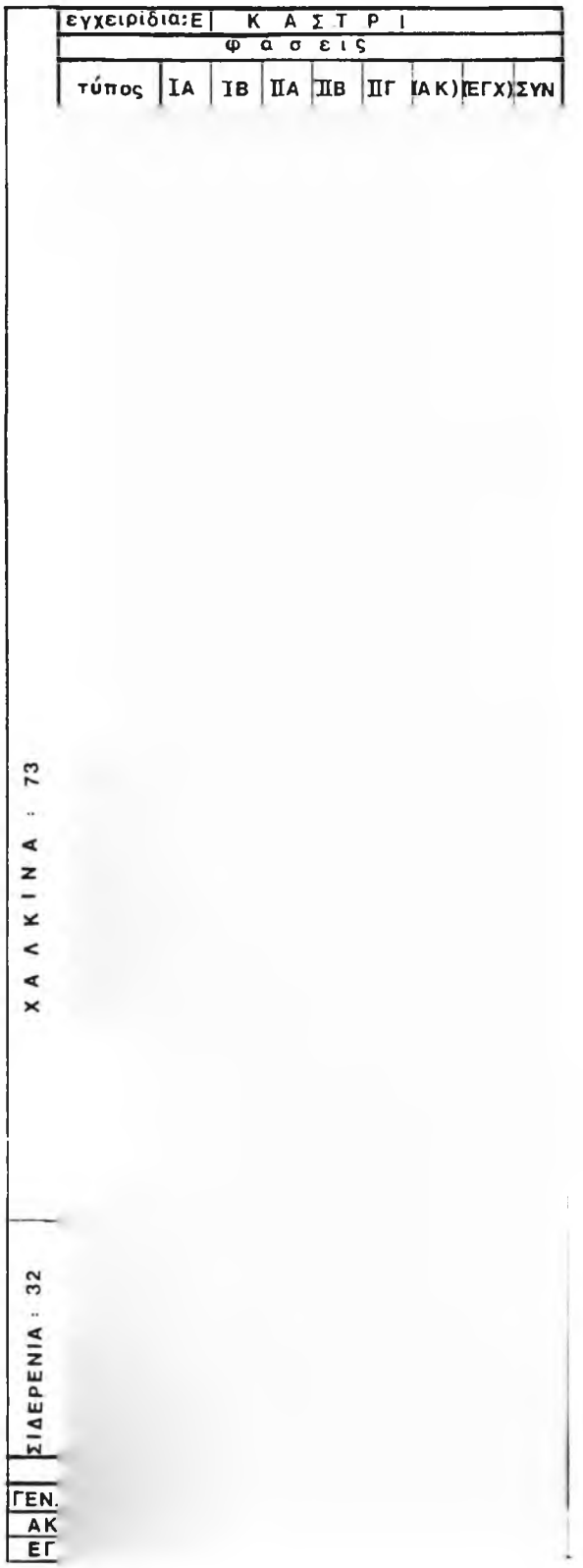

Σχέδ. 153. Τύποι εγχειριδίων κατά φάσεις νεκροταφείων Καστρί.

εγχειρίδια: Ε	Λ Α Ρ Ν Α Κ Ι							
	φ	ά	σ	ε	ι	ς		
τύπος	ΙΑ	ΙΒ	ΙΙΑ	ΙΙΒ	ΙΙΓ	ΑΚ	ΕΓΧ.	ΣΥΝ.
16			1				1	1
II2α			1				1	1
IV1α			1				1	1
V2α				1			1	1
V3α				4		2	2	4
V5				1			1	1
ΣΥΝΟΛΟ			3	6		2	7	9
VII				1		1		1
VIII				2		2		2
ΣΥΝΟΛΟ				3		3		3
ΓΕΝ.ΣΥΝ.			3	9		5		12

Σχέδ. 154. Τύποι εγχειριδίων κατά φάσεις νεκροταφείου Λαρνάκι.

Στον αιγαιακό χώρο έχουμε, επίσης, έναν αντίστοιχο τύπο χάλκινου μαχαιριού, με πιο πλατιά όμως λεπίδα, που ο Deshayes κατατάσσει στον τύπο Κ.

Οι παραλλαγές Ι, 5α-Ι, 5δ βρίσκουν παράλληλα στα χάλκινα μαχαίρια του μυκηναϊκού κόσμου. Τα αντίστοιχα με την παραλλαγή Ι, 5α παραδείγματα δεν είναι γνωστά στον αιγαιακό χώρο, αλλά μαχαίρια με αντίστοιχο σχήμα λεπίδας χρονολογούνται από τη μέση εποχή του χαλκού[37] και διαρκούν ως και την ύστερη εποχή του χαλκού[38] (Π ί ν. 350: 9).

Με τις παραλλαγές Ι, 5β-Ι, 5δ σχετίζονται επίσης ΜΕ πρότυπα[39], που στην ΥΕ περίοδο εμφανίζονται συχνότατα, τόσο στα κέντρα[40] όσο και στην περιφέρεια[41] του μυκηναϊκού κόσμου. Συγγενικός με τις παραλλαγές Ι, 5β-Ι, 5γ είναι ένας τύπος χάλκινου μαχαιριού, που

37. Χάλκινο μαχαίρι από το Δραχμάνι, ΑΕ 1908, 94, εικ. 16, Branigan 1974, αριθ. 701.

38. Karo 1930, τάφος ΙΙ, πίν. LXXII, αριθ. 227. Πρβλ. επίσης χάλκινο μαχαίρι από τη Φαιστό, Deshayes 1960, αριθ. 2643. Πρβλ. επίσης παραδείγματα από την Αλβανία, όπου ερμηνεύονται ως επιβιώσεις μυκηναϊκών επιδράσεων, Korkuti 1970, 115 κ.ε., πίν. 12, 4. Αντίστοιχο σχήμα, αλλά με πολύ μεγαλύτερη ουρά, το χάλκινο μαχαίρι από το θησαυρό Τσούντα, Σπυρόπουλος 1972, εικ. 54.

39. Χάλκινο μαχαίρι από το Μάλθι Μεσσηνίας, Valmin 1938, 308-309, πίν. XXX, 9. Ο Deshayes 1960, αριθ. 2562, το χρονολογεί στην ΥΕ ΙΙΙ περίοδο.

40. Τα παλαιότερα παραδείγματα χρονολογούνται στην ΥΕ Ι περίοδο. Karo 1930, τάφος ΙΙ, πίν. CXLIX, 154, τάφος VI, πίν. XCVI, αριθ. 932. Ταφικός περίβολος Β' Μυκηνών, Μυλωνάς 1973, τάφος Α, πίν. 19, 1. Στην ΥΕ Ι επίσης εμφανίζονται και τα χάλκινα μαχαίρια με το διχαλωτό άκρο («κνώδοντες»), Karo, ό.π., τάφος IV, πίν. XCIX, αριθ. 46 και τάφος V, εικ. 57, αριθ. 738. Πρβλ. και ταφικό περίβολο Β' Μυκηνών, Μυλωνάς, ό.π., τάφος Α, πίν. 19β.2, καθώς και Πρόσυμνας, Blegen 1937, 343. Ο τύπος είναι επίσης κοινός στην ΥΕ ΙΙΙ περίοδο: Θησαυροί Τσούντα (Μυκηνών), Σπυρόπουλος 1972, πίν. 13β, ε, η, εικ. 54-56. Θησαυρός πώρινου τοίχου Μυκηνών, Σπυρόπουλος, ό.π., εικ. 93· πρβλ. θασιακό τύπο Ι, 5γ. Πρβλ. επίσης Κοράκου, Blegen 1921, εικ. 133, 1, Δενδρά, Persson 1931, πίν. XX, Deshayes 1960, αριθ. 2524, τύπος K2b, Πρόσυμνα, Blegen 1937, εικ. 263, 7, τάφος XXXIV, Δειράς, Deshayes, ό.π., αριθ. 2513, πίν. XLII, 23, τύπος K2a, πολύ κοντά στη θασιακή παραλλάγη Ι, 5γ. Θησαυρός Ανθηδόνας, Σπυρόπουλος, ό.π., πίν. 17, αριθ. XIV. Πρβλ. παράδειγμα και από την Αχαΐα, Papadopoulos 1979, εικ. 343c.

41. Κεφαλληνία: Μαρινάτος 1932, 39, πίν. 14, Deshayes 1960, αριθ. 2648, τύπος K1a, ΥΕ ΙΙΙΓ2, 12ος αι. π.Χ. Τα δύο χάλκινα της Κεφαλληνίας πολύ κοντά στη θασιακή παραλλαγή Ι, 5γ. Πρβλ. επίσης Κεφαλληνίας, ΑΔ 5 (1919): Χρονικά, πίν. 35, 3, Deshayes, ό.π., αριθ. 2467, τύπος K1a, ΥΕ ΙΙΙΓ, τέλη 13ου-12ος αι. π.Χ. Ο τύπος επιβιώνει και στην υπομυκηναϊκή περίοδο: Καρφί, Pendlebury 1937/38, πίν. XXVIII, 2, αριθ. 518, Deshayes, ό.π., αριθ. 2471, τύπος K1a, 11ος-10ος αι. π.Χ. Ολούς: Van Effenterre 1948, πίν. XXII, O127, όπου όμως η ράχη ελαφρά κυρτή. Πρβλ. ανάλογα παραδείγματα και από τη νότια Ιταλία, Scoglio del Tonno, Müller-Karpe 1959, πίν. 13, 9.

στη δυτική Ελλάδα[42] και στην Αλβανία[43] επιβιώνει ως το 13ο αι. π.Χ. σε μια παραλλαγή, που κατάγεται από το γνωστό από το παράδειγμα του Σέσκλου μεσοελλαδικό πρότυπο[44] (Π ί ν. 350: 10).

Οι παραλλαγές I, 6α-I, 6δ (Π ί ν. 350: 11-12) ανάγονται σε αιγαιακό τύπο χάλκινου μαχαιριού, που εμφανίζεται από τη μέση εποχή του χαλκού[45]. Ο τύπος, ωστόσο, τον οποίο αντιπροσωπεύουν κυρίως οι παραλλαγές I, 6β-I, 6γ, μετά από ενδιάμεσα ΜΕ παραδείγματα[46], διαμορφώνεται στην ΥΕ I περίοδο[47] και επιβιώνει ως το τέλος της μυκηναϊκής εποχής, τόσο στα κέντρα[48] όσο και στην περιφέρεια του μυκηναϊκού πολιτισμού[49]. Σ' ένα παράδειγμα της παραλλαγής I, 6δ σώζεται η οστέινη λαβή[50] (Π ί ν. 350: 2).

Θα μπορούσαμε να συνοψίσουμε τα εξής για τον τύπο I των χάλκινων μαχαιριών της Θάσου: Εκτός από τις παραλλαγές I, 5 και I, 6, οι οποίες εντάσσονται στα γνωστά σχήματα χάλκινων μαχαιριών του μυκηναϊκού κόσμου, εμφανίζονται παραλλαγές (I, 1-I, 4), που ανάγονται απευθείας σε πρότυπα μαχαιριών της πρώιμης και μέσης εποχής του χαλκού. Οι παραλλαγές αυτές, που πρέπει να προέρχονται από τοπικά εργαστήρια, εντάσσονται μέσα στους τύπους που έχουν δημιουργηθεί στον αιγαιακό χώρο από την πρώιμη και μέση εποχή του χαλκού και, όπως φαίνεται από τα παραδείγματα των ηπειρωτικών Βαλκανίων, επιβιώνουν σε εργαστήρια μεταλλοτεχνίας, που βρίσκονται έξω από την άμεση πολιτιστική επίδραση του μυκηναϊκού κόσμου[51].

Στοιχεία απόλυτης χρονολόγησης είναι αδύνατο να προκύψουν από την τυπολογία των παραλλαγών του τύπου I, αφού τα παράλληλα παραδείγματα από το μυκηναϊκό κόσμο καλύπτουν όλες τις φάσεις της ΥΕ περιόδου. Τα μαχαίρια, όπως είναι γνωστό, εμφανίζουν μια εξέλιξη πολύ αργή και χαρακτηρίζονται από την εμμονή στα παλιά σχήματα[52].

Χρονολογικά στοιχεία προκύπτουν μόνο από την εσωτερική χρονολόγηση των νεκροταφείων, με τη βοήθεια της οποίας σχετίζονται οι πέντε τύποι των χάλκινων μαχαιριών και

42. Πρβλ. τύπο J1ab, Deshayes 1960, αριθ. 312 και τύπους II και V, Branigan 1974. Κοντά στα θασιακά παραδείγματα: Δωδώνη, ΠΑΕ 1952, 295, εικ. 21, Sandars 1955, 196, εικ. 4, 4, Λευκάδα, Dörpfeld 1902, S10, Sandars, ό.π., 196, εικ. 4, 2, Ελάτεια, Sandars, ό.π., 196, Deshayes, ό.π., αριθ. 2433, Χαλανδρίτσα, Sandars, ό.π., 195, εικ. 4, 3, Deshayes, ό.π., αριθ. 2429. Ο τύπος εμφανίζεται από την ΥΕ I περίοδο, Karo 1930, πίν. LXXII, αριθ. 216, πίν. CXLIX, αριθ. 154, Deshayes, ό.π., αριθ. 2426 και 2427.

43. Harding 1975, 196, όπου συγκεντρωμένη και η σχετική βιβλιογραφία. Πρβλ. και Wardle 1977, 195-196.

44. Σέσκλο, G 50, Τσούντας 1908, πίν. 4, 14, Deshayes 1960, αριθ. 2424, Σέσκλο, G 25, Τσούντας, ό.π., πίν. 4, 13, Deshayes, ό.π., αριθ. 2425, Branigan 1974, αριθ. 662, τύπος Vb.

45. Branigan 1974, αριθ. 642-650, τύπος IV και αριθ. 651-653, τύπος IVa.

46. Πρβλ. χάλκινα μαχαίρια από το Μάλθι Μεσσηνίας, Valmin 1938, πίν. 6.

47. Κάθετοι τάφοι Μυκηνών: Karo 1930, πίν. CII, αριθ. 451, 457, 461 (τάφος IV). Ταφικός περίβολος Β': Μυλωνάς 1973, πίν. 19, 3 (τάφος Α) και πίν. 123 (τάφος Λ). Τα παραδείγματα, επίσης, από το Καμηλάρι Κρήτης χρονολογούνται στη ΜΜ I-ΥΜ I περίοδο, Branigan 1974, αριθ. 652-653.

48. Θησαυροί Τσούντα (Μυκηνών): Σπυρόπουλος 1972, εικ. 60. Δενδρά: Persson 1931, πίν. XXX, 11, Deshayes 1960, αριθ. 2524, πίν. XLII, 26. Πρόσυμνα: Blegen 1937, 345, εικ. 377, 6, εικ. 486, 2. Πρβλ. και χάλκινο μαχαίρι θησαυρού Ανθηδόνας, Σπυρόπουλος, ό.π., πίν. 17, αριθ. XVII.

49. Κως, Λαγκάδα: Morricone 1965/66, 217. Κρήτη, Καρφί: Pendlebury 1937/38, πίν. XXVIII, 2, αριθ. 548. Χαλκίδα: BSA 47 (1952), 94, εικ. 9, αριθ. 516 Α και αριθ. 536, Deshayes 1960, αριθ. 2512, τύπος K2a (τέλη 13ου-αρχές 12ου αι. π.Χ.). Πρβλ. και παράδειγμα από την ύστερη φάση της Τροίας VI, Blegen - Caskey 1953, εικ. 297, αριθ. 37780. Επιβιώσεις αυτού του τύπου σημειώνονται στα σιδερένια μαχαίρια, πρβλ. παραδείγματα από τον Κεραμεικό, Kübler - Kraiker 1939, πίν. 76, τάφος 17, και αντίστοιχα μαχαίρια από την Άλω, BSA 18 (1911/12), 26, εικ. 15, Μαρμάριανη, BSA 31 (1930/31), εικ. 15, Assarlik, JHS 8 (1887), 68, 70, 72.

50. Πρβλ. αντίστοιχα παραδείγματα από θαλαμωτούς τάφους Μυκηνών, όπου η λαβή επενδύεται με δύο φύλλα οστού ή ξύλου, Wace 1932, πίν. VII, 25, τάφος 529 και πίν. VII, 50, τάφος 518, με ελάχιστα ίχνη ξύλου στη λαβή. Πρβλ. επίσης παράδειγμα από τα Δενδρά, Persson 1931, 98, αριθ. 27, πίν. XXXII, 6 και εικ. 73.

51. Πρβλ. αντίστοιχη επιβίωση ενός άλλου τύπου χάλκινου μαχαιριού της πρώιμης εποχής του χαλκού στην ύστερη εποχή του χαλκού στα ηπειρωτικά Βαλκάνια, Kančev 1974, εικ. 2b (Asenovec, νότια Βουλγαρία). Η επίδραση, ωστόσο, της μυκηναϊκής μεταλλοτεχνίας στα ηπειρωτικά ανατολικά Βαλκάνια έχει ήδη επισημανθεί, Hänsel 1970, 32 κ.ε. (Βουλγαρία), K. Horedt, Dacia NS 4 (1960), 134 κ.ε., Alexandrescu 1966, 119, Hänsel 1982α, 11, Vulpe 1942, 321 κ.ε. (Ρουμανία).

52. Harding 1975, 195.

οι πολλαπλές παραλλαγές τους με τις επιμέρους φάσεις των νεκροταφείων. Ο τύπος Ι με όλες τις παραλλαγές του εμφανίζεται αποκλειστικά στη φάση Ι. Ελάχιστα παραδείγματα του τύπου επιβιώνουν στη φάση ΙΙΑ (Σ χ έ δ. 116).

ΤΥΠΟΣ ΕΙΙ

Χαρακτηριστικό γνώρισμα του τύπου ΙΙ είναι η κυρτή ράχη και η κοίλη ακμή, που συνδυάζονται με στενή και μακριά ουρά (Σ χ έ δ. 90).

Η παραλλαγή ΙΙ, 1α με τη στενή άτρητη ουρά θα μπορούσε να αναχθεί σε πρότυπα πρώιμης εποχής του χαλκού[53], που δεν τα βρίσκουμε (Π ί ν. 351: 1) να επιβιώνουν και στην ύστερη εποχή του χαλκού[54]. Στην ύστερη εποχή του χαλκού επικρατεί στο μυκηναϊκό κόσμο η παραλλαγή ΙΙ, 1β, όπου η μακριά ουρά εμφανίζει πολλά καρφιά (Π ί ν. 351: 2) και καταλήγει συχνά σε διχαλωτό άκρο («χελιδονοουρά»). Η παραλλαγή αυτή, που εντάσσεται στον τύπο Ο του Deshayes[55], εμφανίζει μεγάλη συχνότητα στο Αιγαίο[56] και είναι διαδεδομένη στην Ανατολή[57] και στην Ιταλία[58].

Η παραλλαγή ΙΙ, 2α, με την κυρτή λεπίδα και την κοντή άτρητη ουρά (Π ί ν. 351: 3), λείπει από τα μυκηναϊκά μαχαίρια και αποτελεί μάλλον τοπική παραλλαγή μυκηναϊκού τύπου, τον οποίο φαίνεται ότι αποδίδει η παραλλαγή ΙΙ, 2β (Π ί ν. 351: 4) που θυμίζει μυκηναϊκά χάλκινα μαχαίρια, όπως το μαχαίρι VIII από το θησαυρό της Ανθηδόνας[59].

Η εμφάνιση της καμπύλης της ράχης, που συνδυάσθηκε στα μαχαίρια της Κρήτης[60] με την εμφάνιση κεντροευρωπαϊκών στοιχείων, δεν είναι δυνατό να θεωρηθεί στα μαχαίρια της Θάσου κεντροευρωπαϊκή επίδραση, γιατί δε συνοδεύεται από άλλα βέβαια στοιχεία κεντροευρωπαϊκής μεταλλοτεχνίας. Ως μεμονωμένο άλλωστε στοιχείο, η εμφάνιση της καμπύλης στη ράχη των μαχαιριών παρατηρείται στον αιγαιακό χώρο από την πρώιμη εποχή του χαλκού[61]. Ούτε, εξάλλου, η εμφάνιση της διχαλωτής απόληξης, «χελιδονοουράς», στην ουρά του μαχαιριού τύπου Ι, 2β θα μπορούσε να θεωρηθεί βόρειο στοιχείο, εφόσον η εμφάνιση της «χελιδονοουράς»-«κνωδόντων», που σχετίζεται με τον τρόπο στερέωσης της λεπίδας στη λαβή, εμφανίζεται από την ΥΕ Ι φάση στα χάλκινα μαχαίρια των κάθετων τάφων των Μυκηνών[62].

Θα μπορούσαμε, επομένως, να επισημάνουμε και στα μαχαίρια του τύπου ΙΙ: α) την επι-

53. Χάλκινο μαχαίρι από την Πολιόχνη V (periodo giallo), Bernabò-Brea 1964, 293, πίν. CXXXVIe.

54. Καρφί: Pendlebury 1937/38, πίν. XXVIII, αριθ. 448, με οπές για προσάρτηση στην ουρά.

55. Deshayes 1960, 320-321, τύπος Ο με μυκηναϊκή καταγωγή, τα παλαιότερα παραδείγματα του οποίου εμφανίζονται στην ΥΕ Ι, Karo 1930, τάφος ΙΙ, αριθ. 216, πίν. LXXI. Συχνή είναι η εμφάνιση περιχειλώματος στα μυκηναϊκά παραδείγματα.

56. Μυκήνες, κάθετοι τάφοι: Karo 1930: ό.π. (υποσημ. 55). Θησαυροί Τσούντα: Σπυρόπουλος 1972, εικ. 62, Sandars 1955, 177 κ.ε., ΑΕ 1888, 173, πίν. IX, Sandars, ό.π., 191, εικ. 2, 4, Deshayes 1960, αριθ. 2594, πίν. XLIII, 3, ΥΕ IIIB, 13ος αι. π.Χ. Θησαυρός Ανθηδόνας: Σπυρόπουλος, ό.π., πίν. 17, αριθ. XIII. Θησαυρός Ακρόπολης Αθηνών: Σπυρόπουλος, ό.π., πίν. 18. Εύβοια: Popham - Sackett 1968, 14, εικ. 19, ΥΕ IIIΓ. Αχαΐα: Papadopoulos 1979, εικ. 343b. Κρήτη: Δικταίο άντρο, Boardman 1961, 22, εικ. 66, Milojčić 1955, 155, εικ. 1, αριθ. 7, Ζαφέρ Παπούρα, Milojčić, ό.π., εικ. 1, αριθ. 6. Σύρος: Τσούντας 1899, 121, πίν. X, 43, Deshayes, ό.π., τύπος Ο2α, αριθ. 2598.

57. Megiddo: Deshayes 1960, αριθ. 2602, πίν. XLIV, 12ος-11ος αι. π.Χ.

58. Scoglio del Tonno: Müller-Karpe 1959, πίν. 13, 10. Latronico: MA 24 (1917), 559, πίν. 1, 4, Deshayes 1960, αριθ. 2587, τύπος Ο1α, πίν. XLIII, 11. Punta del Tonno: NS (1900), 464, εικ. 22.

59. Σπυρόπουλος 1972, πίν. 17, αριθ. XVIII. Πρβλ. και χάλκινο μαχαίρι από το θησαυρό πώρινου τοίχου Μυκηνών, ό.π., 49, εικ. 89.

60. Milojčić 1955, 156.

61. Πρβλ. χάλκινο μαχαίρι από τη Χαλανδριανή, Branigan 1974, αριθ. 647.

62. Karo 1930, πίν. XXXV, όπου μόλις αρχίζουν να διαγράφονται οι «κνώδοντες». Πρβλ. και παράδειγμα από ταφικό περίβολο Β' Μυκηνών, Μυλωνάς 1973, τάφος Α, πίν. 19α, 2. Στηριγμένος στα παραδείγματα των κάθετων τάφων, ο Deshayes 1960, 320, υποστηρίζει ότι η «χελιδονοουρά» εμφανίσθηκε για πρώτη φορά στα μέσα της 2ης χιλιετίας στον αιγαιακό χώρο και από εκεί διαδόθηκε και στους Urnenfelder πολιτισμούς της κεντρικής Ευρώπης. Ο Desborough 1966, 60, υποστηρίζοντας την άποψη του Milojčić 1948, 11-36, προτείνει βόρεια καταγωγή. Πρβλ., ωστόσο, εμφάνιση «χελιδονοουρών» και σε σιδερένια μαχαίρια της Κύπρου και της Εγγύς Ανατολής, McClellan 1975, 181, 182, B1578.

βίωση σχημάτων από την πρώιμη εποχή του χαλκού και β) τη στενή συγγένεια, που εμφανίζουν οι παραλλαγές ΙΙ, 1β και ΙΙ, 2β με το μυκηναϊκό κόσμο.

Η χρονολόγηση του τύπου ΙΙ στηρίζεται περισσότερο στην εσωτερική χρονολόγηση των νεκροταφείων και στις σχέσεις των χάλκινων μαχαιριών με άλλα κτερίσματα και λιγότερο στα χρονολογημένα παράλληλα παραδείγματα του μυκηναϊκού χώρου. Οι συγκρίσεις με αντίστοιχα μυκηναϊκά χάλκινα μαχαίρια οδηγούν στις τελευταίες φάσεις της ΥΕ ΙΙΙ[63], ενώ αρκετά εξελιγμένες επιβιώσεις του τύπου κατεβαίνουν και στην υπομυκηναϊκή περίοδο[64].

Από τις παραπάνω συγκρίσεις και από τη θέση των χάλκινων μαχαιριών του τύπου ΙΙ στις φάσεις ΙΒ-ΙΙΑ των νεκροταφείων Καστρί προκύπτει ότι ο τύπος ΙΙ είναι κάπως νεότερος από τον τύπο Ι, διαπίστωση που ενισχύει την άποψη της Sandars, ότι η επικράτηση της καμπύλης στη ράχη των χάλκινων μαχαιριών του αιγαιακού χώρου, στην ύστερη εποχή του χαλκού είναι στοιχείο νεότερης χρονολόγησης[65] σε ορισμένες περιπτώσεις.

ΤΥΠΟΣ ΕΙΙΙ

Ο τύπος ΙΙΙ (Π ί ν. 351: 5-8) εντάσσεται στα γενικά χαρακτηριστικά του τύπου Ι της Sandars. Οι παραλλαγές ΙΙΙ, 2α-ΙΙΙ, 2β (Π ί ν. 351: 6-7) των θασιακών μαχαιριών ανήκουν στον τύπο Ιa της Sandars, ενώ η παραλλαγή ΙΙΙ, 2γ (Π ί ν. 366η), που εμφανίζει περιχείλωμα στην ουρά για την καλύτερη στερέωση της λαβής, ανήκει στον τύπο Ib της Sandars[66]. Χαρακτηριστικό γνώρισμα του τύπου παραμένει η πλατιά λεπίδα με το σχεδόν παραλληλόγραμμο περίγραμμα, που καταλήγει σε μια πλατιά αποστρογγυλεμένη αιχμή (Σ χ έ δ. 90· Π ί ν. 351: 5-8). Ο τύπος εμφανίζεται στο μυκηναϊκό χώρο στην ΥΕ Ι[67] περίοδο και διαδίδεται στις επόμενες φάσεις της ΥΕ περιόδου, τόσο στα κέντρα όσο και στην περιφέρεια του μυκηναϊκού πολιτισμού[68]. Η παραλλαγή ΙΙΙ, 1 με την άτρητη ουρά (Π ί ν. 351: 5) φαίνεται ότι αποτελεί ιδιορρυθμία του τοπικού εργαστηρίου μεταλλοτεχνίας[69], που πρέπει να υπήρχε, όπως θα δούμε στη Θάσο, στην ύστερη εποχή του χαλκού και στην πρώιμη εποχή του σιδήρου. Η πλατιά επίσης καμπυλόγραμμη λεπίδα της παραλλαγής ΙΙΙ, 3, που καταλήγει σε αποστρογγυλεμένη αιχμή, βρίσκει τα παράλληλά της σε μυκηναϊκά μαχαίρια με αντίστοιχη λεπίδα[70]. Το περιχείλωμα του τύπου ΙΙΙ, 2γ και η διχαλωτή απόληξη της ουράς στην ίδια παραλλαγή είναι μαζί με τις χαρακτές γραμμές κατά μήκος της ράχης κοινά στοιχεία, που εμφανίζονται σε μυκηναϊκά μαχαίρια ΥΕ ΙΙΙΒ και ΥΕ ΙΙΙΓ κυρίως περιόδου (Π ί ν. 351: 2-4).

Η χρονολόγηση, οπωσδήποτε, του τύπου ΙΙΙ στο νεκροταφείο της Θάσου στηρίζεται κατά κύριο λόγο στην εσωτερική χρονολόγηση των νεκροταφείων.

Ο τύπος ΙΙΙ εμφανίζεται στη φάση ΙΒ και ΙΙΑ των νεκροταφείων Καστρί και λείπει τελείως από το νεκροταφείο Λαρνάκι.

63. Παραδείγματα από την Κρήτη, Δικταίο άντρο, Milojčić 1955, εικ. 1, 7 και 1, 10. Πρβλ. επίσης παραδείγματα από τη νότια Ιταλία, Latronico, Deshayes 1960, αριθ. 2587, πίν. XLIII, 11.

64. Van Effenterre 1948, πίν. XXII, 127.

65. Sandars 1955, 177.

66. Ό.π., 177-179, εικ. 2.

67. Karo 1930, τάφος VI, 923, πίν. XLVI.

68. Μυκήνες, θαλαμωτοί τάφοι: Wace 1932, 189, τάφος 529, πίν. VII, 25, Deshayes 1960, αριθ. 2533, τύπος K4a ΥΕ ΙΙ-ΥΕ ΙΙΙ, 15ος-14ος αι. και τάφος 518, Wace, ό.π., πίν. VII, 50. Δενδρά: Persson 1942, τάφος 8, εικ. 88, 3. Θησαυρός Μυκηνών (Μυλωνά): Σπυρόπουλος, 1972, εικ. 116, 16-17. Πρόσυμνα: Blegen 1937, εικ. 512, 3. Θησαυρός Ακρόπολης Αθηνών: Σπυρόπουλος, ό.π., εικ. 140. Δικταίο άντρο: Boardman 1961, 20, εικ. 4, αριθ. 66 και 68. Κνωσός: Evans 1921, 1004, εικ. 954a-b, Deshayes, ό.π., αριθ. 2530, πίν. XLII, 8, τύπος K4a, ΥΜ Ι, 16ος-15ος αι. π.Χ. Αμνισός: ΑΔ 11 (1927/28): Χρονικά, 75, πίν. 2, 27, Deshayes, ό.π., αριθ. 2526, πίν. XLIII, 15, τύπος K4a, ΥΜ ΙΙΙ, 14ος-13ος αι. π.Χ. Ολούς: Van Effenterre 1948, πίν. XXII, O126. Boghazköy: Deshayes, ό.π., αριθ. 2535, πίν. XLII, 9, τύπος K4b, 14ος-13ος αι. π.Χ. Κεφαλληνία: Μαρινάτος 1932, πίν. 14. Πρβλ. επίσης και χάλκινο μαχαίρι από τη Χαλκίδα, BSA 47 (1952), 93, 516b.

69. Πρβλ. παράδειγμα από την Αχαΐα, Papadopoulos 1979, 319, εικ. 343. Πρβλ. και τις δύο χαρακτές γραμμές κατά μήκος της ράχης. Εδώ η αιχμή πιο λεπτή.

70. Πρβλ. Wace 1932, τάφος 518, πίν. VII, 51, ΥΕ ΙΙ. Θησαυρός πώρινου τοίχου Μυκηνών, Σπυρόπουλος 1972, εικ. 88.

ΤΥΠΟΣ ΕΙV

Ο τύπος αυτός εμφανίζεται περισσότερο ως μεταβατικός τύπος από έναν τύπο μαχαιριού με πλατιά παραλληλόγραμμη λεπίδα (τύπος III) σε έναν τύπο μαχαιριού, όπου η πλατιά λεπίδα έχει κυρτή ράχη και κοίλη ακμή (τύπος V) (Σ χ έ δ. 90· Π ί ν. 352: 1-7).

Οι παραλλαγές IV, 1α και IV, 1β (Π ί ν. 352: 1-2) βρίσκονται μέσα στην αιγαιακή παράδοση και μπορούν να σχετισθούν με χάλκινα μαχαίρια αρχαιότερων φάσεων της εποχής του χαλκού, όπως το χάλκινο μαχαίρι από το Πορτί της Κρήτης[71]. Νεότερα επίσης μαχαίρια από την Κρήτη[72], τις Μυκήνες[73] και την Τροία[74], πλησιάζουν τυπολογικά την παραλλαγή IV, 2. Το ελαφρό γύρισμα προς τα άνω της αιχμής στη λεπίδα IV, 1 και IV, 2 είναι χαρακτηριστικό, που εμφανίζεται στην πρώιμη ήδη εποχή του χαλκού στα μαχαίρια του αιγαιακού χώρου, αλλά και σε προχωρημένες φάσεις της εποχής του χαλκού[75] (Π ί ν. 352: 1). Τα μαχαίρια του τύπου IV, και προπαντός οι παραλλαγές IV, 1α και IV, 1β, πλησιάζουν στον τύπο Κ, ο οποίος σύμφωνα με τον Deshayes[76] είναι καθαρά αιγαιακός τύπος, που δημιουργήθηκε στην Αργολίδα και επεκτάθηκε στη δυτική Μικρά Ασία και την Ιταλία.

Οι παραλλαγές IV, 2α και IV, 2β (Π ί ν. 352: 3-4) εμφανίζουν μια πιο τονισμένη σε πλάτος ουρά, που είναι συνεχόμενη με τη λεπίδα. Η παραλλαγή IV, 2β (Π ί ν. 352: 4) με την αιχμή, που στρέφεται ελαφρά προς τα άνω, και τις δύο χαράξεις κατά μήκος της λαβής, πλησιάζει πολύ την παραλλαγή IV, 1α. Η παραλλαγή IV, 3 (Π ί ν. 352: 7) εμφανίζει την ίδια τονισμένη σε πλάτος ουρά, όπως και η παραλλαγή IV, 2α (Π ί ν. 352: 3), με αντίστοιχη καμπυλόγραμμη ράχη στην πλατιά λεπίδα. Το χαρακτηριστικό ωστόσο της παραλλαγής αυτής, που αντιπροσωπεύεται με ένα μόνο παράδειγμα (Κ4ΑΠ6), είναι τα ίχνη σφυρηλάτησης που σώζονται στη λεπίδα. Η σφυρηλάτηση στην ακμή και στη ράχη της λεπίδας έχει δημιουργήσει μια πλατιά ράβδωση κατά μήκος της λεπίδας (Π ί ν. 31: 6, 352: 5). Η ίδια η ράβδωση, αλλά όχι τόσο τονισμένη, εμφανίζεται και σε ένα μαχαίρι της παραλλαγής III, 1 (Π ί ν. 351: 5).

Η χρονολόγηση του τύπου IV θα στηριχθεί, επίσης, στην εσωτερική χρονολόγηση των νεκροταφείων. Ο τύπος οπωσδήποτε εμφανίζεται στη φάση ΙΙΑ και ΙΙΙΒ1, με ένα χαμηλό ποσοστό συχνότητας στα νεκροταφεία, όπως προκύπτει από το Σχέδιο 116.

ΤΥΠΟΣ ΕV

Ο τύπος V χαρακτηρίζεται από την κυρτή ράχη και την κοίλη ακμή της λεπίδας, που σε ορισμένες παραλλαγές (V, 5) μπορεί να εμφανισθεί και σχεδόν δρεπανόσχημη. Η ουρά συνεχίζει την καμπύλη της ράχης και διαφοροποιείται ελάχιστα από τη λεπίδα. Σε γενικές γραμμές, ο τύπος V των θασιακών μαχαιριών εντάσσεται στον τύπο Ν του Deshayes[77] (Σ χ έ δ. 90· Π ί ν. 352: 8-11, 353: 1-7).

Η καταγωγή του τύπου V από πρότυπα πρώιμης εποχής του χαλκού διαπιστώνεται σε χάλκινα μαχαίρια, όπως της Τροίας II-V[78].

Ο τύπος, ωστόσο, φαίνεται ότι ήταν διαμορφωμένος στην ύστερη εποχή του χαλκού και στην αρχή της πρώιμης εποχής του σιδήρου στο Αιγαίο και στην Εγγύς Ανατολή. Τα περισσότερα παραδείγματά του χρονολογούνται κυρίως στο χρονικό διάστημα 1400-1200 π.Χ.

71. Πορτί Κρήτης: Deshayes 1960, αριθ. 2484, πίν. XLII, 11, τύπος K2a, MMI(;), Branigan 1974, αριθ. 631.

72. Ισόπατα Κρήτης: Deshayes 1960, αριθ. 2521, πίν. XLII, 5, τύπος K2b, YM IIIA2. Δικταίο άντρο: Boardman 1961, 20, εικ. 4, αριθ. 58· πρβλ. κυρίως ομοιότητες με θασιακό τύπο IV, 1β.

73. Θησαυροί Τσούντα (Μυκηνών): Σπυρόπουλος 1972, εικ. 62. Πρόσυμνα: Blegen 1937, εικ. 503, αριθ. 2, τάφος XIII, YE II.

74. Τροία VI: Blegen - Caskey 1953, 201, εικ. 297, αριθ. 35359.

75. Deshayes 1960, 318-319. Το γύρισμα της αιχμής προς τα άνω, που πρέπει να σχετίζεται με κάποια ειδική χρήση του μαχαιριού, εμφανίζεται και στα ηπειρωτικά Βαλκάνια σε χάλκινα και σιδερένια μαχαίρια ύστερης εποχής του χαλκού και πρώιμης εποχής του σιδήρου, Černych 1978α, πίν. 63, Tončeva 1980, πίν. XIX, 6-8.

76. Deshayes 1960, 313-316.

77. Ό.π., 319-320. Πρβλ. κυρίως τον τύπο N1a, ό.π., αριθ. 2581 από την Ιαλυσό με θασιακό τύπο VI, β.

78. Branigan 1974, τύπος VI, αριθ. 668.

και εμφανίζονται στην ηπειρωτική Ελλάδα[79], στα νησιά του Αιγαίου (Ρόδο, Κρήτη)[80], στην Τρωάδα[81] και στην Εγγύς Ανατολή[82]. Ο τύπος επιβιώνει στην πρώιμη εποχή του σιδήρου, όπως δείχνουν παραδείγματά του σε σίδερο στο βορειοελλαδικό[83] και νοτιοελλαδικό χώρο[84], καθώς και στα ηπειρωτικά Βαλκάνια[85].

Τα δρεπανόσχημα εξάλλου μαχαίρια, τα οποία θυμίζει η παραλλαγή V, 5 (Π ί ν. 353: 5), δεν είναι επίσης ξένα για τον αιγαιακό κόσμο σχήματα, αφού εμφανίζονται συχνά στην πρώιμη εποχή του χαλκού[86] και παραμένουν ως το τέλος του μυκηναϊκού κόσμου[87].

Η χρονολόγηση, οπωσδήποτε, και αυτού του τύπου στα νεκροταφεία της Θάσου δεν μπορεί να προκύψει μόνο από τυπολογικά παράλληλά του, αλλά κυρίως από τη συσχέτιση του τύπου V με τις φάσεις της εσωτερικής χρονολόγησης των νεκροταφείων.

Ο τύπος V πρωτοεμφανίζεται στη φάση ΙΙΑ των νεκροταφείων Καστρί και παραμένει ως και τη φάση ΙΙΒ2 των νεκροταφείων Καστρί, καλύπτοντας και τη φάση ΙΙ του νεκροταφείου Λαρνάκι.

ΣΙΔΕΡΕΝΙΑ ΜΑΧΑΙΡΙΑ

Τα σιδερένια μαχαίρια των νεκροταφείων Καστρί και Λαρνάκι κατατάσσονται, όπως είπαμε, στους εξής τύπους:

ΤΥΠΟΣ ΕVΙ

Ο τύπος VI αποτελεί μεταβατική μορφή ανάμεσα στα χάλκινα και τα σιδερένια μαχαίρια. Η λεπίδα του είναι σιδερένια, η λαβή του χυτή από χωριστό κομμάτι μέταλλο, μέσα στο οποίο σφηνώνεται χωρίς καρφιά η λεπίδα (Σ χ έ δ. 89· Π ί ν. 353: 8-10). Ο τύπος VI πλησιάζει τον τύπο L2 του Deshayes, ο οποίος εμφανίζεται στον αιγαιακό χώρο από την ΥΕ Ι περίοδο[88]. Η συχνότητα, με την οποία εμφανίζεται η χυτή λαβή που καταλήγει σε κρίκο στα χάλκινα μαχαίρια της Ιταλίας και του κεντροευρωπαϊκού χώρου, οδήγησε στην άποψη ότι τα πρότυπα του τύπου αυτού πρέπει να αναζητηθούν έξω από τον αιγαιακό χώρο[89], άποψη που δεν είναι ωστόσο δυνατό να επιβεβαιωθεί, αφού τα χάλκινα μαχαίρια με τις χυτές λαβές

79. Ηραίο Άργους: Blegen 1937, 346, εικ. 377, 6, αλλά με στενή αιχμή. Deshayes 1960, αριθ. 2567, τύπος N1a, ΥΕ ΙΙΙ, 14ος-12ος αι. π.Χ. Χαλκίδα: Deshayes, ό.π., αριθ. 2568, πίν. XLIV, 5, τύπος N1a, ΥΕ ΙΙΙ, 13ος αι. π.Χ. Πρβλ. με θασιακό τύπο V, 1β. Περατή: Ιακωβίδης 1970, Μ 188, εικ. 147. Πρβλ. θασιακό τύπο V, 3α.

80. Ιαλυσός: Majuri 1923/24, 149, εικ. 70, Deshayes 1960, αριθ. 2573, τύπος N1a, ΥΕ ΙΙΙ. Ιαλυσός: Majuri, ό.π., 231, εικ. 23, Deshayes, ό.π., αριθ. 2581, τύπος N1b, ΥΕ ΙΙΙΒ. Κρήτη: Boardman 1961, 20, εικ. 4, αριθ. 67. Πρβλ. για το σχήμα της λεπίδας το θασιακό τύπο V, 3α, αλλά το κρητικό παράδειγμα έχει δύο καρφιά και «κνώδοντες».

81. Τροία VIIb: Blegen - Caskey 1958, 240, εικ. 254, αριθ. 36398. Πρβλ. ομοιότητες με το θασιακό τύπο V, 1β. Πρβλ. επίσης για άτρητη ουρά τον αριθ. 32203 από την Τροία VIII, ό.π., εικ. 289.

82. Tell Atchana: Deshayes 1960, αριθ. 2575, πίν. XLIV, 1, τύπος N1a, τέλη 13ου-αρχές 12ου αι. π.Χ. Megiddo: Deshayes, ό.π., αριθ. 2578, πίν. XLIII, 24, τύπος N1a, 1350-1150 π.Χ. Ταρσός: H. Goldman, Excavations at Göslü Kule, Tarsus II (1956), 288, εικ. 423, 10.

83. Βεργίνα, Ανδρόνικος 1969, 266, εικ. 104, ΑΓ VIIIα. Πρβλ. με θασιακό τύπο V, 2, ό.π., πίν. 84 ΚVβ. Πρβλ. με θασιακό τύπο V, 5 και ό.π., πίν. 81 ΖΙΙΙα. Πρβλ. με θασιακό τύπο V, 3. Στα σιδερένια μαχαίρια της Βεργίνας βρίσκουμε επίσης παράλληλα των τύπων IV, 1α, β, ό.π., πίν. 88 ΝVΙΙΙγ.

84. Νεκροταφείο Κεραμεικού: Kübler - Kraiker 1939, πίν. 166, τάφος 38 Μ54. Αθηναϊκή Αγορά: Hesperia 16 (1947), 196, εικ. 1.

85. Tončeva 1980, 51, πίν. XIX, 2 (Sava Conevo).

86. Τα παλαιότερα παραδείγματα προέρχονται από την Τροία, H. Schliemann, Ilios, The City and Country of the Trojans, 1880, 604, αριθ. 1418-1420, Branigan 1974, αριθ. 1154 (56, 57). Πρβλ. και παράδειγμα Αμοργού, Renfrew 1967, πίν. 9, 46, Branigan, ό.π., αριθ. 1155.

87. Θησαυρός πώρινου τοίχου Μυκηνών: Σπυρόπουλος 1972, εικ. 115. Θησαυρός Ανθηδόνας: ό.π., εικ. 17, αριθ. XII. Θησαυρός Τσούντα: ό.π., εικ. 35-33. Πρβλ. επίσης παράδειγμα από τις Ζυγουριές, Blegen 1928, που θυμίζει περισσότερο την παραλλαγή V, 3β.

88. Deshayes 1960, 317-318. Κάθετοι τάφοι Μυκηνών: Karo 1930, 103-104, πίν. XCVII, αριθ. 444, 445, 447, Deshayes, ό.π., αριθ. 2550, τύπος L3b και αριθ. 2551, πίν. XLIII, 1.

89. Sprockoff 1931, 30-34.

εμφανίζονται στον αιγαιακό χώρο από την ΥΕ Ι περίοδο και φαίνεται ότι παρουσιάζονται ανεξάρτητα από τις κεντροευρωπαϊκές επιδράσεις, που χρονολογούνται στο Αιγαίο από το τέλος της ύστερης εποχής του χαλκού και εξής[90].

Τα τρία παραδείγματα του τύπου VI, που εμφανίζονται στα νεκροταφεία Καστρί της Θάσου, ανήκουν σε τρεις επιμέρους παραλλαγές: VI, 1-3.

Η παραλλαγή VI, 1 (Π ί ν. 39: 33, 353: 8) με τη χυτή λαβή, που καταλήγει σε κρίκο, ανήκει στον τύπο εκείνο της λαβής, που είναι διαδεδομένος σε χάλκινα χυτά μονοκόμματα μαχαίρια της κεντρικής Ευρώπης και της Ιταλίας[91], χωρίς ωστόσο να απουσιάζει τελείως από τον αιγαιακό χώρο, στον οποίο αντιπροσωπεύεται με ορισμένα πρώιμα παραδείγματα[92]. Η παραλλαγή VI, 2 (Π ί ν. 109: 55, 353: 9) εμφανίζει στη χυτή λαβή κοψίματα, που χαρακτηρίζουν χάλκινες λεπίδες και λαβές ιταλικών μαχαιριών ύστερης εποχής του χαλκού και πρώιμης εποχής του σιδήρου[93]. Χαρακτηριστικές είναι επίσης οι ραβδώσεις στο άκρο της λαβής, στην περιοχή όπου προσαρμόζεται η σιδερένια λεπίδα, που παραπέμπουν πάλι σε ιταλικά και κεντροευρωπαϊκά παραδείγματα[94]. Τα πλησιέστερα, επίσης, παράλληλα της παραλλαγής VI, 3 πιθανόν θα μπορούσαν να αναζητηθούν στις διάτρητες λαβές των χάλκινων χυτών ξυραφιών της Ιταλίας, όπου συχνά κάτω από τον κρίκο διαμορφώνεται ένα σχήμα ελλειψοειδές, αντίστοιχο περίπου με τα σχηματοποιημένα πτηνά (;) της λαβής T27A14[95]. Το κάτω στέλεχος τέλος της λαβής T27A14, με το περιχείλωμα και τα καρφιά, το οποίο επενδυόταν με ξύλινες ή οστέινες πλάκες, έχει πολλά παράλληλα στα χάλκινα χυτά μαχαίρια με τις λαβές-κρίκους, που εμφανίζονται στην κεντρική Ευρώπη[96], αλλά δεν ήταν άγνωστο και στα αιγαιακά μαχαίρια[97]. Είναι δύσκολο επομένως να προχωρήσουμε σε κάποια συσχέτιση των θασιακών μαχαιριών με τα ιταλιωτικά πρότυπα, όταν μάλιστα δε βεβαιώνε-

90. Milojčić 1948, 12 κ.ε., Milojčić 1955, 153 κ.ε.

91. Foltiny 1955, 99-100, πίν. 68, Müller-Karpe 1959, πίν. 7, 13 κ.ε., πίν. 92, 3.

92. Πρβλ. μαχαίρι Ιαλυσού, ASAtene VI-VII (1923/24), 172, εικ. 101, 26. Ο τύπος της λαβής που καταλήγει σε κρίκο είναι οπωσδήποτε παλιότερος από την ΥΕΙΙΙΓ περίοδο στο Αιγαίο, Harding 1975, 199, αριθ. 7, όπου συγκεντρώνονται τα παραδείγματα. Η εμφάνιση, άλλωστε, κυπριακού χαλκού στη χάλκινη λαβή αυτού του τύπου (K5B33, Π ί ν. 39: 33) (Z. Stos-Gale - N. Gale, Παράρτημα VII), σε συνδυασμό με την πρώιμη εμφάνιση του σιδήρου στην Ανατολή, στηρίζει περισσότερο τη συσχέτιση των θασιακών μαχαιριών αυτού του τύπου με εργαστήρια του ανατολικού Αιγαίου.

93. Πρβλ. σιδερένιο μαχαίρι με χάλκινη λαβή από το Este Ιταλίας, Müller-Karpe 1959, πίν. 97, 24. Πρβλ. επίσης αντίστοιχη διάτρητη διακόσμηση σε ιταλικά ξυράφια, ό.π., πίν. 124, 19. Η κυκλική, ωστόσο, απόληξη της λαβής θυμίζει αντίστοιχη διαμόρφωση λαβής στο μαχαίρι της Ιαλυσού, το οποίο χρονολογείται στην ΥΕ ΙΙΙΓ περίοδο και είναι πολύ αρχαιότερο από το ιταλικό παράδειγμα, Majuri 1923/24, 175, εικ. 101, 26, Deshayes 1960, αριθ. 2599, πίν. XLIV, 3, ΥΕΙΙΙΓ, τύπος O2a. Πρβλ. και Peroni 1976, πίν. 11, αριθ. 108, πίν. 16, αριθ. 144-145.

94. Οι ραβδώσεις αυτές εμφανίζονται σε ελάχιστα μαχαίρια του αιγαιακού χώρου, στα οποία αποδόθηκε μια κεντροευρωπαϊκή προέλευση. Στα γνωστά παραδείγματα από την Κρήτη (Δικταίου άντρου, Boardman 1961, 18-22, εικ. 6Β και Φαιστού, Milojčić 1955, 153, εικ. 1, 13), ο Harding πρόσθεσε ένα παράδειγμα από την Κέρκυρα στο Ashmolean Museum, Oxford, προσδιορίζοντας άμεσες ή έμμεσες σχέσεις των μαχαιριών αυτού του τύπου με την Ιταλία, Harding 1975, 197-198. Ο Matthäus, ωστόσο, προτείνει τις γενικότερες πολιτιστικές σχέσεις του μυκηναϊκού κόσμου με την Ιταλία, από τις οποίες προέρχονται οι επιδράσεις της ευρωπαϊκής μεταλλοτεχνίας στα τοπικά εργαστήρια μεταλλοτεχνίας του αιγαιακού κόσμου, Matthäus 1980, 171.

95. Müller-Karpe 1959, πίν. 103, 18, 19, 23. Πρβλ. επίσης σχηματοποιημένα πτηνά στους κρίκους λαβών ιταλικών ξυραφιών, ό.π., πίν. 65, D1, F1. Η διάτρητη βέβαια διακοσμητική τεχνική σε χάλκινα αντικείμενα, που εμφανίζονται και στην κεντρική Ευρώπη, ό.π., πίν. 183, 2-4, δεν είναι άγνωστη στη μυκηναϊκή μεταλλοτεχνία. Ανάμεσα ωστόσο στους κυπριακούς τρίποδες, Catling 1964, πίν. 32a-b, 35, και σε αντίστοιχα παραδείγματα της γεωμετρικής εποχής μεσολαβεί ένα αγεφύρωτο ακόμη κενό, με βάση το οποίο η επανεμφάνιση της διακοσμητικής αυτής τεχνικής πρέπει να αποδοθεί σε νέες επιδράσεις των ανατολικών εργαστηρίων στη μεταλλοτεχνία του ελλαδικού χώρου, Kilian-Dirlmeier 1979, 261. Στην Ιταλία ωστόσο της πρώιμης εποχής του σιδήρου, η τεχνική αυτή εμφανίζεται με μεγάλη συχνότητα στις λαβές χάλκινων ξυραφιών (Bologna, San Vitale, Müller-Karpe 1959, πίν. 57, 11) ή σε περίαπτα (ό.π., πίν. 85, D3). Στη Μακεδονία της πρώιμης εποχής του σιδήρου εμφανίζεται επίσης συχνά σε περίαπτα διάφορων τύπων, Kilian-Dirlmeier, ό.π., 261. Πρβλ. Ανδρόνικος 1969, 258, εικ. 97 (ΑΔΙγ).

96. Πρβλ. περιχείλωμα σε χάλκινο χυτό μαχαίρι με λαβή, που καταλήγει σε κρίκο Peschiera, Müller-Karpe 1959, πίν. 103. Πρβλ. επίσης μαχαίρια κεντρικής Ευρώπης, ό.π., πίν. 108f, Holste 1951, πίν. 2, 8.

97. Sandars 1955, 177, τύπος Ib.

ται η χρονική προτεραιότητα των ιταλικών[98] και όταν σε δύο τουλάχιστον από τα τρία παραδείγματα του τύπου VI έχει επισημανθεί χαλκός, κυπριακός ή μικρασιατικός[99].

Ένα παράδειγμα του τύπου (VI, 1) βρέθηκε στον τάφο Τ18, σε στρώματα με κεραμική της φάσης ΙΒ, αλλά δεν αποκλείεται η απόδοσή του σε νεότερες φάσεις ΙΙΑ.

ΤΥΠΟΣ EVII

Χαρακτηριστικό γνώρισμα του τύπου αυτού είναι το παραλληλόγραμμο σχήμα της λεπίδας με την ευθύγραμμη ράχη και την ευθύγραμμη ακμή (Π ί ν. 353: 11). Το πρότυπο του τύπου πρέπει να αναζητηθεί στα χάλκινα μαχαίρια του τύπου ΙΙΙ[100]. Δεν έχουμε κανένα ακέραιο παράδειγμα από τον τύπο VII, ώστε να είναι απόλυτα βεβαιωμένη η συσχέτιση αυτή, αλλά από το θραύσμα Τ19Α10 βεβαιώνεται η παρουσία ενός, τουλάχιστον, καρφιού στην ουρά της λεπίδας.

Επιμέρους, επομένως, συγκρίσεις με σιδερένια μαχαίρια άλλων περιοχών δεν είναι δυνατό να γίνουν, αφού λείπει το συνολικό σχήμα του μαχαιριού τύπου VII.

Σιδερένια ωστόσο μαχαίρια, όπως το Ζπ5α από το νεκροταφείο της Βεργίνας[101], εμφανίζουν το ίδιο σχήμα της παραλληλόγραμμης λεπίδας με την ευθύγραμμη ράχη και ακμή, ενώ μαχαίρια από τις πυρές της Άλω[102] θα μπορούσαν επίσης να συσχετισθούν, αφού στα θασιακά παραδείγματα λείπει το τμήμα εκείνο του μαχαιριού, όπου είναι πιθανό να εμφανιζόταν η ελαφρά καμπύλη της ράχης. Ο τύπος επιβιώνει και στις νεότερες φάσεις της πρώιμης εποχής του σιδήρου στα ηπειρωτικά Βαλκάνια[103], καθώς και στον ελλαδικό και αιγαιακό χώρο[104].

ΤΥΠΟΣ EVIII

Ο τύπος VIII εμφανίζει μια ράχη κυρτή, έντονα δηλωμένη σε ορισμένα παραδείγματα, ακμή κοίλη και πλατιά ουρά (Π ί ν. 353: 12). Τυπολογικά παράλληλά του θα μπορούσαν να αναζητηθούν στα χάλκινα θασιακά μαχαίρια τύπου ΙΙ. Πρόκειται για πολύ διαδεδομένο τύπο σιδερένιου μαχαιριού, που τον συναντάμε στα νεκροταφεία των πρώιμων φάσεων της εποχής του σιδήρου, του βορειοελλαδικού[105] και του νοτιοελλαδικού χώρου[106], αλλά και των προ-

98. Harding 1975, 198. Πρβλ. επίσης A.M. Bietri-Sestieri, The Metal Industry of Continental Italy, 13th-11th c. B.C., PPS 39 (1973), 383-424, Peroni 1976, 14. Οι B. Sestieri, ό.π., E. Macnamara, PPS 36 (1970), 241, 260, και Matthäus 1980, 137-139, μιλούν για μεταλλουργική «κοινή» Ιταλίας και αιγαιακού χώρου στο 13ο και 12ο αι. π.Χ.

99. Z. Stos-Gale - N. Gale, Παράρτημα VII, αριθ. 181 και 247. Το Τ27Α14 (Z.S. Gale - N. Gale, αριθ. 251) έχει χαλκό επίσης επείσακτο, τα ισότοπα μολύβδου του οποίου τον τοποθετούν κοντά σε παραδείγματα από τη Μικρά Ασία, Pernicka - Seeliger - Wagner - Begemann κ.ά. 1984, εικ. 31.

100. Πρβλ. σιδερένιο μαχαίρι Περατής, Ιακωβίδης 1970, 344, εικ. 149.

101. Ανδρόνικος 1969, εικ. 104, σιδερένιο μαχαίρι Ζπ5α.

102. Άλως, τάφος XI, Wace - Thompson 1912, 27, εικ. 15, Kilian 1975, πίν. 20, αριθ. 5. Πρβλ. και σιδερένιο μαχαίρι από τη Μαρμάριανη, BSA 31 (1930/31), 37, εικ. 15, αριθ. 23, και την Τσαουζίτσα, Casson 1923/25, πίν. II, 1c, προπαντός το εικονιζόμενο στον πίν. II, 1b με το ευθύγραμμο περίγραμμα.

103. Πρβλ. σιδερένια μαχαίρια από νεκροταφείο Ravna Βουλγαρίας, Mirčev 1962, πίν. XXXII, Hänsel 1974, 203, εικ. 8, αριθ. 12 και 20 (ζώνη ΙΙ, νεκροταφείο, 6ος αι. π.Χ., Hänsel, ό.π., 212). Επίσης, σιδερένια μαχαίρια νεκροταφείου Dobrina Βουλγαρίας, Mirčev 1965, πίν. XI, 42a, που εμφανίζουν ελάχιστη καμπύλη στη ράχη, ανάλογη με των μαχαιριών της Άλω. Κατά τον Hänsel, η χρονολογία του νεκροταφείου Dobrina μπορεί να ανεβεί ως τον 7ο αι. π.Χ., ό.π., 212. Πρβλ. και Čičicova 1971, 90-91. Πρβλ. επίσης και σιδερένια μαχαίρια από τη βόρεια Μακεδονία, τύμβοι Radanje, Kilian 1975, πίν. 47, 1, 2, 4.

104. Πρβλ. αντίστοιχα σιδερένια μαχαίρια από το Εμπορειό Χίου, Boardman 1967, 231, αριθ. 457, εικ. 151 (περίοδος Ι Εμπορειού). Πρβλ. επίσης παράδειγμα από την Όλυνθο, Olynthus X, πίν. CII, αριθ. 1603-1604. Επίσης, σιδερένιο μαχαίρι από τη Φορτέτσα, Brock 1957, αριθ. 1616, τάφος P, πίν. 172.

105. Ανδρόνικος 1969, ΑΖΧΙΙΙ, ΑΗΙΙΙ, ΤΧΒ. Πρβλ. επίσης παραδείγματα από το νεκροταφείο Τσαουζίτσας, Casson 1923/25, πίν. IId. Το πιο πρώιμο, οπωσδήποτε, παράδειγμα του τύπου στο Λευκαντί με χάλκινα καρφιά, Popham - Sackett 1968, 15, εικ. 22.

106. Νεκροταφείο Κεραμεικού, 11ος-10ος αι. π.Χ., Kübler 1943, πίν. 38 Μ9.10. Πρβλ. επίσης παραδείγματα από το Λευκαντί, Popham - Sackett - Themelis 1979/1980, 257-258, πίν. 246, P16, 7 (μέσο πρωτογεωμετρικό) και πίν. 144, P31, 7 (ύστερο πρωτογεωμετρικό).

χωρημένων φάσεων της πρώιμης εποχής του σιδήρου, όπως στο νεκροταφείο της Ηφαιστείας[107] ή στα νεκροταφεία της Γιουγκοσλαβίας και νότιας Βουλγαρίας[108].

Ο τύπος επιβιώνει και στην αρχαϊκή εποχή, όπως προκύπτει από τα νεκροταφεία της Τραγίλου, ανατολικής Μακεδονίας ή του Μικρού Δουκάτου στη δυτική Θράκη[109].

ΤΥΠΟΣ ΕΙΧ

Ο τύπος IX με την ευθύγραμμη ακμή και την κυρτή ράχη (Π ί ν. 353: 13) μπορεί τυπολογικά να συσχετισθεί με τον τύπο V, 4 των χάλκινων μαχαιριών (Π ί ν. 353: 4), που εμφανίζεται στα πρώιμα παραδείγματα σιδερένιων μαχαιριών τύπου VI. Αντίστοιχος τύπος σιδερένιου μαχαιριού εμφανίζεται και στην Εγγύς Ανατολή (Γόρδιο)[110], αλλά και στα ηπειρωτικά Βαλκάνια[111].

ΤΥΠΟΣ ΕΧ

Οι τύποι X, 1 και X, 2 είναι μικρογραφικά παραδείγματα μαχαιριών, που προέρχονται από παιδικές ταφές. Η τυπολογική καταγωγή τους ανάγεται στον τύπο I, 6 των χάλκινων μαχαιριών Θάσου (Π ί ν. 353: 15-16).

Ο τύπος αυτός στα σιδερένια μαχαίρια εμφανίζεται ήδη από την ΥΕ III εποχή, αντιγράφοντας ανάλογα χάλκινα μαχαίρια[112].

ΤΥΠΟΣ ΕΧΙ

Το μοναδικό σωζόμενο παράδειγμα είναι πιθανότατα μικρογραφικό (Π ί ν. 183: 8).

Αντίστοιχος τύπος σιδερένιων μαχαιριών είναι πολύ συχνός στο νεκροταφείο της Βεργίνας, όπου εμφανίζεται κυρίως σε τάφους του 10ου αι. π.Χ.[113]. Επιβιώσεις του τύπου αυτού σημειώνονται στα Βαλκάνια[114] και στην Εγγύς Ανατολή, χωρίς να λείπουν και από τον ελλαδικό χώρο[115].

Ως γενικό χαρακτηριστικό των σιδερένιων μαχαιριών της Θάσου θα μπορούσαμε να τονίσουμε την εξάρτησή τους από αντίστοιχους τύπους χάλκινων μαχαιριών, από την οποία διαπιστώνεται η πολιτιστική συνέχεια στην τοπική μεταλλοτεχνία. Η εμφάνιση του σιδήρου πραγματοποιείται, πιθανότατα, στη φάση ΙΒ των νεκροταφείων του οικισμού Καστρί. Τα χρονολογικά στοιχεία, που προκύπτουν από την εμφάνιση των σιδερένιων μαχαιριών στις διάφορες φάσεις των νεκροταφείων Καστρί και Λαρνάκι, σχετίζονται με το μεγαλύτερο ή μικρότερο ποσοστό, με το οποίο εμφανίζονται στους τάφους σε σχέση με τα χάλκινα μαχαίρια, και τέλος με την εξαφάνιση των χάλκινων μαχαιριών και την αντικατάστασή τους από τα σιδερένια, στις νεότερες φάσεις των νεκροταφείων Καστρί ΙΙΒ3 και ΙΙΓ.

Οι τυπολογικές διακρίσεις δε φαίνεται, πάντως, να αποτελούν χρονολογικά κριτήρια για τα σιδερένια μαχαίρια, όπως διαπιστώθηκε στα χάλκινα, πιθανότατα γιατί το υλικό και πο-

107. Mustilli 1932/33, 30, εικ. 73, τάφος Α LXXXVII.

108. Dobrina: Mirčev 1965, πίν. X, αριθ. 41a, Hänsel 1974, 207, εικ. 10, αριθ. 21. Ravna: Mirčev 1962, 159, πίν. XXXII, Hänsel, ό.π., 205, εικ. 9, αριθ. 5, ζώνη II.

109. Νεκροταφείο Τραγίλου, α΄ μισό 6ου αι. π.Χ., Κουκούλη-Χρυσανθάκη 1983. Νεκροταφείο Καστά Αμφίπολης. Νεκροταφείο βιομηχανικής ζώνης Δράμας. Νεκροταφείο Μικρού Δουκάτου, Τριαντάφυλλος 1983, 179 κ.ε.

110. McClellan 1975, εικ. 3, τύπος VIa.

111. Πρβλ. σιδερένια μαχαίρια από το νεκροταφείο Dobrina, Mirčev 1965, πίν. XI, 43 και 42.

112. Ο τύπος εμφανίζεται στα πρώτα παραδείγματα σιδερένιων μαχαιριών. Πρβλ. Περατή, Ιακωβίδης 1970, εικ. 147, Μ75, αλλά επιβιώνει από την πρώιμη εποχή του σιδήρου ως τα ιστορικά χρόνια. Πρβλ. παράδειγμα από το Γόρδιο, McClellan 1975, πίν. 12, 179, εικ. 3, τύπος V, για την εμφάνιση του τύπου στην Ανατολή, αλλά και παράδειγμα Ολύνθου, Olynthus X, πίν. CII, αριθ. 1601, για επιβιώσεις του τύπου στους ιστορικούς χρόνους.

113. Βεργίνα, Ανδρόνικος 1969, Ζζ1, πίν. 83, Γ1α, πίν. 77. Πρβλ. επίσης για γωνία στη ράχη, Τσαουζίτσα, Casson 1919/21, 16, εικ. 11c.

114. Vuči Dol: Kilian 1975, πίν. 54, 7.

115. Πρβλ. αντίστοιχο τύπο από το Γόρδιο, McClellan 1975, πίν. 10, 150 και 11, 165.

σοτικά είναι πολύ λιγότερο σε σχέση με τα χάλκινα, αλλά και χρονικά καλύπτει μικρότερο χρονικό διάστημα.

Ακόνια

Από την πρώιμη εποχή του χαλκού εμφανίσθηκε στον αιγαιακό χώρο η ακονόπετρα ως διαμορφωμένο φορητό εργαλείο, απαραίτητο για τη συντήρηση των χάλκινων όπλων και εργαλείων.

Από την Εγγύς Ανατολή, τα παράλια της Μικράς Ασίας[116], τα νησιά του Αιγαίου[117] τη νότια[118] και τη δυτική Ελλάδα[119], καθώς και από τη Μακεδονία[120], τη Θράκη[121], τα Βαλκάνια[122], και την κεντρική Ευρώπη[123], έχουμε μια σειρά από χρονολογημένα ήδη στην πρώιμη εποχή του χαλκού παραδείγματα.

Η συνέχεια της χρήσης του εργαλείου αυτού παραμένει αδιάσπαστη στη μέση εποχή του χαλκού, στη διάρκεια της οποίας, όπως τουλάχιστον δείχνουν ορισμένα παραδείγματα από την Τροία[124], Κρήτη[125] και Μακεδονία[126], διαμορφώνεται ο στενόμακρος τύπος με τις αποστρογγυλεμένες γωνίες και την οπή στο άνω άκρο.

Στην ύστερη εποχή του χαλκού έχουν πια διαμορφωθεί όλες οι παραλλαγές του τύπου και η φορητή ακονόπετρα αποτελεί κοινό εξάρτημα οπλισμού και εργαλείο, τόσο στα κέντρα του μυκηναϊκού κόσμου[127] όσο και στον περιφερειακό γύρω από τα κέντρα του μυκηναϊκού πολιτισμού αιγαιακό χώρο[128] ή στους βορειότερους πολιτισμούς των Βαλκανίων[129] και της κεντρικής Ευρώπης[130], χωρίς να λείπει επίσης από την Εγγύς Ανατολή[131].

Τα ακόνια της Θάσου κατασκευάζονται από δύο ειδών τοπικούς λίθους, που προέρχονται από το άμεσο περιβάλλον του οικισμού Καστρί. Στους τάφους τα ακόνια συνδυάζονται με μαχαίρια και πρέπει να θεωρηθούν κτερίσματα ανδρικών ταφών. Ξεχωρίζουν τρεις τύποι: Ακ. 1-Ακ. 3.

116. Τροία I: Blegen - Caskey 1950, εικ. 217, αριθ. 37320, 3566, 33170, 36160. Τροία II: ό.π., εικ. 361. Τροία III: Blegen - Caskey 1951, εικ. 49, αριθ. 33285. Τροία IV: ό.π., εικ. 148, αριθ. 3320. Για την πρώτη διάδοση του τύπου από την Εγγύς Ανατολή ως την κεντρική Ευρώπη, πρβλ. Blegen - Caskey 1950, 46.

117. Πολιόχνη: Bernabò-Brea 1964, πίν. CXXXVIII, 20 και CCXLVIII, 4, 5, 6, 7. Θερμή: Lamb 1936, 308. Κυκλάδες: Τσούντας 1898, 158, «εξάρτημα», πίν. 8, 4.

118. Εύτρηση: Goldman 1931, 200, εικ. 5 (περίαπτο).

119. Λευκάδα: Dörpfeld 1927, παρένθ. πίν. 53b (Χοιροσπηλιά).

120. Βαρδαρόφτσα: Heurtley 1939, εικ. 65h. Άγιος Μάμας: ό.π., εικ. 65k.

121. Παραδημή: Bakalakis - Sakellariou 1981, πίν. 29, 1.

122. Mikov - Džambazov 1960, 94, εικ. 71i (σπήλαιο Devetaki). Georgiev - Merpert - Katinčarov - Dimitrov 1979, 406, εικ. 203 και πίν. σ. 407 (Ezero).

123. Müller-Karpe 1974, 344.

124. Τροία V: Blegen - Caskey 1951, εικ. 234, αριθ. 35150.

125. Κάστελλος: BSA 38 (1937/38), 49, πίν. III, 1, αριθ. 52, ΠΜ-ΜΜ Ι.

126. Βαρδαρόφτσα: Heurtley 1939, εικ. 83g.

127. Για τη σχέση ακόνης με μυκηναϊκό οπλισμό, πρβλ. Μυλωνάς 1973, 347. Τα παλαιότερα παραδείγματα στην ΥΕ Ι: Μυκήνες, κάθετοι τάφοι, Karo 1930, 151, τάφος IV, αριθ. 512, πίν. CII, 223. Πρβλ. επίσης τάφο V, αριθ. 859, 860, 861 και τάφο VI, 163, εικ. 79, αριθ. 929, 930. Από τον ταφικό περίβολο Β' μόνο ένα παράδειγμα: Μυλωνάς 1973, 347, πίν. 72α (τάφος Δ). Νεότερο το παράδειγμα από τα Δενδρά, Persson 1942, εικ. 49, τάφος 8, ΥΕ Ι-ΥΕ ΙΙ. Από την Πύλο έχουμε ΥΕ ΙΙΙΑ παραδείγματα, Blegen 1973, 196, εικ. 112, 14 και 232, 2. Πρβλ. επίσης Blegen 1921, εικ. 133. Στην ΥΕ ΙΙΙΓ περίοδο χρονολογούνται τα παραδείγματα από την Κεφαλληνία, Μαρινάτος 1933, 69, εικ. 40, Χαλκίδα, BSA 47 (1952), 95, Ιαλυσό, Majuri 1923/24, εικ. 70.

128. Κρήτη: Καρφί, Pendlebury 1937/38, 124, πίν. XXX3 (599), Βρόκαστρο, Hall 1914, εικ. 70h, 87a, τάφοι Μεσσαράς, Xanthoudides 1924, πίν. XXIII, 787, 788 κ.α. Πρβλ. επίσης παραδείγματα από την Κύπρο, SCE I, πίν. XVI, 24, XXV, 30, 95 κ.α., καθώς και από το βορειοελλαδικό χώρο: κεντρική Μακεδονία, Περιβολάκι (Σαρατσέ), Heurtley 1939, εικ. 103d, και Βαρδαρόφτσα, ό.π., εικ. 103 e, f, ανατολική Μακεδονία, Τύμβος Εξοχής, Γραμμένος 1979, 58.

129. Devetaki: Mikov - Džambazov 1960, εικ. 101e.

130. Gimbutas 1965, 143, εικ. 108, αριθ. 15.

131. Blegen - Caskey 1953, 26.

ΤΥΠΟΣ Ακ. 1

Στενό ορθογώνιο σχήμα με οπή στο άνω άκρο. Ανάλογα με τη θέση της οπής ανάρτησης, διαμορφώνονται δύο παραλλαγές: 1α και 1β (Π ί ν. 354: 1-2).

Ο τύπος, που εμφανίζει ένα μακρόστενο στέλεχος με αποστρογγυλεμένες γωνίες και οπή στο ένα άκρο για ανάρτηση, προέρχεται από αντίστοιχο τύπο της πρώιμης εποχής του χαλκού[132], που πρέπει να διαμορφώθηκε ωστόσο στο στενόμακρο σχήμα με τις αποστρογγυλεμένες γωνίες στη μέση εποχή του χαλκού[133]. Στην ύστερη εποχή του χαλκού είναι ιδιαίτερα διαδεδομένος ο τύπος στην Τροία[134] και καλύπτει τη Μακεδονία, κεντρική[135] και ανατολική[136], καθώς και το νοτιοελλαδικό χώρο[137].

Στα νεκροταφεία Καστρί ο τύπος 1 εμφανίζεται μόνο στη φάση Ι. Στην επόμενη φάση φαίνεται ότι τον αντικαθιστούν οι τύποι 2 και 3.

ΤΥΠΟΣ Ακ. 2

Πλατύ ορθογώνιο σχήμα με οπή στο άνω άκρο (Π ί ν. 354: 3-5).

Ο τύπος 2 κατάγεται από πρότυπα εποχής του χαλκού[138], που επιβιώνουν ως την ύστερη εποχή του χαλκού[139] και την πρώιμη εποχή του σιδήρου[140]. Τυπολογικά, επομένως, κριτήρια δεν μπορούν να ισχύουν ως χρονολογικά στοιχεία και η χρονολόγηση του τύπου στα νεκροταφεία Καστρί και Λαρνάκι στηρίζεται μόνο στην εσωτερική χρονολόγηση.

ΤΥΠΟΣ Ακ. 3

Στενό ορθογώνιο σχήμα με ημικυλινδρική κεφαλή χωρίς οπή (Π ί ν. 354: 6).

Ο τύπος αυτός είναι γνωστός από την Τροία VI[141], όπου εμφανίζεται με πολλά παραδείγματα και επιβιώνει στις μεταγενέστερες φάσεις της Τροίας, VIIa και VIIb[142]. Στη Θάσο αντιπροσωπεύεται με ένα παράδειγμα, που ανήκει στη φάση Ι του νεκροταφείου Λαρνάκι.

Το μικρό ποσοστό των ακονιών, που έχουν συνολικά βρεθεί στα νεκροταφεία Καστρί και Λαρνάκι, σε συνδυασμό με το απλό σχήμα του αντικειμένου που εμφανίζει μια αργή εξέλιξη, δε δίδει μεγάλα ποσοστά ασφάλειας στη χρονολογική διάκριση των τύπων, παρόλο που προβάλλει μια αρχαιότερη χρονολογία για τον τύπο 1. Ένα άλλο στοιχείο διαφοροποίησης είναι το διαφορετικό υλικό, που χρησιμοποιείται ειδικά για τον τύπο 1, το οποίο όμως δε φαίνεται να εγκαταλείπεται τελείως στη φάση ΙΙ του νεκροταφείου.

132. Πολιόχνη: Bernabò-Brea 1964, πίν. CLXXXVII, 20 και CCLVIII, 4.

133. Τροία V: Blegen - Caskey 1951, εικ. 234, αριθ. 35150. Πιθανόν αστρωματογράφητο, Μάλθι Μεσσηνίας: Valmin 1938, πίν. XXV, 67.

134. Τροία VI: Blegen - Caskey 1953, 26, «pencil type», εικ. 299, αριθ. 36260, 34131. Ο Blegen πιστεύει ότι ο τύπος δημιουργήθηκε στην Τροία VI. Το παράδειγμα από την Τροία V πιθανόν προέρχεται από διαταραγμένη στρωματογραφία.

135. Άσσηρος: Wardle 1980, πίν. 22a. Περιβολάκι (Σαρατσέ): Heurtley - Radford 1928/30, 145, εικ. 32, 7, ύστερη εποχή του χαλκού και εικ. 32, 8, πρώιμη εποχή του σιδήρου. Πρβλ. και Βαρδαρόφτσα, Heurtley 1939, εικ. 103e.

136. Σταθμός Αγγίστας: αδημοσίευτα παραδείγματα από την ύστερη εποχή του χαλκού. Ποταμοί: Γραμμένος 1979, 58, εικ. Ι, αριθ. 15.

137. Πρβλ. παραδείγματα από την Πύλο, Blegen 1973, 196, εικ. 232, αριθ. 2, ή από τα Δενδρά, Persson 1942, εικ. 49, αριθ. 2, τάφος 8. Για μεταγενέστερες επιβιώσεις του τύπου στην πρωτογεωμετρική και γεωμετρική εποχή, πρβλ. Brock 1957, πίν. 37, αριθ. 565.

138. Τροία Ι: Blegen - Caskey 1950, εικ. 217, αριθ. 36160. Τροία ΙΙ: ό.π., εικ. 361, αριθ. 36323. Τροία IV: Blegen - Caskey 1951, εικ. 148, αριθ. 3320. Πολιόχνη: Bernabò-Brea 1964, πίν. CCLVIII, 6 (periodo giallo).

139. Ταφικός περίβολος Β': Μυλωνάς 1973, 347, πίν. 72α. Μάλθι Μεσσηνίας: Valmin 1938, πίν. XXV, 68. Τροία VI: Blegen - Caskey 1953, εικ. 299, αριθ. 35547 και Τροία VIIa: Blegen - Caskey 1958, εικ. 220, αριθ. 3398. Πρβλ. επίσης από την Αχαΐα, Papadopoulos 1979, εικ. 311, από την Περατή, Ιακωβίδης 1970, 349, σημ. 2-3, από την Ήπειρο, Παπαδόπουλος 1976, 294.

140. Βεργίνα: Ανδρόνικος 1969, πίν. 106β. Περιβολάκι (Σαρατσέ): Heurtley 1939, εικ. 112e. Τροία VIIIb2, Blegen - Caskey 1958, εικ. 254, αριθ. 33132. Λευκαντί: Popham - Sackett - Themelis 1979/1980, πίν. 237f, g. Εμπορειό: Boardman 1967, πίν. 95, αριθ. 528 (700-650 π.Χ.).

141. Τροία VI: Blegen - Caskey 1953, εικ. 299, αριθ. 36392 και 3830.

142. Τροία VIIa: Blegen - Caskey 1958, εικ. 220, αριθ. 34271. Τροία VIIIb: ό.π., εικ. 254, αριθ. 3513.

«Σφονδύλια»

ΠΗΛΙΝΑ «ΣΦΟΝΔΥΛΙΑ»

Για τη χρήση των πήλινων αυτών αντικειμένων έχουν διατυπωθεί διάφορες απόψεις. Εκτός από τη χρήση τους ως σφονδύλια[143], διατυπώθηκε η άποψη ότι ήταν περίαπτα[144]. Ο Τσούντας επίσης, ξεκινώντας από το μεγάλο αριθμό με τον οποίο εμφανίζονται ορισμένες φορές στους μυκηναϊκούς τάφους, τα ερμήνευσε ως κουμπιά[145], διατυπώνοντας την άποψη ότι το πολυτελέστερο υλικό (στεατίτης), αντικατέστησε τον πηλό στα «σφονδύλια» των μεταγενέστερων φάσεων της ΥΕ περιόδου. Η άποψη αυτή έγινε αποδεκτή από τους περισσότερους μελετητές του μυκηναϊκού πολιτισμού[146]. Ο Σ. Μαρινάτος[147] αμφισβήτησε ωστόσο τη χρήση αυτή και τέλος ο Σ. Ιακωβίδης[148] πρότεινε μια άλλη ερμηνεία, στηριγμένος κυρίως στα ανασκαφικά στοιχεία του νεκροταφείου Περατής. Τα λεγόμενα «κουμπιά» ή «σφονδύλια» ήταν βαρίδια κρεμασμένα στα άκρα των ενδυμάτων.

Ανεξάρτητα από τις χρήσεις, που έχουν τα αντικείμενα αυτά στο νοτιοελλαδικό χώρο, και οι οποίες είναι δυνατό να ποικίλλουν[149], στα νεκροταφεία της Θάσου φαίνεται ότι πρέπει να ερμηνευθούν ως σφονδύλια. Η διάμετρός τους, που κατά μέσο όρο είναι 0,03 μ., δεν καταργεί τη λειτουργικότητα ενός σφονδυλιού. Όταν εμφανίζονται μικρότερα μεγέθη, τα ανασκαφικά στοιχεία βεβαιώνουν συχνά παιδική ταφή και επομένως έχουμε μικρογραφικές αποδόσεις σφονδυλιών, αντίστοιχες με εκείνες των μικρογραφικών αγγείων, που σχετίζονται με παιδικές ταφές. Θα πρέπει να τονίσουμε, επίσης, τη συχνή αντιπαράθεσή τους με τα μαχαίρια στους τάφους και το συνδυασμό τους με βεβαιωμένους από την ανθρωπολογική μελέτη γυναικείους σκελετούς[150]. Ο μικρός, επίσης, αριθμός των σφονδυλιών στους τάφους και ο γενικός χαρακτήρας των ευρημάτων στα νεκροταφεία της Θάσου αποκλείει ερμηνείες, που συνδέουν τα αντικείμενα αυτά με τόσο εξειδικευμένες χρήσεις, όπως εκείνη που προτείνει ο Ιακωβίδης[151].

Τα πήλινα σφονδύλια των νεκροταφείων Καστρί και Λαρνάκι κατατάχθηκαν, όπως είδαμε, σε τρεις τύπους, η εμφάνιση των οποίων στο Αιγαίο, στα Βαλκάνια και την Εγγύς Ανατολή χρονολογείται στην ύστερη νεολιθική εποχή και στην πρώιμη εποχή του χαλκού[152] (Σ χ έ δ. 155· Π ί ν. 355: 1-7).

143. Lorimer 1950, 368-369, Blegen - Caskey 1953, 32-33.

144. Ο Deshayes 1966, 212, δέχεται και τις δύο απόψεις. Ανάλογα προβλήματα προκύπτουν και για τα «σφονδύλια» που βρίσκονται στον ηπειρωτικό βαλκανικό χώρο. Για ορισμένα π.χ. σφονδύλια του νεκροταφείου Donja Dolina υποστηρίχθηκε, με βάση τα ανασκαφικά στοιχεία, ότι ήταν περίαπτα. C. Truhelka, Der vorgeschichtliche Pfahlbau in Savabette bei Donja Dolina, WissMBosn IX (1904), 85. Η άποψη ότι τα μικρά αυτά πήλινα αντικείμενα θα μπορούσαν να μην είναι σφονδύλια δεν απορρίπτεται, Blegen - Caskey 1953, 33. Πρβλ. επίσης Valmin 1938, 336.

145. Χ. Τσούντας, ΑΕ 1893, 66, 174, όπου αναφέρονται 160 «σφονδύλια» σ' έναν τάφο.

146. Β. Στάης, ΑΕ 1895, 148, Wace 1932, 217-218, Blegen 1937, 256-257, Furumark 1941, 89, G. Mylonas, Ancient Mycenae, 1959, 78, Desborough 1966, 5Ο.

147. Archaeologia Homerica, A, 16-17.

148. Ιακωβίδης 1970, 277-281, Iakovidis 1977, 113 κ.ε.

149. O.T.P.K. Dickinson, BSA 78 (1983), 63.

150. Blegen - Caskey 1953, 33. Ο Blegen, ό.π., 19 και 153, σχετίζει τη συχνή παρουσία σφονδυλιών στην Τροία με οικιακή εριουργία και υφαντουργία, η οποία αρχίζει από την πρώιμη εποχή του χαλκού και συνεχίζεται ως την Τροία VIIb.

151. Ιακωβίδης 1970, 277 και Iakovidis 1977, 113-118, όπου προτείνεται με βάση τα ανασκαφικά στοιχεία η ερμηνεία ότι τα λεγόμενα σφονδύλια ήταν βαρίδια ρούχων.

152. Στην αρχαιότερη φάση της Πολιόχνης (I, periodo nero) εμφανίζεται μόνο ένα παράδειγμα σφονδυλιού. Bernabò-Brea 1964, 547, πίν. IIIg. Στην επόμενη φάση (II, periodo azzurro) τα σφονδύλια συνυπάρχουν με θραύσματα κεραμικής, που έχουν κοπεί ως κυκλικοί δίσκοι για να εξυπηρετήσουν την ίδια χρήση, ό.π., 588, πίν. LXXXIVa-i.

ΚΑΣΤΡΙ

ΤΥΠΟΣ	ΙΑ	ΙΒ	ΙΙΑ	ΙΙΒ	ΙΙΓ	ΣΥΝΟΛΟ	
I 1α			2	1		3	
I 1β		2				2	
I 1γ		1				1	
I 2	1		1	2		4	
I 3			1	2		3	
I 4			1			1	
I 5				3		3	
I 6α			1			1	
I 6β	1	1		1		3	
I 6γ		2	1			3	
ΣΥΝΟΛΟ	2	6	7	9		24	
II 1α		1	6	5		12	
II 1β		2	1	2		5	
II 1γ		1	2	6		9	
II 1δ				1		1	
II 2		4				4	
II 3		4		1		5	
II 4				1		1	
II 5α			1	4		5	
II 5β				1		1	
ΣΥΝΟΛΟ		12	10	21		43	
III		1				1	
ΓΕΝΙΚΟ ΣΥΝΟΛΟ	2	19	17	30		68	
IV						1	ΧΑΛΚΟ-
V						1	ΛΙΘΙΚΑ
VI						2	

ΛΑΡΝΑΚΙ

I 3				2		
II 1α			1	2		
II 1β-γ				4		
ΣΥΝΟΛΟ			1	8		

Σχέδ. 155. Τύποι σφονδυλιών κατά φάσεις νεκροταφείων Καστρί και Λαρνάκι.

ΤΥΠΟΣ ΣΙ

Ο τύπος του αμφικωνικού ανισόπλευρου σφονδυλιού είναι γνωστός από την πρώιμη εποχή του χαλκού (Τροία Ι) (Σ χ έ δ. 94· Π ί ν. 355: 1), αλλά δεν είναι ιδιαίτερα διαδεδομένος στο Αιγαίο[153]. Η παρουσία του ως την Τροία VI[154] είναι ωστόσο πολύ περιορισμένη. Στην Τροία VI[155], ο τύπος εμφανίζεται με μεγάλη συχνότητα και πολύ μεγαλύτερο ποσοστό από τους άλλους τύπους, συχνότητα που παραμένει και στην Τροία VIIa και VIIb[156] (Σ χ έ δ. 155).

Στη Μακεδονία, ο τύπος δεν είναι άγνωστος στην πρώιμη εποχή του χαλκού[157], όπου εμφανίζεται σε ανάλογο σχήμα με τη Θεσσαλία[158], αλλά δεν πρέπει να ήταν πολύ διαδεδομένος ως την ύστερη εποχή του χαλκού, στην οποία χρονολογούνται τα περισσότερα παραδείγματα. Στην ανατολική Μακεδονία είναι τύπος κοινός στην ύστερη εποχή του χαλκού[159]. Τη μεγαλύτερη διάδοση ωστόσο εμφανίζει ο τύπος στο μυκηναϊκό κόσμο, όπου φαίνεται ότι διαμορφώθηκαν παραλλαγές όπως η Ι, 1β[160]. Η εμφάνιση αυτού του τύπου, τόσο στην Τροία VI όσο και στη Μακεδονία, πιθανότατα δεν είναι άσχετη από μυκηναϊκές επιδράσεις. Έτσι εξηγείται και η απουσία αυτού του τύπου από τα ηπειρωτικά Βαλκάνια.

Στα νεκροταφεία της Θάσου ο τύπος Ι εμφανίζεται με πολλές παραλλαγές (Σ χ έ δ. 94), από τις οποίες η αρχαιότερη φαίνεται η Ι, 1β (Π ί ν. 355: 1), που είναι όμοια με μυκηναϊκά σφονδύλια. Ο τύπος Ι εμφανίζεται κυρίως στη φάση Ι των νεκροταφείων Καστρί, αλλά επιβιώνει και στη φάση ΙΙ των ίδιων νεκροταφείων, καθώς και στη φάση Ι του νεκροταφείου Λαρνάκι. Η παραλλαγή Ι, 4 είναι το μοναδικό παράδειγμα με αυλακωτή διακόσμηση (Π ί ν. 28: 13). Χαρακτηριστική, οπωσδήποτε, είναι η απουσία εγχάρακτης διακόσμησης από τα σφονδύλια αυτού του τύπου, τόσο στη Θάσο όσο και στη Μακεδονία, σε αντίθεση με τα σύγχρονα σφονδύλια της Τροίας[161], όπου η εγχάρακτη διακόσμηση εμφανίζεται με μεγάλη συχνότητα.

ΤΥΠΟΣ ΣΙΙ

Ο τύπος ΙΙ του αμφικωνικού ισόπλευρου σφονδυλιού (Π ί ν. 355: 2) είναι διαδεδομένος τύπος σφονδυλιού στα Βαλκάνια και στο Αιγαίο. Η εμφάνισή του ανάγεται στη νεολιθική εποχή[162], αλλά συνεχίζεται στην πρώιμη εποχή του χαλκού με μεγάλη διάδοση στην Τροία[163],

153. Τροία Ι: Blegen - Caskey 1950, πίν. 128, αριθ. 21. Στο Εμπορειό αναφέρονται ορισμένα στην περίοδο Ι (Τροία ΙΙ), αλλά πρόκειται για όχι καλά στρωματογραφημένα παραδείγματα, ενώ τα στρωματογραφημένα ανήκουν στην ύστερη εποχή του χαλκού, Hood 1981/1982, 643, εικ. 287, τύπος D. Ορισμένα, επίσης, είναι δυνατό να ανήκουν σε στρώματα σύγχρονα με την Τροία ΙΙΙ-V.

154. Τύπος 21: Τροία Ι, Blegen - Caskey 1950, εικ. 22, αριθ. 33116 (με εγχάρακτη διακόσμηση). Τροία ΙΙ: ό.π., εικ. 367, αριθ. 35516. Τροία ΙΙΙ: Blegen - Caskey 1951, εικ. 58, αριθ. 34293. Πρβλ. τύπο ΣΙ, 6α. Τροία IV: ό.π., εικ. 153, αριθ. 37.2 (με εγχάρακτη διακόσμηση). Τροία V: ό.π., εικ. 237, αριθ. 32294 (ακόσμητο).

155. Τροία VI: Blegen - Caskey 1953, 32, πίν. 8, εικ. 307. Ο τύπος του ανισόπλευρου σφονδυλιού με εγχάρακτη ή ακόσμητη επιφάνεια αποτελεί το 50% των σφονδυλιών της Τροίας VI.

156. Τροία VIIa: Blegen - Caskey 1958, 18. Τα σφονδύλια της Τροίας VIIa συνεχίζουν τους τύπους των προηγούμενων φάσεων. Ο τύπος 21 παραμένει πάντα συχνός. Τροία VII, ό.π., 153, πίν. 257.

157. Σέρβια: Heurtley 1939, εικ. 67f.

158. Άργισσα: Hanschmann - Milojčič 1976, πίν. 51, αριθ. 27. Τάφος 25 Σέσκλου: Τσούντας 1908, πίν. 5, 17, ΜΕ.

159. Σταθμός Αγγίστας: Κουκούλη-Χρυσανθάκη 1980, 54 κ.ε.

160. Ο τύπος είναι, ωστόσο, γνωστός στην εποχή του ταφικού περιβόλου Β', Μυλωνάς 1973, 207, εικ. 23, πίν. 189. Πρβλ. για θασιακούς τύπους ΣΙ, 1α και ΣΙ, 6β. Στο νεκροταφείο Πρόσυμνας τα σφονδύλια των πρώιμων φάσεων ΥΕ Ι και ΥΕ ΙΙ είναι πήλινα, ενώ στην ΥΕ ΙΙΙ περίοδο επικρατούν τα «σφονδύλια» από στεατίτη, Blegen 1937, 312-313. Πρβλ. επίσης παραδείγματα από τους θαλαμοειδείς τάφους Μυκηνών, Wace 1932, πίν. XXIX, αριθ. 27, ή παραδείγματα π.χ. από την Πύλο, Blegen 1973, εικ. 115, 2 και 116, 3.

161. Η εγχάρακτη διακόσμηση είναι συχνή στα σφονδύλια των φάσεων Ι-VII της Τροίας τόσο στον ισόπλευρο όσο και στον ανισόπλευρο τύπο.

162. Για συγκεντρωμένα παραδείγματα νεολιθικής εποχής από την Ανατολή, τον ελλαδικό χώρο και τα ηπειρωτικά Βαλκάνια, πρβλ. Hood 1981/1982, 642-643.

163. Τροία Ι: Blegen - Caskey 1950, εικ. 228, αριθ. 15, εικ. 221. Τροία ΙΙ: ό.π., εικ. 368. Τροία ΙΙΙ: Blegen - Caskey 1951, εικ. 54, αριθ. 34453, 34294, 37237. Τροία IV: ό.π., εικ. 151, αριθ. 3713, 36363 κ.ά. Τροία V: ό.π., εικ. 237, αριθ. 35452, 3310. Τροία VI: Blegen - Caskey 1953, εικ. 306. Τροία VIIa: Blegen - Caskey 1958, εικ. 222, αριθ. 37100, 37311, 37413. Τροία VIIb: ό.π., εικ. 257, αριθ. 37557, 37646 κ.ά. Τροία VIII: ό.π., εικ. 289, αριθ. 37660.

στην Πολιόχνη[164], στη Θερμή[165], στη Μακεδονία[166] και Θράκη[167], στη Θεσσαλία[168] και στη νότια Ελλάδα[169], και με συνέχεια χρήσης στη μεσοελλαδική εποχή[170], στην ύστερη εποχή του χαλκού[171] και στην πρώιμη εποχή του σιδήρου[172].

Η μακρόχρονη διατήρηση του τύπου δε δίδει στοιχεία για χρονολόγηση. Στα νεκροταφεία Θάσου η παρουσία του είναι συνεχής στη φάση Ι και ΙΙ (Σ χ έ δ. 117).

ΤΥΠΟΣ ΣΙΙΙ

Ο τύπος ΙΙΙ κατάγεται από πρότυπα πρώιμης εποχής του χαλκού[173], που επιβιώνουν στη μέση[174] και ύστερη εποχή του χαλκού, στον αιγαιακό και νοτιοελλαδικό χώρο[175], καθώς και στη Μακεδονία[176] και Θράκη[177].

Στην ανατολική Μακεδονία ο τύπος αυτός του σφονδυλιού συνδυάζεται συχνά με εγχάρακτη διακόσμηση, χωρίς να λείπουν και οι ακόσμητοι τύποι. Στη Θάσο, ο διακοσμημένος με χάραξη τύπος εμφανίζεται σε στρώματα ύστερης εποχής του χαλκού του οικισμού, που φαίνεται ότι είναι κάπως αρχαιότερα από τα αντίστοιχα των νεκροταφείων, όπου εμφανίζεται μόνο ο ακόσμητος τύπος. Χαρακτηριστική, οπωσδήποτε, είναι η αραιή παρουσία του τύπου ΙΙΙ στα νεκροταφεία (Π ί ν. 116: 163) και η τέλεια εξαφάνισή του στη φάση ΙΙ των νεκροταφείων Καστρί και στη φάση Ι του νεκροταφείου Λαρνάκι.

ΜΟΛΥΒΔΙΝΑ «ΣΦΟΝΔΥΛΙΑ»

Τρία μολύβδινα «σφονδύλια» βρέθηκαν στο νεκροταφείο Τσιγανάδικα του οικισμού Καστρί. Έχουν το ίδιο σχήμα, αλλά η χρήση τους δεν είναι εξακριβωμένη (Σ χ έ δ. 93· Π ί ν. 33: 12, 111: 78, 134: 30).

Αντίστοιχο, αν και κάπως διαφορετικό στο σχήμα, είναι το μοναδικό μολύβδινο σφονδύλι που βρέθηκε στην Τροία VIIa[178]. Στη Συλλογή Schliemann αναφέρονται, χωρίς να απεικονίζονται, οκτώ μολύβδινα σφονδύλια, που κατατάσσονται σε τρεις τύπους[179]. Ο Blegen σημειώνει την απουσία ανάλογων αντικειμένων στις μυκηναϊκές θέσεις και αναφέρει παράλληλο με το αριθ. 35242 της Τροίας IIa παράδειγμα από το Alishar[180].

164. Bernabò-Brea 1964, πίν. LXXXIV h, k, i, CLXIX και CCXXXVI e.

165. Lamb 1936, 162, εικ. 46, 9.

166. Βαρδαρόφτσα: Heurtley - Hutchinson 1925/26, 36, εικ. 21 s 28 V 15.

167. Ιν Ντερέ: Πεντάζος 1971, πίν. 113β, πρώιμη εποχή του χαλκού. Παραδημή: Bakalakis - Sakellariou 1981, πίν. 73, 4, νεολιθική εποχή.

168. Άργισσα: Hanschmann - Milojčić 1976, πίν. 51, αριθ. 25, 26.

169. Εύτρηση: Goldman 1931, 200, εικ. 170.

170. Μάλθι Μεσσηνίας: Valmin 1938, 335, εικ. 71, τύπος C, Μυλωνάς 1975, 226, πίν. 92γ.

171. Νότια Ελλάδα: Furumark 1941, 90, τύπος a2, εικ. 2. Πρόσυμνα: Blegen 1937, 312-313. Κεφαλληνία: Μαρινάτος 1932, πίν. 15, Μαρινάτος 1933, 92, εικ. 40. Περατή: Ιακωβίδης 1970, 277 κ.ε. Αίγιο: Papadopoulos 1979, πίν. 78d, 80c, και 63b. Ήπειρος: Καλμπάκι, Δάκαρης 1956, 128, εικ. 2, 11. Μακεδονία: Βαρδαρόφτσα, Heurtley 1939, εικ. 104 c, d, e. Βάρδινο: Heurtley 1939, εικ. 104f. Άσσηρος: Wardle 1980, πίν. 22e. Σταθμός Αγγίστας: Κουκούλη-Χρυσανθάκη 1980, 72. Εξοχή Δράμας, Γραμμένος 1979, 50, εικ. 3.

172. Βεργίνα: Ανδρόνικος 1969, 260. Τσαουζίτσα: Casson 1923/25, 21, εικ. 10. Ηφαιστεία: Mustilli 1932/33, 47, εικ. 65.

173. Πρβλ. παραδείγματα από την Τροία ΙΙ κ.ε., τύπος 9: Blegen - Caskey 1951, εικ. 42, αριθ. 9 (Τροία Ι), εικ. 54, αριθ. 37126, Blegen - Caskey 1953, εικ. 296, αριθ. 3632 (Τροία VI). Επίσης από το ανατολικό Αιγαίο: Πολιόχνη, Bernabò-Brea 1964, πίν. CLXVIII, 7, Θερμή, Lamb 1936, 162, εικ. 46, αριθ. 11. Μακεδονία: Βαρδαρόφτσα, Heurtley 1939, εικ. 67. Βουλγαρία, Ezero: Georgiev - Merpert - Catinčarov - Dimitrov 1979, εικ. 191b.

174. Μάλθι Μεσσηνίας: Valmin 1938, 335, εικ. 71, τύπος A.

175. Karo 1930, τάφος ΙΙΙ, αριθ. 163, Μυλωνάς 1973, 207, εικ. 23, πίν. 189β.

176. Σταθμός Αγγίστας: Κουκούλη-Χρυσανθάκη 1980, 72, αδημοσίευτα. Εξοχή Δράμας: Γραμμένος 1979, 50, εικ. XIII, 5 και 6.

177. Ακρόπολη Εργάνης: Πεντάζος 1971 (αδημοσίευτα).

178. Blegen - Caskey 1958, 13-14, εικ. 219, αριθ. 35292.

179. Schmidt 1902, αριθ. 5808-5815.

180. H. Van der Osten, The Alishar Hüyük, Seasons 1930-32, 1937, II, εικ. 298, αριθ. 2077.

Τα μολύβδινα σφονδύλια της Θάσου προέρχονται από τις φάσεις ΙΒ και ΙΙΒ1 του νεκροταφείου Καστρί και στην περίπτωση της ταφής Κ4Β (Π ί ν. 33: 12) φαίνεται ότι το συγκεκριμένο σφονδύλι, σχετίζεται με ταφή γυναικεία.

Βελόνες

Εμφανίζονται δύο τύποι χάλκινων βελόνων (Σ χ έ δ. 92· Π ί ν. 354: 8).

ΤΥΠΟΣ Β1

Ο τύπος αυτός αντιπροσωπεύεται με τέσσερα παραδείγματα στα νεκροταφεία του οικισμού Καστρί, και απουσιάζει τελείως από το νεκροταφείο Λαρνάκι. Τα χαρακτηριστικά του τύπου είναι το λεπτό μακρύ στέλεχος με κυκλική τομή, που στο ένα άκρο καταλήγει σε αιχμή, ενώ στο άλλο τυλίγεται, σχηματίζοντας μια λεπτή θηλιά, που σφυρηλατείται μαζί με το στέλεχος της βελόνας (Π ί ν. 354: 8, αριστερά). Ο τύπος εμφανίζεται στον αιγαιακό χώρο από την πρώιμη εποχή του χαλκού[181] και παραμένει στις επόμενες φάσεις της εποχής του χαλκού[182], καθώς και στην πρώιμη εποχή του σιδήρου. Στους ιστορικούς χρόνους φαίνεται ότι επικρατεί ο τύπος της βελόνας με το διάτρητο στέλεχος[183].

Ο τύπος της χάλκινης βελόνας με το σφυρηλατημένο άκρο είναι διαδεδομένος επίσης στην Εγγύς Ανατολή[184], απ' όπου προέρχονται ορισμένα πολύ συγγενικά με τις αιγαιακές βελόνες παραδείγματα, αλλά δε λείπει και από τον κεντροευρωπαϊκό χώρο[185].

Στα νεκροταφεία του οικισμού Καστρί καλύπτει τις φάσεις ΙΒ και ΙΙΑ.

ΤΥΠΟΣ Β2

Η χρήση του αιχμηρού αυτού χάλκινου εργαλείου, που αντιπροσωπεύεται με δύο παραδείγματα στον τάφο Τ18 του νεκροταφείου Τσιγανάδικα (Π ί ν. 116: 157-158, 354: 8, δεξιά), δεν είναι εξακριβωμένη. Τυπολογικά θα μπορούσε να συγκριθεί με έναν τύπο χάλκινων περονών, που εμφανίζεται στην Κρήτη από την πρωτομινωική ως την υστερομινωική περίοδο[186], αλλά οι διαστάσεις και το πάχος των θασιακών αντικειμένων καταργούν τη συσχέτιση με περόνες και οδηγούν στην ερμηνεία τους ως εργαλείων. Εργαλεία, άλλωστε, σχετικά με το γνέσιμο του μαλλιού μπορεί να είναι κατά μία άποψη και οι κρητικές περόνες[187]. Για τα θασιακά παραδείγματα, που δε σώζονται ακέραια, είναι αδύνατο να προσδιορίσουμε μια συγκεκριμένη χρήση. Παρά τις μεγάλες διαστάσεις τους, πρέπει μάλλον να μην αποκλεισθεί και η συσχέτισή τους με αγκίστρια[188]. Η συμπαγής πάλι κατασκευή τους και το αιχμηρό άκρο δι-

181. Branigan 1974, 30, τύπος ΙΙ, πίν. 15, αριθ. 1198-1229. Τα αρχαιότερα παραδείγματα του αιγαιακού χώρου βρέθηκαν στην Πολιόχνη ΙΙ, Bernabò-Brea 1964, πίν. LXXXVIII, 18, και στη Θερμή Ι, Lamb 1936, 175, αριθ. 3148. Ο Branigan παραθέτει 32 συνολικά παραδείγματα αντίστοιχου τύπου βελόνας, με τα οποία διαπιστώνεται η διάδοση του τύπου στη Λήμνο, Λέσβο, Τρωάδα, Κυκλάδες, στην πρώιμη εποχή του χαλκού. Από την Τροία έχουμε μόνο ένα παράδειγμα (Τροία IV), Blegen - Caskey 1951, 112, εικ. 47, αριθ. 37753, αλλά ο τύπος φαίνεται πολύ διαδεδομένος στις Κυκλάδες, Τσούντας 1898, 163, Τσούντας 1899, 108, σημ. 1 και πίν. 10, αριθ. 20. Πρβλ., ωστόσο, και παραδείγματα από χαλκολιθικά στρώματα των οικισμών Σιταγρών και Ντικιλί Τας, καθώς και θραύσμα βελόνας από χαλκολιθικό στρώμα του οικισμού Καστρί Θάσου.

182. Ο Branigan 1974, 30, έχει επισημάνει την απουσία του τύπου στη μέση εποχή του χαλκού και τη θεωρεί συμπτωματική. Στην ύστερη εποχή του χαλκού τα παραδείγματα είναι πολλά, Harding 1975. Βελόνες αντίστοιχες με το θασιακό τύπο Β1 εμφανίζονται στη Θερμή της ύστερης εποχής του χαλκού, Lamb 1936, αριθ. 3248, ή στην Άσσηρο της Μακεδονίας ανάμεσα στα στρώματα 6 και 7, Wardle 1980, 253.

183. Olynthus X, πίν. CXV, αριθ. 1752.

184. Στην Εγγύς Ανατολή βελόνες αυτού του τύπου είναι επίσης κοινές σ' όλες τις περιόδους της εποχής του χαλκού. Πρβλ. π.χ. Kusura, Archeologija 86 (1936), εικ. 1-2.

185. Foltiny 1955, 53, εικ. 28, 6-7. Πρβλ. παραδείγματα από τη Βουλγαρία, Černych 1978α, πίν. 18.

186. Branigan 1970, 41, Branigan 1974, 35, τύπος ΙΙ, αριθ. 1524-1542Α. Πρβλ. και χάλκινη περόνη με γυριστό άκρο από την κεντρική Ευρώπη, Hochstetter 1981, εικ. 5, 7.

187. Hall 1914, 34, αριθ. 42, πίν. IV.

188. Πρβλ. π.χ. άγκιστρο από τη Ραφήνα Αττικής, Δ. Θεοχάρης, ΠΑΕ 1952, 148, εικ. 44γ. Για ανάλογα άγκιστρα χωρίς ακίδα, πρβλ. Branigan 1974, αριθ. 1159, 1160, 1162, 1168, πίν. 15, πρώιμες εποχές του χαλκού. Για χάλκινα άγκιστρα από την πρώιμη εποχή του χαλκού ως και τους γεωμετρικούς χρόνους, πρβλ. Η.-G. Buchholtz - C. Jährens -

καιολογούν και μια ερμηνεία τους ως οπέων, η οποία οπωσδήποτε δεν μπορεί να θεωρηθεί ασφαλής.

Οστέινα εργαλεία

Πρόκειται για πρόχειρα κατασκευασμένα εργαλεία από οστά ζώων, που προορίζονταν να εξυπηρετήσουν κάποια ειδική, πιθανότατα οικιακή, χρήση (οπείς) (Π ί ν. 354: 7). Τα εργαλεία αυτού του είδους, που είναι γνωστά με τη συμβατική ονομασία «οπείς»[189], εμφανίζονται από την παλαιολιθική εποχή και καλύπτουν όλες τις φάσεις της νεολιθικής εποχής και της εποχής του χαλκού, επιβιώνοντας ως και την πρώιμη εποχή του σιδήρου σε πολλές περιοχές[190].

Στις πρώιμες φάσεις της εποχής του χαλκού, τα οστέινα εργαλεία εξακολουθούν να κρατούν μεγαλύτερο ποσοστό από τα μετάλλινα, ανάμεσα στα εργαλεία των οικισμών[191].

Στα νεκροταφεία του οικισμού Καστρί έχουν βρεθεί δύο οστέινες αιχμές. Η αιχμή Τ18, 39α (Π ί ν. 107) προέρχεται από στρώμα της φάσης ΙΒ, ενώ η αιχμή Β1Β4 (Π ί ν. 48) ανήκει στον τάφο Β1Β της φάσης ΙΙΒ. Τα δύο παραπάνω εργαλεία είναι κατασκευασμένα από αυλοειδές οστό προβάτου και αγελάδας[192] και ανήκουν στον τύπο 2 των οστέινων εργαλείων, που έχει ξεχωρίσει ο Blegen[193] στην Τροία. Ο τύπος αυτός εμφανίζεται με μεγάλη συχνότητα σ' όλες τις φάσεις της Τροίας και είναι πολύ διαδεδομένος σ' όλες τις φάσεις της εποχής του χαλκού στους οικισμούς, τόσο του αιγαιακού χώρου όσο και των γειτονικών πολιτιστικών κύκλων[194].

ΚΟΣΜΗΜΑΤΑ

Σφηκωτήρες

Το κόσμημα αυτό είναι γνωστό στον αιγαιακό χώρο από την πρώιμη του χαλκού[195], αντίστοιχά του δε εμφανίζονται στη Μέση Ανατολή[196] και στην κεντρική Ευρώπη[197].

I. Maull, Jagd und Fischfang, Archaeologia Homerica, II, J, 167-173. Πρβλ. και άγκιστρο από το San Vitale, Müller-Karpe 1959, πίν. 65 F8.

189. Μουνδρέα-Αγραφιώτη 1980, 86-92.

190. Βαρδαρόφτσα: Heurtley - Hutchinson 1925/26, 34, εικ. 20, αριθ. 3, φάση D. Περιβολάκι (Σαρατσέ): Heurtley - Radford 1928/30, 146, εικ. 33, 7-8, φάση D. Πρβλ. επίσης παραδείγματα από το Εμπορειό ΙΙ, Boardman 1967, 243, εικ. 164, 700-650 π.Χ.

191. Στους οικισμούς της Μακεδονίας της ύστερης εποχής του χαλκού, τα οστέινα εργαλεία εξακολουθούν να κρατούν γενικά ένα μεγάλο ποσοστό ανάμεσα στα εργαλεία. Πρβλ. Βαρδαρόφτσα, Heurtley - Hutchinson 1925/26, 40, εικ. 25, 13, 15, Βάρδινο, Heurtley 1925/26, 29, Σταθμός Αγγίστας, Κουκούλη-Χρυσανθάκη 1980, 72.

192. Πρβλ. Παράρτημα ΙΙ (P. Halstead - G. Jones).

193. Τροία I: Blegen - Caskey 1950, 47, 49, εικ. 219, αριθ. 36184. Τροία II: ό.π., 216, εικ. 364, αριθ. 3618. Τροία III: Blegen - Caskey 1951, 13, εικ. 52, αριθ. 37390 κ.ά. Τροία IV: ό.π., 114, εικ. 149, αριθ. 37456 κ.ά. Τροία V: ό.π., 233, εικ. 235, αριθ. 35 και 6 κ.ά. Τροία VI: Blegen - Caskey 1953, 27-28, εικ. 289, 2, εικ. 301. Τροία VIIa: Blegen - Caskey 1958, 16, εικ. 211. Τροία VIIb: ό.π., 150, εικ. 255.

194. Βαρδαρόφτσα: Heurtley - Hutchinson 1925/26, 40, εικ. 25, 15, ύστερη εποχή του χαλκού. Περιβολάκι (Σαρατσέ): Heurtley - Radford 1928/30, 146, εικ. 33, 2, 4, πρώιμη εποχή του χαλκού. Άγιος Μάμας: Heurtley 1939, εικ. 66. Εύτρηση: Goldman 1931, εικ. 283. Πρβλ. επίσης και τα ηπειρωτικά Βαλκάνια, π.χ. Ezero, Georgiev - Merpert - Katinčarov - Dimitrov 1979, εικ. 278.

195. Branigan 1974, 47, τύπος I, αριθ. 2949-2976A, πίν. 22.

196. C.L. Wooley, Ur Excavations II: The Royal Cemeteries, A Report of the Predynastic and Sargonid Graves Excavated between 1926-1931, 1934.

197. Gimbutas 1965, 34 κ.ε., εικ. 7, 5, όπου θίγονται οι σχέσεις της ανατολικοκεντρικής Ευρώπης με την Εγγύς Ανατολή γύρω στα 1850-1650 π.Χ. Πρβλ. π.χ. σφηκωτήρες από τη Σλοβακία, ό.π., εικ. 10, 34, ή σφηκωτήρες από τη Σιλεσία, ό.π., 49, εικ. 11, 9.

Τα αρχαιότερα παραδείγματα του Αιγαίου προέρχονται από την Τροία II[198], το κόσμημα ωστόσο είναι διαδεδομένο σ' όλες τις φάσεις της πρώιμης και μέσης εποχής του χαλκού, όπως διαπιστώνεται από παραδείγματα, που προέρχονται από την Τροία[199] και την Κρήτη[200], καθώς και από τον ελλαδικό χώρο[201]. Στην ύστερη εποχή του χαλκού, το κόσμημα εμφανίζεται από την ΥΕ Ι φάση στους κάθετους τάφους των Μυκηνών[202], καθώς και στον ταφικό περίβολο Β'[203], και σημειώνει μια συνεχή παρουσία σ' όλες τις φάσεις της ΥΕ περιόδου[204], επιβιώνοντας στα πρωτογεωμετρικά[205] και τα γεωμετρικά χρόνια[206]. Αντίστοιχη επιβίωση του κοσμήματος στις νεότερες φάσεις της εποχής του χαλκού και στην πρώιμη εποχή του σιδήρου σημειώνεται και στον κεντροευρωπαϊκό χώρο[207].

Πολύ συχνή είναι η χρήση πολύτιμων μετάλλων (χρυσού ή αργύρου) στην κατασκευή του κοσμήματος αυτού, τόσο στη μυκηναϊκή εποχή όσο και στην υπομυκηναϊκή, την πρωτογεωμετρική και γεωμετρική περίοδο, αλλά δε λείπουν και αντίστοιχα με τα θασιακά χάλκινα παραδείγματα.

Η ερμηνεία του ως κοσμήματος κόμης στηρίζεται σε πληροφορίες των ομηρικών επών[208] και επιβεβαιώνεται από αρχαιολογικά ευρήματα[209]. Σε πολλές περιπτώσεις, όταν λείπουν οι ανασκαφικές πληροφορίες, είναι αδύνατο να ξεχωρίσει από τα τυπολογικά όμοια παραδείγματα αντίστοιχων δακτυλιδιών. Συχνές είναι ωστόσο οι περιπτώσεις, όπου είναι βέβαιη η χρήση του ως κοσμήματος κόμης, προορισμένου να συγκρατεί τους βοστρύχους σε περίπλοκα ή και απλούστερα χτενίσματα[210].

Τα θασιακά παραδείγματα πρέπει να είναι κοσμήματα κόμης, όπως βεβαιώνουν σε άλλες περιπτώσεις τα ανασκαφικά στοιχεία — τα κοσμήματα βρίσκονται στην περιοχή του κρανίου των νεκρών —, σε άλλες περιπτώσεις οι διαστάσεις τους. Στο μεγαλύτερο ποσοστό τους έχουν κατασκευασθεί από χαλκό. Ξεχωρίζουν οι εξής τύποι:

198. Schmidt 1902, αριθ. 6125, 6127-6129, 6140-6144.

199. Ό.π., αριθ. 6014, 6015, 6431.

200. Άγιος Αντώνιος: Hall 1914, εικ. 107, 5, Branigan 1974, αριθ. 2949. Άγιος Ονούφριος: A. Evans, Cretan Pictographs, 1895, εικ. 91, Branigan, ό.π., αριθ. 2952. Άγιος Ονούφριος, Μουσείο Ηρακλείου: Branigan, ό.π., αριθ. 2954-2956.

201. Ορχομενός: Wace - Thompson 1912, 196. Κόρινθος: Corinth XIII, πίν. 3, 2-6, Branigan 1974, αριθ. 2969-2974. Ζυγουριές: Blegen 1928, 201, εικ. 189, Branigan, ό.π., αριθ. 2975.

202. Karo 1930, 51-52, πίν. XX, 53, 54, 55 κ.α., G. Mylonas, Ancient Mycenae, 1959, 147, εικ. 58.

203. Μυλωνάς 1973, πίν. 160α, τάφος Ξ 406-408.

204. Περατή: Ιακωβίδης 1970, 299-301, όπου σημειώνεται η διάδοση του τύπου στο Αιγαίο και στον ελλαδικό χώρο και συγκεντρώνονται παραδείγματα από Μυκήνες, Τίρυνθα, Δελφούς, Κεφαλληνία, Νάξο, Κρήτη, Κω, Ρόδο, Κύπρο.

205. Τάφος 83 Κεραμεικού: Kübler - Kraiker 1939, 86-87. Χάλκινο υπομυκηναϊκό παράδειγμα, πρβλ. και χρυσά παραδείγματα: τάφος 5, ό.π., πίν. 76. Πρβλ. επίσης χρυσούς σφηκωτήρες από το νεκροταφείο Σαλαμίνας, Wide 1910, 29-30, εικ. 10, αριθ. 25, 26, 28. Επίσης Καρφί Κρήτης, Pendlebury 1937/38, 113, 114, πίν. XXVIII, 1 και 3 (162, 163-164, 390). Assarlik: BMC, Jewellery, πίν. 13, αριθ. 1214/1215. Για πρωτογεωμετρικά παραδείγματα, πρβλ. Κεραμεικός, Kübler - Kraiker 1939, τάφος 22 Μ117 και τάφος 39 Μ2, πίν. 39, όπου και σχετικά παράλληλα, 25, σημ. 24.

206. Βεργίνα: Ανδρόνικος 1969, 259. Κόρινθος: AJA 41 (1937), 543, εικ. 6, 544, εικ. 7. Περαχώρα: Perachora I (1940), 73, πίν. 18, 4 και 79, 24-25. Άργος: ΑΔ 16 (1960), 93, πίν. 71 κ.ε.

207. Ανάλογοι χρυσοί σφηκωτήρες σε παραδουνάβιους πολιτισμούς: E. Zacharia, Dacia NS 3 (1959), 103 κ.ε. Πρβλ. π.χ. ανάλογα κοσμήματα στον πολιτισμό Únětice, Gimbutas 1965, 254, εικ. 163, 265, εικ. 174, 269, εικ. 176, 8, 271, εικ. 178, 8, Foltiny 1955, 22, πίν. 6, 10 και 5, 10. Για νεότερα παραδείγματα, πρβλ. Tumulus Culture, Gimbutas, ό.π., εικ. 201, 14. Πρβλ. ακόμη χάλκινους σφηκωτήρες από το νεκροταφείο Cîrna, Dumitrescu 1961, πίν. CLXIII, 1-4. Επιβιώσεις του κοσμήματος αυτού σημειώνονται και στην πρώιμη εποχή του σιδήρου, πρβλ. π.χ. Vučí Dol, Kilian 1975, πίν. 54, 3-4 ή Dobrina, Mirčev 1965, 62, πίν. IX, εικ. 38.

208. «αἵματί οἱ δεύοντο κόμαι Χαρίτεσσιν ὁμοῖαι πλοχμοί θ', οἵ χρυσῷ τε καὶ ἀργύρῳ ἐσφήκωντο», Ιλ. Ρ 51-52, που από τους σχολιαστές του Ομήρου συνδυάζονται με τους στίχους: «τῆσι παρ' εἰνάετες χάλκευον δαίδαλα πολλά, πόρπας τε γναμπτάς θ' ἕλικας κάλυκάς τε καὶ ὅρμους ἐν σπῆϊ γλαφυρῷ...», Ιλ. Σ 400-403.

209. Πρβλ. παραδείγματα δύο σφηκωτήρων κατά χώραν στο νεκροταφείο Περατής, Ιακωβίδης 1970, 300-301. Πρβλ. επίσης ανασκαφικά στοιχεία νεκροταφείου Βεργίνας, Ανδρόνικος 1969, 226.

210. F. Studnizca, Krobylos und Tetiiges, JdI 11 (1896), 248-291, W. Helbig, Das Homerische Epos, 1887, 242-243, E. Bielefeld, Archaeologia Homerica, I, C, C37 και C47, Ανδρόνικος 1969, 226, Ιακωβίδης 1970, 300-301.

ΤΥΠΟΣ Σφ. 1

Ο σφηκωτήρας αυτού του τύπου εμφανίζει μεγάλη διάμετρο και αποτελείται από λεπτό σύρμα, που μετά από αλλεπάλληλους κύκλους καταλήγει σε δύο αντωπές σπείρες στα άκρα. Παραδείγματα σε χαλκό λείπουν από το νοτιοελλαδικό χώρο. Ένας ανάλογος χρυσός σφηκωτήρας από το θησαυρό της Τίρυνθας[211] δεν εμφανίζει τις ελικόσχημες απολήξεις στα άκρα, που χαρακτηρίζουν το σφηκωτήρα Κ2ΣΤ6 (Π ί ν. 19: 6, 355: 8) της Θάσου, και οι οποίες παραπέμπουν σε ανάλογες σπείρες δακτυλιδιών ή βραχιολιών, ιδιαίτερα διαδεδομένες στον ηπειρωτικό ευρωπαϊκό χώρο. Στη Μακεδονία, ο τύπος Σφ. 1 επιβιώνει ως τον πρώιμο 6ο αι. π.Χ.[212].

ΤΥΠΟΣ Σφ. 2

Το χαρακτηριστικό του τύπου αυτού είναι το χονδρό σύρμα με την κυκλική τομή, που τυλίγεται σε πολλές σπείρες (Π ί ν. 355: 9). Εκτός από τα ανάλογα παραδείγματα πρώιμης εποχής του χαλκού[213], αντίστοιχα παραδείγματα είναι οι χρυσοί και αργυροί σφηκωτήρες από το μυκηναϊκό κόσμο[214].

Ο τύπος επιβιώνει, ωστόσο, σε νεότερα παραδείγματα στην πρωτογεωμετρική[215] και γεωμετρική εποχή[216]. Σε επαρχιακά εργαστήρια των ηπειρωτικών Βαλκανίων βρίσκουμε τον τύπο στον 6ο και 5ο αι. π.Χ.[217].

ΤΥΠΟΣ Σφ. 3

Το ιδιόρρυθμο σχήμα αυτού του τύπου θυμίζει παραμορφωμένο οκτώσχημο κόσμημα, είναι δε πιθανό να έχουμε μια παραμόρφωση τυχαία στο σχήμα ενός τύπου που θυμίζει τον τύπο Σφ. 4 με το χονδρό σύρμα, με την κυκλική τομή και τις πολλαπλές σπείρες (Π ί ν. 355: 10).

ΤΥΠΟΣ Σφ. 4

Το σύρμα του σφηκωτήρα αυτού του τύπου εμφανίζει τομή τριγωνική, που προέρχεται από τη σφυρηλάτηση (Π ί ν. 355: 11) και παραπέμπει σε παραδείγματα πρώιμης εποχής του χαλκού[218], καθώς και σε αντίστοιχα παραδείγματα από τον κεντροευρωπαϊκό χώρο[219].

ΤΥΠΟΣ Σφ. 5

Ο σφηκωτήρας του τύπου αυτού κατασκευάζεται από έλασμα και όχι από σύρμα. Το μοναδικό σωζόμενο παράδειγμα σώζεται πολύ αποσπασματικά και δε μας δίδει ασφαλή τυπολογικά χαρακτηριστικά (Π ί ν. 355: 12).

211. AM LV (1930), 128-129, πίν. XXII. Αντίστοιχα ελικωτά άκρα σε χάλκινο βραχιόλι από την Τροία II, Branigan 1974, αριθ. 2581, πίν. 22, τύπος V. Πρβλ. αντίστοιχο τύπο από τη Θερμή, Lamb 1936, πίν. XLCII, 3265, τύπος Va, Branigan, ό.π. Ελικωτή απόληξη και σε απλό κρίκο από το Λευκαντί, Popham - Sackett - Themelis 1979/1980, πίν. 95, 156a. Πρβλ. και αρχαϊκό παράδειγμα χάλκινου σφηκωτήρα όμοιου τύπου από το νεκροταφείο αρχαίας Ηιόνας (αρχές 6ου αι. π.Χ., Μουσείο Καβάλας, αδημοσίευτο). Κοντά στο θασιακό παράδειγμα το υπομυκηναϊκό της Σαλαμίνας, Wide 1910, εικ. 7, αριθ. 3590.

212. Foltiny 1955, πίν. 8, 4-7.

213. Τροία II: Schmidt 1902, αριθ. 6142, Branigan 1974, αριθ. 2963, πίν. 22.

214. Πρβλ. χρυσά «στρεπτά» της Περατής, Ιακωβίδης 1970, Μ132, πίν. 61β, καθώς και αργυρά «στρεπτά» Περατής, ό.π., Μ133, πίν. 61β, Μ130, πίν. 33.

215. Πρβλ. Κεραμεικού, Kübler - Kraiker 1939, πίν. 76, τάφος 5 (χρυσός), Κρήτης (Δικταίο άντρο), Boardman 1961, 38, εικ. 17, αριθ. 176.

216. Λευκαντί: Popham - Sackett - Themelis 1979/1980, 220, πίν. 230j (χρυσό). Πρβλ. όμοιο από το Ομόλιο Θεσσαλίας, ΑΔ 17 (1961/62): Χρονικά, πίν. 195β. Χρυσοί σφηκωτήρες Βεργίνας, Ανδρόνικος 1969, 259.

217. Dobrina: Mirčev 1965, 62, πίν. IX, εικ. 38. Vuči Dol: Kilian 1975, πίν. 54, 3-4.

218. Τροία II: Schmidt 1902, αριθ. 6127, Branigan 1974, αριθ. 295 (ασημένιο). Άγιος Αντώνιος: Hall 1914, εικ. 107, 5, Branigan 1974, αριθ. 2949.

219. Παράδειγμα Κεραμεικού, Kübler 1943, πίν. 39, τάφος 39 Μ2, από σφυρηλατημένο χάλκινο έλασμα. Πρβλ. αντίστοιχη με το θασιακό σφηκωτήρα σφυρηλάτηση σε χάλκινα δακτυλίδια και βραχιόλια Βεργίνας, Ανδρόνικος 1969, 240, εικ. 80 ΑΑνδ (δακτυλίδι). Πρβλ. επίσης «spiral rings» από το Καρφί Κρήτης, Pendlebury 1937/38, πίν. XXVIII, 162, 163, 164, 390.

ΤΥΠΟΣ Σφ. 6

Από έλασμα είναι, επίσης, κατασκευασμένος ο σφηκωτήρας του τύπου αυτού. Το τυλιγμένο σε κύλινδρο έλασμα θυμίζει κυρίως κεντροευρωπαϊκά και βαλκανικά παραδείγματα[220] (Π ί ν. 355: 13).

ΤΥΠΟΣ Σφ. 7

Είναι ο τύπος (Π ί ν. 355: 13-14) που κατασκευάζεται από χρυσό και αντιπροσωπεύεται με δύο μόνο παραδείγματα στα νεκροταφεία[221]. Το στριφτό έλασμα, ωστόσο, θυμίζει αντίστοιχη τεχνική στα τόξα των χάλκινων πορπών, καθώς και στα γνωστά από τον κεντροευρωπαϊκό χώρο και τη Βεργίνα περιλαίμια.

Γενικά χαρακτηριστικά των σφηκωτήρων της Θάσου είναι η πολυμορφία τους και η δυσκολία να ενταχθούν στους γνωστούς από τον αιγαιακό και το βαλκανικό χώρο τύπους. Το γεγονός αυτό συνηγορεί για την ύπαρξη τοπικών εργαστηρίων.

Η τυπολογική τους διάκριση δε βοηθά στη χρονολογική κατάταξή τους, ακριβώς γιατί λείπουν όμοια, καλά χρονολογημένα, παραδείγματα. Από τη σχέση όμως των σφηκωτήρων με την εσωτερική χρονολόγηση και τη διαδοχή των φάσεων στο νεκροταφείο προκύπτει ότι ο τύπος 7 προέρχεται από τη φάση ΙΒ και είναι ο αρχαιότερος. Στη φάση ΙΒ ανήκει, επίσης, ο τύπος 6. Στη φάση ΙΙα χρονολογούνται οι τύποι 1 και 4, ενώ οι τύποι 2 και 3 προέρχονται από τη φάση ΙΙΓ.

«Ενώτια»

Δεν είναι βέβαιη η χρήση του ιδιόρρυθμου ελικόσχημου κοσμήματος από χαλκό, που αντιπροσωπεύεται με αρκετά παραδείγματα στα νεκροταφεία του οικισμού Καστρί[222] και απουσιάζει τελείως από το νεκροταφείο Λαρνάκι (Π ί ν. 356: 1-3). Θα μπορούσε να ήταν κόσμημα κόμης ή ενώτιο, γιατί βρίσκεται πάντοτε στην περιοχή του κεφαλιού[223]. Σε ορισμένες περιπτώσεις είναι βέβαιη η σύνδεσή του με γυναικείες ταφές[224].

Το κόσμημα αυτό εμφανίζει πολλές αντιστοιχίες με τα γνωστά από τον κεντροευρωπαϊκό χώρο[225] και διαδεδομένα στη Μακεδονία και στο νοτιοελλαδικό χώρο[226] ελικόσχημα κοσμήματα, αλλά εκείνα είναι πάντοτε διπλά, ενώ το κόσμημα της Θάσου είναι πάντοτε μονό και θυμίζει περισσότερο ενώτιο. Σύμφωνα με τα αρχαιολογικά στοιχεία, που είναι ως τώρα γνωστά, φαίνεται ότι αποτελεί μια τοπική παραλλαγή, η οποία για την ώρα εμφανίζεται μόνο στη Θάσο. Είναι χαρακτηριστικό, ωστόσο, ότι οι αναλύσεις των ισοτόπων μολύβδου[227] έ-

220. Gimbutas 1965, 41, εικ. 11, 9.

221. Πρβλ. ΜΕ παράδειγμα από το Σέσκλο, Τσούντας 1908, τάφος 25, Branigan 1974, αριθ. 2945-2946, και σφηκωτήρα Μαρμάριανης, Heurtley - Skeat 1930/31, 34, εικ. 14, αριθ. 5.

222. Κ2Ε, 34, 35 (Π ί ν. 18), Κ4Β9 (Π ί ν. 33), Β1Α17-18 (Π ί ν. 47), Β1Γ7, 16-18 (Π ί ν. 49), Β1Γ23 (Π ί ν. 50Α), Τ1γ', ζ' 13-14 (Π ί ν. 59), Τ2Α5 (Π ί ν. 65), Τ7Γ11 (Π ί ν. 79), Τ18, 77 (Π ί ν. 111), Τ18, 117 (Π ί ν. 114), Τ20Α10 (Π ί ν. 127).

223. Κ2Ε34, Κ2ΣΤ6, Κ4Β11 (ελαφρά μετατοπισμένο) και Β1Α18.

224. Κ2ΣΤ6, Β1Α18. Από τις δύο άλλες περιπτώσεις δε σώθηκαν τα ανθρωπολογικά στοιχεία.

225. Τα κοσμήματα αυτού του είδους — οκτώσχημα εξαρτήματα — εμφανίζονται από την πρώιμη εποχή του χαλκού σε ορισμένες περιοχές της Ευρώπης (Ουγγαρία), ενώ σε άλλες περιοχές η εμφάνισή τους πραγματοποιείται αργότερα. Η παρουσία τους είναι συνεχής στις νεότερες φάσεις της εποχής του χαλκού, καθώς και στις περιόδους Hallstatt και La Tene: A. Mozsolics, Der frühbronzezeitliche Urnenfriedhof von Kisa Postag, Archaeologia Hungarica XXVI (1942), 67, Foltiny 1955, 16. Στην ύστερη εποχή του χαλκού εμφανίζεται μια εξάπλωση του κοσμήματος αυτού στη δυτική Μικρά Ασία και στη μυκηναϊκή Ελλάδα.

226. Η διάδοση του κοσμήματος αυτού στον ελλαδικό χώρο και τη δυτική Μικρά Ασία πραγματοποιείται στην ύστερη εποχή του χαλκού. Πρβλ. παραδείγματα από την Κεφαλληνία (εξάρτημα περιδεραίου), Μαρινάτος 1932, πίν. 15. Τα παραδείγματα πολλαπλασιάζονται στην πρώιμη εποχή του σιδήρου στη Μακεδονία και τη νότια Ελλάδα. Βεργίνα: Ανδρόνικος 1969, 255-256, Πάτελι: P. Amandry, Collection Stathatos, Strasburg 1953, εικ. 34, Λευκαντί: Popham - Sackett - Themelis 1979/1980, 221, R.A. Higgins, Greek and Roman Jewellery, 1961, 82.

227. Πρβλ. Z. Stos-Gale - N. Gale (Παράρτημα VII).

δειξαν ότι τουλάχιστον ένα από τα χάλκινα αυτά αντικείμενα (B1A17, Π ί ν. 47) δεν έχει κατασκευασθεί από θασιακό χαλκό. Τα ισότοπα μολύβδου του χάλκινου αυτού αντικειμένου βρίσκονται σ' ένα πεδίο ανεξάρτητο από τα γνωστά πεδία του Λαυρίου, Κύπρου, Θάσου, Σίφνου, που θα μπορούσε να το αναζητήσει κανείς, εκτός από την Τροία[228], και στη Μακεδονία ή στη Θράκη.

«Σύριγγες»

Ο όρος χρησιμοποιείται εδώ συμβατικά, γιατί τα μικρά χάλκινα σπειροειδή ελάσματα των νεκροταφείων Καστρί και Λαρνάκι θυμίζουν βέβαια τα αντίστοιχα χάλκινα κοσμήματα του νεκροταφείου Βεργίνας[229], των οποίων έχει προταθεί η ταύτιση με τις «χρυσᾶς... σύριγγας οἷον σωληνίσκους»[230] της φιλολογικής παράδοσης, αλλά η συσχέτισή τους με κοσμήματα κόμης δεν έχει βεβαιωθεί (Π ί ν. 356: 4-6).

Στα νεκροταφεία της Θάσου, τα σπειροειδή αυτά σωληνωτά κοσμήματα είναι μικρά και βρίσκονται διάσπαρτα στους διαταραγμένους τάφους. Το μέγεθός τους, καθώς και η παρουσία λινής κλωστής σε ένα από αυτά (T18, 126, Π ί ν. 115), βεβαιώνουν την αναγνώρισή τους ως ψήφων περιδεραίου ή ως «επιρραμμάτων».

Ο τύπος αυτού του κοσμήματος είναι γνωστός στον κεντροευρωπαϊκό χώρο από την πρώιμη εποχή του χαλκού[231] και παραμένει σ' όλες τις φάσεις της εποχής του χαλκού, καθώς[232] και στην πρώιμη εποχή του σιδήρου[233]. Δεν ξεχώρισαν τυπολογικά στοιχεία, που να βοηθούν στη χρονολογική κατάταξη των αντικειμένων αυτών. Στην ύστερη εποχή του χαλκού, το κόσμημα εμφανίζει μια αραιή παρουσία στο μυκηναϊκό κόσμο σε χαλκό[234] και συχνά σε χρυσό[235], η επιβίωσή του δε στον ελλαδικό χώρο σημειώνεται ως την αρχαϊκή εποχή, όπως προκύπτει από αποθέτες ελληνικών ιερών[236]. Το κόσμημα είναι γνωστό επίσης και στην Ιταλία[237]. Πολύ καλά παράλληλα με τα θασιακά, κυρίως του τύπου 1 με το σφικτοδεμένο τύλιγμα του ελάσματος, αποτελούν στον αιγαιακό χώρο τα παραδείγματα από το Εμπορειό[238] και το Ιερό Φαναίου Απόλλωνος[239], που χρονολογούνται στον 8ο αι. π.Χ. Μικρά σπειροειδή ελάσματα εμφανίζονται και σε νεκροταφεία των ηπειρωτικών Βαλκανίων, του 7ου ακόμη και του 6ου-5ου αι. π.Χ.[240], όπως και σε νεκροταφεία της Μακεδονίας και της Θράκης[241].

228. Η έρευνα, οπωσδήποτε, θα πρέπει να στραφεί στην περιοχή της Χαλκιδικής και της θρακικής Περαίας της Θάσου.

229. Ανδρόνικος 1969, 225-227, εικ. 66.

230. Σχολ. Ιλ. Σ 402, Ευσταθίου Σχόλια Ιλ. Σ 402, 1204, 22.

231. Foltiny 1955, 20, Mozsolics 1973, πίν. 59, αριθ. 21-25, R. Pittioni, Urgeschichte des Österreichischen Raumes, 1954, 153, πίν. 22, 4, Schranil 1928, 106, 127-128.

232. Foltiny 1955, 20, πίν. 3, 16, 12, μέση εποχή του χαλκού. Πρβλ. και Vinski - Gasparini 1973, πίν. 3, 13 και 45, 11-14.

233. Müller-Karpe 1959, πίν. 62, 63, 64 (San Vitale, Bologna, 9ος αι. π.Χ.), Kilian 1975, πίν. 67, 2 (Široko, Γιουγκοσλαβίας).

234. Περατή, Ιακωβίδης 1970, τάφος 65, M110, πίν. 22, που σώζει όπως και το θασιακό παράδειγμα T18, 112, και νήμα τρίκλωνο στο εσωτερικό του.

235. Κεφαλληνία, Μαρινάτος 1932, πίν. 15 και 1933, 81, πίν. 3Γ2. Πρβλ. αντίστοιχο σχήμα ελεφαντοστέινης ψήφου στους κάθετους τάφους Μυκηνών, Karo 1930, πίν. CXLVI, 819, τάφος V.

236. Ηραίο Περαχώρας: H. Payne, Perachora, 1940, πίν. 79, αριθ. 25, 26. Ολυμπία: A. Furtwängler, Die Bronzen und die übrigen kleineren Funde von Olympia, 1890, 58, αριθ. 400-402, πίν. 23, Olympia IV, πίν. 5, 29. Αίγινα: A. Furtwängler, Aegina, Das Heiligtum der Aphaia, 1906, 417, πίν. 116, 51-52, 58-59. Κόρινθος: ΑΔ 2 (1916): Χρονικά, 94, εικ. 38, AJA (1938), 15, εικ. 5. Δικταίο άντρο: Boardman 1961, 49 κ.α.

237. Bologna, San Vitale, Müller-Karpe 1959, πίν. 68 K5. Bologna, Savena, ό.π., πίν. 78 J2.

238. Boardman 1967, 223, πίν. 91, αριθ. 337.

239. BSA 35 (1934/35), 151, πίν. 32, 21, 27.

240. Dobrina: Mirčev 1965, 62, πίν. IX, 38. Πρβλ. και χρυσό περιδέραιο από την Αλβανία με κεντρική ψήφο - σύριγγα, Archaeology 19 (1966), 44, εικ. 3.

241. Πρβλ. νεκροταφείο Κοζάνης, Φ. Πέτσας, BCH LXXXV (1961), 780, εικ. 5. Νεκροταφείο αρχαίας Τραγίλου,

Τα θασιακά παραδείγματα χρονολογούνται σε μια εποχή, κατά τη διάρκεια της οποίας ο τύπος, ανεξάρτητα από την οποιαδήποτε αρχική προέλευσή του, εμφανίζεται με σποραδικά παραδείγματα σε μια πολύ μεγάλη γεωγραφική περιοχή από τον Καύκασο ως τη Φοινίκη[242]. Στα νεκροταφεία της Θάσου σημειώνονται δύο τύποι του κοσμήματος αυτού (Σ χ έ δ. 99). Στον τύπο Σρ. 1 οι σπείρες τυλίγονται σφιχτά (Π ί ν. 356: 5) και το κόσμημα εμφανίζεται ως σωλήνας, ενώ στον τύπο Σρ. 2 οι σπείρες είναι χαλαρές (Π ί ν. 356: 6).

Στην εσωτερική χρονολόγηση του νεκροταφείου, ο τύπος 1 εμφανίζεται στη φάση ΙΒ, ενώ ο τύπος 2 στη φάση ΙΙΑ και ΙΙΒ, αλλά τα παραδείγματα είναι λίγα και η παραπάνω χρονολογική διάκριση των δύο τύπων είναι δυνατό να είναι συμπτωματική[243].

Μικρογραφικοί πελέκεις

Δύο τύποι μικρογραφικών χάλκινων πελέκεων έχουν βρεθεί στα νεκροταφεία του οικισμού Καστρί, ο καθένας από τους οποίους αντιπροσωπεύεται με ένα μόνο παράδειγμα. Και στις δύο περιπτώσεις είναι φανερό πως πρόκειται για «εξαρτήματα».

ΤΥΠΟΣ Πε. 1: Μικρογραφική αξίνα (Π ί ν. 356: 7)

Το σχήμα της αξίνας ως εργαλείου είναι γνωστό από την πρώιμη εποχή του χαλκού, τόσο στον αιγαιακό όσο και στον κεντροευρωπαϊκό χώρο[244]. Οι μικρογραφικές αποδόσεις του εργαλείου αυτού αρχίζουν από την πρώιμη εποχή του χαλκού στην Εγγύς και Μέση Ανατολή[245], αλλά και στο χώρο του Αιγαίου[246], και συνεχίζονται στην ύστερη εποχή του χαλκού και στην πρώιμη εποχή του σιδήρου με παραδείγματα από πολύτιμα μέταλλα, αλλά και από χαλκό και σίδηρο[247].

ΤΥΠΟΣ Πε. 2: Μικρογραφικοί διπλοί πελέκεις (Π ί ν. 114: 118)

Τα αρχαιότερα παραδείγματα μικρογραφικών πελέκεων εμφανίζονται στον αιγαιακό χώρο από την πρώιμη εποχή του χαλκού[248] και εξακολουθούν να κατασκευάζονται στις νεότερες φάσεις της εποχής του χαλκού και στην πρώιμη εποχή τού σιδήρου, τόσο από πολύτιμα μέταλλα όσο και από χαλκό, μολύβι ή άλλα υλικά, όπως ελεφαντοστό[249].

Κουκούλη-Χρυσανθάκη 1983, 131 (αδημοσίευτα). Πρβλ. επίσης ευρήματα Ολύνθου, D.M. Robinson, Olynthus X, 521, αριθ. 2621a-c, P. Amandry, Collection Stathatos III, 221, 162-164, πίν. XXXIV.

242. M. Dunant, Fouilles de Byblos I (1937), 177, εικ. 167.

243. Στα ελληνικά ιερά του 8ου αι. π.Χ. εμφανίζονται και οι δύο τύποι συρίγγων, Σρ. 1 και Σρ. 2, χωρίς χρονολογική διάκριση. Εμποριό: Boardman 1967, πίν. 91, αριθ. 376. Ιερό Κορινθίου Απόλλωνος: ΑΔ 2 (1916): Χρονικά, 54, εικ. 38, 2-5.

244. Branigan 1974, 22, Catling 1964, 90-91. Το σχήμα γνωστό στην Ανατολή, αλλά και στην κεντρική Ευρώπη. Πρβλ. C.F.A. Schäffer, Enkomi, Alasia, 1952, 46 κ.ε. και PPS 16 (1950), 52 κ.ε. Για κεντροευρωπαϊκά αντίστοιχα εργαλεία, πρβλ. Foltiny 1955, 74. Τα παλιότερα παραδείγματα αρχίζουν από Reinecke B και τα νεότερα κατεβαίνουν ως την εποχή Hallstatt. Τα αρχαιότερα, οπωσδήποτε, παραδείγματα του τύπου προέρχονται από την Ανατολή και τον αιγαιακό χώρο.

245. J. Arne, Excavations at Shah Tepe, Iran, 1945, 305, εικ. 663, Schäffer, ό.π.

246. Κρήτη, ιδιωτική συλλογή R.B. Seager, που χρονολογείται από τον Evans 1921, II, 629, αριθ. 3, στην ΠΜ ΙΙ περίοδο και από τον Schäffer, ό.π., στη ΜΜ περίοδο.

247. Νεκροπόλεις Sialk, Iran, R. Christman, Fouilles de Sialk, 1939, 95 (1000-800 π.Χ.), Schäffer, ό.π., εικ. 12 A-B. Πρβλ. και Megiddo, Schäffer, ό.π., εικ. 13, και Gelidoniya, H. Müller-Karpe, Handuch der Vorgeschichte IV (1980), πίν. 161, 9. Πρβλ. Μόχλος Κρήτης, PPS 16 (1950), πίν. IV, 788. Θερμιά (Κύθνος), Schäffer, ό.π., εικ. 9. Βαφειό, Schäffer, ό.π., εικ. 7. Για νεότερα παραδείγματα σε σίδερο, πρβλ. Βαρδαρόφτσα (Τράπεζα, περίοδος D), Cuttle 1926/27, 239 1b. Για παραδείγματα από τα ηπειρωτικά Βαλκάνια, πρβλ. π.χ. νεκροταφείο Ferigile, Vulpe 1967, πίν. XIX, 22 HaD.

248. Τα αρχαιότερα παραδείγματα μικρογραφικών πελέκεων χρονολογούνται στην πρωτομινωική εποχή και κατασκευάζονται από χρυσό, άργυρο, χαλκό, ακόμη και μολύβι, Branigan 1974, αριθ. 2293-2302, ΠΜ ΙΙ-ΜΜ Ι. Πιο κοντά στο θασιακό παράδειγμα ο χάλκινος μικρογραφικός πέλεκυς από το Μόχλο, ό.π., αριθ. 2297.

249. Για συγκεντρωμένη βιβλιογραφία όλων των τύπων των μικρογραφικών πελέκεων, πρβλ. Kilian-Dirlmeier 1979, 248-254.

Το θασιακό παράδειγμα Τ1, 51 (Π ί ν. 62) εντάσσεται σε μια σειρά από μικρογραφικές αποδόσεις διπλών πελέκεων, που ως εξαρτήματα εμφανίζονται από το τέλος της μυκηναϊκής εποχής[250], παρουσιάζοντας μια ιδιαίτερη διάδοση στην ύστερη γεωμετρική κυρίως περίοδο επιβιώνοντας και ως τα αρχαϊκά χρόνια[251]. Στην ύστερη γεωμετρική και την αρχαϊκή περίοδο τα ευρήματα φαίνεται ότι συγκεντρώνονται στην Πελοπόννησο, με σποραδικές εμφανίσεις του τύπου στην κεντρική Ελλάδα, Θεσσαλία, Ιόνια νησιά και Μακεδονία. Η εμφάνιση του τύπου επίσης στην Κρήτη, Σάμο και Σικελία βεβαιώνει μια ευρύτερη διάδοση των εξαρτημάτων αυτών, που ωστόσο είναι δύσκολο, κυρίως εξαιτίας του χρονολογικού κενού που μεσολαβεί, να συνδεθούν με τα αντίστοιχα σποραδικά παραδείγματα μικρογραφικών πελέκεων, που εμφανίζονται στην πρώιμη Urnenfelder περίοδο των παραδουνάβιων περιοχών[252].

Ο Milojčić[253] αμφισβήτησε τη σχέση των εξαρτημάτων αυτού του τύπου με το μινωικό λάβρυ, το σύμβολο της μινωικής λατρείας, με κύριο επιχείρημα τη διάδοση των αντικειμένων αυτών σε περιοχές που βρίσκονται έξω από την άμεση ακτίνα επίδρασης του μινωικού πολιτισμού[254]. Η συσχέτιση, ωστόσο, που επιχειρεί ο Milojčić με τα κατωιταλιωτικά χάλκινα διπλά ξυράφια, δεν μπορεί να σταθεί κυρίως μετά τα ανασκαφικά στοιχεία νεκροταφείου της Βεργίνας, όπου εμφανίζονται οι χαρακτηριστικοί τριπλοί πελέκεις συνδεδεμένοι με πλούσιες ταφές γυναικών[255].

Ανεξάρτητα, οπωσδήποτε, από το λατρευτικό ή οποιοδήποτε ειδικό περιεχόμενο, που έχουν τα εξαρτήματα αυτά, φαίνεται ότι είναι βέβαιο πως αποτελούν μικρογραφικές αποδόσεις μεγαλύτερων διπλών χάλκινων πελέκεων, οι οποίοι συχνά βρίσκονται και σε περιοχές έξω από την άμεση επίδραση του μινωικού πολιτισμού, όπως δείχνουν τα παραδείγματα μεγάλων χάλκινων διπλών πελέκεων από τη Βουλγαρία[256].

Από τα ανασκαφικά στοιχεία των νεκροταφείων προκύπτει ότι και οι δύο τύποι Πε. 1 και Πε. 2 προέρχονται από τη φάση ΙΒ των νεκροταφείων Θάσου. Από την άποψη της χρονολόγησης φαίνεται επομένως ότι ο τύπος 2 μπαίνει στην αρχή της σειράς του τύπου D της I. Kilian-Dirlmeier[257], δίπλα στο αντίστοιχο «εξάρτημα» από την Καρποφόρα, του οποίου δεν είναι και τόσο ασφαλής η χρονολόγηση[258]. Ο τύπος εμφανίζεται και στην πρωτογεωμετρική εποχή, στο Καρφί της Κρήτης[259], αλλά η παρουσία του είναι εντονότερη στην ύστερη

250. Παραδείγματα Καρποφόρας: Kilian-Dirlmeier 1979, αριθ. 1673-1674. Πρβλ. και υπομυκηναϊκά πρωτογεωμετρικά παραδείγματα από το Καρφί Κρήτης, Pendlebury 1937/38, 118, πίν. XXXIX, 248. Πρβλ. επίσης πρωτογεωμετρικό μικρογραφικό διπλό πέλεκυ από ορεία κρύσταλλο σε θαλαμωτό τάφο Τεπέ Κνωσού, ό.π., 253.

251. Kilian - Dirlmeier 1979, αριθ. 1597-1682.

252. Holste 1951, πίν. 44, 38 (Uioara de Sus, Siebenbürgen), Vinski - Gasparini 1973, 177, πίν. 84, 17 (Bingula, Divos), V. Trbuhović, Starinar NS 9-10 (1958/59), εικ. 1 (πρβλ. κυρίως το εικ. 1, 4), M. Bogdanović, Starinar 22 (1971), πίν. 1, 2, 3, Kilian-Dirlmeier 1979, 254.

253. JbZMusMainz 2 (1955), 164. Πρβλ. επίσης Kilian 1975, 78.

254. Ό.π. (υποσημ. 253). Πρβλ. π.χ. και μικρογραφικούς πελέκεις από την ομάδα Glasinac, Vasić 1977, 27, πίν. IX.

255. Ανδρόνικος 1969, 251. Πρβλ. και άποψη Müller-Karpe 1974, 704, για το συμβολικό ρόλο των ξυραφιών της Ιταλίας και τη σύνδεση της παρουσίας τους στους τάφους με την προσφορά κομμένης κόμης στους νεκρούς, Bouzek 1973, 152, όπου υποστηρίζεται ότι τα «ξυράφια» της ανατολικοκεντρικής Ευρώπης και των βόρειων Βαλκανίων έχουν δεχθεί την επίδραση μυκηναϊκών προτύπων. Για το συμβολικό ρόλο των μαχαιριών στους τάφους, πρβλ. και Themelis 1976, 102.

256. J. Gerasimov, Bull.Inst.Bulg. 20 (1955), 593, εικ. 1, R. Popov, Bull.Inst.Varna 7 (1932/33), 355-357, Panayotov 1980, 107. Για τη διάδοση του διπλού πέλεκυ στην προϊστορική Ευρώπη, πρβλ. C.F.C. Hawkes, BSA 37 (1936/37), 141-159, όπου υποστηρίζεται ότι ο διπλός πέλεκυς κατάγεται από τη Συρία και ότι η διάδοσή του στην Ευρώπη προέρχεται από άμεσες ή έμμεσες επιδράσεις της μινωικής Κρήτης. Ο B. Schweitzer, Herakles, 1922, 21-58, τονίζει ιδιαίτερα το ρόλο της Θράκης στην επιβίωση των προελληνικών λατρειών. Για τη διάδοση του διπλού πέλεκυ στο βορειοελλαδικό χώρο και τα Βαλκάνια, πρβλ. Kilian 1976, 128, εικ. 7. Πρβλ. και Panayotov, 1980α, 186-190.

257. Kilian-Dirlmeier 1979, 248-254.

258. Ό.π., αριθ. 1673-1674.

259. Pendlebury 1937/38, 118, αριθ. 248 και 255, όπου δύο χάλκινοι μικρογραφικοί διπλοί πελέκεις ερμηνεύονται ως κατάλοιπα μινωικής λατρείας, γιατί έχουν βρεθεί μαζί με άλλα λατρευτικά αντικείμενα.

γεωμετρική εποχή, μετά την οποία επιβιώνει ως τον 6ο αι. π.Χ.[260] Στοιχεία για τη χρήση των «εξαρτημάτων» αυτών δεν προκύπτουν επιπλέον από τα ευρήματα της Θάσου. Η ανεύρεσή τους, ωστόσο, στο εσωτερικό των τάφων και η εναλλάξ παρουσία μικρογραφικών αξινών και διπλών πελέκεων[261] ενισχύει την άποψη της I. Kilian-Dirlmeier, που δέχεται τη χρήση τους ως «εξαρτημάτων» — πιθανόν ως αποτροπαϊκών συμβόλων — αποδεσμεύοντάς τα από τη σύνδεσή τους με το θρησκευτικό σύμβολο, λάβρυ[262]. Η εμφάνιση του συμβόλου αυτού στα υστερογεωμετρικά αγγεία σε σκηνές κυνηγιού είναι ενδεικτική για την έλλειψη θρησκευτικού περιεχομένου στην απεικόνισή του και τη χρήση του ως διακοσμητικού παραπληρωματικού μοτίβου[263].

Ψήφοι (χάνδρες)

ΧΑΛΚΙΝΕΣ ΧΑΝΔΡΕΣ (Ψχ)

Οι χάλκινες χάνδρες βρίσκονται κατά κανόνα διάσπαρτες στους τάφους και θα ήταν δυνατό σε ορισμένες περιπτώσεις να θεωρηθούν περίαπτα και όχι μέλη κάποιου διαλυμένου από τις διαδοχικές διαταράξεις του τάφου περιδεραίου. Σε ελάχιστες, ωστόσο, περιπτώσεις (Κ1Α, Π ί ν. 6: 71-76, Τ21, Π ί ν. 148: 5) βρέθηκαν συγκεντρωμένα σύνολα από χάνδρες, που βεβαιώνουν την ύπαρξη όρμων.

Οι όρμοι, όπως είναι γνωστό, αποτελούνταν συχνά από χάνδρες διάφορων σχημάτων και διάφορων υλικών[264] και έτσι οι χάλκινες χάνδρες, που βρίσκονται διάσπαρτες σε διαταραγμένους τάφους, θα μπορούσαν να συνυπάρχουν στον ίδιο όρμο, συνδυασμένες μάλιστα και με τις λεγόμενες χάλκινες «σύριγγες»[265] ή και με χάνδρες από άλλα υλικά[266] (ήλεκτρο, υαλόμαζα).

Τα ανασκαφικά, ωστόσο, στοιχεία των νεκροταφείων του οικισμού Καστρί και του νεκροταφείου της θέσης Λαρνάκι δε συνηγορούν για το συνδυασμό διαφορετικών χανδρών στο ίδιο περιδέραιο, γιατί, όπου είναι δυνατό να ανασυντεθούν τα περιδέραια, προκύπτει μια ομοιογένεια στους τύπους των χανδρών (Κ1Α, Τ21, Τ2Β).

Οι τύποι 1 και 2 συνδυάζονται σε έναν τύπο περιδεραίου, γνωστό από τον τάφο Τ21 (Π ί ν. 148: 5), καθώς και τον τάφο Κ1Α (Π ί ν. 6: 71-76). Για τον τύπο 3 δεν έχουμε στοιχεία, γιατί βρέθηκε σε μεμονωμένα παραδείγματα, σε διαταραγμένα στρώματα (π.χ. Τ18, 96, Π ί ν. 112). Ωστόσο, ο τύπος 4 που είναι αρκετά συχνός εμφανίζεται είτε ως μεμονωμένο παράδειγμα (περίαπτο ΛΒ5, Π ί ν. 188) είτε ως χάνδρα περιδεραίου (Τ2Β) (Π ί ν. 356: 11). Τέλος, ο τύπος 5 αντιπροσωπεύεται με ένα και μοναδικό παράδειγμα, για το οποίο τα ανασκαφικά στοιχεία βεβαιώνουν ότι πρέπει να ήταν περίαπτο (Π ί ν. 23Β: 4, 356: 14).

Με βάση, επομένως, τα ανασκαφικά στοιχεία θα μπορούσαμε να ανασυνθέσουμε δύο τουλάχιστον τύπους περιδεραίων: Τύπος α: Με χάνδρες τύπων 1-2 (Π ί ν. 148: 5), Τύπος β: Με χάνδρες τύπου 4 (Π ί ν. 66Α, 356: 11).

260. Kilian-Dirlmeier 1979, 252.

261. Συχνότατη είναι η παρουσία του εξαρτήματος αυτού σε αποθέτες ελληνικών ιερών από την υστερογεωμετρική εποχή ως τα αρχαϊκά χρόνια. Η παράλληλη ανεύρεσή του σε λατρευτικές θέσεις στην Κρήτη (π.χ. Ιδαίο άντρο, Boardman 1967, 42, εικ. 19) υπομνηματίζεται στον Nilsson 1950², 194 κ.ε., όπου συγκεντρώνονται, εκτός από τα αναθηματικά, και τα ταφικά παραδείγματα.

262. Kilian-Dirlmeier 1979. Πρβλ. και Cook, Zeus II, 1964, 646, Olynthus X, 131. Πρβλ. και σιδερένιο διπλό πέλεκυ, κτέρισμα ενός τάφου του α' μισού του 5ου αι. π.Χ., που βρέθηκε στους πρόποδες της ακρόπολης Καστρί Θάσου, ΑΔ 28 (1973), πίν. 401β.

263. J.N. Coldstream, Greek Geometric Pottery, 1968, πίν. 35, 36a, 45a. Πρβλ. Kilian-Dirlmeier 1979, 252, σημ. 23, για εμφάνιση του διπλού πέλεκυ ως παραπληρωματικού κοσμήματος σε παραστάσεις υπογεωμετρικών αγγείων.

264. Πρβλ. π.χ. παραδείγματα από το νεκροταφείο Περατής, Ιακωβίδης 1970, 303-304.

265. Κεφαλληνία: Μαρινάτος 1932, πίν. 15, Α10, εικ. 30.

266. Πρβλ. Gimbutas 1965, 269, εικ. 176, 10.

Η χρήση μικρών χανδρών όλων των τύπων ως απλών περίαπτων δεν πρέπει να αποκλεισθεί. Ειδικά μάλιστα για τον τύπο 4 υπάρχουν σαφείς ανασκαφικές ενδείξεις από παιδικές ταφές (Τ23Β, ΛΒ, κ.ά.). Βέβαιος, ωστόσο, τύπος περίαπτου πρέπει να θεωρηθεί η χάνδρα του τύπου 5.

Οι τύποι 1-2 (Π ί ν. 356: 8-10), όπως και ο τύπος του περιδεραίου α που απαρτίζουν (Π ί ν. 148: 5), δεν είναι πολύ συχνοί στον αιγαιακό χώρο. Θα μπορούσαν τυπολογικά να αναχθούν στις ψήφους του τύπου IX του Branigan[267], που ωστόσο είναι κατασκευασμένες από χρυσό. Πρέπει να σημειώσουμε ότι γενικά οι χάλκινες ψήφοι στα περιδέραια της πρώιμης και μέσης εποχής του χαλκού, όπως προκύπτει από τον κατάλογο του Branigan, εμφανίζονται με πολύ μικρότερο ποσοστό, σε σύγκριση με τις ψήφους πολύτιμων μετάλλων (χρυσού και αργύρου) της ίδιας εποχής[268]. Στον κεντροευρωπαϊκό, ωστόσο, χώρο εμφανίζονται με μεγαλύτερη συχνότητα τα περιδέραια με χάλκινες χάνδρες[269].

Στον τύπο 1, οι χάνδρες εμφανίζουν τομή τριγωνική και κατασκευάζονται με σφυρηλάτηση ελάσματος πλατύτερου (1γ) ή στενότερου (1α).

Στον τύπο 2, η χάνδρα εμφανίζει μια τομή ημικυκλική, που σχηματίζεται από τη σφυρηλάτηση του ελάσματος. Και οι δύο παραπάνω τεχνικές είναι γνωστές στον αιγαιακό χώρο από την πρώιμη εποχή του χαλκού και συνεχίζονται στη μέση και ύστερη εποχή του χαλκού, επιβιώνοντας φυσικά και στην επόμενη φάση της πρώιμης εποχής του σιδήρου. Αντίστοιχη τεχνική κατασκευή με τις χάνδρες τύπων 1α, 1β και 2 βρίσκουμε σε χάνδρες, δακτυλίδια, σφηκωτήρες ή και βραχιόλια[270].

Οι χάνδρες των τύπων 1 και 2 εμφανίζονται αποκλειστικά στη φάση ΙΑ και ΙΒ των νεκροταφείων του οικισμού Καστρί και απουσιάζουν τελείως από το νεκροταφείο Λαρνάκι. Πρέπει επομένως να δεχθούμε ότι ο τύπος α του περιδεραίου αντιπροσωπεύει έναν αρχαιότερο τύπο, που εξαφανίσθηκε στις μεταγενέστερες φάσεις του νεκροταφείου.

Στο ίδιο χρονολογικό πλαίσιο εντάσσεται επίσης και ο τύπος 3, που αντιπροσωπεύεται άλλωστε με ελάχιστα παραδείγματα, όλα από τη φάση ΙΒ.

Ο τύπος 4 της χάλκινης χάνδρας σχετίζεται άμεσα με αντίστοιχους τύπους σωληνωτών ελασμάτων, που είναι κοινοί στην πρώιμη εποχή του χαλκού[271], τόσο στον αιγαιακό χώρο όσο και στον κεντροευρωπαϊκό[272]. Στον κεντροευρωπαϊκό χώρο φαίνεται ότι εξαφανίζονται με το τέλος της πρώιμης εποχής του χαλκού (Reinecke B)[273], αλλά στον αιγαιακό χώρο συνεχίζονται στη μέση εποχή του χαλκού, όπως προκύπτει από το περιδέραιο του μεσοελλαδικού τάφου Γ25 του Σέσκλου[274], και δε λείπουν και από την ύστερη εποχή του χαλκού[275].

Στη Θάσο εμφανίζονται οι χάλκινες χάνδρες του τύπου 4 στη φάση ΙΒ, κυρίως όμως στη φάση ΙΙΑ και ΙΙΒ. Σε ελάχιστες περιπτώσεις έχει αποδειχθεί, όπως είπαμε, η ύπαρξη όρμων, ενώ σε ορισμένες περιπτώσεις είναι βέβαιο ότι οι ψήφοι αυτού του τύπου αποτελούσαν τη μοναδική χάνδρα του όρμου (Π ί ν. 356: 12).

Ο τύπος 5 της χάλκινης δικωνικής χάνδρας κατάγεται βέβαια από την αντίστοιχη δικωνι-

267. Branigan 1974, τύπος IX, 40, αριθ. 3109, χρυσή ψήφος από τον τάφο XXIII Μόχλου (ΠΜ).

268. Στον κατάλογο του Branigan 1974, 192-194, σε σύνολο 120 ψήφων, μόνο οκτώ είναι χάλκινες. Πρβλ. και Wace 1932, 205, πίν. IX, 6, XXX, 40, για μυκηναϊκά παραδείγματα. Οι χρυσές ψήφοι από τον τάφο Στενού Λευκάδας, Dörpfeld 1927, 287-288, πίν. 60, 1-3 και 61, 1-2, πιθανότατα είναι αρχαιότερες από την πρώιμη εποχή του σιδήρου. Πρβλ. Bouzek 1973, 103. Πρβλ. και χάλκινες ψήφους Άργους, Δεϊλάκη 1980, 91.

269. Gimbutas 1965, 40, εικ. 10, αριθ. 46, 47, πρώιμη εποχή του χαλκού. Στη Μακεδονία, τα αρχαιότερα ως τώρα γνωστά παραδείγματα των ψήφων αυτού του τύπου χρονολογούνται στην πρώιμη εποχή του σιδήρου, Bouzek 1973, 103, Group A.

270. Η τεχνική της σφυρηλάτησης ελασμάτων για κατασκευή ψήφων περιδεραίων εμφανίζεται στον αιγαιακό χώρο στην πρώιμη εποχή του χαλκού, σε διάφορους τύπους ψήφων, Branigan 1974, 39.

271. Ό.π., τύπος Ι, αριθ. 3011-3029Α.

272. Foltiny 1955, 20, πίν. 4, 10, Gimbutas 1965, 40, εικ. 10, αριθ. 42-45.

273. Foltiny 1955, 20.

274. Τσούντας 1908, πίν. 5.

275. Ιακωβίδης 1970, 309.

κή χυτή ψήφο του τύπου VII του Branigan, που εμφανίζεται στην πρώιμη εποχή του χαλκού[276], αλλά συνεχίζεται στη μέση και ύστερη εποχή του χαλκού, καθώς και στην πρώιμη εποχή του σιδήρου[277] (Π ί ν. 356: 14).

ΧΑΝΔΡΕΣ ΑΠΟ ΗΛΕΚΤΡΟ (Ψη)

Οι χάνδρες από ήλεκτρο, παρά το μικρό αριθμό τους, εμφανίζουν μια μεγάλη ποικιλία τύπων, που καλύπτει σχήματα σχεδόν αδιαμόρφωτα, όπως το σχήμα του τύπου 1, σχήματα τυποποιημένα, γνωστά από το μυκηναϊκό κόσμο, όπως τα σχήματα των τύπων 2, 3, 4 και 6, αλλά και σχήματα ξένα με το μυκηναϊκό κόσμο, όπως του τύπου 5 (Σ χ έ δ. 101· Π ί ν. 357: 1α).

ΤΥΠΟΣ Ψη1

Ο τύπος αντιπροσωπεύεται με ένα μόνο παράδειγμα, που κατατάσσεται στη γενική κατηγορία των χανδρών, που κατασκευάζονται από απρόσεκτα δουλεμένα κομμάτια ηλέκτρου και εμφανίζουν σχήματα συχνά ακανόνιστα[278]. Θα μπορούσε τυπολογικά να συγκριθεί με την αναφερόμενη τρίπλευρη χάνδρα από τον τάφο του Ελαφότοπου[279], που χρονολογείται στην ΥΕ ΙΙΙΒ-ΥΕ ΙΙΙΓ φάση (Π ί ν. 357: 1α).

ΤΥΠΟΣ Ψη2

Ο τύπος αυτός είναι πολύ διαδεδομένος στο μυκηναϊκό κόσμο, κυρίως στη φάση ΥΕ ΙΙΙ. Παραδείγματά του έχουμε από την Αθηναϊκή Αγορά[280], την Περατή[281], Πελοπόννησο[282], αλλά και από την περιφέρεια του μυκηναϊκού κόσμου, όπως τα Ιόνια (Κεφαλληνία)[283], το Καλμπάκι της Ηπείρου[284] ή το ανατολικό Αιγαίο[285]. Ο τύπος χρονολογείται στην ΥΕ ΙΙΙΒ-ΥΕ ΙΙΙΓ περίοδο. Επιμέρους παραλλαγές του τύπου εμφανίζονται στην Κεφαλληνία στο τέλος της μυκηναϊκής εποχής (Π ί ν. 357: 1β).

ΤΥΠΟΣ Ψη3

Ο τύπος 3 εμφανίζει μια αξιόλογη ποιότητα κατεργασίας και μπορεί να συγκριθεί με χάνδρες κυλινδρικές, που προέρχονται από κέντρα μυκηναϊκού πολιτισμού και χρονολογούνται στην ΥΕ ΙΙΙΓ[286]. Ανάλογες χάνδρες ηλέκτρου είναι γνωστές και από τον κεντροευρωπαϊκό χώρο[287].

276. Branigan 1974, 40, τύπος VII, αριθ. 3099-3105, πίν. 24.

277. Πρβλ. χάλκινη ψήφο από το Σέσκλο, Τσούντας 1908, πίν. 5, 14, Branigan 1974, πίν. 24, αριθ. 3102, ΜΕ. Για μυκηναϊκά παραδείγματα, πρβλ. υστερομυκηναϊκό τάφο Έγκωμης Κύπρου, A.S. Murray - A.A. Smith - H.B. Walters, British Museum Excavations in Cyprus 1900, 37, 44 κ.ε., πίν. XI, 368, 371-373, πίν. XI, 347, 374. Για κεντροευρωπαϊκά παραδείγματα, πρβλ. Gimbutas 1965, 117, εικ. 78, 5, ύστερη εποχή του χαλκού. Διαδεδομένος ο τύπος στη Μακεδονία της πρώιμης εποχής του σιδήρου, όπου επιβιώνει ως και τους πρώιμους αρχαϊκούς χρόνους, Bouzek 1973, 101. Για συγκεντρωμένα παραδείγματα της πρώιμης εποχής του σιδήρου από τη Μακεδονία και τον ελλαδικό χώρο, πρβλ. ό.π., 106-107.

278. N. Sandars, Antiquity 24 (1959), 292-295, Harding 1974, 154 κ.ε.

279. Βοκοτοπούλου 1969, πίν. 24β, δ.

280. Hesperia XXX (1966), 78, πίν. 24, ΥΕ ΙΙΙΑ1.

281. Περατή: Ιακωβίδης 1970, 383, πίν. 36α, αριθ. Δ197.

282. Πρόσυμνα: Blegen 1937, εικ. 36, 4-5.

283. Μαρινάτος 1933, 92-93, εικ. 43, αριθ. 12, 16. Πρβλ. τις παραλλαγές η2β και η2γ. Για τη θασιακή παραλλαγή η2α, πρβλ. ό.π., εικ. 43, 13-14.

284. Δάκαρης 1956, 127-128, εικ. 2, 10, ΥΕ ΙΙΙΒ.

285. Harding 1974, 160. Ατρακτόσχημοι ψήφοι ηλέκτρου σε μικρό μέγεθος ανάλογες με τον τύπο η2β επανεμφανίζονται στο νεκροταφείο της Ηφαιστείας, Mustilli 1932/33, 68, τάφος CLII, μαζί με κεραμική τύπου G 2-3.

286. Πρβλ. π.χ. παραδείγματα από τη Χαλκίδα, ΠΑΕ 1910, 266, ΠΑΕ 1911, 237-238, BSA 47 (1952), ΥΕ ΙΙΒ-ΥΕ ΙΙΙΑ, Πρόσυμνα, Blegen 1937, 287, εικ. 575, αριθ. 10, Μυκήνες, Wace 1932, 204, πίν. XXXVI, αριθ. 43.

287. Πρβλ. επίσης Lusatian group, Gimbutas 1965, 289, εικ. 195, αριθ. 17.

ΤΥΠΟΣ Ψη4

Ο τύπος 4 είναι ο πιο κοινός τύπος, που εμφανίζεται με μεγάλη συχνότητα. Η αμελής κατεργασία του συχνά δίδει μια ποικιλία σχημάτων. Χάνδρες όμοιες με τη διακόσμηση του τύπου 4 βρίσκονται, τόσο στα κέντρα[288] όσο και στην περιφέρεια του μυκηναϊκού πολιτισμού[289], καθώς και σε περιοχές έξω από το μυκηναϊκό κόσμο, όπου όμως κυκλοφορεί το ήλεκτρο[290] (Π ί ν. 357: 1δ).

ΤΥΠΟΣ Ψη5

Ο τύπος αυτός με τις αυλακώσεις, που αντιπροσωπεύεται στη Θάσο με ένα παράδειγμα στη φάση ΙΙΑ (Π ί ν. 357: 1ε), είναι γνωστός από την Ιταλία κυρίως[291].

ΤΥΠΟΣ Ψη6

Η δακτυλιόσχημη χάνδρα του τύπου 6, που εμφανίζεται με ένα επίσης παράδειγμα στη φάση ΙΙΓ του νεκροταφείου, θυμίζει ανάλογο σχήμα χάνδρας από ήλεκτρο, που έχει βρεθεί στους κάθετους τάφους Μυκηνών[292]. Το σχήμα, ωστόσο, αυτό επανεμφανίζεται στον 8ο αι. π.Χ. στους αποθέτες των ελληνικών ιερών[293].

Όπως είναι γνωστό, καμιά μέθοδος για τον προσδιορισμό της προέλευσης του ηλέκτρου δεν έχει γίνει ακόμη γενικά αποδεκτή. Η μέθοδος της σπεκτρογραφικής ανάλυσης με υπέρυθρες ακτίνες[294], που αντικατέστησε την παλιά μέθοδο που στηριζόταν στην ανίχνευση του ηλεκτρικού οξέος[295], παρά τα θετικά στοιχεία που έχει ήδη προσφέρει, απορρίφθηκε από τους χημικούς[296], που αμφισβήτησαν[297] επίσης τη δυνατότητα να τεκμηριωθούν από τα δεδομένα της ανάλυσης για την προέλευση του ηλέκτρου οι «δρόμοι του ηλέκτρου»[298]. Η μέθοδος, οπωσδήποτε, της σπεκτρογραφικής ανάλυσης (που παρά την κριτική που δέχθηκε

288. Μυκήνες: κάθετοι τάφοι, τάφος ΙΙΙ, Karo 1930, πίν. XXV, αριθ. 100-101, Harding 1974, 165, εικ. 5, αριθ. 4 και 8. Μυκήνες: ταφικός περίβολος Β', Μυλωνάς 1973, 350, πίν. 102β. Πρόσυμνα: Blegen 1937, εικ. 447, αριθ. 12, εικ. 463, αριθ. 38-43, εικ. 397, αριθ. 1. Μυκήνες: Wace 1932, πίν. IX, αριθ. 5, ΥΕ ΙΙΙ, αλλά σε παλαιότερους τάφους εμφανίζονται σε πολύ μεγαλύτερες ποσότητες, π.χ. τάφο 51, ό.π., εικ. 33-34, ΥΕ Ι-ΥΕ ΙΙΙ. Πύλος: ταφικός περίβολος, Blegen 1973, εικ. 231, 7, Harding, ό.π., 166, εικ. 6, 68. Κουκουνάρα: ΠΑΕ 1958, 192, εικ. 150α. Ήλις: ΑΔ 17 (1961/62): Χρονικά, 125, πίν. 146ε, υπομυκηναϊκό παράδειγμα.

289. Ιαλυσός: Harding 1974, εικ. 6, αριθ. 15. Έγκωμη: ό.π., 165, εικ. 6, αριθ. 21. Κρήτη, Γυψάδες: BSA 53-54 (1958/59), 257, εικ. 34.

290. Για παραδείγματα από την Εγγύς Ανατολή, πρβλ. Harding 1974, 169. Για παραδείγματα από την κεντρική Ευρώπη, ό.π., 167-168. Πρβλ. π.χ. παραδείγματα από την Ουγγαρία, Mozsolics 1973, πίν. 34, 7-12.

291. Πρβλ. όμοιο τύπο στην Ιταλία, Allumiere, NSC 19 (1960), 341, εικ. 11, 17-18, με σποραδικές εμφανίσεις στα δυτικά Βαλκάνια, A.M. Bietri-Sestieri - F. Lo Schiavo, Rapporti fra l'Italia e la peninsula balcanica, Iliria IV (1974), 183, εικ. 14.

292. Karo 1930, πίν. LVII, αριθ. 513, τάφος IV, Harding 1974, 161, εικ. 4, αριθ. 14-15 και 163, εικ. 5, αριθ. 17. Για τη συχνότητα του ηλέκτρου στην ΥΕ Ι, πρβλ. Harding, ό.π., 147-148, Ιακωβίδης 1970, 384, Δάκαρης 1956, 127-128. Πρβλ. επίσης τάφους Πρόσυμνας, Blegen 1937, 287, εικ. 463, αριθ. 35, τάφος ΙΙΙ, εικ. 380, αριθ. 2, τάφος XLII, και θαλαμωτούς τάφους Μυκηνών, Wace 1932, 86, εικ. 34. Ο τύπος εμφανίζεται επίσης στην κεντρική Ευρώπη, Mozsolics 1973, πίν. 34, αριθ. 31-43 και πίν. 48, αριθ. 13-17.

293. Πρβλ. Boardman 1967, 239. Πρβλ. επίσης ψήφους ηλέκτρου στα υστερογεωμετρικά νεκροταφεία. Πρβλ. π.χ. δύο ψήφους ηλέκτρου, που αναφέρονται στο νεκροταφείο Τσαουζίτσας, Casson 1923/25, 29, νεκροταφείο Ηφαιστείας, Mustilli 1932/33, 259, νεκροταφείο Αετού Ιθάκης, Benton - Waterhouse 1973, 338.

294. C.W. Beck, Greek, Roman and Byzantine Studies VII (1966), 191-211, C.W. Beck - G.C. Southard - A.B. Adams, ό.π., IX (1968), 5-19, XIII (1972), 359-385, C.W. Beck - C.A. Fellows - A.B. Adams, ό.π., XI (1970), 5-22. Πρβλ. και C.W. Beck - E. Willer - S. Meret, Nature LCI (1964), 256-257, C.W. Beck - E. Willer - S. Meret - D. Kosove - K. Kermani, Archaeometry VII (1965), 96-109.

295. O. Helm, Schriften der Naturwissenden Gesellschaft in Danzing, VI (1885), 234-239.

296. R.C.A. Rottländer, Archaeometry XII (1970), 50.

297. D. Anker, JbZMusMainz 13 (1966), 301. Είναι δυνατό να ξεχωρίσει το σικελικό ήλεκτρο με σπεκτροσκοπικές έρευνες, αλλά δεν μπορούν να ξεχωρίσουν το ήλεκτρο της Βαλτικής στις επιμέρους περιοχές, γιατί ο γεωγραφικός όρος Βαλτική περιλαμβάνει την Αγγλία, Ολλανδία, Δανία, Πολωνία, ανατολική Ρωσία.

298. C.M. de Navarro, Prehistoric Routes between Northern Europe and Italy Defined by the Amber Trade, Geographical Journal LXVI (1925), 481-507.

δεν έχει εγκαταλειφθεί, αλλά ενισχύθηκε με νέο πρόγραμμα έρευνας)[299] φαίνεται να θεμελιώνει την άποψη, που εξαρχής είχε διατυπωθεί, ότι το μεγαλύτερο ποσοστό του ηλέκτρου του αιγαιακού χώρου, καθώς και της Ιταλίας, προέρχεται από τη Βαλτική. Μια πολύ μικρή ποσότητα ηλέκτρου του μυκηναϊκού κόσμου διαπιστώθηκε ότι προέρχεται από άλλες πηγές[300]. Σύμφωνα με τους «δρόμους του ηλέκτρου» που έχουν προταθεί ως τώρα, το ήλεκτρο έφθανε στον αιγαιακό χώρο από τα δυτικά και εν συνεχεία διαδίδονταν στο Αιγαίο και την Ανατολή με το μυκηναϊκό εμπόριο[301]. Η ποικιλία των τύπων και η συχνά ακατέργαστη επιφάνεια πολλών ψήφων ερμηνεύθηκε με την άποψη, ότι οι ψήφοι έφθαναν κατεργασμένες ή ημικατεργασμένες[302].

Στις ΥΕ Ι-ΙΙ περιόδους το ήλεκτρο εμφανίζεται αποκλειστικά στα μεγάλα μυκηναϊκά κέντρα, με μοναδική ως τώρα εξαίρεση τη Θήβα[303].

Στις επόμενες φάσεις της ΥΕ ΙΙ μειώνονται οι μεγάλες ποσότητες του ηλέκτρου, αλλά πολλαπλασιάζεται η διάδοσή του, τόσο στη δυτική Ελλάδα ως την Αλβανία και τη Γιουγκοσλαβία, όσο και στο Αιγαίο και την Εγγύς Ανατολή[304]. Οι ψήφοι της Θάσου είναι τα αρχαιότερα δείγματα ηλέκτρου στο βορειοελλαδικό χώρο. Εμφανίζονται πάντα ως μεμονωμένα δείγματα (τμήματα περιδεραίου ή απλού περίαπτου) στη φάση ΙΒ και ΙΙΑ των νεκροταφείων Καστρί. Η απουσία τους από το νεκροταφείο Λαρνάκι και η εξαφάνισή τους στις φάσεις ΙΙΒ των νεκροταφείων Καστρί συμπίπτουν με τη μείωση, αν όχι τέλεια εξαφάνιση του ηλέκτρου, που σημειώθηκε μετά το τέλος του μυκηναϊκού κόσμου[305]. Οι τύποι των ψήφων Θάσου εντάσσονται στην τυπολογία των ψήφων του ηλέκτρου, που χαρακτηρίζουν τις περιόδους της ΥΕ ΙΙΙ, την περίοδο επομένως της διάδοσης του ηλέκτρου στο Αιγαίο από το μυκηναϊκό εμπόριο. Η εμφάνιση ωστόσο της ψήφου Β1Γ26 (Π ί ν. 50Α: 21), της οποίας ο τύπος παραπέμπει σε παραδείγματα από τη βόρεια Ιταλία, θα μπορούσε να συνδυασθεί με τα πρώτα αποτελέσματα των εργαστηριακών ερευνών στις γυάλινες χάνδρες (πρβλ. Παράρτημα XI), τα οποία επισημαίνουν αντιστοιχίες με τη βόρεια Ιταλία.

Η εμφάνιση μιας ψήφου ηλέκτρου στον τάφο Β3 της φάσης ΙΙΓ πρέπει, νομίζω, να σχετισθεί με την επανεμφάνιση του ηλέκτρου στον αιγαιακό χώρο, που πραγματοποιήθηκε στον 8ο αι. π.Χ.[306] (Π ί ν. 357: 1στ).

ΧΑΝΔΡΕΣ ΑΠΟ ΥΑΛΟΜΑΖΑ (Ψυ)

Οι χάνδρες αυτού του είδους κατασκευάζονται από υαλόμαζα (Σ χ έ δ. 102· Π ί ν. 356: 13, 15), η οποία από τη μικρή ποσότητα χαλκού που περιέχει, αποκτά χρώμα πρασινωπό[307].

299. A.G. Beck, Appendix, Harding 1974, 170-172. Πρβλ. και ανάλυση τριών θραυσμάτων ψήφου ηλέκτρου από τη μυκηναϊκή φάση του Εμπορειού Χίου, Hood 1981/1982, 727-730 (Appendix A.G. Beck - Ch. Shastak).

300. Harding 1974, 156.

301. Ο Harding, στηριγμένος στα συμπεράσματα της μεθόδου του Beck, δέχεται δύο οδούς για τη διακίνηση του ηλέκτρου στη μυκηναϊκή περίοδο: Στην ΥΕ Ι, οι μεγάλες ποσότητες του ηλέκτρου που βρίσκονται στους τάφους πρέπει να φθάνουν από την Αγγλία (πρβλ. και Μυλωνάς 1973, 351-352). Στις νεότερες φάσεις της ΥΕ περιόδου η διασπορά των ευρημάτων στη δυτική Ελλάδα, Αλβανία και Γιουγκοσλαβία βεβαιώνει τη διακίνηση του ηλέκτρου από την Αδριατική, Harding 1974, 153, εικ. 3.

302. Wace 1932, 204-205, Gimbutas 1965, 48, Harding 1974, 154.

303. Harding, ό.π., 146, εικ. 1.

304. Ό.π., 146-152, εικ. 1-3.

305. Οι S. Hood - G. Huxley - N. Sandars, A Minoan Cemetery on Upper Gypsades, BSA 53-54 (1958/59), 239, υποστηρίζουν ότι το χρονολογικό κενό, που μεσολαβεί ανάμεσα στο τέλος της μυκηναϊκής εποχής και στην επανεμφάνιση του ηλέκτρου στους αποθέτες των ελληνικών ιερών του 8ου αι. π.Χ., είναι δυνατό να γεφυρωθεί με ενδιάμεσα ευρήματα. Εκτός από τα ευρήματα, που προτείνουν ο Hood και οι άλλοι, ό.π., θα μπορούσαμε να αναφέρουμε και τα παραδείγματα ηλέκτρου από το Λευκαντί, Popham - Sackett - Themelis 1979/1980, 223, πίν. 228b, d, 231c. Πρβλ. θασιακούς τύπους η2 και η4.

306. Αρτεμίσιο Εφέσου: Hogarth 1908, 213. Ηραίο Περαχώρας: H. Payne, Perachora I, 523. Ιερό Φαναίου Απόλλωνος Χίου: BSA 35 (1934/35), 154, εικ. ΙΙ.

307. Πρβλ. Z. Stos-Gale - N. Gale (Παράρτημα VII).

Σε άλλες περιπτώσεις εμφανίζει χρώμα κυανό, το οποίο θα ήταν δυνατό να οφείλεται σε πρόσμειξη κοβαλτίου[308], οι αναλύσεις ωστόσο στο μικροαναλυτή τριών δειγμάτων γυάλινων ψήφων από τη Θάσο δεν εντόπισαν την παρουσία κοβαλτίου (Παράρτημα XI). Ανάλογες ψήφοι περιδεραίων είναι πολύ διαδεδομένες στις μυκηναϊκές θέσεις της ηπειρωτικής Ελλάδας και των νησιών του Αιγαίου, της Κύπρου και των μικρασιατικών παραλίων[309].

Στην Τροία, οι χάνδρες από υαλόμαζα είναι συχνές στη φάση VI, ενώ στις επόμενες φάσεις αραιώνουν κατά πολύ[310].

Οι ψήφοι της Θάσου, παρόλο που ανάλογες ψήφοι από υαλόμαζα δε λείπουν και από τον κεντροευρωπαϊκό χώρο[311], θα μπορούσαν να σχετισθούν, όπως και της Τροίας, με προϊόντα επείσακτα αρχικά από τα μυκηναϊκά κέντρα, που στις τελευταίες φάσεις του μυκηναϊκού κόσμου πιθανόν παράγονταν και σε περιφερειακά εργαστήρια[312]. Η εργαστηριακή έρευνα (Παράρτημα XI), ωστόσο, έχει δείξει ότι οι ψήφοι της Θάσου διαφοροποιούνται ως προς τη σύστασή τους από τη γνωστή μυκηναϊκή τεχνολογία της υάλου και προσεγγίζουν παραδείγματα από τη βόρεια Ιταλία. Το επίπεδο, ωστόσο, της έρευνας δεν επιτρέπει ακόμη οριστικά συμπεράσματα. Τυπολογικά, οι ψήφοι αυτού του είδους με το απλό δακτυλιόσχημο σχήμα έχουν φόρμα τόσο απλή, που δεν μπορεί να δώσει στοιχεία για το εργαστήριο παραγωγής τους.

Αξιοσημείωτη είναι, επίσης, η εμφάνιση μιας δικωνικής ψήφου από φαγεντιανή[313] (Σ χ έ δ. 102· Π ί ν. 356: 16).

Οι χάνδρες από υαλόμαζα εμφανίζονται στη φάση ΙΒ των νεκροταφείων του οικισμού Καστρί και παραμένουν στις φάσεις ΙΙΑ και ΙΙΒ1-2[314].

ΧΑΝΔΡΕΣ ΑΠΟ ΜΑΛΑΚΙΑ (Ψμ)

Στον τάφο Τ32 εμφανίσθηκε ένα περιδέραιο από 75 χάνδρες Dentalium Vulgare da Costa (Σ χ έ δ. 102). Η χρήση του μαλάκιου αυτού ως κοσμήματος είναι συχνή στην παλαιολιθική και νεολιθική εποχή. Δε λείπουν, ωστόσο, τα παραδείγματα και από τις νεότερες φάσεις της εποχής του χαλκού, καθώς και από την πρώιμη εποχή του σιδήρου, τόσο στο νοτιοελλαδικό όσο και στο βορειοελλαδικό χώρο[315]. Στη Θάσο εμφανίζονται πολύ σποραδικά στη φάση ΙΒ και στη φάση ΙΙΒ2 των νεκροταφείων.

Βραχιόλια

Τρία είναι τα βραχιόλια που βρέθηκαν συνολικά στα νεκροταφεία του οικισμού Καστρί. Προέρχονται από τον ίδιο τάφο (Τ18) και ανήκουν στον ίδιο τύπο (Σ χ έ δ. 104· Π ί ν. 111: 71, 116: 161-162, 357: 2, 4).

308. Για περιεκτικότητα σε κοβάλτιο, πρβλ. Περατή, Ιακωβίδης 1970, 379, Δενδρά, Persson 1931, Appendix II, 137. Πρβλ. T.E. Haevernik, Mykenisches Glass, JbZMusMainz 27 (1980), 39, σημ. 9.

309. Μυκήνες: Wace 1932, 206-208, τάφος 520, εικ. 12, αριθ. 41d, τάφος 513, πίν. XXV, 6a-b, τάφος 502, πίν. XIII, αριθ. 29i. Πρόσυμνα: Blegen 1937, 267, 311, εικ. 241, 2. Λαγκάδα: Morricone 1965/66, 115, τάφος 12, εικ. 96a.

310. Τροία VI: Blegen - Caskey 1953, 30, 154 χάνδρες. Τροία VIIa: Blegen - Caskey 1958, 8 χάνδρες. Τροία VIIb2: ό.π., 1 χάνδρα.

311. Gimbutas 1965, 289, εικ. 195, αριθ. 14.

312. Για επιβίωση αυτού του τύπου των ψήφων σε περιφερειακές θέσεις, πρβλ. Ηφαιστεία, Mustilli 1932/33, 259. Λίνδος, C. Blinkenberg, Lindos I, Les petits objets, 1931, εικ. 37.

313. J. Henderson, Παράρτημα XI (1 = δείγμα αριθ. Μουσείου Καβάλας 492).

314. Ό.π., 2-4 (= δείγματα αριθ. Μουσείου Καβάλας 493-495). Ανάλογες χάνδρες από διάφορους ημιπολύτιμους λίθους εμφανίζονται συχνά σε μυκηναϊκά νεκροταφεία, Μυλωνάς 1973, 343.

315. L. Karali, L'utilisation des mollusques dans la protohistoire de l'Egée, Thèse de III cycle, Paris (ανέκδοτη), 1979, 179-181. Περατή: Ιακωβίδης 1970, 364 κ.ε., όπου και παραδείγματα από μυκηναϊκούς τάφους, Άσσηρος: Wardle 1980, 253. Πρβλ. και E. Bielefeld, Archaeologia Homerica, Schmuck, 1968, I, C, 26, σημ. 179. Πρβλ. και P.S. Reese, The Use of Cone Shells in Neolithic and Bronze Age Greece, BSA 78 (1983), 353-357.

Ο τύπος αυτός είναι γνωστός στον αιγαιακό χώρο από την πρώιμη εποχή του χαλκού[316] και αντιπροσωπεύεται με αρκετά παραδείγματα από τις Κυκλάδες[317]. Το κόσμημα δεν είναι ιδιαίτερα συχνό στο μυκηναϊκό κόσμο και τα ύστερα μυκηναϊκά χάλκινα παραδείγματα[318], που έχουμε κυρίως από τα νησιά του Αιγαίου, εμφανίζουν στέλεχος με κυκλική τομή και όχι έλασμα. Το χάλκινο, ωστόσο, βραχιόλι από σφυρηλατημένο έλασμα δεν πρέπει να είχε εξαφανισθεί στην ύστερη εποχή του χαλκού και στην πρώιμη εποχή του σιδήρου, γιατί αντίστοιχος τρόπος σφυρηλάτησης εμφανίζεται σε χάλκινα δακτυλίδια υπομυκηναϊκής και πρωτογεωμετρικής περιόδου[319].

Στη Μακεδονία και στα ηπειρωτικά Βαλκάνια, το κόσμημα είναι συχνό στην πρώιμη εποχή του σιδήρου, όπως προκύπτει από τα χάλκινα βραχιόλια του νεκροταφείου της Βεργίνας[320] και άλλων νεκροταφείων, όπου εμφανίζονται ανάλογα σφυρηλατημένα ελάσματα, αλλά επικρατούν πιο βαρείς τύποι ψελίων με πολλαπλούς κύκλους[321]. Στα νεκροταφεία του οικισμού Καστρί, τα βραχιόλια εμφανίζονται στη φάση ΙΒ, ενώ λείπουν τελείως από το νεκροταφείο Λαρνάκι.

Δακτυλίδια

Ο μοναδικός τύπος του δακτυλιδιού που εμφανίζεται είναι το χάλκινο δακτυλίδι με την οκτώσχημη περόνη (Σ χ έ δ. 105· Π ί ν. 49: 8, 51: 36, 357: 3, 5). Ο τύπος αυτός είναι γνωστός στον κεντροευρωπαϊκό χώρο από το τέλος της πρώιμης εποχής του χαλκού και εμφανίζει στη μέση εποχή του χαλκού μια ευρύτατη διάδοση από την ανατολική Γαλλία ως τη Βουλγαρία. Τα οκτώσχημα δακτυλίδια αρχίζουν να αραιώνουν με την πρώιμη Urnenfelder, αλλά επιβιώνουν ως τη μέση Urnenfelder περίοδο[322]. Η εμφάνισή τους στον ελλαδικό χώρο τοποθετείται στην τελευταία φάση της μυκηναϊκής περιόδου, με αρχαιότερο παράδειγμα το χάλκινο δακτυλίδι της Περατής[323]. Ο τύπος παραμένει στην πρωτογεωμετρική και γεωμετρική εποχή και επιβιώνει και στους αρχαϊκούς χρόνους, τόσο στο βορειοελλαδικό όσο και στο νοτιοελλαδικό χώρο[324].

Συχνά έχει διατυπωθεί η άποψη για τη βόρεια καταγωγή του τύπου, εξαιτίας της χρονικής προτεραιότητας των ευρωπαϊκών παραδειγμάτων[325]. Η I. Kilian-Dirlmeier, που συγκέντρωσε τελευταία όλα τα παραδείγματα από την κεντρική Ευρώπη και την Ελλάδα, κατέληξε στην άποψη ότι το χρονικό κενό, που μεσολαβεί ανάμεσα στα ευρωπαϊκά και τα ελλαδικά παραδείγματα, δε θεμελιώνει μια άμεση γενετική σχέση των νότιων παραδειγμάτων από τα βόρεια. Τα δακτυλίδια του ελλαδικού χώρου πιθανόν αποτελούν δημιουργία της μυκηναϊκής μεταλλοτεχνίας, κάτω από κεντροευρωπαϊκή επίδραση, που εν συνεχεία διαδόθηκε στις πε-

316. Branigan 1974, 43, τύπος ΙΙΙ, αριθ. 2543-2549.

317. Ό.π., αριθ. 2545-2549.

318. Ιακωβίδης 1970, 296-297, όπου και συγκεντρώνονται μυκηναϊκά ψέλια. H. Müller-Karpe, Handbuch der Vorgeschichte IV (1980), 143. Πρβλ. και δύο πρωτογεωμετρικά παραδείγματα από την Πελοπόννησο, CVA, Mainz I, 14f, εικ. 6-10, Bouzek 1973, 123, εικ. 39, 3. Πρβλ. επίσης Catling 1964, 232, τύπος 22, αριθ. 26.

319. Πρβλ. χάλκινο δακτυλίδι από νεκροταφείο Κεραμεικού, Kübler - Kraiker 1939, 85, εικ. 3, καθώς και χάλκινα δακτυλίδια από το νεκροταφείο Βεργίνας, Ανδρόνικος 1969, 240, εικ. 80.

320. Βεργίνα: Ανδρόνικος 1969, 241, Τσαουζίτσα: Casson 1919/21, 14, εικ. 10, Bouzek 1973, 124, Group B. Για αντίστοιχα περίπου παραδείγματα από τα ηπειρωτικά Βαλκάνια, πρβλ. Vinski-Gasparini 1973, πίν. 131, 16 (850-700 π.Χ.).

321. Τσαουζίτσα: Casson 1919/21, 14, εικ. 10, Kilian 1975, πίν. 39, αριθ. 4. Μαρμάριανη: Heurtley - Skeat 1930/31, 34, εικ. 14, αριθ. 8, Bouzek 1973, 122, Group A, εικ. 39, 1-2.

322. Συγκεντρωμένα τα παραδείγματα από την κεντρική Ευρώπη, τα Βαλκάνια και την Ιταλία στο άρθρο της I. Kilian-Dirlmeier Bemerkungen zu den Fingerringen mit Spiralenden, JbZMusMainz 27 (1980), 268.

323. Ιακωβίδης 1970, 293, εικ. 127.

324. Συγκεντρωμένα επίσης τα παραδείγματα από τον ελλαδικό χώρο, Kilian-Dirlmeier, ό.π. (υποσημ. 322), 260 κ.ε.

325. Kübler - Kraiker 1939, 85, G. Childe, PPS 14 (1948), 185, Δάκαρης 1956, 124, Βοκοτοπούλου 1969, 188, Ιακωβίδης 1970, 293, Desborough 1966, 72, Desborough 1972, 304, Snodgrass 1971, 39, Ανδρόνικος 1969, 238.

ριφερειακές περιοχές του μυκηναϊκού πολιτισμού, όπου επιβίωσε στην παράδοση των τοπικών εργαστηρίων μεταλλοτεχνίας ως τα αρχαϊκά χρόνια[326].

Τα παραδείγματα της Θάσου, επειδή εμφανίζονται στη φάση ΙΒ και ΙΙΑ, τις κατεξοχήν περιόδους μυκηναϊκής επίδρασης στον οικισμό, θα ήταν δυνατό να στηρίξουν αυτή την άποψη, αλλά για τις περιοχές του βορειοελλαδικού χώρου, που δέχονται παράλληλες επιδράσεις από το βορρά και το νότο, δε θα μπορούσε να αποκλείσει κανείς και την επιβίωση των επιδράσεων των πολιτισμών Urnenfelder, όπως έχει υποστηρίξει για τα παραδείγματα της Βεργίνας ο Μ. Ανδρόνικος[327].

Πόρπες

Στα νεκροταφεία του οικισμού Καστρί βρέθηκαν συνολικά δέκα χάλκινες πόρπες, που κατατάσσονται σε επτά τύπους (Σ χ έ δ. 106).

ΤΥΠΟΣ Π1

Τοξωτή πόρπη με στριφτό τόξο. Ξεχωρίζουν δύο παραλλαγές:

1α: Μικρή πόρπη με συμμετρικό τόξο από στριφτό σύρμα (Π ί ν. 357: 6).

1β: Μεγάλη πόρπη με ασύμμετρο τόξο από στριφτό σύρμα (Π ί ν. 357: 7).

Ο τύπος της τοξωτής πόρπης με το στριφτό, συμμετρικό ή ασύμμετρο, σύρμα αποτελεί τον τύπο που διαδέχεται τη βιολόσχημη πόρπη με το στριφτό σύρμα. Η εμφάνιση, όμως, της βιολόσχημης πόρπης συμβαίνει συγχρόνως στον ιταλικό και ελλαδικό χώρο, έτσι ώστε να μην είναι ακόμη δυνατό να καθορισθεί με ασφάλεια η προέλευση του κοσμήματος αυτού[328]. Το αρχαιότερο παράδειγμα, οπωσδήποτε, βιολόσχημης πόρπης με στριφτό τόξο στον ελλαδικό χώρο χρονολογείται στην ΥΕ ΙΙΙΒ περίοδο[329].

Από τη βιολόσχημη πόρπη με το στριφτό τόξο εξελίσσεται η αντίστοιχη τοξωτή πόρπη. Το αρχαιότερο παράδειγμα εμφανίζεται κατά τον Furumark στην ΥΕ ΙΙΙΒ, κατά τον Desborough[330] στην ΥΕ ΙΙΙΓ. Από την ΥΕ ΙΙΙΓ έχουμε παραδείγματα από την Αργολίδα[331], καθώς και από την Αττική[332]. Στην ΥΕ ΙΙΓ περίοδο, βιολόσχημες και τοξωτές πόρπες συνυπάρχουν[333] για ένα διάστημα, αλλά προς το τέλος της φάσης επικρατούν οι τοξωτές, που επιβιώνουν στους υπομυκηναϊκούς[334] και πρωτογεωμετρικούς χρόνους[335]. Η εμφάνιση και η διάρκεια των τοξωτών πορπών με το στριφτό τόξο είναι σύγχρονη στον ελλαδικό, αιγαιακό και ιταλικό χώρο[336], έτσι ώστε είναι δύσκολο για ενδιάμεσες περιοχές, όπως ο δυτικός και βορειοελλαδικός[337] χώρος, να διαπιστωθεί αν πρόκειται για διάδοση από τα δυτικά ή από τα νότια.

326. Kilian-Dirlmeier, ό.π. (υποσημ. 322), 259.

327. Ανδρόνικος 1969, 238.

328. Για βόρεια καταγωγή του τύπου, πρβλ. Milojčić 1948, 163, Desborough 1966, 58. Αμφιβολίες για τη βόρεια καταγωγή πορπών εκφράζει ο Deshayes 1966, 208, και ο Snodgrass 1971, 317, 319. Η Σαπουνά-Σακελλαράκη 1978, 42, τονίζει τη σύγχρονη εμφάνιση των τοξωτών πορπών και στις δύο περιοχές Ιταλίας και Ελλάδας.

329. Blegen 1921, 109, εικ. 133, αριθ. 6, Blinkenberg 1926, 47, τύπος I, 2a, εικ. 10, Furumark 1941, 91.

330. Furumark, ό.π., θραύσμα χρυσής τοξωτής πόρπης από τα Δενδρά, Persson 1931, 102, πίν. 33, 6, ΥΕ ΙΙΒ. Ο Desborough 1966, 55, αμφισβητεί ότι το θραύσμα των Δενδρών είναι πόρπη.

331. Δειράς Άργους, Deshayes 1966, τάφος XXIX, πίν. LXXXVII, Desborough 1966, 58.

332. Περατή, Ιακωβίδης 1970, Μ 116, Μ 117, που αποτελούν τα αρχαιότερα παραδείγματα τοξωτής πόρπης με συνεστραμμένο τόξο στον ελλαδικό χώρο. Desborough 1966, 58.

333. Ιακωβίδης 1970, 227.

334. Πρβλ. παραδείγματα από το Καρφί, Pendlebury 1937/38, πίν. XXIX, αριθ. 474, Βρόκαστρο, Hall 1914, 148, 151, εικ. 87, Φαιστό, Sapouna-Sakellaraki 1978, αριθ. 194, πίν. 6, Κεραμεικό, Kübler - Kraiker 1939, 47, τάφος 108, πίν. 28, Λευκαντί, Popham - Sackett - Themelis 1979/1980, 237, πίν. 238. Πρβλ. και θραύσμα πόρπης από την Τροία, Dörpfeld 1902, 414, εικ. 431.

335. Φορτέτσα: Brock 1957, πίν. 21, 263, Sapouna-Sakellaraki 1978, αριθ. 199, πίν. 7. Βεργίνα: Ανδρόνικος 1969, 232, εικ. 70.

336. Blinkenberg 1926, τύπος II, 7-9, Sapouna-Sakellaraki 1978, τύπος IIf.

337. Π.χ. Βεργίνα, Ανδρόνικος 1969, ό.π.

Η παραλλαγή 1α της Θάσου με το συμμετρικό τόξο (Π ί ν. 357: 6) και τις μικρές διαστάσεις βρίσκει το αντίστοιχο παράλληλό της στον υπομυκηναϊκό τάφο 108 του Κεραμεικού[338], από τον οποίο διαπιστώνεται ότι ο συμμετρικός και ασύμμετρος τύπος της τοξωτής πόρπης είναι δυνατό να είναι σύγχρονοι. Αντίστοιχα, επίσης, είναι τα υπομυκηναϊκά παραδείγματα όμοιων μικρών τοξωτών πορπών από το Λευκαντί[339], το Καρφί[340] και το Βρόκαστρο[341].

Η παραλλαγή 1β (Π ί ν. 357: 7), που ανήκει στον τύπο II, 7-9 του Blinkenberg[342] και στον τύπο IIf της Sapouna-Sakellaraki[343], κατάγεται από έναν τύπο πόρπης αντίστοιχο με εκείνο της πόρπης Κοράκου[344], από τον οποίο πρέπει να εξελίχθηκε ο τύπος με το μεγάλο, αλλά ακόμη χαμηλό τόξο, που στον ασύμμετρο τύπο εμφανίζεται κυρίως σε υπομυκηναϊκούς τάφους, όπως του Κεραμεικού[345]. Τόσο στον Κεραμεικό όσο και στα παραδείγματα από την Κρήτη[346], το τόξο είναι ψηλό σε σχήμα D. Το παράδειγμα, ωστόσο, της Θάσου (K4B10) πλησιάζει περισσότερο στην τοξωτή, σχεδόν βιολόσχημη, πόρπη από το Καρφί[347] και προπαντός στην πόρπη από τον τάφο S43, 5 στο Λευκαντί[348].

Η χρονολόγηση του τύπου 1 καλύπτει την υπομυκηναϊκή περίοδο, που πρέπει να θεωρηθεί μια τελευταία φάση της ΥΕ ΙΙΙΓ περιόδου, την πρωτογεωμετρική περίοδο, και επιβιώνει ως τη γεωμετρική εποχή, αλλά τα παραδείγματα της Θάσου φαίνεται ότι τοποθετούνται περισσότερο στην αρχή παρά στο τέλος της σειράς.

Το χαμηλό τόξο της πόρπης 1β (K4B10, Π ί ν. 33), ο μεγάλος οφθαλμός της έλικας και η μικρή υποδοχή της βελόνας αποτελούν στοιχεία πρώιμης χρονολόγησης, που τοποθετούν τον τύπο 1 της Θάσου πιο κοντά στα υπομυκηναϊκά παραδείγματα. Η ανεύρεση, επίσης, της παραλλαγής 1α στη φάση ΙΒ-ΙΙΑ και της παραλλαγής 1β στη φάση ΙΙΒ1 συνηγορούν για μια τέτοια υψηλή χρονολόγηση.

ΤΥΠΟΣ Π2

Μεγάλη τοξωτή πόρπη με δύο χαμηλούς κόμβους στο τόξο. Το τόξο είναι μικρότερο από ημικύκλιο και έχει τομή κυκλική. Μεγάλος οφθαλμός έλικας και μικρή υποδοχή βελόνας, όπου το άκρο του τόξου σφυρηλατείται και κάμπτεται ελαφρά προς τα έξω για να υποδεχθεί τη βελόνα (Π ί ν. 357: 8).

Ο τύπος 2 της Θάσου ανήκει στον τύπο II, 11 του Blinkenberg[349] και στον τύπο IIi της Sapouna-Sakellaraki[350]. Πρόκειται για τύπο διαδεδομένο, τόσο στον ελλαδικό όσο και στον αιγαιακό χώρο. Αντίστοιχα παράλληλά του εμφανίζονται συγχρόνως και στην Ιταλία[351].

Το αρχαιότερο παράδειγμα του τύπου, αλλά με τόξο ασύμμετρο, εμφανίζεται στον Κεραμεικό[352]. Πιο κοντά και από τα παραδείγματα του Κεραμεικού στο θασιακό παράδειγμα είναι ένα θραύσμα πόρπης από το Καβούσι Κρήτης[353].

Από την Κρήτη έχουμε και άλλα παραδείγματα, όπου όμως τα εξογκώματα του τόξου

338. Kübler - Kraiker 1939, πίν. 28, τάφος 108.
339. Popham - Sackett - Themelis 1979/1980, πίν. 238j.
340. Pendlebury 1937/38, πίν. XXIX, αριθ. 474.
341. Hall 1914, 144, εικ. 87b, Sapouna-Sakellaraki 1978, αριθ. 195A, πίν. 6.
342. Blinkenberg 1926, 72, 65-66
343. Sapouna-Sakellaraki 1978, 49-51.
344. Blegen 1921, 109, εικ. 133, αριθ. 6. Πρβλ. επίσης χάλκινη πόρπη από τις Μυκήνες, Blinkenberg 1926, 47, 12a, εικ. 10.
345. Kübler - Kraiker 1939, πίν. 28, Müller-Karpe 1962.
346. Βρόκαστρο: Sapouna-Sakellaraki 1978, αριθ. 195B, πίν. 6.
347. Ό.π. (υποσημ. 334).
348. Popham - Sackett - Themelis 1979/1980, 237, πίν. 238i.
349. Blinkenberg 1926, 67.
350. Sapouna-Sakellaraki 1978, 52.
351. Südwall 1943, τύπος BIa, εικ. 82 (1100-900 π.Χ.).
352. Kübler - Kraiker 1939, τάφος 108, πίν. 28, Müller-Karpe 1962, 87, υπομυκηναϊκή II (με ασύμμετρο τόξο). Πρβλ. επίσης τάφο 42, Kübler - Kraiker, ό.π., 83, εικ. 2. Πρβλ. και Südwall 1943, 24 (1100-1000 π.Χ.).
353. Sapouna-Sakellaraki 1978, αριθ. 224, πίν. 8.

διαμορφώνονται σε πιο αυτοτελή σχήματα και τονίζονται. Ο Milojčič δίδει κάποιο χρονικό προβάδισμα στις πόρπες αυτού του τύπου από την Κρήτη και σχετίζει την εμφάνισή τους με γενικότερες αφίξεις στοιχείων κεντροευρωπαϊκής μεταλλοτεχνίας στην Κρήτη[354].

Αντίστοιχο παράδειγμα πόρπης, με τονισμένα ωστόσο εξογκώματα στο τόξο, έχουμε από το Assarlik[355], χρονολογημένο επίσης στην υπομυκηναϊκή περίοδο, ενώ ο τύπος δε φαίνεται να απουσιάζει από την Εγγύς Ανατολή την ίδια εποχή[356].

Στην Κύπρο εμφανίζονται συγχρόνως αντίστοιχα παραδείγματα, που σχετίζονται με τις χάλκινες πόρπες του τάφου 108 του Κεραμεικού[357].

Η Sapouna-Sakellaraki[358] προτείνει την Αττική ως τόπο γέννησης του τύπου, ενώ οι πόρπες με τις κομβιόσχημες εξοχές στο τόξο, που εμφανίζονται στο νεκροταφείο της Βεργίνας[359], πρέπει να έχουν δυτική προέλευση, όπως πιθανότατα και οι χάλκινες πόρπες από την Αλβανία[360].

Το μοναδικό παράδειγμα του τύπου 2 από τη Θάσο με το χαμηλό τόξο, το μεγάλο οφθαλμό της έλικας στη στροφή της βελόνας και τη μικρή υποδοχή, πρέπει να στέκεται στην αρχή της σειράς, με πλησιέστερο τυπολογικό παράδειγμα το θραύσμα της πόρπης από το Καβούσι.

ΤΥΠΟΣ Π3

Τοξωτή πόρπη με σφαιρικό έξαρμα, ελαφρά μετατοπισμένο από το μέσον του τόξου και πλαισιωμένο από δύο πλαστικούς δακτυλίους. Το τόξο είναι μεγαλύτερο από ημικύκλιο και στην περιοχή της υποδοχής της βελόνας διαμορφώνεται μια πλάκα με δρεπανόσχημη απόληξη, που διακοσμείται με δύο εγχάρακτους κύκλους (Σ χ έ δ. 106· Π ί ν. 357: 9).

Ο τύπος 3 πρέπει να καταταγεί στις νησιωτικές πόρπες του τύπου IV, 10 του Blinkenberg[361] και του τύπου Va της Sapouna-Sakellaraki[362]. Οι διαστάσεις του τον διαφοροποιούν από τα κατά κανόνα μικρογραφικά παραδείγματα του τύπου Va, ενώ η εγχάρακτη διακόσμηση της πλάκας τον πλησιάζει στις διακοσμημένες πλάκες του τύπου IVc της Sapouna-Sakellaraki[363]. Ο τύπος V είναι αποκλειστικά νησιωτικός του ανατολικού Αιγαίου, που εμφανίζεται από την ύστερη γεωμετρική εποχή και επιβιώνει ως τα πρώιμα αρχαϊκά χρόνια[364]. Ο τύπος 3 αντιπροσωπεύεται με ένα παράδειγμα στη Θάσο, το οποίο προέρχεται από όχι καλά χρονολογημένο σύνολο ευρημάτων και τοποθετείται στη φάση ΙΙΒ3 των νεκροταφείων του οικισμού Καστρί. Η παρουσία των εγχάρακτων κύκλων θα το τοποθετούσε κοντά σε παραδείγματα του τύπου IVc της Sapouna-Sakellaraki, που εμφανίζουν αντίστοιχη εγχάρακτη διακόσμηση[365].

ΤΥΠΟΣ Π4

Πόρπη τοξωτή με βαρύ σφαιρικό έξαρμα, πλαισιωμένο με αυλακώσεις και πλαστικούς δα-

354. Πόρπες από τα Μουλιανά, Milojčič 1955, 168, εικ. 3, 9, Sapouna-Sakellaraki 1978, αριθ. 221, 222, πίν. 8. Ο Milojčič προτείνει μια ιταλοδαλματική καταγωγή για τον τύπο αυτό της πόρπης και συνδέει την εμφάνισή της στο Αιγαίο με αφίξεις βόρειων πολιτιστικών στοιχείων.

355. Blinkenberg 1926, 67, εικ. 43, τύπος ΙΙ, 10, υπομυκηναϊκή.

356. R.J. Riis, Hama II, 3, Les cimetières à cremation, 1948. Πρβλ. αντίστοιχη χάλκινη πόρπη της Εξοχής, Γραμμένος 1979, πίν. XIII.

357. Südwall 1943, 24.

358. Sapouna-Sakellaraki 1978, 52.

359. Ανδρόνικος 1969, 23, εικ. 69.

360. Studia Albanica I (1964), 102, πίν. XIV, 2. Πρβλ. επίσης ανάλογες με του νεκροταφείου της Βεργίνας τοξωτές πόρπες από τη νότια Γιουγκοσλαβία, Kilian 1975, πίν. 40,•5-7.

361. Blinkenberg 1926, 87 κ.ε. Πρβλ. για τη διαμόρφωση του τόξου, Mustilli 1932/33, εικ. 18.

362. Sapouna-Sakellaraki 1978, 73-77.

363. Πρβλ. πόρπη από τη Λίνδο, ό.π., πίν. 26, αριθ. 848.

364. Ό.π., 89.

365. Πρβλ. εγχάρακτους κύκλους και σε πόρπη από τη Σκύρο, ό.π., αριθ. 658, πίν. 22.

κτυλίους στο τόξο. Οφθαλμός πόρπης μικρός, υποδοχή βελόνας διαμορφωμένη με τριγωνικό έλασμα (Π ί ν. 357: 10).

Ο Blinkenberg κατατάσσει ανάλογα παραδείγματα στον τύπο II[366], από τον οποίο η Sapouna-Sakellaraki ξεχωρίζει επιμέρους τύπους, όπως τον τύπο IVb και τους νεότερους ακόμη τύπους IVc, IVd[367]. Ο τύπος IVb πιθανότατα δημιουργείται στην Αττική στην πρωτογεωμετρική εποχή και διαδίδεται εν συνεχεία προς βορρά και νότο, εμφανίζοντας μια διάρκεια ζωής ως τα πρώιμα αρχαϊκά χρόνια.

Ο θασιακός τύπος πλησιάζει τον τύπο II, 14 του Blinkenberg, αλλά δεν εντάσσεται στις παραλλαγές του τύπου IVb της Sapouna-Sakellaraki.

Θα μπορούσε να τοποθετηθεί στην εξελικτική σειρά των χάλκινων πορπών, που εμφανίζονται στα νεκροταφεία του Λευκαντί[368], ανάμεσα στον τύπο του πίνακα 248, 11 και 248, 12-13, που χρονολογούνται στην ύστερη πρωτογεωμετρική περίοδο. Ανάλογα παραδείγματα από το βορειοελλαδικό χώρο χρονολογούνται στις αρχές του 7ου αι. π.Χ.[369].

Ο τύπος 4 αντιπροσωπεύεται με δύο παραδείγματα (πιθανότατα ζεύγος) της φάσης ΙΙΓ των νεκροταφείων του οικισμού Καστρί.

ΤΥΠΟΣ Π5

Τοξωτή πόρπη με τόξο κυκλικής τομής. Οφθαλμός μικρός, έλασμα υποδοχής βελόνας ορθογώνιο (Π ί ν. 357: 11).

Ο τύπος 5 εντάσσεται στον τύπο II του Blinkenberg[370] και στον τύπο IIb της Sapouna-Sakellaraki[371], που αποτελεί νεότερη εξέλιξη του γνωστού από την υπομυκηναϊκή περίοδο τύπου IIa. Τα θασιακά παραδείγματα τοποθετούνται με τα νεότερα παραδείγματα του τύπου IIa[372] και με τα παλιότερα πιθανόν παραδείγματα του τύπου IIb της Sapouna-Sakellaraki[373], εφόσον το έλασμα της υποδοχής της βελόνας δεν είναι ιδιαίτερα αναπτυγμένο. Η ανάπτυξη του ελάσματος, που διαφοροποίησε ουσιαστικά τον τύπο IIb από τον τύπο IIa, τοποθετείται από την Sapouna-Sakellaraki μετά τα μέσα του 8ου αι. π.Χ.[374].

Επειδή είναι δεδομένη η επιβίωση τόσο του τύπου IIa όσο και του τύπου IIb, ως τα πρώιμα αρχαϊκά χρόνια, δεν είναι δυνατό να προκύψουν χρονολογικά στοιχεία από τις λεπτομέρειες της τυπολογίας των θασιακών πορπών. Οπωσδήποτε, όμως, είναι ενδεικτικό χρονολογικό στοιχείο η ανεύρεση των πορπών αυτού του τύπου στη φάση ΙΙΓ των νεκροταφείων του οικισμού Καστρί και η συνύπαρξη μιας πόρπης αυτού του τύπου (Κ3Α7) με προχοΐσκη κεραμικής τύπου G 2-3. Ανάλογα παραδείγματα του τύπου εμφανίζουν μια ιδιαίτερη διάδοση στο βορειοανατολικό[375] Αιγαίο.

366. Blinkenberg 1926, 71, αριθ. 14.

367. Sapouna-Sakellaraki 1978, 69 κ.ε., πρβλ. και σ. 73.

368. Popham - Sackett - Themelis 1979/1980, 238, πίν. 248, αριθ. 11-15.

369. Kilian 1975, 85, πίν. 28, 10, αρχές 7ου αι. π.Χ., Βαβρίτσας 1967, πίν. 7. Πρβλ. αντίστοιχα παραδείγματα και από την ηπειρωτική Θράκη, Gradešnica, Hänsel 1976, 140, πίν. 67, 4. Τα βορειότερα παραδείγματα του τύπου ως τη Ρουμανία (πόρπη Bradu, A. Vulpe, Dacia NS 59 (1965), 119, εικ. 8, και πόρπη Cozia, A. Lázló, Memoria Antiquitatis I (1969), 314 κ.ε.) χρονολογήθηκαν αρχικά στο 10ο αι. π.Χ., αλλά δεν πρέπει να είναι αρχαιότερα από τις αρχές του 8ου αι. π.Χ., Hänsel 1976, 140, σημ. 29 και Tončeva 1980, 180. Ο τύπος οπωσδήποτε επιβιώνει ως τους κλασικούς χρόνους, Olynthus X (1941), 112, πίν. 23, 396.

370. Blinkenberg 1926, 60-65, τύπος II, 1-6.

371. Sapouna-Sakellaraki 1978, 45-47. Το θασιακό παράδειγμα Κ3Α17 κατατάσσεται από τη Σαπουνά-Σακελλαράκη στον τύπο IId, προφανώς από έλλειψη στοιχείων.

372. Ό.π., νεότερα παραδείγματα τύπου IIa, όπως η πόρπη από τη Σαμοθράκη, αριθ. 76a, πίν. 3.

373. Boardman 1967, 207, εικ. 137, αριθ. 190-192, Sapouna-Sakellaraki 1978, αριθ. 130-135, πίν. 5. Πρβλ. και πόρπες Ιαλυσού, ό.π., αριθ. 116, 118, 119, πίν. 4.

374. Sapouna-Sakellaraki 1978, 47.

375. Εκτός από τα παραδείγματα της Χίου (ό.π., υποσημ. 373) και της Σαμοθράκης (ό.π., υποσημ. 372), πρβλ. επίσης παραδείγματα της Μεσημβρίας, Βαβρίτσας 1966, πίν. 72α, Τροίας, Blegen - Caskey 1958, εικ. 289, 3854, Ηφαιστείας, Mustilli 1932/33, εικ. 289, πίν. XIV, 4.

ΤΥΠΟΣ Π6

Ο τύπος 6 είναι μικρή τοξωτή πόρπη με πέντε σφαιρικά εξογκώματα στο τόξο. Τομή τόξου κυκλική, οφθαλμός πόρπης μικρός (Π ί ν. 357: 12). Ο τύπος εντάσσεται στον τύπο III του Blinkenberg[376] και στον τύπο IIIa της Sapouna-Sakellaraki[377]. Εμφανίζει μια μεγάλη διάδοση στον αιγαιακό χώρο, αλλά δε λείπει και από τον ελλαδικό (Θεσσαλία)[378] και από τα ηπειρωτικά Βαλκάνια[379].

Τα πρωιμότερα παραδείγματα του τύπου χρονολογούνται από την πρώιμη γεωμετρική εποχή, αλλά ο τύπος είναι διαδεδομένος στην ύστερη γεωμετρική εποχή και επιβιώνει και στους πρώιμους αρχαϊκούς χρόνους[380].

Το θασιακό παράδειγμα προέρχεται από τη φάση ΙΙΓ των νεκροταφείων Καστρί.

ΤΥΠΟΣ Π7

Μικρή τοξωτή πορπή με ισχυρά διογκωμένο το κέντρο του τόξου. Τομή τόξου κυκλική. Οφθαλμός πόρπης μικρός. Έλασμα υποδοχής πλατύ, με τριγωνικό άκρο που εξέχει (Π ί ν. 357: 13).

Πρόκειται για νησιωτικό τύπο πόρπης, που εμφανίζει μεγάλη διάδοση στο νοτιοανατολικό Αιγαίο κυρίως. Ο τύπος εντάσσεται στον τύπο IV του Blinkenberg[381] και στον τύπο IVd της Sapouna-Sakellaraki[382].

Οι πόρπες αυτού του τύπου χρονολογούνται από το τέλος της γεωμετρικής εποχής ως τα αρχαϊκά χρόνια. Η μεγαλύτερη διάδοση του τύπου χρονολογείται κυρίως στα τελευταία γεωμετρικά και στα πρώιμα αρχαϊκά χρόνια (8ος-7ος αι. π.Χ.)[383].

Τα θασιακά παραδείγματα προέρχονται από τη φάση ΙΙΓ των νεκροταφείων του οικισμού Καστρί.

Περόνες

Τα ελάχιστα θραύσματα περονών, που βρέθηκαν στα νεκροταφεία του οικισμού Καστρί (Π ί ν. 357: 14), ανήκουν σ' ένα τύπο οστέινης περόνης, που εμφανίζεται στον αιγαιακό και ελλαδικό χώρο από την πρώιμη εποχή του χαλκού. Τα αρχαιότερα παραδείγματα του τύπου προέρχονται από την Τροία[384], αλλά ο τύπος είναι διαδεδομένος, τόσο στα νησιά του Αιγαίου[385] όσο και στο λοιπό ελλαδικό χώρο[386], σ' όλες τις φάσεις της εποχής του χαλκού. Οστέινες περόνες αυτού του τύπου είναι συχνές στις μυκηναϊκές θέσεις από την ΥΕ Ι περίοδο[387] ως το τέλος του μυκηναϊκού πολιτισμού και παραμένουν στην υπομυκηναϊκή περίοδο, για να επιβιώσουν ως τη γεωμετρική εποχή[388] και τους ιστορικούς χρόνους[389].

376. Blinkenberg 1926, 84, τύπος 10b, εικ. 77.

377. Sapouna-Sakellaraki 1978, 54-57, πίν. 9-10. Πρβλ. τύπο F Εμπορίου, Boardman 1967, 206, εικ. 136, που καλύπτει τις περιόδους I-IV (800-600 π.Χ.), εμφανίζοντας ωστόσο τη μεγαλύτερη συχνότητα στην περίοδο I.

378. Kilian 1975α, αριθ. 861, εικ. 30.

379. Hänsel 1976, 140, πίν. 67, 7.

380. Sapouna-Sakellaraki 1978, 57.

381. Blinkenberg 1926, τύπος IV, 94-95.

382. Sapouna-Sakellaraki 1978, 77-84.

383. Ό.π., αριθ. 885-1019 από την Ιαλυσό, πρβλ. αριθ. 855Α από τη Λίνδο, που μοιάζουν περισσότερο με τη θασιακή πόρπη, αλλά δεν είναι χρονολογημένα. Τα χρονολογημένα παραδείγματα από το Εμπορειό (περίοδος II-IV, 700-600 π.Χ., τύπος C) είναι αρκετά διαφοροποιημένα από το θασιακό παράδειγμα. Πρβλ. Boardman 1967, 206-208.

384. Τροία I: Blegen - Caskey 1950, εικ. 126, τύπος 8. Τροία II: ό.π., 16, εικ. 364, αριθ. 37368, 37632. Τροία III: Blegen - Caskey 1951, 14, εικ. 51, αριθ. 34226, 34517, 34443.

385. Lamb 1936, εικ. 60, αριθ. 11. Αντίστοιχες περόνες εμφανίζονται και στις νεότερες φάσεις της Θερμής, III, IV, V, ό.π., πίν. XXVII, 1, 4 κ.α.

386. Λιανοκλάδι: Wace - Thompson 1912, εικ. 139. Εύτρηση: Goldman 1931, 283, εικ. 284, 10.

387. Μυκήνες: ταφικός περίβολος Β', Μυλωνάς 1973, πίν. 84β, τάφος Ε, και πίν. 136, τάφος Μ. Πρόσυμνα: Blegen 1937, 285, τάφος XVII, εικ. 107, αριθ. 5, ΥΕ II-ΥΕ III. Πρβλ. επίσης οστέινες περόνες από το νεκροταφείο Δειράδος, Deshayes 1966, 204-205, ή παραδείγματα από του Κοράκου, Blegen 1921, εικ. 130.

388. Οστέινες περόνες από το Καρφί Κρήτης, Pendlebury 1937/38, 127, πίν. XXVIII, 4, και ανάλογες περόνες

Τα ελάχιστα δείγματα της Θάσου χρονολογούνται στη φάση ΙΒ και εμφανίζουν πολλές ομοιότητες με αντίστοιχα παραδείγματα από τη Μακεδονία της ύστερης εποχής του χαλκού[390], καθώς και από την Τροία VI και VIIb[391].

Tutuli - Επιρράμματα - Ομφάλια

Οι tutuli, τα γνωστά από τον κεντροευρωπαϊκό κυρίως χώρο χάλκινα κομβιόσχημα ή ηλόμορφα αντικείμενα, που διακοσμούσαν ενδύματα, όπλα ή εξάρτυση αλόγων, εμφανίζονται στα νεκροταφεία της πρωτοϊστορικής Θάσου σε πολύ περιορισμένο αριθμό, κυρίως στη φάση Ι των νεκροταφείων του οικισμού Καστρί (Π ί ν. 358: 1-6).

ΤΥΠΟΣ Τ1

Ο τύπος 1 εμφανίζεται με ελάχιστα παραδείγματα στο νεκροταφείο Κεντριά (Σ χ έ δ. 109· Π ί ν. 24Α: 4).

Ο τύπος Τ1 με την κυρτή επιφάνεια και τη θηλιά προσάρτησης είναι πολύ κοινός τύπος στον κεντροευρωπαϊκό χώρο, όπου εμφανίζεται από τα τέλη της ύστερης εποχής του χαλκού (Hallstatt)[392]. Στον ελλαδικό χώρο εμφανίζονται πολύ σποραδικά από την ΥΕ ΙΙΓ περίοδο, αλλά στο νεκροταφείο της Βεργίνας στην πρώιμη εποχή του σιδήρου έχουν μεγάλη συχνότητα, που σχετίζεται με τον κεντροευρωπαϊκό χαρακτήρα των χάλκινων κοσμημάτων αυτού του νεκροταφείου[393].

ΤΥΠΟΣ Τ2

Ο τύπος 2 με την ηλόμορφη απόφυση εμφανίζεται αποκλειστικά στον τάφο Κ1Α σε πολλά θραύσματα, που προϋποθέτουν τη συσχέτισή τους με τη διακόσμηση κάποιου αντικειμένου (Π ί ν. 6: 79-92).

Το κόσμημα αυτού του τύπου, που είναι πολύ διαδεδομένο στον κεντροευρωπαϊκό χώρο στην περίοδο Urnenfelder[394], δεν είναι άγνωστο και στον ελλαδικό χώρο, όπως αποδεικνύουν χρυσά καρφιά ανάλογου σχήματος, που βρέθηκαν στους κάθετους τάφους Μυκηνών[395], και αντίστοιχα αντικείμενα στους ΥΕ ΙΙΙΒ-Γ τάφους της Λακκίθρας Κεφαλληνίας[396]. Η εμφάνισή τους και η συχνότητά τους, οπωσδήποτε, στο νεκροταφείο της Βεργίνας σχετίζεται περισσότερο με την κεντροευρωπαϊκή παράδοση μεταλλοτεχνίας, που χαρακτηρίζει τα χάλκινα κυρίως κοσμήματα του νεκροταφείου.

ΤΥΠΟΣ Τ3

Τα χάλκινα ελάσματα του τύπου 3 ανήκουν στη γνωστή κατηγορία των χάλκινων κυκλικών ή ελλειψοειδών ελασμάτων, για τη χρήση των οποίων έχουν διατυπωθεί διάφορες απόψεις. Από τα παραδείγματα που έχουν βρεθεί ως τώρα στην κεντρική Ευρώπη, στον αιγαιακό χώρο και την Εγγύς Ανατολή, είναι φανερό πως τα αντικείμενα αυτής της κατηγορίας δεν

από το Δικταίο άντρο, Boardman 1961, Ιερό Αλέας Αθηνάς Τεγέας, BCH XLV (1921), 378, εικ. 115, Ιερό Πρινιά, ASAtene I (1914), 74, εικ. 42. Τέλη 7ου αι. π.Χ.

389. Καστρίτσα: ΠΑΕ 1952, 381, εικ. 19 (4ος αι. π.Χ.). Πρβλ. παραδείγματα ρωμαϊκών χρόνων από την Αθηναϊκή Αγορά, The Athenian Agora V, πίν. 56, M110.

390. Βαρδαρόφτσα, Βάρδινο, Περιβολάκι (Σαρατσέ): Heurtley 1939, εικ. 103, m, n, o, p, s, w. Άσσηρος: Wardle 1980, πίν. 22d.

391. Τροία VI: Blegen - Caskey 1953, 28-29, πίν. 303. Τροία VIIb: Blegen - Caskey 1958, 151, πίν. 255.

392. Foltiny 1955, 33, πίν. 17, 3, 7, Müller-Karpe 1959, πίν. 18A, 3 και 19A, 13, Vinski-Gasparini 1973, πίν. 4, 16, 17, πίν. 30b, 1-7, πίν. 49, 11-12.

393. Ανδρόνικος 1969, 237, εικ. 75.

394. Vinski-Gasparini 1973, πίν. 45, 10 και 57, 33.

395. Karo 1930, τάφος V, αριθ. 803-806, πίν. CXLVI.

396. Μαρινάτος 1932, 26.

καλύπτουν μια αποκλειστικά ειδική χρήση[397]. Για τα κεντροευρωπαϊκά παραδείγματα ο Merhart[398] προτίμησε να χρησιμοποιήσει τη γενική ονομασία «φάλαρα», συνδέοντάς τα, όπως και ο Müller-Karpe[399], με τη διακόσμηση της αμυντικής θωράκισης αδιάκριτα πολεμιστών και αλόγων. Για τα αιγαιακά παραδείγματα ο Snodgrass[400] προσδιόρισε από τις χρήσεις που είχαν προταθεί, εκείνες που επιβεβαιώνονταν από τα ανασκαφικά στοιχεία, και κατέληξε σε μια ποικιλία χρήσεων, ερμηνεύοντάς τα ανάλογα με τα ανασκαφικά στοιχεία ως κύμβαλα, τύμπανα, επίσημα ασπίδων και μικρογραφικές αποδόσεις ασπίδων. Τα παραδείγματα της Θάσου πλησιάζουν περισσότερο χάλκινα κυκλικά ελάσματα, που έχουν ερμηνευθεί ως εξαρτήματα ενδυμασίας, όπως π.χ. τα κυκλικά ελάσματα από το Καρφί και το Δικταίο άντρο ή τα αντίστοιχα από το νεκροταφείο της Ηφαιστείας, «επιρράμματα»[401].

Σ' αυτή την κατηγορία πρέπει να ενταχθούν και τα χάλκινα ελάσματα του τύπου 3α-γ, που βρέθηκαν στο νεκροταφείο Τσιγανάδικα (Π ί ν. 358: 1-3).

Οι μικρές διαστάσεις τους, η παρουσία οπών στην περιφέρεια και το χαμηλό κεντρικό έξαρμα, σε συνδυασμό με την ανεύρεσή τους σε παιδικές ταφές, τα σχετίζει πολύ περισσότερο με διακόσμηση ενδύματος και λιγότερο με επίσημα ασπίδας (ομφάλια). Τα ελάσματα αυτά θα μπορούσαν να αποτελούν διακόσμηση ενδύματος, όπως αυτή που απεικονίζεται στα πήλινα κατωιταλιωτικά αγαλμάτια[402], ή διακόσμηση ζώνης, όπως βεβαιώνουν τα ευρήματα της Βεργίνας[403].

Η παραλλαγή 3α (T2A6) αποτελεί μια απλοποιημένη απόδοση του τύπου 1 του Merhart[404], όπου οι περιφερειακές εμπίεστες αποφύσεις των κεντροευρωπαϊκών και των αντίστοιχων αιγαιακών παραδειγμάτων[405] έχουν αντικατασταθεί από απλές οπές, με ελαφρά εξηρμένη τη γύρω τους επιφάνεια (Π ί ν. 65: 6, 358: 1-2). Το κέντρο του ομφάλιου είναι ημισφαιρικό έξαρμα, κατεστραμμένο σήμερα στο κέντρο. Η ύπαρξη κάποιου κεντρικού εμβόλου στη θέση αυτή δε φαίνεται ωστόσο καθόλου πιθανή, εξαιτίας και του πολύ μικρού πάχους του ελάσματος.

Η παραλλαγή 3β (T2B9) είναι ακόμη πιο απλουστευμένο σχήμα, με μια κεντρική οπή στο κέντρο του κώνου και χωρίς οπές στην περιφέρεια (Π ί ν. 66Α: 9, 358: 3).

Η έλλειψη οπών στην περιφέρεια, οι μικρές διαστάσεις και το ελλειψοειδές σχήμα διαφοροποιούν το επίρραμμα T2B9 από αντίστοιχα ακόσμητα ομφάλια, που είναι γνωστά από την Urnenfelder περίοδο της κεντρικής Ευρώπης[406].

397. Στην κεντρική Ευρώπη ερμηνεύονται είτε ως εξαρτήματα αμυντικού οπλισμού (θωράκων) (πρβλ. νεκροταφείο Hallstatt, K. Krommer, Das Gräberfeld von Hallstatt, 1959, πίν. 3, τάφος 234 και 74, εικ. 44) είτε ως επένδυση ιπποσκευών, Merhart 1956, 28 κ.ε., Müller-Karpe 1962, 72. Για τα παραδείγματα του αιγαιακού χώρου έχουν προταθεί διάφορες χρήσεις όπως: Κύμβαλα: A. Furtwängler, Bronzen von Olympia, 1890, 70 κ.ε., E. Kunze, ΑΔ 17 (1961/62): Χρονικά, 116. Τύμπανα: E. Kunze, Kretische Bronzereliefs, 1931, 48-50, πίν. 49. Επίσημα ασπίδων: Kübler 1943, 27 κ.ε., Snodgrass 1964, 47-49, E.A - H.W. Catling, Appendix B, J. Benson, The Necropolis of Kaloriziki, 1973, 132 κ.ε., πίν. 56. Κοσμήματα ζώνης: Ανδρόνικος 1969, 245-247. Μικρογραφικές αποδόσεις ασπίδων, Δικταίο άντρο: D.G. Hogarth, BSA 6 (1899-1900), 109, εικ. 41, Δελφοί: P. Perdrizet, FdD V (1908), αριθ. 450-453, 370, 370 bis. Δρήρος: S. Marinatos, BCH LX (1936), 277, εικ. 41, Πραισός: S. Benton, BSA 15 (1939/40), 56, Παλαίκαστρο: S. Benton, ό.π. Πρβλ. και πήλινες μικρογραφικές ασπίδες στο ίδιο σχήμα, Γόρτυς: ASAtene 33-39 (NS 17-18) (1954/55), 278. Επιρράμματα ρούχων, Καρφί Κρήτης: Pendlebury 1937/38, 113, πίν. 28, αριθ. 183, 184, Ηφαιστεία Λήμνου: Mustilli 1932/33, 253, εικ. 40, Δικταίο άντρο: Boardman 1961, 49. Πρβλ. επίσης Catling 1964, 143 κ.ε., Desborough 1966, 66 κ.ε., Desborough 1972, 306 κ.ε., Snodgrass, ό.π., 38, και Hamburger Beiträge zur Archäologie 1 (1973), 41 κ ε.

398. Merhart 1956, 28.

399. Müller-Karpe 1962, 72.

400. Snodgrass 1964, 37-51. Πρβλ. Hamburger Beiträge zur Archäologie 1 (1973), 41 κ.ε.

401. Ό.π. (υποσημ. 397).

402. P. Orsi, MA 7 (1897), 246, εικ. 31-32.

403. Ανδρόνικος 1969, 245-247.

404. Merhart 1956, 103. Πρβλ. Vinski-Gasparini 1973, πίν. 44, 13. Πρβλ. και αντίστοιχο αιγαιακό τύπο με υπερυψωμένο κέντρο χωρίς έμβολο, ό.π., εικ. 12.

405. Merhart 1956, εικ. 12.

406. Vinski-Gasparini 1973, πίν. 57, 18 και 66, 32, Merhart 1956, εικ. 11, 1. Πρβλ. και για παλαιότερα παραδείγματα

Η παραλλαγή 3γ, που εμφανίζει συγκεντρικές παράλληλες αυλακώσεις γύρω από το κέντρο του δίσκου (Τ17Β13, Π ί ν. 100: 13, 358: 6), βρίσκεται πιο κοντά στα κεντροευρωπαϊκά παραδείγματα. Αντίστοιχα ομφάλια είναι άγνωστα στον αιγαιακό χώρο, αλλά πολύ διαδεδομένα στην κεντρική Ευρώπη[407]. Το ομφάλιο - επίρραμμα Τ17Β13, όπως και τα δύο προηγούμενα, δε σώζει το κέντρο του δίσκου, αλλά φαίνεται ότι δεν πρέπει να είχε χωριστό έμβολο. Το κέντρο του δίσκου πρέπει να παρουσίαζε, όπως τα αντίστοιχα παραδείγματα από την κεντρική Ευρώπη, το Αιγαίο και την Εγγύς Ανατολή, μια υπερυψωμένη ημισφαιρική επιφάνεια. Μετά τα κυπριακά παραδείγματα από τον Άγιο Ιάκωβο[408], το αρχαιότερο αιγαιακό παράδειγμα ομφαλίου αυτού του τύπου αντιπροσωπεύεται από το ομφάλιο των Μουλιανών[409]. Ο τύπος είναι διαδεδομένος στη νότια Ελλάδα[410], τα νησιά του ανατολικού Αιγαίου[411], την Κρήτη[412], ακόμη και την Κύπρο[413] της γεωμετρικής εποχής, ενώ δε λείπει από τη Μακεδονία της πρώιμης εποχής του σιδήρου[414]. Σ' αυτό τον τύπο εντάσσονται και ελάσματα, που ερμηνεύονται σε ορισμένες περιπτώσεις ως «επιρράμματα»[415]. Ο τύπος επιβιώνει και στα ιστορικά χρόνια, στις επενδύσεις καρφιών σε θυρώματα ή κιβώτια[416].

Ο τύπος 3 με τις τρεις παραλλαγές του εμφανίζεται σε τάφους του νεκροταφείου Τσιγανάδικα, που χρονολογούνται στη φάση ΙΙΒ1-2.

ΤΥΠΟΣ Τ4

Στην κατηγορία των κομβιόσχημων χάλκινων αντικειμένων (tutuli) εντάσσεται και το χάλκινο κόσμημα (Τ7Γ10), που είναι ωστόσο χυτό με μια συμπαγή θηλιά προσάρτησης στην κάτω επιφάνεια (Π ί ν. 79: 10, 358: 4-5).

Ανάλογα αντικείμενα είναι γνωστά από τον κεντροευρωπαϊκό χώρο στα τέλη της ύστερης εποχής του χαλκού (Urnenfelder)[417].

Η εγχάρακτη διακόσμηση με την τρεμουλιαστή χαρακτή γραμμή, τόσο στην τεχνική της τρεμουλιαστής χαρακτής γραμμής όσο και στα διακοσμητικά θέματα, θυμίζει αντίστοιχα διακόσμηση γνωστή από αντικείμενα πρωτογεωμετρικών και γεωμετρικών χρόνων του ελλαδικού χώρου[418] και της πρώιμης εποχής του σιδήρου του βορειοελλαδικού[419] και βαλκανικού χώρου[420].

πρώιμης εποχής του χαλκού, Schranil 1928, πίν. XIX, 8-18 (Únětice Kultur), Foltiny 1955, 33, πίν. 16, 13. Πρβλ. επίσης για παραδείγματα μέσης εποχής του χαλκού, ό.π., πίν. XXV, 33, και ύστερης εποχής του χαλκού, ό.π., πίν. XXX, 7. Πρβλ. επίσης για ελλειψοειδή σχήματα, Petrescu-Dîmboviţa 1978, πίν. 157, αριθ. 576, φάση II ύστερης εποχής του χαλκού Ρουμανίας.

407. Merhart 1956, 103, εικ. 8, 5, Vinski-Gasparini 1973, πίν. 28, 12, πίν. 44, 9, πίν. 53, 22 και πίν. 79, 5. Πρβλ. ανάλογα «επιρράμματα» σε τάφους πολιτισμού Villanova, Henken 1968, 115 κ.ε.

408. SCE 1 (1934), πίν. 61, 108, 109.

409. AE 1904, 11, 46, Merhart 1956, 116, εικ. 3, αριθ. 5.

410. Δελφοί, P. Perdrizet, FdD V (1908), 107, εικ. 370, 370 bis.

411. Ηφαιστεία Λήμνου, Mustilli 1932/33, 244-245, εικ. 255.

412. Κρήτη, Βρόκαστρο, Hall 1914, εικ. 58Η. Πιθανόν γεωμετρικών χρόνων.

413. Αμαθούς, SCE 2 (1935), 117-118, πίν. 24, αριθ. 38-51 και 107, πίν. 24, αριθ. 53.

414. Kilian 1975, πίν. 53, αριθ. 10 και 13.

415. Κρήτη, Καρφί: ό.π. (υποσημ. 397). Ηφαιστεία: ό.π. (υποσημ. 397).

416. Olynthus X, 260 κ.ε.

417. Vinski-Gasparini 1973, πίν. 28, 27, Petrescu-Dîmboviţa 1978, πίν. 123b, 1-2, Patek 1968, πίν. XXVII, 12A.

418. Kilian-Dirlmeier 1979, πίν. 2, 32 (περίαπτο Λουσών), πίν. 14, αριθ. 209, 210, 212 (σφραγίδες από Ιερό Αλέας Αθηνάς Τεγέας). Ύστεροι γεωμετρικοί χρόνοι. Πρβλ. επίσης, ό.π., πίν. 50, αριθ. 960 (πτηνόμορφο περίαπτο Ιερού Αλέας Αθηνάς Τεγέας) ή περίαπτα Φερρών, ό.π., πίν. 50, αριθ. 926, 923. Τα αρχαιότερα παραδείγματα τρεμουλιαστής χάραξης στα χάλκινα εμφανίζονται στην πρωτογεωμετρική εποχή και διαρκούν ως τα ύστερα γεωμετρικά χρόνια. Για το διακοσμητικό θέμα, πρβλ. και υστερομυκηναϊκά δισκάρια θησαυρού Τσούντα, Σπυρόπουλος 1972, εικ. 20.

419. Βεργίνα, Ανδρόνικος 1969, 249, εικ. 87 AEVa, τρεμουλιαστή χάραξη.

420. Kilian-Dirlmeier 1979, πίν. 93, αριθ. 1570. Πρβλ. αντίστοιχη χάραξη σε διπλό πέλεκυ από το Visoj, Kilian 1975, πίν. 60, 4.

ΤΥΠΟΣ Τ5 (ομφάλια)

Το μόνο βέβαιο παράδειγμα ομφαλίου προέρχεται από τον τάφο Β3 του νεκροταφείου Βρυσούδες, που χρονολογείται στη φάση ΙΙΓ των νεκροταφείων. Το έμβολο Β3, 10 προέρχεται από έναν τύπο ομφαλίων με τονισμένο έμβολο στο κέντρο του δίσκου του, τα οποία σε ορισμένες περιπτώσεις κατασκευάζονται από χωριστό κομμάτι. Τα αρχαιότερα παραδείγματα από το μυκηναϊκό χώρο χρονολογούνται στην ΥΕ ΙΙΙΓ περίοδο και προέρχονται από την Κύπρο[421]. Η χρήση τους είναι βεβαιωμένη από τα ανασκαφικά ευρήματα του τάφου της Καλορίζικης, από τα οποία ανασυντέθηκε μια ασπίδα διακοσμημένη με ομφάλια, αντίστοιχη με τις ασπίδες των πολεμιστών στο γνωστό μυκηναϊκό κρατήρα των πολεμιστών. Στον ίδιο τύπο ανήκουν τα χάλκινα ομφάλια των πρωτογεωμετρικών τάφων του Κεραμεικού[422] που, όπως και τα αντίστοιχα γεωμετρικά από το Καβούσι[423], πλησιάζουν σε μεγάλο βαθμό ανάλογα κεντροευρωπαϊκά ομφάλια.

Το έμβολο της Θάσου είναι κατασκευασμένο από χωριστό κομμάτι, όπως και το αντίστοιχο έμβολο από την Κύπρο[424], καθώς και το έμβολο του σιδερένιου ομφαλίου από το Κυνόσαργες[425] (Π ί ν. 358: 7).

Η απλουστευμένη μορφή του εμβόλου της Θάσου το πλησιάζει στα αντίστοιχα έμβολα ομφαλίων από τη Βεργίνα[426], τη Σκύρο[427] και την Τσαουζίτσα[428].

Δεν είναι ωστόσο αναγκαίο να συνδέονται πάντοτε αντίστοιχα έμβολα με επίσημα ασπίδων, εφόσον από τα παραδείγματα της Βεργίνας βεβαιώνεται η χρήση τους και στη διακόσμηση ζωνών.

ΔΙΑΦΟΡΑ

Μολύβδινα αντικείμενα

Ανάμεσα στα κτερίσματα περιλαμβάνονται και ορισμένα μολύβδινα αντικείμενα, ο προσδιορισμός χρήσης των οποίων εμφανίζει προβλήματα:

Τ3Β7 (Σ χ έ δ. 156α· Π ί ν. 67: 2, 358: 10α)

Με βάση το παράδειγμα του μολύβδινου μικρογραφικού πέλεκυ από τάφο στο Μόχλο[429], θα μπορούσαμε να ερμηνεύσουμε το μολύβδινο αντικείμενο Τ3Β7 ως εργαλείο συμβολικής χρήσης. Τα κοψίματα, ωστόσο, στο ένα άκρο του αντικειμένου και οι χαρακιές, που φαίνονται περισσότερο ως ίχνη χρήσης, αποκλείουν μάλλον αυτή την ερμηνεία, όπως και την ερμηνεία του προτύπου για κατασκευή αντιτύπων σε χαλκό, που πρότεινε ο Kilian[430] για τις μολύβδινες ΥΕ ΙΙΙΒ2 λογχοειδείς αιχμές από την Τίρυνθα.

Το σχήμα του αντικειμένου και οι χαρακιές ως ίχνη χρήσης εμφανίζουν, νομίζω, ως πιθανότερη μια άλλη ερμηνεία: Το μολύβδινο αυτό αντικείμενο, που έχει μήκος 0,24 μ. και βάρος 0,643 γρ., θα μπορούσε πιθανόν να είναι το μισό κομμάτι από ένα μικρογραφικό τάλαντο του γνωστού τύπου του oxhide ingot. Ο τύπος είναι γνωστός από πολλά παραδείγματα μεγά-

421. E.A. - H.W. Catling, Appendix B, J. Benson, The Necropolis of Kalorizikí, 1973, 132.

422. Kübler 1943, τάφος 24, πίν. 37 Μ49, τάφος 40, πίν. 37 Μ12, τάφος 43, πίν. 37 Μ13, Müller-Karpe 1962, 115, εικ. 35, 2.

423. BSA 12 (1905/6), 92.

424. Ό.π. (υποσημ. 421).

425. BSA 12 (1905/6), 91, εικ. 12, Snodgrass 1964, πίν. 21.

426. Ανδρόνικος 1969, 244, εικ. 84, Υικ. ΑΖVII, εικ. 85, ΑΗΙΙμ.

427. AA 1936, 228, εικ. 1.

428. Casson 1923/25, 12, εικ. 4.

429. Buchholz 1972, 27, εικ. 6.

430. K. Kilian, Μυκηναϊκά εργαστήρια χαλκού στην Τίρυνθα, Ανθρωπολογικά 6 (1984), 55-57.

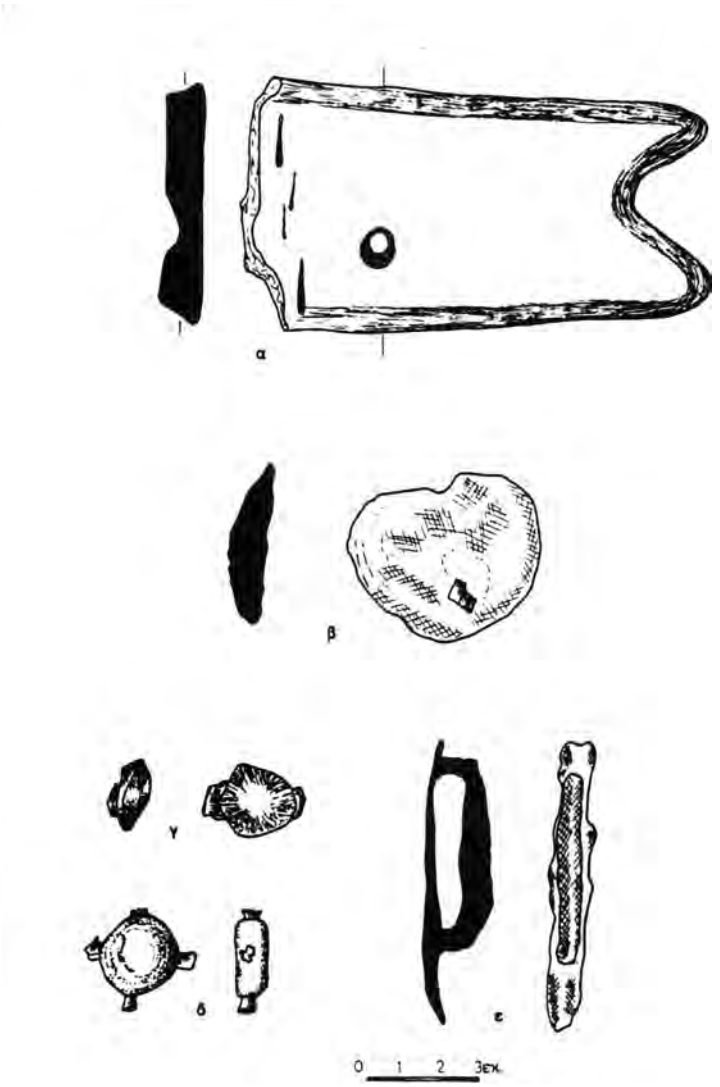

Σχέδ. 156. Τύποι μολύβδινων αντικειμένων.

λων ταλάντων χαλκού ή ορείχαλκου, που συνδέονται με ανατολικούς και μεσογειακούς πολιτισμούς, και φαίνεται ότι απουσιάζει τελείως από την κεντρική Ευρώπη[431]. Μολύβδινα τάλαντα αυτού του τύπου δεν έχουν βρεθεί, αλλά η ύπαρξή τους βεβαιώνεται από τις παραστάσεις στο Medīnet Hābu[432], όπου οι απεικονίσεις των ταλάντων αυτού του τύπου συνοδεύονται από ιερογλυφικά, που αντιστοιχούν στις λέξεις χαλκός, άργυρος, αλλά και μόλυβδος.

Παραδείγματα χάλκινων μικρογραφικών ταλάντων στο σχήμα των μεγάλων oxhide τα-

431. H.-G. Buchholz, PZ 37 (1958/59), 4-6, εικ. 2, Bass 1967, 63 κ.ε., όπου διαπιστώνεται ότι δεν υπάρχει σταθερό βάρος για τα λεγόμενα «τάλαντα». Για υστερομυκηναϊκά χάλκινα τάλαντα του ελλαδικού χώρου, πρβλ. Σπυρόπουλος 1972, 125 κ.ε. Πρβλ. και «ήμιτάλαντον» στον Όμηρο, Ιλ. Ψ 751, 796.

432. Medīnet Hābu V, πίν. 333, Bass 1967, 59, 63.

λάντων έχουμε από την Κύπρο και τη Δαλματία[433]. Το θασιακό παράδειγμα πλησιάζει περισσότερο το μικρογραφικό τάλαντο από τη Δαλματία. Στα μικρογραφικά παραδείγματα από την Κύπρο έχει αποδοθεί κάποιο θρησκευτικό-αναθηματικό[434] περιεχόμενο, αλλά τα φανερά ίχνη χρήσης στο θασιακό παράδειγμα[435] το προσδιορίζουν περισσότερο ως αντικείμενο, από το οποίο είχε ήδη χρησιμοποιηθεί ένα τμήμα πριν αυτό εναποτεθεί στον τάφο.

Οι χαρακιές, σε συνδυασμό με το κυκλικό βάθυσμα που εμφανίζονται στη μία επιφάνεια του αντικειμένου, θα μπορούσαν να μας φέρουν στο νου ανάλογα σύμβολα, που εμφανίζονται σε μολύβδινα μέτρα βάθους από την Κρήτη, τη Θήρα και την Κέα[436]. Μια συσχέτιση, ωστόσο, με σύμβολα δήλωσης βάρους δε στηρίζεται ούτε από τη μορφή των χαραγμάτων, που φαίνονται περισσότερο κατάλοιπα κάποιας απόπειρας κοψίματος — ορισμένα άλλωστε χαράγματα λιγότερο βαθιά εμφανίζονται και στην άλλη πλευρά του αντικειμένου, κοντά στην πλευρά που σημειώνεται στο κόψιμο — ούτε από το σχήμα και το βάρος του μολύβδινου αντικειμένου. Αν υπολογίσουμε διπλάσιο από το σωζόμενο το αρχικό βάρος του αντικειμένου, δηλαδή περίπου 1287 γρ., τότε θα πρέπει στο κομμάτι που λείπει να συμπληρώσουμε ένα αντίστοιχο κυκλικό βάθυσμα, που σύμφωνα με το μινωικό σύστημα βάρους παριστάνει το 10. Η ένδειξη ωστόσο 24 που θα προέκυπτε — δύο κυκλικά βαθύσματα και τέσσερις χαρακιές — δε θα μπορούσε να αναγάγει το βάρος των 1287 γρ. στη γνωστή μονάδα του μινωικού συστήματος, που έχει υπολογισθεί γύρω στα 60 γρ.[437]. Το βάθυσμα, άλλωστε, όπως και οι χαρακτές γραμμές, δεν είναι διαμορφωμένα σχήματα, αλλά μάλλον τυχαίες εμφανίσεις στο μολύβδινο αντικείμενο από την αρχική φάση κατασκευής του (βάθυσμα) και από τη μετέπειτα χρήση του (χαρακιές).

T29, 6 (Σ χ έ δ. 156β· Π ί ν. 168: 30, 358: 10β)

Το μολύβδινο αντικείμενο T29, 6 εμφανίζει ένα δισκόμορφο σχήμα, αλλοιωμένο βέβαια από κάποια χρήση, που θα μπορούσε ωστόσο να θυμίσει τον τύπο δισκόμορφων χάλκινων ταλάντων. Χάλκινα τάλαντα αυτού του τύπου (Rundbarren) είναι διαδεδομένα, τόσο στην Ανατολή όσο και στην κεντρική Ευρώπη[438].

Αντίστοιχα δισκόμορφα μολύβδινα αντικείμενα εμφανίζονται από την πρώιμη εποχή του χαλκού στο Αιγαίο[439]. Ο τύπος αντιπροσωπεύεται με περισσότερα παραδείγματα μεγαλύτερων ταλάντων στην ύστερη εποχή του χαλκού, σε μυκηναϊκές θέσεις του ελλαδικού και του αιγαιακού χώρου[440], καθώς και στην Κύπρο[441].

433. H.-G. Buchholz, ό.π., 19-20, εικ. 9.

434. Ό.π.

435. Ανάλογα σπασίματα από άμεση χρήση του υλικού, πρβλ. σε τάλαντα ναυαγίου Gelidoniya, Bass 1967, 71. Το βάρος, άλλωστε, των ταλάντων δεν είναι σταθερό. Πρβλ. και A. Evans, Minoan Weights and Mediums of Currency from Crete, Mycenae and Cyprus, Corolla Numismatica, Festschrift Head, 1906, 336-367, κυρίως 355-363, εικ. 11, αριθ. 2.

436. S. Marinatos, Excavations at Thera IV, πίν. 87-88, J. Caskey, Lead Weights from Ayia Irini in Kea, ΑΔ 24 (1969): Μελέτες, 95-106, πρβλ. εικ. 1, αριθ. 24-29, K. Petruso, Marks on Some Balance Weights and their Interpretation, Kadmos 17 (1978), 126 κ.ε.

437. K. Petruso, ό.π. Πρβλ. επίσης K. Petruso, Reflections on Cycladic and Minoan Metrology and Trade, Papers in Cycladic Prehistory, 1981, 135 κ.ε. Πρβλ. επίσης A. Evans, ό.π. (υποσημ. 435), εικ. 12.

438. H.-G. Buchholz, ό.π. (υποσημ. 431), 14-16, για παραδείγματα κεντρικής Ευρώπης. Μολύδινα, ωστόσο, τάλαντα αυτού του τύπου εμφανίζονται στην Ανατολή στις παραστάσεις του οβελίσκου Σαλμανασσή III (9ος αι. π.Χ.), E.M. Bossert, Ist.Forsch. 17 (1944), 178. Πρβλ. επίσης παραστάσεις ανάλογων ταλάντων, Tell al Amarna, Buchholz, ό.π., 15, εικ. 17.

439. Renfrew 1967, πίν. 2 (Αμοργός), Buchholz 1972, 26, αριθ. 2, Τσούντας 1899, 126 (Χαλανδριανή), Renfrew, ό.π., 4, Buchholz, ό.π., 26, αριθ. 10-12 και σ. 25 κ.ε.

440. Buchholz, ό.π., 29 κ.ε., αριθ. 54, 56, 57 (ελλαδικός χώρος), 33, αριθ. 146-149 (Φυλακωπή). Πρβλ. και Renfrew 1967, 4, πίν. 2a.

441. Buchholz 1972, 39.

Στην πρώιμη[442], όπως και στην ύστερη εποχή του χαλκού[443], έχουμε επίσης παραδείγματα άμορφων μολύβδινων αντικειμένων, τα οποία πιθανότατα αντιπροσωπεύουν συγκεντρωμένες ποσότητες μολυβιού για καθημερινή χρήση.

Το θασιακό παράδειγμα με τις μικρές διαστάσεις του και το μικρό βάρος του[444] μόνο ως μικρογραφικός τύπος των παραπάνω «ταλάντων» μολύβδου θα μπορούσε να θεωρηθεί. Το άτυπο, ωστόσο, και ρευστό σχήμα του το εμφανίζει περισσότερο ως κατάλοιπο ποσότητας μολυβιού, το αρχικό δισκόμορφο σχήμα του οποίου έχει αλλοιωθεί από την τήξη. Η μικρή αυτή ποσότητα του μολυβιού, το βάρος της οποίας θα μπορούσε συμπληρωμένο να αποτελέσει ένα πολλαπλάσιο της μετρικής μονάδας των 60 γρ., δεν έχει ούτε τυποποιημένο σχήμα ούτε και κάποια συμβολική ένδειξη βάρους[445]. Το βάθυσμα που εμφανίζεται στην κυρτή επιφάνειά του είναι άτυπο και προέρχεται μάλλον από την απομάκρυνση κάποιου ξένου σώματος (πέτρας;) που είχε εισχωρήσει στο λιωμένο μέταλλο.

Άλλα μολύβδινα αντικείμενα

Απροσδιόριστης χρήσης είναι οι μολύβδινες αιχμές Λ3Γ15 (Π ί ν. 197: 16) και Τ29, 23 (Π ί ν. 169: 41, 358: 10γ), από τις οποίες η Τ29, 23 φέρει και δύο αυλακώσεις. Το μολύβδινο, επίσης, στέλεχος Λ2Δ13 (Π ί ν. 194: 13) δεν είναι βέβαιο ότι προέρχεται από μολύβδινο σύνδεσμο. Δύσκολα, επίσης, θα μπορούσε να ερμηνευθεί ως θραύσμα μολύβδινου συνδέσμου και το μολύβδινο αντικείμενο Κ1, 99 (Σ χ έ δ. 156δ· Π ί ν. 6: 99).

Οι μολύβδινοι σύνδεσμοι εμφανίζονται σε διάφορα σχήματα, ανάλογα με την περίπτωση (Π ί ν. 359: 1-5)[446].

Ειδώλια

Τα ελάχιστα ειδώλια, που έχουν βρεθεί, προέρχονται όλα από τον αποθέτη του τάφου Τ18 (Σ χ έ δ. 157· Π ί ν. 118: 9-11α, 359: 6-8). Τρία είναι τα θραύσματα που προέρχονται από ανθρώπινες μορφές, και ένα θραύσμα σώζει κεφάλι και λαιμό σχηματοποιημένου πτηνού ή φιδιού.

Η ανθρώπινη μορφή εμφανίζει ένα σανιδόμορφο άμορφο σώμα, όπου δηλώνονται πλαστικά μόνο τα χέρια ως σχηματοποιημένες αποφύσεις και το κεφάλι. Το σωζόμενο κεφάλι (Σ χ έ δ. 157α· Π ί ν. 359: 7) εμφανίζει ορισμένες πλαστικές λεπτομέρειες, όπως τη μύτη και τα μάτια. Χαρακτηριστική είναι η εγχάρακτη διακόσμηση στο σώμα της μορφής, που άλλοτε πρέπει να δηλώνει το ρούχο (Σ χ έ δ. 157δ) και άλλοτε (Σ χ έ δ. 157β) τις διασταυρούμενες στο στήθος ταινίες, οι οποίες είναι χαρακτηριστικές για τα ειδώλια του ανατολικού Αιγαίου και της Μικράς Ασίας από την πρώιμη εποχή του χαλκού[447]. Ο κορμός με τις σταυρωτές χαράξεις στο στήθος (Π ί ν. 118: 10, 359: 6) πρέπει μάλλον να απεικονίζεται γυμνός[448]. Η χαρακτή διακόσμηση στο πίσω μέρος του κεφαλιού (Π ί ν. 118: 9) πιθανότατα αποδίδει σχηματικά την κόμη.

Η παρουσία ειδωλίων στους τάφους, χαρακτηριστικό γνώρισμα του μυκηναϊκού κόσμου, δεν είναι τελείως άγνωστο φαινόμενο και στα ηπειρωτικά Βαλκάνια, όπου τα χαρακτηριστι-

442. Άγιος Κοσμάς: Mylonas 1959, 44 Κ 138, Buchholz 1972, 26, αριθ. 14, 28, αριθ. 41. Ζυγουριές: Blegen 1928, 184.

443. Κοράκου: Blegen 1921, 109, Buchholz 1972, 31, αριθ. 89.

444. Το μικρό μέγεθος (βάρος: 84 γρ.) και το άμορφο σχήμα πρέπει να προέρχεται από μικρής ποσότητας κομμάτια πρώτης ύλης μολύβδου, που προορίζονταν να εξυπηρετήσουν περιορισμένες χρήσεις, Blegen 1937, 184.

445. Πρβλ. Κ. Petruso, ό.π. (υποσημ. 436 και 437).

446. Οι μολύβδινοι σύνδεσμοι εμφανίζονται σε αγγεία διατροφής, αλλά και σε μεγάλα αποθηκευτικά πιθάρια. Το μολύβδινο αντικείμενο του τάφου Κ1Α (Π ί ν. 6: 99), με τις τέσσερις ακτινωτά τοποθετημένες εξοχές, θα πρέπει να εξυπηρετούσε κάποια συγκεκριμένη χρήση.

447. Πρβλ. Lamb 1936, 151. Για τις σταυρωτές ταινίες από τη νεολιθική εποχή σε ειδώλια της Ανατολής, πρβλ. J. Mellaart, Excavations at Hacilar II (1970), 246, 3.

448. Πρβλ. γυμνό αγαλμάτιο Μουσείου Ankara, Anatolian Civilisations, 1983, Α246, με χρυσές ταινίες στο στήθος. Πρώιμη εποχή του χαλκού.

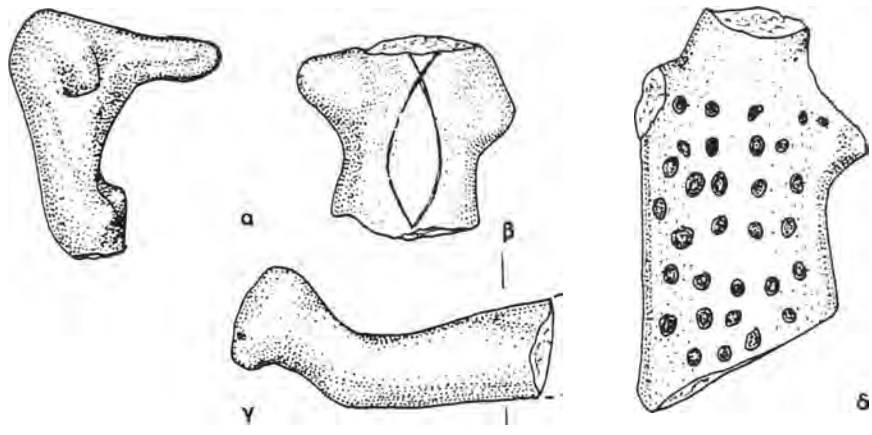

Σχέδ. 157. Τύποι ειδωλίων.

κότερα παραδείγματα ειδωλίων ως ταφικών κτερισμάτων έχει δώσει η ομάδα Dubovac-Žuto Brdo-Gîrla Mare[449]. Τα ειδώλια της Θάσου εμφανίζουν ένα χαρακτήρα τοπικό, ανεξάρτητο από τις επιδράσεις του πολιτισμού Gîrla Mare, οι οποίες άλλωστε είναι ανύπαρκτες στη Μακεδονία και στην αιγαιακή Θράκη, με μοναδική ίσως εξαίρεση το ειδώλιο του Ντικιλί Τας[450]. Τόσο τα ειδώλια της Θάσου όσο και τα ειδώλια που εμφανίζονται σποραδικά στην αιγαιακή Θράκη[451] φαίνεται ότι συνεχίζουν μια τοπική παράδοση, που ξεκινά από την πρώιμη εποχή του χαλκού και τη νεολιθική εποχή. Χαρακτηριστική για τη σύνδεση των ειδωλίων της Θάσου με την παράδοση των ειδωλίων του βορειοανατολικού Αιγαίου είναι η εμφάνιση των χαρακτηριστικών σταυρωτών ταινιών στο στήθος, γνωστών από μια σειρά ειδωλίων από τη Θερμή, την Τροία και τη Μικρά Ασία[452]. Το θραύσμα (Σ χ έ δ. 157γ) δεν είναι βέβαιο αν παριστάνει φίδι ή σχηματοποιημένο πτηνό, πρόκειται όμως για θραύσμα ειδωλίου, η παρουσία του οποίου σχετίζεται με τα υπόλοιπα ειδώλια του αποθέτη.

Χαρακτηριστική είναι η σπανιότητα των ειδωλίων στα νεκροταφεία της πρωτοϊστορικής Θάσου και η ανεύρεσή τους έξω από τον τάφο, όπου και το ιδιόρρυθμο, πιθανότατα σχετιζόμενο με κάποια τελετουργία, κυλινδρικό αγγείο τύπου XI.

Δεν μπορούμε να ξέρουμε αν το σπάσιμο του κεφαλιού των ειδωλίων είναι τυχαίο — το κεφάλι, όπως είναι γνωστό, εύκολα αποκόπτεται από το σώμα — ή αν πρόκειται για κάποιο γνωστό από άλλες περιοχές του Αιγαίου ταφικό έθιμο[453].

Τα ειδώλια εμφανίζονται στη φάση IB των νεκροταφείων, στον τάφο με το μεγαλύτερο ποσοστό μυκηναϊκών αγγείων. Παρόλο που η σχηματοποιημένη απόδοση της μορφής, η έλλειψη τονισμού των χαρακτηριστικών του φύλου, το σκεπασμένο με διακοσμημένο ρούχο

449. Dumitrescu 1961, 244-279.

450. Deshayes 1962, 931, εικ. 25, Garašanin 1974, 121, Seferiades 1983, 672.

451. Πρβλ. ειδώλιο νεκροταφείου Μεσημβρίας, Βαβρίτσας 1967, πίν. 69Β. Πρβλ. επίσης ιθυφαλλικές μορφές από Čepina, N. Gisdova, Thracia III (1974), 124, εικ. 11, Hänsel 1976, 223, πίν. 27, αριθ. 21 και πίν. 77, 12-13.

452. Lamb 1936, πίν. XX, 29.1, 29.3, 31.23, 31.44, H. Schliemann, Bericht über die Ausgrabungen in Troja, 1891, πίν. 1, εικ. 2, και H. Schliemann, Ilios, 1881, 331, αριθ. 193. Πρβλ. και παραδείγματα από τη δυτική Μικρά Ασία, BSA 19 (1912/13), 59, εικ. 6 (Kültepe) και 54, εικ. 3 (Akhisar). Για τη γυναικεία θεότητα στην Ανατολή πρώιμης εποχής του χαλκού, πρβλ. M. Korfmann, Eine weibliche Gottheit in der Frühbronzezeit Anatoliens, PZ 54 (1979), 187 κ.ε.

453. Themelis 1976, 102.

σώμα αποτελούν χαρακτηριστικά και των μυκηναϊκών ειδωλίων[454], καμιά ασφαλώς ιδιαίτερη σχέση με τα μυκηναϊκά ειδώλια δεν είναι δυνατό να επισημανθεί.

Διάφορα

ΛΙΘΙΝΑ

Στον τάφο Τ29 βρέθηκαν ορισμένα θραύσματα ορείας κρυστάλλου, τα οποία δε σώζουν συγκεκριμένο σχήμα. Θα μπορούσαν να θεωρηθούν και φυσικά απολεπίσματα που περιέχονται στο φυσικό έδαφος της περιοχής του νεκροταφείου Τσιγανάδικα, αν δεν εμφανίζονται ανάλογα θραύσματα ορείας κρυστάλλου και στο αρχαιότερο στρώμα του τάφου Τ18, μαζί με ένα θραύσμα αιχμής βέλους από διαφανή πυριτόλιθο (Π ί ν. 115: 129, αιχμή και Π ί ν. 116Α: 156, θραύσματα ορείας κρυστάλλου), που θυμίζουν ανάλογα ευρήματα από τάφους της Περατής[455].

ΧΑΛΚΙΝΑ

Απροσδιόριστη, επίσης, είναι η χρήση του χάλκινου αντικειμένου Κ1Α3 (Π ί ν. 6: 93), που βρέθηκε σπασμένο σε δύο θραύσματα. Ανάλογο σχήμα εμφανίζει ένα χάλκινο αντικείμενο από την Τροία[456], αρκετά πιο μεγάλο από το θασιακό, που σχετίσθηκε με χαλινάρι. Επίσης, δύο χάλκινα ανεξακρίβωτης χρήσης αντικείμενα από τη Λάπιθο[457] θα μπορούσαν να συγκριθούν, τόσο στο σχήμα όσο και στο μέγεθος, με το θασιακό.

454. E. French, The Development of Mycenaean Terracotta Figurines, BSA 66 (1971), 100-184.

455. Ιακωβίδης 1970, 370.

456. W. Dörpfeld, Troja und Ilion, 1902, 407, εικ. 413.

457. J. Myres, BSA 40-41 (1939-45), 84, εικ. 6, αριθ. 50, πίν. 24, 3, 50 (flesh hooks). Πρβλ. και Catling 1964, 66, εικ. 4, 7. Τα δύο χάλκινα αντικείμενα της Λαπίθου προέρχονται από τάφο και έχουν μήκος περίπου 0,03 μ.

ΚΕΦΑΛΑΙΟ Ε'

ΤΑΦΙΚΗ ΑΡΧΙΤΕΚΤΟΝΙΚΗ - ΤΑΦΙΚΑ ΕΘΙΜΑ

Από τη μελέτη των κτερισμάτων που προηγήθηκε, έχουν προσδιορισθεί οι πολιτιστικές σχέσεις της πρωτοϊστορικής Θάσου με τη Μακεδονία και τη Θράκη της ύστερης εποχής του χαλκού και της πρώιμης εποχής του σιδήρου, καθώς και με τα ηπειρωτικά Βαλκάνια και τον αιγαιακό χώρο. Στις περιοχές αυτές, επομένως, πρέπει να αναζητήσουμε ταφικά κτίσματα παράλληλα με τους τάφους των νεκροταφείων Καστρί και Λαρνάκι.

ΠΑΡΑΤΗΡΗΣΕΙΣ ΣΕ ΤΑΦΙΚΑ ΚΤΙΣΜΑΤΑ ΒΟΡΕΙΟΕΛΛΑΔΙΚΟΥ, ΝΟΤΙΟΕΛΛΑΔΙΚΟΥ ΚΑΙ ΑΙΓΑΙΑΚΟΥ ΧΩΡΟΥ

Βόρεια, κεντρική και δυτική Μακεδονία

ΥΣΤΕΡΗ ΕΠΟΧΗ ΤΟΥ ΧΑΛΚΟΥ

Στην περιοχή ανάμεσα στην Πίνδο και το Στρυμόνα, στην πεδιάδα των Σκοπίων και στο Αιγαίο, μετά τις ταφές της πρώιμης νεολιθικής εποχής, που έχουν αποκαλυφθεί στην ανασκαφή του νεολιθικού οικισμού της Νέας Νικομήδειας[1], και την ταφή στο νεολιθικό στρώμα του προϊστορικού οικισμού των Σερβίων[2], που έχει χρονολογηθεί από τον Hammond στην πρώιμη εποχή του χαλκού[3] και έχει σχετισθεί με την άφιξη πολιτιστικών στοιχείων Kurgan IV στη Μακεδονία, μεσολαβεί ως την ύστερη εποχή του χαλκού ένα χρονικό διάστημα, από το οποίο λείπουν ακόμη τα ταφικά μνημεία.

Ο κιβωτιόσχημος τάφος με ταφή-ενταφιασμό, που βρέθηκε στο Prilep της βόρειας Μακεδονίας[4], χρονολογείται στα τέλη της ύστερης εποχής του χαλκού, ενώ οι αρχαιότερες ταφές σε ορισμένους τύμβους του μεγάλου νεκροταφείου της Βεργίνας μπορούν να ανεβούν ως την καμπή της ύστερης εποχής του χαλκού προς την πρώιμη εποχή του σιδήρου. Ο Hammond επιχείρησε να ανεβάσει την αρχή του νεκροταφείου της Βεργίνας στη μέση εποχή του χαλκού[5], επισημαίνοντας τον τύμβο Ζ, αλλά και σε άλλους, αντιστοιχίες με τύμβους μέσης εποχής του χαλκού της Αλβανίας. Η παραπάνω άποψη του Hammond, ωστόσο, δε θεμελιώνεται από το ως τώρα γνωστό αρχαιολογικό υλικό του νεκροταφείου της Βεργίνας, ενώ για τους τύμβους της Αλβανίας, παρά το μεσοελλαδικό χαρακτήρα πολλών ευρημάτων τους, έχουν προταθεί και πολύ χαμηλότερες χρονολογήσεις[6]. Με το σημερινό επίπεδο των γνώσε-

1. R.J. Rodden, PPS 28 (1971), 86.
2. Heurtley 1939, 54, εικ. 49-50.
3. Hammond 1972, 243-246, Sakellariou, 1980, 92.
4. Garašanin 1958, 124-125, εικ. 26, Kilian 1975, 63-64, σημ. 671, όπου η προηγούμενη βιβλιογραφία.
5. Hammond 1972, 266, Hammond 1974, 129, Μ. Ανδρόνικος, Αρχαία Μακεδονία ΙΙ (1977), 2-3.
6. Snodgrass 1971, 173, 259-260. Τη χρονολόγηση ωστόσο ορισμένων τύμβων στη μέση εποχή του χαλκού, παρά τις αντιρρήσεις που διατυπώθηκαν (πρβλ. Μυλωνάς 1973, 213-254, σημ. 2, που χρονολογεί τον τύμβο Pazhok στην ΥΕ ΙΙΒ-Γ), εξακολουθούν να προτείνουν ο Hammond 1971, 229 κ.ε., και ο Prendi, CAH III, I^2, 219· πρβλ. και Prendi 1982, 209.

ών μας, η αρχή του νεκροταφείου της Βεργίνας φαίνεται ότι δεν είναι δυνατό να ανεβεί πάνω από τα χρονολογικά όρια, που πρότεινε για τη φάση Ι της Βεργίνας ο Kilian[7], με πιθανότατο και το ενδεχόμενο να κατεβαίνει η χρονολογία των τοπικών μυκηναϊκών αγγείων των τύμβων Ν και Δ από την ΥΕ ΙΙΙΒ/Γ περίοδο, που προτείνει ο Kilian, στα χρονολογικά όρια που πρότεινε ο Ανδρόνικος[8].

Από τα παραπάνω ταφικά μνημεία προκύπτει ότι στην κεντρική και βόρεια Μακεδονία, στην ύστερη εποχή του χαλκού, έχουμε ταφές-ενταφιασμούς σε κιβωτιόσχημους τάφους επίπεδων (;) νεκροταφείων, καθώς και ταφές σε ταφικούς τύμβους, όπου οι νεκροί εναποτίθενται είτε πάνω στο φυσικό έδαφος, σε ελεύθερες ή πλαισιωμένες από μια σειρά λίθους ταφές, είτε μέσα σε λάκκους, που άλλοτε είναι απλά ορύγματα στο φυσικό έδαφος και άλλοτε έχουν τοιχώματα επενδυμένα με πρόχειρη λιθοδομή.

Τόσο οι κιβωτιόσχημοι τάφοι όσο και οι ταφικοί τύμβοι, εμφανίζονται την ίδια εποχή στις γειτονικές με τη Μακεδονία περιοχές της Ηπείρου και της Αλβανίας, καθώς και της δυτικής Γιουγκοσλαβίας. Στην Ήπειρο[9], η εμφάνιση των κιβωτιόσχημων τάφων χρονολογείται από τα επείσακτα μυκηναϊκά αγγεία στην ΥΕ ΙΙΙΒ και ΥΕ ΙΙΙΓ περίοδο. Η πρώιμη αυτή εμφάνιση των κιβωτιόσχημων τάφων στην Ήπειρο και η διάδοση αυτού του τύπου του τάφου στην πρωτογεωμετρική Θεσσαλία χρησιμοποιήθηκε ως επιχείρημα από τον Desborough[10], για να συνδέσει το τέλος του μυκηναϊκού κόσμου με άφιξη πολιτιστικών στοιχείων από το βορρά. Η μόνιμη, ωστόσο, παρουσία κιβωτιόσχημων τάφων στο νοτιοελλαδικό χώρο από τη μεσοελλαδική κυρίως εποχή[11], με ενδεχόμενη αναγωγή του τύπου σε πρωτοκυκλαδικά παραδείγματα[12], και προπαντός η εμφάνιση των τύπων του κιβωτιόσχημου και λακκοειδούς τάφου, στην Αργολίδα και σε άλλες περιοχές της Πελοποννήσου (Ηλεία, Αχαΐα), καθώς και στη Στερεά Ελλάδα ήδη από την ΥΕ ΙΙΙΓ περίοδο[13], δυσκολεύει την αποδοχή της παραπάνω άποψης[14], που στηρίζεται κυρίως στη θεαματική εξαφάνιση των θαλαμωτών και θολωτών τάφων στα τέλη της ΥΕ ΙΙΙΓ και στην επικράτηση των νεκροταφείων με κιβωτιόσχημους και λακκοειδείς τάφους στην υπομυκηναϊκή και πρωτογεωμετρική περίοδο του νοτιοελλαδικού χώρου. Τα παραδείγματα των κιβωτιόσχημων τάφων της Μακεδονίας στην ύστερη εποχή του χαλκού εντάσσονται βέβαια στην ομάδα των κιβωτιόσχημων τάφων του βορειοελλαδικού χώρου, που καλύπτει, εκτός από την Ήπειρο, τη Μακεδονία, τη Θεσσαλία, και τα γειτονικά νησιά[15], αλλά δεν προωθούν τις υποθέσεις που έχουν διατυπωθεί για την καταγωγή των κιβωτιόσχημων τάφων της πρωτογεωμετρικής εποχής.

Η εμφάνιση στη Μακεδονία των ταφικών τύμβων στην καμπή της ύστερης εποχής του χαλκού προς την πρώιμη εποχή του σιδήρου δεν πρέπει να είναι άσχετη με τη διάδοση του είδους αυτού του επιτάφιου μνημείου στη δυτική Βαλκανική χερσόνησο. Στη δυτική Γιουγκοσλαβία, στην πρώιμη εποχή του χαλκού εμφανίζονται νεκροταφεία με τύμβους, όπως τα νεκροταφεία της πολιτιστικής ομάδας Belotić-Bela Crkva και Glasinać[16], που έχουν συνδεθεί με πολιτιστικά στοιχεία της φάσης IV του πολιτισμού Kurgan, ο οποίος σύμφωνα με τη γνωστή θεωρία της Gimbutas[17], προωθήθηκε από την ανατολική προς την κεντρική Ευρώπη και

7. Kilian 1973, 580 κ.ε., Kilian 1975, 65 κ.ε.

8. Ανδρόνικος 1969, 274 κ.ε., Snodgrass 1971, 253 κ.ε., Desborough 1972, 216 κ.ε. Από τη στρωματογραφία του Καστανά και από τη διαπιστωμένη στον Καστανά επιβίωση της τοπικής μυκηναϊκής κεραμικής προκύπτει ότι η χρονολόγηση της Βεργίνας Ι του Kilian είναι οπωσδήποτε υψηλή, Hochstetter 1984, 302-307.

9. Σ. Δάκαρης, ΠΑΕ 1956, 114-153, Desborough 1966, 37, Βοκοτοπούλου 1969, 179-207, Snodgrass 1971, 172-173, Παπαδόπουλος 1976, 277-278.

10. Desborough 1965, 221 κ.ε., Desborough 1966, 213 και 37-38.

11. Μυλωνάς 1975, 205 κ.ε.

12. Blackburn 1970, 285, Overbeck 1975, 121.

13. Desborough 1966, 32-40.

14. Snodgrass 1971, 177-187.

15. Desborough 1966, 38-40.

16. Garašanin 1973, 267-268, CAH III, I^2, 172-174.

17. Gimbutas 1965, 70, Sakellariou 1977, 312 κ.ε.

τα Βαλκάνια. Η συνέχεια των ταφικών τύμβων της πολιτιστικής ομάδας Belotić-Bela Crkva στη μέση και ύστερη εποχή του χαλκού και η επιβίωση των ταφικών τύμβων σ' όλες τις φάσεις της εποχής του χαλκού και στην πρώιμη εποχή του σιδήρου στο νεκροταφείο Glasinać συμπίπτει με την αντίστοιχη εμφάνιση και διάδοση των ταφικών τύμβων στην Αλβανία και στη Βόρεια Ήπειρο, από τη μέση εποχή του χαλκού — σύμφωνα με τις χρονολογίες των ανασκαφέων και του Hammond — ως και τους ιστορικούς χρόνους[18].

Οι τύμβοι της Αλβανίας και εν συνεχεία οι χρονολογημένοι στα τέλη της πρώιμης και στη μέση εποχή του χαλκού τύμβοι της Λευκάδας[19], καθώς και οι διαδεδομένοι στον ελλαδικό χώρο στη μέση κυρίως εποχή του χαλκού τύμβοι[20], συνδέθηκαν επίσης με τον πολιτισμό Kurgan, η διάδοση του οποίου στον ελλαδικό χώρο συνδυάσθηκε και με τη σποραδική εμφάνιση της κεραμικής με τη σχοινόμορφη διακόσμηση, καθώς και με στρώματα καταστροφής, που σημειώνονται στην πρωτοελλαδική ΙΙΙ σε πολλούς πρωτοελλαδικούς οικισμούς, όπως η Λέρνα, η Εύτρηση και άλλοι[21].

Ανεξάρτητα οπωσδήποτε από το πρόβλημα της καταγωγής του τύμβου και της σύνδεσης των ταφικών περιβόλων Α' και Β' των Μυκηνών με τους τύμβους της Λευκάδας και της Αλβανίας, για την οποία έχουν διατυπωθεί και αντίθετες απόψεις[22], πρέπει να σημειώσουμε ότι η καθυστερημένη εμφάνιση των τύμβων στη Μακεδονία και στην Ήπειρο, δύο περιοχές που βρίσκονται ανάμεσα στα ηπειρωτικά Βαλκάνια και το νοτιοελλαδικό χώρο[23], πρέπει να θεωρηθεί τυχαία και να ερμηνευθεί με τα κενά που εμφανίζει η αρχαιολογική έρευνα στις περιοχές αυτές.

Αντίστοιχο είναι το κενό, που εμφανίζεται στις γειτονικές περιοχές της βόρειας Μακεδονίας και της νότιας Σερβίας. Στη βόρεια Σερβία ξέρουμε, ωστόσο, ότι στην ύστερη εποχή του χαλκού επικρατούν τα επίπεδα νεκροταφεία με τις ταφές-καύσεις σε τεφροδόχα αγγεία, όπως διαπιστώνεται στα νεκροταφεία του πολιτιστικού κύκλου Dubovac-Žuto Brdo, καθώς και στις αρχαιότερες ομάδες Vatina και Paraćin[24]. Από τις κοιλάδες του Μοράβα και εν συνεχεία του Αξιού θα μπορούσαν να προωθηθούν προς τη Μακεδονία της ύστερης εποχής του χαλκού ταφικά έθιμα και ταφικά κτίσματα των πολιτιστικών κύκλων των κεντρικών Βαλκανίων, όπου επικρατούν οι ταφές-καύσεις. Στοιχεία, ωστόσο, αυτών των πολιτιστικών κύκλων δεν έχουν ακόμη εντοπισθεί στη βόρεια, δυτική και κεντρική Μακεδονία, όπου η μόνη βεβαιωμένη σχέση ως τώρα με την κοιλάδα του Μοράβα παραμένει η αυλακωτή κεραμική του στρώματος καταστροφής Βαρδαρόφτσας, Καστανά, κτλ., που έχει σχετισθεί με την αντίστοιχη κεραμική της φάσης ΙΙ της ομάδας Mediana[25].

18. Hammond, 1967, 77-105, Hammond 1972, 247. Πρβλ. και CAH III, I^2, 235.

19. Dörpefld 1927, Hammond 1971, 229, Hammond 1974, 129-144, K. Branigan, BSA 70 (1975), 37-49.

20. Ανδρόνικος 1961, Hammond 1967, 91, Hammond 1972, 262, K. Branigan, ό.π., 37 κ.ε., Pelon 1976, 148 κ.ε., Δεϊλάκη 1980, 223 κ.ε., Sakellariou 1980, 90 κ.ε.

21. Gimbutas 1965, 185, Hammond 1972, 248 κ.ε. και 269, Sakellariou 1977, 40, 310, όπου συγκεντρώνεται και η σχετική βιβλιογραφία, 640, σημ. 6. Τα προβλήματα, ωστόσο, της ιστορικής ερμηνείας των αρχαιολογικών δεδομένων, που αφορούν την καταστροφή της Λέρνας ΙΙΙ, και των άλλων καταστροφών που σημειώνονται σε πρωτοελλαδικούς οικισμούς του νοτιοελλαδικού χώρου, που δεν είναι σύγχρονες, επισημαίνει συνοπτικά ο J. Caskey, The Early Helladic Period in Argolis, Hesperia 29 (1960), 299.

22. K. Branigan, ό.π. (υποσημ. 19), 46 κ.ε., Μυλωνάς 1973, 405. Πρβλ. και Δεϊλάκη 1980, 223, 237-239. Πρβλ. Sakellariou 1980, 255-256, για διάδοση των Kurgan από τα ανατολικά Βαλκάνια.

23. Τα αρχαιότερα παραδείγματα τύμβων στη Μακεδονία, αν εξαιρέσουμε τον υποτιθέμενο τύμβο Kurgan των Σερβίων (Hammond 1972, 243), είναι οι τύμβοι της Βεργίνας. Στην Ήπειρο εντοπίσθηκαν ορισμένοι ταφικοί τύμβοι, Έργον 1975, 88 και Έργον 1976, 87.

24. Πρβλ. Garašanin, ό.π. (Κεφ. Γ', υποσημ. 248-249). Πρβλ., ωστόσο, και Gimbutas 1965, 309 για ύπαρξη τύμβων στα επίπεδα νεκροταφεία της Urnenfelder περιόδου.

25. Ό.π. (Κεφ. Γ', υποσημ. 484). Τα επίπεδα νεκροταφεία, επίσης, με τις ταφές-καύσεις των πολιτισμών Urnenfelder δεν είναι διαδεδομένα στην Αλβανία, όπου ελάχιστα ως τώρα παραδείγματα ταφών-καύσεων σε τεφροδόχα αγγεία εμφανίζονται στις αρχές της πρώιμης εποχής του σιδήρου.

ΠΡΩΙΜΗ ΕΠΟΧΗ ΤΟΥ ΣΙΔΗΡΟΥ

Οι τύποι των ταφικών μνημείων, που είχαν εμφανισθεί στα τέλη της ύστερης εποχής του χαλκού στην κεντρική και βόρεια Μακεδονία, οι κιβωτιόσχημοι δηλαδή τάφοι σε επίπεδα νεκροταφεία και οι ταφές-ενταφιασμοί σε ταφικούς τύμβους, παραμένουν σ' όλες τις επιμέρους φάσεις της πρώιμης εποχής του σιδήρου στη Μακεδονία.

Συνδυάζοντας τα δεδομένα της ευρωπαϊκής και αιγαιακής χρονολογίας, ο Kilian, στηριγμένος στις σύμφωνες με την αιγαιακή χρονολογία περιόδους που είχε προτείνει ο Heurtley για τη Μακεδονία, προχώρησε σε μια αναλυτικότερη διάκριση της μακεδονικής χρονολογίας σε τρεις βασικές φάσεις με ενδιάμεσες υποδιαιρέσεις: ΙΑ, ΙΒ (ΙΒ1, ΙΒ2, ΙΒ3), ΙΙΑ, ΙΙΒ, ΙΙΓ και ΙΙΙ. Οι φάσεις της πρώιμης εποχής του σιδήρου, που αντιστοιχούν χρονολογικά στα νεκροταφεία της Θάσου, είναι η ΙΑ, ΙΒ και η ΙΙΑ, που αντιστοιχούν επίσης με τη HaA και HaB1-2 της κεντρικής Ευρώπης[26].

Κιβωτιόσχημοι τάφοι

Τα επίπεδα νεκροταφεία με τους κιβωτιόσχημους τάφους με τις απλές ταφές-ενταφιασμούς, που είχαν εμφανισθεί στη βόρεια Μακεδονία στα τέλη της ύστερης εποχής του χαλκού, αντιπροσωπεύονται στη φάση ΙΑ της πρώιμης εποχής του σιδήρου στην ίδια περιοχή με τους κιβωτιόσχημους τάφους στο Saraj[27] και στο Prilep[28] και συνεχίζονται με περισσότερα παραδείγματα στη φάση ΙΒ, με όμοιους τάφους στο Prilep-Trojaci, Demir Kapija, Popadin Dol, Fortuna Štip, Vojnik[29]. Στη βόρεια Μακεδονία, στη φάση ΙΙΑ, βρίσκονται επίσης κιβωτιόσχημοι τάφοι στο Saraj Brod, στο Kamen Rapeš, στη Γευγελή[30]. Οι κιβωτιόσχημοι τάφοι είναι επίσης διαδεδομένοι στη δυτική και κεντρική Μακεδονία, στην Κοζάνη[31] και Αιανή[32] (φάση ΙΒ), στο Τρίλοφο Μεσημέρι[33] (φάση ΙΙΑ). Όλες, ωστόσο, οι παραπάνω περιπτώσεις των κιβωτιόσχημων τάφων δεν είναι πάντα βέβαιο ότι προέρχονται από επίπεδα νεκροταφεία, γιατί υπάρχει πάντα το ενδεχόμενο να ανήκουν σε τύμβους, που έχουν ισοπεδωθεί ή δεν έχουν εντοπισθεί στις ανασκαφές.

Τύμβοι

Τα πρώτα παραδείγματα ταφικών τύμβων στη βόρεια Μακεδονία αντιπροσωπεύονται με τον τύμβο στο Visoj[34], όπου η αρχαιότερη ταφή 37 είναι σύγχρονη με τη φάση ΙΙ της Βεργίνας, ενώ η χρήση του τύμβου συνεχίζεται και στη φάση ΙΙΑ της πρώιμης εποχής του σιδήρου της Μακεδονίας. Τα παραδείγματα ταφικών τύμβων με ταφές-ενταφιασμούς πολλαπλασιάζονται στη βόρεια Μακεδονία στη φάση ΙΙΑ, με μια σειρά από νεκροταφεία τύμβων στο Široko, Suva Reka, Krivi Dol, Orlova Čuka, Zivogno[35].

Στην κεντρική και δυτική Μακεδονία, οι ταφικοί τύμβοι είχαν ήδη εμφανισθεί στο νεκροταφείο της Βεργίνας πριν από τη φάση ΙΑ της πρώιμης εποχής του σιδήρου, για να συνεχισθούν στο ίδιο νεκροταφείο σ' όλες τις φάσεις της πρώιμης εποχής του σιδήρου, ως και τα ιστορικά χρόνια[36]. Οι κιβωτιόσχημοι τάφοι του Σπηλαίου Γρεβενών[37] πιθανότατα καλύ-

26. Kilian 1975, 11-140.

27. P. Mačkić - D. Simoska - V. Trbuhović, Starinar NS 11 (1960), 203, εικ. 20-23, τάφος ΙΙ, Hammond 1972, 339, Kilian 1975, 64.

28. Kilian 1975, 78, σημ. 773.

29. Ό.π., 80, σημ. 791-793, 81, σημ. 804, 82, σημ. 809.

30. Ό.π., 86-87, σημ. 863, 872.

31. Φ. Πέτσας, ΠΑΕ 1960, 112.

32. Πέτσας 1961/62, 218 κ.ε., Α. Ανδρειωμένου, ΑΑΑ Ι (1968), 245.

33. P. Amandry, Collection Stathatos, I, 1953, εικ. 32, 9-33, 8.

34. D. Garašanin, Iliri i Dardani, Beograd 1971, 114, αριθ. 12, 13, Mikulčić 1966, πίν. 4, 8, Hammond 1972, 336-338.

35. Συγκεντρωμένη η βιβλιογραφία στον Kilian 1975, 88-93. Πρβλ. και Vasić 1973, 140 (ομάδα Štip).

36. Ανδρόνικος 1969, 280 κ.ε., Πέτσας 1961/62, 218 κ.ε., Πέτσας 1963, 217 κ.ε., Kilian 1973, 580-581, Kilian 1975, 65 κ.ε.

37. Α. Ρωμιοπούλου ΑΑΑ IV (1971), 40 κ.ε., Kilian 1975, 81, φάση I B2.

πτονταν από τύμβο, όπως άλλωστε και οι τάφοι της Τσαουζίτσας[38]. Για τους τάφους του νεκροταφείου Αγίου Παντελεήμονος Φλώρινας δεν αναφέρεται η ύπαρξη τύμβων. Σε ορισμένες, ωστόσο, περιπτώσεις η ύπαρξη τύμβου πρέπει να θεωρηθεί βέβαιη, με βάση τα ανασκαφικά στοιχεία που δόθηκαν[39]. Συγγενικός με τον ταφικό τύμβο στο Visoj πρέπει να θεωρηθεί και ο αναφερόμενος τύμβος στην Άρνισσα[40].

Παρά τη διατήρηση των ταφικών τύμβων στις προχωρημένες φάσεις της πρώιμης εποχής του σιδήρου, όπως προκύπτει από νεκροπόλεις της βόρειας Μακεδονίας, καθώς και από το νεκροταφείο της Βεργίνας, στις φάσεις ΙΙC και ΙΙΙ της πρώιμης εποχής του σιδήρου της Μακεδονίας πολλαπλασιάζονται τα νεκροταφεία των επίπεδων κιβωτιόσχημων τάφων[41]. Το φαινόμενο αυτό θα το συναντήσουμε επίσης στην ανατολική Μακεδονία και στη Θράκη, όπου τα νεκροταφεία των τύμβων φαίνεται ότι διακόπτονται από τις επίπεδες νεκροπόλεις των κιβωτιόσχημων τάφων.

Ταφές-καύσεις

Οι ταφές-καύσεις εμφανίζονται σύμφωνα με τα ως τώρα γνωστά αρχαιολογικά δεδομένα μόνο σε προχωρημένες φάσεις της πρώιμης εποχής του σιδήρου[42] στην κεντρική και δυτική Μακεδονία και είναι δυνατό να προέρχονται, όπως και οι ταφές-καύσεις στους τύμβους της βόρειας Μακεδονίας (ομάδας Štip, ομάδας Πελαγονίας), από επιδράσεις που προέρχονται είτε από τα δυτικά είτε από το νότο, οπωσδήποτε πιθανότατα όχι από επιδράσεις των πολιτισμών Urnenfelder.

Η επίδραση των πολιτισμών Urnenfelder δε φαίνεται να προχωρεί νοτιότερα από τη Σερβία, όπου τα νεκροταφεία των τεφροδόχων της ομάδας Belegiš-Illandza[43] και των ακόμη νεότερων ομάδων Donja Brnjica και Gornja-Stražava[44] αποτελούν την πολιτιστική συνέχεια των εκτεταμένων νεκροταφείων των τεφροδόχων της μέσης και ύστερης εποχής του χαλκού (ομάδες Vatina και Dubovac-Žuto Brdo), όπως διαμορφώθηκε κάτω από την επίδραση του πολιτισμού Urnenfelder. Η εμφάνιση, οπωσδήποτε, των ταφών-καύσεων στους τύμβους της Αλβανίας και της Βόρειας Ηπείρου στην πρώιμη εποχή του σιδήρου[45] πρέπει να προέρχεται μάλλον από επιβίωση της παράδοσης των ταφών-καύσεων, που από την πρώιμη εποχή του χαλκού είχαν εμφανισθεί στους τύμβους των ομάδων Bela Crkva, για να επεκταθούν και στους τύμβους πρώιμης, μέσης και ύστερης εποχής του χαλκού στην Αλβανία.

Είναι πολύ πιθανό, επομένως, οι ταφές-καύσεις στους τύμβους της Μακεδονίας να προέρχονται από επιδράσεις, που έρχονται από τα βορειοδυτικά. Τις επιδράσεις του νότου πρέπει πιθανότατα να αντιπροσωπεύουν οι ταφές-καύσεις, που εμφανίζονται σε κιβωτιόσχημους τάφους επίπεδων νεκροταφείων, τα οποία επικρατούν στην κεντρική και δυτική Μακεδονία από τις αρχές του 6ου κυρίως αι. π.Χ.[46].

Ανατολική Μακεδονία

ΥΣΤΕΡΗ ΕΠΟΧΗ ΤΟΥ ΧΑΛΚΟΥ

Τη διάδοση του ταφικού εθίμου της καύσης των νεκρών και της εναπόθεσης των καμένων

38. Ο Casson 1923/25, 9 κ.ε., δεν αναφέρει συγκεκριμένη ύπαρξη τύμβου, την οποία υποθέτει ο Hammond 1972, 348.

39. Hammond, ό.π., 341.

40. Φ. Πέτσας, Archaeological Reports, 1953, 159, Hammond 1972, 266.

41. Kilian 1975, 101 κ.ε.

42. Vasić 1973, 139 (Πελαγονία), 140 (ομάδα Štip).

43. Brückner - Jovanović - Tasić 1974, 463-464, Garašanin 1973, 635-637.

44. Garašanin, ό.π., 640-641.

45. CAH III^2, 629, 632, 635, Prendi 1982, 226. Πρβλ., επίσης, Dörpfeld 1927, 221 (μερική καύση). Ταφές-καύσεις σημειώνονται και σε τύμβους της ομάδας Bela Crkva, M. Garašanin, CAH III, I^2, 173.

46. Vasić 1973, 140.

οστών τους σε τεφροδόχα αγγεία στη Μακεδονία βεβαιώνουν οι ταφικοί τύμβοι με τα τεφροδόχα αγγεία, που έχουν ανασκαφεί στους Ποταμούς και στην Εξοχή του νομού Δράμας[47]. Με τους τύμβους αυτούς διαπιστώνεται, επίσης, η διάδοση του τύμβου στην ανατολική Μακεδονία ήδη από την ύστερη εποχή του χαλκού, σε μια φάση πρωιμότερη από τους ταφικούς τύμβους της Βεργίνας. Ο συνδυασμός των τεφροδόχων αγγείων με την κατασκευή τύμβων αποτελεί ένα ενδιαφέρον χαρακτηριστικό των ταφικών μνημείων της ανατολικής Μακεδονίας, που επιβιώνει στην ίδια περιοχή και στην πρώιμη εποχή του σιδήρου, συχνά σε συνδυασμό και με ταφές-ενταφιασμούς. Ανάλογοι τύμβοι με ταφές-καύσεις εμφανίζονται στην κεντρική Ευρώπη από την πρώιμη εποχή του χαλκού ως την περίοδο του πολιτισμού των Τύμβων, καθώς και του πολιτισμού Lausitz[48].

Ανάλογοι με τους τύμβους των Ποταμών και της Εξοχής ταφικοί τύμβοι δεν πρέπει να ήταν άγνωστοι και στην περιοχή της σημερινής Βουλγαρίας, στην ύστερη εποχή του χαλκού, αν είναι σωστή η χρονολόγηση της αρχικής ταφής του τύμβου στο Batak στην ύστερη εποχή του χαλκού, όπως πρότεινε ο Hänsel[49].

Ταφικοί τύμβοι εμφανίζονται και στα ανατολικά Βαλκάνια από την πρώιμη εποχή του χαλκού[50], αλλά η επιβίωσή τους στην ύστερη εποχή του χαλκού δεν είναι ακόμη καλά τεκμηριωμένη[51].

Στη Ρουμανία, όπως και στη Βουλγαρία, στη μέση και ύστερη εποχή του χαλκού είναι διαδεδομένα τα μεγάλα νεκροταφεία των τεφροδόχων του πολιτισμού Gîrla Mare[52]-Novo Selo και τα επίσης επίπεδα νεκροταφεία με τους απλούς ενταφιασμούς της ομάδας Zimnicea-Plovdiv[53], στην οποία πρέπει να ανήκουν και οι τάφοι Krušovica[54]. Στην ύστερη εποχή του χαλκού φαίνεται ότι ο κύριος τρόπος ταφής παραμένει η ταφή-ενταφιασμός, ενώ η ταφή-καύση εμφανίζεται σε πολύ χαμηλά ποσοστά, τόσο στις νότια όσο και στις βόρεια από το Δούναβη περιοχές[55]. Οπωσδήποτε, όμως, η εμφάνιση της ταφής-ενταφιασμού ή της ταφής-καύσης δεν αποτελεί και για τα ηπειρωτικά Βαλκάνια βασικό πολιτιστικό χαρακτηριστικό, γιατί σε πολλές πολιτιστικές ομάδες της ύστερης εποχής του χαλκού εμφανίζονται και οι δύο τρόποι ταφής συγχρόνως[56].

47. Γραμμένος 1979, 26-69.

48. Gimbutas 1965, 281. Πρβλ. και ομάδα Suciu de Sus, A. Vulpe, Dacia NS 19 (1975), 69 κ.ε. Ch. Kazso, Dacia NS 19 (1975), 45.

49. Hänsel 1976, 78. Πρβλ. και τύμβο Trigrad νοτιοδυτικής Βουλγαρίας, Hochstetter 1984, 361.

50. Για τύμβους Ρουμανίας χαλκολιθικής εποχής (πολιτισμός Coţofeni), πρβλ. P. Roman, PZ 51 (1976), 38. Πρβλ. επίσης S. Morintz, Pontica 5 (1972), 53 κ.ε. N. Hartouche, SCIV 24 (1973), 9 κ.ε., για τύμβους με ταφές ώχρας, που χρονολογούνται σε προχωρημένες φάσεις της εποχής του χαλκού. Επίσης για τύμβους πρώιμης εποχής του χαλκού στη βόρεια Βουλγαρία, με ταφές ώχρας, όπως π.χ. οι τύμβοι Târnava, πρβλ. Nikolov 1976, 38 κ.ε., Katinčarov 1980, 169.

51. Ο Katinčarov 1980, 168 κ.ε., αναφέρει ορισμένα παραδείγματα τύμβων με τάφους ώχρας που τους χρονολογεί στη μέση και ύστερη εποχή του χαλκού, αλλά η χρονολόγησή τους δεν είναι βέβαιη. E. Bacova - M. Kančev, Arch. Sofia 16 (1974), 1, 50. Τύμβος Kovačevo (14ος-12ος αι. π.Χ.). Τύμβος III Dolno Sahrane, L. Getov, Bull. Inst. Sofia 28 (1965), 209-218. Τέλος ύστερης εποχής του χαλκού - πρώιμη εποχή του σιδήρου, Hr. Bujukliev, Arch. Sofia 6 (1964), 4, 64-65.

52. Πρβλ. Κεφ. Γ', υποσημ. 247. Η ομάδα αυτή καλύπτει τη βορειοδυτική Βουλγαρία και τη νοτιοανατολική Ρουμανία.

53. Πρβλ. Κεφ. Γ', υποσημ. 251. Η ομάδα διαδεδομένη στη Δοβρουτσά και στη Ρουμανία.

54. Nikolov 1964, 75.

55. Στις ομάδες π.χ. Verbicioara και Otomani οι ταφές-ενταφιασμοί των αρχαιότερων φάσεων αντικαθίστανται στις νεότερες φάσεις από ταφές-καύσεις. Ταφές-καύσεις σποραδικές εμφανίζονται και στην ομάδα Monteoru, όπου επικρατούν οι ταφές-ενταφιασμοί, Hänsel 1976, 52 κ.ε.

56. Πρβλ. και παρατηρήσεις Treuil 1983, 455, για αντίστοιχα έθιμα ταφής στον αιγαιακό χώρο της ύστερης νεολιθικής περιόδου, όπου επισημαίνεται η εμφάνιση του ίδιου φαινομένου της εναλλαγής του τρόπου ταφής, εκτός από το Αιγαίο, και στην Εγγύς Ανατολή.

ΠΡΩΙΜΗ ΕΠΟΧΗ ΤΟΥ ΣΙΔΗΡΟΥ

Το νεκροταφείο των τύμβων της θέσης Καστά της Αμφίπολης[57] και το νεκροταφείο των τύμβων της βιομηχανικής ζώνης Δράμας[58] αποτελούν τα αρχαιότερα παραδείγματα τάφων της πρώιμης εποχής του σιδήρου στην ανατολική Μακεδονία, σύμφωνα με τα ως τώρα γνωστά αρχαιολογικά δεδομένα. Η ανασκαφή στα παραπάνω νεκροταφεία δεν έχει ολοκληρωθεί και η μελέτη των ευρημάτων δεν έχει προχωρήσει, αλλά από τα πρώτα ανασκαφικά συμπεράσματα είναι δυνατό να επισημανθεί ότι στους τύμβους συνυπάρχουν ταφές-ενταφιασμοί και ταφές-καύσεις, με τεφροδόχα ή χωρίς τεφροδόχα αγγεία, που καλύπτονται από το ενιαίο στρώμα λιθορριπής των τύμβων. Οι αρχαιότερες ταφές των τύμβων φαίνεται ότι είναι οι ταφές-καύσεις, που συνεχίζονται ωστόσο και στις νεότερες φάσεις των νεκροταφείων, παράλληλα με τις ταφές-ενταφιασμούς. Στις ταφές-καύσεις, τα καμένα οστά είτε εναποθέτονται απευθείας πάνω στο λιθόστρωμα του τύμβου μαζί με τα κτερίσματα (τύμβος Γ Δράμας) είτε μέσα σε τεφροδόχα αγγεία (τύμβος 1 Καστά Αμφίπολης). Στους τύμβους της Δράμας, όπου επικρατούν οι ταφές-καύσεις, οι ενταφιασμοί είναι κυρίως παιδικές ταφές, εναποτεθειμένες σε πίθους. Στους τύμβους της Αμφίπολης εμφανίζονται ταφές παιδικές, αλλά και ενηλίκων σε πίθους, καθώς και απλοί ενταφιασμοί πάνω στο λιθόστρωμα των τύμβων, καλυμμένοι από τη λιθορριπή της επίχωσης των τύμβων.

Από το τεφροδόχο αγγείο της αρχαιότερης φάσης του τύμβου 1 της Αμφίπολης (Σ χ έ δ. 142: 1), το οποίο στο σχήμα και στη διακόσμηση βρίσκεται κοντά στα νεότερα τεφροδόχα αγγεία της ομάδας Belegiš-Cručeni[59], και από το σιδερένιο ξίφος τύπου Naue II με τα χάλκινα καρφιά πρέπει η αρχή του νεκροταφείου των τύμβων στο λόφο Καστά της Αμφίπολης ν' ανεβεί τουλάχιστον ως την τελευταία φάση της HaA2 περιόδου, δηλαδή περίπου στα τέλη του 11ου-αρχές 10ου αι. π.Χ. Το κάτω χρονολογικό όριο του νεκροταφείου των τύμβων είδαμε πως τοποθετείται στα τέλη του 7ου αι. π.Χ. Στα τέλη του 7ου και στις αρχές του 6ου αι. π.Χ. ένα νεκροταφείο με κιβωτιόσχημους τάφους διαδέχεται το νεκροταφείο των τύμβων στον ίδιο λόφο.

Οι τύμβοι του νεκροταφείου βιομηχανικής ζώνης Δράμας αρχίζουν πιθανόν αργότερα από το νεκροταφείο των τύμβων της Αμφίπολης, αλλά συνεχίζονται ως τα τέλη του 7ου αι. π.Χ., χωρίς να διακοπούν από την εμφάνιση κιβωτιόσχημων τάφων. Οπωσδήποτε, τα ανασκαφικά στοιχεία είναι ακόμη ελλιπή, για να προσδιορίσουν με ασφάλεια τα χρονολογικά όρια αυτού του νεκροταφείου[60].

Οι ταφές-καύσεις και η εναπόθεση των καμένων οστών σε τεφροδόχα αγγεία είναι ο χαρακτηριστικός τρόπος ταφής στην αρχή της πρώιμης εποχής του σιδήρου στα ανατολικά Βαλκάνια και συμπίπτει με την εμφάνιση της αυλακωτής κεραμικής με τις αποφύσεις (Buckelkeramik), της λεγόμενης τύπου Gava[61]. Δε λείπουν, ωστόσο, στις ίδιες περιοχές οι ταφές-ενταφιασμοί, που συνεχίζουν τον τυπικό για την ύστερη εποχή του χαλκού τρόπο ταφής[62].

57. Δ. Λαζαρίδης, ΠΑΕ 1977, 42 κ.ε.

58. ΑΔ 34 (1979): Χρονικά, 333-334.

59. Πρβλ. CAH, III, I^2, ομάδα Voivodina, 614, σημ. 58.

60. Τα νεότερα χρονολογικά όρια των τύμβων, που έχουν ως τώρα ανασκαφεί, φθάνουν στα τέλη 7ου-αρχές 6ου αι. π.Χ.

61. Πρβλ. τεφροδόχα αγγεία της αρχαιότερης φάσης της πρώιμης εποχής του σιδήρου στη σημερινή Βουλγαρία. Urn Manole, Hänsel 1976, 98, Urn Gabarevo, ό.π., 99. Πρβλ. και Hänsel 1981, 222-223, για συσχέτιση της αυλακωτής κεραμικής με την εμφάνιση των ταφών-καύσεων σε τεφροδόχα στις περιοχές νότια του Δούναβη. Ευρύστομο αγγείο Bukjovči, Hänsel 1976, πίν. 20, 3-4, πιθανόν από τάφο. Πρβλ. και Tončeva 1980, 54, πίν. IV, 6 (φάση ΙΑ: 1050-900 π.Χ.). Σε πιο προχωρημένη φάση της πρώιμης εποχής του σιδήρου της Βουλγαρίας (φάση ΙΒ, 900-800 π.Χ.) τοποθετεί η Tončeva 1980, 62, πίν. III, 1, τις ταφές-καύσεις: Τεφροδόχο αμφορέα τύπου Gava A από Orsoja, ό.π., πίν. III, 1, ταφή-καύση Zimnicea, ό.π., 54, σημ. 129. Αρχαιότερη είναι η ταφή του τύμβου Cernavoda, ό.π., 54, σημ. 130, που ο Hänsel 1976, 125, πίν. 16, τοποθετεί στην ομάδα Babadag II. Πρβλ. επίσης και το αγγείο Ostrov, που προέρχεται πιθανότατα από ταφή-καύση, Hänsel, ό.π., πίν. 13, 6.

62. Tončeva 1980, 54 (ταφή Topčii, ταφή Sava Conevo).

Τύμβοι με ταφές-καύσεις εμφανίζονται με μεγάλη συχνότητα και στις προχωρημένες φάσεις της πρώιμης εποχής του σιδήρου στην ηπειρωτική Θράκη, όπως στις νεκροπόλεις του 8ου αι. π.Χ. Tlačine και Toros και στις νεκροπόλεις Carvebrod και Belogradeć του 7ου αι. π.Χ.[63], ενώ την ίδια εποχή οι ταφές-ενταφιασμοί αποτελούν παράλληλο τρόπο ταφής[64], έτσι ώστε η εμφάνιση του ενταφιασμού ή της καύσης να μην αποτελεί βασικό χαρακτηριστικό στη διάκριση των πολιτιστικών ομάδων και στην ηπειρωτική Θράκη της πρώιμης εποχής του σιδήρου.

Στα νεκροταφεία των τύμβων της πρώιμης εποχής του σιδήρου πρέπει, επίσης, να συμπεριληφθούν και τα Dolmen της νοτιοανατολικής Βουλγαρίας, που αποτελούν μια ενιαία πολιτιστική ομάδα με τα Dolmen της αιγαιακής Θράκης και της ευρωπαϊκής Τουρκίας[65].

Αιγαιακή Θράκη

ΥΣΤΕΡΗ ΕΠΟΧΗ ΤΟΥ ΧΑΛΚΟΥ

Ανάμεσα στο Νέστο και στον Έβρο, στην οροσειρά της Ροδόπης και στο Αιγαίο, δεν έχουν βρεθεί ακόμη ταφικά μνημεία της ύστερης εποχής του χαλκού.

ΠΡΩΙΜΗ ΕΠΟΧΗ ΤΟΥ ΣΙΔΗΡΟΥ

Τα ταφικά μνημεία της πρώιμης εποχής του σιδήρου στην αιγαιακή Θράκη ανήκουν στους εξής τύπους:

Ταφικοί τύμβοι

Δύο ταφικοί τύμβοι ανασκάφθηκαν στο νεκροταφείο της αρχαίας Μεσημβρίας. Ο τύμβος[66] είναι ένα κυκλικό κτίσμα με εσωτερικό κυκλικό θάλαμο, όπου διακρίνεται μια κτιστή εξέδρα (κλίνη;). Στο θάλαμο πρέπει να υπήρχαν ταφές-ενταφιασμοί, γιατί ο ανασκαφέας αναφέρει «οστά εν πλήρει αποσυνθέσει εκ των διαφόρων ταφών». Ο τοίχος Δ, που εφάπτεται στο κυκλικό κτίσμα, πιθανότατα ανήκει σε κάποιο πρόσκτισμα του αρχικού κυκλικού τάφου, αντίστοιχου με τα προσκτίσματα του τύμβου 2.

Ο τύμβος 2[67], που βρέθηκε σε μικρή απόσταση από τον τύμβο 1, ήταν συληµένος και δεν ξέρουμε αν περιείχε ενταφιασμό ή καύση. Έξω, ωστόσο, από τον τύμβο βρέθηκαν ταφές-καύσεις σε μεγάλα τεφροδόχα αγγεία και πιθάρια. Από τα αγγεία αυτά προκύπτει ότι ο τύμβος 2 είναι αρχαιότερος από τον τύμβο 1.

Οι τύμβοι της Μεσημβρίας χρονολογούνται από τον Kilian[68] στη φάση ΙΙΑ της πρώιμης εποχής του σιδήρου της Μακεδονίας, που αντιστοιχεί στη φάση HaC1, με βάση τις χάλκινες πόρπες. Η οινοχόη του τύμβου 1 πιθανόν αποτελεί κτέρισμα αρχαιότερης ταφής, γιατί πλησιάζει τις οινοχόες της φάσης ΙΙΒ1 των νεκροταφείων Θάσου. Αρχαιότερα, επίσης, από τον 7ο αι. π.Χ. φαίνονται και τα τεφροδόχα αγγεία του τύμβου 2.

63. Ό.π., 62, φάση ΙΙΑ (850-650 π.Χ.). Νεκρόπολη Tlačine με μικρούς τύμβους, πρβλ. Hänsel 1976, 171. Πρβλ. επίσης νεκροπόλεις Toros, κ.α., Tončeva, ό.π., σημ. 11-13, όπου η σχετική βιβλιογραφία. Για τη νεκρόπολη τύμβων Belogradec, πρβλ. G. Tončeva, Thracia V (1980), 5-52.

64. Πρβλ. τύμβο Sofronievo με ταφές-ενταφιασμούς 7ου αι. π.Χ., Hänsel 1976, 172, Tončeva 1980, 100.

65. Πρβλ. ό.π. (υποσημ. 73 και 76).

66. Βαβρίτσας 1967, 93, εικ. 3.

67. Βαβρίτσας 1970, 70, εικ. 3.

68. Kilian 1975, πίν. 101.

Ταφικοί τύμβοι - Dolmen

Στις ορεινές περιοχές της Ροδόπης έχουν βρεθεί διάσπαρτα μεγαλιθικά ταφικά μνημεία[69], σε ορισμένα από τα οποία έχει διαπιστωθεί η ύπαρξη σταθερών κυκλικών κρηπιδωμάτων-τύμβων που τα πλαισιώνουν. Στις πρώτες ανασκαφικές έρευνες διαπιστώθηκε ότι οι κυκλικές συμπαγείς κρηπίδες-τύμβοι άλλοτε περιέχουν έναν κεντρικό τάφο[70], άλλοτε περισσότερους. Οι περισσότεροι από τους κιβωτιόσχημους τάφους σώζουν την οριζόντια πλάκα του πυθμένα τους, που βρίσκεται στο επίπεδο της κρηπίδας, ενώ άλλοι έχουν τον πυθμένα τους βαθύτερα από το επίπεδο της λίθινης κρηπίδας πάνω στο φυσικό βράχο. Ο ανασκαφέας υποθέτει μια χρονολογική διαφορά ανάμεσα στους τάφους αυτών των δύο κατηγοριών[71].

Οι κιβωτιόσχημοι τάφοι έχουν καταστραφεί στο μεγαλύτερο ποσοστό τους, σε ορισμένους ωστόσο από τους μεγάλους σωζόμενους τάφους διακρίνονται χαρακτηριστικά των Dolmen, όπως το μικρό πλευρικό άνοιγμα[72]. Σε κανέναν από τους τάφους, που έχουν ανασκαφεί, δε βρέθηκαν ίχνη οστών. Το γεγονός αυτό και η εμφάνιση μαύρου χώματος με φανερά ίχνη τέφρας σ' έναν από τους τάφους οδήγησε τον ανασκαφέα στην άποψη ότι στο εσωτερικό των Dolmen είχαν εναποτεθεί τεφροδόχα αγγεία. Η άποψη αυτή επιβεβαιώνεται και από το μεγάλο ποσοστό των μεγάλων αμφορέων-τεφροδόχων, που βρέθηκαν στην ανασκαφή, διαλυμένα από τις συνεχείς συλήσεις των τάφων. Από την κεραμική και τα άλλα κτερίσματα, που συγκέντρωσε η ανασκαφή, προκύπτει μια χρονολόγηση της χρήσης αυτών των τάφων από το 10ο (;) ως τον 6ο αι. π.Χ. Η αρχαιότερη κεραμική είναι αντίστοιχη με την κεραμική της ομάδας Pšeničevo.

Αντίστοιχα Dolmen βρίσκονται στην ορεινή περιοχή της νότιας Βουλγαρίας[73], όπου φαίνεται ότι είναι διαδεδομένη η ίδια πολιτιστική ομάδα, που κατά μία άποψη σχετίζεται και με ορισμένα λατρευτικά σύμβολα εγχάρακτων δίσκων στους βράχους[74]. Στα Dolmen της νότιας Βουλγαρίας, που είναι σύγχρονα με τα Dolmen της Ροδόπης και χρονολογούνται από το 10ο έως και τον 4ο αι. π.Χ., η αρχαιότερη φάση ταφών φαίνεται ότι αντιπροσωπεύεται με ταφές-ενταφιασμούς και η νεότερη με ταφές-καύσεις[75].

Αντίστοιχα Dolmen εμφανίζονται και στην ευρωπαϊκή Τουρκία[76] και η παρουσία τους στα νοτιοανατολικά Βαλκάνια και στη Μικρά Ασία έχει σχετισθεί με τα αντίστοιχα Dolmen του Καυκάσου και την εκμετάλλευση μεταλλοφόρων περιοχών[77].

Αξιοσημείωτη είναι η αποκάλυψη ενός μεγάλου κτιστού τάφου στην περιοχή της Δίκελλας, στην ορεινή αιγαιακή Θράκη. Ο τάφος ανήκει στον τύπο του δίχωρου τάφου-οικίας και εμφανίζει πολλές συγγένειες με τον αντίστοιχο τύπο ΙΑ των νεκροταφείων της Θάσου[78].

Στη σειρά των μεγαλιθικών μνημείων της Θράκης θα πρέπει να συμπεριληφθούν και οι μεγαλιθικοί τάφοι που βρέθηκαν στη Σαμοθράκη, και οι οποίοι παραμένουν ακόμη ανεξερεύνητοι[79].

69. Τριαντάφυλλος 1973, 241-252.

70. Triantafyllos 1980, 148, εικ. 3 και 7.

71. Ό.π., εικ. 4.

72. Ό.π., εικ. 2 και 8.

73. Κυρίως στην ανατολική Ροδόπη και στην περιοχή Stranza του Sakar, Fol - Venedikov 1976, Venedikov 1976, 56-62, Delev 1982, 189, Fol 1982.

74. Fol - Venedikov 1976, 25, 159, πίν. 345-347, Delev 1982, 191, Hoddinot 1981, 75. Πρβλ. και Fol 1982, 540.

75. Mikov 1955. Εκτός από ταφές-καύσεις, βρέθηκαν και ορισμένες ταφές ενταφιασμοί, που είναι δύσκολο να χρονολογηθούν εξαιτίας της μακρόχρονης χρήσης των τάφων.

76. Πρβλ. Kanšu 1963, 493 κ.ε., Kanšu 1969, 577-579, και ο ίδιος, Belleten 35 (1971), 120 κ.ε., εικ. 1-14.

77. A.M. Tallgren, Sur les monuments mégalithiques de Caucase occidental, Eurasia Septentrionalis Antiqua IX (1934), 1 κ.ε., V.I. Makrovin, Sovetskaja Archeologija 1973/1, 3 κ.ε. Πρβλ. ωστόσο και νεότερες χρονολογήσεις, I. Achanov, Sovetskaja Archeologija 1961, 139 κ.ε., Tončeva 1980, 123, Hoddinot 1981, 72 κ.ε.

78. Triantafyllos 1980, 152-153, εικ. 11 και 12. Ο ανασκαφέας το αναφέρει ως μοναδικό παράδειγμα στην περιοχή.

79. Theocharis 1971, 27.

Λαξευτοί τάφοι

Στη δυτική Θράκη έχουν εντοπισθεί ορισμένοι λαξευτοί τάφοι που θυμίζουν αντίστοιχους τάφους από τη νότια Βουλγαρία, αλλά παραμένουν ακόμη ανεξερεύνητοι και αχρονολόγητοι[80]. Οι λαξευτοί τάφοι αυτού του τύπου εμφανίζουν μια μεγάλη διάδοση στην ορεινή νότια Βουλγαρία, στην περιοχή επίσης της Ροδόπης, όπου εμφανίζονται και τα Dolmen[81]. Η χρονολόγηση αυτών των τάφων και η συσχέτισή τους με τους μυκηναϊκούς θαλαμωτούς τάφους είναι ακόμη προβληματική.

Κιβωτιόσχημοι τάφοι

Οι κιβωτιόσχημοι τάφοι των επίπεδων νεκροταφείων φαίνεται ότι αποτελούν και στη δυτική Θράκη μια μορφή ταφικού κτίσματος των προχωρημένων φάσεων της πρώιμης εποχής του σιδήρου, όπως διαπιστώνεται στο νεκροταφείο του Μικρού Δουκάτου[82]. Η φάση αυτή των κιβωτιόσχημων τάφων πιθανότατα πρέπει, τόσο στη Μακεδονία όσο και στη Θράκη, να συνδεθεί με την εποχή του β' μεγάλου ελληνικού αποικισμού των περιοχών αυτών και με την ίδρυση των ελληνικών αποικιών στα παράλια της Μακεδονίας και της Θράκης, στο Αιγαίο και στον Εύξεινο[83].

Από την επισκόπηση των ταφικών μνημείων της Μακεδονίας και της Θράκης στην ύστερη εποχή του χαλκού και στην πρώιμη εποχή του σιδήρου προκύπτει ότι, ενώ στη Μακεδονία, τόσο στα επίπεδα νεκροταφεία όσο και στα νεκροταφεία των τύμβων, ο κιβωτιόσχημος τάφος — κτιστός ή κατασκευασμένος με πλάκες — αποτελεί την πιο εξελιγμένη μορφή του προορισμένου να δεχθεί το νεκρό χώρου, στην αιγαιακή Θράκη διαπιστώνεται η κατασκευή υπέργειων ταφικών θαλάμων, που συχνά παίρνουν κάποια μνημειακή μορφή, είτε ως κτίσματα μεγαλιθικά είτε ως κτιστοί θάλαμοι με κυκλική ή ορθογώνια κάτοψη. Αυτή ακριβώς η εμφάνιση του κτιστού ταφικού θαλάμου, του προορισμένου να δεχθεί πολλαπλές ταφές, που δεν είναι άγνωστη βέβαια και στην κεντρική Ευρώπη[84], σχετίζει τα ταφικά μνημεία της αιγαιακής Θράκης και αντίστοιχα τα ταφικά κτίσματα της πρωτοϊστορικής Θάσου και με ταφικά μνημεία από το νοτιοελλαδικό και νησιωτικό χώρο[85].

80. Triantafyllos 1980, 157-159, εικ. 23-24.

81. Fol - Venedikov 1976, 217, I. Venedikov, Thracia III (1974), 203-205, Venedikov 1976, 60-62.

82. Τριαντάφυλλος, 1973/74 791-823.

83. Εκτός από τα νεκροταφεία των κιβωτιόσχημων τάφων της Μακεδονίας, πρβλ. αντίστοιχα νεκροταφεία και στην ανατολική Βουλγαρία, Ravna, Mirčev 1962, 97 κ.ε., και Dobrina, Mirčev 1965, 33 κ.ε. Για τη χρονολόγησή του, πρβλ. Čičicova 1971, 79 κ.ε., Hänsel 1974, 213 κ.ε. Η εμφάνιση των κιβωτιόσχημων τάφων και στην ανατολική Βουλγαρία, πιθανότατα, δεν είναι άσχετη με επιδράσεις των παραλιακών ελληνικών αποικιών.

84. Ο κτιστός ταφικός θάλαμος με πολλαπλές ταφές είναι γνωστός και διαδεδομένος στην Ευρώπη από την αρχή της πρώιμης εποχής του χαλκού με τα μεγαλιθικά ταφικά μνημεία Dolmen, που εμφανίζονται τόσο στην κεντρική και βόρεια Ευρώπη όσο και στην Αγγλία και στις περιοχές της Μεσογείου, επιβιώνοντας και στις νεότερες φάσεις της εποχής του χαλκού, Müller-Karpe 1974, 718.

Με τη διάδοση του πολιτισμού των Kurgan στην κεντρική Ευρώπη εμφανίζεται επίσης στην πρώιμη εποχή του χαλκού ο ταφικός κτιστός θάλαμος (που συχνά αντικαθιστά το ξύλινο Kurgan σε ορισμένους πολιτισμούς, όπως π.χ. στον πολιτισμό Únětice) και παραμένει και σε νεότερες φάσεις της εποχής του χαλκού, στον πολιτισμό των τύμβων και στον πολιτισμό Urnenfelder, Gimbutas 1965, 274. Πρβλ. επίσης κτιστό τάφο στο Keszethely, Ballaton Ουγγαρίας, ό.π., 280, εικ. 187. Στις βόρειες Άλπεις και στο Μέσο Δούναβη εμφανίζονται επίσης και στην περίοδο Urnenfelder κτιστοί ταφικοί θάλαμοι κάτω από τύμβους. Οι ταφές-καύσεις στις περιπτώσεις αυτές μιμούνται ταφές-ενταφιασμούς, ό.π., 307, εικ. 211 και 212. Οι πολλαπλές ταφές στον ίδιο τάφο δεν είναι επίσης άγνωστες στην κεντρική Ευρώπη. Η. Müller-Karpe Handbuch der Vorgeschichte, III, 716 κ.ε., Gimbutas, ό.π., 265. Σε νεκροταφεία, επίσης, του πολιτισμού Únětice στις περιοχές του Μέσου Δούναβη εμφανίζεται ένα αρκετά σημαντικό ποσοστό (8-12%) τάφων με πολλαπλές ταφές. Πρβλ. K. Tihelka, Únětice Cemeteries in Moravia, Památky Archeologické XLIV (1953), 322-328 (γερμανική περίληψη). Πρβλ. επίσης ομαδικούς τάφους Gomolava στη Σερβία, που χρονολογούνται στην πρώιμη εποχή του σιδήρου, N. Tasić, Arch.Jug. 13 (1972), 27-37.

85. Δεν είναι προς το παρόν δυνατό να σχετισθούν τα ταφικά μνημεία της αιγαιακής Θράκης ούτε με τα μεγαλιθικά μνημεία της κεντρικής Ευρώπης, εξαιτίας του μεγάλου χρονολογικού κενού, αλλά ούτε και με τους κτιστούς ταφικούς θαλάμους, που σχετίζονται με τον πολιτισμό των Kurgan, γιατί αυτού του τύπου ταφικά μνημεία δεν έχουν ακόμη εντοπισθεί στις γειτονικές με την αιγαιακή Θράκη βαλκανικές περιοχές.

Νοτιοελλαδικός χώρος - Νησιά

Ο κτιστός ταφικός θάλαμος εμφανίζεται πολύ νωρίς στον αιγαιακό χώρο: Οι ύστεροι νεολιθικοί τάφοι της Κεφάλας Κέας[86] είναι τα αρχαιότερα προς το παρόν παραδείγματα κτιστών θαλάμων, που συχνά περιέχουν περισσότερες από μία ταφές και που σε ένα μεγάλο μέρος τους, αν όχι στο σύνολό τους, ήταν κτίσματα υπέργεια και ορατά. Τους κτιστούς τάφους της Κεφάλας συνεχίζουν οι πρωτοκυκλαδικοί τάφοι της Σύρου[87] και των άλλων νησιών των Κυκλάδων[88], που, όπως και τα αντίστοιχα ταφικά κτίσματα του Αγίου Κοσμά[89] και του Μαραθώνα[90], εμφανίζουν με την κατασκευή οροφής και εισόδου φανερές αναφορές σε πρότυπα κατοικίας. Τα ταφικά, ωστόσο, αυτά κτίσματα των Κυκλάδων και της Αττικής ήταν υπόγεια και δεν πήραν ποτέ μνημειακή μορφή.

Αντίθετα, στην πρωτομινωική Κρήτη, κάτω από επιδράσεις πιθανότατα και άλλων πολιτιστικών κύκλων, αλλά και εξαιτίας των διαφορετικών πολιτιστικών και κοινωνικών συνθηκών που αναπτύχθηκαν εκεί, εμφανίσθηκε ένας μνημειακός τύπος υπέργειου ταφικού μνημείου, που αντιπροσωπεύεται με τους κυκλικούς τάφους της πεδιάδας της Μεσσαράς, η χρήση των οποίων παρέμεινε από την ΠΜ Ι ως τη ΜΜ Ι περίοδο[91].

Το υπέργειο, εξάλλου, ταφικό κτίσμα δε λείπει από τις Κυκλάδες στη μεσοκυκλαδική επίσης περίοδο, όπως διαπιστώνεται από τα ταφικά κτίσματα της Κέας, από τα οποία το ένα τουλάχιστον πρέπει να καλύφθηκε σε κάποια μεταγενέστερη φάση του και από τύμβο[92]. Στον ελλαδικό χώρο στη μεσοελλαδική εποχή, ο κτιστός τάφος αποτελεί μαζί με τον κιβωτιόσχημο τυπική μορφή υπόγειου ταφικού μνημείου[93]. Στο νεκροταφείο της Ελευσίνας[94] παρακολουθούμε μάλιστα και τη μορφολογική του εξέλιξη, που σχετίζεται με τη μετατροπή του από ατομικό τάφο σε οικογενειακό.

Ο συνδυασμός του ταφικού κτιστού θαλάμου με τον τύμβο παρατηρείται ήδη από το τέλος της πρώιμης εποχής του χαλκού στους τύμβους με τις κτιστές κρηπίδες της Λευκάδας[95], αλλά εμφανίζεται πιο συχνά στη μεσοελλαδική εποχή[96]. Η εμφάνιση του αψιδωτού κτιστού τάφου κάτω από τύμβο αντιπροσωπεύει την ίδια αναγωγή σε πρότυπα οικίας, που είχε παρα-

86. Coleman 1977, 44 κ.ε., Treuil 1983, 430-431.

87. Τσούντας 1899, 79-84, Doumas 1977, 128. Στο μεγαλύτερο ποσοστό τους, οι πρωτοκυκλαδικοί τάφοι είναι τάφοι ατομικοί, αλλά δε λείπουν και οι πολλαπλές ταφές. Ο Ντούμας έχει δείξει ότι το ποσοστό των πολλαπλών ταφών στους πρωτοκυκλαδικούς τάφους ήταν πολύ υψηλότερο από εκείνο που πίστεψαν οι πρώτοι ανασκαφείς, Doumas, ό.π., 66.

88. Ακρωτηράκι, Σίφνος: Τσούντας, ό.π., 74. Δωκαθίσματα, Νάξος: Τσούντας, ό.π. Διακόφτι, Νάξος: J.S. Belmont - C. Renfrew, AJA 68 (1964), 397.

89. Mylonas 1959, 64, 120. Αντίθετα με ό,τι συμβαίνει στους πρωτοκυκλαδικούς τάφους, το ποσοστό των πολλαπλών ταφών στο νεκροταφείο του Άγιου Κοσμά είναι υψηλό.

90. Marinatos 1970, 154, και Marinatos 1970α, 349-350.

91. Xanthoudides 1924, 910, 34-36, Branigan 1970, 170 κ.ε. Πρβλ. συγκεντρωμένη βιβλιογραφία στον Pelon 1976, 70, 71. Τις διάφορες επίσης θεωρίες για την καταγωγή των κυκλικών τάφων της Μεσσαράς συνοψίζει ο Pelon, ό.π., 433-442, και καταλήγει στην ανατολική καταγωγή αυτών των μνημείων. Πρβλ. επίσης και Treuil 1983, 435-440, 449. Χαρακτηριστική η επιβίωση υπέργειων τάφων στην Κρήτη ως τη γεωμετρική εποχή, Branigan, ό.π., 153.

92. J. Caskey, Hesperia 1971, 373, τάφος 31, αρχές μέσης εποχής του χαλκού, επίσης τάφος 40, ό.π., 378 και 381, ΜΜ ΙΙΙ-ΥΜ ΙΙ, Overbeck 1975, 125 κ.ε. Ο τάφος 40 αποκτά αργότερα τύμβο.

93. Πρβλ. το νεκροταφείο της Πρόσυμνας, που περιλαμβάνει λίγους κτιστούς κιβωτιόσχημους τάφους, Blegen 1937, 30. Στο νεκροταφείο της Ελευσίνας, το μεγαλύτερο ποσοστό των τάφων είναι κιβωτιόσχημοι με μεγάλες πλάκες στα εσωτερικά τοιχώματά τους, που συμπληρώνονται από σειρές κτιστών λίθων, Μυλωνάς 1975, 207. Κτιστοί κιβωτιόσχημοι τάφοι με πολλαπλές ταφές εμφανίζονται στα μεσοελλαδικά νεκροταφεία της Λέρνας, Blackburn 1970, 18 (τύπος 2), και της Ασίνης, ΑΔ 27 (1972): Χρονικά, πίν. 171α-β, Dietz 1975, 157-163, καθώς και στους τύμβους του Άργους, Δεϊλάκη 1980, 152-153, όπου ο τάφος 29 του τύμβου Γ θυμίζει μεγαλιθικό μνημείο. Για τον αρχιτεκτονικό τύπο του τάφου, πρβλ. Hägg 1974.

94. Μυλωνάς 1975, 208-209.

95. Dörpfeld 1927, Pelon 1976, 88 κ.ε., πίν. XXX R, 1, Sakellariou 1980, 90-99.

96. Ο τύπος του κτιστού θαλαμοειδούς εμφανίζεται στον τύμβο Γ του Άργους, Δεϊλάκη 1980, τάφος 29, σχέδ. 6, στον τύμβο Ι του νεκροταφείου των τύμβων του Μαραθώνα, Marinatos 1970α, 352, πίν. Ι, Marinatos 1970, 159 κ.ε., εικ. 10, Pelon, ό.π., 83, πίν. XXIII. Πρβλ. επίσης με τάφους Ασίνης, Dietz 1975, 157 κ.ε.

τηρηθεί ήδη από τα ταφικά κτίσματα της πρωτοκυκλαδικής περιόδου. Αψίδωτα ταφικά κτίσματα εμφανίζονται σε τύμβους της Μεσσηνίας[97], μιας περιοχής με έντονη μεσοελλαδική παράδοση, και αποδίδουν πιθανότατα το γνωστό τύπο της αψιδωτής μεσοελλαδικής οικίας. Ο συνδυασμός του τύμβου με τον ταφικό θάλαμο του τύπου της οικίας σημειώνεται, ωστόσο, και σε άλλες περιοχές του ελλαδικού και νησιωτικού χώρου στη μεσοελλαδική περίοδο[98] και επιβιώνει και στην υστεροελλαδική εποχή, με διάσπαρτα στον ελλαδικό χώρο παραδείγματα[99], από τα οποία τα πιο χαρακτηριστικά βρίσκονται στο νεκροταφείο των τύμβων του Μαραθώνα[100]. Το νεκροταφείο των τύμβων του Μαραθώνα είναι ιδιαίτερα σημαντικό, γιατί αποκαθιστά τη συνέχεια στην εξέλιξη αυτού του ταφικού μνημείου από τη μεσοελλαδική εποχή στην υστεροελλαδική, ενώ παράλληλα συνδέει τους μεσοελλαδικούς τύμβους με την κτιστή κρηπίδα του ελλαδικού χώρου με τα αντίστοιχα πρωτοελλαδικά και ταφικά μνημεία της Λευκάδας.

Η κάλυψη του ταφικού θαλάμου με τύμβο πρέπει να είναι χαρακτηριστικό στοιχείο της ταφικής αρχιτεκτονικής του ηπειρωτικού ελλαδικού χώρου, αν και, όπως δείχνουν τα παραδείγματα από την Κέα[101] και την ακόμη πιο μακρινή Κύπρο[102], δεν πρέπει να αποκλείσουμε την πρώιμη παρουσία του τύμβου στα νησιά του Αιγαίου και στην ανατολική Μεσόγειο. Τα Ιόνια, οπωσδήποτε, νησιά είναι εκείνα που έχουν δώσει τα αρχαιότερα ως τώρα παραδείγματα τύμβων, η προέλευση των οποίων, όπως έχουμε ήδη σημειώσει, σχετίσθηκε με τη διάδοση του πολιτισμού των Kurgan από τα δυτικά Βαλκάνια προς τα νότια[103]. Οι κτιστές συμπαγείς, ωστόσο, κρηπίδες των τύμβων του νεκροταφείου R της Λευκάδας διαφοροποιούν τους τύμβους της Λευκάδας από τα αντίστοιχα παράλληλα των δυτικών Βαλκανίων[104], ενώ φαίνεται ότι δεν αποτελούν μοναδική ιδιορρυθμία του νεκροταφείου της Λευκάδας, όπως διαπιστώνεται με τα τελευταία ταφικά μνημεία του Μαραθώνα, ακόμη και με τις κτιστές κρηπίδες των Dolmen της ηπειρωτικής Θράκης.

Οι διαδικασίες του πολιτιστικού μετασχηματισμού από την πρωτοελλαδική στη μεσοελλαδική και εν συνεχεία στην υστεροελλαδική περίοδο υπήρξαν πολύπλοκες και όχι οπωσδήποτε ομοιογενείς στις διάφορες περιοχές της ηπειρωτικής Ελλάδας και των νησιών. Στην Πελοπόννησο τα μεταφερμένα στοιχεία του μινωικού πολιτισμού, και ανάμεσα σ' αυτά πιθανότατα και η μινωική θόλος[105], μεταμορφώθηκαν κάτω από την επίδραση ενός ρωμαλέου μεσοελλαδικού ηπειρωτικού πολιτισμού για να δώσουν το μυκηναϊκό πολιτισμό. Η συνάντηση των δύο πολιτιστικών κύκλων, του μινωικού και του ηπειρωτικού ελλαδικού, εκφράζονται στο πιο χαρακτηριστικό ταφικό κτίσμα του μυκηναϊκού πολιτισμού, στο μυκηναϊκό θολωτό τάφο που συνδυάζει, όπως τόσο εύστοχα παρατήρησε ο Valmin[106], το μινωικό κυκλικό τάφο με τους ηπειρωτικούς τύπους ταφικών μνημείων, το λακκοειδή τάφο και τον

97. Το αρχαιότερο παράδειγμα στον τύμβο Αγίου Ιωάννη Παπουλίων, Pelon 1976, 76, αριθ. 3. Για νεότερα αψιδωτά ταφικά κτίσματα, πρβλ. τύμβο Κισσού, Σ. Μαρινάτος, ΠΑΕ 1966, 121-128, εικ. 2, Pelon, ό.π., 74, αριθ. 1, πίν. XVI και XVII, 1. Πρβλ. και ταφικό κτίσμα τύμβου Γουβαλάρη, Γ. Κορρές, ΠΑΕ 1974, 156-157, πίν. 109.

98. Πρβλ. με αψιδωτό κτίσμα Κοκκολάτων Κεφαλληνίας, Καλλιγάς 1977, εικ. 1. Πρβλ. και τάφο Θορικού, S. Servais, Thoricos, I, 1963, 29-41, εικ. 111.

99. Pelon 1976, 111. Πρβλ. επίσης μεταγενέστερη κατασκευή τύμβου στο ΜΕ τάφο Κέας, ό.π., 96, αριθ. 17, Overbeck 1974, 129.

100. Marinatos 1970a.

101. Overbeck 1975, 88, 129.

102. Pelon 1976, 97, αριθ. 18.

103. Η Δεϊλάκη, ωστόσο, χρονολογεί τους τύμβους του Άργους στην ίδια χρονική περίοδο με τους τύμβους της Λευκάδας, Δεϊλάκη 1980, 211, σημ. 327.

104. Πρβλ. τύμβους Αλβανίας, όπου παρατηρούνται μόνο χαμηλοί περίβολοι, όχι όμως κτιστές κρηπίδες, Hammond 1965. Πρβλ. και τύμβους υπογεωμετρικούς στο Τσικαλαριό Νάξου, Φ. Παπαδοπούλου, ΑΔ 21 (1966): Χρονικά, 394.

105. Για το πρόβλημα της καταγωγής της μυκηναϊκής θόλου, πρβλ. συγκεντρωμένη βιβλιογραφία στον Pelon 1976, που καταλήγει στην αποδοχή της θεωρίας του Hood 1960, 166-179, για τη δημιουργία του μυκηναϊκού θολωτού τάφου στη Μεσσηνία κάτω από την επίδραση των μινωικών κυκλικών τάφων.

106. M.N. Valmin, Corolla Archeologica, 1932, 227.

τύμβο. Η άνθηση του μυκηναϊκού πολιτισμού, στις τελευταίες μάλιστα φάσεις της υστεροελλαδικής περιόδου, επέβαλε και το μυκηναϊκό θολωτό τάφο ως μέρος της μυκηναϊκής «κοινής» σε πολλές περιοχές του ελλαδικού και νησιωτικού χώρου. Στις περιοχές ωστόσο εκείνες, όπου στην υστεροελλαδική περίοδο δεν είχαν αναπτυχθεί ισχυρά μυκηναϊκά κέντρα, το τοπικό πολιτιστικό υπόστρωμα που είχε τις ρίζες του στη μεσοελλαδική παράδοση και πιθανόν και στην πρώιμη εποχή του χαλκού, ακόμη και στην ύστερη νεολιθική εποχή, δέχθηκε και αφομοίωσε με διαφορετικό τρόπο τις επιδράσεις του μυκηναϊκού πολιτισμού. Στα περιφερειακά κέντρα του μυκηναϊκού πολιτισμού εμφανίζονται θολωτοί τάφοι με απλούστερη μορφή[107], που άλλοτε αποτελούν μιμήσεις των μυκηναϊκών θόλων και άλλοτε αντιπροσωπεύουν την αρχιτεκτονική εξέλιξη του ταφικού κτιστού θαλάμου, σύμφωνα με την παράδοση της τοπικής αρχιτεκτονικής[108]. Την πιο καθαρή εικόνα επιβίωσης του τοπικού πολιτισμού δίπλα στον επείσακτο μυκηναϊκό μας δίδει η Κρήτη, όπου η παράδοση της μινωικής ταφικής αρχιτεκτονικής διατηρείται ως τους γεωμετρικούς χρόνους[109]. Ανάμεσα στα ελεύθερα ταφικά θολωτά κτίσματα, που άλλοτε είναι υπόγεια και άλλοτε ημιυπόγεια, ξεχωρίζουν τα υπέργεια ταφικά μνημεία, όπως π.χ. οι ελεύθεροι θολωτοί τάφοι χωρίς τύμβο στο υπομινωικό Καρφί[110], που αντιπροσωπεύουν περισσότερο τη μινωική παράδοση, παρά τις επιδράσεις της μυκηναϊκής θόλου. Την παρουσία μιας τοπικής απόδοσης του μυκηναϊκού θολωτού τάφου, με την κυκλική κατά κανόνα κάτοψη, αντιπροσωπεύουν και ορισμένοι θολωτοί τάφοι με ορθογώνια κάτοψη στη Μικρά Ασία[111].

Στην ταφική, εξάλλου, αρχιτεκτονική του ελλαδικού χώρου παρακολουθούμε από τη μια μεριά τη σταδιακή μεταμόρφωση της μεσοελλαδικής ταφικής αρχιτεκτονικής, κάτω από την επίδραση του μινωικού πολιτισμού, και από την άλλη την επιβίωση του μεσοελλαδικού κιβωτιόσχημου τάφου[112] και του τύμβου[113]. Ο μεσοελλαδικός τύπος του ταφικού κτιστού θαλάμου-οικίας κάτω από τύμβο επιβιώνει στην υστεροελλαδική εποχή σε πολλές περιοχές του ελλαδικού χώρου[114] και προπαντός σε εκείνες που είχαν διατηρήσει έντονη τη μεσοελλαδική παράδοση, όπως π.χ. η Μεσσηνία[115]. Η εμφάνιση αψιδωτών ταφικών κτισμάτων

107. Πρβλ. π.χ. απλοποιημένα παραδείγματα θολωτών τάφων στα Νιχώρια, Χωρέμης 1973, 25, Pelon 1976, 188, αριθ. 13, πίν. CXL. Θόλος Κοκκολάτων: ό.π., 348, πίν. CXXV. Τάφος Πτελεού: ό.π., πίν. CXXII, 418. Τάφος Μεδεώνος: ό.π., πίν. CXVII.

108. Τάφος Μεδεώνος: ό.π., πίν. CXVI. Πρβλ. επίσης τετράγωνο κτιστό τάφο Φαρσάλων, Ν. Βερδελής, ΠΑΕ 1952, 197, εικ. 3, και κτιστό θαλαμοειδή τάφο Φαρσάλων, ΑΔ 19 (1964): Χρονικά, 261.

109. Πρβλ. Ν. Πλάτων, ΑΕ 1946, 70 κ.ε., όπου συγκεντρώνονται παραδείγματα πρωτόγονων θολωτών ταφικών κτισμάτων με κυκλική, ορθογώνια ή τετράγωνη κάτοψη, που εμφανίζεται σε περιφερειακές θέσεις της Κρήτης και αποτελούν κατά τον Ν. Πλάτωνα τοπικές επιβιώσεις της μινωικής αρχιτεκτονικής. Τα κτίσματα άλλοτε είναι ελεύθερα (τάφος Παρασκιών), άλλοτε ημιυπόγεια (Έργανος, Κούρτες, Καμάρες, Βρόκαστρο), πρβλ. Hall 1914, 170-172, εικ. 104, πίν. XXIV, 2, και Van Effenterre 1948. Η κατασκευή ημιελεύθερων ταφικών κτισμάτων συνεχίζεται ως τη γεωμετρική εποχή, ASAtene X-XII (1927-29), 177 κ.ε. (Αρκάδες) κ.α. Πρβλ. επίσης υπόγεια ταφικά κτίσματα στην Κρήτη, που αποτελούν ανάμειξη μυκηναϊκής θόλου και μινωικών θολωτών τάφων (Κούρτες, Έργανος, Παναγία, Καβούσι), A. Taramelli, AJA V (1901), 270 κ.ε., Van Effenterre 1948.

110. Pendlebury 1937/38, 111, πίν. XIII. Πρβλ. επίσης Pini 1968, 48, εικ. 109-111, όπου επισημαίνεται επίσης η μοναδικότητα αυτών των υπέργειων ταφικών μνημείων που δεν καλύπτονται από τύμβο.

111. Assarlik, θολωτός τάφος με ορθογώνια κάτοψη, JHS VIII (1887), 166. Πρβλ. και AJA 67 (1963), 358, όπου επισημαίνονται οι σχέσεις Καρίας και Κρήτης, που αποδόθηκαν στη συγγένεια κρητικών και καρολελεγικών στοιχείων. Πρβλ. και Themelis 1976, 55 κ.ε.

112. Χαρακτηριστικό παράδειγμα το νεκροταφείο της Ελευσίνας για τη συνέχεια των κτιστών κιβωτιόσχημων τάφων στην ΥΕ Ι και τη μετατροπή του ατομικού τάφου σε οικογενειακό, Μυλωνάς 1975, 205. Ο παραμερισμός των οστών προγενέστερων ταφών εμφανίζεται επίσης σε μεσοελλαδικούς τάφους, ό.π. (υποσημ. 92).

113. Για υστεροελλαδικούς τύμβους, πρβλ. Pelon 1976, 74 κ.ε., αριθ. 5, 6, Δυτική Πελοπόννησος, αριθ. 10, Αττική αριθ. 11, 12, Βοιωτία, αριθ. 4, Θεσσαλία, αριθ. 1, Κέα, όπου συγκεντρώνεται και η προηγούμενη βιβλιογραφία.

114. Ό.π., υποσημ. 99.

115. Πρβλ. Παρλαμά 1976, 272, όπου συγκεντρώνονται τα παραδείγματα από τη ΜΕ εποχή ως και την πρωτογεωμετρική περίοδο. Πρβλ. αψιδωτό κτιστό τάφο σε τύμβο Χαλανδρίτσας Αχαΐας, ΠΑΕ 1930, 85, και αψιδωτό τάφο στα Νιχώρια Μεσσηνίας, ΑΕ 1961, 186.

στην πρωτογεωμετρική[116] και γεωμετρική εποχή[117], που πρέπει να συνδεθεί με τη συνέχεια της ίδιας παράδοσης, συμπίπτει με την προβολή του αντίστοιχου τύπου της αψιδωτής οικίας στα πρώτα παραδείγματα ναών, τόσο στον ελλαδικό χώρο όσο και στα νησιά του Αιγαίου και στη Μικρά Ασία[118].

ΤΑΦΙΚΑ ΕΘΙΜΑ ΚΑΙ ΤΑΦΙΚΑ ΚΤΙΣΜΑΤΑ ΣΤΑ ΝΕΚΡΟΤΑΦΕΙΑ ΚΑΣΤΡΙ ΚΑΙ ΛΑΡΝΑΚΙ

Η ύπαρξη νεκροταφείων έξω από τον οικισμό Καστρί προϋποθέτει ότι και στον οικισμό αυτό τουλάχιστον από την ύστερη εποχή του χαλκού, ίσχυαν οι γνωστές δοξασίες που ήδη από το τέλος της νεολιθικής εποχής και από την πρώιμη εποχή του χαλκου διαχώριζαν τυπικά την κατοικία των νεκρών από την κατοικία των ζώντων[119].

Αξιοσημείωτο είναι ότι γύρω στον οικισμό Καστρί εντοπίσθηκαν τρία επιμέρους νεκροταφεία, που χωρίζονται με μια αρκετά μεγάλη απόσταση μεταξύ τους, αλλά βρίσκονται σε άμεση τοπογραφική σχέση με τον οικισμό (Σ χ έ δ. 5 και Ι). Η διάκριση των νεκροταφείων αυτών δε φαίνεται να είναι χρονολογική, αφού και στα τρία νεκροταφεία διαπιστώνεται ότι υπάρχουν σύγχρονοι τάφοι. Επειδή το καθένα, ωστόσο, από τα τρία νεκροταφεία φαίνεται ότι εμφανίζει μια συνέχεια χρήσης, και επειδή αποκλείεται το ενδεχόμενο να ανήκουν σε χωριστούς οικισμούς, αφού βρίσκονται σε άμεση τοπογραφική σχέση με τον οικισμό Καστρί, πρέπει να δεχθούμε είτε ότι είναι τυχαία η τοπογραφική επιλογή για την ανέγερση των τάφων είτε ότι ανταποκρίνεται σε ορισμένες κοινωνικές διακρίσεις του πληθυσμού. Οι κοινωνικές αυτές διακρίσεις δεν πρέπει να έχουν σχέση με την κατανομή των αγαθών, εφόσον από τα κτερίσματα δεν προκύπτουν κοινωνικές διαφορές, αλλά πιθανότατα ανταποκρίνονται στις επιμέρους ομάδες-γένη του οικισμού.

Το νεκροταφείο της θέσης Λαρνάκι, που βρίσκεται σε απόσταση 1,5-2 χλμ. περίπου από τον οικισμό Καστρί, πρέπει να αποδοθεί σε μια οπωσδήποτε διαφοροποιημένη ομάδα, η οποία πιθανότατα οργανώθηκε και σε ένα χωριστό οικισμό, οι σχέσεις εξάρτησης του οποίου από τον οικισμό Καστρί δεν έχουν ακόμη προσδιορισθεί.

Ταφικά έθιμα

Για τα ταφικά έθιμα των κατοίκων του οικισμού Καστρί αποκλειστική πηγή μας είναι τα αρχαιολογικά ευρήματα των νεκροταφείων. Είναι φυσικό, επομένως, να αρχίζουν οι γνώσεις μας από το στάδιο της εναπόθεσης του νεκρού στον τάφο. Τα ταφικά έθιμα, που μεσολαβούσαν ανάμεσα στο θάνατο και την εναπόθεση του νεκρού στον τάφο, παραμένουν άγνωστα. Η ύπαρξη, οπωσδήποτε, νεκροταφείων έξω από τον οικισμό Καστρί προϋποθέτει το γνωστό από τις αρχαίες πηγές και τεκμηριωμένο από τα αρχαιολογικά ευρήματα, γνωστό από τη γεωμετρική εποχή στην Ελλάδα, ταφικό έθιμο της εκφοράς[120]. Ο νεκρός πρέπει να μεταφερόταν από τον οικισμό στον προορισμένο για την κατοικία των νεκρών χώρο, πιθανότατα στα χέρια, εφόσον είναι δύσκολο να φαντασθούμε την κυκλοφορία αμαξιών στην ορεινή αυτή περιοχή. Η εκφορά άλλωστε του νεκρού ως σήμερα στα ελληνικά χωριά πραγματοποιείται στα χέρια, όπως και στα ομηρικά χρόνια[121].

116. Στο πρωτογεωμετρικό παράδειγμα από το νεκροταφείο Καρποφόρας διαπιστώνεται κατά την Παρλαμά η συνέχεια του τύπου από την υστεροελλαδική περίοδο, Παρλαμά 1976, 252.

117. Πρβλ. π.χ. αψιδωτό ταφικό κτίσμα από τις Κούρτες, AJA V (1901), 241, εικ. 20.

118. Desborough 1972, οικία Σμύρνης, πίν. 37, Snodgrass 1971, εικ. 114 και 421 κ.ε., J.N. Coldstream, Geometric Greece, 1977, 321 κ.ε.

119. Treuil 1983, 430. Πρβλ. για τα αρχαιότερα νεκροταφεία έξω από τους οικισμούς.

120. Andronikos 1968, 43.

121. Πρβλ. Ιλ. Ψ 131: «πρόσθε μὲν ἵππῆες, μετὰ δὲ νέφος εἵπετο πεζῶν, μύριοι· ἐν δὲ μέσοισι φέρον Πάτροκλον ἑταῖροι».

Μετά την άφιξη του νεκρού στον τόπο της ταφής ακολουθούσε η ταφή, που στα νεκροταφεία του οικισμού Καστρί πραγματοποιούνταν με δύο τρόπους:

α) Ο νεκρός καιγόταν και τα λείψανα των οστών του μετά την καύση συγκεντρώνονταν σε κάποιο τεφροδόχο αγγείο και θάβονταν μέσα σ' ένα ταφικό κτίσμα.

β) Ο νεκρός εναποθέτονταν μέσα στον οικογενειακό τάφο.

Στα νεκροταφεία του οικισμού Καστρί εμφανίζονται και οι δύο τρόποι ταφής, ο απλός ενταφιασμός και η καύση, ενώ στο νεκροταφείο της θέσης Λαρνάκι εμφανίζεται αποκλειστικά ο ενταφιασμός.

ΤΑΦΕΣ-ΚΑΥΣΕΙΣ

Ελάχιστο είναι το ποσοστό των ταφών-καύσεων, που διαπιστώθηκε στα νεκροταφεία του οικισμού Καστρί. Πρόκειται για τέσσερα βέβαια παραδείγματα και ένα αμφισβητούμενο, που εμφανίσθηκαν αποκλειστικά στο νεκροταφείο της θέσης Τσιγανάδικα, το μεγαλύτερο σε έκταση και χρονική διάρκεια από τα νεκροταφεία που έχουν ανασκαφεί.

Οι τάφοι, που περιέχουν τις ταφές-καύσεις, ξεχωρίζουν με ιδιαίτερους αρχιτεκτονικούς τύπους: ΙΙΑ, ΙΙΒ (Σ χ έ δ. 118).

Χαρακτηριστικό στοιχείο του τύπου ΙΙΑ είναι η παρουσία του τεφροδόχου αγγείου, μέσα στο οποίο συγκεντρώνονται τα οστά του νεκρού (πρβλ. Τ12, Τ13, Τ25) (Π ί ν. 245α-γ, 246-247, 288α-β). Το τεφροδόχο αγγείο είναι ή το κάτω τμήμα ενός μεγάλου αγγείου (Τ12, Τ13) (Π ί ν. 245β-γ, 247α) ή ένα ολόκληρο αγγείο κλειστό, όπως ο αμφορέας του τάφου Τ25 (Π ί ν. 155). Στην ταφή-καύση αυτού του τύπου, τα οστά τοποθετούνται μέσα στο τεφροδόχο αγγείο και τα κτερίσματα έξω από αυτό (Π ί ν. 247α), όταν πρόκειται για αγγεία (Τ13), ή μέσα στο τεφροδόχο, όταν πρόκειται για κτερίσματα που είχαν συνοδεύσει το νεκρό στην πυρά (Π ί ν. 245γ). Η παραμορφωμένη από την πυρά χάλκινη αιχμή λόγχης, που βρέθηκε στον τάφο Τ12 (Π ί ν. 350: 1), βεβαιώνει ότι τα όπλα και τα κοσμήματα συνόδευαν το νεκρό στην πυρά[122]. Μέσα στο τεφροδόχο αγγείο, εκτός από τα οστά του νεκρού, βρίσκονται και καμένα οστά ζώου (Τ12), όπως οστά από σιαγόνα αιγοπροβάτου (πρβλ. Παράρτημα Ι και Παράρτημα ΙΙ). Πιθανόν πρόκειται για κομμάτια από κρέας ζώων, που μαζί με τις άλλες προσφορές ρίχνονταν στην πυρά και όχι για ολόκληρα ζώα, γιατί αντίστοιχα κομμάτια από ζώα βρίσκονται στις ταφές-ενταφιασμούς[123] (βλ. Παράρτημα ΙΙ).

Στην ταφή-καύση των τάφων τύπου ΙΙΒ, τα καμένα οστά βρίσκονται διάσπαρτα στο εσωτερικό του τάφου (Τ15) (Π ί ν. 253α-β). Στην περίπτωση αυτή φαίνεται ότι το ρόλο του τεφροδόχου αγγείου υποκαθιστά το διαμορφωμένο σε κόγχη εσωτερικό του κτίσματος Τ15, που χρησιμοποιήθηκε για περισσότερες από μία ταφές. Τα κτερίσματα τοποθετούνται στο εσωτερικό της κόγχης δίπλα ή πάνω από τα καμένα οστά.

Στις παραπάνω περιπτώσεις καύσης αγνοούμε τη θέση, όπου πραγματοποιούνταν η καύση του νεκρού.

ΤΑΦΕΣ-ΕΝΤΑΦΙΑΣΜΟΙ

Μετά τη μεταφορά του νεκρού στο χώρο του νεκροταφείου, ακολουθούσε η εναπόθεσή του στον οικογενειακό τάφο, ο οποίος προϋπήρχε. Ο νεκρός εναποθέτονταν στον τάφο, είτε από πάνω είτε από την πλάγια είσοδο των τάφων. Για τη δεύτερη περίπτωση πρέπει να δεχθούμε ότι η εναπόθεση του νεκρού πραγματοποιούνταν από άτομα, που έμπαιναν στον τάφο γονατιστά ή έρποντας, γιατί κανένας τάφος δεν παρουσίασε ύψος μεγαλύτερο από 1,20 μ.[124].

Επειδή στο εσωτερικό των οικογενειακών τάφων έχουν πραγματοποιηθεί πολλαπλές ταφές, είναι ελάχιστα τα παραδείγματα των αδιατάρακτων ταφών, τα οποία θα μπορούσαν

122. Ιλ. Ζ 416: «ἀλλ' ἄρα μιν κατέκηε σὺν ἔντεσι δαιδαλέοισιν». Πρβλ. επίσης Οδύσσ. λ 74 και η 13.

123. Για ζώα που ρίχνονται στην πυρά νεκρών, πρβλ. Ιλ. Ψ 169, Οδύσσ. ω 65.

124. L. Banti, ASAtene XIII-XIV (1930/31), 249.

να μας δώσουν λεπτομερειακά στοιχεία για τη θέση των νεκρών και τη διάταξη των κτερισμάτων τους. Και οι ελάχιστες επίσης περιπτώσεις αδιατάρακτων ταφών, επειδή έχουν εναποτεθεί πάνω σε προγενέστερο στρώμα ταφών, εμφανίζουν σε ορισμένες λεπτομέρειες συγκεχυμένη εικόνα. Παρά τη συγκεχυμένη ωστόσο γενική εικόνα που εμφανίζει, όπως είναι φυσικό, το εσωτερικό των οικογενειακών τάφων, εξαιτίας των πολλαπλών ταφών ή των άλλων διαταράξεων του τάφου, τα ανασκαφικά στοιχεία δίδουν ορισμένες συγκεκριμένες πληροφορίες για τη θέση και την κτέριση των νεκρών. Τα στοιχεία αυτά προέρχονται από τους νεκρούς εκείνους, που έχουν εν μέρει διαταραχθεί από τις νεότερες ταφές, αλλά δεν έχουν μετακινηθεί στο σύνολό τους. Ταφές εν μέρει διαταραγμένες, που δίδουν ωστόσο ορισμένες πληροφορίες για τη θέση και την κτέριση των νεκρών, βρίσκονται στους τάφους Κ2ΣΤ, Κ2Ζ, Κ3ΑΙΙα-γ, Κ4Βα-δ, Κ6Βα-γ, Κ6Γ, Κ6Δ, Β1Αδ-ζ, Β1Βα-β, Β1Δα-β, Β2α-δ, Τ1γ, ζ, η, Τ16α-γ, Τ17Β, Τ18κστ, Τ20Β, Τ20Γα, ζ, Τ23Α, Τ23Β, Τ30Α-Β, Τ32, καθώς και στους τάφους ΛΑ, ΛΒ, Λ2Α, Λ2Β, Λ2Γ, Λ3Γβ, γ, ε, Λ3Δγ, Λ4Αβ, Λ5Αα, β, Λ5Βα, β.

Εναπόθεση νεκρού

Ο νεκρός εναποθέτονταν στο δάπεδο του τάφου, πάνω στο φυσικό έδαφος. Ίχνη φέρετρου σε καμιά περίπτωση δε διαπιστώθηκαν. Η συνηθισμένη στάση του νεκρού είναι ύπτιος με τεντωμένα τα σκέλη (Π ί ν. 214δ). Τα σκέλη των νεκρών εμφανίζουν σε ορισμένες περιπτώσεις κάποια ελαφρά κάμψη, αλλά αυτή, αν δεν είναι τυχαία, οφείλεται και σε μετακίνηση των οστών, που είναι συνηθισμένο φαινόμενο στο εσωτερικό του θαλάμου (Π ί ν. 215β).

Συχνά, επίσης, το κρανίο του νεκρού εμφανίζεται γυρισμένο στα πλάγια, αλλά δεν είναι δυνατό να προχωρήσουμε σε κανένα συμπέρασμα, γιατί τα κρανία εύκολα παρασύρονται από την αρχική τους θέση, ακόμη και όταν δε διαταράσσεται ο τάφος.

Για τη θέση των χεριών δε φαίνεται να υπάρχει συγκεκριμένος κανόνας. Άλλοτε τα χέρια βρίσκονται τεντωμένα κατά μήκος των μηρών (Π ί ν. 266β) και άλλοτε λυγισμένα στο στήθος (Π ί ν. 214δ). Συχνή είναι η παρουσία οστών χεριών κάτω από τα κρανία. Επειδή όμως έχουμε πολλαπλές μετακινήσεις οστών μέσα στους τάφους και συχνά νεότερες ταφές επικαλύπτουν προγενέστερες, μερικά ή ολικά διαταραγμένες, δεν είναι δυνατό να βεβαιώσουμε ότι τα οστά του χεριού, που βρίσκονται κάτω από το κρανίο, ανήκουν στο νεκρό του κρανίου (Π ί ν. 223α) ή σ' έναν προγενέστερο μετακινημένο σκελετό. Στις παραπάνω δυσκολίες πρέπει να προσθέσουμε την πολύ κακή διατήρηση των οστών.

Κτέριση νεκρού

Από τα ανασκαφικά ευρήματα βεβαιώνεται ότι οι νεκροί θάβονταν ντυμένοι, φορώντας τα κοσμήματά τους. Οι πόρπες και πιθανόν ορισμένα χάλκινα κουμπιά, που βρίσκονται στους τάφους, αποτελούν εξαρτήματα του ενδύματος των νεκρών. Τα περισσότερα από τα κοσμήματα των νεκρών βρέθηκαν μετακινημένα, αλλά οι χάνδρες, που βρίσκονται συχνά στην περιοχή του λαιμού του νεκρού (Τ18, 63 (65), πιθανόν από την ταφή κστ) (Σ χ έ δ. 39-40), τα χάλκινα ελικόσχημα κοσμήματα (ενώτια) και οι χάλκινοι σφηκωτήρες, που βρίσκονται συχνά πάνω στα κρανία (Κ2Ε7 (Π ί ν. 213γ), Κ2ΣΤ8, Β1Α14), καθώς και τα οστά χεριών, που βρέθηκαν ανάμεσα στα ψέλια (Τ18, 146, Π ί ν. 270γ), βεβαιώνουν ότι οι νεκροί έφεραν τα κοσμήματά τους στις λειτουργικές τους θέσεις.

Τα μαχαίρια συχνά βρίσκονται κατά μήκος του μηριαίου (Β1Β6, Π ί ν. 222β) ή πάνω σ' αυτό, και έτσι προκύπτει το συμπέρασμα ότι βρίσκονταν κρεμασμένα στη μέση των νεκρών (πρβλ. και Λ5Β1, Π ί ν. 326β). Υπάρχουν ωστόσο παραδείγματα, από τα οποία φαίνεται ότι τοποθετούνταν δίπλα στους νεκρούς (Λ5Α1, Π ί ν. 325α-β) ή μαζί με τα άλλα κτερίσματα (Κ2Ζ, Π ί ν. 214ε). Δίπλα στο νεκρό και κυρίως στο άνω σώμα του νεκρού βρίσκεται το σφονδύλι, που προσδιορίζει γυναικεία ταφή (Λ5Α2, Π ί ν. 325α).

Τα αγγεία τοποθετούνται γύρω από το νεκρό, σε διάφορες θέσεις. Συχνότερη είναι η παρουσία τους στην περιοχή του κεφαλιού (Β1Δ, Π ί ν. 226α), αλλά βρίσκουμε αγγεία και στην περιοχή των ποδιών (Κ3Α7, Π ί ν. 215β, Β1Β8, Π ί ν. 222α) ή στο πλάι του νεκρού (Κ3Β4-5).

Τα αγγεία είναι πάντοτε αγγεία τροφής, τα οποία πιθανότατα θα περιείχαν ξηρές ή υγρές τροφές για τους νεκρούς. Τα σχήματά τους, κλειστά ή ανοικτά, είναι όμοια με τα σχήματα των αγγείων που βρίσκονται στον οικισμό[125], έτσι ώστε να πρέπει να δεχθούμε ότι τα αγγεία των ζώντων χρησιμοποιούνταν χωρίς διάκριση και ως κτερίσματα των νεκρών. Έτσι εξηγείται και η εμφάνιση μολύβδινων συνδέσμων στα αγγεία, που βεβαιώνει ότι μεταχειρισμένα και επισκευασμένα αγγεία δεν αποκλείονταν από την ταφική χρήση (Τ14Α15, Π ί ν. 88, 359: 3, Λ5Γ, 359: 2).

Μεγάλα αποθηκευτικά αγγεία αδρής κατασκευής δε βρίσκονται ποτέ στο εσωτερικό των τάφων. Όταν σημειώνονται θραύσματα από αγγεία αυτού του είδους στο επίπεδο της ταφής προέρχονται από διαταραγμένα στρώματα της επίχωσης που κάλυπτε τον τάφο (Β1Β3, Π ί ν. 222α).

Οι νεκροί εναποθέτονταν στους θαλάμους των τάφων, ανεξάρτητα από το φύλο ή την ηλικία τους. Η μόνη διάκριση ηλικίας, που επισημαίνεται από τα ανασκαφικά ευρήματα, είναι οι ταφές παιδιών βρεφικής ηλικίας έξω από τους τάφους, είτε μέσα σε ταφικούς πίθους εναποτεθειμένους σε χαμηλές κτιστές θήκες (Τ18, Π1-Π3) είτε μέσα σε μικρούς κιβωτιόσχημους τάφους με κτιστές πλευρές (Τ17Β, Τ20Α, Τ23Β). Δύο περιπτώσεις ταφικών πίθων, που έσωζαν λείψανα οστών, διαπιστώθηκε ότι περιείχαν ταφές νεογνών (Τ18Π3, Κ6Γ). Παιδικές, ωστόσο, ταφές βρίσκονται σε μεγάλο ποσοστό και στο εσωτερικό των θαλάμων, μαζί με τις ταφές-ενταφιασμούς (Τ18, πρβλ. Παράρτημα Ι), ή ακόμη και μαζί με τις ταφές-καύσεις (Τ15, πρβλ. Παράρτημα Ι).

Η ανασκαφική έρευνα, σε συνδυασμό με την ανθρωπολογική μελέτη των σκελετών, ξεχώρισε επίσης ορισμένα κτερίσματα ως διακριτικά του φύλου των νεκρών. Το εγχειρίδιο και η ακονόπετρα συνοδεύουν πάντα ανδρικές ταφές, ενώ το πήλινο σφονδύλι προσδιορίζει τις γυναικείες. Με γυναικείες ταφές σχετίζονται, επίσης, συχνά χάλκινα ελικόσχημα κοσμήματα (ενώτια;) (Κ2Ε7, Κ4Β12) και χάλκινοι σφηκωτήρες, όπως βεβαιώθηκε από την ανεύρεσή τους σε γυναικεία κρανία (Κ2ΣΤ8, Β1Α14).

Η μικρή δακτυλιόσχημη χάνδρα από γαλαζοπράσινη υαλόμαζα εμφανίζεται συχνά σε παιδικούς τάφους (Τ2Β, Τ20Α), όπου μπορεί να ερμηνευθεί ότι έχει κάποιο αποτροπαϊκό χαρακτήρα[126]. Η εμφάνισή της παράλληλα σε τάφους με ταφές ενηλίκων (Τ18, Τ20Γ, Τ1) δεν αποκλείει τη σύνδεσή της με παιδικές ταφές, αφού στους παραπάνω τάφους έχουν εντοπισθεί και παιδικές ταφές. Τα σχήματα των αγγείων και ο αριθμός τους δεν εμφανίζουν κάποιον ιδιαίτερο κανόνα, που να διαφοροποιεί τις ανδρικές από τις γυναικείες ταφές. Οι παιδικές διαφοροποιούνται συνήθως (Τ17Β, Τ23Β, Τ28, Τ4, Τ2Α) με μικρογραφικά αγγεία, αλλά αυτό δεν αποτελεί κανόνα (Τ20Β, Π ί ν. 129).

Ορισμένες σκουριές, που βρίσκονται στο εσωτερικό των τάφων (Τ18, Τ20, Τ21, Τ23, Λ2Γ), θα ήταν δυνατό να αποτελούν κτερίσματα που αναφέρονται στην ενασχόληση κάποιου νεκρού με τη μεταλλουργία. Αντίστοιχα ευρήματα σημειώνονται και σε μυκηναϊκούς τάφους[127].

Πιο συγκεκριμένη αναφορά σε ειδική απασχόληση ορισμένων νεκρών αποτελούν πιθανότατα οι συγκεντρωμένες σε μικρογραφικά «τάλαντα» ποσότητες μολύβδου (Τ3Β2, Π ί ν. 67, Τ29, 30, Π ί ν. 168), που έχουν εναποτεθεί ως κτερίσματα.

Ταφικές τελετές

Από τα ανασκαφικά ευρήματα προκύπτουν ορισμένες πληροφορίες για την τέλεση ταφικών τελετών, κατά τη διάρκεια της ταφής ή μετά από αυτήν.

Ωστόσο, η ανεύρεση οστών ζώων στο εσωτερικό των τάφων, στο επίπεδο των ταφών,

125. Πρβλ. αγγεία από το στρώμα καταστροφής της οικίας Ι, τομέας ΙΙ της ακρόπολης Καστρί, Σ χ έ δ. 170-173.
126. Kilian-Dirlmeier 1979, 131.
127. Ιακωβίδης 1970, 369 (τεμάχιο σκουριάς χαλκού), Μ189, τάφος 137, πίν. 69γ.

δύσκολα θα μπορούσε να τεκμηριώσει το γνωστό από τις φιλολογικές μαρτυρίες[128] και τα ανασκαφικά ευρήματα[129] νεκρικό έθιμο της προσφοράς ζώων, που καίγονται ή ενταφιάζονται μαζί με το νεκρό. Η αποσπασματική εμφάνιση των οστών στους τάφους των νεκροταφείων Καστρί και Λαρνάκι, που δε θα μπορούσε να ερμηνευθεί μόνο με τη γρήγορη αποσύνθεση των οστών, και η συχνή ανεύρεση ορισμένων συγκεκριμένων οστών από το σκελετό του ζώου προσδιορίζει μάλλον προσφορά κομματιών κρέατος στους νεκρούς, έθιμο επίσης γνωστό από ανασκαφικά ευρήματα[130]. Τα ζώα, που αναγνωρίζονται από τα σωζόμενα οστά είναι: μοσχάρι, άλογο, χοίρος, πρόβατο και κατσίκι (P. Halstead - G. Jones, Παράρτημα II). Χαρακτηριστική είναι η συχνή παρουσία μηριαίων από το δεξί μέρος του σώματος μοσχαριών, που προσδιορίζει μια τυποποιημένη νεκρική προσφορά, η οποία θυμίζει την προσφορά μηρών στους θεούς, στις ομηρικές θυσίες[131]. Από τα ίδια ζώα εμφανίζονται και θραύσματα δοντιών και σιαγόνων, που αν δεν προέρχονται από τα σκόρπια οστά του νεκρόδειπνου που ακολούθησε την προσφορά, όπως προτείνει ο P. Halstead (Παράρτημα II), θα μπορούσαν να αποτελούν ένδειξη για την προσφορά στους νεκρούς του κεφαλιού του ζώου. Η υπόθεση αυτή ενισχύεται και με τη συχνή εμφάνιση δοντιών και οστών κεφαλιών αιγοπροβάτων στους τάφους. Τα αιγοπρόβατα αντιπροσωπεύονται στις νεκρικές προσφορές με διάφορα οστά, από τα οποία ωστόσο τα περισσότερα προέρχονται από τα σκέλη και το κεφάλι. Το μοναδικό οστό αλόγου που βρέθηκε είναι μηριαίο, ενώ τα οστά του χοίρου προέρχονται επίσης από τα σκέλη και το κεφάλι.

Η προσφορά κρέατος στους νεκρούς, που τεκμηριώνεται από τα οστά ζώων των ταφών, θα μπορούσε, σε συνδυασμό και με τα θραύσματα των αγγείων που βρίσκονται συγκεντρωμένα στους αποθέτες των τάφων, να προσδιορίσει την τέλεση κάποιας τελετής έξω από τον τάφο[132]. Τα όστρεα, που βρίσκονται σε ορισμένους αποθέτες (Π ί ν. 360α), πιθανόν έχουν σχέση με τις προσφορές που προσφέρονταν στους νεκρούς σ' αυτή την τελετή, στη διάρκεια της οποίας έσπαζαν πιθανόν και ορισμένα αγγεία μετά την εναπόθεση του νεκρού και την κάλυψη του τάφου. Όστρεα ως συμβολικές τροφές, άλλωστε, βρέθηκαν και στο εσωτερικό των τάφων (Λ. Καραλή-Γιαννακοπούλου, Παράρτημα III).

Με την τελετή, που πραγματοποιούνταν πιθανότατα μετά την κάλυψη του τάφου, και τις προσφορές στο νεκρό που τη συνόδευαν, σχετίζονται και οι μεγάλοι αμφορείς που βρίσκονται σε θραύσματα στους προθαλάμους των τάφων (πρβλ. Τ26Πρ., Π ί ν. 156 και 290α-γ,

128. Andronikos 1968, 22. Πρβλ. ταφή Πατρόκλου: «... πίσυρας δ' ἐριαύχενας ἵππους ἐσσυμένως ἐνέβαλλε πυρῇ μεγάλα στεναχίζων. ἐννέα τῷ γε ἄνακτι τραπεζῆες κύνες ἦσαν, καὶ μὲν τῶν ἐνέβαλλε πυρῇ δύο δειροτομήσας» (Ιλ. Ψ 171-174) ή ταφή Αχιλλέως: «... πολλὰ δὲ σ' ἀμφὶ μῆλα κατεκτάνομεν μάλα πίονα καὶ ἕλικας βοῦς» (Οδύσσ. ω 65-66).

129. Πρβλ. συγκεντρωμένη βιβλιογραφία σχετική με την εμφάνιση οστών ζώων σε ταφές-ενταφιασμούς ή καύσεις, Andronikos 1968, 85, όπου παραδείγματα από τους πρωτοελλαδικούς ως τους γεωμετρικούς χρόνους. Την εμφάνιση του εθίμου και στο βορειοελλαδικό χώρο βεβαιώνουν τα ευρήματα του νεκροταφείου βιομηχανικής ζώνης Δράμας, ΑΔ 34 (1979): Χρονικά, 333-334, όπου βρέθηκε και ακέραιος σκελετός ενταφιασμένου σκύλου στον τύμβο Α. Για ενταφιασμούς σκύλων και άλλων ζώων σε τύμβους ηπειρωτικής Θράκης, πρβλ. G. Tončeva, Thracia V (1980), 24.

130. Σε ορισμένες περιπτώσεις, και ιδιαίτερα στις ταφές-καύσεις, είναι δύσκολο να διαπιστωθεί από τα ανασκαφικά ευρήματα αν πρόκειται για προσφορά ζώου στο νεκρό ή προσφορά κρέατος, Andronikos 1968, 87 κ.ε., όπου και συγκεντρωμένη βιβλιογραφία για το θέμα. Σε πολλές περιπτώσεις, τα οστά ζώων στους τάφους σχετίζονται με νεκρόδειπνα, ερμηνεία που δεν είναι δυνατό να βεβαιωθεί από τα ανασκαφικά ευρήματα. Η προσφορά κομματιών κρέατος στους νεκρούς εμφανίζεται από πολύ νωρίς και στα ταφικά έθιμα της κεντρικής Ευρώπης, Müller-Karpe 1974, 374 (χαλκολιθική εποχή και πρώιμη εποχή του χαλκού) και παραμένει ως την ύστερη εποχή του χαλκού, H. Müller-Karpe, Handbuch der Vorgeschichte III, 707 κ.ε. Οστά ζώων και στους τύμβους με ταφές ώχρας, που βρίσκονται στη Βουλγαρία, Nikolov 1976, 38-51 (Tărnava).

131. M.G. Bruns, Archaeologia Homerica, Q, 47, «μηροὺς τ' ἐξέταμον κατὰ τε κνίσῃ ἐκάλυψαν» (Ιλ. Α 460), «πολλὰ δὲ μηρία κῆε θεῶν ἱεροῖς ἐπὶ βωμοῖς» (Οδύσσ. γ 273).

132. Πρβλ. οστά, που βρίσκονται στην είσοδο μυκηναϊκών τάφων, από τα οποία ωστόσο δεν είναι δυνατό να αποδειχθεί η τέλεση νεκροδείπνων ή η θυσία ζώου σε ταφές μυκηναϊκών ή γεωμετρικών χρόνων, Andronikos 1968, 15 κ.ε. και 87. Για την τέλεση θυσίας ζώου στους τάφους αμφιβάλλει ο Μ. Ανδρόνικος ΕΕΦΣΠΘ Η' (1963), 285, ενώ ο Μυλωνάς 1961/62 δεν την αποκλείει.

Λ3Γ, Π ί ν. 200 και 322α). Τα μεγάλα αυτά αγγεία, όπως και τα μεγάλα αγγεία τύπου XII με την πλαστική διακόσμηση, θραύσματα των οποίων βρίσκονται πάντοτε έξω από τους τάφους, στους προθαλάμους ή στους αποθέτες, πρέπει να περιείχαν κάποια ειδική για τους νεκρούς προσφορά[133] ή και νερό, ο καθαρτήριος ρόλος του οποίου είναι γνωστός από τις ταφές των ιστορικών χρόνων (Π ί ν. 121: 54, 151: 19, 227α, 239β, 259α)[134].

Τα μεγάλα αυτά αγγεία βρέθηκαν πάντοτε σε αποσπασματική κατάσταση και πιθανότατα, αν κρίνουμε από το στρώμα οστράκων στον προθάλαμο του τάφου Τ26 (Π ί ν. 290γ), είχαν σπάσει ήδη από την αρχαιότητα, στη διάρκεια κάποιας τελετουργίας του ενταφιασμού[135].

Τη συσχέτιση των αποθετών των τάφων με ειδικές επιτάφιες τελετές ενισχύουν τα ευρήματα του αποθέτη του τάφου Τ18 (Π ί ν. 261β). Εκτός από τα αγγεία σχήματος XII και ορισμένα θραύσματα άλλων σχημάτων, στον αποθέτη αυτού του τάφου βρέθηκαν πολλά θραύσματα από ιδιόμορφα κυλινδρικά αγγεία, σχήματος XI (Π ί ν. 122: 71, 336: 8). Τα αγγεία αυτού του σχήματος έχουν σχετισθεί με τελετές χοών στους νεκρούς από τη γεωμετρική εποχή ως και τους ρωμαϊκούς χρόνους[136]. Μικρά θραύσματα από όμοια αγγεία βρέθηκαν διάσπαρτα και σε άλλα σημεία του νεκροταφείου Τσιγανάδικα, έξω πάντοτε από τάφους (Τ1, Τ2, Τ15, Τ20), και φαίνεται ότι ανήκουν στις αρχαιότερες φάσεις του νεκροταφείου. Η ανεύρεση, επίσης, θραυσμάτων ειδωλίων στον αποθέτη του τάφου Τ18 υποδηλώνει το θρησκευτικό χαρακτήρα, που πρέπει να είχε ο σωρός των οστράκων αυτών έξω από τον τάφο. Ειδώλια δεν έχουν βρεθεί σε κανένα άλλο τάφο στα νεκροταφεία Καστρί και Λαρνάκι[137]. Η σπανιότητα αυτή θα μπορούσε να αποδοθεί και στην καταστροφή των αποθετών των τάφων. Από τα σωζόμενα θραύσματα διαπιστώνεται μια γυναικεία μορφή, πιθανότατα θεότητα. Το κεφάλι των ειδωλίων βρέθηκε σπασμένο, αλλά δεν είναι φυσικά βέβαιη κάποια συσχέτισή τους με ταφικό έθιμο[138].

Κάποιο συμβολικό χαρακτήρα, συνδεδεμένο επίσης με ταφικές τελετές και σχετικές δοξασίες, πιθανόν έχει σε ορισμένες περιπτώσεις και η ανέγερση της όρθιας πλάκας στο εσωτερικό του τάφου (Τ17Α, Π ί ν. 258α-β, Τ29, Π ί ν. 297β, 298α-β) ή δίπλα στις εισόδους των τάφων (Τ19Α, Π ί ν. 273β, Τ20Γ, Π ί ν. 280α-β), καθώς και σε περιπτώσεις, όπου η πλάκα βρίσκεται στο εσωτερικό του τάφου όρθια, αλλά όχι σε λειτουργική θέση (Τ17Β, Π ί ν. 259β).

Η συσχέτιση των «στηλών» της Θάσου με menhir θα μπορούσε να ενισχυθεί από την ανεύρεση ανάλογων λίθων-menhir στο εσωτερικό των τάφων Μιδέας Άργους και Μαύρου Σπηλαίου Κνωσού[139]. Ανεξάρτητα, ωστόσο, από το πρόβλημα της σχέσης της στήλης στο νο-

133. Andronikos 1968, 106. Πρβλ. και L. Karali, ό.π. (Κεφ. Δ', υποσημ. 315).

134. D. Kurtz - J. Boardman, Greek Burial Customs, 1971, 149 κ.ε. Πιθανόν γεματοι νερό πρέπει να ήταν και οι ταφικοί πίθοι που βρέθηκαν όρθιοι δίπλα στους αρχαϊκούς τάφους της περιοχής αρχαίας Γαληψού, ΑΔ 29 (1973/74): Χρονικά, 785-786, πίν. 576α-γ. Οι προθάλαμοι αποτελούν τυπικό μορφολογικό στοιχείο του αρχιτεκτονικού τύπου πολλών τάφων και πιθανότατα εξυπηρετούν και κάποια συγκεκριμένη λειτουργική χρήση. Πρβλ. προθαλάμους κυκλικών τάφων Μεσσαράς, Branigan 1970, 95.

135. Τα μεγάλα αυτά αποθηκευτικά αγγεία, τα οποία βρίσκονται πάντοτε έξω από τους τάφους και πρέπει να εξυπηρετούν κάποια συγκεκριμένη χρήση πριν από την εναπόθεσή τους ή το σπάσιμό τους έξω από τους τάφους. Το μέγεθός τους προϋποθέτει μεγάλη περιεκτικότητα κάποιας προσφοράς, που προοριζόταν για το νεκρό ή για τους παρευρισκόμενους στην ταφή. Η αντιστοιχία του μεγέθους των ευρύστομων αυτών αγγείων τύπου XII με το μέγεθος των αμφορέων τύπου VIB θα μπορούσε να ερμηνευθεί με τη συσχέτιση των δύο σχημάτων με διαφοροποιημένα είδη προσφορών, που προσφέρονταν στο νεκρό ή στους επιζώντες, κατά τη διάρκεια της τελετής του ενταφιασμού.

136. Πρβλ. Nilsson 1950², 316 κ.ε., για αγγεία Διπύλου προορισμένα για χοές. Πρβλ. επίσης ειδικά αγγεία, ό.π., 589. Πρβλ. Oeconomus 1921.

137. Πρβλ. ειδώλια σε μυκηναϊκούς τάφους, Nilsson 1950², 607-608, Ανδρόνικος 1968, 98. Στα ηπειρωτικά Βαλκάνια ειδώλια εμφανίζονται στους τάφους της πολιτιστικής ομάδας Gîrla Mare-Dubovac-Žuto-Brdo, Dumitrescu 1961.

138. Themelis 1976, 101-102, Popham - Sackett - Themelis 1979/1980, 215.

139. Πρβλ. Persson 1931, 91, 108-109, E.J. Forsdyke, The Mavro Spelio Cemetery at Knossos, BSA 28 (1926/27), 243, εικ. 7, Evans 1921, 246-247, εικ. 187.

τιοελλαδικό χώρο με menhir[140], περίπτωση που δεν αποκλείουν τα παραδείγματα των απλών ή ανθρωπόμορφων στηλών από τα δυτικά[141] και από τα ανατολικά Βαλκάνια[142], το μεγαλύτερο ποσοστό των στηλών, από τα πιο πρώιμα παραδείγματα Θήρας[143], Λέρνας[144], Ελευσίνας[145] ως τις στήλες των μυκηναϊκών περιβόλων[146] και τις στήλες των γεωμετρικών χρόνων[147], βρίσκεται πάντα έξω από τον τάφο· έτσι είναι δύσκολο να ξεχωρίσει κανείς αν πρόκειται για το «σήμα» του τάφου[148], όπως το βλέπει ο ομηρικός ήρωας, ή αν πρόκειται για «ἔδος»[149] της ψυχής του νεκρού ή και για τα δύο.

Συμβολικό χαρακτήρα, που σχετίζεται πιθανόν με το φόβο που εμπνέει ο νεκρός, πρέπει να έχει επίσης και το στρώμα λίθων, που καλύπτει πάντα τους νεκρούς, ακόμη και όταν είναι διαπιστωμένη η ύπαρξη οροφής στους ταφικούς θαλάμους[150].

Νεότερες ταφές

Κάθε νεότερη ταφή στο εσωτερικό του θαλάμου πρέπει να προκαλούσε μια γενική ή μερική διατάραξη στις προηγούμενες ταφές. Αρκετά συχνά οι νεκροί εναποτίθενται ο ένας δίπλα στον άλλο, στην ίδια κατεύθυνση (Β1Βαβ (Π ί ν. 222α), Β1Δαβ (Π ί ν. 226α), Β1Αστ, ζ (Π ί ν. 221α-γ) ή σε αντίθετη (Λ3Γ, Λ3Ε, Π ί ν. 321α-β), χωρίς να προκληθεί καμιά σκόπιμη μετακίνηση των οστών της προηγούμενης ταφής. Συχνά, ωστόσο, διαπιστώνεται ο παραμερισμός των οστών και των κτερισμάτων των προγενέστερων ταφών, για να εξασφαλισθεί χώρος για νεότερες ταφές (Κ2Δ-Ε-ΣΤ, Κ3Β, Κ4Α, Κ5, Τ1, Τ3Γ, Τ18, κ.ά.). Χώροι που να χρησιμοποιούνται αποκλειστικά ως οστεοφυλάκια τάφων δεν έχουν διαπιστωθεί. Ορισμένοι ωστόσο τάφοι, όπως ο τάφος Β1Α (Π ί ν. 220γ-δ) ή ο Τ14Β (Π ί ν. 250α-β), στο άνω στρώμα τους έδιδαν την εντύπωση ενός χώρου, όπου είχαν ριχτεί χωρίς τάξη οστά και κτερίσματα διαταραγμένων ταφών. Επειδή όμως η εικόνα της διατάραξης είναι πολύ συχνή στους τάφους, και επειδή στα βαθύτερα στρώματα των ίδιων τάφων βρέθηκαν ταφές κατά χώραν (Β1Α, Π ί ν. 221α-γ), δεν είναι βέβαιη η αναγνώριση οστεοφυλακίων στις παραπάνω περιπτώσεις. Για τις περιπτώσεις αυτές (βλ. και περίπτωση Τ18 και Τ29) θα μπορούσε να υποστηριχθεί η άποψη, ότι χρησιμοποιήθηκαν αρχικά ως χώροι ταφών και αργότερα ως οστεοφυλάκια. Η διατάραξη οπωσδήποτε του επιπέδου ταφής, στο οποίο δε διακρίνεται η τελευταία χρονικά ταφή του τάφου (Π ί ν. 250α-β, 298α), είναι δυνατό να εξηγηθεί σε ορισμένες περιπτώσεις

140. Ανδρόνικος 1961/62, 169-170.

141. Visoj: I. Mikulčić, Starinar NS 15-16 (1964/65), 216, εικ. 1. Gradešnica: ό.π., εικ. 1b. Πρβλ. και Mikulčić 1966, πίν. 6, 12a.

142. Menhir Belogradec: Tončeva 1980, 100 (7ος αι. π.Χ.). Πρβλ. επίσης G. Tončeva, Thracia V (1980), 5 κ.ε., πίν. IV, XV.

143. Φ. Ζαφειροπούλου, ΑΑΑ IV (1971), 214-215.

144. J. Caskey, Hesperia 3 (1954), 14, πίν. 3, 6.

145. Μυλωνάς 1975, 36, 216, πίν. 117.

146. Μυλωνάς 1973, 347.

147. Πρβλ. συγκεντρωμένη βιβλιογραφία στον Ανδρόνικο 1961/62, 161 κ.ε.

148. Ό.π., 204 κ.ε.

149. C. Watzinger, Die griechische Grabstele und der Orient, Genethliakon Schmidt, 1929, E. van Hall, Over Den Oersprong van der griekshe Grafstele, 1941, Kübler 1954, 34.

150. Πρβλ. αντίστοιχο στρώμα λίθων σε μυκηναϊκούς τάφους, Valmin 1932, 221 κ.ε., L. Curtius, Die antike Herme, 1903, 11 κ.ε. Το φαινόμενο έχει εντοπισθεί και στην Κρήτη από τους τάφους της Μεσσαράς ως τους τάφους στο Καρφί, ή στον Έργανο, Pendlebury 1937/38, Branigan 1970, 120. Η κάλυψη επίσης των νεκρών με λιθοσωρούς, η οποία είναι γνωστή στον Όμηρο (Ιλ. Ω 798, πρβλ. τύμβο Έκτορος: «πυκνοῖσι λάεσσι κατεστόρεσαν μεγάλοισι») και η οποία είναι συχνή στην κεντρική Ευρώπη (Gimbutas 1965, 307, εικ. 211, εικ. 190, πίν. 84) και διαδεδομένη στην πρώιμη εποχή του σιδήρου στα ηπειρωτικά Βαλκάνια (τύμβοι Αλβανίας, τύμβοι νότιας Γιουγκοσλαβίας, τύμβοι νότιας Βουλγαρίας), στη Μακεδονία (τύμβοι Βεργίνας, τύμβοι λόφου Καστά Αμφίπολης, τύμβοι βιομηχανικής ζώνης Δράμας), στη Θράκη (τύμβοι Ρούσσας) και στην κεντρική Ελλάδα (τύμβοι Άλω), πέρα από τους πρακτικούς λόγους από τους οποίους υπαγορεύεται, πρέπει να αποτελεί έκφραση και του φόβου, που αισθάνονται οι ζωντανοί για το νεκρό. Branigan 1970, 120.

και με ενταφιασμό παιδιών στο θάλαμο. Μια παιδική ταφή θα ήταν δυνατό να προκαλέσει διατάραξη στο επίπεδο ταφής, χωρίς να αφήσει φανερά σκελετικά λείψανα.

Ειδικές τελετές

Μια άλλη εκδοχή για τη συχνή εικόνα διατάραξης, που εμφανίζεται στους τάφους των νεκροταφείων Καστρί και Λαρνάκι, είναι η τέλεση ορισμένων τελετών που θα είχαν σχέση με το διασκορπισμό των οστών των προηγούμενων ταφών και την προετοιμασία του τάφου να δεχθεί νέες ταφές, που σε πολλές περιπτώσεις δεν πραγματοποιήθηκαν.

Το φαινόμενο της διατάραξης του τάφου χωρίς εναπόθεση νέας ταφής έχει επισημανθεί και σε μυκηναϊκούς τάφους[151] και έχει προβληματίσει τους ανασκαφείς. Στο νεκροταφείο Τσιγανάδικα η τέλεση κάποιας τελετής στο εσωτερικό των τάφων αποδεικνύεται από τα ίχνη μικρών καύσεων, που έχουν παρατηρηθεί όχι μόνο στον τάφο Τ18, όπου εμφανίζονται αλλεπάλληλα στρώματα ταφών και εκτεταμένοι παραμερισμοί οστών και κτερισμάτων, αλλά και σε άλλους τάφους (Τ30Β, Παράρτημα Ι). Οι καύσεις είναι μικρές και εντοπίζονται μόνο στην επιφάνεια ορισμένων οστών. Πρέπει να προέρχονται από μικρές καθαρτήριες πυρές που πραγματοποιούνταν στο εσωτερικό του τάφου, πιθανότατα συγχρόνως με τον παραμερισμό των οστών και των κτερισμάτων των προηγούμενων ταφών.

Αντίστοιχες καθαρτήριες πυρές έχουν επισημανθεί σε μινωικούς και μυκηναϊκούς τάφους[152] και έχουν σχετισθεί με τον καθαρισμό της ατμόσφαιρας του τάφου — πιθανότατα και με την καύση αρωματικών ουσιών — καθώς και με τελετές εναγισμού, που πραγματοποιούνταν στο εσωτερικό του τάφου πριν από την εναπόθεση νέων ταφών.

Οπωσδήποτε, από την παρουσία του ειδικού αγγείου τύπου XI, που προοριζόταν πιθανότατα για χοές και το οποίο αντιπροσωπεύεται με πολλά παραδείγματα στον αποθέτη του τάφου Τ18 (Π ί ν. 122, 123: 83-94), καθώς και από την εμφάνιση του άλλου ειδικού αγγείου Τ18Α (Π ί ν. 117: 2) και των ειδωλίων, προσδιορίζεται η τέλεση ειδικών ταφικών τελετών στην είσοδο του τάφου, αλλά δε βεβαιώνεται λατρεία των νεκρών. Είναι χαρακτηριστική, όμως, η εμφάνιση των ιχνών αυτών των τελετών στον τάφο εκείνο των νεκροταφείων, που εμφανίζει την πιο μακρόχρονη διάρκεια χρήσης και το μεγαλύτερο αριθμό νεκρών[153].

Ταφικά κτίσματα

Οι βασικοί τύποι των ταφικών κτισμάτων στα νεκροταφεία Καστρί και Λαρνάκι αντιστοιχούν στους δύο τρόπους ταφής, που εφαρμόζονταν στα νεκροταφεία αυτά: Οι πολλαπλές ταφές-ενταφιασμοί στεγάζονται σε ταφικά κτίσματα τύπου Ι και τα τεφροδόχα αγγεία των ταφών-καύσεων εναποτίθενται μέσα σε κτίσματα τύπου ΙΙ. Οι βασικοί αυτοί τύποι των ταφικών κτισμάτων συνυπάρχουν στη φάση ΙΒ, αλλά το ποσοστό των ταφικών κτισμάτων τύπου ΙΙ είναι πολύ χαμηλότερο από το αντίστοιχο ποσοστό του τύπου Ι. Ακόμη χαμηλότερο είναι το ποσοστό των τάφων τύπου ΙΙ στη φάση ΙΙΒ, όπου εμφανίζεται μόνο ένα παράδειγμα ταφής-καύσης σε ένα, επίσης μοναδικό, ταφικό κτίσμα τύπου ΙΙ (Σ χ έ δ. 118).

ΤΑΦΙΚΑ ΚΤΙΣΜΑΤΑ ΤΥΠΟΥ Ι

Όπως έχουμε ήδη σημειώσει, από την εσωτερική χρονολόγηση των νεκροταφείων και των τάφων προκύπτει μια εξελικτική πορεία στη διαμόρφωση ορισμένων μορφολογικών χαρα-

151. Blegen 1937, 599, Nilsson 1950², 595 κ.ε., Ιακωβίδης 1970, 75. Για τον καθαρισμό και την τυμβωρυχία στους τάφους της Μεσσαράς, πρβλ. Branigan 1970, 107. Παρόμοιες παρατηρήσεις έχει διατυπώσει για μυκηναϊκούς τάφους της Πύλου ο Μαρινάτος, ΠΑΕ 1964, 79. Για δευτερεύουσες ταφές σε τάφους του Άγιου Κοσμά, πρβλ. Mylonas 1959, 118.

152. Xanthoudides 1924, 34, Nilsson 1950², 595 κ.ε.

153. Η χρονική διάρκεια του τάφου Τ18 καλύπτει τις φάσεις ΙΒ, ΙΙΑ και πιθανόν και τη φάση ΙΙΒ1 των νεκροταφείων του οικισμού Καστρί.

κτηριστικών στα ταφικά κτίσματα τύπου Ι. Στην κάτοψη παρατηρείται μια εξελικτική πορεία από τα μονόχωρα ευρύχωρα ταφικά κτίσματα, με τις πολλαπλές ταφές, προς τα στενά, κατά κανόνα δίχωρα ταφικά κτίσματα, που περιέχουν μικρότερο αριθμό ταφών. Η εξελικτική αυτή πορεία στη διαμόρφωση της κάτοψης παρουσιάζει βέβαια μια χρονολογική εξέλιξη, που συμπίπτει με τις επιμέρους φάσεις των νεκροταφείων, αυτή ωστόσο δεν αποκλείει τελείως τις επιβιώσεις παλιότερων τύπων στις νεότερες φάσεις, όπως διαπιστώνεται π.χ. από την παραλλαγή ΙΒ2 του κτίσματος, που αποτελεί επιβίωση του τύπου ΙΒ1 (Σ χ έ δ. 118).

Εκτός από την τυπολογία της κάτοψης, μια άλλη μορφολογική εξέλιξη σημειώνεται με την υπερύψωση των χαμηλών ταφικών τοιχωμάτων, που, όπως σημειώσαμε, έχει ως αποτέλεσμα την κάλυψη τελικά των τάφων με μεγάλες σχιστόπλακες και τη δημιουργία ανοίγματος-εισόδου στον τάφο. Η διαφοροποίηση αυτή, ωστόσο, ως προς το ύψος των τοιχωμάτων και ως προς τον τρόπο κάλυψης με στρώμα λίθων ή με μεγάλες σχιστόπλακες, δε φαίνεται να συνδέεται πάντα με τη χρονολογική εξέλιξη του ταφικού κτίσματος, αλλά συχνά είναι τυχαίο γεγονός που υπαγορεύεται από την πρόθεση να δοθεί κάποια μνημειακότητα στον τάφο, για την οποία ήταν πάντα απαραίτητη και η ύπαρξη μεγάλων πλακών, η εξαγωγή των οποίων απαιτούσε ορισμένο χρόνο και ειδικευμένη εργασία.

Πυρήνας της αρχιτεκτονικής σύνθεσης όλων των παραλλαγών του ταφικού κτίσματος τύπου Ι είναι, όπως έχουμε σημειώσει, ο υπέργειος κτιστός ταφικός θάλαμος, στον οποίο προβλέπεται η εναπόθεση πολλαπλών ταφών. Η σχέση αυτού του υπέργειου κτίσματος με τον τύμβο δεν είναι σ' όλα τα ταφικά κτίσματα των νεκροταφείων της Θάσου καθορισμένη. Από την ανάλυση, ωστόσο, των μορφολογικών χαρακτηριστικών των ταφικών κτισμάτων και το συνδυασμό τους με τα ανασκαφικά δεδομένα, προκύπτει ότι τα περισσότερα ταφικά κτίσματα, και προπαντός εκείνα που είχαν ψηλά τοιχώματα, ήταν υπέργεια ορατά ταφικά μνημεία, όπου ο τάφος ταυτιζόταν με τον τύμβο.

Υπέργεια ορατά ταφικά μνημεία ήταν, όπως είδαμε, γνωστά στον αιγαιακό χώρο από την ύστερη νεολιθική εποχή· οι τάφοι της Κεφάλας[154], ορατοί κατά το ένα τμήμα τους και καλυμμένοι με κτιστές εξέδρες, θα ήταν δυνατό να συγκριθούν με τους κτιστούς τάφους τύπου ΙΑ1 της Θάσου, ιδιαίτερα στις περιπτώσεις εκείνες που εμφανίζουν και πολλαπλές ταφές. Τα ταφικά κτίσματα τύπου ΙΒ της Θάσου παρουσιάζουν, επίσης, πολλές ομοιότητες στις μορφολογικές λεπτομέρειες και στην τεχνική κατασκευής με τους κτιστούς τάφους της πρωτοκυκλαδικής Χαλανδριανής, όπου εμφανίζεται αντίστοιχη πρωτόγονη εκφορική καμάρα και οροφή καλυμμένη με πλάκες[155]. Περισσότερες ομοιότητες από τους υπόγειους πρωτοκυκλαδικούς κτιστούς τάφους σημειώνονται στους εμφανιζόμενους στην Αττική πρωτοκυκλαδικούς τάφους του Αγίου Κοσμά[156], ένα μέρος από την ανωδομή των οποίων εξέχει από την επιφάνεια του εδάφους, ενώ στο εσωτερικό τους εναποτίθενται πολλαπλές ταφές, που δεν είναι κανόνας για τους πρωτοκυκλαδικούς τάφους των Κυκλάδων[157]. Το χρονολογικό κενό, που μεσολαβεί ανάμεσα στα ταφικά κτίσματα της πρωτοϊστορικής Θάσου και στους πρωτοκυκλαδικούς τάφους, δεν καλύπτεται από αντίστοιχα ταφικά μνημεία της πρώιμης εποχής του χαλκού στη Θάσο — εποχής άλλωστε σχεδόν άγνωστης ακόμη για τη Θάσο — αλλά τα μεσοκυκλαδικά ταφικά κτίσματα της Αγίας Ειρήνης στην Κέα[158] εμφανίζουν αντίστοιχα υπέργεια ταφικά κτίσματα στο Αιγαίο, η κάλυψη των οποίων με τύμβο φαίνεται ότι πραγματοποιήθηκε αργότερα. Η παρουσία υπέργειων ταφικών κτισμάτων στις Κυκλάδες βεβαιώνεται και από τους υπέργειους τάφους των Υπερβόρειων Παρθένων, που

154. Πρβλ. υποσημ. 86.

155. Πρβλ. υποσημ. 87.

156. Mylonas 1959, 85, Treuil 1983, 446. Για περιβόλους τάφων, πρβλ. Mylonas, ό.π., 66.

157. Ο Doumas 1977, 96, έδειξε ότι το ποσοστό των πολλαπλών ταφών στους πρωτοκυκλαδικούς τάφους ήταν πολύ υψηλότερο από εκείνο που πιστευόταν αρχικά.

158. Overbeck 1975, 80, 129.

αναφέρει ο Ηρόδοτος και τους οποίους ταύτισε η ανασκαφική έρευνα[159], καθώς και από τα πολύ μεταγενέστερα ταφικά κτίσματα στο αρχαϊκό νεκροταφείο της Θήρας[160].

Αξιοσημείωτες είναι επίσης οι ομοιότητες, που εμφανίζουν τα θασιακά ταφικά κτίσματα με τους τάφους του υπομινωικού οικισμού στο Καρφί Κρήτης. Στο νεκροταφείο αυτό έχουμε θολωτούς ελεύθερους και υπέργειους τάφους, που σε ορισμένες περιπτώσεις σχηματίζουν και ταφικές συστάδες, όπως τα θασιακά παραδείγματα. Εκτός από τις ομοιότητες στην αρχιτεκτονική μορφή, εμφανίζονται επίσης ομοιότητες στα ταφικά έθιμα και στα κτερίσματα των τάφων με τους τάφους των φάσεων ΙΒ και ΙΙΑ των νεκροταφείων Καστρί[161].

Η εμφάνιση αυτών των ελεύθερων υπέργειων θολωτών τάφων στην ορεινή ανατολική Κρήτη είναι μεμονωμένο φαινόμενο, όπου παρά τη μυκηναϊκή επίδραση, που επισημαίνουν στη μορφολογία των τάφων οι ανασκαφείς, ο αρχιτεκτονικός χαρακτήρας στηρίζεται περισσότερο στην παράδοση της μινωικής ταφικής αρχιτεκτονικής.

Με τα ταφικά μνημεία της Θάσου θα μπορούσαν, επίσης, να συγκριθούν ταφικά μνημεία περιφερειακών θέσεων του μυκηναϊκού κόσμου, όπου, όπως σημειώσαμε, ή μεταπλάθονται τα μυκηναϊκά πρότυπα, δηλαδή ο θολωτός τάφος, κάτω από την επίδραση της τοπικής ταφικής αρχιτεκτονικής[162], ή διατηρούνται ανέπαφες από τη μυκηναϊκή επίδραση μορφές της τοπικής ταφικής αρχιτεκτονικής, που αποτελούν συνέχεια της μεσοελλαδικής παράδοσης[163].

Οι ομοιότητες αυτές με τους τάφους στο Καρφί ή με τους κτιστούς τάφους άλλων περιφερειακών θέσεων του μυκηναϊκού κόσμου, όπως η Θεσσαλία, Μεσσηνία, Κεφαλληνία, δεν πρέπει βέβαια να ερμηνευθεί ως αποτέλεσμα άμεσης επικοινωνίας με τις παραπάνω περιοχές. Οι ομοιότητες αυτές νομίζω ότι πρέπει να ερμηνευθούν με την αναγωγή των ταφικών κτισμάτων σε μια κοινή παράδοση ταφικής αρχιτεκτονικής, που ξεκινά από την πρώιμη εποχή του χαλκού του αιγαιακού χώρου και επιβιώνει μέσα από τις επιδράσεις του μυκηναϊκού πολιτισμού, διατηρώντας άλλοτε ανεξέλικτες μορφές της τοπικής αρχιτεκτονικής παράδοσης και άλλοτε μεταπλάθοντας τα μυκηναϊκά πρότυπα.

Η εμφάνιση των τύμβων πάνω από τους ταφικούς θαλάμους, που αποδίδουν το πρότυπο της οικίας, εντάσσει τα μνημεία της πρωτοϊστορικής Θάσου στη σειρά των τύμβων, που καλύπτουν ταφικά κτίσματα στον τύπο της κατοικίας, ο οποίος είναι, όπως είδαμε, γνωστός στον ελλαδικό χώρο από τη μεσοελλαδική εποχή[164] και ο οποίος παραμένει και στην υστεροελλαδική εποχή, με χαρακτηριστικότερα παραδείγματα στους τύμβους του Μαραθώνα[165].

Τύμβοι με κτιστή κρηπίδα, που θυμίζουν τους τύμβους του νεκροταφείου R του Στενού της Λευκάδας[166], συνδυασμένοι με κιβωτιόσχημους τάφους, μεγαλιθικά μνημεία ή τάφους κτιστούς στον τύπο της οικίας, εμφανίζονται και στις ορεινές περιοχές της αιγαιακής Θράκης. Τα ταφικά μνημεία τύπου ΙΑ2-3 της Θάσου παρουσιάζουν πολλές ομοιότητες με το δίχωρο ταφικό μνημείο της Δίκελλας[167], που βρίσκεται μέσα σ' έναν τύμβο με κτιστή κρηπίδα. Η εμφάνιση, ωστόσο, στα νεκροταφεία της ορεινής αιγαιακής Θράκης και τύμβων που περιέχουν μεγαλιθικά μνημεία προσθέτει ένα νέο κρίκο στην αλυσίδα των συσχετίσεων,

159. Exploration de Délos, V, 63, Ch. Picard, Recherches sur la topographie du Hieron Délien. II. Hérodote, l'Artemision délien et les deux tombes des Vierges hyperboréennes, BCH XLVIII (1924), 247 κ.ε., εικ. 16-17. Πρβλ. επίσης Themelis 1976, 67-68.

160. H. Dragendorf, Thera II, 1903, 95 κ.ε., Ανδρόνικος 1961/62, 189-190.

161. Pendlebury 1937/38, 11, πίν. XIII. Πρβλ. διπλό τάφο 11-16, καθώς και τάφο 14. Η μοναδικότητα αυτών των υπέργειων ταφικών μνημείων στην ανατολική Κρήτη επισημαίνεται και από τον Pini 1968, 11.

162. Πρβλ. κτιστό θαλαμοειδή τάφο Φαρσάλων, ΑΔ 19 (1964): Χρονικά, 261, ή τάφο Μεδεώνος, Pelon 1976, πίν. CXVI.

163. Πρβλ. τάφους-οικίες κάτω από τύμβους στο νεκροταφείο του Μαραθώνα, Marinatos 1970α, 352, σχέδ. 1, και Marinatos 1970, 159 κ.ε., εικ. 10, Pelon, ό.π., πίν. XXVII. Πρβλ. και άποψη Bittel 1942, 93.

164. Πρβλ. κυρίως το μεσοελλαδικό τάφο Μαραθώνα, ό.π. (υποσημ. 163), αλλά και το μεσοελλαδικό τάφο 29 του τύμβου Γ του Άργους, Δεϊλάκη 1980, ή το μεσοελλαδικό τάφο Αγίας Ειρήνης Κέας, Overbeck 1975, 121.

165. Τύμβοι ΙΙ-ΙV του νεκροταφείου του Μαραθώνα, ό.π. (υποσημ. 163).

166. Πρβλ. π.χ. τύμβο R 26 του νεκροταφείου της Λευκάδας, Dörpfeld 1927, παρένθ. πίν. 37.

167. Triantafyllos 1980, 152-153, εικ. 11 και 12.

ο οποίος συνδέει τα ταφικά μνημεία της αιγαιακής Θράκης και με τη διάδοση των Dolmen, που ως επιβιώσεις μιας αρχαιότερης (;) μεγαλιθικής ταφικής αρχιτεκτονικής απλώνονται από τον Καύκασο στη νότια Βουλγαρία, στην αιγαιακή Θράκη, στην ευρωπαϊκή Τουρκία και στα παράλια της Μικράς Ασίας[168]. Στα ταφικά μνημεία της Θάσου, όπως και στα ελάχιστα και αχρονολόγητα ακόμη ταφικά κτίσματα της Σαμοθράκης[169], εμφανίζονται ορισμένες τάσεις μεγαλιθισμού (μεγάλες πλάκες στα πλάγια τοιχώματα των τάφων, μεγάλες πλάκες στην οροφή, τοιχώματα με πολύ τονισμένο πλάτος), αλλά δε σημειώνεται το χαρακτηριστικό γνώρισμα των Dolmen, που είναι η οπή στη μία στενή πλευρά του τάφου[170]. Ομοιότητες, επίσης, εμφανίζουν ορισμένα ταφικά κτίσματα των νεκροταφείων Καστρί με τους κτιστούς τάφους της Μεσημβρίας[171]. Η προσέγγιση αυτή στη μορφολογία των ταφικών μνημείων ανάμεσα στη Θάσο και την αιγαιακή Θράκη συμπίπτει με τις άλλες σχέσεις, που έχουν επισημανθεί ανάμεσα στις δύο αυτές περιοχές, όπως στην κεραμική κυρίως της πρώιμης εποχής του σιδήρου ή στον τύπο των οχυρών ακροπόλεων[172].

Με τη Μακεδονία, ωστόσο, και τα ηπειρωτικά Βαλκάνια η ταφική αρχιτεκτονική της πρωτοϊστορικής Θάσου δεν εμφανίζει ιδιαίτερες σχέσεις, παρά τις πολιτιστικές ομοιότητες που έχουν διαπιστωθεί ανάμεσα στην κεραμική του νησιού και της Περαίας[173]. Εδώ βέβαια πρέπει να σημειώσουμε την τέλεια έλλειψη ταφικών μνημείων ύστερης εποχής του χαλκού από την κεντρική Μακεδονία, αλλά και να τονίσουμε παράλληλα τη συνέχεια των τύμβων με τις ταφές-καύσεις, που διαπιστώνεται στην ανατολική Μακεδονία από την ύστερη εποχή του χαλκού (τύμβοι Ποταμών και Εξοχής) στην πρώιμη εποχή του σιδήρου (τύμβοι Καστά Αμφίπολης, τύμβοι Δράμας)[174].

ΤΑΦΙΚΑ ΚΤΙΣΜΑΤΑ ΤΥΠΟΥ ΙΙ

Τα ταφικά κτίσματα τύπου ΙΙ εμφανίζονται με πολύ μικρό ποσοστό στα νεκροταφεία του οικισμού Καστρί και μάλιστα μόνο στο νεκροταφείο Τσιγανάδικα. Το ποσοστό φυσικά αυτό αντιστοιχεί στο επίσης χαμηλό ποσοστό των ταφών-καύσεων στα νεκροταφεία του οικισμού Καστρί (Σ χ έ δ. 118). Στο νεκροταφείο Λαρνάκι δε σημειώνεται κανένα παράδειγμα ταφής-

168. Hoddinot 1981, 72-75, Triantafyllos 1980, όπου και σχετική βιβλιογραφία για τα Dolmen Βουλγαρίας, αιγαιακής Θράκης και ευρωπαϊκής Τουρκίας. Πρβλ. επίσης μεγαλιθικούς τάφους και Dolmen Μικράς Ασίας, J. Borchhardt - W. Wurster, Megalith-Gräber in Lykien, AA 1974, 514 κ.ε. Τα μεγαλιθικά ταφικά μνημεία είναι διαδεδομένα στη Μεσόγειο. Πρβλ. P. Karge, Die vorgeschichtliche Kultur Palästinas und Phöniziens, 1917. Πρβλ. επίσης Dolmen Μάλτας, J. Evans, The «Dolmens» of Malta and the Origin of the Tarxian Cemetery Culture, PPS 22 (1936), 93. Για την αυτόνομη διαμόρφωση των μεγαλιθικών μνημείων στις διάφορες περιοχές της Μεσογείου, ανεξάρτητα από την επίδραση του αιγαιακού πολιτισμού, που είχε υποστηρίξει ο Hood για τους ισπανικούς και πορτογαλικούς θολωτούς τάφους, πρβλ. Hood 1960, 168. Πρβλ. C. Renfrew, Colonialism and Megalithismus, Antiquity XLI (1967), 276 κ.ε.

169. Ν. Ανδριώτης, Προϊστορικοί τάφοι εν Σαμοθράκη. Πρακτικά συνεδρίας Ελληνικής Ανθρωπολογικής Εταιρείας, 1929, 1 κ.ε., Theocharis 1971, 27.

170. Ανάλογη οπή για την ψυχή του νεκρού και σε τάφους της κεντρικής Ευρώπης, Gimbutas 1965, 307, πίν. 60 (περίοδος Urnenfeld II). Πρβλ. επίσης τεφροδόχα αγγεία σε μορφή καλυβιών τού πολιτισμού Villanova, όπου αντίστοιχη οπή στο αέτωμα της μικρογραφικής καλύβας.

171. Βαβρίτσας 1966, 70, πίν. 71β, και Βαβρίτσας 1967, 93, εικ. 3. Πρβλ. με ταφικά κτίσματα τύπου ΙΒ2 της Θάσου.

172. Για τον τύπο ακροπόλεων, πρβλ. M. Čičicova, L'apparition des villes fortifiées en Thrace, Posedna, Izdanja XXIV (1975), 249 κ.ε., και Πεντάζος 1971, 86 κ.ε. Για αντίστοιχη κεραμική, πρβλ. κεραμική με αυλακωτή διακόσμηση και διάδοση κυρίως του σχήματος του μόνωτου ευρύστομου αγγείου με τη γωνιόσχημη λαβή (τύπος IV).

173. Οι τύμβοι-λιθοσωροί με τις διάσπαρτες ταφές-καύσεις ή τους ενταφιασμούς (νεκροταφείο λόφου Καστά Αμφίπολης, νεκροταφείο βιομηχανικής ζώνης Δράμας) εντάσσονται στον τύπο του ταφικού τύμβου, που είναι γνωστός από την κεντρική και τη δυτική Μακεδονία (Βεργίνα, Τσαουζίτσα, κ.ά.). Οι τύμβοι αυτού του τύπου είναι διαδεδομένοι στην Αλβανία, όπως και στη νότια Γιουγκοσλαβία, καθώς και τη νότια Βουλγαρία, αλλά δε λείπουν και από τον ελλαδικό χώρο (Άλως), ακόμη και τα νησιά του Αιγαίου (πρβλ. Τσικαλαριό Νάξου, όπου και στήλη-menhir κατά χώραν, Φ. Παπαδοπούλου, ΑΔ 20 (1965): Χρονικά, 515, πίν. 648α.

174. Αντίστοιχη συνέχεια δεν έχει διαπιστωθεί ακόμη στην κεντρική Μακεδονία, όπου εξαιτίας του κενού της έρευνας δεν είναι ακόμη γνωστά ταφικά μνημεία ύστερης εποχής του χαλκού.

καύσης. Η συνύπαρξη των δύο τρόπων ταφής στο νεκροταφείο Τσιγανάδικα σημειώνεται μόνο στη φάση ΙΒ και ακολουθεί ένα μόνο παράδειγμα καύσης στη φάση ΙΙ. Η αραιή αυτή εμφάνιση της ταφής-καύσης στην ύστερη εποχή του χαλκού και η ακόμη αραιότερη εμφάνισή της στην πρώιμη εποχή του σιδήρου προσδιορίζει την ταφή-καύση περισσότερο ως έθιμο ταφής της αρχαιότερης φάσης Ι, που τείνει να εξαφανισθεί στην επόμενη φάση ΙΙ του νεκροταφείου, παρά ως δυναμική καινοτομία που εμφανίσθηκε για να αντικαταστήσει έναν παλιότερο τρόπο ταφής, τον ενταφιασμό. Με τα υπάρχοντα ως τώρα αρχαιολογικά δεδομένα στη Θάσο είναι αδύνατο να αποδειχθεί αν η εμφάνιση της καύσης στην ύστερη εποχή του χαλκού είναι φαινόμενο νεωτερικό, που οφείλεται σε επίδραση εξωτερική, ή αν αποτελεί κατάλοιπο μιας αρχαιότερης παράδοσης.

Η σποράδικη εμφάνιση του ταφικού εθίμου της καύσης στην ΥΕ ΙΙΙΓ περίοδο στον ελλαδικό και νησιωτικό χώρο ερμηνεύθηκε οπωσδήποτε ως επίδραση εξωτερική, ανεξάρτητη από τις επιβιώσεις του ίδιου του εθίμου της καύσης, που από τη νεολιθική εποχή και την εποχή του χαλκού εμφανίζεται με σποραδικά παραδείγματα στον ελλαδικό χώρο και στα νησιά. Οι ταφές-καύσεις, που στο τέλος της μυκηναϊκής εποχής πολλαπλασιάσθηκαν (Περατή, Δωδεκάνησα, Κρήτη), σχετίσθηκαν με τις επιδράσεις από την Εγγύς Ανατολή, όπου το έθιμο είχε επιβιώσει χωρίς διακοπές από την πρώιμη εποχή του χαλκού[175]. Μια αντίθετη άποψη[176] συνδέει την καύση με την άφιξη νέων φύλων, με βόρεια προέλευση, που εμφανίσθηκαν στον ελλαδικό χώρο στα τέλη της ύστερης εποχής του χαλκού και προκάλεσαν την καταστροφή του μυκηναϊκού κόσμου.

Τα ελάχιστα παραδείγματα ταφών-καύσεων του νεκροταφείου του οικισμού Καστρί της Θάσου δεν είναι δυνατό να συμβάλουν στην προώθηση του προβλήματος, όταν μάλιστα στη Θάσο της ύστερης εποχής του χαλκού διασταυρώνονται πολιτιστικές επιδράσεις του ηπειρωτικού βαλκανικού και του νησιωτικού αιγαιακού κόσμου. Οπωσδήποτε, αν πρέπει να διαλέξουμε μία από τις δύο περιοχές, το βαλκανικό χώρο, όπου τα εκτεταμένα νεκροταφεία των τεφροδόχων της μέσης και ύστερης εποχής του χαλκού διαδέχονται οι περιορισμένες κυρίως στα βόρεια Βαλκάνια επιδράσεις του πολιτισμού Urnenfelder[177], ή τον ανατολικό αιγαιακό χώρο, στις επιδράσεις του οποίου αποδίδεται η δυναμική επανεμφάνιση της ταφής-καύσης στα νησιά και τον ελλαδικό χώρο, τα αρχαιολογικά δεδομένα τοποθετούν τις ταφές-καύσεις στην περίοδο εκείνη των νεκροταφείων, που εμφανίζει την πιο δυναμική παρουσία των μυκηναϊκών επιδράσεων (φάση ΙΒ), οι οποίες θα μπορούσαν να προέρχονται από το ανατολικό Αιγαίο.

Οι κτιστές εξέδρες, άλλωστε, μέσα στις οποίες τοποθετούνται τα ταφικά αγγεία[178], αποτελούν έναν ιδιόρρυθμο τύπο ταφικού κτίσματος, που δεν εμφανίζεται στα σύγχρονα νεκροταφεία με τις ταφές-καύσεις του βαλκανικού ηπειρωτικού χώρου και θυμίζει αντίστοιχα ταφικά κτίσματα της μεσοκυκλαδικής Κέας[179].

Ξεκινώντας από τα κτίσματα αυτά, που έχουν τους προδρόμους τους στις ταφικές εξέδρες των υστερονεολιθικών τάφων της Κεφάλας της Κέας[180], στον αιγαιακό χώρο, και μάλιστα στις ορεινές περιοχές των νησιών, κάτω από ανάλογες επιδράσεις του φυσικού περι-

175. Πρβλ. Ανδρόνικος 1968, 51 κ.ε., Ιακωβίδης 1970, 31 κ.ε., Θέμελης 1973, 356 κ.ε.

176. Συγκεντρωμένες οι διάφορες απόψεις για την καταγωγή του ταφικού εθίμου της καύσης της πρώιμης εποχής του σιδήρου στο συνοπτικό άρθρο του Θέμελη, ό.π., 362 κ.ε.

177. Πρβλ. τύμβους με ταφές-καύσεις Ποταμών και Εξοχής, Γραμμένος 1979, 26-71. Αντίστοιχοι τύμβοι με ταφές-καύσεις εμφανίζονται, εκτός από τη νότια Βουλγαρία, και σε πολύ βορειότερες πολιτιστικές ομάδες των ηπειρωτικών Βαλκανίων (π.χ. ομάδα Suciu de Sus).

178. Στα ηπειρωτικά Βαλκάνια εμφανίζονται τεφροδόχα αγγεία μέσα σε σωρούς από πέτρες ή καλυμμένα με λιθοσωρούς· ως ταφικά ωστόσο κτίσματα, τα οποία θα μπορούσαν να συγκριθούν με τα θασιακά, θα μπορούσαν να αναφερθούν μόνο τα κτίσματα της ομάδας Donja Brnjica. Αυτά, ωστόσο, χωρίζονται από τις θασιακές κτιστές υπέργειες εξέδρες με αγεφύρωτες γεωγραφικές και χρονικές αποστάσεις, Garašanin 1973, 640-641, όπου και η σχετική βιβλιογραφία.

179. Overbeck 1975, 126, τάφος 31, πίν. 7.

180. Coleman 1977, 45, πίν. 15-16, Treuil 1983, 432-447.

βάλλοντος διαμορφώθηκαν οι τύποι αυτοί των ταφικών κτισμάτων, που παρέμειναν σε ορισμένες περιοχές ανεπηρέαστες από τις επιδράσεις του μυκηναϊκού πολιτισμού ως τις προχωρημένες φάσεις της εποχής του χαλκού και την πρώιμη εποχή του σιδήρου. Η ύστερη εποχή του χαλκού είναι ελάχιστα ακόμη γνωστή στις Κυκλάδες και στα νησιά του ανατολικού Αιγαίου, ιδιαίτερα σ' ό,τι αφορά την επιβίωση των πολιτιστικών στοιχείων της πρωτοκυκλαδικής εποχής και γενικότερα την παράδοση της πρώιμης εποχής του χαλκού, που πρέπει να διατηρήθηκε ως πολιτιστικό υπόστρωμα κάτω από τις έντονες επιδράσεις των κέντρων του μινωικού και μυκηναϊκού πολιτισμού. Η παρουσία αυτού του πολιτιστικού υποστρώματος διαγράφεται καθαρότερα στις περιοχές εκείνες, που δέχθηκαν μικρότερη επίδραση του μυκηναϊκού πολιτισμού, όπως π.χ. η Θεσσαλία, η δυτική Ελλάδα, τα Ιόνια νησιά, η Μακεδονία και η Θράκη.

Η Θάσος ανήκει σε μια περιοχή του αιγαιακού χώρου, όπου η παρουσία του μυκηναϊκού αποικισμού δεν υπήρξε ιδιαίτερα δυναμική. Θα ήταν επομένως φυσικό να εμφανίζει στην ύστερη εποχή του χαλκού ανεξέλικτες μορφές ταφικής αρχιτεκτονικής, που θα μπορούσαν να αναχθούν σε πρότυπα πρώιμης και μέσης εποχής του χαλκού. Ο προσδιορισμός, ωστόσο, των προγενέστερων αυτών φάσεων, τόσο στη Θάσο όσο και στις γειτονικές περιοχές της Μακεδονίας και της Θράκης, με τις οποίες η Θάσος εμφανίζει μόνιμες πολιτιστικές σχέσεις από τη νεολιθική εποχή, είναι προς το παρόν αδύνατος γιατί λείπουν από τις περιοχές αυτές τα ταφικά μνημεία των πρώιμων φάσεων της εποχής του χαλκού. Από τα μεταγενέστερα ταφικά μνημεία της ύστερης εποχής του χαλκού και της πρώιμης εποχής του σιδήρου προκύπτει από τη μια μεριά μια προσέγγιση των ταφικών μνημείων της πρωτοϊστορικής Θάσου με τα ταφικά μνημεία της αιγαιακής Θράκης της πρώιμης εποχής του σιδήρου[181], και από την άλλη μια διαφοροποίηση της ομάδας Θάσου-αιγαιακής Θράκης από την ταφική αρχιτεκτονική των ηπειρωτικών Βαλκανίων[182].

Ο αρχιτεκτονικός χαρακτήρας των ταφικών κτισμάτων των νεκροταφείων Καστρί και Λαρνάκι διαμορφώθηκε βέβαια κάτω από την επίδραση της παλιότερης, πιθανότατα ανατολικοαιγαιακής, παράδοσης, που τόνιζε τον ομαδικό οικογενειακό τάφο και νωρίς του έδωσε αρχιτεκτονική μορφή, αλλά συγχρόνως υπήρξε και η απάντηση των κατοίκων του ορεινού οικισμού Καστρί στο τοπικό φυσικό περιβάλλον και στις πρώτες ύλες, που παρείχε για την κατασκευή των ταφικών μνημείων. Στην ορεινή περιοχή Καστρί και Λαρνάκι υπήρχε άφθονη πέτρα για κατασκευές και ήταν πιο εύκολο να κτίσουν υπέργεια ταφικά μνημεία, παρά να σκάψουν το φυσικό βράχο, που βρισκόταν σε μικρό βάθος. Ήταν, επίσης, ευκολότερο να σκεπάσουν με μεγάλες πέτρες και λιθοσωρούς τα ταφικά κτίσματα σε μια περιοχή που διέθετε λίγο χώμα. Η εμφάνιση μιας τάσης μεγαλιθισμού, που χαρακτηρίζει πολλούς τάφους, πιθανόν δεν είναι άσχετη με την επίδραση των Dolmen[183], αλλά είναι εύκολο επίσης να προκύψει και από τη δυνατότητα που έδιδε το ίδιο το περιβάλλον για εξαγωγή μεγάλων πλακών, που ευκόλυναν την κατασκευή και πρόσθεταν συγχρόνως και μνημειακότητα στα ταφικά κτίσματα.

Αυτή η προσαρμογή των κατοίκων στο φυσικό περιβάλλον των οικισμών πρέπει να αποτελεί και ένα βασικό στοιχείο για την ερμηνεία των ομοιοτήτων που εμφανίζονται στις μορφές

181. Πρβλ. μνημείο Δίκελλας, Triantafyllos 1980, 152-153, εικ. 11-12.

182. Οι μόνοι διαμορφωμένοι ταφικοί θάλαμοι στην περιοχή της σημερινής Βουλγαρίας είναι οι ταφικοί θάλαμοι των Dolmen, από τα οποία είναι πολύ διαφοροποιημένα τα ταφικά κτίσματα των νεκροταφείων της Θάσου. Τα Dolmen άλλωστε αποτελούν μια ιδιόρρυθμη μορφή ταφικού μνημείου, που περιορίζεται σε ορισμένες περιοχές της Θράκης, και οι σχέσεις τους με το μεσογειακό κόσμο έχουν επανειλημμένα τονισθεί, Mikov 1955, 34 κ.ε., Bittel 1942, 92, όπως και οι συσχετίσεις με τα Dolmen Καυκάσου, Fol - Venedikov 1976, 76 κ.ε., Fol 1982, 534, όπου σχετίζονται με μυκηναϊκές επιδράσεις. Πρβλ. ωστόσο και την άποψη Bittel 1942, 93, σύμφωνα με την οποία οι ομοιότητες ανάμεσα στα Dolmen, τους καρικούς και τους μυκηναϊκούς τάφους πρέπει να αναχθούν σε κοινή άποψη για τη συσχέτιση του τάφου με κατοικία και το διαφορετικό τρόπο με τον οποίο εξελίσσεται σε κάθε περιοχή το αρχικό πρότυπο του τάφου-οικίας.

183. Για τη σχέση μεγαλιθικών μνημείων και μεταλλοφόρων περιοχών, πρβλ. Pelon 1976, 441-452.

των ταφικών κτισμάτων, οι οποίες είναι διαχρονικές και καλύπτουν απομακρυσμένες μεταξύ τους γεωγραφικές περιοχές[184].

Οι παρόμοιες δυνατότητες του φυσικού περιβάλλοντος, σε συνδυασμό με την επιβίωση μιας κοινής πολιτιστικής παράδοσης και την άφιξη κοινών πολιτιστικών επιρροών, πρέπει να συμπεριληφθούν στις βασικές αιτίες για την εμφάνιση της πολιτιστικής ομοιογένειας σε οικισμούς απομακρυσμένους γεωγραφικά, όπως είναι π.χ. ο οικισμός στο Καστρί της Θάσου και ο οικισμός στο Καρφί της Κρήτης.

ΤΑΦΕΣ ΣΕ ΠΙΘΟΥΣ

Οι ταφές σε πίθους δεν εμφανίζονται με ιδιαίτερη συχνότητα στα νεκροταφεία του οικισμού Καστρί και φαίνεται ότι απουσιάζουν τελείως από το νεκροταφείο της θέσης Λαρνάκι. Τα παραδείγματα ταφικών πίθων, που έχουμε, προέρχονται από τα νεκροταφεία Κεντριά (ταφικές συστάδες Κ2, Κ6) και Τσιγανάδικα (τάφος Τ18). Θραύσματα πίθων, χωρίς να προσδιορίζουν ταφές, συγκεντρώθηκαν επίσης από τους τάφους Τ29 και Τ27Α. Το σύνολο των παραπάνω ταφικών πίθων τοποθετείται στις πρώιμες περιόδους της φάσης ΙΙ των νεκροταφείων (φάσεις ΙΙΑ και ΙΙΒ1). Οι ταφές, που έσωζαν κάποια ανθρωπολογικά λείψανα, προσδιορίσθηκαν ως ταφές παιδιών και μάλιστα βρεφικής ηλικίας (Τ18, Π3, Κ6Γ). Οι ταφικοί πίθοι εναποθέτονταν σε κτιστούς κιβωτιόσχημους χώρους με χαμηλά τοιχώματα, που προσαρτώνται στις εξωτερικές πλευρές των άλλων τάφων της ταφικής συστάδας (Π ί ν. 214α (Κ2, Ι), Π ί ν. 218γ-δ (Κ6Γ και Κ6Ε), Π ί ν. 219α (Κ6Γ), Π ί ν. 261α (Τ18, Π1-2), Π ί ν. 271α (Τ18Π3).

Στο εσωτερικό των πίθων συχνά εναποθέτονται κτερίσματα, όπως στον ταφικό πίθο Κ6Γ (Π ί ν. 43Γ: 4) ή στον ταφικό πίθο Κ6Ε (Π ί ν. 43Β: 8). Σε άλλες περιπτώσεις οι ταφές είναι ακτέριστες, όπως στον πίθο Τ18Π3. Στην περίπτωση της ταφής Τ18Π1 πιθανότατα έχουμε κτερίσματα εναποτεθειμένα έξω από το στόμιο του πίθου (Π ί ν. 116Β: 1).

Το είδος αυτό της ταφής εντάσσεται στην ευρύτερη κατηγορία των ταφών σε αγγεία, που εμφανίζεται στον αιγαιακό χώρο από τη νεολιθική εποχή[185]. Στη Μακεδονία τα αρχαιότερα παραδείγματα χρονολογούνται στην πρώιμη νεολιθική εποχή[186]. Ενταφιασμοί σε αγγεία και πίθους είναι γνωστοί και από την πρώιμη εποχή του χαλκού, τόσο στη δυτική Μικρά Ασία όσο και στα νησιά του Αιγαίου και του Ιόνιου, καθώς και στον ελλαδικό χώρο[187]. Στη μέση εποχή του χαλκού, ο τύπος αυτός της ταφής αντιπροσωπεύεται με μια σειρά παραδείγματα, που καλύπτουν το νησιωτικό και τον ηπειρωτικό ελλαδικό χώρο[188]. Επειδή πρόκειται για είδος ταφικού κτίσματος, που συνδέεται περισσότερο με την ατομική ταφή, φαίνεται ότι σπανίζει σημαντικά στους μυκηναϊκούς χρόνους, χωρίς ωστόσο να είναι τελείως άγνωστο[189].

Οι ταφές σε πίθους επανεμφανίζονται με μεγαλύτερη συχνότητα στην πρωτογεωμετρική περίοδο και παραμένουν στους γεωμετρικούς χρόνους, έτσι ώστε να θεωρούνται και ως ένας από τους χαρακτηριστικούς τρόπους ταφής του πολιτιστικού ορίζοντα που διαδέχθηκε στον ελλαδικό χώρο το τέλος του μυκηναϊκού πολιτισμού[190].

Από τη Μακεδονία και τη Θράκη δεν έχουμε ακόμη καμιά πληροφορία για ταφικά μνημεία της εποχής του χαλκού, από το γνωστό αρχαιολογικό υλικό όμως προκύπτει η συχνότητα των ταφικών πίθων στην πρώιμη εποχή του σιδήρου. Στο νεκροταφείο της Βεργίνας, ο

184. C. Renfrew, Colonialism and Megalithismus, Antiquity XLI (1967), 276 κ.ε.

185. Συγκεντρωμένα παραδείγματα στον Treuil 1983, 448.

186. Πρβλ. ταφές Νέας Νικομήδειας, Rodden 1962, 286.

187. Πρβλ. βιβλιογραφία συγκεντρωμένη, Overbeck 1975, 132 κ.ε.

188. Ό.π., 134-136.

189. Desborough 1966, 36, Snodgrass 1971, 185, σημ. 25.

190. Desborough 1966, 39. Οι ταφές-πίθοι — κυρίως για παιδικές ταφές — εμφανίζονται σ' όλο τον ελλαδικό χώρο και τα νησιά στην πρωτογεωμετρική εποχή και στους γεωμετρικούς χρόνους (Αττική, Αργολίδα, Δωδεκάνησα (Κως), Κρήτη, όπου εμφανίζονται και ταφές-καύσεις σε πίθους, Αχαΐα, πρβλ. και αποικίες Μεγάλης Ελλάδας). Snodgrass 1971, 175.

τύπος αυτός της ταφής είναι αρκετά συχνός και φαίνεται μάλιστα ότι γίνεται συχνότερος στις νεότερες φάσεις του νεκροταφείου[191]. Στα νεκροταφεία της πρώιμης εποχής του σιδήρου της ανατολικής Μακεδονίας (τύμβοι λόφου Καστά Αμφίπολης, τύμβοι βιομηχανικής ζώνης Δράμας), οι ταφές σε πίθους περιέχουν ταφές-ενταφιασμούς, συχνότατα παιδικές[192]. Τα πλησιέστερα, ωστόσο, παραδείγματα στους εναποτεθειμένους μέσα σε θήκες-πίθους των νεκροταφείων του οικισμού Καστρί δίδουν τα πιθόσχημα αγγεία, που βρέθηκαν έξω από τον κεντρικό τάφο του τύμβου 2 της Μεσημβρίας[193].

Οι ταφικοί πίθοι παραμένουν βέβαια ως συχνός τρόπος ταφής και στους ιστορικούς χρόνους, τόσο στο νοτιοελλαδικό όσο και στο βορειοελλαδικό χώρο.

191. Βεργίνα, για ταφές ενηλίκων, Ανδρόνικος 1969, 151, 164, Πέτσας 1961/62, πίν. 136γ, 137α-γ, 140β-γ και 141.
192. Λαζαρίδης 1976, 98, και Λαζαρίδης 1977, πίν. 29Β.
193. Βαβρίτσας 1970, 73-74, εικ. 3.

ΚΕΦΑΛΑΙΟ ΣΤ'

ΕΞΩΤΕΡΙΚΗ ΧΡΟΝΟΛΟΓΗΣΗ

ΣΥΓΚΡΙΤΙΚΕΣ ΧΡΟΝΟΛΟΓΗΣΕΙΣ

Η μελέτη της κεραμικής και των άλλων κτερισμάτων των νεκροταφείων του οικισμού Καστρί και της θέσης Λαρνάκι καθόρισε ήδη τον πολιτιστικό χώρο, μέσα στον οποίο εντάσσονται τα νεκροταφεία, προσδιορίζοντας συγχρόνως και τα χρονολογικά τους πλαίσια.

Όπως έδειξαν οι επιμέρους συγκρίσεις των κτερισμάτων, της ταφικής αρχιτεκτονικής και των ταφικών εθίμων, ο πολιτιστικός χώρος τοποθετείται στην κεντρική και ανατολική Μακεδονία, την αιγαιακή Θράκη, καθώς και τα νησιά του βορειοανατολικού κυρίως Αιγαίου με τα παράλια της βορειοδυτικής Μικράς Ασίας.

Τα ακραία χρονολογικά όρια, μέσα στα οποία τοποθετείται η χρονική διάρκεια των νεκροταφείων, ορίζονται από την εμφάνιση της μυκηναϊκής κεραμικής ΥΕ ΙΙΙΒ στη Θάσο, που προσδιορίζει την αρχαιότερη φάση των νεκροταφείων (φάση ΙΑ) σε μια εποχή σύγχρονη με την ΥΕ ΙΙΙΒ περίοδο, και από την εμφάνιση της υπογεωμετρικής κεραμικής τύπου G 2-3, που χρονολογεί τη νεότερη φάση των νεκροταφείων (φάση ΙΙΓ) στο τέλος της υστερογεωμετρικής περιόδου.

Η λεπτομερέστερη χρονολόγηση των επιμέρους φάσεων των νεκροταφείων στηρίζεται στα χρονολογικά στοιχεία, που έχει συγκεντρώσει η αρχαιολογική έρευνα της Θάσου, της Μακεδονίας, της αιγαιακής Θράκης, των νησιών του βορειοανατολικού Αιγαίου και της Τρωάδας, και στη συσχέτιση των χρονολογήσεων των πολιτιστικών αυτών ομάδων του βορειοαιγαιακού χώρου με τις χρονολογήσεις του νοτιοελλαδικού και τις χρονολογήσεις των ηπειρωτικών Βαλκανίων.

Φάση Ι: Ύστερη εποχή του χαλκού

Όπως έχουν δείξει οι επιμέρους συγκρίσεις της κεραμικής, χειροποίητης και τροχήλατης, της μεταλλοτεχνίας και των άλλων μικροαντικειμένων που χαρακτηρίζουν τη φάση Ι των νεκροταφείων, η φάση αυτή είναι σύγχρονη με τις τελευταίες φάσεις της ύστερης εποχής του χαλκού της κεντρικής και ανατολικής Μακεδονίας και με τις φάσεις ΥΕ ΙΙΙΒ και ΥΕ ΙΙΙΓ του νοτιοελλαδικού χώρου. Η συσχέτιση της τοπικής χειροποίητης κεραμικής που, πέρα από το συγκεκριμένο πολιτιστικό χώρο της Μακεδονίας και της Θράκης, εμφανίζει συγγένειες και με την κεραμική των ηπειρωτικών Βαλκανίων, με την επείσακτη σε οικισμούς της Μακεδονίας μυκηναϊκή κεραμική δίδει μια καλή ευκαιρία για διασταύρωση των στηριγμένων στα Hortfunde, κυρίως, χρονολογήσεων των κεντρικών Βαλκανίων με τις αιγαιακές χρονολογίες της ύστερης εποχής του χαλκού.

ΦΑΣΗ ΙΑ

Η χρονολόγηση της φάσης ΙΑ στηρίζεται κυρίως στη χρονολόγηση της χειροποίητης εγχάρακτης κεραμικής Ι, 2α, που εμφανίζεται αποκλειστικά στη φάση αυτή. Η κεραμική αυτής της κατηγορίας, όπως έχουμε σημειώσει, είναι καλά χρονολογημένη στην κεντρική και ανα-

τολική Μακεδονία με επείσακτα μυκηναϊκά προϊόντα[1], ανάμεσα στα οποία την πρώτη φυσικά θέση κατέχει η μυκηναϊκή κεραμική[2].

Ο κάνθαρος με την εγχάρακτη διακόσμηση, που εμφανίζεται στην ταφική συστάδα Κ1 (Π ί ν. 2: 19), πλησιάζει τα αντίστοιχα παραδείγματα κανθάρων της φάσης IV (στρώματα 17-14b) του Καστανά, που από επείσακτα μυκηναϊκά αγγεία χρονολογούνται στην ΥΕ IIIΒ περίοδο. Το σχήμα των κανθάρων της ταφικής συστάδας Κ1 ανήκει στα νεότερα παραδείγματα της εξελικτικής σειράς που έχει προσδιορίσει ο Hänsel, με βάση τη στρωματογραφία του Καστανά[3]. Το σχήμα αυτό φαίνεται ότι επιβιώνει με πολύ αραιά παραδείγματα και στις χρονολογημένες με ΥΕ IIIΓ μυκηναϊκή κεραμική φάσεις των οικισμών της κεντρικής και ανατολικής Μακεδονίας[4].

Η εμφάνιση όμως στην ταφική συστάδα Κ1 σχημάτων, όπως των εγχάρακτων φιαλόσχημων με το κωνικό πόδι (Π ί ν. 1: 2, 6) και των αμφορέων με το κωνικό πόδι και την εγχάρακτη διακόσμηση (Π ί ν. 3: 23), που είναι γνωστά από τα πρώιμα κυρίως στρώματα ύστερης εποχής του χαλκού του Καστανά[5] και της Ασσήρου[6] και της φάσης III του Σταθμού Αγγίστας, όπως και η παρουσία εγχάρακτης κεραμικής της κατηγορίας I, 2β (Furchenstich) (Π ί ν. 1: 2), γνωστής επίσης και από τις προμυκηναϊκές φάσεις του Καστανά[7], και της φάσης III του Σταθμού Αγγίστας, αποτελούν στοιχεία για τη χρονολόγηση ορισμένων τουλάχιστον ταφών της συστάδας Κ1 σε πρώιμες ΥΕ IIIΒ φάσεις.

Η συσχέτιση της φάσης ΙΑ των νεκροταφείων Καστρί με τη χρονική περίοδο ΥΕ IIIΒ βεβαιώνεται και από το σύγχρονο με τη φάση ΙΑ των νεκροταφείων στρώμα του οικισμού Καστρί, όπου μυκηναϊκή επείσακτη ΥΕ IIIΒ κεραμική βρίσκεται μαζί με τη χαρακτηριστική χειροποίητη εγχάρακτη κεραμική της κατηγορίας I, 2α[8]. Πριν προχωρήσει η ανασκαφική έρευνα στον οικισμό Καστρί, δεν είναι ακόμη δυνατό να προσδιορισθεί αν η ύστερη εποχή του χαλκού στον οικισμό και στα νεκροταφεία Καστρί αρχίζει πριν από την εμφάνιση ΥΕ IIIΒ κεραμικής ή αν είναι σύγχρονη μ' αυτή[9] (Σ χ έ δ. 167).

Αφήνοντας επομένως ανοικτό το άνω χρονολογικό όριο της φάσης ΙΑ των νεκροταφείων Καστρί, και γενικότερα της ύστερης εποχής του χαλκού του οικισμού Καστρί, θα μπορούσα-

1. Χρυσό κόσμημα στο στρώμα 19 του Καστανά, που χρονολογείται στην ΥΕ I, Hänsel 1979, 649, εικ. 6. Πρβλ. αντίστοιχο από τάφο Ξ, Β' περιβόλου Μυκηνών. Στη φάση αυτή του Καστανά (Hochstetter 1984, 280, Καστανάς III) δεν έχει διαμορφώσει ακόμη η εγχάρακτη κεραμική τα χαρακτηριστικά και διακοσμητικά της θέματα, όπως τα ξέρουμε από τη φάση ΙΑ των νεκροταφείων. Θα μπορούσε επομένως να χρησιμοποιηθεί το χρυσό κόσμημα ως terminus post quem για τη χρονολόγηση της εγχάρακτης κεραμικής του τάφου Κ1Α.

2. Καστανάς, στρώμα 17-14b, ΥΕ IIIΒ-ΥΕ IIIΓ, Podzuweit 1979β, 203 κ.ε., Άσσηρος, Wardle 1980, 250-252.

3. Hänsel 1982α, 14, εικ. 9, όπου αποδίδεται η εξέλιξη του σχήματος του κανθάρου με βάση τη στρωματογραφία του Καστανά. Πρβλ. και Hochstetter 1984, 60 κ.ε., εικ. 15, που το τοποθετεί στα στρώματα 17-14a (φάση IV Καστανά).

4. Άσσηρος, Wardle 1980, 248, φάση 6. Πρβλ. και Καστανάς, Hänsel 1982, 277, Hochstetter 1984, 62, εικ. 15, στρώμα 13, φάση 5. Κουκούλη-Χρυσανθάκη 1980, 76, φάση II Σταθμού Αγγίστας. Στον Καστανά, Hochstetter, ό.π., πίν. 70, 5 και 73, 6, ωστόσο, όπως άλλωστε και στο Σταθμό Αγγίστας, η εμφάνιση ορισμένων οστράκων από το αγγείο αυτού του σχήματος δεν αποκλείει την πιθανότητα να προέρχεται από αρχαιότερα στρώματα. Στον Καστανά ελάχιστα όστρακα εμφανίζονται επίσης στο στρώμα 12, Hochstetter, ό.π., πίν. 93, 4.

5. Πρβλ. κωνικό πόδι στη φάση III του Καστανά, Hochstetter 1984, πίν. 3, 12. Στην ίδια φάση λαβές με εγχάρακτη διακόσμηση, που θυμίζουν λαβές κανθάρων, ό.π., πίν. 1, 11-13 (στρώμα 19). Πιθανόν τα θραύσματα προέρχονται από αμφορείς, ό.π., πίν. 1, 3-4, και 2, 8 (στρώμα 19). Για φιαλόσχημα με εγχάρακτη διακόσμηση, πρβλ. πίν. 1, 7 (εγχάρακτη διακόσμηση λαβών).

6. Wardle 1980, 248.

7. Hochstetter 1984, πίν. 1, 10. Πρβλ. όμως για το σχήμα και το είδος της πλατιάς χάραξης — όχι όμως διακοπτόμενης — του Π ί ν. 17: 5 (Καστανάς, στρώμα 17). Στο ίδιο στρώμα εμφανίζεται αμφορέας με κατακόρυφες λαβές και εγχάρακτη διακόσμηση, ό.π., πίν. 13, 1, όμοιος με τον αμφορέα Κ1Α23 Θάσου. Πρβλ. επίσης το φιαλόσχημο, ό.π., πίν. 13, 1 με Θάσου Κ1Α6 (Π ί ν. 1). Η στικτή διακόσμηση, που εμφανίζεται στο φιαλόσχημο Κ1Α6, εμφανίζεται στον Καστανά από το στρώμα 19, ό.π., πίν. 1, 13, ως το στρώμα 14b, ό.π., πίν. 51, 13. Πρβλ. επίσης το Κ1Α27 με Hochstetter, ό.π., πίν. 54, 8 (στρώμα 14b).

8. Χ. Κουκούλη-Χρυσανθάκη, ΑΔ 27 (1972): Χρονικά, πίν. 457.

9. Πρβλ. όστρακο από το Καστρί, Σ χ έ δ. 166: 12, με Hochstetter 1984, πίν. 6, 6, στρώμα 18.

με να προσδιορίσουμε το τέλος της φάσης ΙΑ, με βάση την απόλυτη χρονολόγηση της ΥΕ ΙΙΙΒ περιόδου στο νοτιοελλαδικό χώρο, που τοποθετείται μετά τις πρόσφατες αναθεωρήσεις στα 1350/25-1190 π.Χ.[10]

Μια επιβίωση της χαρακτηριστικής εγχάρακτης κεραμικής της κατηγορίας Ι, 2α στα χρονολογικά όρια της ΥΕ ΙΙΙΓ περιόδου δεν αποκλείεται βέβαια ούτε από τη στρωματογραφία των οικισμών της κεντρικής[11] και ανατολικής Μακεδονίας[12] ούτε από τους τύμβους Ποταμών και Εξοχής[13] ούτε και από την αντίστοιχη εγχάρακτη κεραμική των παραδουνάβιων πολιτιστικών ομάδων της ύστερης εποχής του χαλκού, το τέλος των οποίων, σύμφωνα με την κεντροευρωπαϊκή χρονολόγηση, τοποθετείται γύρω στα 1100 π.Χ.[14]. Για τη φάση ωστόσο ΙΑ των νεκροταφείων Καστρί, η επιβίωση αυτή μάλλον πρέπει να αποκλεισθεί γιατί στην αμέσως επόμενη φάση ΙΒ εμφανίζεται ακόσμητη χειροποίητη κεραμική και μυκηναϊκή κεραμική με σχήματα αποκλειστικά ΥΕ ΙΙΙΒ παράδοσης, που δεν επιτρέπουν μεγάλη χρονική απομάκρυνση από την ΥΕ ΙΙΙΒ.

ΦΑΣΗ ΙΒ

Χαρακτηριστικά γνωρίσματα της φάσης ΙΒ, όπως έχουμε ήδη σημειώσει, είναι:

α) Η εξαφάνιση της εγχάρακτης κεραμικής των κατηγοριών Ι, 2α-Ι, 2β και η αντικατάστασή της με ακόσμητη κεραμική, η οποία εμφανίζει και νέα σχήματα αγγείων.

β) Η συχνή παρουσία τοπικής μυκηναϊκής κεραμικής με σχήματα ΥΕ ΙΙΙΒ.

γ) Η εμφάνιση χάλκινων μαχαιριών, που θυμίζουν τύπους μυκηναϊκών μαχαιριών.

Τα άνω χρονολογικά όρια της φάσης αυτής καθορίζονται με το τέλος της εγχάρακτης κεραμικής, που τοποθετήθηκε, όπως είδαμε, στα τέλη της ΥΕ ΙΙΙΒ (1190-1180 π.Χ.) (στρώμα 14b - τέλος φάσης IV Καστανά).

Η χρονολόγηση των τοπικών μυκηναϊκών αγγείων της φάσης ΙΒ, όπως και της τοπικής μυκηναϊκής κεραμικής στη Μακεδονία γενικότερα, δεν είναι πάντα ασφαλής γιατί, όπως έδειξαν και τα πρόσφατα ευρήματα του Καστανά[15], η περίοδος επιβίωσής της είναι μακρόχρονη. Σύμφωνα με τον Ch. Podzuweit, στον Καστανά η μυκηναϊκή κεραμική επιβιώνει ως τους γεωμετρικούς χρόνους. Μια τόσο μεγάλη, ωστόσο, διάρκεια των μυκηναϊκών εργαστηρίων, όπως αυτή του Καστανά, δεν πρέπει να αποτελεί γενικό φαινόμενο για τη Μακεδονία γιατί τότε θα έπρεπε να είχε διαπιστωθεί και στην Ἄσσηρο[16] και στους άλλους οικισμούς που ανέσκαψε ο Heurtley[17], ακόμη και στα νεκροταφεία της πρώιμης εποχής του σιδήρου της κεντρικής[18] και ανατολικής Μακεδονίας[19].

10. Hankey - Warren 1974, 151, Hänsel 1982α, 19, εικ. 12.

11. Στα στρώματα 13-11 του Καστανά εμφανίζονται ελάχιστα θραύσματα εγχάρακτης κεραμικής. Από τη σπανιότητα αυτή είναι δυνατό να διαπιστωθεί ότι η εγχάρακτη κεραμική με την επίθετη διακόσμηση είχε πάψει πια να παράγεται, Hochstetter 1984, 224, 229. Πρβλ. και Wardle 1980, 248 (Ἄσσηρος).

12. Στη νεότερη φάση (AII) επίσης του Σταθμού Αγγίστας εμφανίζεται κάνθαρος με εκφυλισμένη πια εγχάρακτη διακόσμηση, Κουκούλη-Χρυσανθάκη 1980, εικ. 3.

13. Η Hochstetter 1984, 314-315, υποθέτει μια επιβίωση της εγχάρακτης κεραμικής στους τύμβους Ποταμών και Εξοχής ως την πρώιμη εποχή του σιδήρου. Η απουσία, ωστόσο, χαρακτηριστικής κεραμικής της πρώιμης εποχής του σιδήρου φαίνεται να αποκλείει αυτή την περίπτωση. Οι τελευταίες ταφές του τύμβου της Εξοχής, στις οποίες είναι δυνατό να αποδοθούν ακόσμητα αγγεία, δεν πρέπει να είναι νεότερες από τη φάση V του Καστανά, ενώ οι εγχάρακτοι αμφορείς έχουν τα αντίστοιχά τους στη φάση IV. Πρβλ. Hochstetter 1984, πίν. 13, 9 (στρώμα 17) και πίν. 22, 10 (στρώμα 16). Η μεγαλύτερη επιβίωση, που θα μπορούσαμε να δεχθούμε για τους εγχάρακτους αμφορείς, θα μπορούσε να κατεβεί ως την ΥΕ ΙΙΙΓ περίοδο.

14. Hänsel 1976, Beil. 1.

15. Podzuweit 1979β, 204.

16. Ο Wardle 1980, δεν αναφέρει μυκηναϊκά στη φάση 2. Τα ελάχιστα μικρά όστρακα που βρέθηκαν σε στρώματα φάσης 2 και 1 προέρχονται από διατάραξη.

17. Στη φάση D της Βαρδαρόφτσας εμφανίζεται τροχήλατη κεραμική, που πιθανόν αποτελεί επιβίωση της μυκηναϊκής κεραμικής, αλλά όχι η τοπική μυκηναϊκή κεραμική, όπως την ξέρουμε από τη φάση C του ίδιου οικισμού.

18. Μόνο στη φάση Ι της Βεργίνας εμφανίζεται τοπική μυκηναϊκή κεραμική. Η φάση όμως αυτή, ακόμη κι

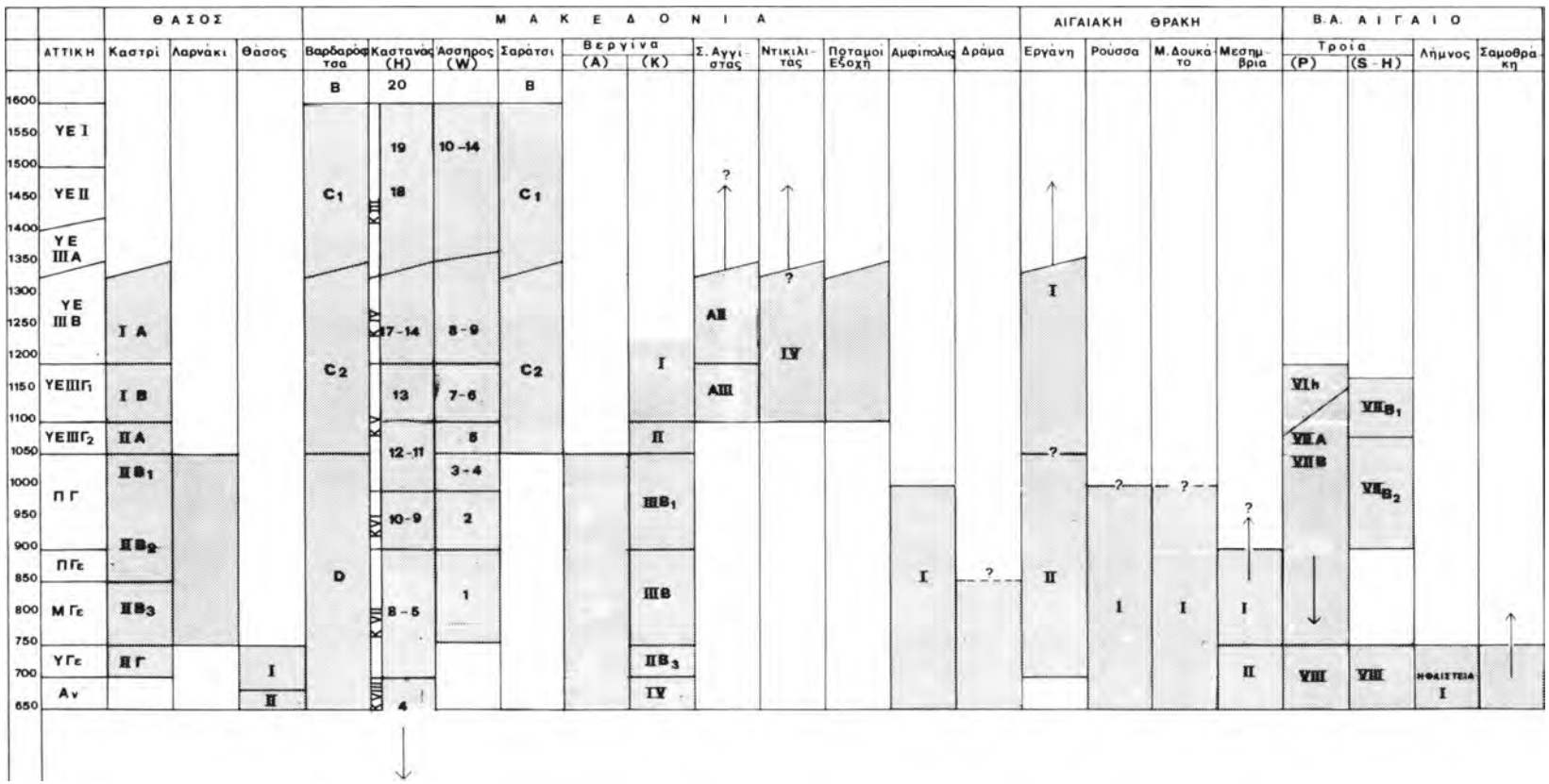

A = M. Ανδρόνικος
H = A. Hochstetter
K = K. Kilian
P = Ch. Podzuweit
S - H = N. Sandars - B. Hänsel
W = K. Wardle

Σχέδ. 158. Πίνακας συγκριτικής χρονολογίας.

Στα νεκροταφεία του οικισμού Καστρί, τα τοπικά μυκηναϊκά αγγεία της φάσης ΙΒ εμφανίζουν σχήματα ΥΕ ΙΙΙΑ και ΥΕ ΙΙΙΒ περιόδου. Τα πρώιμα αυτά σχήματα δεν μπορούν να χαρακτηρισθούν ως παρατεινόμενες επιβιώσεις, γιατί δεν επανεμφανίζονται στις επόμενες φάσεις των νεκροταφείων. Αν θελήσουμε να προσδιορίσουμε κάποια μακρόχρονη διάρκεια στους σταμνίσκους και στα αλαβαστροειδή της φάσης ΙΒ των νεκροταφείων Καστρί και στα αντίστοιχα αγγεία της κεντρικής Μακεδονίας, που στηρίζεται και από τη γραπτή γραμμική διακόσμηση των αγγείων[20], η επιβίωση αυτή δεν είναι δυνατό να απομακρύνεται πολύ από την ΥΕ ΙΙΒ και οπωσδήποτε δεν πρέπει να ξεπερνά την ΥΕ ΙΙΓ περίοδο· εξάλλου η οποιαδήποτε επιβίωση της μυκηναϊκής κεραμικής δεν αποκλείει την ύπαρξη τοπικής μυκηναϊκής κεραμικής σύγχρονης με την κεραμική της νότιας Ελλάδας. Από τις ανασκαφές του Καστανά[21] και της Ασσήρου[22] ξέρουμε άλλωστε ότι η παραγωγή της τοπικής μυκηναϊκής κεραμικής άρχισε στη Μακεδονία από τα τέλη της ΥΕ ΙΙΙΒ και τις αρχές της ΥΕ ΙΙΙΓ, και το κλειστό εύρημα ενός σπιτιού του στρώματος 14b του Καστανά αποτελεί το καλύτερο παράδειγμα συνύπαρξης επείσακτης και τοπικής ΥΕ ΙΙΙΒ μυκηναϊκής κεραμικής[23].

Για μια πρώιμη χρονολόγηση των τοπικών μυκηναϊκών αγγείων της φάσης ΙΒ των νεκροταφείων Καστρί συνηγορούν τα ευρήματα των ίδιων των νεκροταφείων, όπου αντίστοιχα σχήματα δεν εμφανίζονται στις επόμενες φάσεις. Τα μυκηναϊκά αγγεία της επόμενης φάσης ΙΙΑ έχουν σχήματα νεότερα, γνωστά από την ΥΕ ΙΙΙΓ και την υπομυκηναϊκή φάση[24].

Οξυπύθμενοι σταμνίσκοι και αλαβαστροειδή, αντίστοιχα με τα τοπικά μυκηναϊκά της φάσης ΙΒ των νεκροταφείων Θάσου, εμφανίζονται και σε άλλους οικισμούς της κεντρικής Μακεδονίας[25] σε στρώματα χρονολογημένα με επείσακτη ΥΕ ΙΙΙΒ κεραμική, ενώ δε συμπεριλαμβάνονται στις μεταγενέστερες επιβιώσεις της μυκηναϊκής κεραμικής του Καστανά[26].

Η ακόσμητη κεραμική στη φάση ΙΒ συμπίπτει με την αραίωση της εγχάρακτης κεραμικής, που σημειώνεται στα χρονολογημένα με ΥΕ ΙΙΙΓ μυκηναϊκή κεραμική — τοπική και επείσακτη — στρώματα των οικισμών της κεντρικής Μακεδονίας[27]. Η χειροποίητη αυτή κεραμική της φάσης ΙΒ εμφανίζει πολλές ομοιότητες με την κεραμική της φάσης V του Καστανά και της φάσης 6 της Ασσήρου, καθώς και με την κεραμική των ομάδων Zimnicea-Plovdiv[28] και Coslogeni[29]. Με τις δύο τελευταίες, άλλωστε, βαλκανικές κεραμικές ομάδες

αν δεν είναι δυνατό να είναι τόσο πρώιμη όσο προτείνει ο Kilian, οπωσδήποτε δεν είναι δυνατό να κατεβεί κάτω από το 1000 π.Χ. Τα σχήματα άλλωστε των αγγείων ανήκουν επίσης στην ΥΕ ΙΙΙΒ παράδοση. Τοπική μυκηναϊκή κεραμική εμφανίζεται μ' ένα παράδειγμα και στη βόρεια Μακεδονία (Visoj, τάφος 37, που ο Kilian 1975, πίν. 59, 15, τον χρονολογεί στη λεγόμενη υπομυκηναϊκή περίοδο).

19. Π.χ. στα νεκροταφεία βιομηχανικής ζώνης Δράμας και τύμβου Καστά Αμφίπολης.

20. Πρβλ. γραπτή διακόσμηση τοπικών μυκηναϊκών Ασσήρου, Wardle 1980, 251.

21. Podzuweit 1979β, 204.

22. Wardle 1980, 252.

23. Hänsel 1979, εικ. 14, Hochstetter 1984, πίν. 281a.

24. Πρβλ. αμφορίσκο, Furumark 1972, 38, εικ. 9, σχήμα 9, τύπος 59-60. Πρβλ. επίσης πιθαμφορέα, Kübler - Kraiker 1939, πίν. 21.

25. Κεφ. Γ', υποσημ. 660 και 680.

26. Στον Καστανά, ο σταμνίσκος εμφανίζεται μόνο στο στρώμα 14b (φάση IV Καστανά), Hänsel 1982, 280, εικ. 8. Για τη μυκηναϊκή κεραμική των νεότερων στρωμάτων Καστανά 12-9, πρβλ. Podzuweit 1979β, 205 κ.ε.

27. Πρβλ. σχήματα αγγείων της φάσης V του Καστανά, που σχετίζονται με τα χειροποίητα αγγεία φάσης ΙΒ νεκροταφείου Θάσου. Μόνωτο ευρύστομο αγγείο τύπου IV 11, Π ί ν. 91: 2-3, πρβλ. Hochstetter 1984, πίν. 66, 4 (στρώμα 13). Δίωτο φιαλόσχημο αγγείο τύπου II, Π ί ν. 9: 13, πρβλ. Hochstetter, ό.π., πίν. 70, 10 (στρώμα 13), πίν. 80, 7 (στρώμα 12), κυπελλόσχημο τύπου VIII 179, Π ί ν. 113: 104, πρβλ. Hochstetter, ό.π., πίν. 81, 4. Επίσης, η αδρή κεραμική με την πλαστική διακόσμηση (κατηγορία I, 5) βρίσκει πολλά παράλληλα στην αντίστοιχη κεραμική της φάσης V του Καστανά, αλλά η εξέλιξη της κεραμικής αυτού του τύπου είναι πολύ αργή, ώστε δεν μπορεί να χρησιμοποιηθεί ως χρονολογικό κριτήριο.

28. Ό.π. (Κεφ. Γ', υποσημ. 242).

29. Ό.π. (Κεφ. Γ', υποσημ. 591).

σημειώνονται στα τέλη της ύστερης εποχής του χαλκού ευδιάκριτες σχέσεις της Μακεδονίας[30], της αιγαιακής Θράκης[31] και Τροίας VIIb1[32].

Για μια χρονολόγηση της φάσης ΙΒ νωρίς μέσα στη ΥΕ ΙΙΙΓ συνηγορούν και τα χάλκινα μαχαίρια των τύπων Ι, 5 και Ι, 6, που εμφανίζονται αποκλειστικά στη φάση αυτή, και τα οποία αποδίδουν τύπους μυκηναϊκών μαχαιριών ΥΕ ΙΙΙΒ και ΥΕ ΙΙΙΓ φάσης[33].

Τα χρονολογικά επομένως όρια της φάσης ΙΒ πρέπει να εντάσσονται μέσα στο στρώμα 13 του Καστανά[34], στη φάση 6 της Ασσήρου[35] και στη φάση ΙΙ του οικισμού του Σταθμού Αγγίστας[36], και πρέπει να τοποθετηθούν μέσα στην ΥΕ ΙΙΙΓ1, δηλαδή ανάμεσα στα 1190/1180 και 1100 π.Χ.[37]. Σύμφωνα με τη χρονολογία του νεκροταφείου των τύμβων της Βεργίνας, που πρότεινε ο Kilian[38], η φάση ΙΒ των νεκροταφείων θα μπορούσε να είναι σύγχρονη με τη φάση Ι της Βεργίνας, στην οποία ανήκουν τα τοπικά μυκηναϊκά αγγεία Δ5 και Ν20[39]. Η φάση, ωστόσο, αυτή του νεκροταφείου της Βεργίνας δεν είναι ακόμη καλά προσδιορισμένη και η παρουσία των τοπικών μυκηναϊκών αγγείων θα μπορούσε να ενταχθεί και στην επόμενη φάση του νεκροταφείου (φάση ΙΙ Kilian), που πρέπει να είναι σύγχρονη με τη φάση ΙΙΑ των νεκροταφείων της Θάσου.

Φάση ΙΙ

Από τη διαπιστωμένη στο Σχέδιο ΙΧ συνέχεια στη διαδοχή των φάσεων των νεκροταφείων Καστρί προκύπτει ότι η αρχή της μεταβατικής φάσης ΙΙΑ, με την οποία αρχίζει η φάση ΙΙ, συμπίπτει με το τέλος της προηγούμενης φάσης ΙΒ, που χρονικά προσδιορίσθηκε γύρω στα 1100 π.Χ. Το τέλος της φάσης ΙΙ καθορίζεται από την εμφάνιση στην τελευταία φάση των νεκροταφείων (ΙΙΓ) της υπογεωμετρικής κεραμικής τύπου G 2-3, η οποία με τις χάλκινες πόρπες των τύπων Π3-Π7, που προέρχονται από την ίδια φάση, χρονολογεί το τέλος της φάσης ΙΙ προς τα μέσα του 8ου αι. π.Χ., με περιθώρια ανοικτά και για μια χρονολόγηση ως τα τέλη του 8ου αι. π.Χ.[40].

Η μακρόχρονη αυτή φάση ΙΙ που καλύπτει χρονικό διάστημα τριών και μισού περίπου αιώνων, από τα 1100 π.Χ. ως τα 750 π.Χ. περίπου, φαίνεται ότι εξελίσσεται με ενδιάμεσα στάδια που διαγράφονται ως επιμέρους φάσεις στο Σχέδιο της συνδυαστικής στατιστικής (Σ χ έ δ. ΙΧ).

Φάση ΙΙΑ

Η παρουσία της τοπικής μυκηναϊκής κεραμικής, που στη φάση ΙΙΑ εμφανίζεται με σχήματα προχωρημένης ΥΕ ΙΙΙΓ περιόδου[41] (Κ4Α5, Π ί ν. 27: 5 και Τ1, 43, Π ί ν. 62: 43), η σχεδόν αποκλειστική εμφάνιση χάλκινων μαχαιριών, πολλά από τα οποία συνεχίζουν τύπους γνωστούς από την προηγούμενη φάση Ι, και η συνέχιση πολλών σχημάτων της ακόσμητης χειροποίητης κεραμικής Ι, 1β της προηγούμενης φάσης (Σ χ έ δ. ΙΧ· Π ί ν. 289α-β), τοποθετούν

30. Hochstetter 1982, 99 κ.ε.
31. Ακρόπολη Εργάνης, Σπήλαιο Μαρώνειας. Αδημοσίευτη κεραμική. Αρχαιολογική Συλλογή Μαρώνειας.
32. Blegen - Caskey 1958, εικ. 286, Hänsel 1976, 232.
33. Πρβλ. Κεφ. Δ', υποσημ. 28-70, ΕΙ, ΕΙΙ, ΕΙΙΙ.
34. Hochstetter 1984, 223 κ.ε.
35. Wardle 1980, 252. Χρονολογείται στο τέλος της φάσης 6 από τη μυκηναϊκή κεραμική στο 1100 π.Χ.
36. Φάση ΙΙ Σταθμού Αγγίστας, Κουκούλη-Χρυσανθάκη 1980.
37. Πρβλ. τις τελευταίες χρονολογήσεις Hankey - Warren 1974, 152, με τις οποίες αναθεωρούνται οι υψηλότερες χρονολογήσεις του Furumark 1941, όπου ΥΕ ΙΙΙΓ, 1230-1100 π.Χ.
38. Kilian 1975, 65-74. Η Hochstetter 1984, 394, αναλύοντας τη χειροποίητη κεραμική των ίδιων τάφων δε βρίσκει στοιχεία για μια χρονολόγησή τους στην ΥΕ ΙΙΙΒ-ΥΕ ΙΙΙΓ, που προτείνει ο Kilian.
39. Ανδρόνικος 1969, 274, Μ. Ανδρόνικος, Αρχαία Μακεδονία ΙΙ (1977), 45.
40. Συνοπτικά για τα προβλήματα χρονολόγησης κεραμικής τύπου G 2-3, πρβλ. Bernard 1964, 92 κ.ε.
41. Ό.π. (Κεφ. Γ', υποσημ. 689, 700).

τη φάση ΙΙΑ μέσα στην παράδοση της ύστερης εποχής του χαλκού. Από την άλλη μεριά, η σποραδική ακόμη εμφάνιση της αυλακωτής κεραμικής της κατηγορίας Ι, 3 (Π ί ν. 288γ-δ), που θα αποτελέσει τη χαρακτηριστική κεραμική της επόμενης φάσης ΙΙΒ, μαζί με την εμφάνιση των πρώτων χάλκινων τοξωτών πορπών του τύπου Π1 (Τ1, 50, Π ί ν. 62: 50) και μαχαιριών με σιδερένια λεπίδα του τύπου EVI (K5B, Π ί ν. 39: 33), προσδιορίζει τη φάση ΙΙΑ ως μεταβατική από την ύστερη εποχή του χαλκού στην πρώιμη εποχή του σιδήρου.

Ακολουθώντας τη διαδοχή των φάσεων στα νεκροταφεία του οικισμού Καστρί, πρέπει να τοποθετήσουμε τη φάση ΙΙΑ σε μια περίοδο σύγχρονη με τα στρώματα 12-11 του Καστανά[42], στον οποίο μαζί με τοπική μυκηναϊκή κεραμική ΥΕ ΙΙΙΓ2 εμφανίζονται και τα πρώτα στη Μακεδονία πρωτογεωμετρικά αγγεία, καθώς και σποραδικά παραδείγματα αυλακωτής ραβδωτής κεραμικής. Σύγχρονες περίπου με τη φάση ΙΙΑ πρέπει να είναι και οι φάσεις 5-3 της Ασσήρου[43], όπου δε σημειώνονται πρωτογεωμετρικά αγγεία, παρά μόνο ελάχιστη αυλακωτή κεραμική. Με τη φάση ΙΙΑ των νεκροταφείων της Θάσου θα μπορούσε να είναι σύγχρονη η φάση ΙΙ του νεκροταφείου της Βεργίνας, που ο Kilian[44], με βάση κυρίως τις χρονολογημένες στην υπομυκηναϊκή περίοδο της νότιας Ελλάδας χάλκινες περόνες, τη χρονολογεί ανάμεσα στα 1100-1050 π.Χ. Στη φάση ΙΙ του νεκροταφείου της Βεργίνας εμφανίζονται, όπως και στη φάση ΙΙΑ των νεκροταφείων του οικισμού Καστρί, οι πρώτες χάλκινες τοξωτές πόρπες με το στριφτό τόξο, τα πρώτα παραδείγματα ραβδωτής κεραμικής, καθώς και τα αρχαιότερα πρωτογεωμετρικά αγγεία, ορισμένα από τα οποία βρίσκονται πολύ κοντά στην ΥΕ ΙΙΙΓ2 παράδοση[45]. Η φάση ΙΙΑ των νεκροταφείων της Θάσου θα μπορούσε να ενταχθεί στο γενικότερο χρονολογικό πλαίσιο της αρχαιότερης φάσης της πρώιμης εποχής του σιδήρου της Μακεδονίας[46], όπου οι επιβιώσεις της τοπικής μυκηναϊκής κεραμικής φθάνουν ως τη βόρεια Μακεδονία[47].

Αντιστοιχίες με τα ανατολικά Βαλκάνια είναι δύσκολο να προσδιορισθούν σ' αυτή τη φάση. Ωστόσο, η ομάδα Coslogeni, που σύμφωνα με τις ισχύουσες χρονολογήσεις σταματά γύρω στα 1100 π.Χ.[48], εμφανίζει ένα σχήμα μόνωτου αγγείου με δύο παράλληλες χαράξεις στη βάση του λαιμού, που θα μπορούσε να συγκριθεί με τα αρχαιότερα παραδείγματα της αυλακωτής κεραμικής της φάσης ΙΙΑ[49].

Τα χρονολογικά, επομένως, όρια της φάσης ΙΙΑ θα μπορούν να προταθούν περίπου στα χρονολογικά πλαίσια της λεγόμενης υπομυκηναϊκής περιόδου, δηλαδή ανάμεσα στα 1100-1050 π.Χ.[50].

42. Hochstetter 1984, 274. Αφού το στρώμα 12 χρονολογείται από την πρωτογεωμετρική κεραμική γύρω στο 1050 π.Χ., για το στρώμα 11 προτείνεται μια χρονολόγηση γύρω στο 1000 π.Χ.

43. Ο Wardle 1980, 244, τονίζει την τέλεια απουσία χαρακτηριστικών γνωρισμάτων πρώιμης εποχής του σιδήρου στα στρώματα 5-3. Από τα στρώματα αυτά, ωστόσο, δε δημοσιεύθηκε ακόμη κεραμική και έτσι η περίπτωση αντιστοιχίας των φάσεων αυτών με τα στρώματα 10-9 του Καστανά, που προτείνει η Hochstetter 1984, 292, παραμένει ακόμη υποθετική. Η περαιτέρω μελέτη των φάσεων 5-3 έδειξε ότι ιδιαίτερη φάση 4 δεν υπήρχε, ενώ στη φάση 3 βρέθηκαν και ελάχιστα θραύσματα αυλακωτής κεραμικής, τα οποία πρέπει να προέρχονται από το νεότερο στρώμα 2 (προφορική ανακοίνωση K. Wardle).

44. Kilian 1975, 66. Η Hochstetter 1984, 304, επισημαίνοντας τις δυσκολίες για τη διάκριση επιμέρους χρονολογικών φάσεων στη Βεργίνα, προτείνει χαμηλότερες χρονολογήσεις στα πλαίσια των χρονολογήσεων του Ανδρόνικου.

45. Ανδρόνικος 1969, τάφος NVII, 17, πίν. 43. Πρβλ. κύπελλο Ασσήρου, ΥΕ ΙΙΙΓ, Wardle 1980, εικ. 14, 29. Η πρώιμη, οπωσδήποτε, επικράτηση του σιδήρου στη Βεργίνα αποτελεί ένα μεμονωμένο ως τώρα φαινόμενο για το βορειοελλαδικό χώρο, που επηρεάζει αρνητικά την πρώιμη χρονολόγηση της αρχής του νεκροταφείου.

46. Kilian 1975, 44, φάση ΙΑ.

47. Πρβλ. σκύφο Visoj, Kilian 1975, 79, πίν. 59, 15. Ο Mikulčić 1966, χρονολόγησε τον τάφο στις αρχές του 8ου αι. π.Χ.

48. Hänsel 1976, Beil. 1.

49. Morintz 1974, εικ. 84, τρίτη φάση (Radovanu). Για την εμφάνιση της αυλακωτής κεραμικής στη φάση ΙΙΑ της Θάσου μαζί με την τοπική μυκηναϊκή κεραμική, πρβλ. στρώματα 13-11 Καστανά.

50. Για την κατάργηση του όρου «υπομυκηναϊκή περίοδος», πρβλ. Rutter 1978, 58, Kilian 1975, 78, Podzuweit 1979, 204, σημ. 9. Οι αναθεωρημένες χρονολογήσεις μυκηναϊκής κεραμικής περιλαμβάνουν την υπομυκηναϊκή φάση ως ύστατη φάση ΥΕ ΙΙΙΓ, που τελειώνει γύρω στο 1050 π.Χ., Hankey - Warren 1974, 152.

Φάση ΙΙΒ

Η φάση ΙΙΒ, που αποτελεί και την πιο μακρόχρονη φάση των νεκροταφείων, πρέπει να αρχίζει συγχρόνως με την εμφάνιση της πρωτογεωμετρικής κεραμικής, που στη Μακεδονία τοποθετείται γύρω στα 1050 π.Χ. Οι διαφοροποιήσεις της ως τα μέσα του 8ου αι. π.Χ., που διαγράφονται ως επιμέρους φάσεις στο Σχέδιο IX, δεν είναι πάντα εύκολο να προσδιορισθούν με στοιχεία εξωτερικής χρονολόγησης, γιατί στο σύνολό της η φάση αυτή αντιπροσωπεύει μια περίοδο αυτόνομης εξέλιξης του οικισμού Καστρί.

Η αρχαιότερη φάση ΙΙΒ1 πρέπει να καλύπτει την αμέσως μετά τα 1050 π.Χ. χρονική περίοδο, χωρίς να κατεβαίνει πολύ μέσα στο 10ο αι. π.Χ. Οι χάλκινες πόρπες Κ2ΣΤ9 (Π ί ν. 19: 9 και Κ4Β8, Π ί ν. 33: 8), που ανήκουν στη φάση αυτή, έχουν όλα τα χαρακτηριστικά των πρώιμων χάλκινων τοξωτών πορπών, τόσο της Ιταλίας[51] όσο και του ελλαδικού και νησιωτικού χώρου[52]. Χαρακτηριστική είναι, επίσης, η εμφάνιση στη φάση ΙΙΒ1 ορισμένων σχημάτων αγγείων τοπικής χειροποίητης κεραμικής, που αποδίδουν καθαρά πρωτογεωμετρικά σχήματα (Κ2Ζ7, Π ί ν. 20: 7 και Τ17Α5, Π ί ν. 95: 5). Η παρουσία εξάλλου χάλκινων μαχαιριών, που χαρακτηρίζει όχι μόνο τη φάση ΙΙΒ1 αλλά και τη φάση ΙΙΒ2, σε συνδυασμό με την πρώιμη εμφάνιση των σιδερένιων όπλων στο νεκροταφείο της Βεργίνας[53], μας υποχρεώνει να παραμείνουμε τόσο στη φάση ΙΙΒ1 όσο και στη φάση ΙΙΒ2 που ακολουθεί, και για την οποία δεν υπάρχουν στοιχεία για μια εξωτερική χρονολόγηση, σε χρονολογίες που δεν απομακρύνονται πολύ από τον 11ο και το 10ο αι. π.Χ. Οι φάσεις ΙΙΒ1 και ΙΙΒ2 θα μπορούσαν να συγκριθούν με τη φάση 2 της Ασσήρου[54], όπου εμφανίζεται το μόνωτο ευρύστομο αγγείο τύπου IV με την αυλακωτή διακόσμηση και τη χαρακτηριστική γωνιόσχημη λαβή, καθώς και με τη φάση V του Καστανά[55] (στρώματα 10-9), που χαρακτηρίζονται από τα αυξημένα ποσοστά της αυλακωτής ραβδωτής κεραμικής. Η εγχάρακτη εξάλλου κεραμική, που εμφανίζεται στις φάσεις ΙΙΒ1 και ΙΙΒ2 με πολύ αραιά παραδείγματα (Β1Δ1, Π ί ν. 52: 1, Τ27Β, 4-5, Π ί ν. 164Β και Τ29, 19, Π ί ν. 167), σχετίζεται με τις ομάδες Čatalca και Babadag I[56], που τοποθετούνται στην αρχή της πρώιμης εποχής του σιδήρου στα ανατολικά Βαλκάνια.

Οι χάλκινες, επίσης, πόρπες της φάσης ΙΙΒ1 των νεκροταφείων της Θάσου αντιστοιχούν στις χάλκινες τοξωτές πόρπες της φάσης ΙΙΙΑ του νεκροταφείου της Βεργίνας[57], όπου εμφανίζονται με μεγάλη συχνότητα για να εξαφανισθούν, όπως συμβαίνει και στο νεκροταφείο της Θάσου, στις επόμενες φάσεις (Βεργίνα ΙΙΙΒ-ΙΙΙC-IV). Μαζί με τις τοξωτές πόρπες εξαφανίζεται και η ραβδωτή κεραμική στις νεότερες φάσεις του νεκροταφείου της Βεργίνας, όπως συμβαίνει και με την αντίστοιχη ραβδωτή κεραμική της κατηγορίας I, 4 μετά τη φάση ΙΙΒ1 των νεκροταφείων της Θάσου[58].

Τα χρονολογικά όρια των φάσεων ΙΙΒ1 και ΙΙΙΒ2, που προκύπτουν από τις παραπάνω

51. Südwall 1943, 20, 78.

52. Sapouna-Sakellaraki 1978, 41-54, τύπος II, κυρίως IIf, που αρχίζει από την υπομυκηναϊκή περίοδο.

53. Σιδερένια ξίφη επικρατούν ήδη από τη φάση II της Βεργίνας (Kilian 1975, 66), όπου σημειώνεται ένα μόνο παράδειγμα χάλκινου ξίφους. Για την πρώιμη εμφάνιση του σιδήρου στη Μακεδονία, πρβλ. Snodgrass 1965.

54. Σύμφωνα με ό,τι είναι γνωστό ως σήμερα από την Άσσηρο, η αυλακωτή κεραμική πρωτοεμφανίζεται στη φάση 3 και εμφανίζει μια εντονότερη παρουσία στη φάση 2, Wardle 1980, 256.

55. Hochstetter 1984, 284, φάση VI του Καστανά, η οποία αποτελεί συνέχεια της προηγούμενης φάσης, χωρίς ουσιαστικές αλλαγές στην κεραμική.

56. Hänsel 1976, πίν. 12, 14, 44, 8-9 (Babadag I), 23, 1, και 23, 7 (Čatalca), Hochstetter 1982, 111, εικ. 6, 113, εικ. 8. Το διακοσμητικό θέμα της εγχάρακτης διακόσμησης της οινοχόης Β1Δ1 (Π ί ν. 52: 1) εμφανίζεται και στη σταμπωτή κεραμική της ομάδας Pšeničevo, Hänsel 1976, πίν. 24, 14.

57. Ανδρόνικος 1969, 233, εικ. 70 και 73, Kilian 1975, 68.

58. Ο Ανδρόνικος 1969, 189 κ.ε., εντάσσει τη «ραβδωτή» κεραμική της Βεργίνας σ' ένα ευρύ χρονολογικό πλαίσιο, 10ος-8ος αι. π.Χ. Τα αγγεία με τη ραβδωτή διακόσμηση του νεκροταφείου της Βεργίνας εμφανίζουν αντιστοιχίες με τη ραβδωτή κεραμική του Καστανά.

συσχετίσεις, πρέπει να τοποθετηθούν ανάμεσα στα 1050 και 900 π.Χ. και να συμπίπτουν σε γενικές γραμμές με τη διάρκεια της φάσης ΙΒ1 της πρώιμης εποχής του σιδήρου της Μακεδονίας, όπως την προτείνει ο Kilian[59].

Η φάση ΙΙΒ3 αποτελεί μια συνεχόμενη, χωρίς νέες επιδράσεις, εξέλιξη των προηγούμενων φάσεων ΙΙΒ1 και ΙΙΒ2. Η τοπική χειροποίητη κεραμική, ακόσμητη ή με αυλακωτή διακόσμηση, συνεχίζει τα σχήματα των προηγούμενων φάσεων, ενώ η τροχήλατη επείσακτη ερυθρόχρωμη κεραμική πιθανότατα προέρχεται από τα ίδια εργαστήρια με την αντίστοιχη κεραμική των προγενέστερων φάσεων ΙΙΒ. Η σημαντικότερη διαφοροποίηση στη φάση ΙΙΒ3 είναι η τέλεια εξαφάνιση των χάλκινων μαχαιριών και η αντικατάστασή τους από τα σιδερένια.

Στοιχεία συγκριτικά για μια εξωτερική χρονολόγηση δεν εμφανίζονται στους τάφους αυτής της φάσης, που ανήκει στον κορμό της μεγάλης φάσης ΙΙΒ των νεκροταφείων. Τα χρονολογικά της όρια, ωστόσο, με βάση τη συνέχεια των φάσεων στα νεκροταφεία του οικισμού Καστρί, πρέπει να τοποθετηθούν ανάμεσα στα 900 π.Χ., κατώτερο χρονολογικό όριο της φάσης ΙΙΒ1-ΙΙΒ2 Θάσου, και στα 750 π.Χ., ανώτερο χρονολογικό όριο για τη χρονολογημένη με την κεραμική τύπου G 2-3 της φάσης ΙΙΓ.

Τα παραπάνω χρονολογικά πλαίσια αντιστοιχούν στη φάση VII του Καστανά και στη φάση 1 της Ασσήρου, αλλά οι σχέσεις που εμφανίζονται ανάμεσα στη φάση ΙΙΒ3 των νεκροταφείων της Θάσου και στην κεντρική Μακεδονία είναι πολύ περιορισμένες[60].

Στη φάση ΙΙΙΓ, η εμφάνιση της επείσακτης κεραμικής G 2-3 δίδει ένα όριο εξωτερικής χρονολόγησης, που δεν μπορεί, όπως είδαμε, να ανεβεί πάνω από τα μέσα του 8ου αι. π.Χ., ενώ συνήθως τοποθετείται στα τέλη του 8ου αι. π.Χ.[61]. Οι χάλκινες πόρπες της φάσης ΙΙΓ που ανήκουν στους τύπους Π3-Π7 μπορούν, όπως είδαμε, να χρονολογηθούν ως τον 8ο αι. π.Χ., τα κάτω όμως χρονολογικά τους όρια μπορούν να κατεβούν και στον 7ο και 6ο αι. π.Χ.[62]. Ορισμένα άλλα μετάλλινα αντικείμενα, όπως το χάλκινο χυτό κουμπί Τ7, 10 (Π ί ν. 79: 10) με την εγχάρακτη διακόσμηση στην τεχνική tremolo, είναι δυνατό να χρονολογηθούν από τον 11ο ως τον 8ο αι. π.Χ.[63], ενώ η διακοσμητική τεχνική με τις εμπίεστες κουκίδες, που εμφανίζεται στο μικρό θραύσμα χάλκινης επένδυσης Τ7Β9 (Π ί ν. 78Β: 9), θα μπορούσε και από παράλληλα της φάσης ΙΙΙC-IV του νεκροταφείου της Βεργίνας[64] να κατεβεί ως τα μέσα του 8ου αι. π.Χ.

Η γραμμική, επίσης, διακόσμηση στο κάτω σώμα της προχοΐσκης Κ3ΑΙ, 1 (Π ί ν. 23Β: 1) δεν επιτρέπει μια χρονολόγηση υψηλότερη από τα ύστερα γεωμετρικά αγγεία των περιφερειακών εργαστηρίων, δηλαδή πριν από τα 750 π.Χ.[65].

Η εμφάνιση στην επιφανειακή κεραμική του οικισμού στο Καστρί και ελάχιστων οστράκων αμφορέων με υπογεωμετρική διακόσμηση, γνωστών από το προαποικιακό στρώμα της Θάσου[66], σχετίζει την τελευταία φάση του οικισμού Καστρί και φυσικά και του νεκροταφείου του οικισμού με το προαποικιακό στρώμα της αρχαίας Θάσου. Η απουσία, ωστόσο, των χαρακτηριστικών εκείνων ειδών κεραμικής, που εμφανίζονται στο προαποικιακό στρώμα (bucchero, τοπικά πρωτογεωμετρικά, αγγεία τύπου προπερσικής Ολύνθου)[67], προσδιορίζουν τη φάση ΙΙΓ των νεκροταφείων ως αρχαιότερη από το προαποικιακό στρώμα της Θάσου και την τοποθετούν πλησιέστερα στα μέσα, παρά στα τέλη του 8ου αι. π.Χ.

59. Kilian 1975, πίν. 101.

60. Καστανάς, φάση VI, Hochstetter 1984, 277: 900-700 π.Χ. Άσσηρος, φάση 1, Wardle 1980: 900-700 π.Χ. Βεργίνα, φάση ΙΙΒ, Kilian 1975: 900-750 π.Χ.

61. W. Lamb, BSA 32 (1931/32) 56, Blegen - Caskey 1958, 254, M. Robertson, JHS 60 (1940), 2 κ.ε., Bernard 1964, 88 κ.ε.

62. Ό.π. (Κεφ. Δ', υποσημ. 366-382).

63. Ό.π. (Κεφ. Δ', υποσημ. 418-420).

64. Ανδρόνικος 1969, 257 εικ. 95.

65. Coldstream 1968, πίν. 20a, 29a και 50h, ύστερα γεωμετρικά, κυρίως 730-700 π.Χ.

66. Χ. Κουκούλη-Χρυσανθάκη, ΑΔ 29 (1973/74): Χρονικά, 779. Πρβλ. Bernard 1964, εικ. 35.

67. Πρβλ. Bernard ό.π., 109 κ.ε.

Σχετικά με τη χρονολογική σχέση της τοπικής αυλακωτής κεραμικής με την επείσακτη κεραμική τύπου G 2-3, πρέπει να σημειώσουμε ότι υπάρχουν ακόμη ορισμένα ερωτηματικά:

Η απουσία αυλακωτής κεραμικής από την ταφή Κ3ΑΙ, όπου η προχοΐσκη τύπου G 2-3 (Π ί ν. 23Β: 1) και η φανερή στρωματογραφική διάκριση της ταφής Κ3ΑΙ (Π ί ν. 215α) από τις βαθύτερες ταφές του ίδιου τάφου με την αυλακωτή κεραμική (Π ί ν. 24), θα μπορούσε να συνδυασθεί με την απουσία αυλακωτής κεραμικής από ταφές, όπως του στρώματος Τ19ΑΙ ή του τάφου Β3, που από όμοιες χάλκινες πόρπες θεωρούνται σύγχρονες με την ταφή Κ3ΑΙ.

Προσθέτοντας στις παραπάνω ενδείξεις και την απουσία από το προαποικιακό στρώμα της Θάσου χαρακτηριστικής αυλακωτής κεραμικής, αντίστοιχης με την κεραμική της φάσης ΙΙΒ των νεκροταφείων, θα μπορούσαμε να καταλήξουμε στην άποψη ότι η αυλακωτή κεραμική σταματά στη Θάσο πριν από την εμφάνιση της κεραμικής τύπου G 2-3. Επειδή δε το στρώμα καταστροφής του οικισμού Καστρί, τόσο στην κορυφή της ακρόπολης (τετράγωνο 5, τετράγωνα 13-15) όσο και στις πλαγιές της ακρόπολης (οικία Ι, τομέας ΙΙ)[68], περιέχει άφθονη αυλακωτή κεραμική, αντίστοιχη με της φάσης ΙΙΒ των νεκροταφείων, θα μπορούσε να υποστηριχθεί εν συνεχεία και η άποψη ότι με τη φάση ΙΙΒ καταστρέφεται και εγκαταλείπεται ο οικισμός της κορυφής Καστρί και ότι οι ταφές της φάσης ΙΙΓ των νεκροταφείων αντιπροσωπεύουν μια αραιή κατοίκηση της περιοχής, όπως άλλωστε και τα σποραδικά παραδείγματα κεραμικής 4ου αι. π.Χ. και ρωμαϊκών χρόνων, που σημειώνονται σε ορισμένους τάφους των νεκροταφείων (π.χ. Τ26, Τ32, Τ35Β).

Η αποδέσμευση της χρονολόγησης της φάσης ΙΙΒ3 από την κεραμική τύπου G 2-3 θα έδιδε το περιθώριο για ένα ανέβασμα γενικότερο της χρονολογίας της φάσης ΙΙΒ, που δε θα αποκλειόταν ούτε από το χαμηλό ποσοστό της παρουσίας σιδερένιων μαχαιριών (πρβλ. πρώιμη επικράτηση του σιδήρου στο νεκροταφείο της Βεργίνας) ούτε από την απουσία σταμπωτής κεραμικής από τα νεκροταφεία και από τον οικισμό Καστρί[69].

Αν όμως δεν υπάρχει στρωματογραφική σύνδεση της αυλακωτής κεραμικής με την κεραμική τύπου G 2-3, διαπιστώνεται ωστόσο σε ταφές της φάσης ΙΙΒ3 στρωματογραφική συσχέτιση της αυλακωτής κεραμικής με χαρακτηριστικά σχήματα της γκρίζας τροχήλατης κεραμικής, όπως του αμφορίσκου Τ20Α5 (Π ί ν. 127: 5), που στο νεκροταφείο της Ηφαιστείας βρίσκονται μαζί με κεραμική τύπου G 2-3, τοπικού μάλιστα εργαστηρίου[70]. Με την γκρίζα αυτή κεραμική της φάσης Α του νεκροταφείου της Ηφαιστείας προσεγγίζουμε τον ορίζοντα αυλακωτής κεραμικής της φάσης ΙΙΒ των νεκροταφείων Θάσου, όπως και με τη χειροποίητη οινοχόη τύπου VIIΔ 166 του βαθύτερου στρώματος του τάφου Τ19Α11 (Π ί ν. 125: 11) φθάνουμε στον ορίζοντα του στρώματος καταστροφής της οικίας Ι του τομέα ΙΙ του οικισμού Καστρί, όπου εμφανίζεται όμοιου τύπου οινοχόη (Σ χ έ δ. 171: 7).

Από τις παραπάνω συσχετίσεις και από το γεγονός ότι οι ταφές της φάσης ΙΙΓ είναι διάσπαρτες και στα τρία νεκροταφεία του οικισμού Καστρί, ορισμένες μάλιστα σε τάφους με παλαιότερες ταφές, δε φαίνεται πιθανή η άποψη ότι μεσολαβεί κάποιο χρονικό κενό ανάμεσα στη φάση ΙΙΒ3 και στη φάση ΙΙΓ.

Ο μικρός αριθμός των ταφών της φάσης ΙΙΓ θα μπορούσε να θεωρηθεί ένδειξη για κάποια συρρίκνωση του πληθυσμού στον οικισμό Καστρί μετά τη φάση ΙΙΒ3. Συνοπτικά θα μπορούσαμε να τονίσουμε τη διαπίστωση ότι, ενώ η συνέχεια ανάμεσα στις φάσεις Ι και ΙΙΒ των νεκροταφείων Θάσου είναι καλά προσδιορισμένη, η χαλαρή χρονολογική σχέση ανάμεσα

68. Χ. Κουκούλη-Χρυσανθάκη, ΑΔ 33 (1978): Χρονικά, 291 κ.ε. Πρβλ. Σ χ έ δ. 170-173.

69. Η απουσία της σταμπωτής κεραμικής από το νεκροταφείο Καστρί, σε αντίθεση με τη δυναμική εμφάνισή της στη γειτονική αιγαιακή Θράκη, δεν είναι δυνατό να ερμηνευθεί αποκλειστικά με χρονολογικά κριτήρια, γιατί ελάχιστη είναι η παρουσία αυτή της κεραμικής στην κεντρική και την ανατολική Μακεδονία, όπως και στην Τροία VIIb2. Σε ελάχιστα αγγεία της φάσης ΙΙΒ2-ΙΙΒ3 εμφανίζεται ένα είδος διακόσμησης που θα μπορούσε να θυμίσει σταμπωτή διακόσμηση, π.χ. Κ3Β3, Π ί ν. 25.

70. Mustilli 1932/33, εικ. 144.

στη φάση ΙΙΒ3 και τη φάση ΙΙΓ είναι αντίστοιχη με τα προβλήματα συνέχειας, που έχουν επισημανθεί ανάμεσα στην Τροία VIIb2 και στην Τροία VIII. Τα τελευταία χρόνια επαναλαμβάνονται συχνά οι απόπειρες να μειωθεί ή να γεφυρωθεί αυτό το κενό[71], αλλά το λιγοστό ακόμη αρχαιολογικό υλικό της φάσης ΙΙΓ των νεκροταφείων Θάσου δεν προωθεί σημαντικά το πρόβλημα. Πρέπει, ωστόσο, να επισημάνουμε την αντιστοιχία που εμφανίζεται ανάμεσα στην Τροία VIIb2 και στη Θάσο, η οποία μαζί με την ανεύρεση των οστράκων τύπου G 2-3 σε στρώματα Τροίας VIIb2, που είχε προβληματίσει τον Blegen[72], ενισχύει την άποψη της συνέχειας και στην Τροία, χωρίς, νομίζω, να είναι απαραίτητο να δεχθούμε μια αντίστοιχη συνέχεια και στην παραγωγή τοπικής μυκηναϊκής κεραμικής, που προτείνει ο Podzuweit[73].

Η απόλυτη χρονολόγηση της φάσης ΙΙ των νεκροταφείων της Θάσου θα μπορούσε επίσης να συνδυασθεί με την απόλυτη χρονολόγηση της πρώιμης εποχής του σιδήρου στα ηπειρωτικά Βαλκάνια, έχοντας ως βάση την εμφάνιση και την επικράτηση της αυλακωτής κεραμικής, που και στα ηπειρωτικά Βαλκάνια σημειώνεται μετά το τέλος της εγχάρακτης κεραμικής της ύστερης εποχής του χαλκού. Η αυλακωτή κεραμική της Θάσου εντάσσεται περισσότερο στην ομάδα της αυλακωτής κεραμικής των ανατολικών Βαλκανίων, που στην αιγαιακή Θράκη και στην Τροία φαίνεται ότι σχηματίζει μια ιδιαίτερη ενότητα, η οποία συγγενεύει με την αυλακωτή κεραμική των παραλίων της Βουλγαρίας και της Δοβρουτσάς.

Για την πρώιμη εποχή του σιδήρου στις νότια από το Δούναβη περιοχές των ανατολικών Βαλκανίων (σημερινή Ρουμανία και Βουλγαρία), όπου το κεντροευρωπαϊκό χρονολογικό σύστημα δεν καλύπτει πάντα την εξέλιξη των τοπικών πολιτισμών, έχουμε το χρονολογικό σύστημα του Hänsel[74], το οποίο επεκτείνεται και στις βόρεια από το Δούναβη περιοχές, και το χρονολογικό σύστημα της Tončeva[75], που καλύπτει την περιοχή της σημερινής Βουλγαρίας.

Βάση των παραπάνω χρονολογικών συστημάτων είναι από τη μια μεριά οι χρονολογήσεις των Hortfunde[76], που εξαρτώνται από το κεντροευρωπαϊκό χρονολογικό σύστημα, και από την άλλη η συσχέτιση της φάσης Ι της ομάδας Babadag με την Τροία VIIb2[77], που εξαρτά την πρώιμη εποχή του σιδήρου των παραδουνάβιων περιοχών από τις στηριγμένες στη μυκηναϊκή κεραμική αιγαιακές χρονολογήσεις.

Ο Hänsel, με βάση τη χρονολόγηση της Τροίας VIIb2 από την Sandars[78] στα μέσα του 12ου αι. π.Χ. και προσπαθώντας να μειώσει κατά το δυνατό το χρονολογικό κενό που υπάρχει ανάμεσα στην Τροία VIIb2 και VIII, προτείνει το τέλος της Τροίας VIIb1 λίγο πριν από τα 1100 π.Χ.[79] και χρονολογεί αντίστοιχα τη φάση Babadag I στην αρχή του 11ου αι. π.Χ., αμέσως μετά το τέλος της ομάδας Coslogeni στη Δοβρουτσά. Η χρονολογία αυτή της αρχής της φάσης Babadag I γύρω στα 1100 π.Χ. διασταυρώνεται και με τη χρονολογία των Hortfunde των παραδουνάβιων περιοχών, σύμφωνα με την οποία η φάση Babadag I είναι σύγχρονη με την αρχή της νεότερης σειράς Hortfunde (Hortfunde III, 1100-1000 π.Χ.), με βάση το εύρημα Sîmbată-Nouă[80].

Η αρχή επίσης της φάσης Babadag I, που διαδέχεται χωρίς τη μεσολάβηση αρχαιολογικού

71. Kimmig 1964, 248, Stefanovich 1973, 156-158, Hänsel 1976, 229 κ.ε., Tončeva 1980, 136.

72. Blegen - Caskey 1958, 158.

73. Podzuweit 1982, 80 κ.ε.

74. Hänsel 1976, Beil. 1.

75. Tončeva 1980, 133-136.

76. Hänsel 1976, 25-46, όπου και προηγούμενη βιβλιογραφία. Ο Hänsel, ό.π., εικ. 3, ξεχωρίζει τελικά δύο φάσεις Hortfunde στην ύστερη εποχή του χαλκού και στην αρχή της πρώιμης εποχής του σιδήρου. Η αρχαιότερη ομάδα (Hortfunde I-II) σχετίζεται με κεραμική του πολιτισμού Noua, Hänsel, ό.π., 71 κ.ε., ενώ η νεότερη ομάδα (Hortfunde III-IV) σχετίζεται με τη φάση Ι της ομάδας Babadag, Hänsel, ό.π., 132.

77. Sandars 1971, 1 κ.ε., Hänsel 1976, 229 κ.ε.

78. Sandars 1971, 18, Τροία VIIb1: 1180-1155 π.Χ., Τροία VIIb2: 1155-1050 π.Χ.

79. Hänsel 1976, 234-235, παρένθ. πίν. 1.

80. Ό.π., 132 κ.ε. Πρβλ. και Hänsel 1982α, 16.

και στρωματογραφικού κενού την ομάδα Coslogeni-Noua, διασταυρώνεται με τη χρονολόγηση του τέλους της ομάδας Noua[81] στα τέλη του 12ου αι., όπως προκύπτει από συσχετισμένα με κεραμική τύπου Noua ευρήματα Hortfunde της αρχαιότερης φάσης ΙΙ. Εν συνεχεία, για τη φάση Babadag ΙΙ, ο Hänsel[82] χρησιμοποιεί τις πόρπες Cozia[83] και Bradu[84], καθώς και το εγχάρακτο πώμα πυξίδας από τη φάση Babadag ΙΙ[85], που το σχετίζει με αντίστοιχο πώμα πυξίδας από τη χειροποίητη κεραμική του Κεραμεικού. Παραβάλλοντας επίσης τα διακοσμητικά μοτίβα της σταμπωτής κεραμικής της ομάδας Pšeničevo[86] με αντίστοιχα μοτίβα της πρωτογεωμετρικής κεραμικής, ενισχύει τη χρονολόγηση της αρχής της ομάδας Pšeničevo στο 10ο αι. π.Χ.

Η Tončeva[87] προτείνει στο δικό της χρονολογικό σύστημα ένα χαμηλότερο χρονολογικό όριο για την αρχή της πρώιμης εποχής του σιδήρου στα ανατολικά Βαλκάνια (Βουλγαρία).

Έχοντας ως ανώτερο χρονολογικό όριο της αρχής της πρώιμης εποχής του σιδήρου στη Βουλγαρία την περιφερειακή εξάπλωση της ομάδας Gava στο Banat της Ρουμανίας, που από μια επείσακτη ιταλική situla[88] χρονολογείται στον 11ο-10ο αι. π.Χ., και ως κατώτερο χρονολογικό όριο τις πόρπες Bradu και Cozia για τη φάση Babadag ΙΙ, χρησιμοποιεί τη χρονολόγηση της Τροίας VIIb2 που πρότεινε η French[89], με βάση την υπομυκηναϊκή κεραμική της Τροίας VIIb2 και τη χρονολογία που προτείνει ο Wardle[90] για την αρχή της πρώιμης εποχής του σιδήρου στην Άσσηρο, για να καταλήξει σε μια χρονολόγηση στα 1050 π.Χ. για την αρχή της πρώιμης εποχής του σιδήρου στα ανατολικά Βαλκάνια. Η νέα χρονολόγηση της μυκηναϊκής κεραμικής της Τροίας VII, 1 και VII, 2 από τον Podzuweit[91] ενισχύει τη χρονολόγηση της Tončeva, αλλά η χρησιμοποίηση της τροχήλατης κεραμικής τύπου G 2-3 που περιέχεται στα στρώματα της VIIb2, για να κατεβεί η τοπική μυκηναϊκή κεραμική ως τον 8ο αι. π.Χ., αφήνει αρκετά περιθώρια για αμφιβολίες[92].

Στην αμφισβήτηση της χρονολόγησης της Τροίας VIIb2, που από την εποχή του Blegen[93] δε θεωρείται ασφαλής, προστέθηκε τελευταία και η αμφισβήτηση της στηριγμένης σε επείσακτα μυκηναϊκά όστρακα της Ιταλίας χρονολόγησης του Müller-Karpe[94], έτσι ώστε να δημιουργείται η αίσθηση ενός φαύλου κύκλου, που αρχίζει και καταλήγει στα προβλήματα χρονολόγησης της τοπικής μυκηναϊκής κεραμικής σε περιφερειακές θέσεις του μυκηναϊκού κόσμου.

81. Hänsel 1976, 71 κ.ε.
82. Ό.π., 133-134.
83. A. Lázló, Memoria Antiquitatis 1 (1969), 319. Πρβλ. Hänsel 1976, 139, πίν. 52, 8.
84. A. Vulpe, Dacia NS 9 (1965), εικ. 8, Hänsel 1976, 138-140.
85. Hänsel 1976, 133, Hänsel 1982α, 16.
86. Hänsel 1976, 211.
87. Tončeva 1980, 133-136.
88. Ό.π., 55.
89. E. French 1977 (δακτυλογραφημένη περίληψη).
90. Wardle 1980, 262-263.
91. Ο Podzuweit 1982, 80, έχει προτείνει τις νεότερες ως τώρα χρονολογήσεις για τις φάσεις VI και VII της Τροίας: Τροία VIh: ΥΕ ΙΙΙΓ, 1150-1100 π.Χ., Τροία VIIa: 1100-1070 π.Χ., Τροία VIIb: 11ος-8ος αι. π.Χ.
92. Ο Podzuweit, ό.π., 80-83, ο οποίος δε φαίνεται να προχωρεί σε διάκριση της Τροίας VIIb1 και Τροίας VIIb2, προτείνει την αρχή της Τροίας VIIb μετά τις πρώτες δεκαετίες του 11ου αι., στηριγμένος στα πρωτογεωμετρικά όστρακα που βρέθηκαν στα στρώματα της Τροίας VIIb1. Τα όστρακα όμως αυτά, όπως αναφέρει και ο Blegen, είναι όμοια με τα πολύ νεότερα τύπου G 2-3, και είναι αμφίβολο αν είναι πρωτογεωμετρικά. Το μοναδικό, που θα μπορούσε να θεωρηθεί πρωτογεωμετρικό (Blegen - Caskey 1958, 26, εικ. 278), προέρχεται από μια κατηγορία σκύφων, που μπορούν να κατεβούν ως τον 8ο αι. π.Χ. στην Εγγύς Ανατολή, Buchholz 1975, 92, όπου και προγενέστερη βιβλιογραφία. Αντίθετα, υπάρχουν ορισμένες ενδείξεις για τη χρονολογική συσχέτιση της ομάδας Coslogeni με την Τροία VIIb1. Πρβλ. π.χ. τον κάνθαρο, Schmidt 1902, 176, αριθ. 3620, ή την οινοχόη, Blegen - Caskey 1958, εικ. 262, αριθ. 37897.
93. Ο Blegen επισημαίνει την ανεύρεση οστράκων τύπου G 2-3 σε στρώματα Τροίας VIIb, Blegen - Caskey 1958, 158, 250.
94. Podzuweit 1981α, Podzuweit 1982, 82, σημ. 15. Λείπει, ωστόσο, η στρωματογραφία για τη χρονολόγηση των τοπικών μυκηναϊκών αγγείων της Ιταλίας.

Χωρίς να προχωρήσουμε στην ανάλυση των θεωρητικών προβλημάτων, που περιέχονται στην απόλυτη χρονολόγηση των πολιτισμών της κεντρικής Ευρώπης που συνόψισε ο Hänsel[95], ας δούμε μόνο ποια είναι η θέση των νεκροταφείων του οικισμού Καστρί και της θέσης Λαρνάκι στις χρονολογήσεις που προτείνουν τα παραπάνω χρονολογικά συστήματα: Η υποχώρηση της εγχάρακτης κεραμικής, που στα νεκροταφεία της Θάσου, όπως και στην κεντρική και ανατολική Μακεδονία, χρονολογείται από την επείσακτη μυκηναϊκή κεραμική στα τέλη της ΥΕ ΙΙΙΒ περιόδου, και η πρώιμη εμφάνιση της αυλακωτής κεραμικής στην αρχή της ΥΕ ΙΙΙΓ περιόδου στην Κοιλάδα του Αξιού (φάση V Καστανά) και στα τέλη της ΥΕ ΙΙΙΓ στη Θάσο (φάση ΙΙΑ των νεκροταφείων) συμπίπτει με την αντίστοιχη εξαφάνιση των παραδουνάβιων πολιτιστικών ομάδων με την εγχάρακτη κεραμική στα τέλη της ύστερης εποχής του χαλκού και με τη διάδοση της αυλακωτής κεραμικής στις νότια του Δούναβη περιοχές των ανατολικών Βαλκανίων.

Από τη στρωματογραφία ωστόσο των οικισμών της κεντρικής και ανατολικής Μακεδονίας, όπως και των νεκροταφείων του οικισμού Καστρί Θάσου, προκύπτει ότι η εξαφάνιση της εγχάρακτης κεραμικής πραγματοποιήθηκε σταδιακά, όπως σταδιακά σημειώθηκε και η διάδοση της αυλακωτής κεραμικής. Ενιαίος, άλλωστε, χρονολογικός ορίζοντας αυλακωτής κεραμικής δεν πρέπει να υπάρχει ούτε στις νότια του Δούναβη περιοχές των ανατολικών Βαλκανίων[96], όπου η αυλακωτή κεραμική εμφανίζεται δίπλα σε άλλες κατηγορίες τοπικής κεραμικής, όπως είναι η σταμπωτή και η εγχάρακτη. Για να επιχειρήσουμε επομένως το συγχρονισμό των δύο αυτών παράλληλων φαινομένων, που φαίνεται να εντάσσονται στα γενικά χρονολογικά πλαίσια του συστήματος του Hänsel[97], χρειαζόμαστε στρωματογραφημένο αρχαιολογικό υλικό από περισσότερες θέσεις και μάλιστα από ενδιάμεσες περιοχές, που μεσολαβούν ανάμεσα στο βόρειο Αιγαίο και στο Δούναβη. Η άποψη της σύγχρονης εμφάνισης της αυλακωτής κεραμικής, η οποία έχει σχετισθεί με την εμφάνιση ενός ενιαίου ορίζοντα καταστροφών, που καλύπτουν τις περιοχές του βόρειου Αιγαίου από τη Μακεδονία ως την Τροία[98], δε φαίνεται να επιβεβαιώνεται από τη λεπτομερειακότερη ανάλυση του στρωματογραφημένου αρχαιολογικού υλικού, που έδωσαν οι τελευταίες ανασκαφές στον Καστανά[99].

Η ύπαρξη μεταβατικών φάσεων, που σημειώνεται στη στρωματογραφία του Καστανά και των νεκροταφείων της Θάσου, επισημαίνει περισσότερο σταδιακές διεισδύσεις και πολιτιστικές επιδράσεις, που είναι δύσκολο να χρονολογηθούν με απόλυτες χρονολογήσεις.

ΧΡΟΝΟΛΟΓΗΣΕΙΣ ^{14}C

Από στρώματα ύστερης εποχής του χαλκού οικισμών της κεντρικής και ανατολικής Μακεδονίας έχουμε και ορισμένες χρονολογήσεις ^{14}C:

95. Hänsel 1982α, 1 κ.ε.

96. Hänsel 1976, 115-116. Αντίθετα, η Tončeva 1980, 131, επισημαίνει στη στρωματογραφία του Sava Conevo έναν ορίζοντα καθαρής αυλακωτής κεραμικής, αρχαιότερο από την εγχάρακτη και τη σταμπωτή κεραμική, τον οποίο εξαρτά από τις νεότερες επιδράσεις του πολιτισμού Gava στην περιοχή του Banat, στην HaA2 περίοδο, γύρω στο 1050 π.Χ.

97. Hänsel 1976, παρένθετος πίνακας I.

98. Stefanovich 1973, 156, φάση Mediana II, 1050 π.Χ.

99. Η Hochstetter 1984, 301, επισημαίνει ότι δεν είναι υποχρεωτικό να είναι σύγχρονη η εμφάνιση της αυλακωτής κεραμικής στην κεντρική Μακεδονία και στην Τροία VIIb2. Για την Hochstetter, με βάση τη στρωματογραφία του Καστανά, η φάση Mediana II ή διήρκεσε πολλά χρόνια ή είναι νεότερη από τη ραβδωτή κεραμική στη στρωματογραφία 12-11 του Καστανά.

1. Καστανάς (Hänsel 1982α, 2, εικ. 1· Εργαστήριο Πανεπιστημίου Köln και Kiel)

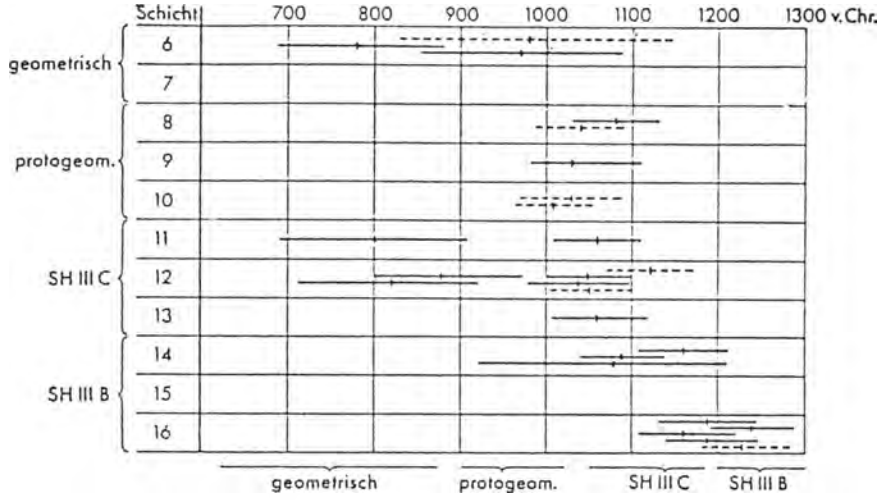

2. Σταθμός Αγγίστας (Κουκούλη-Χρυσανθάκη 1980, 78· Εργαστήριο Ακαδημίας Επιστημών ανατολικού Βερολίνου)

Δείγμα	Ένδειξη	Ύλη	B.P.	Χρονολογία	Στρώμα	Φάση
1: BLN 2103	Βόρεια τομή Πίθος 1 Γ-Δ/1-2	Οργανική ύλη	2900 45 B.P.	950 45 π.Χ.	5	II
2α: BLN 2104	Βόρεια τομή Πίθος 3 Γ-Δ/2-3	Ξύλο	2890 65 B.P.	940 65 π.Χ.	5	II
2β: BLN 2134	Βόρεια τομή Πίθος 3 Γ-Δ/2-3	Οργανική ύλη	2890 45 B.P.	930 45 π.Χ.	5	II

3. Ντικιλί Τας (Seferiades 1983, εικ. 4· Εργαστήριο Πανεπιστημίου Lyon)

Période	Sondage	Niveau	Datation B.P.	Lab. n°
IV	Q 25/Q 26	2	2870 ± 370	Ly 1306
IIIB	P 24	2/3	5030 ± 160	Ly 1305
IIIB	Q 25	2/3	3430 ± 120	Ly 1063
IIIB	Q 24/Q 25	3	2370 ± 230	Ly 1304
IIIA/B	T 24	12	3700 ± 230	Ly 1602
IIIA	T 24	14	6480 ± 270	Ly 1061
IIB2	U 24	17	6040 ± 120	Ly 1064
IIB2	T 24	17	6100 ± 200	Ly 1062
IIB2	R 24	17	5750 ± 140	Gif 1425
IIB2	R 24	17	5600 ± 150	Gif 1738
IIB1	W 30	8	5650 ± 140	Gif 1423
IIB1	X 29	8/9	5750 ± 140	Gif 1424
IIA	X 29	12	5850 ± 160	Gif 1736
I (fin)	X 29	13	6400 ± 160	Gif 1737
I (fin)	X 30	13	6450 ± 160	Gif 1740
I (fin)	X 29	13	6170 ± 160	Gif 1735
I (fin)	X 30	13	2830 ± 110	Gif 1739
I	W 30	11	6800 ± 150	Gif 1426
I	W 30	14	6720 ± 160	Gif 2630
I	AA 28	alt. 1,05 m	6370 ± 170	Gif 2627
I	AA 28	alt. 0,39 m	6250 ± 160	Gif 2629
I	AA 28	alt. 0,39 m	7020 ± 170	Gif 2628

4. Άσσηρος (Wardle 1982· Εργαστήριο Βρετανικού Μουσείου)

Από τις χρονολογίες ^{14}C που έχουμε από την Άσσηρο και οι οποίες καλύπτουν όλες τις επιμέρους φάσεις του οικισμού, προκύπτει ότι και στην Άσσηρο οι χρονολογήσεις ^{14}C εντάσσονται στα γενικά χρονολογικά πλαίσια των γνωστών χρονολογήσεων ^{14}C της ύστερης εποχής του χαλκού της Μακεδονίας, εμφανίζοντας μια αντίστοιχη ρευστότητα. Αξιοσημείωτη είναι, οπωσδήποτε, η σχετικά χαμηλή χρονολόγηση ^{14}C, που έχουν δώσει τα αρχαιότερα στρώματα του οικισμού.

BM-1426	Phase 2	2800 ± 75 B.P.
BM-1427	Phase 5	2920 ± 75 B.P.
BM-1428	Phase 6	2900 ± 70 B.P.
BM-1429	Phase 7	2940 ± 80 B.P.
BM-1430	Phase 8	2930 ± 50 B.P.
BM-1431	Phase 11	2840 ± 45 B.P.
BM-1432	pre-Myc.	2960 ± 40 B.P.
BM-1433	MBA	2930 ± 55 B.P.

Οι παραπάνω χρονολογήσεις ^{14}C είναι ελάχιστες ακόμη για να στηρίξουν ένα χρονολογικό σύστημα της ύστερης εποχής του χαλκού της Μακεδονίας, ανεξάρτητο από τις αρχαιολογικές ιστορικές χρονολογήσεις.

Συγκρίνοντας ωστόσο μεταξύ τους τις χρονολογήσεις αυτές, που πραγματοποιήθηκαν από διαφορετικά εργαστήρια, διαπιστώνεται αρχικά μια συμφωνία σε γενικές γραμμές στις χρονολογήσεις B.P. των δειγμάτων ύστερης εποχής του χαλκού: π.χ. Σταθμός Αγγίστας: 2890-2900 B.P., Ντικιλί Τας: 2870 B.P., Άσσηρος (φάσεις 5-11): 2840-2920 B.P.

Οι χρονολογήσεις αυτές είναι οπωσδήποτε νεότερες από τις ^{14}C χρονολογήσεις που έχουμε από στρώματα πρώιμης εποχής του χαλκού στη Μακεδονία (Ντικιλί Τας[100], Σιταγροί[101], Πεντάπολη[102], Καστανάς[103]), έτσι ώστε να βεβαιώνεται η σταθερή βάση αυτής της μεθόδου χρονολόγησης, που αποδείχθηκε εύχρηστη για χρονολογικές περιόδους με πλατιά χρονολογικά πλαίσια.

Από την άλλη μεριά, ωστόσο, από τη σειρά των χρονολογήσεων ^{14}C, που έχουμε από τον Καστανά και την Άσσηρο, προκύπτει η αδυναμία αυτής της μεθόδου να προσδιορίσει περιόδους με στενά χρονολογικά πλαίσια.

Όπως έδειξαν οι παράλληλες έρευνες δύο εργαστηρίων, που δούλεψαν ανεξάρτητα το ένα από το άλλο στα ίδια δείγματα από τον οικισμό του Καστανά, σε ορισμένα στρώματα του οικισμού εμφανίζονται διαφορές στις ^{14}C χρονολογήσεις δειγμάτων από το ίδιο στρώμα, που μπορούν να φθάσουν τα 300-400 χρόνια[104]. Επίσης, από τη σύγκριση των χρονολογήσεων ^{14}C με τις ιστορικές χρονολογήσεις, που στην ύστερη εποχή του χαλκού της Μακεδονίας στηρίζονται στην παρουσία της επείσακτης μυκηναϊκής κεραμικής, διαπιστώνεται ότι σε ορισμένες περιπτώσεις οι χρονολογήσεις ^{14}C, για να συμπέσουν με τις ιστορικές χρονολογήσεις, δε χρειάζονται διόρθωση με δενδροχρονολόγηση. Το φαινόμενο αυτό δεν είναι βέβαια τόσο γενικό στον Καστανά, όπως αρχικά πίστεψε ο Schwabedissen[105], και δε φαίνεται να ενισχύεται από τις χρονολογήσεις ^{14}C του Σταθμού Αγγίστας και του Ντικιλί Τας,

100. Seferiades 1983, 640, εικ. 4.

101. Renfrew 1970, 302.

102. Γραμμένος 1981, 123.

103. Hänsel 1982α, 2, εικ. 1.

104. H. Schwabedissen - J. Freundlich, Köln - H. Wilkome, Kiel, πρβλ. χρονολογήσεις Hänsel 1982α, 3, σημ. 2.

105. H. Schwabedissen, Konventionel oder Kalibrierte ^{14}C Daten, Archäologische Informationen 4 (1978), 110-117, όπου υποστηρίχθηκε αρχικά ότι οι χρονολογήσεις ^{14}C του Καστανά θα μπορούσαν να χρησιμοποιηθούν χωρίς διόρθωση δενδροχρονολόγησης. Η άποψη αυτή ωστόσο ύστερα από τη δεύτερη σειρά των αναλύσεων, που πραγματοποιήθηκαν στα δύο εργαστήρια Köln και Kiel, δε φαίνεται να ισχύει.

αλλά οπωσδήποτε δεν έχει αποκλεισθεί τελείως από τη νέα σειρά των χρονολογήσεων ^{14}C του Καστανά[106], και όπως φαίνεται δεν πρέπει να αποκλεισθεί και από την Άσσηρο, όπου οι χρονολογήσεις των προμυκηναϊκών στρωμάτων εμφανίζονται νεότερες κατά 150 χρόνια από τις γνωστές ιστορικές χρονολογήσεις των ίδιων στρωμάτων[107].

Διορθωμένες ή όχι με δενδροχρονολόγηση οι χρονολογήσεις ^{14}C, που έχουμε ως τώρα από τη Μακεδονία της ύστερης εποχής του χαλκού, πριν από την αναλυτική δημοσίευσή τους και την αξιολόγησή τους από τους ειδικούς και πριν από τη συγκέντρωση περισσότερου συγκριτικού υλικού και από άλλες θέσεις, δεν μπορούν να χρησιμοποιηθούν ακόμη με ασφάλεια[108], για να αντικαταστήσουν την ιστορική αρχαιολογική χρονολόγηση, που για την ύστερη εποχή του χαλκού της Μακεδονίας και της Θάσου στηρίζεται στην επείσακτη μυκηναϊκή κεραμική.

Το σκελετικό υλικό των νεκροταφείων του οικισμού Καστρί και της θέσης Λαρνάκι προσφέρει πολλές δυνατότητες για μια συστηματική εργαστηριακή έρευνα των οστών και χρονολόγησή τους με βάση τις μετρήσεις του ^{14}C. Στον τομέα, ωστόσο, αυτό δεν πραγματοποιήθηκε ακόμη συστηματική και εκτεταμένη εργαστηριακή έρευνα.

Δειγματοληπτική έρευνα αποτελεί η χρονολόγηση με ^{14}C μηριαίου οστού από τον τάφο Λ1Δ του νεκροταφείου Λαρνάκι, η οποία έδωσε μια χρονολόγηση στα 805 π.Χ., με δυνατότητα πρωιμότερης χρονολόγησης μέχρι και 300 χρόνων (βλ. Παράρτημα XIII).

106. Hänsel 1982α, 2 κ.ε.
107. Wardle 1982.
108. Hänsel 1982α, 4.

ΚΕΦΑΛΑΙΟ Ζ'

ΟΡΓΑΝΩΣΗ ΤΗΣ ΟΙΚΟΝΟΜΙΑΣ ΚΑΙ ΤΗΣ ΚΟΙΝΩΝΙΑΣ ΣΤΟΝ ΟΙΚΙΣΜΟ ΚΑΣΤΡΙ

ΟΙ ΑΡΧΑΙΟΛΟΓΙΚΕΣ ΠΛΗΡΟΦΟΡΙΕΣ ΤΩΝ ΝΕΚΡΟΤΑΦΕΙΩΝ

Η έρευνα του αρχαιολογικού υλικού των νεκροταφείων του οικισμού Καστρί και της θέσης Λαρνάκι, που πραγματοποιήθηκε πάνω στους άξονες του χρόνου και του χώρου, έχει προσδιορίσει την ένταξη της πολιτιστικής φυσιογνωμίας του οικισμού Καστρί στον πολιτιστικό χώρο της Μακεδονίας και της Θράκης, όπως αυτός διαμορφώθηκε στην ύστερη εποχή του χαλκού και στην πρώιμη εποχή του σιδήρου, με βάση το πολιτιστικό υπόστρωμα της πρώιμης εποχής του χαλκού και κάτω από την επίδραση των γειτονικών πολιτιστικών κύκλων του ανατολικοαιγαιακού και του ηπειρωτικού βαλκανικού χώρου. Η συνεχής χρήση ορισμένων τάφων στα νεκροταφεία του οικισμού Καστρί στις φάσεις Ι και ΙΙ βεβαιώνει ότι ανάμεσα στις τελευταίες φάσεις της ύστερης εποχής του χαλκού και στην πρώιμη εποχή του σιδήρου, παρά τις επιμέρους πολιτιστικές αλλαγές, που είναι ιδιαίτερα φανερές στην κεραμική και τη μεταλλοτεχνία του οικισμού, δε μεσολαβεί πολιτιστική διακοπή ούτε ριζικές πληθυσμιακές ανακατατάξεις. Η εμφάνιση νέων πολιτιστικών στοιχείων που χαρακτηρίζουν τη φάση ΙΙ, όπως η χρήση του σιδήρου, η αλλαγή στα σχήματα και στον τρόπο διακόσμησης των αγγείων και η εμφάνιση νέων τύπων μετάλλινων αντικειμένων — για να αναφερθούμε στις πιο σημαντικές από τις αλλαγές — πραγματοποιούνται με μια μεταβατική φάση ΙΙΑ, με την οποία επισημαίνεται η συνέχεια ανάμεσα στη φάση Ι και ΙΙ. Αντίστοιχη πολιτιστική συνέχεια μαρτυρούν, επίσης, η εξελικτική πορεία της μορφολογίας των ταφικών κτισμάτων, τα ταφικά έθιμα των νεκροταφείων, καθώς και οι βασικές μορφές τεχνολογίας, που εφαρμόζουν οι κάτοικοι του οικισμού στην κεραμική και στη μεταλλουργία, τόσο στις μεθόδους κατασκευής όσο και στην τυπολογία των αγγείων, των εργαλείων και των κοσμημάτων τους. Οι νέοι τρόποι διακόσμησης εφαρμόζονται σε σχήματα αγγείων που προϋπάρχουν και οι νέοι τύποι ενσωματώνονται στην υπάρχουσα και συνεχιζόμενη παράδοση.

Το αρχαιολογικό υλικό των νεκροταφείων Καστρί και Λαρνάκι δίδει, επίσης, συγχρόνως και έναν άλλο κύκλο πληροφοριών, σχετικών με την οργάνωση της οικονομίας (εκμετάλλευση των φυσικών πόρων, τεχνολογία, ανταλλαγές) και τη διάρθρωση της κοινωνικής ζωής στον οικισμό Καστρί, στα τέλη της ύστερης εποχής του χαλκού και στην πρώιμη εποχή του σιδήρου.

ΟΡΓΑΝΩΣΗ ΤΗΣ ΟΙΚΟΝΟΜΙΑΣ

Εκμετάλλευση φυσικών πόρων

ΓΕΩΡΓΙΑ - ΑΛΙΕΙΑ - ΚΤΗΝΟΤΡΟΦΙΑ

Γεωργία

Από το αρχαιολογικό υλικό των νεκροταφείων δεν προκύπτουν πληροφορίες για τις γεωργικές ασχολίες των κατοίκων του οικισμού Καστρί στα τέλη της ύστερης εποχής του χαλκού

και στην πρώιμη εποχή του σιδήρου. Τα αγγεία που συνόδευαν τους νεκρούς στον τάφο θα περιείχαν και φυτικές τροφές — στερεές ή υγρές — από τις οποίες δε σώθηκε κανένα ίχνος. Η αναπαράσταση της βλάστησης στο άμεσο περιβάλλον του οικισμού, τα είδη των δημητριακών και των λαχανικών, που θα καλλιεργούσαν οι κάτοικοί του στις αλλουβιακές εκτάσεις της κοιλάδας, που απλώνεται στους πρόποδες του λόφου, ή στις ημιορεινές περιοχές γύρω στο λόφο της ακρόπολης και στις πλαγιές του, θα μελετηθούν με την ολοκλήρωση της ανασκαφής του οικισμού. Η μελέτη των απανθρακωμένων σπόρων από την ανασκαφή του οικισμού, η γεωμορφολογική και παλινολογική έρευνα πιθανότατα θα επισημάνουν αν εκείνες οι καλλιέργειες, που έπαιξαν καθοριστικό ρόλο στην οργάνωση της οικονομίας του νησιού στους ιστορικούς χρόνους — της ελιάς και του αμπελιού — ήταν γνωστές στους προελληνικούς πληθυσμούς του νησιού ή έφθασαν στο νησί μαζί με τους Πάριους αποίκους στις αρχές του 7ου αι. π.Χ.

Η καλλιέργεια της ελιάς, που είναι γνωστή στην Κρήτη από την ΠΜ ΙΙ περίοδο[1], και της οποίας η διάδοση στον ελλαδικό χώρο και τα νησιά συμπεριλαμβάνεται στα πολιτιστικά αγαθά που κληρονόμησε ο μυκηναϊκός πολιτισμός από το μινωικό, πρέπει να ήταν γνωστή στην πεδιάδα των Φιλίππων από τη 2η χιλιετία[2]. Αν από τη χρονολογία που έχει δώσει η παλινολογική έρευνα κρατήσουμε τα κάτω χρονολογικά όρια, θα ήταν δυνατό να συνδέσουμε την εμφάνισή της στο βορειοελλαδικό χώρο με τη δραστηριοποίηση των Μυκηναίων στα βόρεια παράλια του Αιγαίου. Με βάση τις ενδείξεις αυτές της πεδιάδας των Φιλίππων, θα μπορούσαμε να υποθέσουμε μια σύγχρονη διάδοση της καλλιέργειας της ελιάς και στα νησιά του βόρειου Αιγαίου, στα οποία επεκτάθηκε το μυκηναϊκό εμπόριο από την ΥΕ ΙΙΙΒ περίοδο. Για την καλλιέργεια του αμπελιού ξέρουμε ότι ήταν γνωστή στην περιοχή του Ίσμαρου της γειτονικής Θράκης από την εποχή των ομηρικών επών[3], αλλά κανένα ωστόσο στοιχείο δεν έχουμε ακόμη για τη Θάσο. Η εμφάνιση πολλών οξυπύθμενων ιωνικών αμφορέων στο προαποικιακό στρώμα της αρχαίας Θάσου οδήγησε τον Graham να υποθέσει την εισαγωγή κρασιού και λαδιού από τις περιοχές των αμφορέων αυτών, δηλαδή από το βορειοανατολικό Αιγαίο και τη βορειοδυτική Μικρά Ασία[4].

Η μοναδική ένδειξη για τις καλλιέργειες των κατοίκων του οικισμού, που προέρχεται από τα ευρήματα των νεκροταφείων, είναι το τμήμα μιας κλωστής από λινάρι, που βρέθηκε στο εσωτερικό μιας «σύριγγας». Η κλωστή, που περνά σφιχτά μέσα από τη «σύριγγα», είναι ένα νήμα τετράκλωνο, στριφτό, από φυσικό λινάρι (Π ί ν. 115: 126) (Παράρτημα Χ). Η καλλιέργεια του λιναριού είναι γνωστή από τη νεολιθική εποχή και φαίνεται ότι ήταν ιδιαίτερα διαδεδομένη και στη Μακεδονία της ύστερης εποχής του χαλκού, όπως προκύπτει από τα

1. J. Renfrew, Appendix V (P. Warren, Myrtos, 1972), 316-317, όπου συγκεντρώνονται τα πρώιμα παραδείγματα. Πρβλ. και Treuil 1983, 381-382. Ωστόσο, το κουκούτσι ελιάς από τη Θεσσαλία πρέπει να επισημαίνει την παρουσία της αγριελιάς στον ελλαδικό χώρο από τη νεολιθική εποχή, J. Renfrew, Γεωργία, στο Νεολιθική Ελλάς, 1973, 161, όπως και οι παλινολογικές ενδείξεις από την Κωπαΐδα, Greig - Turner 1974, 190. Οι παλινολογικές ενδείξεις από την Πελοπόννησο δίδουν νεότερες χρονολογήσεις από τα αρχαιότερα παραδείγματα της Κρήτης (Μύρτου ΠΜ ΙΙ), E. Wright, στο W.A. McDonald - G.R. Rapp, The Minnessota Messenia Expedition, 1972, 188-199. Παραδείγματα, ελιές από την Τίρυνθα: H. Kroll, AA 1982, 467-485 (κουκούτσια ελιών).

2. Greig - Turner 1974, 182, εικ. 3 (1900-1350 π.Χ.). Η εμφάνιση της μυκηναϊκής κεραμικής στον Καστανά συμπίπτει με αλλαγές στον τρόπο καλλιέργειας της γης, που επισημαίνει ο Kroll 1983, 134, αλλά δε συνοδεύεται με εμφάνιση ελιάς. Η απουσία, ωστόσο, της ελιάς από τον Καστανά πρέπει να αποδοθεί στο ακατάλληλο κλίμα της περιοχής αυτής.

3. Οδύσσ. ι 196 κ.ε.: «... αἴγειον ἀσκὸν ἔχον μέλανος οἴνοιο ἡδέος, ὄν μοι δῶκε Μάρων, Εὐάνθεος υἱὸς ἱερεὺς Ἀπόλλωνος, ὃς Ἴσμαρον ἀμφιβεβήκει». Το πρόβλημα βέβαια της χρονολόγησης των πραγματολογικών πληροφοριών των ομηρικών επών δεν είναι δυνατό να συζητηθεί εδώ.

4. Πρβλ. Graham 1978, 88. Οι πρώιμες, ωστόσο, ενδείξεις για καλλιέργεια αμπελιών στη γειτονική Θράκη που χρονολογούνται πολύ πριν από το 2000 π.Χ. (J. Renfrew, Palaeoethnobotany, 1973, 127, Treuil 1983, 381 κ.ε.) και η διάδοση της καλλιέργειας του αμπελιού στην Κρήτη (J. Renfrew Appendix V, P. Warren, Myrtos, 1972, 315-316) και στις Κυκλάδες (J. Renfrew, ό.π., 316) από την πρώιμη εποχή του χαλκού εμφανίζουν πιθανότερη την άποψη ότι η καλλιέργεια του αμπελιού δεν ήταν άγνωστη και στην πρωτοϊστορική Θάσο.

ευρήματα του Καστανά, στα οποία συμπεριλαμβάνεται και συγκεντρωμένη ποσότητα λιναρόσπορων μέσα σε μια οινοχόη του στρώματος 14b[5].

Ένα μικρό χειροποίητο αγγείο που βρέθηκε στον αποθέτη του τάφου Τ18, στην περιοχή του πίθου Π3 με τις ταφές των νηπίων (Π ί ν. 117: Π3, 2), είναι όμοιο με αντίστοιχα αγγεία του οικισμού του Καστανά, ένα από τα οποία έχει βρεθεί στο εσωτερικό ενός ιπνού[6].

Η Hochstetter ονομάζει τα αγγεία αυτά «πινακωτές» και τα σχετίζει με κάποιο είδος ψωμιού· στον M. Seferiades[7] το αντίστοιχο αγγείο του Ντικιλί Τας θυμίζει σκεύη που ψήνουν τις πατάτες στη Νορμανδία.

Με την επεξεργασία των δημητριακών θα μπορούσε να συσχετισθεί και ένας τριπτήρας που βρέθηκε στο επίπεδο ταφής του τάφου Τ14Α (Τ14Α19, Π ί ν. 249α).

Ο «τριπτήρας» πιθανότατα είναι τυχαίο εύρημα, που προέρχεται από την αρχαία επίχωση του τάφου, δεν αποκλείεται ωστόσο να έχει εναποτεθεί και ως κτέρισμα στον τάφο.

Αλιεία

Η συμβολή των θαλασσινών οστρέων στη διατροφή του πληθυσμού βεβαιώνεται από την ανεύρεση μεγάλων ποσοτήτων οστρέων, που συνοδεύουν τα οστά ζώων σ' όλες τις φάσεις του οικισμού Καστρί. Όπως προκύπτει από το Παράρτημα ΙΙΙ, στους τάφους εμφανίζονται είτε ως συμβολικές προσφορές στους νεκρούς[8], εξαιτίας του σχήματός τους (Τ1, Π ί ν. 361γ), είτε ως κοσμήματα είτε ως τροφές που προσφέρονται στους νεκρούς (Τ11, Π ί ν. 361β) και στα νεκρόδειπνα (;) (Τ27ΑΠ, Π ί ν. 361α).

Τα χάλκινα οπωσδήποτε αντικείμενα, που βρέθηκαν στον τάφο Τ18 (Π ί ν. 116: 157-158), δεν είναι, όπως είδαμε, βέβαιο ότι είναι αγκίστρια προορισμένα για αλιεία μεγάλων ψαριών.

Κτηνοτροφία

Περισσότερες είναι οι πληροφορίες, που δίδει το αρχαιολογικό υλικό των νεκροταφείων για την κτηνοτροφία του οικισμού. Στους τάφους (Π ί ν. 360α-β) έχουν βρεθεί οστά ζώων, που προέρχονται από τα κομμάτια του κρέατος, τα οποία προσφέρονταν ως συμβολική τροφή στους νεκρούς, πιθανότατα στα πλαίσια ταφικών τελετών. Στους νεκρούς προσφέρονταν όλα τα είδη των ζώων που εκτρέφονταν στον οικισμό: αιγοπρόβατα, βοοειδή, χοίροι, ακόμη και άλογα, ποτέ όμως πτηνά ή ζώα κυνηγιού.

Αν συγκρίνουμε τα ποσοστά των οστών ζώων που βρέθηκαν στους τάφους με τα αντίστοιχα ποσοστά των οστών ζώων στα σύγχρονα με τα νεκροταφεία αρχαιολογικά στρώματα του οικισμού Καστρί, όπως έχουν προκύψει από τα πρώτα συμπεράσματα της μελέτης των P. Halstead και G. Jones, διαπιστώνουμε μια αξιοσημείωτη αντιστοιχία (Σ χ έ δ. 159).

Το μεγαλύτερο ποσοστό εμφανίζουν στον οικισμό και στα νεκροταφεία τα αιγοπρόβατα (84,9% στον οικισμό, 78,6% στα νεκροταφεία). Τα βοοειδή εμφανίζονται στους τάφους με ποσοστό 12,6% και στον οικισμό με ποσοστό 6,9%, ενώ οι χοίροι παρουσιάζουν αντίστοιχο ποσοστό στον οικισμό και στους τάφους (7,8 προς 7,7%). Το μεγάλο ποσοστό των αιγοπροβάτων οφείλεται στη φυσική διαμόρφωση της ημιορεινής περιοχής του οικισμού, που δεν ευνοούσε την εκτροφή μεγάλων ζώων. Ανάλογα υψηλό ποσοστό σε πεδινούς οικισμούς εμφανίζεται μόνο στην πρώιμη νεολιθική εποχή και εξακολουθεί να αποτελεί ως σήμερα βασικό χαρακτηριστικό της κτηνοτροφίας της Θάσου και των νησιών γενικότερα[9]. Οι ημιορεινές

5. Kroll 1983, 133, εικ. 25. Για την εμφάνιση της καλλιέργειας λιναριού στη νεολιθική εποχή, πρβλ. R.L.N. Hubbard, Appendix 2, Ridley - Wardle 1979 (Σέρβια), 227. Η χρήση του λιναριού στην υφαντουργία για τη μυκηναϊκή περίοδο είναι βεβαιωμένη από γραπτά κείμενα και ευρήματα. Πρβλ. Marinatos 1967, Α15 και Halstead 1981, 328.

6. Hochstetter 1984, 166.

7. Seferiades 1983, 672.

8. Όμοια όστρεα με το όστρεο του τάφου Τ1 (Cypraeacassis rufa L.) εμφανίζονται στους τάφους του πολιτισμού Villanova, Henken 1968, 55, εικ. 14, i, k, l (Villanova Ia).

9. Bökönyi 1973, 166-167. Πρβλ. επίσης Halstead 1981, 329, εικ. 11, 2. Πρβλ., ωστόσο, αντίστοιχα με του οικισμού

εκτάσεις της περιοχής Καστρί και Λαρνάκι προσφέρονταν για εκτροφή αιγοπροβάτων, τα οποία, όπως φαίνεται από τα οστά ζώων που βρέθηκαν στα σύγχρονα με τα νεκροταφεία αρχαιολογικά στρώματα του οικισμού, αποτελούσαν σημαντικό μέρος της τροφής του πληθυσμού στον οικισμό Καστρί.

Το μεγαλύτερο ποσοστό μοσχαριών, που εμφανίζεται στους τάφους σε σχέση με τον οικισμό, πρέπει να συσχετισθεί με τα ταφικά έθιμα και με την πρόθεση να προσφερθεί στο νεκρό ένα μεγαλύτερο ζώο, ενώ το εξαιρετικά χαμηλό ποσοστό οστών αλόγων, που εμφανίζεται και στον οικισμό, πρέπει να αποτελεί ένδειξη ότι το ζώο αυτό τρωγόταν, αλλά δεν εκτρεφόταν για το κρέας του[10].

		Ιπποειδή	Αγελάδες	Χοίροι	Αιγο-πρόβατα	Κατσίκια	Πρόβατα	Σύνολο
ΟΙΚΙΣΜΟΣ ΚΑΣΤΡΙ	ΥΕΧ	2	14	34	173	57	39	319
	ΠΕΣ	1	55	44	346	159	74	679
		3	69	78	519	216	113	998
		0,3%	6,9%	7,8%	52%	21,6%	11,3%	100%
						84,9%		
ΝΕΚΡΟ-ΤΑΦΕΙΑ ΚΑΣΤΡΙ		1	13	8	81	—	—	103
		0,97%	12,6%	7,7%	78,6%			100%
ΚΑΣΤΡΙ ΙΙ ΟΙΚΙΑ Ι	ΠΕΣ	1	2	6	34	—	—	43
		2,3%	4,6%	13,9%	79%	—	—	100%

Σχέδ. 159. Ποσοτικός πίνακας οστών ζώων στον οικισμό και στα νεκροταφεία Καστρί.

ΜΕΤΑΛΛΕΙΑ

Για τις πρώιμες φάσεις της μεταλλουργίας στη Θάσο ελάχιστες είναι ακόμη οι γνώσεις μας, καθώς τα ειδικά ερευνητικά προγράμματα, που συνδυάζουν τη μελέτη των λειψάνων της αρχαίας μεταλλουργίας με αναλύσεις μετάλλινων αντικειμένων, μόλις στα τελευταία χρόνια έχουν αρχίσει. Από το αρχαιολογικό υλικό των νεκροταφείων έχουν προκύψει ορισμένες αξιόλογες πληροφορίες για την αποσπασματική, και οπωσδήποτε όχι ακόμη οριστική, εικόνα της μεταλλουργίας της πρωτοϊστορικής Θάσου.

Καστρί υψηλά ποσοστά αιγοπροβάτων σε ορεινούς οικισμούς νησιών, όπως π.χ. Μύρτου Κρήτης, M.R. Jarmann, Appendix VI, 318, πίν. 1 (P. Warren, Myrtos, 1972), ή Μήλου, C. Gardle, Animal Husbandry, Population and Urbanisation (C. Renfrew, Melos, an Island Polity, 1982), 166. Αντίθετα, στον Καστανά το υψηλότερο ποσοστό εμφανίζουν τα βοοειδή, JbZMusMainz 26 (1979), 230 κ.ε.

10. Πρβλ. αντίστοιχο μικρό ποσοστό οστών ιπποειδών σε οικισμούς εποχής του χαλκού: J.P. Watson, Appendix 9, Ridley - Wardle 1979, 229 (Σέρβια, πρώιμη εποχή του χαλκού), Δ. Κωφός, Παράρτημα ΙΙ, Γραμμένος 1981, 113 (Πεντάπολις, πρώιμη εποχή του χαλκού), H. Reichstein, Erste Ergebnisse von Untersuchungen an Tierknochen aus bronzezeitlichen Siedlungsshichten im nordlichen Griechenland (Ausgrabung Kastanas), JbZMusMainz 26 (1979), 239-270. Πρβλ. επίσης P. Halstead - G. Jones, Faunal Remains from the Stathmos Aggista (ύστερη εποχή του χαλκού) (αδημοσίευτο).

Ώχρα

Με την πρόσφατη ανακάλυψη των ορυχείων ώχρας στην περιοχή Τσίνες της νοτιοδυτικής Θάσου, η αρχή της εξορυκτικής δραστηριότητας στη Θάσο έχει ανεβεί στα τέλη της παλαιολιθικής, μεσολιθικής ή στην αρχή μιας ακεραμικής ακόμη νεολιθικής φάσης[11].

Η εκμετάλλευση των κοιτασμάτων στον ίδιο λόφο εμφανίζει, ωστόσο, πολύ μεγάλη έκταση και δεν αποκλείεται η συνέχιση της εκμετάλλευσης στη θέση αυτή σε νεότερες φάσεις της προϊστορικής περιόδου της Θάσου.

Ερυθρή ώχρα εμφανίζεται και στην εγχάρακτη κεραμική της ύστερης εποχής του χαλκού (κατηγορίας Ι, 2α), τόσο στη Θάσο όσο και στην ανατολική Μακεδονία. Στην εγχάρακτη κεραμική της κατηγορίας Ι, 2α της Θάσου χρησιμοποιείται, όμως, για το γέμισμα των χαράξεων περισσότερο από την ερυθρή η λευκή ώχρα.

Χαλκός

Τα κοιτάσματα χαλκού της Θάσου δεν είναι ιδιαίτερα πλούσια, εμφανίζονται όμως σποραδικά σε διάφορες περιοχές του νησιού (Σ χ έ δ. 160)[12]. Η σημαντικότερη εμφάνιση χαλκού βρίσκεται στην περιοχή Μακρυράχη, όπου έχει εντοπισθεί και ένα αρχαίο μεταλλείο χαλκού με εργασίες εκκαμίνευσης στην είσοδό του[13]. Η αναπτυγμένη τεχνική της εξόρυξης, που παρατηρείται στις στοές του μεταλλείου αυτού, τοποθετεί το μεταλλείο της Μακρυράχης στους ιστορικούς χρόνους, ενώ η κεραμική που βρέθηκε στο εσωτερικό του βεβαιώνει εξορυκτικές εργασίες, στην ελληνιστική τουλάχιστον περίοδο[14]. Εμφανίσεις κοιτασμάτων χαλκού σημειώνονται και σ' ένα άλλο αρχαίο μεταλλείο ιστορικών χρόνων, στο μεταλλείο της ακρόπολης της αρχαίας Θάσου[15], όπου ωστόσο το κύριο κοίτασμα εκμετάλλευσης, ύστερα από τις τελευταίες χημικές αναλύσεις, αποδείχθηκε ότι ήταν ο χρυσός[16]. Η εκμετάλλευση οπωσδήποτε των κοιτασμάτων του χαλκού, που υπάρχουν στο μεταλλείο αυτό, όπως και η εκμετάλλευση των κοιτασμάτων του σιδήρου, που εμφανίζονται επίσης στο ίδιο μεταλλείο, δεν αποκλείεται να πραγματοποιούνταν παράλληλα. Οι αρχαιότερες αρχαιολογικές ενδείξεις για την εκμετάλλευση του μεταλλείου της ακρόπολης αρχαίας Θάσου χρονολογούνται στα τέλη του 6ου αι. π.Χ.[17]. Η παρουσία, ωστόσο, εκκαμινευτικών σκουριών σιδήρου στα αρχαιότερα στρώματα του Αρτεμισίου, που βρίσκεται στους πρόποδες της ακρόπολης κάτω από το μεταλλείο αυτό, μαρτυρούν μια προγενέστερη παρουσία μεταλλουργικών δραστηριοτήτων στην περιοχή αυτή[18].

Μια μικρή εμφάνιση χαλκού παρατηρήθηκε στο μέτωπο των σύγχρονων μεταλλείων ψευ-

11. Πρβλ. Χ. Κουκούλη-Χρυσανθάκη - G. Weissgerber, ΑΔ 37 (1982), Χρονικά, 322-323, ΑΔ 38 (1983), Χρονικά, 319, ΑΔ 39 (1984), Χρονικά, 268-269.

12. Speidel 1929, 33, Βορεάδης 1954, 259.

13. Συγκεντρωμένη βιβλιογραφία στον Muller 1979, 340. Για χημικές αναλύσεις χάλκινων αντικειμένων, πρβλ. Παράρτημα VIβ, από δειγματοληψία Ν. Επιτρόπου, γεωλόγου ΙΓΜΕ. Για αναλύσεις ισοτόπων μολύβδου των κοιτασμάτων χαλκού Μακρυράχης, πρβλ. Παράρτημα VII.

14. Πρβλ. θραύσμα βάσης οξυπύθμενου θασιακού αμφορέα, καθώς και χρονολόγηση με θερμοφωταύγεια δειγμάτων κεραμικής από το εσωτερικό της στοάς: G.A. Wagner, Max Planck Institut Heidelberg: Hd TL 18a1-2: 20 v. Chr. ± 170a. Hd TL 18a2-5: 310 v. Chr. ± 180a. Hd TL 18a2-6: 210 v. Chr. ± 180a. Hd TL 18a4-6: 180 v. Chr. ± 280a.

15. Η στοά εντοπίσθηκε και χαρτογραφήθηκε για πρώτη φορά από το γερμανό μηχανικό μεταλλείων F. Speidel, διευθυντή της Mineralgesellschaft Fr. Speidel Thasos, Pfotzheim, που εκμεταλλεύθηκε τα μεταλλεία της Θάσου στις αρχές του 20ού αι. Στον J. Baker-Penoyre, JHS 29 (1909), 228 κ.ε., που είχε ενημερωθεί από τον Speidel, οφείλεται η πρώτη βιβλιογραφική μνεία της. Η πρώτη, ωστόσο, αρχαιολογική έρευνα πραγματοποιήθηκε σ' αυτή από τους A. Muller και T. Kozelj. Πρβλ. Muller 1979, 315 κ.ε.

16. Οι χημικές αναλύσεις στην πρώτη δειγματοληψία στο μεταλλείο εντόπισαν κοιτάσματα χαλκού και σιδήρου, Muller 1979, 318, αλλά πιο εκτεταμένη και συστηματική δειγματοληψία και εργαστηριακές παρατηρήσεις σε μικροαναλυτή απέδειξαν έντονη παρουσία χρυσού στα κοιτάσματα του μεταλλείου. Πρβλ. Wagner - Pernicka - Gialoglou - Vavelidis 1981, 68.

17. Muller 1979, 340.

18. Βλ. παρακάτω, υποσημ. 57.

Σχέδ. 160. Κοιτάσματα χαλκού και χρυσού στη Θάσο.

δαργύρου στη θέση Βούβες στα Λιμενάρια, όπου σώζεται ακόμη ένας μεγάλος αριθμός αρχαίων μεταλλευτικών στοών, παρά τις εκτεταμένες καταστροφές του τεράστιου σύγχρονου μεταλλείου[19]. Οι σωζόμενες, ωστόσο, αρχαίες στοές αποτελούν εκμεταλλεύσεις κοιτασμάτων μολύβδου. Κανένα ως τώρα ίχνος αρχαίας εργασίας για την απόληψη χαλκού δεν έχει εντοπισθεί στην περιοχή αυτή.

Εμφανίσεις χαλκού αναφέρονται και στην περιοχή Σωτήρος και Καλλιράχης, αλλά δεν έχουν ακόμη ερευνηθεί[20].

Πολύ πιο σημαντική σε ποσότητα είναι η εμφάνιση κοιτασμάτων χαλκού στην περιοχή Κουμαριά, όπου υπάρχουν επίσης πλούσια κοιτάσματα μολύβδου[21]. Παρά τις αλλοιώσεις που έχουν επιφέρει οι σύγχρονες εκμεταλλεύσεις των κοιτασμάτων καλαμίνας και σιδήρου, σώζονται ακόμη αρχαίες μεταλλευτικές στοές μολύβδου, οι οποίες χρονολογούνται ήδη από τα τέλη του 4ου - αρχές 3ου αι. π.Χ., όπως έδειξαν ανασκαφικές έρευνες σε ορισμένες από

19. Speidel 1929, 17-49, πίν. VII, Muller 1979, 341. Τις μικρές εμφανίσεις χαλκού στο βορειοανατολικό άκρο του μετώπου του σύγχρονου ορυχείου παρατήρησε η ομάδα των γεωλόγων του Max Planck Institut Heidelberg και του ΙΓΜΕ στην επιφανειακή έρευνα του 1981 (ΑΔ 36 (1981): Χρονικά, 339-340). Το κύριο, ωστόσο, κοίτασμα του μεταλλείου αυτού πρέπει να ήταν στην αρχαιότητα ο μόλυβδος.

20. M. De Launey, Histoire géologique de Metellin et de Thasos, RA III Serie, τ. 11 (1888), 251, 4.

21. Ό.π., 252.

αυτές[22]. Η παρουσία, επίσης, αρχαίων μεταλλευτικών στοών χαλκού[23] και η εμφάνιση εκκαμινευτικών σκουριών χαλκού στην περιοχή αυτή[24], αλλά και στην κορυφή του γειτονικού οικισμού Παλιόκαστρο Μαριών, βεβαιώνουν και την εκμετάλλευση των κοιτασμάτων χαλκού της περιοχής αυτής. Η παρουσία μάλιστα πολλών μικρών εκκαμινευτικών σκουριών χαλκού στην κορυφή του οικισμού Παλιόκαστρο, όπου έχει εντοπισθεί οικισμός της πρώιμης εποχής του σιδήρου, εμφανίζει την περιοχή Κουμαριά ως μία από τις σημαντικότερες θέσεις για τη μελέτη της πρώιμης μεταλλουργίας της Θάσου. Οι σκουριές χαλκού στον οικισμό Παλιόκαστρο εμφανίζονται σε επίχωση που περιέχει άφθονη κεραμική πρώιμης εποχής του σιδήρου, αλλά οπωσδήποτε χωρίς ανασκαφικά δεδομένα· επειδή υπάρχει και μια φάση 4ου-3ου αι. π.Χ. στην κορυφή του ίδιου λόφου, δεν μπορούν με ασφάλεια να χρονολογηθούν στην πρώιμη εποχή του σιδήρου[25]. Η επιλογή της θέσης του οικισμού της πρώιμης εποχής του σιδήρου δίπλα στην πλούσια σε μόλυβδο και χαλκό περιοχή Κουμαριάς-Αγίου Ελευθερίου δεν πρέπει, κατά τη γνώμη μου, να είναι τυχαία.

Αφού η εξαγωγική μεταλλουργία χαλκού είναι βέβαιο ότι ασκούνταν στον οικισμό της πρώιμης εποχής του σιδήρου στο Καστρί, θα ήταν απίθανο να μην είχε προχωρήσει στην εκμετάλλευση των γειτονικών του κοιτασμάτων και ο οικισμός της πρώιμης εποχής του σιδήρου στο Παλιόκαστρο.

Η ενασχόληση των κατοίκων του οικισμού Καστρί με την εκκαμίνευση χαλκού βεβαιώνεται από την ανεύρεση εκκαμινευτικών σκουριών χαλκού στο εσωτερικό των τάφων του νεκροταφείου Κεντριά και Τσιγανάδικα[26]. Οι μικρές εκκαμινευτικές σκουριές που βρέθηκαν στο επίπεδο των ταφών είτε έχουν μεταφερθεί εκεί από την αρχαία επίχωση των τάφων, είτε έχουν εναποτεθεί ως ενδεικτικά για τις ασχολίες των νεκρών κτερίσματα[27]· αποτελούν δε τις αρχαιότερες και βεβαιότερες ενδείξεις για την εξαγωγική μεταλλουργία του χαλκού στη Θάσο της ύστερης εποχής του χαλκού και της πρώιμης εποχής του σιδήρου.

Οι αναλύσεις ισοτόπων μολύβδου[28], που έχουν πραγματοποιηθεί σε μια σειρά χάλκινων αντικειμένων του οικισμού Καστρί και των νεκροταφείων του, όχι μόνο βεβαίωσαν τη χρήση του θασιακού χαλκού στην ύστερη εποχή του χαλκού και στην πρώιμη εποχή του σιδήρου, αλλά χρονολόγησαν ακόμη νωρίτερα την αρχή της εκμετάλλευσης των κοιτασμάτων χαλκού της Θάσου.

Αν είναι σωστή η αναγνώριση θασιακού χαλκού σε δύο χάλκινες βελόνες[29], που προέρχονται από το ύστερο νεολιθικό στρώμα του οικισμού Καστρί (πρβλ. Z. Stos-Gale - N. Gale, Παράρτημα VII, Table 3, δείγματα αριθ. 193, 195), τότε η αρχή της εκμετάλλευσης των θασιακών κοιτασμάτων χαλκού ανάγεται στην ύστερη νεολιθική-χαλκολιθική εποχή και συμπίπτει με την εμφάνιση της μεταλλουργίας του χαλκού και στην αιγαιακή Θράκη[30].

22. Μικρή ανασκαφική έρευνα στο εσωτερικό μιας αρχαίας στοάς μολύβδου της περιοχής αυτής έδωσε κεραμική 4ου-3ου αι. π.Χ. Στην ίδια εποχή χρονολογείται και ένα αρχαίο κτίριο σε μικρή απόσταση από τις μεταλλευτικές στοές, το οποίο άρχισε να ανασκάπτεται στα 1981. Πρβλ. ΑΔ 36 (1981): Χρονικά, 339-340, για τις δοκιμαστικές ανασκαφικές έρευνες στο κτίριο αυτό και στη γειτονική μεταλλευτική στοά.

23. Η αρχαία μεταλλευτική στοά χαλκού εντοπίσθηκε από το γεωλόγο του ΙΓΜΕ, παράρτημα Ξάνθης, Ν. Επιτρόπου, αλλά δεν ερευνήθηκε ακόμη. Στην περιοχή αναφέρονται επίσης και επιφανειακές εμφανίσεις χαλκού.

24. Pernicka - Wagner - Todt 1983, 37.

25. ΑΔ 33 (1978): Χρονικά, 292.

26. Ε. Photos, Παράρτημα VIIIβ (τάφοι Κ3Α69, Τ18, Τ21, Τ23Α και Τ23Β, Τ24).

27. Ιακωβίδης 1970, 372.

28. Z. Stos-Gale - N. Gale, Παράρτημα VII.

29. Οι χάλκινες αυτές βελόνες έχουν βρεθεί στην ανασκαφική έρευνα του 1972, σε στρώμα ύστερο νεολιθικό του οικισμού Καστρί. Πρβλ. ΑΔ 28 (1973): Χρονικά, 444-446. Αριθ. καταγραφής τους Δ32/72 και Τ3, Γ-Δ/5-6/72. Οι χημικές αναλύσεις των δύο αυτών βελονών έχουν δείξει ότι έχουν κατασκευασθεί από αρσενικούχο χαλκό (Κ. Ασημενός, Παράρτημα VIα, αριθ. 34 και 162. Z. Stos-Gale - N. Gale, Παράρτημα VII, αριθ. 193, 195).

30. Renfrew 1969, Černych 1978α (Aibunar Βουλγαρίας, το αρχαιότερο ως τώρα γνωστό μεταλλείο χαλκού στα Βαλκάνια), Jovanović 1980, 191, εικ. 120, McGeehan-Lyritzis 1982, 176, σημ. 6 και Appendix II, όπου παρατίθενται οι απόψεις της E.A. Slater, Metallurgical Analyses of Bronze Age Techniques, Diss. Cambridge 1972, για τα προβλήματα της χύτευσης χαλκού στη νεολιθική φάση των Σιταγρών.

Η ανάλυση 63 δειγμάτων από χάλκινα αντικείμενα του οικισμού και των νεκροταφείων Καστρί (Παράρτημα VII) προσδιόρισε την παρουσία θασιακού χαλκού σε 8 χάλκινα αντικείμενα, που αντιπροσωπεύουν ένα ποσοστό ± 15% περίπου των δειγμάτων. Το μικρό αυτό ποσοστό πρέπει να σχετίζεται με τις μικρές ποσότητες των θασιακών κοιτασμάτων χαλκού και να βεβαιώνει την εισαγωγή χαλκού από άλλες περιοχές. Η σύγκριση των χημικών αναλύσεων εκκαμινευτικών σκουριών χαλκού, που βρέθηκαν στους τάφους των νεκροταφείων Καστρί, με τις αντίστοιχες χημικές αναλύσεις χάλκινων αντικειμένων από τα ίδια νεκροταφεία, δεν αποκλείει συσχέτιση της τοπικής εξαγωγικής μεταλλουργίας χαλκού του οικισμού Καστρί με χάλκινα αντικείμενα που κυκλοφορούσαν στον οικισμό, πριν καταλήξουν στο νεκροταφείο (πρβλ. Ε. Photos, Παράρτημα VIIIβ). Από τις εκκαμινευτικές σκουριές χαλκού, ωστόσο, των τάφων στο Καστρί φαίνεται ότι διαφοροποιείται το κοίτασμα του χαλκού που έχει χρησιμοποιηθεί στις εκκαμινευτικές (;) σκουριές του Παλιόκαστρου[31].

Πριν ολοκληρωθούν ωστόσο οι εργαστηριακές αναλύσεις, που θα συνδυάσουν τα δεδομένα των φυσικοχημικών αναλύσεων χάλκινων αντικειμένων, εκκαμινευτικών σκουριών και φυσικών κοιτασμάτων χαλκού διάφορων περιοχών της Θάσου, δεν είναι δυνατό να προχωρήσουμε στην αναζήτηση για τον εντοπισμό του κοιτάσματος θασιακού χαλκού, από το οποίο έχουν κατασκευασθεί ορισμένα από τα χάλκινα αντικείμενα του οικισμού και των νεκροταφείων. Μπορούμε ωστόσο να επισημάνουμε τη διαφοροποίηση, που παρατηρείται ανάμεσα στα κοιτάσματα χαλκού εκκαμινευτικών σκουριών Παλιόκαστρου και εκκαμινευτικών σκουριών νεκροταφείων Καστρί, και να την παραβάλουμε με τη διαφοροποίηση που έχει επισημανθεί ανάμεσα στα κοιτάσματα μολύβδου της περιοχής Κουμαριά και στα κοιτάσματα μολύβδου, από τα οποία έχουν κατασκευασθεί τα μολύβδινα αντικείμενα των νεκροταφείων Καστρί που αναλύθηκαν[32]. Επειδή ωστόσο οι αναλύσεις, όπως είπαμε, δεν είναι ακόμη ολοκληρωμένες, δε θα επιχειρήσουμε να σχετίσουμε τα αποτελέσματα αυτών των πρώτων φυσικοχημικών αναλύσεων με την οργάνωση των οικισμών και τους τρόπους της εκμετάλλευσης των φυσικών πόρων στην πρωτοϊστορική Θάσο.

Ακόμη λιγότερο, με βάση τις υπάρχουσες φυσικοχημικές αναλύσεις, μπορούμε να προχωρήσουμε στον προσδιορισμό της προέλευσης του χαλκού των άλλων χάλκινων αντικειμένων του νεκροταφείου Καστρί, που δεν έχουν κατασκευασθεί από θασιακό χαλκό, και τα οποία αντιπροσωπεύουν το 85% των δειγμάτων (Z. Stos-Gale - N. Gale, Παράρτημα VII). Τα ισότοπα του μολύβδου των χάλκινων αυτών αντικειμένων επισημαίνουν τουλάχιστον 4-5 διαφορετικά κοιτάσματα χαλκού, τα οποία θα μπορούσαν να αναζητηθούν κατά τους Z. Stos-Gale και N. Gale κατά το μεγαλύτερο ποσοστό τους στην Κύπρο, αλλά και στη Μικρά Ασία και στη βόρεια Ελλάδα (Χαλκιδική, Παγγαίο), χωρίς να αποκλείεται και το Λαύριο (Παράρτημα VII). Αντίστοιχη είναι η εικόνα που έχει προκύψει από την ανάλυση χάλκινων αντικειμένων από την Τροία, όπου έχει εντοπισθεί παρουσία χαλκού διαφόρων περιοχών[33]. Επειδή, ωστό-

31. Οι αναλύσεις της Έφης Φώτου (Παράρτημα VIIIβ) έχουν επισημάνει ότι οι σκουριές χαλκού από το Παλιόκαστρο Μαριών χαρακτηρίζονται από την απουσία βαρίτη. Αντίθετα, στις σκουριές χαλκού από το νεκροταφείο Καστρί σημειώνεται η παρουσία βαρίτη. Το κοίτασμα που έχει χρησιμοποιηθεί στην εκκαμινευτική σκουριά χαλκού που βρέθηκε στο νεκροταφείο Καστρί θα μπορούσε να σχετισθεί με το πλούσιο σε βαρίτη σιδηρομετάλλευμα, που τοποθετείται στις περιοχές Μαυρόλακκας, Κοπανάδα, Πλατανιά (πρβλ. Δ. Θεοφιλόπουλος, Μελέτη σιδηρομεταλλευμάτων Θάσου, ΙΓΜΕ, 1982, 31), ενώ το κοίτασμα που χρησιμοποιείται στις σκουριές από το Παλιόκαστρο Μαριών δεν έχει καθόλου βαρίτη. Η παρουσία ακριβώς του βαρίτη στις εκκαμινευτικές σκουριές χαλκού των τάφων στο Καστρί πιστοποιεί είτε ότι η απόληψη του χαλκού πρέπει να πραγματοποιούνταν μέσα από κοιτάσματα σιδήρου, είτε ότι χρησιμοποιούνταν σιδηρομεταλλεύματα πλούσια σε βαρίτη στην εξαγωγική μεταλλουργία χαλκού ως συλλίπασμα (πρβλ. Ε. Photos, Παράρτημα VIIIβ). Με βάση αυτά τα στοιχεία, οδηγήθηκε η Ε. Φώτου στην υπόθεση ότι ο πρώτος σίδηρος θα μπορούσε να κατασκευασθεί τυχαία μέσα στο καμίνι του χαλκέα, με τη μερική αναγωγή του σιδηρομεταλλεύματος σε σίδηρο (βλ. παρακάτω).

32. Βλ. Παράρτημα V.

33. E. Pernicka - G.A. Wagner - K. Assimenos - Ch. Doumas - F. Begemann - W. Todt, An Analytical Study of Prehistoric Lead and Silver Objects, Max Planck Institut für Kernphysik, Heidelberg (MPIH), 1983, V, 37, Stos - Gale 1984, Pernicka - Seeliger - Wagner - Begemann κ.ά. 1984, εικ. 28, 30, 31, 32.

σο, παράλληλες έρευνες[34] έχουν επισημάνει το πρόβλημα της επικάλυψης των ισοτόπων μολύβδου ορισμένων περιοχών, δεν είναι δυνατό, πριν ολοκληρωθούν οι παράλληλες φυσικοχημικές αναλύσεις και η συγκριτική μελέτη των ιχνοστοιχείων φυσικών κοιτασμάτων, σκουριών και αντικειμένων, να προχωρήσουμε σε συγκεκριμένα συμπεράσματα για την έκταση και το χαρακτήρα του εμπορίου του χαλκού του οικισμού Καστρί και γενικότερα της πρωτοϊστορικής Θάσου με άλλες χαλκοφόρες περιοχές του Αιγαίου, το Λαύριο, την Κύπρο, την Τρωάδα[35].

Οι διαπιστωμένες, ωστόσο, από τα αρχαιολογικά ευρήματα πολιτιστικές σχέσεις της Θάσου με τη Μακεδονία, την αιγαιακή Θράκη και τη βορειοδυτική Μικρά Ασία (Τροία VIIb1-b2), ιδιαίτερα στην πρώιμη εποχή του σιδήρου (πρβλ. Παράρτημα VII), εμφανίζουν ως πιθανότερη πηγή προέλευσης του χαλκού τις περιοχές αυτές, χωρίς βέβαια αυτό να σημαίνει ότι θα μπορούσε να αποκλεισθεί και η παρουσία χαλκού νοτιότερων περιοχών, όπως της Κύπρου, ή βορειότερων περιοχών, όπως του Εύξεινου[36], όταν ξέρουμε ότι τα τάλαντα του χαλκού ταξίδευαν σ' όλη τη Μεσόγειο.

Για να μπορέσουμε όμως να παρακολουθήσουμε τους δρόμους του εμπορίου του χαλκού και στο βόρειο Αιγαίο, πρέπει να προσδιορισθούν οι τοπικές μεταλλουργίες χαλκού της Μακεδονίας και της Θράκης με ένα πρόγραμμα έρευνας, αντίστοιχο με εκείνο που άρχισε στην περιοχή της Τρωάδας[37]. Τα φυσικά κοιτάσματα χαλκού δεν είναι ιδιαίτερα πλούσια στη Μακεδονία — με εξαίρεση τη Χαλκιδική[38] — ούτε στην αιγαιακή Θράκη, αλλά χρειάζεται ακόμη πολύ πιο εκτεταμένη αρχαιολογική και εργαστηριακή έρευνα στις περιοχές αυτές, με τις οποίες σχετίζεται πολιτιστικά η Θάσος[39], για να προκύψουν κάποια ασφαλή συμπεράσματα για την προέλευση του χαλκού, που έφθανε στην πρωτοϊστορική Θάσο, και για να προσδιορισθεί το πρότυπο της μεταλλουργίας, που ασκούνταν στο νησί στην ύστερη εποχή του χαλκού και στην πρώιμη εποχή του σιδήρου.

Μόλυβδος

Η ανάλυση των ισοτόπων μολύβδου, που πραγματοποιήθηκε στους μολύβδινους συνδέσμους των αγγείων των νεκροταφείων Καστρί και Λαρνάκι (E. Pernicka - G.A. Wagner - W. Todt, Παράρτημα V), έχει προσδιορίσει ότι ο μόλυβδος, που χρησιμοποιούσαν οι κάτοικοι του

34. Pernicka - Seeliger - Wagner - Begemann κ.ά. 1984. Πρβλ., ωστόσο, Z. Stos-Gale - N. Gale, AnatSt 35 (1985), 143-173, όπου αποκλείει τη δυνατότητα επικάλυψης.

35. J.D. Muhly, Copper and Tin, 1973, 187 κ.ε., Gale - Stos-Gale 1982, Stos-Gale 1984, N. Gale - Z.A. Stos-Gale, Πηγές αργύρου, μολύβδου και χαλκού κατά την εποχή του χαλκού στην Ελλάδα, Ανθρωπολογικά 6 (1984), 57-59, N. Gale - Z.A. Stos-Gale, Cycladic Metallurgy, στο J.A. McGillivray, R.L.N. Barber (εκδ.), The Prehistoric Cyclades, 1984, 259 κ.ε., όπου προστίθεται ως πηγή χαλκού και η Κύθνος, καθώς και η Σέριφος, N. Gale - A. Papastamataki - Z.A. Stos-Gale - K. Leonis, Copper Sources and Copper Metallurgy in the Aegean Bronze Age, Proceedings of the 1982 British Museum Symposium on Early Furnace Technology.

36. B. Dimitrov, IJNA 8 (1979), 70-79, B. Dimitrov, Megalitite v Thrakija, 2, 1982, 459-487, Stos - Gale 1984, 29, εικ. 3.

37. Pernicka - Seeliger - Wagner - Begemann κ.ά. 1984. Πρβλ. Z. Stos-Gale - N. Gale, ό.π. (υποσημ. 34).

38. Για τη Χαλκιδική, πρβλ. εκκαμινευτικές σκουριές χαλκού στη θέση Σκουριές στη Μεγάλη Παναγιά. Για κοιτάσματα χαλκού στη Μακεδονία και τη Θράκη, πρβλ. Γ. Μαρλάτος - Β. Ανδρονόπουλος, Ο ορυκτός πλούτος της Μακεδονίας και της Θράκης, 1966 (έκδοση ΙΓΜΕ). Για κοιτάσματα χρυσού και αργύρου της Μακεδονίας και της Θράκης, πρβλ. C. Sagui, The Ancient Mining Works of Cassandra, Greece, Economic Geology XXIII (1928), 671-680, O. Davies, Ancient Mines in Southern Macedonia, The Journal of the Royal Anthropological Institute LXII (1932), 145-162, W. Gentner - G.A. Muller - A. Wagner, Silver Sources of Archaic Greek Coinage, Naturwissenschaften 65 (1978), 275-276, Gentner - Pernicka - Wagner - Gale - Vavelidis 1981, Stos - Gale 1982, 482, E. Pernicka - G.A. Wagner - K. Assimenos - Ch. Doumas - F. Begemann - W. Todt, ό.π. (υποσημ. 33).

39. Πρβλ. για σχέσεις εμπορίου και πολιτιστικών επιδράσεων, C. Renfrew, Trade and Culture Process in European Prehistory, Current Archaeology 10 (1969), 152-161. Για εξάρτηση πολιτιστικών σχέσεων από το εμπόριο μετάλλων, πρβλ. H.A. Bankoff, Metal Ores and Trade, Ancient Europe and the Mediterranean, Studies Presented in Honour of Hughes Henken. Πρβλ. και Z.A. Stos-Gale - N.H. Gale, The Minoan Thalassocracy and the Aegean Metal Trade, στο The Minoan Thalassocracy, Myth and Reality, IIIrd International Symposium at the Swedish Institute in Athens (εκδ. R. Hägg - N. Marinatos), 1984.

οικισμού Καστρί στα τέλη της ύστερης εποχής του χαλκού και στην πρώιμη εποχή του σιδήρου, ήταν θασιακός.

Η ύπαρξη πλούσιων κοιτασμάτων μολύβδου στη Θάσο στα κοιτάσματα καλαμίνας και ψευδαργύρου, που καλύπτουν τη νοτιοδυτική πλευρά του νησιού[40], και η ευκολία απόληψης μολύβδου σε χαμηλές θερμοκρασίες, δικαιολογούν την εκμετάλλευση του θασιακού μολύβδου από την ύστερη εποχή του χαλκού και στηρίζουν την υπόθεση για μια πολύ πιο πρώιμη έναρξη της εξόρυξής του, η οποία δεν πρέπει να είναι νεότερη από την αρχή της εκμετάλλευσης των κοιτασμάτων χαλκού[41].

Από την έρευνα των E. Pernicka - G.A. Wagner - W. Todt (Παράρτημα V) προκύπτει ότι τα μολύβδινα αντικείμενα που αναλύθηκαν έχουν κατασκευασθεί από μόλυβδο, που δεν έχει υποστεί κυπέλλωση. Η απουσία της κυπέλλωσης δε σημαίνει αναγκαστικά βέβαια ότι στην πρωτοϊστορική Θάσο ήταν άγνωστη η παραγωγή του ασημιού με κυπέλλωση, γιατί η τεχνική αυτή παραγωγής αργύρου ήταν γνωστή στο Αιγαίο από την πρώιμη εποχή του χαλκού, αλλά φαίνεται ότι πραγματοποιούνταν σε κοιτάσματα μολύβδου με υψηλό βαθμό περιεκτικότητας σε άργυρο[42].

Ένα άλλο ενδιαφέρον, επίσης, συμπέρασμα της χημικής ανάλυσης των μολύβδινων αντικειμένων (Παράρτημα V) είναι η σύνδεση του μολύβδου των αντικειμένων αυτών με τα κοιτάσματα ορισμένων περιοχών της Θάσου (π.χ. περιοχής Σωτήρος ή περιοχής Βούβες) και η διαφοροποίησή τους από τα κοιτάσματα μολύβδου της περιοχής Κουμαριά. Η τελευταία διαφοροποίηση φανερώνει πιθανότατα έλλειψη πρόσβασης των κατοίκων του οικισμού Καστρί στην περιοχή Κουμαριάς και συμπίπτει με τη διαφοροποίηση των κοιτασμάτων χαλκού της ίδιας περιοχής[43].

Αν τα μεταλλεία της περιοχής Κουμαριά ελέγχονταν από τον οικισμό του Παλιόκαστρου, τα μεταλλεία που θα μπορούσαν να ενταχθούν στη ζώνη δραστηριότητας των κατοίκων του οικισμού Καστρί είναι τα μεταλλεία στη θέση Βούβες. Τα μεταλλοφόρα κοιτάσματα της περιοχής αυτής θα μπορούσε να εκμεταλλεύεται και ο προγενέστερος οικισμός της πρώιμης και ύστερης εποχής του χαλκού στον Άγιο Αντώνιο του Ποτού[44]. Όπως σημειώσαμε, οι εμφανίσεις χαλκού σ' αυτή την περιοχή είναι σήμερα ελάχιστες, αλλά στο μέτωπο του σύγχρονου μεταλλείου σώζονται πολλές από τις αρχαίες στοές μολύβδου, που πρέπει να χρονολογούνται στους ιστορικούς χρόνους. Για τον τρόπο ωστόσο, με τον οποίο εξορυσσόταν στην πρωτοϊστορική Θάσο ο μόλυβδος, δεν έχουμε ακόμη κανένα στοιχείο, όπως άλλωστε και για τον τρόπο εξόρυξης χαλκού. Πιθανότατα, οι εργασίες εκμετάλλευσης της πρωτοϊστορικής περιόδου πρέπει να έχουν εξαφανισθεί από τις νεότερες εργασίες των ιστορικών χρόνων.

Σίδηρος

Η Θάσος εμφανίζει αξιόλογα κοιτάσματα σιδήρου, τα οποία είναι συγκεντρωμένα στη νοτιοδυτική πλευρά του νησιού[45]. Οι σημαντικότερες ποσότητες εμφανίζονται στην περιοχή

40. Βορεάδης 1954, 258, Gentner - Pernicka - Wagner - Gale - Vavelidis 1981, 227-237, Stos - Gale 1982, 467-484.

41. Πρβλ. για την εμφάνιση της μεταλλουργίας του μολύβδου στο Αιγαίο από την πρώιμη εποχή του χαλκού, Renfrew 1967, πίν. 2, Buchholz 1972, 26.

42. N.H. Gale - Z.A. Stos-Gale, Cycladic Lead and Silver Metallurgy, BSA 76 (1981), 164-224, Stos - Gale 1982, 484-485, E. Pernicka - G.A. Wagner - K. Assimenos - Ch. Doumas - F. Begemann - W. Todt, ό.π. (υποσημ. 33), 292-302, G.A. Wagner - G. Weissgerber, Der Anschnitt 3 (1985), Silber Blei und Gold auf Sifnos, 204.

43. Δεν είναι βέβαια δυνατό να γενικεύσουμε τα συμπεράσματα για τις σχέσεις μεταξύ των δύο οικισμών Καστρί και Παλιόκαστρο από τα λίγα αυτά στοιχεία που έχουν δώσει οι χημικές αναλύσεις ως τώρα. Κι αν ακόμη η εκμετάλλευση των κοιτασμάτων πραγματοποιούνταν χωριστά από τον κάθε οικισμό, οι ανταλλαγές θα έφεραν προϊόντα του ενός οικισμού στον άλλο.

44. Τα μεταλλεία της θέσης Βούβες τοπογραφικά εντάσσονται στην α' ζώνη των δραστηριοτήτων, τόσο των κατοίκων του οικισμού Καστρί όσο και των κατοίκων του προγενέστερου οικισμού Άγιος Αντώνιος Ποτού. Higgs - Vita-Finzi 1972.

45. Speidel 1929, 17-42, πίν. VII, Βορεάδης 1954, 253.

Μαυρόλακκας, όπου, παρά τις αλλοιώσεις που έχουν επιφέρει οι σύγχρονες εκμεταλλεύσεις, σώζονται και ορισμένες ενδείξεις από την εξορυκτική δραστηριότητα των αρχαίων, αχρονολόγητες ακόμη[46]. Εκτός όμως από τα σημαντικά κοιτάσματα σιδήρου ορισμένων περιοχών, παρουσιάζονται και μικρότερες επιφανειακές εμφανίσεις σιδήρου στη ζώνη επαφής μαρμάρου με τον υποκείμενο γνεύσιο. Στην περιοχή αυτών των επιφανειακών συχνά μεταλλοφοριών, που συγκεντρώνονται και πάλι στη νοτιοδυτική πλευρά του νησιού, εμφανίζονται και ενδείξεις εξαγωγικής μεταλλουργίας σιδήρου (σκουριές). Κοινό χαρακτηριστικό των σκουριών αυτών, όπως έδειξε πρόσφατη έρευνα[47], είναι η παρουσία τιτανίου, το οποίο φαίνεται ότι προέρχεται από τον εμπλουτισμό του σιδηρομεταλλεύματος με τη μαύρη σιδηρούχο πλούσια σε τιτάνιο άμμο των ακτών της νότιας Θάσου. Η χρησιμοποίηση της σιδηρούχου άμμου στην παραγωγή σιδήρου είναι γνωστή από την ηπειρωτική ανατολική Μακεδονία στη μεταβυζαντινή περίοδο[48], αλλά φαίνεται ότι ήταν άγνωστη στην πρωτοϊστορική Θάσο, γιατί τιτάνιο δεν εντοπίσθηκε ούτε στα σιδερένια αντικείμενα των νεκροταφείων ούτε στις σκουριές σιδήρου που βρέθηκαν στους τάφους των ίδιων νεκροταφείων (Ε. Photos, Παράρτημα VIIIβ). Παρόλο που ο αριθμός των δειγμάτων σιδερένιων αντικειμένων που αναλύθηκαν, εξαιτίας της πολύ προχωρημένης διάβρωσης του σιδήρου, είναι ελάχιστος, ώστε να μην μπορούν ακόμη να διατυπωθούν ασφαλή συμπεράσματα[49], φαίνεται ότι οι τιτανιούχες σκουριές σιδήρου που εμφανίζονται σε διάφορες θέσεις της νότιας Θάσου — πολλές φορές μάλιστα στο άμεσο περιβάλλον προϊστορικών οικισμών, όπως οι σκουριές σιδήρου στα βορειοδυτικά όρια του νεκροταφείου Τσιγανάδικα — είναι πολύ νεότερες και χρονολογούνται στην περίοδο της τουρκοκρατίας[50].

Η αρχή, ωστόσο, της εκμετάλλευσης των τοπικών θασιακών κοιτασμάτων σιδήρου είναι βέβαιο πως άρχισε τουλάχιστον από τη φάση ΙΙΒ2-ΙΙΒ3 των νεκροταφείων Καστρί, αφού σ' αυτή την εποχή χρονολογούνται οι εκκαμινευτικές σκουριές σιδήρου, που βρέθηκαν στο εσωτερικό των τάφων Λ2Γ και Κ3Α (Ε. Photos, Παράρτημα VIIIβ). Στην προχωρημένη αυτή φάση της πρώιμης εποχής του σιδήρου στη Θάσο, τα σιδερένια μαχαίρια έχουν πια εκτοπίσει τελείως τα χάλκινα από τους τάφους και η Θάσος φαίνεται ότι έχει περάσει πια στο τρίτο στάδιο παραγωγής σιδήρου, σύμφωνα με τον προσδιορισμό του Snodgrass[51].

Η πρώτη εμφάνιση, ωστόσο, του σιδήρου στα νεκροταφεία του οικισμού Καστρί είναι πολύ πρωιμότερη: Το αρχαιότερο παράδειγμα σιδερένιου αντικειμένου που εμφανίζεται στα νεκροταφεία είναι το σιδερένιο μαχαίρι με τη χάλκινη χυτή λαβή Τ18, 42 (Π ί ν. 109: 55), το οποίο, αν δε χρονολογείται στη φάση ΙΒ, δεν είναι οπωσδήποτε νεότερο από τη φάση ΙΙΑ των νεκροταφείων. Ο χαλκός της λαβής των σιδερένιων μαχαιριών αυτού του τύπου, όπως έδειξαν οι αναλύσεις ισοτόπων μολύβδου (Z. Stos-Gale - N. Gale, Παράρτημα VII, δείγματα αριθ. 181, 247), δεν είναι θασιακός και ανήκει πιθανότατα στο πεδίο των ισοτόπων μολύβδου της Κύπρου[52]. Τα σιδερένια, επομένως, μαχαίρια αυτού του τύπου είναι προϊόντα επείσακτα στον οικισμό Καστρί. Η προέλευση, την οποία προσδιορίζουν τα ισότοπα μολύ-

46. Στην περιοχή Κοπανάδα αναφέρεται ότι καταστράφηκε ένας μεγάλος αριθμός αρχαίων στοών. Η σωζόμενη, ωστόσο, μεγάλη μεταλλευτική στοά σιδήρου είναι οπωσδήποτε ιστορικών χρόνων, αλλά δε χρονολογήθηκε.

47. E. Photos - Ch. Koukouli-Chrysanthaki - G. Gialoglou, Extractive Iron Metallurgy on Thasos and the East Macedonian Mainland, στο Science in Archaeology (εκδ. R.E. Jones - H.W. Catling), Fitch Laboratory Occasional Paper 2, British School at Athens, 1986, 44-47, και οι ίδιοι, Iron Metallurgy in Thasos, A Preliminary Report, 1984, Symposium on Archaeometry, Smithsonian Institution, Washington D.C., 108.

48. E. Photos - Ch. Koukouli-Chrysanthaki - G. Gialoglou, Iron Metallurgy in Eastern Macedonia, A Preliminary Report, στο The Crafts of the Blacksmith, (εκδ. B.S. Scott - H. Cleere), Belfast, 113-120.

49. Δυστυχώς, η διάβρωση των σιδερένιων αντικειμένων των νεκροταφείων και του οικισμού Καστρί είναι τόσο πολύ προχωρημένη, ώστε σε ελάχιστα δείγματα απ' όσα ερευνήθηκαν διαπιστώθηκε σίδηρος (πρβλ. αναλύσεις σιδερένιων αντικειμένων Κ. Ασημενού και Ε. Photos, Παραρτήματα VIIIα-β).

50. Πρβλ. χρονολόγηση με θερμοφωταύγεια ενός δείγματος σκουριάς. Πρβλ. ό.π. (υποσημ. 48).

51. Snodgrass 1980, 338, Waldbaum 1978.

52. Pernicka - Seeliger - Wagner - Begemann κ.ά. 1984, εικ. 28, 30, 31. Πρβλ. Z. Stos-Gale - N. Gale, ό.π. (υποσημ. 34).

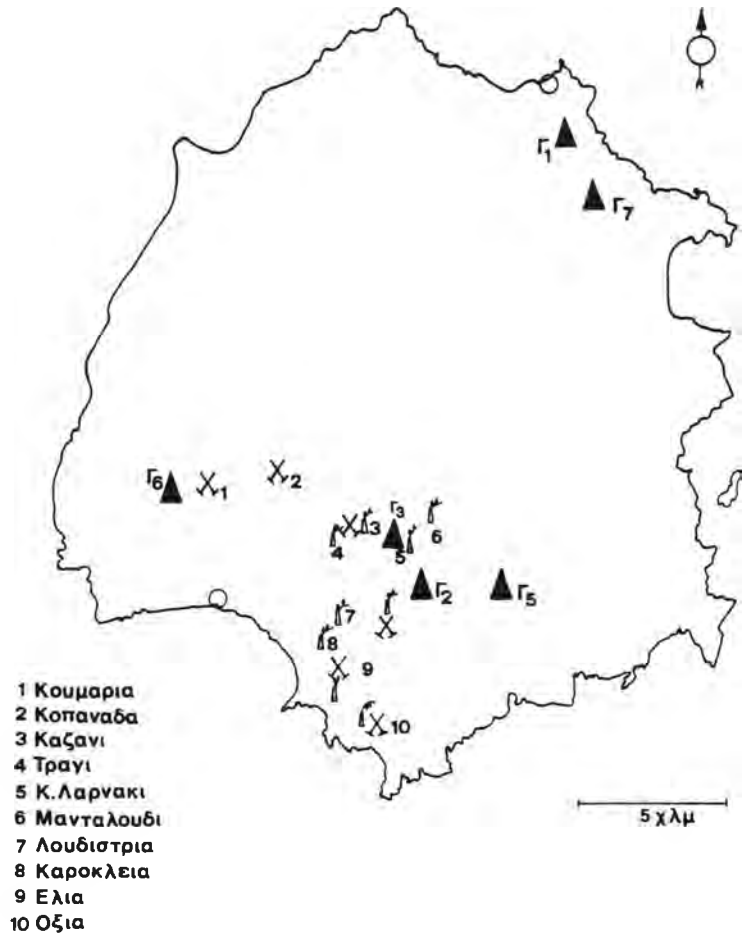

Σχέδ. 161. Κοιτάσματα σιδήρου στη Θάσο.

βδου, σχετίζει τα πρώτα αυτά σιδερένια αντικείμενα της πρωτοϊστορικής Θάσου με περιοχές, στις οποίες ο σίδηρος εμφανίζεται νωρίτερα από το Αιγαίο[53].

Η αραιή, εξάλλου, παρουσία σιδερένιων μαχαιριών στην αρχή της φάσης ΙΙ (ΙΙΑ, ΙΙΒ1) προσδιορίζει γενικά μια καθυστέρηση στην επέκταση της παραγωγής του σιδήρου στη Θάσο, αν μάλιστα την αντιπαραθέσουμε με την τέλεια επικράτηση του σιδήρου στο νεκροταφείο της Βεργίνας. Η ύπαρξη πλούσιων κοιτασμάτων σιδήρου στη Μακεδονία, σε συνδυασμό με την οπωσδήποτε αμφισβητούμενη πρώιμη εμφάνιση μιας σκουριάς σιδήρου στη φάση C της Βαρδαρόφτσας[54], τοποθετεί τη Μακεδονία στις περιοχές με την πρώιμη εμφάνιση της μεταλλουργίας του σιδήρου[55]. Πιθανότατα, βέβαια, οι χρονολογίες που προτείνει ο Kilian για τις φάσεις Ι και ΙΙ της Βεργίνας να είναι κάπως υψηλές και να μην υπάρχει λόγος να τοποθετήσουμε στη Μακεδονία την επικράτηση της χρήσης του σιδήρου νωρίτερα από τη

53. Snodgrass 1980, 340 κ.ε.

54. O. Davies, BSA 28 (1926/27), 197-198, O. Davies, Appendix I, Heurtley 1939, 255. Για τα προβλήματα της πρώιμης αυτής σκουριάς, πρβλ. Ε. Photos, Παράρτημα VIIIβ.

55. Snodgrass 1965, 238 κ.ε. Πρβλ., ωστόσο, όψιμη επικράτηση σιδήρου στα ηπειρωτικά Βαλκάνια. Για τις σχέσεις δυτικών Βαλκανίων-Ιταλίας, πρβλ. Alexander 1962.

νότια Ελλάδα[56], αλλά οπωσδήποτε παραμένει το γεγονός ότι η Θάσος ακόμη και με μια χαμηλότερη χρονολόγηση της Βεργίνας εμφανίζει μια καθυστέρηση στη γενίκευση της χρήσης του σιδήρου, παρά την ύπαρξη των τοπικών κοιτασμάτων σιδήρου.

Η αρχή, ωστόσο, της εκμετάλλευσης των τοπικών κοιτασμάτων σιδήρου στη Θάσο είναι δυνατό με την πορεία της έρευνας να αποδειχθεί ότι είχε αρχίσει νωρίτερα από τις φάσεις ΙΙΒ2-ΙΙΒ3 των νεκροταφείων, κατά τις οποίες γενικεύεται η χρήση του σιδήρου στην κατασκευή εργαλείων. Ήδη από τις αναλύσεις των εκκαμινευτικών σκουριών χαλκού, που βρέθηκαν σε στρώματα του τέλους της ύστερης εποχής του χαλκού και της αρχής της πρώιμης εποχής του σιδήρου στο νεκροταφείο Τσιγανάδικα (πρβλ. Ε. Photos, Παράρτημα VIIIβ), έχουν προκύψει ενδείξεις για τη δυνατότητα παραγωγής σιδήρου κατά την τυχαία προσθήκη σιδηρομεταλλεύματος πλούσιου σε βαρίτη στην εξαγωγική μεταλλουργία χαλκού. Σύμφωνα με αυτή την πολύ σημαντική υπόθεση εργασίας που θέτει η Έφη Φώτου (Παράρτημα VIIIβ), τα κέντρα παραγωγής χαλκού είχαν «δυνάμει» τη δυνατότητα παραγωγής μεταλλικού σιδήρου. Η προτεινόμενη τυχαία παραγωγή σιδήρου στο καμίνι του χαλκέα αποτελεί ένα νέο και πολύ ενδιαφέρον μοντέλο ερμηνείας για την αρχή της μεταλλουργίας του σιδήρου, το οποίο διαφοροποιείται από το γνωστό μοντέλο της διασποράς της τεχνολογίας και το οποίο στηρίζεται σε σταδιακές τεχνολογικές κατακτήσεις της τοπικής μεταλλουργίας. Η ανάλυση και η μελέτη των εκκαμινευτικών σκουριών χαλκού από το νεκροταφείο του οικισμού Καστρί έδωσαν τις πρώτες αποδείξεις για τη χρήση σιδηρομεταλλεύματος στο καμίνι του χαλκέα, πιθανότατα ως συλλιπάσματος. (Συλλίπασμα είναι τα οξείδια του σιδήρου (στην περίπτωση εκκαμίνευσης χαλκού) που προστίθενται στο καμίνι προκειμένου να κάνουν τη σκουριά ρευστή και έτσι να διαχωρισθεί τελείως από το μέταλλο στις χαμηλότερες δυνατές θερμοκρασίες). Πρέπει ωστόσο να παρατηρηθεί ότι οι νεότερες σκουριές σιδήρου, εξαιτίας της απουσίας του βαρίτη (Λ2Γ, D399, D383), (E. Photos, Παράρτημα VIIIβ, Table 1), δεν προέρχονται από το ίδιο σιδηρομετάλλευμα, που είχε χρησιμοποιηθεί για την παραγωγή χαλκού στην περίπτωση των εκκαμινευτικών σκουριών χαλκού από τα νεκροταφεία του οικισμού Καστρί, όπου η παρουσία του βαρίτη είναι χαρακτηριστική. Δεν έχουμε ακόμη καμιά ένδειξη ότι τα πλούσια σε βαρίτη σιδηρομευταλλεύματα, που είχαν χρησιμοποιηθεί στην παραγωγή χαλκού, πιθανότατα όπως σημειώθηκε ως συλλίπασμα, χρησιμοποιήθηκαν και στις προχωρημένες φάσεις της πρώιμης εποχής του σιδήρου, εφόσον στις νεότερες εκκαμινευτικές σκουριές σιδήρου Λ2Γ, D399, D383 δεν εμφανίζεται βαρίτης. Το επίπεδο της έρευνας και το αποσπασματικό ακόμη υλικό των αναλύσεων δεν είναι δυνατό να προσδιορίσει ακόμη τις τοπικές πηγές σιδήρου στη Θάσο της πρώιμης εποχής του χαλκού.

Η επέκταση, ωστόσο, της εξαγωγικής μεταλλουργίας του σιδήρου στο νησί στην εποχή του ελληνικού αποικισμού βεβαιώνεται από την εμφάνιση του στρώματος των εκκαμινευτικών σκουριών σιδήρου στα αρχαιότερα στρώματα του Αρτεμισίου[57]. Η θέση του στρώματος αυτού των σκουριών στους πρόποδες της ακρόπολης, κάτω από το γνωστό μεταλλείο, στο οποίο εκτός από χρυσό εμφανίζονται και κοιτάσματα χαλκού και σιδήρου, όπως είδαμε, θα μπορούσε να συνδέσει το μεταλλείο της ακρόπολης με εκκαμίνευση σιδήρου στην περιοχή του Αρτεμισίου. Απαιτείται, ωστόσο, λεπτομερέστερη φυσικοχημική έρευνα για να προσδιορισθεί αν οι σκουριές αυτές του σιδήρου είναι άσχετες με την εξαγωγική μεταλλουργία του χρυσού του μεταλλείου της ακρόπολης της Θάσου.

Χρυσός

Πρόσφατες αρχαιομετρικές έρευνες έχουν εντοπίσει τα αρχαία μεταλλεία χρυσού, που αναφέρει ο Ηρόδοτος στην περιοχή «μεταξὺ Αἰνύρων... καί Κοινύρων»[58] στη βορειοανατολική

56. Snodgrass 1980, 351.

57. F. Salviat - J. Maffre, Artemission, Secteur proche de l'autel monumental et péribole carré, BCH CIV (1980), 726-730.

58. Ηρόδ. VI, 46, 47. Για τον εντοπισμό των μεταλλείων χρυσού της Θάσου, που αναφέρει ο Ηρόδοτος, βλ. παρακάτω Επίμετρο, υποσημ. 88, 91.

Θάσο, στις ανατολικές πλαγιές των ορεινών συγκροτημάτων «Φανός» και «Κλεισίδι». Τα αρχαιολογικά ευρήματα της πρώτης αρχαιολογικής έρευνας στα μεταλλεία αυτά και στη γύρω περιοχή τους δεν ανεβάζουν την αρχή της εκμετάλλευσης των κοιτασμάτων του χρυσού της περιοχής αυτής πάνω από τα τέλη του 6ου αι. π.Χ. και τις αρχές του 5ου αι. π.Χ., εποχή σύγχρονη με τις παλαιότερες εργασίες του μεταλλείου της ακρόπολης της Θάσου[59].

Για την πρώιμη, ωστόσο, φάση της εκμετάλλευσης των μεταλλείων αυτών από τους Φοίνικες, που αναφέρει ο Ηρόδοτος, δεν υπάρχει ακόμη καμιά αρχαιολογική ένδειξη, ούτε στην περιοχή των μεταλλείων των Κοινύρων ούτε και αλλού στη Θάσο.

Στα νεκροταφεία του οικισμού Καστρί βρέθηκαν δύο μόνο χρυσά αντικείμενα: Είναι οι δύο χρυσοί σφηκωτήρες από στριφτό έλασμα (Τ18, 149, 150· Π ί ν. 116: 160, 159), που χρονολογούνται στη φάση ΙΒ των νεκροταφείων Καστρί. Εργαστηριακή έρευνα στο σφηκωτήρα Τ18, 160 (149) έδειξε ήδη ότι η χημική σύσταση του χρυσού εμφανίζει πολλές ομοιότητες με το χρυσό των Κοινύρων (Παράρτημα XII)[60]. Αν ωστόσο είχε αρχίσει η παραγωγή χρυσού στη Θάσο, το κέντρο της εξορυκτικής δραστηριότητας δεν πρέπει να αναζητηθεί στον οικισμό Καστρί, αλλά σε περιοχές κοντινές στα κοιτάσματα χρυσού. Αφού στην περιοχή των Κοινύρων δε φαίνεται να υπάρχουν εγκαταστάσεις αρχαιότερες από την αρχαϊκή εποχή, η μόνη κοντινή στις χρυσοφόρες περιοχές θέση, που θα μπορούσε να εμφανίσει φάσεις αρχαιότερες από τον ελληνικό αποικισμό, είναι η ίδια η πόλη της αρχαίας Θάσου, τα προαποικιακά στρώματα της οποίας καλύπτονται από επιχώσεις ιστορικών χρόνων.

ΛΑΤΟΜΕΙΑ

Το αποσαθρωμένο επιφανειακό μάρμαρο της περιοχής του οικισμού Καστρί (Σ χ έ δ. 4) πρόσφερε εύκολο οικοδομικό υλικό, κατάλληλο για την κατασκευή του τείχους και των κατοικιών στην ακρόπολη Καστρί ή των ταφικών κτισμάτων και των τύμβων-λιθοσωρών στα νεκροταφεία του οικισμού. Η επιφανειακή, ωστόσο, περισυλλογή λίθων δεν ήταν δυνατό να καλύψει πάντα τις ανάγκες του οικισμού, ιδιαίτερα σε περιόδους πληθυσμιακής ακμής, όπως πρέπει να ήταν η πρώιμη εποχή του σιδήρου.

Η αυξημένη ζήτηση λίθων για την κατασκευή κτισμάτων προορισμένων για τους ζωντανούς και τους νεκρούς κατοίκους του οικισμού προκάλεσε τη διάνοιξη των λατομείων. Οι έξι θέσεις των λατομείων, που έχουν εντοπισθεί στη μαρμαροφόρα περιοχή του λόφου Τσιγανάδικα, πρέπει να αποτελούν τα αρχαιότερα λατομεία στη Θάσο, στην οποία όπως είναι γνωστό αναπτύχθηκε σε μεγάλη έκταση η εξόρυξη μαρμάρου στους ιστορικούς χρόνους[61].

Η χρονολόγηση των λατομείων είναι άγνωστη, αφού δεν έχουν ακόμη ερευνηθεί, αλλά η μόνη εποχή που εμφανίζει οικοδομική δραστηριότητα στην περιοχή αυτή είναι η εποχή του προϊστορικού οικισμού Καστρί και προπαντός η περίοδος των νεκροταφείων με τους κτιστούς τάφους (Π ί ν. 361δ). Στη ρωμαϊκή εποχή και στους βυζαντινούς και μεταβυζαντινούς χρόνους εμφανίζονται βέβαια ίχνη μιας αραιής κατοίκησης στην περιοχή Τσιγανάδικα[62], αλλά τα σποραδικά κτίσματα των ιστορικών χρόνων θα μπορούσαν να κτισθούν με το έτοιμο επιφανειακό υλικό ή με λίθους από τους διάσπαρτους υπέργειους προϊστορικούς

59. ΑΔ 36 (1981): Χρονικά, 338-339 (μεταλλείο Φανού Κοινύρων), Muller 1979, 334 (μεταλλείο ακρόπολης Θάσου).

60. Για το επίπεδο της έρευνας των πηγών χρυσού στην εποχή του χαλκού και τα προβλήματα προσδιορισμού της προέλευσης χρυσού, πρβλ. σύνοψη J. Muhly, Gold Analyses and Sources of Gold in the Bronze Age, Temple University Aegean Symposium (Gold in the Aegean Bronze Age) 8, 1983, 1-14, όπου και αξιολογούνται τα αποτελέσματα του ερευνητικού προγράμματος. A. Hartmann, Prähistorische Goldfunde aus Europa, Studien zu den Anfängen der Metallurgie III (1970).

61. J.P. Sodini - A. Lambraki - T. Kozelj, Les carrières de marbre à l'époque paléochrétienne, Aliki I (1980).

62. Πρβλ. ελάχιστα όστρακα βυζαντινών χρόνων διάσπαρτα στην περιοχή του νεκροταφείου Τσιγανάδικα. Επίσης, όστρακα ρωμαϊκών χρόνων στην επίχωση των ταφικών συστάδων Τ34 και Τ35, καθώς και δύο κτίσματα ρωμαϊκής (;) εποχής στην περιοχή του νεκροταφείου Τσιγανάδικα, ΑΔ 30 (1975): Χρονικά, 282.

τάφους της περιοχής αυτής. Την περίπτωση βέβαια μιας εκμετάλλευσης του μαρμάρου της περιοχής στα ιστορικά χρόνια πρέπει να την αποκλείσουμε, γιατί η περιοχή είναι δυσπρόσιτη και δεν υπήρχε κανένας λόγος να αναζητήσουν οι αρχαίοι εδώ μάρμαρο, αφού υπήρχαν πλουσιότατα κοιτάσματα μαρμάρων πολύ καλύτερης ποιότητας στα παράλια της νότιας Θάσου[63].

Η τεχνολογία της εξόρυξης δεν έχει ακόμη μελετηθεί, αλλά από την τοιχοδομία των ταφικών κτισμάτων φαίνεται ότι οι προϊστορικοί τεχνίτες είχαν προχωρήσει πέρα από την παραγωγή των άμορφων λίθων και στην εξαγωγή μεγάλων και στέρεων πλακών, που χρησιμοποιούνταν στην οροφή των ταφικών κτισμάτων.

Η ύπαρξη λατομείων για παραγωγή οικοδομικού υλικού έχει επισημανθεί από την ύστερη εποχή του χαλκού στον ελλαδικό χώρο, όπου απαντάται επίσης και στην πρώιμη εποχή του σιδήρου[64].

Τεχνολογία

ΛΙΘΟΔΟΜΗ

Από την ταφική αρχιτεκτονική των νεκροταφείων και από τα ελάχιστα δείγματα τοιχοποιίας, που έχουν αποκαλυφθεί στον οικισμό Καστρί, προκύπτει ότι οι κάτοικοι του οικισμού ήταν εξοικειωμένοι με την τεχνική της ξερολιθιάς, με την οποία κατασκεύαζαν τα σπίτια των ζωντανών και τις κατοικίες των νεκρών. Η πανάρχαια αυτή τεχνική, που όμως είδαμε είναι γνωστή από τη χαλκολιθική περίοδο του οικισμού Καστρί[65], επιβιώνει στην ίδια περιοχή ως σήμερα, γιατί αποτελεί την τοπική απάντηση των κατοίκων στις δυνατότητες του φυσικού περιβάλλοντος.

Η εμφάνιση μεγάλων πλακών που χρησιμοποιούνται στην τοιχοδομία, τοποθετημένες συχνά σε όρθια θέση (Π ί ν. 232β), υπαγορεύεται από την πρόθεση των κατασκευαστών να «δέσουν» τον τοίχο, συντομεύοντας συγχρόνως και το κτίσιμο, είναι όμως πιθανό να ανταποκρίνεται και σε μια διάθεση μεγαλιθισμού, που σημειώνεται έντονη σε ορισμένα ταφικά μνημεία (π.χ. Κ2, Π ί ν. 212α)[66].

Η αρχιτεκτονική μορφή των κτισμάτων του οικισμού και των νεκροταφείων, όπως και η τοιχοδομία τους, δεν είναι προχωρημένη και δε θέτει πρόβλημα ιδιαίτερης εξειδίκευσης των κατασκευαστών. Το σπουδαιότερο πρόβλημα, που εμφανίζουν οι απλές κατασκευές των ταφικών κτισμάτων, είναι η στέγαση με τις μεγάλες βαριές πλάκες. Τα στατικά προβλήματα που προκύπτουν αντιμετωπίζονται με το αυξημένο πάχος των τοίχων (Π ί ν. 238α), καμιά φορά και με εσωτερικά στηρίγματα (Π ί ν. 212α). Η αρχή της εκφορικής καμάρας, που σημειώνεται σε πολλούς τάφους, υποδηλώνει επίσης την προσπάθεια να στενέψει η επιφάνεια κάλυψης του τάφου. Η αντιμετώπιση αυτών των προβλημάτων στην κατασκευή και στη στέγαση των ταφικών κτισμάτων θα πρέπει να ήταν αποτέλεσμα αποκτημένης εμπειρίας, κοινής σε πολλά μέλη της κοινότητας, έτσι ώστε να ήταν δυνατό να πραγματοποιηθεί εύκολα με τη συνεργασία των μελών της ομάδας, που κατασκεύαζε τον οικογενειακό της τάφο. Με τον ίδιο τρόπο πιθανόν αντιμετωπίζονταν και οι κατασκευές και οι επιδιορθώσεις της τοιχοποιίας στις κατοικίες και στο τείχος της ακρόπολης.

63. Πρβλ. λατομεία Αλυκής, ό.π. (υποσημ. 61).

64. R.J. Forbes, Bergbau, Steinbruchtätigkeit, Hüttenwesen, Archaeologia Homerica II, K12, 1967.

65. Πρβλ. κτίσματα ύστερης νεολιθικής εποχής στην ακρόπολη Καστρί, ΑΔ 31 (1976): Χρονικά, 294-295, πίν. 241α-β.

66. Πρβλ. ανάλογη τεχνική σε σύγχρονους φράκτες στη Θάσο, αλλά και σε άλλα νησιά του Αιγαίου, Γ. Μέγας, Αι αγροτικαί οικήσεις της Άνδρου, Χαριστήριον εις Α.Κ. Ορλάνδον, Δ', πίν. XVI.

ΚΕΡΑΜΙΚΗ

Αντίθετα με τις λιθοκατασκευές, που δεν απαιτούσαν σημαντικό βαθμό εξειδίκευσης, η κατασκευή αγγείων προϋποθέτει εξειδικευμένους τεχνίτες και ειδικές εγκαταστάσεις.

Η τοπική χειροποίητη κεραμική καλύπτει το 97% της συνολικής κεραμικής, που εμφανίζεται στα νεκροταφεία Καστρί, και το 99% των αγγείων του νεκροταφείου Λαρνάκι. Αντίστοιχα είναι και τα ποσοστά της χειροποίητης κεραμικής, που εμφανίζεται στα σύγχρονα με τα νεκροταφεία αρχαιολογικά στρώματα του οικισμού Καστρί.

Η χειροποίητη, επομένως, κεραμική καλύπτει τις βασικές ανάγκες των κατοίκων του οικισμού σε μεγάλα αποθηκευτικά αγγεία και μικρότερα αγγεία διατροφής.

Η αυξημένη ζήτηση σε σκεύη, που ήταν εύθραυστα και προορίζονταν να καλύψουν βασικές ανάγκες, επέβαλλε μια μαζική παραγωγή, που αν δεν αντιμετωπιζόταν στο επίπεδο της οικοτεχνίας απαιτούσε τη μερική ή την ολική απασχόληση ενός ορισμένου αριθμού ατόμων από την κοινότητα. Το πρόβλημα της μερικής ή ολικής απασχόλησης των αγγειοπλαστών με την παραγωγή αγγείων στις προϊστορικές κοινότητες δεν είναι δυνατό να λυθεί από το γνωστό αρχαιολογικό υλικό[67], το οποίο ωστόσο στηρίζει την ύπαρξη ειδικευμένων τεχνιτών και ειδικευμένων εργαστηρίων, που κατασκεύαζαν ορισμένης κατηγορίας κεραμική ήδη από τη νεολιθική εποχή[68].

Στην εποχή που χρονολογούνται τα νεκροταφεία του οικισμού Καστρί, η διαφοροποίηση και η εξειδίκευση στις προϊστορικές κοινωνίες έχει προχωρήσει, έτσι ώστε να θεωρείται δεδομένη η ύπαρξη εξειδικευμένων εργαστηρίων κεραμικής με μαζική παραγωγή. Η διαφοροποίηση ωστόσο που εμφανίζεται στις επιμέρους κατηγορίες κεραμικής, που έχουμε επισημάνει στα νεκροταφεία, είναι αποτέλεσμα πολλαπλών μεταβλητών[69]. Η αλλαγή π.χ. στην τεχνική κατασκευής, στη διακόσμηση ή στα σχήματα των αγγείων, άλλοτε είναι αποτέλεσμα χρονικής και άλλοτε χρηστικής διαφοροποίησης[70].

Όπως έδειξε η μελέτη των επιμέρους κατηγοριών της χειροποίητης κεραμικής στις δύο φάσεις (Ι και ΙΙ) των νεκροταφείων, η διαφοροποίηση ορισμένων κατηγοριών κεραμικής καθώς και η εμφάνιση και η εξαφάνιση άλλων συμπίπτουν με τη χρονική διαφοροποίηση των τάφων. Η μόνιμη πάλι παρουσία μιας αδρής κεραμικής με πλαστική διακόσμηση, που παραμένει και στις δύο φάσεις των νεκροταφείων, σχετίζεται με το χρηστικό χαρακτήρα της κεραμικής αυτής, που δε δίδει περιθώρια για αλλαγές.

Οι διαφορές, ωστόσο, στις μεθόδους κατασκευής των αγγείων διατροφής και των αποθηκευτικών αγγείων, που έχουν επισημανθεί και στις μικροσκοπικές και φυσικοχημικές αναλύσεις του κεραμικού υλικού, δεν μπορούν να βεβαιώσουν χωριστά εργαστήρια για τα δύο παραπάνω βασικά είδη αγγείων.

Οι διαφορές στη σύσταση του πηλού και στον τρόπο όπτησης υπαγορεύονται, όπως και τα σχήματά τους, από τη διαφορετική χρήση των αγγείων διατροφής και των αποθηκευτικών αγγείων. Προχωρημένη, ωστόσο, εξειδίκευση απαιτούν και οι δύο βασικές κατηγορίες αγγείων. Αν στα αγγεία διατροφής χρειάζεται επιδεξιότητα στο πλάσιμο του σχήματος και στη διακόσμηση, τα μεγάλα αποθηκευτικά αγγεία, και προπαντός τα πιθάρια, απαιτούν εξίσου προχωρημένη εξειδίκευση στο πλάσιμο και ειδικές εγκαταστάσεις στην όπτηση, για να εξασφαλισθεί η στερεότητα και η αντοχή στις μεγάλες επιφάνειες των τοιχωμάτων τους.

67. Treuil 1983, 402, σημ. 35, όπου συγκεντρώνεται σχετική βιβλιογραφία. Για τη σύνδεση της αγγειοπλαστικής με τη γυναικεία εργασία, πρβλ. Treuil 1983, 398, σημ. 6, με σχετική βιβλιογραφία.

68. R. Evans, Early Craft Specialization. An Example from the Balkan Chalcolithic (C. Redman κ.ά., Social Archaeology beyond Subsistence and Dating, 1978). Πρβλ. και «εργαστήριο» εγχάρακτης κεραμικής στο νεολιθικό Διμήνι, Χουρμουζιάδης 1977, 207-213, G. Chourmousiadis, Die Spezialisierung in Neolithikum, Palast und Hütte, 1982, 125.

69. Για συνολική θεωρητική ανάλυση του θέματος με τη σχετική βιβλιογραφία, πρβλ. Κωτσάκης 1983, 211 κ.ε.

70. Στα νεκροταφεία της Θάσου δεν παρατηρείται ανομοιομορφία στην κατανομή της κεραμικής κατά τάφους και επομένως πρέπει να αποκλεισθεί η κεραμική διαφοροποίηση από τις διαδικασίες της κατανομής του περισσεύματος στον οικισμό, για να σχετισθεί αποκλειστικά με την ύπαρξη ειδικευμένης παραγωγής, Κωτσάκης 1983, 264 κ.ε. («δείκτες»).

Πέρα από το χρηστικό προορισμό τους, τα αγγεία περιέχουν επίσης και την έκφραση της καλλιτεχνικής διάθεσης του αγγειοπλάστη, που διοχετεύεται μέσα από τις φόρμες μιας μακρόχρονης παράδοσης. Η διακόσμηση στις επιμέρους κατηγορίες της κεραμικής κινείται σ' ένα ρεπερτόριο διακοσμητικών θεμάτων, που γνωρίζει ο αγγειοπλάστης και χρησιμοποιεί κατά περίπτωση ανάλογα με το διαθέσιμο χρόνο ή την προσωπική του διάθεση. Θα μπορούσαμε επομένως να εντάξουμε τη διακόσμηση της κεραμικής από τη μια μεριά στο λεγόμενο μακροστύλ, που περιέχεται στην αποκρυσταλλωμένη παράδοση του πολιτιστικού χώρου, που παράγει και χρησιμοποιεί την κεραμική, και από την άλλη στο προσωπικό μικροστύλ, που ανταποκρίνεται στο συγκεκριμένο άτομο και στη συγκεκριμένη προσωπική του διάθεση. Η πολλαπλή διαφοροποίηση στο μικροστύλ της αυλακωτής π.χ. κεραμικής στη φάση ΙΙΒ των νεκροταφείων συχνά οφείλεται και στο χαρακτήρα της χειρωνακτικής εργασίας, η οποία ποτέ δεν επαναλαμβάνεται με τρόπο τυποποιημένο. Άλλοτε πάλι σχετίζεται με τη χρονική διαφοροποίηση, αφού εξαιτίας της μεγάλης χρονικής διάρκειας των νεκροταφείων φθάνουν στους τάφους αγγεία πολλών αγγειοπλαστών, όχι βέβαια σύγχρονων[71].

Πέρα ωστόσο από τις επιμέρους διαφοροποιήσεις, είναι φανερά τα γενικά χαρακτηριστικά, που διαμορφώνουν ένα κοινό χαρακτήρα χειροποίητης κεραμικής στη νότια Θάσο της πρώιμης εποχής του σιδήρου (πρβλ. αντίστοιχη κεραμική από τον οικισμό της θέσης Παλιόκαστρο Μαριών).

Ένα λεπτομερειακό πρόγραμμα φυσικοχημικών αναλύσεων στους πηλούς της νότιας Θάσου και στους πηλούς της χειροποίητης κεραμικής των προϊστορικών οικισμών έχει μεγάλες πιθανότητες, παρά τις γνωστές δυσκολίες, να προσδιορίσει τη θέση και τον αριθμό των τοπικών αυτών εργαστηρίων κεραμικής της πρωτοϊστορικής Θάσου, ακόμη και το ρόλο των περιφερόμενων ή μόνιμα εγκατεστημένων αγγειοπλαστών στο σύστημα των ανταλλαγών, που οι οικισμοί της πρωτοϊστορικής Θάσου είχαν αναπτύξει μεταξύ τους και με την απέναντι Περαία[72].

ΜΕΤΑΛΛΟΥΡΓΙΑ

Οι λίγες γνώσεις μας για τη μεταλλοτεχνία της πρωτοϊστορικής Θάσου προέρχονται κυρίως από τα κτερίσματα των νεκροταφείων του οικισμού Καστρί και της θέσης Λαρνάκι. Μεταλλογραφικές έρευνες δεν έχουν, ωστόσο, ακόμη πραγματοποιηθεί και οι παρατηρήσεις μας στηρίζονται στην απλή μακροσκοπική εξέταση των αντικειμένων.

Η χαλκουργία στη Θάσο επεξεργάζεται, όπως είδαμε, χαλκό τοπικό, αλλά και εισαγόμενο από άλλες περιοχές. Από την τυπολογία των χάλκινων μαχαιριών δε φαίνεται να προκύπτει κάποια τυπολογική διαφοροποίηση για τα μαχαίρια που κατασκευάζονται από θασιακό χαλκό. Από θασιακό χαλκό έχουν κατασκευασθεί μαχαίρια των τύπων ΕΙ-ΕV. Αντίστοιχη ποικιλία τύπων εμφανίζουν και τα μαχαίρια που έχουν κατασκευασθεί από χαλκό άλλων περιοχών (πρβλ. Z. Stos-Gale - N. Gale, Παράρτημα VII). Με βάση τα γνωστά ως τώρα στοιχεία, δεν είναι ωστόσο δυνατό να εξακριβωθεί αν ο χαλκός άλλων περιοχών φθάνει στη Θάσο ως πρώτη ύλη, που την επεξεργάζονται τα τοπικά εργαστήρια χαλκουργίας, ή φθάνει ως διαμορφωμένα αντικείμενα (μαχαίρια, κοσμήματα, κτλ.).

Η ύπαρξη, ωστόσο, τοπικών εργαστηρίων χαλκουργίας στη Θάσο βεβαιώνεται και από

71. Για το δυναμικό των πληροφοριών που περιέχονται στην κεραμική, πρβλ. τη σύνοψη των ομάδων πληροφοριών «Properties», που παραθέτει εισαγωγικά ο C. Renfrew με σχετική βιβλιογραφία στο άρθρο του, Production and Exchange in Early State Societies (έκδ. Pottery and Early Commerce, D.S. Peacock), 1977, 3-7.

72. Ενδείξεις για μετακινήσεις αγγειοπλαστών στην πρώιμη εποχή του χαλκού δίδουν οι σφραγισμένοι με την ίδια σφραγίδα πίθοι, που βρέθηκαν στη Λέρνα και στην Πύλο, J. Caskey, Hesperia 28 (1959), 206, πίν. 42c-f, M.H. Wienke, Hesperia 1970, 103. Πρβλ. και Renfrew 1972, 344 και Treuil 1983, 402. Για αντίστοιχα παραδείγματα ιστορικών χρόνων, πρβλ. Χ. Μπακιρτζής, Βυζαντινά τσουκαλολάγηνα, 1989, 118, με αναγωγές στους σύγχρονους πιθαράδες Κύπρου και Κρήτης. Φυσικά πραγματοποιούνταν και μετακινήσεις των καταναλωτών της κεραμικής προς τους τόπους παραγωγής των αγγείων, ενώ η διάδοση κοινών χαρακτηριστικών στην κεραμική μιας ευρύτερης περιοχής εντάσσει οπωσδήποτε και την κεραμική στην ανταλλακτική κίνηση του εμπορίου.

το θραύσμα μιας λίθινης ανοικτής μήτρας χάλκινης αξίνας, που βρέθηκε στο επιφανειακό στρώμα του οικισμού Καστρί (Π ί ν. 361ε)[73]. Το θραύσμα αυτό είναι δύσκολο να χρονολογηθεί, αλλά είναι γνωστή η άσκηση αντίστοιχης μεταλλοτεχνίας με ανοικτές μήτρες στην ύστερη εποχή του χαλκού και πρώιμη εποχή του σιδήρου και από άλλες γειτονικές στη Θάσο περιοχές[74].

Η εμφάνιση θασιακού χαλκού σε μαχαίρια όλων των χρονολογικών φάσεων βεβαιώνει την ύπαρξη τοπικών εργαστηρίων χαλκουργίας στη Θάσο από την ύστερη, τουλάχιστον, εποχή του χαλκού και πιθανόν πολύ νωρίτερα, όπως προκύπτει από την εμφάνιση των δύο βελονών της χαλκολιθικής φάσης του οικισμού Καστρί (Παράρτημα VII, δείγματα αριθ. 193, 195). Η βασική φυσικά διαφορά ανάμεσα στα χάλκινα αντικείμενα της χαλκολιθικής εποχής και των νεότερων φάσεων της εποχής του χαλκού ή της πρώιμης εποχής του σιδήρου είναι η παρουσία του κασσίτερου στο χαλκό (πρβλ. Παραρτήματα VIα και VIβ). Η εμφάνιση, επίσης, πολλών παραλλαγών σε τύπους σύγχρονους (ΕΙV, EV) πιθανότατα πρέπει να αποδοθεί στην ύπαρξη πολλών μικρών εργαστηρίων μεταλλοτεχνίας[75]. Τα εργαστήρια αυτά κατασκευάζουν τα χάλκινα αντικείμενα είτε με ανοικτές μήτρες, όπως προκύπτει από το θραύσμα της λίθινης μήτρας, είτε με σφυρηλάτηση, όπως προκύπτει από τη μακροσκοπική εξέταση των χάλκινων μαχαιριών ή άλλων αντικειμένων[76] (π.χ. χάλκινων ψήφων). Τα εργαστήρια αυτά παράγουν όχι μόνο χάλκινα μαχαίρια, αλλά και κοσμήματα, ακόμη και όπλα, όπως προκύπτει από το μοναδικό παράδειγμα χάλκινης αιχμής, η οποία φαίνεται ότι έχει κατασκευασθεί από χαλκό περιοχής πιθανόν Παγγαίου ή Χαλκιδικής (Παράρτημα VII, δείγμα αριθ. 176). Το ιδιόρρυθμο ελικωτό κόσμημα (Σ χ έ δ. 98· Π ί ν. 18: 34-35), που είναι ως τώρα γνωστό μόνο από τη Θάσο, πρέπει να αποτελεί μάλλον κάποια πρωτότυπη δημιουργία των θασιακών εργαστηρίων, παρά το γεγονός ότι ο χαλκός σ' ένα δείγμα που αναλύθηκε δεν είναι θασιακός (Παράρτημα VII, δείγμα αριθ. 197). Η μοναδικότητα ακριβώς αυτού του κοσμήματος θα μπορούσε να χρησιμοποιηθεί ως ένδειξη για την επεξεργασία χαλκού άλλων περιοχών στα εργαστήρια χαλκουργίας της πρωτοϊστορικής Θάσου. Τα εργαστήρια, ωστόσο, αυτά φαίνεται ότι παρακολουθούν τις δημιουργίες των άλλων σύγχρονων εργαστηρίων, όπως διαπιστώνεται στην εμφάνιση της τεχνικής tremolo στο μεγάλο χυτό κουμπί Τ7Γ8 (Π ί ν. 79: 10) από θασιακό χαλκό (δείγμα αριθ. 189).

Για τα εργαστήρια σιδήρου που κατασκεύασαν τα σιδερένια αντικείμενα των τάφων, οι γνώσεις μας είναι ακόμη λιγότερες. Η κατάσταση διατήρησης των σιδερένιων αντικειμένων των τάφων δε δίδει πολλές δυνατότητες για μεταλλογραφικές παρατηρήσεις. Πιθανότατα, τα αρχαιότερα παραδείγματα σιδερένιων μαχαιριών είναι επείσακτα στη Θάσο, αλλά είναι πολύ πιθανό οι γνώσεις της πυροτεχνολογίας των χαλκουργών της Θάσου να αφομοίωσαν πολύ γρήγορα τις μεθόδους επεξεργασίας του νέου μετάλλου, τα κοιτάσματα του οποίου ήταν άλλωστε, όπως είδαμε, πλούσια στη Θάσο. Για την πιθανότητα αυτόνομης εμφάνισης της παραγωγής σιδήρου στη Θάσο μέσα από την εξαγωγική μεταλλουργία χαλκού, πρβλ. Ε. Photos, Παράρτημα VIIIβ.

Στον τομέα της μεταλλοτεχνικής δραστηριότητας πρέπει να συμπεριληφθεί και η κατασκευή μολύβδινων συνδέσμων, οι οποίοι εμφανίζονται με μεγάλη συχνότητα στα αγγεία και στα πιθάρια των νεκροταφείων του οικισμού Καστρί (Π ί ν. 359: 1-5). Η εμφάνιση συγκεντρωμένης ποσότητας μολύβδου σε μορφή μικρογραφικού «ταλάντου» (;) (Τ3Β2, Π ί ν. 67: 2) στον τάφο δεν είναι δυνατό να προσδιορισθεί αν συνδέεται με την «επαγγελματική» ταυτότητα του νεκρού ή αν αποτελεί είδος συγκεντρωμένου «αγαθού», που συνόδευσε το νεκρό στην άλλη ζωή[77].

73. Για την τεχνική της ανοικτής μήτρας, πρβλ. Branigan 1974, 77-80.

74. Πρβλ. ανοικτές μήτρες από την Άσσηρο, Wardle 1980, 253, πίν. 22b.

75. Ο τύπος V, που εμφανίζεται σε μεγάλη συχνότητα στη φάση II των νεκροταφείων Καστρί, θα μπορούσε να αποτελεί μια τοπική δημιουργία, αλλά από τις αναλύσεις των ισοτόπων προκύπτει ότι τα μαχαίρια αυτού του τύπου δεν είναι πάντα κατασκευασμένα από θασιακό χαλκό.

76. Τα ίχνη σφυρηλάτησης είναι πολύ εμφανή στο χάλκινο μαχαίρι Κ4Α22 (Π ί ν. 31: 6).

77. Για τη σκουριά χαλκού σε τάφο της Περατής, καθώς και άλλα ακατέργαστα υλικά, η παρουσία των οποίων στους τάφους θα μπορούσε να συνδυασθεί με τις ασχολίες του νεκρού, πρβλ. Ιακωβίδης 1970, 369-370.

ΑΛΛΕΣ ΑΣΧΟΛΙΕΣ

Μια περιπτωσιακή απασχόληση των κατοίκων του οικισμού Καστρί, η οποία δεν απαιτούσε μεγάλο βαθμό εξειδίκευσης, είναι η παραγωγή ορισμένων απλών εργαλείων πρώτης ανάγκης, τα οποία πιθανότατα κατασκευάζονταν περιπτωσιακά, ανάλογα με τις προσωπικές ή οικογενειακές ανάγκες.

Μικρός αριθμός από εργαλεία αυτού του τύπου βρέθηκε στους τάφους. Για την κατασκευή τους έχουν χρησιμοποιηθεί πρώτες ύλες από το άμεσο περιβάλλον των κατοίκων του οικισμού, όπως είναι τα οστά των αιγοπροβάτων ή βοοειδών για τις οστέινες αιχμές (Β1Β4, Π ί ν. 48: 4 και Τ18, 39α, Π ί ν. 107: 39α) ή τα τοπικά γνευσιοσχιστολιθικά πετρώματα και το λεπτοπλακώδες μάρμαρο για τα λίθινα ακόνια. Από τοπικό χαλαζιακό πέτρωμα έχει κατασκευασθεί επίσης η λίθινη αιχμή βέλους (Τ18, 129, Π ί ν. 115), ενώ ορισμένα θραύσματα ορείας κρυστάλλου[78], που βρέθηκαν στο εσωτερικό των τάφων Τ18 (Π ί ν. 116: 156) και Τ29 (Π ί ν. 169: 39), δεν είναι βέβαιο αν ανήκουν σε αιχμές ή αν είναι απολεπίσματα φυσικού χαλαζιακού πετρώματος, που εμφανίζεται σποραδικά στην περιοχή του νεκροταφείου Τσιγανάδικα. Από πέτρωμα ξένο τελείως στη γεωλογική σύσταση του νησιού έχει καστασκευασθεί μόνο ένα ακόνι (;), που βρέθηκε στον τάφο Τ24 (Τ24, 20, Π ί ν. 154), το οποίο εμφανίζει ηφαιστειογενή σύσταση. Αυτό, ωστόσο, δε σημαίνει απαραίτητα ότι είναι εργαλεία επείσακτα στον οικισμό — περίπτωση που φυσικά δεν πρέπει να αποκλείεται — γιατί θραύσματα ηφαιστειογενών πετρωμάτων θα μπορούσαν να βρεθούν στις ακτές της Θάσου, μεταφερμένα από τα γειτονικά νησιά Λέσβο και Λήμνο (πρβλ. Ν. Επιτρόπου, Παράρτημα IX).

Τα σφονδύλια αποτελούν δημιουργήματα της τοπικής επίσης τεχνολογίας, τα οποία κατασκευάζονται μαζί με τα τοπικά χειροποίητα εργαλεία, από πηλό όμοιο με τα αγγεία και με συνθήκες όπτησης αντίστοιχες με των χειροποίητων αγγείων κατηγορίας Ι, 1-4. Η συχνή εμφάνισή τους στους τάφους και η σύνδεσή τους με γυναικείες ταφές προσδιορίζει το γνέσιμο ως βασική απασχόληση του γυναικείου πληθυσμού του οικισμού Καστρί. Με δεδομένη την ύπαρξη μεγάλου πληθυσμού αιγοπροβάτων, η εριουργία πρέπει να αποτελούσε βασική παραγωγική δραστηριότητα[79] των κατοίκων του οικισμού. Πιθανόν μάλιστα και τα μονόστομα μαχαίρια με την αποστρογγυλεμένη αιχμή σχετίζονται με κουρά αιγοπροβάτων.

Η δεξιόστροφα στριμμένη λινή κλωστή, που βρέθηκε στο εσωτερικό της σύριγγας Τ18, 126 (Π ί ν. 373α), θα μπορούσε να βεβαιώσει και την ενασχόληση των κατοίκων του οικισμού Καστρί με την επεξεργασία του λιναριού, η καλλιέργεια του οποίου την εποχή αυτή είναι βεβαιωμένη από τα ευρήματα του οικισμού του Καστανά[80] (πρβλ. Ν. Αγελαράκη και R. Solecki, Παράρτημα X).

Εμπόριο

Στη φάση ΙΒ των νεκροταφείων του οικισμού Καστρί, στα τέλη της ύστερης εποχής του χαλκού (ΥΕ ΙΙΙΒ-ΥΕ ΙΙΙΓ), το μυκηναϊκό εμπόριο φέρνει στη Θάσο τη μυκηναϊκή κεραμική των περιφερειακών κυρίως μυκηναϊκών εργαστηρίων. Τα πιο κοντινά στη Θάσο περιφερειακά εργαστήρια μυκηναϊκής κεραμικής θα πρέπει να αναζητηθούν στη γειτονική Χαλκιδική[81], όπου όμως δεν έχουν ακόμη επισημανθεί μυκηναϊκά εμπόρια. Τα τοπικά βέβαια μυκηναϊκά αγγεία της φάσης ΙΒ των νεκροταφείων Καστρί εμφανίζουν πολλές ομοιότητες με ορισμένα γνωστά τοπικά μυκηναϊκά αγγεία της κεντρικής Μακεδονίας και της Χαλκιδικής, φαίνεται ωστόσο φρονιμότερο να μην προχωρήσουμε σε περισσότερους συσχετισμούς των

78. Πρβλ. θραύσματα ορείας κρυστάλλου και σε τάφους της Περατής, ό.π., 370.

79. Αντίστοιχη εικόνα, πιθανόν εξαιτίας αναπτυγμένης εριουργίας και υφαντικής, αποδίδουν ίσως και τα πολυάριθμα σφονδύλια της Τροίας κατά τους ανασκαφείς. Πρβλ. Blegen - Caskey 1953, 32-33.

80. Kroll 1983, 133.

81. Heurtley 1939, 124, Wardle 1980, 252, Hänsel 1979α, 189.

μυκηναϊκών αγγείων της Θάσου και να αφήσουμε ανοικτό ακόμη το θέμα της προέλευσής τους[82].

Εκτός από τη μυκηναϊκή κεραμική, το εμπόριο είναι εκείνο που φέρνει στη Θάσο, στη διάρκεια της φάσης ΙΒ και ΙΙΑ των νεκροταφείων, τις χάνδρες από ήλεκτρο[83], τις χάνδρες από γαλαζοπράσινη υαλόμαζα[84], τα χάλκινα μαχαίρια μυκηναϊκών τύπων, τους οποίους γρήγορα φαίνεται ότι αντιγράφουν τα τοπικά εργαστήρια χαλκουργίας του νησιού[85]. Από που προέρχονται αυτά τα προϊόντα, που φθάνουν στη Θάσο στην εποχή της δραστηριοποίησης του μυκηναϊκού εμπορίου, δεν είναι βέβαια δυνατό να προσδιορισθεί. Τα μυκηναϊκά ωστόσο αγγεία πρέπει, να προέρχονται από περιφερειακές θέσεις του μυκηναϊκού κόσμου (Παράρτημα IV).

Ποια θα μπορούσε να ήταν τα προϊόντα της Θάσου, τα οποία θα ήταν δυνατό να ενδιαφέρουν τους Μυκηναίους; Το μικρό ποσοστό του θασιακού χαλκού[86], που χρησιμοποιείται στην τοπική μεταλλουργία την εποχή αυτή, δε συνηγορεί για μια μεγάλη παραγωγή χαλκού στη Θάσο, η οποία θα μπορούσε να γίνει αντικείμενο ανταλλαγών. Η εμφάνιση, όμως, μολύβδου από την περιοχή της Χαλκιδικής στα ασημένια αντικείμενα των μυκηναϊκών τάφων[87] εμφανίζει τον άργυρο των μολυβδούχων κοιτασμάτων της Χαλκιδικής και πιθανότατα και της Θάσου ως προϊόν ιδιαίτερα ενδιαφέρον για τους Μυκηναίους. Δεν έχουμε ακόμη κανένα στοιχείο για την παραγωγή ασημιού στην πρωτοϊστορική Θάσο, αλλά αυτή, όπως σημειώσαμε ήδη, δεν είναι δυνατό να αποκλεισθεί. Πρόσβαση, επίσης, των Μυκηναίων στα μεταλλεία χρυσού της βορειοανατολικής Θάσου δε θα μπορούσε να πραγματοποιηθεί μέσα από τον οικισμό της θέσης Καστρί, από όπου ήταν πολύ δύσκολο να ελεγχθούν τα μεταλλεία χρυσού της βορειοανατολικής Θάσου[88].

Άλλα προϊόντα του οικισμού Καστρί, που θα μπορούσαν να ενδιαφέρουν τους Μυκηναίους, πιθανότατα είναι το μαλλί, που η αναπτυγμένη κτηνοτροφία των αιγοπροβάτων θα μπορούσε να εξασφαλίσει σε μεγάλες ποσότητες, ακόμη και τα δέρματα ζώων, που από την κτηνοτροφία και το κυνήγι θα ήταν δυνατό να συγκεντρώνονταν στον οικισμό Καστρί.

Γεωργικά προϊόντα δεν πρέπει να είχαν διαθέσιμα για ανταλλαγές οι κάτοικοι της περιοχής Καστρί. Η καλλιεργήσιμη γη δεν ήταν μεγάλη και εκτεταμένη καλλιέργεια αμπελιού φαίνεται ότι δεν υπήρχε στη Θάσο, ούτε στην εποχή του Αρχίλοχου[89].

Στη φάση ΙΙΒ των νεκροταφείων Καστρί, στην πρώιμη δηλαδή εποχή του σιδήρου, το ήλεκτρο εξαφανίζεται και τη θέση της τοπικής μυκηναϊκής κεραμικής έχει πάρει η τροχήλα-

82. Η προέλευση των μυκηναϊκών αγγείων της Θάσου θα μπορούσε να αναζητηθεί και σε άλλες περιφερειακές θέσεις του μυκηναϊκού κόσμου, όπως π.χ. τη Θεσσαλία ή τα νησιά του ανατολικού Αιγαίου και τα παράλια της δυτικής Μικράς Ασίας. Οι φυσικοχημικές αναλύσεις, που έχουν γίνει ως τώρα (L. Courtois, Παράρτημα IV) δίδουν για τα μυκηναϊκά αγγεία Θάσου και ανατολικής Μακεδονίας ορισμένα στοιχεία που θα μπορούσαν να τα σχετίσουν με το ανατολικό Αιγαίο, αλλά κανένα συμπέρασμα δεν είναι βέβαια δυνατό να διατυπωθεί πριν ενταχθούν σε ευρύτερο πρόγραμμα φυσικοχημικής έρευνας των πηλών των μυκηναϊκών αγγείων, που μόλις τα τελευταία χρόνια άρχισε να οργανώνεται (Εργαστήριο Αγγλικής Αρχαιολογικής Σχολής Αθηνών).

83. Πρβλ. Κεφ. Δ', υποσημ. 278-293. Αξιοσημείωτη είναι η χάνδρα τύπου Ψη3. Ο τύπος αυτός εμφανίζεται στην Ιταλία και στα παράλια των δυτικών Βαλκανίων.

84. Πρβλ. Κεφ. Δ', υποσημ. 307-314.

85. Οι τύποι ΕΙ, 5, ΕΙ, 6 και ΕΙΙΙ είναι καθαροί μυκηναϊκοί τύποι μαχαιριών. Στους τύπους ωστόσο αυτούς, όπως δείχνουν οι αναλύσεις των ισοτόπων μολύβδου, ανήκουν και μαχαίρια, που έχουν κατασκευασθεί από θασιακό χαλκό, Z. Stos-Gale - N. Gale, Παράρτημα VII, δείγμα αριθ. 235 (τύπος I, 5γ), δείγμα αριθ. 232 (τύπος ΙΙΙ).

86. Πρβλ. Παράρτημα VII. Σε συνολικό αριθμό 61 δειγμάτων χάλκινων αντικειμένων, τα δείγματα που εμφανίζουν θασιακό χαλκό είναι 8 (ποσοστό 15%).

87. E. Pernicka - G.A. Wagner - K. Assimenos - Ch. Doumas - F. Begemann - W.Todt, ό.π. (υποσημ. 33), 37.

88. Ο οικισμός που θα μπορούσε να ελέγχει αυτά τα μεταλλεία θα μπορούσε να αναζητηθεί και στην αρχαία Θάσο.

89. Archiloque: Fragments (εκδ. F. Lassere - A. Bonnard), 1958, 3, fr. 7, σ. 3: «Ἐν δορὶ μὲν μοι μᾶζα μεμαγμένη, ἐν δορὶ δ' οἶνος Ἰσμαρικός· πίνω δ' ἐν δορὶ κεκλιμένος». Δεν πρέπει νομίζω να στηριχθούμε πολύ σ' αυτή την πληροφορία του ποιητή, που άλλωστε πολεμά στη θρακική Περαία.

τη γκρίζα ή ερυθρόχρωμη κεραμική (κεραμική ΙΙΒ-ΙΙΓ). Τα ποσοστά παρουσίας της είναι πολύ χαμηλά (Σ χ έ δ. 111), είναι όμως ενδεικτικά για την ύπαρξη επικοινωνίας του οικισμού Καστρί με τα κέντρα παραγωγής αυτής της τροχήλατης κεραμικής, η οποία φαίνεται ότι παράγεται στα εργαστήρια τροχήλατης κεραμικής που διαδέχθηκαν τα μυκηναϊκά, αφού είναι φανερή η εξάρτησή της από τη μυκηναϊκή παράδοση, τόσο στα σχήματα των αγγείων όσο και στην τεχνική κατασκευής[90].

Οι χάλκινες τοξωτές πόρπες, που εμφανίζονται στη φάση ΙΙΑ1 και ΙΙΒ1 αποτελούν επίσης ενδείξεις επικοινωνίας του οικισμού Καστρί με τον αιγαιακό χώρο[91], ενώ η εμφάνιση στη χειροποίητη κεραμική ορισμένων σχημάτων αγγείων, που θυμίζουν σχήματα πρωτογεωμετρικά (πρβλ. π.χ. του αμφορέα Κ2Ζ2, Π ί ν. 20: 7), φανερώνει επικοινωνία με περιοχές, στις οποίες η πρωτογεωμετρική κεραμική ήταν διαδεδομένη.

Η συσχέτιση της τοπικής χειροποίητης κεραμικής με την αυλακωτή, κυρίως, διακόσμηση με την ανάλογη χειροποίητη κεραμική της αιγαιακής Θράκης και της Τροίας VIIb2 προσδιορίζει την πολιτιστική επικοινωνία με τη Θράκη και τη βορειοδυτική Μικρά Ασία, η οποία έχει διαπιστωθεί και στις προγενέστερες φάσεις των νεκροταφείων. Τι είδους εμπορικές επικοινωνίες είχαν αναπτυχθεί με τη Μακεδονία και τη Θράκη ή με την περιοχή της Τρωάδας δεν είναι δυνατό βέβαια να προσδιορισθεί. Η εμφάνιση ωστόσο χαλκού κοινής, όπως φαίνεται από την ανάλυση των ισοτόπων μολύβδου, προέλευσης είναι δυνατό να αντιπροσωπεύει ένα είδος εμπορικών ανταλλαγών, που συνέδεαν την πρωτοϊστορική Θάσο με την αιγαιακή Θράκη ή τη βορειοδυτική Μικρά Ασία[92].

Η πρώιμη ωστόσο εποχή του σιδήρου είναι και για τη Θάσο, όπως και για όλο τον κόσμο του Αιγαίου, μια περίοδος κλειστής γεωργοκτηνοτροφικής οικονομίας. Στα τέλη, όμως, του 8ου αι. π.Χ. σημειώνεται μια νέα άνθηση του εμπορίου, που διακόπτει την απομόνωση και καθορίζει την αρχή μιας νέας πολιτιστικής περιόδου για το νησί. Οι δρόμοι του εμπορίου τώρα ξεκινούν από τα παράλια του βορειοανατολικού Αιγαίου, από όπου φθάνει στη Θάσο ένα νέο είδος τροχήλατης κεραμικής[93], γνωστής ως κεραμική τύπου G 2-3. Η πατρίδα της κεραμικής αυτής τοποθετείται στην Αιολίδα, αλλά η διάδοσή της στο βόρειο Αιγαίο περιλαμβάνει, εκτός από τη Σαμοθράκη και τη Θάσο, και τα παράλια της ανατολικής Μακεδονίας, ανατολικά του Στρυμόνα[94].

Το κέντρο, ωστόσο, της νέας αυτής εμπορικής άνθησης φαίνεται ότι έχει μετατοπισθεί από τη νότια Θάσο στη βόρεια, όπου ο προαποικιακός οικισμός της αρχαίας Θάσου αναπτύσσει εμπορικές ανταλλαγές με τη Μακεδονία, τα νησιά του βορειοανατολικού Αιγαίου και τη βορειοανατολική Μικρά Ασία[95]. Από τις νέες αυτές εμπορικές οδούς καταφθάνουν στον οικισμό και τα νεκροταφεία Καστρί κεραμική τύπου G 2-3, υπογεωμετρική κεραμική, χάνδρες από ήλεκτρο και χάλκινες πόρπες αιγαιακών και θρακικών τύπων. Μαζί ωστόσο μ' αυτά τα προϊόντα, των οποίων βρίσκουμε τα υλικά κατάλοιπα στα νεκροταφεία, πρέπει να συμπληρώσουμε πολύ πιο σημαντικά για την οικονομία του νησιού προϊόντα από οργανικές φθαρτές ύλες[96].

90. Βλ. Κεφ. Γ', υποσημ. 730-732.

91. Η πρωτογεωμετρική κεραμική εμφανίζεται στη Μακεδονία συγχρόνως με τη νότια Ελλάδα. Πρβλ. στρώματα 11-12 Καστανά, Hänsel 1979α, 189, πίν. 15, 6, Podzuweit 1979, 204.

92. Z. Stos-Gale - N. Gale, Παράρτημα VII, Stos - Gale 1984, Pernicka - Seeliger - Wagner - Begemann κ.ά. 1984.

93. Bernard 1964, 145.

94. Νεάπολις, Αποθέτης Ιερού Παρθένου, Δ. Λαζαρίδης, ΑΔ 17 (1961/62): Χρονικά, 235-239. Αδημοσίευτο υλικό. Πρβλ. επίσης Ακρόπολη αρχαίας Ηιόνας, Χ. Κουκούλη-Χρυσανθάκη, ΑΔ 35 (1980): Χρονικά, 423.

95. Bernard 1964, 145 κ.ε.

96. Τα μεγάλα αποθηκευτικά αγγεία, που εμφανίζονται στο προαποικιακό στρώμα της και τα οποία είναι οπωσδήποτε είδη κεραμικής επείσακτα στη Θάσο, δεν πρέπει φυσικά να έφθαναν άδεια στη Θάσο. Θα μπορούσε λοιπόν να υποθέσει κανείς εισαγωγή κρασιού ή λαδιού από άλλες περιοχές.

ΟΡΓΑΝΩΣΗ ΤΗΣ ΚΟΙΝΩΝΙΑΣ

Δημογραφικά

Για τον υπολογισμό του πληθυσμιακού δυναμικού των προϊστορικών οικισμών έχουν επιχειρηθεί ορισμένες προσπάθειες, που ωστόσο δε θεμελιώνονται ακόμη σε σταθερά αρχαιολογικά δεδομένα, με αποτέλεσμα να προτείνονται πυκνότητες σε προϊστορικούς οικισμούς που διαφέρουν ριζικά μεταξύ τους[97].

Το ανθρωπολογικό υλικό των νεκροταφείων Καστρί μόνο αποσπασματικές πληροφορίες για τη δημογραφική εικόνα του πληθυσμού στο Καστρί είναι δυνατό να δώσει. Εφόσον δεν είναι δυνατό να ξέρουμε ούτε την έκταση των νεκροταφείων, αφού ένα μεγάλο μέρος τους έχει πιθανότατα καταστραφεί και ένα άλλο παραμένει ανεξερεύνητο, δεν είναι φρόνιμο να επιχειρήσουμε μια σύνθεση των πληθυσμιακών στοιχείων που δίδει το σκελετικό υλικό των νεκροταφείων, τουλάχιστον πριν ολοκληρωθεί μια στηριγμένη στην ανασκαφική έρευνα άποψη για την έκταση και την πυκνότητα των κατοικιών στον οικισμό Καστρί. Μια άλλη, επίσης, δυσκολία που προκύπτει από την εμφάνιση των πολλαπλών ταφών στους τάφους και τη συνέχεια της χρήσης ορισμένων τάφων από την ύστερη εποχή του χαλκού στην πρώιμη εποχή του σιδήρου καταργεί τη δυνατότητα για πληθυσμιακές συγκρίσεις ανάμεσα στην ύστερη εποχή του χαλκού και την πρώιμη εποχή του σιδήρου. Μια γενική παρατήρηση, που θα μπορούσε να εφαρμοσθεί με βάση τα ως τώρα ανασκαφικά δεδομένα από τον οικισμό και τα νεκροταφεία Καστρί, είναι αυτή που θα απέδιδε μια πληθυσμιακή δυναμικότητα μεγαλύτερη στην πρώιμη εποχή του σιδήρου, στηριγμένη στο μεγάλο αριθμό των τάφων της φάσης αυτής του νεκροταφείου και στη μεγαλύτερη έκταση του οικισμού στην πρώιμη εποχή του σιδήρου και στις πλαγιές της ακρόπολης Καστρί. Ένα άλλο στοιχείο, που θα υποστήριζε μια αύξηση του πληθυσμού στη πρώιμη εποχή του σιδήρου (φάση ΙΙ των νεκροταφείων), είναι η εμφάνιση του νεκροταφείου στη θέση Λαρνάκι, που καλύπτει χρονικά τη φάση ΙΙ των νεκροταφείων του οικισμού Καστρί, χωρίς να έχει στοιχεία ούτε για παλαιότερη φάση Ι ούτε όμως και για την ύστατη φάση ΙΙΓ. Οπωσδήποτε, όμως, η συνέχεια της ανασκαφικής έρευνας στον οικισμό και στα νεκροταφεία είναι δυνατό να ανατρέψει αυτά τα πρώιμα συμπεράσματα.

Από το αποσπασματικό ανθρωπολογικό υλικό των νεκροταφείων θα μπορούσαν, ωστόσο, να προκύψουν ορισμένες, σχετικές με την ηλικία κυρίως του θανάτου των κατοίκων του οικισμού και το ποσοστό θνησιμότητας των διάφορων ηλικιών, πληροφορίες.

Στους Πίνακες (Σ χ έ δ. 162-163) σημειώνονται τα ποσοστά της θνησιμότητας, σύμφωνα με τις ηλικίες που έχει ξεχωρίσει στην ανθρωπολογική μελέτη του υλικού ο B. Herrmann[98].

Στα νεκροταφεία του οικισμού Καστρί, τα ποσοστά παιδικής θνησιμότητας φθάνουν το 34,7% (17,7% ηλικία 0-6 και 17% ηλικία 6-12). Το ποσοστό αυτό πρέπει να είναι στην πραγματικότητα πολύ μεγαλύτερο, γιατί οι παιδικές ταφές, και μάλιστα της μικρότερης ηλικίας είναι αυτές που δεν αφήνουν ίχνη. Αντίθετα, χαμηλό εμφανίζεται το ποσοστό των νεκρών της ώριμης ηλικίας των 40-60. Η ηλικία που εμφανίζεται με τα μεγαλύτερα ποσοστά είναι η ηλικία των 18-40 και 12-40 (περισσότερο από 50%), ενώ χαμηλά φαίνονται τα ποσοστά της ηλικίας 12-18 (Σ χ έ δ. 162).

ΚΑΣΤΡΙ	Ηλικία	0-6	6-12	12-18	18-40	12-40	40-60	18-60	Σύνολο
	άτομα:	55	53	19	74	70	39	44	354
		17,7%	17%	16,1%	23,8%	22,5%	12,5%		354-44 = 310

97. S. Welinder, Prehistoric Demography, Acta Archaeologica Ludensia 1979, Halstead 1977, 107 κ.ε.
98. B. Herrmann, Παράρτημα Ια.

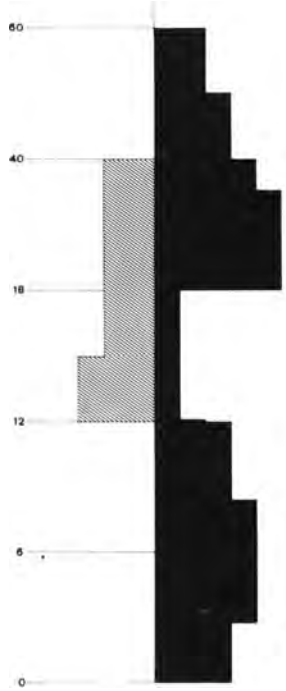

Σχέδ. 162. Στατιστική εικόνα ηλικιών θανάτου στα νεκροταφεία Καστρί.

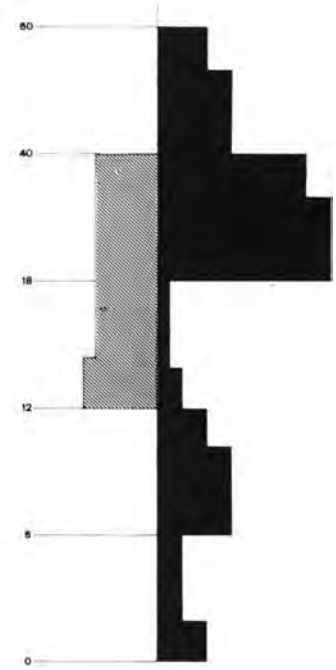

Σχέδ. 163. Στατιστική εικόνα ηλικιών θανάτου στο νεκροταφείο Λαρνάκι.

Αντίστοιχα είναι τα ποσοστά που εμφανίζονται στο νεκροταφείο Λαρνάκι (Σ χ έ δ. 163).

ΛΑΡΝΑΚΙ	Ηλικία	0-6	6-12	12-18	18-40	12-40	40-60	18-60	Σύνολο
	άτομα:	2	5	1	10	8	4	14	44
		6,6%	13,5%	3,3%	33,3%	26,6%	13,3%		44-14 = 30

Από την εικόνα της κατανομής των νεκρών κατά φύλο στο συνολικό ανθρωπολογικό υλικό των νεκροταφείων Καστρί δεν είναι δυνατό να προκύψουν στατιστικά συμπεράσματα, γιατί ο αριθμός των νεκρών, των οποίων δεν έχει προσδιορισθεί το φύλο, είναι πολύ μεγάλος[99].

ΚΑΣΤΡΙ	Ηλικία	0-6	6-12	12-18	18-40	12-40	40-60	18-60	Σύνολο
	γυναίκες				19	7	6		32
	άνδρες				22	6	11		39
	απροσδ.	55	53	19	33	57	22	44	283
	Σύνολο	55	53	19	74	70	39	44	354

99. Halstead 1977, 108.

Αντίστοιχη είναι και η εικόνα που εμφανίζεται στο νεκροταφείο Λαρνάκι, όπου ο αριθμός των νεκρών απροσδιορίστου φύλου υπερβαίνει το 79% του συνολικού αριθμού νεκρών.

ΛΑΡΝΑΚΙ	Ηλικία	0-6	6-12	12-18	18-40	12-40	40-60	18-60	Σύνολο
	γυναίκες				1	4	2		7
	άνδρες				2	1	1		4
	απροσδ.	2	5	1	7	3	1	14	33
	Σύνολο	2	5	1	10	8	4	14	44

Ελάχιστες είναι οι αρρώστιες που έχουν επισημανθεί στην πρώτη μακροσκοπική εξέταση του ανθρωπολογικού υλικού. Στο σύνολο των 354 σκελετών παρατηρήθηκαν 1 παράδειγμα θαλασσαιμίας, 4 περιοστίτιδας, 2 πλατυμερίας και 1 οστεομυελίτιδας. Φυσικά, αναμένεται ότι μια ειδική παλαιοπαθολογική έρευνα στο σκελετικό υλικό θα δώσει πολύ περισσότερα στοιχεία[100].

Χαρακτηριστικά για τον έλεγχο της σχέσης ανάμεσα στις ηλικίες, που επισημαίνεται από το σωζόμενο ανθρωπολογικό υλικό των δύο νεκροταφείων Καστρί και Λαρνάκι, είναι τα αντίστοιχα ποσοστά των ηλικιών που επισημαίνονται στον οικογενειακό τάφο Τ18, ο οποίος παρουσίασε μια μεγάλη χρονική διάρκεια ταφών από τη φάση ΙΒ στη φάση ΙΙΑ και έναν αριθμό νεκρών, που πιθανότατα ξεπερνά τους 95[101] (Σ χ έ δ. 164).

ΤΑΦΟΣ Τ18	Ηλικία	0-6	6-12	12-18	12-40	18-40	40-60	Σύνολο
		17	6	12	19	36	5	95
		17,8%	6%	12,6%	20%	37,8%	5,2%	

Το ποσοστό παρουσίας της παιδικής ηλικίας ανάμεσα στους νεκρούς αυτού του τάφου είναι 24% (17,80% της ηλικίας 0-6 ετών και 6% της επόμενης ηλικίας 6-12 ετών). Η νεαρή ηλικία εμφανίζεται με ποσοστό 12,63% και η ώριμη με το πολύ χαμηλό ποσοστό 5,2%. Όπως και στο σύνολο του προσδιορισμένου ανθρωπολογικού υλικού, το μεγαλύτερο ποσοστό εμφανίζει η ηλικία 12-40 και 18-40 (συνολικό ποσοστό 56%) (12-40, 20% και 18-40, 37,89%) (Σ χ έ δ. 164).

Από την πρώτη μελέτη του σκελετικού υλικού αυτού του τάφου, ο Β. Herrmann επεσήμανε χαρακτηριστικά ευρωστίας στη σωματική διάπλαση πολλών ατόμων, στα οποία αναγνώρισε επίσης και χαρακτηριστικά συγγένειας, που ενισχύουν την ερμηνεία του τάφου Τ18 ως οικογενειακού (Παράρτημα Ια).

ΤΑΦΟΣ Τ18	Ηλικία	12-40	18-40	40-60	12-18	0-12
	άνδρες	1	8	2		
	γυναίκες		11			
	ενήλικες απροσδιόριστοι	18	17	3		
	άτομα νεαρής ηλικίας				12	
	παιδιά					23

100. Το μοναδικό παράδειγμα θαλασσαιμίας (Β. Herrmann, Παράρτημα Ια, τάφος Λ3Δ) αποτελεί, ωστόσο, ένδειξη ότι ο πληθυσμός, όπως θα το περίμενε άλλωστε κανείς λόγω του υψόμετρου του οικισμού, δεν υπέφερε από ελονοσία, J.L. Angel, Porotic Hyperostosis, Anemias, Malarias and Marshes in the Prehistoric Eastern Mediterranean, Science 153 (1966), 760-762.

101. Τα θραύσματα κρανίων που εντοπίσθηκαν στην ανασκαφή του τάφου είναι 94. Ορισμένα, ωστόσο, θραύσματα κρανίων ήταν πολύ μικρά για να χρησιμοποιηθούν στον προσδιορισμό του αριθμού των νεκρών του τάφου. Ο Β. Herrmann προσδιόρισε, με βάση τα οστά που μελέτησε, έναν αριθμό 67 έως 90 νεκρών.

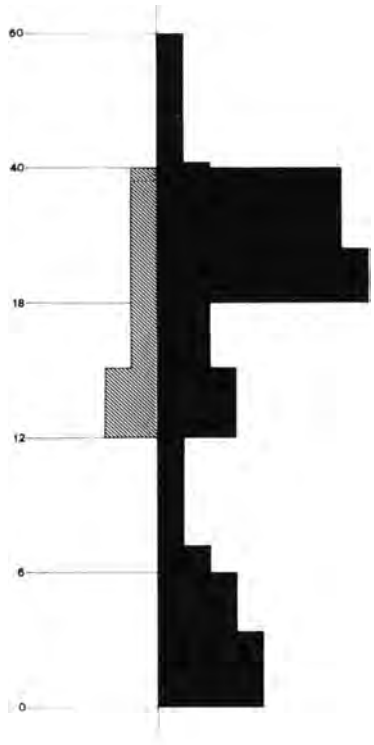

Σχέδ. 164. Στατιστική εικόνα ηλικιών θανάτου στον τάφο Τ18.

Το ποσοστό των απροσδιορίστου φύλου νεκρών είναι και στον τάφο Τ18, δυστυχώς, αρκετά υψηλό και δεν επιτρέπει ασφάλεια στα παραπάνω συμπεράσματα, τα οποία ωστόσο στο σύνολό τους συμπίπτουν με την αντίστοιχη εικόνα, που μας δίδει το ανθρωπολογικό υλικό απ' όλο το νεκροταφείο.

Κοινωνική οργάνωση

Η εμφάνιση τριών νεκροταφείων γύρω από την ακρόπολη Καστρί έχει διαπιστωθεί ότι δε συνδέεται με κάποια οριζόντια στρωματογραφία του νεκροταφείου, εφόσον τάφοι της φάσης ΙΙΓ εμφανίζονται και στα τρία νεκροταφεία.

Η εμφάνιση, βέβαια, της αρχαιότερης φάσης ΙΑ μόνο στο νεκροταφείο Κεντριά αποτελεί ένδειξη ότι ο αρχαιότερος πυρήνας του νεκροταφείου της ύστερης εποχής του χαλκού πρέπει να εντοπισθεί στο πρώτο άνδηρο κάτω από την ακρόπολη. Οριζόντια στρωματογραφία θα μπορούσε να αναζητηθεί μόνο στο εκτεταμένο νεκροταφείο Τσιγανάδικα, όπου οι αρχαιότεροι τάφοι συγκεντρώνονται στο κάτω τμήμα της πλαγιάς, απέναντι από τον οικισμό, και οι νεότεροι στην κορυφή του λόφου Τσιγανάδικα, χωρίς ωστόσο αυτό να αποτελεί απαράβατο κανόνα.

Η διαμόρφωση τριών νεκροταφείων γύρω από τον οικισμό Καστρί πιθανόν πρέπει να σχετισθεί με τρεις αντίστοιχες μεγάλες ομάδες, που είχαν διαμορφωθεί στον πληθυσμό του οικισμού Καστρί.

Πέρα από τις μεγάλες ομάδες που ορίζουν τα νεκροταφεία, από τα ίδια τα ταφικά κτίσματα προκύπτει η ύπαρξη μικρότερων ομάδων στο καθένα από τα παραπάνω νεκροταφεία. Οι ομάδες αυτές αντιπροσωπεύονται στη μεν φάση Ι (ΙΑ και ΙΒ) με τα ορθογώνια ή κυκλικά

ταφικά κτίσματα τύπου ΙΑ1 και ΙΒ, που περιέχουν ένα μεγάλο αριθμό ταφών, στη δε φάση ΙΙ με ταφικές συστάδες, που αποτελούνται από δύο ή περισσότερους τάφους με στενόμακρη κάτοψη και μικρότερο αριθμό ταφών. Οι μεμονωμένοι τάφοι λείπουν και από τη φάση ΙΙ, αλλά έχουν κατά κανόνα κάτοψη στενόμακρη και περιορισμένο αριθμό ταφών. Είτε πρόκειται για ευρύχωρους ταφικούς θαλάμους με πολλαπλές ταφές, που στην περίπτωση Τ18 έφθασαν τις 100, είτε πρόκειται για συστάδες ταφικών κτισμάτων, εκείνο που προβάλλει και στις δύο περιπτώσεις είναι η ύπαρξη μιας μεγάλης οικογένειας, της οποίας οι δεσμοί εκφράζονται με τον κοινό τάφο. Η μεγάλη αυτή οικογένεια, το γένος, που τόσο καθαρά διαπιστώνεται στον τάφο Τ18 με τις 100 περίπου ταφές, όπου στα σκελετικά λείψανα εντοπίζονται χαρακτηριστικά συγγένειας (Β. Herrmann, Παράρτημα Ια), δεν πρέπει να διαλύεται στις πιο προχωρημένες φάσεις των νεκροταφείων, όταν ο ταφικός θάλαμος μικραίνει σε χωρητικότητα. Οι επιμέρους τάφοι εντάσσονται τότε στο συγκρότημα της ταφικής συστάδας, που αντιπροσωπεύει και πάλι τους δεσμούς των επιμέρους οικογενειών με την ευρύτερη ομάδα, το γένος. Αν αυτή η ερμηνεία των ταφικών κτισμάτων και της μορφολογικής τους εξέλιξης είναι σωστή, τότε από την αρχιτεκτονική μορφή των τάφων προκύπτει μια εξέλιξη στην κοινωνική διάρθρωση του πληθυσμού, όπου στην πρώιμη εποχή του σιδήρου τονίζεται μέσα στο μεγάλο γένος η μικρότερη οικογένεια.

Την εξέλιξη αυτή θα μπορούσαμε να τη συσχετίσουμε με μια αντίστοιχη εξέλιξη στις διαστάσεις της κατοικίας, όπως προκύπτει από τα γνωστά ως τώρα αρχαιολογικά δεδομένα: Το μεγάλο πασσαλόπηκτο κτίριο της ύστερης εποχής του χαλκού[102] το διαδέχεται το μικρό αψιδωτό σπίτι της πρώιμης εποχής του σιδήρου[103], που πρέπει να στεγάζει ένα πολύ μικρότερο αριθμό ατόμων από το προηγούμενο. Φυσικά, τα αρχαιολογικά δεδομένα είναι ακόμη ελάχιστα στον τομέα της κατοικίας, για να επιτρέψουν γενικά συμπεράσματα αυτού του τύπου, που μόνο από τα συγκριτικά στοιχεία πολλών κτιρίων του οικισμού Καστρί μπορούν να τεκμηριωθούν.

Από τα δεδομένα των νεκροταφείων δε φαίνεται να προκύπτουν ιδιαίτερες διακρίσεις ανάμεσα στα φύλα ή στις ηλικίες. Άνδρες και γυναίκες θάβονται στους ίδιους τάφους μαζί με τα παιδιά τους. Συχνά έχουμε χωριστούς παιδικούς τάφους για τα παιδιά (Τ17Β, Τ23Β), ενώ για τα βρέφη φαίνεται ότι υπάρχει μια προτίμηση στις ταφές σε πιθάρια (Κ6Γ, Κ6Ε και Τ18Π3).

Η διάκριση, που σημειώνεται στα κτερίσματα ανάμεσα τις ανδρικές και στις γυναικείες ταφές, φαίνεται ότι περιορίζεται στα χαρακτηριστικά εργαλεία της εργασίας των δύο φύλων. Τα μαχαίρια μαζί με τις ακονόπετρες αντιπροσωπεύουν τις ανδρικές ταφές και τα σφονδύλια τις γυναικείες. Ο μεγάλος αριθμός των μικρογραφικών αγγείων συμπίπτει με το μεγάλο ποσοστό παιδικών ταφών, που πρέπει να το υποθέσουμε πολύ υψηλότερο ακόμη, γιατί πολλές από τις παιδικές ταφές πρέπει να έχουν εξαφανισθεί, χωρίς να αφήσουν ανθρωπολογικά λείψανα. Από το είδος, ωστόσο, των κτερισμάτων θα μπορούσαμε να υποθέσουμε και στις παιδικές ταφές μια αντίστοιχη διαφοροποίηση φύλου με τα κτερίσματα μαχαίρι-σφονδύλι.

Χαρακτηριστική είναι, όπως έχουμε ήδη σημειώσει, η ομοιομορφία στην ποιότητα των κτερισμάτων που βεβαιώνει ένα κοινό βιοτικό επίπεδο. Οι διαφορές, που σημειώνονται ανάμεσα στα ταφικά μνημεία, είναι η διαφορά των διαστάσεων ορισμένων τάφων, όπως π.χ. του τάφου Τ5, ο οποίος δυστυχώς βρέθηκε συλημένος και δεν έδωσε στοιχεία για τυχόν κοινωνική διαφοροποίηση των νεκρών που περιείχε.

Αξιοσημείωτη είναι η τέλεια απουσία όπλων από το νεκροταφείο, με μοναδική εξαίρεση τη χάλκινη αιχμή λόγχης του τάφου Τ12. Η απουσία των όπλων είναι δυνατό να σημαίνει την πραγματική έλλειψη οπλισμού, αλλά είναι δυνατό να ερμηνευθεί και με την άποψη ότι ο οπλισμός παρέμενε στην κατοχή των απογόνων του νεκρού[104].

102. Χ. Κουκούλη-Χρυσανθάκη, ΑΔ 29 (1973/74): Χρονικά, 779, πίν. 573α, Koukouli-Chrysanthaki 1982.
103. Χ. Κουκούλη-Χρυσανθάκη, ΑΔ 33 (1978): Χρονικά, 291-292.
104. Ανδρόνικος 1969, 269.

Θρησκεία

Οι ελάχιστες ως τώρα γνωστές ενδείξεις για τη θρησκεία της πρωτοϊστορικής Θάσου προέρχονται από τα ταφικά έθιμα των νεκροταφείων του οικισμού Καστρί και Λαρνάκι. Από τον αποθέτη του τάφου Τ18 έχουμε πολλά θραύσματα ενός αγγείου ειδικής χρήσης (σχήμα XI), που θυμίζει γνωστά από τη μινωική Κρήτη τελετουργικά αγγεία[105] και το οποίο πιθανότατα σχετίζεται με νεκρικές τελετουργίες.

Από τον ίδιο αποθέτη έχουμε ένα ακόμη ειδικής χρήσης πιθανότατα αγγείο, που θυμίζει αντίστοιχο αγγείο από το λατρευτικό κτίριο του στρώματος IV του Ντικιλί Τας[106], καθώς και ορισμένα θραύσματα ανθρωπόμορφων ειδωλίων, που θα μπορούσαν να σχετισθούν με τη λατρεία μιας γυναικείας θεότητας, γνωστής από την Ανατολή και τα Βαλκάνια (Σ χ έ δ. 157· Π ί ν. 359: 6-8)[107]. Στα στρώματα, ωστόσο, της ύστερης εποχής του χαλκού και της πρώιμης εποχής του σιδήρου του οικισμού Καστρί δε βρίσκουμε ειδώλια ανάλογα, που θα βεβαίωναν τη διάδοση αυτής της λατρείας.

Ανύπαρκτες είναι οι γνώσεις μας για τη θρησκεία της ύστερης εποχής του χαλκού και της πρώιμης εποχής του σιδήρου και από την κεντρική Μακεδονία. Από τον Καστανά έχουμε μόνο το σκελετό ενός σκύλου θαμμένου στο εσωτερικό ενός σπιτιού[108], που πιθανότατα αποτελεί ένδειξη κάποιας τελετουργίας. Το σημαντικότερο έτσι γνωστό ως τώρα δείγμα λατρείας αποτελεί το πρόσφατα δημοσιευμένο λατρευτικό κτίσμα της φάσης IV του Ντικιλί Τας, με τις εστίες-εσχάρες στο εσωτερικό, τα αγγεία ειδικής χρήσης και το ειδώλιο του τύπου Gîrla Mare[109].

Αξιοσημείωτο είναι το θραύσμα ενός ειδωλίου από τον αποθέτη του τάφου Τ18, που φαίνεται ότι απεικονίζει φίδι ή σχηματοποιημένο πτηνό. Με τις λατρείες πιθανότατα της πρώιμης εποχής του σιδήρου στη Θάσο πρέπει να συνδεθεί και το συμβολικό άρμα με τα κεφάλια πτηνών στην άντυγα, που εντάσσονται στον κύκλο των λατρευτικών συμβόλων του πολιτισμού Urnenfelder, η απήχηση του οποίου, όπως είδαμε, φθάνει το μύθο του υπερβόρειου Απόλλωνα (Π ί ν. 43Β: 8).

105. Ό.π. (Κεφ. Γ', υποσημ. 362).
106. Seferiades 1983, 670, εικ. 73.
107. Ό.π. (Κεφ. Δ', υποσημ. 447-449).
108. Hänsel 1982, 284.
109. Deshayes 1962, 931, εικ. 25, Garašanin 1974, 121.

ΚΕΦΑΛΑΙΟ Η΄

Η ΠΕΡΙΟΧΗ ΤΩΝ ΝΕΚΡΟΤΑΦΕΙΩΝ ΚΑΣΤΡΙ ΚΑΙ ΛΑΡΝΑΚΙ ΠΡΙΝ ΚΑΙ ΜΕΤΑ ΤΗΝ ΥΣΤΕΡΗ ΕΠΟΧΗ ΤΟΥ ΧΑΛΚΟΥ ΚΑΙ ΤΗΝ ΠΡΩΙΜΗ ΕΠΟΧΗ ΤΟΥ ΣΙΔΗΡΟΥ

ΧΑΛΚΟΛΙΘΙΚΗ ΠΕΡΙΟΔΟΣ

Στην επίχωση των ταφικών συστάδων Κ1, Κ2, Κ3 και Κ4 του νεκροταφείου Κεντριά, που, όπως είδαμε, βρίσκεται στους βορειοδυτικούς πρόποδες της ακρόπολης Καστρί, εντοπίσθηκαν ορισμένα όστρακα μιας κεραμικής προγενέστερης από την εποχή των τάφων. Η παρουσία της κεραμικής αυτής, που περιορίζεται αποκλειστικά στο νεκροταφείο Κεντριά, θα μπορούσε να αποδοθεί σε μια μετακίνηση κεραμικής από την κορυφή στους πρόποδες του λόφου. Η δυνατότητα αυτή θα μπορούσε να ισχύσει για ορισμένα θραύσματα κεραμικής, που βρέθηκαν στην επιφανειακή επίχωση των τάφων, όπως π.χ. στις ταφικές συστάδες Κ1, Κ3 και Κ4. Στην περίπτωση όμως της ταφικής συστάδας Κ2, τα όστρακα και τα εργαλεία, που βρέθηκαν στο κάτω στρώμα του τάφου Κ2Ε και του προθαλάμου του τάφου Κ2Ε (Κ2Α), πρέπει να σχετισθούν μ' έναν αρχαιότερο από τον τάφο Κ2Ε τοίχο, που τον διασχίζει λοξά (Σ χ έ δ. 7). Ο τοίχος αυτός, σε συνδυασμό με την υπονεολιθική κεραμική και τα λιγοστά εργαλεία χαλκολιθικής περιόδου, που βρέθηκαν στην ταφική συστάδα Κ2 και στις γειτονικές συστάδες, πρέπει να αποδοθεί σε κτίσματα χαλκολιθικής περιόδου, που υπήρχαν στην περιοχή του νεκροταφείου Κεντριά, στους πρόποδες της οχυρής ακρόπολης.

Τα όστρακα προέρχονται από ερυθρόχρωμα αγγεία με λειασμένη επιφάνεια και δίδουν τα εξής σχήματα αγγείων:

Ι, 1: Φιαλόσχημο αγγείο με χείλος που καμπυλώνεται προς τα μέσα, άλλοτε με μαλακή καμπύλη (Π ί ν. 16Β: 1-4) και άλλοτε σχηματίζοντας γωνία στον ώμο (Π ί ν. 16Β: 5).

Ι, 2: Φιαλόσχημο αγγείο με χείλος που καμπυλώνεται ελαφρά προς τα μέσα, εμφανίζοντας μια οριζόντια άνω επιφάνεια (Π ί ν. 16Β: 6).

Ι, 3: Φιαλόσχημο αγγείο με γωνιώδη ώμο και χείλος που εισέχει ελαφρά, για να υψωθεί εν συνεχεία κατακόρυφα (Π ί ν. 16Β: 7-9).

ΙΙ: Ανοικτό (;) αγγείο με ραμφόστομη προχοή (Π ί ν. 16Β: 12). Ένα μόνο παράδειγμα αυτού του τύπου βρέθηκε στην επίχωση της ταφικής συστάδας Κ4.

ΙΙΙ: Κλειστό αγγείο (αμφορέας;).

1. Θραύσμα από τον ώμο, όπου σώζεται οριζόντια διάτρητη λαβή (Π ί ν. 22: 18).

2. Θραύσμα από το λαιμό αμφορέα με ωτόσχημες, οριζόντια διάτρητες, αποφύσεις στο λαιμό (Π ί ν. 16Α: 2).

3. Θραύσμα κατακόρυφης ταινιωτής λαβής αμφορέα (;), που αρχίζει απευθείας από το χείλος και διακοσμείται με σειρά οπών (Π ί ν. 30: 15).

4. Θραύσμα από τον ώμο κλειστού αγγείου με κατακόρυφη λαβή (Π ί ν. 30: 13).

ΙV. Μικρογραφικό αγγείο με ορθογώνια ή τετράγωνη βάση και ελαφρά πλαστική διακόσμηση στις ακμές των πλευρών (Π ί ν. 3: 27, Κ1Α και Π ί ν. 16Β: 11, Κ2).

Μολονότι διάσπαρτα, τα παραπάνω θραύσματα των αγγείων θα μπορούσαν να θεωρηθούν σύγχρονα και να αποδοθούν σ' έναν ορίζοντα του τέλους της νεολιθικής εποχής, σύγχρονο με τις φάσεις VII-IV του Εμπορίου[1], τη φάση Kum Tepe[2] IB ή τη φάση Ι της Πεντάπο-

1. Hood 1981/1982, αριθ. 530, 544, εικ. 145. Φάση VII-VI (πρβλ. Π ί ν. 16Β: 7). Φάση VI-V, αριθ. 823, εικ. 161 (πρβλ. Π ί ν. 16Β: 1-4). Φάση V-IV, αριθ. 937, εικ. 166 (πρβλ. Π ί ν. 16Β: 6).

2. Sperling 1976, αριθ. 657 (πρβλ. Π ί ν. 16Β: 5).

λης[3]. Η φάση αυτή, που τοποθετείται στην εποχή της φάσης IV των Σιταγρών[4], έχει εντοπισθεί και στην κορυφή της ακρόπολης Καστρί. Η εμφάνιση, ωστόσο, της μικρής ραμφόστομης προχοής στο θραύσμα Κ4ΑΠ15 (Π ί ν. 30: 15), που εμφανίζεται και στη φάση ΙΙ της Πεντάπολης[5] και γενικότερα σε στρώματα πρώιμης εποχής του χαλκού, θα μπορούσε να αποτελέσει μαζί με το θραύσμα Κ2Δ2 (Π ί ν. 16Α: 2), που θυμίζει αντίστοιχο σχήμα πρώιμης εποχής του χαλκού (πρβλ. αγγείο Karaman IIIA Πελαγονίας)[6], ένδειξη για μια παράταση αυτής της χαλκολιθικής φάσης του οικισμού Καστρί μέσα στα χρονολογικά όρια της πρώιμης εποχής του χαλκού, μιας εποχής που ως τώρα δεν αντιπροσωπεύεται με τυπικά δείγματα κεραμικής στον οικισμό Καστρί.

Στον ίδιο, οπωσδήποτε, ορίζοντα με τα θραύσματα των παραπάνω αγγείων, πρέπει να συμπεριληφθούν και τα δύο θραύσματα ορθογώνιων αγγείων «τραπεζών», που βρέθηκαν στην ταφική συστάδα Κ1 (Π ί ν. 3: 27) και στο βαθύτερο στρώμα του τάφου Ε της συστάδας Κ2 (Π ί ν. 16Β: 11). Στην ίδια φάση ανήκουν και τα δύο λίθινα εργαλεία της ταφικής συστάδας Κ2 (λεπίδα πυριτολίθου, Π ί ν. 16Β: 14, και λίθινη αξίνα, Π ί ν. 16Β: 15), καθώς και τα πήλινα σφονδύλια των τύπων ΣΙV, V, VI, που βρέθηκαν στην ίδια ταφική συστάδα (Π ί ν. 15Α: 45, 16Β: 16-17).

ΙΣΤΟΡΙΚΟΙ ΧΡΟΝΟΙ

Σε ορισμένους τάφους των νεκροταφείων Βρυσούδες και Τσιγανάδικα εμφανίζονται θραύσματα τροχήλατων αγγείων, που χρονολογούνται στους ιστορικούς χρόνους, χωρίς να σχετίζονται με τη φάση των προϊστορικών ταφών των ίδιων τάφων.

Η εμφάνιση αυτών των θραυσμάτων σε ορισμένες περιπτώσεις θα μπορούσε να θεωρηθεί τυχαία, όταν πρόκειται για μικρά όστρακα, όπως π.χ. τα όστρακα του τάφου Τ16 (Π ί ν. 94: 13), που εύκολα μπορούσαν να περάσουν από την επιφάνεια στην επιφανειακή επίχωση του τάφου. Σε άλλες όμως περιπτώσεις, όπως τα θραύσματα των οξυπύθμενων αμφορέων που βρέθηκαν στους τάφους Τ26 (Π ί ν. 157), Τ27 (Π ί ν. 158Α:1) και Τ32 (Π ί ν. 177: 11), πρόκειται για τυπικά επαναλαμβανόμενα ευρήματα που δεν είναι δυνατό να έχουν εμφανισθεί τυχαία στους τάφους. Για την περίπτωση αυτών των αμφορέων, οι οποίοι σώζουν μόνο το κάτω σώμα τους και βρέθηκαν στην επίχωση των τάφων, σ' ένα στρώμα ψηλότερο από το επίπεδο των ταφών της πρώιμης εποχής του σιδήρου, θα μπορούσαμε να δεχθούμε ότι η εναπόθεσή τους στους τάφους συνδέεται είτε με κάποια περίοδο μεταγενέστερων ταφώνκαύσεων (δε σώθηκε, ωστόσο, κανένα ίχνος οστού στο εσωτερικό τους) είτε με την τέλεση κάποιων μεταγενέστερων εναγισμών στους παλιούς τάφους, που πρέπει να ήταν ορατοί στην αρχαιότητα. Για τα μεταγενέστερα επίσης αγγεία, που βρέθηκαν στο εσωτερικό του τάφου Τ34ΒΙ (Π ί ν. 179: 1), θα μπορούσαμε να δεχθούμε μια ταφή μεταγενέστερη, αλλά για τα σπασμένα αγγεία, που βρέθηκαν στην κορυφή του τύμβου-λιθοσωρού του τάφου Β3, χωρίς κανένα ίχνος ταφής, δεν αποκλείεται η συσχέτισή τους με μεταγενέστερο εναγισμό (Π ί ν. 58Β).

Από τα αγγεία, τα οποία είναι δυνατό να δώσουν κάποια χρονολόγηση, διαπιστώνεται οπωσδήποτε η παρουσία κάποιων κατοίκων στην περιοχή αυτή στον 4ο αι. π.Χ., και αργότερα ένας άλλος ορίζοντας της ρωμαϊκής εποχής.

Στον τάφο Β3 ένα μέρος της νεότερης κεραμικής χρονολογείται στον 4ο-3ο αι. π.Χ. (πρβλ.

3. Γραμμένος 1981, εικ. 19, αριθ. 322, εικ. 27, αριθ. 531, φάση Ι Πεντάπολης (πρβλ. Π ί ν. 16Β: 12).

4. Renfrew 1970, 302.

5. Γραμμένος 1981, εικ. 8, αριθ. 72. Πρβλ. όμοιο σχήμα αγγείου από την κεντρική Μακεδονία, Σαρατσέ, Heurtley 1939, 253a. Ανάλογο σχήμα και στον Καστανά (φάση Ι-ΙΙ), BCH CIV (1980), 647, εικ. 140. Πρβλ. επίσης αντίστοιχη προχοή σε αγγεία από το Εμπορειό (φάση ΙΙ), Hood 1981/1982, εικ. 236, αριθ. 2377, ή Ντικιλί Τας, φάση IIIB, Seferiades 1983, 665, εικ. 56.

6. Kitanovski - Simoska - Todorović 1977, Karaman IIIA.

κάνθαρο, Π ί ν. 58Β: 1, και άλλα όστρακα, Π ί ν. 58Β: 2-7). Στην ίδια φάση πρέπει να ανήκουν και οι αμφορείς που εμφανίζονται στους τάφους του νεκροταφείου Τσιγανάδικα (Τ26, Τ27, Τ32). Στον ίδιο ορίζοντα του 4ου-3ου αι. π.Χ. θα μπορούσαμε να αποδώσουμε και τα αγγεία της φάσης Ι του τάφου Τ34Β (Π ί ν. 179), αλλά η εμφάνιση και τυπικής ρωμαϊκής κεραμικής στην ίδια συστάδα, στον τάφο Τ34Α (Π ί ν. 178: 1-6) και έξω από τον τάφο Τ34Ια (Π ί ν. 179), βεβαιώνει και μια νεότερη φάση των τάφων στα ρωμαϊκά χρόνια (πρβλ. και θραύσματα αγγείου ρωμαϊκών χρόνων στον τάφο Τ26, Π ί ν. 157: 6). Τα θραύσματα από τις προχοΐσκες του τάφου Β3 (Π ί ν. 58Β: 8-11) θα μπορούσαν να σχετισθούν με ανάλογα αγγεία ρωμαϊκών χρόνων, αλλά δεν αποκλείεται και μια χρονολόγησή τους στον 4ο αι. π.Χ., που φαίνεται μάλιστα πιθανότερη.

Τα τροχήλατα, επίσης, αγγεία του τάφου Τ34Β (Π ί ν. 179: 1-4) δεν είναι δυνατό να χρονολογηθούν με ασφάλεια. Η λεκάνη (Π ί ν. 179: 1) είναι σχήμα γνωστό από τον 7ο αι. π.Χ.[7], που επιβιώνει ως τον 4ο αι. π.Χ.[8], χωρίς να αποκλείεται και μια μεταγενέστερη επιβίωσή του. Τόσο η λεκάνη αυτή, όσο και τα άλλα θραύσματα των ερυθρόχρωμων αγγείων (Π ί ν. 179: 3-4), μοιάζουν στην κατασκευή και στην υφή του πηλού με τα αγγεία Β3Ι, 1-3 (Π ί ν. 58Β) του τάφου Β3 και θα μπορούσαν να είναι σύγχρονα, όπως και το γκρίζο φιαλόσχημο αγγείο Τ34ΒΙ, 2 (Π ί ν. 179: 2), το οποίο στο σχήμα και στην τεχνική κατασκευής διαφοροποιείται από τα τεφρόχρωμα τροχήλατα αγγεία της κατηγορίας ΙΙΒ των νεκροταφείων.

Αμφισβητούμενη είναι και η χρονολόγηση των θραυσμάτων του αμφορέα που βρέθηκε στον τάφο Τ7Α (Π ί ν. 78: 17). Ο τάφος ήταν διαταραγμένος και συλημένος, αλλά δε βρέθηκε νεότερη κεραμική στο εσωτερικό του.

Στην επίχωση του τάφου Τ35Γ εμφανίζονται ορισμένα όστρακα τροχήλατα, που θα μπορούσαν όμως να χρονολογηθούν στους ρωμαϊκούς χρόνους (Π ί ν. 184: 16, 17, 19, 20), και ένα όστρακο με γραπτή διακόσμηση, πιθανότατα αρχαϊκής εποχής (Π ί ν. 184: 18).

Ο εντοπισμός αρχαϊκής φάσης στους τάφους του νεκροταφείου Καστρί δεν είναι βέβαια δυνατό να τεκμηριωθεί από το μοναδικό αυτό όστρακο, η χρονολόγηση του οποίου είναι αμφισβητούμενη[9]. Αντίθετα, η παρουσία μιας φάσης 4ου-3ου αι. π.Χ. είναι τεκμηριωμένη από την κεραμική των τάφων Β3, Κ26, Κ27, Κ32, όπως και η εμφάνιση μιας φάσης ρωμαϊκών χρόνων, τουλάχιστον, στην ταφική συστάδα Τ34 και στον τάφο Τ26.

Η εμφάνιση αυτής της κεραμικής των ιστορικών χρόνων δεν πρέπει να συμπίπτει με την αναβίωση του οικισμού Καστρί. Κεραμική 4ου-3ου αι. π.Χ. δε βρέθηκε στον οικισμό Καστρί και η εμφάνιση αυτών των αγγείων στους τάφους πρέπει να σχετίζεται με σποραδική εμφάνιση πληθυσμού στην περιοχή αυτή των νεκροταφείων. Από τους ρωμαϊκούς χρόνους έχουμε ορισμένα όστρακα στην ακρόπολη Καστρί, η σποραδική εμφάνιση των οποίων δεν τεκμηριώνει ύπαρξη οικισμού στην κορυφή του λόφου[10].

Στους ρωμαϊκούς χρόνους χρονολογούνται, οπωσδήποτε, και δύο μικρές μονόχωρες οικίες, που έχουν ανασκαφεί στην περιοχή του νεκροταφείου Τσιγανάδικα[11].

Η εμφάνιση και ελάχιστων σποραδικών βυζαντινών οστράκων στην περιοχή του νεκροταφείου Τσιγανάδικα βεβαιώνει, επίσης, μια αντίστοιχη αραιή παρουσία πληθυσμού στην περιοχή αυτή, όπως την ξέρουμε από τα διάσπαρτα καλύβια των πρόσφατων χρόνων. Μ' αυτή την παροδική εμφάνιση πληθυσμού στην περιοχή αυτή, που συνδεόταν με γεωργικές καλλιέργειες και προπαντός με τη συγκομιδή της ελιάς, πρέπει να συνδέονται και τα ερείπια ενός μικρού μεταβυζαντινού (;) ναΐσκου και ορισμένων τάφων γύρω του, που εντοπίζονται στην περιοχή της πηγής (Σ χ έ δ. Ι).

7. Himera I, 1970, πίν. XXX, 9.

8. ΑΔ 32 (1977): Χρονικά, 239 (Αρχαία Θάσος, οικόπεδο Παυλίδη).

9. Η γραμμική διακόσμηση θυμίζει και μυκηναϊκή κεραμική. Προβληματική είναι, επίσης, και η χρονολόγηση των οστράκων του τάφου Τ29 (Π ί ν. 170Α), τα οποία ωστόσο είναι πιθανότατα όστρακα ρωμαϊκών χρόνων, που έχουν διεισδύσει στα βαθύτερα στρώματα του τάφου.

10. Τα όστρακα είναι στιλπνά ερυθρόχρωμα και θυμίζουν τα αντίστοιχα όστρακα που βρέθηκαν έξω από τη βόρεια πλευρά της ταφικής συστάδας Τ35.

11. ΑΔ 30 (1975): Χρονικά, 282.

ΕΠΙΜΕΤΡΟ

ΠΡΩΤΟΪΣΤΟΡΙΚΗ ΘΑΣΟΣ

ΕΙΣΑΓΩΓΗ

Ορισμένες γενικές παρατηρήσεις για την οικιστική διάρθρωση, που εμφανίζει η Θάσος στις τρεις μεγάλες φάσεις της προϊστορίας, μπορούν να προκύψουν από την αποσπασματική έστω εικόνα, που μας έχει δώσει η ως τώρα αρχαιολογική έρευνα, όπως αυτή απεικονίζεται στους χάρτες (Σ χ έ δ. 1-3).

Η εμφάνιση του νεολιθικού οικισμού στην οχυρή κορυφή Καστρί είναι πιθανό να υπαγορεύεται και από λόγους ασφάλειας, τους οποίους φαίνεται ότι αντιμετωπίζουν και οικισμοί αρχαιότερων νεολιθικών φάσεων[1], αλλά θα μπορούσε να αποδοθεί στις ειδικά ευνοϊκές συνθήκες που παρείχε η θέση αυτή για την εκτροφή αιγοπροβάτων, χωρίς να απομακρύνει τον πληθυσμό από τις πεδινές εκτάσεις.

Η εξάρτηση, ωστόσο, όλων των νεολιθικών οικισμών από τη θάλασσα, είτε βρίσκονταν αυτοί σχεδόν μέσα στη θάλασσα, όπως ο οικισμός του σπηλαίου των Μαριών, είτε σε μικρή απόσταση από αυτή, όπως ο οικισμός Καστρί, σχετίζεται με τη διατροφή των κατοίκων, που βεβαιώνεται από τις μεγάλες ποσότητες οστρέων στον ηπειρωτικό οικισμό Καστρί. Ειδικά για τον τελευταίο, πρέπει να σημειώσουμε ότι η θάλασσα βρίσκεται μέσα στην ακτίνα των 5 χλμ., μέσα στην οποία αναπτύσσει τη δραστηριότητά του ο νεολιθικός άνθρωπος στον τομέα της γεωργίας[2]. Οι καλλιέργειες του οικισμού Καστρί, όπως δείχνει η γεωλογική εικόνα της περιοχής, πρέπει να αναζητηθούν στην πεδιάδα του Ποτού, γιατί γύρω από τον οικισμό ημιορεινά και λεπτόγαια εδάφη ήταν κατάλληλα μόνο για τη βοσκή αιγοπροβάτων[3].

Στην πρώιμη εποχή του χαλκού, σύμφωνα με τα αρχαιολογικά στοιχεία που έχουμε ως τώρα, πρέπει να εμφανίζονται νέοι οικισμοί στη Θάσο. Οι νέοι αυτοί οικισμοί βρίσκονται στα παράλια και δεν έχουν νεολιθική φάση. Πιθανόν σχετίζονται με την εμφάνιση κάποιων νέων πληθυσμών, που πρέπει να προέρχονται από το βορειοανατολικό Αιγαίο ή από την απέναντι θρακική Περαία, όπως προκύπτει από την κεραμική τους[4].

Στα τέλη της ύστερης εποχής του χαλκού και συγχρόνως με την εμφάνιση της μυκηναϊκής κεραμικής στη Θάσο σημειώνεται μια στροφή προς το εσωτερικό του νησιού[5].

1. Δ. Θεοχάρης, Νεολιθική Ελλάς, 1974, 65-66, για περιβόλους τειχών ή οχυρωματικές τάφρους σε οικισμούς μέσης νεολιθικής εποχής.

2. Hodder - Orton 1976, 229 κ.ε., Higgs - Vita-Finzi 1972, 27-36.

3. Πρβλ. γεωλογικό χάρτη Θάσου, Σ χ έ δ. 4. Σύμφωνα με την ανάλυση του Renfrew 1972, 260, οι περισσότεροι οικισμοί της πρώιμης εποχής του χαλκού στις Κυκλάδες είναι παράλιοι (τύπος β) και έχουν χαρακτηριστικό γνώρισμα την απουσία ενδοχώρας. Ελάχιστοι οικισμοί (Χαλανδριανή) βρίσκονται στην ενδοχώρα. Ο τύπος αυτού του οικισμού συμφωνεί με τον τύπο του οικισμού, που επικρατεί στη μέση εποχή του χαλκού στο νοτιοελλαδικό χώρο. Στη Μακεδονία και τη Θράκη δε φαίνεται να υπάρχει αλλαγή στον τύπο των οικισμών από τη νεολιθική στην πρώιμη εποχή του χαλκού, French 1967, Theocharis 1971, Γραμμένος 1980, 241.

4. Πρβλ. κεραμική πρώιμης εποχής του χαλκού των οικισμών Σκάλα Σωτήρος, Αγίου Αντωνίου Ποτού, Δρακότρυπας.

5. Ο Renfrew 1972, 261-262, επισημαίνει αντίστοιχη κίνηση στη μέση εποχή του χαλκού στα νησιά του Αιγαίου (Εύβοια και Κυκλάδες), που συνεχίζεται και στην ύστερη εποχή του χαλκού. Ο κίνδυνος της πειρατείας, που πρέπει να υπήρχε από την πρώιμη εποχή του χαλκού, όπως δείχνουν οι οχυρωμένες ακροπόλεις του Αιγαίου, συνεχίζεται στη μέση και εντείνεται στην ύστερη εποχή του χαλκού.

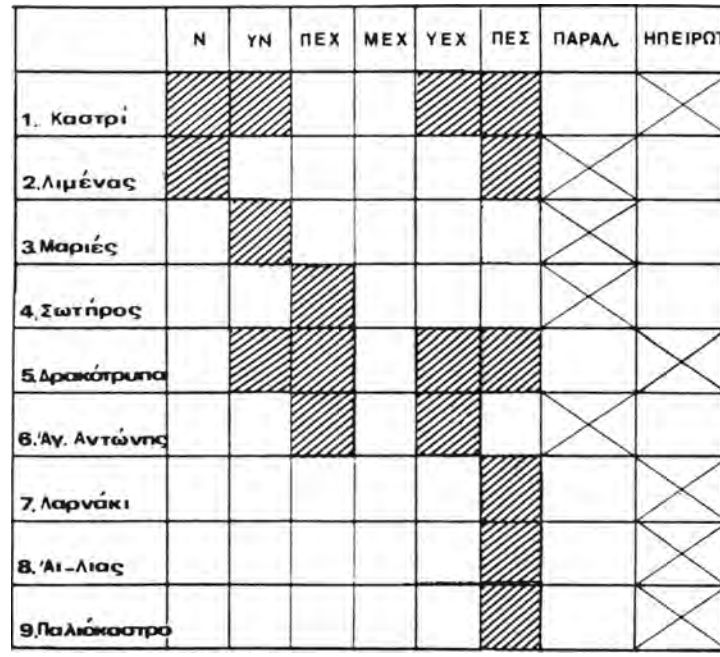

Σχέδ. 165. Πίνακας οικισμών προϊστορικής Θάσου.

Αν κρίνουμε από την περίπτωση του οικισμού της θέσης Άγιος Αντώνιος Ποτού, πρόκειται για μετατόπιση του πληθυσμού από τα παράλια προς το εσωτερικό. Ο οικισμός του Αγίου Αντωνίου, που πρέπει να κατοικήθηκε από την πρώιμη εποχή του χαλκού ως την ύστερη, δεν κατοικείται στην πρώιμη εποχή του σιδήρου, εποχή ακμής για τον ηπειρωτικό οικισμό στο Καστρί. Είναι πολύ πιθανό ότι ο οικισμός στο Καστρί δημιουργείται με την εγκατάλειψη του οικισμού στον Άγιο Αντώνιο σε μια προχωρημένη φάση της ύστερης εποχής του χαλκού.

Η στροφή αυτή στην ενδοχώρα πρέπει να παραμένει και να αυξάνεται στην πρώιμη εποχή του σιδήρου.

Οι οχυρωμένες ακροπόλεις της πρώιμης εποχής του σιδήρου (Καστρί, Παλιόκαστρο, Άι-Λιας) μαρτυρούν αναζήτηση ασφάλειας[6], ενώ η προτίμηση για ημιορεινές περιοχές δεν πρέπει να είναι άσχετη σε ορισμένες περιπτώσεις με την ύπαρξη πλουτοπαραγωγικών πηγών στις περιοχές αυτές, όπου εκτός από τη γεωργία και την κτηνοτροφία υπήρχαν δυνατότητες για την ανάπτυξη της μεταλλουργίας.

Η ανεύρεση σκουριών χαλκού και σιδήρου στην περιοχή των οικισμών Καστρί[7] και Παλιόκαστρο[8] μαρτυρεί πως η εκμετάλλευση των τοπικών κοιτασμάτων των μετάλλων εντασσόταν στις παραγωγικές δραστηριότητες των πληθυσμών της Θάσου, στην πρώιμη εποχή του σιδήρου.

Τα σπήλαια χρησιμοποιούνται και ως χώροι κατοίκησης από την ύστερη νεολιθική εποχή (σπήλαιο Μαριών)[9]. Το σπήλαιο Δρακότρυπα[10] εμφανίζει μια φάση πρώιμης εποχής του

6. Θουκ. Ι, VII-VIII.

7. Σκουριές χαλκού στο εσωτερικό ορισμένων τάφων (Τ18 κ.α., πρβλ. Παράρτημα VIIIβ). Σκουριά σιδήρου στο εσωτερικό του τάφου Λ2Γ.

8. Σκουριές κυρίως χαλκού, στην κορυφή του λόφου Παλιόκαστρο (Ε. Photos, Παράρτημα VIIIβ).

9. Κουκούλη-Χρυσανθάκη 1970, 215 κ.ε.

10. Ορισμένα όστρακα στιλπνής κεραμικής με ρυτιδωτή διακόσμηση δεν αποκλείουν και μια χρονολόγηση στη χαλκολιθική περίοδο της αρχαιότερης φάσης της σπηλιάς.

χαλκού, που πρέπει να είναι φάση κατοίκησης, ενώ για τις νεότερες φάσεις της ίδιας σπηλιάς δεν έχει προκύψει ως τώρα καμιά ένδειξη για λατρευτική χρήση, όπως έχει διαπιστωθεί σε άλλα σπήλαια (σπήλαιο Νυμφών Ηρακλείτσας)[11].

Ενδείξεις για οργανωμένα νεκροταφεία έξω από τους οικισμούς έχουμε μόνο από την ύστερη εποχή του χαλκού και την πρώιμη εποχή του σιδήρου στους ηπειρωτικούς οικισμούς.

Συγκριτικά μεγέθη για την έκταση των οικισμών και το πληθυσμιακό δυναμικό τους δεν είναι δυνατό να έχουμε, αφού ελάχιστο είναι ακόμη το ποσοστό των οικισμών που έχουν ανασκαφεί. Από τον αριθμό των οικισμών και από την έκταση και τον αριθμό των νεκροταφείων, που στο μεγαλύτερο ποσοστό τους χρονολογούνται στην πρώιμη εποχή του σιδήρου, προκύπτει ότι η μεγαλύτερη πληθυσμιακή ανάπτυξη της προϊστορικής περιόδου της Θάσου πρέπει να συμβαίνει στην πρώιμη εποχή του σιδήρου. Το μεγαλύτερο μέρος του πληθυσμού στην εποχή αυτή φαίνεται ότι ήταν συγκεντρωμένο στις ημιορεινές περιοχές της νότιας Θάσου, που προσφέρονται για την ανάπτυξη της κτηνοτροφίας και της μεταλλουργίας.

Η εμφάνιση παράλιων οικισμών, που σημειώνεται στα τέλη της πρώιμης εποχής του σιδήρου στη Θάσο, αποτελεί για το νησί την αφετηρία μιας νέας εποχής, που συμπίπτει με την αρχή των ιστορικών χρόνων.

ΚΕΦΑΛΑΙΟ Α΄

ΟΙΚΙΣΜΟΙ ΤΗΣ ΠΡΩΤΟΪΣΤΟΡΙΚΗΣ ΘΑΣΟΥ

Οι σημαντικότερες ως τώρα θέσεις της ύστερης εποχής του χαλκού και της πρώιμης εποχής του σιδήρου συγκεντρώνονται στη νότια Θάσο (Σ χ έ δ. 3). Η εικόνα αυτή είναι πιθανότατα συμπτωματική, γιατί είναι αδύνατο οι βορειοδυτικές περιοχές του νησιού με τις πεδινές εκτάσεις να μην είχαν κατοικηθεί από τους προϊστορικούς χρόνους. Ο οικισμός της Σκάλας Σωτήρος και ο οικισμός στην αρχαία Θάσο βεβαιώνουν ότι, τόσο στην πρώιμη εποχή του χαλκού όσο και στα τέλη της πρώιμης εποχής του σιδήρου, υπήρχαν και στις περιοχές αυτές οικισμοί. Το σπήλαιο, επίσης, της Δρακότρυπας αποτελεί ένδειξη ότι και στην ανατολική πλευρά του νησιού πρέπει να αναζητηθούν προϊστορικές εγκαταστάσεις.

ΥΣΤΕΡΗ ΕΠΟΧΗ ΤΟΥ ΧΑΛΚΟΥ

Από τους οικισμούς της εποχής του χαλκού που σημειώνονται στο χάρτη (Σ χ έ δ. 2), μόνο δύο εμφανίζουν φάσεις ύστερης εποχής του χαλκού:

Οικισμός στο Καστρί (Σ χ έ δ. 2: 4)

Ο οικισμός στο Καστρί είναι ο σημαντικότερος ως τώρα γνωστός οικισμός της πρωτοϊστορικής Θάσου, που εμφανίζει συνέχεια ζωής από την ύστερη εποχή του χαλκού στην πρώιμη εποχή του σιδήρου. Από τη μελέτη του αρχαιολογικού υλικού των νεκροταφείων του οικισμού έχουν συγκεντρωθεί ήδη οι πρώτες πληροφορίες, που μαζί με τα στοιχεία που έχουν δώσει οι ως τώρα ανασκαφές στον οικισμό Καστρί συνθέτουν την πρώτη εικόνα για την πολιτιστική φυσιογνωμία του.

Στη φάση Ι των νεκροταφείων (ύστερη εποχή του χαλκού) ανήκουν δύο κτιριακές φάσεις, που έχουν επισημάνει οι ανασκαφές στον οικισμό Καστρί: Στην αρχαιότερη φάση ανήκουν τα πασσαλόπηκτα κτίσματα[12] (Π ί ν. 362α), που εντοπίσθηκαν στα ανασκαφικά τετράγωνα 5, 6, 2. Από τα ίχνη των πασσαλόπηκτων αυτών κτιρίων ξεχώρισε η κάτοψη ενός μεγάλου αψιδωτού κτίσματος, που έχει εν μέρει μόνο αποκαλυφθεί (Π ί ν. 362β). Η φάση αυτή των

11. Γ. Μπακαλάκης, ΠΑΕ 1938, 81 κ.ε.
12. Χ. Κουκούλη-Χρυσανθάκη, ΑΔ 29 (1973/74): Χρονικά, 779, πίν. 537α και η ίδια, ΑΔ 33 (1978): Χρονικά, 290.

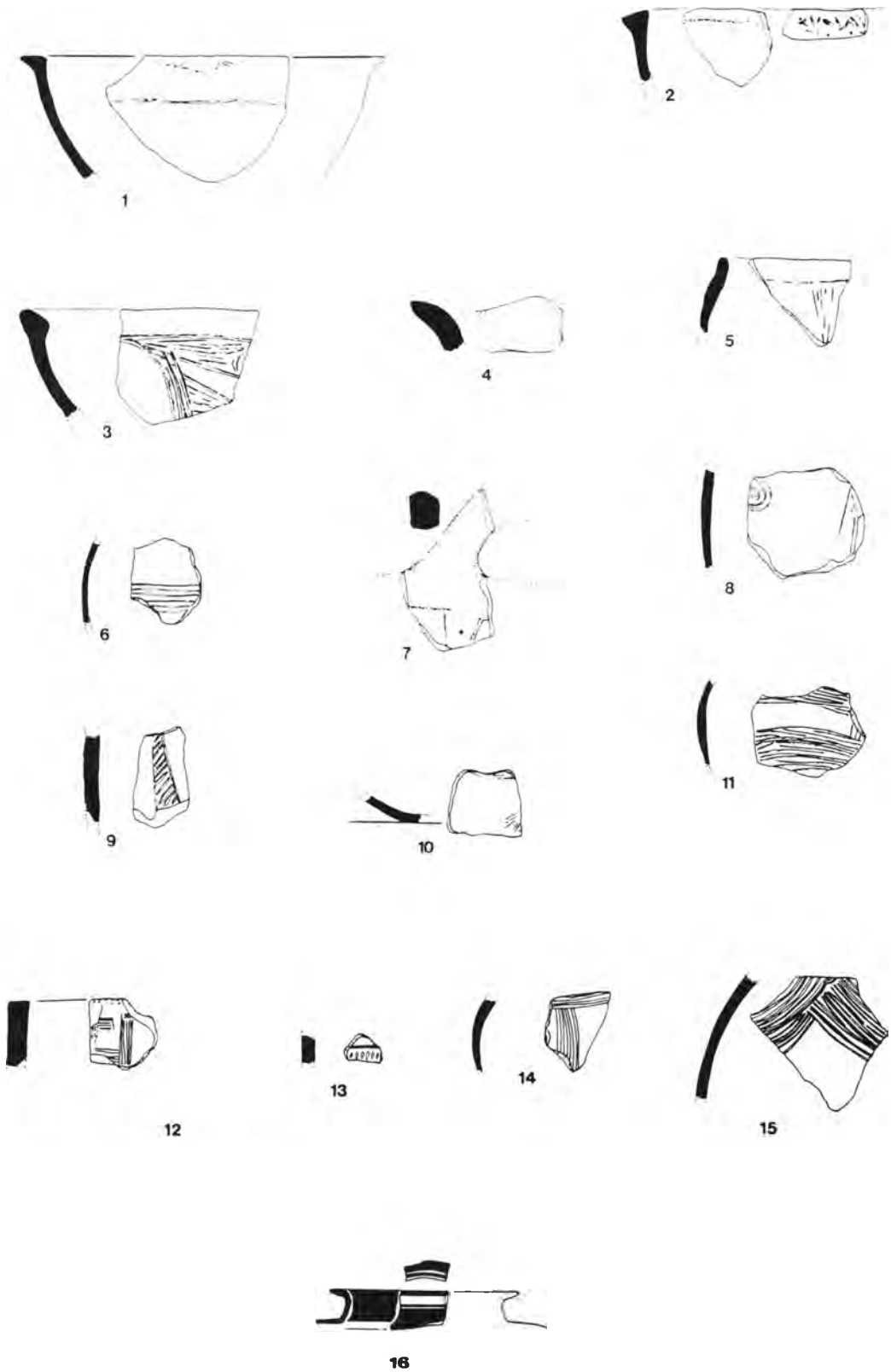

Σχέδ. 166. Οικισμός Καστρί, τομέας Ι. Εγχάρακτη και μυκηναϊκή κεραμική.

πασσαλόπηκτων κτισμάτων, που πατούν πάνω σε στρώματα χαλκολιθικής φάσης, είναι άγνωστο ακόμη πότε αρχίζει. Από τα ως τώρα γνωστά αρχαιολογικά δεδομένα, το στρώμα καταστροφής των πασσαλόπηκτων κτισμάτων περιέχει εγχάρακτη κεραμική της κατηγορίας Ι, 2α-Ι, 2β, καθώς και μυκηναϊκή ΥΕ ΙΙΒ κεραμική (Σ χ έ δ. 166: 16). Παρόλο που ούτε η ανασκαφική έρευνα ούτε η μελέτη του αρχαιολογικού υλικού του οικισμού Καστρί επιτρέπουν ασφαλή συμπεράσματα, θα μπορούσε να υποστηρίξει κανείς ότι η φάση αυτή των πασσαλόπηκτων κτισμάτων αντιστοιχεί στην αρχαιότερη φάση ΙΑ των νεκροταφείων[13] (Π ί ν. 363α-ε).

Σε μια φάση νεότερη, πιθανότατα σύγχρονη με τη φάση ΙΒ των νεκροταφείων Καστρί, ανήκει το δάπεδο με το σύνολο των αγγείων που έχει εντοπισθεί στο τετράγωνο 8[14] (Σ χ έ δ. 167). Τα χειροποίητα αγγεία αυτού του δαπέδου είναι ακόσμητα και το μυκηναϊκό αγγείο είναι τοπικό μυκηναϊκό της ΥΕ ΙΙΓ2 περιόδου[15]. Για τη μορφή του κτίσματος, στο οποίο ανήκει το δάπεδο με το σύνολο των αγγείων, δεν υπάρχει κανένα στοιχείο. Η έλλειψη, ωστόσο, ιχνών από πασσαλόπηκτα κτίσματα αποτελεί ένδειξη για το συσχετισμό του δαπέδου με λιθόκτιστο κτίσμα, που έχει καταστραφεί. Με μια φάση λιθόκτιστων κτισμάτων, νεότερων από τα πασσαλόπηκτα στην ακρόπολη Καστρί, πρέπει πιθανότατα να συσχετισθεί και το κτιριακό συγκρότημα, που εμφανίζεται στο εσωτερικό του οχυρωματικού περιβόλου της βόρειας πλευράς του λόφου της ακρόπολης Καστρί. Οι διάφορες φάσεις του οχυρωματικού περιβόλου της ακρόπολης Καστρί δεν έχουν ακόμη διευκρινισθεί. Από τα πρώτα, ωστόσο, ανασκαφικά στοιχεία που έχουν προκύψει, φαίνεται ότι ο περίβολος και το κτιριακό συγκρότημα στο εσωτερικό του υπήρχε ήδη από την ΥΕ ΙΙΙΓ[16] περίοδο και ότι παρέμεινε και επισκευάσθηκε στην πρώιμη εποχή του σιδήρου (Π ί ν. 362β).

Οικισμός στον Άγιο Αντώνιο Ποτού (Σ χ έ δ. 2: 3)

Από την επιφανειακή κεραμική του οικισμού και από την κεραμική, που συγκεντρώθηκε από μικρές δοκιμαστικές έρευνες στο λόφο[17], μπορούμε να προσδιορίσουμε μόνο ορισμένα χαρακτηριστικά είδη κεραμικής πρώιμης και ύστερης εποχής του χαλκού:

Η κεραμική της πρώιμης εποχής του χαλκού (Σ χ έ δ. 168Α) σχετίζεται με την κεραμική του στρώματος Va των Σιταγρών[18]. Ανάλογη εγχάρακτη κεραμική είναι διαδεδομένη και σε άλλους οικισμούς της ανατολικής Μακεδονίας[19]. Σχέσεις με την ομάδα Vučedol, που πρότεινε ο Deshayes για την αντίστοιχη κεραμική της φάσης Bronze Ancienne II του Ντικιλί Τας[20], δεν είναι εύκολο να επιβεβαιωθούν, όσο λείπουν τα ενδιάμεσα παραδείγματα από τη νότια Σερβία και την κεντρική Μακεδονία[21]. Αντίθετα, ευκολότερα προσδιορίζονται ορισμένες σχέσεις με την ομάδα Ezero[22] της Βουλγαρίας και προπαντός με την εγχάρακτη κεραμική της πρώιμης εποχής του χαλκού του βορειοανατολικού Αιγαίου, όπως την ξέρουμε από την Τροία, τη Θερμή, το Εμπορειό[23].

13. Χαρακτηριστικά στοιχεία για τη χρονολόγηση του κτιρίου η εγχάρακτη κεραμική της κατηγορίας Ι, 2α, Ι, 2β και η μυκηναϊκή κεραμική ΥΕ ΙΙΙΒ. Πρβλ. φάση ΙΙ Σταθμού Αγγίστας και φάση IV Καστανά.

14. Χ. Κουκούλη-Χρυσανθάκη, ΑΔ 31 (1976): Χρονικά, 294-297.

15. Πρβλ. μυκηναϊκούς αμφορείς προχωρημένης ΥΕ ΙΙΙΓ περιόδου, Podzuweit 1979α, 428, εικ. 44, 6, 430, σημ. 161. Podzuweit 1981, 213, εικ. 61, με μυκηναϊκό αμφορέα από την ακρόπολη Καστρί, Χ. Κουκούλη-Χρυσανθάκη, ΑΔ 31 (1976): Χρονικά, 298, σχέδ. 2.

16. Χ. Κουκούλη-Χρυσανθάκη, ό.π., 294, πίν. 241δ, πρβλ. κεραμική ΥΕ ΙΙΙΓ.

17. Χ. Κουκούλη-Χρυσανθάκη, ΑΔ 26 (1971): Χρονικά, 415-416, πίν. 410β-γ.

18. Renfrew 1970, 302, και Renfrew 1970α, 131.

19. Πρβλ. π.χ. επιφανειακή κεραμική από τον προϊστορικό οικισμό Φιδοκορυφής, Γραμμένος - Φωτιάδης 1980, 19, αριθ. 64.

20. Deshayes 1970, 34 κ.ε., εικ. 32-39, Seferiades 1983, 662 κ.ε., φάση IIIB, στρώμα 5.

21. Pavukova 1981.

22. Georgiev - Merpert - Katinčarov - Dimitrov 1979, 279, εικ. 153 (Ezero VII), 340-341 (Ezero XI-VII).

23. Τροία: Blegen - Caskey 1950, εικ. 223a, 234, 238 κ.α. (Τροία Ι). Θερμή: Lamb 1936, 75, εικ. 26, εικ. 28. Εμπορειό: Hood 1981/1982, πίν. 95, 2414 (περίοδος ΙΙ) ή πίν. 97, 2292 (περίοδος V/IV-II).

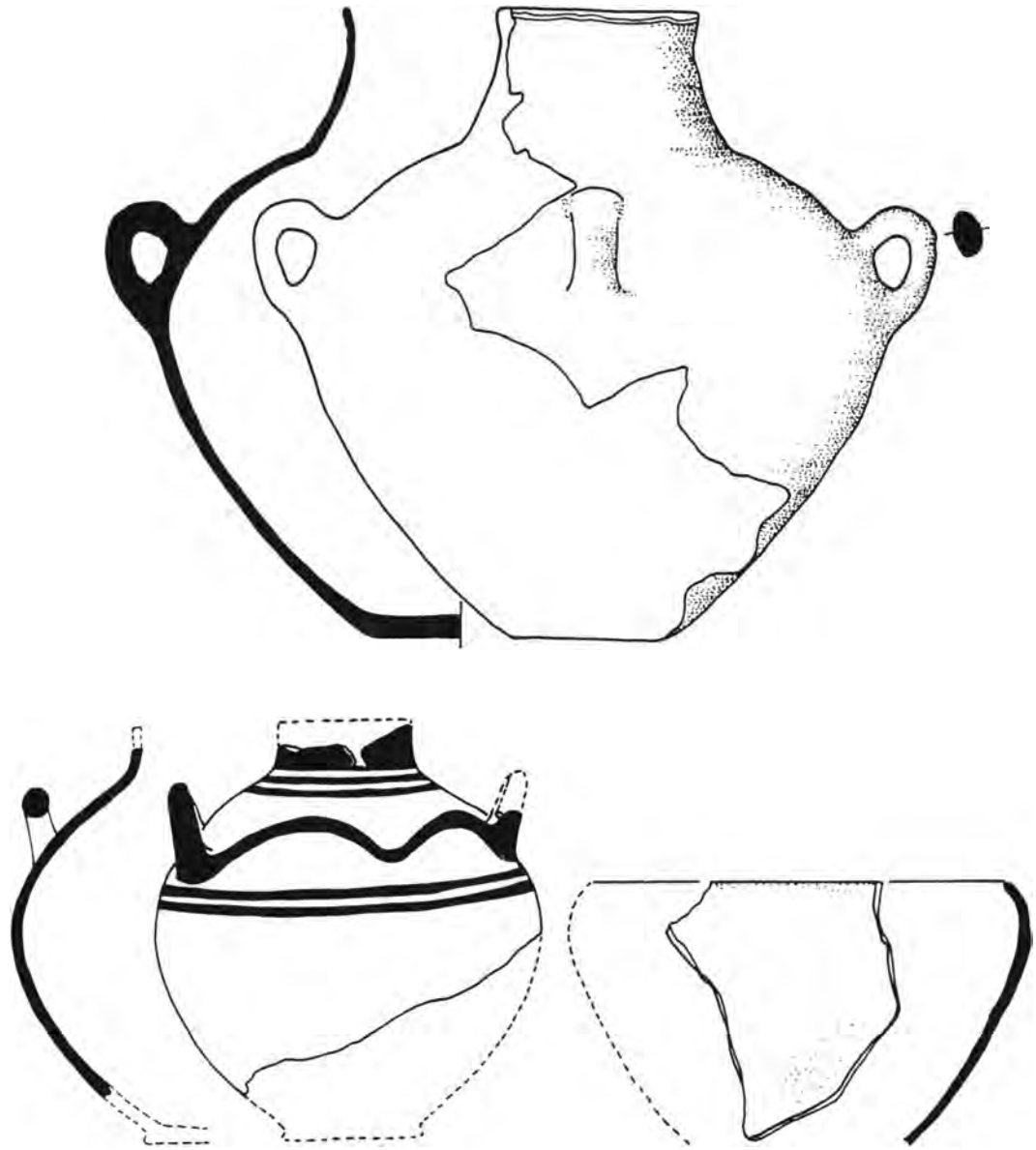

Σχέδ. 167. Οικισμός Καστρί, τομέας Ι, τετράγωνο 8. Αγγεία.

Η εγχάρακτη κεραμική της ύστερης εποχής του χαλκού εμφανίζει ομοιότητες με την αντίστοιχη εγχάρακτη κεραμική των προμυκηναϊκών, κυρίως, στρωμάτων της ύστερης εποχής του χαλκού της κεντρικής Μακεδονίας[24]. Η παρουσία του γραφίτη, ωστόσο, στις ανάμεσα στις χαράξεις ακόσμητες επιφάνειες εντάσσει την εγχάρακτη κεραμική του οικισμού αυτού στην ανατολική παραλλαγή της ομάδας, όπως την ξέρουμε από την ανατολική Μακεδο-

24. Καστανάς: Hänsel 1979α, 182 κ.ε., στρώματα 18-19, Hochstetter 1984, πίν. 1, 9. Καλίνδρια: Heurtley 1939, 205, εικ. 70.

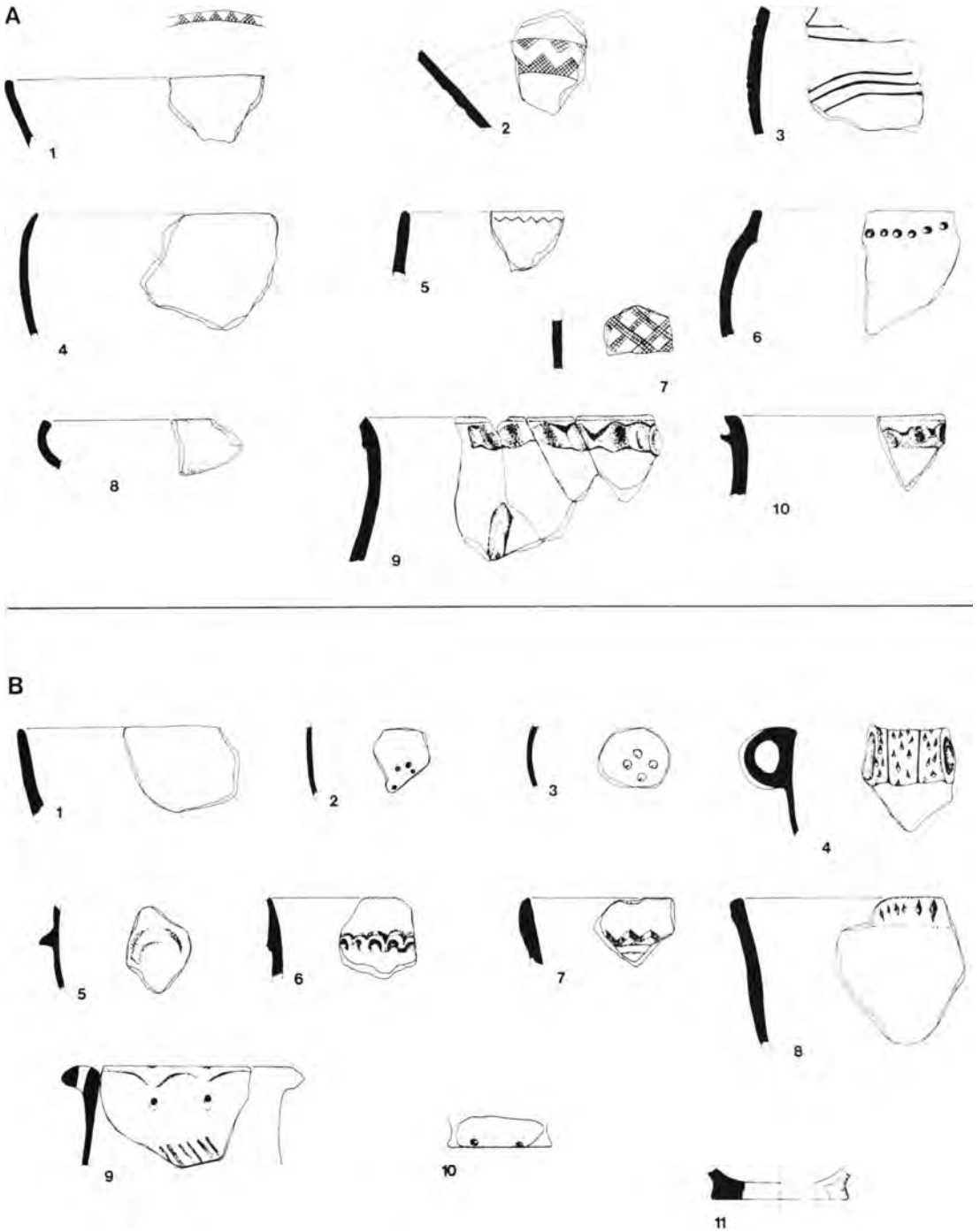

Σχέδ. 168. Α. Οικισμός Άγιος Αντώνιος Ποτού. Κεραμική πρώιμης εποχής του χαλκού. Β. Σπήλαιο Δρακότρυπα Παναγιάς. Κεραμική χαλκολιθικής και πρώιμης εποχής του χαλκού.

νία[25]. Σχήματα αγγείων δε διακρίνονται, αλλά τα όστρακα φαίνεται ότι προέρχονται από κλειστά αγγεία.

Η εμφάνιση εγχάρακτης κεραμικής πρώιμης και ύστερης εποχής του χαλκού στον οικισμό δίδει τη δυνατότητα να ερευνηθούν εδώ, σε μελλοντικές ανασκαφές, οι σχέσεις ανάμεσα στην εγχάρακτη κεραμική της πρώιμης εποχής του χαλκού και στην εγχάρακτη κεραμική της ύστερης εποχής του χαλκού, στην ανατολική Μακεδονία και στη Θάσο. Η εξακρίβωση αυτών των σχέσεων συνδέεται και με τον προσδιορισμό της άγνωστης ακόμη για την ανατολική Μακεδονία φάσης της μέσης εποχής του χαλκού, που ο Heurtley επεσήμανε στην κεντρική Μακεδονία[26].

ΠΡΩΙΜΗ ΕΠΟΧΗ ΤΟΥ ΣΙΔΗΡΟΥ

Η θέση των οικισμών και των νεκροταφείων στη Θάσο της πρώιμης εποχής του σιδήρου μαρτυρεί κάποια μετατόπιση του πληθυσμού από τα παράλια στις οχυρές θέσεις του εσωτερικού, τάση που, όπως έχουμε ήδη επισημάνει, είχε διαπιστωθεί ήδη από τα τέλη της ύστερης εποχής του χαλκού. Μόνο στα τέλη της πρώιμης εποχής του σιδήρου φαίνεται ότι επανέρχονται οι πληθυσμοί στις παράλιες θέσεις.

Οικισμός στο Καστρί (Σ χ έ δ. 3: 2)

Στη σύγχρονη με τη φάση ΙΙ των νεκροταφείων περίοδο του οικισμού Καστρί, εκτός από τον περίβολο και το προσκολλημένο στην εσωτερική παρειά του κτιριακό συγκρότημα, εμφανίζονται και ελεύθερα λιθόκτιστα κτίσματα, ορισμένα από τα οποία έχουν τη μία πλευρά αψιδωτή. Το αρχαιολογικό στρώμα της πρώιμης εποχής του σιδήρου, όπως μπορεί να κρίνει κανείς από τη διάδοση της χαρακτηριστικής αυλακωτής κεραμικής και από μια μικρή δοκιμαστική τομή που έγινε στο νότιο άκρο της κορυφής, απλωνόταν σ' όλη την επίπεδη κορυφή της ακρόπολης Καστρί.

Αδιατάρακτο στρώμα πρώιμης εποχής του σιδήρου εντοπίσθηκε στο τετράγωνο 5 (τομέας Ι, κορυφή λόφου), όπου αποκαλύφθηκαν και τμήματα ενός αψιδωτού κτιρίου[27], χτισμένου με ξερολιθιά (Π ί ν. 364δ). Η κεραμική της επίχωσης αυτού του κτιρίου περιλαμβάνει, εκτός από τις γνωστές από τα νεκροταφεία κατηγορίες της τοπικής χειροποίητης κεραμικής (Ι, 1, Ι, 3, Ι, 5) (Π ί ν. 362α-γ), και ελάχιστα όστρακα επείσακτης τροχήλατης κεραμικής (Π ί ν. 362β: 2 και γ: 2). Ανάλογο αψιδωτό κτίσμα έχει αποκαλυφθεί και στη βορειοανατολική πλαγιά του λόφου (τομέας ΙΙ, νοτιοανατολική πλαγιά λόφου ακρόπολης) (Σ χ έ δ. Ι)[28].

Αυτό το κτίσμα αποτελεί χαρακτηριστικό παράδειγμα οικίας, σύγχρονης με τις φάσεις ΙΙΒ3-ΙΙΓ των νεκροταφείων, όπως προκύπτει από τα αγγεία που βρέθηκαν στο εσωτερικό του. Τα αγγεία ήταν διάσπαρτα γύρω από την εστία, κοντά στην οποία βρισκόταν μια μεγάλη πλάκα-τριπτήρας από ηφαιστειογενές πέτρωμα. Ένα άλλο αγγείο, αμφορέας του τύπου VIB, βρέθηκε χαμηλότερα, τοποθετημένο πιθανότατα σε έναν αποθηκευτικό χώρο, που σχηματιζόταν χαμηλότερα από το επίπεδο του δαπέδου με την εστία, κάτω από ένα ξύλινο πιθανότατα πατάρι, με το οποίο επεκτεινόταν το δάπεδο προς την πλευρά της κατωφέρειας του λόφου. Τα αγγεία είναι όλα, εκτός από ένα, χειροποίητα και ανήκουν στις κατηγορίες Ι, 1Β, Ι, 3 και Ι, 5 (Σ χ έ δ. 170-173). Η τελευταία κατηγορία περιλαμβάνει μεγάλα αποθηκευτικά αγγεία του σχήματος XII, αλλά και ένα άγνωστο από τα νεκροταφεία σχήμα, στον τύπο λεκάνης ή τηγανιού (Σ χ έ δ. 173: 11), που το γνωρίζουμε από το προαποικιακό στρώμα της Θάσου (Σ χ έ δ. 176: 22). Τα άλλα αγγεία έχουν τα γνωστά από τα νεκροταφεία σχήματα (IV, VI, VII) και διακοσμούνται με αυλακωτή κατά κανόνα διακόσμηση. Σχήμα που δεν εμφανί-

25. Κουκούλη-Χρυσανθάκη 1980, 79.
26. Heurtley 1939, 89.
27. Χ. Κουκούλη-Χρυσανθάκη, ΑΔ 29 (1973/74): Χρονικά, 778, πίν. 571δ και η ίδια, ΑΔ 33 (1978): Χρονικά, 290.
28. Χ. Κουκούλη-Χρυσανθάκη, ΑΔ 33 (1978): Χρονικά, 291-292.

ζεται στα νεκροταφεία είναι το ευρύστομο αγγείο με τις οριζόντιες λαβές στον ώμο, που αποτελεί μια παραλλαγή του γνωστού από τα νεκροταφεία σχήματος ΙΙΙ (Σ χ έ δ. 170: 4, 6). Τα αγγεία, ο τριπτήρας, ως ύπερος του οποίου χρησιμοποιούνταν πιθανότατα ένας αποστρογγυλεμένος λίθος αιματίτη, και ένα δυσδιάκριτο λόγω φθοράς σιδερένιο εργαλείο, αποτελούν την οικοσκευή αυτού του σπιτιού, στη βόρεια πλευρά του οποίου διακρίνεται και ένα κτιστό έδρανο, πολύ μικρό για να ερμηνευθεί ως κλίνη. Το μοναδικό τροχήλατο αγγείο (Σ χ έ δ. 170: 3) πρέπει να ανήκει στην κατηγορία ΙΙ, Γ της τροχήλατης κεραμικής των νεκροταφείων Καστρί. Το σχήμα του πλησιάζει σχήματα πρωτογεωμετρικών αγγείων, που σε περιφερειακές θέσεις επιβιώνουν, όπως είναι γνωστό, ως και τα γεωμετρικά χρόνια[29]. Δεν είναι βέβαια δυνατό να κερδίσουμε ασφαλή χρονολογικά στοιχεία από το αγγείο αυτό, η παρουσία του ωστόσο, σε συνδυασμό με την εμφάνιση του σιδερένιου εργαλείου, χρονολογεί το στρώμα καταστροφής της οικίας στη φάση ΙΙΒ3-ΙΙΓ των νεκροταφείων Καστρί.

Η σποραδική, επίσης, εμφάνιση στην ακρόπολη Καστρί και τροχήλατης κεραμικής, γνωστής από το προαποικιακό στρώμα της Θάσου (π.χ. θραύσματα αμφορέων με ταινιωτή διακόσμηση), σε συνδυασμό και με την εμφάνιση κεραμικής τύπου G 2-3 στο νεκροταφείο, σχετίζουν το τέλος του οικισμού στο Καστρί με το προαποικιακό στρώμα της Θάσου[30] (Π ί ν. 364γ: 2).

Οικισμός (;) στη θέση Λαρνάκι (Σ χ έ δ. 3: 3)

Το εκτεταμένο νεκροταφείο της θέσης Λαρνάκι, του οποίου ένα μόνο τμήμα έχει ανασκαφεί, δεν πρέπει πιθανότατα να ανήκει σε οικισμό τελείως ανεξάρτητο από τον οικισμό Καστρί. Στην κορυφή του λόφου Κάτω Λαρνάκι εντοπίσθηκε ένας μικρός περίβολος ή πύργος, αλλά κανένα ίχνος εκτεταμένου οικισμού.

Ο πύργος αυτός ελέγχει κυρίως το φυσικό πέρασμα, που οδηγεί από τα παράλια στο εσωτερικό του νησιού. Δεν πρέπει να σχετίζεται με τα ίχνη μεταλλουργίας (σκουριές), που έχουν εντοπισθεί στην κορυφή και στη νότια πλαγιά του λόφου[31] του πύργου ή των λόφων, που υψώνονται στα βορειοδυτικά, όπου έχουν εντοπισθεί επιφανειακές εμφανίσεις σιδηρομεταλλευμάτων και ίχνη μεταλλουργικών εγκαταστάσεων[32].

Ο χτισμένος με την τεχνική της ξερολιθιάς πύργος χρονολογείται από την επιφανειακή χειροποίητη κεραμική στη φάση ΙΙΒ των νεκροταφείων Καστρί[33] (Σ χ έ δ. 174Α). Ίχνη οικισμού δεν εντοπίσθηκαν στην κορυφή του λόφου, που είναι απογυμνωμένος.

Το νεκροταφείο Λαρνάκι και οι διάσπαρτοι τάφοι στην περιοχή πιθανόν σχετίζονται με διάσπαρτους στην ημιορεινή αυτή περιοχή πληθυσμούς, η ασφάλεια των οποίων εξασφαλίζεται κυρίως από τους κινδύνους των παραλίων, τόσο από την ακρόπολη Καστρί όσο και από τον πύργο της θέσης Κάτω Λαρνάκι. Είναι δύσκολο, ωστόσο, εξαιτίας της μικρής απόστασης και της έλλειψης φυσικών ορίων ανάμεσα στις περιοχές Καστρί και Λαρνάκι, να δεχθούμε συνύπαρξη δύο σύγχρονων οικισμών με χωριστή και ανταγωνιστική οργάνωση.

29. Coldstream 1968, πίν. 58, Ρόδος 5537.

30. Bernard 1964, 123, εικ. 35, αριθ. 143, ταινίες από αραιωμένο τεφρόμαυρο χρώμα σε λαιμό αμφορέων (χωρίς επίχρισμα το έδαφος).

31. Στο λόφο του πύργου Κάτω Λαρνάκι δε σημειώνονται ίχνη νεότερων εγκαταστάσεων. Ορισμένες ωστόσο σκουριές, που βρέθηκαν στη νοτιοδυτική πλαγιά του λόφου, δεν πρέπει να σχετισθούν με την προϊστορική περίοδο, γιατί εμφανίζουν τιτάνιο.

32. Χημικές αναλύσεις στις σκουριές των θέσεων Καζάνι και Τραγί στους λόφους βορειοδυτικά του λόφου Κάτω Λαρνάκι, όπου σημειώνονται και ορισμένες εμφανίσεις κοιτασμάτων σιδήρου, έδειξαν ότι πραγματοποιόταν εμπλουτισμός με τιτάνιο. Η μέθοδος αυτή παραγωγής σιδήρου φαίνεται ότι δεν πρέπει να εφαρμοζόταν στην προϊστορική Θάσο και ότι πρέπει να χρονολογηθεί στους ιστορικούς χρόνους. Πρβλ. πρόγραμμα έρευνας για τη μεταλλουργία σιδήρου στην αρχαία Θάσο, E. Photos - G. Gialoglou - Ch. Koukouli-Chrysanthaki, Iron Metallurgy in Thasos, A Preliminary Report, 1984, Symposium on Archaeometry, Smithsonian Institution, Washington D.C., 108. Πρβλ. επίσης, E. Photos - Ch. Koukouli-Chrysanthaki - G. Gialoglou, Iron Metallurgy in Eastern Macedonia, A Preliminary Report, The Crafts of the Blacksmith, Belfast 1987, 113-120.

33. Πρβλ. κεραμική φάση ΙΙ του νεκροταφείου Λαρνάκι.

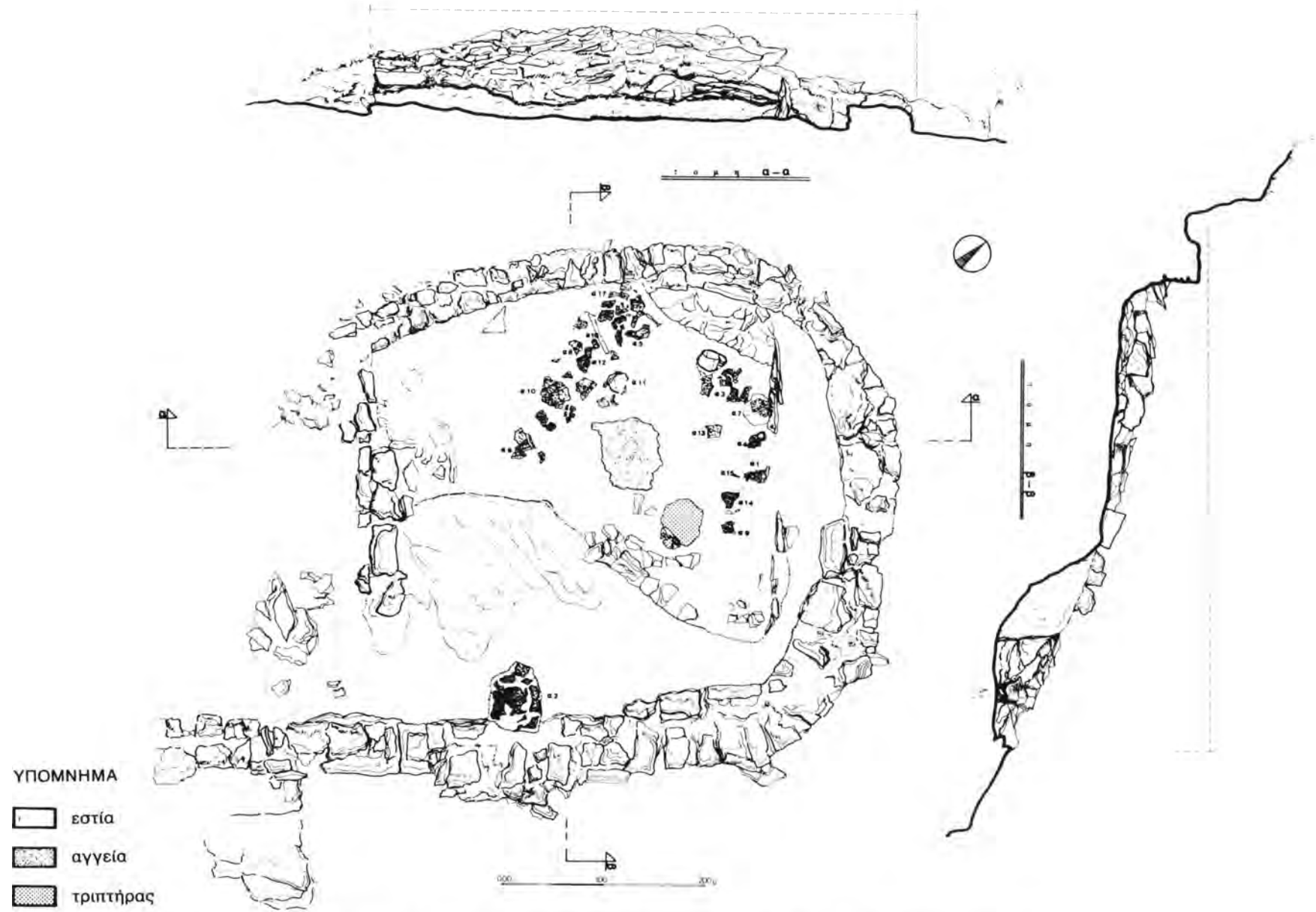

Σχέδ. 169. Οικισμός Καστρί, τομέας ΙΙ, οικία Ι πρώιμης εποχής του σιδήρου. Κάτοψη και τομές.

Παλιόκαστρο Μαριών (Σ χ έ δ. 3: 6)

Ο οικισμός βρίσκεται στην κορυφή ενός λόφου, στην αρχή μιας κοιλάδας που οδηγεί από τα παράλια στο εσωτερικό του νησιού. Σε μικρή απόσταση, στα βόρεια του οικισμού, βρίσκονται τα γνωστά μεταλλεία της περιοχής Κουμαριά, με πλούσια κοιτάσματα μολύβδου και αξιόλογες εμφανίσεις χαλκού και σιδήρου[34] (Π ί ν. 365α).

Στην κορυφή του λόφου Παλιόκαστρο είναι εμφανή τα λείψανα διάφορων κτιριακών φάσεων, η τελευταία από τις οποίες πρέπει να χρονολογηθεί στον 4ο-3ο αι. π.Χ.[35]. Τα περισσότερα, ωστόσο, δείγματα επιφανειακής κεραμικής χρονολογούνται στην πρώιμη εποχή του σιδήρου και είναι χαρακτηριστικά για τη συγγένειά τους με τη χαρακτηριστική αυλακωτή κεραμική της φάσης ΙΙΒ των νεκροταφείων Καστρί (Σ χ έ δ. 175Α). Ιδιαίτερα έντονη είναι η παρουσία της αυλακωτής κεραμικής στη βόρεια πλευρά του λόφου, όπου διακρίνεται ένας εσωτερικός περίβολος ή πύργος (Π ί ν. 365β), και στο νότιο άκρο της κορυφής, όπου εμφανίζεται ένα πλήθος μικρών σκουριών χαλκού[36]. Από την άφθονη αυλακωτή κεραμική της περιοχής αυτής πρέπει να χρονολογηθούν οι μεταλλουργικές εργασίες, που αντιπροσωπεύουν οι σκουριές του χαλκού στην πρώιμη εποχή του σιδήρου.

Από την επιφανειακή αυτή χειροποίητη κεραμική, στην οποία ξεχωρίζει το μόνωτο ευρύστομο αγγείο με τη γωνιόσχημη λαβή (σχήμα IV) (Σ χ έ δ. 175: 1-9) και ο αμφορέας με την αυλακωτή διακόσμηση στο λαιμό και στον ώμο (σχήμα VI 136) (Σ χ έ δ. 175: 13), καθώς και από την αδρή κεραμική της κατηγορίας Ι, 5 (Σ χ έ δ. 175: 10-12), προκύπτει μια χρονολόγηση του οικισμού σε μια εποχή σύγχρονη με τη φάση ΙΙΒ των νεκροταφείων του οικισμού Καστρί.

Η εγκατάσταση του λόφου Παλιόκαστρο, με τα άφθονα δείγματα μεταλλουργίας στην κορυφή του λόφου και τα μεταλλεύματα χαλκού, σιδήρου και μολύβδου στο άμεσο περιβάλλον της, εμφανίζεται ως η πιο ενδιαφέρουσα θέση για τη μελέτη της πρώιμης μεταλλουργίας στη Θάσο.

Άι-Λιας (Σ χ έ δ. 3: 5)

Στην κορυφή του λόφου Άι-Λιας σώζονται γύρω από αυτή τα ερείπια ενός εξωτερικού περιβόλου (Π ί ν. 366α), που συμπληρώνεται από εσωτερικό περίβολο και κυκλικό πύργο (Π ί ν. 366β)[37].

Η επιφανειακή κεραμική περιλαμβάνει θραύσματα μεγάλων αγγείων (πίθων) και άλλα μικρότερων χειροποίητων αγγείων, προϊστορικών και ιστορικών χρόνων. Μια τομή, που πραγματοποιήθηκε στο εσωτερικό του πύργου, έδωσε μαζί με θραύσματα οστών και οστρέων και όστρακα χειροποίητης κεραμικής, τα οποία πρέπει να χρονολογηθούν στην πρώιμη εποχή του σιδήρου.

Γενικά, στην επιφανειακή κεραμική της κορυφής του λόφου επικρατεί η χειροποίητη κε-

34. Σε κοινό ερευνητικό πρόγραμμα ΙΓΜΕ, Max Planck Institut και Εφορείας Προϊστορικών και Κλασικών Αρχαιοτήτων Καβάλας ερευνήθηκε τμήμα αρχαίας στοάς, όπου εμφανίσθηκε κεραμική 4ου-3ου αι. π.Χ. Σύγχρονη κεραμική βρέθηκε σε δοκιμαστική έρευνα της Εφορείας Αρχαιοτήτων, σε κτίριο κοντά στο συγκρότημα αρχαίων στοών Κουμαριάς, Χ. Κουκούλη-Χρυσανθάκη - Β. Πούλιος, ΑΔ 36 (1981), Χρονικά, 339-340.

35. Θραύσματα θασιακών οξυπύθμενων αμφορέων στην κορυφή του λόφου, Χ. Κουκούλη-Χρυσανθάκη, ΑΔ 33 (1978): Χρονικά, 292.

36. Αρχαία στοά με κοιτάσματα χαλκού εντόπισε πρόσφατα ο γεωλόγος του ΙΓΜΕ Ν. Επιτρόπου, σε μικρή απόσταση από τον οικισμό Παλιόκαστρο στην περιοχή των μεταλλείων μολύβδου-αργύρου Κουμαριάς. Εμφανίσεις χαλκού σημειώνονται και στις πλαγιές του λόφου βόρεια από την ακρόπολη Παλιόκαστρο.

37. Χ. Κουκούλη-Χρυσανθάκη, ΑΔ 31 (1976): Χρονικά, 249. Η χειροποίητη κεραμική δεν είναι πολύ βοηθητική για χρονολόγηση, επειδή όμως στο εσωτερικό του κυκλικού πύργου βρέθηκε μόνο χειροποίητη κεραμική, ανάμεσα στα όστρακα της οποίας ξεχωρίζει ένα θραύσμα wish bone λαβής, θα μπορούσαμε να προτείνουμε μια χρονολόγηση του πύργου στα τέλη ύστερης εποχής του χαλκού ή στην πρώιμη εποχή του σιδήρου. Πρβλ. και όστρακα αυλακωτής κεραμικής, Π ί ν. 159: 10 (επιφανειακά).

Σχέδ. 170. Οικισμός Καστρί, τομέας ΙΙ, οικία Ι. Ανοικτά αγγεία.

ραμική, που εμφανίζει σχήματα ύστερης εποχής του χαλκού, όπως έχουν επιβιώσει στην πρώιμη εποχή του σιδήρου.

Με την ακρόπολη του Άι-Λια πρέπει να σχετίζονται οι λιθοσωροί του οροπέδιου Πόπινας Μάνδρα στα βόρεια της ακρόπολης, που πιθανότατα περιέχουν ταφές-καύσεις[38].

38. Ό.π. (υποσημ. 37). Οι τάφοι-λιθοσωροί είναι ακτέριστοι, Χ. Κουκούλη-Χρυσανθάκη, ΑΔ 31 (1976): Χρονικά, 249.

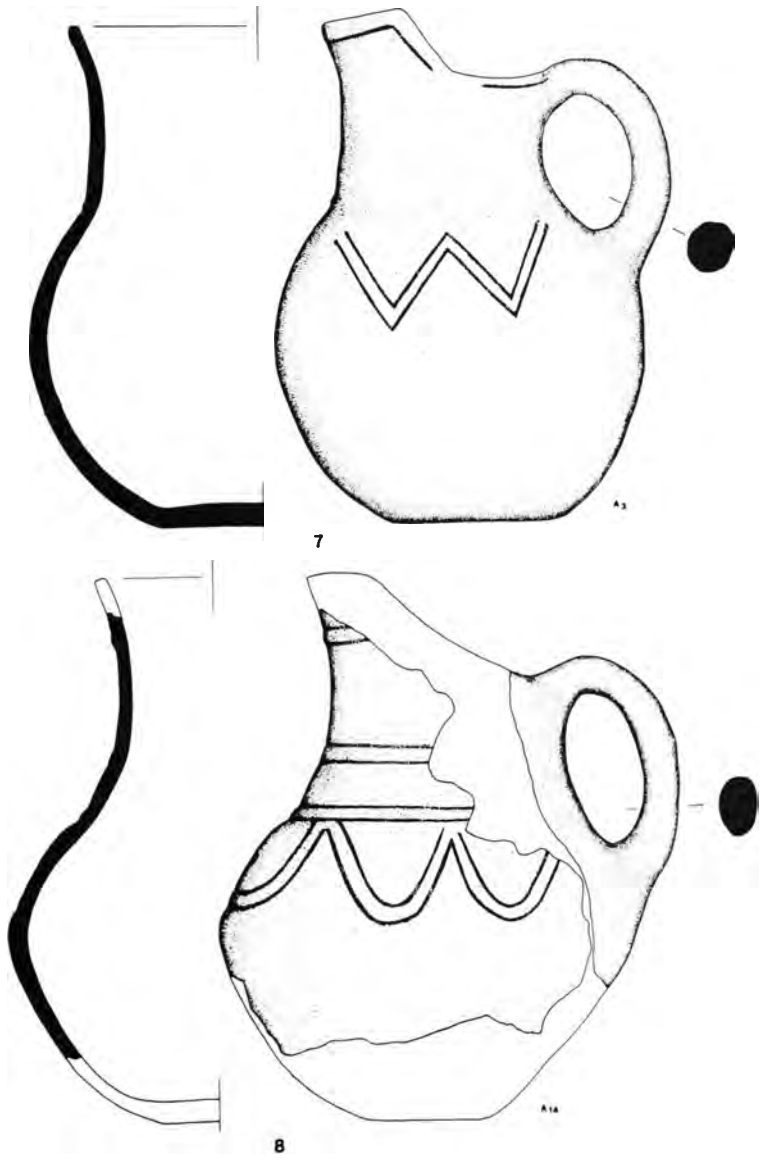

Σχέδ. 171. Οικισμός Καστρί, τομέας Η, οικία Ι. Κλειστά αγγεία.

Δρακότρυπα Παναγιάς (Σ χ έ δ. 3: 7)

Η πρώιμη εποχή του σιδήρου αντιπροσωπεύεται από τοπική χειροποίητη κεραμική, αστρωματογράφητη ως επί το πλείστον, που βρέθηκε διάσπαρτη στα διαταραγμένα στρώματα της επίχωσης του σπηλαίου. Μόνο στην τομή Γ, κάτω από ένα στρώμα ιστορικών χρόνων, όπου τα αρχαιότερα χρονολογημένα όστρακα είναι μηλιακά του β΄ μισού του 7ου αι. π.Χ., εντοπίσθηκε ένα αδιατάρακτο πιθανότατα στρώμα, που περιείχε αποκλειστικά χειροποίητη κεραμική. Η κεραμική αυτού του στρώματος δεν εμφανίζει ουσιαστικές διαφορές από τη χειρο-

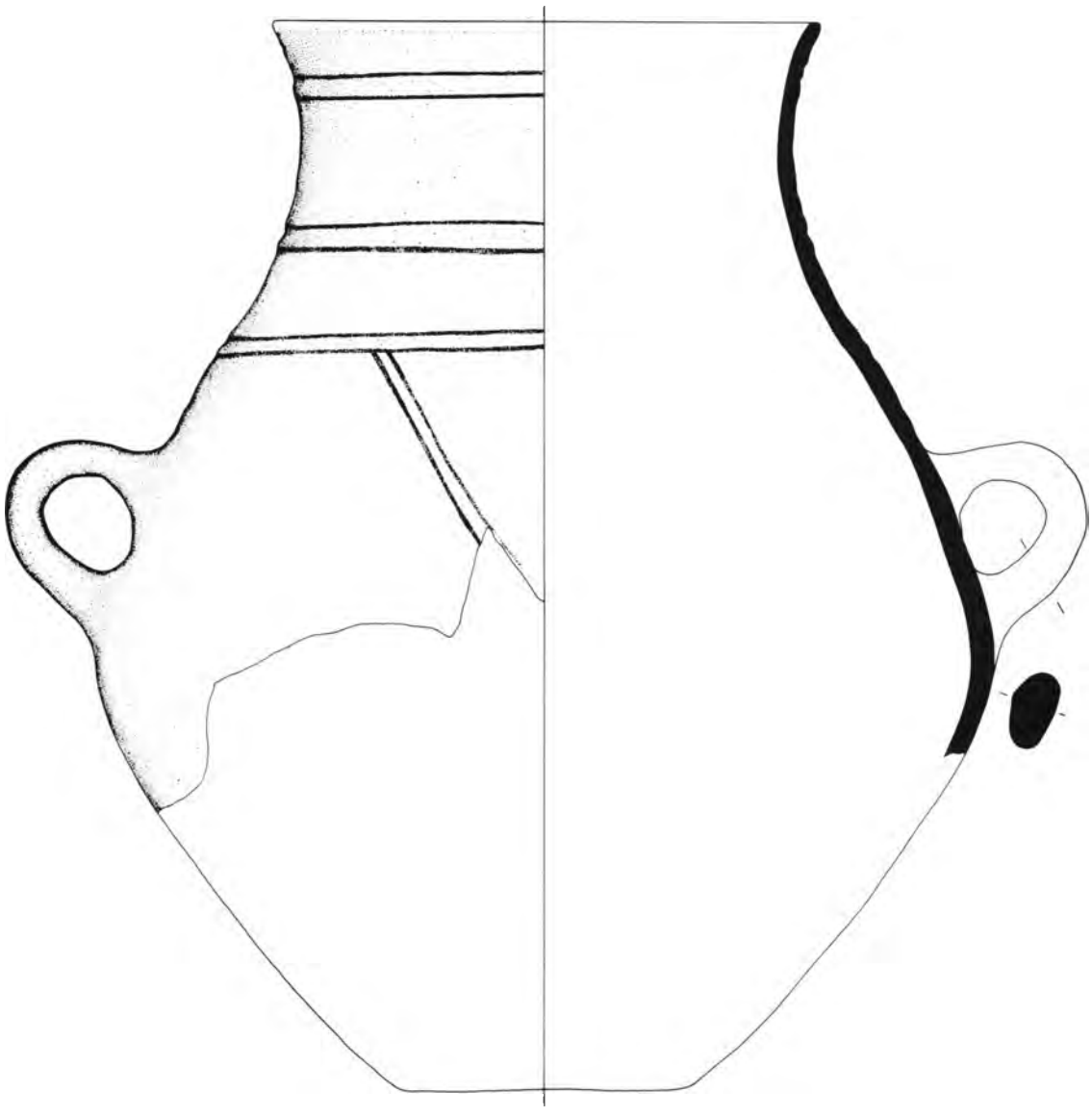

Σχέδ. 172. Οικισμός Καστρί, τομέας ΙΙ, οικία Ι. Κλειστό αγγείο.

ποίητη κεραμική του πρώτου στρώματος, έτσι ώστε να προκύπτει το συμπέρασμα ότι έχουμε τη συνέχειά της από το ένα στρώμα στο άλλο[39].

Τα αγγεία διατροφής του στρώματος αυτού, όπως και τα αντίστοιχα των άλλων στρωμάτων, στην τεχνική κατασκευής (επεξεργασία πηλού, τελείωμα της επιφάνειας, τρόπο όπτησης) εμφανίζουν πολλές αντιστοιχίες με τη χειροποίητη κεραμική της κατηγορίας Ι, 1β των νεκροταφείων Καστρί (φάση ΙΙ), στα σχήματα όμως και στον τρόπο διακόσμησης είναι αρκετά διαφοροποιημένα. Τα σχήματα που αναγνωρίζονται είναι τα εξής:

39. Χ. Κουκούλη-Χρυσανθάκη, ΑΔ 28 (1973): Χρονικά, 447.

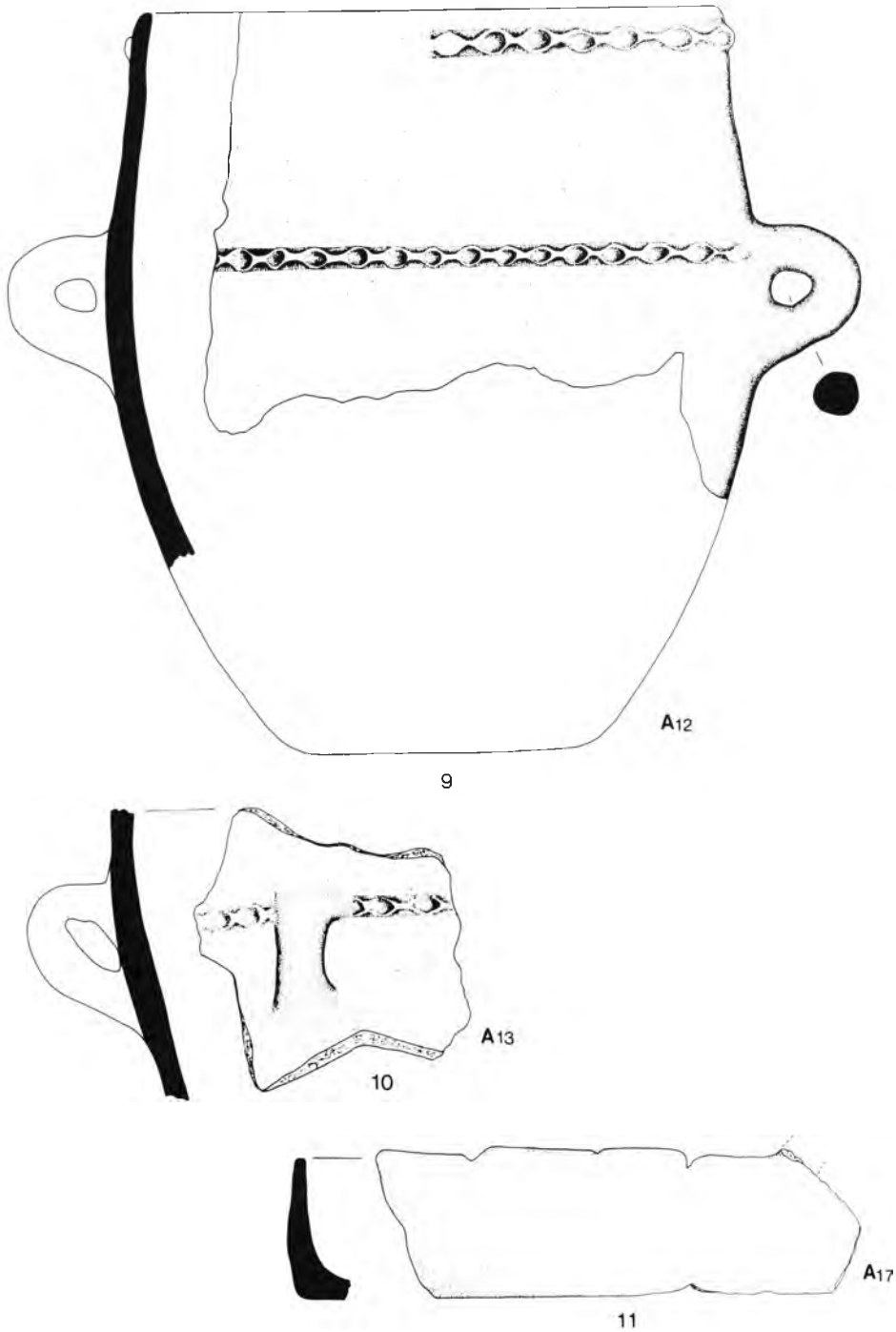

Σχέδ. 173. Οικισμός Καστρί, τομέας ΙΙ, οικία Ι. Αποθηκευτικά και μαγειρικά αγγεία.

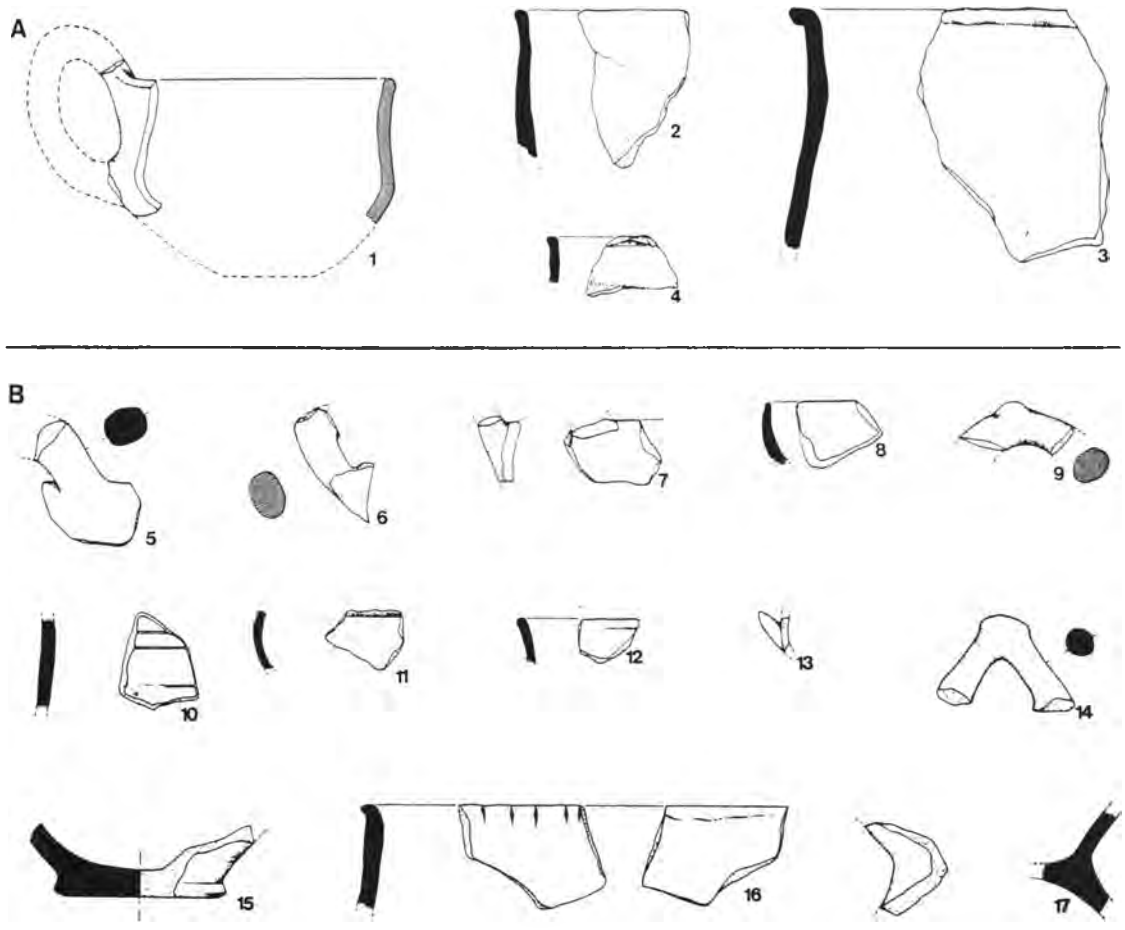

Σχέδ. 174. Χειροποίητη κεραμική από το Κάτω Λαρνάκι (1-4) και από την ακρόπολη Προφήτης Ηλίας (5-17).

1. Φιαλόσχημο αγγείο με χείλος που καμπυλώνει ελαφρά προς τα έξω (Σ χ έ δ. 175Α: 1).
2. Δίωτο ευρύστομο με λαβές στον ώμο-λαιμό (Σ χ έ δ. 175Α: 2).
3. Φιαλόσχημο με τριγωνικές αποφύσεις στο χείλος (Σ χ έ δ. 175Α: 3).

Το μεγαλύτερο ποσοστό των οστράκων καλύπτουν τα ακόσμητα, αλλά εμφανίζονται σποραδικά η αυλακωτή (Σ χ έ δ. 175: 1) και η εγχάρακτη διακόσμηση. Σε ορισμένα παραδείγματα, η αυλακωτή διακόσμηση συνδυάζεται με την εγχάρακτη.

Για τη χρονολόγηση της χειροποίητης κεραμικής της πρώιμης εποχής του σιδήρου του σπηλαίου Δρακότρυπα, terminus ante quem αποτελεί η μηλιακή κεραμική του τέλους του 7ου αι. π.Χ.[40]. Είναι πολύ πιθανό να συνεχίσθηκε η χρήση της χειροποίητης κεραμικής από τον τοπικό πληθυσμό, που χρησιμοποιούσε το σπήλαιο και μετά την ίδρυση της αποικίας των Παρίων. Δεν μπορούμε, όμως, να προσδιορίσουμε τα ανώτερα χρονολογικά όρια της χειροποίητης κεραμικής ούτε και να αποκλείσουμε τη συνέχιση της παραγωγής της κεραμικής αυτής και της χρήσης της από τους τοπικούς πληθυσμούς, στον 7ο ακόμη και στον

40. Οι πλατιές εμπίεστες αυλακώσεις, ό.π., 449, σχέδ. 3, θυμίζουν διακόσμηση κεραμικής της ομάδας Basarabi, Tončeva 1980, 66, πίν. XXV, 5.

6ο αι. π.Χ. Το είδος της αυλακωτής διακόσμησης με τις πλατιές αυλακώσεις, που σχηματίζονται με πίεση των τοιχωμάτων του αγγείου προς τα μέσα (Σ χ έ δ. 175Α: 1), καθώς και τα διακοσμητικά θέματα S της εγχάρακτης κεραμικής, οδηγούν σε μια χρονολόγησή της στην προχωρημένη φάση της πρώιμης εποχής του σιδήρου, που ενισχύεται και από την απουσία του ευρύστομου αγγείου με τη γωνιόσχημη λαβή (σχήμα IV), που αποτελεί το χαρακτηριστικό αγγείο της φάσης ΙΙΒ των νεκροταφείων Καστρί[41].

Η εμφάνιση, ωστόσο, του φιαλόσχημου αγγείου (Σ χ έ δ. 175Α: 3) παραπέμπει και σε πρωιμότερες φάσεις της πρώιμης εποχής του σιδήρου, όπως τις γνωρίζουμε από τη Μακεδονία, τη Θράκη και τα ηπειρωτικά Βαλκάνια[42].

Σε πολύ αρχαιότερη φάση του σπηλαίου ανήκει, οπωσδήποτε, η χειροποίητη κεραμική της τομής Α. Στην τομή Α, κάτω από την επιφανειακή διαταραγμένη επίχωση, μέσα σ' ένα φυσικό όρυγμα του βράχου, βρέθηκε κεραμική της πρώιμης εποχής του χαλκού (Σ χ έ δ. 168Β: 1-6)[43], καθώς και σποραδικά όστρακα μιας κεραμικής, πιθανότατα ύστερων νεολιθικών χρόνων (Σ χ έ δ. 168Β: 7)[44].

Αρχαία Θάσος (Σ χ έ δ. 3: 1)

Το αρχαιολογικό στρώμα, που σχετίζεται με τα προελληνικά φύλα της Θάσου, εντοπίσθηκε σε ανασκαφές της Γαλλικής Αρχαιολογικής Σχολής σε δύο σημεία της αρχαίας πόλης, που βρίσκονται στους πρόποδες της ακρόπολης, σε μια περιοχή κατάλληλη για κατοίκηση[45]. Η τομή Ι (οικόπεδο Ηρακλή) βρίσκεται ανάμεσα στο Διονύσιο και στο Αρτεμίσιο και η τομή ΙΙ στην περιοχή των αρχαϊκών κατοικιών (οικόπεδο Δημητριάδη), όπου έχει διαπιστωθεί συνεχής κατοίκηση από τα πρώιμα αρχαϊκά χρόνια. Η απόσταση των 200 μ., που μεσολαβεί ανάμεσα στις δύο τομές, βεβαιώνει ότι ο οικισμός, που προϋπήρχε στη θέση της μετέπειτα παριανής αποικίας, είχε αρκετά μεγάλη έκταση.

Από τις δύο τομές, μόνο η τομή Ι έδωσε ασφαλή στρωματογραφία· στην τομή ΙΙ, τα κτίρια της αρχαϊκής εποχής έχουν κόψει το προαποικιακό στρώμα σε αρκετό βάθος και μόνο ένα λεπτό στρώμα πάνω στο φυσικό βράχο έμεινε άθικτο. Στο στρώμα αυτό εντοπίσθηκαν δύο αποσπασματικοί τοίχοι παράλληλοι, που ανήκουν στο ίδιο κτίριο. Λείψανα κτιρίου εντοπίσθηκαν και στο βαθύτερο στρώμα (W) της τομής Ι του οικοπέδου Ηρακλή. Το κτίριο, που πρέπει να είναι σύγχρονο με το κτίριο της τομής ΙΙ, είναι αψιδωτό ή πεταλόσχημο και έχει καταστραφεί από έντονη πυρκαγιά.

Η στρωματογραφία της τομής Ι είναι αρκετά καθαρή[46]: Κάτω από ένα κτίριο, που πρέπει πιθανότατα να τοποθετείται στα τέλη του 7ου αι. π.Χ. από ένα θραύσμα πρώιμου κορινθιακού αλαβάστρου και από ένα θραύσμα μηλιακού αγγείου, εντοπίσθηκαν τέσσερα διαδοχικά στρώματα: Z, Y, X και W. Από τα στρώματα αυτά, τα στρώματα Y και W ήταν κατά τον ανασκαφέα στρώματα κατοίκησης, ενώ τα Z και X ήταν γεμίσματα πάνω από τα στρώματα καταστροφής των κατοικημένων φάσεων Y και W. Η χρονολόγηση του στρώματος Y, που μολονότι ήταν στρώμα κατοίκησης δεν έδωσε ίχνη τοίχων, στηρίζεται στην ανεύρεση ενός ιωνικού αμφορέα στο στρώμα Z, που χρονολογείται γύρω στα 625 π.Χ. Το στρώμα Y, επομένως, είναι προγενέστερο από το στρώμα Z και φυσικά ακόμη προγενέστερο πρέπει να είναι το στρώμα W. Ο ανασκαφέας υπολογίζει μια χρονολόγηση του αρχαιότερου στρώματος W μέσα στο α' μισό του 7ου αι. π.Χ., χωρίς ωστόσο άλλα αντικειμενικά κριτήρια, με βάση μόνο το 625 π.Χ. ως terminus ante quem και τη διαδοχή των στρωμάτων[47].

41. Πρβλ. επίσης εγχάρακτη κεραμική σπηλαίου, ό.π., πίν. 402a, με την κεραμική ομάδα Pšeničevo, Hänsel 1976, πίν. 26, 65.

42. Ό.π., πίν. 12, 2 (Vîrtrop Gruppe).

43. Πρβλ. Ezero, VI-II, Georgiev - Merpert - Katinčarov - Dimitrov 1979, 351, εικ. 169b.

44. Βλ. παραπάνω, υποσημ. 10, Πίν. 154: 9.

45. Bernard 1964, 77-146, Maffre - Salviat 1980.

46. Bernard 1964, εικ. 2.

47. Ό.π., 92-93.

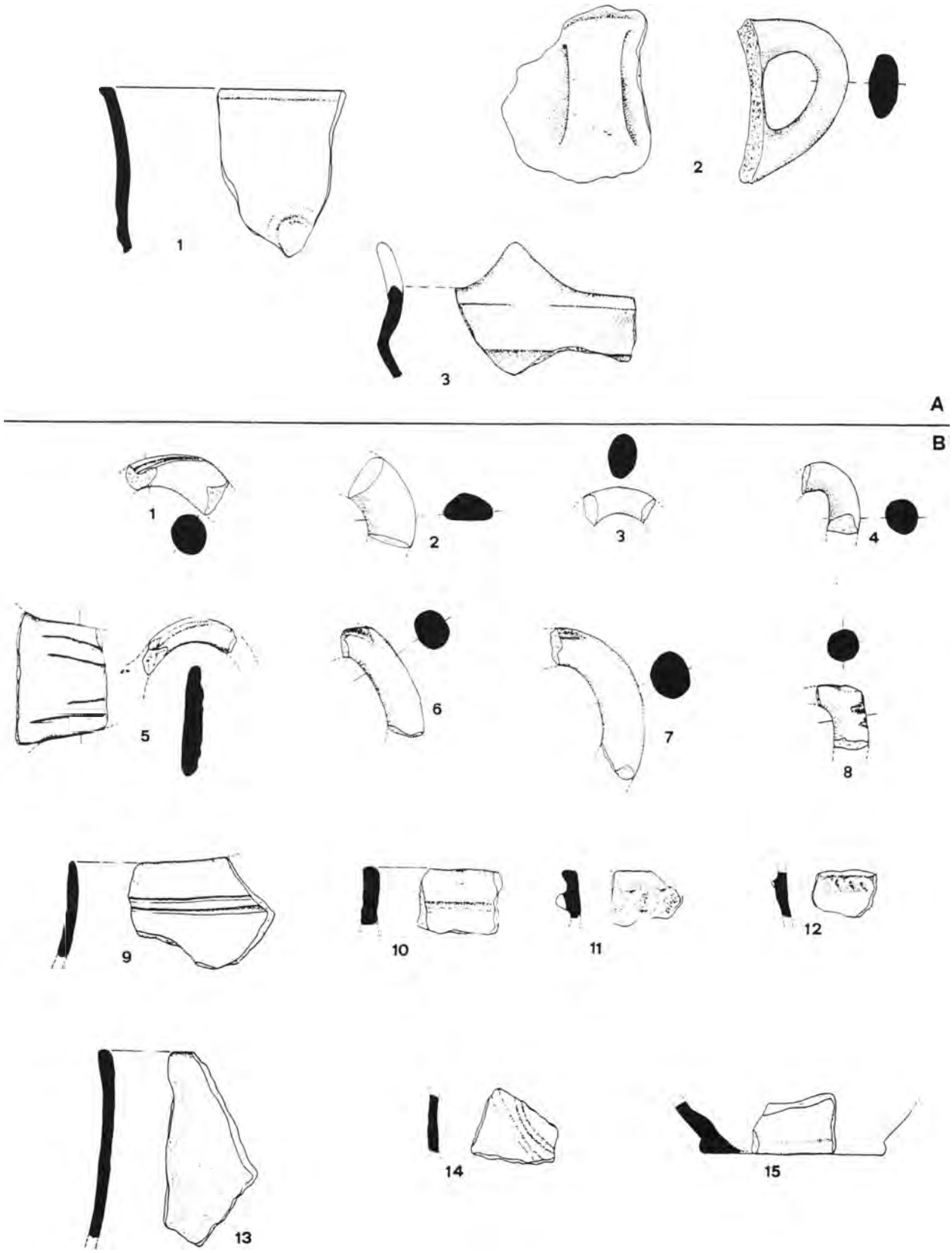

Σχέδ. 175. Κεραμική πρώιμης εποχής του σιδήρου από το σπήλαιο Δρακότρυπα (Α) και χειροποίητη κεραμική από τον οικισμό Παλιόκαστρο Μαριών (Β).

Στις αρχές του 7ου αι. π.Χ. καταλήγει, επίσης, και με τη χρονολόγηση της κεραμικής του στρώματος W. Το αρχαιότερο στρώμα της τομής Ι εμφανίζει ένα πάχος αρκετά μεγάλο, σε σχέση με τα προγενέστερα στρώματα, γεγονός που προϋποθέτει κάποια μακρόχρονη διάρκεια. Στρωματογραφικά χωρίζεται σ' ένα στρώμα καταστροφής με σαφή ίχνη πυρκαγιάς και σ' ένα στρώμα που μοιάζει, παρά την ύπαρξη ενός δαπέδου στο εσωτερικό του αψιδωτού κτιρίου, με συγκεντρωμένα μπάζα προγενέστερων φάσεων. Όπως έχει ήδη παρατηρήσει και ο Graham[48], θα μπορούσε το στρώμα W να περιλαμβάνει συσσωρευμένα χώματα από προγενέστερες φάσεις, πάνω στα οποία έχει κτισθεί το αψιδωτό κτίριο. Μολονότι ο ανασκαφέας αποκλείει ένα τέτοιο ενδεχόμενο και τονίζει την ομοιογένεια του στρώματος, ορισμένα όστρακα, όπως το θραύσμα του γραπτού σκύφου με τα ανεστραμμένα ημικύκλια κάτω από το χείλος[49] ή το θραύσμα του χειροποίητου αγγείου με τη ραβδωτή διακόσμηση και τις αποφύσεις[50], μπορούν να δώσουν χρονολογίες υψηλότερες από τις αρχές του 7ου αι. π.Χ. Η έντονη, ωστόσο, παρουσία της κεραμικής τύπου G 2-3[51] και της λημνιακής παραλλαγής της[52] τονίζει τη σημασία της κεραμικής αυτής στη χρονολόγηση του στρώματος W. Η κεραμική τύπου G 2-3 δεν είναι καλά χρονολογημένη, κυρίως ως προς τα άνω χρονολογικά της όρια, που οπωσδήποτε όμως δεν πρέπει να ανεβαίνουν, όπως πρότεινε η Lamb[53], ως το 10ο αι. π.Χ. Μια χρονολόγησή της, ωστόσο, στο β΄ μισό του 8ου αι. π.Χ. όχι μόνο δεν αποκλείεται, αλλά και ενισχύεται από το νεκροταφείο της Ηφαιστείας[54], στη φάση Α του οποίου πρωτοεμφανίζεται. Μια χρονολόγηση στα τέλη του 8ου αι. π.Χ. δεν αποκλείεται, επίσης, ούτε για τη λεγόμενη «μακεδονική» κεραμική του στρώματος W[55] ούτε για τη γραπτή κεραμική του τύπου προπερσικής Ολύνθου[56] ούτε για την κεραμική Bucchero[57] του ίδιου στρώματος.

Η χειροποίητη, εξάλλου, κεραμική του στρώματος W (Σ χ έ δ. 176), που αντιπροσωπεύει την παραγωγή των τοπικών εργαστηρίων, εμφανίζει ορισμένες συγγένειες και με τη χειροποίητη κεραμική της φάσης ΙΙΒ3-ΙΙΓ των νεκροταφείων Καστρί. Οι λαβές των κανθάρων (Σ χ έ δ. 176: 6-7), που χαρακτηρίζονται ως τοπικό Bucchero από τον Bernard[58], είναι όμοιες με τις λαβές αντίστοιχων κανθάρων από τη φάση ΙΙΓ των νεκροταφείων Καστρί, ενώ τα χειροποίητα αγγεία με τις δύο παράλληλες χαρακτές γραμμές γύρω από τη βάση του λαιμού[59] (Σ χ έ δ. 176: 11-12) θυμίζουν τα αντίστοιχα ευρύστομα αγγεία σχήματος IV των νεκροταφείων Καστρί. Το ονομαζόμενο, άλλωστε, από τον Bernard τοπικό Bucchero[60] πρέπει να αποτελεί μια εξελιγμένη παραλλαγή της τοπικής χειροποίητης κεραμικής κάτω από τις επιδράσεις του επείσακτου Bucchero, που φθάνει στο προαποικιακό στρώμα της Θάσου από το βορειοανατολικό Αιγαίο[61]. Η αυλακωτή διακόσμηση με τα ζιγκ-ζαγκ θέματα, που

48. Graham 1978, 65.

49. Bernard 1964, εικ. 52, αριθ. 220. Την πιθανότητα να είναι το όστρακο παλαιότερο συζητά και ο Bernard, ό.π., 142. Το τελευταίο χρονολογικό όριο, που προτείνεται για την κατηγορία αυτή των πρωτογεωμετρικών σκύφων, κατεβαίνει ως τα τέλη του 8ου αι. π.Χ., Buchholz 1975, 92, 224.

50. Bernard 1964, 112, εικ. 25, αριθ. 81, που θυμίζει αγγείο της ομάδας Čatalca, Hänsel 1976, πίν. 23, 6.

51. Bernard 1964, 88 κ.ε.

52. Ό.π., 90 κ.ε.

53. W. Lamb, BSA 32 (1931/32), 42-45.

54. Mustilli 1932/33, 222-228 και 243.

55. Bernard 1964, 126-127. Πρβλ. κυρίως ομοιότητες της ομάδας αυτής με κεραμική της κατηγορίας Ι, 1δ των νεκροταφείων Καστρί, που εμφανίζει μόνο το σχήμα VIIE της προχοΐσκης του τάφου Τ19Α.

56. Bernard 1964, 124. Τα νεότερα παραδείγματα αυτής της κεραμικής στο προπερσικό στρώμα Ολύνθου. Η κεραμική εμφανίζεται στη φάση D της Βαρδαρόφτσας, Heurtley - Hutchinson 1925/26, 28, πίν. XXIa, και στρώμα 8-4 του Καστανά, Hänsel 1976, 198-199, εικ. 18, 7 (φάση VII, Hochstetter 1984, 382).

57. Bernard 1964, 109 κ.ε., σημ. 1.

58. Ό.π., 114, εικ. 26, αριθ. 91, 92. Πρβλ. λαβές κανθάρων από τη φάση ΙΙΓ των νεκροταφείων Καστρί, Τ19Α4, Π ί ν. 124 και Β3ΙΙ2, Π ί ν. 58Α.

59. Ό.π. 132, εικ. 42. Πρβλ. αγγείο από το νεκροταφείο Λαρνάκι, Π ί ν. 203: 1 (τάφος Λ4Α1).

60. Ό.π., 111, εικ. 25.

61. Ό.π., 109 κ.ε., Buchholz 1974, 179 κ.ε., Buchholz 1975, 89 κ.ε.

Σχέδ. 176. Αρχαία Θάσος, προαποικιακό στρώμα. Χειροποίητη κεραμική.

πλαισιώνουν συχνά αποφύσεις[62] (Σ χ έ δ. 176: 9), θα μπορούσε να θεωρηθεί ως εξέλιξη της αυλακωτής κεραμικής της φάσης ΙΙΒ των νεκροταφείων Καστρί, ενώ τα όστρακα με την εγχάρακτη διακόσμηση, που χαρακτηρίζονται επίσης Bucchero από τον Bernard[63], ανήκουν στην εγχάρακτη κεραμική, που στην πρώιμη εποχή του σιδήρου είναι διαδεδομένη στη Μακεδονία, τη Θράκη, ακόμη και στα νεκροταφεία Καστρί[64] (Σ χ έ δ. 176: 5, 10).

Ανάμεσα στο λεγόμενο τοπικό Bucchero του Bernard ξεχωρίζουν όστρακα, όπως το αριθ. 194 της λεγόμενης Buckelkeramik[65] (Σ χ έ δ. 176: 12), που μαζί με το όστρακο του πρωτογεωμετρικού σκύφου με τα κρεμάμενα ημικύκλια κάτω από το χείλος[66] δεν είναι δυνατό να κατεβούν πέρα από τα μέσα του 8ου αι. π.Χ. Χαρακτηριστική είναι και η εμφάνιση της ψευδοσχοινόμορφης διακόσμησης, που είναι διαδεδομένη στην αιγαιακή και την ηπειρωτική Θράκη[67] της πρώιμης εποχής του σιδήρου (Σ χ έ δ. 176: 4), αλλά απουσιάζει τελείως από τον οικισμό και τα νεκροταφεία Καστρί.

Η αδρή επίσης κεραμική καθημερινής χρήσης (Σ χ έ δ. 176: 18-22) εμφανίζει πολλές ομοιότητες με την αντίστοιχη κεραμική του οικισμού και των νεκροταφείων Καστρί, αλλά δε δίδει βέβαια χρονολογικά στοιχεία, γιατί η κεραμική αυτής της κατηγορίας εξελίσσεται πολύ αργά και παραμένει ως και τους ιστορικούς χρόνους[68] σε μεγάλα αποθηκευτικά αγγεία και μαγειρικά σκεύη.

Ο ανασκαφέας έχει αποδώσει το στρώμα W στην παριανή αποικία[69], αλλά είναι δύσκολο να αναγνωρίσουμε στο στρώμα αυτό κυκλαδική παρουσία, αφού λείπουν τελείως τα κυκλαδικά αγγεία, για τα οποία γνωρίζουμε ότι από τις πρώιμες φάσεις τους αντιπροσωπεύονται στο Αρτεμίσιο (πρβλ. κατηγορία πρωτοκυκλαδικών Ad)[70]. Στο στρώμα W, όμως, όπου λείπει η χαρακτηριστική και καλά χρονολογημένη κεραμική των αρχών του 7ου αι. π.Χ., η επείσακτη κεραμική που εμφανίζεται δεν έχει καμιά σχέση με τις Κυκλάδες, αφού προέρχεται από το βορειοανατολικό Αιγαίο και τη Μακεδονία.

Τη σύνδεση του στρώματος W με προελληνικά φύλα της Θάσου έχουν κάνει, αντίθετα με τη γνώμη του ανασκαφέα, οι F. Salviat[71] και J. Pouilloux[72]. Ο Graham, κρατώντας τη χρονολόγηση του Bernard και αγνοώντας την εμφάνιση των πρώιμων κυκλαδικών και πρωτοαττικών αγγείων στο Αρτεμίσιο[73] (την εμφάνιση των ελεφαντοστέινων των αρχών του 7ου αι. π.Χ.[74] στο ίδιο ιερό τη συνδύασε με το φοινικικό εμπόριο), προχώρησε σε μια κριτική των σχετικών με την ίδρυση της παριανής αποικίας στη Θάσο πηγών, για να καταλήξει στο συμπέρασμα ότι τόσο οι φιλολογικές μαρτυρίες όσο και τα αρχαιολογικά ευρήματα, ενισχύουν μια χρονολόγηση της αποικίας στα μέσα του 7ου αι. π.Χ.

62. Bernard 1964, 112, εικ. 25, αριθ. 83, 86.

63. Ό.π., εικ. 25, αριθ. 85. Πρβλ. εγχάρακτη κεραμική από τον Καστανά, Hochstetter 1982, 111, εικ. 6. Πρβλ. Τσαουζίτσα, Heurtley 1939, αριθ. 478, ομάδα Ostrov, Hänsel 1976, πίν. 19, αριθ. 3, ομάδα Pšeničevo, Hänsel, ό.π., πίν. 25, 2.

64. Bernard, ό.π., εικ. 44, αριθ. 187. Πρβλ. αντίστοιχη κεραμική από την ηπειρωτική Θράκη, Tončeva 1980, πίν. XXII, 1-2 (9ος αι. π.Χ.). Πρβλ. ομάδα Pšeničevo, Hänsel 1976, πίν. 24, 9, 23.

65. Bernard 1964, 112, εικ. 25, αριθ. 81.

66. Ό.π., 141, εικ. 52.

67. Ομάδα Pšeniševo, Hänsel 1976, πίν. 24, ομάδα Čepina, ό.π., πίν. 28, 7-10. Πρβλ. και Tončeva 1980, 57, πίν. XXIV, 2. Για παραδείγματα από τη Μακεδονία, πρβλ. Hochstetter 1982, 110, εικ. 6 και 7.

68. Bernard 1964, 142, Χ. Κουκούλη-Χρυσανθάκη, ΑΑΑ VI (1973), 238, εικ. 9α-β.

69. Bernard 1964, 142 κ.ε.

70. Αδημοσίευτος υπογεωμετρικός αμφορέας, αριθ. ευρ. Μουσείου Θάσου 59/958Β. Πρβλ. επίσης και όστρακο πρωτοκυκλαδικό της ομάδας Ad από το Αρτεμίσιο, των αρχών 7ου αι. π.Χ. Για την ομάδα Ad, πρβλ. Délos XV (1934), 39, 44, Φ. Παπαδοπούλου, Προβλήματα μηλιακής αγγειογραφίας, 1981, 9-10, 18.

71. F. Salviat, Actes du VIIIe Congrès international d'archéologie classique, 1965, 299-309.

72. Pouilloux 1964, 1 κ.ε.

73. Graham 1978, 97 κ.ε.

74. Β' τέταρτο 7ου αι. π.Χ. F. Salviat, BCH LXXXVI (1962), 95-116. Ο Graham 1978, 86, σημ. 249, δεν αμφισβητεί την πρώιμη χρονολόγηση αυτών των αντικειμένων, που ανεβαίνει ως τον 8ο αι. π.Χ., αλλά τη χρονολογική τους σχέση με τη στρωματογραφία του Αρτεμισίου.

Μια χρονολόγηση, ωστόσο, του στρώματος W στα τέλη του 8ου αι. π.Χ. δίδει το χρονικό περιθώριο να χρονολογηθεί η ίδρυση της παριανής αποικίας στις αρχές του 7ου αι. π.Χ. που, όπως έδειξε ο Pouilloux[75], όχι μόνο δεν αποκλείεται, αλλά και ενισχύεται από τις φιλολογικές μαρτυρίες και αποδεικνύεται επίσης από τη χρονολογημένη στις αρχές του 7ου αι. π.Χ. κυκλαδική και πρωτοαττική κεραμική του Αρτεμισίου.

Στην ίδια χρονολόγηση οδηγεί η εμφάνιση του πρωτογεωμετρικού σκύφου στο στρώμα W, καθώς και η σύγκριση του στρώματος W με τη φάση ΙΙΓ των νεκροταφείων Καστρί. Στο τέλος της φάσης ΙΙΓ, στα νεκροταφεία είδαμε ότι εξαφανίζεται η αυλακωτή κεραμική και εμφανίζονται, τόσο στα νεκροταφεία όσο και στον οικισμό Καστρί, κατηγορίες κεραμικής, γνωστές από το προαποικιακό στρώμα της αρχαίας Θάσου[76].

ΤΥΠΟΙ ΟΙΚΙΣΜΩΝ

Τρεις είναι οι τύποι των οικισμών της πρωτοϊστορικής Θάσου, που προκύπτουν από τη γενική επισκόπηση των οικισμών που προηγήθηκαν:

α) Παράλιος οικισμός με πεδινή περιοχή γύρω του[77].

β) Οικισμός σε ορεινή περιοχή με οχυρή ακρόπολη[78], που ελέγχει μια πεδινή έκταση, καθώς και την επικοινωνία με τα παράλια. Στην ελεγχόμενη από την οχυρή ακρόπολη περιοχή περιλαμβάνονται συχνά και μεταλλοφόρες περιοχές.

γ) Οικισμός (;) σε σπήλαιο[79].

Ο τύπος α του παράλιου οικισμού, που είναι γνωστός από τη νεολιθική εποχή και από την εποχή του χαλκού, φαίνεται ότι στα τέλη της εποχής του χαλκού και στην αρχή της φάσης, που ονομάσαμε πρωτοϊστορική, εγκαταλείπεται. Την αλλαγή αυτή από τον ένα τύπο οικισμού στον άλλο μπορούμε, προς το παρόν, να παρακολουθήσουμε με δύο παραδείγματα από τη νότια Θάσο.

Οι οικισμοί στον Άγιο Αντώνιο του Ποτού (Β3) και στο Καστρί (Β4, Γ2) είναι οι μόνοι, που εμφανίζουν στρώμα της ύστερης εποχής του χαλκού. Η μικρή απόσταση που τους χωρίζει θα μπορούσε να προσδιορίσει μια έντονη πυκνότητα οικισμών στην ύστερη εποχή του χαλκού στη Θάσο, περίπτωση όμως που δε βεβαιώνεται από την ως τώρα γνωστή αρχαιολογική εικόνα του νησιού. Η γειτνίαση, επομένως, των δύο αυτών οικισμών είναι πιθανό να δηλώνει κάποια εξάρτηση του ενός από τον άλλο. Το γεγονός ότι οι δύο αυτοί οικισμοί ανήκουν σε διαφορετικούς τύπους δίδει δύο δυνατότητες ερμηνείας για τις μεταξύ τους σχέσεις:

α) Οι οικισμοί χρησιμοποιούνταν από τον ίδιο πληθυσμό, που το χειμώνα διαχείμαζε στα παράλια και το καλοκαίρι ανέβαινε στα ορεινά.

β) Σε κάποια εποχή ο παράλιος οικισμός εγκαταλείφθηκε και ο πληθυσμός μεταφέρθηκε στον ηπειρωτικό οχυρό οικισμό.

Πριν πραγματοποιηθούν βέβαια παράλληλες ανασκαφικές έρευνες στους δύο οικισμούς, με στόχο την εξακρίβωση των χρονολογικών τους σχέσεων, δεν είναι δυνατό να διατυπωθούν ασφαλή συμπεράσματα. Από τα ως τώρα, όμως, γνωστά αρχαιολογικά δεδομένα προκύπτει ότι η άποψη της εγκατάλειψης του παράλιου οικισμού στα τέλη της ύστερης εποχής του χαλκού είναι η πιθανότερη. Η εγχάρακτη κεραμική της ύστερης εποχής του χαλκού, που εμφανίζεται στον οικισμό του Αγίου Αντωνίου (Σ χ έ δ. 168Α: 2, 7), φαίνεται πρωιμότερη

75. Pouilloux 1982, 91 κ.ε.

76. Κεραμική τύπου G 2-3, K3AI1 (Π ί ν. 23Β).

77. Οικισμός Αγίου Αντωνίου Ποτού.

78. Οικισμοί Καστρί, Παλιόκαστρο, Άι-Λιας. Πρβλ. αντίστοιχους οικισμούς στην αιγαιακή Θράκη, Πεντάζος 1971, 90 κ.ε.

79. Σπήλαιο Δρακότρυπας (πρβλ. αντίστοιχους οικισμούς σε σπήλαια στην αιγαιακή Θράκη: Σπήλαιο Στρύμης, Μπακαλάκης 1961, 259 κ.ε., Πεντάζος 1971, 88 κ.ε. Σπήλαιο Μαρώνειας, Πεντάζος, ό.π., 87-88. Σπήλαια Βουλγαρίας, Čičicova 1974, 63, Topčeva 1980, 24 κ.ε.). Για τα προβλήματα ερμηνείας των σπηλαίων της Κρήτης ως χώρων κατοίκησης, πρβλ. Α. Ζώης, Κρήτη. Η Εποχή του Λίθου, Αρχαίες ελληνικές πόλεις 18, 1973, 74, 83.

από την εγχάρακτη κεραμική, που γνωρίζουμε από τη φάση ΙΑ των νεκροταφείων Καστρί (Σ χ έ δ. 171-172). Από την άλλη μεριά, η τέλεια απουσία κεραμικής της πρώιμης εποχής του σιδήρου στον οικισμό του Αγίου Αντωνίου, σε συνδυασμό με την άνθηση που φαίνεται να εμφανίζει την ίδια εποχή ο οικισμός στο Καστρί, οδηγεί στην άποψη ότι ο παράλιος οικισμός κάτω από την πίεση ορισμένων συνθηκών διαβίωσης εγκαταλείφθηκε και ο πληθυσμός μεταφέρθηκε στο εσωτερικό. Η εποχή της μετακίνησης πρέπει να χρονολογηθεί στις φάσεις της ύστερης εποχής του χαλκού και πιθανόν να συνδυασθεί με την εμφάνιση μυκηναϊκής ΥΕ ΙΙΙΒ κεραμικής στον οικισμό Καστρί. Η αντικατάσταση του παράλιου οικισμού με την οχυρή ακρόπολη στο Καστρί είναι δυνατό να σχετισθεί και με την αναζήτηση ασφάλειας, που έχει επισημανθεί στα νησιά του Αιγαίου στην ύστερη εποχή του χαλκού[80]. Ο κίνδυνος της πειρατείας πιθανόν είχε συντελέσει για τη στροφή αυτή του πληθυσμού στο εσωτερικό, κίνηση αντίστοιχη με την εγκατάλειψη των παραλίων, που ανάλογοι κίνδυνοι προκάλεσαν στην περίοδο της τουρκοκρατίας[81].

Δεν ξέρουμε ακόμη αν μπορούμε να δούμε στην ακρόπολη Καστρί την εμφάνιση ενός διοικητικού κέντρου, που σε περίπτωση κινδύνου παρέχει και ασφάλεια στους κατοίκους μιας ευρύτερης περιοχής, σύμφωνα με το πρότυπο που δίδουν άλλα νησιά του Αιγαίου την ίδια εποχή[82].

Άλλοι λόγοι, εκτός από την ασφάλεια, θα μπορούσαν να σχετίσουν τη μετακίνηση αυτή προς το εσωτερικό με την αναζήτηση και την εκμετάλλευση των φυσικών πόρων της ημιορεινής περιοχής, που προσφερόταν περισσότερο για την ανάπτυξη της κτηνοτροφίας και για την εκμετάλλευση των μεταλλευμάτων. Η άμεση, ωστόσο, περιοχή του οικισμού στο Καστρί δεν εμφανίζει σημαντική μεταλλοφορία. Το μοναδικό μετάλλευμα που εμφανίζεται σε κάποιες ποσότητες στην περιοχή είναι ο σίδηρος[83], η εκμετάλλευση του οποίου όμως πρέπει να άρχισε αργότερα, οπωσδήποτε, από την ΥΕ ΙΙΙΒ-ΥΕ ΙΙΙΓ περίοδο.

Θα μπορούσε πιθανόν να συνδεθεί η εμφάνιση της οχυρής ακρόπολης Καστρί και με την άφιξη της μυκηναϊκής κεραμικής στη Θάσο, αλλά ο ισχυρός τοπικός χαρακτήρας των ευρημάτων του οικισμού και των νεκροταφείων δεν επιτρέπει να αναγνωρίσουμε σ' αυτήν ένα μυκηναϊκό «εμπόριο» του βόρειου Αιγαίου, μολονότι ο χαρακτήρας αυτών των μυκηναϊκών «εμπορίων» στην περιφέρεια του μυκηναϊκού κόσμου δεν έχει ακόμη μελετηθεί, ώστε να είναι δυνατό να προσδιορισθούν τα χαρακτηριστικά τους[84].

Ο τύπος β των ηπειρωτικών οικισμών επικρατεί στο τέλος της ύστερης εποχής του χαλκού και στην πρώιμη εποχή του σιδήρου και αντιπροσωπεύεται με παραδείγματα, τα οποία προς το παρόν συγκεντρώνονται στη νότια Θάσο.

80. Renfrew 1972, 262.

81. A. Vakalopoulos, Thasos, Etudes Thasiennes II (1953), 28-30.

82. Renfrew 1972, 262.

83. Εμφανίσεις σιδηρομεταλλευμάτων στη θέση Κοκότι. Ίχνη μεταλλουργίας στην περιοχή Μανταλούδι, που πιθανότατα όμως είναι μεταγενέστερα. Πιο κοντά στον οικισμό Καστρί βρίσκονται οι σκουριές της θέσης Τσιγανάδικα και μικρές εμφανίσεις επιφανειακών σιδηρομεταλλευμάτων στην περιοχή αυτή. Από την ανάλυση, ωστόσο, των σκουριών της περιοχής αυτής προκύπτει ότι πρέπει να αποδοθούν στους ιστορικούς χρόνους (εμπλουτισμός σιδηρομεταλλεύματος με τιτανιούχο άμμο). Πρβλ. παραπάνω (υποσημ. 32).

84. Hänsel 1982, 278, 1% στο συνολικό ποσοστό κεραμικής η μυκηναϊκή κεραμική. Ch. Podzuweit, Ancient Macedonia IV (1986), 467 κ.ε. Στο στρώμα 12 του Καστανά, η τοπική μυκηναϊκή κεραμική φθάνει στο ανώτερο ποσοστό παρουσίας της (15%) στη συνολική κεραμική του οικισμού. Χαρακτηριστικό για την εγκατάσταση Μυκηναίων στα παράλια της Μακεδονίας είναι το θραύσμα μυκηναϊκού ειδωλίου από τον Άγιο Μάμα Χαλκιδικής, Heurtley 1939, 231, εικ. 104g, γιατί είναι γνωστό πως τα μυκηναϊκά ειδώλια δεν κυκλοφόρησαν ως προϊόντα εμπορίου. Αντίστοιχες πρέπει να ήταν και οι μυκηναϊκές «αποικίες» στην Κάτω Ιταλία, Σικελία και Σαρδηνία, όπου διατηρήθηκε ο τοπικός χαρακτήρας των οικισμών, παρά την εξάπλωση του μυκηναϊκού εμπορίου. Βλ. L. Vagnetti, Magna Grecia e mondo miceneo, 1982, 28-29. Πρβλ. επίσης τον τύπο γ της μινωικής αποικίας, όπως την προσδιορίζει ο K. Branigan, Minoan Colonies, BSA 76 (1981), 23-33 («community colony»). (Άλλη άποψη για το μινωικό αποικισμό, Ch. Doumas, The Minoan Thalassocracy and the Cyclades, AA 97 (1982), 5-14).

Για μυκηναϊκά ανατολικής Μεσογείου: J. Waldbaum, Philistine Tombs at Tell Fara and their Aegean Prototypes, AJA 70 (1966), 366-340.

Η ύπαρξη οχυρών ακροπόλεων, που εμφανίζουν έναν εσωτερικό περίβολο ή πύργο, είναι το χαρακτηριστικό γνώρισμα των οικισμών στο Καστρί, στο Παλιόκαστρο, στον Προφήτη Ηλία, ακόμη και στην περιοχή Κάτω Λαρνάκι.

Οι ακροπόλεις ελέγχουν φυσικούς δρόμους, που οδηγούν στη θάλασσα, μικρές πεδινές εκτάσεις κατάλληλες για γεωργικές καλλιέργειες, ημιορεινές εκτάσεις κατάλληλες για βοσκοτόπια και συχνά μεταλλοφόρες περιοχές. Τα ίχνη των μεταλλευτικών εγκαταστάσεων και των μεταλλουργικών δραστηριοτήτων, που εντοπίζονται στις περιοχές των οικισμών, δεν είναι ακόμη χρονολογημένα. Στην περίπτωση, ωστόσο, της ακρόπολης Παλιόκαστρο είναι βέβαιη η εμφάνιση μεταλλουργικής δραστηριότητας στην πρώιμη εποχή του σιδήρου, αφού στο νότιο τμήμα της κορυφής της ακρόπολης εμφανίζονται άφθονα θραύσματα σκουριών χαλκού, μαζί με κεραμική χειροποίητη, με αυλακωτή διακόσμηση της γνωστής από τα νεκροταφεία και τον οικισμό Καστρί κατηγορίας Ι, 3. Η ακρόπολη Παλιόκαστρο ελέγχει μία από τις πιο πλούσιες μεταλλοφόρες περιοχές της Θάσου, την περιοχή Κουμαριά με άφθονα κοιτάσματα μολύβδου και αξιόλογες εμφανίσεις χαλκού και σιδήρου[85].

Στα τέλη της πρώιμης εποχής του σιδήρου, ο τύπος β των οικισμών φαίνεται ότι εγκαταλείπεται, αφού πιθανόν συνυπάρξει για ένα διάστημα με τον τύπο α του παράλιου οικισμού, που επανεμφανίζεται. Ο προαποικιακός οικισμός της αρχαίας Θάσου αποτελεί ένδειξη για μια νέα στροφή προς τη θάλασσα. Η εμφάνισή του συμπίπτει με την αναζωογόνηση του εμπορίου και των πολιτιστικών επικοινωνιών της Θάσου με τα νησιά του Αιγαίου, τα παράλια της Μικράς Ασίας και τα παράλια της Μακεδονίας και Θράκης, όπως βεβαιώνουν τα διάφορα είδη κεραμικής αυτών των περιοχών, που εμφανίζονται σε μεγάλα ποσοστά στο προαποικιακό στρώμα της αρχαίας Θάσου και σποραδικά στον οικισμό και στα νεκροταφεία της φάσης ΙΙΓ στο Καστρί.

Ο τύπος γ της εγκατάστασης, που εμφανίζεται από την ύστερη νεολιθική εποχή στη Θάσο, αντιπροσωπεύεται με ένα μόνο παράδειγμα στο Σπήλαιο Δρακότρυπα Παναγιάς, όπου η αρχαιότερη κατοίκηση είναι δυνατό να ανεβεί ως την ύστερη νεολιθική εποχή. Η εμφάνιση και στρώματος ιστορικών χρόνων στο σπήλαιο της Δρακότρυπας θα μπορούσε να σχετίσει τις τελευταίες φάσεις κατοίκησης αυτού του σπηλαίου με την τέλεση και κάποιας λατρείας, κατά το πρότυπο του άντρου των Νυμφών της Ηρακλείτσας στη θασιακή Περαία[86]. Για το σπήλαιο, ωστόσο, της Δρακότρυπας δεν υπάρχει προς το παρόν καμιά ένδειξη για την τέλεση λατρείας, ούτε στην πρωτοϊστορική περίοδο ούτε στα ιστορικά χρόνια.

ΧΡΟΝΟΛΟΓΗΣΗ ΟΙΚΙΣΜΩΝ

Το αποσπασματικό ως τώρα γνωστό αρχαιολογικό υλικό της ύστερης εποχής του χαλκού και της πρώιμης εποχής του σιδήρου της πρωτοϊστορικής Θάσου θα μπορούσε να έχει την ακόλουθη χρονολογική συσχέτιση, με βάση τις χρονολογίες, στις οποίες έχει καταλήξει η μελέτη του αρχαιολογικού υλικού των νεκροταφείων Καστρί και Λαρνάκι.

ΦΑΣΕΙΣ	Καστρί	Άγ. Αντώνιος	Λαρνάκι	Αι-Λιας	Παλιόκαστρο	Δρακότρυπα	Θάσος
ΙΑ	×	×					
ΙΒ	×						
ΙΙΑ	×		×;	×	×		
ΙΙΒ	×		×	×	×	×	
ΙΙΓ	×				×;	×	×

Σχέδ. 177. Πίνακας συγκριτικής χρονολόγησης θέσεων πρωτοϊστορικής Θάσου.

85. Πρβλ. Κεφ. Ζ', υποσημ. 21-23.
86. Γ. Μπακαλάκης, ΠΑΕ 1938, 81-97.

ΚΕΦΑΛΑΙΟ Β'

ΟΙ ΑΡΧΑΙΕΣ ΠΗΓΕΣ ΚΑΙ ΤΑ ΑΡΧΑΙΟΛΟΓΙΚΑ ΕΥΡΗΜΑΤΑ

Οι αρχαίες πηγές δίδουν ορισμένες πληροφορίες για τους κατοίκους της Θάσου πριν από την άφιξη των Παρίων αποίκων. Από τις πληροφορίες των πηγών αυτών προσδιορίζεται η ίδρυση μιας αποικίας Φοινίκων στη Θάσο, καθώς και η ύπαρξη τοπικών φύλων, που στις πηγές ονομάζονται «Θράκες» ή «βάρβαροι».

ΦΟΙΝΙΚΕΣ

Οι αρχαίες πηγές δίδουν τρεις ομάδες πληροφοριών, που σχετίζουν τη Θάσο με τους Φοίνικες:

α. Ο επώνυμος μυθικός ήρωας Θάσος συνδέεται με τις μυθικές γενεαλογίες και τον κύκλο των Κάδμου, Φοίνικος, Κίλικος, Ευρώπης[87].

β. Οι Φοίνικες, που έφθασαν στη Θάσο αναζητώντας την Ευρώπη, ήταν οι πρώτοι που εκμεταλλεύθηκαν τα μεταλλεία χρυσού του νησιού, καθώς και του Παγγαίου[88].

γ. Στους Φοίνικες αποδίδονται από τον Ηρόδοτο και από την ανεξάρτητη από τον Ηρόδοτο πηγή, από την οποία φαίνεται ότι αντλεί πληροφορίες ο Παυσανίας, τα ανατολικά στοιχεία της λατρείας του Ηρακλή στη Θάσο, που σχετίζονται με τη λατρεία του φοινικικού Ηρακλή Μελικέρτη[89].

Αφήνοντας κατά μέρος τη συσχέτιση της Θάσου με το μυθικό κύκλο του Κάδμου, η ανατολική καταγωγή του οποίου μόνο σε πηγές νεότερες από τον 5ο αι. π.Χ. εμφανίζεται, καλύπτοντας μετακινήσεις που ξεκινούν από τη Φοινίκη, περνούν στην ίδρυση αποικιών στα νησιά (Θήρα και Θάσο) και καταλήγουν στη Θήβα, συνδέοντάς τον συγχρόνως με την εισαγωγή της γραφής και το βασιλιά των Ιλλυριών[90], ας περάσουμε στις πληροφορίες εκείνες των πηγών που είναι δυνατό να σχετισθούν με αρχαιολογικά ευρήματα στη Θάσο.

Η αξιοπιστία των πληροφοριών του Ηρόδοτου για τη θέση και την έκταση των μεταλλείων χρυσού στη Θάσο[91] έχει βεβαιωθεί από τον εντοπισμό αρχαίων μεταλλείων χρυσού στην ανατολική Θάσο. Η ύπαρξη αρχαίων μεταλλευτικών στοών στην περιοχή αυτή ήταν γνωστή από τα τέλη του προηγούμενου αιώνα[92], η αναγνώριση όμως των στοών αυτών ως αποκλειστικών μεταλλείων χρυσού πραγματοποιήθηκε πρόσφατα από ερευνητική ομάδα του Max Planck Institut Heidelberg και του Ελληνικού Ινστιτούτου Γεωλογικών Ερευνών[93]. Τα μεταλλεία βρίσκονται στην περιοχή εκείνη, όπου και η επιγραφή της Αλυκής[94] τοποθετεί τα Κοίνυρα και Αίνυρα, που αναφέρει ο Ηρόδοτος[95], για να προσδιορίσει τη θέση των μεταλ-

87. Πρβλ. συγκεντρωμένη βιβλιογραφία, Eduards 1979, 47, σημ. 48-50.

88. Ηρόδ. VI, 47 (έκδ. Loeb): «Εἶδον δὲ καὶ αὐτὸς τὰ μέταλλα ταῦτα, καὶ μακρῷ ἦν θωμασιώτατα τὰ οἱ Φοίνικες ἀνεῦρον οἱ μετὰ Θάσου κτίσαντες τὴν νῆσον ταύτην, ἥτις νῦν ἀπὸ τοῦ Θάσου τούτου τοῦ Φοίνικος τὸ οὔνομα ἔσχε».

89. Παυσ. V 25, 12 (έκδ. Loeb): «Θάσιοι δέ, Φοίνικες τὸ ἀνέκαθεν ὄντες καὶ ἐκ Τύρου καὶ Φοινίκης τῆς ἄλλης ὁμοῦ Θάσῳ τῷ Ἀγήνορος κατὰ ζήτησιν ἐκπλεύσαντες τὴν Εὐρώπης, ἀνέθεσαν Ἡρακλέα ἐς Ὄλυμπίαν, τὸ βάθρον χαλκοῦν ὁμοίως τῷ ἀγάλματι· ... ἤκουσα δὲ ἐν Θάσῳ τὸν αὐτὸν σφᾶς Ἡρακλέα ὃν καὶ Τύριοι σέβεσθαι».

90. Eduards 1979, 50.

91. Ηρόδ. VI, 47 (έκδ. Loeb): «τὰ δὲ μέταλλα τὰ φοινικικὰ ταῦτα ἐστὶ τῆς Θάσου μεταξὺ Αἰνύρων τε χώρου καλεομένου καὶ Κοινύρων, ἀντίον δὲ Σαμοθρήικης, ὄρος μέγα ἀνεστραμμένον ἐν τῇ ζητήσι».

92. G.J. Baker-Penoyre, JHS 29 (1909), 235, σημ. 57, W. Deonna, AE 1904, 14-15, H. de Coincy, La Géographie 38 (1922), 408, Davies 1932, 145. Για αρχαιολογικές ενδείξεις στην περιοχή «Καλό Νερό» στην περιοχή Κοινύρων Θάσου, A. Bonn, BCH LIV (1930), 161. Πρβλ. επίσης BCH CIV (1982), 410-411.

93. Gentner - Gropengiesser - Wagner - Gale 1979, 613, Gentner - Pernicka - Wagner - Gale - Vavelidis 1981, 227-237, Wagner - Pernicka - Gialoglou - Vavelidis 1981, 263.

94. Salviat - Servais 1964, 267 κ.ε.

95. Ό.π. (υποσημ. 92). Πρβλ. και απόσπασμα, που αποδίδεται στον Αρχίλοχο (Bergk): «ἐπ' Αἰννύρων ὁδῶν». Ησύχ.: «ἐπ' Αἰννύρων ὁδῶν· Αἰννύρα χωρίον τῆς Θρᾴκης ἀπὸ Αἰννύρου ὀνομασθέν», F. Lassere - A. Bonnard (εκδ.), Archiloque, Fragments, 1958, 307.

λείων· η έκταση της ορυκτοεξορυκτικής δραστηριότητας, που σημειώνεται στην περιοχή αυτή, ανταποκρίνεται απόλυτα στην περιγραφή του Ηρόδοτου που αναφέρει «ὄρος μέγα ἀνεστραμμένον ἐν τῇ ζητήσι»[96].

Η πληροφορία, ωστόσο, του Ηρόδοτου για τη συσχέτιση των μεταλλείων χρυσού της Θάσου με τους Φοίνικες δεν έχει ακόμη επιβεβαιωθεί με αρχαιολογικά ευρήματα. Από τα επιφανειακά ευρήματα της περιοχής των αρχαίων μεταλλείων χρυσού προσδιορίζονται εργασίες εκμετάλλευσης ως τον 4ο-3ο αι. π.Χ., ενώ η συστηματική έρευνα, που πραγματοποιήθηκε στο εσωτερικό μιας μεγάλης μεταλλευτικής στοάς, έδωσε κεραμική που μπορεί να ανεβεί ως τα τέλη του 6ου-αρχές 5ου αι. π.Χ.[97].

Η συμβολή επίσης του αρχαιολογικού υλικού, που είναι ως τώρα γνωστό από την πρωτοϊστορική Θάσο, στον εντοπισμό της παρουσίας των Φοινίκων και στη συσχέτιση των Φοινίκων με την πρώτη εκμετάλλευση των μεταλλείων χρυσού στη Θάσο είναι ελάχιστη. Μοναδική θετική ένδειξη για μια πρώιμη εκμετάλλευση των τοπικών κοιτασμάτων χρυσού θα μπορούσε να αποτελέσει η εμφάνιση των δύο χρυσών σφηκωτήρων στον τάφο Τ18 (φάση ΙΒ των νεκροταφείων Καστρί)[98].

Αρνητική ένδειξη επίσης για μια συσχέτιση του οικισμού Καστρί με τους Φοίνικες θα μπορούσε να αποτελέσει η απουσία ως τώρα κυπέλλωσης για παραγωγή αργύρου, που διαπιστώνεται από τις αναλύσεις των μολύβδινων αντικειμένων των νεκροταφείων Καστρί[99], αν η συσχέτιση των τοπωνυμίων Αίνυρα και Κοίνυρα με φοινικικές ρίζες, που σχετίζονται με άργυρο, είναι σωστή[100].

Η χρονολογία, εξάλλου, που παραθέτει ο Ηρόδοτος για την εμφάνιση των Φοινίκων στη Θάσο — 10 γενεές πριν από τον Ηρακλή[101] — είναι πάρα πολύ υψηλή για να αποδώσει στους Φοίνικες την πρώτη εκμετάλλευση των μεταλλείων χρυσού της Θάσου.

Στα τέλη της ύστερης εποχής του χαλκού ελάχιστα είναι τα χαναϊτικά προϊόντα που εμφανίζονται στο Αιγαίο[102], αφού πρόκειται για την εποχή της μυκηναϊκής θαλασσοκρατορίας, με αντίθετους άξονες κίνησης αποικιών από τον ελλαδικό χώρο στα παράλια της Συρίας και της Παλαιστίνης. Με την εμφάνιση μυκηναϊκών αγγείων, σε αρκετά μεγάλα μάλιστα ποσοστά στη φάση ΙΒ των νεκροταφείων, και με την έντονη επίσης παρουσία μυκηναϊκής ΥΕ ΙΙΙΒ-ΥΕ ΙΙΙΓ κεραμικής στη Μακεδονία είναι δύσκολο να δεχθούμε ότι υπήρχαν την ίδια εποχή περιθώρια να δραστηριοποιηθούν οι Φοίνικες στο βόρειο Αιγαίο και να προλάβουν

96. Ό.π. (υποσημ. 91). Πρβλ. περιγραφή H. de Coincy, ό.π., που τονίζει την έκταση των εξορυκτικών εργασιών στην πλαγιά νοτιοανατολικά της κορυφής Φανού, ανατρέχοντας στην περιγραφή του Ηρόδοτου ΙΙ, 47.

97. Στο κοινό ερευνητικό πρόγραμμα 1981 για τα αρχαία μεταλλεία χρυσού της περιοχής Κοινύρων, στο οποίο συνεργάσθηκαν το Max Planck Institut, το Ινστιτούτο Γεωλογικών Μελετών, η Εφορεία Αρχαιοτήτων Καβάλας και η Γαλλική Αρχαιολογική Σχολή, ερευνήθηκε ένα μεταλλείο χρυσού και εντοπίσθηκαν μια σειρά από αρχαίες μεταλλευτικές στοές, που τις περιλαμβάνουν στο άρθρο τους οι J. Des Courtils, T. Kozelj, A. Muller, BCH CIV (1982), 412, χωρίς σχετική μνεία του προγράμματος. Πρβλ. ΑΔ 36 (1981): Χρονικά, 339-340.

98. Τ18, 159-160, Πίν. 116Α.

99. Πρβλ. E. Pernicka - G.A. Wagner - W. Todt, Παράρτημα V. Αυτό, ωστόσο, δεν αποκλείει την παραγωγή αργύρου από πλουσιότερα σε άργυρο κοιτάσματα μολύβδου.

100. Salviat - Servais 1964, 284, σημ. 3, Pouilloux 1982, 93, σημ. 13. Η συσχέτιση των τοπωνυμίων με κυπριακά ονόματα, F. Salviat, BCH LXXXVI (1962), 109, σημ. 7, φαίνεται αρκετά πιθανή. Πρβλ. επίσης συσχέτιση των τοπωνυμίων με σημιτικές ρίζες, που σημαίνουν χρυσό και άργυρο από J. Dossin, που παραθέτουν οι Salviat - Servais 1964, 284, σημ. 2.

101. Ηρόδ. ΙΙ, 44: «εἶδον δὲ ἐν τῇ Τύρῳ καὶ ἄλλο ἱερὸν Ἡρακλέος ἐπωνυμίην ἔχοντος Θασίου εἶναι· ἀπικόμην δὲ καὶ ἐς Θάσον, ἐν τῇ εὗρον ἱρὸν Ἡρακλέος ὑπὸ Φοινίκων ἱδρυμένον, οἳ κατ' Εὐρώπης ζήτησιν ἐκπλώσαντες Θάσον ἔκτισαν· καὶ ταῦτα καὶ πέντε γενεῇσι ἀνδρῶν πρότερα ἐστὶ ἢ τὸν Ἀμφιτρύωνος Ἡρακλέα ἐν τῇ Ἑλλάδι γενέσθαι». Πρβλ. M. Launey, Le sanctuaire et le culte d'Héraklès à Thasos, Etudes Thasiennes I (1944), 195, 221. Πρβλ. ωστόσο βιβλιοκρισία A.D. Noack, AJA 52 (1948), 300.

102. V. Grace, The Aegean and the Near East, Festschrift H. Goldman, 1956, 50-109. Για χαναϊτικά προϊόντα στη Θήβα, πρβλ. Archaeological Reports, 1968-1969, 3-39. Πρβλ. J. Muhly, Homer and the Phoenicians, Berytus 19 (1970), 43 κ.ε., J. Muhly, Copper and Tin, 1973, 186.

την «πολύχρυσον Μυκήνη»[103] στην εκμετάλλευση των μεταλλείων χρυσού της Θάσου και του Παγγαίου[104].

Ένας τρόπος, νομίζω, υπάρχει για να δεχθούμε αυτή τη συσχέτιση μιας τόσο πρώιμης εκμετάλλευσης των μεταλλείων χρυσού της Θάσου και του Παγγαίου με τους Φοίνικες, όπως την προτείνει ο Ηρόδοτος:

Οι αναφερόμενοι «Φοίνικες» δεν είναι ο συγκεκριμένος σημιτικός λαός, η θαλασσοκρατορία του οποίου τοποθετείται πολύ αργότερα από την ύστερη εποχή του χαλκού, αλλά Μυκηναίοι από τα ανατολικά παράλια του Αιγαίου. Αυτή περίπου είναι και η άποψη του Launey[105], που υποστήριξε ότι με τον όρο Φοίνικες, όπως και με τους αντίστοιχους όρους Κάρες και Λέλεγες, πρέπει να συμπεριλάβουμε όλα τα κρητομυκηναϊκά στοιχεία, που κατοικούσαν στα παράλια της Μικράς Ασίας και της Κοίλης Συρίας. Είναι γνωστό το μικρό ενδιαφέρον που έδειχναν οι αρχαίοι Έλληνες για γλωσσολογικά και εθνολογικά θέματα και πόσο αδιάκριτα χρησιμοποιούσαν τα εθνικά ονόματα[106].

Για την περίπτωση αυτή θα πρέπει όμως να υποθέσουμε την άφιξη των «Μυκηναίων» στην ανατολική Θάσο και την εγκατάστασή τους σε περιοχή, από την οποία θα ήταν δυνατό να ελέγχουν τη μεταλλοφόρο περιοχή των Κοινύρων. Επομένως, αν αναζητηθεί ένα τέτοιο «εμπόριο», πρέπει να το αναζητήσουμε ή στην περιοχή του μεγάλου κόλπου της Ποταμιάς[107] ή ακόμη και στην ίδια την αρχαία Θάσο, όπου το μεταλλείο χρυσού της ακρόπολης[108], σε συνδυασμό με το πρώιμο στρώμα εκκαμμινεύσεων στο Αρτεμίσιο, έχουν δώσει ορισμένες ενδείξεις για μια πρώιμη μεταλλουργία[109]. Ο οικισμός Καστρί, οπωσδήποτε, δε θα μπορούσε να σχετισθεί με αυτή την πρώτη εμφάνιση των Μυκηναίων, γιατί βρίσκεται πολύ μακριά από την περιοχή των μεταλλείων χρυσού. Η έντονη παρουσία της τοπικής μυκηναϊκής κεραμικής στη φάση ΙΒ στον οικισμό Καστρί θα ήταν δυνατό να ερμηνευθεί ως αποτέλεσμα της δραστηριοποίησης του μυκηναϊκού εμπορίου στη Θάσο. Μια αντίστοιχη ερμηνεία θα ήταν δυνατό να δώσουμε και για την εμφάνιση της μυκηναϊκής κεραμικής στα παράλια της ανατολικής Μακεδονίας, στην κοιλάδα του Στρυμόνα και στην περιοχή του χρυσοφόρου Παγγαίου[110].

Εκτός από την παρουσία της μυκηναϊκής κεραμικής, θα μπορούσαμε να επισημάνουμε και ορισμένα άλλα στοιχεία ανατολικοαιγαιακής προέλευσης στα ευρήματα της κυρίως φάσης ΙΒ των νεκροταφείων Καστρί:

103. Ιλ. Λ 46.

104. Η παρουσία μυκηναϊκής κεραμικής στην παραλία του Στρυμόνα και στο Σταθμό Αγγίστας (Σ χ έ δ. 151) πιθανόν δεν είναι άσχετη με την προσπάθεια των Μυκηναίων να προσεγγίσουν το Παγγαίο.

105. M. Launey, ό.π. (υποσημ. 101), 221-222. Πρβλ. βιβλιοκρισία Ch. Picard, Journal des Savants 1948, 124, A.D. Noack, ό.π., 299-300.

106. Πρβλ. M. Launey, ό.π. (υποσημ. 101), 196, σημ. 3. Επίσης A. Jacobs, Thasiaka, Diss., Berlin 1893, 6-12, IG XII, 8, 10 κ.ε. Για τη μνεία των Φοινίκων μαζί με προελληνικά στοιχεία στο Αιγαίο, πρβλ. Θουκ. I, 8 (έκδ. Loeb): «καὶ οὐχ ἧσσον λῃσταὶ ἦταν οἱ νησιῶται Κάρες τε ὄντες καὶ Φοίνικες. Οὗτοι γὰρ δὴ τὰς πλείστας τῶν νήσων ᾤκισαν». Πρβλ. Themelis 1976, 55 (Κάθαρση Δήλου), όπου προτείνεται να δοθεί ένα ευρύτερο περιεχόμενο στη λέξη «Κάρες» και να συμπεριληφθούν όλα τα καροκρητομυκηναϊκά στοιχεία, που κατοικούσαν στα νοτιοδυτικά παράλια της Μικράς Ασίας, με την εξάπλωση των οποίων στο Αιγαίο συμπίπτει η διάδοση της ταφής-καύσης και των κιβωτιόσχημων τάφων με ταφές-καύσεις. Ο Θέμελης προχωρεί μάλιστα και στην ταύτισή τους με τους λαούς της θάλασσας, ό.π., 77-85. Πρβλ. και άλλες απόψεις για τους λαούς της θάλασσας, Schachermeyer 1982, Sandars 1978.

107. Η συστηματική επιφανειακή αρχαιολογική έρευνα στην περιοχή αυτή αντιμετωπίζει δυσκολίες, εξαιτίας της πυκνής βλάστησης.

108. Muller 1979, 315 κ.ε.

109. Maffre - Salviat 1980, 726-730 (Αρτεμίσιο). Οι σκουριές σιδήρου, που βρίσκονται μέσα στο στρώμα αυτό, πρέπει να χρονολογούνται στα μέσα του 7ου αι. π.Χ., περίπου.

110. Plin. Hist. Nat. VII, 56, παραγρ. 197: «...auri metalla et flatturam Cadmus Phoenix ad Pangaeum montem (invenit)», Κλήμης Αλεξ. Στρωματ. I, XVI, 75, 8: «Κάδμος γὰρ ὁ Φοῖνιξ λιθοτομίαν ἐξεῦρεν καὶ μέταλλα χρυσοῦ τὰ περὶ τὸ Παγγαῖον ἐπενόησεν ὄρος», Στράβ. Γεωγρ. XIV, 5, 28 C280: «... ὁ δὲ Κάδμου (πλούτος) (εκ των) περὶ Θρᾴκην καὶ τὸ Παγγαῖον ὄρος».

Το χαρακτηριστικό «ρυτό»-εσχάρα, που εμφανίζεται μόνο στη φάση ΙΒ των νεκροταφείων Καστρί, είναι ένα σχήμα κοινό, όπως είδαμε, στην Εγγύς Ανατολή από την ύστερη τουλάχιστον εποχή του χαλκού και με νεότερες επιβιώσεις στην πρώιμη εποχή του σιδήρου[111]. Η συγγένεια της τοπικής μυκηναϊκής κεραμικής με κεραμική του ανατολικού Αιγαίου[112] και η εμφάνιση μικρασιατικού (;) ή και κυπριακού χαλκού σε χάλκινα αντικείμενα[113] μπορούν να θεωρηθούν, μαζί με την εμφάνιση της καύσης στα νεκροταφεία Καστρί[114] και την πρώιμη εμφάνιση του σιδήρου[115], ως στοιχεία επιδράσεων του ανατολικοαιγαιακού χώρου. Τα υπέργεια ταφικά μνημεία με τους πολλαπλούς ενταφιασμούς, καθώς και τα ταφικά έθιμα, εμφανίζουν πολλά κοινά χαρακτηριστικά με ταφικά μνημεία της ανατολικής Κρήτης και των νοτιοδυτικών παραλίων της Μικράς Ασίας, έτσι ώστε να μην αποκλείεται η δυνατότητα επικοινωνίας με τις περιοχές αυτές, όπου οι επιδράσεις του κρητομυκηναϊκού πολιτισμού είχαν μεταμορφώσει την τοπική πολιτιστική παράδοση.

Η παραπάνω ωστόσο ερμηνεία της πληροφορίας του Ηρόδοτου, που προϋποθέτει ταύτιση των Φοινίκων με τα κρητομυκηναϊκά στοιχεία των περιοχών αυτών, η παρουσία των οποίων στα νησιά του Αιγαίου μαρτυρείται με τα ονόματα Κάρες, Λέλεγες, Φοίνικες, παραμένει ακόμη υποθετική και μόνο ως υπόθεση εργασίας για την κατεύθυνση της έρευνας στη βορειοανατολική περιοχή του νησιού είναι δυνατό, προς το παρόν, να ισχύσει.

Μια δεύτερη ερμηνεία της πληροφορίας του Ηρόδοτου, η οποία ωστόσο δεν καταργεί και την περίπτωση μιας πρώιμης δραστηριοποίησης των Μυκηναίων στην εκμετάλλευση των μεταλλείων χρυσού και αργύρου της Θάσου και του Παγγαίου, είναι εκείνη που υποστηρίζουν οι περισσότεροι ερευνητές[116], και η οποία ενισχύεται από την αναμφισβήτητη σχέση της λατρείας του Ηρακλή με τη λατρεία του φοινικικού Ηρακλή Μελικέρτη[117], καθώς και από την εμφάνιση σημιτικών τοπωνυμίων και ονομάτων στη Θάσο[118]. Σύμφωνα με την άποψη αυτή, οι Φοίνικες ήρθαν στη Θάσο στην εποχή της μεγάλης θαλασσοκρατορίας τους, που ακολούθησε την καταστροφή του μυκηναϊκού κόσμου, και οπωσδήποτε πριν από την καταστροφή της Τύρου από τους Ασσύριους και τη μεταφορά του φοινικικού εμπορίου στη Δύση με την ίδρυση της Καρχηδόνας[119]. Την εποχή αυτή (10ος-8ος αι. π.Χ.) οι Φοίνικες ιδρύουν μια σειρά από αποικίες στο ανατολικό Αιγαίο, αρχίζοντας από την Κύπρο και προχωρώντας στην Κω, φθάνουν ως τη Λήμνο, τη Θάσο[120] και πιθανόν και την Τροία[121]. Η άφιξη της αιολικής κεραμικής τύπου G 2-3 και άλλων ειδών κεραμικής από τα παράλια της Μικράς Ασίας, η εμφάνιση έργων μικροτεχνίας ανατολικών εργαστηρίων και η αναζωογόνηση του εμπορίου, πρέπει κατά τον Graham[122] να αποδοθεί στην εμπορική δραστηριοποίηση των Φοινίκων στη Θάσο.

Η υπόθεση του Graham θα μπορούσε να επεκταθεί και στη συσχέτιση της κεραμικής τύπου G 2-3, που βρίσκεται στα παράλια της Θράκης και στην περιοχή του Παγγαίου[123], με την έναρξη της εκμετάλλευσης του Παγγαίου από τους Φοίνικες, που μαρτυρείται επίσης

111. Πρβλ. Κεφ. Γ', υποσημ. 367-368.

112. L. Courtois, Παράρτημα IV, όπου επισημαίνονται ορισμένες σχέσεις της μυκηναϊκής κεραμικής Θάσου και της ανατολικής Μακεδονίας με το νοτιοανατολικό Αιγαίο.

113. Z. Stos-Gale - N. Gale, Παράρτημα VII. Πρβλ. και Κεφ. Ζ', υποσημ. 33.

114. Πρβλ. Κεφ. Ε', υποσημ. 175.

115. Ο σίδηρος πρωτοεμφανίζεται στη φάση ΙΒ-ΙΙΑ των νεκροταφείων Θάσου (Τ18, 55, Π ί ν. 109). Στη φάση αυτή η Θάσος βρίσκεται στο δεύτερο στάδιο της χρήσης σιδήρου, κατά τον Snodgrass 1980, 337.

116. Πρβλ. Muhly 1970, 49 κ.ε., Eduards 1979, 184, Van Berchem 1967, 88 κ.ε., Graham 1978, 91.

117. Van Berchem 1967, 88 κ.ε., B. Berquist, Herakles on Thasos, 1973, 35 κ.ε.

118. Ό.π. (υποσημ. 100).

119. Muhly 1970, 36 κ.ε., 47 κ.ε.

120. Van Berchem 1967, 88 κ.ε.

121. Graham 1978, 89 κ.ε.

122. Ό.π., 91 κ.ε.

123. Πρβλ. κεραμική τύπου G 2-3 στην ακρόπολη Ηιόνας μαζί με «Ολυνθιακή προπερσική» γραπτή κεραμική, ΑΔ 35 (1980): Χρονικά, 423.

στις αρχαίες πηγές[124]. Με την εξάπλωση των Φοινίκων στο ανατολικό Αιγαίο συμπίπτει και μια αντίστοιχη εξάπλωση της λατρείας του Ηρακλή Μελικέρτη, την οποία παρακολουθώντας ο Van Berchem, εντόπισε τα φοινικικά εμπόρια στο ανατολικό Αιγαίο[125]. Τα τοπωνύμια, επίσης, της περιοχής των μεταλλείων Αίνυρα και Κοίνυρα και τα ονόματα σημιτικής προέλευσης στη θασιακή προσωπογραφία ενισχύουν την παρουσία φοινικικών στοιχείων στη Θάσο[126].

Είναι αδύνατο βέβαια να προσδιορισθεί ο χαρακτήρας του φοινικικού αυτού εμπορίου στη Θάσο, όπως το προτείνει ο Graham, γιατί εκτός από τα στοιχεία της λατρείας του Ηρακλή, τα οποία μπορούν να ερμηνευθούν με τη γενικότερη εξάπλωση πολιτιστικών στοιχείων από την Ανατολή, που έχουν σημειωθεί όχι μόνο στην ανατολίζουσα περίοδο, αλλά και στα τέλη του 7ου και στις αρχές του 6ου αι. π.Χ. στη Θάσο[127], απομένουν προς το παρόν μόνο τα φοινικικά τοπωνύμια και τα ελάχιστα ονόματα για να στηρίξουν την παρουσία των Φοινίκων. Η εμπορική βέβαια δραστηριοποίηση των Φοινίκων στο βόρειο Αιγαίο είναι δύσκολο να αποκλεισθεί, όταν η πληροφορία του Ηρόδοτου για την άφιξη των Φοινίκων στη Θάσο τοποθετηθεί την εποχή της θαλασσοκρατίας τους, αλλά η παρουσία τους στον προαποικιακό οικισμό της αρχαίας Θάσου, στον οικισμό Καστρί και στην υπόλοιπη πρωτοϊστορική Θάσο δεν έχει ακόμη επιβεβαιωθεί με συγκεκριμένα αρχαιολογικά ευρήματα.

Δε γνωρίζουμε, βέβαια, αν ήταν μόνο οι Φοίνικες που δραστηριοποιούνταν στο εμπόριο του βορειοανατολικού Αιγαίου. Η έντονη παρουσία της κεραμικής τύπου G 2-3 στο προαποικιακό στρώμα της Θάσου και η διάδοση της κεραμικής αυτής της κατηγορίας, που εμφανίζει τοπικό εργαστήρι στη Λήμνο, στα παράλια της Τρωάδας, αλλά και ως τις εκβολές του Στρυμόνα, αποτελεί ένα κεφάλαιο ανοικτό στην έρευνα για τον προσδιορισμό του κέντρου παραγωγής και του τρόπου διάδοσής της στο βορειοανατολικό Αιγαίο, όπου στα χρόνια του β΄ μεγάλου αποικισμού δραστηριοποιήθηκαν επίσης και τα αιολικά φύλα[128].

ΘΡΑΚΙΚΑ ΦΥΛΑ

Ελάχιστες είναι, επίσης, οι πληροφορίες των αρχαίων πηγών για τα θρακικά φύλα της προαποικιακής Θάσου.

Οι αρχαίες πηγές δε μας δίδουν λεπτομέρειες για αυτά τα φύλα. Τα ονομάζουν «βαρβάρους» και συχνότερα «Θρᾷκες». Ένα χωρίο του Σκύμνου δίδει μάλιστα χρονική προτεραιότητα στους «βαρβάρους» σε σχέση με τους Φοίνικες. Στο χωρίο αυτό, οι κάτοικοι της Θάσου με το όνομα «βάρβαροι» διαφοροποιούνται από τους Θράκες που κατοικούν την «ὑπεράνω χώραν μέχρι τοῦ Ἴστρου».

1. Σκύμνος 659: «ἐξῆς Νεάπολις ἐστὶ καὶ νῆσος Θάσος, ἣν βάρβαροι τὸ πρότερον ᾤκουν, ὡς λόγος, ἔπειτα Φοίνικες μετὰ Κάδμου καὶ Θάσου ἐκ τῆς Ἀσίας διαβάντες· ἔλαβε δὲ ἡ Θάσος ἀπὸ τοῦ Θάσου καὶ τοὔνομ', ὡς καὶ νῦν ἔχει. Τὴν ὑπεράνω χώραν δὲ μέχρι τοῦ Ποντικοῦ Ἴστρου παρεκτείνουσι Θρᾷκες νεμόμενοι».

Ελάχιστες είναι οι συγκεκριμένες μαρτυρίες των πηγών για τους Θράκες της Θάσου:

2. Πρβλ. απόσπασμα Αρχιλόχου, Lassere-Bonard, αριθ. 98, πιθανόν για Θράκες Θάσου:

ὦρτο δ' αὖ [τις] / ἔπτ' ἐάσ[ας τ]οὺς πάϊς Πεισιστράτου
ἄνδρας [ε]ὖ φω/ν<ε>ῦντας αὐλὸν καὶ λύρην ἀνῆρ' ἄγων
εἰς Θάσον κυσὶ / Θρ<έ>ιξιν δῶρ' ἔχων ἀκήρατον
χρυσόν· οἰκείω[ι] δὲ κέρδει ξύν' ἐποίησαν κακά.

124. Ό.π. (υποσημ. 110).

125. Van Berchem 1967, 88-109.

126. Pouilloux 1954, 19 κ.ε., Pouilloux 1982, 94, σημ. 20, όπου και σχετική βιβλιογραφία.

127. M. Launey, ό.π. (υποσημ. 101), 206.

128. Πρβλ. σχέσεις με Λήμνο και Μικρά Ασία που επεσήμανε και ο Ch. Picard, Mon.Piot. XXXVIII (1941), 55 κ.ε. Πρβλ. επίσης μύθο πρώτης ίδρυσης Αβδήρων, που πιθανόν μαρτυρεί κάποια απόπειρα αποικισμού της περιοχής από αιολικά φύλα, M. Sakellariou, La migration grecque en Ionie, 1958, 222, σημ. 1. Πρβλ. επίσης J. Berard, L'expansion et la colonisation grecque, 1960, 36 κ.ε.

Δημέας Επιγρ. Σωσθένη Ι, 40-52 = Mon. Arch., IG XII Suppl., 212, αριθ. 445, στίχ. 40-52.

3. Tabula Albana, IG XIV, 1293, 81: «καὶ Θάσον ἑλὼν (Ηρακλής) [Σθενέ]λῳ καὶ Ἀλκαίῳ παρέδωκεν».

4. Πιο συγκεκριμένη μαρτυρία για την παρουσία Θρακών στη Θάσο έχουμε στη Βιβλιοθήκη Απολλοδώρου ΙΙ, 5, 9: «καὶ παραγενόμενος (Ηρακλής) εἰς Θάσον καὶ χειρωσάμενος τοὺς ἐνοικοῦντας Θρᾷκας ἔδωκε τοῖς Ἀνδρόγεω παισὶν κατοικεῖν».

5. Στον Ησύχιο έχουμε μια άλλη μαρτυρία που σχετίζει τη Θάσο με Θράκες: στη λέξη «Ὀδωνίς»: «Ὀδωνίς, ἡ Θάσος τὸ πάλαι».

Στον Αρχίλοχο, την αρχαιότερη και γνησιότερη πηγή για τον αποικισμό της Θάσου, δεν υπάρχουν συγκεκριμένες αναφορές στα τοπικά φύλα της Θάσου, αυτά που συνάντησαν οι πρώτοι άποικοι και ο Αρχίλοχος, όταν έφθασαν στο νησί.

Οι μελετητές των πρώτων χρόνων της αποικίας έχουν διαμορφώσει διάφορες απόψεις για τις σχέσεις των πρώτων αποίκων με τα τοπικά φύλα της Θάσου. Ο Pouilloux[129], επισημαίνοντας τη γρήγορη επικράτηση των Παρίων στο νησί και στη θρακική Περαία[130] και συνδυάζοντάς την με την πρώιμη εμφάνιση θρακικών ονομάτων στο ονομαστικό των Θασίων από τις αρχές του 6ου αι. π.Χ.[131], υποστήριξε την πρώιμη ειρηνική συνύπαρξη των Παρίων με τα τοπικά φύλα. Ο Graham αντίθετα, αποδίδοντας το στρώμα καταστροφής W στην προαποικιακή Θάσο και χρησιμοποιώντας το στίχο του Αρχιλόχου[132], όπου παραβάλλονται τα «Θασίων κακά» με τα «κακά των Μαγνήτων», υποστηρίζει πως αντίστοιχες με τους αγώνες των Παρίων στη θρακική Περαία, που περιγράφει ο Αρχίλοχος, είναι και οι συγκρούσεις που έγιναν στο νησί τα πρώτα χρόνια της παριανής αποικίας.

Ανεξάρτητα από την απάντηση στο παραπάνω πρόβλημα, το οποίο δε φαίνεται να λύνουν οριστικά τα γνωστά ως τώρα αρχαιολογικά δεδομένα από τον οικισμό Καστρί και τα νεκροταφεία Καστρί και Λαρνάκι, αφού το στρώμα καταστροφής του οικισμού και ο χρόνος εγκατάλειψης των νεκροταφείων δεν είναι δυνατό να χρονολογηθούν με ακρίβεια, δύο είναι οι βασικές διαπιστώσεις που προκύπτουν από τη μελέτη του αρχαιολογικού υλικού της πρωτοϊστορικής Θάσου:

α) Ο οικισμός Καστρί δε συμβιώνει με την παριανή αποικία της Θάσου και η εγκατάλειψή του συμπίπτει μ' ένα στρώμα καταστροφής[133].

β) Η χειροποίητη κεραμική της φάσης ΙΙ των νεκροταφείων Καστρί, όπως και η χειροποίητη κεραμική του νεκροταφείου Λαρνάκι και η κεραμική των άλλων θέσεων πρώιμης εποχής του σιδήρου της Θάσου, εμφανίζει πολλές συγγένειες με την κεραμική της ίδιας εποχής από τη Θράκη.

Η αυλακωτή κεραμική της περιοχής του Στρυμόνα θα μπορούσε να βεβαιώσει σχέσεις της Θάσου με την Ηδωνίδα, που προκύπτουν και από την πληροφορία του Ησύχιου στη λέξη «Ὀδωνίς»: «Ὀδωνίς, ἡ Θάσος τὸ πάλαι». Η απουσία, ωστόσο, σταμπωτής κεραμικής από τα νεκροταφεία Καστρί και Λαρνάκι και τα τελείως διαφοροποιημένα από τους ταφικούς τύμβους της περιοχής του Στρυμόνα ταφικά μνημεία της διαφοροποιούν την πρωτοϊστορική Θάσο από την Ηδωνίδα του Παγγαίου[134].

129. Pouilloux 1964, 1-17, Pouilloux 1982, 100, σημ. 47.

130. Στα τέλη του 7ου αι. π.Χ. οι Θάσιοι ελέγχουν πια το νησί, αφού έχουν ιδρύσει το Ιερό της Αλυκής και έχουν εγκατασταθεί στην Περαία (πρβλ. ευρήματα Νεάπολης, Δ. Λαζαρίδης, ΑΔ 17 (1961/62): Χρονικά, 235-238), και Οισύμης, Ε. Γιούρη, ΑΔ 20 (1965): Χρονικά, 451.

131. H. Seyring, BCH LI (1927), 216-219, Pouilloux 1954, 17 κ.ε. Αντίθετη η γνώμη του Graham 1978, 97.

132. Graham, ό.π., 85-97. Πρβλ. χωρίο του Αρχίλοχου (έκδ. F. Lassere - A. Bonnard), 1958, 280: «κλαίω τὰ Θασίων, οὐ τὰ Μαγνήτων κακά» καθώς και το απόσπασμα, 127: «μήδ' ὁ Ταντάλου λίθος τῆσδε ὑπὲρ νήσου κρεμάσθω».

133. Από τα ως τώρα αρχαιολογικά δεδομένα φαίνεται ότι το στρώμα καταστροφής του οικισμού Καστρί είναι λίγο αρχαιότερο από το στρώμα καταστροφής του προαποικιακού στρώματος της Θάσου. Το τελευταίο περιέχει είδη κεραμικής, που είναι άγνωστα στον οικισμό Καστρί, όπως γκρίζο επείσακτο Bucchero, και «προπερσική» κεραμική τύπου Ολύνθου.

134. Χαρακτηριστική είναι, ωστόσο, η τέλεια απουσία της σταμπωτής κεραμικής από τα νεκροταφεία και από το στρώμα της πρώιμης εποχής του σιδήρου στον οικισμό Καστρί.

Οι αρχαίες πηγές ονομάζουν αυτά τα προελληνικά φύλα της Θάσου «βαρβάρους» και «Θρᾷκες», αλλά είναι σήμερα αδύνατο να καθορίσουμε ποιο είναι το βάρος της πολιτιστικής και φυλετικής διαφοροποίησης, που περιέχεται στον όρο «Θρᾷκες», όταν τον χρησιμοποιούν οι αρχαίοι Έλληνες.

Ο μεγάλος γεωγραφικός χώρος, που καλύπτουν οι αρχαίοι Έλληνες με τον όρο «Θράκη», είναι αδύνατο να καλυπτόταν από ομοιογενή εθνικά και πολιτιστικά φύλα. Η γεωγραφική κατάτμηση και οι επικοινωνίες με διαφορετικούς πολιτιστικούς κύκλους κατά περιοχές ήταν φυσικό να διαμορφώσουν επιμέρους πολιτιστικές ομάδες μέσα στον τεράστιο γεωγραφικό χώρο της Θράκης, που για τους αρχαίους κάλυπτε τη Μακεδονία ανατολικά του Αξιού και τη Θράκη από τα παράλια του Αιγαίου ως το Δούναβη[135]. Τα τοπικά θρακικά φύλα, που αναφέρουν με διάφορα ονόματα οι αρχαίες πηγές, διαμόρφωναν επιμέρους πολιτιστικές ενότητες, ανάλογα με τις επιδράσεις που δέχονταν από τους γειτονικούς πολιτιστικούς κύκλους. Στα ανοικτά στις επικοινωνίες παράλια της αιγαιακής Θράκης, όπου στην ύστερη εποχή του χαλκού έφθαναν οι επιδράσεις του μυκηναϊκού πολιτισμού, των ανατολικών πολιτισμών της Μικράς Ασίας και της νοτιοανατολικής Μεσογείου, ήταν φυσικό να διαμορφωθεί μια πολιτιστική φυσιογνωμία διαφοροποιημένη από εκείνη της ηπειρωτικής Θράκης. Στη διαμόρφωση αυτής της φυσιογνωμίας πιθανόν είχε συμβάλει, εκτός από τους Μυκηναίους, και το πολιτιστικό υπόστρωμα των προελληνικών φύλων, τα οποία με διάφορα ονόματα, όπως Πελασγοί, Κάρες, Λέλεγες, ήταν διάσπαρτα στα νησιά του Αιγαίου και στα δυτικά παράλια της Μικράς Ασίας, και τα οποία, κάτω από τις επιδράσεις του κρητομυκηναϊκού πολιτισμού, πιθανότατα είχαν διαμορφώσει μια μεγαλύτερη κινητικότητα (εμπόριο, πειρατεία), σε σχέση με τη στατικότητα της αγροτικής και κτηνοτροφικής οικονομίας της ηπειρωτικής Θράκης.

Αυτή η ιδιαίτερη πολιτιστική φυσιογνωμία της αιγαιακής Θράκης[136] είναι φανερή στα ομηρικά έπη, όπου δε φαίνεται να διαφοροποιείται πολιτιστικά η αιγαιακή Θράκη από τον υπόλοιπο ομηρικό κόσμο[137]. Σ' αυτό τον ιδιαίτερο πολιτιστικό χώρο της αιγαιακής Θράκης, όπου συναντώνται οι πολιτισμοί των ηπειρωτικών Βαλκανίων με τους ανατολικοαιγαιακούς πολιτιστικούς κύκλους, εντάσσεται και η πρωτοϊστορική Θάσος, για την οποία τα ομηρικά έπη σιωπούν.

ΕΠΙΣΚΟΠΗΣΗ

Η γεωγραφική θέση της Θάσου στα βόρεια σύνορα του αιγαιακού χώρου και σε μικρή απόσταση από τα παράλια της Μακεδονίας και της Θράκης έπαιξε καθοριστικό ρόλο στη διαμόρφωση της πολιτιστικής φυσιογνωμίας της. Στη Θάσο, όπως και στη Μακεδονία και την αιγαιακή Θράκη, συναντήθηκαν ήδη από τη νεολιθική εποχή τα ρεύματα δύο μεγάλων πολιτιστικών συστημάτων:

135. Μόλις τα τελευταία χρόνια άρχισε να προβληματίζει τους ερευνητές η πολιτιστική διαφοροποίηση της αιγαιακής Θράκης από την ηπειρωτική, όπως αυτή προκύπτει και από τις μαρτυρίες των πηγών (Όμηρος) και από τα αρχαιολογικά ευρήματα (Danov 1960 και 1968). Η F. Papazoglou, Structures ethniques et sociales dans les régions centrales des Balkans à la lumière des études onomastiques, Actes du VIIe Congrès international d'épigraphie grecque et latine (1977), 1979, 540, προχώρησε ακόμη περισσότερο και, συγκρίνοντας τα μη ελληνικά ονόματα της κεντρικής και ανατολικής Μακεδονίας με χαρακτηριστικά θρακικά ονόματα, διατύπωσε την άποψη ότι ορισμένα από τα θεωρούμενα ως θρακικά φύλα της κεντρικής και της ανατολικής Μακεδονίας δεν πρέπει να είναι θρακικά.

136. Danov 1960, 8, Danov 1968, 148 κ.ε.

137. Οδύσσ. ι 39 κ.ε. Οι Κίκονες των παραλίων του Ίσμαρου έχουν πόλεις και ακροπόλεις, που βρίσκονται σε κάποια απόσταση από τα παράλια και πολεμούν με «χάλκεα ἔγχεα», όπως οι σύντροφοι του Οδυσσέα. Τα αρχαιολογικά, άλλωστε, δεδομένα των ανασκαφικών ερευνών στην περιοχή του Ίσμαρου δε φαίνεται να αναιρούν την ομηρική περιγραφή των Κικόνων. Πρβλ. Πεντάζος 1971, 90 κ.ε., για ακροπόλεις της ύστερης εποχής του χαλκού και της πρώιμης εποχής του σιδήρου, που βρίσκονται σε οχυρές θέσεις στο εσωτερικό, σε μικρή απόσταση από τα παράλια. Πρβλ. επίσης και χάλκινη αιχμή δόρατος από τη λεγόμενη «Σπηλιά του Κύκλωπα» στην περιοχή της Μαρώνειας, ό.π., 87 κ.ε., πίν. 109γ.

Του ηπειρωτικού βαλκανικού, που είχε ως χαρακτηριστικό γνώρισμα την αργή εξέλιξη της γεωργοκτηνοτροφικής οικονομίας, και του ανατολικοαιγαιακού, που προσδιοριζόταν από την κινητικότητα της ναυτιλίας και του εμπορίου.

Η γεωργία, η κτηνοτροφία και η εκμετάλλευση των τοπικών μεταλλοφόρων κοιτασμάτων υπήρξαν οι βασικοί άξονες, γύρω από τους οποίους κινήθηκε η οικονομία και ο πολιτισμός του νησιού, ήδη από την πρωτοϊστορική περίοδο.

Από τα ευρήματα των νεκροταφείων του οικισμού Καστρί και της θέσης Λαρνάκι, που μελετήθηκαν αναλυτικά, και από τη γενική εικόνα που δίδουν τα ευρήματα άλλων θέσεων της πρωτοϊστορικής περιόδου του νησιού, είναι δυνατό να επισημανθούν ορισμένοι σταθμοί στην πολιτιστική πορεία της πρωτοϊστορικής Θάσου:

Η αρχαιότερη φάση της ύστερης εποχής του χαλκού της Μακεδονίας (ύστερη εποχή του χαλκού Ι), στην οποία προτείνεται να συμπεριληφθεί και η φάση που ο Heurtley ξεχωρίζει ως μέση εποχή του χαλκού, είναι ελάχιστα ακόμη γνωστή στη Θάσο. Από τα λίγα ωστόσο δείγματα επιφανειακής κεραμικής, που έχουμε από τον οικισμό Άγιος Αντώνιος στον Ποτό Θάσου, διαπιστώνονται σχέσεις με την κεραμική της Μακεδονίας (πρβλ. φάση ΙΙΙ Καστανά).

Πολύ καλύτερα γνωστή είναι η προχωρημένη φάση της ύστερης εποχής του χαλκού (ύστερη εποχή του χαλκού ΙΙ), η οποία, όπως και στη Μακεδονία, προσδιορίζεται από τη σποραδική, αρχικά, και αργότερα αρκετά διαδεδομένη παρουσία της μυκηναϊκής κεραμικής.

Στη φάση ΙΑ των νεκροταφείων του οικισμού Καστρί, που τοποθετείται στην αρχή αυτής της φάσης, επικρατούν τα ηπειρωτικά στοιχεία στον πολιτισμό του νησιού. Το πασσαλόπηκτο κτίριο της ακρόπολης Καστρί, στο στρώμα καταστροφής του οποίου εμφανίζεται και επείσακτη μυκηναϊκή ΥΕ ΙΙΙΒ κεραμική, αντιπροσωπεύει μια αρχιτεκτονική παράδοση γνωστή από τη νεολιθική εποχή της Μακεδονίας, που συνεχίσθηκε και στις πρώιμες φάσεις της εποχής του χαλκού.

Η χειροποίητη επίσης κεραμική, ακόσμητη (κατηγορία Ι, 1) και εγχάρακτη (κατηγορία Ι, 2α-β), εντάσσεται στην ομάδα της μακεδονικής κεραμικής της ύστερης εποχής του χαλκού, που είναι διαδεδομένη στην κεντρική και την ανατολική Μακεδονία, κυρίως στην περιοχή ανάμεσα στον Αξιό και το Νέστο.

Η χειροποίητη κεραμική με την εγχάρακτη διακόσμηση είναι εκείνη που εμφανίζει τις μεγαλύτερες συγγένειες με την αντίστοιχη κεραμική της κεντρικής και ανατολικής Μακεδονίας. Η χαρακτηριστική αυτή κεραμική, η καταγωγή της οποίας ανάγεται στην παράδοση της πρώιμης εποχής του χαλκού, εμφανίζει πολλές συγγένειες με την εγχάρακτη κεραμική ορισμένων παραδουνάβιων πολιτιστικών ομάδων, όπως οι ομάδες Zimnicea-Plovdiv (Čerkovna), Tei IV-V, Verbicioara (Govora Sat), ακόμη και η ομάδα Wietenberger.

Ο τρόπος, με τον οποίο διαμορφώθηκαν τα κοινά χαρακτηριστικά στην εγχάρακτη κεραμική των παραπάνω ομάδων, και οι σχέσεις αυτής της βαλκανικής κεραμικής «κοινής» με την εγχάρακτη κεραμική της Μακεδονίας και της αιγαιακής Θράκης θα μπορούσαν να αποτελέσουν το αντικείμενο μιας ειδικής μελέτης, η οποία θα ξεκινούσε από τη μελέτη της κινητικότητας και άλλων πολιτιστικών στοιχείων, που επέβαλλαν οι δραστηριότητες της οικονομίας των επιμέρους πολιτιστικών ομάδων.

Ανεξάρτητα οπωσδήποτε από το πρόβλημα της διάδοσης των πολιτιστικών στοιχείων, που εντάσσεται στο πολυσυζητημένο πρόβλημα της πολιτιστικής αλλαγής — το οποίο δεν ήταν δυνατό να ερευνηθεί στα πλαίσια αυτής της μελέτης — είναι φανερή η διαμόρφωση δύο μεγάλων ομάδων εγχάρακτης κεραμικής στα ηπειρωτικά Βαλκάνια:

Η εγχάρακτη κεραμική της Μακεδονίας, της Θάσου και της αιγαιακής Θράκης, στην ύστερη εποχή του χαλκού, εμφανίζει σημεία επαφής με την «ανατολική» ομάδα, στην οποία συμπεριλαμβάνονται οι παραδουνάβιες ομάδες Tei, Verbicioara, Wietenberger, και προπαντός η διαδεδομένη και στη νότια Βουλγαρία ομάδα Zimnicea-Plovdiv (Čerkovna). Από την ομάδα αυτή διαφοροποιείται με μεγάλη καθαρότητα η «δυτική» βαλκανική ομάδα Dubovac-Žuto Brdo/Gîrla Mare, που καλύπτει τη νοτιοδυτική Ρουμανία, τη βορειοδυτική Βουλγαρία και μεγάλο μέρος της Γιουγκοσλαβίας. Οι οδοί επικοινωνίας επομένως της Μακεδονίας με τις παραδουνάβιες περιοχές, από τις οποίες κυκλοφόρησαν οι αλληλεπιδράσεις Μακεδονίας

και ηπειρωτικών Βαλκανίων στην ύστερη εποχή του χαλκού, θα πρέπει να αναζητηθούν όχι τόσο στην κοιλάδα του Αξιού, απ' όπου θα έπρεπε να είχαν προωθηθεί και επιδράσεις της ομάδας Dubovac-Žuto Brdo/Gîrla Mare, αλλά περισσότερο στις φυσικές οδούς των ποταμών Στρυμόνα, Νέστου και Έβρου. Η εμφάνιση επιδράσεων της ομάδας Tei στη νοτιοδυτική Βουλγαρία (ομάδα Čepina) και οι σχέσεις της εγχάρακτης κεραμικής της αιγαιακής Θράκης με την ομάδα Tei θα μπορούσαν να στηρίξουν την παραπάνω άποψη.

Η ύπαρξη, βέβαια, ορισμένων κοινών χαρακτηριστικών με την κεραμική των ηπειρωτικών Βαλκανίων δεν καταργεί την ιδιαίτερη φυσιογνωμία της μακεδονικής κεραμικής, η οποία στην ύστερη εποχή του χαλκού διατηρεί τα σχήματα των αγγείων της πρώιμης εποχής του χαλκού και προχωρεί και στη δημιουργία νέων σχημάτων, αποκλειστικά μακεδονικών.

Η εξάρτηση από την παράδοση της πρώιμης εποχής του χαλκού είναι φανερή επίσης και στη μεταλλοτεχνία της φάσης ΙΑ των νεκροταφείων του οικισμού Καστρί, όπου οι τύποι των χάλκινων μαχαιριών (ΕΙ, 1-ΕΙ, 4) ανάγονται σε τύπους γνωστούς από την πρώιμη και μέση εποχή του χαλκού στο Αιγαίο και στη Θράκη.

Τα ταφικά, ωστόσο, κτίσματα της φάσης ΙΑ των νεκροταφείων δεν είναι δυνατό — με το σημερινό τουλάχιστον επίπεδο των γνώσεών μας — να σχετισθούν με τα ταφικά κτίσματα της Μακεδονίας και της Θράκης. Ο κτιστός ταφικός θάλαμος με τις πολλαπλές ταφές ευκολότερα εντάσσεται στον αιγαιακό, παρά στον ηπειρωτικό πολιτιστικό χώρο. Συμπεράσματα βέβαια οριστικά δεν είναι δυνατό να διατυπωθούν, γιατί δεν ξέρουμε ακόμη τίποτε για ταφικά κτίσματα προγενέστερων φάσεων της εποχής του χαλκού της Θάσου. Οι ταφικοί τύμβοι με τις ταφές-καύσεις, στους Ποταμούς και την Εξοχή ανατολικής Μακεδονίας, καθώς και στο Batak και Trigrad της ηπειρωτικής Θράκης, δεν είναι δυνατό να σχετισθούν με τους κτιστούς ταφικούς θαλάμους και τις πολλαπλές ταφές-ενταφιασμούς των νεκροταφείων της πρωτοϊστορικής Θάσου.

Στη φάση ΙΒ των νεκροταφείων Καστρί, η χαρακτηριστική εγχάρακτη κεραμική της προηγούμενης φάσης εξαφανίζεται. Στη χειροποίητη ακόσμητη κεραμική, που επικρατεί, εμφανίζονται και ορισμένα νέα σχήματα αγγείων, όπως το μεγάλο μόνωτο ευρύστομο αγγείο με το ελαφρά λοξότμητο χείλος (σχήμα IV), που θα αποτελέσει το χαρακτηριστικό αγγείο της επόμενης φάσης ΙΙΒ. Τα χαρακτηριστικά, όμως, σχήματα αγγείων της χειροποίητης κεραμικής της φάσης ΙΒ των νεκροταφείων, το δίωτο φιαλόσχημο αγγείο με τις κατακόρυφες κυλινδρικές λαβές στον ώμο (σχήμα ΙΙ) και η οινοχόη με τη λαβή που σταματά κάτω από το χείλος (σχήμα VIIA), προέρχονται από την παράδοση της πρώιμης και μέσης εποχής του χαλκού, η οποία πιθανότατα είχε επιβιώσει και στη φάση ΙΑ των νεκροταφείων Καστρί.

Το χαρακτηριστικό, ωστόσο, γνώρισμα της φάσης ΙΒ των νεκροταφείων Καστρί είναι η συχνή εμφάνιση της μυκηναϊκής κεραμικής, φαινόμενο που την ίδια εποχή παρατηρείται και στην κεντρική και ανατολική Μακεδονία. Τα μυκηναϊκά αγγεία, που εμφανίζονται σε τάφους της φάσης ΙΒ των νεκροταφείων Καστρί, έχουν σχήματα ως επί το πλείστον ΥΕ ΙΙΙΒ περιόδου και έχουν παραχθεί σε τοπικά εργαστήρια. Η παραγωγή τοπικής μυκηναϊκής κεραμικής στη Μακεδονία άρχισε ήδη από την ΥΕ ΙΙΙΒ περίοδο, εντάθηκε όμως στην ΥΕ ΙΙΙΓ, στη διάρκεια της οποίας ελάχιστα είναι τα επείσακτα μυκηναϊκά αγγεία στη Μακεδονία.

Τα τοπικά μυκηναϊκά αγγεία της Μακεδονίας και της Θάσου ξεχωρίζουν σε δύο ομάδες· η πρώτη (κατηγορία ΙΙ, Α1 νεκροταφείων Καστρί) εμφανίζει μια σχετικά υψηλή ποιότητα (λεπτά τοιχώματα, ρυθμισμένη οξείδωση, γραπτή διακόσμηση), ενώ η δεύτερη (κατηγορία ΙΙ, Α2 νεκροταφείων Καστρί) πλησιάζει την τεχνική κατασκευής στην τοπική χειροποίητη κεραμική. Η πρώτη ομάδα, η οποία, όπως διαπιστώθηκε στην περίπτωση του Καστανά, παρακολουθεί όλες τις εξελίξεις της νοτιοελλαδικής μυκηναϊκής κεραμικής, πρέπει να αποδοθεί σε μυκηναϊκά περιφερειακά εργαστήρια. Που ήταν εγκατεστημένα αυτά τα εργαστήρια στο βόρειο Αιγαίο, είναι ακόμη άγνωστο. Συνήθως προτείνονται τα παράλια της Χαλκιδικής, αλλά τίποτε ακόμη δεν είναι εξακριβωμένο.

Με την πρόοδο της έρευνας στους οικισμούς των παραλίων της Μακεδονίας και της Θράκης θα διευκρινισθούν κάποτε οι σχέσεις των Μυκηναίων με τους τοπικούς αυτούς οικισμούς και γενικότερα ο χαρακτήρας που πήρε το μυκηναϊκό εμπόριο στο βόρειο Αιγαίο. Από το γνωστό ως τώρα αρχαιολογικό υλικό φαίνεται ότι, όπως στην ανατολική Μεσόγειο, την Κά-

τω Ιταλία, τη Σικελία και τη Σαρδηνία, ένα μεγάλο μέρος της εμπορικής δραστηριότητας των Μυκηναίων στα παράλια της Μακεδονίας και της αιγαιακής Θράκης, καθώς και στα κοντινά νησιά, όπως η Θάσος, διοχετεύθηκε μέσα από τους τοπικούς οικισμούς. Από τους οικισμούς αυτούς, που πρέπει να βρίσκονταν στα παράλια ή σε μικρή απόσταση από αυτά, πέρασαν επίσης, μαζί με τα εμπορικά προϊόντα, και πολιτιστικά στοιχεία του μυκηναϊκού κόσμου, που εντοπίζουν οι πρόσφατες συστηματικές ανασκαφές στη Μακεδονία, όπως τα πλινθόκτιστα κτίσματα, οι αλλαγές στη γεωργία και την κτηνοτροφία, που συμπίπτουν με τη διάδοση της μυκηναϊκής κεραμικής στον οικισμό του Καστανά, ή η τειχισμένη ακρόπολη-διοικητικό κέντρο με το οργανωμένο σύστημα αποθηκών στην Άσσηρο.

Την παρουσία των Μυκηναίων στα παράλια της Χαλκιδικής τονίζει και η εμφάνιση μυκηναϊκού ειδωλίου στον Άγιο Μάμα, αφού είναι γνωστό ότι τα μυκηναϊκά ειδώλια δεν υπήρξαν ποτέ αντικείμενα εμπορίου.

Στη Θάσο, η διάδοση της μυκηναϊκής κεραμικής στη φάση ΙΒ των νεκροταφείων Καστρί συνοδεύεται και από την επικράτηση χάλκινων μαχαιριών μυκηναϊκών τύπων (ΕΙ, 5-6, ΕΙΙ, ΕΙΙΙ). Με την άφιξη, επίσης, του μυκηναϊκού εμπορίου θα μπορούσε να συνδεθεί και η εμφάνιση των πρώτων σιδερένιων μαχαιριών, τα αρχαιότερα από τα οποία είναι πιθανό ότι προέρχονται από την ανατολική Μεσόγειο (Παράρτημα VII), καθώς και τα σποραδικά παραδείγματα ταφών-καύσεων. Με το μυκηναϊκό, επίσης, εμπόριο θα ήταν δυνατό να σχετισθούν στη φάση αυτή οι χάνδρες από ήλεκτρο και οι χάνδρες από γαλάζια υαλόμαζα, που πρωτοεμφανίζονται σε τάφους της φάσης ΙΒ των νεκροταφείων, αλλά η εργαστηριακή έρευνα έχει αρχικά επισημάνει διαφοροποιήσεις στην τεχνολογία της υάλου από τα γνωστά μυκηναϊκά παραδείγματα και αντιστοιχίες με ευρήματα από τη βόρεια Ιταλία (Παράρτημα XI). Δεν γνωρίζουμε αν πρέπει να αποδοθεί σε μυκηναϊκή επίδραση η εμφάνιση και των ταφικών κτισμάτων τύπου ΙΒ, με την περίπου κυκλική κάτοψη και τη διαμορφωμένη είσοδο και οροφή, στα οποία, εκτός από τη μυκηναϊκή κεραμική, τις χάνδρες από ήλεκτρο και γαλάζια υαλόμαζα, εμφανίζεται και το τόσο συχνό στους μυκηναϊκούς τάφους ταφικό έθιμο της καθαρτήριας πυράς.

Ανάμεσα στα προϊόντα της περιοχής, για τα οποία θα μπορούσαν να ενδιαφερθούν οι Μυκηναίοι, πρέπει να ήταν και τα μέταλλα του νησιού. Από το αρχαιολογικό υλικό των νεκροταφείων που εξετάσαμε, ελάχιστα στοιχεία προκύπτουν για τη σύνδεση των Μυκηναίων με την πρώιμη μεταλλουργία του νησιού. Οι ποσότητες του θασιακού χαλκού που χρησιμοποιούσε η πρωτοϊστορική Θάσος δεν ήταν ιδιαίτερα υψηλές (πρβλ. Παράρτημα VII, ανάλυση ισοτόπων μολύβδου χάλκινων αντικειμένων, όπου ένας μικρός αριθμός από χάλκινα αντικείμενα έχει κατασκευασθεί από θασιακό χαλκό), ενώ για την εκμετάλλευση των πολύτιμων μετάλλων του νησιού (χρυσού και αργύρου) δεν έχει ακόμη προκύψει κανένα συγκεκριμένο στοιχείο. Θα μπορούσαμε βέβαια να τονίσουμε την εμφάνιση των δύο χρυσών σφηκωτήρων στη φάση ΙΒ των νεκροταφείων και τη διαπιστωμένη εκμετάλλευση των κοιτασμάτων μολύβδου στη Θάσο, που ήταν γνωστή οπωσδήποτε στην ίδια φάση.

Από την ανάλυση των ισοτόπων μολύβδου μολύβδινων αντικειμένων (Παράρτημα V), δεν έχουν προκύψει βέβαια στοιχεία για την παραγωγή αργύρου με κυπέλλωση από τα πλούσια κοιτάσματα μολύβδου-αργύρου του νησιού, είναι ωστόσο απίθανο να ήταν άγνωστη στην πρωτοϊστορική Θάσο αυτή η διαδικασία παραγωγής αργύρου, που εφαρμοζόταν στο Αιγαίο από την πρώιμη εποχή του χαλκού.

Στη φάση ΙΙ των νεκροταφείων Καστρί, με την οποία είναι σύγχρονο και το νεκροταφείο της θέσης Λαρνάκι, η μυκηναϊκή παρουσία υποχωρεί σταδιακά και τελικά εξαφανίζεται. Με την εξαφάνιση της μυκηναϊκής κεραμικής, μετά τη φάση ΙΙΑ, συμπίπτει και η εξαφάνιση του ηλέκτρου, καθώς και των χάλκινων μαχαιριών με τους χαρακτηριστικούς μυκηναϊκούς τύπους (ΕΙ, 5-6, ΕΙΙ, ΕΙΙΙ).

Τα ποσοστά των σιδερένιων μαχαιριών αυξάνονται σταδιακά, ώσπου στη φάση ΙΙΒ3 τα σιδερένια μαχαίρια αντικαθιστούν τελείως τα χάλκινα.

Η χαρακτηριστική κεραμική αυτής της φάσης, που καλύπτει χρονικά τις πρώτες φάσεις της πρώιμης εποχής του σιδήρου, είναι η αυλακωτή κεραμική με γραμμική (κατηγορία Ι, 3) ή ραβδωτή διακόσμηση (κατηγορία Ι, 4).

Παρόλο που τα σχήματα της νέας αυτής κεραμικής ανάγονται στην παράδοση της πρώιμης εποχής του χαλκού και η αυλακωτή διακόσμηση είναι γνωστή στην ανατολική Μακεδονία και στην αιγαιακή Θράκη, καθώς και στο ανατολικό Αιγαίο και τα παράλια της δυτικής Μικράς Ασίας στην πρώιμη εποχή του χαλκού, εφόσον λείπουν τα ενδιάμεσα παραδείγματα, δεν είναι δυνατό να γεφυρωθεί το χρονικό κενό και να εξαρτηθεί η αυλακωτή κεραμική της Θάσου από την παράδοση της πρώιμης εποχής του χαλκού. Αγεφύρωτο, επίσης, είναι το χρονικό κενό που μεσολαβεί ανάμεσα στις τελευταίες επιβιώσεις τοπικής μινύειας κεραμικής της κεντρικής Μακεδονίας, οι οποίες εμφανίζουν γραμμική αυλακωτή διακόσμηση, και στην αυλακωτή κεραμική, που στην πρώιμη εποχή του σιδήρου εμφανίζεται στη Μακεδονία, την αιγαιακή Θράκη και τη Θάσο.

Επειδή η εμφάνιση της αυλακωτής κεραμικής στη Θάσο, όπως άλλωστε και στη Μακεδονία και στη Θράκη, συμπίπτει με την επικράτηση μιας αυλακωτής «κοινής» στην πρώιμη εποχή του σιδήρου, που σχετίζεται με τη διάδοση των επιδράσεων του πολιτισμού Urnenfelder από την κεντρική Ευρώπη προς την Ιταλία, τη δυτική Ευρώπη και τα Βαλκάνια, είναι προτιμότερο να συνδυασθεί και η αυλακωτή κεραμική της Θάσου με τις επιδράσεις της κεντροευρωπαϊκής αυλακωτής κεραμικής στη Μακεδονία και στη Θράκη.

Η εμφάνιση της ραβδωτής κεραμικής στην κεντρική Μακεδονία σχετίσθηκε βέβαια με στρώματα καταστροφής σε ορισμένους οικισμούς της κοιλάδας του Αξιού (Βαρδαρόφτσα, Λιμνότοπος, Καστανάς), αλλά, όπως φαίνεται από τη στρωματογραφία της Βαρδαρόφτσας και του Καστανά, η παρέμβλητη στην πολιτιστική συνέχεια των οικισμών διακοπή υπήρξε σύντομη και γρήγορα η επείσακτη αυλακωτή κεραμική και τα άλλα πολιτιστικά στοιχεία που τη συνόδευαν (πρβλ. πασσαλόπηκτα κτίρια στον Καστανά) αφομοιώθηκαν από την τοπική κεραμική και την αρχιτεκτονική παράδοση. Το ποσοστό, άλλωστε, της αυλακωτής κεραμικής στην κεντρική Μακεδονία πάντοτε παρέμεινε χαμηλό και η τοπική κεραμική παραγωγή ποτέ δε διακόπηκε. Το φαινόμενο, εξάλλου, των καταστροφών δεν υπήρξε γενικό στη Μακεδονία, ενώ όσο απομακρυνόμαστε από την κοιλάδα του Αξιού, τόσο αραιότερη είναι η παρουσία της ραβδωτής κεραμικής.

Στη Θάσο, η συνέχεια της χρήσης των τάφων και η σταδιακή επικράτηση της αυλακωτής κεραμικής στους τάφους αποκλείει τη σύνδεσή της με πληθυσμιακές ανακατατάξεις και πολιτιστικές αλλαγές. Η αυλακωτή κεραμική εμφανίζεται περισσότερο ως ένας νέος τρόπος διακόσμησης σε μια τοπική κεραμική, που διατηρεί τα σχήματα μιας τοπικής κεραμικής παράδοσης που ανάγεται στην πρώιμη εποχή του χαλκού. Ιδιαίτερες σχέσεις με την κεντρική Μακεδονία εμφανίζει μόνο η ραβδωτή κεραμική (κατηγορία I, 4), παρόλο που το ευρύστομο μόνωτο αγγείο στην κεντρική Μακεδονία δεν εμφανίζει συχνά λοξότμητο χείλος και ανάλογη γωνιόσχημη λαβή. Η γραμμική αυλακωτή διακόσμηση της κατηγορίας I, 3 και το χαρακτηριστικό σχήμα του μόνωτου ευρύστομου αγγείου με το ελαφρά λοξότμητο χείλος και τη γωνιόσχημη λαβή προσεγγίζουν την αυλακωτή κεραμική της Θάσου στην αυλακωτή κεραμική των παραλίων της αιγαιακής Θράκης και της Τροίας VIIb2.

Στην πρώιμη εποχή του σιδήρου φαίνεται ότι διακόπτεται η πολιτιστική ενότητα, που στην ύστερη εποχή του χαλκού είχε δημιουργηθεί στο χώρο της ανατολικής και κεντρικής Μακεδονίας. Στην ανατολική Μακεδονία, όπως και στη Θάσο, διαμορφώνεται τώρα μια πολιτιστική ομάδα που σχετίζεται περισσότερο με την αιγαιακή Θράκη.

Οι σχέσεις, ωστόσο, που επισημαίνονται με την κεραμική της ηπειρωτικής Θράκης, που φθάνουν ως την ομάδα Babadag (φάση Ι), δε σημαίνουν ταύτιση των κεραμικών ομάδων αυτών των μακρινών περιοχών.

Στη Θάσο και στα παράλια της Μακεδονίας, της Θράκης και της Μικράς Ασίας, διαμορφώνονται ξεχωριστές κεραμικές ομάδες, που προσαρμόζουν τις άμεσες ηπειρωτικές επιδράσεις στη δική τους πολιτιστική παράδοση. Είναι χαρακτηριστική η απουσία από τη Θάσο και την Τροία VIIb του turban bowl, χαρακτηριστικού σχήματος της ηπειρωτικής αυλακωτής κεραμικής, και αξιοσημείωτη επίσης η απουσία της σταμπωτής κεραμικής, που παρατηρείται στη Θάσο και στην Τροία VIb2.

Στη φάση IIB, παρά την επικράτηση ενός τοπικού χαρακτήρα, που είναι φανερός στην κεραμική, αλλά και στη μεταλλοτεχνία του οικισμού Καστρί, η επικοινωνία της Θάσου με

την απέναντι Περαία και τον αιγαιακό χώρο δεν πρέπει να έχουν διακοπεί. Η παρουσία μιας τροχήλατης κεραμικής, η οποία πιθανότατα συνεχίζει τη μυκηναϊκή παράδοση, η εμφάνιση χάλκινων πορπών και ψήφων ηλέκτρου στην αρχή της φάσης ΙΙΒ, βεβαιώνουν την επικοινωνία με κέντρα παραγωγής τροχήλατης κεραμικής. Ορισμένα επίσης σχήματα αγγείων της τοπικής χειροποίητης κεραμικής, όπως ο αμφορέας τύπου VIΓ 125, καθώς και ορισμένα διακοσμητικά θέματα της αυλακωτής κεραμικής (κυματιστές γραμμές, «τρίγλυφα» και «μετόπες»), μαρτυρούν επιδράσεις πρωτογεωμετρικής κεραμικής και επικοινωνία με τις περιοχές, στις οποίες παράγονταν.

Στη φάση ΙΙΓ των νεκροταφείων Καστρί, που συμπίπτει με το τέλος της πρώιμης εποχής του σιδήρου, αρχίζει μια νέα εποχή πολιτιστικών επικοινωνιών της Θάσου, τόσο με τη Μακεδονία και τη Θράκη όσο και με τα νησιά του βορειοανατολικού Αιγαίου και την Αιολίδα. Η στροφή στο χώρο του βορειοανατολικού Αιγαίου συμπίπτει και με μια αλλαγή στον τύπο των οικισμών, που από το εσωτερικό μετατοπίζονται τώρα προς τα παράλια. Δεν είναι βέβαιο αν η εγκατάλειψη του οικισμού Καστρί συμπίπτει με τη δημιουργία του προαποικιακού οικισμού στη θέση της αρχαίας Θάσου ή αν ο οικισμός στο Καστρί διαλύεται με την εγκατάσταση των Πάριων αποίκων.

Η ανεύρεση, ωστόσο, κεραμικής τύπου G 2-3 σε τάφο της φάσης ΙΙΓ των νεκροταφείων Καστρί και θραυσμάτων αμφορέων με υπογεωμετρική διακόσμηση στην ακρόπολη Καστρί συνηγορούν για μια σύντομη συνύπαρξη του οικισμού Καστρί με τον προαποικιακό οικισμό της αρχαίας Θάσου.

Με την επανάληψη των πολιτιστικών επικοινωνιών με το Αιγαίο, η οποία σχετίσθηκε με την άφιξη των Φοινίκων στη Θάσο και την εκμετάλλευση των μεταλλείων χρυσού του νησιού, η πρωτοϊστορική Θάσος ετοιμάζεται να περάσει στους ιστορικούς χρόνους. Με την ίδρυση της κυκλαδικής αποικίας στις αρχές του 7ου αι. π.Χ. το νησί θα αποτελέσει ένα κέντρο ελληνικού πολιτισμού, από το οποίο θα μεταφερθεί ο ελληνισμός και η παιδεία του στη Θράκη.

ΠΑΡΑΡΤΗΜΑΤΑ

ΠΑΡΑΡΤΗΜΑ Ια

GRÄBERFELDER DER SIEDLUNG KASTRI, THASSOS
IDENTIFIKATION DER SKELETRESTE

VORBEMERKUNG

Das Skeletmaterial wurde von mir in der Zeit vom 19.-26. April 1979 in Museum für Archäologie in Kavala untersucht. Vordringlichstes Ziel war dabei, das außerordentlich fragmentarische Skeletmaterial unter dem Gesichtspunkt von Alter und Geschlecht zu sichten. In anbetracht des Materialzustandes und der Kürze der zur Verfügung stehenden Zeit wurde auf jegliche Rekonstruktionsarbeit verzichtet, da vertretbare Ergebnisse ohnehin nur für einige en bloc geborgene Schädel sinnvoll gewesen wären. Der Bericht enthält daher auch keine metrischen Angaben. Aufgrund des Materialzustandes wird die Frage einer möglichen Zusammengehörigkeit von Einzelskeleten im Sinne einer Familienbestattung auch nur sehr vereinzelt diskutiert werden können.

Die Befunde werden im folgenden katalogartig wiedergegeben.

I. GRÄBERFELD KENTRIA (K)

Systas K1

TAPHOS K1A

Mit Sicherheit nachzuweisen sind zwei, wahrscheinlicher jedoch drei Erwachsene, davon ein männliches Individuum. Diese haben offensichtlich alle die mature Altersstufe erreicht. Darüberhinaus sind faßbar ein Kleinkind und ein Infans I-II-Kind.

Systas K2

TAPHOS K2 (Δ-E, ΣT)

Bestattungen Δ: Extremitätenreste eines robusten, eher männlichen fortgeschritten adulten bis frühmaturen Individuums; Innenohr eines Säuglings; einzelne Skeletreste eines späten Infans I-Kindes.
Bestattungen E: Die Funde aus E I-III ergänzen sich zu insgesamt mindestens 3 Erwachsenen (mitteladult bis maturen) Individuen, von denen mindestens eine weiblich gewesen ist. In E V sind die Trümmer eines wohl kindlichen (Infans I-II) Schädels enthalten.
Bestattungen ΣT: Mann, fortgeschritten adult. Frau, adult.

TAPHOS K2Z

Komplex 1: Vermutlich nicht zu Komplex 2 gehörige Reste eines erwachsenen Individuums.
Komplex 2: Skeletreste eines erwachsenen Individuums. Die Skeletreste aus Komplex 1 sind etwas zierlicher als die aus Komplex 2. Eine Geschlechtsangabe ist in beiden Fällen nicht möglich.

TAPHOS K2H

Kind; mindestens 2, nicht über 7 Jahren.

Systas K3

TAPHOS K3A

Nachweisbar sind mindestens 2 Erwachsene, einer davon wahrscheinlich männlich, sowie ein etwa 3-5jähriges Kind.

Systas K4

TAPHOS K4A

Zähne eines wahrscheinlich maturen Mannes, Zähne eines 6-7jährigen Kindes.

Systas K6

TAPHOS K6A

Drei unspezifische Extremitätenreste vom Erwachsenen.

TAPHOS K6B

Bestattungen α: Schädelreste eines 3-4jährigen Kindes. Ein zweites, etwas jüngeres Kind (2-3 Jahre) ist über ein rechtes Innenohr belegt.
Bestattungen β: Schädelreste eines 3-4jährigen Kindes sowie Zahnreste gleichaltriger Kinder, die jedoch nicht zu diesem Individuum gehören.
Bestattung γ: Zahnreste eines 3-4jährigen Kindes.

Streufunde zu Taphos B: Die hierunter erfaßten Skeletreste ergänzen das als Kranio B bezeichnete kindliche Skelet. Die Zahnfunde komplettieren die übrigen Gebisse von Taphos B, ohne die diagnostischen Möglichkeiten zu erweitern.

TAPHOS K6Γ

Schädelreste eines 2-3jährigen Kindes, linkes Innenohr und diverse Langknochen einschließlich Clavicula eines Neugeborenen.

TAPHOS K6Δ

Bruchstücke kindlicher (ca. 4-6 Jahre) Extremitätenknochen und Diaphysentrümmer vom Erwachsenen ohne diagnostischen Wert.

II. GRÄBERFELD BRYSOUDES (B)

Systas B1

TAPHOS B1A

S t r a t u m II

Bestattung α: Männlich, fortgeschritten matur.
Bestattung δ: Etwa 40-50jähriger Mann.
Bestattung ε: Schädelreste eines fortgeschritten erwachsenen Individuums, zierlicher als Bestattung δ.
Bestattung β: Einzelne Bruchstücke eines Schädels, die in Robustizität und Reifegrad zu Bestattung α oder ε gehören können, jedoch keine direkte Anschlußmöglichkeit zeigen.

Alle aus diesem Stratum geborgenen Extremitätenknochen zeigen ein fortgeschrittenes Alter; aus den Extremitätenresten lassen sich jedoch mit Sicherheit nur zwei Individuen belegen, wenn auch ein drittes wahrscheinlich erscheint. Mit Sicherheit nicht zusammengehörig sind die Fundnummern Nr. 10 und Nr. 4, Nr. 2 und Nr. 11, Nr. 5 und Nr. 8-9, bei Nr. 1 und Nr. 11 ist die Zusammengehörigkeit unwahrscheinlich.

Die Femurdiaphyse Nr. 11 weist eine spontan verheilte Fraktur in der Diaphysenmitte auf, und das Tibiastück Nr. 3 trägt osteomyelitische Anzeichen.

Stratum III

Bestattung γ: Mann, fortgeschritten matures Alter.
Bestattung στ: Mitteladult bis mittelmatures, eher weibliches Individuum.
Bestattung ζ: Reste eines kindlichen Schädels von 4-5 Jahren.
Bestattung η: Schädelreste eines 10-11jährigen Kindes.

Die zugehörigen postcranialen Skeletreste sind praktisch nur durch Langknochendiaphysen vertreten. Interessanterweise fehlen dabei die kindlichen Skeletreste. Anhand der Extremitätenknochen sind aus dem Stratum III wenigstens drei erwachsene Individuen nachzuweisen. Die Tibia-Diaphyse Nr. 3-24 zeigt eine mediale Periostitis.

Insgesamt ist bei allen Schädeln bemerkenswert der Reliefreichtum, die Dicke des Hinterhauptes und die relativ deutliche Ausladung der Tubera parietalia. Die Extremitätsknochen sind von einer teilweise sehr bemerkenswerten Robustizität, wobei insbesondere an den Femura die außerordentliche Platymerie auffällt.

Möglicherweise zusammengehörige Skeletreste: Nr. 3-1a und 3-13. Nr. 3-1 und 3-11. Nr. 3-12 und 3-11 oder 3-13. Nr. 3-4 und 3-17(?). Nr. 3-7/3-6 zu Nr. 3-4 oder 3-15/16. Nr. 3-8/9 zu Nr. 3-19 (?).

TAPHOS B1B

Bestattung α: Schädelreste eines mitteladulten Individuums.
Bestattung β: Reste eines mittel- bis spätadulten weiblichen Schädels.
Bestattung γ: Ein dritter Schädel ist über Unterkiefer- und Kalottenreste belegt.

Neben den Schädelresten wurden aus Taphos B ausschließlich Langknochenstücke vom postcranialen Skelet geborgen. Mit Ausnahme eines rechten Femur, das von einem 5-7jährigen Kind stammt (Hinweise auf ein Kind ergeben sich auch aus erhaltenen Zahnresten), sind die geborgenen Langknochenstücke alle von erwachsenen Individuen. Während die Schädelreste drei Individuen wahrscheinlich machen, lassen sich aus den postcranialen Fragmenten mit Sicherheit nur zwei Individuen belegen. Aufgrund des äußeren Erscheinungsbildes ist es wahrscheinlich, daß die Nummern 16/17 und 14 zum selben Individuum gehören, desgleichen die Nummern 8, 9 und 11.

TAPHOS B1Γ

Stratum I

Bestattungen α: Reste eines mitteldicken, fortgeschritten erwachsenen Schädels.

Die postcranialen Skeletreste zeigen die gleiche Altersstufe, der Körperbau kann als grazil angesprochen werden. Sichere Anzeichen für ein zweites Individuum fehlen.

Stratum II

Bestattungen δ-ε: Schädelreste eines Kindes (mindestens 3, nicht über 7 Jahre).

Weitere Skeletreste des Kindes liegen mit Ausnahme eines Oberschenkelfragmentes nicht vor. Die Hauptmasse der postcranialen Stücke stammt von normalen bis robusten Individuen, die Knochenoberfläche ist z. T. erheblich reliefreich. Nachzuweisen sind mindestens drei Individuen, deren Geschlecht jedoch nicht angegeben werden kann.

Stratum III

Bestattungen η: Neben einem handflächengroßen Schädelstück eines Kleinkindes sind Zähne eines Infans I-Individuums (II-IV); Zähne eines späten Infans II-Individuums (10-12) und Zähne eines mindestens juvenilen, nicht jedoch über mitteladulten Individuums nachweisbar.
Bestattungen ζ: Die Partie besteht im wesentlichen aus Zähnen. Danach lassen sich belegen ein fortgeschritten erwachsenes Individuum mit erheblicher Abkauung (matur); ein Individuum mit weniger starkem Abkauungsgrad (adult); ein Kleinkind (mittleres Infans I) und ein Infans II. Weiterhin sind wenige unspezifische Diaphysenfragmente sowie Schädelteile und ein Fragment einer Kleinkinder-Scapula in diesem Konvolut enthalten.

Die zugehörigen Langknochen stammen von wenigstens zwei Individuen, die beide einen grazilen Eindruck erwecken und der erwachsenen Altersstufe angehören.

Nachweisbar ist ein Humerus eines größeren Säugers (vermutlich Schwein).
Bestattungen θ: Wenige kindlich dünne Kalottenbruchstücke eines Kleinkindes zwischen zwei, nicht jedoch über 8 Jahren.

Die mitgeborgenen Reste des postcranialen Skeletes stammen sämtlich vom Erwachsenen, Angaben über die Individuenzahlen sind in diesem Falle nicht möglich.

Stratum IV

Bestattungen β: Kalotte eines mitteladult-bis frühmaturen Mannes.
Bestattungen γ: Trümmer einer dünnwandigen, juvenil bis frühadulten Kalotte.

Die relativ wenigen geborgenen Extremitätenreste stammen von einem normalwüchsigen bis grazilen Individuum und von einem offenbar kräftigen Individuum, sie entsprechen hinsichtlich ihrer Altersstufe den beiden Schädeln.

TAPHOS B1Δ

Die sehr wenigen erhaltenen Langknochenstücke sind stark dekomponiert. Sicher nachweisbar sind zwei Individuen: Ein erwachsenes, eher graziles, und ein eher robustes, fortgeschritten erwachsenes.

Ein unter der Nummer 5 geborgener Humerus aus Taphos B1Δ gehört mit großer Wahrscheinlichkeit zu Taphos B1Γ.

Taphos B2

Bestattungen α: Kalottendach eines adulten, klassisch weiblichen Schädels.
Bestattungen β: Skeletreste eines im ganzen weiblichen Individuums der adulten Altersstufe.
Bestattungen γ: Mature, eher männliche Kalotte.
Bestattungen δ: Dickwandige Kalotte mit adulter Diploidisierung; einige bei Bestattung γ gefundene Schädeltrümmer könnten zu Bestattung γ gehören, in diesem Falle wäre insgesamt männliches Geschlecht anzunehmen.

Ferner wurde in der Nähe von Bestattung δ ein Konvolut eines weiblichen Skeletes (Kalotte und Extremitätenreste), das Individuum war adult, gefunden.
Bestattungen ε: Die Milchzähne aus Taphos B2 sind ohne osteologische Begleitfunde.

III. GRÄBERFELD TSIGANADIKA (T)

Taphos T1

Bestattungen η: Belegt sind zwei Individuen durch Unterkieferfragmente, beide annähernd mitteladult.

Systas T2

TAPHOS T2A

Zähne eines früh- bis mitteladulten Individuums.

Systas T3

TAPHOS T3B

Zähne zweier Individuen, eines mit etwas größeren Zähnen und weniger abgekaut, annähernd mitteladult; das zweite mit etwas kleineren Zähnen und stärker abgekaut, wohl spätadult bis matur.

Systas T5

TAPHOS T5Δ

Zähne eines ca. 6jährigen und Innenohr eines Neugeborenen.

Systas T7

Im folgenden werden nur die aussagefähigen Stücke berücksichtigt.

TAPHOS T7A

Reste eines Kindes (Infans I, ca. 6 Jahre) und Fragmente eines älteren, wohl maturen Individuums.

TAPHOS T7B

Zahnreste eines späten Infans II bis jugendlichen Individuums, Unterschenkelfragment eines Erwachsenen (matur).

TAPHOS T7Γ

Diverse Extremitätenreste eines maturen Individuums und Zahnanlagen von Kleinkindern im Alter von 9 und 18 Monaten.

Insgesamt sind in Systas T7 wenigstens 3 Kinder der Altersstufe Infans I nachweisbar (9 Monate, 18 Monate, ca. 6 Jahre), ferner ein etwa 10-14 jähriges Individuum und wenigstens 1 fortgeschritten erwachsenes.

Taphos T8

Reste eines fortgeschritten adulten, grazilen Erwachsenen; einige Tierzahntrümmer.

Taphos T9

Kieferreste und Zähne mit maturem Abkauungsgrad, wahrscheinlich eine Frau; ein zweites adultmatures Individuum ist über Dauerzähne belegt. Aus den Diaphysentrümmern der Extremitäten, die wohl mature Reife haben und erheblich dekomponiert sind, ergeben sich keine weiteren Anhaltspunkte zur Individuenzahl.

Taphos T10

Stark dekomponierte Reste eines deutlich maturen Individuums.

Taphos T12

Mittelgroße bis große Menge Leichenbrand, vollständig verbrannt, mittelgroß, im wesentlichen bestehend aus: Schädel und Langknochen, neben denen ein Wirbelfragment und drei Phalangenstücke nachweisbar sind. Wahrscheinlich männlich, fortgeschritten adult Bronzespuren auf einer Phalange und einem Langknochenstück mitverbrannte Tierknochen: Eine Phalange und zwei Rippen, wohl von Schaf oder Ziege.

Insgesamt ist die Zusammensetzung des Fundes nicht repräsentativ, da Rumpf und Hände bzw. Füße unterrepräsentiert sind respektive fehlen.

Taphos T13

Eher geringe Menge Leichenbrand, vollständig verbrannt, mittelgroß, einzelne Teile mit leichtem Sinter-Überzug (Wassereinbruch in Pithos). Erhalten sind praktisch nur Langknochen und drei kleine Schädelstücke, die Rumpfregion ist nicht belegt.

Insgesamt eher männlich, fortgeschrittenes Alter (matur?).

Systas T14

TAPHOS T14A

Reste eines juvenilen bis frühadulten Individuums, zierlicher Körperbau: Zahnreste eines um 4jährigen Kindes, zu diesen gibt es in den Knochenfunden keine der Altersstufe entsprechenden Fragmente.

TAPHOS T14B

Aufgrund der erhaltenen Skeletreste und Zähne ergibt sich folgendes Bild: Nachweisbar ist ein Kleinkind der Altersstufe Neonatus bis 0.5 Jahre.

Ein Kind der Altersstufe Infans I (nicht über 5 Jahre), wenigstens zwei adulte, relativ grazile Individuen, wenigstens drei mature Individuen, die Möglichkeit der Anwesenheit eines sechsten Erwachsenen kann nicht ausgeschlossen werden.

Taphos T15

Wenige Leichenbrandfragmente eines Kindes der Altersstufe Infans II (etwa 6-10 Jahre).

Taphos T16

Neben unspezifischen Bruchstücken eines Kleinkinderschädels und eines möglicherweise kindlichen Extremitätenknochens liegen mehrheitlich Skeletreste eines Erwachsenen vor, aus denen kein Anhalt für mehrere Individuen abzuleiten ist.

Systas T17

TAPHOS T17A

Nachweisbar sind folgende Individuen: Ein Individuum der Altersstufe Infans I, ein Individuum der Altersstufe Infans II bis Juvenis, drei oder vier Individuen der adulten Altersstufe, davon wenigstens ein Mann, wenigstens eine Frau und ein bzw. zwei Individuen nicht bestimmbaren Geschlechtes; drei bis vier Individuen der maturen Altersstufe, davon wenigstens eines männlich, eines weiblich (?) und ein bis zwei Individuen nicht bestimmbaren Geschlechtes.

TAPHOS T17B

Insgesamt mäßige Menge unspezifischer Trümmer von Kleinkinderskeleten, aus den Gebißresten lassen sich wenigstens zwei Individuen zwischen 4 und 8 Jahren belegen, wobei die obere Altersgrenze unwahrscheinlich ist. Der Materialzustand schließt leider nähere Angaben zum Alter sowie eine sichere Diagnose der Individuenzahl aus.

Taphos T18

Die aus dieser Grabanlage geborgenen Skeletreste sind zahlenmäßig außerordentlich umfangreich, sie liegen bei rd. 800 Einzelpositionen, wobei unter einer Fundnummer häufig mehrere Skeletelemente vereinigt sind. Der außerordentliche Umfang des Fundgutes und der relativ schlechte Erhaltungszustand gestatten ohne detailierte, langwierige Untersuchungen nur kursorische Ergebnisse über die angenäherte Zahl der bestatteten Individuen sowie einige ganz allgemeine Bemerkungen zum äußeren Erscheinungsbild.

Insgesamt hat man den Eindruck einer kräftig gebauten, nicht aber durchgängig derb robusten Bevölkerung. Für zwei möglicherweise männliche Femore (Nr. 253, Nr. 590) wurden die Längen auf jeweils 460 mm geschätzt. Nach den Formeln von Eliakis et al., die an einem griechischen Kollektiv ermittelt worden sind, würde sich die Körperhöhe daraus mit annähernd 175 cm errechnen. Die Körperhöhe, berechnet aus dem Radiusfragment von Nr. 764, liegt mit 169 cm (weiblich) bzw. 170 cm (männlich) ebenfalls in dieser Größenordnung.

Die Erfassung spezifischer anatomischer Merkmale (wie z.B. nonmetric traits) war naturgemäß bei dem Materialzustand nahezu unmöglich. Auffällig war jedoch der extrem starke Pilaster, der sich an zahlreichen Femora fand. Der Index lag in der Größenordnung von 135, in einigen Fällen mag er sogar noch darüber liegen. Eine weitere Formeigentümlichkeit weisen zahlreiche Tibien auf, deren transversaler Durchmesser klein bei gleichzeitig großem saggitalem Durchmesser ist. Dadurch entsteht der Eindruck einer latero-medial abgeplatteten Tibia, wobei diese eigentümliche Bildung nicht liegezeitbedingt (Verdrückung) ist. Man wird diese wenigen Anhaltspunkte sinnvoll dahingehend zu deuten haben, daß innerhalb dieser Grabanlage offensichtlich bevorzugt die Mitglieder einer Familie bzw. eines Familienverbandes beigesetzt worden sind.

Interessanterweise finden sich derartige Tibien und insbesondere starke Pilasterbildungen der Femura auch vereinzelt in anderen Gräbern des Gräberfeldes Tsiganadika. Die eigentümliche Femurbildung konnte sogar im Gräberfeld Kentria nachgewiesen werden, nicht aber in den Gräberfeldern Larnaki und Brysoudes. Aus diesem Umstand mögen einige Rückschlüsse über die Verwandtschaftsbeziehungen, der zu den Friedhofsanlagen gehörigen Siedlungen gezogen werden.

Neben den Femora mit starkem Pilaster ist in Taphos 18 eine zweite Femurform nachweisbar, bei denen die Pilasterbildung weit weniger stark ausgeprägt ist, der Femurquerschnitt sich also mehr dem runden annähert. Gleichzeitig ist in diesen Fällen häufig eine starke Platymerie zu beobachten.

Pathologische Belastungen des Skeletmaterials sind praktisch nicht zu beobachten gewesen, wenn man von drei unspezifischen Periostanreaktionen absieht (Nr. 130 Tibia; Nr. 314 Femur; Nr. 345 Tibia).

Möglicherweise zusammengehörige Stücke

Nr. 7 und 8; Nr. 13 und 14; Nr. 25 und Nr. 25; Nr. 56 und 57; Nr. 69 und 72 und 74; Nr. 95 Radius und 96; Nr. 121 und 122; Nr. 185 und 186; Nr. 222 und 249 und 257; Nr. 293 und 95; Nr. 297 und 300; Nr. 302 Tibia und 302 Femur; Nr. 303 und 304 (304 möglicherweise auch zu 302); Nr. 418 und 419; Nr. 472 und 473; Nr. 582 und 583; Nr. 603 Ulna und Radius; Nr. 663 und 666; Nr. 685 und 686.

Tierknochen

Mit den menschlichen Skeletresten vermengt fanden sich Skeletknochen und Zähne von Haustieren wie Schaf, Ziege und Schwein. Der Zustand dieser Skeletreste entspricht dem menschlichen Skeletmaterial, so daß an eine gleich lange Liegezeit zu denken ist. Im einzelnen handelt es sich um folgende Positionen: Nr. 123 Diaphysenstück; Nr. 155 zwei Zähne von Schaf/Ziege; Nr. 174 vier Zähne von Schaf/Ziege; Nr. 207 eine Landschnecke; Nr. 215 Humerus wahrscheinlich vom Schwein; 287 Zähne von Schaf/Ziege; Nr. 290 Diaphysentrümmer von Langknochen, nicht menschlich; Nr. 322 Fragmente von Extremitätenknochen, nicht menschlich; Nr. 362 Phalange, nicht menschlich; Nr. 372 zwei Zähne von Schaf/Ziege; Nr. 484 drei Zähne von Schaf/Ziege; Nr. 408 wahrscheinlich Humerus, nicht menschlich; Nr. 539 Landschnecke.

Brandspuren

Einige wenige Langknochen, die sämtlich wieder zusammengesetzt worden sind (Restaurator), zeigen an den Frakturrändern umschriebene, frische Brandspuren. Da diese Brandspuren nur an den Fragmenträndern festzustellen sind, steht zunächst zu vermuten, daß diese das Ergebnis der restauratorischen Bemühung um die Wiederherstellung der Skeletreste sind. Andererseits ist nicht auszuschließen, daß die Frakturen selbst Ergebnis einer Wärmeeinwirkung sein könnten, die gleichzeitig Brandspuren auf der Knochenoberfläche zurückgelassen hat. Dieser Fall scheint mir jedoch unwahrscheinlicher. Im einzelnen handelt es sich um folgende Positionen: Nr. 657 Humerus; Nr. 670 Ulna; Nr. 679 Tibia; Nr. 689 Radius; Nr. 693 Tibia; Nr. 698 Femur; Nr. 700 Humerus; Nr. 713 Femur; Nr. 714 unspezifische Extremitätenreste; Nr. 735 Diaphysenfragmente; Nr. 736 Tibia.

Zur Bestimmung der Anzahl der bestatteten Individuen

Vorausschickend ist zu bemerken, daß für die Beurteilung der Individenzahl und der Altersstufen der Bestatteten praktisch ausschließlich die Reste der postcranialen Skelete zur Verfügung standen, da die Schädelreste zum Zeitpunkt der Befunderhebung im Besitz eines anderen Bearbeiters (N. Xirotiris) waren.

Für die benutzten Alterskategorien gelten folgende Intervalle: Infans I: 0-6 Jahre. Infans II: 6-12 Jahre. Juvenil: 12-18 Jahre. Adult: 18-40 Jahre. Matur: 40-60 Jahre.

Als "erwachsen" werden solche Individuen bezeichnet, deren Skeletreste den Reifegrad eines wenigstens spätjuvenilen Individuums aufweisen, bei denen aber aufgrund mangelhaften Erhal-

tungszustandes oder anderer Gründe keine weitere Alterseingrenzung in den Kategorien adult oder matur möglich ist.

Infans I

Schädel: Aufgefunden wurden Schädelreste von Infans I - Individuen unter folgenden Positionen: 510, 709, II. Individuum, 734, E′, X, A, Z, O, P′, ∅′, O′, A 21, bei NE I, BT-AB.

Aus Pithos III drei linke und rechte Innenohren vom Neugeborenen, Extremitätenfragmente und Beckenreste sowie Schädelstücke.

Die geschätzte Humerus- und Femurlänge mit rund 60 mm und der bereits angeschlossene Tympanalring sprechen für mögliche Lebendgeburten. Zu diesen drei Neugeborenen (Drillinge?) kommt ein viertes Infans I-Individuum, das jedoch nur durch ein Innenohr belegt ist.

Insgesamt lassen sich wahrscheinlich 17 Kleinkinder und Kinder der Altersstufe Infans I fassen.

Femur: Wenigstens 4, maximal 8 Individuen.

Die Anzahl der übrigen Skeletelemente liegt weit unter denen vom Schädel und Femur, so daß diese nicht für eine Abschätzung der Individuenzahl in Betracht kommen.

Infans II

In dieser Altersstufe sind, auf der Grundlage der erhaltenen Oberarm- und Oberschenkelreste, zwischen drei und sechs Individuen vertreten.

Juvenil

Zahlenmäßig am umfangreichsten sind Humerusfragmente, so daß sich die Schätzung der Individuenzahl auf dieses Skeletelement stützt. Danach wurden zwischen 8 und 16 Individuen, wahrscheinlich ca. 12, beigesetzt.

Adult

Diese Altersgruppe ist am häufigsten durch Oberschenkelreste vertreten, was zum Teil sicher auch methodische Ursachen hat. Die Schwierigkeiten, Altersdiagnosen an fragmentarischen Extremitätenknochen zu stellen, sind hinlänglich bekannt. Die Diagnose "Adult" wurde in jenen Fällen gefällt, in denen etwaig vorhandene Muskelmarken keine profunden Altersveränderungen aufweisen, die Knochenstruktur insgesamt als dicht und geschlossen erschien. Das Ergebnis kann daher auch bestenfalls einen annäherungsweisen Eindruck über den Umfang der adulten Altersklasse wiedergeben und bedarf unbedingt einer detaillierten histologischen Absicherung. Im übrigen wird man nicht nur hier, sondern auch in den anderen Alterskategorien einen sehr viel besseren Aufschluß durch die endgültige Bearbeitung der Schädelfunde erwarten dürfen. Schätzungscharakter haben ebenfalls die Angaben über das mutmaßliche Geschlecht. Nachweisbar sind 31-35 Individuen.

Davon entfallen auf männliche Individuen: 7-8. Weibliche Individuen: 10-11. Nicht bestimmbares Geschlecht: 14-17.

Matur

Zahlenmäßig am stärksten sind wieder Femurfragmente vertreten, aus denen sich insgesamt 5-6 Individuen schätzen lassen, von denen wenigstens 2 offenbar männlichen Geschlechtes waren.

"Erwachsen"

In dieser Kategorie sind alle jene Individuen vereint, deren Reifegrad über spätjuvenil liegt. Auf die Schwierigkeit, eine differenzierende Altersdiagnostik auf makroskopischer Grundlage an Skeletfragmenten durchzuführen, wurde bereits oben hingewiesen. Die hier aufgeführten Individuen sind also in Wirklichkeit den Kategorien adult, matur und späte Juvenilitas zuzuordnen, was hier, aus methodischen Gründen, nicht erfolgen kann.

Aufgrund der erhaltenen Tibia- und Femur-Fragmente sind 16-19 Bestattete, darunter wenigstens ein männliches Individuum, dieser Gruppe zuzuordnen.

Sieht man von der etwas unsicheren Individuenzahl in der Altersgruppe Infans I ab, die sich im wesentlichen auf erhaltene Innenohren von Neugeborenen und Kleinkindern stützt, so kann

man allein aus den postcranialen Resten folgende Individuenzahlen für Taphos 18 annehmen: Wenigstens 67 Individuen, die wahrscheinliche Obergrenze liegt bei 90 Individuen, wobei diese Zahl nicht unbedingt den Grenzwert nach oben darstellen muß, da man von einer unterschiedlichen Erhaltungsaussicht der einzelnen Skeletelemente ausgehen muß.

Die Berechnung dieser Individuenzahlen gründete sich im wesentlichen auf die Extremitätenlangknochen. Zwar sind andere Skeletelemente, wie Hände und Füße, Schlüsselbeine, Beckenfragmente (darunter ein sicher männliches), Wirbel, Rippen, Schulterblätter und sogar sechs Kniescheiben. Diese reichen jedoch hinsichtlich ihrer Anzahl und Seitenzugehörigkeit bei weitem nicht, um die aufgrund der Extremitätenlangknochen gestellten Zahlendiagnosen zu ergänzen.

Systas T19

TAPHOS T19A

Neben den Resten eines 2-4jährigen Kindes (Altersobergrenze wahrscheinlicher) sind nur noch die Reste eines fortgeschritten erwachsenen bis maturen Individuums nicht bestimmbaren Geschlechtes vorhanden.

Systas T20

TAPHOS T20A

Fragmente einer kindlich dünnen Kalotte und altersmäßig korrespondierender Langknochenstücke, es handelt sich um ein frühes Infans I-Individuum von ca. 1-2 Jahren.

Daneben finden sich einige Extremitätenbruchstücke vom Erwachsenen.

Obwohl die Schädelfragmente in verschiedenen Ecken der Grabanlage aufgefunden wurden, ergeben sich keine Anhaltspunkte für eine Nicht-Zusammengehörigkeit.

TAPHOS T20B

Überreste eines 4-6jährigen Kindes und eines etwa 2-4jährigen Kindes.

TAPHOS T20Г

Diagnostisch aufschlußreich sind praktisch nur Extremitätenknochen. Danach liegen vor: Ein frühes Infans I-Individuum (unter 2 Jahren), möglicherweise ein Infans I- bis Infans II-Individuum, wenigstens 5 Erwachsene, davon mindestens ein weibliches und zwei männliche Individuen, für eines der Individuen nicht bestimmbaren Geschlechtes ist die Altersangabe auf die adulte Stufe eingrenzbar.

Taphos T21

Die Knochen sind oberflächlich extrem angewittert und daher außerordentlich schwierig zu beurteilen. Soweit ersichtlich, stammen die Stücke sämtlich von Erwachsenen. Über die ursprüngliche Robustizität und die Reliefierung sind keine Aussagen möglich. Extremitätenknochen wenigstens von vier erwachsenen Individuen, davon mindestens eines männlich und eines weiblich.

Taphos T22

Reste eines fortgeschritten adulten, offenbar männlichen Individuums. Daneben sind Reste eines ausgesprochen kleinen Fußskeletes und auch zwei kleine Dauerzähne vorhanden, die möglicherweise für ein zweites Individuum sprechen können.

Systas T23

TAPHOS T23A

Neben den Zahnresten eines etwa 5-7jährigen Kindes sind die von mindestens drei Erwachsenen nachweisbar. Unter den Skeletresten sind Kinderknochen allerdings nicht vorhanden, während

die Anzahl der Skeletteile die Anwesenheit von vier Erwachsenen wahrscheinlich macht. Es handelt sich dabei um wenigstens einen adulten Mann und eine Frau, die, wie die beiden übrigen Individuen, fortgeschrittenes Alter gehabt haben.

TAPHOS T23B

Knöcherne Innenohren, Zahnreste und postcraniale Trümmer von wenigstens vier Kindern: Zwei Kinder zwischen 0 und 0.5 Jahre, ein ca. 4-6jähriges, und ein ca. 9jähriges Kind.

Taphos T24

Die hier geborgenen Skeletreste sind wenig aufschlußreich in Bezug auf Individuenzahl. Es überwiegen Fragmente der langen Knochen, die dem Relief und der Struktur nach adult bis matur sind, und in dieser Hinsicht den unten genannten Zahnbefunden korrespondieren. Die Knochenstruktur ist z.T. wohl auch jungadult. Nach dem Erscheinungsbild ist mit wenigstens einer maturen Frau und mit einem adulten Mann zu rechnen, während aus den Zahnresten wenigstens ein etwa 2jähriges Kind und 5 Erwachsene nachweisbar sind.

Taphos T25

Vier Leichenbrandstücke, Fragmente eines Extremitätenlangknochens vom Erwachsenen.

Taphos T26

Zwei Eckzähne, davon einer stark abgekaut, und zur Unkenntlichkeit verwitterte Diaphysenstükke, offensichtlich vom Erwachsenen.

Systas T27

TAPHOS T27A

Die Skeletreste aus dieser Grabanlage befinden sich ebenfalls in einem bedauernswerten Zustand, bei dem eine positive Beweisführung nahezu unmöglich ist. Aufgrund der erhaltenen Extremitätenreste ist von wenigstens vier erwachsenen Individuen auszugehen, die isolierten Zahnfunde sprechen für wenigstens drei Individuen zuzüglich ein 5-6jähriges Kind.

Von den drei Erwachsenen gehören wahrscheinlich ein bis zwei der adulten Altersstufe an, während ein Individuum offensichtlich fortgeschritten maturen Alters war. Nach den Oberschenkelresten befand sich unter den Bestatteten ein der adulten Altersstufe zuzurechnender Mann.

Taphos T29

Skelet- und Zahnreste sprechen für wenigstens vier bis sechs Individuen. Es handelt sich um: Ein juvenil bis frühadultes, wahrscheinlich weibliches Individuum, eine spätadult bis mature Frau, einen früh- bis mitteladulten Mann und einen maturen Mann.

Neben den Skeletresten eines Neugeborenen lassen sich wenigstens 5 Erwachsene nachweisen, davon sind wenigstens zwei männlichen Geschlechtes (eine Frau mitteladult bis mittelmatur, die andere deutlich matur).

Die geborgenen Zahnreste stammen von einem 4-6jährigen Kind, ein zweites, 6-7jähriges, ist nicht auszuschließen, ferner von wenigstens fünf erwachsenen Personen. Die Zähne sind überwiegend zierlich, dennoch lassen sich aus den Zahnresten unter Zuhilfenahme der Skeletfunde mit Sicherheit nur ein männliches und ein weibliches Individuum belegen, während das Geschlecht der drei anderen Erwachsenen nicht bestimmbar ist. Die Altersgruppierung liegt schwerpunktmässig im adulten bis fortgeschritten adulten Bereich, wohl nur eines der erwachsenen Individuen ist maturen Alters.

Systas T30

TAPHOS T30A

Die erhaltenen Skeletreste stammen wenigstens von 4 Individuen: Einem adulten bis frühmaturen Mann, zwei mindestens adulten Frauen und einem weiteren, nicht zu bestimmenden Individuum. Berücksichtigt man die gefundenen Zahnreste, so erhöht sich die Individuenzahl auf wenigstens 6 Erwachsene (davon 2 Männer und 2 Frauen), eine der Frauen ist deutlich matur, die zweite mitteladult bis mittelmatur.

Daneben sind Überreste eines Neugeborenen oder Säuglings der ersten Lebenswochen nachweisbar.

TAPHOS T30B

Nachweisbar sind wenigstens 4 erwachsene Individuen, davon 3 eher weiblich und eines männlich.

Männliches Geschlecht ist zu vermuten für die Knochen 19, weibliches Geschlecht für 4, 7, 17 und K 13. Bei Nummer 5 befanden sich 4 Stück Leichenbrand, vermutlich Humerusfragmente.

Taphos T32

Einige Fragmente wohl vom erwachsenen Oberschenkel und ein bis auf das Dentin abgekauter Främolar. Angaben zum Geschlecht und Alter sind nicht möglich.

Systas T34

TAPHOS T34B

Zwei Kinder im Alter zwischen ein und zwei Jahren sind über das jeweils linke Innenohr nachweisbar, ein drittes Kind (Infans II) über Schlüsselbein und Oberschenkelbruchstücke.

Zahn- und Skeletreste belegen darüberhinaus mindestens drei bis vier weitere, erwachsene Individuen, davon wenigstens eines matur. Eines der adulten Individuen war männlich.

Systas T35

TAPHOS T35A

Zähne und Skeletreste von wenigstens zwei, wahrscheinlich drei Individuen: Ein adulter Mann sowie zwei etwas grazilere Individuen mittleren und fortgeschritteneren Alters. Obwohl zwei Zahnanlagen der Altersstufe Infans I nachweisbar sind, lassen sich entsprechende Skeletreste nicht auffinden.

TAPHOS T35B

Reste vermutlich zweier Individuen, eines davon offensichtlich fortgeschritten matur, das zweite jüngeren Alters. Nähere Angaben sind aufgrund des Erhaltungszustandes unter überlieferten Skeletresten nicht möglich.

TAPHOS T35Γ

Unspezifische Skeletreste eines wohl maturen Individuums.

TAPHOS T35Δ

Zur Unkenntlichkeit verwitterte Skeletreste zweier fortgeschritten erwachsener Individuen und eines Kindes der Altersstufe Infans I bis II.

TAPHOS T35E

Ebenfalls aufgrund des starken Dekompositionsgrades nicht mehr im einzelnen ansprechbare Skeletreste vom Erwachsenen und Zähne eines Infans II bis Juvenis Individuums.

Systas Λ2

TAPHOS Λ2Γ

Skeletteile hauptsächlich eines 35-45jährigen Individuums; ein Infans II-juveniles Individuum ist lediglich durch ein Radiusfragment belegt.
Bestattung α: Schädel- und Extremitätenreste eines relativ grazilen (etwas schlanker als der Erwachsene aus Taphos Λ2Γ) spätjuvenilen bis adulten Individuums. Nachweisbar sind ferner ein Kind der ersten beiden Lebensjahre sowie ein spätes Infans I-Infans II-Kind.

Systas Λ3

Mit Sicherheit nachzuweisen sind folgende Individuen: Ein fortgeschritten adulter-frühmaturer Mann (Nekros α); ein etwa 6-8jähriges Kind (Nekros α + β); eine mature Frau (Nekros β); ein frühadulter Mann (Nekros γ); ein erwachsener Mann und eine erwachsene Frau (Nekros ε). Die im Komplex Nekros δ gefundenen Knochen sind nicht mit Sicherheit als Hinweis auf ein weiteres erwachsenes Individuum zu verwenden, da die hier gefundenen Skeletteile die Skelete der übrigen Fundkomplexe ergänzen.

TAPHOS Λ3Δ

Stratum III
Skeletreste eines eher weiblichen Individuums mit auffällig verdickter Kalotte im Frontal- und Occipitalbereich (Thalassaemie?).

Daneben Stirnbein eines anderen erwachsenen wahrscheinlich weiblichen Individuums.

Die Reste eines großen kräftigen Femur weisen auf ein drittes erwachsenes Individuum.

Stratum II
Postcraniale Reste mindestens dreier Individuen, davon eines vermutlich Infans II-juvenil, sowie Trümmer eines maturen weiblichen Schädels.

Komplex 10-18: Überreste eines grazilen postcranialen Skeletes einheitlicher Beschaffenheit. Der Gesamtbefund spricht für wahrscheinlich ein Infans II-juveniles Individuum sowie mindestens drei erwachsene Frauen sowie für wahrscheinlich einen fortgeschritten adulten Mann.

Systas Λ4

Postcraniale Reste eines fortgeschritten erwachsenen Individuums. Die detaillierte Diagnose wird nach Überführung des Schädels nach Göttingen möglich sein.

Systas Λ5

TAPHOS Λ5A

Die geborgenen Skeletreste gehören einer adulten Frau; ein zweites Individuum ist lediglich durch unspezifische Kalottentrümmer und ein Femur-Diaphysenstück belegt.

Hier gibt es auf dem Grabungsplan die Nummer 7 zweimal für verschiedene Knochen. Es waren nicht alle Knochen zu beurteilen. Nach dem Grabungsplan schlage ich folgende Beurteilung vor: 2, 3, 4, 5, 7 gehören zusammen zu einer adulten Frau; daneben Reste wenigstens zweier weiterer Individuen. Die von mir eingezeichneten Komplexe für das 2. und 3. Individuum sind keine sicheren Grenzen.

TAPHOS Λ5B

Neben den Langknochen eines Kindes (Infans I) liegen Skeletreste eines Erwachsenen, wahrscheinlich einer Frau vor. Bei Nummer 8 handelt es sich um einen kindlichen Knochen. Nach Vergleich des Grabungsplans mit meinen Notizen besteht wenig Zweifel, daß die übrigen Knochen

zu zwei Erwachsenen gehören, 10 ist ein eher weibliches Femur, 9 ein eher männlicher Radius. Eine weitere Trennung beider Individuen ist nicht möglich.

TAPHOS Λ5Γ

Die stark dekomponierten Skeletreste erlauben nur noch die Angabe, daß es sich um zwei erwachsene Individuen handeln muß.

Hier sind keine ergänzenden Angaben möglich. Die Knochen 1 bis 7 gehören möglicherweise zu einem Individuum.

Die Knochen mit den Nummern 8 und darüber können zu zwei Individuen gehören, was sich durch Zahnreste bestätigen läßt. Von den Skeletresten her ist diese Angabe nicht sicher zu belegen.

Taphos Λ6

Extremitätenknochen eines Erwachsenen.

Göttingen *B. HERRMANN*

ΠΑΡΑΡΤΗΜΑ Ιβ

ΑΝΘΡΩΠΟΛΟΓΙΚΟ ΥΛΙΚΟ ΤΑΦΟΥ Β3

Ο αριθμός των ταφέντων ατόμων δεν είναι δυνατό να προσδιορισθεί με ακρίβεια. Η ύπαρξη τριών νεογιλών γομφίων υποδηλώνει την ταφή ενός τουλάχιστον παιδιού, η ηλικία του οποίου είναι αδύνατο να προσδιορισθεί. Η ακριβής ανατομική αναγνώριση, εξάλλου, ορισμένων μακρών οστών (2 δεξιά και 2 αριστερά μηριαία, 2 δεξιά και 1 αριστερό βραχιόνιο, 1 αριστερή κνήμη και 2 δεξιές ωλένες) επιτρέπει να καθορίσουμε με μια σχετική βεβαιότητα την ταφή δύο ενήλικων ατόμων. Η ύπαρξη και άλλων μακρών οστών, καθώς και δοντιών με μεγάλη διαφορά στο βαθμό αποτριβής της αδαμαντίνης, μας επιτρέπει να συμπεράνουμε, με πολλές όμως επιφυλάξεις, την ύπαρξη τριών ακόμη ατόμων στον τάφο. Οι δυσκολίες για τον προσδιορισμό του φύλου φαίνεται ότι στην περίπτωση αυτή είναι ανυπέρβλητες. Οι ασθενείς μυϊκές αναγλυφές ενός τεμαχιδίου ινιακού οστού θα ήταν δυνατό να υποδηλώνουν την ταφή μιας γυναίκας, ενώ η κάτω γνάθος του λεγόμενου νεκρού ε ανήκει με σχετική βεβαιότητα σε άνδρα. Προσδιορισμός ηλικίας είναι αδύνατος στο υλικό αυτό.

Ν. ΞΥΡΟΤΥΡΗΣ

ΠΑΡΑΡΤΗΜΑ II

ANIMAL BONES AND BURIAL CUSTOMS IN EARLY IRON AGE THASOS: THE FAUNAL REMAINS FROM THE CEMETERIES OF KASTRI SETTLEMENT

At the invitation of the excavator, the authors examined a small quantity of animal bones from the early iron age tombs at Theologos Kastri, Larnaki and Tsiganadika. Table 1 lists the number of elements attributed to the various taxa in each tomb or grave. The jaws are very fragmentary and have therefore been presented as a catalogue of minimum numbers of jaws rather than of individual teeth: approximate ages are given in terms of the sequences of dental development outlined by Higham (1967, 104-105) for cattle and pigs and by Payne (1973, 299) for sheep/goats.

As is the case at contemporary settlements on the mainland (Stathmos Angistas in eastern Macedonia — Halstead and Jones in preparation — and Assiros in central Macedonia — Halstead and Jones 1980), the commonest animals are sheep/goat (both are indicated), while cattle, pig and horse/ass are also represented. The most interesting feature of the assemblage is that, apart from a few loose teeth and one fragment of metacarpal, the remains of cattle are restricted to ten femurs. All of these are from the right side of the carcase and they may all come (five definitely and five probably) from immature animals. Perhaps this joint was a standard grave offering, while the rest of the animal was consumed in a funerary feast of which the loose teeth and metacarpal fragment would be stray remnants. The only bone of horse or ass is also a right femur. Interestingly, the thigh (i.e. the muscle and fat around the femur) was the portion to be offered to the gods in Homer (Bruns 1970, 47), while selection of the right or left hand side (albeit often of the forelimb) is well documented in religious texts and temple excavations in the Near East at much the same time (Webb 1977, 78-79).

The sheep/goat material includes all parts of the carcase: the disproportionate quantity of dental material may simply be a result of the poor preservation of bone in some of the tombs. Left and right sides occur in similar numbers and the range of ages indicated by the mandibles (suggested ages in years: 0-1, 0-1, 0-5+, 1+, 0-2, 2-3, 2-3, 2-4, 2-4, 2-4, 2+, 2+, 3-4, 3-4, 3-4, 3-4, 3+, 3-6, 4-8, 4-8; after Payne 1973, 293) need not be unrepresentative of local herds of the time. On the other hand, the numbers of pairs of jaws and bones which probably or possibly came from the same individual animal implies rapid deposition, rather than the chance inclusion of stray bone refuse, and so the remains of sheep and goats may also have been offerings.

PAUL HALSTEAD - GLYNIS JONES

REFERENCES

Bruns, G. (1970). Küchenwesen und Mahlzeiten (Archaeologia Homerica II, Q). Göttingen: Vandenhoeck and Ruprecht.

Halstead, P. and Jones, G. (1980). Bioarchaeological Studies at Assiros Toumba. A Preliminary Report, in K.A. Wardle, Excavations at Assiros, 1975-79, BSA 75.

Higham, C. (1967). Stock Rearing as a Cultural Factor in Prehistoric Europe, Proceedings of the Prehistoric Society 33, 84-105.

Payne, S. (1973). Kill-off Patterns in Sheep and Goats: The Mandibles from Asvan Kale, Anatolian Studies 23, 281-303.

Webb, J. (1977). A Scapula from Limassol-"Komissariato", No. 176, in V. Karageorghis, Two Cypriote Sanctuaries of the End of the Cypro-Archaic Period, Rome, Consiglio Nazionale delle Ricerche, Centro di Studio per la Civiltà Fenicia e Punica.

TABLE 1.

		Taxon	Element	No.	Age stage** (jaws)
I. CEMETERY KENTRIA (K)	SYSTAS K1				
	Grave K1A	Cow	mandible	1	18+
		Pig	mandible	3	10-14, 16-17, 21-22
		Sheep	femur	1	
			astragalus	1	
		Sheep/goat	humerus	2	
			femur	2	
			tibia	3	
	SYSTAS K2				
	Grave K2A (surface)	Pig	mandible	3	6-13, 17-19, 20
	SYSTAS K6				
	Grave K6A	Sheep/goat	phalanx II	1	
II. CEMETERY TSIGANADIKA (T)	SYSTAS T14				
	Grave T14A	Cow	femur	1	
		Sheep/goat	mandible	2 (pair)	E, E
			maxilla	1	E+
	Grave T14B	Cow	mandible	1	4-17
			metacarpal	1	
	TOMB T16				
		Sheep/goat	mandible	2 (?pair)	F, F
	SYSTAS T17				
	Grave T17A	Cow	femur	1	
		Sheep/goat	humerus	1	
	TOMB T18				
		Cow	maxilla	1	4-10
			femur	3	
		Sheep	mandible	1	B-C
			metatarsal	1	
		Sheep/goat	mandible	1	B-C
			maxilla	1	C+
			femur	1	
			metatarsal	2	
	SYSTAS T19				
	Grave T19A	Goat	scapula	1	
	layer of stones		atlas	1 (female)	
			astragalus	1	
		Sheep/goat	mandible	1	F+
			maxilla	1	C+
			phalanx II	2	
	chamber,	Sheep/goat	maxilla	1	C-D
	SW corner	Horse/ass	femur	1	
	SYSTAS T20				
	Grave T20Γ	Sheep/goat	humerus	1	

Key
** Maxillary development is assumed to be synchronous with mandibular.

		Taxon	Element	No.	Age stage** (jaws)
II. CEMETERY TSIGANADIKA (T)	TOMB T22				
		Sheep	pelvis	1 (female)	
		Sheep/goat	scapula	1	
			radius	1	
			femur	2	
			tibia	1	
			calcaneum	1	
			phalanx I	1	
	TOMB T24				
	surface	Sheep/goat	tibia	1	
	level 2	Sheep/goat	mandible	1	B-D
			maxilla	1	B+
	SE side, grave	Cow	femur	1	
	TOMB T26				
	chamber	Sheep/goat	maxilla	1	B+
	TOMB T29				
	NE side depth 0,34 m	Pig	maxilla	1	13-16
	level 2	Cow	femur	1	
	level 3	Cow	femur	1	
	SYSTAS T30				
	Grave T30A	Sheep/goat	mandible	1	C+
			maxilla	1	E+
	Grave T30B	Cow	femur	1	
	SYSTAS T34				
	Grave T34B	Sheep/goat	maxilla	1	C+
	SYSTAS T35				
	surface	Sheep/goat	mandible	2 (?pair)	F, F
			maxilla	2 (?pair)	C+, C+
	Grave T35A	Sheep	metatarsal	1	
	surface	Sheep/goat	femur	2 (?pair)	
			tibia	2 (?pair)	
			metatarsal	1	
	Grave T35B	Sheep/goat	humerus	1	
	Grave T35Δ	Sheep/goat	mandible	2 (?pair)	E+
				2	D+, F-G
			maxilla	2 (?pair)	E+
	Grave T35E	Sheep/goat	mandible	2 (?pair)	E-F
			maxilla	1	E+
			humerus	1	
III. CEMETERY LARNAKI (Λ)	SYSTAS Λ2				
	Grave Λ2A	Sheep/goat	mandible	1	E-F
	Grave Λ2Γ	Cow	mandible	1	6-10
			maxilla	1	6-10
		Sheep	radius	1	
		Sheep/goat	femur	1	
			astragalus	1	
	SYSTAS Λ5				
	Grave Λ5Γ	Sheep/goat	mandible	1	G-H

P. H. - G. J.

ΠΑΡΑΡΤΗΜΑ ΙΙΙ

ΜΕΛΕΤΗ ΤΟΥ ΜΑΛΑΚΟΛΟΓΙΚΟΥ ΥΛΙΚΟΥ ΑΠΟ ΤΑ ΝΕΚΡΟΤΑΦΕΙΑ ΚΑΣΤΡΙ ΚΑΙ ΛΑΡΝΑΚΙ

(Σ χ έ δ. 1-2)

Το μαλακολογικό υλικό, που μελετήθηκε το 1980 στο Μουσείο Καβάλας, αποτελεί μέρος από τα ευρήματα της ανασκαφής στο Καστρί της Θάσου. Συγκεκριμένα προέρχεται από τα νεκροταφεία του οικισμού Καστρί και ανήκει χρονολογικά στην ύστερη εποχή του χαλκού και την πρώιμη εποχή του σιδήρου. Τα μαλάκια έχουν βρεθεί σε μικρό αριθμό σε σχέση με την ποικιλία των ειδών, η οποία είναι ενδεικτική ορισμένων προτιμήσεων για λόγους συμβολικούς, αισθητικούς ή απλώς γαστριμαργικούς.

Αναγνωρίσθηκαν εννέα διαφορετικά είδη, τα οποία ανήκουν στις συνομοταξίες των γαστροπόδων και των διθύρων. Η πλειονότητα είναι θαλάσσια όστρεα, τα χερσαία εμφανίζονται σε μικρά ποσοστά.

Από την έρευνα που έγινε, φαίνεται ότι τα περισσότερα συνόδευαν το νεκρό ως συμβολική τροφή, ως προσφορά και όχι ως σπονδή (πρόκειται για εδώδιμα μαλάκια κατά το πλείστον). Φαίνεται ότι τα περισσότερα βρέθηκαν ανοιγμένα και θραυσμένα. Εξαιρουμένων αυτών, που υπέστησαν καθαρά τεχνική επεξεργασία με σκοπό τη χρησιμοποίησή τους στην κόσμηση, υπάρχουν και μερικά όπως τα Cardium edule Linné και Glycimeris gl. Linné, που ίσως χρησιμευσαν στην κόσμηση αφού πρώτα καταναλώθηκαν.

Το υλικό θα παρουσιασθεί κατά τάφους και ταφές.

ΝΕΚΡΟΤΑΦΕΙΟ ΣΤΗ ΘΕΣΗ ΚΕΝΤΡΙΑ

Ταφική συστάδα Κ2

ΤΑΦΟΣ Κ2Β

Στον πίθο Κ2Β βρέθηκαν ίχνη ταφής (15 δόντια ανθρώπινα) και 4 χερσαία σαλιγκάρια του είδους Helix cincta Müller. Πρόκειται για μαλάκιο πνευμονοφόρο, εδώδιμο, που ζει σε κήπους, δάση, αμπέλια. Οι διαστάσεις του ποικίλλουν από 3,1-2,8 εκ. Το όστρεο είναι σε όλα τα τμήματα σπασμένο, οι οπές όμως και τα σπασίματα δείχνουν πρόσφατα. Τα σαλιγκάρια αυτά, είναι σύγχρονα με την ταφή και μπορεί να είχαν τοποθετηθεί ως συμβολική τροφή[1] του νεκρού (Σ χ έ δ. 1: 1).

ΝΕΚΡΟΤΑΦΕΙΟ ΣΤΗ ΘΕΣΗ ΤΣΙΓΑΝΑΔΙΚΑ

Τάφος Τ1

Στην ομάδα Τ1Θ4, μαζί με άλλα κτερίσματα, βρέθηκε σε άριστη κατάσταση το όστρεο θαλάσσιου μαλακίου του είδους Tonna zonata Green (Σ χ έ δ. 1: 3). Πρόκειται για γαστερόποδο που ζει στη Μεσόγειο σε μεγάλα βάθη. Δεν έχει κανένα ίχνος σπασίματος και φαίνεται ότι τοποθετήθηκε κατόπιν ειδικής προτίμησης και επιλογής του, λόγω της πορσελάνινης υφής της επιφάνειάς του για λόγους αισθητικούς, αλλά ίσως και συμβολικούς. Είναι γνωστό ότι

1. Julie Karali, L'utilisation des mollusques dans la Protohistoire de l'Egée, Paris 1979, thèse de 3e cycle, 259-263.

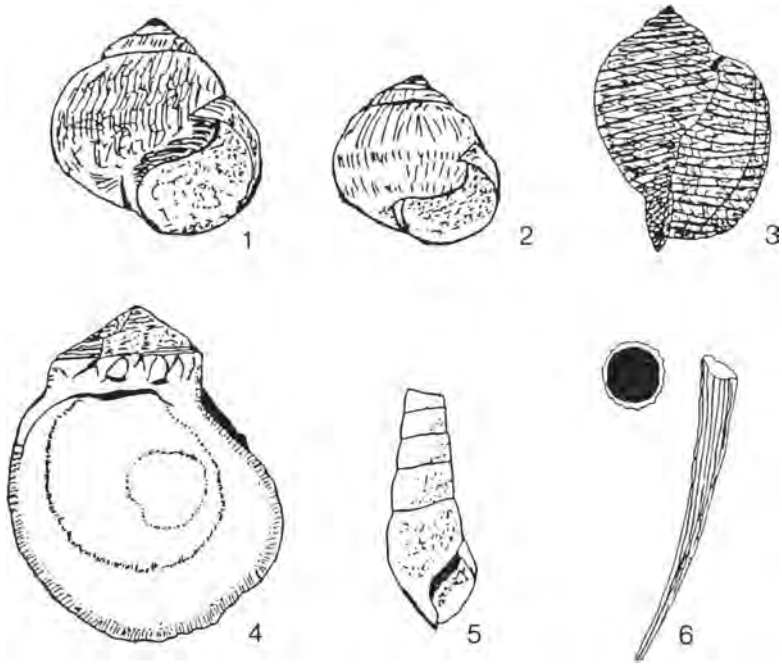

Σχέδ. 1: 1. Helix cincta Müller, 2. Helix figulina Rossnässler, 3. Tonna zonata Green, 4. Spondylus Gaederopus Linné, 5. Rumina decollata Linné, 6. Dentalium vulgare Da Costa.

παρόμοιου σχήματος όστρεα συμβολίζουν τη γυναικεία γονιμότητα[2]. Έχει ύψος 6 και πλάτος 4 εκ.

Ταφική συστάδα Τ7

ΤΑΦΟΣ Τ7Α20 Ή Τ7Α17

Στον τάφο αυτό βρέθηκε μία θύρα από Acanthocardia tuberculata Linné (Σ χ έ δ. 2: 3). Πρόκειται για μαλάκιο της ίδιας οικογένειας με το Cardium edule Linné, κοινό στη Μεσόγειο, και συχνό στο ίδιο οικολογικό περιβάλλον με το Cardium. Διακρίνεται για την εντυπωσιακή του εμφάνιση και το μεγαλύτερο μέγεθος. Είναι φθαρμένο στον περίγυρό του και φέρει ίχνη σπασίματος κάτω αριστερά από βίαιο άνοιγμα των θυρών, με τη βοήθεια αιχμηρού εργαλείου. Αυτά τα μαλάκια πιθανότατα χρησιμοποιήθηκαν ως συμβολική τροφή.

Τάφος Τ11

Μαζί με άλλα κτερίσματα βρέθηκε μια θύρα[3] από Spondylus gaederopus Linné (Σ χ έ δ. 1: 4). Πρόκειται για κοινό δίθυρο που ζει σε βραχώδη βάθη. Το όστρεο είναι σε καλή κατάσταση, η εξωτερική επιφάνεια διατηρεί σε μερικά σημεία ένα απαλό ροζ χρώμα, η περιφέρεια δείχνει φυσικά φθαρμένη. Η ύπαρξη του σπονδύλου εδώ μπορεί να δικαιολογηθεί ως συμβολική τροφή του νεκρού ή ως χρηστικό αντικείμενο, δηλαδή μικρό «πιάτο» με περιεχόμενο κάποια προσφορά υγρής ή στερεάς φύσης. Η σημασία αυτού του οστρέου και η αξία του για τους προϊστορικούς πληθυσμούς έχει αποτελέσει αντικείμενο πολλών ερευνών και θεωριών[4].

2. Ό.π., 283-289.

3. Θύρα: Το σώμα του μαλακίου προστατεύεται από κόγχη ασβεστολιθικής σύστασης, που σε μερικά μαλάκια λείπει τελείως, σε άλλα όμως είναι μονόθυρη ή δίθυρη.

4. N. Shackleton - C. Renfrew, Neolithic Trade Routes Re-aligned by Oxygen Isotope Analysis, Nature, 228 n. 5276 (12.12.1970), 1062-1065.

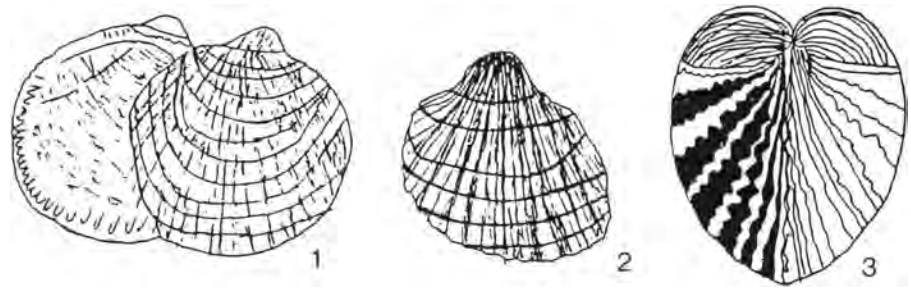

Σχέδ. 2: Glycimeris glycimeris Linné, 2. Cerastoderma edule Linné (Cardium sp.), 3. Acanthocardia tuberculata Linné.

Τάφος Τ18

Στον τάφο Τ18 από το Α2 και από το Α17 βρέθηκε μέσα σε αγγείο-ένα όστρεο Helix cincta Müller (Σ χ έ δ. 1: 1), γνωστό χερσαίο και διάσπαρτα, τα εξής: Helix cincta Müller και μια μικροσκοπική Chlamys varia Linné, η παρουσία της οποίας δείχνει περισσότερο τυχαία. Τα σαλιγκάρια ίσως βρέθηκαν εκεί από μόνα τους και η μικροσκοπική chlamys ίσως μεταφέρθηκε άθελα προσκολλημμένη σε κάποιο αντικείμενο. Ακόμη βρέθηκαν επτά Rumina decollata Linné (Σ χ έ δ. 1: 5). Πρόκειται για σύγχρονα χερσαία μαλάκια που κατεβαίνουν μαζί με τις ρίζες των φυτών. Η παρουσία τους είναι ενδεικτική του κλίματος και των περιβαλλοντικών συνθηκών. Είναι όμως σύγχρονα και δε μας προσφέρουν πληροφορίες για το παρελθόν.

Ταφική συστάδα Τ19

ΤΑΦΟΣ Τ19Β

Έξω από τον τάφο Τ19Β βρέθηκαν δύο όστρεα Glycimeris glycimeris Linné. Πρόκειται για δίθυρο εδώδιμο, κοινό στη Μεσόγειο και σε αμμώδεις ακτές (Σ χ έ δ. 2: 1). Το ένα είναι λειασμένο από τη θάλασσα με μία οπή στην κορυφή του, προφανώς χρησιμοποιημένο στην κόσμηση ως περίαπτο, παρά το γεγονός ότι η οπή δείχνει να έχει γίνει από φυσικούς παράγοντες και όχι από τον άνθρωπο[5]. Το άλλο όστρεο είναι φθαρμένο. Στον περίγυρο έχει ίχνη ανοίγματος. Προφανώς χρησιμοποιήθηκε για τροφή.

Ταφική συστάδα Τ20

ΤΑΦΟΣ Τ20Γ

Στον τάφο Τ20Γ βρέθηκαν τέσσερις θύρες από Cardium edule Linné (Σ χ έ δ. 2: 2). Πρόκειται για δίθυρο που προσαρμόζεται εύκολα στις μεταλλαγές του βαθμού αλμυρότητας του νερού. Το βρίσκουμε σε περιοχές αμμώδεις και στις εκβολές ποταμών. Ζει σε μικρό βάθος. Δύο από τις τέσσερις θύρες είναι ακέραιες και δύο σε θρύμματα. Το πλάτος τους κυμαίνεται από 3,3-2,2 εκ. Μια πιθανή ερμηνεία είναι ότι ίσως πρόκειται για συμβολική πράξη, όπως και στην ταφή Λ5ΑΘ.

Ταφική συστάδα Τ27

ΤΑΦΟΣ Τ27Α6

Στον τάφο αυτό βρέθηκε μόνο ένα χερσαίο σαλιγκάρι, Helix cincta Müller (Σ χ έ δ. 1: 1). Είναι εδώδιμο και πιθανόν ο λόγος της ύπαρξής του δικαιολογείται από τη δράση φυσικών παραγόντων.

5. Y. Taborin, La parure en coquillage de l'Epipaléolithique au Bronze Ancien en France, Gallia, 105, 106.

ΤΑΦΟΣ Τ27Α ΑΠΟΘΕΤΗΣ

Στον αποθέτη έξω από τη νότια πλευρά του τάφου 27Α βρέθηκε ένα όστρεο πολύ μεγάλου μεγέθους, διαστάσεων 6-8 εκ. φθαρμένο, από Spondylus gaederopus Linné (Σ χ έ δ. 1: 4). Βρέθηκαν επίσης ένα Cardium sp., ύψους 4 εκ., με οπή στην κορυφή, που θα μπορούσε επίσης να έχει χρησιμεύσει ως περίαπτο, ένα Cardium edule Linné (Σ χ έ δ. 2: 2), που μάλλον χρησιμοποιήθηκε για τροφή, και ένα χερσαίο σαλιγκάρι Helix sp. (Σ χ έ δ. 1: 2).

Τάφος Τ32

Βρέθηκαν 75 χάνδρες από Dentalium vulgare Da Costa (Σ χ έ δ. 1: 6). Πρόκειται για θαλάσσιο μαλάκιο σκαφόποδο, το οποίο είναι κοινό και βρίσκεται σε μικρά βάθη. Τα όστρεα είναι διαφόρων διαστάσεων, χρώματος λευκού και κάποια ελαφρά ροδαλού, με επιφάνεια λεία, μερικές φορές πορώδη. Αυτό το τελευταίο στοιχείο δείχνει ότι το όστρεο είναι πιθανότατα συλλεγμένο από την ακτή, αφού το μαλάκιο ήταν ήδη νεκρό. Το μήκος κυμαίνεται από 0,5-2,5 εκ. και η μεγίστη διάμετρος από 0,25-0,4 εκ. Στον τάφο υπήρχε μία μόνο ταφή αλλά δεν έχουμε ενδείξεις ηλικίας και φύλου του νεκρού. Οι χάνδρες αυτές βρέθηκαν κοντά στα λίγα δόντια που σώθηκαν, και αποτελούσαν προφανώς περιδέραιο. Αυτό ήταν συχνά ανδρικό κόσμημα, επειδή λόγω του σχήματος του μαλακίου από την παλαιολιθική ήδη εποχή του αποδίδονται συμβολικές και μαγικές ιδιότητες, σχετικές με το ανδρικό σφρίγος[6].

ΝΕΚΡΟΤΑΦΕΙΟ ΣΤΗ ΘΕΣΗ ΛΑΡΝΑΚΙ

Ταφική συστάδα Λ5

ΤΑΦΟΣ Λ5Α

Στην ταφή Λ5Α5 βρέθηκε η θύρα ενός Cardium edule Linné (Σ χ έ δ. 2: 2) σε άριστη κατάσταση (μήκος 4,8, πλάτος 4,6 εκ.). Στις Κυκλάδες, στο νεκροταφείο της Περατής, στις Μυκήνες και αλλού έχουν βρεθεί επίσης μεμονωμένες αχιβάδες[7]. Ίσως να πρόκειται για συμβολική τροφή του νεκρού ή για κτέρισμα παιδικών ταφών.

Η παρούσα μελέτη αποτελεί μια προκαταρκτική έρευνα του πλούσιου μαλακολογικού υλικού των προϊστορικών και πρωτοϊστορικών οικισμών της νήσου Θάσου. Η συγκριτική μελέτη με παρόμοια υλικά σύγχρονων οικισμών και νεκροταφείων θα δώσει νόημα στις χρήσεις και στη σημασία των οστρέων. Εύκολα μπορεί να συμπεράνει κανείς από την ανωτέρω παρουσίαση τη σημασία τους, τόσο εν ζωή όσο και μετά θάνατον, όπου συνοδεύουν το νεκρό ως κτερίσματα ή ως συμβολική προσφορά. Αυτές οι χρήσεις είναι άρρηκτα συνδεδεμένες με το φυσικό περιβάλλον και τις σχέσεις των προϊστορικών κατοίκων της Ελλάδας με τη θάλασσα.

Λ. ΚΑΡΑΛΗ-ΓΙΑΝΝΑΚΟΠΟΥΛΟΥ

6. Karali, ό.π., 177-181.

7. Χρ. Τσούντας, Κυκλαδικά, ΑΕ 1899, 75, ΑΕ 1888, 150-151. Σ. Ιακωβίδης, Περατή, Το νεκροταφείον, Βιβλιοθήκη της εν Αθήναις Αρχαιολογικής Εταιρείας, αριθ. 67, Αθήναι 1970, τάφος 33α, 115, 134.

ΠΑΡΑΡΤΗΜΑ IV

OBSERVATIONS TECHNIQUES SUR LES CÉRAMIQUES DE KASTRI (BRONZE RÉCENT À AGE DU FER ANCIEN)

Cette première étude technique d'un lot de 60 céramiques de l'Age du Bronze Récent et du début de l'Age du Fer de Kastri regroupe les observations effectuées sur deux productions bien différentes. L'une comprenant des poteries monochromes à pâte grenue de couleurs variées mais sombres et ayant quelquefois des décors cannelés, incisés et/ou « incrustés » ; l'autre rassemblant des céramiques tournées en pâte claire plus ou moins fines, quelquefois engobées et ornées de décors peints, de type mycénien franc ou s'y apparentant.

Les études matérielles de ces deux groupes archéologiquement différents seront conduites séparément, avant d'être confrontées dans le paragraphe final du présent rapport.

Rappel méthodologique

Lorsqu'on aborde l'étude matérielle des céramiques archéologiques, trois degrés ou stades successifs de la recherche doivent être clairement distingués. Le premier relevant du domaine de sciences humaines, le second des sciences expérimentales exactes ; le dernier stade associant les résultats des deux précédants est celui de l'essai de synthèse.

En réalité le premier degré du travail, celui de l'observation, à l'œil nu puis à la loupe binoculaire, de la totalité des céramiques et tessons dont on souhaite une étude matérielle — et dont on doit posséder déjà une bonne connaissance typologique — est commun aux études archéologiques et à la recherche céramologique scientifique. C'est alors que se définit avec plus de précision, le programme d'analyse décidé par l'archéologue et que s'établit le choix des échantillons.

Vient ensuite le stade purement scientifique où le tesson est soumis en laboratoire (de pétrographie) au mêmes méthodes d'examen et d'analyse qu'un échantillon naturel de roche. Les divers résultats obtenus, d'une stricte rigueur scientifique, ne peuvent être utilisés directement par l'archéologue. Alors intervient le travail de synthèse et d'interpétation des données, analytiques brutes avec le risque d'erreur que cela comporte. Car, la céramique ancienne, matériau artificiel plus ou moins altéré est rarement trouvée en son lieu même de fabrication ; le travail d'interprétation est toujours long et complexe et conduit bien souvent à une révision critique de la problématique initiale, et à l'établissement d'un second programme généralement plus près des réalités matérielles concernant les productions céramiques dont on effectue l'étude.

I. LES CÉRAMIQUES EN PÂTES GRENUES DE KASTRI

Dans le cas présent, portant sur l'étude préliminaire de 43 échantillons de Kastri choisis par l'archéologue, nous passerons directement au stade de l'analyse. C'est-à-dire dans un premier temps, à l'examen au microscope polarisant de 9 lames de céramiques grenues montées à la main, représentatives des types matériels observés, sélectionnés au cours d'un premier examen à la loupe binoculaire.

Notons que l'échantillon AM 46 provient d'une poterie tournée dans une pâte grenue.

Microscopie

AM 1 : Fond de pâte anisotrope, brunâtre, argilo-micacé, modérément dégraissé de quartz assez gros, bien classés de 150 à 300 μ, quelques grains plus gros de micaschiste à micas blancs, quartz en mosaïque, biotites amorphisées, rares amphiboles vertes, épidote, tourmaline verte.

AM 6 (T1, 25) : Fond de pâte argileux, brunâtre, anisotrope, fortement dégraissé de micas blancs et noirs (feuillets de 250 μ) pléochroiques ou opacifiés, de quartz anguleux ayant jusqu'à 1 m/m, 5, de l'orthose et de fragments de roches métamorphiques (gneiss-micaschiste). Quelques grains de disthène et opaques en plaquettes, de 200 μ, environ de longueur.

AM 16 (T15, 7) : Fond de pâte brun rougeâtre, anisotrope (argileux fin) dégraissé d'éléments sableux : quartz bien classés de 100 à 180 μ et de grains plus gros environ 600 μ, en mosaïque, disthène à inclusions opaques, rares feldspaths, fragments de micaschiste à muscovite, minéraux opaques en plaquettes, épidote, et un grain de calcite spathique corrodée.

AM 19 (T18, 88) : Fond de pâte anisotrope brunâtre, constitué d'un mélange d'argile et d'orthophyllosilicates plus ou moins dégradés, dégraissé de quartz anguleux (à extinction ondulante) de 100 μ à 4 m/m.

AM 30 (T19A3) : Fond de pâte anisotrope, brunâtre, constitué d'argile et d'« orthophyllosilicates » fortement dégradés (micas chloritisés ?) dégraissé de quartz, feldspaths plagioclases, micas blancs, grains d'épidote, disthène rare, fragment de micaschiste à biotite, minéraux opaques en plaquettes.

AM 33 (K1A68) : Fond de pâte argileux anisotrope brun clair, contenant de rares micas blancs, dégraissé de quartz et feldspaths, grains de roche (granodiorite à amphibole verte).

AM 36 (T13, 18) : Fond de pâte argileux, brunâtre (anisotrope) contenant des micas assez fins et dégraissé de quartz (à extinction plus ou moins ondulante) assez bien classés de 200 à 300 μ, quelques feldspaths plagioclases, accompagnés de gros grains de quartz en mosaïque, de disthène à inclusions opaques et de gros nodules calcaires concrétionnés (et de nodules anisotropes de nature indéterminée), un grain de calcite spathique, épidote, opaques en plaquettes.

AM 40 (B1Π) : Fond de pâte anisotrope, argilo-micacée, brun orangé clair, contenant de grands micas blancs (phengitiques) et quelques rares micas noirs, dégraissé de quartz (à extinction ondulante) et de grains quartzitiques, feldspaths, et fragments rares de cristaux de disthène et staurotite. Minéraux opaques en plaquettes. Rares grains de calcite spathique et d'amphibole verte.

AM 45 : Fond de pâte argileux, grisâtre, assez faiblement anisotrope (à texture ± fluidale et opaque par plages), dégraissé de quartz anguleux de 0,50 à ≃ 1m/m, plagioclases, orthose altérée, rares micas blancs, épidote zoisite, zircon, sphène, quelques granulations opaques, traces de calcitisation secondaire.

Enfin l'échantillon AM 46, constitué d'une pâte grenue s'apparente par sa technique de montage (au tour de potier), au groupe des céramiques à pâte fine. Ses principales caractéristiques microscopiques sont les suivantes:

AM 46 : Fond de pâte argileux, brunâtre, isotrope riche en micas altérés, fortement dégraissé de biotite faiblement pléochroiques ou amorphisés et micas blancs, quartz fins ou très gros en mosaïque, feldspaths perthitiques et restes de structures micropegmatiques, épidotes, sphènes altérés, opaques concrétionnés (nodules calcaires altérés) (de 200 microns à 2 millimètres).

Analyse à la microsonde

Les micas étant les minéraux dominants des céramiques étudiées il était nécessaire de compléter leur caractérisation par quelques analyses chimiques quantitatives ponctuelles à la microsonde électronique[1].

Pour cela deux échantillons particulièrement riches en paillettes de micas ont été choisis, AM 40 et AM 42.

Les micas clairs extraits de deux échantillons testés sont des phengites[2] ayant la formule suivante: $(K_{.93}\ Na_{.09})\ Al_{1.62}\ Fe_{.27}\ Mg_{.14}\ (Si_{3.12}\ Al_{.88})$.

1. Voir BCH CII (1978), 977-981; BCH CIII (1979), 754.

2. Ces micas sont issus de roches métamorphiques, situées en zones affectées par un métamorphisme d'intensité moyenne.

TABLEAU 1. *Caractérisation des pâtes grenues d'après l'examen microscopique d'une sélection de 9 échantillons, les analyses à la microsonde puis l'observation générale des échantillons au stéréomicroscope (dit aussi loupe binoculaire).*

	Bronze Récent																				Fer Ancien I-II																														F.A. III
	60	61	62	63	64	65	66	33	34	35	16	17	18	36	25	19	26	23	28	1	4	43	44	47	6	7	11	21	24	27	5	10	15	39	38	8	9	14	20	40	42	45	30
Micas fins	×	×	×	×	×	×	×	×			×			×	×			×				×							×																					×	×
Sable	×	×	×	×	×	×	×		×		×			×	×	×		×	×	×	×		×	×	×	×	×	×	×	×		×	×	×	×	×	×		×	×	×	×							×	×
Quartz en mosaïque	×	×	×	×		×	×			×	×	×	×	×	×		×		×	×	×	×	×	×	×		×			×	×				×	×	×	×		×	×	×								
Schistes / gneiss blancs			×	×							×									×						×				×		×	×					×		×								
Micas blancs	×	×	×			×		×	?	×		×	×	×	×	×	×	×	×	×	×	×	×	×	×	×	×	×	×	×	×	×	×	×	×	×	×	×	×	×	×							×
Biotite altérée				×						×		×	×			×	×	×		×	×			×	×	×	×	×	×	×		×	×	×		×		×	×	×								
Disthène									×	×	×			×			×		×					×	×	×					?		?	×		×													×
Plaquettes opaques Ti Fe										×	×			×			×		×	?	?			×		×	×					×	×	×	×	×	×	×	×		×								×
Granules opaques																	×		×																																×

61 = 61A
63 = 61B
64 = 64A
65 = 64B

× : Présence d'un élément

RÉFÉRENCES

No d'échantillon		Planches	No d'échantillon		Planches	No d'échantillon		Planches
1	Kastri T1		20	T18,34(26)	Pl. 107: 34	40	B1	Pl. 50B
4	T1,27 (7)	Pl. 60: 27	21	T18,3(1)	Pl. 101: 3	42	B2,3(3)	Pl. 56: 3
5	T1,38(6)	Pl. 61: 38	23	T18,32(13)	Pl. 106: 32	43	B2,12(6)	Pl. 57: 12
6	T1,25 (1)	Pl. 60: 25	24	T18,1(2)	Pl. 101: 1	44	Λ1B9	Pl. 190: 9
7	T1		25	T18,110(98)	Pl. 113: 110	45	Λ4A2(4)	Pl. 203: 2
8	T5B7	Pl. 76: 7	26	T18,47(44)	Pl. 108: 47	47	ΛB7(2)	Pl. 188: 7
9	T5Γ3(1)	Pl. 74B: 3	27	T18,4(6)	Pl. 102: 4	60	Kastri 121	
10	T5Γ		28	T18,31(4)	Pl. 106: 31	61	Kastri 18	
11	T14A1(1)	Pl. 87: 1	30	T19A3	Pl. 124: 3	62	Kastri 84	
14	T14B11(4)	Pl. 89: 11	33	K1A23(68)	Pl. 3: 23	63	Kastri 19	
15	T14B16(13)	Pl. 90A: 16	34	K1A6	Pl. 1: 6	64	Kastri 21	
16	T15,7(7)	Pl. 92: 7	35	K1,14	Pl. 9: 14	65	Kastri 18	
17	T15,11	Pl. 92: 11	36	T13,18(6)	Pl. 86	66	Kastri 72	
18	T15,14	Pl. 92: 14	38	K4A3(4)	Pl. 27: 3			
19	T18,88(69)	Pl. 112: 88	39	K4B1(5)	Pl. 32: 1			

Le second minéral caractéristique des céramiques de Kastri dont il était aussi nécessaire de connaître la composition chimique est un minéral opaque en plaquettes, peu magnétiques, fragiles, ayant un faible pouvoir réflecteur dans le gris sombre et qui au broyage donne une poudre gris moyen, dont voici la composition en analyse à la microsonde :

	I	II
MgO	0,25	-
Al_2O_3	0,39	0,24
TiO	13,00	13,13
FeO	86,16	86,82
	100,10	100,19

Diffraction des R.X.[3]

La diffraction des R.X. a permis -d'une part de vérifier que les cristaux (rougeâtres) altérés à reflets nacrés étaient du disthène (AM 40) et de détecter la présence de graphite dans l'engobe de l'échantillon no 33 ; - et d'autre part de caractériser certains matériaux argileux micacés comme les incrustations blanchâtres ornant ce même échantillon AM 33 qui sont constitués de talcschiste broyé dans lequel le talc dominant est accompagné de chlorite.

Enfin l'examen de AM 40 a permis de contrôler que la pâte, d'aspect terne sans paillettes de mica, essentiellement constituée de minéraux argileux donne une basse diffuse de diffraction dont le sommet se situe à 10,28 Å, précédé d'un fond élevé de 14,71 Å à 9,81 Å.

ESSAI DE CARACTÉRISATION DES PÂTES GRENUES D'APRÈS LES EXAMENS MICROSCOPIQUES ET LES ANALYSES COMPLÉMENTAIRES

(Explication du Tableau 1)

Lorsque la nature des minéraux constitutifs du dégraissant, visibles à la loupe binoculaire est connue grâce à l'examen microscopique et aux analyses complémentaires en diffraction des RX et par microsonde électronique, il est utile, pour les recherches concernant la description matérielle, de procéder à un second examen (à la loupe binoculaire), des tessons. Cet examen qui se trouve actuellement limité aux 43 échantillons grenus présents au laboratoire devra être élargi à l'ensemble de céramiques venant des mêmes dépôts archéologiques.

Les échantillons possèdent comme caractère commun (à l' exception de AM 34 et 45) d'être faits de terres contenant des paillettes de micas parmi lesquelles on distingue trois types : Les terres à très fins micas ; celles qui contiennent principalement des grandes paillettes de micas claires à reflets argentés et quelquefois légèrement rosés, et celles qui sont surtout riches en micas noirs opacifiés à reflets mordorés plus ou moins sombres. Les autres éléments du dégraissant observables sont : des grains lithiques de micaschiste, de gneiss et de filon quartzeux, auxquels peut s'ajouter un sable de quartz plus ou moins bien classé. Cependant le minéral le plus caractéristique des productions de Kastri est le disthène en cristaux d'aspect fibreux, incolores[4] ou légèrement rubéfiés, par des infiltrations d'oxyde de fer, lorsqu'il est altéré ; il contient des inclusions opaques en forme de plaquettes (fer-titane). Il est quelquefois accompagné de rares tourmalines bleu vert et d'épidote difficile à distinguer[5] des autres minéraux clairs parce qu'incolore ou bien grisâtre.

3. Les diagrammes ont été réalisés par Madame Mamou du laboratoire de géologie de l'E.N.S. de Paris que nous remercions bien vivement.

4. De très rares cristaux sont de couleur bleu et pléochroïques.

5. En examen épiscopique, du moins, car leur détermination par examen microscopique (en lame mince) ne pose aucun problème.

Rappelons que dans les céramiques locales faites dans des argiles plus évoluées que celles des terres d'arénisation (type terra rossa) seule la présence des plaquettes opaques abondantes dans le sable quartzeux, plus ou moins bien classé, établit la parenté avec les terres décrites plus haut.

Enfin, un petit nombre de céramiques se distingue de ces groupes dominants locaux, qui comprend par exemple AM 9?, 31, 33 et 45 ; on ne peut cependant en l'état actuel des recherches, expliquer cette différence, mais seulement considérer ces échantillons comme étrangers aux séries dominantes.

ESSAI D'INTERPRÉTATION

Les ressources

Les ressources utilisées pour la fabrication des céramiques, de types dominants, de la région de Kastri au Bronze Récent et au début de l'âge du Fer, sont des terres d'arénisation résultant de l'altération résiduelle de micaschiste et gneiss à phengite et biotite plus ou moins vermiculisée, auxquels il faut ajouter des grains lithiques provenant des filons de quartz à disthène[6] ou de roches largement épidotisées. Ces arènes, probablement après concentration de la portion argileuse, peuvent aussi avoir été utilisées à l'état à peu près pur ou mêlée à des terres de limons sableux, exempts de carbonate, riches en micas et quartz très fins, ou classés de dimensions moyennes d'environ 300 μ. Dans d'autres cas, c'est semble-t-il plutôt une ressource très évoluée telle qu'une terra rossa naturellement «lourde», collante aux doigts, mais largement dégraissée de grains de quartz filonien, ou de sable quartzeux, riche en minéraux lourds et en opaques, qui a été choisie.

Dans un paysage riche en formations calcaires (marbres cipolins) on doit remarquer que les céramiques appartenant aux séries caractéristiques de Kastri ne contiennent pas de carbonate. Les quelques grains de calcite mentionnés dans la description microscopique sont d'apport accidentel sans signification technologique. Et le seul échantillon ayant des nodules de croûte calcaire peut être considéré comme étranger aux types dominants locaux.

Enfin la fréquence des fragments de restes végétaux dont l'aspect est quelquefois bitumineux ainsi que la présence d'une zone sombre au cœur de la pâte des tessons nous indiquent que les terres contenaient une portion modérée de matière organique humique ; elles ont par conséquent été extraites de dépôts très superficiels (sols) ou bien de régions légèrement marécageuses (Addenda: note 1).

Surfaçades (ou finitions de surface)

Les surfaces des 43 échantillons sélectionnés sont difficiles à observer, elles sont altérées en majorité et les opérations de nettoyage indispensables ont usé la couche argileuse la plus superficielle[7], ce qui dans certains cas a pu ôter «l'épiderme» de céramiques qui originellement bien lissées peuvent, aujourd'hui, apparaître mates et rugueuses en surface. Cependant en parcourant la surface d'un tesson, il est souvent encore possible d'observer, sous la loupe binoculaire, une plage préservée de l'érosion, qui constitue un élément témoin de l'état premier de la surface.

On voit ainsi que 30 des 43 fragments de poteries à pâte grenue, ont été finement égalisés et légèrement lustrés ou polis (smoothed), ceci probablement par lavage de la surface à la main mouillées, suivi d'un polissage doux. AM : 1, 4, 5, 6, 7, 8, 9, 10, 11, 14, 16, 17, 18, 19, 20, 21, 23, 24, 25, 27, 28, 30, 34, 35, 36, 38, 39, 43, 45, 47.

Cependant les surfaces des échantillons sont de trop faibles dimensions pour permettre une

6. G.D. Voreadis, Geological and Mining Research in Thasos, IGME, Athènes 1954.

7. Ce nettoyage est d'autant plus difficile à réaliser sans dommage, que la «gangue» qui recouvre le tesson peut être une argile illuviale, ayant un aspect d'engobe, et formant un dépôt de type «cutan» pédogénétique très adhérent. Voir AM 9, AM 36.

étude approfondie des modes de finition ; elles permettent cependant d'observer la présence de poils frisés très fins (poils d'agneau ?) sur 9[8] des 30 céramiques énumérées plus haut. Ce détail particulier, lorsque les traces de poils sont abondantes indique qu'un lainage doux (probablement non désuinté) a été utilisé pour le polissage, alors que des traces éparses peuvent être seulement le témoin de contaminations ambiantes dues à l'abondance de matières laineuses dans l'environnement domestique. En outre, lorsque les céramiques ont en zone superficielle externe, une portion notable de carbone (AM 43, 19, 27) l'hypothèse d'une imprégnation intentionnelle de la surface par de la matière grasse aidant l'opération de lustrage, doit être posée, bien que nous n'ayons pas les moyens scientifiques d'en démontrer l'usage.

A côté d'une majorité de céramiques ayant une surface d'aspect « modérément » micacé on remarque quelques céramiques grisâtres dont les reflets gris noirs dits « plombeux » à éclat submétallique[9] sont dûs à l'adjonction d'engobe argilomicacé contenant des paillettes de graphite (AM 33) ou bien à un apport superficiel probable d'argile fortement micacée et contenant de très nombreuses paillettes[10] d'un minéral opaque (Fe, Ti), accompagnant le disthène, ayant un éclat gris-noir submétallique comparable à celui du graphite (Par exemple: AM 4, 6, 7, 8?, 9) et dont l'orientation à plat en surface du tesson favorise la brillance.

Les « états de cuisson »

Les échantillons observés au microscope pétrographique ont un fond de pâte anisotrope. Ce caractère optique indique que les minéraux argileux constitutifs n'ont pas été destructurés au cours de la cuisson céramique qui a été modérée (probablement inférieure ou égale à 750° C). Ce faible degré de cuisson est habituel aux céramiques monochromes de la protohistoire balkanique dont la couleur sombre résulte d'une cuisson confinée de terres argileuses humiques (AM 4, 6, 7, 11, 21, 23, 24, 27, 33, 34, 38). Lorsque l'apport d'air au cours du chauffage est plus fort, la combustion de la matière organique se produit, les surfaces s'éclaircissent et acquièrent des colorations brun gris moyen à brun orangé clair (AM 1, 5, 8, 10, 14, 15, 16, 26, 31, 36, 37, 40, 41, 42, 44, 45).

A propos des couleurs de la poterie de type technologique primitif, on doit noter ici le fait qu'il y a généralement une certaine relation entre la couleur initiale de la terre et la couleur de la poterie lorsque celle ci n'est pas dissimulée par la présence de noir de carbone. C'est ainsi, par exemple, qu'une céramique faite d'une marne argileuse blanchâtre, cuite modérément aura une couleur beige pâle, tandis qu'une terra rossa gardera après cuisson moyenne sa tonalité vive d'un rouge franc. Cette relation disparaît lorsque les températures des cuissons céramiques sont plus élevées (> 750° C).

Au cours du Bronze Récent et du début de l'Age du Fer, les colorations claires ou rouge franc, résultant d'une oxydation plus ou moins forte, ne semblent pas recherchées puisque 16 des 43 céramiques étudiées ont une surface noirâtre due à un enfumage obtenu au cours d'une phase tardive de la cuisson (AM 6, 9, 21, 23, 24, 25, 27, 28, 33, 35, 39, 42, 43, 44, 47). Lorsque l'enfumage affecte des céramiques partiellement oxydées mais à cœur grisâtre, la section transversale du tesson présente des phénomènes de coloration zonée complexes (AM 19, 25, 28).

A côté de ces céramiques ayant des matières carbonées internes (humus) et/ou en surface (enfumage) il faut remarquer la présence de rares céramiques exemptes de carbone organique, qui peuvent devoir ce caractère à la nature de la terre utilisée, initialement dépourvue d'humus (probablement : 13, 16, 26) et/ou à une cuisson plus élevée ayant oxydé la pâte jusqu'au cœur (AM 40) (Voir en addenda la note 1).

Le tesson AM 45 d'un type minéral particulier et de couleur grise, se distingue des autres; il a subi un chauffage légèrement plus élevé (800° C-850° C?) en atmosphère réductrice. Cette

8. AM 35, 39, 43, 44?, 45?, 19, 27, 28, 38.
9. Dit aussi « métallescent ».
10. Dont il convient de rechercher la présence dans les sables locaux.

différence peut résulter d'un fait accidentel, sans signification archéologique, au bien résulter de la volonté technique du potier d'obtenir une céramique bien cuite de couleur grise. Il n'est cependant pas possible de répondre, à la vue d'un seul tesson, à cette question importante dont la résolution nécessiterait des recherches comparatives élargies.

Recherches comparatives

Du point de vue minéralogique, le groupe dominant de la céramique de Kastri (de l'Age du Bronze Récent et début du Fer) se caractérise par sa richesse en micas clairs (phengite), la présence de disthène et d'« opaques en plaquettes ». Il se distingue des ensembles céramiques dominants de Dikili Tash (post-néolithique) constitués de terres peu ou non micacées, dégraissés de quartz filonien ou de fragment de microdiorite à grains fins. Les céramiques des ces deux sites ont en commun le fait d'être dégraissées essentiellement de minéraux siliceux (quartz et silicates). Cette observation est aussi valable pour les périodes antérieures. Seul, l'échantillon AM 85 a été abondamment et intentionnellement dégraissé de calcite spathique, ce qui le rapproche de productions (sub-néolithiques?) importantes de zones égéennes plus méridionales, trouvées dans la grotte de Kitsos et dans l'Antre Corycien de Delphes (Suppl. VII du BCH 1981, 174-175).

Parmi les techniques de finition des surfaces : égalisation puis polissage on retrouve à Kastri les deux types déjà observés à Dikili Tash[11] ; d'une part le polissage doux effectué avec un objet, peut-être végétal, qui laisse de très fines stries désordonnées, visibles à la loupe binoculaire avec un grossissement de x 40, et qui s'observe en particulier à la surface des belles céramiques « dites de Gumelniţa » à décors peints au graphite. D'autre part, un polissage doux soigneusement réalisé, qui comporte des empreintes de poils fins frisés. Ce caractère s'observe déjà sur la céramique monochrome du néolithique tardif de Thasos (AM 62, 66, 119). Ces détails sont importants car il semble que les modes de finitions décrits plus hauts marquent clairement deux séquences culturelles.

Le lustrage et/ou le polissage ne sont pas toujours réalisés directement sur la paroi de la poterie, un engobe peut avoir été posé avant. A Kastri, comme à Dikili Tash, se retrouve le problème de la reconnaissance des engobes graphités (AM 33) dont la distinction avec les surfaces lustrées, « surmicacées », noircies par l'enfumage et contenant des paillettes opaques pose un problème technique délicat (Addenda: note 2). Cependant ces deux types de surfaçages ne doivent pas être confondus, car il est nécessaire de comparer leur proportion en chacun des sites. Il semble, dès à présent, que l'usage du graphite ait été plus développé au Bronze Récent en régions continentales (Macédoine orientale et Thrace) que dans l'île de Thasos.

Sur les céramiques ornées, cet engobe graphité accompagne un décor fait d'incisions incrustées de talcschiste blanchâtre broyé, pulvérulent. Ce mode d'ornementation s'observe également à Kastri et à Dikili Tash.

Caractéristique de périodes plus anciennes de Dikili Tash, la technique d'incrustration à la cendre d'os[12] ne se retrouve à Kastri ni dans les productions les plus anciennes (néolithiques chalcolithiques) ni dans l'ornementation de céramiques plus récentes (AM 18). Peut-être faut-il expliquer l'absence de vestige de cette technique d'incrustation très particulière dans des céramiques, telles que AM 59 et AM 65 par l'altération ? Des conditions de dépôt dans le site archéologique, probablement très acide, dissolvant les vestiges osseux (squelettes humains des sépultures etc.), peuvent avoir eu aussi pour effet de faire disparaître toute trace d'incrustations de « deshydroapatite » à la surface de céramiques qui en étaient initialement ornées.

Les modes de cuisson pratiquées à Kastri comme à Dikili Tash pour la céramique à pâte grenue

11. Rapport remis à Jean Deshayes le 16 Mars 1979, (texte dactylographié en dépôt à l'Ecole Française d'Athènes) à paraître dans « Les fouilles de Dikili-Tash », tome II. L. Courtois, De l'Indus aux Balkans. Recueil à la mémoire de Jean Deshayes, Editions Recherches sur les civilisations, Paris 1985, 99-105.

12. La calcination préalable est déduite du fait qu'au brogage l'os frais se délite en fibres, tandis qu'il se fragmente en morceaux plutôt cubiques, lorsqu'il a été calciné (donc à l'état de « bio-deshydroapatite »).

se caractérisent par une température maximale assez modérée dans une atmosphère confinée. On note cependant au Bronze Récent et au début du Fer une tendance à l'aération du foyer ayant pour effet d'élever les températures maximales et d'oxyder, donc l'éclaircir la couleur des céramiques. Il était alors toujours possible de donner aux surfaces claires la tonalité sombre traditionnelle ou bien franchement noire par enfumage ; le noircissement était même souhaitable pour les céramiques à engobe graphité ou « pseudo graphité ». Les reconstitutions expérimentales nous apprennent que l'apport de noir de carbone produit par l'enfumage met en valeur l'éclat submétallique de l'engobe graphité.

ADDENDA

Note 1. Un caractère chimique important et commun à de très nombreux types de céramiques protohistoriques est la présence de composés du carbone insolubles à l'attaque chimique acide (HF + HCl). Lorsqu'il n'est pas lié à la fabrication de la céramique, ce carbone insoluble peut provenir de l'usage de la céramique comme marmite, de l'imprégnation organique massive lors de tous autres usages alimentaires : stockages, etc., ou encore résulter d'une modification accidentelle : chute dans un foyer, incendie, etc. ; ensuite, l'enfouissement dans un milieu riche en composés mobiles, résultant de la dégradation de matières organiques, peut produire une imprégnation humique notable.

Dans tous les cas que nous venons d'énoncer, la présence d'une portion carbonée n'est pas un caractère nécessaire à la définition technologique d'une production.

Par contre, la portion carbonée liée à la fabrication des céramiques est un élément déterminant utile à une meilleure connaissance de ce que l'on peut appeler : « classes technologiques » de la céramique des civilisations anciennes.

Le carbone des céramiques est quelquefois dû soit à la présence de fragments végétaux, soit à l'adjonction à la terre plastique de tout autre composé organique naturel ou déjà pyrolysé, soit à l'usage donc au choix d'horizons argilo-humiques de sols ou de limons des tourbières, etc.

Dans tous ces cas, l'oxydation totale de la portion carbonée au cours de la cuisson céramique ne s'est pas produite ou n'a été que partielle. Plusieurs facteurs peuvent être la cause d'une oxydation insuffisante : un maximum thermique trop bas ou de trop courte durée par rapport à la nature physico-chimique de la portion carbonée et à son mode de liaison avec la portion minérale, à une absence d'aération, etc.

Enfin, la portion carbonée d'une céramique, dans certains cas, résulte du seul enfumage accidentel, ou, au contraire intentionnel, et recherché pour la couverte noir-bleuté mi-mate presque métallescente qu'il produit en fin de cuisson céramique. Cette couverte est malheureusement fragile et se ternit rapidement.

Ainsi les colorations complexes de ces céramiques, lorsqu'elles ne sont pas totalement noires, sont dues à la superposition de la couleur propre aux constituants minéraux de la pâte (qui peuvent être rouges, brunes, beige-verdâtres etc.) et de la couleur brune à noir franc de la matière organique plus ou moins carbonisée, ou bien « humifiée ».

La présence de ce constituant organique rend beaucoup plus complexe l'analyse et la caractérisation physico-chimique de la céramique et les problèmes techniques que pose l'analyse de la portion carbonée de ces céramiques primitives ne sont pas encore résolus.

Note 2. De nombreuses céramiques protohistoriques montées à la main, d'âges divers, de Macédoine ainsi que d'autres régions balkaniques sont décrites comme « enduites ou bien peintes au graphite » ; certains auteurs parlent même de poteries gris noir à « reflets plombeux », or dans bien des cas il semble que surfaces noires micacées et surfaces enduites au graphite ont été confondues. Face à ces incertitudes il a paru nécessaire d'effectuer une recherche systématique du graphite sur les céramiques de Dikili Tash, en utilisant deux méthodes de détermination du graphite.

En laboratoire, pour connaître la nature exacte des enduits à éclats submétalliques, il a été nécessaire de procéder à une attaque partielle de l'engobe argilo-micacé permettant d'éliminer les silicates (quartz, mica, argile) par mise en solution en utilisant tout d'abord un mélange d'acides fluorhydriques et chlorydriques concentrés suivie d'une attaque à chaud dans l'acide nitrique pur. On obtient alors après filtrage un résidu solide à peu près pur de graphite en paillettes qui,

soumis à l'examen diffractométrique des R.X. donne le diagramme caractéristique de ce minéral, ce qui ne laisse plus aucun doute sur la nature de l'enduit prélevé.

Ensuite, lors de l'examen systématique des tessons dans le dépôt de fouilles, le test de la triple attaque chimique peut être pratiqué chaque fois que l'examen au stéréomicroscope à fort grossissement ne permet pas de lever les incertitudes, c'est-à-dire chaque fois que les paillettes de graphite sont trop dispersées et de trop faibles dimensions. Dans les autres cas le test de l'écrasement est suffisant car il permet de distinguer le mica qui se délite en feuillets plus fins et transparents (sous la pression d'une aiguille à pointe mousse), du graphite, presque aussi malléable qu'un métal tendre, qui s'étale mais reste opaque observé en lumière transmise.

II. LES CÉRAMIQUES EN PÂTES FINES (EXAMEN MICROSCOPIQUE)

Ce chapitre regroupe l'étude de tessons dont les pâtes diversement colorées sont beiges, grisâtres ou bien d'un rouge brique orangé plus ou moins franc, mais qui ont comme caractère commun d'être généralement exempts de dégraissant visible à l'œil nu.

L'état de conservation très inégal de ces tessons rend malaisée leur étude macroscopique comparée. L'étude matérielle de la céramique ancienne nous a en effet appris que des céramiques appartenant aux mêmes productions peuvent, au sortir de leur long enfouissement, présenter des degrés divers d'altération. Ainsi, dans le cas présent, l'échantillon AM 12 est en assez bon état, tandis que AM 32 est totalement dégradé à l'état de «plaquette» pulvérulente informe.

Au début des recherches, l'examen microscopique permet, malgré tout, d'effectuer une étude comparative basée sur la caractérisation des microfaciès de céramiques en apparence si différentes.

Ensuite, le but de cet examen est d'essayer d'orienter les programmes de recherches de provenances reposant sur des séries d'analyses approfondies et complémentaires (analyse par microsonde de minéraux ayant qualité de «traceur d'origine»; analyses chimiques globales des pâtes portant sur les éléments chimiques majeurs et/ou à l'état de traces).

On doit cependant rappeler que les informations apportées par l'examen microscopique de céramiques fines sont moins abondantes que celles fournies par les poteries grossières moins épurées contenant par conséquent plus d'éléments reflets de la géologie locale des lieux de production.

Il est cependant nécessaire de contrôler systématiquement, grâce à la microscopie, le degré de finesse des pâtes et de chercher à détecter le moindre indice permettant de préciser la caractérisation d'une production particulière avant de procéder à l'établissement d'un programme d'analyses chimiques.

Microscopie des pâtes céramiques

Afin d'éviter l'énoncé fastidieux des descriptions de 18 lames minces, les résultats de l'examen microscopique sont présentés dans le tableau 2.

Ceux-ci nous indiquent d'abord que, considérés dans le détail, il n'y a pas, dans le lot d'échantillons sélectionnés deux exemplaires strictement similaires, qui donc proviendraient, par exemple, d'une seule et même série de production céramique bien définissable, puisque chaque échantillon a ses caractères propres.

Malgré les différences constatées, il est nécessaire de tenter un regroupement de ces échantillons. Nous avons donc défini, pour la présentation des résultats, cinq groupes (inscrits, en haut du tableau) par A à E.

Mais avant d'en présenter les caractéristiques, quelques éléments du tableau doivent être expliqués. Ainsi, les fonds de pâte apparaissent soit argileux, avec une anisotropie faible («peu anisotrope») ou normale, soit isotrope, lorsque les éléments minéraux constitutifs ont été destructurés par la cuisson céramique. Ils contiennent du quartz fin $< 80\ \mu$, des micas finement délités et des pigmentations d'oxydes en grains fins. Dans certains cas, il y a une tendance à la recarbonatation diffuse en «micrite secondaire». La portion dégraissante peu ou non visible à l'œil nu

TABLEAU 2. *Examen microscopique des pâtes fines.*

	B I					B II				B III				B IV				
AM no	51	50	49	55	48	22	37	3	2	13	29	12	32	53	41	206	207	208
GROUPES	C	C	D	C	E	A	B	B	E	A	B	E	E	C	E	«B»	«A»	«A»
Fonds argileux							×	×								×	×	×
Anisotropes							×	×								×	×	×
Peu anisotrope							×	×										
Fonds isotropes	×	×	×	×	×	×	×	×		×	×	×	×	×				
Micas fins		*		×	×	×	×	×		×	×		×	×	×			
Quartz fins	×	×	×	×	×	×	×	×	×	×	×	×	×	×	×	×	×	×
Oxydes fins	×	×	×	×	×	×	×	×	×	×	×	×	×	×	×	×	×	×
Micrite secondaire														×	×			
Micas blancs	×					×	×	×		×	×			×		*	×	×
Micas noirs						×	×	×	×	×	×					×		×
Micas opacifiées	×	×	×			×			×		×					×	?	×
Quartz («gros»)						×			×					×		×		×
Orthose microcline							×		×	×			×	×		×	×	
Plagioglases					×			×	×	×		×	×		×			×
Amphiboles	×				×	×	×	×		×								×
Sphène								×		×	×							
Epidote			×				×							×		×	×	×
Zircon							×	×										
Tourmaline									×				×			×		
Grenats											×		×					
Carbonates	×	×												×				
Calcitisation secondaire	×	×	×											×				
Grains lithiques			V									V	?		?	M	M	M
Pâte homogénéisée	×	×	±	×	±			×	×	×	×		×		×			

× = Présence d'un élément ou caractère.
* = Abondance remarquable d'un élément.

RÉFÉRENCES

No d'échantillon		Planches/Figures
2	T1Ш43(1)	Pl. 62: 43
3	T1Ш47(7)	Pl. 62: 47
12	T14A13	Pl. 88: 13
13	T5Г2(2)	Pl. 74B: 2
22	T18V112(89)	Pl. 113: 112
29	T19AI2(7)	Pl. 124: 2
32	T20A5(5)	Pl. 127: 5
37	K4A2(5)	Pl. 27: 2
41	K3AI1	Pl. 23B: 1
48	Kastri T8, A1	Fig. 167β
49	Kastri T13, 340α	*
50	Kastri T13, 340β	*
51	Kastri, 6	ADelt 27 (1972), Chron., pl. 457
53	Kastri, 25	*
55	Kastri	*
206	B1Г13(5)	Pl. 49: 13
207	K4A8(9)	Pl. 28: 8
208	T1Ш44(21)	Pl. 62: 44

* non publié.

regroupe un ensemble de minéraux dont les éléments dominants sont le quartz en grains plus ou moins anguleux, les micas, les feldspaths (orthose, microcline, plagioclases). Enfin, il convient de noter la présence de calcitisation secondaire de certains pores ou fissures céramiques, résultant des conditions d'enfouissement dans le site archéologique, et la présence de «grains lithiques», c'est-à-dire de fragments de roches à texture fine, qui peuvent être d'origine volcanique (V) ou bien métamorphique (M). Pour faciliter la lecture archéologique du tableau, les échantillons ne sont pas classés en fonction de leurs caractères microscopiques, déterminant les groupes A à E, mais dans l'ordre chronologique et d'après le classement typologique suivant:

1) Céramique mycénienne dite «d'origine» (B I)
2) Céramique mycénienne locale (B II)
3) Céramique post-mycénienne (B III)
4) Céramique «G2-3 Ware» (B IV)

Le **groupe A** se caractérise par une relative abondance de minéraux phylliteux colorés, en agrégats plus ou moins altérés et par la présence de grumeaux plus riches en oxydes de fer, ayant un aspect de nodules de terra-rossa. A ce groupe peuvent être rattachées deux céramiques de texture relativement grossière (AM 207 et 208).

Le **groupe B** comprend des céramiques ayant en partie les mêmes caractéristiques que celles du groupe précédent mais le fond de pâte apparaît plus homogène, plus riche aussi en micas blancs, sans grumeaux et avec des quartz plus fins (< 150 μ). Le tesson AM 206 à pâte homogène largement dégraissée de quartz et feldspath peut être apparenté à ce groupe, mais il apparaît comme un exemplaire sableux non décanté de ce groupe, donc plus proche de la poterie commune, bien que sa texture légèrement fluidale le rapproche des poteries façonnées sur le tour.

Le **groupe C** rassemble les microfaciès céramiques ne contenant que de très fins micas et pauvres en quartz fins, mais dont les autres caractères sont différents ; AM 51 contient des éléments bioclastiques calcaires très fins (ostracodes ?). L'échantillon AM 50 anisotrope est fait d'un fin «feutrage argilo-micacé» à peu près exempt de quartz, que l'on observe aussi dans AM 53.

L'échantillon AM 49, «caractéristique» du **groupe D** a un fond de pâte isotrope peu homogénéisé (structure semi-grenue rougeâtre à granules diffus grisâtres, quartz fins, granulations opaques, quelques feldspaths, grains opaques concrétionnés, fragments de microgrès, granulation de calcite micritique et très rares micas. La caractéristique commune du Groupe D est la pauvreté en micas.

La lettre **E** est affectée à un ensemble qui ne constitue pas vraiment un groupe car il comprend diverses céramiques très différentes les unes des autres et qui ne peuvent être attribuées à aucun des groupes A à D précités.

Le no AM 2 a un fond de pâte anisotrope à micas de 50 à 200 μ, quartz et opaques de 20 μ à 50 μ, riche en micas blancs et quelques biotites polychroïques ou amorphisées. Quelques grains plus gros de quartz et plagioclases (avec traces probables de verres volcaniques?).

Le no AM 12 a un fond de pâte isotrope à structure microgrenue diffuse, ayant de nombreux trous, contenant peu de quartz, feldspaths trés fins (< 20 μ), et de rares micas. Nodules opaques concrétionnés, peu d'éléments de 150 μ à 200 μ : quartz et plagioclases zonés et maclés plus ou moins idiomorphes ou cassés. Un fragment altéré de roche volcanique à feldspaths zonés et fond vitreux de 400 μ est observable dans cette lame.

Le no AM 41 a un fond de pâte isotrope peu homogénéisé, contenant du quartz fin, des micas et des granulations opaques fines, dégraissé de quartz anguleux, feldspaths plagioclases et de rares grains plus gros de quartz et d'arkose, quelques fines baguettes d'oxyhornblende, nodules d'argile ferrugineuse, fissure calcitisée.

Ces céramiques de types divers sont constituées, soit de pâte micacées (AM 2, AM 48), soit de pâtes à micas très rares, comme AM 32 (cependant il y a une paillette de lépidomelane ?) et contiennent des feldspaths subidiomorphes à bordures corrodées dont l'origine volcanique possible devra être démontrée.

Engobe et peintures

En microscopie les engobes et peintures, souvent altérés, sont difficilement observables. On peut

toutefois déceler, pour le no AM 13, la présence d'un engobe non défloculé, épais de 80 à 100 µ, constitué d'une argile d'aspect micacé, de couleur blanchâtre, à peu près dépourvue de quartz fin. Et, en surface de l'échantillon, on peut voir qu'il y a une fine couche de 8 à 10 µ de peinture opaque et finement grumeleuse, bien différente de la peinture, «à qualité de vernis antique», qui orne la poterie mycénienne dite d'origine.

Essai d'interprétation

Les ressources argileuses

Les différentes terres utilisées pour la fabrication des poteries fines micacées mycénisantes et apparentées, sont soit des limons sableux argilo-micacés (quelque fois humiques, AM 29?) utilisés pour la fabrication de la poterie grenue montée à la main (de type balkanique), mais affinés par décantation, soit des argiles limoneuses naturellement fines, sans portion sableuse (quartz d'environ 200 µ) provenant de dépôts fluviatiles, par exemple (groupes A et B), tandis que les pâtes très fines sont dues en général à l'utilisation presque à l'état brut d'argilite quelque fois très pure (groupe C). Les autres céramiques présentent des microfaciès homogènes micacés ou non qui sont le plus souvent le produit de mélanges élaborés, décantés, homogénéisés, de terres aux qualités complémentaires (D et E) afin d'obtenir une pâte adaptée au tournage rapide. Ainsi AM 49 possède les caractères d'une terre cuite faite d'un mélange de terra rossa et avec une argile marneuse. Il convient de remarquer que la majorité des terres micacées utilisées sont de couleur rougeâtre après cuisson oxydante franche, ce qui les différencie des productions mycéniennes, calciques, d'Argolide, de couleur beige pâle. Pour éviter l'effet indésirable de ton sur ton, il était nécessaire d'engober la surface rouge du vase avec une argile micacée plus claire afin de mettre en valeur leur décor peint en brun rouge.

Les cuissons céramiques

Les céramiques fines, à l'exception de celles des groupes A et B dont 5 sur 8 sont anisotropes, ont un fond de pâte argileux isotrope, ce qui indique des degrés de cuisson assez élevés, en moyenne, les différenciant de la poterie commune à pâte grenue. Cependant, les modes de cuisson sont variés puisque certaines sont très également cuites dans toute l'épaisseur (groupe D et E), tandis que d'autres, comme AM 29, 51, ont un cœur de pâte optiquement isotrope, bordé de franges externes et internes anisotropes ; ce qui indiquerait plutôt un cuisson «vive» mais brève, inhabituelle pour la céramique mycénienne et plus proche des modes de cuisson protohistoriques encore utilisés à cette époque pour la poterie commune grossière. L'examen microscopique nous apprend en outre qu'il n'y a pas de correlation entre le degré de cuisson et l'état de conservation des céramiques affectant en particulier leur dureté ; car le taux d'altération plus ou moins grand subi par des céramiques archéologiques de même âge est lié d'une part à leur nature physico-chimique initiale et d'autre part aux conditions d'enfouissement. On remarque ainsi que les tessons pulvérulents AM 13, 32, isotropes, ont été «plus cuits» que AM 37 optiquement anisotrope, qui est plus solide et en assez bon état de conservation.

Recherches comparatives

Les céramiques du groupe A, faites de terres micacées, présentent beaucoup de caractères communs avec des productions locales d'âge plus ancien, donc sans lien culturel, avec celles que nous étudions présentement. On peut citer par exemple la céramique néolithique du type de Galepsos, comme AM 79.

Ainsi, par rapport à la poterie commune grossière, les poteries du groupe B peuvent être considérées comme le produit d'influences extérieures liées au commerce, qui ont conduit à la réapparition à Thasos et en Macédoine orientale, au cours de l'Age du Bronze Récent de production de pâtes fines destinées alors au tournage et à des cuissons céramiques oxydantes fortes, non enfumantes. Il semble que les exemples les plus élaborés de ces productions nouvelles sont des céramiques que l'on peut qualifier de «pseudo-mycéniennes» (exemple AM 22, 37) pour lesquel-

les on peut émettre l'hypothèse d'une origine régionale (Macédoine orientale côtière) et peut-être même locale.

Les problèmes posés par les autres céramiques fines mycéniennes ou à pâte grisâtre sont plus complexes (groupes C à E).

Les pâtes très fines purement argilo-micacées de AM 50 font évoquer par exemple la poterie eubéenne ou béotienne. Les pâtes plus fines et denses (AM 55) peuvent être rapprochées de productions largement exportées au Levant[13] qui présentent des affinités avec des séries qui sont dites mycéno-crétoises tardives (LH IIIc) (Courtois, L. 1971, Thèse, p. 150) mais dont l'aire des origines possibles est vaste et comprend toute la zone des terrains métamorphiques à schistes et micaschistes de l'Egée centrale depuis l'Attique à la Macédoine et les rivages de l'antique Lydie.

Enfin, les tessons contenant des éléments volcaniques probables et diffus : AM 48, 32, 2, 12, 41, devront être comparés aux productions mycéniennes extérieures (connues?) insulaires ou continentales de l'Est égéen méridional ou plus septentrional (Attique, Carie, île de Lesbos).

Toutefois, en l'état actuel des connaissances, il est impossible d'apporter une conclusion définitive concernant les lieux de fabrication de ces poteries fines. On peut seulement, dès maintenant, dire que rien ne s'oppose à l'hypothèse archéologique d'une production « mycénisante », d'imitation, en Macédoine orientale, tandis que la diversité des types matériels en un même site, ainsi que leur égale répartition d'un site à l'autre, nous conduisent à considérer les plus beaux exemplaires de vases mycéniens comme importés de diverses régions avant même qu'il soit possible d'en apporter une démonstration scientifique, grâce à des recherches élargies mais aussi plus approfondies du point de vue analytique, comprenant en particulier des analyses chimiques globales permettant d'établir des comparaisons avec les travaux effectués dans le cadre de l'Ecole anglaise par H. Catling, puis par R.E. Jones[14].

L.C. COURTOIS
Chargé de recherche au CNRS

13. Citons à titre d'exemple le Kylix, en pâte grise micacée, à décors « free field » (poulpe dessiné dans le style linéaire strict) de Ras-Shamra (1939, point topographique no 2236). Ugaritica VII et J.C. Courtois, in: Supplément au Dictionnaire de la Bible, article sur Ras-Shamra - Ugarit, bibliographie: p. 1287-1295.

14. R.E. Jones, Greek and Cypriot Pottery; a Review of Scientific Studies, British School of Archaeology at Athens, 1986.

ΠΑΡΑΡΤΗΜΑ V

CHEMISCHE UND ISOTOPISCHE ZUSAMMENSETZUNG FRÜHEISENZEITLICHER BLEIARTEFAKTE AUS THASOS

(A b b. 1-3)

EINLEITUNG

Die Insel Thasos spielt in der antiken Metallgewinnung eine bedeutende Rolle. Obwohl sie von Herodot (Buch VI, 46 und 47) nur wegen ihres Goldreichtums gewürdigt wurde, gibt es einige Gründe für die Annahme, daß auch Blei und Silber auf der Insel abgebaut wurden. Im Westen von Thasos erstreckt sich nämlich ein großes Blei- Zink- Erzvorkommen vom Kap Salonikios an der Südküste bis etwa Korifi im Norden mit zahlreichen Spuren alten Bergbaus (A b b. 1). Schlackenhalden von beträchtlichem Ausmaß deuten auf intensive und/oder lange andauernde Ausbeutung hin. Die Produkte waren Blei, Silber oder Kupfer, wie die chemische Zusammensetzung der Schlacken und Erze zeigt (1). Bisher konnte zwar nur römische Bergbau- und Verhüttungstätigkeit eindeutig belegt werden (1), aber Keramikfunde in den Schlackenhalden legen eine frühere Nutzung der Erze nahe.

Weitere Hinweise auf älteren Abbau sind in der antiken Stadt Thasos zu finden. Massenspektrometrische Analysen haben gezeigt daß das Blei, das dort zum Vergießen von Eisenklammern in den Steinkonstruktionen der Agorá, des Artemisions und des Theaters verwendet wurde, wahrscheinlich aus Thasos stammt (1). Schließlich ist die enorme Emission von Silbermünzen besonders im 4. Jahrhundert v. Chr. am einfachsten mit dem Zugang zu einer Lagerstätte — möglicherweise auf der Insel selbst — zu erklären.

In diesem Zusammenhang griffen wir die Anregung von Dr. Koukouli-Chrysanthaki, Kavala, gerne auf, auch früheisenzeitliche Bleiartefakte aus Thasos im Hinblick auf ihre Zusammensetzung und Herkunft zu untersuchen.

PROBEN

Die 11 Bleiartefakte — es handelt sich hauptsächlich um Keramikflickungen — stammen aus dem Gräberfeld von Kastri östlich der Schlackenhalde von Tsiganadika (TG 89) und sind in die frühe Eisenzeit Makedoniens (10.-8. Jahrhundert v. Chr.) zu datieren. Die ältesten Proben (TG 89-4, TG 89-5) sind aus dem Übergang der späten Bronzezeit zur frühen Eisenzeit (12. Jahrhundert v. Chr.). Zusätzlich wurden ein Lesefund aus dem Gebiet von Theologos und ein Schlackenfund mit grünen Ausblühungen analysiert. Die Proben zur Analyse wurden im Museum von Kavala mit einem Stahlbohrer entnommen. Tabelle 1 enthält eine Beschreibung der Artefakte.

METHODEN ZUR HERKUNFTSBESTIMMUNG

Die Grundlage für die Herkunftsbestimmungen der Bleiartefakte bildet ihre chemische und isotopische Zusammensetzung, die mittels Neutronenaktivierungsanalyse (5) und Feststoffmassenspektrometrie besimmt wurden. Um die Signifikanz der chemischen Analyse für die Herkunft zu diskutieren, muß zunächst das Verhüttungsverfahren betrachtet werden. Im Altertum wurde Blei meist zusammen mit Silber verarbeitet, weil silberhaltige Bleierze die bei weitem wichtigste Silberquelle bildeten. Bei der Silbergewinnung fällt Blei deshalb in reichlichem Maße als Nebenprodukt an. In vorrömischer Zeit wurde Blei als eigenständiges Verhüttungsprodukt selten in Betracht gezogen, obwohl es zumindest im ägäischen Raum vielfältige Zeugnisse der Verwendung von Blei seit der frühen Bronzezeit gibt (2).

TABELLE 1. *Probenbeschreibung.*

Tafeln	MPI-Nr.	Museums-Nr.	Beschreibung
	—	M 1061	Gekrümmte Stange mit 3 Dornen, Lesefund aus dem Gebiet von Theologos, Funktion und Alter unbekannt
Gräberfelder der Siedlung "Kastri"			
Taf. 191: 23	TG89-2	Λ1B23	Bleiflickung, 0,03 m lang
Taf. 183: 6	TG89-3	T35B6(2)	Bleiflickung, 0,063 m lang
Taf. 6: 100	TG89-4	K1A100	Bleiflickung, spangenförmig, 0,075 m lang
Taf. 116B	TG89-5	T18Π6	Bleiflickung, spangenförmig, 0,06 m lang
Taf. 149: 1	TG89-6	T22,1(4)	Bleiflickung mit zwei pilzförmigen Dornen, 0,195 m lang
Taf. 187: 5	TG89-7	ΛA5(7)	Bleiflickung mit zwei kleinen Dornen, 0,06 m lang
Taf. 152: 12	TG89-8	T23A12	Bleiflickung, spangenförmig, 0,06 m lang
Taf. 154: 29	TG89-9	T24,29(4)	Bleiflickung, blechförmig mit pilzartigem Dorn, 0,036 m lang
Taf. 90A: 21	TG9-10	T14B,21	Bleiflickung, spangenförmig, 0,06 m lang
	TG89-11	T18,118	Schlackenfund mit kupfergrünen Ausblühungen
Taf. 33: 10	TG89-12	K4B10(10)	Spindelgewicht mit zentralem Loch, ∅ 0,025 m
Taf. 67: 2	TG89-13	T3B2(7)	Zahnförmige Platte, 0,117 m lang

Die Silbergewinnung erfolgte in mindestens zwei Schritten: Aus aufbereiteten Bleierzen wurde zunächst ein silberreiches Blei ("Werkblei" oder "Hartblei") erschmolzen, das auch geringe Mengen anderer Elemente wie Gold, Arsen, Antimon, Wismut und auch Kupfer enthielt. Im zweiten Schritt wurde das Silber vom Blei durch selektive Oxidation in geschmolzenem Zustand (Kupellation) getrennt. Dabei gehen das Silber und das Gold zusammen, während die anderen Spurenelemente und das Blei bis auf einen geringen Rest, der im Silber blieb, entfernt wurden. Das bei der Kupellation erzeugte Bleioxid (Bleiglätte) konnte wieder zu Blei ("Weichblei") reduziert werden, das meist weniger Verunreinigungen enthielt als das Werkblei. Man nimmt an (3), daß die Römer noch 100 ppm Silber (1 ppm = 1 Gramm pro Tonne) gewinnbringend aus Blei extrahieren konnten. In der Bronzezeit dürfte der Mindestgehalt, der eine Kupellation noch lohnte, bei 400-500 ppm gewesen sein, wie Analysen von bronzezeitlichen Bleiartefakten aus dem ägäischen Raum zeigen (4).

Bei nicht entsilbertem Blei sind die chemischen Veränderungen gegenüber dem Erz, aus dem es gewonnen wurde, bei weitem geringer als bei entsilbertem Blei. Deshalb läßt die chemische Zusammensetzung von Werkblei mehr Schlüsse auf das Ausgangserz zu als die von Weichblei. So können der Silbergehalt, das As/Sb-Verhältnis und möglicherweise auch der Kupfer- und Wismutgehalt im Werkblei als Herkunftsindikatoren herangezogen werden. Das wichtigste chemische Charakteristikum ist allerdings das Au/Ag-Verhältnis, das sich auf dem Weg vom Erz zum Metall nicht verändert.

Ein weiteres wichtiges Kennzeichen für die Herkunft von Bleiartefakten sind die Bleiisotopenverhältnisse. Das Element Blei besteht aus vier Isotopen, ^{204}Pb, ^{206}Pb, ^{207}Pb und ^{208}Pb, von denen die letzten drei zum Teil aus dem radioaktiven Zerfall von ^{238}U, ^{235}U und ^{232}Th stammen. Dieser Zerfall hat dazu geführt, daß sich die isotopische Zusammensetzung des Bleis seit der Entstehung der Erde ständig verändert hat. Bei der Lagerstättenbildung wird das Blei von Uran und Thorium getrennt und damit die isotopische Zusammensetzung "eingefroren". Deshalb unterscheiden sich die Bleiisotopenverhältnisse in verschiedenen Bleilagerstätten, je nach dem geologischen Alter der Lagerstätte und dem U/Pb- bzw. Th/Pb-Verhältnis im erzbildenden Magma.

Die chemischen Prozesse bei der Verhüttung der Erze und bei der Verwitterung des Metalls verändern die Bleiisotopenverhältnisse nicht. Das bietet im Prinzip die Möglichkeit, die Materialherkunft von Blei- und Silberartefakten zu bestimmen, unter der Voraussetzung, daß eine Lagerstätte gleicher isotopischer Zusammensetzung bekannt ist. Allerdings kann es vorkommen, daß zwei Lagerstätten nicht unterscheidbare Isotopenverhältnisse haben, so daß man eigentlich nur bestimmte Herkunftsorte eindeutig ausschließen kann. Erst die Kombination mit der Spurenelementanalyse erlaubt eine bessere Erfassung der Herkunft eines Bleifundes.

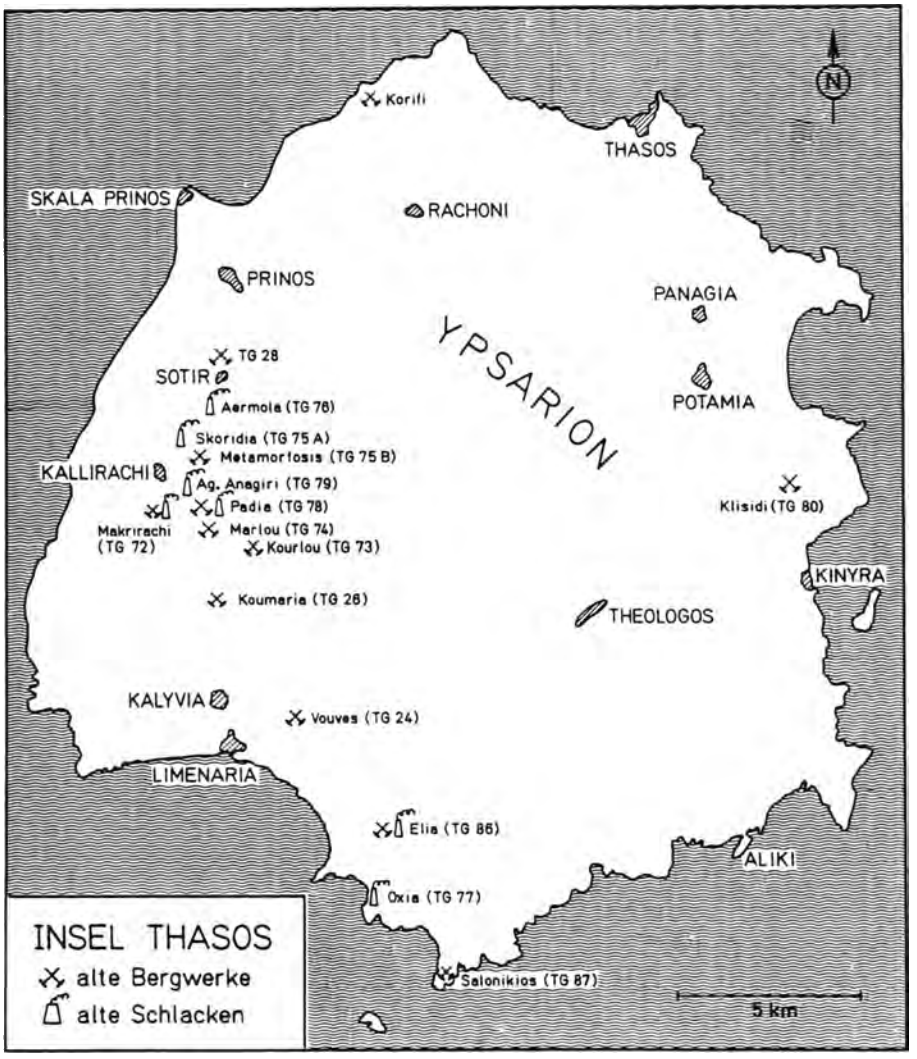

Abb. 1. Insel Thasos mit alten Bergbau- und Verhüttungsplätzen.

ERGEBNISSE UND DISKUSSION

Die Bleiisotopenverhältnisse aller untersuchten Proben liegen in einem Feld, das durch Analysen von thasischen Bleierzen und Schlacken definiert ist (A b b. 2). Wie schon erwähnt, bedeutet das alleine nicht zwingend, daß dieses Blei aus Thasos stammt. Dazu müßte man im Prinzip die Isotopenzusammensetzung aller in Frage kommenden Lagerstätten kennen und es müßte gewährleistet sein, daß alle Lagerstätten eine signifikant verschiedene isotopische Zusammensetzung haben. Aber Laurion und die Kykladeninsel Siphnos, wo prähistorischer Blei- Silber-Bergbau nachgewiesen wurde (6, 7), können aufgrund der Isotopenanalysen als Herkunftsgebiete ausgeschlossen werden (A b b. 2).

Die Ergebnisse der chemischen Analysen sind in Tabelle 2 zusammengefaßt. Sie erlauben Aussagen sowohl zur Metallherkunft als auch zur Technologie der Metallgewinnung. In Bezug auf die Bleiherstellung ist der auffällig hohe Arsengehalt von 0.29 bis 1.24% (außer in M 1061) interessant. Zum Vergleich sei die Untersuchung von Wyttenbach und Schubiger (8) angeführt, die

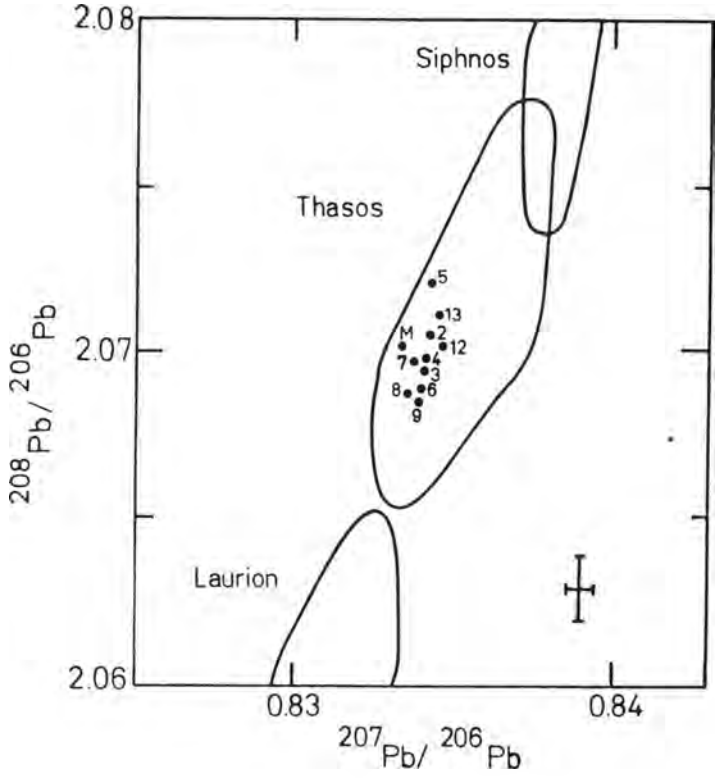

Abb. 2. Bleiisotopenverhältnisse in früheisenzeitlichen Bleiartefakten von Thasos. Die eingezeichneten Felder zeigen die Variationen der Isotopenverhältnisse innerhalb der Bleierzvorkommen von Laurion, Thasos und Siphnos (1,10). Das Fehlerkreuz rechts unten gibt den 95% Vertrauensbereich der Einzelanalyse an.

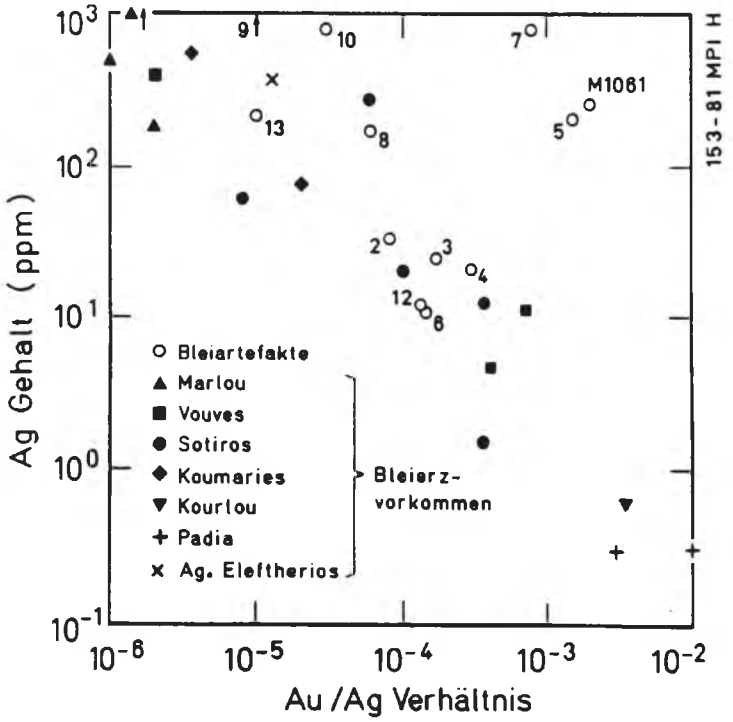

Abb. 3. Silbergehalte und Au/Ag-Verhältnisse in früheisenzeitlichen thasischen Bleiartefakten und in Bleierzen aus verschiedenen Abbaubezirken auf Thasos.

TABELLE 2. *Spurenelementgehalte in thasischen Bleiartefakten.*

	Au (ppb)	Ag (ppm)	Cu (ppm)	As (%)	Sb (ppm)	Au/Agx10^{-3}	As/Sb
M1061	520	264	290	<0.01	2677	1.97	<<1
TG89-2	2.6	33.7	2	1.24	134	0.08	93
TG89-3	4.2	24.8	<10	0.84	162	0.17	52
TG89-4	6.2	20.8	8.3	0.91	130	0.30	70
TG89-5	300	204	13.9	0.29	164	1.47	18
TG89-6	1.5	10.9	3	1.07	182	0.14	59
TG89-7	630	813	65.4	0.56	155	0.77	36
TG89-8	9.8	175	9.2	0.29	199	0.06	15
TG89-9	14.9	1600	71.0	0.60	169	0.009	36
TG89-10	26.5	806	<10	0.71	107	0.03	66
TG89-12	3.2	12.4	7.1	1.08	101	0.26	107
TG89-13	2.5	217	20.4	0.36	283	0.01	13

einen Mittelwert von 35 ppm As (1 ppm = 0.0001%) in römischen Bleirohren und -barren fanden. Der größte Teil dieser Proben war vermutlich entsilbert. Da Arsen bei der Kupellation zum größeren Teil verflüchtigt würde, liegt der Schluß nahe, daß es sich bei den thasischen Proben um unkupelliertes Blei handelt. Diese Vermutung wird durch den hohen Silbergehalt in einigen Proben bestätigt.

Für die Herkunftsdiskussion ist dies ein wichtiger Befund, denn nun hat man neben dem Au/Ag-Verhältnis auch andere chemische Parameter zur Verfügung, um das Ausgangserz zu charakterisieren. Zunächst kann man in Übereinstimmung mit den Isotopenanalysen Laurion und Siphnos als Herkunftsgebiete ausschließen. In den Erzen aus Laurion ist Silber stark mit Antimon korreliert (9). Eine solche Korrelation ist in den thasischen Bleiartefakten nicht erkennbar. Die silberhaltigen Erze aus Siphnos weisen im allgemeinen sehr hohe Antimongehalte (1-25%) auf (10), so daß auch sie außer Betracht bleiben können. Zusätzlich findet man auf Thasos Bleierze, die den Artefakten entsprechen, wenn man den Silbergehalt und das Au/Ag-Verhältnis betrachtet (A b b. 3).

Man kann sogar noch einen Schritt weiter gehen und versuchen, den Ort der früheisenzeitlichen Bleigewinnung auf der Insel Thasos regional enger einzugrenzen. Von sieben bisher untersuchten Bergbaubezirken auf Thasos scheiden Marlou, Kourlou und Padia schon aufgrund des Au/Ag-Verhältnisses als früheisenzeitliche Abbaugebiete aus. Die Erze von Ag. Eleftherios und Koumaries bestehen großteils aus Kupfermineralen. Dies würde wahrscheinlich zu einem erhöhten Kupfergehalt im Werkblei führen, selbst wenn die Erze aufbereitet und nach Mineralen getrennt wurden. Ein Vergleich mit den beiden oben erwähnten Untersuchungen (4, 8) zeigt,

TABELLE 3. *Arsen- und Antimongehalte in Bleierzen aus Vouves und Sotiros (Thasos).*

	Probe	As (ppm)	Sb (ppm)	As/Sb
VOUVES	TG24-1	47	900	0.05
	TG24-4	9780	194	51
	TG24-6	2460	44.3	56
SOTIROS	TG28-1	1190	<4	>298
	TG28-20	344	1.9	181
	TG28-2m	544	<2.6	>209
	TG28-2u	2770	3.6	769
	TG28-3	93	1.8	52

daß die thasischen Bleiartefakte weniger Kupfer enthalten, als üblicherweise in antikem Blei gefunden wird (100-500 ppm). Damit kommen derzeit nur Vouves und Sotiros als mögliche Herkunftsgebiete in Frage. Obwohl die meisten Proben vom modernen Bergbau stammen, fügen sich auch die Arsengehalte und As/Sb-Verhältnisse (Tabelle 3) in dieses Bild. Weitere Analysen an Erzen von anderen Vorkommen in Thasos sind allerdings notwendig, um diese Eingrenzung zu erhärten. Jedenfalls sind sowohl in Vouves als auch in Sotiros Spuren alten Bergbaus vorhanden (1).

Die Schlackenprobe (TG89-11) dürfte mit den Bleiartefakten in keinem Zusammenhang stehen, denn es handelt sich offensichtlich um eine Kupferschlacke (Cu = 0.53%, Pb < 0.02%), mit einem für Kupferverhüttung typischen Gehalt von etwa 0.5% Kupfer.

Nachsatz bei Drucklegung: Die vorliegende Arbeit wurde im Herbst 1982 abgeschlossen (Vordruck MPI H - 1983 - V 37) und ist hier im wesentlichen unverändert wiedergegeben. Lediglich in der Bibliographie (Nr. 4) wurde eine Ergänzung vorgenommen. Eine zusammenfassende Darstellung unserer archäometallurgischen Untersuchungen auf Thasos ist unter dem folgenden Titel erschienen: Wagner, G.A. und Weisgerber, G. (Bearb.): Antike Edel- und Buntmetallgewinnung auf Thasos. Der Anschnitt, Beiheft 5 Selbstverlag des Deutschen Bergabaumuseums, Bochum 1988.

E. PERNICKA - G.A. WAGNER - W. TODT

BIBLIOGRAPHIE

(1) Pernicka, E., Gentner, W., Wagner, G.A., Vavelidis, M. und Gale, N.H., Ancient Lead and Silver Production on Thasos, Greece, Revue d'Archéometrie, Suppl. 1981, 227-237 (1981).

(2) Buchholz, H.-G., Das Blei in der mykenischen Kultur und in der bronzezeitlichen Metallurgie Zyperns, JdI 87 (1972), 1-59.

(3) Brill, R.H. und Wampler, J.M., Isotope Ratios in Archaeological Objects of Lead, in W.J. Young (ed.): Application of Science in the Examination of Works of Art, Boston 1965, 155-166.

(4) Gale, N.H. und Stos-Gale, Z.A., Cycladic Lead and Silver Metallurgy, BSA 76 (1981), 169-224; Wagner, G.A., Pernicka, E., Blei und Silber im Altertum: Ein Beitrag der Archäometrie, Chemie in unserer Zeit 16 (1982), 46-55; Pernicka, E., Erzlagerstätten in der Ägäis und ihre Ausbeutung im Altertum: Geochemische Untersuchungen zur Herkunftsbestimmung archäologischer Metallobjekte, JbZMusMainz 34 (1987), 607-714.

(5) Für die instrumentelle Aktivierungsanalyse wurde ein Bleistandard von Dr. P.A. Schubiger, Würenlingen, freundlicherweise zur Verfügung gestellt.

(6) Mussche, H.F., Thorikos. Führung durch die Ausgrabungen, Ghent-Nürnberg 1978.

(7) Wagner, G.A., Gentner, W. und Gropengiesser, H., Evidence for Third Millenium Lead-Silver Mining on Siphnos Island (Cyclades), Naturwissenschaften 66 (1979), 157.

(8) Wyttenbach, A. und Schubiger, P.A., Trace Element Content of Roman Lead by Neutron Activation Analysis, Archaeometry 15 (2) (1973), 199-207.

(9) Pernicka, E., Archäometallurgische Untersuchungen zur antiken Silbergewinnung in Laurion, I. Chemische Analyse griechischer Blei- Silbererze, Erzmetall 34 (1981), 396-400.

(10) Wagner, G.A., Gentner, W., Gropengiesser, H. und Gale, N.H., Early Bronze Age Lead-Silver Mining and Metallurgy in the Aegean: The Ancient Workings on Siphnos, British Museum Occasional Paper 20 (1980), 63-86.

E. P. - G.A. W. - W. T.

ΠΑΡΑΡΤΗΜΑ VIα

ΧΗΜΙΚΕΣ ΑΝΑΛΥΣΕΙΣ ΧΑΛΚΙΝΩΝ ΑΝΤΙΚΕΙΜΕΝΩΝ

Αρ. δείγμ. Μουσείο Καβάλας	Πίνακες	Αντικείμενο	Cu	Pb	Sn	Ag	Ni	Fe	As	Co	Zn	Σύνολο %	Ανάλυση ισοτόπων μολύβδου
1	Πίν. 87: 3	T14A3(6)	77.4	0.12	4.15	0.044	0.13	0.200	–	–	–	82.044	
2	Πίν. 82Γ: 2	T10,2	80.3	0.06	8.58	0.010	0.06	0.026	0.13	–	–	89.166	G176
3	Πίν. 52: 3	B1Δ3(6)	89.1	0.27	9.66	0.016	0.12	0.035	0.14	–	–	99.341	
5	Πίν. 48Α: 3	B1B3(6)	90.1	0.38	7.25	–	0.06	0.108	0.40	–	–	98.298	G238
6	Πίν. 58Α: 14	B3,14(2)	74.9	0.87	14.9	0.140	0.06	0.026	0.44	–	–	91.336	G192
7	Πίν. 58Α: 7	B3,7(12)	74.6	1.62	10.6	0.237	0.02	0.105	0.38	–	–	87.562	
8	Πίν. 58Α: 11	B3,11(13)	89.1	0.77	9.65	0.024	0.04	0.130	0.34	–	–	99.964	
9	Πίν. 58Α: 13	B3,13(9)	90.8	0.39	6.57	0.028	0.04	0.098	–	–	–	97.926	G187
10	Πίν. 58Α: 10	B3,10(7)	86.3	3.11	7.50	0.056	0.03	–	–	–	–	96.996	G178
11	Πίν. 58Α: 8	B3,8(3)	69.7	0.92	11.2	0.138	0.14	0.265	–	–	–	82.363	
16	Πίν. 47: 17-18	B1A,17-18(11-14)	89.6	0.02	8.44	–	0.04	0.065	0.16	–	–	98.325	G197
17	Πίν. 6: 69	K1A69(2)	90.3	0.11	8.60	–	0.04	0.097	–	ίχνη	–	99.147	G225
18	Πίν. 18: 26	K2E26(14)	80.8	0.23	8.35	0.149	0.34	0.079	0.49	–	–	90.438	G183
19	Πίν. 18: 35	K2E35(12)	76.8	0.49	9.73	0.022	0.08	0.073	0.41	–	–	87.605	
20	Πίν. 19Β: 7	K2ΣT7(9)	83.2	0.35	6.86	0.164	0.22	1.79	ίχνη	ίχνη	–	92.584	G190
21	Πίν. 20: 5	K2Z5(5)	86.6	2.09	8.41	0.158	0.40	–	–	–	–	97.658	G227
22	Πίν. 31: 6	K4A6(22)	89.6	0.56	10.0	–	0.06	0.044	–	ίχνη	–	100.264	
23	Πίν. 28: 11	K4A11(18)	88.5	1.63	9.41	0.067	0.13	–	0.19	–	–	99.927	G173
24α	Πίν. 28: 10	K4A10(13)	84.4	0.28	10.7	–	0.05	0.013	0.31	–	–	95.753	
24β	Πίν. 28: 10	K4A10(13)	81.8	0.35	8.75	ίχνη	0.09	0.122	0.32	–	–	91.432	
25	Πίν. 33: 10	K4B10(10)	90.7	1.21	7.09	0.076	0.50	–	0.14	–	–	99.716	G188

Αρ. δείγμ. Μουσείο Καβάλας	Πίνακες	Αντικείμενο	Cu	Pb	Sn	Ag	Ni	Fe	As	Co	Zn	Σύνολο %	Ανάλυση ισοτόπων μολύβδου
26	Πίν. 31: 5	Κ4Α5(21)	88.9	0.69	8.57	0.117	0.15	0.136	–	ίχνη	–	98.563	
27	Πίν. 39: 33	Κ5Β33(34)	91.6	0.28	7.07	0.055	0.13	0.020	0.18	–	–	99.335	
28	Πίν. 23Β: 4	Κ3Α4(4)	80.6	1.04	10.1	–	0.09	0.330	–	–	–	92.16	G179
29	Πίν. 23Β: 5	Κ3Α5(6)	91.3	0.82	5.73	0.012	0.04	0.406	0.09	–	–	98.398	
30	Πίν. 23Β: 7	Κ3Α7(3)	87.3	1.33	8.53	0.106	0.04	–	–	–	–	97.306	G180
33		Καστρί* Δ155	87.7	0.03	4.78	0.003	0.03	0.033	–	–	0.003	92.579	G196
34		Καστρί* Τ3	98.8	0.01	–	0.028	0.03	0.016	–	–	0.005	98.889	G195
35		Καστρί* Τ1Σ3	98.5	ίχνη	–	0.024	0.01	0.016	–	–	0.005	98.555	
37		Διπ/μος** Ε	92.6	1.03	5.50	0.014	0.07	0.172	0.44	–	–	99.826	G171
38	Πίν. 43Γ: 3	Κ6Γ3(2)	89.8	0.04	7.27	0.200	0.54	0.182	ίχνη	–	–	98.032	G259
39	Πίν. 43Β: 3	Κ6Ε3	79.1	0.02	7.48	0.016	0.07	0.079	ίχνη	–	–	86.765	
52	Πίν. 66Α: 8	Τ2Β8(4)	73.1	0.03	12.9	0.006	0.05	0.037	0.42	0.037	–	86.58	
53	Πίν. 62: 52	Τ1,52(24)	76.1	0.08	13.6	0.027	0.68	0.049	0.35	0.024	–	90.91	
55	Πίν. 59: 21	Τ1,21(5)	87.9	0.03	10.6	0.155	0.21	0.107	0.16	–	–	99.162	
56	Πίν. 204: 3	Λ5Α3(1)	97.8	ίχνη	2.15	0.022	0.05	0.161	0.44	–	–	100.623	
57	Πίν. 197: 19	Λ3Γ,19(10)	89.2	0.06	2.43	0.432	0.06	0.041	–	–	–	92.223	
60	Πίν. 148: 4	Τ21,4(3)	51.7	0.13	5.77	0.020	0.33	0.020	–	0.020	–	57.99	G248
62	Πίν. 151: 20	Τ22ΑΠ20(5)	82.5	0.52	2.63	0.086	–	0.132	–	–	–	85.868	
153	Πίν. 172: 11	Τ30Α11(9)	97.0	0.39	–	0.200	0.056	0.038	–	–	0.012	97.69	G254
154	Πίν. 159: 14	Τ27Α14(16)	91.2	0.19	6.5	0.114	0.215	0.233	–	–	0.007	98.45	G251
155	Πίν. 109: 55	Τ18,55(42)	90.7	0.33	6.9	0.053	0.086	0.078	–	–	0.009	98.15	G247
156	Πίν. 110: 61	Τ18,61(64)	90.5	0.17	6.9	0.041	0.116	0.058	–	–	0.006	97.861	
157	Πίν. 104: 12	Τ18,12(9)	79.1	0.44	11.5	0.208	0.250	0.094	–	–	0.025	91.61	
160	Πίν. 182: 14	Τ35Α14(12)	95.6	0.05	0.15	0.034	0.063	0.041	–	–	0.009	95.94	G253
161		Καστρί* Δ5	98.8	–	–	0.025	0.003	0.007	–	–	0.005	98.84	G194
162		Καστρί* Δ8	100	0.01	–	0.030	0.012	0.005	–	–	0.005	100.07	G193

ΣΗΜΕΙΩΣΗ ΑΝΑΣΚΑΦΕΑ:

Κ. ΑΣΗΜΕΝΟΣ

* Τα χάλκινα αντικείμενα προέρχονται από το χαλκολιθικό στρώμα του οικισμού Καστρί.

** Το χάλκινο εγχειρίδιο προέρχεται από τάφο ιστορικών χρόνων (α΄ μισό 5ου αι. π.Χ.).

ΠΑΡΑΡΤΗΜΑ VIβ

SEMIQUANTITATIVE X-RAY FLUORESCENCE ANALYSES OF LBA AND EIA KNIVES FROM THASOS

Object	Sample	Cu	Fe	Ni	Pb	Sn	Sb*	Ag	Zn	As	Plates
B1B7(8)	261	91.3	<.1	.2	.1	6.4	1.3	<3	.7	<.3	Pl. 48: 7
K4A11(18)	252	89.4	<.1	.4	<.1	1.8	<.3	<.3	<.3	.4	Pl. 28: 11
B1B3(6)	238	92.6	<.1	<.1	.3	7.1	<.3	<.3	<.3	<.3	Pl. 48: 3
T18,62(57)	226	85.7	.1	.2	.4	13.6	<.3	<.3	<.3	<.3	Pl. 110: 62
T18,33(30)	235	92.5	.2	<.1	<.1	7.0	<.3	<.3	<.3	<.3	Pl. 107: 33
T18,166(147)	262	87.6	<.1	<.1	<.1	12.1	<.3	<.3	<.3	<.3	Pl. 116: 166
T18,12(9)	239	85.9	.1	<.1	.2	12.9	.3	<.3	<.3	.4	Pl. 104: 12
K2Z5(5)	227	90.7	<.1	.3	<.1	8.2	.8	<.3	<.3	<.3	Pl. 20: 5
T27A14(16)	251	89.9	1.3	.2	<.1	7.3	<.3	<.3	<.3	.4	Pl. 159: 14
K1A69(2)	225	90.2	<.1	<.1	<.1	9.7	<.3	<.3	<.3	<.3	Pl. 6: 69
K1Γ3(3)	258	89.4	<.1	<.1	<.1	10.5	<.3	<.3	<.3	<.3	Pl. 7B: 3
T1,2(3)	228	91.9	<.1	<.1	<.1	6.5	<.3	<.3	.7	.7	Pl. 59: 2
K1Γ3(3)	258	89.4	<.1	<.1	<.1	10.5	<.3	<.3	<.3	<.3	Pl. 7B: 3 bis
T21,3(2)	241	89.7	.1	.2	<.1	9.0	<.3	<.3	.7	.3	Pl. 148: 3
Λ4A5(8)	229	90.5	<.1	.3	.2	8.0	<.3	<.3	<.3	<.3	Pl. 203: 5
Λ3Δ6(7)	230	91.6	.1	.3	.1	6.3	1.3	.3		.4	Pl. 201: 6
T1Π62(20)	264	91.6	<.1	<.1	.2	8.2					Pl. 62: 62
T18,73(71)	242	87.5	<.1	.4	.7	10.2	.5			.7	Pl. 111: 73
T1,19(10)	265	88.7	.3	.2	<.1	10.6				.2	Pl. 59: 19
K5B32(33)	256	89.3	<.1	.2	.1	8.0	1.6	.3		.4	Pl. 39: 32
K2Z6(4)	266	90.3	<.1	.3	.1	7.6	1.1	.3		.3	Pl. 20: 6
B2, 2(8)	255	90.3	<.1	.3	.1	7.5	.8			.9	Pl. 57: 2
Λ3Γ17(14)	234	91.5	<.1	.3	<.1	7.5				.6	Pl. 197: 17
B1A14(15)	231	87.8	<.1	.2	.1	11.3		.3		.4	Pl. 47: 14
K1A70(3)	257	88.3	<.1	<.1	<.1	11.7					Pl. 6: 70
K6Γ3(2)	259	91.7	<.1	<.1	<.1	8.1				.2	Pl. 43Γ: 3
T15,6(3)	263	91.4	.1	.2	<.1	7.5	.7	.2			Pl. 91: 6
B1Γ35(24)	232	98.8	.1	<.1	<.1	10.9				<.3	Pl. 51: 35
K5B31(32)	249	85.6	<1	<.1	.4	15.0	.7			.3	Pl. 39: 31
Λ1B18	260	94.2	.1	<.1	<.1 Bi.1	3.6	1.5	.2		.3	Pl. 191: 18
T18,80(80)	245	95.7	<.1	<.1	<.1	4.3	<	<	<	<.3	Pl. 111: 80
T1,21(5)	250	88.4	.1	.2	.1	9.8	1.1	.2	<	<.3	Pl. 59: 21
T21,4(3)	248	85.1	<.1	.4	.1	12.4	.6	<.2	.7	.6	Pl. 148: 4
T35A14(12)	253	95.2	<.1		.8	2.9		<	.7	.3	Pl. 182: 14
T30A11(9)	254	95.5	.1		.1	1.5	2.	.2		.6	Pl. 172: 11
T3B3(3)	236	88.4	<.1	.5	1.0	7.2	1.9	.4	<.	.6	Pl. 67: 3
T1,31(3)	233	91.7	<.1	.2	<.1	7.3				.6	Pl. 60: 31
T18,111(101)	240	91.0	<.1			8.7				.3	Pl. 113: 111
B1Γ9(13)	246	90.2	<.1		<.1		9.8				Pl. 49: 9

* Probably too high, because of lack of the proper standards.

Z. STOS-GALE - N. GALE
Department of Earth Sciences, University of Oxford

ΠΑΡΑΡΤΗΜΑ VII

SOURCES OF COPPER USED ON THASOS IN LATE BRONZE AND EARLY IRON AGE

(Figs. 1-3)

INTRODUCTION

Comparative lead isotope analysis provides at present the most powerful method for establishing the sources of raw metals in antiquity (Gale, 1987). In 1982 we started a collaborative programme with Dr. Koukouli-Chrysanthaki and Dr. Assimenos of lead isotope and chemical analyses of copper based objects from the Late Bronze Age and Iron Age excavations on Thasos.

The island of Thasos was known in Classical times as important source of metals, particularly gold and silver (Herodotus, VI, 46 and 47), but the main interest of the research presented here was concerned with establishing if the copper deposits on Thasos were used in the Bronze and Iron Ages to supply copper metal to the inhabitants of the island.

In the autumn of 1979 we joined the team from Heidelberg under the direction of Professor Gentner in the search for ancient mines and smelting sites on Thasos and in the Pangaeon; in Thasos we explored lead-zinc-silver mines and the ancient gold mine at Klisidi.

The large lead-zinc deposits in the western part of the island, stretching from Cape Prinou down to Cape Salonikios proved to be of great interest. We found there numerous traces of ancient mines and slag heaps which are a proof of intensive ancient metal extraction on the island. Preliminary results of the lead-silver production on Thasos were published in 1980 (Pernicka et al.) and a comprehensive study is in progress of the silver sources of Archaic Thasian silver coins with O. Picard and J.N. Barrandon. At present there is in preparation a comprehensive report on the results of the field work on Thasos (Wagner et al., 1987); here we concern ourselves only with the preliminary results of the lead isotope analyses of copper based objects from Kastri on Thasos and their interpretation as to the possible sources of copper used on this island during the Late Bronze and Early Iron Ages.

ORE DEPOSITS AND ANCIENT SLAGS ON THASOS

Herodotus (VI, 47) speaks of gold mines on Thasos between Aenyra and Kinyra (which we now know to be Klisidi) in terms which may be held to imply that he knew of other mines on Thasos. The best known ore deposits on Thasos are those on the western and south-western parts of the island, at Sotiros, Sellas, Metamorphosis, Padia, Makrirachi, Marlou, Kourlou, Koumaria and Vouves (Beyschlag, Vogt and Krusch, 1916; Davies, 1932; Voreadis, 1954; Anastopoulos, 1968; Baguette, 1947). The primary ore sequence is galena, silver, zinc carbonate and silicate, and barite; whilst from the surface limonite, white and brown zinc oxidised ores, accompanied first by cerussite and lower down by galena, mark the course of the secondary alteration.

For many years in the earlier part of this century the primary exploitation was by the Speidel Minengesellschaft of Pforzheim, Germany, for oxidised zinc ore, and it is the reserves of zinc which have attracted the present exploration programme of IGME.

In ancient times, of the principal ores on Thasos only the reserves of gold, silver and lead were of interest. However copper mineralisation also occurs in western and south-western Thasos, principally at Makrirachi and in the Kallirachi region, but also at Vouves. Perrot (1864) and de Launay (1888) describe these copper ore occurences and Hauttecoeur (1902), reporting de

Launay, mentions that near Kakirachi (modern Kallirachi) there are considerable remains of mining exploitation and enormous masses of copper slags. M. de Launay (1888, 242) gave an analysis of a slag from this region as: SiO_2 66.3%, SbO_2 4.3%, CuO 1.86%, FeO_3 18%, CaO 8.8%, traces of S and Ag; M. de Launay speaks of veins of grey argentiferous copper in this region (perhaps grey tetrahedrite) with iron carbonate, barytes; he gives an analysis of this ore as: Cu 28.37%, Sb 24.2%, Ag 0.096% (de Launay, Géologie de Lesbos).

Voreadis (1954) mentions that malachite and azurite occur in the limonite deposits at Makrirachi and Vouves and also at Mavrolakkas, but the richest in copper are those of Makrirachi, where an ancient mine for copper occurs. Baguette (1947) also mentions the ancient workings at Makrirachi and reports that sulphidic and oxidised copper minerals (often argentiferous) occur there in fractured and dolomitised marble; the minerals include fahlerz, azurite, malachite, barytes and gypsum. Baguette also mentions the copper slags on the slopes descending towards the village of Kallirachi, and gives a typical analysis as: Cu 7.2%, Pb 1.5%, Zn 0.5%, SiO_2 25%, $BaSO_4$ 20%, Fe_2O_3 30%, Al_2O_3 5%, CaO 4%, MgO 1%, As 0.5%, S 1%. At Vouves Baguette mentions the occurence of chalcopyrite, malachite and azurite. On our visit in 1979, apart from the gold mine at Klisidi and many ancient lead-zinc mines and lead slag heaps, we visited the copper slag heap on the south-west slopes of the hill above Makrirachi village and the ancient mines above the slag heap, where we collected copper slag and copper ores.

There is no doubt that copper ores occur in Thasos and that they were worked anciently but, since neither the ancient copper mines nor the copper slag heaps have yet been directly dated, the antiquity of the copper exploitation is not yet known. In principle the Late Bronze Age and Early Iron Age copper tools excavated in the settlement and cemetery of Kastri in Thasos might have been made of Thasian copper, but proof was needed.

DESCRIPTION OF THE METHOD

In order to establish the copper sources used for the LBA and EIA copper objects from Kastri on Thasos we used the lead isotope method. Lead isotope analysis is not an analysis of the chemical elemental composition. Lead isotope "fingerprinting" (as it is called sometimes) is used in archaeology chiefly for the determination of the provenance of metal. It is also possible to "fingerprint" by this method many materials where lead-containing minerals are used, like glasses and glazes for example. This is due to the fact that traces of lead metal are found practically in all ores and minerals, in particular those used for metal production in ancient times.

Naturally occurring lead is made up of four isotopes, that is of four types of atoms of lead, in varying proportions. The atoms are different from the point of view of their mass and they are described as lead 204, 206, 207 and 208, and called lead isotopes.

Terrestrial lead is one of the few elements which varies markedly in its isotopic composition in a manner dependent upon the geological and geochemical history leading to the formation of a particular lead ore (Doe, 1970). Hence the isotopic composition of lead may vary from time to time and may be unique for each of a number of ore deposits (or mines). Therefore a metal artefact may, in principle, be matched with the isotopic composition of lead in metal ores from ancient mining areas so as to indicate the mine from which the lead in the antiquity was derived.

The reason for the variation in the isotopic composition of lead is that three of its four isotopes are partly radiogenic, and ultimately the lead isotope ratio of any ore deposit depends on the geological age of the ore. The rough geological age of ore formation corresponding to a given lead isotope composition can be computed from the isotopic composition as a "model age" (Cumming and Richards, 1975). On this basis one can deduce the approximate geological ages of the ore deposits associated with the archaeological artefacts (Gale, Stos-Gale and Gilmore, 1985, 151).

This method can provide only an approximate guidance though, hence the appropriate approach for the provenance method based on comparative lead isotope analyses must involve an extensive search for traces of ancient mining and smelting and then chemical and lead isotope analyses of collected samples of ores and slags. For a critical discussion see Gale (1986, 1987).

PRELIMINARY RESULTS OF THE RESEARCH

To establish the lead isotope field characteristic of Thasian ore deposits we have analysed nineteen samples of lead ores, lead slags, copper ores and copper slags collected during our 1979 trip to Thasos (Table 1).

Figure 1 presents the Thasian lead isotope field established in this way. On the same diagram we have included also the lead isotope data for seven ores from Thasos which were measured in the laboratory in Mainz (Vavelidis et al., 1985, 71); all lead isotope data cluster very tightly together for both lead and copper ores and the slags.

Analysis of Early Iron Age (EIA) lead objects (Pernicka et al., 1983) and our analyses of 5th century BC lead (Table 2) leave no doubt that the silver-lead ores from Thasos were used to produce this metal in EIA and in Classical times (see F i g. 2). It would be reasonable to expect then that the copper deposits of Thasos may also have been exploited at these times.

To test this hypothesis we have analysed 3 Chalcolithic, 17 Late Bronze Age, 8 LBA-EIA and 33 Early Iron Age copper based stratified objects from the excavations of Dr. Koukouli-Chrysanthaki; they are illustrated and discussed elsewhere in this report. These objects come either from the Kastri settlement or from the cemeteries around it.

27 objects were also analysed in Oxford for their major chemical constituents, semiquantitatively, by energy dispersive X-ray fluorescence analysis; the results of analyses are given in Table 3. Further chemical analyses are reported by Dr. Assimenos (Appendix VIα).

Results of the lead isotope analyses are presented in Tables 4 and 5, and in F i g. 3.

A first glance at the lead isotope diagram makes it clear that the sources used for making copper or copper based objects in LBA and EIA Thasos were quite numerous, and Thasos itself was not a major producer of copper during these periods.

Two out of three Chalcolithic pins analysed (193 and 195) have all three lead isotope ratios consistent with Thasian ores. The third pin (194), however has all three ratios quite different from the Thasian ore deposits as well as from the ore deposits of Chalkidiki, one ore deposit in the Pangaeon (Table 1) (Gale and Stos-Gale, 1984; Wagner et al., 1986), and Cyprus (Stos-Gale, Gale and Zwicker, 1986).

The only copper ore deposit so far investigated which has lead isotope ratios similar to pin 194 is that of Lavrion in Attica. At present we have no evidence for Chalcolithic exploitation of its copper deposits; it is proven, however, that at least from the Middle Bronze Age onwards the copper from Lavrion was extensively traded (Stos-Gale, 1988), hence it is not perhaps impossible that a limited amount of this metal was exploited also in earlier times. The XRF analyses of these three Chalcolithic pins prove them to be of practically pure copper; it is possible that in early times some native copper was used for production of small ornaments. We must note that the third isotope ratio, $^{206}Pb/^{204}Pb = 18.970$, is not consistent with the Lavrion field; unfortunately this is not conclusive, because the analysis of this ratio for pin 194 was of poor quality.

The only bronze object from the 5th century BC, a knife No. 171, is fully consistent with the Lavrion field for all three lead isotope ratios and most certainly does not originate from Thasian copper.

Turning to the Late Bronze Age, we also find that one knife (258) of type I, 1α might have originated from the Lavrion copper deposits; however in this case the sample of the object was rather small and the accuracy of the measurement is not up to normal standard, therefore it will be better at present not to draw any conclusions on that basis until perhaps it will be possible to reanalyse this object. Another import from an unusual source is the bead No. 191, made of practically pure copper, which has a lead isotope composition quite different from all other artefacts from Thasos analysed so far. Its lead isotope composition does not correspond to any other known Greek copper deposits or Cyprus. The closest parallel we can find at present is in a group of LM II objects from the Unexplored Mansion at Knossos on Crete (Stos-Gale 1988); both these and bead 191 are in fact consistent with the lead isotope composition of the copper ores from Ergani Maden in Anatolia (Gale and Stos-Gale, 1985; 1986; Seeliger et al., 1985).

Otherwise all other bronze objects from Kastri on Thasos dated to the LBA originate most

TABLE 1. *Lead isotope analyses of ores and slags.*

	Sample	$^{208}Pb/^{206}Pb$	$^{207}Pb/^{206}Pb$	$^{206}Pb/^{204}Pb$
COPPER ORES AND SLAGS, THASOS	Copper ore, Makrirachi, M1	2.07342	0.83446	18.814
	Copper ore, Makrirachi, M2	2.06901	0.83409	18.780
	Copper ore, Vouves, V.1	2.07082	0.83451	18.796
	Copper slag, Makrirachi, A2	2.07056	0.83463	18.817
	Copper slag, Makrirachi, A3	2.07503	0.83540	18.816
	Copper slag, Makrirachi, B3	2.07018	0.83460	18.788
	Copper ore, Makrirachi, C2	2.07075	0.83473	18.800
LEAD ORES AND SLAGS, THASOS	Lead ore, Vouves, ancient gallery	2.06927	0.83393	18.780
	Lead ore, Vouves, TG24	2.06921	0.83450	18.762
	Cerussite, Vouves	2.07551	0.83578	18.819
	Lead ore, Kourlou, mine 8, IGME K6	2.06896	0.83405	18.779
	Lead ore, Marlou, drill core	2.06726	0.83406	18.780
	Lead ore, Marlou, ancient gangue heap	2.06677	0.83386	18.767
	Lead ore, Koumaria, KM1	2.06906	0.83461	18.764
	Lead ore, Koumaria, ancient mine	2.07088	0.83468	18.774
	Lead ore, Koumaria, Speidel gallery	2.07118	0.83502	18.781
	Lead ore, Sotiros, Apollon, IGME 49 gallery	2.06842	0.83409	18.782
	Lead ore, Sotiros-Xevni	2.06974	0.83391	18.778
	Lead slag, Kallirachi-Gallaria	2.07131	0.83423	18.764
LEAD ORES, NIKISIANI, PANGAEON	Galena, mine at head Nikisiani valley	2.07332	0.83801	18.695
	Galena, mine at head Nikisiani valley	2.07543	0.83844	18.695

TABLE 2. *Lead isotope analyses of lead artefacts from French excavations in ancient Thasos town.*

Sample location	$^{208}Pb/^{206}Pb$	$^{207}Pb/^{206}Pb$	$^{206}Pb/^{204}Pb$
Quartier d'habitation Nord	2.07032	0.83562	18.760
Agora, Passage des Théores, Pb clamp	2.07508	0.83848	18.691
Agora 2X, R.H. Gate Post, Pb clamp	2.06978	0.83523	18.765
Agora 2Y, R.H. Gate Post, Pb clamp	2.07010	0.83510	18.778
Agora 2Z, R.H. Gate Post, Pb clamp	2.07184	0.83653	18.751
Agora TG88-1, Pb clamp	2.07358	0.83525	18.760
Artemision 3, Pb clamp	2.07367	0.83590	18.812
Artemision 4, Pb clamp	2.06943	0.83545	18.745
Artemision TG88-3, Pb clamp	2.07032	0.83390	18.804
Theatre, TG88-2, Pb clamp	2.06800	0.83335	18.792

TABLE 3. *Semiquantitative X-ray fluorescence analyses of some of the Chalcolithic, LBA and EIA copper based alloy artefacts from Thasos.*

Object	Sample	Cu	Co	Fe	Ni	As	Pb	Bi	Ag	Sn	Sb	Plates
	171	95.2	–	0.3	–	–	1.4	–	–	3.0	–	
B3,10(7)	172	94.1	–	–	–	–	0.1	–	–	4.6	–	Pl. 58A: 10
K4A11(18)	173	93.4	–	0.12	–	0.25	0.04	–	–	6.2	–	Pl. 28: 11
K1A79	174	83.2	–	0.42	–	1.41	0.04	–	–	15.0	–	Pl. 6: 79
K2E33(4)	175	86.3	–	0.22	–	0.95	0.45	–	–	6.5	–	Pl. 18: 33
T12,2	176	92.7	–	0.25	–	–	0.15	–	–	6.9	–	Pl. 83: 2
K2E29(3)	177	87.0	–	0.96	–	6.4	0.96	1.48	0.45	7.8	1.9	Pl. 18: 29
T2A6	178	95.9	–	0.77	–	0.36	0.01	1.63	–	0.7	0.6	Pl. 65: 6
K3A4(4)	179	93.6	–	0.32	–	–	0.14	–	–	6.0	–	Pl. 23B: 4
K3A7(3)	180	93.3	–	0.11	–	–	0.08	–	–	6.5	–	Pl. 23B: 7
K5B33(34)	181	93.3	–	0.12	–	–	0.28	–	$\leqslant$0.1	6.3	–	Pl. 39: 33
K2E25(6)	182	95.3	–	0.12	–	1.45	0.49	–	1.1	0.8	0.5	Pl. 18: 25
K2E26(14)	183	90.4	–	0.09	–	1.81	0.10	–	0.25	6.4	0.9	Pl. 18: 26
K4AΠ6(22)	184	90.5	–	0.09	–	0.45	0.45	–	–	8.5	–	Pl. 31: 6
K1A69(2)	185	92.3	–	0.09	–	0.37	<0.01	–	–	7.2	–	Pl. 6: 69
T18,161	186	94.5	–	0.23	–	–	0.18	–	–	5.1	–	Pl. 116A: 161
B3,13(9)	187	93.7	–	0.12	–	–	0.22	–	–	6.0	–	Pl. 58A: 13
K4B8(14)	188	92.7	–	0.16	0.2	–	0.20	–	–	5.9	0.8	Pl. 33: 8
T7Γ10(8)	189	88.2	–	0.19	–	1.94	0.48	1.6	0.4	4.9	2.4	Pl. 79: 10
K2ΣT7(9)	190	91.7	–	0.18	–	0.25	0.26	–	0.2	6.3	1.1	Pl. 19B: 7
K1A74	191	99.2	–	0.40	–	0.27	0.11	–	–	–	–	Pl. 6: 74
B3,14(2)	192	63.8	–	0.10	0.1	5.8	5.1	–	0.7	24.3	–	Pl. 58A: 14
	193	99.6	–	0.36	–	–	–	–	–	–	–	
	194	99.8	–	0.10	–	–	0.09	–	–	–	–	
	195	96.4	–	0.63	–	0.37	<0.01	–	2.6	–	–	
	196	89.6	–	0.45	–	0.14	<0.01	–	–	9.9	–	
B1A17(11)	197	53.3	–	0.96	1.6	6.40	5.3	–	0.9	27.7	3.7	Pl. 47: 17

NOTE:
171 = AD 28 (1973), Chronika, 447, pl. 401. Bronze dagger from a grave of early 5th century BC.
193, 194, 195 = Settlement Kastri, Chalcolithic phase.
196 = Settlement Kastri, Early Iron Age (?).

TABLE 4. *Lead isotope analyses of Chalcolithic, LBA and EIA copper based alloy artefacts from Thasos.*

Object	Sample		$^{208}Pb/^{206}Pb$	$^{207}Pb/^{206}Pb$	$^{206}Pb/^{204}Pb$	Plates
K1A74	191 bead	LBA	2.05555	0.82781	18.965	Pl. 6: 74
	194* pin	Chalcolithic	2.06345	0.83149	18.970	
	171 knife	Classical 5th c. BC	2.06296	0.83319	18.767	
K2E29(3)	177 bead	LBA-EIA	2.06593	0.83392	18.756	Pl. 18: 29
K2E25(6)	182 knife	LBA-EIA	2.06933	0.83454	18.784	Pl. 18: 25
T7Γ10(8)	189 'button'	EIA	2.06950	0.83498	18.766	Pl. 79: 10
K4AΠ6(22)	184 knife	LBA-EIA	2.06617	0.83526	18.779	Pl. 31: 6
	193* pin	Chalcolithic	2.07195	0.83546	18.827	
	195* pin	Chalcolithic	2.07197	0.83651	18.685	
T10,2	176 spearhead	LBA	2.07413	0.83738	18.751	Pl. 82Γ: 2
T18,12(9)	239* knife	EIA	2.07282	0.83864	18.714	Pl. 104: 12
	196* bead	LBA	2.07163	0.83934	18.784	
	158 Dikili Tash	Chalcolithic	2.08036	0.83859	18.709	
K5B33(34)	181 handle of iron knife	EIA	2.07816	0.84168	18.668	Pl. 39: 33
K3A7(3)	180 fibula	EIA	2.08176	0.84393	18.483	Pl. 23B: 7
K4A11(18)	173 knife	LBA	2.08026	0.84294	18.612	Pl. 28: 11
K2E26(14)	183 knife	EIA	2.09240	0.84913	18.459	Pl. 18: 26
K1A69(2)	185 knife	LBA	2.09342	0.84941	18.534	Pl. 6: 69
B3,14(2)	192 fibula	EIA	2.10019	0.84967	18.503	Pl. 58A: 14
K2ΣT7(9)	190 fibula	EIA	2.09541	0.85155	18.407	Pl. 19B: 7
B1A17(11)	197 spiral hair ring	EIA	2.09737	0.85160	18.408	Pl. 47: 17
K2E33(4)	175 hair ring	EIA	2.09483	0.85246	18.390	Pl. 18: 33
K3A4(4)	179 biconical bead	EIA	2.10526	0.85947	18.246	Pl. 23B: 4
K4B10(10)	188 fibula	EIA	2.10740	0.85771	18.297	Pl. 33: 10
B3,10(7)	172 shield boss	EIA	2.11768	0.85690	18.638	Pl. 58A: 10

NOTE:
Objects marked with an asterisk come from the Kastri settlement; all other objects come from the cemeteries around this settlement.

TABLE 5. *Lead isotope analyses of LBA and EIA knives from Thasos.*

Object	Sample	Type	Period	$^{208}Pb/^{206}Pb$	$^{207}Pb/^{206}Pb$	$^{206}Pb/^{204}Pb$	Plates
K1A69(2)	225	I, 1β	LBA	2.08541	0.84276	18.453	Pl. 6: 69
T18,62(57)	226	I, 1α	LBA	2.07487	0.83876	18.697	Pl. 110: 62
K2Z5(5)	227	V, 4	EIA	2.09225	0.84893	18.442	Pl. 20: 5
T1,2(3)	228	II, 1α	LBA-EIA	2.08660	0.84555	18.510	Pl. 59: 2
Λ4A5(8)	229	V, 3α	EIA	2.09006	0.84838	18.439	Pl. 203: 5
Λ3Δ6(7)	230	I, 3β-γ	EIA	2.09414	0.85108	18.392	Pl. 201:6
B1A14(15)	231	IV, 2γ	EIA	2.09422	0.85327	18.304	Pl. 47:14
B1Γ35(24)	232	III, 2β	LBA-EIA	2.06543	0.83435	18.649	Pl. 51: 35
T1,31(3)	233	II, 1β (III?)	LBA-EIA	2.09301	0.85328	18.298	Pl. 60: 31
Λ3Γ17(14)	234	IV, 1	EIA	2.09996	0.85413	18.463	Pl. 197: 17
T18,33(30)	235	I, 5γ	LBA	2.07197	0.83688	18.711	Pl. 107: 33
T3B3(3)	236	IV, 1β	EIA	2.10604	0.85919	18.227	Pl. 67: 3
T29,40(26)	237	V, 2β	EIA	2.10438	0.85711	18.304	Pl. 169: 40
B1B3(6)	238	II, 1β	EIA	2.06714	0.83605	18.772	Pl. 48A: 3
T18,12(9)	239	IV, 1α	EIA	2.07258	0.83883	18.708	Pl. 104: 12
T18,111(101)	240	I, 6γ	LBA	2.07378	0.83948	18.642	Pl. 113: 111
T21,3(2)	241	I, 4α	LBA	2.08192	0.84500	18.496	Pl. 148: 3
T18,73(71)	242	II, 2β	LBA	2.07289	0.83810	18.679	Pl. 111: 73
T18,169(133)	244	I, 2β	LBA	2.08037	0.84233	18.585	Pl. 116: 169
T18,80(80)	245	I, 6α	LBA	too small a sample for analysis			Pl. 111: 80
BIΓ9(13)	246	III, 2α	EIA	2.07514	0.84006	18.675	Pl. 49: 9
T18,55(42)	247	VI, 1	LBA-EIA	2.07766	0.84215	18.580	Pl. 109: 55
T21,4(3)	248	I, 3α	LBA	2.08271	0.84532	18.488	Pl. 148: 4
K5B31(32)	249	V, 4	EIA	2.10844	0.86018	18.192	Pl. 39: 31
T1,21(5)	250	V, 2α	EIA	2.10185	0.85608	18.267	Pl. 59: 21
T27A14(16)	251	VI, 3	EIA	2.09740	0.85352	18.334	Pl. 159: 14
K4A11(18)	252	III, 2β	LBA-EIA	2.06941	0.83720	18.702	Pl. 28: 11
T35A14(12)	253	V, 6	EIA	2.06864	0.8440	18.735	Pl. 182: 14
T30A11(9)	254	V, 6	EIA	2.06982	0.83540	18.725	Pl. 172: 11
B2,2(8)	255	V, 5	EIA	2.09215	0.85051	18.374	Pl. 56: 2
K5B32(33)	256	I, 5α	EIA	2.09069	0.84985	18.402	Pl. 39: 32
K1A70(3)	257	I, 1γ	LBA	2.07544	0.83907	18.682	Pl. 6: 70
K1Γ3(3)	258	I, 1α	LBA	2.06271	0.83354	18.821	Pl. 7B: 3
K6Γ3(2)	259	III, 1 (V?)	EIA	2.10129	0.85583	18.285	Pl. 43Γ: 3
Λ1B18	260	II, 2α	EIA	2.07878	0.84276	18.545	Pl. 191: 18
B1B7(8)	261	V, 1α	EIA	2.09312	0.85165	18.362	Pl. 48A: 7
T18,166(147)	262	I, 2α	LBA	2.08396	0.84349	18.562	Pl. 116: 166
T15,6(3)	263	I, 5β	LBA	2.07144	0.83820	18.659	Pl. 91: 6
T1,19(10)	265	I, 3β		2.09420	0.84962	18.438	Pl. 59: 19
K2Z6(4)	266	V, 1α	EIA	2.10477	0.85707	18.289	Pl. 20: 6

likely from no more than two sources. Eleven out of the fourteen remaining objects — all bronze knives — have very similar isotopic compositions within or close to the Cypriot field; they probably come from the same ore deposit, but it would be premature to claim that it is Cyprus until neutron activation analyses are made of these objects to check whether they fall in the characteristic Cypriot gold/silver field (Stos-Gale, Gale and Zwicker, 1986). The objects in question are Nos. 173, 225, 262, 241, 244, 240, 248, 257, 242, 226 and 263 and nearly all of them (except for 173 and 242) belong to type I.

The remaining two objects (176 and 196) have a quite different third ratio which can be consistent with the lead isotope compositions of ores from Chalkidiki (Wagner et al., 1986, 180) or

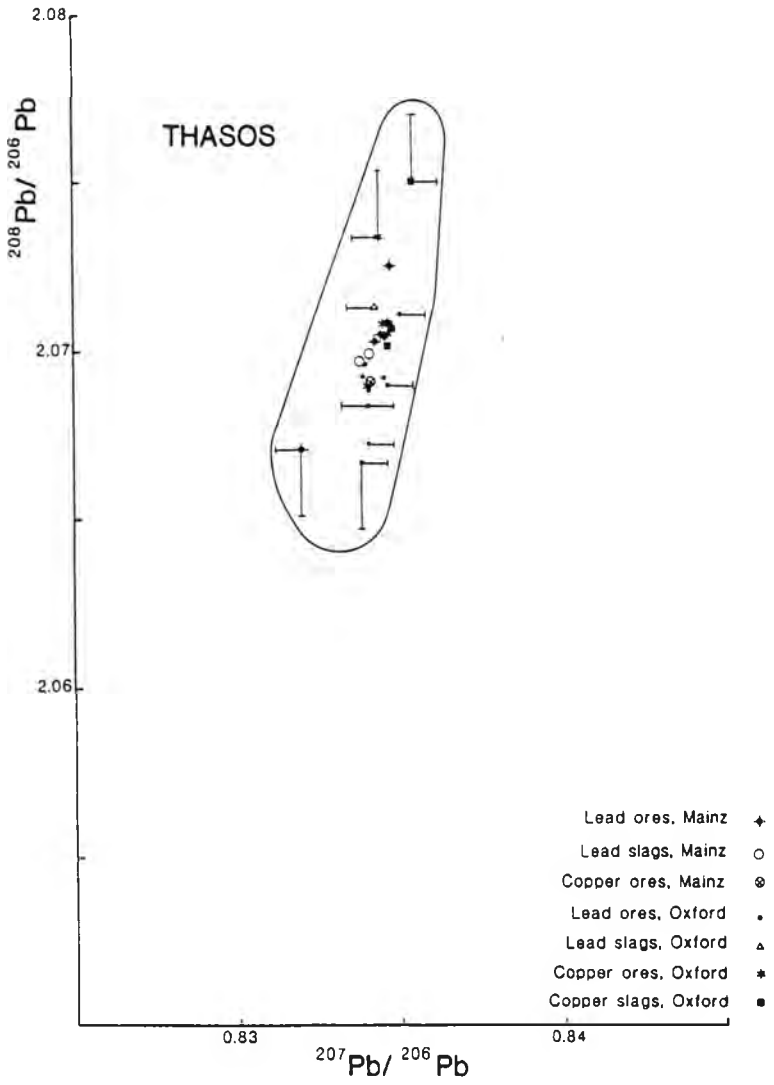

Fig. 1. Lead isotope field characteristic of Thasian ores and slags.

Pangaeon. However, for these regions most of the existing data is for lead ores, for Chalkidiki and Pangaeon there is not enough lead isotope data at present on copper ores and ancient copper slags to be sure of the extent of any of these "fields". A certain conclusion can result only from a comparison with the lead isotope composition of copper ores. We hope to start soon a much more extensive collaborative project with IGME to investigate the ore deposits and ancient mining in northern Greece. Such a programme must be also supplemented by NAA trace elemental analyses of ores, slags and metal objects. Trace elemental analysis has proved already a very powerful supplement to the lead isotope data in case of overlapping lead isotope "fields", and can certainly add confirmatory data (Stos-Gale, Gale and Zwicker, 1986).

Perhaps it will be worth to reiterate here, that the lead isotope identification of ores and metals is based on the relative position in space of three lead isotope ratios (208Pb/206Pb versus 207Pb/206Pb and 206Pb/204Pb versus 207Pb/206Pb), therefore the real lead isotope "field"

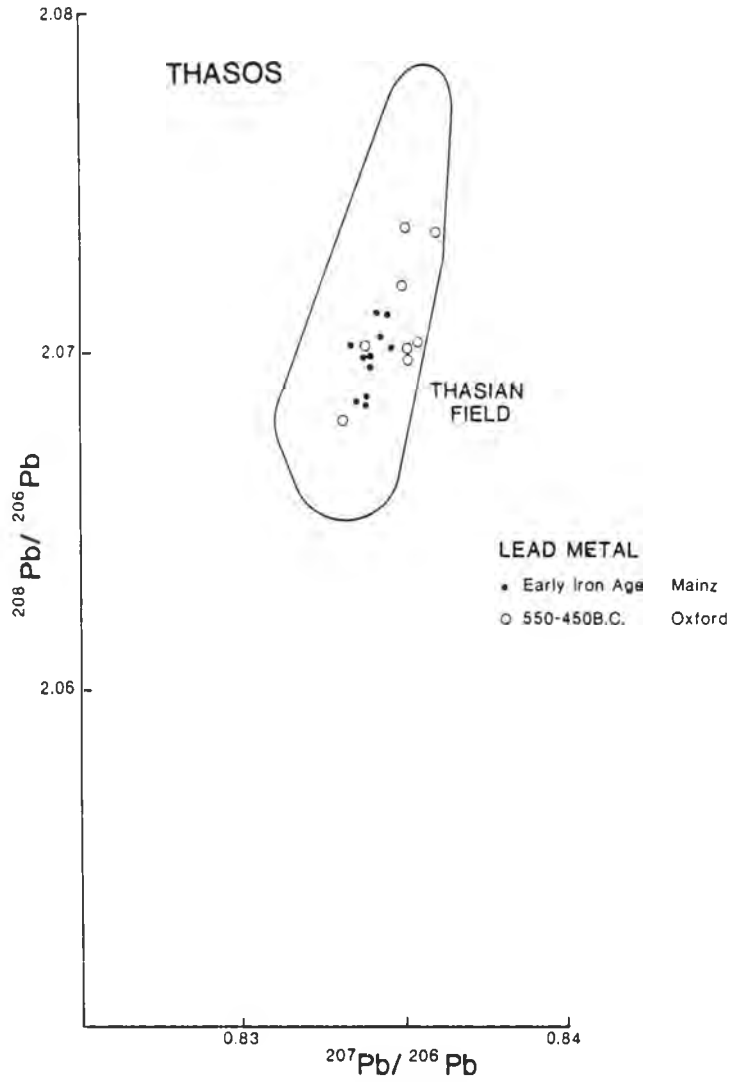

Fig. 2. Lead isotope analyses of 5th century and EIA lead from Thasos.

is not two dimensional but a three dimensional region in space. It is possible to represent all three lead isotope ratios on one diagram using multivariate statistical methods (Gale and Stos-Gale 1989) at present however we have not made such analyses for the Thasian objects.

Two-dimensional representation on only one diagram of the lead isotope data can sometimes be misleading, for example samples 196 and 242 on F i g. 3 look as though they might originate from the same source, when in fact their third ratio (18.784 and 18.679 respectively) is quite different and places them one behind the other in three dimensions.

In the Early Iron Age the Thasian copper ore deposits were perhaps exploited to some small extent, but the great majority of copper was imported and the sources of copper differ considerably from those used in the LBA.

Seven objects are consistent with Thasian lead isotope ratios (Nos. 254, 189, 182, 253, 232, 184 and 177). Objects 252 and 238 do not originate from Thasos, though they might have been

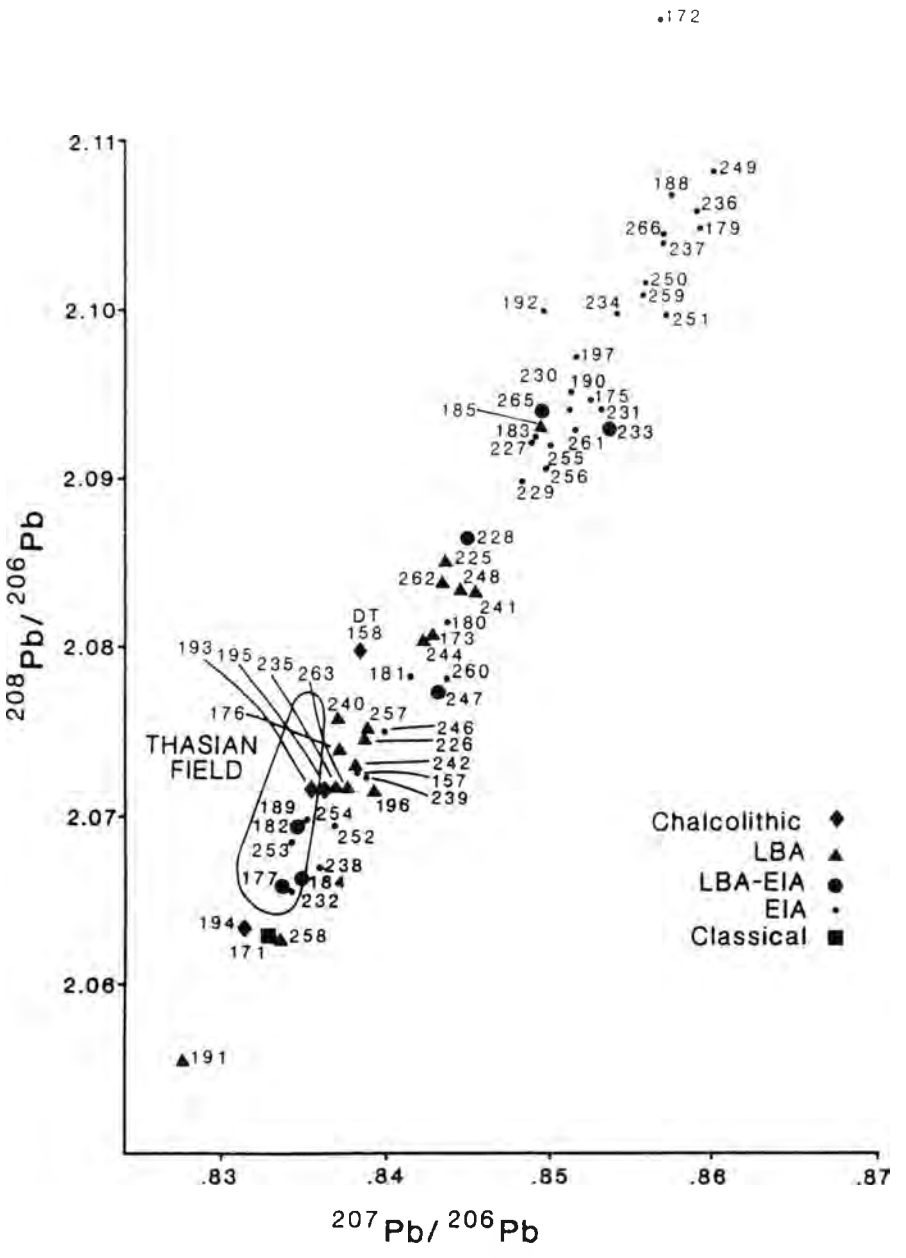

Fig. 3. Lead isotope analyses of Chalcolithic, LBA and EIA copper based alloy objects from Thasos.

made from copper of the same origin, but at present we have no lead isotope data to parallel these two objects. The old sources, Cyprus (perhaps) and possibly Northern Greece, still supplied a small amount of this metal (objects 180, 181, 260 and 247 are consistent with the Cypriot field, though again we caution that neutron activation analyses are needed to confirm this assignment), but the majority of the objects were made of copper from distinctly different copper deposits.

The great majority of EIA copper objects are characterised by lead isotope ratios which fall in the region 208Pb/206Pb = 2.09 to 2.11 and 207Pb/206Pb = 0.85 to 0.86. Model ages for such

lead isotope ratios fall roughly in the Devonian-Silurian-Ordovician region. There may be copper deposits of this age in Northern Greece, in the Pangaeon or elsewhere, but lead isotope data for such deposits does not yet exist.

Copper ore deposits of this age exist in Northern and Western Anatolia, but much more field and analytical work there is needed to establish which of these deposits might have supplied copper to the Aegean in the Early Iron Age. It is interesting to note, however, that our analyses of EBA Trojan artefacts and artefacts from Mersin and Beycesultan do not include any artefacts of this composition (Gale, Stos-Gale and Gilmore, 1985). On the other hand a few of the badly dated (and virtually unprovenanced) objects from the Troas (Pernicka et al., 1984), show very similar isotopic compositions to some of the Iron Age objects from Thasos.

It should be noted that the Thasian EIA objects under discussion have isotopic compositions which seem to belong to two different ore fields, indicating derivation from two different copper deposits. There is no grouping of the objects of particular type in any of the two isotopic fields; to the contrary, the types IV, V and VI seem to originate from both ore sources. There is no Type I knife in the group of higher 208Pb/206Pb ratios, but it might be a coincidence. The shield boss No. 172 again originates from copper of a distinctly different deposit; this time there are close similarities between its isotopic composition and the isotopic composition of the objects from EBA Troy.

CONCLUSIONS

The major, somewhat surprising, fact to emerge from this study is that of a total of 59 copper alloy objects from Kastri, only 1 Chalcolithic and 7 EIA objects are consistent with having been made of Thasian copper ores. The other objects span a range of lead isotope compositions which correspond with model ages (for the copper deposits used as the source of their copper) from Oligocene to Ordovician times; at least 4 or 5 different copper ore sources must have been used, perhaps in Northern Greece (Thrace?) or Anatolia as well as perhaps Cyprus, whilst a very few objects may have copper from Lavrion or Ergani Maden.

Much more work, on copper ore deposits and on neutron activation analysis of the trace elements in the artefacts, is needed before definite attributions to particular copper sources can be made.

ZOFIA STOS-GALE - NOEL GALE
Department of Earth Sciences, University of Oxford

REFERENCES

Anastopoulos, J. (1968). Geological Reconnaissance Report No. 42, IGME, Athens.
Baguette, A. (1947). Les gisements calaminaires de Thasos, Ann. Géolog. de Pays Helléniques, 143-183.
Beyschlag, F., Vogt, J.H.L. and Krusch, P. (1916). The Deposits of the Useful Minerals and Rocks, London, 756-759.
Cumming, G. and Richards, J.R. (1975). Ore Lead Isotope Ratios in a Continuously Changing Earth, Earth and Planetary Science Letters 28, 155-171.
Davies, O. (1932). Ancient Mines in Southern Macedonia, J. Royal Anthropological Institute LXII, 145-162.
Davies, O. (1935). Roman Mines in Europe, Oxford, 237.
De Launay, M. (1988). RA 1, 242.
De Launay, M. (1898). Etudes géologiques sur la Mer Egée, Annales des Mines XIII Série.
Doe, B.R. (1970). Lead Isotopes, Springer, Berlin.
Gale, N.H. and Stos-Gale, Z.A. (1984). Unpublished Lead Isotope Analyses for Lead and Copper Ore Deposits in Chalkidiki.
Gale, N.H., Stos-Gale, Z.A. and Gilmore, G. (1985). Alloy Types and Copper Sources for Anatolian Copper Alloy Artefacts, Anatolian Studies XXXV, 143-173.
Gale, N.H. and Stos-Gale, Z.A. (1985). Ergani Maden Lead Isotope Analyses Were Given at the Conference in Erlangen in November 1985; see Karageorghis V., Kadmos XXV (1986), 87-88.
Gale, N.H. and Stos-Gale, Z.A. (1986). Oxhide Ingots in Crete and Cyprus and the Bronze Age Metal Trade, BSA 81, 81-100.

Gale, N.H. (1986). Lead Isotope Analyses Applied to Provenance Studies - A Brief Review, in Proceedings of the 25th International Symposium on Archaeometry, ed. Y. Maniatis, Athens, 469-502.
Gale, N.H. (1987). Lead Isotope Analyses Applied to Provenance Studies, in Chemical Analysis of Art and Archaeological Objects, ed. M.J. Hughes, Wiley, London.
Gale, N.H. and Stos-Gale, Z.A. (1989). Bronze Age Acrhaeometallurgy of the Mediterranean. The Impact of Lead Isotope Studies, in Archaeological Chemistry IV, ed. R.O. Allen, Washington, 159-198.
Hauttecoeur, H. (1902). L'île de Thasos, Bull. Soc. Roy. Geogr. Belge, 475-490.
Karageorghis, V. (1986). The Erlangen-Nurnberg Colloquium on Copper Artefacts from the SE Mediterranean, Kadmos XXV, 87-88.
Pernicka, E., Gentner, W., Wagner, G.A., Vavelidis, M. and Gale, N.H. (1980). Ancient Lead and Silver Production on Thasos, Revue d'Archéometrie, Supplément 1981, III, 227-238.
Pernicka, E., Wagner, G.A. and Todt, W. (1983). Chemische und Isotopische Zussamensetzung Früheisenzeitlicher Bleiartefakte aus Thasos, MPI-H-1983-V37, Max-Planck-Institut für Kernphysik, Heidelberg.
Pernicka, E., Seeliger, T.C., Wagner, G.A., Begemann, F., Schmitt-Strecker, S., Eibner, C., Oztunali, O. and Baranyi, I. (1984). Archäometallurgische Untersuchungen in Nordwestanatolien, JbZMusMainz, 31 Jahrgang, 533-599.
Perrot, G. (1864). Mémoire sur l'île de Thassos, Archiv. de miss. scient. Tome ler, Paris.
Seeliger, T.C. et al. (1985). Archäometallurgische Untersuchungen in Nord- und Ostanatolien, JbZMusMainz, 597-659.
Stos-Gale, Z.A., Gale, N.H. and Zwicker, U. (1986). The Copper Trade in the South-East Mediterranean Region: Preliminary Scientific Evidence, RDAC, 122-144.
Stos-Gale, Z.A. (1988). Cyprus and the Copper Trade in the LBA Mediterranean, Proceedings of the Centenary Conference of the British School at Athens, Manchester 1986, ed. E.B. French, 265-282.
Vavelidis, M. et al. (1985). Geologie und Erzvorkommen, in Silber, Blei und Gold auf Sifnos, ed. G.A. Wagner and G. Weisgerber, Bochum.
Voreadis, G. (1954). Geological and Mining Research in Thasos, IGME, Athens.
Wagner, G.A. et al. (1986). Archäometallurgische Untersuchungen auf Chalkidiki, Der Anschnitt 38, 166-186.
Wagner, G.A. and Weissgerber, G. (1987). Antike Edel- und Buntmetallgewinnung auf Thasos, Bochum.

Z. S.-G. - N. G.

ΠΑΡΑΡΤΗΜΑ VIIIα

ΧΗΜΙΚΕΣ ΑΝΑΛΥΣΕΙΣ ΣΙΔΕΡΕΝΙΩΝ ΑΝΤΙΚΕΙΜΕΝΩΝ ΑΠΟ ΤΑ ΝΕΚΡΟΤΑΦΕΙΑ ΚΑΣΤΡΙ ΚΑΙ ΛΑΡΝΑΚΙ

Αριθ. δείγματος	Στοιχεία αρχαίου	Μαγγάνιο %	Νικέλιο %	Χαλκός %	Χρώμιο %	Πίνακες
14/4	Εγχειρίδιο Β1Δ3(6)	0.061	0.135	0.084	0.023	Πίν. 52: 3
14/12	Εγχειρίδιο Β3, 4(14)	0.032	0.053	0.034	0.010	Πίν. 58Α: 4
14/13	Εγχειρίδιο Τ14Β20(16)	0.069	0.139	0.060	0.009	Πίν. 90Α: 20
14/14	Εγχειρίδιο Τ8,4(11)	0.091	0.458	0.800	0.160	Πίν. 81: 4
14/15	Εγχειρίδιο Τ8,5(12)	0.054	0.156	0.172	0.047	Πίν. 81: 5
14/31	Εγχειρίδιο Κ3Α3(7)	0.015	0.054	0.038	0.013	Πίν. 23Β: 3
14/54	Εγχειρίδιο - Περιοχή τάφου Τ1	0.017	0.105	0.415	0.031	*
14/58	Εγχειρίδιο ΛΑ4(5)	0.043	0.093	0.056	0.024	Πίν. 187: 4

ΣΗΜΕΙΩΣΗ ΑΝΑΣΚΑΦΕΑ:
* Το εγχειρίδιο βρέθηκε σε καθαρισμό του τάφου μετά την ανασκαφή και δε θεωρήθηκε ανασκαφικό εύρημα. Δε συμπεριελήφθη στον κατάλογο.

Φωσφόρος δεν αναζητήθηκε γιατί τα αντικείμενα ήταν διαβρωμένα.

Πυρίτιο δεν αναζητήθηκε για τον ίδιο λόγο.

Κοβάλτιο δεν βρέθηκε.

Το συμπέρασμα είναι πως όλα τα σιδερένια είναι κατασκευασμένα από γηγενή σίδηρο, που παρασκευάσθηκε από αναγωγή σιδηρομεταλλεύματος.

Υφή ατσαλιού δεν μπόρεσε να εντοπισθεί στα προϊόντα διάβρωσης, επειδή η διάβρωση έχει γίνει με μεγάλη ταχύτητα (θαλάσσιο περιβάλλον).

Κ. ΑΣΗΜΕΝΟΣ

ΠΑΡΑΡΤΗΜΑ VIIIb

LATE BRONZE AGE - EARLY IRON AGE COPPER AND IRON SLAGS FROM KASTRI AND PALIOKASTRO ON THASOS

(P l. 367)

COPPER SLAG

Copper slags together with iron slags were found in the LBA-EIA cemeteries of Kastri, namely Larnaki, Tsiganadika and Kentria. Samples for analysis were taken from the Tsiganadika graves T14 (no. D396), T18 (nos. D385, D387), T23A and T23B (nos. D383 and D384a respectively), and T24 (no. D394a), the Larnaki graves Λ2Γ and Λ5B11 (no. D399) and the Kentria grave K3A69 (Tsiore). Analytical results and dates of the samples are presented in Table 1. With the exception of Tsiganadika grave T23 which contains both copper and iron slag, the other graves contain either one or the other. Copper slags were found at another site, Paliokastro Marion. These were unstratified finds which could either date to the EIA or could be associated with the 4th-3rd c. BC levels of the same settlement (Koukouli-Chrysanthaki 1991, 679).

Analyses were carried out with the Electron Microprobe Analyser (EPMA), a Cambridge Scientific Instruments Mark V with an EDAX Link 860 x-ray microanalyser. EPMA provides the chemical composition of individual mineralogical phases as opposed to bulk chemical analysis.

Kastri copper slags (P l. 367b-e) are composed of four phases, namely, wustite (FeO) in the shape of dendrites, fayalite ($2Feo.SiO_2$) appearing as long needles, magnetite (Fe_3O_4) in the form of plates and a glassy silicate matrix exceptionally rich in barium. The composition of this phase resembles a barium silicate ($BaO.Fe_3O_4.SiO_2$) with up to 34% barium oxide in the matrix, (Table 1). The origin of this barium is barite (barium sulfate), a mineral commonly associated with the iron deposits of Thasos (Theophilopoulos 1982, 32).

In the majority of the copper slags copper occurs in both the matrix (1-7% copper oxide) and metallic inclusions (prills). The prills consist primarely of copper (Cu), iron (Fe) and sulfur (S) (D385, Table 2). The relative ratios of these three elements vary. Some of these are copper sulfide (Cu_2S), with a small amount of iron (D384a and some in D384b, Table 2). Some prills are composed of copper, arsenic antimonides or copper antimony arsenides (D384b, Table 2) with small amounts of iron and sulfur and appreciable quantities of silver and lead. These prills are characterised as speiss. Speiss, which forms insoluble phases in the slag, is a general name encompassing the alloys of metals like iron, cobalt and nickel with arsenic and antimony (Gilchrist, 1980, 232). Precious metals (gold, silver, platinum) have high affinities for speiss. This means that they will dissolve in that phase in preference to others with the exception of metallic lead.

Paliokastro copper slags are different in composition from those of the cemeteries at Kastri. The absence of barium is notable as is the near absence of sulfur in the copper prills. The prills are primarily copper with some iron and occasionally antimony. The matrix is mainly fayalitic with copper ranging from 1-4% CuO and less than 1% CuO in the magnetite. The majority of iron oxides in these samples is magnetite rather than wustite (P l. 367f-g). No copper is present in the matrix of sample Pal. Th. 1 (Table 1) and, had it not been for the presence of metallic prills containing copper and iron, the slag would have been classified as iron slag. This observation serves as a word of caution when analysing very early material, since the samples available are usually very small in size and number and cannot provide an accurate picture of either furnace conditions or more important the extractive processes involved.

TABLE 1. *Microprobe analyses of copper and iron slag from Kastri (LBA-EIA) and Paliokastro (undated), Thasos: non-metallic phases.*

	Sample No.	Museum No.	Date	Phase	Na_2O	MgO	Al_2O_3	SiO_2	P_2O_5	SO_3	K_2O	CaO	TiO_2	MnO	FeO	BaO	CuO	As_2O_3	Sb_2O_3
KASTRI	IRON SLAG																		
	Λ2Γ			wustite	0.00	0.00	0.37	0.54	0.00	0.00	0.00	0.17	0.92	0.26	92.47	0.00	0.00	0.00	—
				fayalite	0.00	3.47	0.00	29.81	0.00	0.00	0.00	1.97	0.28	0.96	59.85	0.00	0.00	0.00	—
				fayalite	0.00	0.00	0.00	30.44	0.00	0.00	0.00	1.82	0.35	0.86	62.01	0.00	0.00	0.00	—
				matrix	0.00	0.00	20.80	33.66	0.72	0.00	3.54	12.61	0.83	0.00	27.25	0.00	0.00	0.00	—
	D399	Λ5B11	EIA	matrix	0.00	0.14	3.96	33.16	0.53	0.00	1.33	11.68	0.27	0.54	47.25	0.00	0.00	0.00	—
				'faya'	0.00	0.00	1.92	27.21	0.40	0.00	0.00	11.01	0.00	0.32	50.89	0.00	0.00	0.00	—
				matrix	0.00	0.00	8.29	36.51	0.94	0.00	2.82	10.18	0.42	0.43	37.36	0.00	0.00	1.05	—
	D383	T23A	EIA	wustite	0.00	1.06	9.89	0.48	0.00	0.00	0.00	0.29	3.23	0.70	80.35	—	—	—	—
				matrix	0.00	0.69	8.95	30.00	0.38	0.00	0.39	13.81	6.07	0.97	27.28	—	—	—	—
	COPPER SLAG																		
	D394a	T24	EIA	matrix	0.00	11.35	0.21	34.69	0.00	0.00	0.00	28.94	0.00	1.36	22.53	0.00	0.00	0.00	—
				matrix	0.00	1.05	10.54	48.43	0.56	0.00	2.73	11.51	0.36	0.25	12.49	3.89	4.36	0.93	—
				matrix	0.00	1.03	9.61	50.76	0.00	0.00	2.69	10.24	0.46	0.22	12.66	3.56	3.69	0.87	—
	D384a	T23B	EIA	matrix	0.00	0.00	11.75	36.77	0.00	0.00	2.08	3.27	0.00	0.26	11.64	31.09	2.82	0.00	—
				matrix	0.00	4.67	2.45	47.18	0.00	0.00	0.32	20.79	0.00	0.76	19.47	4.40	0.00	0.00	—
				matrix	0.00	0.83	1.77	32.45	0.00	0.00	0.81	5.43	0.00	1.28	23.11	29.20	1.71	1.10	—
	D396	T14	EIA	matrix	0.00	0.00	5.95	36.24	0.28	0.00	2.14	11.78	0.48	0.91	25.37	13.35	1.43	0.00	—
				matrix	0.00	6.07	0.00	33.11	0.00	0.00	0.34	22.99	0.00	1.50	31.30	1.86	0.35	0.00	—
				matrix	0.00	2.11	10.23	37.86	0.00	0.00	2.55	11.76	0.00	0.78	19.55	15.73	0.39	0.00	—
	D385	T18AΠ106	LBA-EIA	matrix	0.00	3.29	2.07	31.99	0.27	0.00	0.34	25.34	0.00	1.25	31.17	2.91	0.00	0.00	—
				wustite	0.00	0.61	1.37	0.28	0.00	0.00	0.00	0.36	1.56	0.52	83.78	0.47	0.00	0.00	—
	D384b	T23B	EIA	matrix	0.00	0.00	9.98	32.09	0.00	0.77	1.44	14.72	0.00	0.85	21.36	16.99	0.73	0.00	—
				matrix	0.00	0.00	8.39	29.77	0.00	3.55	2.56	17.60	0.00	0.78	29.25	8.19	0.00	0.00	—
	Tsiore	K3A69		matrix	0.86	0.59	3.39	32.67	0.71	0.00	0.64	11.74	0.00	0.00	20.23	29.83	0.00	0.00	—
	D387	T18Π3	LBA-EIA	matrix	0.63	0.46	3.72	30.56	0.84	0.00	0.85	8.18	0.00	0.00	19.55	33.66	0.00	0.00	—

	Sample No.	Museum No.	Date	Phase	Na_2O	MgO	Al_2O_3	SiO_2	P_2O_5	SO_3	K_2O	CaO	TiO_2	MnO	FeO	BaO	CuO	As_2O_3	Sb_2O_3
PALIOKASTRO	COPPER SLAG																		
	Pal. Thas. 1	—	undated	wustite	0.00	0.47	3.10	5.46	0.00	0.00	0.15	2.28	1.55	0.69	83.01	0.00	0.00	0.00	—
				wustite	0.00	0.60	2.97	7.71	0.00	0.00	0.38	3.43	1.74	0.93	78.95	0.00	0.00	0.00	—
				matrix	0.00	0.44	4.38	34.93	0.00	0.00	2.33	13.51	3.67	1.68	34.12	0.00	0.00	0.00	—
	Pal. Thas. 1	—	undated	'faya'	0.00	0.48	1.56	45.62	0.44	0.00	0.20	10.76	0.24	0.00	40.04	0.00	1.36	0.00	—
				'faya'	0.00	0.40	1.44	43.59	0.40	0.00	0.17	8.80	0.21	0.00	44.18	0.00	1.29	0.00	—
				wustite	0.00	0.00	0.58	0.50	0.00	0.00	0.00	0.00	0.41	0.00	93.19	0.00	0.51	0.00	—
				wustite	0.00	0.00	0.63	0.87	0.00	0.00	0.00	0.18	0.53	0.00	93.40	0.00	0.33	0.00	—
	Pal. Thas. 2	—	undated	fayalite	0.00	0.56	1.73	35.43	0.31	0.00	0.13	6.53	0.31	0.19	48.30	0.00	4.33	0.00	—
				'faya'	0.00	0.75	1.17	39.87	0.00	0.00	0.18	6.88	0.30	0.00	44.89	0.00	2.87	0.00	—
				'faya'	0.00	0.29	1.48	40.44	0.28	0.00	0.31	5.31	0.22	0.00	51.43	0.00	0.72	0.00	—
				wustite	0.00	0.00	0.56	0.92	0.00	0.00	0.00	0.13	0.44	0.00	92.19	0.00	0.63	0.00	—
	Thas. PK	—	undated	fayalite	0.00	1.09	2.29	44.54	0.00	0.00	0.89	6.33	0.92	0.36	40.95	0.00	0.88	0.00	1.11
				'faya'	0.00	0.51	2.73	40.31	0.00	0.00	0.61	8.55	1.84	0.00	33.68	0.00	1.12	0.00	0.73

'Faya' refers to phases which resemble the fayalite composition.
All concentrations in weight %.
— = not detected.
0.00 = concentration in that element approximates zero.

IRON SLAG

The first evidence for iron exploitation on Thasos comes form the analysis of three pieces of iron slag from two graves at Larnaki and one at Tsiganadika (Table 1). These cemeteries date to phase IIB2-IIB3 of the EIA (900-700 BC). Iron itself makes its appearance on Thasos (Kastri) earlier, during IIA-IB (1050 BC) in the form of a bimetallic knife with an iron blade and a cast bronze handle (Koukouli-Chrysanthaki 1991, 683). Analysis of the bronze handle by N.H. Gale showed that the copper was not local but imported possibly from Cyprus, since its lead isotope composition fell within the Cypriot or western Asia Minor field (Koukouli-Chrysanthaki 1991, 680 and 683). This suggests a corresponding origin for the iron blade.

The iron slag from Larnaki (Λ2Γ, Table 1) contains all three commonly occurring phases, i.e. wustite, fayalite and a glassy matrix. The composition of the latter resembles that of mellilite, a potassium-calcium-iron-aluminum silicate, common in most of the iron slags analysed from Macedonia (Photos et al., 1986 and 1987). The second sample from Larnaki (D399, Table 1 and P l. 367a) also contains the same phases, together with metallic iron prills free of slag inclusions. Arsenic has been detected in its matrix suggesting that the ore source may have been that at Kokoti reported by Theophilopoulos (1982, 51). However, it is difficult to draw conclusions on the basis of one sample only.

The third piece of iron slag is from the cemetery at Tsiganadika (D383, Table 1). It contains a relatively higher titanium content in the wustite and the matrix compared to the other two, but no other mineralogical phases are evident which may support an alternative source of iron ore.

DISCUSSION

The picture emerging from the analyses of the LBA-EIA copper slags from Kastri and the undated slags from Paliokastro suggests the use of at least two types of copper oxide ores at these or later periods on the island. On the one hand, there are the copper minerals malachite and azurite, which occur within the main barite-rich iron deposits of Thasos in places like Mavrolakas and Koumaria-Platania. The slags that derive from the smelting of these ores contain sulfur in the metallic prills. On the other hand, there are the copper oxide ores in the vicinity of Paliokastro, the slags of which contain no barium oxide. The copper prills contain no sulfur, only small amounts of iron and antimony. The role of barite in the production of the Kastri copper slags is of particular importance for two reasons: a) it is the origin of the sulfur in the metallic phases of the slag, thus directing us to the source of the copper ore and b) it has helped decrease the viscosity of the slag making it free-running at lower temperatures than if it had been absent. Barium sulfate decomposes at high temperatures to barium oxide, sulfur dioxide and oxygen: $BaSO_4 \rightarrow BaO + SO_2 + \frac{1}{2}O_2$

The reaction can be promoted by localised reducing conditions and the presence of a high SiO_2 content with which barium forms a stable silicate (Rosenqvist 1983, 232). In the present case, a barium silicate glass matrix is formed incorporating iron, alumina and calcium oxides (matrix in Table 1 and P l. 367d, e). In the process of barite dissociation, SO_2 has reacted with copper resulting in the formation of Cu_2S or matte prills present in the Kastri copper slag. Cu_2S is formed in preference to CuS which dissociates at c. 1120° C. The reaction of SO_2 with Cu, releasing O_2 in the process, implies that the origin of the copper sulfide prills need not necessarily be attributed to a sulfidic copper ore, as is usually assumed. It is clear from the present discussion that an alternative source of sulfur, such as barium sulfate, should also be investigated.

Viscosity can be estimated by the viscosity index which is the ratio of the sum total of the basic oxides (CaO, MgO, FeO, BaO etc.) over the sum total of the acidic oxides (SiO_2, Al_2O_3) (Bachmann 1980). The lower the viscosity index, the higher the viscosity of the slag, meaning that the viscosity decreases with increasing amount of basic oxides (Rosenqvist 1983, 312). Thus, it is probable that the copper slags at Kastri were more fluid than those of Paliokastro given the higher total amount of basic oxides (BaO and CaO). As a result, the slag metal separation would be better in the Kastri slags in comparison with those from Paliokastro.

TABLE 2. *Metallic prills in copper slag from Kastri (EBA-EIA) and Paliokastro (undated).*

Sample No.	Cu	Fe	S	Sb	As	Ag	Pb
D384a	76.77	1.95	29.09	0.00	0.00	0.00	1.15
D384b	68.76	7.11	23.33	0.00	1.21	0.00	0.00
	69.78	5.66	23.22	0.00	0.00	0.00	0.00
	58.13	12.69	27.64	0.00	0.00	0.00	0.00
	51.55	0.93	2.00	25.34	20.18	1.20	0.00
	14.69	0.98	0.50	54.22	11.63	2.02	2.03
	5.99	0.67	1.08	78.28	5.54	3.06	4.05
D385	34.84	29.23	44.89	—	—	—	—
	25.35	36.21	32.05	—	—	—	—
Pal. Thas. 1	96.90	3.20	0.22	—	—	—	—
	95.68	4.14	0.37	—	—	—	—
Thas. PK	97.14	3.50	—	2.19	—	—	—
	97.33	4.20	—	2.02	—	—	—

In each sample one or more metallic prills have been analysed.
All concentrations in weight %.
— = not detected.
0.00 = concentration in that element approximates zero.

Kastri and Paliokastro copper slags are clearly metallurgical process slags, but are they the result of smelting copper ore in a furnace or melting copper in a crucible? This distinction is not always easy to make. In an effort to establish distinguishing criteria between the two types of process slags, Tylecote (1980, 203) suggested that small amounts of iron oxide associated with high silica, calcium oxide and alumina with relatively high copper (8-40% Cu) contents in the slag are a sound criterion for slags melted in a crucible. Cooke and Nielsen (1978) suggested that crucible melting slags usually have a low iron content and a high ($SiO_2 + Al_2O_3$) to (FeO-MnO) ratio compared to smelting slags. In addition, the crucible melting slags have only a small amount of crystalline phases in comparison again with smelting slags.

The presence of barium in the Kastri copper slags rules out the possibility that they are crucible melting slags since barium would have been removed at the smelting stage. The Paliokastro slags have high iron contents and copper prills with sufficient impurities for them also to be considered smelting slags. But it is difficult to decide conclusively on such sparse evidence. Thus, the Kastri slags are considered to be the product of smelting and the Paliokastro slags most probably the same (Table 3).

The identification of iron sources for the provenance of early iron artefacts is often a rather difficult task unless tracer elements like titanium, aluminium, vanadium, chromium are detected in the slag inclusions of the artefacts or the slags themselves. Thasos slags are exceptional because titanium has been detected in both iron smelting slags and artefacts. Titanium-rich slags have been located at the south side of the island but date to the Late Byzantine-Early Ottoman period. On the other hand, titanium was found in the slag inclusions of artefacts dating to the Hellenistic period. The source of this titanium is the titanium-rich magnetite sands collectable in small amounts, but can be subjected to considerable enrichment, on the south shores of the island (Photos et al. 1986).

The Kastri iron slags contain no tracer elements which could lead us to a particular source of iron ore on the island. This can mean two things: a) that these are simply smithing slags, the result of shaping an iron lump into a useful object by eliminating all residual traces of slag or b) that an ordinary iron oxide ore like hematite, free of any characteristic elements was used.

TABLE 3. *Summary of differences between Kastri and Paliokastro copper slags.*

Kastri LBA-EIA	**Paliokastro** Undated
Copper carbonate minerals associated with barite-rich iron ore	Copper carbonate minerals
Sulfur present in matte prills	Sulfur absent
Speiss inclusions	Copper prills, 4% Fe
Copper in the silicate matrix	No copper in matrix
Presence of wustite suggests sufficiently reducing conditions in the furnace	Presence of magnetite suggests less reducing conditions in the furnace
Smelting slag	Probably smelting slag

In either case no more can be said on the type of metallurgical activity which produced the iron slags of Kastri apart from the very important observation that iron was indeed being worked on the island at that early date.

IRON FROM COPPER?

The presence of iron in copper prills as observed in the Paliokastro samples, is a common enough phenomenon in Early Bronze Age objects from the East Mediterranean reported by a number of investigators. Jones (1980) has reported iron contents in bronze objects from the rich EIA cemeteries at Lefkandi in Euboea. The same investigator, in his analysis of pieces of copper/bronze from Servia (Ridley and Wardle 1979), again reported iron (4% Fe) in the copper. Both sets of analyses were done non-destructively with XRF energy dispersive analysis, so it is possible that his results may have been influenced by surface segregation phenomena. Cooke and Aschenbrenner (1975) suggested that in copper smelting, excess iron oxide which was not taken up by the slag under localised reducing conditions would reduce to metallic iron. As the copper reduces simultaneously, metallic iron (up to 4%) would dissolve into the copper. The presence of metallic prills with this composition in slag from Paliokastro (Table 2) corroborates this observation.

The co-existence of metallic copper and iron brings to mind an important issue, namely the presence of iron ore in a copper smelting furnace and the possible evolution of iron metallurgy from copper metallurgy (Wertime 1973; Charles 1980; Pigott 1982).

It has frequently been reported in the literature that iron oxides were added intentionally as flux during the smelting of copper ores in order to produce a fluid fayalitic slag in combination with the silica in the copper ore. However, it now seems clear that copper minerals were often found in association with iron ores. This implies that iron ores made their way into the copper smelting furnace accidentally as charge rather than as intentional additions. Pigott (1982, 21) has presented an eloquent photograph of a malachite "pocket" in an iron ore body, while Merkel (1983) showed that the charge in the Chalcolithic furnaces in Timna, Israel, could contain up to 20% iron in the copper ore, in addition to the iron-rich nodules which were intentionally added as flux and which contained up to 43% iron. Flux is the material (iron oxides in the case of copper smelting) that helps reduce the temperature at which the slag is free running. Thus, slag and metal are separated with the lowest energy input possible.

Evidence for copper association with iron ores in mines exploited in antiquity occurs in the classical texts (Strabo, X, I, 9) refers to a double mine of both iron and copper found above the city of Chalkis in Euboea. What Strabo's reference implies is that by late antiquity, mines would be worked for more than one metal, if the potential was there.

The Kastri slags provide the first material evidence of what has for some time been speculated, namely the exploitation of copper ore out of iron deposits in the LBA and EIA. The presence of barium, a unique tracer element in the provenance of the Thasos main iron ore bodies, clearly suggest that the origin of the copper in the LBA-EIA were deposits like that of Mavrolakas, in which copper carbonates are found in small amounts even today (Theophilopoulos 1982, 58). Far from being an intentional addition, hematite/limonite with associated barite entered the furnace accidentally. It is very likely that metallic prills or small lumps were formed as a result of localised, strongly reducing condition. Early bronze-smiths may have noticed them but were probably not in a position to do much with them, at least initially. The main reason for their lack of success is that they would have tried to work the iron either by melting it as copper or lead or by cold-working and annealing it like native copper or gold. But pure iron with only traces of carbon (wrought iron) melts at temperatures (c. 1550° C) which would be unattainable in the existing hearths and furnaces. In addition, iron would be forged only within a limited range of temperatures according to the impurities incorporated in its matrix. In short, any effort to shape it would have resulted in fracture or no change at all.

In summary, the analytical data suggest that the early bronze-smiths on Thasos may have been led to the smelting of iron ores through their continuous experimentation with copper ores given that copper minerals were extracted from the main barite-rich iron deposits. This interpretation argues in favour of an independent development if iron metallurgy on Thasos as opposed to a diffusion of technological know-how from other sources. This suggestion would have been even more securely argued had there been available iron slag samples from the EIA cemeteries at Kastri which like their copper counterparts also contained barite. This analytical work is still in progress and six more slag samples from the same context are still pending analysis.

August 1987

E. PHOTOS
Institute of Archaeology, London

REFERENCES

Bachmann, H.-G. 1982. The Identification of Slags from Archaeological Sites, Institute of Archaeology Occ. Paper 6.

Backhuizen, S.C. (and R. Kreullin) 1976. Chalkis-in-Euboea: Iron and the Chalcidians Abroad, Chalcidian Studies III, Leiden. Part II.2.

Charles, J.A. 1980. The Coming of Copper and Copper Base Alloys and Iron, in The Coming of the Age of Iron, T.A. Wertime and J.D. Muhly (eds.), Yale University Press, 151-181.

Cooke, S.R.B. and S. Aschenbrenner 1975. The Occurrence of Metallic Iron in Ancient Copper. JFA 2, 251-266.

Cooke, S.R.B. and B.V. Nielsen 1978. Slags and Other Metallurgical Products, in Excavations at Nichoria in SW Greece, Vol 1. Site, Environs and Techniques, G. Rapp and S.E. Aschenbrenner (eds.), Minneapolis, 182-325.

Gilchrist, J.D. 1980. Extraction Metallurgy, Pergamon Press.

Jones, R.E. 1980. Analysis of Bronze and Other Base Metal Objects from the Lefkandi Cemeteries, Appendix in Lefkandi: The Iron Age, The Cemeteries, M.R. Popham, L.H. Sackett and P. Themelis (eds.), London, 447-464.

Koukouli-Chrysanthaki, Ch. 1991. This volume.

Merkel, J. 1983. Ore Beneficiation During the Late Bronze Age-Early Iron Age at Timna, Israel. MASCA 3, 164-168.

Percy, J. 1861. Metallurgy: Fuel; Fire Clays; Copper; Zinc; Brass. London. A fascimile reprint of the original source of Metallurgical reference books. 1860-1880. De Archaeologische Press, Nederland.

Photos, E., Koukouli-Chrysanthaki, Ch., Gialoglou, G., 1986. Extractive Iron Metallurgy on Thasos and the East Macedonian Mainland, in Science in Archaeology, R.E. Jones and H.W. Catling (eds.), Fitch Laboratory Occasional Paper 2, British School at Athens, 44-47.

Photos, E., Koukouli-Chrysanthaki, Ch., Gialoglou, G., 1987. Iron Metallurgy in Eastern Macedonia: A Preliminary Report, in B.S. Scott and H. Cleere (eds.), The Crafts of the Blacksmith, Belfast, 113-120.

Pigott, V.C. 1982. The Innovation of Iron: Cultural Dynamics in Technological Change. Expedition 25 (1), 20-25.

Ridley, C. and K.A. Wardle 1979. Rescue Excavations at Servia, 1971-73: A Preliminary Report. BSA 64, 185-230.

Rosenqvist, T. 1983. Principles of Extractive Metallurgy. McGraw-Hill. London.

Theophilopoulos, D. 1982. Μελέτη σιδηρομεταλλευμάτων Θάσου. Institute of Geological and Mining Exploration. Athens. (English summary).

Tylecote, R.F. 1980. Furnaces, Crucibles and Slags, in The Coming of the Age of Iron. T.A. Wertime and J.D. Muhly (eds.), Yale University Press, 183-228.

Wertime, T. 1973. The Beginning of Metallurgy: A New Look. Science 182, 875-877.

E. F.

ΠΑΡΑΡΤΗΜΑ IX

ΟΡΥΚΤΟΛΟΓΙΚΗ ΚΑΙ ΠΕΤΡΟΓΡΑΦΙΚΗ ΠΕΡΙΓΡΑΦΗ ΛΙΘΙΝΩΝ ΑΝΤΙΚΕΙΜΕΝΩΝ ΑΠΟ ΤΑ ΝΕΚΡΟΤΑΦΕΙΑ ΚΑΣΤΡΙ ΚΑΙ ΛΑΡΝΑΚΙ

Κ1Α62: Μικροκρυσταλλικός χαλαζίας SiO_2.
Όμοιο πέτρωμα εντοπίσθηκε στην περιοχή Μαρλού δίπλα σε αρχαίες εργασίες, σε κοιτάσματα Pb-Ag.
Κ2Α10: Λεπίδα πυριτολίθου: πυριτικό πέτρωμα (Selix).
Πρβλ. όμοιο πέτρωμα στην περιοχή Λούστρα Θάσου.
Κ2Ε38: Πέλεκυς: Ηφαιστειακό πέτρωμα.
Δε βρίσκεται στη Θάσο.
Β1Α19: Ακόνι (Π ί ν. 47: 19).
Χαλαζίας γαλακτόχρωμος. Άφθονος στη Θάσο.
Τ18,28: Ακόνι (Π ί ν. 106: 28).
Χαλαζιακό λεπτόκοκκο πέτρωμα με μικρούς κρυστάλλους μαρμαρυγία (Θάσος).
Τ18,170: Ακόνι (Π ί ν. 116Α: 170).
Αμφιβολιτικός-χλωριτικός γνευσιοσχιστόλιθος. Άφθονος στην περιοχή.
Τ18,168: Ακόνι (Π ί ν. 116Α: 168).
Πρβλ. προηγούμενο.
Τ18,171: Ακόνι (Π ί ν. 116Α: 171).
Πρβλ. προηγούμενο.
Τ18,129: Θραύσμα ορείας κρυστάλλου (Π ί ν. 115: 129).
SiO_2. Χαλαζίας κολλοειδής (ιζηματογενής-Selce). Πιθανόν από την περιοχή Λούστρα.
Τ18,156: Θραύσμα κρυστάλλου χαλαζία. (Π ί ν. 116Α: 156). Πρβλ. Κ4ΑΠ.
(impurità). Παρόμοιο πέτρωμα στην περιοχή Κοινύρων-Φανού.
Τ20Γ,23: Ακόνι.
Τ24,20: Θραύσμα από ακόνι.
Ηφαιστειακό πέτρωμα. Δεν εμφανίζεται στη Θάσο.
Τ24,21: Ακόνι (Π ί ν. 154: 21).
Ασβεστολιθικό μάρμαρο της περιοχής Κεντριά.
Τ29,39: Θραύσματα από ορεία κρύσταλλο (Π ί ν. 169: 39).
Χαλαζιακά θραύσματα.
ΛΑ3: Ακόνι (Π ί ν. 187: 3).
Μαρμαρυγιακός γνεύσιος με άφθονο SiO_2.
Λ3Δ7: Ακόνι (Π ί ν. 201: 7).
Μαρμαρυγιακός γνεύσιος με άφθονο SiO_2 και χλωρίτες.
Λ4Α4: Ακόνι (Π ί ν. 203: 4).
Μαρμαρυγιακός γνεύσιος (πρβλ. προηγούμενο).
Λ5Α4: Ακόνι (Π ί ν. 204: 4).
Λεπτοπλακώδες μάρμαρο με εμφανείς κρυστάλλους μαρμαρυγία.

Ν. ΕΠΙΤΡΟΠΟΥ

ΠΑΡΑΡΤΗΜΑ X

LINEN THREAD FRAGMENT T18,126

A thread fragment (P l. 115: 126) was sent to Columbia University for the identification of its mathial and structure. The magnification used for viewing the tread was 25x, 100x, and 200x. The multi-stranded thread was identified as linen, and the technique used while spinning was most probably twisting, using the right hand and/or right leg (in a clockwise direction) of "Z" twist. It should be noted that if the left hand and/or left leg were used while twisting the thread (a counter-clockwise direction), then it would be the "S" technique. Furthermore, the combination of both the "Z" and "S" twisted threads would have created a more durable and flexible material.

When the thread was viewed under the microscope, traces of oxidized fragments with green discoloration were observed. There were also fine sand particles as well as a strand of mammalian hari.

ACKNOWLEDGEMENTS
1. Dr. R. Solecki, Columbia University.
2. Department of Textile Conservation, The Museum of Natural History, New York.

ANAGNOSTIS AGELARAKIS
Columbia University, New York

ΠΑΡΑΡΤΗΜΑ XI

THE SCIENTIFIC ANALYSIS OF VITREOUS MATERIALS FROM KENTRIA AND THEOLOGOS-TSIGANADIKA TOMBS

(P l. 368)

INTRODUCTION

Four samples were received for chemical analysis. Apart from the first one from Kentria tomb K1A, when examined under magnification the samples were clearly bubbled translucent turquoise glass, one of the commonest glass colours found in the European Bronze Age. The first sample is formed from a combination of vitreous and a buff crystalline phases, the crystals being silica/quartz. It is therefore a sample of faience or frit. Samples 2 and 4 contained unreacted silica grains embedded in the translucent glass matrix. The four archaeological contexts and dates for the samples are as follows:

1) 492 Kentria tomb K1AΣT78, biconical "glass" bead, phase IA, dated to before 1200 BC; Late Bronze Age (P l. 6: 78).

2) 493 Theologos-Tsiganadika tomb T23AII,11, "ring" bead, phase IIIB3; Early Iron Age (P l. 152: 11).

3) 494 Theologos-Tsiganadika tomb T18, level V1, 97 (A82), "ring" bead, phase IB, c. 1200-1100; end of Late Bronze Age (P l. 112: 97).

4) 495 Theologos-Tsiganadika tomb T18, level IIA, 45 (A38), bead, phase IB, c. 1200-1100 BC; end of Late Bronze Age (P l. 108: 45).

ANALYTICAL TECHNIQUE

The analytical technique used was electron-probe microanalysis as described in detail elsewhere (Henderson 1988) and a scanning electron microscope for photographing the "faience" in backscattered mode. The samples as provided were mounted in epoxy resin and polished through a series of increasingly fine pastes finishing with 0.5 micron grade diamond paste. The electron beam was defocused to c. 80 microns so as to minimise loss of sodium under the electron beam. Each sample was analysed three times and the results given in Table 1 are an average of three analyses.

RESULTS

The four analyses form an extremely interesting set. The glasses appeared to be relatively unweathered when examined under high magnification. Indeed the weathering structures one would expect to find in a weathered glass are absent from the glasses (numbers 2-4). The glasses are all silica-rich and contain low calcium oxide and high potassium oxide contents. Composition 4 contains higher alumina and lower silica than analyses 2 and 3. The high alumina level in analysis number 4 would aid the durability of the glass. Analyses 3 and 4 are of a mixed-alkali composition (Na_2O and K_2O) with total alkali contents of 16.7% and 14.7% respectively. Analysis number 2 is a potash glass with a 15.7% potassium oxide content. All three glass analyses therefore contain comparable total alkali levels. One would expect the total alkali content to be significantly lower than this if the glasses were weathered.

Another unusual compositional characteristic is the low level of magnesia in these glasses; many Mycenaean and other second millennium BC glasses analysed have been found to contain significantly higher magnesia levels (Sayre and Smith 1961).

TABLE 1. *Electron probe microanalyses of Kentria and Theologos-Tsiganadika samples (weight percent oxide).*

SITE	**Kentria**	**Theologos-Tsiganadika**		
MATERIAL	Faience	Glass	Glass	Glass
DATE	LBA	EIA	End LBA	End LBA
COLOUR	buff and turquoise	turquoise	turquoise	turquoise
MUSEUM/SITE NO.	ΚΙΑΣΤ78	T23AII,11	T18V1,97(A82)	T18IIA45(A38)
ANALYSIS NO.	1	2	3	4
Na_2O	2.3	0.8	7.1	6.1
MgO	0.4	0.5	0.5	0.7
Al_2O_3	1.2	1.4	2.1	7.4
SiO_2	96.3	74.8	74.6	69.9
P_2O_5	ND	0.1	0.1	0.1
SO_3	ND	0.1	ND	ND
Cl	0.1	ND	0.1	0.1
K_2O	0.5	15.7	9.6	8.6
CaO	0.2	1.5	1.4	1.5
TiO_2	ND	ND	0.1	0.1
Cr_2O_3	ND	ND	ND	ND
MnO	0.2	ND	ND	ND
Fe_2O_3	0.2	0.3	0.5	0.5
CoO	ND	ND	ND	ND
NiO	ND	ND	ND	ND
CuO	ND	3.8	3.0	2.7
ZnO	ND	ND	ND	ND
As_2O_3	ND	ND	ND	ND
SnO_2	ND	0.2	0.1	ND
Sb_2O_3	ND	ND	ND	ND
BaO	ND	ND	ND	ND
PbO	ND	ND	ND	0.1
Totals	101.4	99.2	99.2	97.8

Plate 368 shows a micrograph of a sample of the faience/frit (analysis number 1), clearly showing that the material is a series of silica crystals bathed in a vitreous matrix. The sharp angles of the silica crystals indicate that the faience/frit has not been subjected to high temperatures; if this had occurred the silica crystals would have started to melt (fluxed by the glass) producing more rounded crystalline shapes. Analysis number 1 shows the high silica content which would be expected in faience.

DISCUSSION AND INTERPRETATION

The compositions of these four samples are very important in the context of ancient glass technology. The glass samples all derived from sites within the territory of modern Greece. However, they are quite different in a number of important ways from the glass compositions which have been reported for prehistoric Greek glass. Indeed the ancient glass of Egypt and Mesopotamia of the 12th century BC and earlier are also of the soda-lime-silica type and usually contains significantly higher levels of magnesia than detected here. One of the compositions (no. 3) falls into the compositional category of mixed-alkali glass reported for the Late Bronze Age of north-western Europe and northern Italy (Henderson 1988 (a) and 1988 (b)). These published analyses are for glass of 11th-7th centuries BC and have been found as far north as Ireland. Composition number 3 is dated by context to c. 1200-1100 BC, and is therefore earlier than the other mixed-alkali glasses that have been published. About a further 100 (unpublished)

analyses of glass which have been carried out by the author from the 11th-10th century site of Frattesina, northern Italy also relate to composistion number 3. The 12th century BC date for number 3 means that it is the earliest recorded mixed-alkali glass with a low magnesia and high potassium oxide (LMHK) composition and suggests that this compositional type was manufactured earlier than has been suggested until now.

The second compositional type represented by analysis 4 is also mixed alkali, but with significantly higher levels of alumina of c. 7.5%. While such levels have been found in much later (10th century AD) European glass, this would appear to be the first example of this composition to be reported for glass of the 12th century BC and is currently unique amongst published data for the second and first millennia BC.

The third compositional category, analysis number 2, is essentially a potash glass containing 15.7% potassium oxide with negligible magnesia and soda. The date of this sample is Early Iron Age and the glass is by far the oldest potash glass which had been found to date; the great tradition of Medieval European church and cathedral windows (11th century AD and later) sees the manufacture of a massive volume of potash ("forest") glass. This sample of glass is in any case very different in many respects from the European medieval glass in having much lower magnesia, phosphorus pentoxide, sulphur trioxide, calcium oxide and manganese oxide levels. Most high medieval potash glasses contain calcium oxide levels of c. 14-20%. This potash Early Iron Age glass can therefore at present be described as truly unique in terms of ancient glass technology.

Having discussed the differences between the three analytical types, it is also significant that all contain very similar levels of total alkali, magnesia, phosphorus pentoxide, calcium oxide, titanium dioxide, iron oxide and cupric oxide. The oxides which actually discriminate between them are soda, alumina and potassium oxide, with silica making up the difference. So, although two different alkali sources were evidently involved, the higher alumina levels could have been introduced as concentrations of feldspars in the sand, or possibly as a result of alumina migrating from the crucible fabric onto the glass when the glass was being made or when it was reheated for working into objects.

The high variation in glass compositions is very unusual and could suggest that the glass was made locally and/or in small quantities. It is important to note that there is a compositional link between the glass and the glassy component of faience (Henderson 1988b, 437-438) and that glass and faience are therefore closely related.

The existence of these very unusual glass compositions strongly suggest that they were the products of a very early European glass industry. Since in compositional terms one has links with the glass found in large quantities at Frattesina in northern Italy of 11th-10th century BC date, it is important to establish further archaeological links between the two areas which these glass compositions apparently indicate. In order to establish the occurrence and distribution of glass with such unusual compositions in Greece and in other parts of Europe many more chemical analyses of securely dated glass of Late Bronze Age and Early Iron Age dates from southern and central Europe must be carried out. It is particularly interesting that none of the glasses analysed are compositionally related to Mycenaean soda-lime-silica glass.

ACKNOWLEDGEMENT

I am grateful to Dr. Ken Wardle for providing some essential information used in the preparation of this report.

JULIAN HENDERSON
Research Laboratory for Archaeology and the History of Art
Oxford University

REFERENCES

Henderson, J. 1988 (a). Electron-probe Microanalysis of Mixed-alkali Glasses, Archaeometry 30, 1, 77-91.
Henderson, J. 1988 (b). Glass Production and Bronze Age Europe, Antiquity 62, 435-451.
Sayre, E.V. and R.W. Smith 1961. Compositional Categories of Ancient Glass, Science 133, June 9, 1824-1826.

ΠΑΡΑΡΤΗΜΑ XII

ΑΝΑΛΥΣΗ ΧΡΥΣΟΥ ΣΦΗΚΩΤΗΡΑ Τ18,160(149)

Οι αναλύσεις του σφηκωτήρα (Π ί ν. 116: 160, Μουσείο Καβάλας, αριθ. δείγματος 482) πραγματοποιήθηκαν από τον υπογράφοντα στο Αριστοτέλειο Πανεπιστήμιο Θεσσαλονίκης και στο Πανεπιστήμιο Χαϊδελβέργης στα πλαίσια της συνεργασίας της Εφορείας Αρχαιοτήτων Καβάλας και του Τομέα Ορυκτολογίας - Πετρολογίας - Κοιτασματολογίας του ΑΠΘ. Οι μικροσκοπικές παρατηρήσεις των αντικειμένων έγιναν με μεταλλογραφικό και ηλεκτρονικό μικροαναλυτή. Αναλύθηκαν τα κύρια στοιχεία, χρυσός, άργυρος και χαλκός, καθώς επίσης και ιχνοστοιχεία της ομάδας του λευκόχρυσου (Pt, Os, Ir, Pd).

Από τις αναλύσεις προέκυψε η ακόλουθη χημική σύσταση του αντικειμένου:

Au	Ag	Cu
87%	12,50%	0,20%

Από τη σύγκριση που έγινε με τη χημική σύσταση χρυσού από διάφορα κοιτάσματα στο βορειοελλαδικό χώρο προέκυψε ότι η χημική σύσταση του αναφερθέντος δείγματος της Θάσου έχει μεγάλη ομοιότητα με τη χημική σύσταση του χρυσού των αρχαίων μεταλλείων της περιοχής Κοινύρων[1].

Μ. ΒΑΒΕΛΙΔΗΣ
Αριστοτέλειο Πανεπιστήμιο Θεσσαλονίκης
Τμήμα Γεωλογίας

1. G.A. Wagner - E. Pernicka - G. Gialoglou - M. Vavelidis, Ancient Gold Mines on Thasos, Naturwissenschaften 68 (1981), 68 κ.ε.

ΠΑΡΑΡΤΗΜΑ XIII

KNOCHENPROBE VON THASOS

H 4045-3206 Gräberfeld Larnaki, Grab Λ1Δ
Knochenprobe
Kollagengehalt: 6,5%
Kohlenstoffgehalt: 37%
Datierung: 2755 B.P. + 40 Jahre = 805 B.C.

Offensichtlich zeigen die Analysenergebnisse ein geringeres Alter als erwartet wurde. Daran ändert sich nicht viel, wenn man nach H.E. Suess[1] die Werte auf die Scwankungen im C-14 Gehalt der Atmosphäre korrigiert. Dannach wurde man das Alter der Knochen von Thasos zwischen 2830 und 3030 P.B. Jahren angeben müssen. In Thasos wäre auch ein etwas 300 Jahre höheres Alter denkbar.

Heidelberg 17.3.75

D. BERDAU
Institut für Umweltphysik der Universität Heidelberg

1. H.E. Suess, Bristlecone-pine Calibration of the Radiocarbon Timescale 5200 B.C. to the Present. Nobel Symposium 12, Radiocarbon Variations and Absolute Chronology, ed. Ingrid U. Olsson, Upsala, Sweden, Stockholm, 1970.

SUMMARY

ILLUSTRATIONS

Fig(s). 1-177 = Plan(s), drawing(s), table(s) or map(s) in Vol. A and B.
Fig(s). I-IX = Folding Plan(s) at the end of Vol. A and B.
Pl(s). 1-368 = Drawing(s) or plate(s) of photographs in Vol. Γ.

PROTO-HISTORIC THASOS: THE CEMETERIES OF THE KASTRI SETTLEMENT

PART A: THE EXCAVATIONS

Introduction

a. Definition of the term "Proto-historic Thasos".
b. The annual progress of the excavations in the cemeteries.

Chapter A: The cemeteries of the Kastri settlement

The location of the Kastri settlement and its cemeteries.
The cemetery at Kentria: tombs and finds.
The cemetery at Vrysoudes: tombs and finds.
The cemetery at Tsiganadika: tombs and finds.

Chapter B: The cemetery at Larnaki

Topographic description.
Tombs and finds.

The account of each of the individual cemeteries mentioned above starts with a description of the tomb group as a whole and is followed by a description of the individual tombs and burials with details of their excavation. This description is accompanied by the relevant plans illustrating the funerary monuments and excavated finds (F i g s. 5-67 and I-VIII).

The catalogue of the finds is organized on the basis of the tomb groups from each individual grave. All the tomb offerings are illustrated with drawings in P l s. 1-209 which follow in the same order as the description of the tombs and use the same numbering for the individual objects.

The description of the construction of each tomb and of the excavation itself is supplemented by a series of photographs in P l s. 210-328.

PART B: ANALYSIS OF THE RESULTS OF THE EXCAVATIONS

Chapter A: Typology

THE TOMB STRUCTURES

The principal architectural forms of the tomb construction are defined and described on the basis of their individual morphological characteristics.

There are two basic types of funerary monuments which reflect the two modes of burial-inhumation (I) and cremation (II).

Tombs of Type I can be divided into two classes — those with rectangular ground plans, Type A, and those with circular ground plans, Type B. Individual variations appear in some cases, particularly with constructions of Type A (see F i g s. 68-77).

THE TOMB OFFERINGS

The tomb offerings are divided into separate groups on the basis of their function: e.g. vessels, weapons, tools, ornaments and other objects (F i g s. 78-109).

The individual categories of object are defined for each of these groups together with types and variants.

The categories are based on significant technological differences, as for example hand-made pottery (category I) and wheel-made pottery (category II). With each category the individual vessel shapes are divided into types as are the tools and ornaments, while variants reflect differentiation in minor details.

These types and their variants, which are derived from the analysis described above, constitute the basis of the statistical correspondence table discussed in Chapter B.

Chapter B: Internal chronology - The phases

The typological analysis of the tomb constructions and the tomb offerings which is set out in Chapter A is used to develop a sequence of offerings by type and variant in the tombs of the cemeteries of Kastri and Larnaki.

This sequence of offerings by type and variant in the tomb groups and in the individual tombs shows very clearly the existence of two phases in the cemetery of Kastri (F i g. IX). These two phases (I and II) are not entirely separate. The transition from the one phase to the next is marked by a succession of minor variants so that the continuity of the two phases is assured.

In F i g. IX the correspondence which can be seen between the phases as defined by pottery (right hand column) and by the other offerings (left hand column) is particularly striking. Although the distinction between phase I and II in the Kastri cemetery is clearly demonstrated in F i g. IX, the individual phases which are defined in phase II in the same table do not have the same clarity of separation. Phase II, which constitutes the principal phase of use in the cemetery shows rather imprecise boundaries between each stage of development. This is the result of the continual mingling of burial offerings in family tombs with many burials, but is also a result of the slow development in the local pottery. In general all the phases are better defined on the basis of new kinds of offerings and the appearance of new variants and less by the older types which persist for long periods after their first appearance.

The picture conveyed in F i g. IX is reinforced by statistical distribution tables showing the different categories of pottery in each phase (F i g. 111) and the different shapes of hand-made pottery (F i g s. 112-115), the types of dagger (F i g. 116) and spindle-whorls (F i g. 117), as well as by the different types of funerary construction (F i g. 118).

A similar process of analysis has been used for the cemetery at Larnaki and in F i g. 119 can be found the correspondence table equivalent to that for Kastri in F i g. IX, together with figures to show the distribution of the different types of pottery, daggers, spindle-whorls and tomb construction in each phase (F i g s. 120-125). The comparison of finds from the two cemeteries leads to the conclusion that the cemetery of Larnaki should be placed in the second phase of the cemetery at Kastri.

Chapter B concludes with tables showing the frequency of different types on which F i g s. 111-118, and 120-125 are based.

Chapter Γ: Pottery

The two main categories of pottery, which have been defined in Chapter A, are examined separately. I: hand-made pottery, II: wheel-made pottery.

I. HAND-MADE POTTERY

Five individual categories of hand-made pottery are defined on the basis of their decoration. I, 1: Undecorated pottery, I, 2: Incised pottery, I, 3: Grooved pottery, I, 4: Rippled pottery, I, 5: Pottery with plastic decoration. These categories are divided on the basis of technique, manufacture and decoration into individual forms which are treated as separate groups.

I, 1. Undecorated pottery

Four individual categories of undecorated pottery can be defined on the basis of the technique of manufacture.

I, 1α: Undecorated pottery with burnished surface.

I, 1β: Undecorated pottery with smooth surface.

I, 1γ: Undecorated pottery with rough surface.

I, 1δ: Undecorated pottery with thin walls and a well-purified fabric.

Each of these categories described above is examined:

A. In relationship to finds from the neighbouring cultural areas of Macedonia, Thrace and the Aegean and in relation to the pottery tradition of the Early Bronze Age.

B. The appearance of this pottery in the cemeteries of Kastri and Larnaki and its relationship with the stratified and dated examples of similar pottery from Macedonia, Thrace and the Aegean is discussed with particular emphasis on the new, as yet unpublished, material from Eastern Macedonia (Figs. 126-127).

This study reaches the following conclusions.

a. Burnished pottery I, 1α, which is one of the characteristic pottery groups of the Late Bronze Age in Macedonia, only appears in phase I of the cemeteries at Kastri and Larnaki.

b. The shapes of the undecorated pottery of all the individual categories derive from the tradition of the Early Bronze Age.

I, 2. Incised pottery

Four individual groups of incised pottery can be separated on the basis of their techniques of manufacture and decoration.

Incised pottery I, 2α

a. The distribution of this type of pottery in Macedonia and Thrace is discussed and the find spots are shown on the map (Fig. 128).

This is followed by a short discussion of the stratigraphy of excavations in Central and Eastern Macedonia as it relates to the chronology of this pottery.

The relationship with the incised pottery of Central and Eastern Macedonia in the Late Bronze Age is examined (Figs. 129-131) as is that with the incised pottery of the Aegean area and continental Thrace.

b. The examples of this type of incised pottery which appear in the cemeteries at Kastri are discussed from the point of view of manufacture, decorative motifs (Figs. 133, 135) and vessel shape.

The shapes of the Thasian incised wares of this type are related to contemporary examples from the neighbouring cultural areas, particularly Central and Eastern Macedonia. The relationship between the incised pottery of Thasos and that of Eastern Macedonia is particulary emphasised with reference to new, and as yet unpublished material, as well as to the archaeological material as a whole (Figs. 134, 136-137).

In conclusion a close relationship can be defined with the incised pottery of Central and Eastern Macedonia in the Late Bronze Age and an extended pottery group can then be identified, principally between the rivers Axios and Nestos (Fig. 128).

This group can be seen to develop from the tradition of the Early Bronze Age under the influence of incised pottery from the eastern part of the Balkan area (Fig. 132). The incised pottery of Thasos is clearly a part of this tradition in the Late Bronze Age.

Incised pottery I, 2β

a. The distribution of this class of pottery in Macedonia and Thrace is described as is its relationship with the equivalent pottery of the eastern continental Balkans.

b. The characteristics of this pottery in the cemetery of Kastri are discussed and the relationship of this material with the pottery of Eastern Macedonia and the kindred groups from Aegean Thrace and the continental Balkans is noted.

The conclusion which can be drawn from the comparison of the two categories of pottery

I, 2α, I, 2β, are that both kinds belong to the same group of incised pottery which appears in the Late Bronze Age in Central and Eastern Macedonia.

Incised pottery I, 2γ

a. The distribution of this kind of pottery in Macedonia and Thrace is discussed and attention is drawn to the presence of crude incised pottery in Mycenaean sites in the Late Helladic IIIC period.

b. Following an analysis of the manufacturing technique and of the shapes of this pottery as they appear in the cemetery of Kastri, emphasis is placed on one characteristic vase shape which is made exclusively in incised ware. Both the shape of the vase and the nature of the decoration (F i g. 138) can be related to the tradition of the Early Bronze Age in the Eastern Aegean and in the Near East. The nature of the incised decoration and the decorative motifs themselves also appear in the incised pottery of continental Thrace in the Late Bronze Age and in the Early Iron Age.

Incised pottery I, 2δ

a. The distribution of this type of pottery in Central Macedonia in the Early Iron Age is discussed.

b. The examples of this class of pottery in the cemetery of Kastri are examined in terms of their manufacture and their decorative motifs (F i g. 138) as well as the shapes of the vessels. The relationship with the stratified pottery of Central Macedonia, as well as the incised pottery from Troy VIIb2, Aegean Thrace and the continental Balkans, is noted.

Channelled pottery I, 3 and I, 4

a. Distribution

Summary of the appearance and distribution of "channelled" pottery from Central Europe to the continental Balkans and into Northern Greece. Map of find spots in Macedonia and Aegean Thrace (F i g. 139).

A detailed account, with full bibliography, follows of the sites in Central and Eastern Macedonia and in Aegean Thrace where the pottery has been found. The stratified excavations in Central Macedonia, where channelled ware has been found, and the new Early Iron Age finds made recently in Eastern Macedonia (F i g s. 140-142), are used in a discussion of the wider questions of the origin, the principal characteristics and the chronology of this pottery (F i g. 143).

Channelled pottery with grooved decoration (I, 3) is a particularly rare category in Central Macedonia and attention is drawn to the differences between the channelled pottery of Central and Eastern Macedonia. The stratigraphy of the excavated settlements in Central Macedonia helps provide a chronology for the appearance and disappearance of channelled pottery. Next there is a discussion, with full bibliography, of channelled pottery in Aegean Thrace, including questions of the date and manufacture of related pottery in the continental Balkans and in Troy VIIb2. The first reports of the distribution of this pottery in Eastern Thrace, as well as the question raised by the rare appearance of channelled pottery in Thessaly and in Southern Greece, are noted.

b. Channelled pottery at the cemeteries Kastri and Larnaki

1. Channelled pottery with grooved decoration (I, 3)

Following the analytical presentation of the channelled pottery of the cemeteries of Thasos in respect of manufacture, decorative motifs (F i g. 144), vessel shapes and occurrence in the individual phases of the cemeteries, there is a comparison between the channelled pottery of Thasos, Macedonia, Aegean Thrace and the continental Balkans.

The conclusions which can be drawn from these comparisons are briefly as follows:

a. Channelled pottery appears at the end of the Late Bronze Age in Thasos as in Central Macedonia.

b. The shapes of channelled ware can be related to the tradition of the Early Bronze Age and certain types such as the wide-mouthed, one-handled jar are particularly common.

c. The channelled pottery of Thasos with grooved decoration differs from that of Central Macedonia where rippled decoration predominates and relates rather to the channelled wares of coastal Thrace and the north-western part of Asia Minor (Troy VIIb2).

Despite these similarities, the channelled pottery of Thasos has its own local characteristics which set it apart from the channelled wares of Thrace and Troy. The appearance of decorative motifs which can be related to those of Proto-Geometric pottery and the appearance of slight knobs are typical.

2. Channelled pottery with rippled decoration (I, 4)

a. The pottery of this type is a variant of channelled ware and its distribution in the area around Thasos is not discussed separately.

b. The rare occurrence of this pottery in the cemeteries at Kastri and Larnaki (Fig. 145) is discussed and the relationship to examples from Central and Eastern Macedonia is examined.

Statistical analysis of the frequency of low knobs on hand-made pottery in the cemeteries leads to the conclusion that these first appear on the undecorated pottery of Late Bronze Age in significant quantities, while in the Early Iron Age they decrease in frequency and an equivalent increase is seen in the use of low knobs on the channelled pottery (Fig. 146α).

In general the use of knobs on hand-made pottery in the cemeteries is most frequent on the undecorated pottery of phase IB (end of the Late Bronze Age) and on the channelled pottery of phase IIB1 (beginning of the Early Iron Age) (Fig. 146β).

I, 5. Pottery with plastic decoration

a. General observations on the appearance and distribution of this pottery in the neighbouring cultural areas.

b. Pottery with plastic decoration in the cemeteries of the settlement Kastri (Figs. 148, 150) and Larnaki, manufacturing technique, decorative motifs (Fig. 147), shapes of vases, etc. Relationship with contemporary pottery from Macedonia, Thrace, Southern Greece and the continental Balkans. Continuity from the Early Bronze Age and the Neolithic. Presence in all phases of the cemeteries Kastri and Larnaki.

II. WHEEL-MADE POTTERY

Categories of wheel-made pottery which appear in the individual phases at the cemeteries of Kastri and Larnaki.

Mycenaean pottery (II, A1-A2)

a. Sites in Macedonia at which Mycenaean pottery has been found (Fig. 151). Survey of the Mycenaean pottery from stratified contexts in Central and Eastern Macedonia.

b. Mycenaean pottery from the cemeteries of Kastri and Larnaki.

II, A1. Mycenaean pottery from "provincial" workshops.

II, A2. Imitations of Mycenaean pottery made from local clay and in firing conditions similar to those of the hand-made pottery.

A detailed study of these two categories shows the close relationship between the Mycenaean pottery from Thasos and the local Mycenaean pottery of Macedonia and strengthens the hypothesis of the existence of Mycenaean pottery workshops in Macedonia at the end of the Late Bronze Age.

Nevertheless, both Mycenaean pottery and the grey wheel-made imitations of it must be imported to the settlement of Kastri where the influence of Mycenaean pottery on the local pottery appears as hand-made imitations of Mycenaean (category II, A3).

Post-Mycenaean pottery (II, B, II, Γ, II, Δ, II, E, II, ΣΤ)

Wheel-made pottery of categories II, B, II, Γ, II, ΣΤ first appears in the Early Iron Age

(cemetery phase II) and is very likely to come from workshops which continued in the Mycenaean tradition.

Category II, Δ consists of a distinctive type of Sub-Geometric pottery which is distributed in the north-east Aegean at the end of the Early Iron Age (F i g. 152). This is only represented by a very small number of examples in the cemeteries. These help to define the date of the end of the settlement of Kastri and relate the final use of the cemeteries to the pre-colonial stratum in ancient Thasos.

Wheel-made pottery of category II, E is also found in the latest phase of the cemeteries and should be contemporary with II, Δ.

In conclusion all types of wheel-made pottery, in the Late Bronze Age and the Early Iron Ages, found in the cemeteries are imported to the settlement of Kastri and to its cemeteries.

Chapter Δ: Weapons, tools, ornaments, various objects

Each of these groups of objects from the tombs in the cemeteries Kastri and Larnaki is discussed by type and variant of each type. The relationship of each type is considered in relation to the tradition of the Early Bronze Age and the distribution in the areas neighbouring on the island of Thasos is examined.

WEAPONS

The single example of a bronze spearhead which was found in the cemetery of Tsiganadika near the settlement of Kastri leads us to the conclusion that spears of the Mycenaean type were known on Thasos during the Late Bronze Age.

TOOLS

The tools which were found in the tombs in Proto-historic Thasos fall into the following classes: 1. Knives (1α: bronze, 1β: iron), 2. Whetstones, 3. Spindle whorls, 4. Needles and pins, 5. Bone tools.

K n i v e s

The large number and the variety of types of bronze knives is of particular interest and the typological development can be related to the separate phases of use of the cemetery.

The bronze knives continue the tradition of the Early Bronze Age which is particularly clear in phase IA. In phase IB — the period in which the largest quantity of Mycenaean pottery was found — bronze knives of Mycenaean type are predominant. In phase II local types of bronze knives are most frequent.

Iron knives are represented by a very small number of examples at the beginning of phase II but their number increases steadily so that in phases IIB3 and IIΓ at Kastri they are the most numerous type. The form of the knives reflects those of bronze. The origin of the earliest types is probably to be sought in the Eastern Aegean.

W h e t s t o n e s

The whetstones belong to types familiar from the Early Bronze Age and are made from local stone found on Thasos.

S p i n d l e - w h o r l s

The spindle-whorls can be divided into two types which occur throughout the use of the cemeteries (types I and II) while a third type (III) which is known in Macedonia in the Late Bronze Age is represented by a few examples in phase IB only.

The remaining classes of tools, that is to say needles and bone points, are very rare and their types so simple that they do not add specifically to the picture of the culture of Proto-historic Thasos.

ORNAMENTS

The different types of ornaments are discussed separately, in respect of distribution in Macedonia, Thrace and in the Aegean, date and relationship to Early Bronze Age traditions.

Of particular importance is the appearance of certain kinds of ornament, probably of local manufacture, such as "earrings" of spiral bronze wire which so far are only known from Thasos (F i g. 98).

The appearance of amber beads is also of particular interest. They occur in those phases of cemeteries where wheel-made pottery is found in greatest number (phase IB, Mycenaean pottery and phase IIΓ, wheel-made pottery from the north-east Aegean). The appearance of a type of amber bead which is chiefly known from Italy and from the Adriatic coast is particularly significant (phase IIA).

The majority of the ornaments from the cemeteries of Thasos derived from traditions established in the Early Bronze Age while there are some local parallels for types which are distributed throughout Macedonia, Southern Greece and the Aegean in the Late Bronze and the Early Iron Ages.

VARIOUS OBJECTS

Some of the most interesting objects in this category are those of lead (F i g. 156). Some of these may be interpreted as miniature "talents" of lead. The presence of these objects in tombs at Kastri confirms the results of lead isotope analysis (Appendix VII) which demonstrates the exploitation of local veins of lead ore in Thasos from the end of the Late Bronze Age. A number of fragments of figurines are also of note (F i g. 157). These represent a schematized female form, perhaps of a divinity, whose origin can be traced back to the Early Bronze Age of the north-east Aegean and the Near East.

Chapter E: Funeral monuments and funeral rites

FUNERAL MONUMENTS OF NORTHERN AND SOUTHERN GREECE

The funerary monuments of the Late Bronze Age and the Early Iron Age in Macedonia and Aegean Thrace are briefly discussed with the aim of relating them to those from the island of Thasos. Information about the development of the free-standing built funerary chamber in Southern Greece as it relates to the Thasos tombs is summarized in this section, with the following conclusions:

a. There are no examples in Macedonia in either the Late Bronze Age or Early Iron Age of the elaborate built tomb chamber with multiple burials which resembles a house in its ground plan.

b. The only examples of free-standing tomb chambers of this date from Northern Greece appear in Aegean Thrace either as megalithic monuments or as built chambers. Both types are associated with a tumulus.

c. In both Macedonia and Aegean Thrace cemeteries of tumuli with simple burials or with burials in pithoi (both inhumations and cremations) are succeeded at the end of the Early Iron Age by flat cemeteries with inhumations or cremations placed in cist graves.

d. The free-standing built funerary chamber with multiple burials, which appears in the Aegean from the end of the Neolithic period and in Southern Greece and remains in use throughout the whole of the Bronze Age and into the Early Iron Age, is often associated with a burial mound.

FUNERARY RITES AND FUNERARY BUILDINGS IN THE CEMETERIES OF KASTRI AND LARNAKI

A. Funerary rites as practised in the cemeteries of Kastri and Larnaki are discussed here as far as is possible from the observations made during the excavation and from the finds in the individual tombs.

B. The morphology of the funerary monuments of Proto-historic Thasos is discussed in rela-

tionship to funeral monuments from Southern and Northern Greece. The following conclusions may be drawn from this analysis.

a. The funerary monuments of the cemeteries of Kastri and Larnaki are examples of the "house tomb" which can be related to the architectural tradition of the free-standing built chamber with multiple burials which appears in the Aegean from the end of the Neolithic and remains in use until the Early Iron Age. From the end of the Early Bronze Age in Greece this type of funerary monument is normally associated with a tumulus.

b. During the Early Iron Age the funerary monuments of Thasos appear to be very similar to funerary monuments from Aegean Thrace.

c. Funerary monuments similar to those from Thasos appear in the periphery of the Mycenaean world. These similarities can be interpreted as a result of a parallel development in peripheral areas from a single inherited tradition of funerary architecture. The origin of this tradition can be sought at the end of the Neolithic period and in the Early Bronze Age. This tradition preserved the architectural forms without development in areas where the influence of Mycenaean civilization did not have a substantial effect on the local cultural substratum.

d. The architectural form of the built tombs at Thasos is developed under the influence of local geomorphological conditions and in response to the social organisation of the settlements to which these cemeteries belong.

Chapter ΣT: Absolute chronology

Summary of dating evidence deriving from comparisons of the archaeological material from the cemeteries with contemporary material, particularly from Macedonia, Thrace and the north-east Aegean.

The chronological table (F i g. 158) relates the cemeteries of the settlement Kastri and Larnaki to the most important dated sites of Central and Eastern Macedonia, to those in Aegean Thrace and the north-east Aegean, and also to the Late Bronze and Early Iron Age cultures of the continental Balkans.

Finally, the results of Carbon 14 dates from Macedonia in the Late Bronze Age and the Early Iron Age are summarised and the difficulties noted of replacing the traditional archaeological chronology, with its closely defined chronological limits, by the results derived from physical methods of absolute dating.

Chapter Z: Society and economy

Summary of the evidence from the cemeteries of Kastri and Larnaki relating to the organisation of the economy and of the society of the settlement of Kastri and, more generally, to the social organisation of Thasos in the Late Bronze and Early Iron Ages.

The tomb offerings provide information about the organisation of farming, of stock raising and fishing, as also the exploitation of ore deposits in the island (gold, lead, silver, copper, iron) (F i g s. 160-161). The offerings also provide information about other activities of the inhabitants of the settlement of Kastri, such as stonemasons, metal smiths and potters, and of wool processing.

The offerings also reflect the existence of trade, particularly in two phases of the cemeteries.

a. At the end of the Late Bronze Age (phase IB).

b. At the end of the Early Iron Age (phase IIΓ).

The presence of Mycenaean pottery and of amber in the first period can be related to the increased activity of Mycenaean trade in the northern Aegean.

In the second period the links with the shores of Macedonia and the islands of the north-east Aegean should be connected with the arrival of Phoenician merchants on the island of Thasos.

Demographic information which derives from study of the anthropological material (Appendix 1α, B. Herrmann) is tabulated in F i g s. 162-163 where the age of mortality is depicted graphically.

The data from the family tomb T18, with its multiple burials, is of particular importance because it comes from a closed context (F i g. 164).

Details of the social organisation of the population can be derived from the offerings in tombs and from the architectural form of the tomb constructions. The objects do not suggest any social differentiation while the architecture and the spatial organisation of the area of the cemetery suggests that the population was divided into clan groups. The typological development of the tomb structures can be linked with the parallel development in the social organisation of the community and with the steady increase in importance of the smaller family unit within the clan group. Information which may reflect religious beliefs is restricted to a few fragmentary figurines (females, birds or snakes) and the specific connection of certain vase shapes with the burial practices (shape XI, vase XIIIα), as also the representation of a symbolic chariot in relief decoration, on a funeral pithos (P l. 347: 1).

Chapter H: The area of Kastri cemeteries before and after the Late Bronze and Early Iron Age

The discussion of the finds from the cemeteries of Kastri and Larnaki is concluded with a survey of those finds in the vicinity of the cemeteries which are older or more recent than the Late Bronze and the Early Iron Age. These can be summarised as follows:

a. Late Neolithic and Chalcolithic settlements existed in the vicinity of the cemetery Kentria.

b. A small number of finds dating from the 7th to the 4th century BC and from the Roman period have been noted in the vicinity of the cemetery Tsiganadika and Vrysoudes.

The finds of the 6th to the 4th centuries BC found in tombs of the Early Iron Age can perhaps be interpreted as an indication of later reverence for ancient tombs which were still visible in the historic period, assuming that they do not belong to later burials.

In the vicinity of the cemetery of Tsiganadika there are traces of small houses and huts which should be dated to the late Roman period. Pottery of the Roman period appeared in a number of disturbed tombs of the Tsiganadika cemetery. The appearance of a few Byzantine sherds in the vicinity of the Tsiganadika cemetery reflects the presence of a small population element involved in agriculture and olive cultivation through the post-Byzantine period up to the present day.

APPENDIX:
AN OVERVIEW OF PROTO-HISTORIC THASOS

Introduction

General observations on the settlement pattern in the island in the Neolithic, the Bronze Age and the Early Iron Age. Population movements in these three major phases of the Proto-historic period can be summarised as follows:

Coastal settlements appear in the Early Bronze Age. From the end of the Late Bronze Age, and more frequently in the Early Iron Age, communities seem to migrate to hill-top sites in the interior. The return of the population to coastal settlements appears to begin at the end of the Early Iron Age and be completed with the foundation of the Parian colony.

Chapter A: The pattern of the settlements

Survey of the known archaeological discoveries from settlements in Thasos which can be dated to the Late Bronze Age and the Early Iron Age. Discussion of the types of the settlements and of the chronological relationship between the types.

Chapter B: The ancient literary sources and the archaeological finds

This chapter correlates the information from ancient sources about the pre-Hellenic population of Thasos (Phoenicians, Thracians, etc.) with the archaeological evidence known at present.

The hypothesis of an early appearance of Phoenicians at the end of the Late Bronze Age according to the genealogical chronology provided by Herodotus is perhaps excluded by the discoveries at the cemetery and at the settlement of Kastri.

On the basis of the discoveries at the settlement of Kastri it is suggested as a working hypothesis that the "Phoenicians" of Herodotus should be identified with those who brought Mycenaean pottery, who could have come from the eastern Aegean (Compare the presence of Cypriot bronze among the bronze objects found in the cemetery in phases IB and IA). A later date for the arrival of the Phoenicians in the 8th century BC, which was formerly suggested as more probable, is not excluded by the archaeological evidence from the cemeteries of Kastri.

The relationship between the inhabitants of Thasos and the Thracians, suggested by some ancient sources, can be set against the general pattern of cultural relations between Thasos and Aegean Thrace which has become apparent during the study of the finds from the cemeteries and the architectural form of the tomb structures, the funeral offerings and the types of acropolis sites which were inhabited.

Conclusions

The geographical location of Thasos at the northern edge of the Aegean and at a small distance from the shores of Macedonia and Thrace, played a definitive role in her cultural development. From the Neolithic period on, the influence of two major culture zones met in Thasos, as in Macedonia and Aegean Thrace. The first of these is that of the continental Balkans with its characteristically slow development of the agricultural economy. The second is that of the Aegeo-Anatolian area with its mobility and volatility based on trade and maritime activity. Farming, stock-raising and the exploitation of local metalliferous deposits were the basic activities on which the economy and culture of the island centred.

The systematic discussion of the discoveries in the cemeteries of the Kastri settlement and in those at Larnaki, together with the general picture derived from the finds at the other Proto-historic sites on the island, allow the definition of a number of stages in the cultural development of Proto-historic Thasos. The oldest phase of the Late Bronze Age in Macedonia (LBA I, with which, it is suggested, should be included the phase described by Heurtley as Middle Bronze Age) is still little known in Thasos. The few fragments of pottery which have been found on the surface at Agios Antonios near Potos show links with the pottery of Macedonia (see Kastanas phase. III).

The developed Late Bronze Age (LBA II) is much better known. As in Macedonia, this defined on the basis of Mycenaean pottery which was rare at first, then widespread.

In *Phase IA* of the Kastri cemeteries, mainland elements dominate the island culture. The post-framed building on the acropolis of Kastri, in whose destruction layer imported LH IIIB pottery was found, represents an architectural tradition known in Macedonia in the Neolithic period and continuing in the Early Bronze Age. Moreover, the hand-made pottery, both undecorated (category I, 1) and incised (category I, 2α-β), belongs to the group of Late Bronze Age pottery found in Central and Eastern Macedonia, especially in the region between the Axios and the Nestos. It is the hand-made pottery with incised decoration which shows the greatest resemblance to the pottery of Central and Eastern Macedonia. This characteristic ware, whose origin can be traced back to the Early Bronze Age, shows many similarities with the incised pottery of some of the culture groups of the Danube area such as Zimnicea-Plovdiv (Čerkovna), Tei IV-V Verbicioara (Govora Sat) and Wietenberger.

The manner in which the common features of the incised pottery from these culture groups developed and the relationship between this Balkan pottery "koine" and the incised pottery of Macedonia and Aegean Thrace should form the basis of a separate study. This would use as its starting point the mobility as well as other cultural elements contributed by the economic

activity of the individual groups. Leaving aside the question of the diffusion of the cultural elements which is part of the much discussed problem of the processes of culture-change and beyond the scope of this study, it is clear that two major groups of incised pottery developed in the continental Balkans. The incised pottery of Macedonia, Thasos and Aegean Thrace in the Late Bronze Age shows contact with the "eastern" group, in which should be included such Danube valley cultures as Tei, Verbicioara, Wietenberger and especially Zimnicea-Plovdiv (Čerkovna) which spreads as far as southern Bulgaria. This can be sharply differentiated from the "western" Balkan group Dubovac-Žuto Brdo/Gîrla Mare which is found in SW Roumania, NW Bulgaria and a large part of Yugoslavia.

The routes of communication between Macedonia and the Danube valley, by which reciprocal influences passed between Macedonia and the continental Balkans in the Late Bronze Age, must not be sought so much in the Axios valley, where the influence of the Dubovac-Žuto Brdo/Gîrla Mare would have predominated if this route was well used, but rather in valleys of the rivers Strymon, Nestos and Evros, which are all natural routes. The influence of the Tei group in NW Bulgaria and the relationship between the incised pottery of Aegean Thrace and the Tei group support this view.

The existence of features which are shared with the pottery of the continental Balkans in no way detracts from the separate character of the Macedonian pottery, which keeps, in the Late Bronze Age, the shapes of the Early Bronze Age and develops new ones which are exclusively Macedonian. The dependence on the tradition of the Early Bronze Age is equally clear in the metalwork of the phase IA of the Kastri cemeteries where the bronze knives (types EI, 1-EI, 4) belong to types known in the Early and Middle Bronze Age in the Aegean and in Thrace.

The funerary monuments of phase IA of the cemeteries cannot be related to those of Macedonia and Thrace — at least in the present state of our knowledge. The built tomb chamber with multiple burials has better parallels in the Aegean than the Balkan culture area. Certainly no firm conclusions can yet be drawn since we know nothing of the funerary constructions of the earlier Bronze Age phases in Thasos. The tumuli with cremation burials at Potamoi and at Exochi in Eastern Macedonia and at Batak and Trigrad in continental Thrace cannot be related to the built tomb chambers with the multiple inhumation burials of the cemeteries of Proto-historic Thasos.

In phase IB of the Kastri cemeteries the typical incised pottery of the preceding phase is no longer in evidence. Hand-made undecorated pottery predominates with some new shapes such as the large wide-mouthed one-handled jar with slightly sloping rim (shape IV) which is later to become the characteristic shape of phase IIB. The typical hand-made vessels of phase IB, such as the bowl with two round vertical handles on the shoulder (shape II) and the jug with handle from below the rim (shape VIIA), derive from the Early and Middle Bronze Age tradition, which probably had persisted until phase IA in the Kastri cemeteries.

The hallmark of phase IB is the frequent occurrence of Mycenaean pottery, a phenomenom which can be seen at the same time in Central and Eastern Macedonia. The Mycenaean vessels which appear in phase IB tombs have, for the most part, shapes characteristic of LH IIIB but are made in provincial workshops. The local manufacture of Mycenaean pottery in Macedonia which had already started in LH IIIB became more common in LH IIIC. In contrast in this period very few Mycenaean vases were imported to Macedonia. The local Mycenaean pottery of Macedonia and Thasos can be divided into two groups. The first (category II, A1) is of relatively high quality with thin walls, controlled firing and linear decoration. The second (II, A2) resembles the local hand-made pottery in its manufacture. The first group, which, as at Kastanas, followed all the developments of southern Greek Mycenaean pottery, should be attributed to provincial Mycenaean workshops although it is still uncertain where these were in the Northern Aegean. The coast of Chalkidike is often suggested but nothing can yet be proved.

As research continues into the settlements on the coast of Macedonia and Thrace, the nature of the relationship between the Mycenaeans and these local settlements will eventually be understood as will the nature of Mycenaean trade in the Northern Aegean in general. In the present state of our knowledge it seems that, as in the Eastern Mediterranean, Southern Italy, Sicily and Sardinia, a large part of the trading activity of the Mycenaeans on the shores of

Macedonian and Aegean Thrace and the adjacent islands, was carried out through local settlements. It was from these settlements, either on the coast itself or a short distance inland, that traded goods and other elements of Mycenaean culture reached the interior as has been shown in recent systematic excavations. These features include the use of mud-brick buildings and the changes in agricultural practices and stock-raising, which appear at the same time as Mycenaean pottery at the settlement of Kastanas, or the fortified acropolis and administrative centre with its organised granaries at Assiros. The presence of Mycenaeans on the shores of Chalkidike is indicated by the discovery of a Mycenaean figurine at Agios Mamas, since it is known that such figurines were never items of trade.

In Thasos the appearance of Mycenaean pottery in phase IB of the Kastri cemeteries is matched by the predominance of bronze knives of Mycenaean types (EI, 5-6, EII, EIII). The appearance of the first iron knives, of which the earliest probably come from the Eastern Mediterranean (Appendix VII), and the rare examples of cremation can be linked with the arrival of Mycenaean trade. The beads of amber and blue glass, which first occur in the cemeteries in phase IB, can probably also be related to Mycenaean trade at this period. Laboratory analysis, however, has shown that the glass technology differs from that of Mycenaean beads and has similarities with those from Northern Italy (Appendix XI). We do not know if Mycenaean influence was also responsible for the appearance of roughly circular tomb structures with elaborate entrances, in which, in addition to Mycenaean pottery, there were beads of amber and blue glass and examples of the "purificatory" fire which is so frequent in Mycenaean tombs.

The metals from the island were among the products of the region which must have insterested the Mycenaeans but very few of the finds in the tombs which have been explored indicate any connection between the Mycenaeans and early metallurgy on the island. The quantity of Thasian copper which was used in Proto-historic Thasos was not particularly large (see the lead isotope analyses of bronze objects in Appendix VII which show that a small proportion of the bronze objects had been made from Thasian copper) while there is not yet any specific evidence for the exploitation of the precious metals of the island (gold and silver). It should be emphasised, however, that there were two gold earrings in tombs of phase IB and that the lead ores on the island were cetainly exploited at this period. Although the lead-isotope analysis of the lead objects (Appendix V) gives no indication that cupellation was used to extract the silver from the silver-rich lead ores of the island, it is unlikely that the techniques of silver extraction, applied in the Aegean since the Early Bronze Age, were unknown.

In phase II of the Kastri cemetery, and in the contemporary cemetery at Larnaki, the Mycenaean presence steadily decreases and eventually disappears altogether. The disappearance of Mycenaean pottery at the end of phase IIA is matched by the disappearance of amber and of bronze knives of typical Mycenaean forms (EI, 5-6, EII, EIII). The quantity of iron knives increases steadily to the extent that they replace bronze knives entirely in phase IIB3.

The characteristic pottery of this phase, which represents the first stages of the Early Iron Age, is "channelled" pottery with grooved (category I, 3) or rippled (category I, 4) decoration. Although the shapes of this new pottery derive ultimately from the Early Bronze age tradition and channelled ware is known in Eastern Macedonia and Aegean Thrace as well as in the Eastern Aegean and on the coast of Western Asia Minor in the Early Bronze Age, there are no examples from the intervening period and it is not possible to bridge this gap and derive the channelled ware directly from the Early Bronze Age tradition. It is equally impossible to bridge the gap between the last survival in Central Macedonia of local Minyan pottery with linear channelled decoration and the Early Iron Age channelled ware which appears in Macedonia, Aegean Thrace and Thasos.

The occurrence of channelled ware in Thasos, as in Macedonia and Thrace, coincides with the predominance of a channelled ware "koine" in the Early Iron Age, which is related to the spread of the influence of the Urnfield Culture from Central Europe to Italy, Western Europe and the Balkans. It is thus preferable to link the channelled pottery of Thasos to the influence of Central European channelled ware on Macedonia and Thrace.

The appearance of rippled ware in Central Macedonia is related to destruction levels at some

settlements in the Axios valley (Vardaroftsa, Limnotopos and Kastanas), but, as can be seen from the stratigraphy of Vardaroftsa and Kastanas, the interruption in the cultural continuity of these settlements is brief. The imported channelled pottery and the other cultural elements which accompany it (such as the post-framed buildings at Kastanas) are quickly absorbed into the pottery and architecture in the local tradition. The quantity of channelled ware in Macedonia is never very great and the production of local pottery was never interrupted. Moreover the destruction horizons are not a general phenomenon and the rippled type becomes rarer as the distance from the Axios increases.

In Thasos the continuity in the use of the tombs and the steady increase in popularity of channelled ware in the tombs both exclude the possibility of population movement and culture change. Channelling appears more as a new form of decoration on the local pottery which preserves the shapes of a local tradition going back to the Early Bronze Age. A specific connection with Central Macedonia can only be seen in the use of rippled decoration (category I, 4) while the one-handled wide-mouthed jar in Central Macedonia rarely has a sloping rim or angled handle. The grooved decoration of category I, 3 and the characteristic shape of the wide-mouthed jar with the slightly sloping rim and angled handle suggest a close relationship between the channelled wares of Thasos and those of coastal Thrace and Troy VIIb2.

In the Early Iron Age the cultural unity which had developed in the Late Bronze Age between Central and Eastern Macedonia is interrupted. In Eastern Macedonia, as in Thasos, a cultural group develops which has more in common with Aegean Thrace. Nevertheless, the relationship which can be seen with the pottery of continental Thrace as far as Babadag (phase I) does not indicate identity with the groups in these distant areas. In Thasos, as on the coast of Macedonia, Thrace and Asia Minor, different pottery groups develop which adapt the influences from the interior to their own local cultural tradition. The absence from Thasos and from Troy VIIb of the turban rim bowl, a characteristic shape of the continental channelled ware, is particularly to be noted, as is the lack of stamped ware (Stempelkeramik) from both these sites.

In phase IIB, despite a local character which is clearest in the pottery, but can also be seen in the metalwork of the Kastri settlement, communication with the adjacent mainland and with the Aegean area was uninterrupted. The presence of wheel-made pottery which probably continued the Mycenaean tradition, the appearance of bronze fibulae and amber beads at the beginning of phase IIB confirm the contact with centres where wheel-made pottery was produced. Certain vase shapes in the local hand-made ware such as the amphora (Type VIΓ 127), and decorative motifs on the channelled ware (wavy lines, "triglyphs" and "metopes") are indication of the influence of Proto-Geometric pottery and contact with areas where it was produced.

In phase IIΓ in the Kastri cemeteries, which represents the end of the Early Iron Age, a new period of cultural relations begins in Thasos, as in Macedonia and Thrace, the islands of the NE Aegean and Aeolia. This change in the NE Aegean coincides with a change in the settlements which are now located on the coast rather than in the interior. It is not certain whether the abandonment of the village of Kastri coincides with development of the pre-Colonial settlement on the site of Ancient Thasos, or whether it was abandoned when the Parian colonists established themselves. The discovery of G 2-3 ware in a tomb of phase IIΓ of the Kastri cemeteries and fragments of amphorae with Sub-Geometric decoration on the acropolis of Kastri itself suggest a brief coexistence of Kastri with the pre-Colonial settlement.

With resumption of cultural links with the Aegean, which may be related to the arrival of the Phoenicians on Thasos and the exploitation of the gold mines on the island, Proto-historic Thasos is on the verge of the historic period. The foundation of the Cycladic colony at the beginning of the 7th century BC established the island as a centre of Greek culture, from which Hellenism and its civilizing influence would be spread to Thrace.

Translation: Ken Wardle

ΕΥΡΕΤΗΡΙΟ ΓΕΩΓΡΑΦΙΚΩΝ ΟΝΟΜΑΤΩΝ

Άβδηρα, 486, 729 υποσημ. 128
Αγία Ειρήνη (Κέα), 648, 649 υποσημ. 164
Άγιος Αντώνιος (Ποτού), 19, 442, 466, 600 υποσημ. 200, 680, 680 υποσημ. 44, 701 υποσημ. 4, 702, 705, 722, 722 υποσημ. 77, 723, 732
Άγιος Βλάσιος (Πεντάπολης), 466
Άγιος Γεώργιος (Πετρωτών), 511
Άγιος Ελευθέριος (Λιμεναρίων), 777
Άγιος Ιάκωβος (Κύπρου), 620
Άγιος Ιωάννης (Κνωσού), 578 υποσημ. 4
Άγιος Ιωάννης Παπουλίων, 638 υποσημ. 97
Άγιος Κοσμάς, 448, 624 υποσημ. 442, 637, 637 υποσημ. 89, 647 υποσημ. 151, 648
Άγιος Μάμας, 445, 456, 456 υποσημ. 143, 457, 457 υποσημ. 149, υποσημ. 158 και υποσημ. 162, 465, 467, 467 υποσημ. 216, 507 υποσημ. 407, 508 υποσημ. 412, 518, 518 υποσημ. 444, 544, 544 υποσημ. 587, 547 υποσημ. 599, 555, 557, 563 υποσημ. 660, 599 υποσημ. 194, 723 υποσημ. 84, 734
Άγιος Νικόλαος, 465
Άγιος Ονούφριος, 600 υποσημ. 200
Άγιος Παντελεήμονας, 621
Άγιο Πνεύμα, 466
Αγρίνιο, 571 υποσημ. 728
Αδριατική, 533, 533 υποσημ. 532, 534, 609 υποσημ. 301
Αετός Ιθάκης, 446 υποσημ. 42, 609 υποσημ. 293, 576
Αιανή, 630
Aïbunar, 677 υποσημ. 30
Αιγαίο, 27, 448, 450, 452, 457, 458, 459, 502, 507, 522 υποσημ. 451, 533 υποσημ. 532, 539, 550, 563, 569 υποσημ. 709, 574, 576, 578, 578 υποσημ. 3, 580, 580 υποσημ. 22, 585, 587, 588, 589, 589 υποσημ. 92, 592, 594, 596, 597 υποσημ. 173, 600, 600 υποσημ. 204, 604, 608, 610, 612, 615, 615 υποσημ. 354, 616, 617, 620, 623, 624, 625, 632 υποσημ. 56, 634, 638, 640, 650 υποσημ. 173, 651, 652, 653, 655, 667, 672, 679, 680, 682, 685 υποσημ. 66, 690 υποσημ. 82, 691, 700, 701, 701 υποσημ. 5, 705, 719, 721, 723, 726, 727, 727 υποσημ. 106, 728, 728 υποσημ. 112, 729, 731, 734, 735, 736, 772
Αιγείρα, 532, 533 υποσημ. 529
Αίγινα, 603 υποσημ. 236
Αίγιο, 597 υποσημ. 171
Αίγυπτος, 805
Αϊδηνιώτικη Μαγούλα, 454
Άι-Λιας (Θάσου), 22, 702, 711, 712, 722 υποσημ. 78, 724
Αίμος, 485, 486
Αίνυρα, 683, 725, 725 υποσημ. 91 και υποσημ. 95, 726, 729, 782
Αιολίδα, 568 υποσημ. 708, 691, 736
Αισύμη, 511
Akhisar, 625 υποσημ. 452
Ακρινή, 555
Ακρωτηράκι Σίφνου, 637 υποσημ. 88
Αλβανία, 456, 534, 536 υποσημ. 552, 542, 560, 583 υποσημ. 38, 584, 603 υποσημ. 240, 610, 610 υποσημ. 301, 615, 627, 628, 629 υποσημ. 25, 631, 638 υποσημ. 104, 646 υποσημ. 150, 650, υποσημ. 173
Alishar Hüyük, 597
Allumiere, 455 υποσημ. 129, 609 υποσημ. 291
Άλπεις, 537 υποσημ. 555, 636 υποσημ. 84
Αλυκή, 5 υποσημ. 1, 685 υποσημ. 63, 725, 730 υποσημ. 130
Αλώνια Μυρρίνης, 466
Άλως, 584 υποσημ. 49, 586 υποσημ. 49, 590, 590 υποσημ. 102 και υποσημ. 103, 646 υποσημ. 150, 650 υποσημ. 173
Αμαθούς, 620 υποσημ. 413
Αμαξάδες, 483, 620 υποσημ. 413
Αμμοβούνιο, 511
Αμνισός, 586 υποσημ. 68
Αμοργός, 588 υποσημ. 86, 623 υποσημ. 439
Αμφίπολη, 458 υποσημ. 175, 466, 505 υποσημ. 392, 511, 522, 523, 524 υποσημ. 465, 525, 633
Ανθηδόνα, 583 υποσημ. 40, 584 υποσημ. 48, 585, 585 υποσημ. 56, 588 υποσημ. 87
Ανθόφυτος Α, 465, 555
Ανθόφυτος Β, 465, 555
Άντισσα, 573
Αξιόκαστρο, 570 υποσημ. 723
Αξιός, 463, 478, 478 υποσημ. 232, 482, 485, 488, 518, 521, 521 υποσημ. 446, 536, 629, 667, 731, 732, 735
Αξιοχώρι, 465, 468, 512, 555, 557
Άργισσα, 446 υποσημ. 42, 448 υποσημ. 43, 449 υποσημ. 64, 451 υποσημ. 98, 454 υποσημ. 116, 596 υποσημ. 158, 597 υποσημ. 168
Αργολίδα, 556 υποσημ. 637, 563 υποσημ. 665, 587, 613 υποσημ. 331, 628, 653 υποσημ. 190, 771
Άργος, 600 υποσημ. 206, 607 υποσημ. 268, 637 υποσημ. 93, υποσημ. 96, 638 υποσημ. 103, 645, 649 υποσημ. 164
Αρίσβη, 511
Αρκάδες, 639 υποσημ. 109
Αρκαλοχώρι, 549
Αρμενοχώρι, 449, 449 υποσημ. 63, 460, υποσημ. 190, 492, 493
Άρνισσα, 631
Αρχοντικό, 466
Asenovec, 584 υποσημ. 51
Ασίνη, 637 υποσημ. 93 και υποσημ. 96
Άσπρη Τούμπα, 465, 555
Ασπρόβρυση, 465, 494 υποσημ. 310, 555
Assarlik, 584 υποσημ. 49, 600 υποσημ. 205, 615, 639 υποσημ. 111
Ασσάρ Τεπέ, 443 υποσημ. 15, 467 υποσημ. 261, 483, 489 υποσημ. 285, 492 υποσημ. 299, 526
Άσσηρος, 443 υποσημ. 10, 445, 451, 451 υποσημ. 89, 452, 454, 454 υποσημ. 113, υποσημ. 115, υποσημ. 119 και υποσημ. 122, 455 υποσημ. 127, 456 υποσημ. 144, 457 υποσημ. 155 και υποσημ. 157, 457 υποσημ. 159, 458 υποσημ. 168 και υποσημ. 174, 459 υποσημ. 183, 460 υποσημ. 191, 461 υποσημ. 200 και υποσημ. 202, 465, 468, 469, 470, 471, 475, 476, 478, 478 υποσημ. 231, 489, 494, 494 υποσημ. 312, υποσημ. 313 και υποσημ. 318, 495, 497, 503, 508, 508 υποσημ. 418 και υποσημ. 419, 509, 512, 512 υποσημ. 429, 513, 518, 521, 536, 539 υποσημ. 563, 540, 555, 556 υποσημ. 637, 557, 560, 561, 563, 570 υποσημ. 719, 593 υποσημ. 135, 597 υποσημ. 171, 598 υποσημ. 182, 611 υποσημ. 315, 618 υποσημ. 390, 656 υποσημ. 1, υποσημ. 2 και υποσημ. 4, 657 υποσημ. 11, 659, 659 υποσημ. 20, 660, 661, 661 υποσημ. 45, 662, 662 υποσημ. 54, 663, 663 υποσημ. 60, 666, 669, 670, 688 υποσημ. 74, 734, 753
Άσσηρος-Τούμπα Λάκκου, 465
Αττική, 772
Αυλάκια (Παναγίας Θάσου), 18

Babadag, 449 υποσημ. 60, 450, 485, 487, 504 υποσημ. 380, 505, 529, 530 υποσημ. 495, 531, 531 υποσημ. 538, 538 υποσημ. 558, 539 υποσημ. 565, 541, 633 υποσημ. 61, 662, 662 υποσημ. 56, 665, 665 υποσημ. 76, 666, 735
Baden, 507, 507 υποσημ. 407 και υποσημ. 410, 508, 508 υποσημ. 417
Balei, 487
Βαλκάνια, 461, 462 υποσημ. 208, 463, 482, 483, 485, 486, 487, 488, 492, 492 υποσημ. 301, 493, 499, 503, 505, 525, 529, 530, 530 υποσημ. 495, 531, 532, 533, 534, 537, 538 υποσημ. 562, 539, 540, 541, 542, 542 υποσημ. 583, 547, 560, 570, 579, 579 υποσημ. 10, 580, 581, 584 υποσημ. 51, 588, 590, 591, 592, 594, 596, 596 υποσημ. 162, 599 υποσημ. 194, 601, 603, 604 υποσημ. 247, 605 υποσημ. 255 και υποσημ. 256, 609 υποσημ. 291, 612, 612 υποσημ. 320 και υποσημ. 322, 617, 624, 627, 629, 629 υποσημ. 22, 632, 638, 646, 646 υποσημ. 150, 650, 652, 655, 661, 665, 666, 667, 682 υποσημ. 55, 690 υποσημ. 83, 697, 717, 731, 733, 735
Ballaton, 636 υποσημ. 84
Βαλτική, 609 υποσημ. 297, 610
Βαλτούδα (Γαζώρου), 466
Βαλτοχώρι, 465, 555
Banat, 486, 466, 667 υποσημ. 96
Βαρδαρόφτσα, 443 υποσημ. 10 και υποσημ. 11, 445, 445 υποσημ. 22 και υποσημ. 32, 449 υποσημ. 63, 450, 450 υποσημ. 71 και υποσημ. 81, 451, 451 υποσημ. 88 και υποσημ. 97, 455, 456, 458 υποσημ. 168 και υποσημ. 174, 460 υποσημ. 190, 462 υποσημ. 209, 465, 468, 471, 473, 489 υποσημ. 279, 493, 494, 494 υποσημ. 313 και υποσημ. 318, 497, 503, 506 υποσημ. 402, 508 υποσημ. 412, 419, 512, 513 υποσημ. 435, 514, 514 υποσημ. 437, 515, 515 υποσημ. 442, 518, 518 υποσημ. 444, 521, 529, 534 υποσημ. 547, 544, 544 υποσημ. 587, 547 υποσημ. 599, 555, 557, 564 υποσημ. 674 και υποσημ. 680, 570 υποσημ. 724, 571, 571 υποσημ. 730, 592 υποσημ. 120, υποσημ. 126 και υποσημ. 128, 593 υποσημ. 135, 597 υποσημ. 166, υποσημ. 171 και υποσημ. 173, 599 υποσημ. 190, υποσημ. 191 και υποσημ. 194, 604 υποσημ. 247, 618 υποσημ. 390, 629, 657 υποσημ. 17, 682, 719 υποσημ. 56, 735
Βάρδινο, 465, 472, 493, 504 υποσημ. 380, 507 υποσημ. 407, 508 υποσημ. 418, 419, 513, 514, 514 υποσημ. 438, 518, 529, 536 υποσημ. 554, 550, 555, 558, 597 υποσημ. 171, 599 υποσημ. 191, 618 υποσημ. 390
Basarabi, 531, 716 υποσημ. 40
Βασιλική, 502 υποσημ. 362
Batak, 451, 632, 733
Βατοπέδι, 15 υποσημ. 1
Βαφειό, 579 υποσημ. 5, 604 υποσημ. 247
Βαφειοχώρι, 466
Bela Crkva, 628, 629, 631, 631 υποσημ. 45
Belegiš, 506 υποσημ. 400, 523, 524 υποσημ. 465, 525, 528 υποσημ. 475, 529, 633
Belogradec, 634, 634 υποσημ. 63, 641 υποσημ. 142
Belotič, 628, 629
Βέργη, 466
Βεργίνα, 446 υποσημ. 33, 450 υποσημ. 87, 456 υποσημ. 137, 458 υποσημ. 174, 503, 504 υποσημ. 380, 505, 514, 514 υποσημ. 439, 518, 522 υποσημ. 451, 523 υποσημ. 457 και υποσημ. 461, 536, 536 υποσημ. 554, 539 υποσημ. 567, 542, 555, 564 υποσημ. 680, 578 υποσημ. 1, 588 υποσημ. 83, 590, 591, 591 υποσημ. 113, 593 υποσημ. 140, 597 υποσημ. 172, 600 υποσημ. 206 και υποσημ. 207, 601 υποσημ. 216 και υποσημ. 219, 602, 602 υποσημ. 226, 603, 605, 612, 612 υποσημ. 319 και υποσημ. 320, 613 υποσημ. 335 και υποσημ. 337, 615, 615 υποσημ. 360, 618, 619, 620 υποσημ. 419, 621, 627, 628, 628 υποσημ. 8, 629 υποσημ. 23, 631, 646 υποσημ. 150, 650 υποσημ. 173, 653, 654 υποσημ. 191, 657 υποσημ. 18, 660, 661 υποσημ. 44, 662 υποσημ. 53 και υποσημ. 58, 663 υποσημ. 60, 664, 682, 683
Βεριά, 465
Βέροια, 555
Βερολίνο, 669
Bethsan, 502 υποσημ. 370
Beyčesultan, 503 υποσημ. 378, 506 υποσημ. 401, 507 υποσημ. 409, 537 υποσημ. 555, 792
Bingula Divos, 605 υποσημ. 252
Βίτσα, 451
Bochum, 16
Boghazköy, 586 υποσημ. 68
Βοιωτία, 639 υποσημ. 113
Boleraz, 507 υποσημ. 410
Bologna, 589 υποσημ. 95, 603 υποσημ. 237
Βόλος, 532, 567 υποσημ. 701 και υποσημ. 705
Bosut, 531
Βούβες, 676, 680, 680 υποσημ. 44, 778, 782
Βουλγαρία, 450, 456, 467, 483, 485, 486, 487, 488, 489, 492, 499, 504, 504 υποσημ. 383, 505 υποσημ. 393, 523, 526 υποσημ. 470, 527, 528, 529 υποσημ. 488, 530, 530 υποσημ. 493, 531, 532, 533, 538, 540, 543 υποσημ. 585, 546, 553 υποσημ. 633, 560, 579, 579 υποσημ. 11, 581 υποσημ. 29, 584 υποσημ. 51, 590 υποσημ. 103, 591, 597 υποσημ. 173, 598 υποσημ. 185, 605, 612, 632, 632 υποσημ. 52, 633 υποσημ. 61, 634, 635, 636, 644 υποσημ. 130, 646 υποσημ. 150, 650, 650 υποσημ. 173, 651 υποσημ. 177, 652 υποσημ. 182, 665, 666, 705, 722 υποσημ. 79, 732, 733
Bradu, 666
Βραστά, 465
Βρόκαστρο, 579 υποσημ. 13, 592 υποσημ. 128, 613 υποσημ. 334, 614, 614 υποσημ. 346, 620 υποσημ. 412, 639 υποσημ. 109
Bukjovči, 526 υποσημ. 470, 633 υποσημ. 61

Carvebrod, 634
Čatalca, 449, 449 υποσημ. 60, 450, 457 υποσημ. 146, 492 υποσημ. 300, 504, 504 υποσημ. 380, 505, 527, 529, 530, 530 υποσημ. 498, 531, 538, 538 υποσημ. 557, 539 υποσημ. 565, 662, 662 υποσημ. 56, 665, 719 υποσημ. 50
Čepina, 485, 486, 499, 500, 503, 504, 504 υποσημ. 380, 506 υποσημ. 399, 526, 527, 553, 625, 733
Čerkovna, 446, υποσημ. 41, 449, υποσημ. 58, 450, 451, 456 υποσημ. 139, 457 υποσημ. 146, 459, 459 υποσημ. 187, 461 υποσημ. 201, 483, 485, 488, 492, 492 υποσημ. 298 και υποσημ. 301, 530 υποσημ. 491, 532, 732
Cernavoda, 543 υποσημ. 585, 633 υποσημ. 61
Chotin, 549 υποσημ. 609
Cîrna, 487, 600 υποσημ. 207
Coslogeni, 446, 450, 485, 487, 487 υποσημ. 268, 500 υποσημ. 359, 503 υποσημ. 378, 504, 505, 505 υποσημ. 393, 529, 530 υποσημ. 495, 532, 533, 534, 538, 543 υποσημ. 585, 546, 547 υποσημ. 600, 580 υποσημ. 23, 581 υποσημ. 34, 659, 661, 665
Coţofeni, 632 υποσημ. 50
Cozia, 504 υποσημ. 383, 528, 616 υποσημ. 369, 666
Cručeni, 523, 524, 524 υποσημ. 465, 525, 633

Dalj, 531 υποσημ. 505
Δαλματία, 623
Δάτον, 521 υποσημ. 448
Δαφνούδι, 466
Δειράς, 583 υποσημ. 40, 613 υποσημ. 331, 617 υποσημ. 387
Δελφοί, 553 υποσημ. 629, 606 υποσημ. 204, 619 υποσημ. 397, 620 υποσημ. 410, 766
Demir Kapija, 630
Δενδρά, 579 υποσημ. 5, 583 υποσημ. 40, 584 υποσημ. 48 και υποσημ. 50, 586 υποσημ. 68, 592 υποσημ. 127, 593 υποσημ. 137, 611 υποσημ. 308, 613 υποσημ. 330
Devetaki, 483, 486, 489 υποσημ. 286, 592 υποσημ. 122 και υποσημ. 129
Δήλος, 578 υποσημ. 1
Δήμητρα, 495, 495 υποσημ. 323
Διακόφτι, 637 υποσημ. 88
Δίκελλα, 635, 649, 652 υποσημ. 181
Δικταίο άνδρο, 585 υποσημ. 56, 586 υποσημ. 63 και υποσημ. 68, 589 υποσημ. 94, 601 υποσημ. 215, 603 υποσημ. 236, 618 υποσημ. 388, 619 υποσημ. 397
Διμήνι, 387 υποσημ. 22, 686 υποσημ. 68
Δίπυλο, 645 υποσημ. 134
Dobrača, 570 υποσημ. 719
Dobrina, 590 υποσημ. 103, 591 υποσημ. 108 και υποσημ. 111, 600 υποσημ. 217, 603 υποσημ. 236, 618 υποσημ. 318, 619 υποσημ. 397
Δοβρουτσά, 485, 485 υποσημ. 254, 487, 504, 505 υποσημ. 393, 509, 529, 531, 632 υποσημ. 53, 665
Dolno Sahrane, 531, 632 υποσημ. 51
Donja Brnjica, 651 υποσημ. 178
Donja Dolina, 531, 532 υποσημ. 528, 594 υποσημ. 144
Δορίσκος, 511
Δούναβης, 483, 485, 486, 487, 524 υποσημ. 465, 528, 529, 549 υποσημ. 609, 560, 632, 636 υποσημ. 84, 665, 667, 731
Δρακότρυπα (Παναγίας Θάσου), 18, 23, 701 υποσημ. 4, 702, 703, 713, 716, 722 υποσημ. 79, 724
Δράμα, 511, 522, 524, 559, 560, 591 υποσημ. 109, 632, 633, 644 υποσημ. 139, 646 υποσημ. 150, 650, 650 υποσημ. 173, 654, 659 υποσημ. 19
Δραχμάνι, 580 υποσημ. 22, 583 υποσημ. 37
Δρήρος, 619 υποσημ. 397
Δρυμός, 465, 555
Dubovac, 483, 483 υποσημ. 247, 487, 487 υποσημ. 269, 488, 493, 625, 629, 631, 645 υποσημ. 137, 732, 733
Dupljaja, 550 υποσημ. 619, 553 υποσημ. 629
Durankulak, 485, 505 υποσημ. 393
Δωδεκάνησα, 564 υποσημ. 679, 565, 567, 576 υποσημ. 751, 651, 653 υποσημ. 190
Δωδώνη, 533 υποσημ. 530 και υποσημ. 534
Δωκαθίσματα, 637 υποσημ. 88
Δώριο, 579 υποσημ. 8

Gabarevo, 530 υποσημ. 496
Γάζωρος, 466, 471
Gălăbovki, 506 υποσημ. 399
Γαλάτιστα, 466, 555
Γαληψός, 522, 645 υποσημ. 134, 771
Γαλλικό, 466, 555
Gava, 487, 523, 525, 528, 528 υποσημ. 475, 529, 530, 531, 539, 633, 663 υποσημ. 61, 666, 667 υποσημ. 96
Gelidoniya, 604 υποσημ. 247, 623 υποσημ. 435
Γευγελή, 630
Γιουγκοσλαβία, 456, 483, 483 υποσημ. 247, 485, 487, 488, 493, 507 υποσημ. 410, 528, 529, 531, 542, 560, 591, 605 υποσημ. 203, 610, 610 υποσημ. 301, 615 υποσημ. 360, 628, 646 υποσημ. 150, 650 υποσημ. 173
Gîrla Mare, 449, 450, 461 υποσημ. 201, 483, 484, 485, 485 υποσημ. 256, 487, 487 υποσημ. 269, 488, 493, 530 υποσημ. 491, 570 υποσημ. 719, 625, 631, 632, 645 υποσημ. 137, 697, 732, 733
Γκέρανι, 466, 522
Γκόνα, 457 υποσημ. 158, 465, 555
Γκραβεντέν, 511
Glasinač, 551 υποσημ. 627, 605 υποσημ. 254, 628, 629
Γλαύκη, 511
Gomolava, 493 υποσημ. 303, 636 υποσημ. 84
Γοργόνα, 483, 511
Γόρδιο, 581 υποσημ. 25, 591, 591 υποσημ. 112 και υποσημ. 115
Gornja Stražava, 631
Γόρτυς, 619 υποσημ. 397
Γουβαλάρι, 638 υποσημ. 97
Γουρνιά, 502 υποσημ. 362
Govora, 446 υποσημ. 41, 450, 483, 486, 487, 487 υποσημ. 267, 492 υποσημ. 298, 732
Gradešnica, 616 υποσημ. 369, 646 υποσημ. 141
Γρεβενά, 555, 556 υποσημ. 644, 630
Gumelniţa, 450 υποσημ. 83, 776
Γυψάδες, 609 υποσημ. 289

Έβρος, 486, 634, 733
Έγκωμη, 608 υποσημ. 277, 609 υποσημ. 289
Ελαιώνας (Κω), 578 υποσημ. 4
Ελάτεια, 584 υποσημ. 42
Ελάφι (Σ. Αγγίστας), 466
Ελαφότοπος, 533 υποσημ. 530, 608
Ελευθερούπολη, 466, 522
Ελευσίνα, 383 υποσημ. 7, 502 υποσημ. 371, 637, 637 υποσημ. 93, 693 υποσημ. 112, 646
Εμπορειό, 445, 446 υποσημ. 36, 454 υποσημ. 108, 456 υποσημ. 142, 458 υποσημ. 166 και υποσημ. 171, 459 υποσημ. 182, 460 υποσημ. 189 και υποσημ. 192, 506 υποσημ. 401, 539 υποσημ. 567 και υποσημ. 568, 540, 542 υποσημ. 583, 543 υποσημ. 584, 590 υποσημ. 104, 593 υποσημ. 140, 596 υποσημ. 153, 599 υποσημ. 190, 603, 604 υποσημ. 243, 610 υποσημ. 299, 617 υποσημ. 377 και υποσημ. 383, 698, 699 υποσημ. 5, 705, 705 υποσημ. 23
Εννέα Οδοί, 522, 523, 524
Εξοχή (Δράμας), 443, 445 υποσημ. 18, 446, 446 υποσημ. 39, 451, 452 υποσημ. 103, 466, 467, 472, 476, 477, 478, 489, 490, 495 υποσημ. 321, 497, 499, 555, 559, 560, 592 υποσημ. 128, 597 υποσημ. 171 και υποσημ. 176, 615 υποσημ. 356, 632, 650, 651 υποσημ. 177, 657, 657 υποσημ. 13, 733
Εξοχή (Ρόδου), 550 υποσημ. 617
Επιβάτες, 465, 555
Επισκοπή, 465
Εργάνη, 467 υποσημ. 221, 482, 486 υποσημ. 262, 489 υποσημ. 285, 492 υποσημ. 299, 497 υποσημ. 344, 506, 511, 526, 538, 538 υποσημ. 556, 541, 541 υποσημ. 579, 543, 555, 597 υποσημ. 177, 660 υποσημ. 31
Ergani Maden, 784, 792
Έργανος, 639 υποσημ. 109, 646 υποσημ. 150
Este, 589 υποσημ. 93
Εύβοια, 585 υποσημ. 56, 701 υποσημ. 5, 800

Εύξεινος, 679
Εύτρηση, 446 υποσημ. 42, 448, 454 υποσημ. 109, 459 υποσημ. 184, 461 υποσημ. 199, 547 υποσημ. 598, 550 υποσημ. 621, 592 υποσημ. 118, 597 υποσημ. 169, 599 υποσημ. 194, 617 υποσημ. 386, 629
Έφεσος, 610 υποσημ. 306
Ezero, 506 υποσημ. 401, 580 υποσημ. 23, 592 υποσημ. 122, 597 υποσημ. 173, 599 υποσημ. 194, 705, 717 υποσημ. 43
Ezerovo, 549 υποσημ. 609

Ζαγκλιβέρι, 466
Ζάκρο, 387 υποσημ. 22
Ζαφέρ Παπούρα, 585 υποσημ. 56
Ζερβοχώρι, 466
Zimnicea, 446, 449, 449 υποσημ. 58, 450, 451, 452, 456 υποσημ. 139, 483 υποσημ. 242, 485, 487, 487 υποσημ. 268, 493, 499, 504, 529, 632, 633 υποσημ. 61, 659, 732
Zivogno, 630
Ζυγουριές, 550 υποσημ. 621, 588 υποσημ. 87, 600 υποσημ. 201, 624 υποσημ. 442
Žuto Brdo, 474, 483, 483 υποσημ. 247, 487, 487 υποσημ. 269, 488, 493, 625, 629, 645 υποσημ. 137, 732, 733

Hallstatt, 602 υποσημ. 225, 604, 618, 619
Ηιόνα, 462 υποσημ. 210, 511, 522, 522 υποσημ. 449, 524 υποσημ. 463, 574, 601 υποσημ. 211, 691 υποσημ. 94, 728 υποσημ. 123
Ηλεία, 628
Ήλις, 609 υποσημ. 288
Ήπειρος, 532, 532 υποσημ. 523 και υποσημ. 528, 533, 533 υποσημ. 530, 543, 579 υποσημ. 5, 593 υποσημ. 171, 608, 628, 629, 629 υποσημ. 23, 631
Ηρακλείτσα, 703, 724
Ηφαιστεία, 564 υποσημ. 673, 569, 570, 570 υποσημ. 723, 571, υποσημ. 732, 572, 572 υποσημ. 736, 573, 573 υποσημ. 738, 576 υποσημ. 751, 591, 597 υποσημ. 172, 608 υποσημ. 285, 609 υποσημ. 293, 611 υποσημ. 312, 616 υποσημ. 375, 619, 620 υποσημ. 411 και υποσημ. 415, 664

Θασιακή Περαία, 462 υποσημ. 210, 650, 724
Θάσος (αρχαία πόλη), 15, 20, 450, 572, 574, 575, 663, 664, 672, 675, 684, 690 υποσημ. 88, 691, 700 υποσημ. 8, 703, 708, 709, 709 υποσημ. 32, 716, 717, 721, 722, 724, 725 υποσημ. 91, 726, 726 υποσημ. 101, 727, 728, 729, 736, 773
Θεολόγος, 17, 20, 21, 22, 32, 753
Θερμή, 448, 456, 457 υποσημ. 148, υποσημ. 153 και υποσημ. 161, 458 υποσημ. 166, 506 υποσημ. 401, 592 υποσημ. 117, 597, 597 υποσημ. 173, 598 υποσημ. 181 και υποσημ. 182, 601 υποσημ. 211, 617 υποσημ. 385, 625, 705, 705 υποσημ. 23
Θέρμη, 466, 555
Θερμιά (Κύθνου), 604 υποσημ. 247
Θέρμο, 533 υποσημ. 534
Θεσσαλονίκη (Λεμπέτ), 465
Θεσσαλονίκη (Τούμπα), 466
Θήβα, 610, 725
Θήρα, 571 υποσημ. 729, 576 υποσημ. 751 και υποσημ. 755, 623, 646, 649, 725
Θορικός, 638 υποσημ. 98
Θρακική Περαία, 690 υποσημ. 89, 730

Ιαλυσός, 562, 565, 566 υποσημ. 698, 570 υποσημ. 721, 571 υποσημ. 728, 578 υποσημ. 4, 579, 580 υποσημ. 22, 587 υποσημ. 77, 588 υποσημ. 80, 589 υποσημ. 92 και υποσημ. 93, 592 υποσημ. 127, 609 υποσημ. 289, 617 υποσημ. 383
Ιάσιον, 511
Ίασμος, 483, 511
Ιδαίο άντρο, 606 υποσημ. 261
Ιδάλιο, 550 υποσημ. 617
Ιθάκη, 446 υποσημ. 42, 506 υποσημ. 403, 507 υποσημ. 406, 532, 532 υποσημ. 528, 533 υποσημ. 530, 576, 609 υποσημ. 293
Ιλλυρία, 507 υποσημ. 410 και υποσημ. 411, 579 υποσημ. 6
Insula Banului, 524, 524 υποσημ. 465, 525
Ιν Ντερέ Ροδόπης, 483, 597 υποσημ. 167
Ιόνια νησιά, 532, 533, 534, 605, 608, 638, 652
Ιόνιο, 500, 653
Ιράν, 604 υποσημ. 245 και υποσημ. 247
Ιρλανδία, 805
Ίσμαρος, 672 υποσημ. 3, 731 υποσημ. 137
Ισόπατα, 587 υποσημ. 72
Ίστρος, 729
Ιωλκός, 532 υποσημ. 522
Ιωνία, 571

Καβάλα, 16, 44 υποσημ. 27, 495 υποσημ. 323 και υποσημ. 327, 508 υποσημ. 420, 511, 522 υποσημ. 453, 601 υποσημ. 211, 611 υποσημ. 313 και υποσημ. 314, 739, 756
Καβούσι, 614, 615, 621, 639 υποσημ. 109
Καζάνι (Θεολόγου, Θάσου), 709
Κακκιράχη, 783
Καλαμαριά, 450 υποσημ. 86, 465, 494 υποσημ. 316, 553, 555, 559
Καλίνδρια, 446 υποσημ. 37, 448 υποσημ. 48, 450 υποσημ. 86, 457 υποσημ. 150, 458 υποσημ. 177, 459 υποσημ. 187, 465, 470, 471, 489 υποσημ. 279, 493, 495, 497, 499 υποσημ. 346, 555, 558, 706 υποσημ. 24
Καλλιράχη, 676, 782, 783
Καλλίφυτος, 522
Καλμπάκι, 597 υποσημ. 171, 608
Καμάρες, 639 υποσημ. 109
Kamen Rapĕs, 630
Καμηλάρι, 584 υποσημ. 47
Karaburma, 506 υποσημ. 400
Karaman, 448 υποσημ. 43, 697, 697 υποσημ. 6
Καραμπουρνάκι, 553 υποσημ. 635
Karanovo, 449 υποσημ. 56, 450 υποσημ. 83
Καρία, 639 υποσημ. 111, 772
Καρπάθια, 528
Καρποφόρα, 605, 605 υποσημ. 250, 640 υποσημ. 116
Κάρυανη (Παλιόκαστρο), 466
Κάρυανη (Πιθάρι), 466, 511
Καρφί, 502 υποσημ. 363, 578 υποσημ. 3, 583 υποσημ. 41, 584 υποσημ. 49, 585 υποσημ. 54, 592 υποσημ. 128, 600 υποσημ. 205, 601 υποσημ. 219, 605, 605 υποσημ. 250, 613 υποσημ. 334, 614, 617 υποσημ. 388, 619, 619 υποσημ. 397, 620 υποσημ. 415, 639, 646 υποσημ. 150, 649, 653
Καρχηδόνα, 728
Καστανάς, 443 υποσημ. 9 και υποσημ. 10, 445, 445 υποσημ. 19 και υποσημ. 25, 446, 446 υποσημ. 37, 448 υποσημ. 53, 451 υποσημ. 89, 452, 452 υποσημ. 101, 454,

454 υποσημ. 113 και υποσημ. 118, 455 υποσημ. 127, 457, 457 υποσημ. 159 και υποσημ. 163, 458 υποσημ. 174, 459 υποσημ. 185, 460 υποσημ. 191, 460 υποσημ. 195, 461 υποσημ. 200, υποσημ. 202 και υποσημ. 204, 462, 462 υποσημ. 206, υποσημ. 207 και υποσημ. 208, 465, 467, 468, 471, 472, 475, 476, 477, 478, 481, 482, 486 υποσημ. 261 και υποσημ. 265, 487 υποσημ. 267 και υποσημ. 274, 489, 489 υποσημ. 284, 490, 492 υποσημ. 299 και υποσημ. 301, 494, 494 υποσημ. 313, υποσημ. 314 και υποσημ. 318, 495, 495 υποσημ. 322, υποσημ. 326 και υποσημ. 327, 497, 499, 499 υποσημ. 346 και υποσημ. 349, 500, 503, 504 υποσημ. 380, 505 υποσημ. 388, 506 υποσημ. 402, 507 υποσημ. 405, 508, 508 υποσημ. 419, 512, 512 υποσημ. 429 και υποσημ. 430, 513, 513 υποσημ. 436, 514 υποσημ. 437 και υποσημ. 439, 515, 518, 518 υποσημ. 444, 521, 523, 523 υποσημ. 457 και υποσημ. 461, 524, 524 υποσημ. 466, 529, 529 υποσημ. 484 και υποσημ. 485, 532 υποσημ. 520, 536 υποσημ. 552, 539 υποσημ. 563, 543, 544 υποσημ. 588, 546 υποσημ. 597, 547 υποσημ. 601, 548 υποσημ. 604, 555, 557, 558, 559, 560, 561, 563, 566 υποσημ. 696, 567 υποσημ. 706, 569, 569 υποσημ. 711, 570 υποσημ. 719, 571 υποσημ. 732, 628 υποσημ. 8, 629, 656 υποσημ. 1, υποσημ. 2, υποσημ. 3, υποσημ. 4, υποσημ. 5 και υποσημ. 7, 657, 657 υποσημ. 11 και υποσημ. 13, 659, 659 υποσημ. 26 και υποσημ. 27, 660, 661, 661 υποσημ. 43 και υποσημ. 49, 662, 662 υποσημ. 55 και υποσημ. 58, 663 υποσημ. 60, 667, 667 υποσημ. 99, 669, 669 υποσημ. 105, 670, 672 υποσημ. 2, 673, 674 υποσημ. 9, 689, 691 υποσημ 91, 697, 697 υποσημ. 5, 706 υποσημ. 24, 719 υποσημ. 56, 721 υποσημ. 63, 723 υποσημ. 84, 732, 734, 735

Καστάς Αμφίπολης, 522, 523, 524, 539 υποσημ. 565, 591 υποσημ. 109, 633, 646 υποσημ. 150, 650, 650 υποσημ. 173, 654, 659 υποσημ. 18

Καστέλλι Χανίων, 533 υποσημ. 530

Κάστελλος, 592 υποσημ. 125

Καστοριά, 555

Καστρίτσα, 532 υποσημ. 528, 618 υποσημ. 389

Κάστρο, 31

Κατακάλη, 556 υποσημ. 644, 635 υποσημ. 77

Καύκασος, 604, 635, 650, 652 υποσημ. 182

Κέα, 623, 637, 638, 638 υποσημ. 98 και υποσημ. 113, 648, 649 υποσημ. 164, 651

Κεραμεικός, 383 υποσημ. 7, 460 υποσημ. 198, 487, 502 υποσημ. 371, 503, 514, 564 υποσημ. 673, 566 υποσημ. 697 και υποσημ. 700, 584 υποσημ. 49, 588 υποσημ. 84, 590 υποσημ. 106, 600 υποσημ. 205, 601 υποσημ. 215 και υποσημ. 219, 612 υποσημ. 319, 613 υποσημ. 334, 614, 615, 621

Κέρκυρα, 589 υποσημ. 94

Keszethely, 636 υποσημ. 84

Κεφάλα (Κέας), 637, 648, 651

Κεφαλληνία, 503, 532, 533 υποσημ. 530, 563 υποσημ. 666, 565 υποσημ. 684, 583 υποσημ. 41, 586 υποσημ. 68, 592 υποσημ. 127, 597 υποσημ. 171, 600 υποσημ. 204, 602 υποσημ. 226, 603 υποσημ. 235, 606 υποσημ. 265, 608, 618, 638 υποσημ. 98, 649

Κιλιντίρ, 470, 558, 580 υποσημ. 22, 581 υποσημ. 28

Κιμμέρια, 483

Κίμωλος, 576 υποσημ. 751

Kirklareli, 508 υποσημ. 422

Κισσός, 638 υποσημ. 97

Κίτσου σπηλιά, 766

Κλεισίδι, 684, 782

Κνωσός, 578 υποσημ. 4, 586 υποσημ. 68, 605 υποσημ. 250, 645, 784

Κοζάνη, 555, 556, 603 υποσημ. 241, 630

Κοίνυρα, 683, 684, 684 υποσημ. 59, 725, 725 υποσημ. 91 και υποσημ. 92, 726, 726 υποσημ. 97, 727, 729, 782, 807

Κοκκολάτα, 638 υποσημ. 98, 639 υποσημ. 107

Κοκότι, 723 υποσημ. 83, 798

Κομοτηνή, 443 υποσημ. 15, 467, 483, 505 υποσημ. 387, 506, 508 υποσημ. 421

Κοπανάδα, 678, 681 υποσημ. 46

Κοράκου, 532, 533 υποσημ. 529, 550 υποσημ. 621, 614, 617 υποσημ. 387, 624 υποσημ. 443

Κόρινθος, 600 υποσημ. 200 και υποσημ. 206, 603 υποσημ. 236, 604 υποσημ. 243

Κορυτσά, 478 υποσημ. 232

Kosloduj, 530, 533 υποσημ. 492, 540 υποσημ. 576, 630 υποσημ. 499

Κουκουνάρα, 609 υποσημ. 288

Κουμαριά, 23, 676, 677, 678, 680, 711, 711 υποσημ. 34, 724, 777, 782, 798

Κουμάσα, 502 υποσημ. 362

Κουρλού, 777, 782

Κούρτες, 639 υποσημ. 109, 640 υποσημ. 117

Κουφάλια, 465, 555

Κουφονήσια, 460 υποσημ. 194

Κονατένο, 632 υποσημ. 51

Κρηνίδες, 521 υποσημ. 448

Κρήτη, 502, 549, 570 υποσημ. 717, 571 υποσημ. 728, 576, 576 υποσημ. 755, 578 υποσημ. 4, 581 υποσημ. 36, 584 υποσημ. 47 και υποσημ. 49, 585, 585 υποσημ. 56, 586, 586 υποσημ. 63, 587 υποσημ. 71 και υποσημ. 72, 588, 588 υποσημ. 80, 589 υποσημ. 94, 592, 592 υποσημ. 128, 598, 600, 600 υποσημ. 204 και υποσημ. 205, 601 υποσημ. 215 και υποσημ. 219, 604 υποσημ. 246 και υποσημ. 247, 605 υποσημ. 250 και υποσημ. 256, 606 υποσημ. 261, 609 υποσημ. 289, 614, 615, 617 υποσημ. 388, 619 υποσημ. 397, 620, 620 υποσημ. 412 και υποσημ. 415, 623, 637, 637 υποσημ. 91, 639, 639 υποσημ. 109 και υποσημ. 111, 646 υποσημ. 150, 649, 649 υποσημ. 161, 651, 653, 653 υποσημ. 190, 672 υποσημ. 1, 672 υποσημ. 4, 674 υποσημ. 9, 687 υποσημ. 72, 697, 722 υποσημ. 79, 784

Κριθιά, 465

Κριτσανά, 451 υποσημ. 98, 457, 457 υποσημ. 149, 458 υποσημ. 176, 471

Krivi Dol, 630

Krivodol, 450 υποσημ. 83

Krušovica, 632

Κύθνος, 604 υποσημ. 247, 679

Κυκλάδες, 592 υποσημ. 117, 597 υποσημ. 181, 612, 637, 648, 652, 672 υποσημ. 4, 701 υποσημ. 3 και υποσημ. 5, 721

Kültepe, 625 υποσημ. 452

Κύμη, 537 υποσημ. 555

Kum Tepe, 698

Κυνόσαργες, 621

Κύπρος, 502, 502 υποσημ. 372, 549 υποσημ. 615, 550, 550 υποσημ. 617, 571 υποσημ. 728, 578 υποσημ. 4, 585 υποσημ. 62, 592 υποσημ. 128, 600 υποσημ. 204, 603, 608 υποσημ. 277, 611, 615, 620, 621, 623, 638, 678, 679, 681, 687 υποσημ. 72, 728, 784, 788, 790

Kurilo, 506 υποσημ. 399

Kusura, 598 υποσημ. 184

Kutila, 506 υποσημ. 399

Κωπαΐδα, 672, 1
Κωρύκειο άντρο, 766
Κως, 576 υποσημ. 751, 578 υποσημ. 4, 584 υποσημ. 49, 600 υποσημ. 204, 653 υποσημ. 190, 728

Λαγκάδα, 565 υποσημ. 686, 578 υποσημ. 4, 611 υποσημ. 309
Λακκίθρα, 532 υποσημ. 527, 618
Λακκοβίκια, 466, 555, 559
Λάπιθος, 626, 626 υποσημ. 457
Lapotince, 454 υποσημ. 123, 488
La Tene, 602 υποσημ. 225
Latronico, 585 υποσημ. 58, 586 υποσημ. 63
Λαύριο, 603, 678, 679, 775, 784, 792
Lausitz, 508, 512, 512 υποσημ. 432, 521 υποσημ. 446, 632
Λαχανόκηπος, 465
Λειβαδίτσα, 463
Λεμπέτ (Θεσσαλονίκης), 466
Λέρνα, 383 υποσημ. 7, 446 υποσημ. 42, 454 υποσημ. 109, 629, 629 υποσημ. 21, 637 υποσημ. 93, 646
Λέσβος, 566 υποσημ. 698, 568 υποσημ. 708, 572, 573, 574, 598 υποσημ. 189, 687 υποσημ. 72, 689, 772
Λευκάδα, 584 υποσημ. 42, 592 υποσημ. 119, 607 υποσημ. 268, 629, 637, 638, 638 υποσημ. 103, 649, 649 υποσημ. 166
Λευκαντί, 466 υποσημ. 42, 533 υποσημ. 530, 546 υποσημ. 594, 565, 566 υποσημ. 697, 567 υποσημ. 706, 569 υποσημ. 709, 570 υποσημ. 722, 571 υποσημ. 728, 572 υποσημ. 733, 576, 590 υποσημ. 105 και υποσημ. 106, 593 υποσημ. 110, 601 υποσημ. 211 και υποσημ. 216, 602 υποσημ. 226, 610 υποσημ. 305, 613 υποσημ. 334, 614, 616, 800
Λευκόπετρα, 483
Λευκοχώρι, 465
Λήμνος, 571, 571 υποσημ. 732, 572, 573, 574, 576 υποσημ. 751, 598 υποσημ. 181, 620 υποσημ. 411, 689, 728, 729 υποσημ. 128
Λητή, 465
Λιανοκλάδι, 451 υποσημ. 98, 617 υποσημ. 386
Λιβάδι, 645, 555
Λιμενάρια, 23, 676
Λιμένας, 15 υποσημ. 1, 16, 20, 511
Λιμνότοπος, 465, 472, 514, 550, 555, 558, 735
Λίνδος, 615 υποσημ. 363, 617 υποσημ. 383
Lipari, 503 υποσημ. 378
Λουσοί, 620 υποσημ. 418
Λούστρα (Θάσος), 802
Λουτρά Θέρμης, 465
Λυδία, 772
Λυκία, 650 υποσημ. 168

Μαζαράκι, 533 υποσημ. 530, 543
Μάκρη, 511, 538
Μακρυράχη, 673, 673 υποσημ. 13, 782, 783
Μάλθι, 583 υποσημ. 39
Maliq, 450 υποσημ. 85, 507 υποσημ. 410, 551 υποσημ. 624
Μάλτα, 650 υποσημ. 168
Μανδήλιο, 498
Manole, 523
Μανταλούδι, 22, 723
Μάντρα, 467, 483
Μαραθώνας, 637, 637 υποσημ. 96, 638, 649 υποσημ. 163, 164, 165
Maria Rast, 537 υποσημ. 555
Μαριές, 23, 511, 701, 702, 711, 718
Μαρλού, 777, 782
Μαρμάριανη, 41, 584 υποσημ. 49, 590 υποσημ. 102, 602 υποσημ. 221, 612 υποσημ. 321
Μαρώνεια, 443, 443 υποσημ. 16, 446, 446 υποσημ. 40, 482, 483, 489 υποσημ. 285, 492 υποσημ. 299, 508 υποσημ. 421, 511, 537, 538 υποσημ. 556, 660 υποσημ. 31, 722 υποσημ. 79, 731 υποσημ. 137
Μαυρόλακκας, 541, 541 υποσημ. 579, 555, 681, 783, 798, 800
Μαυρόλοφος, 466
Μαύρο Σπήλαιο (Κνωσού), 382 υποσημ. 6, 645, 645 υποσημ. 139
Μεγάλη Παναγία, 679 υποσημ. 38
Μεδεώνας, 639 υποσημ. 107, 108, 649 υποσημ. 162
Mediana, 513, 513 υποσημ. 434, 521, 529, 529 υποσημ. 484, 534 υποσημ. 547, 629, 667 υποσημ. 99
Mediaş, 504 υποσημ. 383
Medīnet Hābu, 622, 622 υποσημ. 432
Megiddo, 502 υποσημ. 370, 567 υποσημ. 706, 604 υποσημ. 247
Μελισσοχώρι, 465
Mersin, 792
Μεσημβρία Αιγαίου, 456 υποσημ. 138, 460 υποσημ. 193, 505, 506, 511, 526, 539 υποσημ. 564, 616 υποσημ. 375, 625 υποσημ. 451, 634, 650, 654, 655
Μεσημβρία Ευξείνου, 509 υποσημ. 427
Μεσημεριανή Τούμπα, 465, 555
Μεσόγειος, 563, 564, 546 υποσημ. 679, 636 υποσημ. 24, 638, 650 υποσημ. 168, 679, 723 υποσημ. 84, 731, 733, 734, 756, 757, 758
Μεσοκώμη, 466
Μεσοποταμία, 805
Μεσοχώρι, 483
Μεσσαρά, 592 υποσημ. 128, 637, 637 υποσημ. 91, 645 υποσημ. 134, 646 υποσημ. 150, 647 υποσημ. 151
Μεσσηνία, 583 υποσημ. 39, 593 υποσημ. 133 και υποσημ. 139, 597 υποσημ. 170 και υποσημ. 174, 638, 638 υποσημ. 105, 639, 639 υποσημ. 115, 649
Μεταμόρφωση (Καλλιράχη, Θάσος), 782
Μεταξάτα, 532 υποσημ. 527
Μήλος, 502 υποσημ. 372, 551 υποσημ. 623, 674 υποσημ. 9
Mihaličˇ, 506 υποσημ. 401
Μιδέα, 382 υποσημ. 6, 445
Μικρά Ασία, 456, 456 υποσημ. 131 και υποσημ. 141, 457, 458, 460, 502 υποσημ. 369, 562, 569, 576, 587, 590 υποσημ. 99, 592, 602 υποσημ. 225 και υποσημ. 226, 624, 625, 635, 639, 640, 650, 650 υποσημ. 168, 653, 672, 678, 679, 690 υποσημ. 82, 691, 727 υποσημ. 106, 728, 729 υποσημ. 128, 731, 735, 798
Μικρό Δουκάτο, 511, 526, 41, 591, 591 υποσημ. 109, 636
Μολδαβία, 528, 529
Μολυβόπυργος, 450 υποσημ. 81, 458 υποσημ. 173, 466, 467, 467 υποσημ. 216, 494 υποσημ. 313
Μονόβρυση, 466
Monteoru, 449, 632 υποσημ. 55
Μοράβας, 485, 488, 521, 629
Μουλιανά, 615 υποσημ. 354, 620
Μουντενία, 485, 528
Μόχλος, 578 υποσημ. 4, 579 υποσημ. 8, 604 υποσημ. 247 και υποσημ. 248, 607 υποσημ. 267, 621
Μπουμπούστι, 445 υποσημ. 32, 448 υποσημ. 44, 450 υ-

ποσημ. 86, 458 υποσημ. 177, 463, 466, 555, 556
Μυκήνες, 383 υποσημ. 7, 472, 532, 532 υποσημ. 524, 533 υποσημ. 529, 571 υποσημ. 728, 579 υποσημ. 8, 583 υποσημ. 40, 584 υποσημ. 47, υποσημ. 48 και υποσημ. 50, 585, 585 υποσημ. 56, υποσημ. 59 και υποσημ. 62, 586 υποσημ. 68, 587, 587 υποσημ. 73, 588 υποσημ. 88, 592 υποσημ. 127, 596 υποσημ. 160, 600 υποσημ. 204, 603 υποσημ. 235, 608 υποσημ. 286, 609, 609 υποσημ. 288 και υποσημ. 292, 611 υποσημ. 309, 617 υποσημ. 387, 618, 629, 727, 759
Μύκονος, 576 υποσημ. 755
Μυλοπόταμος, 466
Μυρρίνη, 466
Μυρτίσκη, 511
Μύρτος, 672 υποσημ. 1, 674 υποσημ. 9

Νάξος, 565, 600 υποσημ. 204, 637 υποσημ. 88, 638 υποσημ. 104, 650 υποσημ. 173
Napoli, 561 υποσημ. 653
Νέα Καλλικράτεια, 465, 555
Νέα Μάκρη, 538 υποσημ. 556
Νέα Νικομήδεια, 627, 653 υποσημ. 186
Νεάπολις (Καβάλας), 574, 691 υποσημ. 94, 729, 730 υποσημ. 130
Νέα Ραιδεστός, 465
Νέα Σάντα, 511
Νέα Σύλλατα, 465, 555
Νέα Φυλή, 511
Νέα Φώκαια, 465
Νέος Σκοπός, 466
Νεοχώρι, 465, 555
Νεοχωρούδα, 465, 555
Νέστος, 463, 467, 482, 486, 488, 634, 732, 733
Νικήσιανη, 466
Νικήτη, 465, 555
Νικηφόρος, 466
Νίρου Χάνι, 549
Νιχώρια, 639 υποσημ. 107 και υποσημ. 115
Noua, 486, 486 υποσημ. 265, 487, 533, 534, 547 υποσημ. 600, 665 υποσημ. 76, 666
Nova Zagora, 579 υποσημ. 9, 580 υποσημ. 23, 581 υποσημ. 29
Novo Selo, 483, 487, 632
Ντικιλί Τας, 16, 442, 446, 446 υποσημ. 38, 466, 474, 487, 495 υποσημ. 329, 507 υποσημ. 407 και υποσημ. 410, 548, 598 υποσημ. 181, 625, 668, 669, 673, 697, 699 υποσημ. 5, 705, 766, 767
Ντουρμουσλί, 465, 555
Νυμφαία, 511

Ξάνθη, 467, 483, 508 υποσημ. 421
Ξηροπόταμος, 522 υποσημ. 455
Ξηροχώρι, 466
Ξυλοκερατιά, 465, 555

Οισύμη, 730 υποσημ. 130
Ολούς, 502 υποσημ. 363, 583 υποσημ. 41, 586 υποσημ. 68
Ολτενία, 486, 528
Ολυμπία, 603 υποσημ. 236
Όλυνθος, 387 υποσημ. 22, 524, 574, 590 υποσημ. 104, 591 υποσημ. 112, 598 υποσημ. 183, 604 υποσημ. 241, 663, 719, 719 υποσημ. 56, 730 υποσημ. 133
Ομαλή, 555
Ομόλιο, 601 υποσημ. 216
Orlova Cuka, 630
Ορμύλια, 465
Ορχομενός, 446 υποσημ. 42, 454 υποσημ. 109, 600, 633 υποσημ. 61
Orsoja, 633
Ostrov, 524 υποσημ. 465, 525 υποσημ. 468, 528, 633 υποσημ. 61, 721 υποσημ. 63
Otomani, 632 υποσημ. 55
Ουγγαρία, 528, 537 υποσημ. 555, 602 υποσημ. 225, 609 υποσημ. 290, 636 υποσημ. 84
Οφρύνιο, 466

Παγγαίο, 478 υποσημ. 233, 522, 522 υποσημ. 454, 560, 678, 688, 727, 727 υποσημ. 104 και υποσημ. 110, 728, 730, 784, 788, 792
Παδιά (Θάσου), 777, 782
Παιονία, 465, 555
Παλαίκαστρο, 549, 619 υποσημ. 397
Παλαιοκώμη, 466
Παλαιστίνη, 726
Παλιόκαστρο (Ζερβοχωρίου), 466
Παλιόκαστρο (Κάρυανης), 466, 555, 559
Παλιόκαστρο (Μαριών), 23, 677, 678, 678 υποσημ. 31, 680, 680 υποσημ. 43, 687, 702, 702 υποσημ. 8, 711, 711 υποσημ. 36, 722 υποσημ. 78, 724, 795, 798, 799, 800
Παναγιά (Θάσου), 18, 23, 511, 707, 713, 724
Παναγιά (Κρήτης), 639 υποσημ. 109
Paraćin, 483, 487, 493, 529, 529 υποσημ. 485, 629
Παράδεισος, 466, 475
Παραδημή, 507 υποσημ. 408, 592 υποσημ. 121, 597 υποσημ. 167
Παρασκιές, 639 υποσημ. 109
Πάτελι, 445 υποσημ. 32, 451, 456 υποσημ. 137, 602 υποσημ. 226
Pazhok, 627 υποσημ. 6
Pecel, 507
Πελαγονία, 631, 631 υποσημ. 42, 697
Πελοπόννησος, 507 υποσημ. 411, 532, 533 υποσημ. 532, 546, 563, 605, 608, 612 υποσημ. 318, 628, 638, 639, 672 υποσημ. 1
Πεντάλοφος Α, 465
Πεντάλοφος Β, 465, 555
Πεντάπολη, 507 υποσημ. 407, 555, 669, 674 υποσημ. 10, 699
Περατή, 563 υποσημ. 659, 565 υποσημ. 687 και υποσημ. 691, 570 υποσημ. 721, 579, 579 υποσημ. 5, 580 υποσημ. 19 και υποσημ. 22, 588 υποσημ. 79, 590 υποσημ. 100, 591 υποσημ. 112, 593 υποσημ. 139, 594, 597 υποσημ. 171, 600 υποσημ. 204 και υποσημ. 209, 601 υποσημ. 214, 603 υποσημ. 234, 606 υποσημ. 264, 608, 608 υποσημ. 281, 611 υποσημ. 308 και υποσημ. 315, 612, 613 υποσημ. 322, 688 υποσημ. 77, 689 υποσημ. 78, 759
Περαχώρα, 600 υποσημ. 206
Περιβολάκι (Σαρατσέ), 445 υποσημ. 32, 454 υποσημ. 113, 457 υποσημ. 156, 459 υποσημ. 187, 465, 472, 473, 493, 494 υποσημ. 310, 499, 547 υποσημ. 559, 555, 558,

563 υποσημ. 660, 565 υποσημ. 692, 570 υποσημ. 724, 592 υποσημ. 128, 593 υποσημ. 135 και υποσημ. 140, 599 υποσημ. 190 και 194, 618 υποσημ. 390
Περιστερώνας, **466**, 555
Peschiera, 472, 514, 558, 589 υποσημ. 96
Πετρούσσα, 466
Πετρωτά, 483, 511
Πηγή, 555
Πικρολίμνη, 466
Πίνδος, 627
Πλατανιά Α, 466
Πλατανιά Β, 466
Πλατανιά Θάσου, 678 υποσημ. 31
Plovdiv, 446, 485, 540
Pobit Kamăk, 450 υποσημ. 65
Πολιόχνη, 446, 446 υποσημ. 36, 448, 449, 454 υποσημ. 116, 456 υποσημ. 131, 457 υποσημ. 148, 458 υποσημ. 165 και υποσημ. 166, 460 υποσημ. 189 και υποσημ. 192, 462 υποσημ. 208, 506 υποσημ. 409, 580 υποσημ. 21, 585 υποσημ. 53, 592 υποσημ. 117, 593 υποσημ. 132 και υποσημ. 138, 594 υποσημ. 152, 597, 597 υποσημ. 173, 598 υποσημ. 181
Πολύανθος, 511
Πολωνία, 609 υποσημ. 297
Popadin Dol, 630
Πόπινας Μάνδρα, 22, 712
Πορτί, 581 υποσημ. 36, 587, 587 υποσημ. 71
Porto Perone, 518 υποσημ. 445
Ποταμιά, 727
Ποταμοί, 443, 446, 446 υποσημ. 39, 451, 451 υποσημ. 90, 466, 467, 472, 476, 477, 489, 497, 499, 555, 559, 560, 593 υποσημ. 136, 632, 650, 651 υποσημ. 177, 657, 657 υποσημ. 13, 733
Ποτός, 19, 32, 442, 700
Πραισός, 619 υποσημ. 397
Prilep, 456 υποσημ. 140, 627, 630
Πρινιάς, 502 υποσημ. 362, 503 υποσημ. 373, 618 υποσημ. 388
Πρίνος, 782
Πριόνιο, 511
Πρόσυμνα, 583 υποσημ. 40, 584 υποσημ. 48, 586 υποσημ. 68, 587 υποσημ. 73, 596 υποσημ. 160, 597 υποσημ. 171, 608 υποσημ. 282 και υποσημ. 286, 609 υποσημ. 288 και υποσημ. 292, 611 υποσημ. 309, 617 υποσημ. 387, 637 υποσημ. 93
Προφήτης Ηλίας Οφρυνίου, 466
Προφήτης Ηλίας (Σκάλας Σωτήρος), 18-19
Pšeničevo, 445 υποσημ. 21, 449, 486, 489 υποσημ. 286, 492, 492 υποσημ. 300, 504 υποσημ. 380, 506 υποσημ. 400, 507 υποσημ. 405, 524, 524 υποσημ. 465, 525, 525 υποσημ. 468, 526, 527, 529, 530, 530 υποσημ. 498, 531, 538, 538 υποσημ. 557, 539 υποσημ. 565, 635, 662 υποσημ. 56, 666, 717 υποσημ. 41, 721 υποσημ. 63, υποσημ. 64 και υποσημ. 67
Πτελεός, 639 υποσημ. 107
Πυλαία, 465
Πύλος, 592 υποσημ. 127, 593 υποσημ. 137, 596 υποσημ. 160, 609 υποσημ. 288, 647 υποσημ. 151, 687 υποσημ. 72
Punta del Tonno, 585 υποσημ. 58

Radanje, 505 υποσημ. 391, 590 υποσημ. 103
Radovanu, 661 υποσημ. 49, 581 υποσημ. 34
Ras Shamra, 772 υποσημ. 13
Razcopaniča, 465 υποσημ. 139
Ραφήνα, 598 υποσημ. 186
Ραχώνα, 465, 555
Ravna, 531, 590 υποσημ. 103, 636 υποσημ. 83
Ροδόπη, 467, 467 υποσημ. 222, 483, 485, 503, 504, 504 υποσημ. 381, 527, 542, 634, 635, 635 υποσημ. 73, 636
Ρόδος, 502 υποσημ. 372, 563 υποσημ. 658, 576 υποσημ. 751, 758 υποσημ. 4, 588, 600 υποσημ. 204
Ρουμανία, 450 υποσημ. 76, 483, 485, 486, 487, 504 υποσημ. 383, 528, 529, 530, 531, 533, 546, 560, 580 υποσημ. 23, 665, 584 υποσημ. 51, 616 υποσημ. 369, 620 υποσημ. 406, 632, 632 υποσημ. 50, υποσημ. 52 και υποσημ. 53, 666, 732
Ρούσσα, 497 υποσημ. 345, 511, 541 υποσημ. 579, 646 υποσημ. 150
Ρύζια, 511
Ρύμη, 483
Ρωσία, 487, 528, 609 υποσημ. 297

Sabatinovka, 487
Sakar, 635
Salamanli, 457 υποσημ. 159
Σαλαμίνα, 563 υποσημ. 666, 566 υποσημ. 698, 600 υποσημ. 205, 601 υποσημ. 211
Sălcuţa, 450 υποσημ. 83
Σάλιαγκος, 452 υποσημ. 106, 545 υποσημ. 589
Σαλονικιός, 773, 782
Σαμοθράκη, 467, 538, 574, 616 υποσημ. 372 και υποσημ. 375, 635, 650, 691
Σάμος, 503 υποσημ. 372, 605
San Vitale, 589 υποσημ. 95, 599 υποσημ. 188, 603 υποσημ. 233, 603 υποσημ. 237
Saraj, 461 υποσημ. 204, 630
Σαρακηνή, 511
Σαρατσέ, 442 υποσημ. 3, 443 υποσημ. 11, 445 υποσημ. 32, 449 υποσημ. 63, 450 υποσημ. 81, 454 υποσημ. 113, 457 υποσημ. 156, 472, 473, 493, 499, 506 υποσημ. 402, 507 υποσημ. 407, 508 υποσημ. 419, 555, 555 υποσημ. 636, 558, 559, 565 υποσημ. 692, 570 υποσημ. 724, 592 υποσημ. 128, 593 υποσημ. 135 και υποσημ. 140, 599 υποσημ. 190 και υποσημ. 194, 618 υποσημ. 390, 699 υποσημ. 5
Σαρδηνία, 551 υποσημ. 627, 561 υποσημ. 653, 723 υποσημ. 84, 734
Sarina Medja, 487 υποσημ. 274
Sava, 529 υποσημ. 488, 530 υποσημ. 493, 538 υποσημ. 557
Sava Conevo, 529 υποσημ. 488, 543 υποσημ. 585, 588 υποσημ. 85, 633 υποσημ. 61, 667 υποσημ. 96
Savena, 603 υποσημ. 237
Scoglio del Tonno, 561 υποσημ. 653, 583 υποσημ. 41, 585 υποσημ. 58
Σέδες, 445 υποσημ. 23, 461 υποσημ. 202
Σελλάδα, 782
Σέρβια, 507 υποσημ. 407, 596 υποσημ. 157, 627, 673 υποσημ. 5, 674 υποσημ. 9, 800
Σερβία, 454, 488, 521, 529, 537 υποσημ. 555, 550 υποσημ. 619, 629, 636 υποσημ. 84, 705
Σέριφος, 679
Σέσκλο, 448 υποσημ. 53, 584, 584 υποσημ. 44, 596 υποσημ. 158, 602 υποσημ. 221, 607, 608 υποσημ. 277

Sialk, 604 υποσημ. 247
Sîbmăta Nouă, 665
Sihleanu, 485
Σικελία, 561 υποσημ. 653, 569 υποσημ. 709, 605, 723 υποσημ. 84, 734
Σιλεσία, 599 υποσημ. 698
Σίνδος, 551 υποσημ. 628
Široko, 603 υποσημ. 233, 630
Σιταγροί, 450 υποσημ. 79, 507 υποσημ. 407 και υποσημ. 410, 598 υποσημ. 181, 669, 677 υποσημ. 30, 699, 705
Σίφνος, 603, 637 υποσημ. 88, 775, 777 υποσημ. 7 και υποσημ. 10
Σκάλα Μαριών, 17
Σκάλα Σωτήρος, 18, 701 υποσημ. 4, 703
Σκόπια, 627
Σκύρος, 571 υποσημ. 728, 615 υποσημ. 365, 621
Slatina, 529
Σλοβακία, 599 υποσημ. 197
Σμιγάδα, 511
Σμύρνη, 640 υποσημ. 118
Σούνιο, 511
Σουρωτή, 466
Σόφια, 500
Sofronievo, 634
Σοχός, 465, 555
Σπάρτη, 533 υποσημ. 530, 634
Σπήλαιο Γρεβενών, 630
Σταθμός Αγγίστας, 442, 443 υποσημ. 10, υποσημ. 11 και υποσημ. 12, 445, 445 υποσημ. 18, 446, 448, 451, 451 υποσημ. 90, 452, 456 υποσημ. 145, 457 υποσημ. 157, 458, 458 υποσημ. 169 και υποσημ. 178, 459 υποσημ. 183, 466, 472, 474, 475, 476, 477, 478, 478 υποσημ. 233, 482, 489, 489 υποσημ. 283, 490, 492 υποσημ. 299, 494 υποσημ. 318, 495, 495 υποσημ. 322, 497, 499, 500, 547 υποσημ. 601, 550 υποσημ. 662, 555, 556 υποσημ. 636, 559, 561, 570 υποσημ. 719, 593 υποσημ. 136, 596 υποσημ. 159, 597 υποσημ. 171 και υποσημ. 176, 599 υποσημ. 191, 656, 656 υποσημ. 4, 657 υποσημ. 12, 660, 660 υποσημ. 36, 668, 669, 705 υποσημ. 13, 727 υποσημ. 104, 753
Στενό Λευκάδας, 607 υποσημ. 268, 649
Στερεά Ελλάδα, 628
Στίβος, 465, 555
Štip, 505, 505 υποσημ. 391, 540 υποσημ. 570, 631, 631 υποσημ. 42
Stoicani, 461 υποσημ. 204
Stranza, 635 υποσημ. 73
Στρύμη, 511, 722 υποσημ. 79
Στρυμόνας, 478, 486, 488, 507 υποσημ. 410, 525, 530 υποσημ. 498, 560, 627, 691, 727, 727 υποσημ. 104, 729, 730, 733
Στρυμονικό, 466
Στύλος, 387 υποσημ. 22
Suciu des Sus, 632 υποσημ. 48, 651 υποσημ. 177
Συρία, 605 υποσημ. 256, 726
Σύρος, 585 υποσημ. 56, 637
Suva Reka, 455 υποσημ. 125, 630
Σχολάριο, 555
Σώστης, 511
Σωτήρος, 676, 680, 778, 782

Tărnava, 632 υποσημ. 50, 644 υποσημ. 130
Ταρσός, 579 υποσημ. 7, 588 υποσημ. 82
Taşlicabayir, 508 υποσημ. 422
Τεγέα, 618 υποσημ. 388, 620 υποσημ. 418
Tei, 446 υποσημ. 41, 450, 467 υποσημ. 221, 483, 483 υποσημ. 243, 485, 486, 486 υποσημ. 261, 487, 488, 489 υποσημ. 286, 492, 492 υποσημ. 298, 493, 499, 732, 733
Tel Aviv, 502 υποσημ. 367
Tell al Amarna, 623 υποσημ. 438
Tell Atchana, 588 υποσημ. 82
Τεπέ Κνωσού, 605 υποσημ. 250
Timna, 800
Τίρυνθα, 533 υποσημ. 530 και υποσημ. 532, 546 υποσημ. 595, 549 υποσημ. 603, 563 υποσημ. 658, 600 υποσημ. 204, 601, 621, 621 υποσημ. 430, 672 υποσημ. 1
Tisza, 528
Tlačine, 634, 634 υποσημ. 63
Topčii, 633 υποσημ. 62
Toros, 634, 634 υποσημ. 63
Torre Castellucia, 561 υποσημ. 653
Τορώνη, 465, 494 υποσημ. 316, 553 υποσημ. 635, 555
Τούμπα Θεσσαλονίκης, 466
Τούμπα Κουφάλια, 465, 555
Τούμπα Λιβάδι, 465, 555
Τούμπα Παιονίας, 463, 465, 555, 556
Τούμπα Ραχώνα, 465, 555
Τούμπα Σαμαρά, 466
Τουρκία, 508, 508 υποσημ. 422, 530 υποσημ. 497, 531, 634, 635, 650 υποσημ. 168
Τραγί, 709
Τράγιλος, 591, 591 υποσημ. 109, 603, υποσημ. 241
Τραϊανούπολη, 511
Trigrad, 467 υποσημ. 222, 632 υποσημ. 49, 733
Τρίλοφο Μεσημέρι, 630
Τροία, 448, 448 υποσημ. 49, 449 υποσημ. 55 και υποσημ. 62, 450, 450 υποσημ. 80, 452, 452 υποσημ. 106 και υποσημ. 107, 456, 456 υποσημ. 130 και υποσημ. 136, 457, 457 υποσημ. 152 και υποσημ. 160, 458, 459 υποσημ. 179, υποσημ. 180, υποσημ. 182 και υποσημ. 186, 460 υποσημ. 188 και υποσημ. 192, 461 υποσημ. 199 και υποσημ. 202, 462 υποσημ. 208, 485, 485 υποσημ. 253, 502 υποσημ. 369, 505, 506 υποσημ. 401, 506 υποσημ. 403, 404, 507 υποσημ. 406 και υποσημ. 410, 508, 508 υποσημ. 423, 509, 527, 530, 531, 531 υποσημ. 512, 532, 532 υποσημ. 520, 533, 534, 534 υποσημ. 540, 537, 538, 538 υποσημ. 558, 539 υποσημ. 564, 541, 542, 542 υποσημ. 583, 543, 546, 549 υποσημ. 607, 561 υποσημ. 653, 564 υποσημ. 674, 565, 567 υποσημ. 703, 572, 574, 574 υποσημ. 742, 580 υποσημ. 20 και υποσημ. 21, 581 υποσημ. 28 και υποσημ. 36, 584 υποσημ. 49, 587, 587 υποσημ. 74, 588 υποσημ. 81 και υποσημ. 86, 592, 592 υποσημ. 116 και υποσημ. 124, 593, 593 υποσημ. 133, υποσημ. 134, υποσημ. 138, υποσημ. 139, υποσημ. 140, υποσημ. 141 και υποσημ. 142, 594 υποσημ. 150, 596, 596 υποσημ. 153, υποσημ. 154, υποσημ. 155, υποσημ. 156, υποσημ. 161 και υποσημ. 163, 597 υποσημ. 173, 598 υποσημ. 181, 599, 599 υποσημ. 193, 600, 601 υποσημ. 211, υποσημ. 213 και υποσημ. 218, 603, 611, 611 υποσημ. 310, 613 υποσημ. 334, 616 υποσημ. 375, 617 υποσημ. 384, 618, 618 υποσημ. 391, 625, 660, 664 υποσημ. 69, 665, 665 υποσημ. 78, 666, 666 υποσημ. 91 και υποσημ. 92, 667, 667 υποσημ. 99, 678, 679, 689 υποσημ. 79, 691, 705, 705 υποσημ. 23, 728, 735

Trojaci, 630
Τρωάδα, 588, 598 υποσημ. 181, 655, 679, 691, 729
Τσαουζίτσα, 450 υποσημ. 186, 460 υποσημ. 198, 465, 467, 473, 494, 495, 504, 504 υποσημ. 380, 505, 555, 559, 571, 572 υποσημ. 734, 590 υποσημ. 102 και υποσημ. 105, 91 υποσημ. 113, 597 υποσημ. 172, 609 υποσημ. 293, 612 υποσημ. 321, 621, 631, 650 υποσημ. 173
Τσεχοσλοβακία, 528
Τσικαλαριό, 638 υποσημ. 104, 650 υποσημ. 173
Τσίνες, 16, 386 υποσημ. 18
Τσοτύλι, 555, 556
Τύλισος, 553 υποσημ. 630

Yortan, 457 υποσημ. 147, 458 υποσημ. 170
Υφαντές, 483

Uioare de Sus, 605 υποσημ. 252
Únětice, 600 υποσημ. 207, 620 υποσημ. 406, 636 υποσημ. 84

Φαιστός, 580 υποσημ. 22, 583 υποσημ. 38, 589 υποσημ. 94, 613 υποσημ. 334
Φάκος, 465
Φανάρι, 467, 483
Φανός, 684, 684 υποσημ. 59, 726 υποσημ. 96
Φάρσαλα, 639 υποσημ. 108, 649 υποσημ. 162
Ferigile, 604 υποσημ. 247
Φερρές, 620 υποσημ. 418
Φιδοκορυφή, 466, 705 υποσημ. 19
Φιλαδελφιανά, 465, 555
Φίλιπποι, 511, 521, 521 υποσημ. 448
Φιλλερίκ, 466
Φλογητά, 465, 555
Φλώρινα, 631
Φοινίκη, 604
Φορτέτσα, 590 υποσημ. 104, 613 υποσημ. 335
Fortuna Štip, 630
Frattesina, 806
Φυλακωπή, 623 υποσημ. 440
Φύλλια, 511

Χαλανδριανή, 585 υποσημ. 61, 623 υποσημ. 439, 648, 701 υποσημ. 3
Χαλανδρίτσα, 584 υποσημ. 42, 638 υποσημ. 113
Χαλκίδα, 586 υποσημ. 68, 588 υποσημ. 79, 592 υποσημ. 127, 608 υποσημ. 286, 800
Χαλκιδική, 688, 689, 690, 723 υποσημ. 84, 733, 734, 784, 788
Χίος, 445, 590 υποσημ. 104, 610 υποσημ. 299 και υποσημ. 306, 616 υποσημ. 375
Χοιροσπηλιά, 592 υποσημ. 119
Χρύσα, 467, 483, 511
Χρυσαυγή, 465, 555
Χωρύγιο, 466

Ψαρά, 566 υποσημ. 698
Ψυχικό, 466

Ωραιόκαστρο, 466

Vărăsti, 450 υποσημ. 76
Vatina, 483, 487, 488, 529, 570 υποσημ. 719, 629
Velika Humska Čuka, 488
Veliko Tărnovo, 504 υποσημ. 383
Verbicioara, 483 υποσημ. 244, 486, 487, 488, 492, 492 υποσημ. 298, 493, 499, 632 υποσημ. 55, 732
Vidin, 487
Villanova, 548 υποσημ. 606, 551 υποσημ. 628, 620 υποσημ. 467, 650 υποσημ. 170, 673 υποσημ. 8
Vîrtrop, 528, 539 υποσημ. 565, 540 υποσημ. 570, 542, 570 υποσημ. 720, 717 υποσημ. 42
Visoj, 620 υποσημ. 420, 630, 631, 646 υποσημ. 141, 659 υποσημ. 18, 661 υποσημ. 47
Voivodina, 488, 524 υποσημ. 465, 528, 528 υποσημ. 475
Vojnik, 630
Vučedol, 705
Vuči Dol, 524 υποσημ. 467, 591 υποσημ. 114, 600 υποσημ. 207, 601 υποσημ. 217

Wietenberger, 420, 732

ΕΥΡΕΤΗΡΙΟ ΑΡΧΑΙΩΝ ΟΝΟΜΑΤΩΝ

Αγήνωρ, 486
Αίννυρος, 725 υποσημ. 95
Αθηνά, 618 υποσημ. 388, 620 υποσημ. 418
Αλκαίος, 730
Αμφιτρύων, 726 υποσημ. 102
Ανδρόγεως, 730
Απολλόδωρος, 730
Απόλλων, 550 υποσημ. 619, 553, 553 υποσημ. 629, 603, 604 υποσημ. 243, 610 υποσημ. 306, 672 υποσημ. 3
Αρχίλοχος, 27, 690, 725 υποσημ. 95, 729, 730
Ασσύριοι, 728
Αχιλλεύς, 644 υποσημ. 128

Δημέας, 730

Έκτωρ, 646 υποσημ. 150
Έλληνες, 727, 731
Ευάνθης, 672 υποσημ. 3
Ευρυπίδης, 570 υποσημ. 723
Ευρώπη, 725, 725 υποσημ. 89, 726 υποσημ. 102

Ζευς, 553 υποσημ. 629

Ηδωνίδα, 730
Ηιών, 728 υποσημ. 124
Ηρακλής, 27, 725, 725 υποσημ. 89, 726, 726 υποσημ. 102, 728, 729
Ηρόδοτος, 649, 683, 684, 725, 91, 726 υποσημ. 96, 727, 728, 729, 773, 782
Ησύχιος, 683, 730

Θάσιοι, 725 υποσημ. 89, 726 υποσημ. 102, 730
Θάσος (ήρως), 27, 725, 725 υποσημ. 88 και υποσημ. 89, 729
Θουκυδίδης, 486
Θράκες, 725, 729, 730, 731

Ιλλυριοί, 725
Ιμέριος, 553 υποσημ. 629
Ίσμαρος, 672 υποσημ. 1, 731 υποσημ. 137

Κάδμος, 27, 725, 729
Κάρες, 727, 727 υποσημ. 106, 728, 731
Καρχηδών, 728
Κίκονες, 731 υποσημ. 137
Κίλιξ, 725
Κύκλωψ, 731 υποσημ. 137

Λέλεγες, 727, 728, 731
Λύκιοι, 578 υποσημ. 1

Μάγνητες, 730, 730 υποσημ. 132
Μάρων, 672 υποσημ. 3
Μελικέρτης, 725, 728, 729
Μυκηναίοι, 27, 672, 690, 723 υποσημ. 84, 727, 728, 733, 734

Νέστωρ, 549
Νύμφες, 703, 704

Ξέρξης, 578 υποσημ. 1

Οδωνίς, 730
Όμηρος, 600 υποσημ. 208, 622 υποσημ. 431, 646 υποσημ. 150, 731 υποσημ. 135, 753
Οδυσσεύς, 731 υποσημ. 137

Παρθένος, 691 υποσημ. 94, 522, 574, 691 υποσημ. 94
Πάριοι, 15, 27, 672, 716, 725, 730
Πάτροκλος, 640 υποσημ. 141, 644 υποσημ. 128, 716, 725, 730
Παυσανίας, 725
Πεισίστρατος, 729
Πελασγοί, 731
Πρωτεσίλαος (τύμβος), 458 υποσημ. 165

Σαλμανασσής ΙΙΙ, 623 υποσημ. 438
Σαμοθράκη, 725 υποσημ. 91
Σθένελος, 730
Σκύμνος, 729
Στράβων, 800
Σωσθένης, 730

Τάνταλος, 730 υποσημ. 132
Τύριοι, 725 υποσημ. 89

Υπερβόρειοι Παρθένοι, 648

Φοίνικες, 27, 684, 725, 725 υποσημ. 88 και υποσημ. 89, 726, 726 υποσημ. 101, 727, 727 υποσημ. 106, 728, 729, 736
Φοίνιξ, 725, 725 υποσημ. 88, 727 υποσημ. 110

Χάρων, 503 υποσημ. 373
Χάριτες, 600 υποσημ. 373
Χλόη, 573, 573 υποσημ. 737

ΥΠΟΥΡΓΕΙΟ ΠΟΛΙΤΙΣΜΟΥ
ΔΗΜΟΣΙΕΥΜΑΤΑ ΤΟΥ ΑΡΧΑΙΟΛΟΓΙΚΟΥ ΔΕΛΤΙΟΥ ΑΡ. 45

ΧΑΪΔΩ ΚΟΥΚΟΥΛΗ-ΧΡΥΣΑΝΘΑΚΗ

ΠΡΩΤΟΪΣΤΟΡΙΚΗ ΘΑΣΟΣ

ΤΑ ΝΕΚΡΟΤΑΦΕΙΑ ΤΟΥ ΟΙΚΙΣΜΟΥ ΚΑΣΤΡΙ

ΕΚΔΟΣΗ ΤΟΥ ΤΑΜΕΙΟΥ ΑΡΧΑΙΟΛΟΓΙΚΩΝ ΠΟΡΩΝ ΚΑΙ ΑΠΑΛΛΟΤΡΙΩΣΕΩΝ

ΠΡΩΤΟΪΣΤΟΡΙΚΗ ΘΑΣΟΣ

ΤΑ ΝΕΚΡΟΤΑΦΕΙΑ ΤΟΥ ΟΙΚΙΣΜΟΥ ΚΑΣΤΡΙ

© ΤΑΜΕΙΟ ΑΡΧΑΙΟΛΟΓΙΚΩΝ ΠΟΡΩΝ ΚΑΙ ΑΠΑΛΛΟΤΡΙΩΣΕΩΝ
ΔΙΕΥΘΥΝΣΗ ΔΗΜΟΣΙΕΥΜΑΤΩΝ
ΟΔΟΣ ΠΑΝΕΠΙΣΤΗΜΙΟΥ 57, ΑΘΗΝΑ 105 64

ΓΕΝΙΚΗ ΕΠΙΜΕΛΕΙΑ: Ευαγγελία Κυπραίου

ΥΠΕΥΘΥΝΗ ΕΚΔΟΣΗΣ: Ντιάνα Ζαφειροπούλου

ΚΑΛΛΙΤΕΧΝΙΚΗ ΕΠΙΜΕΛΕΙΑ: Βάνα Μάρη

ISBN 960-214-107-7
Τόμος Γ: 960-214-110-7

ΥΠΟΥΡΓΕΙΟ ΠΟΛΙΤΙΣΜΟΥ
ΔΗΜΟΣΙΕΥΜΑΤΑ ΤΟΥ ΑΡΧΑΙΟΛΟΓΙΚΟΥ ΔΕΛΤΙΟΥ ΑΡ. 45

ΧΑΪΔΩ ΚΟΥΚΟΥΛΗ-ΧΡΥΣΑΝΘΑΚΗ

ΠΡΩΤΟΪΣΤΟΡΙΚΗ ΘΑΣΟΣ

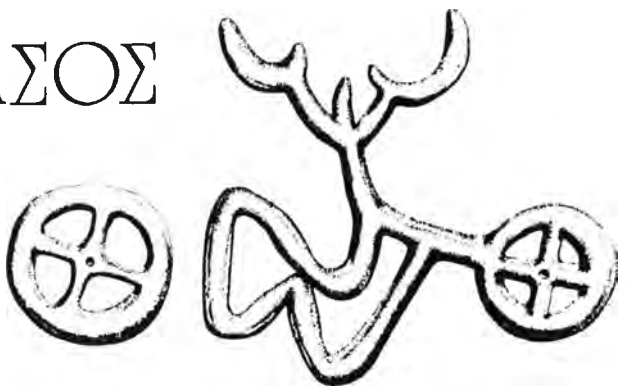

ΤΑ ΝΕΚΡΟΤΑΦΕΙΑ ΤΟΥ ΟΙΚΙΣΜΟΥ ΚΑΣΤΡΙ

ΜΕΡΟΣ Γ

ΕΚΔΟΣΗ ΤΟΥ ΤΑΜΕΙΟΥ ΑΡΧΑΙΟΛΟΓΙΚΩΝ ΠΟΡΩΝ ΚΑΙ ΑΠΑΛΛΟΤΡΙΩΣΕΩΝ

ΣΗΜΕΙΩΣΗ
Στους Πίνακες 1-209 οι κλίμακες είναι 1:4, εκτός αν αυτές σημειώνονται γραφικά.

ΠΙΝΑΚΕΣ

K1A

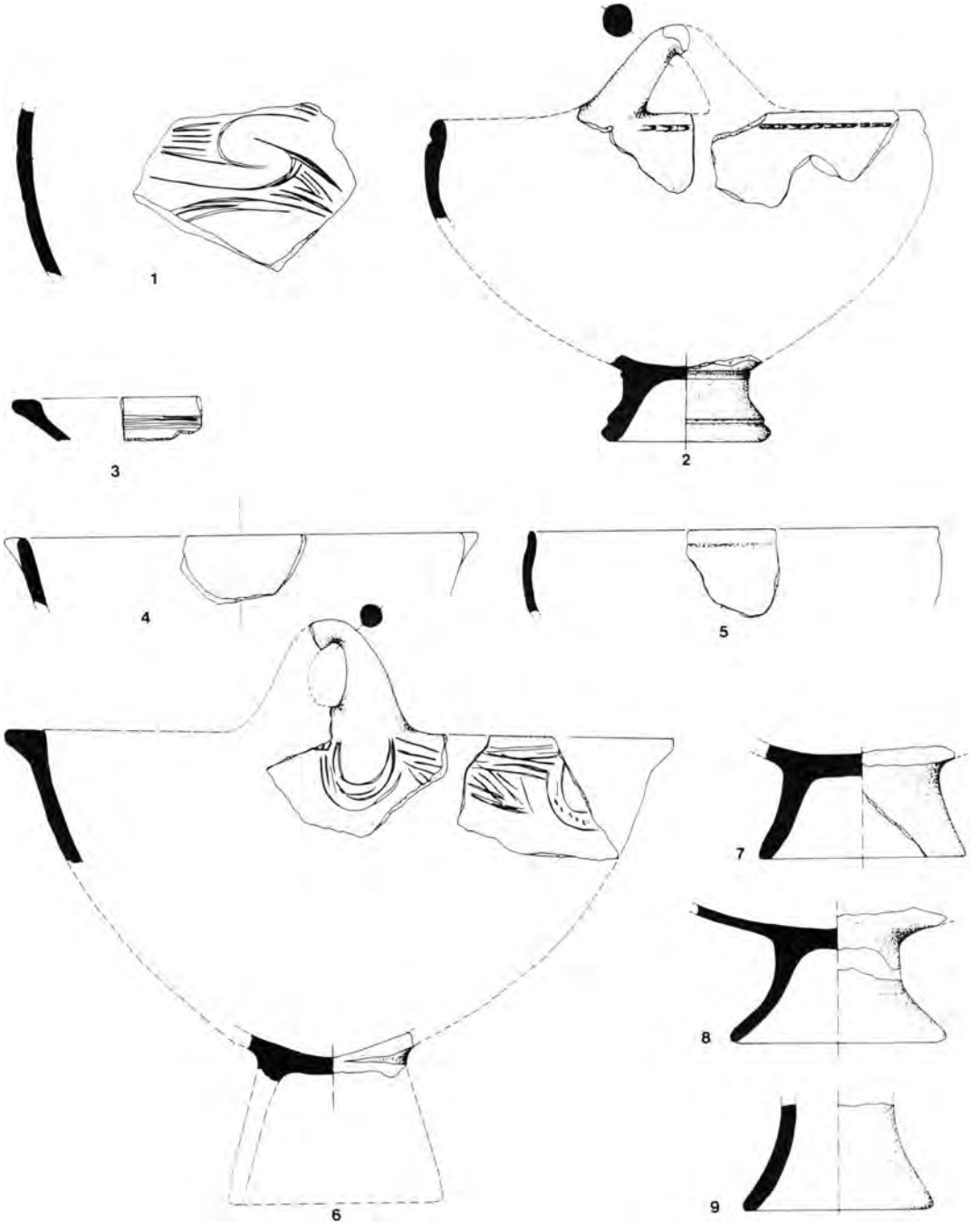

K_{1A}

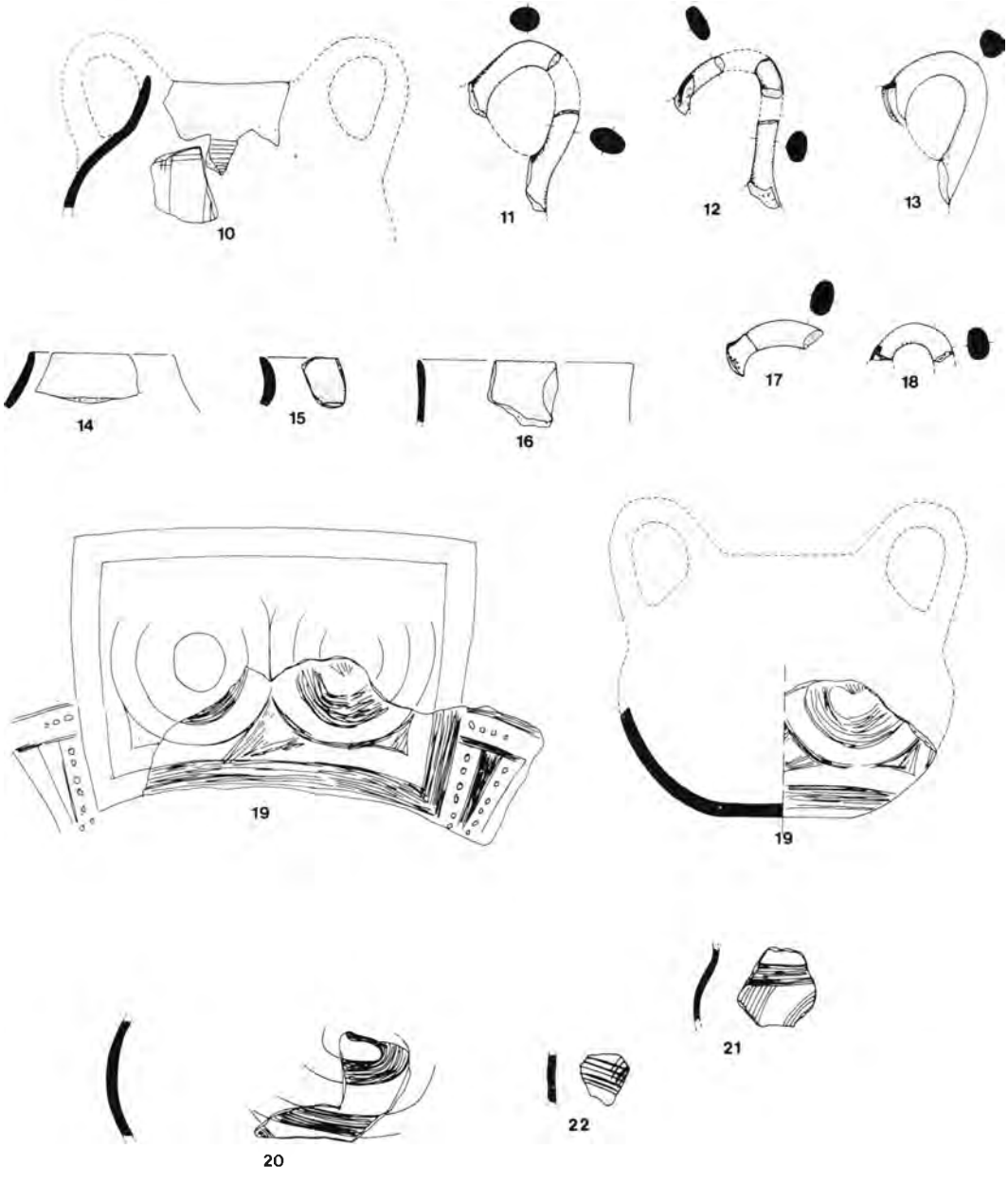

K1A

27

24

25

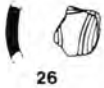

26

26a

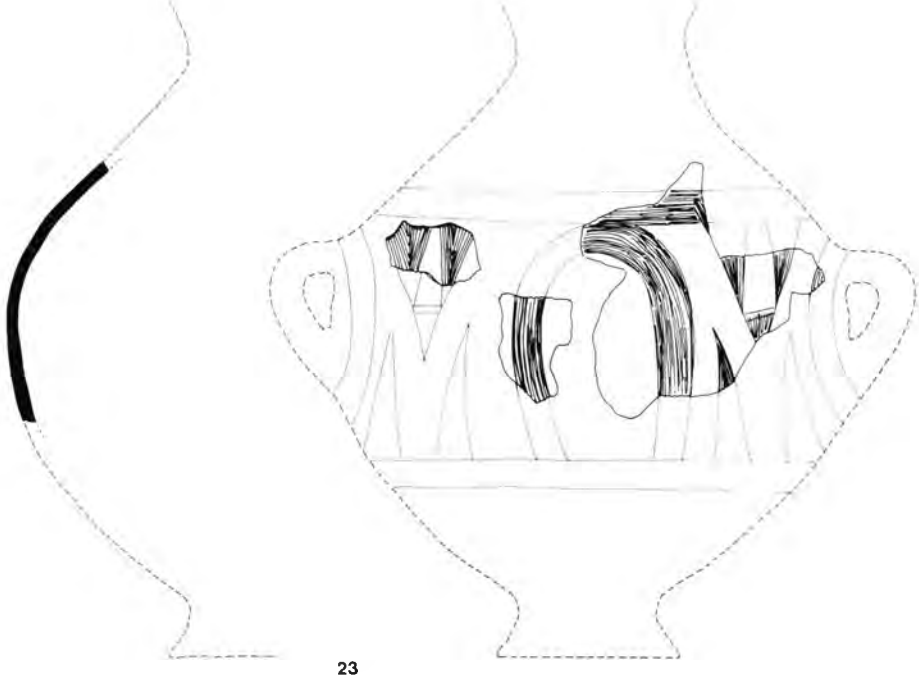

23

K_{1A}

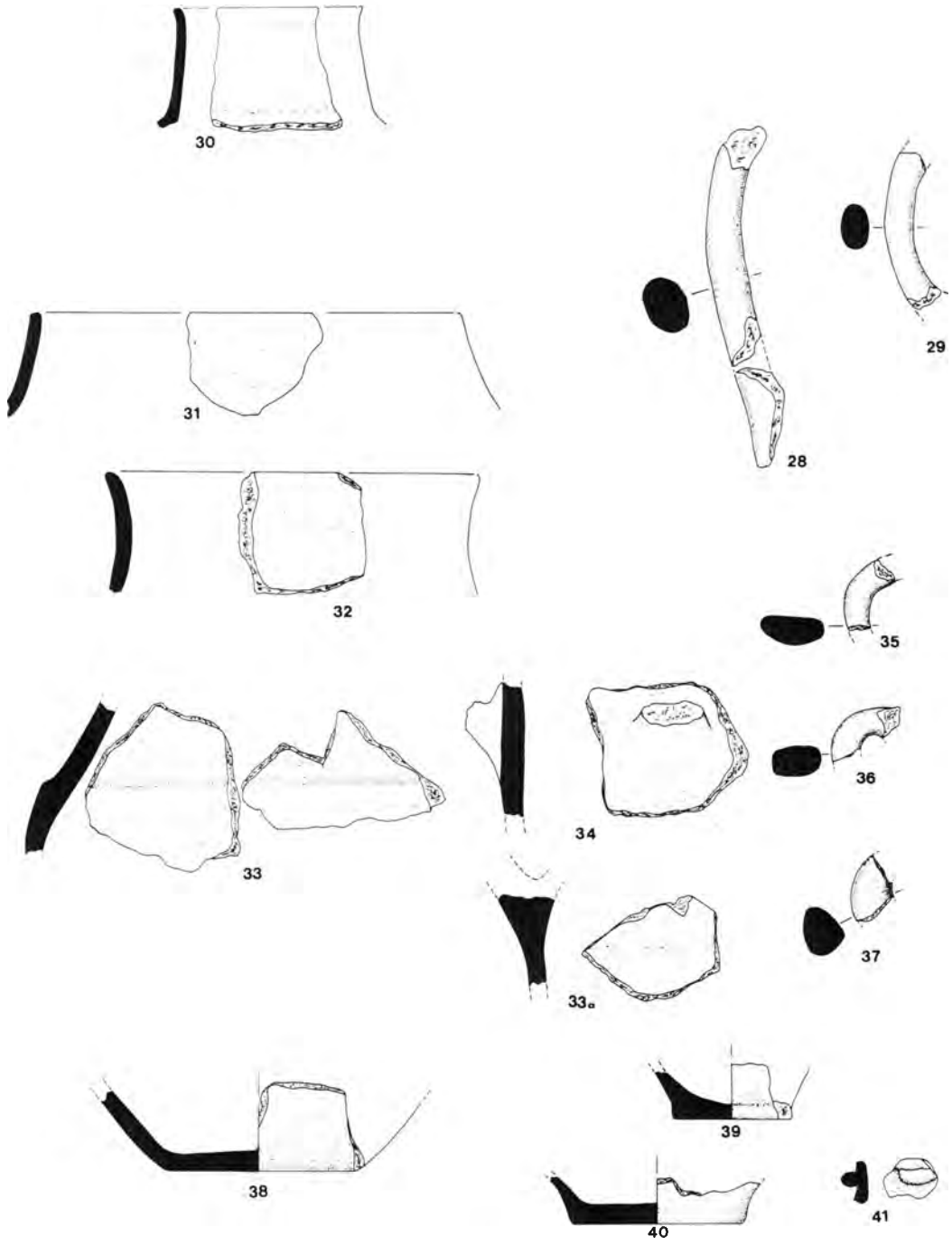

K_{1A}

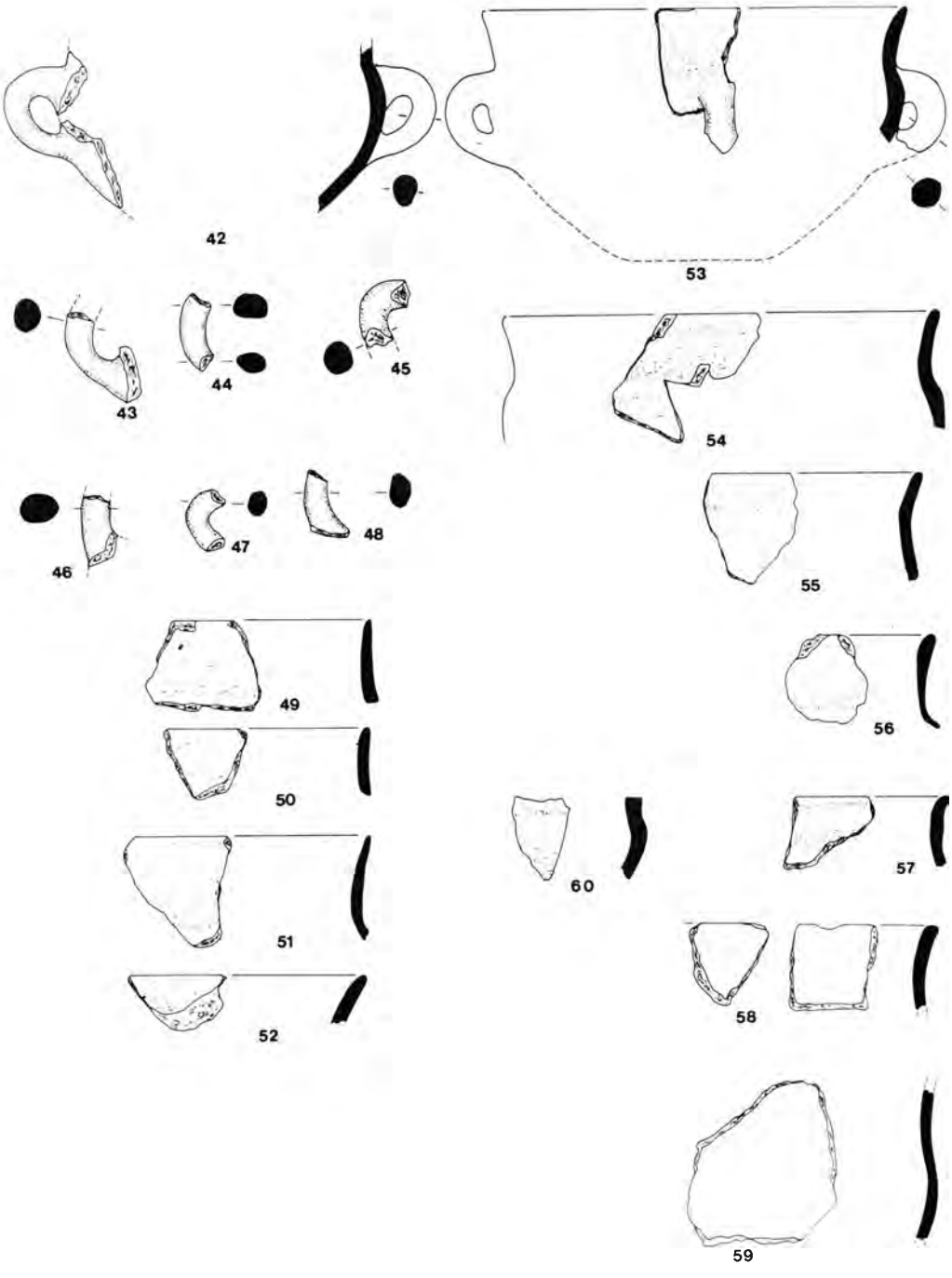

K 1A

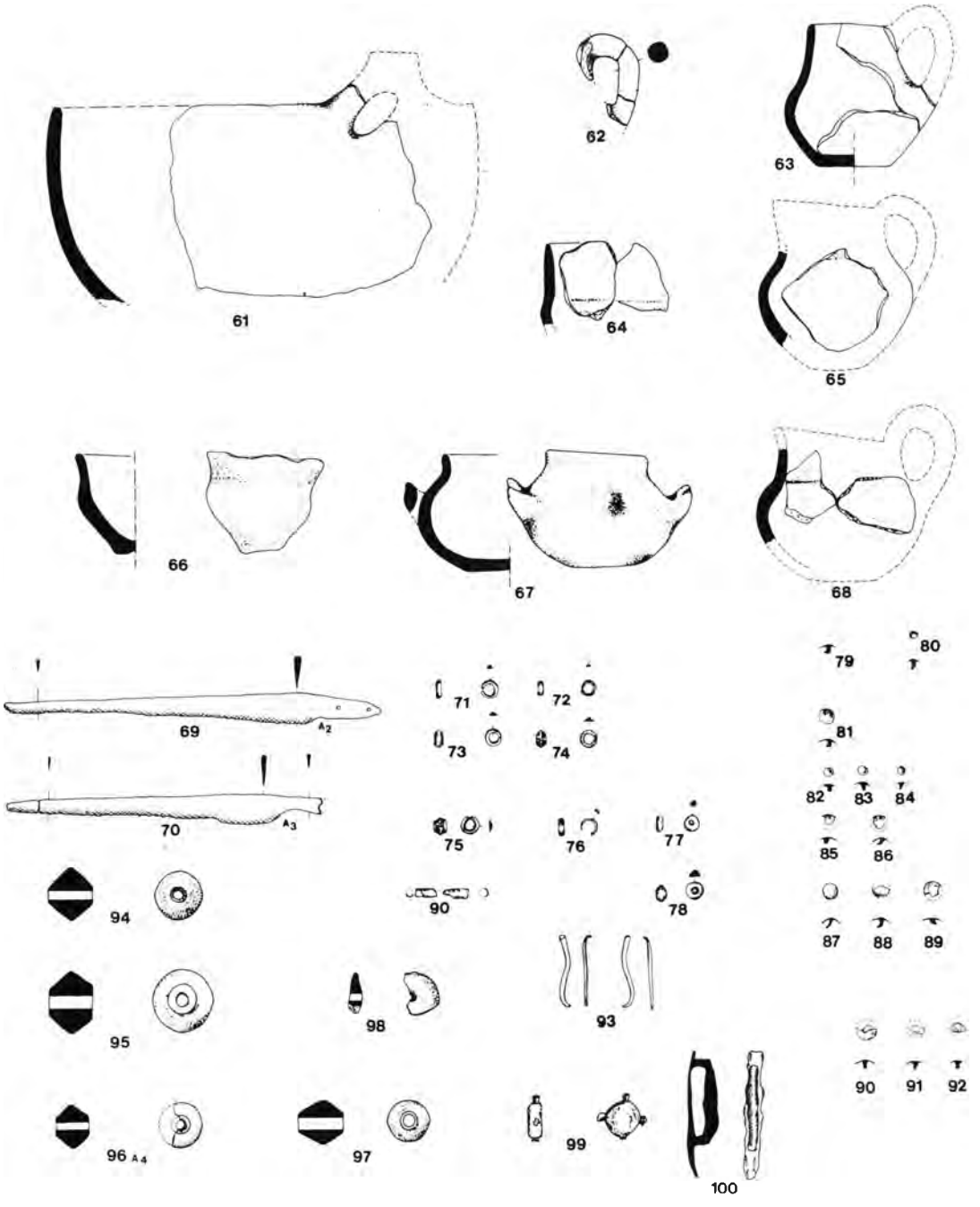
61
62
63
64
65
66
67
68
69
70
71
72
73
74
75
76
77
78
79
80
81
82
83
84
85
86
87
88
89
90
91
92
93
94
95
96
97
98
99
100

$K_{1\,A.B.Γ}$

A

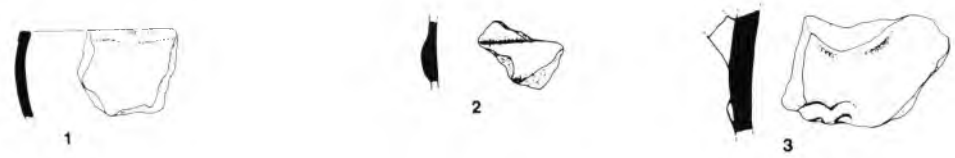

$K_{1\,Γ}$

B

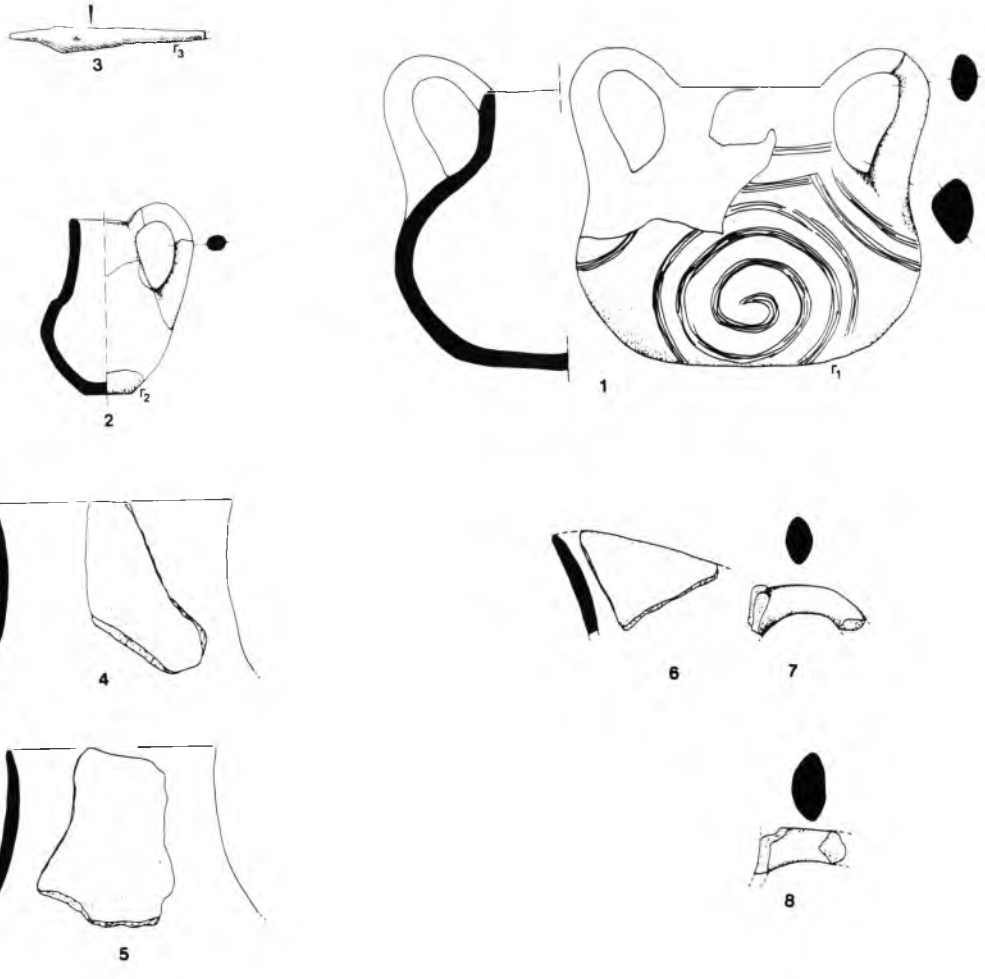

K_1

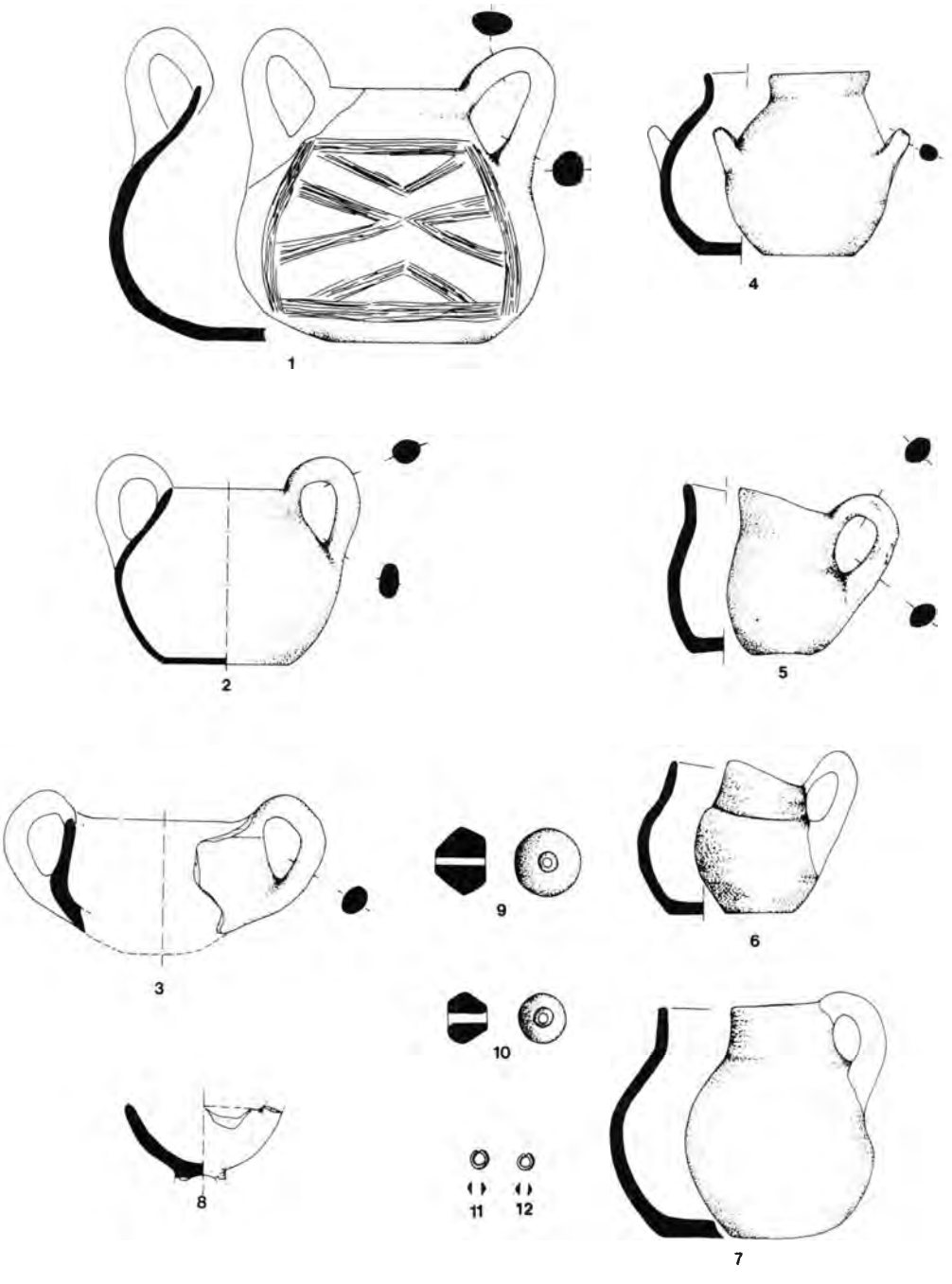

K_1

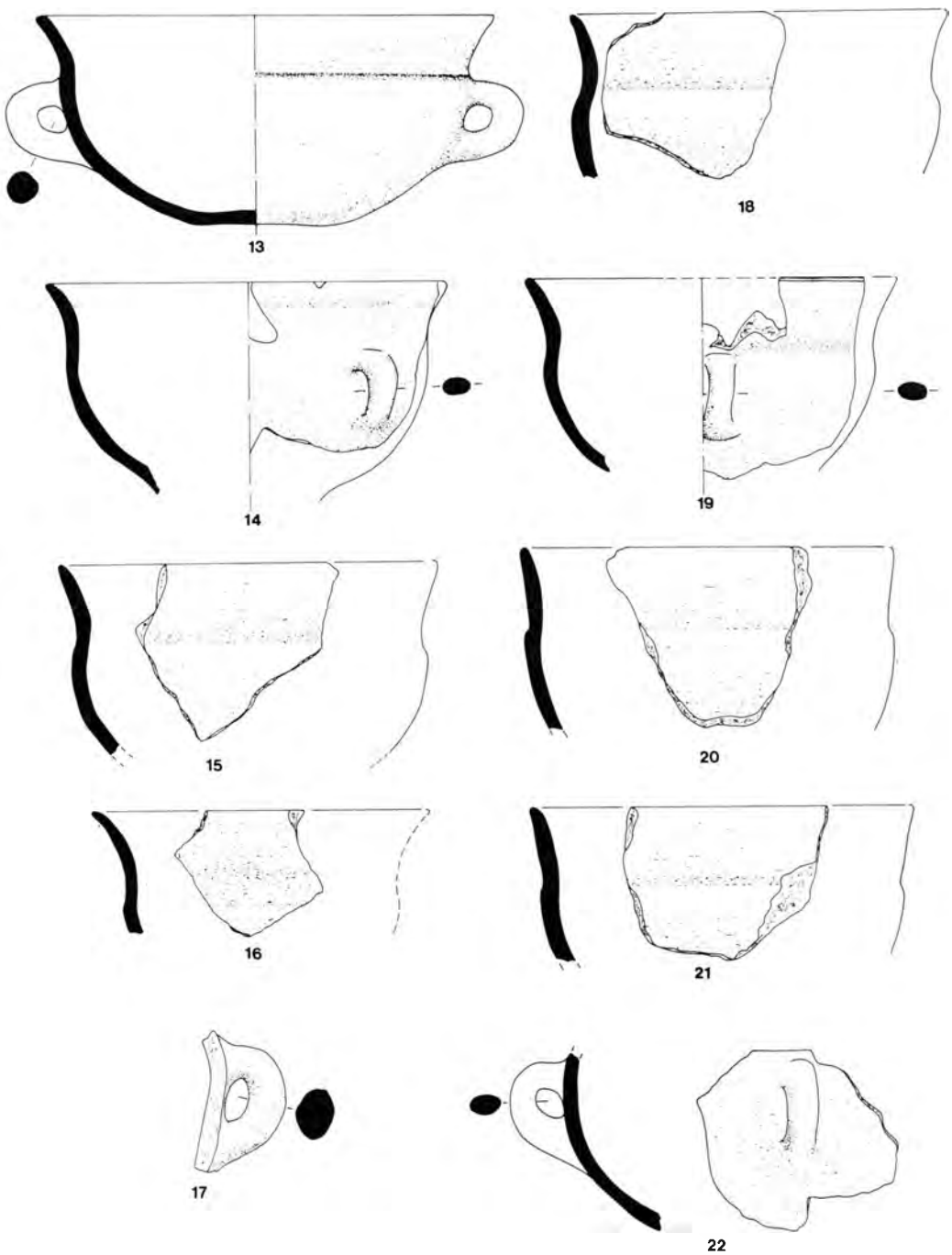

K_1

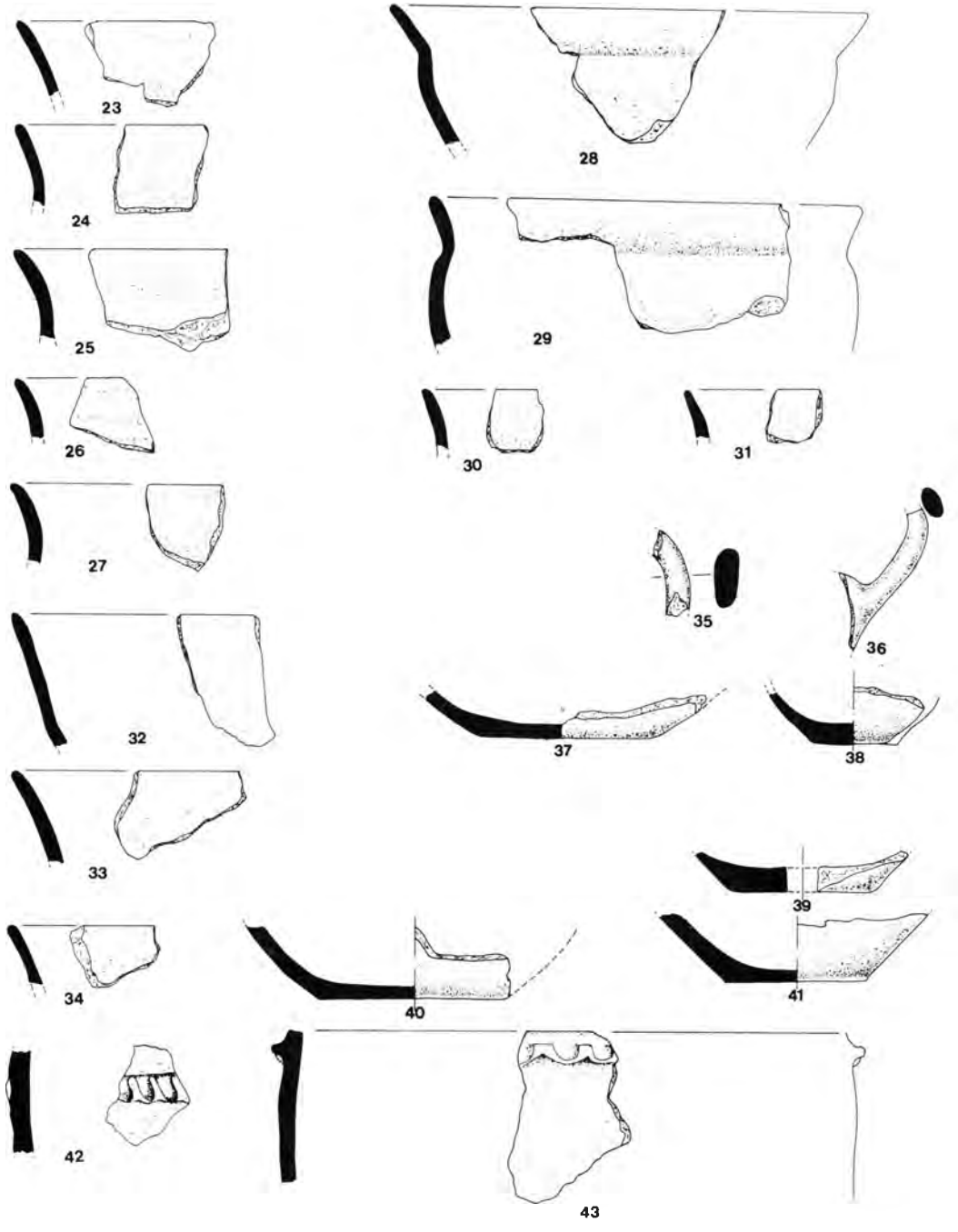

K2A

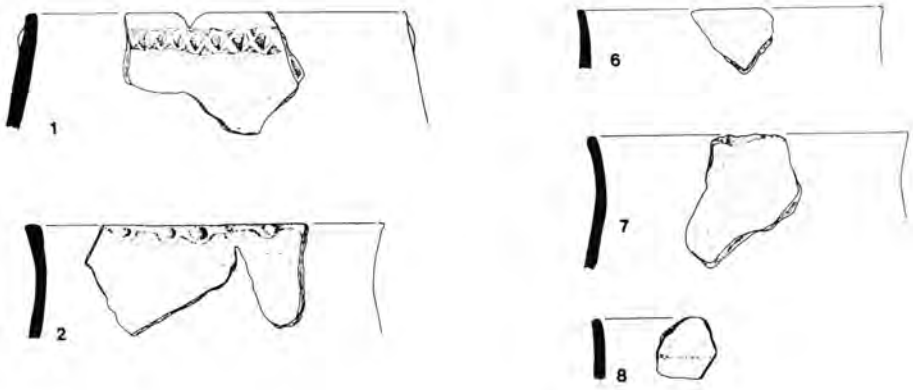

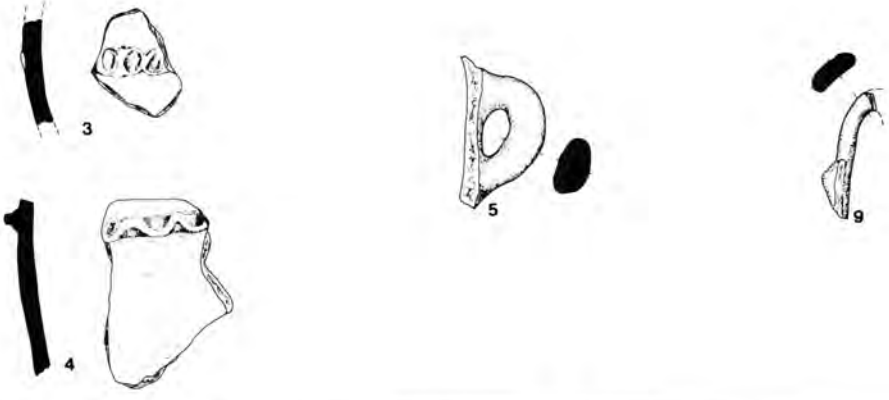

YN

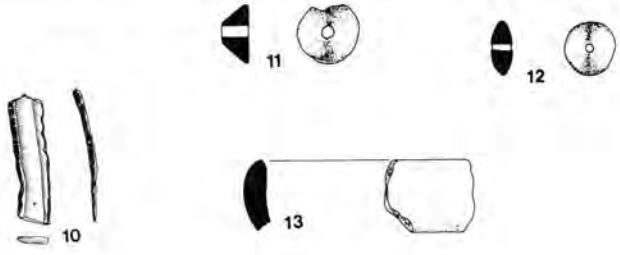

$K_{2B-Γ}$

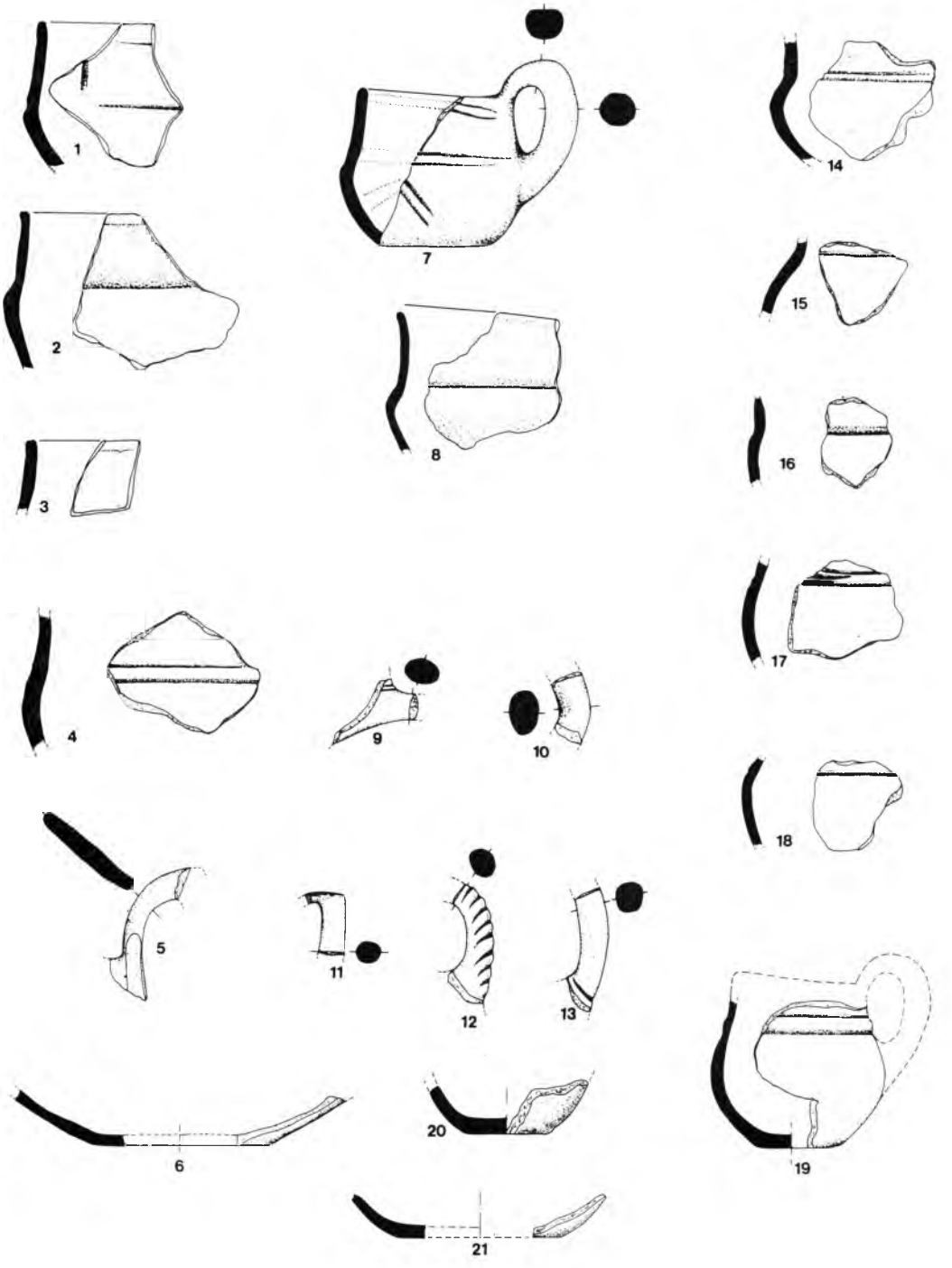

$K_{2B-Γ}$

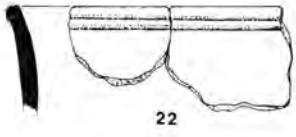
22

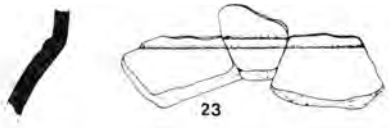
23

24

23.

23.

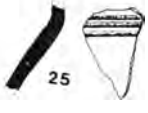
25

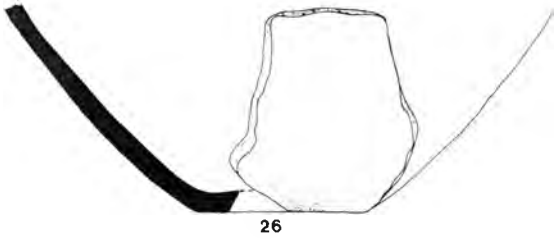
26

$K_{2B-Γ}$

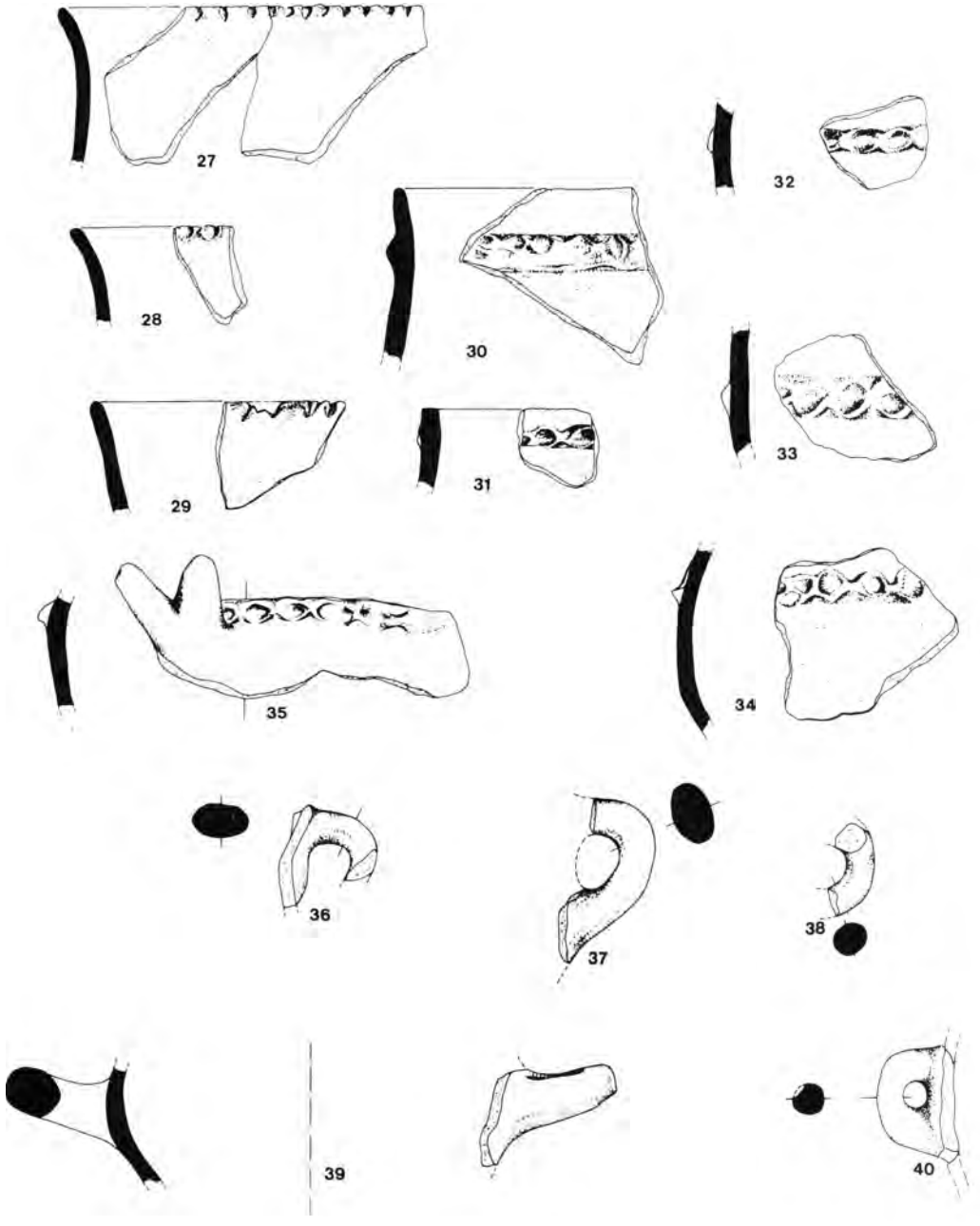

Κ 2Β-Γ

A

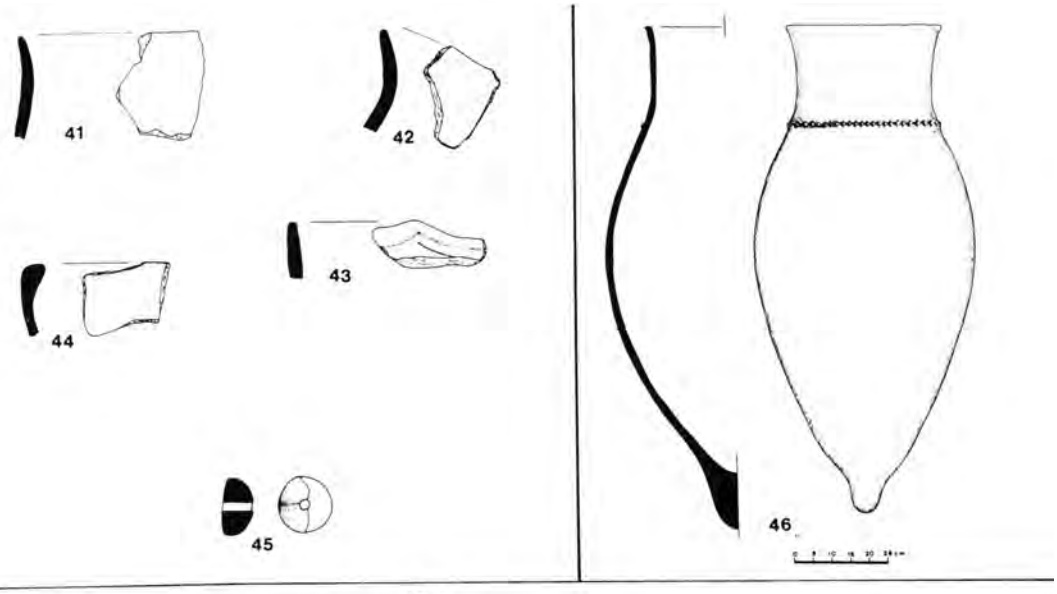

Κ2Ι

B

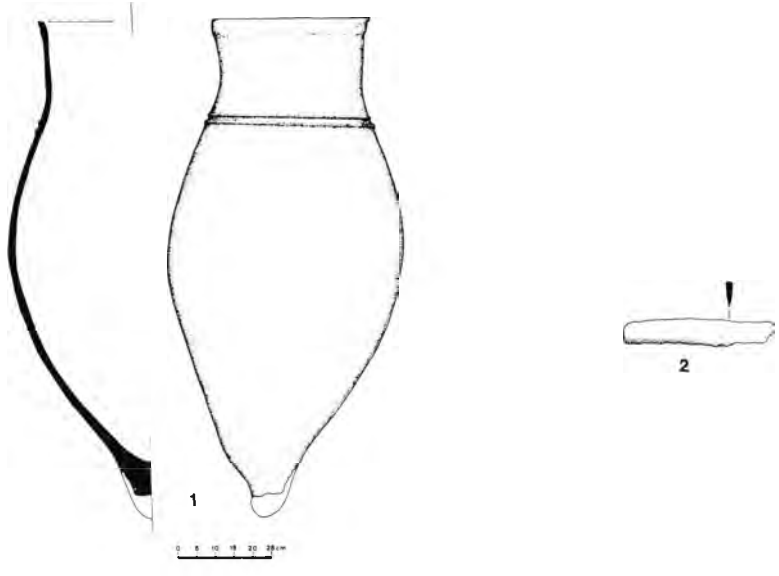

Κ2Δ

A

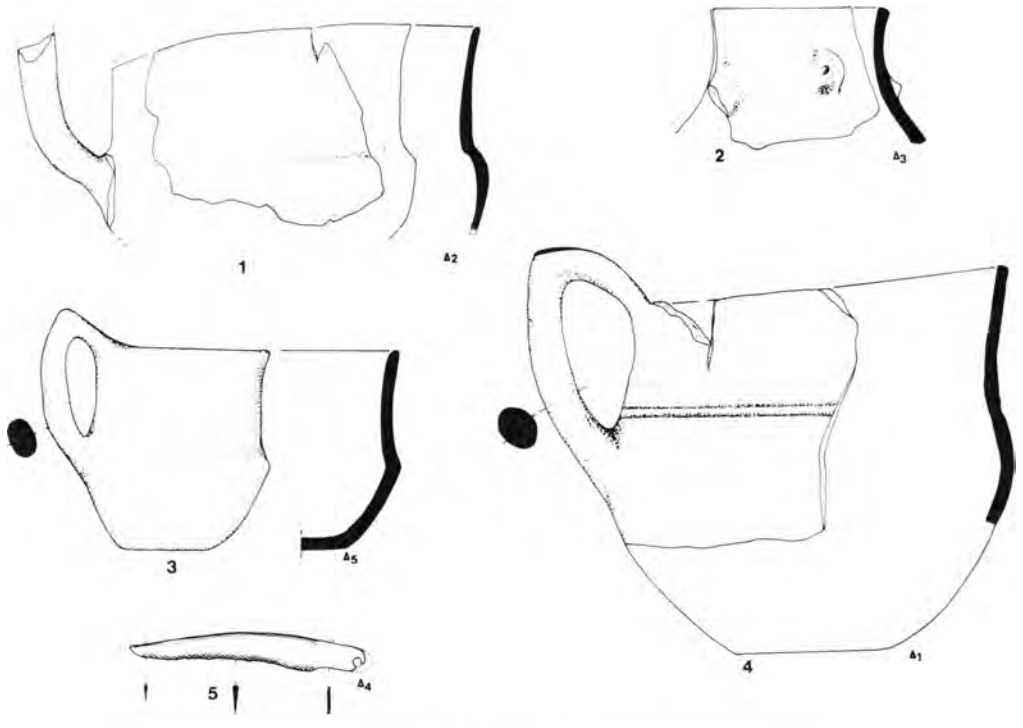

Κ2 ΥΝ

B

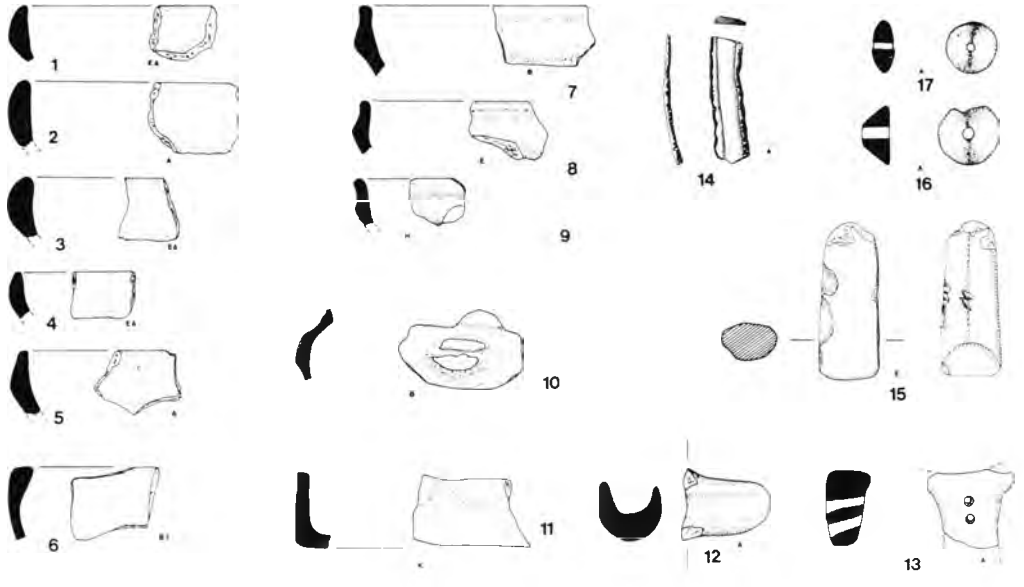

K2E

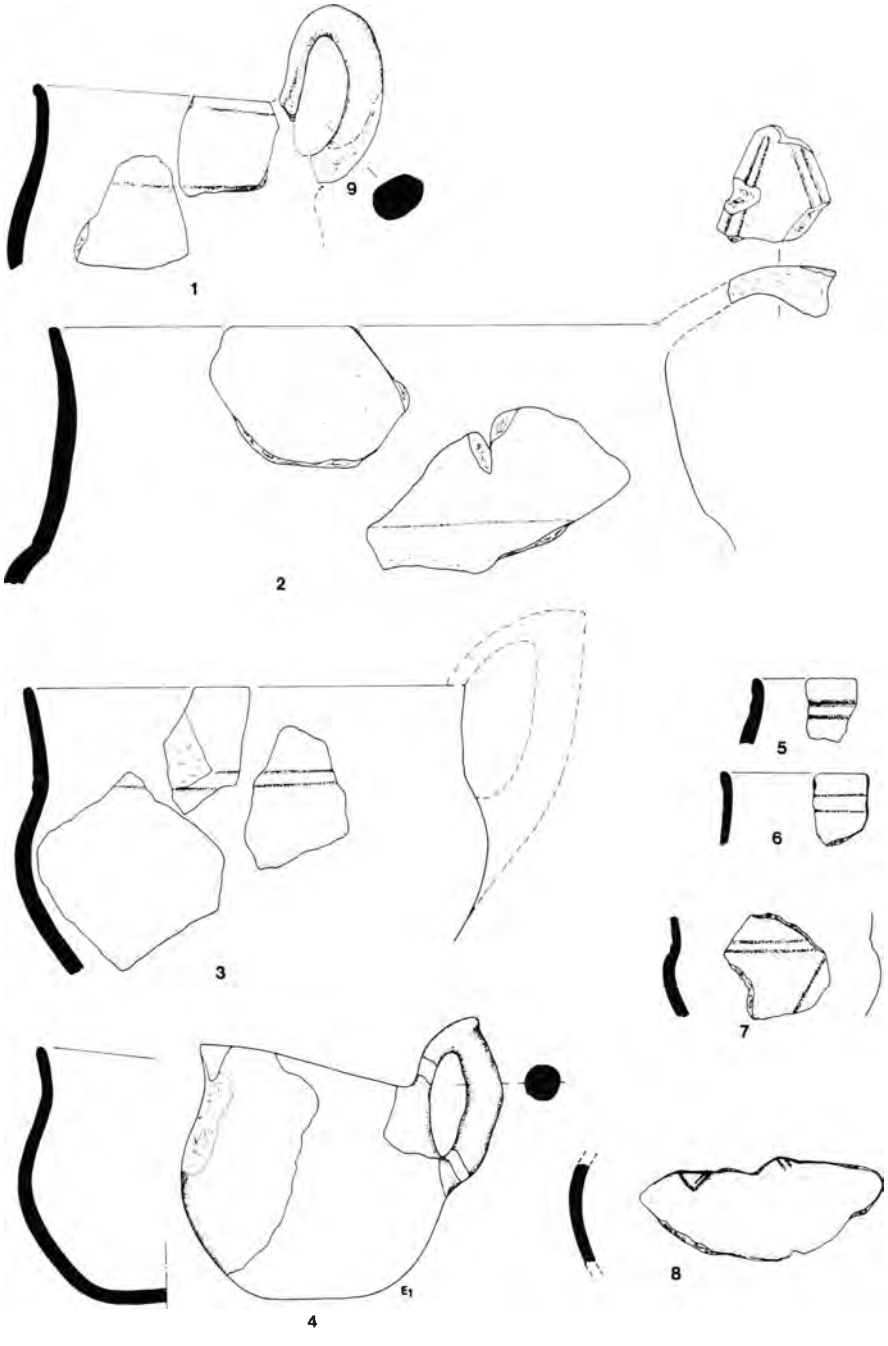

K_{2E}

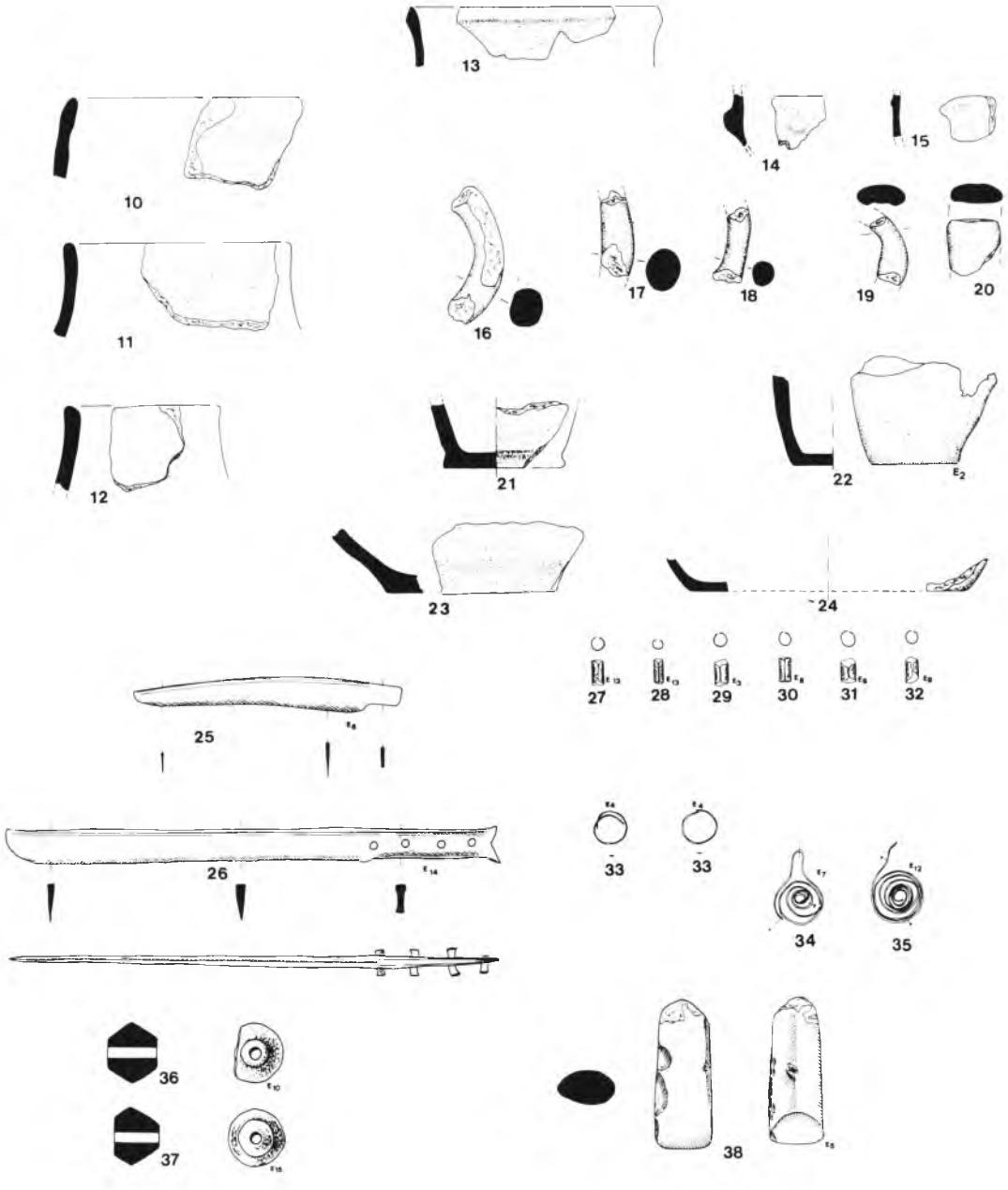
13
10
14
15
16
17
18
19
20
11
21
22
E2
12
23
24
27
28
29
30
31
32
25
26
33
33
34
35
36
37
38

Κ2ΣΤΙ

A

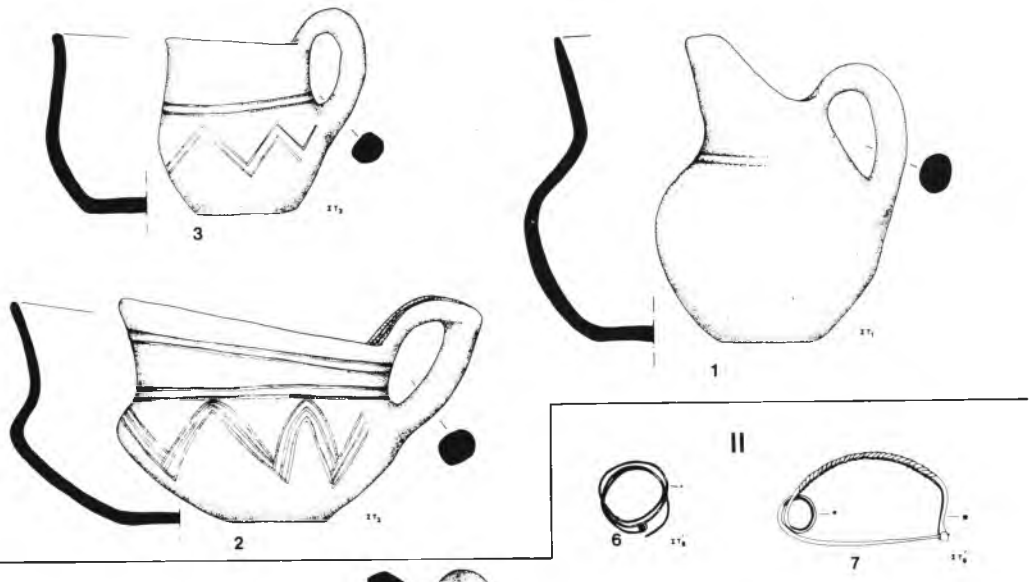

B

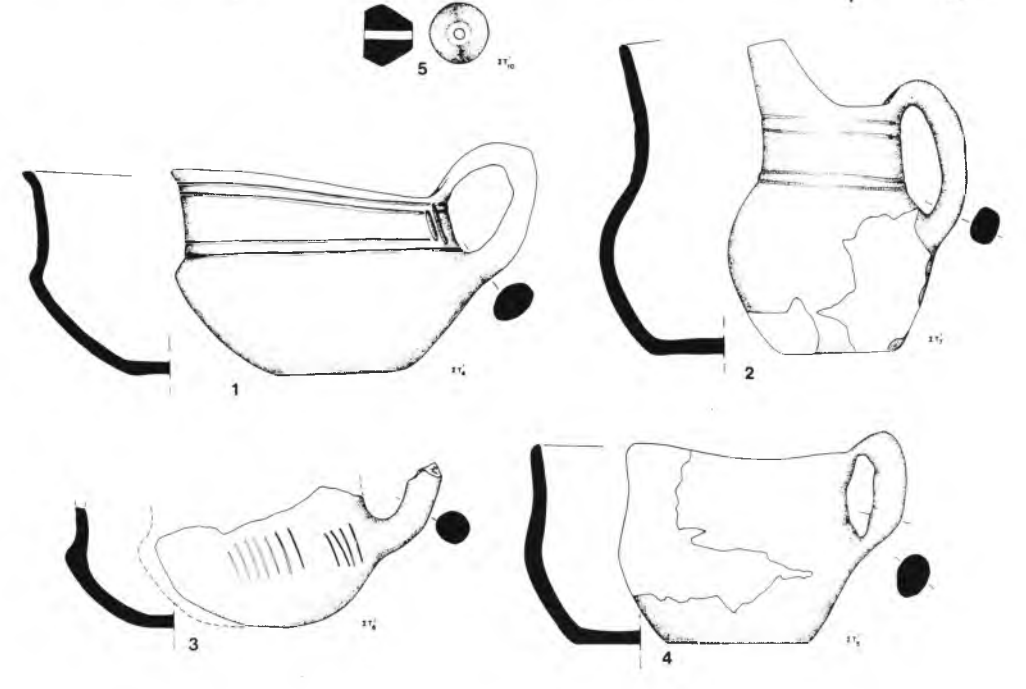

K_{2Z}

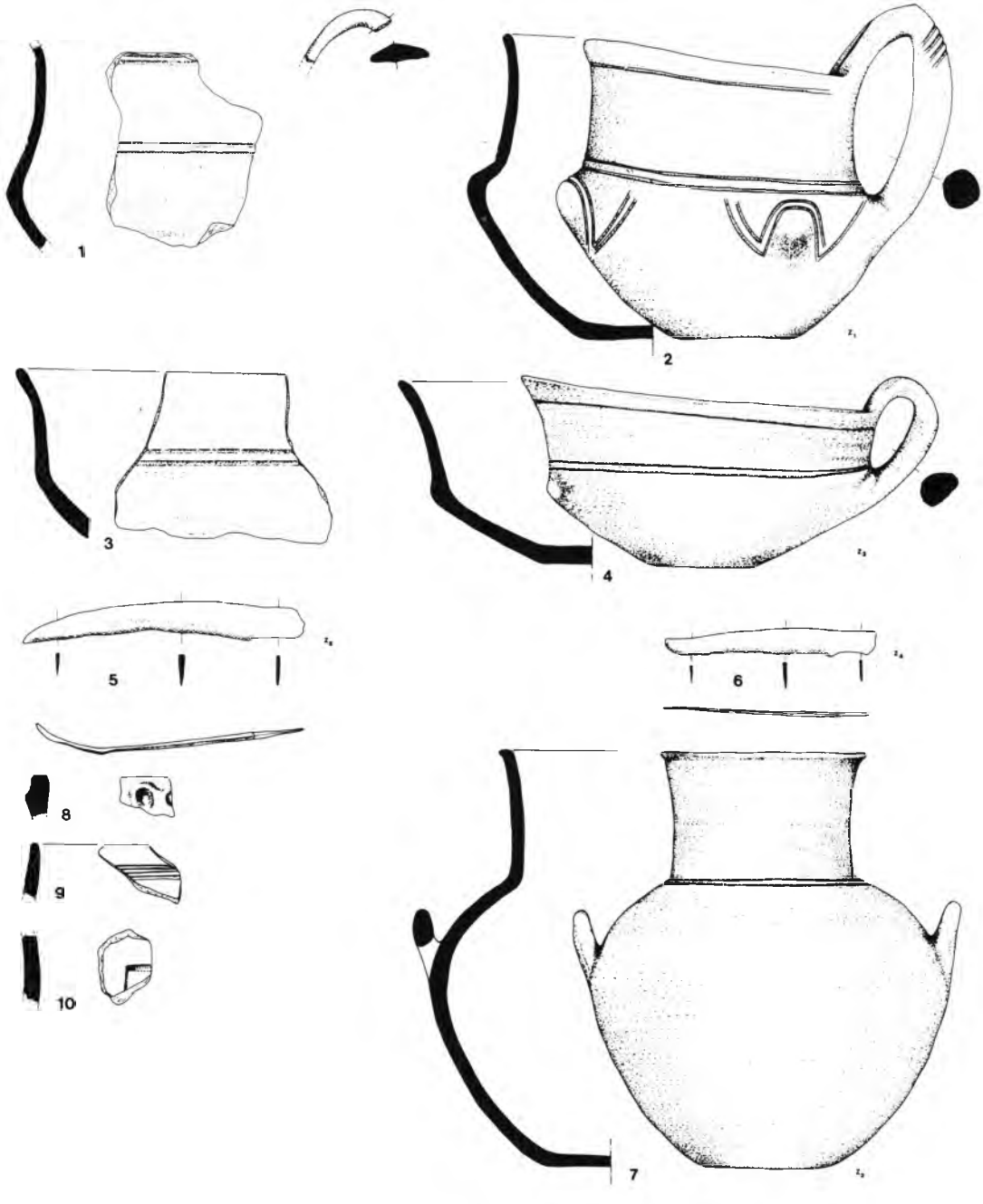

K_{2H}

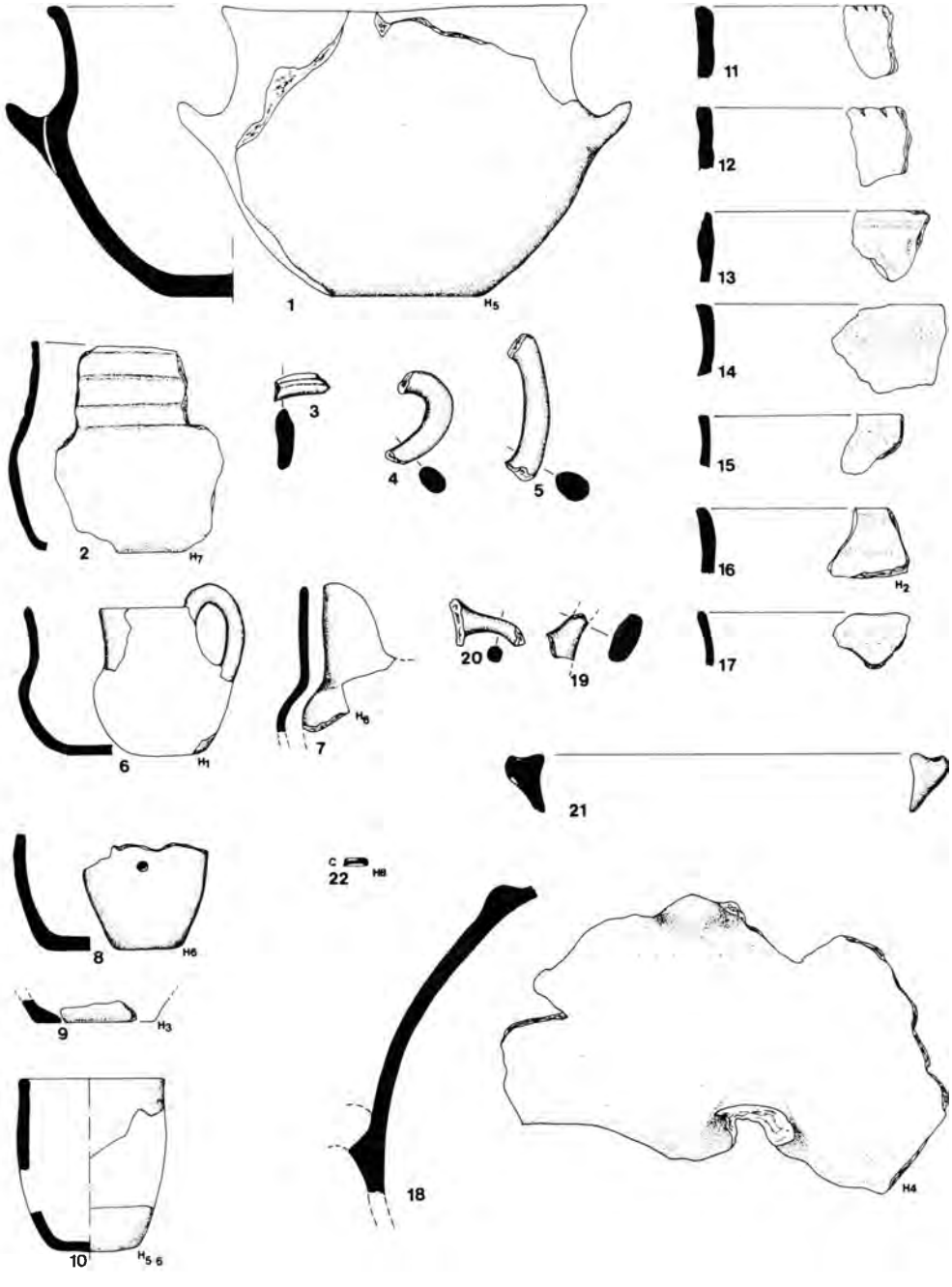
1
H5
2
H7
3
4
5
6
H1
7
H6
8
H6
9
H3
10
H5-6
11
12
13
14
15
16
H2
17
18
H4
19
20
21
C
22
H8

Κ2Θ

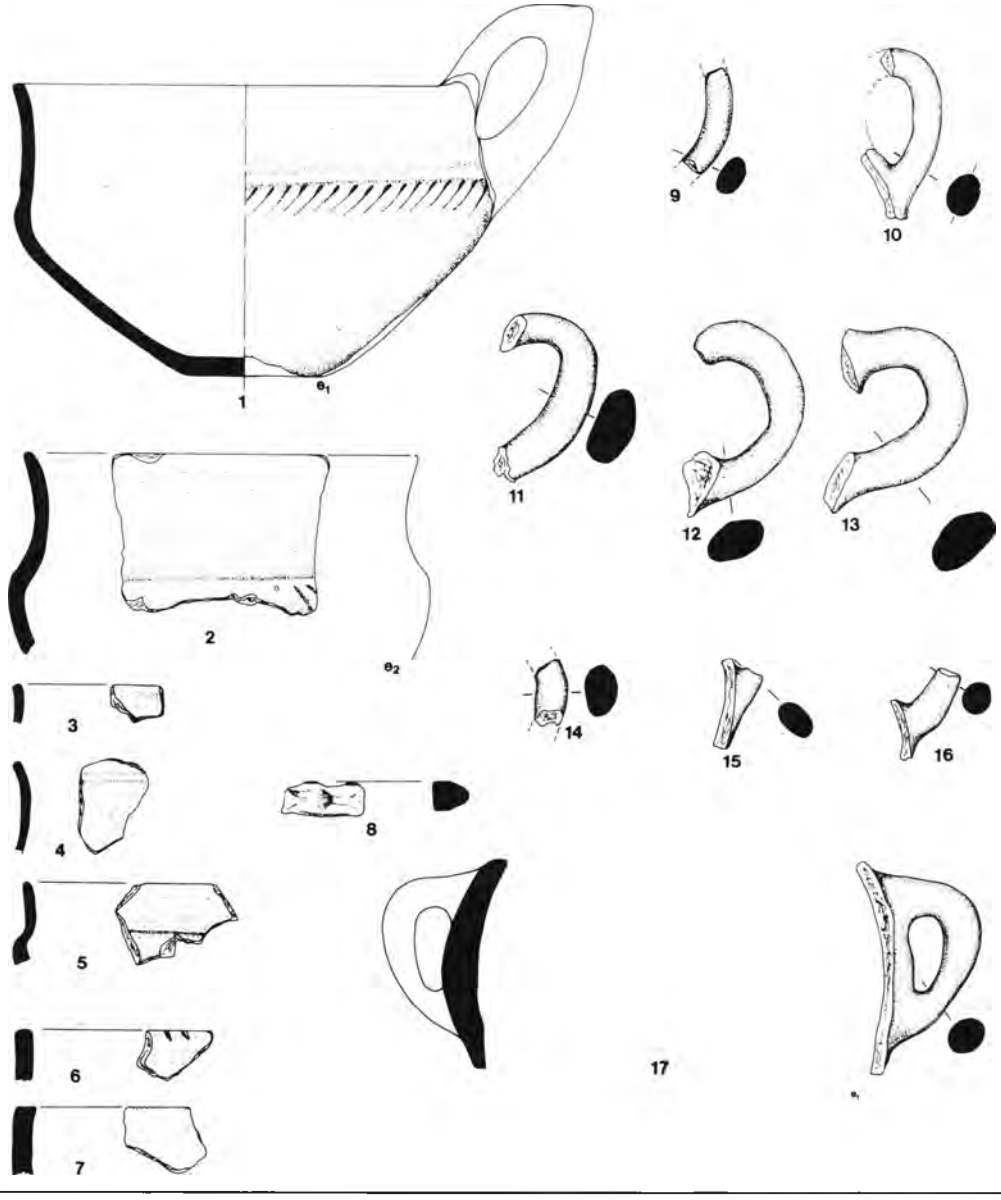

YN

K_{3B}

K_{3AI}

A

Γ'

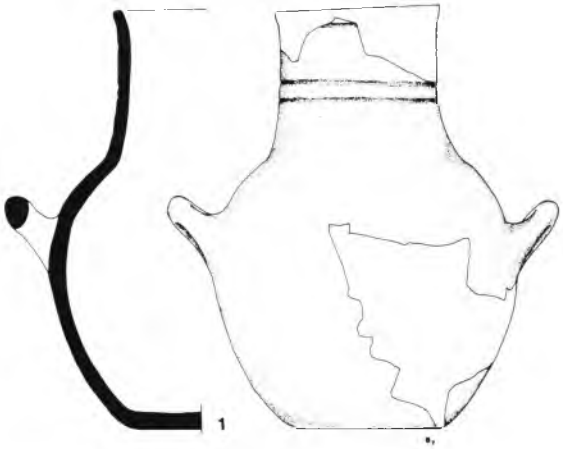

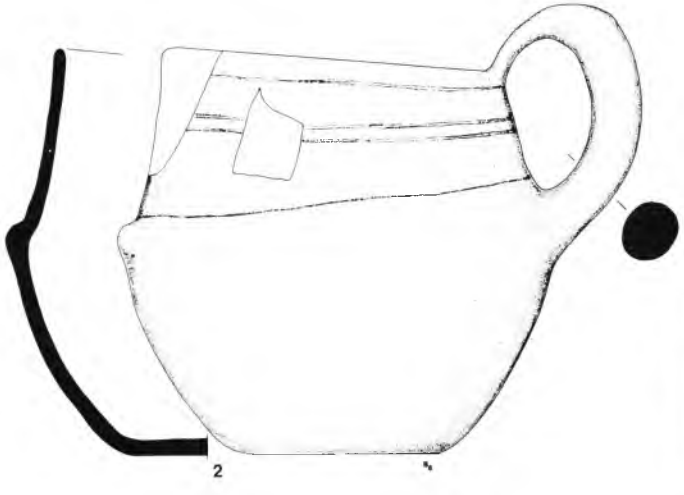

B

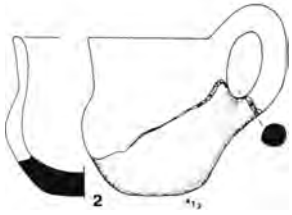

K_3A_{II}

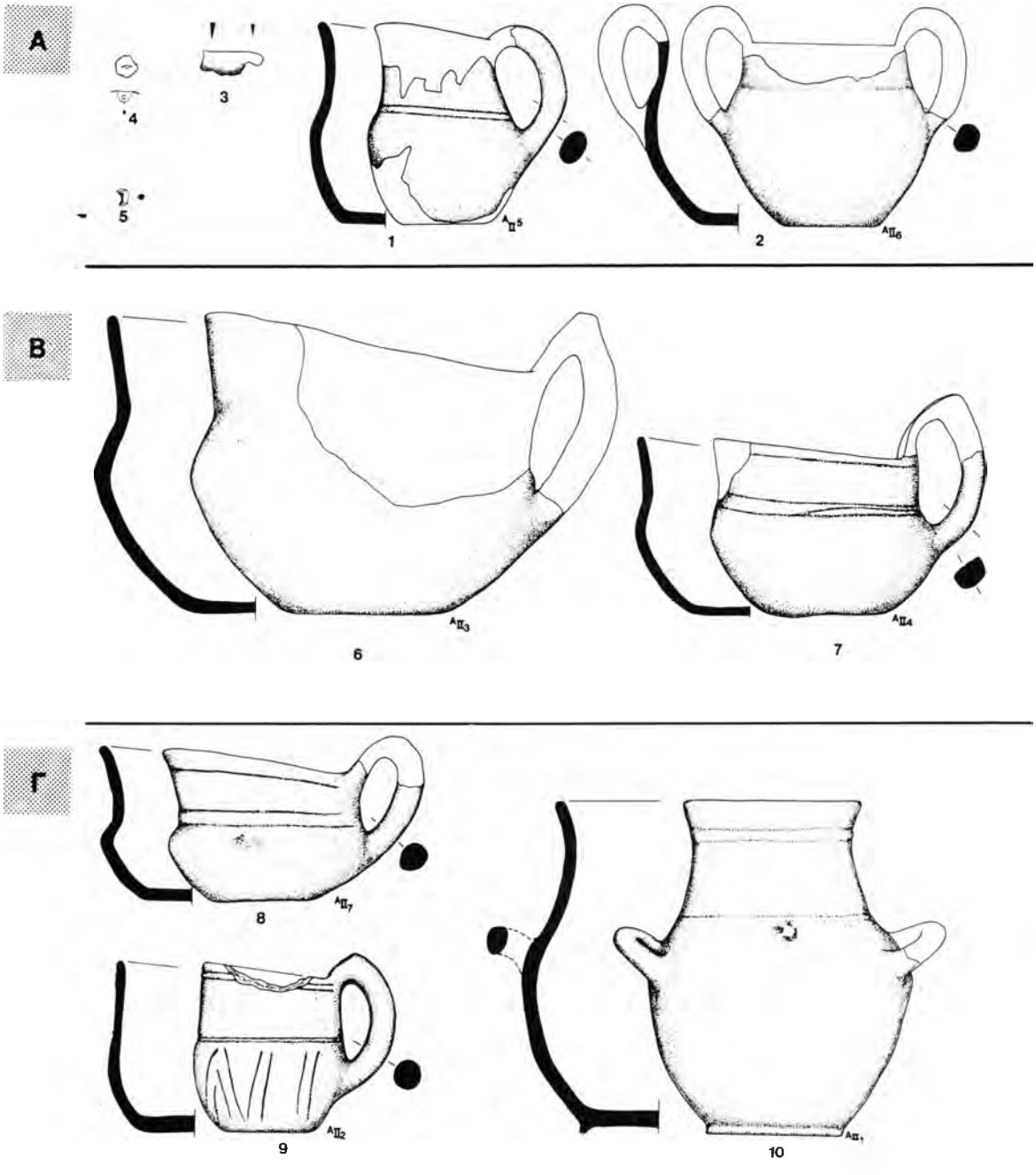

K_{3B}

A

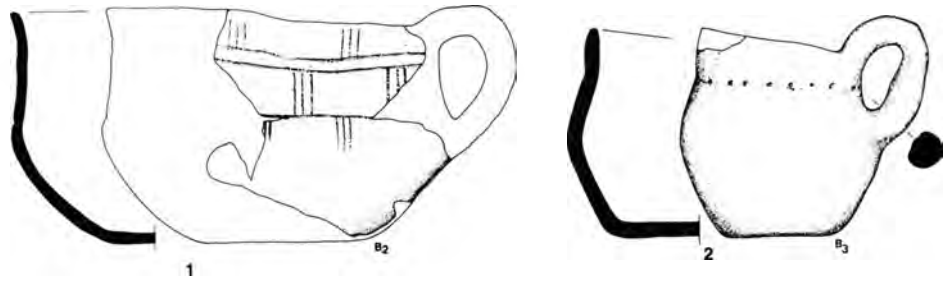

B

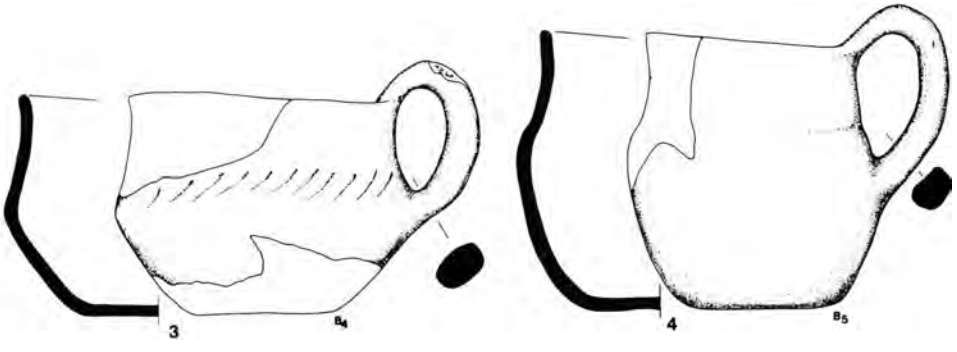

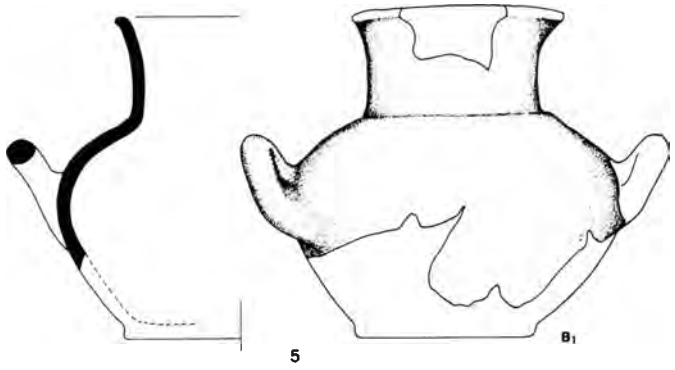

Κ3ΑΕΠ

A

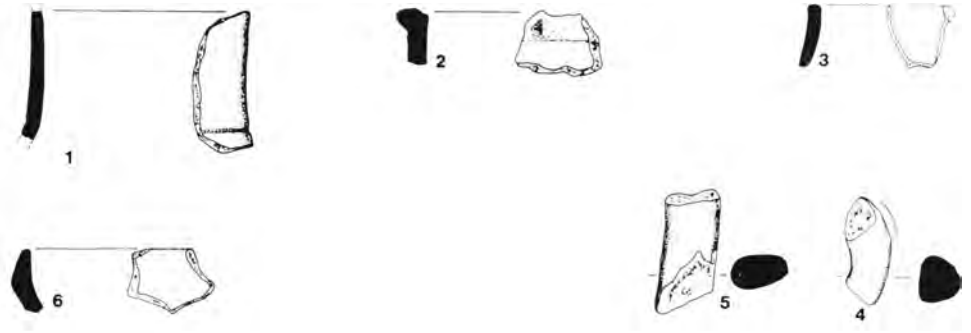

Κ3ΒΕΠ

B

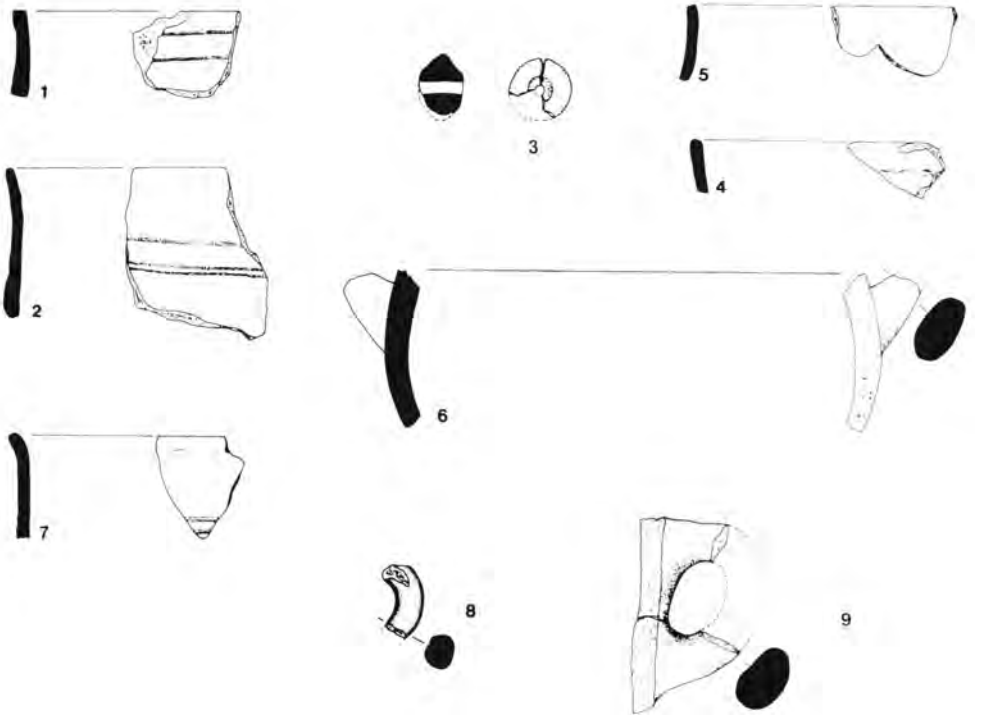

K 4A

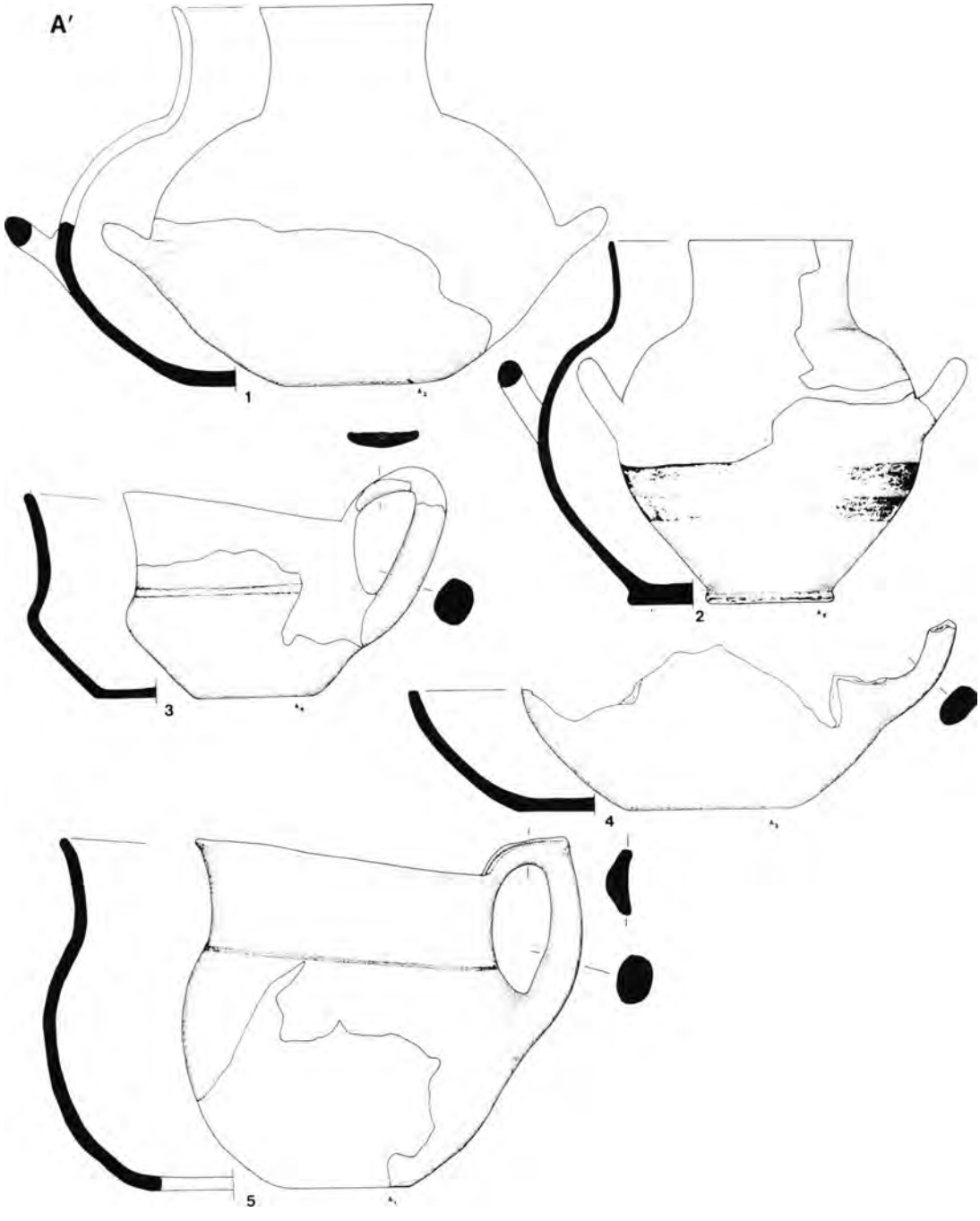

Κ4Α

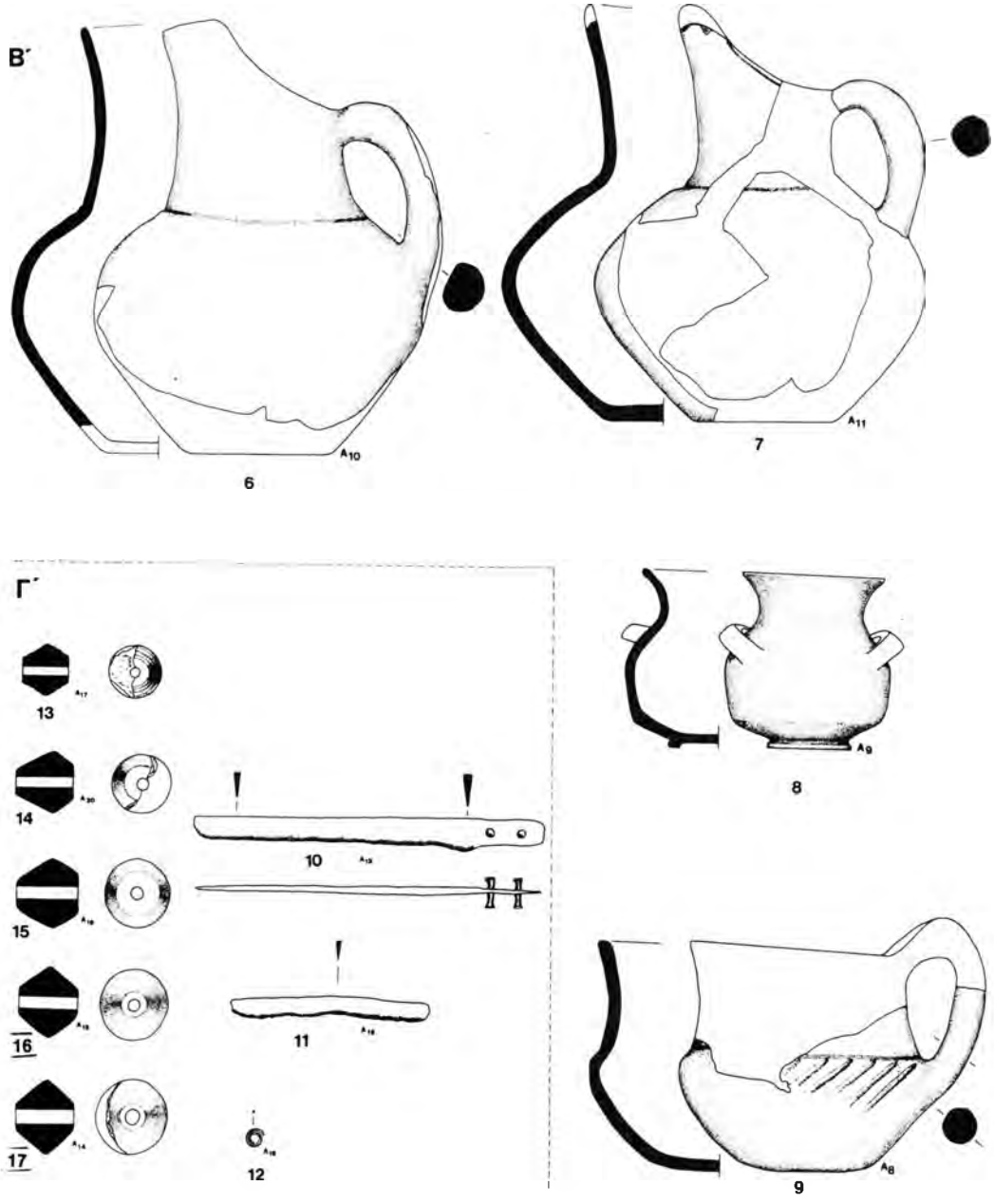

K_{4A}

Δ′

A

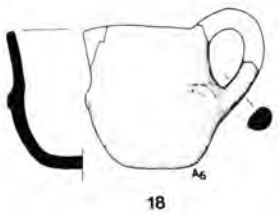

18

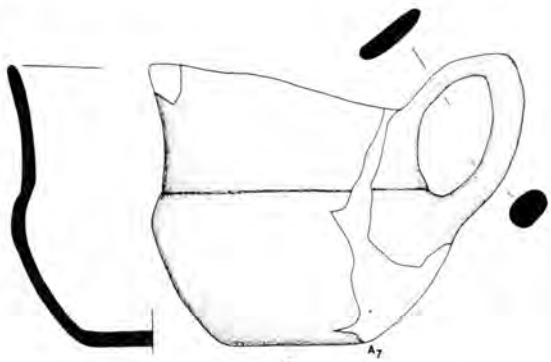

19

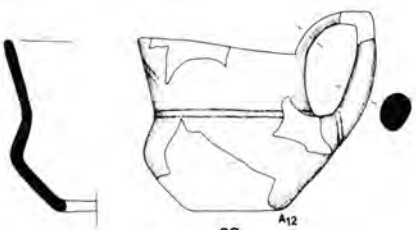

20

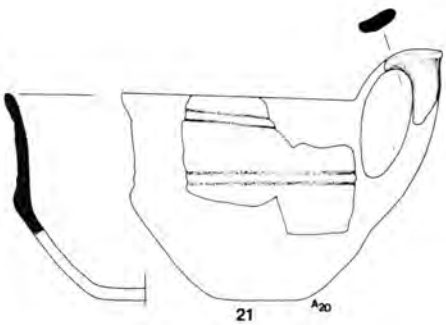

21

$K_{4A\ \text{Επ}}$

B

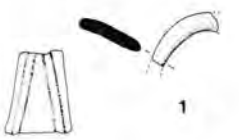

1

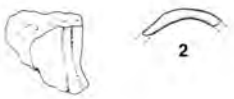

2

3

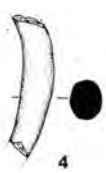

4

5

Κ4Α$_{ΕΠ}$

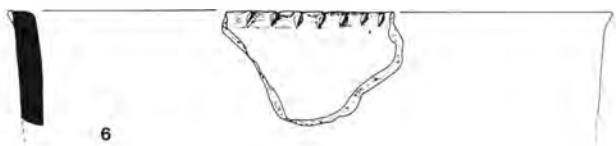

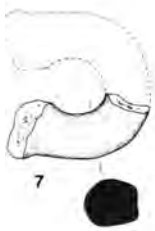

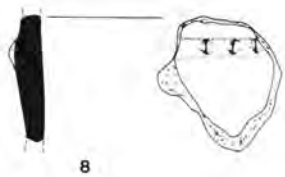

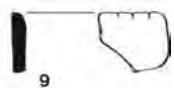

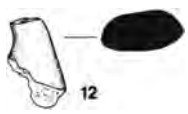

ΥΝ

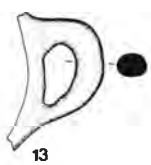

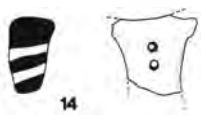

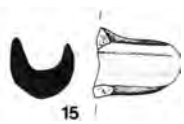

K4AΑΠ

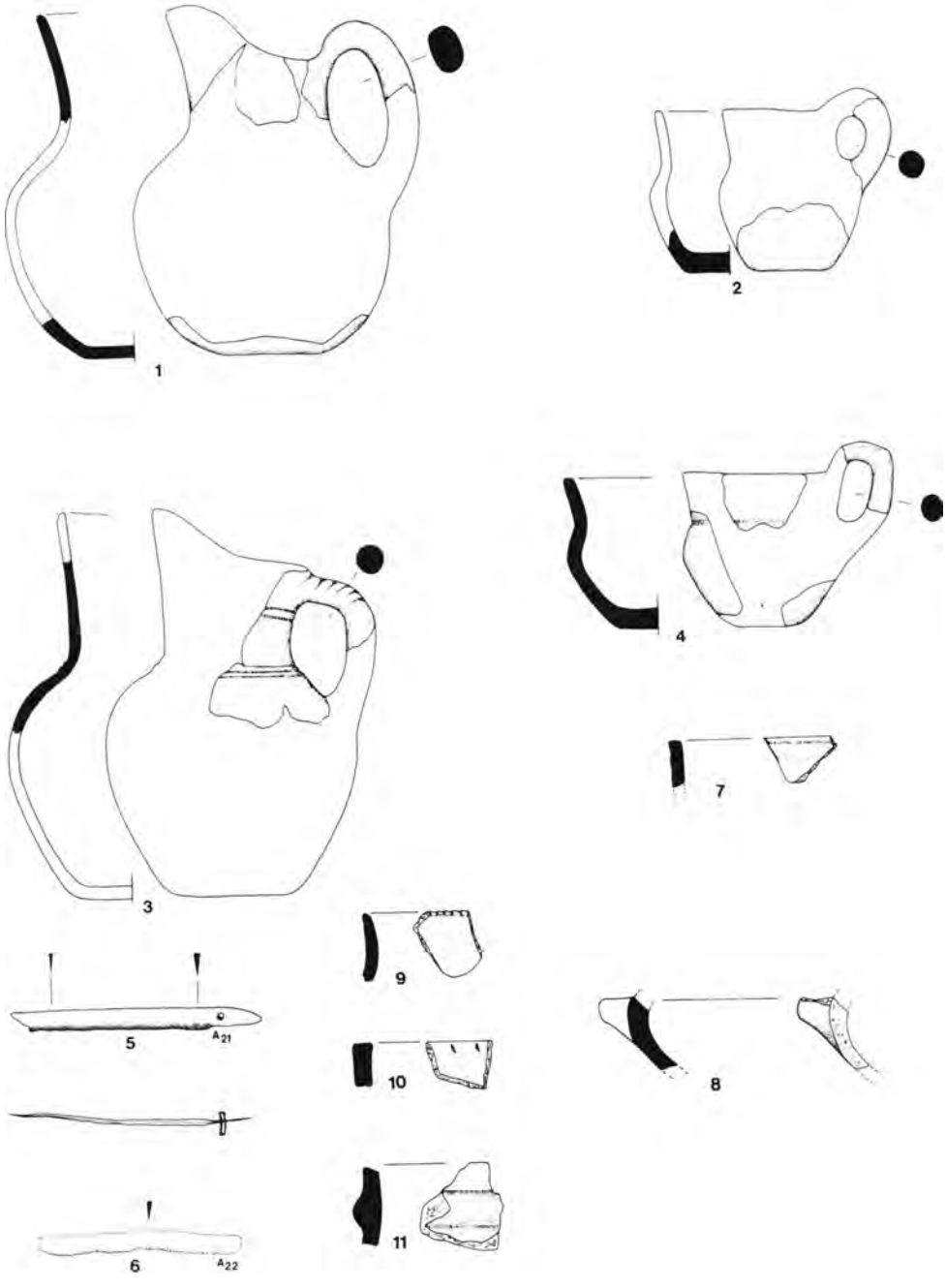

K_{4B}

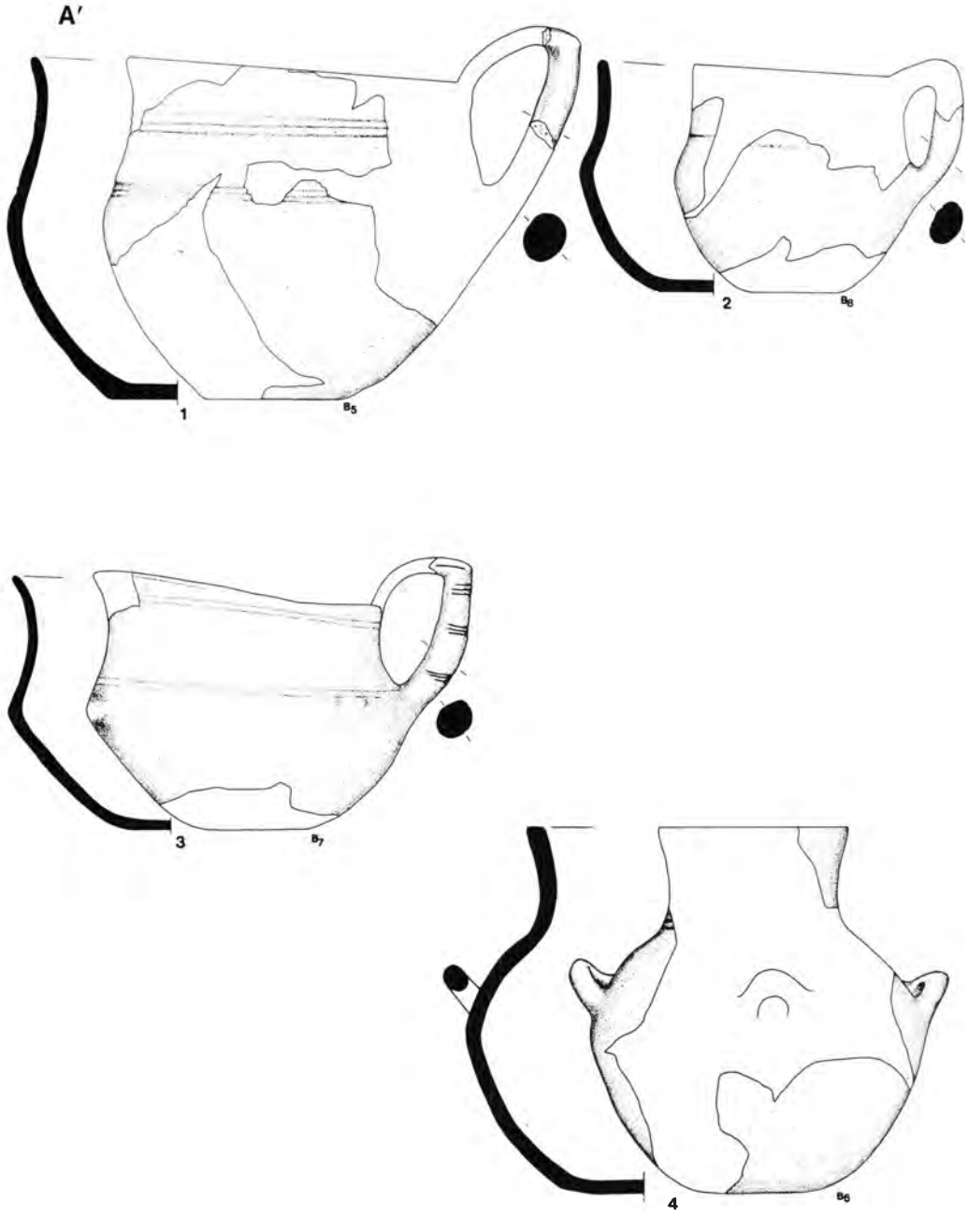

K4BI

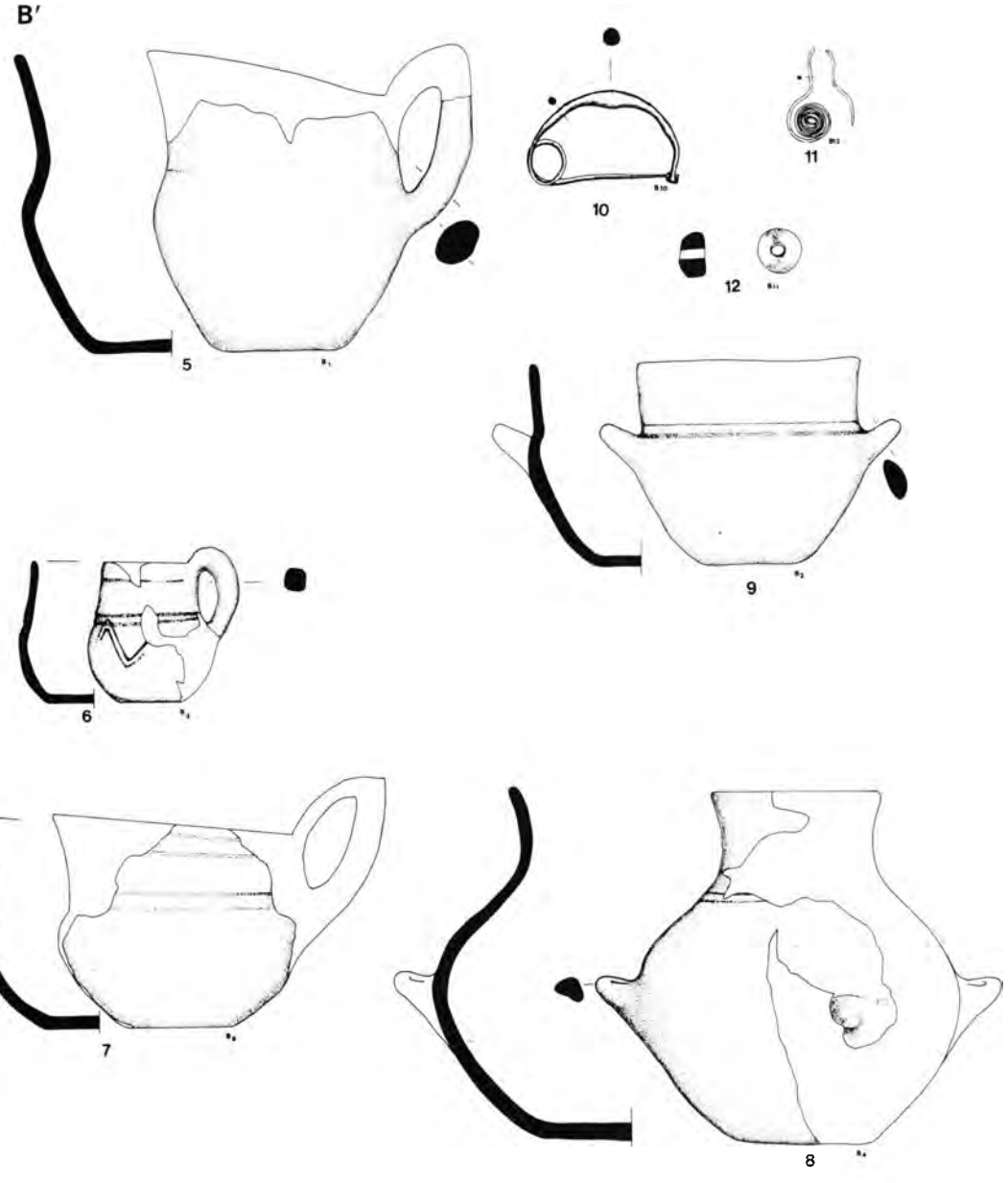

K5A

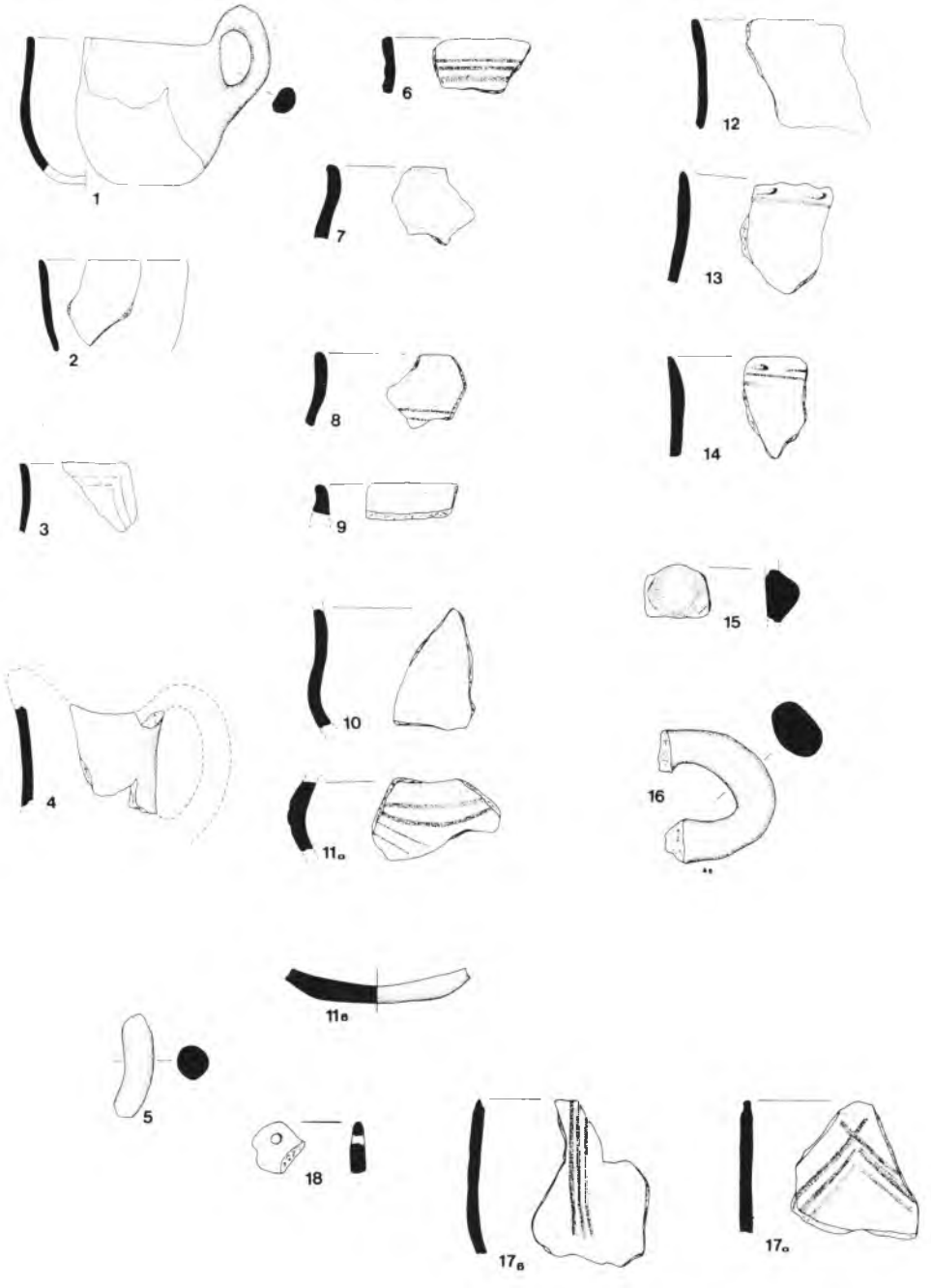

K_{5B_I}

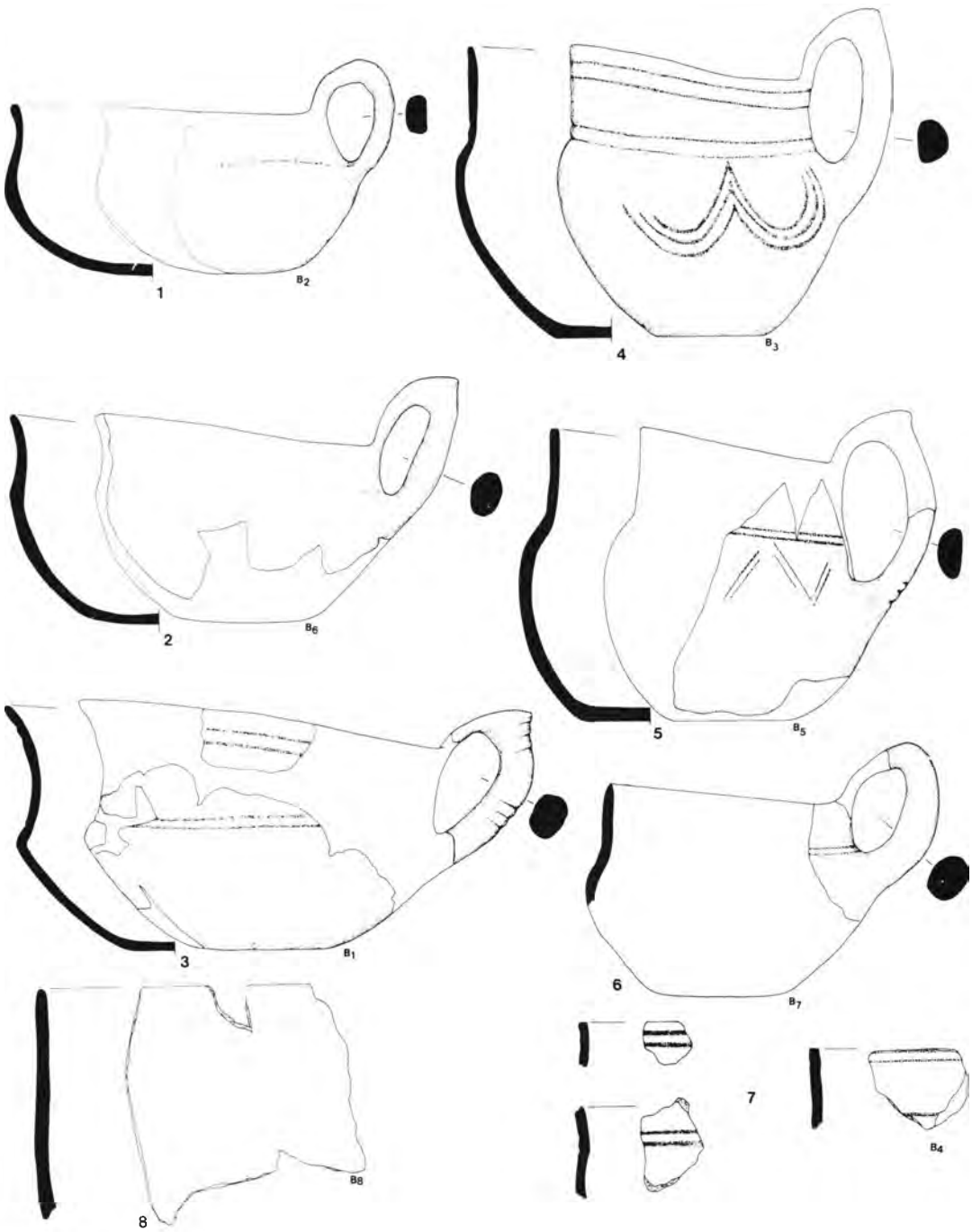

K_{5BII}

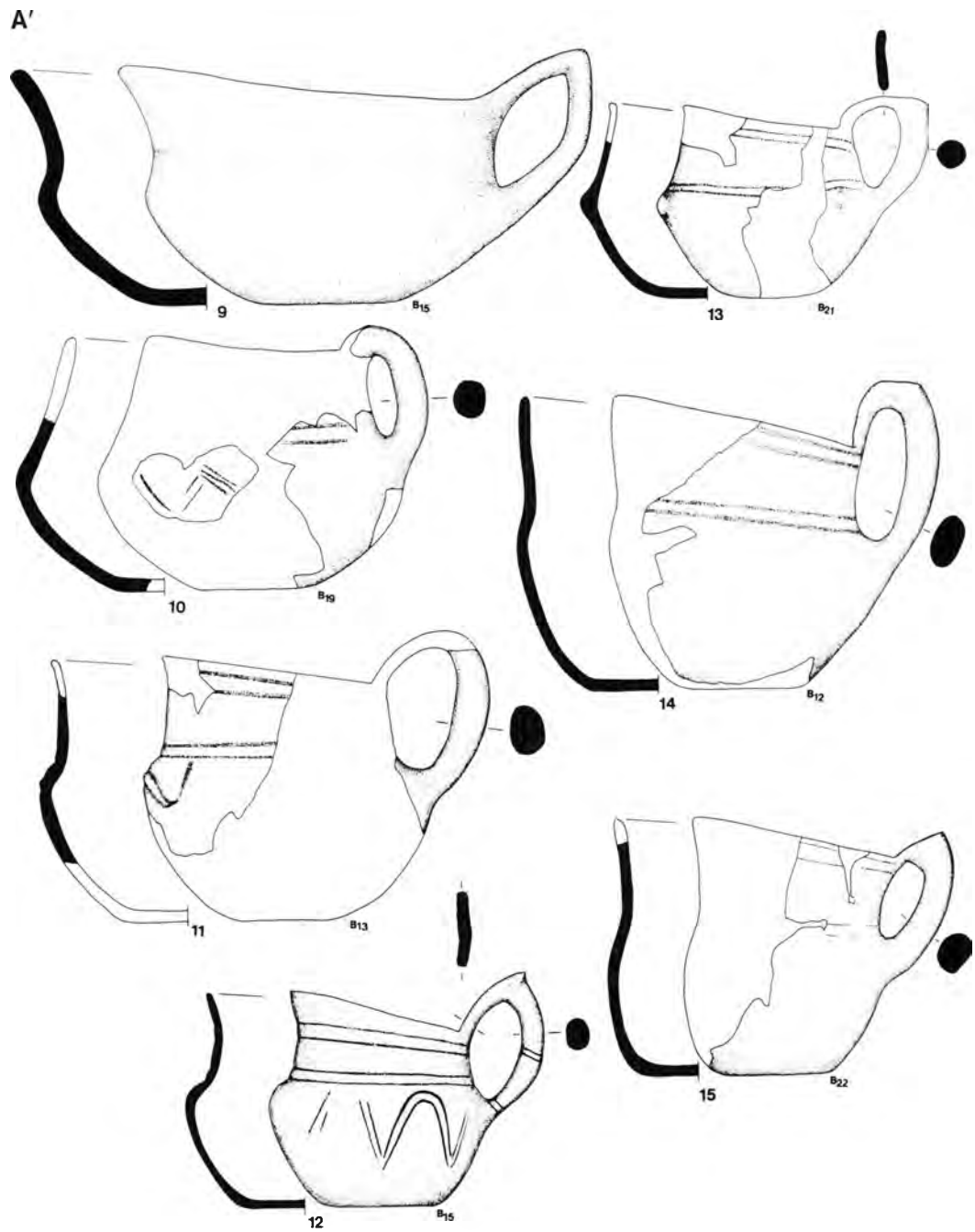

$K_{5B_{II}}$

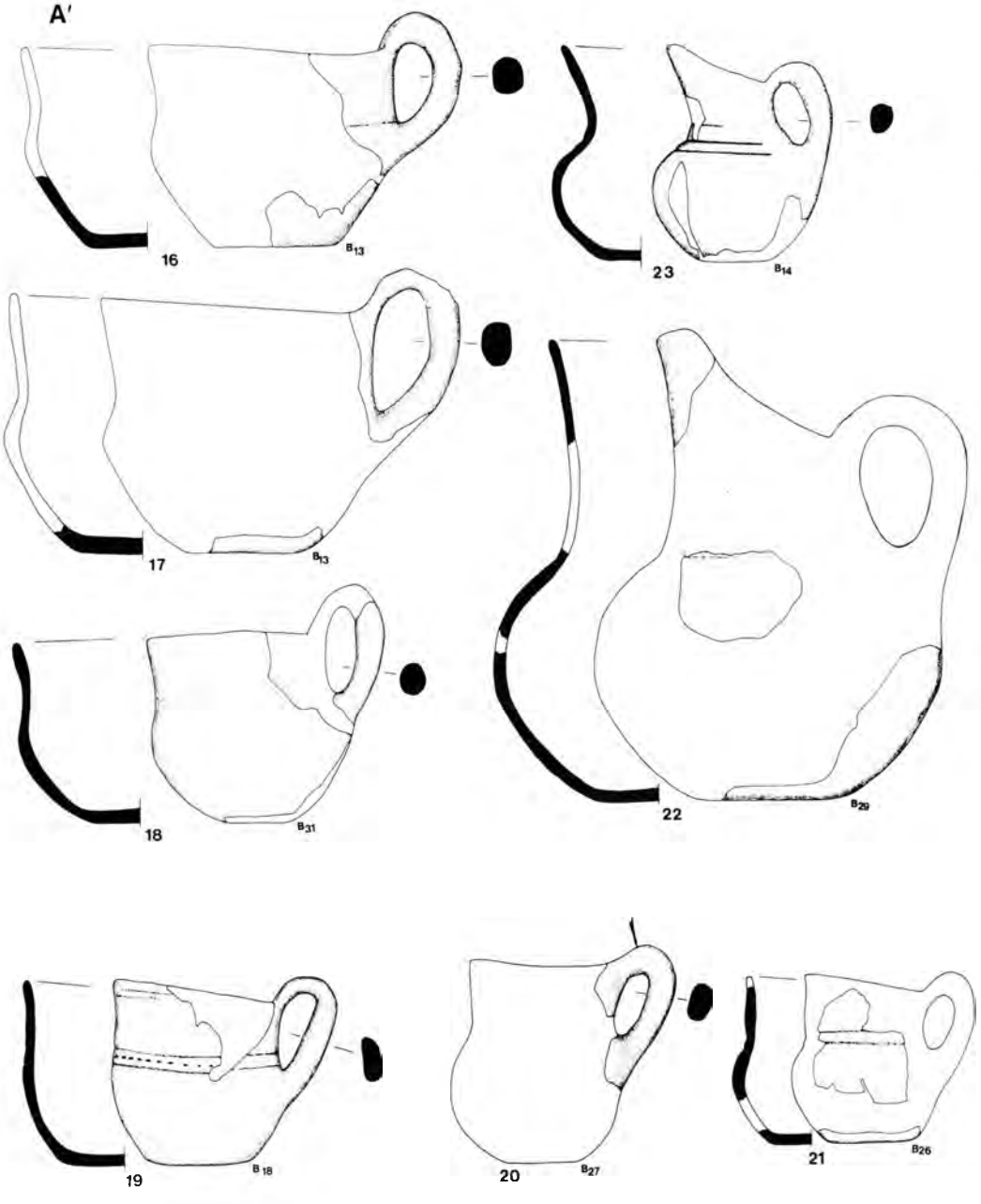

K5BII

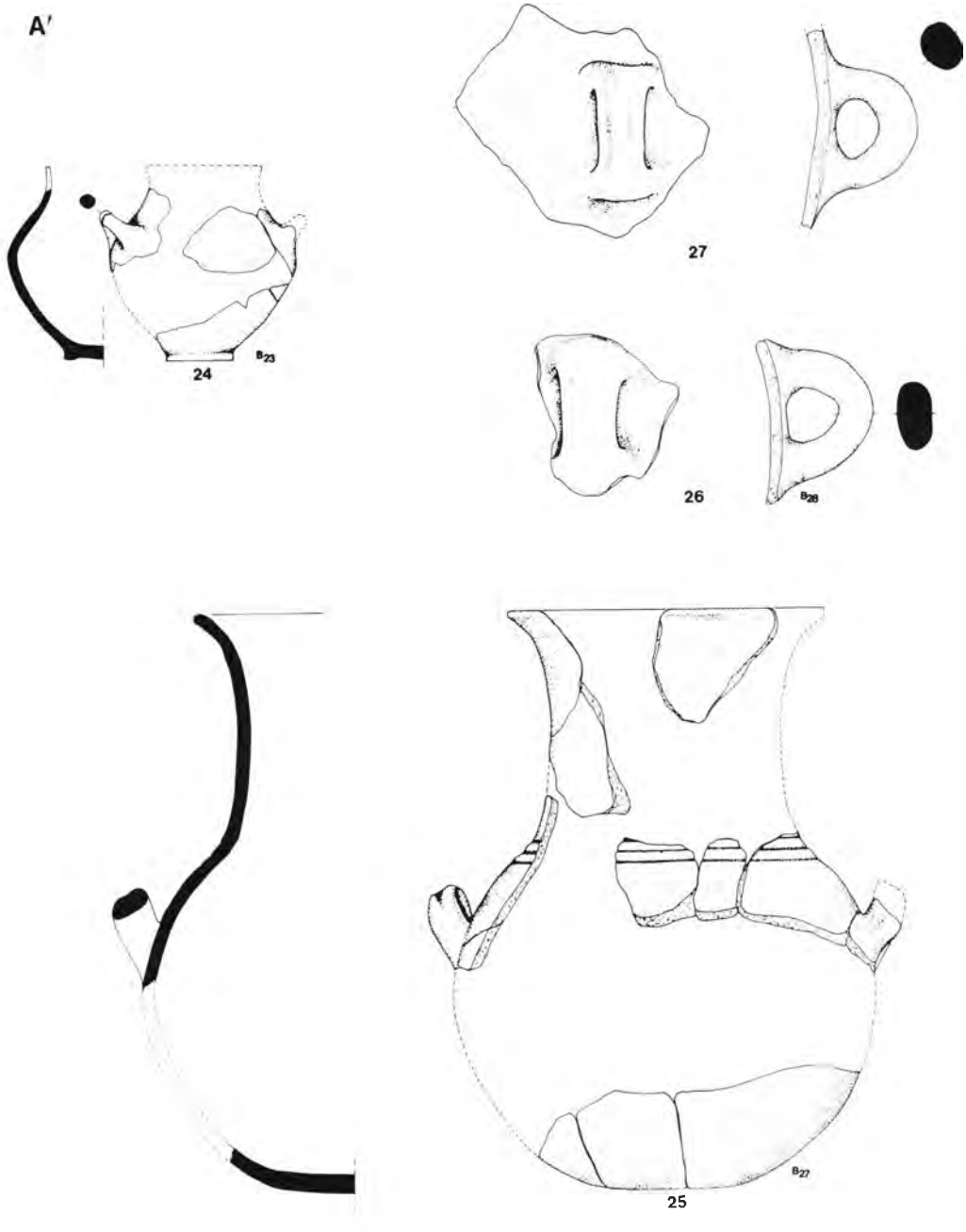

K_5B_{II}

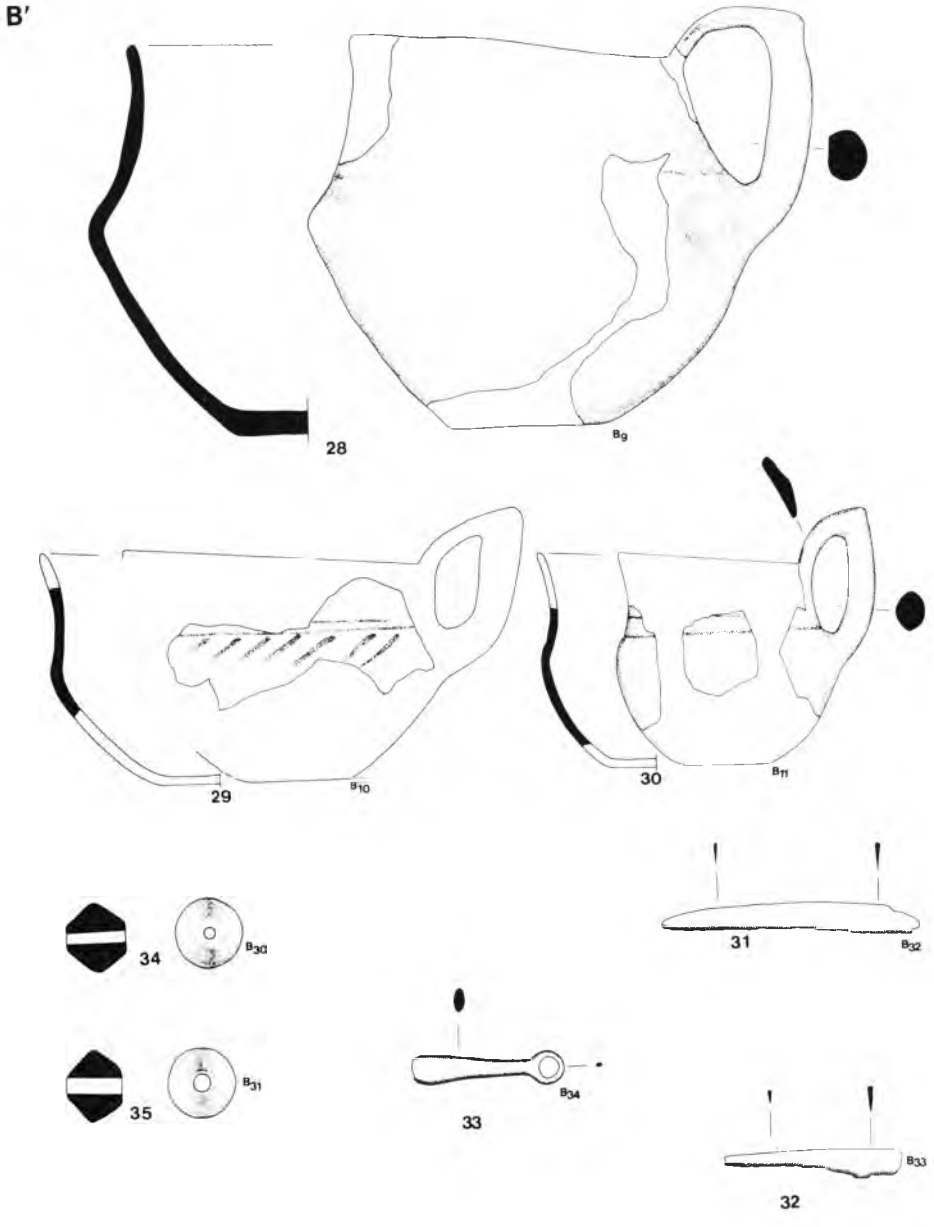

K5BΑΠ

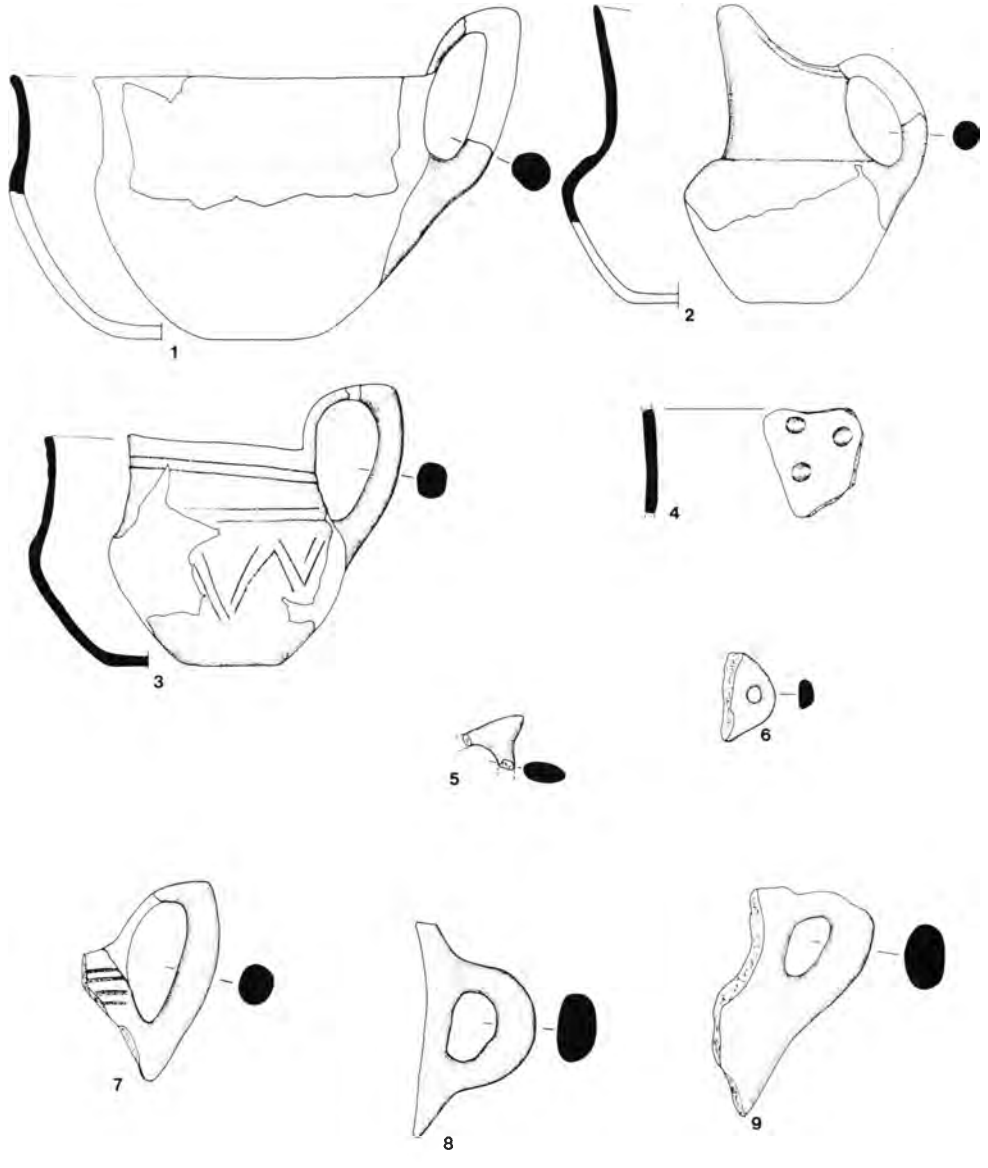

K_{6A} K_{6B}

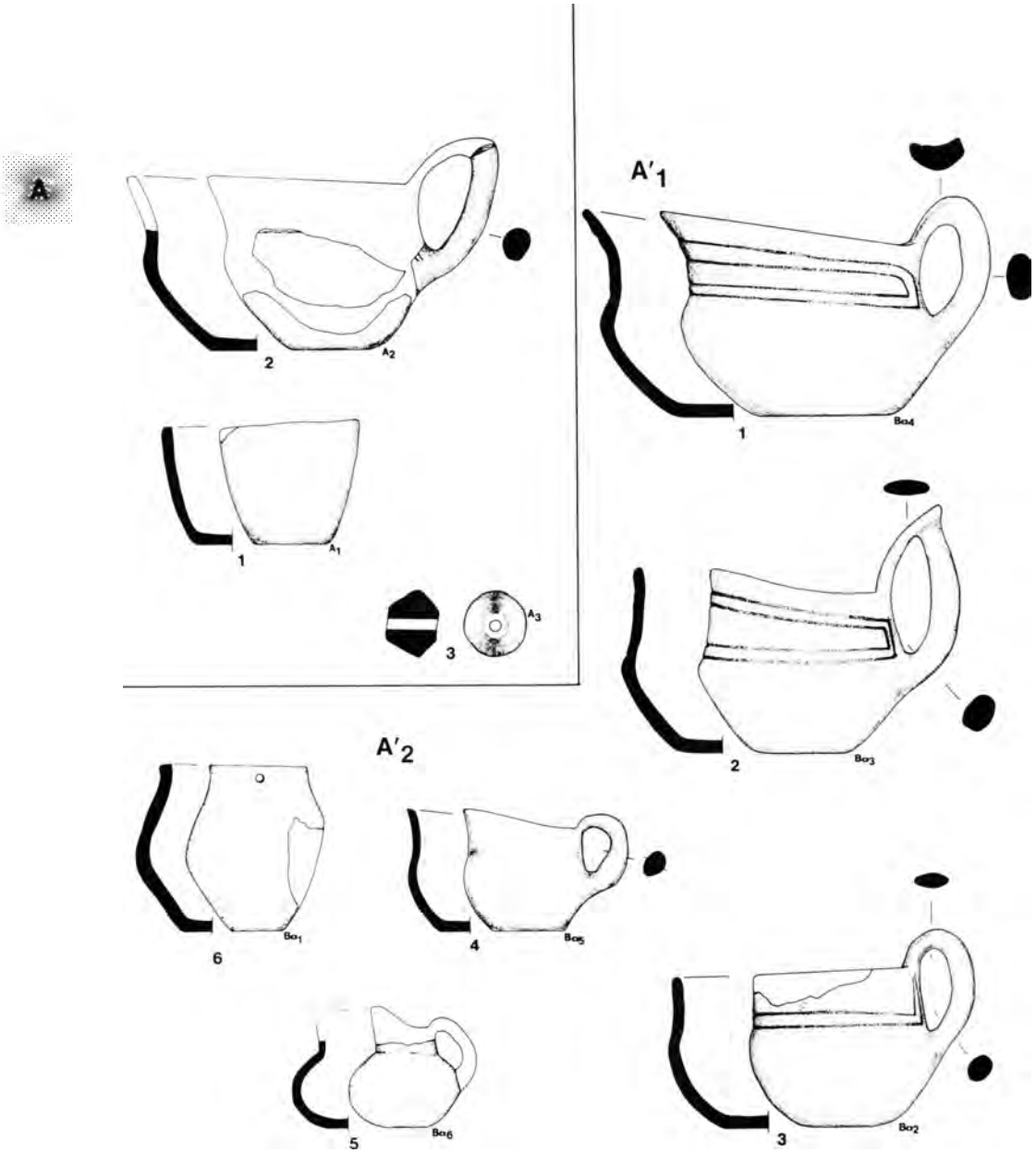

Κ6Β

A

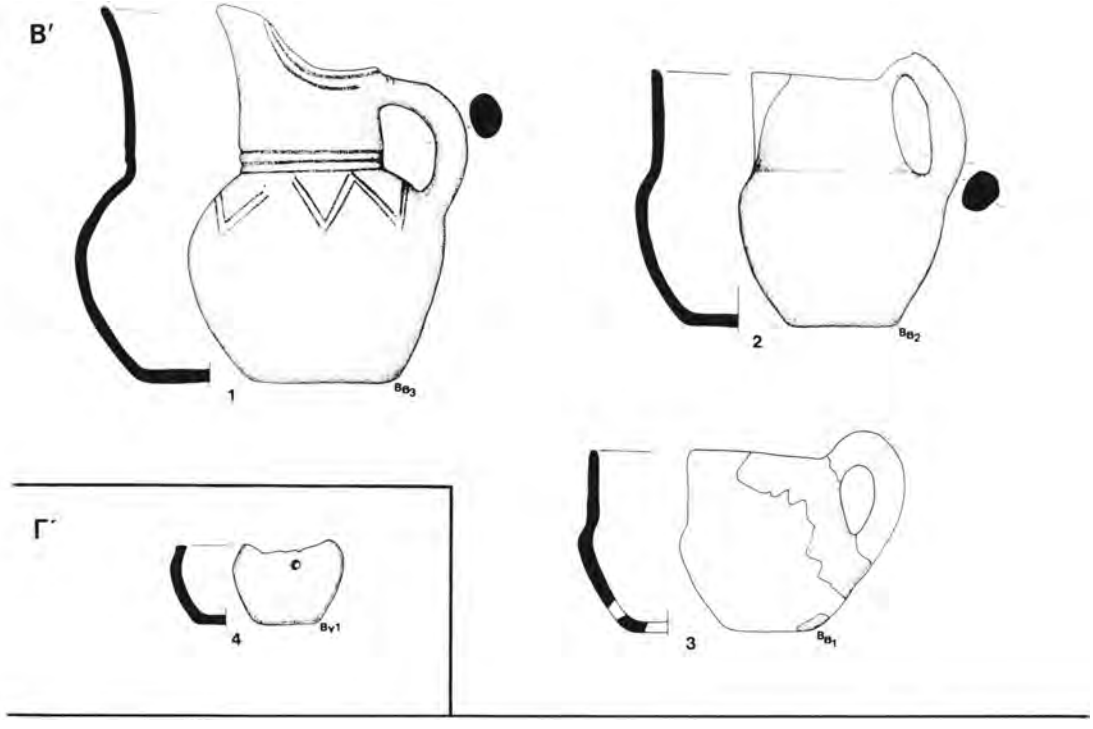

Κ6Βεπ

B

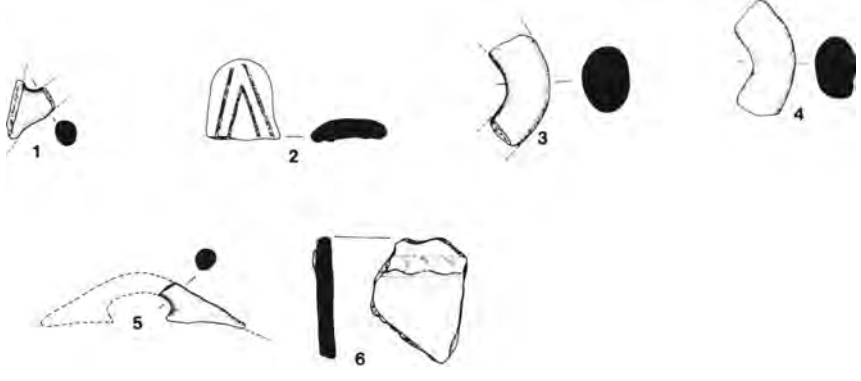

Κ6Δ

A

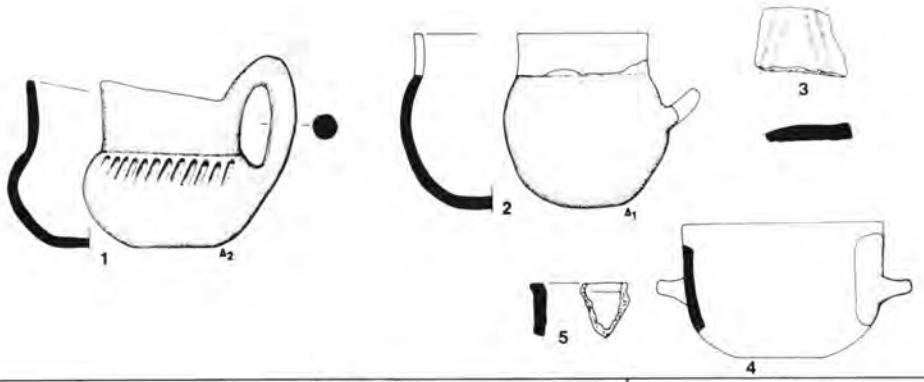

Κ6Ε

B

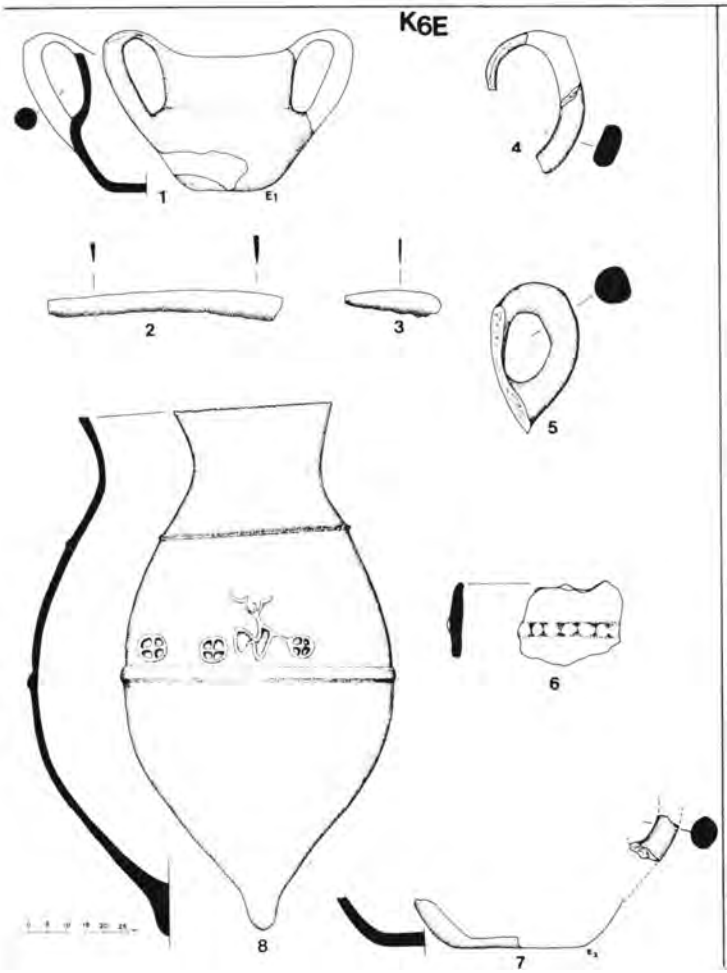

Κ6Γ

Γ

K_7

A

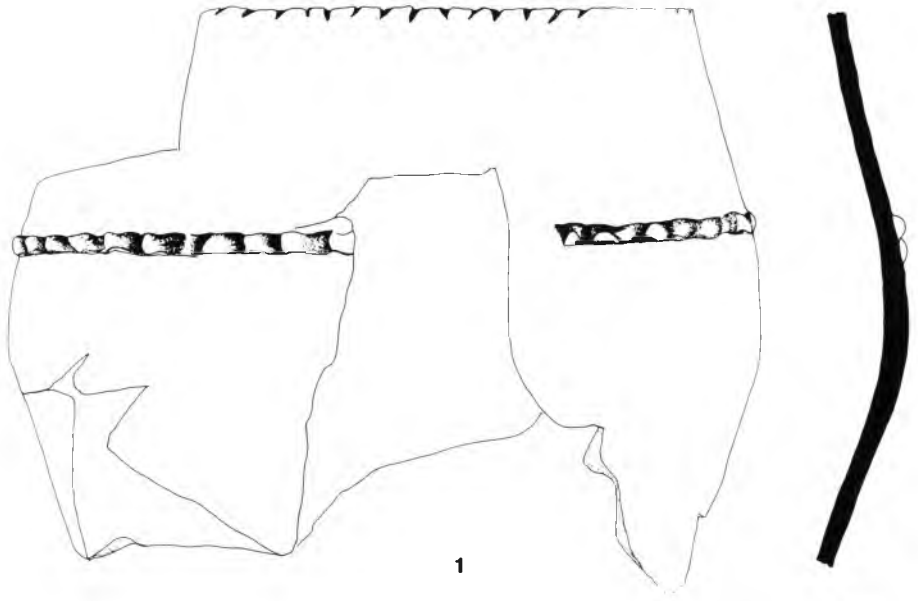

B

$K_{7ΕΠ}$

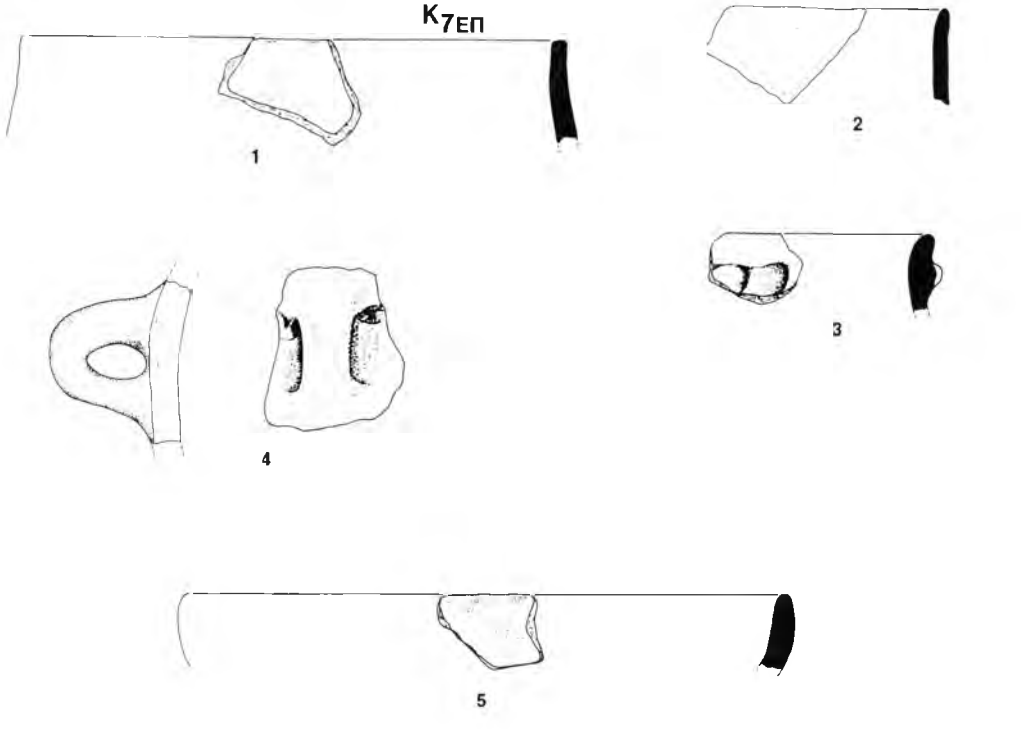

K 7

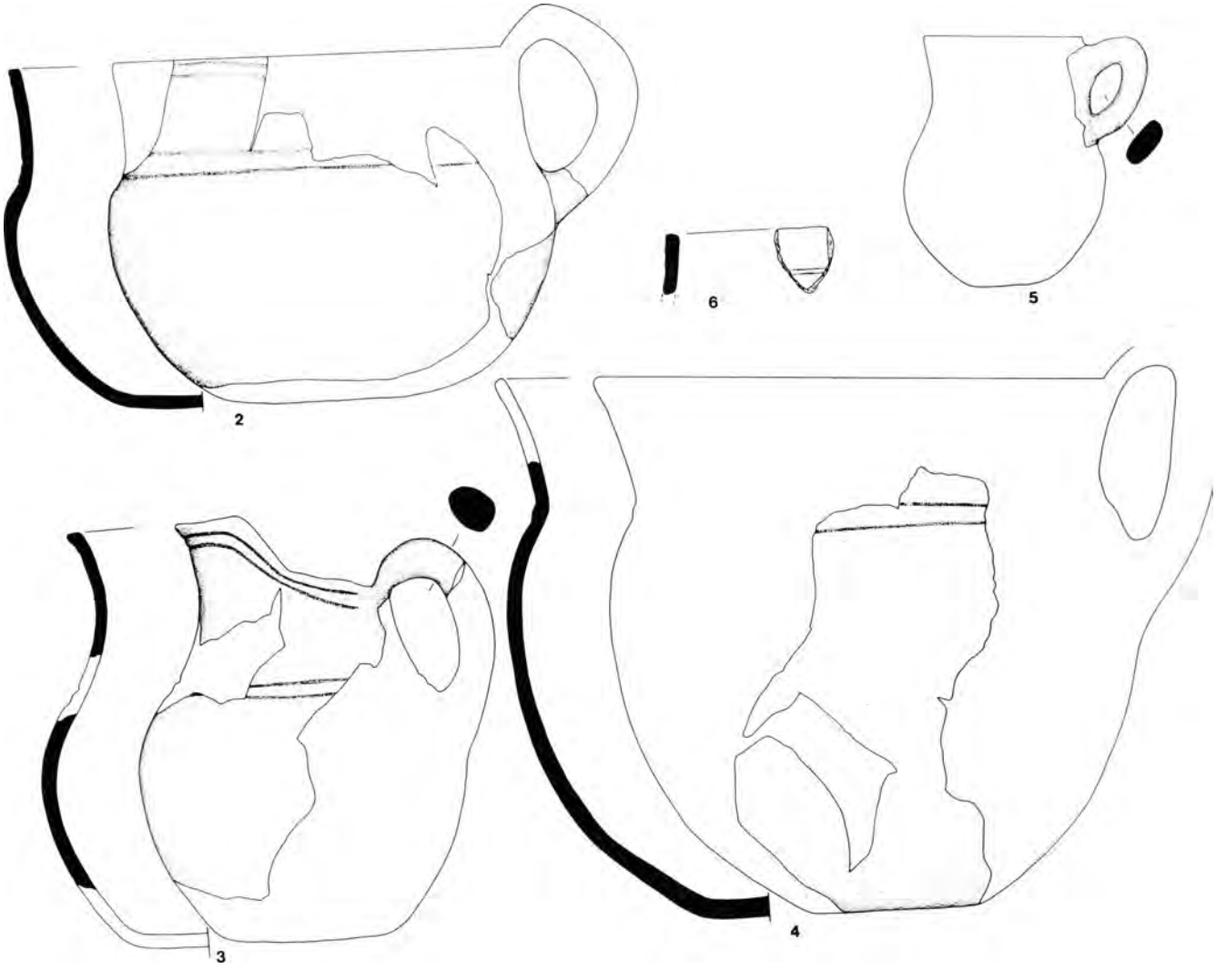

B1A I

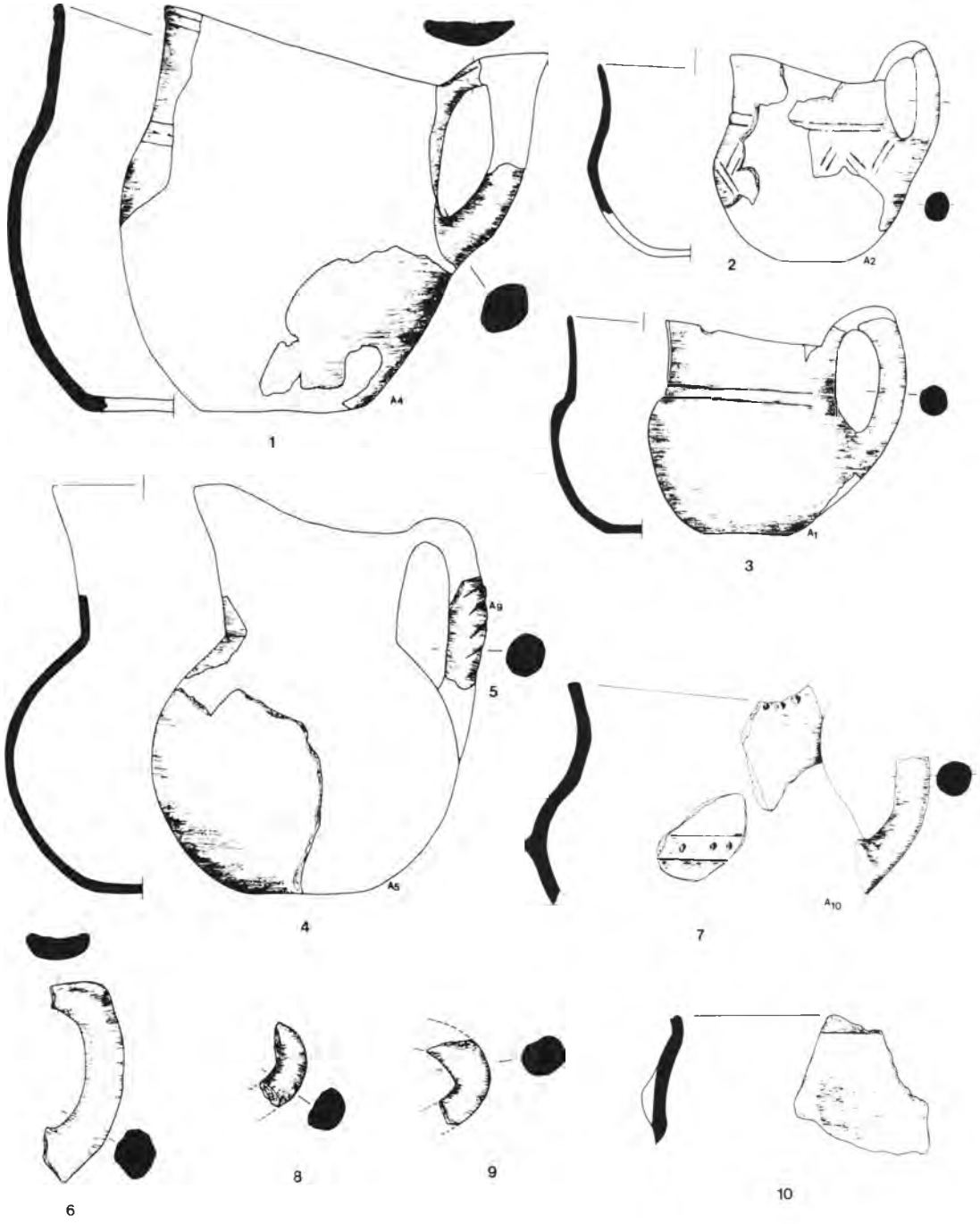

B1A$_{II}$

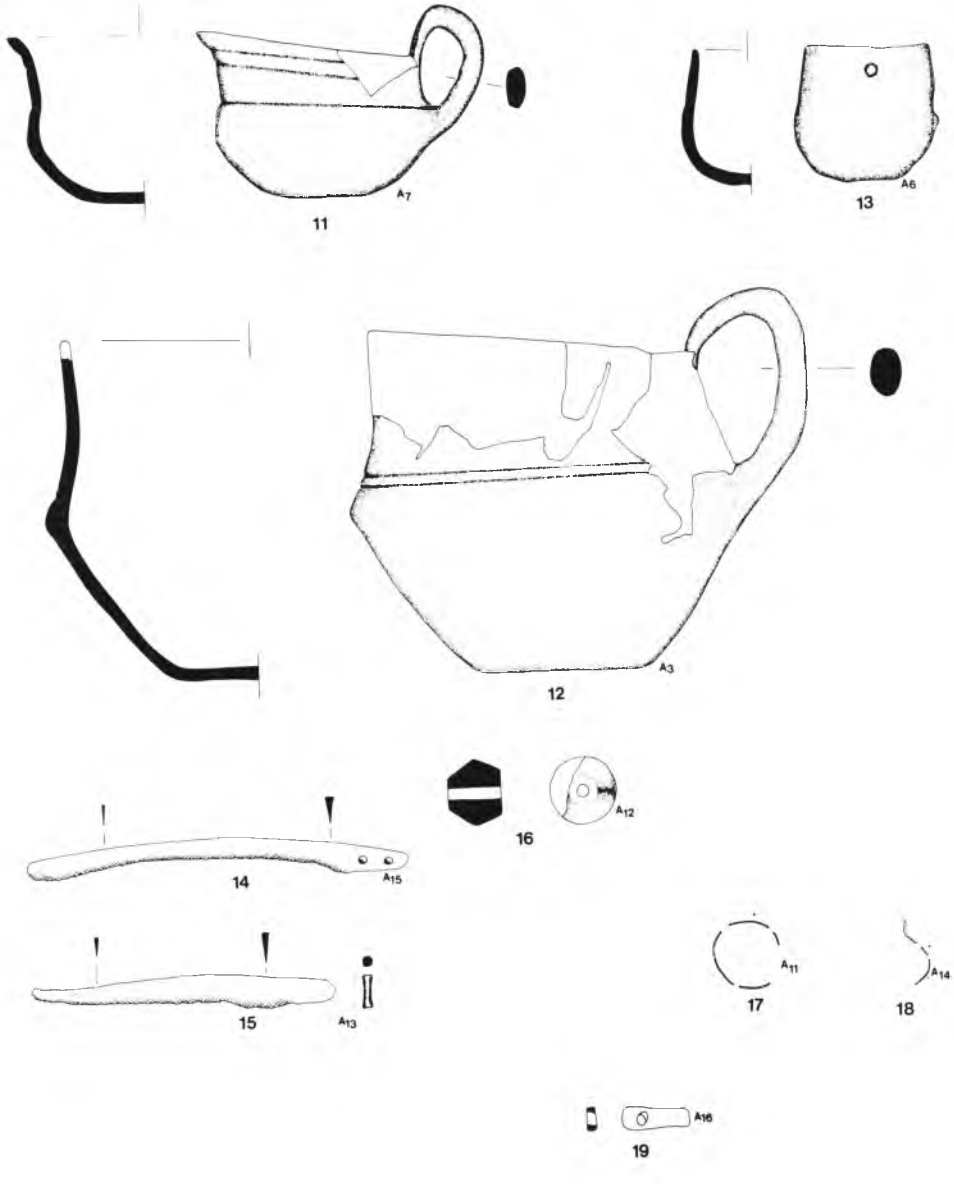

B1B

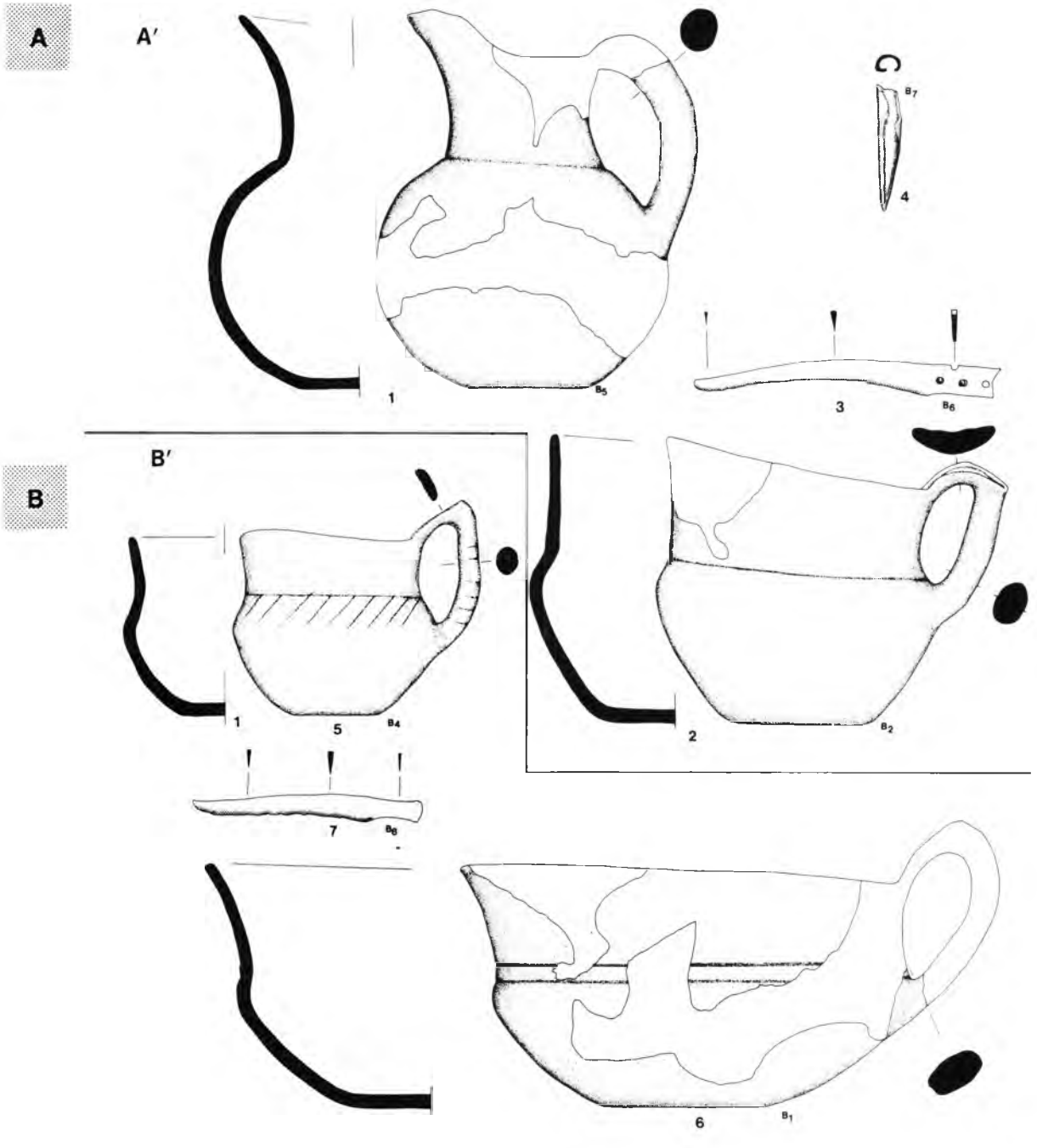

Β1Γ1

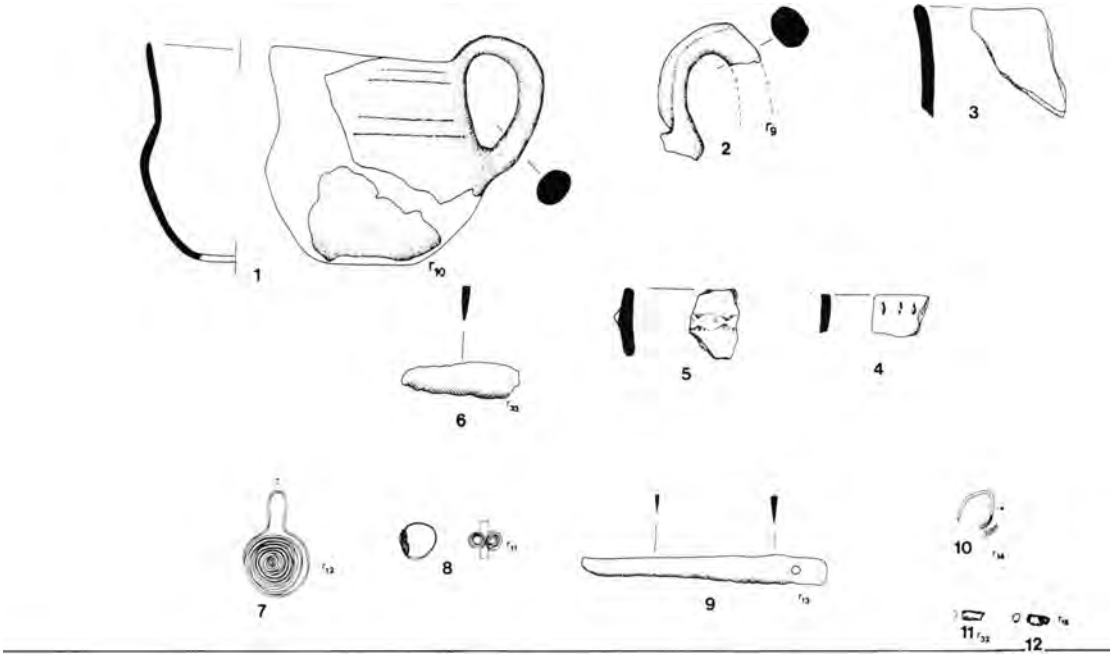
1
Γ10
2
Γ9
3
6
Γ20
5
4
7
Γ12
8
Γ11
9
Γ13
10
Γ14
11
Γ22
12
Γ16

II

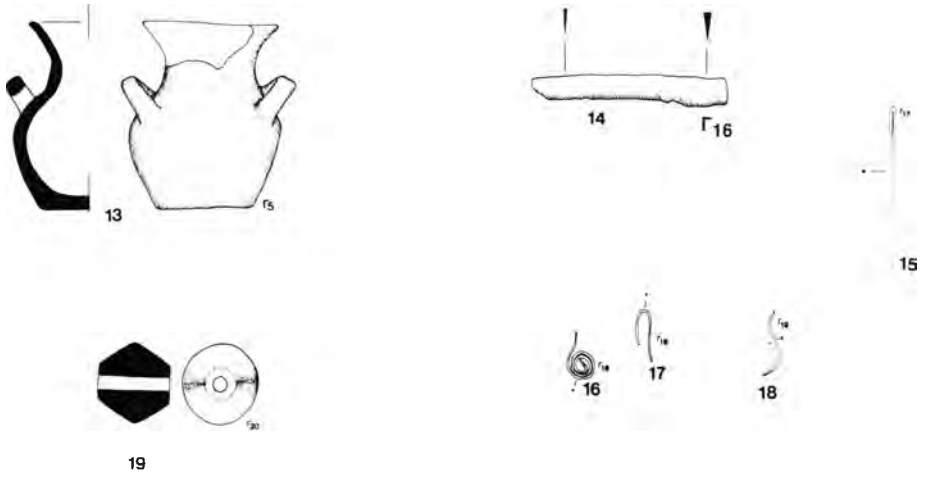
13
Γ5
14
Γ16
15
Γ17
16
Γ14
17
Γ18
18
Γ19
19
Γ20

Β1Γ$_{III}$

A

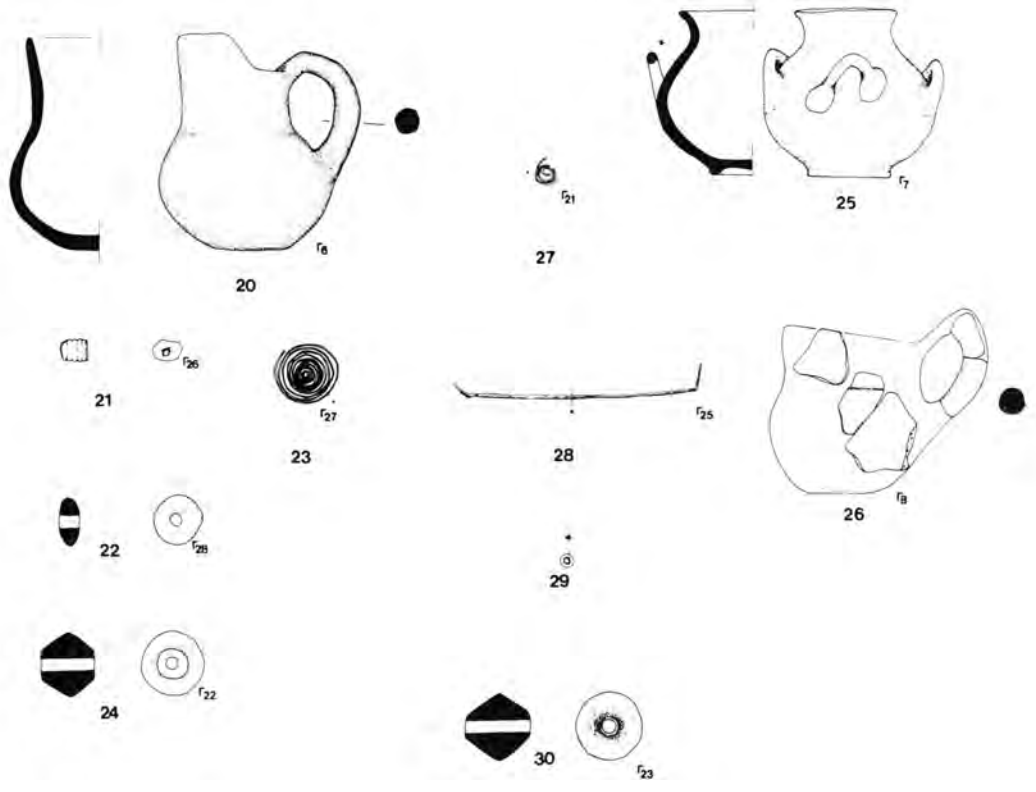

B

Β1Ε

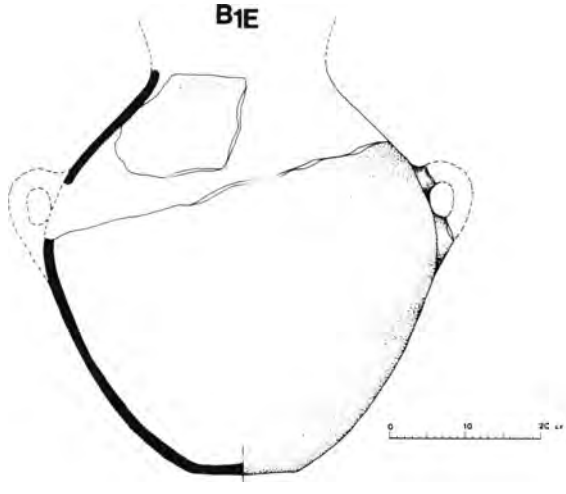

$B_1\Gamma_{IV}$

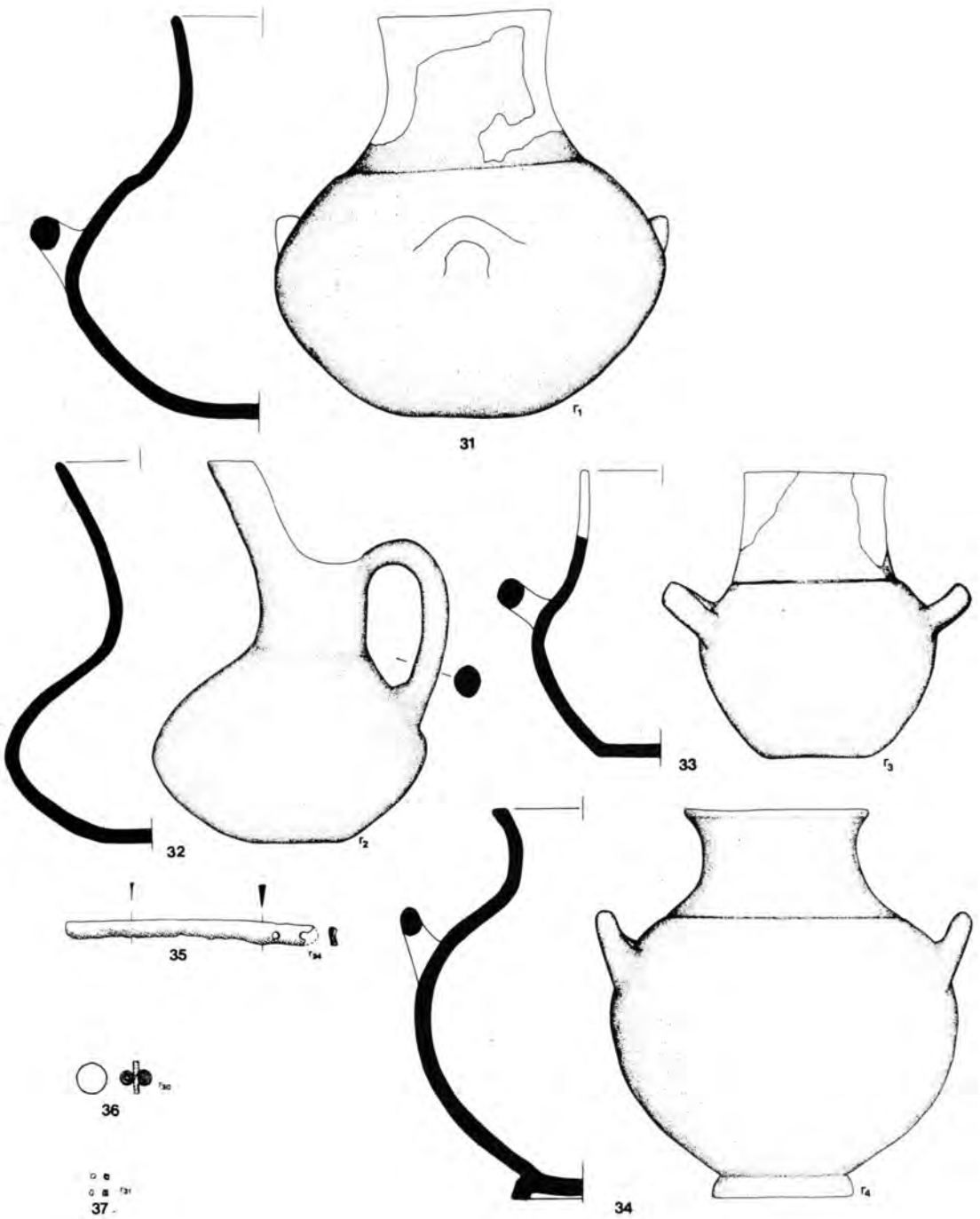

Β1Δ

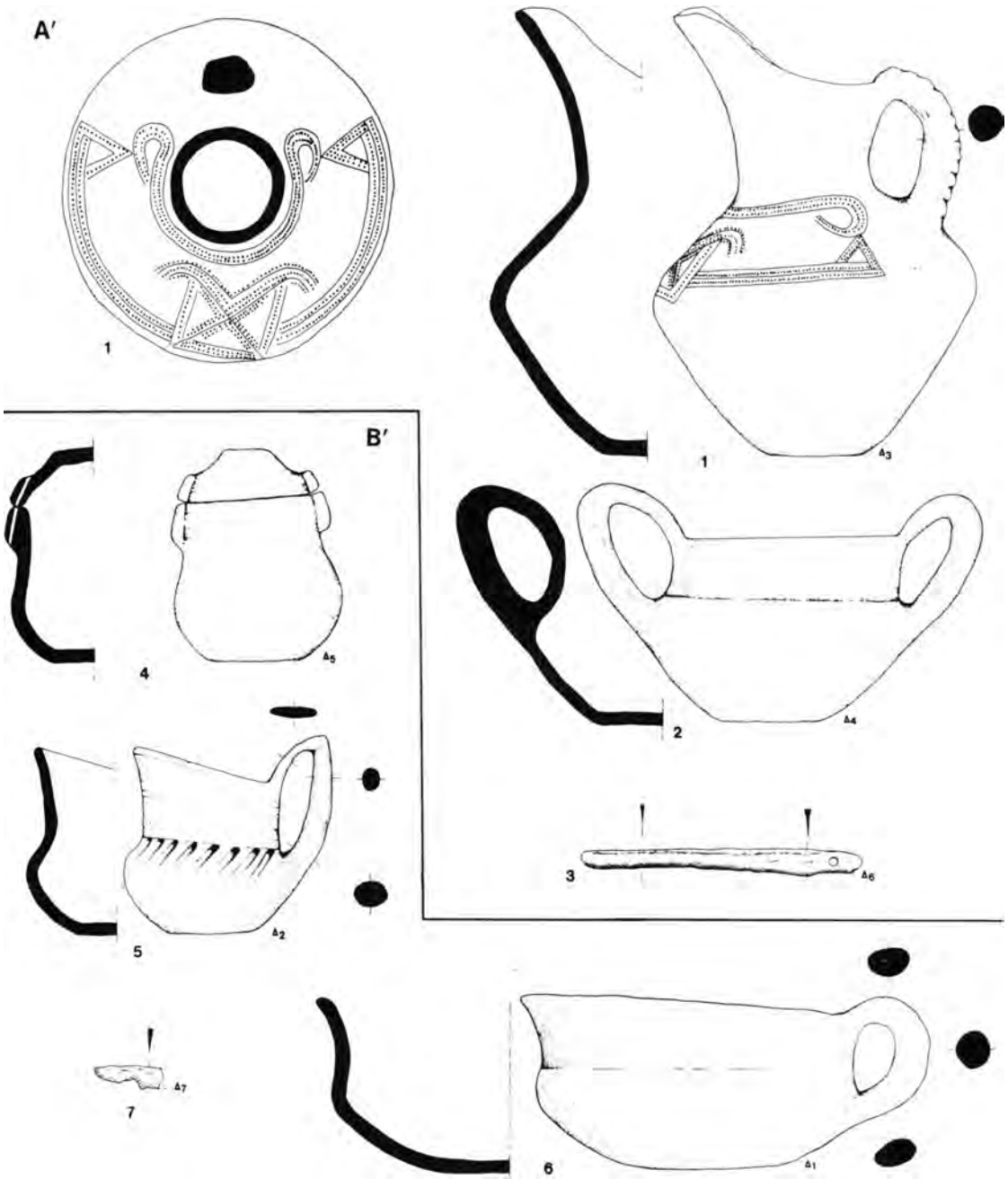

Β1ΔΕΠ

A

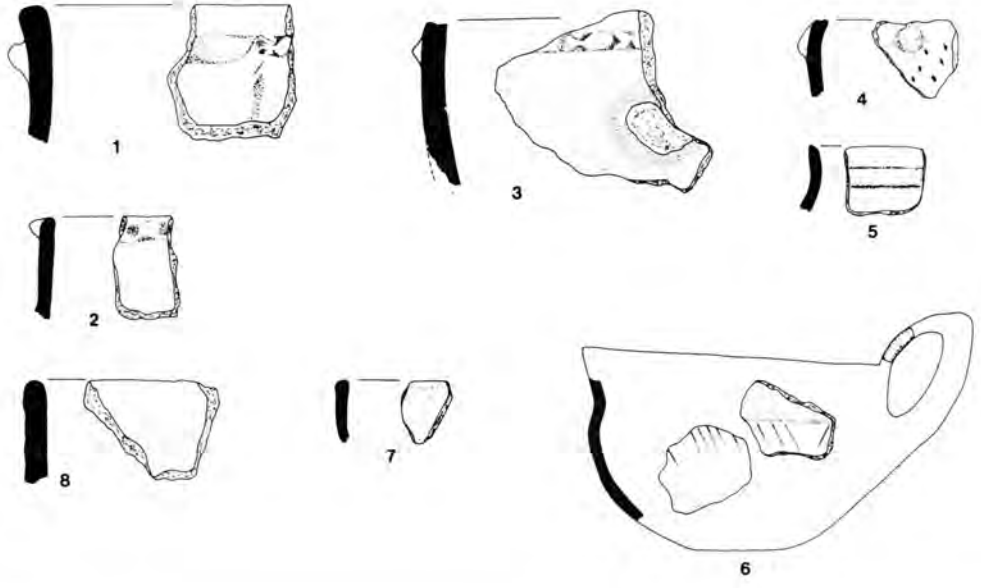

B

Β1ΒΕΠ

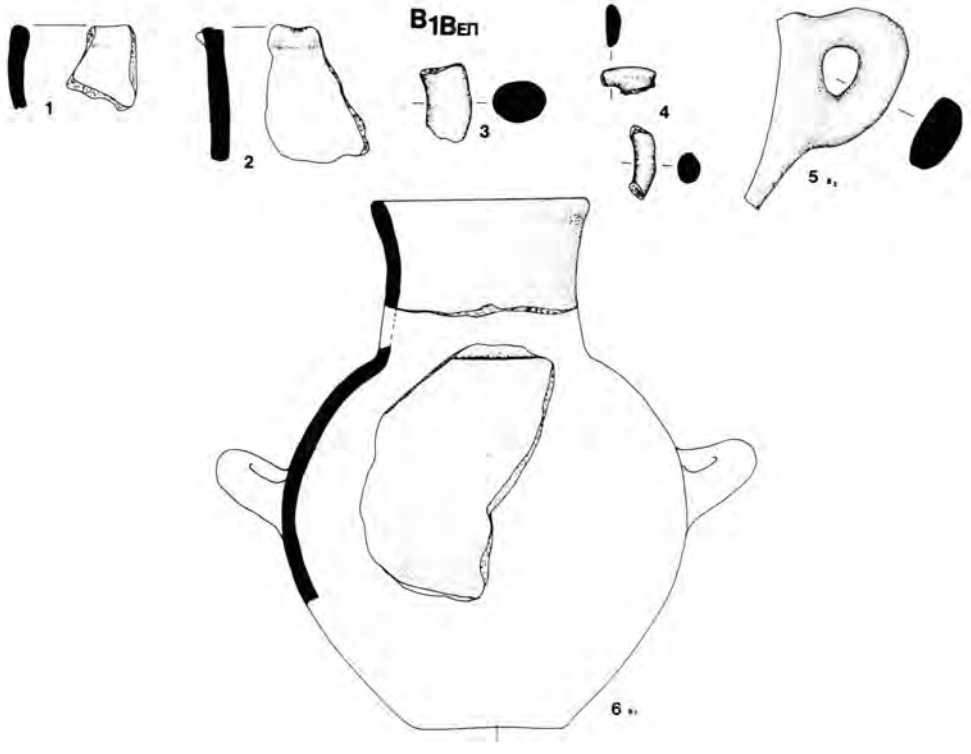

$B_{1АП}$

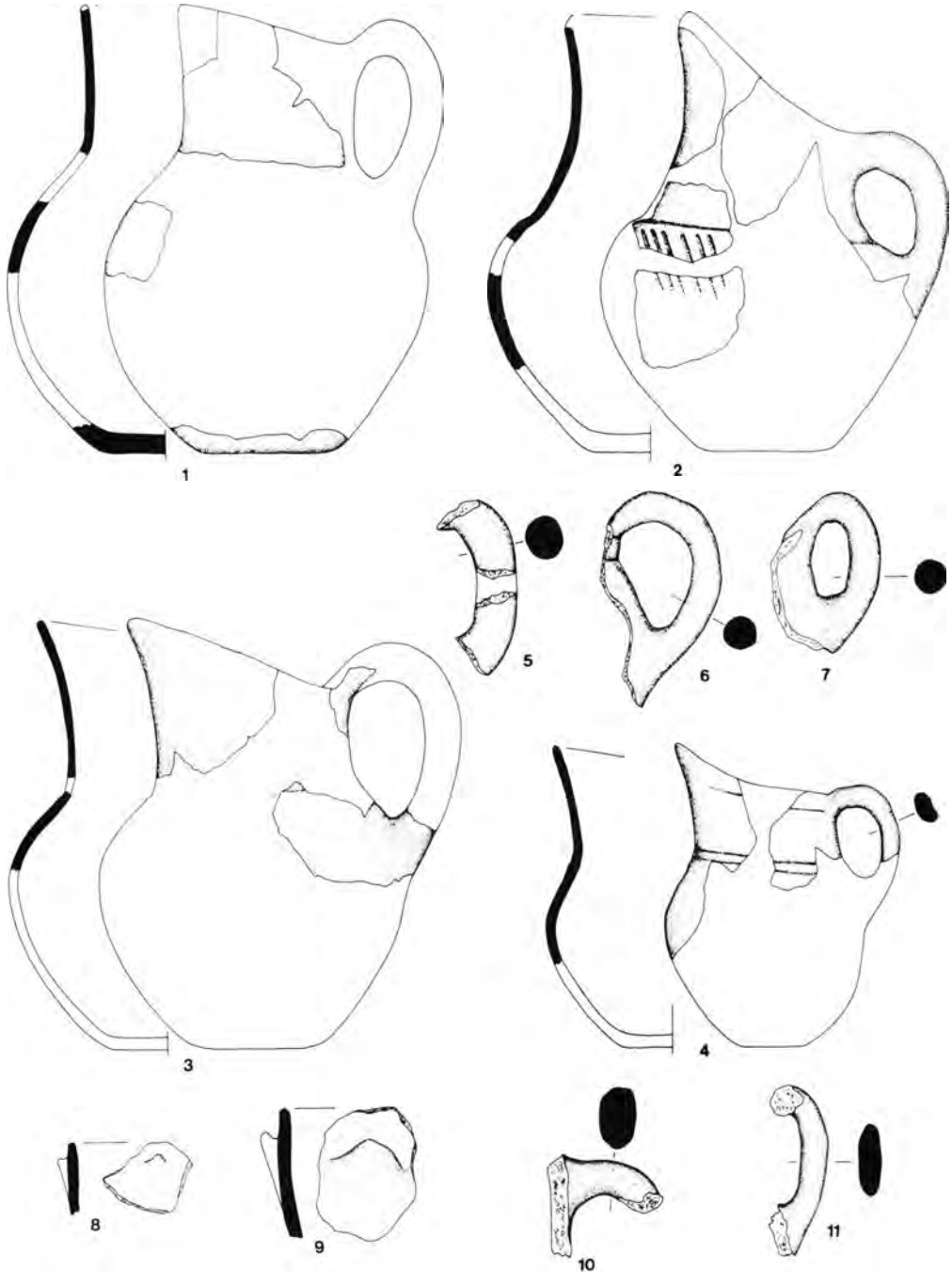

$B1_{AΠ}$

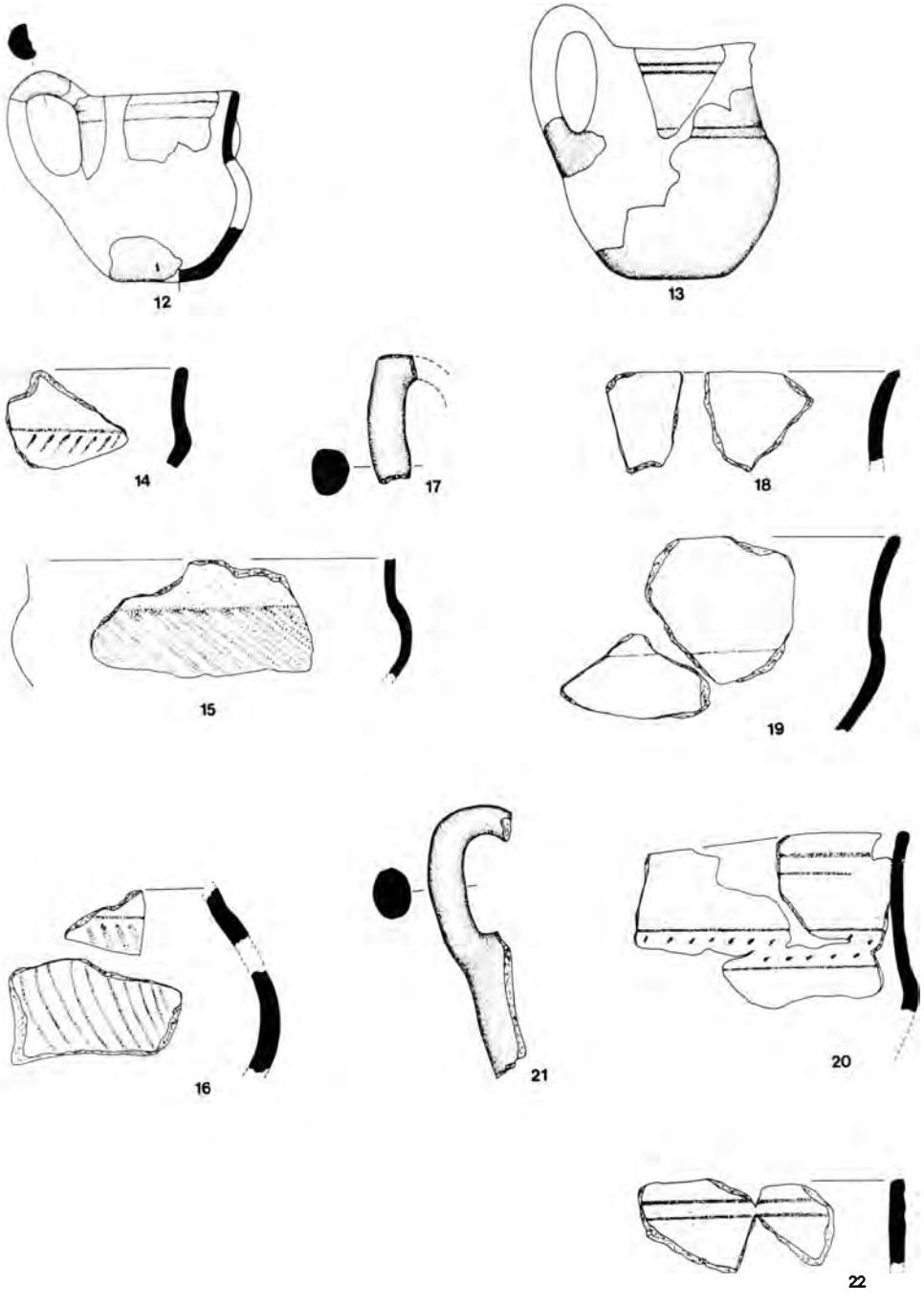

B_2

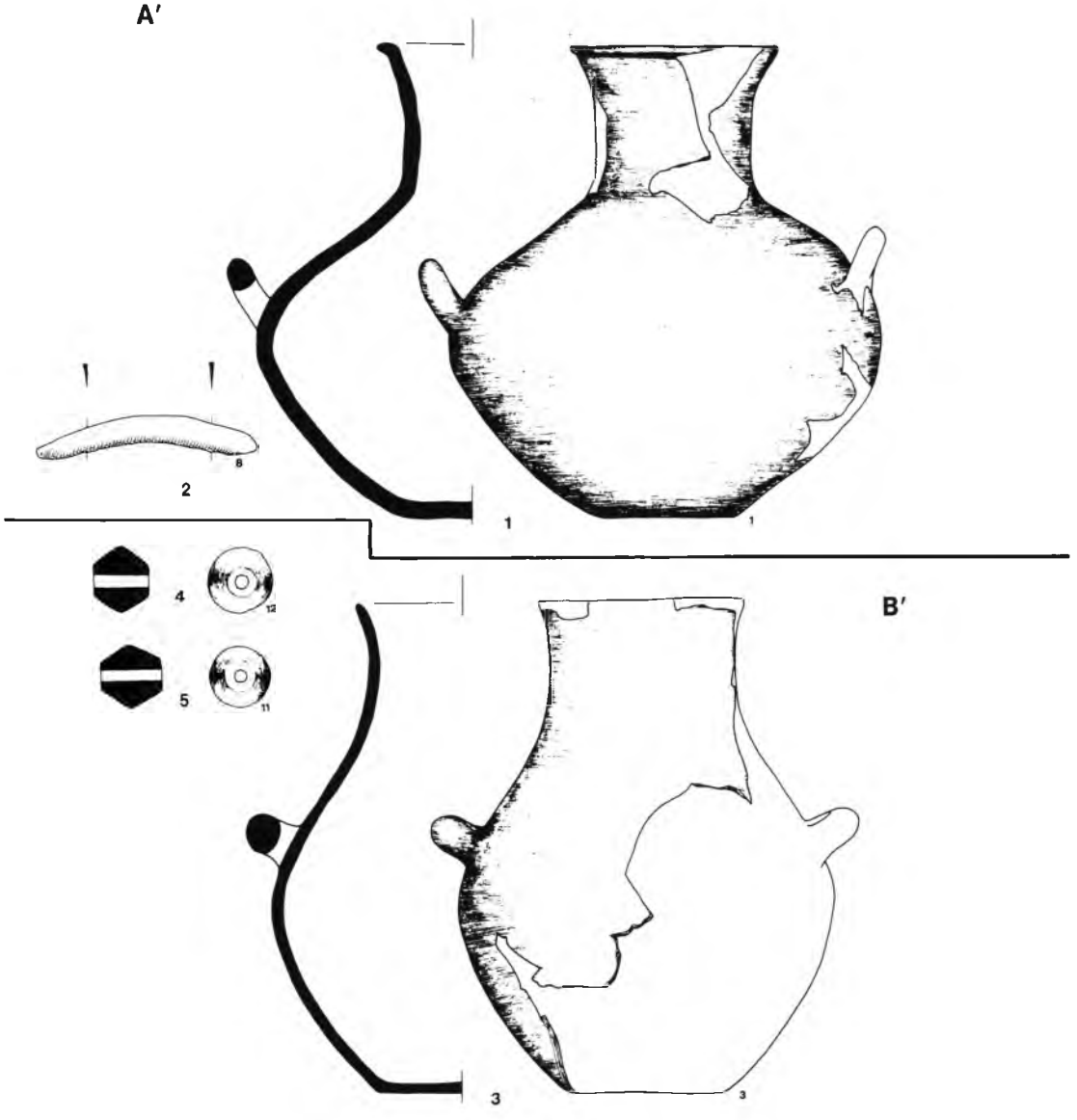

B_2

Γ′

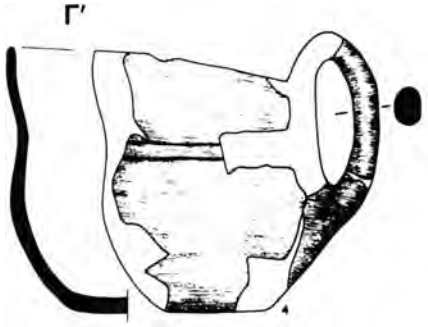

6

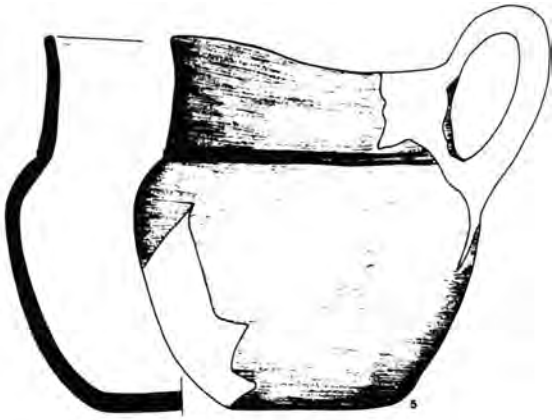

7

8 9

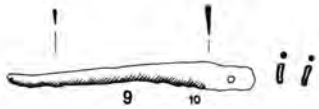

9 10

ii

Δ′

7

10

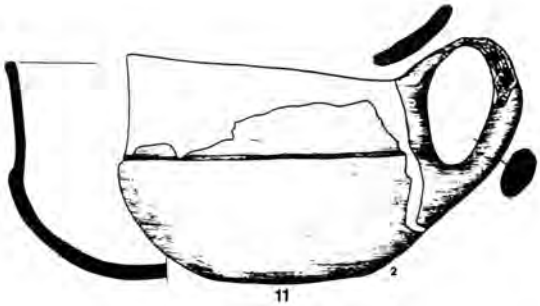

11 2

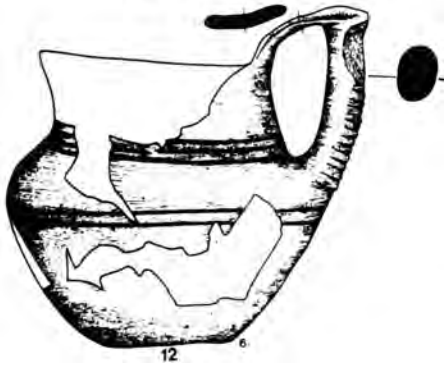

12 6

$B3_{II}$

A

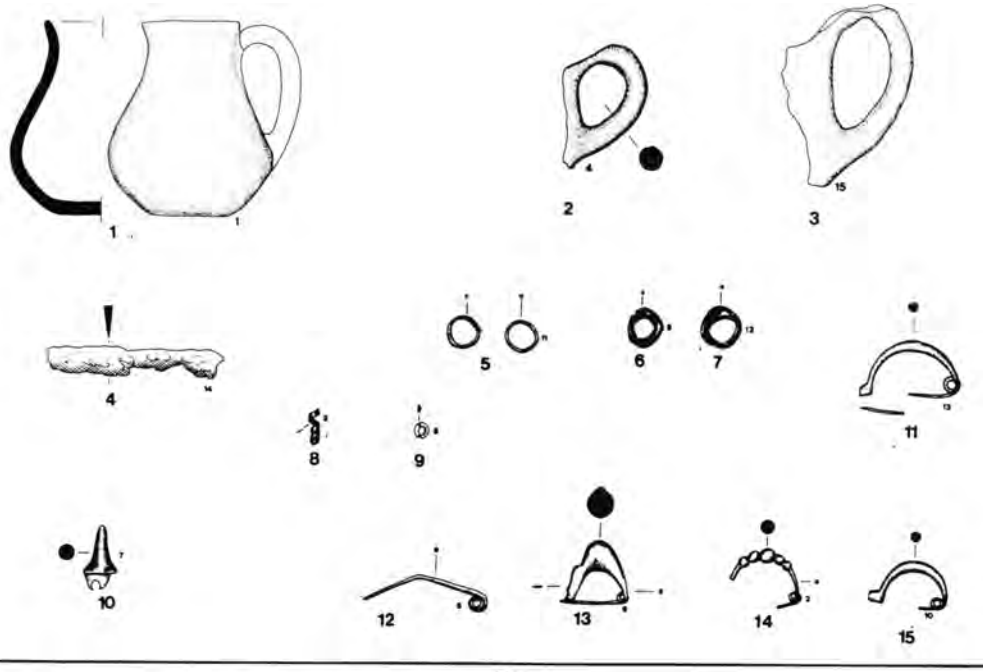

B

$B3_{I}$

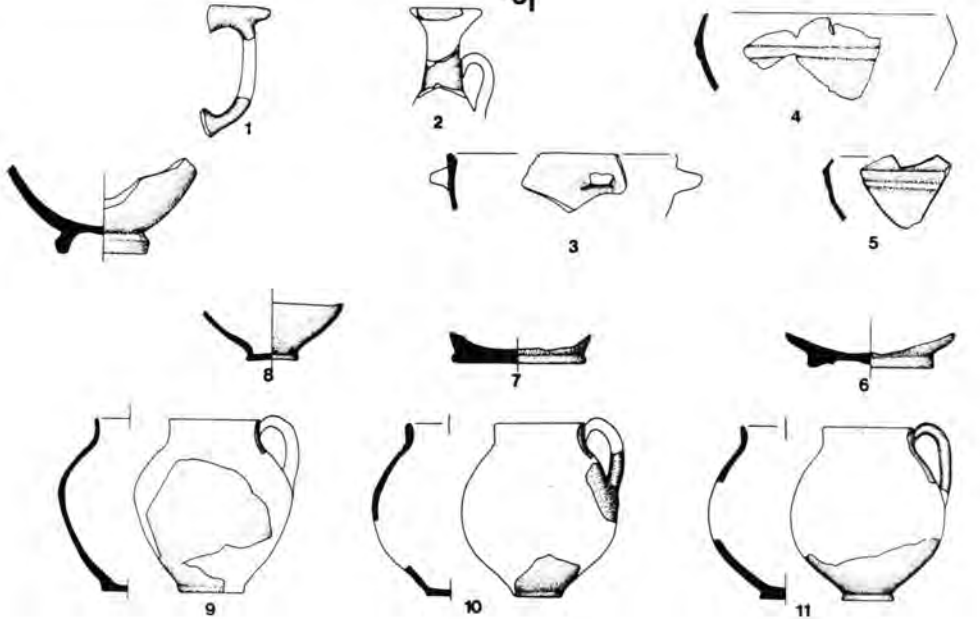

Τ11

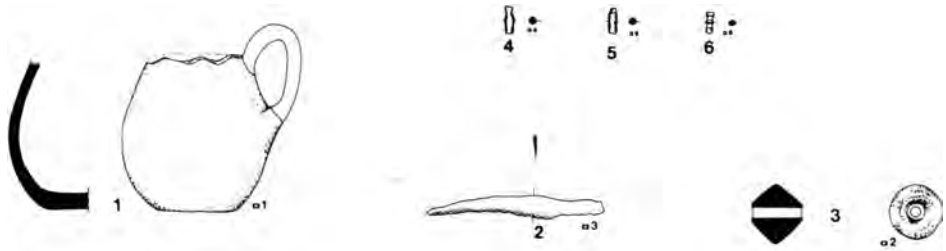
1
α1
4
5
6
2
α3
3
α2

α΄

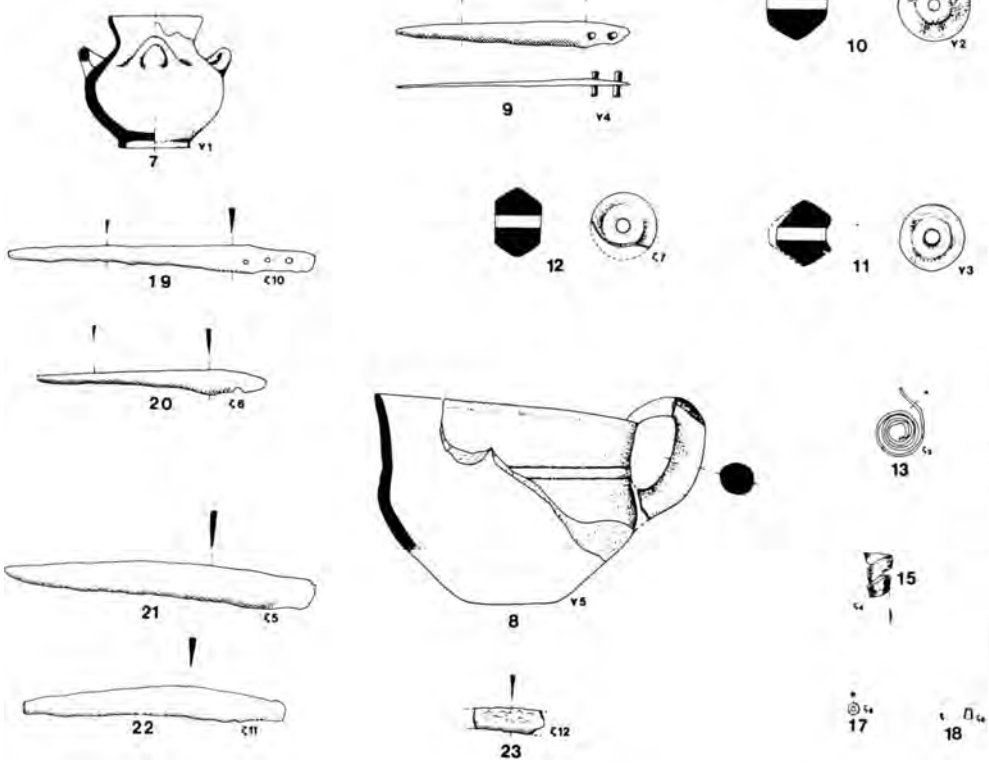
γ΄,ζ΄
7
γ1
9
γ4
10
γ2
19
ζ10
12
ζ7
11
γ3
20
ζ6
8
γ5
13
14
21
ζ5
15
16
22
ζ11
23
ζ12
17
18

Τ1.Ι

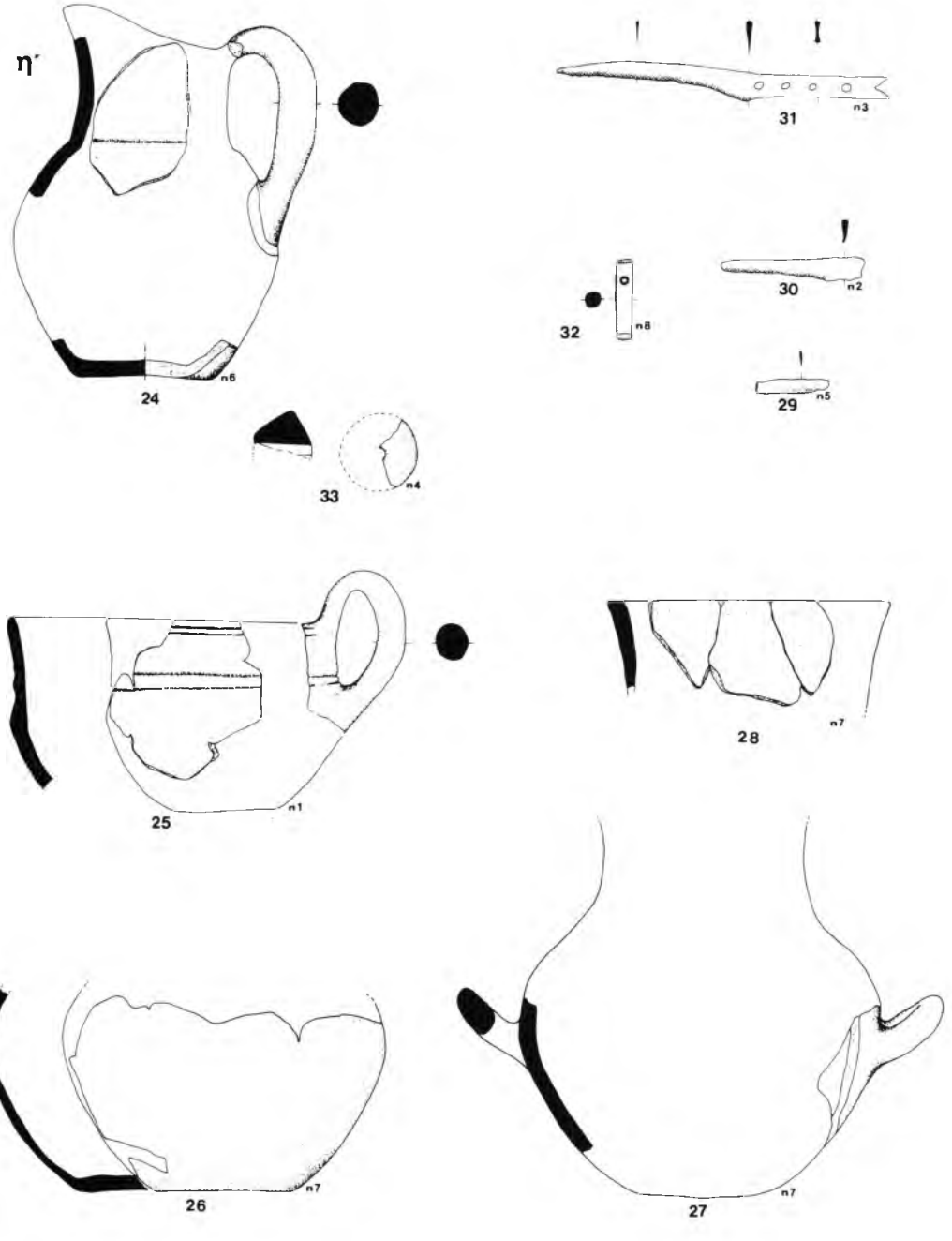

Τ1 II

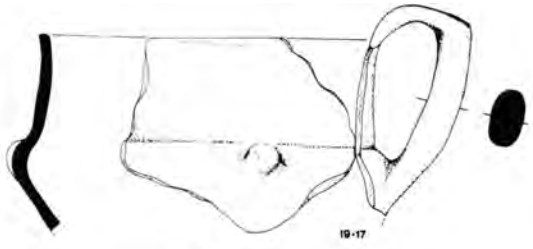

34

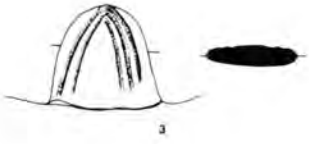

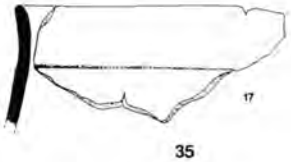

35

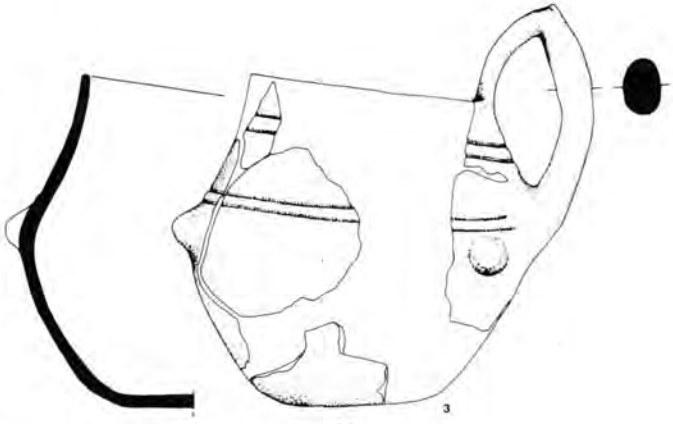

36

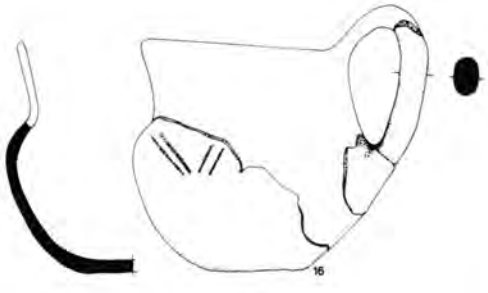

37

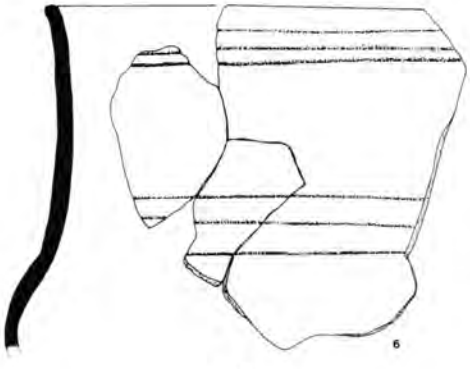

38

Τ1 II

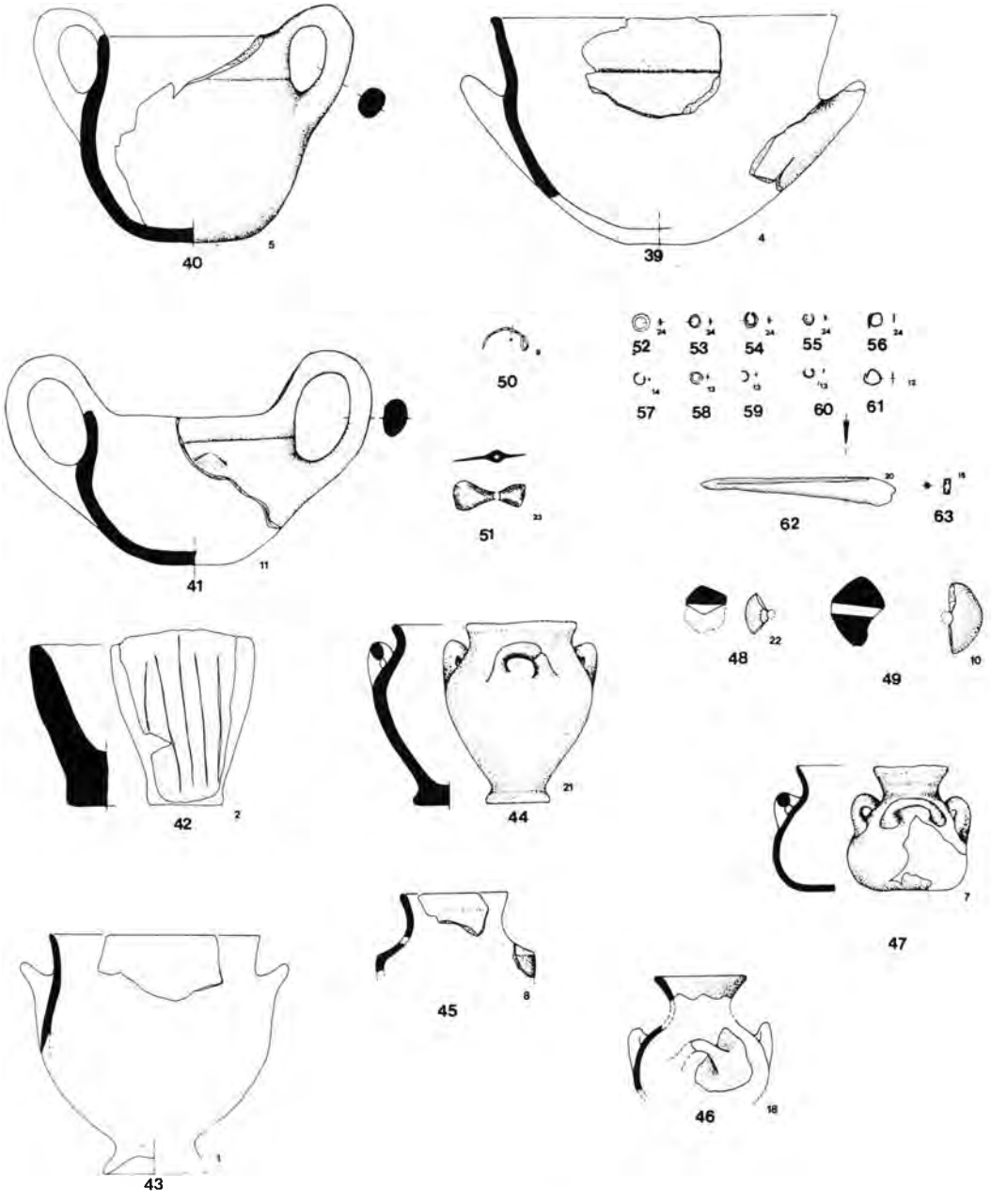
40
39
41
50
51
52
53
54
55
56
57
58
59
60
61
62
63
42
44
48
49
43
45
46
47

Τ1 I+II

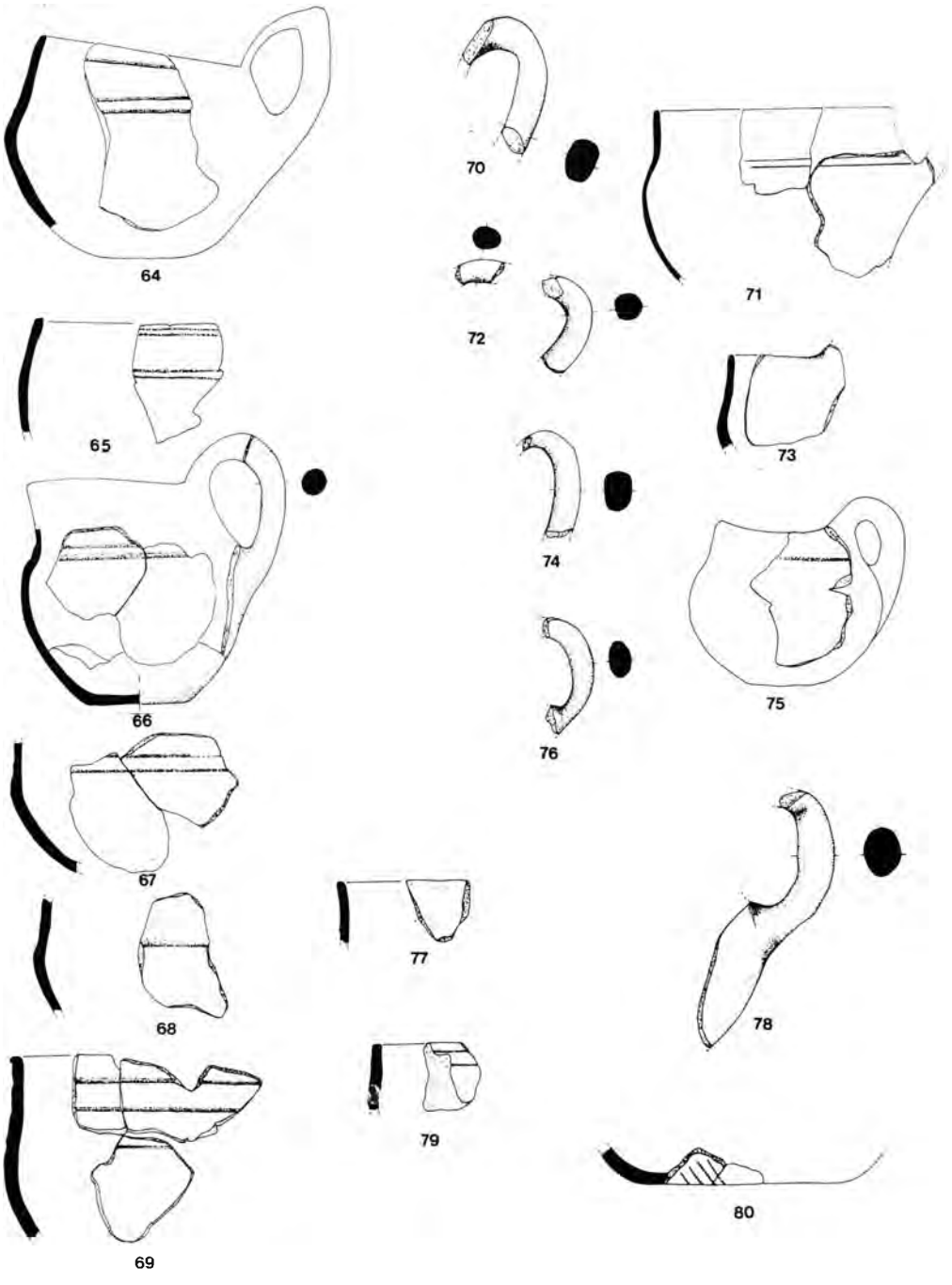

T1 I+II

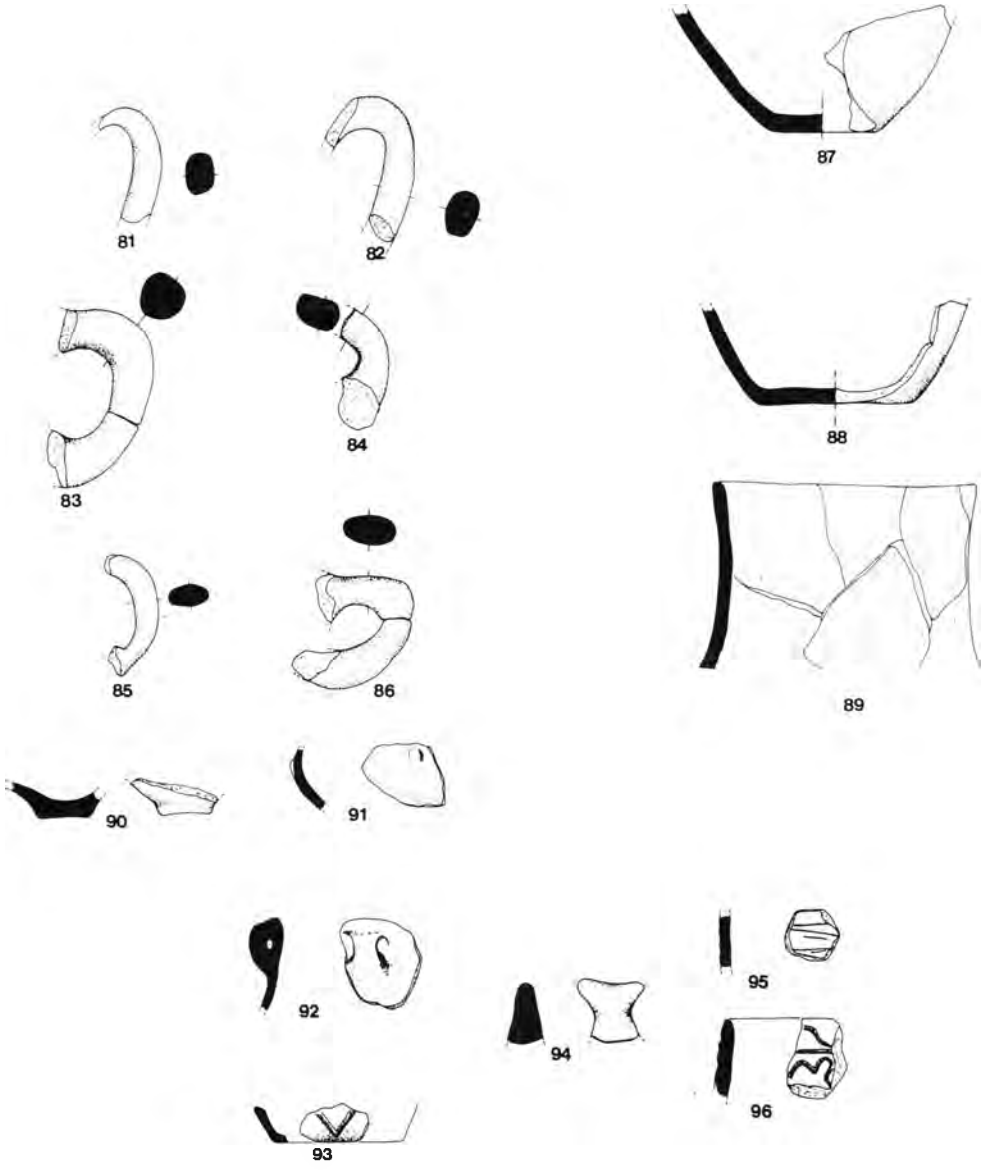

T2A

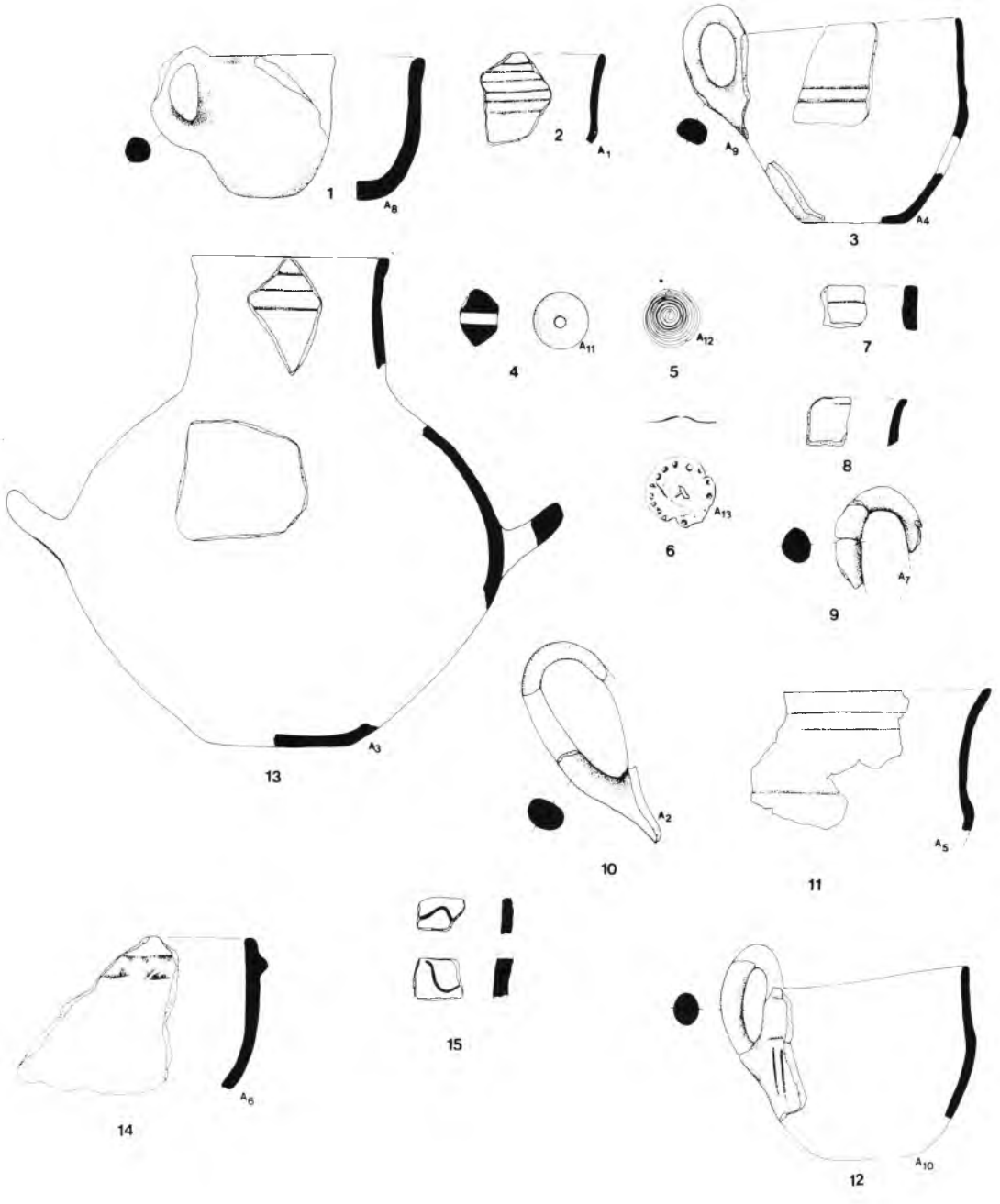
1
A8
2
A1
A9
A4
3
4
A11
5
A12
7
8
A13
6
A7
9
13
A3
10
A2
11
A5
14
A6
15
12
A10

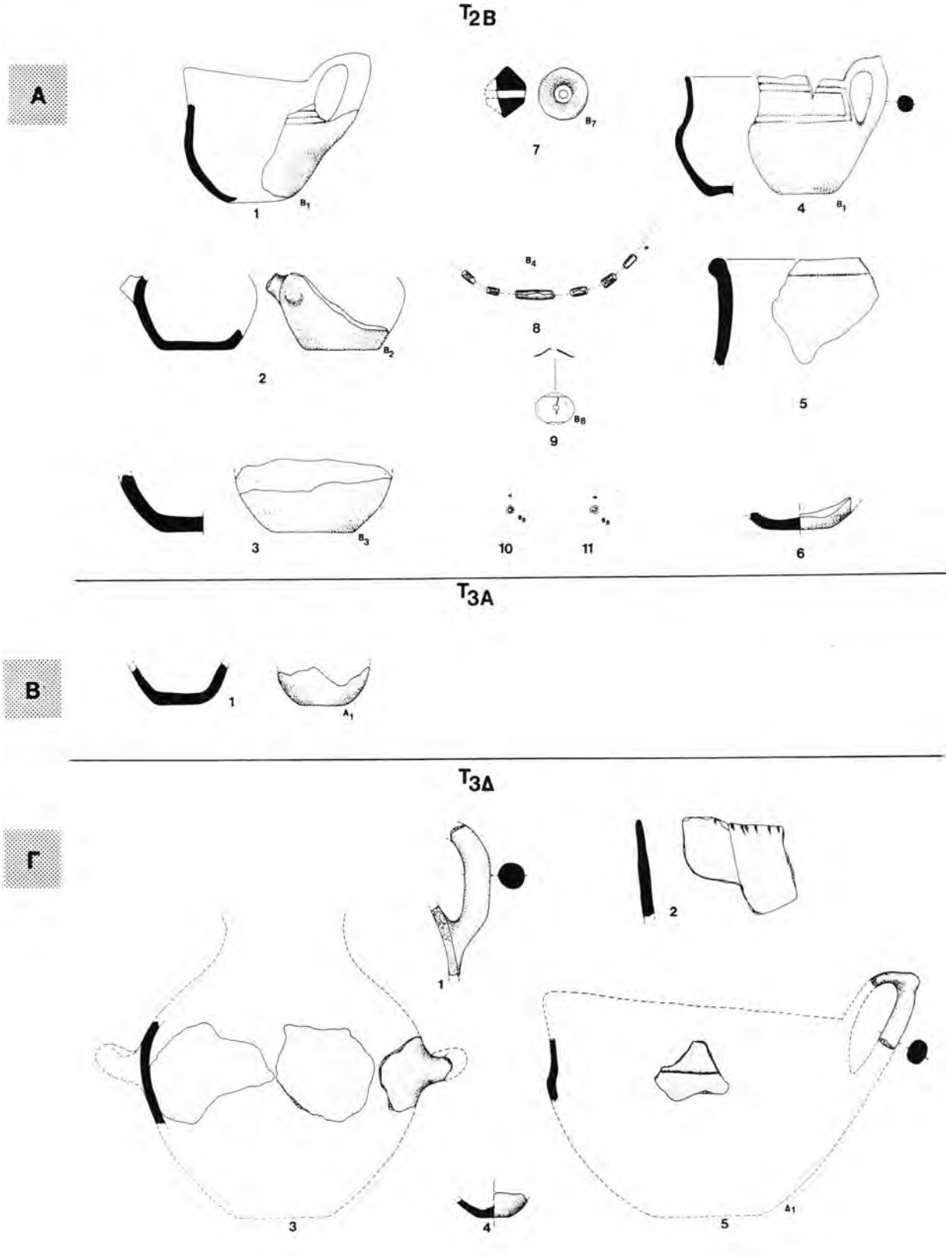
T2B
A
1
B1
7
B7
4
B1
2
B2
8
B4
5
9
BB
3
B3
10
11
6
T3A
B
1
A1
T3Δ
Γ
1
2
3
4
5
Δ1

Τ3Β

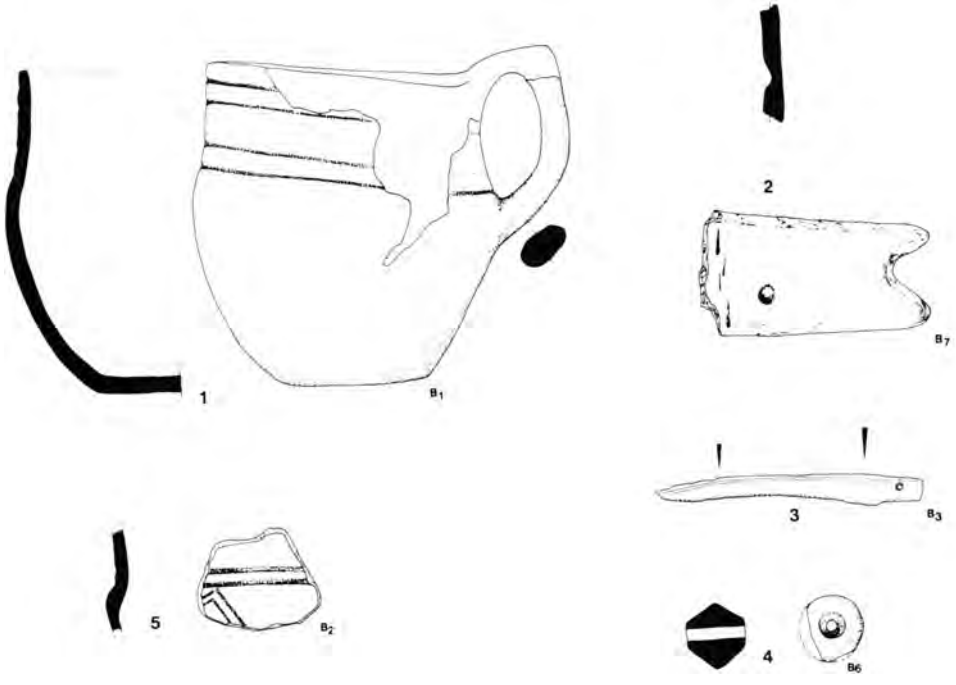

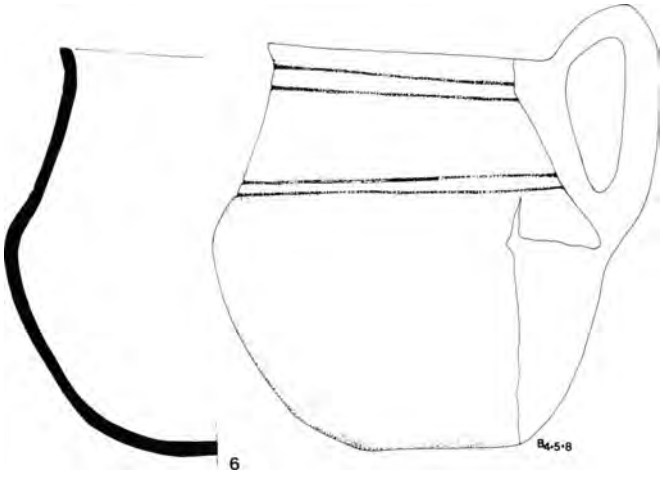

Τ3Γ

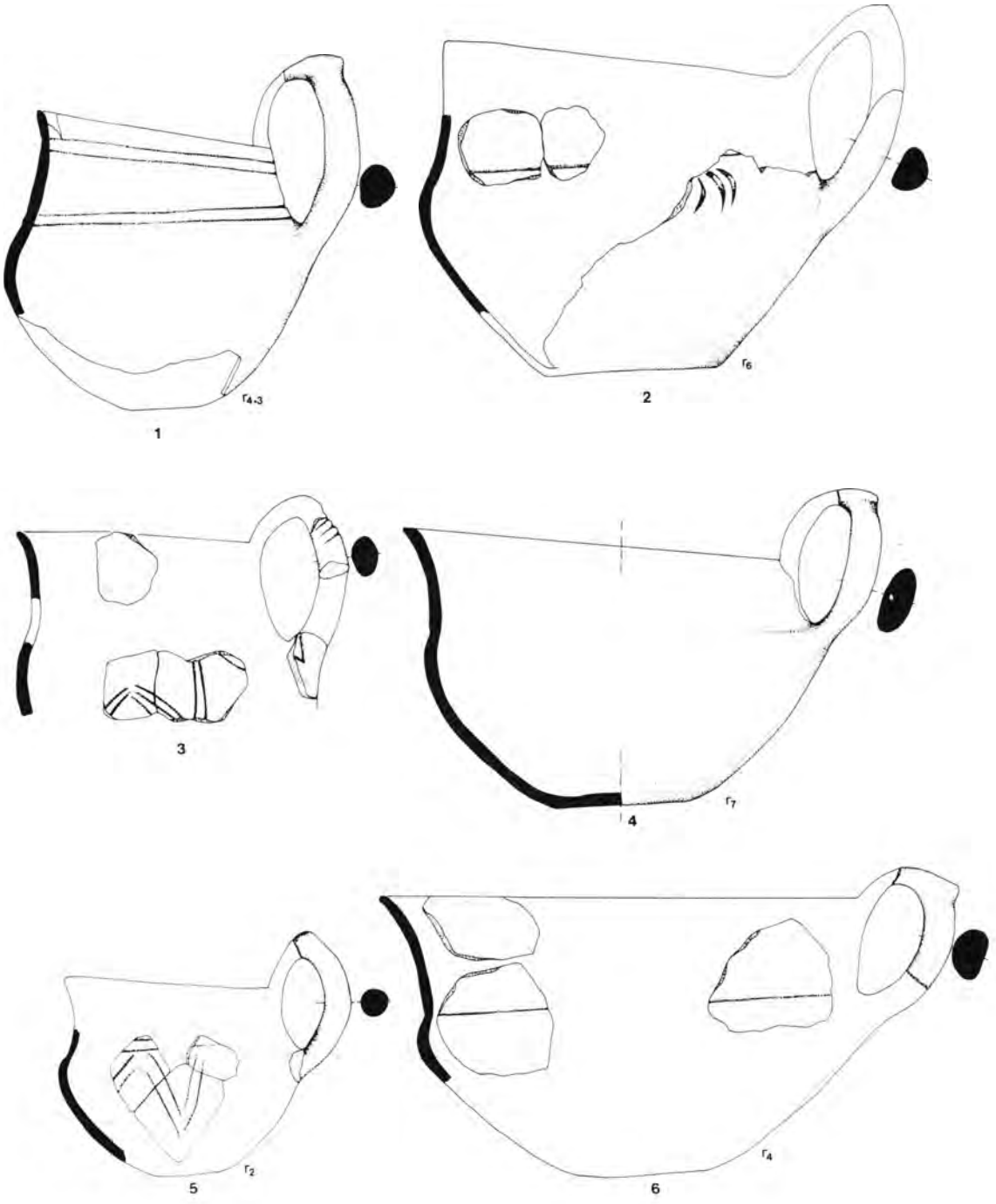

Τ3Γ

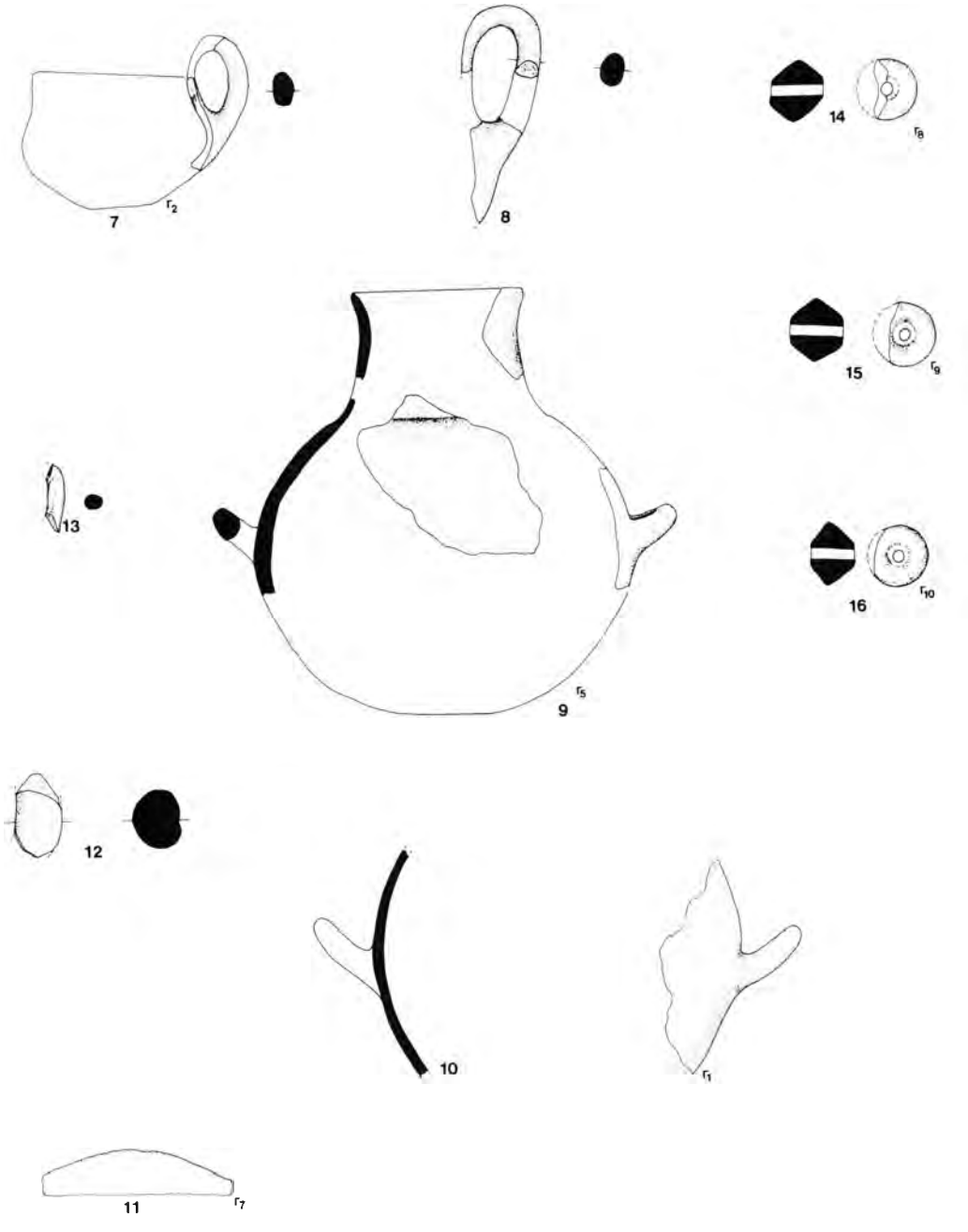

T4

A

T5A

B

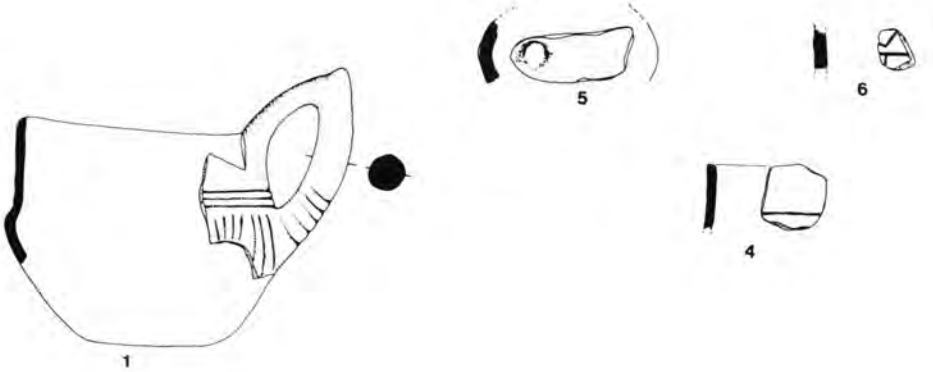

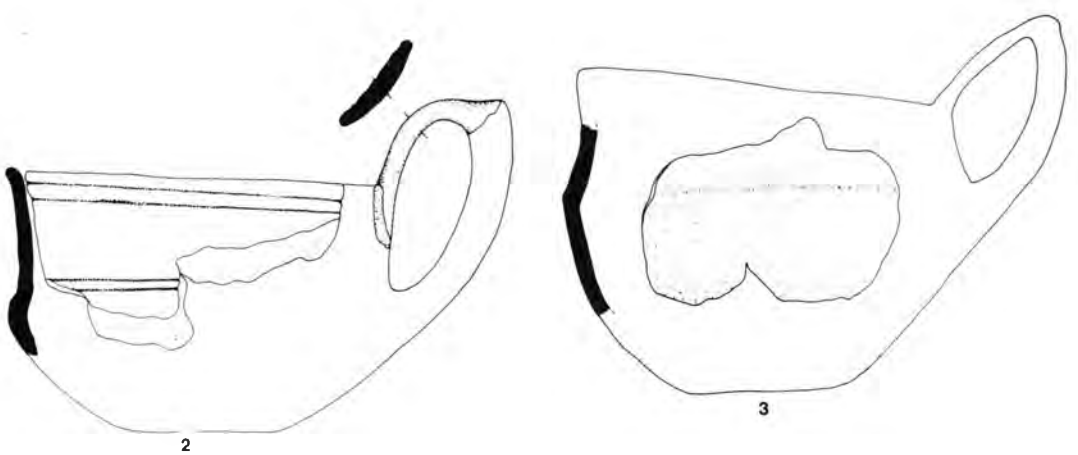

T5A ΠΡ

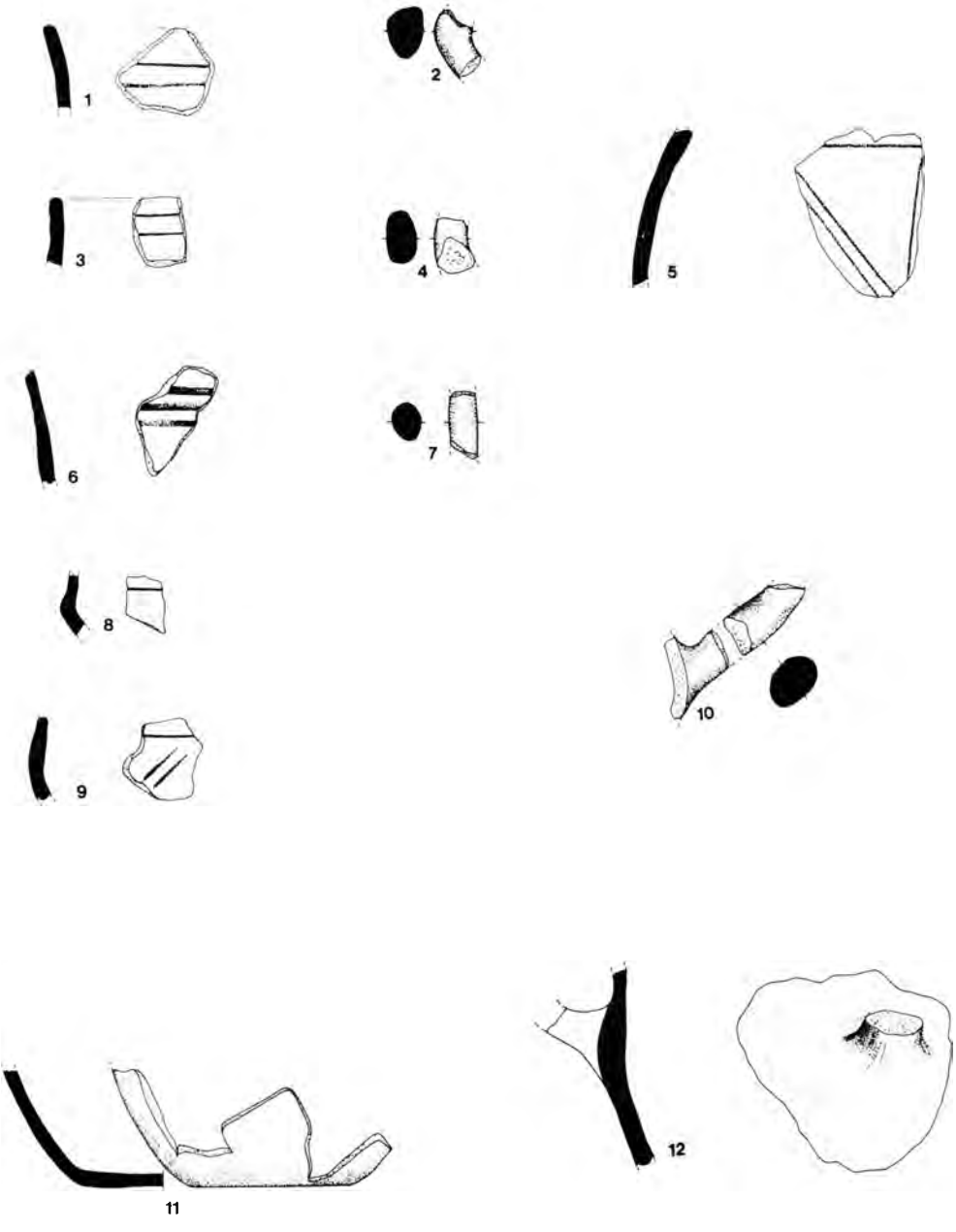

T5A ΠΡ

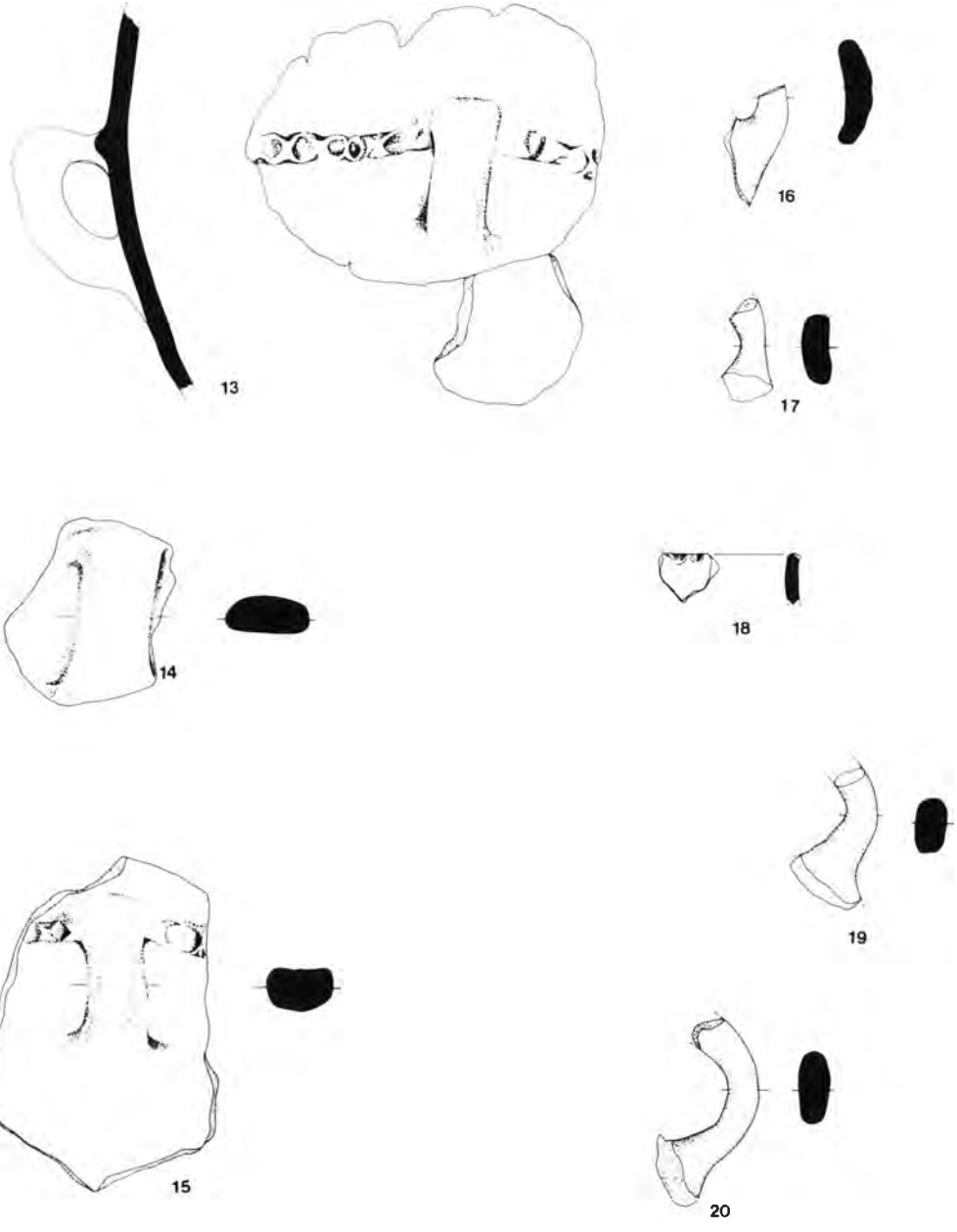

T5A ΑΠ

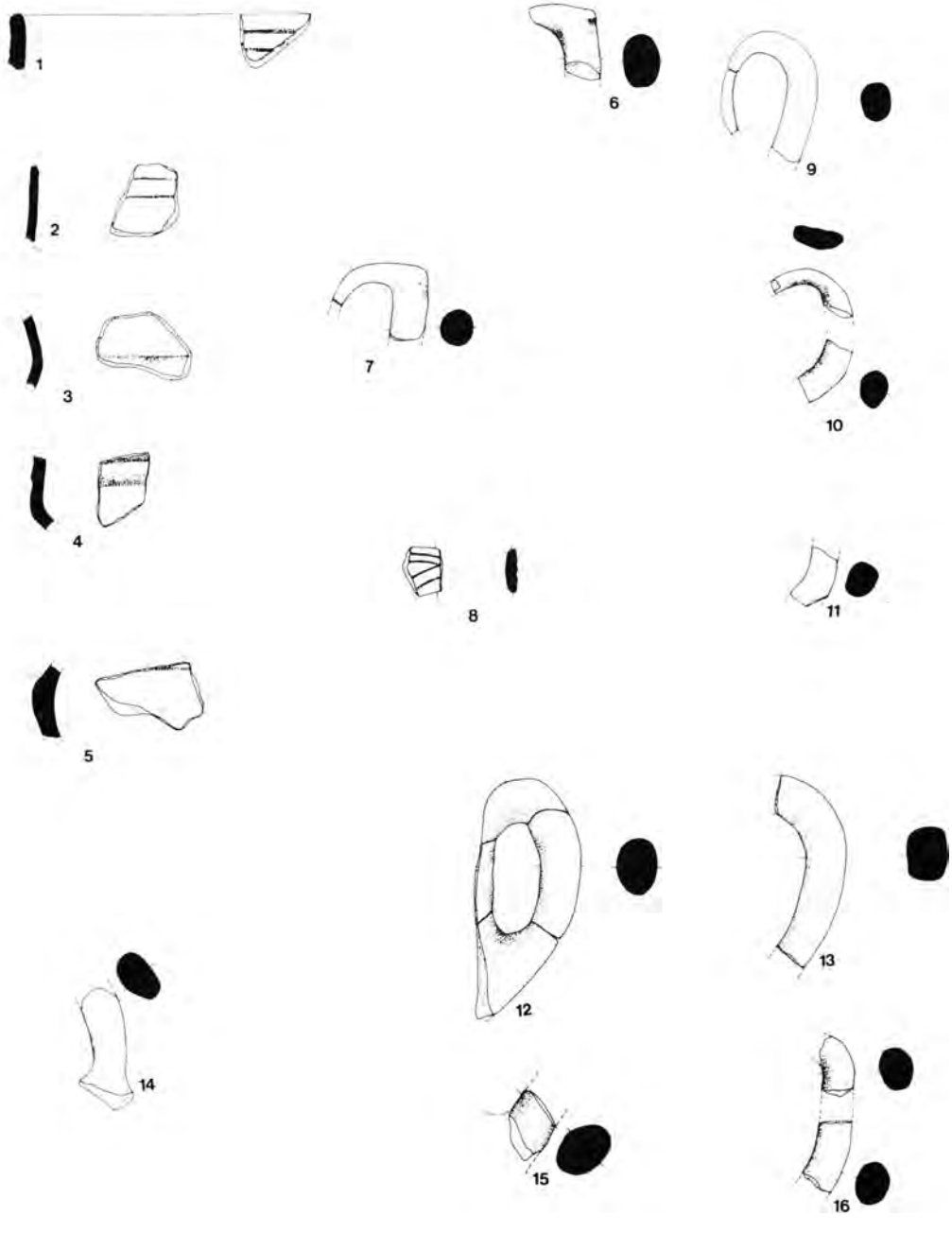

Τ5Α ΑΠ

A

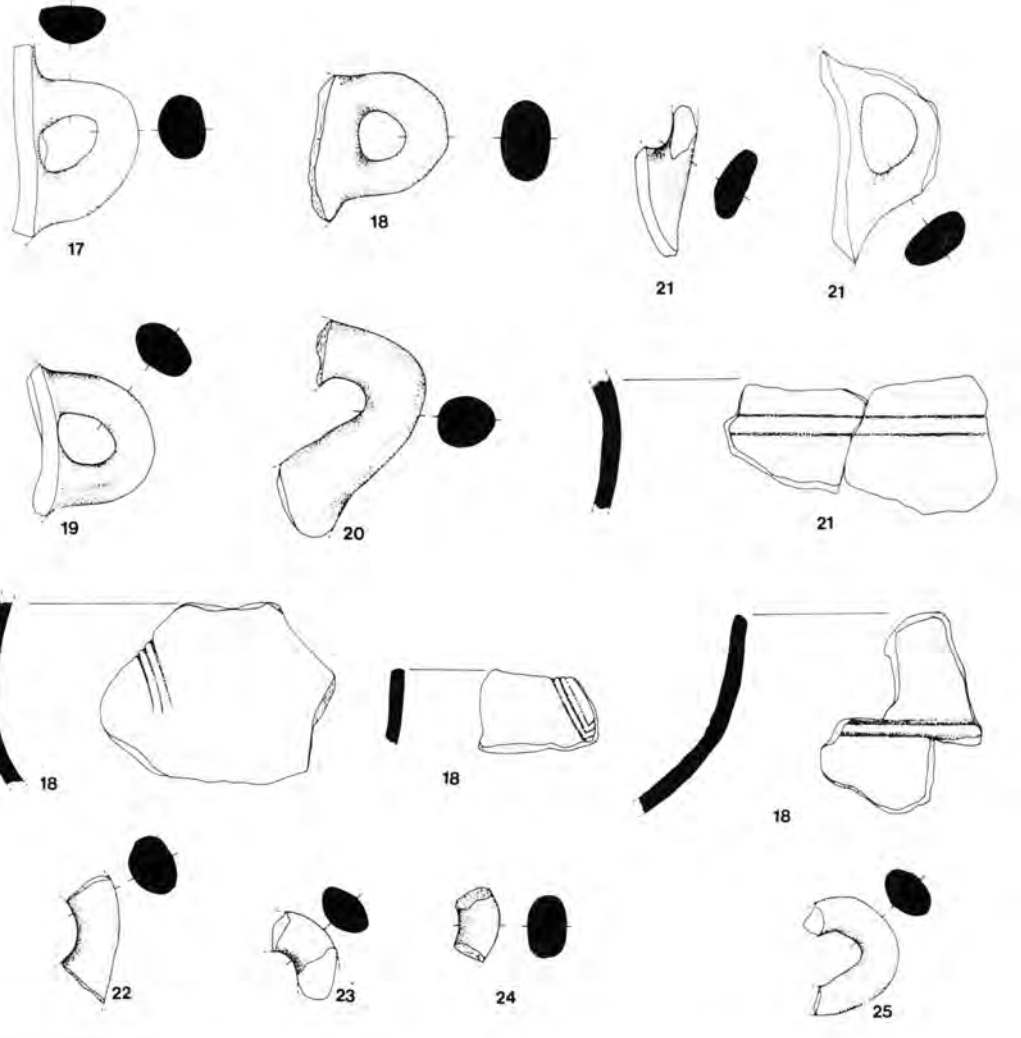

Τ5Γ

B

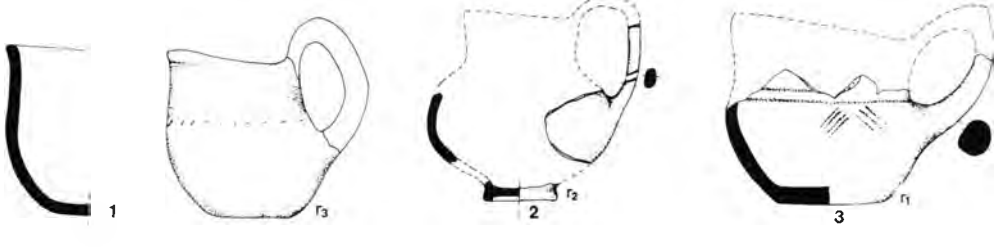

T 5A

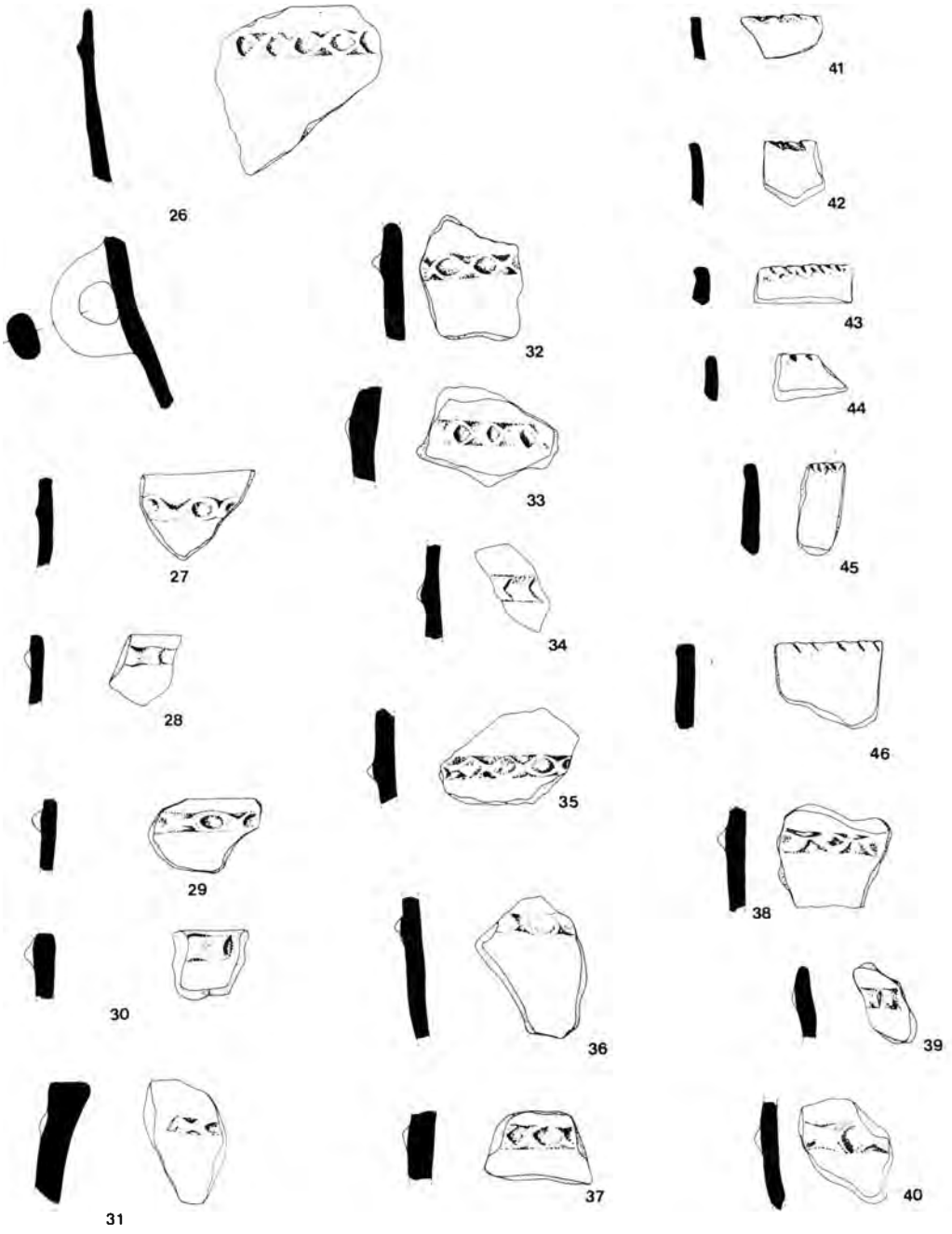

T5B

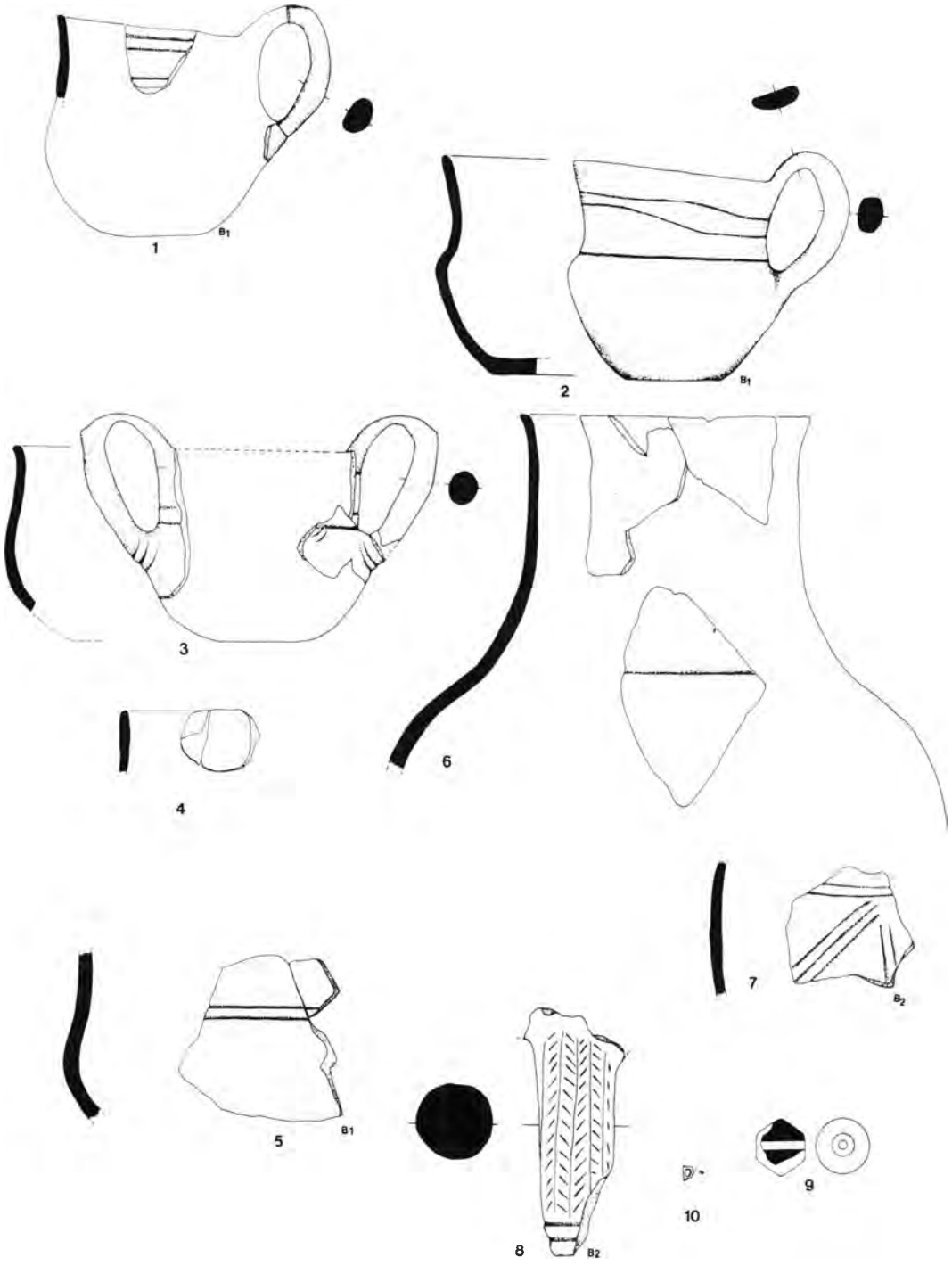

T 7A

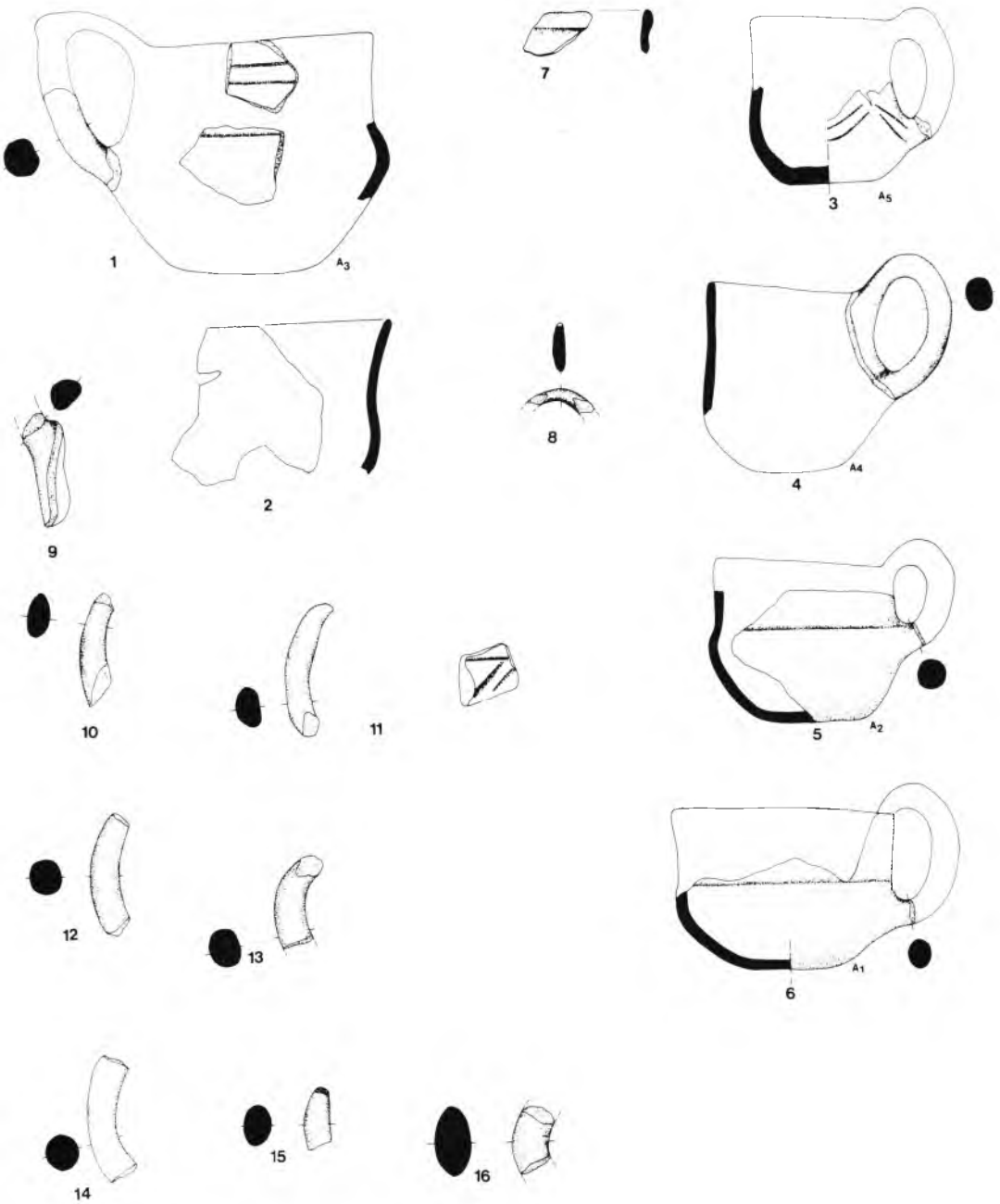

T7A

A

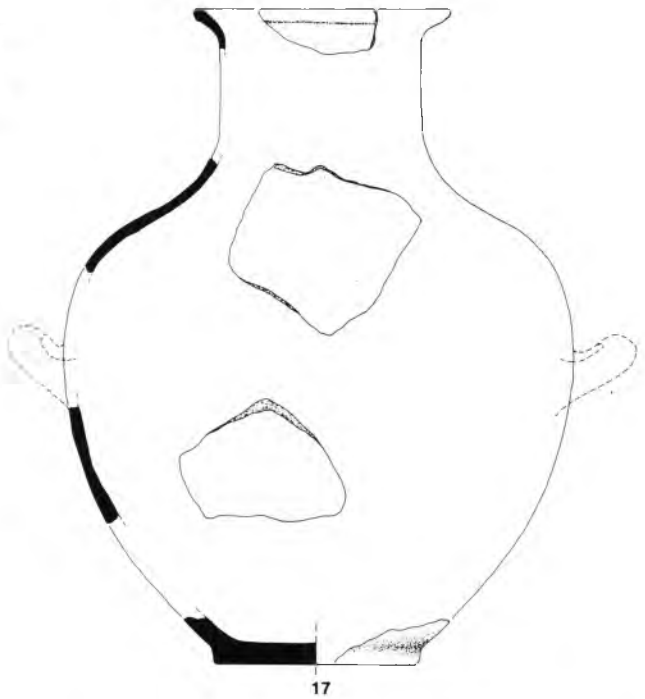

17

18

19

B

T7B

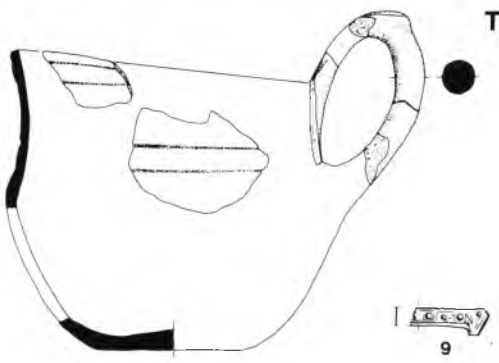

1

9

6

5

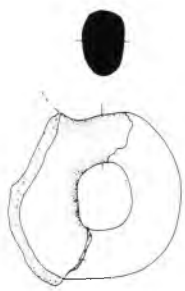

7

2

3

4

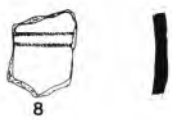

8

Τ7Γ

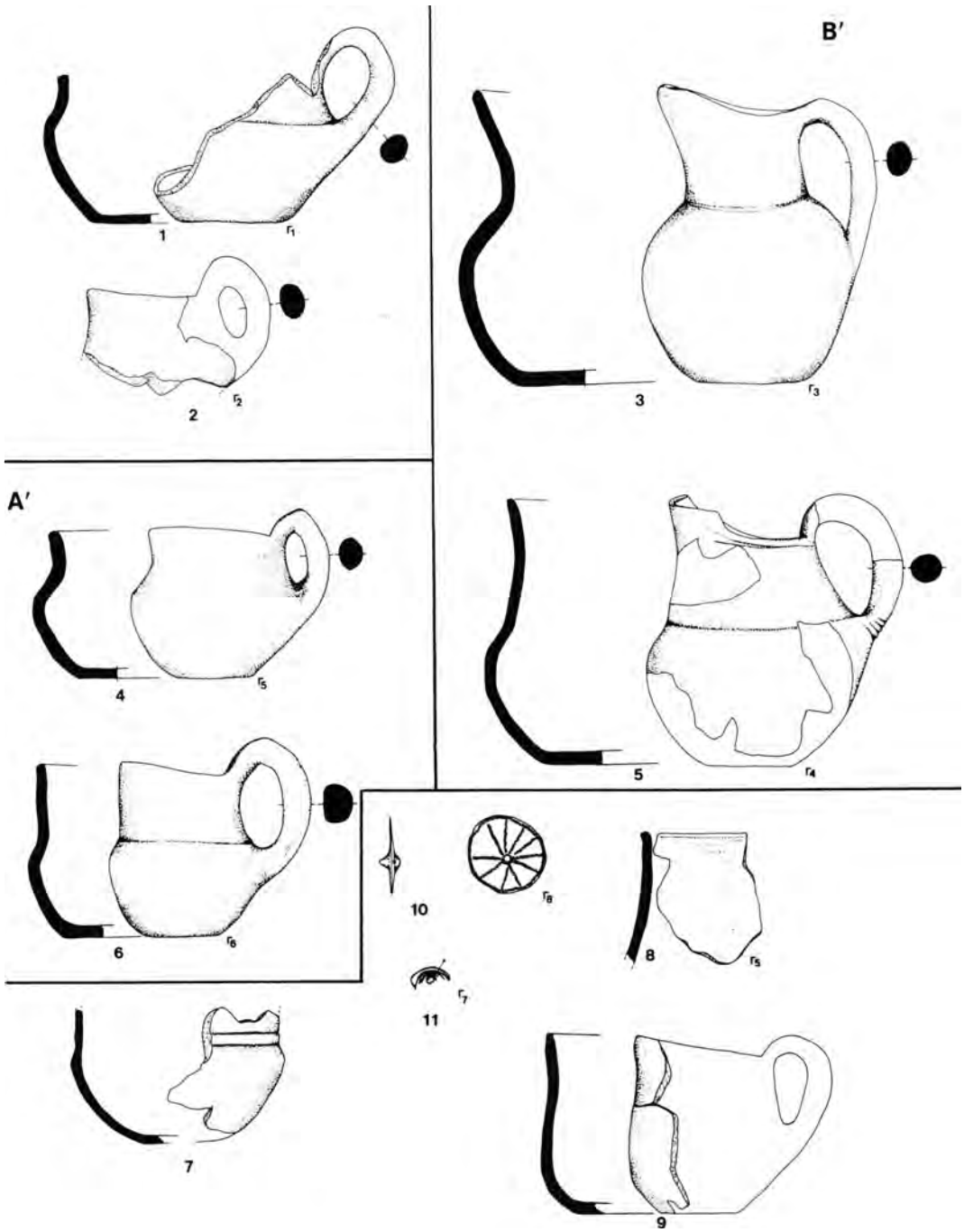

Τ7Δ

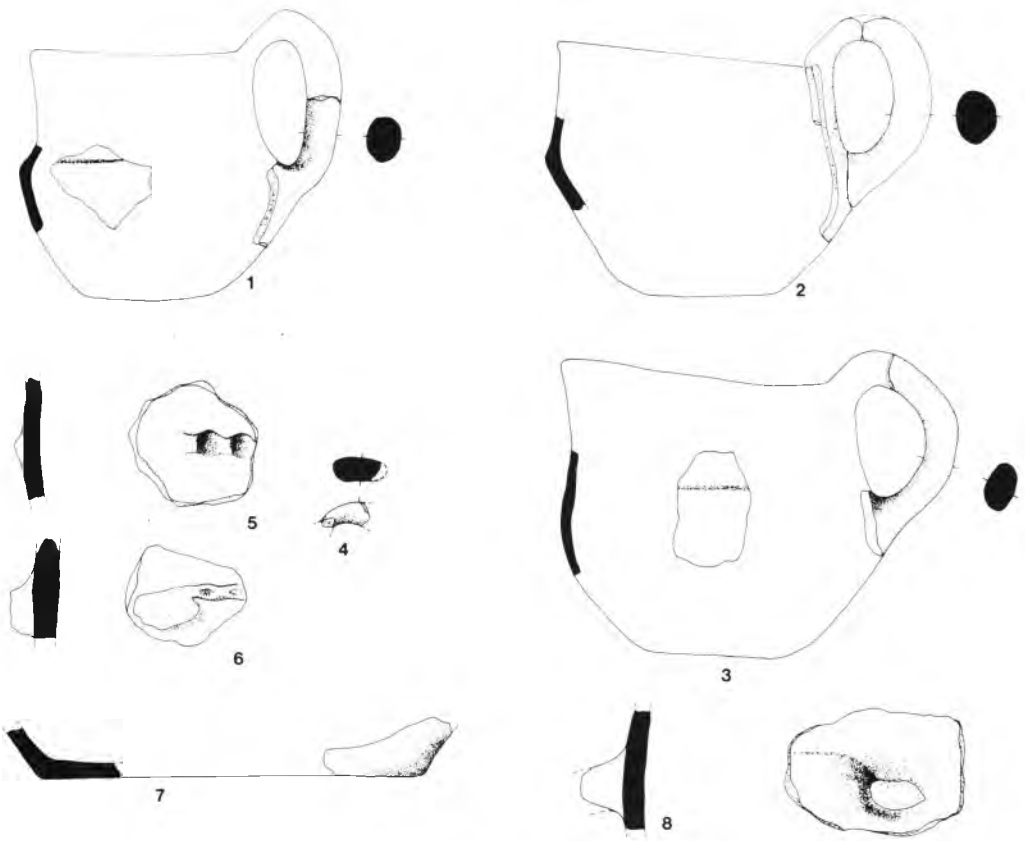

Τ8

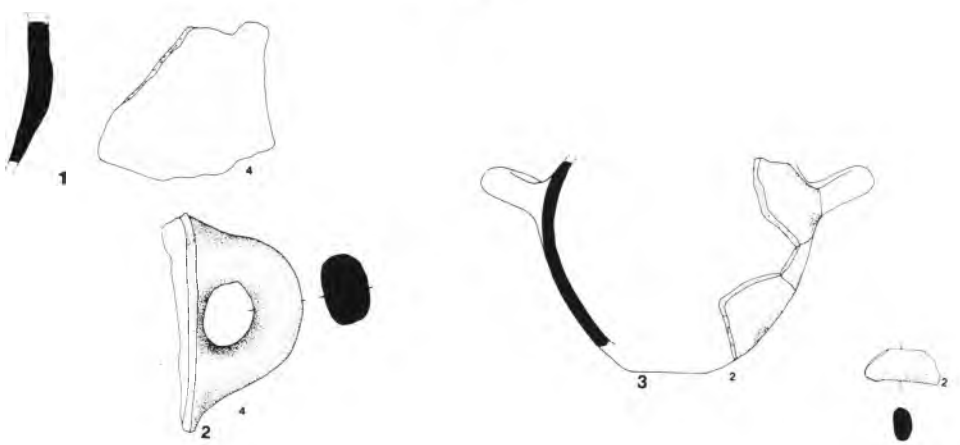

Τ8

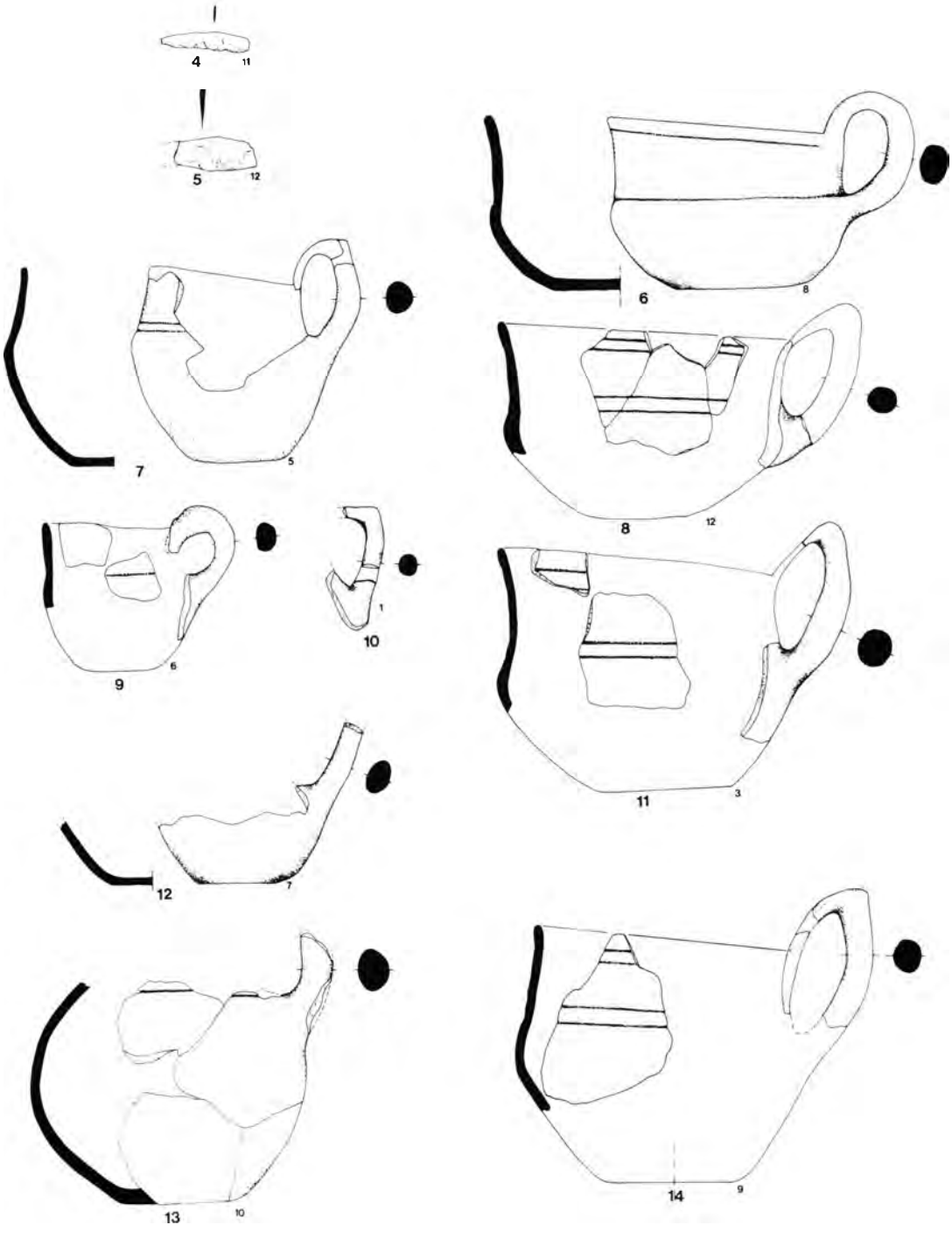

Α

Τ6Β

Τ9

Β

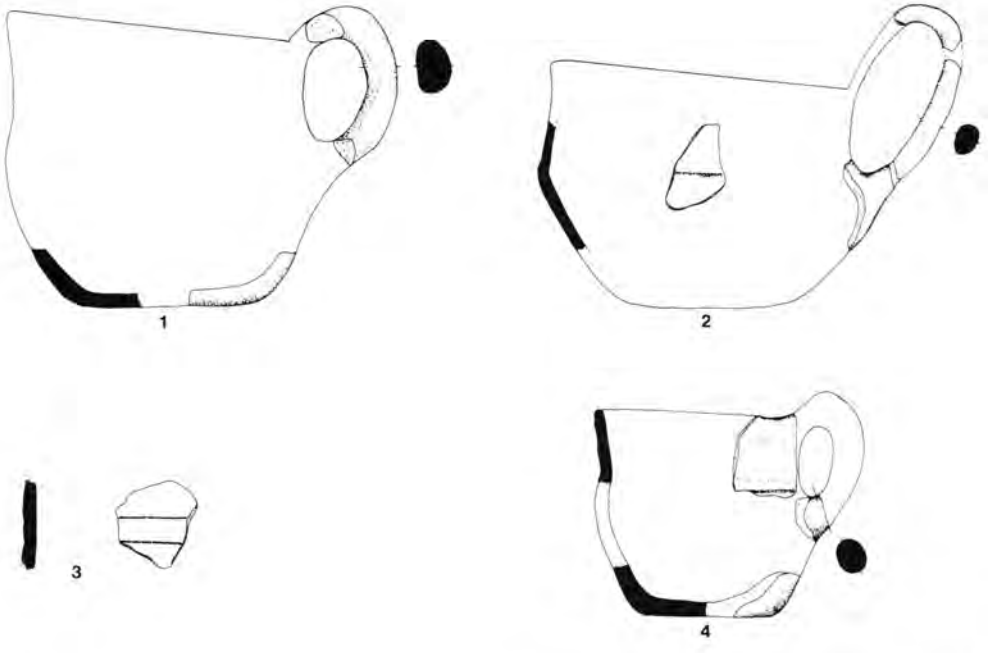

Τ10

Τ11

Γ

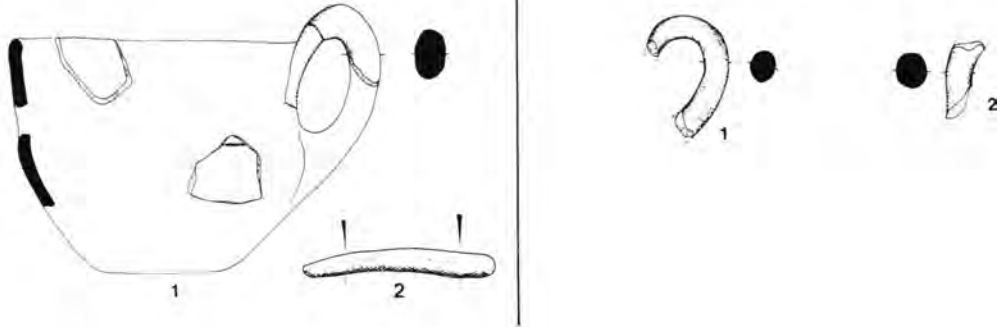

Δ

T12

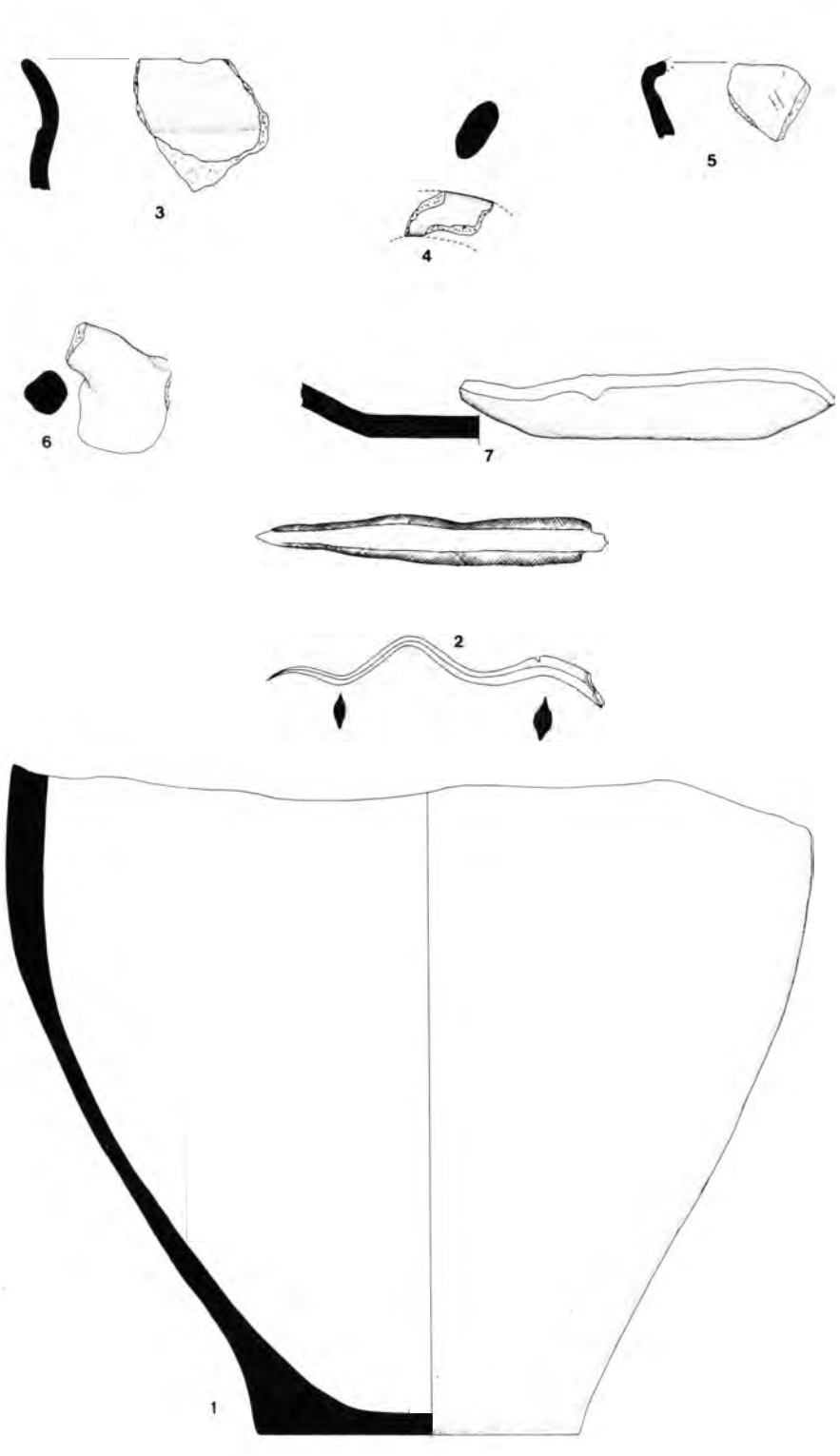

T13 I

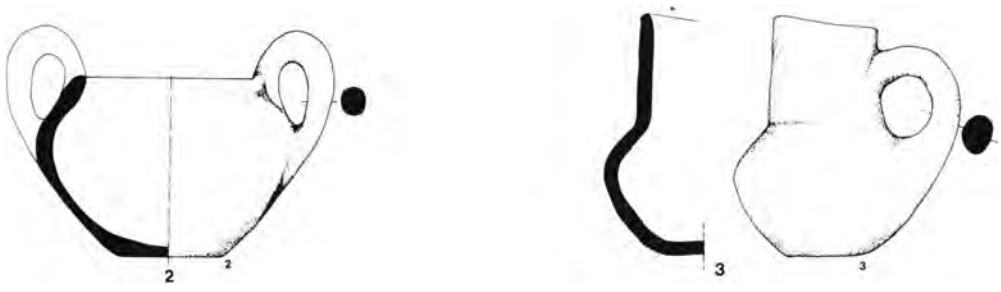

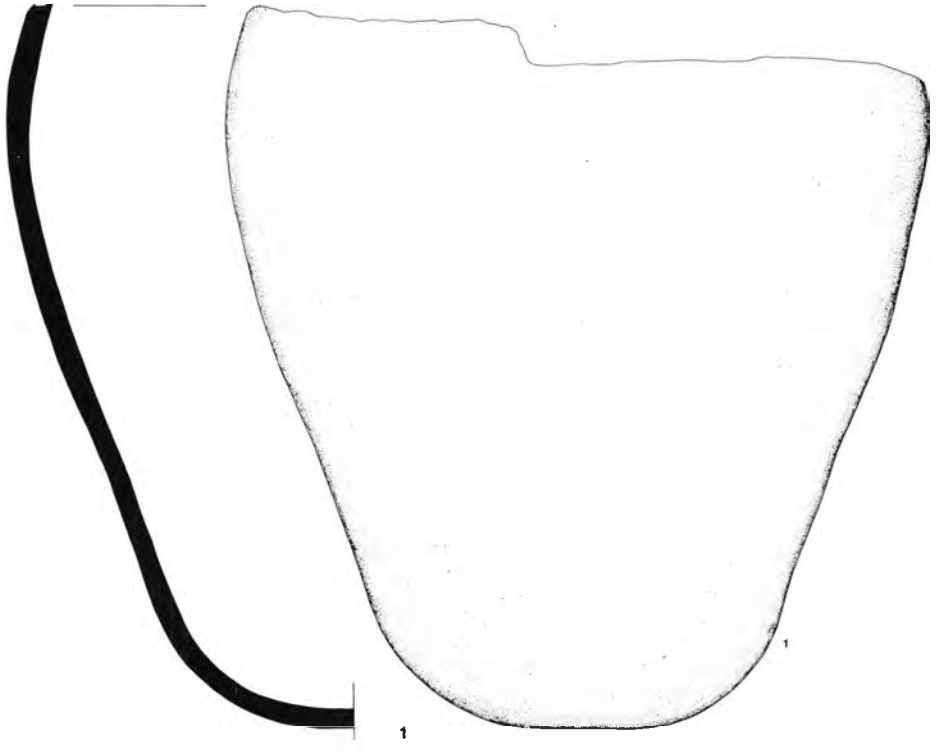

$T_{13\,II}$

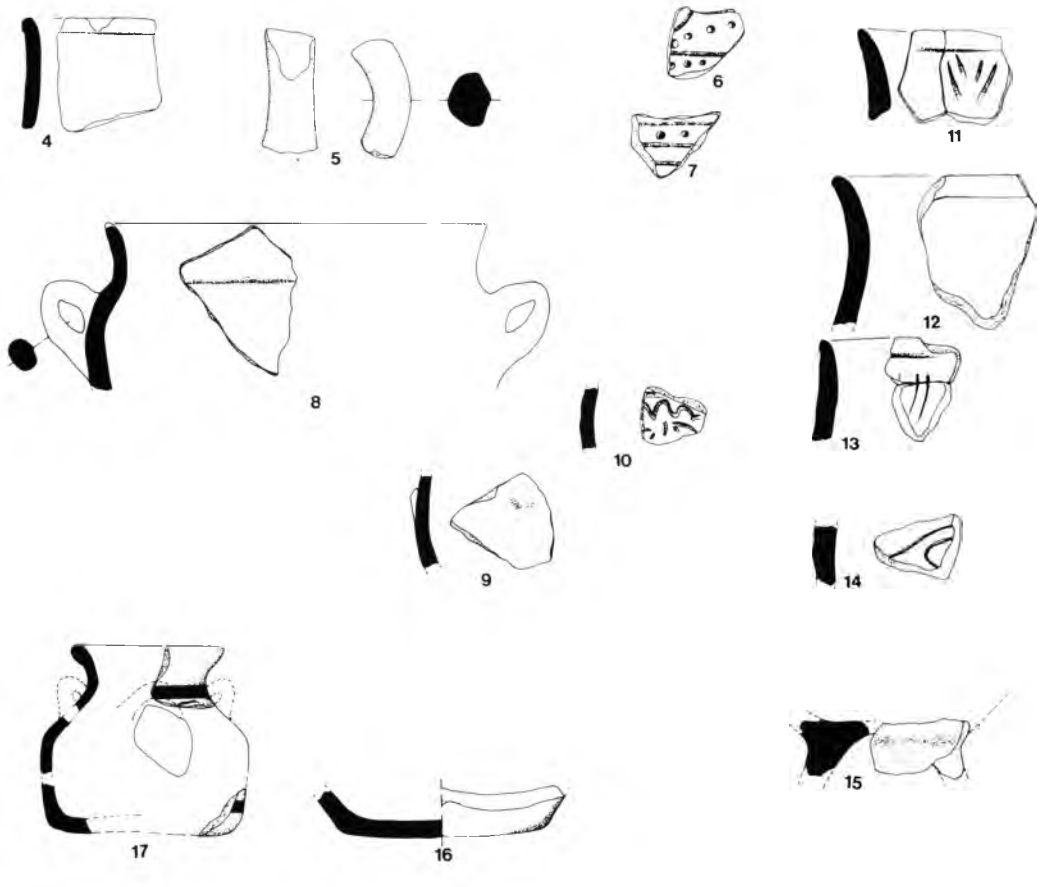

T13 II

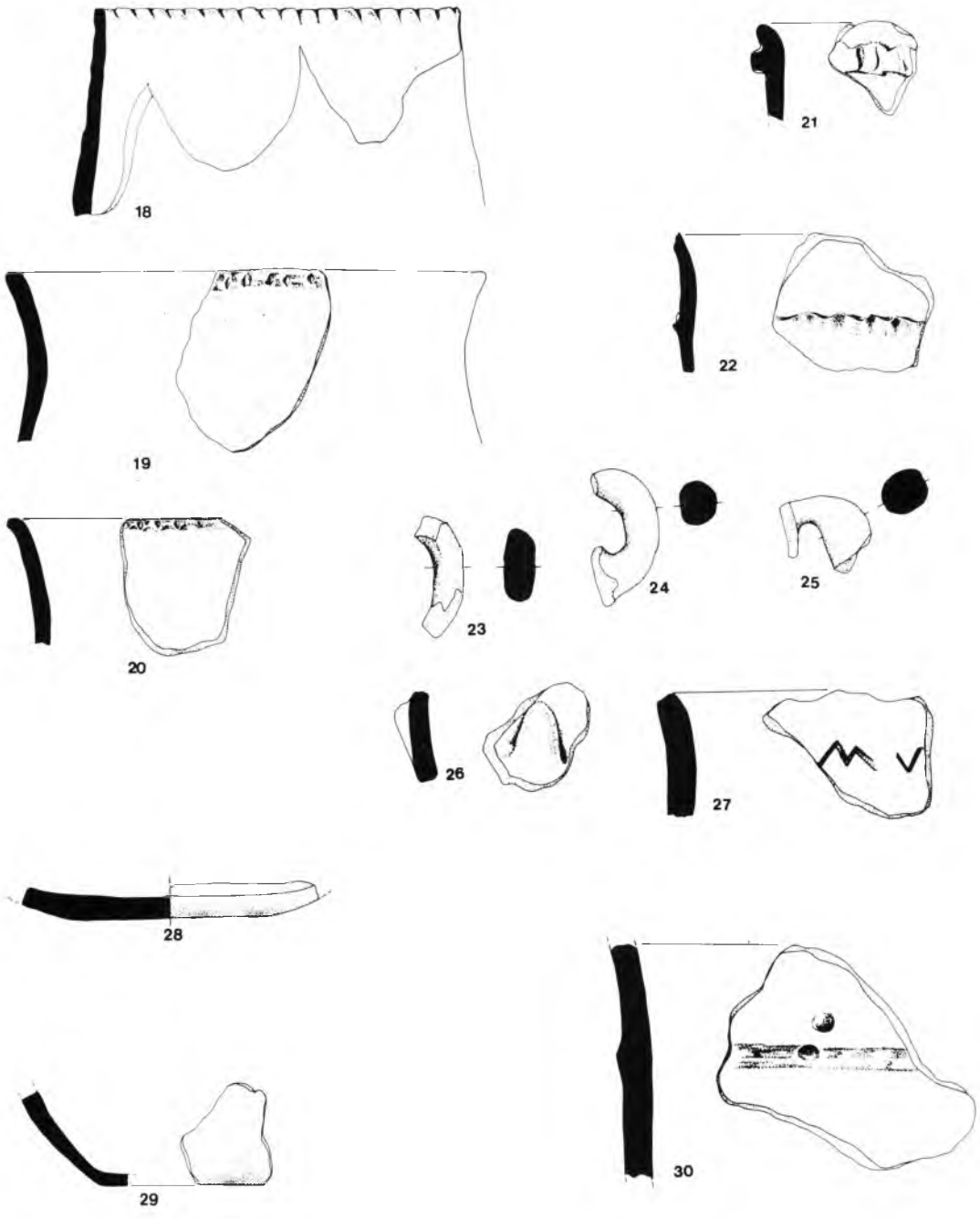

T_{14A}

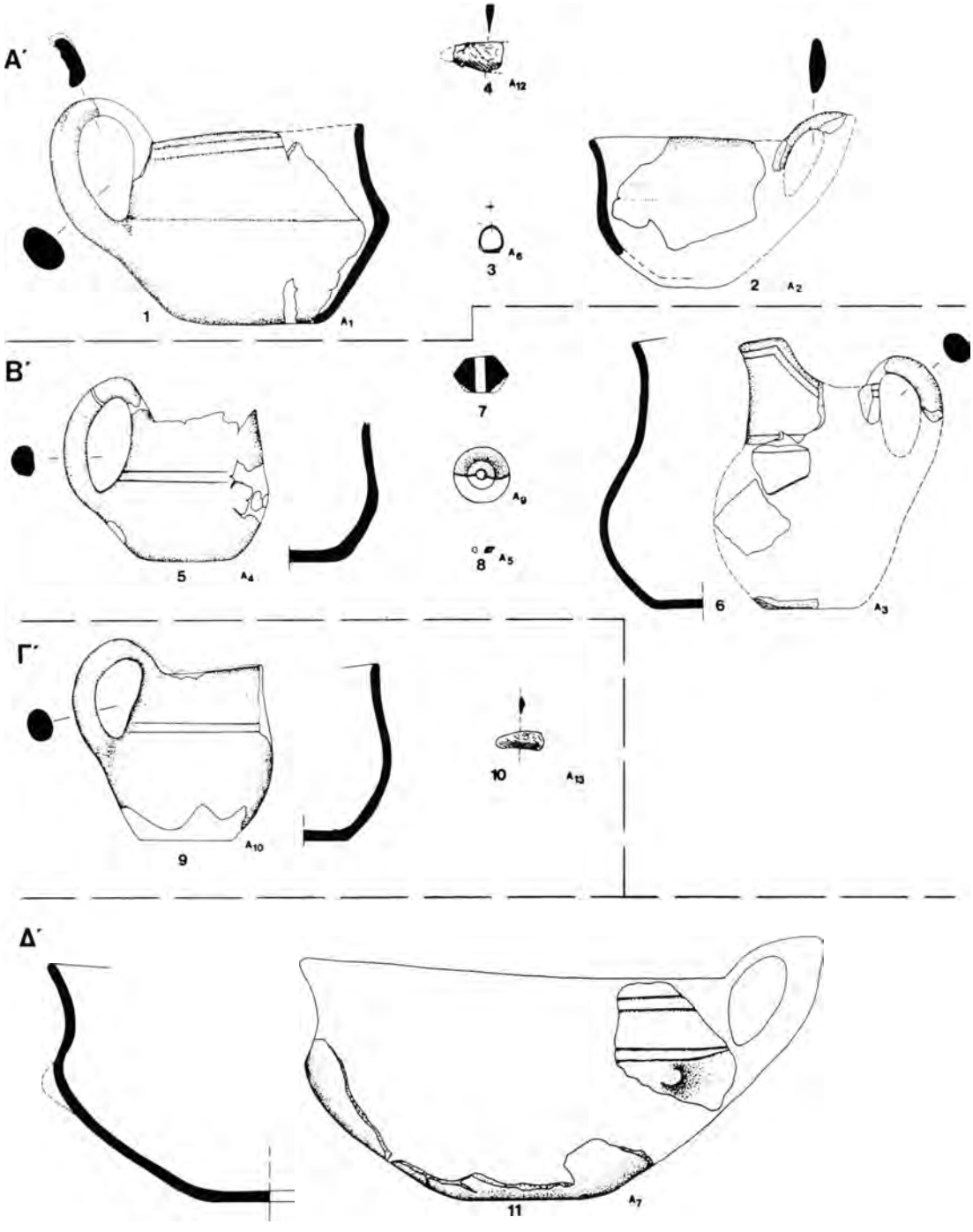

T14A

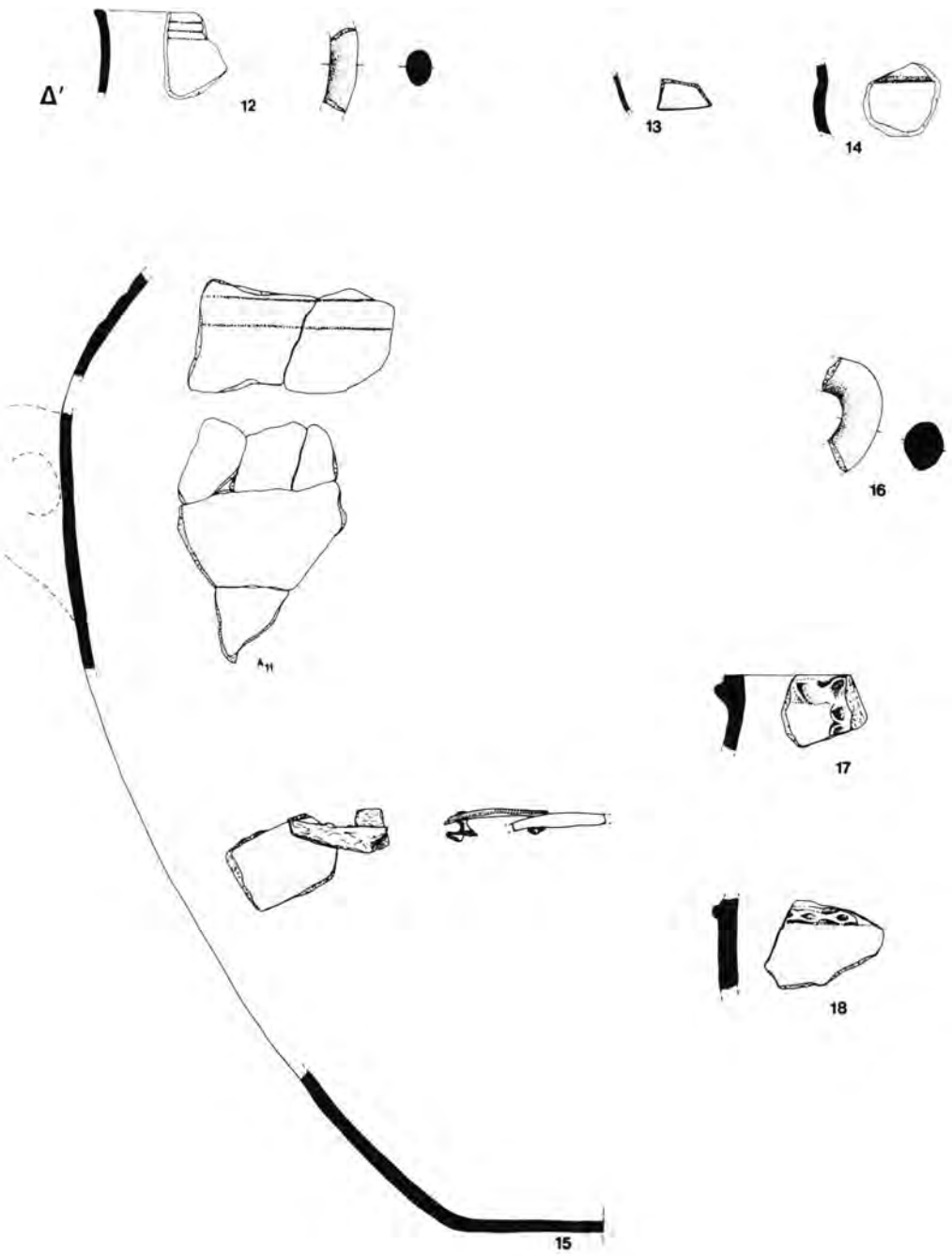

T_{14B1}

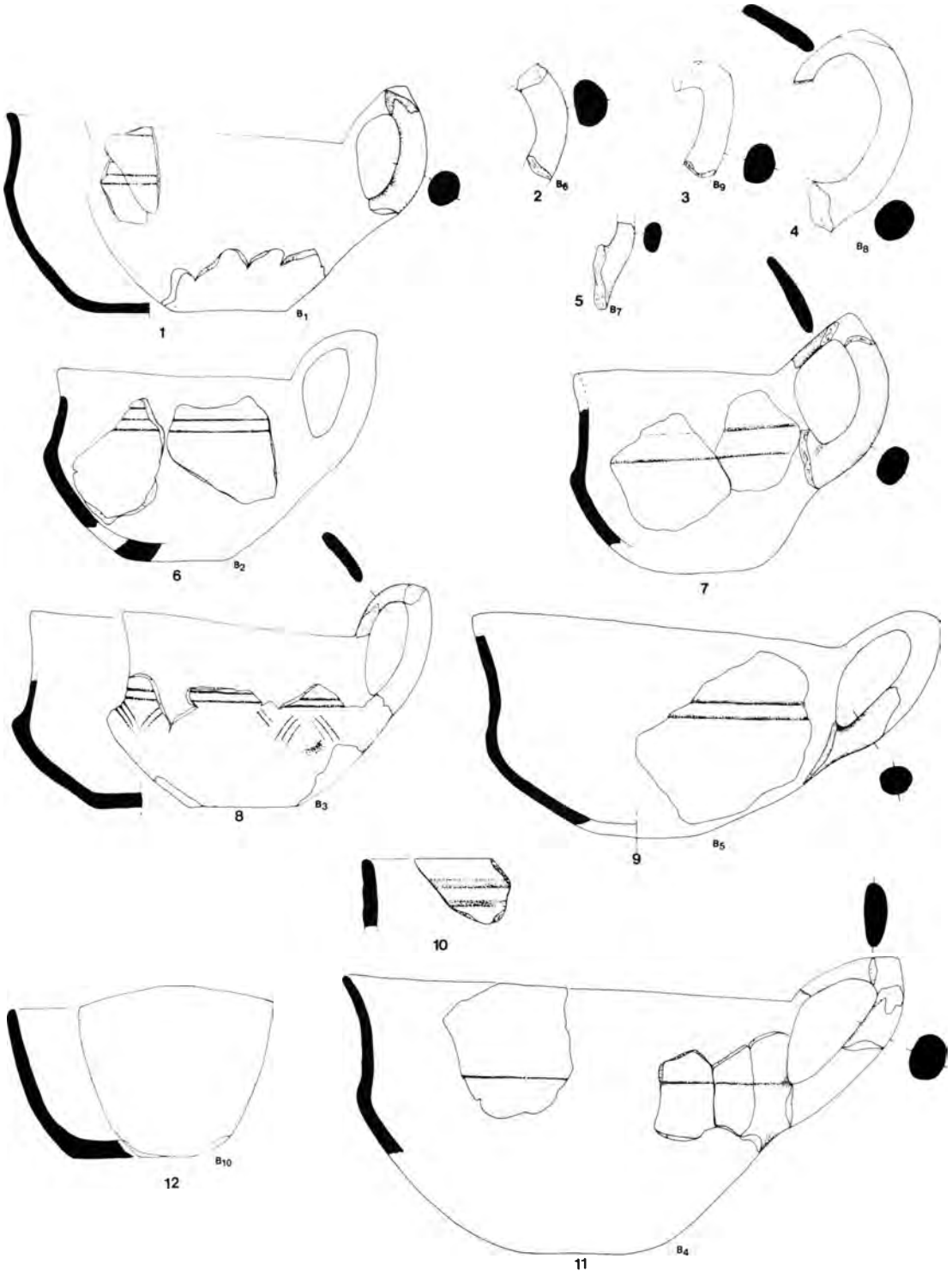

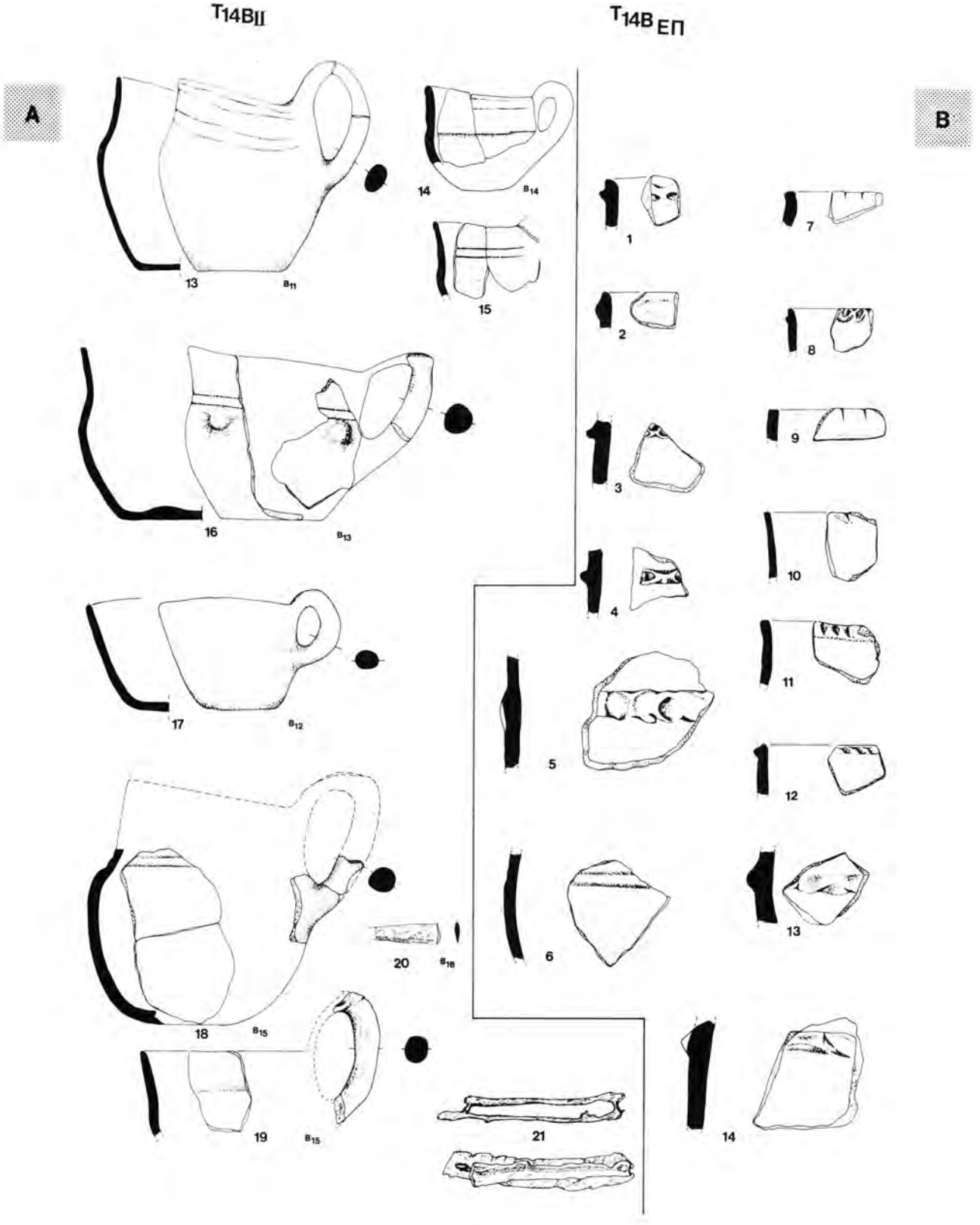
T14BII
T14B ΕΠ
A
B
13
B11
14
B14
15
16
B13
17
B12
18
B15
19
B15
20
B18
21
1
2
3
4
5
6
7
8
9
10
11
12
13
14

T15

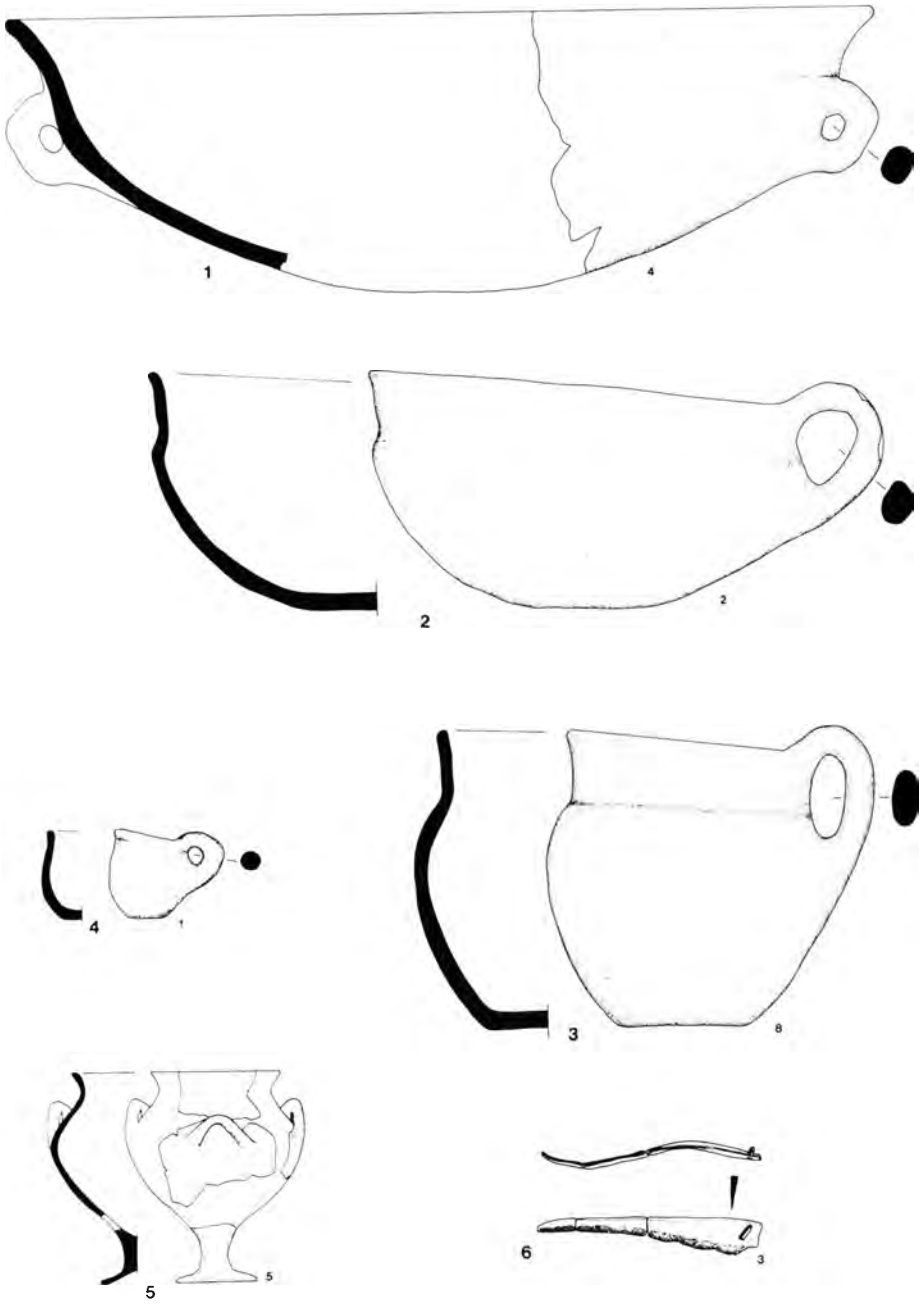

T_{15}

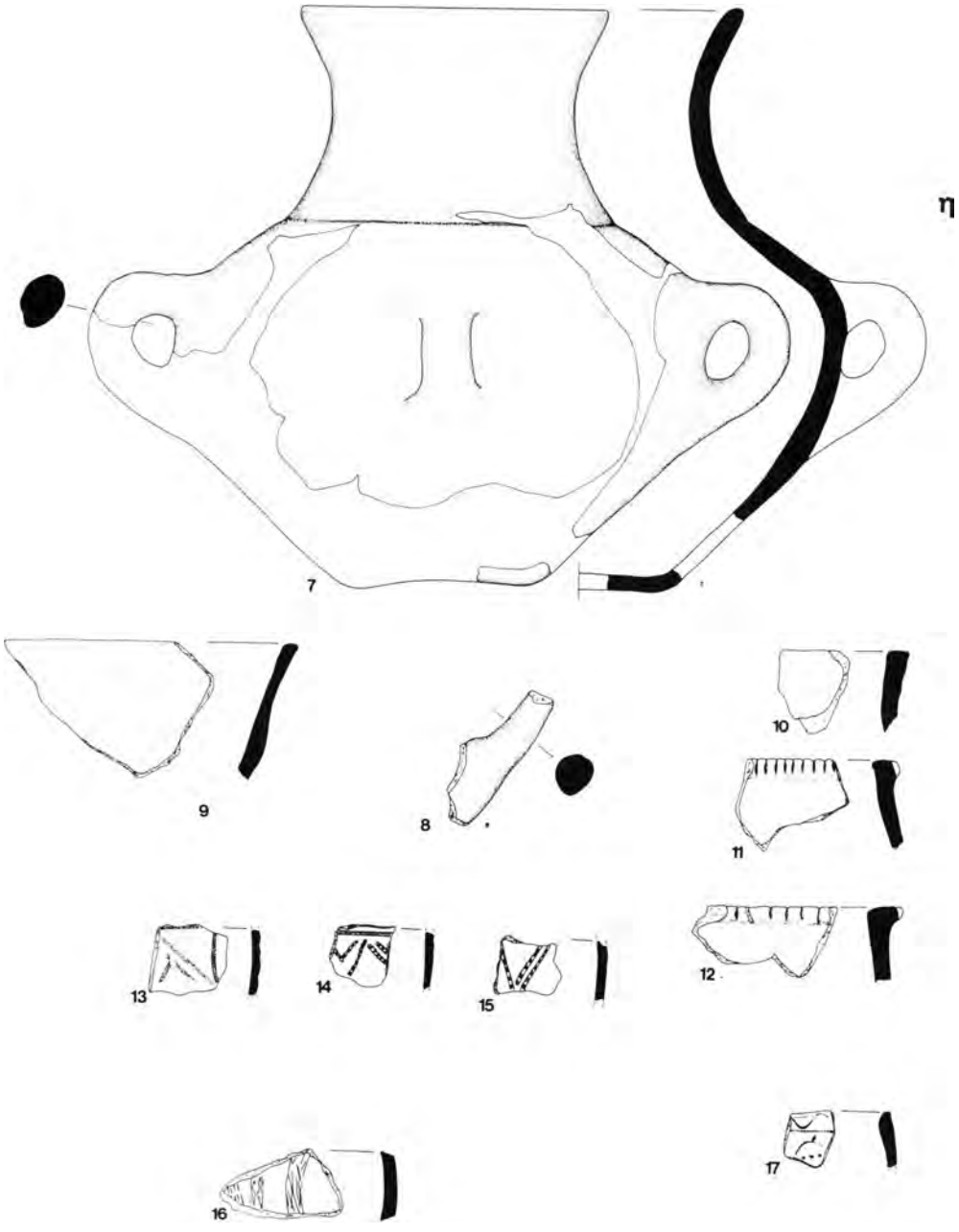

$T_{16_{II}}$

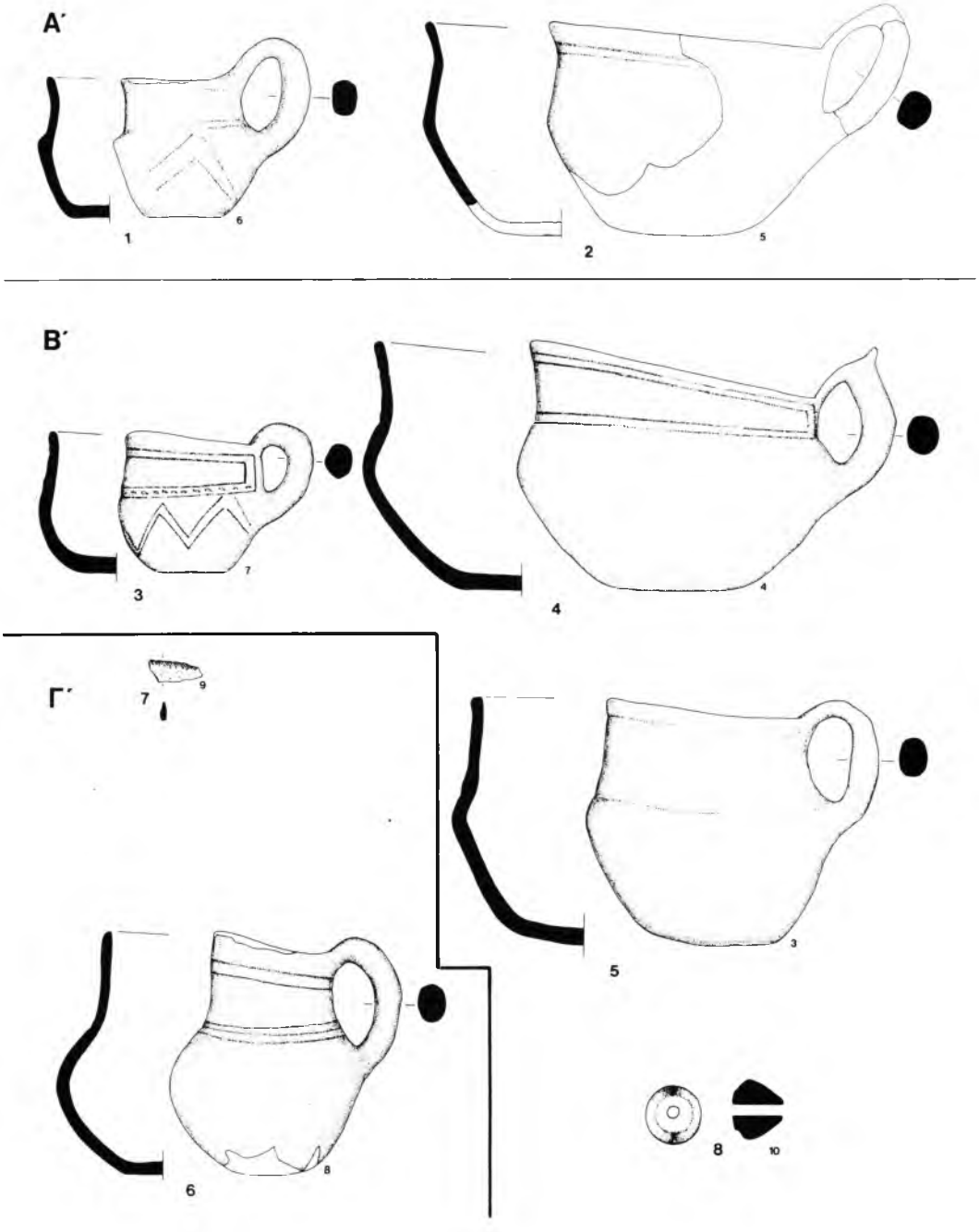

$T_{16\,I}$

A

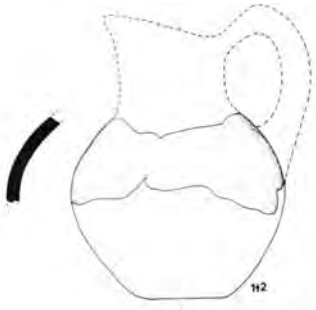

9

13

11

10

12

$T_{16\text{ΕΠ}}$

B

1

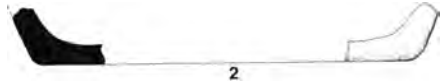

2

3

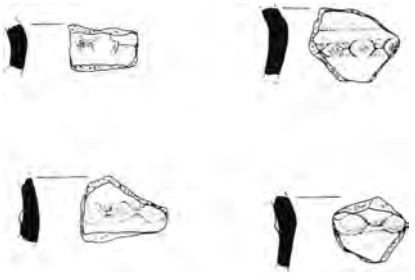

4

5

$T_{17}A_{II}$

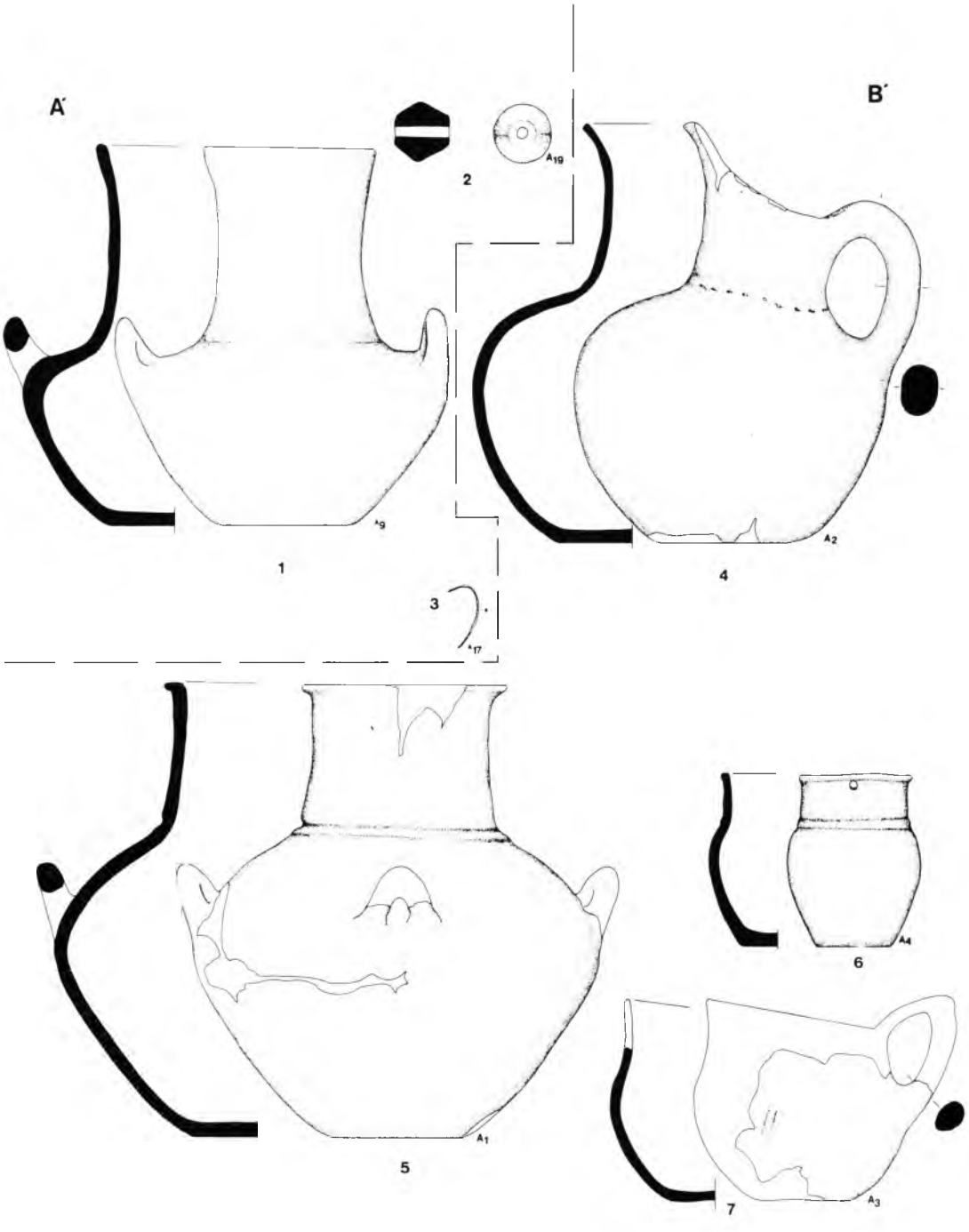

T17A||

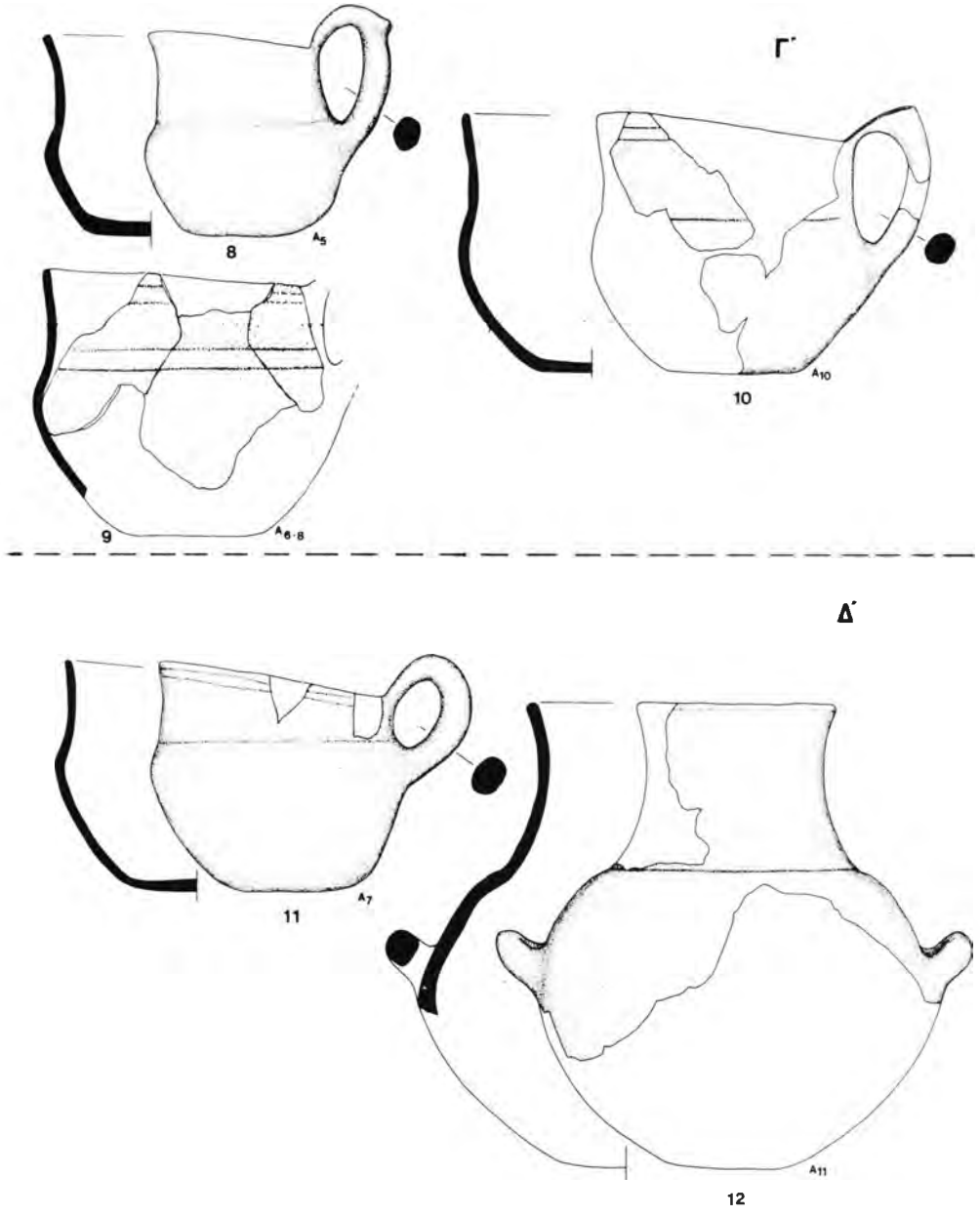

$T_{17A_{II}}$

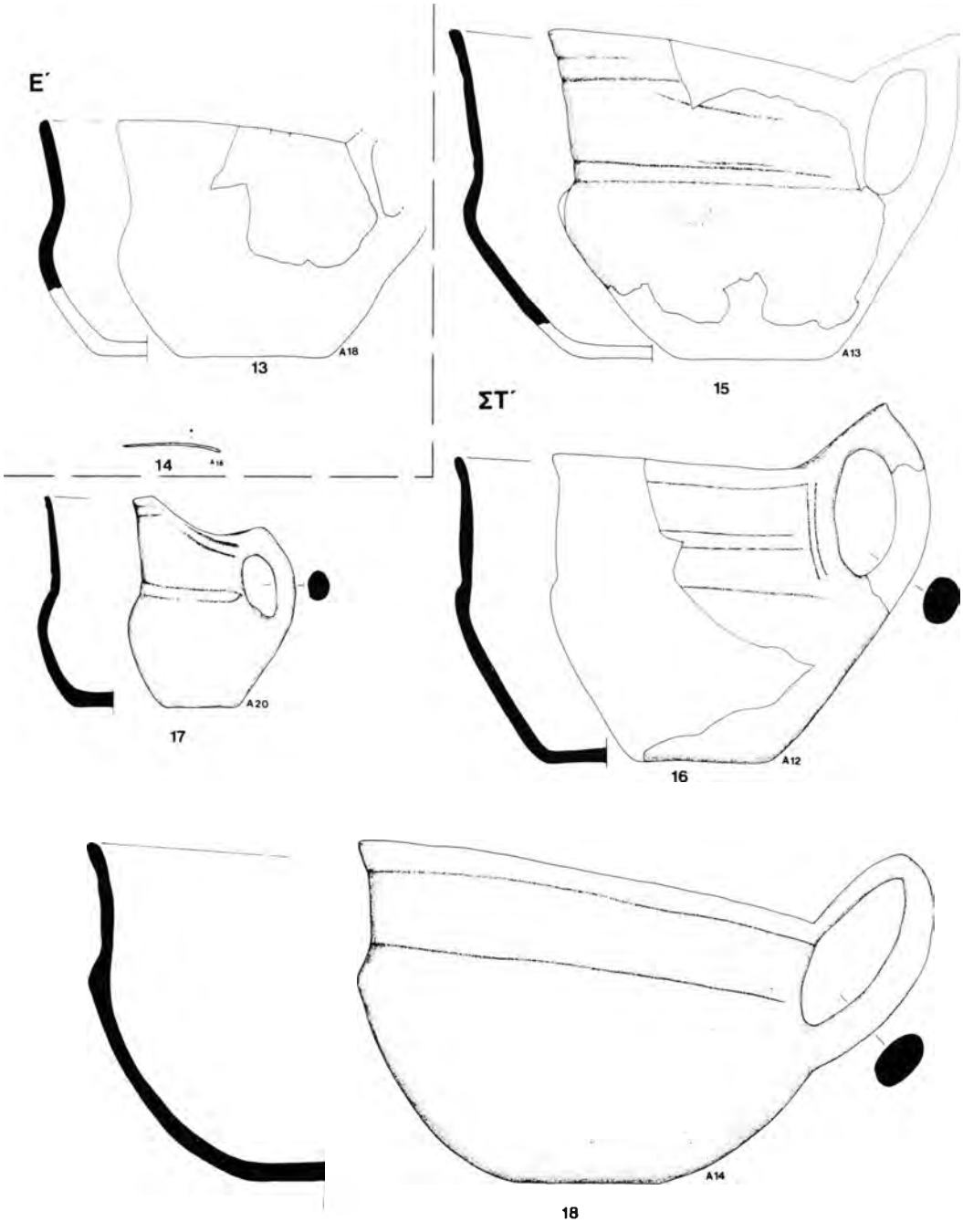

T_{17A_I}

A

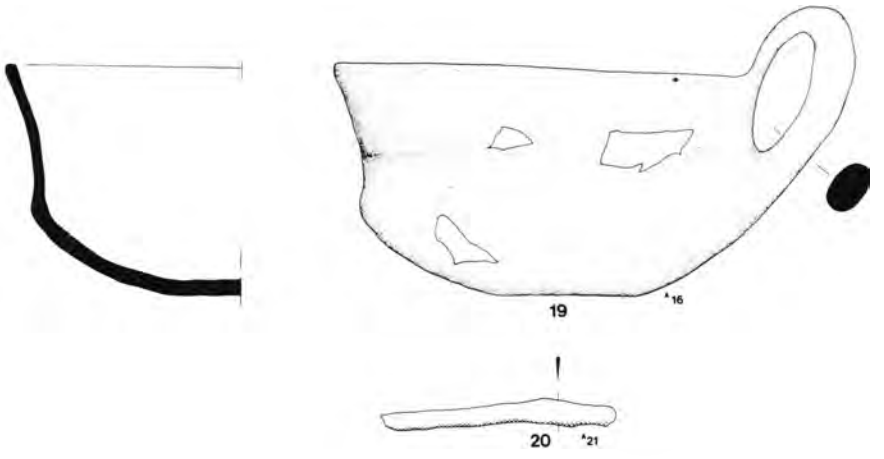

$T_{17A_{II}}$

B

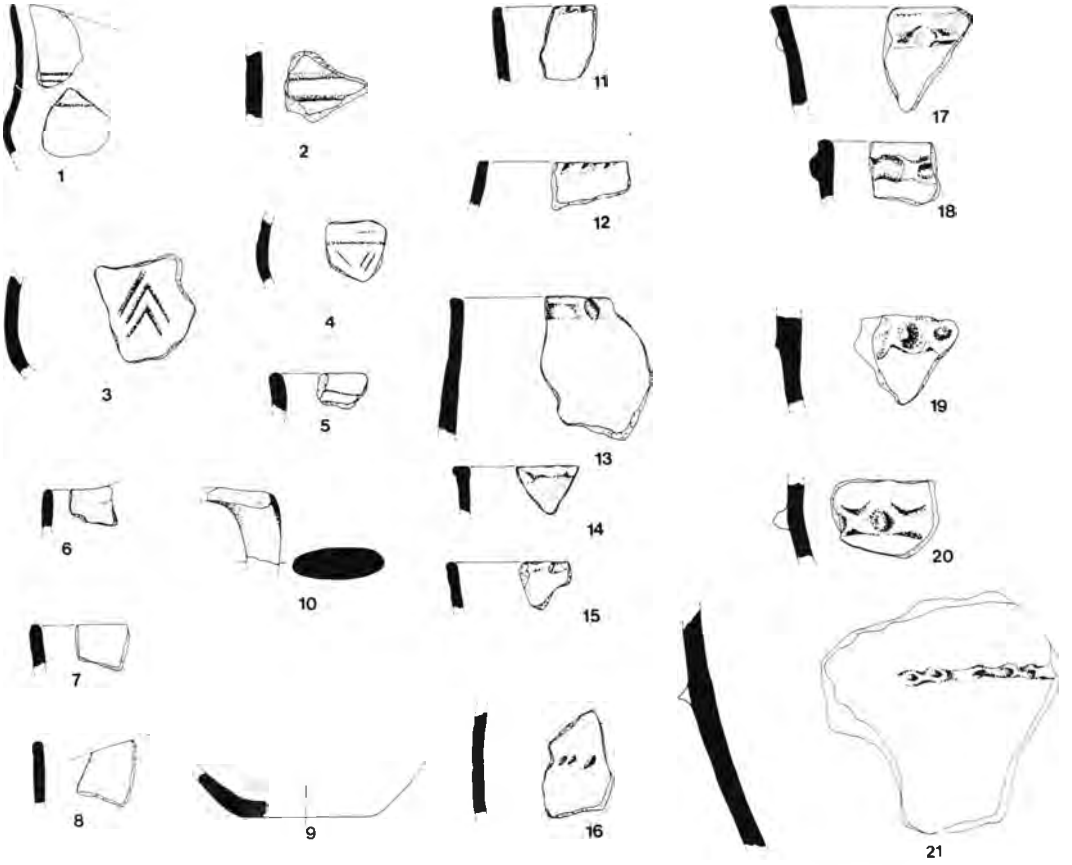

T_{17B}

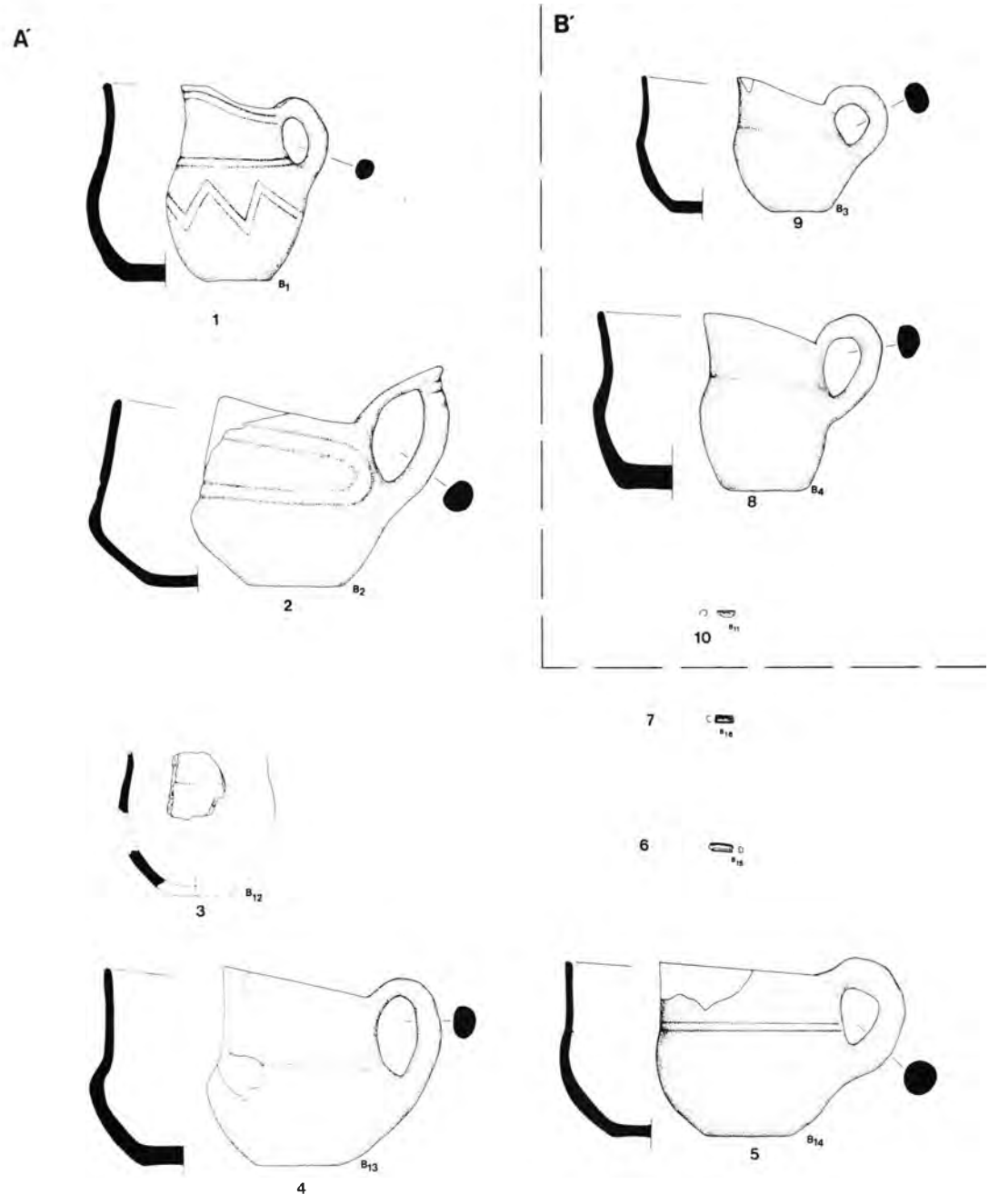

T17B

Γ΄

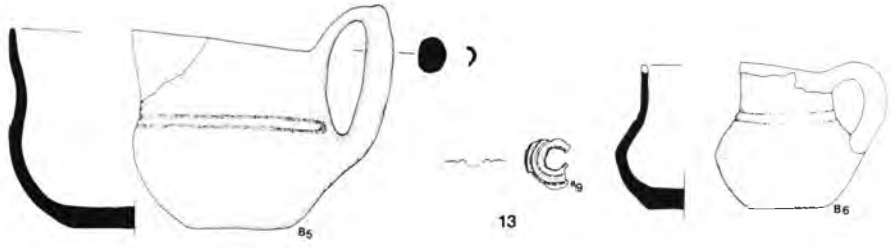

11 13 12

Δ΄

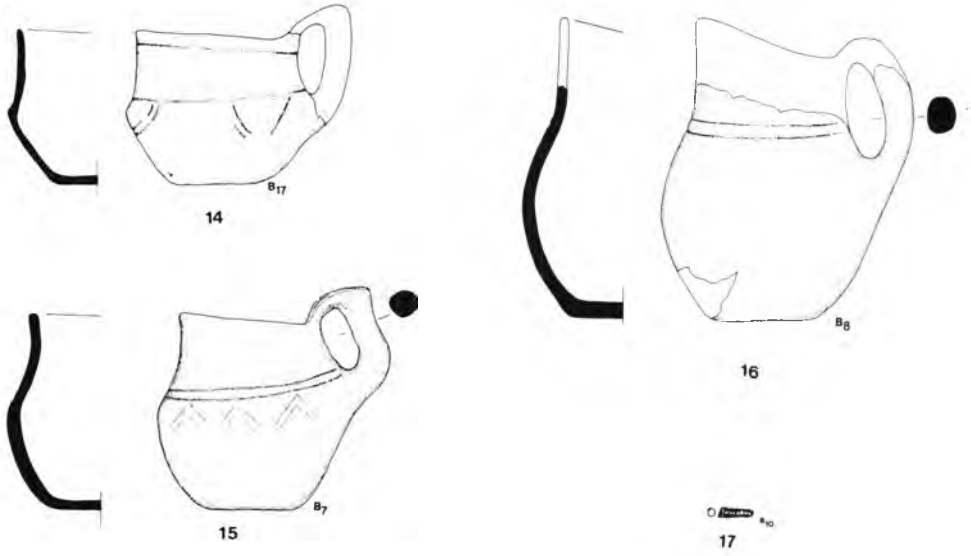

14 15 16 17

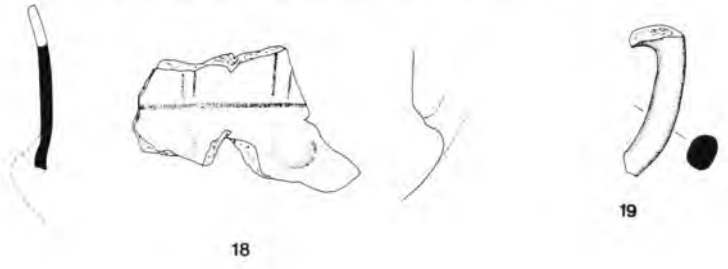

18 19

T18 Ia

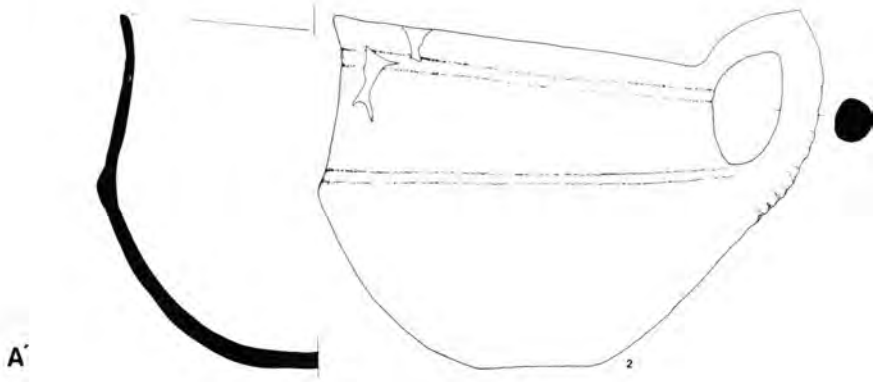

1

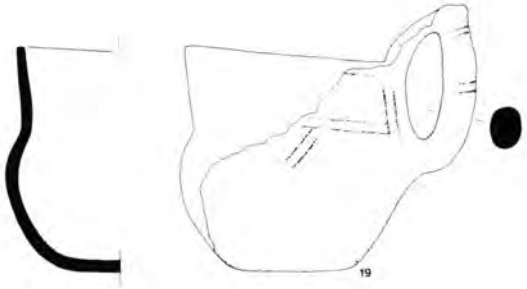

2

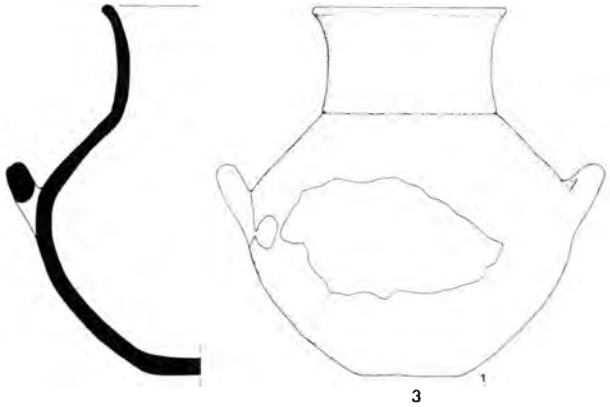

3

T 18 Ia

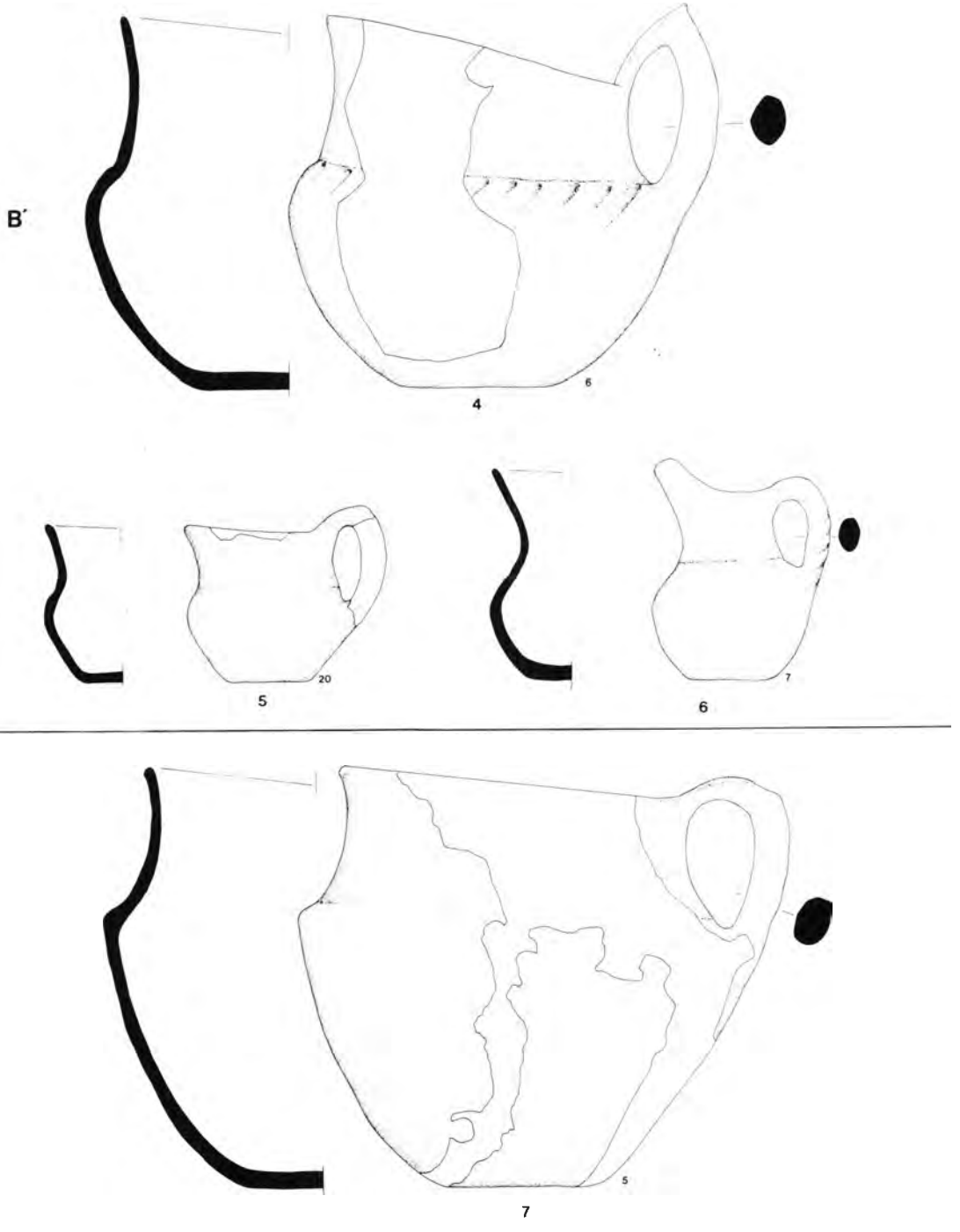

T 18 Ia

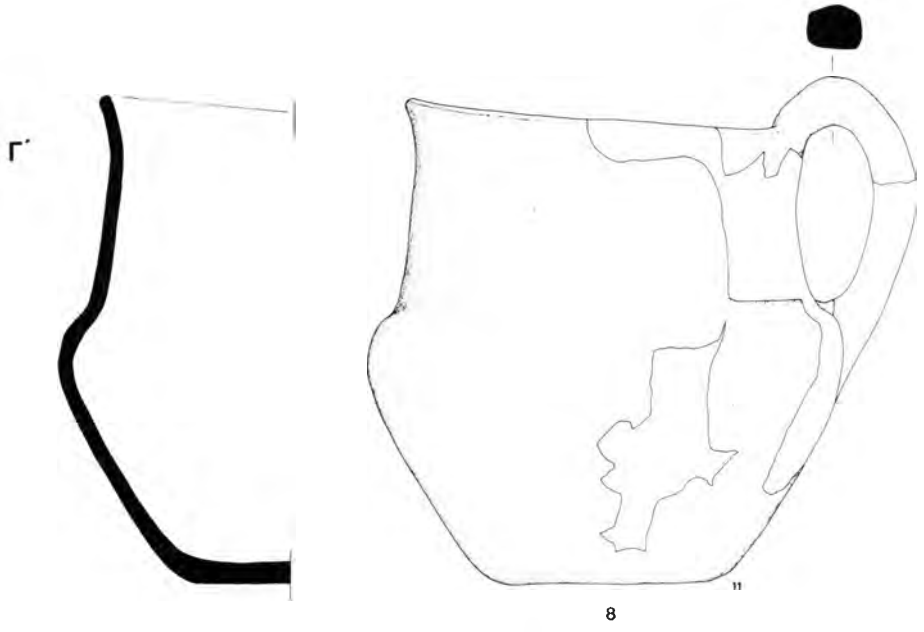

8

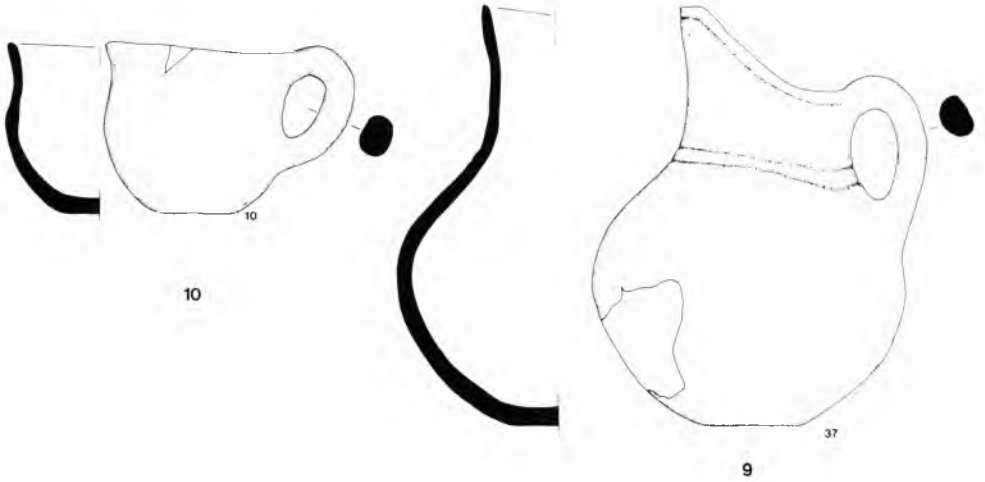

10

9

T 18 Ia

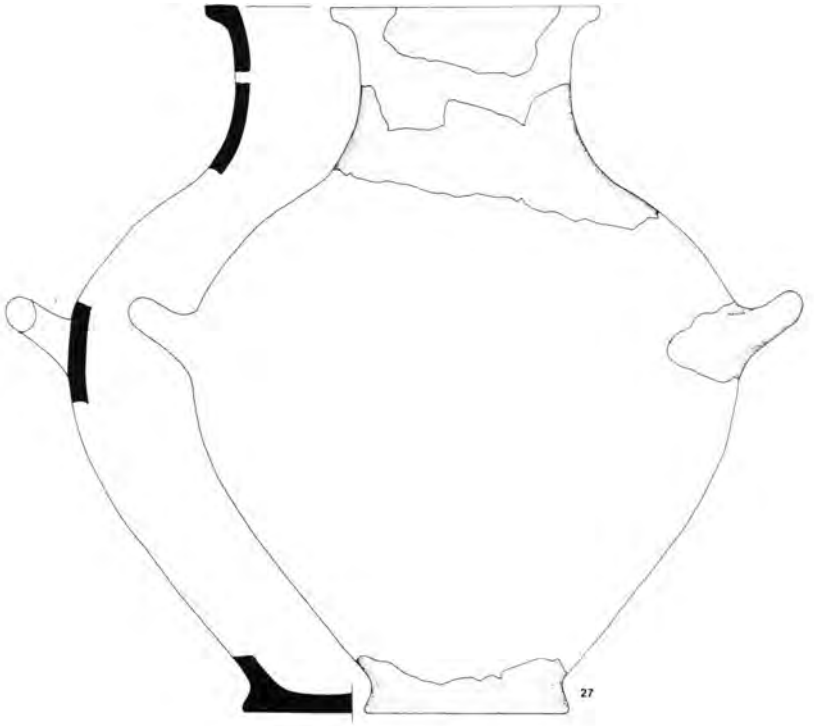

11

12

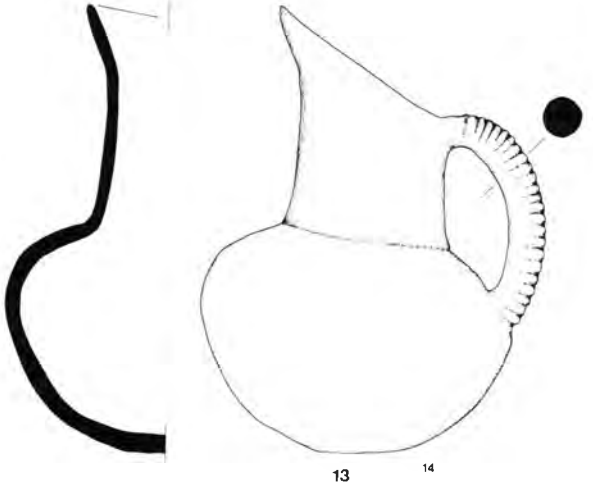

13 14

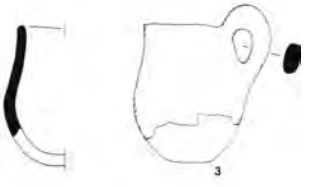

14

$T_{18}\, I_{\alpha-\beta}$

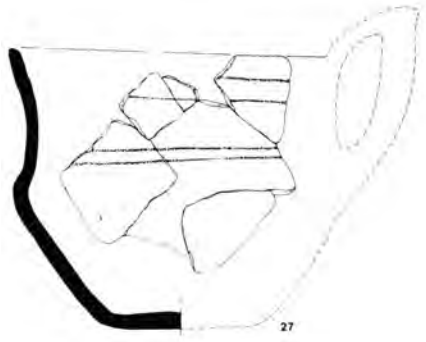

15

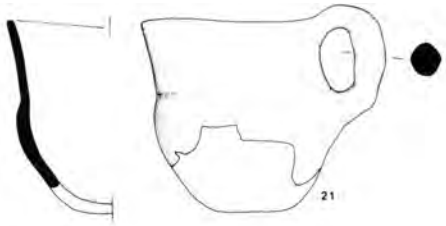

17

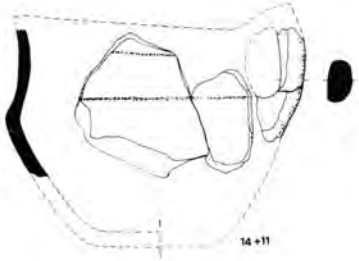

16

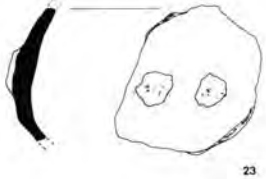

18

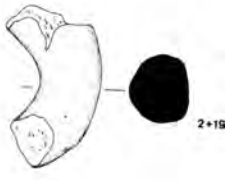

20

23

19

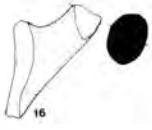

21

22

24

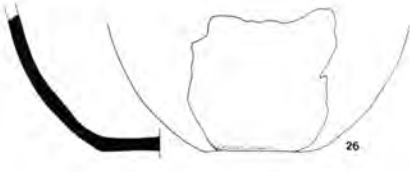

25

T18 Iβ

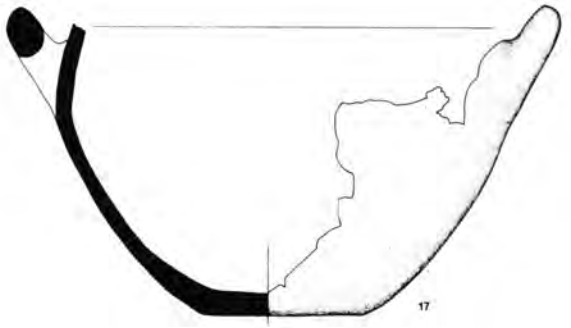

26

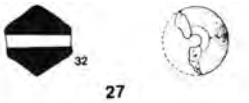

27

28

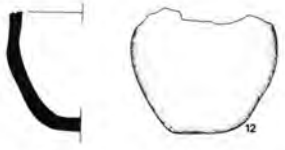

29

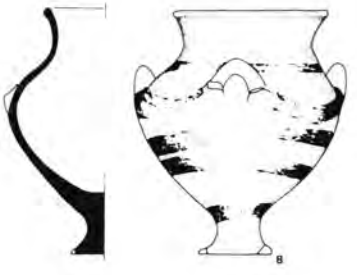

30

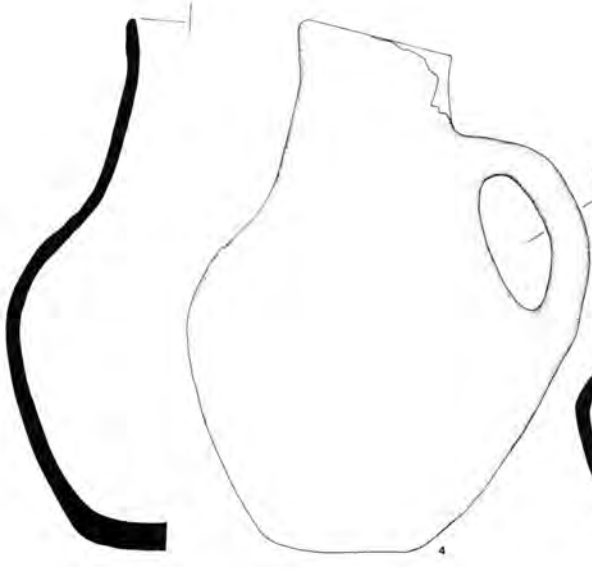

31

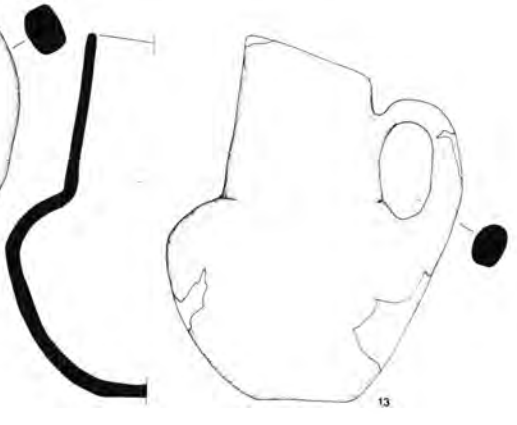

32

Τ 18 Ιβ

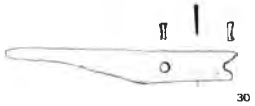

33

Α΄

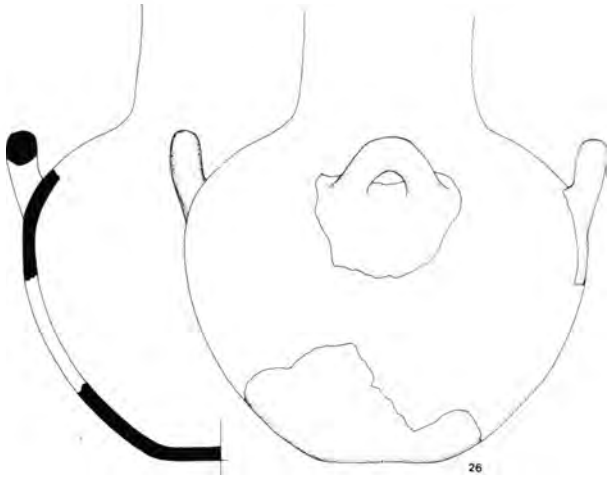

34

Β΄

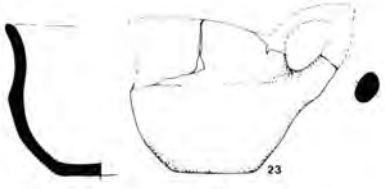

35

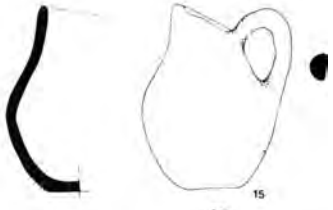

36

38

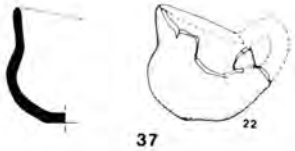

37

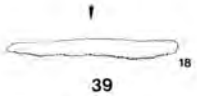

39

39α

T 18 II

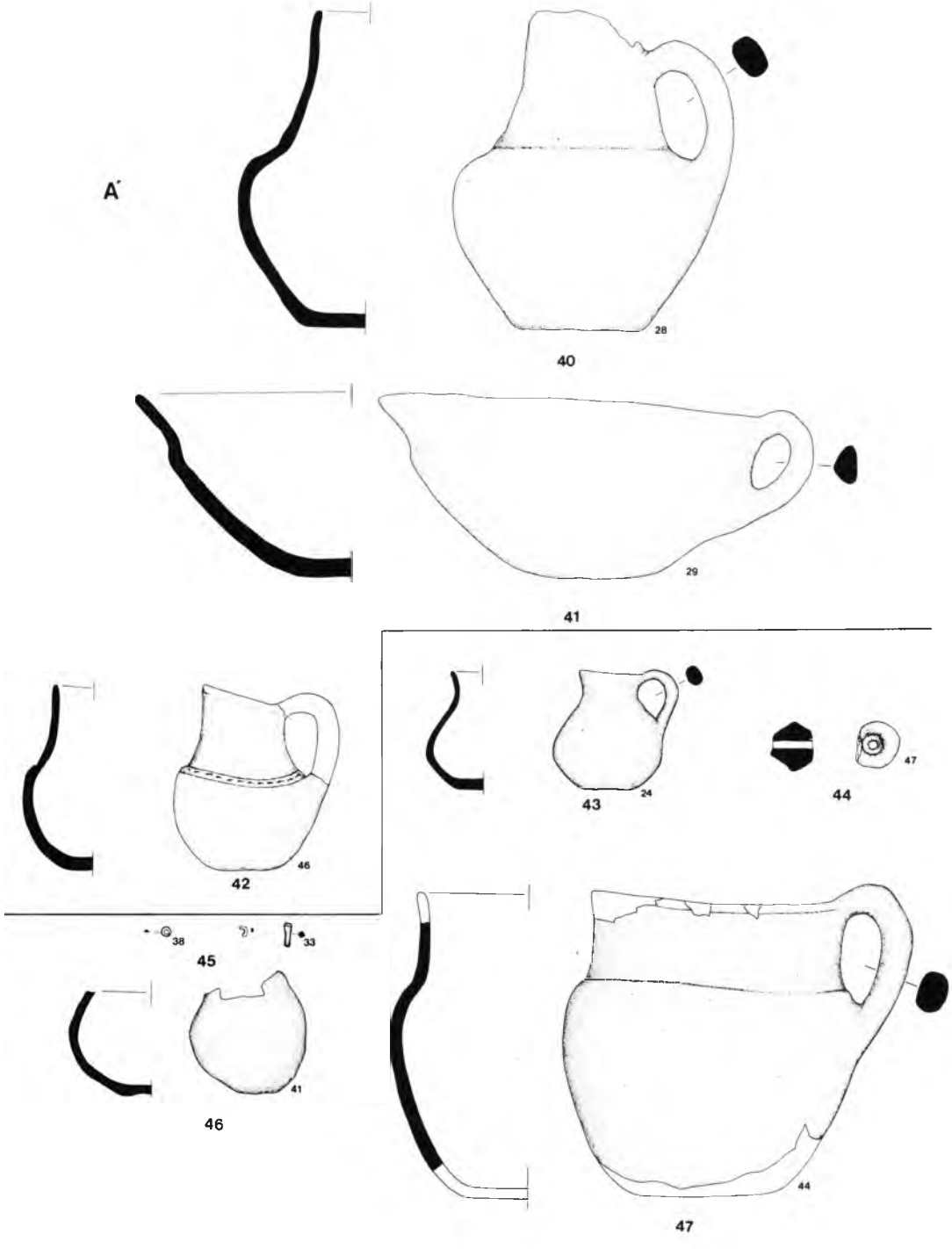

$T_{18_{II}}$

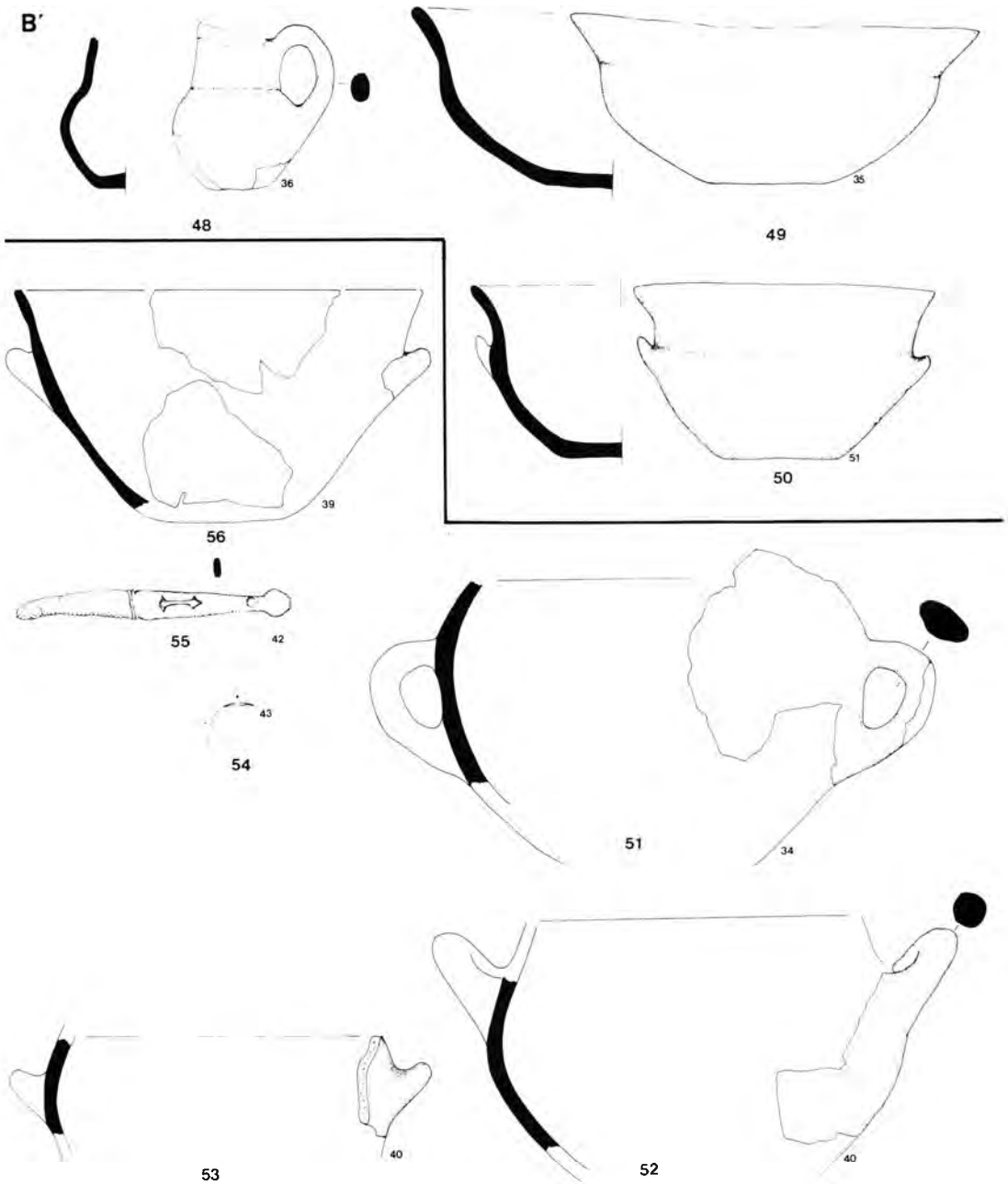

T 18III

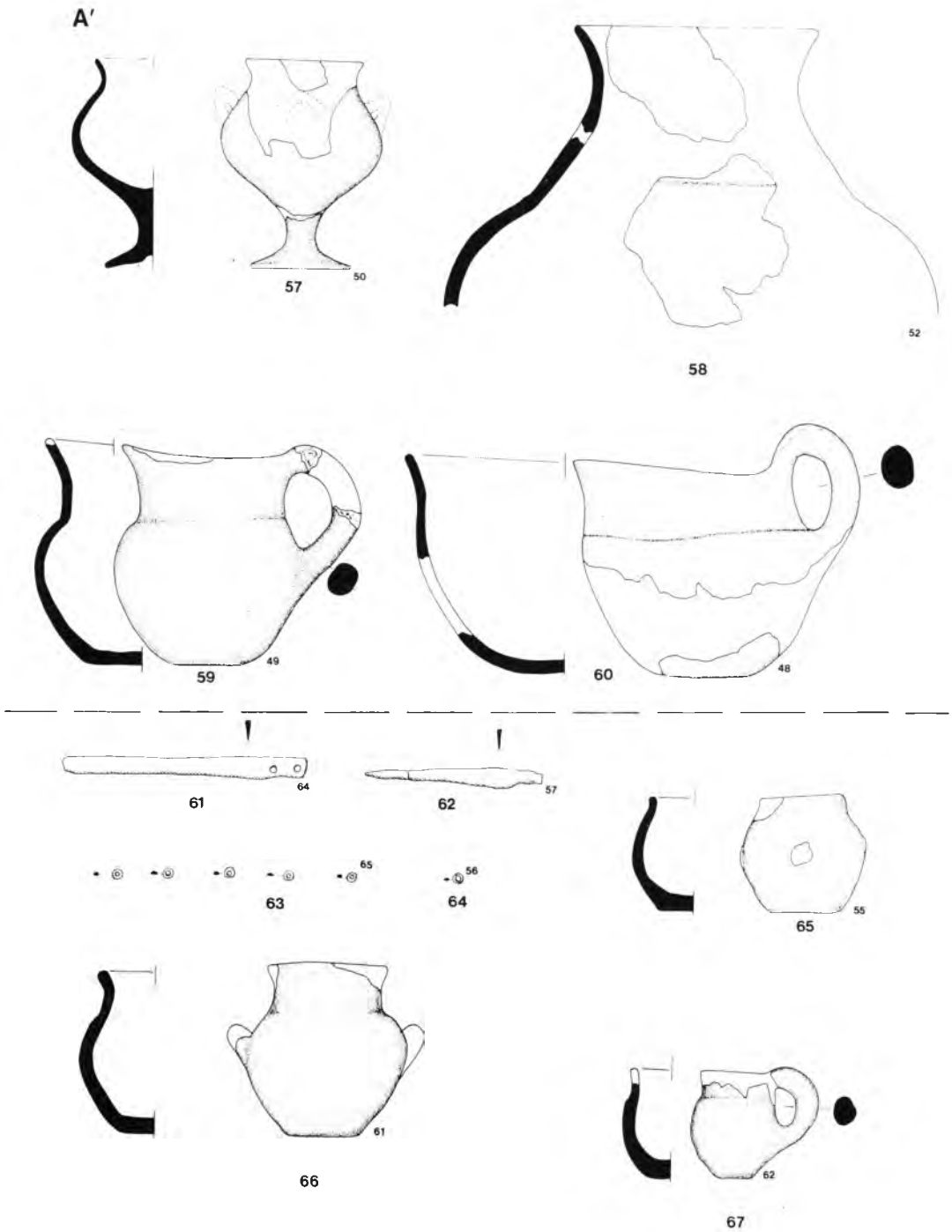

T18 III

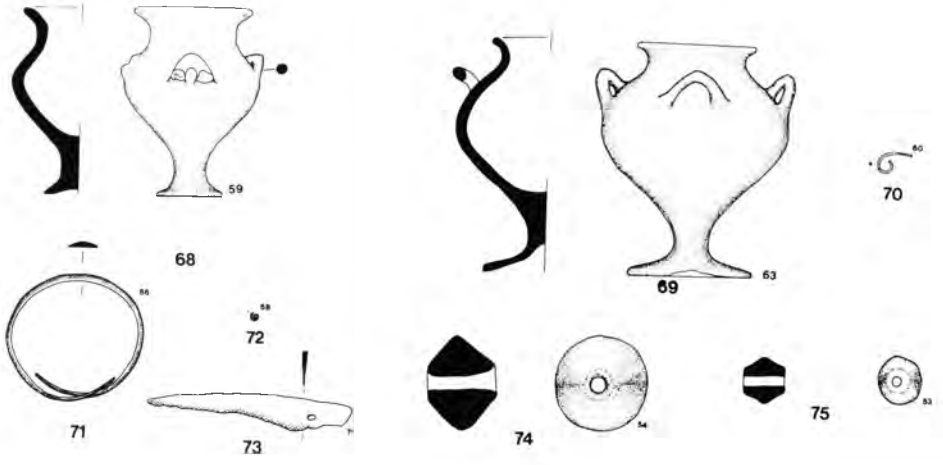

T18 IV

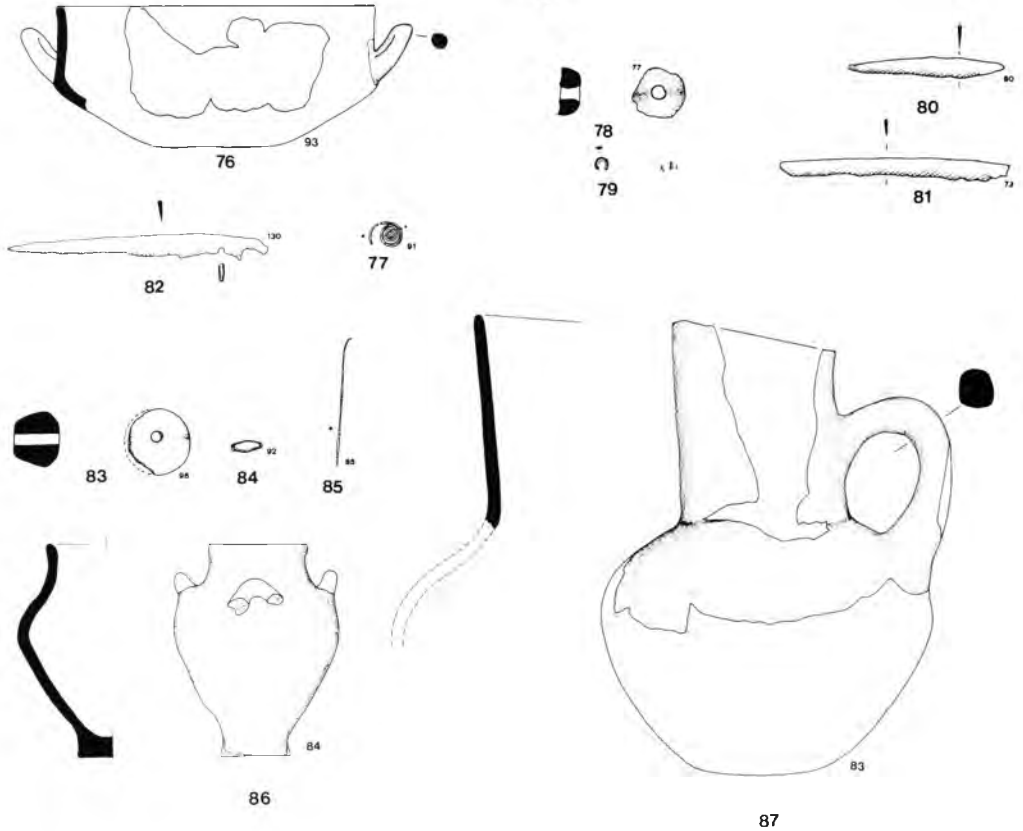

T_{18} V,1

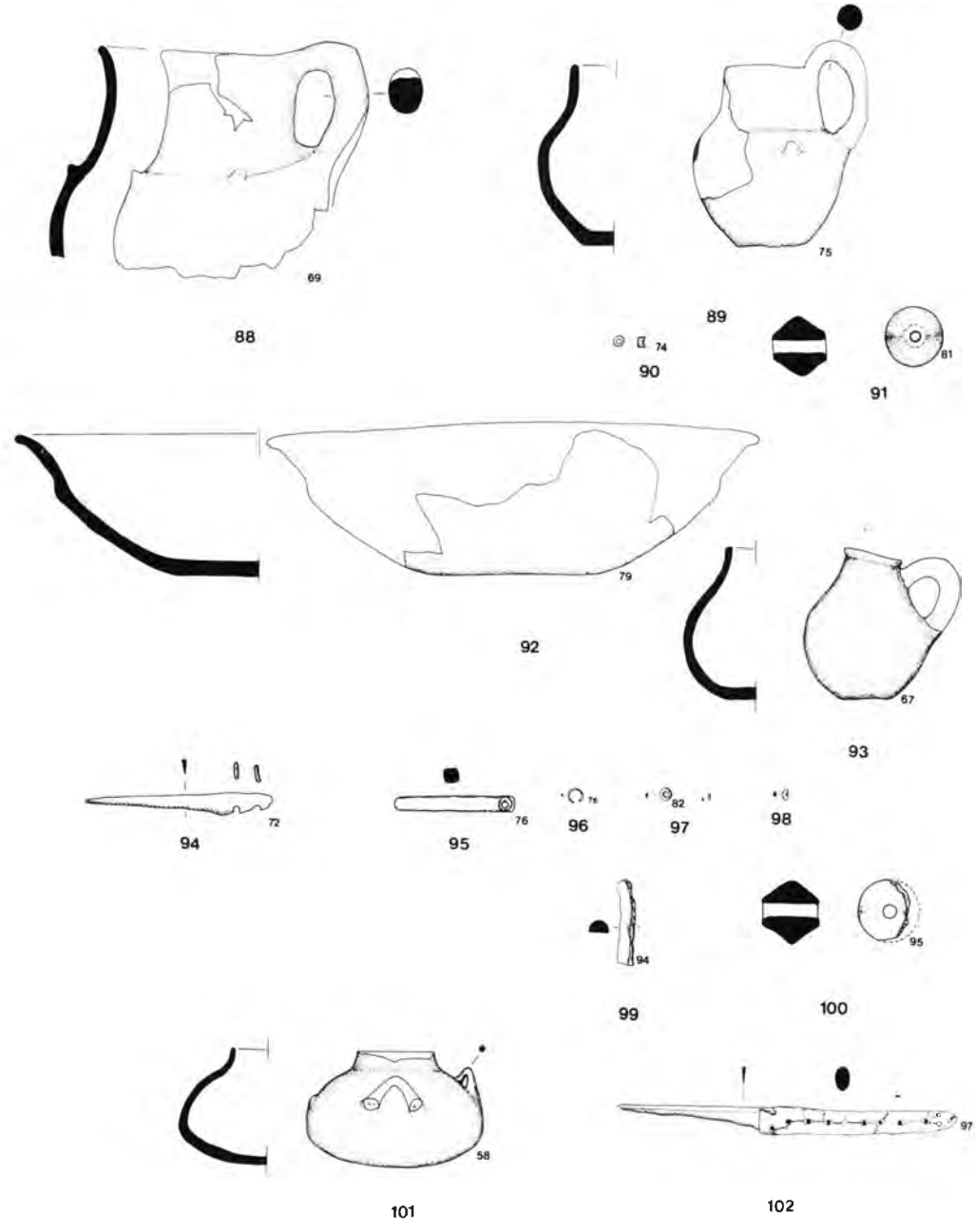
69
88
75
89
74
90
81
91
79
92
67
93
72
94
76
95
96
97
98
94
99
95
100
58
101
97
102

T_{18} V,2

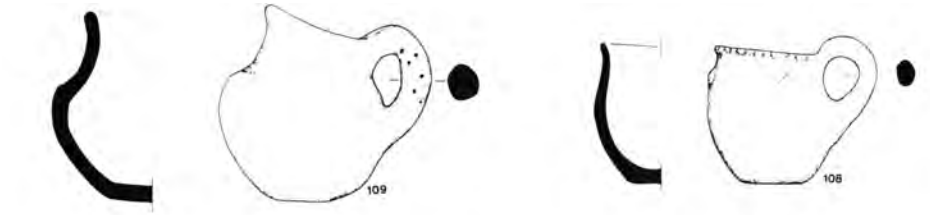

103 104

T_{18} V,3

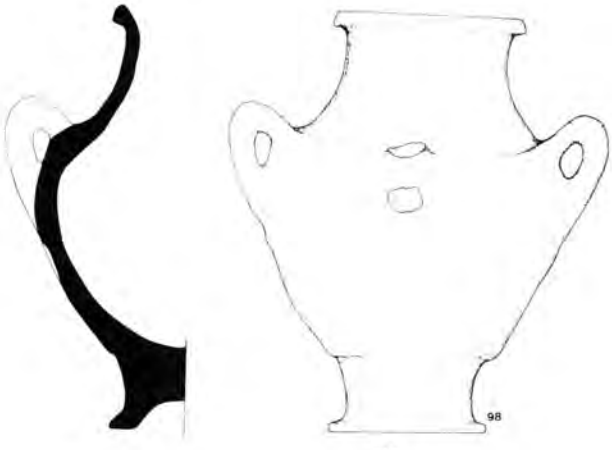

110

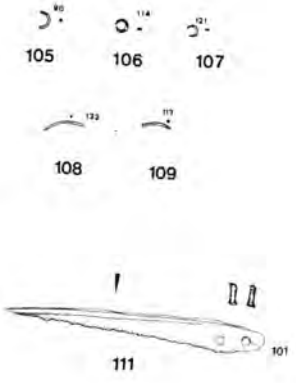

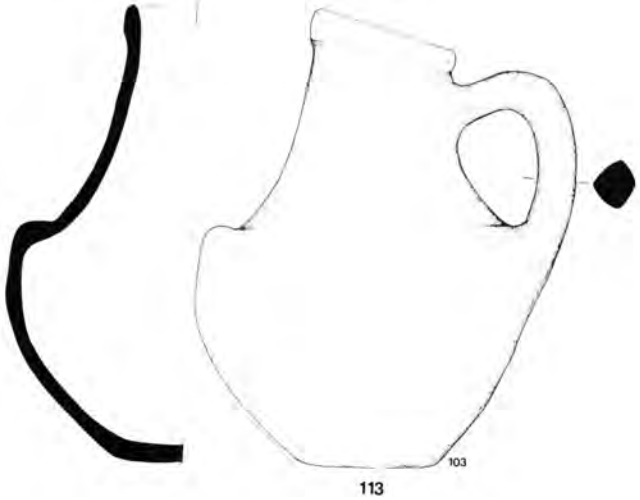

113

112

T18V,5

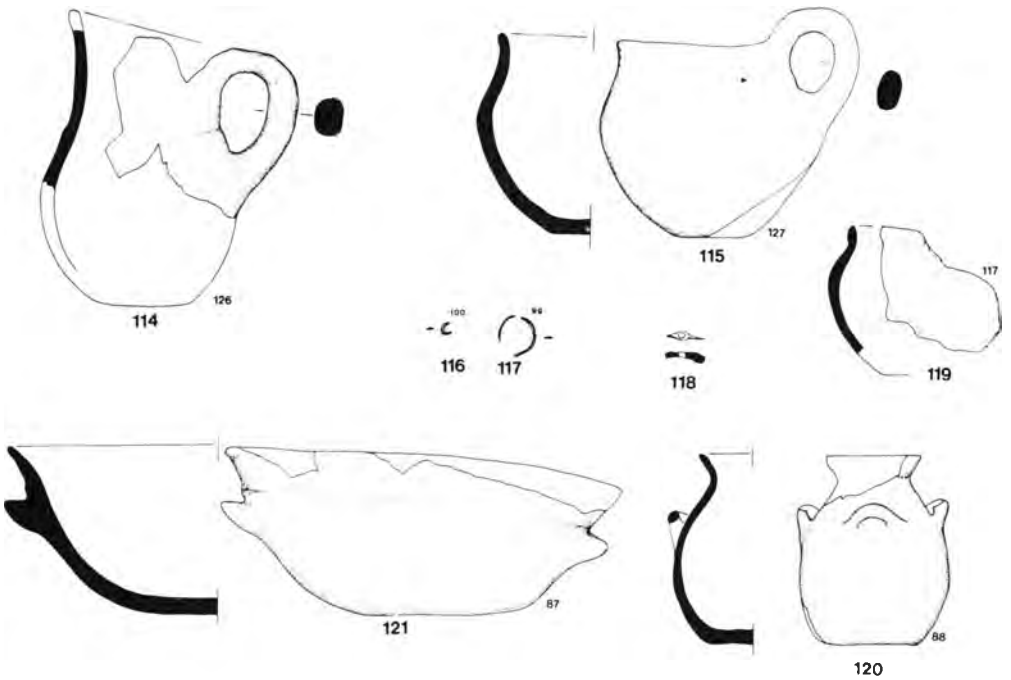
114
126
115
127
116
117
118
119
117
121
87
120
88

T18V,4

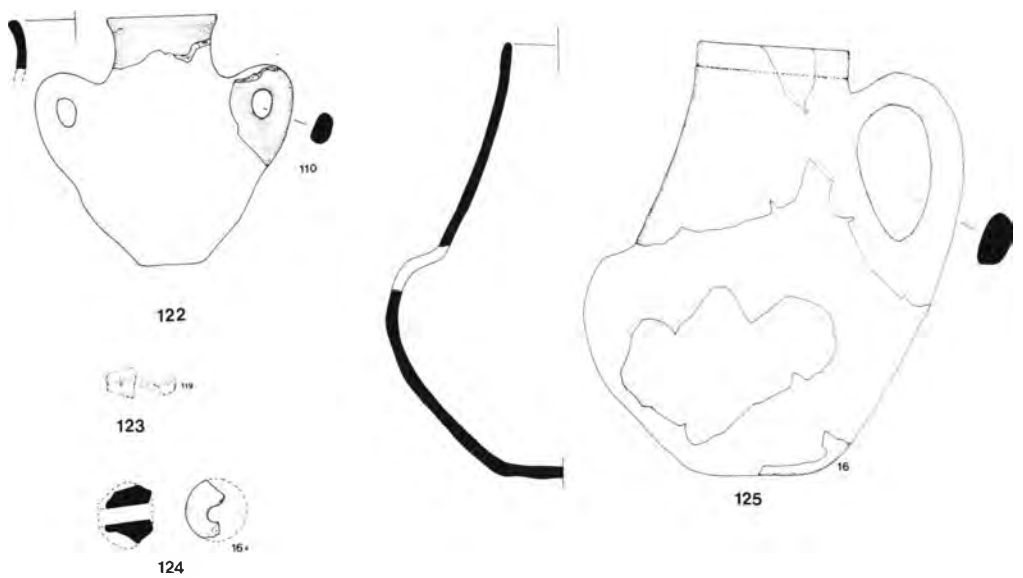
110
122
123
124
125
16

T 18 VI

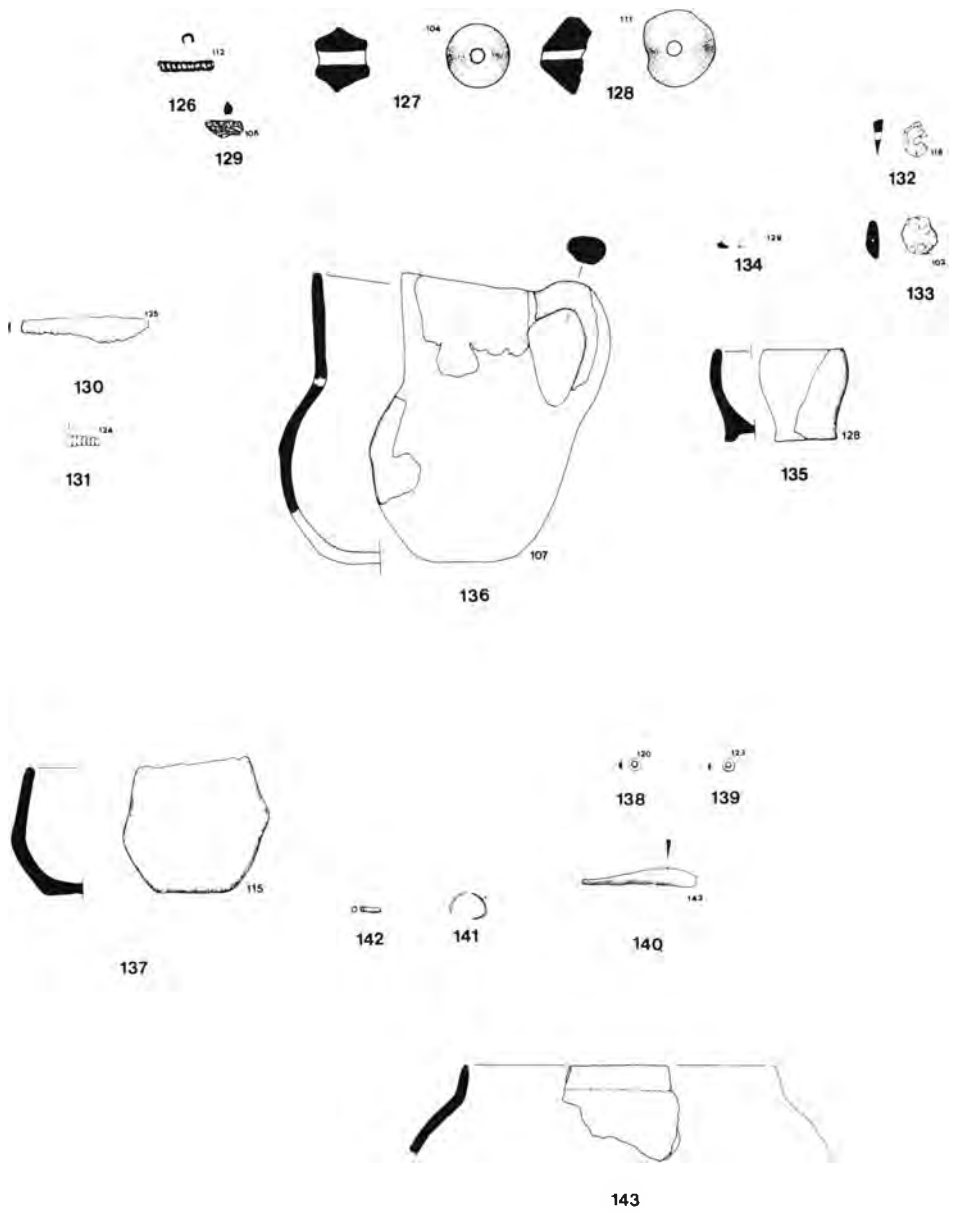
126
127
128
129
132
133
134
130
131
135
136
137
138
139
140
141
142
143

Τ18 VI

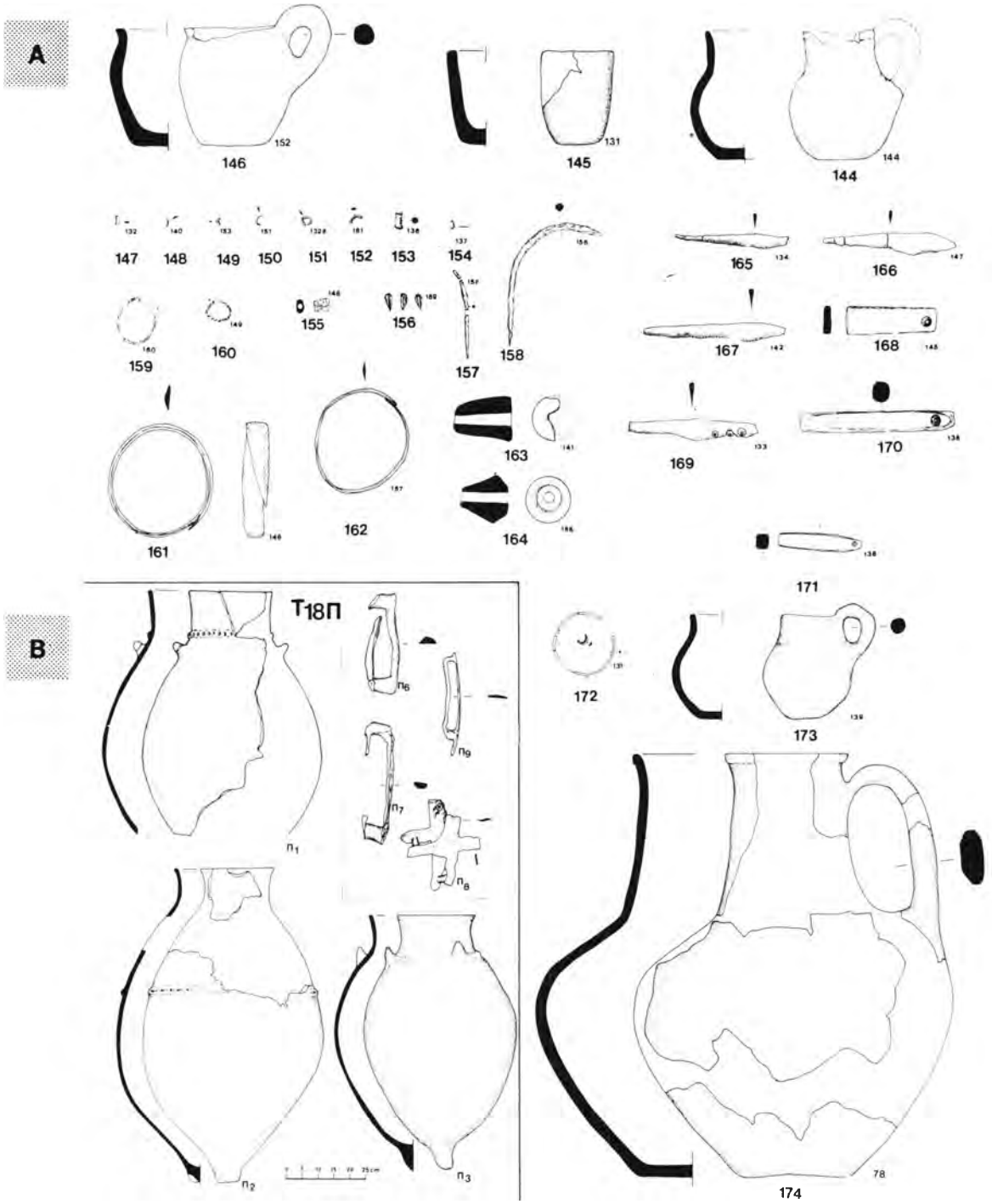
A
146
145
144
147
148
149
150
151
152
153
154
155
156
157
158
159
160
161
162
163
164
165
166
167
168
169
170
171
B
Τ18Π
172
173
174

Τ18 Π

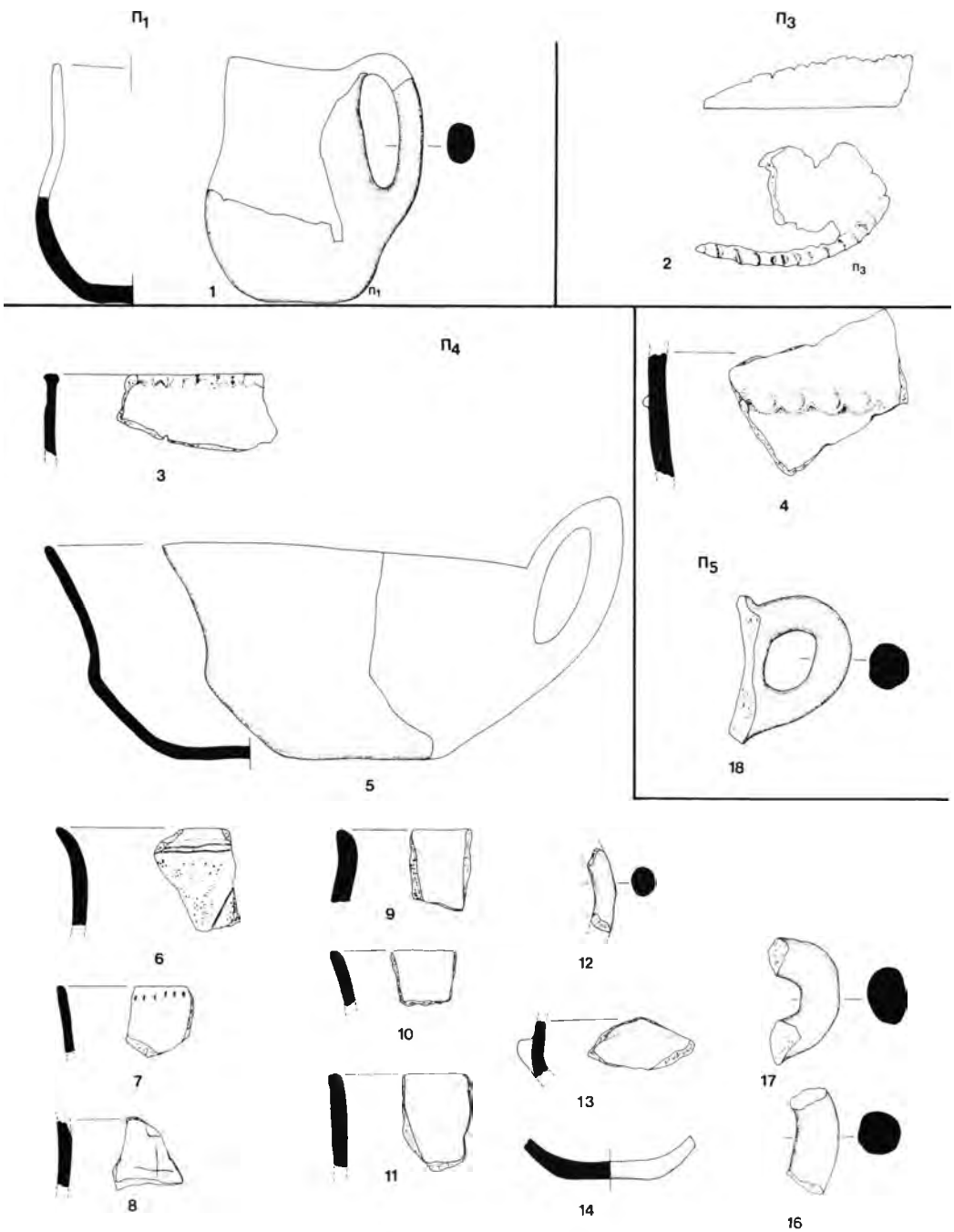

$T_{18A\Pi}$

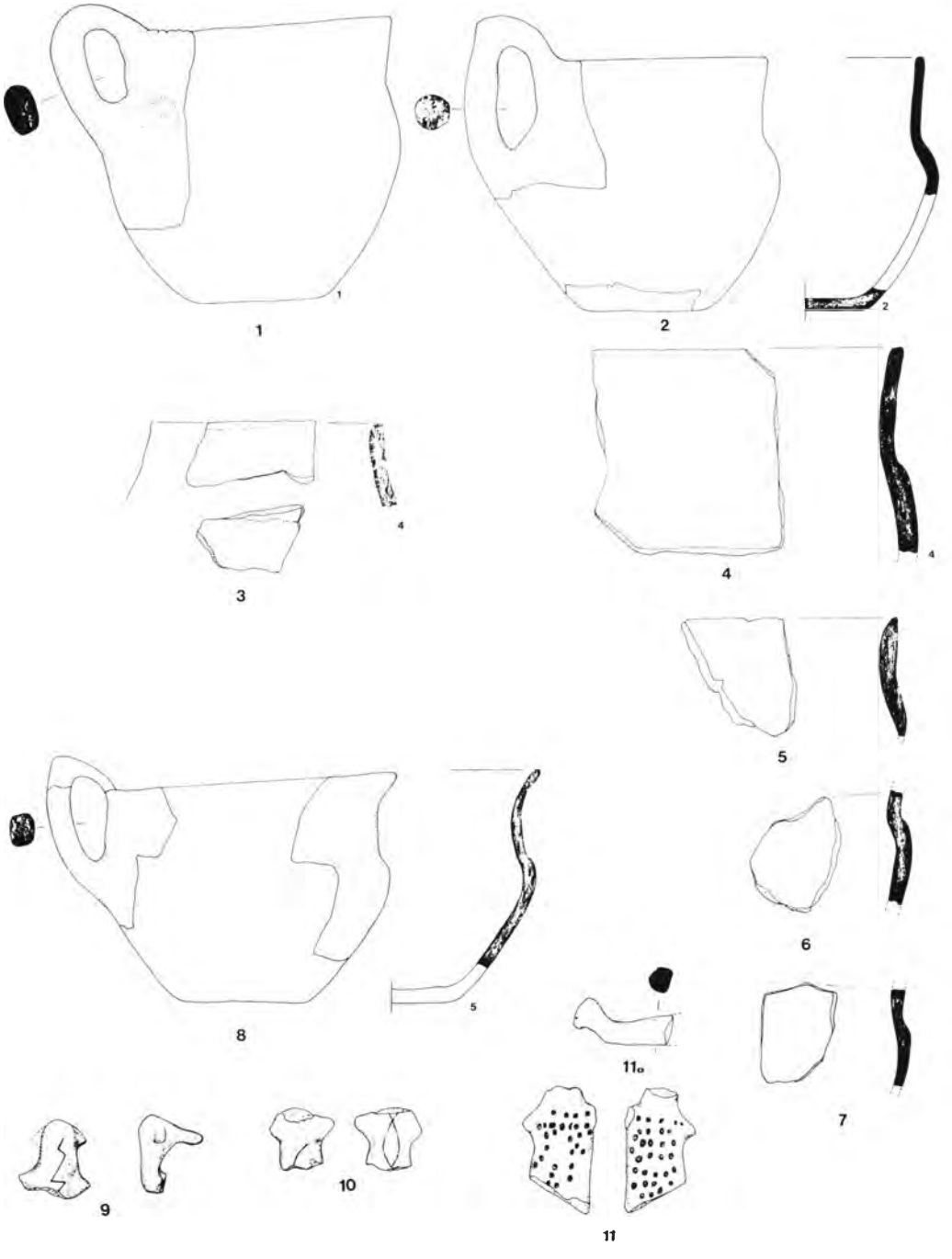

$T_{18\text{Απ}}$

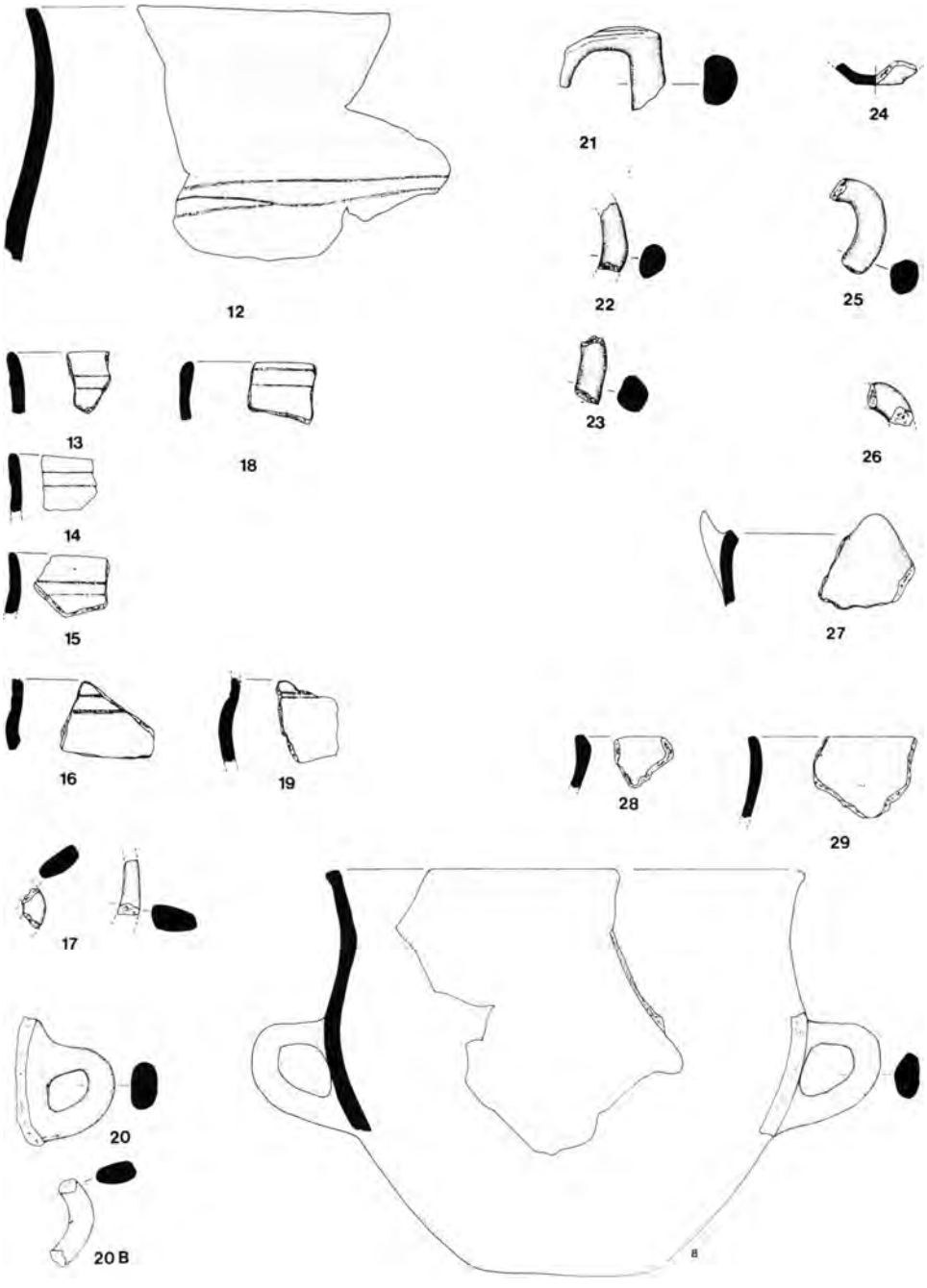

T 18 ΑΠ

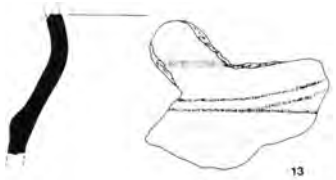

31

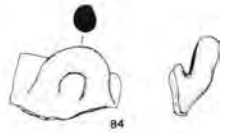

32

33

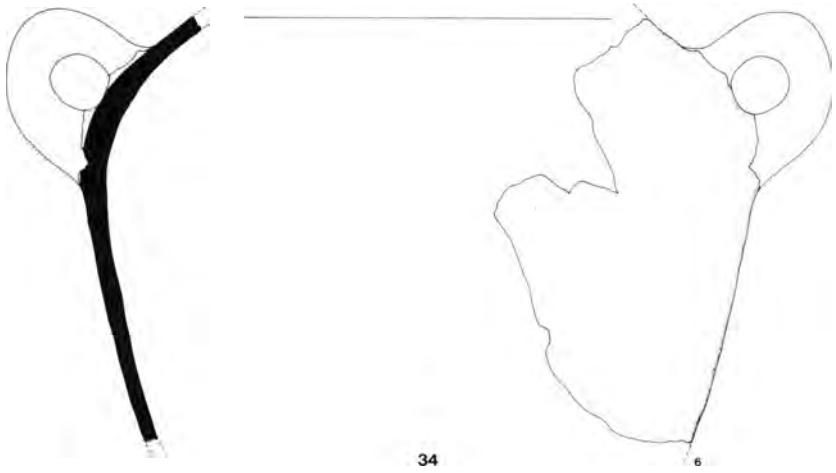

34

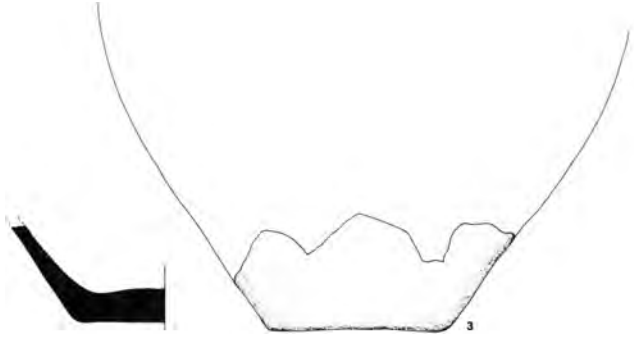

35

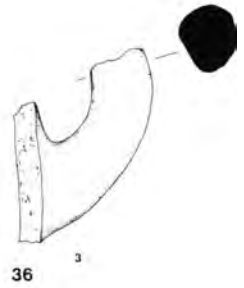

36

T18 ΑΠ

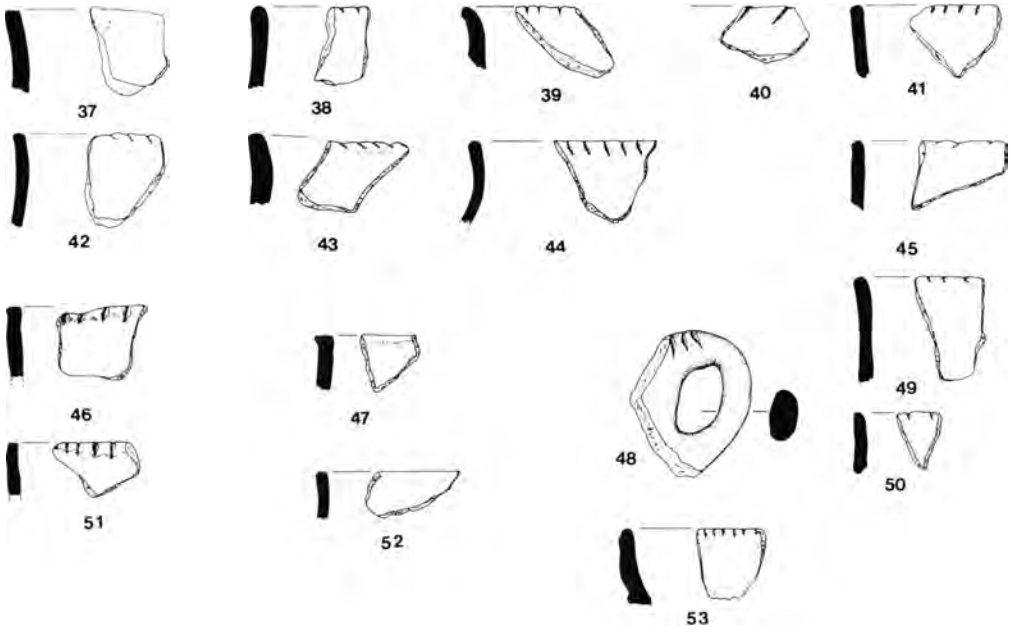

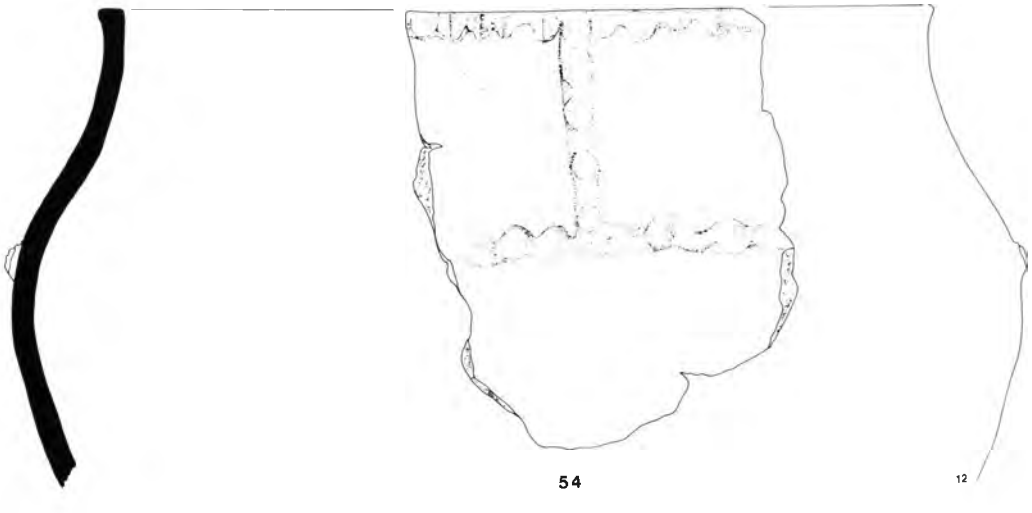

T18 ΑΠ

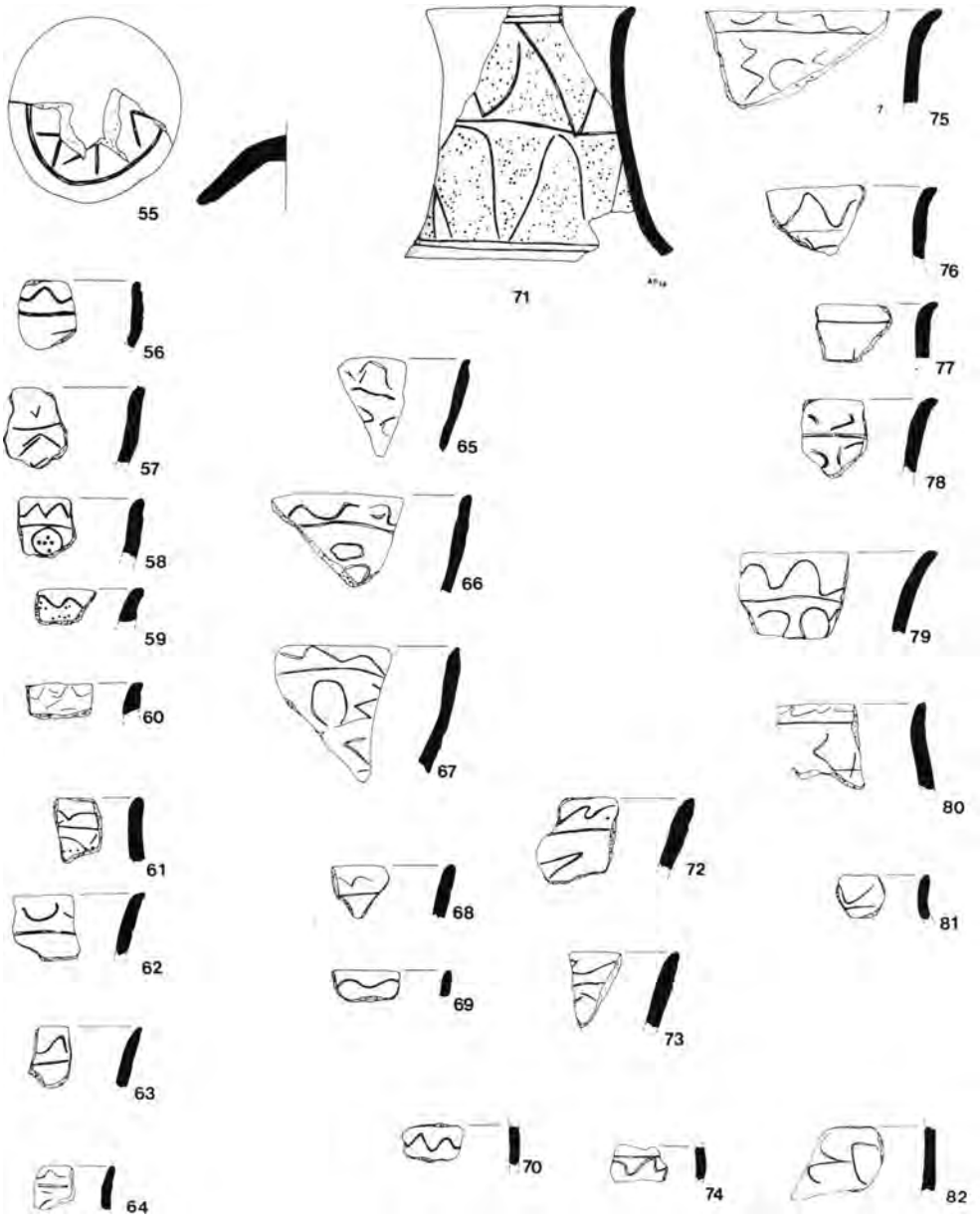
55
71
75
76
56
77
65
57
78
58
66
79
59
67
60
80
61
72
68
81
62
69
73
63
70
74
82
64

Τ 18$_{\text{Απ}}$

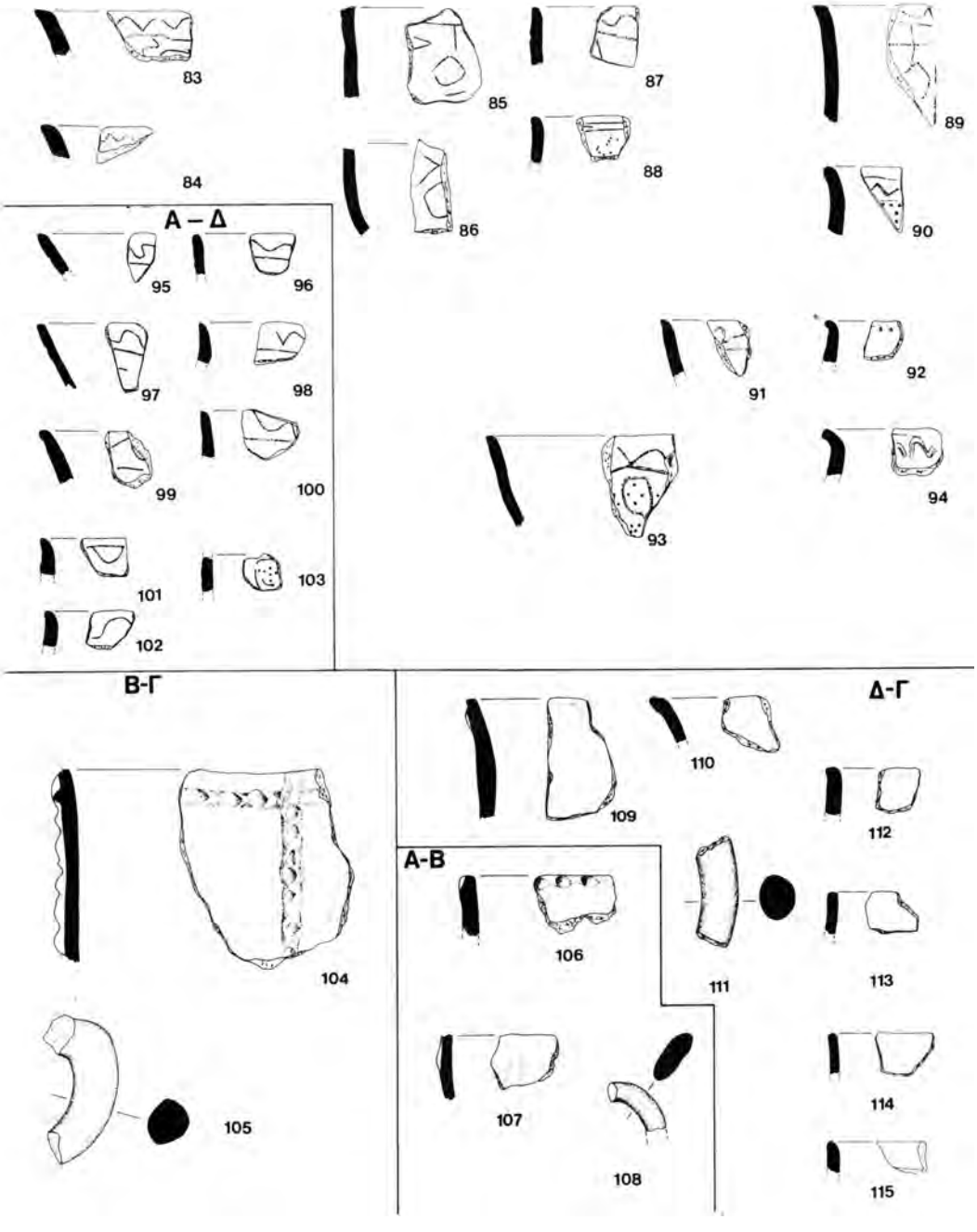
83
84
85
86
87
88
89
90
Α – Δ
95
96
97
98
99
100
101
102
103
91
92
93
94
Β-Γ
104
105
Α-Β
106
107
108
Δ-Γ
109
110
111
112
113
114
115

T19A I

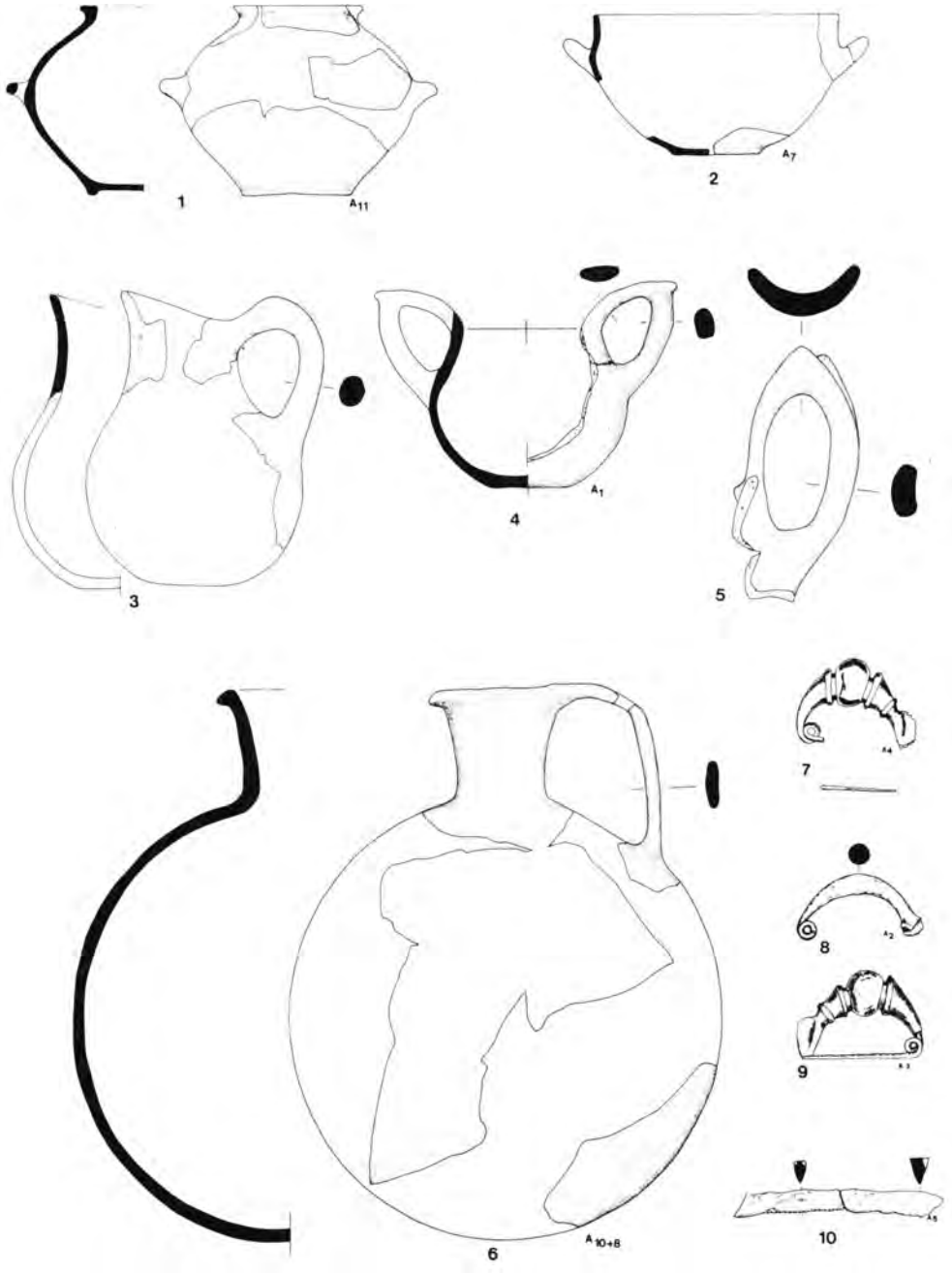

$T_{19}A_{II}$

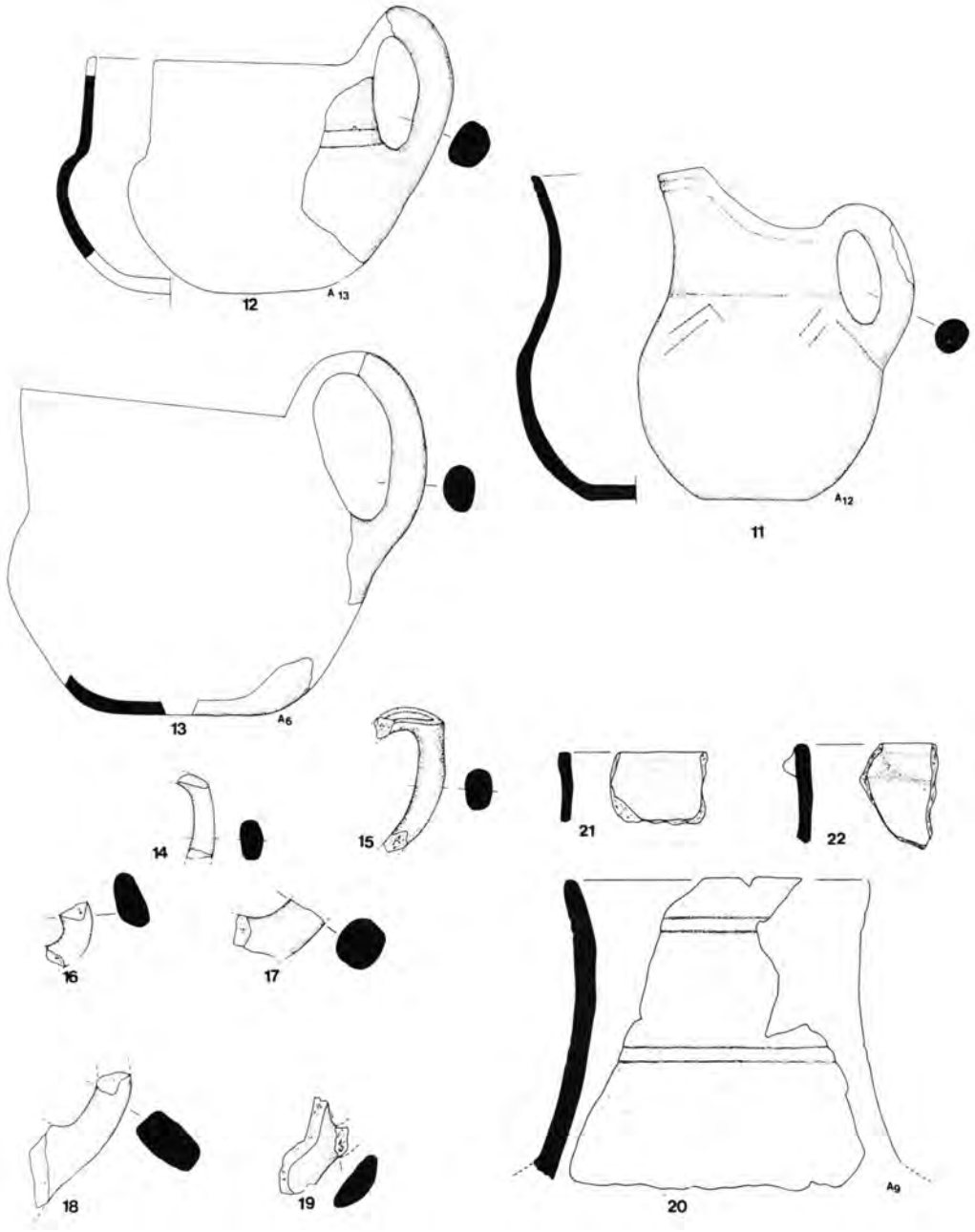

T19B

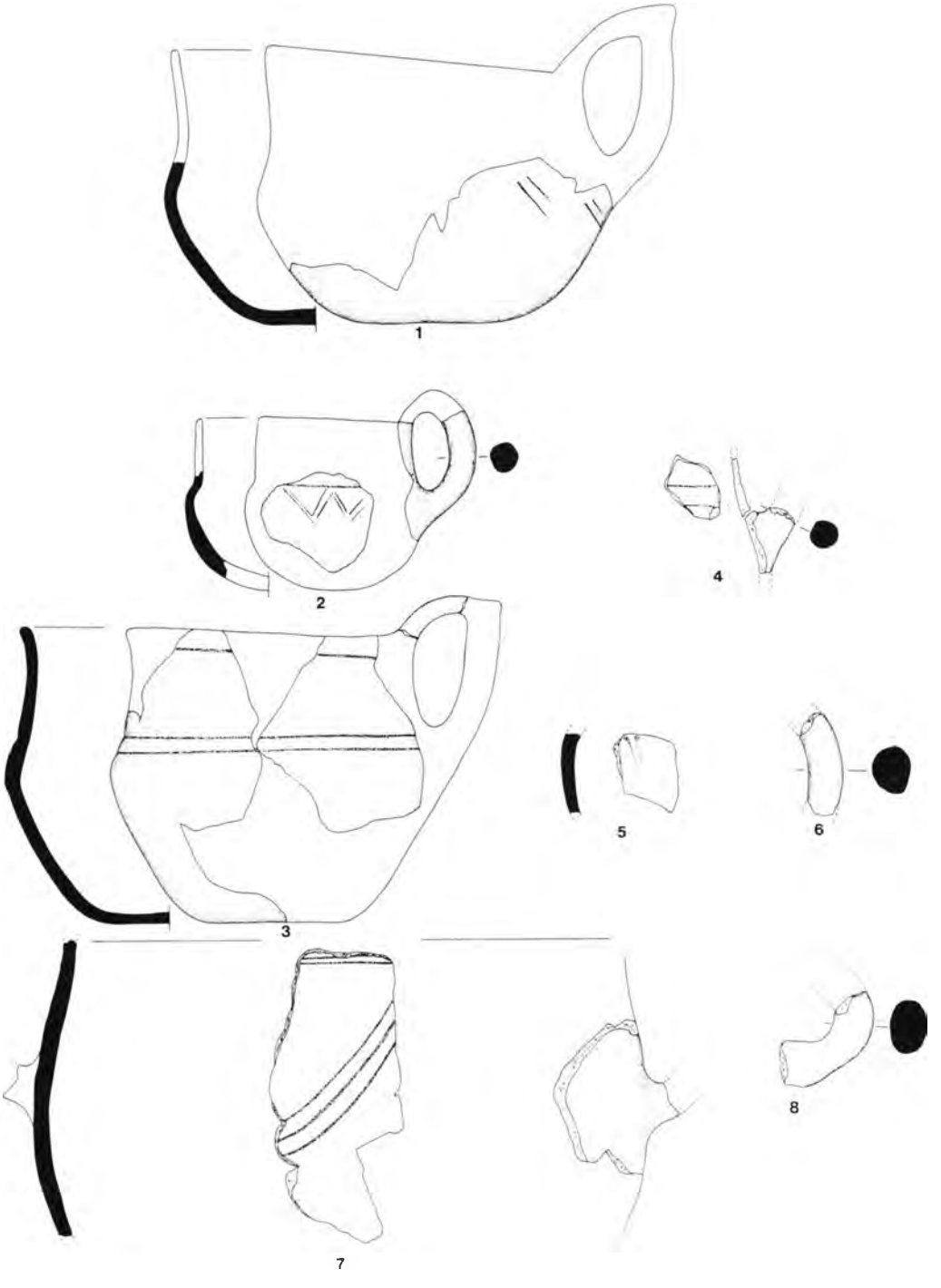

T20 A I

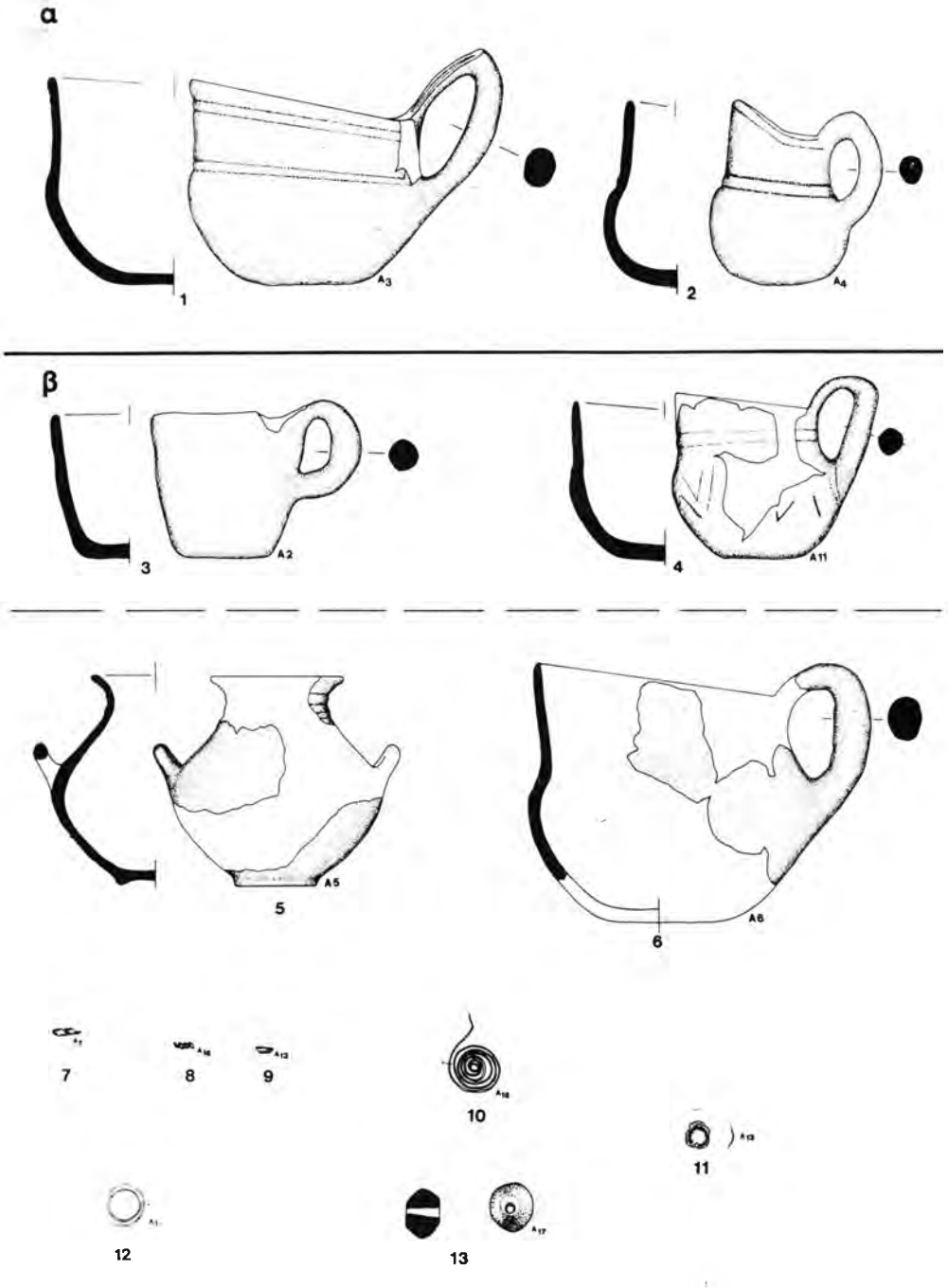

T20A II

A

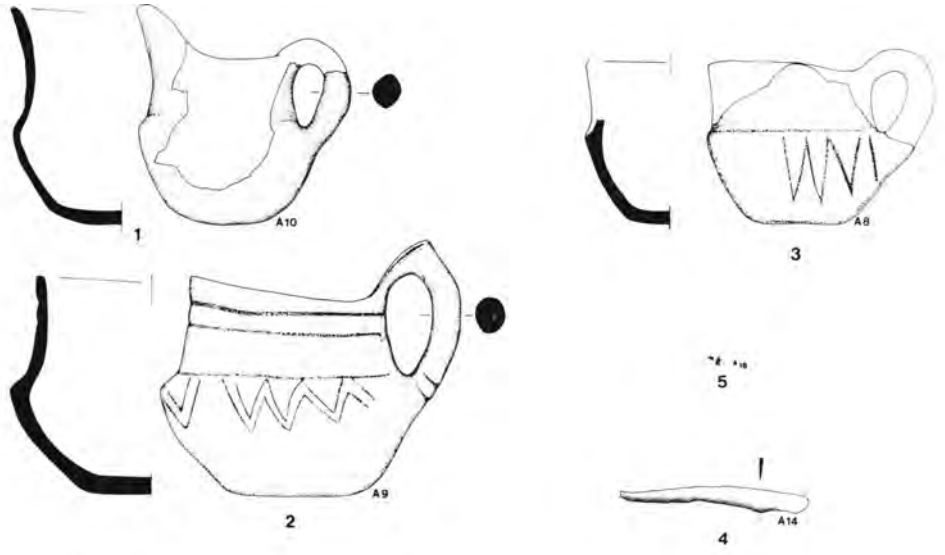

T20AΕΠ

B

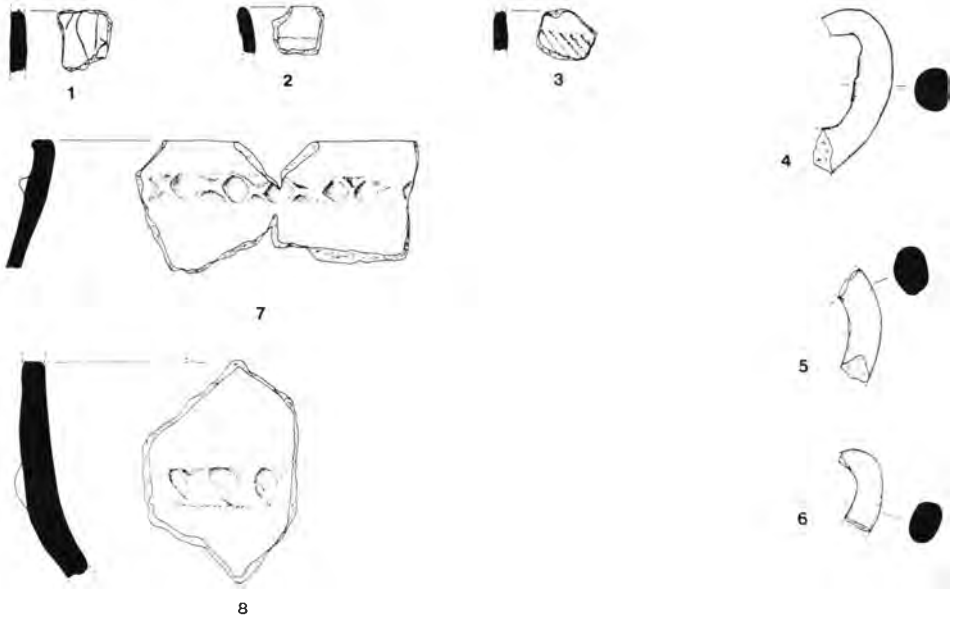

T20B

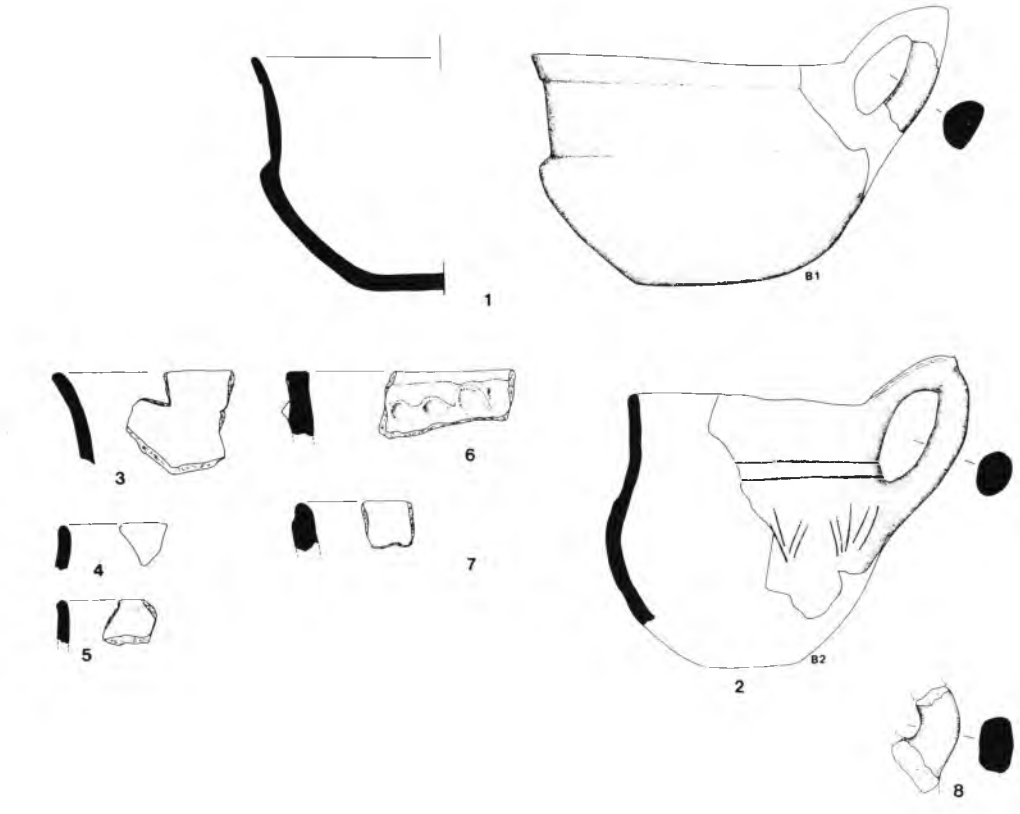

Τ20Γ I

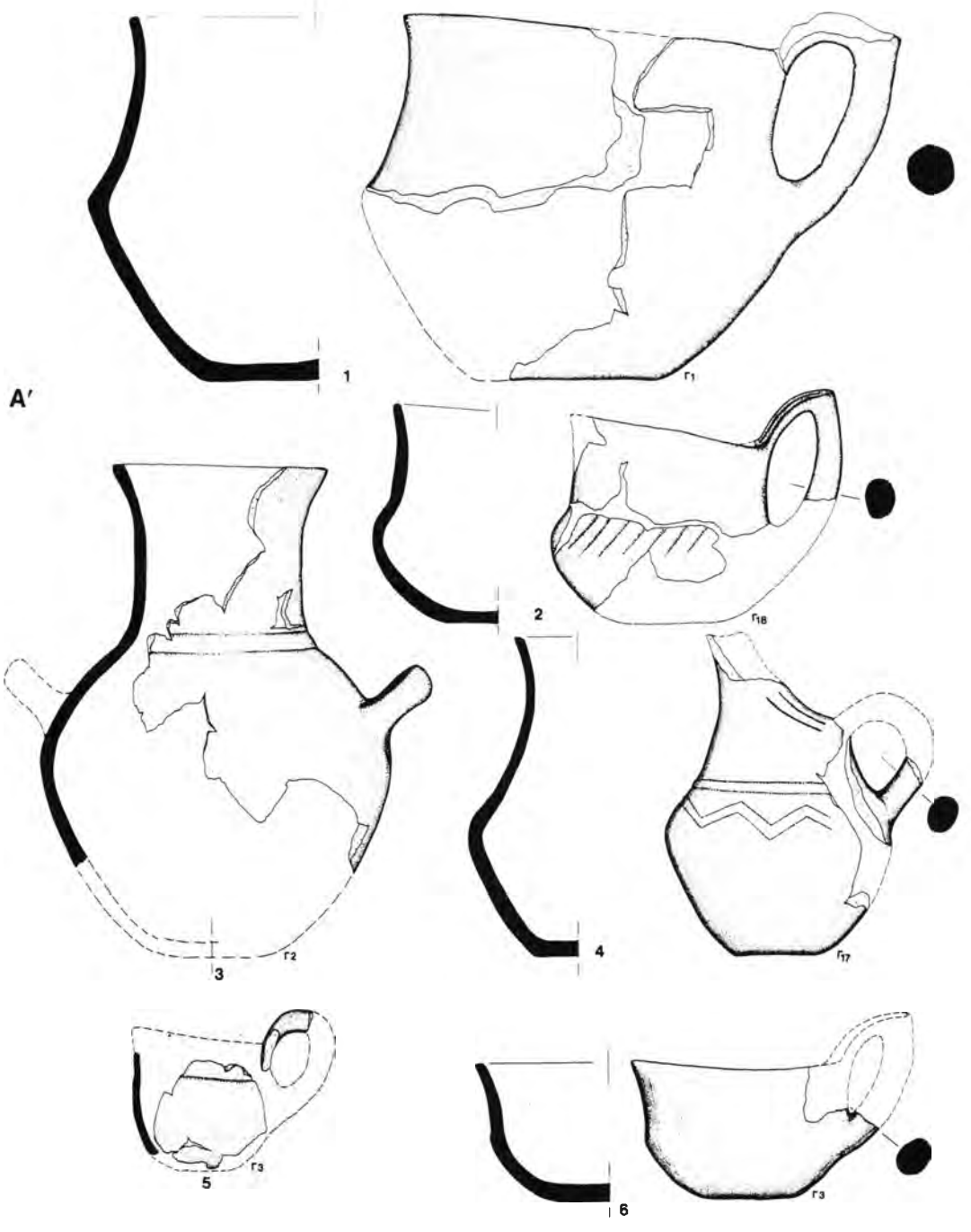

Τ20Γ1

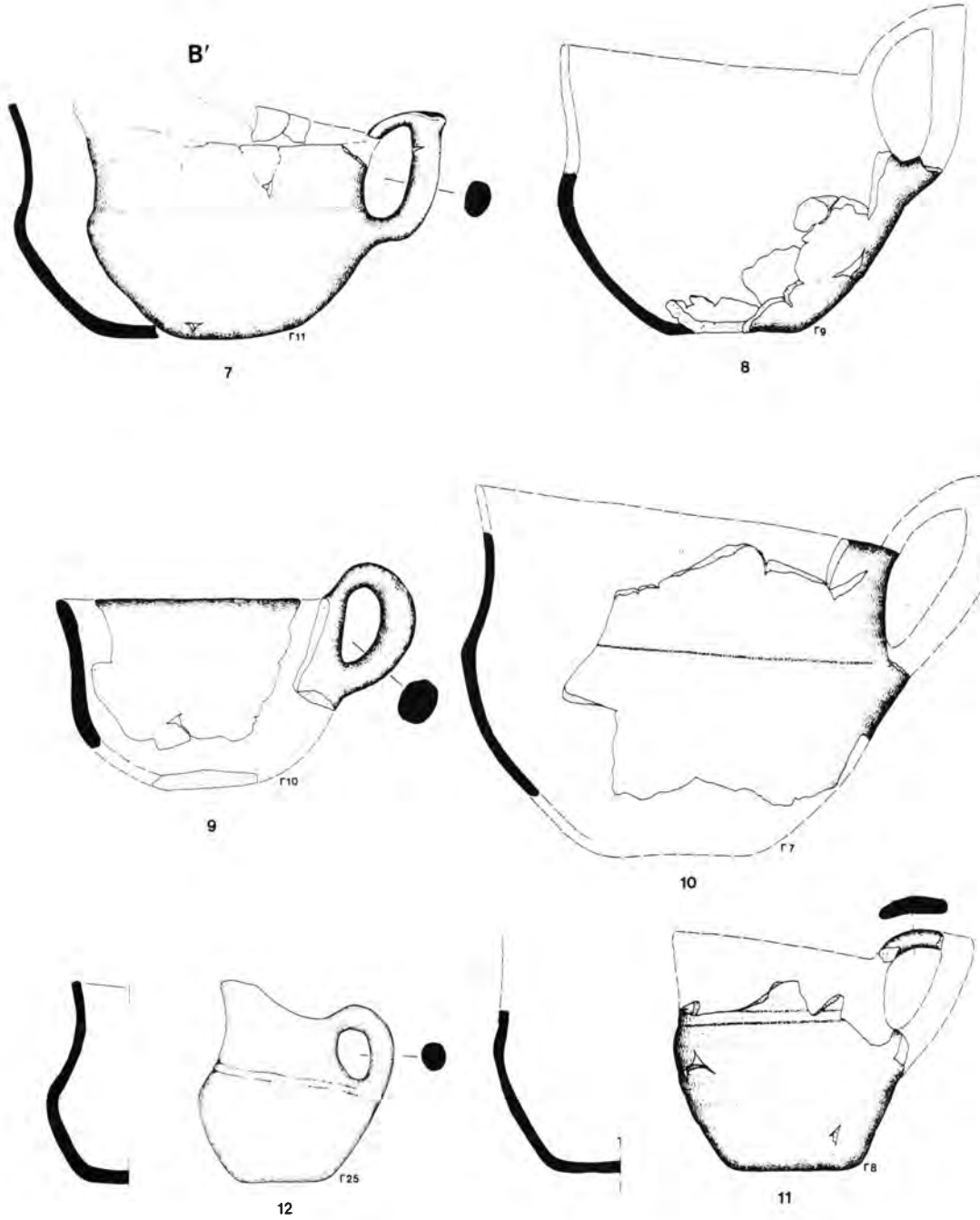

Τ20Γ1

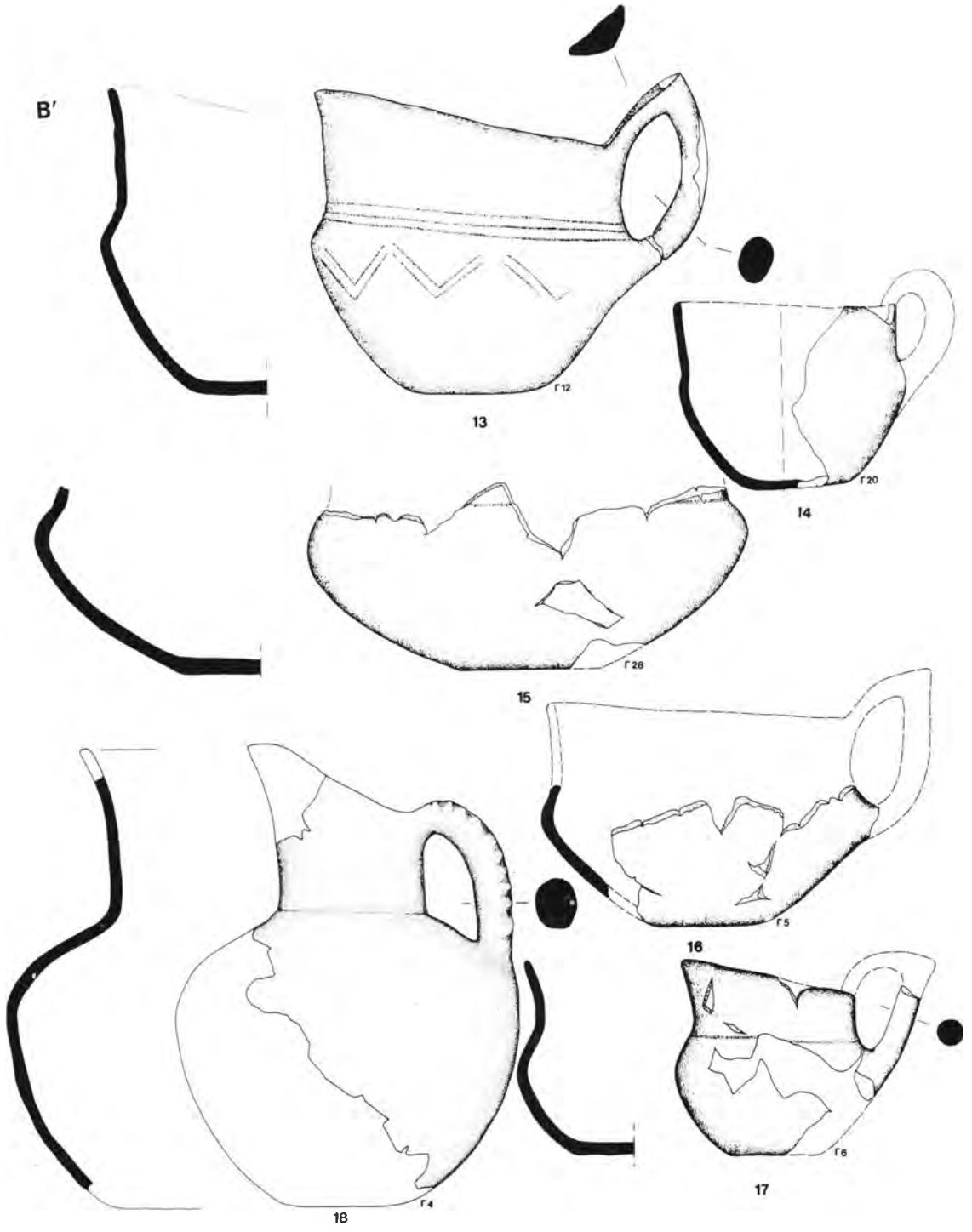

Τ20ΓΙΙ

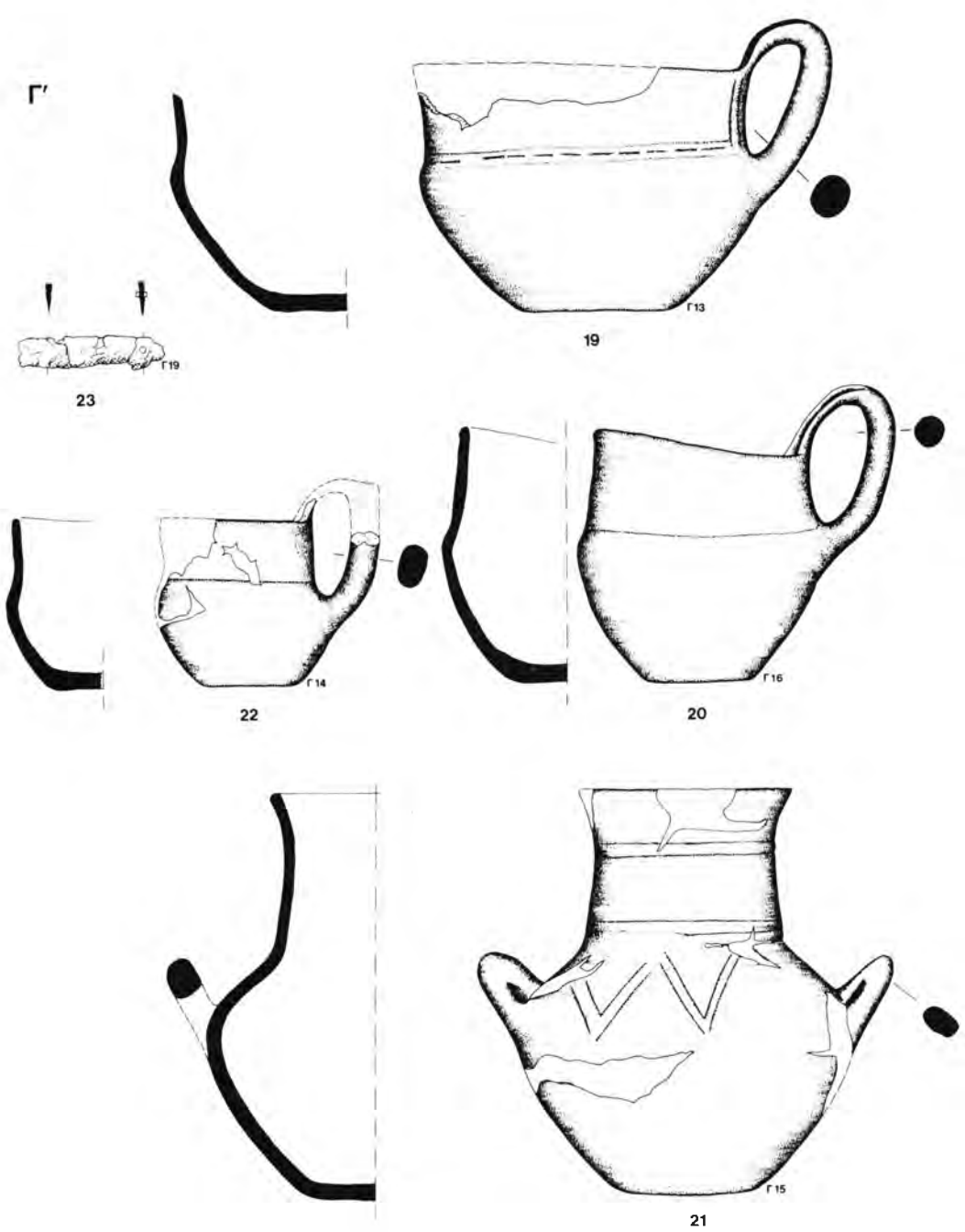

Τ20Γ II

A

Δ'

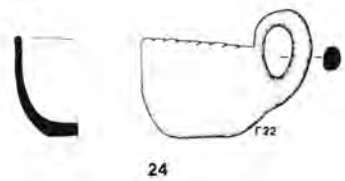

24

26

25

27

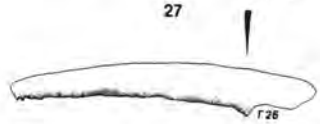

28

30

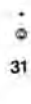

31

32

33

Τ20ΓΕΠ

B

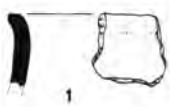

1

3

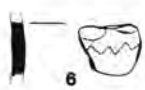

6

8

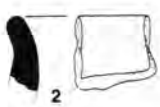

2

4

5

7

9

$T_{20}\,\Pi_1$

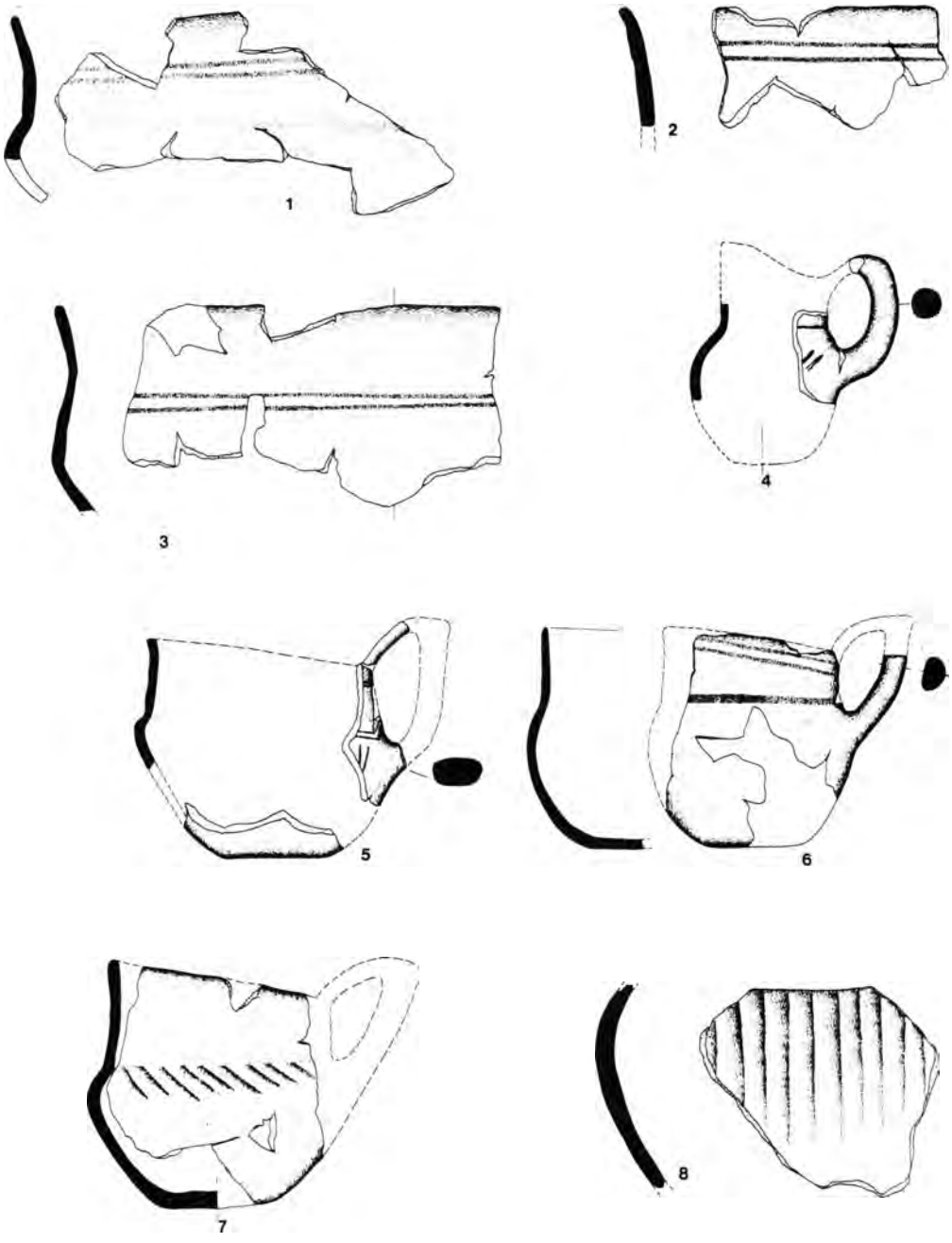

Τ20Π1

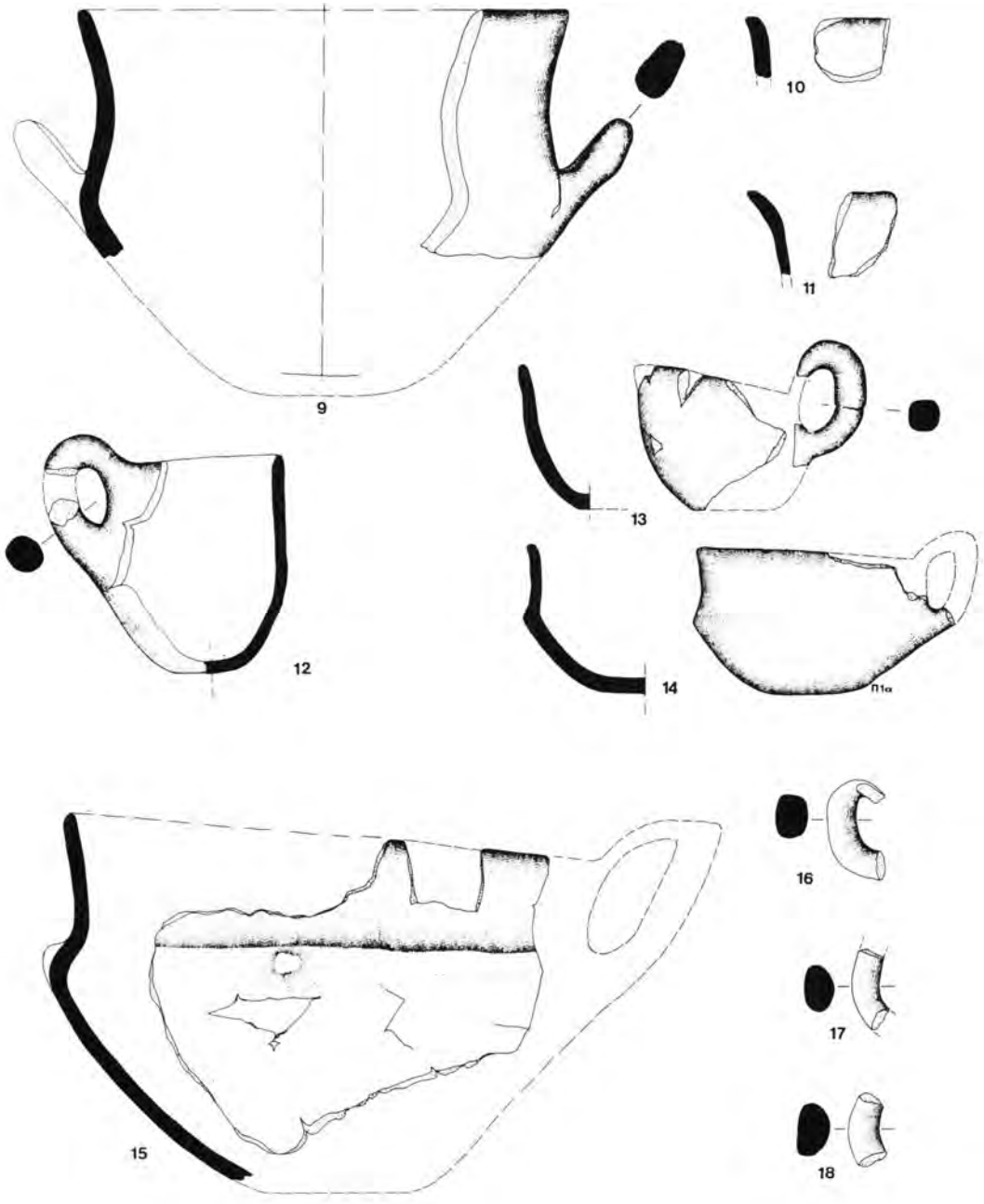

$T_{20}\Pi_1$

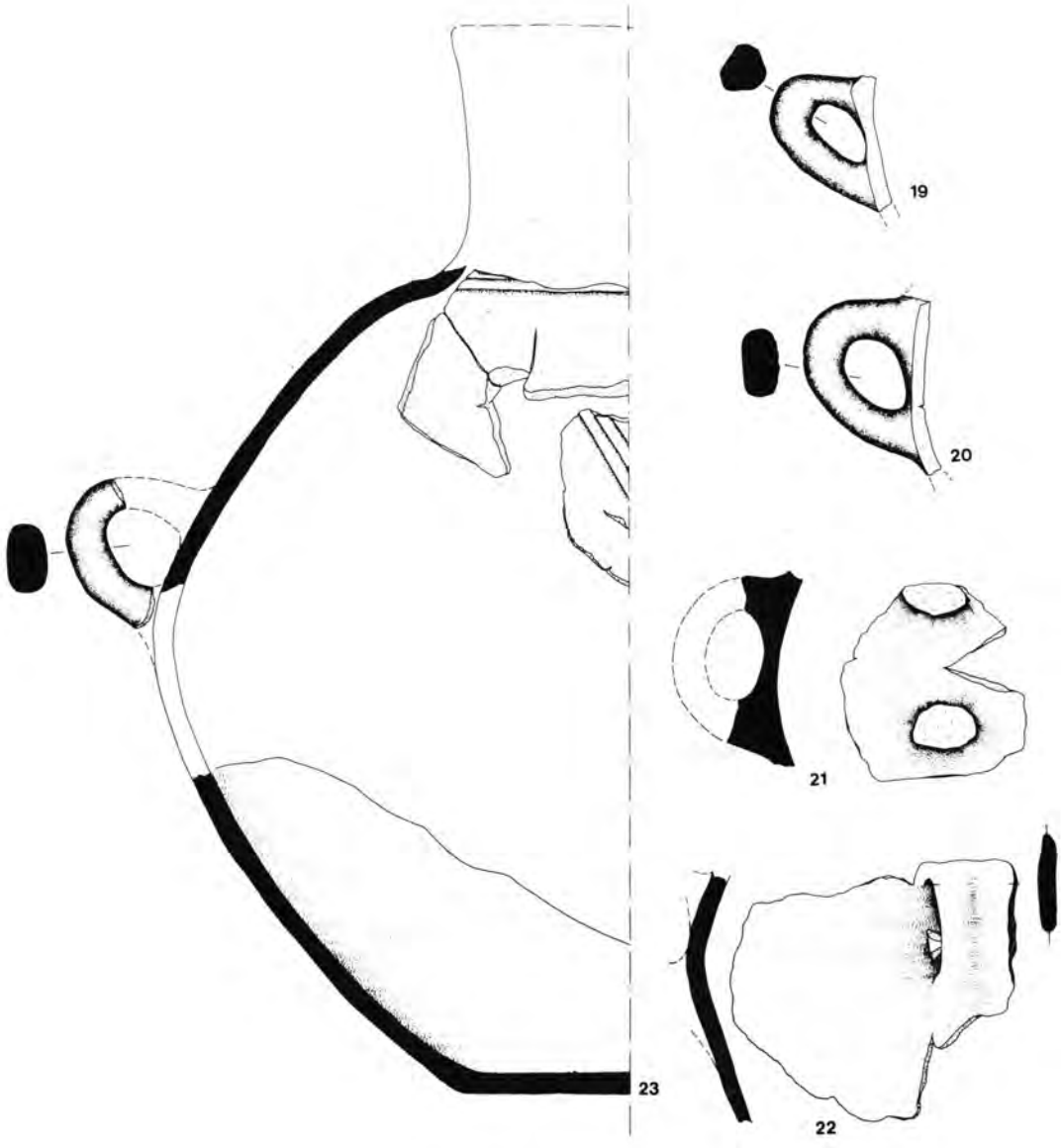

Τ20Π1

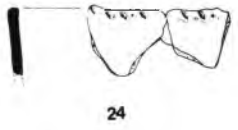
24

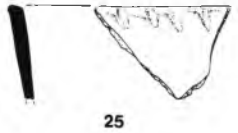
25

26

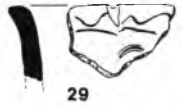
29

27

28

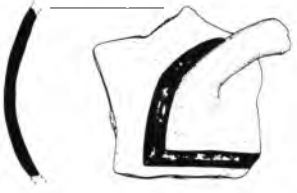
30

31

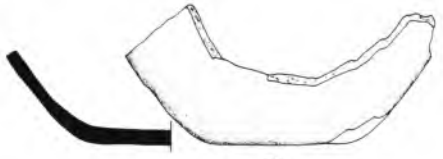
32

33

Π1 35

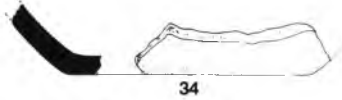
34

Τ20Π2

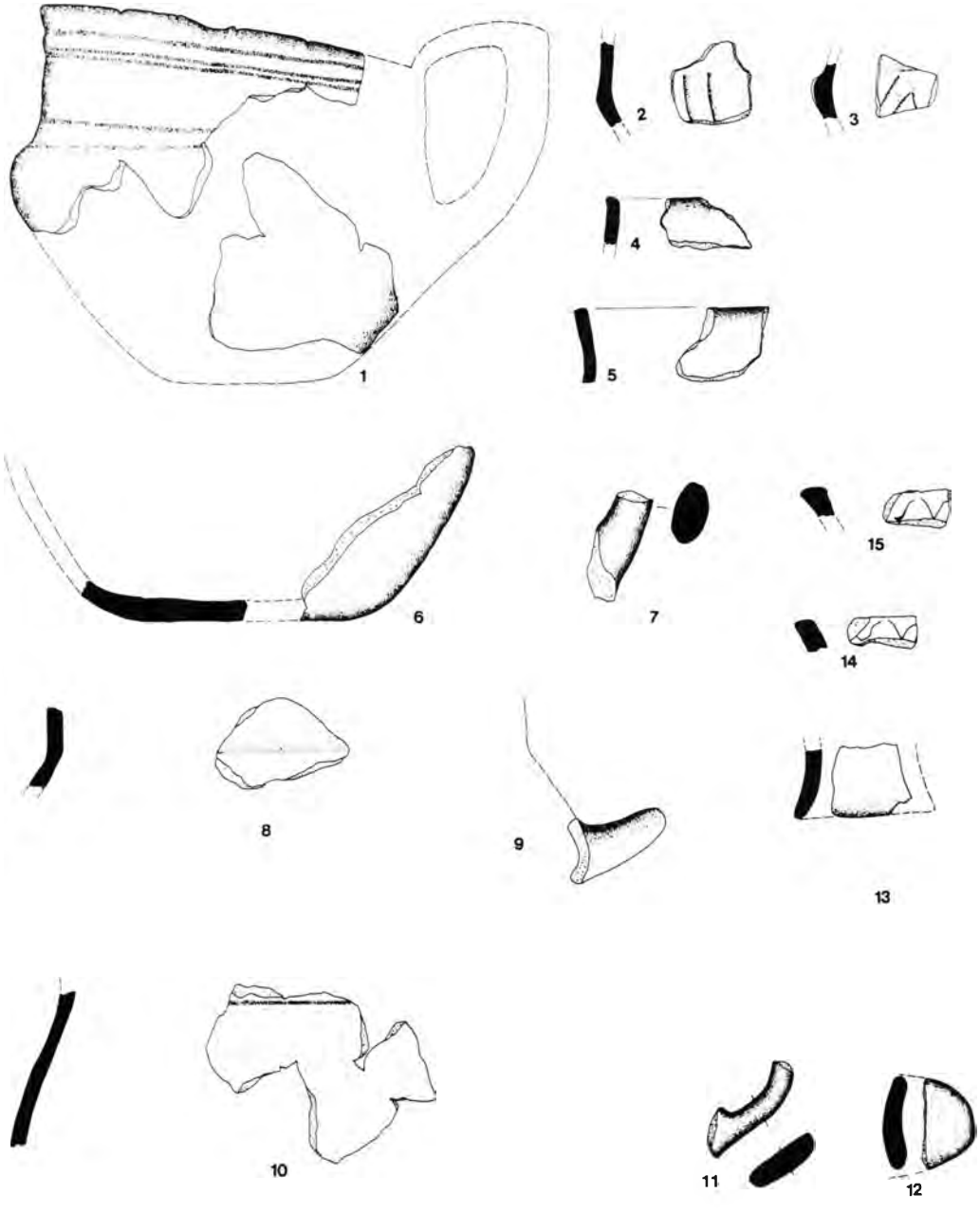

Τ20Π2

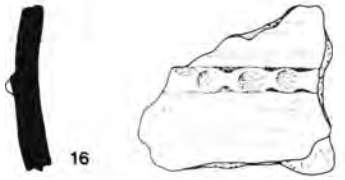

16

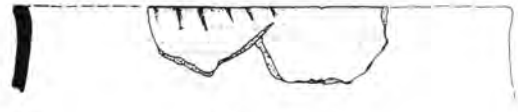

17

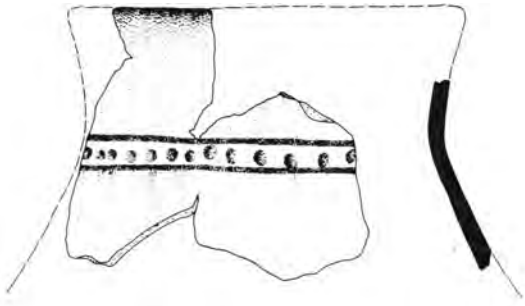

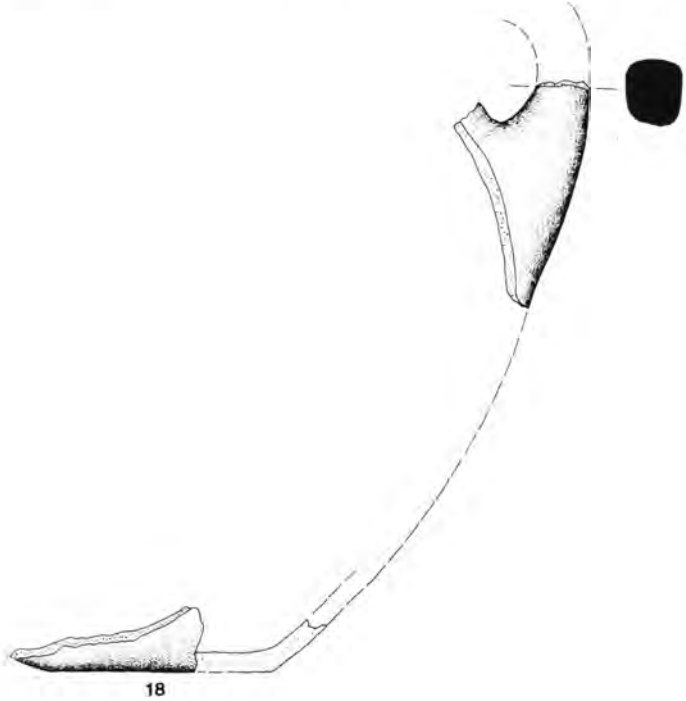

18

Τ20 Π3

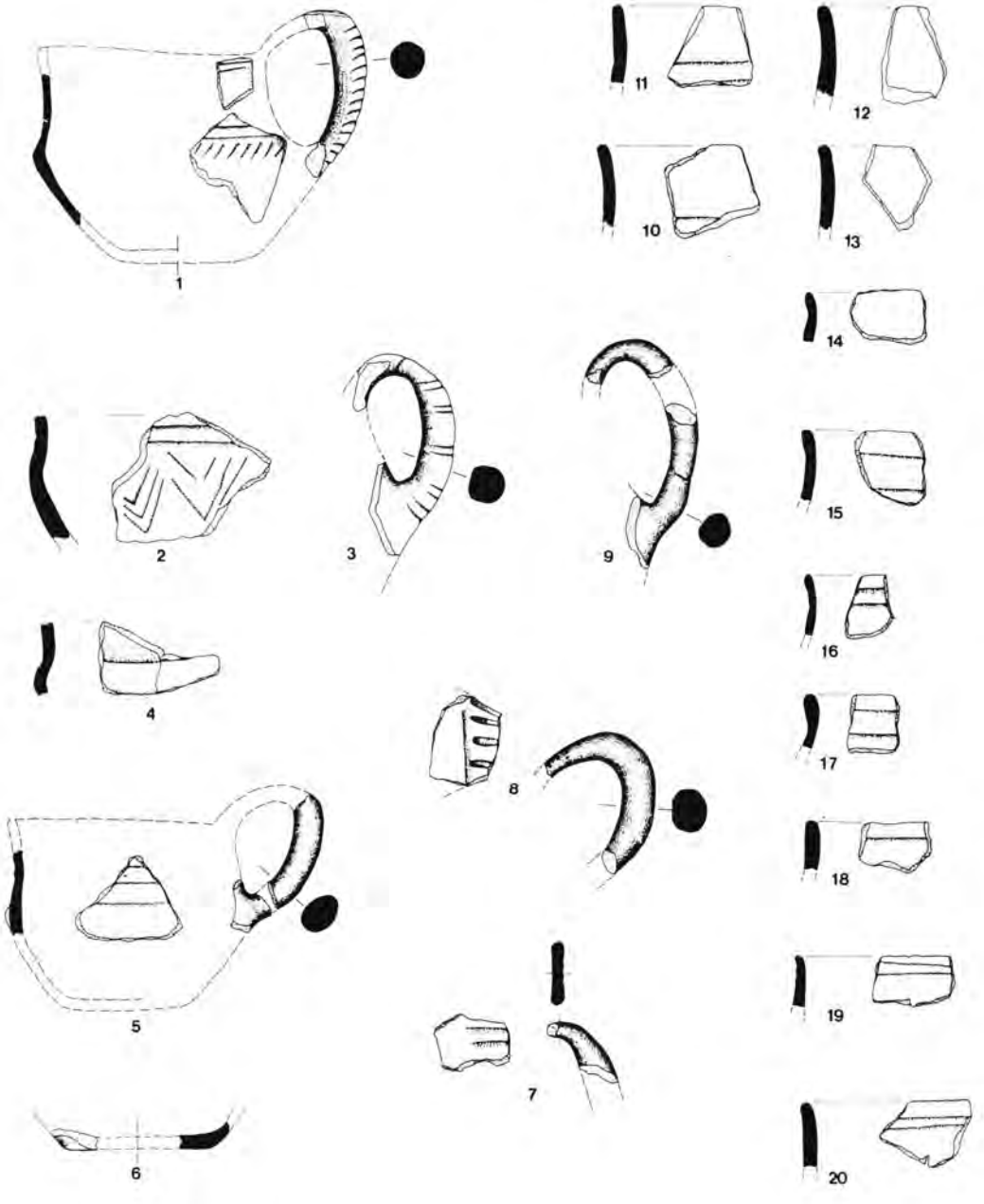

Τ20Π3

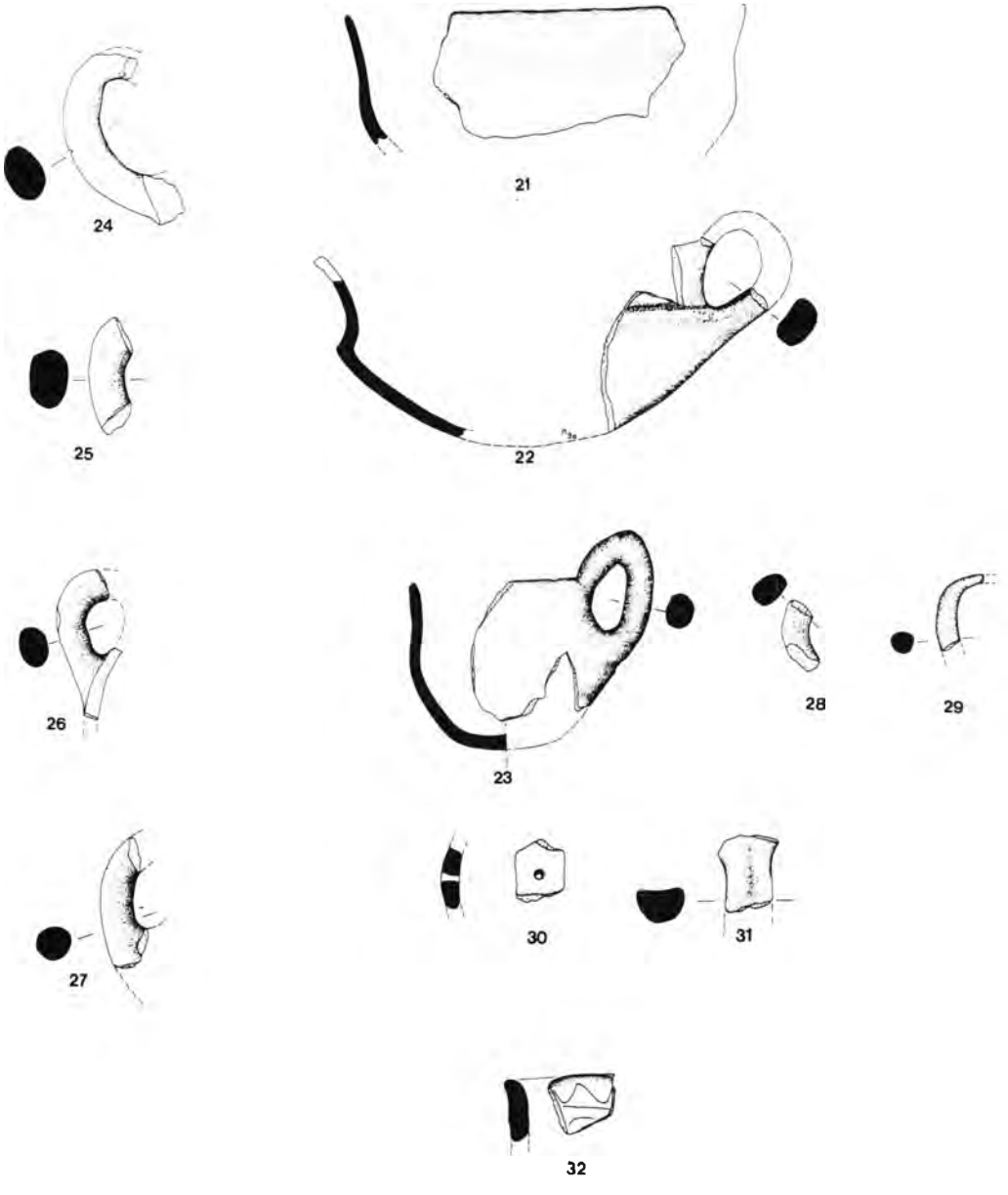

Τ20Π3

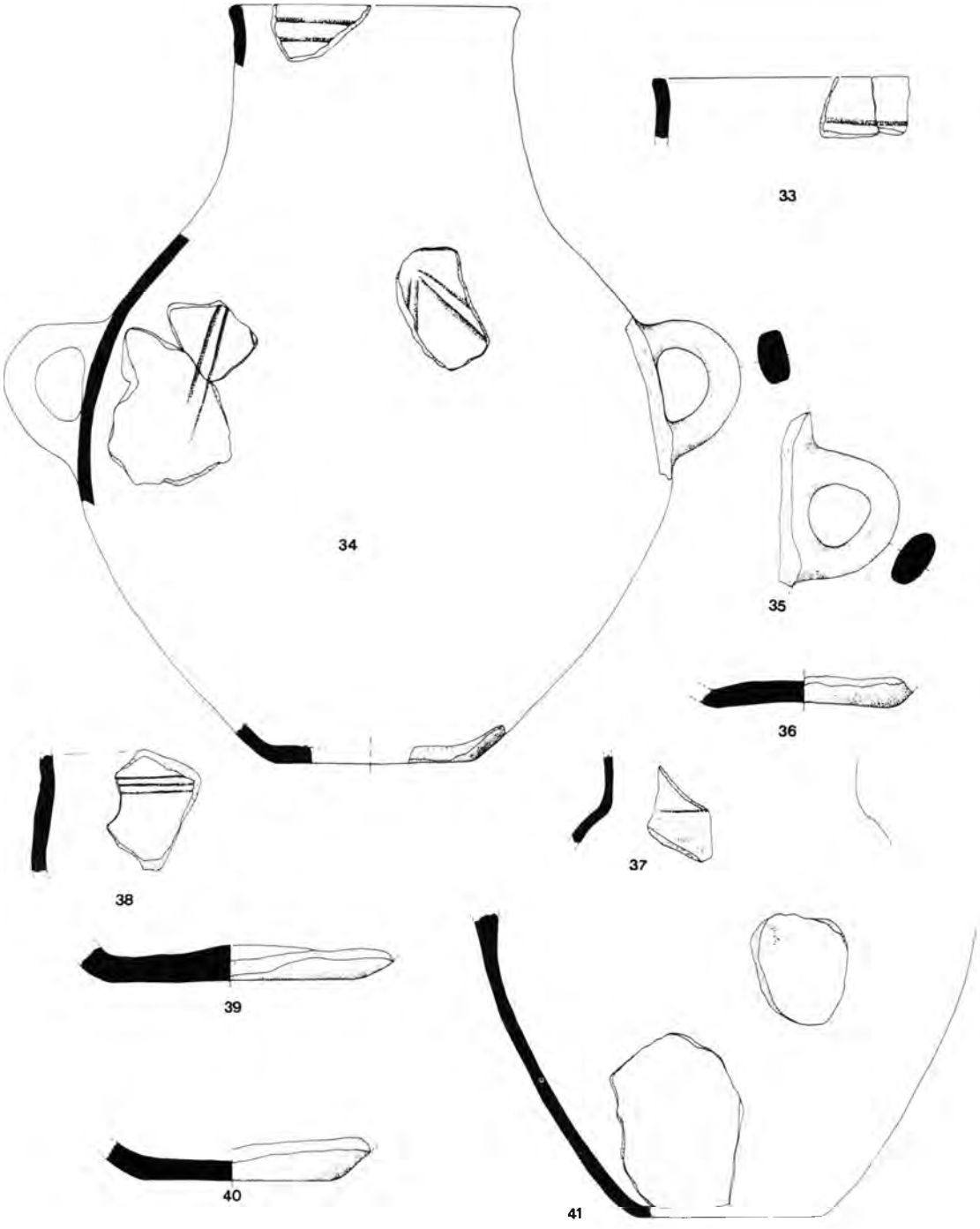

Τ20Π3

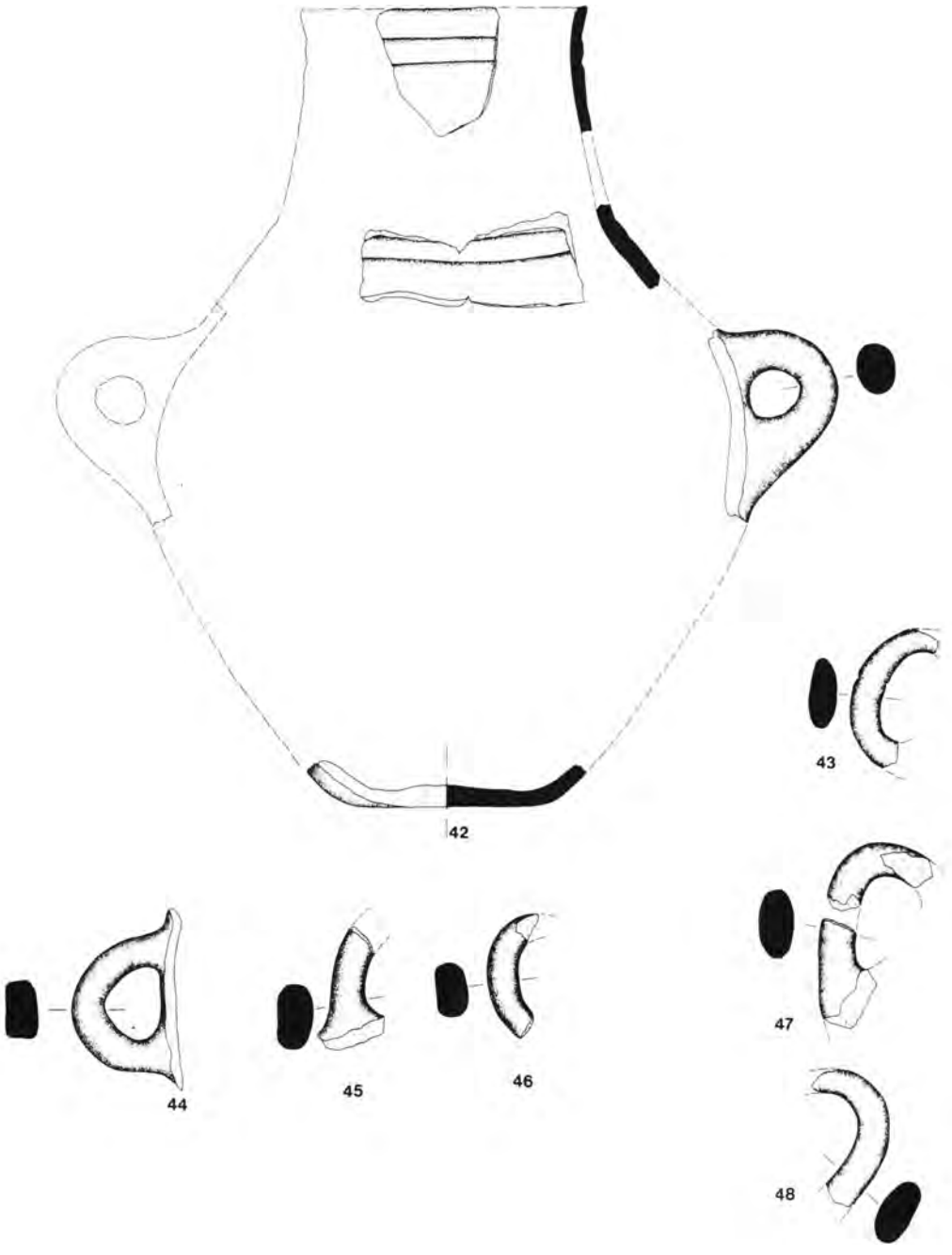

Τ20Π3

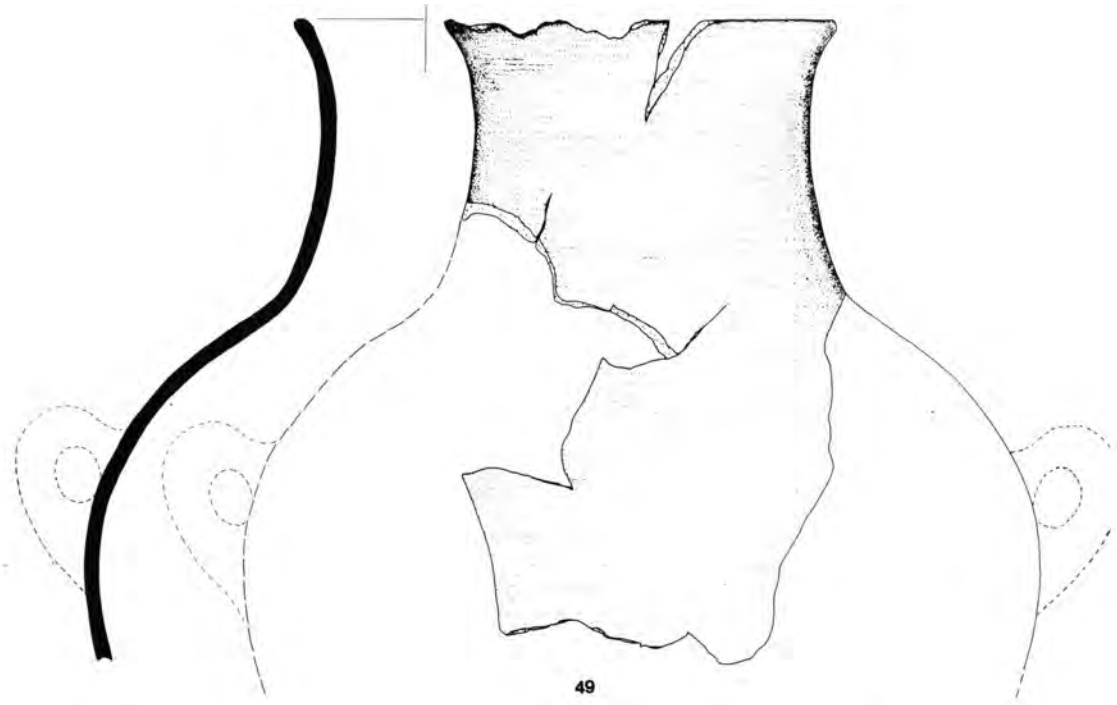

49

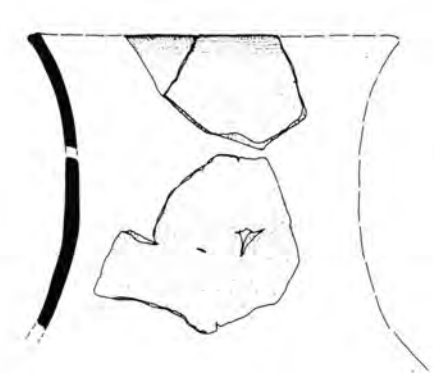

50

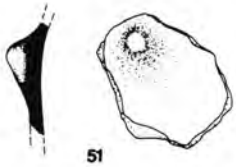

51

52

Τ20Π3

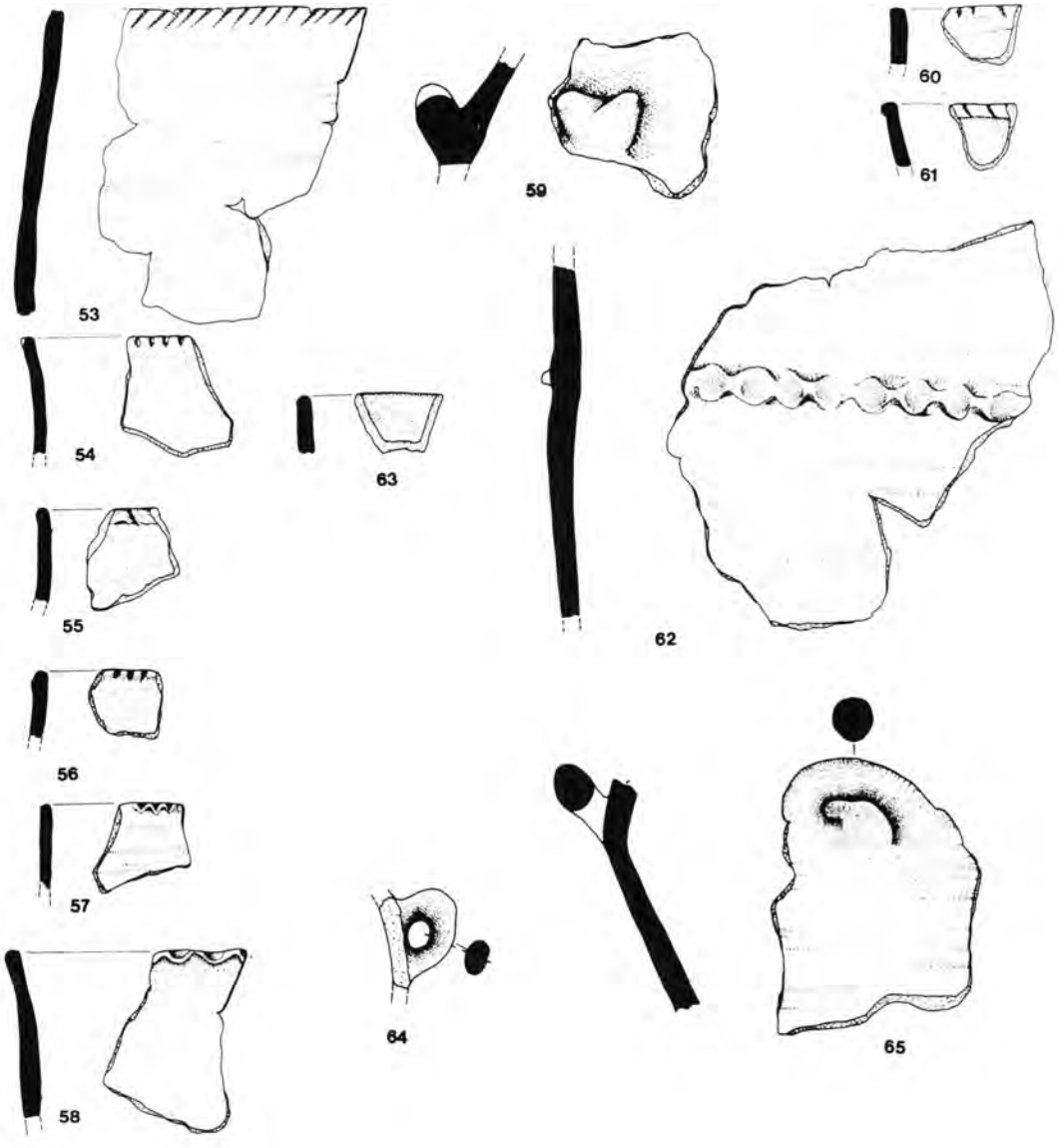

Τ20Π3

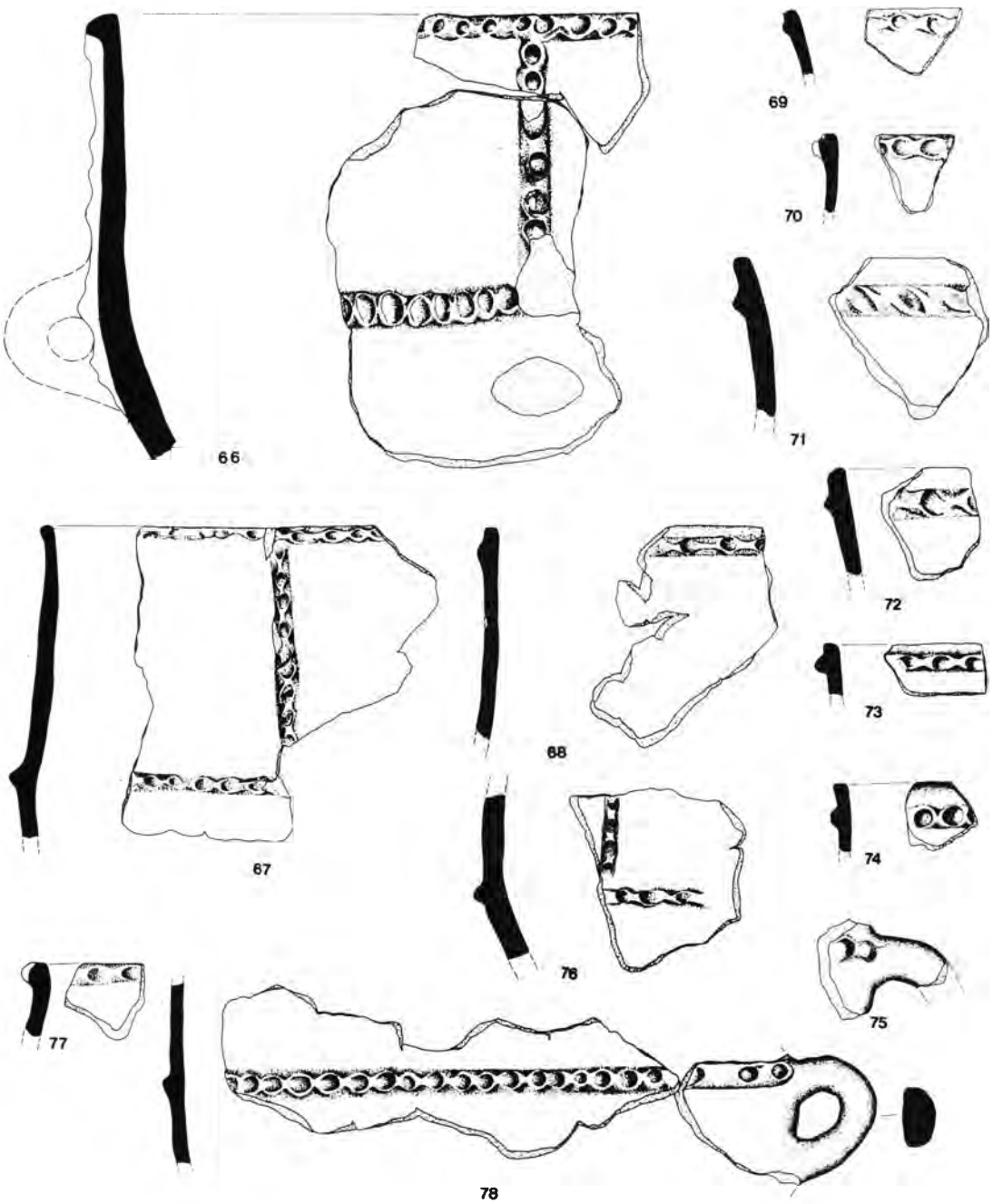

T21

1

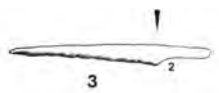

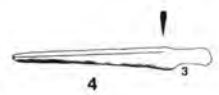

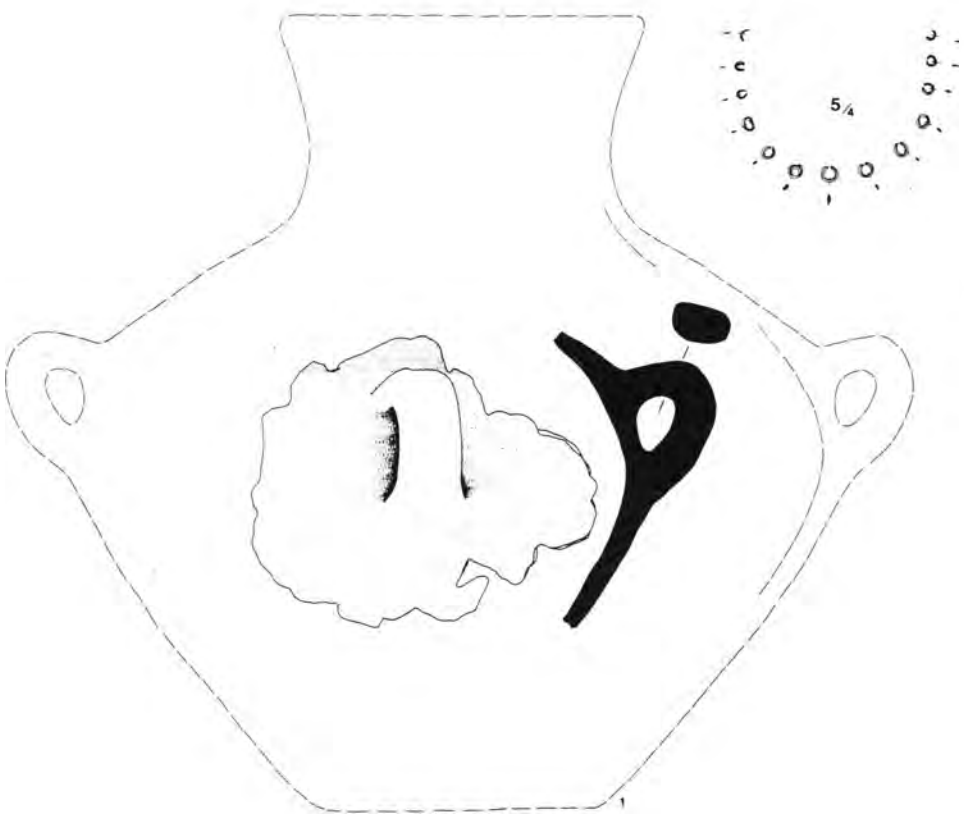

2

T22

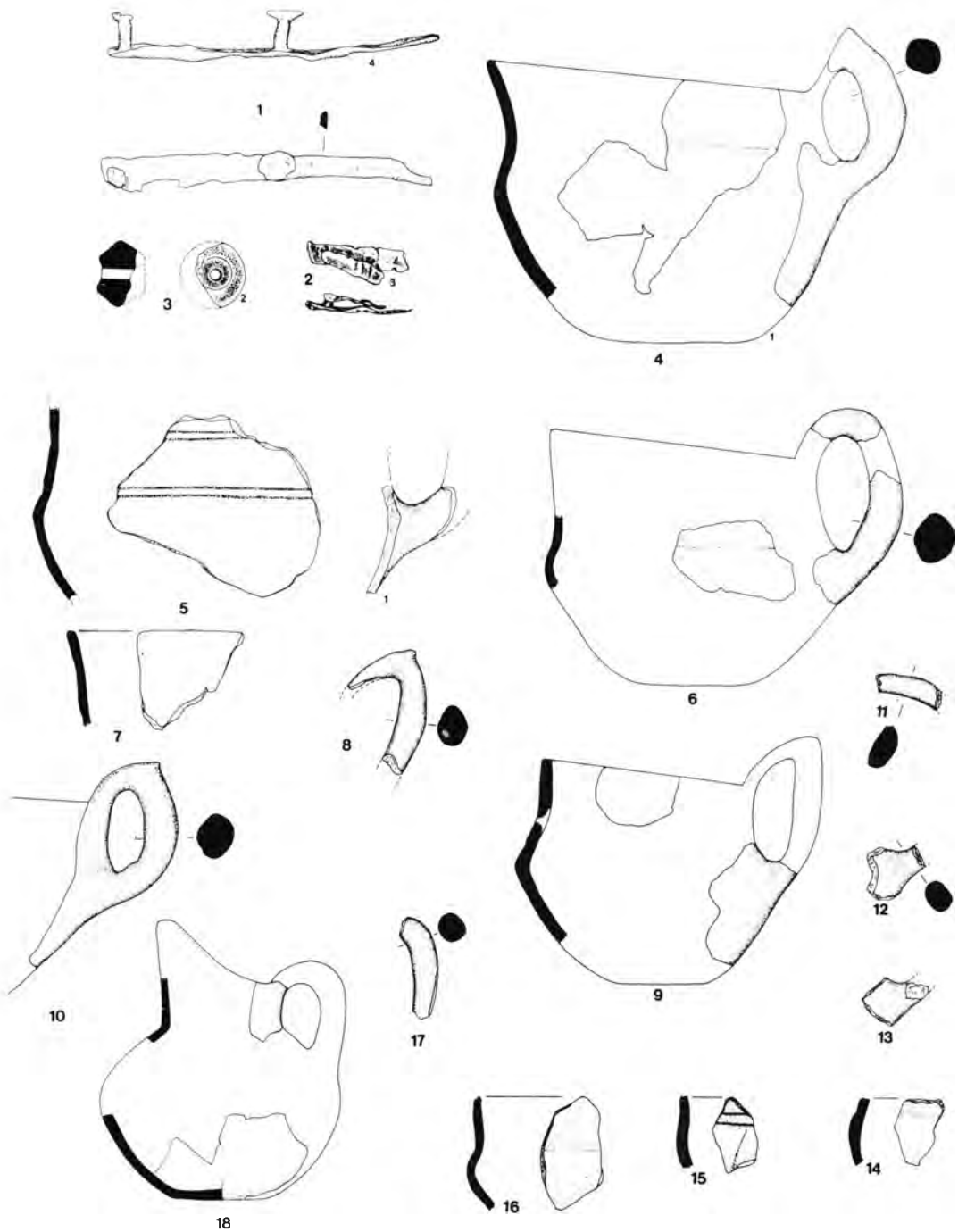

T22 ΑΠ

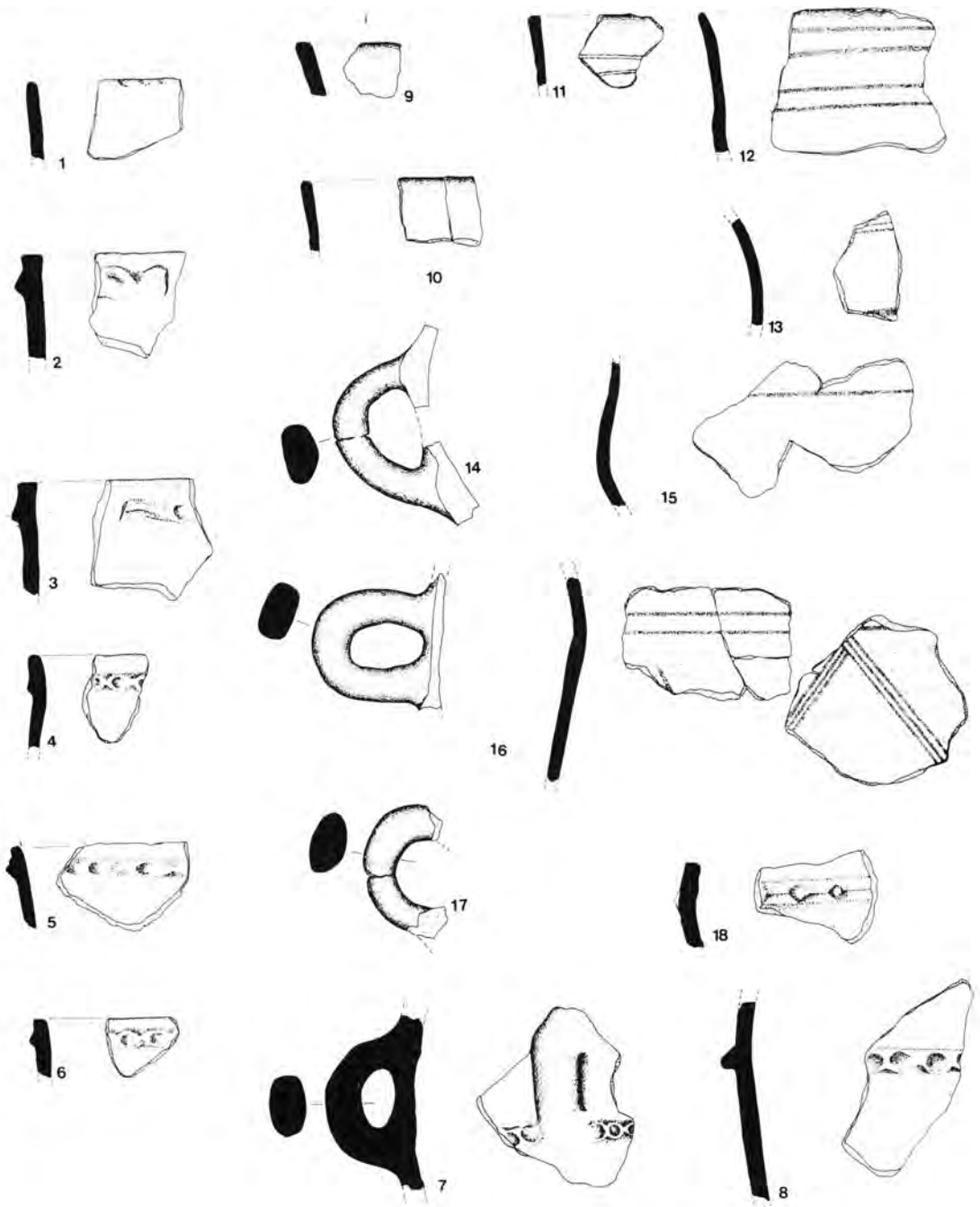

T22 ΑΠ

20

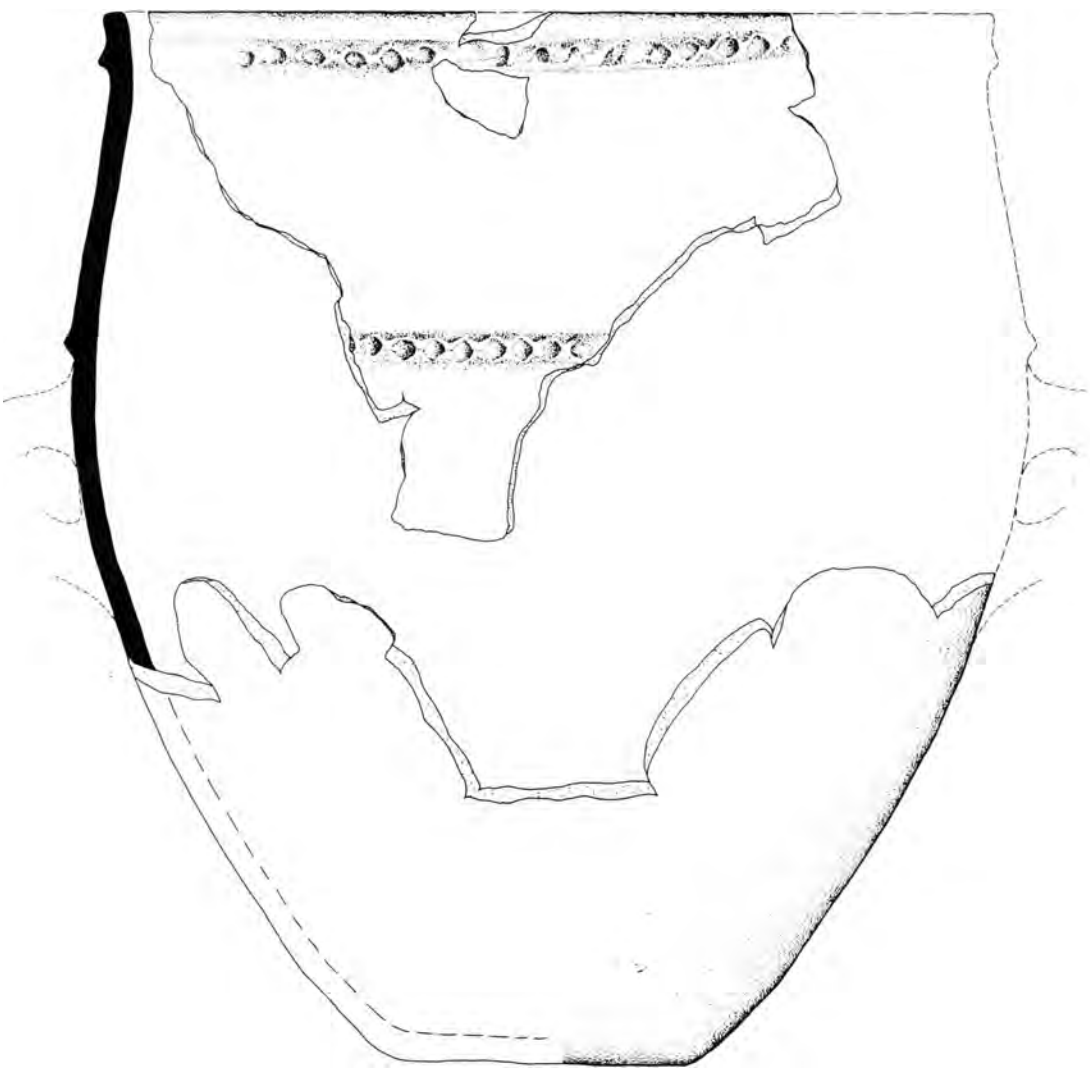

19

T23AI

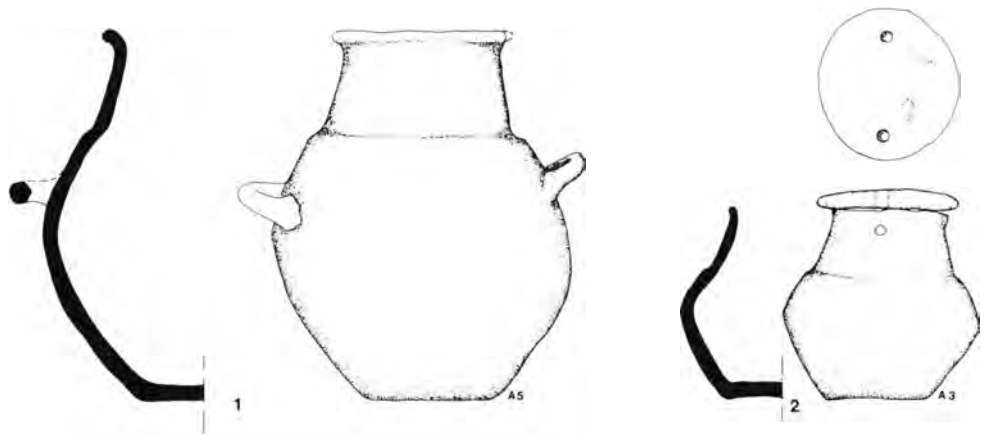

T23AII

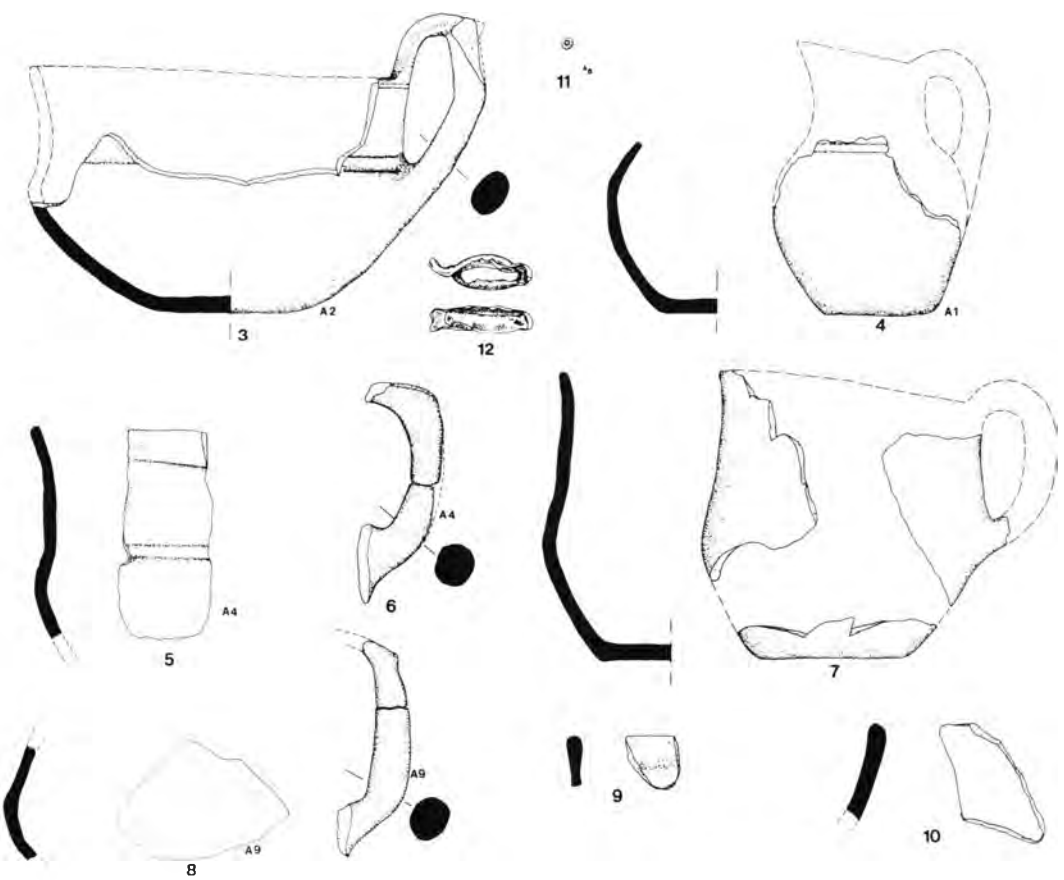

T23B

A

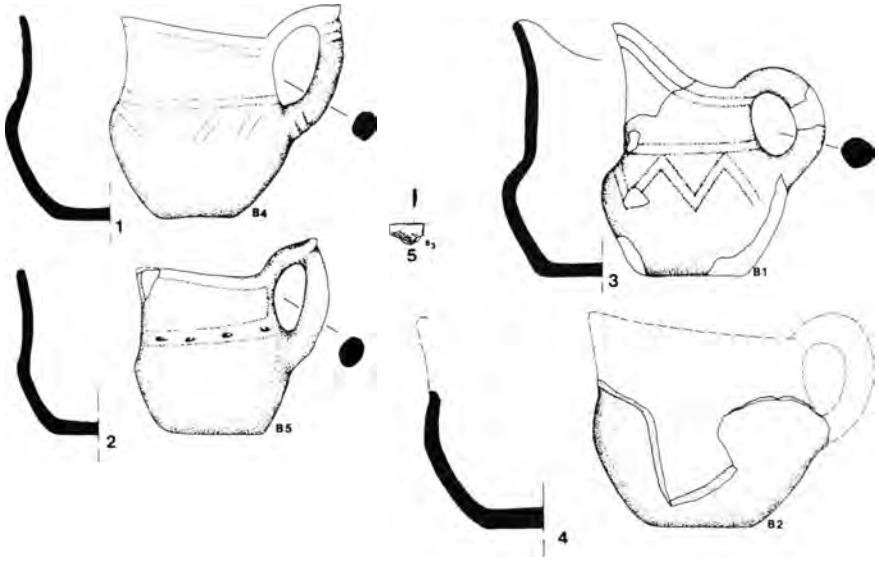

T24 I

B

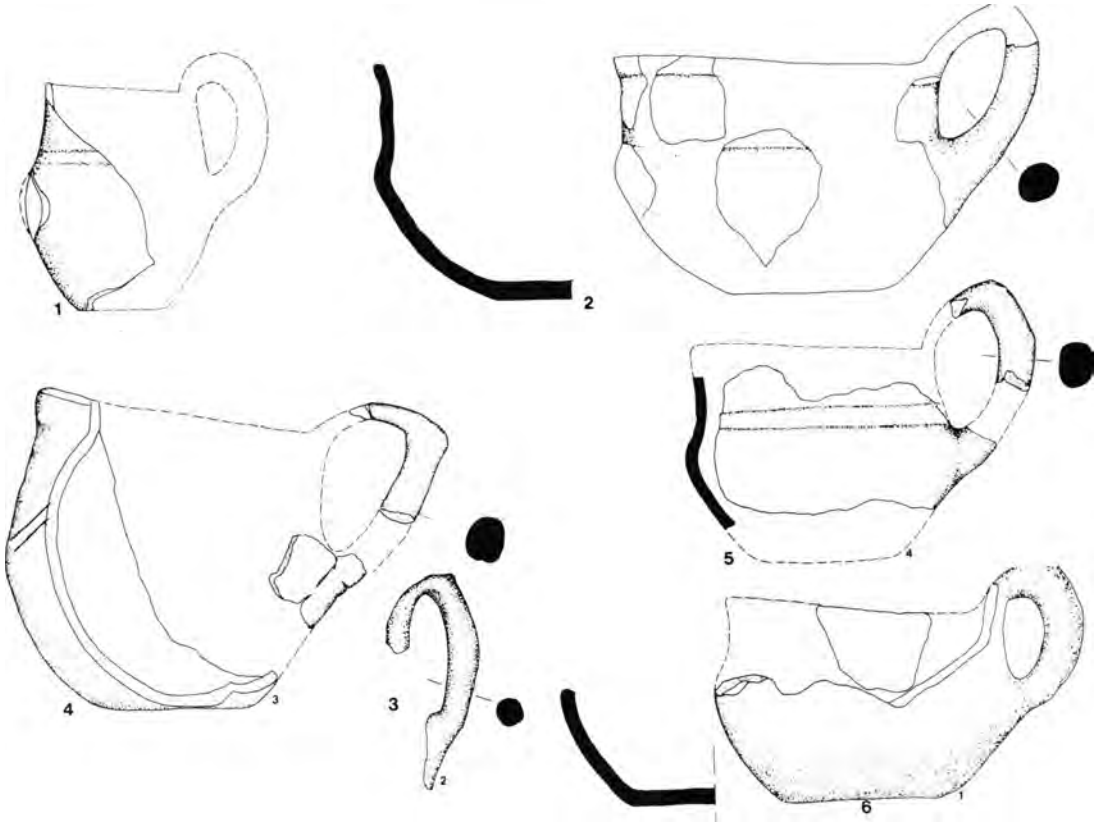

T24 II

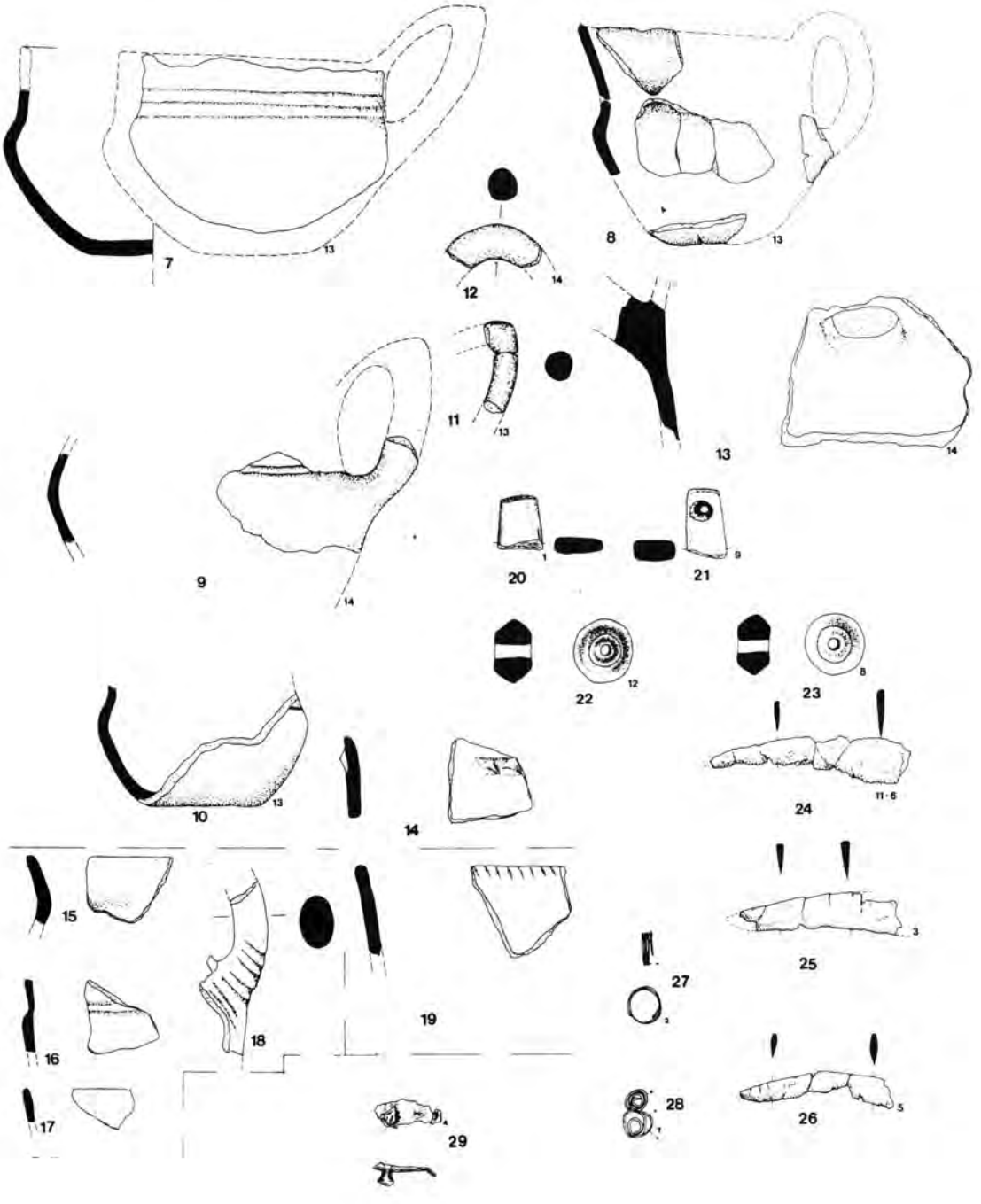
7
13
8
13
12
14
11
13
13
14
9
14
20
1
21
9
22
12
23
8
10
13
14
24
11·6
15
16
17
18
19
25
3
27
2
28
1
29
4
26
5

T25

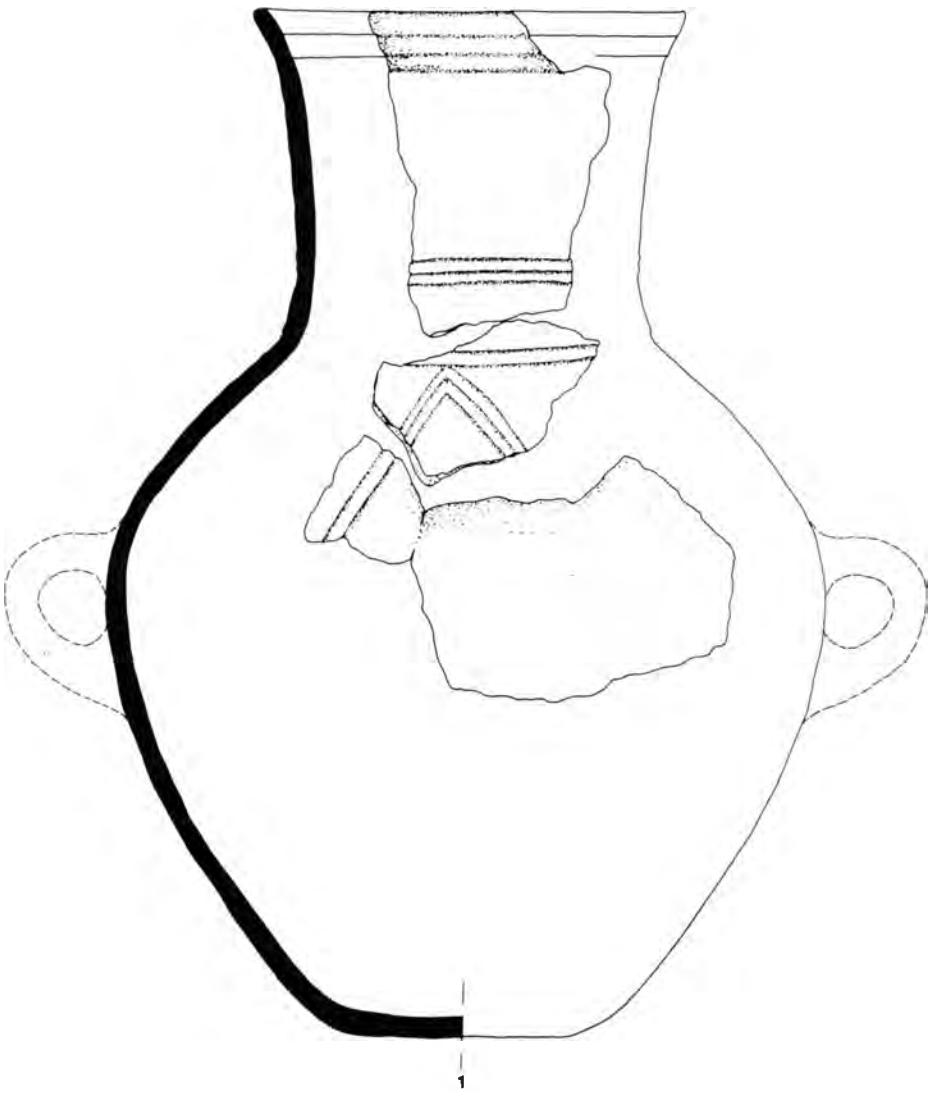

1

Τ26 ΠΡ ΙΙ

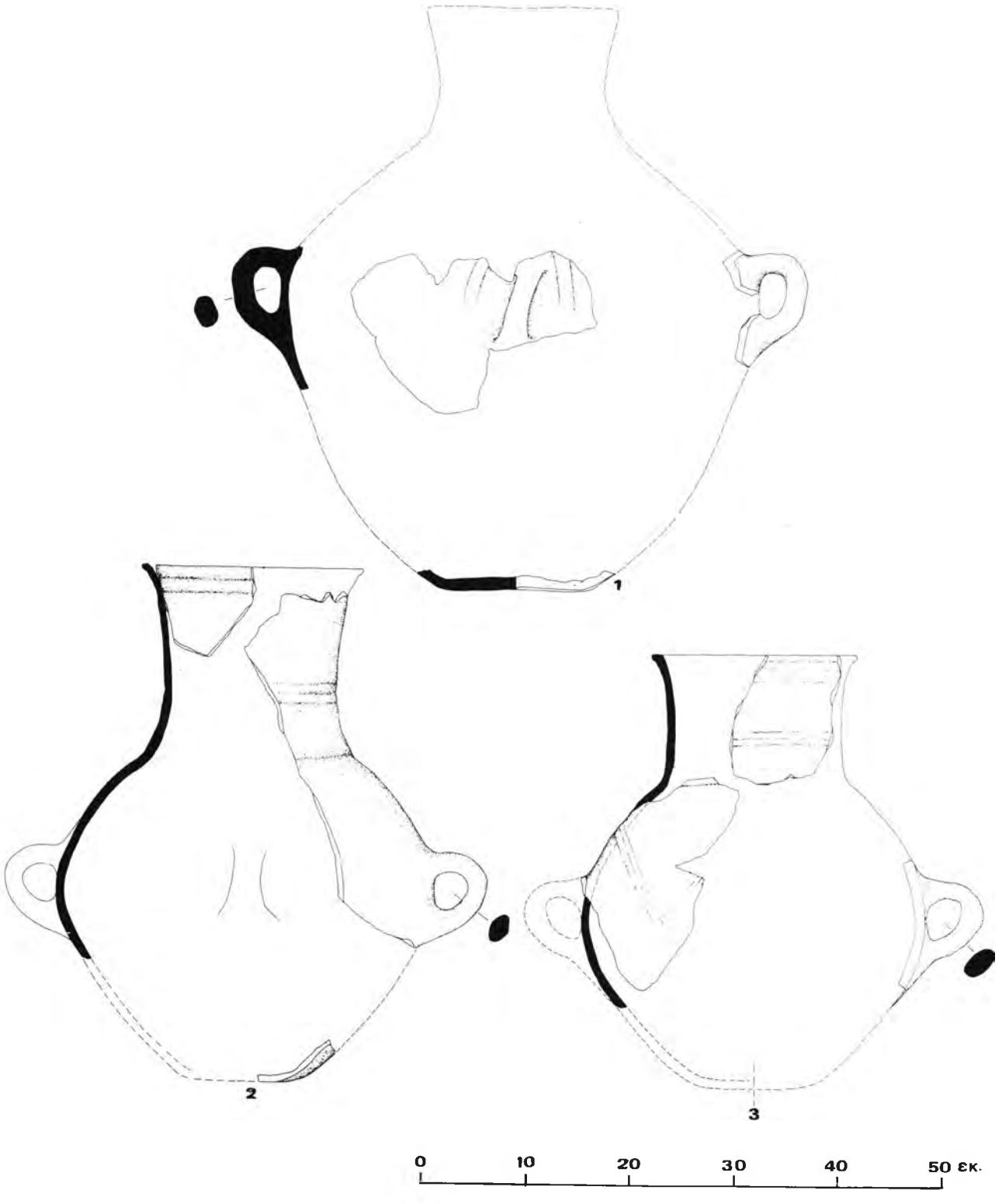

$T_{26ΠΡ}$

T_{26A}

A

B

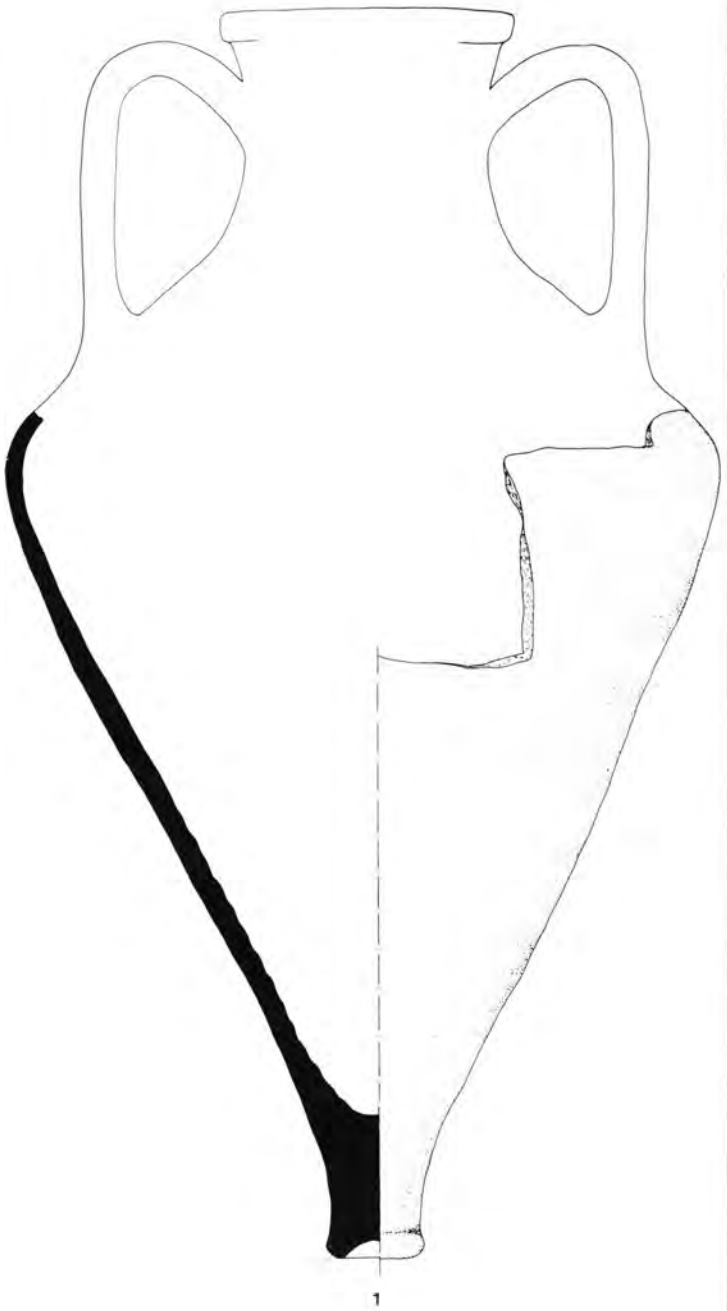

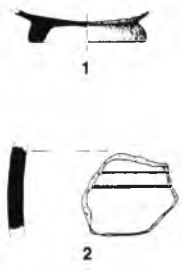

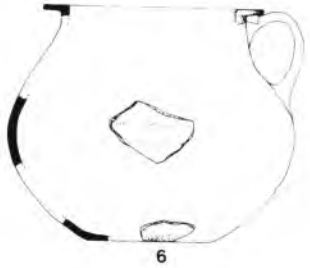

T_{27A}

A

I

1

2

II,1

4

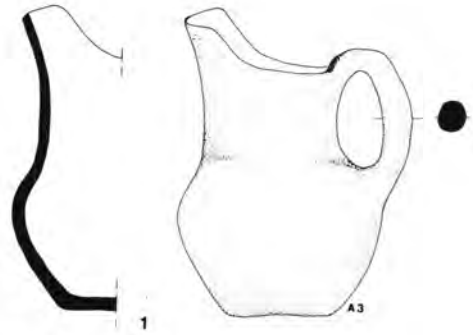

1

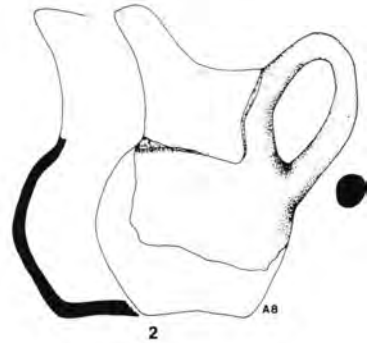

2

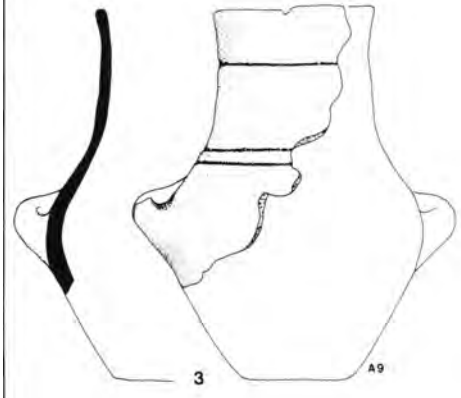

3

B

T27AII,2

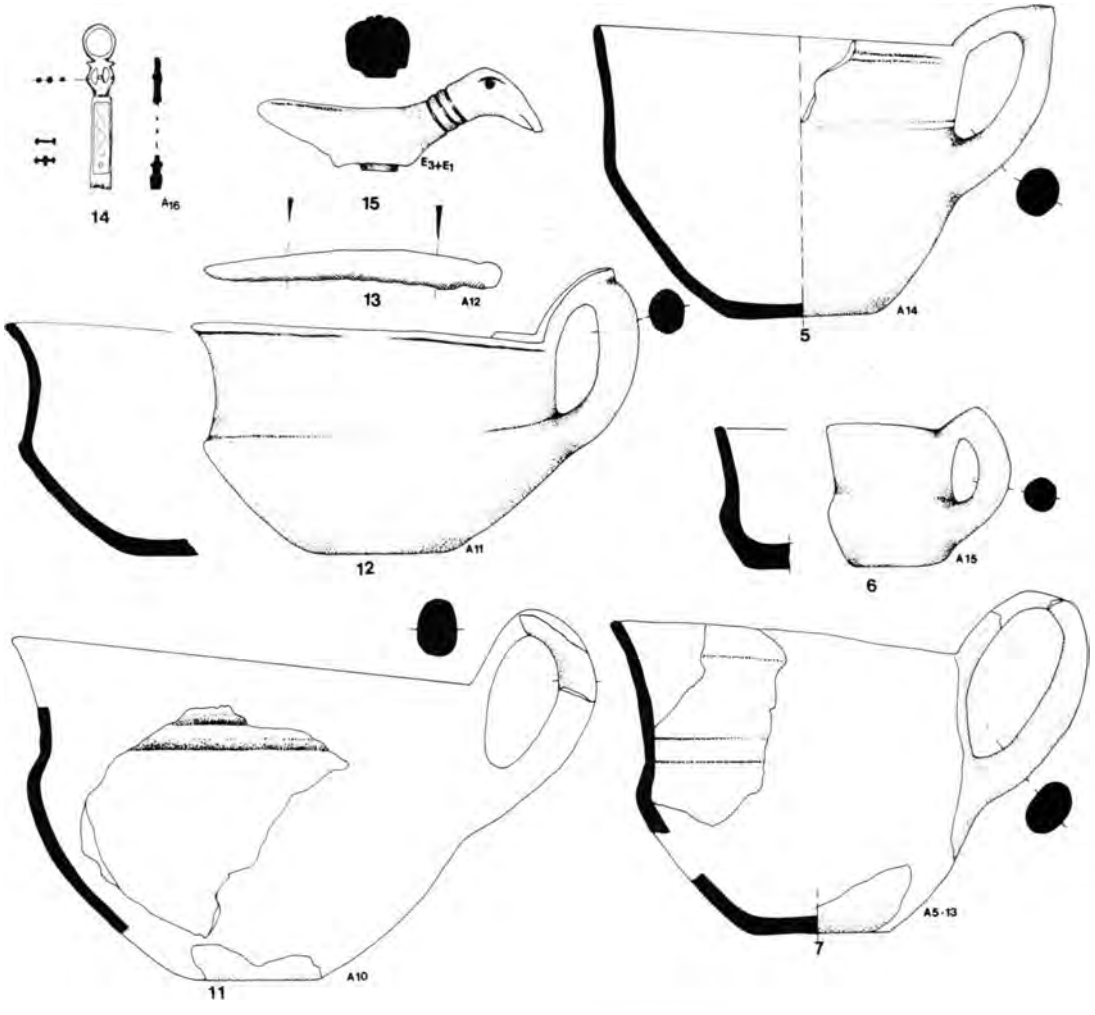

II,3

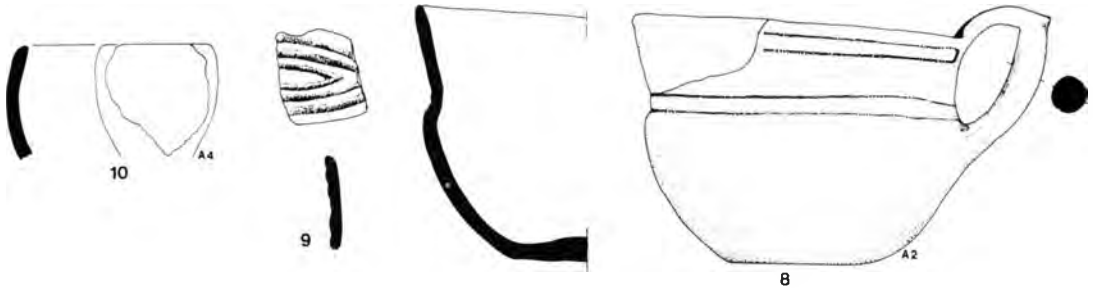

$T_{27A_{ΠΡ}}$

A

$T_{27A_{ΑΠ}}$

B

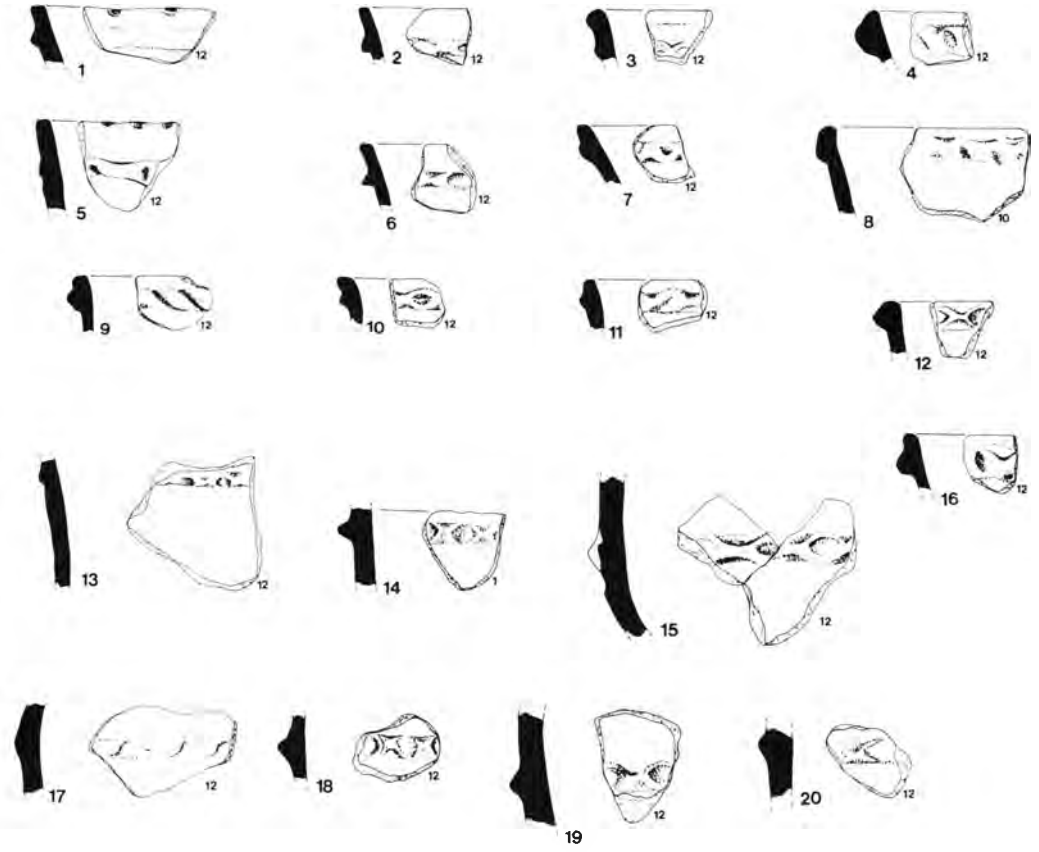

T27ΑΠ

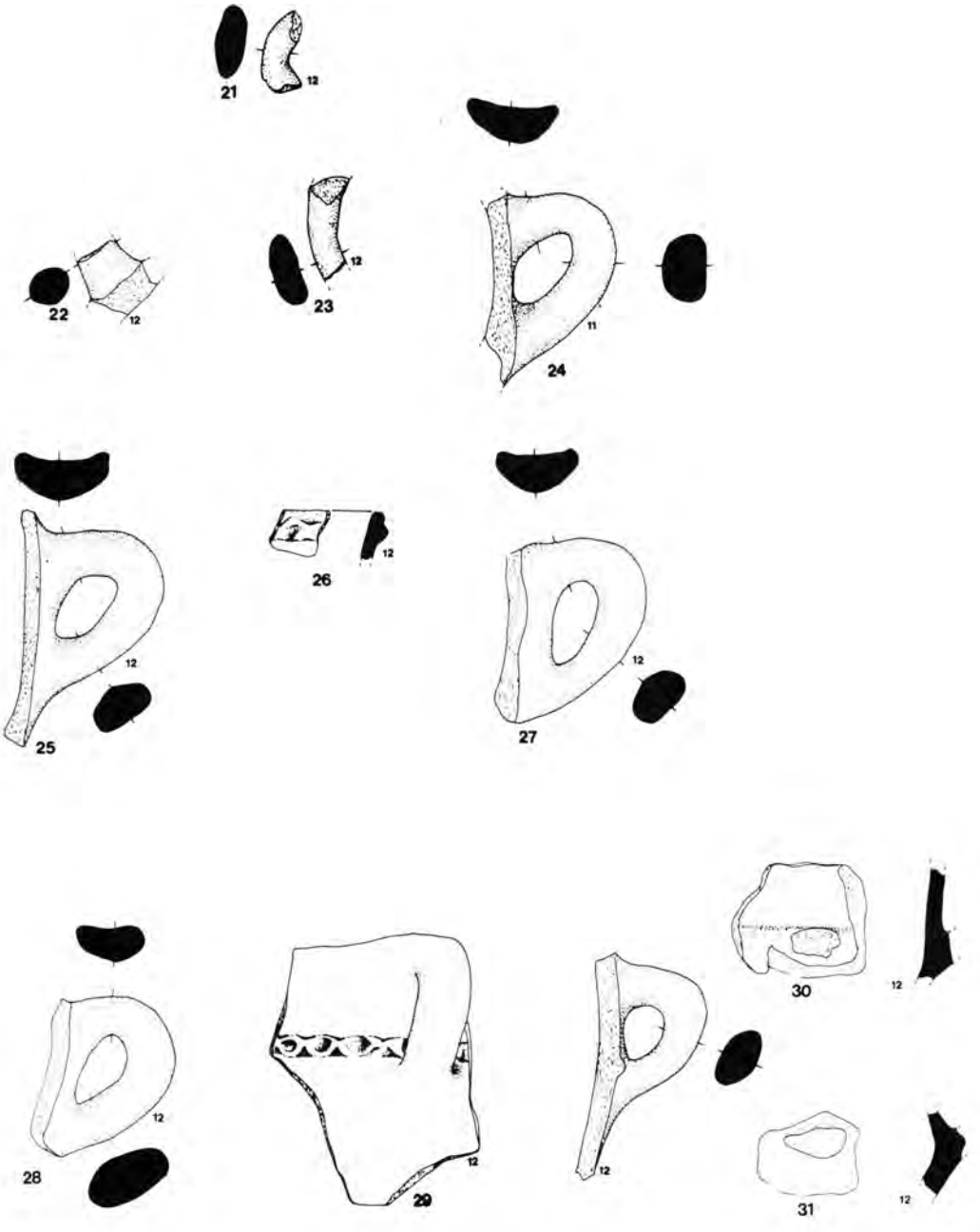

$T_{27_{A\Pi}}$

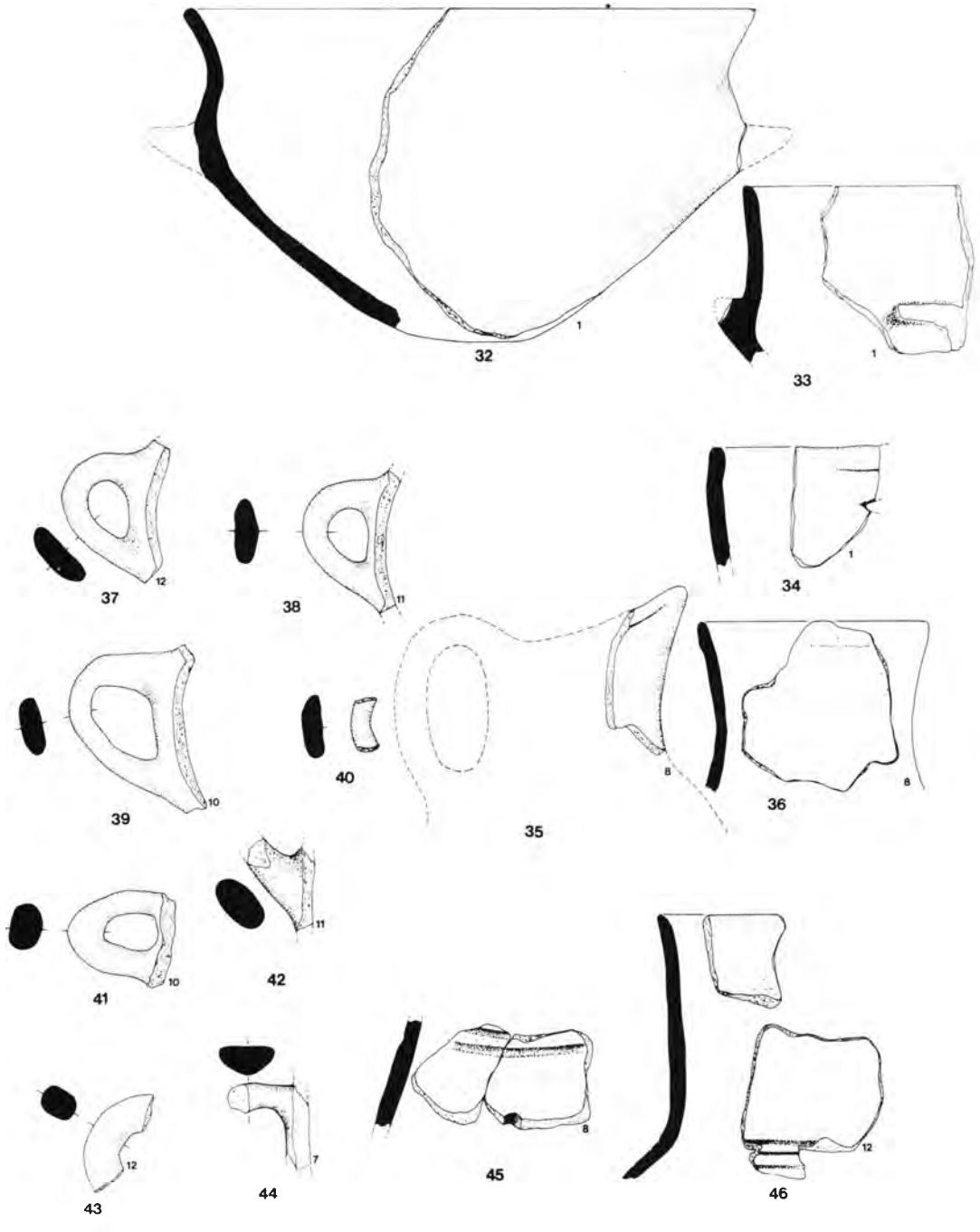

T27ΑΠ

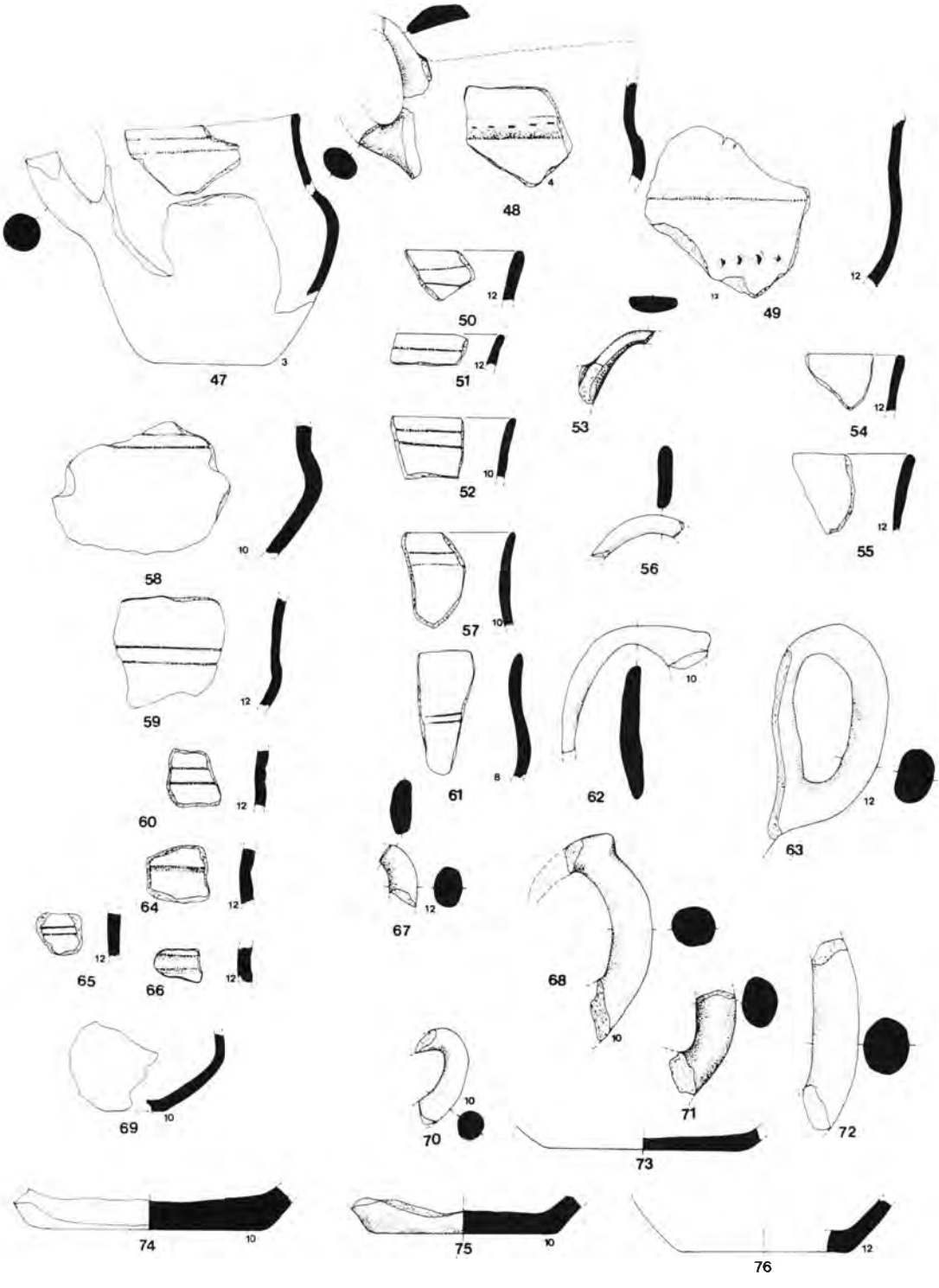
47
48
49
50
51
53
54
52
56
55
58
57
59
61
62
63
60
64
67
65
66
68
69
70
71
72
73
74
75
76

T27ΑΠ

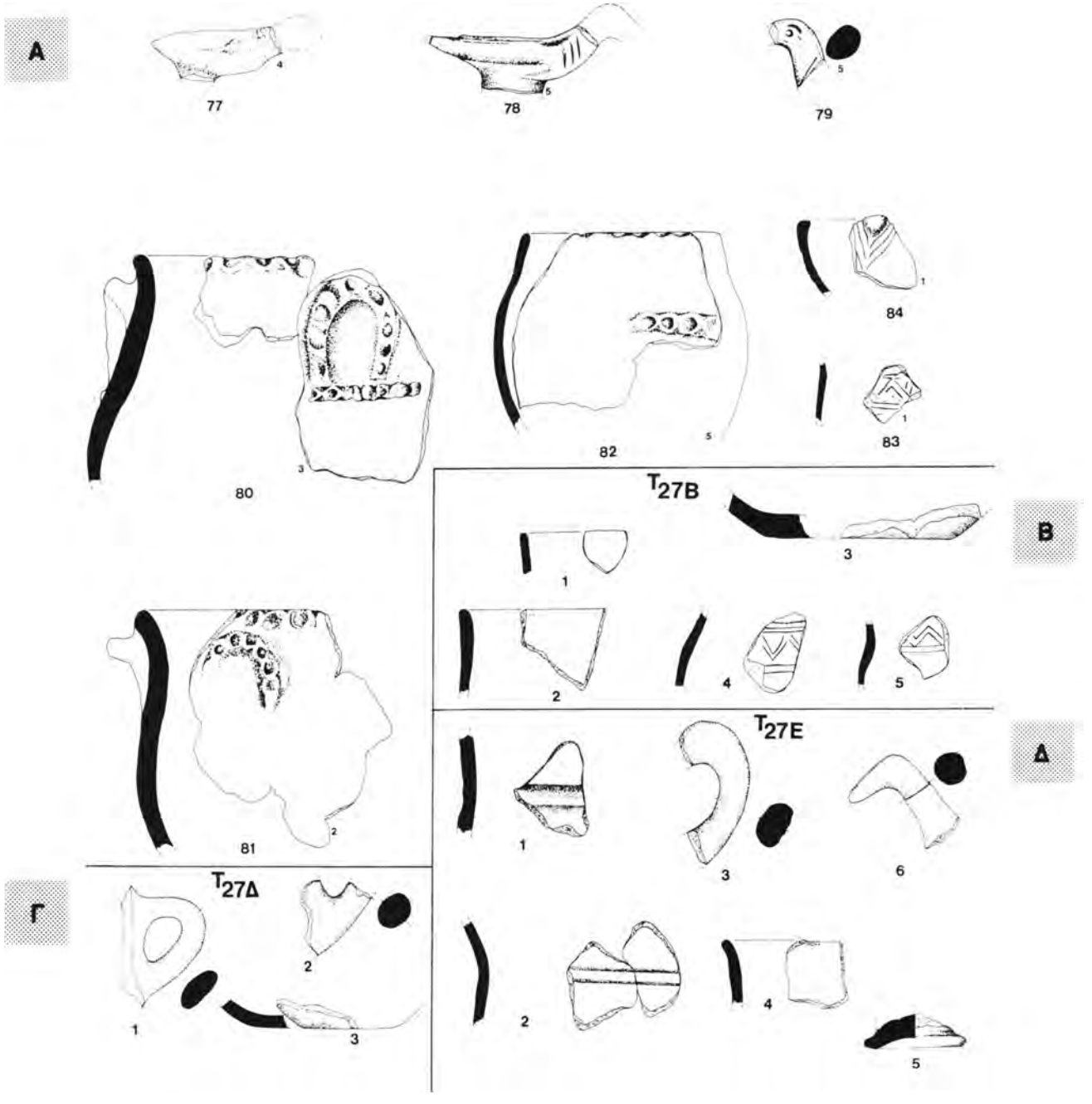

$T_{27}Γ$

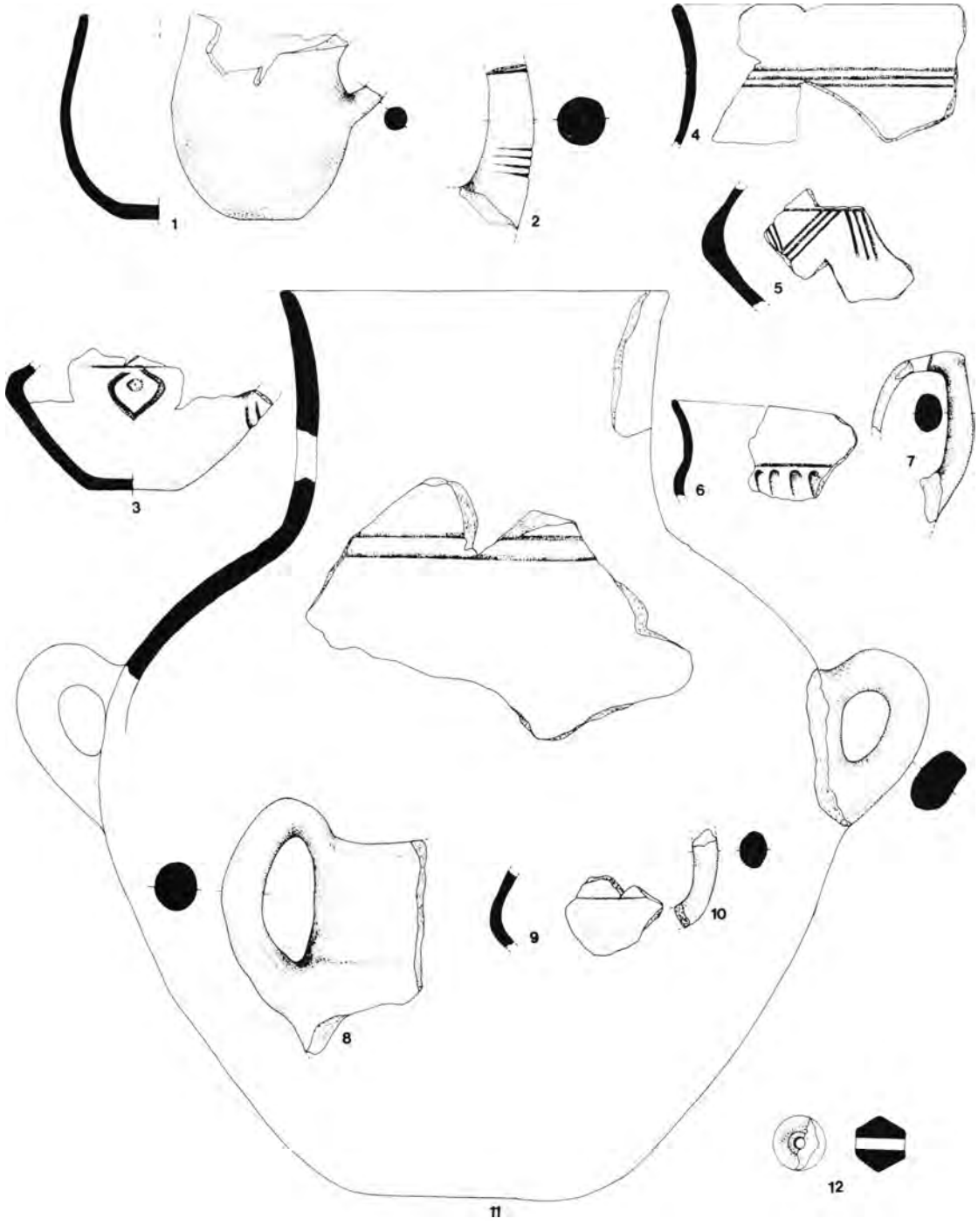

T29

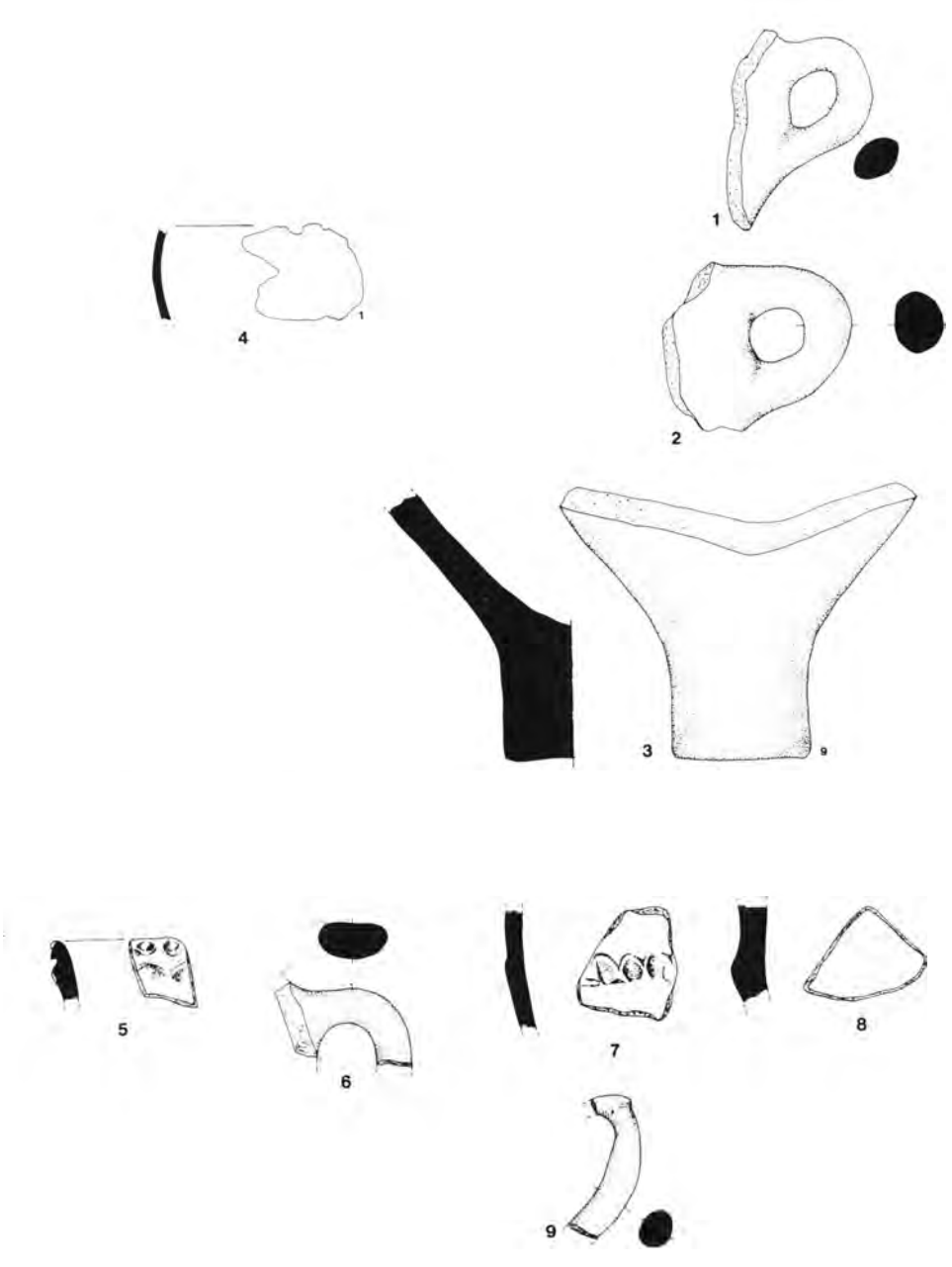

T291

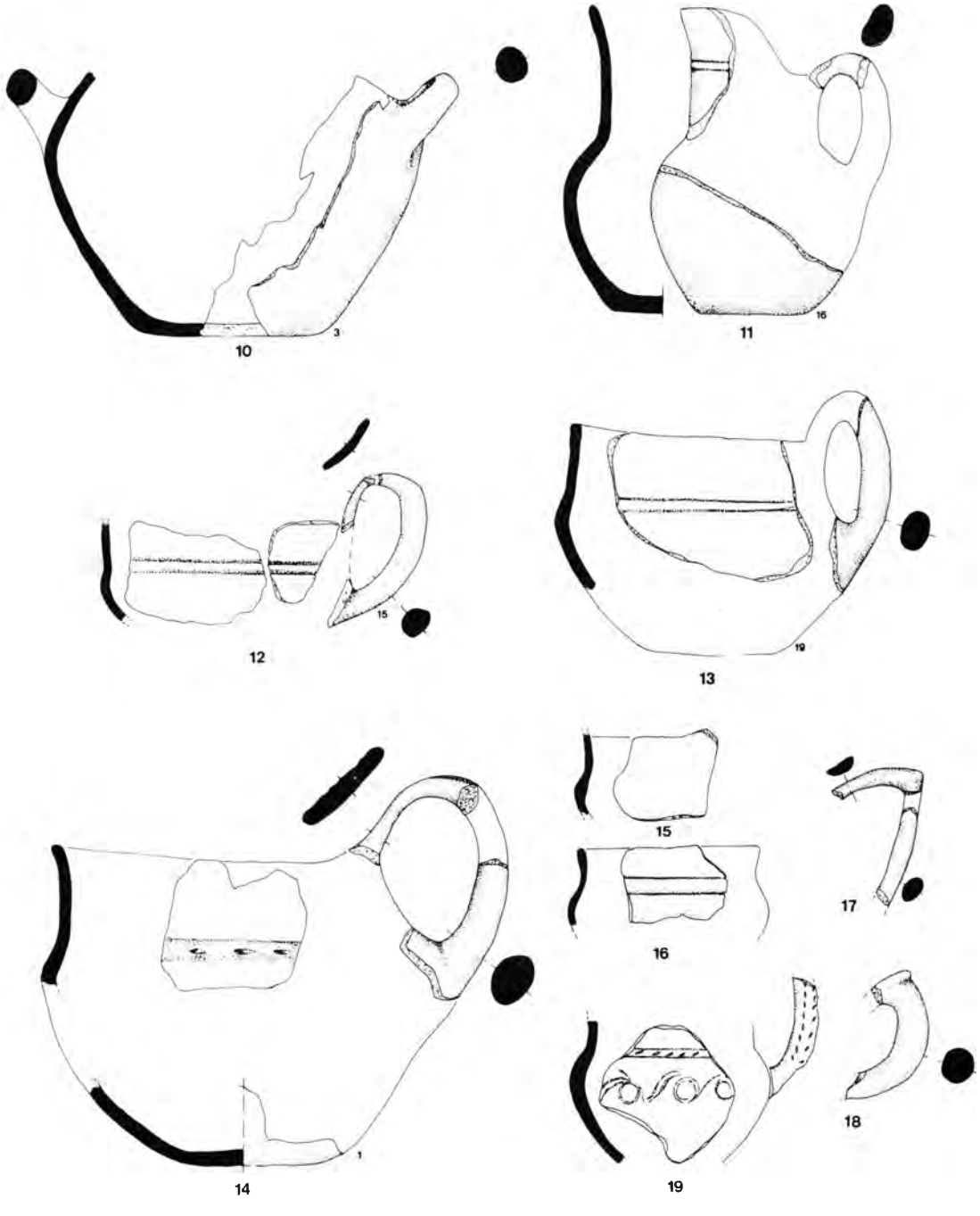

T291

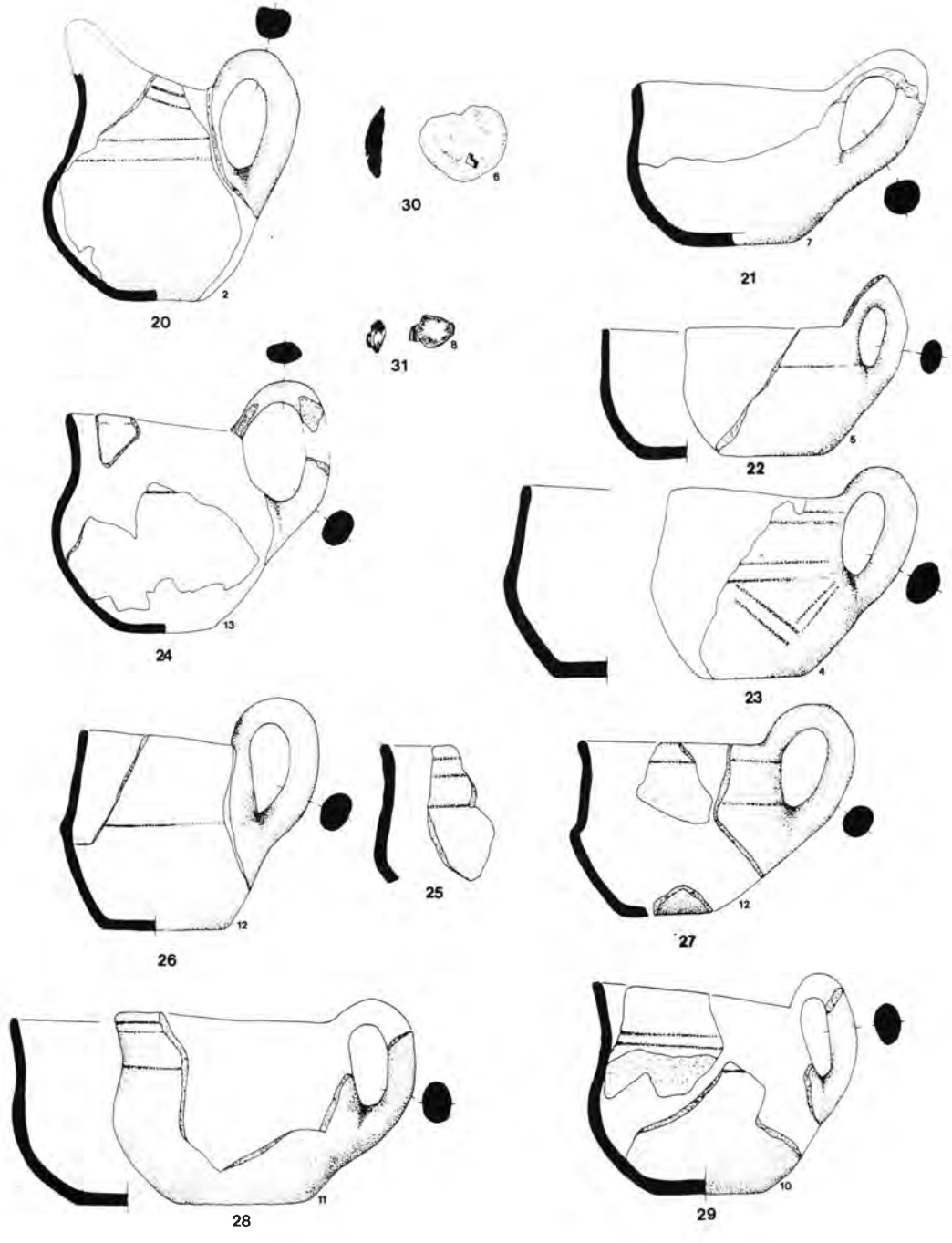

T29II

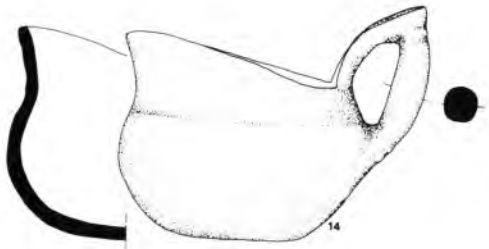

32

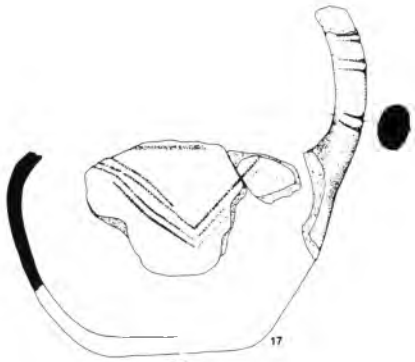

33

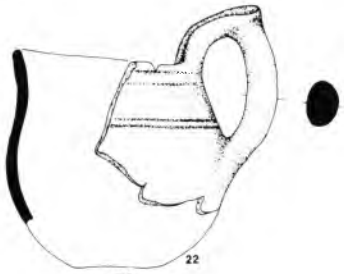

34

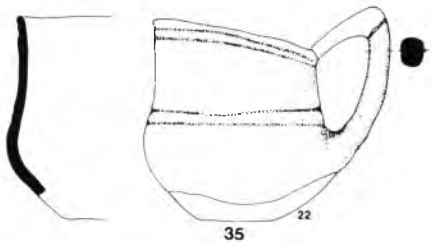

35

36

41

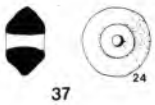

37

38

39

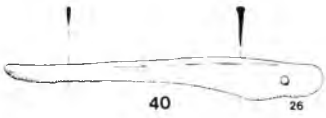

40

T29III

A

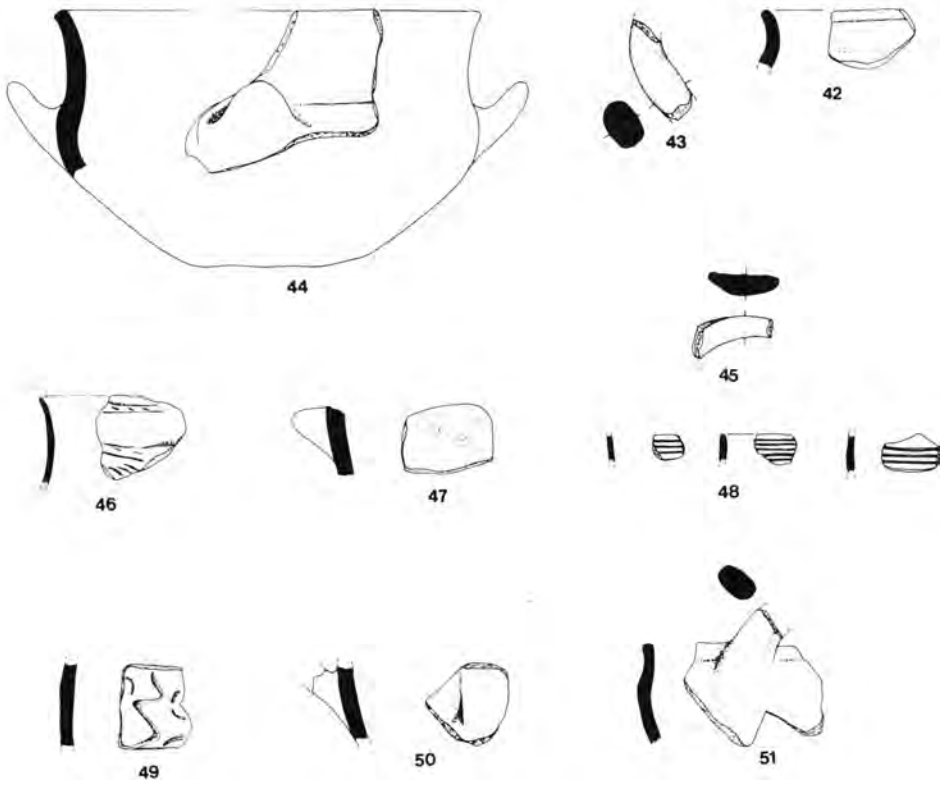

T28

B

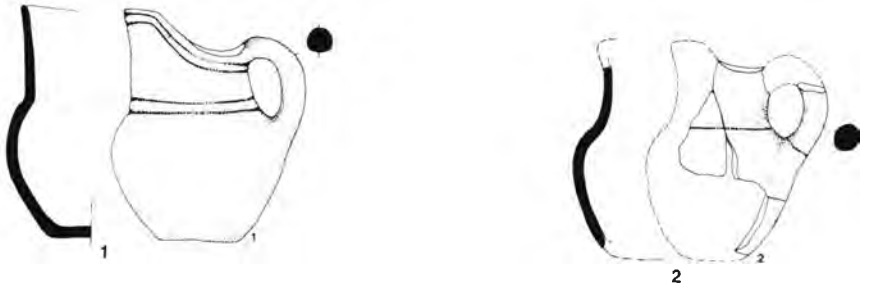

T30A

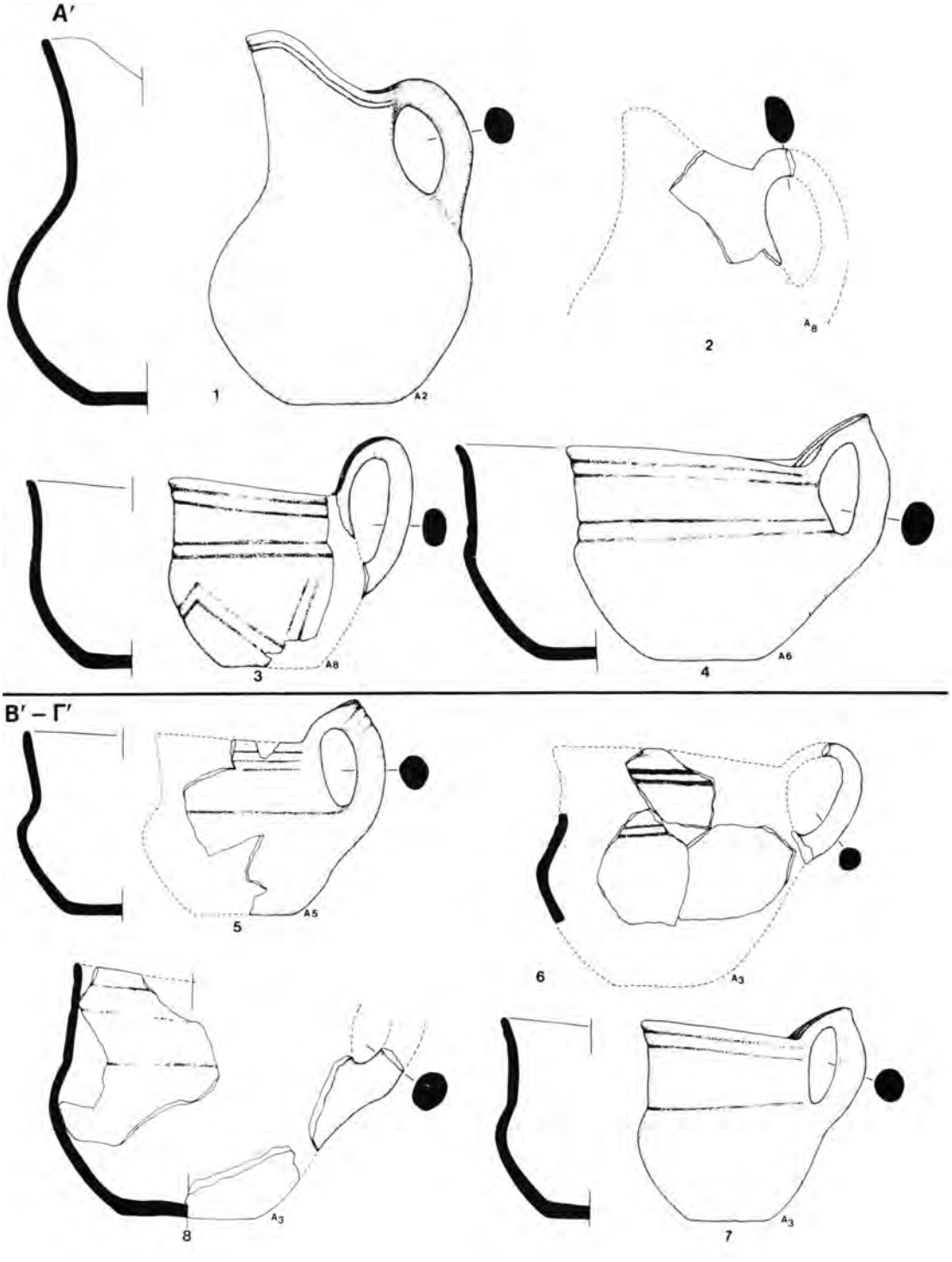

T30A

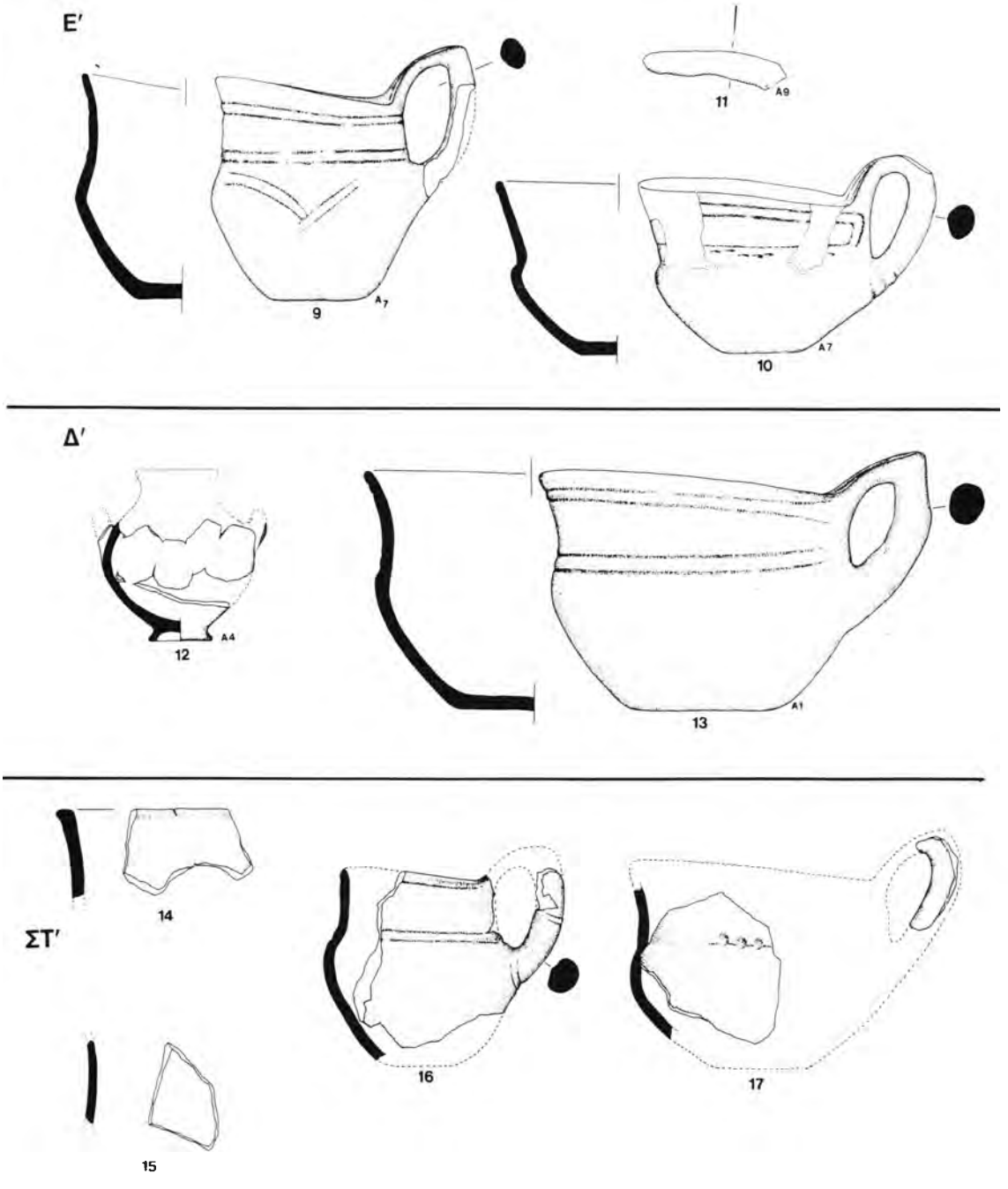

Τ30Α ΠΡ.

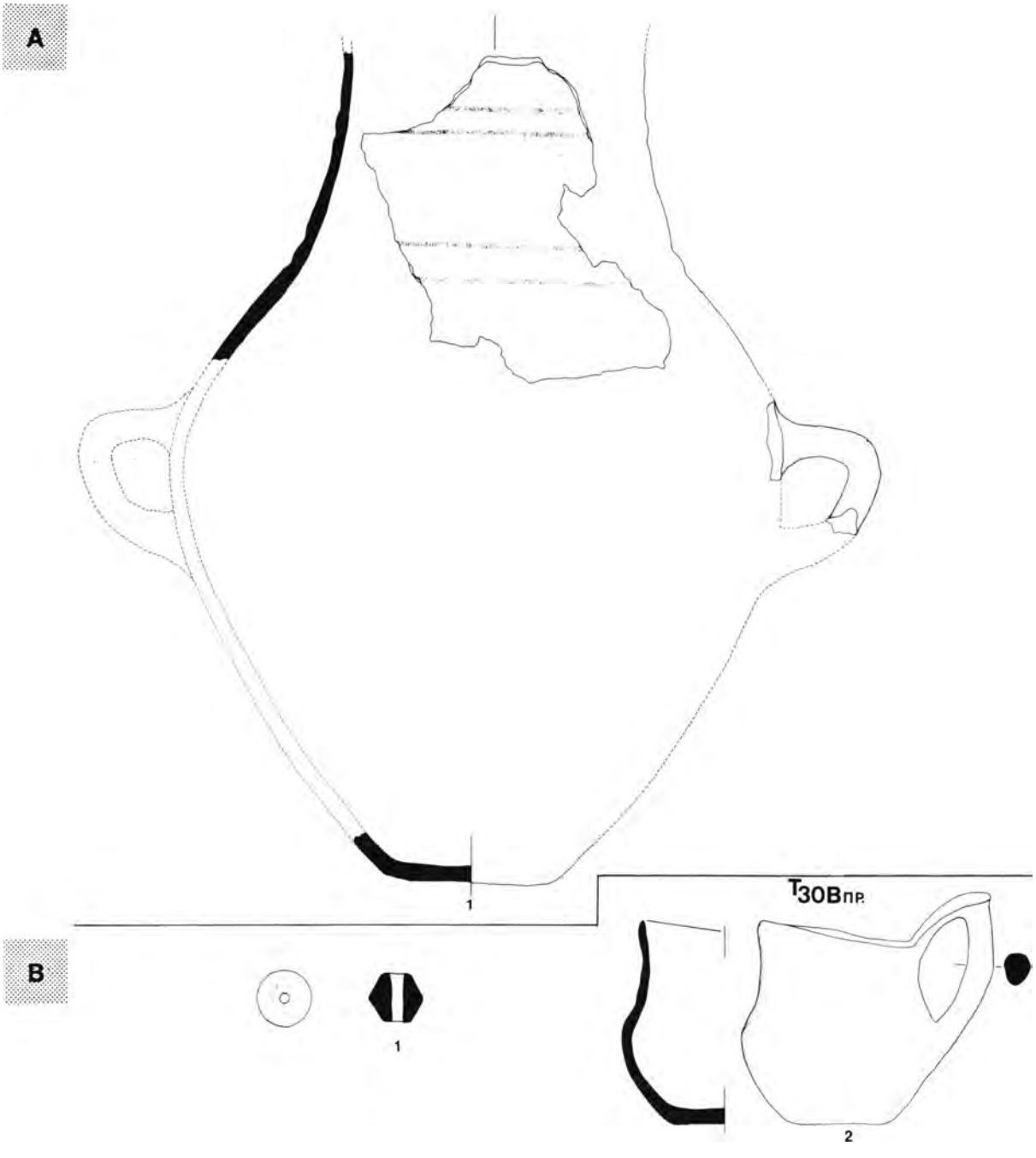

Τ30Β

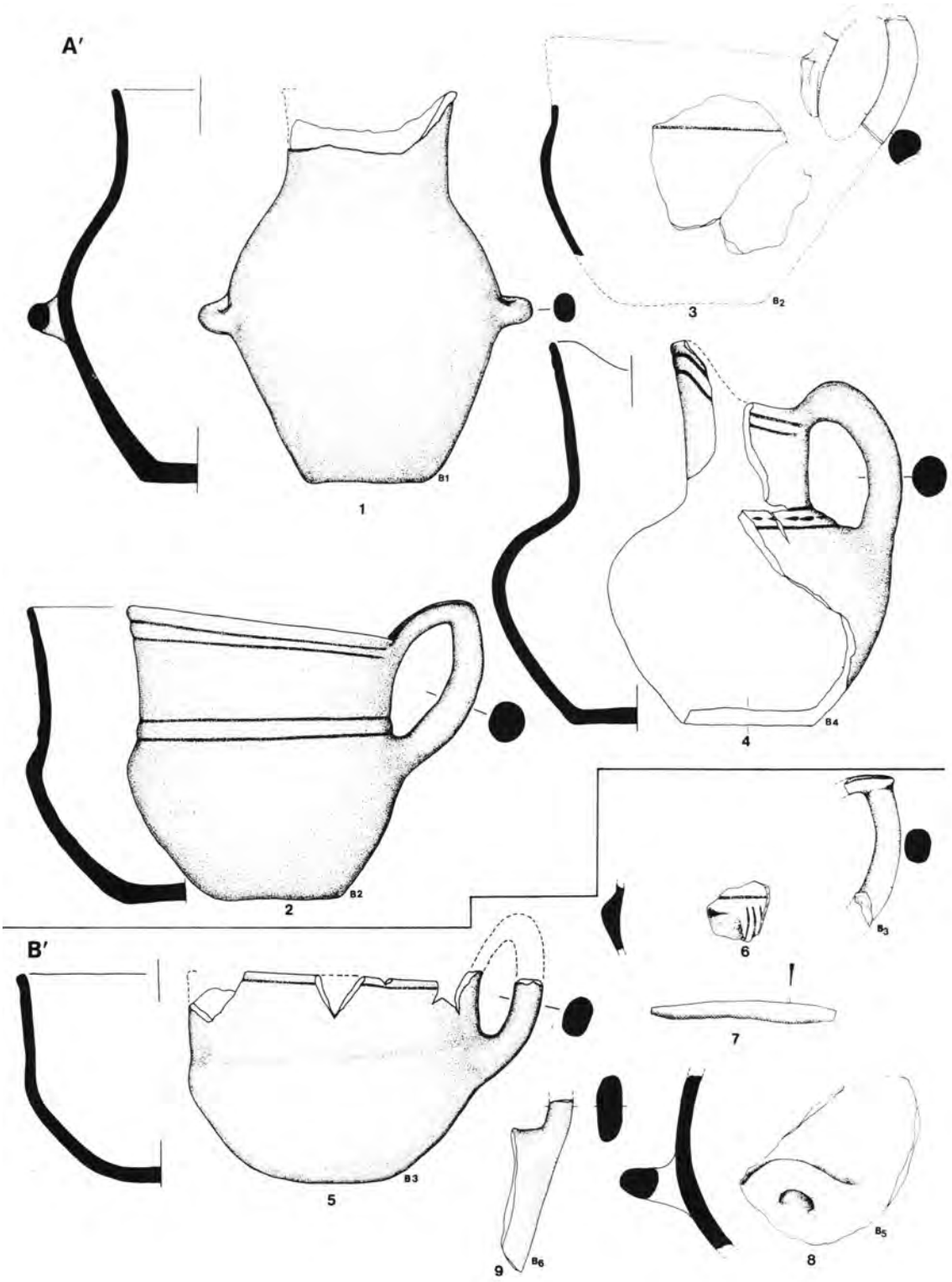

Τ31

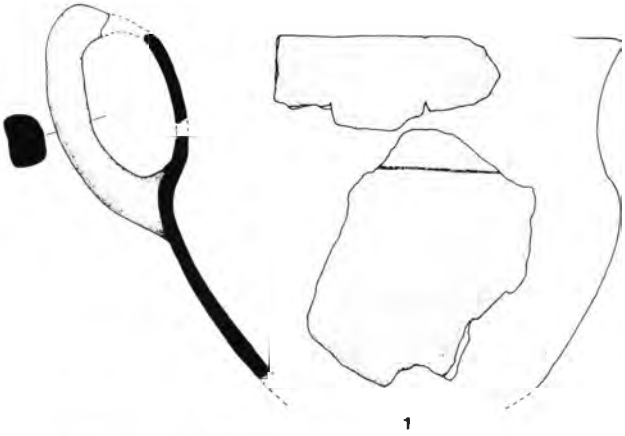

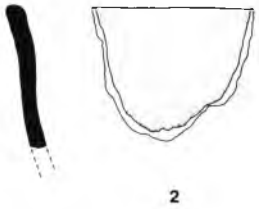

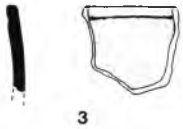

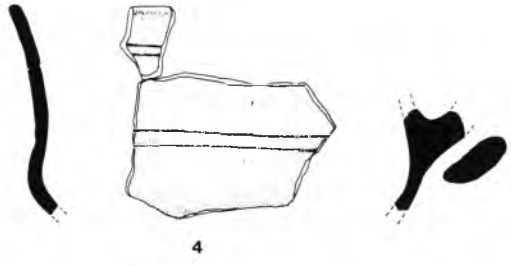

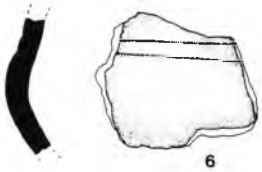

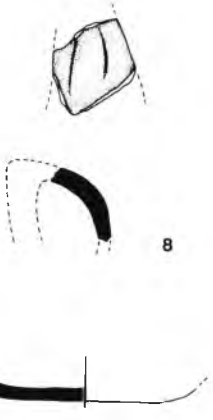

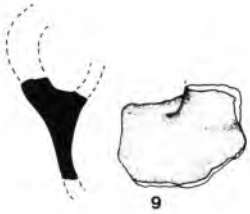

T31

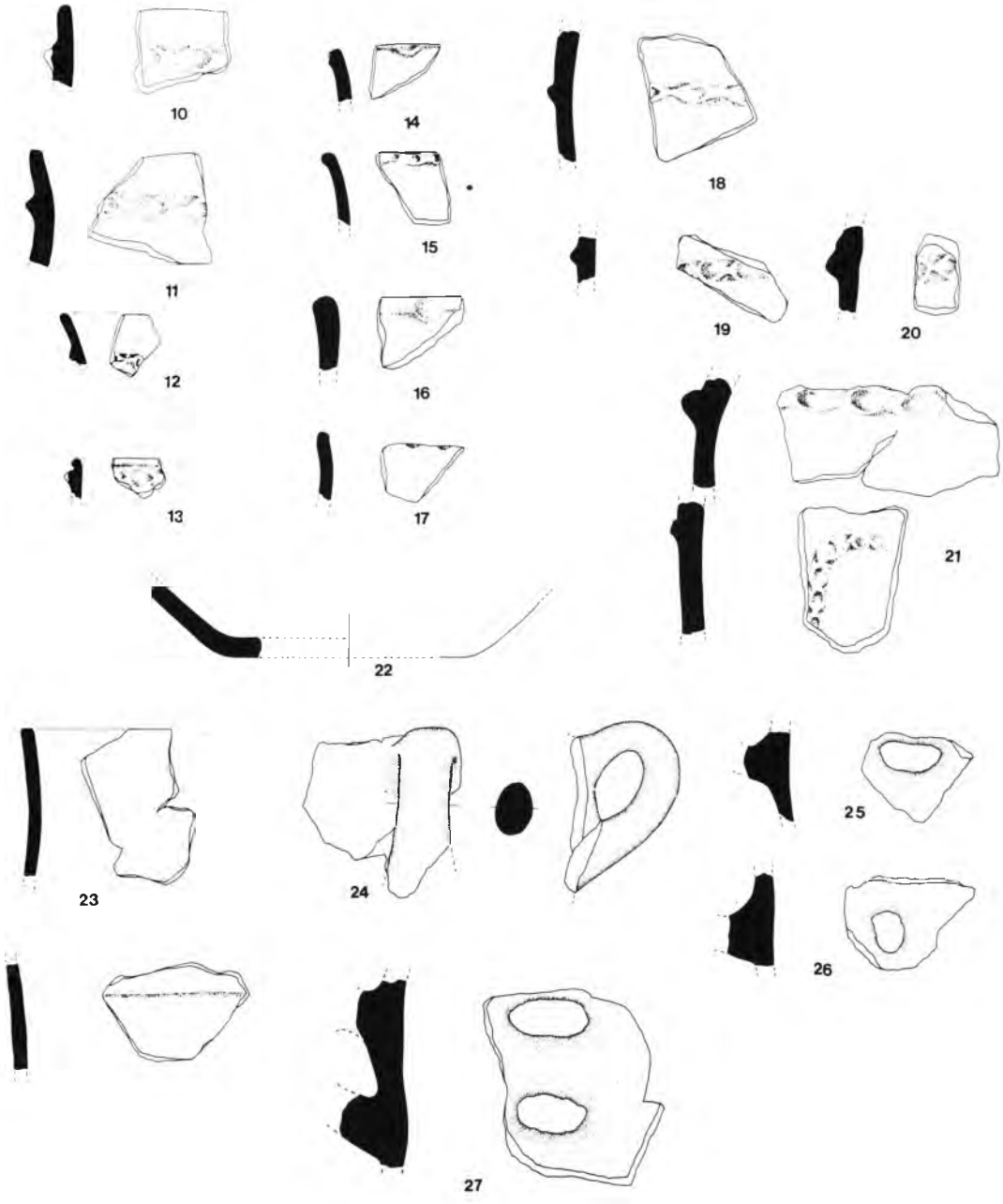

T32 II

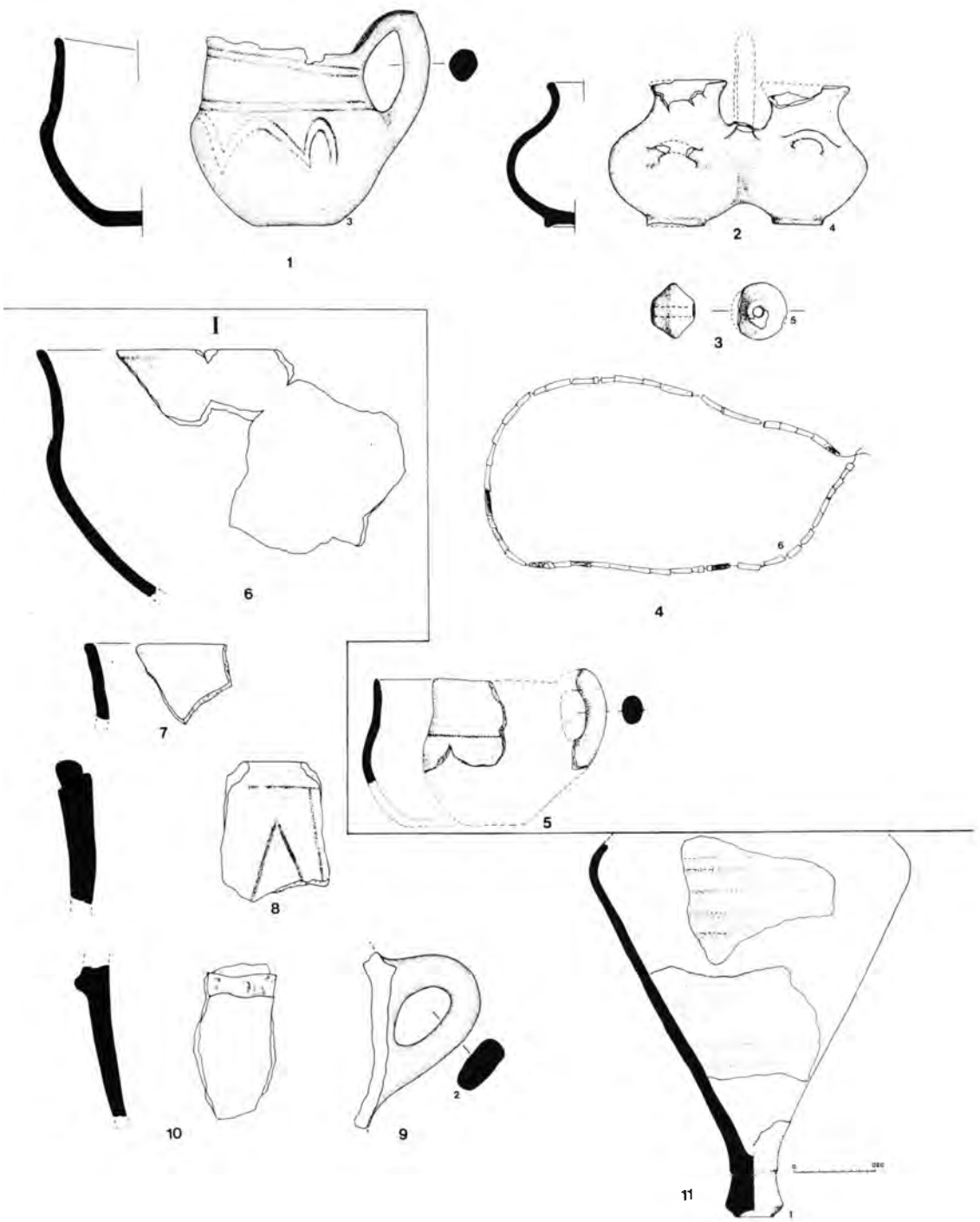

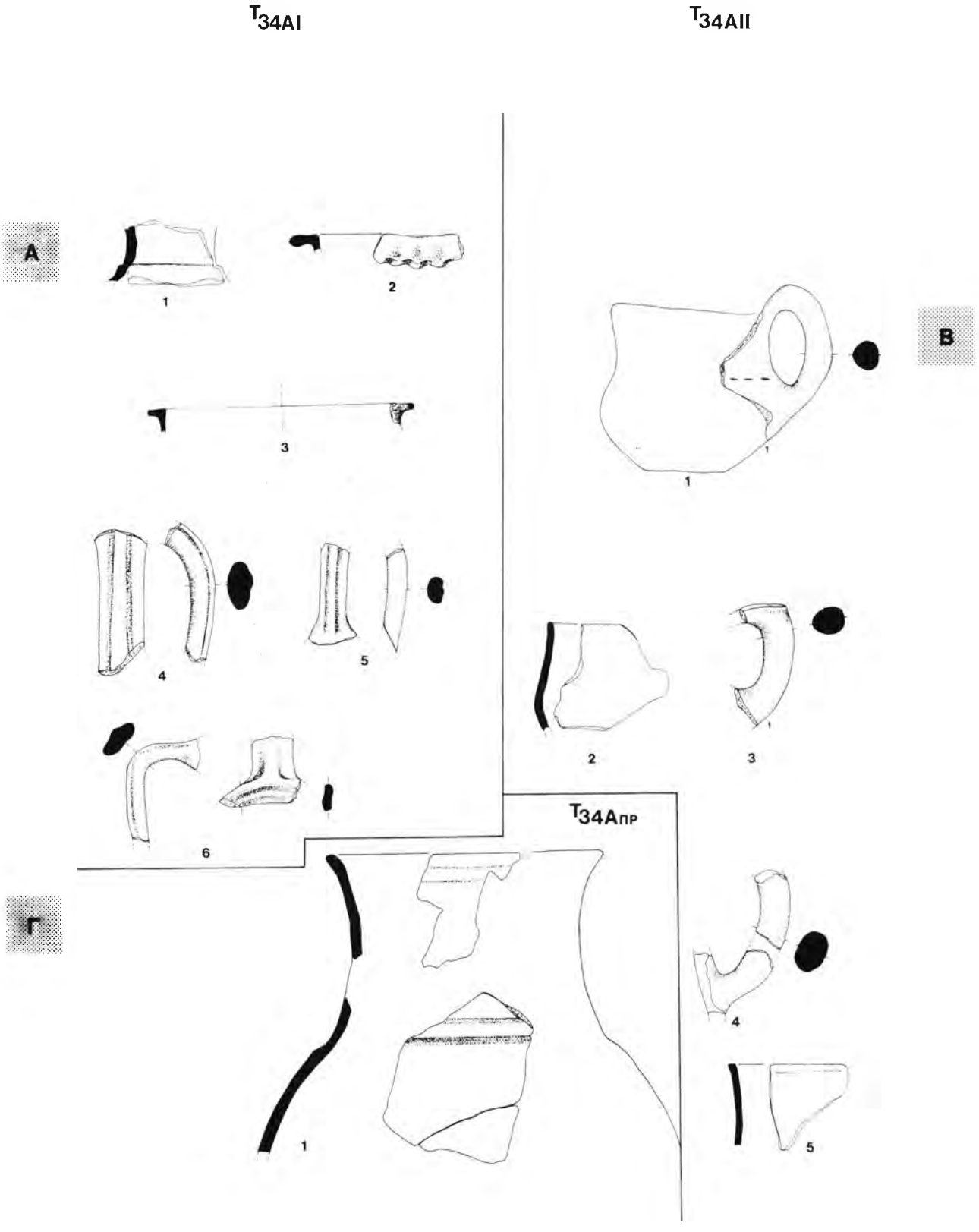
Τ34ΑΙ
Τ34ΑΙΙ
Α
Β
Γ
Τ34Απρ
1
2
3
4
5
6

T34B1

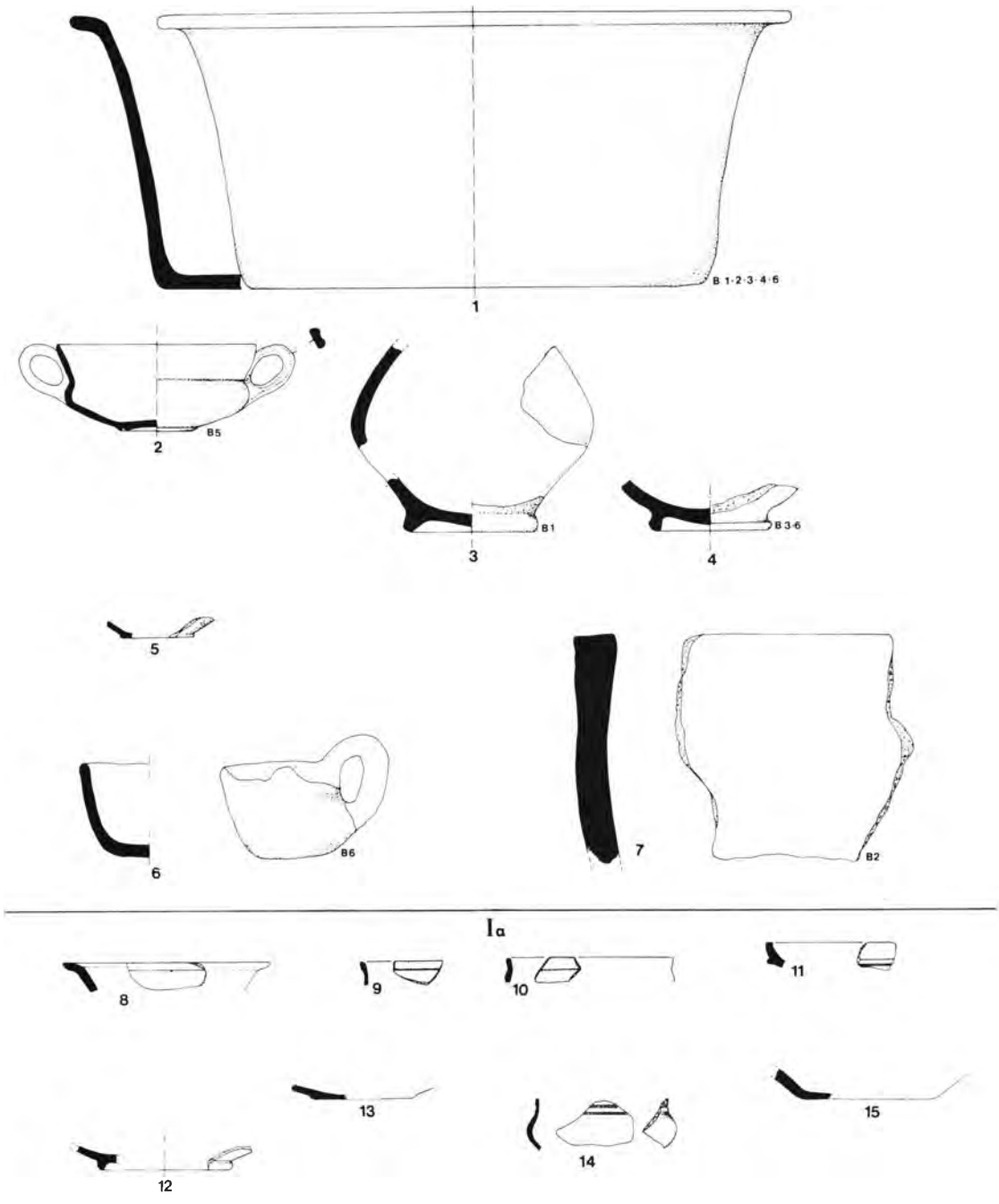

T34BII

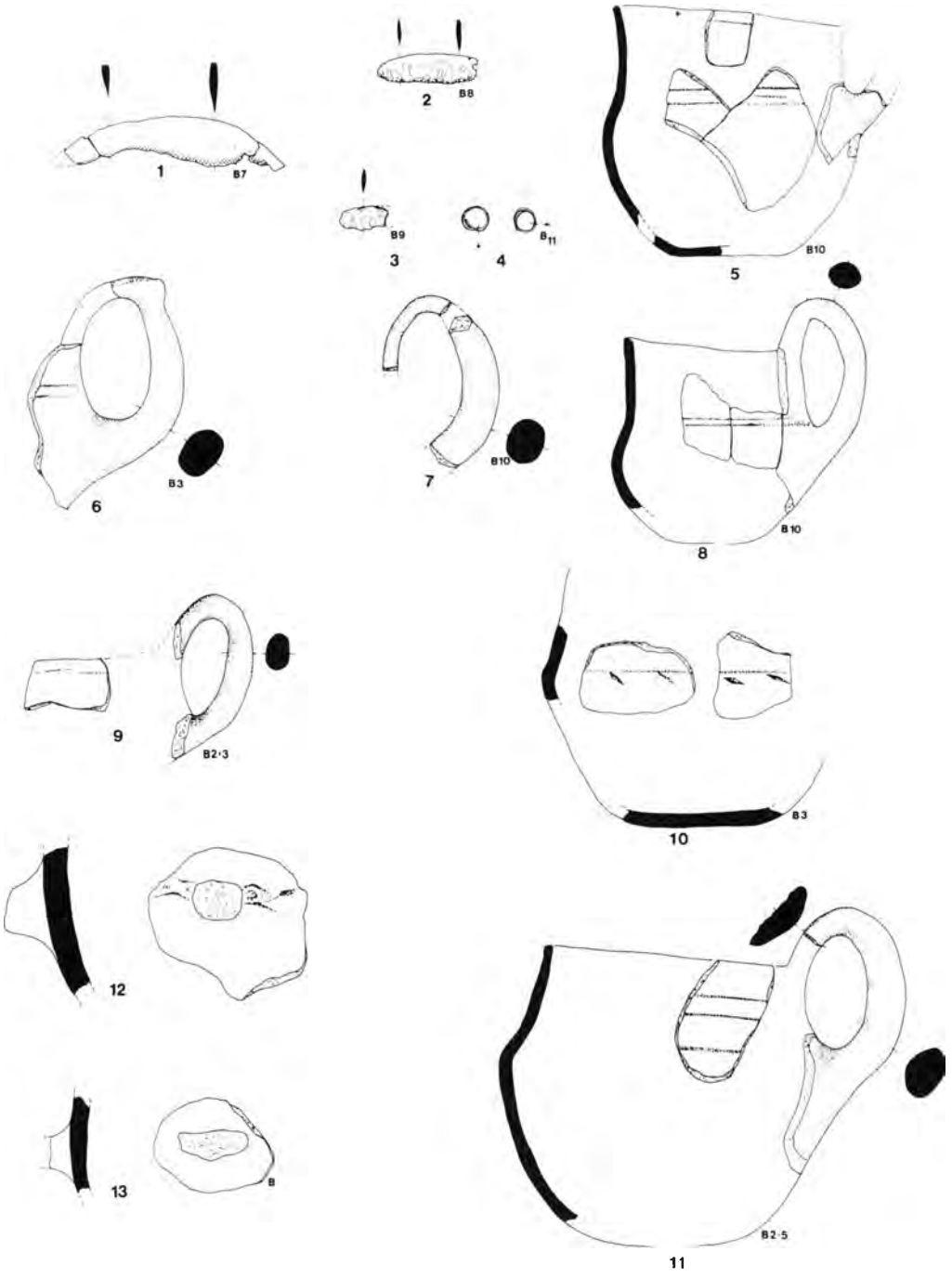

T35A,1

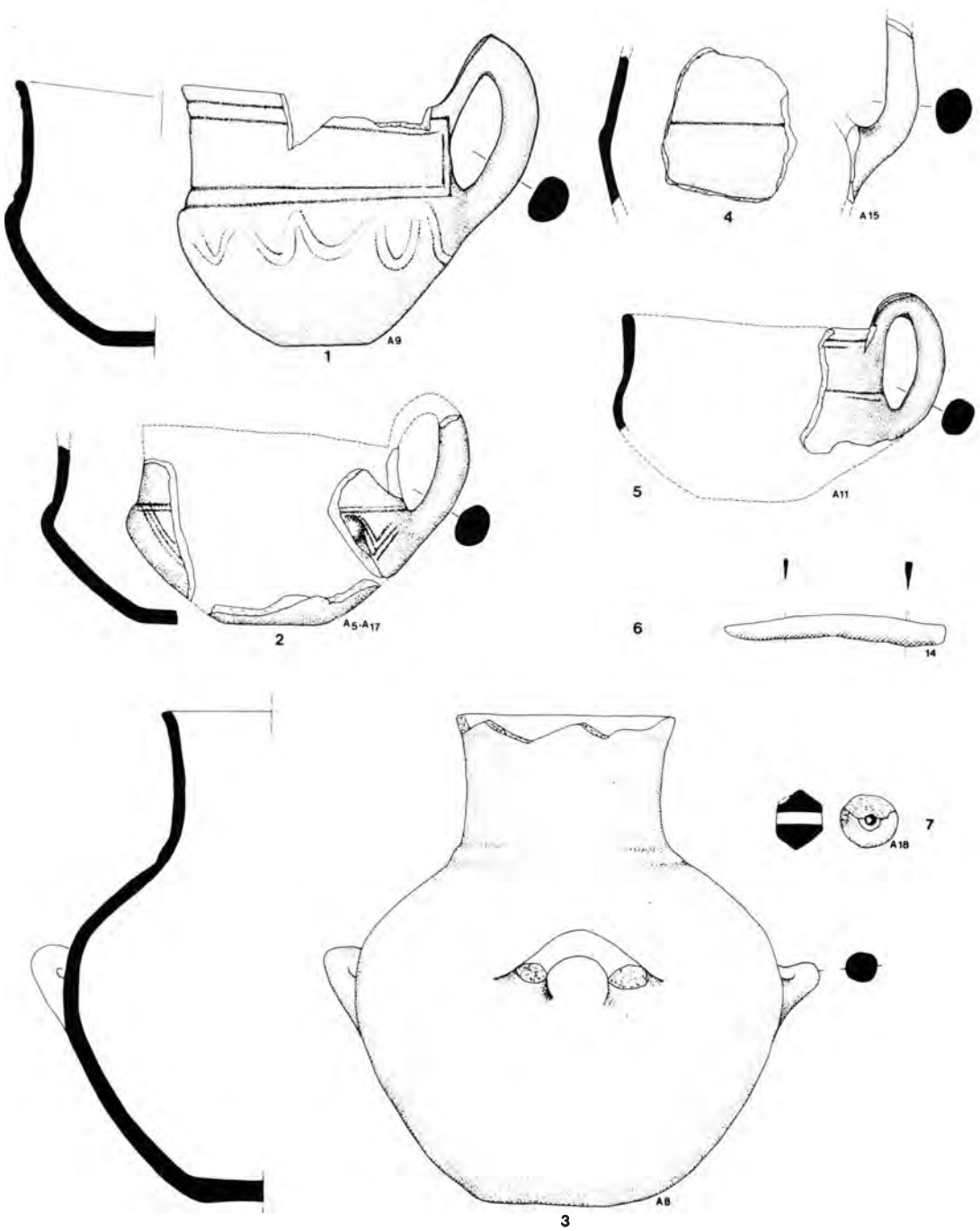

T35A.2

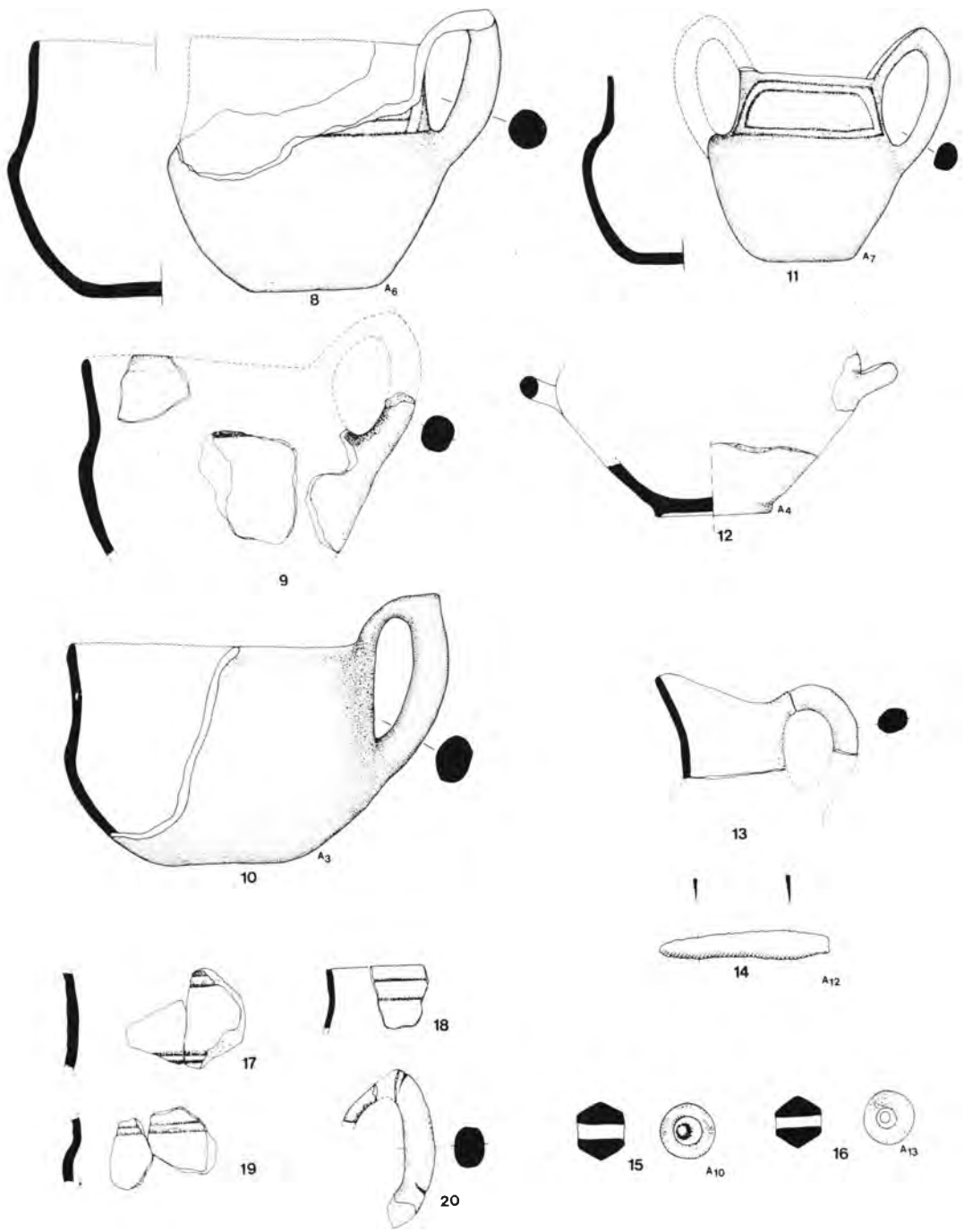

Τ35Β

A

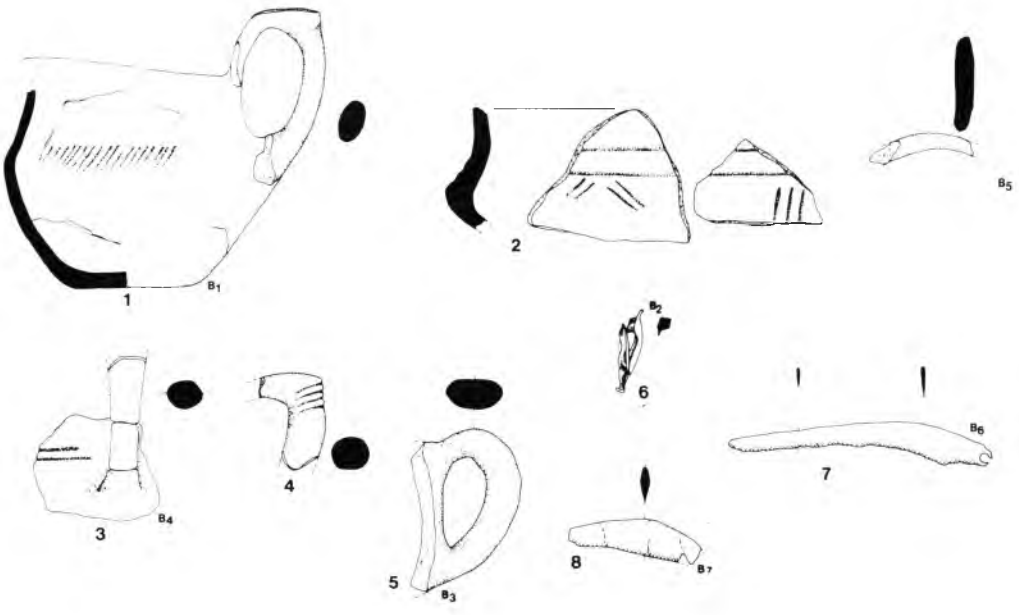

Τ35Βπρ

B

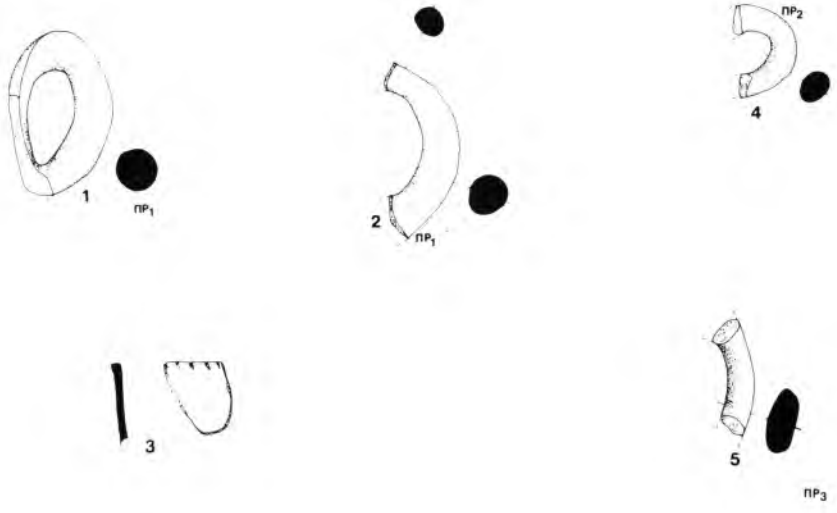

Τ35Γ Ι

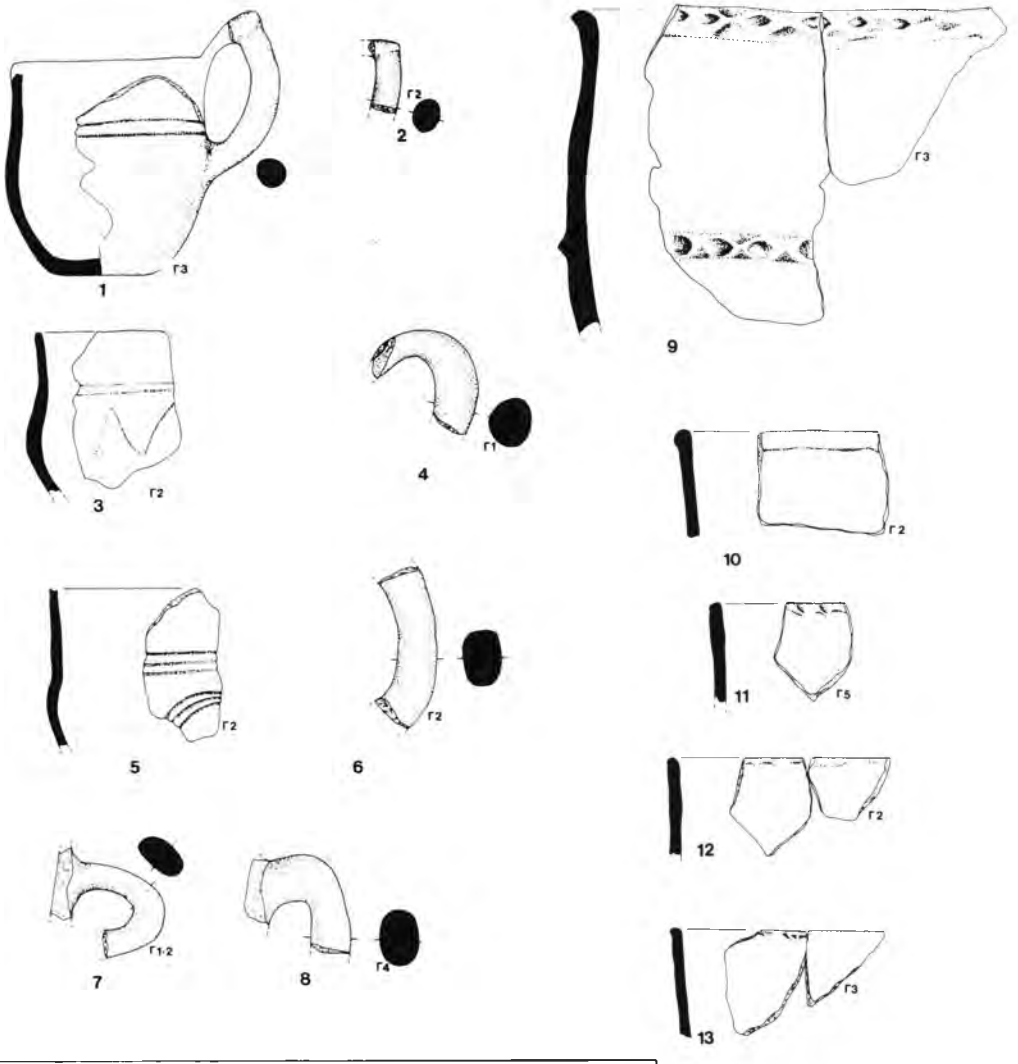
1
Γ3
2
Γ3
3
Γ2
4
Γ1
5
Γ2
6
Γ2
7
Γ1-2
8
Γ4
9
Γ3
10
Γ2
11
Γ5
12
Γ2
13
Γ3

II

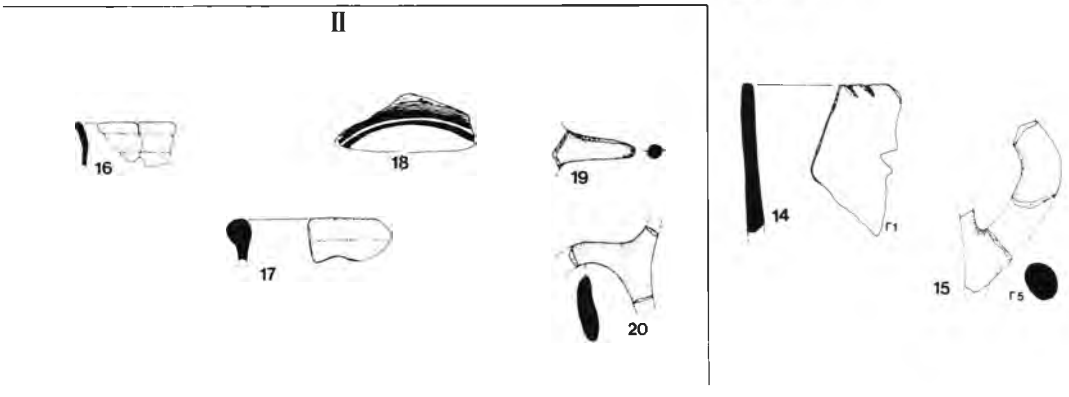
16
17
18
19
20
14
Γ1
15
Γ5

Τ35Δ

A

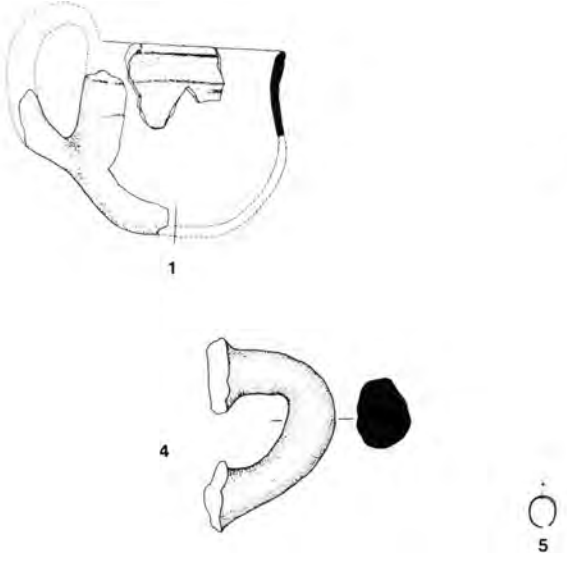

Τ35ΣΤ

B

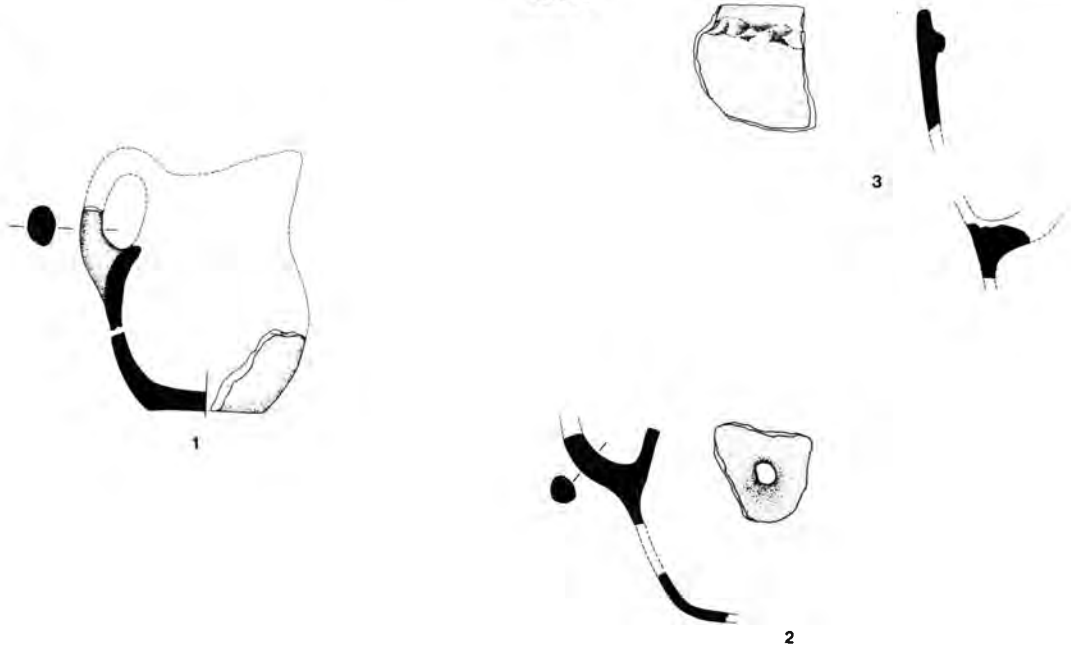

T35E

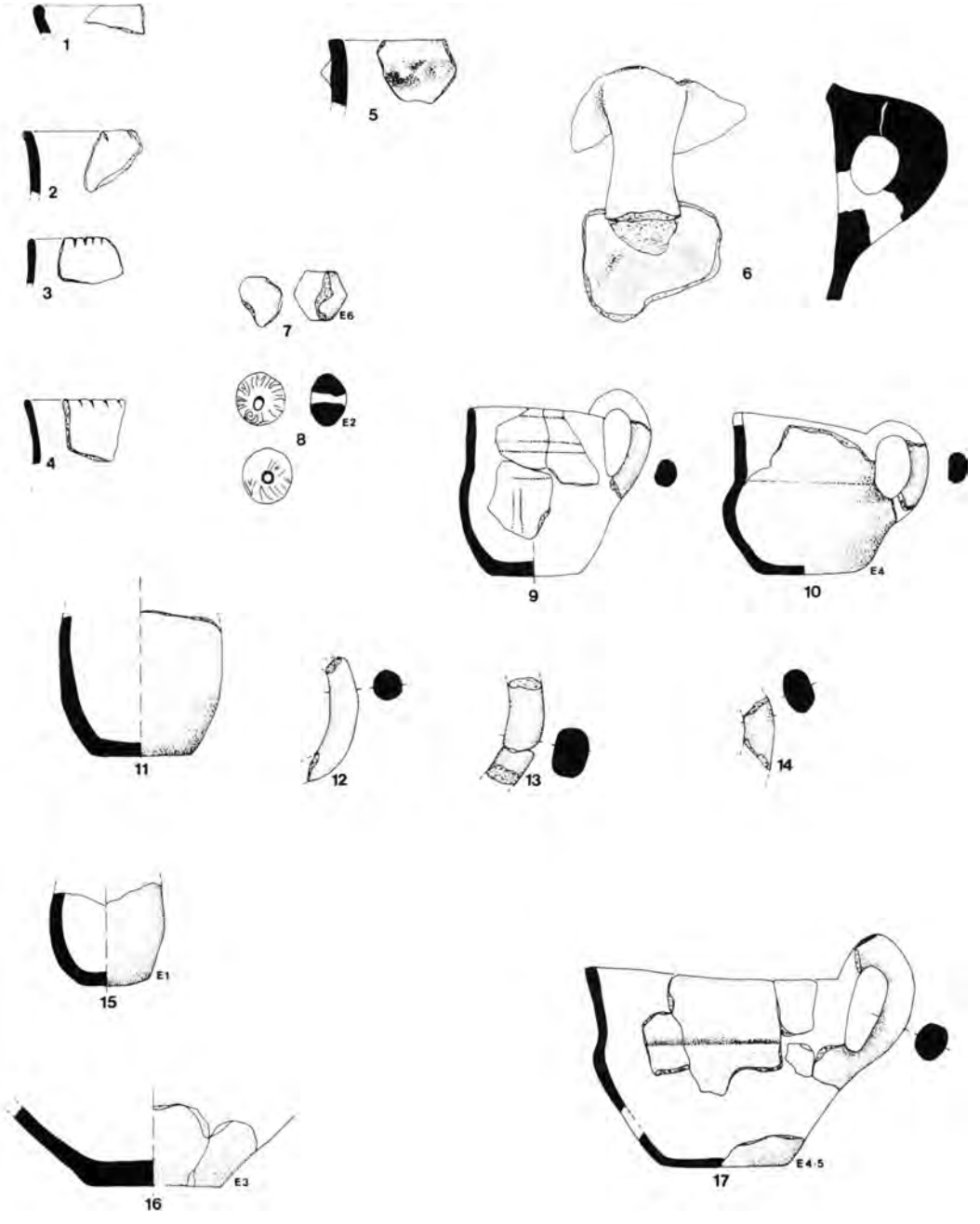

Λ Α

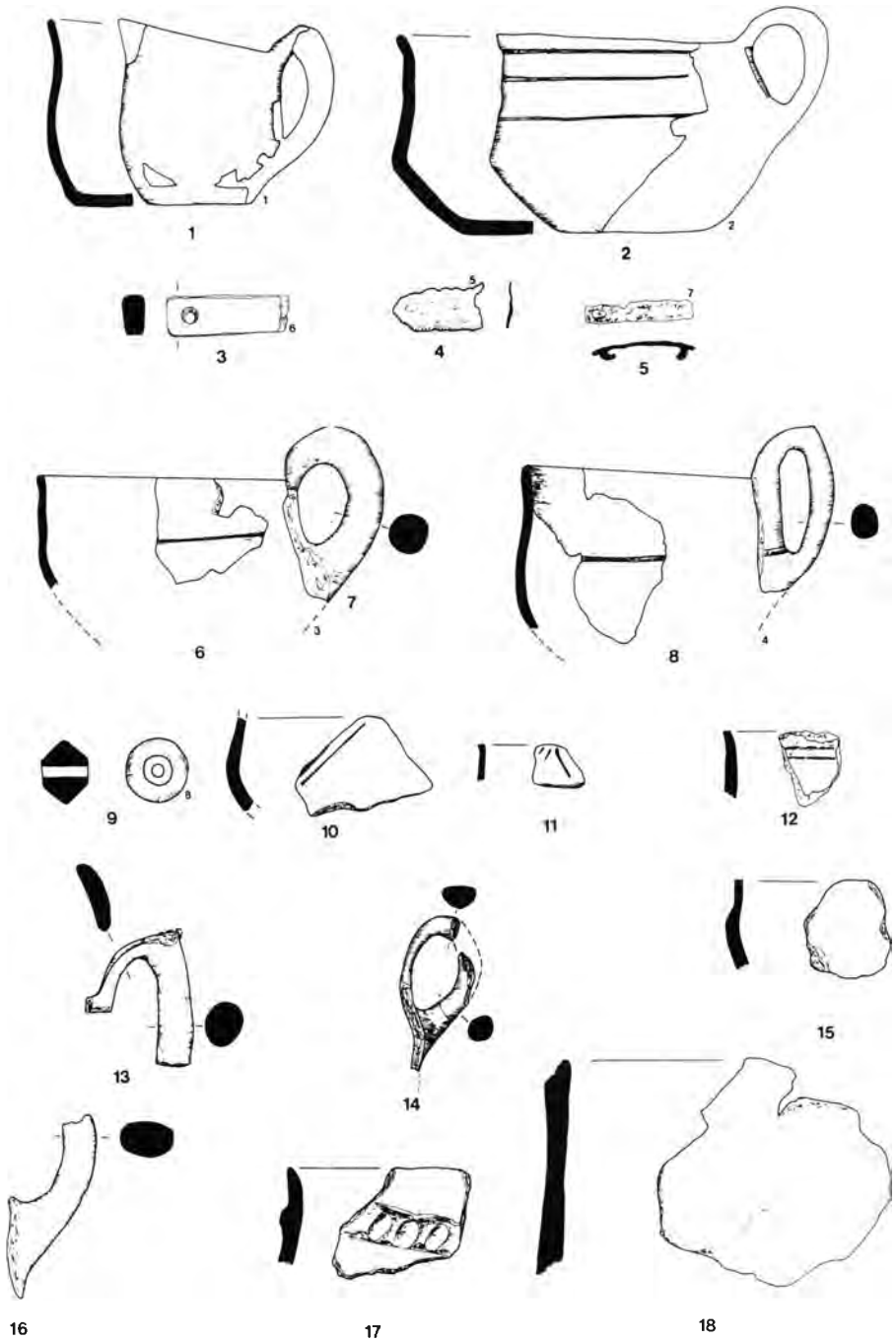

Λ$_{B}$

A

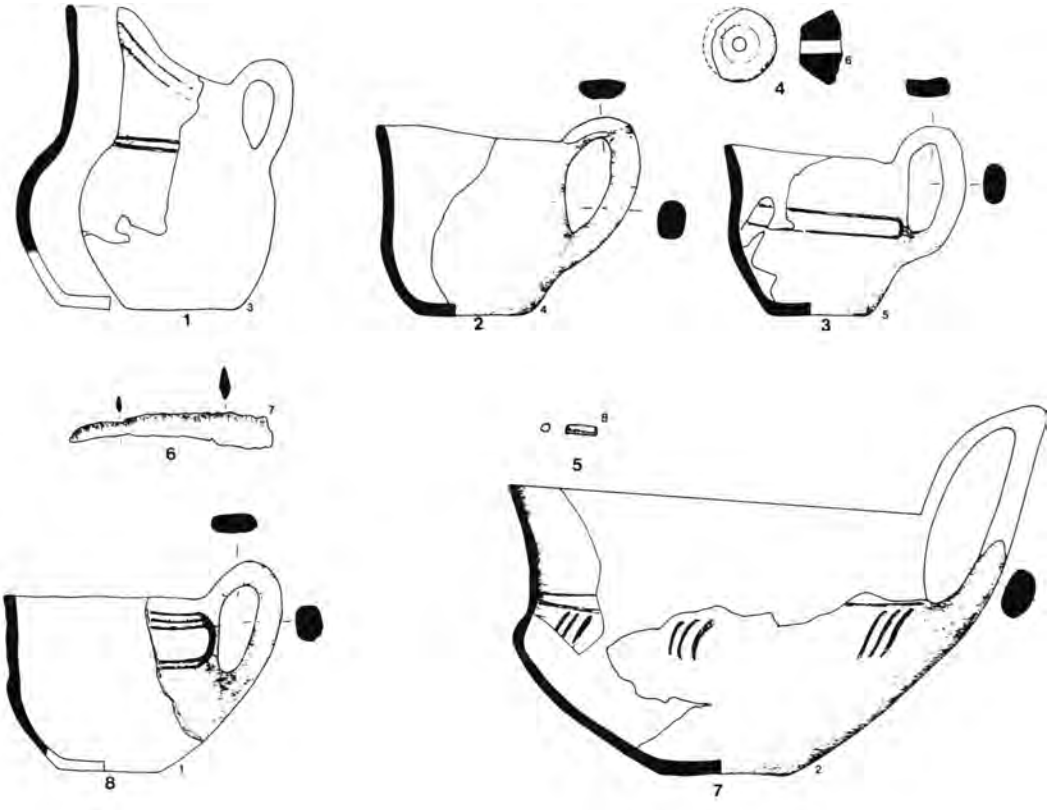

Λ$_{1A}$

B

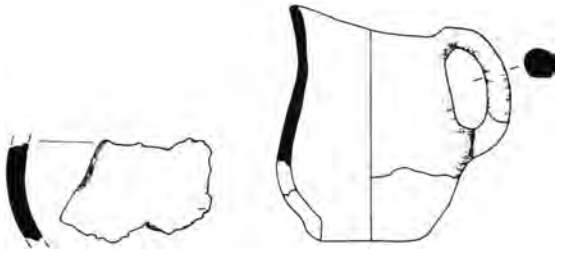

Λ1Β

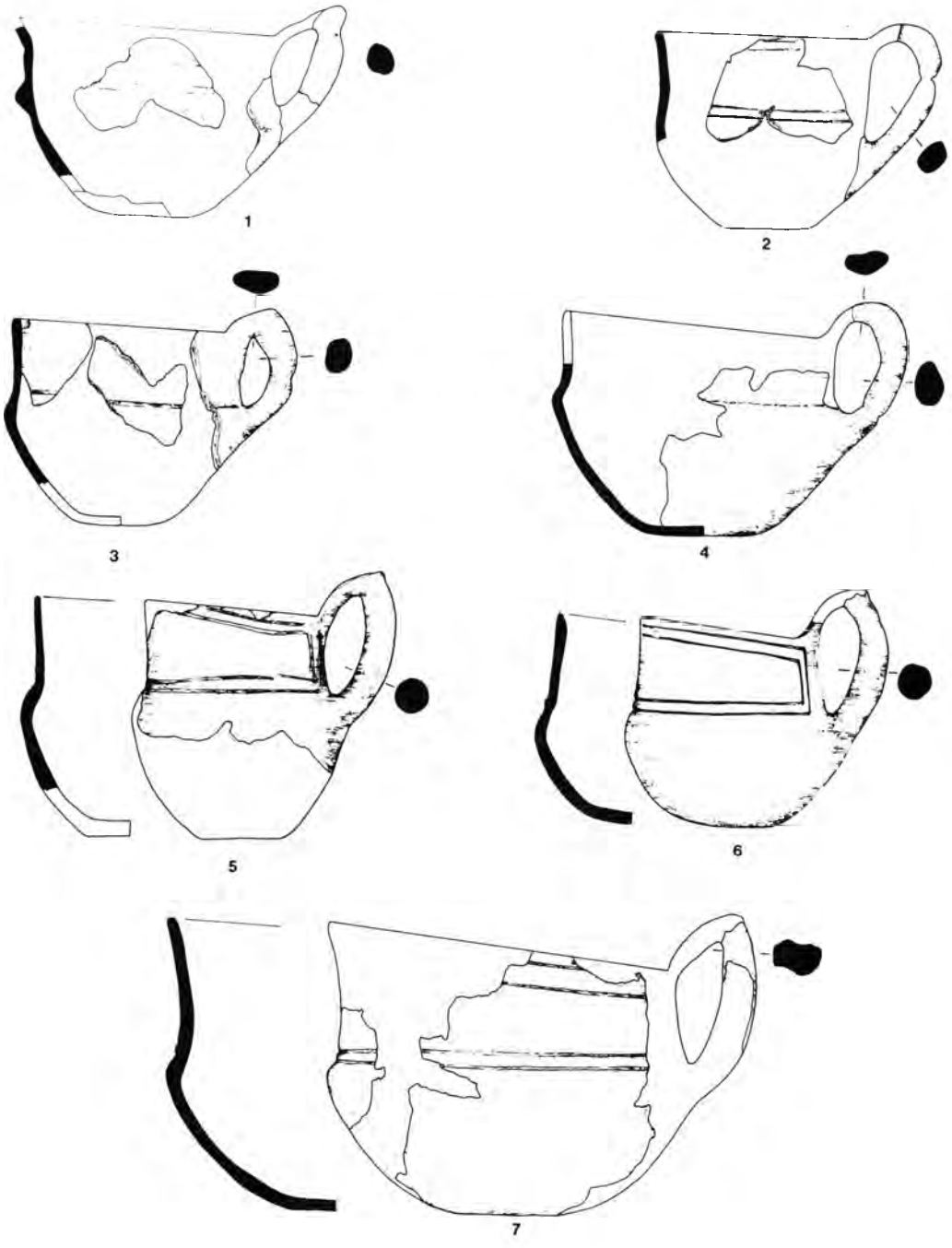

Λ1Β

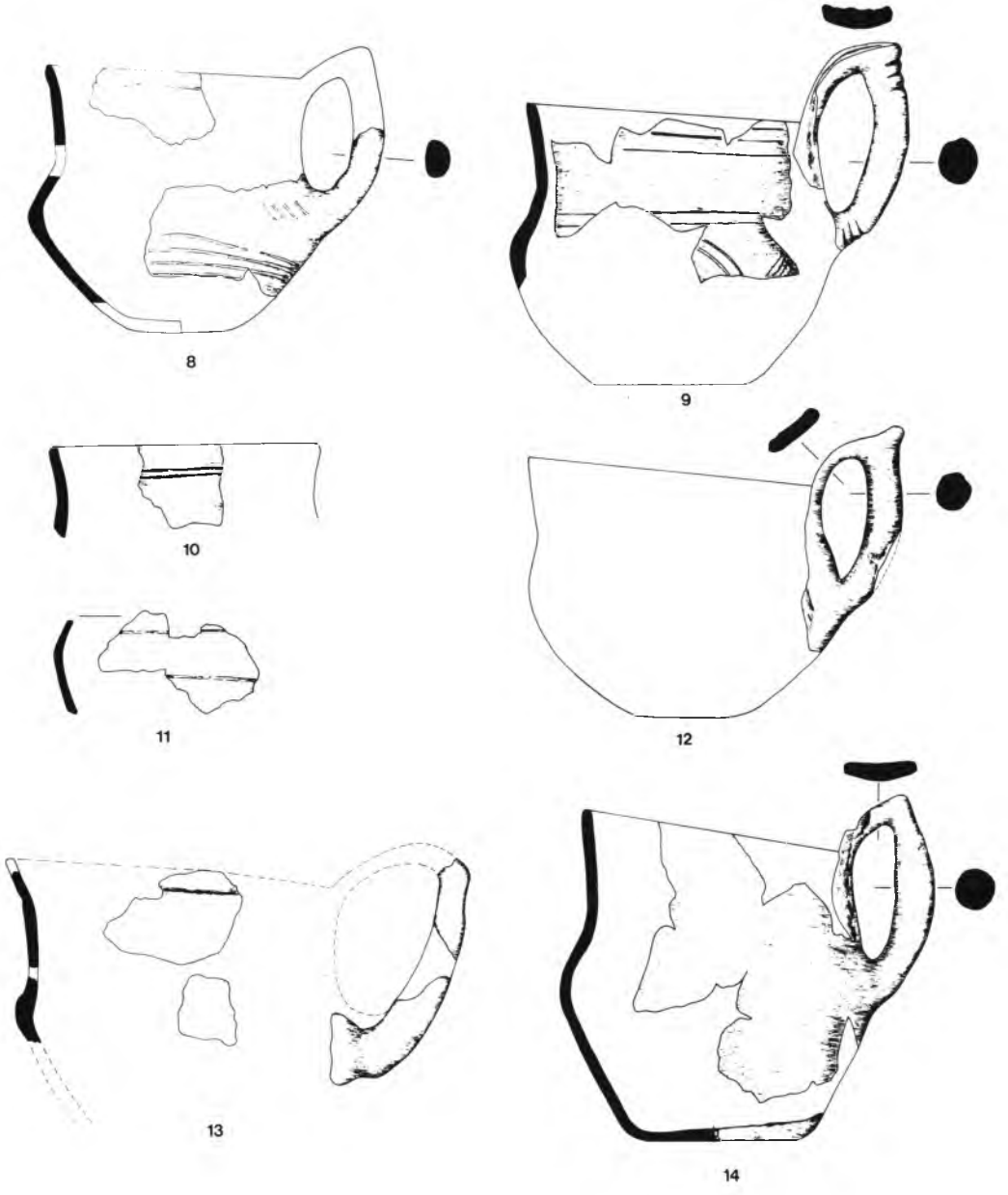

Λ1Β

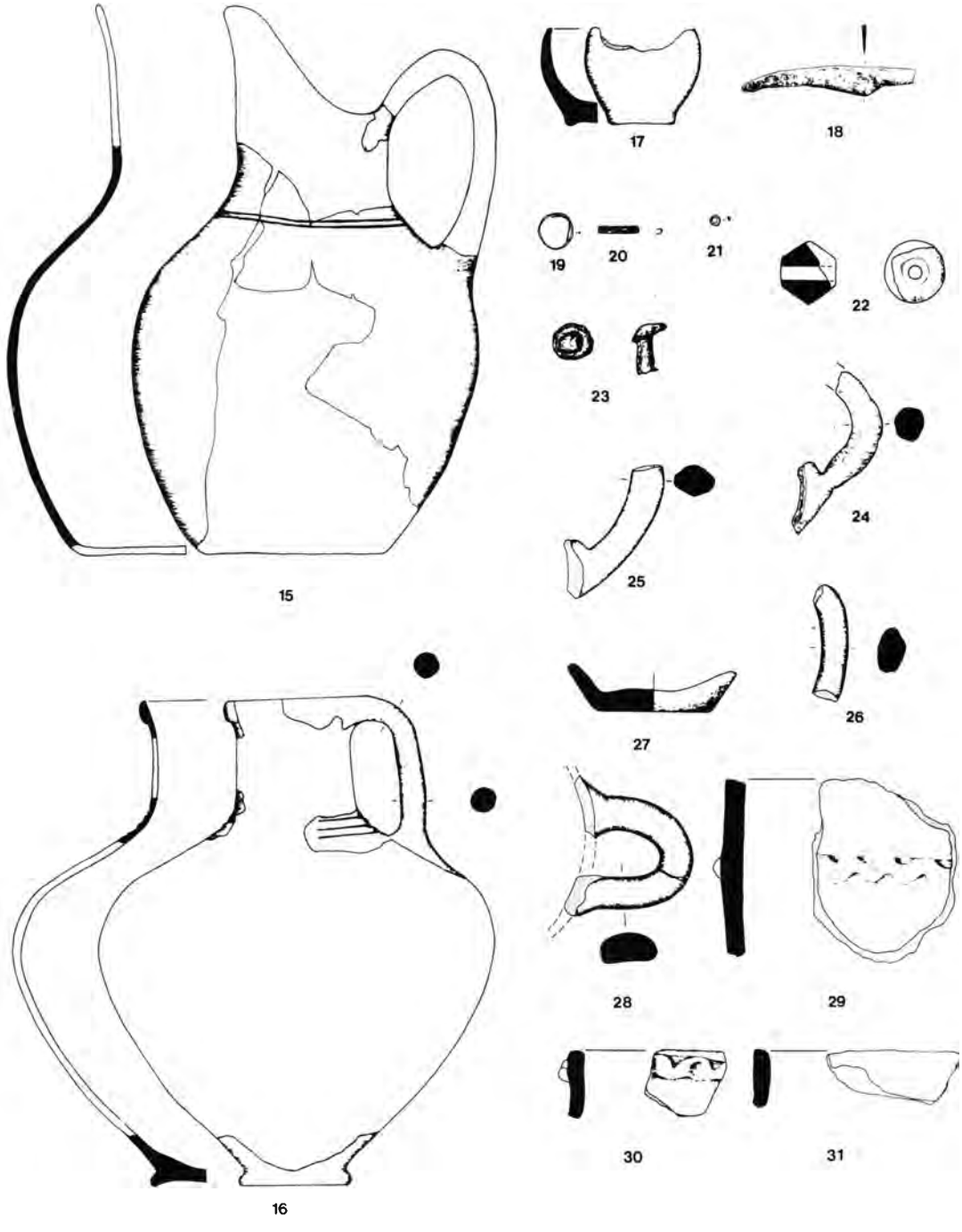

Λ2Α

Α

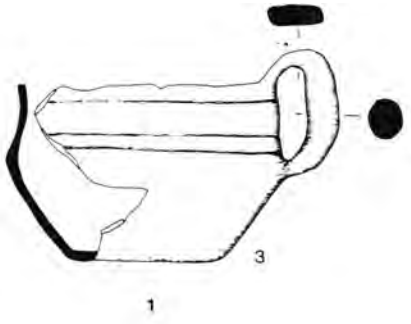

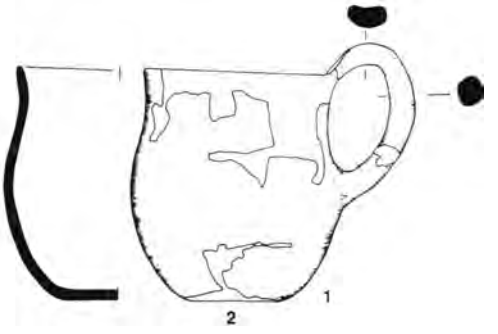

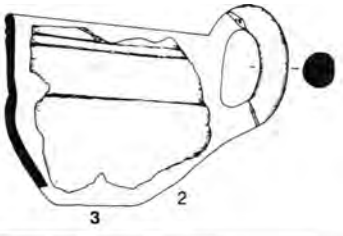

Λ2Β

Β

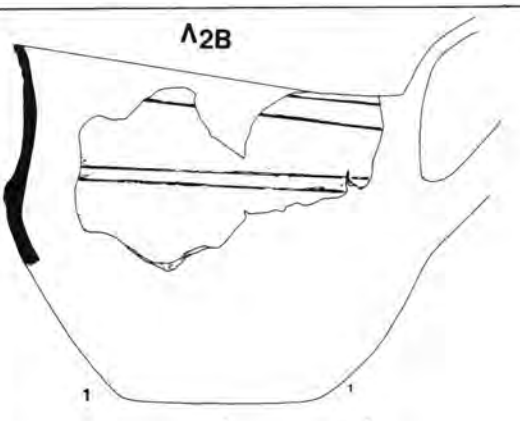

Λ2Δ

Γ

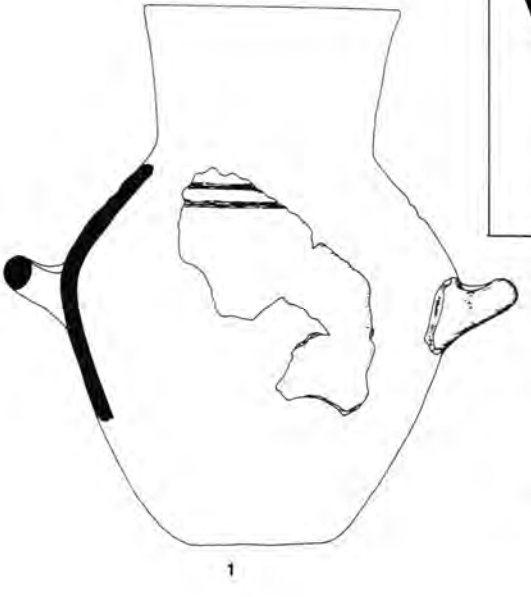

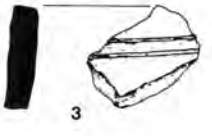

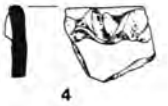

Λ2Γ

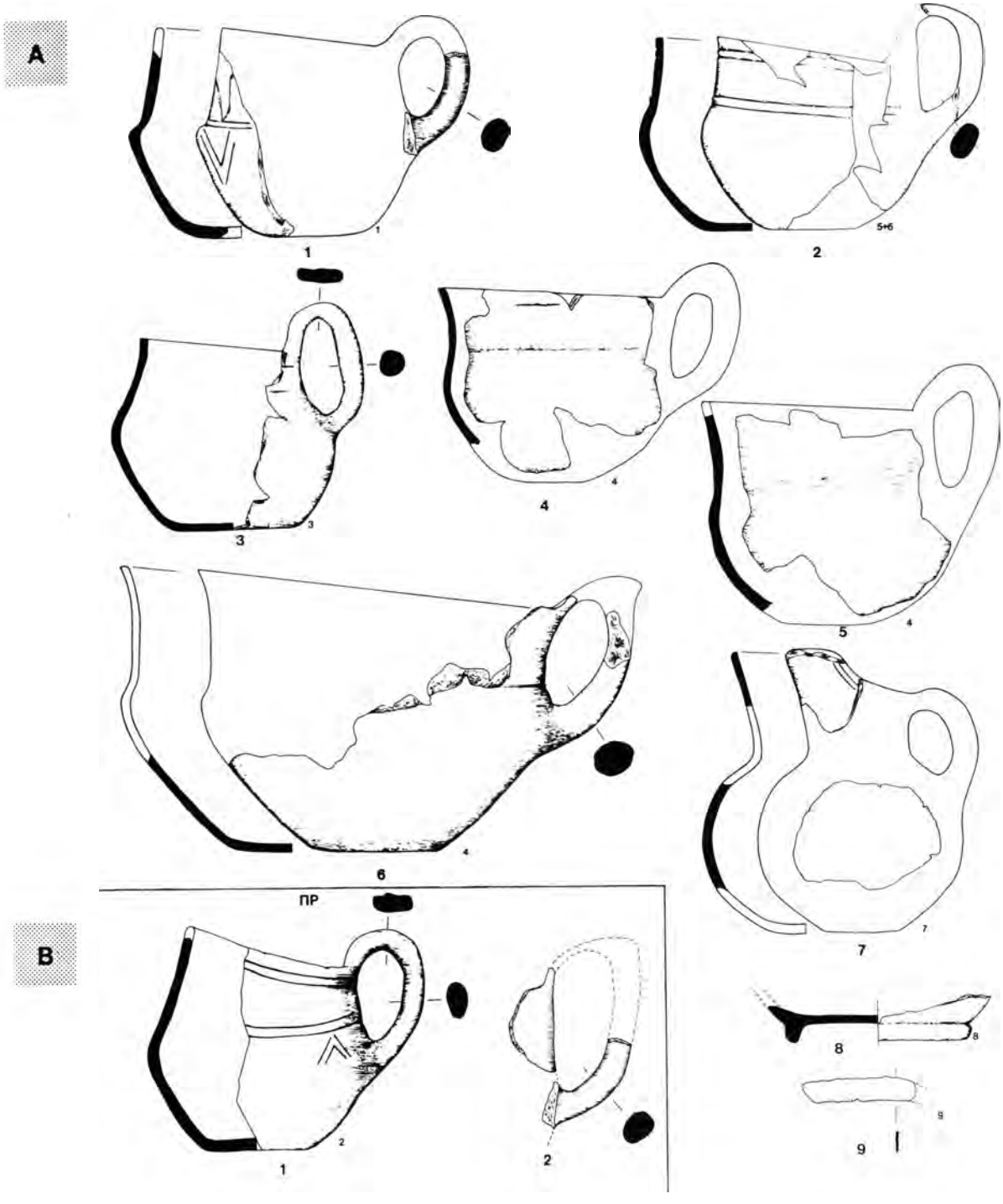

Λ2Δ

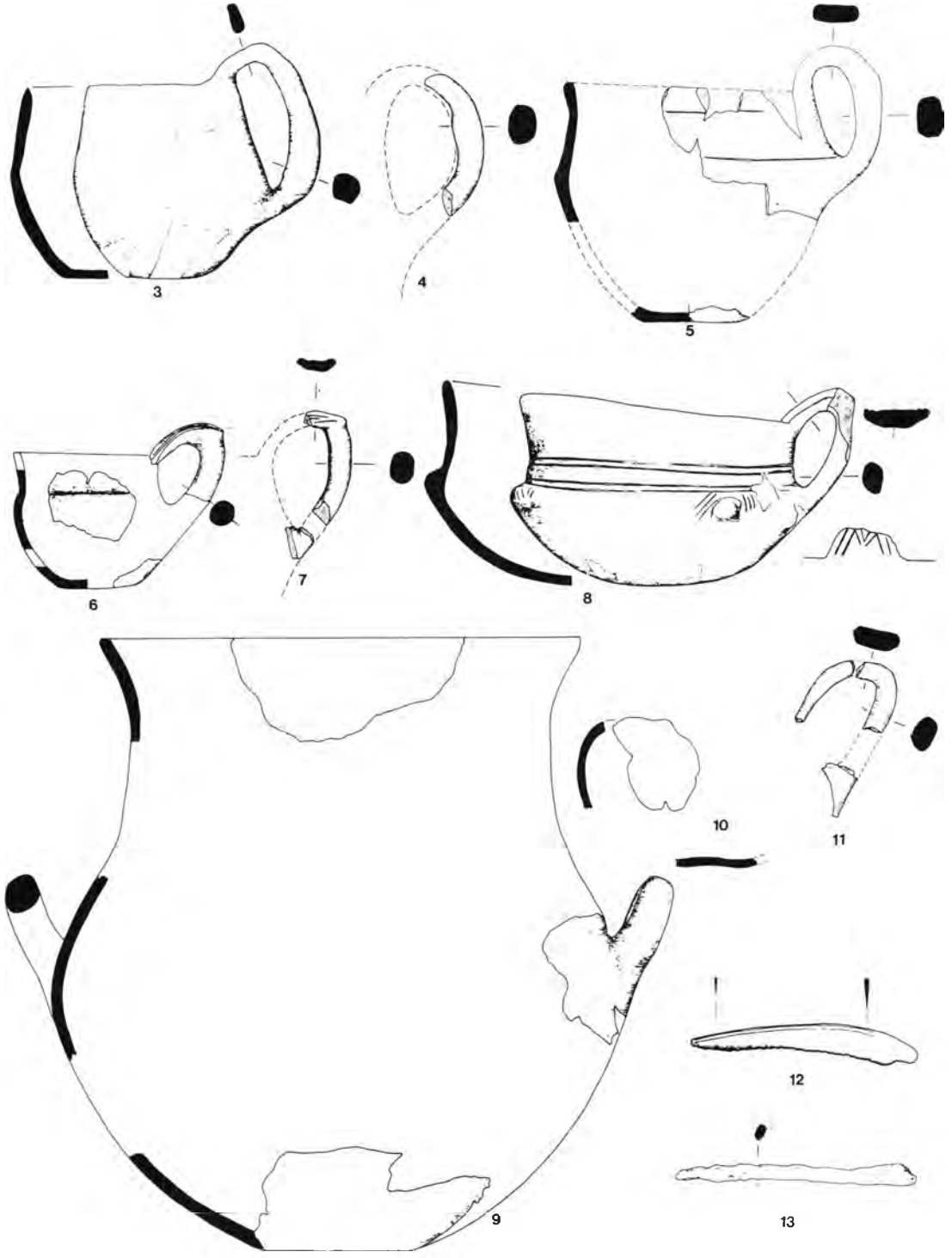

Λ3Α

A

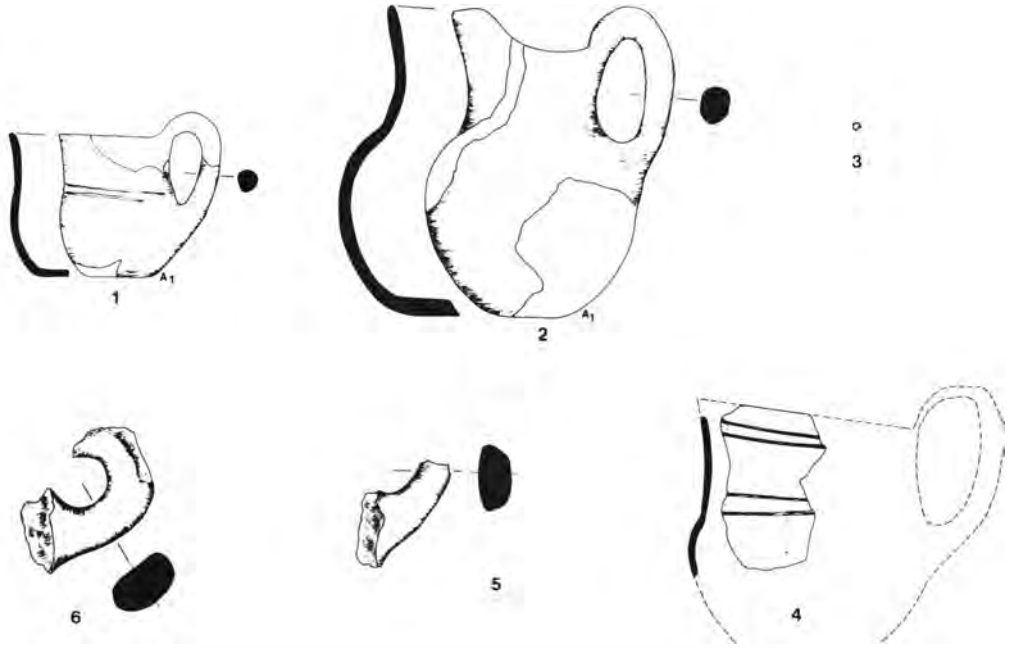

Λ3Β

B

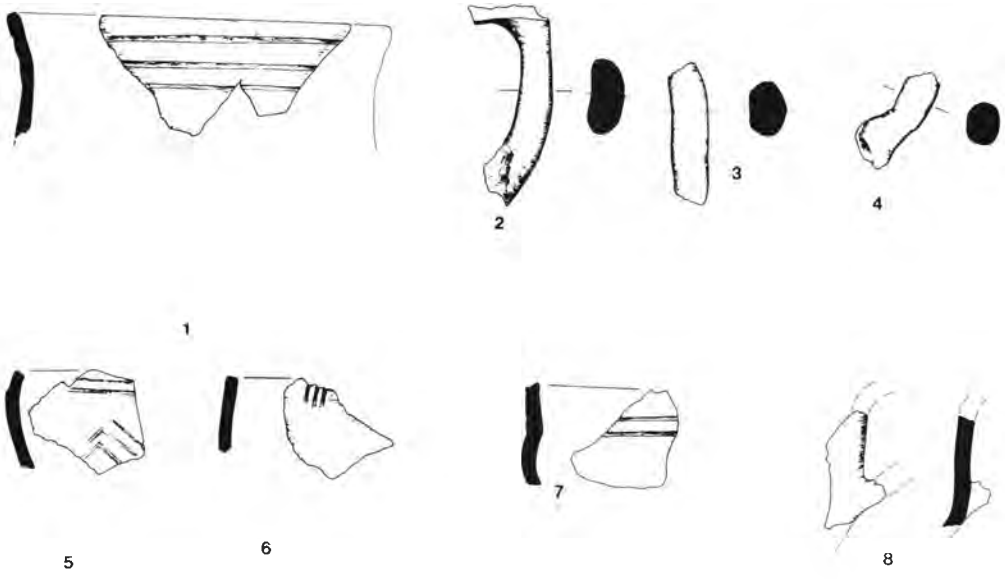

ΛΣΓΙ

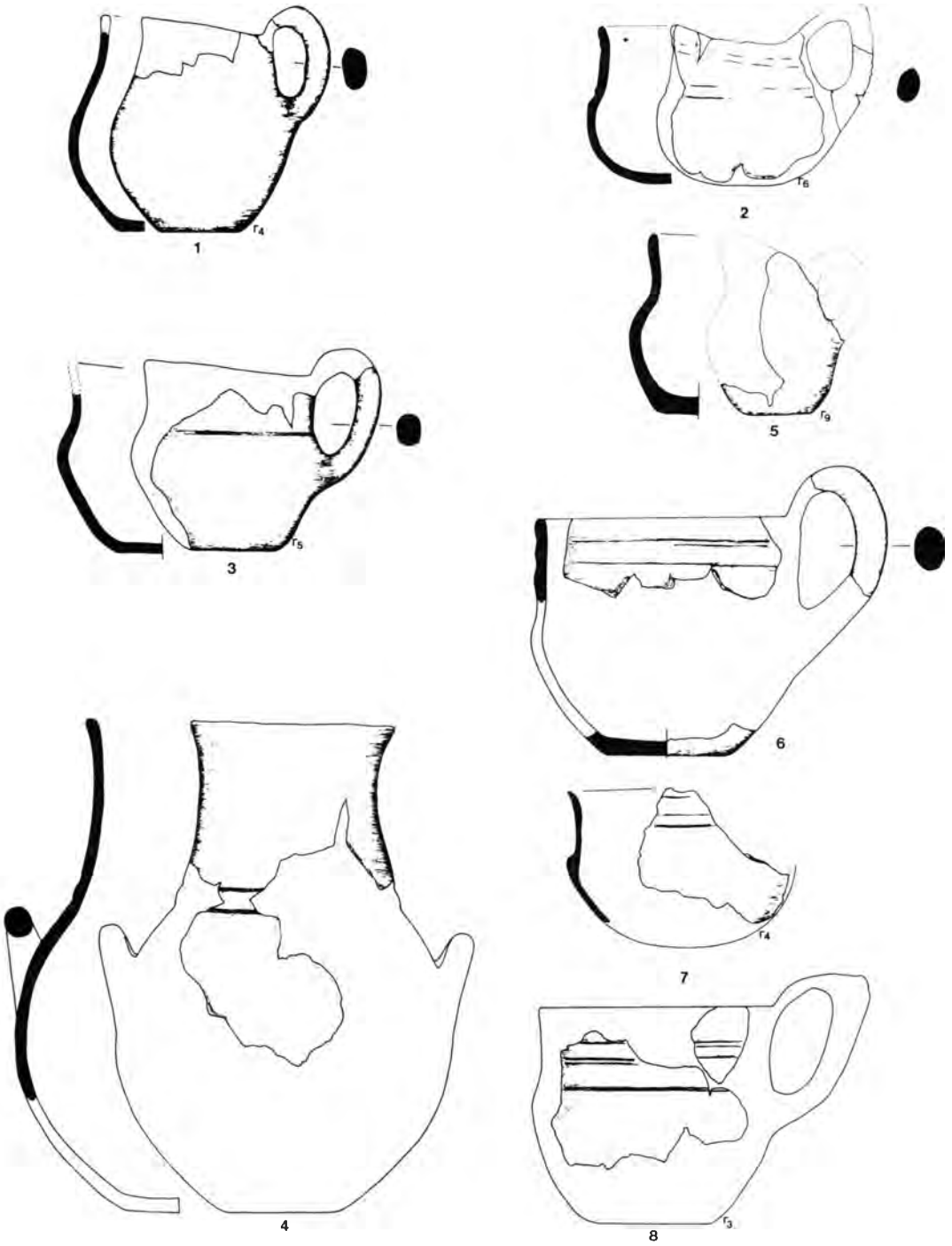

ΛΣΓΙ

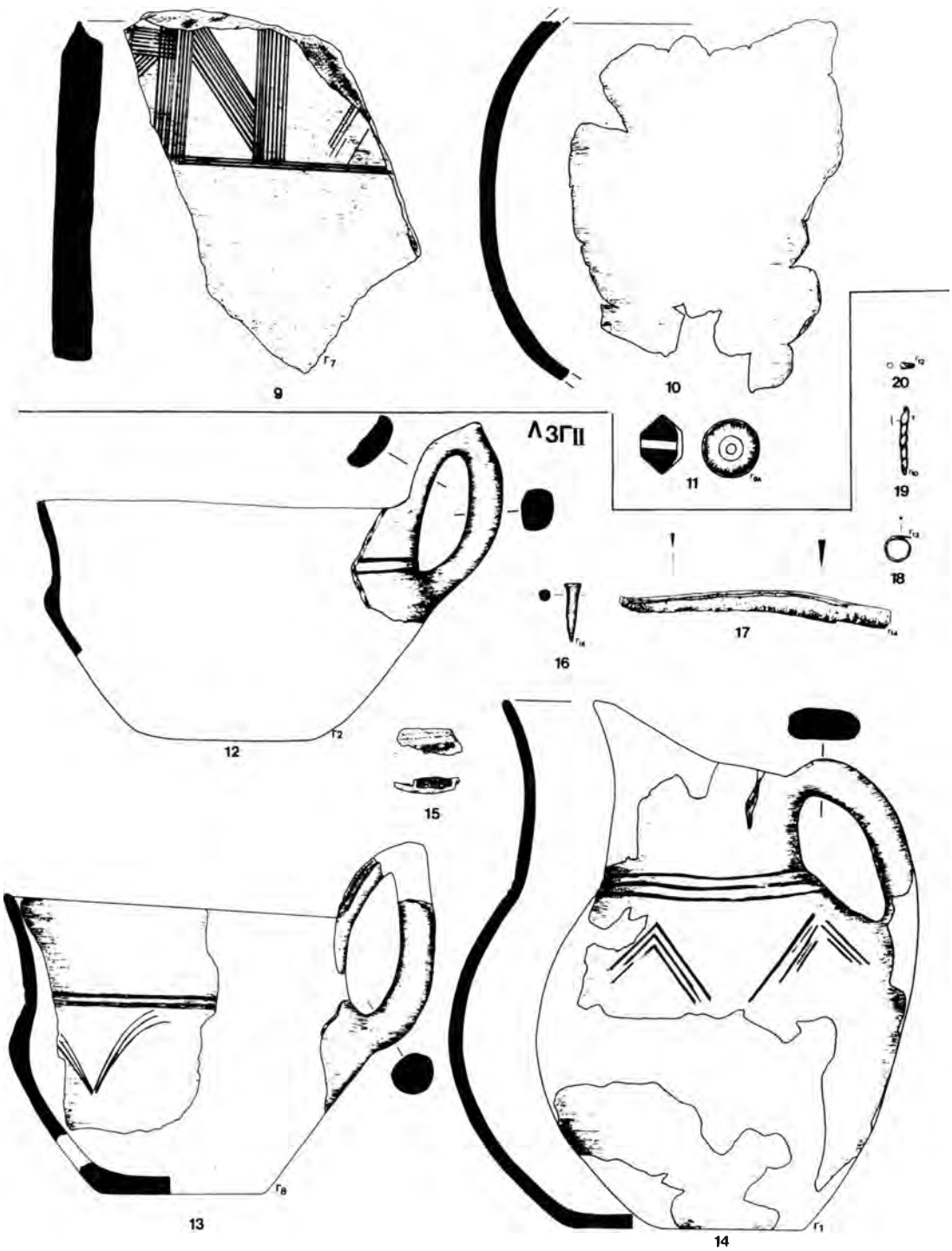

ΛΣΓ$_{ΠΡ}$

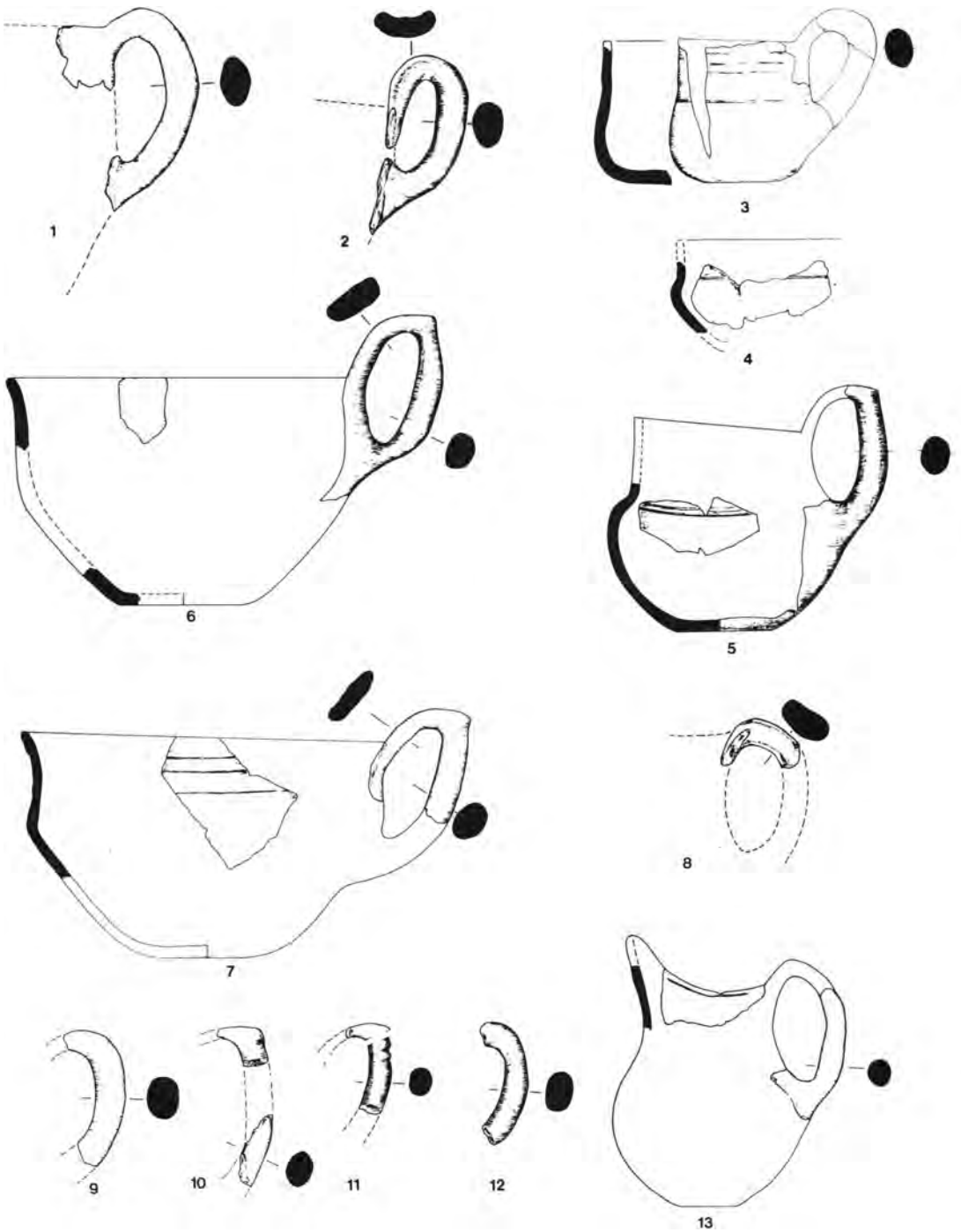

ΛΖΓΠΡ

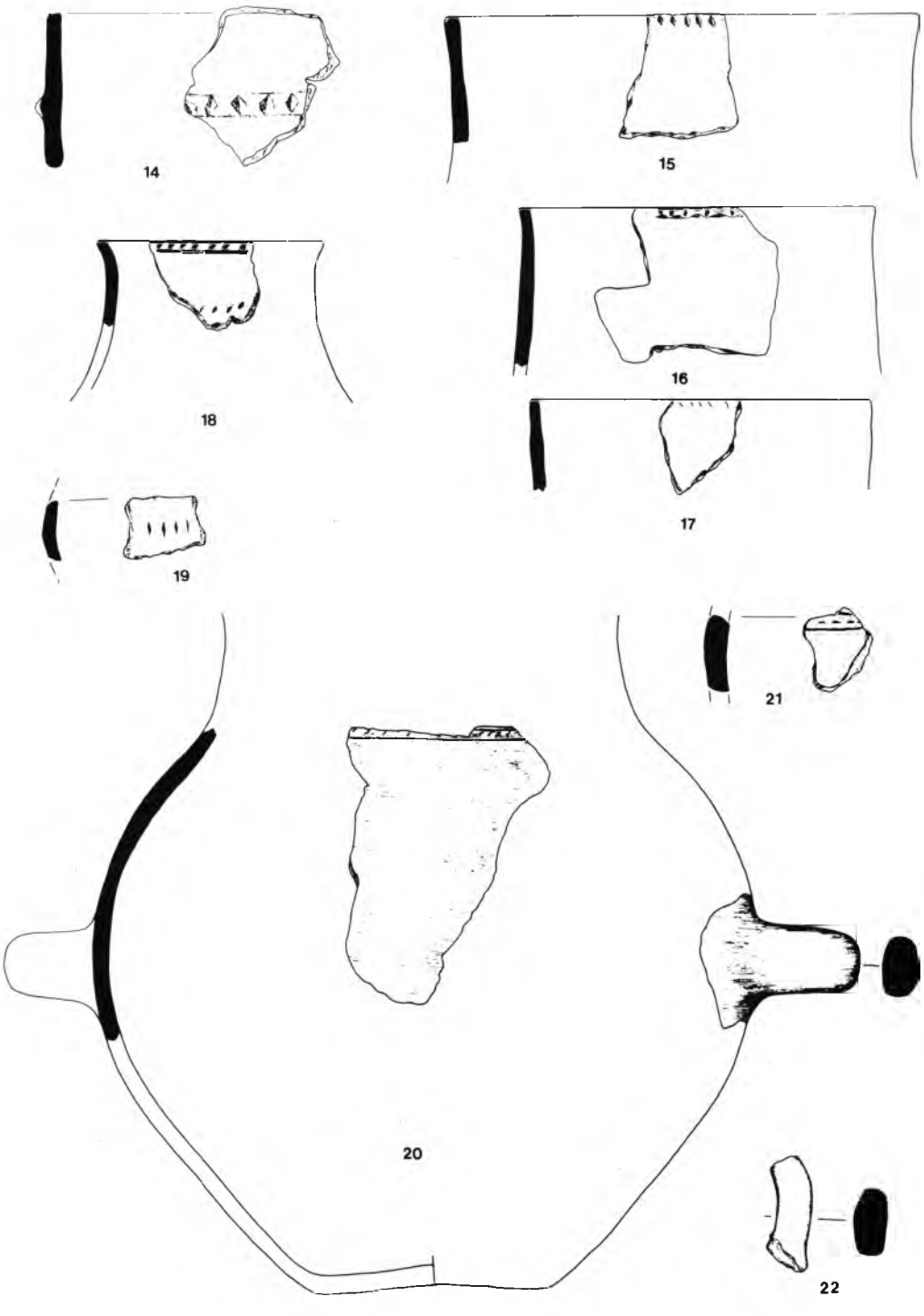

ΛΣΓΠΡ

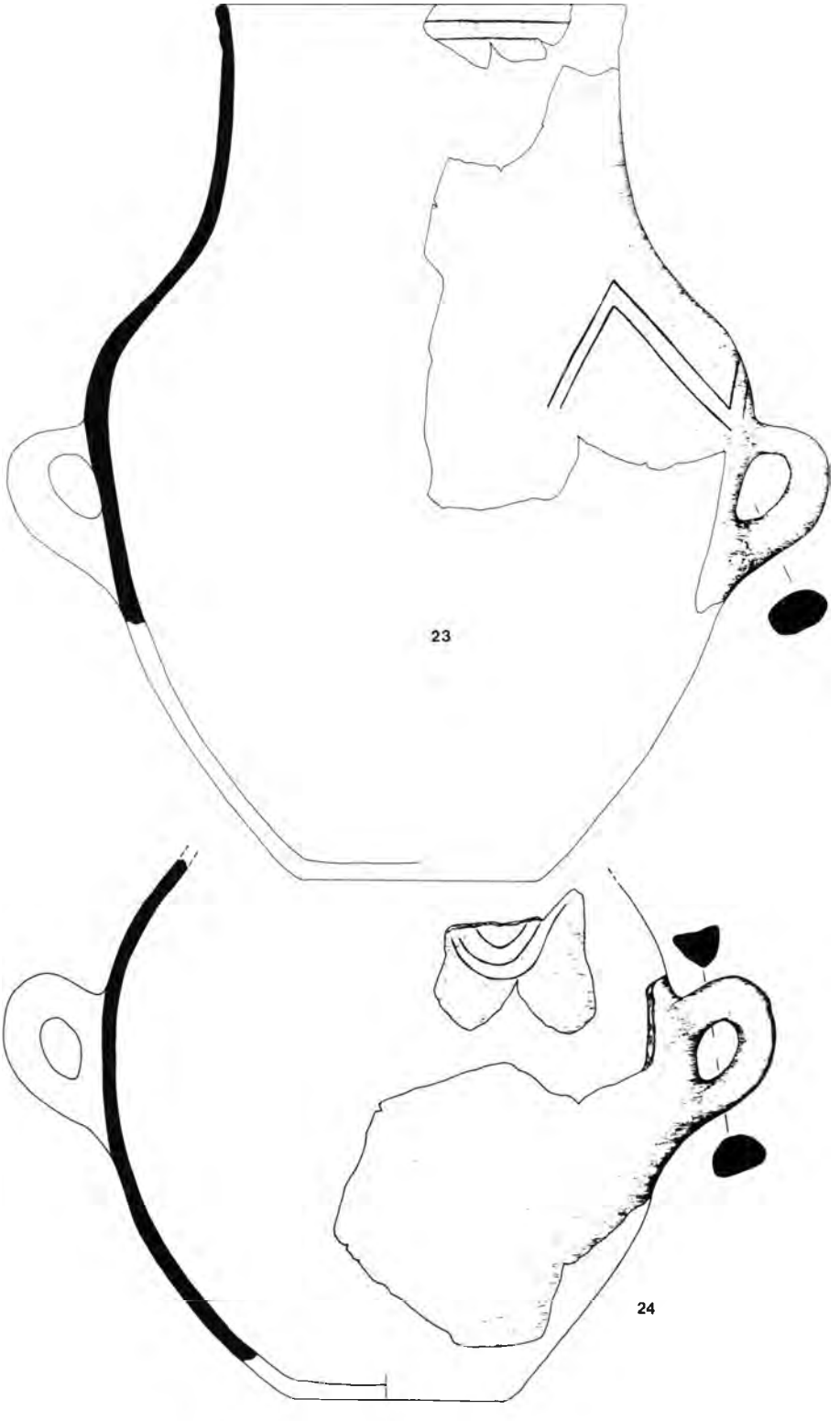

Λ3Δ

A′

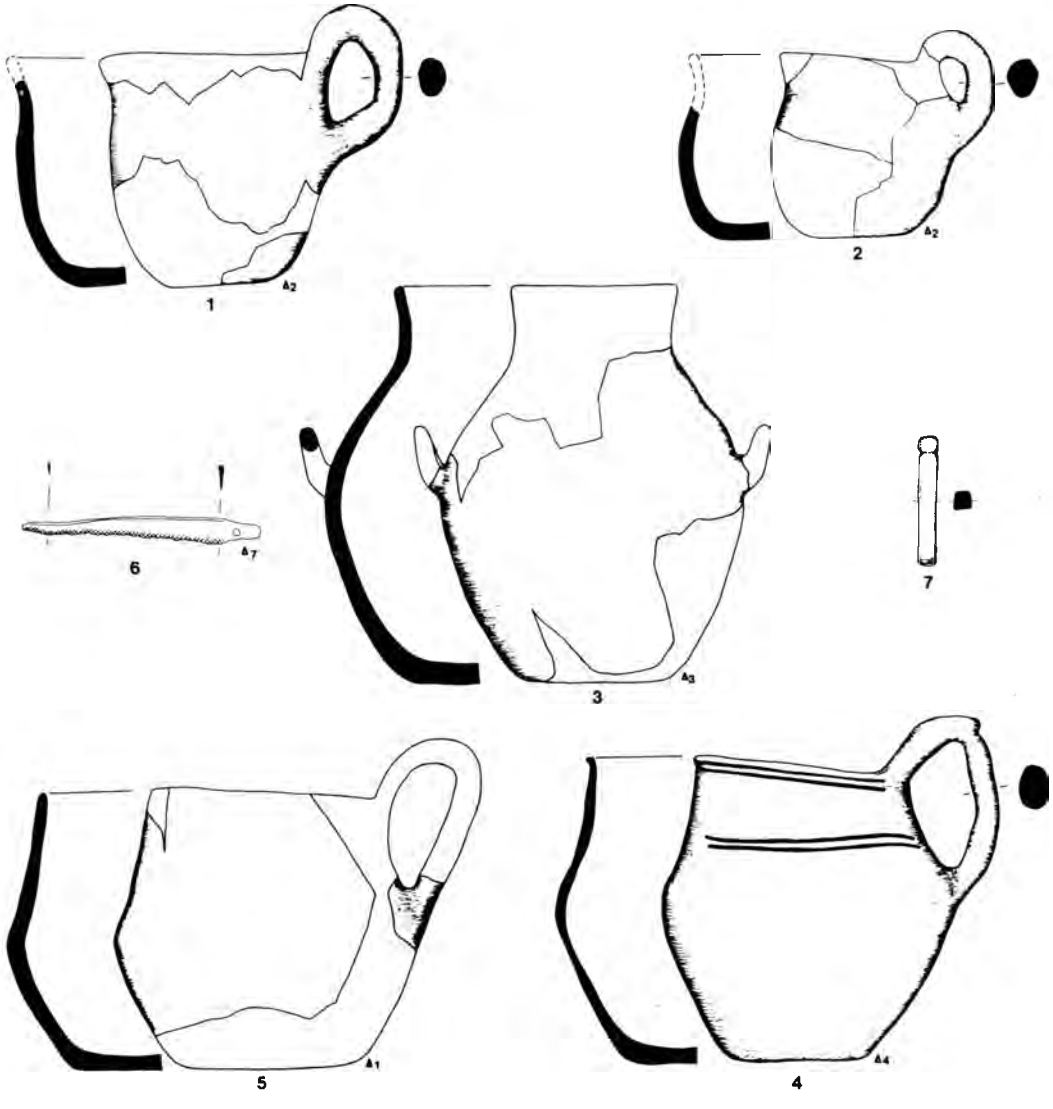

ΛΣΔ

A

B′

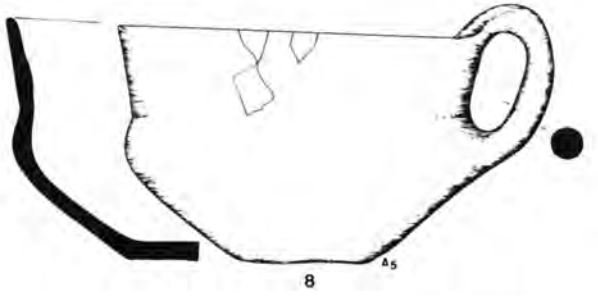

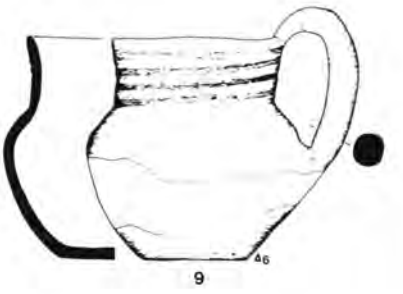

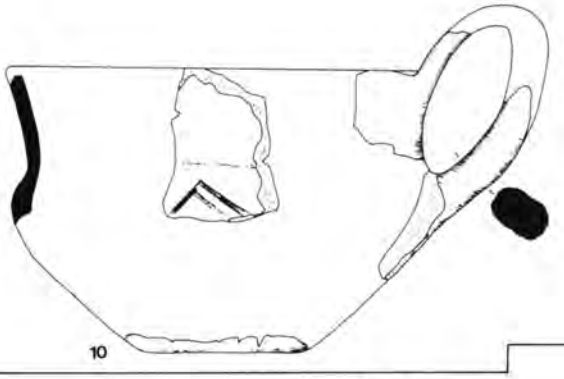

B

ΛΣΔ ΠΡ

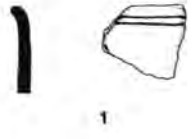

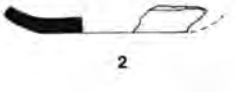

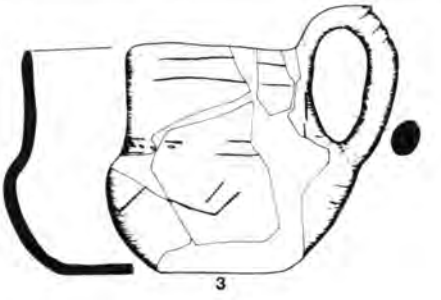

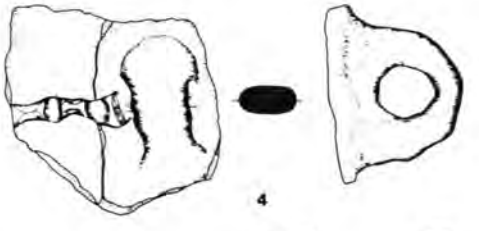

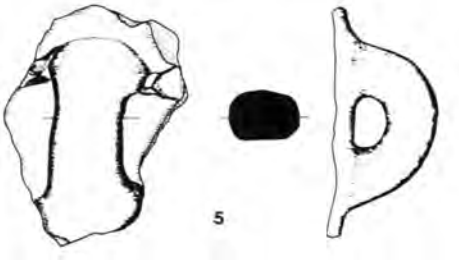

Λ4Α

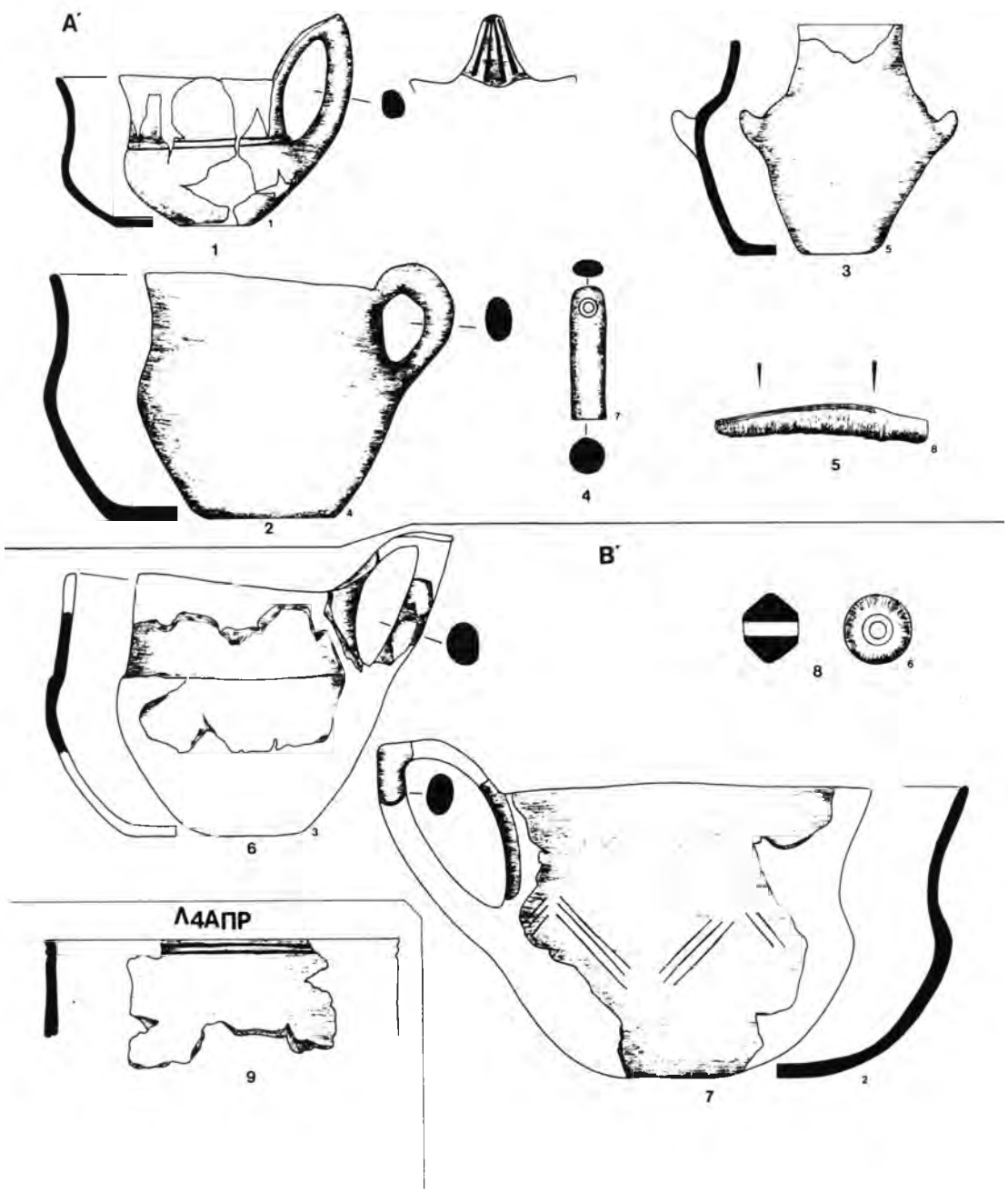

Λ5Α

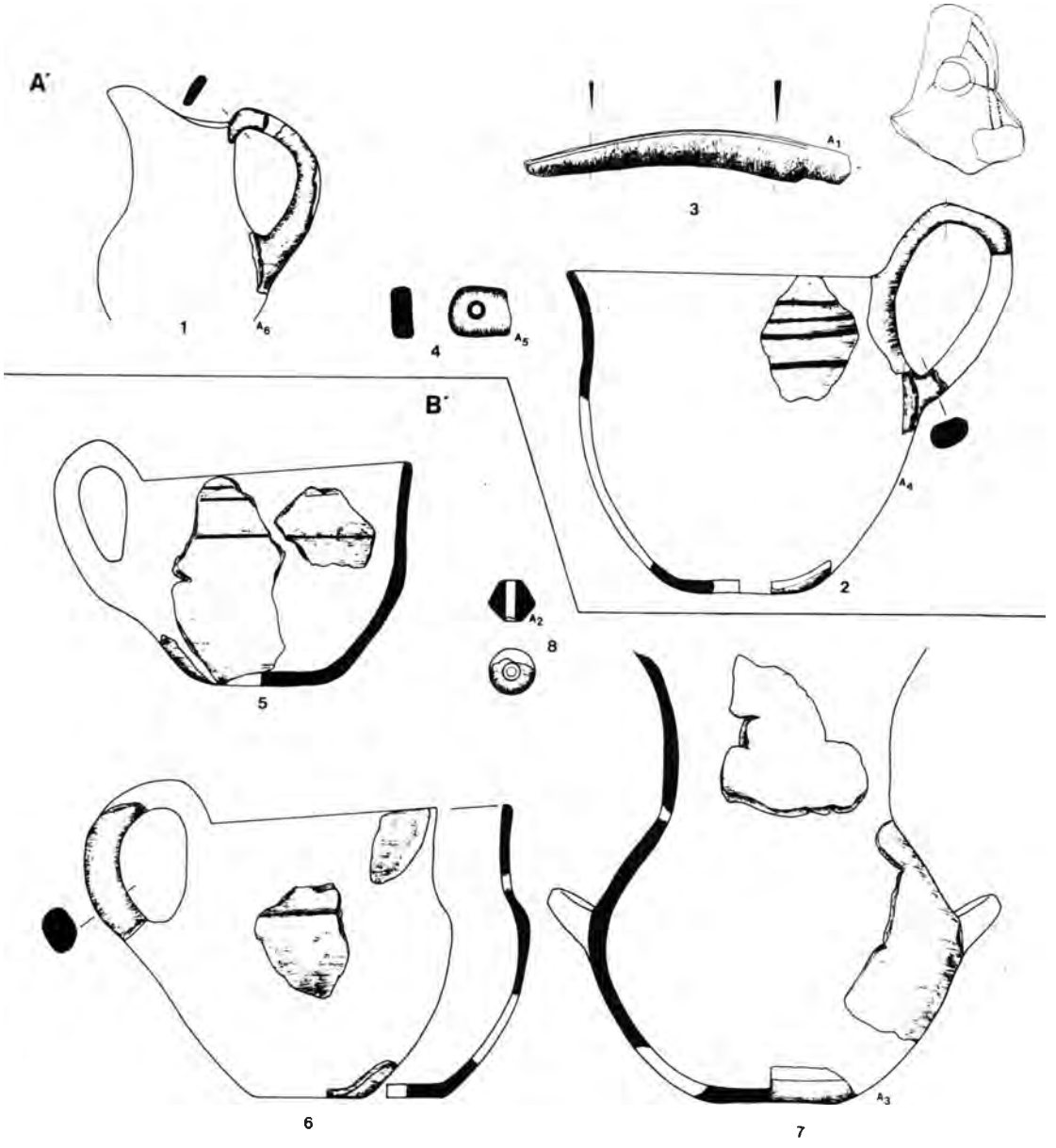

Λ5Β

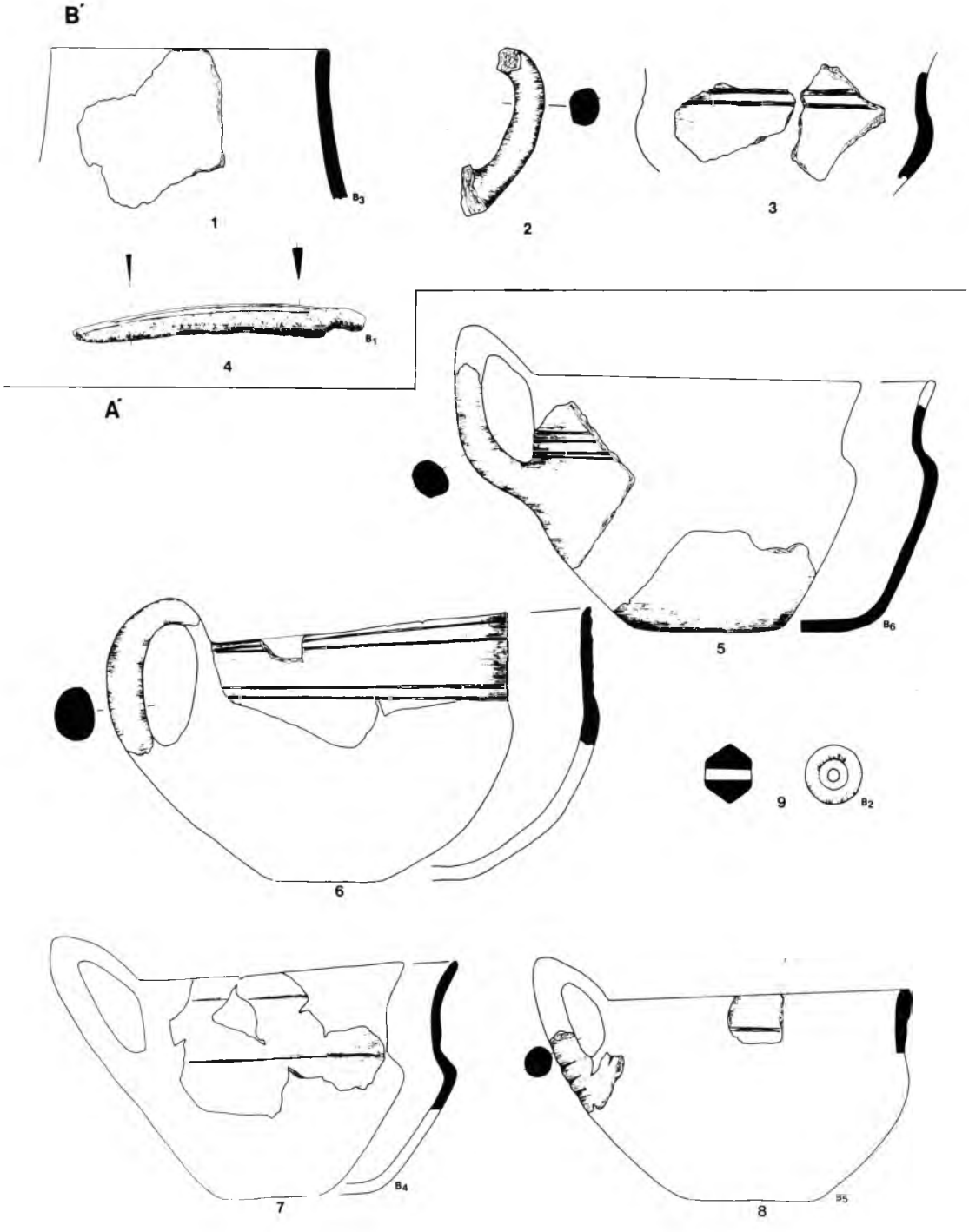

Λ5Β

A

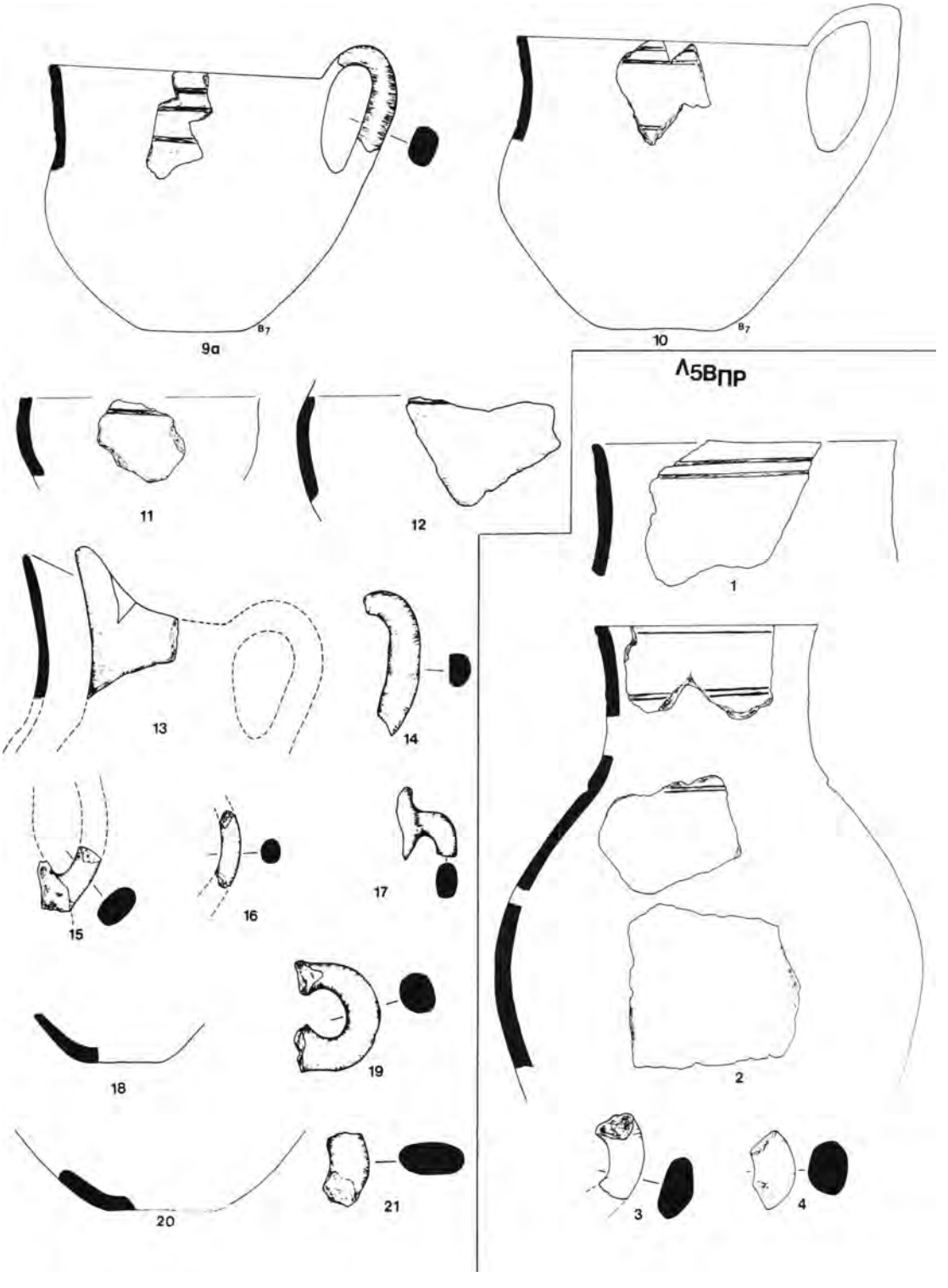

B

Λ5Γ

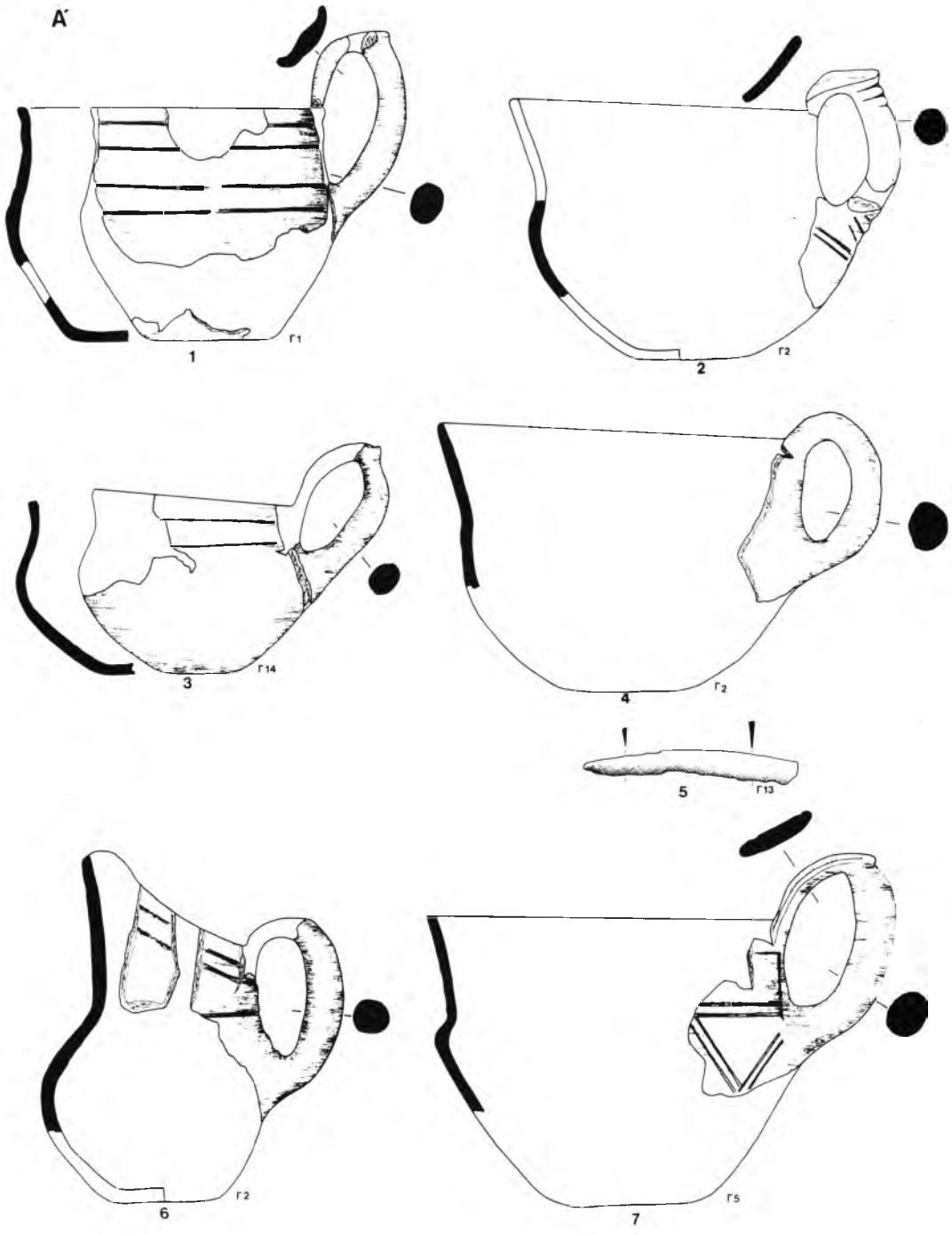

Λ5Γ

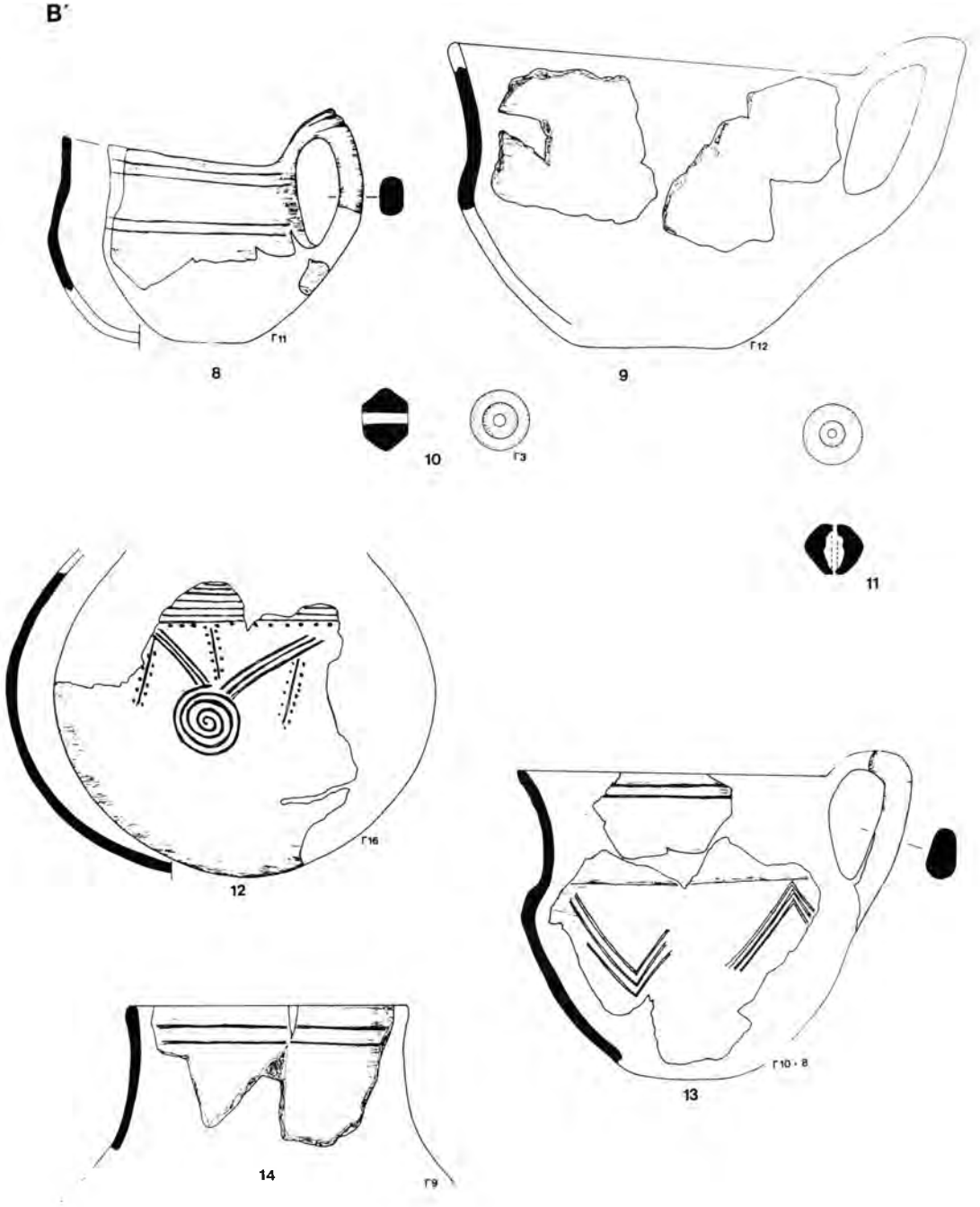

Λ5Γ

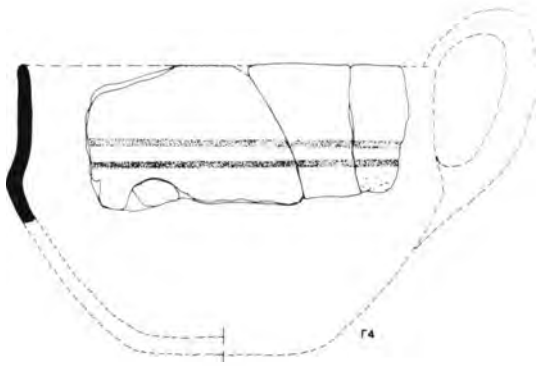

15

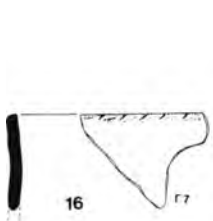

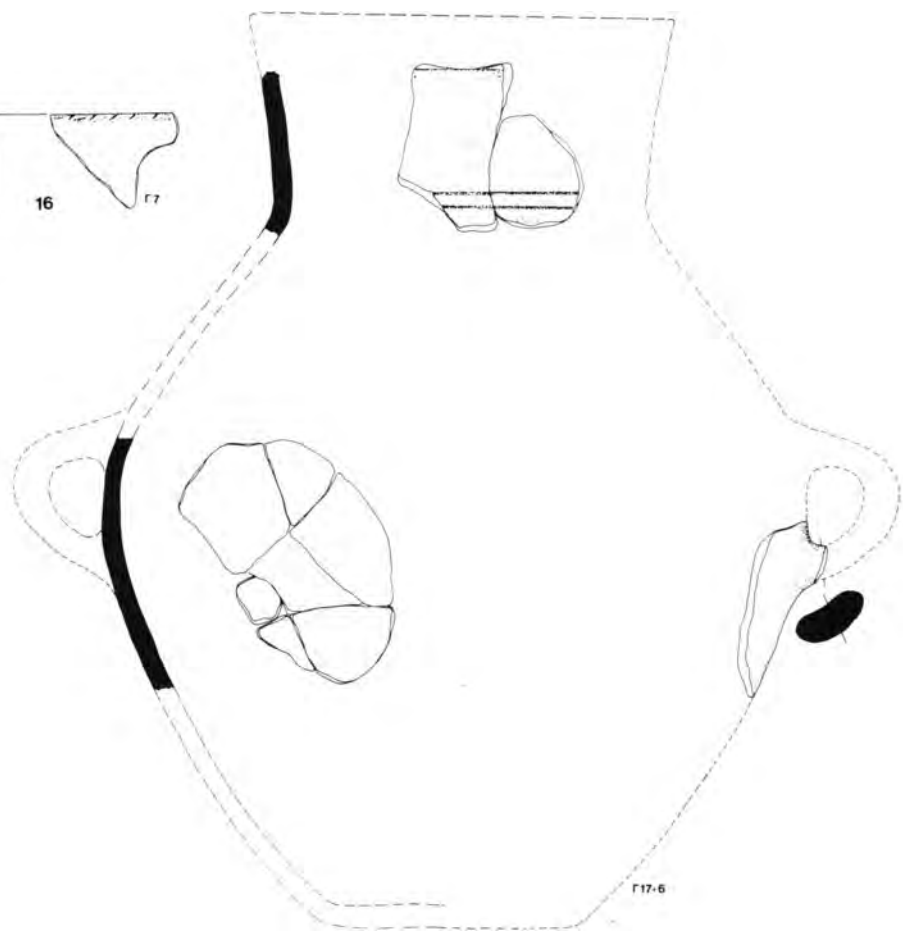

17

Οικισμός Καστρί: α) Άποψη από ΒΔ., β) Στρωματογραφική τομή.

Νεκροταφείο Κεντριά. Ταφική συστάδα Κ1: α) Πριν από την ανασκαφή, β) Κατά την ανασκαφή από Δ., γ) Μετά την επανατοποθέτηση της «στήλης» Κ1Α.

Νεκροταφείο Κεντριά. Ταφική συστάδα Κ2: α) Πριν από την ανασκαφή από Β., β) Πλάκες του τάφου Κ2Ε από Ν., γ) Τάφος Κ2Β-Γ. Πίθος από Δ.

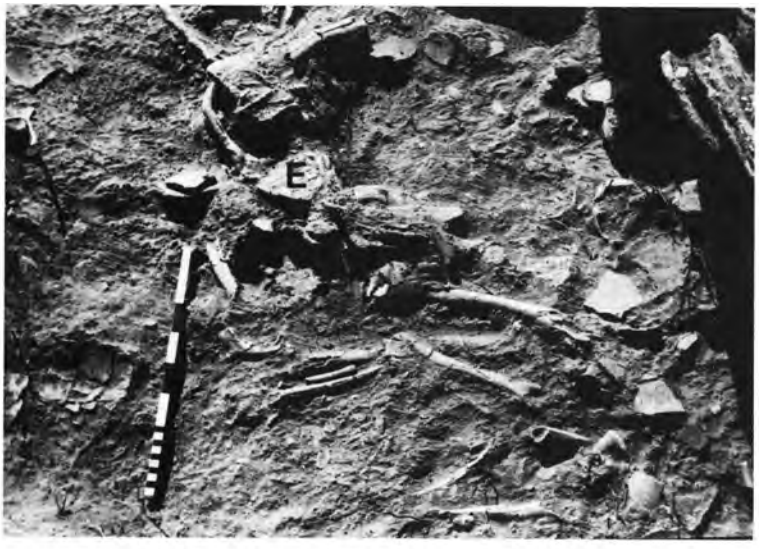

Νεκροταφείο Κεντριά. Ταφική συστάδα Κ2: α) Ταφή Κ2Δ. Αγγείο 2 από Ν., β) Ταφές Κ2Ε από Α., γ) Ταφές Κ2Ε. Ενώτιο 7 από Α., δ) Τάφος Κ2Η. Αγγείο 5 από Β.

Νεκροταφείο Κεντριά. Ταφική συστάδα Κ2: α) Τάφος Κ2Ι από Α., β) Ομάδα Κ2ΣΤ, Ι από Ν., γ) Ομάδα Κ2ΣΤ, ΙΙ από Δ., δ-ε) Τάφος Κ2Ζ από Δ. και αγγεία από Ν.

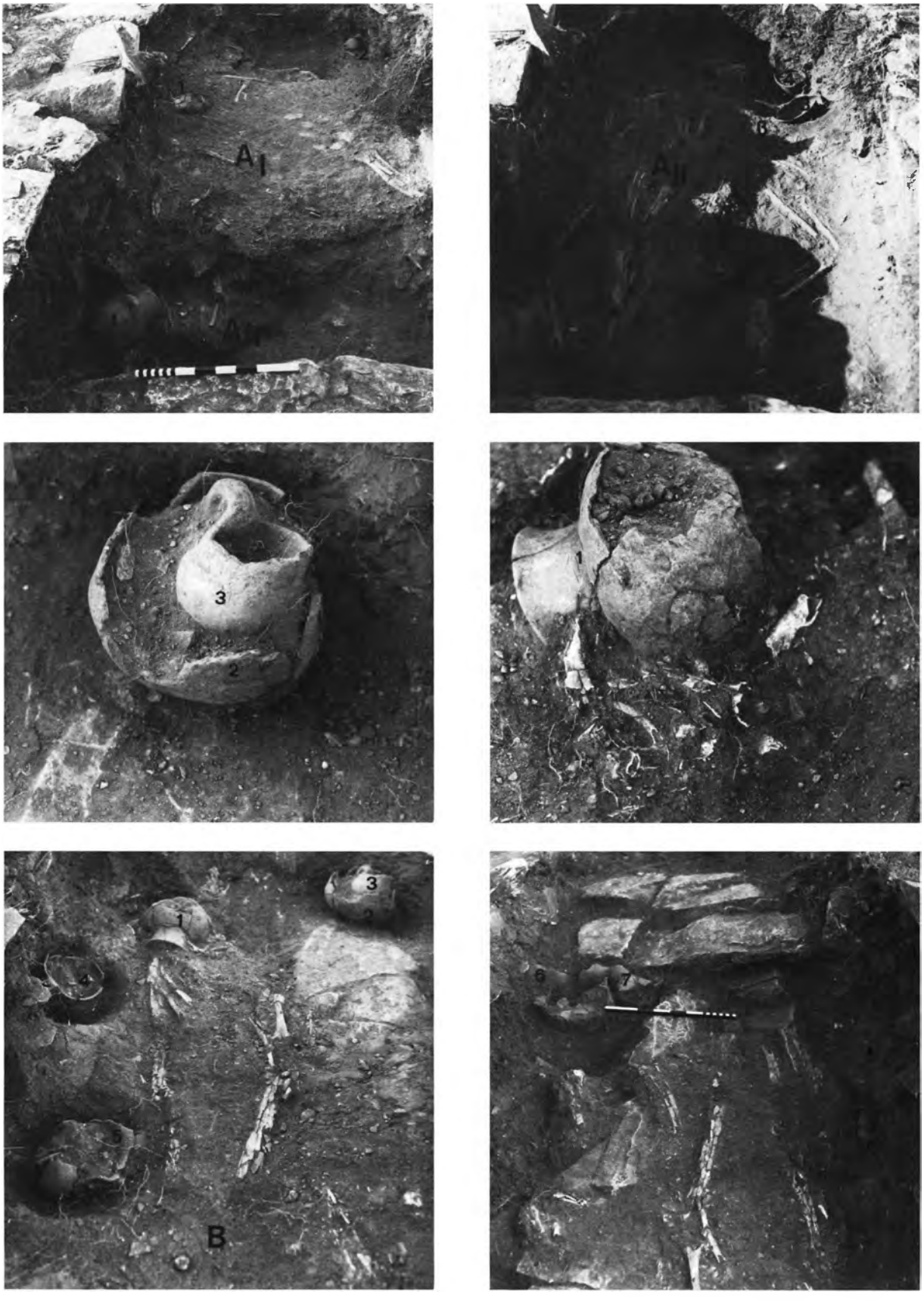

Νεκροταφείο Κεντριά. Ταφική συστάδα Κ3: α-β) Τάφος Κ3Α. Στρώμα Ι και ΙΙ από Ν., γ-στ) Τάφος Κ3Β. Αγγεία 2-3 (από Ν.), 1 (από Δ.), 1-5 (από Ν.) και 6-7 (από Β).

Νεκροταφείο Κεντριά. Ταφική συστάδα Κ4: α) Ακρόπολη Καστρί από Δ., β-ε) Τάφος Κ4Α από Β. και κτερίσματα.

Νεκροταφείο Κεντριά. Ταφική συστάδα Κ4: α) Τάφος Κ4Α. Αγγεία 8 και 9 από Δ., β-δ) Τάφος Κ4Β και κτερίσματα από Δ.

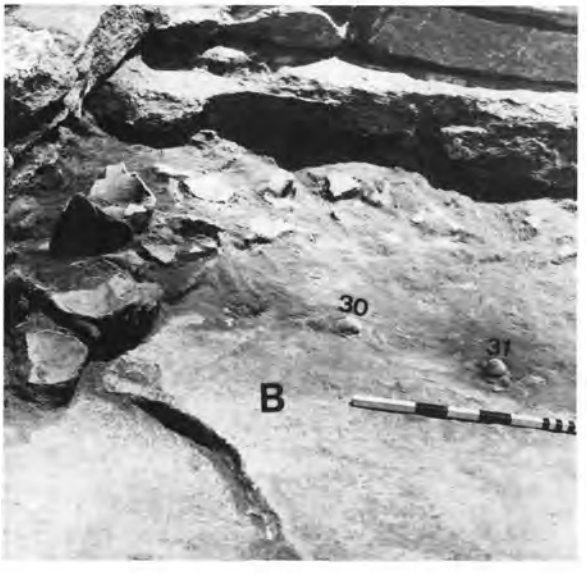

Νεκροταφείο Κεντριά: α) Τάφος Κ5. Λιθόστρωμα κάλυψης τάφου από Ν., β) Τάφος Κ5Β. Επίπεδο ταφών, γ) Ταφική συστάδα Κ6 από Δ., δ) Τάφοι Κ6Α-Β από Β.

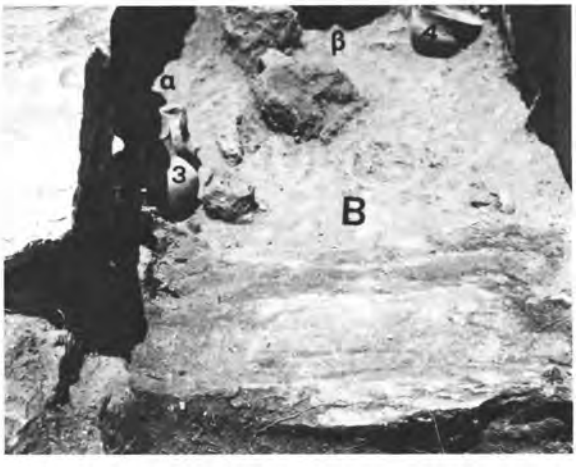

Νεκροταφείο Κεντριά. Ταφική συστάδα Κ6: α) Τάφος Κ6Γ από Α., β) Τάφος Κ6Δ από Β., γ) Τάφος Κ6Β από Ν., δ-ε) Τάφος Κ6Ε από Ν. και Δ.

Νεκροταφείο Βρυσούδες: α) Ταφική συστάδα Β1 πριν από την ανασκαφή από ΒΑ., β) Τάφος Β3 πριν από την ανασκαφή. Λιθόστρωμα κάλυψης από Ν., γ-δ) Ταφική συστάδα Β1, τάφος Β1Α, στρώμα ΙΙ από ΒΔ. και στρώματα ΙΙ-ΙΙΙ από ΝΑ.

Νεκροταφείο Βρυσούδες. Ταφική συστάδα Β1: α-γ) Τάφος Β1Α, στρώμα ΙΙΙ από ΒΔ., ΝΑ. και ΒΑ.

Νεκροταφείο Βρυσούδες. Ταφική συστάδα Β1, τάφος Β1Β: α, γ) Από ΒΑ. και ΝΔ., β) Εγχειρίδιο κατά χώραν.

Νεκροταφείο Βρυσούδες. Ταφική συστάδα Β1, τάφος Β1Β: α) Αγγεία και κρανία, β) Βορειοανατολική γωνία από ΒΑ.

Νεκροταφείο Βρυσούδες. Ταφική συστάδα Β1, τάφος Β1Γ: α) Βορειοδυτική γωνία από Ν., β) Βορειοδυτική πλευρά από Α., γ) Ταφές ε, ζ, θ από Β.

Νεκροταφείο Βρυσούδες. Ταφική συστάδα Β1, τάφος Β1Γ: α) Χάνδρα ηλέκτρου και χάλκινο ενώτιο, β) Ταφή η από Β., γ) Ταφή δ από Α., δ-ε) Ταφές ι από Ν. και Β.

Νεκροταφείο Βρυσούδες. Ταφική συστάδα Β1, τάφος Β1Δ: α) Από Β., β-γ) Κτερίσματα.

Νεκροταφείο Βρυσούδες. Ταφική συστάδα Β1, τάφος Β1Δ: α) Από Β., β-γ) Αποθέτης.

Νεκροταφείο Βρυσούδες. Τάφος Β2: α) Από ΝΑ., β-γ) Επίπεδα ταφών στη νοτιοδυτική και τη νοτιοανατολική γωνία.

Νεκροταφείο Βρυσούδες. Τάφος Β3: α) Επίπεδο ταφής, β) Στρώμα λίθων και επίπεδο ταφής από Ν.

Νεκροταφείο Βρυσούδες. Τάφος Β3: α) Επίπεδο ταφής από Β., β-γ) Κτερίσματα.

Νεκροταφείο Τσιγανάδικα: α) Αεροφωτογραφία τάφου Τ1 και ταφικής συστάδας Τ2, β-γ) Τάφος Τ1. Είσοδος του τάφου από Ν. πριν από την ανασκαφή και αεροφωτογραφία μετά την ανασκαφή.

Νεκροταφείο Τσιγανάδικα. Τάφος Τ1: α-β) Παραμερισμένα οστά από ΝΑ., γ) Επίπεδο ταφών από Ν.

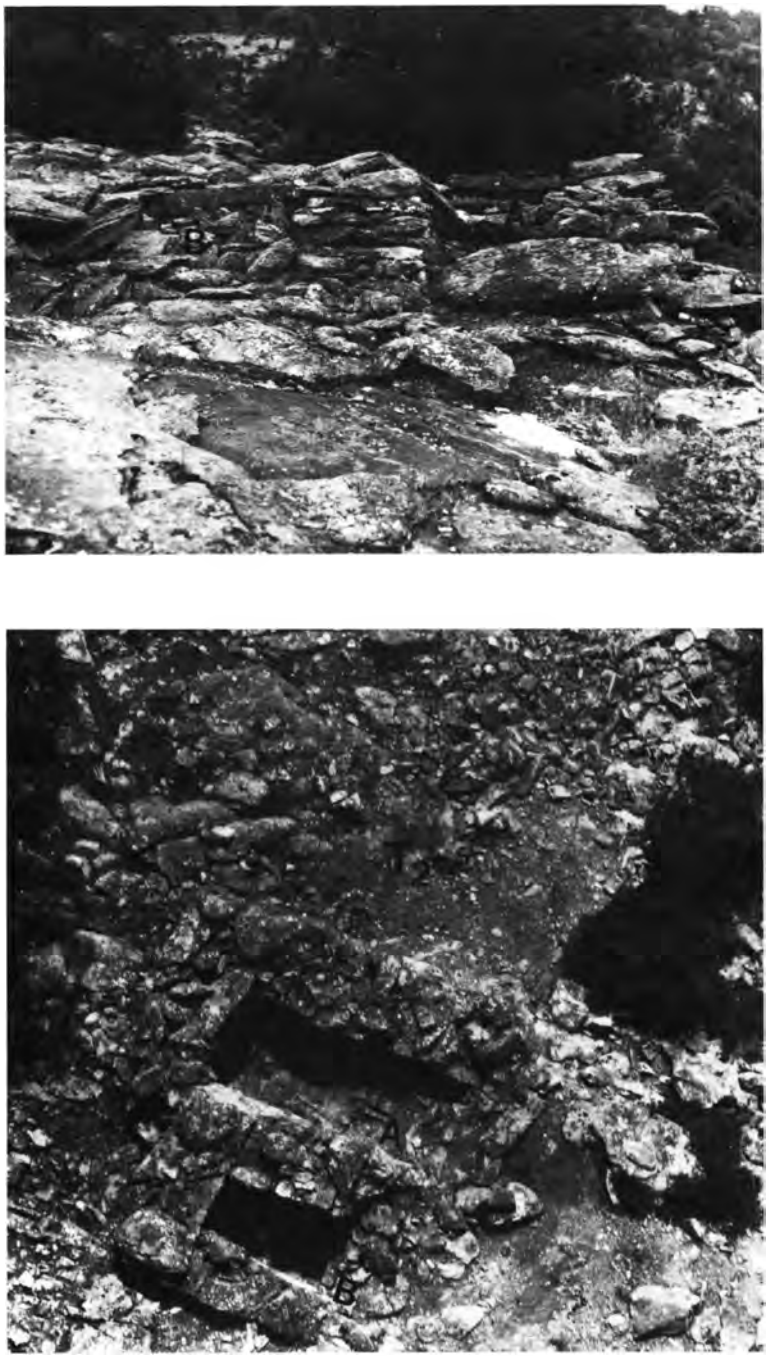

Νεκροταφείο Τσιγανάδικα. Ταφική συστάδα Τ2: α) Πριν από την ανασκαφή από Ν., β) Αεροφωτογραφία μετά την ανασκαφή.

Νεκροταφείο Τσιγανάδικα. Ταφική συστάδα Τ2: α-γ) Τάφος Τ2Α πριν από την ανασκαφή από Ν., η νοτιοανατολική γωνία από ΒΔ. και η βορειοανατολική γωνία από Δ., δ) Τάφος Τ2Β. Στρώμα λίθων από Δ.

Νεκροταφείο Τσιγανάδικα: α-β) Ταφική συστάδα Τ2, τάφος Τ2Β από ΒΔ. και επίπεδο ταφής από Β., γ) Ταφική συστάδα Τ3, τάφος Τ3Α από ΝΔ.

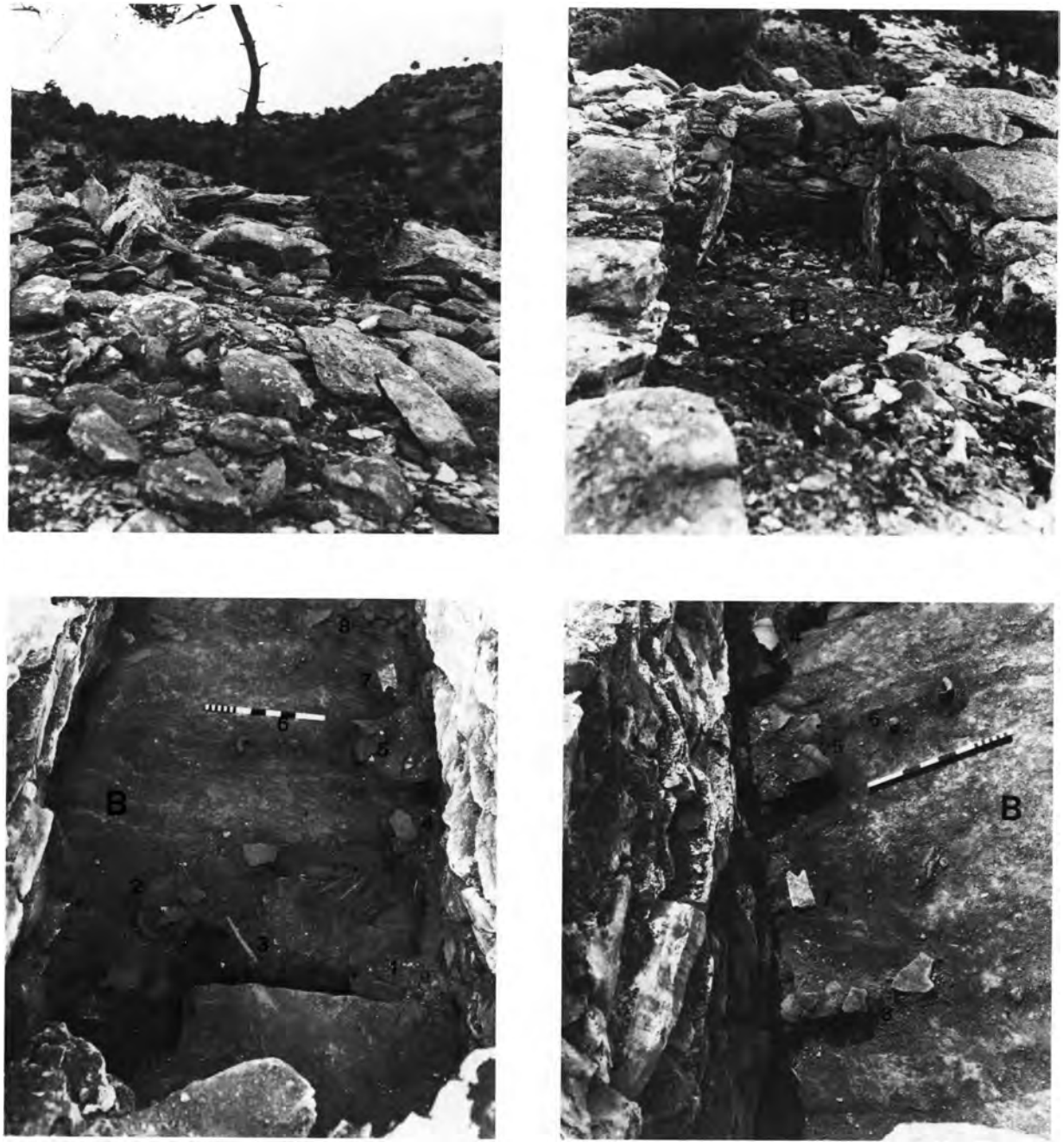

Νεκροταφείο Τσιγανάδικα. Ταφική συστάδα Τ3, τάφος Τ3Β: α) Στρώμα λίθων από ΝΔ., β) Στρώμα χώματος, γ-δ) Επίπεδο ταφής από Ν. και Β.

Νεκροταφείο Τσιγανάδικα: α-β) Ταφική συστάδα Τ3, τάφος Τ3Γ. Πλάκες κάλυψης και επίπεδο ταφής από Ν., γ) Τάφος Τ4. Στρώμα λίθων από Ν., δ) Ταφική συστάδα Τ6, τάφος Τ6Γ από ΝΔ.

Νεκροταφείο Τσιγανάδικα. Ταφική συστάδα Τ5, τάφος Τ5Α: α-γ) Αεροφωτογραφία, άποψη από Δ. και η ανατολική πλευρά.

Νεκροταφείο Τσιγανάδικα. Ταφική συστάδα Τ5: α) Τάφος Τ5Γ από Δ., β) Τάφος Τ5Α. Αποθέτης.

Νεκροταφείο Τσιγανάδικα. Ταφική συστάδα Τ5: α-β) Τάφος Τ5Β πριν από την ανασκαφή και επίπεδο ταφής από Α.

Νεκροταφείο Τσιγανάδικα: α) Ο οικισμός Καστρί από Δ., από την ταφική συστάδα Τ7, β-γ) Ταφική συστάδα Τ7. Τάφοι Δ, Β και Α από Ν.

Νεκροταφείο Τσιγανάδικα. Ταφική συστάδα Τ7: α) Τάφοι Τ7Α και Τ7Β από Ν., β) Τάφος Τ7Α, επίπεδο ταφής, γ) Τάφος Τ7Γ πριν από την ανασκαφή από Α., δ) Τάφος Τ7Β, επίπεδο ταφής.

Νεκροταφείο Τσιγανάδικα. Ταφική συστάδα Τ7, τάφος Τ7Γ: α, γ) Επίπεδο ταφών από Α., β) Επίπεδο ταφών από Ν.

Νεκροταφείο Τσιγανάδικα: α-β) Τάφος Τ8. Άποψη και επίπεδο ταφής από Ν., γ) Τάφος Τ9 από Ν., δ) Τάφος Τ11 πριν από την ανασκαφή από Β.

Νεκροταφείο Τσιγανάδικα. Τάφος Τ12: α) Άποψη λιθοσωρού από ΝΑ., β-γ) Τεφροδόχο αγγείο από Δ. και ΝΔ.

Νεκροταφείο Τσιγανάδικα. Τάφος Τ13, από Α.

Νεκροταφείο Τσιγανάδικα. Τάφος Τ13: α-β) Τεφροδόχα αγγεία από Α. και άποψη από Δ.

Νεκροταφείο Τσιγανάδικα. Ταφική συστάδα Τ14: α) Τύμβος-λιθοσωρός από ΝΑ., β) Τάφος Τ14Α από Α. μετά την αφαίρεση του λιθοσωρού.

Νεκροταφείο Τσιγανάδικα. Ταφική συστάδα Τ14, τάφος Τ14Α: α-β) Επίπεδο ταφών από Ν. και Β.

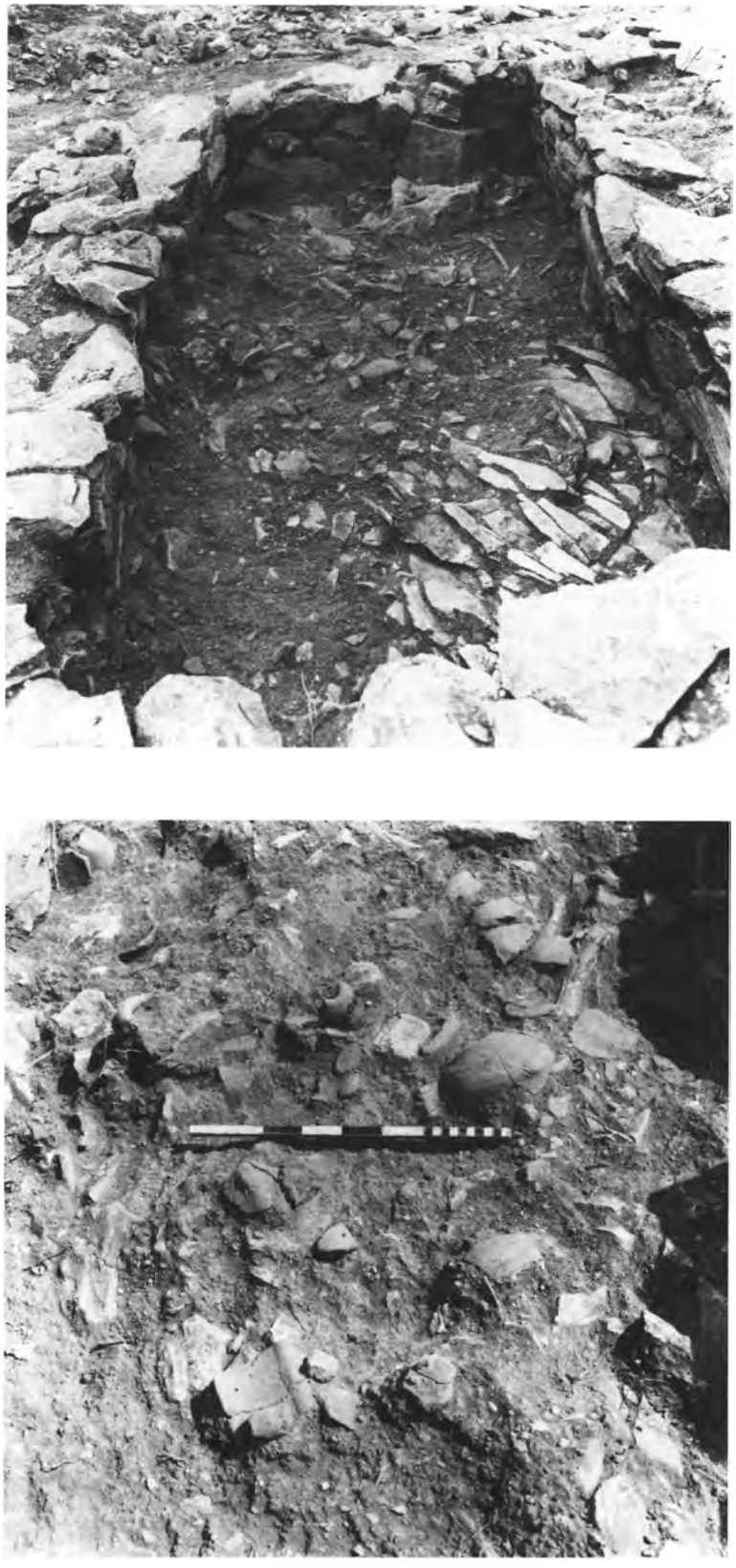

Νεκροταφείο Τσιγανάδικα. Ταφική συστάδα Τ14, τάφος Τ14Β: α-β) Επίπεδο ταφών από Ν.

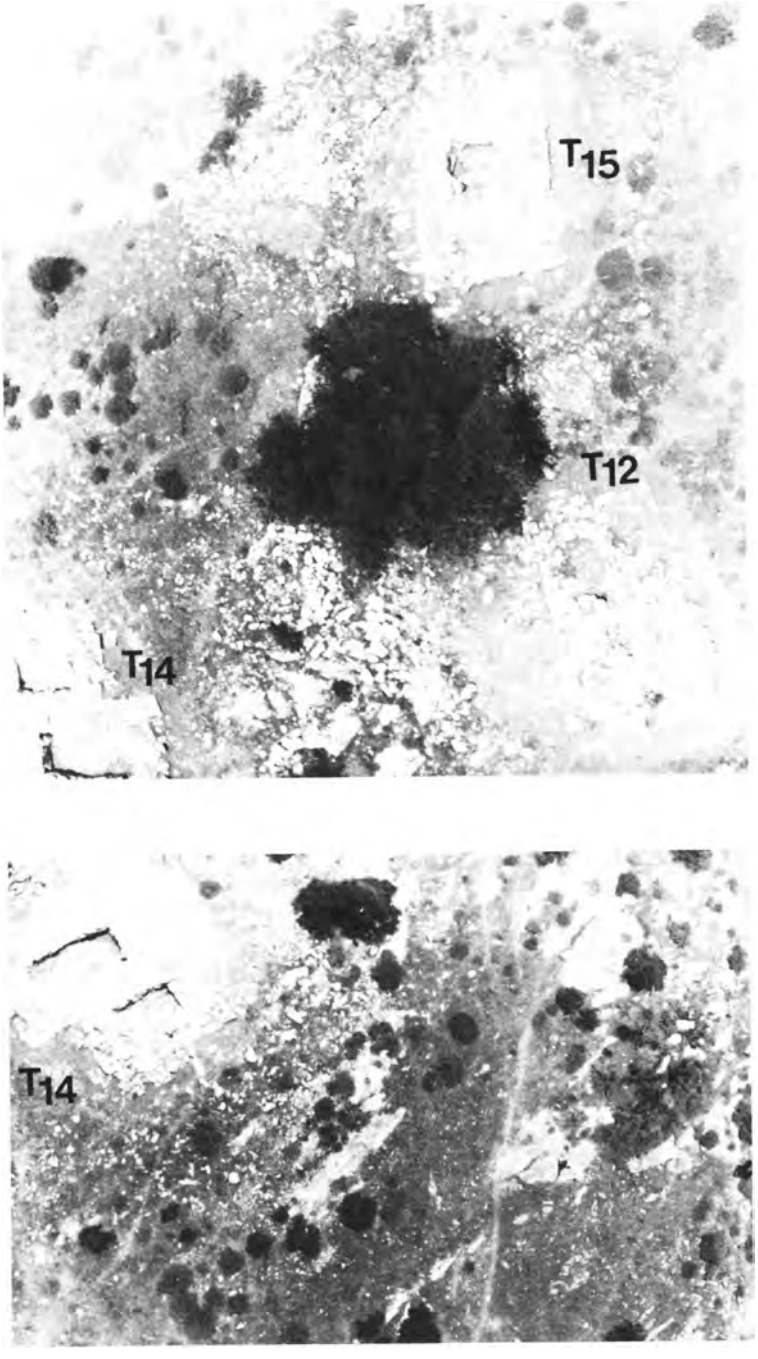

Νεκροταφείο Τσιγανάδικα: α-β) Αεροφωτογραφία των τάφων T12, T15 και της ταφικής συστάδας T14.

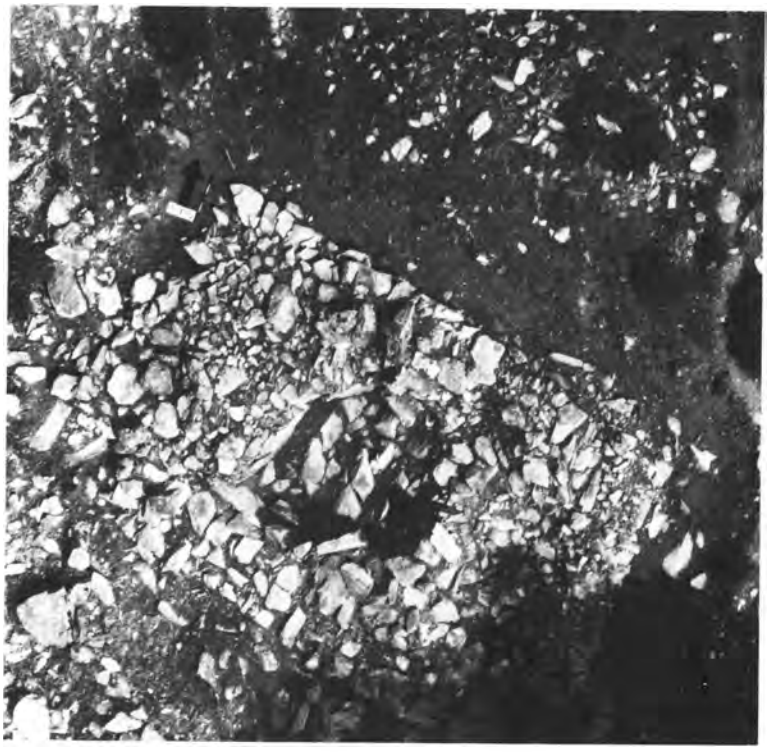

Νεκροταφείο Τσιγανάδικα. Τάφος Τ15: α) Αεροφωτογραφία, β) Ο λιθοσωρός πριν από την ανασκαφή.

Νεκροταφείο Τσιγανάδικα. Τάφος Τ15: α-β) Επίπεδο ταφών από ΝΑ. και λεπτομέρεια.

Νεκροταφείο Τσιγανάδικα. Τάφος Τ16: α-β) Πριν από την ανασκαφή από ΝΔ., β) Αεροφωτογραφία μετά την ανασκαφή.

Νεκροταφείο Τσιγανάδικα. Τάφος Τ16: α-β) Επίπεδο ταφών από Ν. και Β.

Νεκροταφείο Τσιγανάδικα. Ταφική συστάδα Τ17: α) Οι τάφοι πριν από την ανασκαφή από Δ., β) Μετά την αφαίρεση των πλακών κάλυψης από Α. Διακρίνεται η όρθια πλάκα του εσωτερικού του τάφου.

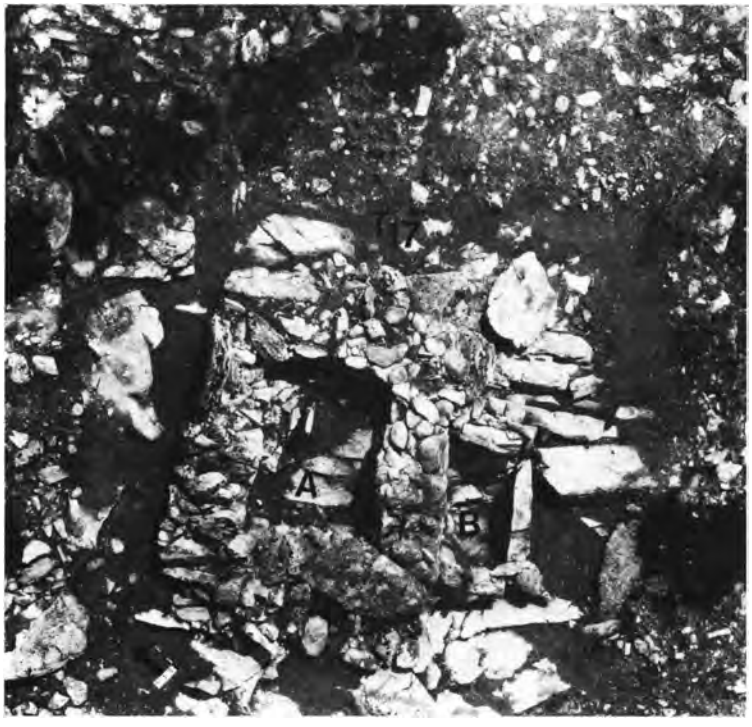

Νεκροταφείο Τσιγανάδικα. Ταφική συστάδα Τ17: α-β) Αεροφωτογραφία της συστάδας και η νοτιοανατολική γωνία του τάφου Τ17Α, στο επίπεδο ταφών από Δ.

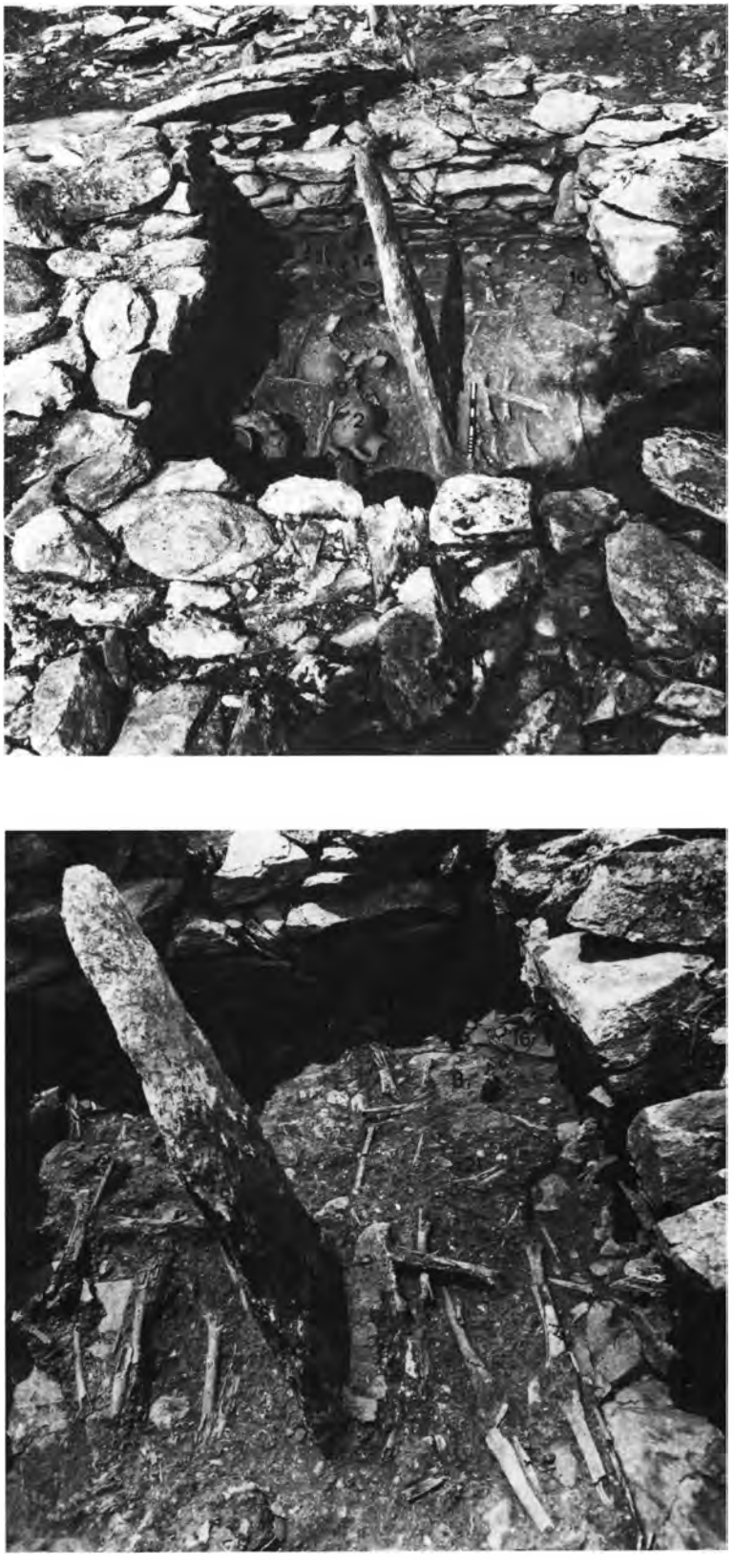

Νεκροταφείο Τσιγανάδικα. Ταφική συστάδα Τ17, τάφος Τ17Α: α-β) Επίπεδο τάφων από Α. και η βόρεια πλευρά από Α.

Νεκροταφείο Τσιγανάδικα. Ταφική συστάδα Τ17, τάφος Τ17Β: α-β) Τάφος και αποθέτης πριν από την ανασκαφή από Δ. και επίπεδο ταφών από Α.

Νεκροταφείο Τσιγανάδικα. Τάφος Τ18: α-β) Πριν από την ανασκαφή από Δ. και στρώμα λίθων στο εσωτερικό του τάφου από Δ.

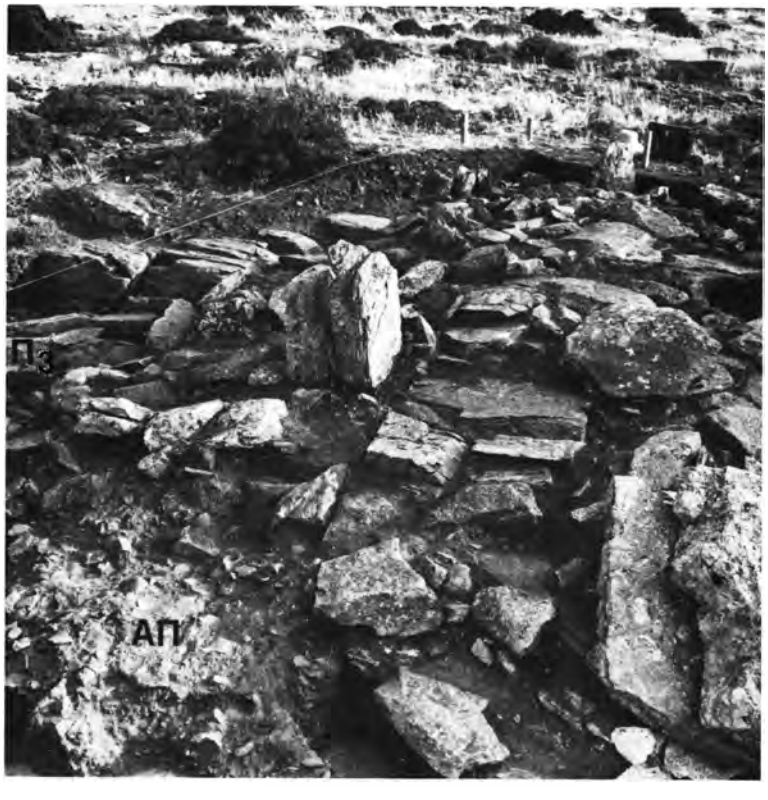

Νεκροταφείο Τσιγανάδικα. Τάφος Τ18: α-β) Ταφή πίθου Π1 στην ανατολική πλευρά του τάφου από Α. και αποθέτης και ταφή πίθου Π3 από Ν.

Νεκροταφείο Τσιγανάδικα. Τάφος Τ18: α-β) Επίπεδο ταφών, στρώμα Ια από Ν. και η νοτιοδυτική περιοχή από ΝΑ.

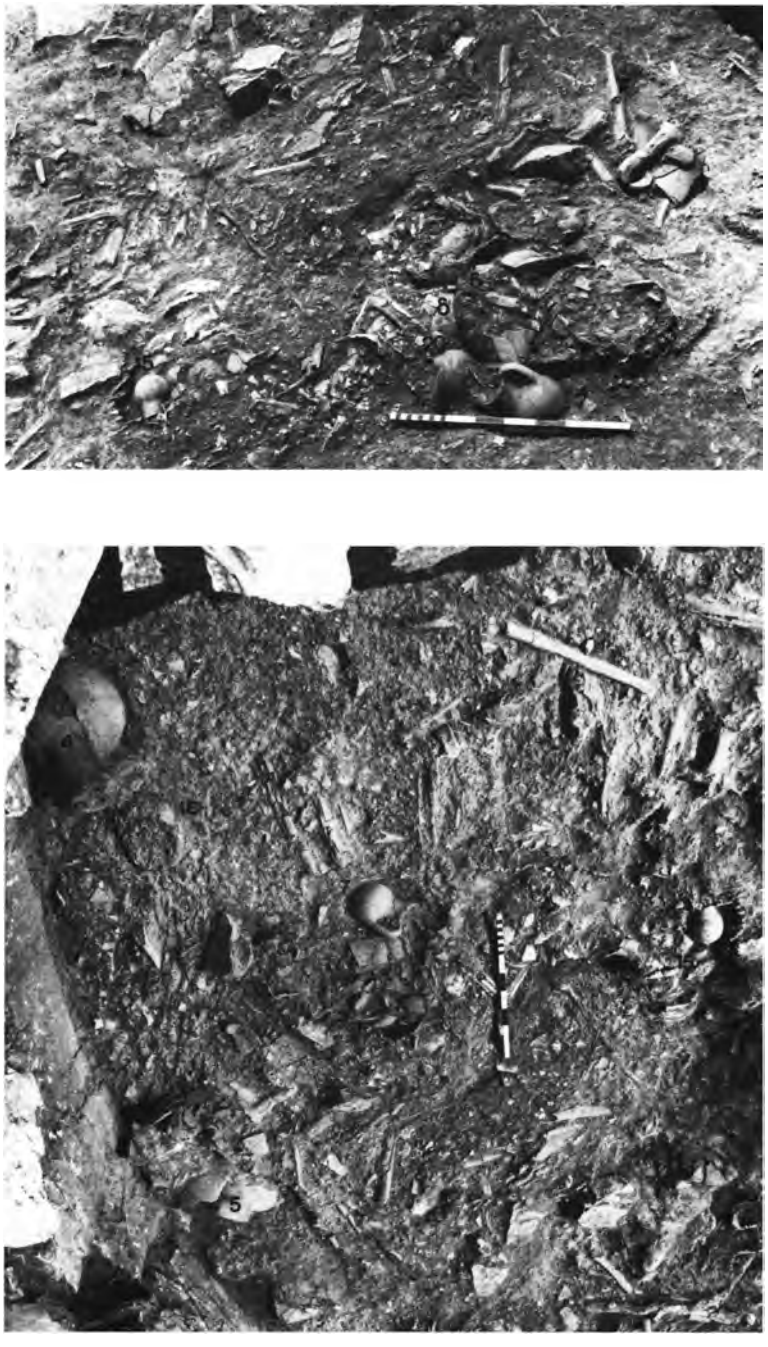

Νεκροταφείο Τσιγανάδικα. Τάφος Τ18: α-β) Κεντρική περιοχή, στρώμα Ια από Β. και επίπεδο ταφών, στρώμα Ια από Ν.

Νεκροταφείο Τσιγανάδικα. Τάφος Τ18: α-β) Βορειοανατολική περιοχή, στρώμα Ια-β από Δ. και νοτιοανατολική περιοχή, στρώμα Ια-β από Ν.

Νεκροταφείο Τσιγανάδικα. Τάφος Τ18: α-β) Ανατολική περιοχή, στρώμα Ια από Β. και Ν.

Νεκροταφείο Τσιγανάδικα. Τάφος Τ18: α-β) Δυτική περιοχή, στρώμα ΙΙ από Β. και ανατολική περιοχή, στρώμα ΙΙ από Β.

Νεκροταφείο Τσιγανάδικα. Τάφος Τ18: α-β) Νοτιοανατολική περιοχή, στρώμα ΙΙ από Ν. και βορειοανατολική περιοχή, στρώμα ΙΙΙ από Ν.

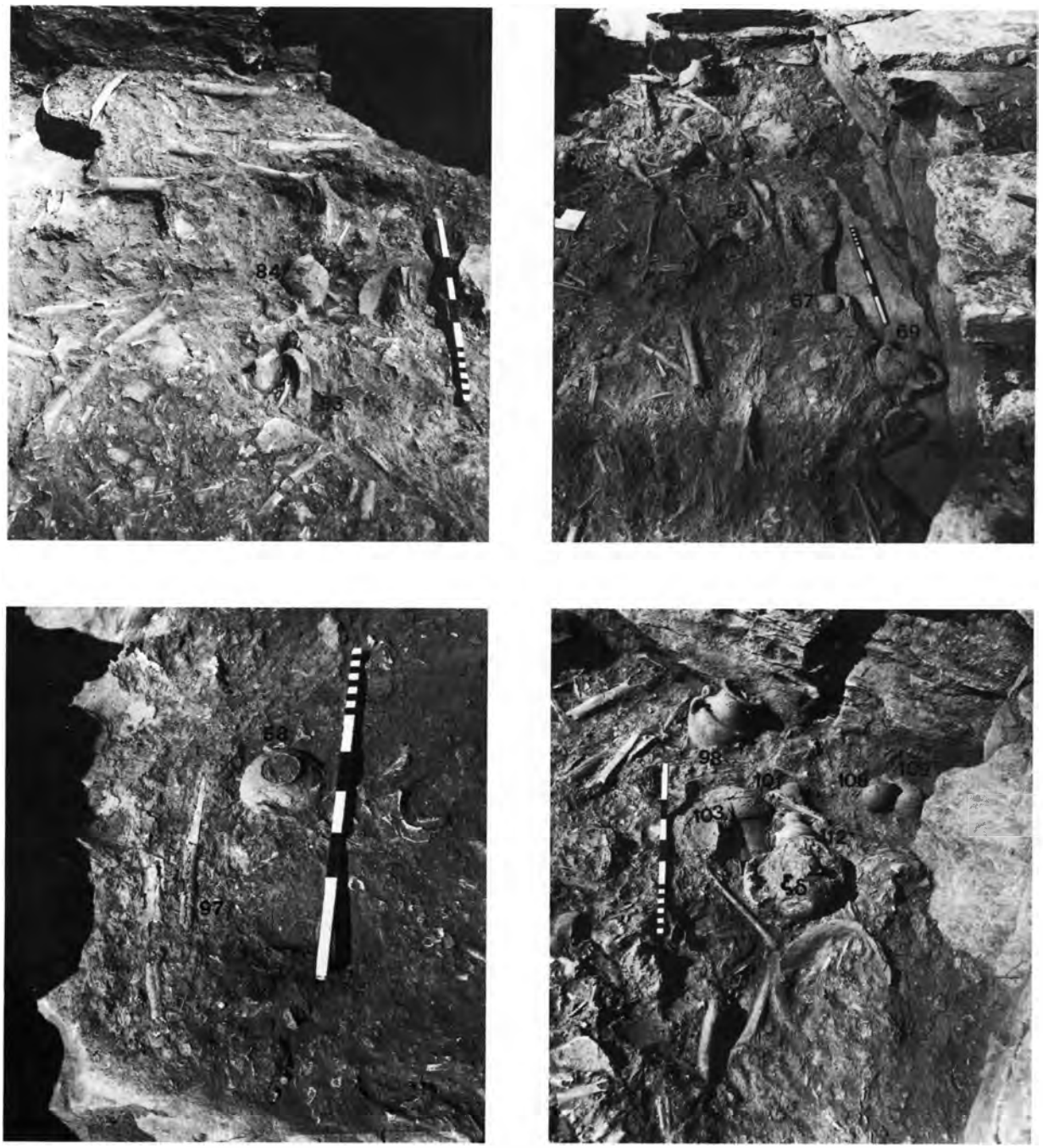

Νεκροταφείο Τσιγανάδικα. Τάφος Τ18: α) Βορειοανατολική περιοχή, στρώμα IV από Ν., β) Δυτική πλευρά, στρώμα V από Β., γ) Νοτιοδυτική περιοχή, στρώμα V από Ν., δ) Βορειοανατολική γωνία, στρώμα V από ΝΑ.

Νεκροταφείο Τσιγανάδικα. Τάφος Τ18: α) Βορειοανατολική γωνία, στρώμα V από ΒΔ., β-γ) Ανατολική πλευρά, στρώμα VI από Δ. και Β.

Νεκροταφείο Τσιγανάδικα. Τάφος Τ18: α) Βορειοανατολική γωνία, στρώμα VI από Ν., β-γ) Κέντρο του τάφου, στρώμα VI από Ν.

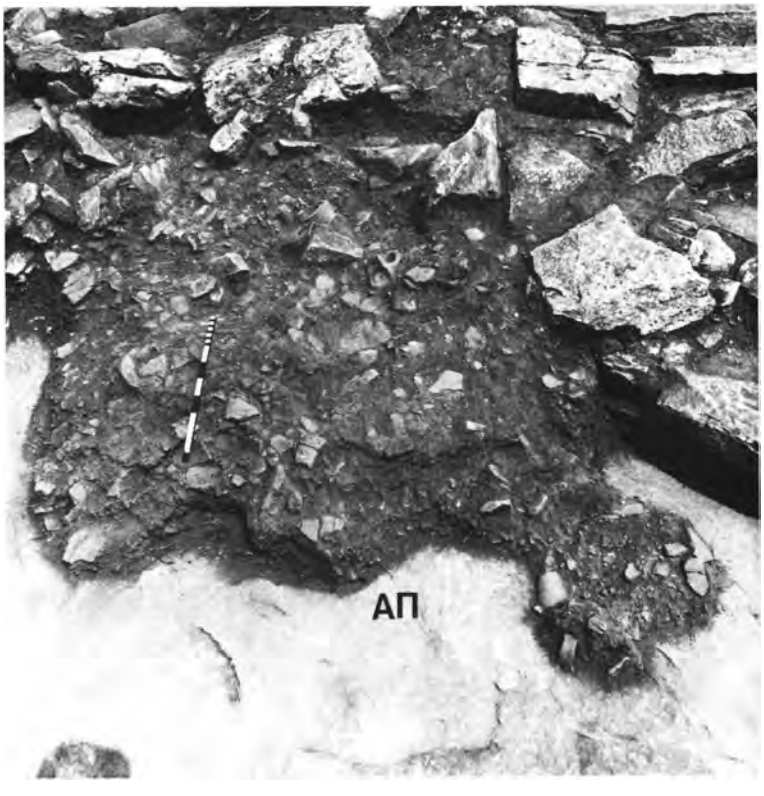

Νεκροταφείο Τσιγανάδικα. Τάφος Τ18: α-β) Ταφή πίθου Π3 από Β. και αποθέτης από Ν.

Νεκροταφείο Τσιγανάδικα. Τάφος Τ18: α-β) Ταφή πίθου Π1 από Β., έξω από τη βορειοδυτική γωνία του τάφου και ταφή πίθου Π2 από Ν., έξω από τη δυτική πλευρά.

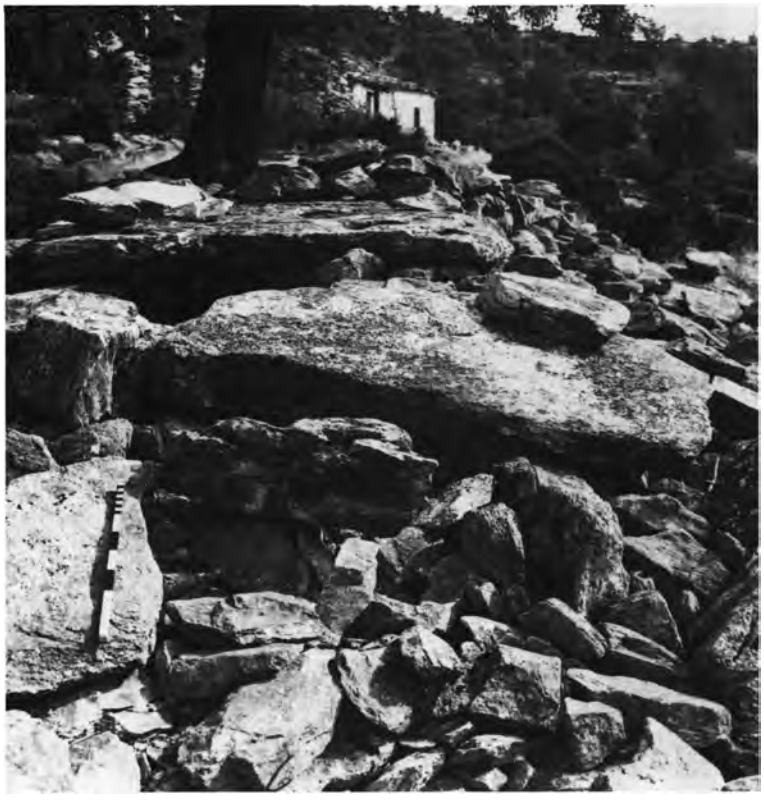

Νεκροταφείο Τσιγανάδικα. Ταφική συστάδα Τ19: α) Πριν από την ανασκαφή από Ν., β) Τάφος Τ19Α, στρώμα λίθων από Ν.

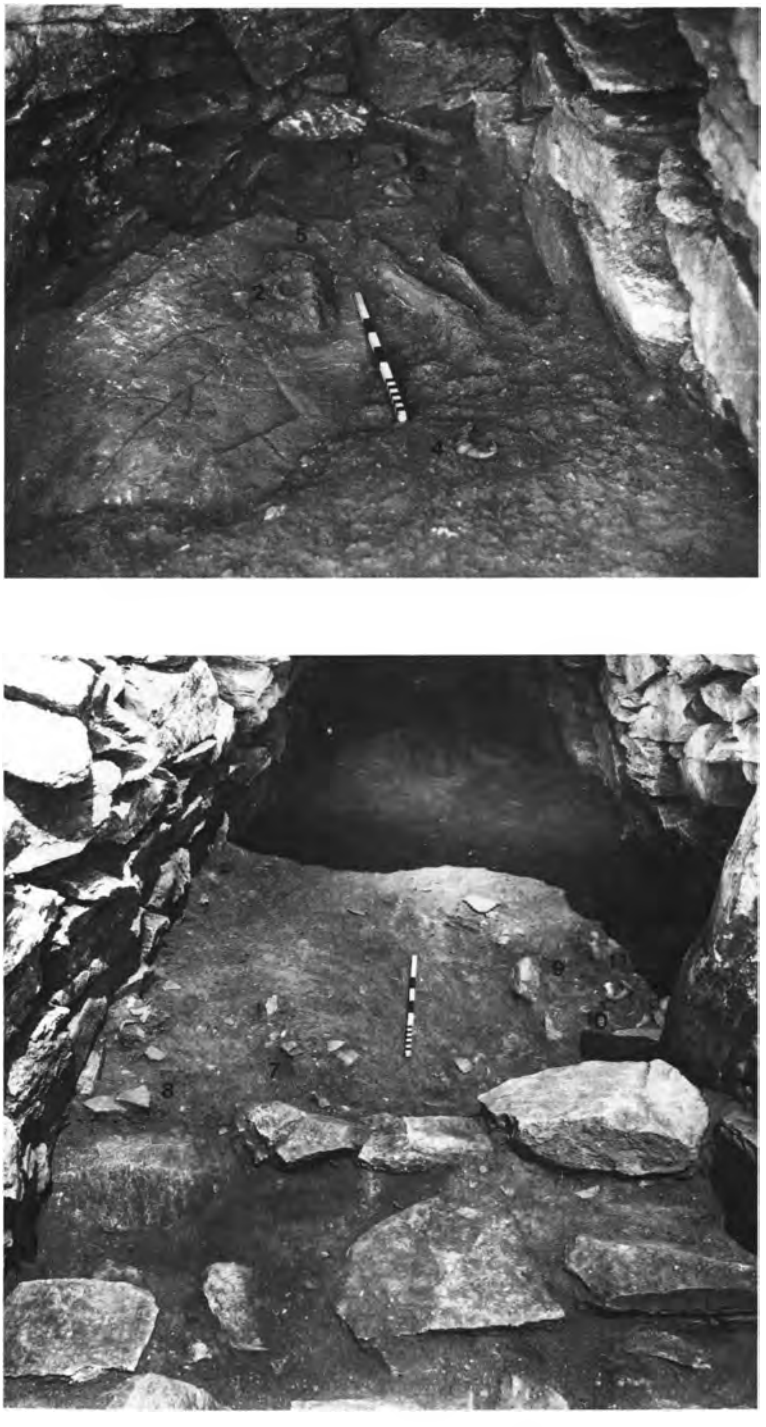

Νεκροταφείο Τσιγανάδικα. Ταφική συστάδα Τ19, τάφος Τ19Α: α-β) Επίπεδο ταφών από Ν.

Νεκροταφείο Τσιγανάδικα. Ταφική συστάδα Τ19: α) Τάφος Τ19Α. Κάτω από το α΄ επίπεδο ταφών, κοντά στον τοίχο του προθαλάμου, από Α., β) Τάφος Τ19Β από Β.

Νεκροταφείο Τσιγανάδικα. Ταφική συστάδα Τ20: α) Λιθοσωρός τύμβου από Α., β) Τάφος Τ20Α και αποθέτης Π1 από Δ.

Νεκροταφείο Τσιγανάδικα. Ταφική συστάδα Τ20, τάφος Τ20Α: α-β) Επίπεδο ταφών από Α. και βορειοανατολική γωνία του τάφου από Δ.

Νεκροταφείο Τσιγανάδικα. Ταφική συστάδα Τ20, τάφος Τ20Β: α-β) Από Α. και αποθέτης Π2 από Α.

Νεκροταφείο Τσιγανάδικα. Ταφική συστάδα Τ20, τάφος Τ20Γ: α-β) Από Δ. και προθάλαμος από Δ.

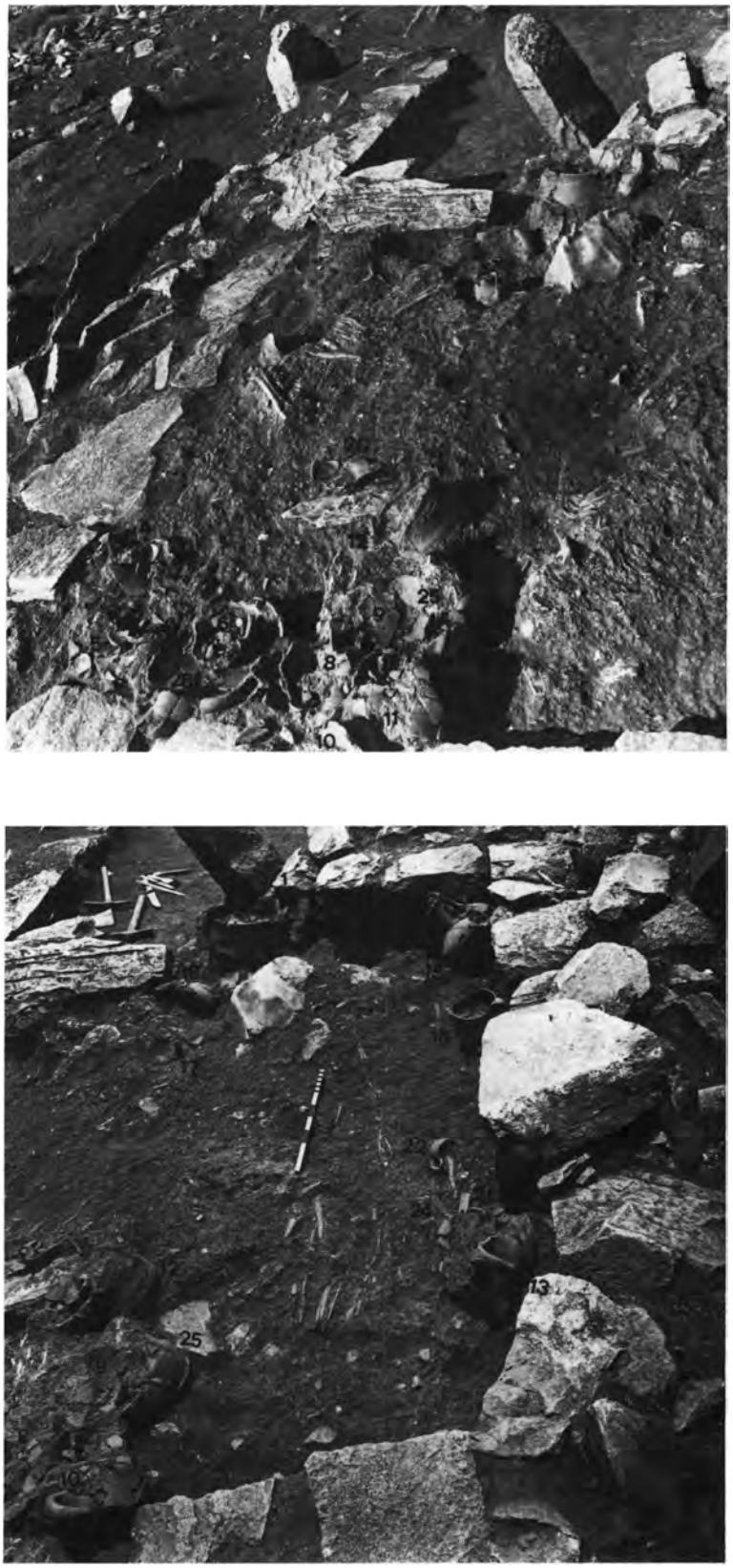

Νεκροταφείο Τσιγανάδικα. Ταφική συστάδα Τ20, τάφος Τ20Γ: α-β) Θάλαμος από ΒΑ.

Νεκροταφείο Τσιγανάδικα. Τάφος Τ21: α-β) Αεροφωτογραφία και επίπεδο ταφών από Ν.

Νεκροταφείο Τσιγανάδικα. Τάφος Τ22: α-β) Από ΝΔ. και Ν.

Νεκροταφείο Τσιγανάδικα. Ταφική συστάδα Τ23: α-β) Από Α. και λεπτομέρεια λιθοσωρού από Α., γ) Τάφοι Τ23Β και Τ23Α από Δ.

Νεκροταφείο Τσιγανάδικα. Ταφική συστάδα Τ23, τάφος Τ23Α: α-γ) Επίπεδο ταφών από Β., νότια πλευρά από Α. και ανατολική πλευρά από Β.

Νεκροταφείο Τσιγανάδικα. Ταφική συστάδα Τ23, τάφος Τ23Β: α-β) Πριν από την ανασκαφή από Β. και επίπεδο ταφών από Ν.

Νεκροταφείο Τσιγανάδικα. Τάφος Τ24: α-β) Ο τύμβος πριν από την ανασκαφή από Ν. και μετά την απομάκρυνση του χώματος, από Β.

Νεκροταφείο Τσιγανάδικα. Τάφος Τ24: α-β) Επίπεδο ταφών. Στρώματα Ι και ΙΙ από Β.

Νεκροταφείο Τσιγανάδικα: α-β) Τάφος Τ25 από ΝΑ. και ΝΔ., γ-δ) Τάφος Τ26 πριν από την ανασκαφή από ΝΑ. και αεροφωτογραφία μετά την ανασκαφή.

Νεκροταφείο Τσιγανάδικα. Τάφος Τ26: α-β) Στρώμα λίθων κάτω από καλυπτήριες πλάκες και επίπεδο ταφών από Β.

Νεκροταφείο Τσιγανάδικα. Τάφος Τ26: α) Προθάλαμος από Δ., στρώμα Ι, β-γ) Προθάλαμος από Δ., στρώμα ΙΙ.

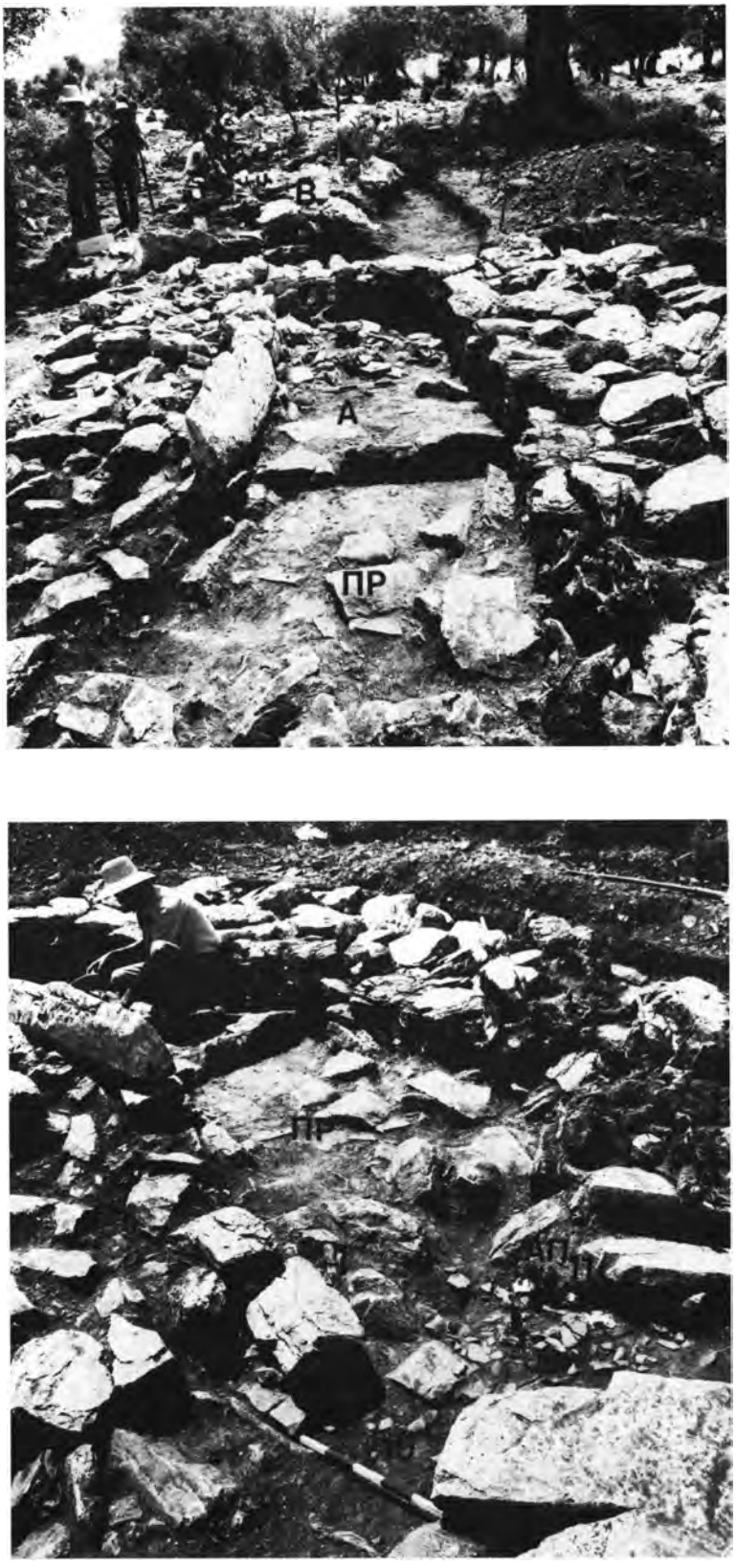

Νεκροταφείο Τσιγανάδικα. Ταφική συστάδα Τ27, τάφος Τ27Α: α-β) Από Α. και προθάλαμος από ΝΑ.

Νεκροταφείο Τσιγανάδικα. Ταφική συστάδα Τ27, τάφος 27Α: α-β) Βορειοδυτική γωνία και επίπεδο ταφών από Α.

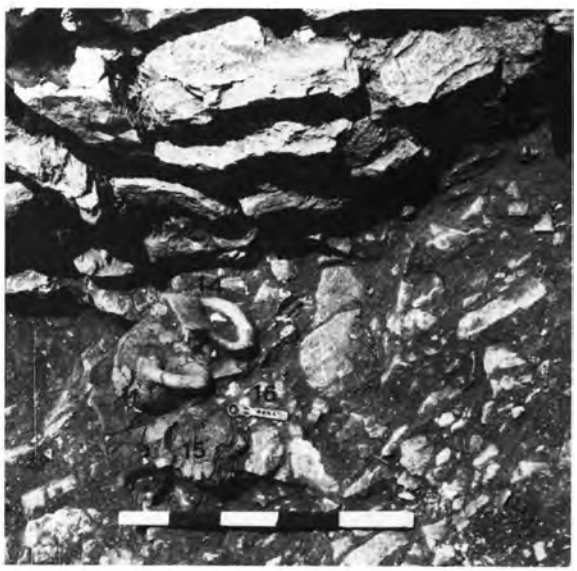

Νεκροταφείο Τσιγανάδικα. Ταφική συστάδα Τ27, τάφος Τ27Α: α-β) Νότια πλευρά από Α. και Β., γ-δ) Νοτιοανατολική και βορειοανατολική γωνία από ΝΑ.

Νεκροταφείο Τσιγανάδικα. Ταφική συστάδα Τ27, τάφος Τ27Α: α-β) Αποθέτες.

Νεκροταφείο Τσιγανάδικα. Ταφική συστάδα Τ27, τάφος Τ27Α: α-β) Αποθέτες από Α. και Ν.

Νεκροταφείο Τσιγανάδικα: α) Ταφική συστάδα Τ27, τάφος Τ27Α, αποθέτης, β-γ) Τάφος Τ28 πριν από την ανασκαφή από Α. και επίπεδο ταφής.

Νεκροταφείο Τσιγανάδικα. Τάφος Τ29: α-β) Στρώμα λίθων, σύγχρονο κτίσμα και επίπεδο ταφών, στρώμα 1 από ΒΑ.

Νεκροταφείο Τσιγανάδικα. Τάφος Τ29: α-β) Επίπεδο ταφών. Στρώματα Ι και ΙΙ από ΝΔ.

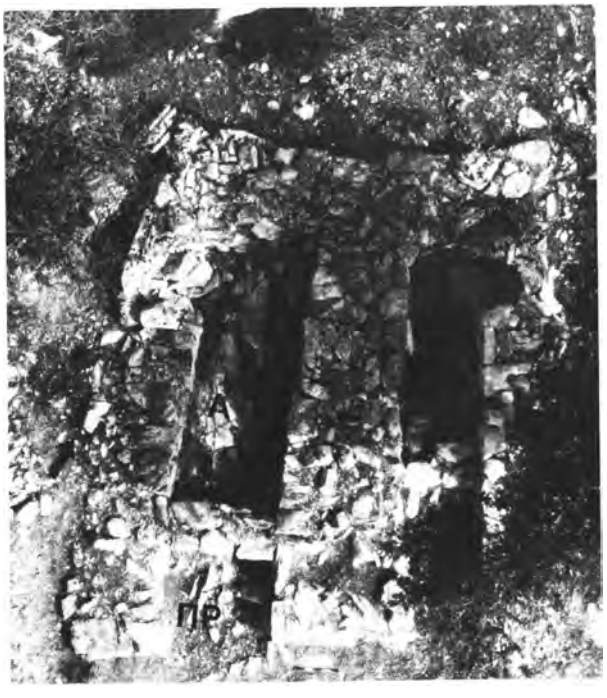

Νεκροταφείο Τσιγανάδικα. Ταφική συστάδα Τ30: α) Αεροφωτογραφία, β) Τάφος Τ30Α. Επίπεδο ταφών από ΝΑ.

Νεκροταφείο Τσιγανάδικα. Ταφική συστάδα Τ30, τάφος Τ30Α: α-β) Νοτιοδυτική γωνία από ΒΔ. - επίπεδο ταφών.

Νεκροταφείο Τσιγανάδικα. Ταφική συστάδα Τ30, τάφος Τ30Β: α-γ) Στρώμα λίθων από ΝΑ., επίπεδο ταφών από ΝΑ. και προθάλαμος από ΝΔ.

Νεκροταφείο Τσιγανάδικα: α) Ταφική συστάδα Τ30, τάφος Τ30Β. Νοτιοδυτική γωνία από ΝΔ., β) Τάφος Τ31 από Α., γ) Τάφος Τ33 από ΝΑ.

Νεκροταφείο Τσιγανάδικα. Τάφος Τ32: α-β) Στρώμα λίθων από ΒΑ. και επίπεδο ταφής από Ν.

Νεκροταφείο Τσιγανάδικα. Τάφος Τ32: α-β) Επίπεδο ταφής. Νοτιοανατολική γωνία από Δ. και νοτιοδυτική γωνία από Β.

Νεκροταφείο Τσιγανάδικα. Ταφική συστάδα Τ34: α-β) Από ΒΑ. και αεροφωτογραφία, γ) Τάφος Τ34Α. Προθάλαμος από Ν.

Νεκροταφείο Τσιγανάδικα. Ταφική συστάδα Τ34: α) Τάφος Τ34Α από Ν., β) Τάφος Τ34Β πριν από την ανασκαφή από Ν.

Νεκροταφείο Τσιγανάδικα. Ταφική συστάδα Τ34: α-β) Τάφος Τ34Β. Προθάλαμος από Ν. και επίπεδο ταφής από Β.

Νεκροταφείο Τσιγανάδικα. Ταφική συστάδα Τ35: α) Από Β., β) Τάφος Τ35Α πριν από την ανασκαφή από Β.

Νεκροταφείο Τσιγανάδικα. Ταφική συστάδα Τ35, τάφος Τ35Α: α) Από Ν., β) Βορειοδυτική γωνία από Β., γ) Νοτιοδυτική γωνία από Β., δ) Νότια πλευρά από Β.

Νεκροταφείο Τσιγανάδικα. Ταφική συστάδα Τ35, τάφος Τ35Β: α-β) Πριν από την ανασκαφή από Ν. και Β.

Νεκροταφείο Τσιγανάδικα. Ταφική συστάδα Τ35, τάφος Τ35Β: α-β) Από ΒΑ. και επίπεδο ταφών από Ν.

Νεκροταφείο Τσιγανάδικα. Ταφική συστάδα Τ35, τάφος Τ35Γ: α-β) Πριν από την ανασκαφή από Β. και επίπεδο ταφών από Ν.

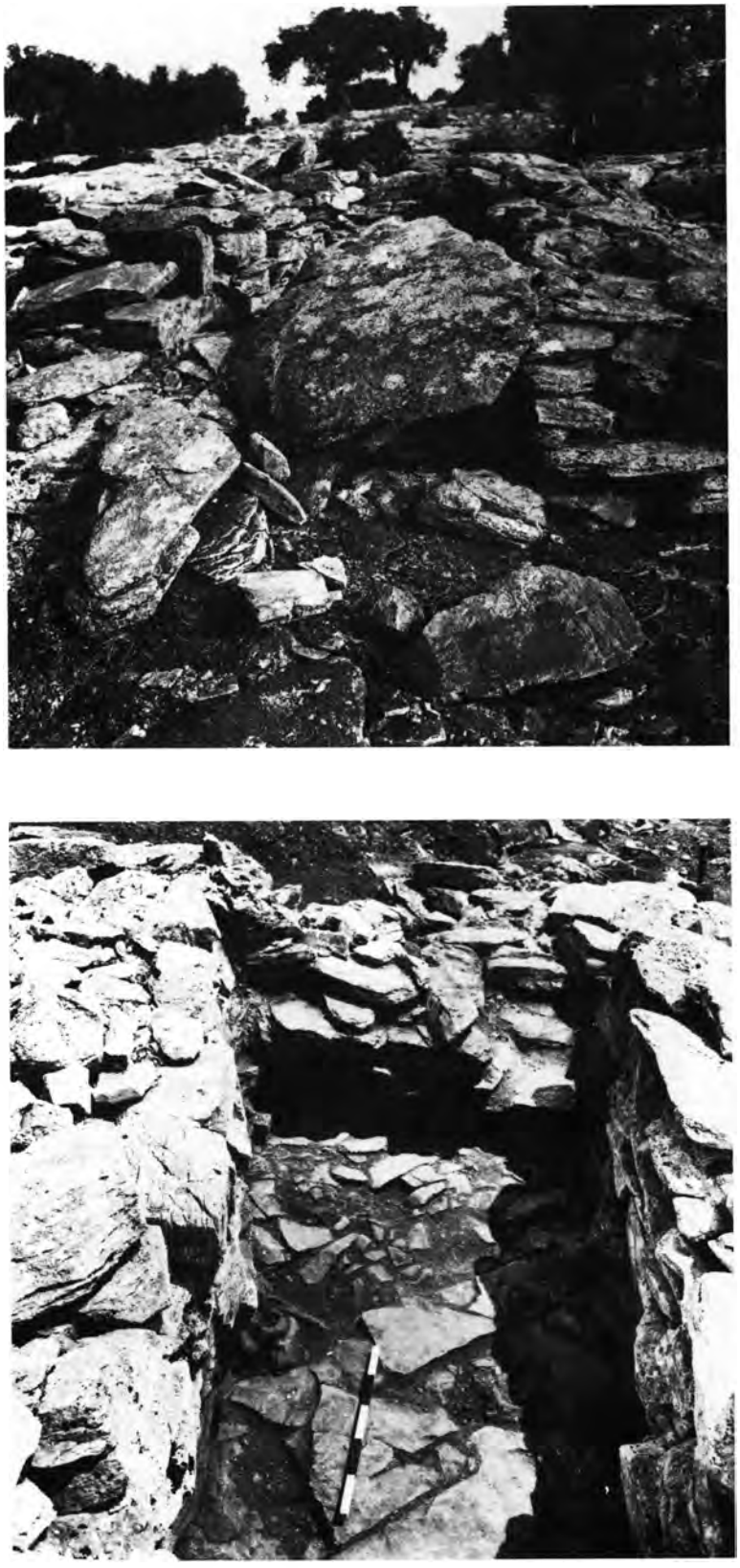

Νεκροταφείο Τσιγανάδικα. Ταφική συστάδα Τ35, τάφος Τ35Δ: α-β) Πριν από την ανασκαφή από Ν. και επίπεδο ταφών από Β.

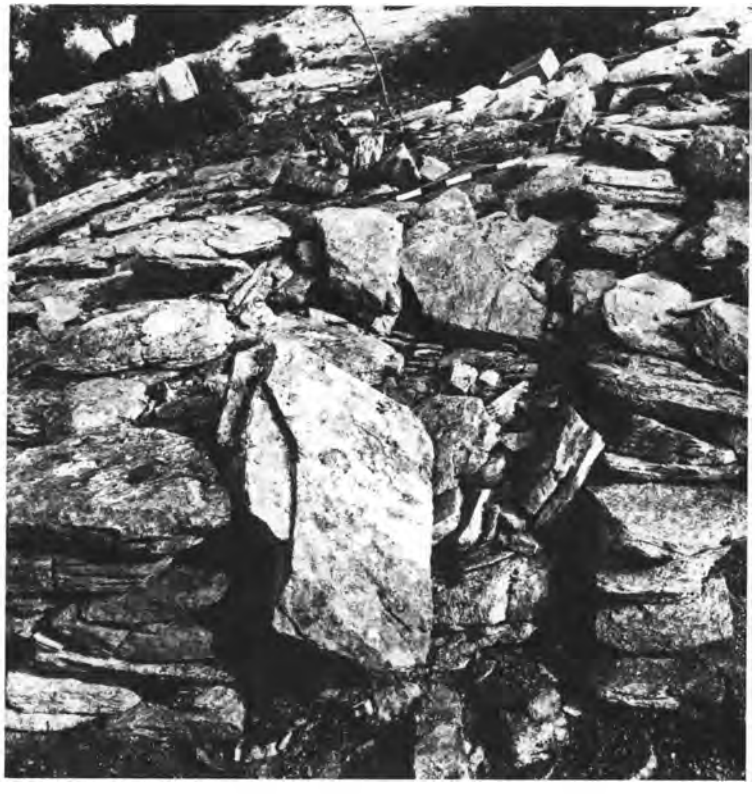

Νεκροταφείο Τσιγανάδικα. Ταφική συστάδα Τ35, τάφος Τ35Ε: α-β) Πριν από την ανασκαφή από Ν. και επίπεδο ταφών από Β.

Νεκροταφείο Τσιγανάδικα. Ταφική συστάδα Τ35, τάφος Τ35ΣΤ: α-β) Πριν από την ανασκαφή από Α. και άποψη από Β.

Νεκροταφείο Λαρνάκι: α-β) Τάφος ΛΑ. Πριν από την ανασκαφή από ΝΑ. και επίπεδο ταφών από Ν., γ) Τάφος ΛΒ. Επίπεδο ταφών από ΝΑ.

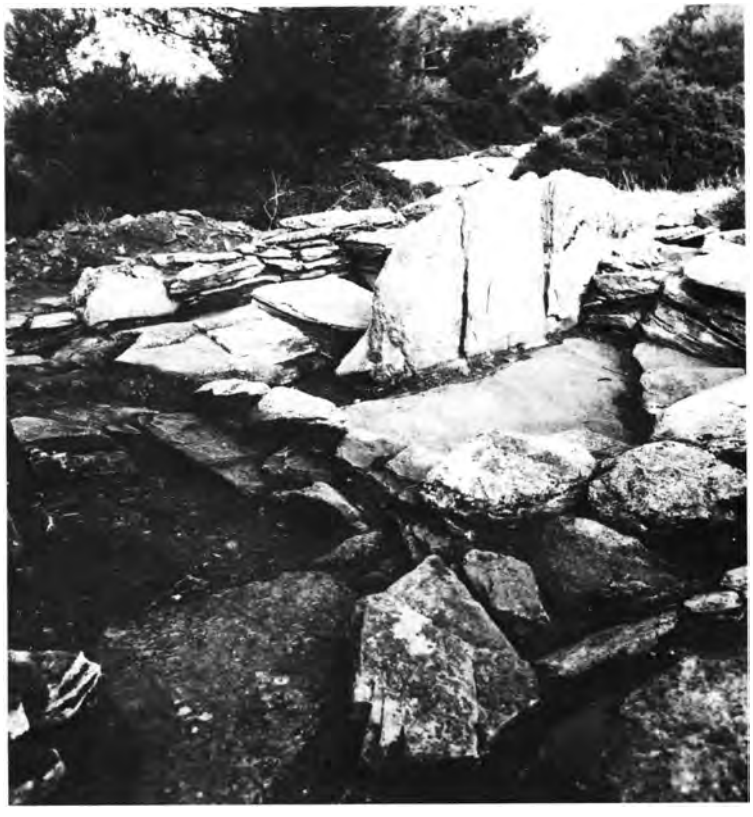

Νεκροταφείο Λαρνάκι: α) Ταφική συστάδα Λ1 από ΝΑ., β) Ταφική συστάδα Λ2 από ΒΔ.

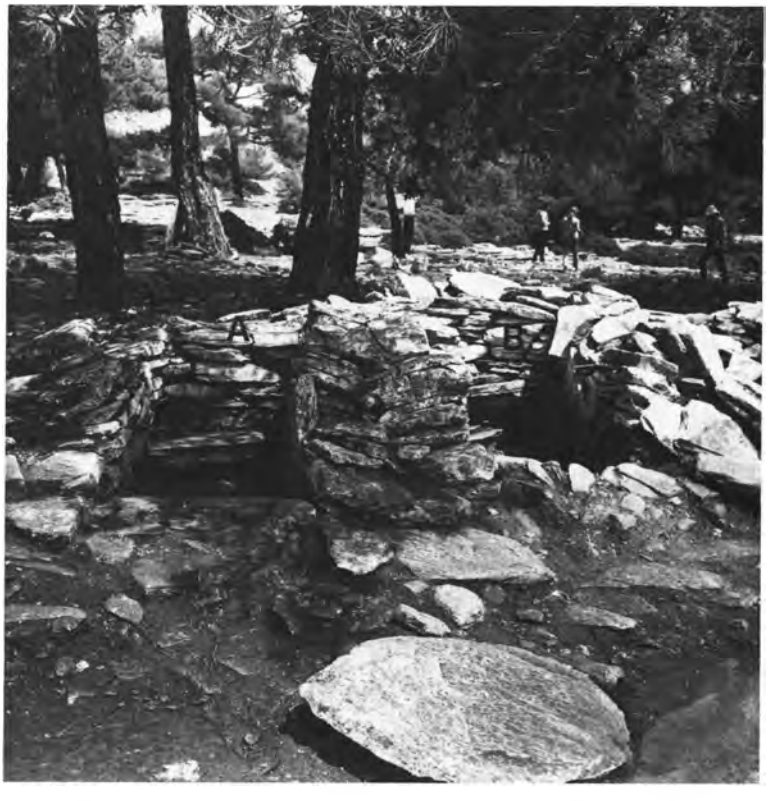

Νεκροταφείο Λαρνάκι. Ταφική συστάδα Λ2: α-β) Τάφοι Λ2Γ και Λ2Δ από ΒΑ. και ΝΔ., γ) Τάφοι Λ2Α και Λ2Β από ΝΔ.

Νεκροταφείο Λαρνάκι. Ταφική συστάδα Λ2, τάφος Λ2Γ: α-β) Επίπεδο ταφών από ΒΑ. και ΝΔ.

Νεκροταφείο Λαρνάκι. Ταφική συστάδα Λ3: α-β) Από ΒΔ. και ΝΑ.

Νεκροταφείο Λαρνάκι. Ταφική συστάδα Λ3, τάφος Λ3Γ: α-β) Στρώματα Ι και ΙΙ από ΝΔ.

Νεκροταφείο Λαρνάκι: α-β) Ταφική συστάδα Λ3, τάφος Λ3Δ. Προθάλαμος και επίπεδο ταφών από ΝΔ., γ) Ταφική συστάδα Λ4 από Δ.

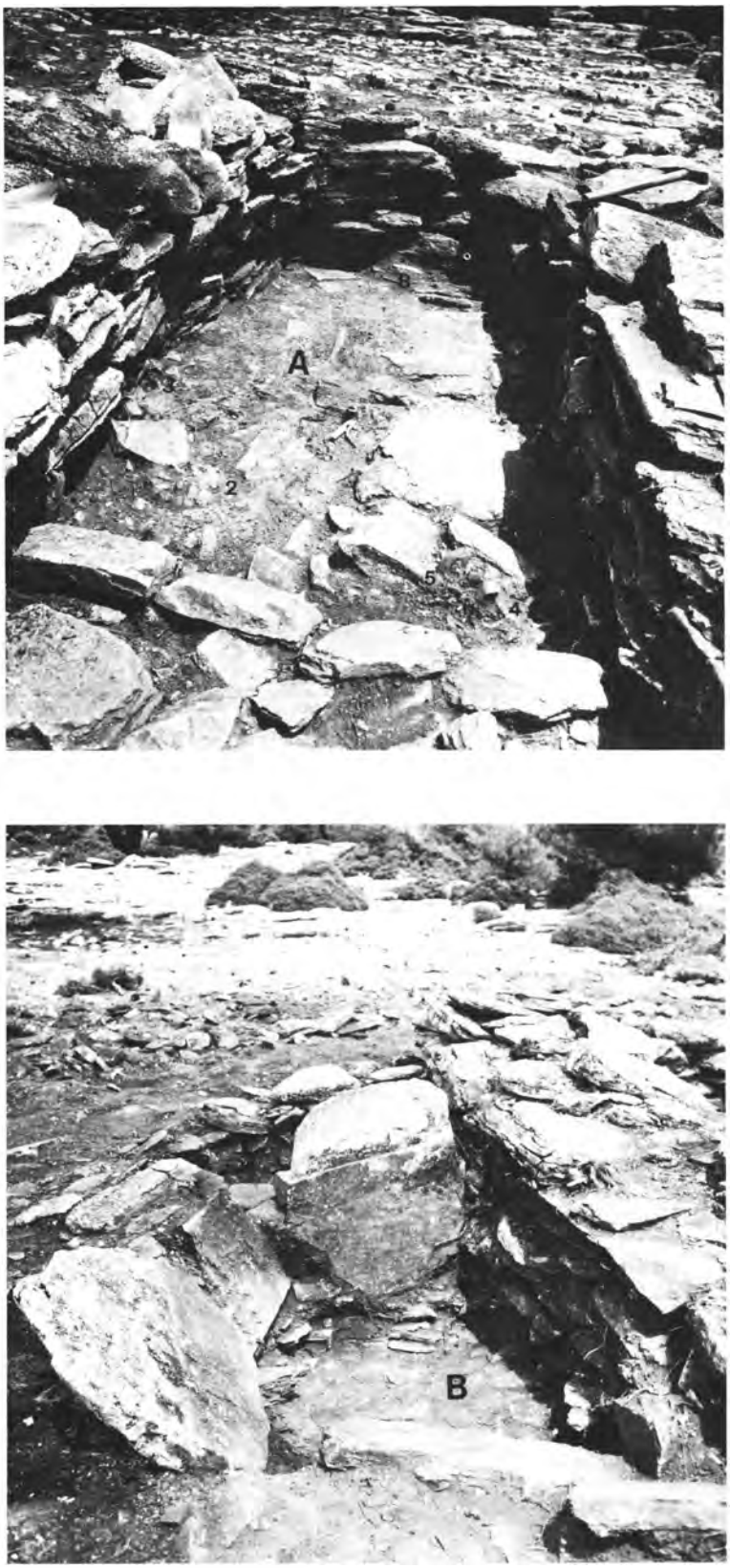

Νεκροταφείο Λαρνάκι. Ταφική συστάδα Λ4: α) Τάφος Λ4Α. Επίπεδο ταφών από Ν., β) Τάφος Λ4Β από Ν.

Νεκροταφείο Λαρνάκι. Ταφική συστάδα Λ5: α-β) Από ΒΔ. και στρώμα λίθων από ΒΑ.

Νεκροταφείο Λαρνάκι. Ταφική συστάδα Λ5, τάφος Λ5Α: α-β) Από Α. και βορειοανατολική γωνία από Ν.

Νεκροταφείο Λαρνάκι. Ταφική συστάδα Λ5, τάφος Λ5Β: α-β) Από Δ.

Νεκροταφείο Λαρνάκι. Ταφική συστάδα Λ5, τάφος Λ5Γ: α-β) Από Δ. και δυτικό άκρο από Ν.

Νεκροταφείο Λαρνάκι. Ταφική συστάδα Λ5, τάφος Λ5Γ: α-β) Από Δ. και ανατολική πλευρά από Α.

α) «Στήλη» τάφου Κ1Α από Ν., β) Πλάκες κάλυψης και όρθια «στήλη» τάφου Κ2Ε από Ν., γ) Όρθια πλάκα τάφου Κ2Ε από Δ.

α) Όρθια πλάκα τάφου Τ19Α από Δ., β) Όρθια πλάκα στο εσωτερικό της βορειοδυτικής γωνίας του τάφου Τ17Β από Α.

1

2

3

4

5

6

1) Ίχνη ταινιών «κουλούρας» στην εσωτερική επιφάνεια αγγείου, 2) Ίχνη δακτύλων από «τράβηγμα» στην εσωτερική επιφάνεια αγγείου, 3) Ίχνη προσθηκών πηλού με ταινίες, 4) Ίχνη δακτύλων στην εσωτερική επιφάνεια αποθηκευτικού αγγείου, 5) K1A61, 6) K1,13.

1) T18II(29)41, 2) B1Δ(1)6, 3) K2E(1)4, 4) Λ4A(4)2, 5) K1,2, 6) T13I(2)2, 7) T1II(11)41, 8) K6E(1)1.

1) T18V(98)110, 2) B1ΓIV(3)33, 3) K4B(4)8, 4) B2A(1)1, 5) T18V(103)113, 6) T18I(13)32, 7) T18I(15)36, 8) K1,7, 9) K1Γ(2)2.

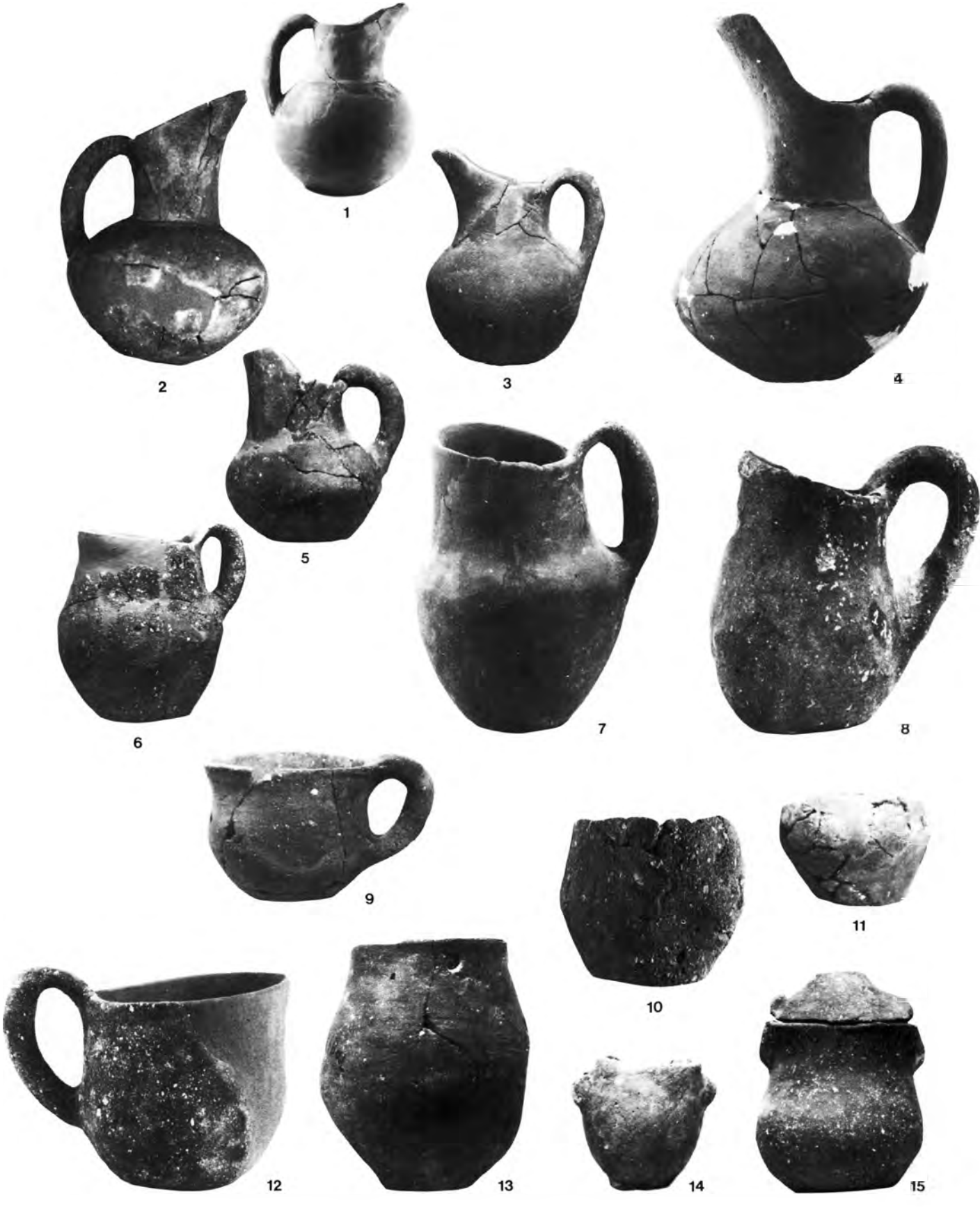

1) Β1Β(5)1, 2) Τ18Ι(14)13, 3) Τ27Α(3)1, 4) Β1ΓΙV(2)32, 5) Β1ΓΙΙΙ(6)20, 6) Λ3ΓΙ(4)1, 7) Κ6Β(β2)2, 8) Κ1,5, 9) Τ18Ι(10)10, 10) Τ18VI(115)137, 11) Κ6Β(βγ1)4, 12) ΛΒ(4)2, 13) Κ6Β(Βα1)6, 14) Κ6Γ(1)1, 15) Β1Δ(5)4.

1

2

3

4

5

6

7

8

1) T15(1)4, 2) T20ΓΙΙ(22)24, 3) K2H(6)8, 4) T14BI(10)12, 5) K1A6, 6) K1A2, 7) K1A20, 8) T13.

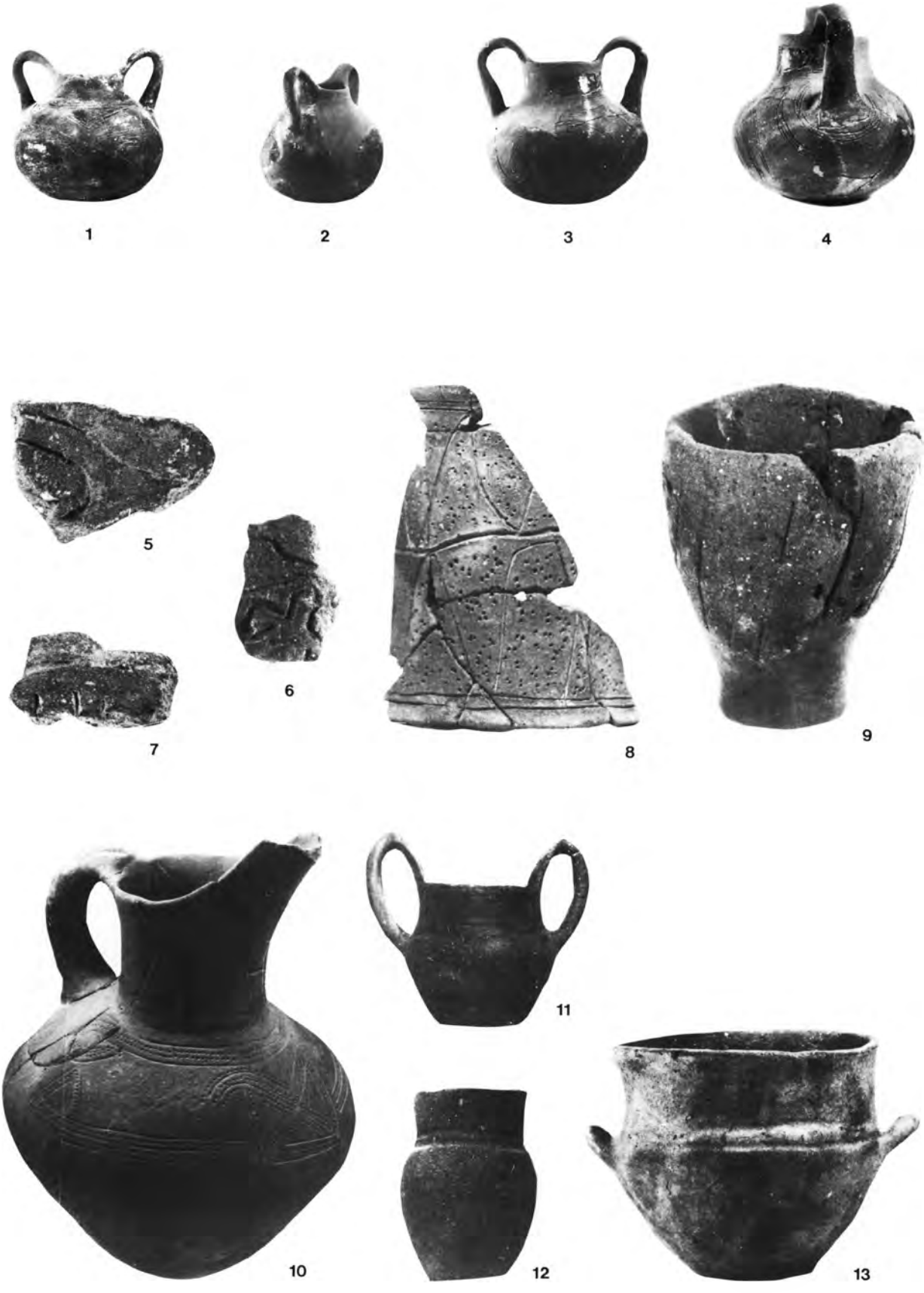

1-2) Κ1,1, 3-4) Κ1Γ(1)1, 5-7) Τ13Π, 10, 13, 14, 8) Τ18ΑΠ(16)71, 9) Τ1Π(2)42, 10) Β1Δ(3)1, 11) Τ35Α(7)11, 12) Τ17ΑΙΙ(4)6, 13) Κ4ΒΙ(2)9.

1

2

3

4

5

6

7

1) Τ3Γ(7) 4, 2) Τ20ΓΙΙ(16)20, 3) Τ3Γ(7)4, 4) Κ4ΒΙ(1)5, 5) Κ4Α(1)5, 6) Κ3ΑΙΙ(7)8, 7) Τ14Α(10)9.

1

2

3

4

5

6

7

1) Τ14Α(4)5, 2) Κ6Β(α2)3, 3) Κ3ΑΙΙ(4)7, 4) Τ8(8)6, 5) Κ2Ζ(3)4, 6) ΛΑ(2)2, 7) Κ3Β(5)4.

1) T3B(4,5,8)6, 2) K5BII(12)14, 3) Λ1B7, 4) T16II(4)4, 5) K6B(α4)1, 6) K6B(α3)2, 7) T18I(5)7, 8) K4B(7)3.

1) Τ1(3)36, 2) Β1Α(3)12, 3) Κ2Ζ(1)2, 4) Κ2ΣΤ(2)2, 5) Λ2Δ8, 6) Κ5ΒΙΙ(15)12, 7) Κ2ΣΤ(3)3, 8) Κ3ΑΙΙ(2)9, 9) Κ3Β(3)2, 10) Λ3Α(1)1, 11) Λ1Β5.

1

2

3

4

5

6

1) B1Δ(2)1, 2) K6Δ(2)1, 3) K4A(8)9, 4) K3B(2)1, 5) K3B(4)3, 6) B2(6)12.

1) Τ29ΙΙ(22)34, 2) Λ3ΔΠΡ3, 3) Λ5Α(4)2, 4) Λ4Α(1)1, 5) Λ1Β9, 6) Λ2Δ8, 7) Αμφορέας Τπ. VIB από τον οικισμό Καστρί, τομέας ΙΙ, οικία Ι, 8) Τ17ΑΙΙ(2)4, 9) Κ5ΒΙΙ(18)19, 10) Τ19Α13.

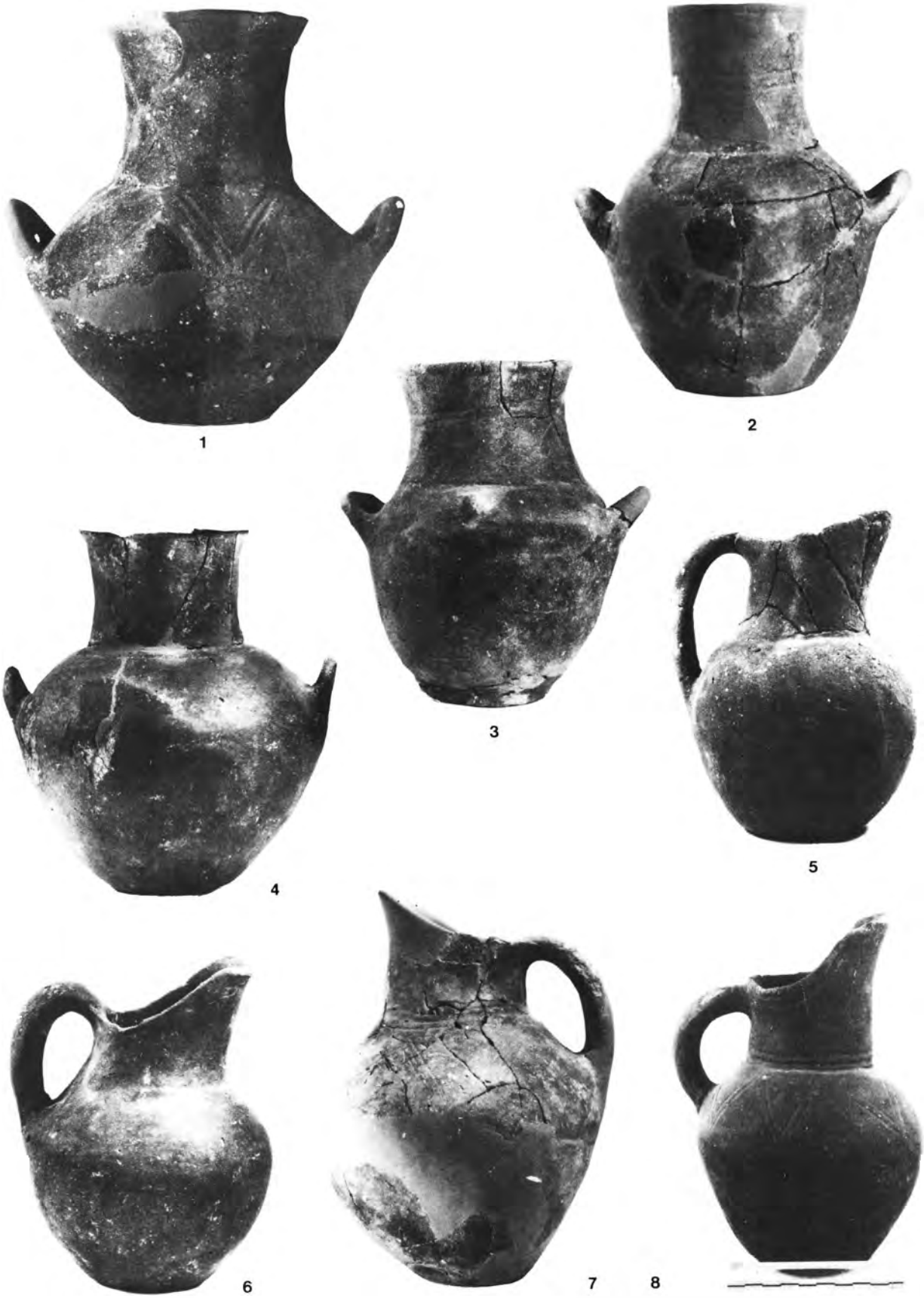

1) Τ20ΓΙΙ(15)21, 2) Κ3Β(7)1, 3) Κ3ΑΙΙ(1)10, 4) Κ2Ζ(2)7, 5) Τ7Γ(3)3, 6) Κ2ΣΤ(1)1, 7) Λ3ΓΙΙ14, 8) Κ6Β(β3)1.

1) Τ20ΓΙ(25)12, 2) Κ3ΑΙΙ(5)1, 3) Τ7Γ(4)5, 4) Κ2ΣΤΙΙ(7)2, 5) Οινοχόη Τπ. VIIΔ από τον οικισμό Καστρί, τομέας ΙΙ, οικία Ι.

1

2

3

4

5

1) Τ18ΑΠ(1)1, 2) Θραύσματα αγγείων Τπ. XII, 3) Κ2Β-Γ40, 35, 4) Τ15, 10-12, 5) Τ27ΑΠ(12)29.

1

2

3

4

5

6

1-2) Τ27ΑΙΙ(1+3)15, 3) Τ27ΑΠ(5)78, 79, 4) Λ3ΓΙ(7)9, 5) Πίθος Κ2Ι,1, 6) Πίθος Κ6Γ4.

1

2

3

4

5

6

7

1-2) Πίθος K6E8 και λεπτομέρεια της διακόσμησης, 3) T18I(8)30, 4) T18III(63)69, 5) T18V(58)101, 6) T18V(89)112, 7) T1II(7)47.

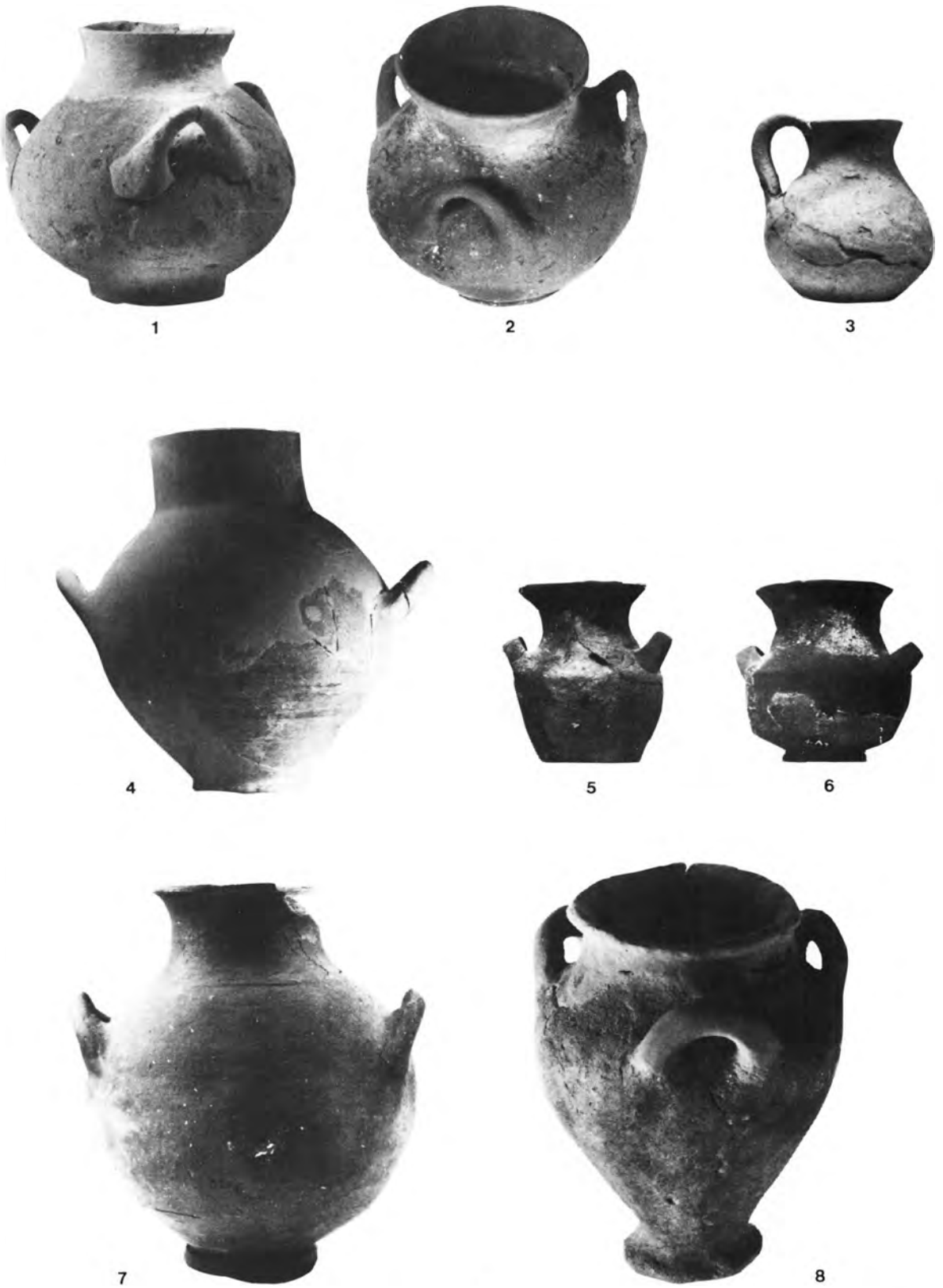

1) B1ΓIII(7)25, 2) T1I(γ1)7, 3) T18II(24)43, 4) K4A(5)2, 5) K4A(9)8, 6) B1ΓII(5)13, 7) B1ΓIV(4)34, 8) T1II(21)44.

1

2

3

4

5

6

7

1) T32II(4)2, 2) T20AI(5)5, 3) K3B(5)5, 4) B3II(1)1, 5) T19AI5, 6) K3AI(1)1, 7) T11+II, 90, 91.

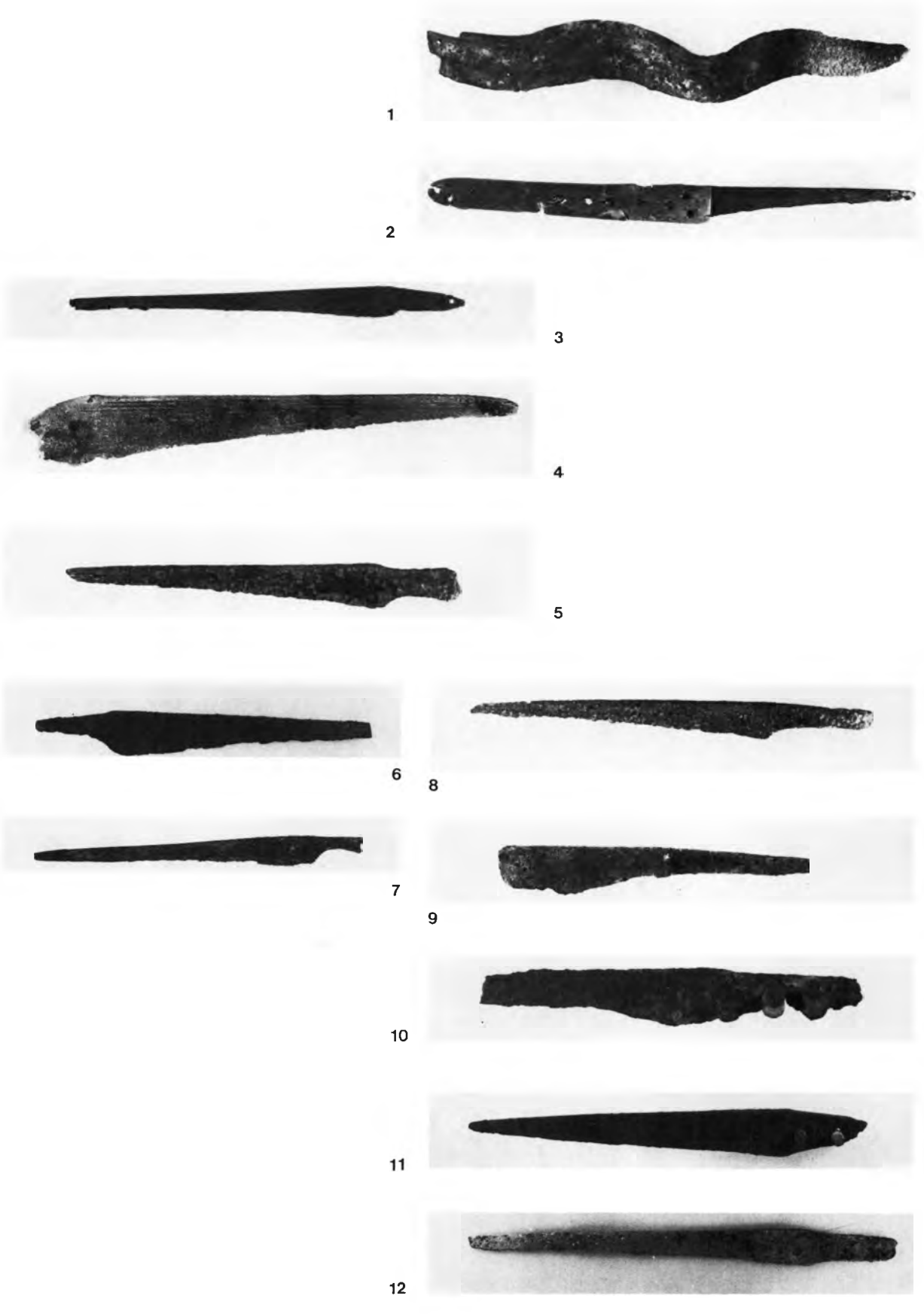

1) T12,2, 2) T18V(97)102, 3) K1A(2)69, 4) T1II(20)62, 5) T21(3)4, 6) K1Γ(3)3, 7) K1A(3)70, 8) T21(2)3, 9) K5BII(33)32, 10) T18(133)169, 11) T1I(γ4)9, 12) T1I(ζ10)19.

1

2

3

4

5

6

7

8

1) T18Iβ(30)33, 2) T1I(η3)31, 3) Λ1B18, 4) T18III(71)73, 5) K6E2, 6) B1Δ(6)3, 7) K4A(13)10, 8) K2E(14)26.

1

2

3

4

5

6

7

8

9

10

11

1) Λ3ΓΙΙ(14)17, 2) Τ3Β(3)3, 3) Β2(10)9, 4) Τ29ΙΙ(26)40, 5) Β1ΑΙΙ(15)14, 6) Κ6Ε3, 7) Κ4Α ΑΠ(22)6, 8) Κ2Ζ(4)6, 9) Τ20ΑΙΙ(14)4, 10) Τ10,2, 11) Κ6Γ(2)3.

1

2

3

4

5

6

7

8

9

10

11

12

13

14

15

16

1) T27AII(12)13, 2) Λ5A(1)3, 3) T35BII(6)7, 4) K5BII(32)31, 5) B2(8)2, 6) T35A(12)14, 7) T30A(9)11, 8) K5BII(34)33, 9) T27AII(16)14, 10) T7B9, 11) T19AI(5)10, 12) ΛB(7)6, 13) T34BII(7)1, 14) T8(11)4, 15) T34BII(8)2, 16) T8(12)5.

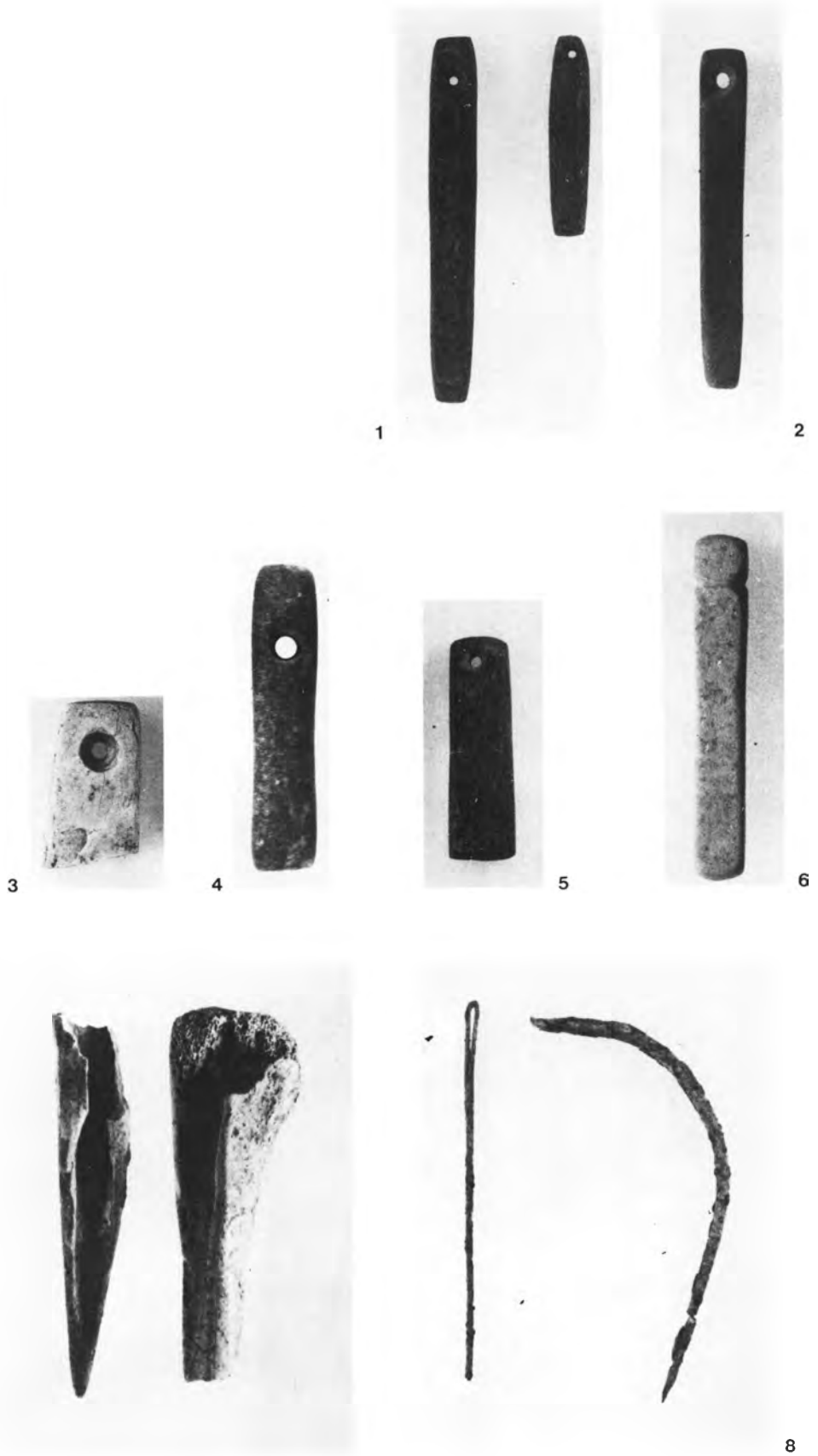

1-2, 3-5, 6) Λίθινα ακόνια Τπ. Ακ. 1, Ακ. 2 και Ακ. 3, αντίστοιχα, 7) Οστέινες αιχμές, 8) Χάλκινες βελόνες Τπ. Β1 και Β2.

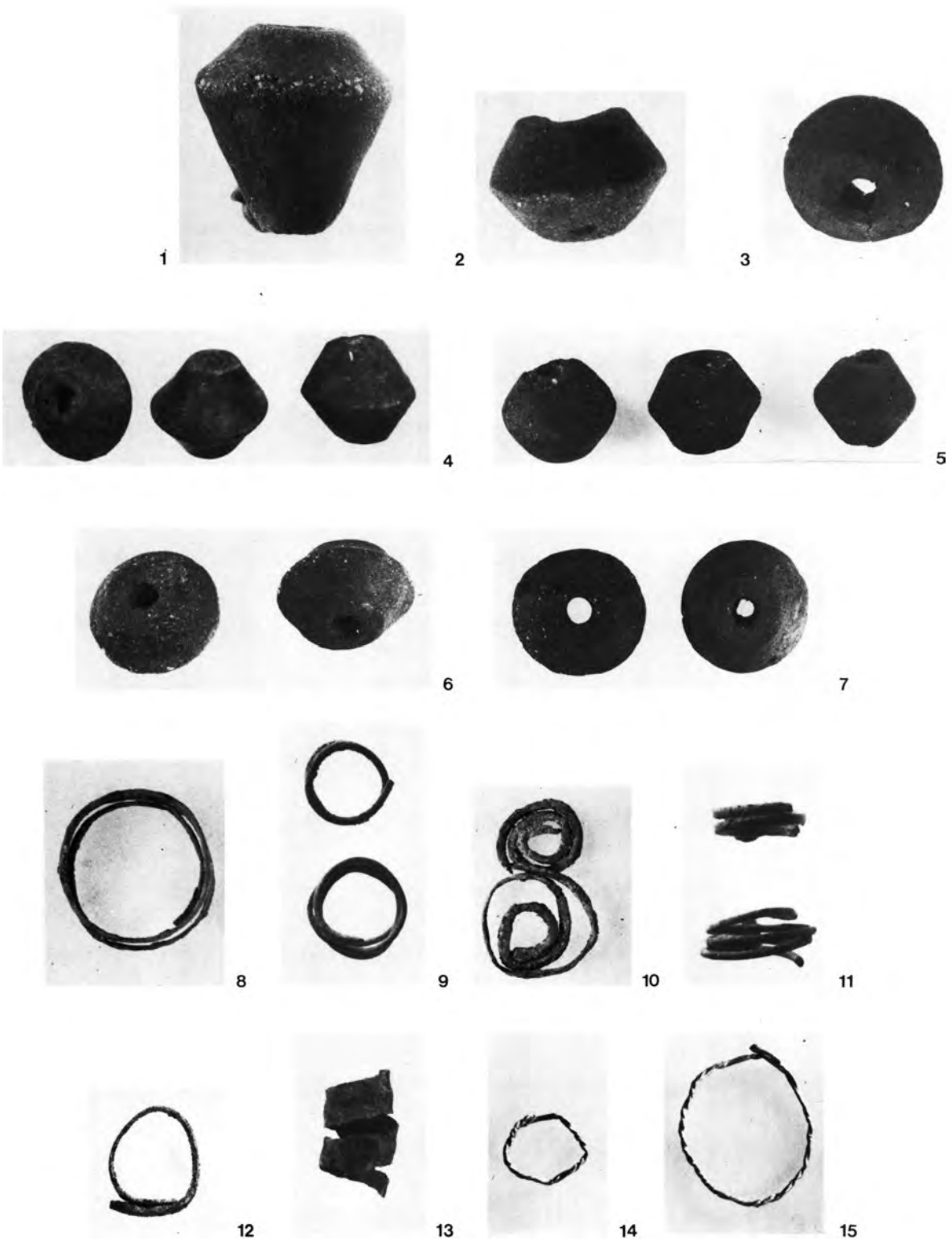

1, 2, 3-7) Πήλινα σφονδύλια τύπου ΣΙ, 1β, ΣΙ, 2 και ΣΙΙ, αντίστοιχα, 8-13) Χάλκινοι σφηκωτήρες: 8) Κ2ΣΤΙ(8)6, Τπ. Σφ. 1, 9) Τ34Β(11)4, Τπ. Σφ. 2, 10) Τ24ΙΙ28, Τπ. Σφ. 3, 11) Τ24ΙΙ27, Τπ. Σφ. 4, 12) Τ14Α(6)3, Τπ. Σφ. 5, 13) Κ3ΑΙ(5)6, Τπ. Σφ. 6, 14-15) Χρυσοί σφηκωτήρες Τ18 (149, 160), 160, 159, Τπ. Σφ. 7.

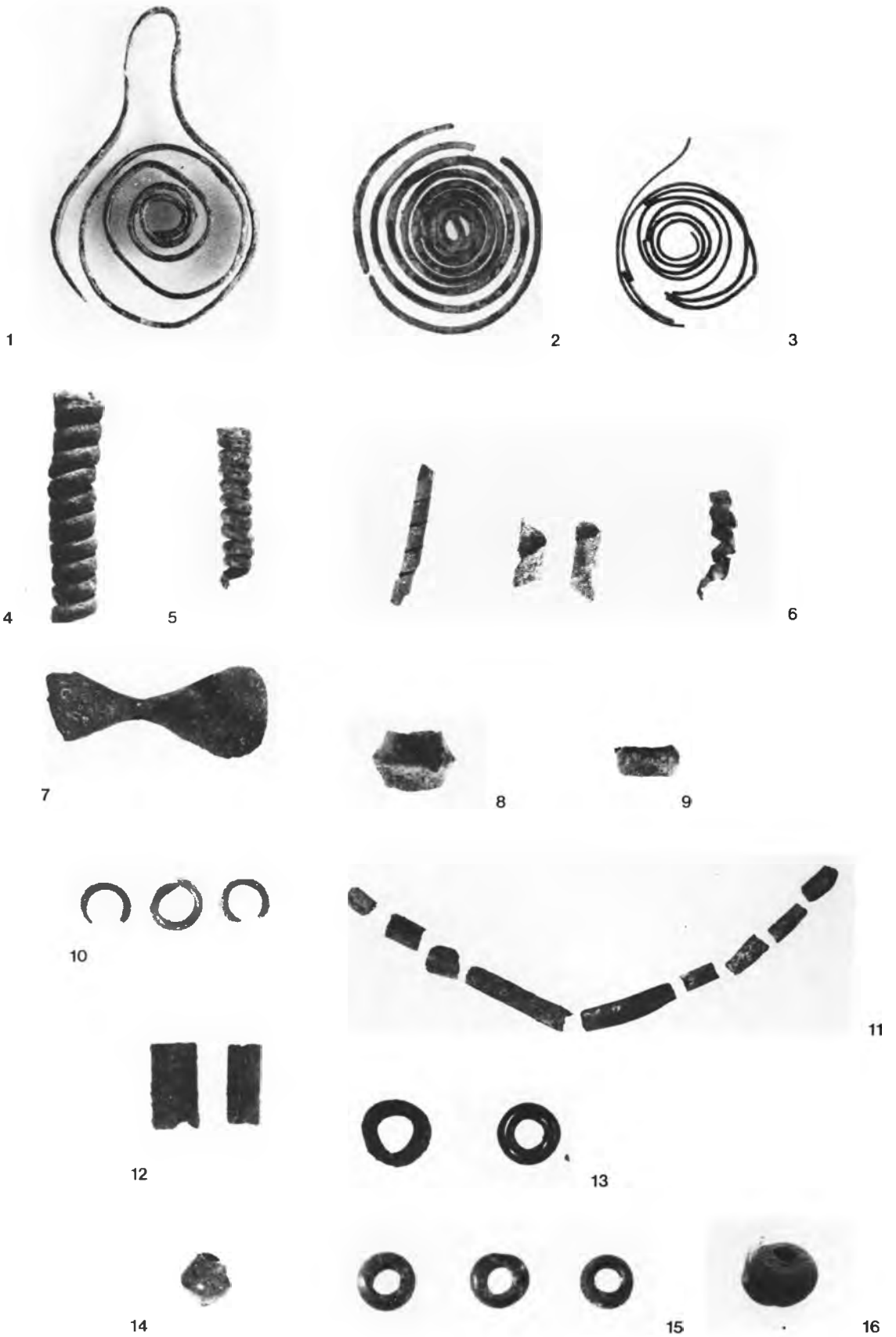

1-3) Χάλκινα ενώτια K2E(7)34, K2E(12)35 και T2A(12)5, 4-5) Χάλκινες σύριγγες T18VI(112)126, Τπ. Σρ. 1 και T1I(ζ2)16, Τπ. Σρ. 1, 6) Χάλκινες σύριγγες Τπ. Σρ. 2, 7) Χάλκινος μικρογραφικός πέλεκυς T1II(23)51, 8-12, 14) Χάλκινες ψήφοι: 8) K1A74, Τπ. Ψχ1, 9-10) K1A76 και T21(4)5, Τπ. Ψχ2, 11) T2B(4)8, Τπ. Ψχ4 σε όρμο, 12) K2E(13)27-28, Τπ. Ψχ4, 14) K3AI(4)4, Τπ. Ψχ5, 13, 15) Ψήφοι από στιλπνή υαλόμαζα Τπ. Ψυ1, 16) Ψήφος από φαγεντιανή K1A78, Τπ. Ψυ2.

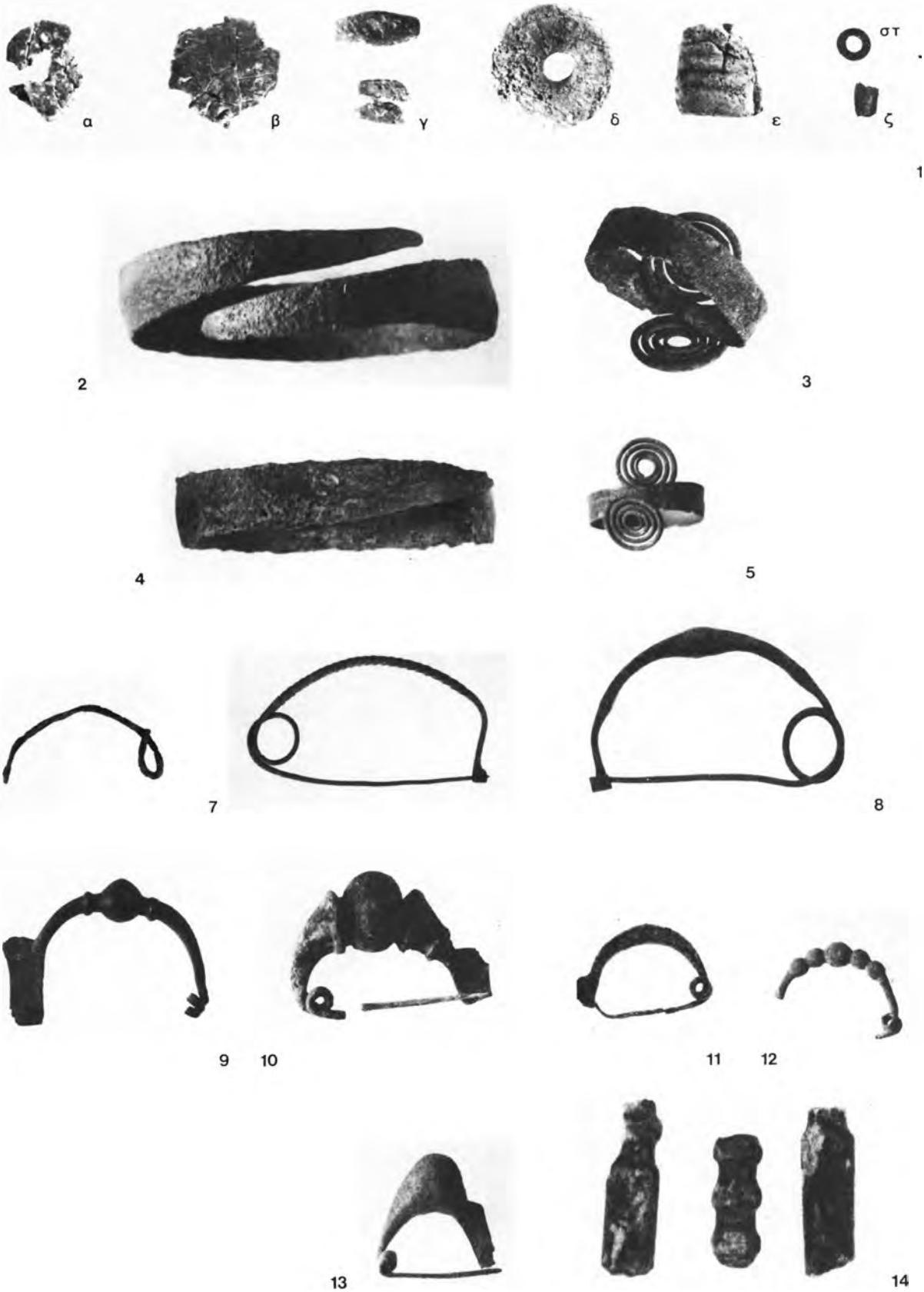

1) Ψήφοι από ήλεκτρο: α) Τ18VI(116)132, Τπ. Ψη1, β) Τ18III(102)133, Τπ. Ψη2α, γ) Τ18III(92)84, Τπ. Ψη2β, δ) Β1ΓIII(28)22, Τπ. Ψη4, ε) Β1ΓIII(26)21, Τπ. Ψη5, στ) Β3II(8)9, Τπ. Ψη6, ζ) Τ18VI(148)155, Τπ. Ψη3, 2, 4) Χάλκινο βραχιόλι Τ18VI(146)161, 3, 5) Χάλκινο δακτυλίδι Β1ΓΙ(11)8, 6-13) Χάλκινες πόρπες: 6) Τ1II(9)50, Τπ. Π1α, 7) Κ2ΣΤII(9)7, Τπ. Π1β, 8) Κ4ΒΙ(10)10, Τπ. Π2, 9) Τ22ΑΠ(5)20, Τπ. Π3, 10) Τ19ΑΙ(4)7, Τπ. Π4, 11) Κ3ΑΙ(3)7, Τπ. Π5, 12) Β3II(2)14, Τπ. Π6, 13) Β3II(9)13, Τπ. Π7, 14) Θραύσματα οστέινων περονών Τ1Ι(α4-6)4-6.

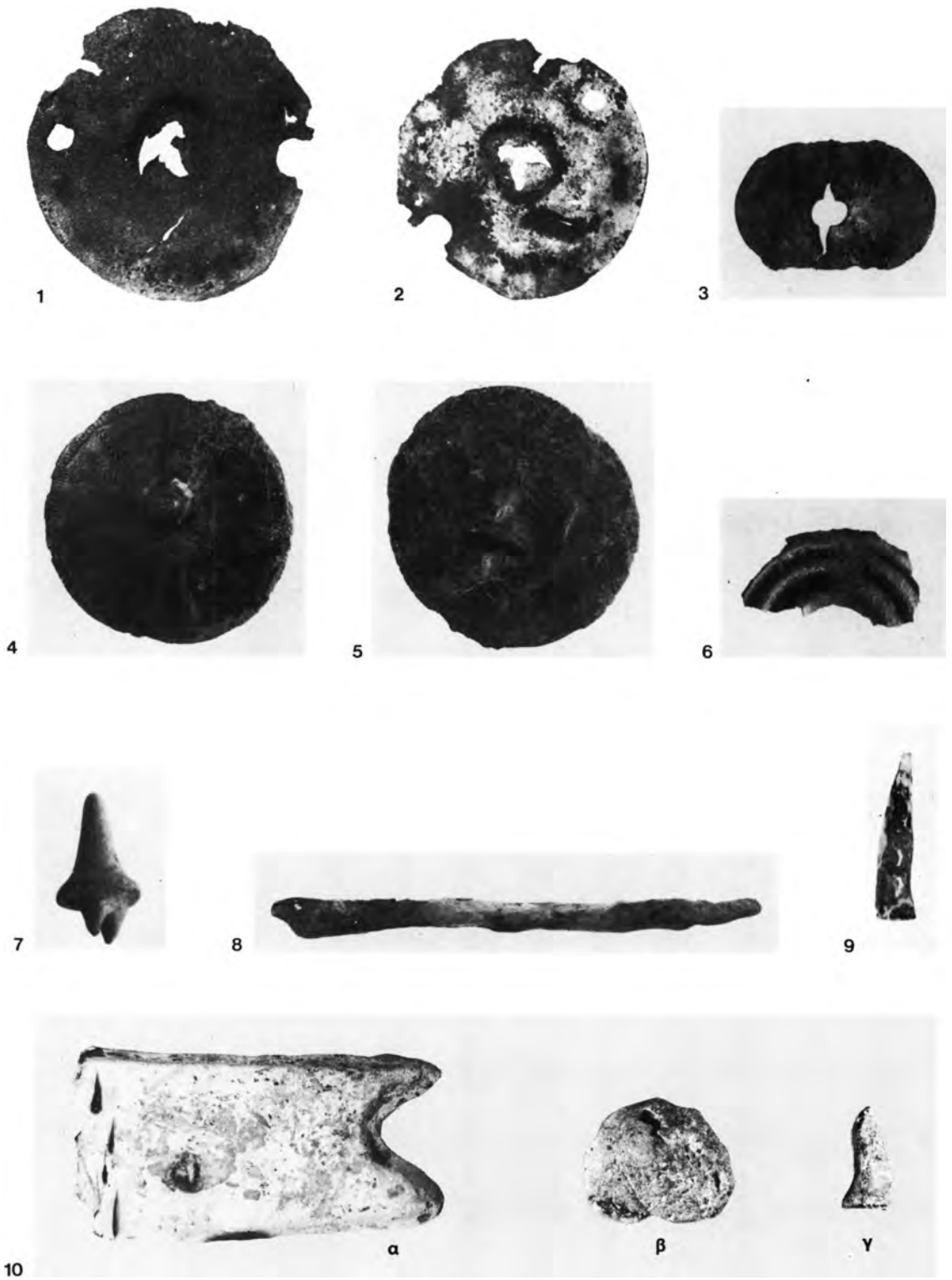

1-2, 3, 4-5, 6) Χάλκινα επιρράμματα: 1-2) Τ2Α(13)6, Τπ. Τ3α, 3) Τ2Β(8)9, Τπ. Τ3β, 4-5) Τ7Γ(8)10, Τπ. Τ5, 6) Τ17Β(9)13, Τπ. Τ4, 7) Χάλκινο ομφάλιο Β3ΙΙ(7)10, 8) Μολύβδινο στέλεχος Λ2Δ13, 9) Μολύβδινη αιχμή Λ3ΓΙΙ(15)16, 10) (α-β) Μολύβδινα αντικείμενα Τ3Β(7)2 και Τ29(6)30, (γ) Μολύβδινη αιχμή Τ29ΙΙ(23)41.

1

2

3

4

5

6

7

8

1-5) Μολύβδινοι σύνδεσμοι αγγείων των νεκροταφείων Καστρί και Λαρνάκι, 6, 8) Τ18ΑΠ, 10, 11, 11α, θραύσματα ειδωλίων και η πίσω όψη τους, 7) Κεφαλή ειδωλίου Τ18ΑΠ9.

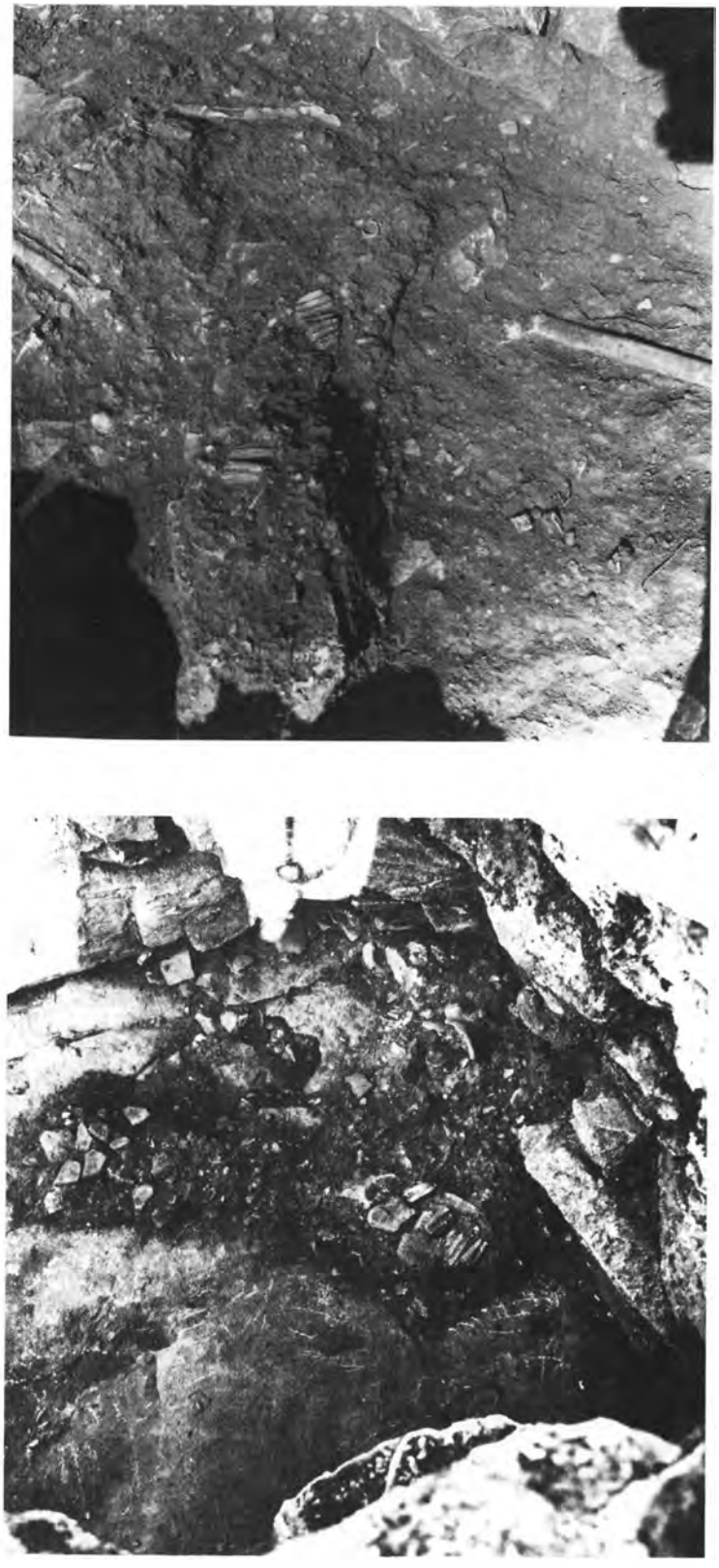

α-β) Οστά ζώων στο επίπεδο ταφής των τάφων Τ14Α και Τ35Γ.

α) Αποθέτης οστών και όστρεο έξω από τη νοτιοανατολική πλευρά του τάφου Τ27Α, β) Όστρεο από το εξωτερικό του τάφου Τ19Β, γ) Όστρεο από το εσωτερικό του τάφου Τ1, δ) Λατομείο στο νεκροταφείο Τσιγανάδικα, ε) Θραύσμα λίθινης μήτρας χάλκινου πέλεκυ.

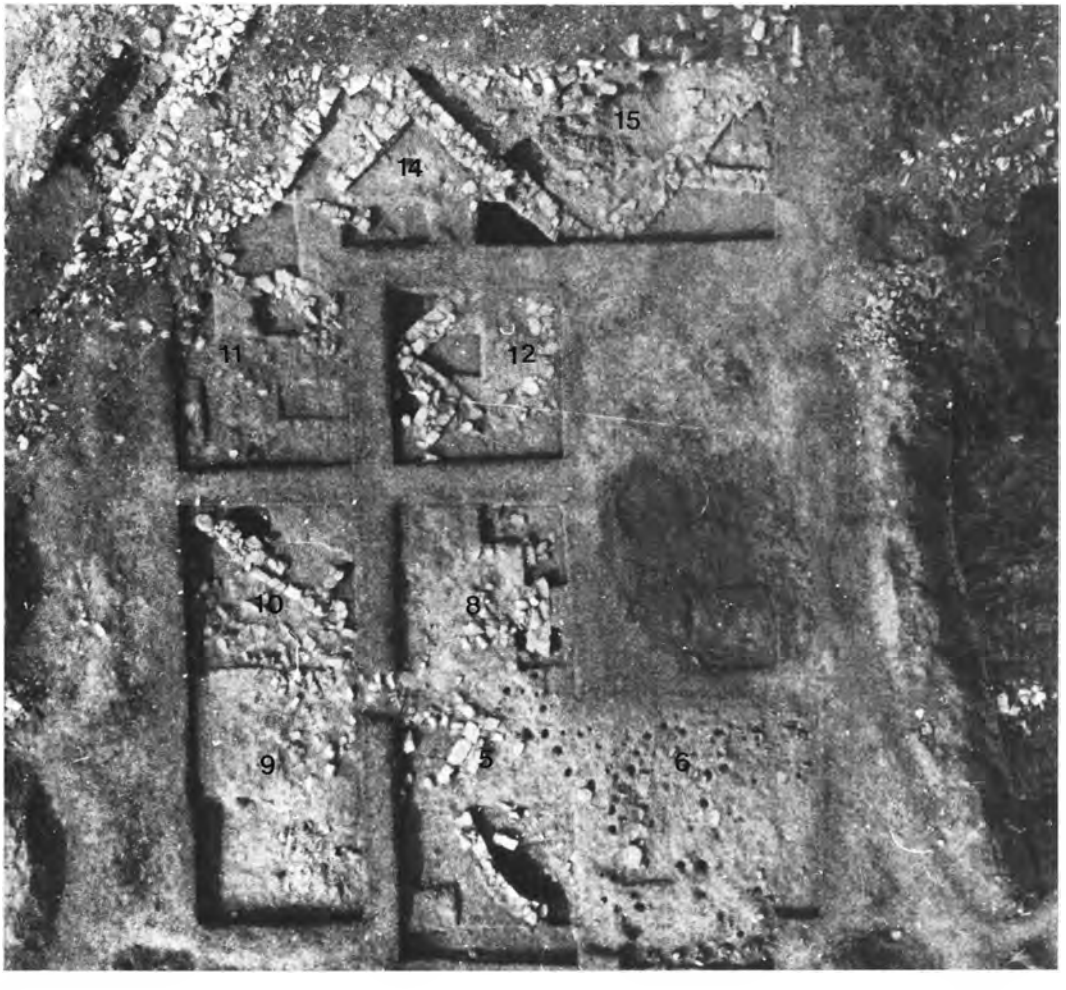

Οικισμός Καστρί: α) Τετράγωνο 6. Πασσαλόπηκτο κτίριο (λεπτομέρεια), β) Γενική άποψη του ανασκαφικού τομέα. Χαλκολιθική φάση: τετράπλευρα κτίσματα, περίβολος (;) (τετράγωνα 10, 12, 13, 14, 15). Ύστερη εποχή του χαλκού: πασσαλόπηκτα κτίσματα (τετράγωνα 5, 6). Πρώιμη εποχή του σιδήρου: τμήμα αψιδωτού κτίσματος (τετράγωνο 5).

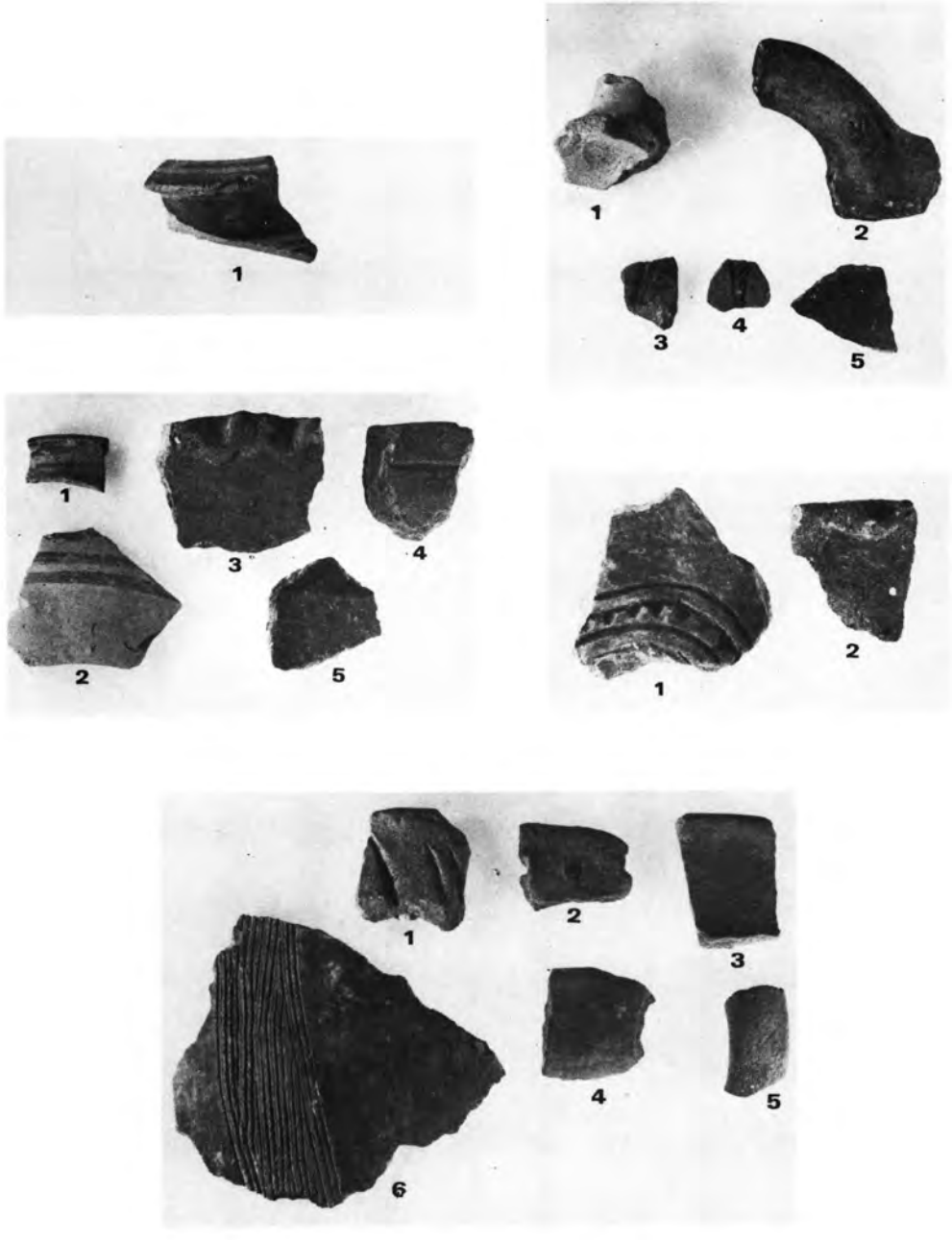

α-ε) Οικισμός Καστρί. Κεραμική από το δάπεδο πασσαλόπηκτου κτιρίου, τετράγωνο 6 (τοπική χειροποίητη - επείσακτη μυκηναϊκή).

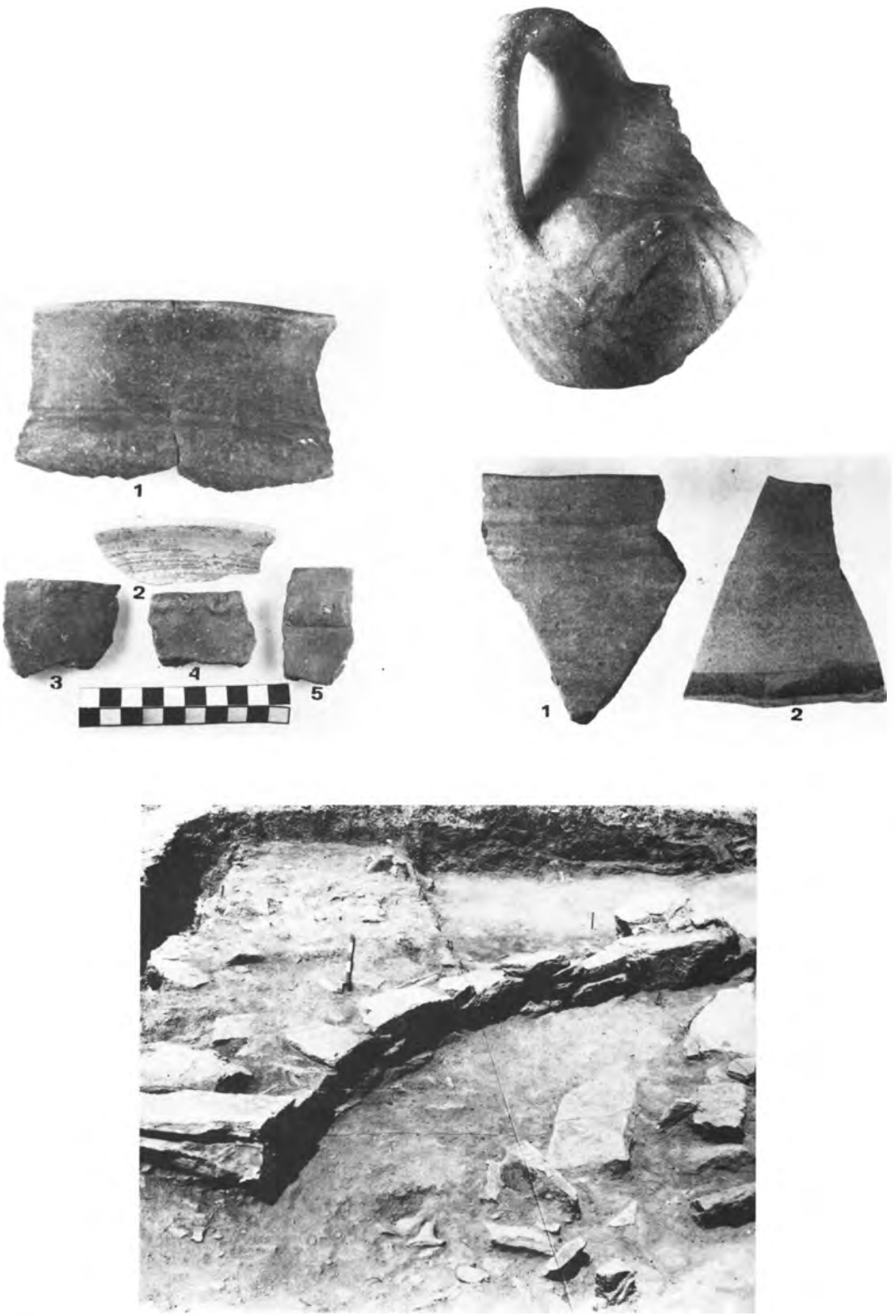

Οικισμός Καστρί, τετράγωνο 5: α) Αγγείο από το δάπεδο του αψιδωτού κτιρίου, β-γ) Κεραμική τοπική χειροποίητη - επείσακτη τροχήλατη, δ) Τοίχος αψιδωτού κτιρίου πρώιμης εποχής του σιδήρου.

Παλιόκαστρο Μαριών: α) Άποψη του λόφου, β) Πύργος στη βορειοανατολική πλευρά της κορυφής.

Άι-Λιας: α) Άποψη περιβόλου, β) Άποψη κυκλικού πύργου.

a

b

c

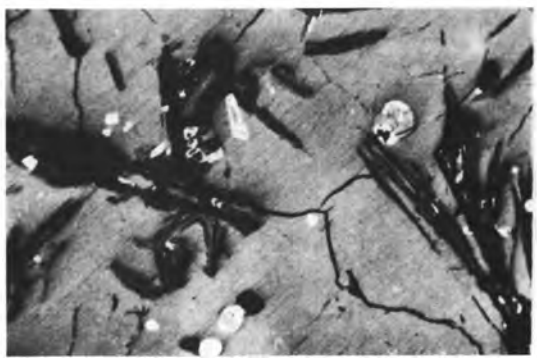

d

e

f

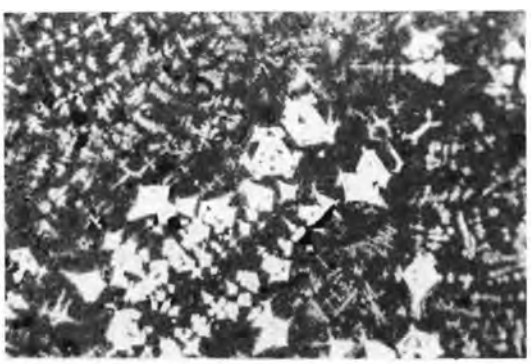

g

a) D399. Iron slag, Kastri, Thasos. Dendrites of wustite (light grey), silicate matrix (dark grey), holes (black), amorphous corroded area (grey, middle), metallic iron prill (white). 100x. b) D384a. Copper slag, Kastri, Thasos. Magnetite (plates), fayalite (lathes), silicate matrix. 200x. c) D385. Copper slag, Kastri, Thasos. Magnetite (plates), fayalite (lathes), silicate matrix. 200x. d) Tsiore. Copper slag, Kastri, Thasos. Silicate matrix (glassy), metallic sulfide prills (round), magnetite plates, barium-rich needles. 100x. e) D394a. Copper slag, Kastri, Thasos. Silicate matrix, barium-rich needles, wustite dendrites (white). 200x. f) Pal.Thas.1. Paliokastro, Thasos. Magnetite plates, wustite dendrites (fine), silicate matrix consisting of a fine eutectic of fayalite and mellilite. 100x. g) Pal.Thas.2. Paliokastro, Thasos. Magnetite plates, wustite (fine), silicate matrix consisting of a fine eutectic of fayalite and mellilite. 100x.

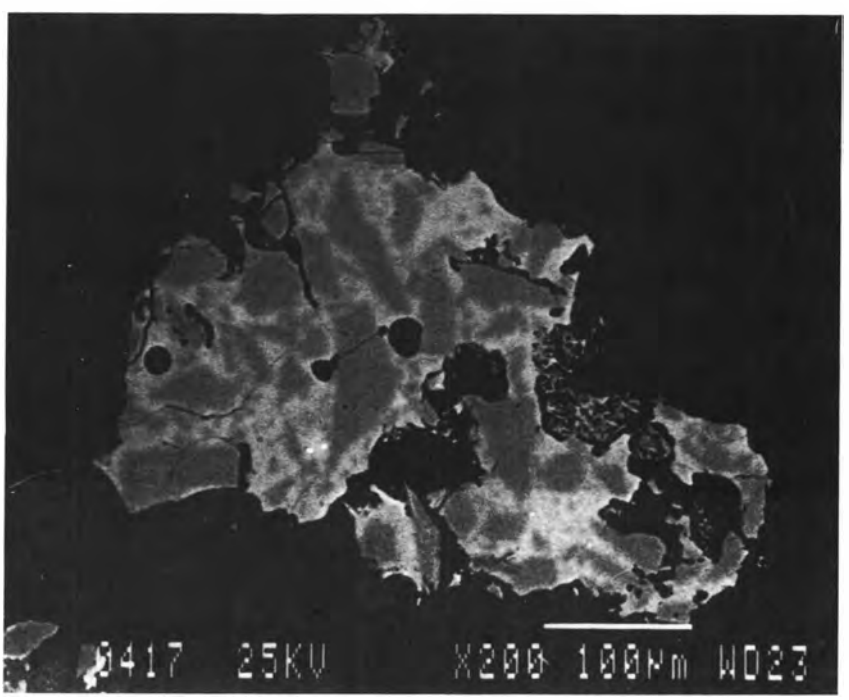

A backscattered electron micrograph of a sample of faience from Kentria tomb K1A. Note the dark grey angular silica crystals bathed in a glassy matrix. The holes in the sample are sectioned voids in the glassy phase.

Η «ΠΡΩΤΟΪΣΤΟΡΙΚΗ ΘΑΣΟΣ. ΤΑ ΝΕΚΡΟΤΑΦΕΙΑ ΤΟΥ ΟΙΚΙΣΜΟΥ ΚΑΣΤΡΙ», ΜΕΡΟΣ Α, Β (ΚΕΙΜΕΝΟ) ΚΑΙ ΜΕΡΟΣ Γ (ΠΙΝΑΚΕΣ), ΤΗΣ ΧΑΪΔΩΣ ΚΟΥΚΟΥΛΗ-ΧΡΥΣΑΝΘΑΚΗ, ΤΥΠΩΘΗΚΕ ΣΤΗΝ ΑΘΗΝΑ ΤΟ ΜΑΡΤΙΟ ΤΟΥ 1992 ΣΕ 1.200 ΑΝΤΙΤΥΠΑ ΣΤΗ ΣΕΙΡΑ «ΔΗΜΟΣΙΕΥΜΑΤΑ ΤΟΥ ΑΡΧΑΙΟΛΟΓΙΚΟΥ ΔΕΛΤΙΟΥ» ΥΠ' ΑΡΙΘ. 45.
ΕΚΤΥΠΩΣΗ: ΒΙΒΛΙΟΣΥΝΕΡΓΑΤΙΚΗ

ΥΠΟΥΡΓΕΙΟ ΠΟΛΙΤΙΣΜΟΥ
ΔΗΜΟΣΙΕΥΜΑΤΑ ΤΟΥ ΑΡΧΑΙΟΛΟΓΙΚΟΥ ΔΕΛΤΙΟΥ ΑΡ. 45

ΧΑΪΔΩ ΚΟΥΚΟΥΛΗ-ΧΡΥΣΑΝΘΑΚΗ

ΠΡΩΤΟΪΣΤΟΡΙΚΗ ΘΑΣΟΣ

ΤΑ ΝΕΚΡΟΤΑΦΕΙΑ ΤΟΥ ΟΙΚΙΣΜΟΥ ΚΑΣΤΡΙ

ΕΚΔΟΣΗ ΤΟΥ ΤΑΜΕΙΟΥ ΑΡΧΑΙΟΛΟΓΙΚΩΝ ΠΟΡΩΝ ΚΑΙ ΑΠΑΛΛΟΤΡΙΩΣΕΩΝ

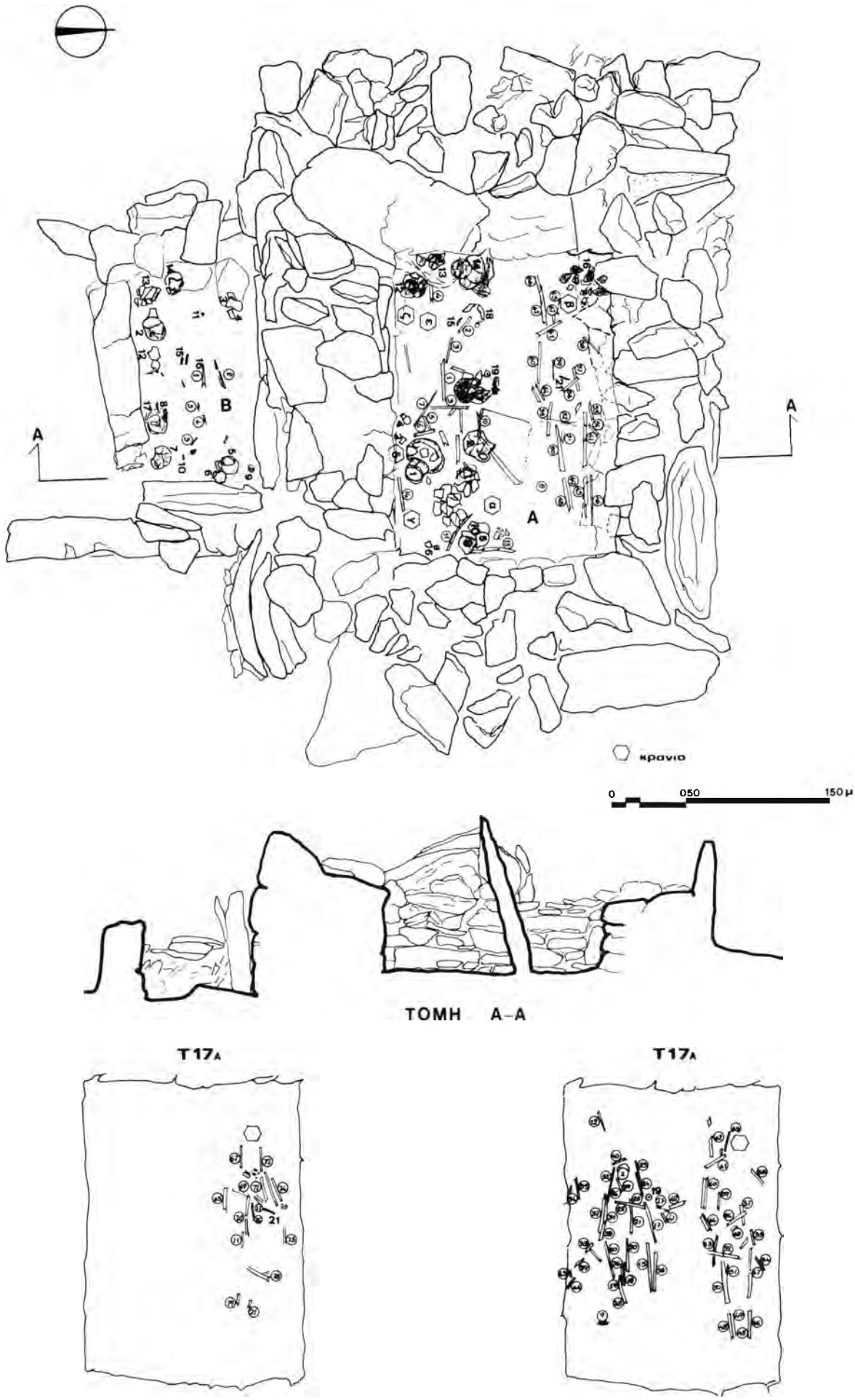

Σχέδ. II. Κάτοψη και τομή ταφικής συστάδας T17 και κατόψεις τάφου T17A.

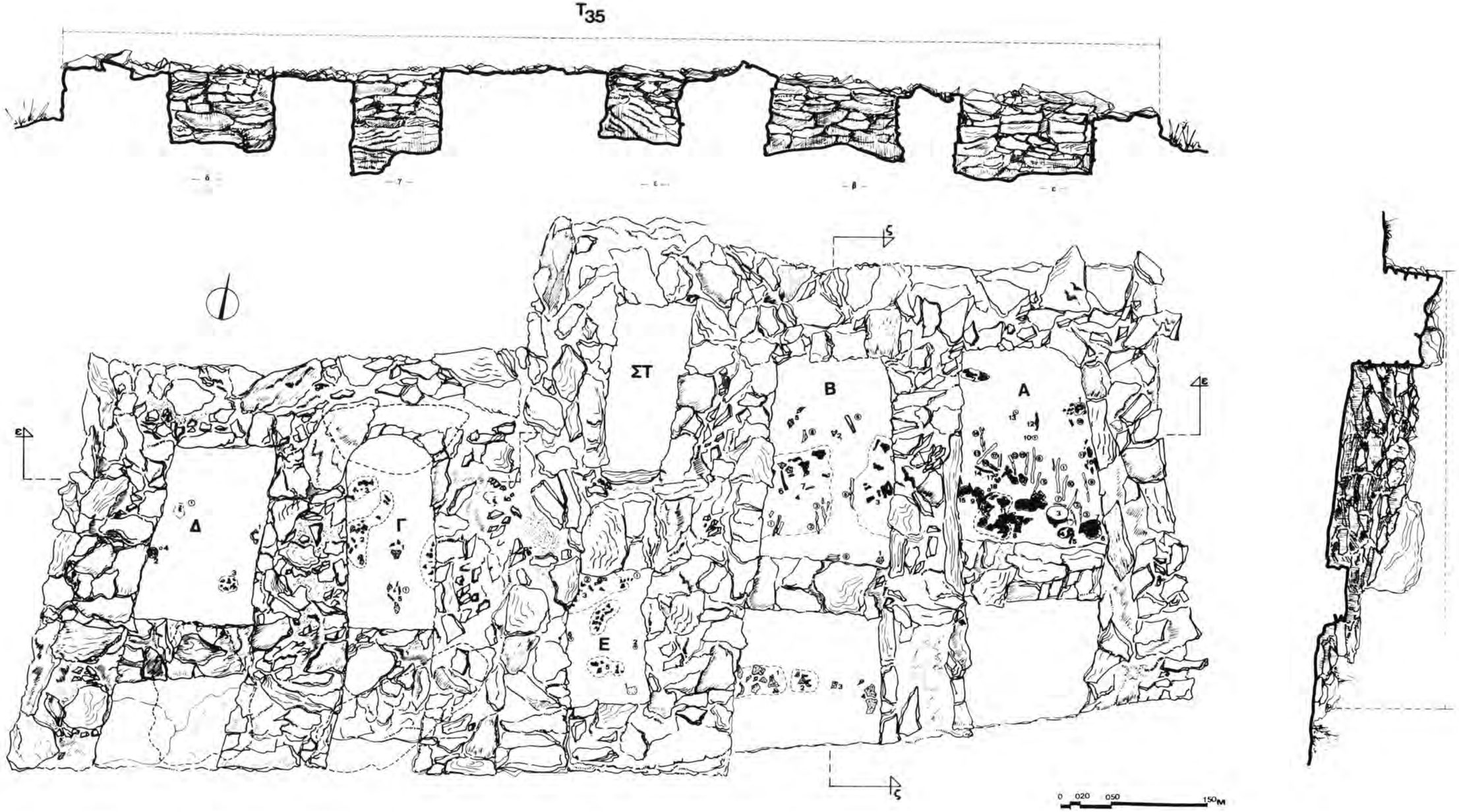

Σχέδ. V. Κάτοψη και τομές ταφικής συστάδας T35.

T26

Σχέδ.

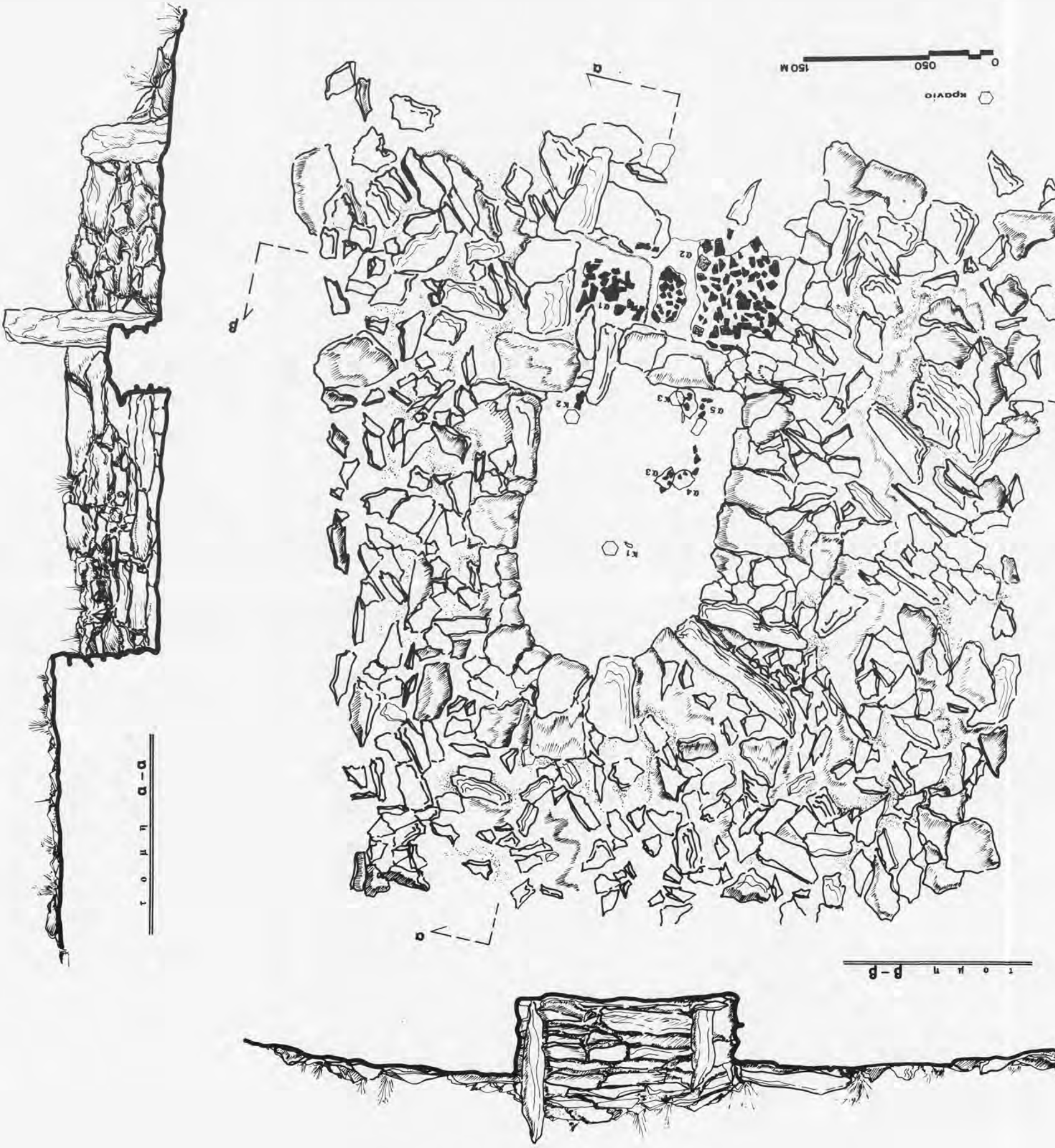

τομή και τομές τάφου Τ26.

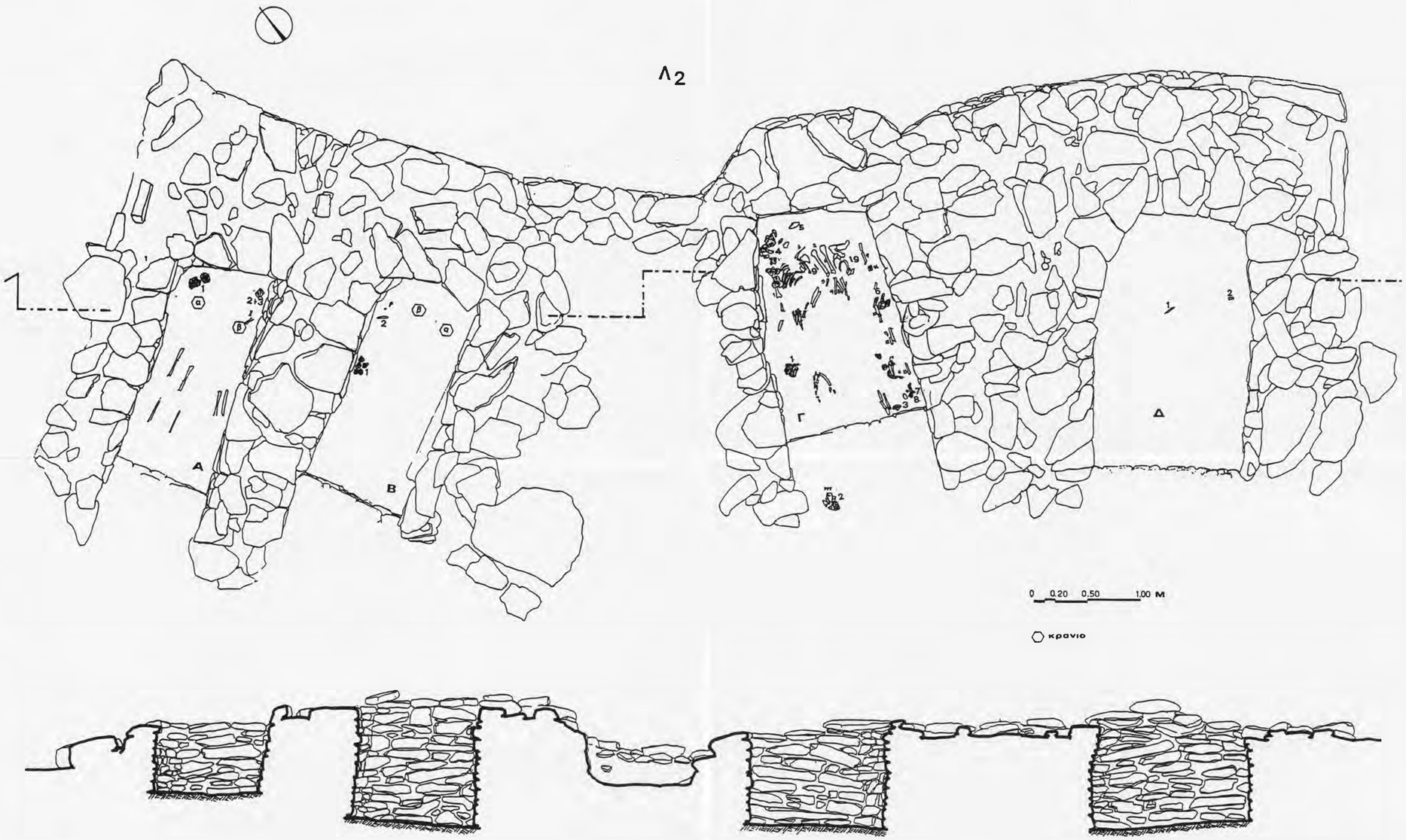

Σχέδ. VII. Κάτοψη και τομή ταφικής συστάδας Λ2.

Νεκροταφεια "ΚΑΣΤΡΙ"

ΚΕΡΑΜΙΚΗ

ΟΠΛΑ - ΕΡΓΑΛΕΙΑ - ΚΟΣΜΗΜΑΤΑ

IA

IB

IIA

IIB_1

IIB_2

IIB_3

IIΓ

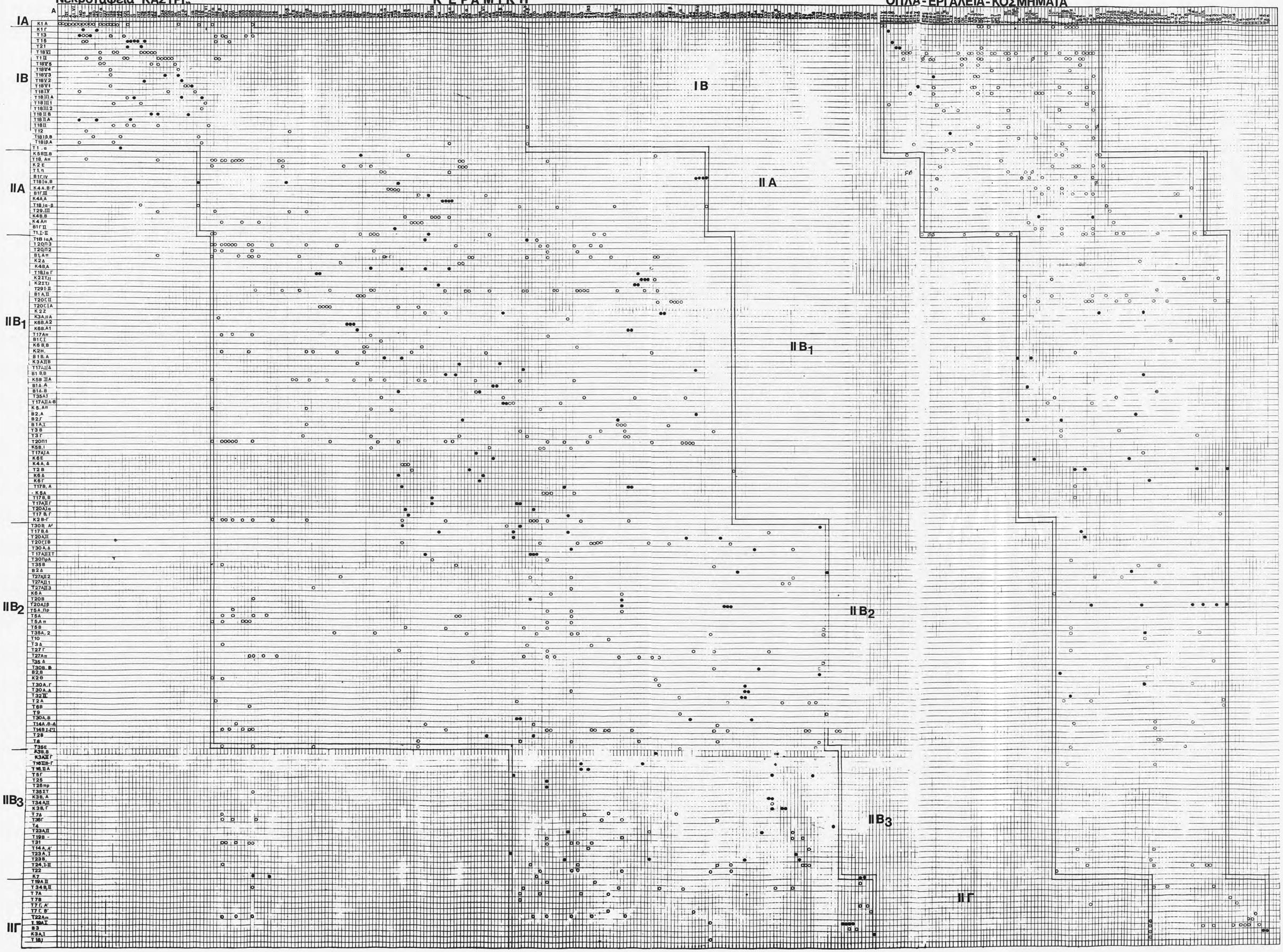

Σχέδ. IX. Νεκροταφεία οικισμού Καστρί. Πίνακας συνδυαστικής στατιστικής ευρημάτων.

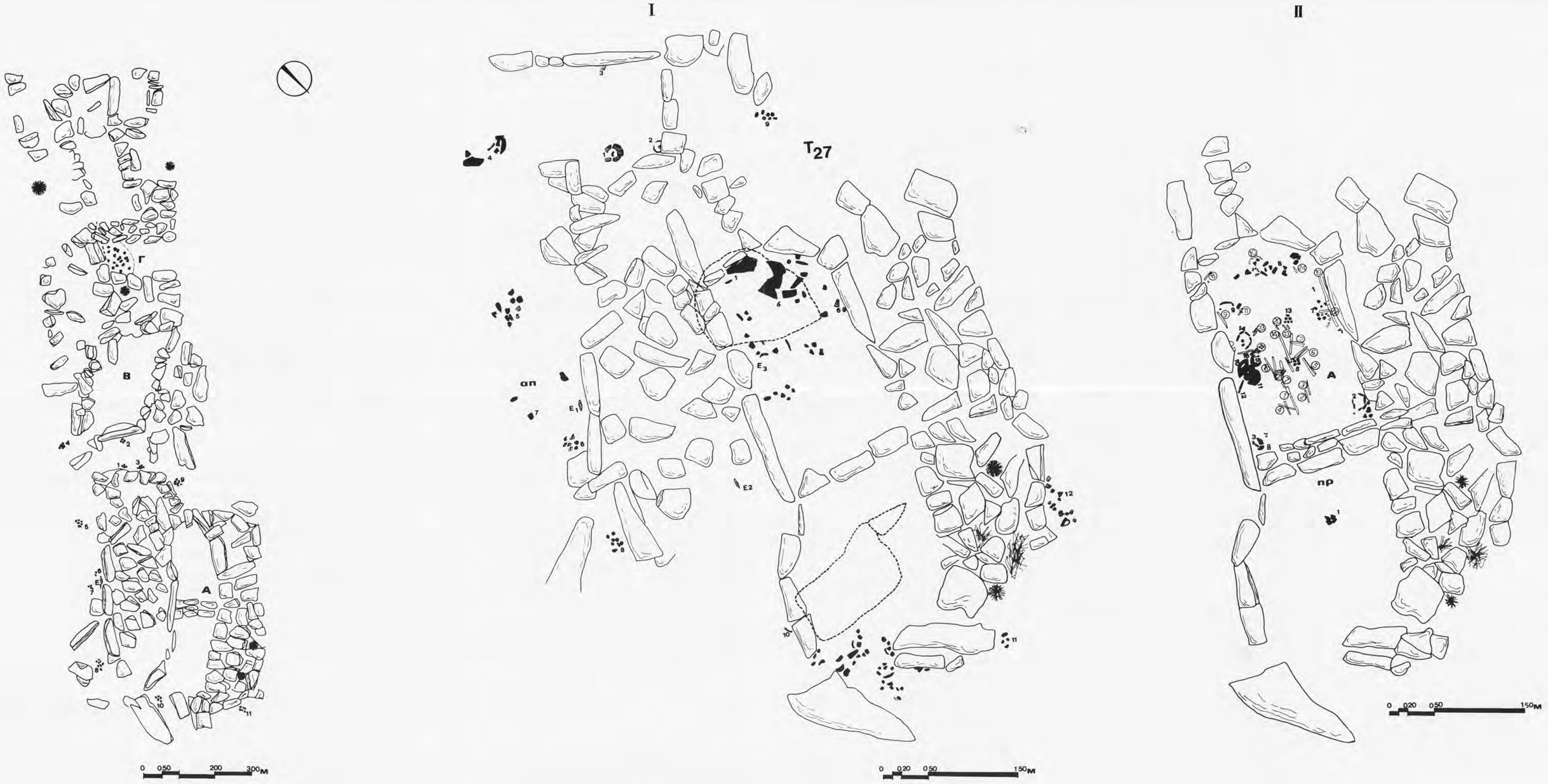

Σχέδ. IV. Κάτοψη ταφικής συστάδας T27 και στρώματα I-II του τάφου T27A.

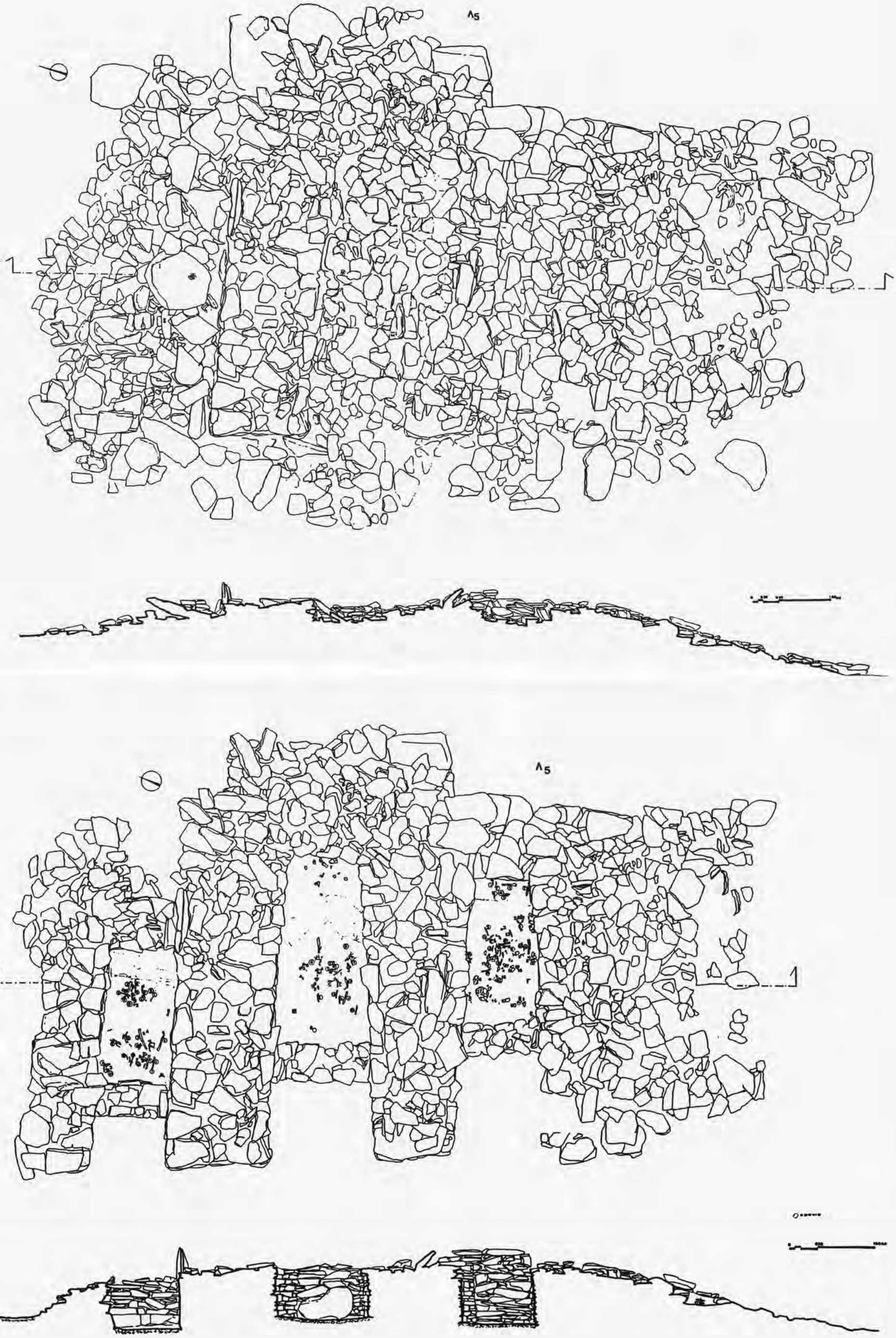

Σχέδ. VIII. Κάτοψη και τομή ταφικής συστάδας Λ5 πριν και μετά την ανασκαφή.

Σχέδ. VI. Τοπογραφικό διάγραμμα περιοχής νεκροταφείου Λαρνάκι.

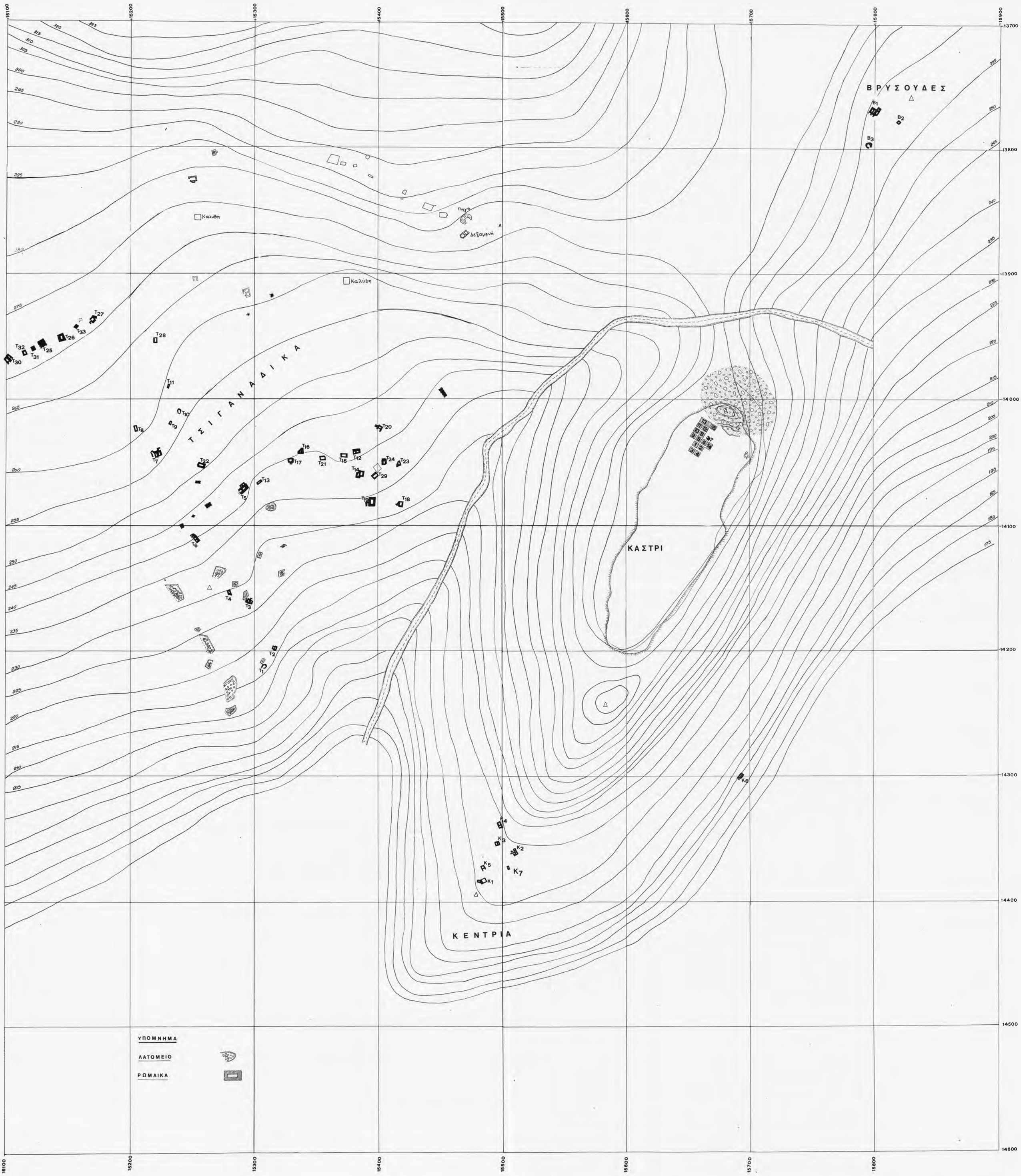

Σχέδ. Ι. Τοπογραφικό διάγραμμα της περιοχής του οικισμού Καστρί και των νεκροταφείων του.